



# IOS Services Géoscientifiques

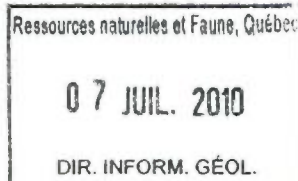
Uranium exploration campaign  
in the Kangiqsualujjuaq  
George River area  
Summer 2007 campaign  
North Rae project  
(Volume 1)

Presented to  
Mr. Jean-Marc Lulin, P. Geo.,  
Ph.D  
Azimut Exploration Inc.



By  
Réjean Girard, P. Geo.

GM 65084



Ville de Saguenay

1010536

March 19, 2010  
Project: 592

## SUMMARY

NWT Uranium Corporation, formerly Northwestern Mineral Ventures Inc., contracted IOS Services Géoscientifiques inc. in order to carry out a turnkey uranium exploration program for their North Rae project. The 2007 field campaign is the second campaign carried within this project, based upon the encouraging results of the summer 2006 campaign. Summer 2006 campaign was the very first uranium exploration program in the northern part of the George River area. The original properties consisted of three blocks of claims (properties A, B and CD) and are located southeast of the Kangiqsualujjuaq community, on the east side of Ungava Bay, Nunavik, in northern Québec. Blocks A and B were later jointed. On 9<sup>th</sup> of July 2009, NWT's participation in the North Rae project was acquired by Azimut Exploration, who became operator of the project.

The objectives of the summer 2007 field campaign, which were modified in the course of the campaign, were to:

1. Validate the airborne spectrometric anomalies outlined from the 2006 survey.
2. Validate lake sediment uranium anomalies from the 2006 survey.
3. Supervise Inuits prospecting crew.
4. Carry detailed mapping and sampling over the various uranium bearing occurrences found in 2006 campaign.
5. Proceed with trenching and blasting of uranium bearing outcrops.
6. And, in August, carry a first short drilling campaign over the most promising targets.

Target evaluation proceeded swiftly, providing most of the aforementioned targets within the first week of the campaign. Remaining efforts were dedicated on detail surveys upon these targets. Impressive localized scintillometric total counts were obtained up to saturation of the scintillometers, as well as broad areas with elevated background radioactivity. Consequently, abundant uranium enriched samples were collected, up to 3.3%  $U_3O_8$  in a grab sample.



## TABLE OF CONTENT

SUMMARY .....	II
LIST OF APPENDIX .....	VI
LIST OF FIGURES .....	VII
LIST OF TABLES .....	IX
LIST OF PICTURES .....	X
LIST OF MAPS .....	X
LIST OF SECTIONS .....	XI
INTRODUCTION .....	1
PROPERTY DESCRIPTION .....	2
LOCATION AND ACCESS .....	4
PREVIOUS WORK .....	4
REGIONAL GEOLOGY .....	5
URANIUM IN THE CHURCHILL PROVINCE .....	9
2006 SUMMER FIELD CAMPAIGN OVERVIEW .....	9
2007 SUMMER FIELD CAMPAIGN OVERVIEW .....	10
Crew .....	10
Logistic .....	12
GEOLOGICAL OBSERVATIONS .....	13
Kangiqsualujjuaq Complex .....	13
Baudan Complex .....	14
Lake Harbour Group .....	19
Small intercalations of Lake Harbour within Baudan Complex .....	20
Mount Nuvulialuk quartzite .....	20
Barnoin River sequence .....	22
Tasialuk Lake sequence .....	24
RELATIONSHIP BETWEEN GEOLOGY AND GEOPHYSICS .....	25
WORKING HYPOTHESIS FOR URANIUM EXPLORATION .....	32
TARGET SELECTION .....	33

GROUND PROSPECTING.....	35
RADIOMETRIC PROSPECTING.....	36
LINE CUTTING.....	40
GROUND RADIOMETRIC SURVEYS.....	42
GEOLOGICAL MAPPING.....	43
ROCK SAMPLING.....	43
CHEMICAL ANALYSIS AND ASSAYS.....	47
Shipment and chain of custody.....	48
Analytical quality control.....	48
SOIL GEOCHEMISTRY.....	50
WATER QUALITY SURVEY.....	54
LAKE BOTTOM SEDIMENT GEOCHEMISTRY.....	54
ORE PETROGRAPHY.....	54
DRILLING CAMPAIGN.....	57
Logistics of the drill campaign.....	57
Drilling procedures.....	58
GRADE DISTRIBUTION.....	62
PROSPECTING RESULTS.....	65
AZIMUT TARGET EVALUATION.....	66
INUITS PROSPECTING.....	67
Inuit-1 Area.....	68
Inuit-2 Area.....	68
Inuit-3 Area.....	69
Inuit-4 Area.....	69
PROSPECTING RESULTS UPON SPECTROMETRIC TARGETS.....	70
Target n° 10.....	70
Target n° 11.....	70
Target n° 24.....	70
Target n° 43.....	71
Target n° 70.....	71

Target n° 79 .....	71
Target n° 107 .....	71
Target n° 108 .....	72
Target n° 137 .....	72
Target n° 140 .....	72
Target n/d.....	73
Cirrus zone.....	73
Puqila zone .....	73
Amituujuaq zone .....	74
Illaluga zone.....	76
Torrent extension area.....	77
Tasialuk extension area .....	77
De La Ralde Granite .....	78
TASIALUK OCCURENCE .....	78
Ground scintillometer survey.....	79
Geology.....	82
Sampling and uranium grade .....	83
Drill holes .....	85
TASIK OCCURENCE .....	86
Geology.....	89
Sampling and uranium grade .....	89
Drill holes .....	91
TORRENT OCCURENCE .....	92
Ground scintillometer survey.....	93
Geology.....	95
Sampling and uranium grade .....	95
AGPIQ OCCURENCE .....	97
Ground scintillometer survey.....	97
Geology.....	99
Sampling and uranium grade .....	99

JONAS OCCURENCE.....	101
Ground scintillometer survey.....	101
Geology.....	102
Sampling and uranium grade.....	103
Drill holes.....	105
CONCLUSIONS.....	106
REFERENCES.....	107

## LIST OF APPENDIX

### APPENDIX 1: Daily reports

### APPENDIX 2: AIRBORNE SPECTROMETRIC TARGETS

Table 1: *MPH list*

Table 2: *Azimet list*

### APPENDIX 3: SCINTILLOMETER PROSPECTING

Table 1: *Scintillometer readings*

Table 2: *Spectrometer readings*

### APPENDIX 4: OUTCROPS DESCRIPTION

### APPENDIX 5: SAMPLE ANALYSIS

Table 1: *Sample location and description*

Table 2: *Surface sample analysis and assays*

Table 3: *Drill core sample analysis and assays*

Table 4a: *Duplicatas analysis (IOS)*

Table 4b: *Quartz analysis (IOS internal reference material)*

Table 4c: *BL-3 certified reference material analysis (IOS)*

Table 4d: *DH-1a certified reference material analysis (IOS)*

Table 5: *Certified reference materials (SRC)*

Table 6: *Analytical replicates (SRC)*

### APPENDIX 6: LABORATORY CERTIFICATES

### APPENDIX 7: SOIL GEOCHEMISTRY

Table 1: *Sample preparation and description*

Table 2: *Soil sample analysis (Actlabs)*

Table 3a: *MR1Sol0607 analysis (IOS internal reference material)*

Table 3b: *MRESol07 analysis (IOS internal reference material)*

**Table 4:** *Blank analysis (Actlabs)*

**Table 5:** *Analytical replicates (Actlabs)*

**Table 6:** *Laboratory certificates (Actlabs)*

**APPENDIX 8 : WATER QUALITY ANALYSIS**

**APPENDIX 9 : ORE PETROGRAPHY**

**Table 1 :** *IOS report*

**Table 2 :** *SGS report*

**Table 3 :** *P. Tremblay B.Sc. Thesis*

**APPENDIX 10 : CORE DRILLING**

**Table 1 :** *Drill logs*

**Table 2 :** *Spectrometer readings*

**LIST OF FIGURES**

**Figure 1:** Project location

**Figure 2:** North Rae localisation in regard of other uranium projects in the Ungava Bay area

**Figure 3:** Lithotectonic map of the Churchill Province of Labrador and northeastern Québec

**Figure 4:** Regional geology of the Koroc River and part of the Hébron region

**Figure 5:** Airborne total magnetic field

**Figure 6:** Map of equivalent uranium calculated from the airborne spectrometric survey

**Figure 7:** Map of equivalent thorium calculated from the airborne spectrometric survey

**Figure 8:** Map of U/Th ratio, calculated from the airborne spectrometric survey

**Figure 9:** Map of potassium counts from the airborne spectrometric survey

**Figure 10:** MPH spectrometric anomalies and equivalent uranium map

**Figure 11:** MPH and Azimut's selected spectrometric anomalies

**Figure 12:** Diagram of radioactivity versus assays

**12a:** Maximum scintillometric readings versus uranium grade.

**12b:** Maximum scintillometric readings versus uranium plus thorium grade.

**12c:** Average scintillometric readings versus uranium plus thorium grade.

**12d:** Calculated spectrometric uranium equivalent versus uranium grade

**12e:** Calculated spectrometric thorium equivalent versus thorium grade

**12F:** Calculated spectrometric eU/eTh versus assayed U/Th

**Figure 13:** Uranium distribution in the soil geochemistry survey, Rae-1

**Figure 14:** Various elements distribution in the soil geochemistry survey, Rae-1

- Figure 15:** Backscattered image of uraninite replaced by uranothorite and thorite, sample 295367
- Figure 16:** Uranium grades distribution according to sample type
- Figure 17:** Comparison of uranium grades in sample doublet from Pionjar dust and "Boulder Buster" selected sample
- Figure 18:** Scintillometer prospecting and sample location, Puqila zone
- Figure 19:** Assay results, Puqila zone
- Figure 20:** Grade distribution in Puqila and Cirrus
- Figure 21:** Grade distribution, Amittuujaq zone
- Figure 22:** Grade distribution, Illaluga zone
- Figure 23:** Scintillometer readings distribution, Tasieluk grid
- Figure 24:** Scintillometer reading distribution curve, all the grids
- Figure 25:** Grade distribution, Tasieluk zone
- Figure 26:** U/Th ratios in samples from Tasieluk zone
- Figure 27:** Scintillometer readings distribution, Tasik zone
- Figure 28:** Grade distribution, Tasik zone
- Figure 29:** U/Th ratios in samples from Tasik zone
- Figure 30:** Scintillometer readings distribution, Torrent zone
- Figure 31:** Grade distribution, Torrent zone
- Figure 32:** U/Th ratios in samples from Torrent zone
- Figure 33:** Scintillometer readings distribution, Agpiq zone
- Figure 34:** Grade distribution, Agpiq zone
- Figure 35:** U/Th ratios in samples from Agpiq zone
- Figure 36:** Scintillometer readings distribution, Jonas zone
- Figure 37:** Grade distribution, Jonas zone
- Figure 38:** U/Th ratios in samples from Jonas zone
- Figure 39:** U/Th ratios distribution
- Figure 40:** Soluble uranium versus total uranium diagram
- Figure 41:** U/Th ratios, overall project
- Figure 42:** Th versus Ce diagram
- Figure 43:** Ce/Th versus uranium diagram
- Figure 44:** Feldspar ternary diagram, overall project
- Figure 45:** Alkaly index versus alumina saturation index diagram, overall project
- Figure 46:** Feldspar ternary and index diagram, Tasieluk zone
- Figure 47:** Feldspar ternary and index diagram, Torrent zone
- Figure 48:** Feldspar ternary and index diagram, Tasik zone
- Figure 49:** Feldspar ternary and index diagram, Jonas zone
- Figure 50:** Feldspar ternary and index diagram, Agpiq Amittuujaq and Illaluga zones



- Figure 51:** Feldspar ternary and index diagram, Cirrus and Puqila zones  
**Figure 52:** Feldspar ternary and index diagram, LaRalde granite  
**Figure 53:** Total lead versus soluble lead diagram, drill core samples  
**Figure 54:** Total lead versus soluble lead diagram, surface samples  
**Figure 55:** Lead versus uranium diagram, drill core samples  
**Figure 56:** lead versus uranium diagram, surface samples  
**Figure 57:** Lead versus uranium plus corrected thorium, drill core samples  
**Figure 58:** Lead versus uranium plus corrected thorium, surface samples  
**Figure 59:** Relation between uranium and molybdenum

## LIST OF TABLES

- Table 1 :** Marked grids configuration  
**Table 2 :** Sample statistics  
**Table 3 :** Proficiency of uranium analytical standards  
**Table 4 :** Level structure used in drill holes database  
**Table 5 :** Drill holes specifications  
**Table 6 :** Grade distribution among lithofacies  
**Table 7 :** Samples collected on Illaluga zone according to lithofacies  
**Table 8 :** Statistics on Tasieluk scintillometer survey  
**Table 9 :** Sample grades, Tasieluk zone  
**Table 10 :** Tasieluk drill holes location  
**Table 11 :** Mineralized intersections in Tasieluk drill holes  
**Table 12 :** Statistics on Tasik scintillometer survey  
**Table 13 :** Sample grades, Tasik zone  
**Table 14 :** Tasik drill holes location  
**Table 15 :** Mineralized intersections in Tasik drill holes  
**Table 16 :** Statistics on Torrent scintillometer survey  
**Table 17 :** Sample grades in Torrent zone  
**Table 18 :** Statistics on Agpiq scintillometer survey  
**Table 19 :** Sample grades in Agpiq zone  
**Table 20 :** Statistics on Jonas scintillometer survey  
**Table 21 :** Sample grades in Jonas zone  
**Table 22 :** Jonas drill holes location  
**Table 23 :** Mineralized intersections in Jonas drill holes  
**Table 24 :** Correlation between uranium analysed after Aqua Regia and multi-acidss digestion

## LIST OF PICTURES

- Picture 1:** Tonalitic gneiss of the Kanjiqsualujjuaq Complex
- Picture 2:** View of the Baudan granitic gneiss in the Amittuujaq zone, in which the sub-horizontal gneissosity is discernable
- Picture 3:** View of a paragneiss intercalated in the Baudan Complex
- Picture 4:** Metapyroxenite layer locally preserved in the Baudan granitic gneiss
- Picture 5:** View of a pegmatite swarm, Amittuujaq zone
- Picture 6:** Outcrops of the Nuvulialuk quartzite
- Picture 7:** Detailed view of a metaperidotite
- Picture 8:** Detail view of a metapyroxenite associated with the metaperidotite
- Picture 9:** Site preparation for "Boulder buster" with a Pionjar rock hammer
- Picture 10:** View of a blasting site using "Boulder buster"
- Picture 11:** Atlas-Corpo drill rig set at Jonas
- Picture 12:** Drill hole implantation sites on Tasieluk grid
- Picture 13a:** Picture of the pegmatite (I1G)
- Picture 13b:** Picture of migmatized biotite schist (M8,BO/I1G)
- Picture 13c:** Picture of the granitic gneiss(M6)
- Picture 13d:** Picture of the brachiated pegmatite
- Picture 13e:** Picture of the metasediments (S3) and amphibolites (M16)

## LIST OF MAPS

- Map 1:** Properties and claims map
- Map 2:** Geology
- Map 3:** Scintillometer readings
- Map 4:** Sample location
- Map 5:** Uranium assays
- Map 6:** Tasieluk geology, sampling and drill hole location
- Map 7:** Tasieluk assays and scintillometer survey
- Map 8:** Torrent geology and sample localization (2 sheets)
- Map 9:** Torrent assays and scintillometer survey (2 sheets)
- Map 10:** Tasik geology, sampling and drill hole location
- Map 11:** Tasik assays and scintillometer survey
- Map 12:** Agpiq sampling
- Map 13:** Agpiq assays and scintillometer survey
- Map 14:** Jonas sampling and drill hole location

**Map 15:** Jonas assays and scintillometer survey

## LIST OF SECTIONS

**Section 1:** NR-07-01 DDH PROFILE

**Section 2:** NR-07-02 DDH PROFILE

**Section 3:** NR-07-03 DDH PROFILE

**Section 4:** NR-07-04 DDH PROFILE

**Section 5:** NR-07-05 DDH PROFILE

**Section 6:** NR-07-06 DDH PROFILE

**Section 7:** NR-07-07 DDH PROFILE

**Section 8:** NR-07-08 DDH PROFILE

## INTRODUCTION

On March 19, 2007, Northwestern Mineral Ventures inc, (which changed its name to NWT Uranium Corporation on August 3, 2007) retained the services of IOS Services Géoscientifiques Inc to perform mineral exploration work on its behalf on properties referred to as the North Rae Project.

The contract between the two parties called for IOS to provide logistical support and perform reconnaissance geological work leading to the filing of "5. A final report with recommendations upon receipt of assays in relation to Approved Programs, all in accordance with applicable assessment filing regulations; and 6. Filing of assessment work and claim management if required by client."

On July 09 2009, NWT terminated its option agreement with Azimut Exploration concerning the properties which reverted to Azimut. Following this transaction, on November 19 2009, NWT Uranium instructed IOS to prepare a report (on the work and data acquired in the summer 2007 field campaign) for filing purposes be addressed to Azimut. NWT also requested that the report be a "factual report" presenting results with minimal comment and interpretation and without conclusions or recommendation.

The North Rae project (*figure 1*) represents a uranium exploration project in the northern part of the George River area, north-eastern Québec. Very limited information about uranium in this region was available prior to the current involvement, limited to broad sediment lake survey data. This governmental survey shows uranium content of lake sediments in the region being rather high, with values up to 1800 ppm.

A first limited field campaign, carried on behalf of Northwest Mineral Ventures inc. was carried in the summer 2006, aiming to validate the lake sediment uranium anomalies and to map the properties with the use of hand-held spectrometers. This campaign indicated the presence of uranium concentrations on the property and established the general geological setting in terms of the type of uranium mineralization. Field work consisted of 14 days of reconnaissance mapping in July. Afterwards, a second visit of 19 days in September was completed, with the specific purpose to sample areas of interest.

In parallel to 2006 ground work, an airborne radiometric survey and a detailed lake bottom geochemistry survey were commissioned, results of which were delivered only for the 2007 field campaign.

The summer 2007 field campaign was designed, and carried on behalf of NWT Uranium corporation, as a large mapping and sampling program, aiming to evaluate all different targets and including grid surveying, systematic ground scintillometer survey, detailed mapping, trenching and sampling over radioactive zone. On the first few days of the program, the Tasialuk, Tasik and Torrent zones were discovered, followed by Aqpiq and Jonas zones. Systematic ground surveys were initiated and carried upon these five zones.

A brief eight (8) diamond drill holes campaign has been carried in August and September.

### PROPERTY DESCRIPTION

The original property consists of three (3) blocks of claim, located southeast of the Kangiqsualujjuaq community (formerly George River) in Ungava Bay, Nunavik (*figure 2, map 1*). This community is accessible by chartered planes through daily Air Inuit flights.

The three (3) initial blocks of claim (properties A, B and CD), covered by the 2006 field work, encompass a total of 697 designated map cells, representing 313.5 Km<sup>2</sup>. The area between these blocks was subsequently staked in the fall of 2006 (*map 1*), representing 224 designated cells or 132.5 km<sup>2</sup>, and included in summer 2007 campaign. The North Rae project encompass only the area staked in map sheets 24111 and 24112 and not the area staked in map sheets 24105 and 24106 or any NTS map sheet located more to the south, allocated to "lac Daniel" project. Although also under option by NWT Uranium, no significant work has been carried upon "lac Daniel" claims in 2007, except for an airborne spectrometric survey. All properties are registered under Exploration Azimut Inc., and were the object of an agreement which provide an option to acquire participation by NWT Uranium Inc., NWT acting as operator.





of properties belonging to Uranor Inc. (Areva Canada), Azimut's "lac Daniel" property granted for option to NWT Uranium, and Azimut's "Kanjiq" property, granted for option to Central Uranium Corp<sup>1</sup>. The two properties are separated by a narrow strip of claims belonging to Uranor Inc.

A small group of 62 claims belong to the same agreement, but isolated west of the George River. It has not been covered by the current work program.

### LOCATION AND ACCESS

The property is located a short distance from the community of Kangiqsualujjuaq, between the George and Koroc rivers and along the Valley of the Barnoin River. It is limited by 58°28'30" and 58°42' north latitudes and 65°10' and 65°53'30" West longitudes, at the intersection of the NTS map sheets **24I05**, **24I06**, **24I11** and **24I12**. Access from Kangiqsualujjuaq is possible by snowmobiles in winter and ATVs or boats in summer, but more conveniently requires air support. An airstrip for Twin-Otters is maintained at the Barnoin River lodge, an outfitting camp that is seasonally operated. This camp was rented both for the 2006 and 2007 summer field campaign. It provides the basic infrastructures required to support an exploration crew (helicopter pad, refectory, dormitories, shower, etc.). A helicopter is required to access most parts of the property. The northern part of property is accessible by boat from the outfitting camp. The topography is mountainous over all of the property with altitudes ranging from sea level to 900 metres. Despite the rugged topography, walking traverses are facilitated by the tundra-type short vegetation.

### PREVIOUS WORK

The area was initially mapped in 1967-1969 at 1:250,000 as part of the "Torngat Project" of the geological survey of Canada (Taylor, 1979). This map is amazingly accurate, considering the conditions in which the fieldwork was carried out. Most of the large lithological units were outlined and the geological framework was identified.

The NTS 24I map sheet was remapped at the same scale in 1997 by the ministère des Ressources naturelles du Québec (Verpaelst et al., 2000). This map does not provide

---

<sup>1</sup> Currently Abitex Exploration Inc.

significant improvement in terms of accuracy compared to Taylor's (1979). However, improvements were made to the understanding of the geological framework.

The only public geophysical data available is the federal government low-density aeromagnetic survey. A lake-bottom geochemical survey was carried out in 1997 by the ministère des Ressources naturelles du Québec. Although no report is available, the original data can be purchased. Lakes were sampled at a density of one sample per 7 km. Analytical procedure involved ICP-AES after Aqua Regia digestion.

Only very limited exploration work has been carried out in this area prior to NWT involvement. Some claims were acquired in 1998 for nickel exploration by the Cambior-Soquem-Virginia consortium, as a follow-up of the abovementioned lake bottom sediments survey. Very limited work has been released from these campaigns. Some prospecting for nickel was carried out the year before, in 1997 for Inco Ltd with no results available. Finally, some diamond exploration was carried out in the Koroc River area, to the north of the actual project. No mineral occurrence was known in the area.

## REGIONAL GEOLOGY

The North Rae project is located in the northeastern part of the Rae segment of the Churchill Province, on the western side of the Torngat Orogen (**figures 3 and 4**). This area is characterized by a dominant gneissic complex, which represents Archean craton reactivated by both New Quebec and Torngat lower-proterozoic orogens (Hoffman, 1988). The whole area is covered by intricate basement gneisses, homoclinal west-verging dismembered paleoproterozoic supracrustal sequences, and early-tectonic hudsonian granodioritic complexes.

The North Rae properties are located in the George River tectonic domain, limited to the northeast by the Abloviak shear zone (Goulet, 1990) and to the southwest by the Kuujuaq segment (**figure 3**). The George River domain is dominated by three distinct lithodemic assemblages:

- An assemblage of reactivated tonalitic Archean orthogneisses, known as the Kangiqsualujuaq Complex (Verpaelst *et al.*, 2000). This complex includes greyish tonalitic to dioritic gneisses, metamorphosed to the granulite facies and the subject of multiple deformation events.

- An assemblage of intricate tonalitic gneisses, granitic orthogneisses and granitoids of the Baudan Complex. This assemblage is interpreted as relicts of an Archean basement similar to the Kangiqsualujjuaq gneiss, dissected by hudsonian granodioritic intrusions, and subsequently metamorphosed to the amphibolite facies. These are typically variegated pink polycyclic gneisses.
- The third assemblage is composed of metasupracrustal rocks belonging to the Lake Harbour Group (or Koroc River Group). This group consists of a palaeoproterozoic platform sequence composed of quartzites, metapelites, marbles and calcosilicate rocks, interlayered with metabasaltic horizons and metamorphosed to the amphibolite facies. These rocks form thick and extensive sequences in the Mt. Nuvulialuk area, where a sequence of continuous metapelite and rusty metapelite is overlaid by a thick and cohesive quartzite interlayered with a thin horizon of metabasalt. The Lake Harbour Group is also dominant along the Barnoin River Valley, although outcropping is poor. Finally, these rocks are also present as dismembered slivers within the Baudan Complex.

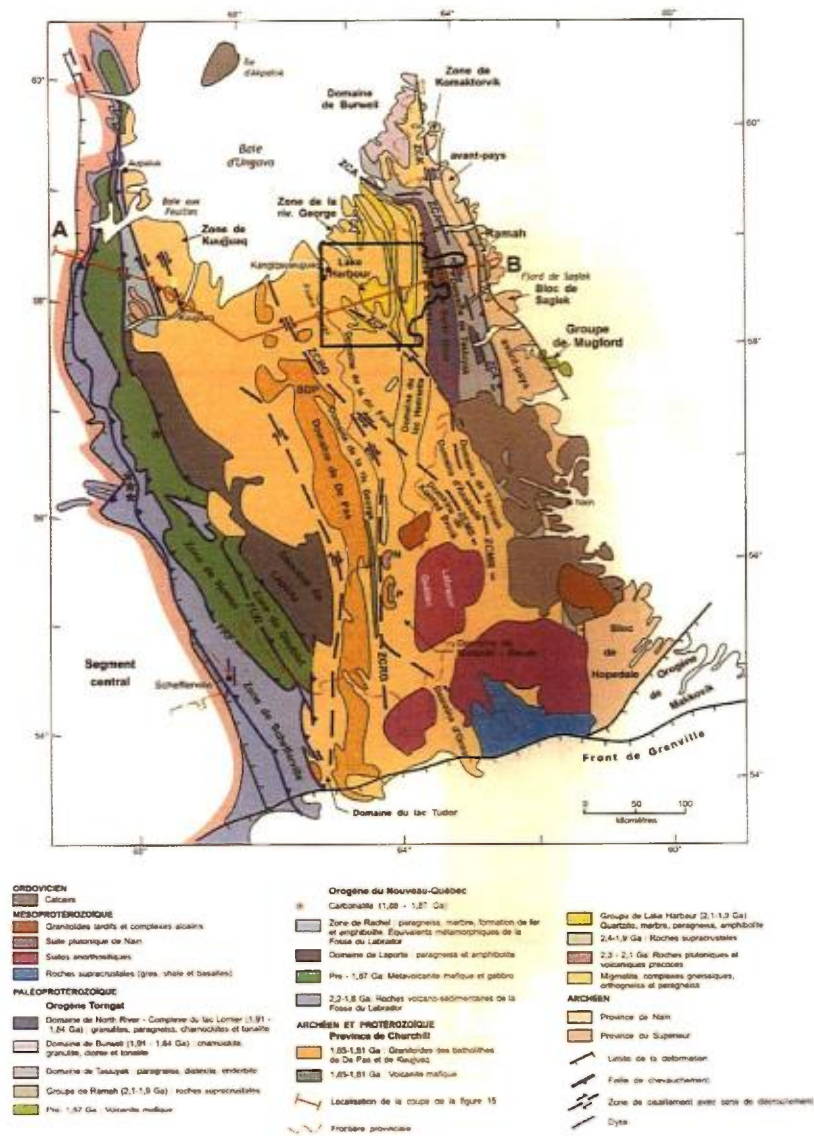
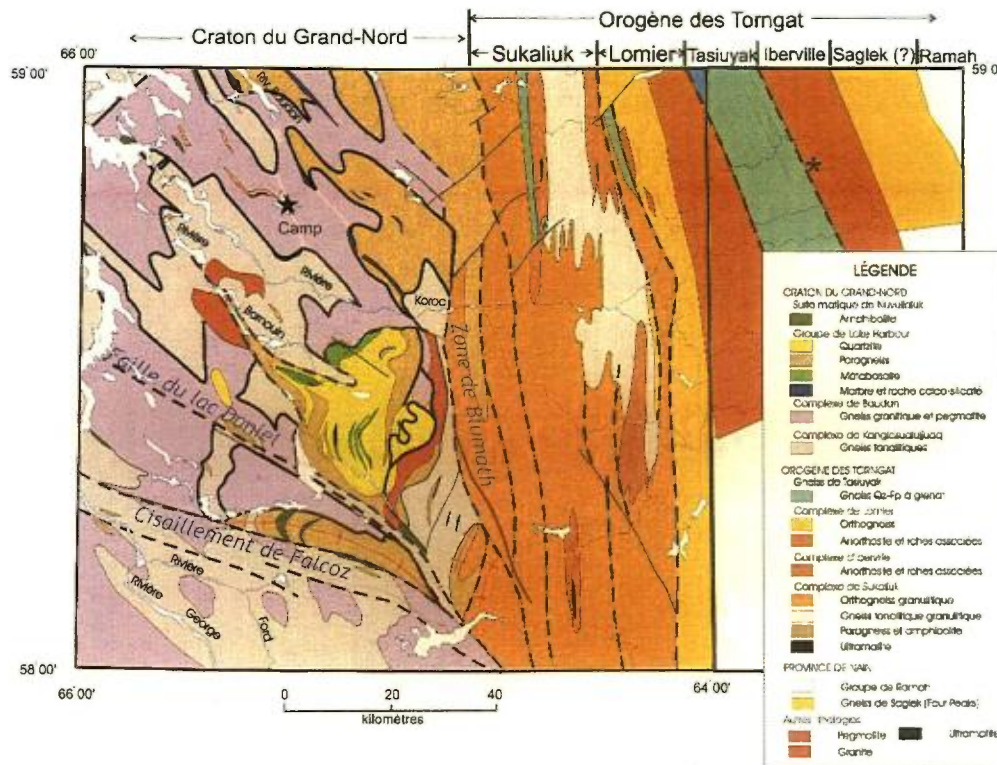


Figure 3: Lithotectonic map of the Churchill Province of Labrador and northeastern Québec (from Verpaelst, 2000; adapted from Wardle et al., 1990)



**Figure 4:** Regional geology of the Koroc River (NTS map sheet 24I) and part of the Hébron region (NTS map sheet 14L), from Verpaelst et al., 2000.

All these rocks are strained and metamorphosed to the middle and upper amphibolite facies. Evidence of granulite facies metamorphism is largely obliterated, but present in tonalitic gneisses. Evidence of extensive granulite facies metamorphism, such as in the Lomier Complex to the east, is not observed in the area. Granulite to amphibolite retrometamorphism is suspected to be related to early-tectonic granitoid emplacement in the Baudan Complex.

The Lake Harbour Group to the east is described as a dome-and-basin structure, with a N130° to N140° trending fold axis (Goulet, 1990). They are rooted in east-dipping homoclinal steepened gneisses to the east, trending about N110° to N140°. This gneissosity parallels the foliation, the schistosity, fold axis, shearing, etc. (Goulet, 1990, geological map by Taylor, 1979).



The properties are located between the northwest trending lac Daniel fault to the south-west and the Barnoin River fault to the north-east. According to Verpaelst et al. (2000), the Barnoin River is the expression of regional NNW-SSE fault, although author's observations rather suggest a synformal keel. This regional fault and the lac Daniel fault are probably late expressions of splay structures related to the regional Falcoz and Abloviak shear zones.

## URANIUM IN THE CHURCHILL PROVINCE

Important uranium showings are known in the Churchill province, more particularly in the New Quebec Orogen (Labrador Trough). They are mostly associated with some detrital sequences (arkosic sandstones and molassic sediments). Some U-Cu-Au mineralizations are also described in fault zones, associated with sodic metasomatic alteration (albitization). Uranium is finally present in the Strange Lake peralkaline granite.

In each case, except for Strange Lake, uranium concentrations are epigenetic, meaning that uranium is remobilized from a primary source.

More recently, Uranor unearthed the "Cage" occurrence in the vicinity of the North Rae project. Little was publicly known about at the time of the present campaign<sup>2</sup>, else than it was hosted in calc-silicates rocks of the Lake Harbour Group, north of the Abloviak Fjord. It is apparently kilometre in size, with about local surface grade up to 9% U<sub>3</sub>O<sub>8</sub>.

## 2006 SUMMER FIELD CAMPAIGN OVERVIEW

In the course of summer 2006, two field campaigns were carried out by IOS Services Géoscientifiques Inc on behalf of Northwestern Minerals. The first campaign spanned from the 9<sup>th</sup> to the 21<sup>st</sup> of July 2006. Its goal was to identify and outline the first zones of interest through regional geological mapping, ground spectrometric survey and rock sampling. Traverses by foot were concentrated at first near the lakes with the highest uranium anomalies and along the contact zone between the Lake Harbour Group and the granitic

---

<sup>2</sup> A large report (GM-63422, 2007) has been recently filed by Areva as assessment at the ministère des Ressources naturelles et de la Faune, providing abundant information.



orthogneiss units. Systematic coverage of the properties, with kilometre spacing, has nearly been completed.

The first campaign was carried out by the author, Réjean Girard P. Geo and Olivier Gerbeaud, Ph.D, assisted by Jérôme Lavoie and Anatole Pilon, technicians and Joanie Béland, student. Fieldwork was organized from the Barnoin River lodge, and supported by a pontoon-equipped Bell 206 helicopter from Canadian Helicopter and piloted by Alexandre Fouillit. Mobilization and demobilization was made possible through a chartered plane directly from Saint-Honoré to Kangiqsualujjuaq.

After the discovery of significant uranium occurrences at the very end of the first campaign, a second field campaign was requested by Northwestern. It was carried out from the 3<sup>rd</sup> to the 21<sup>st</sup> of September 2006. The goal of this second campaign was essentially to properly sample the formerly discovered occurrences and to evaluate their lateral extension through further ground prospecting. This second campaign was carried out by Anatole Pilon and Jérôme Lavoie, both technicians. The Barnoin River lodge was used as base of operations and no helicopter support was used.

During the course of the first assignment, a lake bottom sediment survey was completed by the crew, with Anatole Pilon as sampler and Joanie Béland as sample manager. This survey is described in a separate report. Finally, logistics for the airborne survey was organized.

## 2007 SUMMER FIELD CAMPAIGN OVERVIEW

Field work in 2007 was operated from June 25<sup>th</sup> to October 11<sup>th</sup> (*appendix 1*; daily reports). The project spanning near to four months, staff rotation has been implemented.

### CREW

The 2007 field crew was directed by Sylvain Vaillancourt, senior technician, under the supervision of Bertrand Taquet, geologist and NWT representative, who was in charge of coordinating the effort of the 70 workers, including 10 geologists, who have been attending the project and stayed at the camp:

- He was assisted in geological duties by Michael Blöck, Jonathan Lalancette, Stephan Pivin, Jean-Sébastien Gauthier, Julien Walter, Aurore Laurendeau, geologist or engineer in training, plus Cyrile Mullard, geologist in training and GIS specialist.
- Steeve Lavoie, Julie Meunier, Joannie Béland, Paméla Tremblay, Jordi Turcotte, Benoit Massé, Jennifer Blain as geology students.
- Gaétan Tremblay, Stéphane Sergerie, Dominique Lavoie, Xavier Bergeron as labour plus Anatole Pilon, technician.
- Paquerette Duchêne, Jean-Guy Maillot and Nathalie Larouche, cooks.
- Bertrand Taquet and Hamza Gado, geologist from NWT Uranium.
- Michel Castilloux, Bertrand Dallaire, Daniel Paradis prospectors from "Exploration Sans Frontière".
- Ned Annanak, Tommy Assevak, Adamie Annanak, Georges Thomossiah, Charlie Etok and Stephen, inuits prospector from Nunavik Mineral Exploration Fund.
- Jean-Guy St-Aubin, dispatcher in Kanjiqsualujjuaq.
- Yannick Martin, Fred Jones, Carson Sutton, Marcel St-Laurent, Jos Csabaf, Nick, Guy, Jean-Denis, Dominique Ouelette, Jean-Guy Maillot, Carlos Gonzalès as pilot and mechanics from Heli-Transport.
- Pierre Fillion, Sleh Moussaoui, Christophe Zarratoga, Mattieu Tanguay from GDS Airborne Survey.
- Gabriel Bergeron, telecommunication technician from Son-X-Plus.
- Alexandre Priem and his assistant, sea-plane pilot.
- Guy Labrie, Jasmin Bolduc, Patrick Labbé, Roger Boucher, Patrick Shink, drillers from Forage Benoit inc.
- Alain Lagacé, his wife, Daniel the cook and his wife, and two Inuit maid, staff from Rapid-Lake Lodge attending the camp.
- Marek Kreczmer from NWT Uranium who visited the project between July 19<sup>th</sup> and 20<sup>th</sup>, and then back with Anton Esterhuissen and Helen Pein from August 15<sup>th</sup> to 19<sup>th</sup>.
- Réjean Girard from IOS who visited the project from June 28<sup>th</sup> to July 5<sup>th</sup>.
- Jean-Marc Lulin and Sylvain Guérard from Azimut Exploration who visited the project from June 28<sup>th</sup> to July 5<sup>th</sup> and back on August 22<sup>th</sup>.

Plus, a four man crew from Géophysiques GPR International stayed at the camp for a few weeks period in September, carrying a survey on a third party's property.

### LOGISTIC

Carrying such a large exploration program in such remote area required careful planning and complex logistic support:

- Lodging has been contracted to Rapid Lake Lodge, owner of the Barnoin River camp. Ownership of this outfitting camp is shared with Kangiqsuallujuaq community. The lodge organized all necessary fuel and food expediting by barge. Preparation of the camp required its opening about 1 month before incoming of crew. This camp, which is built to accommodate about 16 guests, hosted more than 30 persons in August, and thus required building of supplementary cabins and tents for the crew, plus office, core-shack and core-racks facilities. On top of North River crew, a crew from GDS carried airborne spectrometric survey over Daniel Lake property, a crew from Géophysique GPR International carried airborne spectrometric survey over a third party property, plus a separate crew from IOS which carried lake bottom sediment sampling over a third party property. Furthermore, the lodge carried its regular fishing and safari activities.
- In late September, the crew mobilized to a house rented in Kangiqsuallujuaq, due to winter closing of the Barnoin river camp.
- Helicopter support has been provided by Helitransport Ltd, with the use of a Bell 206-L-4 Long Ranger. A total of 340 hours has been flown. The Bell 206-L-4 has been chosen on the basis of its lifting capability, 6 passenger seat capacity, fuel economy and excellent flight stability in adverse wind conditions.
- Drill rig, an Atlas Corpco, has been bought by NWT Uranium for the project, with all necessary spare parts, and expedited in a container by Barge from Montréal to Kangiqsuallujuaq. In early August, the rig has been assembled at the Airport backyard and a test hole was drilled. It has then been taken apart and slung to Tasialuk Lake Grid. The rig has been left secured on the last drilling site, at Jonas grid.
- Helicopter fuel for the early start of the project has been taken both from leftover from 2006 campaign, borrowed from the Lodge stockpile, or bought in the autumn in Emudluk Fuel in Kangiqsuallujuaq, and haul to the camp by seaplane. Remaining fuel, both kerosene for helicopter and diesel fuel for the rig, has been expedited in drum by barge, and subsequently slung either to camp or drill site.

- A Beachcraft KingAir plane has been chartered from St-Honoré (Chicoutimi) to Kangiqsualujjuaq once a week for staff transit and expediting. This plane has been shared among various IOS project.
- Samples were recovered from the project once a week with the chartered plane, and expedited to laboratory from IOS facilities in Chicoutimi. Dangerous good expediting indications were strictly enforced.
- Drilling has been contracted to Forage Benoît Inc from Val d'Or. However, due to expediting difficulties and elevated cost, NWT purchased the drilling rig from Forage Benoît, and then contracted the drillers on an hourly-daily and cost-plus basis. IOS has been responsible for the overall logistics of the drilling campaign.
- Foothills of the Torngat Mountains, where is located the project, are known for their inclement weather. Abundant cloud, occasional fog and strong winds often preclude helicopter from flying, and safety shall not be compromised. For 2007 campaign, 17.5 days of weather downtime were recorded, out of 111 days of presence (16%), plus 3 days of logistical downtime. This does not includes days which were aborted early or started late. By comparison, a field campaign carried by the author in the same area in July 1997 suffered of 70% downtime.

## GEOLOGICAL OBSERVATIONS

The ground survey carried out in July 2006 lead to the identification and recognition of the various geological units as well as their structural deposition and relationships (*map 2*). Little attention was dedicated to geological mapping in 2007, so the framework established in 2006 is maintained.

### KANGIQSUALUJJUAQ COMPLEX

Gneisses of the Kangiqsualujjuaq Complex are omnipresent here and there on the property (*picture 1*). They are complex polycyclic biotite-hornblende quartzofeldspathic gneisses, tonalitic in dominant composition, showing multiple deformations and a large compositional spectrum. They include scattered lenses of amphibolite and mafic gneisses, as well as some white pegmatites. Although dominantly banded, different textures are present, agmatitic, brecciated, etc. No straight gneiss, such as the ones found in deep seated shear zones, are present nor are mylonitic gneisses. These old gneisses represent the framework that hosts the granitoids of the Baudan Complex. Very low radioactivity is

typically noted, about 50 to 100 cps as background with a Radiation Solution RS-120 scintillometers.



*Picture 1: Tonalitic gneiss of the Kanjiqsuallujjuaq Complex.*

### BAUDAN COMPLEX

The Baudan Complex is composed of old gneisses, similar to the Kangiqsualujjuaq Complex, invaded by hudsonian granitoids and heavily granitized. The majority of the outcrops visited in hills southwest of the Amittujaq Lake (Barnoin River) are made up of these gneisses (*picture 2*), down to the southern limits of the property. Since those granitoids represent the main reservoir for uranium, detail description is justified.

The gneisses are homogeneous to heterogeneous, weakly to strongly banded, pinkish to greyish in color, leucocratic and biotite and hornblende bearing. They include abundant



relicts of rusty to micaceous paragneisses (*picture 3*), ranging from decimetre-size rafts to isolated bands tens of metres in thickness. They also include bands of amphibolites (*picture 4*), likely metabasalts, associated with the paragneisses. These supracrustal remnants have either sharp or gradational contacts. Their local distribution suggests preservation of the former stratigraphy, with apparently selective granitization. Remnants of old tonalitic gneisses are seldom, these being strongly granitized.



**Picture 2:** View of the Baudan granitic gneiss in the Amittuujaq zone, in which the sub-horizontal gneissosity is discernable.





*Picture 3: View of a paragneiss intercalated in the Baudan Complex. This site, from Tasieluk occurrence, is getting ready to be sampled with Pionjar and Boulder Buster.*





*Picture 4: Metapyroxenite layer locally preserved in the Baudan granitic gneiss. The origin of these layers is uncertain.*

The granitic gneisses include small bodies of pinkish hololeucocratic granites or "alaskites". These granites are aplitic to medium grained, and locally pegmatitic. They are weakly foliated to gneissic in texture and are usually biotite bearing only, with very local magnetite and allanite. Their pinkish color is related to the abundance of potassic feldspar in the rock.

The different types of granites within the Baudan Complex were not differentiated on Government maps: they were assumed to represent too small bodies to be outlined as practical map-units. However, some granites form small and distinctive bodies, either massive to slightly foliated, that are in gradational contact with banded granitic gneisses. Granite pods form homogeneous hectometric elongated masses which intrude the Lake Harbour Group with sharp contact, such as in the vicinity of Tasialuk and Akilasaaluk



Lakes (property A). In this area, granitic gneisses are seldom observed, the package being made of alternating granites and paragneiss.

Pegmatite swarms are also abundant (**picture 5**). They are rather extensive and form about 5% of the complex. Individual dykes measure up to 10 meters in thickness, hundreds of meters in length, and they can occur in swarms for kilometres in range. These dykes are usually in sharp contacts with host gneiss; they are locally sheared or disturbed. Most dykes are parallel to the general north-west south-east trending gneissosity, although many cross-cut this gneissosity. These pegmatites are pinkish in colour, hololeucocratic, with some biotite and very local magnetite, and have the composition of granite or alkali granite. Radioactivity of the pegmatites is comparable to the radioactivity of the granites, at 100-400 cps, although with frequent peaks at 1000-2000 cps.



**Picture 5:** View of the pegmatite swarm at Amittuujaq Lake occurrence. Although outcropping conditions are excellent, encrusted lichens hinder the easy identification of lithofacies.

Contacts between pegmatite and host rock are diffuse, sharp or sheared. Dykes and pods, decimetres to tens of metres in size, are scattered within the gneiss and the granite. In the gneiss, they represent zones of flooding, likely precursor to or a distal facies of a granite intrusion. In the granite body, pegmatites form pods and diversely oriented dykes, indicating dilation zones in a crystal mush.

A large plurikilometric masse of granite, named here the "*La Ralde*" granite, is present in the Barnoin River Valley, underneath the Mount Nuvulialuk quartzite. This granite underlies the supracrustal rocks, which are observed on top and on each side of the valley. From a single outcrop, this granite seems to intrude the sediments, in spite of its flat roof on which sediments seem to rest.

These granites show similarities with the most evolved facies of the DePas Batholith or Lomjér Complex. However, less evolved facies such as the dominant granodiorite, found in the DePas Batholith, are not present in the area. Also, the present granites and pegmatites are not flooding large diffuse shear zones, such as the Falcoz or George River shear zones. There is no evidence that they ever reached granulite facies. They are typically much less deformed than host gneisses, indicating they were not formed from gneissification or metamorphism. They are essentially I-type intrusions, invading low-pressure zones in basement gneisses under diffuse heterogeneous strain. The geometry of the contacts observed between these granites and other formations indicates that granites crosscut both Archean gneisses and early Proterozoic Lake Harbour metasediments. Emplacement of these granites, that are weakly deformed compared to other regional formations, is then late compared to Archean and paleoproterozoic gneisses.

### LAKE HARBOUR GROUP

Most supracrustal rocks in the area are interpreted as being part of the Lake Harbour (Koroc River) Group defined by Jackson and Taylor (1979) (Verpaelst *et al.*, 2000), either as cohesive units or as dismembered rafts. The majority of the Lake Harbour rocks within the properties are located on Mount Nuvulialuk on the eastern part of property C, and along the Barnoin River Valley. However, bands of paragneiss, suspected as belonging to the Lake Harbour Group, are scattered in the gneisses of the Baudan Complex. Although paragneisses are common in Archean terrains, the ones found in the area are still interpreted as relicts of the Lake Harbour rusty paragneiss. These paragneisses are described as having a basement-cover relationship with the Kangiqsualujjuaq Complex to

the north-east of the property. They are deformed into successive dome-and-basin, evolving westward into intercalated slivers of paragneiss and basement gneisses.

### SMALL INTERCALATIONS OF LAKE HARBOUR WITHIN BAUDAN COMPLEX

Small paragneiss lenses are scattered within granitic gneiss. With their typical slightly rusty weathered surface, paragneiss are easy to recognize. They form meters to hundreds of meters wide bands intercalated in the Baudan gneisses, locally kilometres in length. They are biotite rich quartzofeldspathic gneisses, usually devoid of aluminosilicate minerals and rarely garnet bearing. They locally contain muscovite and rare tourmaline. They are typically migmatized, with large swaths of white biotite-muscovite pegmatite. These white pegmatites are easily distinguished from the Baudan pink pegmatites. The paragneisses are slightly radioactive, with backgrounds of 100-200 cps, locally up to 400 cps. Local radioactive peaks are rare. In spite of the abundance of sulphides, no minerals of economic significance were found. They represent a subordinate facies among granitic gneisses southwest of Amittujaq Lake, but are dominant in the Tasialuk Lake area.

### MOUNT NUVULIALUK QUARTZITE

The most prominent occurrence of the Lake Harbour Group is the quartzite pile at Mount Nuvulialuk, named here the "*Nuvulialuk Formation*" (**picture 6**). This sequence forms a broad basin-like structure in which a major quartzite, about 2000 feet thick, is preserved. This quartzite is a true quartzite, greyish white, fine-grained, homogeneous and glassy, with preserved relict bedding texture. Sandy channels show a normal polarity of the sequence. It is interpreted as a continental shelf sequence, comparable to the Wishart Formation in the Labrador Trough or the "I" and "II" formations at the base of the Ramah Group on the Labrador coast. Although initially suspected as such by the author, this quartzite has nothing to do with molassic arkoses or other epicontinental sequences. An equivalent of the Athabasca or Otish basins is ruled out. Silica is highly mobile during metamorphism, the quartzite being criss-crossed by quartz veins. This leads to cementation of the rock and makes it less porous. No trace of alteration was observed in this quartzite. Background radioactivity is extremely low above this quartzite, about 20 to 50 cps, with no anomalies detected.



The quartzite is interbedded with a few decametre thick horizons of amphibolite, suspected as former basaltic horizons. A few horizons of garnet, biotite and possibly of aluminosilicate bearing paragneiss are also present, conformable and metric in thickness.



**Picture 6:** Outcrops of the Nuvulialuk quartzite.

Underneath the Nuvulialuk quartzite lays a continuous 20-40 metres thick horizon of amphibolitized basalts. These basalts are highly fractured and crosscut by abundant quartz veins, conformable and orthogonal to the stratification. A few pegmatitic veins are observed. As in the quartzite layers, radiometric values in basalts are very low (20-50 cps), and no anomaly was detected.

Next, there is a unit composed of alternate layers of quartzite and basalts, submetric to metric in thickness.

Finally, below the "*Nuvulialuk Formation*" lies a 30-50 meters thick metapelite layer. This metapelite is a biotite and muscovite rusty schist, with local garnet and sillimanite or cordierite clots. It is intruded by local white pegmatite, conformable to bedding and 1-10 meters in thickness. These pegmatites are considered of local origin, formed from anatexis of paraschists. This paraschist unit is lightly radioactive, with 200-400 cps. It has a poorly developed metatexite texture, and should not be considered to be a paragneiss. Few quartz veins and evidences of alteration are observed. Interbedded horizons of metabasalts are present. These schists are not highly deformed, affected by lower amphibolites metamorphic facies at the most, and there is no evidence of major faults in the vicinity.

In the hill south of La Ralde Lake and east of Mount Nuvulialuk, the same sequence of strata is repeated. Relicts of quartzite interlayered with metabasalts are preserved on top of the hills, and overlain by a thin layer of metapelites. Outcropping is poor in the area, and outcrops are only present where pegmatite dykes form erosion-resistant crests. These supracrustal rocks rest on top of the pink granite and the relationship between them is not observed. The supracrustal sequence seems to be preserved in a synformal keel, much steeper than in Mount Nuvulialuk.

The base of the Lake Harbour Group is described as a ductile shear zone which is in contact with Archean orthogneisses (Verpaelst et al., 2000). The *Nuvulialuk Formation* was initially considered as a klippen resting on top of Archean basement. This was suggested by the fact that the quartzite is near to flat lying and forms a prominent hill surrounded by flat and low-lying gneisses. However, careful examination of a large outcrop at the base of the sequence allowed us to observe the contact zone. The metapelite is conformable underneath the quartzite but does not overlie the gneisses. The metapelite is intruded by the pink granite of the Baudan Complex. The contact is irregular, clearly crosscuts the metapelite schistosity and displays slight contact metamorphism. No evidence of thrust faults or unconformity is observed.

### BARNOIN RIVER SEQUENCE

The syncline present south of *La Ralde Lake* is in continuity with the Amittujaq Lake (Barnoin River) Valley. Few outcrops are present, restricted to stream cuts on the cliffs bordering the lake to the south. Some paragneiss was observed on the northeastern shore of the lake (outside property limits), along the large peninsula. Apparently, these form a

small antiform. From the top of the hill, outcrops of paragneiss are present towards the north-east, apparently on the other flank of the synform.

On the southwestern side of the valley, the Lake Harbour Group was described as a cross section along a stream flowing into the lake. Paragneisses are present in contact with granitic gneisses at the top of the hill. A band of rock, about 100 metres thick and of uncertain origin, is present at the contact. These are suspected to be metamorphosed felsic volcanics and they grade, towards the north-east, to paragneiss and metapelites intercalated with metabasalts. Some of these rocks seem to be metamorphosed to the upper greenschist facies only. They are fine-grained, epidote and actinolite bearing and locally display preserved primary textures (such as bedded mudstone and pillows). This lowly metamorphosed sliver is likely related to tectonic intercalation. Next, the following sequence is observed:

1. Rusty metapelite with a 2 metres thick layer of sulphide iron formation and a cherty layer. This massive pyrrhotite layer is not copper or nickel bearing, and represents a fairly common facies within paragneisses and metaturbiditic sediments of the Labrador Trough. Some white pegmatite, meters in thickness, was found associated with paragneisses.
2. Further downhill, there is a set of complexly folded calcitic marbles and calc-silicate rocks with some fossilized karst patterns. The size of this calc-silicate sequence is restricted, a few tens of metres thick, and does not compare to the one hosting "Cage" occurrence.
3. Thin layer of metapelites with sillimanite nodules.
4. Metre thick conglomerate sandstones with flattened centimetre size quartz pebbles.
5. Sequence ends with metapelites.

No evidence of mylonitization, shearing or important faulting was observed. The rock sequence is homoclinal at the scale of the cliff. This sequence is considered as the southern flank of the synform which forms the valley.

Few outcrops in the bottom of the valley are present. Some metabasalts were found at the southeastern end of Amittujaq Lake. Some outcrops located on islands and close to the shore on the northwestern end of the lake are composed of homogeneous granites typical of the Baudan Complex.



### TASIALUK LAKE SEQUENCE

A restricted sequence of supracrustal rocks is present in the Tasialuk Lake area. This is considered as an isolated ("outlier") remnant of the Lake Harbour group. It is composed dominantly of amphibolites, considered as metabasalts, which are principally isolated synformal keels resting on tops of the hills. These are associated with patches of rusty paragneiss, locally sillimanite bearing. Local outcrops of ultramafic rocks were found, considered as dismembered meta-ultramafic lavas (**pictures 7 and 8**). Plateformal sequences, such as quartzite and marbles, were not identified.



**Picture 7:** Detailed view of a metaperidotite, actually a poikiloblastic orthopyroxenite, which is found as lumps in Lake Harbour paragneiss north of Tasialuk Lake.





*Picture 8: Detail view of a metapyroxenite associated with the metaperidotite found as lumps in the Lake Harbour paragneiss.*

## RELATIONSHIP BETWEEN GEOLOGY AND GEOPHYSICS

An airborne spectrometric, time-domain electromagnetic and magnetometric survey was carried out over the property in August 2006 by Aeroquest International. Interpretation of the survey has been requested to Mr. Jeremy Brett of MPH Consulting, the final report being handed in June 2007.

The geological contacts were tentatively interpreted from the total magnetic field map. However, there does not seem to be a direct relationship between lithofacies and the total magnetic field (**figure 5**), local geological units appearing transgressive over regional

geophysical domains. Intensity of the magnetic field is related solely to magnetite content, and this magnetite is apparently essentially contained in the pink granitoids of the Baudan Complex, which diffusively invades the host gneisses. Even in areas of well outlined lithologies, such as in Mount Nuvuliliak and La Ralde Lake, direct correlation is not possible. Multiple granitic events are suspected as well as variation of the magnetite content of the granites.

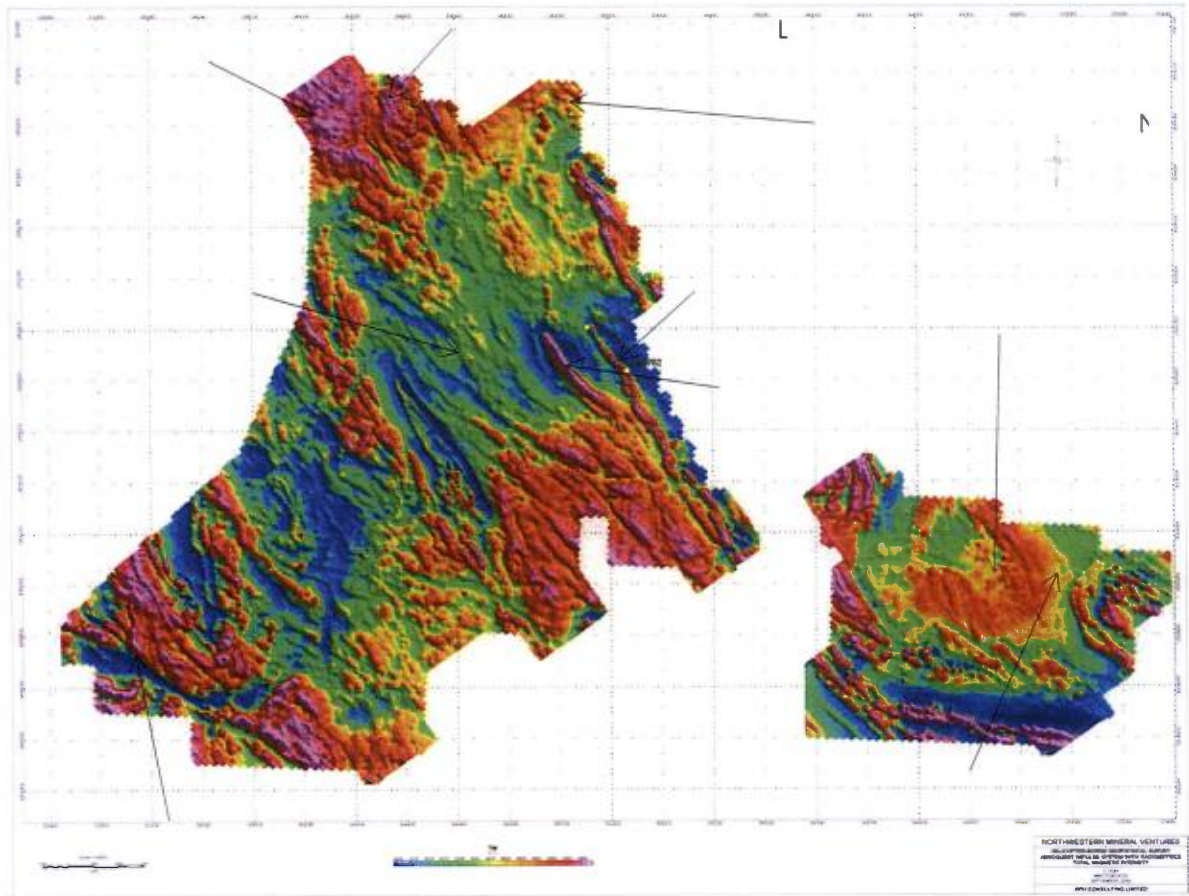
Linear anomalies on the calculated lateral gradient correspond rather well with uraniferous pegmatite dykes in the Baudan gneiss. Because of such a relationship, other such anomalies deserve to be prospected in detail.

The lithological distribution seems to correlate well with the equivalent uranium radiation (eU; **figure 6**). Near to all anomalous areas correspond to granitic outcrops, especially east and south of La Ralde Lake, north of Tasialuk Lake, and west of Amittuujaq Lake. Although large masses of granites are easy to map, the radiometric survey can be of great help to locate favourable granites within the large granitic gneisses in the highland west of Barnoin River Valley.

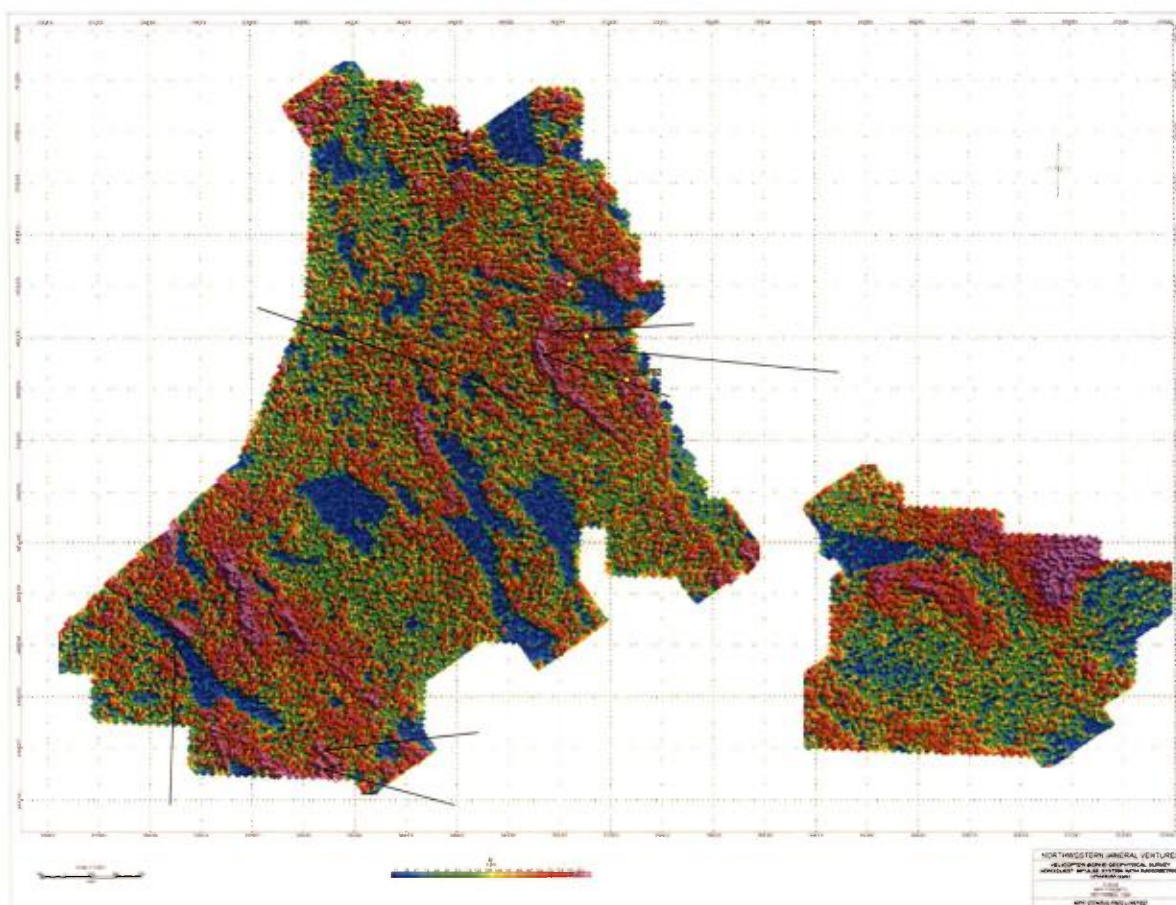
There is no obvious relationship between calculated U/Th radiation and geology (**figures 7 and 8**). Although, vast areas enriched in uranium compared to thorium typically correspond to granitic bodies, such as east and south of La Ralde Lake. A broad uranium depleted band wanders through the Baudan Complex, the cause of which remains unknown. Detail relation will be discussed for each target.

No interpretation of the electromagnetic survey will be attempted by the author. However, its calculated resistivity map correlates well with the geology of the area. Although in some places it is related to lakes and overburden, such as at *La Ralde Lake*, careful examination reveals relationship between low resistivity zones and the rusty paragneiss of the Lake Harbour Formation. This is observed along Amittuujaq Lake (Barnoin River Valley), the supracrustal rocks mapped further east along Barnoin River, the paragneiss present underneath the Nuvulialuk quartzite and the complex paragneiss sequence north of Tasialuk Lake. Paragneisses are thus predicted underneath Amaujaq Lake, halfway between property A and B. As another point of interest, we can observe that the equivalent potassium map correlates well with granite occurrences (**figure 9**).





**Figure 5:** Airborne total magnetic field. There is no apparent relationship between the magnetic field and lithofacies. Names labelled refer to targets described in 2006 geological report (Girard 2006). Maps were generated by J. Brett, geophysics consultant from MPH Consulting. 2007 targets are indicated in subsequent figures.



**Figure 6:** Map of the equivalent uranium calculated from the airborne spectrometric survey. Note the major anomaly at Tasialuk Lake. Names refer to main target studied in detail in 2007.



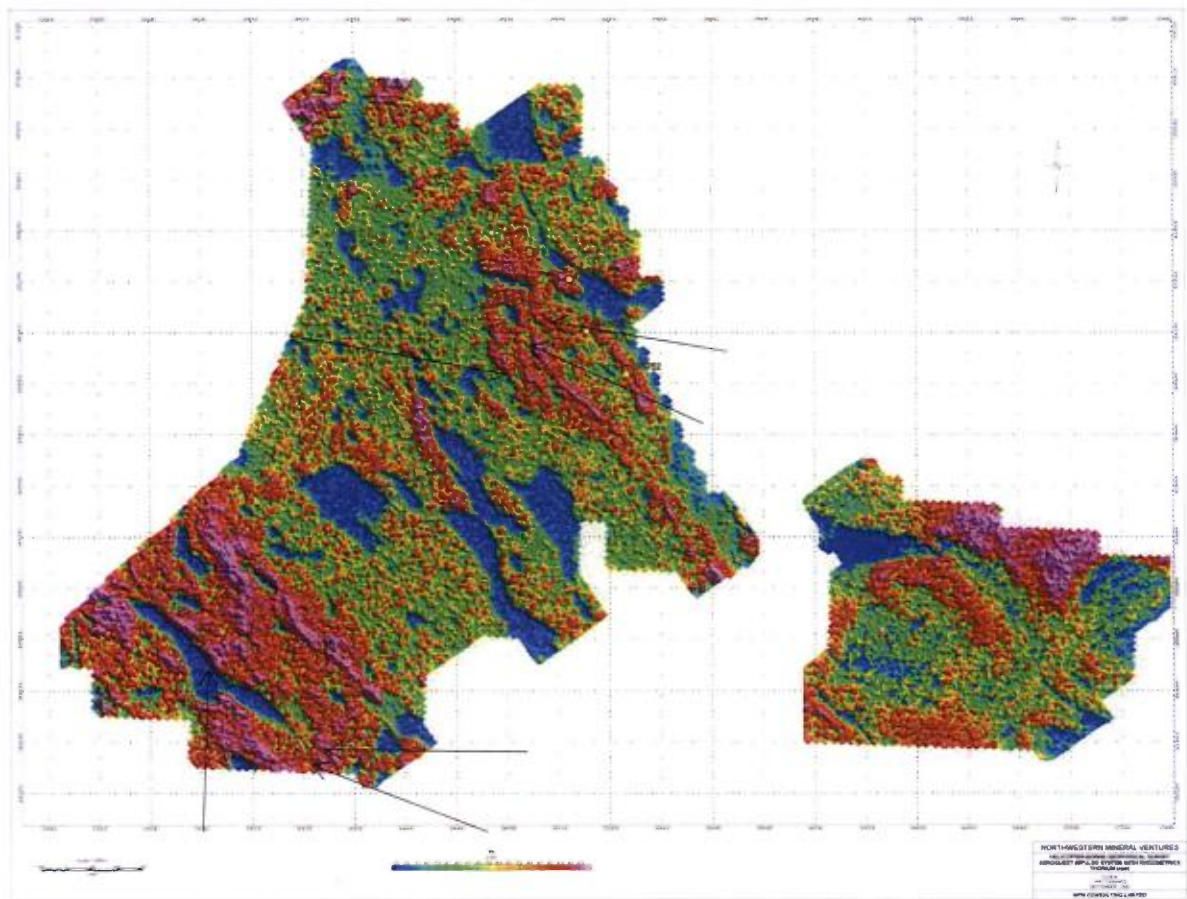


Figure 7: Map of equivalent thorium calculated from the airborne spectrometric survey.

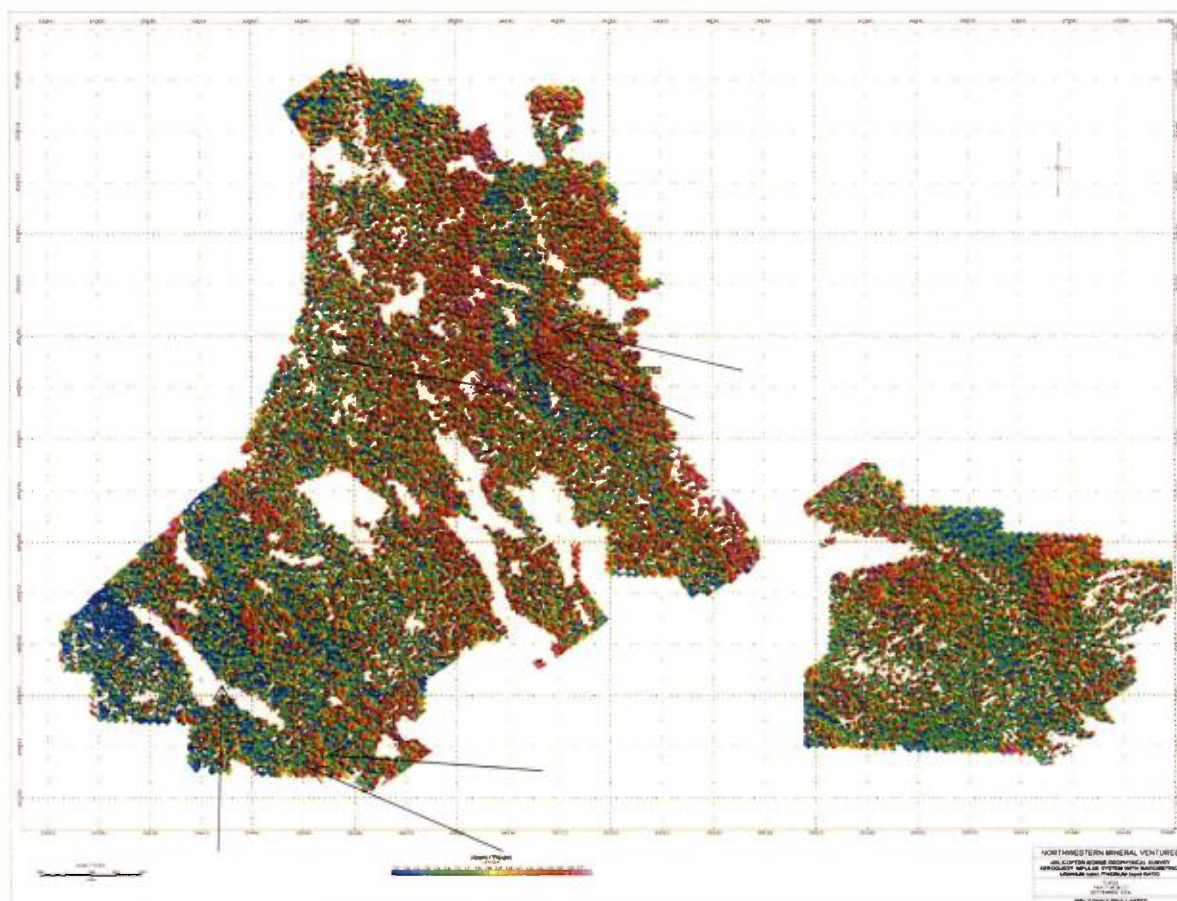
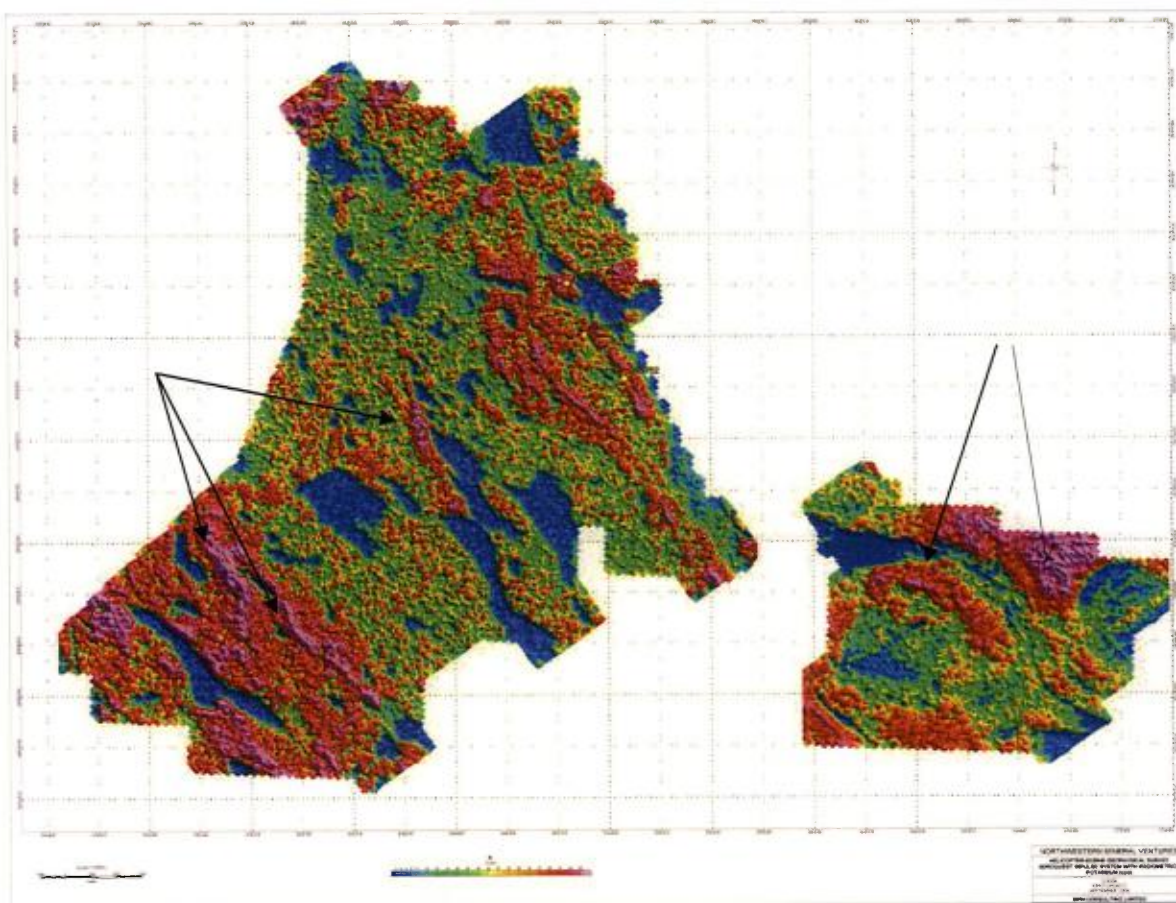


Figure 8: Map of U/Th ratio, calculated from the airborne spectrometric survey.





**Figure 9:** Map of potassium counts from the airborne spectrometric survey. Note the relation to granite distribution.



## WORKING HYPOTHESIS FOR URANIUM EXPLORATION

In the initial property's description, Azimut suggested the potential for Rossing Type of deposit, based on the following points:

1. Presence of felsic intrusion.
2. Presence of leucocratic gneiss.
3. Abundance of pegmatite.
4. Occurrence of regional structure such as the Daniel Lake and Falcoz shear zones.
5. Strong regional lake bottom sediment geochemical anomaly in uranium, cerium, molybdenum and copper.
6. Such large open-pit mine deposit is needed to foresee potential mining operation.

Uranium occurrences found in the course of 2006 were of various types:

1. Directly associated with or in the vicinity of late pink granitoids. These are either *senso stricto* hololeucocratic granites or "alaskites", or thin elongated pink pegmatites. These granites are typically uranium enriched, causing broad and even uranium anomalies with elevated background on the spectrometric survey. La Ralde granite is the type example. Local enrichments were noted at border of granites, or in late cross-cutting pegmatite and fractures.
2. Associated with pink granitic late pegmatites, which transect gneiss of the Baudan Complex. Occurrences like Illaluga and Tasik are considered as related to such pegmatites.
3. Anatexic white pegmatites, slightly uranium enriched, were noted within the Lake Harbour paraschist.
4. Sheeted pegmatite, white to grey and conformable to gneissosity within the Baudan Complex. These are interpreted as older than the aforementioned pink pegmatite, and unrelated to anatexic pegmatite from Lake Harbour group. Typical example is Tasialuk zone.

Uranium-enriched granites and pegmatites are abundant in the area, representing approximately 20% of the surface area of the permits. According to Cuney (2006), development of giant deposits such as the Athabasca Basin is dependent upon the presence of enriched basement from which uranium can be remobilized. The North Rae area has a regional uranium endowment, so the exploration strategy should be to identify

and substantiate potential uranium enrichment. Exploration model, as per now understood, relates the following:

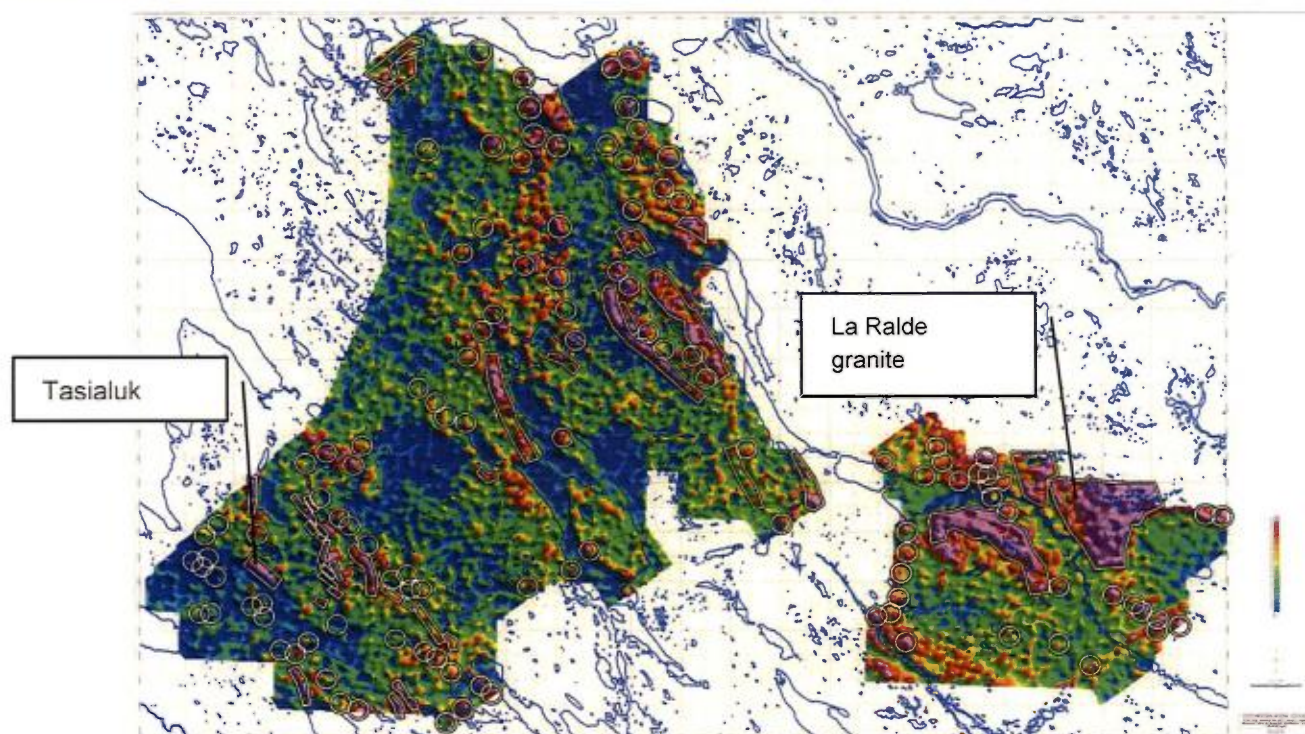
1. Located within the Baudan Complex, and thus in proximity of pink granitoids and pegmatites endowed in uranium.
2. Typically located near the contact between Baudan old gneiss and Lake Harbour metasediments klippes or horizons.
3. Lake Harbour paraschist can be located with the use of resistivity map, which if combined with spectrometric maps may highlight best targets.

### TARGET SELECTION

The airborne spectrometric survey carried in late 2006 summer, by Aeroquest Limited, included spectrometric (U-K-Th), scintillometric, magnetic and electromagnetic (Impulse) readings. No target selection and only very limited interpretation and data processing has been provided by Aeroquest.

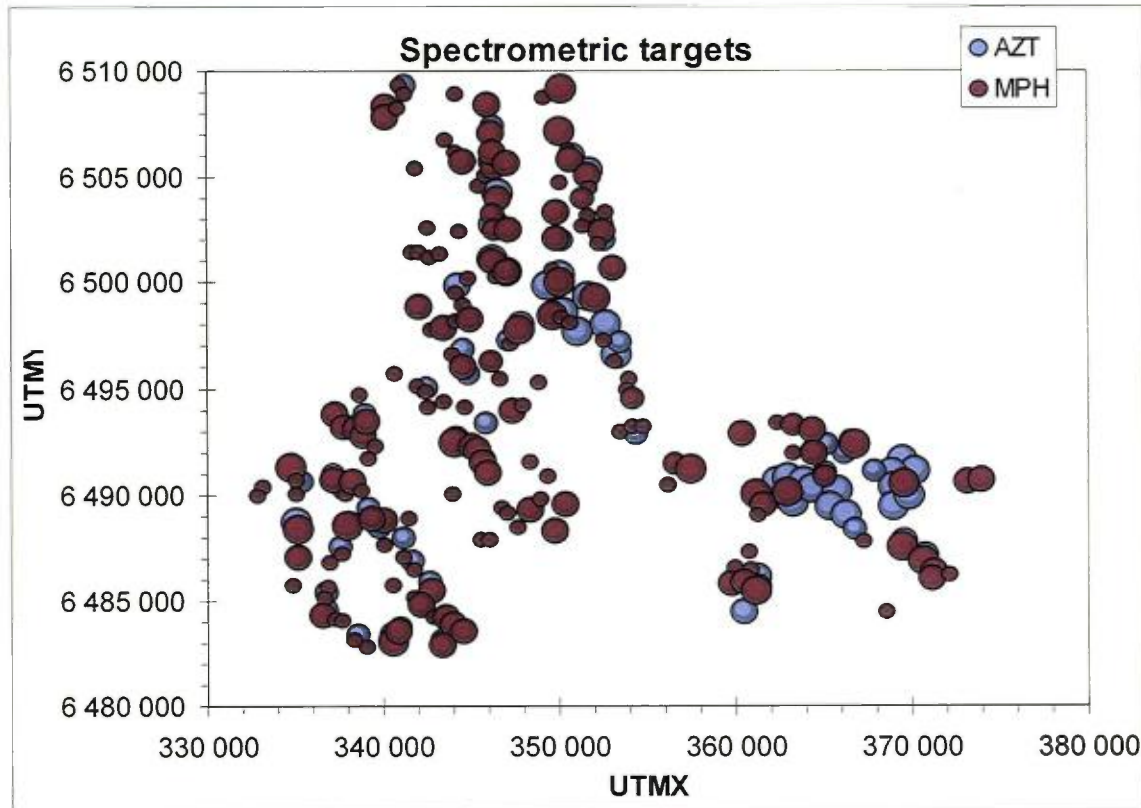
Aeroquest survey has been reprocessed by J.Brett, geophysicist at MPH Consulting Ltd (Brett 2007). From this reprocessing, Mr. Brett pin-pointed 179 uranium<sub>equivalent</sub> anomalies (**figure 10**), of which 87 were recommended for ground survey. Brett's report, including target listing as well as their rational, is provided in **appendix 2, table 1**.

The Tasieluk anomaly (n°124), outstanding at 13 ppm eU, is isolated and intense, oblong with a length of about one (1) kilometre and a width of 300 metres. Such anomaly requires abundant outcropping and a broad overall enrichment, in order to cause an elevated radioactivity background. The reading obtains over Tasieluk anomalies are about 80 times the regional background.



**Figure 10:**  $U_{\text{equivalent}}$  corrected spectrometric map with outlined anomalies as suggested by J. Brett (2007). The outstanding Tasialuk anomaly and the broad signature of the La Ralde granite are indicated.

A second anomaly ranking from the same survey has been provided by Azimut representative (**figure 11**). The selection protocol has not been disclosed, and only a list of anomaly coordinates provided (listed in **appendix 2, table 2**), without map. All references to spectrometric targets within this report refer to Brett's ranking, unless otherwise indicated.



**Figure 11:** Localisation of targets according to Brett (purple) and Azimut (blue). Bubble size indicates priority.

## GROUND PROSPECTING

Ground prospecting in the North Rae area is facilitated by low vegetation (arctic tundra) and favourable outcropping conditions. Easy walking allows for long traverses. Extensive outcrops, felsenmeer and thin till covers allows near to systematic coverage of the area. Extensive fluvio-glacial deposits which hinder mapping are limited and significantly abundant only along the Barnoin River Valley.

Foot traverses were carried out systematically in 2006, but not in 2007 campaign. Geological mapping, rock sampling and ground radiometric surveys were typically carried out simultaneously. Geological mapping used the MRNF's (ministères des Ressources naturelles et de la Faune) forms called "géofiches" and rock nomenclature. Considering the limited amount of work carried outside of grids, very limited number of geofiches was



completed. Traverses were typically completed by 2 men crew with helicopter support. Results from 2007 prospecting were added to 2006 maps (*map 2 to 5*).

## RADIOMETRIC PROSPECTING

Ground radiometric prospecting is an essential part of any uranium survey campaign. Each man in the field was equipped with a  $\gamma$ -ray scintillometer. Background readings were taken fist at hips height, with anomalous values being typically above 600 cps. Point readings were measured at ground levels, with the spectrometer held in contact with the rock surface, and anomaly threshold considered above 1000 cps. List of scintillometric measurements is provided in *appendix 3, table 1*, while spectrometric readings are listed in *appendix 3, table 2*.

IOS employees and Inuits prospectors used Radiation Solution scintillometers RS-120, or spectrometers<sup>3</sup> RS-125. This device, equipped with a large 103 cubic centimetres NaI crystal provides counts which are typically 40% higher than other commercially available hand-held scintillometers. Readings were on "total count" mode with an integration time of 1 second.

Other types of scintillometers or spectrometers were used (less than 10% of the 2007 measures), and care shall be taken in comparing their readings:

- Exploration GR-110, used by IOS in 2006 and 2007 as back-up scintillometers.
- Exploranium GR-135 spectrometer used by IOS for readings on drilled cores.
- Urtec UG-135 spectrometers used by IOS in 2006. These old devices do not provided readings which are comparable between spectrometers.
- GAF Instruments scintillometers and spectrometers, used by NWT staff and used as back-up apparatus by IOS staff.
- Saphymo SPP-2 spectrometer was used by Azimut's geologist.

Proper use of ground spectrometers require a few days of training so as to get familiar with the material, to define the regional background signal and to establish the anomaly threshold. Both outcrops and boulders were tested. In most cases, both background and

---

<sup>3</sup> RS-120 scintillometers and RS-125 spectrometers use the same crystals, and therefore yield similar total counts reading. Only the spectrum processing algorithm differs.

point measurements were made, and maximum and average point measurements noted. Following limitations shall be considered:

1. Gamma rays have near to no penetration capacity in most materials, including rock, soil and any wet material. Therefore, spectrometers only work on outcrops and boulders. They are not effective the moment there is any overburden, water or vegetation.
2. Hand held spectrometers have a sensibility cone of about 2 metres. This means that radioactive boulder 2 metres away will not be detected.

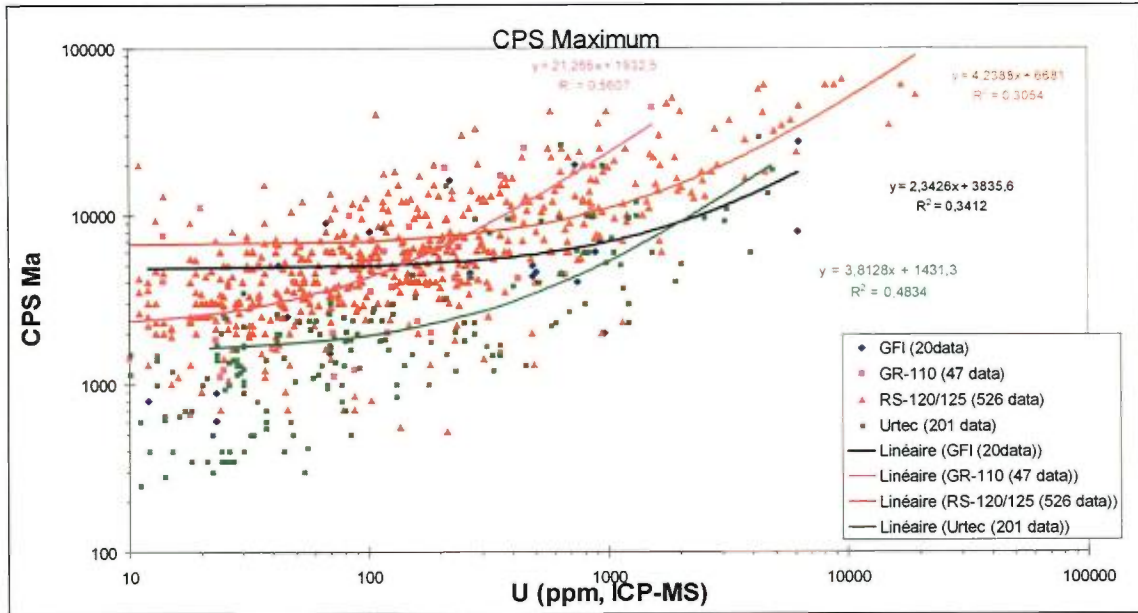
An anomalous value is defined according to local background. This background can vary about 4-5 fold from a low-radioactive environment (ex: quartzite) to a stronger radioactive environment (ex: granites). Outcrops or boulders with a 4-5 fold above the local background are considered as anomalous and were systematically sampled.

Most readings were taken on scintillometric mode, providing a "total counts" over the complete  $\gamma$ -ray spectrum. Spectrometers enable to discriminate the photons counts within the energy window specifically for uranium, thorium and potassium daughter products. These counts allow computing of equivalent uranium, thorium and potassium grades. Spectrometric measurements were seldom in the course of the project.

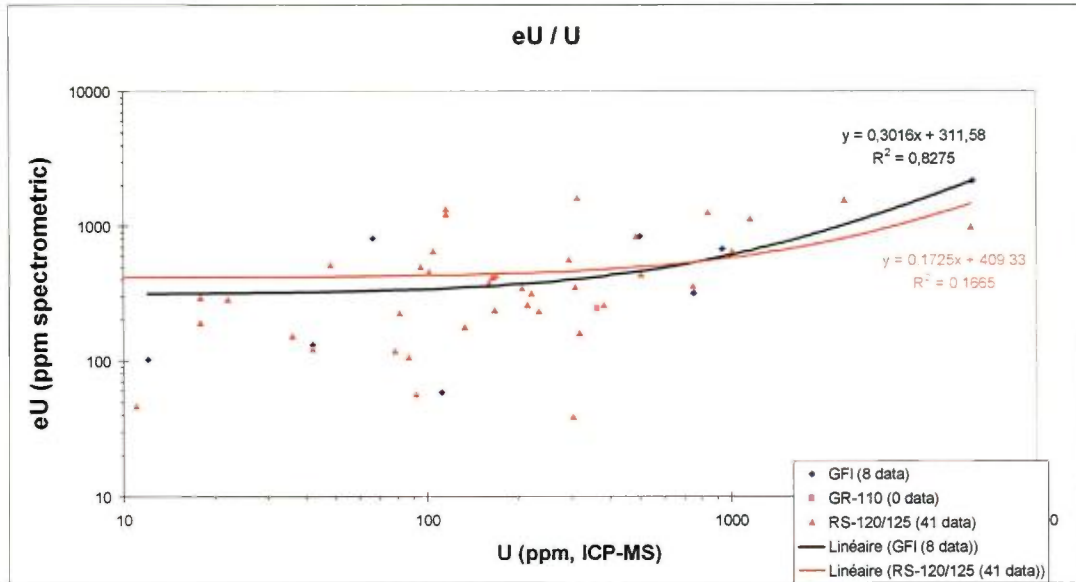
Prospecting traverses by geologist were recorded with GPS in track mode. GPS data were downloaded and traverses plotted on *map 3*. This tracking does not seem to have been collected in a systematic manner, and significant traverses may be lacking of the database. Traverses done by helicopter as well as displacement within grids on main occurrence were deleted. Such tracking is not available for Inuits prospecting. These data were useful in validating the visits of targets on which no spectrometric readings were taken nor sample collected.

Comparisons between scintillometric reading and assayed uranium and thorium grades are provided in *figures 12*, where the poor correlation is obvious. The "mean cps" measurement (*figure 12c*) shows near to no relation to assays, likely caused by the lack of standardisation in the way such readings were made. The equivalent uranium (eU) and thorium (eTh) calculated by spectrometer does not compare with assays (*figure 12 d,e*), although their ratio is usually more reliable (*figure 12f*).

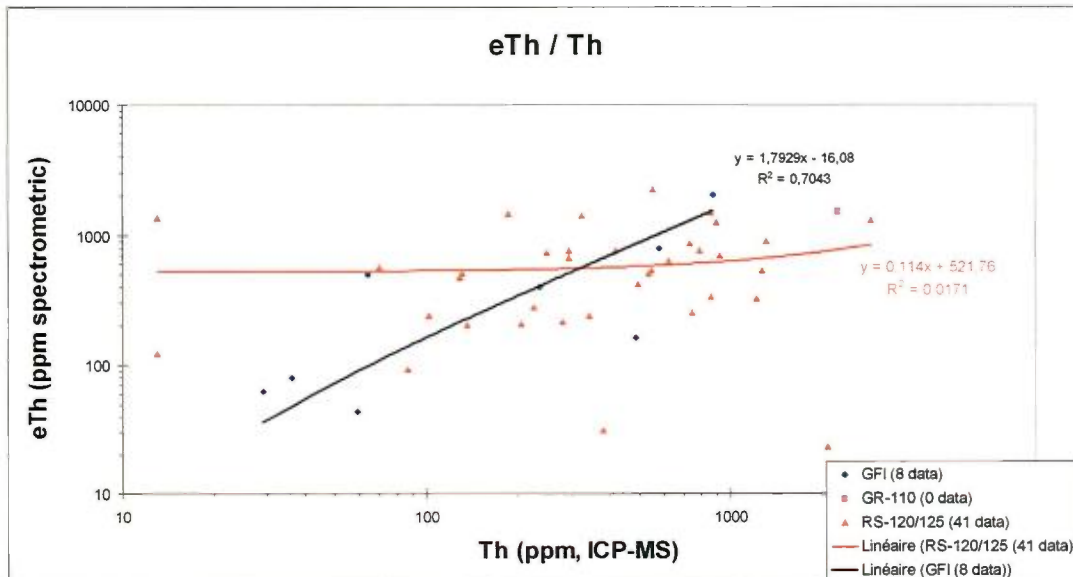
Therefore, scintillometric as well as spectrometric measurements can only be considered as indicative of uranium and thorium abundance and used solely as prospecting tools.



**Figure 12a:** Diagram of maximum scintillometric total count versus uranium content (total digestion) for the various types of scintillometers/spectrometers used in 2006 and 2007 surveys. First is noticed the poor correlation ( $R^2=0.3-0.5$ ) and second is the difference between spectrometer models.

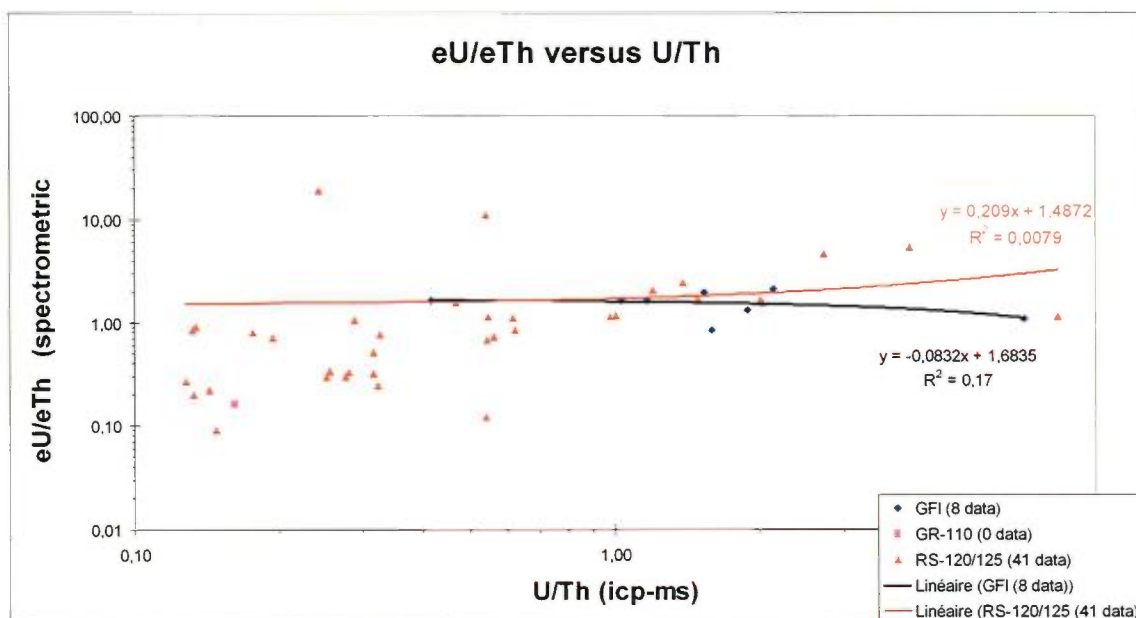


**Figure 12d:** Diagram of the calculated spectrometric equivalent uranium versus assayed uranium per spectrometers types. Both types provide similar results, although uranium grades seem significantly overestimated.



**Figure 12e:** Diagram of the calculated spectrometric equivalent thorium versus assayed thorium per spectrometer types. Both types provide similar results, although uranium grades seem significantly overestimated.





**Figure 12f:** Diagram of the calculated U/Th ratios as calculated from spectrometric equivalent grades versus assayed grades per spectrometers types. Such ratios provided by spectrometer are more reliable compared to calculated grades. Notice that regressions are skewed by a few outliers.

## LINE CUTTING

Grids were established over five of the prospects (**table 1**). Baselines and lines were oriented with the use of a transit, and station measured with chains or hip-chains. Stations were either flagged or marked on the ground with fluorescent paint. No pickets were made and no cutting required due to the general lack of vegetation. However, a bridge has been built over the stream which cuts the Torrent grid along its length.

**Table 1 : Grids configuration**

Prospect	Length	Lines	Spacing	Orient. Readings
Tasialuk	13.45 km	39 lines	25-100 m	N047° 7375
Torrent	11.95 km	50 lines	25-50 m	N062 5812
Tasik	13.98 km	43 lines	25 m	N074° 7582
Agpiq	3.87 km	12 lines	50 m	N036° 882
Jonas	5.47 km	21 lines	25 m	N016° 1177
<b>Total</b>	48.72 km			22828

DGPS measurements of stations were made along baselines, tie-lines, and every five (5) meters for Jonas, Agpiq and Torrent grids. These measurements were made on differential mode, allowing precision of a few centimetres between stations. However, the DGPS was not anchored on a known geodesic point, meaning that the first point, upon which all the subsequent measurements were compared, has only a few metres accuracy, limiting the overall accuracy on the grid location. Radiometric measurement between GPS or DGPS measurements were linearly interpolated<sup>4</sup> when the reading and GPS spacing were different.

Tasialuk grid was initially planned with a 1.1 km baseline and lines 350 metres to the north-east and 100-200 metres to the south-west, with 50 metres line spacing and reading every 2 metres. Intermediate lines were added at 25 metres spacing, 200 metres in length. Positions were measured with hand-held DPS every 10 metres, and values in between intrapolated. The south portion of the every 50 metres spaced lines were not measured with GPS and positions were extrapolated. No DGPS measurements were taken on Tasialuk.

Tasik grid was initially planned for 22 lines 400 metres in length and 50 metres spacing. Line length was uneven due to topographic constraints. Shorter intermediate lines were subsequently marked, with 25 metres spacing. Initial lines were GPS measured every 10 metres, intermediates measurement being interpolated. Intermediate lines from 15+25 to

<sup>4</sup> The difference between hand-held GPS and DGPS is readily visible on maps. Grids, such as Agpiq, Jonas and Torrent, show straight lines indicating DGPS positioning. Grids, such as Tasialuk and Tasik, show jigs along the lines, related to the +/- 10 metres precision of the hand-held GPS. However, such jigs do not exist on the real lines. Straight lines between the jigs relates to interpolation.

19+25 (9 easternmost lines) were not positioned by GPS, and station positions were calculated by interpolation of a "best-fit" matrix. No DGPS measurements were taken on Tasik.

Torrent grid is an irregular DGPS based grid, with 1.7 kilometres long baseline and lines every 50 metres, up to 450 metres long. Readings were taken every 2 metres. Sixteen shorter intermediates lines, every 25 metres, were also measured subsequently, with readings every 5 metres. The irregular shape of the grid is due to topographic constrains.

Agpiq grid is a DGPS based grid with a 550 metres long baseline and 400 metres long lines, spaced every 50 metres. Readings were taken every 5 metres, and detailed at 1 metre spacing over short radioactive intervals.

Jonas grid is a DGPS based grid with 600 metres base-line and 300 metres lines, spaced at 25 of 50 metres. Readings were made every 5 metres.

## GROUND RADIOMETRIC SURVEYS

Systematic ground radiometric surveys were complete over the five major occurrences. Marked grids were established, typically with 10 metres spacing between marks, and measurements taken every 2 or 5 metres between marks. Total counts radiometric measurements were taken with RS-120 scintillometers, at hip height, either directly above the lines, or atop on a laterally adjacent outcrop. Readings were recorded manually, along with a line-station coordinates, and a brief site description (outcrop, overburden, vegetation, blocks, swamps, etc.). Data were typed in Excell files. GPS coordinates were measured at marked stations, but not necessarily at the same time that radiometric survey. Data verification and processing has been done by the author.

Ground radiometry results are provided on *maps 6, 7* for Tasieluk grid, *maps 8, 9* for Torrent, *maps 10, 11* for Tasik, *maps 12, 13* for Agpiq and *maps 14, 15* for Jonas. Since radiation emitted by bedrock has a very low penetration through overburden or water, dots color are indicative of the field condition. Topographic contours were generated when DGPS altitudes are available, using inverse distance algorithm ("Gemcom Surpac"). Total radiometric field has been gridded using minimum curvature tensors, with shadows at 45° above grid's north ("ER-Mapper"). No correction is applied on the gridded field in regard of presence of overburden or water. Therefore, a continuous radioactive rock unit, such as a pegmatite dyke, may appear as spotty and discontinuous on the survey.

## GEOLOGICAL MAPPING

No regional geological mapping has been carried out in 2007, and only very restricted geological data are available from regional anomaly evaluation. Data acquired in 2007 is presented on *map 2*, and listed in *appendix 4*.

A detail geological map has been produced for Tasialuk (*map 6*), Torrent (*map 8*) and Tasik (*map 10*) occurrences. For such, outcrops were mapped on paper profiles along and between lines, discriminating lithofacies with color pencils and taking notes occasionally. These profiles were reported on a drafting film, and lithological contact interpolated between lines and non-outcropping area, using radiometric survey, landforms and structural geology as guidelines. This mapping has been carried by various staff member, either geologist in training or last year geology students. Surface projection of drill holes are indicated on these maps and geological data from the maps are reported on drill holes profile. Only sampling maps are available for Agpiq (*map 12*) and Jonas zones (*map 14*) which were mapped in 2008 on behalf of Azimut Exploration.

## ROCK SAMPLING

Outcrops (678 hand samples) and a few boulders (12 samples) were sampled both in the course of target evaluation and detailed mapping on grids (*appendix 5, table 1*). In both cases, sampling proceeded when scintillometers indicated anomalous radioactivity readings (*map 4*), and very few samples were collected for background analysis. Hand samples were collected with hand-held hammers, grubs and cold chisels. Hardness of the rocks and outcrop configuration (e.g.:glacial polish) limited sampling in certain location. Samples are numbered sequentially (5929xxx, the fourth digit indicate it's a surface rock sample), put in bags, labelled and prepared for shipment. GPS coordinates of sampling stations are systematically recorded. Geological description is recorded on sampling custom-numbered booklets with bar-codes. Not all outcrops were sampled and not all samples come from described outcrops. Radiometric measurement, both background, average and maximum, were not systematically. Typical samples were fist size, although much larger samples were occasionally collected on grids. A witness samples has been taken on many sample sites, which are currently stored at Barnoin River Lodge.

Samples collected by Inuit prospectors were taken according to similar procedure, but using conventional 6-digits (312xxx) laboratory tags. Samples were examined by a

geologist prior to be shipped to laboratory, and about half of the samples were discarded due to their small size, poor quality or lack of coordinates.

Three techniques were use to sample below outcrop surface:

1. Rock hammer: Holes, to a depth of 30 centimetres, were punched with the use of a pneumatic rock hammer (Pjonjar, *picture 9*). Dust exited from the hole were collected and assayed. Such sampling technique usually suffers from two biases. Samples can be affected by gravity and granulometry sorting, and assay can be severely contaminated by steel from the hammer bit. A total of 50 dust samples were collected and assayed.
2. Once punctuated with a rock hammer, the outcrop can be fractured ("blasted or busted") with the use of a "boulder buster" (*picture 10*). This device, using hydrofracturing triggered by a shotgun detonation, allows excavating rocks to a maximum depth of 0.5 meter. A total of 46 such samples were collected.
3. Once punctuated with a rock hammer, the outcrop can be fractured with the use of expanding cement ("Bétonamite"). A fair amount of such cement was expedited to the project, but its use quickly replaced by the "boulder buster", which is more time effective.



*Picture 9: Site preparation for "Boulder buster" with a Pionjar rock hammer.*





*Picture 10: View of a blasting site using "Boulder buster".*

Uraninite leaching out of its uranium by run-off water and the effect of uranium depletion in assays with colateral decrease of the U/Th ratio of the sample has been tested by collecting samples at numerous depths (**table 2**). A detail study of this phenomenon was made by Mme Pamela Tremblay in the course of her bachelor's thesis (see section on ore petrography). The relation between depth and assays is apparently complex, with either depletion or enrichment with depth, and no rigid conclusion is available in this regard. U-Th-Pb decoupling suggests limited uranium mobility at the sample scale.



**Table 2 : Sample statistics**

Target	Total	Outcrop	Boulders	Pjonjar	BBuster
2006	255	234	21	0	0
2007	788	678	12	50	48
Inuits	129	129	?	0	0
Tasialuk	130	95	2	19	14
Torrent	114	92	0	11	10
Tasik	98	66	1	17	14
Jonas	58	55	1	0	2
Agpiq	76	68	0	3	5
Illaluga	73	72	1	0	0
Amittuujaq	25	23	2	0	0
Zone Inuit	18	18	0	0	0
Others	57	52	5	0	0

## CHEMICAL ANALYSIS AND ASSAYS

A total of 1236 samples (rock, drill core or Pjonjar dust) were submitted for assaying. Analyses were performed by Saskatchewan Research Council (SRC-Geolab), using:

- Optical emission spectrometry (ICP-OES) after Aqua Regia digestion for 16 trace elements including soluble uranium, transition metals and metalloids.
- Atomic emission plasma spectrometry (ICP-OES) after multi-acids near-total digestion for 46 elements, including total uranium and thorium, all major oxides except silica, near complete spectrum of rare-earths, and abundant traces.
- Lost on ignition (LOI, certificate G2007-900 only).
- Assay grade uranium by ICP-OES and Aqua Regia digestion, for samples above 0.1% U<sub>3</sub>O<sub>8</sub>.
- Assay grade uranium by fluorometry after hydrochloric acid digestion for samples above 1% U<sub>3</sub>O<sub>8</sub>.
- Boron by titration (certificate G2007-900 only).

Analysis results are provided in **appendix 5, table 2** for surface samples and **appendix 5, table 3** for drill core samples, along with quality control results (**appendix 5, tables 4 to 6**). Analysis certificates are provided in **appendix 6**.

Upon reception by SRC-Geolab, and as part of their quality control procedure, samples are ranked according to radio-activity, and routed to different preparation rooms. This allows

minimizing cross-contamination among mineralized and non-mineralized samples, controlling the cleanliness of rooms and reducing radioactivity exposure to workers. No counter-analysis was submitted in a different laboratory.

SRC-Geolab is an accredited laboratory ISO/IEC 17025, CAN-P-4E and CAN-P-1579.

### SHIPMENT AND CHAIN OF CUSTODY

Samples were collected in the field, gathered at the Barnoin camp, classified and readied for expediting. They were put in 20 litres steel canisters and shielded with damp sand to bring the radiation level below 0.5 micro-sievert per canister (exempted package, natural uranium ore, class 7, UN-1610). Some very radioactive samples needed to be split among numerous pails to be shipped securely.

Sample pails were carried to Kangijsuallujjuak airport by helicopter, and transported by the weekly chartered plane to IOS facilities. Packaging and radiation levels were inspected at IOS by a chartered chemist, and samples expedited to SRC by road carrier (Purolator courier). Shipment was acknowledged by SRC upon reception, and sample list confirmed prior to processing.

### ANALYTICAL QUALITY CONTROL

Since SRC-Geolab do not process samples in their sequential order, the insertion of blanks or certified reference material among expedited samples is not useful to track cross-contamination or sample inversion. They were therefore omitted for field samples. No sample duplicate was inserted, except for radioactive samples which were split in numerous pails and independently processed.

Certified reference material and blanks were inserted by IOS (*appendix 5, table 4*) for drill core sample, and sequential processing requested. Shipment were made hole per hole, starting with a certified reference material than a blank sample (clean quartz), and finishing with a blank sample, and blank or CRM every 15 samples.

SRC disclose a set of certified and internal reference material analysis with each certificate. A different material is used for ICP-OES Aqua Regia (LS-4), OES-MS total digestion (CG515), and boron (BH, BM or BL), values of which is reported in *appendix 5*,

**table 5.** A total of 104 analyses are available (**table 3**), and no problems are detected in regards of uranium. Instability is noted for Zr in CG-515, while LS4 shows some homogeneity issues. Assays (% U<sub>3</sub>O<sub>8</sub>) were monitored with the use of BL-1, BL-2A, BL-3 and BL-4 from Canmet. All certified reference material has been properly analyzed in regard of uranium.

**Table 3: Proficiency of uranium analytical standards**

Material	Count	Average	Std-Var	Certified value
LS4	94	34.10 ppm	2.10 ppm	34.0 ppm
CG515	93	2.01 ppm	2.47 ppm	2.0 ppm
BL-1	6	0.026%	0.0015%	n/a
BL-2A	7	0.501%	0.004%	0.502%
BL-3	7	1.206%	0.008%	1.210%
BL-4	6	0.150%	0.001%	0.147%
BL-3(IOUS)	8	1.196%	0.021%	1.203%
Blank-OES	34	4.01 ppm	4.52 ppm	0.89 <sup>5</sup>
Blank-MS	34	13.50 ppm	14.85 ppm	n/a

Finally, SRC replicates analysis of scattered samples, in order to test reliability of there complete protocol, except sample preparation. These therefore do not detect contamination or mixing at the preparation room, nor does it test for sample homogeneity and adequacy of size. Replicate's results are listed in **appendix 5, table 6**. A total of 87 pairs of analyses are available, including some pairs on reference materials, of which no significant discrepancy is noted in regard of uranium.

Two samples (5929303 and 5929029, certificate G2007-900) were rerun by SRC as duplicates, on which platinum, paladium and gold were assayed by fire-assay and icp-ms finition.

<sup>5</sup> Blank is not a certified material. The reference value is the average uranium analysis of 1750 samples submitted to ALS-Chemex and analyzed with ICP-OES after Aqua Regia.

## SOIL GEOCHEMISTRY

A brief soil geochemistry survey has been carried in autumn 2006, the results of which were not available at the time of report filing. Description and results of this campaign are thus provided here.

The soil sampling program has been carried by Jérôme Lavoie<sup>6</sup> and Anatole Pilon, technicians for IOS, in the course of the rock sampling program on Amittuujaq occurrence (then known as "Rae-1"). A total of 50 humus (or peat?) samples were collected, described in **appendix 7, table 1**. Sampling was apparently in accordance with usual practices, except that no kraft-paper bag were available and thus samples were not drained at the camp and transported soaked in plastic bags.

The survey consists into 6 lines, 50 metres apart, east-west trending, up to 250 metres long and with samples every 25 metres. The grid is centered by UTMX: 351950, UTM Y:6498450, between "Rae-1" and "Rae-2", in a meadow along the contact zone between Lake-Harbour Group and Kanjiquallujjuaq Complex. No uranium occurrence is known within the survey, but mineralized pegmatite dyke are reported 500 metres along strike to the south-east and 1 km along strike to the north-west.

Samples were dried and sieved at IOS facilities, randomized with a new numbering sequence (**appendix 7, table 1**). Analysis were done using ICP-MS after sodium pyrophosphate digestion (package 7A-DRP), which enables measurement of 56 elements selectively leached from humic acid and other adsorbing organics present in humus. Analysis are listed in **appendix 7, table 2**.

Internal reference materials were inserted among the samples by IOS, 6 aliquots of MR1sol0607 and twice for MREsol07 (**appendix 7, table 3a** and **3b**). Dried samples were expedited to Activation Laboratories for analysis. Quality control by Act-Labs is based upon analysis of nanopure solution (no certified and internal reference material is apparently analyzed in this specific certificate) (**appendix 7, table 4**), and three analytical triplicates (**appendix 7, table 5**). No significant analytical discrepancies were noted. Certificates are provided in **appendix 7, table 6**.

---

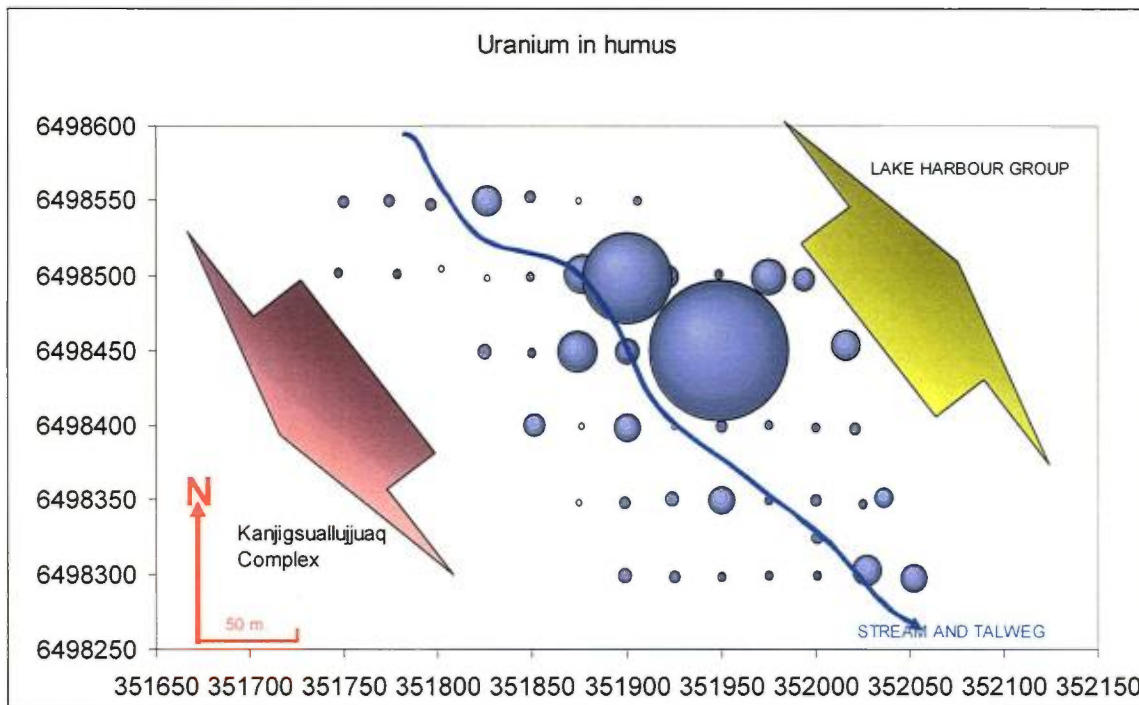
<sup>6</sup> Mr. Lavoie took the initiative to carry this survey as pilot test for eventual larger survey.

Considering the small size of the soil survey, the limited number of samples, and the lack of other survey in similar climatic condition, a thorough statistical interpretation can not be offered. However, the following points are of interest:

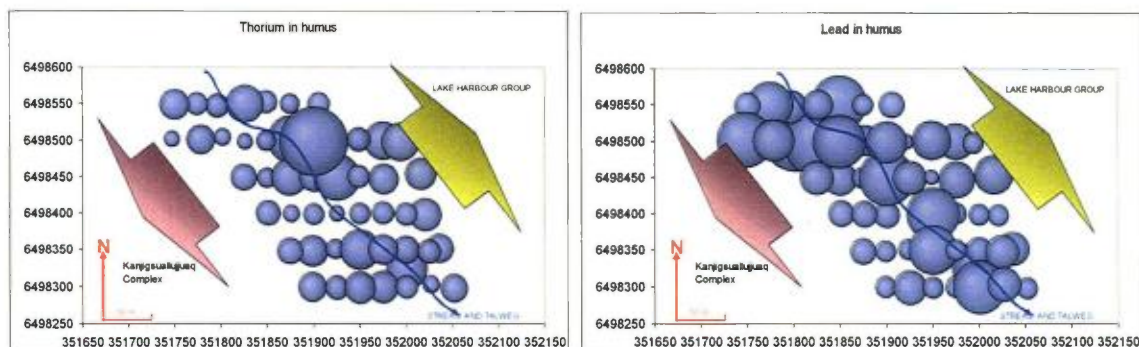
1. This pilot survey enabled to detect a strong uranium anomaly in humus, with uranium content up to 105000 ppb.
2. Average uranium content is 4840 ppb, ten time more than the 367 ppb for the all the surveys included in the author database.
3. This high uranium content is indicative of:
  - a. The availability of the soluble uranium.
  - b. The proper migration of the uranium cations, either driven by the hydraulic flow from surrounding hills to the valley where samples were collected, and to the limited thickness of the overbruden.
  - c. The proper capacity for the organic detritals and humus to scavenge uranium. This point is typically sensitive to plant species, soil structure and pH.
4. The uranium distribution is structured into a discrete anomaly (**figure 13**), centered to the survey, and properly located in regard of extrapolated geology.
5. Uranium anomaly is associated with a dimmed thorium anomaly (**figure 14**). Although associated with uranium in primary ore, thorium is extremely refractory to weathering process, and thus not prone to be leached out and concentrated in secondary environment.
6. Uranium anomaly is closely associated with rare-earth and yttrium anomaly (**figure 14**). These elements are typically concentrated in primary (apatite, monazite) and secondary phosphates, which are apparently leached by pyrophosphate digestion. Their association is then not caused by co-enrichment in primary source such as pegmatite, but rather to an analytical peculiarity.
7. Iron and manganese do not form anomalies in uranium rich samples (**figure 14**), suggesting that oxides and hydroxides are not involved in uranium scavenging.
8. Molybdenum and vanadium create anomalies with uranium (**figure 14**). These two elements have similar chemical behaviour as uranium, dependant on eH conditions, and are thus co-precipitated in organic matter. Molybdenum is frequently co-enriched with uranium in pegmatite.
9. Barium, an earth-alkali usually enriched with uranium in pegmatitic system, does not show co-enrichment in uranium anomaly (**figure 14**). This is partly caused by the very refractory behaviour of barium.

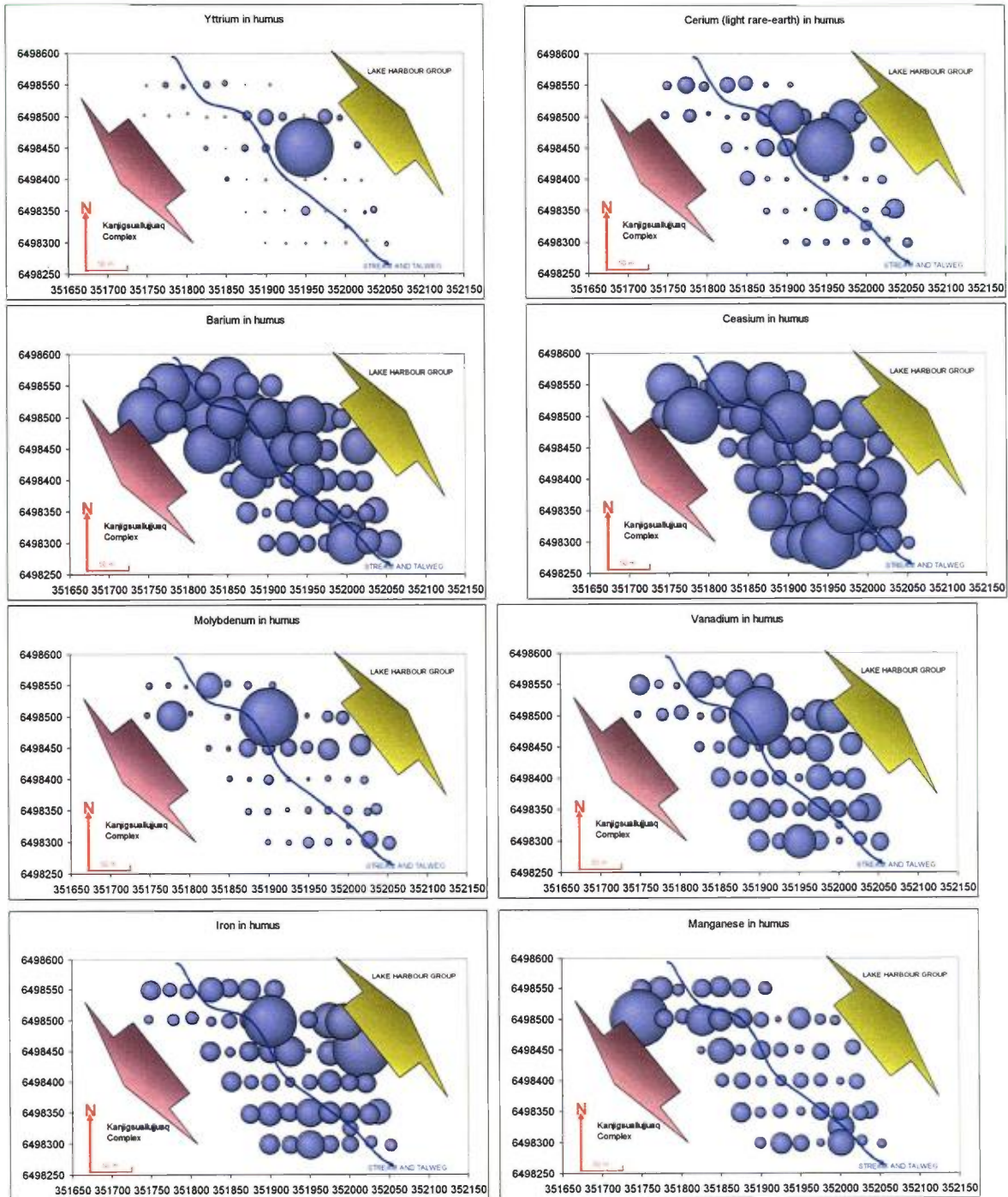


10. Cesium, a very mobile alkali metal, is not co-enriched with uranium (**figure 14**). This relationship was expected due to the typical abundance of biotite in uranium rich samples.
11. Lead does not correlate to uranium in soil (**figure 14**), in spite that bulk of the non-refractory lead in the pegmatites is radiogenic and almost as abundant as uranium.



**Figure 13:** Uranium distribution in humus of the pilot soil geochemistry survey. A contrasting anomaly is indicated. The contact zone between the Lake Harbour Group and the gneissic basement is located approximately along the talweg.





**Figure 14:** Distribution of various elements in the pilot soil geochemistry survey. See text for explanations.

## WATER QUALITY SURVEY

A brief water sampling program has been conducted in the vicinities of the planned Tasialuk drilling sites in order to establish a base-line comparison in regard of water quality and natural uranium contamination. The survey has been commissioned by NWT Uranium to Groupe-Conseil Entraco inc. from Montréal, the latter being responsible for the design and reporting of the survey. However, for logistical simplicity, the samples were collected by S. Vaillancourt from IOS, in strict observance of the protocol provided by Entraco. No significant natural uranium contamination has been detected (report provided in *appendix 8*).

## LAKE BOTTOM SEDIMENT GEOCHEMISTRY

A detailed lake bottom sediment survey has been carried in 2006 over the initial properties, interpretation of which has been handed just before the 2007 field campaign. Highly anomalous areas were outlined in regard of uranium. However, no follow-up was done.

## ORE PETROGRAPHY

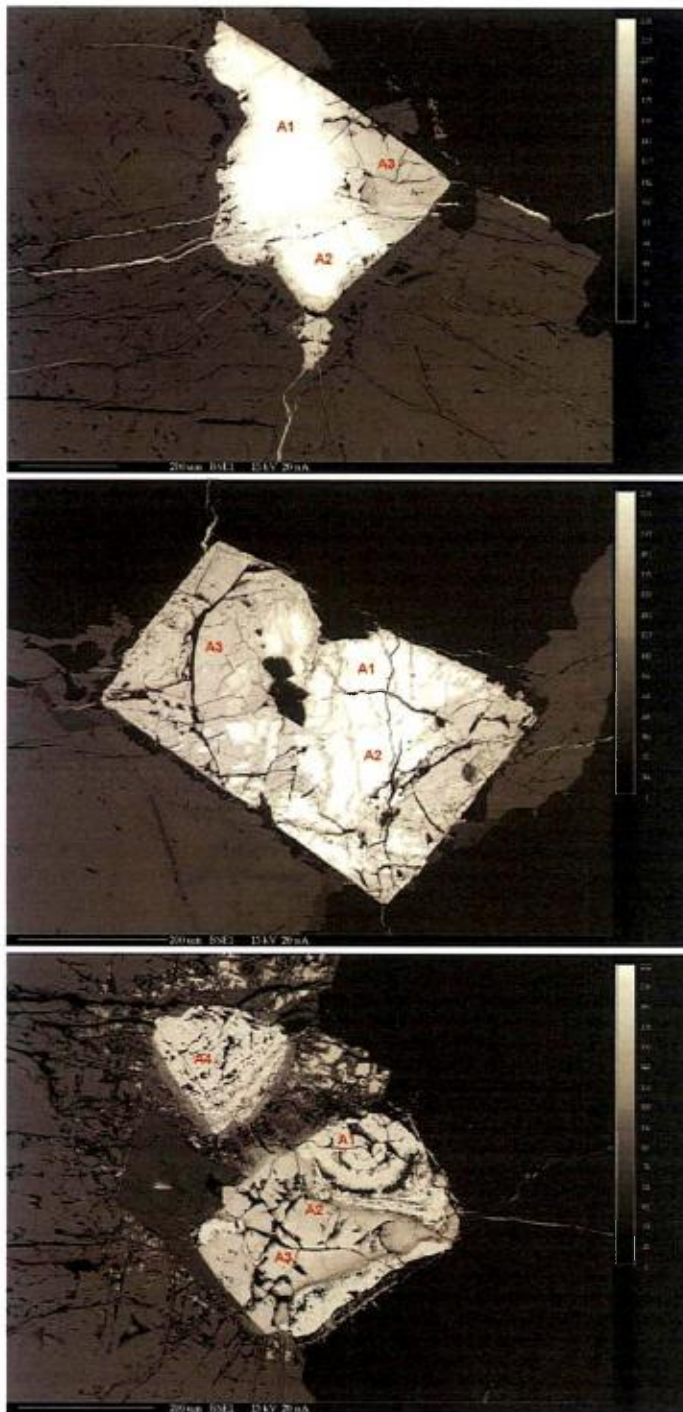
Ore petrography has been conducted in 2006 by L. Tremblay<sup>7</sup> (*appendix 9, table 1*) upon various samples representing divers lithofacies, plus a SEM and microprobe analyses on a few samples from "Rae-1" and "Rae-2", from "Amituujjuaq" zone. The following observations were made:

- Primary uranium mineral is dominantly uraninite (67-72% U<sub>2</sub>O<sub>3</sub>, 0-7% ThO<sub>2</sub>).
- Uraninite is heavily altered into by uranothorite (35-50% U<sub>2</sub>O<sub>3</sub>, 20-30% ThO<sub>2</sub>) as well as thorite (6-8% U<sub>2</sub>O<sub>3</sub>, 60-70% ThO<sub>2</sub>, 10-18% SiO<sub>2</sub>; see *figures 15*), due to uranium leaching.
- Lead is abundant as an alteration product, up to 19%, assumed as radiogenic.
- Rare-earth, niobium, tantalum, titanium, yttrium and other incompatibles elements are not present, excluding the polycrase oxide family. These oxides, when present, are considered as deleterious, being more refractory in hydrometallurgical process.

---

<sup>7</sup> The report, done in spring 2007, was not completed due to various constrain, and only been recently completed to be included in the present.





**Figure 15:** Backscattered image of uraninite (clear) replaced by uranothorite (point A3) and colloidal thorite (dark grey). Sample 295367.

An ore petrography study, mineral deportation ("Qemscan"), XRD and XRF analysis were carried by SGS-Lakefield (Theron and Scott, 2007, **appendix 9, table 2**). The study involves two samples, identified as alaskite<sup>8</sup>, collected from an unknown location and submitted by A. Esterhuizen. This study concluded that:

- Bulk of uranium (80%) is contained in uraninite, the remaining being uranothorite, thorianite<sup>9</sup> and secondary uranium minerals ("yellow product").
- Secondary uranium phases are dominantly associated with biotite.
- More than 40% of the uraninite is finer than 25 $\mu$ , while 35% is coarser than 100 $\mu$ . This uraninite is too fine grained to suit gravity separation, and will require bulk acid leaching for its recovery.
- Uranium phases are not well liberated by grinding.

Finally, a detailed petrographic and micro-XRF study has been completed by P. Tremblay, as part of her B.Sc thesis (**appendix 9, table 3**). The goal was to decipher the effect of weathering on uraninite, and to establish if uranium is significantly leached out of superficial rock or concentrated as secondary minerals along fractures. Pegmatite samples were collected from Agpiq zone. The main conclusions of this study are:

- Uranium bearing accessory minerals are uraninite and its secondary products as well as monazite.
- Uranothorite is apparently replacing uraninite, with a patchy distribution.
- Lead is abundant and associated with uranium-rich uraninite.
- A relationship between depth of sampling and uranium leaching/precipitation can not be outlined.

---

<sup>8</sup> Accurate lithofacies identification and petrography is not provided by SGS. The label "alaskite" is widely used in South-Africa for uranium bearing granitoids.

<sup>9</sup> Confusion seems present between thorianite (ThO<sub>2</sub>, a magmatic mineral) and thorite (ThSiO<sub>4</sub>, a secondary mineral) in the report. Thorite does not make solid solution with uranothorite and uraninite as indicated.



## DRILLING CAMPAIGN

A first drilling campaign has been carried on the North Rae project in August and September 2007, for a total of 560.17 metres. This campaign was under the governance of Bertrand Taquet, P. Geo, who was in charge of the holes selection, drill positioning and general organization. Daily logistics has been supervised by Sylvain Vaillancourt, while logging has been carried by Jonathan Lalancette, Cyrill Mullard, Julien Walter, and Jean-Sébastien Gauthier, geologists in training.

### LOGISTICS OF THE DRILL CAMPAIGN

The drill use was a heliportable Atlas-Corpo, bought new with all its spare parts by NWT Uranium specifically for the North Rae project (*picture 11*). The rig has been expedited to Kangiqsuallujjuak in two containers by the July barge, and stored at a vacant site near the airport. It has been assembled at the airport where a test hole has been drilled. The drilling crew, a foreman, a runner and two assistants, was leased from Forage Benoit from Val d'Or. The rig has been helicopter slung first to the Tasieluk target, moved then to Tasik and Jonas targets. Drilling proceeded from August 30<sup>th</sup> to September 27<sup>th</sup>, when rapid weather degradation precluded efficient work. The rig has been left on its last drill pad on Jonas, where it has been winterized and left for an eventual 2008 drill campaign<sup>10</sup>.

Drilling crew has been sheltered at Barnoin River lodge for the most part of the campaign, but moved to a house rented on Kangiqsuallujjuak on September 29<sup>th</sup>, due to the winter closure of the Lodge. Core logging proceeded at the lodge until the end. Drill core is currently stored in metal core-racks at Barnoin River Lodge.

---

<sup>10</sup> In April 2009, the rig was still standing still at Jonas. However, in late summer 2008, all the gear left on site has been returned into the containers, the site properly clean and the rig resheltered. It is currently still standing on Jonas, ready to be dismantled and move back to the containers.



*Picture 11: Atlas-Corpo drill rig set at Jonas.*

## DRILLING PROCEDURES

The drill rig being equipped with two complete steel floors, drill pads were set-up in advance by IOS crew. No logging was required, and water access was not an issue. Holes were positioned to test surface scintillometric anomalies at 50 metres depth, anomalies which were usually related to subvertical pegmatite dykes. Anomalies were selected from the ground scintillometric surveys<sup>11</sup>. Holes were 80 metres in typical length, moderately plunging (-50° to -68°), NQ in diameter. Down-hole dip was measured with acid test. No down-hole spectrometric measurement was made.

---

<sup>11</sup> Assays of surface samples were not received from the laboratory at the moment of drilling.

The core has been measured, described, sampled and stored at Barnoin River Lodge. For such, a temporary shelter has been set as core-shack and core-rack assembled. Logging the core has been carried according to industry standard, north-american style (unit, sub-unit, etc) (**appendix 10, table 1**). Logs were captured in a custom Access database, Gemcom and Microstation compatible, with level structure provided in **tables 4** and **5**. Systematic spectrometric measurements were taken every 20 or 25 centimetres with a GR-135 exploranium spectrometer (2438 readings) (**appendix 10, table 2**). Pictures of the core were not taken systematically. No RQD was measured. Analysis are listed in **appendix 5, table 3**.

**Table 4 : Level structure used in drill hole database**

- Level 0: Main lithofacies*
- Level 1: Textures and secondary lithofacies*
- Level 2: Alteration*
- Level 3: Structures, faults, core-angles*
- Level 4: Quartz veins*
- Level 5: Mineralization, uraninite, sulphides*
- Level 6: Scintillometric readings*
- Level 7: Comments*

Samples were taken typically with 0.5 metre intervals<sup>12</sup>, where spectrometric readings were superior to about 150 cps. Cores were split with the use of a manual core splitter ("nut-cracker"). Samples were bagged and tagged, with unperturbed half core left in the boxes with samples tags tacked (**pictures 12** and **13**). Samples were numbered 5921xxx, the fourth digit indicating the provenance from drill core. A total of 446 samples were assayed. **Sections** are provided as separated sheets, and profiles are indicated on various maps.

---

<sup>12</sup> Numerous metering errors were noticed, mostly with sample sequence 5921750 to 5921799, which were tentatively corrected by the author. Booklet 5921700 to 5921749 has been lost, and errors within this sequence can not be verified.



Table 5: Diamond drill holes specifications

NR-07

Hole	Zone	UTMX	UTMY	Length	Dip	Azimut
01	Tasialuk	335024	6488458	69.00	-63	220
02	Tasialuk	334898	6488565	80.25	-56	220
03	Tasialuk	335318	6488452	63.07	-54	220
04	Tasialuk	335233	6488374	67.10	-50	220
05	Tasik	340625	6482988	81.49	-52	240
06	Tasik	340660	6482744	64.13	-60	250
07	Tasik	340627	6482687	90.43	-50.5	240
08	Jonas	349995	6499995	44.70	-68	190

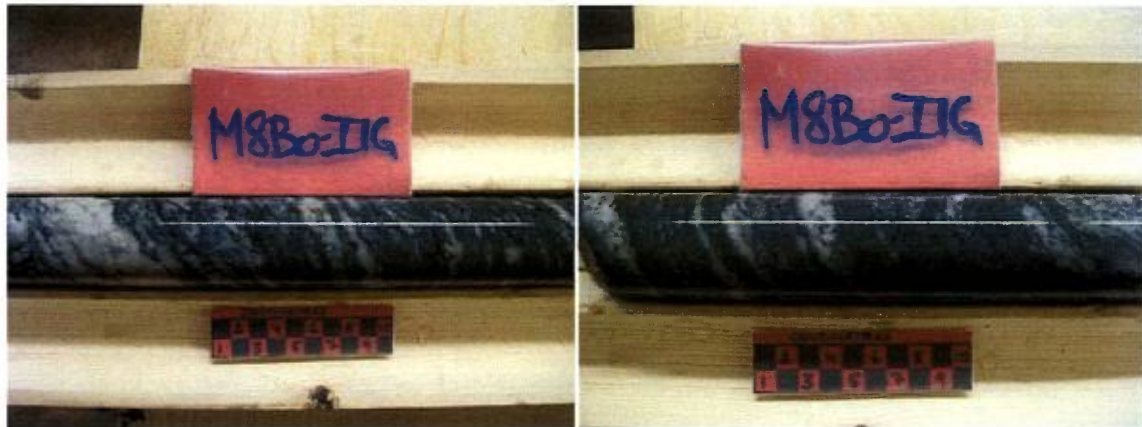


Picture 12: Drill hole implantation sites on Tasialuk grid.

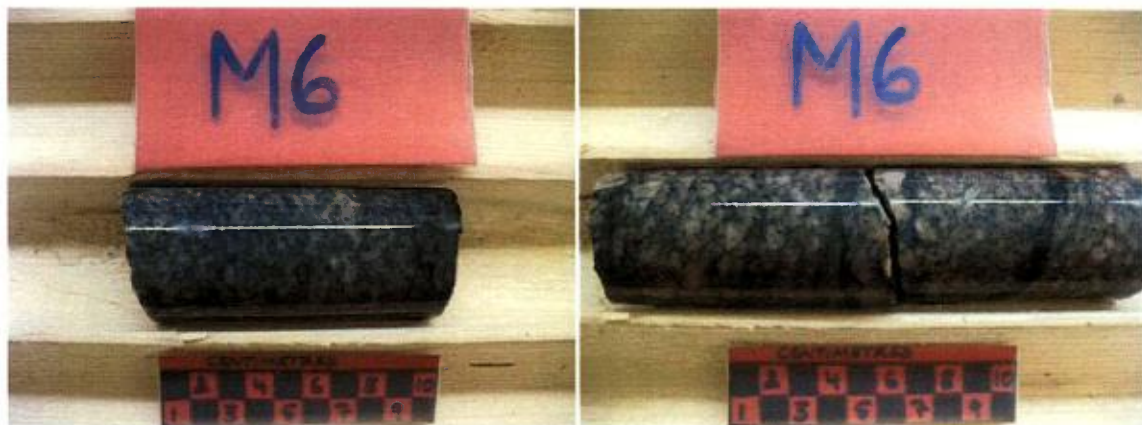




Picture 13a: Picture of the pegmatite (IIG).



Picture 13b: Picture of migmatized biotite schist (M8,BO/IIG).

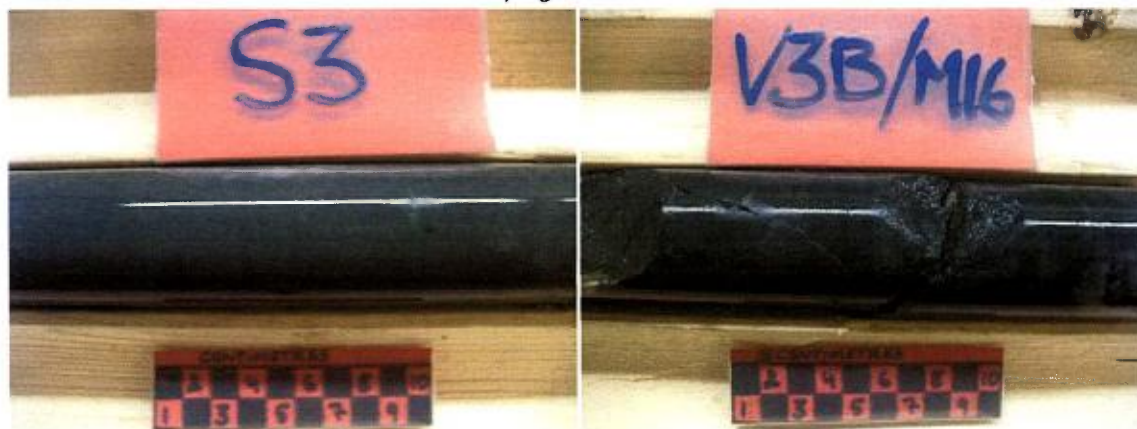


Picture 13c: Picture of the granitic gneiss(M6).





Picture 13d: Picture of the brecciated pegmatite.



Picture 13e: Picture of the metasediments (S3) and amphibolites (M16).

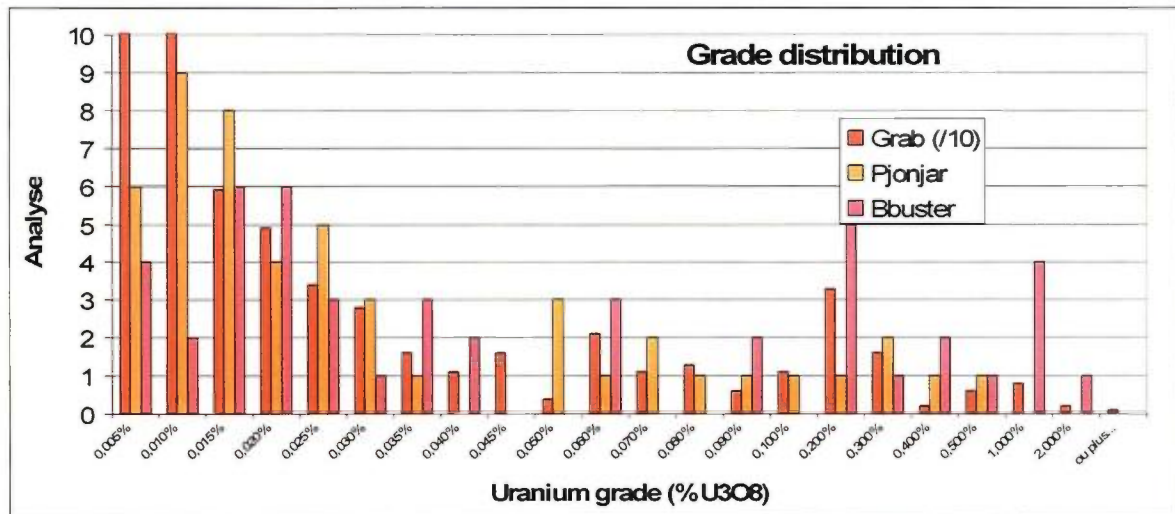
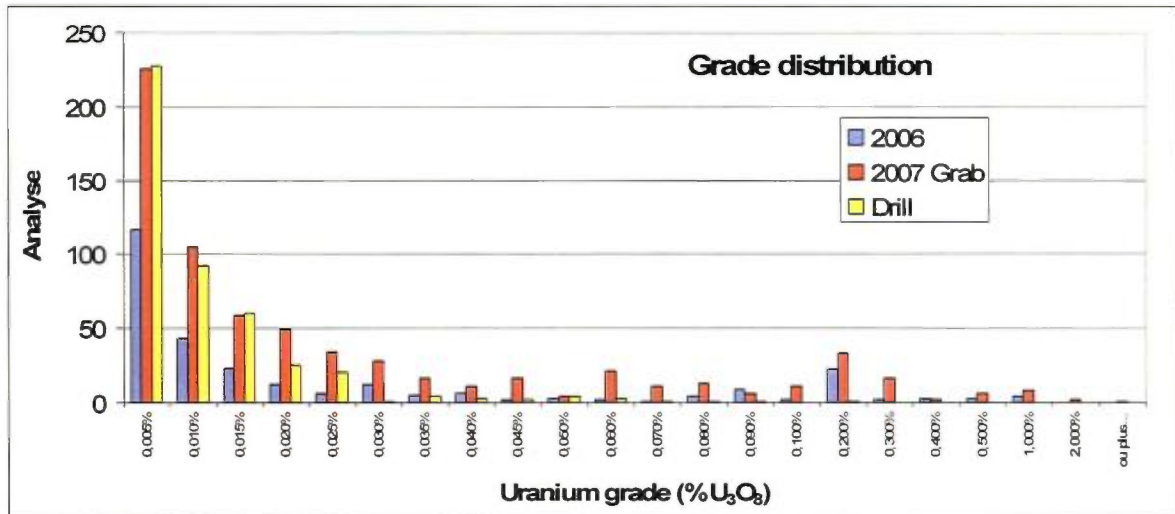
## GRADE DISTRIBUTION

Uranium grade in grab samples follows a log-normal distribution (**figure 16**), similar in 2006 and 2007 grab samples as well as 2007 drill core samples. An erratic population of 130 samples is developed above 0.05%  $U_3O_8$  in 2007 grab samples, which represent 19% of the samples, with an average grade of 0,202%  $U_3O_8$ . In comparison, the erratic population in 2006 grab sample is very similar with 17% of the sample above 0.05%  $U_3O_8$ , and an average grade of 0,170%  $U_3O_8$ .

The drill core grade distribution is different from grab samples, being almost devoid of anomalies. The distribution fades asymptotically down to 0.05%  $U_3O_8$ , with only 6 samples (1.3%) above the 0.05%  $U_3O_8$  threshold.

Grades of samples collected at 0.3-0.5 metre depth with the boulder buster shows a very irregular distribution, apparently lacking a clear log-normal low-grade population. Nineteen of the 50 samples, or 40%, are above the 0.05%  $U_3O_8$  threshold.

Grades of samples collected from the Pjonjar dusts follow a log-normal distribution, with a mode of 0.01%  $U_3O_8$ . Erratic values are abundant above 0.05%, with 11 samples (21%).



**Figure 16 :** Bar chart of uranium grades for samples collected by various means over the whole project. Anomalous (outliers) samples are present above 0.05% U<sub>3</sub>O<sub>8</sub>, seldom in drill core and abundant in grab samples. Samples collected with Boulder Blaster or Pjonjar are less abundant and displayed separately.

The large majority (86%)<sup>13</sup> of the surfaces samples were pegmatite. Only a small proportion (3%) of the samples are from gneiss (all type of gneiss included), the remaining being from granites. Similarly, samples collected with the use of "boulder blaster" or Pionjar, are dominantly pegmatites (97%). Lithofacies statistics is not been carried for drill core sample. Consequently, sample's grade is typically higher in pegmatites than gneiss (**table 6**). Almost all samples were collected in the Baudan gneissic Complex. Almost none is from the Lake Harbour Group, except maybe for samples collected on "Cirrus" and "Puqila". This distribution is in sharp contrast with 2006 campaign, where more various lithofacies were sampled, and thus reflect the more focused exploration approach.

**Table 6: Grade distribution among lithofacies.**

	2006		2007 Grab+boulder		2007 Pionjar+BB	
	Count	Avg.	Count	Avg.	Count	Avg.
<b>Pegmatite</b>	150	0.049%	481	0.060%	93	0.108%
<b>Granite</b>	53	0.015%	67	0.029%	0	--
<b>Gneiss</b>	51	0.009%	16	0.049%	3	0.015%
<b>?</b>	35	0.095%	131	0.022%	0	--
<b>Total</b>	280 <sup>14</sup>	0.042%	690	0.049%	96	0.106%
<b>Drill hole samples</b>		448	0.009%			

## PROSPECTING RESULTS

Only limited prospecting and target evaluation has been carried in 2007, including the work carried by Inuits. A brief review of the status of all Azimut and MPH target is provided in **appendix 2**, along with results and recommendations.

Within the first 3 days of field work, the Tasieluk, Tasiq and Torrent zones were discovered. Jonas, Agpik and Illaluga were discovered in early July, while Cirrus and

<sup>13</sup> Samples collected by Inuits prospectors are majoritarily excluded from these statistics, lithofacies not being properly identified (131 samples)

<sup>14</sup> Total may differ from the sum of the above, since some samples were noted with ambiguous lithofacies identification.



Puqila<sup>15</sup> zones were discovered in late September. These zones will be described independently.

Work carried in the area between Amittuujaq and Amaujaq Lakes, early in the summer, led to the discovery of Illaluga (n° 60, n° 61, n° 62), Agpiq (n° 59) and Jonas (n° 48) occurrences. Later into the season, the following targets were briefly evaluated: n° 10, n° 24, n° 43, n° 49, n° 70, n° 79, n° 107, n° 108, n° 137, n° 140. Only limited evaluation of these targets was reported, data available is restricted to sample and outcrop descriptions. It is unknown if other targets were visited without collecting samples.

Airborne spectrometric surveys were not available in the course of 2006 prospecting campaign. However, some anomalies were inadvertently visited, as listed in **appendix 2**.

### AZIMUT TARGET EVALUATION

From June 29<sup>th</sup> to July 5<sup>th</sup>, at the very beginning of the field season, a crew made of Jean-Marc Lulin and Sylvain Guérard from Azimut Exploration, Bertrand Taquet from NWT Uranium and the author proceeded to a quick evaluation of the top ranked targets selected by Azimut. The remaining crew dedicated its effort to mapping and sampling Tasialuk zone.

Azimut's target evaluation proceeded by helicopter dropping of one or two geologists per target, for a few hours period, allowing 4 to 6 target to be evaluated per day. Two days of work were dedicated to south-west area, one day to the La Ralde granite area, and half a day on Illaluga area. This evaluation led to discovery of Torrent (n° 143), Tasik (n° 142), Agpiq (n° 35), Illaluga (n° 5), and Jonas (n° 4). About half-dozen of zones were discarded in the south-west area, including n° 91<sup>16</sup> to n° 94, n° 125, n° 126, n° 128 and n° 135 to n° 141. These targets were not revisited by the IOS-NWT crew.

---

<sup>15</sup> Then referred as "Inuit zone".

<sup>16</sup> Index according to Brett's anomaly listing.

## INUITS PROSPECTING

A crew of Inuit prospectors has been hired from the Nunavik Mineral Exploration Fund by NWT Uranium. This crew of 4 man, lead by Thommy Adannak, has worked from late June to early September with minimal supervision. They operated from their own camps for the most part, from where they radiated by foot traverses, and had only occasional helicopter support and geologist visits. Areas with either airborne spectrometric anomalies or uranium in lake bottom sediments were loosely outlined, within which they had to carry ground scintillometric prospecting and rock sampling. Four areas, corresponding to different camps, were designated, the vicinities of which shall be considered as adequately covered in regard of basic prospecting:

1. Inuit-1: The area north-west of Tasieluk occurrence, accessible from a camp set up at Illutaviniq, on the George River. Camp operated from June 27<sup>th</sup> to July 3<sup>rd</sup>.
2. Inuit-2: The area extending to the south-east of the Torrent occurrence, indicated as "Torrent extension". This area was covered on the basis of the preliminary results of the 2007 airborne spectrometric survey. It was not covered by the 2006 airborne spectrometric survey and the detailed lake bottom geochemistry survey. Camp operated from July 4<sup>th</sup> to August 2<sup>nd</sup>.
3. Inuit-3: The fourth area is located north of Jonas zone, along a valley and covering anomalies n° 7, n° 8, n° 16 to n° 20 and n° 33 to n° 36. Camp operated from August 13<sup>th</sup> to August 22<sup>th</sup>.
4. Inuit-4: The Barnoin river Valley to the north of Daniel Lake, where the "Inuit Zone <sup>17</sup>" has been discovered. This area was covered on the basis of the preliminary results of the 2007 airborne spectrometric survey. It was not covered by the 2006 airborne spectrometric survey and the detailed lake bottom geochemistry survey. This work is the only field work carried within Daniel Lake project in 2007. Camp operated from August 22<sup>th</sup> to September 14<sup>th</sup>.

No detail record of their traverses is available nor is exact limits of the prospected ground. Samples and scintillometric readings were noted in field notes and location recorded by handheld GPS. List of scintillometric reading is provided in **appendix 3**. Notice that 30% of their readings lack coordinates. A list of samples is provided in **appendix 5**. Samples were collected on the basis of scintillometric indications. Notice the non-sequential numbers,

---

<sup>17</sup> Referred as "Cirrus zone" by Azimut, 30<sup>th</sup> of July 2008, press release.

since 70% of these samples were discarded by the geologist, according to their low radioactivity or inadequate size or quality, or the lack of significant scintillometric readings<sup>18</sup>. However, some of these discarded samples were collected on significantly radioactive spots, and may represent prospective sites. No sample description is available. Near to no field validation of their work has been made by geologist. Abundant radioactive spots were reported and not properly sampled, which shall be revisited. The client is invited to refer to *maps 2 to 5* to select these locations.

Inuits findings are described for each of their camp, except for those within "Cirrus", "Torrent extension" and "Target 140" occurrences, which are described independently.

### INUIT-1 AREA

The first camp established by Inuit prospectors was located at Illutaliviniq, on the shore of the George River, between June 30<sup>th</sup> and July 19<sup>th</sup>. From there, they radiated inland up to Tasialuk and Akilasaaluk Lakes, in the area hosting the small lake highly anomalous in uranium. The prospected area encompasses targets n° 103, n° 104, n° 105, n° 108, n° 109, n° 110, n° 111, n° 112 and n° 125. Only 17 samples were submitted for analysis, which assayed to an average grade of 0.013% U<sub>3</sub>O<sub>8</sub>, and a maximum of 0.054% U<sub>3</sub>O<sub>8</sub>. Scintillometric readings at sampling site were averaging 4400 cps, with a single reading above 10 000 cps at 13 500 cps. No follow-up of this work has been made by IOS-NWT geologist, except for the evaluation of targets n° 107 and n° 108.

### INUIT-2 AREA

The second camp established by Inuit prospectors was in the south-eastern extension of the "Torrent" occurrence, in late July. They covered the area to the south-east of "Torrent Extension" zone, south of the limit of the 2006 airborne survey, and described hereafter. No targets were therefore defined. They also visited the area south-east of "Tasik" zone. They did not visited the area north-east of "Torrent" zone, staying along the axis of Tasialuk Lake. They collected 20 samples suitable for analysis, which assayed an average

---

<sup>18</sup> In many instances, more specifically for camp n°3 and n°4, scintillometric readings were not related to sample database. Cross-linking them is a tedious process, which has not been made by the author.

of 0.018%  $U_3O_8$ , with a maximum value of 0.132%. The maximum scintillometer count is recorded at 12,000 cps. Numerous spots with elevated scintillometer readings were not sampled or the sample not submitted for assaying. Only limited verifications by geologist were made.

### INUIT-3 AREA

The third camp established by Inuit prospectors was located west of the narrows north-west of Amittuujuaq Lake. The covered area defines a north-south corridor almost 8 kilometres in length, following a network of valleys and lakes. It extends from "Jonas" occurrence northward to Barnoin River, and encompasses targets n° 8, n° 17, n° 18, n° 19, n° 20, n° 33, n° 34, n° 36. A total of 55 samples were collected, with an average grade of 0.016%  $U_3O_8$ . Two samples (312381, 312389) yielded grades of 0.103% and 0.175%  $U_3O_8$ , close to target n° 33 and n° 34. No sample or geological description is available. Scintillometer reading reach about 20,000 and 10,000 cps respectively.

### INUIT-4 AREA

The fourth Inuit' camp was located north of Daniel Lake (North Rae project), close to the Barnoin River, and lead to the discovery of "Inuit" or "Cirrus" occurrence. This campaign has been carried in late August and early September, under harsh climatic conditions, and only a brief visit by the geologist has been made. No geological information is available and only scattered scintillometric readings were noted (up to 20,000 cps). Details of "Cirrus" zone are provided hereafter, and the area was properly mapped in 2008 on behalf of Azimut.



## PROSPECTING RESULTS UPON SPECTROMETRIC TARGETS

### TARGET N° 10

Target n° 10<sup>19</sup> is a small isolated spectrometric anomaly at about 7 ppm  $U_{\text{equivalent}}$ <sup>20</sup> located to the extreme north of the property, north-east of the Barnoin river. It has been briefly visited on July 10<sup>th</sup>. Two samples were collected on pegmatite dykes with scintillometric readings of 16 500 and 20 000 cps. Assays returned up to 0.192%  $U_3O_8$ .

### TARGET N° 11

Target n° 11 is a small isolated spectrometer anomaly, about half a kilometre long and 7 ppm  $U_{\text{equivalent}}$  located 2 kilometres south of target n° 10. Large blocs of biotite bearing pegmatites were located on July 10<sup>th</sup>, with traces of uranophane and scintillometer readings up to 19200 cps. Two of these were assayed and returned 0.759% and 0.149%  $U_3O_8$ .

### TARGET N° 24

Target n° 24 is a small <250m anomaly located in the north, close to the north-east limit of the property, north-east of Amituujjaq Lake. It has been briefly visited on July 10<sup>th</sup>. Two samples were collected, on pegmatite dykes with a modest scintillometric reading of 8000 cps. Pegmatite shows intense hematitic alteration and traces of uranophane. Assays returned less than 0.01%  $U_3O_8$ .

---

<sup>19</sup> J. Brett index.

<sup>20</sup> Uranium equivalent ( $_{\text{eq}}U$  or  $U_{\text{equivalent}}$ ) were not computed by Aeroquest, although mentioned in their report. They were calculated by MPH and provided on one of their map. The maximum value assigned to the color scale is 6.02 ppm, meaning that any values above such can not be directly read from the map.

### TARGET N° 43

Target n° 43 is a kilometre long irregular anomaly above 7 ppm  $U_{eq}$ , located on a peninsula on the west side of Amittuujaq Lake, close to its northern tip. A prospect has been discovered in 2006 by the author, where presence of yellow alteration product has been established. Assays up to 0.333%  $U_3O_8$  were reported. In 2007, prospecting has been limited to a brief visit on July 15<sup>th</sup>. Two samples were collected on biotite rich pegmatite dyke, with modest scintillometric reading of 4200 cps. Assays indicated a maximum uranium content of 0.005%  $U_3O_8$ .

### TARGET N° 70

Target n° 70 is a four kilometres long anomaly hovering around 4 and 7 ppm  $U_{eq}$ , elongated according to the tectonic grain. It is located in the hills north-west of Amaujaq Lake, midway between the Tasieluk-Torrent-Tasik area and the Illaluga area. It has been briefly visited on August 16<sup>th</sup>. A single sample has been collected on a pegmatite dyke with a 4500 cps reading and 0.004%  $U_3O_8$  result. Prospecting in the area is difficult due to presence of cliffs. The anomaly is associated with a low-resistivity area, likely associated with Lake-Harbour type metasediments.

### TARGET N° 79

Target n° 79 is a narrow anomaly at 4 ppm  $U_{equivalent}$  adjacent to the west of target n° 70. It has been briefly visited on August 16<sup>th</sup>, where a pegmatite dyke with 11 300 cps has been located. Assays yielded 0.046%  $U_3O_8$ .

### TARGET N° 107

Target n° 107 is adjacent to Akilusaaluk Lake, close to the lake with highly anomalous sediments at 1300 ppm U (UTMX: 335000, UTM Y: 6489000) in the southwest of the project. No prominent airborne spectrometric anomaly is associated with. This area has been extensively covered in 2006, and further prospected by the Inuits in 2007. It has been visited briefly in July 9<sup>th</sup> by IOS staff, in the course of prospecting the Tasieluk occurrence surroundings. Three samples were collected in 2007 from leucogranite

(alaskite) intruding paragneiss, on localized elevated scintillometric reading of 4000 cps. Uranium assays were negligible, just as 2006 assays.

### TARGET N° 108

Target n° 108 is located north of Akilusaaluk Lake, and has been visited in 2006 as well as by Inuits in 2007. It forms a broad and elongated spectrometric anomaly, about 4 kilometres long, hovering at about 6 ppm  $U_{\text{equivalent}}$ . The area is dominated by interbedded paragneiss and leucogranite. A single sample has been collected on July 07<sup>th</sup>, on a granite dyke with 8000 cps. Assay indicates an interesting although localized 0.012%  $U_3O_8$ .

### TARGET N° 137

Target n° 137 is a 1 kilometre long anomaly, fairly narrow, suggestive of a pegmatite dyke. It is located along the valley between Tasiyaluk Lake and the large lake to the south. It has been visited on July 4<sup>th</sup> by B. Taquet and Mr. Blöck in the course of Azimut's visit, and tossed aside when focus was attracted by Tasiyaluk, Tasik and Torrent discoveries. It was then revisited on August 17<sup>th</sup> to 19<sup>th</sup>. The anomaly is caused by a pegmatite swarm intruded in variegated gneiss, a context similar to Tasiyaluk occurrence. One of these dykes is apparently 300 metres long and 20 metres wide, with scintillometric readings up to 35,000 cps. A total of 20 samples were collected on pegmatite, typically biotite-rich facies with smoky quartz, associated with scintillometric counts up to 20 000 cps, and background radiation of 2000 cps. Two samples (5929542 and 5929545) returned significant values: 0.534% and 0.267%  $U_3O_8$ . However, the remaining 18 samples averaged a less significant 0.018%  $U_3O_8$ .

### TARGET N° 140

Target n° 140 is a diffuse anomaly, half a kilometre long, located along the trend defined by Tasiyaluk occurrence and target n°137, at the southern limit of the airborne survey. It has been visited only by the Inuits prospector on September 20<sup>th</sup>, and therefore only limited geological information is available. Inuits collected seven (7) samples on "pegmatites" with scintillometric readings between 3000 and 6000 cps. The maximum assay graded 0.029%  $U_3O_8$ , for an average of 0.008%.

### TARGET N/D

Some prospecting has been carried by B.Taquet on September 24<sup>th</sup> close to the discharge of Barnoin River (UTMX: 347300, UTM Y: 6506800) where no airborne spectrometric anomaly was selected. Three samples were collected on pegmatite with traces of smoky quartz and uranophane staining, although ambient radioactivity was low. Best assay returned 0.076% U<sub>3</sub>O<sub>8</sub>.

### CIRRUS ZONE

The Cirrus zone, located on the extreme south-west of the North Rae project, has been discovered by the Inuits prospector at the very end of the season. It was visited only briefly by J.S. Gauthier on September 16<sup>th</sup> and 17<sup>th</sup>. The area, selected from the 2007 airborne spectrometric survey, is located in a small valley, close to the Barnoin River and the outlet of Daniel Lake. Only limited geological information is available, with mention of granitic gneiss and pegmatites, with scintillometric reading up to 1700 cps. A total of 37 samples collected by Inuits were submitted for assaying, with an average grade of 0.023% U<sub>3</sub>O<sub>8</sub>. Two samples (312294, 312398) assayed at 0.1% U<sub>3</sub>O<sub>8</sub>. Three samples were collected by Gauthier, one of which (5929176) returned 0.908% U<sub>3</sub>O<sub>8</sub><sup>21</sup>, while the two others are barren.

The *Cirrus* zone has been extensively mapped and sampled on behalf of Azimut in 2008, who renamed it from its former NWT name Inuit's zone.

### PUQILA ZONE

The Puqila zone<sup>22</sup>, located on Daniel Lake project, has been found by the Inuit prospectors at the very end of the campaign, and revisited briefly by S.Vaillancourt and B.Taquet on September 30<sup>th</sup>. Based upon the 2007 spectrometric airborne survey, the zone is located east of Daniel Lake, close to the eastern property limit. Being visited only swiftly, very limited geological information was acquired.

---

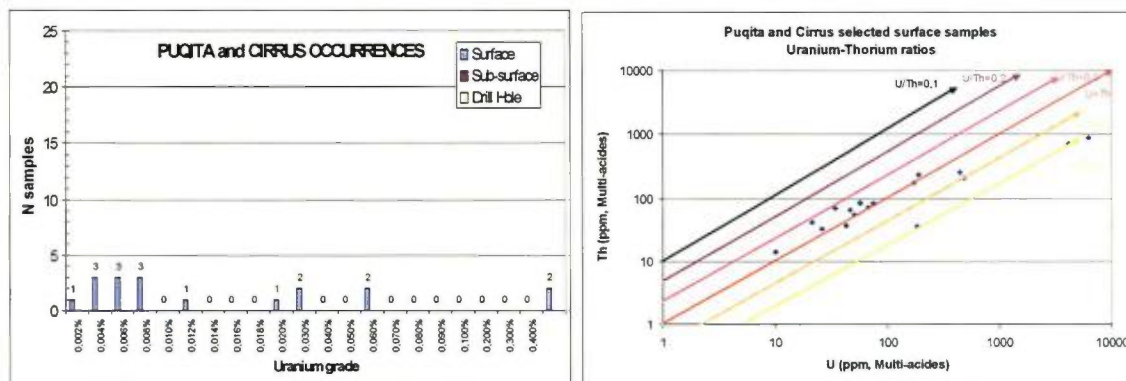
<sup>21</sup> Average of four (4) duplicates, which reach 1.160% U<sub>3</sub>O<sub>8</sub>.

<sup>22</sup> Recognized as a zone by Azimut in the course of their summer 2008 campaign.



The occurrence is reported as a series of wide pegmatite dykes with local abundant biotite, some uranophane staining and smoky quartz. Host rock of the pegmatite was not noted. Scintillometric readings are mostly in the 1000-4000 ranges, with local 27 000 cps. A total of 15 samples were collected, of which sample 5929185 assayed 0.654%  $U_3O_8$ . Average grade of the remaining 14 samples is 0.015%  $U_3O_8$ . Results are presented on **figures 18** and **19**. The grade distribution for Puqila and Cirrus is presented in **figure 20**. The uranium-thorium ratio is 0.5-1 for the normal pegmatite samples, and approximately 5 for the uranium-rich samples.

The Puqila zone has been extensively mapped, sampled and drilled on behalf of Azimut in 2008.



**Figure 20 Left:** Uranium grade distribution in Puqila and Cirrus. **Right :** Uranium/thorium ratios, calculated from the near-total digestion ICP-OES.

### AMITUUJJUAQ ZONE

The Amituujuaq zone<sup>23</sup> is located on hilltops adjacent to the south-west of Amituujuaq Lake. It has been discovered in summer 2006, and its detail sampling was the goal of September 2006 campaign. It corresponds to a non-prominent elongated spectrometric airborne anomaly (n° 63). The zone is described as a set of pink pegmatite dykes (**picture 5**) in granitic gneiss of the Baudan Complex, which yielded up to 0.59%  $U_3O_8$ , and an average grade of 0.068%  $U_3O_8$ . This pegmatitic system is decametric in thickness, and was tracked for 4 kilometres along strike. Elevated scintillometric counts up to 50 000 cps,

<sup>23</sup> Named Rae I in previous reports and press releases.

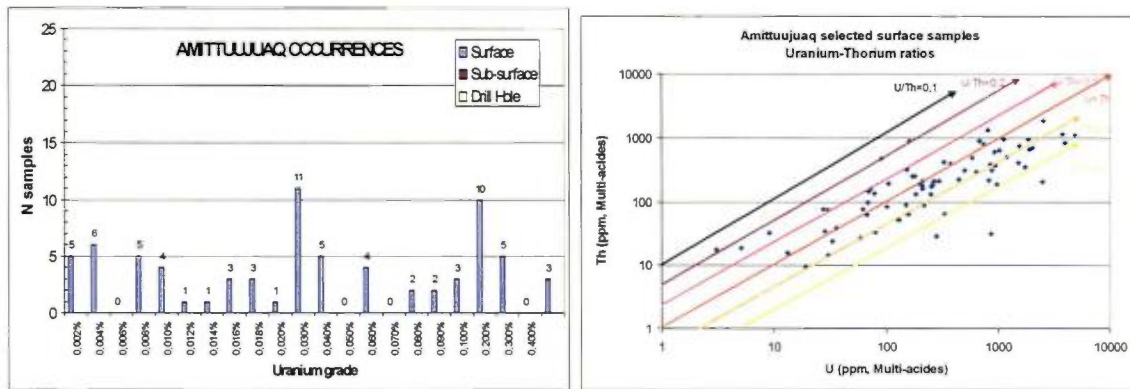
uranophane staining in fractures, smoky quartz and uranothorite observed by ore petrography are further evidence of uranium mineralization. Zones of biotite-filled breccias are locally associated with the pegmatite, which breccias are typically very uranium rich. The zone is however not associated with outstanding airborne spectrometric anomaly.

According to 2006 observations, the mineralized pegmatite forms a set of discreet dykes, 30 centimetres to 2 metres in thickness, and forms a near continuous array over 4 kilometres. These dykes are intruded near the contact zone between the Baudan Complex granitic gneisses and the Lake Harbour supracrustal sequence squeezed as a synform in the Amittuujaq Valley. Dykes are roughly parallel to this contact and a general steeply dipping gneissosity of  $N145^{\circ}/80^{\circ}$ , and are typically within 100 metres on either side of the contact. Although dominantly hosted by granitic gneisses, they locally intrude the metasediments. The dykes are locally strained, illustrated by local mylonitic lamination or by local brecciation set in a biotite rich matrix. Being located on the crest of the hill, outcropping conditions are excellent.

On the airborne radiometric survey, the dyke system is not associated with a strong uranium anomaly, with 50% of the area above 6 ppm  $U_{\text{equivalent}}$ . U/Th ratios are locally elevated. A broad and diffuse anomaly is present on the eastern side of the dyke system, related to the Lake Harbour paragneisses. The dykes are adjacent or associated with a linear magnetic crest, and at the edge of a low resistivity anomaly, likely related to the Lake Harbour metasediments. No lake bottom sediment anomaly is present.

An offset extension of the aeromagnetic crest is present to the south-west of the dyke system, for an additional length of 4 kilometres.

This zone has not been the main focus of the 2007 campaign. Only limited prospecting has been carried, from July 15<sup>th</sup> to 24<sup>th</sup>. A total of 23 outcrop samples plus two boulders were collected, all pegmatite with the exception of 3 paragneiss samples. Of these, 10 are associated with localized scintillometer readings above 10 000 cps, reaching 50 000 cps in sample 5929223. Seven of the samples exceeded 0.1%  $U_3O_8$ , for a maximum of 0.423% in sample 5929507. Average grade is calculated at 0.124%  $U_3O_8$ . Such results are coherent with 2006 results. Grade distribution is presented in **figure 21**. Uranium is dominant over thorium, with an average U/Th ratio of 2.2, with the best ratio associated with the highest uranium grade.



**Figure 21** *Left* : Uranium grade distribution in Amittuujaq occurrence, including 2006 samples. *Right*: Uranium/thorium ratios, calculated from the near-total digestion ICP-OES.

### ILLALUGA ZONE

Illaluga zone<sup>24</sup> is an elongated "hook-shaped" anomaly parallel to Amittuujaq zone, about 2 kilometres to the south-west. This zone represents a prominent and elongated spectrometric airborne anomaly (n° 60), which is the justification of the prospecting effort. The zone has been crossed by two traverses in 2006 without being detected. It is the area of the property where the most intense 2007 prospecting efforts were dedicated. Agpiq and Jonas zones are adjacent to Illaluga.

The Illaluga zone has been mapped and sampled between July 9<sup>th</sup> and 24<sup>th</sup> by various staff member. A total of 73 samples were collected from various rock types (**table 7**).

**Table 7 : Samples collected on Illaluga zone.**

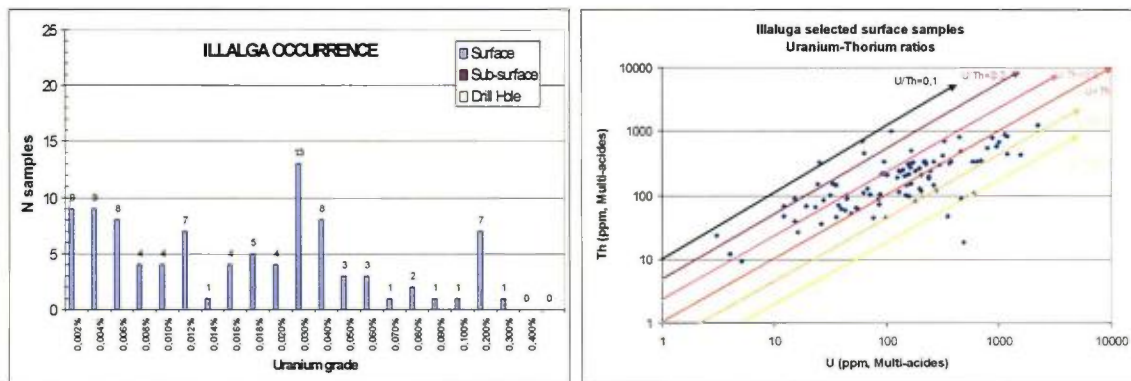
Rock type	Samples	Average U <sub>3</sub> O <sub>8</sub>	Max U <sub>3</sub> O <sub>8</sub>
Leucogranite	21 s	0.021%	0.106%
Pegmatite	50 s	0.035%	0.272%
Granitic gneiss	1 s	0.021%	-

Main radioactivity is associated with pegmatite dykes, which can reach 10 metres in thickness, and more locally with granitic and aplitic dykes. Average scintillometric readings

<sup>24</sup> Previously reported as Rae-II.



at sampling site is about 7000 cps, with a recorded maximum of 22 000 cps. Uranophane is reported. Relative abundance of pegmatite is not noted. The airborne response of this area is a broad signature above 7 ppm  $U_{\text{equivalent}}$ , with U/Th ratios above 1 (**figure 22**). Contrarily to Amittuujaq zone, Illaluga is far from the Lake Harbour-Baudan contact zone, and no metasediments are reported in the vicinity. The hook-shape of the zone is suggestive of a synformal structure, the geometry of the hinge being visible at Jonas zone.



**Figure 22 Left :** Uranium grade distribution in Illaluga occurrence, including 2006 samples. **Right :** Uranium/thorium ratios, calculated from the near-total digestion ICP-OES.

## TORRENT EXTENSION AREA

The area on the south-east shore of the river at Torrent occurrence has been visited by the Inuit prospector, where some scintillometrics findings were reported. The area has been revisited in some occasions, in the course of the Torrent evaluation. Radioactive spots between 3500 and 11 000 cps were found associated with biotite, magnetite and/or hematite bearing pegmatite. Nine (9) samples were collected, with an average grade of 0.009%  $U_3O_8$ . The area is similar to *Torrent* in term of geology

## TASIALUK EXTENSION AREA

The vicinities of the Tasieluk occurrence were sporadically visited for a radius of a few kilometres, in the first 2 weeks of the summer. Ten (10) samples were collected and assayed, with an average grade of 0.027%  $U_3O_8$ . Only one sample 5929303 yielded a significant grade of 0.212%  $U_3O_8$ , justifying to be revisited. Most scintillometric reading ranged in the 2000-4000 cps, with a single value at 11,000 cps. No systematic geological mapping was concomitantly done.

### DE LA RALDE GRANITE

The De La Ralde Granite is the cause of an outstanding spectrometric anomaly (n° 158, n° 159, n° 166). This anomaly is related to extensive outcrop over homogeneous granite. The airborne spectrometric average measurements of about 7 ppm  $U_{equivalent}$  for most of the area is comparable to the 29 ppm assayed from the available seven (7) granite weighted for the outcrop proportion ( $\pm 40\%$ ) and the sampling bias. No work has been carried on the La Ralde Granite else than a short.

### TASIALUK OCCURENCE

The Tasieluk zone corresponds to the strong airborne spectrometric anomaly n° 124, which is 1 kilometre long, 300 metres wide, with a  $U_{equivalent}$  far exceeding the scale of the available map. Total scintillometric count is above 320 cps, twice as intense as the second strongest anomaly, with a  $U/Th_{equivalent}$  of 0.32, also among the highest of the survey. This anomaly is devoid of aeromagnetic signature, and is flanked on both sides by thin conductive zone.

The occurrence has been promptly recognized as a wide and dense swarm of pegmatite dykes, about 350 metres wide and 800 metres long. Excellent outcropping condition ( $\pm 30\%$ ) in the centre of the occurrence allowed detail mapping and systematic sampling, as well as reliable spectrometric survey. The area is not characterized by abundant highly radioactive spots, as most other occurrences, but rather by broad elevated background.



GROUND SCINTILLOMETER SURVEY

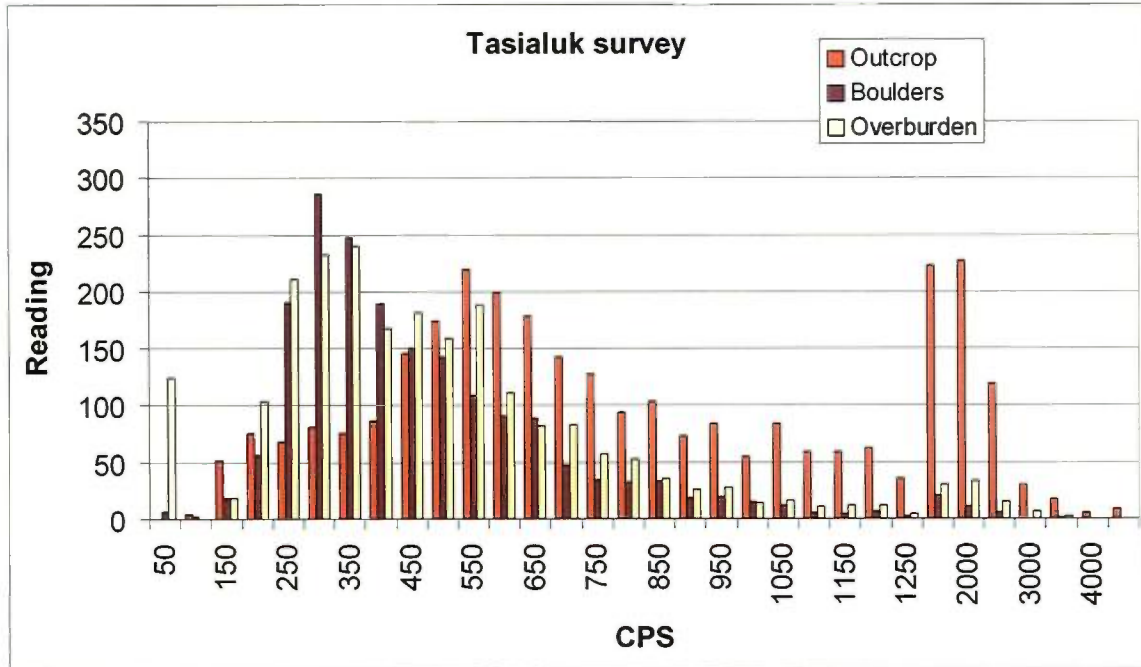
A systematic ground scintillometric survey has been carried over the whole extent of Tasialuk occurrence (*map 7*). A total of 7375 measurements were taken, with a 2 metres spacing along lines. According to field notes, 40% of the measurements were taken above outcrop, which provides a fair representation of the bedrock radioactivity (*table 8*).

**Table 8 : Statistics on Tasialuk scintillometer survey.**

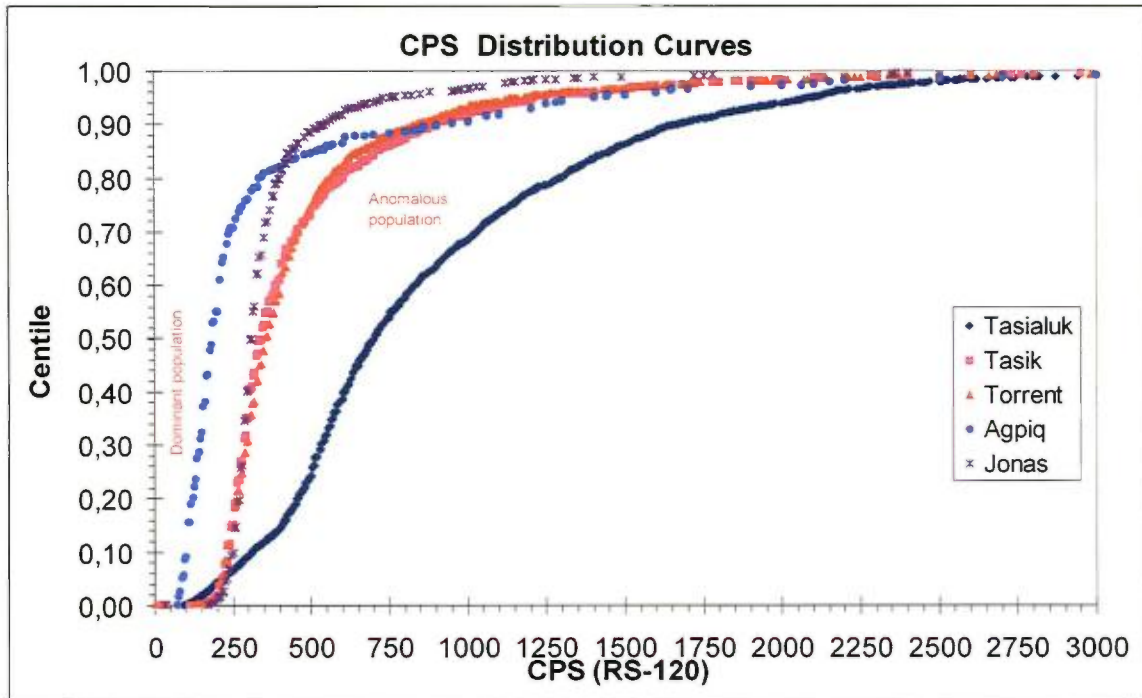
Terrain	Readings	Average CPS	Maximum CPS
<b>Outcrop</b>	2971 40%	893 cps	17990 cps
<b>Boulder field</b>	1843 25%	453 cps	3040 cps
<b>Cliff</b>	1		338 cps
<b>Water body</b>	55 1%	76 cps	1088 cps
<b>Swamp</b>	54 1%	341 cps	1623 cps
<b>Moss</b>	460	6% 525 cps	2600 cps
<b>Overburden</b>	378 5%	457 cps	2452 cps
<b>Vegetation</b>	916 12%	413 cps	2620 cps
<b>Total</b>	7375	621 cps	17990 cps

Average background radioactivity above outcrop is about twice what can be measured above boulder field, water body, marsh and vegetation. Boulder field and non-outcropping area have a rather similar scintillometer reading distribution, log-normal, unimodal, with a mode at about 300 cps, and a restricted population above 1000 cps. This distribution is in sharp contrast with measurement taken above outcrops (*figure 23*). Radioactivity above outcrops shows a tri-modal population:

1. A first low-radioactive population, for about 348 readings and up to 350 cps, with an average of approximately 200 cps. This population is comparable to the background populations measured over the four other occurrences (*figure 24*).
2. A dominant population of 1681 readings (56%) with a mode at 550 cps, progressively increasing up to 1000 cps. Such signal shall be considered as anomalous compared to typical gneiss signature.
3. An anomalous population above 1000 cps with 936 readings (31%). This population is considered as caused by radioactive pegmatite.
4. Outliers are not abundant, with only 31 readings above 3000 cps. This rarity of extreme radioactivity is a peculiarity of Tasialuk occurrence.



**Figure 2:** Class distribution of scintillometer measurements. It is noticed that measurement above outcrops have a radioactivity twice as intense as over overburden (including water body, marsh and vegetated area) and that, more importantly, outcrop area includes an anomalous population above 1000 cps (RS-125 spectrometers).



**Figure 24:** Distribution of scintillometer measurements above outcrops for the five ground survey. Tasieluk survey is drastically different from other four, with multiple populations. A break in the curve at about 375 cps indicates the limits of the two first populations. The highly skewed sigmoid curve above 700 cps is the cumulate effect of the multiples populations. The other four surveys indicate a background population with an average of 250 cps, except Agpiq at 125 cps, and the presence anomalous values for 20% to 30% of the measurements.

Tasieluk survey covers a wide scintillometric anomaly which stretches for 850 metres long and 300 metres wide. The anomaly is irregular in intensity, related either to overburden covers or pegmatite distribution. It is limited to the southwest by Tasieluk Lake, to the northeast by thick overburden, and is abruptly ended to the southeast and northwest. Elevated radioactivity, with scintillometric readings above 1000 cps, were noticed uninterrupted up to 150 metres along lines. The ground scintillometric survey clearly mimics the airborne spectrometric anomaly.

## GEOLOGY

The Tasieluk occurrence is located on a saddle-reef along the north shore of Lake Tasieluk. Two metalotects associated with mineralisation and recognized on regional scale are present at Tasieluk:

1. The Tasieluk Lake Valley is part of the northwesternly trending Daniel Lake fault zone, which is a splay of the orogen-scale Falcoz shear zone extending for hundreds of kilometres from the Falcoz to the George River shear zone. The vicinities of this fault zone includes Tasieluk, Torrent, Tasik, Cirrus and Puqila.
2. The Tasieluk occurrence is near a contact zone between the granitic gneiss of the Baudan Complex and the supracrustal rocks of the Lake Harbour Group. The nature of the contact zone is not obvious, both units being apparently interfolded. No unconformity or fault zone is discernable in between.

The Tasieluk occurrence consists of a pegmatite dyke swarm containing about 30% pegmatite hosted in variegated gneiss. The extent of the pegmatite swarm mimics the ground scintillometric survey. Individual dykes are typically metre to decametre thick, and can be continuous up to hundreds of metre, although irregular in thickness and shape. Many of these "dykes" do not have sharp contact with host gneiss, and looks like pegmatitized granitic gneiss. Evidences of folding and shearing are seldom. Selbands and restites are not common and it is unlikely that these gneisses are from in-situ anatexis and migmatisation evidences are not common. Host gneisses are tonalitic to granitic gneiss, leucocratic, biotite and locally hornblende bearing, devoid of any garnet and other alumina rich minerals.

The gneisses hosting the pegmatite are in contrast with the paragneiss as observed to the southeast and northwest. These paragneiss, slightly rusty and biotite rich, attributed to the Lake Harbour Group, are associated with amphibolite interpreted as metabasalt, as well as other lithofacies of supracrustal origin such as meta-ultramafite. The contact between Baudan Gneiss and Lake-Harbour gneiss is not described, but both units are likely interfolded on a decametre scale. Hills to the southeast and northwest of Tasieluk occurrence are composed of the Lake Harbour group, and looks like synclinal keel atop of the Baudan gneiss or folded homoclinal sequence dipping northeastward atop of the Baudan gneiss. The Tasieluk occurrence can be compared to a klippen. Dyke swarm being abruptly limited by the super incumbent Lake Harbour, it likely continues underneath and its real extent unknown.



The Tasieluk grid has been mapped in details (*map 6*). Only lines and half-lines (x+00 and x+50) were mapped in more detail than what can be display. Quarter-lines (x+25 and x+75) were not mapped, and geology not interpolated across. Only pegmatites were extrapolated between lines.

Primary uranium mineralization has not been observed on Tasieluk. Secondary uranium mineralization, such as uranophane and gummite, is not abundantly reported.

## SAMPLING AND URANIUM GRADE

A total of 120 surface samples were collected on Tasieluk occurrence. These samples are either selected or randomly collected, scattered over the whole pegmatite swarm and its host gneiss. Overall uranium grade is rather low, with only one sample, taken with Boulder buster, above 0.1% U<sub>3</sub>O<sub>8</sub>. To be noticed is the depleted uranium concentration in selected surface sample compared to selected sub-surface samples (*table 9*). This paucity of uranium is coherent with the lack of visible mineralization and surface enrichment. The uranium grade distribution (*figure 25*) suggests a dominant log-normal population asymptotic up to 0.012% U<sub>3</sub>O<sub>8</sub>, with scattered enriched outliers above this threshold.

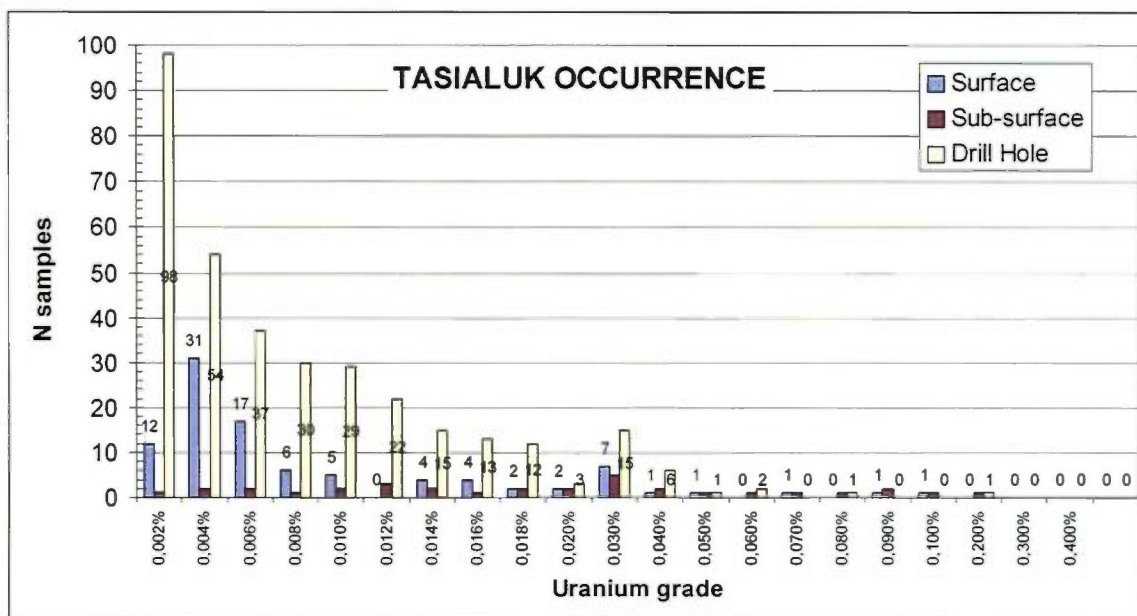
**Table 9: Sample grades in Tasieluk**

Sample	N	U <sub>3</sub> O <sub>8</sub> <sup>Av</sup>	U <sub>3</sub> O <sub>8</sub> <sup>Max</sup>	U(ppm <sup>25</sup> )	Th(ppm <sup>26</sup> )	U/Th
Surface	95 <sup>27</sup>	0.010%	0.094%	86.7	229	0.38
BBuster	14	0.036%	0.111%	301.7	396	0.76
Pjonjar	19	0.026%	0.095%	222.6	267	0.83
Drill	339	0.008%	0.120%	67.0	70	0.96

<sup>25</sup> ICP-OES, Aqua Regia

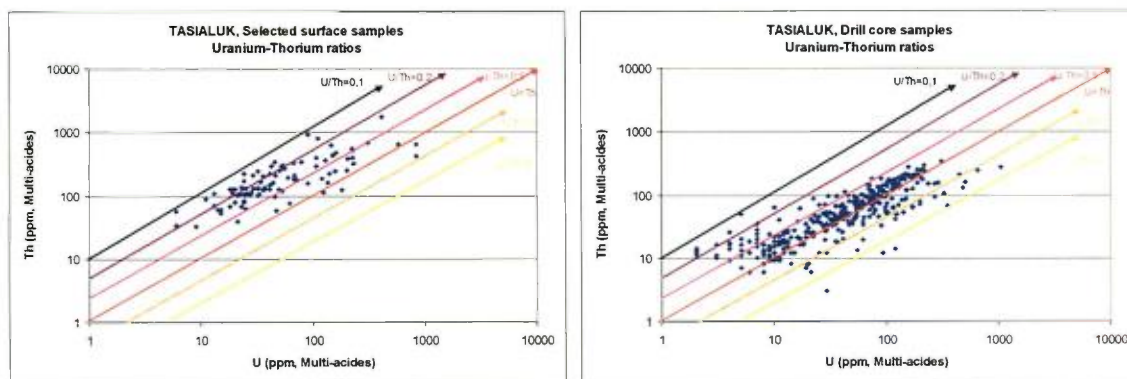
<sup>26</sup> ICP-OES, 4-acids

<sup>27</sup> Including 92 pegmatite samples



**Figure 25:** Grade distribution in Tasialuk. Enriched population is noticed above 0.02%, including 29 drill core sample and 14 surface samples. Sub-surface samples include the one collected with Pionjar and Boulder buster.

The U/Th ratio is relatively low, with thorium three times more abundant than uranium in surface sample. This ratio improves close to unit in sub-surface and drill core samples. On the uranium versus thorium binary diagram, samples defines rather clean trends along the aforementioned ratios of 0.3 for surface samples and 0.8 in drill core or sub-surface samples. The only erratics noted are uranium enriched, and are not sufficiently abundant to create a significant bias.



**Figure 26:** Uranium-thorium ratios in surface and drill core samples. The difference indistribution trend is readily visible, with drill-core having higher U/Th ratio.

## DRILL HOLES

Four diamond drill holes were made on Tasieluk, for a total of 279.42 metres of core (**table 10**). Holes were drilled parallel to the grid, orthogonal to dominant foliation, from the northeast to the southwest. These holes, done on different lines at different stratigraphic positions, aimed to test at depth four of the most consistent radioactive segments. Intersections are listed on **table 11**, with all samples included considering the low grades. Assayed core represent 62% of the total drilled length.

Grades in pegmatites intersected by drill holes are fairly stable, about 0.003% to 0.012%  $U_3O_8$ , over metres to tens of metres width. An overall average grade of 0.008%  $U_3O_8$  (16 pounds per short ton) is obtained, for the 173.6 metres which were assayed. No high grade intersection was obtained, with only 0.5 metre above 0.1%  $U_3O_8$ , or only 4 non-consecutive samples for 2 metres above 0.05%.

**Table 10 : Tasieluk drill hole location**

Hole	Line	Station	Length	Azimuth	Dip
NR-07-01	L25+75	0+00	69.00 m	220°	-63°
NR-07-02	L27+43	0+06w	80.25 m	220°	-56°
NR-07-03	L23+75	1+90e	63.07 m	220°	-54°
NR-07-04	L23+75	0+80e	67.10 m	220°	-51°



**Table 11: Mineralized intersection in Tasialuk drill holes**

Hole	From	To	Length	%U <sub>3</sub> O <sub>8</sub>
NR-07-01	1.0 m	14.00 m	13.00 m	0.010%
	23.5 m	31.50 m	8.00 m	0.011%
	40.3 m	44.50 m	4.20 m	0.004%
	54.0 m	66.85 m	12.85 m	0.010%
	<b>Average<sup>28</sup></b>		<b>38.05 m</b>	<b>0.009%</b>
NR-07-02	3.00 m	69.75 m	66.75 m	0.006%
	74.50 m	78.10 m	2.60 m	0.021%
	78.75 m	80.25 m	1.50 m	0.007%
	<b>Average</b>		<b>71.85 m</b>	<b>0.007%</b>
NR-07-03	3.5 m	20.5 m	17.0 m	0.010%
	22.0 m	23.5 m	1.50 m	0.004%
	41.0 m	46.0 m	5.00 m	0.003%
	<b>Average</b>		<b>23.05 m</b>	<b>0.008%</b>
NR-07-04	2.6 m	7.5 m	4.9 m	0.011%
	9.4 m	11.0 m	1.6 m	0.008%
	12.0 m	15.0 m	3.0 m	0.006%
	16.5 m	29.0 m	12.5 m	0.012%
	30.0 m	32.5 m	2.5 m	0.007%
	50.4 m	54.5 m	4.1 m	0.008%
	56.3 m	58.0 m	1.7 m	0.011%
	62.0 m	68.9 m	6.9 m	0.006%
	<b>Average</b>		<b>37.2 m</b>	<b>0.008%</b>
<b>4</b>	<b>Holes</b>	<b>173.6</b>	<b>0.008%</b>	
<b>average</b>				

## TASIK OCCURENCE

The Tasik zone corresponds to the airborne spectrometric anomaly n° 42, which is 800 metres long, 200 metres wide, with a U<sub>equivalent</sub> of 5.35 ppm. Total scintillometric count is about 190 cps, comparable to many other anomalies but half the Tasialuk anomaly, with a U/Th<sub>equivalent</sub> of 0.30, higher than other anomalies in vicinities. This anomaly is associated with a textured aeromagnetic signature, and is flanked on south-west side by a thin conductive zone.

<sup>28</sup> Not continuous.

Prospecting indicated scattered highly radioactive outcrops, with readings up to 44000 cps. Outcrops are neither abundant nor extensive, the radioactive area being located in valley. The extension of the occurrence has been promptly recognized as a loose network of pegmatite dykes, about 300 metres wide and 800 metres long.

**Ground scintillometer survey**

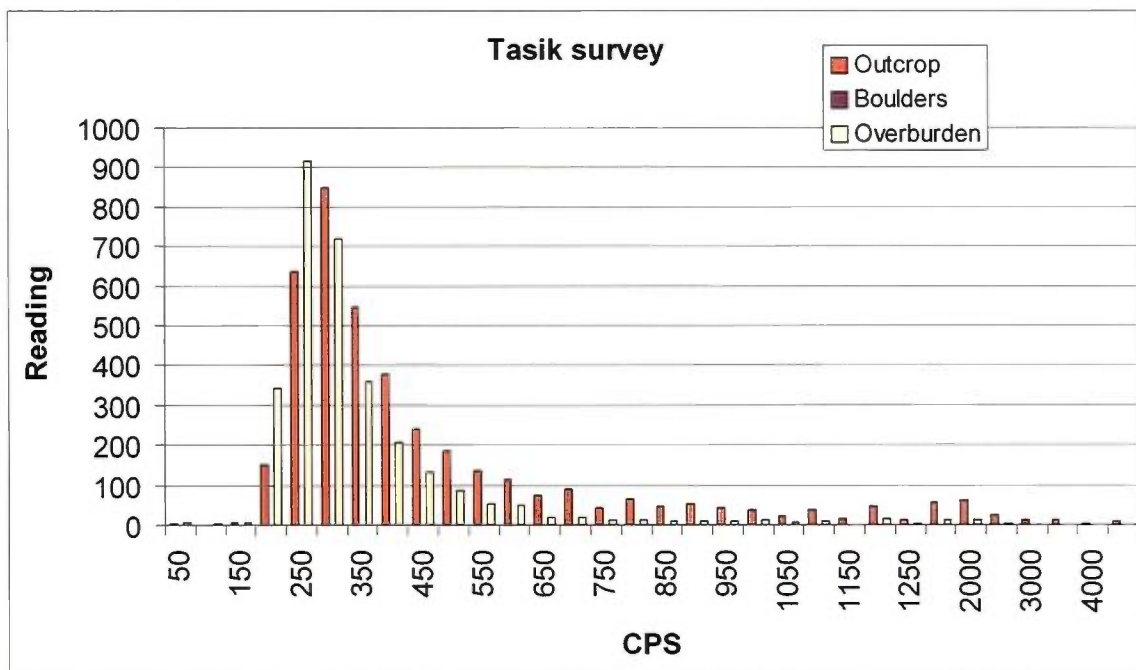
A systematic ground scintillometric survey has been carried over the whole extent of Tasik occurrence (*map 11*). A total of 7580 measurements were taken, with a 2 metres spacing along lines. According to field notes, 56% of the measurements were taken above outcrop, which shall provide a fair representation of the bedrock radioactivity (*table 12, figure 27*).

**Table 12 : Statistics on Tasik scintillometer survey.**

Terrain	Readings		Average CPS	Maximum CPS
<b>Outcrop</b>	4003	56%	484 cps	7100 cps
<b>Boulder field</b>	682	9%	360 cps	1950 cps
<b>Cliff</b>	22		0% 285 cps	400 cps
<b>Water body</b>	9	0%	121 cps	300 cps
<b>Swamp</b>	0	-	-	-
<b>Moss</b>	78		1% 289 cps	1050 cps
<b>Overburden</b>	2181	5%	318 cps	3535 cps
<b>Vegetation</b>	76	31%	331 cps	1070 cps
<b>Total</b>	7125 <sup>29</sup>		412 cps	7100 cps

<sup>29</sup> Excluding un-read station





**Figure 27:** Class distribution of scintillometer measurements. Both populations taken above outcrops and not taken above outcrops provide similar log-normal distribution. Values over outcrops are slightly more enriched by 50 cps, and contain an anomalous population (17%) above 650 cps (RS-125 spectrometers).

Scintillometer measurement follows a log-normal distribution for both measurements taken above outcrop or over non-outcropping area. Although average background radioactivity above outcrop is about 50% higher than what is measured above boulder field, water body, marsh and vegetation, the mode is only 50 cps higher. Non-outcropping area have a log-normal, unimodal distribution, with a mode at about 250 cps, and asymptotic counts above 750 cps. Measurements taken above outcrops are also log-normal, but bimodal since they contain an anomalous population starting at 650 cps, which represent 17% of the measurements.

The dominant anomaly is a broad and elevated zone 100 metres wide and 350 metres long in the center of the grid. Textures on this anomaly are mostly related to overburden distribution. This anomaly corresponds to extensive pegmatites invading the granitic gneiss. A second anomaly is present to the north, separated from the previous by marsh and colluvium. It is caused by pegmatite patches imbedded in what has been mapped as paragneiss. It is uncertain if these two anomalies form a continuous system, if they are

separated by a fault, or a mere juxtaposition of unrelated units. Some small pegmatite dykes are also reported within the amphibolite, associated with small radioactive zones.

### GEOLOGY

The Tasik occurrence is located in a broad perched valley, 7 kilometres south-east of Tasialuk occurrence, parallel and adjacent to Torrent occurrence. The local geology is similar to Tasialuk occurrence. The occurrence is located near the axis of the Daniel Lake fault, and in the vicinity of the contact between the Lake Harbour supracrustal rocks and the Baudan gneiss Complex (*map 10*).

The occurrence is located on a broad valley, which is likely a synformal keel. The northeast side of the valley is a cliff made of amphibolite belonging to the Lake Harbour group, which amphibolites are also located on the rolling hills to the southwest. These amphibolites are likely super incumbent on the Baudan Gneiss. A large band of paragneiss<sup>30</sup>, potentially belonging to the Lake Harbour group, is reported in the valley center, broadening north-westward. Pegmatites make irregular dykes and pods, either in granitic gneiss or paragneiss. No folding is reported, but foliation is not constant and locally sub-horizontal.

### SAMPLING AND URANIUM GRADE

A total of 98 surface samples were collected on Tasik occurrence, near to all of them from pegmatite. The grade distribution is similar to Tasialuk occurrence, however with more abundant enriched samples (*table 13, figure 28*). Six (6) samples grade above 0.1%  $U_3O_8$ , including 5929292 at 0.312%  $U_3O_8$  and 5929298 at 0.265%, plus 4 samples between 0.1 and 0.16%. Four (4) of these are from sub-surface. Both drill holes and surface samples show a similar grade distribution with a dominant log-normal population asymptotic up to 0.012%  $U_3O_8$ . Above this threshold, an enriched population is present for 35 samples in surface or sub-surface, and 23 samples from drilling.

---

<sup>30</sup> Detailed mapping on Tasik occurrence is, in the author's opinion, rather deficient and unreliable. It seems not to have been carried systematically along every line.

Table 13: Sample grades in Tasik

Sample	N	U <sub>3</sub> O <sub>8</sub> <sup>Avg</sup>	U <sub>3</sub> O <sub>8</sub> <sup>Max</sup>	U(ppm <sup>31</sup> )	Th(ppm <sup>32</sup> )	U/Th
Surface	66 <sup>33</sup>	0.014%	0.164%	126.7	331	0.38
BBuster	14	0.052%	0.265%	424.4	543	0.78
Pjonjar	17	0.036%	0.312%	295.1	370	0.80
Drill	69	0.011%	0.087%	95.7	113	0.84

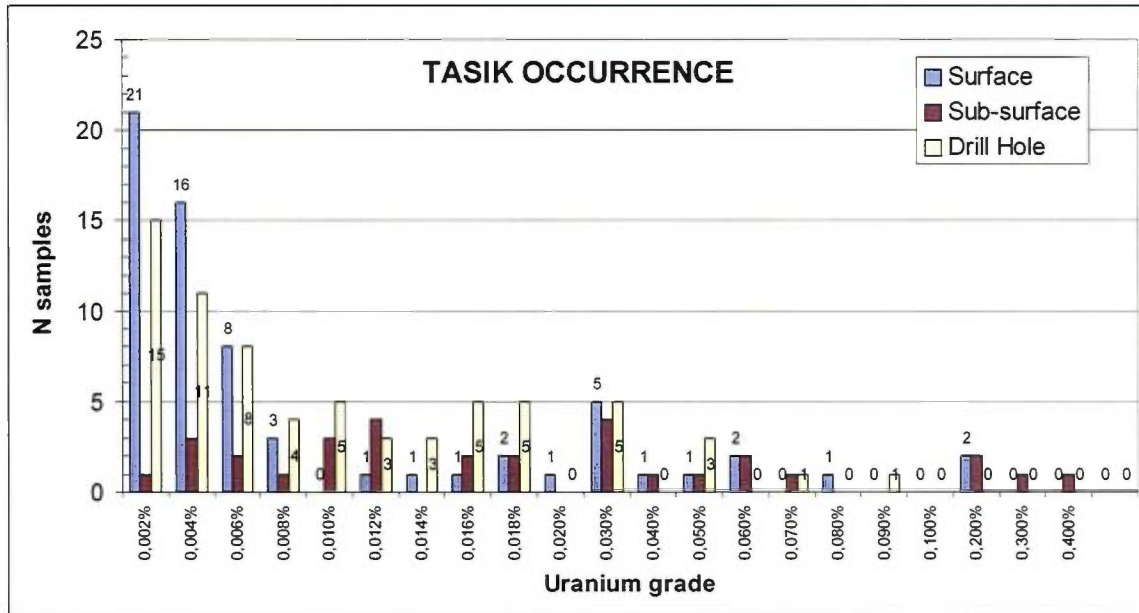


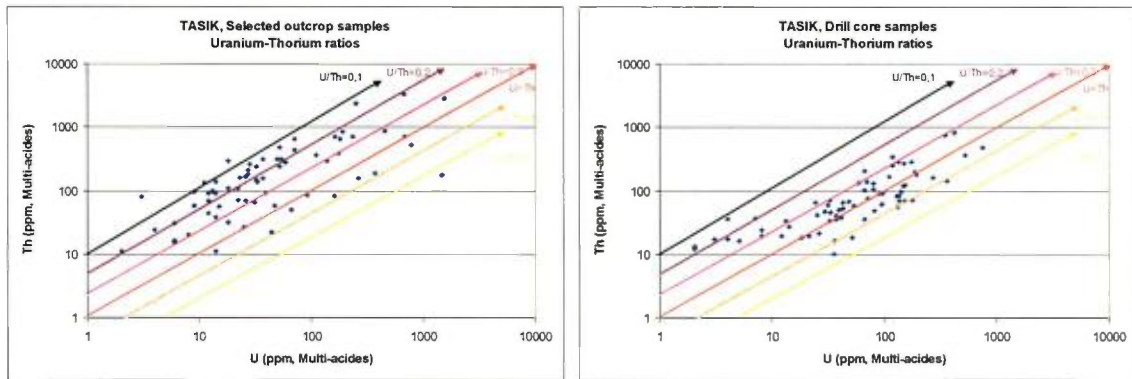
Figure 28 : Class distribution of uranium grades in Tasik. Notice the enriched outliers above 0.2% U<sub>3</sub>O<sub>8</sub>.

The U/Th ratio is 0.8 for drill holes and sub-surface samples (figure 29). It drops to 0.4 in surface samples.

<sup>31</sup> ICP-OES, Aqua Regia

<sup>32</sup> ICP-OES, 4-acids

<sup>33</sup> Including 62 pegmatite samples



**Figure 29:** Uranium-thorium ratios in surface and drill holes sample. The difference in U/Th ratio is readily visible as defining different trend.

## DRILL HOLES

Three diamond drill holes were made on Tasik, for a total of 236.05 metres of core (**table 14**). Holes were drilled near to parallel to the grid, orthogonal to dominant foliation, from the northeast to the southwest, upon the two most prominent scintillometer anomalies. Intersections are listed on **table 15**, with all samples included considering the low grades. Assayed core represent 22% of the total drilled length.

Grades in pegmatites intersected by drill holes are comparable to surface samples, up to 0.01%  $U_3O_8$ , over metres to tens of metres width. Three enriched intersect are detected at 0.027% and 0.063% over 1.5 metres and 0.042%  $U_3O_8$  over 3 metres. An overall average grade of 0.011%  $U_3O_8$  (22 pounds per short ton) is obtained, for the 59.75 metres which were assayed.

**Table 14 : Tasik drill holes location**

Hole	Line	Station	Length	Azimuth	Dip
NR-07-05	L22+15	0+60E	81.49 m	240°	-52°
NR-07-06	L19+75	0+20E	64.13 m	250°	-60°
NR-07-07	L19+25	0+25W	90.43 m	240°	-50.5°



**Table 15 : Mineralized intersection in Tasik drill holes**

Hole	From	To	Length	%U <sub>3</sub> O <sub>8</sub>
NR-07-05	8.00 m	11.00 m	3.00 m	0.005%
	15.00 m	25.75 m	10.25 m	0.011%
Including	20.50 m	23.00 m	1.50 m	0.027%
	47.00 m	53.50 m	6.50 m	0.019%
Including	50.50 m	52.00 m	1.50 m	0.063%
	59.00 m	60.50 m	1.50 m	0.011%
	62.25 m	63.25 m	1.00 m	0.036
	64.00 m	65.00 m	1.00 m	0.021%
<b>Average<sup>34</sup></b>			<b>23.75 m</b>	<b>0.013%</b>
NR-07-06	22.00 m	33.00 m	11.0 m	0.008%
NR-07-07	10.00 m	19.00 m	9.0 m	0.014%
Including	15.00 m	18.00 m	3.0 m	0.042%
	26.00 m	33.00 m	7.0 m	0.007%
<b>Average</b>			<b>16.0 m</b>	<b>0.011%</b>
<b>3 Holes</b>			<b>59.75 m</b>	<b>0.011%</b>
<b>average</b>				

## TORRENT OCCURENCE

The Torrent zone corresponds to the airborne spectrometric anomaly n° 143, which is 1500 metres long, 200 metres wide, with a U<sub>equivalent</sub> in the order of 6-7 ppm. Total scintillometric count is about 170 cps, comparable to many other anomalies, but half the Tasialuk anomaly, with a U/Th<sub>equivalent</sub> of 0.24, barely distinguishable from its surrounding. This anomaly is associated with a textured aeromagnetic signature, and is aligned with a thin conductive zone.

Prospecting indicated scattered highly radioactive outcrops, with readings up to 42,000 cps. Outcrops are locally abundant, the radioactive area being located in valley along the river. Cliffs on both sides delimit the radioactive zone. The occurrence is narrow, but extends for at the least 1.5 kilometres in length. A kilometre long extension is noted toward south-east, although outcropping is discontinuous.

<sup>34</sup> Not continuous sections

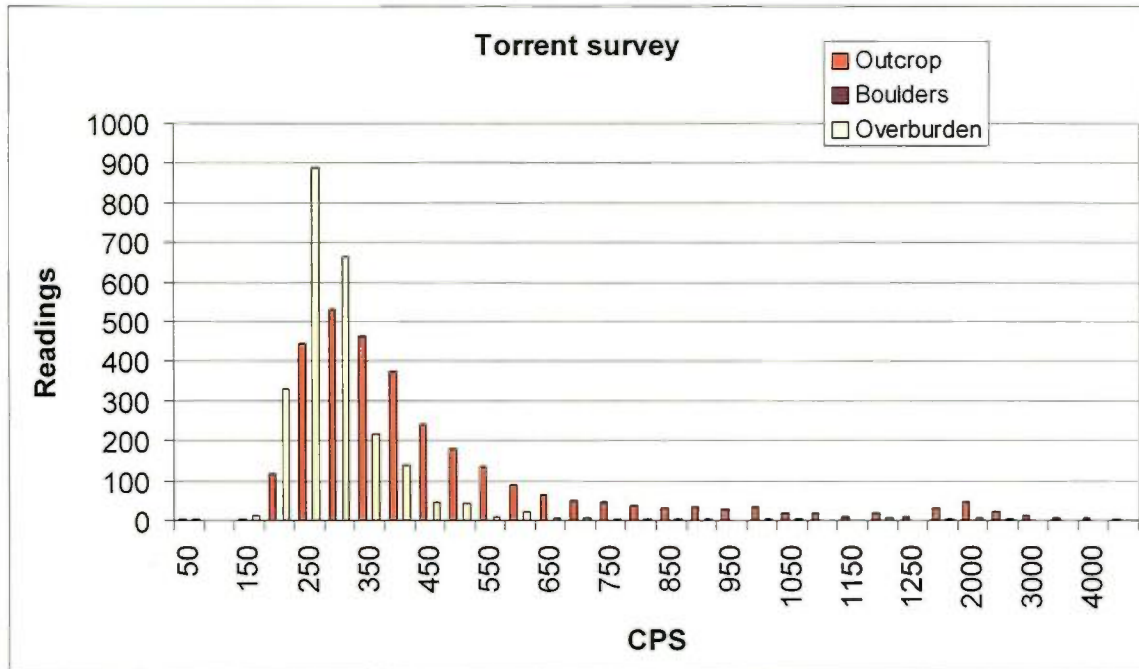
GROUND SCINTILLOMETER SURVEY

A systematic ground scintillometric survey has been carried over Torrent occurrence (*map 9*), excluding the southeast extension. A total of 5526 measurements were taken, with a 2 metres spacing along lines and half-lines, and 5 metres spacing in in-fill quarter-lines. According to field notes, 56% of the measurements were taken above outcrop, which provides a fair representation of the bedrock radioactivity (*table 16, figure 30*).

*Table 16: Statistics on Torrent scintillometer survey.*

Terrain	Readings		Average CPS	Maximum CPS
<b>Outcrop</b>	3105	56%	479 cps	6000 cps
<b>Boulder field</b>	297	5%	341 cps	2010 cps
<b>Cliff</b>	10	0%	444 cps	550 cps
<b>Water body</b>	10	0%	447 cps	1440 cps
<b>Swamp</b>	28	0%	348 cps	850 cps
<b>Moss</b>	0	-%	- cps	- cps
<b>Overburden</b>	1834	33%	268 cps	2500 cps
<b>Vegetation</b>	205	4%	316 cps	3520 cps
<b>Total</b>	5526 <sup>35</sup>		394 cps	6000 cps

<sup>35</sup> Excluding un-read station



**Figure 30** : Class distribution of scintillometer measurements. Both populations, above outcrops and not taken above outcrops, provide similar log-normal distribution. Values over outcrops are enriched by 50 cps compared to non-outcropping area, and include an anomalous population (5%) above 850 cps (RS-125 spectrometers).

Scintillometer measurement follows a log-normal distribution both for measurements taken above outcrop or over non-outcropping area. Average background radioactivity above outcrop is about 25% higher than what is measured above non-outcropping area, with a mode only 50 cps higher. Non-outcropping area has a log-normal, unimodal distribution, with a mode at about 250 cps, and only a few scattered outliers above 1000 cps. Measurements taken above outcrops show a log-normal distribution for its main population, plus an anomalous population above 850 cps representing 5% of the measurements. These elevated measurements are above either pegmatites or uranium bearing gneiss.

Radioactivity does not generate broad structured anomalies such as in Tasialuk and Tasik. The most important zone is located south of the river, irregular over 300 metres long and less than 100 metres wide. Other anomalous zones are either discontinuous or as thin and dimmed linear anomalies. These anomalies are oriented almost due north, in contrast with the overall occurrence, as well as compared to Tasik and Tasialuk occurrences.

### GEOLOGY

The Torrent occurrence is located in a valley limited on both side by steep hills and cliffs, the radioactive occurrence being restricted to the valley floor on both side of the river. The local geology is similar to Tasieluk and Tasik occurrences, aligned along the same axis (*map 8*). The occurrence is along the Daniel Lake fault. It is associated with the vicinity of the contact between the Lake Harbour supracrustal rocks which compose the hills and cliff on both side, and the Baudan gneiss Complex which dominate the floor of the valley. The exact geometry is uncertain, whether the Baudan forms a klippen within the Lake Harbour, or if it is a synformal keel. The nature of the contact zone between these two lithodemes has not been studied. Rocks attributed to Lake Harbour are dominantly metabasalt (amphibolite) to the southwest and paragneiss to the northeast. Complex intercalation of these rocks types are noted among the Baudan granitic gneiss.

Pegmatites make irregular dykes, dominantly oriented parallels to the occurrence, unevenly distributed. These dykes are present either in granitic gneiss, as well as in paragneiss and amphibolites. Although the pegmatite distribution correlates with radioactivity readings, the geometry of these dykes does not seem to reflect the trends noted in the scintillometer survey.

### SAMPLING AND URANIUM GRADE

A total of 115 surface samples were collected on Torrent occurrence, either from pegmatite or leucogranite. The grade distribution is erratic, lacking the typical low-grade log-normal population (*table 17, figure 31*). Enriched samples are abundant with 37 samples (32%) above 0.02%  $U_3O_8$ . Eight (8) samples grade above 0.1%  $U_3O_8$ , including 5929167, 168 and 169 taken at the same location with 0.328%, 0.205%  $U_3O_8$  and 0.791%  $U_3O_8$ , 5929379 at 0.413% and 5929516 at 0.498%  $U_3O_8$ . Five (5) of these are from sub-surface.



Table 17: Sample grades in Torrent

Sample	N	U <sub>3</sub> O <sub>8</sub> <sup>Avg</sup>	U <sub>3</sub> O <sub>8</sub> <sup>Max</sup>	U(ppm <sup>36</sup> )	Th(ppm <sup>37</sup> )	U/Th
Surface	92	0.027%	0.489%	233.3	802	0.29
I1G	62	0.022%	0.413%	183.1	747	0.24
I1B	28	0.041%	0.489%	353.1	957	0.37
Gneiss	2	0.013%	0.014%	111.0	335	0.33
BBuster	10	0.144%	0.791%	1094.7	1296	0.84
Pjonjar	11	0.050%	0.205%	377.7	880	0.43

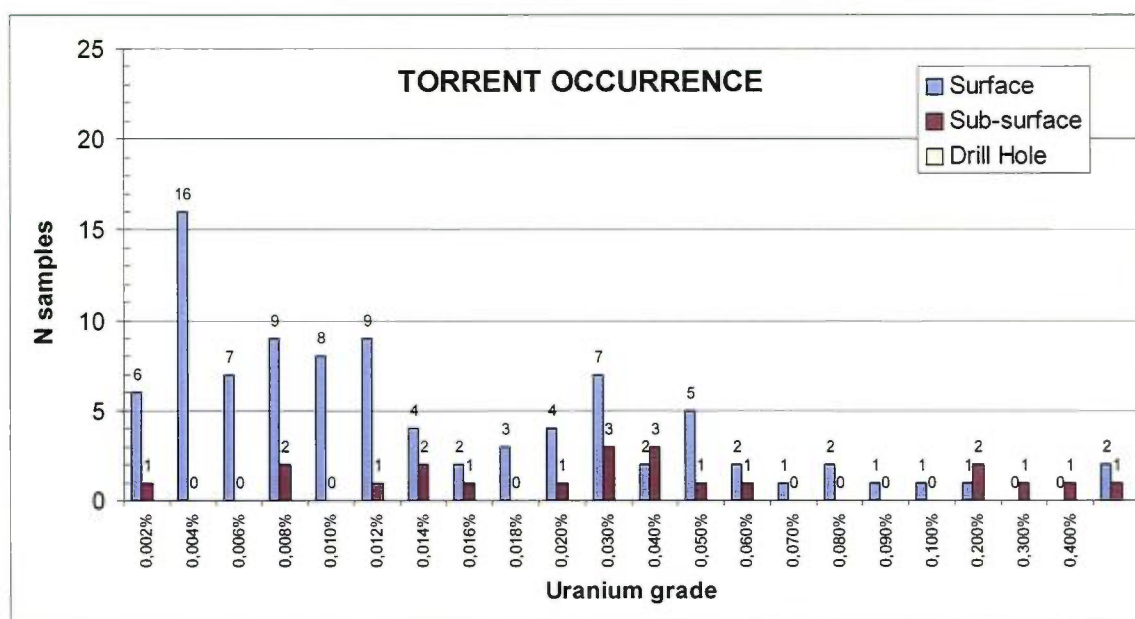
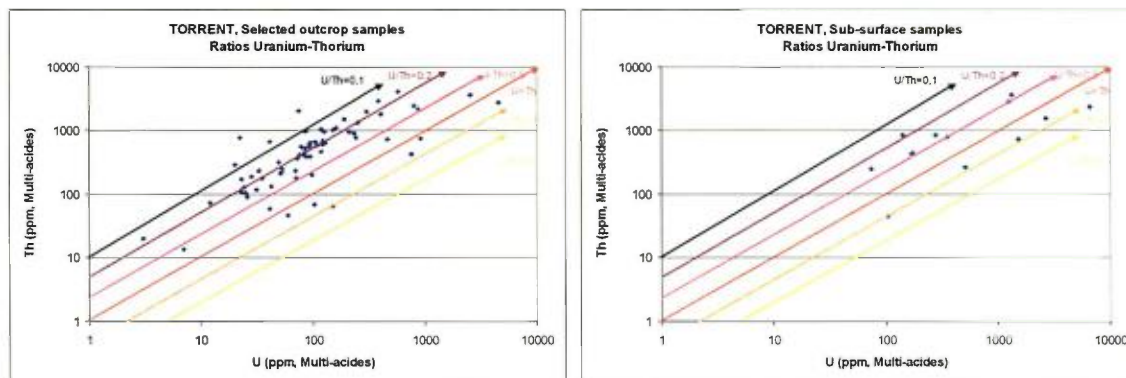


Figure 31: Class distribution of uranium grades in Torrent. Notice the irregular distribution and abundant enriched outliers above 0.2% U<sub>3</sub>O<sub>8</sub>.

The U/Th ratio is 0.3-0.4, except for samples collected with the Boulder Buster which yielded 0.8. This ratio is slightly less than in Tasialuk and Tasik (figure 32). Uranium enrichment in regard of thorium is noted in selected samples from sub-surface ("Boulder buster").

<sup>36</sup> ICP-OES, Aqua Regia

<sup>37</sup> ICP-OES, 4-acids



**Figure 32** : Uranium-thorium diagrams for outcrop and sub-surface samples. Notice the dominant population at  $U/Th=0.2$  and the scattered uranium enriched samples.

Samples were collected here and there over the grid, dominantly from highly radioactive spots. No obvious relation is noticed between grade and localisation.

## AGPIQ OCCURENCE

The Agpiq zone corresponds to the airborne spectrometric anomaly n° 62, which is less than 200 metres circular anomaly beside the broad Illaluga n° 60, with a  $U_{\text{equivalent}}$  in the order of 6 ppm. Total scintillometric count is about 150 cps, in the shadow of Illaluga anomaly, with a  $U/Th_{\text{equivalent}}$  comparable to the background. This anomaly is not associated with aeromagnetic or electromagnetic signature, which contrasts with Illaluga which is highly magnetic, or Amittuujaq which is associated with conductive zones.

Prospecting indicated abundant although irregular radioactive pegmatites, with readings which saturated the scintillometers (>65 000 cps). Outcrops are abundant, but the irregular distribution of dykes renders the interpretation of scintillometer survey difficult.

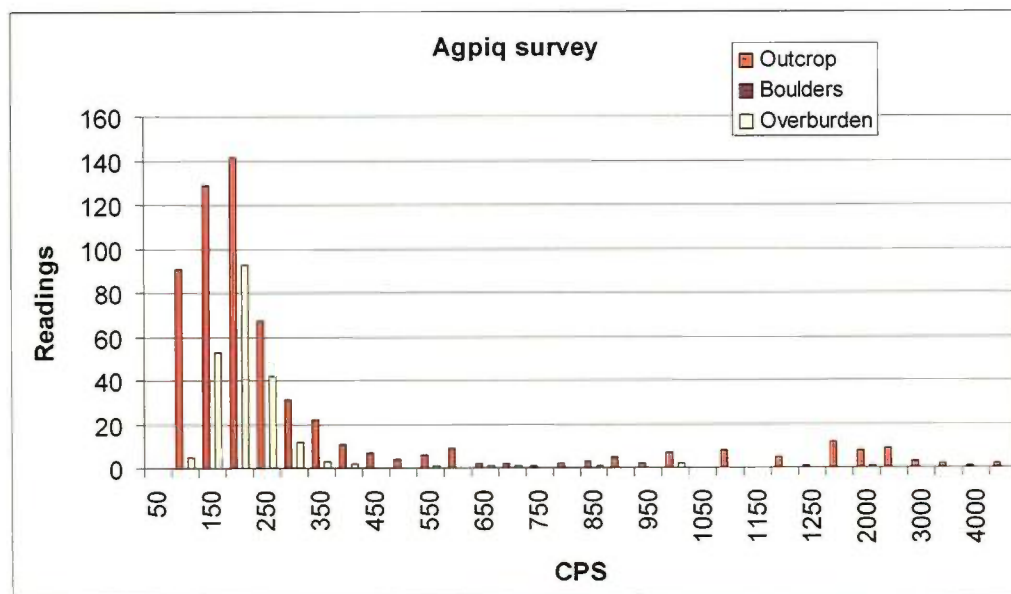
## GROUND SCINTILLOMETER SURVEY

A systematic ground scintillometric survey has been carried Agpiq occurrence (*map 13*), where 810 measurements were taken, with a 5 metres spacing along lines. According to field notes, 73% of the measurements were taken above outcrop, which provides a fair representation of the bedrock radioactivity (*table 18, figure 33*). Alignment of radioactive spots is suspected, with sets at  $N350^\circ$  and  $N090^\circ$ .

**Table 18: Statistics on Agpiq scintillometer survey**

Terrain	Readings	Average CPS	Maximum CPS
Outcrop	593	73%	360 cps
Boulder field	120	15%	225 cps
Cliff	8	1%	200 cps
Water body	0	-%	- cps
Swamp	0	-%	- cps
Moss	0	-%	- cps
Overburden	87	11%	189 cps
Vegetation	0	-%	- cps
<b>Total</b>	<b>810<sup>38</sup></b>		<b>320 cps</b>

Scintillometer measurements in non-outcropping area follow a typical log-normal distribution with a mode at 150 cps and very few outliers. Measurements above outcrops show skewness for values lower than 150 cps. Distribution is asymptotic up to 500 cps. However, 17% of the readings are erratic above this threshold.



**Figure 33:** Class distribution of scintillometer measurements for Agpiq. Both populations, above outcrops and not taken above outcrops, provide unimodal log-normal distribution. Scattered anomalous readings above outcrop define an anomalous population (16%) above 500 cps (RS-125 spectrometers).

<sup>38</sup> Excluding un-read station



## GEOLOGY

The geological mapping over Agpiq has not been carried in 2007, nor has the occurrence been drilled. Detail mapping only been carried in summer 2008 on behalf of Azimut Exploration. Little information was then available else than the occurrence consists of diverse pegmatite dykes set in variegated gneiss of the Baudan Complex. Attitude of the foliation has not been noted, but suspected rolling and dipping moderately to the northeast, and controlling the attitude of the sub-comformable pegmatite dykes.

## SAMPLING AND URANIUM GRADE

Agpiq occurrence provided the best grades within North Rae project. A total of 68 pegmatite surface samples and 8 sub-surface samples were collected (*map 12*), with an average of 0.184%  $U_3O_8$ , higher than the best grade obtained from surface samples in Tasialuk (*table 19*). Uranophane, secondary uranium minerals and smoky quartz is reported in many of them. The grade distribution is erratic (*figure 34*), lacking the typical low-grade log-normal population. Enriched samples are abundant with 60 samples (79%) above the anomalous threshold of 0.02%  $U_3O_8$ . Three samples graded above 1%  $U_3O_8$ , including 5929133 (boulder buster in a pegmatite dyke, 1.87%), 5929590 (biotite rich pegmatite; 1.77%) and 5929653 (pegmatite dyke; 1.15%), plus 14 samples between 0.2% and 0.5%  $U_3O_8$ . These samples are either from surface as well as sub-surface.

**Table 19 : Sample grades in Agpiq**

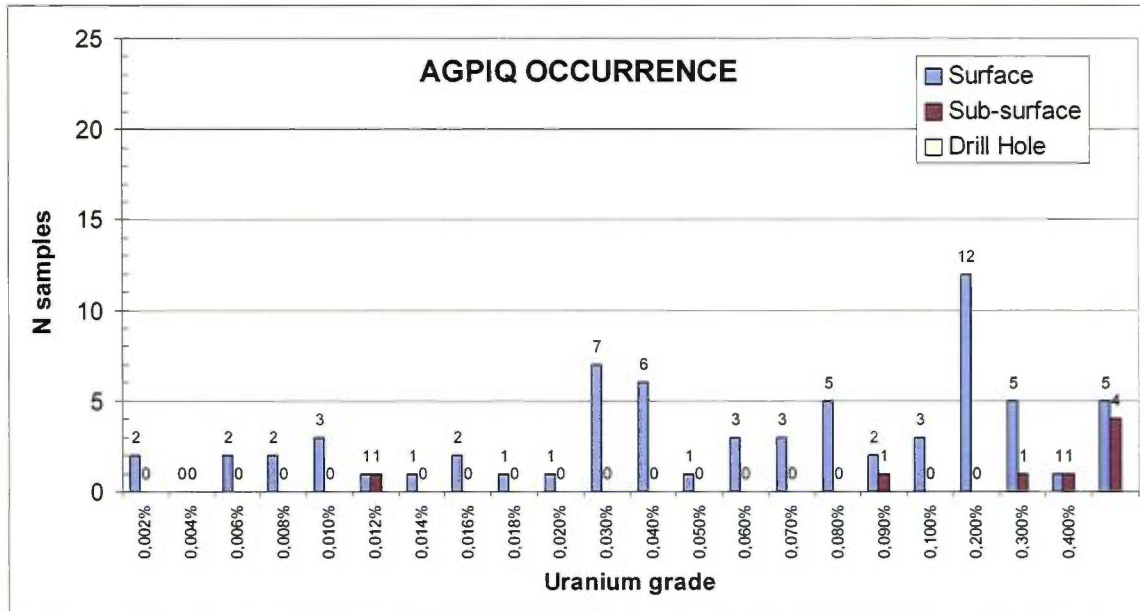
Sample	N	$U_3O_8^{Avg}$	$U_3O_8^{Max}$	U(ppm <sup>39</sup> )	Th(ppm <sup>40</sup> )	U/Th
Surface	68 <sup>41</sup>	0.140%	1.770%	1139.6	301	3.79
BBuster	5	0.742%	1.870%	5784.3	765	7.56
Pjonjar	3	0.261%	0.439%	2024.3	409	4.95

<sup>39</sup> ICP-OES, Aqua Regia

<sup>40</sup> ICP-OES, 4-acids

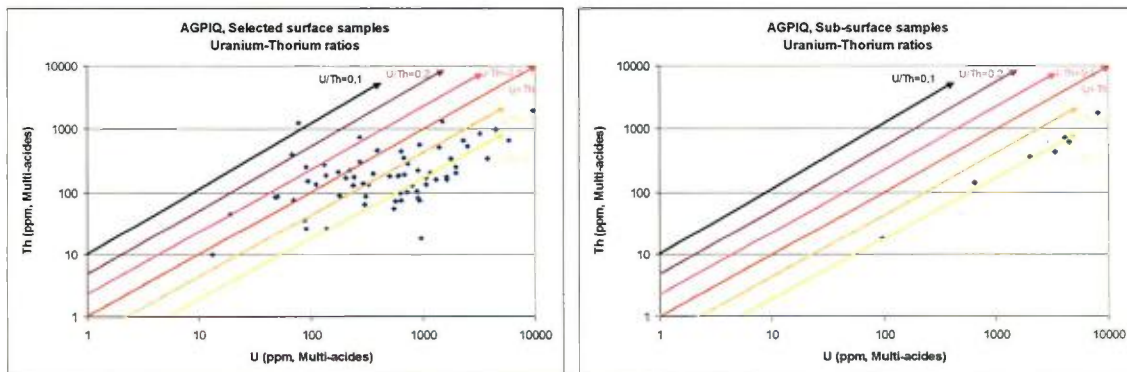
<sup>41</sup> Including 66 pegmatite samples





**Figure 34 :** Class distribution of uranium grades in Agpiq. Notice the irregular distribution dominated by enriched samples above 0.02%  $U_3O_8$

The U/Th ratio is ranging above 0.7 to 10, and with an abundant population at about 5. Sub-surface samples collected with the use of Boulder Buster and Pionjar bears a constant U/Th ratio of about 5 (**figure 35**)



**Figure 35:** Uranium-thorium diagrams for Agpiq outcrop and sub-surface samples. U/Th ratios are abnormally high, very constant for sub-surface samples.

Samples were collected here and there over the grid, dominantly from pegmatites. Little geological description is available. Pegmatites are hosted in granitic variegated gneiss,

with diverse attitudes, and metric to plurimetric in thickness. Detailed mapping plus systematic sampling has been carried in 2008.

## JONAS OCCURENCE

The Jonas zone corresponds to a diffuse airborne spectrometric anomaly n° 48, less than 200 metres in diameter, near to Illaluga n° 60. It has a  $U_{\text{equivalent}}$  in the order of 6 ppm. Total scintillometric count is about 130 cps, in the shadow of Illaluga anomaly, with a  $U/Th_{\text{equivalent}}$  0.29. This anomaly is not associated with any aeromagnetic or electromagnetic signature.

Prospecting indicated some pegmatites, with readings up to 65000 cps. Outcrops are locally abundant, but the irregular distribution of dykes, caused by the rugged topography, renders the scintillometer survey difficult to interpret. The occurrence extends for about half a kilometre.

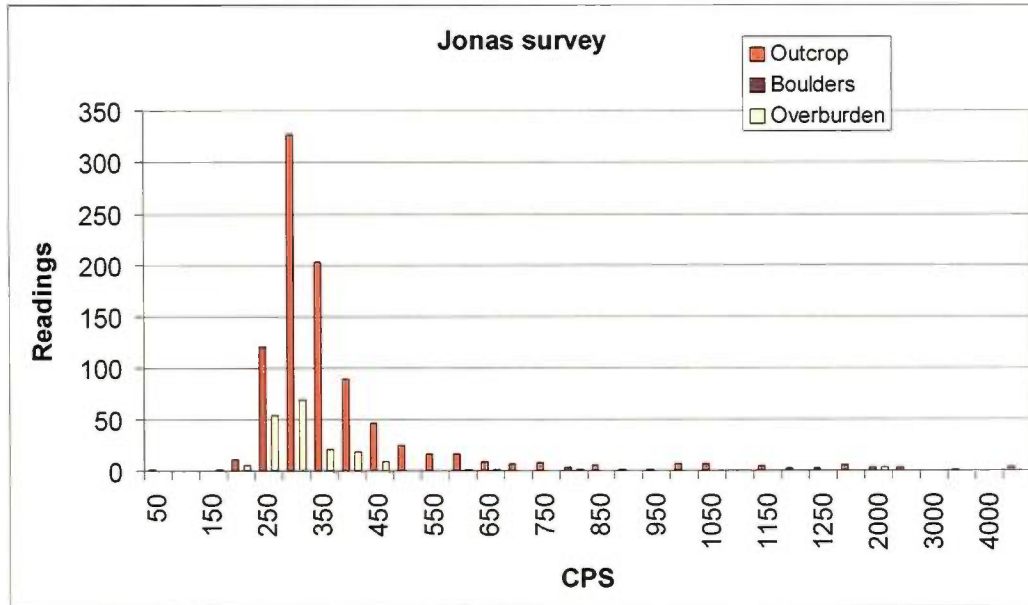
## GROUND SCINTILLOMETER SURVEY

A systematic ground scintillometric survey has been carried over Jonas occurrence (*map 15, table 20*), where 1109 measurements were taken, with a 5 metres spacing along lines. According to field notes, 83% of the measurements were taken above outcrop, which provides a fair representation of the bedrock radioactivity and suggest limited absorption by overburden (*figure 36*).

**Table 20 : Statistics on Jonas scintillometer survey.**

Terrain	Readings		Average CPS	Maximum CPS
Outcrop	926	83%	384 cps	5500 cps
Boulder field	101	9%	301 cps	580 cps
Cliff	5	1%	614 cps	2000 cps
Water body	0	-%	- cps	- cps
Swamp	0	-%	- cps	- cps
Moss	0	-%	- cps	- cps
Overburden	4	0%	280 cps	300 cps
Vegetation	72	6%	320 cps	1750 cps
<b>Total</b>	1109 <sup>42</sup>		373 cps	5500 cps

<sup>42</sup> Excluding un-read station



**Figure 36:** Class distribution of scintillometer measurements for Jonas. Both populations, above outcrops and not taken above outcrops, provide similar unimodal log-normal distribution. Scattered anomalous readings above outcrop define an anomalous population (9%) above 550 cps (RS-125 spectrometers).

Both scintillometer measurement populations, above outcrops and in non-outcropping area, follow similar log-normal distribution with a mode at 300 cps. The population measured above outcrop is slightly skewed toward elevated values and is asymptotic up to 550 cps. However, 9% of the readings are erratic above this value.

## GEOLOGY

The geological mapping over Jonas has not been carried in 2007, which task has been carried in 2008 in behalf of Azimut. Little information is then available to NWT. Jonas occurrence is located in a cliff on the northwest end of the hills beside Amituujjaq Lake. Airborne geophysics suggests the target being located on a kilometre wide fold hinge affecting the Baudan Gneiss. Geometry of this fold hinge was not known, but sub-horizontal foliation and abundant faulting were noted. The occurrence is hosted in Baudan variegated granitic gneiss.

SAMPLING AND URANIUM GRADE

Jonas occurrence yielded the best assay within North Rae project, at 2.29%  $U_3O_8$ . Uranophane and other secondary uranium minerals were noticed as abundant, up to 5%. A total of 54 pegmatite and leucogranite surface samples and 3 sub-surface samples (taken from the same site) were collected (*map 14*), with an average of 0.169%  $U_3O_8$ , near to comparable with Agpiq occurrence (*table 21*). The grade distribution is irregular (*figure 37*). Enriched samples are abundant with 37 samples (64%) above the anomalous threshold of 0.02%  $U_3O_8$ . Else than sample 5929462 (2.29%), five (5) pegmatite surface samples grade between 0.57% and 0.65%  $U_3O_8$ .

**Table 21 : Sample grades in Jonas**

Sample	N	$U_3O_8^{Avg}$	$U_3O_8^{Max}$	U(ppm <sup>43</sup> )	Th(ppm <sup>44</sup> )	U/Th
Surface	54	0.157%	2.290%	1449.6	355	4.08
I1G	48	0.173%	2.290%	1598.8	377	4.24
I1A	6	0.030%	0.096%	256	183	1.40
BBuster	3	0.443%	0.744%	3268.7	721	4.53
Core	8	0.007%	0.024%	59.1	20	2.70

<sup>43</sup> ICP-OES, Aqua Regia

<sup>44</sup> ICP-OES, 4-acids



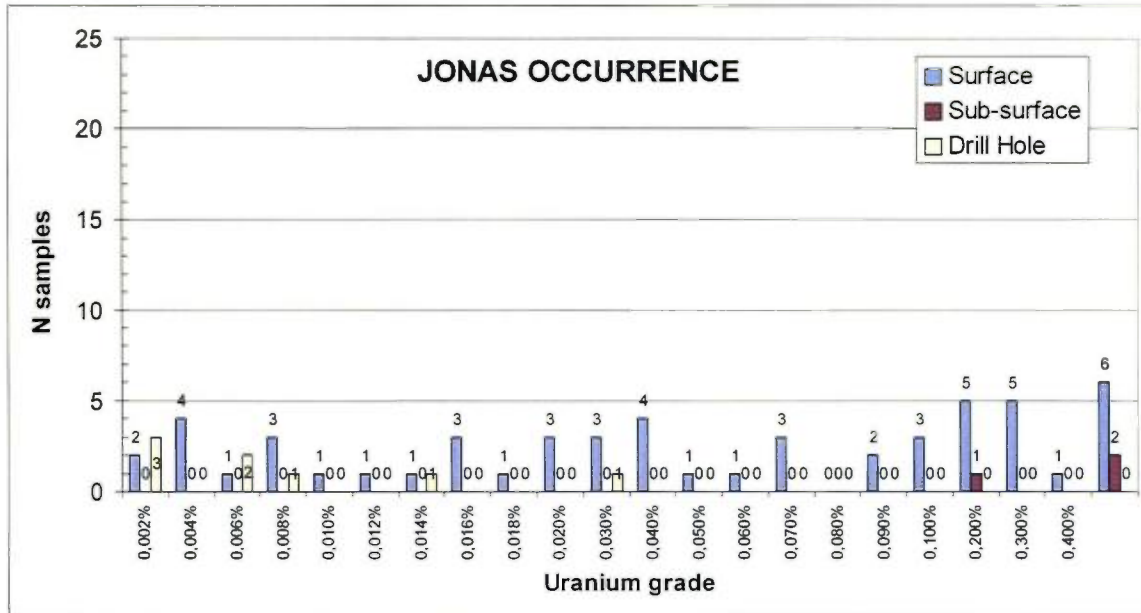


Figure 37: Class distribution of uranium grades in Jonas. Notice the irregular distribution dominated by enriched samples above 0.02%  $U_3O_8$ .

The U/Th ratio is above 0.7 to 8, and with an abundant population at about 5. Sub-surface samples collected with the use of Boulder Buster are comparable with surface samples, but low-grade drill cores show a significantly lower U/Th ratio (figure 38). Sample populations are too small to states significant conclusions.

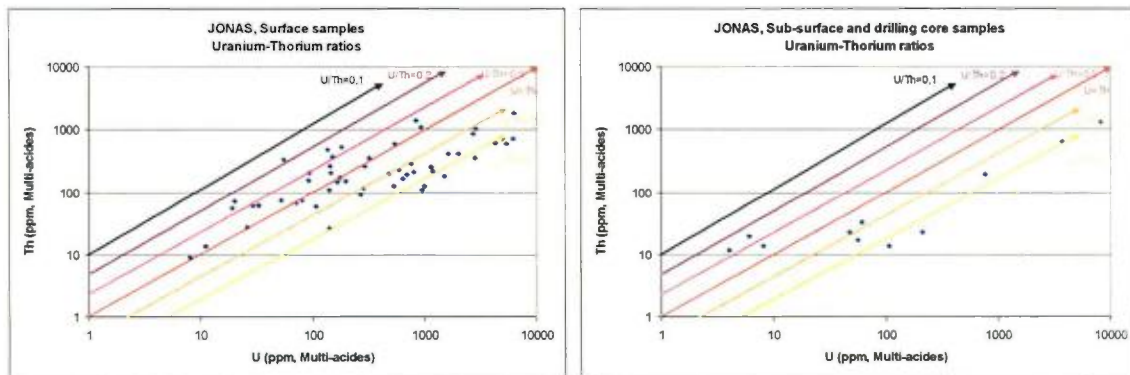


Figure 38: Uranium-thorium diagrams for Jonas outcrop and sub-surface samples. U/Th ratios are abnormally high, except for low grade drill core samples.

Samples were collected in clusters, most of them along the base-line of the grid. Most samples are from pegmatite, with a few leucogranite, which are hosted in granitic variegated gneiss. Detailed mapping has been carried by Azimut in 2008.

## DRILL HOLES

Drilling of Jonas occurrence has been attempted in late September, drilling which has been cancelled due to quick weather deterioration. One uncompleted hole, for 44.7 metres, has been attempted (*tables 22 and 23*), aiming the aforementioned northwest trending dyke. Drilling campaign has been cancelled prior to hole reaching the dyke.

**Table 22: Jonas drill hole location**

Hole	Line	Station	Length	Azimuth	Dip
NR-07-08	L22+85	0+25E	44.70 m	190°	-68°

**Table 23: Mineralized intersection in Jonas drill hole**


Hole	From	To	Length	%U <sub>3</sub> O <sub>8</sub>
NR-07-05	31.00 m	34.25 m	3.25 m	0.007%
	41.50 m	43.00 m	1.50 m	0.006%
<b>Average</b> <sup>45</sup>			4.75 m	0.007%

<sup>45</sup> Not continuous sections

## CONCLUSIONS

No conclusions were requested by the client.

Respectfully submitted



**Réjean Girard**  
**Professional Geologist, OGQ 521**  
**IOS Services Géoscientifiques inc.**



**AZIMUT**

**North Rae Project, Nunavik, Quebec  
Conclusions and Recommendations**

Prepared by:

Jean-Marc Lulin, Ph.D., P. Geo.

and

John D. Charlton, P. Geo.

pertaining to the Report :

**“Uranium exploration in the Kangiqsualujjuaq – George River area  
Summer 2007 campaign North Rae project”**

**North Rae Project**

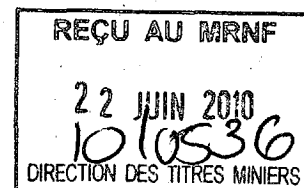
**by: Réjean Girard, géologue**

**IOS Services Geoscientifiques inc.**

**dated: March 19, 2010**

**IOS Services Geoscientifiques inc.**

**June 10, 2010**





## Conclusions

NWT Uranium Corp. (formerly Northwestern Mineral Ventures Inc.) (NWT), as operator of the North Rae Project in 2007, engaged IOS Geoscientific Services (IOS) to carry out an extensive, integrated exploration program on the property.

The North Rae Property is comprised of three (3) claim blocks encompassing 697 map-designated cells and covering 313.5 square kilometers. It is 100% held by Azimut Exploration Inc. (Azimut) of Longueuil, Quebec. The authors of this note have a good field knowledge of the North Rae property (2007 to 2009 for JML, 2009 for JC).

North Rae geology is dominated by an intricate basement gneiss complex, which has been dismembered by homoclinal westward overthrusting, intruded by early Hudsonian granodioritic complexes, and partially overlain by PaleoProterozoic supracrustal sequences. The oldest rocks are the Kangiqsualuujuaq Complex tonalitic to dioritic gneisses. They have been subject to granulite facies metamorphism and multiple deformation events. Intermixed are the Baudan Complex Hudsonian granodioritic intrusive rocks. They have been metamorphosed to upper amphibolite facies and are mainly formed of pink polycyclic gneisses and massive granitoids. The PaleoProterozoic Lake Harbour Group is a continental platform sequence of quartzite, metapelite, marble, and calc-silicate rocks overlying these two complexes. The relationship between the Lake Harbour Group and the Baudan Complex is paradoxical. Locally there appears to be some interfingering, while in other places the relationship appears to be unconformable.

There are four (4) types of uranium occurrence at North Rae:

- Massive late pink granitoid (alaskite) typified by the De La Ralde Granite
- Late pink deformed pegmatite dykes in the Baudan gneisses
- Anatectic white pegmatites in Lake Harbour Group metasediments
- Extensive, sheeted pegmatite bodies, which appear to be conformable to gneissosity, such as Tasieluk, Cirrus, and Puqila.

There are two exploration vectors common to several of the largest and best-mineralized pegmatite bodies. One is proximity to the Lake Harbour/Baudan Complex interface. The other is proximity to the northwest-striking Daniel Lake Fault. The dominant uranium minerals at North Rae are uraninite and uranothorianite.

There were 179 airborne spectrometric anomalies selected by MPH Consulting Inc. (MPH) for NWT in 2006. Of these, 87 were selected for ground investigation. Azimut performed their own independent target selection based upon proprietary discrimination criteria. The primary aim of the brief 2006 exploration program, following into the 2007 program (as discussed in this report), was the ground examination and preliminary assessment of these targets. Limited drilling, commenced on some of the earliest-examined targets, before a complete assessment and prioritization of all targets could be made.

All of the 87 MPH targets were eventually investigated by IOS crews. Of these, twenty-two (22) are discussed in this report. Of the 22, targets 10, 11, 24, 43, 70, 79, 107, 108, and 140 are briefly discussed and described as being either small and isolated, low grade, narrow and discontinuous, and/or broad and low grade. Anomaly 137 is described as a pegmatite swarm approximately 1 km in length. It is made up of quartz-biotite and displays an average background radioactivity of 2,000 cps, with local highs up to 20,000 cps. A total of eighteen (18) bedrock samples from here averaged 0.018%  $U_3O_8$ .

The first extensive pegmatite bodies examined in detail were Tasieluk, Tasik, and Torrent, all in the western part of the property. All were wide and extensive swarms of pegmatite dykes proximal to both the Baudan/Lake Harbour contact zone and to the Daniel Lake Fault. Each was characterized by broad elevated background levels of radioactivity with local erratic highs, and low U/Th ratios. All were gridded, surveyed with scintillometers, geologically mapped, and sampled (333 bedrock samples in total). Four (4) holes were drilled on Tasieluk and three (3) were drilled at Tasik. Very low grade mineralization averaging of 0.011%  $U_3O_8$  was intersected at both occurrences.

Illaluga was a prominent hook-shaped spectrometric anomaly. 73 samples collected at Illaluga averaged quite a low grade and, in combination with a low U/Th, made this area a low priority for further work. Low average sample grades and low U/Th also were obtained at Torrent Extension and Tasieluk Extension.

The Cirrus pegmatite recognized late in the season was traced northwestward from the north end of Daniel Lake. 37 bedrock samples from it averaged 0.023%  $U_3O_8$ . Likewise the large Puqila pegmatite body was discovered in late September. A total of 15 samples from Puqila averaged 0.015%  $U_3O_8$ , including one assaying 0.654%  $U_3O_8$ .

The 4 km long Amituujjaq pegmatite system sits near the contact of the Baudan with the Lake Harbour Group. It was a weak airborne anomaly. Of 23 samples collected along it, seven (7) assayed over 0.1%  $U_3O_8$ , and as high as 0.423%  $U_3O_8$ . The average of the 23 samples was an impressive 0.124%  $U_3O_8$ , with an improved U/Th of 2.2.

The Agpiq Showing was discovered while investigating a spectrometric, non-magnetic anomaly. A total of 68 bedrock samples were obtained from the extensive subconformable, highly radioactive pegmatite dykes found there. These samples averaged an impressive grade of 0.184%  $U_3O_8$  - with three (3) samples higher than 1%  $U_3O_8$  and they averaged a high U/Th value of about 5. Agpiq was not drill tested.


The Jonas Showing was a small diffuse spectrometric anomaly. Ground investigation revealed highly radioactive, irregular pegmatite dykes in a rugged terrain, which is folded and faulted. A total of 54 pegmatite and leucogranite samples were taken at Jonas in 2007. The average grade of these samples was an impressive 0.169%  $U_3O_8$ , featuring a high of 2.29%  $U_3O_8$ , and with a high U/Th ratio of about 5. A drill hole was started at Jonas in late September 2007. Due to very bad weather conditions it was stopped at a depth of 45 m, not having reached the target. The drill was abandoned there.

Bedrock exposure is excellent at Agpiq and Jonas, and fair at Amituujjaq and Cirrus. Channel sampling using a rock saw would be an effective method of obtaining representative samplings of each of these showings.

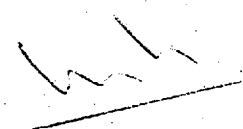
## Recommendations

- 1) Because bedrock exposure is relatively good on each zone, it is recommended to complete a program of channel-sampling on the Agpiq, Jonas, Amituujjaq, Puqila, and Cirrus pegmatite zones. The aim of such a program is to establish grade parameters in order to have a preliminary assessment of the economic potential of the property.
- 2) Concurrently it is recommended to complete geological mapping of each of the aforementioned zones.
- 3) A review of all of the spectrometric anomalies, as selected by both MPH and Azimut, should be done in order to assure that nothing has been overlooked. Any gaps should be followed up with ground examinations.

Signed: \_\_\_\_\_

  
John D. Charlton, P. Geo., June 10, 2010 OGQ #443

Signed: \_\_\_\_\_

  
Jean-Marc Lulin, P-Geo., June 10, 2010 OGQ #606

## REFERENCES

Cuney, M. 2006. U-deposit models. CREGU, Université Henri Poincaré. 176 pages

Goulet, N., et Ciesielski, A. 1990. The Abloviak shear zone and the NW Torngat Orogen, eastern Ungava Bay, Québec. *Geoscience Canada*, **17**: 269-272.

Hoffman, P.F. 1988. United plates of North America, the birth of a craton : Early Proterozoic assembly and growth of Laurentia: *Annual Reviews of Earth and Planetary Sciences*, **16**: 543-603.

Jackson, G.D., et Taylor, F.C. 1972. Correlation of major Archean rock units in the northeastern Canadian Shield. *Canadian Journal of Earth Sciences*, **9**: 1650-1669.

Taylor, F.C. 1979. Reconnaissance geology of a part of the Precambrian Shield, Northeastern Québec, Northern Labrador and Northwest Territories. Geological Survey of Canada, memoir 393, 99 p.

Verpaelst, P., Brisebois, D., Perreault, S., Sharma, K.N.M., et David, J. 2000. Géologie de la région de la Rivière Koroc (24I) et d'une partie de la région d'Hébron (14L) ministères des Ressources Naturelles du Québec, RG 99-08, Québec, 62 p.

Wardle R.J., Ryan, B., et Ermanovics, I. 1990. The eastern Churchill Province, Torngat and New Québec orogens: An overview. *Geoscience Canada*, **17**: 217-22



# IOS Services Géoscientifiques inc.

Uranium exploration campaign  
in the Kangiqsualujjuaq  
George River area  
Summer 2007 campaign  
North Rae project  
(Volume 2, appendix 1 to 5)

Presented to

Presented to  
Mr. Jean-Marc Lulin, P. Geo.,  
Ph.D  
Azimut Exploration Inc.



By  
Réjean Girard, P. Geo.

GM 65084

Ville de Saguenay



March 19, 2010  
Project: 592

1010536 -

URANIUM EXPLORATION CAMPAIGN, SUMMER 2007  
NORTH RAE PROJECT

APPENDIX 1  
DAILY REPORTS

<b>RAPPORT JOURNALIER</b>		Date: 25-06-2007		PROJET: 592	CAMPEMENT: BARNOIN	MÉTÉO:			
				CLIENT: North Western	RESP: Sylvain VAILLANCOURT	SIGNATURE:			
				APPEL QUOTIDIEN:					
<b>COMMENTAIRES SUR LES TRAVAUX:</b>									
Déplacements du pilote d'hélicoptère entre le camps Daniel et le lac Louise, puis du lac louise à Wabush, puis de Wabush à Schefferville et enfin de Schefferville à Kuujuaq.									
<b>COMMENTAIRES SUR LA GÉOLOGIE:</b>									
<b>PERSONNEL</b>	<b>TÂCHES</b>			<b>Couché</b>	<b>Heures</b>	<b>Hors camps</b>	<b>Échant: De</b>	<b>Échant: A</b>	<b>FACT.</b>
1: Yannick MARTIN	Pilote hélicoptère				1	12	12		
2:									
VOLS D'HYDRAVIONS:				AVARIS MÉCANIQUES:					
TEMPS D'HÉLICOPTÈRE: 7,5H				ACCIDENTS:					
VOYAGES DE CAMION:				TEMPS MORT:					
EXPÉDITION D'ÉCHANTILLONS:				AMÉLIORATIONS À PRÉVOIR:					
ACHATS:									
MOBILISATION:									
DEMOBILISATION:				AVIS DISCIPLINAIRE:					
FORAGE- # TROU:		DE:	À:	VÉRIFICATION:		IOS Services Géoscientifiques Inc			
BUDGET RÉSIDUEL:		DÉPENSES:		FACTURATION:					

<b>RAPPORT JOURNALIER</b>		Date: 26-06-2007	PROJET: 592	CAMPEMENT: BARNOIN	MÉTÉO: Beau temps avec passages nuageux		
			CLIENT: North Western	RESP: Sylvain VAILLANCOURT	SIGNATURE:		
			APPEL QUOTIDIEN:				
<b>COMMENTAIRES SUR LES TRAVAUX:</b>							
Voyage de Chicoutimi vers la pourvoirie Barnoin en passant par Kangijqsualujuaq. Départ de Chicoutimi vers 8h. Escale à Schefferville, puis arrivée à Kangijqsualujuaq vers 14h. Plusieurs voyages d'hélicoptère ont été effectués entre Kangijqsualujuaq et la pourvoirie Barnoin (3 voyages pour le personnel et tout l'équipement.). Arrivée complète à la pourvoirie vers 18h. Début d'installation de l'antenne pour la connexion internet et téléphonique.							
<b>COMMENTAIRES SUR LA GÉOLOGIE:</b>							
PERSONNEL	TÂCHES	Couché	Heures	Hors camps	Échant: De	Échant: A	FACT.
1: Sylvain VAILLANCOURT	Chargé de projet	1	12				
2: Mikael BLOCK	Géologue	1	12				
3: Cyril MULLARD	Géologue	1	12				
4: Gaetan TREMBLAY	Homme de camps - prospecteur	1	12				
5: Gabriel BERGERON	Technicien internet	1	12				
6: Yannick MARTIN	Pilote d'hélicoptère	1	12				
VOLS D'HYDRAVIONS:			AVARIS MÉCANIQUES:				
TEMPS D'HÉLICOPTÈRE: 3,1H			ACCIDENTS:				
VOYAGES DE CAMION:			TEMPS MORT:				
EXPÉDITION D'ÉCHANTILLONS:			AMÉLIORATIONS À PRÉVOIR:				
ACHATS:							
MOBILISATION:							
DEMOBILISATION:			AVIS DISCIPLINAIRE:				
FORAGE- # TROU:	DE:	À:	VÉRIFICATION:		IOS Services Géoscientifiques Inc		
BUDGET RÉSIDUEL:	DÉPENSES:		FACTURATION:				

<b>RAPPORT JOURNALIER</b>		Date: 27-06-2007	PROJET: 592	CAMPEMENT: BARNOIN	MÉTÉO: Bien couvert avec plafond nuageux bas.		
			CLIENT: North Western	RESP: Sylvain VAILLANCOURT	SIGNATURE:		
			APPEL QUOTIDIEN:				
<b>COMMENTAIRES SUR LES TRAVAUX:</b>							
Installation et connexion complète de l'antenne satellite pour internet (difficultés à trouver le satellite). Installation complète du bureau avec rangement de tout le matériel. Installation de l'antenne et de la connexion internet au camp Rapid lake. Utilisation de l'hydravion du propriétaire de la pourvoirie. Puis aller-retour entre kangijisualujuaq et pourvoirie Barnoin pour vérification de l'arrivée des drums de fuel (60).							
<b>COMMENTAIRES SUR LA GÉOLOGIE:</b>							
PERSONNEL	TÂCHES	Couché	Heures	Hors camps	Échant: De	Échant: A	FACT.
1: Sylvain VAILLANCOURT	Chargé de projet	1	12				
2: Mikael BLOCK	Géologue	1	12				
3: Cyril MULLARD	Géologue	1	12				
4: Gaetan TREMBLAY	Homme de camps - prospecteur	1	12				
5: Gabriel BERGERON	Technicien internet	1	12				
6: Yannick MARTIN	Pilote d'hélicoptère	1	12				
VOLS D'HYDRAVIONS:				AVARIS MÉCANIQUES:			
TEMPS D'HÉLICOPTÈRE: 2,5H				ACCIDENTS:			
VOYAGES DE CAMION:				TEMPS MORT:			
EXPÉDITION D'ÉCHANTILLONS:				AMÉLIORATIONS À PRÉVOIR:			
ACHATS:							
MOBILISATION:							
DEMOBILISATION:				AVIS DISCIPLINAIRE:			
FORAGE - # TROU:		DE:	À:	VÉRIFICATION:			
BUDGET RÉSIDUEL:		DÉPENSES:		FACTURATION:			
				<b>IOS Services Géoscientifiques Inc</b>			



RAPPORT JOURNALIER		Date: 28-06-2007	PROJET: 592	CAMPEMENT: BARNOIN	MÉTÉO: Nuageux		
			CLIENT: North Western	RESP: Sylvain VAILLANCOURT	SIGNATURE:		
			APPEL QUOTIDIEN:				
<b>COMMENTAIRES SUR LES TRAVAUX:</b>							
Acquisition et rapatriement de 25 drums de fuel entre kangisualuujuaq et la pourvoirie Barnoin. 3 voyages d'avion d'air inuit ont été nécessaires (= 4 drums de fuel). Arrivée de Stéphane PIVIN, Julie Menier, Réjean Girard, Jean Marc Lulin, Sylvain Martin et Bertrand Taquet. Départ de Gabriel Bergeron.							
<b>COMMENTAIRES SUR LA GÉOLOGIE:</b>							
PERSONNEL	TÂCHES	Couché	Heures	Hors camps	Échant: De	Échant: A	FACT.
1: Sylvain VAILLANCOURT	Chargé de projet	1	12				
2: Mikael BLOCK	Géologue	1	12				
3: Cyril MULLARD	Géologue	1	12				
4: Gaetan TREMBLAY	Homme de camps - prospecteur	1	12				
5: Gabriel BERGERON	Technicien internet	0	12				
6: Yannick MARTIN	Pilote d'hélicoptère	1	12				
7: Rejean Girard	Président géologue IOS	1	12				
8: Jean-Marc Lulin	Géologue sénior (client)	1	12				
9: Sylvain Guérard	Géologue sénior (client)	1	12				
10: Bertrand Taquet	Géologue sénior (client)	1	12				
11: Julie Menier	Géologue assistante	1	12				
12: Stéphane Pivin	Géologue assistant	1	12				
VOLS D'HYDRAVIONS: air inuit (pour les drums de fuel) = 3 voyages de 20 min aller-retour = 4 drums de fuel			AVARIS MÉCANIQUES:				
TEMPS D'HÉLICOPTÈRE: 1,6H			ACCIDENTS:				
VOYAGES DE CAMION:			TEMPS MORT:				
EXPÉDITION D'ÉCHANTILLONS:			AMÉLIORATIONS À PRÉVOIR:				
ACHATS:							
MOBILISATION: Stéphane, Julie, Réjean, Jean-Marc, Sylvain et Bertrand			AVIS DISCIPLINAIRE:				
DEMOBILISATION: Gabriel			VÉRIFICATION:				
FORAGE- # TROU:	DE:	À:	FACTURATION:				
BUDGET RÉSIDUEL:	DÉPENSES:		<b>IOS Services Géoscientifiques Inc</b>				

RAPPORT JOURNALIER		Date: 29-06-2007	PROJET: 592	CAMPEMENT: BARNOIN	MÉTÉO: Pluvieux		
			CLIENT: North Western	RESP: Sylvain VAILLANCOURT	SIGNATURE:		
			APPEL QUOTIDIEN:				
<b>COMMENTAIRES SUR LES TRAVAUX:</b>							
matin: mise au point entre les géologues d'IOS sur la géologie des zones importantes répertoriées pendant l'année 2006. Après-midi: visite avec Réjean Girard, Sylvain Vaillancourt et les clients sur les mêmes zones.							
<b>COMMENTAIRES SUR LA GÉOLOGIE:</b>							
Observation des différents faciès géologiques: paragneiss, granite, avec intrusion de pegmatites, et observations de quelques lambeaux de roches sédimentaires comme des wackes et des carbonates (dolomies et marbres). Observations de minéralisations altérées comme la pyrrhothite.							
PERSONNEL	TÂCHES	Couché	Heures	Hors camps	Échant: De	Échant: A	FACT.
1: Sylvain VAILLANCOURT	Chargé de projet	1	12				
2: Mikael BLOCK	Géologue	1	12				
3: Cyril MULLARD	Géologue	1	12				
4: Gaetan TREMBLAY	Homme de camps - prospecteur	1	12				
5: Gabriel BERGERON	Technicien internet	0	0				
6: Yannick MARTIN	Pilote d'hélicoptère	1	12				
7: Rejean Girard	Président géologue IOS	1	12				
8: Jean-Marc Lulin	Géologue sénior (client)	1	12				
9: Sylvain Guérard	Géologue sénior (client)	1	12				
10: Bertrand Taquet	Géologue sénior (client)	1	12				
11: Julie Menier	Géologue assistante	1	12				
12: Stéphane Pivin	Géologue assistant	1	12				
VOLS D'HYDRAVIONS:			AVARIS MÉCANIQUES:				
TEMPS D'HÉLICOPTÈRE: 1,7H			ACCIDENTS:				
VOYAGES DE CAMION:			TEMPS MORT:				
EXPÉDITION D'ÉCHANTILLONS:			AMÉLIORATIONS À PRÉVOIR:				
ACHATS:							
MOBILISATION:							
DEMOBILISATION:			AVIS DISCIPLINAIRE:				
FORAGE- # TROU: DE: À:		VÉRIFICATION:		IOS Services Géoscientifiques Inc			
BUDGET RÉSIDUEL: DÉPENSES:		FACTURATION:					

<b>RAPPORT JOURNALIER</b>		Date: 30-06-2007	PROJET: 592	CAMPMENT: BARNOIN	MÉTÉO: Nuageux et Pluvieux		
			CLIENT: North Western	RESP: Sylvain VAILLANCOURT	SIGNATURE:		
			APPEL QUOTIDIEN:				
<b>COMMENTAIRES SUR LES TRAVAUX:</b>							
Visite du camp Inuit le matin pour l'organisation de leurs méthodes de travail et des traverses qu'ils doivent faire; prochaine visite le 3 ou 4 juillet. Puis traverse de la zone entre les coordonnées (E: 334543, N: 6488935) et (E: 335767, N: 6487922). 3 groupes de 2 personnes (+ 1 personne reliant les groupes) ont balayé cette zone correspondant à une forte anomalie en uranium. Plusieurs points ont été cartés et échantillonnés.							
<b>COMMENTAIRES SUR LA GÉOLOGIE:</b>							
Le secteur parcouru est essentiellement composé de gneiss, gneiss granitiques, des arkoses, avec des passages d'amphibolites. L'ensemble est recoupé par des pegmatites intrusives recoupant l'ensemble des lithologies. Toutes les signatures en uranium ont été répertoriées seulement dans les pegmatites avec une forte proportion de biotites. On remarque que les pegmatites uranifères sont sous forme de dykes de moins d'un mètre d'épaisseur, sur plusieurs dizaines de mètres de longueur, selon la schistosité de l'encaissant (gneiss tonalitique).							
PERSONNEL	TÂCHES	Couché	Heures	Hors camps	Échant: De	Échant: A	FACT.
1: Sylvain VAILLANCOURT	Chargé de projet	1	12				
2: Mikael BLOCK	Géologue	1	12				
3: Cyril MULLARD	Géologue	1	12				
4: Gaetan TREMBLAY	Homme de camps - prospecteur	1	12				
5: Gabriel BERGERON	Technicien internet	0	0				
6: Yannick MARTIN	Pilote d'hélicoptère	1	12				
7: Rejean Girard	Président géologue IOS	1	12				
8: Jean-Marc Lulin	Géologue sénior (client)	1	12				
9: Sylvain Guérard	Géologue sénior (client)	1	12				
10: Bertrand Taquet	Géologue sénior (client)	1	12				
11: Julie Menier	Géologue assistante	1	12				
12: Stéphane Pivin	Géologue assistant	1	12				
VOLS D'HYDRAVIONS:				AVARIS MÉCANIQUES:			
TEMPS D'HÉLICOPTÈRE: 3,8H				ACCIDENTS:			
VOYAGES DE CAMION:				TEMPS MORT:			
EXPÉDITION D'ÉCHANTILLONS:				AMÉLIORATIONS À PRÉVOIR:			
ACHATS:							
MOBILISATION:							
DEMOBILISATION:				AVIS DISCIPLINAIRE:			
FORAGE - # TROU:		DE:	À:	VÉRIFICATION:		IOS Services Géoscientifiques Inc	
BUDGET RÉSIDUEL:		DÉPENSES:		FACTURATION:			



<b>RAPPORT JOURNALIER</b>		Date: 01-07-2007	PROJET: 592	CAMPEMENT: BARNOIN	MÉTÉO: Beau temps		
			CLIENT: North Western	RESP: Sylvain VAILLANCOURT	SIGNATURE:		
			APPEL QUOTIDIEN:				
<b>COMMENTAIRES SUR LES TRAVAUX:</b>							
Prospection d'une zone à forte anomalie U entre les points (E: 334544, N: 6488935) et (E: 335767, N: 6487923). 3 équipes de 2 ont quadrillé cette zone sur toute la longueur et toute la largeur. Cyril Mullard est resté au camps pour ajuster les passages des coordonnées en NAD27 aux coordonnées en NAD83 et inversement. Il a été décidé d'utiliser le système NAD83 sauf pour le terrain avec les anciennes cartes topographiques ayant le système NAD27.							
<b>COMMENTAIRES SUR LA GÉOLOGIE:</b>							
Zone à très forte anomalie U essentiellement observée dans les pegmatites intrusives recoupant des paragneiss. Les bandes de pegmatites ont des dimensions importantes: de 1 à 10-20m de large pour une longueur de plusieurs dizaines (à centaines???) de mètres. Les bandes sont continues, et parallèles entre elles, formant une zone de près de 400 m de large sur 1 kilomètre de long. A porté de bras, les scintillomètres indiquent des variations entre 1000 et 5000 CPS. au Nord-Est de la zone, les pegmatites sont en contact net avec un sommet de basalte. Deux bandes de pegmatites massives ont une signature importante en CPS (1000-2000). À la base de cette zone se trouve une troisième bande possible repérée à travers une épaisse couche de mort-terrain (1000-2000 CPS). Au Sud-Est de la zone, les pegmatites sont délimitées par une colline de gneiss granitique sans valeurs.							
<b>PERSONNEL</b>	<b>TÂCHES</b>	<b>Couché</b>	<b>Heures</b>	<b>Hors camps</b>	<b>Échant: De</b>	<b>Échant: A</b>	<b>FACT.</b>
1: Sylvain VAILLANCOURT	Chargé de projet	1	12				
2: Mikael BLOCK	Géologue	1	12				
3: Cyril MULLARD	Géologue	1	12				
4: Gaetan TREMBLAY	Homme de camps - prospecteur	1	12				
5: Gabriel BERGERON	Technicien internet	0	0				
6: Yannick MARTIN	Pilote d'hélicoptère	1	12				
7: Réjean Girard	Président géologue IOS	1	12				
8: Jean-Marc Lulin	Géologue sénior (client)	1	12				
9: Sylvain Guérard	Géologue sénior (client)	1	12				
10: Bertrand Taquet	Géologue sénior (client)	1	12				
11: Julie Menier	Géologue assistante	1	12				
12: Stéphane Pivin	Géologue assistant	1	12				
VOLS D'HYDRAVIONS:			AVARIS MÉCANIQUES:				
TEMPS D'HÉLICOPTÈRE: 2,6H			ACCIDENTS:				
VOYAGES DE CAMION:			TEMPS MORT:				
EXPÉDITION D'ÉCHANTILLONS:			AMÉLIORATIONS À PRÉVOIR:				
ACHATS:							
MOBILISATION:							
DEMOBILISATION:			AVIS DISCIPLINAIRE:				
FORAGE- # TROU:		DE:	À:	VÉRIFICATION:			
BUDGET RÉSIDUEL:		DÉPENSES:		FACTURATION:			
<b>IOS Services Géoscientifiques Inc</b>							

<b>RAPPORT JOURNALIER</b>		Date: 02-07-2007	PROJET: 592	CAMPMENT: BARNOIN	MÉTÉO: Beau temps avec passage nuageux		
			CLIENT: North Western	RESP: Sylvain VAILLANCOURT	SIGNATURE:		
			APPEL QUOTIDIEN:				
<b>COMMENTAIRES SUR LES TRAVAUX:</b>							
Échantillonnage de la zone à forte anomalie U entre les points (E: 334544, N: 6488935) et (E: 335767, N: 6487923). 2 équipes de 2 plus une personne ont échantillonné suivant une ligne de direction SW-NE recoupant les différentes formations de pegmatites. Les points de départs sont (335306, 6488149), et (335263, 6488176). Tous les échantillons ont été prélevés dans les pegmatites granitiques. Les clients ont visité la zone pour se rendre compte du potentiel du secteur.							
<b>COMMENTAIRES SUR LA GÉOLOGIE:</b>							
Les échantillons ont été prélevés dans les pegmatites granitiques qui ont une orientation NW-SE, intrusives dans les paragneiss. Le background des roches est de 1000 CPS. Une zone d'intérêt a été répertoriée avec un pic à 20000 CPS. Il a été également observé dans le quartz des cristaux jaunes d'uranophanes. La biotite est importante dans les pegmatites ayant un fort signal CPS.							
<b>PERSONNEL</b>	<b>TÂCHES</b>	<b>Couché</b>	<b>Heures</b>	<b>Hors camps</b>	<b>Échant: De</b>	<b>Échant: A</b>	<b>FACT.</b>
1: Sylvain VAILLANCOURT	Chargé de projet	1	12				
2: Mikael BLOCK	Géologue	1	12				
3: Cyril MULLARD	Géologue	1	12				
4: Gaetan TREMBLAY	Homme de camps - prospecteur	1	12				
5: Fred Jones	Pilote d'hélicoptère	1	12				
6: Yannick MARTIN	Pilote d'hélicoptère	0	12				
7: Réjean Girard	Président géologue IOS	1	12				
8: Jean-Marc Lulin	Géologue sénior (client)	1	12				
9: Sylvain Guérard	Géologue sénior (client)	1	12				
10: Bertrand Taquet	Géologue sénior (client)	1	12				
11: Julie Menier	Géologue assistante	1	12				
12: Stéphane Pivin	Géologue assistant	1	12				
VOLS D'HYDRAVIONS:				AVARIS MÉCANIQUES:			
TEMPS D'HÉLICOPTÈRE: 2,8H				ACCIDENTS:			
VOYAGES DE CAMION:				TEMPS MORT:			
EXPÉDITION D'ÉCHANTILLONS:				AMÉLIORATIONS À PRÉVOIR:			
ACHATS:							
MOBILISATION:							
DEMOBILISATION:				AVIS DISCIPLINAIRE:			
FORAGE - # TROU:		DE:	À:	VÉRIFICATION:		IOS Services Géoscientifiques Inc	
BUDGET RÉSIDUEL:		DÉPENSES:		FACTURATION:			



RAPPORT JOURNALIER		Date: 03-07-2007	PROJET: 592	CAMPEMENT: BARNOIN	MÉTÉO: Beau temps sans vent		
			CLIENT: North Western	RESP: Sylvain VAILLANCOURT	SIGNATURE:		
			APPEL QUOTIDIEN:				
<b>COMMENTAIRES SUR LES TRAVAUX:</b>							
Visite du camp Inuit le matin avec Bertrand Taquet, Mikael Block et Sylvain Vaillancourt. Organisation pour le changement d'emplacement du camp, et pour la méthode de travail (utilisation des GPS et Roches à échantillonner). Puis échantillonnage de la zone à forte anomalie U entre les points (E: 334544, N: 6488935) et (E: 335767, N: 6487923). Trois équipes de 2 personnes ont échantillonné toute l'anomalie U selon 3 zones. Tous les échantillons ont été prélevés dans les pegmatites granitiques. Les clients ont visité des zones périphériques à la zone anormale. Et une autre zone anormale a été trouvée du côté Ouest du lac Tasialuk. Plusieurs spots ont été mesurés avec des CPS à 40000.							
Réjean, Sylvain G. et Bertrand (PM): Visite des trois cibles d'Azimut à l'est de la zone du lac Tasialuk.							
<b>COMMENTAIRES SUR LA GÉOLOGIE:</b>							
Les échantillons ont été prélevés dans les pegmatites granitiques qui ont une orientation NW-SE, intrusives dans les paragneiss. Il a été observé dans le quartz de la zone highgrade des cristaux jaunes d'uranophanes. La biotite est importante dans les pegmatites ayant un fort signal CPS. Au niveau de la zone High-grade, la zone ayant un pic à 20000 CPS semble être une zone intermédiaire entre le paragneiss et la pegmatite. Minéralogiquement, nous notons la présence de grenats dans le paragneiss et localement d'apatite dans les pegmatites. De plus, la présence de quartz fumé et de biotite augmente le signal CPS. Une corrélation semble apparaître entre la taille des cristaux précités et l'augmentation du signal.							
La première zone visitée à l'Est du lac, au Sud de la rivière, s'avère similaire à celle du lac Tasialuk; avec une bande de paragneiss rouillée coincée entre des gneiss granitique au Sud et des metabasaltes par-dessus au Nord, sur la crête. Les paragneiss sont visibles sur une bande d'environ 200 mètres de large, sur 300 mètres de long. Il contiennent de nombreuses zones radioactives, typiquement dispersées et démembrées, causées par des petites pegmatites métriques à hémimétriques à 1000-3000 cps.							
On note aussi des bandes métriques de quartzite ou de veines de quartz cisailée ou de pegmatite quartzitiques très radioactives. Des comptes de 42,000, 28,000, et 36,000 cps ont été obtenus, et un échantillon 5929400 avec 5000 cps.							
La seconde zone visitée est composée d'une petite bande de paragneiss de moins de 100 mètres encaissée dans les gneiss granitiques. Quelques mesures sporadiques de 1000-6000 cps ont été obtenues. On note la présence de dyke de pegmatite rose sécante, 2-10 mètres d'épais, légèrement radioactive 1000-2000 cps. Un modèle géologique se dessine en regards de l'origine de ces zones. Le point important est la présence de plusieurs de ces zones très similaires dans le secteur, suggérant un métalloctecte régional. La prospection devra être intensifiée dans ce secteur.							
La distribution des essais de pegmatite semble contrôlée par la proximité du contact avec les gneiss granitiques. Les gneiss granitiques, du complexe de Kanjiq, sont injectées de pegmatites roses métrique légèrement radioactive. Les pegmatites roses et la présence de magnétite suggère un magma oxydant, capable de transporter l'uranium. Les paragneiss au dessus des gneiss granitiques sont coincés en sandwich sous les metabasaltes. Ils présentent un comportement rhéologique différent des encaissants, permettant la fracturation et l'imprégnation par les magmas pegmatitiques. La nature rigide-plastique des metabasaltes forme un chapeau imperméable aux pegmatites, qui peuvent s'accumuler sous les basaltes. Les pegmatites sont en contact et contaminées par les paragneiss sulfurés, lesquels sont réducteurs et causent l'abaissement de la fugacité de l'oxygène dans le magma, et la précipitation de l'uranium.							
La zone du lac Tasialuk est favorisée par la présence de stacking, vraisemblablement liée à la présence d'une charnière de pli plurihécotométrique. La troisième zone visitée, à l'extrémité est du lac Tasialuk, représente une masse kilométrique de leucogranite rose (alaskite) similaire à celui du lac de la Ralde, recoupant les gneiss granitique. Il est tentant de lier ce granite avec les essais de pegmatite roses à l'origine de la minéralisation.							
Le modèle d'exploration est ainsi de rechercher des zones de contact entre le gneiss granitique de Kanjiq et les paragneiss de Lake Harbour, principalement dans les quilles synformes coincées dans le gneiss. Un tel contexte peut facilement être prospecté et localisé, considérant la nature rouillée des paragneiss et les larges affleurements roses du gneiss granitique. La recette a fonctionné 4 fois dans le secteur du lac Tasialuk!							
PERSONNEL	TÂCHES	Couché	Heures	Hors camps	Échant: De	Échant: A	FACT.
1: Sylvain VAILLANCOURT	Chargé de projet	1	12		9200	9208	
2: Mikael BLOCK	Géologue	1	12				
3: Cyril MULLARD	Géologue	1	12				
4: Gaetan TREMBLAY	Homme de camps - prospecteur	1	12				
5: Fred Jones	Pilote d'hélicoptère	1	12				
6: Nick	Technicien d'hélicoptère	1	12				
7: Réjean Girard	Président géologue IOS	1	12				
8: Jean-Marc Lulin	Géologue sénior (client)	1	12				
9: Sylvain Guérard	Géologue sénior (client)	1	12				
10: Bertrand Taquet	Géologue sénior (client)	1	12				
11: Julie Menier	Géologue assistante	1	12		9307	9316	
12: Stéphane Pivin	Géologue assistant	1	12				
VOLS D'HYDRAVIONS:		AVARIS MÉCANIQUES:					
TEMPS D'HÉLICOPTÈRE: 3,5H		ACCIDENTS:					
VOYAGES DE CAMION:		TEMPS MORT:					
EXPÉDITION D'ÉCHANTILLONS:		AMÉLIORATIONS À PRÉVOIR:					
ACHATS:							
MOBILISATION:							
DEMOBILISATION:		AVIS DISCIPLINAIRE:					
FORAGE- # TROU: DE: À:		VÉRIFICATION:		IOS Services Géoscientifiques Inc			
BUDGET RÉSIDUEL: DÉPENSES:		FACTURATION:					

<b>RAPPORT JOURNALIER</b>	Date: 04-07-2007	PROJET: 592	CAMPEMENT: BARNOIN	MÉTÉO: Beau temps sans vent				
		CLIENT: North Western	RESP: Sylvain VAILLANCOURT	SIGNATURE:				
		APPEL QUOTIDIEN:						
<b>COMMENTAIRES SUR LES TRAVAUX:</b>								
Échantillonnage de la zone de Tasialuk, zone à forte anomalie. Deux équipes de 2 personnes. Visite de plusieurs anomalies et zones minéralisées avec Réjean Girard, Sylvain Vaillancourt, Mikael Block, Sylvain Guérard, Bertrand Taquet et Jean-Marc Lulin. La zone minéralisée 48 a été visité avec tout le groupe. Ensuite, Mikael et Bertrand ont prospecté la zone 46. La zone 46 présente de forte valeurs CPS avec un max de 25000CPS en (336521, 6484393). Il a été observé une bande avec de fortes valeurs et plusieurs spots au dessus de 13000 CPS. Les limites de cette zone ne sont pas encore connues. Ensuite, Bertrand et Mikael ont couvert la zone 58 qui correspond à un dome granitique. Dans cette zone, aucune cible intéressante n'a été trouvée. Les prospecteurs inuits ont déplacé leur camp entre les zones 58 et 57 pour être plus à proximité des anomalies à couvrir.								
<b>COMMENTAIRES SUR LA GÉOLOGIE:</b>								
Les échantillons ont été prélevés dans les pegmatites granitiques qui ont une orientation NW-SE, intrusives dans les paragneiss. Il a été observé des cristaux jaunes d'uranophanes dans plusieurs secteurs. La zone NW présente plusieurs zones high-grade avec des pics à 20000 cps, 12000 et 10000 cps. Hormis ces secteurs hautement anormaux localisés, la zone NW présente un nombre d'affleurements de pegmatite anormaux peu élevé en comparaison avec la zone SE d'où un maillage de l'échantillonnage plus resserré dans cette dernière. Au niveau de la zone à 20000 cps. Le paragneiss encaissant présente des marques de migmatisation ainsi que des enclaves de pyroxénite.								
Dans la zone 48, les pics CPS se situent dans les pegmatites massives ou au niveau des contacts entre pegmatites et paragneiss. On observe également que la zone à 25000 CPS se situe dans une pegmatite avec une forte proportion de quartz qui semble prit dans une "poche" de paragneiss. Les limites de cette pegmatite semblent former une petite lentille de taille métrique où a pu se concentrer l'uranium. Proche de cette zone, on observe des bandes de pegmatites intrusives dans le paragneiss. Le paragneiss est altéré, alors que la pegmatite semble plus massive. Plusieurs zones présentent une couleur de rouille en surface. Liées à ces zone rouillées, en contact avec les pegmatites, les valeurs CPS sont importantes. Les bandes de pegmatites sont grossièrement orientées NNW-SSE. On ne connaît pas encore les limites de l'anomalie.								
La zone 58 a été prospecté par Mikael et Bertrand. Cette zone correspond à un dôme granitique massif, homogène et uniforme. Le background est important. Autour de 700 CPS à la base du dôme pour atteindre les 1000 CPS moy au sommet. Quelques petits spots très localisés ont des valeurs pouvant atteindre 2000 à 3000 CPS. On explique donc cette anomalie par un contraste entre le background élevé de cette zone et le background standard de la périphérie.								
<b>PERSONNEL</b>	<b>TÂCHES</b>		<b>Couché</b>	<b>Heures</b>	<b>Hors camps</b>	<b>Échant: De</b>	<b>Échant: A</b>	<b>FACT.</b>
1: Sylvain VAILLANCOURT	Chargé de projet		1	12		9200	9208	
2: Mikael BLOCK	Géologue		1	12		9350	9351	
3: Cyril MULLARD	Géologue		1	12		9073	9087	
4: Gaetan TREMBLAY	Homme de camps - prospecteur		1	12				
5: Fred Jones	Pilote d'hélicoptère		1	12				
6: Nick	Technicien d'hélicoptère		1	12				
7: Réjean Girard	Président géologue IOS		1	12				
8: Jean-Marc Lulin	Géologue sénior (client)		1	12				
9: Sylvain Guérard	Géologue sénior (client)		1	12				
10: Bertrand Taquet	Géologue sénior (client)		1	12				
11: Julie Menier	Géologue assistante		1	12		9317	9324	
12: Stéphane Pivin	Géologue assistant		1	12				
VOLS D'HYDRAVIONS:			AVARIS MÉCANIQUES:					
TEMPS D'HÉLICOPTÈRE: 6,4h			ACCIDENTS:					
VOYAGES DE CAMION:			TEMPS MORT:					
EXPÉDITION D'ÉCHANTILLONS:			AMÉLIORATIONS À PRÉVOIR:					
ACHATS:								
MOBILISATION:								
DEMOBILISATION:			AVIS DISCIPLINAIRE:					
FORAGE- # TROU:	DE:	À:	VÉRIFICATION:		IOS Services Géoscientifiques Inc			
BUDGET RÉSIDUEL:	DÉPENSES:		FACTURATION:					



<b>RAPPORT JOURNALIER</b>		Date: 05-07-2007	PROJET: 592	CAMPEMENT: BARNOIN	MÉTÉO: Beau temps avec vent se couvrant dans l'après-midi.				
			CLIENT: North Western	RESP: Sylvain VAILLANCOURT	SIGNATURE:				
			APPEL QUOTIDIEN:						
<b>COMMENTAIRES SUR LES TRAVAUX:</b>									
Départ de Réjean Girard, Sylvain Guérard et Jean-Marc Lulin en début d'après-midi. Sylvain Vaillancourt est resté au camp pour la logistiquie et l'accueil du nouveau personnel arrivant : Jordi Turcotte, Michel Castilloux, Bertrand Dallaire.									
Matin : délimitation au NW et au SE de la zone anomalique 30 par 2 équipes de 2 personnes + une personne. L'après-midi : début de l'échantillonnage dans la partie NW de la zone par les 2 équipes, l'autre personne a cartographié et déterminé les épaisseurs des zones anomaliques dans la partie NW.									
<b>COMMENTAIRES SUR LA GÉOLOGIE:</b>									
Tous les relevés sont dans les pegmatites en dykes dans le paragneiss. Le paragneiss est souvent altéré avec une couleur de rouille; cela est indicateur d'une altération sulfureuse. Il semblerait que les pegmatites en contact avec le paragneiss contiennent aussi des sulfures (PO), ce qui a pour conséquence de donner également un aspect d'altération rouillé aux pegmatites. Un échantillon a été prélevé dans les pegmatites avec près de 20% de PO. On remarque également que ces pegmatites ont un fort signal CPS.									
Mis à part les pegmatites dans le paragneiss, on observe également des pegmatites dans le gneiss granitique, sur le flanc nord de la colline située au Nord Est de la zone. Les dykes de I1G sont beaucoup moins nombreux... On peut supposer que c'est à cause de la compétence beaucoup plus importante du gneiss granitique par rapport au paragneiss. D'autant plus qu'il est situé stratigraphiquement plus haut: donc plus de matériel à traverser pour les dykes de I1G. La zone nord où l'on observe les quelques dykes de I1G confirme cette hypothèse dans la mesure où l'épaisseur du gneiss granitique est moins importante qu'au centre de la colline. Or on n'observe pas de pegmatites au centre de la colline de gneiss granitique.									
Les gneiss granitiques sont d'ailleurs situés autour du paragneiss sous forme de massifs en relief. Le background de ce gneiss granitique est de 300CPS approximativement.									
<b>PERSONNEL</b>		<b>TÂCHES</b>		<b>Couché</b>	<b>Heures</b>	<b>Hors camps</b>	<b>Échant: De</b>	<b>Échant: A</b>	<b>FACT.</b>
1: Sylvain VAILLANCOURT		Chargé de projet		1	12				
2: Mikael BLOCK		Géologue		1	12				
3: Cyril MULLARD		Géologue		1	12		9087	9094	
4:Stéphane Pivin		Géologue		1	12				
5: Gaetan TREMBLAY		Homme de camps - prospecteur		1	12				
6: Fred Jones		Pilote d'hélicoptère		1	12				
7:Nick		Technicien d'hélicoptère		1	12				
8: Réjean Girard		Président géologue IOS		0	12				
9: Jean-Marc Lulin		Géologue sénior (client)		0	12				
10: Sylvain Guérard		Géologue sénior (client)		0	12				
11: Bertrand Taquet		Géologue sénior (client)		1	12				
12: Julie Menier		Géologue assistante		1	12		9325	9328	
13: Jordy Turcotte		Géologue assistant		1	12				
14: Michel Castilloux		Sans Frontières		1	12				
15: Bertrand Dallaire		Sans Frontières		1	12				
16: Guy		Ingénieur Hélicoptère		1	12				
VOLS D'HYDRAVIONS:				AVARIS MÉCANIQUES:					
TEMPS D'HÉLICOPTÈRE: 4h				ACCIDENTS:					
VOYAGES DE CAMION:				TEMPS MORT:					
EXPÉDITION D'ÉCHANTILLONS:				AMÉLIORATIONS À PRÉVOIR:					
ACHATS:									
MOBILISATION:									
DEMÓBILISATION:				AVIS DISCIPLINAIRE:					
FORAGE- # TROU:		DE:	À:	VÉRIFICATION:		IOS Services Géoscientifiques Inc			
BUDGET RÉSIDUEL:		DÉPENSES:		FACTURATION:					





<b>RAPPORT JOURNALIER</b>		Date: 07-07-2007	PROJET: 592	CAMPEMENT: BARNOIN	MÉTÉO: beau temps avec vent.		
			CLIENT: North Western	RESP: Sylvain VAILLANCOURT	SIGNATURE:		
			APPEL QUOTIDIEN:				
<b>COMMENTAIRES SUR LES TRAVAUX:</b>							
Zone 30: 2 groupes de 2 personnes ont échantillonné la partie Sud de la zone 30. Le sens d'échantillonnage a été du Sud vers le Nord, pour terminer dans la partie centrale. Au total, les 2 groupes ont prélevé 23 échantillons. Pour l'échantillonnage, la totalité de la zone 30 a été couverte. Les mesures des épaisseurs des dykes ont été reprises à partir du tiers Nord jusqu'au tiers Sud. Demain, le 08-07-07, les mesures des épaisseurs sera terminée.							
Zone 28: mise en place de la base-ligne.							
<b>COMMENTAIRES SUR LA GÉOLOGIE:</b>							
Grace au relevé des épaisseurs des dykes de pegmatites, il est possible d'observer la continuité des bandes suivant une direction grossièrement NNW-SSE. L'épaisseur est importante dans la partie centrale (autour de 150-200m). On remarque également que certaines bandes de pegmatites sont recoupées par des lacs, car on observe une continuité de part et d'autre des lacs.							
On observe également des places avec des sulfures dans les pegmatites. Dans les pegmatites présents dans les gneiss granitiques, on observe plus de la pyrothite. Et dans les pegmatites présents dans les paragneiss, on observe plus de la pyrite. On remarque également que les pegmatites ayant des sulfures ont un fort signal CPS.							
<b>PERSONNEL</b>	<b>TÂCHES</b>	<b>Couché</b>	<b>Heures</b>	<b>Hors camps</b>	<b>Échant: De</b>	<b>Échant: A</b>	<b>FACT.</b>
1: Sylvain VAILLANCOURT	Chargé de projet	1	12				
2: Mikael BLOCK	Géologue	1	12				
3: Cyril MULLARD	Géologue	1	12				
4:Stéphane Pivin	Géologue	1	12				
5: Gaetan TREMBLAY	Homme de camps - prospecteur	1	12		9016	9029	
6: Fred Jones	Pilote d'hélicoptère	1	12				
7:Nick	Technicien d'hélicoptère	1	12				
8: Bertrand Taquet	Géologue sénior (client)	1	12				
9: Julie Menier	Géologue assistante	1	12				
10: Jordy Turcotte	Géologue assistant	1	12		9401	9411	
11: Michel Castilloux	Sans Frontières	1	12				
12: Bertrand Dallaire	Sans Frontières	1	12				
VOLS D'HYDRAVIONS:			AVARIS MÉCANIQUES:				
TEMPS D'HÉLICOPTÈRE: 3.0			ACCIDENTS:				
VOYAGES DE CAMION:			TEMPS MORT:				
EXPÉDITION D'ÉCHANTILLONS:			AMÉLIORATIONS À PRÉVOIR:				
ACHATS:							
MOBILISATION:							
DEMOBILISATION:			AVIS DISCIPLINAIRE:				
FORAGE - # TROU:	DE:	À:	VÉRIFICATION:	IOS Services Géoscientifiques Inc			
BUDGET RÉSIDUEL:	DÉPENSES:	FACTURATION:					

RAPPORT JOURNALIER		Date: 08-07-2007	PROJET: 592	CAMPMENT: BARNOIN	MÉTÉO: beau temps avec vent le matin.		
			CLIENT: North Western	RESP: Sylvain VAILLANCOURT	SIGNATURE:		
			APPEL QUOTIDIEN:				
<b>COMMENTAIRES SUR LES TRAVAUX:</b>							
Zone 30: 2 groupes de 2 personnes ont terminé les mesures d'épaisseur des bandes et dykes de pegmatites. Et une prospection périphérique à la zone principale a été effectuée. Seulement quelques spots très localisés ont été trouvés dans les gneiss granitiques.							
Zone 28: mise en place des lignes transversales selon la base-ligne.							
Mobilisation : Jonathan Lalancette, Steeve Lavoie, Joanie Béland, Benoît Massé et Paméla Tremblay.							
<b>COMMENTAIRES SUR LA GÉOLOGIE:</b>							
Les bandes de pegmatites à fort signal CPS continuent de se poursuivre vers le Sud jusqu'au point GPS 209 (340717, 6482523). Ensuite, on observe seulement des spots très localisés au niveau de la zone la plus épaisse du dôme de gneiss granitique. Hypothèse: l'épaisseur maximum du dôme de gneiss granitique et la compétence importante de la roche ne permet pas aux dykes de pegmatites de ressortir. Ensuite, plus au Sud, seulement 3 spots ont été trouvés; aucunes bandes importantes ne sont visibles. On observe de plus une méga-faille possible pouvant jouer le rôle de frontière délimitant franchement la zone d'anomalie U. Cette faille pourrait expliquer la présence de spots très localisés au Sud de la butte de gneiss granitique avec le point 209. Tout autour de la zone anomale, plusieurs spots ont été trouvés dans les gneiss granitiques formant les reliefs en périphérie. On peut imaginer des injections localisées sur le pourtour de la zone centrale.							
PERSONNEL	TÂCHES	Couché	Heures	Hors camps	Échant: De	Échant: A	FACT.
1: Sylvain VAILLANCOURT	Chargé de projet	1	12				
2: Mikael BLOCK	Géologue	1	12				
3: Cyril MULLARD	Géologue	1	12				
4: Stéphane Pivin	Géologue assistant	1	12				
5: Gaetan TREMBLAY	Homme de camps - prospecteur	1	12				
6: Fred Jones	Pilote d'hélicoptère	1	12				
7: Nick	Technicien d'hélicoptère	1	12				
8: Jonathan Lalancette	Géologue	1	12				
9: Joanie Beland	Géologue assistante	1	12				
10: Benoît Massé	Géologue assistant	1	12				
11: Bertrand Taquet	Géologue sénior (client)	1	12				
12: Julie Menier	Géologue assistante	1	12				
13: Jordy Turcotte	Géologue assistant	1	12				
14: Michel Castiloux	Sans Frontières	1	12				
15: Bertrand Dallaire	Sans Frontières	1	12				
16: Pamela Tremblay	Géologue assistante	1	12				
17: Steeve Lavoie	Géologue	1	12				
VOLS D'HYDRAVIONS:			AVARIS MÉCANIQUES:				
TEMPS D'HÉLICOPTÈRE: 2.9H			ACCIDENTS:				
VOYAGES DE CAMION:			TEMPS MORT:				
EXPÉDITION D'ÉCHANTILLONS:			AMÉLIORATIONS À PRÉVOIR:				
ACHATS:							
MOBILISATION: Jonathan, Paméla, Steeve, Joanie et Benoît							
DEMobilISATION:			AVIS DISCIPLINAIRE:				
FORAGE- # TROU: DE: À:		VÉRIFICATION:		IOS Services Géoscientifiques Inc			
BUDGET RÉSIDUEL: DÉPENSES:		FACTURATION:					

<b>RAPPORT JOURNALIER</b>		Date: 09-07-2007	PROJET: 592	CAMPMENT: BARNOIN	MÉTÉO: beau temps		
			CLIENT: North Western	RESP: Sylvain VAILLANCOURT	SIGNATURE:		
			APPEL QUOTIDIEN:				
<b>COMMENTAIRES SUR LES TRAVAUX:</b>							
Zone 30: cartographie de la zone 30 avec les géofiches. Toute la zone est couverte.							
Zone 28: Prospection du secteur Est, Nord-Est, Ouest et Nord-Ouest et cartographie de détail de la zone minéralisée.							
Zone 48: prospection de la zone 48. Les premiers spots et les premières bandes sont enregistrées.							
<b>COMMENTAIRES SUR LA GÉOLOGIE:</b>							
zone 48: observations de fines bandes de pegmatites non continues (à cause de mort-terrain?) dans le paragneiss en contact net avec le gneiss granitique, puis dans le gneiss granitique. Le gneiss granitique est massif avec une épaisseur importante. Il a été enregistré des pics CPS à 24000 - 17000. Observation possible d'une faille formant un couloir net avec des parois rocheuses alignées en plan droit sur une centaine de mètres. Le signal CPS semble continuer dans les gneiss granitique suivant une direction N310 approximativement. (les bandes semblent se courber vers le Sud dans la partie Sud).							
Zone 28: Rencontré des affleurements de M6, M4 et I1G. Les litho sont généralement orientées Sud-Est Nord-Ouest. Bruit de fond variant entre 200 (M4), 350(M6) et 500 (I1G). Un seul échantillon de pris à 3000 cps dans I1G.							
Zone 5: Benoit et Julie: Traverse orientée NE-SO au Nord du lac. Rencontre d'affleurements de M4 avec bruit de fond allant de 200-400 cps, affleurements de I1A (GM à PG) avec background de 300-450 cps, dykes de I1A continue sur 2 à 6m avec cps maximum de 4800+ Rencontré d'uranofane dans ces intrusion de I1A surtout concentré sur amas de QZ pegmatitique. Quelques places allant de 600-1500 cps mais pas continue et très local.							
<b>PERSONNEL</b>	<b>TÂCHES</b>	<b>Couché</b>	<b>Heures</b>	<b>Hors camps</b>	<b>Échant: De</b>	<b>Échant: A</b>	<b>FACT.</b>
1: Sylvain VAILLANCOURT	Chargé de projet	1	12				
2: Mikael BLOCK	Géologue	1	12				
3: Cynil MULLARD	Géologue	1	12				
4: Stéphane PIVIN	Géologue assistant	1	12				
5: Gaetan TREMBLAY	Homme de camps - prospecteur	1	12				
6: Fred Jones	Pilote d'hélicoptère	1	12				
7: Nick	Technicien d'hélicoptère	1	12				
8: Jonathan Lalancette	Géologue	1	12		9450		
9: Joanie Beland	Géologue assistante	1	12				
10: Benoit Massé	Géologue assistant	1	12				
11: Bertrand Taquet	Géologue sénior (client)	1	12				
12: Julie Menier	Géologue assistante	1	12		9330	9332	
13: Jordy Turcotte	Géologue assistant	1	12				
14: Michel Castilloux	Sans Frontières	1	12				
15: Bertrand Dallaire	Sans Frontières	1	12				
16: Pamela Tremblay	Géologue assistante	1	12				
17: Steve Lavoie	Géologue	1	12				
VOLS D'HYDRAVIONS:			AVARIS MÉCANIQUES:				
TEMPS D'HÉLICOPTÈRE: 3,1H			ACCIDENTS:				
VOYAGES DE CAMION:			TEMPS MORT:				
EXPÉDITION DÉCHANTILLONS:			AMÉLIORATIONS À PRÉVOIR:				
ACHATS:							
MOBILISATION:							
DEMOBILISATION:			AVIS DISCIPLINAIRE:				
FORAGE- # TROU:		DE:	À:	VÉRIFICATION:			
BUDGET RÉSIDUEL:		DÉPENSES:		FACTURATION:			
IOS Services Géoscientifiques Inc							



RAPPORT JOURNALIER		Date: 10-07-2007	PROJET: 592	CAMPEMENT: BARNOIN	MÉTÉO: beau temps		
			CLIENT: North Western	RESP: Sylvain VAILLANCOURT	SIGNATURE:		
			APPEL QUOTIDIEN:				
<b>COMMENTAIRES SUR LES TRAVAUX:</b>							
Visite de 4 spots localisés: MPH15 (344507, 6505762), MPH10 (350115, 6509171), MPH11 (349979, 6507174) et MPH24(351649, 6505110). Ces visites avaient pour but de vérifier et comprendre ces anomalies localisées, et savoir si la prospection est nécessaire par la suite.							
Zone 4-5: Échantillonnage des hautes valeurs sur les dykes de pegmatite déjà visitées sur les zones 4 et 5.							
Zone 28 Tasieluk : Cartographie de détail du Grid 100 m (lignes 22E, 23E et 24E par rapport à la Baseline)							
<b>COMMENTAIRES SUR LA GÉOLOGIE:</b>							
MPH15: dôme de gneiss granitique massif ayant un background de CPS relativement élevé (500CPS) par rapport à l'encaissant périphérique. À peine quelques spots ont été relevés avec des valeurs de 1500-2000 CPS. L'anomalie s'explique donc par le contraste du background entre le gneiss granitique et l'encaissant.							
MPH10: dôme de gneiss granitique identique à MPH15. Le background n'est pas très élevé: 300 CPS. Mais il a été repéré 2 lentilles de pegmatite rose (à cause des orthoses) avec un fort signal CPS : 1000 à 21000. 2 échantillons ont été prélevés. La lentille est très localisée avec des limites nettes.							
MPH11: colline sous forme de champs de blocs. Très peu de blocs ont du signal CPS. Cependant, un bloc présente 30000 CPS, et au même niveau latéral de la colline, il a été trouvé une zone de plus de 100 m carrés avec des blocs ayant un signal variant entre 1000 et 9000 CPS. On pourrait donc expliquer l'anomalie avec la présence de ce champs de blocs. Reste à savoir si le signal continu sous les blocs.							
MPH24: zone intéressante avec la présence de plusieurs bandes de pegmatites bien délimitées de près d'une centaine de mètres de long. Les valeurs CPS dans les bandes varient entre 1000 et 8700 CPS. Les bandes de pegmatites semblent parallèles sur toute la hauteur de la colline. Les bandes n'ont pas encore été totalement délimitées. L'encaissant des bandes de pegmatites est du paragneiss.							
Z4-Z5: Sur la zone 5, dyke de pegmatite orienté à environ 350° avec plusieurs hautes valeurs entre 19000 et 4000 cps. On retrouve quelques autres dykes avec plus ou moins la même orientation et des valeurs entre 4000 et 12000 cps. Sur la zone 4, Un dyke de I1G avec des valeurs entre 10000 et 53000 cps sur une dizaine de mètres. Une autre journée est prévue sur cette zone.							
Z4-Z5: Sur la zone 5, rencontre dyke de PG orienté NNW allant de 1000-2000cps sur environ 150m par 4m. Plus vers l'Ouest rencontre de plusieurs dykes de I1A à I1G allant de 1000-5000 cps sur plus ou moins 30m sur 2m. Background de ce secteur variant de 250-500 cps. Présence de Mg dans certains I1A, UP et Hm++ ou cps très élevé.							
Z28 Tasieluk: Observation de plis droits et obliques de direction 320 déversés vers le NE. Le plan axial des plis obliques a une direction 310 et pend de 45 à 50° vers le NE. Ces plis sont décimétriques et sont marqués par la pegmatite. Ils affectent par ailleurs le paragneiss et le gneiss granitique. Il apparaît par conséquent que cette phase de plissement est postérieure au dépôt du Lake Harbour, à la mise en place des plutons granitiques et enfin à celle de la pegmatite. Outre les pegmatites injectées dans le paragneiss, les gneiss granitiques à pegmatites présentent également des background relativement élevés compris entre 1000 et 3000 cps avec des pics à 6000 cps dans des spots décimétriques. Les paragneiss et les pegmatites associés sont altérés (sulfures) ou non. Il est important de vérifier si cette altération peut influencer sur le comportement de l'uranium et ainsi présenter des signaux différents. Il est à noter également que les pegmatites localisées au niveau du contact paragneiss - gneiss granitique montrent des cps plus élevés. Des structures complexes, plis méandriques, ont été observées fréquemment dans les paragneiss. Minéralogiquement, les gneiss granitiques sont riches en Feldspaths et en Quartz. La foliation est difficilement visible et donc mesurable en lien avec la rareté de la biotite.							
La granulométrie des gneiss granitiques varie des grains très fins à des grains moyens. Les paragneiss présentent une minéralogie à Quartz, Feldspath, Micas et plus rarement des porphyres de grenats. De plus, on y a observé des enclaves de "pyroxénite" (à vérifier). Les pegmatites sont parfois très riches en Feldspath ou en Quartz et la granulométrie diffère. Dans les charnières de plis décrits plus hauts, les pegmatites sont très riches en Quartz. Plus les pegmatites sont riches en biotite et en Quartz fumé, plus le signal est élevé							
PERSONNEL	TÂCHES	Couché	Heures	Hors camps	Échant: De	Échant: A	FACT.
1: Sylvain VAILLANCOURT	Chargé de projet	1	12				
2: Mikael BLOCK	Géologue	1	12				
3: Cyril MULLARD	Géologue	1	12				
4: Stéphane PIVIN	Géologue assistant	1	12		9269	9272	
5: Gaëtan TREMBLAY	Homme de camps - prospecteur	1	12				
6: Fred Jones	Pilote d'hélicoptère	1	12				
7: Nick	Technicien d'hélicoptère	1	12				
8: Jonathan Lalancette	Géologue	1	12		9451	9464	
9: Joanie Beland	Géologue assistante	1	12				
10: Benoît Massé	Géologue assistant	1	12				
11: Bertrand Taquet	Géologue sénior (client)	1	12				
12: Julie Menier	Géologue assistante	1	12		9333	9343	
13: Jordy Turcotte	Géologue assistant	1	12				
14: Michel Castilloux	Sans Frontières	1	12				
15: Bertrand Dallaire	Sans Frontières	1	12				
16: Pamela Tremblay	Géologue assistante	1	12				
17: Steve Laviole	Géologue	1	12				
VOLS D'HYDRATIONS:			AVARIS MÉCANIQUES:				
TEMPS D'HÉLICOPTÈRE: 2,7			ACCIDENTS:				
VOYAGES DE CAMION:			TEMPS MORT:				
EXPÉDITION D'ÉCHANTILLONS:			AMÉLIORATIONS À PRÉVOIR:				
ACHATS:							
MOBILISATION:							
DEMOBILISATION:			AVIS DISCIPLINAIRE:				
FORAGE- # TROU:		DE:	À:	VÉRIFICATION:			
BUDGET RÉSIDUEL:		DÉPENSES:		FACTURATION:			



RAPPORT JOURNALIER		Date: 11-07-2007	PROJET: 592	CAMPMENT: BARNOIN	MÉTÉO: beau temps avec passages nuageux.		
			CLIENT: North Western	RESP: Sylvain VAILLANCOURT	SIGNATURE:		
			APPEL QUOTIDIEN:				
<b>COMMENTAIRES SUR LES TRAVAUX:</b>							
Zoen 48: limitation de la zone le matin, puis échantillonnage l'après-midi. La zone d'intérêt fait approximativement 1 km de long pour près de 200 mètres de large. 16 échantillons ont été prélevés.							
Zone 4-5: Prospection et échantillonnage							
Zone 28 Tasialuk : Cartographie de détail de la zone							
<b>COMMENTAIRES SUR LA GÉOLOGIE:</b>							
Zoen 48: extension de la zone d'intérêt. La limite au nord se situe aux coordonnées 340580, 6484081; et au sud, la zone est limitée par la rivière, mais l'anomalie doit surement continuer de l'autre côté de la rivière. Du côté Sud de l'anomalie, un dyke de 10m de long sur 1m de large présente une zone continue avec des valeurs de 10000 à 20000 CPS. On y observe également de l'uranophane. Du côté Nord, plusieurs valeurs à 20000 et 15000 CPS ont été trouvées, avec un spot à uranophane. L'anomalie 48 fait donc près de 1km de long avec des valeurs sur toute la longueur. Du côté Sud, de part et d'autre du dyke on observe un changement de pendage des couches: du côté Ouest on a N150, 50 et du côté Est on a N330, 40. Le dyke pourrait se situer proche de la charnière du plis. Le plis pourrait aussi reprendre la zone 30 (à vérifier). On aurait donc possiblement un système de plis avec deux familles de dykes parallèles selon le plis.							
Zone 4-5: Benoit et Julie. Poursuite des traverses du côté Est. Rencontre de I1A à I1G avec background allant de 250-450 cps et de M4 et M6 avec background de 200-300 cps. Présence de dykes orientés N330° avec des zones allant de 2 à 40m de long sur 2 à 4m de large avec des cps variant entre 1000-5000. Ces zones anomaliques sont discontinues. Présence de Mg et Hm dans I1A et I1G entre 5-10% par endroits.							
Zone 4: Jonathan et Pamela: traverse au Sud de la haute valeur trouvée la veille. Ils ont trouvé plusieurs teneurs entre 5000 et 25000 cps dans des dykes métriques de pegmatite orientés plus ou moins Est-Ouest. Une veine avec 5-7% d'uranophane (10-50 cm) orienté Est-Ouest à l'intérieur d'un dyke de I1G a aussi été trouvée avec des teneurs assez élevées (20000-53000) et une valeur moyenne de 10000 cps (quelques centaines de mètres de la haute valeur de la veille).							
Zone 28: Steeve et Cyril: Poursuite de la description de détail, la section Est du grid a été complétée jusqu'à la ligne 30+00 au nord. Les valeurs répertoriées dans la journée sont peu élevées (inférieures à 1000 cps) avec de rares pics à 5000 cps. Le paragneiss domine le flanc et le cap et le Nord de la zone. Il se présente très altéré ou non. Nous n'avons à ce sujet pas observé d'influence de l'altération à sulfures sur la minéralisation en uranium. Les pegmatiques se trouvant dans ces paragneiss se sont avérées rarement minéralisées. Des bandes de pegmatiques quartziques centimétriques ont encore servi de marqueur pour représenter de forts plissements à l'échelle décimétrique. On a observé des veinules de quartz perpendiculaires à la schistosité du paragneiss, probablement dû au remplissage de fractures de largeur centimétrique se prolongeant sur des longueurs de 30 à 100 cm. Des séquences de gneiss granitique très silicifiées ont été vues à l'occasion. Deux charnières de plis ont pu être identifiées.							
PERSONNEL	TÂCHES	Couché	Heures	Hors camps	Échant: De	Échant: A	FACT.
1: Sylvain VAILLANCOURT	Chargé de projet	1	12				
2: Mikael BLOCK	Géologue	1	12		9371	9374	
3: Cyril MULLARD	Géologue	1	12				
4: Stéphane PIVIN	Géologue assistant	1	12		9273	9277	
5: Gaëtan TREMBLAY	Homme de camps - prospecteur	1	12				
6: Fred Jones	Pilote d'hélicoptère	1	12				
7: Nick	Technicien d'hélicoptère	1	12				
8: Jonathan Lalancette	Géologue	1	12		9465	9479	
9: Joanie Beland	Géologue assistante	1	12				
10: Benoit Massé	Géologue assistant	1	12		9550	9550	
11: Bertrand Taquet	Géologue sénior (client)	1	12				
12: Julie Menier	Géologue assistante	1	12		9344	9349	
13: Jordy Turcotte	Géologue assistant	1	12				
14: Michel Castilloux	Sans Frontières	1	12				
15: Bertrand Dallaire	Sans Frontières	1	12				
16: Pamela Tremblay	Géologue assistante	1	12				
17: Steve Lavoie	Géologue	1	12				
VOLS D'HYDRAVIONS:			AVARIS MÉCANIQUES:				
TEMPS D'HÉLICOPTÈRE: 2,4 H			ACCIDENTS:				
VOYAGES DE CAMION:			TEMPS MORT:				
EXPÉDITION D'ÉCHANTILLONS:			AMÉLIORATIONS À PRÉVOIR:				
ACHATS:							
MOBILISATION:							
DEMOBILISATION:			AVIS DISCIPLINAIRE:				
FORAGE - # TROU:		DE:	À:	VÉRIFICATION:		IOS Services Géoscientifiques Inc	
BUDGET RÉSIDUEL:		DÉPENSES:		FACTURATION:			

<b>RAPPORT JOURNALIER</b>		Date: 12-07-2007	PROJET: 592	CAMPMENT: BARNOIN	MÉTÉO: mauvais temps		
			CLIENT: North Western	RESP: Sylvain VAILLANCOURT	SIGNATURE:		
			APPEL QUOTIDIEN:				
<b>COMMENTAIRES SUR LES TRAVAUX:</b>							
Réorganisation des données et fichiers informatiques. Regroupement de toutes les données dans un même dossier et mis à jour dans les ordinateurs.							
DOWN TIME							
<b>COMMENTAIRES SUR LA GÉOLOGIE:</b>							
PERSONNEL	TÂCHES	Couché	Heures	Hors camps	Échant: De	Échant: A	FACT.
1: Sylvain VAILLANCOURT	Chargé de projet	1	12				
2: Mikael BLOCK	Géologue	1	12				
3: Cyril MULLARD	Géologue	1	12				
4: Stéphane PIVIN	Géologue assistant	1	12				
5: Gaetan TREMBLAY	Homme de camps - prospecteur	1	12				
6: Fred Jones	Pilote d'hélicoptère	1	12				
7: Nick	Technicien d'hélicoptère	1	12				
8: Jonathan Lalancette	Géologue	1	12				
9: Joanie Beland	Géologue assistante	1	12				
10: Benoit Massé	Géologue assistant	1	12				
11: Bertrand Taquet	Géologue sénior (client)	1	12				
12: Julie Menier	Géologue assistante	1	12				
13: Jordy Turcotte	Géologue assistant	1	12				
14: Michel Castilloux	Sans Frontières	1	12				
15: Bertrand Dallaire	Sans Frontières	1	12				
16: Pamela Tremblay	Géologue assistante	1	12				
17: Steve Lavoie	Géologue	1	12				
VOLS D'HYDRAVIONS:			AVARIS MÉCANIQUES:				
TEMPS D'HÉLICOPTÈRE: 0h			ACCIDENTS:				
VOYAGES DE CAMION:			TEMPS MORT: à cause du mauvais temps.				
EXPÉDITION D'ÉCHANTILLONS:			AMÉLIORATIONS À PRÉVOIR:				
ACHATS:							
MOBILISATION:							
DEMOBILISATION:			AVIS DISCIPLINAIRE:				
FORAGE - # TROU:	DE:	À:	VÉRIFICATION:	IOS Services Géoscientifiques Inc			
BUDGET RÉSIDUEL:	DÉPENSES:		FACTURATION:				



<b>RAPPORT JOURNALIER</b>		Date: 13-07-2007	PROJET: 592	CAMPEMENT: BARNOIN	MÉTÉO: temps variable avec passages pluvieux.																																																																																																																																																	
			CLIENT: North Western	RESP: Sylvain VAILLANCOURT	SIGNATURE:																																																																																																																																																	
			APPEL QUOTIDIEN:																																																																																																																																																			
<b>COMMENTAIRES SUR LES TRAVAUX:</b>																																																																																																																																																						
zone 28: travaux de lignes et cartographie.																																																																																																																																																						
zone 48: mise à jour de l'extension SE de la zone 40 du coté Sud de la rivière. La limite se situe vers 650 m vers le Sud est à partir de la rivière.																																																																																																																																																						
zone 4: prospection et échantillonnage.																																																																																																																																																						
Camps Inuit: compte-rendu du travail des prospecteurs inuits.																																																																																																																																																						
<b>COMMENTAIRES SUR LA GÉOLOGIE:</b>																																																																																																																																																						
Zone 48: l'extension Sud-Est de la zone est dans la même direction que les bandes situées au Nord-Ouest (direction N320). On retrouve les dykes de pegmatites dans des gneiss granitiques. Les dykes ont aussi une direction N320. On observe également des zones en amas de pegmatites qui semblent s'être regroupés en lentilles chaotiques sans directions préférentielles. La longueur totale de la zone approche les 2 km. L'épaisseur est proche de 200 m. Une bande centrale présente des signaux de 5000 à 25000 CPS. La longueur de cette bande est approximativement de 50m de long.																																																																																																																																																						
Zone 4: Vérification à l'entour de l'anomalie, rencontre de zones continues sur plus ou moins 5m allant de 800-5000cps et autre entre 800-1200cps dans I1G, un seul endroit à 24000 cps dans du I1G pas continue. Sur plan de fracture orienté N080 sur 10m environ cps entre 600-6000. Vers le NE rencontre d'un contact entre I1A(I1G) avec I3A orienté N332/36.																																																																																																																																																						
Zone 4: Jonathan et Pamela: trouvés des zones intéressantes avec des hautes valeurs dans l'extension Ouest-Nord-Ouest de la zone trouvée la veille. Une zone particulièrement intéressante mesurant environ 12 m par 25 m se trouve environ à 100 m dans cette orientation (5-7% uranophane localement, riche en biotite). La zone est encaissée dans une mince bande de paragneiss avec une foliation présentant un azimut de 310° et un pendage à 50°.																																																																																																																																																						
Zone 28: Selon Steeve et Cyril, les lignes de cent mètres du secteur Ouest ont été complétées, et le flanc Est est débuté sur les lignes de cinquante mètres. Plusieurs autres affleurements de gneiss granitique (bruit de fond de 500 à 2 000 cps) composés de nombreux dyke de pegmatite (2 000 à ont été trouvés sortant des valeurs de 2000-8000 cps sur de grande surface (variant de 4 m à 100 m carrés). Une teneur de 34 000 cps a été repérée à 15-20 m. Au Nord de la ligne (W-25-040) avec des comptes de 15 à 20 milles cps sur une surface de 2 par 2 mètres. Une zonation a été remarquée entre le paragneiss et les veines de quartz d'environ 1 à 5 centimètres de couleur fumé (noirâtre). On croit avoir trouvé dans un paragneiss une altération en fuschite accompagnée de porphyre de grenat noir violassé ( les porphyres rencontrés normalement sont rouges). Une hypothèse de grenat pyrope. Ensuite, quelques systèmes de fracture ont été mesurés.																																																																																																																																																						
<table border="1"> <thead> <tr> <th>PERSONNEL</th> <th>TÂCHES</th> <th>Couché</th> <th>Heures</th> <th>Hors camps</th> <th>Échant: De</th> <th>Échant: A</th> <th>FACT.</th> </tr> </thead> <tbody> <tr> <td>1: Sylvain VAILLANCOURT</td> <td>Chargé de projet</td> <td>1</td> <td>12</td> <td></td> <td></td> <td></td> <td></td> </tr> <tr> <td>2: Mikael BLOK</td> <td>Géologue</td> <td>1</td> <td>12</td> <td></td> <td></td> <td></td> <td></td> </tr> <tr> <td>3: Cyril MULLARD</td> <td>Géologue</td> <td>1</td> <td>12</td> <td></td> <td></td> <td></td> <td></td> </tr> <tr> <td>4: Stéphane PIVIN</td> <td>Géologue assistant</td> <td>1</td> <td>12</td> <td></td> <td></td> <td></td> <td></td> </tr> <tr> <td>5: Gaetan TREMBLAY</td> <td>Homme de camps - prospecteur</td> <td>1</td> <td>12</td> <td></td> <td></td> <td></td> <td></td> </tr> <tr> <td>6: Fred Jones</td> <td>Pilote d'hélicoptère</td> <td>1</td> <td>12</td> <td></td> <td></td> <td></td> <td></td> </tr> <tr> <td>7: Nick</td> <td>Technicien d'hélicoptère</td> <td>1</td> <td>12</td> <td></td> <td></td> <td></td> <td></td> </tr> <tr> <td>8: Jonathan Lalancette</td> <td>Géologue</td> <td>1</td> <td>12</td> <td></td> <td>9480</td> <td>9489</td> <td></td> </tr> <tr> <td>9: Joanie Beland</td> <td>Géologue assistante</td> <td>1</td> <td>12</td> <td></td> <td></td> <td></td> <td></td> </tr> <tr> <td>10: Benoît Massé</td> <td>Géologue assistant</td> <td>1</td> <td>12</td> <td></td> <td>9551</td> <td>9553</td> <td></td> </tr> <tr> <td>11: Bertrand Taquet</td> <td>Géologue sénior (client)</td> <td>1</td> <td>12</td> <td></td> <td></td> <td></td> <td></td> </tr> <tr> <td>12: Julie Menier</td> <td>Géologue assistante</td> <td>1</td> <td>12</td> <td></td> <td></td> <td></td> <td></td> </tr> <tr> <td>13: Jordy Turcotte</td> <td>Géologue assistant</td> <td>1</td> <td>12</td> <td></td> <td></td> <td></td> <td></td> </tr> <tr> <td>14: Michel Castiloux</td> <td>Sans Frontières</td> <td>1</td> <td>12</td> <td></td> <td></td> <td></td> <td></td> </tr> <tr> <td>15: Bertrand Dallaire</td> <td>Sans Frontières</td> <td>1</td> <td>12</td> <td></td> <td></td> <td></td> <td></td> </tr> <tr> <td>16: Pamela Tremblay</td> <td>Géologue assistante</td> <td>1</td> <td>12</td> <td></td> <td></td> <td></td> <td></td> </tr> <tr> <td>17: Steve Lavoie</td> <td>Géologue</td> <td>1</td> <td>12</td> <td></td> <td></td> <td></td> <td></td> </tr> </tbody> </table>							PERSONNEL	TÂCHES	Couché	Heures	Hors camps	Échant: De	Échant: A	FACT.	1: Sylvain VAILLANCOURT	Chargé de projet	1	12					2: Mikael BLOK	Géologue	1	12					3: Cyril MULLARD	Géologue	1	12					4: Stéphane PIVIN	Géologue assistant	1	12					5: Gaetan TREMBLAY	Homme de camps - prospecteur	1	12					6: Fred Jones	Pilote d'hélicoptère	1	12					7: Nick	Technicien d'hélicoptère	1	12					8: Jonathan Lalancette	Géologue	1	12		9480	9489		9: Joanie Beland	Géologue assistante	1	12					10: Benoît Massé	Géologue assistant	1	12		9551	9553		11: Bertrand Taquet	Géologue sénior (client)	1	12					12: Julie Menier	Géologue assistante	1	12					13: Jordy Turcotte	Géologue assistant	1	12					14: Michel Castiloux	Sans Frontières	1	12					15: Bertrand Dallaire	Sans Frontières	1	12					16: Pamela Tremblay	Géologue assistante	1	12					17: Steve Lavoie	Géologue	1	12				
PERSONNEL	TÂCHES	Couché	Heures	Hors camps	Échant: De	Échant: A	FACT.																																																																																																																																															
1: Sylvain VAILLANCOURT	Chargé de projet	1	12																																																																																																																																																			
2: Mikael BLOK	Géologue	1	12																																																																																																																																																			
3: Cyril MULLARD	Géologue	1	12																																																																																																																																																			
4: Stéphane PIVIN	Géologue assistant	1	12																																																																																																																																																			
5: Gaetan TREMBLAY	Homme de camps - prospecteur	1	12																																																																																																																																																			
6: Fred Jones	Pilote d'hélicoptère	1	12																																																																																																																																																			
7: Nick	Technicien d'hélicoptère	1	12																																																																																																																																																			
8: Jonathan Lalancette	Géologue	1	12		9480	9489																																																																																																																																																
9: Joanie Beland	Géologue assistante	1	12																																																																																																																																																			
10: Benoît Massé	Géologue assistant	1	12		9551	9553																																																																																																																																																
11: Bertrand Taquet	Géologue sénior (client)	1	12																																																																																																																																																			
12: Julie Menier	Géologue assistante	1	12																																																																																																																																																			
13: Jordy Turcotte	Géologue assistant	1	12																																																																																																																																																			
14: Michel Castiloux	Sans Frontières	1	12																																																																																																																																																			
15: Bertrand Dallaire	Sans Frontières	1	12																																																																																																																																																			
16: Pamela Tremblay	Géologue assistante	1	12																																																																																																																																																			
17: Steve Lavoie	Géologue	1	12																																																																																																																																																			
VOLS D'HYDRAVIONS:			AVARIS MÉCANIQUES;																																																																																																																																																			
TEMPS D'HÉLICOPTÈRE: 3,1H			ACCIDENTS:																																																																																																																																																			
VOYAGES DE CAMION:			TEMPS MORT: à cause du mauvais temps.																																																																																																																																																			
EXPÉDITION D'ÉCHANTILLONS:			AMÉLIORATIONS À PRÉVOIR:																																																																																																																																																			
ACHATS:																																																																																																																																																						
MOBILISATION:																																																																																																																																																						
DEMOBILISATION:			AVIS DISCIPLINAIRE:																																																																																																																																																			
FORAGE- # TROU:		DE:	À:	VÉRIFICATION:																																																																																																																																																		
BUDGET RÉSIDUEL:		DÉPENSES:		FACTURATION:																																																																																																																																																		

IOS Services Géoscientifiques Inc

<b>RAPPORT JOURNALIER</b>		Date: 14-07-2007	PROJET: 592	CAMPEMENT: BARNOIN	MÉTÉO: mauvais temps avec pluie.		
			CLIENT: North Western	RESP: Sylvain VAILLANCOURT	SIGNATURE:		
			APPEL QUOTIDIEN:				
<b>COMMENTAIRES SUR LES TRAVAUX:</b>							
zone 28: travaux de lignes et cartographie.							
zone 48: Échantillonnage au Nord et au Sud de la zone 48.							
DOWN TIME à partir de 11h à cause du mauvais temps.							
Réorganisation du bureau dans l'après-midi.							
<b>COMMENTAIRES SUR LA GÉOLOGIE:</b>							
Zone 48: observation d'uranophane (??) sans signatures radiométrique... Est-ce une altération? Découverte d'une zone ayant un fort signal CPS dans la zone Sud au bord du lac (plusieurs spots entre 10000-20000 CPS plus un maximum de plus de 30000 CPS). Les plus forts signaux semblent être concentrés au niveau des plaques de biotites.							
Zone 28: Steeve et Cyril, suite des travaux sur la description de détail des lignes Cinquante Est. Les valeurs retenues varient entre 1 000 et 5 000 CPS. Nous avons défini une nouvelle codification nommée <zone diffuse> se définissant comme plusieurs bandes de différentes lithologies centimétriques à décimétriques sur des largeurs métriques. Seules trois lignes ont été complétées car nous avons quitté le terrain à 11:30 a.m. à cause de la mauvaise météo.							
<b>PERSONNEL</b>	<b>TÂCHES</b>	<b>Couché</b>	<b>Heures</b>	<b>Hors camps</b>	<b>Échant: De</b>	<b>Échant: A</b>	<b>FACT.</b>
1: Sylvain VAILLANCOURT	Chargé de projet	1	12				
2: Mikael BLOCK	Géologue	1	12		9375	9380	
3: Cyril MULLARD	Géologue	1	12				
4: Stéphane PIVIN	Géologue assistant	1	12		9278	9281	
5: Gaetan TREMBLAY	Homme de camps - prospecteur	1	12				
6: Fred Jones	Pilote d'hélicoptère	1	12				
7: Nick	Technicien d'hélicoptère	1	12				
8: Jonathan Lalancette	Géologue	1	12		9490	9495	
9: Joanie Beland	Géologue assistante	1	12				
10: Benoit Massé	Géologue assistant	1	12		9551	9553	
11: Bertrand Taquet	Géologue sénior (client)	1	12				
12: Julie Menier	Géologue assistante	1	12				
13: Jordy Turcotte	Géologue assistant	1	12				
14: Michel Castilloux	Sans Frontières	1	12				
15: Bertrand Dallaire	Sans Frontières	1	12				
16: Pamela Tremblay	Géologue assistante	1	12				
17: Steve Lavoie	Géologue	1	12				
VOLS D'HYDRAVIONS:			AVARIS MÉCANIQUES:				
TEMPS D'HÉLICOPTÈRE: 1,8H			ACCIDENTS:				
VOYAGES DE CAMION:			TEMPS MORT: à cause du mauvais temps.				
EXPÉDITION D'ÉCHANTILLONS:			AMÉLIORATIONS À PRÉVOIR:				
ACHATS:							
MOBILISATION:							
DEMOBILISATION:			AVIS DISCIPLINAIRE:				
FORAGE- # TROU:	DE:	À:	VÉRIFICATION:		IOS Services Géoscientifiques Inc		
BUDGET RÉSIDUEL:	DÉPENSES:		FACTURATION:				



<b>RAPPORT JOURNALIER</b>		Date: 15-07-2007	PROJET: 592	CAMPEMENT: BARNOIN	METEO: beau temps		
			CLIENT: North Western	RESP: Sylvain VAILLANCO	SIGNATURE:		
			APPEL QUOTIDIEN:				
<b>COMMENTAIRES SUR LES TRAVAUX:</b>							
Zone 4: Prospection et échantillonnage dans la zone 4. Quatre groupes de 2 personnes étaient répartis sur 4 zones différentes autour des points déjà relevés. Bertrand Taquet et Sylvain Vaillancourt sont venus sur le terrain pour constater le potentiel.							
Zone 28: Par Steeve et Cyril, début des travaux de mise en carte sur papier de la zone comprenant tout les lignes de cinquante mètres.							
<b>COMMENTAIRES SUR LA GÉOLOGIE:</b>							
Zone 4: Traverse vers le NE de l'anomalie. Vérification d'une extension avec les autres anomalies trouvées plus au SSE. Rencontre d'une zone de 10m par 15m allant de 800-20000cps dans du I1A avec présence de UP, rencontre aussi d'un endroit à 30 000 cps mais isolé. Rencontre aussi de petites zones allant de 2m-10m par 1m-2m continue allant de 800-1500 cps et 1000-3500 cps.							
Prospection et échantillonnage entre les coordonnées: 349000 à 349500 en estant et entre 6499500 à 64500000 en nordant. Pas de grosse anomalies relevées. Seulement quelques spots de I1B avec des valeurs allant de 1500 à 9500 CPS ont été trouvés. Ces spots ne sont pas continus, et sont très localisés. Prospection et échantillonnage dans la zone MPH 47 : rencontre d'une zone à signal anomalique dans du I1G avec CPS moyen compris entre 900 et 1600 (coordonnées : E 350135, N 6502062 et E 350165, N 6502020), des valeurs ponctuelles maximales de 5800 et 7000 CPS y ont été observées, quelques échantillons trouvés à plus de 10000cps au Nord-Ouest de l'échantillon à 53000cps. La continuité n'a pas encore été vérifiée plus au Nord.							
Zone 28: Par Steeve et Cyril, la géologie commence à mieux se visualiser, les corrélations s'annoncent bien. Le secteur Sud de la grille se compose principalement de gneiss granitique, le Nord de paragneiss non altéré massif tandis que le centre de la grille présente un paragneiss beaucoup plus altéré. Le versant Est du grid se compose de lithologies plus uniformes et homogènes, contrairement à celui de l'Ouest qui se définit comme un amalgame de bandes de paragneiss, gneiss granitique et de pegmatite centrimétriques à décimétriques.							
<b>PERSONNEL</b>	<b>TÂCHES</b>	<b>Couché</b>	<b>Heures</b>	<b>Hors camps</b>	<b>Echant: De</b>	<b>Echant: A</b>	<b>FACT.</b>
1: Sylvain VAILLANCOURT	Chargé de projet	1	12				
2: Mikael BLOCK	Géologue	1	12		9381	9385	
3: Cyril MULLARD	Géologue	1	12				
4: Stéphane PIVIN	Géologue assistant	1	12		9282	9283	
5: Gaetan TREMBLAY	Homme de camps - prospecteur	1	12				
6: Fred Jones	Pilote d'hélicoptère	0	0				
7: Nick	Technicien d'hélicoptère	0	0				
8: Jonathan Lalancette	Géologue	1	12				
9: Joanie Beland	Géologue assistante	1	12				
10: Benoit Massé	Géologue assistant	1	12		9557	9563	
11: Bertrand Taquet	Géologue sénior (client)	1	12				
12: Julie Menier	Géologue assistante	1	12				
13: Jordy Turcotte	Géologue assistant	1	12				
14: Michel Castilloux	Sans Frontières	1	12				
15: Bertrand Dallaire	Sans Frontières	1	12				
16: Pamela Tremblay	Géologue assistante	1	12				
17: Steve Lavoie	Géologue	1	12				
VOLS D'HYDRAVIONS:			AVARIS MECANIKUES:				
TEMPS D'HELICOPTERE: 0h. Demob Otelnuh			ACCIDENTS:				
VOYAGES DE CAMION:			TEMPS MORT: à cause du mauvais temps.				
EXPÉDITION D'ÉCHANTILLONS:			AMÉLIORATIONS À PRÉVOIR:				
ACHATS:							
MOBILISATION:							
DEMÓBILISATION:			AVIS DISCIPLINAIRE:				
FORAGE- # TROU:	DE:	A:	VERIFICATION:	IOS Services Géoscientifiques Inc			
BUDGET RESIDUEL:	DÉPENSES:		FACTURATION:				

<b>RAPPORT JOURNALIER</b>		Date: 16-07-2007	PROJET: 592	CAMPEMENT: BARNOIN	METEO: mauvais temps avec vents forts et pluie.					
			CLIENT: North Western	RESP: Sylvain VAILLANCO	SIGNATURE:					
			APPEL QUOTIDIEN:							
<b>COMMENTAIRES SUR LES TRAVAUX:</b>										
Zone 28: Steeve et Cyril. Mise en carte de la description de détail(elle est maintenant à jour) et l'élaboration d'une carte radiométrique informatique avec les lignes de cent mètres.										
Zones 4-5: prospection et échantillonnage.										
<b>COMMENTAIRES SUR LA GÉOLOGIE:</b>										
Zone 4: Benoit et Julie. Poursuite de la traverse d'hier, vers Ouest, NO et vers l'Est des lacs. Affleurement de I1A à I1G dans M4, rencontre d'une petite zone continue sur 5m de 800-1500 cps. Sur les affleurements du côté NO rien trouvé background allant de 200-350 cps. Sur les bras qui séparent les lacs petits spot de 1000cps à plusieurs endroits. Au Nord de ces lacs 2 petites zones allant de 1000-6000cps. Vers l'Est rencontre de zone de 800-1500cps et 1000-5500cps plus ou moins continues (non échantillonnés manque de temps, mais point gps).										
Zone 28: Steeve et Cyril. Sur le plan de la carte papier, les grandes unités sont visibles accompagnées de zones diffuses décrites antérieurement. La carte radiométrique fait bien ressortir les anomalies.										
Zone 4: Jonathan/Paméla: Vérification de l'anomalie 63 (extrême Nord-Ouest). Identifiés 2 zones intéressantes. La première fait 2 m par 5 m avec des valeurs maximales de 20000-25000 cps et des zones avec 5-7% Uranophane et se retrouve une centaine de mètres au Nord de l'anomalie. La deuxième est une petite zone de 1 m carré avec des valeurs maximales de 20000 cps.										
Zone 5: la zone 5 est surtout constituée de granite, gneiss granitiques. On observe quelques spots dans ces faciès avec des signaux de 1000 à 6000 CPS. Ces spots semblent suivre une directions continue (N330), même si l'on observe pas de continuités entre les spots. Il a été trouvé également une zone importante avec de forts signaux CPS: c'est une bande de 2 mètres de large sur près de 100m de long avec un signal moyen de 1000CPS. Le signal maximum détecté est de plus de 20000 CPS. La bande en question n'est pas distincte de l'encaissant: l'ensemble correspond à un faciès de granite massif. La seule différence est que la bande est en relief positif. On observe également un dépôt de magnétite massive dans la bande de granite avec une forte proportion de quartz.										
<b>PERSONNEL</b>		<b>TÂCHES</b>			<b>Couché</b>	<b>Heures</b>	<b>Hors camps</b>	<b>Echant: De</b>	<b>Echant: A</b>	<b>FACT.</b>
1: Sylvain VAILLANCOURT		Chargé de projet			1	12				
2: Mikael BLOCK		Géologue			1	12		9386	9390	
3: Cyril MULLARD		Géologue			1	12				
4: Stéphane PIVIN		Géologue assistant			1	12				
5: Gaetan TREMBLAY		Homme de camps - prospecteur			1	12				
6: Fred Jones		Pilote d'hélicoptère			0	0				
7: Nick		Technicien d'hélicoptère			0	0				
8: Jonathan Lalancette		Géologue			1	12		9505	9508	
9: Joanie Beland		Géologue assistante			1	12				
10: Benoit Massé		Géologue assistant			1	12				
11: Bertrand Taquet		Géologue sénior (client)			1	12				
12: Julie Menier		Géologue assistante			1	12				
13: Jordy Turcotte		Géologue assistant			1	12				
14: Michel Castilloux		Sans Frontières			1	12				
15: Bertrand Dallaire		Sans Frontières			1	12				
16: Pamela Tremblay		Géologue assistante			1	12				
17: Steve Lavoie		Géologue			1	12				
VOLS D'HYDRAVIONS:				AVARIS MECANIKUES;						
TEMPS D'HELICOPTERE: 0h. Demob Otelnuk				ACCIDENTS:						
VOYAGES DE CAMION:				TEMPS MORT: à cause du mauvais temps.						
EXPÉDITION D'ÉCHANTILLONS:				AMÉLIORATIONS A PREVOIR:						
ACHATS:										
MOBILISATION:										
DEMOBILISATION:				AVIS DISCIPLINAIRE:						
FORAGE - # TROU:		DE:	A:	VERIFICATION:						
BUDGET RESIDUEL:		DEPENSES:		FACTURATION:		IOS Services Géoscientifiques Inc				



<b>RAPPORT JOURNALIER</b>		Date: 17-07-2007	PROJET: 592	CAMPEMENT: BARNOIN	METEO: temps nuageux et légèrement venteux.				
			CLIENT: North Western	RESP: Sylvain VAILLANCO	SIGNATURE:				
			APPEL QUOTIDIEN:						
<b>COMMENTAIRES SUR LES TRAVAUX:</b>									
Zone 28: Steeve et Cyril, une mise en carte sur papier des valeurs radiométriques									
Prospection et échantillonnage entre les zones MPH 64 et 65: 4 zones prospectées. La première se situe aux coordonnées: 353390-6497000. La deuxième se situe aux coordonnées: 353660-6497250. La troisième se situe aux coordonnées: 353250-6497630. Et la quatrième zone se situe aux coordonnées: 353030-64980550.									
<b>COMMENTAIRES SUR LA GÉOLOGIE:</b>									
zone 1 (353390-6497000): la zone se situe au niveau du flanc de la colline. On observe la présence de grands champs de blocs. Le sommet est constitué de gneiss granitiques, et les flancs sont constitués de paragneiss fortement lités et parfois fortement altérés (couleur rouille). Pas de signaux détectés. Juste un échantillon a été pris sur un bloc avec une valeur de 4700 CPS.									
Zone 28: une superposition de la carte radiométrique sur celle lithologique, la minéralisation corrèle bien avec leurs lithologies respectives.									
Zone 64-65: Vérification de 4 petites anomalies à l'Ouest du lac Barnoin dans le flanc Est de la montagne. Les anomalies 3 et 4 sont des petits affleurements et champs de blocs avec des background variant entre 300-500 cps dans un secteur où la forêt est dense (background de 200-250 cps). Quelques échantillons intéressants (17000 cps max) ont été pris sur le dessus de la montagne dans des dykes de 11G. Les deux anomalies les plus au Nord (5 et 6) n'ont pas été vérifiées.									
<b>PERSONNEL</b>		<b>TÂCHES</b>		<b>Couché</b>	<b>Heures</b>	<b>Hors camps</b>	<b>Echant: De</b>	<b>Echant: A</b>	<b>FACT.</b>
1: Sylvain VAILLANCOURT		Chargé de projet		1	12				
2: Mikael BLOCK		Géologue		1	12		9390	9391	
3: Cyril MULLARD		Géologue		1	12				
4: Stéphane PIVIN		Géologue assistant		1	12				
5: Gaetan TREMBLAY		Homme de camps - prospecteur		1	12				
6: Fred Jones		Pilote d'hélicoptère		1	12				
7: Nick		Technicien d'hélicoptère		1	12				
8: Jonathan Lalancette		Géologue		1	12		9509		
9: Joanie Beland		Géologue assistante		1	12		9214	9214	
10: Benoit Massé		Géologue assistant		1	12				
11: Bertrand Taquet		Géologue sénior (client)		1	12				
12: Julie Menier		Géologue assistante		1	12				
13: Jordy Turcotte		Géologue assistant		1	12				
14: Michel Castilloux		Sans Frontières		1	12				
15: Bertrand Dallaire		Sans Frontières		1	12				
16: Pamela Tremblay		Géologue assistante		1	12		9412	9413	
17: Steve Lavoie		Géologue		1	12				
VOLS D'HYDRAVIONS:				AVARIS MECANIQUES:					
TEMPS D'HELICOPTERE: 3,4 hrs				ACCIDENTS:					
VOYAGES DE CAMION:				TEMPS MORT: à cause du mauvais temps.					
EXPEDITION D'ECHANTILLONS:				AMELIORATIONS A PREVOIR:					
ACHATS:									
MOBILISATION:									
DEMOBILISATION:				AVIS DISCIPLINAIRE:					
FORAGE- # TROU:		DE:	A:	VERIFICATION:		IOS Services Géoscientifiques Inc			
BUDGET RESIDUEL:		DEPENSES:		FACTURATION:					

RAPPORT JOURNALIER		Date: 18-07-2007	PROJET: 592	CAMPMENT: BARNOIN	METEO: temps nuageux		
			CLIENT: North Western	RESP: Sylvain VAILLANCO	SIGNATURE:		
			APPEL QUOTIDIEN:				
<b>COMMENTAIRES SUR LES TRAVAUX:</b>							
Zone 28: Steeve et Julie ont mis en carte la structure, Steeve et Cyril ont repris la description de détail en après-midi, il reste 4 lignes du flanc Ouest pour compléter les lignes de cinquante mètres.							
Zone 48: Echantillonnage de la zone. 57 échantillons. L'échantillonnage de la zone 48 est terminé.							
<b>COMMENTAIRES SUR LA GÉOLOGIE:</b>							
Zone 28: la structure représente une schistosité variant entre 290 et 330 degrés avec un pendage entre 50 et 80 degrés. Plusieurs systèmes de fractures sont orientés entre 250 et 270 degrés. Sur le terrain, de grand cap à l'échelle métrique carrés possède des valeurs moyennes entre 1000 et 3000 cps avec des pics entre 5000 et 10 000 cps. De nouvelles bandes minéralisées entre 2000 et 9000 cps ont été trouvées a flanc de lac.							
Zone 48: Echantillonnage des pegmatites. Les pegmatites ressemblent fortement à des granites massifs. On remarque également que l'uranophane se trouve essentiellement à proximité des cristaux (fumés ou pas) de quartz. Quelques échantillons avec des cps de 20000-42000cps semblent être marqués par une très forte concentration de biotite (45-80% BO).							
Zone 48: échantillonnage des dykes de pegmatites dans le secteur sud. 30 échantillons ont été pris avec des valeurs entre 3000 et 25000 cps. L'échantillonnage est considéré terminé sur cette zone.							
PERSONNEL	TACHES	Couché	Heures	Hors camps	Echant: De	Echant: A	FACT.
1: Sylvain VAILLANCOURT	Chargé de projet	1	12				
2: Mikael BLOCK	Géologue	1	12				
3: Cyril MULLARD	Géologue	1	12				
4: Stéphane PIVIN	Géologue assistant	1	12		9284	9291	
5: Gaetan TREMBLAY	Homme de camps - prospecteur	1	12				
6: Fred Jones	Pilote d'hélicoptère	1	12				
7: Nick	Technicien d'hélicoptère	1	12				
8: Jonathan Lalancette	Géologue	1	12		9510	9527	
9: Joanie Beland	Géologue assistante	1	12				
10: Benoit Massé	Géologue assistant	1	12				
11: Bertrand Taquet	Géologue sénior (client)	1	12				
12: Julie Menier	Géologue assistante	1	12				
13: Jordy Turcotte	Géologue assistant	1	12				
14: Michel Castilloux	Sans Frontières	1	12				
15: Bertrand Dallaire	Sans Frontières	1	12				
16: Pamela Tremblay	Géologue assistante	1	12				
17: Steve Lavoie	Géologue	1	12				
VOLS D'HYDRAVIONS:			AVARIS MECANIQUES:				
TEMPS D'HELICOPTERE: 3,3 hrs			ACCIDENTS:				
VOYAGES DE CAMION:			TEMPS MORT: à cause du mauvais temps.				
EXPEDITION D'ECHANTILLONS:			AMELIORATIONS A PREVOIR:				
ACHATS:							
MOBILISATION:							
DEMOBILISATION:			AVIS DISCIPLINAIRE:				
FORAGE- # TROU:		DE:	A:	VERIFICATION:			
BUDGET RESIDUEL:		DEPENSES:		FACTURATION:			
<b>IOS Services Géoscientifiques Inc</b>							



<b>RAPPORT JOURNALIER</b>		Date: 19-07-2007	PROJET: 592	CAMPEMENT: BARNOIN	METEO: beau temps.		
			CLIENT: North Western	RESP: Sylvain VAILLANCO	SIGNATURE:		
			APPEL QUOTIDIEN:				
<b>COMMENTAIRES SUR LES TRAVAUX:</b>							
Zone 28: description de détail et la radiométrie ont été complétées sur les lignes cinquantes mètres, deuxième journées de boulder buster.							
Zone 48: mesure des épaisseurs des dykes de pegmatites.							
Zone 30: mise en place de la base-line.							
<b>COMMENTAIRES SUR LA GÉOLOGIE:</b>							
Zone 28: une nouvelle bande métrique a été trouvée et échantillonnée, l'équipe du boulder buster comprend mieux le comportement de la roche et obtient de meilleur blast, cinq sur sept ont été réussis, trois échantillons ont été récoltés, à seulement un pied de profondeur, on remarque déjà environ une augmentation significative des valeurs en cps.							
Zone 48: Benoit et Stéphane : mesure de l'épaisseur des dykes de pegmatites dans la partie Sud de la zone (rive gauche de la rivière). Les épaisseurs sont généralement comprises entre 1 et 5 m. 1 dyke avec une épaisseur de l'ordre de la dizaine de mètre a été mis en évidence : coordonnées E341326, N6482843 ; E341348, N6482823. Les valeurs moyennes maximales observées sont de l'ordre de 1300 à 3100 CPS. Julie et Pamela : idem à Benoit et Stéphane mais pour la partie Nord de la zone (pas terminée). Les épaisseurs varient généralement de 1m à 10m (une épaisseur maximale de 25m observée) et les valeurs des cps maximales varient de 1000 à 5800.							
Zone 30: base-line selon la direction principale des dykes de pegmatite. La direction décidée est la suivante: N340. Le pendage est de 45° vers l'Est.							
<b>PERSONNEL</b>	<b>TACHES</b>	<b>Couché</b>	<b>Heures</b>	<b>Hors camps</b>	<b>Echant: De</b>	<b>Echant: A</b>	<b>FACT.</b>
1: Sylvain VAILLANCOURT	Chargé de projet	1	12				oui
2: Mikael BLOCK	Géologue	1	12				oui
3: Cyril MULLARD	Géologue	1	12				oui
4: Stéphane PIVIN	Géologue assistant	1	12				oui
5: Gaetan TREMBLAY	Homme de camps - prospecteur	1	12				oui
6: Fred Jones	Pilote d'hélicoptère	1	12				oui
7: Nick	Technicien d'hélicoptère	1	12				oui
8: Jonathan Lalancette	Géologue	1	12				oui
9: Joanie Beland	Géologue assistante	1	12				oui
10: Benoit Massé	Géologue assistant	1	12				oui
11: Bertrand Taquet	Géologue sénior (client)	1	12				non
12: Julie Menier	Géologue assistante	1	12				oui
13: Jordy Turcotte	Géologue assistant	1	12				oui
14: Michel Castilloux	Sans Frontières	1	12				oui
15: Bertrand Dallaire	Sans Frontières	1	12				oui
16: Pamela Tremblay	Géologue assistante	1	12				oui
17: Steve Lavoie	Géologue	1	12				oui
18: Marek	Client	1	12				non
VOLS D'HYDRAVIONS:			AVARIS MECANIQUES:				
TEMPS D'HELICOPTERE: 3,9 heures			ACCIDENTS: Blessure à la jambe de Joanie				
VOYAGES DE CAMION:			TEMPS MORT: à cause du mauvais temps.				
EXPÉDITION D'ÉCHANTILLONS:			AMÉLIORATIONS À PRÉVOIR:				
ACHATS:							
MOBILISATION:							
DEMOBILISATION:			AVIS DISCIPLINAIRE:				
FORAGE - # TROU:	DE:	A:	VERIFICATION:				
BUDGET RESIDUEL:	DÉPENSES:		FACTURATION:				
<b>IOS Services Géoscientifiques Inc</b>							

<b>RAPPORT JOURNALIER</b>		Date: 20-07-2007		PROJET: 592	CAMPEMENT: BARNOIN	MÉTÉO: Nuageux, pluvieux.		
				CLIENT: North Western	RESP: Jonathan Lalancette	SIGNATURE:		
APPEL QUOTIDIEN:								
COMMENTAIRES SUR LES TRAVAUX: Aucun travaux étant donné la mauvaise température. Démobilisation de Sylvain Vaillancourt, Bertrand Dallaire et Mikael Block vers Chicoutimi. Arrivée de Daniel de Sans Frontières.								
COMMENTAIRES SUR LA GÉOLOGIE:								
PERSONNEL	TACHES	Couché	Heures	Hors camps	Echant: De	Echant: A	FACT.	
1: Sylvain VAILLANCOURT	Chargé de projet		12				oui	
2: Mikael BLOCK	Géologue		12				oui	
3: Cyril MULLARD	Géologue	1	12				oui	
4: Stéphane PIVIN	Géologue assistant	1	12				oui	
5: Gaetan TREMBLAY	Homme de camps - prospecteur	1	12				oui	
6: Fred Jones	Pilote d'hélicoptère	1	12				oui	
7: Nick	Technicien d'hélicoptère	1	12				oui	
8: Jonathan Lalancette	Géologue	1	12				oui	
9: Joanie Beland	Géologue assistante	1	12				oui	
10: Benoit Massé	Géologue assistant	1	12				oui	
11: Bertrand Taquet	Géologue sénior (client)	1	12				non	
12: Julie Menier	Géologue assistante	1	12				oui	
13: Jordy Turcotte	Géologue assistant	1	12				oui	
14: Michel Castilloux	Sans Frontières	1	12				oui	
15: Bertrand Dallaire	Sans Frontières		12				oui	
16: Pamela Tremblay	Géologue assistante	1	12				oui	
17: Steve Lavoie	Géologue	1	12				oui	
18: Marek	Client	1	12				non	
19: Daniel	Sans Frontières	1	12				oui	
VOLS D'HYDRAVIONS:				AVARIS MÉCANIQUES:				
TEMPS D'HELICOPTERE: rev : 0,9				ACCIDENTS:				
VOYAGES DE CAMION:				TEMPS MORT: Toute la journée				
EXPEDITION D'ECHANTILLONS: 133 échantillons				AMÉLIORATIONS A PRÉVOIR:				
ACHATS:								
MOBILISATION: Daniel				AVIS DISCIPLINAIRE:				
DEMOBILISATION: Sylvain, Mikael et Bertrand				VERIFICATION:				
FORAGE - # TROU:		DE:	A:	FACTURATION:				
BUDGET RESIDUEL:		DÉPENSES:		<b>IOS Services Géoscientifiques Inc</b>				



<b>RAPPORT JOURNALIER</b>		Date: 21-07-2007	PROJET: 592	CAMPEMENT: BARNOIN	METEO: Nuageux, pluvieux.				
			CLIENT: North Western	RESP: Jonathan Lalancette	SIGNATURE:				
			APPEL QUOTIDIEN:						
COMMENTAIRES SUR LES TRAVAUX: Zone 28: 2 personnes (Joanie et Jordi) sur la lecture des valeurs radiométriques, 2 personnes (Gaetan et Julie) sur le chaînage des lignes et 3 personnes (Michel, Daniel et Steeve) sur l'échantillonnage (boulder blaster).									
Zone 30: Finission de la "Base Line" (Jonathan et Paméla) et commencement de la ligne de raccrochement entre les deux grilles.									
Zone 48: Benoit; rencontre avec les inuits et commencement de la construction du pont pour relier les deux rives.									
COMMENTAIRES SUR LA GÉOLOGIE:									
Zone 28: l'échantion 592 0110 a été récolté. À vérifier, lors de la prise de mesure sur deux reprises à l'aide du spectromètre, un résultat de 0.00% en K ?									
<b>PERSONNEL</b>		<b>TACHES</b>		<b>Couché</b>	<b>Heures</b>	<b>Hors camps</b>	<b>Echant: De</b>	<b>Echant: A</b>	<b>FACT.</b>
1: Jonathan Lalancette		Chargé de projet		1	12				oui
16: Pamela Tremblay		Géologue assistante		1	12				oui
3: Cyril MULLARD		Géologue		1	12				oui
4: Stéphane PIVIN		Géologue assistant		1	12				oui
5: Gaetan TREMBLAY		Homme de camps - prospecteur		1	12				oui
6: Fred Jones		Pilote d'hélicoptère		1	12				oui
7: Nick		Technicien d'hélicoptère		1	12				oui
19: Daniel Paradis		Sans Frontières		1	12				oui
9: Joanie Beland		Géologue assistante		1	12				oui
10: Benoit Massé		Géologue assistant		1	12				oui
17: Steve Lavoie		Géologue		1	12		5920110		oui
12: Julie Menier		Géologue assistante		1	12				oui
13: Jordy Turcotte		Géologue assistant		1	12				oui
14: Michel Castilloux		Sans Frontières		1	12				oui
TOTAL EMPLOYÉS				14					
VOLS D'HYDRAVIONS:				AVARIS MECANIQUES:					
TEMPS D'HELICOPTERE: 3,3 heures				ACCIDENTS:					
VOYAGES DE CAMION:				TEMPS MORT:					
EXPEDITION D'ECHANTILLONS:				AMELIORATIONS A PREVOIR:					
ACHATS:									
MOBILISATION:									
DEMOBILISATION: Les deux clients en avant-midi				AVIS DISCIPLINAIRE:					
FORAGE- # TROU:		DE: A:		VERIFICATION:		IOS Services Géoscientifiques Inc			
BUDGET RESIDUEL:		DEPENSES:		FACTURATION:					

<b>RAPPORT JOURNALIER</b>		Date: 22-07-2007	PROJET: 592	CAMPEMENT: BARNOIN	METEO: Nuageux, pluvieux.				
			CLIENT: North Western	RESP: Jonathan Lalancette	SIGNATURE:				
			APPEL QUOTIDIEN:						
<b>COMMENTAIRES SUR LES TRAVAUX:</b> Zone 28: 3 personnes sur l'échantillonnage avec le boulder blaster (Daniel, Gaetan, Steeve). Michel a orienté les lignes au 25 m sur la grille, Julie et Jordi les ont chaîné. Joanie a fait les lectures radiométriques sur les lignes au 25 m. Zone 30: 4 personnes (Jonathan, Stéphane, Cyril et Paméla) pour orienter et chaîner les lignes de la grille. La ligne de raccrochement n'a pas la bonne orientation et devra être refaite. Environ 2 km de ligne dans la journée. Zone 48: Benoît et le groupe d'autochtones ont travaillé sur la conception du pont pour traverser la rivière. Les arbres semblent trop petits et mettent en danger la conclusion du projet d'ingénierie complexe.									
<b>COMMENTAIRES SUR LA GEOLOGIE:</b> / échantillons ont été pris sur la zone 28 à l'aide du boulder blaster. On remarque une augmentation marquée des cps à une profondeur de 40-50 cm.									
<b>PERSONNEL</b>		<b>TACHES</b>		<b>Couché</b>	<b>Heures</b>	<b>Hors camps</b>	<b>Echant: De</b>	<b>Echant: A</b>	<b>FACT.</b>
1: Jonathan Lalancette		Chargé de projet		1	12				oui
16: Pamela Tremblay		Géologue assistante		1	12				oui
3: Cyril MULLARD		Géologue		1	12				oui
4: Stéphane PIVIN		Géologue assistant		1	12				oui
5: Gaetan TREMBLAY		Homme de camps - prospecteur		1	12				oui
6: Fred Jones		Pilote d'hélicoptère		1	12				oui
7: Nick		Technicien d'hélicoptère		1	12				oui
19: Daniel Paradis		Sans Frontières		1	12				oui
9: Joanie Beland		Géologue assistante		1	12				oui
10: Benoit Massé		Géologue assistant		1	12				oui
17: Steeve Lavoie		Géologue		1	12		592110	592118	oui
12: Julie Menier		Géologue assistante		1	12				oui
13: Jordy Turcotte		Géologue assistant		1	12				oui
14: Michel Castilloux		Sans Frontières		1	12				oui
TOTAL EMPLOYÉS					14				
VOLS D'HYDRAVIONS:			AVARIS MÉCANIQUES:						
TEMPS D'HELICOPTÈRE: 2,9 heure			ACCIDENTS:						
VOYAGES DE CAMION:			TEMPS MORT						
EXPÉDITION D'ÉCHANTILLONS:			AMÉLIORATIONS À PRÉVOIR:						
ACHATS:									
MOBILISATION:									
DEMOBILISATION:			AVIS DISCIPLINAIRE:						
FORAGE- # TROU:		DE:	A:	VERIFICATION:		IOS Services Géoscientifiques Inc			
BUDGET RÉSIDUEL:		DÉPENSES:		FACTURATION:					



<b>RAPPORT JOURNALIER</b>		Date: 23-07-2007	PROJET: 592	CAMPEMENT: BARNOIN	METEO: Nuageux, pluvieux.		
			CLIENT: North Western	RESP: Jonathan Lalancette	SIGNATURE:		
			APPEL QUOTIDIEN:				
COMMENTAIRES SUR LES TRAVAUX: La température nous a empêché d'aller sur le terrain aujourd'hui. Travail de bureau et entretien du camp.							
COMMENTAIRES SUR LA GÉOLOGIE:							
PERSONNEL	TÂCHES	Couché	Heures	Hors camps	Echant: De	Echant: A	FACT.
1: Jonathan Lalancette	Chargé de projet	1	12				oui
16: Pamela Tremblay	Géologue assistante	1	12				oui
3: Cyril MULLARD	Géologue	1	12				oui
4: Stéphane PIVIN	Géologue assistant	1	12				oui
5: Gaetan TREMBLAY	Homme de camps - prospecteur	1	12				oui
6: Fred Jones	Pilote d'hélicoptère	1	12				oui
7: Nick	Technicien d'hélicoptère	1	12				oui
19: Daniel Paradis	Sans Frontières	1	12				oui
9: Joanie Beland	Géologue assistante	1	12				oui
10: Benoit Massé	Géologue assistant	1	12				oui
17: Steeve Lavoie	Géologue	1	12		5920110	592118	oui
12: Julie Menier	Géologue assistante	1	12				oui
13: Jordy Turcotte	Géologue assistant	1	12				oui
14: Michel Castilloux	Sans Frontières	1	12				oui
TOTAL EMPLOYÉS		14					
VOLS D'HYDRAVIONS:			AVARIS MECANIQUES:				
TEMPS D'HELICOPTERE: 0 heure			ACCIDENTS:				
VOYAGES DE CAMION:			TEMPS MORT				
EXPEDITION D'ECHANTILLONS:			AMELIORATIONS A PREVOIR:				
ACHATS:							
MOBILISATION:							
DEMOBILISATION:			AVIS DISCIPLINAIRE:				
FORAGE - # TROU:		DE:	A:	VERIFICATION:			
BUDGET RESIDUEL:		DÉPENSES:		FACTURATION:		IOS Services Géoscientifiques Inc	

<b>RAPPORT JOURNALIER</b>	Date: 24-07-2007	PROJET: 592	CAMPEMENT: BARNOIN	MÉTÉO: Nuageux, pluvieux, Ensoleillé						
		CLIENT: North Western	RESP: Jonathan Lalancette	SIGNATURE:						
		APPEL QUOTIDIEN:								
<b>COMMENTAIRES SUR LES TRAVAUX:</b>										
Matin :Down time en raison de mauvaises conditions climatiques.										
Après midi : prospection et échantillonnage sur les zones 4 et 5 et leur extension Nord ainsi que la prospection des deux petites anomalies										
Zone Nord de l'extension Est: prospection de quatre anomalies.										
<b>COMMENTAIRES SUR LA GÉOLOGIE:</b>										
Zone 4 : Stéphane et Benoît : partie Sud de la zone. Un dyke repéré l'an passé a été revisité, avec prélèvement d'échantillons. Ce dyke pegmatitique, quartzitique se trouve dans un encaissant de paragneiss (E352535, N6497196), son orientation est N336, le signal anormalique moyen observé est de l'ordre de 2000 à 4000 CPS sur une longueur d'environ 40 m et une largeur de 5m, la valeur anormalique maximale observée est de 18000. Notons qu'une partie métrique de ce dyke est composé d'un assemblage de biotite et de quartz (la biotite formant la matrice!!), l'ensemble ayant une structure pouvant être dite bréchique. Ce dyke peut être suivi, de façon discontinue, suivant la même direction vers le Nord, avec un signal anormalique toutefois moins important. Le reste de la zone a été parcourue sans aucun résultat.										
Zone Nord de l'extension Est: deux échantillons ont été récoltés d'environ 7000 et 10 000 cps, les autres sont de gros caps de gneiss granitique à pegmatite bandés de paragneiss avec une valeur moyenne de 500 à 1 000 cps sur un bruit de fond de 200 cps.										
Anomalies au nord de la 4: Quelques échantillons entre 3000 et 6000 cps sur l'anomalie du Sud dans des dykes de pegmatite encaissés. Zone intéressante sur l'anomalie la plus au Nord avec des valeurs maximales à 45000 cps et quelques zones à 10000-12000 cps autour ( dans des dykes de pegmatite).										
Joanie et Michel: Partie centrale de la zone. Un échantillon a été récolté sur la zone anormalique (pegmatite) d'une valeur de 22000cps avec un background moyen de ±2000cps. Une nouvelle zone anormalique a été découverte plus au Nord Ouest, située entre les 2 lacs de la zone. L'anomalie se retrouve dans une pegmatite riche en biotite. 3 échantillon ont été pris à cet endroit, à 22000, 50000 et 14600cps. Le background moyen est de 1000-2000cps sur ±30m avec plusieurs zones de 10000 et quelques zones de 20000cps.										
Zone 5 : Julie et Gaetan : partie centrale de l'anomalie Ouest visitée. Sur le sommet de la montagne, 350994/6497178 le background était de 300-400 avec plusieurs points de 1000-5000. Plusieurs échantillons de pegmatite pris dans ce secteur de 3000-13000cps. Sur les bords de l'anomalie principale visitée, le background chutait à 100-200cps.										
Zone 5 : Cyril et Jordi : partie SE de la zone. Cette zone a été partiellement visitée en 2006. La zone anormalique orientée NW-SE est caractérisée par la présence principalement de granite à grains moyens porteurs de l'anomalie (prise de 8 échantillons), plus rarement de gneiss granitique et accessoirement de paragneiss. Le background général oscille entre 500 et 1000 cps avec localement des pics atteignant 5 à 6000 cps. L'anomalie radiométrique pourrait être due à un effet de masse. De plus, nous avons découvert une bande minéralisée d'environ 2 m d'épaisseur et 30 m de longueur présentant de nombreuses mesures au delà de 10000 cps. Si l'on poursuit la zone anormalique vers le SE, le signal est généralement inférieur à 1000 cps max ; la formation prédominante est le gneiss granitique.										
<b>PERSONNEL</b>		<b>TÂCHES</b>			<b>Couché</b>	<b>Heures</b>	<b>Hors camps</b>	<b>Échant: DE</b>	<b>Échant: A</b>	<b>FACT.</b>
1: Jonathan Lalancette		Chargé de projet par intérim			1	12		9432	9438	oui
16: Pamela Tremblay		Géologue assistante			1	12				oui
3: Cyril MULLARD		Géologue			1	12				oui
4: Stéphane PIVIN		Géologue assistant			1	12				oui
5: Gaetan TREMBLAY		Homme de camps - prospecteur			1	12				oui
6: Fred Jones		Pilote d'hélicoptère			1	12				oui
7: Nick		Technicien d'hélicoptère			1	12				oui
19: Daniel Paradis		Sans Frontières			1	12				oui
9: Joanie Beland		Géologue assistante			1	12		9221	9224	oui
10: Benoît Massé		Géologue assistant			1	12		9568	9570	oui
17: Steeve Lavoie		Géologue			1	12		9119	9120	oui
12: Julie Menier		Géologue assistante			1	12		9037	9044	oui
13: Jordy Turcotte		Géologue assistant			1	12				oui
14: Michel Castilloux		Sans Frontières			1	12				oui
15 Guy		Technicien d'hélicoptère			1	12				oui
TOTAL EMPLOYÉS					15					
VOLS D'HYDRAVIONS:					AVARIS MÉCANIQUES:					
TEMPS D'HELICOPTÈRE: rev : 1.7 non rev : 0.5 total : 2.2					ACCIDENTS:					
VOYAGES DE CAMION:					TEMPS MORT					
EXPÉDITION D'ÉCHANTILLONS:					AMÉLIORATIONS À PRÉVOIR:					
ACHATS:										
MOBILISATION:										
DEMOBILISATION:					AVIS DISCIPLINAIRE:					
FORAGE - # TROU: DE: A:					VERIFICATION:					
BUDGET RÉSIDUEL:					FACTURATION:					
					<b>IOS Services Géoscientifiques Inc</b>					





<b>RAPPORT JOURNALIER</b>		Date: 26-07-2007	PROJET: 592	CAMPEMENT: BARNOIN	METEO: Nuageux, pluvieux		
			CLIENT: North Western	RESP: Jonathan Lalancette	SIGNATURE:		
			APPEL QUOTIDIEN:				
<b>COMMENTAIRES SUR LES TRAVAUX:</b>							
Départ du camp vers 8h30. 8 personnes sur la zone 28 (Gaetan et Daniel = boulders blaster, Steeve et Jordi = chaînage, Joanie = radiométrie, Michel = Orienter les lignes, Jonathan et Pamela ont échantillonné pour le projet de fin d'étude de Paméla). 4 personnes sur la zone 30: ( Julie, Stéphane, Benoît et Cyril = lignes de la grille). Finition de la mobilisation du camp Inuit.							
<b>COMMENTAIRES SUR LA GÉOLOGIE:</b>							
<b>PERSONNEL</b>	<b>TACHES</b>	<b>Couché</b>	<b>Heures</b>	<b>Hors camps</b>	<b>Echant: De</b>	<b>Echant: A</b>	<b>FACT.</b>
1: Jonathan Lalancette	Chargé de projet par intérim	1	12				oui
2: Pamela Tremblay	Géologue assistante	1	12				oui
3: Cyril MULLARD	Géologue	1	12				oui
4: Stéphane PIVIN	Géologue assistant	1	12				oui
5: Gaetan TREMBLAY	Homme de camps - prospecteur	1	12				oui
6: Fred Jones	Pilote d'hélicoptère	1					oui
7: Daniel Paradis	Sans Frontières	1	12				oui
8: Joanie Beland	Géologue assistante	1	12				oui
9: Benoît Massé	Géologue assistant	1	12				oui
10: Steeve Lavoie	Géologue	1	12				oui
11: Julie Menier	Géologue assistante	1	12				oui
12: Jordy Turcotte	Géologue assistant	1	12				oui
13: Michel Castilloux	Sans Frontières	1	12				oui
TOTAL EMPLOYÉS		13					
VOLS D'HYDRAVIONS:			AVARIS MÉCANIQUES:				
TEMPS D'HELICOPTÈRE 4,5 heures			ACCIDENTS:				
VOYAGES DE CAMION:			TEMPS MORT				
EXPÉDITION D'ÉCHANTILLONS:			AMÉLIORATIONS À PRÉVOIR:				
ACHATS:							
MOBILISATION:							
DEMOBILISATION:			AVIS DISCIPLINAIRE:				
FORAGE- # TROU:		DE:	À:	VÉRIFICATION:			
BUDGET RESIDUEL:		DEPENSES:		FACTURATION:			
<b>IOS Services Géoscientifiques Inc</b>							





<b>RAPPORT JOURNALIER</b>		Date: 28-07-2007	PROJET: 592	CAMPEMENT: BARNOIN	MÉTÉO: Nuageux, pluvieux		
			CLIENT: North Western	RESP: Sylvain Vaillancourt	SIGNATURE:		
			APPEL QUOTIDIEN:				
<b>COMMENTAIRES SUR LES TRAVAUX:</b>							
Sylvain, Gaetan, échantillonnage profond sur la zone 28 échantillons : 9225-9233							
Benoit, Julie coupe de lignes , chainage zone 30							
Bertrand, Daniel, block buster zone 28							
Paméla , Cyril, cartographie zone 28 ( pam P F E )							
Joannie, Stéphane, radiométrie zone 28							
<b>COMMENTAIRES SUR LA GÉOLOGIE:</b>							
PERSONNEL	TACHES	Couché	Heures	Hors camps	Echant: De	Echant: A	FACT.
1: Sylvain VAILLANCOURT	Chargé de projet	1	12		9225	9233	
3: Cyril MULLARD	Géologue	1	12				
5: Gaetan TREMBLAY	Homme de camps - prospecteur	1	12				
6: Fred Jones	Pilote d'hélicoptère	1	12				
7: Jean-Denis	Technicien d'hélicoptère	1	12				
9: Joanie Béland	Géologue assistante	1	12				
10: Benoit Massé	Géologue assistant	1	12				
12: Julie Menier	Géologue assistante	1	12				
15: Bertrand Dallaire	Sans Frontières	1	12				
16: Pamela Tremblay	Géologue assistante	1	12				
18: Daniel Paradis	Sans Frontières	1	12				
19: Stéphane Sergerie	Homme de camps	1	12				
VOLS D'HYDRAVIONS:			AVARIS MÉCANIQUES;				
TEMPS D'HÉLICOPTÈRE: rev : 1.9 , non rev : 2.9 total :4.8			ACCIDENTS:				
VOYAGES DE CAMION:			TEMPS MORT:				
EXPÉDITION D'ÉCHANTILLONS:			AMÉLIORATIONS À PRÉVOIR:				
ACHATS:							
MOBILISATION:							
DEMÔBILISATION:			AVIS DISCIPLINAIRE:				
FORAGE- # TROU:		DE:	A:	VERIFICATION:			
BUDGET RÉSIDUEL:		DEPENSES:		FACTURATION:			
<b>IOS Services Géoscientifiques Inc</b>							

<b>RAPPORT JOURNALIER</b>		Date: 29-07-2007	PROJET: 592	CAMPEMENT: BARNOIN	MÉTÉO: Nuageux, pluvieux		
			CLIENT: North Western	RESP: Sylvain Vaillancourt	SIGNATURE:		
			APPEL QUOTIDIEN:				
<b>COMMENTAIRES SUR LES TRAVAUX:</b>							
Sylvain, Cyril, Joannie: cartographie, travail de bureau.							
Benoît, Julie Paméla, Stéphane: coupe de lignes, chainage sur la zone 30							
Gaetan, daniel, Bertrand: terminer échantillonnage profond sur la zone 28, transfert matériel sur zone 30							
<b>COMMENTAIRES SUR LA GÉOLOGIE:</b>							
PERSONNEL	TÂCHES	Couché	Heures	Hors camps	Échant: De	Échant: A	FACT.
1: Sylvain VAILLANCOURT	Chargé de projet	1	12				
3: Cyril MULLARD	Géologue	1	12				
5: Gaetan TREMBLAY	Homme de camps - prospecteur	1	12				
6: Fred Jones	Pilote d'hélicoptère	1	12				
7: Jean-Denis	Technicien d'hélicoptère	1	12				
9: Joanie Beland	Géologue assistante	1	12				
10: Benoit Massé	Géologue assistant	1	12				
12: Julie Menier	Géologue assistante	1	12				
15: Bertrand Dallaire	Sans Frontières	1	12				
16: Paméla Tremblay	Géologue assistante	1	12				
18: Daniel Paradis	Sans Frontières	1	12				
19: Stéphane Sergerie	Homme de camps	1	12				
VOLS D'HYDRAVIONS:			AVARIS MÉCANIQUES:				
TEMPS D'HELICOPTERE: 1.9H			ACCIDENTS:				
VOYAGES DE CAMION:			TEMPS MORT:				
EXPÉDITION D'ÉCHANTILLONS:			AMÉLIORATIONS A PREVOIR:				
ACHATS:							
MOBILISATION:							
DÉMOBILISATION:			AVIS DISCIPLINAIRE:				
FORAGE- # TROU:		DE:	A:	VERIFICATION:			
BUDGET RESIDUEL:		DEPENSES:		FACTURATION:			
<b>IOS Services Géoscientifiques Inc</b>							



<b>RAPPORT JOURNALIER</b>		Date: 30-07-2007	PROJET: 592	CAMPEMENT: BARNOIN	MÉTÉO: Nuageux, pluvieux		
			CLIENT: North Western	RESP: Sylvain Vaillancourt	SIGNATURE:		
			APPEL QUOTIDIEN:				
<b>COMMENTAIRES SUR LES TRAVAUX:</b> Terrain zone 30 , Paméla, Julie, Gaetan, Stéphane, Daniel, Bertrand, Benoît, Implantation des lignes et chainage sur la zone 30							
Cyril, Joannie: cartographie de détail zone 30							
Sylvain: bureau logistique							
<b>COMMENTAIRES SUR LA GÉOLOGIE:</b>							
PERSONNEL	TACHES	Couché	Heures	Hors camps	Echant: De	Echant: A	FACT.
1: Sylvain VAILLANCOURT	Chargé de projet	1	12				
3: Cyril MULLARD	Géologue	1	12				
5: Gaétan TREMBLAY	Homme de camps - prospecteur	1	12				
7: Jean-Denis	Technicien d'hélicoptère	1	12				
9: Joanie Beland	Géologue assistante	1	12				
10: Benoit Massé	Géologue assistant	1	12				
12: Julie Menier	Géologue assistante	1	12				
15: Bertrand Dallaire	Sans Frontières	1	12				
16: Paméla Tremblay	Géologue assistante	1	12				
18: Daniel Paradis	Sans Frontières	1	12				
19: Carson Sutton	Pilote d'hélicoptère	1	12				
20: Stéphane Sergerie	Homme de camps	1	12				
VOLS D'HYDRAVIONS:			AVARIS MECANIQUEs:				
TEMPS D'HELICOPTERE: rev :1.4 , non rev : 0.4 total : 1.8			ACCIDENTS:				
VOYAGES DE CAMION:			TEMPS MORT:				
EXPÉDITION D'ÉCHANTILLONS:			AMÉLIORATIONS A PREVOIR:				
ACHATS:							
MOBILISATION:							
DEMOBILISATION:			AVIS DISCIPLINAIRE:				
FORAGE- # TROU:		DE:	A:	VERIFICATION:		IOS Services Géoscientifiques Inc	
BUDGET RESIDUEL:		DÉPENSES:		FACTURATION:			



<b>RAPPORT JOURNALIER</b>		Date: 31-07-2007	PROJET: 592	CAMPEMENT: BARNOIN	MÉTÉO: Nuageux, pluvieux, bruine		
			CLIENT: North Western	RESP: Sylvain Vaillancourt	SIGNATURE:		
			APPEL QUOTIDIEN:				
<b>COMMENTAIRES SUR LES TRAVAUX:</b> Downtime, travail de bureau et autour du camp							
<b>COMMENTAIRES SUR LA GÉOLOGIE:</b>							
Travail effectué sur la carte géologique de détail de la zone 28 ainsi que carte de levé radiométrique.							
PERSONNEL	TÂCHES	Couché	Heures	Hors camps	Echant: De	Echant: A	FACT.
1: Sylvain VAILLANCOURT	Chargé de projet	1	12				
2: Mikael BLOCK	Géologue						
3: Cyril MULLARD	Géologue	1	12				
4: Stéphane Pivin	Géologue assistant			Vacances			
5: Gaetan TREMBLAY	Homme de camps - prospecteur	1	12				
6: Carson Sutton	Pilote d'hélicoptère	1	12				
7: Jean-Denis	Technicien d'hélicoptère	1	12				
8: Jonathan Lalancette	Géologue			Vacances			
9: Joanie Beland	Géologue assistante	1	12				
10: Benoit Massé	Géologue assistant	1	12				
11: Bertrand Taquet	Géologue sénior (client)						
12: Julie Menier	Géologue assistante	1	12				
13: Jordy Turcotte	Géologue assistant			Vacances			
14: Michel Castilloux	Sans Frontières			Vacances			
15: Bertrand Dallaire	Sans Frontières	1	12				
16: Pamela Tremblay	Géologue assistante	1	12				
17: Steeve Lavoie	Géologue			Vacances			
18: Daniel Paradis	Sans Frontières	1	12				
19: Stéphane Sergerie	Homme de camps	1	12				
20: Carson Sutton	Pilote d'hélicoptère	1	12				
VOLS D'HYDRAVIONS:			AVARIS MECANIQUES;				
TEMPS D'HELICOPTERE: 1.8 hrs			ACCIDENTS:				
VOYAGES DE CAMION:			TEMPS MORT: température				
EXPÉDITION D'ÉCHANTILLONS:			AMÉLIORATIONS A PRÉVOIR:				
ACHATS:							
MOBILISATION:							
DEMOBILISATION:			AVIS DISCIPLINAIRE:				
FORAGE- # TROU:		DE:	A:	VERIFICATION:			
BUDGET RESIDUEL:		DÉPENSES:		FACTURATION:			
<b>IOS Services Géoscientifiques Inc</b>							



<b>RAPPORT JOURNALIER</b>		Date: 02-08-2007	PROJET: 592	CAMPEMENT: BARNOIN	MÉTÉO: Soleil			
			CLIENT: North Western	RESP: Sylvain Vaillancourt	SIGNATURE:			
			APPEL QUOTIDIEN:					
<b>COMMENTAIRES SUR LES TRAVAUX:</b>								
Travaux sur la zone 30 , coupe de lignes, chainage, - Paméla, Joannie, Bertrand, Daniel.								
Construction du pont sur la zone 48 - Gaetan , Stephane sling arbres sur les abords du pont. Mise en place de fondations.								
Benoit, Julie - prospection de la zone inuit zone hygrade et prolongement de la zone 400 mètres au Sud.								
Cyril, Sylvain: cartes , update Marek.								
<b>COMMENTAIRES SUR LA GÉOLOGIE:</b>								
Benoit et Julie : vérification de la zone des inuits 500m au sSud-Est de la zone 48. Zone constituée de M4, M6 et de I1G. Rencontre d'un dyke de N323 de direction de I1G avec des valeurs allant de 1000cps à 11000cps continu d'une longueur sur de 370m avec des valeurs de 1000 à 8000cps. On retrouve d'autres valeurs dans des dykes de 1000 à 6000cps non continu. Les longueur totale des valeurs observées sont linéaires sur 680m.								
<b>PERSONNEL</b>		<b>TACHES</b>	<b>Couché</b>	<b>Heures</b>	<b>Hors camps</b>	<b>Echant: De</b>	<b>Echant: A</b>	<b>FACT.</b>
1: Sylvain VAILLANCOURT		Chargé de projet	1	12				
3: Cyril MULLARD		Géologue	1	12				
5: Gaetan TREMBLAY		Homme de camps - prospecteur	1	12				
6: Carson Sutton		Pilote d'hélicoptère	1	12				
7: Jean-Denis		Technicien d'hélicoptère	1	12				
9: Joanie Béland		Géologue assistante	1	12				
10: Benoit Massé		Géologue assistant	1	12		9571-9577		
11: Bertrand Taquet		Géologue sénior (client)						
12: Julie Menier		Géologue assistante	1	12		9571-9577		
15: Bertrand Dallaire		Sans Frontières	1	12				
16: Paméla Tremblay		Géologue assistante	1	12				
18: Daniel Paradis		Sans Frontières	1	12				
19: Carson Sutton		Pilote d'hélicoptère	1	12				
20: Stéphane Sergerie		Homme de camps	1	12				
VOLS D'HYDRAVIONS:			AVARIS MECANIQUES:					
TEMPS D'HELICOPTERE: 4,5			ACCIDENTS:					
VOYAGES DE CAMION:			TEMPS MORT: température					
EXPÉDITION D'ÉCHANTILLONS:			AMÉLIORATIONS À PREVOIR:					
ACHATS:								
MOBILISATION:								
DEMOBILISATION:			AVIS DISCIPLINAIRE:					
FORAGE- # TROU:		DE:	A:	VERIFICATION:		IOS Services Géoscientifiques Inc		
BUDGET RESIDUEL:		DEPENSES:		FACTURATION:				



<b>RAPPORT JOURNALIER</b>	Date: 03-08-2007	PROJET: 592	CAMPEMENT: BARNOIN	MÉTÉO: Soleil			
		CLIENT: North Western	RESP: Sylvain Vaillancourt	SIGNATURE:			
		APPEL QUOTIDIEN:					
<b>COMMENTAIRES SUR LES TRAVAUX:</b>							
Travaux sur la zone 30 : Coupe de lignes, chainage: Joannie, Bertrand, Daniel.							
Construction du pont sur la zone 48 - Gaetan , Stephane sling arbres sur les abords du pont. Mise en place de fondations.							
Benoit, Julie - radiométrie des lignes au 25m sur la zone 30.							
Paméla, Cyril, (PFE Pam) sur la zone 28 ; Prise de deux échantillons profonds, 9124 et 9125.							
Sylvain : Bureau, logistique							
<b>COMMENTAIRES SUR LA GEOLOGIE:</b>							
Paméla et Cyril : Résumé des observations sur la zone high grade (Tasialuk) : La zone d'étude s'étend sur une surface de 350 m <sup>2</sup> (25m/14M). Présence de 4 lithologies : Paragneiss, gneiss granitique, pegmatite et enfin pyroxénite en enclave et en dyke souvent associées au paragneiss. L'orientation générale des bandes de pegmatites est N310 à N340 avec un pendage compris entre 40 et 60° vers l'Est. Observation de 2 systèmes de fractures orientées N45 à N55 et N70 à N90. La pyroxénite est non anomalique avec des mesures de radiométrie d'environ 500 cps ; le paragneiss généralement non anomalique peut présenter des valeurs élevées dues aux bandes de pegmatite et de gneiss granitique voisines (effet de masse). Les valeurs cps maximales sont observées dans des lits à Biotite et dans des veines de Quartz fumées. Il serait intéressant de vérifier si l'uranium se concentre dans d'autres minéraux ferro-magnésiens, ceci peut être défini par les analyses géochimiques. L'échantillonnage profond plaide en faveur d'un lessivage de surface. En effet, les valeurs cps augmentent sensiblement avec la profondeur.							
<b>PERSONNEL</b>	<b>TACHES</b>	<b>Couché</b>	<b>Heures</b>	<b>Hors camps</b>	<b>Echant: De</b>	<b>Echant: A</b>	<b>FACT.</b>
1: Sylvain VAILLANCOURT	Chargé de projet	1	12				
3: Cyril MULLARD	Géologue	1	12		9124	9125	
5: Gaetan TREMBLAY	Homme de camps - prospecteur	1	12				
6: Carson Sutton	Pilote d'hélicoptère	1	12				
7: Jean-Denis	Technicien d'hélicoptère	1	12				
9: Joanie Béland	Géologue assistante	1	12				
10: Benoit Massé	Géologue assistant	1	12				
12: Julie Menier	Géologue assistante	1	12				
15: Bertrand Dallaire	Sans Frontières	1	12				
16: Paméla Tremblay	Géologue assistante	1	12				
18: Daniel Paradis	Sans Frontières	1	12				
20: Stéphane Sergerie	Homme de camp- prospecteur	1	12				
VOLS D'HYDRAVIONS:		AVARIS MECANQUES:					
TEMPS D'HELICOPTERE: 4,0		ACCIDENTS:					
VOYAGES DE CAMION:		TEMPS MORT: température					
EXPEDITION D'ECHANTILLONS:		AMELIORATIONS A PREVOIR:					
ACHATS:							
MOBILISATION:							
DEMOBILISATION:		AVIS DISCIPLINAIRE:					
FORAGE- # TROU:	DE:	A:	VÉRIFICATION:	IOS Services Géoscientifiques Inc			
BUDGET RESIDUEL:	DEPENSES:		FACTURATION:				



<b>RAPPORT JOURNALIER</b>		Date: 04-08-2007	PROJET: 592	CAMPEMENT: BARNOIN	MÉTÉO: Pluie		
			CLIENT: North Western	RESP: Sylvain Vaillancourt	SIGNATURE:		
			APPEL QUOTIDIEN:				
<b>COMMENTAIRES SUR LES TRAVAUX:</b> Matinée de down time du à la mauvaise température.							
Travaux sur la zone 30 : Coupe de lignes en après-midi, chainage : Julie, Paméla, Benoît et Joanie							
Travaux sur le camp : Gaétan, Stéphane, Daniel, Bertrand							
Bureau, logistique : Sylvain et Cyril							
<b>COMMENTAIRES SUR LA GÉOLOGIE:</b>							
PERSONNEL	TACHES	Couché	Heures	Hors camps	Echant: De	Echant: A	FACT.
1: Sylvain VAILLANCOURT	Chargé de projet	1	12				
3: Cyril MULLARD	Géologue	1	12				
5: Gaétan TREMBLAY	Homme de camps - prospecteur	1	12				
6: Carson Sutton	Pilote d'hélicoptère	1	12				
7: Jean-Denis	Technicien d'hélicoptère	1	12				
9: Joanie Béland	Géologue assistante	1	12				
10: Benoit Massé	Géologue assistant	1	12				
12: Julie Menier	Géologue assistante	1	12				
15: Bertrand Dallaire	Sans Frontières	1	12				
16: Paméla Tremblay	Géologue assistante	1	12				
18: Daniel Paradis	Sans Frontières	1	12				
20: Stéphane Sergerie	Homme de camp- prospecteur	1	12				
VOLS D'HYDRAVIONS:			AVARIS MÉCANIQUES:				
TEMPS D'HELICOPTÈRE: 1.5			ACCIDENTS:				
VOYAGES DE CAMION:			TEMPS MORT: température				
EXPÉDITION D'ÉCHANTILLONS:			AMÉLIORATIONS À PRÉVOIR:				
ACHATS:							
MOBILISATION:							
DEMOBILISATION:			AVIS DISCIPLINAIRE:				
FORAGE- # TROU:		DE:	A:	VERIFICATION:			
BUDGET RÉSIDUEL:		DÉPENSES:		FACTURATION:			
<b>IOS Services Géoscientifiques Inc</b>							

<b>RAPPORT JOURNALIER</b>	Date: 05-08-2007	PROJET: 592	CAMPMENT: BARNOIN	MÉTÉO: Pluie
		CLIENT: North Western	RESP: Sylvain Vaillancourt	SIGNATURE:
		APPEL QUOTIDIEN:		

**COMMENTAIRES SUR LES TRAVAUX:** Les travaux sur les zones 30 et 48 ont été arrêtés sur l'heure du dîner vu la mauvaise température.  
 Travaux sur la zone 30 : Coupe de lignes, chainage : Julie, Joanie, Bertrand et Daniel  
 Travaux sur la zone 48 : Construction du pont : Gaélan, Stéphane et Benoît  
 Bureau, logistique : Sylvain et Pamela  
 Cartographie et update : Cyril

**COMMENTAIRES SUR LA GÉOLOGIE:**

PERSONNEL	TACHES	Couché	Heures	Hors camps	Echant: De	Echant: A	FACT.
1: Sylvain VAILLANCOURT	Chargé de projet	1	12				
3: Cyril MULLARD	Géologue	1	12				
5: Gaélan TREMBLAY	Homme de camps - prospecteur	1	12				
6: Carson Sutton	Pilote d'hélicoptère	1	12				
7: Jean-Denis	Technicien d'hélicoptère	1	12				
9: Joanie Béland	Géologue assistante	1	12				
10: Benoît Massé	Géologue assistant	1	12				
12: Julie Menier	Géologue assistante	1	12				
15: Bertrand Dallaire	Sans Frontières	1	12				
16: Pamela Tremblay	Géologue assistante	1	12				
18: Daniel Paradis	Sans Frontières	1	12				
20: Stéphane Sergerie	Homme de camp- prospecteur	1	12				

VOLS D'HYDRAVIONS:	AVARIS MECANIQUES;
TEMPS D'HELICOPTERE: 2,0	ACCIDENTS:
VOYAGES DE CAMION:	TEMPS MORT: température
EXPEDITION D'ECHANTILLONS:	AMELIORATIONS A PREVOIR:
ACHATS:	
MOBILISATION:	
DEMOBILISATION:	AVIS DISCIPLINAIRE:
FORAGE- # TROU:	DE: A: VERIFICATION:
BUDGET RESIDUEL:	DEPENSES: FACTURATION:

**IOS Services Géoscientifiques Inc**

<b>RAPPORT JOURNALIER</b>	Date: 06-08-2007	PROJET: 592	CAMPEMENT: BARNOIN	MÉTÉO: Soleil avec passages nuageux			
		CLIENT: North Western	RESP: Sylvain Vaillancourt	SIGNATURE:			
COMMENTAIRES SUR LES TRAVAUX:		APPEL QUOTIDIEN:					
Travaux sur la zone 30 : Coupe de lignes, chainage : Julie, Joanie, Bertrand et Daniel							
Travaux sur la zone 48 : Construction du pont : Gaétan, Stéphane et Benoît							
Bureau, logistique : Sylvain							
Hemza et Steeve : Mobilisation au camp Barnoin							
Paméla : Démobilisation vers Rapid Lake (South Ray)							
Cyril : Démobilisation vers Kangiq (Chicoutimi)							
COMMENTAIRES SUR LA GÉOLOGIE:							
PERSONNEL	TACHES	Couché	Heures	Hors camps	Echant: De	Echant: A	FACT.
1: Sylvain VAILLANCOURT	Chargé de projet	1	12				
3: Cyril MULLARD	Géologue		12				
5: Gaetan TREMBLAY	Homme de camps - prospecteur	1	12				
6: Carson Sutton	Pilote d'hélicoptère	1	12				
7: Jean-Denis	Technicien d'hélicoptère	1	12				
9: Joanie Béland	Géologue assistante	1	12				
10: Benoit Massé	Géologue assistant	1	12				
12: Julie Menier	Géologue assistante	1	12				
15: Bertrand Dallaire	Sans Frontières	1	12				
16: Paméla Tremblay	Géologue assistante		12				
17: Steeve Lavoie	Géologue	1	12				
18: Daniel Paradis	Sans Frontières	1	12				
19: Stéphane Sergerie	Homme de camp- prospecteur	1	12				
20: Hemza Gado	Géologue	1	12				
VOLS D'HYDRAVIONS:		AVARIS MECANIQUES;					
TEMPS D'HELICOPTERE: 2.4		ACCIDENTS:					
VOYAGES DE CAMION:		TEMPS MORT:					
EXPEDITION D'ECHANTILLONS: 35		AMÉLIORATIONS A PRÉVOIR:					
ACHATS:							
MOBILISATION: Steeve et Hemza							
DEMOBILISATION: Paméla (Rapid lake) et Cyril (Chicoutimi)		AVIS DISCIPLINAIRE:					
FORAGE- # TROU:	DE:	A:	VERIFICATION:				
BUDGET RESIDUEL:	DÉPENSES:		FACTURATION:		IOS Services Géoscientifiques Inc		



# RAPPORT JOURNALIER

Date: 07-08-2007

PROJET: 592

CAMPEMENT: BARNOIN

MÉTÉO: Nuageux, pluvieux, bruine

CLIENT: North Western

RESP: Sylvain Vaillancourt

SIGNATURE:

APPEL QUOTIDIEN:

COMMENTAIRES SUR LES TRAVAUX: Downtime, travail de bureau et autour du camp (tente, aménagement)

COMMENTAIRES SUR LA GÉOLOGIE:

PERSONNEL	TACHES	Couché	Heures	Hors camps	Echant: De	Echant: A	FACT.
1: Sylvain VAILLANCOURT	Chargé de projet	1	12				
5: Gaétan TREMBLAY	Homme de camps - prospecteur	1	12				
6: Carson Sutton	Pilote d'hélicoptère	1	12				
7: Jean-Denis	Technicien d'hélicoptère	1	12				
9: Joanie Béland	Géologue assistante	1	12				
10: Benoit Massé	Géologue assistant	1	12				
12: Julie Menier	Géologue assistante	1	12				
15: Bertrand Dallaire	Sans Frontières	1	12				
17: Steeve Lavoie	Géologue	1	12				
18: Daniel Paradis	Sans Frontières	1	12				
19: Stéphane Sergerie	Homme de camps	1	12				
20: Hemza Gado	Géologue	1	12				

VOLS D'HYDRAVIONS:

AVARIS MÉCANIQUES:

TEMPS D'HÉLICOPTÈRE: 0 hrs

ACCIDENTS:

VOYAGES DE CAMION:

TEMPS MORT: température

EXPÉDITION D'ÉCHANTILLONS:

AMÉLIORATIONS À PRÉVOIR:

ACHATS:

MOBILISATION:

DEMOBILISATION:

AVIS DISCIPLINAIRE:

FORAGE- # TROU:

DE:

A:

VERIFICATION:

BUDGET RESIDUEL:

DÉPENSES:

FACTURATION:

IOS Services Géoscientifiques Inc



<b>RAPPORT JOURNALIER</b>	Date: 08-08-2007	PROJET: 592	CAMPMENT: BARNOIN	METEO: Nuageux, pluvieux, bruine			
		CLIENT: North Western	RESP: Sylvain Vaillancourt	SIGNATURE:			
		APPEL QUOTIDIEN:					
COMMENTAIRES SUR LES TRAVAUX: Downtime, travail de bureau et autour du camp (tente, aménagement)							
COMMENTAIRES SUR LA GÉOLOGIE:							
PERSONNEL	TACHES	Couché	Heures	Hors camps	Echant: De	Echant: A	FACT.
1: Sylvain VAILLANCOURT	Chargé de projet	1	12				
5: Gaétan TREMBLAY	Homme de camps - prospecteur	1	12				
6: Carson Sutton	Pilote d'hélicoptère	1	12				
7: Jean-Denis	Technicien d'hélicoptère	1	12				
9: Joanie Béland	Géologue assistante	1	12				
10: Benoit Massé	Géologue assistant	1	12				
12: Julie Menier	Géologue assistante	1	12				
15: Bertrand Dallaire	Sans Frontières	1	12				
17: Steeve Lavoie	Géologue	1	12				
18: Daniel Paradis	Sans Frontières	1	12				
19: Stéphane Sergerie	Homme de camps	1	12				
20: Hemza Gado	Géologue	1	12				
VOLS D'HYDRAVIONS:		AVARIS MÉCANIQUES:					
TEMPS D'HELICOPTERE: 0 hrs		ACCIDENTS:					
VOYAGES DE CAMION:		TEMPS MORT: température					
EXPEDITION D'ECHANTILLONS:		AMÉLIORATIONS À PRÉVOIR:					
ACHATS:							
MOBILISATION:							
DEMOBILISATION:		AVIS DISCIPLINAIRE:					
FORAGE- # TROU:	DE:	A:	VERIFICATION:				IOS Services Géoscientifiques Inc
BUDGET RESIDUEL:	DEPENSES:		FACTURATION:				

<b>RAPPORT JOURNALIER</b>		Date: 09-08-2007	PROJET: 592	CAMPEMENT: BARNOIN	MÉTÉO: Nuageux, bruine		
			CLIENT: North Western	RESP: Sylvain Vaillancourt	SIGNATURE:		
			APPEL QUOTIDIEN:				
<b>COMMENTAIRES SUR LES TRAVAUX:</b>							
Matin : Downtime , travail de bureau et formation sur le théodolithe							
Après-midi : Radiométrie au 25m de la zone 30 : Julie, Steeve, Benoît, Joanie, Daniel, Bertrand, Gaetan et Stéphane Visite des zones 30, 48 et 28 pour introduire Hemza : Sylvain et Hemza							
<b>COMMENTAIRES SUR LA GÉOLOGIE:</b>							
<b>PERSONNEL</b>	<b>TACHES</b>	<b>Couché</b>	<b>Heures</b>	<b>Hors camps</b>	<b>Echant: De</b>	<b>Echant: A</b>	<b>FACT.</b>
1: Sylvain VAILLANCOURT	Chargé de projet	1	12				
5: Gaétan TREMBLAY	Homme de camps - prospecteur	1	12				
6: Carson Sutton	Pilote d'hélicoptère	1	12				
7: Jean-Denis	Technicien d'hélicoptère	1	12				
9: Joanie Béland	Géologue assistante	1	12				
10: Benoit Massé	Géologue assistant	1	12				
12: Julie Menier	Géologue assistante	1	12				
15: Bertrand Dallaire	Sans Frontières	1	12				
17: Steeve Lavoie	Géologue	1	12				
18: Daniel Paradis	Sans Frontières	1	12				
19: Stéphane Sergerie	Homme de camps	1	12				
20: Hemza Gado	Géologue	1	12				
VOLS D'HYDRAVIONS:			AVARIS MECANIKES:				
TEMPS D'HÉLICOPTÈRE: 1,6 hrs			ACCIDENTS:				
VOYAGES DE CAMION:			TEMPS MORT: température AM				
EXPÉDITION D'ÉCHANTILLONS:			AMÉLIORATIONS A PREVOIR:				
ACHATS:							
MOBILISATION:							
DEMOBILISATION:			AVIS DISCIPLINAIRE:				
FORAGE- # TROU:	DE:	A:	VERIFICATION:				
BUDGET RESIDUEL:	DEPENSES:		FACTURATION:		IOS Services Géoscientifiques Inc		

<b>RAPPORT JOURNALIER</b>	Date: 10-08-2007	PROJET: 592	CAMPEMENT: BARNOIN	METEO: Nuageux			
		CLIENT: North Western	RESP: Sylvain Vaillancourt	SIGNATURE:			
		APPEL QUOTIDIEN:					
<b>COMMENTAIRES SUR LES TRAVAUX:</b>							
zone 30: Steeve, Gaetan, Daniel, Bertrand et Jean-Denis ont commencé l'échantillonnage au Boulder Buster au Sud de la zone. Sortie à 3 hrs pm du terrain (météo mauvaise).							
Zone 35 : Julie, Benoît, Joanie et Hemza ont fait de la prospection (échantillonnage). Sortie vers 14h00 (mauvaise température)							
Stand by : Stéphane							
Bureau, logistique : Sylvain							
<b>COMMENTAIRES SUR LA GEOLOGIE:</b>							
Zone 35: Benoît et Julie, Reconnaissance sur la zone afin de vérifier les points anomaux présents. Rencontre de dykes de I1G avec encaissant de M6 et M4. Présence d'un anticlinal au nord du lac.							
Au nord du lac dykes de I1G allant de 1000-15000 cps par endroit zone diffuses riche en Py. A l'Est du lac dykes de I1G riche en UP avec cps max de 65535. Très belle zone....							
Joanie et Hemza: survol de la zone anomaux constituée de M6 et de métabasite. Anomalie associée à une série de dykes de I1G orientés $\pm 280/65^\circ$ d'épaisseur métrique de 1000 à 15000cps allant à 37000 et jusqu'à 65000cps et plus sur une zone précise (produits jaunes abondants). Zones généralement riches en biotite, forte présence d'hématite par endroit et présence de pyrite observée dans un des dykes. Réseau de fractures d'orientation générale 240 et 360° subverticales observé à plusieurs endroits.							
<b>PERSONNEL</b>	<b>TÂCHES</b>	<b>Couché</b>	<b>Heures</b>	<b>Hors camps</b>	<b>Échant: De</b>	<b>Échant: A</b>	<b>FACT.</b>
1: Sylvain VAILLANCOURT	Chargé de projet	1	12				
5: Gaétan TREMBLAY	Homme de camps - prospecteur	1	12				
6: Carson Sutton	Pilote d'hélicoptère	1	12				
7: Jean-Denis	Technicien d'hélicoptère	1	12				
9: Joanie Béland	Géologue assistante	1	12				
10: Benoît Massé	Géologue assistant	1	12		9580	9586	
12: Julie Menier	Géologue assistante	1	12				
15: Bertrand Dallaire	Sans Frontières	1	12				
17: Steeve Lavoie	Géologue	1	12				
18: Daniel Paradis	Sans Frontières	1	12				
19: Stéphane Sergerie	Homme de camps	1	12				
20: Hemza Gado	Géologue	1	12				
VOLS D'HYDRAVIONS:		AVARIS MECANIQUES;					
TEMPS D'HELICOPTERE: 1,8 hrs		ACCIDENTS:					
VOYAGES DE CAMION:		TEMPS MORT: température PM					
EXPÉDITION D'ÉCHANTILLONS:		AMÉLIORATIONS À PRÉVOIR:					
ACHATS:							
MOBILISATION:							
DEMOBILISATION:		AVIS DISCIPLINAIRE:					
FORAGE- # TROU:	DE: A:	VERIFICATION:					
BUDGET RESIDUEL:	DEPENSES:	FACTURATION:					
							<b>IOS Services Géoscientifiques Inc</b>



<b>RAPPORT JOURNALIER</b>		Date: 11-08-2007	PROJET: 592	CAMPMENT: BARNOIN	METEO: Pluvieux , brouillard		
			CLIENT: North Western	RESP: Sylvain Vaillancourt	SIGNATURE:		
			APPEL QUOTIDIEN:				
COMMENTAIRES SUR LES TRAVAUX: Downtime , travail de bureau et autour du camp (Aménagement)							
COMMENTAIRES SUR LA GÉOLOGIE:							
PERSONNEL	TACHES	Couché	Heures	Hors camps	Echant: De	Echant: A	FACT.
1: Sylvain VAILLANCOURT	Chargé de projet	1	12				
5: Gaétan TREMBLAY	Homme de camps - prospecteur	1	12				
6: Carson Sutton	Pilote d'hélicoptère	1	12				
7: Jean-Denis	Technicien d'hélicoptère	1	12				
9: Joanie Béland	Géologue assistante	1	12				
10: Benoît Massé	Géologue assistant	1	12				
12: Julie Menier	Géologue assistante	1	12				
15: Bertrand Dallaire	Sans Frontières	1	12				
17: Steeve Lavoie	Géologue	1	12				
18: Daniel Paradis	Sans Frontières	1	12				
19: Stéphane Sergerie	Homme de camps	1	12				
20: Hemza Gado	Géologue	1	12				
VOLS D'HYDRAVIONS:			AVARIS MÉCANIQUES:				
TEMPS D'HELICOPTERE: 0 hrs			ACCIDENTS:				
VOYAGES DE CAMION:			TEMPS MORT: température				
EXPEDITION D'ECHANTILLONS:			AMÉLIORATIONS A PREVOIR:				
ACHATS:							
MOBILISATION:							
DEMOBILISATION:			AVIS DISCIPLINAIRE:				
FORAGE- # TROU:		DE:	A:	VERIFICATION:		IOS Services Géoscientifiques Inc	
BUDGET RÉSIDUEL:		DEPENSES:		FACTURATION:			



<b>RAPPORT JOURNALIER</b>	Date: 12-08-2007	PROJET: 592	CAMPMENT: BARNOIN	METÉO: ensoleillé avec passages nuageux					
		CLIENT: North Western	RESP: Sylvain Vaillancourt	SIGNATURE:					
		APPEL QUOTIDIEN:							
<b>COMMENTAIRES SUR LES TRAVAUX:</b>									
Zone 30 : Steeve Bertrand et Daniel ont poursuivis l'échantillonnage au bulder buster.									
Zone 35 : Julie, Benoît, Joanie et Hemza ont fait de la prospection (échantillonnage). Départ sur le terrain à 10h00 (brouillard).									
Bureau, logistique : Sylvain									
Travaux sur le camp : Gaetan									
Stéphane : Démobilisation vers Kangiq (Chicoutimi)									
Anatol, Aurore, Paquerette, Cyril et Jean-Sébastien : Mobilisation vers le camp Barnoin									
<b>COMMENTAIRES SUR LA GÉOLOGIE:</b>									
Benoît et Julie : Sont allés au Nord-Ouest de la zone 35. Nous y avons vu plusieurs dykes de 11G de 1m à 7m d'épaisseur d'orientations variantes (320-330, 038). Les lithologies présentes étaient : M6, M4, V3B et I1G. Les valeurs maximales rencontrées allaient de 3000 à 46000cps.									
Joanie et Hemza: Prospection sur la partie Sud-Est de la zone 35. L'ensemble est constitué de M4 contenant de nombreux dykes de 11G de 1 à 5mètres d'orientation générale à 300° dont la plupart sont minéralisés. Les minéralisation plus fortes sont souvent en bordure de fractures et on observe dans certains cas une très forte hématite ainsi que la présence d'altération en limonite.									
Les valeurs ont varié entre 3500 et 20000cps en plus de certaines zones plus localisées allant jusqu'à 47000cps									
Zone 30 : il arrive qu'on se trouve devant une bande en surface ou au milieu du trou de biotite. Car les valeurs en cps sont plus faibles dans le fond du blast qu'en surface ou encore au niveau latéral du trou. Pour avoir une bonne interprétation des cps du trou il est donc préférable de ce trouver en milieu homogène (pourcentage constant des minéraux).									
<b>PERSONNEL</b>		<b>TACHES</b>		<b>Couché</b>	<b>Heures</b>	<b>Hors camps</b>	<b>Echant: De</b>	<b>Echant: A</b>	<b>FACT.</b>
1: Sylvain VAILLANCOURT		Chargé de projet		1	12				
3: Cyril MULLARD		Géologue		1	12				
5: Gaëtan TREMBLAY		Homme de camps - prospecteur		1	12				
6: Carson Sutton		Pilote d'hélicoptère		1	12				
7: Jean-Denis		Technicien d'hélicoptère		1	12				
9: Joanie Béland		Géologue assistante		1	12				
10: Benoît Massé		Géologue assistant		1	12		9587	9594	
12: Julie Menier		Géologue assistante		1	12				
15: Bertrand Dallaire		Sans Frontières		1	12				
17: Steeve Lavoie		Géologue		1	12		9234	9245	
18: Daniel Paradis		Sans Frontières		1	12				
19: Stéphane Sergerie		Homme de camps			12	Démob.			
20: Hemza Gado		Géologue		1	12				
21: Anatol Pilon		Technicien		1	12				
22 : Aurore Laurendeau		Géologue		1	12				
23: Jean-Sébastien Gauthier		Géologue assistant		1	12				
24 : Paquerette Duchesne		Cuisinière		1	12				
VOLS D'HYDRAVIONS:				AVARIS MECANQUES:					
TEMPS D'HELICOPTERE: 2,7 hrs				ACCIDENTS:					
VOYAGES DE CAMION:				TEMPS MORT: température					
EXPÉDITION D'ÉCHANTILLONS: 11				AMÉLIORATIONS À PRÉVOIR:					
ACHATS:									
MOBILISATION: Aurore, Jean-Sébastien, Cyril et Paquerette									
DEMOBILISATION: Stéphane				AVIS DISCIPLINAIRE:					
FORAGE - # TROU:		DE:	A:	VERIFICATION:		IOS Services Géoscientifiques Inc			
BUDGET RÉSIDUEL:		DÉPENSES:		FACTURATION:					

<b>RAPPORT JOURNALIER</b>	Date: 13-08-2007	PROJET: 592	CAMPMENT: BARNOIN	METEO: nuageux			
		CLIENT: North Western	RESP: Sylvain Vaillancourt	SIGNATURE:			
APPEL QUOTIDIEN:							
<b>COMMENTAIRES SUR LES TRAVAUX:</b>							
Zone 30 : Steeve, Bertrand, Daniel et Jean-Sébastien ont poursuivi l'échantillonnage au bulder buster.							
Zone 35 : Julie, Benoît, Joanie, Hemza, Cyril et Aurore ont fait de la prospection (échantillonnage).							
Bureau, logistique, terrain : Sylvain							
Zone 48 : Gaetan et Anatole mise en place de la station de base pour le GPS différentiel (test sur terrain).							
Mobilisation des inuits vers leur camp							
<b>COMMENTAIRES SUR LA GÉOLOGIE:</b>							
Benoît et Julie : Nous sommes allés au Nord-Ouest de la zone 35 sur le sommet et le flanc Est de la montagne. Rencontre de plusieurs dyke de I1G et échantillonnage. Valeurs maximales rencontrées variant de 3000-25000cps.							
Joanie et Hemza: Délimitation de l'anomalie au Sud-Ouest sur la zone 35. L'extrémité Sud-Ouest est constituée d'un pluton granitique de cps moyen de 250. Révision de la zone vers le Sud à partir de la partie centrale: rencontre de plusieurs dykes de I1G dans M4 et M6. Nouveaux échantillons avec valeurs entre 5000 et 25000cps.							
Aurore et Cyril : Définition des extensions de la zone anomalique 35 vers le Nord-Ouest. Découverte d'un dyke de pegmatite orienté N310 de 2 m de large environ sur 20 m de long avec des valeurs moyennes entre 1000 et 1500 cps et des valeurs maximales de 8000 cps. Un deuxième dyke de pegmatite porte des valeurs comprises entre 3000 et 5000 cps max. Il est situé sur le flanc Ouest de la "montagne" et se prolonge au niveau de la falaise où il est non accessible. Le sommet de la "montagne" est constitué des formations M6, M4 plus rare et de dykes de pegmatites généralement riches en Feldspath potassique non anomaliques et de dykes anomaliques. La vallée bordant la zone 35 au Nord-Ouest présente des affleurements de gneiss granitiques non anomaliques.							
<b>PERSONNEL</b>	<b>TÂCHES</b>	<b>Couché</b>	<b>Heures</b>	<b>Hors camps</b>	<b>Échant: De</b>	<b>Échant: A</b>	<b>FACT.</b>
1: Sylvain VAILLANCOURT	Chargé de projet	1	12				
3: Cyril MULLARD	Géologue	1	12		9126	9132	
5: Gaetan TREMBLAY	Homme de camps - prospecteur	1	12				
6: Carson Sutton	Pilote d'hélicoptère	1	12				
7: Jean-Denis	Technicien d'hélicoptère	1	12				
9: Joanie Béland	Géologue assistante	1	12				
10: Benoit Massé	Géologue assistant	1	12		9595	9609	
12: Julie Menier	Géologue assistante	1	12				
15: Bertrand Dallaire	Sans Frontières	1	12				
17: Steeve Lavoie	Géologue	1	12		9246 à 9249	9439 à 9440	
18: Daniel Paradis	Sans Frontières	1	12				
20: Hemza Gado	Géologue	1	12				
21: Anatole Pilon	Technicien	1	12				
22 : Aurore Laurendeau	Géologue	1	12				
23: Jean-Sébastien Gauthier	Géologue assistant	1	12				
24 : Paquerette Duchesne	Cuisinière	1	12				
VOLS D'HYDRAVIONS:		AVARIS MECANIQUES:					
TEMPS D'HELICOPTÈRE: 3,4 hrs		ACCIDENTS:					
VOYAGES DE CAMION:		TEMPS MORT:					
EXPEDITION D'ÉCHANTILLONS:		AMÉLIORATIONS À PRÉVOIR:					
ACHATS:							
MOBILISATION: Des inuits vers leur camp							
DEMOBILISATION:		AVIS DISCIPLINAIRE:					
FORAGE- # TROU:	DE:	A:	VERIFICATION:		IOS Services Géoscientifiques Inc		
BUDGET RESIDUEL:	DEPENSES:		FACTURATION:				



RAPPORT JOURNALIER		Date: 14-08-2007	PROJET: 592	CAMPMENT: BARNOIN	MÉTÉO: nuageux		
			CLIENT: North Western	RESP: Sylvain Vaillancourt	SIGNATURE:		
			APPEL QUOTIDIEN:				
<b>COMMENTAIRES SUR LES TRAVAUX:</b>							
Zone 30 : Steeve, Bertrand, Daniel et Jean-Sébastien ont poursuivi l'échantillonnage au bulder buster.							
Zone 35 : Julie, Benoît, Joanie et Hemza ont fait de la prospection (échantillonnage).							
Bureau, logistique : Sylvain							
Zone 48 : Gaetan, Anatole et Aurore ont positionné la base line							
Cartes et finaliser l'état d'avancement du projet : Cyril							
Caravane avec matériel pour le camp (bois, tente, bétonite etc)							
Mobilisation : Bertrand Taquet et un inuit							
Visite des gens du ministère de l'environnement et entente avec Azimut (hélico)							
<b>COMMENTAIRES SUR LA GÉOLOGIE:</b>							
Benoît et Julie : Nous avons poursuivi l'échantillonnage de la zone 35 et recherché des extensions. Choix de l'endroit et de l'azimut pour la base line.							
Joanie et Hemza: Poursuite de l'échantillonnage sur la partie Sud de la zone 35 et recherche d'extensions.							
PERSONNEL	TÂCHES	Couché	Heures	Hors camps	Échant: De	Échant: A	FACT.
1: Sylvain VAILLANCOURT	Chargé de projet	1	12				
3: Cyril MULLARD	Géologue	1	12				
5: Gaetan TREMBLAY	Homme de camps - prospecteur	1	12				
6: Carson Sutton	Pilote d'hélicoptère	1	12				
7: Jean-Denis	Technicien d'hélicoptère	1	12				
9: Joanie Béland	Géologue assistante	1	12				
10: Benoît Massé	Géologue assistant	1	12		9610	9616	
11: Bertrand Taquet	Géologue sénior (client)	1	12				
12: Julie Menier	Géologue assistante	1	12				
15: Bertrand Dallaire	Sans Frontières	1	12				
17: Steeve Lavoie	Géologue	1	12		9441 à 9445	9530	
18: Daniel Paradis	Sans Frontières	1	12				
20: Hemza Gado	Géologue	1	12				
21: Anatol Pilon	Technicien	1	12				
22 : Aurore Laurendeau	Géologue	1	12				
23: Jean-Sébastien Gauthier	Géologue assistant	1	12				
24 : Paquerette Duchesne	Cuisinière	1	12				
25 : Dominique Ouellet	Ingénieur d'hélicoptère	1	12				
VOLS D'HYDRAVIONS:			AVARIS MECANQUES;				
TEMPS D'HÉLICOPTÈRE: rev :3.6 non rev : .09 ( Azimut ) : total :4.5			ACCIDENTS:				
VOYAGES DE CAMION:			TEMPS MORT:				
EXPÉDITION D'ÉCHANTILLONS:			AMÉLIORATIONS À PRÉVOIR:				
ACHATS:							
MOBILISATION: D'un inuit vers son camp et de Bertrand Taquet							
DEMOBILISATION:			AVIS DISCIPLINAIRE:				
FORAGE- # TROU:		DE:	A:	VÉRIFICATION:			
BUDGET RÉSIDUEL:		DÉPENSES:		FACTURATION:			
<b>IOS Services Géoscientifiques Inc</b>							

RAPPORT JOURNALIER		Date: 15-08-2007	PROJET: 592	CAMPEMENT: BARNOIN	MÉTÉO: ensoleillé avec passages nuageux			
			CLIENT: North Western	RESP: Sylvain Vaillancourt	SIGNATURE:			
			APPEL QUOTIDIEN:					
<b>COMMENTAIRES SUR LES TRAVAUX:</b>								
Zone 4 : Benoît, Julie, Joanie et Jean-Sébastien prospection et échantillonnage								
Zone 5 : Steeve, Bertrand, Hamza et Daniel prospection et échantillonnage								
Sylvain et Bertrand : rencontre avec Bertrand à propos de l'implantation et de l'hébergement des foreurs, réaménagement du camp, etc.								
Zone 48 : Gaetan, Aurore, Cyril et Anatole mise en place de la grille pour prise de mesures radiométriques								
Mobilisation : Marek, Helen et Anton								
Démobilisation : Anatole vers South Rae								
<b>COMMENTAIRES SUR LA GÉOLOGIE:</b>								
Benoît et Julie : Vérification sur la zone 4. Traverse direction N-O, rencontre de dyke de I1G avec cps allant de 500-10000cps, plus vers le N-O dykes de I1G allant de 500-5000cps et dykes avec cps de 250-400cps.								
Il y a peu de continuité des valeurs dans les dykes de I1G et beaucoup de valeurs locales (à un point précis (1000-5000cps). Litho: M4,M6,M12 (très peu) et I1G.								
Zone 5 : découverte de 3 petites minéralisations variant entre 3000 et 14000 cps, un réseau de fracture orienté environ 260 degrés est constamment présent . En général le bruit de fond est de 200 cps, l'anomalie se caractérise par des caps de gneiss granitique à pegmatite avec un cps de 500 à 1000.								
Joanie et Jean-sébastien: Traverse sur la zone 4 en direction N-W. Rencontre de Dyke (320°60) de I1G de ±50m d'épaisseur et de background moyen de 350-600cps avec valeurs maximale de 1000-3000 et jusqu'à 18000cps très localisé près d'une fracture. L'encaissant est un M4 (320°60) plissé par endroit.								
<b>PERSONNEL</b>								
		<b>TACHES</b>	<b>Couché</b>	<b>Heures</b>	<b>Hors camps</b>	<b>Échant: De</b>	<b>Échant: A</b>	<b>FACT.</b>
1: Sylvain VAILLANCOURT		Chargé de projet	1	12				
3: Cyril MULLARD		Géologue	1	12				
5: Gaetan TREMBLAY		Homme de camps - prospecteur	1	12				
6: Carson Sutton		Pilote d'hélicoptère	1	12				
7: Jean-Denis		Technicien d'hélicoptère	1	12				
9: Joanie Béland		Géologue assistante	1	12				
10: Benoit Massé		Géologue assistant	1	12		9617	9620	
11: Bertrand Taquet		Géologue sénior (client)	1	12				
12: Julie Menier		Géologue assistante	1	12				
15: Bertrand Dallaire		Sans Frontières	1	12				
17: Steeve Lavoie		Géologue	1	12		9446 à 9449	9529 et 9531	
18: Daniel Paradis		Sans Frontières	1	12				
20: Hemza Gado		Géologue	1	12		9706	9707	
21: Anatole Pilon		Technicien		12				
22 : Aurore Laurendeau		Géologue	1	12				
23: Jean-Sébastien Gauthier		Géologue assistant	1	12				
24 : Paquerette Duchesne		Cuisinière	1	12				
25 : Marek Krezcmer		Géologue (client)	1	12				
26 : Anton Esterhuisen		Géologue (client)	1	12				
27 : Helen Pein		Géologue (client)	1	12				
28 : Dominique Ouellet		Ingénieur hélicoptère	1	12				
<b>VOLS D'HYDRAVIONS:</b>			<b>AVARIS MÉCANIQUES:</b>					
TEMPS D'HELICOPTÈRE: rev : 3.1 , non rev: 0.3 total : 3.4			ACCIDENTS:					
<b>VOYAGES DE CAMION:</b>			TEMPS MORT:					
<b>EXPÉDITION D'ÉCHANTILLONS:</b>			AMÉLIORATIONS À PRÉVOIR:					
<b>ACHATS:</b>								
MOBILISATION: Marek, Helen et Anton			AVIS DISCIPLINAIRE:					
DEMOBILISATION: Anatole vers South Rae			VÉRIFICATION:			IOS Services Géoscientifiques Inc		
FORAGE - # TROU: DE: A:			FACTURATION:					
BUDGET RESIDUEL:			DÉPENSES:					



<b>RAPPORT JOURNALIER</b>		Date: 16-08-2007	PROJET: 592	CAMPEMENT: BARNOIN	METEO: nuageux			
			CLIENT: North Western	RESP: Sylvain Vaillancourt	SIGNATURE:			
			APPEL QUOTIDIEN:					
<b>COMMENTAIRES SUR LES TRAVAUX:</b>								
Zone 63 : Benoît, Julie, Steeve, Jean-Sébastien, Hemza, Daniel, Bertrand et Joanie ont fait de la prospection								
Cyni, Bertrand, Marek, Helen et Anton : visite avec les clients des zones minéralisées								
Sylvain : Bureau et logistique								
Zone 48 : Gaetan et Aurore : mise en place de la grille pour prise de mesures radiométriques								
Démobilisation de Dominique								
<b>COMMENTAIRES SUR LA GÉOLOGIE:</b>								
Zone 63 : Nous avons parcouru la zone du Nord vers le Sud. Beaucoup de champs de blocs et de mort terrain avec quelques affleurements allongés de M4-M6 avec un peu de I1G. Background général de 250-325 cps.								
Visite de petites anomalies sud-ouest avec back ground et lithologie comparable à celle de la zone.								
<b>PERSONNEL</b>								
		<b>TACHES</b>	<b>Couché</b>	<b>Heures</b>	<b>Hors camps</b>	<b>Echant: De</b>	<b>Echant: A</b>	<b>FACT.</b>
1: Sylvain VAILLANCOURT		Chargé de projet	1	12				
3: Cyni MULLARD		Géologue	1	12				
5: Gaetan TREMBLAY		Homme de camps - prospecteur	1	12				
6: Carson Sutton		Pilote d'hélicoptère	1	12				
7: Jean-Denis		Technicien d'hélicoptère	1	12				
9: Joanie Béland		Géologue assistante	1	12				
10: Benoît Massé		Géologue assistant	1	12		9621		
11: Bertrand Taquet		Géologue sénior (client)	1	12				
12: Julie Menier		Géologue assistante	1	12				
15: Bertrand Dallaire		Sans Frontières	1	12				
17: Steeve Lavoie		Géologue	1	12				
18: Daniel Paradis		Sans Frontières	1	12				
20: Hemza Gado		Géologue	1	12		9708		
22 : Aurore Laurendeau		Géologue	1	12				
23: Jean-Sébastien Gauthier		Géologue assistant	1	12				
24 : Pâquerette Duchesne		Cuisinière	1	12				
25 : Marek Krezcmer		Géologue (client)	1	12				
26 : Anton Esterhuisen		Géologue (client)	1	12				
27 : Helen Pein		Géologue (client)	1	12				
28 : Dominique Ouellet		Ingénieur hélicoptère		12				
VOLS D'HYDRAVIONS:			AVARIS MECANIQUES:					
TEMPS D'HELICOPTERE: rev: 2.7 non rev: 1.1 total: 3.8			ACCIDENTS:					
VOYAGES DE CAMION:			TEMPS MORT:					
EXPEDITION D'ÉCHANTILLONS:			AMÉLIORATIONS À PREVOIR:					
ACHATS:								
MOBILISATION:								
DEMOBILISATION:			AVIS DISCIPLINAIRE:					
FORAGE- # TROU:		DE:	A:	VERIFICATION:		IOS Services Géoscientifiques Inc		
BUDGET RESIDUEL:		DEPENSES:		FACTURATION:				



<b>RAPPORT JOURNALIER</b>		Date: 18-08-2007	PROJET: 592	CAMPEMENT: BARNOIN	METEO: pluie et brouillard		
			CLIENT: North Western	RESP: Sylvain Vaillancourt	SIGNATURE:		
			APPEL QUOTIDIEN:				
<b>COMMENTAIRES SUR LES TRAVAUX:</b>							
Journée de down time vu les mauvaises conditions météorologiques							
Travaux autour du camp, bureautique, planning et travaux sur la cartographie des zones minéralisées							
<b>COMMENTAIRES SUR LA GÉOLOGIE:</b>							
PERSONNEL	TÂCHES	Couché	Heures	Hors camps	Échant: De	Échant: A	FACT.
1: Sylvain VAILLANCOURT	Chargé de projet	1	12				
3: Cyril MULLARD	Géologue	1	12				
5: Gaétan TREMBLAY	Homme de camps - prospecteur	1	12				
6: Carson Sutton	Pilote d'hélicoptère	1	12				
7: Jean-Denis	Technicien d'hélicoptère	1	12				
9: Joanie Béliand	Géologue assistante	1	12				
12: Julie Menier	Géologue assistante	1	12				
15: Bertrand Dallaire	Sans Frontières	1	12				
17: Steeve Lavoie	Géologue	1	12				
18: Daniel Paradis	Sans Frontières	1	12				
22 : Aurore Laurendeau	Géologue	1	12				
23: Jean-Sébastien Gauthier	Géologue assistant	1	12				
24 : Pâquerette Duchesne	Cuisinière	1	12				
25 : Marek Krezcmer	Géologue (client)	1	12				
26 : Anton Esterhuisen	Géologue (client)	1	12				
27 : Helen Pein	Géologue (client)	1	12				
29 : Foreur 1	Foreur	1	12	Kangiq			
30 : Foreur 2	Foreur	1	12	Kangiq			
31 : Foreur 3	Foreur	1	12	Kangiq			
32 : Foreur 4	Foreur	1	12	Kangiq			
33 : Professeur	Professeur	1	12	Kangiq			
VOLS D'HYDRAVIONS:			AVARIS MECANIQUES:				
TEMPS D'HELICOPTERE: 0			ACCIDENTS:				
VOYAGES DE CAMION:			TEMPS MORT:				
EXPEDITION D'ECHANTILLONS:			AMELIORATIONS A PREVOIR:				
ACHATS:							
MOBILISATION:							
DEMOBILISATION:			AVIS DISCIPLINAIRE:				
FORAGE- # TROU:		DE:	A:	VERIFICATION:			
BUDGET RESIDUEL:		DEPENSES:		FACTURATION:			
<b>IOS Services Géoscientifiques Inc</b>							



RAPPORT JOURNALIER		Date: 19-08-2007	PROJET: 592	CAMPEMENT: BARNOIN	MÉTÉO: nuageux et brouillard		
			CLIENT: North Western	RESP: Sylvain Vaillancourt	SIGNATURE:		
			APPEL QUOTIDIEN:				
<b>COMMENTAIRES SUR LES TRAVAUX:</b>							
Début de la journée à 10h15 (brouillard)							
Zone 48 : Gaétan, Aurore et Cyril mise en place de la grille pour prise de mesures radiométriques et Julie, Daniel, Joanie et Bertrand : radiométrie de la zone au 50m							
Zone 46 : Steeve, Jean-Sébastien et Hemza prospection, échantillonnage et recherche d'extension.							
Sylvain et Bertrand : supervision de l'essai et du montage de la drill							
Démobilisation de Marek, Anton et Helen du camp Barnoin vers Kujuaq							
<b>COMMENTAIRES SUR LA GÉOLOGIE:</b>							
Zone 46 : La bande représentant l'anomalie au Nord de la zone délimitée et échantillonnée. Elle fait environ 300 mètres de long, une épaisseur de 10 à 20 mètres. On y retrouve des valeurs en cps allant jusqu'à 35 000, plusieurs valeurs entre 5 000 et 25 000 cps ont été relevées.							
PERSONNEL	TÂCHES	Couché	Heures	Hors camps	Échant: De	Échant: A	FACT.
1: Sylvain VAILLANCOURT	Chargé de projet	1	12				
3: Cyril MULLARD	Géologue	1	12				
5: Gaetan TREMBLAY	Homme de camps - prospecteur	1	12				
6: Carson Sutton	Pilote d'hélicoptère	1	12				
7: Jean-Denis	Technicien d'hélicoptère	1	12				
9: Joanie Béland	Géologue assistante	1	12				
11: Bertrand Taquet	Géologue sénior (client)	1	12				
12: Julie Menier	Géologue assistante	1	12				
15: Bertrand Dallaire	Sans Frontières	1	12				
17: Steeve Lavoie	Géologue	1	12				
18: Daniel Paradis	Sans Frontières	1	12				
20: Hemza Gado	Géologue	1	12				
22 : Aurore Laurendeau	Géologue	1	12				
23: Jean-Sébastien Gauthier	Géologue assistant	1	12				
24 : Paquerette Duchesne	Cuisinière	1	12				
25 : Marek Krezcmier	Géologue (client)		12				
26 : Anton Esterhuisen	Géologue (client)		12				
27 : Helen Pein	Géologue (client)		12				
29 : Foreur 1	Foreur	Kangig	12				
30 : Foreur 2	Foreur	Kangig	12				
31 : Foreur 3	Foreur	Kangig	12				
32 : Foreur 4	Foreur	Kangig	12				
33 : Professeur	Professeur	Kangig	12				
VOLS D'HYDRAVIONS:			AVARIS MÉCANIQUES:				
TEMPS D'HÉLICOPTÈRE: 5,5			ACCIDENTS:				
VOYAGES DE CAMION:			TEMPS MORT:				
EXPÉDITION D'ÉCHANTILLONS:			AMÉLIORATIONS À PREVOIR:				
ACHATS:							
MOBILISATION:							
DÉMOBILISATION: Marek, Anton et Helen du camp Barnoin vers Kujuaq			AVIS DISCIPLINAIRE:				
FORAGE- # TROU:		DE:	A:	VERIFICATION:			
BUDGET RESIDUEL:		DÉPENSES:		FACTURATION:			
<b>IOS Services Géoscientifiques Inc</b>							



<b>RAPPORT JOURNALIER</b>	Date: 20-08-2007	PROJET: 592	CAMPEMENT: BARNOIN	MÉTÉO: nuageux et brouillard			
		CLIENT: North Western	RESP: Sylvain Vaillancourt	SIGNATURE:			
		APPEL QUOTIDIEN:					
<b>COMMENTAIRES SUR LES TRAVAUX:</b>							
Zone 48 : Aurore et Cyril mise en place de la grille pour prise de mesures radiométriques et Jean-Sébastien, Daniel, Joanie et Bertrand : radiométrie de la zone au 50m							
Zone 28 : Steeve et Hemza, description de détail de ligne au 25 mètres.							
Julie et Gaetan sur l'expédition d'échantillon.							
Bertrand et Sylvain : Bureau et préparation de forage.							
Mobilisation de Pamela Tremblay sur Barnoin							
<b>COMMENTAIRES SUR LA GÉOLOGIE:</b>							
Zone 28 : la description ce fait en coupe (interprétation) et de surface.							
PERSONNEL	TÂCHES	Couché	Heures	Hors camps	Échant: De	Échant: A	FACT.
1: Sylvain VAILLANCOURT	Chargé de projet	1	12				
3: Cyril MULLARD	Géologue	1	12				
5: Gaétan TREMBLAY	Homme de camps - prospecteur	1	12				
6: Carson Sutton	Pilote d'hélicoptère	1	12				
7: Jean-Denis	Technicien d'hélicoptère	1	12				
9: Joanie Béland	Géologue assistante	1	12				
11: Bertrand Taquet	Géologue sénior (client)	1	12				
12: Julie Menier	Géologue assistante	1	12				
15: Bertrand Dallaire	Sans Frontières	1	12				
17: Steeve Lavoie	Géologue	1	12				
18: Daniel Paradis	Sans Frontières	1	12				
20: Hemza Gado	Géologue	1	12				
22 : Aurore Laurendeau	Géologue	1	12				
23: Jean-Sébastien Gauthier	Géologue assistant	1	12				
24 : Pâquerette Duchesne	Cuisinière	1	12				
29 : Foreur 1	Foreur	Kangig	12				
30 : Foreur 2	Foreur	Kangig	12				
31 : Foreur 3	Foreur	Kangig	12				
32 : Foreur 4	Foreur	Kangig	12				
33 : Professeur	Professeur	Kangig	12				
VOLS D'HYDRAVIONS:			AVARIS MÉCANIQUES:				
TEMPS D'HÉLICOPTÈRE: 2,3			ACCIDENTS:				
VOYAGES DE CAMION:			TEMPS MORT:				
EXPÉDITION D'ÉCHANTILLONS:			AMÉLIORATIONS A PREVOIR:				
ACHATS:							
MOBILISATION:							
DEMOBILISATION:			AVIS DISCIPLINAIRE:				
FORAGE- # TROU:	DE:	A:	VERIFICATION:				
BUDGET RÉSIDUEL:	DÉPENSES:		FACTURATION:				
<b>IOS Services Géoscientifiques Inc</b>							

RAPPORT JOURNALIER		Date: 21-08-2007	PROJET: 592	CAMPÉMENT: BARNOIN	MÉTÉO: ensoleillé avec passages nuageux			
			CLIENT: North Western	RESP: Sylvain Vaillancourt	SIGNATURE:			
			APPEL QUOTIDIEN:					
<b>COMMENTAIRES SUR LES TRAVAUX:</b>								
Zone 48 : Gaetan et Cyril mise en place de la grille pour prise de mesures radiométriques, Jean-Sébastien et Joanie : radiométrie de la zone au 50m et Paméla et Julie : Cartographie au 50m								
Zone 28 : Steeve et Hemza, description de détail de ligne au 25 mètres.								
Bertrand et Sylvain : Bureau, repérage sur la zone 35, visite des drillers								
Visite de Sylvain Guérard et de Jean-Marc Lulin au camp Barnoin								
Démobilisation de Aurore vers Otelnuk								
<b>COMMENTAIRES SUR LA GÉOLOGIE:</b>								
Cartographie au 50m zone 48 : La lithologie dominante sur cette zone est M6. Plusieurs dykes de I1G sont aussi visibles. Les contacts entre M6 et I1G sont diffus ce qui les rend difficiles à distinguer. L'orientation préférentielle de la schistosité est d'environ 315-330 (prise sur le bord de la rivière puisque plus à l'Ouest la roche a subit une déformation avec micro-plissement). Très peu de M4 visible sur cette zone.								
<b>PERSONNEL</b>								
		<b>TÂCHES</b>	<b>Couché</b>	<b>Heures</b>	<b>Hors camps</b>	<b>Échant: De</b>	<b>Échant: A</b>	<b>FACT.</b>
1: Sylvain VAILLANCOURT		Chargé de projet	1	12				
3: Cyril MULLARD		Géologue	1	12				
5: Gaetan TREMBLAY		Homme de camps - prospecteur	1	12				
6: Carson Sulton		Pilote d'hélicoptère	1	12				
7: Jean-Denis		Technicien d'hélicoptère	1	12				
9: Joanie Béland		Géologue assistante	1	12				
11: Bertrand Taquet		Géologue sénior (client)	1	12				
12: Julie Menier		Géologue assistante	1	12				
15: Bertrand Dallaire		Sans Frontières	1	12				
16: Paméla Tremblay		Géologue assistante	1	12				
17: Steeve Lavoie		Géologue	1	12				
18: Daniel Paradis		Sans Frontières	1	12				
20: Hemza Gado		Géologue	1	12				
22: Aurore Laurendeau		Géologue		12				
23: Jean-Sébastien Gauthier		Géologue assistant	1	12				
24: Paquerette Duchesne		Cuisinière	1	12				
29: Foreur 1		Foreur	Kangig	12				
30: Foreur 2		Foreur	Kangig	12				
31: Foreur 3		Foreur	Kangig	12				
32: Foreur 4		Foreur	Kangig	12				
33: Professeur		Professeur	Kangig	12				
VOLS D'HYDRAVIONS:			AVARIS MÉCANIQUES:					
TEMPS D'HELICOPTÈRE: 3,2			ACCIDENTS:					
VOYAGES DE CAMION:			TEMPS MORT:					
EXPÉDITION D'ÉCHANTILLONS:			AMÉLIORATIONS À PRÉVOIR:					
ACHATS:								
MOBILISATION:								
DÉMOBILISATION: de Aurore vers Otelnuk			AVIS DISCIPLINAIRE:					
FORAGE- # TROU:		DE:	A:	VÉRIFICATION:		IOS Services Géoscientifiques Inc		
BUDGET RÉSIDUEL:		DÉPENSES:		FACTURATION:				



<b>RAPPORT JOURNALIER</b>	Date: 22-08-2007	PROJET: 592	CAMPEMENT: BARNOIN	MÉTÉO: ensoleillé			
		CLIENT: North Western	RESP: Sylvain Vaillancourt	SIGNATURE:			
		APPEL QUOTIDIEN:					
<b>COMMENTAIRES SUR LES TRAVAUX:</b>							
Zone 48 : Gaétan, Julie, Joanie et Jean-Sébastien radiométrie de la zone au 50m et choix de cible pour l'échantillonnage profond et Steeve et Cyril : Cartographie au 50m							
Zone 35 : Daniel et Bertrand : Bulder buster, Paméla et Hemza : définition de l'emplacement et de l'orientation de la base ligne et échantillonnage profond							
Bertrand et Sylvain : travail sur les cartes, redéfinition de la zone de travail des inuits							
Mobilisation de Sylvain Guérard et de Jean-Marc Lulin au camp Barnoin vers 19h00							
Changement de camp des inuits							
<b>COMMENTAIRES SUR LA GÉOLOGIE:</b>							
Zone 48 : description de détail complétée jusqu'à la ligne 26. Le gneiss granitique prédomine le Sud de la zone, le paragneiss est très peu présent (bande métrique à l'occasion). Les minéralisations majeures se retrouvent toujours dans les pegmatites. Une bande de metabasalte d'une épaisseur décimétrique est présente et continue du côté Est de la zone. Une autre bande de metabasalte est aussi visible légèrement à l'Ouest de la ligne de base. Visualisation d'enclave de metabasalte dans les bandes de pegmatite et des bandes de pegmatite dans la foliation du metabasalte. Ces bandes en question son sujettes à de bonne minéralisation. Ceci pourrait							
<b>PERSONNEL</b>	<b>TÂCHES</b>	<b>Couché</b>	<b>Heures</b>	<b>Hors camps</b>	<b>Échant: De</b>	<b>Échant: A</b>	<b>FACT.</b>
1: Sylvain VAILLANCOURT	Chargé de projet	1	12				
3: Cyril MULLARD	Géologue	1	12				
5: Gaétan TREMBLAY	Homme de camps - prospecteur	1	12				
6: Carson Sutton	Pilote d'hélicoptère	1	12				
7: Jean-Denis	Technicien d'hélicoptère	1	12				
9: Joanie Béland	Géologue assistante	1	12				
11: Bertrand Taquet	Géologue sénior (client)	1	12				
12: Julie Menier	Géologue assistante	1	12				
15: Bertrand Dallaire	Sans Frontières	1	12				
16: Paméla Tremblay	Géologue assistante	1	12				
17: Steeve Lavoie	Géologue	1	12				
18: Daniel Paradis	Sans Frontières	1	12				
20: Hemza Gado	Géologue	1	12				
23: Jean-Sébastien Gauthier	Géologue assistant	1	12				
24 : Paquerette Duchesne	Cuisinière	1	12				
29 : Foreur 1	Foreur	Kangig	12				
30 : Foreur 2	Foreur	Kangig	12				
31 : Foreur 3	Foreur	Kangig	12				
32 : Foreur 4	Foreur	Kangig	12				
33 : Professeur	Professeur	Kangig	12				
33 : Sylvain Guérard	Géologue (Azimut)		12				
33 : Jean-Marc Lulin	Géologue (Azimut)		12				
<b>VOLS D'HYDRAVIONS:</b>		<b>AVARIS MÉCANIQUES:</b>					
<b>TEMPS D'HELICOPTÈRE:</b> 5 hrs transfert du camp inuit		<b>ACCIDENTS:</b>					
<b>VOYAGES DE CAMION:</b>		<b>TEMPS MORT:</b>					
<b>EXPEDITION D'ECHANTILLONS:</b>		<b>AMELIORATIONS A PREVOIR:</b>					
<b>ACHATS:</b>							
<b>MOBILISATION:</b> De Sylvain Guérard et Jean-Marc Lulin de South Ray vers le camp Barnoin		<b>AVIS DISCIPLINAIRE:</b>					
<b>DEMOBILISATION:</b>		<b>VERIFICATION:</b>					
<b>FORAGE - # TROU:</b>	<b>DE:</b>	<b>A:</b>	<b>IOS Services Géoscientifiques Inc</b>				
<b>BUDGET RESIDUEL:</b>	<b>DEPENSES:</b>		<b>FACTURATION:</b>				





<b>RAPPORT JOURNALIER</b>		Date: 24-08-2007	PROJET: 592	CAMPÉMENT: BARNOIN	MÉTÉO: ensoleillé		
			CLIENT: North Western	RESP: Jonathan Lalancette	SIGNATURE:		
			APPEL QUOTIDIEN:				
<b>COMMENTAIRES SUR LES TRAVAUX:</b>							
Zone 48 : Jean-Sébastien, Daniel et Bertrand : échantillonnage au bulder Buster. Steeve et Gaetan sur le chaînage. Hemza et Cyril sur la description de détail.							
Démobilisation de Sylvain Guérard, Jean-Marc Lulin, Pamela Tremblay, Stéphane Pivin (projet 639)							
Mobilisation de Stéphane Sergerie							
Jonathan et Bertrand: prévision de site de forage et visite des foreurs à Kangiqsuallujuaq							
<b>COMMENTAIRES SUR LA GÉOLOGIE:</b>							
PERSONNEL	TACHES	Couché	Heures	Hors camps	Echant: De	Echant: A	FACT.
3: Cyril MULLARD	Géologue	1	12				
5: Gaetan TREMBLAY	Homme de camps - prospecteur	1	12				
8: Jonathan Lalancette	Ing Géologue (chargé de projet par Intérim)	1	12				
15: Bertrand Dallaire	Sans Frontières	1	12				
16: Pamela Tremblay	Géologue assistante		12				
17: Steeve Lavoie	Géologue	1	12				
18: Daniel Paradis	Sans Frontières	1	12				
19: Stéphane Sergerie	Homme de camps	1	12				
23: Jean-Sébastien Gauthier	Géologue assistant	1	12				
24 : Paquerette Duchesne	Cuisinière	1	12				
29 : Foreur 1	Foreur	1	12	Kangiq			
30 : Foreur 2	Foreur	1	12	Kangiq			
31 : Foreur 3	Foreur	1	12	Kangiq			
32 : Foreur 4	Foreur	1	12	Kangiq			
VOLS D'HYDRAVIONS:			AVARIS MÉCANIQUES:				
TEMPS D'HELICOPTÈRE: 4,9hrs t			ACCIDENTS:				
VOYAGES DE CAMION:			TEMPS MORT:				
EXPÉDITION D'ÉCHANTILLONS:			AMÉLIORATIONS À PRÉVOIR:				
ACHATS:							
MOBILISATION:SS: St-Honoré --> Barnoin			AVIS DISCIPLINAIRE:				
DÉMobilISATION: SG-SP-JML-PT -->Barnoin-ST-Honoré ** Steph = projet 639			VERIFICATION:				
FORAGE- # TROU:		DE:	A:	FACTURATION:			
BUDGET RÉSIDUEL:		DÉPENSES:		IOS Services Géoscientifiques Inc			

<b>RAPPORT JOURNALIER</b>	Date: 25-08-2007	PROJET: 592	CAMPEMENT: BARNOIN	METÉO: pluie et brume																																																																																																																
		CLIENT: North Western	RESP: Jonathan Lalancette	SIGNATURE:																																																																																																																
		APPEL QUOTIDIEN:																																																																																																																		
<b>COMMENTAIRES SUR LES TRAVAUX:</b> On a pas pu se rendre sur le terrain vu la mauvaise température et surtout la brume. Travaux au camp. Vol d'hélicoptère aller-retour Barnoin-Kangiquallujuaq en fin d'après midi pour transport d'échantillons et matériel. Préparation d'envoi d'échantillons : Jonathan, Steeve, Cyril, Jean-Sébastien Construction de CoreShack et tente d'échantillonnage : Daniel, Bertrand Dallaire, Gaetan, Stéphane																																																																																																																				
<b>COMMENTAIRES SUR LA GÉOLOGIE:</b>																																																																																																																				
<table border="1"> <thead> <tr> <th>PERSONNEL</th> <th>TÂCHES</th> <th>Couché</th> <th>Heures</th> <th>Hors camps</th> <th>Échant: De</th> <th>Échant: A</th> <th>FACT.</th> </tr> </thead> <tbody> <tr> <td>3: Cyril MULLARD</td> <td>Géologue</td> <td>1</td> <td>12</td> <td></td> <td></td> <td></td> <td></td> </tr> <tr> <td>5: Gaétan TREMBLAY</td> <td>Homme de camps - prospecteur</td> <td>1</td> <td>12</td> <td></td> <td></td> <td></td> <td></td> </tr> <tr> <td>8: Jonathan Lalancette</td> <td>Ing Géologue (chargé de projet par Intérim)</td> <td>1</td> <td>12</td> <td></td> <td></td> <td></td> <td></td> </tr> <tr> <td>15: Bertrand Dallaire</td> <td>Sans Frontières</td> <td>1</td> <td>12</td> <td></td> <td></td> <td></td> <td></td> </tr> <tr> <td>17: Steeve Lavoie</td> <td>Géologue</td> <td>1</td> <td>12</td> <td></td> <td></td> <td></td> <td></td> </tr> <tr> <td>18: Daniel Paradis</td> <td>Sans Frontières</td> <td>1</td> <td>12</td> <td></td> <td></td> <td></td> <td></td> </tr> <tr> <td>19: Stéphane Sergerie</td> <td>Homme de camps</td> <td>1</td> <td>12</td> <td></td> <td></td> <td></td> <td></td> </tr> <tr> <td>23: Jean-Sébastien Gauthier</td> <td>Géologue assistant</td> <td>1</td> <td>12</td> <td></td> <td></td> <td></td> <td></td> </tr> <tr> <td>24 : Paquerette Duchesne</td> <td>Cuisinière</td> <td>1</td> <td>12</td> <td></td> <td></td> <td></td> <td></td> </tr> <tr> <td>29 : Foreur 1</td> <td>Foreur</td> <td>1</td> <td>12</td> <td>Kangiq</td> <td></td> <td></td> <td></td> </tr> <tr> <td>30 : Foreur 2</td> <td>Foreur</td> <td>1</td> <td>12</td> <td>Kangiq</td> <td></td> <td></td> <td></td> </tr> <tr> <td>31 : Foreur 3</td> <td>Foreur</td> <td>1</td> <td>12</td> <td>Kangiq</td> <td></td> <td></td> <td></td> </tr> <tr> <td>32 : Foreur 4</td> <td>Foreur</td> <td>1</td> <td>12</td> <td>Kangiq</td> <td></td> <td></td> <td></td> </tr> </tbody> </table>					PERSONNEL	TÂCHES	Couché	Heures	Hors camps	Échant: De	Échant: A	FACT.	3: Cyril MULLARD	Géologue	1	12					5: Gaétan TREMBLAY	Homme de camps - prospecteur	1	12					8: Jonathan Lalancette	Ing Géologue (chargé de projet par Intérim)	1	12					15: Bertrand Dallaire	Sans Frontières	1	12					17: Steeve Lavoie	Géologue	1	12					18: Daniel Paradis	Sans Frontières	1	12					19: Stéphane Sergerie	Homme de camps	1	12					23: Jean-Sébastien Gauthier	Géologue assistant	1	12					24 : Paquerette Duchesne	Cuisinière	1	12					29 : Foreur 1	Foreur	1	12	Kangiq				30 : Foreur 2	Foreur	1	12	Kangiq				31 : Foreur 3	Foreur	1	12	Kangiq				32 : Foreur 4	Foreur	1	12	Kangiq			
PERSONNEL	TÂCHES	Couché	Heures	Hors camps	Échant: De	Échant: A	FACT.																																																																																																													
3: Cyril MULLARD	Géologue	1	12																																																																																																																	
5: Gaétan TREMBLAY	Homme de camps - prospecteur	1	12																																																																																																																	
8: Jonathan Lalancette	Ing Géologue (chargé de projet par Intérim)	1	12																																																																																																																	
15: Bertrand Dallaire	Sans Frontières	1	12																																																																																																																	
17: Steeve Lavoie	Géologue	1	12																																																																																																																	
18: Daniel Paradis	Sans Frontières	1	12																																																																																																																	
19: Stéphane Sergerie	Homme de camps	1	12																																																																																																																	
23: Jean-Sébastien Gauthier	Géologue assistant	1	12																																																																																																																	
24 : Paquerette Duchesne	Cuisinière	1	12																																																																																																																	
29 : Foreur 1	Foreur	1	12	Kangiq																																																																																																																
30 : Foreur 2	Foreur	1	12	Kangiq																																																																																																																
31 : Foreur 3	Foreur	1	12	Kangiq																																																																																																																
32 : Foreur 4	Foreur	1	12	Kangiq																																																																																																																
VOLS D'HYDRAVIONS:		AVARIS MÉCANIQUES:																																																																																																																		
TEMPS D'HELICOPTERE: 0,8hrs		ACCIDENTS:																																																																																																																		
VOYAGES DE CAMION:		TEMPS MORT:																																																																																																																		
EXPEDITION D'ECHANTILLONS:		AMELIORATIONS A PREVOIR:																																																																																																																		
ACHATS:																																																																																																																				
MOBILISATION:																																																																																																																				
DEMOBILISATION:		AVIS DISCIPLINAIRE:																																																																																																																		
FORAGE- # TROU:	DE: A:	VERIFICATION:																																																																																																																		
BUDGET RESIDUEL:	DÉPENSES:	FACTURATION:																																																																																																																		
IOS Services Géoscientifiques Inc																																																																																																																				

# RAPPORT JOURNALIER

Date: 26-08-2007

PROJET: 592      CAMPÈMENT: BARNOIN      MÉTÉO: pluie et brume  
 CLIENT: North Western      RESP: Jonathan Lalancette      SIGNATURE:  
 APPEL QUOTIDIEN:

**COMMENTAIRES SUR LES TRAVAUX:** On a pas pu se rendre sur le terrain vu la mauvaise température et surtout la brume. Travaux au camp. Vol d'hélicoptère aller-retour Barnoin-Kangiqsualluq en fin d'après-midi pour transport d'échantillons et matériel.

Préparation d'envoi d'échantillons : Jonathan, Steeve  
 Construction de CoreShack et tente d'échantillonnage et table pour description de carottes: Daniel, Bertrand Dallaire, Gaetan, Stéphane

Bureau: J-S Gauthier, Cyril Mullard.

## COMMENTAIRES SUR LA GÉOLOGIE:

PERSONNEL	TÂCHES	Couché	Heures	Hors camps	Echant: De	Echant: A	FACT.
3: Cyril MULLARD	Géologue	1	12				
5: Gaetan TREMBLAY	Homme de camps - prospecteur	1	12				
8: Jonathan Lalancette	Ing Géologue (chargé de projet par Intérim)	1	12				
15: Bertrand Dallaire	Sans Frontières	1	12				
17: Steeve Lavoie	Géologue	1	12				
18: Daniel Paradis	Sans Frontières	1	12				
19: Stéphane Sergerie	Homme de camps	1	12				
23: Jean-Sébastien Gauthier	Géologue assistant	1	12				
24 : Pâquerette Duchesne	Cuisinière	1	12				
29 : Foreur 1	Foreur	1	12	Kangiq			
30 : Foreur 2	Foreur	1	12	Kangiq			
31 : Foreur 3	Foreur	1	12	Kangiq			
32 : Foreur 4	Foreur	1	12	Kangiq			

VOLS D'HYDRAVIONS:

TEMPS D'HELICOPTÈRE: 1,4hrs

VOYAGES DE CAMION:

EXPÉDITION D'ÉCHANTILLONS:

ACHATS:

MOBILISATION:

DEMOBILISATION:

FORAGE- # TROU:

BUDGET RÉSIDUEL:

DE:

A:

DEPENSES:

AVARIS MECANIQUEs:

ACCIDENTS:

TEMPS MORT:

AMÉLIORATIONS À PREVOIR:

AVIS DISCIPLINAIRE:

VERIFICATION:

FACTURATION:

IOS Services Géoscientifiques Inc



RAPPORT JOURNALIER		Date: 27-08-2007	PROJET: 592	CAMPEMENT: BARNOIN	METEO: Soleil		
			CLIENT: North Western	RESP: Jonathan Lalancette	SIGNATURE:		
			APPEL QUOTIDIEN:				
<b>COMMENTAIRES SUR LES TRAVAUX:</b> Premier voyage d'hélicoptère vers 8h00 am.							
Steeve et J-Sébastien: Gps pour compléter les grilles au 25 m sur la zone 48							
Cyril et Hamza: Cartographie de détail sur les lignes au 25 m sur la zone 48							
Gaetan et Bertrand: construction de la tente de survie sur la zone 28							
Stéphane + 1 foreur: préparation des slings à Kangiqsualluuaq							
Jonathan: positionnement du forage, enlèvement de la foreuse, réception des slings.							
3 foreurs:réception des slings							
<b>COMMENTAIRES SUR LA GÉOLOGIE:</b>							
PERSONNEL	TÂCHES	Couché	Heures	Hors camps	Échant: De	Échant: A	FACT.
3: Cyril MULLARD	Géologue	1	12				
5: Gaétan TREMBLAY	Homme de camps - prospecteur	1	12				
8: Jonathan Lalancette	Ing Géologue (chargé de projet par Intérim)	1	12				
15: Bertrand Dallaire	Sans Frontières	1	12				
17: Steeve Lavoie	Géologue	1	12				
18: Daniel Paradis	Sans Frontières	1	12				
19: Stéphane Sergerie	Homme de camps	1	12				
23: Jean-Sébastien Gauthier	Géologue assistant	1	12				
24 : Pâquerette Duchesne	Cuisinière	1	12				
29 : Foreur 1	Foreur	1	12				
30 : Foreur 2	Foreur	1	12				
31 : Foreur 3	Foreur	1	12				
32 : Foreur 4	Foreur	1	12				
VOLS D'HYDRAVIONS:			AVARIS MÉCANIQUES:				
TEMPS D'HELICOPTÈRE: 9 hrs			ACCIDENTS:				
VOYAGES DE CAMION:			TEMPS MORT:				
EXPÉDITION D'ÉCHANTILLONS:			AMÉLIORATIONS À PRÉVOIR:				
ACHATS:							
MOBILISATION:							
DEMOBILISATION:			AVIS DISCIPLINAIRE:				
FORAGE- # TROU:		DE:	A:	VERIFICATION:			
BUDGET RÉSIDUEL:		DÉPENSES:		FACTURATION:			
IOS Services Géoscientifiques Inc							



<b>RAPPORT JOURNALIER</b>		Date: 28-08-2007	PROJET: 592	CAMPEMENT: BARNOIN	MÉTÉO: Embrumé, dégagement en après-midi		
			CLIENT: North Western	RESP: Jonathan Lalancette	SIGNATURE:		
			APPEL QUOTIDIEN:				
<p><b>COMMENTAIRES SUR LES TRAVAUX:</b> 1 essai en matinée pour voir si on peut se rendre sur le terrain. Il était impossible de s'y rendre, on a donc dû faire du travail de bureau (mise en carte, base de données, ménage dans les documents informatiques (Jonathan, Cyril, J-S, Hemza, Bertrand)</p> <p>Daniel et Bertrand: Finition du coreshack et de la tente d'échantillonnage</p> <p>Gaetan et Stéphane: Inventaire, ménage du site.</p> <p>En après-midi, l'hélicoptère était groundé à Georges River en attente d'une pièce, Stéphane est allé sur place pour aller recevoir l'avion d'ExactAir.</p>							
<p><b>COMMENTAIRES SUR LA GÉOLOGIE:</b> Aucune géologie aujourd'hui</p>							
PERSONNEL	TÂCHES	Couché	Heures	Hors camps	Échant: De	Échant: A	FACT.
3: Cyril MULLARD	Géologue	1	12				
5: Gaetan TREMBLAY	Homme de camps - prospecteur	1	12				
8: Jonathan Lalancette	Ing Géologue (chargé de projet par Intérim)	1	12				
15: Bertrand Dallaire	Sans Frontières	1	12				
17: Steeve Lavoie	Géologue	1	12				
18: Daniel Paradis	Sans Frontières	1	12				
19: Stéphane Sergerie	Homme de camps	1	12				
23: Jean-Sébastien Gauthier	Géologue assistant	1	12				
24 : Paquerette Duchesne	Cuisinière	1	12				
29 : Foreur 1	Foreur	1	12				
30 : Foreur 2	Foreur	1	12				
31 : Foreur 3	Foreur	1	12				
32 : Foreur 4	Foreur	1	12				
VOLS D'HYDRAVIONS:			AVARIS MÉCANIQUES:				
TEMPS D'HELICOPTÈRE: 1,9 hrs			ACCIDENTS:				
VOYAGES DE CAMION:			TEMPS MORT:				
EXPÉDITION D'ÉCHANTILLONS: 56,33			AMÉLIORATIONS A PREVOIR:				
ACHATS:							
MOBILISATION:							
DEMOBILISATION:			AVIS DISCIPLINAIRE:				
FORAGE- # TROU:	DE:	A:	VERIFICATION:	IOS Services Géoscientifiques Inc			
BUDGET RESIDUEL:	DÉPENSES:		FACTURATION:				

<b>RAPPORT JOURNALIER</b>		Date: 29-08-2007	PROJET: 592	CAMPEMENT: BARNOIN	METEO: partiellement nuageux, frais		
			CLIENT: North Western	RESP: Jonathan Lalancette	SIGNATURE:		
			APPEL QUOTIDIEN:				
<b>COMMENTAIRES SUR LES TRAVAUX:</b> Daniel-Bertrand-Jean-Sébastien: Echantillonnage profond (pionjar) sur la zone Torrent.							
Steeve-Jonathan: GPS pour finir grille au 25 m sur la zone Torrent.							
Bertrand: positionnement de sites de forage sur la zone 28							
Cyril et Hamza: Cartographie de détail sur la zone Torrent.							
Gaetan: Radiométrie au 25m sur la zone Torrent							
Foreurs: Réception des pièces de foreuses sur la zone 28.							
Stéphane: préparation des slings à georges-River							
<b>COMMENTAIRES SUR LA GÉOLOGIE:</b>							
PERSONNEL	TÂCHES	Couché	Heures	Hors camps	Échant: De	Échant: A	FACT.
3: Cyril MULLARD	Géologue	1	12				
5: Gaetan TREMBLAY	Homme de camps - prospecteur	1	12				
8: Jonathan Lalancette	Ing Géologue (chargé de projet par Intérim)	1	12				
15: Bertrand Dallaire	Sans Frontières	1	12				
17: Steeve Lavoie	Géologue	1	12				
18: Daniel Paradis	Sans Frontières	1	12				
19: Stéphane Sergerie	Homme de camps	1	12				
23: Jean-Sébastien Gauthier	Géologue assistant	1	12				
24 : Pâquerette Duchesne	Cuisinière	1	12				
29 : Foreur 1	Foreur	1	12				
30 : Foreur 2	Foreur	1	12				
31 : Foreur 3	Foreur	1	12				
32 : Foreur 4	Foreur	1	12				
<b>VOLS D'HYDRAVIONS:</b>				<b>AVARIS MÉCANIQUES:</b>			
TEMPS D'HELICOPTÈRE: 8,9 hrs				ACCIDENTS:			
<b>VOYAGES DE CAMION:</b>				TEMPS MORT:			
<b>EXPÉDITION D'ÉCHANTILLONS:</b>				AMÉLIORATIONS À PRÉVOIR:			
<b>ACHATS:</b>							
<b>MOBILISATION:</b>							
<b>DEMÔBILISATION:</b>				<b>AVIS DISCIPLINAIRE:</b>			
<b>FORAGE - # TROU:</b>		DE:	A:	<b>VÉRIFICATION:</b>			
<b>BUDGET RÉSIDUEL:</b>		<b>DEPENSES:</b>		<b>FACTURATION:</b>			
IOS Services Géoscientifiques Inc							

<b>RAPPORT JOURNALIER</b>		Date: 30-08-2007	PROJET: 592	CAMPEMENT: BARNOIN	METEO: partiellement nuageux, frais		
			CLIENT: North Western	RESP: Jonathan Lalancette	SIGNATURE:		
			APPEL QUOTIDIEN:				
<b>COMMENTAIRES SUR LES TRAVAUX:</b> Daniel-Bertrand-Jean-Sébastien: Echantillonnage profond (pionjar) sur la zone Torrent.							
Steeve-Jonathan: GPS pour implanter la base line							
Bertrand: positionnement de sites de forage sur la zone 28 et spectrométrie							
Cyril et Hamza: Cartographie de détail sur la zone Tasik.							
Gaetan: finir de monter la tente de sécurité sur la zone							
Foreurs: Réception des pièces de foreuses sur la zone 28 et début du forage (0 à 4 m)							
Stéphane: préparation des slings à georges-River							
<b>COMMENTAIRES SUR LA GÉOLOGIE:</b>							
<b>PERSONNEL</b>	<b>TÂCHES</b>	<b>Couché</b>	<b>Heures</b>	<b>Hors camps</b>	<b>Échant: De</b>	<b>Échant: A</b>	<b>FACT.</b>
3: Cyril MULLARD	Géologue	1	12				
5: Gaetan TREMBLAY	Homme de camps - prospecteur	1	12				
8: Jonathan Lalancette	Ing Géologue (chargé de projet par intérim)	1	12				
11: Bertrand Taquet	Géologue sénior (client)	1					
15: Bertrand Dallaire	Sans Frontières	1	12				
17: Steeve Lavoie	Géologue	1	12				
18: Daniel Paradis	Sans Frontières	1	12				
19: Stéphane Sergerie	Homme de camps	1	12				
20: Hemza Gado	Géologue	1					
23: Jean-Sébastien Gauthier	Géologue assistant	1	12				
24: Paquerette Duchesne	Cuisinière	1	12				
29: Foreur 1	Foreur	1	12				
30: Foreur 2	Foreur	1	12				
31: Foreur 3	Foreur	1	12				
32: Foreur 4	Foreur	1	12				
VOLS D'HYDRAVIONS:			AVARIS MÉCANIQUES:				
TEMPS D'HELICOPTÈRE: 9,8 hrs			ACCIDENTS:				
VOYAGES DE CAMION:			TEMPS MORT:				
EXPÉDITION D'ÉCHANTILLONS:			AMÉLIORATIONS À PRÉVOIR:				
ACHATS:							
MOBILISATION:							
DEMOBILISATION:			AVIS DISCIPLINAIRE:				
FORAGE - # TROU: NR07-01 DE: 0m A: 4m			VÉRIFICATION:				
BUDGET RÉSIDUEL:			FACTURATION:				
DÉPENSES:			IOS Services Géoscientifiques Inc				



<b>RAPPORT JOURNALIER</b>		Date: 31-08-2007	PROJET: 592	CAMPEMENT: BARNOIN	METEO: Averses, quelques percées de soleil																																																																																																																																
			CLIENT: North Western	RESP: Jonathan Lalancette	SIGNATURE:																																																																																																																																
			APPEL QUOTIDIEN:																																																																																																																																		
<b>COMMENTAIRES SUR LES TRAVAUX:</b> La mauvaise température nous a empêché d'aller sur le terrain. Travaux de bureau. En après-midi, sorti de Paquerette, Gaetan et de Hamza rentrée de Dominic, Nathalie (projet 592) et d' Anatole, Jennifer et Jordi avec leur pilote et leur mécano (projet 650). Slings de matériel de Georges River vers le camp Barnoin. Monter un dortoir (tente prospecteur) pour les nouveaux arrivants.																																																																																																																																					
Foreurs: Forage sur le trou NR07-01. 47 m forés, le trou est rendu à 51 m.																																																																																																																																					
Stéphane: préparation des slings à georges-River en après-midi (madrriers, planches)																																																																																																																																					
<b>COMMENTAIRES SUR LA GÉOLOGIE:</b>																																																																																																																																					
<table border="1"> <thead> <tr> <th>PERSONNEL</th> <th>TÂCHES</th> <th>Couché</th> <th>Heures</th> <th>Hors camps</th> <th>Échant: De</th> <th>Échant: A</th> <th>FACT.</th> </tr> </thead> <tbody> <tr> <td>3: Cyril MULLARD</td> <td>Géologue</td> <td>1</td> <td>12</td> <td></td> <td></td> <td></td> <td></td> </tr> <tr> <td>5: Gaetan TREMBLAY</td> <td>Homme de camps - prospecteur</td> <td></td> <td>12</td> <td></td> <td></td> <td></td> <td></td> </tr> <tr> <td>8: Jonathan Lalancette</td> <td>Ing Géologue (chargé de projet par Intérim)</td> <td>1</td> <td>12</td> <td></td> <td></td> <td></td> <td></td> </tr> <tr> <td>15: Bertrand Dallaire</td> <td>Sans Frontières</td> <td>1</td> <td>12</td> <td></td> <td></td> <td></td> <td></td> </tr> <tr> <td>17: Steeve Lavoie</td> <td>Géologue</td> <td>1</td> <td>12</td> <td></td> <td></td> <td></td> <td></td> </tr> <tr> <td>18: Daniel Paradis</td> <td>Sans Frontières</td> <td>1</td> <td>12</td> <td></td> <td></td> <td></td> <td></td> </tr> <tr> <td>19: Stéphane Sergerie</td> <td>Homme de camps</td> <td>1</td> <td>12</td> <td></td> <td></td> <td></td> <td></td> </tr> <tr> <td>23: Jean-Sébastien Gauthier</td> <td>Géologue assistant</td> <td>1</td> <td>12</td> <td></td> <td></td> <td></td> <td></td> </tr> <tr> <td>24 : Paquerette Duchesne</td> <td>Cuisinière</td> <td></td> <td>12</td> <td></td> <td></td> <td></td> <td></td> </tr> <tr> <td>25: Nathalie</td> <td>Aide cuisinière</td> <td>1</td> <td>12</td> <td></td> <td></td> <td></td> <td></td> </tr> <tr> <td>26: Dominic Lavoie</td> <td>Homme de camp</td> <td>1</td> <td>12</td> <td></td> <td></td> <td></td> <td></td> </tr> <tr> <td>31 : Foreur 1</td> <td>Foreur</td> <td>1</td> <td>12</td> <td></td> <td></td> <td></td> <td></td> </tr> <tr> <td>32 : Foreur 2</td> <td>Foreur</td> <td>1</td> <td>12</td> <td></td> <td></td> <td></td> <td></td> </tr> <tr> <td>33 : Foreur 3</td> <td>Foreur</td> <td>1</td> <td>12</td> <td></td> <td></td> <td></td> <td></td> </tr> <tr> <td>34 : Foreur 4</td> <td>Foreur</td> <td>1</td> <td>12</td> <td></td> <td></td> <td></td> <td></td> </tr> </tbody> </table>						PERSONNEL	TÂCHES	Couché	Heures	Hors camps	Échant: De	Échant: A	FACT.	3: Cyril MULLARD	Géologue	1	12					5: Gaetan TREMBLAY	Homme de camps - prospecteur		12					8: Jonathan Lalancette	Ing Géologue (chargé de projet par Intérim)	1	12					15: Bertrand Dallaire	Sans Frontières	1	12					17: Steeve Lavoie	Géologue	1	12					18: Daniel Paradis	Sans Frontières	1	12					19: Stéphane Sergerie	Homme de camps	1	12					23: Jean-Sébastien Gauthier	Géologue assistant	1	12					24 : Paquerette Duchesne	Cuisinière		12					25: Nathalie	Aide cuisinière	1	12					26: Dominic Lavoie	Homme de camp	1	12					31 : Foreur 1	Foreur	1	12					32 : Foreur 2	Foreur	1	12					33 : Foreur 3	Foreur	1	12					34 : Foreur 4	Foreur	1	12				
PERSONNEL	TÂCHES	Couché	Heures	Hors camps	Échant: De	Échant: A	FACT.																																																																																																																														
3: Cyril MULLARD	Géologue	1	12																																																																																																																																		
5: Gaetan TREMBLAY	Homme de camps - prospecteur		12																																																																																																																																		
8: Jonathan Lalancette	Ing Géologue (chargé de projet par Intérim)	1	12																																																																																																																																		
15: Bertrand Dallaire	Sans Frontières	1	12																																																																																																																																		
17: Steeve Lavoie	Géologue	1	12																																																																																																																																		
18: Daniel Paradis	Sans Frontières	1	12																																																																																																																																		
19: Stéphane Sergerie	Homme de camps	1	12																																																																																																																																		
23: Jean-Sébastien Gauthier	Géologue assistant	1	12																																																																																																																																		
24 : Paquerette Duchesne	Cuisinière		12																																																																																																																																		
25: Nathalie	Aide cuisinière	1	12																																																																																																																																		
26: Dominic Lavoie	Homme de camp	1	12																																																																																																																																		
31 : Foreur 1	Foreur	1	12																																																																																																																																		
32 : Foreur 2	Foreur	1	12																																																																																																																																		
33 : Foreur 3	Foreur	1	12																																																																																																																																		
34 : Foreur 4	Foreur	1	12																																																																																																																																		
VOLS D'HYDRAVIONS:			AVARIS MÉCANIQUES;																																																																																																																																		
TEMPS D'HELICOPTÈRE: 4,5 hrs			ACCIDENTS:																																																																																																																																		
VOYAGES DE CAMION:			TEMPS MORT:																																																																																																																																		
EXPÉDITION D'ÉCHANTILLONS:			AMÉLIORATIONS A PREVOIR:																																																																																																																																		
ACHATS:																																																																																																																																					
MOBILISATION: Dominic Lavoie-Nathalie																																																																																																																																					
DEMOBILISATION: Geatan-Paquerette-Hamza			AVIS DISCIPLINAIRE:																																																																																																																																		
FORAGE- # TROU: NR07-01 DE: 4m A:51m			VERIFICATION:																																																																																																																																		
BUDGET RÉSIDUEL:		DÉPENSES:	FACTURATION:																																																																																																																																		
			IOS Services Géoscientifiques Inc																																																																																																																																		



<b>RAPPORT JOURNALIER</b>		Date:01-09-2007	PROJET: 592	CAMPMENT: BARNOIN	METEO: Averses, quelques percées de soleil					
			CLIENT: North Western	RESP: Jonathan Lalancette	SIGNATURE:					
			APPEL QUOTIDIEN:							
<b>COMMENTAIRES SUR LES TRAVAUX:</b> Daniel et Bertrand (SF): Installation des fournaies dans les tentes d'échantillonnage et de logement										
Dominic: Travaux pour le projet 650 (installation de l'abri Tempo)										
Jonathan et Steeve: Arrêter le trou NR07-01 (Tasieluk) et orienter la plate-forme de la foreuse pour le trou NR07-02 (Tasieluk)										
Bertrand et Jean-Sébastien: Visite de la zone 30 afin d'implanter des cibles de forage.										
Cyril: Mise en carte au bureau.										
Foreurs: Forage sur le trou NR07-01. 18 m forés, le trou a été arrêté à 69 m. Ils ont commencé à démonter la drill en après-midi										
Stéphane: préparation des slings à Georges-River en après-midi (madriers, planches) et entretien du camp en avant-midi										
<b>COMMENTAIRES SUR LA GÉOLOGIE:</b> Le trou NR07-01 présente une alternance de bandes de M4/M6/I1G. Il a été décidé d'arrêter le trou à 69 m, le dernier dyke de I1G finissait à 66 m, 3 dernier mètres dans M6. Le paragneiss est riche en sulfure (surtout Po). Les dykes de I1G présentent des valeurs entre 800-1000 cps, avec une valeur maximale de 3000 cps (à 66 m).										
<b>PERSONNEL</b>		<b>TÂCHES</b>			<b>Couché</b>	<b>Heures</b>	<b>Hors camps</b>	<b>Échant: De</b>	<b>Échant: A</b>	<b>FACT.</b>
3: Cyril MULLARD		Géologue			1	12				
8: Jonathan Lalancette		Ing Géologue (chargé de projet par Intérim)			1	12				
15: Bertrand Dallaire		Sans Frontières			1	12				
17: Steeve Lavoie		Géologue			1	12				
18: Daniel Paradis		Sans Frontières			1	12				
19: Stéphane Sergerie		Homme de camps			1	12				
23: Jean-Sébastien Gauthier		Géologue assistant			1	12				
25: Nathalie		Aide cuisinière			1	12				
31 : Foreur 1		Foreur			1	12				
32 : Foreur 2		Foreur			1	12				
33 : Foreur 3		Foreur			1	12				
34 : Foreur 4		Foreur			1	12				
<b>VOLS D'HYDRAVIONS:</b>				<b>AVARIS MECANIQUES:</b>						
TEMPS D'HELICOPTERE: 4,8 hrs				ACCIDENTS:						
VOYAGES DE CAMION:				TEMPS MORT:						
EXPÉDITION D'ÉCHANTILLONS:				AMÉLIORATIONS À PRÉVOIR:						
ACHATS:										
MOBILISATION:										
DEMOBILISATION:				AVIS DISCIPLINAIRE:						
FORAGE - # TROU: NR07-01 DE: 51m A: 69m				VERIFICATION:						
BUDGET RESIDUEL:				FACTURATION:				IOS Services Géoscientifiques Inc		



<b>RAPPORT JOURNALIER</b>		Date:03-09-2007	PROJET: 592	CAMPEMENT: BARNOIN	METEO: Nuageux, partiellement ensoleillé, vent fort		
			CLIENT: North Western	RESP: Jonathan Lalancette	SIGNATURE:		
			APPEL QUOTIDIEN:				
<b>COMMENTAIRES SUR LES TRAVAUX:</b> Daniel (SF) et Bertrand (NWM): Visite de la zone Torrent afin d'implanter des sites de forage.							
Jean-Sébastien et Stéphane: Grille au 25 m avec le GPS sur la zone 4.							
Jonathan et Cyril: Description de la carotte de forage du trou NR07-01							
Bertrand (SF) et Dominic: Radiométrie sur la zone 4							
Steeve et Jordi: cartographie de détail sur la zone Tasik							
Foreurs: Finir de remonter la foreuse et forage du trou NR07-02 (0m à 21m)							
<b>COMMENTAIRES SUR LA GÉOLOGIE:</b>							
PERSONNEL	TÂCHES	Couché	Heures	Hors camps	Échant: De	Échant: A	FACT.
3: Cyril MULLARD	Géologue	1	12				
8: Jonathan Lalancette	Ing Géologue (chargé de projet par Intérim)	1	12				
13: Jordy Turcotte	Géologue assistant (projet 592)		12				
15: Bertrand Dallaire	Sans Frontières	1	12				
17: Steeve Lavoie	Géologue	1	12				
18: Daniel Paradis	Sans Frontières	1	12				
19: Stéphane Sergerie	Homme de camps	1	12				
23: Jean-Sébastien Gauthier	Géologue assistant	1	12				
25: Nathalie	Aide cuisinière	1	12				
26: Dominic Lavoie	Homme de camp	1	12				
31 : Foreur 1	Foreur	1	12				
32 : Foreur 2	Foreur	1	12				
33 : Foreur 3	Foreur	1	12				
34 : Foreur 4	Foreur	1	12				
VOLS D'HYDRAVIONS:				AVARIS MÉCANIQUES:			
TEMPS D'HELICOPTÈRE: 4,7 hrs				ACCIDENTS:			
VOYAGES DE CAMION:				TEMPS MORT:			
EXPÉDITION D'ÉCHANTILLONS:				AMÉLIORATIONS À PRÉVOIR:			
ACHATS:							
MOBILISATION:							
DEMOBILISATION:				AVIS DISCIPLINAIRE:			
FORAGE- # TROU: NR07-02 DE: 0m A: 21 m				VÉRIFICATION:			
BUDGET RÉSIDUEL:				FACTURATION:			
DÉPENSES:				IOS Services Géoscientifiques Inc			



RAPPORT JOURNALIER		Date:04-09-2007	PROJET: 592	CAMPEMENT: BARNOIN	METEO: ensoleillé, vent fort		
			CLIENT: North Western	RESP: Jonathan Lalancette	SIGNATURE:		
			APPEL QUOTIDIEN:				
<b>COMMENTAIRES SUR LES TRAVAUX:</b> Daniel+Bertrand+Cyril: Grille au 25 m sur la zone 4							
Jonathan et Jordi: enlignement de cible de forage, arrêt du trou NR07-02 et repositionnement de forage							
Steeve et Dominic: cartographie de détails sur la zone Torrent et Tasik							
Stéphane: préparation de slings à Georges River et entretien du camp en soirée							
Jean-Sébastien: gestion du déplacement du camp Inuit							
Foreurs: forage du trou NR07-02 (21m à 81 m)							
Démobilisation de Bertrand Taquet sur un vol de Air Inuit							
<b>COMMENTAIRES SUR LA GÉOLOGIE:</b> Trou NR07-02: Alternance de bandes de M6 et de M4 avec quelques petits dykes de l1G, quelques secteurs avec des valeurs entre 1000-2000 cps.							
PERSONNEL	TÂCHES	Couché	Heures	Hors camps	Échant: De	Échant: A	FACT.
3: Cyril MULLARD	Géologue	1	12				
8: Jonathan Lalancette	Ing Géologue (chargé de projet par Intérim)	1	12				
13: Jordy Turcotte	Géologue assistant (projet 592)		12				
15: Bertrand Dallaire	Sans Frontières	1	12				
17: Steeve Lavoie	Géologue	1	12				
18: Daniel Paradis	Sans Frontières	1	12				
19: Stéphane Sergerie	Homme de camps	1	12				
23: Jean-Sébastien Gauthier	Géologue assistant	1	12				
25: Nathalie	Aide cuisinière	1	12				
26: Dominic Lavoie	Homme de camp	1	12				
31 : Foreur 1	Foreur	1	12				
32 : Foreur 2	Foreur	1	12				
33 : Foreur 3	Foreur	1	12				
34 : Foreur 4	Foreur	1	12				
VOLS D'HYDRAVIONS:			AVARIS MECANIKUES:				
TEMPS D'HELICOPTERE:7,9 hrs			ACCIDENTS:				
VOYAGES DE CAMION:			TEMPS MORT:				
EXPÉDITION D'ECHANTILLONS:			AMELIORATIONS A PREVOIR:				
ACHATS:							
MOBILISATION:							
DEMOBILISATION:Bertrand Taquet			AVIS DISCIPLINAIRE:				
FORAGE- # TROU: NR07-02 DE: 21m A: 81 m			VERIFICATION:				
BUDGET RESIDUEL:			FACTURATION:				
DÉPENSES:			IOS Services Géoscientifiques Inc				



<b>RAPPORT JOURNALIER</b>		Date:05-09-2007	PROJET: 592	CAMPEMENT: BARNOIN	METEO: nuageux, vent fort		
			CLIENT: North Western	RESP: Jonathan Lalancette	SIGNATURE:		
			APPEL QUOTIDIEN:				
<b>COMMENTAIRES SUR LES TRAVAUX:</b> Cyril et Jordi: description de la carotte de forage du trou NR07-01 (finir le trou)							
Jonathan, Bertrand et Daniel: échantillonnage profond (pionjar) sur la zone Jonas (zone 4)							
Steeve et Jean-Sébastien: grille au GPS (25 m) sur la zone Jonas							
Stéphane et Dominic: entretien du camp							
Foreurs: Déplacement de la foreuse du trou NR07-02 vers le trou NR07-03. Le déplacement est complété.							
<b>COMMENTAIRES SUR LA GÉOLOGIE:</b>							
PERSONNEL	TÂCHES	Couché	Heures	Hors camps	Échant: De	Échant: A	FACT.
3: Cyril MULLARD	Géologue	1	12				
8: Jonathan Lalancette	Ing Géologue (chargé de projet par Intérim)	1	12				
13: Jordy Turcotte	Géologue assistant (projet 592)		12				
15: Bertrand Dallaire	Sans Frontières	1	12				
17: Steeve Lavoie	Géologue	1	12				
18: Daniel Paradis	Sans Frontières	1	12				
19: Stéphane Sergerie	Homme de camps	1	12				
23: Jean-Sébastien Gauthier	Géologue assistant	1	12				
25: Nathalie	Aide cuisinière	1	12				
26: Dominic Lavoie	Homme de camp	1	12				
31 : Foreur 1	Foreur	1	12				
32 : Foreur 2	Foreur	1	12				
33 : Foreur 3	Foreur	1	12				
34 : Foreur 4	Foreur	1	12				
VOLS D'HYDRAVIONS:				AVARIS MÉCANIQUES:			
TEMPS D'HELICOPTÈRE: 4,3 hrs				ACCIDENTS:			
VOYAGES DE CAMION:				TEMPS MORT:			
EXPÉDITION D'ÉCHANTILLONS:				AMÉLIORATIONS A PREVOIR:			
ACHATS:							
MOBILISATION:							
DEMOBILISATION: Bertrand Taquet				AVIS DISCIPLINAIRE:			
FORAGE- # TROU: NR07-02 vers NR07-03 DE: m A: m				VERIFICATION:			
BUDGET RESIDUEL:				FACTURATION:			
DEPENSES:				IOS Services Géoscientifiques Inc			

<b>RAPPORT JOURNALIER</b>		Date:06-09-2007	PROJET: 592	CAMPEMENT: BARNOIN	MÉTÉO: nuageux, vent fort		
			CLIENT: North Western	RESP: Jonathan Lalancette	SIGNATURE:		
			APPEL QUOTIDIEN:				
<b>COMMENTAIRES SUR LES TRAVAUX:</b> Cyril, Jordi et Steeve: métrage et description de la carotte de forage du trou NR07-01 (finir le trou)							
Bertrand et Daniel: dymo et entretien du camp							
Jean-Sébastien: radiométrie du trou NR-07-02							
Stéphane et Dominic: entretien du camp							
Jonathan: résumés du trou NR07-01 et NR-07-02							
Foreurs: restés au camp (météo)							
Mobilisation de l'équipe de Géo Data Solution inc. (Pierre Filion, Sleh Mousaoui), pilote: Christophe Zarragoza, mécano.: Mathieu Tangué							
Mobilisation de Jean-Guy Mailhot.							
<b>COMMENTAIRES SUR LA GÉOLOGIE:</b>							
PERSONNEL	TÂCHES	Couché	Heures	Hors camps	Échant: De	Échant: A	FACT.
3: Cyril MULLARD	Géologue	1	12				
8: Jonathan Lalancette	Ing Géologue (chargé de projet par Intérim)	1	12				
13: Jordy Turcotte	Géologue assistant (projet 592)		12				
15: Bertrand Dallaire	Sans Frontières	1	12				
17: Steeve Lavoie	Géologue	1	12				
18: Daniel Paradis	Sans Frontières	1	12				
19: Stéphane Sergerie	Homme de camps	1	12				
23: Jean-Sébastien Gauthier	Géologue assistant	1	12				
25: Nathalie	Aide cuisinière	1	12				
26: Dominic Lavoie	Homme de camp	1	12				
31 : Foreur 1	Foreur	1	12				
32 : Foreur 2	Foreur	1	12				
33 : Foreur 3	Foreur	1	12				
34 : Foreur 4	Foreur	1	12				
VOLS D'HYDRAVIONS:			AVARIS MÉCANIQUES:				
TEMPS D'HELICOPTÈRE: 2 hrs			ACCIDENTS:				
VOYAGES DE CAMION:			TEMPS MORT:				
EXPÉDITION D'ÉCHANTILLONS:			AMÉLIORATIONS À PREVOIR:				
ACHATS:							
MOBILISATION:							
DEMOBILISATION: Bertrand Taquet			AVIS DISCIPLINAIRE:				
FORAGE - # TROU: NR07-02 vers NR07-03 DE: m A: m			VÉRIFICATION:				
BUDGET RESIDUEL:			DÉPENSES:		FACTURATION:		IOS Services Géoscientifiques Inc

<b>RAPPORT JOURNALIER</b>		Date:07-09-2007	PROJET: 592	CAMPEMENT: BARNOIN	MÉTÉO: pluie , soleil		
			CLIENT: North Western	RESP: Sylvain Vaillancourt	SIGNATURE:		
			APPEL QUOTIDIEN:				
<b>COMMENTAIRES SUR LES TRAVAUX:</b>							
Jean-Sébastien et Dominique : DGPS Zone 4							
Daniel et Bertrant : radiométrie Zone 4							
Stephane : travaux au camp							
Céril : logage							
Sylvain : Mobilisation							
1 ère journée de prises de mesures G D S							
<b>COMMENTAIRES SUR LA GÉOLOGIE:</b>							
PERSONNEL	TÂCHES	Couché	Heures	Hors camps	Échant: De	Échant: A	FACT.
1: Sylvain VAILLANCOURT	Chargé de projet	1	12				
3: Cyril MULLARD	Géologue	1	12				
6: Marcel St-Laurent	Pilote d'hélicoptère	1	12				
7: Jean-Denis	Technicien d'hélicoptère	1	12				
8: Jonathan Lalancette	Ing Géologue (chargé de projet par Intérim)	Démob.	12				
13: Jordy Turcotte	Géologue assistant (projet 592)	Démob.	12				
15: Bertrand Dallaire	Sans Frontières	1	12				
17: Steeve Lavoie	Géologue	Démob.	12				
18: Daniel Paradis	Sans Frontières	1	12				
19: Stéphane Sergerie	Homme de camps	1	12				
23: Jean-Sébastien Gauthier	Géologue	1	12				
25: Nathalie	Aide cuisinière	1	12				
26: Dominic Lavoie	Homme de camp	1	12				
31: Foreur 1	Foreur	1	12				
32: Foreur 2	Foreur	1	12				
33: Foreur 3	Foreur	1	12				
34: Foreur 4	Foreur	1	12				
36: Pierre Fillion	G D S	1	12				
37: Sleh Mousaoui	G D S	1	12				
38: Christophe Zarratoga	G D S	1	12				
39: Mattieu Tanguay	G D S	1	12				
VOLS D'HYDRAVIONS:			AVARIS MÉCANIQUES:				
TEMPS D'HELICOPTERE: 3.9 hrs			ACCIDENTS:				
VOYAGES DE CAMION:			TEMPS MORT:				
EXPEDITION D'ECHANTILLONS:			AMÉLIORATIONS À PRÉVOIR:				
ACHATS:							
MOBILISATION:							
DEMOBILISATION:			AVIS DISCIPLINAIRE:				
FORAGE- # TROU NR07-03 DE: m 1.5 A: m 30			VERIFICATION:		IOS Services Géoscientifiques Inc		
BUDGET RESIDUEL:		FACTURATION:					
DEPENSES:							



<b>RAPPORT JOURNALIER</b>		Date:08-09-2007	PROJET: 592	CAMPEMENT: BARNOIN	MÉTEO: pluie , neige		
			CLIENT: North Western	RESP: Sylvain Vaillancourt	SIGNATURE:		
			APPEL QUOTIDIEN:				
<b>COMMENTAIRES SUR LES TRAVAUX:</b>							
Cyril : logage							
Jean-Sébastien et Sylvain : bureau							
Downtime							
<b>COMMENTAIRES SUR LA GÉOLOGIE:</b>							
PERSONNEL	TÂCHES	Couché	Heures	Hors camps	Échant: De	Échant: A	FACT.
1: Sylvain VAILLANCOURT	Chargé de projet	1	12				
3: Cyril MULLARD	Géologue	1	12				
6:Marcel St-Laurent	Pilote d'hélicoptère	1	12				
7:Jean-Denis	Technicien d'hélicoptère	Démob.					
15: Bertrand Dallaire	Sans Frontières	1	12				
18: Daniel Paradis	Sans Frontières	1	12				
19: Stéphane Sergerie	Homme de camps	1	12				
23: Jean-Sébastien Gauthier	Géologue	1	12				
25: Nathalie	Aide cuisinière	1	12				
26: Dominic Lavoie	Homme de camp	1	12				
31 : Foreur 1	Foreur	1	12				
32 : Foreur 2	Foreur	1	12				
33 : Foreur 3	Foreur	1	12				
34 : Foreur 4	Foreur	1	12				
35 : Pierre Fillion	G D S	1	12				
36 :Sleh Mousaoui	G D S	1	12				
37 : Christophe Zarratoga	G D S	1	12				
38 : Mattieu Tanguay	G D S	1	12				
VOLS D'HYDRAVIONS:			AVARIS MECANIQUES;				
TEMPS D'HELICOPTERE:1,3 hrs			ACCIDENTS:				
VOYAGES DE CAMION:			TEMPS MORT:				
EXPEDITION D'ECHANTILLONS:			AMELIORATIONS A PREVOIR:				
ACHATS:							
MOBILISATION:							
DEMOBILISATION:			AVIS DISCIPLINAIRE:				
FORAGE- # TROU NR07-03 DE: m 30 A: m 45			VERIFICATION:				
BUDGET RESIDUEL:		DEPENSES:		FACTURATION:			
				IOS Services Géoscientifiques Inc			



<b>RAPPORT JOURNALIER</b>		Date:09-09-07	PROJET: 592	CAMPEMENT: BARNOIN	METEO: pluie		
			CLIENT: North Western	RESP: Sylvain Vaillancourt	SIGNATURE:		
			APPEL QUOTIDIEN:				
<b>COMMENTAIRES SUR LES TRAVAUX:</b>							
Sylvain: visite camp inuit, vérification envoi échantillons, visite zone 35 rapport u-lh , arrêt du forage sur zone 28 ( ts - 07 - 03 , N R - 07 - 03 )							
Cyril : log forage N R - 07 - 02. Jean-Sébastien, Dominique : D G P S zone 4 , Bertrand, Nathalie : radiométrie zone 4 , Daniel, Stéphane: implantation système échantillonnage (préparation)							
<b>COMMENTAIRES SUR LA GÉOLOGIE:</b>							
PERSONNEL	TÂCHES	Couché	Heures	Hors camps	Échant: De	Échant: A	FACT.
1: Sylvain VAILLANCOURT	Chargé de projet	1	12				
3: Cyril MULLARD	Géologue	1	12				
6: Marcel St-Laurent	Pilote d'hélicoptère	1	12				
15: Bertrand Dallaire	Sans Frontières	1	12				
18: Daniel Paradis	Sans Frontières	1	12				
19: Stéphane Sergerie	Homme de camps	1	12				
23: Jean-Sébastien Gauthier	Géologue	1	12				
25: Nathalie	Terrain	1	12				
26: Dominic Lavoie	Homme de camp	1	12				
37 : Jean-Guy Mailhot	Ingénieur hélicoptère	1	12				
31 : Foreur 1	Foreur	1	12				
32 : Foreur 2	Foreur	1	12				
33 : Foreur 3	Foreur	1	12				
34 : Foreur 4	Foreur	1	12				
36 : Pierre Fillion	G D S	1	12				
37 : Sleh Mousaoui	G D S	1	12				
38 : Christophe Zarratoga	G D S	1	12				
39 : Mattieu Tanguay	G D S	1	12				
VOLS D'HYDRAVIONS:			AVARIS MECANIQUES:				
TEMPS D'HELICOPTERE:5.0			ACCIDENTS:				
VOYAGES DE CAMION:			TEMPS MORT:				
EXPEDITION D'ECHANTILLONS:			AMÉLIORATIONS A PRÉVOIR:				
ACHATS:							
MOBILISATION:							
DEMOBILISATION:			AVIS DISCIPLINAIRE:				
FORAGE- # TROU :N R-07-03-04 DE: 45 m - 63 m			VERIFICATION:				
BUDGET RESIDUEL:		DÉPENSES:	FACTURATION:				
IOS Services Géoscientifiques Inc							

<b>RAPPORT JOURNALIER</b>		Date:10-09-07	PROJET: 592	CAMPEMENT: BARNOIN	METEO: soleil		
			CLIENT: North Western	RESP: Sylvain Vaillancourt	SIGNATURE:		
			APPEL QUOTIDIEN:				
<b>COMMENTAIRES SUR LES TRAVAUX:</b>							
Sylvain : visite camp inuit ,repérer site de forage: 30, 48, 4. Bureau , logistique							
Bertrand et Nathalie: radiométrie zone 4 , Jean-sébastien et Dominique : D G P S zone 4. Daniel et Stéphane: échantillonnage.							
Cyril: log forage NT-07-03							
<b>COMMENTAIRES SUR LA GÉOLOGIE:</b>							
PERSONNEL	TÂCHES	Couché	Heures	Hors camps	Échant: De	Échant: A	FACT.
1: Sylvain VAILLANCOURT	Chargé de projet	1	12				
3: Cyril MULLARD	Géologue	1	12				
6:Marcel St-Laurent	Pilote d'hélicoptère	1	12				
15: Bertrand Dallaire	Sans Frontières	1	12				
18: Daniel Paradis	Sans Frontières	1	12				
19: Stéphane Sergerie	Homme de camps	1	12				
23: Jean-Sébastien Gauthier	Géologue	1	12				
25: Nathalie	terrain	1	12				
26: Dominic Lavoie	Homme de camp	1	12				
30 : Jean-Guy Mailhot	Ingénieur hélicoptère	1	12				
31 : Foreur 1	Foreur	1	12				
32 : Foreur 2	Foreur	1	12				
33 : Foreur 3	Foreur	1	12				
34 : Foreur 4	Foreur	1	12				
36 : Pierre Fillion	G D S	1	12				
37 : Sleh Mousaoui	G D S	1	12				
38 : Christophe Zarratoga	G D S	1	12				
39 : Mattieu Tanguay	G D S	1	12				
VOLS D'HYDRAVIONS:				AVARIS MÉCANIQUES:			
TEMPS D'HELICOPTÈRE: 4.0				ACCIDENTS:			
VOYAGES DE CAMION:				TEMPS MORT:			
EXPÉDITION D'ÉCHANTILLONS:				AMÉLIORATIONS À PRÉVOIR:			
ACHATS:							
MOBILISATION:							
DEMOBILISATION:				AVIS DISCIPLINAIRE:			
FORAGE- # TROU NR07-04 casing				VÉRIFICATION:			
BUDGET RESIDUEL:				FACTURATION:			
DÉPENSES:				IOS Services Géoscientifiques Inc			





<b>RAPPORT JOURNALIER</b>		Date:12-09-07	PROJET: 592	CAMPEMENT: BARNOIN	METEO: pluie, fort vent			
			CLIENT: North Western	RESP: Sylvain Vaillancourt	SIGNATURE:			
			APPEL QUOTIDIEN:					
<b>COMMENTAIRES SUR LES TRAVAUX:</b>								
Sylvain: bureau, Zone 30 set-up az forage NR-07-06, camp inuit.								
Bertrand et Dominique: démontage de la tente sur la zone 28, transfert du materiel sur la zone 30.								
Daniel et Stéphane: échantillonnage NR-07-03.								
Cyril: bureau. Jean-Sebastien: log avec Cyril.								
Nathalie: base de données logs.								
<b>COMMENTAIRES SUR LA GÉOLOGIE:</b>								
Démontage de la drill, transfert sur la zone 30, stand-by due aux forts vents.								
<b>PERSONNEL</b>		<b>TÂCHES</b>	<b>Couché</b>	<b>Heures</b>	<b>Hors camps</b>	<b>Échant: De</b>	<b>Échant: A</b>	<b>FACT.</b>
1: Sylvain VAILLANCOURT		Chargé de projet	1	12				
3: Cyril MULLARD		Géologue	1	12				
6: Marcel St-Laurent		Pilote d'hélicoptère	1	12				
15: Bertrand Dallaire		Sans Frontières	1	12				
18: Daniel Paradis		Sans Frontières	1	12				
19: Stéphane Sergerie		Homme de camps	1	12				
23: Jean-Sébastien Gauthier		Géologue	1	12				
25: Nathalie Larouche		Terrain	1	12				
26: Dominic Lavoie		Homme de camp	1	12				
31: Jasmin Bolduc		Foreur	1	12				
32: Patrick Labbé		Foreur	1	12				
33: Roger Boucher		Foreur	1	12				
34: Patrik Shink		Foreur	1	12				
36: Pierre Fillion		G D S	1	12				
37: Sleh Mousaoui		G D S	1	12				
38: Christophe Zarratoga		G D S	1	12				
39: Mattieu Tanguay		G D S	1	12				
VOLS D'HYDRAVIONS:			AVARIS MÉCANIQUES:					
TEMPS D'HELICOPTÈRE: 5.3			ACCIDENTS:					
VOYAGES DE CAMION:			TEMPS MORT:					
EXPÉDITION D'ÉCHANTILLONS:			AMÉLIORATIONS À PRÉVOIR:					
ACHATS:								
MOBILISATION:								
DEMOBILISATION:			AVIS DISCIPLINAIRE:					
FORAGE- # TROU : DE:			VERIFICATION:			IOS Services Géoscientifiques Inc		
BUDGET RÉSIDUEL:			FACTURATION:					
DÉPENSES:								



<b>RAPPORT JOURNALIER</b>		Date: 13-09-07	PROJET: 592	CAMPEMENT: BARNOIN	METEO: pluie, fort vent		
			CLIENT: North Western	RESP: Sylvain Vaillancourt	SIGNATURE:		
			APPEL QUOTIDIEN:				
<b>COMMENTAIRES SUR LES TRAVAUX:</b>							
Sylvain: bureau. Cyril: base de données. Jean-Sébastien: log							
Stéphane: transport de barils sur pad hélico. Daniel: classement papiers bureau, préparation envois échantillons.							
Bertrand et Dominique: terminés le montage de la tente sur la zone 30, préparation de sling de barils de fuel pour hélico a partir de Kangig.							
Base de données logs							
<b>COMMENTAIRES SUR LA GÉOLOGIE:</b>							
PERSONNEL	TÂCHES	Couché	Heures	Hors camps	Échant: De	Échant: A	FACT.
1: Sylvain VAILLANCOURT	Chargé de projet	1	12				
3: Cyril MULLARD	Géologue	1	12				
6: Marcel St-Laurent	Pilote d'hélicoptère	1	12				
15: Bertrand Dallaire	Sans Frontières	1	12				
18: Daniel Paradis	Sans Frontières	1	12				
19: Stéphane Sergerie	Homme de camps	1	12				
23: Jean-Sébastien Gauthier	Géologue	1	12				
25: Nathalie Larouche	Terrain	1	12				
26: Dominic Lavoie	Homme de camp	1	12				
31: Jasmin Bolduc	Foreur	1	12				
32: Patrick Labbé	Foreur	1	12				
33: Roger Boucher	Foreur	1	12				
34: Patrik Shink	Foreur	1	12				
36: Pierre Fillion	G D S	1	12				
37: Sleh Mousaoui	G D S	1	12				
38: Christophe Zarratoga	G D S	1	12				
39: Mattieu Tanguay	G D S	1	12				
VOLS D'HYDRAVIONS:			AVARIS MECANIQUES:				
TEMPS D'HELICOPTERE: 8.7			ACCIDENTS:				
VOYAGES DE CAMION:			TEMPS MORT:				
EXPÉDITION D'ÉCHANTILLONS:			AMÉLIORATIONS A PREVOIR:				
ACHATS:							
MOBILISATION:							
DEMOBILISATION:			AVIS DISCIPLINAIRE:				
FORAGE- # TROU : DE:			VERIFICATION:		IOS Services Géoscientifiques Inc		
BUDGET RESIDUEL:		DEPENSES:	FACTURATION:				

RAPPORT JOURNALIER		Date: 14-09-07	PROJET: 592	CAMPEMENT: BARNOIN	MÉTÉO: soleil, vent		
			CLIENT: North Western	RESP: Sylvain Vaillancourt	SIGNATURE:		
			APPEL QUOTIDIEN:				
<b>COMMENTAIRES SUR LES TRAVAUX:</b>							
Démobilisation: Bertrand Dallaire, Nathalie Larouche, Cyril Mullard.							
Démobilisation et fermeture du camp inuit, inuits au camp barnoin pour set-up et démobilisation à kangig pour fin de semaine de congé. Sylvain et Gaetan: drill zone 30, vérification bris sur drill.							
Daniel, Stéphane, Dominique: transport de barils de Air strip au pad, commencer a démeler les échantillons inuit.							
Jean-Sébastien: Log.							
<b>COMMENTAIRES SUR LA GÉOLOGIE:</b>							
PERSONNEL	TÂCHES	Couché	Heures	Hors camps	Échant: De	Échant: A	FACT.
1: Sylvain VAILLANCOURT	Chargé de projet	1	12				
3: Cyril MULLARD	Géologue	1	12				
5: Gaetan TREMBLAY	Homme de camps - prospecteur	1	12				
6: Marcel St-Laurent	Pilote d'hélicoptère	1	12				
15: Bertrand Dallaire	Sans Frontières	1	12				
18: Daniel Paradis	Sans Frontières	1	12				
19: Stéphane Sergerie	Homme de camps	1	12				
23: Jean-Sébastien Gauthier	Géologue	1	12				
25: Nathalie Larouche	Terrain	1	12				
26: Dominic Lavoie	Homme de camp	1	12				
31: Jasmin Bolduc	Foreur	1	12				
32: Patrick Labbé	Foreur	1	12				
33: Roger Boucher	Foreur	1	12				
34: Patrik Shink	Foreur	1	12				
36 : Pierre Fillion	G D S	1	12				
37 : Sleh Mousaoui	G D S	1	12				
38 : Christophe Zarratoga	G D S	1	12				
39 : Mattieu Tanguay	G D S	1	12				
VOLS D'HYDRAVIONS:			AVARIS MECANIKES;				
TEMPS D'HELICOPTERE: 6.3			ACCIDENTS:				
VOYAGES DE CAMION:			TEMPS MORT:				
EXPÉDITION D'ÉCHANTILLONS:			AMÉLIORATIONS A PRÉVOIR:				
ACHATS:							
MOBILISATION:							
DEMOBILISATION:			AVIS DISCIPLINAIRE:				
FORAGE- # TROU : NR-07-05 DE: 3 m A : 51 m			VÉRIFICATION:				
BUDGET RESIDUEL:			FACTURATION:				
DEPENSES:			IOS Services Géoscientifiques Inc				









<b>RAPPORT JOURNALIER</b>		Date: 17-09-07	PROJET: 592	CAMPEMENT: BARNOIN	METEO: pluie, vent, neige.		
			CLIENT: North Western	RESP: Sylvain Vaillancourt	SIGNATURE:		
			APPEL QUOTIDIEN:				
<b>COMMENTAIRES SUR LES TRAVAUX:</b>							
Sylvain: bureau. Gaetan, Stéphane et Dominique: Lignes transversales sur zone 35 avec D G P S.							
Jean-Sébastien et Daniel: prospection sur la zone inuit, délimitation de l'affleurement.							
<b>COMMENTAIRES SUR LA GÉOLOGIE:</b>							
PERSONNEL	TÂCHES	Couché	Heures	Hors camps	Échant: De	Échant: A	FACT.
1: Sylvain VAILLANCOURT	Chargé de projet	1	12				
5: Gaetan TREMBLAY	Homme de camps - prospecteur	1	12				
6: Marcel St-Laurent	Pilote d'hélicoptère	1	12				
7: Carlos Gonzales	Technicien d'hélicoptère	1	12				
18: Daniel Paradis	Sans Frontières	1	12				
19: Stéphane Sergerie	Homme de camps	1	12				
23: Jean-Sébastien Gauthier	Géologue	1	12				
26: Dominic Lavoie	Homme de camp	1	12				
31: Jasmin Bolduc	Foreur	1	12				
32: Patrick Labbé	Foreur	1	12				
33: Roger Boucher	Foreur	1	12				
34: Patrik Shink	Foreur	1	12				
36: Pierre Fillion	G D S	1	12				
37: Sleh Mousaoui	G D S	1	12				
VOLS D'HYDRAVIONS:				AVARIS MECANIQUES:			
TEMPS D'HELICOPTÈRE: 5.3				ACCIDENTS:			
VOYAGES DE CAMION:				TEMPS MORT:			
EXPÉDITION D'ÉCHANTILLONS:				AMÉLIORATIONS À PREVOIR:			
ACHATS:							
MOBILISATION:							
DEMOBILISATION:				AVIS DISCIPLINAIRE:			
FORAGE- # TROU : 51m DE: A : 81 m NR-07-05				VERIFICATION:		IOS Services Géoscientifiques Inc	
BUDGET RÉSIDUEL:		DÉPENSES:		FACTURATION:			

RAPPORT JOURNALIER		Date: 18-09-07	PROJET: 592	CAMPEMENT: BARNOIN	MÉTÉO: Neige le matin, Soleil après-midi.		
			CLIENT: North Western	RESP: Sylvain Vaillancourt	SIGNATURE:		
			APPEL QUOTIDIEN:				
<b>COMMENTAIRES SUR LES TRAVAUX:</b>							
Move plate-forme drill sur set-up NR-07-07 , détermination az.							
Dominique, Jean-Sébastien et Daniel: D G P S sur zone 35, lignes transversales. Stéphane, Gaetan: prise échantillons d'eau sur zone 35, radiométrie sur zone 35.							
Mobilisation, de Julien et Bertrand. Dernière sling des pièces d'avion à Georges River.							
<b>COMMENTAIRES SUR LA GEOLOGIE:</b>							
PERSONNEL	TÂCHES	Couché	Heures	Hors camps	Échant: De	Échant: A	FACT.
1: Sylvain VAILLANCOURT	Chargé de projet	1	12				
2: Julien Walter	Géologue	1	12				
5: Gaetan TREMBLAY	Homme de camps - prospecteur	1	12				
6: Marcel St-Laurent	Pilote d'hélicoptère	1	12				
7: Carlos Gonzales	Technicien d'hélicoptère	1	12				
18: Daniel Paradis	Sans Frontières	1	12				
19: Stéphane Sergerie	Homme de camps	1	12				
23: Jean-Sébastien Gauthier	Géologue	1	12				
26: Dominic Lavoie	Homme de camp	1	12				
31: Jasmin Bolduc	Foreur	1	12				
32: Patrick Labbé	Foreur	1	12				
33: Roger Boucher	Foreur	1	12				
34: Patrik Shink	Foreur	1	12				
36: Pierre Fillion	G D S						démob.
37: Sleh Mousaoui	G D S						démob.
VOLS D'HYDRAVIONS:			AVARIS MECANQUES:				
TEMPS D'HELICOPTERE: 4.2			ACCIDENTS:				
VOYAGES DE CAMION:			TEMPS MORT:				
EXPEDITION D'ECHANTILLONS:			AMELIORATIONS A PREVOIR:				
ACHATS:							
MOBILISATION:							
DEMOBILISATION:			AVIS DISCIPLINAIRE:				
FORAGE- # TROU : DE: 5m A : 51m NR-07-06			VERIFICATION:		IOS Services Géoscientifiques Inc		
BUDGET RESIDUEL:		DEPENSES:	FACTURATION:				

<b>RAPPORT JOURNALIER</b>		Date: 19-09-07	PROJET: 592	CAMPEMENT: BARNOIN	METEO: Soleil		
			CLIENT: North Western	RESP: Sylvain Vaillancourt	SIGNATURE:		
			APPEL QUOTIDIEN:				
<b>COMMENTAIRES SUR LES TRAVAUX:</b>							
Sylvain, Bertrand: bureau planification, radiométrie sur zone inuit.							
Dominique, Gaetan, Jean-Sébastien DGPS zone 35, échantillonnage d'eau sur 35,							
Daniel, Julien et Stéphane: échantillonnage, log.							
Arrivée des inuits sur le camp.							
<b>COMMENTAIRES SUR LA GÉOLOGIE:</b>							
PERSONNEL	TÂCHES	Couché	Heures	Hors camps	Échant: De	Échant: A	FACT.
1: Sylvain VAILLANCOURT	Chargé de projet	1	12				
2: Julien Walter	Géologue	1	12				
5: Gaetan TREMBLAY	Homme de camps - prospecteur	1	12				
6: Marcel St-Laurent	Pilote d'hélicoptère	1	12				
7: Carlos Gonzales	Technicien d'hélicoptère	1	12				
18: Daniel Paradis	Sans Frontières	1	12				
19: Stéphane Sergerie	Homme de camps	1	12				
23: Jean-Sébastien Gauthier	Géologue	1	12				
26: Dominic Lavoie	Homme de camp	1	12				
31: Jasmin Bolduc	Foreur	1	12				
32: Patrick Labbé	Foreur	1	12				
33: Roger Boucher	Foreur	1	12				
34: Patrik Shink	Foreur	1	12				
VOLS D'HYDRAVIONS:			AVARIS MECANIQUES:				
TEMPS D'HELICOPTERE: 4.5			ACCIDENTS:				
VOYAGES DE CAMION:			TEMPS MORT:				
EXPÉDITION D'ÉCHANTILLONS:			AMÉLIORATIONS A PREVOIR:				
ACHATS:							
MOBILISATION:							
DEMOBILISATION:			AVIS DISCIPLINAIRE:				
FORAGE- # TROU: DE: 51 m A: 64 m NR-07-06			VERIFICATION:				
BUDGET RESIDUEL:			FACTURATION:				
DEPENSES:			IOS Services Géoscientifiques Inc				



RAPPORT JOURNALIER		Date: 20-09-07	PROJET: 592	CAMPEMENT: BARNOIN	METEO: neige, pluie.		
			CLIENT: North Western	RESP: Sylvain Vaillancourt	SIGNATURE:		
			APPEL QUOTIDIEN:				
<b>COMMENTAIRES SUR LES TRAVAUX:</b>							
Julien, Daniel et Stéphane: Log, échantillonnage, métrage.							
Gaetan, Dominique: travail autour du camp, nettoyage et inventaire du matériel.							
Sylvain et Bertrand: bureau, logistique.							
Inuits: downtime due à la température.							
<b>COMMENTAIRES SUR LA GÉOLOGIE:</b>							
Le drilleur ( Roger Boucher ) a oublié de fermer l'apvo valve, drill stand-by, bit neuve fini et casing. Jasmin Bolduc est allé à George River pour chercher les pièces de rechanges.							
PERSONNEL	TÂCHES	Couché	Heures	Hors camps	Echant: De	Echant: A	FACT.
1: Sylvain VAILLANCOURT	Chargé de projet	1	12				
2: Julien Walter	Géologue	1	12				
5: Gaetan TREMBLAY	Homme de camps - prospecteur	1	12				
6: Marcel St-Laurent	Pilote d'hélicoptère	1	12				
7: Carlos Gonzales	Technicien d'hélicoptère	1	12				
18: Daniel Paradis	Sans Frontières	1	12				
19: Stéphane Sergerie	Homme de camps	1	12				
23: Jean-Sébastien Gauthier	Géologue	1	12				
26: Dominic Lavoie	Homme de camp	1	12				
31: Jasmin Bolduc	Foreur	1	12				
32: Patrick Labbé	Foreur	1	12				
33: Roger Boucher	Foreur	1	12				
34: Patrik Shink	Foreur	1	12				
VOLS D'HYDRAVIONS:			AVARIS MÉCANIQUES:				
TEMPS D'HELICOPTERE: 3.9			ACCIDENTS:				
VOYAGES DE CAMION:			TEMPS MORT:				
EXPÉDITION D'ÉCHANTILLONS:			AMÉLIORATIONS À PREVOIR:				
ACHATS:							
MOBILISATION:							
DEMOBILISATION:			AVIS DISCIPLINAIRE:				
FORAGE - # TROU : DE:2m A : 9 m NR-07-07			VÉRIFICATION:			IOS Services Géoscientifiques Inc	
BUDGET RÉSIDUEL:		DEPENSES:	FACTURATION:				



RAPPORT JOURNALIER		Date:21-09-07	PROJET: 592	CAMPEMENT: BARNOIN	METEO: Froid, nuageux, venteux.		
			CLIENT: North Western	RESP: Sylvain Vaillancourt	SIGNATURE:		
			APPEL QUOTIDIEN:				
<b>COMMENTAIRES SUR LES TRAVAUX:</b>							
Sylvain, Bertrand: bureau, terrain zone Jonas, enlèvement des futures cibles en fin de journée.							
Julien, Daniel et Stéphane: Loggage, échantillonnage, métrage.							
Gaetan, Dominique, travail autour du camp.							
Inuits: downtime due à la température.							
Avion George River, démobilitation de Jean-Sébastien Gauthier, mobilisation de Xavier. Voyage de 2x4x8 pour Alain Lagacé.							
Changement hélico. Mobilisation G P R, .08 à facturer a G P R.							
Mobilisation Xavier. Inuit: démobilitation à Kangig							
<b>COMMENTAIRES SUR LA GÉOLOGIE:</b>							
PERSONNEL	TÂCHES	Couché	Heures	Hors camps	Échant: De	Échant: A	FACT.
1: Sylvain VAILLANCOURT	Chargé de projet	1	12				
2: Julien Walter	Géologue	1	12				
5: Gaetan TREMBLAY	Homme de camps - prospecteur	1	12				
6: Marcel St-Laurent	Pilote d'hélicoptère	1	12				
7: Carlos Gonzales	Technicien d'hélicoptère	1	12				
11: Bertrand Taquet	Géologue sénior (client)	1	12				
18: Daniel Paradis	Sans Frontières	1	12				
19: Stéphane Sergerie	Homme de camps	1	12				
23: Xavier	Technicien	1	12				
26: Dominic Lavoie	Homme de camp	1	12				
31: Jasmin Bolduc	Foreur	1	12				
32: Patrick Labbé	Foreur	1	12				
33: Roger Boucher	Foreur	1	12				
34: Patrik Shink	Foreur	1	12				
VOLS D'HYDRAVIONS:				AVARIS MECANIQUES:			
TEMPS D'HELICOPTERE: 2.5 + 2.1 = 4.6 , .08 a facturer a gpr Total= 3.6				ACCIDENTS:			
VOYAGES DE CAMION:				TEMPS MORT:			
EXPEDITION D'ECHANTILLONS:				AMELIORATIONS A PREVOIR:			
ACHATS:							
MOBILISATION:							
DEMOBILISATION:				AVIS DISCIPLINAIRE:			
FORAGE- # TROU : DE:9 m A : 44 m NR-07-07				VERIFICATION:			
BUDGET RESIDUEL:				FACTURATION:			
DEPENSES:				IOS Services Géoscientifiques Inc			

<b>RAPPORT JOURNALIER</b>	Date: 22-09-07	PROJET: 592	CAMPEMENT: BARNOIN	METEO: Tempête, vent violent.			
		CLIENT: North Western	RESP: Sylvain Vaillancourt	SIGNATURE:			
COMMENTAIRES SUR LES TRAVAUX:		APPEL QUOTIDIEN:					
Sylvain, Bertrand: Zone 30 vérifier trou NR-07-07, zone TK.							
Gaetan, Dominique: travail autour du camp.							
Stéphane, Daniel et Xavier: échantillonnage, métrage. Julien; loggage. Ned: ménage de la tente entrepôt.							
COMMENTAIRES SUR LA GÉOLOGIE:							
PERSONNEL	TÂCHES	Couché	Heures	Hors camps	Echant: De	Echant: A	FACT.
1: Sylvain VAILLANCOURT	Chargé de projet	1	12				
2: Julien Walter	Géologue	1	12				
5: Gaetan TREMBLAY	Homme de camps - prospecteur	1	12				
6: Marcel St-Laurent	Pilote d'hélicoptère	1	12				
7: Carlos Gonzales	Technicien d'hélicoptère	1	12				
11: Bertrand Taquet	Géologue sénior (client)	1	12				
18: Daniel Paradis	Sans Frontières	1	12				
19: Stéphane Sergerie	Homme de camps	1	12				
23: Xavier Bergeron	Technicien	1	12				
26: Dominic Lavoie	Homme de camp	1	12				
31: Jasmin Bolduc	Foreur	1	12				
32: Patrick Labbé	Foreur	1	12				
33: Roger Boucher	Foreur	1	12				
34: Patrik Shink	Foreur	1	12				
35: Ned Annanak	Prospecteur autochtone	1	12				
VOLS D'HYDRAVIONS:		AVARIS MECANIQUES:					
TEMPS D'HELICOPTERE: 2.5 + 2.1= 4.6 , .08 a facturer a gpr Total= 3.6		ACCIDENTS:					
VOYAGES DE CAMION:		TEMPS MORT:					
EXPEDITION D'ECHANTILLONS:		AMELIORATIONS A PREVOIR:					
ACHATS:							
MOBILISATION:							
DEMOBILISATION:		AVIS DISCIPLINAIRE:					
FORAGE- # TROU: DE:44 m A : 60 m NR-07-07		VERIFICATION:			IOS Services Géoscientifiques Inc		
BUDGET RESIDUEL:		FACTURATION:					
DEPENSES:							

<b>RAPPORT JOURNALIER</b>	Date:23-09-07	PROJET: 592	CAMPEMENT: BARNOIN	METÉO: Tempête, vent violent.			
		CLIENT: North Western	RESP: Sylvain Vaillancourt	SIGNATURE:			
COMMENTAIRES SUR LES TRAVAUX:		APPEL QUOTIDIEN:					
Sylvain, Bertrand : Zone 30, vérifier trou NR-07-07, zone TK, arrêter le trou a 90 m.							
Gaetan, Dominique: travail autour du camp.							
Stéphane, Daniel et Xavier: échantillonnage, métrage. Julien: loggage. Ned: ménage de la tente entrepôt.							
Changement de zone, transport de matériel zone 28 à zone 4 et zone 30 à zone 4 (sling en avant midi).							
COMMENTAIRES SUR LA GÉOLOGIE:							
PERSONNEL	TÂCHES	Couché	Heures	Hors camps	Échant: De	Échant: A	FACT.
1: Sylvain VAILLANCOURT	Chargé de projet	1	12				
2: Julien Walter	Géologue	1	12				
5: Gaétan TREMBLAY	Homme de camps - prospecteur	1	12				
6: Marcel St-Laurent	Pilote d'hélicoptère	1	12				
7: Carlos Gonzales	Technicien d'hélicoptère	1	12				
11: Bertrand Taquet	Géologue sénior (client)	1	12				
18: Daniel Paradis	Sans Frontières	1	12				
19: Stéphane Sergerie	Homme de camps	1	12				
23: Xavier Bergeron	Technicien	1	12				
26: Dominic Lavoie	Homme de camp	1	12				
31: Jasmin Bolduc	Foreur	1	12				
32: Patrick Labbé	Foreur	1	12				
33: Roger Boucher	Foreur	1	12				
34: Patrik Shink	Foreur	1	12				
35: Ned Annanak	Inuit	1	12				
VOLS D'HYDRAVIONS:		AVARIS MÉCANIQUES:					
TEMPS D'HELICOPTERE:		ACCIDENTS:					
VOYAGES DE CAMION:		TEMPS MORT:					
EXPEDITION D'ECHANTILLONS:		AMÉLIORATIONS A PREVOIR:					
ACHATS:							
MOBILISATION:							
DEMOBILISATION:		AVIS DISCIPLINAIRE:					
FORAGE- # TROU : DE: 60 m A : 90 m NR-07-07		VERIFICATION:		IOS Services Géoscientifiques Inc			
BUDGET RESIDUEL:		FACTURATION:					
DEPENSES:							







RAPPORT JOURNALIER		Date:25-09-07	PROJET: 592	CAMPEMENT: BARNOIN	MÉTÉO: vent 25 nœuds, soleil.		
			CLIENT: North Western	RESP: Sylvain Vaillancourt	SIGNATURE:		
			APPEL QUOTIDIEN:				
<b>COMMENTAIRES SUR LES TRAVAUX:</b>							
Sylvain: bureau, arrangement démobilisation Barnoin, base de données. Bertrand: cartes pour zone lac. Daniel: bureau.							
Gaetan, Xavier, démontage de tente, entreposage, liste épicerie pour bureau.							
Julien, Stéphane, Dominique: échantillonnage, loggage.							
Ned, travail avec drilleur pour set-up de zone 4, Daniel: base de données, échantillonnage.							
Démobilisation de Ned a Kanjig. Arrivée du nouveau pilote d'hélico.							
Move de la drill de la zone 30 à la zone 4, déplacement majeur 25 km.							
<b>COMMENTAIRES SUR LA GÉOLOGIE:</b>							
PERSONNEL	TÂCHES	Couché	Heures	Hors camps	Échant: De	Échant: A	FACT.
1: Sylvain VAILLANCOURT	Chargé de projet	1	12				
2: Julien Walter	Géologue	1	12				
5: Gaétan TREMBLAY	Homme de camps - prospecteur	1	12				
6: Marcel St-Laurent	Pilote d'hélicoptère	1	12				
7: Carlos Gonzales	Technicien d'hélicoptère	1	12				
11: Bertrand Taquet	Géologue sénior (client)	1	12				
18: Daniel Paradis	Sans Frontières	1	12				
19: Stéphane Sergerie	Homme de camps	1	12				
23: Xavier	Technicien	1	12				
26: Dominic Lavoie	Homme de camp	1	12				
31 : Jasmin Bolduc	Foreur	1	12				
32 : Patrick Labbé	Foreur	1	12				
33 : Roger Boucher	Foreur	1	12				
34 : Patrik Shink	Foreur	1	12				
35 : Ned Annanak	Inuit	1	12				
VOLS D'HYDRAVIONS:				AVARIS MECANIQUES:			
TEMPS D'HELICOPTERE: 9.7 hrs				ACCIDENTS:			
VOYAGES DE CAMION:				TEMPS MORT:			
EXPEDITION D'ECHANTILLONS:				AMELIORATIONS A PREVOIR:			
ACHATS:							
MOBILISATION:							
DEMOBILISATION:				AVIS DISCIPLINAIRE:			
FORAGE - # TROU : DE: m A :				VERIFICATION:			
BUDGET RESIDUEL:			DEPENSES:	FACTURATION:			
				IOS Services Géoscientifiques Inc			

<b>RAPPORT JOURNALIER</b>		Date: 26-09-07	PROJET: 592	CAMPEMENT: BARNOIN	METEO: vent 25 nœuds, soleil.		
			CLIENT: North Western	RESP: Sylvain Vaillancourt	SIGNATURE:		
			APPEL QUOTIDIEN:				
<b>COMMENTAIRES SUR LES TRAVAUX:</b>							
Sylvain: bureau, logistique en avant-midi. George River pour réservation de la maison à l'office municipale.							
Gaetan, Dominique: démontage de tente sur la zone 30, préparation de la sling pour entreposage du matériel.							
Julien, Xavier, Stéphane: échantillonnage, loggage.							
Daniel: base de données pour les logs et envoi d'échantillons. Bertrand: travaille zone 4, vérification du forage et enlèvement du second set-up.							
<b>COMMENTAIRES SUR LA GÉOLOGIE:</b>							
PERSONNEL	TÂCHES	Couché	Heures	Hors camps	Échant: De	Échant: A	FACT.
1: Sylvain VAILLANCOURT	Chargé de projet	1	12				
2: Julien Walter	Géologue	1	12				
5: Gaétan TREMBLAY	Homme de camps - prospecteur	1	12				
6: Marcel St-Laurent	Pilote d'hélicoptère	1	12				
7: Carlos Gonzales	Technicien d'hélicoptère	1	12				
11: Bertrand Taquet	Géologue sénior (client)	1	12				
18: Daniel Paradis	Sans Frontières	1	12				
19: Stéphane Sergerie	Homme de camps	1	12				
23: Xavier	Technicien	1	12				
26: Dominic Lavoie	Homme de camp	1	12				
30 : Jos	Pilote d'hélicoptère	1	12				
31 : Jasmin Bolduc	Foreur	1	12				
32 : Patrick Labbé	Foreur	1	12				
33 : Roger Boucher	Foreur	1	12				
34 : Patrik Shink	Foreur	1	12				
VOLS D'HYDRAVIONS:				AVARIS MÉCANIQUES:			
TEMPS D'HELICOPTERE: 9.7 hrs				ACCIDENTS:			
VOYAGES DE CAMION:				TEMPS MORT:			
EXPÉDITION D'ÉCHANTILLONS:				AMÉLIORATIONS À PRÉVOIR:			
ACHATS:							
MOBILISATION:							
DEMÓBILISATION:				AVIS DISCIPLINAIRE:			
FORAGE- # TROU : NR-07-08 DE: 0 m A : 24 m --- 24 A : 36 m				VÉRIFICATION:			
BUDGET RÉSIDUEL:		DÉPENSES:		FACTURATION:			
				IOS Services Géoscientifiques Inc			





<b>RAPPORT JOURNALIER</b>	Date:28-09-07	PROJET: 592	CAMPEMENT: BARNOIN	MÉTÉO: nuageux , venteux			
		CLIENT: North Western	RESP: Sylvain Vaillancourt	SIGNATURE:			
APPEL QUOTIDIEN:							
<b>COMMENTAIRES SUR LES TRAVAUX:</b>							
Sylvain, Bertrand: logistique et préparation. Démobilisation à George River.							
Julien, Stéphane, Dominique: loggage, échantillonnage.							
Xavier, Daniel: préparation maison George River.							
Gaetan, travail autour du camp, classement et inventaire.							
<b>COMMENTAIRES SUR LA GÉOLOGIE:</b>							
PERSONNEL	TÂCHES	Couché	Heures	Hors camps	Échant: De	Échant: A	FACT.
1: Sylvain VAILLANCOURT	Chargé de projet	1	12				
2: Julien Walter	Géologue	1	12				
5: Gaétan TREMBLAY	Homme de camps - prospecteur	1	12				
6:Marcel St-Laurent	Pilote d'hélicoptère	1	12				
7:Carlos Gonzales	Technicien d'hélicoptère	1	12				
11: Bertrand Taquet	Géologue sénior (client)	1	12				
18: Daniel Paradis	Sans Frontières	1	12				
19: Stéphane Sergerie	Homme de camps	1	12				
23: Xavier	Technicien	1	12				
26: Dominic Lavoie	Homme de camp	1	12				
30 : Jos	Pilote d'hélicoptère	1	12				
31 : Jasmin Bolduc	Foreur		12				
32 : Patrick Labbé	Foreur		12				
33 : Roger Boucher	Foreur		12				
34 : Patrik Shink	Foreur		12				
VOLS D'HYDRAVIONS:		AVARIS MECANIQUE;					
TEMPS D'HELICOPTERE:		ACCIDENTS:					
VOYAGES DE CAMION:		TEMPS MORT:					
EXPEDITION D'ÉCHANTILLONS:		AMÉLIORATIONS A PREVOIR:					
ACHATS:							
MOBILISATION:							
DEMOBILISATION:		AVIS DISCIPLINAIRE:					
FORAGE- # TROU :		VERIFICATION:		IOS Services Géoscientifiques Inc			
BUDGET RESIDUEL:		FACTURATION:					
DÉPENSES:							

<b>RAPPORT JOURNALIER</b>		Date:29-09-07	PROJET: 592	CAMPEMENT: BARNOIN	METEO: nuageux, venteux, neige.					
			CLIENT: North Western	RESP: Sylvain Vaillancourt	SIGNATURE:					
			APPEL QUOTIDIEN:							
<b>COMMENTAIRES SUR LES TRAVAUX:</b>										
Bertrand, Gaetan: prospection lac Daniel. Sylvain: bureau, repérage de la zone du nouveau camp , près zone 28.										
Julien, Dominique, Stéphane: échantillonnage, loggage.										
Xavier, Daniel: ménage maison, recevoir nourriture.										
Démobilisation foreur et pilote hélico pour val-D'or.										
<b>COMMENTAIRES SUR LA GÉOLOGIE:</b>										
<b>PERSONNEL</b>		<b>TÂCHES</b>			<b>Couché</b>	<b>Heures</b>	<b>Hors camps</b>	<b>Échant: De</b>	<b>Échant: A</b>	<b>FACT.</b>
1: Sylvain VAILLANCOURT		Chargé de projet			1	12				
2: Julien Walter		Géologue			1	12				
5: Gaélan TREMBLAY		Homme de camps - prospecteur			1	12				
6:Marcel St-Laurent		Pilote d'hélicoptère				12				
7:Carlos Gonzales		Technicien d'hélicoptère			1	12				
11: Bertrand Taquet		Géologue sénior (client)			1	12				
18: Daniel Paradis		Sans Frontières			1	12				
19: Stéphane Sergerie		Homme de camps			1	12				
23: Xavier		Technicien			1	12				
26: Dominic Lavoie		Homme de camp			1	12				
30 : Jos		Pilote d'hélicoptère			1	12				
31 : Jasmin Bolduc		Foreur				12				
32 : Patrick Labbé		Foreur				12				
33 : Roger Boucher		Foreur				12				
34 : Patrik Shink		Foreur				12				
VOLS D'HYDRAVIONS:				AVARIS MÉCANIQUES:						
TEMPS D'HELICOPTÈRE: 2.3 hrs				ACCIDENTS:						
VOYAGES DE CAMION:				TEMPS MORT:						
EXPÉDITION D'ÉCHANTILLONS:				AMÉLIORATIONS À PRÉVOIR:						
ACHATS:										
MOBILISATION:										
DEMOBILISATION:				AVIS DISCIPLINAIRE:						
FORAGE- # TROU :				VÉRIFICATION:						
BUDGET RÉSIDUEL:		DÉPENSES:		FACTURATION:						
				IOS Services Géoscientifiques Inc						

<b>RAPPORT JOURNALIER</b>		Date:30-09-07	PROJET: 592	CAMPEMENT: BARNOIN	METEO: nuageux, venteux, neige.		
			CLIENT: North Western	RESP: Sylvain Vaillancourt	SIGNATURE:		
			APPEL QUOTIDIEN:				
<b>COMMENTAIRES SUR LES TRAVAUX:</b>							
Sylvain, Gaetan, Bertrand: prospection Lac Daniel.							
Julien, Dominique, Stéphane, loggage échantillonnage.							
Xavier, Daniel: maison George River.							
<b>COMMENTAIRES SUR LA GÉOLOGIE:</b>							
PERSONNEL	TÂCHES	Couché	Heures	Hors camps	Echant: De	Echant: A	FACT.
1: Sylvain VAILLANCOURT	Chargé de projet	1	12				
2: Julien Walter	Géologue	1	12				
5: Gaétan TREMBLAY	Homme de camps - prospecteur	1	12				
7: Carlos Gonzales	Technicien d'hélicoptère	1	12				
11: Bertrand Taquet	Géologue sénior (client)	1	12				
18: Daniel Paradis	Sans Frontières	1	12				
19: Stéphane Sergerie	Homme de camps	1	12				
23: Xavier	Technicien	1	12				
26: Dominic Lavoie	Homme de camp	1	12				
30 : Jos	Pilote d'hélicoptère	1	12				
<b>VOLS D'HYDRAVIONS:</b>				<b>AVARIS MECANIKUES:</b>			
TEMPS D'HELICOPTERE: 1.7				ACCIDENTS:			
VOYAGES DE CAMION:				TEMPS MORT:			
EXPEDITION D'ECHANTILLONS:				AMELIORATIONS A PREVOIR:			
ACHATS:							
MOBILISATION:							
DEMOBILISATION:				AVIS DISCIPLINAIRE:			
FORAGE- # TROU :				VERIFICATION:			
BUDGET RESIDUEL:		DÉPENSES:		FACTURATION:			
				IOS Services Géoscientifiques Inc			





<b>RAPPORT JOURNALIER</b>	Date : 02-10-07	PROJET: 592	George River	MÉTÉO: venteux, neige.			
		CLIENT: North Western	RESP: Sylvain Vaillancourt	SIGNATURE:			
		APPEL QUOTIDIEN:					
<b>COMMENTAIRES SUR LES TRAVAUX:</b>							
Julien, Dominique, Stéphane: loggage et échantillonnage.							
Sylvain, Bertrand: travail Kanjig logistique démobilisation, papiers.							
Gaetan et Daniel: monter le plancher de tente sur le futur site de campement, près de la zone 28. Xavier: cuisine.							
<b>COMMENTAIRES SUR LA GÉOLOGIE:</b>							
<b>PERSONNEL</b>	<b>TÂCHES</b>	<b>Couché</b>	<b>Heures</b>	<b>Hors camps</b>	<b>Échant: De</b>	<b>Échant: A</b>	<b>FACT.</b>
1: Sylvain VAILLANCOURT	Chargé de projet	1	12				
2: Julien Walter	Géologue	1	12				
5: Gaétan TREMBLAY	Homme de camps - prospecteur	1	12				
7: Carlos Gonzales	Technicien d'hélicoptère	1	12				
11: Bertrand Taquet	Géologue sénior (client)	1	12				
18: Daniel Paradis	Sans Frontières	1	12				
19: Stéphane Sergerie	Homme de camps	1	12				
23: Xavier Bergeron	Technicien	1	12				
26: Dominic Lavoie	Homme de camp	1	12				
30 : Jos	Pilote d'hélicoptère	1	12				
VOLS D'HYDRAVIONS:		AVARIS MECANIQUES:					
TEMPS D'HELICOPTERE: 4.1		ACCIDENTS:					
VOYAGES DE CAMION:		TEMPS MORT:					
EXPEDITION D'ECHANTILLONS:		AMELIORATIONS A PREVOIR:					
ACHATS:							
MOBILISATION:		AVIS DISCIPLINAIRE:					
DEMOBILISATION:		VERIFICATION:					
FORAGE- # TROU :		FACTURATION:					
BUDGET RESIDUEL:		DEPENSES:		IOS Services Géoscientifiques Inc			





<b>RAPPORT JOURNALIER</b>	Date : 04-10-07	PROJET: 592	George River	MÉTÉO: pluvieux, brume.			
		CLIENT: North Western	RESP: Sylvain Vaillancourt	SIGNATURE:			
		APPEL QUOTIDIEN:					
<b>COMMENTAIRES SUR LES TRAVAUX:</b>							
Julien, Dominique, Stéphane: terminer échantillonnage, préparation envoi échantillons inuit.							
Sylvain: Barnoin préparation démobilisation.							
Gaetan, Daniel: préparation slings Barnoin, inventaire, clean-up bureau. Xavier: cuisine.							
Bertrand: bureau Kanjig.							
<b>COMMENTAIRES SUR LA GÉOLOGIE:</b>							
PERSONNEL	TÂCHES	Couché	Heures	Hors camps	Échant: De	Échant: A	FACT.
1: Sylvain VAILLANCOURT	Chargé de projet	1	12				
2: Julien Walter	Géologue	1	12				
5: Gaétan TREMBLAY	Homme de camps - prospecteur	1	12				
7: Carlos Gonzales	Technicien d'hélicoptère	1	12				
11: Bertrand Taquet	Géologue sénior (client)	1	12				
18: Daniel Paradis	Sans Frontières	1	12				
19: Stéphane Sergerie	Homme de camps	1	12				
23: Xavier Bergeron	Technicien	1	12				
26: Dominic Lavoie	Homme de camp	1	12				
30 : Jos Csabaf	Pilote d'hélicoptère	1	12				
VOLS D'HYDRAVIONS:			AVARIS MECANIQUES:				
TEMPS D'HELICOPTÈRE: 1.7 hrs			ACCIDENTS:				
VOYAGES DE CAMION:			TEMPS MORT:				
EXPÉDITION D'ÉCHANTILLONS:			AMÉLIORATIONS À PRÉVOIR:				
ACHATS:							
MOBILISATION:							
DEMOBILISATION:			AVIS DISCIPLINAIRE:				
FORAGE- # TROU :		VERIFICATION:		IOS Services Géoscientifiques Inc			
BUDGET RESIDUEL:		FACTURATION:					

<b>RAPPORT JOURNALIER</b>	Date : 05-10-07	PROJET: 592	George River	METEO: pluvieux , brume			
		CLIENT: North Western	RESP: Sylvain Vaillancourt	SIGNATURE:			
		APPEL QUOTIDIEN:					
<b>COMMENTAIRES SUR LES TRAVAUX:</b>							
Julien, Gaetan: terminer échantillons de lacs, hibernation de la drill sur zone 4, démontage des tentes (toiles).							
Sylvain, Dominique, Xavier, Daniel et Stéphane: préparation démobilisation materiel Kanjig, déplacement propane dans container + boyaux drill.							
Bertrand, Sylvain, Jean-Marc Seguin: reunion conseil municipal, remise des bonus aux inuits plus interrogatoire du conseil sur planification du forage à venir et impact environnemental.							
Bertrand , bureau Kanjig							
<b>COMMENTAIRES SUR LA GÉOLOGIE:</b>							
<b>PERSONNEL</b>	<b>TÂCHES</b>	<b>Couché</b>	<b>Heures</b>	<b>Hors camps</b>	<b>Échant: De</b>	<b>Échant: A</b>	<b>FACT.</b>
1: Sylvain VAILLANCOURT	Chargé de projet	1	12				
2: Julien Walter	Géologue	1	12				
5: Gaétan TREMBLAY	Homme de camps - prospecteur	1	12				
7: Carlos Gonzales	Technicien d'hélicoptère	1	12				
11: Bertrand Taquet	Géologue sénior (client)	1	12				
18: Daniel Paradis	Sans Frontières	démob.	12				
19: Stéphane Sergerie	Homme de camps	démob.	12				
23: Xavier Bergeron	Technicien	1	12				
26: Dominic Lavoie	Homme de camp	1	12				
30 : Jos Csabaf	Pilote d'hélicoptère	1	12				
VOLS D'HYDRAVIONS:		AVARIS MECANIKUES;					
TEMPS D'HELICOPTERE: 2.7 hrs		ACCIDENTS:					
VOYAGES DE CAMION:		TEMPS MORT:					
EXPEDITION D'ECHANTILLONS:		AMELIORATIONS A PREVOIR:					
ACHATS:							
MOBILISATION:							
DEMOBILISATION:		AVIS DISCIPLINAIRE:					
FORAGE- # TROU :		VERIFICATION:		IOS Services Géoscientifiques Inc			
BUDGET RESIDUEL:		FACTURATION:					
DEPENSES:							

<b>RAPPORT JOURNALIER</b>		Date : 06-10-07	PROJET: 592	George River	METÉO: neige		
			CLIENT: North Western	RESP: Sylvain Vaillancourt	SIGNATURE:		
			APPEL QUOTIDIEN:				
<b>COMMENTAIRES SUR LES TRAVAUX:</b>							
Downtime due a la neige							
<b>COMMENTAIRES SUR LA GEOLOGIE:</b>							
PERSONNEL	TÂCHES	Couché	Heures	Hors camps	Echant: De	Echant: A	FACT.
1: Sylvain VAILLANCOURT	Chargé de projet	1	12				
2: Julien Walter	Géologue	1	12				
5: Gaétan TREMBLAY	Homme de camps - prospecteur	1	12				
7: Carlos Gonzales	Technicien d'hélicoptère	1	12				
11: Bertrand Taquet	Géologue sénior (client)	1	12				
23: Xavier Bergeron	Technicien	1	12				
26: Dominic Lavoie	Homme de camp	1	12				
30 : Jos Csabaf	Pilote d'hélicoptère	1	12				
VOLS D'HYDRAVIONS:				AVARIS MÉCANIQUES:			
TEMPS D'HELICOPTÈRE: 0				ACCIDENTS:			
VOYAGES DE CAMION:				TEMPS MORT:			
EXPÉDITION D'ÉCHANTILLONS:				AMÉLIORATIONS A PREVOIR:			
ACHATS:							
MOBILISATION:							
DEMOBILISATION:				AVIS DISCIPLINAIRE:			
FORAGE- # TROU :				VERIFICATION:			
BUDGET RÉSIDUEL:		DÉPENSES:		FACTURATION:			
				IOS Services Géoscientifiques Inc			



<b>RAPPORT JOURNALIER</b>		Date : 07-10-07	PROJET: 592	George River	METEO: venteux, neige,				
			CLIENT: North Western	RESP: Sylvain Vaillancourt	SIGNATURE:				
			APPEL QUOTIDIEN:						
<b>COMMENTAIRES SUR LES TRAVAUX:</b>									
Fermeture du camp, dernière sling, préparation du matériel dans container.									
<b>COMMENTAIRES SUR LA GÉOLOGIE:</b>									
<b>PERSONNEL</b>		<b>TÂCHES</b>		<b>Couché</b>	<b>Heures</b>	<b>Hors camps</b>	<b>Échant: De</b>	<b>Échant: A</b>	<b>FACT.</b>
1: Sylvain VAILLANCOURT		Chargé de projet		1	12				
2: Julien Walter		Géologue		1	12				
5: Gaétan TREMBLAY		Homme de camps - prospecteur		1	12				
7: Carlos Gonzales		Technicien d'hélicoptère		1	12				
11: Bertrand Taquet		Géologue sénior (client)		1	12				
23: Xavier Bergeron		Technicien		1	12				
26: Dominic Lavoie		Homme de camp		1	12				
30 : Jos Csabaf		Pilote d'hélicoptère		1	12				
VOLS D'HYDRAVIONS:				AVARIS MECANIQUEs;					
TEMPS D'HELICOPTERE: 2,				ACCIDENTS:					
VOYAGES DE CAMION:				TEMPS MORT:					
EXPEDITION D'ECHANTILLONS:				AMELIORATIONS A PREVOIR:					
ACHATS:									
MOBILISATION:									
DEMOBILISATION:				AVIS DISCIPLINAIRE:					
FORAGE- # TROU :				VERIFICATION:					
BUDGET RESIDUEL:		DEPENSES:		FACTURATION:		IOS Services Géoscientifiques Inc			

<b>RAPPORT JOURNALIER</b>		Date : 08-10-07	PROJET: 592	George River	MÉTÉO: brumeux en avant-midi.		
			CLIENT: North Western	RESP: Sylvain Vaillancourt	SIGNATURE:		
			APPEL QUOTIDIEN:				
<b>COMMENTAIRES SUR LES TRAVAUX:</b>							
Démobilisation personnel héli-transport + Bertrand. Inventaire du matériel à envoyer, liste finale.							
<b>COMMENTAIRES SUR LA GÉOLOGIE:</b>							
PERSONNEL	TÂCHES	Couché	Heures	Hors camps	Échant: De	Échant: A	FACT.
1: Sylvain VAILLANCOURT	Chargé de projet	1	12				
2: Julien Walter	Géologue	1	12				
5: Gaétan TREMBLAY	Homme de camps - prospecteur	1	12				
7: Carlos Gonzales	Technicien d'hélicoptère	démob.	12				
11: Bertrand Taquet	Géologue sénior (client)	démob.	12				
23: Xavier Bergeron	Technicien	1	12				
26: Dominic Lavoie	Homme de camp	1	12				
30 : Jos Csabaf	Pilote d'hélicoptère	démob.	12				
VOLS D'HYDRAVIONS:			AVARIS MECANIQUES;				
TEMPS D'HELICOPTÈRE: 2.			ACCIDENTS:				
VOYAGES DE CAMION:			TEMPS MORT:				
EXPÉDITION D'ÉCHANTILLONS:			AMÉLIORATIONS À PRÉVOIR:				
ACHATS:							
MOBILISATION:							
DEMOBILISATION:			AVIS DISCIPLINAIRE:				
FORAGE- # TROU :			VÉRIFICATION:		IOS Services Géoscientifiques Inc		
BUDGET RESIDUEL:		DÉPENSES:	FACTURATION:				

<b>RAPPORT JOURNALIER</b>		Date 09-10-07	PROJET: 592	George River	METÉO: soleil.				
			CLIENT: North Western	RESP: Sylvain Vaillancourt	SIGNATURE:				
			APPEL QUOTIDIEN:						
<b>COMMENTAIRES SUR LES TRAVAUX:</b>									
Stand-by avion brisé, travail bureau, base de données.									
<b>COMMENTAIRES SUR LA GÉOLOGIE:</b>									
<b>PERSONNEL</b>		<b>TÂCHES</b>		<b>Couché</b>	<b>Heures</b>	<b>Hors camps</b>	<b>Échant: De</b>	<b>Échant: A</b>	<b>FACT.</b>
1: Sylvain VAILLANCOURT		Chargé de projet		1	12				
2: Julien Walter		Géologue		1	12				
5: Gaétan TREMBLAY		Homme de camps - prospecteur		1	12				
23: Xavier Bergeron		Technicien		1	12				
26: Dominic Lavoie		Homme de camp		1	12				
VOLS D'HYDRAVIONS:				AVARIS MECANIQUES:					
TEMPS D'HELICOPTERE:				ACCIDENTS:					
VOYAGES DE CAMION:				TEMPS MORT:					
EXPEDITION D'ÉCHANTILLONS:				AMÉLIORATIONS A PRÉVOIR:					
ACHATS:									
MOBILISATION:									
DEMOBILISATION:				AVIS DISCIPLINAIRE:					
FORAGE- # TROU :				VERIFICATION:		IOS Services Géoscientifiques Inc			
BUDGET RESIDUEL:		DÉPENSES:		FACTURATION:					



<b>RAPPORT JOURNALIER</b>		Date 10-10-07	PROJET: 592	George River	MÉTÉO: nuageux					
			CLIENT: North Western	RESP: Sylvain Vaillancourt	SIGNATURE:					
			APPEL QUOTIDIEN:							
<b>COMMENTAIRES SUR LES TRAVAUX:</b>										
Stand-by avion brisé, travail bureau, base de données, inventaire et préparation de démobilisation du matériel dans les containers.										
<b>COMMENTAIRES SUR LA GÉOLOGIE:</b>										
<b>PERSONNEL</b>		<b>TÂCHES</b>			<b>Couché</b>	<b>Heures</b>	<b>Hors camps</b>	<b>Échant: De</b>	<b>Échant: A</b>	<b>FACT.</b>
1: Sylvain VAILLANCOURT		Chargé de projet			1	12				
2: Julien Walter		Géologue			1	12				
5: Gaétan TREMBLAY		Homme de camps - prospecteur			1	12				
23: Xavier Bergeron		Technicien			1	12				
26: Dominic Lavole		Homme de camp			1	12				
VOLS D'HYDRAVIONS:				AVARIS MECANIQUES:						
TEMPS D'HELICOPTERE:				ACCIDENTS:						
VOYAGES DE CAMION:				TEMPS MORT:						
EXPÉDITION D'ÉCHANTILLONS:				AMÉLIORATIONS À PREVOIR:						
ACHATS:										
MOBILISATION:										
DEMOBILISATION:				AVIS DISCIPLINAIRE:						
FORAGE- # TROU :				VERIFICATION:		IOS Services Géoscientifiques Inc				
BUDGET RÉSIDUEL:		DÉPENSES:		FACTURATION:						



URANIUM EXPLORATION CAMPAIGN, SUMMER 2007  
NORTH RAE PROJECT

APPENDIX 2

AIRBORNE SPECTROMETRIC TARGETS

Table 1 : MPH list  
Table 2 : Azimut list



Target selected by MPH, June 2007  
UTM, Zone 20, NAD-27

TARGET	VISITED	PRIORIT Y	UTMX (nad 27)	UTMY (nad 27)	AZM TARGET	U rank	U/Th	MAG	EM	Lake U	COMMENTS	VERIFICATION	REMARKS	RECOMMANDATIONS
1	2006	1	340894.8	6509320	71					128 ppm		Granitic gneiss, 0.32% U3O8	1400cps	No further work
2	2006	1	341152.8	6508926						126 ppm		Granitic gneiss	350 ppm	No further work
3	No	3	340107.2	6508315		B+				4 ppm		Granitic gneiss?		Low priority
4	No	3	340093.6	6507813		B+				Edge		Granitic gneiss?		Low priority
5	2006	1	340772.6	6508261								Granitic gneiss?		No further work
6	2006	1	344126.5	6508899						Low	12 ppm	Granite and gneiss, 0.061% U3O8	4000 cps	No further work
7	2007	3	345891.7	6508397		B+	B+							No further work
8	2007	3	346136.2	6507079	70	B+				Low?	970 ppm			No further work
9	No	1	349109.9	6508722							170 ppm			Prospecting
10	2007	4	350114.7	6509171	n/a	A-	B+			Low?	212 ppm	U anom 4.9ppm	21000 cps	Prospecting
11	2007	4	349978.9	6507174	n/a	A-	B+			Edge	123 ppm	U anom 4.8ppm	30000 cps	Prospecting
12	2008	1	341845.3	6505409							18 ppm		1000 cps	No further work
13	No	1	343461.2	6506794						Low?	127 ppm		2000 cps	Prospecting
14	No	1	344085.8	6506170						Low	151 ppm			Prospecting
15	No	3	344506.7	6505762	n/a	B+				Low?	151 ppm			Prospecting
16	2006	1	345443.6	6504594							121 ppm			No further work
17	2006,2007	1	345796.7	6505138								Granitic gneiss and paragneiss		No further work
18	2007	3	346258.4	6505545	23	B+	B+				970 ppm			No further work
19	2007	3	346231.2	6506170		B+					970 ppm			No further work
20	2005,2007	3	346991.6	6505640		B+	B+				250 ppm			No further work
21	No	1	350019.7	6504757						Edge	90 ppm			Prospecting
22	No	1	350454.2	6506278	38			Low			60 ppm			Prospecting
23	No	3	350644.3	6505857		B+	B+	High			72 ppm			Low priority
24	2007	3	351649.1	6505110	37	B+	A-	High			28 ppm	U anom 4.9ppm	8700 cps	No further work
25	No	1	351676.3	6504527				High			68 ppm			Prospecting
26	No	2	351296.1	6503983			B				60 ppm			Prospecting
27	No	1	342537.8	6502626				High			49 ppm			Prospecting
28	No	1	341560.1	6501471							41 ppm			Prospecting
29	No	1	341994.6	6501444				Edge	Edge		44 ppm			Prospecting
30	No	1	342578.5	6501159				Low			44 ppm			Prospecting
31	No	1	343176	6501349							70 ppm			Prospecting
32	No	1	344262.3	6502408							63 ppm			Prospecting
33	2007	3	346462.1	6503983	24	B+	B+	Low			95 ppm	0.175% U3O8 nearby	20000 cps	Prospecting
34	2007	2	346176.9	6503250	25	B+					70 ppm	0.175% U3O8 nearby	20000 cps	Prospecting
35	2006	2	346312.7	6502517		B+					200 ppm	Granitic gneiss		No further work
36	2006,2007	3	347086.7	6502503		B+		Low			200 ppm	Granitic gneiss and amphibolite		No further work
37	No	3	349802.4	6503332		B+	B+	Low	Low			Alluviums		Low priority
38	No	1	351581.2	6503169				Low						Low priority
39	No	1	352599.6	6503318							22 ppm			Low priority
40	No	1	351323.2	6502693										Low priority
41	No	3	352382.4	6502422	36	B+		High	Low					Prospecting
42	No	1	352233	6501852	69									Low priority
43	2006,2007	3	349761.7	6502069	68	B+			Edges		73 ppm	Pegmatite, gneiss and granite, 0.333% U3O8	9200 cps	Follow-up
44	2006,2007	3	346204.1	6501050	27	B+	A-		Low		53 ppm	Granitic gneiss	24000 cps	No further work
45	2006	1	344751.1	6500209				Low			304 ppm	Granitic gneiss		No further work
46	No	1	346421.3	6500236					Low		146 ppm			Low priority
47	2006,2007	3	346978	6500534	26	B+	B+		Low?		192ppm	Pegmatite dyke, granite, gneiss	24000 cps	Follow-up
48	2007	1	349625.9	6500616	4				Edge		207 ppm	Veine à 5-7% uranophane	53000 cps	Drilling
49	2007	4	349951.8	6500046		A-	B+		Edge		85 ppm	Pegmatite dyke, Uranophane, 0.759% U3O8 in blocks	42000 cps	Follow-up
50	2006	3	353034.2	6500657		B+			Edge			Paragneiss, alluviums		No further work
51	No	1	344126.5	6499489	34	B+	B+		Edge		110 ppm	Granitic gneiss		Low priority
52	No	3	342008.2	6498864		B+		Low	Low		48 ppm			Prospecting
53	No	1	342687.2	6497792					Low		69 ppm			Low priority
54	No	3	343434	6497900		B+			Low		13 ppm			Prospecting
55	No	1	344099.4	6498158					Edge		92 ppm			Low priority
56	No	1	344452.4	6498932							82 ppm			Low priority
57	No	3	344873.3	6498294		B+					38 ppm			Low priority
58	No	1	347236	6497085	65				Edges		118 ppm	Adjacent to Agpiq		Prospecting
59	2007	4	347711.3	6497764	35	A-	B+		Edges		42 ppm	Agpiq zone	65000 cps	Mapping
60	2006,2007	4	349571.6	6498470	5,6	A	A-	Low	Low		536 ppm	NW-SE Linear U anom, 6ppm peak at N end, 4,45ppm in centre	12000 cps	Mapping
61	2007	1	350060.4	6498335	7			High			214 ppm	Illaluga zone		Mapping
62	2007	1	350630.7	6498104				High	Low?		134 ppm	Illaluga zone		Mapping
63	2006	4	352015.8	6499258	1,2,6,7	A	B+	Low	Low		52 ppm	U anom up to 6ppm	50000 cps	Mapping
64	2006,2007	1	352531.9	6497247	n/a				Low			Amittuujaq zone	20000 cps	Mapping
65	No	1	353131.9	6496269	3				Edge					Prospecting
66	No	1	353905.6	6495495				High	Low			South of Amittuujaq		Prospecting
67	2006	1	353779.2	6494942					Low		7	Granitic gneiss		Prospecting
68	No	2	354142.4	6494563			B		Low		6	South of Amittuujaq		Prospecting
69	No	1	343911	6496632				Low	Low					Prospecting

TARGET	VISITED	PRIORIT Y	UTMX (nad 27)	UTMY (nad 27)	AZM TARGET	U rank	U/Th	MAG	EM	Lake U	COMMENTS	VERIFICATION	REMARKS	RECOMMANDATIONS
70	2007	3	344526.8	6496000	62,63,64	B+			Low			Pegmatite dyke, biotite rich.	4500 cps	Low priority
71	No	2	346074.1	6496316			B			147 ppm				Prospecting
72	No	1	348758.3	6495290				Low		28 ppm				Prospecting
73	No	1	346610.9	6495432					Edge					Prospecting
74	No	1	340642.6	6495732										Prospecting
75	No	1	338574.2	6494737				Edge	Edge	11 ppm				Prospecting
76	No	1	341874.2	6495100				High						Prospecting
77	No	1	342411	6494647	61									Prospecting
78	No	1	343374.2	6494390										Prospecting
79	2007	1	344621.5	6494090					Edge			Pegmatite dyke, 0,048% U3O8	113000 cps	Follow-up
80	No	3	347274.1	6493995		B+	B	Edge	Edge					Prospecting
81	No	1	347889.9	6494232				Edge	Low					Prospecting
82	No	1	342490	6494090										Prospecting
83	2007	3	337184.8	6493790		B+			Low	32 ppm		Inuits		No further work
84	2007	3	337737.4	6493205		B+	B+		Low	58 ppm			2600 cps	No further work
85	2007	3	338416.3	6493158		B+	B+		Low					No further work
86	2007	3	338826.9	6492779	31	B+	B+		Low	19 ppm				No further work
87	No	3	339032.1	6493474	60	B+				46 ppm				Low priority
88	No	1	339521.6	6492258					Edge	102 ppm				Prospecting
89	No	1	339126.9	6491721					Low	68 ppm				Prospecting
90	Azimuth	4	344005.7	6492448	32	A-	B+		Edge		U anom 4,1ppm		N/A	No further work
91	Azimuth	3	344953.1	6492337		B+								No further work
92	Azimuth	3	345300.4	6492116		B+								No further work
93	Azimuth	3	345584.6	6491563	33	B+								No further work
94	No	3	345884.6	6491074		B+							N/A	Low priority
95	No	1	348332	6491579										Prospecting
96	No	1	349310.9	6490853										Prospecting
97	2006	1	353416.1	6492937					Low	700 ppm		Granitic gneiss, paragneiss	800 cps	Prospecting
98	2006	1	354126.6	6493221	66					8 ppm		granitic gneiss, 0,019% U3O8	6350 cps	Follow-up
99	No	1	354742.4	6493221				High	Low					Prospecting
100	No	1	356130.7	6490482					Low	100 ppm				Prospecting
101	No	2	356542.9	6491483		B+	High	Low	Low	8 ppm				Prospecting
102	No	4	357367.3	6491228		A-	B+	Low?	Edges		U anom 5,45ppm		Alluviums	No further work
103	Inuits	4	334705.2	6491285		A-	B+	Low	Low	150 ppm	U anom 3,75ppm		Inuits	No further work
104	Inuits	1	333095.9	6490384				Low?	Low	132 ppm			Inuits	No further work
105	Inuits	1	332838.4	6489966					Low				Inuits	No further work
106	Inuits	1	335027	6490738	59				Low	150 ppm		Overburden		No further work
107	2006,Inuits	1	334962.6	6490078					Low	1320 ppm		Leucocratic granite, in paragneiss	4800 cps	No further work
108	2006, 2007	3	337086.8	6490690	58	B+				121 ppm		Granitic dyke, biotite rich	8000 cps	No further work
109	Inuits	1	337827.1	6490062	57					113 ppm	U anom 3,8ppm			No further work
110	2006, Inuits	3	338229.4	6490626		B+			Low	139 ppm		Tonalitic gneiss, 0,127% U3O8	5200 cps	Low priority
111	Inuits	1	338663.9	6490191					Low	139 ppm				No further work
112	Azimuth	3	340015.7	6488823		B+							N/A	No further work
113	No	1	341383.5	6488920				High		128 ppm				Low priority
114	No	1	343877.9	6490062					Edge	16 ppm		Forested, overburden?		Low priority
115	No	1	345503.2	6487874					Low					Low priority
116	No	1	345986	6487922					Low					Low priority
117	No	1	346661.9	6489403										Low priority
118	No	1	346967.6	6489129					Edges					Low priority
119	No	1	347595.2	6488469					Low					Low priority
120	No	3	348303.3	6489306		B+			Low	Edges				Prospecting
121	No	1	348914.8	6489821					Low					Low priority
122	No	3	350282.7	6489531		B+								Low priority
123	No	3	349735.5	6488308		B+								Low priority
124	2007	4	335090.7	6488405	28	A			Low	51ppm	NW-SE Linear U anom, up to 13ppm peak	Tasiakuk Zone	16000 cps	Drilling
125	2006, Azimuth	4	337872.7	6488549	29	A-	A-		Edges	84 ppm	L'ours Polar Anomalie, up to 3,3ppm	Granite		No further work
126	2006, Azimuth	3	339272.6	6488890	55,56	B+				196 ppm	U anom 3,9ppm	Granitic gneiss, granite		No further work
127	2007	3	335072.7	6487077		B+			Low	22 ppm		Granitic gneiss, granite		No further work
128	No	1	334821.5	6485731					Low	65 ppm		N/A		Prospecting
129	No	1	336939.3	6486826					High	Low				Prospecting
130	2006	1	337603.4	6487203	51				High			Granite	700 cps	No further work
131	2007	1	339990.5	6487669					Low	104 ppm		Granite, granitic gneiss		No further work
132	No	1	341067.4	6487077					Low	104 ppm				Low priority
133	No	1	341749.5	6486485	53					147 ppm				Low priority
134	No	3	342664.8	6485480	52	B+								Prospecting
135	Azimuth	1	336813.7	6485641					Low	Low	26 ppm		N/A	No further work
136	Azimuth	1	336598.3	6485139	47				Low	Edge			N/A	No further work
137	2007, Inuits	3	336508.6	6484313	46	B+			Edges	Low		Swarm of pegmatite dykes, biotite rich, 0,267% U3O8	35000 cps	Follow-up
138	No	1	337190.6	6484187					Low	Low		Pegmatite and gneiss		Low priority
139	No	1	337639.3	6484044					Low	Low		Pegmatite and gneiss		Low priority
140	2007, Inuits	1	338339.3	6483128	45							Pegmatites	6000 cps	No further work
141	2007, Inuits	1	339021.3	6482805								Pegmatites		No further work



TARGET	VISITED	PRIORIT Y	UTMX (nad 27)	UTMY (nad 27)	AZM TARGET	U rank	U/Th	MAG	EM	Lake U	COMMENTS	VERIFICATION	REMARKS	RECOMMENDATIONS
142	2007	4	340546.9	6483111	30	A-	B	Edges	Low		U anom 5,35ppm			Drilling
143	2007	3	340798.2	6483613	48	B+		Edges	Low					Drilling
144	No	1	340475.1	6485731					Low	270 ppm				Prospecting
145	No	1	341731.5	6485121										Low priority
146	No	3	342126.4	6484834		B+								Prospecting
147	No	1	342754.5	6484205										Low priority
148	No	3	343472.5	6484205		B+	B							Prospecting
149	No	3	343903.2	6483882		B+								Prospecting
150	No	3	344531.4	6483541		50	B+							Prospecting
151	No	3	343275	6482931		49	B+							Prospecting
152	2006	3	360255.5	6492889		B+	B+	Low	Edges					Granite, La Ralde
153	2006	1	362328.2	6493381				Low	Edges					Granite, La Ralde
154	No	2	363206.5	6493258			B+	Low						Overburden
155	No	3	364295.6	6493029		B+								Overburden
156	2006	1	363241.7	6491975					Edges					Overburden
157	2006	3	364418.6	6491940		78	B+							Overburden
158	2006	4	366702.1	6492362		75, 76	A		High?		K and Th responses indicating granitic rocks?			Granite, La Ralde
159	2006	4	369512.6	64905179 & 13, 74		A-	A-		High?	264 ppm	U peaks: 5,45 to 8,60ppm; Rossing model? K, Th ind. Granites?			Granite, La Ralde, 0,375% U3O8
160	No	3	373113.5	6490623		B+								Lake Harbour?
161	No	3	373851.3	6490693		B+								Lake Harbour?
162	2006	2	365033.3	6490904		73	B+		Edges					Overburden
163	No	4	361081.1	6490096		A-	B+		High	6 ppm				Lake Harbour?
164	No	3	361485.1	6489586		B+	B+		High					Lake Harbour?
165	No	1	361151.3	6489095					High					Lake Harbour?
166	2006	4	362926.7	6490166 & 22, 79		A-	A-		High?	197 ppm	Peaks ranging from 4,75 to 7,50ppm: Rossing model?			Granite, La Ralde
167	No	1	367229.1	6487830					Edge					Granite, Overburden
168	No	4	369407.2	6487531		42	A-	A-		48 ppm				Overburden
169	No	4	370566.5	6486899		43?	A-							Overburden?
170	No	3	371234	6486390		44	B+		Low					Overburden?
171	No	3	371058.4	6486091		B+	B+		Low					Overburden?
172	No	1	372094.7	6486196					Low					Overburden?
173	2006	1	368493.8	6484457					Low	13 ppm				Lake Harbour?
174	No	1	360659.5	6487321					Low	16 ppm				Lake Harbour?
175	No	1	359869	6486583					High?					Lake Harbour?
176	No	1	360764.9	648512		39?			Low					Lake Harbour?
177	No	3	359711	6485792		72	B+		Edge					Lake Harbour?
178	No	3	360378.5	6485898		B+								Lake Harbour?
179	No	4	361133.8	6485459		40	A-	B+	High?	7 ppm				Lake Harbour?

## Target selected by Azimut, June 2007

UTM, Zone 20, NAD-83

TARGET AZIMUT	AZIMUT PRIORITY	UTMX (nad 83)	UTMY (nad 83)	TARGET MPH	MPH PRIORITY	VERIFICATION	DRILL HOLES	REMARKS	RECOMMENDATIONS
1	1	351 599	6 499 366	63	4	Amittujaq			Systematic scintillometry
2	1	352 578	6 498 025	63	1	Amittujaq			Systematic scintillometry
3	1	353 158	6 496 596	65	4	Amittujaq		Pink pegmatite dyke, metric	Systematic scintillometry
4	1	350 004	6 500 389	48	4	Jonas	NR-07-08	Pegmatite dyke, Yellow product	Mapping, Drilling
5	1	349 341	6 499 843	60	1	Ilaluga		Pegmatite dyke N350°	Systematic scintillometry
6	1	350 965	6 497 722	60	1	North-Ilaluga			Prospecting
7	1	350 172	6 498 652	61	4	North-Ilaluga			Prospecting
8	1	369 370	6 491 625	159	1	East-La Ralde		Homogenous granite	No Further work
9	1	370 088	6 491 170	159	1	East-La Ralde		Homogenous granite	No Further work
10	1	368 754	6 491 021	159	1	East-La Ralde		Homogenous granite	No Further work
11	1	368 852	6 490 393	159	1	East-La Ralde		Homogenous granite	No Further work
12	1	368 903	6 489 467	159	1	East-La Ralde		Homogenous granite	No Further work
13	1	369 802	6 490 000	159	1	East-La Ralde		Homogenous granite	No Further work
14	1	362 320	6 490 018	166	1	West-La Ralde		Homogenous granite	No Further work
15	1	362 293	6 490 657	166	1	West-La Ralde		Homogenous granite	No Further work
16	1	362 912	6 490 787	166	1	West-La Ralde		Homogenous granite	No Further work
17	1	363 167	6 489 618	166	1	West-La Ralde		Homogenous granite	No Further work
18	1	363 823	6 490 646	166	1	West-La Ralde		Homogenous granite	No Further work
19	1	364 270	6 490 312	166	1	West-La Ralde		Homogenous granite	No Further work
20	1	365 721	6 490 245	166	1	West-La Ralde		Homogenous granite	No Further work
21	1	365 340	6 489 480	166	1	West-La Ralde		Homogenous granite	No Further work
22	1	366 219	6 489 076	166	1	West-La Ralde		Homogenous granite	No Further work
23	1	346 310	6 505 775	18	2	Inuits 2007			No Further work
24	1	346 505	6 504 225	33	2	Inuits 2007			No Further work
25	1	346 332	6 502 801	35	3	2006,inuits 2007			No Further work
26	1	347 003	6 500 559	47	2	2006,inuits 2007		Pegmatite dyke	No Further work
27	1	346 250	6 501 097	44	2	2006, Inuits 2007		Granitic gneiss	No Further work
28	1	335 031	6 488 704	124	1	Tasialuk	NR-07-01, 02, 03, 04		Pending
29	2	337 980	6 488 621	125	1	J.M. Lulin,2006		Granite?	No Further work
30	2	340 509	6 483 378	142	1	Tasik	NR-07-05, 06, 07		Pending
31	2	338 818	6 493 095	86	2	J.M.Lulin, Inuits			No Further work
32	2	344 099	6 492 611	90	1	R. Girard		Granitic gneiss	No Further work
33	2	345 620	6 491 654	93	2	R. Girard		Isolated pegmatite dyke	No Further work
34	2	344 162	6 499 857	51	4	Not visited			Prospecting
35	2	347 758	6 498 068	59	1	Aqplq			Mapping and Drilling
36	2	352 295	6 502 799	41	2	Not visited			Prospecting
37	2	351 666	6 505 305	24	2	B. Taquet		Isolated pegmatite dyke	No Further work
38	2	350 731	6 506 011	22	4	Not visited			Prospecting
39	2	361 165	6 486 147	±176	4	Not visited			Prospecting
40	2	361 177	6 485 612	179	1	Not visited			Prospecting
41	2	360 369	6 484 506			Not visited			Prospecting
42	2	369 498	6 487 797	168	1	No-Outcrop?			No Further work



TARGET AZIMUT	AZIMUT PRIORITY	UTMX (nad 83)	UTMY (nad 83)	TARGET MPH	MPH PRIORITY	VERIFICATION	DRILL HOLES	REMARKS	RECOMMANDATIONS
43	2	370 661	6 487 156	±169	1	No-Outcrop?			Low Priority
44	2	371 169	6 486 372	170	2	No-Outcrop?			Low Priority
45	3	338 466	6 483 408	140	4	Inuits 2007			No Further work
46	3	336 666	6 484 532	137	2	B. Taquet 2007		?	Systematic scintillometry
47	3	336 731	6 485 424	136	4	R. Girard 2007		Homogenous granite	No Further work
48	3	340 861	6 483 732	143	2	<b>Torrent</b>			Pending
49	3	343 314	6 483 152	151	2	Not visited		Homogenous granite	Prospecting
50	3	344 165	6 483 752	150	2	Not visited		Homogenous granite, 500 au nord et est	Prospecting
51	3	337 530	6 487 589	130	4	2006		Granite	No Further work
52	3	342 581	6 485 874	134	2	Not visited		?	Prospecting
53	3	341 590	6 486 877	133	4	Not visited		?	Prospecting
54	3	341 121	6 487 955			2006		Pegmatite and granitic gneiss	No Further work
55	3	339 731	6 488 492	126	2	Inuits 2007		Pegmatite, 5 metres thick, in gneiss	No Further work
56	3	339 054	6 489 376	126	2	Inuits 2007		Pegmatite, 5 metres thick, in gneiss	No Further work
57	3	337 735	6 490 303	109	4	B. Taquet et Inuits			No Further work
58	3	337 101	6 490 934	108	4	B. Taquet et Inuits		Granite	No Further work
59	3	335 323	6 490 656	106	4	Inuits		Overburden	No Further work
60	3	338 867	6 493 770	87	2	Not visited			Low Priority
61	3	342 418	6 495 061	77	4	Not visited			Prospecting
62	3	345 827	6 493 418	70	2	Boulder field?		Pegmatite and granitic gneiss	Prospecting
63	3	344 831	6 495 722	70	2	Boulder field?		Pegmatite and granitic gneiss	Prospecting
64	3	344 546	6 496 829	70	2	Boulder field?		Pegmatite and granitic gneiss	Prospecting
65	3	347 149	6 497 305	58	4	Not visited			Prospecting
66	3	354 283	6 492 886	98	4	2006		Pegmatite and granitic gneiss	Prospecting
67	3	353 440	6 497 206	63	1	<b>Amttujaq</b>		Cliff	Prospecting
68	3	350 105	6 501 990	43	2	2006		Gneiss with Yellow product	Systematic scintillometry
69	3	352 479	6 502 003	42	4	Not visited		Overburden?	Low Priority
70	3	346 183	6 507 397	8	2	Inuits			Prospecting
71	3	341 187	6 509 296	1	4	2006		Gneiss and granite	No Further work
72	3	359 802	6 485 986	177	2	Not visited			Prospecting
73	3	365 047	6 491 060	162	3	No-Outcrop			No Further work
74	3	367 756	6 491 130	159	1	East-La Ralde		Homogenous granite	Low-Priority
75	3	366 533	6 492 581	158	1	No-Outcrop?			No Further work
76	3	366 081	6 491 996	158	1	No-Outcrop?			No Further work
77	3	365 143	6 492 387			No-Outcrop			No Further work
78	3	364 346	6 492 010	157	2	No-Outcrop?			No Further work
79	3	366 702	6 488 392	166	1	2006			No Further work

URANIUM EXPLORATION CAMPAIGN, SUMMER 2007  
NORTH RAE PROJECT

APPENDIX 3

SCINTILLOMETER READINGS

Table 1 : Scintillometer readings  
Table 2 : Spectrometer readings



PROJECT NUMBER	SAMPLE	SAMPLE TYPE	UTMX (Nad 27)	UTMY (Nad 27)	OUTCROP / CHANNEL	OCCURRENCE	SCINTILLOMETER							ICP-MS				
							SCINTILLOMETER	U(ppm)	Th(ppm)	RATIO U/Th	CPS MAX	TYPICAL CPS	U <sub>3</sub> O <sub>8</sub> (wt %)	U/Th	Th		U + Th/4	
															ppm	ppm	ppm	
Nb Analyses	2115																	
Compte	Historique												882		882	882	637	
Moyenne	Historique												0,055%		373	480	657	
Écart-type (σ)	Historique												0,164%		609	1408	1845	
Maximum	Historique												2,290%		8540	19100	19483	
Minimum	Historique												-0,001%		1	-2	5	
Compte	Projet												637		637	637	637	
Moyenne	Projet												0,063%		424	551	657	
Écart-type (σ)	Projet												0,186%		597	1593	1845	
Maximum	Projet												2,290%		4970	19100	19483	
Minimum	Projet												0,000%		9	2		
592	312056	Roche	338931	6490848							1719		0,020%	0,82	212	178	231	
592	312081	Roche	337849	6488222							7297		0,004%	0,32	109	37	64	
592	312083	Roche	338401	6487891							1875		0,003%	0,56	42	25	36	
592	312084	Roche	332350	6488077							3100		0,004%	0,16	198	32	82	
592	312121	Roche	337461	6488953							5700		0,027%	0,12	1880	268	733	
592	312132	Roche	338545	6488107							5678		0,054%	2,60	176	545	589	
592	312134	Roche	338271	6489040							1100		0,002%	0,31	53	17	30	
592	312156	Roche	334398	6490841							5300		0,036%	0,25	1210	377	680	
592	312175	Roche	337556	6489087							5172		0,010%	0,17	475	82	201	
592	312179	Roche	337730	6488060							2700		0,003%	0,29	75	22	41	
592	312182	Roche	338040	6488013							4408		0,041%	5,42	64	350	366	
592	312235	Roche	337812	6488006							3560		0,003%	0,24	91	22	45	
592	312237	Roche	338335	6487897							4015		0,004%	0,20	169	35	77	
592	312251	Roche	340074	6489083							1565		0,003%	0,12	205	32	83	
592	312252	Roche	341021	6482174							4139		0,009%	0,17	463	93	209	
592	312254	Roche	341854	6482121							3556		0,002%	0,08	218	23	78	
592	312297	Roche	365059	6477851							13000		0,013%	2,04	56	115	129	
592	312299	Roche	365244	6477500							4100		0,014%	0,60	198	119	169	
592	312337	Roche	364968	6477092							4000		0,014%	0,81	151	123	161	
592	312351	Roche	340152	6489043							13500		0,007%	0,15	369	66	158	
592	312356	Roche	341778	6481880							1911		0,003%	0,12	215	34	88	
592	312357	Roche	341708	6481880							9450		0,018%	0,13	1230	160	468	
592	312395	Roche	365087	6476703							6500		0,011%	1,11	81	98	116	
592	312401	Roche	340970	6482201							1387		0,011%	1,78	50	95	108	
592	312402	Roche	341285	6482095							3242		0,004%	0,13	274	42	111	
592	312435	Roche	364285	6475584							1100		0,004%	0,50	76	39	58	
592	312439	Roche	364405	6477529							1400		0,004%	0,18	182	33	79	
592	312444	Roche	364885	6477874							2500		0,004%	0,70	48	33	45	
592	312445	Roche	365043	6477867							4200		0,008%	0,62	104	65	91	
592	312446	Roche	364995	6478047							1700		0,009%	1,17	68	82	99	
592	5929000	Roche	334317	6489287							1100		0,001%	0,26	47	16	28	
592	5929001	Roche	334307	6489303	59202200	Tasieluk Extension	RS-120				2450		0,004%	0,25	130	44	77	
592	5929004	Bloc	334508	6489254		Tasieluk Extension	RS-120				1800		0,026%	0,67	328	230	312	
592	5929005	Bloc	334542	6489170		Tasieluk Extension	RS-120				11000	6000	0,008%	0,37	190	73	121	
592	5929006	Roche	335279	6488202		Tasieluk	RS-120				5600	2800	0,013%	0,14	785	110	306	
592	5929007	Roche	335282	6488206		Tasieluk	RS-120				8300	3800	0,036%	0,45	684	305	476	
592	5929008	Roche	335294	6488216		Tasieluk	RS-120				2800	1700	0,005%	0,12	340	45	130	
592	5929009	Roche	335298	6488219		Tasieluk	RS-120				2800	2100	0,003%	0,11	241	32	92	
592	5929010	Roche	335308	6488226		Tasieluk	RS-120				5000	2000	0,014%	0,34	362	127	218	
592	5929011	Roche	335333	6488277		Tasieluk	RS-120				1900	1500	0,004%	0,16	224	41	97	
592	5929012	Roche	335337	6488280		Tasieluk	RS-120				4800	2800	0,005%	0,25	161	44	84	
592	5929013	Roche	335356	6488338		Tasieluk	RS-120				2000	1400	0,001%	0,17	69	13	30	
592	5929014	Roche	335287	6488369		Tasieluk	RS-120				1600	1200	0,004%	0,29	124	41	72	
592	5929015	Roche	335303	6488437		Tasieluk	RS-120				3600	2200	0,005%	0,20	209	46	98	
592	5929016	Roche	340877	6482339		Tasik	RS-120				10400	800	0,001%	0,34	16	6	10	
592	5929017	Roche	340869	6482354		Tasik	RS-120				8300	500	0,000%	0,05	80	3	23	
592	5929018	Roche	340744	6482436		Tasik	RS-120				4000	800	0,002%	0,15	109	18	45	
592	5929019	Roche	340659	6482513		Tasik	RS-120				4000	1300	0,022%	0,22	845	190	401	
592	5929020	Roche	340610	6482540		Tasik	RS-120				5000	1200	0,003%	0,43	65	31	47	
592	5929021	Roche	340643	6482556		Tasik	RS-120				4000	1300	0,006%	0,16	312	54	132	
592	5929022	Roche	340607	6482546		Tasik	RS-120				5000	1200	0,003%	0,32	89	26	43	
592	5929023	Roche	340627	6482573		Tasik	RS-120				4000	1000	0,001%	0,10	89	12	34	
592	5929024	Roche	340607	6482582		Tasik	RS-120				13000	1800	0,001%	0,08	139	14	49	



PROJECT NUMBER	SAMPLE	SAMPLE TYPE	UTMX (Nad 27)	UTMY (Nad 27)	OUTCROP / CHANNEL	OCCURRENCE	SCINTILLOMETER	SCINTILLOMETER						ICP-MS				
								U(ppm)	Th(ppm)	RATIO U/Th	CPS MAX	TYPICAL CPS	U <sub>3</sub> O <sub>8</sub> (wt %)	U/Th	Th	U, ICP	U + Th/4	
															ppm	ppm	ppm	
Nb Analyses	2115																	
Compte	Historique												862		862	882	637	
Moyenne	Historique												0,055%		373	480	657	
Écart-type (σ)	Historique												0,164%		609	1406	1845	
Maximum	Historique												2,290%		8540	19100	19463	
Minimum	Historique												-0,001%		1	-2	5	
Compte	Projet												637		637	637	637	
Moyenne	Projet												0,063%		424	551	657	
Écart-type (σ)	Projet												0,186%		597	1593	1845	
Maximum	Projet												2,290%		4970	19100	19463	
Minimum	Projet												0,000%		0	2	71	
592	5929025	Roche	340607	6482609		Tasik	RS-120						0,008%	0,15	431	71	179	
592	5929026	Roche	340599	6482673		Tasik	RS-120						0,164%	7,90	176	1450	1494	
592	5929027	Roche	340614	6482682		Tasik	RS-120						0,002%	0,50	31	18	26	
592	5929028	Roche	340541	6482708		Tasik	RS-120						0,044%	0,12	3260	672	1487	
592	5929029	Roche	340598	6482699		Tasik	RS-120						0,004%	0,22	139	33	68	
592	5929030	Roche	341157	6483166		Torrent	RS-120						0,079%	0,30	2210	787	1340	
592	5929031	Roche	341137	6483176		Torrent	RS-120						0,006%	0,25	200	58	108	
592	5929032	Roche	341026	6483259		Torrent	RS-120						0,004%	0,33	102	31	57	
592	5929033	Roche	341011	6483269		Torrent	RS-120						0,001%	0,18	36	13	22	
592	5929034	Roche	341014	6483255		Torrent	RS-120						0,004%	0,08	390	42	140	
592	5929035	Roche	341006	6483198		Torrent	RS-120						0,006%	0,24	225	61	117	
592	5929037	Roche	350643	6497457	59206000	Ilaluga	RS-120						0,010%	1,18	70	85	103	
592	5929038	Roche	350799	6497230	59206000	Ilaluga	RS-120						0,015%	0,54	230	130	188	
592	5929039	Roche	350686	6497278	59206000	Ilaluga	RS-120						0,002%	0,30	66	19	36	
592	5929040	Roche	350683	6497290	59206000	Ilaluga	RS-120						0,023%	1,54	126	197	229	
592	5929041	Roche	351001	6497180	59206000	Ilaluga	RS-120						0,011%	0,42	218	94	149	
592	5929042	Roche	350709	6497464	59206000	Ilaluga	RS-120						0,011%	0,43	207	89	141	
592	5929043	Roche	350473	6497577	59206000	Ilaluga	RS-120						0,014%	0,65	188	124	171	
592	5929044	Roche	350647	6497442	59206000	Ilaluga	RS-120						0,020%	0,66	261	196	261	
592	5929049	Pjonjar	335349	6488291		Tasialuk	RS-120						0,023%	0,37	531	201	334	
592	5929050	Roche	335306	6488149	59202203	Tasialuk	RS-120						0,002%	0,19	102	25	51	
592	5929051	Roche	335318	6488154	59202203	Tasialuk	RS-120						0,066%	0,88	634	570	729	
592	5929052	Roche	335329	6488154	59202203	Tasialuk	RS-120						0,004%	0,25	134	37	71	
592	5929053	Roche	335336	6488210	59202203	Tasialuk	RS-120						0,019%	0,33	471	160	278	
592	5929054	Roche	335346	6488226	59202203	Tasialuk	RS-120						0,003%	0,21	108	26	53	
592	5929056	Roche	335393	6488320	59202203	Tasialuk	RS-120						0,007%	0,35	178	67	112	
592	5929057	Roche	335434	6488303	59202203	Tasialuk	RS-120						0,003%	0,12	208	29	81	
592	5929058	Roche	335405	6488307	59202203	Tasialuk	RS-120						0,004%	0,23	131	32	65	
592	5929059	Roche	335454	6488017		Tasialuk	RS-120						0,003%	0,20	106	24	51	
592	5929060	Roche	335455	6488016		Tasialuk	RS-120						0,006%	0,15	305	54	130	
592	5929061	Roche	335470	6488017		Tasialuk	RS-120						0,002%	0,13	127	19	51	
592	5929062	Roche	335465	6488031		Tasialuk	RS-120						0,003%	0,18	167	34	76	
592	5929063	Roche	335484	6488046		Tasialuk	RS-120						0,003%	0,64	184	120	168	
592	5929064	Roche	335487	6488040		Tasialuk	RS-120						0,004%	0,31	104	33	59	
592	5929065	Roche	335489	6488095		Tasialuk	RS-120						0,002%	0,17	107	19	46	
592	5929066	Roche	335491	6488133		Tasialuk	RS-120						0,002%	0,09	222	24	80	
592	5929067	Roche	335488	6488213		Tasialuk	RS-120						0,003%	0,18	130	25	58	
592	5929068	Roche	335464	6488265		Tasialuk	RS-120						0,002%	0,24	67	18	35	
592	5929069	Roche	335396	6488150		Tasialuk	RS-120						0,001%	0,11	109	13	40	
592	5929070	Roche	335382	6488102		Tasialuk	RS-120						0,005%	0,15	294	42	116	
592	5929073	Roche	335428	6488194		Tasialuk	RS-120						0,003%	0,27	81	24	44	
592	5929074	Roche	335468	6488214		Tasialuk	RS-120						0,006%	0,19	255	50	114	
592	5929075	Roche	335373	6488118		Tasialuk	RS-120						0,003%	0,22	128	29	61	
592	5929076	Roche	335341	6488131		Tasialuk	RS-120						0,001%	0,13	86	11	33	
592	5929077	Roche	335345	6488197		Tasialuk	RS-120						0,002%	0,15	126	18	50	
592	5929078	Roche	335371	6488170		Tasialuk	RS-120						0,002%	0,22	77	20	39	
592	5929079	Roche	335355	6488221		Tasialuk	RS-120						0,002%	0,16	125	20	51	
592	5929081	Roche	335013	6488429	59202204	Tasialuk	RS-120						0,018%	0,63	244	156	217	
592	5929082	Roche	335020	6488400	59202204	Tasialuk	RS-120						0,002%	0,52	39	21	31	
592	5929083	Roche	335021	6488456	59202204	Tasialuk	RS-120						0,010%	0,54	154	90	129	
592	5929084	Roche	335040	6488485	59202204	Tasialuk	RS-120						0,001%	0,15	33	6	14	
592	5929085	Roche	334971	6488498		Tasialuk	RS-120						0,002%	0,22	59	15	30	
592	5929086	Roche	334954	6488530		Tasialuk	RS-120						0,015%	0,80	162	135	176	



PROJECT NUMBER	SAMPLE	SAMPLE TYPE	UTMX (Nad 27)	UTMY (Nad 27)	OUTCROP / CHANNEL	OCCURRENCE	SCINTILLOMETER	SCINTILLOMETER						ICP-MS				
								U(ppm)	Th(ppm)	RATIO U/Th	CPS MAX	TYPICAL CPS	U <sub>3</sub> O <sub>8</sub> (wt %)	U/Th	Th ppm	U, ICP ppm	U + Th/4 ppm	
														1	2			
Nb Analyses	2116																	
Compte	Historique												882		882	882	637	
Moyenne	Historique												0,055%		373	480	657	
Écart-type (σ)	Historique												0,164%		609	1406	1645	
Maximum	Historique												2,290%		8540	19100	19463	
Minimum	Historique												-0,001%		1	-2	5	
Compte	Projet												837		637	637	637	
Moyenne	Projet												0,063%		424	551	657	
Écart-type (σ)	Projet												0,186%		597	1593	1645	
Maximum	Projet												2,290%		4970	19100	19463	
Minimum	Projet												0,000%		9	2		
592	5929087	Roche	334892	6488540		Tasialuk	RS-120				6000	3000	0,005%	0,27	145	41	77	
592	5929088	Roche	340416	6483285		Tasialuk	RS-120				4500	1200	0,002%	0,37	37	14	23	
592	5929090	Roche	340406	6483250		Tasialuk	RS-120				4000	1500	0,018%	0,21	700	162	337	
592	5929091	Roche	340487	6483122		Tasialuk	RS-120				4600	1600	0,001%	0,33	15	6	10	
592	5929092	Roche	340514	6483124		Tasialuk	RS-120				3800	1500	0,010%	1,03	85	91	112	
592	5929093	Roche	340522	6483142		Tasialuk	RS-120				2000	1800	0,005%	0,72	58	47	62	
592	5929094	Roche	340533	6483134		Tasialuk	RS-120				4000	2500	0,029%	1,62	154	260	299	
592	5929095	Bbuster	335020	6488406		Tasialuk	GFI	317,4	164,2	1,93	4000	2000	0,086%	1,49	487	746	868	
592	5929097	Bbuster	335023	6488414		Tasialuk	GFI	834,4	402,0	2,08	4600	2600	0,055%	2,01	234	499	558	
592	5929100	Roche	335052	6488377		Tasialuk	GFI				16000		0,025%	0,39	549	220	357	
592	5929101	Bloc	340594	6482974		Tasialuk	GFI				20000		0,086%	0,15	4970	730	1973	
592	5929102	Roche	347744	6497804		Agpik	GFI				2000		0,113%	53,22	18	960	965	
592	5929103	Roche	347761	6497815		Agpik	GFI				9000		0,007%	0,15	395	67	166	
592	5929104	Roche	337095	6480900		108	GFI				8000		0,012%	0,08	1280	101	421	
592	5929105	Bloc	349982	6507106		49	GFI				8000	1200	0,759%	8,63	746	6180	6367	
592	5929106	Roche	351807	6505102		24	GFI				800		0,002%	0,25	51	16	29	
592	5929107	Roche	349893	6500008		Jonas	GFI				4500	1000	0,034%	3,11	94	266	290	
592	5929108	Roche	349157	6499504		Illaluga	GFI				4300	400	0,055%	26,00	18	483	488	
592	5929109	Bloc	349129	6499308		Illaluga	GFI				6000	2500	0,106%	1,15	779	880	1075	
592	5929110	Roche	334993	6488416		Tasialuk	RS-125	1252,8	770,3		10000	3000	0,088%	1,79	417	832	936	
592	5929111	Roche	334883	6488554		Tasialuk	RS-125	347,5	31,3				0,022%	0,50	379	204	299	
592	5929112	Bbuster	334898	6488548		Tasialuk	RS-125	313,8	278,8		8000	5000	0,023%	0,87	225	220	276	
592	5929115	Bbuster	334895	6488539		Tasialuk	RS-125	416,5	204,4		10000	3000	0,017%	1,08	136	163	197	
592	5929117	Bbuster	334890	6488533		Tasialuk	RS-125	295,2	123,0		9000	2500	0,002%	1,34	13	18	21	
592	5929119	Roche	351456	6499134		Amittuujaq	RS-120				4000		0,054%	1,47	314	498	577	
592	5929120	Roche	351467	6499160		Amittuujaq	RS-120				10000		0,094%	2,54	314	879	958	
592	5929121	Pionjar	335330	6488282		Tasialuk	RS-120				7100	2400	0,004%	0,17	197	41	90	
592	5929122	Pionjar	335267	6488454		Tasialuk					5000	1300	0,009%	0,25	295	76	150	
592	5929123	Pionjar	335472	6488215		Tasialuk					4200	2600	0,004%	0,22	157	41	80	
592	5929124	Bbuster	335277	6488446		Tasialuk	RS-125	511,7	738,3	0,69	4800		0,005%	0,18	247	48	110	
592	5929125	Bbuster	335465	6488210		Tasialuk	RS-125	496,1	688,5	0,74	5500		0,011%	0,31	293	95	168	
592	5929126	Roche	347606	6497600		Agpik	RS-120				10500	1000	0,005%	0,47	84	48	69	
592	5929127	Roche	347610,5	6497600		Agpik	RS-120				3500	1400	0,002%	0,34	45	19	30	
592	5929128	Roche	347615	6497600		Agpik	RS-120				4000	1200	0,020%	0,81	211	174	227	
592	5929129	Roche	347614	6497641,5		Agpik	RS-120				5800	2000	0,009%	0,49	150	92	130	
592	5929130	Roche	347613	6497683		Agpik	RS-120				3000	1400	0,009%	2,21	36	87	96	
592	5929132	Roche	347614	6497662		Agpik	RS-120				3200	1150	0,019%	0,92	171	203	246	
592	5929133	Bbuster	347731	6497708		Agpik	RS-125				60000	10000	1,870%	16,28	974	16600	16844	
592	5929133,1	Duplicata 592133	347731	6497708		Agpik	RS-125				60000	10000	1,090%	9,81	962	8730	8971	
592	5929133,2	Bbuster	347731	6497708		Agpik	RS-125				60000	10000	0,942%	4,49	1780	8020	8465	
592	5929138	Bbuster	347731	6497708		Agpik	RS-125				60000	10000	0,513%	6,99	622	4440	4596	
592	5929140	Pionjar	341229	6482827	59201024	Torrent	RS-125				550		0,013%	0,23	459	138	251	
592	5929141	Bbuster	341394	6482829	59201024	Torrent	RS-125	45,8	0,0		20000	3000	0,001%	0,28	30	11	19	
592	5929143	Bbuster	341349	6482823	59201025	Torrent	RS-125	38,7	0,0				0,034%	0,17	1700	301	726	
592	5929144	Pionjar	341220	6482933	59201026	Torrent	RS-125				700		0,007%	0,21	288	78	150	
592	5929145	Bbuster	341220	6482933	59201026	Torrent	RS-125	439,1	23,1	19,01	8000	1600	0,057%	0,23	2070	500	1018	
592	5929150	Bbuster	335014	6488417		Tasialuk	GFI	670,8	801,5	0,84	7000		0,111%	1,62	581	925	1070	
592	5929151	Roche	351409	6496620	59202206	Illaluga	RS-120				2400	1200	0,004%	0,61	61	39	54	
592	5929152	Roche	351437	6496590	59202206	Illaluga	RS-120				6000	1500	0,004%	0,31	100	31	56	
592	5929153	Roche	351258	6496706	59202206	Illaluga	RS-120				13000	1700	0,035%	0,45	671	326	484	
592	5929154	Roche	351243	6496727	59202206	Illaluga	RS-120				6000	2000	0,014%	1,19	99	147	172	
592	5929155	Roche	351277	6496713	59202206	Illaluga	RS-120				2500	1350	0,005%	0,71	58	42	57	
592	5929156	Roche	351321	6496681	59202206	Illaluga	RS-120				2150	800	0,002%	0,16	87	15	37	



PROJECT NUMBER	SAMPLE	SAMPLE TYPE	UTMX (Nad 27)	UTMY (Nad 27)	OUTCROP / CHANNEL	OCCURRENCE	SCINTILLOMETER	SCINTILLOMETER						ICP-MS				
								U(ppm)	Th(ppm)	RATIO U/Th	CPS MAX	TYPICAL CPS	U <sub>3</sub> O <sub>8</sub> (wt %)	U/Th	Th ppm	U, ICP ppm	U + Th/4 ppm	
														1	2			
Nb Analyses	2115																	
Compte	Historique												882		882	882	637	
Moyenne	Historique												0,055%		373	480	657	
Écart-type (σ)	Historique												0,164%		609	1406	1645	
Maximum	Historique												2,290%		8540	19100	19483	
Minimum	Historique												-0,001%		1	-2	5	
Compte	Projet												637		637	637	637	
Moyenne	Projet												0,063%		424	551	657	
Écart-type (σ)	Projet												0,188%		597	1593	1645	
Maximum	Projet												2,290%		4970	19100	19483	
Minimum	Projet												0,000%		9	2	39	
592	5929157	Roche	351152	6496843	59202206	Illaluga	RS-120				2400	1300	0,003%	0,35	64	23	39	
592	5929158	Roche	351143	6496854	59202206	Illaluga	RS-120				4000	1550	0,021%	2,23	79	180	200	
592	5929162	Bbuster	340853	6483470		Torrent					16000	2000	0,144%	0,34	3540	1320	2205	
592	5929163	Bbuster	340853	6483470		Torrent					20000	2400	0,016%	0,30	435	171	280	
592	5929164	Bbuster	340518	6483809		Torrent					12500	3200	0,010%	2,01	43	102	113	
592	5929166	Roche	340518	6483809		Torrent					13600	3200	0,087%	1,73	424	757	883	
592	5929167	Bbuster	340586	6483935		Torrent					35000	5500	0,328%	1,78	1580	2660	3050	
592	5929169	Bbuster	340586	6483935		Torrent					37800	5600	0,791%	2,82	2380	6520	7115	
592	5929169,1	Duplicata 5929169	340586	6483935		Torrent					37800	5600	0,719%	2,86	2130	5540	6073	
592	5929173	Bbuster	349958	6499964		Jonas					65000		0,113%	4,83	198	769	819	
592	5929174	Bbuster	349958	6499964		Jonas					60000		0,744%	4,78	1320	8150	8480	
592	5929175	Bbuster	349958	6499964		Jonas					60000		0,473%	6,21	646	3710	3872	
592	5929177	Roche	364985	6477680		Inuit					1700	1000	0,008%	0,92	71	67	85	
592	5929179	Roche	344321	6480538		Torrent Extension					5700	1200	0,015%	2,00	65	142	158	
592	5929180	Roche	347316	6506828		n/d	GFI	808,0	495,0			350	0,007%	0,96	64	86	82	
592	5929181	Roche	347342	6506832		n/d	GFI	102,0	62,8			800	0,001%	0,35	29	12	19	
592	5929182	Roche	347290	6506790		n/d	GFI	58,5	44,6			510	0,013%	1,81	59	111	126	
592	5929183	Roche	371473	6484711		Inuit	RS-120				4500	1380	0,019%	0,94	172	170	213	
592	5929184	Roche	371486	6484888		Inuit	GFI				1260		0,006%	0,62	83	57	78	
592	5929185	Roche	371564	6464492		Inuit	GFI	2165,0	2057,0	1,05	27360		0,854%	6,36	873	6190	6408	
592	5929186	Roche	367364	6465173		Inuit	RS-120				7000	1200	0,051%	1,71	254	440	504	
592	5929187	Roche	370498	6465999		Inuit	RS-120				3000	1200	0,006%	0,63	84	57	78	
592	5929188	Roche	370761	6465818		Inuit	GFI	130,0	81,0	1,60	5000	1900	0,004%	1,04	36	42	51	
592	5929190	Roche	369949	6465927		Inuit	GFI				2485		0,005%	0,64	65	46	62	
592	5929191	Roche	369957	6465912		Inuit	GFI				5000		0,055%	2,29	204	485	536	
592	5929200	Roche	334979	6488468		Tasialuk	RS-120				2900	2200	0,007%	0,76	74	62	81	
592	5929201	Roche	334960	6488452		Tasialuk	RS-120				5300	2000	0,005%	0,44	96	45	69	
592	5929202	Roche	334946	6488437		Tasialuk	RS-120				3200	2000	0,006%	0,41	118	53	83	
592	5929203	Roche	334992	6488445		Tasialuk	RS-120				3400	2400	0,002%	0,26	78	24	44	
592	5929204	Roche	334987	6488465		Tasialuk	RS-120				3500	2800	0,006%	0,38	124	49	80	
592	5929205	Roche	335018	6488502		Tasialuk	RS-120				2000	1400	0,003%	0,26	110	28	56	
592	5929206	Roche	335065	6488483		Tasialuk	RS-120				2000	1600	0,004%	0,23	135	32	66	
592	5929207	Roche	335052	6488458		Tasialuk	RS-120				1800	1600	0,001%	0,13	56	6	20	
592	5929208	Roche	335001	6488440		Tasialuk	RS-120				7400	3900	0,028%	0,70	320	230	310	
592	5929209	Roche	350641	6499775		Amittuujaq	RS-120				22000	5000	0,212%	2,45	734	1550	1734	
592	5929210	Roche	350427	6500013		Jonas	RS-120				4000	1200	0,041%	0,96	360	313	403	
592	5929211	Roche	349321	6499530		Illaluga	RS-120				6800	3500	0,018%	0,62	245	139	200	
592	5929212	Roche	349131	6499307		Illaluga	RS-120				22000	8600	0,049%	0,53	781	440	635	
592	5929213	Roche	349131	6499310		Illaluga	RS-120				17000	7100	0,021%	0,36	485	164	285	
592	5929214	Bloc	353681	6497319		Amittuujaq	RS-120				33000	600	0,036%	10,86	28	282	289	
592	5929215	Pionjar	335019	6488407		Tasialuk	RS-120				13000		0,067%	2,33	243	521	582	
592	5929216	Bloc	335288	6488115		Tasialuk	RS-120				2000	2000	0,090%	0,22	3490	788	1661	
592	5929217	Roche	335256	6488157		Tasialuk	RS-120				6000	1700	0,013%	0,38	294	106	180	
592	5929218	Roche	335197	6488212		Tasialuk	RS-120				10000	2000	0,048%	0,24	1710	405	833	
592	5929219	Roche	335126	6488231		Tasialuk	RS-120				12000	1700	0,094%	1,24	642	835	996	
592	5929220	Roche	335015	6488285		Tasialuk	RS-120				6000	2000	0,029%	0,62	391	226	324	
592	5929221	Roche	352475	6497639		Amittuujaq	RS-120				22000	2400	0,073%	0,69	895	683	907	
592	5929222	Roche	352033	6498266		Amittuujaq	RS-120				22000	3600	0,059%	1,04	482	583	704	
592	5929223	Roche	352030	6498289		Amittuujaq	RS-120				50000	5200	0,195%	1,72	961	1860	2100	
592	5929224	Roche	352023	6498298		Amittuujaq	RS-120				14600	3400	0,218%	2,67	693	2010	2183	
592	5929225	Roche	335399	6488204	59201006	Tasialuk	RS-125				6000	1800	0,017%	0,23	622	144	300	
592	5929227	Bbuster	335345	6488285		Tasialuk	RS-125	582,3	508,1	1,11	7500	1300	0,033%	0,52	534	291	425	
592	5929228	Bbuster	335333	6488281		Tasialuk	RS-125	190,6	241,4	0,79	2500	1900	0,002%	0,14	102	18	44	



PROJECT NUMBER	SAMPLE	SAMPLE TYPE	UTMX (Nad 27)	UTMY (Nad 27)	OUTCROP / CHANNEL	OCCURRENCE	SCINTILLOMETER	SCINTILLOMETER						ICP-MS				
								U(ppm)	Th(ppm)	RATIO U/Th	CPS MAX	TYPICAL CPS	U <sub>3</sub> O <sub>8</sub> (wt %)	U/Th	Th	U, ICP	U + Th/4	
															ppm	ppm	ppm	
Nb Analyses	2116																	
Compte	Historique												882		882	882	637	
Moyenne	Historique												0,055%		373	480	657	
Écart-type (σ)	Historique												0,164%		609	1406	1845	
Maximum	Historique												2,290%		8540	19100	19483	
Minimum	Historique												-0,001%		1	-2	5	
Compte	Projet												637		637	637	637	
Moyenne	Projet												0,063%		424	551	657	
Écart-type (σ)	Projet												0,188%		597	1593	1845	
Maximum	Projet												2,290%		4970	19100	19483	
Minimum	Projet												0,000%		9	2		
592	5929229	Bbuster	335295	6488201		Tasieluk	RS-125	357,7	324,6	1,10	5400	3930	0,082%	0,57	1210	743	1046	
592	5929230	Bbuster	335293	6488196		Tasieluk	RS-125	281,1	253,0	1,03	6100	4600	0,025%	0,29	740	212	397	
592	5929231	Bbuster	335172	6488244		Tasieluk	RS-125	1220,0	1480,2	0,82	12000	3600	0,013%	0,60	186	115	162	
592	5929233	Bbuster	335329	6488148		Tasieluk	RS-125	1621,9	2257,3	0,72	12000	5600	0,034%	0,52	553	309	447	
592	5929234	Bbuster	340731	6482536	59201007	Tasik	RS-125	451,5	1423,3	0,32			0,012%	0,30	322	101	182	
592	5929236	Bbuster	340695	6482560	59201008	Tasik	RS-125	226,2	768,9	0,29			0,009%	0,27	294	81	155	
592	5929238	Bbuster	340601	6482548	59201009	Tasik	RS-125	105,6	92,9	1,14	850		0,010%	0,98	87	87	109	
592	5929239	Pjonjar	340601	6482548	59201009	Tasik	RS-125				700		0,010%	1,06	80	87	107	
592	5929240	Bbuster	340568	6482536	59201010	Tasik	RS-125	158,3	534,4	0,30	2500		0,028%	0,19	1260	316	631	
592	5929241	Pjonjar	340568	6482536	59201010	Tasik	RS-125				1050		0,002%	0,20	83	26	47	
592	5929242	Bbuster	340619	6482593	59201011	Tasik	RS-125	150,1	470,1	0,32	1500		0,003%	0,23	129	36	68	
592	5929243	Pjonjar	340619	6482593	59201011	Tasik	RS-125				900		0,004%	0,13	261	45	110	
592	5929244	Bbuster	340676	6482694	5921012	Tasik	RS-125	232,9	699,7	0,33	2200		0,024%	0,22	912	233	461	
592	5929245	Pjonjar	340676	6482694	59201012	Tasik	RS-125				900		0,002%	0,19	103	20	46	
592	5929246	Bbuster	340602	6482690	59201013	Tasik	RS-125	354,9	209,7	1,69	1400		0,036%	1,49	205	304	355	
592	5929247	Pjonjar	340602	6482690	59201013	Tasik	RS-125				800		0,012%	0,07	103	102	128	
592	5929248	Bbuster	340616	6482931	59201015	Tasik	RS-125	178,4	0,0				0,015%	0,57	227	133	190	
592	5929250	Roche	334426	6488923		Tasieluk Extension	GFI				880		0,003%	0,29	78	23	43	
592	5929251	Roche	334661	6488890		Tasieluk	GFI				600		0,003%	0,33	66	23	40	
592	5929252	Roche	334655	6488836		Tasieluk	GFI				1500		0,008%	0,37	181	69	114	
592	5929253	Roche	335263	6488177		Tasieluk	RS-120				3000	1400	0,003%	0,15	169	24	66	
592	5929254	Roche	335292	6488194		Tasieluk	RS-120				5500	3400	0,006%	0,19	265	56	122	
592	5929255	Roche	335290	6488193		Tasieluk	RS-120				4500	3200	0,007%	0,30	193	60	108	
592	5929256	Roche	335328	6488259		Tasieluk	RS-120				2300	1600	0,008%	0,38	178	70	115	
592	5929257	Roche	335354	6488295		Tasieluk	RS-120				1900	1200	0,004%	0,35	102	32	58	
592	5929258	Roche	335340	6488385		Tasieluk	RS-120				3000	1400	0,002%	0,21	101	21	46	
592	5929259	Roche	335262	6488230		Tasieluk	RS-120				3000	2000	0,003%	0,23	104	22	46	
592	5929260	Roche	335303	6488268		Tasieluk	RS-120				3000	1500	0,010%	0,24	336	78	162	
592	5929261	Roche	340504	6483114		Tasik	RS-120	285,0	565,0		3000	2000	0,003%	0,36	70	22	40	
592	5929262	Roche	340508	6483061		Tasik	RS-120				2700	1700	0,006%	0,17	275	58	127	
592	5929264	Roche	340590	6482979		Tasik	RS-120				2700	2400	0,001%	0,21	24	4	10	
592	5929265	Roche	340628	6482937		Tasik	RS-120				3300	1700	0,004%	0,23	145	32	68	
592	5929266	Roche	340553	6482885		Tasik	RS-120				2200	1100	0,000%	0,15	11	2	5	
592	5929267	Roche	340585	6482760		Tasik	RS-120				3700	1300	0,006%	0,11	470	52	170	
592	5929268	Roche	340597	6482749		Tasik	RS-120				2300	1200	0,002%	0,06	292	18	91	
592	5929269	Roche	350305	6509035		10	RS-120				20000	8000	0,192%	1,60	1020	1650	1905	
592	5929270	Roche	350154	6509000		10	RS-120				16500	1300	0,046%	1,04	375	401	495	
592	5929271	Bloc	349935	6507281		49	RS-120				9100	1000	0,149%	4,86	260	1190	1255	
592	5929272	Roche	351529	6505063		24	RS-120				8000	900	0,009%	0,92	82	79	100	
592	5929273	Roche	341206	6483181		Torrent	RS-120				5000	1400	0,003%	0,19	116	31	60	
592	5929274	Roche	341149	6483186		Torrent	RS-120				4400	1500	0,007%	0,09	621	92	247	
592	5929275	Roche	341087	6483200		Torrent	RS-120	56,0	637,0		4000	2000	0,010%	0,21	384	94	190	
592	5929276	Roche	341018	6483300		Torrent	RS-120	121,0	507,0	247,00	3400	1200	0,005%	0,32	131	42	75	
592	5929277	Roche	341008	6483351		Torrent	RS-120				3300	1700	0,007%	0,25	232	69	127	
592	5929278	Roche	341044	6483129		Torrent	RS-120				2100	1000	0,003%	0,29	88	26	48	
592	5929279	Roche	341076	6483163		Torrent	RS-120	163,0	1358,0		2000	1400	0,001%	0,58	13	7	10	
592	5929280	Roche	341092	6483169		Torrent	RS-120				4000	1400	0,017%	0,13	1110	159	437	
592	5929281	Roche	341082	6483141		Torrent	RS-120				2900	1300	0,003%	0,25	103	25	51	
592	5929282	Roche	350145	6502046		43	RS-120				4200	1300	0,005%	0,34	137	54	88	
592	5929283	Roche	350155	6502039		43	RS-120				3600	1500	0,002%	0,31	43	12	23	
592	5929284	Roche	340538	6484003		Torrent	RS-120				3500	1000	0,005%	0,77	58	41	56	
592	5929285	Roche	340557	6483972		Torrent	RS-120				3700	1100	0,010%	0,21	411	82	185	
592	5929286	Roche	340590	6483929		Torrent	RS-120				6800	2800	0,004%	0,05	657	41	205	



PROJECT NUMBER	SAMPLE	SAMPLE TYPE	UTMX (Nad 27)	UTMY (Nad 27)	OUTCROP / CHANNEL	OCCURRENCE	SCINTILLOMETER	SCINTILLOMETER						ICP-MS			
								U(ppm)	Th(ppm)	RATIO U/Th	CPS MAX	TYPICAL CPS	U <sub>3</sub> O <sub>8</sub> (wt %)	U/Th	Th	U, ICP	U + Th/4
															ppm	ppm	ppm
Nb Analyses	2115												1	2			
Compte	Historique										882		882	882	637		
Moyenne	Historique										0,055%		373	480	657		
Écart-type (σ)	Historique										0,164%		609	1406	1645		
Maximum	Historique										2,290%		8540	19100	19483		
Minimum	Historique										-0,001%		1	-2	5		
Compte	Projet										637		637	637	637		
Moyenne	Projet										0,063%		424	551	657		
Écart-type (σ)	Projet										0,186%		597	1593	1645		
Maximum	Projet										2,290%		4970	19100	19483		
Minimum	Projet										0,000%		9	2			
592	5929287	Roche	340692	6484013		Torrent	RS-120				8900	2400	0,012%	0,10	1040	117	377
592	5929288	Roche	340516	6483911		Torrent	RS-120				6800	1700	0,009%	0,20	378	86	181
592	5929289	Roche	340600	6483866		Torrent	RS-120				11200	4300	0,010%	0,15	576	93	237
592	5929290	Roche	340569	6483863		Torrent	RS-120				3000	1300	0,003%	0,25	105	23	49
592	5929291	Roche	340967	6483384		Torrent	RS-120				5800	1600	0,007%	0,06	989	84	331
592	5929295	Bbuster	340618	6482986	59201016	Tasik	RS-125	651,3	419,1	1,59			0,113%	1,94	495	999	1123
592	5929296	Bbuster	340656	6483080	59201017	Tasik	RS-125	377,1	242,9	1,59			0,017%	0,43	342	160	246
592	5929298	Bbuster	340535	6483132	59201018	Tasik	RS-125	1582,2	340,4	4,59			0,265%	2,62	859	2330	2545
592	5929300	Roche	334309	6489335	59202200, 59201101	Tasialuk Extension	RS-120				3800		0,025%	0,48	439	233	343
592	5929301	Roche	334436	6489156	59201102	Tasialuk Extension	RS-120				2200		0,004%	0,05	635	33	192
592	5929302	Roche	334460	6489173	59201103	Tasialuk Extension	RS-120				3400		0,008%	0,74	68	57	74
592	5929303	Roche	334481	6489172		Tasialuk Extension	RS-120				6000		0,212%	2,08	865	1660	1876
592	5929304	Roche	334523	6489115		Tasialuk Extension	RS-120				3200		0,004%	0,25	150	43	81
592	5929305	Roche	334806	6488941		Tasialuk	RS-120				4600		0,005%	0,15	294	52	126
592	5929306	Bloc	334965	6488709		Tasialuk	RS-120				6100		0,004%	0,22	151	33	71
592	5929307	Roche	334854	6488508		Tasialuk	RS-120				2600	1600	0,002%	0,34	61	25	40
592	5929308	Roche	334865	6488514		Tasialuk	RS-120				2400	1300	0,014%	1,09	111	123	151
592	5929309	Roche	334898	6488566		Tasialuk	RS-120				5700	3500	0,003%	0,23	121	36	86
592	5929310	Roche	335009	6488553		Tasialuk	RS-120				2100	1300	0,003%	0,19	132	23	56
592	5929311	Roche	334995	6488509		Tasialuk	RS-120				3700	2100	0,023%	0,77	252	200	283
592	5929312	Roche	335264	6488464		Tasialuk	RS-120				4500	2500	0,002%	0,15	122	19	50
592	5929313	Roche	335247	6488439		Tasialuk	RS-120				2700	2000	0,008%	0,32	210	68	121
592	5929314	Roche	334596	6488795		Tasialuk	RS-120				6000	1900	0,016%	0,60	220	140	195
592	5929315	Roche	335215	6488357		Tasialuk	RS-120				2500	1400	0,004%	0,17	203	36	87
592	5929316	Roche	335207	6488300		Tasialuk	RS-120				2300	1200	0,002%	0,22	59	14	29
592	5929317	Roche	335156	6488256		Tasialuk	RS-120				1400	2400	0,008%	0,39	175	70	114
592	5929318	Roche	335196	6488219		Tasialuk	RS-120				1100	2000	0,001%	0,31	32	9	17
592	5929319	Roche	335264	6488291		Tasialuk	RS-120				1100	1700	0,004%	0,26	128	37	69
592	5929320	Roche	335170	6488411		Tasialuk	RS-120				1600	2700	0,003%	0,24	101	27	52
592	5929321	Roche	334607	6488791		Tasialuk	RS-120				1300	1800	0,002%	0,29	66	18	35
592	5929322	Roche	334566	6488824		Tasialuk	RS-120				1300	1700	0,005%	0,76	57	47	81
592	5929323	Roche	334793	6488644		Tasialuk	RS-120				1000	1800	0,002%	0,25	52	15	28
592	5929324	Roche	334830	6488638		Tasialuk	RS-120				1300	2500	0,020%	1,38	123	180	211
592	5929325	Roche	340479	6483280		Tasik	RS-120				2000	1100	0,018%	1,83	82	160	181
592	5929326	Roche	340431	6483129		Tasik	RS-120				1600	1200	0,007%	1,24	49	68	78
592	5929327	Roche	340481	6483090		Tasik	RS-120				3500	1800	0,001%	0,07	133	11	44
592	5929328	Roche	340467	6483227		Tasik	RS-120				2500	1300	0,001%	0,34	20	8	13
592	5929329	Bloc	334647	6491210		Tasialuk Extension	RS-120				4300	1000	0,002%	0,13	145	21	57
592	5929330	Roche	335832	6489485	59205002	107	RS-120				3000	450	0,003%	0,15	171	28	71
592	5929331	Roche	335930	6489767	59205001	107	RS-120				4800	400	0,001%	0,29	37	9	18
592	5929332	Roche	335980	6489399	59205003	107	RS-120				3500	400	0,003%	0,44	49	9	21
592	5929333	Roche	349442	6499063	59205005	Illaluga	RS-120				3000	700	0,004%	0,22	141	35	70
592	5929334	Roche	349415	6499171	59205006	Illaluga	RS-120				4500	1600	0,029%	1,28	189	235	282
592	5929335	Roche	349363	6499192	59205006	Illaluga	RS-120				5000	1400	0,019%	0,61	264	163	229
592	5929336	Roche	349376	6499223	59205006	Illaluga	RS-120				18000	3900	0,106%	1,61	560	950	1090
592	5929337	Roche	349379	6499220	59205006	Illaluga	RS-120				15000	5500	0,042%	1,15	310	361	439
592	5929338	Roche	349373	6499238	59205006	Illaluga	RS-120				10700	2700	0,056%	1,00	473	462	580
592	5929339	Roche	349255	6499144	59205007	Illaluga	RS-120				10000	1400	0,117%	1,22	818	1160	1395
592	5929340	Roche	349256	6499096		Illaluga	RS-120				5100	1000	0,030%	1,24	207	158	210
592	5929341	Roche	349127	6498938		Illaluga	RS-120				4500	1400	0,018%	1,02	152	165	203
592	5929342	Roche	349154	6498877		Illaluga	RS-120				4900	2100	0,015%	0,55	233	128	186
592	5929343	Roche	349333	6498647	59205008	Illaluga	RS-120				4200	1000	0,023%	0,97	202	203	254
592	5929344	Roche	349371	6499246		Illaluga	RS-120				6500	2600	0,023%	0,84	233	180	238



PROJECT NUMBER	SAMPLE	SAMPLE TYPE	UTMX (Nad 27)	UTMY (Nad 27)	OUTCROP / CHANNEL	OCCURRENCE	SCINTILLOMETER	SCINTILLOMETER						ICP-MS			
								U(ppm)	Th(ppm)	RATIO U/Th	CPS MAX	TYPICAL CPS	U <sub>2</sub> O <sub>6</sub> (wt %)	U/Th	Th	U, ICP	U + Th/4
															ppm	ppm	ppm
Nb Analyses	2115													1	2		
Compte	Historique											882		882	882	637	
Moyenne	Historique											0,055%		373	480	857	
Écart-type (σ)	Historique											0,164%		809	1406	1645	
Maximum	Historique											2,290%		8540	19100	19463	
Minimum	Historique											-0,001%		1	-2	5	
Compte	Projet											637		637	637	637	
Moyenne	Projet											0,063%		424	551	657	
Écart-type (σ)	Projet											0,186%		597	1593	1645	
Maximum	Projet											2,290%		4970	19100	19463	
Minimum	Projet											0,000%		9	2		
592	5929345	Roche	349571	6498749	59205009	Illaluga	RS-120		5000	1000	0,010%	0,26		333	94	177	
592	5929346	Roche	349692	6498559	59205009	Illaluga	RS-120		2900	1100	0,027%	1,26		180	238	283	
592	5929348	Roche	349736	6498394	59205009	Illaluga	RS-120		6300	1000	0,017%	0,49		303	154	230	
592	5929349	Roche	349957	6498286	59205010	Illaluga	RS-120		3000	1000	0,004%	0,38		100	43	68	
592	5929350	Roche	336521	6484393			GR-110		25000		0,050%	0,16		2700	448	1123	
592	5929351	Roche	336505	6484373			GR-110		4600	2000	0,009%	0,23		322	72	153	
592	5929352	Roche	340540	6483153			Tasik	RS-120	2100	1100	0,002%	0,27		55	15	29	
592	5929353	Roche	340816	6483108			Tasik	RS-120	5500	1500	0,056%	0,92		517	773	902	
592	5929355	Roche	340854	6483076			Tasik	RS-120	2200	1300	0,003%	0,11		233	32	90	
592	5929356	Roche	340875	6483043			Tasik	RS-120	1200	990	0,004%	0,23		154	37	76	
592	5929357	Roche	340718	6483054			Tasik	RS-120	2900	1000	0,005%	1,78		22	44	50	
592	5929358	Roche	340711	6482987			Tasik	RS-120	1300	700	0,001%	0,17		68	12	29	
592	5929359	Roche	340701	6482966			Tasik	RS-120	2400	800	0,003%	0,13		166	26	66	
592	5929360	Roche	340871	6482890			Tasik	RS-120	2000	700	0,004%	0,10		309	37	114	
592	5929361	Roche	340858	6482967			Tasik	RS-120	2500	1100	0,001%	0,25		43	12	23	
592	5929362	Roche	340645	6482984			Tasik	RS-120	3100	1700	0,002%	0,18		109	22	49	
592	5929363	Roche	340830	6483055			Tasik	RS-120	6000	2800	0,078%	0,94		706	680	857	
592	5929364	Roche	340578	6482835			Tasik	RS-120	6000	2000	0,007%	0,09		643	70	231	
592	5929365	Roche	340568	6482830			Tasik	RS-120	1400	1100	0,003%	0,88		26	25	32	
592	5929366	Roche	340583	6482823			Tasik	RS-120	6200	2000	0,020%	0,45		378	175	270	
592	5929367	Roche	340815	6482784			Tasik	RS-120	5500	1800	0,026%	0,31		709	233	410	
592	5929368	Roche	340635	6482764			Tasik	RS-120	6000	3300	0,035%	1,61		186	369	416	
592	5929369	Roche	340628	6482746			Tasik	RS-120	5000	3000	0,004%	0,35		90	39	62	
592	5929370	Roche	340803	6482737			Tasik	RS-120	5000	2400	0,013%	0,29		362	110	201	
592	5929371	Roche	341159	6483143			Torrent	GR-110	11000	6000	0,002%	0,06		284	20	91	
592	5929372	Roche	341115	6483267			Torrent	GR-110	4000	1000	0,004%	0,11		313	49	127	
592	5929373	Roche	341127	6483292			Torrent	GR-110	1800	900	0,002%	0,10		171	23	66	
592	5929374	Roche	341128	6483372			Torrent	GR-110	1400	800	0,000%	0,13		19	3	8	
592	5929375	Roche	341045	6483105			Torrent	RS-120	2200	1200	0,007%	1,27		45	59	70	
592	5929376	Roche	341092	6483148			Torrent	RS-120	11600	2600	0,009%	0,08		986	86	333	
592	5929377	Roche	341089	6483125			Torrent	RS-120	4300	2300	0,015%	0,19		649	128	290	
592	5929378	Roche	341109	6483018			Torrent	RS-120	2900	1500	0,012%	0,15		649	95	257	
592	5929379	Roche	341124	6483024			Torrent	RS-120	13000	1550	0,413%	0,97		3620	2530	3435	
592	5929380	Roche	341135	6483067			Torrent	RS-120	12000	2000	0,007%	0,23		245	53	114	
592	5929381	Roche	349252	6499797			Illaluga	RS-120	9500	2300	0,008%	0,68		103	70	96	
592	5929382	Roche	349335	6499826			Illaluga	RS-120	1500	1000	0,001%	0,45		12	4	7	
592	5929383	Roche	349114	6499704			Illaluga	RS-120	2400	1000	0,011%	2,20		44	97	108	
592	5929384	Roche	349127	6499839			Illaluga	RS-120	1700	950	0,001%	1,09		9	5	7	
592	5929385	Roche	349667	6500280			Jonas	RS-120	2000	1500	0,003%	0,41		57	19	33	
592	5929386	Roche	349331	6499560			Illaluga	RS-120	6800	2100	0,005%	0,65		69	37	54	
592	5929387	Roche	349229	6499485			Illaluga	RS-120	2200	1200	0,002%	0,22		68	12	29	
592	5929388	Roche	349142	6499435			Illaluga	RS-120	4300	1300	0,015%	1,14		112	128	158	
592	5929389	Roche	349107	6499377			Illaluga	RS-120	12500	6200	0,032%	0,90		297	225	299	
592	5929390	Roche	349111	6499349			Illaluga	RS-120	19300	7000	0,141%	1,80		684	998	1164	
592	5929391	Bloc	353471	6497059			Amittuujaq	RS-120	4300	1000	0,003%	0,30		75	27	46	
592	5929392	Roche	341162	6483030			Torrent	GR-110	4060	1400	0,026%	0,28		779	242	437	
592	5929393	Roche	341201	6483040			Torrent	GR-110	6400	1400	0,006%	0,22		219	52	107	
592	5929394	Roche	341210	6483092			Torrent	GR-110	4200	800	0,026%	0,25		882	232	453	
592	5929395	Roche	341226	6483070			Torrent	GR-110	9900	1600	0,010%	0,20		448	84	196	
592	5929396	Roche	341234	6483086			Torrent	GR-110	7000	1200	0,011%	0,15		654	104	288	
592	5929397	Roche	341237	6483032	59204022		Torrent	GR-110	2300	1000	0,007%	0,26		212	51	104	
592	5929398	Roche	341224	6482990			Torrent	GR-110	3200	1900	0,003%	0,16		173	35	78	
592	5929399	Roche	341229	6482941			Torrent	GR-110	8400	3500	0,018%	0,15		1010	149	402	



PROJECT NUMBER	SAMPLE	SAMPLE TYPE	UTMX (Nad 27)	UTMY (Nad 27)	OUTCROP / CHANNEL	OCCURRENCE	SCINTILLOMETER							ICP-MS				
							SCINTILLOMETER	U(ppm)	Th(ppm)	RATIO U/Th	CPS MAX	TYPICAL CPS	U <sub>3</sub> O <sub>8</sub> (wt %)	U/Th	U, ICP		U + Th/4	
															ppm	ppm		ppm
Nb Analyses	2115																	
Compte	Historique												882		882	882		637
Moyenne	Historique											0,055%		373	480		657	
Écart-type (σ)	Historique											0,164%		609	1406		1645	
Maximum	Historique											2,290%		6540	19100		19463	
Minimum	Historique											-0,001%		1	-2		5	
Compte	Projet												637	637	637		637	
Moyenne	Projet											0,063%		424	551		657	
Écart-type (σ)	Projet											0,186%		597	1593		1645	
Maximum	Projet											2,290%		4970	19100		19463	
Minimum	Projet											0,000%		9	2			
592	5929400	Roche	340588	6482829	59200103	Tasik	RS-120					30000		0,028%	0,10	2320	247	827
592	5929401	Roche	340893	6482387		Tasik	RS-120					8000	1900	0,003%	0,14	182	27	73
592	5929402	Roche	340725	6482505		Tasik	RS-120					1700	1000	0,003%	0,13	159	23	63
592	5929403	Roche	340686	6482522		Tasik	RS-120					2700	1400	0,006%	0,21	234	52	111
592	5929404	Roche	340725	6482525		Tasik	RS-120					2200	1100	0,005%	0,14	306	49	126
592	5929405	Roche	340717	6482546		Tasik	RS-120					8000	1500	0,001%	0,07	97	9	33
592	5929406	Roche	340674	6482518		Tasik	RS-120					2400	1700	0,001%	0,22	30	6	14
592	5929407	Roche	340685	6482554		Tasik	RS-120					4500	1200	0,001%	0,16	58	9	24
592	5929408	Roche	340667	6482621		Tasik	RS-120					2200	1000	0,003%	0,11	258	28	93
592	5929409	Roche	340658	6482605		Tasik	RS-120					2000	1200	0,002%	0,18	89	14	36
592	5929410	Roche	340667	6482633		Tasik	RS-120					3000	1300	0,001%	0,11	99	13	38
592	5929411	Roche	340677	6482705		Tasik	RS-120					7200	2100	0,021%	0,27	649	180	342
592	5929412	Roche	353026	6497349		Amittuujaq	RS-120					16300		0,093%	2,08	361	847	942
592	5929413	Roche	352819	6497603		Amittuujaq	RS-120					3500	500	0,028%	0,62	390	372	470
592	5929414	Roche	340824	6483707		Torrent	RS-120					7700	800	0,007%	0,10	548	78	215
592	5929415	Roche	340833	6483701		Torrent	RS-120		117,0	539,0		5000	800	0,010%	0,09	938	125	360
592	5929416	Roche	340829	6483758		Torrent	RS-120					3400	860	0,008%	0,39	176	70	114
592	5929417	Roche	340820	6483748		Torrent	RS-120					5500	1000	0,017%	2,35	62	148	164
592	5929418	Roche	340816	6483765		Torrent	RS-120					2800	550	0,003%	0,15	183	28	74
592	5929419	Roche	340812	6483778		Torrent	RS-120					4500	1400	0,013%	0,23	463	117	233
592	5929420	Roche	340801	6483800		Torrent	RS-120					12400	1500	0,079%	0,28	2420	787	1392
592	5929421	Roche	340779	6483857		Torrent	RS-120					7500	1160	0,004%	0,02	2000	74	574
592	5929422	Roche	340718	6483809		Torrent	RS-120					10700	800	0,014%	0,20	803	122	273
592	5929423	Roche	340722	6483872		Torrent	RS-120					3800	900	0,010%	0,16	520	85	215
592	5929424	Roche	340728	6483906		Torrent	RS-120					4700	950	0,002%	0,02	769	22	214
592	5929425	Roche	340655	6483894		Torrent	RS-120					4800	500	0,012%	1,53	68	102	119
592	5929426	Roche	340631	6483918		Torrent	RS-120					35500	6300	0,106%	1,19	751	913	1101
592	5929427	Roche	340620	6483954		Torrent	RS-120					10600	2000	0,051%	0,59	730	460	643
592	5929428	Roche	340905	6483549		Torrent	RS-120					13500	1200	0,011%	0,14	689	122	294
592	5929429	Roche	340920	6483530		Torrent	RS-120					9500	850	0,034%	0,16	1610	401	854
592	5929430	Roche	340999	6483252		Torrent	RS-120					42000	8000	0,045%	0,09	4070	573	1591
592	5929431	Roche	341009	6483235		Torrent	RS-120					15000	8500	0,029%	0,09	2860	380	1095
592	5929432	Roche	349625	6500262	59200117	Jonas	RS-120					5500	800	0,006%	0,68	75	52	71
592	5929433	Roche	349600	6500210	59200117	Jonas	RS-120					8000	1100	0,011%	0,43	211	92	145
592	5929434	Bloc	349429	6500361	59200117	Jonas	RS-120					2200	900	0,017%	0,39	359	148	238
592	5929435	Roche	349419	6500364	59200117	Jonas	RS-120					4000	700	0,016%	0,35	373	150	243
592	5929436	Roche	349578	6500504	59200122	Jonas	RS-120					4200	600	0,001%	0,74	14	11	15
592	5929437	Roche	349578	6500546	59200122	Jonas	RS-120					45000	2000	0,838%	2,92	1850	6240	8703
592	5929438	Roche	349580	6500556	59200122	Jonas	RS-120					18000	1500	0,270%	2,66	861	2700	2915
592	5929439	Bbuster	340465	6483227	59201019	Tasik	RS-125					1142,5	215,6	0,123%	3,73	279	1140	1210
592	5929440	Pjonjar	340465	6483227	59201019	Tasik	RS-125					520		0,025%	3,82	55	212	226
592	5929441	Pjonjar	340482	6483088	59201020	Tasik	RS-125					1300		0,056%	0,56	861	490	705
592	5929442	Bbuster	340482	6483088	59201020	Tasik	RS-125					841,9	1260,1	0,67	2000	889	481	703
592	5929443	Pjonjar	340557	6482795	59201021	Tasik	RS-125					700		0,005%	0,20	233	46	104
592	5929444	Bbuster	340557	6482795	59201021	Tasik	RS-125					238,7	900,2	0,27	1300	186	491	
592	5929445	Bbuster	340890	6482371	59201022	Torrent	RS-125					431,5	0,0	0,020%	0,40	424	167	273
592	5929446	Roche	350374	6498182		Illaluga	RS-125					4850	1500	0,021%	1,57	114	201	230
592	5929447	Roche	350073	6498188		Illaluga	RS-125					3400	1000	0,031%	1,82	142	262	298
592	5929448	Roche	350078	6498166		Illaluga	RS-125					12000	2000	0,017%	0,72	197	145	194
592	5929449	Roche	349891	6498596		Illaluga	RS-125					5200	2000	0,011%	0,46	203	101	152
592	5929450	Roche	334882	6489310	59200111	Tastaluk Extension	RS-120					3000	1000	0,031%	3,47	77	217	236
592	5929451	Roche	349412	6499183	59200112	Illaluga	RS-120					11000	2500	0,030%	0,76	334	263	347
592	5929452	Roche	349388	6499196	59200112	Illaluga	RS-120					4000	2000	0,029%	1,03	239	245	305



PROJECT NUMBER	SAMPLE	SAMPLE TYPE	UTMX (Nad 27)	UTMY (Nad 27)	OUTCROP / CHANNEL	OCCURRENCE	SCINTILLOMETER	SCINTILLOMETER						ICP-MS			
								U(ppm)	Th(ppm)	RATIO U/Th	CPS MAX	TYPICAL CPS	U <sub>3</sub> O <sub>8</sub> (wt %)	U/Th	Th	U, ICP	U + Th/4
															ppm	ppm	ppm
Nb Analyses	2115												1	2			
Compte	Historique										882		882	882	637		
Moyenne	Historique										0,055%		373	480	657		
Écart-type (σ)	Historique										0,164%		609	1406	1845		
Maximum	Historique										2,290%		8540	19100	19463		
Minimum	Historique										-0,001%		1	-2	5		
Compte	Projet										637		637	637	637		
Moyenne	Projet										0,063%		424	551	657		
Écart-type (σ)	Projet										0,188%		597	1593	1645		
Maximum	Projet										2,290%		4970	19100	19463		
Minimum	Projet										0,000%		9	2			
592	5929453	Roche	349375	6499214	59200112	Ilaluga	RS-120		9500	2000	0,025%	0,62	333	212	295		
592	5929454	Roche	349372	6499241	59200112	Ilaluga	RS-120		13500	2000	0,272%	1,89	1220	2230	2535		
592	5929455	Roche	349371	6499259	59200112	Ilaluga	RS-120		10000	2700	0,073%	1,90	326	630	712		
592	5929456	Roche	349327	6499354	59200112	Ilaluga	RS-120		12300	4500	0,017%	1,01	142	150	186		
592	5929457	Roche	349303	6499373	59200112	Ilaluga	RS-120		6900	2500	0,034%	1,00	289	296	368		
592	5929458	Roche	349303	6499466	59200112	Ilaluga	RS-120		6400	1000	0,019%	0,50	319	170	250		
592	5929459	Roche	349290	6499524	59200112	Ilaluga	RS-120		11000	2000	0,018%	0,50	302	161	237		
592	5929460	Roche	349363	6499577	59200112	Ilaluga	RS-120		16500	1400	0,037%	0,95	330	374	457		
592	5929461	Roche	349626	6500131	59200113	Jonas	RS-120		11200	1000	0,055%	0,78	595	537	686		
592	5929462	Roche	350117	6500227	59200113	Jonas	RS-120		53000	4000	2,290%	13,39	1450	19100	19463		
592	5929463	Roche	350121	6500230	59200113	Jonas	RS-120		20000	2000	0,293%	2,37	1050	2850	3113		
592	5929464	Roche	350106	6500226	59200113	Jonas	RS-120		12500	1000	0,033%	1,07	265	290	356		
592	5929465	Roche	350131	6500221	59200114	Jonas	RS-120		7000	1500	0,203%	4,09	421	1630	1735		
592	5929466	Roche	350133	6500184	59200114	Jonas	RS-120		2800	1000	0,008%	0,97	68	70	87		
592	5929467	Roche	350116	6500111	59200114	Jonas	RS-120		9000	1000	0,081%	3,45	199	690	740		
592	5929468	Roche	350195	6500105	59200114	Jonas	RS-120		3400	1000	0,002%	0,26	73	20	38		
592	5929469	Roche	350175	6500184	59200114	Jonas	RS-120		6000	1500	0,068%	2,42	238	560	640		
592	5929470	Roche	350269	6500185	59200114	Jonas	RS-120		6200	600	0,012%	1,70	60	107	122		
592	5929471	Roche	350294	6500191	59200114	Jonas	RS-120		10000	2000	0,020%	0,98	177	174	218		
592	5929472	Roche	350271	6500149	59200114	Jonas	RS-120		25000	2000	0,117%	4,52	220	1180	1235		
592	5929473	Roche	350010	6499956	59200114	Jonas	RS-120		7500	1500	0,093%	0,71	1110	925	1203		
592	5929474	Roche	349995	6499985	59200115	Jonas	RS-120		57000	10000	0,426%	5,90	617	4250	4404		
592	5929475	Roche	350005	6499984	59200115	Jonas	RS-120		32000	7000	0,578%	6,70	732	4900	5083		
592	5929476	Roche	349994	6499983	59200115	Jonas	RS-120		42000	7000	0,242%	4,86	422	1990	2096		
592	5929477	Roche	349918	6499993	59200115	Jonas	RS-120		7000	450	0,016%	4,96	27	140	147		
592	5929478	Roche	349909	6499997	59200115	Jonas	RS-120		7000	2000	0,150%	4,97	256	1140	1204		
592	5929479	Roche	349891	6500007	59200115	Jonas	RS-120		10500	1000	0,062%	4,02	130	530	563		
592	5929480	Roche	349850	6500122	59200116	Jonas	RS-120		5600	1000	0,023%	1,29	193	197	235		
592	5929481	Roche	349818	6500023	59200116	Jonas	RS-120		33000	10000	0,338%	7,90	563	2760	2871		
592	5929482	Roche	349821	6500022	59200116	Jonas	RS-120		23000	10000	0,206%	9,55	183	1490	1536		
592	5929483	Roche	349819	6500028	59200116	Jonas	RS-120		42000	12000	0,111%	7,26	130	986	1019		
592	5929484	Roche	349818	6500033	59200116	Jonas	RS-120		34500	12000	0,579%	8,13	604	5300	5451		
592	5929485	Roche	349790	6500046	59200116	Jonas	RS-120		10500	650	0,133%	10,07	112	940	968		
592	5929486	Roche	349799	6500011	59200116	Jonas	RS-120		5500	600	0,019%	0,60	266	141	208		
592	5929487	Roche	349659	6500111	59200113	Jonas	RS-120		4800	500	0,010%	0,53	159	91	131		
592	5929488	Roche	349640	6500133	59200113	Jonas	RS-120	982,0	24000	2000	0,642%	7,45	731	6110	6293		
592	5929489	Roche	349701	6499920	59200113	Jonas	RS-120		4200	500	0,016%	0,68	210	144	197		
592	5929490	Roche	341470	6482873		Torrent	RS-120		4200	1300	0,003%	0,19	125	24	55		
592	5929491	Roche	341395	6482720		Torrent	RS-120		3700	700	0,010%	0,24	360	72	162		
592	5929492	Roche	341388	6482747		Torrent	RS-120		3800	700	0,010%	0,20	410	75	178		
592	5929493	Roche	341422	6482759		Torrent	RS-120		3300	600	0,012%	0,51	200	98	148		
592	5929494	Roche	341446	6482753		Torrent	RS-120		9400	1500	0,026%	0,24	943	210	446		
592	5929495	Roche	341395	6482827		Torrent	RS-120		40000	4500	0,014%	0,20	577	108	252		
592	5929496	Roche	350052	6500193	59200113	Jonas	RS-120		3100	500	0,003%	0,45	63	29	45		
592	5929497	Roche	349923	6500200	59200117	Jonas	RS-120		13700	1600	0,122%	0,73	1410	835	1188		
592	5929498	Roche	349924	6500203	59200117	Jonas	RS-120		13300	2500	0,028%	0,44	533	179	312		
592	5929499	Roche	349924	6500191		Jonas	RS-120		4500	600	0,083%	4,15	170	636	679		
592	5929500	Roche	349871	6500131	59200117	Jonas	RS-120		5500	1000	0,061%	2,56	201	473	523		
592	5929501	Roche	349895	6500391	59200117	Jonas	RS-120		5000	700	0,038%	2,55	119	281	311		
592	5929502	Roche	349426	6500425	59200117	Jonas	RS-120		7400	1500	0,016%	0,27	495	134	258		
592	5929503	Roche	349261	6500335	59200117	Ilaluga	RS-120		3500	600	0,017%	1,53	95	158	182		
592	5929504	Roche	349193	6500365	59200117	Ilaluga	RS-120		13000	800	0,056%	5,52	86	457	479		
592	5929505	Roche	351018	6500091	59200118	Amittujaq	RS-120		7400	1000	0,055%	2,78	168	251	293		



PROJECT NUMBER	SAMPLE	SAMPLE TYPE	UTMX (Nad 27)	UTMY (Nad 27)	OUTCROP / CHANNEL	OCCURRENCE	SCINTILLOMETER	SCINTILLOMETER						ICP-MS				
								U(ppm)	Th(ppm)	RATIO U/Th	CPS MAX	TYPICAL CPS	U <sub>3</sub> O <sub>8</sub> (wt %)	U/Th	Th ppm	U, ICP ppm	U + Th/4 ppm	
								1	2									
Nb Analyses	2116																	
Compte	Historique												882		882	882	637	
Moyenne	Historique												0,055%		373	480	657	
Écart-type (σ)	Historique												0,184%		609	1406	1645	
Maximum	Historique												2,290%		8540	19100	19483	
Minimum	Historique												-0,001%		1	-2	5	
Compte	Projet												837		637	637	637	
Moyenne	Projet												0,063%		424	551	657	
Écart-type (σ)	Projet												0,188%		597	1593	1645	
Maximum	Projet												2,290%		4970	19100	19483	
Minimum	Projet												0,000%		9	2		
592	5929506	Roche	351032	6500057	59200118	Amittuujaq	RS-120	2000	4600	0,110%	1,56	600	830	1080				
592	5929507	Roche	351048	6500053	59200118	Amittuujaq	RS-120	16500	1500	0,423%	3,15	1140	3700	3985				
592	5929508	Roche	351013	6499925	59200119	Amittuujaq	RS-120	25100	2500	0,074%	2,13	296	838	712				
592	5929509	Roche	352728	6497975	59200121	Amittuujaq	RS-120	2000	900	0,003%	1,19	23	33	39				
592	5929510	Roche	341384	6482868		Torrent	RS-120	20000	4200	0,092%	0,36	2170	862	1405				
592	5929511	Roche	341361	6482880		Torrent	RS-120	3000	700	0,001%	0,17	71	12	30				
592	5929512	Roche	341341	6482855		Torrent	RS-120	12000	1000	0,034%	0,15	1970	298	791				
592	5929513	Roche	341349	6482828		Torrent	RS-120	20000	2550	0,021%	0,12	1480	189	559				
592	5929514	Roche	341331	6482839		Torrent	RS-120	3000	1000	0,004%	0,13	227	33	90				
592	5929515	Roche	341309	6482860		Torrent	RS-120	10000	1500	0,027%	0,17	1320	249	579				
592	5929516	Roche	341279	6482901		Torrent	RS-120	18000	1133	0,489%	1,53	2710	4500	5178				
592	5929517	Roche	341281	6482910		Torrent	RS-120	4000	1400	0,007%	0,19	321	59	139				
592	5929518	Roche	341280	6482908		Torrent	RS-120	5400	1500	0,002%	0,13	120	19	49				
592	5929519	Roche	341258	6482917		Torrent	RS-120	12000	1400	0,045%	0,14	2660	445	1110				
592	5929520	Roche	341251	6482930		Torrent	RS-120	6100	1400	0,025%	0,23	924	283	514				
592	5929521	Roche	341220	6482933		Torrent	RS-120	10000	2000	0,018%	0,13	1200	175	475				
592	5929522	Roche	341169	6482978		Torrent	RS-120	7000	1925	0,002%	0,28	71	23	41				
592	5929523	Roche	341183	6482967		Torrent	RS-120	8000	1000	0,018%	0,23	680	119	289				
592	5929524	Roche	341129	6483005		Torrent	RS-120	12000	1400	0,053%	0,31	1440	489	829				
592	5929525	Roche	341116	6483015		Torrent	RS-120	5500	1350	0,042%	0,17	2080	333	853				
592	5929526	Roche	341078	6483096		Torrent	RS-120	12000	2000	0,043%	0,43	838	377	587				
592	5929527	Roche	341079	6483109		Torrent	RS-120	4000	1000	0,004%	0,13	227	36	93				
592	5929528	Roche	335327	6488152		Tasialuk	RS-120	14000	2000	0,024%	0,40	521	224	354				
592	5929529	Roche	349916	6498618		Ilialuga	RS-125	5500	1000	0,006%	0,81	62	53	89				
592	5929529	Roche	349916	6498618		Ilialuga	RS-125	5500	1000	0,534%	8,04	563	4700	4841				
592	5929530	Pjonjar	340890	6482371	59201022	Tasik	RS-125	700		0,003%	0,45	51	24	37				
592	5929531	Roche	349904	6498655		Ilialuga	RS-125	7000	1500	0,025%	0,64	328	219	301				
592	5929532	Roche	338581	6484507		137	RS-120	7000	2600	0,041%	0,21	1620	382	787				
592	5929533	Roche	338578	6484509		137	RS-120	15000	2000	0,004%	0,12	297	37	111				
592	5929534	Roche	338610	6484508		137	RS-120	4000	1000	0,004%	0,54	55	30	44				
592	5929535	Roche	338539	6484437		137	RS-120	4500	2200	0,018%	0,30	448	146	258				
592	5929536	Roche	338517	6484401		137	RS-120	13500	3300	0,038%	0,17	1760	357	797				
592	5929537	Roche	338515	6484405		137	RS-120	9500	3000	0,016%	0,14	984	156	402				
592	5929538	Roche	338507	6484377		137	RS-120	20300	6000	0,031%	0,18	1500	288	683				
592	5929539	Roche	338508	6484370		137	RS-120	15000	3000	0,022%	0,84	222	188	244				
592	5929540	Roche	338513	6484358		137	RS-120	5000	2500	0,011%	0,24	387	94	191				
592	5929541	Roche	338516	6484344		137	RS-120	6500	2000	0,009%	0,18	434	109	218				
592	5929543	Roche	338519	6484313		137	RS-120	17500	4500	0,013%	0,17	638	117	277				
592	5929544	Roche	338520	6484314		137	RS-120	6000	1500	0,017%	0,16	882	188	409				
592	5929545	Roche	338517	6484303		137	RS-120	22000	5000	0,267%	5,59	405	1900	2001				
592	5929546	Roche	338514	6484288		137	RS-120	7500	2100	0,019%	0,08	1960	204	694				
592	5929547	Roche	338530	6484258		137	RS-120	7000	1600	0,003%	0,28	103	50	76				
592	5929550	Roche	350006	6498198	59205010	Ilialuga	RS-120	3000	900	0,012%	0,10	981	109	354				
592	5929551	Roche	350075	6500091	59205011	Jonas	RS-120	5000	1300	0,004%	1,09	28	26	33				
592	5929552	Roche	350199	6500185	59205012	Jonas	RS-120	24000	2800	0,092%	2,64	295	758	832				
592	5929553	Roche	349881	6500498	59205014	Jonas	RS-120	8000	1000	0,020%	1,13	149	165	202				
592	5929554	Roche	340925	6483612	59205015	Torrent	RS-120	15000	2800	0,065%	0,16	3480	631	1501				
592	5929555	Roche	340897	6483624	59205015	Torrent	RS-120	5300	1900	0,009%	0,15	494	94	218				
592	5929556	Roche	340886	6483672	59205015	Torrent	RS-120	3800	1300	0,002%	0,14	145	26	62				
592	5929557	Roche	349570	6499993	59205016	Jonas	RS-120	33000	1100	0,001%	0,96	9	8	10				
592	5929558	Roche	349412	6500043	59205016	Jonas	RS-120	3200	700	0,005%	0,13	339	55	140				
592	5929559	Roche	349562	6500163	59205017	Jonas	RS-120	20000	2000	0,096%	3,77	216	792	846				
592	5929560	Roche	349553	6500151	59205017	Jonas	RS-120	12000	3700	0,032%	2,44	110	139	167				



PROJECT NUMBER	SAMPLE	SAMPLE TYPE	UTMX (Nad 27)	UTMY (Nad 27)	OUTCROP / CHANNEL	OCCURRENCE	SCINTILLOMETER	U(ppm)	Th(ppm)	RATIO U/Th	CPS MAX	TYPICAL CPS	U <sub>3</sub> O <sub>8</sub> (wt %)	U/Th	ICP-MS			
															Th	U, ICP	U + Th/4	
															ppm	ppm	ppm	
Nb Analyses	2116																	
Compte	Historique												882		882	882	637	
Moyenne	Historique												0,055%		373	480	657	
Écart-type (σ)	Historique												0,164%		609	1406	1645	
Maximum	Historique												2,290%		8540	19100	19483	
Minimum	Historique												-0,001%		1	-2	5	
Compte	Projet												637		637	637	637	
Moyenne	Projet												0,083%		424	551	657	
Écart-type (σ)	Projet												0,186%		597	1593	1645	
Maximum	Projet												2,290%		4970	19100	19483	
Minimum	Projet												0,000%		9	2	2	
592	5929561	Roche	349545	6500164	59205017	Jonas	RS-120					6100	1600	0,019%	2,19	74	79	98
592	5929562	Roche	349553	6500156	59205017	Jonas	RS-120					6000	1700	0,007%	0,92	63	33	49
592	5929563	Roche	349157	6500329	59205018	Ilialuga	RS-120					3700	700	0,036%	0,74	410	318	421
592	5929564	Roche	349191	6499994	59205018	Ilialuga	RS-120					3400	650	0,008%	1,66	43	75	86
592	5929565	Roche	349012	6500247	59205019	Ilialuga	RS-120					5000	900	0,007%	0,53	107	62	89
592	5929566	Roche	349073	6500170	59205019	Ilialuga	RS-120					5000	1200	0,005%	0,92	45	35	46
592	5929567	Roche	349271	6500467		Ilialuga	RS-120					4300	1000	0,004%	0,36	82	27	48
592	5929568	Roche	352511	6497557	59205021	Amittuujaq	RS-120					6600	1900	0,033%	1,31	212	295	348
592	5929569	Roche	352534	6497201	59205021	Amittuujaq	RS-120					5600	3200	0,011%	1,15	62	101	122
592	5929570	Roche	352520	6497229	59205021	Amittuujaq	RS-120					6500	2400	0,019%	0,65	254	170	234
592	5929571	Roche	341718	6481897	59205030		RS-125	646,3	771,1	0,84		4700	870	0,013%	0,14	787	104	301
592	5929572	Roche	342096	6481889	59205031		RS-120					5000	1400	0,009%	0,14	544	75	211
592	5929573	Roche	342113	6481892	59205031		RS-120					3410	700	0,003%	0,09	329	35	117
592	5929574	Roche	342124	6481883	59205031		RS-120					7500	1300	0,003%	0,09	305	31	107
592	5929575	Roche	342109	6481900	59205031		RS-120					6150	1450	0,008%	0,12	569	78	220
592	5929576	Roche	342095	6481922	59205031		RS-120					6100	1450	0,007%	0,11	566	67	209
592	5929577	Roche	342035	6482107	59205031		RS-125	1335,9	1501,8	0,89		11000	1800	0,014%	0,13	856	115	329
592	5929578	Roche	347734	6497929	59205032	Agpik	RS-120					13000	2300	0,086%	2,60	280	730	800
592	5929579	Roche	347750	6497949	59205032	Agpik	RS-120					7200	1900	0,063%	9,71	55	540	554
592	5929580	Roche	347727	6497995	59205032	Agpik	RS-120					10200	1200	0,073%	8,34	74	630	649
592	5929581	Roche	347781	6497777		Agpik	RS-120					18000	1560	0,084%	6,92	103	720	746
592	5929582	Roche	347777	6497777	59207000	Agpik	RS-120					15400	4400	0,143%	7,58	160	1300	1340
592	5929583	Roche	347725	6497708		Agpik	RS-120					28000	9200	0,421%	10,66	335	3700	3784
592	5929584	Roche	347702	6497760		Agpik	RS-120					6550	1500	0,008%	0,06	1250	77	390
592	5929585	Roche	347581	6497850		Agpik	RS-120					3500	750	0,016%	5,31	28	136	143
592	5929586	Roche	347626	6497986		Agpik	RS-120					12800	2300	0,035%	4,63	64	301	317
592	5929587	Roche	347494	6497930	59205033	Agpik	RS-120					7300	800	0,105%	8,57	104	879	905
592	5929588	Roche	347478	6497979	59205033	Agpik	RS-120					14000	3800	0,223%	7,50	252	1950	2013
592	5929589	Roche	347479	6497971	59205032	Agpik	RS-120					9500	1800	0,108%	6,84	134	1060	1094
592	5929590	Roche	347493	6497907	59205033	Agpik	RS-120					35000	8000	1,770%	12,40	1210	14900	15203
592	5929591	Roche	347429	6498020	59205033	Agpik	RS-120					7600	2000	0,103%	3,90	223	890	946
592	5929592	Roche	347246	6498020	59205033	Agpik	RS-120					11600	2200	0,150%	6,27	203	1160	1211
592	5929593	Roche	347383	6498040	59205033	Agpik	RS-120					5200	1600	0,020%	1,89	90	177	200
592	5929594	Roche	347500	6498025	59205033	Agpik	RS-120					10000	1000	0,168%	2,73	521	1380	1510
592	5929595	Roche	347651	6497731		Agpik	RS-120					4700	1150	0,001%	0,74	10	13	16
592	5929596	Roche	347624	6497718		Agpik	RS-120					5100	1250	0,024%	1,58	129	238	270
592	5929597	Roche	347554	6497838		Agpik	RS-120					16000	2600	0,236%	3,78	529	2470	2602
592	5929598	Roche	347551	6497838		Agpik	RS-120					7200	1200	0,028%	1,07	220	220	275
592	5929599	Roche	347539	6497834		Agpik	RS-120					12500	1100	0,282%	3,66	653	2280	2443
592	5929600	Roche	347544	6497841		Agpik	RS-120					11000	1750	0,096%	1,43	567	917	1059
592	5929601	Roche	347468	6497875		Agpik	RS-120					18000	3200	0,068%	1,28	447	636	748
592	5929602	Roche	347463	6497870		Agpik	RS-120					8200	2200	0,035%	3,42	88	307	329
592	5929603	Roche	347466	6497933		Agpik	RS-120					8200	2500	0,072%	1,72	354	963	752
592	5929604	Roche	347701	6497971		Agpik	RS-120					4100	1200	0,033%	2,03	138	288	323
592	5929605	Roche	347594	6498114		Agpik	RS-120					8700	1800	0,021%	2,06	86	181	203
592	5929606	Roche	347591	6498083		Agpik	RS-120					6900	920	0,079%	3,46	194	678	727
592	5929607	Roche	347677	6498054		Agpik	RS-120					16500	3500	0,224%	9,31	204	1940	1991
592	5929608	Roche	347674	6498074		Agpik	RS-120					7500	1450	0,101%	32,92	26	89	96
592	5929609	Roche	347671	6498054		Agpik	RS-120					25000	2700	0,105%	11,88	76	920	939
592	5929610	Roche	347737	6497718		Agpik	RS-120					14000	2400	0,190%	9,31	173	1620	1663
592	5929611	Roche	347607	6497664		Agpik	RS-120					7600	1500	0,039%	1,69	196	356	405
592	5929612	Roche	347597	6497644		Agpik	RS-120					4300	1100	0,031%	0,87	300	270	345
592	5929613	Roche	347584	6497636		Agpik	RS-120					7900	1600	0,051%	2,39	180	501	546



PROJECT NUMBER	SAMPLE	SAMPLE TYPE	UTMX (Nad 27)	UTMY (Nad 27)	OUTCROP / CHANNEL	OCCURRENCE	SCINTILLOMETER	SCINTILLOMETER						ICP-MS					
								U(ppm)	Th(ppm)	RATIO U/Th	CPS MAX	TYPICAL CPS	U <sub>2</sub> O <sub>5</sub> (wt %)	U/Th	Th ppm	U, ICP ppm	U + Th/4 ppm		
Nb Analyses	2116																		
Compte	Historique												882		882	882	637		
Moyenne	Historique												0,055%		373	480	657		
Écart-type (σ)	Historique												0,164%		609	1406	1645		
Maximum	Historique												2,290%		8540	19100	19483		
Minimum	Historique												-0,001%		1	-2	5		
Compte	Projet												637		637	637	637		
Moyenne	Projet												0,063%		424	551	657		
Écart-type (σ)	Projet												0,188%		597	1593	1645		
Maximum	Projet												2,290%		4970	19100	19483		
Minimum	Projet												0,000%		9	2			
592	5929614	Roche	347938	6497495		Agpik	RS-120				5000	1400	0,010%	0,34	251	90	153		
592	5929615	Roche	347930	6497504		Agpik	RS-120				11000	900	0,182%	1,18	1310	1480	1808		
592	5929616	Roche	347820	6497525		Agpik	RS-120				4000	1200	0,008%	0,55	86	50	72		
592	5929617	Roche	351912	6498356		Amittuujaq	RS-120				5000	1300	0,029%	1,41	177	258	300		
592	5929618	Roche	351898	6498379		Amittuujaq	RS-120				9000	1300	0,057%	2,15	225	445	501		
592	5929619	Roche	351071	6500042		Amittuujaq	RS-120				7200	1800	0,022%	0,98	193	199	247		
592	5929621	Roche	345455	6494260		70	RS-120				4500	560	0,004%	2,69	13	37	40		
592	5929622	Roche	336533	6484476		Torrent Extension	RS-120				7000	2500	0,007%	0,10	567	63	205		
592	5929623	Roche	336522	6484457		137	RS-120				12500	4000	0,009%	0,09	798	98	298		
592	5929650	Roche	347752	6497823	59207000	Agpik	RS-120				18000	2800	0,015%	0,45	275	130	199		
592	5929651	Roche	347753	6497799	59207000	Agpik	RS-120				37000	8000	0,377%	3,77	847	3200	3412		
592	5929652	Roche	347725	6497709		Agpik	RS-120				37000	5500	0,732%	9,28	669	5800	5967		
592	5929653	Roche	347731	6497711		Agpik	RS-120				65500	15000	1,150%	5,03	1940	9500	9955		
592	5929654	Roche	348145	6497493	59207001	Agpik	RS-120				21000	3000	0,099%	4,90	172	1060	1103		
592	5929655	Roche	348165	6497422	59207001	Agpik	RS-120				41000	11000	0,472%	4,09	978	4410	4655		
592	5929656	Roche	348170	6497425	59207001	Agpik	RS-120				30000	2600	0,201%	10,52	162	1630	1671		
592	5929657	Roche	348093	6497565	59207001	Agpik	RS-120				47000	9600	0,194%	4,88	337	1760	1844		
592	5929658	Roche	347713	6497685		Agpik	RS-120				14000	2600	0,058%	2,88	184	598	644		
592	5929659	Roche	347752	6497532		Agpik	RS-120				15000	4000	0,014%	0,86	185	134	180		
592	5929660	Roche	348158	6497537	59207001	Agpik	RS-120				25000	4000	0,058%	6,79	73	562	580		
592	5929661	Roche	347871	6497721	59207003	Agpik	RS-120				8900	2100	0,074%	4,82	131	792	825		
592	5929662	Roche	347755	6497651		Agpik	RS-120				7800	2600	0,028%	1,36	178	242	286		
592	5929663	Roche	347822	6497524		Agpik	RS-120				6000	2000	0,041%	0,75	465	388	504		
592	5929664	Roche	347822	6497588		Agpik	RS-120				14000	2300	0,028%	0,32	740	269	454		
592	5929665	Roche	347887	6497671		Agpik	RS-120				16000	2600	0,097%	10,12	81	894	914		
592	5929666	Roche	347937	6497635		Agpik	RS-120				6000	2300	0,031%	1,98	132	320	353		
592	5929667	Roche	348062	6497606		Agpik	RS-120				8800	1400	0,013%	0,79	135	110	144		
592	5929668	Roche	348136	6497502		Agpik	RS-120				12000	2400	0,075%	3,52	181	588	633		
592	5929669	Roche	352032	6498286	59207004	Amittuujaq	RS-120				146000	2800	0,193%	4,66	351	1730	1818		
592	5929670	Roche	352076	6498978	59207005	Amittuujaq	RS-120				18000	1290	0,282%	11,72	204	2460	2511		
592	5929700	Roche	341219	6482662		Torrent	GR-110				19000	4900	0,019%	0,10	1680	210	630		
592	5929701	Roche	341216	6482977		Torrent	GR-110				17000	4200	0,040%	0,15	2230	360	918		
592	5929702	Roche	341177	6483026		Torrent	GR-110				4000	1000	0,002%	0,43	40	14	24		
592	5929703	Roche	341137	6483054		Torrent	GR-110				3800	900	0,018%	0,24	671	177	345		
592	5929704	Roche	341082	6483084		Torrent	GR-110				3200	1100	0,009%	0,25	307	75	152		
592	5929705	Roche	340605	6482755		Tasik	GR-110				44000	6200	0,160%	0,48	2800	1530	2230		
592	5929706	Roche	349715	6498162		Illaluga	RS-120				4800	1600	0,010%	0,81	102	86	112		
592	5929707	Roche	350103	6497679		Illaluga	RS-120				15400	3400	0,200%	4,00	424	1570	1676		
592	5929708	Roche	344864	6494318		79	RS-120				11300	2300	0,046%	1,54	253	396	459		
592	5929709	Roche	336662	6484010		137	RS-120				13400	2500	0,006%	0,29	184	70	116		
592	5929710	Roche	347757	6497801		Agpik	RS-120				15000	9500	0,068%	5,84	99	620	645		
592	5929750	Roche	339582	6481440		140	RS-120				3000		0,004%	0,11	285	33	104		
592	5929751	Roche					RS-120				4800		0,003%	0,08	358	31	121		
592	5929800	Roche	339469	6481698		140	RS-120				3800		0,008%	0,22	297	67	141		
592	5929801	Roche	339428	6482390		140	RS-120				3000		0,008%	0,33	211	75	128		
592	5929802	Roche	339319	6482485		140	RS-120				6000		0,029%	1,54	162	332	373		
592	5929804	Roche	371442	6484885		Inuit						1700	0,003%	0,70	32	26	34		
592	5929805	Roche	371427	6485069		Inuit					5000		0,021%	0,79	228	190	247		
592	5929808	Roche	370771	6485642		Inuit					4000		0,011%	1,10	83	74	95		
592	5929809	Roche	370777	6485667		Inuit					2500		0,001%	0,62	14	10	14		
592	5929850	Roche	339310	6481731		140					3000		0,004%	0,08	385	33	129		
592	5929851	Roche	339415	6481963		140					3000		0,001%	0,07	182	15	61		
592	5929852	Roche	339210	6482565		140					3000		0,015%	0,33	381	130	225		



PROJECT NUMBER	SAMPLE	SAMPLE TYPE	UTMX (Nad 27)	UTMY (Nad 27)	OUTCROP / CHANNEL	OCCURRENCE	SCINTILLOMETER							ICP-MS				
							SCINTILLOMETER	U(ppm)	Th(ppm)	RATIO U/Th	CPS MAX	TYPICAL CPS	U <sub>3</sub> O <sub>8</sub> (wt %)	U/Th	Th	U, ICP	U + Th/4	
															ppm	ppm	ppm	
Nb Analyses	2115																	
Compte	Historique												882		882	882	637	
Moyenne	Historique												0,055%		373	480	657	
Écart-type (σ)	Historique												0,164%		609	1408	1645	
Maximum	Historique												2,290%		8540	19100	19483	
Minimum	Historique												-0,001%		1	-2	5	
Compte	Projet												637		637	637	637	
Moyenne	Projet												0,063%		424	551	657	
Écart-type (σ)	Projet												0,186%		597	1593	1645	
Maximum	Projet												2,290%		4970	19100	19483	
Minimum	Projet												0,000%		9	2		
592	5929853	Roche	339903	6482653		Tasik						2900						
592		Affileurement	335074	6487110	59200100		RS-120					700		0,003%	0,11	208	27	79
592		Affileurement	340537	6483182	59200101		RS-120					1400						
592		Affileurement	340299	6483005	59200102		RS-120					300						
592		Affileurement	340609	6482754	59200103		RS-120					38800						
592		Affileurement	340718	6483521	59200104		RS-120					15000						
592		Affileurement	335788	6485122	59200105		RS-120											
592		Affileurement	336865	6485045	59200106		RS-120											
592		Affileurement			59200107		RS-120					1000						
592		Affileurement	344000	6492000	59200108		RS-120					270						
592		Affileurement	335891	6487719	59200109		RS-120					400						
592		Affileurement	335695	6488803	59200110		RS-120					300						
592		Affileurement	334882	6489310	59200111		RS-120					3000						
592		Affileurement	349407	6499183	59200112		RS-120					11000						
592		Affileurement	349627	6500130	59200113		RS-120					11000						
592		Affileurement	350134	6500217	59200114		RS-120					7000						
592		Affileurement	349995	6499984	59200115		RS-120					57000						
592		Affileurement	348623	6500022	59200116		RS-120					42000						
592		Affileurement	349917	6500199	59200117		RS-120					10000						
592		Affileurement	351016	6500092	59200118		RS-120					7400						
592		Affileurement	351011	6499926	59200119		RS-120					25000						
592		Affileurement	353224	6497582	59200120		RS-120											
592		Affileurement	353048	6497703	59200121		RS-120					350						
592		Affileurement	349570	6500546	59200122		RS-120					45000						
592		Affileurement	335399	6488204	59201006		RS-120					6000						
592		Affileurement	340731	6482536	59201007		RS-125					15000						
592		Affileurement	340695	6432560	59201008		RS-125					7000						
592		Affileurement	340600	6482547	59201009		RS-125					5000						
592		Affileurement	340566	6482536	59201010		RS-125					6200						
592		Affileurement	340619	6482593	59201011		RS-125					10000		3800				
592		Affileurement	340676	6482694	59201012		RS-125					13500						
592		Affileurement	340603	6482640	59201013		RS-125					6500						
592		Affileurement	340567	6482863	59201014		RS-125											
592		Affileurement	340617	6482924	59201015		RS-125					6000						
592		Affileurement	340618	6482986	59201016		RS-125					11137						
592		Affileurement	340656	6483080	59201017		RS-125					8000						
592		Affileurement	340535	6483132	59201018		RS-125					20000						
592		Affileurement	340465	6483227	59201019		RS-125					15000						
592		Affileurement	340482	6483088	59201020		RS-125					19000						
592		Affileurement	340557	6482795	59201021		RS-125					6200						
592		Affileurement	340890	6482371	59201022		RS-125					15000						
592		Affileurement	350520	6498200	59201023		RS-125					600						
592		Affileurement	341395	6482827	59201024		RS-125					15000						
592		Affileurement	341349	6482823	59201025		RS-125					17000						
592		Affileurement	341220	6482933	59201026		RS-125					7800						
592		Affileurement	341005	6483254	59201027		RS-125					29000						
592		Affileurement	340853	6483470	59201028		RS-125					30000						
592		Affileurement	340518	6483809	59201029		RS-125											
592		Affileurement	340586	6483935	59201030		RS-125					56000						
592		Affileurement	334274	6489365	59201101		RS-120					3500						
592		Affileurement	334274	6489365	59201101		RS-120					3500		180-350				
592		Affileurement	334441	6489164	59201102		RS-120					2200						
592		Affileurement	334441	6489164	59201102		RS-120					2200						



PROJECT NUMBER	SAMPLE	SAMPLE TYPE	UTMX (Nad 27)	UTMY (Nad 27)	OUTCROP / CHANNEL	OCCURRENCE	SCINTILLOMETER							ICP-MS			
							SCINTILLOMETER	U(ppm)	Th(ppm)	RATIO U/Th	CPS MAX	TYPICAL CPS	U <sub>3</sub> O <sub>8</sub> (wt %)	U/Th	Th	U, ICP	U + Th/4
															ppm	ppm	ppm
Nb Analyses	2115													1	2		
Compte	Historique											882		882	882	637	
Moyenne	Historique											0,055%		373	480	657	
Écart-type (σ)	Historique											0,164%		609	1406	1645	
Maximum	Historique											2,290%		8540	19100	19463	
Minimum	Historique											-0,001%		1	-2	5	
Compte	Projet											637		637	637	637	
Moyenne	Projet											0,063%		424	551	657	
Écart-type (σ)	Projet											0,166%		597	1593	1645	
Maximum	Projet											2,290%		4970	19100	19463	
Minimum	Projet											0,000%		9	2		
592	Affileurement		334438	6489194	59201103		RS-120				3400						
592	Affileurement		334438	6489194	59201103		RS-120				3400						
592	Affileurement		350645	6499773	59201104		RS-120				22000						
592	Affileurement		350645	6499773	59201104		RS-120				22000	250					
592	Affileurement		457327	5839373	59202000		RS-120				2000	800					
592	Affileurement		493644	5847700	59202001		RS-120				600	450					
592	Affileurement		334306	6489287	59202200		RS-120				2500						
592	Affileurement		334494	6489269	59202201		RS-120										
592	Affileurement		334612	6489193	59202202		RS-120				1500	350					
592	Affileurement		335306	6488149	59202203		RS-120				9000						
592	Affileurement		335013	6488429	59202204		RS-120										
592	Affileurement		334895	6488534	59202205		RS-120				7000						
592	Affileurement		351409	6496620	59202206		RS-120				13000						
592	Affileurement		347480	6497571	59202207		RS-120										
592	Affileurement		351487	6499116	59202207,1		RS-120				10000	500					
592	Affileurement		347551	6497647	59202208		RS-120										
592	Affileurement		347611	6497596	59202209		RS-120										
592	Affileurement		649718	6498161	59202211		RS-120				4800						
592	Affileurement		350103	6497679	59202212		RS-120				15400						
592	Affileurement		644863	6494323	59202213		RS-120				2300						
592	Affileurement		334607	6488795	59203006		RS-120				1800						
592	Affileurement		340875	6482348	59203007		RS-120				1600						
592	Affileurement		340671	6482513	59203008		RS-120				2600						
592	Affileurement		340823	6482600	59203009		RS-120										
592	Affileurement		350209	6501514	59203010		RS-120				6400						
592	Blocs		334200	6488990	59204000		GFI				150						
592	Affileurement		334399	6488983	59204001		GFI				180						
592	Affileurement		334546	6489028	59204003		GFI				40-240						
592	Affileurement		334426	6489023	59204004		GFI				650						
592	Affileurement		335720	6488909	59204005		GFI										
592	Affileurement		335730	6487898	59204006		GFI										
592	Affileurement		340597	6482776	59204007		GR-110										
592	Affileurement		340366	6483013	59204008		GR-110										
592	Affileurement		340652	6483041	59204009		GR-110				1000						
592	Affileurement		340678	6482874	59204010		GR-110										
592	Affileurement		340430	6482649	59204011		GR-110										
592	Affileurement		341092	6483148	59204012		GR-110										
592	Affileurement		341109	6483018	59204013		GR-110										
592	Affileurement		341124	6483024	59204014		GR-110				13000						
592	Affileurement		341135	6483067	59204015		GR-110										
592	Affileurement		349203	6499688	59204016		GR-110										
592	Affileurement		349252	6499797	59204017		GR-110										
592	Affileurement		349335	6499826	59204018		GR-110				2000						
592	Affileurement		349100	6499713	59204019		GR-110				1600						
592	Affileurement		349127	6499839	59204020		GR-110										
592	Affileurement		353387	6497015	59204021		GR-110										
592	Affileurement		341237	6483032	59204022		GR-110										
592	Affileurement		335675	6489732	59205000		RS-120				1700	400					
592	Affileurement		335934	6489764	59205001		RS-120				6000	300					
592	Affileurement		335833	6489486	59205002		RS-120				4200	450					
592	Affileurement		335970	6489326	59205003		RS-120				700	400					
592	Affileurement		335818	6488850	59205004		RS-120				400	400					
592	Affileurement		3449442	6499062	59205005		RS-120				2400	450					

PROJECT NUMBER	SAMPLE	SAMPLE TYPE	UTMX (Nad 27)	UTHY (Nad 27)	OUTCROP / CHANNEL	OCCURRENCE	SCINTILLOMETER							ICP-MS					
							SCINTILLOMETER	U(ppm)	Th(ppm)	RATIO U/Th	CPS MAX	TYPICAL CPS	U <sub>3</sub> O <sub>8</sub> (wt %)	U/Th	Th	U, ICP	U + Th/4		
															ppm	ppm	ppm		
Nb Analyses	2115																		
Compte	Historique												882		882	882	637		
Moyenne	Historique												0,055%		373	480	657		
Écart-type (σ)	Historique												0,164%		609	1406	1645		
Maximum	Historique												2,290%		8540	19100	19483		
Minimum	Historique												-0,001%		1	-2	5		
Compte	Projet												637		637	637	637		
Moyenne	Projet												0,063%		424	551	657		
Écart-type (σ)	Projet												0,186%		597	1593	1645		
Maximum	Projet												2,290%		4970	19100	19483		
Minimum	Projet												0,000%		9	2			
592	Affileurement		349416	6499173	59205006		RS-120				20000	400							
592	Affileurement		349239	6499120	59205007		RS-120				10000	500							
592	Affileurement		349314	6498667	59205008		RS-120				5000								
592	Affileurement		349563	6498775	59205009		RS-120				5000	450							
592	Affileurement		349957	6498286	59205010		RS-120				5000								
592	Affileurement		350075	6500094	59205011		RS-120				5000	400							
592	Affileurement		350199	6500185	59205012		RS-120				24000								
592	Affileurement		350193	6500585	59205013		RS-120					350							
592	Affileurement		349681	6500498	59205014		RS-120				6000	450							
592	Affileurement		340925	6483612	59205015		RS-120				30000	500							
592	Affileurement		349571	6499991	59205016		RS-120				33000	400							
592	Affileurement		349552	6500144	59205017		RS-120				20000	600							
592	Affileurement		349159	6500329	59205018		RS-120				3400	450							
592	Affileurement		349009	6500248	59205019		RS-120				6000	400							
592	Affileurement		353606	6497163	59205020		RS-120					200							
592	Affileurement		352535	6497196	59205021		RS-120				20000	1000							
592	Affileurement		341716	6481890	59205030		RS-120				5600								
592	Affileurement		342090	6481920	59205031		RS-120				1000	350							
592	Affileurement		347736	6497929	59205032		RS-120				15000	500							
592	Affileurement		347494	6497930	59205033		RS-120				46000								
592	BLOC		353680	6497321	59205034		RS-120				3300	300							
592	Affileurement		349383	6499192	59205035		RS-120				5000								
592	Affileurement		335980	6489399	59205036		RS-120				3500	250-400							
592	Affileurement		350994	6497178	59206000		RS-120				1500	300							
592	Affileurement		353025	6497341	59206001		RS-120				16300								
592	Affileurement		347751	6497824	59207000		RS-120				2000								
592	Affileurement		348163	6497423	59207001		RS-120				41000								
592	Affileurement		348355	6497284	59207002		RS-120				350								
592	Affileurement		347864	6497716	59207003		RS-120				8500								
592	Affileurement		352031	6498286	59207004		RS-120				47000								
592	Affileurement		352075	6498982	59207005		RS-120				18000								
592	Affileurement		345000	6494580	59207006		RS-120				760								
592	Affileurement		344945	6492780	59207007		RS-120				360								
592	Affileurement		340594	6482974	IOS 0001		GFI				28000								
592	Affileurement		349982	6507106	IOS 0002		GFI	182,0	35,0		19200	1200							
592	Affileurement		335052	6486376	IOS 0003		GFI				16000	1000							
592	Affileurement		336521	6484393	IOS 0004		GFI				13500	1000							
592	Affileurement		340625	6483056	IOS 0005		GFI				10000								
592	Affileurement		340634	6482733	IOS 0006		GFI				10000								
592	Affileurement		340844	6483499	IOS 0007		GFI				9800	700							
592	Affileurement		347761	6497814	IOS 0008		GFI				9000								
592	Affileurement		335010	6488431	IOS 0009		GFI				8800	1000							
592	Affileurement		350305	6509033	IOS 0010		GFI				8500	400							
592	Affileurement		337095	6490900	IOS 0011		GFI				8200	540							
592	Affileurement		336535	6484477	IOS 0012		GFI	283,0	2077,0		7000								
592	Affileurement		335434	6488165	IOS 0013		GFI	580,0	1081,0		6000								
592	Affileurement		340884	6483476	IOS 0014		GFI				5000	800							
592	Affileurement		340872	6483470	IOS 0015		GFI				5000	1400							
592	Affileurement		340853	6483564	IOS 0016		GFI				4800	1000							
592	Affileurement		335420	6488079	IOS 0017		GFI	485,0	728,0		4600								
592	Affileurement		340806	6483582	IOS 0018		GFI				4500	2300							
592	Affileurement		336526	6484439	IOS 0019		GFI				4400								
592	Affileurement		340795	6483592	IOS 0020		GFI				4200								



PROJECT NUMBER	SAMPLE	SAMPLE TYPE	UTMX (Nad 27)	UTMY (Nad 27)	OUTCROP / CHANNEL	OCCURRENCE	SCINTILLOMETER	SCINTILLOMETER					ICP-MS					
								U(ppm)	Th(ppm)	RATIO U/Th	CPS MAX	TYPICAL CPS	U <sub>3</sub> O <sub>8</sub> (wt %)	U/Th	Th	U, ICP	U + Th/4	
															ppm	ppm	ppm	
Nb Analyses	2115																	
Compte	Historique												882		882	882	637	
Moyenne	Historique												0,055%		373	480	657	
Écart-type (σ)	Historique												0,164%		609	1406	1645	
Maximum	Historique												2,290%		8540	19100	19483	
Minimum	Historique												-0,001%		1	-2	5	
Compte	Projet												637		637	637	637	
Moyenne	Projet												0,063%		424	551	657	
Écart-type (σ)	Projet												0,186%		597	1593	1645	
Maximum	Projet												2,290%		4970	19100	19483	
Minimum	Projet												0,000%		9	2		
592	Affileurement		352444	6497773	IOS 0021		GFI											
592	Affileurement		336521	6484457	IOS 0022		GFI											
592	Affileurement		340909	6483378	IOS 0023		GFI											
592	Affileurement		336514	6484319	IOS 0024		GFI											
592	Affileurement		347753	6497798	IOS 0025		GFI	304,0	57,0									
592	Affileurement		349821	6500045	IOS 0026		GFI											
592	Affileurement		350153	6509004	IOS 0027		GFI											
592	Affileurement		352519	6497552	IOS 0028		GFI											
592	Affileurement		368865	6489994	IOS 0029		GFI											
592	Affileurement		334956	6488527	IOS 0030		GFI											
592	Affileurement		349472	6486767	IOS 0031		GFI											
592	Affileurement		336636	6483996	IOS 0032		GFI											
592	Affileurement		348059	6497603	IOS 0033		GFI											
592	Affileurement		334846	6491205	IOS 0034		GFI											
592	Affileurement		337272	6490592	IOS 0035		GFI											
592	Affileurement		335453	6488031	IOS 0036		GFI	62,0	254,0									
592	Affileurement		335219	6488351	IOS 0037		GFI	122,0	407,0									
592	Affileurement		340855	6483475	IOS 0038		GFI											
592	Affileurement		335489	6488092	IOS 0039		GFI	109,0	293,0									
592	Affileurement		349200	6499188	IOS 0040		GFI											
592	Affileurement		336522	6484411	IOS 0041		GFI											
592	Affileurement		336570	6484216	IOS 0042		GFI											
592	Affileurement		368933	6491100	IOS 0043		GFI											
592	Affileurement		340877	6483514	IOS 0044		GFI											
592	Affileurement		336568	6484374	IOS 0045		GFI											
592	Affileurement		336525	6484306	IOS 0046		GFI											
592	Affileurement		349191	6499304	IOS 0047		GFI											
592	Affileurement		350775	6497401	IOS 0048		GFI											
592	Affileurement		389022	6489891	IOS 0049		GFI											
592	Affileurement		340887	6483511	IOS 0050		GFI											
592	Affileurement		338549	6484493	IOS 0051		GFI											
592	Affileurement		350018	6507166	IOS 0052		GFI											
592	Affileurement		350014	6507161	IOS 0053		GFI											
592	Affileurement		350016	6507111	IOS 0054		GFI											
592	Affileurement		349937	6507184	IOS 0055		GFI											
592	Affileurement		349932	6507187	IOS 0056		GFI											
592	Affileurement		349938	6507263	IOS 0057		GFI											
592	Affileurement		349951	6507257	IOS 0058		GFI											
592	Affileurement		351534	6505171	IOS 0059		GFI											
592	Affileurement		351565	6505143	IOS 0060		GFI											
592	Affileurement		351585	6505132	IOS 0061		GFI											
592	Affileurement		351602	6505109	IOS 0062		GFI											
592	Affileurement		351607	6505102	IOS 0063		GFI											
592	Affileurement		353166	6497596	IOS 0064	Jonas	RS-120											
592	Affileurement		350534	6500814	IOS 0065	Jonas	RS-120											
592	Affileurement		350793	6500367	IOS 0067	Jonas	RS-120											
592	Affileurement		350831	6499958	IOS 0068	Jonas	RS-120											
592	Affileurement		340469	6483331	IOS 0069	Tasik	GR-135											
592	Affileurement		340478	6483306	IOS 0070	Tasik	GR-135											
592	Affileurement		340417	6483284	IOS 0071	Tasik	GR-135											
592	Affileurement		340424	6483276	IOS 0072	Tasik	GR-135											
592	Affileurement		340480	6483296	IOS 0073	Tasik	GR-135											
592	Affileurement		340479	6483273	IOS 0074	Tasik	GR-135											



PROJECT NUMBER	SAMPLE	SAMPLE TYPE	UTMX (Nad 27)	UTMY (Nad 27)	OUTCROP / CHANNEL	OCCURRENCE	SCINTILLOMETER	SCINTILLOMETER					ICP-MS					
								U(ppm)	Th(ppm)	RATIO U/Th	CPS MAX	TYPICAL CPS	U <sub>3</sub> O <sub>8</sub> (wt %)	U/Th	Th ppm	U, ICP ppm	U + Th/4 ppm	
														1	2			
Nb Analyses	2115																	
Compte	Historique												882		882	882	637	
Moyenne	Historique												0,055%		373	480	657	
Écart-type (σ)	Historique												0,184%		609	1406	1845	
Maximum	Historique												2,290%		8540	19100	19463	
Minimum	Historique												-0,001%		1	-2	5	
Compte	Projet												637		637	637	637	
Moyenne	Projet												0,063%		424	551	657	
Écart-type (σ)	Projet												0,186%		597	1593	1845	
Maximum	Projet												2,290%		4970	19100	19463	
Minimum	Projet												0,000%		9	2		
592	Affleurement	340466	6483260	IOS 0075	Tasik	GR-135							1200					
592	Affleurement	340466	6483252	IOS 0076	Tasik	GR-135							1200					
592	Affleurement	340466	6483226	IOS 0077	Tasik	GR-135							2200					
592	Affleurement	340472	6483211	IOS 0078	Tasik	GR-135							1700					
592	Affleurement	340404	6483249	IOS 0079	Tasik	GR-135							1800					
592	Affleurement	340394	6483232	IOS 0080	Tasik	GR-135							1300					
592	Affleurement	340403	6483213	IOS 0081	Tasik	GR-135							1000					
592	Affleurement	340479	6483203	IOS 0082	Tasik	GR-135							1700					
592	Affleurement	340419	6483168	IOS 0083	Tasik	GR-135							1200					
592	Affleurement	340427	6483133	IOS 0084	Tasik	GR-135							2500					
592	Affleurement	340465	6483127	IOS 0085	Tasik	GR-135							2800					
592	Affleurement	340476	6483133	IOS 0086	Tasik	GR-135							2000					
592	Affleurement	340480	6483123	IOS 0087	Tasik	GR-135							1700					
592	Affleurement	340492	6483126	IOS 0088	Tasik	GR-135							2500					
592	Affleurement	340508	6483124	IOS 0089	Tasik	GR-135							2400					
592	Affleurement	340519	6483129	IOS 0090	Tasik	GR-135							3000					
592	Affleurement	340525	6483130	IOS 0091	Tasik	GR-135							2100					
592	Affleurement	340547	6483136	IOS 0092	Tasik	GR-135							1500					
592	Affleurement	340605	6483126	IOS 0093	Tasik	GR-135							1200					
592	Affleurement	340576	6483093	IOS 0094	Tasik	GR-135							1300					
592	Affleurement	340439	6483060	IOS 0095	Tasik	GR-135							1200					
592	Affleurement	340537	6483051	IOS 0096	Tasik	GR-135							1800					
592	Affleurement	340606	6483084	IOS 0097	Tasik	GR-135							1100					
592	Affleurement	340616	6483086	IOS 0098	Tasik	GR-135							3000					
592	Affleurement	340631	6483091	IOS 0099	Tasik	GR-135							2000					
592	Affleurement	340641	6483096	IOS 0100	Tasik	GR-135							1400					
592	Affleurement	340660	6483111	IOS 0101	Tasik	GR-135							2750					
592	Affleurement	340684	6483051	IOS 0102	Tasik	GR-135							1600					
592	Affleurement	340670	6483045	IOS 0103	Tasik	GR-135							1050					
592	Affleurement	340652	6483035	IOS 0104	Tasik	GR-135							2300					
592	Affleurement	340633	6483014	IOS 0105	Tasik	GR-135							1700					
592	Affleurement	340598	6483012	IOS 0106	Tasik	GR-135							1600					
592	Affleurement	340585	6482977	IOS 0107	Tasik	GR-135							6500					
592	Affleurement	340614	6482922	IOS 0108	Tasik	GR-135							2500					
592	Affleurement	340533	6482866	IOS 0109	Tasik	GR-135							1600					
592	Affleurement	341239	6483027	IOS 0110	Torrent	GR-135					10900		1400					
592	Affleurement	340550	6482876	IOS 0111	Tasik	GR-135							1800					
592	Affleurement	340565	6482884	IOS 0112	Tasik	GR-135							1600					
592	Affleurement	340567	6482827	IOS 0113	Tasik	GR-135							2500					
592	Affleurement	340576	6482835	IOS 0114	Tasik	GR-135							3200					
592	Affleurement	340590	6482837	IOS 0115	Tasik	GR-135							1300					
592	Affleurement	340585	6482823	IOS 0116	Tasik	GR-135							6800					
592	Affleurement	340565	6482813	IOS 0117	Tasik	GR-135							1700					
592	Affleurement	340562	6482800	IOS 0118	Tasik	GR-135							2050					
592	Affleurement	340592	6482808	IOS 0119	Tasik	GR-135							1900					
592	Affleurement	340611	6482794	IOS 0120	Tasik	GR-135							1500					
592	Affleurement	340584	6482787	IOS 0121	Tasik	GR-135							2000					
592	Affleurement	340579	6482781	IOS 0122	Tasik	GR-135							1700					
592	Affleurement	340575	6482769	IOS 0123	Tasik	GR-135							1350					
592	Affleurement	340580	6482769	IOS 0124	Tasik	GR-135							1200					
592	Affleurement	340590	6482776	IOS 0125	Tasik	GR-135							1400					
592	Affleurement	340605	6482775	IOS 0126	Tasik	GR-135							1000					
592	Affleurement	340615	6482780	IOS 0127	Tasik	GR-135							2300					



PROJECT NUMBER	SAMPLE	SAMPLE TYPE	UTMX (Nad 27)	UTMY (Nad 27)	OUTCROP / CHANNEL	OCCURRENCE	SCINTILLOMETER	SCINTILLOMETER					ICP-MS					
								U(ppm)	Th(ppm)	RATIO U/Th	CPS MAX	TYPICAL CPS	U <sub>3</sub> O <sub>8</sub> (wt %)	U/Th	Th ppm	U, ICP ppm	U + Th/4 ppm	
								1	2									
Nb Analyses	2115																	
Compte	Historique												882		882	882	637	
Moyenne	Historique												0,055%		373	480	657	
Écart-type (σ)	Historique												0,164%		609	1408	1645	
Maximum	Historique												2,290%		8540	19100	19483	
Minimum	Historique												-0,001%		1	-2	5	
Compte	Projet												637		637	637	637	
Moyenne	Projet												0,063%		424	551	657	
Écart-type (σ)	Projet												0,188%		597	1593	1645	
Maximum	Projet												2,290%		4970	19100	19483	
Minimum	Projet												0,000%		9	2		
592	Affileurement		340631	6482785	IOS 0128	Tasik	GR-135						1400					
592	Affileurement		340634	6482777	IOS 0129	Tasik	GR-135						1200					
592	Affileurement		340615	6482766	IOS 0130	Tasik	GR-135						1600					
592	Affileurement		340612	6482767	IOS 0131	Tasik	GR-135						1300					
592	Affileurement		340598	6482765	IOS 0132	Tasik	GR-135						1000					
592	Affileurement		340586	6482755	IOS 0133	Tasik	GR-135						1400					
592	Affileurement		340568	6482746	IOS 0134	Tasik	GR-135						1500					
592	Affileurement		340579	6482737	IOS 0135	Tasik	GR-135						1200					
592	Affileurement		340597	6482747	IOS 0136	Tasik	GR-135						1200					
592	Affileurement		340603	6482754	IOS 0137	Tasik	GR-135						6000					
592	Affileurement		340617	6482753	IOS 0138	Tasik	GR-135						1050					
592	Affileurement		340626	6482751	IOS 0139	Tasik	GR-135						1000					
592	Affileurement		340633	6482757	IOS 0140	Tasik	GR-135						4900					
592	Affileurement		340645	6482746	IOS 0141	Tasik	GR-135						1200					
592	Affileurement		340628	6482742	IOS 0142	Tasik	GR-135						3900					
592	Affileurement		340626	6482746	IOS 0143	Tasik	GR-135						1200					
592	Affileurement		340568	6482712	IOS 0144	Tasik	GR-135						900					
592	Affileurement		340579	6482694	IOS 0145	Tasik	GR-135						1000					
592	Affileurement		340607	6482713	IOS 0146	Tasik	GR-135						1400					
592	Affileurement		340609	6482719	IOS 0147	Tasik	GR-135						1500					
592	Affileurement		340628	6482726	IOS 0148	Tasik	GR-135						2600					
592	Affileurement		340638	6482726	IOS 0149	Tasik	GR-135						1300					
592	Affileurement		340644	6482723	IOS 0150	Tasik	GR-135						1900					
592	Affileurement		340667	6482703	IOS 0151	Tasik	GR-135						1900					
592	Affileurement		340657	6482699	IOS 0152	Tasik	GR-135						1500					
592	Affileurement		340645	6482690	IOS 0153	Tasik	GR-135						1000					
592	Affileurement		340623	6482685	IOS 0154	Tasik	GR-135						1800					
592	Affileurement		340608	6482681	IOS 0155	Tasik	GR-135						3000					
592	Affileurement		340599	6482671	IOS 0156	Tasik	GR-135						1500					
592	Affileurement		340606	6482669	IOS 0157	Tasik	GR-135						1800					
592	Affileurement		340612	6482670	IOS 0158	Tasik	GR-135						1200					
592	Affileurement		340615	6482669	IOS 0159	Tasik	GR-135						1700					
592	Affileurement		340622	6482670	IOS 0160	Tasik	GR-135						1200					
592	Affileurement		340634	6482673	IOS 0161	Tasik	GR-135						2000					
592	Affileurement		340677	6482633	IOS 0162	Tasik	GR-135						1200					
592	Affileurement		340669	6482633	IOS 0163	Tasik	GR-135						1200					
592	Affileurement		340684	6482625	IOS 0164	Tasik	GR-135						2100					
592	Affileurement		340622	6482608	IOS 0165	Tasik	GR-135						1800					
592	Affileurement		340620	6482604	IOS 0166	Tasik	GR-135						1050					
592	Affileurement		340614	6482593	IOS 0167	Tasik	GR-135						1300					
592	Affileurement		340603	6482583	IOS 0168	Tasik	GR-135						1700					
592	Affileurement		340603	6482540	IOS 0169	Tasik	GR-135						1300					
592	Affileurement		340609	6482548	IOS 0170	Tasik	GR-135						1100					
592	Affileurement		341127	6483024	IOS 0171	Torrent	GR-135				16000		2000					
592	Affileurement		341233	6482940	IOS 0172	Torrent	GR-135				17000		2000					
592	Affileurement		349952	6507195	IOS 0173	Torrent	GR-135				3000		2000					
592	Affileurement		340627	6482564	IOS 0174	Tasik	GR-135						1400					
592	Affileurement		340649	6482580	IOS 0175	Tasik	GR-135						2500					
592	Affileurement		340682	6482606	IOS 0176	Tasik	GR-135						1000					
592	Affileurement		340684	6482556	IOS 0177	Tasik	GR-135						1300					
592	Affileurement		340670	6482533	IOS 0178	Tasik	GR-135						1200					
592	Affileurement		340665	6482524	IOS 0179	Tasik	GR-135						1200					
592	Affileurement		340657	6482513	IOS 0180	Tasik	GR-135						1500					



PROJECT NUMBER	SAMPLE	SAMPLE TYPE	UTMX (Nad 27)	UTMY (Nad 27)	OUTCROP / CHANNEL	OCCURRENCE	SCINTILLOMETER	SCINTILLOMETER						ICP-MS				
								U(ppm)	Th(ppm)	RATIO U/Th	CPS MAX	TYPICAL CPS	U <sub>2</sub> O <sub>5</sub> (wt %)	U/Th	Th ppm	U, ICP ppm	U + Th/4 ppm	
														1	2			
Nb Analyses	2116																	
Compte	Historique												882		882	882	637	
Moyenne	Historique												0,055%		373	480	657	
Écart-type (σ)	Historique												0,164%		609	1406	1645	
Maximum	Historique												2,290%		8540	19100	19483	
Minimum	Historique												-0,001%		1	-2	5	
Compte	Projet												637		637	637	637	
Moyenne	Projet												0,063%		424	551	657	
Écart-type (σ)	Projet												0,188%		597	1593	1645	
Maximum	Projet												2,290%		4970	19100	19483	
Minimum	Projet												0,000%		9	2		
592	Affleurement		340726	6482534	IOS 0181	Tasik	GR-135						1400					
592	Affleurement		340717	6482523	IOS 0182	Tasik	GR-135						1450					
592	Affleurement		340797	6482418	IOS 0183	Tasik	GR-135						1200					
592	Affleurement		340892	6482366	IOS 0184	Tasik	GR-135						2000					
592	Affleurement		340880	6482354	IOS 0185	Tasik	GR-135						1600					
592	Affleurement		341225	6482932	IOS 0186	Torrent	GR-135				10000		2400					
592	Affleurement		341351	6482818	IOS 0187	Torrent	GR-135				14000		2400					
592	Affleurement		341138	6483066	IOS 0188	Torrent	GR-135				15000		2900					
592	Affleurement		340920	6483609	IOS 0189	Torrent	GR-135				24000		2900					
592	Affleurement		340699	6484017	IOS 0190	Torrent	GR-135				15500		3600					
592	Affleurement		336613	6484432	IOS 0191	Tasik	GR-135				1000							
592	Affleurement		341160	6483144	IOS 0192	Torrent	GR-135				22200		4700					
592	Affleurement		341217	6482970	IOS 0193	48	GR-135				16000		4900					
592	Affleurement		341138	6483062	IOS 0194	48	GR-135				13000		6000					
592	Affleurement		341225	6482961	IOS 0195	48	GR-135				25000		8000					
592	Affleurement		341117	6483322	IOS 0196	Nord Propriété	GR-135				4500		1400					
592	Affleurement		349933	6507272	IOS 0197	Nord Propriété	GR-135				4500							
592	Affleurement		349938	6507262	IOS 0198	Nord Propriété	GR-135				7850							
592	Affleurement		349933	6507262	IOS 0199	Nord Propriété	GR-135				8100							
592	Affleurement		349935	6507281	IOS 0200	Nord Propriété	GR-135				9000							
592	Affleurement		335475	6488042	IOS 0201	Tasialuk	GR-135				9800							
592	Affleurement		349100	6499713	IOS 0202	Ilaluga	GR-135											
592	Affleurement		337074	6490774	IOS 0203	Camp Inuit 2	GR-135				2000							
592	Affleurement		337269	6490601	IOS 0204	Camp Inuit 3	GR-135				2500							
592	Affleurement		337091	6490770	IOS 0205	Camp Inuit 4	GR-135				2800							
592	Affleurement		337273	6490591	IOS 0206	Camp Inuit 5	GR-135				3000							
592	Affleurement		340594	6482808	IOS 0207	Tasik	GR-135				2800							
592	Affleurement		340613	6482795	IOS 0208	Tasik	GR-135				5700							
592	Affleurement		341336	6482842	IOS 0209	Torrent	GR-135				2000		1000					
592	Affleurement		340909	6483549	IOS 0210	Torrent	GR-135				2200		1000					
592	Affleurement		340800	6483794	IOS 0211	Torrent	GR-135				3000		1000					
592	Affleurement		341182	6483023	IOS 0212	Torrent	GR-135				45000		1000					
592	Affleurement		341003	6483331	IOS 0213	Torrent	GR-135				3000		1050					
592	Affleurement		341202	6482962	IOS 0214	Torrent	GR-135				2300		1100					
592	Affleurement		340820	6483741	IOS 0215	Torrent	GR-135				2700		1100					
592	Affleurement		341242	6483057	IOS 0216	Torrent	GR-135				3000		1100					
592	Affleurement		340972	6483379	IOS 0217	Torrent	GR-135				3200		1100					
592	Affleurement		341117	6483014	IOS 0218	Torrent	GR-135				3400		1100					
592	Affleurement		341120	6483387	IOS 0219	Torrent	GR-135				5600		1100					
592	Affleurement		341214	6483028	IOS 0220	Torrent	GR-135				4100		1150					
592	Affleurement		341133	6483070	IOS 0221	Torrent	GR-135				5700		1150					
592	Affleurement		341274	6482908	IOS 0222	Torrent	GR-135				2400		1200					
592	Affleurement		340562	6483943	IOS 0223	Torrent	GR-135				2900		1200					
592	Affleurement		341219	6483112	IOS 0224	Torrent	GR-135				3000		1200					
592	Affleurement		341216	6483025	IOS 0225	Torrent	GR-135				3400		1200					
592	Affleurement		340557	6483964	IOS 0226	Torrent	GR-135				3800		1200					
592	Affleurement		341148	6483073	IOS 0227	Torrent	GR-135				6300		1200					
592	Affleurement		340784	6483852	IOS 0228	Torrent	GR-135				3300		1300					
592	Affleurement		341473	6482674	IOS 0229	Torrent	GR-135				3600		1300					
592	Affleurement		341106	6483368	IOS 0230	Torrent	GR-135				4000		1300					
592	Affleurement		341249	6483019	IOS 0231	Torrent	GR-135				4400		1300					
592	Affleurement		340980	6483080	IOS 0232	Torrent	GR-135				4400		1300					
592	Affleurement		341019	6483304	IOS 0233	Torrent	GR-135				4900		1300					



PROJECT NUMBER	SAMPLE	SAMPLE TYPE	UTMX (Nad 27)	UTMY (Nad 27)	OUTCROP / CHANNEL	OCCURRENCE	SCINTILLOMETER	SCINTILLOMETER					ICP-MS						
								U(ppm)	Th(ppm)	RATIO U/Th	CPS MAX	TYPICAL CPS	U <sub>3</sub> O <sub>8</sub> (wt %)	U/Th	Th ppm	U, ICP ppm	U + Th/4 ppm		
														1	2				
Nb Analyses	2115																		
Compte	Historique												882		882	882		637	
Moyenne	Historique												0,055%		373	480		657	
Écart-type (σ)	Historique												0,164%		609	1406		1645	
Maximum	Historique												2,290%		8540	19100		19463	
Minimum	Historique												-0,001%		1	-2		5	
Compte	Projet												637		637	637		637	
Moyenne	Projet												0,063%		424	551		657	
Écart-type (σ)	Projet												0,186%		597	1593		1645	
Maximum	Projet												2,290%		4970	19100		19463	
Minimum	Projet												0,000%		9	2			
592	Affleurement		341220	6483077	IOS 0234	Torrent	GR-135					5000	1300						
592	Affleurement		341047	6483100	IOS 0235	Torrent	GR-135					4000	1301						
592	Affleurement		341241	6483069	IOS 0236	Torrent	GR-135					5600	1400						
592	Affleurement		341109	6483019	IOS 0237	Torrent	GR-135					5800	1400						
592	Affleurement		341310	6482875	IOS 0238	Torrent	GR-135					7500	1400						
592	Affleurement		341002	6483307	IOS 0239	Torrent	GR-135					3800	1450						
592	Affleurement		340895	6483668	IOS 0240	Torrent	GR-135					3000	1500						
592	Affleurement		340985	6483233	IOS 0241	Torrent	GR-135					3500	1500						
592	Affleurement		341282	6482898	IOS 0242	Torrent	GR-135					4000	1500						
592	Affleurement		341167	6483052	IOS 0243	Torrent	GR-135					5900	1500						
592	Affleurement		341284	6482907	IOS 0244	Torrent	GR-135					6500	1500						
592	Affleurement		341233	6483087	IOS 0245	Torrent	GR-135					8500	1500						
592	Affleurement		341127	6483012	IOS 0246	Torrent	GR-135					3500	1550						
592	Affleurement		341088	6483201	IOS 0247	Torrent	GR-135					4200	1600						
592	Affleurement		341338	6482933	IOS 0248	Torrent	GR-135					4500	1600						
592	Affleurement		340990	6483257	IOS 0249	Torrent	GR-135					5210	1600						
592	Affleurement		341223	6482997	IOS 0250	Torrent	GR-135					5600	1600						
592	Affleurement		341074	6483101	IOS 0251	Torrent	GR-135					3700	1650						
592	Affleurement		341025	6483281	IOS 0252	Torrent	GR-135					4800	1800						
592	Affleurement		341007	6483358	IOS 0253	Torrent	GR-135					5000	1800						
592	Affleurement		341200	6483081	IOS 0254	Torrent	GR-135					1800							
592	Affleurement		341201	6483039	IOS 0255	Torrent	GR-135					7000	1900						
592	Affleurement		341175	6483029	IOS 0256	Torrent	GR-135					6000	2000						
592	Affleurement		341223	6483070	IOS 0257	Torrent	GR-135					9000	2200						
592	Affleurement		341259	6482931	IOS 0258	Torrent	GR-135					7500	2400						
592	Affleurement		341138	6483062	IOS 0259	Torrent	GR-135					7000	2500						
592	Affleurement		341429	6482687	IOS 0260	Torrent	GR-135					2000	700						
592	Affleurement		341038	6483421	IOS 0261	Torrent	GR-135					2100	700						
592	Affleurement		340839	6483715	IOS 0262	Torrent	GR-135					2200	700						
592	Affleurement		340600	6484058	IOS 0263	Torrent	GR-135					1000	800						
592	Affleurement		341001	6483370	IOS 0264	Torrent	GR-135					1200	800						
592	Affleurement		341465	6482718	IOS 0265	Torrent	GR-135					1300	800						
592	Affleurement		340834	6483748	IOS 0266	Torrent	GR-135					1400	800						
592	Affleurement		341139	6483082	IOS 0267	Torrent	GR-135					3000	800						
592	Affleurement		341090	6483347	IOS 0268	Torrent	GR-135					3200	800						
592	Affleurement		341208	6483090	IOS 0269	Torrent	GR-135					4000	800						
592	Affleurement		341007	6483468	IOS 0270	Torrent	GR-135					1700	850						
592	Affleurement		340818	6483763	IOS 0271	Torrent	GR-135					1500	900						
592	Affleurement		340723	6483805	IOS 0272	Torrent	GR-135					1700	900						
592	Affleurement		340974	6483403	IOS 0273	Torrent	GR-135					1800	900						
592	Affleurement		341125	6483374	IOS 0274	Torrent	GR-135					1900	900						
592	Affleurement		341364	6482878	IOS 0275	Torrent	GR-135					2300	900						
592	Affleurement		341446	6482746	IOS 0276	Torrent	GR-135					2500	900						
592	Affleurement		341142	6483052	IOS 0277	Torrent	GR-135					3500	900						
592	Affleurement		341211	6483054	IOS 0278	Torrent	GR-135					4000	900						
592	Affleurement		340580	6484081	IOS 0279	Torrent	GR-135					1500	905						
592	Affleurement		340989	6483290	IOS 0280	Torrent	GR-135					3600	950						
592	Affleurement		335459	6488016	IOS 0281	Tasik	GR-135					1500							
592	Affleurement		335462	6488023	IOS 0282	Tasik	GR-135					1100							
592	Affleurement		335474	6488038	IOS 0283	Tasik	GR-135					2000							
592	Affleurement		335483	6488091	IOS 0284	Tasik	GR-135					2000							
592	Affleurement		335439	6488035	IOS 0285	Tasik	GR-135					1200							
592	Affleurement		335433	6488030	IOS 0286	Tasik	GR-135					110							



PROJECT NUMBER	SAMPLE	SAMPLE TYPE	UTMX (Nad 27)	UTMY (Nad 27)	OUTCROP / CHANNEL	OCCURRENCE	SCINTILLOMETER	SCINTILLOMETER						ICP-MS				
								U(ppm)	Th(ppm)	RATIO U/Th	CPS MAX	TYPICAL CPS	U <sub>3</sub> O <sub>8</sub> (wt %)	U/Th	Th ppm	U, ICP ppm	U + Th/4 ppm	
								1	2									
Nb Analyses	2116																	
Compte	Historique												882		882	882	637	
Moyenne	Historique												0,055%		373	480	657	
Écart-type (σ)	Historique												0,164%		609	1408	1645	
Maximum	Historique												2,290%		8540	19100	19483	
Minimum	Historique												-0,001%		1	-2	5	
Compte	Projet												637		637	637	637	
Moyenne	Projet												0,063%		424	551	657	
Écart-type (σ)	Projet												0,186%		597	1593	1645	
Maximum	Projet												2,290%		4870	19100	19483	
Minimum	Projet												0,000%		9	2		
592		Affleurement	335421	6488025	IOS 0287	Tasik	GR-135				1500							
592		Affleurement	335401	6488037	IOS 0288	Tasik	GR-135				1200							
592		Affleurement	335407	6488049	IOS 0289	Tasik	GR-135				2200							
592		Affleurement	335484	6488126	IOS 0290	Tasik	GR-135				1500							
592		Affleurement	335487	6488131	IOS 0291	Tasik	GR-135				1300							
592		Affleurement	335401	6488082	IOS 0292	Tasik	GR-135				1300							
592		Affleurement	335386	6488064	IOS 0293	Tasik	GR-135				1400							
592		Affleurement	335372	6488073	IOS 0294	Tasik	GR-135				1400							
592		Affleurement	335379	6488093	IOS 0295	Tasik	GR-135				1300							
592		Affleurement	335387	6488103	IOS 0296	Tasik	GR-135				1300							
592		Affleurement	335399	6488127	IOS 0297	Tasik	GR-135				1300							
592		Affleurement	335433	6488166	IOS 0298	Tasik	GR-135				2700							
592		Affleurement	335442	6488182	IOS 0299	Tasik	GR-135				1200							
592		Affleurement	335444	6488187	IOS 0300	Tasik	GR-135				1200							
592		Affleurement	335462	6488199	IOS 0301	Tasik	GR-135				1450							
592		Affleurement	335471	6488206	IOS 0302	Tasik	GR-135				2050							
592		Affleurement	335480	6488227	IOS 0303	Tasik	GR-135				1200							
592		Affleurement	335426	6488300	IOS 0304	Tasik	GR-135				1300							
592		Affleurement	335393	6488263	IOS 0305	Tasik	GR-135				1200							
592		Affleurement	335373	6488236	IOS 0306	Tasik	GR-135				1200							
592		Affleurement	335387	6488263	IOS 0307	Tasik	GR-135				1200							
592		Affleurement	335385	6488271	IOS 0308	Tasik	GR-135				1300							
592		Affleurement	334836	6488682	IOS 0309	Tasik	GR-135				1200							
592		Affleurement	334763	6488741	IOS 0310	Tasik	GR-135				1100							
592		Affleurement	334549	6488869	IOS 0311	Tasik	GR-135				1250							
592		Affleurement	335254	6488188	IOS 0312	Tasik	RS-120				1200							
592		Affleurement	335262	6488204	IOS 0313	Tasik	RS-120				3100							
592		Affleurement	335282	6488234	IOS 0314	Tasik	RS-120				2500							
592		Affleurement	335299	6488258	IOS 0315	Tasik	RS-120				1200							
592		Affleurement	335307	6488275	IOS 0316	Tasik	RS-120				1100							
592		Affleurement	335316	6488281	IOS 0317	Tasik	RS-120				1600							
592		Affleurement	335319	6488287	IOS 0318	Tasik	RS-120				1700							
592		Affleurement	335331	6488291	IOS 0319	Tasik	RS-120				1800							
592		Affleurement	335351	6488336	IOS 0320	Tasik	RS-120				1200							
592		Affleurement	335390	6488317	IOS 0321	Tasik	RS-120				2000							
592		Affleurement	335371	6488280	IOS 0322	Tasik	RS-120				1400							
592		Affleurement	335365	6488264	IOS 0323	Tasik	RS-120				1400							
592		Affleurement	340563	6482865	IOS 0324	Tasik	RS-120				1300	4500						
592		Affleurement	340615	6482988	IOS 0325	Tasik	RS-120				2600	8500						
592		Affleurement	340656	6483079	IOS 0326	Tasik	RS-120					9000						
592		Affleurement	340617	6483104	IOS 0327	Tasik	RS-120				1700	3200						
592		Affleurement	340644	6483115	IOS 0328	Tasik	RS-120				1900	5700						
592		Affleurement	340664	6483112	IOS 0329	Tasik	RS-120				1500	4500						
592		Affleurement	349157	6500309	IOS 0330		RS-120				3000							
592		Affleurement	349155	6500309	IOS 0331		RS-120				1900							
592		Affleurement	349174	6499976	IOS 0332		RS-120				1400							
592		Affleurement	349125	6500251	IOS 0333		RS-120				1351							
592		Affleurement	349040	6500228	IOS 0334		RS-120				1350							
592		Affleurement	349191	6499973	IOS 0335		RS-120				1200							
592		Affleurement	349100	6499950	IOS 0336		RS-120				1110							
592		Affleurement	349179	6499974	IOS 0337		RS-120				1100							
592		Affleurement	349032	6500225	IOS 0338		RS-120				1090							
592		Affleurement	349160	6500295	IOS 0339		RS-120				1075							



PROJECT NUMBER	SAMPLE	SAMPLE TYPE	UTMX (Nad 27)	UTMY (Nad 27)	OUTCROP / CHANNEL	OCCURRENCE	SCINTILLOMETER	SCINTILLOMETER					ICP-MS					
								U(ppm)	Th(ppm)	RATIO U/Th	CPS MAX	TYPICAL CPS	U <sub>3</sub> O <sub>8</sub> (wt %)	U/Th	Th ppm	U, ICP ppm	U + Th/4 ppm	
														1	2			
Nb Analyses	2115																	
Compte	Historique												882		882	882	637	
Moyenne	Historique												0,055%		373	480	657	
Écart-type (σ)	Historique												0,184%		609	1406	1645	
Maximum	Historique												2,290%		8540	19100	19483	
Minimum	Historique												-0,001%		1	-2	5	
Compte	Projet												637		637	637	637	
Moyenne	Projet												0,063%		424	551	657	
Écart-type (σ)	Projet												0,188%		597	1593	1645	
Maximum	Projet												2,290%		4970	19100	19483	
Minimum	Projet												0,000%		9	2		
592		Affleurement	349120	6499901	IOS 0340		RS-120				1050							
592		Affleurement	349022	6500234	IOS 0341		RS-120				1000							
592		Affleurement	340253	6483035	IOS 0342	Tasik	RS-120				16000							
592		Affleurement	340237	6483009	IOS 0343	Tasik	RS-120				1700							
592		Affleurement	340265	6482999	IOS 0344	Tasik	RS-120				6200							
592		Affleurement	340291	6482990	IOS 0345	Tasik	RS-120				1800							
592		Affleurement	341207	6482059	IOS 0346	Tasik	RS-120				1700							
592		Affleurement	341295	6482061	IOS 0347	Tasik	RS-120				2800							
592		Affleurement	341263	6482153	IOS 0348	Tasik	RS-120				4500							
592		Affleurement	341227	6482171	IOS 0349	Tasik	RS-120				1500							
592		Affleurement	340880	6482551	IOS 0350	Tasik	RS-120				6500							
592		Affleurement	340787	6482688	IOS 0351	Tasik	RS-120				6500							
592		Affleurement	340756	6482674	IOS 0352	Tasik	RS-120				4500							
592		Affleurement	340700	6482760	IOS 0353	Tasik	RS-120				1800							
592		Affleurement	340616	6482594	IOS 0354	Tasik	RS-120				4900							
592		Affleurement	340694	6482396	IOS 0355	Tasik	RS-120				1800							
592		Affleurement	340795	6482391	IOS 0356	Tasik	RS-120				2500							
592		Affleurement	340533	6483130	IOS 0357	Tasik	RS-120				26000							
592		Affleurement	340481	6483195	IOS 0358	Tasik	RS-120				5000							
592		Affleurement	340426	6483253	IOS 0359	Tasik	RS-120				4000							
592		Affleurement	340698	6482987	IOS 0360	Tasik	RS-120				1900							
592		Affleurement	340706	6482988	IOS 0361	Tasik	RS-120				1800							
592		Affleurement	340715	6483003	IOS 0362	Tasik	RS-120				5000							
592		Affleurement	340403	6483248	IOS 0363	Tasik	RS-120				6000							
592		Affleurement	340713	6483059	IOS 0364	Tasik	RS-120				6000							
592		Affleurement	340680	6483050	IOS 0365	Tasik	RS-120				5000							
592		Affleurement	340672	6483042	IOS 0366	Tasik	RS-120				3000							
592		Affleurement	340658	6483039	IOS 0367	Tasik	RS-120				6500							
592		Affleurement	340656	6483037	IOS 0368	Tasik	RS-120				3000							
592		Affleurement	340643	6482983	IOS 0369	Tasik	RS-120				4000							
592		Affleurement	340658	6482971	IOS 0370	Tasik	RS-120				8500							
592		Affleurement	340619	6482987	IOS 0371	Tasik	RS-120				4000							
592		Affleurement	340591	6482983	IOS 0372	Tasik	RS-120				11000							
592		Affleurement	340595	6482996	IOS 0373	Tasik	RS-120				6000							
592		Affleurement	340607	6483008	IOS 0374	Tasik	RS-120				7000							
592		Affleurement	340601	6483043	IOS 0375	Tasik	RS-120				500							
592		Affleurement	340618	6483091	IOS 0376	Tasik	RS-120				8000							
592		Affleurement	340479	6483127	IOS 0377	Tasik	RS-120				505-							
592		Affleurement	340468	6483126	IOS 0378	Tasik	RS-120				5500							
592		Affleurement	340466	6483100	IOS 0379	Tasik	RS-120				4500							
592		Affleurement	340530	6483167	IOS 0380	Tasik	RS-120				4500							
592		Affleurement	334308	6489301	IOS 0381	Torrent	RS-120				2450							
592		Affleurement	334313	6489342	IOS 0382	Torrent	RS-120				1350							
592		Affleurement	341206	6483183	IOS 0383		RS-120				9000							
592		Affleurement	351531	6505065	IOS 0384		RS-120				8700							
592		Affleurement	340629	6483873	IOS 0385		RS-120				7800							
592		Affleurement	341119	6483279	IOS 0386		RS-120				7100							
592		Affleurement	340814	6483952	IOS 0387		RS-120				7000							
592		Affleurement	340620	6483953	IOS 0388		RS-120				8200							
592		Affleurement	349987	6507112	IOS 0389		RS-120				6000							
592		Affleurement	340999	6483217	IOS 0390		RS-120				5800							
592		Affleurement	351845	6505109	IOS 0391		RS-120				5800							
592		Affleurement	340644	6483973	IOS 0392		RS-120				5500							



PROJECT NUMBER	SAMPLE	SAMPLE TYPE	UTMX (Nad 27)	UTMY (Nad 27)	OUTCROP / CHANNEL	OCCURRENCE	SCINTILLOMETER	SCINTILLOMETER					U <sub>3</sub> O <sub>8</sub> (wt %)	U/Th	ICP-MS			
								U(ppm)	Th(ppm)	RATIO U/Th	CPS MAX	TYPICAL CPS			Th ppm	U, ICP ppm	U + Th/4 ppm	
																		1
Nb Analyses	2115																	
Compte	Historique											882		882	882	637		
Moyenne	Historique											0,055%		373	480	657		
Écart-type (σ)	Historique											0,164%		609	1406	1645		
Maximum	Historique											2,290%		8540	19100	19483		
Minimum	Historique											-0,001%		1	-2	5		
Compte	Projet											837		637	637	637		
Moyenne	Projet											0,063%		424	551	657		
Écart-type (σ)	Projet											0,186%		597	1593	1645		
Maximum	Projet											2,290%		4970	19100	19483		
Minimum	Projet											0,000%		9	2			
592		Affleurement	351654	6505098	IOS 0393		RS-120				5000							
592		Affleurement	351572	6505067	IOS 0394		RS-120				4900							
592		Affleurement	341130	6483295	IOS 0395		RS-120				4800							
592		Affleurement	341119	6483270	IOS 0396		RS-120				4700							
592		Affleurement	341156	6483176	IOS 0397		RS-120				4000							
592		Affleurement	340587	6484006	IOS 0398		RS-120				4000							
592		Affleurement	351671	6505115	IOS 0399		RS-120				3000							
592		Affleurement	340569	6484039	IOS 0400		RS-120				2300							
592		Affleurement	340639	6483918	IOS 0401		RS-120				22400							
592		Affleurement	341158	6483167	IOS 0402		RS-120				12000							
592		Affleurement	341004	6483196	IOS 0403		RS-120				4000							
592		Affleurement	341146	6483186	IOS 0404		RS-120				7000							
592		Affleurement	340595	6484048	IOS 0405		RS-120				5000							
592		Affleurement	349152	6500062	IOS 0406		RS-120											
592		Affleurement	349101	6500209	IOS 0407		RS-120				1100							
592		Affleurement	349101	6499966	IOS 0408		RS-120				1200							
592		Affleurement	349192	6499992	IOS 0409		RS-120				1300							
592		Affleurement	349111	6500080	IOS 0410		RS-120				900							
592		Affleurement	341 046	6483158	IOS 0411	Torrent	RS-120				1800							
592		Affleurement	341 072	6483168	IOS 0412	Torrent	RS-120				1100							
592		Affleurement	341 082	6483176	IOS 0413	Torrent	RS-120				2200							
592		Affleurement	341 095	6483162	IOS 0414	Torrent	RS-120				1100							
592		Affleurement	341 083	6483158	IOS 0415	Torrent	RS-120				1200							
592		Affleurement	341 068	6483151	IOS 0416	Torrent	RS-120				1300							
592		Affleurement	340 981	6483083	IOS 0417	Torrent	RS-120				1300							
592		Affleurement	340 989	6483083	IOS 0418	Torrent	RS-120				1030							
592		Affleurement	341 046	6483104	IOS 0419	Torrent	RS-120				1900							
592		Affleurement	341087	6483111	IOS 0420	Torrent	RS-120				2300							
592		Affleurement	341103	6483117	IOS 0421	Torrent	RS-120				1300							
592		Affleurement	341063	6483083	IOS 0422	Torrent	RS-120				1750							
592		Affleurement	341082	6483058	IOS 0423	Torrent	RS-120				1050							
592		Affleurement	341132	6483071	IOS 0424	Torrent	RS-120				1262							
592		Affleurement	341220	6483113	IOS 0425	Torrent	RS-120				1176							
592		Affleurement	341197	6483084	IOS 0426	Torrent	RS-120				1100							
592		Affleurement	341140	6483058	IOS 0427	Torrent	RS-120				2050							
592		Affleurement	341098	6483038	IOS 0428	Torrent	RS-120				2700							
592		Affleurement	341108	6483024	IOS 0429	Torrent	RS-120				1000							
592		Affleurement	341151	6483049	IOS 0430	Torrent	RS-120				1274							
592		Affleurement	341156	6483048	IOS 0431	Torrent	RS-120				1634							
592		Affleurement	341171	6483056	IOS 0433	Torrent	RS-120				1300							
592		Affleurement	341225	6483069	IOS 0434	Torrent	RS-120				2250							
592		Affleurement	341240	6483049	IOS 0435	Torrent	RS-120				1080							
592		Affleurement	341207	6483054	IOS 0436	Torrent	RS-120				1300							
592		Affleurement	341203	6483052	IOS 0437	Torrent	RS-120				1350							
592		Affleurement	341180	6483046	IOS 0438	Torrent	RS-120				1333							
592		Affleurement	341121	6483022	IOS 0439	Torrent	RS-120				1840							
592		Affleurement	341110	6483014	IOS 0440	Torrent	RS-120				1100							
592		Affleurement	341097	6483010	IOS 0441	Torrent	RS-120				1450							
592		Affleurement	341127	6483000	IOS 0442	Torrent	RS-120				1360							
592		Affleurement	341131	6483003	IOS 0443	Torrent	RS-120				2160							
592		Affleurement	341142	6483009	IOS 0444	Torrent	RS-120				1320							
592		Affleurement	341156	6482999	IOS 0445	Torrent	RS-120				3000							
592		Affleurement	341181	6483024	IOS 0446	Torrent	RS-120				1150							

PROJECT NUMBER	SAMPLE	SAMPLE TYPE	UTMX (Nad 27)	UTMY (Nad 27)	OUTCROP / CHANNEL	OCCURRENCE	SCINTILLOMETER	SCINTILLOMETER						ICP-MS				
								U(ppm)	Th(ppm)	RATIO U/Th	CPS MAX	TYPICAL CPS	U <sub>2</sub> O <sub>5</sub> (wt %)	U/Th	Th	U, ICP	U + Th/4	
															ppm	ppm	ppm	
Nb Analyses	2115																	
Compte	Historique												882		882	882	637	
Moyenne	Historique												0,055%		373	480	657	
Écart-type (σ)	Historique												0,184%		609	1406	1645	
Maximum	Historique												2,290%		6540	19100	19483	
Minimum	Historique												-0,001%		1	-2	5	
Compte	Projet												637		637	637	637	
Moyenne	Projet												0,063%		424	551	657	
Écart-type (σ)	Projet												0,188%		597	1593	1645	
Maximum	Projet												2,290%		4970	19100	19483	
Minimum	Projet												0,000%		9	2		
592	Affleurement		341189	6483024	IOS 0447	Torrent	RS-120						1230					
592	Affleurement		341202	6483027	IOS 0448	Torrent	RS-120						1320					
592	Affleurement		341236	6483026	IOS 0449	Torrent	RS-120						1330					
592	Affleurement		341204	6483018	IOS 0450	Torrent	RS-120						1280					
592	Affleurement		341193	6483014	IOS 0451	Torrent	RS-120						1630					
592	Affleurement		341183	6482988	IOS 0452	Torrent	RS-120						1380					
592	Affleurement		341193	6482991	IOS 0453	Torrent	RS-120						110					
592	Affleurement		341220	6482997	IOS 0454	Torrent	RS-120						2700					
592	Affleurement		341247	6483006	IOS 0455	Torrent	RS-120						1140					
592	Affleurement		341252	6483007	IOS 0456	Torrent	RS-120						1266					
592	Affleurement		341236	6482985	IOS 0457	Torrent	RS-120						2300					
592	Affleurement		341232	6482982	IOS 0458	Torrent	RS-120						1143					
592	Affleurement		341216	6482973	IOS 0459	Torrent	RS-120						5000					
592	Affleurement		341183	6482958	IOS 0460	Torrent	RS-120						1820					
592	Affleurement		341212	6482956	IOS 0461	Torrent	RS-120						1135					
592	Affleurement		341222	6482959	IOS 0462	Torrent	RS-120						2600					
592	Affleurement		341221	6482945	IOS 0463	Torrent	RS-120						2200					
592	Affleurement		341215	6482940	IOS 0464	Torrent	RS-120						1993					
592	Affleurement		341220	6482924	IOS 0465	Torrent	RS-120						1417					
592	Affleurement		341254	6482930	IOS 0466	Torrent	RS-120						1900					
592	Affleurement		341273	6482922	IOS 0467	Torrent	RS-120						1260					
592	Affleurement		341261	6482923	IOS 0468	Torrent	RS-120						1220					
592	Affleurement		341258	6482917	IOS 0469	Torrent	RS-120						1250					
592	Affleurement		341256	6482908	IOS 0470	Torrent	RS-120						1881					
592	Affleurement		341273	6482897	IOS 0471	Torrent	RS-120						1550					
592	Affleurement		341302	6482873	IOS 0472	Torrent	RS-120						1550					
592	Affleurement		341310	6482863	IOS 0473	Torrent	RS-120						1346					
592	Affleurement		341383	6482877	IOS 0474	Torrent	RS-120						1184					
592	Affleurement		341382	6482862	IOS 0475	Torrent	RS-120						4200					
592	Affleurement		341351	6482854	IOS 0476	Torrent	RS-120						1900					
592	Affleurement		341326	6482843	IOS 0477	Torrent	RS-120						1260					
592	Affleurement		341348	6482823	IOS 0478	Torrent	RS-120						3127					
592	Affleurement		341395	6482830	IOS 0479	Torrent	RS-120						2414					
592	Affleurement		341395	6482791	IOS 0480	Torrent	RS-120						1265					
592	Affleurement		341421	6482758	IOS 0481	Torrent	RS-120						870					
592	Affleurement		341401	6482745	IOS 0482	Torrent	RS-120						1519					
592	Affleurement		341444	6482750	IOS 0483	Torrent	RS-120						2155					
592	Affleurement		341394	6482716	IOS 0484	Torrent	RS-120						1100					
592	Affleurement		341466	6482717	IOS 0485	Torrent	RS-120						1171					
592	Affleurement		341472	6482669	IOS 0486	Torrent	RS-120						1180					
592	Affleurement		341362	6482896	IOS 0487	Torrent	RS-120						1513					
592	Affleurement		341337	6482931	IOS 0488	Torrent	RS-120						1208					
592	Affleurement		340640	6484056	IOS 0489	Torrent	RS-120						1100					
592	Affleurement		340531	6484016	IOS 0490	Torrent	RS-120						1100					
592	Affleurement		340538	6483972	IOS 0491	Torrent	RS-120						3200					
592	Affleurement		340569	6483995	IOS 0492	Torrent	RS-120						1200					
592	Affleurement		340683	6484009	IOS 0493	Torrent	RS-120						2000					
592	Affleurement		340541	6483956	IOS 0494	Torrent	RS-120						1300					
592	Affleurement		340485	6483930	IOS 0495	Torrent	RS-120						1500					
592	Affleurement		340490	6483894	IOS 0496	Torrent	RS-120						1200					
592	Affleurement		340529	6483908	IOS 0497	Torrent	RS-120						1001					
592	Affleurement		340587	6483926	IOS 0498	Torrent	RS-120						1100					
592	Affleurement		340594	6483927	IOS 0499	Torrent	RS-120						1090					



PROJECT NUMBER	SAMPLE	SAMPLE TYPE	UTMX (Nad 27)	UTMY (Nad 27)	OUTCROP / CHANNEL	OCCURRENCE	SCINTILLOMETER						ICP-MS				
							SCINTILLOMETER	U(ppm)	Th(ppm)	RATIO U/Th	CPS MAX	TYPICAL CPS	U <sub>3</sub> O <sub>8</sub> (wt %)	U/Th	Th	U, ICP	U + Th/4
															ppm	ppm	ppm
Nb Analyses	2115													1	2		
Compte	Historique											882		882	882	637	
Moyenne	Historique											0,055%		373	480	657	
Écart-type (σ)	Historique											0,184%		609	1406	1645	
Maximum	Historique											2,290%		8540	19100	19463	
Minimum	Historique											-0,001%		1	-2	5	
Compte	Projet											637		637	637	637	
Moyenne	Projet											0,063%		424	551	657	
Écart-type (σ)	Projet											0,188%		597	1593	1645	
Maximum	Projet											2,290%		4970	19100	19463	
Minimum	Projet											0,000%		0	2		
592		Affleurement	340535	6483822	IOS 0500	Torrent	RS-120					2800					
592		Affleurement	340614	6483846	IOS 0501	Torrent	RS-120					1100					
592		Affleurement	340637	6483848	IOS 0502	Torrent	RS-120					1050					
592		Affleurement	340645	6483858	IOS 0503	Torrent	RS-120					1200					
592		Affleurement	340780	6483861	IOS 0504	Torrent	RS-120					1200					
592		Affleurement	340569	6483794	IOS 0505	Torrent	RS-120					1400					
592		Affleurement	340564	6483782	IOS 0506	Torrent	RS-120					1200					
592		Affleurement	340541	6483771	IOS 0507	Torrent	RS-120					1050					
592		Affleurement	340540	6483783	IOS 0508	Torrent	RS-120					1400					
592		Affleurement	340600	6483764	IOS 0509	Torrent	RS-120					2000					
592		Affleurement	340791	6483777	IOS 0510	Torrent	RS-120					1100					
592		Affleurement	340831	6483763	IOS 0511	Torrent	RS-120					1500					
592		Affleurement	340836	6483719	IOS 0512	Torrent	RS-120					1000					
592		Affleurement	340789	6483686	IOS 0513	Torrent	RS-120					1175					
592		Affleurement	340887	6483684	IOS 0514	Torrent	RS-120					1350					
592		Affleurement	340892	6483664	IOS 0515	Torrent	RS-120					1800					
592		Affleurement	340840	6483625	IOS 0516	Torrent	RS-120					1001					
592		Affleurement	340841	6483625	IOS 0517	Torrent	RS-120					1050					
592		Affleurement	340892	6483617	IOS 0518	Torrent	RS-120					1335					
592		Affleurement	340840	6483599	IOS 0519	Torrent	RS-120					1800					
592		Affleurement	340805	6483580	IOS 0520	Torrent	RS-120					3800					
592		Affleurement	340894	6483585	IOS 0521	Torrent	RS-120					5800					
592		Affleurement	340896	6483566	IOS 0522	Torrent	RS-120					1800					
592		Affleurement	340898	6483546	IOS 0523	Torrent	RS-120					2400					
592		Affleurement	340911	6483545	IOS 0524	Torrent	RS-120					1050					
592		Affleurement	340986	6483576	IOS 0525	Torrent	RS-120					1100					
592		Affleurement	340997	6483546	IOS 0526	Torrent	RS-120					1080					
592		Affleurement	340868	6483514	IOS 0527	Torrent	RS-120					1090					
592		Affleurement	340897	6483492	IOS 0528	Torrent	RS-120					1350					
592		Affleurement	340984	6483529	IOS 0529	Torrent	RS-120					1400					
592		Affleurement	340875	6483474	IOS 0530	Torrent	RS-120					2400					
592		Affleurement	340854	6483479	IOS 0531	Torrent	RS-120					1000					
592		Affleurement	340865	6483458	IOS 0532	Torrent	RS-120					2600					
592		Affleurement	340874	6483459	IOS 0533	Torrent	RS-120					1300					
592		Affleurement	340815	6483467	IOS 0534	Torrent	RS-120					1600					
592		Affleurement	341007	6483500	IOS 0535	Torrent	RS-120					2800					
592		Affleurement	340930	6483447	IOS 0536	Torrent	RS-120					1050					
592		Affleurement	341024	6483449	IOS 0537	Torrent	RS-120					1060					
592		Affleurement	340927	6483418	IOS 0538	Torrent	RS-120					1600					
592		Affleurement	341205	6483452	IOS 0539	Torrent	RS-120					1100					
592		Affleurement	340901	6483372	IOS 0540	Torrent	RS-120					1600					
592		Affleurement	340862	6483359	IOS 0541	Torrent	RS-120					2000					
592		Affleurement	340856	6483331	IOS 0542	Torrent	RS-120					1300					
592		Affleurement	340865	6483335	IOS 0543	Torrent	RS-120					1100					
592		Affleurement	340882	6483345	IOS 0544	Torrent	RS-120					2000					
592		Affleurement	341121	6483389	IOS 0545	Torrent	RS-120					1950					
592		Affleurement	341004	6483350	IOS 0546	Torrent	RS-120					1900					
592		Affleurement	340969	6483343	IOS 0547	Torrent	RS-120					1100					
592		Affleurement	340857	6483307	IOS 0548	Torrent	RS-120					2300					
592		Affleurement	340888	6483295	IOS 0549	Torrent	RS-120					1000					
592		Affleurement	341183	6483388	IOS 0550	Torrent	RS-120					2200					
592		Affleurement	341135	6483351	IOS 0551	Torrent	RS-120					1200					
592		Affleurement	340977	6483289	IOS 0552	Torrent	RS-120					1050					



PROJECT NUMBER	SAMPLE	SAMPLE TYPE	UTMX (Nad 27)	UTMY (Nad 27)	OUTCROP / CHANNEL	OCCURRENCE	SCINTILLOMETER	SCINTILLOMETER					ICP-MS							
								U(ppm)	Th(ppm)	RATIO U/Th	CPS MAX	TYPICAL CPS	U <sub>3</sub> O <sub>8</sub> (wt %)	U/Th	Th ppm	U, ICP ppm	U + Th/4 ppm			
								1	2					1	2					
Nb Analyses	2115																			
Compte	Historique													882		882	882	637		
Moyenne	Historique													0,055%		373	480	657		
Écart-type (σ)	Historique													0,164%		609	1406	1645		
Maximum	Historique													2,290%		8540	19100	19483		
Minimum	Historique													-0,001%		1	-2	5		
Compte	Projet													637		637	637	637		
Moyenne	Projet													0,063%		424	551	657		
Écart-type (σ)	Projet													0,186%		597	1593	1645		
Maximum	Projet													2,290%		4970	19100	19483		
Minimum	Projet													0,000%		9	2			
592	Affleurement		340991	6483288	IOS 0553	Torrent	RS-120							1130						
592	Affleurement		340997	6483311	IOS 0554	Torrent	RS-120							1600						
592	Affleurement		352441	6497489	IOS 0555	Jonas	RS-120	4000						1100						
592	Affleurement		352488	6497290	IOS 0556	Jonas	RS-120	4400						1200						
592	Affleurement		352451	6497351	IOS 0557	Jonas	RS-120	4405						1200						
592	Affleurement		352451	6497314	IOS 0558	Jonas	RS-120	4430						2100						
592	Affleurement		352434	6497424	IOS 0559	Jonas	RS-120	2000						830						
592	Affleurement		351348	6496826	IOS 0560	Ilaluga	RS-120	2500												
592	Affleurement		351401	6496817	IOS 0561	Ilaluga	RS-120	2800												
592	Affleurement		351153	6496848	IOS 0562	Ilaluga	RS-120	3000												
592	Affleurement		351141	6496846	IOS 0563	Ilaluga	RS-120	4500												
592	Affleurement		351152	6496849	IOS 0564	Ilaluga	RS-120	5100												
592	Affleurement		350802	6497231	IOS 0565	Ilaluga	RS-120						1000							
592	Affleurement		350926	6497183	IOS 0566	Ilaluga	RS-120						1002							
592	Affleurement		350985	6497179	IOS 0567	Ilaluga	RS-120						1010							
592	Affleurement		350902	6497261	IOS 0568	Ilaluga	RS-120						1100							
592	Affleurement		351045	6497291	IOS 0569	Ilaluga	RS-120						1152							
592	Affleurement		350900	6497297	IOS 0570	Ilaluga	RS-120						1200							
592	Affleurement		350873	6497319	IOS 0571	Ilaluga	RS-120						1300							
592	Affleurement		350874	6497275	IOS 0572	Ilaluga	RS-120						1400							
592	Affleurement		350785	6497357	IOS 0573	Ilaluga	RS-120						1500							
592	Affleurement		350912	6497292	IOS 0574	Ilaluga	RS-120						1501							
592	Affleurement		351026	6497323	IOS 0575	Ilaluga	RS-120						1610							
592	Affleurement		350934	6497121	IOS 0576	Ilaluga	RS-120						1700							
592	Affleurement		351051	6497155	IOS 0577	Ilaluga	RS-120						1701							
592	Affleurement		351021	6497167	IOS 0578	Ilaluga	RS-120						2000							
592	Affleurement		350744	6497455	IOS 0579	Ilaluga	RS-120						2007							
592	Affleurement		351007	6497172	IOS 0580	Ilaluga	RS-120	4000												
592	Affleurement		352037	6498279	IOS 0581	Jonas	RS-120	14000												
592	Affleurement		350845	6497458	IOS 0582	Ilaluga	RS-120						1800							
592	Affleurement		352531	6497197	IOS 0583	Jonas	RS-120	5021												
592	Affleurement		349646	6500285	IOS 0584	Jonas	RS-120						1400							
592	Affleurement		349433	6500220	IOS 0585	Jonas	RS-120						2600							
592	Affleurement		349448	6500188	IOS 0586	Jonas	RS-120						3000							
592	Affleurement		351331	6496844	IOS 0587	Ilaluga	RS-120	2600					1000							
592	Affleurement		351354	6496823	IOS 0588	Ilaluga	RS-120	2800					1000							
592	Affleurement		351336	6496837	IOS 0589	Ilaluga	RS-120	2000					1050							
592	Affleurement		351212	6496784	IOS 0590	Ilaluga	RS-120	5500					1050							
592	Affleurement		351437	6496591	IOS 0591	Ilaluga	RS-120	4000					1100							
592	Affleurement		351334	6496887	IOS 0592	Ilaluga	RS-120	2200					1200							
592	Affleurement		351245	6496726	IOS 0593	Ilaluga	RS-120	5700					1350							
592	Affleurement		351241	6496728	IOS 0594	Ilaluga	RS-120	3700					1400							
592	Affleurement		351263	6496897	IOS 0595	Ilaluga	RS-120	4000					1400							
592	Affleurement		351236	6496731	IOS 0596	Ilaluga	RS-120	6500					1450							
592	Affleurement		351254	6496703	IOS 0597	Ilaluga	RS-120	14000					1800							
592	Affleurement		351245	6496724	IOS 0598	Ilaluga	RS-120	13000					2700							
592	Affleurement		351487	6496551	IOS 0599	Ilaluga	RS-120	1950					750							
592	Affleurement		351894	6496495	IOS 0600	Ilaluga	RS-120	2100					750							
592	Affleurement		351470	6496584	IOS 0601	Ilaluga	RS-120	2400					800							
592	Affleurement		351445	6496593	IOS 0602	Ilaluga	RS-120	2400					850							
592	Affleurement		351229	6496738	IOS 0603	Ilaluga	RS-120	3500					850							
592	Affleurement		351490	6496547	IOS 0604	Ilaluga	RS-120	2150					950							
592	Affleurement		334750	6491618	INU0001	Camp 2 Nord Tasiakuk	RS-125	1019												

PROJECT NUMBER	SAMPLE	SAMPLE TYPE	UTMX (Nad 27)	UTMY (Nad 27)	OUTCROP / CHANNEL	OCCURRENCE	SCINTILLOMETER	SCINTILLOMETER					U <sub>3</sub> O <sub>8</sub> (wt %)	U/Th	ICP-MS			
								U(ppm)	Th(ppm)	RATIO U/Th	CPS MAX	TYPICAL CPS			1	U, ICP ppm	2	U + Th/4 ppm
Nb Analyses	2115																	
Compte	Historique											882		882	882		637	
Moyenne	Historique											0,055%		373	480		657	
Écart-type (σ)	Historique											0,164%		609	1406		1645	
Maximum	Historique											2,290%		8540	19100		19483	
Minimum	Historique											-0,001%		1	-2		5	
Compte	Projet											637		637	637		637	
Moyenne	Projet											0,063%		424	551		657	
Écart-type (σ)	Projet											0,188%		597	1593		1845	
Maximum	Projet											2,290%		4970	19100		19483	
Minimum	Projet											0,000%		9	2			
592	Affleurement		334634	6490917	INU0002	Camp 2 Nord Tasiakuk	RS-120				1069							
592	Affleurement		338931	6490848	INU0003	INUIT	RS-120				1719							
592	Affleurement		337652	6488660	INU0004	INUIT	RS-120				1100							
592	Affleurement		339227	6489546	INU0005	INUIT	RS-120				1289							
592	Affleurement		339996	6487997	INU0006	INUIT	RS-120				1238							
592	Affleurement		337634	6493426	INU0007	INUIT	RS-120				1551							
592	Affleurement		337150	6490782	INU0008	INUIT	RS-120				1150							
592	Affleurement		337137	6490700	INU0009	INUIT	RS-120				1483							
592	Affleurement		337758	6488097	INU0010	INUIT	RS-120				1852							
592	Affleurement		338401	6487891	INU0011	INUIT	RS-120				1875							
592	Affleurement		338350	6488077	INU0012	INUIT	RS-120				3100							
592	Affleurement		336302	6489964	INU0013	INUIT	RS-120				1144							
592	Affleurement		337768	6490014	INU0014	INUIT	RS-120				1258							
592	Affleurement		337809	6490210	INU0015	INUIT	RS-120				1205							
592	Affleurement		338272	6490604	INU0016	INUIT	RS-120				1284							
592	Affleurement		334680	6492099	INU0017	INUIT	RS-120				1170							
592	Affleurement		336376	6494216	INU0018	INUIT	RS-120				1704							
592	Affleurement		338258	6490662	INU0019	INUIT	RS-120				1800							
592	Affleurement		338515	6490402	INU0020	INUIT	RS-120				1622							
592	Affleurement		336934	6490818	INU0021	INUIT	RS-120				1600							
592	Affleurement		336977	6490626	INU0022	INUIT	RS-120				1300							
592	Affleurement		338194	6487467	INU0023	INUIT	RS-120				1700							
592	Affleurement		340251	6488915	INU0024	INUIT	RS-120				3614							
592	Affleurement		340495	6487381	INU0025	INUIT	RS-120				1814							
592	Affleurement		339482	6488319	INU0026	INUIT	RS-120				3200							
592	Affleurement		338732	6493097	INU0027	INUIT	RS-120				1060							
592	Affleurement		336963	6490687	INU0028	INUIT	RS-120				1610							
592	Affleurement		337065	6490505	INU0029	INUIT	RS-120				1810							
592	Affleurement		337447	6490133	INU0030	INUIT	RS-120				1400							
592	Affleurement		337512	6489837	INU0031	INUIT	RS-120				1770							
592	Affleurement		337569	6488463	INU0032	INUIT	RS-120				1700							
592	Affleurement		337624	6488184	INU0033	INUIT	RS-120				2025							
592	Affleurement		337571	6488196	INU0034	INUIT	RS-120				1830							
592	Affleurement		337761	6488010	INU0035	INUIT	RS-120				1100							
592	Affleurement		337797	6487986	INU0036	INUIT	RS-120				1100							
592	Affleurement		337818	6487950	INU0037	INUIT	RS-120				1990							
592	Affleurement		337980	6487806	INU0038	INUIT	RS-120				1300							
592	Affleurement		338238	6488093	INU0039	INUIT	RS-120				1960							
592	Affleurement		338531	6488290	INU0040	INUIT	RS-120				1100							
592	Affleurement		336939	6494172	INU0041	INUIT	RS-120				1140							
592	Affleurement		338422	6493357	INU0042	INUIT	RS-120				1393							
592	Affleurement		340007	6489134	INU0043	INUIT	RS-120				6305							
592	Affleurement		338572	6490482	INU0044	INUIT	RS-120				4200							
592	Affleurement		337069	6490564	INU0045	INUIT	RS-120				3205							
592	Affleurement		339338	6489099	INU0046	INUIT	RS-120				1600							
592	Affleurement		340336	6487515	INU0047	INUIT	RS-120				1300							
592	Affleurement		339863	6488006	INU0048	INUIT	RS-120				2302							
592	Affleurement		339809	6488071	INU0049	INUIT	RS-120				2824							
592	Affleurement		339355	6488478	INU0050	INUIT	RS-120				3394							
592	Affleurement		337727	6493370	INU0051	INUIT	RS-120				3900							
592	Affleurement		336955	6490908	INU0052	INUIT	RS-120				2361							
592	Affleurement		336948	6490844	INU0053	INUIT	RS-120				1581							
592	Affleurement		336902	6490836	INU0054	INUIT	RS-120				1400							



PROJECT NUMBER	SAMPLE	SAMPLE TYPE	UTMX (Nad 27)	UTMY (Nad 27)	OUTCROP / CHANNEL	OCCURRENCE	SCINTILLOMETER	SCINTILLOMETER					ICP-MS					
								U(ppm)	Th(ppm)	RATIO U/Th	CPS MAX	TYPICAL CPS	U <sub>3</sub> O <sub>8</sub> (wt %)	U/Th	Th ppm	U, ICP ppm	U + Th/4 ppm	
														1	2			
Nb Analyses	2116																	
Compte	Historique												882		882	882		637
Moyenne	Historique												0,055%		373	480		657
Écart-type (σ)	Historique												0,184%		609	1406		1645
Maximum	Historique												2,290%		8540	19100		19463
Minimum	Historique												-0,001%		1	-2		5
Compte	Projet												637		637	637		637
Moyenne	Projet												0,063%		424	551		657
Écart-type (σ)	Projet												0,188%		597	1593		1645
Maximum	Projet												2,290%		4970	19100		19463
Minimum	Projet												0,000%		9	2		
592	Affleurement		336855	6490846	INU0055	INUIT	RS-120											1468
592	Affleurement		336899	6490795	INU0056	INUIT	RS-120											1404
592	Affleurement		336922	6490746	INU0057	INUIT	RS-120											1400
592	Affleurement		337171	6490574	INU0058	INUIT	RS-120											1800
592	Affleurement		337271	6490590	INU0059	INUIT	RS-120											2729
592	Affleurement		337428	6488886	INU0060	INUIT	RS-120											1884
592	Affleurement		337669	6488309	INU0061	INUIT	RS-120											2033
592	Affleurement		337654	6488125	INU0062	INUIT	RS-120											1232
592	Affleurement		337730	6488060	INU0063	INUIT	RS-120											2700
592	Affleurement		337841	6487977	INU0064	INUIT	RS-120											2024
592	Affleurement		337997	6488034	INU0065	INUIT	RS-120											3512
592	Affleurement		338040	6488013	INU0066	INUIT	RS-120											4408
592	Affleurement		338265	6488035	INU0067	INUIT	RS-120											2146
592	Affleurement		338304	6488118	INU0068	INUIT	RS-120											4505
592	Affleurement		338458	6488377	INU0069	INUIT	RS-120											1529
592	Affleurement		338101	6488648	INU0070	INUIT	RS-120											1405
592	Affleurement		338248	6489229	INU0071	INUIT	RS-120											1376
592	Affleurement		337945	6489943	INU0072	INUIT	RS-120											2124
592	Affleurement		338156	6490479	INU0073	INUIT	RS-120											2167
592	Affleurement		334391	6491183	INU0074	INUIT	RS-120											1700
592	Affleurement		337426	6493558	INU0075	INUIT	RS-120											1552
592	Affleurement		337742	6493829	INU0076	INUIT	RS-120											1095
592	Affleurement		340177	6489476	INU0077	INUIT	RS-120											2252
592	Affleurement		340091	6489486	INU0078	INUIT	RS-120											2766
592	Affleurement		334595	6491157	INU0079	INUIT	RS-120											1100
592	Affleurement		334534	6490816	INU0080	INUIT	RS-120											1500
592	Affleurement		334416	6490944	INU0081	INUIT	RS-120											1500
592	Affleurement		338705	6490357	INU0082	INUIT	RS-120											1200
592	Affleurement		337028	6490387	INU0083	INUIT	RS-120											1200
592	Affleurement		338849	6490282	INU0084	INUIT	RS-120											2488
592	Affleurement		338704	6490284	INU0085	INUIT	RS-120											2000
592	Affleurement		338749	6490282	INU0086	INUIT	RS-120											2488
592	Affleurement		337064	6490971	INU0087	INUIT	RS-120											1110
592	Affleurement		337091	6490895	INU0088	INUIT	RS-120											8640
592	Affleurement		337085	6490792	INU0089	INUIT	RS-120											1523
592	Affleurement		337075	6490679	INU0090	INUIT	RS-120											2520
592	Affleurement		337041	6490309	INU0091	INUIT	RS-120											1120
592	Affleurement		337205	6490090	INU0092	INUIT	RS-120											1265
592	Affleurement		339151	6488917	INU0093	INUIT	RS-120											1129
592	Affleurement		339472	6488539	INU0094	INUIT	RS-120											1188
592	Affleurement		339535	6488403	INU0095	INUIT	RS-120											5030
592	Affleurement		339639	6488326	INU0096	INUIT	RS-120											1348
592	Affleurement		339939	6488043	INU0097	INUIT	RS-120											1385
592	Affleurement		339923	6487929	INU0098	INUIT	RS-120											2257
592	Affleurement		339650	6488115	INU0099	INUIT	RS-120											2346
592	Affleurement		339379	6488612	INU0100	INUIT	RS-120											1183
592	Affleurement		339937	6488110	INU0101	INUIT	RS-120											3526
592	Affleurement		339706	6488266	INU0102	INUIT	RS-120											1984
592	Affleurement		338858	6492715	INU0103	INUIT	RS-120											1123
592	Affleurement		338838	6492841	INU0104	INUIT	RS-120											1398
592	Affleurement		337083	6490983	INU0105	INUIT	RS-120											2279
592	Affleurement		337105	6490420	INU0106	INUIT	RS-120											1375
592	Affleurement		337440	6489949	INU0107	INUIT	RS-120											2225



PROJECT NUMBER	SAMPLE	SAMPLE TYPE	UTMX (Nad 27)	UTMY (Nad 27)	OUTCROP / CHANNEL	OCCURRENCE	SCINTILLOMETER	SCINTILLOMETER						ICP-MS				
								U(ppm)	Th(ppm)	RATIO U/Th	CPS MAX	TYPICAL CPS	U <sub>3</sub> O <sub>8</sub> (wt %)	U/Th	Th ppm	U, ICP ppm	U + Th/4 ppm	
														1	2			
Nb Analyses	2116																	
Compte	Historique												882		882	882	637	
Moyenne	Historique												0,055%		373	480	657	
Écart-type (σ)	Historique												0,164%		609	1408	1645	
Maximum	Historique												2,290%		8540	19100	19483	
Minimum	Historique												-0,001%		1	-2	5	
Compte	Projet												637		637	637	637	
Moyenne	Projet												0,063%		424	551	657	
Écart-type (σ)	Projet												0,186%		597	1593	1645	
Maximum	Projet												2,290%		4970	19100	19483	
Minimum	Projet												0,000%		9	2		
592	Affleurement		337839	6489248	INU0108	INUIT	RS-120					1385						
592	Affleurement		337436	6489191	INU0109	INUIT	RS-120					1183						
592	Affleurement		337836	6488528	INU0110	INUIT	RS-120					1367						
592	Affleurement		337687	6488443	INU0111	INUIT	RS-120					1162						
592	Affleurement		337551	6488085	INU0112	INUIT	RS-120					1528						
592	Affleurement		337785	6488108	INU0113	INUIT	RS-120					1280						
592	Affleurement		337812	6488006	INU0114	INUIT	RS-120					3560						
592	Affleurement		337913	6487747	INU0115	INUIT	RS-120					3255						
592	Affleurement		338206	6488171	INU0116	INUIT	RS-120					1610						
592	Affleurement		338335	6487897	INU0117	INUIT	RS-120					5720						
592	Affleurement		338541	6488167	INU0118	INUIT	RS-120					3705						
592	Affleurement		338281	6490507	INU0119	INUIT	RS-120					1685						
592	Affleurement		334844	6492465	INU0120	INUIT	RS-120					1318						
592	Affleurement		334253	6492053	INU0121	INUIT	RS-120					1502						
592	Affleurement		337000	6494123	INU0122	INUIT	RS-120					1358						
592	Affleurement		337777	6493465	INU0123	INUIT	RS-120					4189						
592	Affleurement		338119	6493529	INU0124	INUIT	RS-120					1418						
592	Affleurement		338438	6493120	INU0125	INUIT	RS-120					1183						
592	Affleurement		340101	6489006	INU0126	INUIT	RS-120					2038						
592	Affleurement		342257	6481822	INU0127	INUIT	RS-120					5063						
592	Affleurement		342171	6481787	INU0128	INUIT	RS-120					5800						
592	Affleurement		342021	6482106	INU0129	Continuité 48	RS-120					10630						
592	Affleurement		341718	6481890	INU0130	Continuité 48	RS-120					5030						
592	Affleurement		342090	6481920	INU0131	Continuité 48	RS-120					5031						
592	Affleurement		341713	6481891	INU0132	Continuité 48	RS-120					1905						
592	Affleurement		342168	6481837	INU0133	Continuité 48	RS-120					2100						
592	Affleurement		342060	6481990	INU0134	Continuité 48	RS-120					1300						
592	Affleurement		342024	6482107	INU0135	Continuité 48	RS-120					1301						
592	Affleurement		342053	6481999	INU0136	Continuité 48	RS-120					1400						
592	Affleurement		342038	6482044	INU0137	Continuité 48	RS-120					1401						
592	Affleurement		341980	6482139	INU0138	Continuité 48	RS-120					1407						
592	Affleurement		341995	6482124	INU0139	Continuité 48	RS-120					1410						
592	Affleurement		342095	6481938	INU0140	Continuité 48	RS-120					1500						
592	Affleurement		341998	6482121	INU0141	Continuité 48	RS-120					1501						
592	Affleurement		342053	6481996	INU0142	Continuité 48	RS-120					1600						
592	Affleurement		341972	6482148	INU0143	Continuité 48	RS-120					1804						
592	Affleurement		342061	6481988	INU0144	Continuité 48	RS-120					1900						
592	Affleurement		341967	6482160	INU0145	Continuité 48	RS-120					2007						
592	Affleurement		342091	6481937	INU0146	Continuité 48	RS-120					2500						
592	Affleurement		342141	6481855	INU0147	Continuité 48	RS-120					2600						
592	Affleurement		342091	6481924	INU0148	Continuité 48	RS-120					2601						
592	Affleurement		342018	6482109	INU0149	Continuité 48	RS-120					2610						
592	Affleurement		342000	6482113	INU0150	Continuité 48	RS-120					2611						
592	Affleurement		342109	6481904	INU0151	Continuité 48	RS-120					2700						
592	Affleurement		342090	6481918	INU0152	Continuité 48	RS-120					2800						
592	Affleurement		342132	6481866	INU0153	Continuité 48	RS-120					3200						
592	Affleurement		342064	6481984	INU0154	Continuité 48	RS-120					3300						
592	Affleurement		341970	6482151	INU0155	Continuité 48	RS-120					3404						
592	Affleurement		342059	6482011	INU0156	Continuité 48	RS-120					3500						
592	Affleurement		342134	6481871	INU0157	Continuité 48	RS-120					3600						
592	Affleurement		342082	6482005	INU0158	Continuité 48	RS-120					3900						
592	Affleurement		342015	6482105	INU0159	Continuité 48	RS-120					3901						
592	Affleurement		342056	6482008	INU0160	Continuité 48	RS-120					4002						

PROJECT NUMBER	SAMPLE	SAMPLE TYPE	UTMX (Nad 27)	UTMY (Nad 27)	OUTCROP / CHANNEL	OCCURRENCE	SCINTILLOMETER	SCINTILLOMETER					ICP-MS					
								U(ppm)	Th(ppm)	RATIO U/Th	CPS MAX	TYPICAL CPS	U <sub>3</sub> O <sub>8</sub> (wt %)	U/Th	Th ppm	U, ICP ppm	U + Th/4 ppm	
														1	2			
Nb Analyses	2115																	
Compte	Historique												882		882	882	637	
Moyenne	Historique												0,055%		373	480	657	
Écart-type (σ)	Historique												0,164%		609	1408	1645	
Maximum	Historique												2,290%		8540	19100	19483	
Minimum	Historique												-0,001%		1	-2	5	
Compte	Projet												837		637	637	637	
Moyenne	Projet												0,063%		424	551	857	
Écart-type (σ)	Projet												0,186%		597	1593	1645	
Maximum	Projet												2,290%		4970	19100	19483	
Minimum	Projet												0,000%		9	2		
592	Affleurement		342088	6481914	INU0161	Continuité 48	RS-120					4075						
592	Affleurement		342092	6481927	INU0162	Continuité 48	RS-120					4200						
592	Affleurement		342056	6482003	INU0163	Continuité 48	RS-120					4202						
592	Affleurement		342155	6481841	INU0164	Continuité 48	RS-120					4400						
592	Affleurement		341973	6482144	INU0165	Continuité 48	RS-120					4401						
592	Affleurement		342001	6482119	INU0166	Continuité 48	RS-120					4703						
592	Affleurement		342107	6481897	INU0167	Continuité 48	RS-120					4800						
592	Affleurement		341960	6482167	INU0168	Continuité 48	RS-120					4901						
592	Affleurement		342063	6482007	INU0169	Continuité 48	RS-120					5000						
592	Affleurement		342021	6482112	INU0170	Continuité 48	RS-120					5002						
592	Affleurement		342092	6481923	INU0171	Continuité 48	RS-120					5300						
592	Affleurement		342092	6481928	INU0172	Continuité 48	RS-120					5700						
592	Affleurement		342017	6482107	INU0173	Continuité 48	RS-120					6000						
592	Affleurement		341997	6482120	INU0174	Continuité 48	RS-120					6011						
592	Affleurement		342061	6482010	INU0175	Continuité 48	RS-120					6500						
592	Affleurement		342062	6482004	INU0176	Continuité 48	RS-120					7000						
592	Affleurement		342103	6481911	INU0177	Continuité 48	RS-120					7800						
592	Affleurement		342023	6482105	INU0178	Continuité 48	RS-120					8370						
592	Affleurement		342015	6482100	INU0179	Continuité 48	RS-120					9500						
592	Affleurement		341708	6481880	INU0180	Continuité 48	RS-120					9450						
592	Affleurement		344262	6480842	INU0181	INUIT	RS-120					2600						
592	Affleurement		344494	6480438	INU0182	INUIT	RS-120					1500						
592	Affleurement		344772	6480403	INU0183	INUIT	RS-120					1200						
592	Affleurement		344946	6480026	INU0184	INUIT	RS-120					2500						
592	Affleurement		342850	6480885	INU0185	INUIT	RS-120					2100						
592	Affleurement		344051	6480809	INU0186	INUIT	RS-120					1100						
592	Affleurement		344307	6480786	INU0187	INUIT	RS-120					1000						
592	Affleurement		344737	6480211	INU0188	INUIT	RS-120					1000						
592	Affleurement		342295	6479810	INU0189	INUIT	RS-120					1400						
592	Affleurement		343208	6479773	INU0190	INUIT	RS-120					7400						
592	Affleurement		342341	6481667	INU0191	INUIT	RS-120					3050						
592	Affleurement		342435	6481670	INU0192	INUIT	RS-120					3000						
592	Affleurement		342690	6481545	INU0193	INUIT	RS-120					2400						
592	Affleurement		342752	6481297	INU0194	INUIT	RS-120					3500						
592	Affleurement		342873	6481196	INU0195	INUIT	RS-120					2400						
592	Affleurement		342490	6481284	INU0196	INUIT	RS-120					2500						
592	Affleurement		343176	6480933	INU0197	INUIT	RS-120					2500						
592	Affleurement		343509	6480638	INU0198	INUIT	RS-120					1500						
592	Affleurement		344054	6479589	INU0199	INUIT	RS-120					1600						
592	Affleurement		343857	6479667	INU0200	INUIT	RS-120					2500						
592	Affleurement		344189	6479420	INU0201	INUIT	RS-120					2500						
592	Affleurement		340074	6489083	INU0202	INUIT	RS-120					1585						
592	Affleurement		341021	6482174	INU0203	INUIT	RS-120					4139						
592	Affleurement		341301	6482141	INU0204	INUIT	RS-120					4685						
592	Affleurement		341654	6482121	INU0205	INUIT	RS-120					3558						
592	Affleurement		342023	6482114	INU0206	INUIT	RS-120					5800						
592	Affleurement		341864	6482447	INU0207	INUIT	RS-120					5300						
592	Affleurement		342170	6481876	INU0208	INUIT	RS-120					4100						
592	Affleurement		342232	6481831	INU0209	INUIT	RS-120					9000						
592	Affleurement		342256	6481620	INU0210	INUIT	RS-120					4000						
592	Affleurement		342278	6481568	INU0211	INUIT	RS-120					5000						
592	Affleurement		342458	6481437	INU0212	INUIT	RS-120					4500						
592	Affleurement		342531	6481340	INU0213	INUIT	RS-120					7700						



PROJECT NUMBER	SAMPLE	SAMPLE TYPE	UTMX (Nad 27)	UTMY (Nad 27)	OUTCROP / CHANNEL	OCCURRENCE	SCINTILLOMETER	SCINTILLOMETER					ICP-MS					
								U(ppm)	Th(ppm)	RATIO U/Th	CPS MAX	TYPICAL CPS	U <sub>3</sub> O <sub>8</sub> (wt %)	U/Th	Th ppm	U, ICP ppm	U + Th/4 ppm	
								1	2									
Nb Analyses	2115																	
Compte	Historique												882		882	882	637	
Moyenne	Historique												0,055%		373	480	657	
Écart-type (σ)	Historique												0,164%		609	1406	1645	
Maximum	Historique												2,290%		8540	19100	19463	
Minimum	Historique												-0,001%		1	-2	5	
Compte	Projet												637		637	637	637	
Moyenne	Projet												0,063%		424	551	657	
Écart-type (σ)	Projet												0,186%		597	1593	1645	
Maximum	Projet												2,290%		4970	19100	19463	
Minimum	Projet												0,000%		9	2		
592	Affleurement		343373	6481267	INU0214	INUIT	RS-120				4000							
592	Affleurement		343531	6481359	INU0215	INUIT	RS-120				3400							
592	Affleurement		342561	6479395	INU0216	INUIT	RS-120				1200							
592	Affleurement		342533	6481342	INU0217	INUIT	RS-120				12000							
592	Affleurement		343348	6481117	INU0218	INUIT	RS-120				2100							
592	Affleurement		344307	6480788	INU0219	INUIT	RS-120				1000							
592	Affleurement		344309	6480658	INU0220	INUIT	RS-120				4000							
592	Affleurement		344568	6480300	INU0221	INUIT	RS-120				1800							
592	Affleurement		345907	6479288	INU0222	INUIT	RS-120				2300							
592	Affleurement		342774	6480643	INU0223	INUIT	RS-120				1000							
592	Affleurement		340970	6482201	INU0224	INUIT	RS-120				1387							
592	Affleurement		341265	6482095	INU0225	INUIT	RS-120				3242							
592	Affleurement		341479	6481931	INU0226	INUIT	RS-120				1282							
592	Affleurement		341833	6481997	INU0227	INUIT	RS-120				1849							
592	Affleurement		341943	6482193	INU0228	INUIT	RS-120				3248							
592	Affleurement		340152	6489043	INU0229	INUIT	RS-120				13500							
592	Affleurement		340152	6481684	INU0230	INUIT	RS-120				3538							
592	Affleurement		341151	6482060	INU0231	INUIT	RS-120				2780							
592	Affleurement		341065	6482282	INU0232	INUIT	RS-120				1200							
592	Affleurement		341102	6482181	INU0233	INUIT	RS-120				1932							
592	Affleurement		341778	6481880	INU0234	INUIT	RS-120				1911							
592	Affleurement		341708	6481880	INU0235	INUIT	RS-120				9450							
592	Affleurement		342550	6481239	INU0236	INUIT	RS-120				4500							
592	Affleurement		342088	6481926	INU0237	INUIT	RS-120				6000							
592	Affleurement		342098	6481940	INU0238	INUIT	RS-120				6000							
592	Affleurement		342199	6481991	INU0239	INUIT	RS-120				10000							
592	Affleurement		344716	6479177	INU0240	INUIT	RS-120				6000							
592	Affleurement		343954	6479515	INU0241	INUIT	RS-120				1400							
592	Affleurement		344063	6479407	INU0242	INUIT	RS-120				5000							
592	Affleurement		342849	6480290	INU0243	INUIT	RS-120				6000							
592	Affleurement		343714	6480802	INU0244	INUIT	RS-120				11000							
592	Affleurement		344295	6480689	INU0245	INUIT	RS-120				1500							
592	Affleurement		343875	6479528	INU0246	INUIT	RS-120				1500							
592	Affleurement		345923	6478743	INU0247	INUIT	RS-120				1700							
592	Affleurement		339772	6489248	INU0248	INUIT	RS-120				1683							
592	Affleurement		340072	6481748	INU0249	INUIT	RS-120				4470							
592	Affleurement		341506	6481942	INU0250	INUIT	RS-120				1270							
592	Affleurement		341970	6481880	INU0251	INUIT	RS-120				4585							
592	Affleurement		341933	6482270	INU0252	INUIT	RS-120				1482							
592	Affleurement		342311	6481540	INU0253	INUIT	RS-120				1800							
592	Affleurement		342512	6481385	INU0254	INUIT	RS-120				1200							
592	Affleurement		342703	6481143	INU0255	INUIT	RS-120				1444							
592	Affleurement		338136	6490678	INU0256	INUIT	RS-120				5030							
592	Affleurement		337911	6489017	INU0257	INUIT	RS-120				4300							
592	Affleurement		338422	6487908	INU0258	INUIT	RS-120				3009							
592	Affleurement		339584	6488737	INU0259	INUIT	RS-120				2400							
592	Affleurement		339981	6488339	INU0260	INUIT	RS-120				3518							
592	Affleurement		340310	6487976	INU0261	INUIT	RS-120				3065							
592	Affleurement		339355	6488478	INU0262	INUIT	RS-120				4073							
592	Affleurement		338854	6492655	INU0263	INUIT	RS-120				1208							
592	Affleurement		337146	6490582	INU0264	INUIT	RS-120				1500							
592	Affleurement		337484	6490287	INU0265	INUIT	RS-120				1834							
592	Affleurement		337532	6489201	INU0266	INUIT	RS-120				1200							



PROJECT NUMBER	SAMPLE	SAMPLE TYPE	UTMX (Nad 27)	UTMY (Nad 27)	OUTCROP / CHANNEL	OCCURRENCE	SCINTILLOMETER	SCINTILLOMETER						ICP-MS				
								U(ppm)	Th(ppm)	RATIO U/Th	CPS MAX	TYPICAL CPS	U <sub>3</sub> O <sub>8</sub> (wt %)	U/Th	Th	U, ICP	U + Th/4	
															ppm	ppm	ppm	
Nb Analyses	2116																	
Compte	Historique												882		882	882	637	
Moyenne	Historique												0,055%		373	480	657	
Écart-type (σ)	Historique												0,164%		609	1408	1645	
Maximum	Historique												2,290%		8540	19100	19463	
Minimum	Historique												-0,001%		1	-2	5	
Compte	Projet												637		637	637	637	
Moyenne	Projet												0,063%		424	551	657	
Écart-type (σ)	Projet												0,186%		597	1593	1645	
Maximum	Projet												2,290%		4970	19100	19463	
Minimum	Projet												0,000%		9	2		
592	Affleurement		334192	6492385	INU0267	INUIT	RS-120				1622							
592	Affleurement		334821	6491548	INU0268	INUIT	RS-120				1075							
592	Affleurement		338216	6488312	INU0269	INUIT	RS-120				1450							
592	Affleurement		338650	6488271	INU0270	INUIT	RS-120				977							
592	Affleurement		337951	6487810	INU0271	INUIT	RS-120				1500							
592	Affleurement		337736	6488221	INU0272	INUIT	RS-120				1030							
592	Affleurement		337391	6488718	INU0273	INUIT	RS-120				1603							
592	Affleurement		337294	6493721	INU0274	INUIT	RS-120				1150							
592	Affleurement		364285	6475584	INU0275	Camp Inuit 5	RS-120				1100							
592	Affleurement		364956	6477054	INU0276	Camp Inuit 5	RS-120				1700							
592	Affleurement		364966	6477196	INU0277	Camp Inuit 5	RS-120				10100							
592	Affleurement		364775	6477380	INU0278	Camp Inuit 5	RS-120				1000							
592	Affleurement		364405	6477529	INU0279	Camp Inuit 5	RS-120				1400							
592	Affleurement		363978	6477933	INU0280	Camp Inuit 5	RS-120				1300							
592	Affleurement		364507	6478477	INU0281	Camp Inuit 5	RS-120				3500							
592	Affleurement		364494	6478347	INU0282	Camp Inuit 5	RS-120				5900							
592	Affleurement		364989	6477147	INU0283	Camp Inuit 5	RS-120				8000							
592	Affleurement		364985	6477674	INU0284	Camp Inuit 5	RS-120				2500							
592	Affleurement		365043	6477687	INU0285	Camp Inuit 5	RS-120				4200							
592	Affleurement		364995	6478047	INU0286	Camp Inuit 5	RS-120				1700							
592	Affleurement		365052	6477934	INU0287	Camp Inuit 5	RS-120				6400							
592	Affleurement		364271	6475565	INU0288	Camp Inuit 5	RS-120				3300							
592	Affleurement		364037	6475873	INU0289	Camp Inuit 5	RS-120				1200							
592	Affleurement		364690	6476855	INU0290	Camp Inuit 5	RS-120				2100							
592	Affleurement		364803	6476825	INU0291	Camp Inuit 5	RS-120				1300							
592	Affleurement		364659	6477109	INU0292	Camp Inuit 5	RS-120				1300							
592	Affleurement		364753	6477121	INU0293	Camp Inuit 5	RS-120				1700							
592	Affleurement		364988	6477293	INU0294	Camp Inuit 5	RS-120				1100							
592	Affleurement		364878	6477453	INU0295	Camp Inuit 5	RS-120				1000							
592	Affleurement		364428	6478390	INU0296	Camp Inuit 5	RS-120				2900							
592	Affleurement		365004	6477544	INU0297	Camp Inuit 5	RS-120				3100							
592	Affleurement		364451	6478226	INU0298	Camp Inuit 5	RS-120				4000							
592	Affleurement		364985	6477911	INU0299	Camp Inuit 5	RS-120				1700							
592	Affleurement		364997	6477930	INU0300	Camp Inuit 5	RS-120				3700							
592	Affleurement		365003	6478832	INU0301	Camp Inuit 5	RS-120				10000							
592	Affleurement		364758	6476712	INU0302	Camp Inuit 5	RS-120				1500							
592	Affleurement		365067	6476687	INU0303	Camp Inuit 5	RS-120				7900							
592	Affleurement		364459	6476995	INU0304	Camp Inuit 5	RS-120				1200							
592	Affleurement		365092	6476889	INU0305	Camp Inuit 5	RS-120				10900							
592	Affleurement		365084	6476938	INU0306	Camp Inuit 5	RS-120				10000							
592	Affleurement		365156	6477174	INU0307	Camp Inuit 5	RS-120				8000							
592	Affleurement		365059	6477851	INU0308	Camp Inuit 5	RS-120				13000							
592	Affleurement		365022	6477317	INU0309	Camp Inuit 5	RS-120				4200							
592	Affleurement		365244	6477500	INU0310	Camp Inuit 5	RS-120				4100							
592	Affleurement		364481	6478491	INU0311	Camp Inuit 5	RS-120				5100							
592	Affleurement		364555	6478145	INU0312	Camp Inuit 5	RS-120				1800							
592	Affleurement		363000	6476676	INU0313	Camp Inuit 5	RS-120				1100							
592	Affleurement		364043	6475403	INU0314	Camp Inuit 5	RS-120				2000							
592	Affleurement		364463	6476721	INU0315	Camp Inuit 5	RS-120				2500							
592	Affleurement		364887	6476700	INU0316	Camp Inuit 5	RS-120				3500							
592	Affleurement		364818	6477006	INU0317	Camp Inuit 5	RS-120				1400							
592	Affleurement		365084	6476793	INU0318	Camp Inuit 5	RS-120				10200							
592	Affleurement		365170	6477246	INU0319	Camp Inuit 5	RS-120				10300							



PROJECT NUMBER	SAMPLE	SAMPLE TYPE	UTMX (Nad 27)	UTMY (Nad 27)	OUTCROP / CHANNEL	OCCURRENCE	SCINTILLOMETER	SCINTILLOMETER						ICP-MS				
								U(ppm)	Th(ppm)	RATIO U/Th	CPS MAX	TYPICAL CPS	U <sub>2</sub> O <sub>5</sub> (wt %)	U/Th	Th ppm	U, ICP ppm	U + Th/4 ppm	
														1	2			
Nb Analyses	2115																	
Compte	Historique												882		882	882	637	
Moyenne	Historique												0,055%		373	480	657	
Écart-type (σ)	Historique												0,164%		609	1406	1645	
Maximum	Historique												2,290%		8540	19100	19463	
Minimum	Historique												-0,001%		1	-2	5	
Compte	Projet												637		637	637	637	
Moyenne	Projet												0,063%		424	551	657	
Écart-type (σ)	Projet												0,186%		597	1593	1645	
Maximum	Projet												2,290%		4970	19100	19463	
Minimum	Projet												0,000%		9	2		
592	Affleurement		365237	6477504	INU0320	Camp Inuit 5	RS-120				2500							
592	Affleurement		365056	6477787	INU0321	Camp Inuit 5	RS-120				5100							
592	Affleurement		363002	6478729	INU0322	Camp Inuit 5	RS-120				1100							
592	Affleurement		364497	6478535	INU0323	Camp Inuit 5	RS-120				1400							
592	Affleurement		364521	6478481	INU0324	Camp Inuit 5	RS-120				9700							
592	Affleurement		364562	6478316	INU0325	Camp Inuit 5	RS-120				3100							
592	Affleurement		364455	6477986	INU0326	Camp Inuit 5	RS-120				3000							
592	Affleurement		364171	6475508	INU0327	Camp Inuit 5	RS-120				2500							
592	Affleurement		364373	6476969	INU0328	Camp Inuit 5	RS-120				3500							
592	Affleurement		364874	6476823	INU0329	Camp Inuit 5	RS-120				4000							
592	Affleurement		365088	6476809	INU0330	Camp Inuit 5	RS-120				3000							
592	Affleurement		365087	6476703	INU0331	Camp Inuit 5	RS-120				6500							
592	Affleurement		365109	6476768	INU0332	Camp Inuit 5	RS-120				3500							
592	Affleurement		365121	6476856	INU0333	Camp Inuit 5	RS-120				11000							
592	Affleurement		365108	6476890	INU0334	Camp Inuit 5	RS-120				10000							
592	Affleurement		365149	6477125	INU0335	Camp Inuit 5	RS-120				10000							
592	Affleurement		365165	6477211	INU0336	Camp Inuit 5	RS-120				6000							
592	Affleurement		364968	6477092	INU0337	Camp Inuit 5	RS-120				4000							
592	Affleurement		364914	6479312	INU0338	Camp Inuit 5	RS-120				5000							
592	Affleurement		364778	6478812	INU0339	Camp Inuit 5	RS-120				1200							
592	Affleurement		364847	6478847	INU0340	Camp Inuit 5	RS-120				1200							
592	Affleurement		364850	6478850	INU0341	Camp Inuit 5	RS-120				10000							
592	Affleurement		364736	6476709	INU0342	Camp Inuit 5	RS-120				2500							
592	Affleurement		365106	6476886	INU0343	Camp Inuit 5	RS-120				6500							
592	Affleurement		365086	6476850	INU0344	Camp Inuit 5	RS-120				10000							
592	Affleurement		365080	6476855	INU0345	Camp Inuit 5	RS-120				6000							
592	Affleurement		365205	6477341	INU0346	Camp Inuit 5	RS-120				2700							
592	Affleurement		365262	6477538	INU0347	Camp Inuit 5	RS-120				4000							
592	Affleurement		365091	6478139	INU0348	Camp Inuit 5	RS-120				6000							
592	Affleurement		365050	6478151	INU0349	Camp Inuit 5	RS-120				3000							
592	Affleurement		365043	6478233	INU0350	Camp Inuit 5	RS-120				24000							
592	Affleurement		365028	6478373	INU0351	Camp Inuit 5	RS-120				10000							
592	Affleurement		364535	6478673	INU0352	Camp Inuit 5	RS-120				1000							
592	Affleurement		364500	6478551	INU0353	Camp Inuit 5	RS-120				3000							
592	Affleurement		364486	6478434	INU0354	Camp Inuit 5	RS-120				4500							
592	Affleurement		364292	6478102	INU0355	Camp Inuit 5	RS-120				3500							
592	Affleurement		365012	6477280	INU0356	Camp Inuit 5	RS-120				3500							
592	Affleurement		365035	6477280	INU0357	Camp Inuit 5	RS-120				2000							
592	Affleurement		365062	6477400	INU0358	Camp Inuit 5	RS-120				5000							
592	Affleurement		365138	6477810	INU0359	Camp Inuit 5	RS-120				2500							
592	Affleurement		365059	6477687	INU0360	Camp Inuit 5	RS-120				7500							
592	Affleurement		364815	6479209	INU0361	Camp Inuit 5	RS-120				2400							
592	Affleurement		364897	6479299	INU0362	Camp Inuit 5	RS-120				1500							
592	Affleurement		365084	6479081	INU0363	Camp Inuit 5	RS-120				3000							
592	Affleurement		365075	6479036	INU0364	Camp Inuit 5	RS-120				7000							
592	Affleurement		364996	6479011	INU0365	Camp Inuit 5	RS-120				1400							
592	Affleurement		365026	6478846	INU0366	Camp Inuit 5	RS-120				7500							
592	Affleurement		365038	6478798	INU0367	Camp Inuit 5	RS-120				2200							
592	Affleurement		364942	6478767	INU0368	Camp Inuit 5	RS-120				1300							
592	Affleurement		346893	6507621	INU0369	Camp Inuit 4	RS-120				1800							
592	Affleurement		347232	6506820	INU0370	Camp Inuit 4	RS-120				2200							
592	Affleurement		347203	6506764	INU0371	Camp Inuit 4	RS-120				20000							
592	Affleurement		345963	6505682	INU0372	Camp Inuit 4	RS-120				1000							



PROJECT NUMBER	SAMPLE	SAMPLE TYPE	UTMX (Nad 27)	UTMY (Nad 27)	OUTCROP / CHANNEL	OCCURRENCE	SCINTILLOMETER	SCINTILLOMETER					U <sub>2</sub> O <sub>5</sub> (wt %)	U/Th	ICP-MS			
								U(ppm)	Th(ppm)	RATIO U/Th	CPS MAX	TYPICAL CPS			Th ppm	U, ICP ppm	U + Th/4 ppm	
																		1
Nb Analyses	2115																	
Compte	Historique											882		882	882	637		
Moyenne	Historique											0,055%		373	480	657		
Écart-type (σ)	Historique											0,164%		609	1406	1645		
Maximum	Historique											2,290%		8540	19100	19463		
Minimum	Historique											-0,001%		1	-2	5		
Compte	Projet											637		637	637	637		
Moyenne	Projet											0,063%		424	551	657		
Écart-type (σ)	Projet											0,186%		597	1593	1645		
Maximum	Projet											2,290%		4970	19100	19463		
Minimum	Projet											0,000%		9	2			
592	Affleurement		345971	6505735	INU0373	Camp Inuit 4	RS-120				1000							
592	Affleurement		346286	6506168	INU0374	Camp Inuit 4	RS-120				1000							
592	Affleurement		346893	6505519	INU0375	Camp Inuit 4	RS-120				4000							
592	Affleurement		346465	6504473	INU0376	Camp Inuit 4	RS-120				1400							
592	Affleurement		346648	6503079	INU0377	Camp Inuit 4	RS-120				10000							
592	Affleurement		347030	6501650	INU0378	Camp Inuit 4	RS-120				1600							
592	Affleurement		347166	6501417	INU0379	Camp Inuit 4	RS-120				3000							
592	Affleurement		345928	6504834	INU0380	Camp Inuit 4	RS-120				1100							
592	Affleurement		345848	6504936	INU0381	Camp Inuit 4	RS-120				1000							
592	Affleurement		346572	6500690	INU0382	Camp Inuit 4	RS-120				1000							
592	Affleurement		345798	6508489	INU0383	Camp Inuit 4	RS-120				1800							
592	Affleurement		345824	6508444	INU0384	Camp Inuit 4	RS-120				2600							
592	Affleurement		346340	6504718	INU0385	Camp Inuit 4	RS-120				1000							
592	Affleurement		345874	6503652	INU0386	Camp Inuit 4	RS-120				1500							
592	Affleurement		346933	6503015	INU0387	Camp Inuit 4	RS-120				1200							
592	Affleurement		346498	6504311	INU0388	Camp Inuit 4	RS-120				1400							
592	Affleurement		346525	6503880	INU0389	Camp Inuit 4	RS-120				5400							
592	Affleurement		346506	6503830	INU0390	Camp Inuit 4	RS-120				1900							
592	Affleurement		346543	6503707	INU0391	Camp Inuit 4	RS-120				5100							
592	Affleurement		346572	6503662	INU0392	Camp Inuit 4	RS-120				6600							
592	Affleurement		346625	6503551	INU0393	Camp Inuit 4	RS-120				5000							
592	Affleurement		347434	6502400	INU0394	Camp Inuit 4	RS-120				1100							
592	Affleurement		347402	6501320	INU0395	Camp Inuit 4	RS-120				1100							
592	Affleurement		347414	6501348	INU0396	Camp Inuit 4	RS-120				5000							
592	Affleurement		346800	6500670	INU0397	Camp Inuit 4	RS-120				1800							
592	Affleurement		346719	6500635	INU0398	Camp Inuit 4	RS-120				1000							
592	Affleurement		346514	6500719	INU0399	Camp Inuit 4	RS-120				10000							
592	Affleurement		345940	6508368	INU0400	Camp Inuit 4	RS-120				8600							
592	Affleurement		347021	6507136	INU0401	Camp Inuit 4	RS-120				1300							
592	Affleurement		347294	6508709	INU0402	Camp Inuit 4	RS-120				10000							
592	Affleurement		346126	6505459	INU0403	Camp Inuit 4	RS-120				1300							
592	Affleurement		346182	6506157	INU0404	Camp Inuit 4	RS-120				1200							
592	Affleurement		346165	6506142	INU0405	Camp Inuit 4	RS-120				4600							
592	Affleurement		346922	6505706	INU0406	Camp Inuit 4	RS-120				2400							
592	Affleurement		346876	6505581	INU0407	Camp Inuit 4	RS-120				3100							
592	Affleurement		346939	6503082	INU0408	Camp Inuit 4	RS-120				2300							
592	Affleurement		347137	6502047	INU0409	Camp Inuit 4	RS-120				1100							
592	Affleurement		347382	6502377	INU0410	Camp Inuit 4	RS-120				1000							
592	Affleurement		347105	6501656	INU0411	Camp Inuit 4	RS-120				1200							
592	Affleurement		345912	6504995	INU0412	Camp Inuit 4	RS-120				6000							
592	Affleurement		346927	6503987	INU0413	Camp Inuit 4	RS-120				350							
592	Affleurement		346424	6503970	INU0414	Camp Inuit 4	RS-120				1200							
592	Affleurement		346398	6503997	INU0415	Camp Inuit 4	RS-120				1700							
592	Affleurement		346773	6504307	INU0416	Camp Inuit 4	RS-120				1900							
592	Affleurement		346885	6504405	INU0417	Camp Inuit 4	RS-120				1400							
592	Affleurement		346886	6504538	INU0418	Camp Inuit 4	RS-120				1000							
592	Affleurement		346831	6504638	INU0419	Camp Inuit 4	RS-120				1500							
592	Affleurement		346831	6503590	INU0420	Camp Inuit 4	RS-120				1300							
592	Affleurement		346632	6503507	INU0421	Camp Inuit 4	RS-120				2500							
592	Affleurement		346806	6503758	INU0422	Camp Inuit 4	RS-120				1000							
592	Affleurement		345070	6508962	INU0423	Camp Inuit 4	RS-120				5000							
592	Affleurement		345858	6508441	INU0424	Camp Inuit 4	RS-120				1500							
592	Affleurement		345861	6508284	INU0425	Camp Inuit 4	RS-120				1500							



PROJECT NUMBER	SAMPLE	SAMPLE TYPE	UTMX (Nad 27)	UTMY (Nad 27)	OUTCROP / CHANNEL	OCCURRENCE	SCINTILLOMETER	SCINTILLOMETER					ICP-MS					
								U(ppm)	Th(ppm)	RATIO U/Th	CPS MAX	TYPICAL CPS	U <sub>3</sub> O <sub>8</sub> (wt %)	U/Th	Th ppm	U, ICP ppm	U + Th/4 ppm	
								1	2									
Nb Analyses	2115																	
Compte	Historique												882		882	882	637	
Moyenne	Historique												0,055%		373	480	657	
Écart-type (σ)	Historique												0,164%		609	1406	1645	
Maximum	Historique												2,290%		8540	19100	19483	
Minimum	Historique												-0,001%		1	-2	5	
Compte	Projet												637		637	637	637	
Moyenne	Projet												0,063%		424	551	657	
Écart-type (σ)	Projet												0,188%		597	1593	1645	
Maximum	Projet												2,290%		4970	19100	19483	
Minimum	Projet												0,000%		9	2		
592		Affleurement	346186	6505207	INU0426	Camp Inuit 4	RS-120											
592		Affleurement	345743	6506952	INU0427	Camp Inuit 4	RS-120											
592		Affleurement	347321	6506828	INU0428	Camp Inuit 4	RS-120											
592		Affleurement	346036	6505717	INU0429	Camp Inuit 4	RS-120											
592		Affleurement	345980	6505710	INU0430	Camp Inuit 4	RS-120											
592		Affleurement	346073	6506136	INU0431	Camp Inuit 4	RS-120											
592		Affleurement	346155	6506281	INU0432	Camp Inuit 4	RS-120											
592		Affleurement	346329	6504771	INU0433	Camp Inuit 4	RS-120											
592		Affleurement	346300	6504692	INU0434	Camp Inuit 4	RS-120											
592		Affleurement	345944	6504056	INU0435	Camp Inuit 4	RS-120											
592		Affleurement	346525	6503897	INU0436	Camp Inuit 4	RS-120											
592		Affleurement	346430	6503650	INU0437	Camp Inuit 4	RS-120											
592		Affleurement	346585	6503509	INU0438	Camp Inuit 4	RS-120											
592		Affleurement	346832	6503150	INU0439	Camp Inuit 4	RS-120											
592		Affleurement	346900	6501951	INU0440	Camp Inuit 4	RS-120											
592		Affleurement	347005	6501910	INU0441	Camp Inuit 4	RS-120											
592		Affleurement	347040	6501863	INU0442	Camp Inuit 4	RS-120											
592		Affleurement	347139	6501763	INU0443	Camp Inuit 4	RS-120											
592		Affleurement	347162	6501472	INU0444	Camp Inuit 4	RS-120											
592		Affleurement	345577	6504929	INU0445	Camp Inuit 4	RS-120											
592		Affleurement	337647	6488622	INU0446	INUIT	RS-120											
592		Affleurement	337757	6488088	INU0447	INUIT	RS-120											
592		Affleurement	337849	6488222	INU0448	INUIT	RS-120											
592		Affleurement	337947	6488084	INU0449	INUIT	RS-120											
592		Affleurement	333272	6490604	INU0450	INUIT	RS-120											
592		Affleurement	334686	6492099	INU0451	INUIT	RS-120											
592		Affleurement	334234	6491936	INU0452	INUIT	RS-120											
592		Affleurement	336876	6494216	INU0453	INUIT	RS-120											
592		Affleurement	337154	6493792	INU0454	INUIT	RS-120											
592		Affleurement	338499	6493419	INU0455	INUIT	RS-120											
592		Affleurement	340221	6489396	INU0456	INUIT	RS-120											
592		Affleurement	334826	6491449	INU0457	INUIT	RS-120											
592		Affleurement	334784	6491221	INU0458	INUIT	RS-120											
592		Affleurement	338842	6490449	INU0459	INUIT	RS-120											
592		Affleurement	338574	6490289	INU0460	INUIT	RS-120											
592		Affleurement	339546	6488466	INU0461	INUIT	RS-120											
592		Affleurement	342771	6480643	INU0600	INUIT	RS-120											
592		Affleurement	342258	6481619	INU0602	INUIT	RS-120											
592		Affleurement	342561	6479395	INU0603	INUIT	RS-120											
592		Affleurement	343713	6479661	INU0604	INUIT	RS-120											
592		Affleurement	344028	6479518	INU0605	INUIT	RS-120											
592		Affleurement	345739	6508333	INU0606	INUIT	RS-120											
592		Affleurement	346785	6507157	INU0607	INUIT	RS-120											
592		Affleurement	347212	6506779	INU0608	INUIT	RS-120											
592		Affleurement	346157	6506180	INU0609	INUIT	RS-120											
592		Affleurement	346166	6506137	INU0610	INUIT	RS-120											
592		Affleurement	346784	6505061	INU0611	INUIT	RS-120											
592		Affleurement	346479	6504661	INU0612	INUIT	RS-120											
592		Affleurement	345890	6503803	INU0613	INUIT	RS-120											
592		Affleurement	346963	6501855	INU0614	INUIT	RS-120											
592		Affleurement	347643	6501461	INU0615	INUIT	RS-120											
592		Affleurement	345806	6504906	INU0616	INUIT	RS-120											
592		Affleurement	346178	6504903	INU0617	INUIT	RS-120											

PROJECT NUMBER	SAMPLE	SAMPLE TYPE	UTMX (Nad 27)	UTMY (Nad 27)	OUTCROP / CHANNEL	OCCURRENCE	SCINTILLOMETER	SCINTILLOMETER					ICP-MS						
								U(ppm)	Th(ppm)	RATIO U/Th	CPS MAX	TYPICAL CPS	U <sub>3</sub> O <sub>8</sub> (wt %)	U/Th	Th ppm	U, ICP ppm	U + Th/4 ppm		
								1	2				1	2					
Nb Analyses	2115																		
Compte	Historique												882		882	882	637		
Moyenne	Historique												0,055%		373	480	857		
Écart-type (σ)	Historique												0,164%		609	1406	1645		
Maximum	Historique												2,280%		8540	19100	19483		
Minimum	Historique												-0,001%		1	-2	5		
Compte	Projet												637		637	637	637		
Moyenne	Projet												0,063%		424	551	657		
Écart-type (σ)	Projet												0,188%		597	1593	1645		
Maximum	Projet												2,280%		4970	19100	19483		
Minimum	Projet												0,000%		9	2			
592		Affleurement	346880	6501093	INU0618	INUIT	RS-120				2100								
592		Affleurement	346950	6501076	INU0619	INUIT	RS-120				5400								
592		Affleurement	346225	6500899	INU0620	INUIT	RS-120				1500								
592		Affleurement	345835	6508509	INU0621	INUIT	RS-120				1500								
592		Affleurement	346512	6507923	INU0622	INUIT	RS-120				2500								
592		Affleurement	347319	6506833	INU0623	INUIT	RS-120				20000								
592		Affleurement	345924	6506173	INU0624	INUIT	RS-120				1600								
592		Affleurement	346830	6505250	INU0625	INUIT	RS-120				2000								
592		Affleurement	346892	6502772	INU0626	INUIT	RS-120				3500								
592		Affleurement	346553	6503511	INU0627	INUIT	RS-120				20000								
592		Affleurement	347146	6501710	INU0628	INUIT	RS-120				7000								
592		Affleurement	345952	6505152	INU0629	INUIT	RS-120				2500								
592		Affleurement	345603	6504910	INU0630	INUIT	RS-120				6500								
592		Affleurement	346876	6501030	INU0631	INUIT	RS-120				5500								
592		Affleurement	347000	6500913	INU0632	INUIT	RS-120				12000								
592		Affleurement	346972	6500834	INU0633	INUIT	RS-120				5000								
592		Affleurement	346725	6500584	INU0634	INUIT	RS-120				1500								
592		Affleurement	346620	6503487	INU0635	INUIT	RS-120				20000								
592		Affleurement	346570	6504081	INU0636	INUIT	RS-120				3500								
592		Affleurement	342126	6461950	INU0637	INUIT	RS-120				4200								
592		Affleurement	342831	6461224	INU0638	INUIT	RS-120				2400								
592		Affleurement	342507	6481307	INU0639	INUIT	RS-120				3000								
592		Affleurement	342615	6481248	INU0640	INUIT	RS-120				1500								
592		Affleurement	343349	6481077	INU0641	INUIT	RS-120				3000								
592		Affleurement	343244	6480959	INU0642	INUIT	RS-120				5500								
592		Affleurement	343228	6480951	INU0643	INUIT	RS-120				7500								
592		Affleurement	344627	6480184	INU0644	INUIT	RS-120				1500								
592		Affleurement	344116	6479584	INU0645	INUIT	RS-120				1600								
592		Affleurement	344054	6479589	INU0646	INUIT	RS-120				1600								
592		Affleurement	344190	6479441	INU0647	INUIT	RS-120				1500								
592		Affleurement	341058	6482087	INU0648	INUIT	RS-120				1900								
592		Affleurement	341708	6481880	INU0649	INUIT	RS-120				9450								
592		Affleurement	341970	6482153	INU0650	INUIT	RS-120				4892								
592		Affleurement	341955	6482160	INU0651	INUIT	RS-120				2847								
592		Affleurement	341918	6482204	INU0652	INUIT	RS-120				7015								
592		Affleurement	341862	6482366	INU0653	INUIT	RS-120				3162								
592		Affleurement	342428	6481665	INU0654	INUIT	RS-120				3500								
592		Affleurement	342850	6480865	INU0655	INUIT	RS-120				2100								
592		Affleurement	344307	6480786	INU0657	INUIT	RS-120				1000								
592		Affleurement	344737	6480211	INU0658	INUIT	RS-120				1000								
592		Affleurement	342295	6479810	INU0659	INUIT	RS-120				1400								
592		Affleurement	342773	6480644	INU0660	INUIT	RS-120				1000								
592		Affleurement	342773	6480637	INU0661	INUIT	RS-120				7000								
592		Affleurement	343208	6479773	INU0662	INUIT	RS-120				7400								
592		Affleurement	344362	6480842	INU0663	INUIT	RS-120				2600								
592		Affleurement	344295	6480689	INU0664	INUIT	RS-120				1500								
592		Affleurement	344494	6480436	INU0665	INUIT	RS-120				1500								
592		Affleurement	344772	6480403	INU0666	INUIT	RS-120				1200								
592		Affleurement	344946	6480026	INU0667	INUIT	RS-120				2500								
592		Affleurement	342126	6461950	INU0668	INUIT	RS-120				4200								
592		Affleurement	342543	6481266	INU0669	INUIT	RS-120				2500								
592		Affleurement	365028	6478373	INU0670	Camp Inuit 5	RS-120				10000								
592		Affleurement	341864	6482447	INU0671	INUIT	RS-120				5300								



PROJECT NUMBER	SAMPLE	SAMPLE TYPE	UTMX (Nad 27)	UTMY (Nad 27)	OUTCROP / CHANNEL	OCCURRENCE	SCINTILLOMETER	SCINTILLOMETER					ICP-MS					
								U(ppm)	Th(ppm)	RATIO U/Th	CPS MAX	TYPICAL CPS	U <sub>3</sub> O <sub>8</sub> (wt %)	U/Th	Th	U, ICP	U + Th/4	
															ppm	ppm	ppm	
Nb Analyses	2115																	
Compte	Historique												882		882	882	637	
Moyenne	Historique												0,055%		373	480	657	
Écart-type (σ)	Historique												0,164%		609	1406	1645	
Maximum	Historique												2,290%		8540	19100	19483	
Minimum	Historique												-0,001%		1	-2	5	
Compte	Projet												637		637	637	637	
Moyenne	Projet												0,063%		424	551	657	
Écart-type (σ)	Projet												0,186%		597	1593	1645	
Maximum	Projet												2,290%		4970	19100	19483	
Minimum	Projet												0,000%		9	2		
592	Affleurement	346797	6504961	INU0672	INUIT													
592	Affleurement	346790	6504960	INU0673	INUIT													
592	Affleurement	346622	6503725	INU0674	INUIT													
592	Affleurement	346761	6503673	INU0675	INUIT													
592	Affleurement	344667	6480714	INU0676	Lac au Torrent	GFI												
592	Affleurement	344834	6480750	INU0677	Lac au Torrent	GFI												
592	Affleurement	344854	6480960	INU0678	Lac au Torrent	GFI												
592	Affleurement	345273	6481900	INU0679	Lac au Torrent	GFI												
592	Affleurement	344909	6481693	INU0680	Lac au Torrent	GFI												
592	Affleurement	344871	6480256	INU0681	Lac au Torrent	GFI												
592	Affleurement	344512	6480667	INU0682	Lac au Torrent	GFI												
592	Affleurement	344321	6480538	INU0683	Lac au Torrent	RS-120								1200				
592	Affleurement	344028	6479518	INU0684	INUIT	RS-120												
592	Affleurement	347354	6506696	INU0685	INUIT	RS-120												
592	Affleurement	347371	6506692	INU0686	INUIT	RS-120												
592	Affleurement	347265	6506598	INU0687	INUIT	RS-120												
592	Affleurement	346789	6505112	INU0688	INUIT	RS-120												
592	Affleurement	339521	6481189	INU0689	INUIT	RS-120												
592	Affleurement	339570	6481360	INU0690	INUIT	RS-120												
592	Affleurement	339335	6481648	INU0691	INUIT	RS-120												
592	Affleurement	339443	6481936	INU0692	INUIT	RS-120												
592	Affleurement	338948	6481944	INU0693	INUIT	RS-120												
592	Affleurement	339189	6481996	INU0694	INUIT	RS-120												
592	Affleurement	339533	6482244	INU0695	INUIT	RS-120												
592	Affleurement	338519	6483120	INU0696	INUIT	RS-120												
592	Affleurement	338483	6483219	INU0697	INUIT	RS-120												
592	Affleurement	363000	6476676	INU0698	INUIT	RS-120												
592	Affleurement	364043	6475403	INU0699	INUIT	RS-120												
592	Affleurement	364463	6476721	INU0700	INUIT	RS-120												
592	Affleurement	364887	6476700	INU0701	INUIT	RS-120												
592	Affleurement	364818	6477006	INU0702	INUIT	RS-120												
592	Affleurement	365084	6476793	INU0703	INUIT	RS-120												
592	Affleurement	365170	6477246	INU0704	INUIT	RS-120												
592	Affleurement	365237	6477504	INU0705	INUIT	RS-120												
592	Affleurement	365056	6477787	INU0706	INUIT	RS-120												
592	Affleurement	365056	6477787	INU0707	INUIT	RS-120												
592	Affleurement	363002	6478729	INU0708	INUIT	RS-120												
592	Affleurement	364497	6478535	INU0709	INUIT	RS-120												
592	Affleurement	364521	6478481	INU0710	INUIT	RS-120												
592	Affleurement	364562	6478316	INU0711	INUIT	RS-120												
592	Affleurement	364455	6477986	INU0712	INUIT	RS-120												
592	Affleurement	339568	6481012	INU0713	INUIT	RS-120												
592	Affleurement	339221	6482541	INU0714	INUIT	RS-120												
592	Affleurement	339809	6483190	INU0715	INUIT	RS-120												
592	Affleurement	338549	6483335	INU0716	INUIT	RS-120												
592	Affleurement	339310	6481731	INU0717	INUIT	RS-120												
592	Affleurement	339415	6481983	INU0718	INUIT	RS-120												
592	Affleurement	339210	6482565	INU0719	INUIT	RS-120												
592	Affleurement	338903	6482853	INU0720	INUIT	RS-120												
592	Affleurement	346924	6500557	1325		GFI												
592	Affleurement	371464	6464745	IOS607	Lac Daniel Sud	RS-120												
592	Affleurement	371456	6464769	IOS608	Lac Daniel Sud	RS-120												
592	Affleurement	371459	6464803	IOS609	Lac Daniel Sud	RS-120												



PROJECT NUMBER	SAMPLE	SAMPLE TYPE	UTMX (Nad 27)	UTMY (Nad 27)	OUTCROP / CHANNEL	OCCURRENCE	SCINTILLOMETER	SCINTILLOMETER					ICP-MS					
								U(ppm)	Th(ppm)	RATIO U/Th	CPS MAX	TYPICAL CPS	U <sub>2</sub> O <sub>5</sub> (wt %)	U/Th	Th	U, ICP	U + Th/4	
															ppm	ppm	ppm	
Nb Analyses	2116																	
Compte	Historique												882		882	882	637	
Moyenne	Historique												0,055%		373	480	657	
Écart-type (σ)	Historique												0,164%		609	1406	1645	
Maximum	Historique												2,290%		8540	19100	19463	
Minimum	Historique												-0,001%		1	-2	5	
Compte	Projet												637		637	637	637	
Moyenne	Projet												0,063%		424	551	657	
Écart-type (σ)	Projet												0,186%		597	1593	1645	
Maximum	Projet												2,290%		4970	19100	19463	
Minimum	Projet												0,000%		9	2		
592		Affleurement	371451	6464819	IOS610	Lac Daniel Sud	RS-120											2000
592		Affleurement	371358	6465012	IOS611	Lac Daniel Sud	RS-120											1500
592		Affleurement	371365	6465169	IOS612	Lac Daniel Sud	RS-120											1400
592		Affleurement	371388	6464973	IOS613	Lac Daniel Sud	RS-120											anomalique
592		Affleurement	371388	6464974	IOS614	Lac Daniel Sud	RS-120											anomalique
592		Affleurement	371360	6465025	IOS615	Lac Daniel Sud	RS-120											anomalique
592		Affleurement	371355	6465026	IOS616	Lac Daniel Sud	RS-120											1500
592		Affleurement	370649	6465858	IOS617	Lac Daniel Sud	RS-120											anomalique
592		Affleurement	370761	6465816	IOS618	Lac Daniel Sud	RS-120											anomalique
592		Affleurement	371473	6464711	IOS619	Lac Daniel Sud	RS-120											anomalique
592		Affleurement	371363	6465173	IOS620	Lac Daniel Sud	RS-120											anomalique
592		Affleurement	370498	6465999	IOS621	Lac Daniel Sud	RS-120											anomalique
592		Affleurement	370759	6465818	IOS622	Lac Daniel Sud	RS-120											anomalique
592		Affleurement	342507	6481307	INU0721	INUIT	RS-120											3000
592		Affleurement	342615	6481248	INU0722	INUIT	RS-120											1500
592		Affleurement	343349	6481077	INU0723	INUIT	RS-120											3000
592		Affleurement	343244	6480959	INU0724	INUIT	RS-120											5500
592		Affleurement	343228	6480951	INU0725	INUIT	RS-120											7500
592		Affleurement	344627	6480184	INU0726	INUIT	RS-120											1500
592		Affleurement	344116	6479584	INU0727	INUIT	RS-120											1800
592		Affleurement	344054	6479589	INU0728	INUIT	RS-120											1800
592		Affleurement	344190	6479441	INU0729	INUIT	RS-120											1500
592		Affleurement	365012	6477260	INU0730	INUIT	RS-120											3500
592		Affleurement	365035	6477260	INU0731	INUIT	RS-120											2000
592		Affleurement	365062	6477400	INU0732	INUIT	RS-120											5000
592		Affleurement	365138	6477610	INU0733	INUIT	RS-120											2500
592		Affleurement	365059	6477687	INU0734	INUIT	RS-120											7500
592		Affleurement	364615	6479209	INU0735	INUIT	RS-120											2400
592		Affleurement	364897	6479299	INU0736	INUIT	RS-120											1500
592		Affleurement	365064	6479081	INU0737	INUIT	RS-120											3000
592		Affleurement	365075	6479036	INU0738	INUIT	RS-120											7000
592		Affleurement	364996	6479011	INU0739	INUIT	RS-120											1400
592		Affleurement	365026	6478846	INU0740	INUIT	RS-120											7500
592		Affleurement	365038	6478798	INU0741	INUIT	RS-120											2200
592		Affleurement	364942	6478767	INU0742	INUIT	RS-120											1300
592		Affleurement	339589	6481066	INU0743	INUIT	RS-120											1500
592		Affleurement	339181	6481734	INU0744	INUIT	RS-120											1400
592		Affleurement	339194	6481750	INU0745	INUIT	RS-120											5500
592		Affleurement	339194	6481760	INU0746	INUIT	RS-120											4500
592		Affleurement	339194	6481740	INU0747	INUIT	RS-120											3000
592		Affleurement	339322	6481819	INU0748	INUIT	RS-120											1900
592		Affleurement	339171	6482014	INU0749	INUIT	RS-120											2000
592		Affleurement	339930	6481990	INU0750	INUIT	RS-120											5800
592		Affleurement	339014	6482445	INU0751	INUIT	RS-120											3000
592		Affleurement	339031	6482428	INU0752	INUIT	RS-120											6500
592		Affleurement	335016	6488424	bl203		GR-135	673,0	402,0									
592		Affleurement	335016	6488424	bl203 b		GR-135	506,0	363,0									
592		Affleurement	335016	6488424	bl203c		GR-135	512,0	366,0									
592		Affleurement	335016	6488424	bl204 d		GR-135	91,0	61,0									
592		Affleurement	334999	6488429	bl204		GR-135	27,0	39,0									
592		Affleurement	335003	6488425	bl205		GR-135	40,0	48,0									
592		Affleurement	335022	6488419	bl206		GR-135	288,0	146,0									
592		Affleurement	335022	6488419	bl206a		GR-135	348,0	204,0									

PROJECT NUMBER	SAMPLE	SAMPLE TYPE	UTMX (Nad 27)	UTMY (Nad 27)	OUTCROP / CHANNEL	OCCURRENCE	SCINTILLOMETER	SCINTILLOMETER						ICP-MS				
								U(ppm)	Th(ppm)	RATIO U/Th	CPS MAX	TYPICAL CPS	U <sub>3</sub> O <sub>8</sub> (wt %)	U/Th	Th	U, ICP	U + Th/4	
															ppm	ppm	ppm	
Nb Analyses	2115																	
Compte	Historique												882		882	882	637	
Moyenne	Historique												0,055%		373	480	657	
Écart-type (σ)	Historique												0,164%		609	1406	1645	
Maximum	Historique												2,290%		8540	19100	19463	
Minimum	Historique												-0,001%		1	-2	5	
Compte	Projet												637		637	637	637	
Moyenne	Projet												0,063%		424	551	657	
Écart-type (σ)	Projet												0,186%		597	1593	1645	
Maximum	Projet												2,290%		4970	19100	19463	
Minimum	Projet												0,000%		9	2		
592	Affleurement		335022	6488419	bl206b		GR-135	243,0	151,0									
592	Affleurement		334979	6488510	bl207		GR-135	505,0	2260,0									
592	Affleurement		334979	6488510	bl207a		GR-135	89,0	58,0									
592	Affleurement		334883	6488553	bl208		GR-135	447,0	315,0		3500							
592	Affleurement		334890	6488564	bl209		GR-135	325,0	223,0		4134							
592	Affleurement		334890	6488564	bl209a		GR-135	303,0	164,0		3583							
592	Affleurement		334890	6488564	bl209b		GR-135	282,0	146,0		3800							
592	Affleurement		334955	6488527	bl210		GR-135	290,0	166,0		3300							
592	Affleurement		334955	6488527	bl210a		GR-135	96,0	68,8		1319							
592	Affleurement		334955	6488527	bl210b		GR-135	82,0	67,0		1300							
592	Affleurement		335061	6488389	bl211		GR-135	128,0	180,0		1400							
592	Affleurement		335169	6488380	bl212		GR-135	154,0	247,0		2600							
592	Affleurement		335300	6488429	bl213		GR-135	120,0	160,0		1825							
592	Affleurement		335300	6488429	bl213a		GR-135	203,0	299,0		3000							
592	Affleurement		335300	6488429	bl213b		GR-135	204,0	248,0		2500							
592	Affleurement		335300	6488429	bl213c		GR-135	118,0	182,0		2100							
592	Affleurement		335300	6488429	bl213d		GR-135	73,0	89,0		1180							
592	Affleurement		335219	6488369	bl214		GR-135	202,0	223,0		2650							
592	Affleurement		335219	6488369	bl214a		GR-135	69,0	94,0		1150							
592	Affleurement		335219	6488369	bl214b		GR-135	129,0	193,0		2100							
592	Affleurement		335219	6488369	bl214c		GR-135	200,0	293,0		3000							
592	Affleurement		335219	6488369	bl214d		GR-135	139,0	212,0		2200							
592	Affleurement		335219	6488369	bl214e		GR-135	126,0	142,0		1600							
592	Affleurement		335248	6488310	bl215		GR-135	34,0	41,0		550							
592	Affleurement		335301	6488227	bl216		GR-135	59,0	149,0		1317							
592	Affleurement		335301	6488227	bl216a		GR-135	109,0	221,0		1900							
592	Affleurement		335301	6488227	bl216b		GR-135	291,0	403,0		4200							
592	Affleurement		335301	6488227	bl216c		GR-135	68,0	125,0		1300							
592	Affleurement		335301	6488227	bl216d		GR-135	179,0	373,0		3060							
592	Affleurement		335300	6488261	bl217		GR-135	333,0	481,0		5000							
592	Affleurement		335348	6488287	bl218		GR-135	268,0	376,0		3800							
592	Affleurement		335348	6488287	bl218a		GR-135	200,0	447,0		4000							
592	Affleurement		335348	6488287	bl218b		GR-135	82,0	171,0		1830							
592	Affleurement		335348	6488287	bl218c		GR-135	92,0	161,0		1600							
592	Affleurement		335348	6488287	bl218d		GR-135	121,0	183,0		1600							
592	Affleurement		334826	6488556	bl219		GR-135	282,0	145,0		4000							
592	Affleurement		334727	6488553	bl220		GR-135	102,0	74,0		1200							
592	Affleurement		334701	6488569	bl222		GR-135	91,0	178,0									
592	Affleurement		334728	6488668	bl223		GR-135	72,0	158,0		1300							
592	Affleurement		340640	6482729	bl224		GR-135	345,0	1037,0		6000							
592	Affleurement		340616	6482675	bl225		GR-135	257,0	1104,0		3500							
592	Affleurement		340620	6482925	bl226		GR-135	232,0	232,0		3000							
592	Affleurement		340630	6483018	bl227		GR-135	343,0	239,0									
592	Affleurement		340634	6483056	bl228		GR-135	439,0	281,0									
592	Affleurement		340698	6482562	bl229		GR-135	276,0	299,0		3000							
592	Affleurement		340494	6483123	bl231		GR-135	401,0	136,0									
592	Affleurement		340620	6483954	bl269		GR-135	344,0	438,0		4800							
592	Affleurement		340648	6483978	bl270		GR-135	260,0	765,0		4000							



PROJECT NUMBER	SAMPLE	SAMPLE TYPE	UTMX (Nad 27)	UTMY (Nad 27)	OUTCROP / CHANNEL	OCCURRENCE	SCINTILLOMETER	SCINTILLOMETER					ICP-MS						
								U(ppm)	Th(ppm)	RATIO U/Th	CPS MAX	TYPICAL CPS	U <sub>3</sub> O <sub>8</sub> (wt %)	U/Th	Th ppm	U, ICP ppm	U + Th/4 ppm		
														1	2				
Nb Analyses	2116																		
Compte	Historique												882		882	882	637		
Moyenne	Historique												0,055%		373	480	657		
Écart-type (σ)	Historique												0,164%		609	1408	1845		
Maximum	Historique												2,290%		8540	19100	19483		
Minimum	Historique												-0,001%		1	-2	5		
Compte	Projet												637		637	637	637		
Moyenne	Projet												0,063%		424	551	857		
Écart-type (σ)	Projet												0,188%		597	1593	1845		
Maximum	Projet												2,290%		4970	19100	19483		
Minimum	Projet												0,000%		9	2			
592		Affleurement	340690	6484013	b271		GR-135	437,0	787,0		4000								
592		Affleurement	340586	6483932	b272		GR-135	2320,0	1811,0		19000								
592		Affleurement	340519	6483810	b275		GR-135	393,0	351,0										
592		Affleurement	340490	6483801	b276		GR-135	977,0	840,0		12000								
592		Affleurement	340535	6483630	b291		GR-135	320,0	1899,0										
592		Affleurement	340572	6483769	b292		GR-135	118,0	315,0										
592		Affleurement	340573	6483835	b293		GR-135	97,0	646,0		3300								
592		Affleurement	340749	6483606	b295		GR-135	404,0	274,0		10000								
592		Affleurement	340772	6483639	b296		GR-135	131,0	50,0		1400								
592		Affleurement	347270	6506790	b351		GFI	1127,0	1348,0		11000								
592		Affleurement	345941	6508366	361		GFI	266,0	46,0		1168								
592		Affleurement	346848	6503075	b362		GFI	658,0	98,0		4085								
592		Affleurement	346850	6503054	b363		GFI	145,0	37,0		721								
592		Affleurement	341021	6483272	b297		GR-135	229,0	1619,0										
592		Affleurement	341019	6483277	b298		GR-135	220,0	915,0										
592		Affleurement	341010	6483266	b299		GR-135	226,0	851,0										
592		Affleurement	341012	6483264	b301		GR-135	169,0	820,0		4800								
592		Affleurement	341155	6483175	b303		GR-135	110,0	400,0		2000								
592		Affleurement	341061	6483156	b305		GR-135	127,0	624,0		3500								
592		Affleurement	341043	6483159	b306		GR-135	151,0	836,0		4800								
592		Affleurement	341105	6483146	b307		GR-135	151,0	1624,0		7000								
592		Affleurement	341137	6483069	b308		GR-135	310,0	1203,0		7200								
592		Affleurement	341133	6483066	b309		GR-135	645,0	1943,0		12000								
592		Affleurement	341196	6483046	b310		GR-135	187,0	1183,0		5000								
592		Affleurement	341228	6482943	b312		GR-135	296,0	1221,0		8000								
592		Affleurement	340967	6483387	b313		GR-135	93,0	727,0		3500								
592		Affleurement	340844	6483431	b314		GR-135	258,0	1637,0		9000								
592		Affleurement	340823	6483413	b315		GR-135	338,0	1092,0		8000								
592		Affleurement	340833	6483450	b316		GR-135	447,0	1988,0		11541								
592		Affleurement	340719	6483577	b319		GR-135	118,0	431,0		2700								
592		Affleurement	340727	6483579	b320		GR-135	156,0	75,0		2100								
592		Affleurement	340740	6483602	b321		GR-135	103,0	743,0		3000								
592		Affleurement	340773	6483609	b322		GR-135	551,0	672,0		7800								
592		Affleurement	340768	6483612	b323		GR-135	563,0	1572,0		11600								
592		Affleurement	340791	6483646	b324		GR-135	81,0	642,0		2300								
592		Affleurement	340770	6483724	b326		GR-135	239,0	282,0		3500								
592		Affleurement	340734	6483694	b327		GR-135	187,0	351,0		3700								
592		Affleurement	340716	6483630	b328		GR-135	85,0	63,0		1210								
592		Affleurement	340588	6483845	b329		GR-135	120,0	402,0		2800								
592		Affleurement	340563	6483902	b330		GR-135	149,0	346,0		3000								
592		Affleurement	340574	6483916	b332		GR-135	2628,0	1418,0		25000								
592		Affleurement	340588	6483921	b334		GR-135	1026,0	1438,0		16000								
592		Affleurement	340595	6483942	b335		GR-135	514,0	875,0		10000								
592		Affleurement	340812	6483957	b336		GR-135	719,0	437,0		10000								
592		Affleurement	340823	6483958	b337		GR-135	440,0	557,0		6000								
592		Affleurement	340825	6483957	b338		GR-135	495,0	382,0		6000								
592		Affleurement	340592	6483910	b339		GR-135	128,0	852,0		4000								
592		Affleurement	347270	6506790	b351		GFI	112,7	1348,0		11000								



PROJECT NUMBER	SAMPLE	SAMPLE TYPE	UTMX (Nad 27)	UTMY (Nad 27)	OUTCROP / CHANNEL	OCCURRENCE	SCINTILLOMETER							ICP-MS			
							SCINTILLOMETER	U(ppm)	Th(ppm)	RATIO U/Th	CPS MAX	TYPICAL CPS	U <sub>3</sub> O <sub>8</sub> (wt %)	U/Th	Th	U, ICP	U + Th/4
															ppm	ppm	ppm
Nb Analyses	2115													1	2		
Compte	Historique											882		882	882	637	
Moyenne	Historique											0,055%		373	480	657	
Écart-type (σ)	Historique											0,164%		609	1406	1645	
Maximum	Historique											2,290%		8540	19100	19463	
Minimum	Historique											-0,001%		1	-2	5	
Compte	Projet											637		637	637	637	
Moyenne	Projet											0,063%		424	551	657	
Écart-type (σ)	Projet											0,186%		597	1593	1645	
Maximum	Projet											2,290%		4970	19100	19463	
Minimum	Projet											0,000%		9	2		
592		Affleurement	345941	6508366	bt361		GFI	266,0	46,0		1668						
592		Affleurement	346848	6503075	bt362		GFI	658,0	96,0								
592		Affleurement	346850	6503054	bt363		GFI	145,0	37,0		720						
592		Affleurement	371475	6464712	bt377		GFI	237,7	205,7		1901						
592		Affleurement	371416	6465062	bt386		GFI	241,0	129,6		1004						

SAMPLE	OUTCROP	GEOLOGIST	DATE	UTMX (nad 27)	UTMY (nad 27)	LOCALISATION TECHNIQUE	GPS moyen	CPS max	CPS bk	eU ppm spectro	eTh ppm spectro	Ratio eU/eTh spectro	Spectro/scintillo	Bloc/Aff	Taille	Lithofacies	Minéraux	Altération
5929095		CM	2007-07-19	335020	6488406	GPS	2000	4000		317,4	164,2	1,93	Gamma Surveyor GFI	Buster		IIG		UP (traces)
5929097		CM	2007-07-19	335023	6488414	GPS	2800	4600		834,4	402,0	2,08	Gamma Surveyor GFI	AFF		IIG	BO, QZ fumé	
5929110		SL	2007-07-21	334993	6488416	GPS	3000	10000		1252,8	770,3	1,63	RS125	AFF		IIG		
5929111		SL	2007-07-22	334883	6488554	GPS				347,5	31,3	11,10	RS125	Buster		M6		
5929112		SL	2007-07-22	334898	6488548	GPS	5000	8000		313,8	278,8	1,13	RS125	Buster		M6		
5929115		SL	2007-07-22	334895	6488539	GPS	3000	10000		416,5	204,4	2,04	RS125	Buster		M6		
5929117		SL	2007-07-22	334890	6488533	GPS	2500	9000		295,2	123,0	2,40	RS125	Buster		IIG		
5929124		CM	2007-08-03	335277	6488446	GPS		4600		511,7	738,3	0,69	RS125	Buster		M6	BO+	
5929125		CM	2007-08-03	335485	6488210	GPS		5500		496,1	668,5	0,74	RS125	Buster		IIG		
5929141	59201024	JSG	2007-08-24	341394	6482828	GPS	3000	20000		45,8	0,0		RS125	Buster		IIG	BO++	UP (traces)
5929143	59201025	JSG	2007-08-24	341349	6482823	GPS				38,7	0,0		RS125	Buster		IIG	BO	UP (traces)
5929145	59201026	JSG	2007-08-27	341220	6482933	GPS	1600	8000		439,1	23,1	19,01	RS125	Buster		IIG	BO+	
5929150		CM	2007-07-19	335014	6488417	GPS		7000		670,8	801,5	0,84	Gamma Surveyor GFI	Buster		IIG		
5929180		BT	2007-09-24	347316	6506828	GPS	350			806,0	495,0		Gamma Surveyor GFI		16 m d'épaisseur	IIG		
5929181		BT	2007-09-24	347342	6506832	GPS		800		102,0	62,8		Gamma Surveyor GFI			IIG	QZ fumé	
5929182		BT	2007-09-24	347290	6506790	GPS	510			58,5	44,6		Gamma Surveyor GFI		1,5m * 1,5m	IIG		Up++
5929185		BT	2007-09-30	371584	6464492	GPS		27360		2165,0	2057,0	1,05	Gamma Surveyor GFI		10m d'épaisseur	IIG	BO	UP
5929188		SV	2007-09-30	370761	6465818	GPS	2600	5000	1900	130,0	81,0	1,60	Gamma Surveyor GFI			IIG		
5929227		SV	2007-07-28	335345	6488285	GPS	1300	7500		562,3	508,1	1,11	RS125	Buster		IIG		
5929228		SV	2007-07-28	335333	6488281	GPS	1900	2500		190,9	241,4	0,79	RS125	Buster		IIG		
5929229		SV	2007-07-28	335295	6488201	GPS	3930	5400		357,7	324,6	1,10	RS125	Buster		IIG		
5929230		SV	2007-07-28	335293	6488196	GPS	4600	6100		261,1	253,0	1,03	RS125	Buster		IIG		
5929231		SV	2007-07-28	335172	6488244	GPS	3600	12000		1220,0	1480,2	0,82	RS125	Buster		IIG		
5929233		SV	2007-07-28	335329	6488148	GPS	5600	12000		1621,9	2257,3	0,72	RS125	Buster		IIG	BO ++	UP
5929234	59201007	SL	2007-08-12	340731	6482536	GPS				451,5	1423,3	0,32	RS125	Buster		IIG		
5929236	59201008	SL	2007-08-12	340695	6482560	GPS				228,2	768,9	0,29	RS125	Buster		IIG		
5929238	59201009	SL	2007-08-12	340601	6482548	GPS		850		105,6	92,9	1,14	RS125	Buster		IIG		
5929240	59201010	SL	2007-08-12	340566	6482536	GPS		2500		158,3	534,4	0,30	RS125	Buster		IIG		
5929242	59201011	SL	2007-08-12	340619	6482593	GPS		1500		150,1	470,1	0,32	RS125	Buster		IIG		
5929244	5921012	SL	2007-08-12	340676	6482694	GPS		2200		232,9	699,7	0,33	RS125	Buster		IIG		
5929246	59201013	SL	2007-08-13	340602	6482690	GPS		1400		354,9	209,7	1,69	RS125	Buster		IIG		
5929248	59201015	SL	2007-08-13	340616	6482931	GPS				178,4	0,0		RS125	AFF		IIG		
5929261		SP	2007-07-08	340504	6483114	GPS	2000	3000		265,0	565,0		RS125	AFF		IIG		
5929274		SP	2007-07-11	341149	6483186	GPS	1500	4400		56,0	637,0		RS125	AFF		IIG	BO	
5929276		SP	2007-07-11	341018	6483300	GPS	1200	3400		121,0	507,0	247,00	Exploranium GR135	AFF		IIG		
5929279		SP	2007-07-14	341076	6483163	GPS	1400	2000		163,0	1358,0		Exploranium GR135	AFF		IIG	BO	
5929295	59201016	SL	2007-08-13	340618	6482986	GPS				651,3	419,1	1,55	RS125	Buster		IIG		
5929296	59201017	SL	2007-08-13	340656	6483080	GPS				377,1	242,8	1,55	RS125	Buster		IIG		
5929298	59201018	SL	2007-08-13	340535	6483132	GPS				1582,2	340,4	4,59	RS125	Buster		IIG		
5929414		JL	2007-07-18	340824	6483707	GPS	800	7700		117,0	539,0		RS125	AFF		IIG	BO	HM
5929431		JL	2007-07-18	341003	6483235	GPS	8500	15000		258,0	1318,0		Exploranium GR135	AFF		IIG	BO++	
5929439	59201019	SL	2007-08-14	340485	6483227	GPS		2300		1142,5	215,6	5,30	RS125	Buster		IIG		



SAMPLE	OUTCROP	Texture	Encaissant	Métam.	Structure	Azi./Pen.	COMMENTS
5929095							Trou de sautage au Boulder Buster dans la zone high-grade (Tasiatuk). Echantillon profond (16 pouces) provenant d'un dyke de 11G, à UP, présentant un signal anormalique moyen de 2000 CPS et maximum de 4000 CPS (Zone 28)
5929097		GG					Trou de sautage au Boulder Buster dans la zone high-grade (Tasiatuk). Echantillon profond (16 pouces) provenant d'un dyke de 11G, à grains grossiers, à BO, QZ fumé, présentant un signal anormalique moyen de 2600 CPS et maximum de 4600 CPS
5929110							Dyke de 11G, riche en QZ, présentant un signal anormalique moyen de 3000 CPS et maximum de 10000 CPS
5929111							M6 minéralisé
5929112							Trou de sautage au Boulder Buster. Echantillon profond provenant d'un dyke de 11G, inclus dans M6, présentant un signal anormalique moyen de 5000 CPS et maximum de 8000 CPS (Zone 28)
5929115							Trou de sautage au Boulder Buster. Echantillon profond provenant d'un dyke de 11G, inclus dans M6, présentant un signal anormalique moyen de 3000 CPS et maximum de 10000 CPS (Zone 28)
5929117			M6				Trou de sautage au Boulder Buster. Echantillon profond provenant d'un dyke de 11G, inclus dans M6, présentant un signal anormalique moyen de 2500 CPS et maximum de 9000 CPS (Zone 28)
5929124							Trou de sautage au Boulder Buster. Echantillon profond (12 pouces) à cassure fraîche, provenant d'une formation de M6, à grains moyens, riche en BO, présentant un signal anormalique maximum de 2500 CPS en surface et 4600 en profondeur à 12 pouces de profondeur (Zone 28)
5929125							Trou de sautage au Boulder Buster. Echantillon profond (12 pouces) à cassure fraîche, provenant d'un dyke de 11G présentant un signal anormalique maximum de 3500 CPS en surface et 5500 en profondeur à 12 pouces de profondeur (Zone 28)
5929141	59201024						Trou de sautage au Boulder Buster. Echantillon profond provenant d'un dyke de 11G, riche en BO, à traces de traces jaunes (UP), présentant une signal anormalique moyen de 3000 CPS et maximum de 20000 CPS
5929143	59201025						Trou de sautage au Boulder Buster. Echantillon profond provenant d'un dyke de 11G minéralisée, à BO et à traces de traces jaunes (UP)
5929145	59201026						Trou de sautage au Boulder Buster. Echantillon profond, à BO, provenant d'un dyke de 11G. L'échantillon prélevé présente un signal anormalique moyen de 1600 CPS et maximum de 6000 CPS
5929150		GG					Trou de sautage au Boulder Buster. Echantillon profond (13 pouces) provenant d'un dyke de 11G, à grains grossiers, présentant un signal anormalique maximum de 7000 CPS (GF Instruments) ou 10000 CPS (RS120) en surface et de 17000 CPS (RS120) à 13 pouces de profondeur (Zone 28)
5929180			M4				Dyke de 11G de 16m de largeur, au contact de l'encaissant M4 à BO, présentant un signal anormalique moyen de 350 CPS
5929181							Dyke de 11G minéralisée, à QZ fumé, présentant un signal anormalique maximum de 800 CPS
5929182							Dyke de 11G minéralisée, de 1,5 mètre sur 1,5 mètre, riche en UP, présentant un signal anormalique moyen de 510 CPS
5929185						Pendage dyke : 35° E	Dyke de 11G de 10 mètres d'épaisseur, à cumuls de BO décimétriques et UP, présentant un signal anormalique maximum de 27360 CPS (secteur Lac Daniel)
5929188							Dyke de 11G présentant un signal anormalique moyen de 2600 CPS et maximum de 5000 CPS (secteur Lac Daniel)
5929227							Trou de sautage au Boulder Buster. Echantillon profond (20 pouces) à cassure fraîche, provenant d'un dyke de 11G présentant un signal anormalique moyen de 1300 CPS et maximum de 7500 CPS (Zone 28)
5929228							Trou de sautage au Boulder Buster. Echantillon profond (20 pouces) à cassure fraîche, provenant d'un dyke de 11G présentant un signal anormalique moyen de 1900 CPS et maximum de 2500 CPS (Zone 28)
5929229		MA					Trou de sautage au Boulder Buster. Echantillon profond à cassure fraîche, provenant d'un dyke de 11G massive présentant un signal anormalique moyen de 3930 CPS et maximum de 5400 CPS (Zone 28)
5929230		MA					Trou de sautage au Boulder Buster. Echantillon profond à cassure fraîche, à traces d'UP, provenant d'un dyke de 11G massive présentant un signal anormalique moyen de 4600 CPS et maximum de 6100 CPS (Zone 28)
5929231		MA					Trou de sautage au Boulder Buster. Echantillon profond à cassure fraîche, provenant d'un dyke de 11G massive présentant un signal anormalique moyen de 3600 CPS et maximum de 12000 CPS (Zone 28)
5929233							Trou de sautage au Boulder Buster. Echantillon profond à cassure fraîche, provenant d'un dyke de 11G, riche en BO, à traces d'UP, présentant un signal anormalique moyen de 5600 CPS et maximum de 12000 CPS (Zone 28)
5929234	59201007						Trou de sautage au Boulder Buster. Echantillon profond, provenant d'un dyke de 11G minéralisée.
5929236	59201008						Trou de sautage au Boulder Buster. Echantillon profond (24 pouces sur 36 pouces d'épaisseur), provenant d'un dyke de 11G minéralisée.
5929238	59201009						Trou de sautage au Boulder Buster. Echantillon profond (16 pouces), provenant d'un dyke de 11G. L'échantillon prélevé présente un signal anormalique maximum de 850 CPS
5929240	59201010						Trou de sautage au Boulder Buster. Echantillon profond (24 pouces de profondeur sur 24 pouces d'épaisseur), provenant d'un dyke de 11G. L'échantillon prélevé présente un signal anormalique maximum de 2500 CPS
5929242	59201011						Trou de sautage au Boulder Buster. Echantillon profond (16 pouces de profondeur sur 24 pouces d'épaisseur), provenant d'un dyke de 11G. L'échantillon prélevé présente un signal anormalique maximum de 1500 CPS
5929244	5921012						Trou de sautage au Boulder Buster. Echantillon profond (20 pouces de profondeur sur 16 pouces d'épaisseur), provenant d'un dyke de 11G. L'échantillon prélevé présente un signal anormalique maximum de 2200 CPS
5929246	59201013						Trou de sautage au Boulder Buster. Echantillon profond (24 pouces de profondeur sur 18 pouces d'épaisseur), provenant d'un dyke de 11G. L'échantillon prélevé présente un signal anormalique maximum de 1400 CPS
5929248	59201015						Trou de sautage au Boulder Buster. Echantillon profond, provenant d'un dyke de 11G.
5929261							Dyke de 11G présentant un signal anormalique moyen de 2000 CPS et maximum de 3000 CPS
5929274							Dyke de 11G, à BO, présentant un signal anormalique moyen de 1500 CPS et maximum de 4400 CPS
5929276			M4				Dyke de 11G, injecté dans l'encaissant M4, présentant un signal anormalique moyen de 1200 CPS et maximum de 3400 CPS
5929279							Dyke de 11G, à veines de QZ et plaquage de BO, présentant un signal anormalique moyen de 1400 CPS et maximum de 2000 CPS
5929295	59201016						Trou de sautage au Boulder Buster. Echantillon profond, provenant d'un dyke de 11G. L'échantillon prélevé présente un signal anormalique maximum de 4300 CPS
5929296	59201017						Trou de sautage au Boulder Buster. Echantillon profond, provenant d'un dyke de 11G. L'échantillon prélevé présente un signal anormalique maximum de 2000 CPS
5929298	59201018						Trou de sautage au Boulder Buster. Echantillon profond (20 pouces de profondeur sur 20 pouces d'épaisseur), provenant d'un dyke de 11G
5929414							Dyke de 11G, à BO et HM, présentant un signal anormalique moyen de 800 CPS et maximum de 7700 CPS (Zone Torrent)
5929431							Dyke de 11G, très riche en BO, présentant un signal anormalique moyen de 850 CPS et maximum de 5000 CPS (Zone Torrent)
5929439	59201019						Trou de sautage au Boulder Buster. Echantillon profond (12 pouces de profondeur sur 20 pouces d'épaisseur), provenant d'un dyke de 11G. L'échantillon prélevé présente un signal anormalique maximum de 2300 CPS



SAMPLE	OUTCROP	GEOLOGIST	DATE	UTMX (nad 27)	UTMY (nad 27)	LOCALISATION TECHNIQUE	CPS moyen	CPS max	CPS bk	eU ppm spectro	eTh ppm spectro	Ratio eU/eTh spectro	Spectro/scintillo	Bloc/Aff	Taille	Lithofacies	Minéraux	Affération	
5929442	59201020	SL	2007-08-14	340482	6483088	GPS		2000		841.9	1280.1	0.67	RS125	Buster					
5929444	59201021	SL	2007-08-14	340557	6482795	GPS				238.7	900.2	0.27	RS125	Buster					
5929445	59201022	SL	2007-08-14	340860	6482371	GPS				431.5	0.0		RS125	Buster					
5929488	59200113	JL	2007-07-13	349640	6500133	GPS	2000	24000		982.0	874.0		RS125	AFF	M		QZ+, BO++	UP (5 à 7%)	
5929571	59205030	BM	2007-08-02	341718	6481897	GPS		870	4700	646.3	771.1	0.84	RS125	AFF			BO	HM	
5929577	59205031	BM	2007-08-02	342035	6482107	GPS	1800	11000		1335.9	1501.8	0.89	RS125	AFF			BO+		
5929701		MB	2007-07-18	341218	6482977	GPS	4200	17000		246.0	1519.0		Exploranium GR-135	AFF					
	b1203	BT	2007-08-30	335016	6488424	GPS				673.0	402.0		Exploranium GR135						
	b1203 b	BT	2007-08-30	335016	6488424	GPS				506.0	363.0		Exploranium GR135						
	b1203 c	BT	2007-08-30	335016	6488424	GPS				512.0	366.0		Exploranium GR135						
	b1204	BT	2007-08-30	335016	6488424	GPS				91.0	61.0		Exploranium GR135						
	b1204 b	BT	2007-08-30	334999	6488429	GPS				27.0	39.0		Exploranium GR135						
	b1205	BT	2007-08-30	335003	6488425	GPS				40.0	48.0		Exploranium GR135						
	b1206	BT	2007-08-30	335022	6488419	GPS				288.0	146.0		Exploranium GR135						
	b1206 a	BT	2007-08-30	335022	6488419	GPS				348.0	204.0		Exploranium GR135						
	b1206 b	BT	2007-08-30	335022	6488419	GPS				243.0	151.0		Exploranium GR135						
	b1207	BT	2007-08-30	334979	6488510	GPS				505.0	2260.0		Exploranium GR135						
	b1207 a	BT	2007-08-30	334979	6488510	GPS				89.0	58.0		Exploranium GR135						
	b1208	BT	2007-08-30	334883	6488553	GPS	3500			447.0	315.0		Exploranium GR135						
	b1209	BT	2007-08-30	334890	6488564	GPS	4134			325.0	223.0		Exploranium GR135						
	b1209 a	BT	2007-08-30	334890	6488564	GPS	3563			303.0	164.0		Exploranium GR135						
	b1209 b	BT	2007-08-30	334890	6488564	GPS	3800			282.0	146.0		Exploranium GR135						
	b1210	BT	2007-08-30	334955	6488527	GPS	3300			290.0	166.0		Exploranium GR135						
	b1210 a	BT	2007-08-30	334955	6488527	GPS	1319			96.0	68.6		Exploranium GR135						
	b1210 b	BT	2007-08-30	334955	6488527	GPS	1300			82.0	67.0		Exploranium GR135						
	b1211	BT	2007-08-30	335061	6488389	GPS	1400			128.0	180.0		Exploranium GR135						
	b1212	BT	2007-08-30	335169	6488380	GPS	2600			154.0	247.0		Exploranium GR135						
	b1213	BT	2007-08-30	335300	6488429	GPS	1625			120.0	180.0		Exploranium GR135						
	b1213 a	BT	2007-08-30	335300	6488429	GPS	3000			203.0	299.0		Exploranium GR135						
	b1213 b	BT	2007-08-30	335300	6488429	GPS	2500			204.0	248.0		Exploranium GR135						
	b1213 c	BT	2007-08-30	335300	6488429	GPS	2100			118.0	182.0		Exploranium GR135						
	b1213 d	BT	2007-08-30	335300	6488429	GPS	1180			73.0	89.0		Exploranium GR135						
	b1214	BT	2007-08-30	335219	6488369	GPS	2650			202.0	223.0		Exploranium GR135						
	b1214 a	BT	2007-08-30	335219	6488369	GPS	1150			69.0	94.0		Exploranium GR135						
	b1214 b	BT	2007-08-30	335219	6488369	GPS	2100			129.0	193.0		Exploranium GR135						
	b1214 c	BT	2007-08-30	335219	6488369	GPS	3000			200.0	293.0		Exploranium GR135						
	b1214 d	BT	2007-08-30	335219	6488369	GPS	2200			139.0	212.0		Exploranium GR135						
	b1214 e	BT	2007-08-30	335219	6488369	GPS	1600			126.0	142.0		Exploranium GR135						
	b1215	BT	2007-08-30	335248	6488310	GPS	550			34.0	41.0		Exploranium GR135						
	b1216	BT	2007-08-30	335301	6488227	GPS	1317			59.0	149.0		Exploranium GR135						
	b1216 a	BT	2007-08-30	335301	6488227	GPS	1900			109.0	221.0		Exploranium GR135						
	b1216 b	BT	2007-08-30	335301	6488227	GPS	4200			291.0	403.0		Exploranium GR135						
	b1216 c	BT	2007-08-30	335301	6488227	GPS	1300			68.0	125.0		Exploranium GR135						
	b1216 d	BT	2007-08-30	335301	6488227	GPS	3060			179.0	373.0		Exploranium GR135						
	b1217	BT	2007-08-30	335300	6488261	GPS	5000			333.0	481.0		Exploranium GR135						
	b1218	BT	2007-08-30	335346	6488287	GPS	3800			268.0	378.0		Exploranium GR135						
	b1218 a	BT	2007-08-30	335346	6488287	GPS	4000			200.0	447.0		Exploranium GR135						
	b1218 b	BT	2007-08-30	335346	6488287	GPS	1830			82.0	171.0		Exploranium GR135						
	b1218 c	BT	2007-08-30	335346	6488287	GPS	1600			92.0	161.0		Exploranium GR135						
	b1218 d	BT	2007-08-30	335346	6488287	GPS	1800			121.0	183.0		Exploranium GR135						
	b1219	BT	2007-08-30	334826	6488556	GPS	4000			262.0	145.0		Exploranium GR135						
	b1220	BT	2007-08-30	334727	6488553	GPS	1200			102.0	74.0		Exploranium GR135						
	b1222	BT	2007-08-30	334701	6488589	GPS				91.0	178.0		Exploranium GR135						
	b1223	BT	2007-08-30	334728	6488668	GPS	1300			72.0	158.0		Exploranium GR135						
	b1224	BT	2007-09-01	340640	6482729	GPS	6000			345.0	1037.0		Exploranium GR135						
	b1225	BT	2007-09-01	340816	6482675	GPS	3500			257.0	1104.0		Exploranium GR135						
	b1226	BT	2007-09-01	340620	6482925	GPS	3000			232.0	232.0		Exploranium GR135						
	b1227	BT	2007-09-01	340630	6483018	GPS				343.0	239.0		Exploranium GR135						
	b1228	BT	2007-09-01	340634	6483056	GPS				439.0	281.0		Exploranium GR135						
	b1229	BT	2007-09-01	340698	6482582	GPS	3000			276.0	299.0		Exploranium GR135						

SAMPLE	OUTCROP	Texture	Encaissant	Métam.	Structure	Azi./Pen.	COMMENTS
5929442	59201020						Trou de sautage au Boulder Buster. Echantillon profond, provenant d'un dyke de 11G. L'échantillon prélevé présente un signal anormalique maximum de 2000 CPS
5929444	59201021						Trou de sautage au Boulder Buster. Echantillon profond (12 pouces de profondeur sur 12 pouces d'épaisseur), provenant d'un dyke de 11G minéralisée
5929445	59201022						Trou de sautage au Boulder Buster. Echantillon profond, provenant d'un dyke de 11G minéralisée.
5929488	59200113	GG, MA	M6				Dyke de 11G riche en BO, à UP (5 à 7%), présentant un signal anormalique moyen de 2000 CPS et maximum de 24000 CPS
5929571	59205030						Dyke de 11G, à BO et HM, présentant un signal anormalique moyen de 870 CPS et maximum de 4700 CPS
5929577	59205031						Dyke de 11G, à BO, présentant un signal anormalique moyen de 1900 CPS et maximum de 11000 CPS
5929701		GG, MA					Dyke de 11G massive, à grains grossiers, présentant un signal anormalique moyen de 4200 CPS et maximum de 17000 CPS
	bt203						
	bt203 b						
	bt203c						
	bt204 d						
	bt204						
	bt205						
	bt206						
	bt206a						
	bt206b						Roche fraîche
	bt207						Pegmatite non fraîche
	bt207a						Fesse de pegmatite avec beaucoup d'uranophane
	bt208						Boulder blaster, roche assez fraîche, mesure prise à 30m de profondeur
	bt209						
	bt209a						
	bt209b						Boulder blaster, 35cm de profondeur, roche fraîche
	bt210						Fesse de pegmatite avec uranophane
	bt210a						
	bt210b						
	bt211						Fesse de pegmatite avec uranophane
	bt212						Pegmatite
	bt213						
	bt213a						
	bt213b						
	bt213c						
	bt213d						
	bt214						
	bt214a						
	bt214b						
	bt214c						
	bt214d						
	bt214e						
	bt215						Petit dyke de pegmatite dans un paragneiss
	bt216						
	bt216a						
	bt216b						
	bt216c						
	bt216d						Schlieren de biotite
	bt217						
	bt218						
	bt218a						
	bt218b						
	bt218c						
	bt218d						
	bt219						Boulder
	bt220						Boulder
	bt222						Boulder
	bt223						Affleurement, dyke de pegmatite avec uranophane
	bt224						
	bt225						
	bt226						
	bt227						
	bt228						
	bt229						



SAMPLE	OUTCROP	GEOLOGIST	DATE	UTMX (nad 27)	UTMY (nad 27)	LOCALISATION TECHNIQUE	CPS moyen	CPS max	CPS bk	eU ppm spectro	eTh ppm spectro	Ratio eU/eTh spectro	Spectro/scintillo	Bloc/Aff	Taille	Lithofacies	Minéraux	Altération
	b231	BT	2007-09-01	340494	6483123	GPS				401.0	136.0		Exploranium GR135					
	b269	BT	2007-09-02	340620	6483954	GPS	4600			344.0	438.0		Exploranium GR135					
	b270	BT	2007-09-02	340648	6483978	GPS	4000			260.0	765.0		Exploranium GR135					
	b271	BT	2007-09-02	340690	6484013	GPS	4000			437.0	787.0		Exploranium GR135					
	b272	BT	2007-09-02	340586	6483932	GPS	19000			2320.0	1811.0		Exploranium GR135					
	b275	BT	2007-09-02	340519	6483810	GPS				393.0	351.0		Exploranium GR135					
	b276	BT	2007-09-02	340490	6483801	GPS	12000			977.0	840.0		Exploranium GR135					
	b291	BT	2007-09-02	340535	6483830	GPS				320.0	1899.0		Exploranium GR135					
	b292	BT	2007-09-02	340572	6483769	GPS				116.0	315.0		Exploranium GR135					
	b293	BT	2007-09-02	340573	6483835	GPS	3300			97.0	646.0		Exploranium GR135					
	b295	BT	2007-09-02	340749	6483606	GPS	10000			404.0	274.0		Exploranium GR135					
	b298	BT	2007-09-02	340772	6483639	GPS	1400			131.0	50.0		Exploranium GR135					
	b351	BT	2007-09-24	347270	6506790	GPS	11000			1127.0	1348.0		Gamma Surveyor GFI			IIG		
	b361	BT	2007-09-24	345941	6508366	GPS	1168			266.0	46.0		Gamma Surveyor GFI					
	b362	BT	2007-09-24	346848	6503075	GPS	4085			658.0	98.0		Gamma Surveyor GFI			IIG		
	b363	BT	2007-09-24	346850	6503054	GPS	721			145.0	37.0		Gamma Surveyor GFI			IIG		
	b297	BT	2007-09-03	341021	6483272	GPS				229.0	1619.0		Exploranium GR135					
	b298	BT	2007-09-03	341019	6483277	GPS				220.0	915.0		Exploranium GR135					
	b299	BT	2007-09-03	341010	6483266	GPS				226.0	851.0		Exploranium GR135					
	b301	BT	2007-09-03	341012	6483264	GPS	4800			169.0	820.0		Exploranium GR135					
	b303	BT	2007-09-03	341155	6483175	GPS	2000			110.0	400.0		Exploranium GR135					
	b305	BT	2007-09-03	341081	6483156	GPS	3500			127.0	624.0		Exploranium GR135					
	b306	BT	2007-09-03	341043	6483159	GPS	4800			151.0	836.0		Exploranium GR135					
	b307	BT	2007-09-03	341105	6483148	GPS	7000			151.0	1624.0		Exploranium GR135					
	b308	BT	2007-09-03	341137	6483069	GPS	7200			310.0	1203.0		Exploranium GR135					
	b309	BT	2007-09-03	341133	6483068	GPS	12000			645.0	1943.0		Exploranium GR135					
	b310	BT	2007-09-03	341196	6483046	GPS	5000			187.0	1183.0		Exploranium GR135					
	b312	BT	2007-09-03	341228	6482943	GPS	8000			296.0	1221.0		Exploranium GR135					
	b313	BT	2007-09-03	340967	6483387	GPS	3500			93.0	727.0		Exploranium GR135					
	b314	BT	2007-09-03	340844	6483431	GPS	9000			258.0	1637.0		Exploranium GR135					
	b315	BT	2007-09-03	340823	6483413	GPS	8000			338.0	1092.0		Exploranium GR135					
	b316	BT	2007-09-03	340833	6483450	GPS	11541			447.0	1988.0		Exploranium GR135					
	b319	BT	2007-09-03	340719	6483577	GPS	2700			118.0	431.0		Exploranium GR135					
	b320	BT	2007-09-03	340727	6483579	GPS	2100			156.0	75.0		Exploranium GR135					
	b321	BT	2007-09-03	340740	6483602	GPS	3000			103.0	743.0		Exploranium GR135					
	b322	BT	2007-09-03	340773	6483609	GPS	7800			551.0	672.0		Exploranium GR135					
	b323	BT	2007-09-03	340768	6483612	GPS	11600			563.0	1572.0		Exploranium GR135					
	b324	BT	2007-09-03	340791	6483646	GPS	2300			81.0	642.0		Exploranium GR135					
	b326	BT	2007-09-03	340770	6483724	GPS	3500			239.0	282.0		Exploranium GR135					
	b327	BT	2007-09-03	340734	6483684	GPS	3700			187.0	351.0		Exploranium GR135					
	b328	BT	2007-09-03	340716	6483630	GPS	1210			85.0	63.0		Exploranium GR135					
	b329	BT	2007-09-03	340588	6483845	GPS	2800			120.0	402.0		Exploranium GR135					
	b330	BT	2007-09-03	340563	6483902	GPS	3000			149.0	346.0		Exploranium GR135					
	b332	BT	2007-09-03	340574	6483916	GPS	25000			2628.0	1418.0		Exploranium GR135					
	b334	BT	2007-09-03	340588	6483921	GPS	16000			1026.0	1438.0		Exploranium GR135					
	b335	BT	2007-09-03	340595	6483942	GPS	10000			514.0	875.0		Exploranium GR135					
	b336	BT	2007-09-03	340612	6483957	GPS	10000			719.0	437.0		Exploranium GR135					
	b337	BT	2007-09-03	340623	6483956	GPS	6000			440.0	557.0		Exploranium GR135					
	b338	BT	2007-09-03	340625	6483957	GPS	6000			495.0	382.0		Exploranium GR135					
	b339	BT	2007-09-03	340592	6483910	GPS	4000			128.0	652.0		Exploranium GR135					
	b351	BT	2007-09-24	347270	6506790	GPS	11000			112.7	1348.0		Gamma Surveyor GFI					
	b361	BT	2007-09-24	345941	6508366	GPS	1668			266.0	46.0		Gamma Surveyor GFI					
	b362	BT	2007-09-24	346848	6503075	GPS				658.0	98.0		Gamma Surveyor GFI					
	b363	BT	2007-09-24	346850	6503054	GPS	720			145.0	37.0		Gamma Surveyor GFI					
	b377	BT	2007-09-29	371475	6464712	GPS	1901			237.7	205.7		Gamma Surveyor GFI					
	b386	BT	2007-09-30	371416	6465062	GPS	1004			241.0	129.0		Gamma Surveyor GFI					





URANIUM EXPLORATION CAMPAIGN, SUMMER 2007  
NORTH RAE PROJECT

APPENDIX 4  
OUTCROPS DESCRIPTION

OUTCROP	GEOLOGIST	DATE	Année	UTMX (nad 27)	UTMY (nad 27)	LOCALISATION TECHNIQUE	MINERALIZED ZONE	SCINTILLOMETRY				Bloc/Aff	DIMENSION	LITHOFACIES
								CPS average	CPS max	CPS bk	Spectro/scintillo			
59200100	R. Girard	2007-07-01	2007	335074	6487110	GPS			700	250	RS 120	AFF	6	M6-11B-11G
59200101	R. Girard	2007-07-03	2007	340537	6483182	GPS		1000	1400	300	RS 120	AFF	6	M4-11G
59200102	R. Girard	2007-07-03	2007	340299	6483005	GPS				300	RS 120	AFF	7	M6-11G
59200103	R. Girard	2007-07-03	2007	340609	6482754	GPS		6800	38800	1000	RS 120	AFF	6	M6-M4-11G
59200104	R. Girard	2007-07-03	2007	340718	6483521	GPS	Torrent		15000	300	RS 120	AFF	7	M6-M4-11G-M16-M12
59200105	R. Girard	2007-07-03	2007	335788	6485122	GPS					RS 120	AFF	7	M6
59200106	R. Girard	2007-07-03	2007	336866	6485045	GPS				200	RS 120	AFF	7	11B, 11G, M6, M16
59200107	R. Girard	2007-07-04	2007				Cible 55		1000	150	RS 120	AFF	7	M6 - 11G
59200108	R. Girard	2007-07-04	2007	344000	6492000	GPS	Cible 32		270	200	RS 120	AFF	7	M6
59200109	J.Lalancette	2007-07-09	2007	335891	6487719	GPS				400	RS120	AFF	7	M6-11G
59200110	J.Lalancette	2007-07-09	2007	335695	6488803	GPS				300	RS120	AFF	7	M4
59200111	J.Lalancette	2007-07-09	2007	334882	6489310	GPS		1000	3000		RS120	AFF	5	11G
59200112	J.Lalancette	2007-07-10	2007	349407	6499183	GPS		2500	11000		RS 120	AFF	7	11G, M6
59200113	J.Lalancette	2007-07-10	2007	349627	6500130	GPS		1500	11000		RS120	AFF	7	11A, 11G
59200114	J.Lalancette	2007-07-11	2007	350134	6500217	GPS		1500	7000		RS120	AFF	7	M6, 11G
59200115	J.Lalancette	2007-07-11	2007	349995	6499984	GPS		10000	57000		RS120	AFF	7	M6, 11G
59200116	J.Lalancette	2007-07-13	2007	349823	6500022	GPS		10000	42000		RS120	AFF	7	M6, M4, 11G
59200117	J.Lalancette	2007-07-15	2007	349917	6500199	GPS			10000		RS120	AFF	7	M6, M4, 11G
59200118	J.Lalancette	2007-07-16	2007	351016	6500092	GPS			7400		RS120	AFF	7	M6, 11G
59200119	J.Lalancette	2007-07-16	2007	351011	6499926	GPS			25000		RS120	AFF	7	11C, 11G
59200120	J.Lalancette	2007-07-17	2007	353224	6497582	GPS		350			RS120	AFF	7	M4
59200121	J.Lalancette	2007-07-16	2007	353048	6497703	GPS				350	RS120	AFF	7	M4, 11G
59200122	J.Lalancette	2007-07-24	2007	349570	6500546	GPS		1500	45000		RS 120	AFF	7	M6,11G
59201006	S.Vaillancourt	2007-07-28	2007	335399	6488204	GPS		1800	6000		RS120	AFF	4	11E
59201007	S.Lavoie	2007-08-12	2007	340731	6482536	GPS		5000	15000		RS125	AFF	4	11G,M4
59201008	S.Lavoie	2007-08-12	2007	340695	6432560	GPS		4000	7000		RS125	AFF	4	11G,M4
59201009	S.Lavoie	2007-08-12	2007	340600	6482547	GPS		3000	5000		RS125	AFF	4	11G,M4
59201010	S.Lavoie	2007-08-12	2007	340566	6482536	GPS		4000	6200		RS125	AFF	3	11G,M4
59201011	S.Lavoie	2007-08-12	2007	340619	6482593	GPS		4600	10000	3800	RS125	AFF	3	11G
59201012	S.Lavoie	2007-08-12	2007	340676	6482694	GPS		9000	13500		RS125	AFF	3	M6,M4,11G
59201013	S.Lavoie	2007-08-13	2007	340603	6482640	GPS		4500	6500		RS125	AFF	2	11G
59201014	S.Lavoie	2007-08-13	2007	340567	6482863	GPS					RS125	AFF	2	M6,11G
59201015	S.Lavoie	2007-08-13	2007	340617	6482924	GPS		4500	6000		RS125	AFF	3	11G
59201016	S.Lavoie	2007-08-13	2007	340618	6482986	GPS		5700	11137		RS125	AFF	2	11G
59201017	S.Lavoie	2007-08-13	2007	340656	6483080	GPS		4800	8000		RS125	AFF	5	M6, M4, 11G
59201018	S.Lavoie	2007-08-13	2007	340535	6483132	GPS		13400	20000		RS125	AFF	4	M6, M4, 11G
59201019	S.Lavoie	2007-08-14	2007	340465	6483227	GPS		8000	15000		RS125	AFF	1	11G
59201020	S.Lavoie	2007-08-14	2007	340482	6483088	GPS		15000	19000		RS125	AFF	2	M6, M4, 11G
59201021	S.Lavoie	2007-08-14	2007	340557	6482795	GPS		3600	6200		RS125	AFF	4	11G,M6,M4
59201022	S.Lavoie	2007-08-14	2007	340890	6482371	GPS		6000	15000		RS125	AFF	4	11G,M6,M5
59201023	S.Lavoie	2007-08-15	2007	350520	6498200	GPS		250	600		RS125	AFF	5	M4, M6, 11G
59201024	J.S. Gauthier	2007-08-24	2007	341395	6482827	GPS		6500	15000		RS125	AFF	3	11G, M6
59201025	J.S. Gauthier	2007-08-24	2007	341349	6482823	GPS		14000	17000		RS125	AFF	3	11G
59201026	J.S. Gauthier	2007-08-24	2007	341220	6482933	GPS		2500	7800		RS125	AFF	4	11G,M6
59201027	J.S. Gauthier	2007-08-30	2007	341005	6483254	GPS		20000	29000		RS125	AFF		M6, 11G
59201028	J.S. Gauthier	2007-08-30	2007	340853	6483470	GPS		2400	30000		RS125	AFF		M6
59201029	J.S. Gauthier	2007-08-30	2007	340518	6483809	GPS					RS125	AFF		11G
59201030	J.S. Gauthier	2007-08-30	2007	340586	6483935	GPS		37800	56000		RS125	AFF		11G



OUTCROP	MINERALOGY	TEXTURE	ENCAISSANT	STRUCTURE	Azi./Pen.
59200100	M6 (BO)	M6 (GM, HL) - I1B (GM, MA, HL, HJ) - I1G (GG, MA)			
59200101	I1G (BO)	I1G (GG, PG, HL) - M4 (GM, BO)			
59200102	M6 (BO)	M6 (HK, GN) - I1G (GG, PG, CS, HL)			
59200103		M6 (GM) - M4 (GM, CS, PL)			
59200104		M6 (HL) - M4 (VN) - M16 (EN)			
59200105					
59200106	I1B (BO), I1G (BO), M6 (BO)	I1B (HL, GM, HJ), I1G (GG, PG), M6 (RU, GM), M16 (RU, GM)			
59200107	BO	M6(GM,GN, HK), I1G(PG,GM,HL)			
59200108		GM, HK, RU			
59200109	M6 (BO20, FK35, PG20, QZ20) - I1G (FP60, QZ40)	M6 (GS, GM) - I1G (MA)			GS: N130-65°NE
59200110	BO (40%)	FO, GM			FO: N75-35°SE
59200111	FP-QZ	MA, GG			
59200112	I1G (FP, QZ), M6 (BO, FP)	I1G(MA,GG) M6 (GS,GM)	M6	Dyke	DY: 350°
59200113	I1A(FP,BO) I1G(QZ,FP)	I1A(MA,GG), I1G(MA,GG)	I1A		
59200114	M6(FP,BO) I1G (QZ, FP)	M6(GS,GM), I1G(MA,GG)	M6	Y	Y: 360/75
59200115	M6(FP, QZ) I1G(QZ, BO)	M6(GS,GM), I1G(MA,GG)	M6		
59200116	M6(FP,BO), M4(PG,BO), I1G(QZ,BO)	M6(GS,GM), M4(FO,GM), I1G(MA,GG)	M6	L, B, Y	L: 310/50 B:310/50 Y:310/50
59200117	M4(BO,FP), M6(BO,FP), I1G(QZ,BO)	M4(FO,GM), M6(GS,GM), I1G(MA,GG)			
59200118	M6(FP,BO), I1G(FK,BO)	M6(GS,GM), I1G(MA,GG)			
59200119	I1C(PE,QZ), I1G(QZ,BO)	I1C(GM,±MA), I1G(GG)		FA	FA: 240/70
59200120	BO	GF, FO		FO	FO: 342/42
59200121		M4(FO,GF) I1G (GG)		FO, Dyke	FO: 345/60, DY:345/60
59200122	M6(BO++), I1G(UP)	M6(GS,GM,FA), I1G(GG,MA,FA)			
59201006	I1E(BO, QZ)				
59201007	I1G(BO, QZ), M4(BO, QZ)				
59201008	I1G(BO, FP, QZ), M4((BO, FP, QZ)				
59201009	I1G(BO, QZ, FP), M4(BO, FP, FP)				
59201010	I1G(BO, QZ, FP), M4(BO, FP, FP)				
59201011	I1G(BO, QZ, FP)				
59201012	M6(QZ, BO, FP), M4(BO, QZ), I1G(BO, QZ)				
59201013	I1G(BO, QZ, FP)				
59201014	M6(QZ, FP, BO), I1G(QZ, FP, BO)				
59201015	I1G(BO, QZ, FP)				
59201016	I1G(BO, QZ, FP)				
59201017	M6(QZ, FP, BO), M4(QZ, FP, BO), I1G(QZ, FP, BO)				
59201018					
59201019	I1G(BO, QZ, FP)				
59201020	I1G(BO, QZ, FP)				
59201021	I1G(BO, QZ, FP)				
59201022	I1G(BO, QZ, FP)				
59201023					
59201024	I1G(QZ, FP, BO), M6(QZ, FP, BO)				
59201025	I1G(QZ, FP, BO)				
59201026	QZ, FD, BO				
59201027	M6(QZ, FP, BO), I1G(QZ, FP, BO)				
59201028	M6(QZ, FP, BO)				
59201029	I1G(QZ, FP, BO)				
59201030	I1G(QZ, FP, BO)				

OUTCROP	COMMENTS
59200100	Affleurement de taille supérieure à 900 m <sup>2</sup> (milieu: escarpement ; qualité: en relief), présentant les formations suivantes: M6 (80%) rose riche en FK, une bande de I1B (20%) d'épaisseur décimétrique et enfin un dyke de I1G de 5 mètres sur 5 mètres (700 CPS maximum)
59200101	Affleurement de taille supérieure à 900 m <sup>2</sup> (milieu: escarpement ; qualité: en relief), présentant une alternance de niveaux encaissants de M4 rouillé (50%) injectés de bandes de I1G à BO (50%). Les dykes de I1G sont minéralisés avec des valeurs radiométriques maximales de 1400 CPS.
59200102	Affleurement continu (milieu: champ ; qualité: en relief), présentant des dykes de I1G pluricentimétriques (20%) associés à des plutons de M6 (80%).
59200103	Affleurement de taille supérieure à 900 m <sup>2</sup> (milieu: champs ; qualité: en relief), présentant les formations suivantes: l'encaissant M4 d'épaisseur décimétrique injecté par M6 décimétrique et des dykes plurimétriques. Les dykes de I1G sont fortement anormaux avec des valeurs radiométriques maximales de 38800 CPS.
59200104	Grand affleurement de gneiss granitique contenant des lambeaux de paragneiss rouillés (15,000cps) et des lambeaux de quartzite (2000-6000 cps), recoupés de pegmatites roses
59200105	Affleurement continu de milieu de cours d'eau et de qualité en surface plane.
59200106	Massif de granite rose hololeucocrate homogène
59200107	Grand affleurement de gneiss granitique avec BK d'environ 150-200cps. Dyke à 700-1000cps sur 5m.
59200108	Grès granitique hétérogène de BK <200cps et max de 2870cps.
59200109	Affleurement continu (milieu: escarpement ; qualité: surface fraîche), présentant des dykes centimétriques à décimétriques de I1G (5%) associés à une colline composée de M6 (95%)
59200110	Affleurement continu (milieu: escarpement ; qualité: surface altérée), présentant une formation de métasédiment M4 très altéré (rouillé) avec des zones très riches en BO, ainsi que d'autres plus grossières plus riches en QZ. Cet affleurement ne présente aucun dyke de I1G. Le bruit de fond radiométrique est de 200 à 300 CPS.
59200111	Affleurement continu (milieu: escarpement; qualité: surface fraîche), Affleurement de I1G, probablement un gros dyke mais les contacts ne sont pas visibles à cause du couvert végétal. Échantillon 9450 à 3000cps plus quelques valeurs à plus de 2000cps sur 10-15m.
59200112	Affleurement continu (milieu: escarpement; qualité: surface fraîche), Affleurement de M6 avec dykes de I1G (6-7m)avec cps moyen de 2500. Échantillon 9451 à 10500-11000cps
59200113	Affleurement de taille supérieure à 900m <sup>2</sup> (milieu: escarpement ; qualité: surface fraîche) avec dykes de I1G de 7-10m de large orienté à 145° subvertical et avec cps moyen de 1000-1500 et dans le secteur d'échantillonnage du #9461 à 1000-11000cps
59200114	Affleurement de taille supérieure à 900m <sup>2</sup> (milieu: escarpement; qualité: surface fraîche) de M6 avec dyke de pegmatite. Échantillon 9465 avec Si++(plus de 1-2%)
59200115	Affleurement de taille supérieure à 900m <sup>2</sup> (milieu: escarpement; qualité: surface fraîche) avec dyke de pegmatite (5-10m) très riche en Qz fumé. Échantillon 9474 de cps moy.c 10000 et cps max 57000
59200116	Affleurement de taille supérieure à 900m <sup>2</sup> (milieu: escarpement; qualité: surface fraîche) avec dyke de pegmatite encaissé dans petites bandes de paragneiss(FO 310/50) de 5m encaissé dans M6 (GS: 310/50). Zone de 12mX25m avec cps moyen 10000 et cps max de 42000. Échantillons 9481-9482-9483-9485
59200117	Affleurement de taille supérieure à 900m <sup>2</sup> (milieu: escarpement; qualité: surface fraîche) avec dyke de pegmatite. Échantillons 9497(Qz fumé+, BO-, HM)-9498(QZ+, BO-)
59200118	Affleurement de taille supérieure à 900m <sup>2</sup> (milieu: escarpement; qualité: surface fraîche) avec dyke de pegmatite encaissé dans M5 avec épaisseur d'environ 5m dans creux de vallée. Échantillon 9505 à 7400cps.
59200119	Affleurement de taille supérieure à 900m <sup>2</sup> (milieu: escarpement; qualité: surface fraîche) dyke de pegmatite avec plan de fracture à 240/70 encaissé dans une granodiorite. On retrouve beaucoup de M4 à l'ouest (rouillé). Échantillon 9508 à 25000cps.
59200120	Escarpement, flanc de montage, folié, grains fins à altération de surface orangée
59200121	Affleurement de taille supérieure à 900m <sup>2</sup> (milieu: escarpement; qualité: surface fraîche) à flanc de colline avec dyke de pegmatite de 5m de largeur ± parallèle à la foliation de l'encaissant de M4.
59200122	Affleurement de taille supérieure à 900m <sup>2</sup> (milieu: escarpement; qualité: surface fraîche) avec dyke de pegmatite à ±310°. On retrouve de l'Uranophane, de la magnétite plus une légère hématisation. Échantillon 9437 de cps max de 45000
59201006	Affleurement de taille comprise entre 25-100m <sup>2</sup> (milieu: escarpement, qualité: surface fraîche) à échantillon 9225 et 9226(poussière).
59201007	Affleurement de taille comprise entre 25-100m <sup>2</sup> (milieu: escarpement, qualité: surface fraîche) à échantillon 9234 et 9235(poussière).
59201008	Affleurement de taille comprise entre 25-100m <sup>2</sup> (milieu: escarpement, qualité: couvert de mousse) à échantillon 9236 et 9237(poussière).
59201009	Affleurement de taille comprise entre 25-100m <sup>2</sup> (milieu: escarpement, qualité: surface fraîche) à échantillon 9238 et 9239(poussière).
59201010	Affleurement de taille comprise entre 4-25m <sup>2</sup> (milieu: escarpement, qualité: couvert de mousse) à échantillon 9240 et 9241(poussière).
59201011	Affleurement de taille comprise entre 4-25m <sup>2</sup> (milieu: escarpement, qualité: couvert de mousse) à échantillon 9242 et 9243(poussière).
59201012	Affleurement de taille comprise entre 4-25m <sup>2</sup> (milieu: escarpement, qualité: couvert de mousse) à échantillon 9244 et 9245(poussière).
59201013	Affleurement de taille comprise entre 1-4m <sup>2</sup> (milieu: escarpement, qualité: couvert de mousse) à échantillon 9246 et 9247(poussière).
59201014	Affleurement de taille comprise entre 1-4m <sup>2</sup> (milieu: escarpement, qualité: couvert de mousse) à échantillon 9249(poussière).
59201015	Affleurement de taille comprise entre 4-25m <sup>2</sup> (milieu: escarpement, qualité: couvert de mousse) à échantillon 9248 et 9293(poussière).
59201016	Affleurement de taille comprise entre 1-4m <sup>2</sup> (milieu: escarpement, qualité: couvert de mousse) à échantillon 9295 et 9296(poussière).
59201017	Affleurement de taille comprise entre 100-900m <sup>2</sup> (milieu: escarpement, qualité: couvert de mousse) à échantillon 9296 et 9297(poussière).
59201018	Affleurement de taille comprise entre 25-100m <sup>2</sup> (milieu: escarpement, qualité: couvert de mousse) à échantillon 9298 et 9299(poussière).
59201019	Affleurement de taille comprise entre <1m <sup>2</sup> (milieu: escarpement, qualité: couvert de mousse) à échantillon 9439 et 9440(poussière).
59201020	Affleurement de taille comprise entre 1-4m <sup>2</sup> (milieu: escarpement, qualité: couvert de mousse) à échantillon 9442 et 9441(poussière).
59201021	Affleurement de taille comprise entre 25-100m <sup>2</sup> (milieu: autre, qualité: couvert de mousse) à échantillon 9444 et 9443(poussière).
59201022	Affleurement de taille comprise entre 25-100m <sup>2</sup> (milieu: escarpement, qualité: couvert de mousse) à échantillon 9445 et 9530(poussière).
59201023	Affleurement de taille comprise entre 100-900m <sup>2</sup> (milieu: escarpement, qualité: couvert de mousse)
59201024	Affleurement de taille comprise entre 25-100m <sup>2</sup> (milieu: escarpement, qualité: en relief) à échantillon 9140 et 9141(poussière).
59201025	Affleurement de taille comprise entre 25-100m <sup>2</sup> (milieu: escarpement, qualité: en relief) à échantillon 9142 et 9143(poussière).
59201026	Affleurement de taille comprise entre 25-100m <sup>2</sup> (milieu: autre, qualité: en relief) à échantillon 9145 et 9144(poussière).
59201027	Échantillon 9159 et 9160(poussière).
59201028	Échantillon surface: 9162, poussière:9161, buster:9163
59201029	Échantillon surface: 9164, poussière:9165, buster:9166
59201030	Échantillon surface: 9167, poussière:9168, buster:9169



OUTCROP	GEOLOGIST	DATE	Année	UTMX (nad 27)	UTMY (nad 27)	LOCALISATION TECHNIQUE	MINERALIZED ZONE	SCINTILLOMETRY				Bloc/Aff	DIMENSION	LITHOFACIES
								CPS average	CPS max	CPS bk	Spectro/scintillo			
59201101	S.Vaillancourt	2007-06-30	2007	334274	6489365	GPS			3500	350	RS120	AFF	6	M16, M4, S1C, I1G
59201101	S.Vaillancourt	2007-06-30	2007	334274	6489365	GPS			3500	180-350	RS120	AFF	6	M16-M4-S1C-I1G
59201102	S.Vaillancourt	2007-06-30	2007	334441	6489164	GPS			2200		RS120	AFF	4	M16, I1G
59201102	S.Vaillancourt	2007-06-30	2007	334441	6489164	GPS			2200		RS120	AFF	4	M16-I1G
59201103	S.Vaillancourt	2007-06-30	2007	334438	6489194	GPS		1500	3400		RS120	AFF	5	I1B
59201103	S.Vaillancourt	2007-06-30	2007	334438	6489194	GPS		1500	3400		RS120	AFF	5	I1B
59201104	J.Béland	2007-07-15	2007	350645	6499773	GPS			22000		RS120	AFF	6	I1A, I1G, VN QZ, I4A
59201104	J. Béland	2007-07-15	2007	350645	6499773	GPS		500	22000	250	RS120	AFF	6	I1A, I1G, VN QZ, I4A
59202000	S.Pivin	2007-09-29	2007	457327	5839373	GPS		1200	2000	800	RS120	AFF	6	I1A,M4
59202001	S.Pivin	2007-10-01	2007	493644	5847700	GPS			600	450	RS120	AFF	6	I1A,M4
59202200	C.Mullard	2007-06-30	2007	334306	6489287	GPS			2500		RS120	AFF	5	M16-M4-S1C-I1G
59202201	C.Mullard	2007-06-30	2007	334494	6489269	GPS					RS120	AFF	7	I4B-I4I-M16-I1G
59202202	C.Mullard	2007-06-30	2007	334612	6489193	GPS		1000	1500	350	RS120	AFF	7	I4I-I1G-M16-I1B-I4B
59202203	C.Mullard	2007-06-30	2007	335306	6488149	GPS			9000		RS120	AFF	5	I1G-M4
59202204	C.Mullard	2007-07-04	2007	335013	6488429	GPS					RS120	AFF	5	I1G-M4
59202205	S.Lavoie	2007-07-21	2007	334895	6488534	GPS			7000		RS120	AFF	5	M6,I1G,M4
59202206	C.Mullard	2007-07-24	2007	351409	6496620	GPS		1000	13000		RS120	AFF	7 - H	I1A - M6
59202207	C.Mullard	2007-08-13	2007	347480	6497571	GPS					RS120	AFF	7	M6,I1G
59202207,1	S. Lavoie	2007-07-24	2007	351467	6499116	GPS		1000	10000	500	RS120	AFF	3	M6,M4,I1G
59202208	C.Mullard	2007-08-13	2007	347551	6497647	GPS					RS120	AFF	7	M6,M4
59202209	C.Mullard	2007-08-13	2007	347611	6497596	GPS					RS120	AFF	6	I1G, M6
59202211	G.Hamza	2007-08-15	2007	649716	6498161	GPS		1600	4800		RS120	AFF	2	I1G,M6
59202212	G.Hamza	2007-08-15	2007	350103	6497679	GPS		3400	15400		RS120	AFF	2	I1G,M3
59202213	G.Hamza	2007-08-16	2007	644863	6494323	GPS		1300	2300		RS120	AFF	2	I1G,M3
59203006	S. Pivin	2007-07-04	2007	334607	6488795	GPS		1300	1800		RS120	AFF	6	I1G, M6, V3B
59203007	S. Pivin	2007-07-09	2007	340875	6482348	GPS		900	1600		RS120	AFF	6	M6 (80%)-I1G(20%)
59203008	S. Pivin	2007-07-09	2007	340671	6482513	GPS		1200	2600		RS120	AFF	6	M6 (60%)-I1G(40%)
59203009	S. Pivin	2007-07-09	2007	340823	6482600	GPS					RS120	AFF	6	M6
59203010	S. Pivin	2007-07-15	2007	350209	6501514	GPS		2000	6400		RS120	AFF	6	I1G, M6
59204000	M.Blöck	2007-06-30	2007	334200	6488990	GPS				150	GF instrument	Blocs	6	M6
59204001	M.Blöck	2007-06-30	2007	334399	6488983	GPS				180	GF instrument	AFF	6	M4-S1C-M16



OUTCROP	MINERALOGY	TEXTURE	ENCAISSANT	STRUCTURE	Azi./Pen.
59201101	M16(HB,PG) - M4 (GR,BO)	M16 et M4 (GM, LM)	M16		M16 (FO : N359 - 64°E ; M: N138 - 47SE)
59201101	M16 (HB,PG) ; M4 (GR,BO)	M16 et M4 (GM, LM)	M16		FO: N359 - 64°E ; M: N138 - 47SE
59201102	M16 (HB,PG) ; I1G (BO)	M16 (GM, MA) ; I1G (GG)	M16		Y : N002
59201102	M16 (HB,PG) ; I1G (BO)	M16 (GM, MA) - I1G (GG)	M16		dyke I1G: N002
59201103					
59201103	CL				
59201104	I1A (BO) ; I1G (BO) ; I4A (AM, MG)	I1A(MA,GF), I1G(MA,PG), VQZ(MA,AP), I4A(MA,AP)			
59201104	I1A (BO) ; I1G (BO) ; I4A (AM, MG)	I1A(MA,GF), I1G(MA,PG), VN QZ(MA,AP), I4A(MA,AP)			
59202000	I1A(FK),M5(BO)			FO	FO:071/44
59202001	I1A(FP,QZ),M4(BO)			FO	270/80
59202200	M16 (HB)	M16 (S)		FO	FO: N336 - 50°E
59202201	I4B (CX, HB) - I4I (OX, AC) - M16 (HB) - I1G (HB)	I4B (GF) - I4I (FO) - M16 (GM) - I1G (GM)	M4		
59202202	I4I (OX, CX, AC) - M16 (HB) - I4B (CX, HB)	I4I (FO) - I1G (GG) - M16 (GM) - I1B (GM) - I4B (GF)			
59202203		I1G (GG, MA) - M4 (GM, RU)	M4		Direction relative NW-SE
59202204	I1G (BO, QZ fumé)	I1G (GG, MA) - M4 (GM, FO)	M4		
59202205	M6(QZ,BO), I1G(Qz,FP)				
59202206	BO, QZ fumé	GM - MA -SC			
59202207					
59202207,1					
59202208		M6(FO,FA), M4(FO,FA)			
59202209	BO	I1G(GG,MA), M6(FO,FA)			
59202211				Dyke, GS	DY: 310/40, GS: 315°
59202212				Dyke	DY: 300/40
59202213				Dyke	DY: 330/40
59203006		I1G(MA,GG), M6(GF)			
59203007	BO dans I1G	I1G: GG-MA, M6: GF-FO			
59203008	BO dans I1G	I1G: GG-MA, M6: GF-FO			
59203009		GM			
59203010		(I1G(MA,GG)			
59204000	BO à 5%	M6 (GG,RU,HJ)			
59204001	M4 (BO à 20%)	M4 (RU,GM) - S1C (GG, MA) - M16 (GF, MA)			

OUTCROP	COMMENTS
59201101	Affleurement de taille supérieure à 900 m <sup>2</sup> (milieu: escarpement ; qualité: en relief), présentant un dyke de I1G (échantillon 9300) associé aux formations suivantes : M16 (70%), M4 (15%) et S1C (15%). M16 est à grains moyens de HB et PG, finement lité, folié et présente un rubanement migmatitique. M6 est non anormalique avec un background de 180 CPS. M4 est altéré (oxydé), à grains moyens de GR et BO, finement lité. S1C est non anormalique avec un background de 350 CPS. Le dyke de I1G est minéralisé avec des valeurs maximales de 2500 à 3500 CPS. Sur cet affleurement a été prélevé l'échantillon 9300
59201101	Affleurement de taille supérieure à 900 m <sup>2</sup> (milieu: escarpement ; qualité: en relief), présentant un dyke de I1G (échantillon 9301) associé aux formations suivantes : M16 (70%), M4 de taille décimétrique (15%) et S1C (15%)
59201102	Affleurement de taille comprise entre 25 et 100 m <sup>2</sup> (milieu: escarpement ; qualité: en relief), présentant un dyke de I1G (10%) associé à M16 (90%). M16 est massif, à grains moyens de HB et PG. M16 est non anormalique. Le dyke de I1G est à grains grossiers, il est minéralisé sur 20 mètres de long avec des valeurs maximales de 2200 CPS. Sur cet affleurement a été prélevé l'échantillon 9301
59201102	Affleurement de taille comprise entre 25 et 100 m <sup>2</sup> (milieu: escarpement ; qualité: en relief), présentant un dyke de I1G (10%) associé à M16 (90%). Le dyke de I1G est anormalique sur 20 mètres de long avec des valeurs maximales de 2200 CPS (échantillon 9301)
59201103	Affleurement de taille comprise entre 100 et 900 m <sup>2</sup> (milieu: escarpement ; qualité: bloc), présentant un pluton de I1B anormalique avec des valeurs radiométriques moyennes de 1000 à 1500 CPS et des valeurs maximales de 3400 CPS. Sur cet affleurement a été prélevé l'échantillon 9302
59201103	Affleurement de taille comprise entre 100 et 900 m <sup>2</sup> (milieu: escarpement ; qualité: bloc), présentant un pluton de I1B anormalique avec des valeurs radiométriques moyennes de 1000 à 1500 CPS et des valeurs maximales de 3400 CPS (échantillon 9302)
59201104	Affleurement de taille comprise entre 100 et 900 m <sup>2</sup> (milieu: escarpement ; qualité: relief), composé essentiellement de I1A (88%) et de dykes de I1G (10%), avec des veines de QZ (1%) et très localement d'un dyke ultramafique de 1 mètre d'épaisseur (I4A ?). I1A est massif, à grains fins de QZ, FP (dont FK) et BO. I1G présente la même minéralogie. Le dyke ultramafique est composé d'AM et de MG. Le dyke de I1G présente est anormalique avec des valeurs radiométriques maximales de 22000 CPS. Sur cet affleurement a été prélevé l'échantillon 9209
59201104	Affleurement de taille comprise entre 100 et 900 m <sup>2</sup> (milieu: escarpement ; qualité: bloc), composé essentiellement de I1A (88%) et de dykes de I1G (10%), avec des veines de QZ (1%) et très localement d'un dyke ultramafique de 1 mètre d'épaisseur (I4A ?). I1A est massif, à grains fins de QZ, FP (dont FK) et BO. I1G présente la même minéralogie. Le dyke ultramafique est composé d'AM et de MG. Le dyke de I1G présente est anormalique avec des valeurs radiométriques maximales de 22000 CPS. Sur cet affleurement a été prélevé l'échantillon 9209
59202000	Affleurement de taille comprise entre >900m <sup>2</sup> (milieu: champ, qualité: bloc). Granite en affleurement d'épaisseur décimétrique. Présence de paragneiss à grain fin avec proportion importante de BO. Background observé dans les granites de l'ordre de 800 avec zones à signal anormalique de 1200-2000cps.
59202001	Affleurement de taille comprise entre >900m <sup>2</sup> (milieu: champ, qualité: en relief). Butte composée de I1A majoritairement et de M6 sur le flanc sud. Background compris entre 100 et 450cps avec valeur max de 600cps. Affleurement au NO semble être de la même lithologie.
59202200	Affleurement de 80m x 10m soit 800 m <sup>2</sup> (milieu: escarpement ; qualité: en relief), présentant un dyke de I1G (10%) minéralisé (2500 CPS maximum), d'épaisseur métrique, concordant avec les formations environnantes, il suit la schistosité. Les autres formations observées sont M16 (60%) d'épaisseur décimétrique, M4 (20%) d'épaisseur métrique et S1C (10%) d'épaisseur métrique. Cet affleurement inclut les
59202201	Affleurement continu (milieu: escarpement ; qualité: en relief), présentant les formations suivantes: I4B (30%) d'épaisseur décimétrique correspondant à l'échantillon 9002, I4I (20%) d'épaisseur métrique correspondant à l'échantillon 9003, M16 (40%) d'épaisseur décimétrique et enfin des niveaux à I1G (10%) non minéralisés d'épaisseur décimétrique.
59202202	Affleurement continu (milieu: escarpement ; qualité: en relief), présentant les formations suivantes: I4B (20%) d'épaisseur décimétrique, I4I (10%) d'épaisseur métrique, M16 (50%) d'épaisseur métrique, I1B (10%) d'épaisseur métrique et enfin I1G (10%) minéralisées (1500 CPS maximum).
59202203	Affleurement de taille comprise entre 100 et 900 m <sup>2</sup> (milieu: rivage ; qualité: en relief), présentant un dyke de I1G d'épaisseur décimétrique au contact de M4 encaissant d'épaisseur décimétrique. Cet affleurement inclut les échantillons 9050 à 9058. Alternance de I1G et M4 sur une zone de 350 à 400m de large sur 1200 m de long (Zone TASIALLUK).
59202204	Affleurement de taille comprise entre 100 et 900 m <sup>2</sup> (milieu: escarpement ; qualité: en relief), présentant un dyke de I1G d'épaisseur décimétrique en alternance avec M4 rouillé encaissant d'épaisseur décimétrique. Cet affleurement inclut les échantillons 9081 à 9084.
59202205	Affleurement de taille comprise entre 100 et 900 m <sup>2</sup> (milieu: escarpement ; qualité: surface plane) Échantillons 9111 et 9112
59202206	Zone 5 : Affleurement hectométrique présentant majoritairement du granite rose à grains moyens et du gneiss granitique. Le background général est compris entre 500 et 1000 CPS avec des pics à 5000 CPS.
59202207	L'anomalie radiométrique peut être due à un effet de masse
59202207,1	
59202208	Affleurement continu (milieu: escarpement) à flanc de colline. M6 majoritaire en alternance avec M4 plus rare. Au sommet du flanc peut-être metabasalte: à vérifier. M6 avec ségrégation minérale.
59202209	Affleurement de 100-900m <sup>2</sup> de milieu d'escarpement. Sur le flanc de la colline/falaise, dyke de pegmatite I1G dans M6 décimétrique de 10m de largeur. Le dyke n'est pas totalement accessible. Échantillons 9126 à 9129
59202211	Affleurement de 1-4m <sup>2</sup> en milieu de rivage et de qualité surface plane. Pegmatite à l'intérieur de gneiss granitique. La pegmatite est diffuse dans le gneiss. Échantillon 9706
59202212	Affleurement de milieu d'escarpement et de qualité en relief sur une surface de 1-4m <sup>2</sup> . C'est un dyke de pegmatite d'environ 7m d'épaisseur et on retrouve des anomalies sur près de 50m le long de l'affleurement. Il a peu d'altération à Hématite. Échantillon 9707
59202213	Affleurement de milieu d'escarpement et de qualité en relief sur une surface de 1-4m <sup>2</sup> . Pegmatite à l'intérieur du gneiss granitique. Il y a la présence d'une altération des feldspaths en kaolin à la surface. Échantillon 9708.
59203006	Affleurement de plus de 900m <sup>2</sup> dans un milieu de champs et de qualité en relief. On observe des bandes de I1G de l'ordre du mètre, très massive dans un encaissant de M6. Les zones à cps élevé se trouvent non loin du contact M4/I1G. Échantillon 9321 de I1G.
59203007	Massif de M6 avec I1G intrusive, 2 intrusions principales de I1G sur la face NE de la butte. Dans M6, orientation N 220, pendage 70. le signal CPS moy:900, max: 1400
59203008	Bandes de I1G intrusives dans M6, les bandes de I1G sont d'épaisseur variable et plus ou moins continues
59203009	Dôme essentiellement composé de M6, à l'exception de quelques intrusions non significatives de I1G. M6 est recoupé par des veines de QZ sans orientation préférentielle. Orientation N220 avec un pendage subvertical
59203010	Affleurement de plus de 900m <sup>2</sup> dans un milieu de champs et de qualité en relief. On observe un dyke de I1G dans un encaissant de M6. Les bandes à signal anormalique sont de l'ordre de 1000-2000cps avec une zone limitée de 6400cps. Les bandes anormaliques sont limités sur une longueur de l'ordre de la centaine de mètre avec une orientation N330. 2 bandes principales: dyke I1G. Le signal anormalique reste faible dans l'ensemble.
59204000	Champ de blocs anguleux de M6 supérieure à 900 m <sup>2</sup> (milieu: champ ; qualité: bloc). Les blocs sont de taille métrique et ne sont pas anormaliques
59204001	Affleurement de taille supérieure à 900 m <sup>2</sup> (milieu: escarpement ; qualité: fauchage de pente), présentant une alternance de niveaux de taille métrique de M4 (40%) non anormalique (100 CPS), de S1C (40%) non anormalique (180 CPS) et enfin de M16 (20%) non anormalique (50 CPS).



OUTCROP	GEOLOGIST	DATE	Année	UTMX (nad 27)	UTMY (nad 27)	LOCALISATION TECHNIQUE	MINERALIZED ZONE	SCINTILLOMETRY				Bloc/Aff	DIMENSION	LITHOFACIES
								CPS average	CPS max	CPS bk	Spectro/scintillo			
59204003	M.Blöck	2007-06-30	2007	334546	6489028	GPS			40-240	GF instrument	AFF	4	M16-I1G	
59204004	M.Blöck	2007-06-30	2007	334426	6489023	GPS			650	GF instrument	AFF	3	M2-I1G	
59204005	M.Blöck	2007-07-01	2007	335720	6488090	GPS		400		GF instrument	AFF	4	I1B	
59204006	M.Blöck	2007-07-01	2007	335730	6487898	GPS		200		GF instrument	AFF	5	M6	
59204007	M.Blöck	2007-07-09	2007	340597	6482776	GPS		650		Exploranium GR-110	AFF	5	I1G-M4	
59204008	M.Blöck	2007-07-09	2007	340366	6483013	GPS		150		Exploranium GR-110	AFF	7	M5-M6	
59204009	M.Blöck	2007-07-09	2007	340652	6483041	GPS		500	1000	Exploranium GR-110	AFF	4	M4-M6	
59204010	M.Blöck	2007-07-09	2007	340678	6482874	GPS		300		Exploranium GR-110	AFF	7	M6	
59204011	M.Blöck	2007-07-09	2007	340430	6482649	GPS		250		Exploranium GR-110	AFF	7	M6	
59204012	M.Blöck	2007-07-14	2007	341092	6483148	GPS		3000		Exploranium GR-110	AFF	5	I1G	
59204013	M.Blöck	2007-07-04	2007	341109	6483018	GPS				Exploranium GR-110	AFF	4	I1G	
59204014	M.Blöck	2007-07-14	2007	341124	6483024	GPS		1550	13000	Exploranium GR-110	AFF	4	I1G	
59204015	M.Blöck	2007-07-14	2007	341135	6483067	GPS		2000		Exploranium GR-110	AFF	4	I1G	
59204016	M.Blöck	2007-07-15	2007	349203	6499688	GPS		450		Exploranium GR-110	AFF	6	M4, M16	
59204017	M.Blöck	2007-07-15	2007	349252	6499797	GPS		2000		Exploranium GR-110	AFF	5	I1G, M6	
59204018	M.Blöck	2007-07-15	2007	349335	6499826	GPS			2000	Exploranium GR-110	AFF	5	I1B	
59204019	M.Blöck	2007-07-15	2007	349100	6499713	GPS		800	1600	Exploranium GR-110	AFF	3	I1G, M6	
59204020	M.Blöck	2007-07-15	2007	349127	6499839	GPS		950		Exploranium GR-110	AFF	5	I1G, I1B	
59204021	M.Blöck	2007-07-17	2007	353387	6497015	GPS		350		Exploranium GR-110	AFF	5	M4	
59204022	M.Blöck	2007-07-18	2007	341237	6483032	GPS		1000		Exploranium GR-110	AFF	7	I1G	
59205000	B.Massé	2007-07-09	2007	335675	6489732	GPS			1700	400	RS120	AFF	6	I1A (94%) BO (05%)
59205001	B.Massé	2007-07-09	2007	335934	6489764	GPS		1500	6000	300	RS120	AFF	6	M4, I1A
59205002	B.Massé	2007-07-09	2007	335833	6489486	GPS		800	4200	450	RS121	AFF	6	I1A
59205003	B.Massé	2007-07-09	2007	335970	6489326	GPS			700	400	RS120	AFF	6	I1A, M4
59205004	B.Massé	2007-07-09	2007	335818	6488850	GPS				400	RS120	AFF	6	M4 (74%) I1A (35%)
59205005	B.Massé	2007-07-10	2007	349442	6499062	GPS		1000	2400	450	RS120	AFF	6	I1G, M4
59205006	B.Massé	2007-07-10	2007	349416	6499173	GPS		1000	20000	400	RS120	AFF	6	I1A, M6
59205007	B.Massé	2007-07-10	2007	349239	6499120	GPS		3400	10000	500	RS120	AFF	6	I1G, M6
59205008	B.Massé	2007-07-10	2007	349314	6498667	GPS		800	5000		RS120	AFF	5	I1G
59205009	B.Massé	2007-07-11	2007	349563	6498775	GPS		1000	5000	450	RS120	AFF	6	I1G, M6
59205010	B.Massé	2007-07-11	2007	349957	6498286	GPS		400	5000		RS120	AFF	6	I1A, M4
59205011	B.Massé	2007-07-13	2007	350075	6500094	GPS		800	5000	400	RS120	AFF	6	I1G, M6
59205012	B.Massé	2007-07-13	2007	350199	6500185	GPS			24000		RS120	AFF	6	I1G, M4



OUTCROP	MINERALOGY	TEXTURE	ENCAISSANT	STRUCTURE	Azi./Pen.
59204003	M16 (BO à 60%)	M16 (GF, PZ) I1G (GG, MA, RU)			
59204004	M2 (BO à 50%)	M2 (GF, RU) - I1G (GG)			
59204005		GG, MA			
59204006	BO	GG, MA, RU, FO			FO: N220 - 80° NE
59204007	I1G (PY et PO en traces)	I1G (GG, MA, FO), M4 (GM, FO)	M4		
59204008		M6 (GG, MA, FO, PZ)			
59204009		M4 (GM, FO), M6 (GG, FO)			
59204010		M6 (GG, MA, FO)			
59204011		M6 (GG, MA, FO)			
59204012	BO	GG, MA			
59204013	BO	GG, SC			
59204014	BO	GG, SC			
59204015	BO	GG, SC			
59204016		M4(GG,SC), M16(GF,SC)			
59204017	I1G (BO,UP)	I1G(GG,SC), M6(GG,SC)			
59204018		GG, MA			
59204019		I1G(GG), M6(GG,MA)			
59204020		I1G(GG,MA), I1B(GM,MA)			
59204021		GM, SC, FA			
59204022		GG, MA			
59205000	BO+	I1A (MA-GM-PG-RU BO(MA-GM-FO)	M4		
59205001	M4(BO,FP,QZ) I1A(FP)	M4(MA,GF,FO), I1A(MA,GM,GG)	M4		
59205002	FK, QZ, BO	MA, GM, GG			
59205003	I1A(FK, QZ, BO), M4(BO, FP, QZ)	I1A(MA, GM, PG), M4(MA, GF, FO)			
59205004		M4 : MA, FM, FO M4: GF, MA, FO I1A: MA, GM			
59205005	I1G(FP, QZ, BO), M4(FP, BO, QZ)	I1G(MA, PG), M4(MA, GF, FO)			
59205006	I1A(FP, QZ, MG, BO), M6(FP, BO, QZ)	I1A(MA, GM, GG), M6(MA, GF, FO)		FO	FO: 330/62
59205007	I1G(FP, QZ, BO), M6(FP, BO, QZ)	I1G(MA, PG), M6(MA, GF)		RU	RU: 330/40
59205008	FP, QZ, BO	MA, PG			
59205009	I1G(FK, QZ, MG), M6(FP, QZ, BO)	I1G(MA, PG), M6(MA, GF)			
59205010	I1A(FK, QZ, BO, MG, HM) M4(FP, QZ, BO)	I1A(MA, GM, PG) M4(MA, GF)			
59205011	I1G(FP, QZ, BO), M6(FP, BO, QZ)	I1G(MA, PG), M6(MA, GF, FO)			
59205012	I1G(FP, QZ, BO), M4(FP, BO, QZ)	I1G(MA, PG), M4(MA, GF, FO)			

OUTCROP	COMMENTS
59204003	Affleurement de taille comprise entre 25 et 100 m <sup>2</sup> (milieu: escarpement ; qualité: surface plane), présentant un dyke de I1G (30%) d'épaisseur décimétrique non anormale (240 CPS) en contact avec M16 (40 CPS). La formation M16 (70%) est traversée par quelques veines de QZ plissées et est recoupée par des fractures remplies de QZ.
59204004	Affleurement de taille comprise entre 4 et 25 m <sup>2</sup> (milieu: escarpement), présentant un dyke de I1G (20%) d'épaisseur métrique et de 50m de long non anormale (650 CPS), massif de couleur rose à blanc, associé à M2 (80%) mafique encaissant.
59204005	Affleurement de taille comprise entre 25 et 100 m <sup>2</sup> (milieu: bois ; qualité: mousse), présentant une formation plutonique I1B massive mais aussi très fracturée en raison de la présence de champs de blocs. Cette formation n'est pas minéralisée (400 CPS moyen).
59204006	Affleurement de taille comprise entre 100 et 900 m <sup>2</sup> (milieu: escarpement ; qualité: mousse), présentant une colline formée exclusivement de M6. La schistosité est sub-verticale de direction N220, Cette formation n'est pas minéralisée (200 CPS moyen).
59204007	Affleurement de taille comprise entre 100 et 900 m <sup>2</sup> (milieu: autre ; qualité: surface altérée), présentant des dykes de I1G massive (80%), à grains grossiers, foliés, d'épaisseur décimétrique bien visibles en intrusion dans l'encaissant M4 (20%), à grains moyens, foliés, d'épaisseur décimétrique. Les dykes sont orientés N310. Ils contiennent des traces de SF. L'encaissant M4 est fortement rouillé. Observation de quelques sulfures dans I1G provenant sûrement du M4 (car forte altération rouille dans M4). Les dykes de I1G présentent des valeurs radiométriques moyennes de 650 CPS (Zone Tasik).
59204008	Affleurement continu (milieu: escarpement ; qualité: en relief), présentant des massifs de M6 massif, à grains grossiers, foliés et plissés, associés à des formations de M4. Les formations de M6 présentent des valeurs radiométriques moyennes de 150 CPS avec quelques spots minéralisés (Zone Tasik).
59204009	Affleurement de taille comprise entre 25 et 100 m <sup>2</sup> (milieu: autre ; qualité: en relief), présentant des formations de M6 (50%) d'épaisseur décimétrique, à grains grossiers et foliés, au contact de formations de M4 (50%) rouillées, à grains moyens et foliés, de taille décimétrique. Les formations de M6 sont toujours en relief et semblent être situées au-dessus des formations de M4. Au niveau de ces zones de contact, M6 est minéralisé avec des valeurs radiométriques moyennes comprises entre 500 et 1000 CP (Zone Tasik).
59204010	Affleurement continu (milieu: autre ; qualité: en relief), présentant des formations de M6, d'épaisseur décimétrique, à grains grossiers et foliés, formant l'apex de la colline. Ces intrusions de roche plutonique, sont situées au-dessus de l'encaissant M4. Les intrusions de M6 ne sont pas minéralisées, elles présentent des valeurs radiométriques comprises entre 200 et 300 CPS avec de rares spots minéralisés (Zone Tasik).
59204011	Affleurement continu (milieu: autre ; qualité: en relief), présentant un massif de M6 massif, à grains grossiers, foliés. Tous les massifs de M6 observés sur la zone Tasik entourent les formations de M4 centrales intrudées par les dykes de I1G fortement anormales. Le massif de M6 n'est pas minéralisé et présente des valeurs radiométriques moyennes de 250 CPS (Zone Tasik).
59204012	Affleurement de milieu autre et de dimension de 100-900m <sup>2</sup> et de qualité de surface plane. La pegmatite est massive avec une foliation N320.
59204013	Affleurement de milieu autre et de dimension de 25-100m <sup>2</sup> et de qualité en surface plane. On retrouve le I1G dans un gneiss folié selon N320 subvertical. Orthose rose: pegmatite rose. BO présente à 15%. Échantillon 9378.
59204014	Affleurement de milieu autre et de dimension de 25-100m <sup>2</sup> et de qualité en surface plane. On retrouve le I1G à grain grossier avec formation en bande fines très foliées (15cm de large).
59204015	Affleurement de milieu autre et de dimension de 25-100m <sup>2</sup> et de qualité en surface plane. On retrouve le I1G encaissé dans le M6 avec des grains grossiers et une forte proportion de FP blancs. Roche très foliée.
59204016	Affleurement de milieu en escarpement et de qualité en relief sur une surface de plus de 900m <sup>2</sup> . Banc de paragneiss avec M16 au dessus. Plus loin au top de la colline: I1B.
59204017	Affleurement de milieu en escarpement et de qualité en relief sur une surface de 100-900m <sup>2</sup> . Filon de I1G dans M6. Direction apparentée à N340 : beaucoup de BO et traces d'UP + Al et rouille(sulfures???)
59204018	Affleurement de milieu en escarpement et de qualité en relief sur une surface de 100-900m <sup>2</sup> . Roche massive, rose avec zone à 200cps.
59204019	Affleurement en milieu de cour d'eau et de qualité autre sur une surface de 4-25m <sup>2</sup> . On observe une petite bande de I1G dans M6 avec un faible signal de cps.
59204020	Affleurement de milieu autre et de qualité en surface plane de 100-900m <sup>2</sup> . On retrouve des "spots" de I1G dans le I1B massif. Il n'y a pas de continuité observée (très localisée).
59204021	Affleurement en milieu d'escarpement et de qualité : bloc sur une surface de 100-900m <sup>2</sup> . Le flanc de la colline est constitué de M4 fracturé (en blocs) par le gel-dégel. Le sommet de la colline semble constitué d'une alternance de M4 et M6.
59204022	Affleurement de milieu autre et de qualité en surface fraîche continue. Le I1G est massif et forme des bandes de direction N340 en relief.
59205000	Affleurement de dimension >900m <sup>2</sup> dans un milieu d'escarpement et de qualité bloc en relief. On retrouve un affleurement de I1A avec veines de biotite orientée ±156°-336°. Le background est de 300-450cps mais on retrouve un petit point à 1700cps au sol.
59205001	Affleurement de dimension >900m <sup>2</sup> dans un milieu d'escarpement et de qualité couvert de mousse en relief. Affleurement de M4 avec intrusion de I1A(2mX2m). L'intrusion de I1A obtient des valeurs max de 2000-6000cps alors que le M4 obtient comme valeurs les plus hautes de 500-800cps. Échantillon 9331 à 4800cps.
59205002	Affleurement de dimension >900m <sup>2</sup> dans un milieu d'escarpement et de qualité de couvert de mousse en relief. L'affleurement se situe sur le flanc ouest de la colline. Valeurs max de 4200cps avec background de 250-450cps. Échantillon 9330.
59205003	Affleurement de dimension >900m <sup>2</sup> dans un milieu d'escarpement et de qualité de couvert de bloc en relief. L'affleurement se situe au sommet de la colline. Le bruit de fond est de 250-400cps et on observe rarement des valeurs de 500-700cps. Échantillon 9332.
59205004	Affleurement de dimension >900m <sup>2</sup> dans un milieu d'escarpement et de qualité de couvert de mousse en relief. L'affleurement se situe sur la pointe sud du lac. Le bruit de fond de site est entre 275 et 450cps. L'unité de M4 est extrêmement rouillée.
59205005	Affleurement de dimension >900m <sup>2</sup> dans un milieu d'escarpement et de qualité de couvert de mousse. L'affleurement est un M4 avec une intrusion de I1G. Le bruit de fond est de 250-450 cps avec plusieurs endroits à 600-1000cps. Le max est de 2400cps. Échantillon 9333.
59205006	Affleurement de dimension >900m <sup>2</sup> dans un milieu d'escarpement et de qualité en relief. L'affleurement est du I1A avec un bruit de fond de 250-400cps. On note la présence de magnétite dans le I1A qui est très hématisé. La zone est continue sur 150m et large de 4m. allant de 1000 à 20000cps dans le I1A. Échantillons 9334 à 9338.
59205007	Affleurement de dimension >900m <sup>2</sup> de qualité en relief avec mousse. Affleurement présente une zone de 2mX30m avec un cps allant de 1000-3400 avec un background de 320-500cps. Échantillon 9339 à 10000cps.
59205008	Affleurement de dimension de 100-900m <sup>2</sup> en qualité de relief/surface plane. On observe un affleurement de I1G avec bande de 2X20m allant de 800-5000cps. Échantillon 9343.
59205009	Affleurement de dimension >900m <sup>2</sup> en milieu d'escarpement et de qualité en relief avec mousse. On retrouve un affleurement de I1G avec ±5% de magnétite et hématisé avec un background de 250-450cps. On retrouve aussi de petites zones de 1X5m allant de 800 à 3500cps en plus d'une autre petite zone de 10mX2m de 1000-5000cps. Finalement, une autre zone (dyke de I1G) sur 2mX40m orientée N320 présente des valeurs de 1000-5000cps. Le fond habituel est de 600-1000cps. Échantillons 9345(5000cps), 9348(2900cps) et 9347.
59205010	Affleurement de dimension >900m <sup>2</sup> de qualité en relief avec mousse. Affleurement de I1A(dyke) dans M4. Dyke orienté N330° avec zone discontinue sur 100mX2m allant de 800-5000cps. Le background est de 300-400cps. Échantillon 9349 et 9350.
59205011	Affleurement de dimension >900m <sup>2</sup> de qualité en relief avec mousse. Affleurement avec I1G et M6 sur le flanc nord. Bande orientée ±E-W sur 40m allant de 800-5000cps. Background de 200-400 pour le M6 et 300-500 pour le I1G. Échantillon 9551 à 5000cps.
59205012	Affleurement de dimension >900m <sup>2</sup> de qualité en relief avec mousse. Affleurement avec I1G et M4 sur le flanc nord de la colline. Zone à 24000cps discontinue et concentrée à un endroit mais autres valeurs à 40m vers l'ouest. Échantillon 9552 à 24000cps avec BO+.



OUTCROP	GEOLOGIST	DATE	Année	UTMX (nad 27)	UTMY (nad 27)	LOCALISATION TECHNIQUE	MINERALIZED ZONE	SCINTILLOMETRY				Bloc/Aff	DIMENSION	LITHOFACIES
								CPS average	CPS max	CPS bk	Spectro/scintillo			
59205013	B.Massé	2007-07-13	2007	350193	6500585	GPS				350	RS120	AFF	6	I1A,I3A, M6
59205014	B.Massé	2007-07-13	2007	349681	6500498	GPS		800	6000	450	RS120	AFF	5	I1G
59205015	B.Massé	2007-07-14	2007	340925	6483612	GPS			30000	500	RS120	AFF	6	I1G,M4
59205016	B.Massé	2007-07-15	2007	349571	6499991	GPS			33000	400	RS120	AFF	6	I1A,M4
59205017	B.Massé	2007-07-15	2007	349552	6500144	GPS		1000	20000	600	RS120	AFF	6	I1A,M4
59205018	B.Massé	2007-07-15	2007	349159	6500329	GPS		800	3400	450	RS120	AFF	6	I1G,M4
59205019	B.Massé	2007-07-16	2007	349009	6500248	GPS		1000	6000	400	RS120	AFF	6	I1G,M4
59205020	B.Massé	2007-07-17	2007	353606	6497163	GPS				200	RS120	AFF	5	I4A
59205021	B.Massé	2007-07-24	2007	352535	6497196	GPS		10000	20000	1000	RS120	AFF	6	I1G,M4,M12
59205030	B.Massé	2007-08-02	2007	341716	6481890	GPS		1000	5600		RS120	AFF	4	M6,M4,I1G
59205031	B.Massé	2007-08-02	2007	342090	6481920	GPS			1000	350	RS120	AFF	6	I1G,M4,M6
59205032	J.Meunier	2007-08-10	2007	347736	6497929	GPS			15000	500	RS120	AFF	6	M6,I1G
59205033	B.Massé	2007-08-12	2007	347494	6497930			4000	46000		RS120	AFF	6	I1G,M4,V3B,M6
59205034	B.Massé	2007-07-17	2007	353680	6497321	GPS			3300	300	RS-120	BLOC	6	I1G,I3A,M4,M12,I4B
59205035	B.Massé	2007-07-10	2007	349383	6499192	Mauvais numéro		1400	5000		RS120	AFF		I1A
59205036	B.Massé	2007-07-09	2007	335980	6489399	Mauvais numéro		1000	3500	250-400	RS120	AFF		I1A (89%) M4 (10%)
59206000	J.Meunier	2007-07-23	2007	350994	6497178	GPS		600	1500	300	RS120	AFF	7	I1G
59206001	P. Tremblay	2007-07-17	2007	353025	6497341	GPS			16300		RS120	AFF	7	I1G, M6
59207000	G.Hamza	2007-08-10	2007	347751	6497824	GPS		250	2000		RS120	AFF	7	I1G, M6, V3B
59207001	J.Béland	2007-08-12	2007	348163	6497423	GPS			41000		RS120	AFF	5	M4, I1G, VN QZ
59207002	J.Béland	2007-08-13	2007	348355	6497284	GPS		250	350		RS120	AFF	7	I1A, M4
59207003	J.Béland	2007-08-13	2007	347864	6497716	GPS		1400	8500		RS120	AFF	5	I1G, M4
59207004	J.Béland	2007-08-15	2007	352031	6498286	GPS		500	47000		RS120	AFF	4	I1G, M4
59207005	J.Béland	2007-08-15	2007	352075	6498982	GPS		600	18000		RS120	AFF	5	M4, I1G
59207006	J.Béland	2007-08-16	2007	345000	6494580	GPS		450	760		RS120	AFF	6	I1G, M4
59207007	J.Béland	2007-08-16	2007	344945	6492780	GPS		250	360		RS120	AFF	6	M6



OUTCROP	MINERALOGY	TEXTURE	ENCAISSANT	STRUCTURE	Azi./Pen.
59205013	I1A(FK,QZ)	I1A(MA,GM,PG),I3A(MA,GF), M6(MA,GF,FO)			
59205014		MA,PG		F	F:080/78
59205015		I1G(MA,PG),M4(MA,GF,FO)		FO	FO: 330/82
59205016		I1A(MA,GM,PG), M4(MA,GF,FO)			
59205017		I1A(MA,GM,PG), M4(MA,GF,FO)			
59205018		I1G(MA,PG),M4(MA,GF)			
59205019		I1G(MA,PG),M4(MA,GF)			
59205020	Tr. PY	MA,GF,AP			
59205021		I1G(MA,PG),M4(MA,GF),M12(MA,GG,PG)			
59205030	M6(BO,MG),M4(HB,BO),I1G(BO)	M6(MA,GM,FO),M4(MA,GF,FO),I1G(MA,GG,PG)		FO, contact	FO: 271/85, contact:130/48
59205031	I1G(BO,MG),M4(BO),M7(BO)	I1G(MA,GG,PG),M4(MA,GF,FO),M6(MA,GF,FO)		FO	FO: 323/66
59205032		M6(FO,GM), I1G(MA,GG)		FO	FO: 330/75
59205033		I1G(MA,PG),M4(MA,GF,FO),V3B(MA,GF),M6(MA,GF)		S	S: 350/34
59205034	PY,BO				
59205035					
59205036	M4:BO (50%)	I1A: MA,GM,PG M4: MA,GF,FO		SC	
59206000		MA,GG			
59206001	I1G (BO+,UP,QZ)	I1G (GG, MA) ; M6 (GM, GS)	M6		I1G (Y : N310-35°NE) ; M6 (GS : N310-35°NE)
59207000	I1G (BO)	I1G (PG, MA) ; M6 (GM, FO, M) ; V3B (GF, FO)	M6		I1G (Y : N272-65°N) ; M6 (O : N320-60°NE)
59207001		M4 (GF,FO) ; I1G (PG,MA) ; VN QZ (MA)	M4	I1G (FR)	M4 (FO : N320) ; I1G (Y : N300-15°NE ; F : N276-60°N ; F : N250-80°NW)
59207002		I1A (GF à GM, MA) ; M4 (GF, FO)	M4		
59207003		I1G (PG, MA) ; M4 (GM, FO)	M4		I1G (Y : N320-60°N) ; M4 (L : N320-60°NE)
59207004	M4 (BO)	M4 (GM, FO) ; I1G (PG, MA)	M4	I1G (FR)	M4 (FO : N316-42°N) ; I1G (FR : N270-90°)
59207005	M4 (SM) ; I1G (UP)	M4 (GF, FO) ; I1G (PG, MA)	M4	I1G (FR)	M4 (FO : N320-60°N ; X axe de pli : N010)
59207006		M4 (GF, FO) ; (I1G : PG, MA)	M4		M4 (FO : N292)
59207007		GM, GF, FO		FR	F : N120 et N75 ; FO : N360 et 180

OUTCROP	COMMENTS
59205013	Affleurement de dimension >900m <sup>2</sup> de qualité en relief avec mousse. Affleurement sur flanc sud d'une colline. Dyke de I3A orienté M332/36 avec background de 200-350cps.
59205014	Affleurement de dimension de 100-900m <sup>2</sup> en milieu d'escarpement et qualité de relief. L'affleurement se situe sur le flanc nord de la colline. Sur le plan de fracture on retrouve une zone allant de 800-6000cps sur près de 30m. La fracture est d'orientation N080/78. Le background est de 300-450cps. Échantillon 9553
59205015	Affleurement de dimension >900m <sup>2</sup> de qualité en relief avec mousse. Affleurement de M4 avec I1G. Dyke de I1G orienté N310. Background de 250-500cps. Présence de 30000cps mais non échantillonnable. Échantillon 9554 à 15000cps.
59205016	Affleurement de dimension >900m <sup>2</sup> de qualité en relief avec mousse. Affleurement sur le dessus de la colline. Dans I1A, background de 250-400cps allant jusqu'à 33000 à un endroit. Échantillon 9557 à 33000cps
59205017	Affleurement de dimension >900m <sup>2</sup> de qualité en relief avec mousse. Affleurement sur le flanc NE de la colline de I1A à I1G. Zone de 10mX15m allant de 1000cps à 20000cps. La zone à 20000cps est riche en Qz. Le background est de 300-600cps. Échantillon 9559
59205018	Affleurement de dimension >900m <sup>2</sup> de qualité en relief avec mousse. Affleurement sur le flanc NW de la colline. Zone ± continue sur 10m allant de 800-3500cps large de 1m. Background de 250-450cps. Échantillon 9563 à 3400cps.
59205019	Affleurement de dimension >900m <sup>2</sup> de qualité en relief avec mousse. Affleurement de I1G avec M4 riche en QZ. Background de 200-400cps et zone de 1000-6000cps(2mX1m). Échantillon 9565-9566
59205020	Affleurement de dimension de 100-900m <sup>2</sup> de milieu en escarpement et en qualité de relief. On observe un affleurement de I4A avec des traces de pyrite. Background de 200cps et fracture orientée ±EW
59205021	Affleurement de dimension >900m <sup>2</sup> de qualité en relief. Affleurement de I1G avec M4 et M12 orienté N336°. Background sur 5mX40m allant de 1000-25000 avec un max de 20000 et beaucoup de 3000-10000cps. La concentration en biotite varie d'un endroit à l'autre de BO à BO+++ . Texture bréchique avec matrice de BO près d'un petit ruisseau. Échantillon 9568-9569-5970
59205030	Affleurement de dimension 25-100m <sup>2</sup> de qualité en relief avec mousse. Présence de magérite dans le M6 qui est très potassique et avec grains plus grossiers par endroits. Enclaves de M4 car discontinu(faille décrochante?). Échantillon 9571
59205031	Affleurement de dimension de >900m <sup>2</sup> en qualité de relief/surface plane. Orientation des dykes de I1G ±N320°. Zone minéralisée sur 370mX10m avec 1000cps moyen sur les 10m de largeur. Background de 350-450cps. Contact de M6-M4 à N323/66. Échantillon 9572
59205032	Affleurement de dimension de >900m <sup>2</sup> en qualité de relief. Background général de 350-500cps. Présence d'un pli anticlinal et dyke minéralisé d'environ 10m d'épaisseur. Échantillon de I1G avec poches topnalitiques max 15000cps. Échantillons 9578 à 9580
59205033	Affleurement de dimension de >900m <sup>2</sup> en qualité de relief. Orientation des dykes de I1G ±N335 et N265° avec métabasalte. Dyke orienté N332 avec cps max de 20000 est continu sur 20m allant de 4000 à 20000cps. Le dyke est large de 7m avec un cps moyen de 1000-2000. Le dyke plonge sous M4 orienté N038/31 avec cps max de 46000.
59205034	Blocs dans un milieu boisé de dimension >900m <sup>2</sup> . Le champs de bloc est orienté NS sur le flanc est de la colline. Bloc anguleux à subanguleux décimétriques à métriques. Dans le I3A on retrouve +de 10% de PY. Échantillon 9214
59205035	
59205036	
59206000	Affleurement en escarpement de qualité relief sur une surface continue. La butte est constituée de granite pegmatitique avec un background moyen de 300-400cps. À certains endroits on rencontre des valeurs de 600-700cps. On note aussi la présence de plusieurs points de 1000-1500cps.
59206001	Affleurement continu (milieu: escarpement ; qualité: en relief), présentant des dykes de I1G massive (25%), à grains grossiers, d'épaisseur décimétrique, associés à une formation plutonique M6 (75%), à grains moyens, foliée, d'épaisseur métrique. Les dykes de I1G sont parallèles à la gneissosité de M6. Sur cet affleurement a été prélevé l'échantillon 9412.
59207000	Affleurement continu (milieu: escarpement ; qualité: en relief), présentant des dykes de I1G massive (15%), à grains grossiers, d'épaisseur métrique associés à une formation plutonique M6 (30%), à grains moyens, foliée, à texture localement migmatitique, d'épaisseur décimétrique et une formation probablement de V3B (55%), à grains fins principalement de ferro-magnésiens, foliée, d'épaisseur décimétrique. M6 et V3B sont non anormaux avec des valeurs radiométriques moyennes entre 200 et 250 CPS. Les dykes de I1G sont situés au contact de M6 et V3B. Ils sont minéralisés avec des valeurs radiométriques maximales de 2000 CPS liées à l'altération à HM et aux niveaux à BO. Sur cet affleurement a été prélevé l'échantillon 9650
59207001	Affleurement de taille comprise entre 100 et 900 m <sup>2</sup> (milieu: escarpement ; qualité: en relief), présentant plusieurs dykes de I1G (30%), massive (15%), à grains grossiers, injectés dans l'encaissant de M4 (69%), à grains fins, folié, riche en BO. Des veines de QZ sont également visibles (1%). Les dykes de I1G sont localement fortement hématisés et limonitisés. Ils sont généralement orientés N300. La minéralisation est surtout localisée à proximité des fractures. Sur cet affleurement ont été prélevés les échantillons 9654, 9655 et 9656 (cps max de 21000, 41000 et 30000).
59207002	Affleurement continu (milieu: escarpement ; qualité: en relief), présentant du M4 (5%) encaissant, à grains fins, folié, injecté par un pluton de I1A (95%) massif, à grains fins à moyens. non métamorphisé. Ces formations ne sont pas anormales. Elles présentent des valeurs moyennes comprises entre 250 et 350 CPS.
59207003	Affleurement de taille comprise entre 100 et 900 m <sup>2</sup> (milieu: escarpement ; qualité: en relief), présentant des dykes de I1G massive (10%), à grains grossiers, pluricentimétriques, injectés dans l'encaissant M4 (90%). Les dykes de I1G sont minéralisés avec des valeurs radiométriques moyennes de 1400 CPS et maximales de 8500 CPS. L'encaissant est non anormal avec des valeurs radiométriques comprises entre 200 et 300 CPS.
59207004	Affleurement de taille comprise entre 25 et 100 m <sup>2</sup> (milieu: escarpement ; qualité: en relief), présentant des dykes de I1G massive (50%), à grains grossiers, métriques, de direction générale N320, injectés dans l'encaissant M4 (50%), à grains moyens, folié. La foliation est marquée par les lits de BO. Le contact entre I1G et M4 est irrégulier, souvent diffus. L'encaissant est non anormal avec des valeurs radiométriques comprises entre 250 et 300 CPS. Les dykes de I1G sont minéralisés avec des valeurs radiométriques moyennes de 500 CPS et maximales de 47000 CPS. Sur cet affleurement ont été prélevés les échantillons 9222, 9223, 9224 et 9669
59207005	Affleurement de taille comprise entre 100 et 900 m <sup>2</sup> (milieu: escarpement ; qualité: en relief), présentant un dyke de I1G massive (80%), à grains grossiers, à UP, décimétrique (60 à 70 mètres d'épaisseur), injecté dans l'encaissant M4 plurimétrique (20%), à grains fins, folié et localement plissé. L'encaissant M4 est non anormal avec des valeurs radiométriques moyennes de 300 CPS. Le dyke de I1G est minéralisé avec des valeurs radiométriques moyennes de 350 à 600 CPS et maximales de 1000 CPS voire 18000 CPS localement, dans des fractures. Sur cet affleurement a été prélevé l'échantillon 9670 (15000cps).
59207006	Sur environ 3 km, environnement composé d'un champ de blocs de M4 et de quelques affleurements de M4, à grains fins, foliés selon la direction N292, non anormaux. Ces affleurements de M4 sont intrudés par des dykes pluridécimétriques de I1G massive, présentant des valeurs radiométriques moyennes de 450 et maximales 760 CPS.
59207007	Affleurement de taille supérieure à 900 m <sup>2</sup> (milieu: escarpement ; qualité: en relief), présentant une formation de M6, à grains fins à moyens, folié, non anormal.

## APPENDIX 5

### SAMPLE ANALYSIS

Table 1 :	Sample location and description
Table 2 :	Surface sample analysis and assays
Table 3 :	Drill core sample analysis and assays
Table 4a :	Duplicates analysis (IOS)
Table 4b :	Quartz analysis (IOS internal reference material)
Table 4c :	BL-3 certified reference material analysis (IOS)
Table 4d :	DH-1a certified reference material analysis (IOS)
Table 5 :	Certified reference material (SRC)
Table 6 :	Analytical replicates (SRC)



PROJECT NUMBER	SAMPLE	SAMPLE TYPE	UTMX (Nad 27)	UTMY (Nad 27)	OUTCROP / CHANNEL	OCCURENCE	SCINTILLOMETER	SPECTROMETER				LITHOLOGY	MINERALISATION	ALTERATION	STRUCTURE	
								U (ppm)	Th (ppm)	U/Th	CPS MAX					TYPICAL CPS
Nb Analyses	790															
Compte	Historique										847	695				
Moyenne	Historique										7335	1780				
Écart-type (σ)	Historique										10527	1856				
Maximum	Historique										146000	15000				
Minimum	Historique										30	50				
Compte	Projet										616	524				
Moyenne	Projet										8849	2164				
Écart-type (σ)	Projet										5451047	1133738				
Maximum	Projet										146000	15000				
Minimum	Projet										520	350				
592	312058	Roche	338931	6490848		Inuit-1					1719					
592	312081	Roche	337849	6488222		Inuit-1					7297					
592	312083	Roche	338401	6487891		Inuit-1					1875					
592	312084	Roche	332350	6488077		Inuit-1					3100					
592	312121	Roche	337461	6488953		Inuit-1					5700					
592	312132	Roche	338545	6488107		Inuit-1					5676					
592	312134	Roche	338271	6489040		Inuit-1					1100					
592	312158	Roche	334398	6490841		Inuit-1					5300					
592	312175	Roche	337556	6489087		Inuit-1					5172					
592	312179	Roche	337730	6488060		Inuit-1					2700					
592	312182	Roche	338040	6488013		Inuit-1					4408					
592	312201	Roche	333979,22	6489778,4		Inuit-1										
592	312235	Roche	337812	6488006		Inuit-1					3560					
592	312237	Roche	338335	6487897		Inuit-1					4015					
592	312251	Roche	340074	6489083		Inuit-1					1585					
592	312252	Roche	341021	6482174		Inuit-2					4139					
592	312254	Roche	341654	6482121		Inuit-2					3556					
592	312262	Roche	342458	6481437		Inuit-2										
592	312263	Roche	342531	6481340		Inuit-2										
592	312264	Roche	343373	6481267		Inuit-2										
592	312265	Roche	343531	6481359		Inuit-2										
592	312267	Roche	344716	6479177		Inuit-2										
592	312271	Roche	345739	6508333		Inuit-3										
592	312272	Roche	346785	6507157		Inuit-3										
592	312273	Roche	347212	6506779		Inuit-3										
592	312274	Roche	346157	6506160		Inuit-3										
592	312275	Roche	346166	6506137		Inuit-3										
592	312276	Roche	346784	6505061		Inuit-3										
592	312277	Roche	346479	6504661		Inuit-3										
592	312278	Roche	345890	6503803		Inuit-3										
592	312279	Roche	346963	6501855		Inuit-3										
592	312280	Roche	347643	6501461		Inuit-3										
592	312281	Roche	345806	6504906		Inuit-3										
592	312282	Roche	345912	6504995		Inuit-3										
592	312283	Roche	346178	6504903		Inuit-3										
592	312284	Roche	346880	6501093		Inuit-3										
592	312285	Roche	346950	6501076		Inuit-3										
592	312286	Roche	346225	6500899		Inuit-3										
592	312287	Roche	346797	6504961		Inuit-3										
592	312288	Roche	346790	6504960		Inuit-3										
592	312289	Roche	346622	6503725		Inuit-3										
592	312290	Roche	346761	6503673		Inuit-3										
592	312291	Roche	364758	6476712		Inuit-4										
592	312292	Roche	365067	6476687		Inuit-4										
592	312293	Roche	364459	6476995		Inuit-4										
592	312294	Roche	365092	6476889		Inuit-4										
592	312295	Roche	365084	6476938		Inuit-4										
592	312296	Roche	365156	6477174		Inuit-4										
592	312297	Roche	365059	6477851		Inuit-4					13000					
592	312298	Roche	365022	6477317		Inuit-4										
592	312299	Roche	365244	6477500		Inuit-4					4100					
592	312300	Roche	364481	6478491		Inuit-4										
592	312301	Roche	339772	6489248		Inuit-1										
592	312302	Roche	340072	6481748		Inuit-2										
592	312308	Roche	341506	6481942		Inuit-2										
592	312315	Roche	343714	6480802		Inuit-2										
592	312321	Roche	364555	6478145		Inuit-4										
592	312337	Roche	364968	6477092		Inuit-4					4000					

PROJECT NUMBER	SAMPLE	SAMPLE TYPE	REMARKS	COMMENTS
Nb Analyses	790			
Compte	Historique			
Moyenne	Historique			
Écart-type (σ)	Historique			
Maximum	Historique			
Minimum	Historique			
Compte	Projet			
Moyenne	Projet			
Écart-type (σ)	Projet			
Maximum	Projet			
Minimum	Projet			
592	312058	Roche		
592	312081	Roche		
592	312083	Roche		
592	312084	Roche		
592	312121	Roche		
592	312132	Roche		
592	312134	Roche		
592	312158	Roche		
592	312175	Roche		
592	312179	Roche		
592	312182	Roche		
592	312201	Roche		
592	312235	Roche		
592	312237	Roche		
592	312251	Roche		
592	312252	Roche		
592	312254	Roche		
592	312262	Roche		
592	312263	Roche		
592	312264	Roche		
592	312265	Roche		
592	312267	Roche		
592	312271	Roche		
592	312272	Roche		
592	312273	Roche		
592	312274	Roche		
592	312275	Roche		
592	312276	Roche		
592	312277	Roche		
592	312278	Roche		
592	312279	Roche		
592	312280	Roche		
592	312281	Roche		
592	312282	Roche		
592	312283	Roche		
592	312284	Roche		
592	312285	Roche		
592	312286	Roche		
592	312287	Roche		
592	312288	Roche		
592	312289	Roche		
592	312290	Roche		
592	312291	Roche		
592	312292	Roche		
592	312293	Roche		
592	312294	Roche		
592	312295	Roche		
592	312296	Roche		
592	312297	Roche		
592	312298	Roche		
592	312299	Roche		
592	312300	Roche		
592	312301	Roche		
592	312302	Roche		
592	312308	Roche		
592	312315	Roche		
592	312321	Roche		
592	312337	Roche		



PROJECT NUMBER	SAMPLE	SAMPLE TYPE	UTMX (Nad 27)	UTMY (Nad 27)	OUTCROP / CHANNEL	OCCURENCE	SCINTILLOMETER	SPECTROMETER					LITHOLOGY	MINERALISATION	ALTERATION	STRUCTURE
								U (ppm)	Th (ppm)	U/Th	CPS MAX	TYPICAL CPS				
Nb Analyses	790															
Compte	Historique											847	695			
Moyenne	Historique											7335	1780			
Écart-type (σ)	Historique											10527	1856			
Maximum	Historique											146000	15000			
Minimum	Historique											30	50			
Compte	Projet											616	524			
Moyenne	Projet											8849	2164			
Écart-type (σ)	Projet											5451047	1133738			
Maximum	Projet											146000	15000			
Minimum	Projet											520	350			
592	312338	Roche	364914	6479312		Inuit-4										
592	312339	Roche	365028	6478373		Inuit-4										
592	312351	Roche	340152	6489043		Inuit-1					13500					
592	312356	Roche	341778	6481880		Inuit-2					1911					
592	312357	Roche	341708	6481880		Inuit-2					9450					
592	312368	Roche	342771	6480643		Inuit-2										
592	312373	Roche	344189	6479420		Inuit-2										
592	312374	Roche	345835	6508509		Inuit-3										
592	312375	Roche	346512	6507923		Inuit-3										
592	312376	Roche	345743	6506952		Inuit-3										
592	312377	Roche	347319	6506833		Inuit-3										
592	312378	Roche	345924	6506173		Inuit-3										
592	312379	Roche	346830	6505250		Inuit-3										
592	312380	Roche	346892	6502772		Inuit-3										
592	312381	Roche	346553	6503511		Inuit-3										
592	312382	Roche	347146	6501710		Inuit-3										
592	312383	Roche	345952	6505152		Inuit-3										
592	312384	Roche	345603	6504910		Inuit-3										
592	312385	Roche	346876	6501030		Inuit-3										
592	312386	Roche	347000	6500913		Inuit-3										
592	312387	Roche	346972	6500834		Inuit-3										
592	312388	Roche	346725	6500584		Inuit-3										
592	312389	Roche	346620	6503487		Inuit-3										
592	312390	Roche	346570	6504081		Inuit-3										
592	312391	Roche	364171	6475508		Inuit-4										
592	312392	Roche	364373	6476969		Inuit-4										
592	312393	Roche	364874	6476623		Inuit-4										
592	312394	Roche	365088	6476609		Inuit-4										
592	312395	Roche	365087	6476703		Inuit-4					6500					
592	312396	Roche	365109	6476768		Inuit-4										
592	312397	Roche	365121	6476856		Inuit-4										
592	312398	Roche	365108	6476890		Inuit-4										
592	312399	Roche	365149	6477125		Inuit-4										
592	312400	Roche	365165	6477211		Inuit-4										
592	312401	Roche	340970	6482201		Inuit-2					1387					
592	312402	Roche	341265	6482095		Inuit-2					3242					
592	312407	Roche	342533	6481342		Inuit-2										
592	312415	Roche	345907	6479286		Inuit-2										
592	312417	Roche	346893	6507621		Inuit-3										
592	312418	Roche	347232	6506820		Inuit-3										
592	312419	Roche	347203	6509764		Inuit-3										
592	312420	Roche	345963	6505682		Inuit-3										
592	312421	Roche	345971	6505735		Inuit-3										
592	312422	Roche	346286	6506168		Inuit-3										
592	312423	Roche	346893	6505519		Inuit-3										
592	312424	Roche	346465	6504473		Inuit-3										
592	312425	Roche	346848	6503079		Inuit-3										
592	312426	Roche	347030	6501650		Inuit-3										
592	312427	Roche	347166	6501417		Inuit-3										
592	312428	Roche	345928	6504834		Inuit-3										
592	312429	Roche	345848	6504936		Inuit-3										
592	312430	Roche	346572	6500690		Inuit-3										
592	312431	Roche	347354	6506696		Inuit-3										
592	312432	Roche	347371	6506692		Inuit-3										
592	312433	Roche	347265	6506598		Inuit-3										
592	312434	Roche	346789	6505112		Inuit-3										
592	312435	Roche	364285	6475584		Inuit-4					1100					
592	312436	Roche	364956	6477054		Inuit-4										



PROJECT NUMBER	SAMPLE	SAMPLE TYPE	REMARKS	COMMENTS
Nb Analyses	790			
Compte	Historique			
Moyenne	Historique			
Écart-type (σ)	Historique			
Maximum	Historique			
Minimum	Historique			
Compte	Projet			
Moyenne	Projet			
Écart-type (σ)	Projet			
Maximum	Projet			
Minimum	Projet			
592	312338	Roche		
592	312339	Roche		
592	312351	Roche		
592	312356	Roche		
592	312357	Roche		
592	312368	Roche		
592	312373	Roche		
592	312374	Roche		
592	312375	Roche		
592	312376	Roche		
592	312377	Roche		
592	312378	Roche		
592	312379	Roche		
592	312380	Roche		
592	312381	Roche		
592	312382	Roche		
592	312383	Roche		
592	312384	Roche		
592	312385	Roche		
592	312386	Roche		
592	312387	Roche		
592	312388	Roche		
592	312389	Roche		
592	312390	Roche		
592	312391	Roche		
592	312392	Roche		
592	312393	Roche		
592	312394	Roche		
592	312395	Roche		
592	312396	Roche		
592	312397	Roche		
592	312398	Roche		
592	312399	Roche		
592	312400	Roche		
592	312401	Roche		
592	312402	Roche		
592	312407	Roche		
592	312415	Roche		
592	312417	Roche		
592	312418	Roche		
592	312419	Roche		
592	312420	Roche		
592	312421	Roche		
592	312422	Roche		
592	312423	Roche		
592	312424	Roche		
592	312425	Roche		
592	312426	Roche		
592	312427	Roche		
592	312428	Roche		
592	312429	Roche		
592	312430	Roche		
592	312431	Roche		
592	312432	Roche		
592	312433	Roche		
592	312434	Roche		
592	312435	Roche		
592	312436	Roche		

PROJECT NUMBER	SAMPLE	SAMPLE TYPE	UTMX (Nad 27)	UTMY (Nad 27)	OUTCROP / CHANNEL	OCCURENCE	SCINTILLOMETER	SPECTROMETER				LITHOLOGY	MINERALISATION	ALTERATION	STRUCTURE		
								U (ppm)	Th (ppm)	U/Th	CPS MAX					TYPICAL CPS	
Nb Analyses	790																
Compte	Historique										847	695					
Moyenne	Historique										7335	1780					
Ecart-type (σ)	Historique										10527	1856					
Maximum	Historique										148000	15000					
Minimum	Historique										30	50					
Compte	Projet										616	524					
Moyenne	Projet										8849	2184					
Ecart-type (σ)	Projet										5451047	1133738					
Maximum	Projet										146000	15000					
Minimum	Projet										520	350					
592	312437	Roche	364966	6477196		Inuit-4											
592	312438	Roche	364775	6477380		Inuit-4											
592	312439	Roche	364405	6477529		Inuit-4				1400							
592	312440	Roche	363978	6477933		Inuit-4											
592	312441	Roche	364507	6478477		Inuit-4											
592	312442	Roche	364494	6478347		Inuit-4											
592	312443	Roche	364989	6477147		Inuit-4											
592	312444	Roche	364985	6477674		Inuit-4											
592	312445	Roche	365043	6477687		Inuit-4					2500						
592	312446	Roche	364995	6478047		Inuit-4					4200						
592	312447	Roche	365052	6477934		Inuit-4					1700						
592	312448	Roche	344871	6480256		Inuit-2											
592	312449	Roche	344512	6480667		Inuit-2											
592	5929000	Roche	334317	6489287		Tasiakuk Extension	RS-120				1100					IIIG	
592	5929001	Roche	334307	6489303	59202200	Tasiakuk Extension	RS-120				2450						IIIG
592	5929002	Roche	334494	6489265	59202201	Tasiakuk Extension	RS-120										IIIG
592	5929003	Roche	334498	6489261	59202201	Tasiakuk Extension	RS-120										IIIG
592	5929004	Bloc	334508	6489254		Tasiakuk Extension	RS-120				1800						IIIG
592	5929005	Bloc	334542	6489170		Tasiakuk Extension	RS-120				11000	6000					IIIG
592	5929006	Roche	335279	6488202		Tasiakuk	RS-120				5600	2800					IIIG
592	5929007	Roche	335282	6488206		Tasiakuk	RS-120				8300	3600					IIIG
592	5929008	Roche	335294	6488216		Tasiakuk	RS-120				2800	1700					IIIG
592	5929009	Roche	335298	6488219		Tasiakuk	RS-120				2800	2100					IIIG
592	5929010	Roche	335308	6488226		Tasiakuk	RS-120				5000	2000					IIIG
592	5929011	Roche	335333	6488277		Tasiakuk	RS-120				1900	1500					IIIG
592	5929012	Roche	335337	6488280		Tasiakuk	RS-120				4800	2800					IIIG
592	5929013	Roche	335356	6488338		Tasiakuk	RS-120				2000	1400					IIIG
592	5929014	Roche	335287	6488369		Tasiakuk	RS-120				1600	1200					IIIG
592	5929015	Roche	335303	6488437		Tasiakuk	RS-120				3600	2200					IIIG
592	5929016	Roche	340877	6482339		Tasik	RS-120				10400	800					IIIG
592	5929017	Roche	340869	6482354		Tasik	RS-120				6300	500					IIIG
592	5929018	Roche	340744	6482436		Tasik	RS-120				4000	800					IIIG
592	5929019	Roche	340659	6482513		Tasik	RS-120				4000	1300					IIIG
592	5929020	Roche	340610	6482540		Tasik	RS-120				5000	1200					IIIG
592	5929021	Roche	340643	6482556		Tasik	RS-120				4000	1300					IIIG
592	5929022	Roche	340607	6482546		Tasik	RS-120				5000	1200					IIIG
592	5929023	Roche	340627	6482573		Tasik	RS-120				4000	1000					IIIG
592	5929024	Roche	340607	6482582		Tasik	RS-120				13000	1800					IIIG
592	5929025	Roche	340607	6482609		Tasik	RS-120				6000	1300					IIIG
592	5929026	Roche	340599	6482673		Tasik	RS-120				12000	2500					IIIG
592	5929027	Roche	340614	6482682		Tasik	RS-120				5500	2000					IIIG
592	5929028	Roche	340541	6482708		Tasik	RS-120				6000	800					IIIG
592	5929029	Roche	340598	6482699		Tasik	RS-120				4800	1000					IIIG
592	5929030	Roche	341157	6483166		Torrent	RS-120				12000	1900					IIIG
592	5929031	Roche	341137	6483176		Torrent	RS-120				6000	1500					IIIG
592	5929032	Roche	341026	6483259		Torrent	RS-120				7000	2400					IIIG
592	5929033	Roche	341011	6483269		Torrent	RS-120				9300	1400					IIIG
592	5929034	Roche	341014	6483255		Torrent	RS-120				6700	2000					IIIG
592	5929035	Roche	341006	6483198		Torrent	RS-120				4000	1200					IIIG
592	5929036	Pjonjar	335020	6488411		Tasiakuk	RS-120										IIIG
592	5929037	Roche	350643	6497457	59206000	Ilakuga	RS-120				5000	900					IIIG
592	5929038	Roche	350799	6497230	59206000	Ilakuga	RS-120				3800	800					IIIG
592	5929039	Roche	350686	6497278	59206000	Ilakuga	RS-120				2500	890					IIIG
592	5929040	Roche	350663	6497290	59206000	Ilakuga	RS-120				3200	800					IIIG
592	5929041	Roche	351001	6497180	59206000	Ilakuga	RS-120				5800	1300					IIIG
592	5929042	Roche	350709	6497464	59206000	Ilakuga	RS-120				2700	800					IIIG
592	5929043	Roche	350473	6497577	59206000	Ilakuga	RS-120				9000	2000					IIIG
592	5929044	Roche	350647	6497442	59206000	Ilakuga	RS-120				13000	1000					IIIG
																	MG



PROJECT NUMBER	SAMPLE	SAMPLE TYPE	REMARKS	COMMENTS
Nb Analyses	790			
Compte	Historique			
Moyenne	Historique			
Écart-type (σ)	Historique			
Maximum	Historique			
Minimum	Historique			
Compte	Projet			
Moyenne	Projet			
Écart-type (σ)	Projet			
Maximum	Projet			
Minimum	Projet			
592	312437	Roche		
592	312438	Roche		
592	312439	Roche		
592	312440	Roche		
592	312441	Roche		
592	312442	Roche		
592	312443	Roche		
592	312444	Roche		
592	312445	Roche		
592	312446	Roche		
592	312447	Roche		
592	312448	Roche		
592	312449	Roche		
592	5929000	Roche		Dyke IIG d'1 mètre d'épaisseur présentant un signal anormalique maximum de 1100 CPS
592	5929001	Roche		Dyke IIG de 2 mètres d'épaisseur présentant un signal anormalique maximum de 2450 CPS
592	5929002	Roche		Métapériodite I4I non analysée
592	5929003	Roche		Métaproxénite I4B d'1,8 mètre d'épaisseur non analysée
592	5929004	Bloc		Bloc de IIG présentant un signal anormalique maximum de 1800 CPS
592	5929005	Bloc		Bloc de IIG de 1m d'épaisseur présentant un signal anormalique compris entre 6000 à 11000 CPS
592	5929006	Roche		Dyke de IIG présentant un signal anormalique moyen de 2800 CPS et maximum de 5600 CPS
592	5929007	Roche		Dyke de IIG présentant un signal anormalique moyen de 3800 CPS et maximum de 8300 CPS
592	5929008	Roche		Dyke de IIG présentant un signal anormalique moyen de 1700 CPS et maximum de 2800 CPS
592	5929009	Roche		Dyke de IIG présentant un signal anormalique moyen de 2100 CPS et maximum de 2800 CPS
592	5929010	Roche		Dyke de IIG présentant un signal anormalique moyen de 2000 CPS et maximum de 5000 CPS
592	5929011	Roche		Dyke de IIG présentant un signal anormalique moyen de 1500 CPS et maximum de 1900 CPS
592	5929012	Roche		Dyke de IIG présentant un signal anormalique moyen de 2800 CPS et maximum de 4800 CPS
592	5929013	Roche		Dyke de IIG présentant un signal anormalique moyen de 1400 CPS et maximum de 2000 CPS
592	5929014	Roche		Dyke de IIG présentant un signal anormalique moyen de 1200 CPS et maximum de 1700 CPS
592	5929015	Roche		Dyke de IIG présentant un signal anormalique moyen de 2200 CPS et maximum de 3600 CPS
592	5929016	Roche		Dyke de IIG, inclus dans M6, présentant un signal anormalique moyen de 800 CPS maximum de 10400 CPS
592	5929017	Roche		Dyke de IIG, présentant un signal anormalique moyen de 400 CPS et maximum de 6300 CPS
592	5929018	Roche	GG, MA	Dyke de IIG massive, à grains grossiers, injecté dans l'encaissant M4, présentant un signal anormalique moyen de 800 et maximum de 4000 CPS
592	5929019	Roche		Dyke de IIG massive, à grains grossiers, de 1 à 2 mètres d'épaisseur sur 5 mètres de long, présentant un signal anormalique moyen de 1300 et maximum de 4000 CPS
592	5929020	Roche		Dyke de IIG, présentant un signal anormalique moyen de 2000 CPS et maximum de 5000 CPS
592	5929021	Roche	GG, MA	Dyke de IIG, massive, à grains grossiers, présentant un signal anormalique moyen de 1300 CPS et maximum de 4000 CPS
592	5929022	Roche	GG, MA	Dyke de IIG massive, à grains grossiers, de 5 mètres d'épaisseur, inclus dans M6, présentant un signal anormalique moyen de 1200 CPS et maximum de 5000 CPS
592	5929023	Roche	GG, MA	Dyke de IIG massive, à grains fins, présentant un signal anormalique moyen de 1000 CPS et maximum de 4000 CPS
592	5929024	Roche	GG, MA	Dyke de IIG massive, à grains grossiers, présentant un signal anormalique moyen de 1800 CPS et maximum de 13000 CPS
592	5929025	Roche	GG, MA	Dyke de IIG massive, à grains grossiers, de 15 mètres d'épaisseur injecté dans M4, présentant un signal anormalique moyen de 1300 CPS et maximum de 6000 CPS.
592	5929026	Roche	GG, MA	Dyke de IIG massive, à grains grossiers, injecté dans M4, présentant un signal anormalique moyen de 2500 CPS et maximum de 13000 CPS. Affleurement situé au bord d'un lac. Présence de SF (PY) et d'une
592	5929027	Roche	GG, MA	Dyke de IIG massive, à grains grossiers, riche en BO, présentant un signal anormalique moyen de 2000 CPS et maximum de 5500 CPS
592	5929028	Roche	GG, MA	Dyke de IIG massive, à grains grossiers, riche en lits de BO, injecté dans l'encaissant M4, présentant un signal anormalique moyen de 800 CPS et maximum de 6600 CPS
592	5929029	Roche	GG, MA	Dyke de IIG massive, à grains grossiers, riche en BO, injecté dans l'encaissant M4, présentant un signal anormalique moyen de 1000 CPS et maximum de 4800 CPS
592	5929030	Roche		Dyke de IIG, à traces de UP, présentant un signal anormalique moyen de 1900 CPS et maximum de 12000 CPS
592	5929031	Roche		Dyke de IIG, présentant un signal anormalique moyen de 1500 CPS et maximum de 6000 CPS
592	5929032	Roche		Dyke de IIG, présentant un signal anormalique moyen de 2400 CPS et maximum de 7000 CPS
592	5929033	Roche		Dyke de IIG, présentant un signal anormalique moyen de 1400 CPS et maximum de 9300 CPS
592	5929034	Roche		Dyke de IIG, présentant un signal anormalique moyen de 2000 CPS et maximum de 6700 CPS
592	5929035	Roche		Dyke de IIG, présentant un signal anormalique moyen de 1200 CPS et maximum de 4000 CPS
592	5929036	Pionjar		Poussière d'un trou de sautage au Boulder Buster de 16 pouces (échantillon 9095)
592	5929037	Roche		Dyke de IIG, riche en FK, présentant un signal anormalique moyen de 900 CPS et maximum de 5000 CPS (Zone 5)
592	5929038	Roche		Dyke de IIG, présentant un signal anormalique moyen de 800 CPS et maximum de 3800 CPS (Zone 5)
592	5929039	Roche		Dyke de IIG, présentant un signal anormalique moyen de 890 CPS et maximum de 2500 CPS (Zone 5)
592	5929040	Roche		Dyke de IIG, présentant un signal anormalique moyen de 800 CPS et maximum de 3200 CPS (Zone 5)
592	5929041	Roche		Dyke de IIG, présentant un signal anormalique moyen de 1300 CPS et maximum de 5800 CPS (Zone 5)
592	5929042	Roche		Dyke de IIG, très hématité, présentant un signal anormalique moyen de 800 CPS et maximum de 2700 CPS (Zone 5)
592	5929043	Roche		Dyke de IIG hématité, situé sur le flanc, présentant un signal anormalique moyen de 2000 CPS et maximum de 9000 CPS (Zone 5)
592	5929044	Roche		Dyke de IIG à amas de MG, présentant un signal anormalique moyen de 1000 CPS et maximum de 13000 CPS (Zone 5)



PROJECT NUMBER	SAMPLE	SAMPLE TYPE	UTMX (Nad 27)	UTMY (Nad 27)	OUTCROP / CHANNEL	OCCURENCE	SCINTILLOMETER	SPECTROMETER					LITHOLOGY	MINERALISATION	ALTERATION	STRUCTURE
								U (ppm)	Th (ppm)	U/Th	CPS MAX	TYPICAL CPS				
Nb Analyses	790															
Compte	Historique										847	695				
Moyenne	Historique										7335	1780				
Ecart-type (σ)	Historique										10527	1856				
Maximum	Historique										146000	15000				
Minimum	Historique										30	50				
Compte	Projet										616	524				
Moyenne	Projet										8849	2164				
Ecart-type (σ)	Projet										5451047	1133738				
Maximum	Projet										146000	15000				
Minimum	Projet										520	350				
592	5929045	Pionjar	335293	6488196		Tasiakuk	RS-120									
592	5929046	Pionjar	335296	6488207		Tasiakuk	RS-120									
592	5929047	Pionjar	335295	6488201		Tasiakuk	RS-120									
592	5929048	Pionjar	335329	6488148		Tasiakuk	RS-120									
592	5929049	Pionjar	335349	6488291		Tasiakuk	RS-120			7300	3300					
592	5929050	Roche	335306	6488149	59202203	Tasiakuk	RS-120			3300						
592	5929051	Roche	335318	6488154	59202203	Tasiakuk	RS-120			6000						
592	5929052	Roche	335329	6488154	59202203	Tasiakuk	RS-120			9000	7000					
592	5929053	Roche	335336	6488210	59202203	Tasiakuk	RS-120			5000	2500					
592	5929054	Roche	335346	6488226	59202203	Tasiakuk	RS-120			4000						
592	5929055	Roche	335385	6488277	59202203	Tasiakuk	RS-120							BO		
592	5929056	Roche	335393	6488320	59202203	Tasiakuk	RS-120			8000						
592	5929057	Roche	335434	6488303	59202203	Tasiakuk	RS-120			3000	1500					
592	5929058	Roche	335405	6488307	59202203	Tasiakuk	RS-120			2000						
592	5929059	Roche	335454	6488017		Tasiakuk	RS-120				1300					
592	5929060	Roche	335455	6488016		Tasiakuk	RS-120			3500	1700					
592	5929061	Roche	335470	6488017		Tasiakuk	RS-120				1200					
592	5929062	Roche	335465	6488031		Tasiakuk	RS-120				2300					
592	5929063	Roche	335484	6488046		Tasiakuk	RS-120			3000				BO QZ fumé		
592	5929064	Roche	335487	6488040		Tasiakuk	RS-120				1500					
592	5929065	Roche	335489	6488095		Tasiakuk	RS-120			3000	1500			BO		
592	5929066	Roche	335491	6488133		Tasiakuk	RS-120			3000	1500			BO (20%)		
592	5929067	Roche	335488	6488213		Tasiakuk	RS-120			5000	2500					
592	5929068	Roche	335464	6488265		Tasiakuk	RS-120			2300	1300			QZ fumé - AP		
592	5929069	Roche	335396	6488150		Tasiakuk	RS-120			2300	1600			QZ fumé - AP - BO		
592	5929070	Roche	335382	6488102		Tasiakuk	RS-120			1700				QZ fumé - BO (15%)		
592	5929071	Roche	335391	6488075		Tasiakuk	RS-120									
592	5929072	Roche	335405	6488034		Tasiakuk	RS-120									
592	5929073	Roche	335428	6488194		Tasiakuk	RS-120			6000	2100					
592	5929074	Roche	335468	6488214		Tasiakuk	RS-120			6000	2000					
592	5929075	Roche	335373	6488118		Tasiakuk	RS-120			2600	1700					
592	5929076	Roche	335341	6488131		Tasiakuk	RS-120			2600	1600			BO		
592	5929077	Roche	335345	6488197		Tasiakuk	RS-120			2400	1200			QZ fumé - BO (5 à 10 %)		
592	5929078	Roche	335371	6488170		Tasiakuk	RS-120			3000	1600			QZ fumé		
592	5929079	Roche	335355	6488221		Tasiakuk	RS-120			2500	1500			QZ fumé - BO		
592	5929080	Roche	335341	6488251		Tasiakuk	RS-120							FP rose - BO		
592	5929081	Roche	335013	6488429	59202204	Tasiakuk	RS-120			4000	3000			QZ fumé - BO		
592	5929082	Roche	335020	6488400	59202204	Tasiakuk	RS-120			2500	1800			BO		
592	5929083	Roche	335021	6488456	59202204	Tasiakuk	RS-120			2800	1700					
592	5929084	Roche	335040	6488465	59202204	Tasiakuk	RS-120			2000	1500					
592	5929085	Roche	334971	6488498		Tasiakuk	RS-120			1900	1500			BO		
592	5929086	Roche	334954	6488530		Tasiakuk	RS-120			4000	1800			BO - QZ fumé	UP	
592	5929087	Roche	334892	6488540		Tasiakuk	RS-120			6000	3000					
592	5929088	Roche	340416	6483285		Tasik	RS-120			4500	1200			BO - QZ fumé - AP		
592	5929089	Roche	340422	6483276		Tasik	RS-120									
592	5929090	Roche	340406	6483250		Tasik	RS-120			4000	1500			BO (20%)		
592	5929091	Roche	340487	6483122		Tasik	RS-120			4600	1600			BO (15%)		
592	5929092	Roche	340514	6483124		Tasik	RS-120			3800	1500			BO (5-10%) - QZ		
592	5929093	Roche	340522	6483142		Tasik	RS-120			2000	1800			BO (20%) - QZ		
592	5929094	Roche	340533	6483134		Tasik	RS-120			4000	2500			BO - QZ		
592	5929095	Bbuster	335020	6488406		Tasiakuk	GFI		317,4	164,2	1,93	4000	2000			UP (traces)
592	5929096	Pionjar	335023	6488414		Tasiakuk	GFI									
592	5929097	Bbuster	335023	6488414		Tasiakuk	GFI		834,4	402,0	2,08	4600	2600			BO, QZ fumé
592	5929098	Pionjar	335016	6488426		Tasiakuk	GFI									
592	5929099	Pionjar	335014	6488417		Tasiakuk	GFI									
592	5929100	Roche	335052	6488377		Tasiakuk	GFI			16000				BO		
592	5929101	Bloc	340594	6482974		Tasik	GFI			20000				QZ gris laiteux, BO		
592	5929102	Roche	347744	6497804		Agpiq	GFI			2000						UP (traces)



PROJECT NUMBER	SAMPLE	SAMPLE TYPE	REMARKS	COMMENTS
Nb Analyses	790			
Compte	Historique			
Moyenne	Historique			
Écart-type (σ)	Historique			
Maximum	Historique			
Minimum	Historique			
Compte	Projet			
Moyenne	Projet			
Écart-type (σ)	Projet			
Maximum	Projet			
Minimum	Projet			
592	5929045	Pionjar		Poussière d'un trou de sautage au Boulder Buster (échantillon 9230)
592	5929046	Pionjar		Poussière d'un trou de sautage au Boulder Buster
592	5929047	Pionjar		Poussière d'un trou de sautage au Boulder Buster (échantillon 9229)
592	5929048	Pionjar		Poussière d'un trou de sautage au Boulder Buster (échantillon 9233)
592	5929049	Pionjar		Poussière d'un trou de sautage au Boulder Buster. Cet échantillon de poussière présente un signal anormalique moyen de 550 CPS et maximum de 950 CPS. L'affleurement présente un signal anormalique moyen de
592	5929050	Roche	GG	Dyke de IIG à grains grossiers présentant un signal anormalique maximum de 3000 CPS (affleurement 2203)
592	5929051	Roche	GG	Dyke de IIG à grains grossiers de 2m d'épaisseur présentant un signal anormalique maximum de 6000 CPS (affleurement 2203)
592	5929052	Roche	MA	Dyke de IIG massive présentant un signal anormalique moyen de 7000 CPS et maximum de 9000 CPS (affleurement 2203)
592	5929053	Roche	MA, GG	Dyke de IIG massive à grains grossiers présentant un signal anormalique moyen de 2500 CPS et maximum de 5000 CPS (affleurement 2203)
592	5929054	Roche	MA	Dyke de IIG massive, proche du contact avec l'encaissant M4, présentant un signal anormalique maximum de 4000 CPS (affleurement 2203)
592	5929055	Roche	MA, GG	Dyke de IIG massive à grains grossiers, riche en BO, anormalique (affleurement 2203)
592	5929056	Roche		Dyke de 4 à 5 mètres d'épaisseur d'IIG, présentant un signal anormalique maximum de 3000 à 4000 CPS, dans encaissant M4. La zone centrale du dyke de 50 cm d'épaisseur présente un signal plus élevé à 8000
592	5929057	Roche	MA, GG	Dyke de IIG massive à grains grossiers présentant un signal anormalique moyen de 1500 CPS et maximum de 3000 CPS (affleurement 2203)
592	5929058	Roche	MA, GG	Dyke de IIG massive, à grains grossiers, anormalique (affleurement 2203)
592	5929059	Roche	GG, MA	Dyke de IIG massive à grains grossiers, présentant un signal anormalique moyen de 1300 CPS
592	5929060	Roche	GG, MA	Echantillon prélevé dans la continuité de l'échantillon 9059. Dyke de IIG massive à grains grossiers, présentant un signal anormalique moyen de 1300 CPS. Les valeurs radiométriques maximales de 3500 CPS ont
592	5929061	Roche	GG, MA	Dyke de IIG massive à grains moyens présentant un signal moyen de 1200 CPS
592	5929062	Roche	GG, MA	Dyke de IIG, massive, à grains moyens, au contact avec l'encaissant M4, présentant un signal anormalique moyen de 2300 CPS. L'encaissant M4 est rouillé (traces de SF), le dyke de IIG est localement rouillé
592	5929063	Roche	GG, MA	Dyke de IIG massive à grains grossiers, présentant de nombreux spots avec un signal anormalique de 17000 CPS mesuré dans des fissures remplies de BO et QZ fumé (ehar zones). La valeur moyenne constatée
592	5929064	Roche	GG, MA	Dyke de IIG massive à grains moyens, injectée dans l'encaissant M4, présentant un signal anormalique moyen de 1500 CPS
592	5929065	Roche	GG, MA	Dyke de IIG massive à grains grossiers, riche en BO, présentant un signal anormalique moyen de 1500 CPS et maximum de 3000 CPS
592	5929066	Roche	GG, MA	Dyke de IIG massive à grains grossiers, de 4 mètres d'épaisseur, au contact de l'encaissant M4, présentant un signal anormalique moyen de 1500 CPS et maximum de 2500 CPS. Ce dyke est parallèle au plan de
592	5929067	Roche	GG, MA	Dyke de IIG massive à grains grossiers, de 3 mètres d'épaisseur sur 5 mètres de long, au contact de l'encaissant M4, présentant un signal anormalique moyen de 2500 CPS et maximum de 5000 CPS. Ce dyke est
592	5929068	Roche	GG, MA	Dyke de IIG massive à grains grossiers, injecté dans l'encaissant M4, présentant un signal anormalique moyen de 1300 CPS et maximum de 2300 CPS. Observation d'AP
592	5929069	Roche	GG, MA	Dyke de IIG massive à grains grossiers, injecté dans l'encaissant M4, présentant un signal anormalique moyen de 1600 CPS et maximum de 2300 CPS. Observation d'AP
592	5929070	Roche	GG, MA	Dyke de IIG massive à grains grossiers, injecté dans l'encaissant M4, présentant un signal anormalique moyen de 1700 CPS et maximum de 3000 CPS
592	5929071	Roche	GG, MA	Dyke de IIG massive à grains grossiers minéralisée
592	5929072	Roche	GG, MA	Dyke de IIG massive à grains grossiers minéralisée
592	5929073	Roche	GG, MA	Dyke de IIG massive à grains grossiers, injecté dans l'encaissant M4, présentant un signal anormalique moyen de 2100 CPS et maximum de 6000 CPS
592	5929074	Roche	GG, MA	Dyke de IIG massive à grains grossiers, injecté dans l'encaissant M4, présentant un signal anormalique moyen de 2000 CPS et maximum de 6000 CPS
592	5929075	Roche	GG, MA	Dyke de IIG massive à grains grossiers, présentant un signal anormalique moyen de 1700 CPS et maximum de 2600 CPS
592	5929076	Roche	GM à GG, MA	Dyke de IIG massive à grains moyens à grossiers, présentant un signal anormalique moyen de 1600 CPS et maximum de 2600 CPS
592	5929077	Roche	GM à GG, MA	Petit dyke de IIG massive à grains moyens à grossiers, présentant un signal anormalique moyen de 1200 CPS et maximum de 2400 CPS. Cet échantillon renferme de la BO et du QZ fumé
592	5929078	Roche	GG, MA	Dyke de IIG massive à grains grossiers, présentant un signal anormalique moyen de 1500 CPS et maximum de 3000 CPS.
592	5929079	Roche	GG, MA	Dyke de IIG massive à grains grossiers, présentant un signal anormalique moyen de 1600 CPS et maximum de 3000 CPS
592	5929080	Roche	GG	Dyke de IIG rose, massive, à grains grossiers, minéralisée. Cet échantillon renferme de la BO
592	5929081	Roche	GG, MA	Dyke de IIG massive à grains grossiers, situé à 1 mètre de la zone high-grade (20000 CPS maximum), présentant un signal anormalique maximum de 4000 CPS. Cet échantillon renferme de la BO
592	5929082	Roche	GG, MA	Dyke de IIG massive à grains grossiers, proche de la zone high-grade (20000 CPS maximum), présentant un signal anormalique moyen de 1800 CPS et maximum de 2500 CPS. Cet échantillon renferme des lits
592	5929083	Roche	GG, MA	Dyke de IIG massive à grains grossiers, proche de la zone high-grade (20000 CPS maximum), présentant un signal anormalique moyen de 1700 CPS maximum de 2800 CPS.
592	5929084	Roche	GG, MA	Dyke de IIG présentant un signal anormalique moyen de 1500 CPS maximum de 2000 CPS.
592	5929085	Roche	GG, MA	Dyke de IIG massive à grains grossiers, présentant un signal anormalique moyen de 1500 CPS et maximum de 1900 CPS. Cet échantillon renferme de la BO
592	5929086	Roche	GG, MA	Dyke de IIG massive à grains grossiers, présentant un signal anormalique moyen de 4000 CPS et maximum de 10000 CPS. Cet échantillon renferme de la BO, du QZ fumé et UP
592	5929087	Roche	GG, MA	Dyke de IIG massive à grains grossiers, présentant un signal anormalique moyen de 3000 CPS et maximum de 6000 CPS
592	5929088	Roche	GG, MA	Dyke de IIG massive à grains grossiers, présentant un signal anormalique moyen de 1200 CPS et maximum de 4500 CPS
592	5929089	Roche	GG, MA	Dyke de IIG massive à grains grossiers, injecté dans l'encaissant M4, minéralisé
592	5929090	Roche	GM à GG, MA	Dyke de IIG massive, à grains moyens à grossiers, présentant un signal anormalique moyen de 1500 CPS et maximum de 8000 CPS
592	5929091	Roche	GG, MA	Dyke de IIG massive, à grains grossiers, présentant un signal anormalique moyen de 1600 CPS et maximum de 4600 CPS
592	5929092	Roche	GG, MA	Dyke de IIG massive, à grains grossiers, minéralisé. Cet échantillon renferme de la BO et du QZ fumé
592	5929093	Roche	GG, MA	Dyke de IIG massive, à grains grossiers, présentant un signal anormalique moyen de 2000 CPS et maximum de 11000 CPS
592	5929094	Roche	GG, MA	Dyke de IIG massive, à grains grossiers, injecté dans l'encaissant M4, présentant un signal anormalique moyen de 2500 CPS et maximum de 11000 CPS
592	5929095	Bbuster		Trou de sautage au Boulder Buster dans la zone high-grade (Tasiakuk). Echantillon profond (16 pouces) provenant d'un dyke de IIG, à UP, présentant un signal anormalique moyen de 2000 CPS et maximum de
592	5929096	Pionjar		Poussière d'un trou de sautage au Boulder Buster de 16 pouces (échantillon 9097)
592	5929097	Bbuster	GG	Trou de sautage au Boulder Buster dans la zone high-grade (Tasiakuk). Echantillon profond (16 pouces) provenant d'un dyke de IIG, à grains grossiers, à BO, QZ fumé, présentant un signal anormalique moyen de
592	5929098	Pionjar		Poussière d'un trou de sautage au Boulder Buster. Le sautage n'a pas fonctionné, recueilli uniquement de la poussière
592	5929099	Pionjar		Poussière d'un trou de sautage au Boulder Buster de 13 pouces (échantillon 9150)
592	5929100	Roche	SH	Dyke de IIG, à schlieren de BO (5 à 10 centimètres d'épaisseur), présentant un signal anormalique maximum de 16000 CPS
592	5929101	Bloc		Bloc de IIG "cuite", à QZ gris laiteux et BO, présentant un signal anormalique maximum de 20000 CPS
592	5929102	Roche		Dyke de IIG, à UP (traces), présentant un signal anormalique maximum de 2000 CPS. Il s'agit d'un petit échantillon de 300 grammes



PROJECT NUMBER	SAMPLE	SAMPLE TYPE	UTMX (Nad 27)	UTMY (Nad 27)	OUTCROP / CHANNEL	OCCURENCE	SCINTILLOMETER	SPECTROMETER				LITHOLOGY	MINERALISATION	ALTERATION	STRUCTURE	
								U (ppm)	Th (ppm)	U/Th	CPS MAX					TYPICAL CPS
Nb Analyses	790															
Compte	Historique										847	695				
Moyenne	Historique										7335	1780				
Écart-type (σ)	Historique										10527	1856				
Maximum	Historique										146000	15000				
Minimum	Historique										30	50				
Compte	Projet										616	524				
Moyenne	Projet										8849	2184				
Écart-type (σ)	Projet										5451047	1133738				
Maximum	Projet										146000	15000				
Minimum	Projet										520	350				
592	5929103	Roche	347761	6497815		Agpjq	GFI				9000		IIG	BO		
592	5929104	Roche	337095	6490900		108	GFI				8000		IIB	BO, PY		
592	5929105	Bloc	349982	6507106		11	GFI				8000	1200	IIG	BO		UP (plaquage)
592	5929106	Roche	351607	6505102		24	GFI					800	IIG			OF+, UP (plaquage)
592	5929107	Roche	349893	6500008		Jonas	GFI				4500	1000	IIG			UP (traces)
592	5929108	Roche	349157	6499504		Ilaluga	GFI				4300	400		SF		
592	5929109	Bloc	349129	6499308		Ilaluga	GFI				6000	2500	IIG	MG (20%)		UP (traces)
592	5929110	Roche	334993	6488416		Tasialuk	RS-125	1252.8	770.3		10000	3000	IIG			
592	5929111	Roche	334883	6488554		Tasialuk	RS-125	347.5	31.3				M6			
592	5929112	Bbuster	334898	6488548		Tasialuk	RS-125	313.8	278.8		8000	5000	M6			
592	5929113	Pionjar	334898	6488548		Tasialuk	RS-125							Poussière IIG		
592	5929114	Pionjar	334895	6488539		Tasialuk	RS-125							Poussière IIG		
592	5929115	Bbuster	334895	6488539		Tasialuk	RS-125	416.5	204.4		10000	3000	M6			
592	5929116	Pionjar	334890	6488533		Tasialuk	RS-125						IIG			
592	5929117	Bbuster	334890	6488533		Tasialuk	RS-125	295.2	123.0		9000	2500	IIG			
592	5929118	Pionjar	334883	6488554		Tasialuk							IIG			
592	5929119	Roche	351456	6499134		Amittuujaq	RS-120				4000		IIG			
592	5929120	Roche	351467	6499160		Amittuujaq	RS-120				10000		IIG	BO		
592	5929121	Pionjar	335330	6488282		Tasialuk	RS-120				7100	2400	IIG			
592	5929122	Pionjar	335267	6488454		Tasialuk					5000	1300	IIG			
592	5929123	Pionjar	335472	6488215		Tasialuk					4200	2600	IIG			
592	5929124	Bbuster	335277	6488446		Tasialuk	RS-125	511.7	736.3	0.69	4600		M6	BO+		
592	5929125	Bbuster	335465	6488210		Tasialuk	RS-125	496.1	666.5	0.74	5500		IIG			
592	5929126	Roche	347606	6497600		Agpjq	RS-120				10500	1000	IIG	BO++		
592	5929127	Roche	347610.5	6497600		Agpjq	RS-120				3500	1400	IIG	BO		
592	5929128	Roche	347615	6497600		Agpjq	RS-120				4000	1200	IIG	QZ fumé, BO		
592	5929129	Roche	347614	6497641.5		Agpjq	RS-120				5600	2000	IIG	BO++		
592	5929130	Roche	347613	6497683		Agpjq	RS-120				3000	1400	IIG	BO++		
592	5929131	Roche	347609	6497669		Agpjq	RS-120						IIG			
592	5929132	Roche	347614	6497662		Agpjq	RS-120				3200	1150	IIG			
592	5929133	Bbuster	347731	6497708		Agpjq	RS-125				60000	10000	IIG			
592	5929133.2	Bbuster	347731	6497708		Agpjq	RS-125				60000	10000	IIG			
592	5929134	Pionjar	347731	6497708		Agpjq	RS-125						IIG			
592	5929135	Pionjar	347729	6497710		Agpjq	RS-125						IIG			
592	5929136	Bbuster	347729	6497710		Agpjq	RS-125						IIG			
592	5929137	Bbuster	347729	6497710		Agpjq	RS-125						IIG			
592	5929138	Bbuster	347731	6497708		Agpjq	RS-125				60000	10000	IIG			
592	5929139	Pionjar	347756	6497801		Agpjq	RS-125						IIG			
592	5929140	Pionjar	341229	6482827	59201024	Torrent	RS-125				550		IIG			
592	5929141	Bbuster	341394	6482829	59201024	Torrent	RS-125	45.8	0.0		20000	3000	IIG	BO++		UP (traces)
592	5929142	Pionjar	341349	6482823	59201025	Torrent	RS-125						IIG			
592	5929143	Bbuster	341349	6482823	59201025	Torrent	RS-125	38.7	0.0				IIG	BO		UP (traces)
592	5929144	Pionjar	341220	6482933	59201026	Torrent	RS-125				700		IIG			
592	5929145	Bbuster	341220	6482933	59201026	Torrent	RS-125	439.1	23.1	19.01	8000	1600	IIG	BO+		
592	5929146	Pionjar	341216	6482977	59201026	Torrent	RS-125						IIG			
592	5929147	Bbuster	341216	6482977	59201026	Torrent	RS-125						IIG			
592	5929148	Pionjar	341124	6483024	59201026	Torrent	RS-125						IIG			
592	5929149	Bbuster	341124	6483024		Torrent							IIG			
592	5929150	Bbuster	335014	6488417		Tasialuk	GFI	670.8	801.5	0.84	7000		IIG			
592	5929151	Roche	351409	6496620	59202206	Ilaluga	RS-120				2400	1200	IA			
592	5929152	Roche	351437	6496590	59202206	Ilaluga	RS-120				6000	1500	IA			
592	5929153	Roche	351258	6496706	59202206	Ilaluga	RS-120				13000	1700	IA	BO, Qz fumé		
592	5929154	Roche	351243	6496727	59202206	Ilaluga	RS-120				6000	2000	IA			
592	5929155	Roche	351277	6496713	59202206	Ilaluga	RS-120				2500	1350	IIB			
592	5929156	Roche	351321	6496681	59202206	Ilaluga	RS-120				2150	800	IA			
592	5929157	Roche	351152	6496843	59202206	Ilaluga	RS-120				2400	1300	IIB			
592	5929158	Roche	351143	6496854	59202206	Ilaluga	RS-120				4000	1550	M6			
592	5929159	Pionjar	341005	6483254		Torrent							IIG			



PROJECT NUMBER	SAMPLE	SAMPLE TYPE	REMARKS	COMMENTS
Nb Analyses	790			
Compte	Historique			
Moyenne	Historique			
Écart-type (σ)	Historique			
Maximum	Historique			
Minimum	Historique			
Compte	Projet			
Moyenne	Projet			
Écart-type (σ)	Projet			
Maximum	Projet			
Minimum	Projet			
592	5929103	Roche		Dyke de I1G, à grains grossiers de FP et BO, présentant un signal anormalique maximum de 9000 CPS.
592	5929104	Roche		Dyke de I1B, à niveaux centimétriques de BO, à PY, présentant des spots de taille décimétrique avec un signal anormalique maximum de 8000 CPS.
592	5929105	Bloc		Bloc de I1G rosâtre, d'1 m <sup>2</sup> , à BO et plaquage d'UP, présentant un signal anormalique moyen de 1200 CPS et maximum de 18000 CPS. De bloc provient probablement d'une zone voisine à I1G rosâtre à cumulats
592	5929106	Roche		Dyke de I1G rouge brique (altéré), à enduit jaunâtre, localisé en bordure d'une rigole, présentant un signal anormalique moyen de 800 CPS sur une surface de 30 m <sup>2</sup>
592	5929107	Roche		Dyke de I1G, à traces d'UP, présentant un signal anormalique moyen de 1000 CPS et maximum de 4500 CPS (GF instrument) ou 10500 au RS 120
592	5929108	Roche	FO	Zone de taille métrique, à horizons sulfurés, présentant un signal anormalique moyen de 400 CPS et maximum de 4300 CPS
592	5929109	Bloc		Bloc détaché avec lentilles minéralisées au sein d'un dyke de I1G, d'environ 8 mètres sur 5 mètres, à MG (20%) et traces d'UP, présentant un signal anormalique moyen de 2500 CPS et maximum de 6000 CPS
592	5929110	Roche		Dyke de I1G, riche en QZ, présentant un signal anormalique moyen de 3000 CPS et maximum de 10000 CPS
592	5929111	Roche		M6 minéralisé
592	5929112	Bbuster		Trou de sautage au Boulder Buster. Echantillon profond provenant d'un dyke de I1G, inclus dans M6, présentant un signal anormalique moyen de 5000 CPS et maximum de 8000 CPS (Zone 28)
592	5929113	Pionjar		Poussière d'un trou de sautage au Boulder Buster (échantillon 9112)
592	5929114	Pionjar		Poussière d'un trou de sautage au Boulder Buster (échantillon 9115)
592	5929115	Bbuster		Trou de sautage au Boulder Buster. Echantillon profond provenant d'un dyke de I1G, inclus dans M6, présentant un signal anormalique moyen de 3000 CPS et maximum de 10000 CPS (Zone 28)
592	5929116	Pionjar		Poussière d'un trou de sautage au Boulder Buster (échantillon 9117)
592	5929117	Bbuster		Trou de sautage au Boulder Buster. Echantillon profond provenant d'un dyke de I1G, inclus dans M6, présentant un signal anormalique moyen de 2500 CPS et maximum de 9000 CPS (Zone 28)
592	5929118	Pionjar		Poussière d'un trou de sautage au Boulder Buster (échantillon 9111)
592	5929119	Roche		Dyke de I1G, inclus dans M6, présentant un signal anormalique maximum de 4000 CPS
592	5929120	Roche		Dyke de I1G, à BO, présentant un signal anormalique maximum de 1000 CPS
592	5929121	Pionjar		Poussière d'un trou de sautage au Boulder Buster. Cet échantillon de poussière présente un signal anormalique moyen de 500 CPS et maximum de 625 CPS. L'affleurement présente un signal anormalique moyen de
592	5929122	Pionjar		Poussière d'un trou de sautage au Boulder Buster
592	5929123	Pionjar		Poussière d'un trou de sautage au Boulder Buster
592	5929124	Bbuster		Trou de sautage au Boulder Buster. Echantillon profond (12 pouces) à cassure fraîche, provenant d'une formation de M6, à grains moyens, riche en BO, présentant un signal anormalique maximum de 2500 CPS en
592	5929125	Bbuster		Trou de sautage au Boulder Buster. Echantillon profond (12 pouces) à cassure fraîche, provenant d'un dyke de I1G présentant un signal anormalique maximum de 3500 CPS en surface et 5500 en profondeur à 12
592	5929126	Roche	GG, MA	Dyke de I1G, à grains grossiers, à QZ fumé et nombreux lits de BO présentant un signal anormalique moyen de 1000 CPS et maximum de 10500 CPS (Zone Agpiq)
592	5929127	Roche	GG, MA	Dyke de I1G massive, à grains grossiers, à BO (5%), présentant un signal anormalique moyen de 1400 CPS et maximum de 3700 CPS (Zone Agpiq)
592	5929128	Roche	GG, MA	Dyke de I1G massive, à grains grossiers, à QZ fumé et BO (5%), présentant un signal anormalique moyen de 1200 CPS et maximum de 4000 CPS (Zone Agpiq)
592	5929129	Roche	GG, MA	Dyke de I1G massive plurimétrique, à grains grossiers, riche en BO (20 à 25%), présentant un signal anormalique moyen de 2000 CPS et maximum de 5600 CPS (Zone Agpiq)
592	5929130	Roche	GG, MA	Dyke de I1G massive, à grains grossiers, très riche en BO, présentant un signal anormalique moyen de 1400 CPS et maximum de 3400 CPS (Zone Agpiq)
592	5929131	Roche	GG, MA	Dyke de I1G massive, à grains grossiers, minéralisée (Zone Agpiq)
592	5929132	Roche		Dyke de I1G présentant un signal anormalique moyen de 1150 CPS et maximum de 3200 CPS (Zone Agpiq)
592	5929133	Bbuster		Trou de sautage au Boulder Buster. Echantillon profond (16 pouces de profondeur sur 16 pouces d'épaisseur), provenant d'un dyke de I1G présentant un signal anormalique moyen de 10000 CPS et maximum de
592	5929133.2	Bbuster		Trou de sautage au Boulder Buster. Echantillon profond (16 pouces de profondeur sur 16 pouces d'épaisseur), provenant d'un dyke de I1G présentant un signal anormalique moyen de 10000 CPS et maximum de
592	5929134	Pionjar		Poussière d'un trou de sautage au Boulder Buster (échantillons 9133 et 9138)
592	5929135	Pionjar		Poussière d'un trou de sautage au Boulder Buster (échantillon 9136 et 9137)
592	5929136	Bbuster		Trou de sautage au Boulder Buster. Echantillon profond (24 pouces de profondeur sur 18 pouces d'épaisseur), provenant d'un dyke de I1G minéralisé. Echantillon prélevé en surface
592	5929137	Bbuster		Trou de sautage au Boulder Buster. Echantillon profond (24 pouces de profondeur sur 18 pouces d'épaisseur), provenant d'un dyke de I1G minéralisé. Echantillon prélevé en profondeur
592	5929138	Bbuster		Trou de sautage au Boulder Buster. Echantillon profond (16 pouces de profondeur sur 16 pouces d'épaisseur), provenant d'un dyke de I1G présentant un signal anormalique moyen de 10000 CPS et maximum de
592	5929139	Pionjar		Poussière d'un trou de sautage au Boulder Buster
592	5929140	Pionjar		Poussière d'un trou de sautage au Boulder Buster présentant un signal anormalique de 550 CPS
592	5929141	Bbuster		Trou de sautage au Boulder Buster. Echantillon profond provenant d'un dyke de I1G, riche en BO, à traces de traces jaunes (UP), présentant un signal anormalique moyen de 3000 CPS et maximum de 20000 CPS
592	5929142	Pionjar		Poussière d'un trou de sautage au Boulder Buster
592	5929143	Bbuster		Trou de sautage au Boulder Buster. Echantillon profond provenant d'un dyke de I1G minéralisée, à BO et à traces de traces jaunes (UP)
592	5929144	Pionjar		Poussière d'un trou de sautage au Boulder Buster présentant un signal anormalique de 700 CPS (échantillon 9145)
592	5929145	Bbuster		Trou de sautage au Boulder Buster. Echantillon profond, à BO, provenant d'un dyke de I1G. L'échantillon prélevé présente un signal anormalique moyen de 1600 CPS et maximum de 8000 CPS
592	5929146	Pionjar		Poussière d'un trou de sautage au Boulder Buster (échantillon 9147). Cet échantillon de poussière n'a pas été analysé car il est resté sur le terrain
592	5929147	Bbuster		Trou de sautage au Boulder Buster. Echantillon profond non analysé car il est resté sur le terrain
592	5929148	Pionjar		Poussière d'un trou de sautage au Boulder Buster (échantillon 9149). Cet échantillon de poussière n'a pas été analysé car il est resté sur le terrain
592	5929149	Bbuster		Trou de sautage au Boulder Buster. Echantillon profond non analysé car il est resté sur le terrain
592	5929150	Bbuster	GG	Trou de sautage au Boulder Buster. Echantillon profond (13 pouces) provenant d'un dyke de I1G, à grains grossiers, présentant un signal anormalique maximum de 7000 CPS (GF Instruments) ou 10000 CPS
592	5929151	Roche	GM	Intrusion de I1A rosâtre, à grains moyens, présentant un signal anormalique moyen de 1200 CPS et maximum de 2400 CPS (Zone 5)
592	5929152	Roche	GM	Intrusion de I1A rosâtre, à grains moyens, présentant un signal anormalique moyen de 1500 CPS et maximum de 6000 CPS (Zone 5)
592	5929153	Roche		Intrusion de I1A rosâtre, présentant un signal anormalique moyen de 1700 CPS et maximum de 13000 CPS (Zone 5)
592	5929154	Roche		Intrusion de I1A rosâtre, à BO, présentant un signal anormalique moyen de 2000 CPS et maximum de 6000 CPS (Zone 5)
592	5929155	Roche	GM	Intrusion de I1B massif, à grains moyens, présentant un signal anormalique moyen de 1350 CPS et maximum de 2000 CPS (Zone 5)
592	5929156	Roche		Intrusion de I1A présentant un signal anormalique moyen de 800 CPS et maximum de 2150 CPS (Zone 5)
592	5929157	Roche	GG	Intrusion de I1B, à grains grossiers, présentant un signal anormalique moyen de 1300 CPS et maximum de 2400 CPS (Zone 5)
592	5929158	Roche	GM-GS-LM	Formation de M6 lité, à grains moyens, à QZ fumé et BO, présentant un signal anormalique moyen de 1550 CPS et maximum de 4000 CPS (Zone 5)
592	5929159	Pionjar		Poussière d'un trou de sautage au Boulder Buster (échantillon 9160)



PROJECT NUMBER	SAMPLE	SAMPLE TYPE	UTMX (Nad 27)	UTMY (Nad 27)	OUTCROP / CHANNEL	OCCURENCE	SCINTILLOMETER	SPECTROMETER					LITHOLOGY	MINERALISATION	ALTERATION	STRUCTURE
								U (ppm)	Th (ppm)	U/Th	CPS MAX	TYPICAL CPS				
Nb Analyses	790															
Compte	Historique										847	695				
Moyenne	Historique										7335	1780				
Écart-type (σ)	Historique										10527	1856				
Maximum	Historique										146000	15000				
Minimum	Historique										30	50				
Compte	Projet										616	524				
Moyenne	Projet										8849	2164				
Écart-type (σ)	Projet										5451047	1133738				
Maximum	Projet										146000	15000				
Minimum	Projet										520	350				
592	5929160	Bbuster	341005	6483254		Torrent							IIIG	BO+++		
592	5929161	Pjonjar	340853	6483470		Torrent							IIIG			
592	5929162	Bbuster	340853	6483470		Torrent				16000	2000	IIIG	BO+++			
592	5929163	Bbuster	340853	6483470		Torrent				20000	2400	IIIG	BO++++			
592	5929164	Bbuster	340518	6483809		Torrent				12500	3200	IIIG	BO+			
592	5929165	Pjonjar	340518	6483809		Torrent							IIIG			
592	5929166	Roche	340518	6483809		Torrent				13600	3200	IIIG	BO			
592	5929167	Bbuster	340586	6483935		Torrent				35000	5500	IIIG	QZ Fumé			
592	5929168	Pjonjar	340586	6483935		Torrent							IIIG			
592	#####	Bbuster	340586	6483935		Torrent				37800	5600	IIIG	QZ fumé			
592	5929170	Pjonjar	341077	6483165		Torrent							IIIG			
592	5929171	Pjonjar	341159	6483143		Torrent							IIIG			
592	5929172	Roche	340462	6483133		Tasik							M4 (Gossan)	PO, PY	OF+++	
592	5929173	Bbuster	349958	6499964		Jonas				65000		IIIG			SI+++	UP+++
592	5929174	Bbuster	349958	6499964		Jonas				60000		IIIG			SI+++	UP+++
592	5929175	Bbuster	349958	6499964		Jonas				60000		IIIG			SI+++	UP+++
592	#####	Roche	365070	6476774		Cirus										
592	5929177	Roche	364985	6477680		Cirus				1700	1000	IIIG	BO			FK
592	5929178	Roche	364768	6476459		Cirus							BO			
592	5929179	Roche	344321	6480538		Torrent Extension					5700	1200	IIIG			
592	5929180	Roche	347316	6506828		n/d	GFI	806,0	495,0				IIIG			
592	5929181	Roche	347342	6506832		n/d	GFI	102,0	62,8		800		IIIG	QZ fumé		
592	5929182	Roche	347290	6506790		n/d	GFI	58,5	44,6			510	IIIG			Up++
592	5929183	Roche	371473	6464711		Pugila	RS-120				4500	1380	IIIG			
592	5929184	Roche	371466	6464686		Pugila	GFI					1260	IIIG			
592	5929185	Roche	371564	6464492		Pugila	GFI	2165,0	2057,0	1,05	27360		IIIG	BO		UP
592	5929186	Roche	367364	6465173		Pugila	RS-120				7000	1200	IIIG			
592	5929187	Roche	370498	6465999		Pugila	RS-120				3000	1200	IIIG			UP
592	5929188	Roche	370761	6465818		Pugila	GFI	130,0	81,0	1,60	5000	1900	IIIG			
592	5929190	Roche	369949	6465927		Pugila	GFI				2485		IIIG	BO		UP
592	5929191	Roche	369957	6465912		Pugila	GFI				5000		IIIG	BO		
592	5929200	Roche	334979	6488468		Tasialuk	RS-120				2900	2200	IIIG	VN QZ		
592	5929201	Roche	334960	6488452		Tasialuk	RS-120				5300	2000	IIIG	VN QZ		
592	5929202	Roche	334946	6488437		Tasialuk	RS-120				3200	2000	IIIG			
592	5929203	Roche	334992	6488445		Tasialuk	RS-120				3400	2400	IIIG			
592	5929204	Roche	334987	6488465		Tasialuk	RS-120				3500	2800	IIIG			
592	5929205	Roche	335018	6488502		Tasialuk	RS-120				2000	1400	IIIG			
592	5929206	Roche	335065	6488483		Tasialuk	RS-120				2000	1600	IIIG			
592	5929207	Roche	335052	6488458		Tasialuk	RS-120				1800	1600	IIIG	BO+Qz		
592	5929208	Roche	335001	6488440		Tasialuk	RS-120				7400	3900	IIIG	BO		
592	5929209	Roche	350641	6499775		Amittuujaq	RS-120				22000	5000	IIIG			
592	5929210	Roche	350427	6500013		Jonas	RS-120				4000	1200	IIA	MG++		
592	5929211	Roche	349321	6499530		Illakuga	RS-120				6800	3500	IIA			
592	5929212	Roche	349131	6499307		Illakuga	RS-120				22000	8600	IIIG	MG++		
592	5929213	Roche	349131	6499310		Illakuga	RS-120				17000	7100	IIA	MG++		
592	5929214	Bloc	353681	6497319		Amittuujaq	RS-120				33000	600	MA			
592	5929215	Pjonjar	335019	6488407		Tasialuk	RS-120				13000		IIIG			
592	5929216	Bloc	335288	6488115		Tasialuk	RS-120				12000	2000	IIA			
592	5929217	Roche	335256	6488157		Tasialuk	RS-120				6000	1700	IIA			
592	5929218	Roche	335197	6488212		Tasialuk	RS-120				10000	2000	IIA			
592	5929219	Roche	335126	6488231		Tasialuk	RS-120				12000	1700	IIIG			
592	5929220	Roche	335015	6488285		Tasialuk	RS-120				6000	2000	IIIG			
592	5929221	Roche	352475	6497639		Amittuujaq	RS-120				22000	2400	IIIG			
592	5929222	Roche	352033	6498266		Amittuujaq	RS-120				22000	3600	IIIG			
592	5929223	Roche	352030	6498289		Amittuujaq	RS-120				50000	5200	IIIG			
592	5929224	Roche	352023	6498298		Amittuujaq	RS-120				14600	3400	IIIG			
592	5929225	Roche	335399	6488204	59201006	Tasialuk	RS-125				6000	1800	IIIG			
592	5929226	Pjonjar	335399	6488204		Tasialuk	RS-125						IIIG			



PROJECT NUMBER	SAMPLE	SAMPLE TYPE	REMARKS	COMMENTS
Nb Analyses	790			
Compte	Historique			
Moyenne	Historique			
Écart-type (σ)	Historique			
Maximum	Historique			
Minimum	Historique			
Compte	Projet			
Moyenne	Projet			
Écart-type (σ)	Projet			
Maximum	Projet			
Minimum	Projet			
592	5929160	Bbuster		Trou de sautage au Boulder Buster. Echantillon profond, très riche en BO (80%), provenant d'un dyke de I1G
592	5929161	Pjonjar		Poussière d'un trou de sautage au Boulder Buster (échantillon 9162 et 9163)
592	5929162	Bbuster		Trou de sautage au Boulder Buster. Echantillon profond, très riche en BO, provenant d'un dyke de I1G, présentant une signal anormale moyen de 2000 CPS et maximum de 18000 CPS
592	5929163	Bbuster		Trou de sautage au Boulder Buster. Echantillon profond, très riche en BO, provenant d'un dyke de I1G, présentant une signal anormale moyen de 2400 CPS et maximum de 20000 CPS
592	5929164	Bbuster		Trou de sautage au Boulder Buster. Echantillon profond, riche en BO, provenant d'un dyke de I1G, présentant une signal anormale moyen de 3200 CPS et maximum de 12500 CPS
592	5929165	Pjonjar		Poussière d'un trou de sautage au Boulder Buster (échantillon 9164 et 9166)
592	5929166	Roche		
592	5929167	Bbuster		Trou de sautage au Boulder Buster. Echantillon profond, à QZ fumé, provenant d'un dyke de I1G, présentant une signal anormale moyen de 5500 CPS et maximum de 35000 CPS
592	5929168	Pjonjar		Poussière d'un trou de sautage au Boulder Buster (échantillon 9167 et 9169)
592	#####	Bbuster		Trou de sautage au Boulder Buster. Echantillon profond, à QZ fumé, provenant d'un dyke de I1G, présentant une signal anormale moyen de 5600 CPS et maximum de 37800 CPS
592	5929170	Pjonjar		Poussière d'un trou de sautage au Boulder Buster
592	5929171	Pjonjar		Poussière d'un trou de sautage au Boulder Buster
592	5929172	Roche		Formation quartzique (probablement M4), de 30 mètres sur 5 mètres, très rouillée (gossan), le long d'un ruisseau, à PO et PY. Analyse pour AU souhaitable
592	5929173	Bbuster		Trou de sautage n°1 au Boulder Buster. Echantillon profond, silicifié, très riche en UP, provenant d'un dyke de I1G, présentant une signal anormale 65000 CPS (scintillomètre saturé). Echantillonnage sur la zone
592	5929174	Bbuster		Trou de sautage n°2 au Boulder Buster. Echantillon profond, silicifié, très riche en UP, provenant d'un dyke de I1G, présentant une signal anormale de 55000 à 60000 CPS. Echantillonnage sur la zone Jonas
592	5929175	Bbuster		Trou de sautage n°3 au Boulder Buster. Echantillon profond, silicifié, riche en UP (25 à 30%), provenant d'un dyke de I1G, présentant une signal anormale de 55000 à 60000 CPS. Echantillonnage sur la zone
592	#####	Roche		
592	5929177	Roche		
592	5929178	Roche		Formation de M6, à BO, minéralisée
592	5929179	Roche		Dyke de I1G présentant un signal anormale moyen de 1200 CPS et maximum de 5700 CPS
592	5929180	Roche		Dyke de I1G de 16m de largeur, au contact de l'encaissant M4 à BO, présentant un signal anormale moyen de 350 CPS
592	5929181	Roche		Dyke de I1G minéralisée, à QZ fumé, présentant un signal anormale maximum de 800 CPS
592	5929182	Roche		Dyke de I1G minéralisée, de 1,5 mètre sur 1,5 mètre, riche en UP, présentant un signal anormale moyen de 510 CPS
592	5929183	Roche		Dyke de I1G présentant un signal anormale moyen de 1380 CPS et maximum de 4500 CPS (secteur Lac Daniel)
592	5929184	Roche		Dyke de I1G, d'1 mètre d'épaisseur, au contact avec une roche ultramafique, présentant un signal anormale moyen de 1260 CPS et maximum de 3400 CPS (secteur Lac Daniel)
592	5929185	Roche		Dyke de I1G de 10 mètres d'épaisseur, à cumuls de BO décimétriques et UP, présentant un signal anormale maximum de 27360 CPS (secteur Lac Daniel)
592	5929186	Roche		Dyke de I1G présentant un signal anormale moyen de 1200 CPS et maximum de 10000 CPS (secteur Lac Daniel)
592	5929187	Roche		Dyke de I1G, à UP, présentant un signal anormale moyen de 1200 CPS et maximum de 26000 CPS (secteur Lac Daniel)
592	5929188	Roche		Dyke de I1G présentant un signal anormale moyen de 2600 CPS et maximum de 5000 CPS (secteur Lac Daniel)
592	5929190	Roche		Dyke de I1G de 50 mètres sur 20 mètres, à concentration locale de BO, à UP, présentant un signal anormale de 2485 CPS (secteur Lac Daniel)
592	5929191	Roche	GG	Dyke de I1G, à grains grossiers de BO, présentant un signal anormale de 5000 CPS (secteur Lac Daniel)
592	5929200	Roche		Dyke de I1G à veines de QZ présentant un signal anormale maximum de 2900 CPS
592	5929201	Roche		Dyke de I1G à veines de QZ présentant un signal anormale moyen de 2000 CPS et maximum de 5300 CPS
592	5929202	Roche		Dyke de I1G présentant un signal anormale moyen de 2000 CPS et maximum de 3200 CPS
592	5929203	Roche		Dyke de I1G présentant un signal anormale moyen de 2400 CPS et maximum de 3400 CPS
592	5929204	Roche		Dyke de I1G présentant un signal anormale moyen de 2800 CPS et maximum de 3500 CPS. Ce dyke marque le début de la zone high-grade.
592	5929205	Roche		Dyke de I1G, injecté dans l'encaissant M4, présentant un signal anormale moyen de 1400 CPS et maximum de 2000 CPS. Cet échantillon est localisé à proximité d'un cap de metabasites V3B (milieu réducteur)
592	5929206	Roche		Dyke de I1G présentant un signal anormale moyen de 1600 CPS et maximum de 2000 CPS. Cet échantillon est localisé à proximité d'affleurements caractéristiques d'un milieu réducteur (M4 et V3B)
592	5929207	Roche		Dyke de I1G, riche en BO, présentant un signal anormale moyen de 1600 CPS et maximum de 1800 CPS
592	5929208	Roche		Dyke de I1G, riche en BO, localisé à proximité de l'encaissant M4, présentant un signal anormale moyen de 1600 CPS et maximum de 1800 CPS. Ce dyke est caractérisé par la présence de minéraux de teinte
592	5929209	Roche		Dyke de I1G présentant un signal anormale moyen de 5000 CPS et maximum de 22000 CPS
592	5929210	Roche		Dyke de I1A, associé à I1G et I1B, riche en MG, présentant un signal anormale moyen de 1200 CPS et maximum de 4000 CPS
592	5929211	Roche		Dyke de I1A présentant un signal anormale moyen de 3500 CPS et maximum de 6800 CPS
592	5929212	Roche		Dyke de I1G, riche en MG, présentant un signal anormale moyen de 8300 CPS et maximum de 22000 CPS (Zone 5)
592	5929213	Roche		Dyke de I1A, riche en MG, présentant un signal anormale moyen de 7100 CPS et maximum de 17000 CPS (Zone 5)
592	5929214	Bloc		Bloc anguleux de M4 de 0,5 mètre sur 0,4 mètre, riche en PY, présentant un signal anormale moyen de 600 CPS et maximum de 3300 CPS
592	5929215	Pjonjar		Poussière d'un trou de sautage au Boulder Buster. L'affleurement présente un signal anormale maximum de 13000 CPS
592	5929216	Bloc	GG	Bloc subarrondi de I1G, à grains grossiers, présentant un signal anormale moyen de 2000 CPS et maximum de 12000 CPS
592	5929217	Roche	GM à GG	Dyke de I1A, à grains moyens à grossiers, présentant un signal anormale moyen de 1700 CPS et maximum de 6000 CPS
592	5929218	Roche	GM	Dyke de I1A, à grains moyens, présentant un signal anormale moyen de 2000 CPS et maximum de 10000 CPS
592	5929219	Roche		Dyke de I1G présentant un signal anormale moyen de 1700 CPS et maximum de 12000 CPS
592	5929220	Roche		Dyke de I1G présentant un signal anormale moyen de 2000 CPS et maximum de 6000 CPS
592	5929221	Roche		Dyke de I1G, présentant un signal anormale moyen de 2400 CPS et maximum de 22000 CPS (Zone 48)
592	5929222	Roche		Dyke de I1G, présentant un signal anormale moyen de 3600 CPS et maximum de 22000 CPS (Zone 48)
592	5929223	Roche		Dyke de I1G, présentant un signal anormale moyen de 5200 CPS et maximum de 50000 CPS (Zone 48)
592	5929224	Roche		Dyke de I1G, présentant un signal anormale moyen de 3400 CPS et maximum de 14600 CPS (Zone 48)
592	5929225	Roche		Dyke de I1G, présentant un signal anormale moyen de 1800 CPS et maximum de 1000 CPS
592	5929226	Pjonjar		Poussière d'un trou de sautage au Boulder Buster (échantillon 9225)



PROJECT NUMBER	SAMPLE	SAMPLE TYPE	UTMX (Nad 27)	UTMY (Nad 27)	OUTCROP / CHANNEL	OCCURENCE	SCINTILLOMETER	SPECTROMETER					LITHOLOGY	MINERALISATION	ALTERATION	STRUCTURE
								U (ppm)	Th (ppm)	U/Th	CPS MAX	TYPICAL CPS				
Nb Analyses	790															
Compte	Historique										847	695				
Moyenne	Historique										7335	1780				
Écart-type (σ)	Historique										10527	1856				
Maximum	Historique										146000	15000				
Minimum	Historique										30	50				
Compte	Projet										616	524				
Moyenne	Projet										8849	2164				
Écart-type (σ)	Projet										5451047	1133738				
Maximum	Projet										146000	15000				
Minimum	Projet										520	350				
592	5929227	Bbuster	335345	6488285		Tasiakuk	RS-125	562,3	508,1	1,11	7500	1300	11G			
592	5929228	Bbuster	335333	6488281		Tasiakuk	RS-125	190,9	241,4	0,79	2500	1900	11G			
592	5929229	Bbuster	335295	6488201		Tasiakuk	RS-125	357,7	324,6	1,10	5400	3930	11G			
592	5929230	Bbuster	335293	6488196		Tasiakuk	RS-125	261,1	253,0	1,03	6100	4600	11G			
592	5929231	Bbuster	335172	6488244		Tasiakuk	RS-125	1220,0	1480,2	0,82	12000	3600	11G			
592	5929232	Pjonjar	335172	6488244		Tasiakuk	RS-125						11G			
592	5929233	Bbuster	335329	6488148		Tasiakuk	RS-125	1621,9	2257,3	0,72	12000	5600	11G	BO ++	UP	
592	5929234	Bbuster	340731	6482536	59201007	Tasik	RS-125	451,5	1423,3	0,32			11G			
592	5929235	Pjonjar	340731	6482536	59201007	Tasik	RS-125						11G			
592	5929236	Bbuster	340695	6482560	59201008	Tasik	RS-125	226,2	768,9	0,29			11G			
592	5929237	Pjonjar	340695	6482560	59201008	Tasik	RS-125						11G			
592	5929238	Bbuster	340601	6482548	59201009	Tasik	RS-125	105,6	92,9	1,14	850		11G			
592	5929239	Pjonjar	340601	6482548	59201009	Tasik	RS-125				700		11G			
592	5929240	Bbuster	340566	6482536	59201010	Tasik	RS-125	158,3	534,4	0,30	2500		11G			
592	5929241	Pjonjar	340566	6482536	59201010	Tasik	RS-125				1050		11G			
592	5929242	Bbuster	340619	6482593	59201011	Tasik	RS-125	150,1	470,1	0,32	1500		11G			
592	5929243	Pjonjar	340619	6482593	59201011	Tasik	RS-125				900		11G			
592	5929244	Bbuster	340676	6482694	5921012	Tasik	RS-125	232,9	699,7	0,33	2200		11G			
592	5929245	Pjonjar	340676	6482694	59201012	Tasik	RS-125				900		11G			
592	5929246	Bbuster	340602	6482690	59201013	Tasik	RS-125	354,9	209,7	1,69	1400		11G			
592	5929247	Pjonjar	340602	6482690	59201013	Tasik	RS-125				800		11G			
592	5929248	Bbuster	340616	6482931	59201015	Tasik	RS-125	178,4	0,0				11G			
592	5929249	Pjonjar	340665	6482669	59201014	Tasik	RS-125						11G			
592	5929250	Roche	334426	6489023		Tasiakuk Extension	GFI				880		11G-M1			
592	5929251	Roche	334661	6488890		Tasiakuk	GFI				600		11G			
592	5929252	Roche	334655	6488836		Tasiakuk	GFI				1500		11G			
592	5929253	Roche	335263	6488177		Tasiakuk	RS-120				3000	1400	11G			
592	5929254	Roche	335292	6488194		Tasiakuk	RS-120				5500	3400	11G			
592	5929255	Roche	335290	6488193		Tasiakuk	RS-120				4500	3200	11G			
592	5929256	Roche	335328	6488259		Tasiakuk	RS-120				2300	1600	11G			
592	5929257	Roche	335354	6488295		Tasiakuk	RS-120				1900	1200	11G			
592	5929258	Roche	335340	6488385		Tasiakuk	RS-120				3000	1400	11G			
592	5929259	Roche	335262	6488230		Tasiakuk	RS-120				3000	2000	11G			
592	5929260	Roche	335303	6488268		Tasiakuk	RS-120				3000	1500	11G			
592	5929261	Roche	340504	6483114		Tasik	RS-120	285,0	565,0		3000	2000	11G			
592	5929262	Roche	340508	6483061		Tasik	RS-120				2700	1700	11G			
592	5929264	Roche	340590	6482979		Tasik	RS-120				2700	2400	11G			
592	5929265	Roche	340626	6482937		Tasik	RS-120				3300	1700	11G			
592	5929266	Roche	340553	6482885		Tasik	RS-120				2200	1100	11G			
592	5929267	Roche	340585	6482760		Tasik	RS-120				3700	1300	11G	Qz fumé- BO ++		
592	5929268	Roche	340597	6482749		Tasik	RS-120				2300	1200	11G	BO		
592	5929269	Roche	350305	6509035		10	RS-120				20000	6000	11G	MG		
592	5929270	Roche	350154	6509000		10	RS-120				16500	1300	11G			
592	5929271	Bloc	349935	6507281		11	RS-120				9100	1000	11G	BO		
592	5929272	Roche	351529	6505063		24	RS-120				8000	900	11G			
592	5929273	Roche	341206	6483181		Torrent	RS-120				5000	1400	11G	BO		
592	5929274	Roche	341149	6483186		Torrent	RS-120	56,0	637,0		4400	1500	11G	BO		
592	5929275	Roche	341087	6483200		Torrent	RS-120				4000	2000	11G	BO		
592	5929276	Roche	341018	6483300		Torrent	RS-120	121,0	507,0	247,00	3400	1200	11G			
592	5929277	Roche	341008	6483351		Torrent	RS-120				3300	1700	11G			
592	5929278	Roche	341044	6483129		Torrent	RS-120				2100	1000	11G	QZ fumé, BO		
592	5929279	Roche	341076	6483163		Torrent	RS-120	163,0	1358,0		2000	1400	11G	BO		
592	5929280	Roche	341092	6483169		Torrent	RS-120				4000	1400	11G	QZ fumé, BO		
592	5929281	Roche	341082	6483141		Torrent	RS-120				2900	1300	11G			
592	5929282	Roche	350145	6502046		43	RS-120				4200	1300	11G			
592	5929283	Roche	350155	6502039		43	RS-120				3600	1500	11G	BO++		
592	5929284	Roche	340538	6484003		Torrent	RS-120				3500	1000	11G			
592	5929285	Roche	340557	6483972		Torrent	RS-120				3700	1100	11G			



PROJECT NUMBER	SAMPLE	SAMPLE TYPE	REMARKS	COMMENTS
Nb Analyses	790			
Compte	Historique			
Moyenne	Historique			
Écart-type (σ)	Historique			
Maximum	Historique			
Minimum	Historique			
Compte	Projet			
Moyenne	Projet			
Écart-type (σ)	Projet			
Maximum	Projet			
Minimum	Projet			
592	5929227	Bbuster		Trou de sautage au Boulder Buster. Echantillon profond (20 pouces) à cassure fraîche, provenant d'un dyke de I1G présentant un signal anormalique moyen de 1300 CPS et maximum de 7500 CPS (Zone 28)
592	5929228	Bbuster		Trou de sautage au Boulder Buster. Echantillon profond (20 pouces) à cassure fraîche, provenant d'un dyke de I1G présentant un signal anormalique moyen de 1900 CPS et maximum de 2500 CPS (Zone 28)
592	5929229	Bbuster	MA	Trou de sautage au Boulder Buster. Echantillon profond à cassure fraîche, provenant d'un dyke de I1G massive présentant un signal anormalique moyen de 3930 CPS et maximum de 5400 CPS (Zone 28)
592	5929230	Bbuster	MA	Trou de sautage au Boulder Buster. Echantillon profond à cassure fraîche, à traces d'UP, provenant d'un dyke de I1G massive présentant un signal anormalique moyen de 4600 CPS et maximum de 6100 CPS
592	5929231	Bbuster	MA	Trou de sautage au Boulder Buster. Echantillon profond à cassure fraîche, provenant d'un dyke de I1G massive présentant un signal anormalique moyen de 3600 CPS et maximum de 12000 CPS (Zone 28)
592	5929232	Pionjar		Poussière d'un trou de sautage au Boulder Buster (échantillon 9231)
592	5929233	Bbuster		Trou de sautage au Boulder Buster. Echantillon profond à cassure fraîche, provenant d'un dyke de I1G, riche en BO, à traces d'UP, présentant un signal anormalique moyen de 5600 CPS et maximum de 12000 CPS
592	5929234	Bbuster		Trou de sautage au Boulder Buster. Echantillon profond, provenant d'un dyke de I1G minéralisée.
592	5929235	Pionjar		Poussière d'un trou de sautage au Boulder Buster (échantillon 9234)
592	5929236	Bbuster		Trou de sautage au Boulder Buster. Echantillon profond (24 pouces sur 36 pouces d'épaisseur), provenant d'un dyke de I1G minéralisée.
592	5929237	Pionjar		Poussière d'un trou de sautage au Boulder Buster (échantillon 9236)
592	5929238	Bbuster		Trou de sautage au Boulder Buster. Echantillon profond (16 pouces), provenant d'un dyke de I1G. L'échantillon prélevé présente un signal anormalique maximum de 850 CPS
592	5929239	Pionjar		Poussière d'un trou de sautage au Boulder Buster (échantillon 9238) présentant un signal anormalique maximum de 700 CPS
592	5929240	Bbuster		Trou de sautage au Boulder Buster. Echantillon profond (24 pouces de profondeur sur 24 pouces d'épaisseur), provenant d'un dyke de I1G. L'échantillon prélevé présente un signal anormalique maximum de 2500
592	5929241	Pionjar		Poussière d'un trou de sautage au Boulder Buster (échantillon 9240) présentant un signal anormalique maximum de 1050 CPS
592	5929242	Bbuster		Trou de sautage au Boulder Buster. Echantillon profond (16 pouces de profondeur sur 24 pouces d'épaisseur), provenant d'un dyke de I1G. L'échantillon prélevé présente un signal anormalique maximum de 1500
592	5929243	Pionjar		Poussière d'un trou de sautage au Boulder Buster (échantillon 9242) présentant un signal anormalique de 900 CPS
592	5929244	Bbuster		Trou de sautage au Boulder Buster. Echantillon profond (20 pouces de profondeur sur 16 pouces d'épaisseur), provenant d'un dyke de I1G. L'échantillon prélevé présente un signal anormalique maximum de 2200
592	5929245	Pionjar		Poussière d'un trou de sautage au Boulder Buster (échantillon 9244) présentant un signal anormalique de 900 CPS
592	5929246	Bbuster		Trou de sautage au Boulder Buster. Echantillon profond (24 pouces de profondeur sur 16 pouces d'épaisseur), provenant d'un dyke de I1G. L'échantillon prélevé présente un signal anormalique maximum de 1400
592	5929247	Pionjar		Poussière d'un trou de sautage au Boulder Buster (échantillon 9246) présentant un signal anormalique de 800 CPS
592	5929248	Bbuster		Trou de sautage au Boulder Buster. Echantillon profond, provenant d'un dyke de I1G.
592	5929249	Pionjar		Poussière d'un trou de sautage au Boulder Buster
592	5929250	Roche		Dyke de I1G remobilisé à partir du M1 encaissant, présentant un signal anormalique maximum de 880 CPS
592	5929251	Roche		Dyke I1G présentant un signal anormalique maximum de 600 CPS
592	5929252	Roche		Bande de I1G sub en place dans un éboulis présentant un signal anormalique maximum de 1500 CPS
592	5929253	Roche		Dyke de I1G présentant un signal anormalique moyen de 1400 CPS et maximum de 3000 CPS
592	5929254	Roche	MA	Dyke de I1G massive présentant un signal anormalique moyen de 3400 CPS et maximum de 5500 CPS
592	5929255	Roche	MA	Dyke de I1G massive présentant un signal anormalique moyen de 3200 CPS et maximum de 4500 CPS
592	5929256	Roche		Dyke de I1G présentant un signal anormalique moyen de 1600 CPS et maximum de 2300 CPS
592	5929257	Roche		Dyke de I1G présentant un signal anormalique moyen de 1200 CPS et maximum de 1900 CPS
592	5929258	Roche		Dyke de I1G présentant un signal anormalique moyen de 1400 CPS et maximum de 3000 CPS
592	5929259	Roche		Dyke de I1G présentant un signal anormalique moyen de 2000 CPS et maximum de 3000 CPS
592	5929260	Roche		Dyke de I1G présentant un signal anormalique moyen de 1500 CPS et maximum de 3000 CPS
592	5929261	Roche		Dyke de I1G présentant un signal anormalique moyen de 2000 CPS et maximum de 3000 CPS
592	5929262	Roche		Dyke de I1G, au contact de l'encaissant M4, présentant un signal anormalique moyen de 1700 CPS et maximum de 2700 CPS
592	5929264	Roche		Dyke de I1G présentant un signal anormalique moyen de 2400 CPS et maximum de 2700 CPS
592	5929265	Roche		Dyke de I1G altérée, présentant un signal anormalique moyen de 1700 CPS et maximum de 3300 CPS
592	5929266	Roche		Dyke de I1G présentant un signal anormalique moyen de 1100 CPS et maximum de 2200 CPS
592	5929267	Roche		Dyke de I1G, très riche en QZ fumé et en BO, présentant un signal anormalique moyen de 1300 CPS et maximum de 3700 CPS
592	5929268	Roche		Dyke de I1G, à grains grossiers, à QZ et BO, présentant un signal anormalique moyen de 1200 CPS et maximum de 2300 CPS
592	5929269	Roche		Dyke de I1G, à MG, présentant un signal anormalique moyen de 6000 CPS et maximum de 20000 CPS
592	5929270	Roche		Dyke de I1G, présentant un signal anormalique moyen de 1300 CPS et maximum de 16500 CPS
592	5929271	Bloc		Champ de blocs de I1G, à BO, présentant un signal anormalique moyen de 1000 CPS et maximum de 9100 CPS
592	5929272	Roche		Dyke de I1G, présentant un signal anormalique moyen de 900 CPS et maximum de 8000 CPS
592	5929273	Roche		Dyke de I1G, à BO, présentant un signal anormalique moyen de 1400 CPS et maximum de 5000 CPS
592	5929274	Roche		Dyke de I1G, à BO, présentant un signal anormalique moyen de 1500 CPS et maximum de 4400 CPS
592	5929275	Roche		Dyke de I1G, à BO, présentant un signal anormalique moyen de 2000 CPS et maximum de 4000 CPS
592	5929276	Roche		Dyke de I1G, injecté dans l'encaissant M4, présentant un signal anormalique moyen de 1200 CPS et maximum de 3400 CPS
592	5929277	Roche		Dyke de I1G, présentant un signal anormalique moyen de 1700 CPS et maximum de 3300 CPS
592	5929278	Roche		Dyke de I1G, à QZ fumé et BO, présentant un signal anormalique moyen de 1000 CPS et maximum de 2100 CPS
592	5929279	Roche		Dyke de I1G, à veines de QZ et plaquage de BO, présentant un signal anormalique moyen de 1400 CPS et maximum de 2000 CPS
592	5929280	Roche		Dyke de I1G, inclus dans M8, riche en QZ fumé et BO, présentant un signal anormalique moyen de 1400 CPS et maximum de 4000 CPS
592	5929281	Roche		Dyke de I1G, présentant un signal anormalique moyen de 1300 CPS et maximum de 2900 CPS
592	5929282	Roche		Dyke de I1G, présentant un signal anormalique moyen de 1300 CPS et maximum de 4200 CPS
592	5929283	Roche		Dyke de I1G, inclus dans M6, à lits riches en BO, présentant un signal anormalique moyen de 1500 CPS et maximum de 3600 CPS
592	5929284	Roche	MA	Dyke de I1G massive, injecté dans l'encaissant M4, présentant un signal anormalique moyen de 1000 CPS et maximum de 3500 CPS (Zone Torrent)
592	5929285	Roche		Dyke de I1G, au contact de l'encaissant M4, riche en QZ, présentant un signal anormalique moyen de 1100 CPS et maximum de 3700 CPS (Zone Torrent)



PROJECT NUMBER	SAMPLE	SAMPLE TYPE	UTMX (Nad 27)	UTMY (Nad 27)	OUTCROP / CHANNEL	OCCURENCE	SCINTILLOMETER	SPECTROMETER				LITHOLOGY	MINERALISATION	ALTERATION	STRUCTURE	
								U (ppm)	Th (ppm)	U/Th	CPS MAX					TYPICAL CPS
Nb Analyses	790															
Compte	Historique										847	695				
Moyenne	Historique										7335	1780				
Écart-type (σ)	Historique										10527	1856				
Maximum	Historique										146000	15000				
Minimum	Historique										30	50				
Compte	Projet										616	524				
Moyenne	Projet										8849	2164				
Écart-type (σ)	Projet										5451047	1133738				
Maximum	Projet										146000	15000				
Minimum	Projet										520	350				
592	5929286	Roche	340590	6483929		Torrent	RS-120				6800	2800	IG	BO++		
592	5929287	Roche	340692	6484013		Torrent	RS-120				8900	2400	IG	BO++		
592	5929288	Roche	340516	6483911		Torrent	RS-120				6800	1700	IG	BO		
592	5929289	Roche	340600	6483866		Torrent	RS-120				11200	4300	IG	BO++, QZ fumé		
592	5929290	Roche	340569	6483863		Torrent	RS-120				3000	1300	IG	QZ fumé ++, BO		
592	5929291	Roche	340967	6483384		Torrent	RS-120				5800	1600	IG	BO++		
592	5929292	Pionjar	340605	6482757		Tasik	RS-125						IG			
592	5929293	Pionjar	340616	6482931	59201015	Tasik	RS-125						IG			
592	5929294	Pionjar	340618	6482986	59201016	Tasik	RS-125						IG			
592	5929295	Bbuster	340618	6482986	59201016	Tasik	RS-125	651.3	419.1	1.55			IG			
592	5929296	Bbuster	340656	6483080	59201017	Tasik	RS-125	377.1	242.9	1.55			IG			
592	5929297	Pionjar	340656	6483080	59201017	Tasik	RS-125						IG			
592	5929298	Bbuster	340535	6483132	59201018	Tasik	RS-125	1562.2	340.4	4.59			IG			
592	5929299	Pionjar	340535	6483132	59201018	Tasik	RS-125						IG			
592	5929300	Roche	334309	6489335	59202200, 59201101	Tasieluk Extension	RS-120				3800		IG			
592	5929301	Roche	334436	6489156	59201102	Tasieluk Extension	RS-120				2200		IG	BO++		
592	5929302	Roche	334460	6489173	59201103	Tasieluk Extension	RS-120				3400		IG			
592	5929303	Roche	334481	6489172		Tasieluk Extension	RS-120				6000		IG			
592	5929304	Roche	334523	6489115		Tasieluk Extension	RS-120				3200		IG			
592	5929305	Roche	334806	6488941		Tasieluk	RS-120				4600		IG			
592	5929306	Bloc	334965	6488709		Tasieluk	RS-120				6100		IG			
592	5929307	Roche	334854	6488508		Tasieluk	RS-120				2600	1600	IG			
592	5929308	Roche	334865	6488514		Tasieluk	RS-120				2400	1300	IG			
592	5929309	Roche	334898	6488566		Tasieluk	RS-120				5700	3500	IG			
592	5929310	Roche	335009	6488553		Tasieluk	RS-120				2100	1300	IG			
592	5929311	Roche	334995	6488509		Tasieluk	RS-120				3700	2100	IG			
592	5929312	Roche	335264	6488464		Tasieluk	RS-120				4500	2500	IG			
592	5929313	Roche	335247	6488439		Tasieluk	RS-120				2700	2000	IG			
592	5929314	Roche	334596	6488795		Tasieluk	RS-120				6000	1900	IG			
592	5929315	Roche	335215	6488357		Tasieluk	RS-120				2500	1400	IG			
592	5929316	Roche	335207	6488300		Tasieluk	RS-120				2300	1200	IG			
592	5929317	Roche	335156	6488256		Tasieluk	RS-120				1400	2400	IG			
592	5929318	Roche	335196	6488219		Tasieluk	RS-120				1100	2000	IG			
592	5929319	Roche	335264	6488291		Tasieluk	RS-120				1100	1700	IG			
592	5929320	Roche	335170	6488411		Tasieluk	RS-120				1600	2700	IG			
592	5929321	Roche	334607	6488791		Tasieluk	RS-120				1300	1800	IG			
592	5929322	Roche	334566	6488824		Tasieluk	RS-120				1300	1700	IG			
592	5929323	Roche	334793	6488644		Tasieluk	RS-120				1000	1800	IG			
592	5929324	Roche	334830	6488638		Tasieluk	RS-120				1300	2500	IG			
592	5929325	Roche	340479	6483280		Tasik	RS-120				2000	1100	IG			
592	5929326	Roche	340431	6483129		Tasik	RS-120				1600	1200	IG			
592	5929327	Roche	340481	6483090		Tasik	RS-120				3500	1800	IG			
592	5929328	Roche	340467	6483227		Tasik	RS-120				2500	1300	MM			
592	5929329	Bloc	334647	6491210		Tasieluk Extension	RS-120				4300	1000	IG			
592	5929330	Roche	335832	6489485	59205002	107	RS-120				3000	450	IA			
592	5929331	Roche	335930	6489767	59205001	107	RS-120				4800	400	IA			
592	5929332	Roche	335980	6489399	59205003	107	RS-120				3500	400	IA	BO++		
592	5929333	Roche	349442	6499063	59205005	Ilakuga	RS-120				3000	700	IG	QZ fumé		
592	5929334	Roche	349415	6499171	59205006	Ilakuga	RS-120				4500	1600	IA	MG+	HM+	
592	5929335	Roche	349383	6499192	59205006	Ilakuga	RS-120				5000	1400	IA	MG+	HM+	
592	5929336	Roche	349376	6499223	59205006	Ilakuga	RS-120				18000	3900	IA		HM+, UP (traces)	
592	5929337	Roche	349379	6499220	59205006	Ilakuga	RS-120				15000	5500	IA			
592	5929338	Roche	349373	6499238	59205006	Ilakuga	RS-120				10700	2700	IA			
592	5929339	Roche	349255	6499144	59205007	Ilakuga	RS-120				10000	1400	IG	BO	HM	
592	5929340	Roche	349256	6499096		Ilakuga	RS-120				5100	1000	IA		HM+, UP (traces)	
592	5929341	Roche	349127	6498938		Ilakuga	RS-120				4500	1400	IA			
592	5929342	Roche	349154	6498877		Ilakuga	RS-120				4900	2100	IA			
592	5929343	Roche	349333	6498647	59205008	Ilakuga	RS-120				4200	1000	IG	BO		



PROJECT NUMBER	SAMPLE	SAMPLE TYPE	REMARKS	COMMENTS
Nb Analyses	790			
Compte	Historique			
Moyenne	Historique			
Écart-type (σ)	Historique			
Maximum	Historique			
Minimum	Historique			
Compte	Projet			
Moyenne	Projet			
Écart-type (σ)	Projet			
Maximum	Projet			
Minimum	Projet			
592	5929286	Roche		Dyke de I1G au contact de l'encaissant M4 altéré, riche en BO, présentant un signal anormalique moyen de 2800 CPS et maximum de 6800 CPS (Zone Torrent)
592	5929287	Roche		Dyke de I1G au contact de l'encaissant M4 altéré, riche en BO, présentant un signal anormalique moyen de 2400 CPS et maximum de 8900 CPS (Zone Torrent)
592	5929288	Roche		Dyke de I1G massive, injecté dans l'encaissant M4, présentant un signal anormalique moyen de 1700 CPS et maximum de 6800 CPS (Zone Torrent)
592	5929289	Roche		Dyke de I1G riche en BO, à QZ fumé, présentant un signal anormalique moyen de 4300 CPS et maximum de 11200 CPS (Zone Torrent)
592	5929290	Roche		Dyke de I1G riche en QZ fumé, à BO, présentant un signal anormalique moyen de 1300 CPS et maximum de 3000 CPS (Zone Torrent)
592	5929291	Roche		Dyke de I1G riche en BO, présentant un signal anormalique moyen de 1600 CPS et maximum de 5800 CPS (Zone Torrent)
592	5929292	Pionjar		Poussière d'un trou de sautage au Boulder Buster présentant un signal anormalique de 4400 CPS
592	5929293	Pionjar		Poussière d'un trou de sautage au Boulder Buster présentant un signal anormalique de 500 CPS
592	5929294	Pionjar		Poussière d'un trou de sautage au Boulder Buster (échantillon 9295)
592	5929295	Bbuster		Trou de sautage au Boulder Buster, Echantillon profond, provenant d'un dyke de I1G. L'échantillon prélevé présente un signal anormalique maximum de 4300 CPS
592	5929296	Bbuster		Trou de sautage au Boulder Buster, Echantillon profond, provenant d'un dyke de I1G. L'échantillon prélevé présente un signal anormalique maximum de 2000 CPS
592	5929297	Pionjar		Poussière d'un trou de sautage au Boulder Buster présentant un signal anormalique de 750 CPS (échantillon 9296)
592	5929298	Bbuster		Trou de sautage au Boulder Buster, Echantillon profond (20 pouces de profondeur sur 20 pouces d'épaisseur), provenant d'un dyke de I1G
592	5929299	Pionjar		Poussière d'un trou de sautage au Boulder Buster présentant un signal anormalique de 825 CPS (échantillon 9298)
592	5929300	Roche		Dyke I1G présentant un signal anormalique maximum de 3800 CPS
592	5929301	Roche		Dyke I1G, riche en BO, présentant un signal anormalique maximum de 2200 CPS
592	5929302	Roche		Dyke I1B présentant un signal anormalique maximum de 3400 CPS
592	5929303	Roche		Dyke I1G présentant un signal anormalique maximum de 6000 CPS
592	5929304	Roche		Dyke I1B présentant un signal anormalique maximum de 3200 CPS
592	5929305	Roche		Dyke I1G présentant un signal anormalique maximum de 4600 CPS
592	5929306	Bloc		Bloc de I1B sub-anguleux de 2,5 m sur 80 cm présentant un signal anormalique maximum de 6100 CPS
592	5929307	Roche		Dyke de I1G, au contact de l'encaissant M4, présentant un signal anormalique moyen de 1600 CPS et maximum de 2600 CPS
592	5929308	Roche		Dyke de I1G, au contact de l'encaissant M4, présentant un signal anormalique moyen de 1300 CPS et maximum de 2400 CPS
592	5929309	Roche		Dyke de I1G présentant un signal anormalique moyen de 3500 CPS et maximum de 5700 CPS
592	5929310	Roche		Dyke de I1G présentant un signal anormalique moyen de 1300 CPS et maximum de 2100 CPS
592	5929311	Roche		Dyke de I1G présentant un signal anormalique moyen de 2100 CPS et maximum de 3100 CPS
592	5929312	Roche	MA	Dyke de I1G massive présentant un signal moyen de 2500 CPS et maximum de 4500 CPS
592	5929313	Roche		Dyke de I1G présentant un signal moyen de 2000 CPS et maximum de 2700 CPS
592	5929314	Roche		Dyke de I1G, dans encaissant M4, présentant un signal moyen de 1900 CPS et maximum de 6000 CPS
592	5929315	Roche	MA	Dyke de I1G massive présentant un signal moyen de 1400 CPS et maximum de 2500 CPS
592	5929316	Roche		Dyke de I1G présentant un signal anormalique moyen de 1200 CPS et maximum de 2300 CPS
592	5929317	Roche		Dyke de I1G, injecté dans l'encaissant M4, présentant un signal anormalique moyen de 1400 CPS et maximum de 2400 CPS
592	5929318	Roche		Dyke de I1G, d'1m d'épaisseur, injecté dans l'encaissant M4, présentant un signal anormalique moyen de 1100 CPS et maximum de 2000 CPS
592	5929319	Roche		Dyke de I1G, injecté dans l'encaissant M4, présentant un signal anormalique moyen de 1100 CPS et maximum de 1700 CPS
592	5929320	Roche		Dyke de I1G présentant un signal moyen de 1600 CPS et maximum de 2700 CPS
592	5929321	Roche		Dyke de I1G, injecté dans l'encaissant M4, présentant un signal moyen de 1300 CPS et maximum de 1800 CPS
592	5929322	Roche		Dyke de I1G présentant un signal anormalique moyen de 1300 CPS et maximum de 1700 CPS
592	5929323	Roche		Dyke de I1G présentant un signal anormalique moyen de 1000 CPS et maximum de 1800 CPS
592	5929324	Roche		Dyke de I1G, injecté dans l'encaissant M4, présentant un signal anormalique moyen de 1300 CPS et maximum de 2500 CPS
592	5929325	Roche	GG, MA	Dyke de I1G massive, à grains moyens, présentant un signal anormalique moyen de 1100 CPS et maximum de 2000 CPS
592	5929326	Roche		Dyke de I1G présentant un signal anormalique moyen de 1200 CPS et maximum de 1600 CPS
592	5929327	Roche		Dyke de I1G présentant un signal anormalique moyen de 1800 CPS et maximum de 3500 CPS
592	5929328	Roche		Dyke de I1G, au contact de l'encaissant M4, présentant un signal anormalique moyen de 1300 CPS et maximum de 2500 CPS
592	5929329	Bloc		Bloc de I1B de 3 mètres sur 2,5 mètres sur 2 mètres, présentant un signal anormalique moyen de 1000 CPS et maximum de 4300 CPS
592	5929330	Roche	MA, GM, GG	Intrusion de I1A massive, à grains moyens à grossiers, présentant un signal anormalique moyen de 1000 CPS et maximum de 3000 CPS
592	5929331	Roche	MA, GM, GG	Intrusion de I1A dans l'encaissant M4, massive, à grains moyens à grossiers, présentant un signal anormalique moyen de 1350 CPS et maximum de 4800 CPS
592	5929332	Roche	MA, GM	Intrusion de I1A dans l'encaissant M4, massive, à grains grossiers, riche en BO, présentant un signal anormalique moyen de 1000 CPS et maximum de 3500 CPS
592	5929333	Roche	MA	Dyke de I1G dans l'encaissant M4, riche en FK, présentant un signal anormalique moyen de 700 CPS et maximum de 3000 CPS
592	5929334	Roche	GM, GG	Intrusion de I1A associée à M6, à grains moyens à grossiers, à MG (5%), présentant un signal anormalique moyen de 1600 CPS et maximum de 4500 CPS
592	5929335	Roche		Intrusion de I1A associée à M6, de 4 mètres d'épaisseur, à MG et HM, présentant un signal anormalique moyen de 1400 CPS et maximum de 5000 CPS
592	5929336	Roche		Intrusion de I1A associée à M6, de 4 mètres de large, à HM et traces d'UP, présentant un signal anormalique moyen de 3900 CPS et maximum de 18000 CPS
592	5929337	Roche		Intrusion de I1A associée à M6, présentant un signal anormalique moyen de 5500 CPS et maximum de 15000 CPS
592	5929338	Roche		Intrusion de I1A associée à M6, présentant un signal anormalique moyen de 2700 CPS et maximum de 10700 CPS
592	5929339	Roche		Dyke de I1G de taille métrique associée à M6, riche en BO et HM, présentant un signal anormalique moyen de 2700 CPS et maximum de 10700 CPS
592	5929340	Roche		Intrusion de I1A, à HM et traces d'UP, présentant un signal anormalique moyen de 1000 CPS et maximum de 5100 CPS
592	5929341	Roche		Intrusion de I1A, présentant un signal anormalique moyen de 1400 CPS et maximum de 4500 CPS
592	5929342	Roche		Intrusion de I1A, présentant un signal anormalique moyen de 2100 CPS et maximum de 4900 CPS
592	5929343	Roche		Dyke de I1G, à BO, présentant un signal anormalique moyen de 1000 CPS et maximum de 4200 CPS



PROJECT NUMBER	SAMPLE	SAMPLE TYPE	UTMX (Nad 27)	UTMY (Nad 27)	OUTCROP / CHANNEL	OCCURENCE	SCINTILLOMETER	SPECTROMETER				LITHOLOGY	MINERALISATION	ALTERATION	STRUCTURE
								U (ppm)	Th (ppm)	U/Th	CPS MAX				
Nb Analyses	790														
Compte	Historique									847	695				
Moyenne	Historique									7335	1780				
Écart-type (σ)	Historique									10527	1856				
Maximum	Historique									146000	15000				
Minimum	Historique									30	50				
Compte	Projet									616	524				
Moyenne	Projet									8849	2164				
Écart-type (σ)	Projet									5451047	1133738				
Maximum	Projet									146000	15000				
Minimum	Projet									520	350				
592	5929344	Roche	349371	6499246		Ilaluga	RS-120			6500	2600	IIIG			
592	5929345	Roche	349571	6498749	59205009	Ilaluga	RS-120			5000	1000	IIIG			
592	5929346	Roche	349692	6498559	59205009	Ilaluga	RS-120			2900	1100	IIIG	HM, MG		
592	5929347	Roche	349713	6498537	59205009	Ilaluga	RS-120					IIIG	HM, MG		
592	5929348	Roche	349736	6498394	59205009	Ilaluga	RS-120			6300	1000	IIIG			
592	5929349	Roche	349957	6498286	59205010	Ilaluga	RS-120			3000	1000	IIIA	MG		
592	5929350	Roche	336521	6484393		137	GR-110			25000		IIIG			
592	5929351	Roche	336505	6484373		137	GR-110			4600	2000	IIIG	FK		
592	5929352	Roche	340540	6483153		Tasik	RS-120			2100	1100	IIIG			
592	5929353	Roche	340616	6483108		Tasik	RS-120			5500	1500	IIIG			
592	5929354	Roche	340645	6483114		Tasik	RS-120					IIIG			
592	5929355	Roche	340654	6483076		Tasik	RS-120			2200	1300	IIIG			
592	5929356	Roche	340675	6483043		Tasik	RS-120			1200	950	IIIG			
592	5929357	Roche	340718	6483054		Tasik	RS-120			2900	1000	IIIG			
592	5929358	Roche	340711	6482987		Tasik	RS-120			1300	700	IIIG			
592	5929359	Roche	340701	6482966		Tasik	RS-120			2400	800	IIIG			
592	5929360	Roche	340671	6482890		Tasik	RS-120			2000	700	M6			
592	5929361	Roche	340658	6482967		Tasik	RS-120			2500	1100	M6			
592	5929362	Roche	340645	6482984		Tasik	RS-120			3100	1700	IIIG			UP
592	5929363	Roche	340630	6483055		Tasik	RS-120			6000	2800	IIIG			
592	5929364	Roche	340578	6482835		Tasik	RS-120			6000	2000	IIIG			
592	5929365	Roche	340568	6482830		Tasik	RS-120			1400	1100	IIIG			
592	5929366	Roche	340583	6482823		Tasik	RS-120			6200	2000	IIIG			
592	5929367	Roche	340615	6482784		Tasik	RS-120			5500	1800	IIIG			
592	5929368	Roche	340635	6482764		Tasik	RS-120			6000	3300	IIIG	PO		
592	5929369	Roche	340628	6482746		Tasik	RS-120			5000	3000	IIIG			
592	5929370	Roche	340603	6482737		Tasik	RS-120			5000	2400	IIIG			
592	5929371	Roche	341159	6483143		Torrent	GR-110			11000	6000	IIIG			
592	5929372	Roche	341115	6483267		Torrent	GR-110			4000	1000	IIIG			
592	5929373	Roche	341127	6483292		Torrent	GR-110			1800	900	IIIG	Qz-FP gris-rose		
592	5929374	Roche	341128	6483372		Torrent	GR-110			1400	800	IIIG			
592	5929375	Roche	341045	6483105		Torrent	RS-120			2200	1200	IIIG	BO		
592	5929376	Roche	341092	6483148		Torrent	RS-120			11600	2800	IIIG	BO	AE	
592	5929377	Roche	341089	6483125		Torrent	RS-120			4300	2300	IIIG		AE	
592	5929378	Roche	341109	6483018		Torrent	RS-120			2900	1500	IIIG			
592	5929379	Roche	341124	6483024		Torrent	RS-120			13000	1550	IIIG			
592	5929380	Roche	341135	6483067		Torrent	RS-120			12000	2000	IIIG			
592	5929381	Roche	349252	6499797		Ilaluga	RS-120			9500	2300	IIIG	BO	UP (traces)	
592	5929382	Roche	349335	6499826		Ilaluga	RS-120			1500	1000	IIIG		UP (traces)	
592	5929383	Roche	349114	6499704		Ilaluga	RS-120			2400	1000	IIIG			
592	5929384	Roche	349127	6499839		Ilaluga	RS-120			1700	950	IIIG			
592	5929385	Roche	349667	6500260		Jonas	RS-120			2000	1500	IIIG			
592	5929386	Roche	349331	6499560		Ilaluga	RS-120			6800	2100	IIIG			
592	5929387	Roche	349229	6499488		Ilaluga	RS-120			2200	1200	IIIG			
592	5929388	Roche	349142	6499435		Ilaluga	RS-120			4300	1300	IIIG	BO	UP	
592	5929389	Roche	349107	6499377		Ilaluga	RS-120			12500	6200	IIIG		UP (traces)	
592	5929390	Roche	349111	6499349		Ilaluga	RS-120			19300	7000	IIIG		UP	
592	5929391	Bloc	353471	6497059		Amittuujaq	RS-120			4300	1000	IIIG	QZ fumé, MV		
592	5929392	Roche	341162	6483030		Torrent	GR-110			4000	1400	IIIG			
592	5929393	Roche	341201	6483040		Torrent	GR-110			6400	1400	IIIG		UP (traces)	
592	5929394	Roche	341210	6483092		Torrent	GR-110			4200	800	IIIG	BO		
592	5929395	Roche	341226	6483070		Torrent	GR-110			9900	1600	IIIG			
592	5929396	Roche	341234	6483086		Torrent	GR-110			7000	1200	IIIG		UP (traces)	
592	5929397	Roche	341237	6483032	59204022	Torrent	GR-110			2300	1000	IIIG	BO+		
592	5929398	Roche	341224	6482990		Torrent	GR-110			3200	1900	IIIG	BO+		
592	5929399	Roche	341229	6482941		Tasik	GR-110			8400	3500	IIIG	BO+		
592	5929400	Roche	340588	6482829	59200103	Tasik	RS-120			30000		IIIG			
592	5929401	Roche	340893	6482367		Tasik	RS-120			8000	1900	IIIG			



PROJECT NUMBER	SAMPLE	SAMPLE TYPE	REMARKS	COMMENTS
Nb Analyses	790			
Compte	Historique			
Moyenne	Historique			
Écart-type (σ)	Historique			
Maximum	Historique			
Minimum	Historique			
Compte	Projet			
Moyenne	Projet			
Écart-type (σ)	Projet			
Maximum	Projet			
Minimum	Projet			
592	5929344	Roche	GG	Intrusion de I1A, à grains grossiers, présentant un signal anormalique moyen de 2600 CPS et maximum de 6500 CPS
592	5929345	Roche		Dyke de I1G, présentant un signal anormalique moyen de 1000 CPS et maximum de 5000 CPS
592	5929346	Roche		Dyke de I1G, à HM et MG, présentant un signal anormalique moyen de 1100 CPS et maximum de 2900 CPS
592	5929347	Roche		Dyke de I1G, à HM et MG, minéralisé
592	5929348	Roche		Dyke de I1G, présentant un signal anormalique moyen de 1000 CPS et maximum de 6300 CPS
592	5929349	Roche		Intrusion de I1A, présentant un signal anormalique moyen de 1000 CPS et maximum de 3000 CPS
592	5929350	Roche	FO	Dyke de I1G foliée présentant un signal anormalique maximum de 25000 CPS
592	5929351	Roche		Dyke de I1G rose présentant un signal anormalique moyen de 2000 CPS et maximum de 4600 CPS
592	5929352	Roche		Dyke de I1G légèrement altérée, présentant un signal anormalique moyen de 1100 CPS et maximum de 2100 CPS
592	5929353	Roche		Dyke de I1G prélevé sur une colline, présentant un signal anormalique moyen de 1500 CPS et maximum de 5500 CPS
592	5929354	Roche		Dyke de I1G minéralisé inclus dans un niveau fracturé à M6
592	5929355	Roche		Dyke de I1G, inclus dans un niveau à M6, présentant un signal anormalique moyen de 1300 CPS et maximum de 2200 CPS
592	5929356	Roche	MA	Dyke de I1G massive, inclus dans un niveau à M6, présentant un signal anormalique moyen de 990 CPS et maximum de 1200 CPS
592	5929357	Roche		Niveau de I1G diffus dans un affleurement de M6, présentant un signal anormalique moyen de 1000 CPS et maximum de 2900 CPS
592	5929358	Roche		Niveau de I1G diffus dans un affleurement de M6, présentant un signal anormalique moyen de 700 CPS et maximum de 2300 CPS
592	5929359	Roche		Dyke de I1G dans un affleurement de M6, présentant un signal anormalique moyen de 800 CPS et maximum de 2400 CPS
592	5929360	Roche		Niveau de M6, présentant un signal anormalique moyen de 700 CPS et maximum de 2000 CPS
592	5929361	Roche		Niveau de M6, présentant un signal anormalique moyen de 1100 CPS et maximum de 2500 CPS
592	5929362	Roche		Dyke de I1G dans un affleurement de M6, présentant un signal anormalique moyen de 1700 CPS et maximum de 3100 CPS
592	5929363	Roche	MA	Dyke de I1G massive, présentant un signal anormalique moyen de 2800 CPS et maximum de 6000 CPS, Observation de traces jaunes (UP ?)
592	5929364	Roche		Dyke de I1G à grains grossiers, injecté dans l'encaissant M4, présentant un signal anormalique moyen de 2000 CPS et maximum de 6000 CPS
592	5929365	Roche	GG	Dyke de I1G injecté dans l'encaissant M4, présentant un signal anormalique moyen de 1100 CPS et maximum de 1400 CPS
592	5929366	Roche		Dyke de I1G injecté dans l'encaissant M4, présentant un signal anormalique moyen de 2000 CPS et maximum de 6200 CPS
592	5929367	Roche		Dyke de I1G injecté dans l'encaissant M4, présentant un signal anormalique moyen de 1800 CPS et maximum de 5500 CPS
592	5929368	Roche		Dyke de I1G légèrement altérée, présentant un signal anormalique moyen de 3300 CPS et maximum de 6000 CPS, Observation de PO associée au QZ
592	5929369	Roche		Dyke de I1G injecté dans l'encaissant M4, présentant un signal anormalique moyen de 3000 CPS et maximum de 5000 CPS
592	5929370	Roche		Dyke de I1G injecté dans l'encaissant M4, présentant un signal anormalique moyen de 2400 CPS et maximum de 5000 CPS
592	5929371	Roche		Dyke de I1G altéré, inclus dans M6, présentant un signal anormalique moyen de 6000 CPS et maximum de 11000 CPS
592	5929372	Roche		Dyke de I1G présentant un signal anormalique moyen de 1000 CPS et maximum de 4000 CPS
592	5929373	Roche		Dyke de I1G, à OZ et FK, présentant un signal anormalique moyen de 900 CPS et maximum de 1800 CPS
592	5929374	Roche		Dyke de I1G rosâtre, présentant un signal anormalique moyen de 800 CPS et maximum de 1400 CPS
592	5929375	Roche		Dyke de I1G, à BO, présentant un signal anormalique moyen de 1200 CPS et maximum de 2200 CPS
592	5929376	Roche		Dyke de I1G altérée, à BO, présentant un signal anormalique moyen de 2800 CPS et maximum de 11600 CPS
592	5929377	Roche	GG	Dyke de I1G à grains grossiers, altérée, présentant un signal anormalique moyen de 2300 CPS et maximum de 4300 CPS
592	5929378	Roche	GG - FO	Dyke de I1G foliée, à grains grossiers, présentant un signal anormalique moyen de 1500 CPS et maximum de 2900 CPS
592	5929379	Roche		Dyke de I1G, inclus dans M6 présentant un signal anormalique moyen de 1550 CPS et maximum de 13000 CPS
592	5929380	Roche		Dyke de I1G, riche en FP blancs, présentant un signal anormalique moyen de 2000 CPS et maximum de 12000 CPS
592	5929381	Roche		Dyke de I1G, à BO et traces d'UP, présentant un signal anormalique moyen de 2300 CPS et maximum de 9500 CPS
592	5929382	Roche	MA	Intrusion de I1B massif, à traces probables d'UP, présentant un signal anormalique moyen de 1000 CPS et maximum de 1500 CPS
592	5929383	Roche		Dyke de I1G au contact de l'encaissant M4, présentant un signal anormalique moyen de 1000 CPS et maximum de 2400 CPS
592	5929384	Roche		Dyke de I1G associé à I1B, présentant un signal anormalique moyen de 950 CPS et maximum de 1700 CPS
592	5929385	Roche		Dyke de I1G, inclus dans M6, présentant un signal anormalique moyen de 1500 CPS et maximum de 2000 CPS
592	5929386	Roche	MA	Dyke de I1G massive, présentant un signal anormalique moyen de 2100 CPS et maximum de 6800 CPS
592	5929387	Roche	MA	Dyke de I1G massive, présentant un signal anormalique moyen de 1200 CPS et maximum de 2200 CPS
592	5929388	Roche		Dyke de I1G, à BO et UP présentant un signal anormalique moyen de 1300 CPS et maximum de 4300 CPS
592	5929389	Roche	MA	Dyke de I1G massive, à traces d'UP présentant un signal anormalique moyen de 6200 CPS et maximum de 12500 CPS
592	5929390	Roche		Dyke de I1G rouge foncé, à UP, présentant un signal anormalique moyen de 7000 CPS et maximum de 19300 CPS
592	5929391	Bloc		Bloc de I1G à QZ fumé et MV, présentant un signal anormalique moyen de 1000 CPS et maximum de 4700 CPS
592	5929392	Roche		Dyke de I1G présentant un signal anormalique moyen de 1400 CPS et maximum de 4000 CPS (Zone Torrent)
592	5929393	Roche		Dyke de I1G, à traces d'UP présentant un signal anormalique moyen de 1400 CPS et maximum de 6200 CPS (Zone Torrent)
592	5929394	Roche		Dyke de I1G, riche en BO (20%), présentant un signal anormalique moyen de 800 CPS et maximum de 4200 CPS (Zone Torrent)
592	5929395	Roche		Dyke de I1G rosâtre présentant un signal anormalique moyen de 1600 CPS et maximum de 9900 CPS (Zone Torrent)
592	5929396	Roche		Dyke de I1G rosâtre, à traces d'UP, présentant un signal anormalique moyen de 1200 CPS et maximum de 7000 CPS (Zone Torrent)
592	5929397	Roche	GG, MA	Dyke de I1G massive, à grains grossiers, à BO (15%), présentant un signal anormalique moyen de 1000 CPS et maximum de 2300 CPS (Zone Torrent)
592	5929398	Roche		Dyke de I1G rosâtre, à BO (10%), présentant un signal anormalique moyen de 1900 CPS et maximum de 3200 CPS (Zone Torrent)
592	5929399	Roche		Dyke de I1G massive, rosâtre, à BO (10 à 15 %), présentant un signal anormalique moyen de 3500 CPS et maximum de 8400 CPS (Zone Torrent)
592	5929400	Roche		Dyke de I1G présentant un signal anormalique maximum de 30000 CPS. Bloc de I1G à 5700 CPS maximum situé à proximité
592	5929401	Roche		Dyke de I1G présentant un signal anormalique moyen de 1900 CPS et maximum de 8000 CPS



PROJECT NUMBER	SAMPLE	SAMPLE TYPE	UTMX (Nad 27)	UTMY (Nad 27)	OUTCROP / CHANNEL	OCCURENCE	SCINTILLOMETER	SPECTROMETER					LITHOLOGY	MINERALISATION	ALTERATION	STRUCTURE
								U (ppm)	Th (ppm)	U/Th	CPS MAX	TYPICAL CPS				
Nb Analyses	790															
Compte	Historique										847	695				
Moyenne	Historique										7335	1780				
Écart-type (σ)	Historique										10527	1856				
Maximum	Historique										146000	15000				
Minimum	Historique										30	50				
Compte	Projet										616	524				
Moyenne	Projet										8849	2164				
Écart-type (σ)	Projet										5451047	1133738				
Maximum	Projet										146000	15000				
Minimum	Projet										520	350				
592	5929402	Roche	340725	6482505		Tasik	RS-120				1700	1000	IIIG			
592	5929403	Roche	340686	6482522		Tasik	RS-120				2700	1400	IIIG			
592	5929404	Roche	340725	6482525		Tasik	RS-120				2200	1100	IIIG	BO		
592	5929405	Roche	340717	6482546		Tasik	RS-120				8000	1500	IIIG			
592	5929406	Roche	340674	6482518		Tasik	RS-120				2400	1700	IIIG	BO, QZ fumé		
592	5929407	Roche	340685	6482554		Tasik	RS-120				4500	1200	IIIG			
592	5929408	Roche	340687	6482621		Tasik	RS-120				2200	1000	IIIG			
592	5929409	Roche	340658	6482605		Tasik	RS-120				2000	1200	IIIG	QZ fumé		
592	5929410	Roche	340667	6482633		Tasik	RS-120				3000	1300	IIIG	BO, QZ fumé		
592	5929411	Roche	340677	6482705		Tasik	RS-120				7200	2100	IIIG	BO+++		
592	5929412	Roche	353026	6497349		Amittuujaq	RS-120				16300		IIIG	BO (80%), FP (7%), QZ (3%)		
592	5929413	Roche	352819	6497603		Amittuujaq	RS-120				3500	500	IIIG	BO+,, MV, PG	UP (traces)	
592	5929414	Roche	340824	6483707		Torment	RS-120	117,0	539,0		7700	600	IIIG	BO	HM	
592	5929415	Roche	340833	6483701		Torment	RS-120				5000	800	IIA	BO+	HM	
592	5929416	Roche	340829	6483758		Torment	RS-120				3400	860	IIIG	BO+		
592	5929417	Roche	340820	6483748		Torment	RS-120				5500	1000	IIIG	BO+		
592	5929418	Roche	340816	6483765		Torment	RS-120				2800	550	IIIG	BO++	HM	
592	5929419	Roche	340812	6483778		Torment	RS-120				4500	1400	IIIG	BO++		
592	5929420	Roche	340801	6483800		Torment	RS-120				12400	1500	IIIG	BO++	HM, UP (traces)	
592	5929421	Roche	340779	6483857		Torment	RS-120				7500	1160	IIIG	BO+++		
592	5929422	Roche	340718	6483809		Torment	RS-120				16700	800	M12 (VN QZ)	BO++		
592	5929423	Roche	340722	6483872		Torment	RS-120				3800	900	IIA	BO+, QZ+		
592	5929424	Roche	340728	6483906		Torment	RS-120				4700	950	IIA	BO+++		
592	5929425	Roche	340655	6483894		Torment	RS-120				4800	500	M4-IIIG	BO+++		
592	5929426	Roche	340631	6483918		Torment	RS-120				35500	6300	IIA	BO+, QZ+++		
592	5929427	Roche	340620	6483954		Torment	RS-120				10600	2000	IIIG	BO++	HM	
592	5929428	Roche	340905	6483549		Torment	RS-120				13500	1200	IIA	BO++		
592	5929429	Roche	340920	6483530		Torment	RS-120				9500	850	IIIG	BO+++		
592	5929430	Roche	340999	6483252		Torment	RS-120				42000	8000	IIIG	BO+++		
592	5929431	Roche	341009	6483235		Torment	RS-120	258,0	1318,0		15000	8500	IIIG	BO+++		
592	5929432	Roche	349625	6500262	59200117	Jonas	RS-120				5500	600	IIIG		HM	
592	5929433	Roche	349600	6500210	59200117	Jonas	RS-120				6000	1100	IIIG	BO+	HM	
592	5929434	Bloc	349429	6500361	59200117	Jonas	RS-120				2200	900	IIIG	FP, MG+	HM	
592	5929435	Roche	349419	6500364	59200117	Jonas	RS-120				4000	700	IIIG	QZ fumé, MG	HM	
592	5929436	Roche	349578	6500504	59200122	Jonas	RS-120				4200	600	IIIG		HM	
592	5929437	Roche	349578	6500546	59200122	Jonas	RS-120				45000	2000	IIIG	QZ fumé, MG	HM, UP (3 à 5%)	
592	5929438	Roche	349580	6500556	59200122	Jonas	RS-120				18000	1500	IIIG	QZ fumé, MG	HM, UP (1 à 2%)	
592	5929439	Bbustar	340465	6483227	59201019	Tasik	RS-125	1142,5	215,6	5,30	2300		IIIG			
592	5929440	Pjonjar	340465	6483227	59201019	Tasik	RS-125				520		IIIG			
592	5929441	Pjonjar	340482	6483088	59201020	Tasik	RS-125				1300		IIIG			
592	5929442	Bbustar	340482	6483088	59201020	Tasik	RS-125	841,9	1260,1	0,67	2000		IIIG			
592	5929443	Pjonjar	340557	6482795	59201021	Tasik	RS-125				700		IIIG			
592	5929444	Bbustar	340557	6482795	59201021	Tasik	RS-125	238,7	900,2	0,27			IIIG			
592	5929445	Bbustar	340890	6482371	59201022	Torment	RS-125	431,5	0,0				IIIG			
592	5929446	Roche	350374	6498182		Ilaluga	RS-125				4850	1500	IIIG	MG		
592	5929447	Roche	350073	6498198		Ilaluga	RS-125				3400	1000	IIIG	BO+		
592	5929448	Roche	350078	6498166		Ilaluga	RS-125				12000	2000	IIIG	BO+		
592	5929449	Roche	349891	6498596		Ilaluga	RS-125				5200	2000	IIIG	BO++		
592	5929450	Roche	334882	6489310	59200111	Tasiakuk Extension	RS-120				3000	1000	IIIG	BO (25%)		
592	5929451	Roche	349412	6499183	59200112	Ilaluga	RS-120				11000	2500	IIIG		HM	
592	5929452	Roche	349388	6499196	59200112	Ilaluga	RS-120				4000	2000	IIIG		HM	
592	5929453	Roche	349375	6499214	59200112	Ilaluga	RS-120				9500	2000	IIIG		HM	
592	5929454	Roche	349372	6499241	59200112	Ilaluga	RS-120				13500	2000	IIIG	MG	HM	
592	5929455	Roche	349371	6499259	59200112	Ilaluga	RS-120				10000	2700	IIIG		HM - UP	
592	5929456	Roche	349327	6499354	59200112	Ilaluga	RS-120				12300	4500	IIIG		HM	
592	5929457	Roche	349303	6499373	59200112	Ilaluga	RS-120				6900	2500	IIIG	MG	HM	
592	5929458	Roche	349303	6499466	59200112	Ilaluga	RS-120				6400	1000	IIIG		HM	
592	5929459	Roche	349290	6499524	59200112	Ilaluga	RS-120				11000	2000	IIIG	MG+, QZ+	HM	



PROJECT NUMBER	SAMPLE	SAMPLE TYPE	REMARKS	COMMENTS
Nb Analyses	790			
Compte	Historique			
Moyenne	Historique			
Écart-type (σ)	Historique			
Maximum	Historique			
Minimum	Historique			
Compte	Projet			
Moyenne	Projet			
Écart-type (σ)	Projet			
Maximum	Projet			
Minimum	Projet			
592	5929402	Roche		Niveau de IIG diffus dans un affleurement de M6, présentant un signal anormalique moyen de 1000 CPS et maximum de 1700 CPS
592	5929403	Roche		Dyke de IIG dans un affleurement de M6 présentant un signal anormalique moyen de 1100 CPS et maximum de 2700 CPS
592	5929404	Roche		Dyke de IIG présentant un signal anormalique moyen de 1100 CPS et maximum de 2200 CPS. Cet échantillon renferme des niveaux riches en BO
592	5929405	Roche		Dyke de IIG présentant un signal anormalique moyen de 1500 CPS et maximum de 2900 CPS
592	5929406	Roche		Dyke de IIG présentant un signal anormalique moyen de 1700 CPS et maximum de 2400 CPS. Cet échantillon renferme de la BO et du QZ fumé
592	5929407	Roche	MA	Dyke de IIG présentant un signal anormalique moyen de 1200 CPS et maximum de 4500 CPS
592	5929408	Roche		Dyke de IIG présentant un signal anormalique moyen de 1000 CPS et maximum de 3500 CPS
592	5929409	Roche		Dyke de IIG présentant un signal anormalique moyen de 1200 CPS et maximum de 2000 CPS. Cet échantillon renferme du QZ fumé
592	5929410	Roche	MA	Dyke de IIG massive, présentant un signal anormalique moyen de 1300 CPS et maximum de 3000 CPS. Cet échantillon renferme de la BO et du QZ fumé
592	5929411	Roche		Dyke de IIG massive, présentant un signal anormalique moyen de 2700 CPS et maximum de 7200 CPS. Cet échantillon est riche en BO
592	5929412	Roche		Dyke de IIG, inclus dans M6, avec 80% de BO, 7% de FP et 3% de QZ, présentant un signal maximum de 16300 CPS
592	5929413	Roche		Dyke de IIG, riche en BO, à MV, PG et traces d'UP, présentant un signal anormalique moyen de 500 CPS et maximum de 3500 CPS
592	5929414	Roche		Dyke de IIG, à BO et HM, présentant un signal anormalique moyen de 600 CPS et maximum de 7700 CPS (Zone Torrent)
592	5929415	Roche		Dyke de IIG, à BO et HM, présentant un signal anormalique moyen de 800 CPS et maximum de 5000 CPS (Zone Torrent)
592	5929416	Roche		Intrusion de I1A, riche en BO, présentant un signal anormalique moyen de 860 CPS et maximum de 3400 CPS (Zone Torrent)
592	5929417	Roche		Dyke de IIG, présentant un signal anormalique moyen de 1000 CPS et maximum de 5500 CPS (Zone Torrent)
592	5929418	Roche		Dyke de IIG, à BO et HM, présentant un signal anormalique moyen de 550 CPS et maximum de 2800 CPS (Zone Torrent)
592	5929419	Roche		Dyke de IIG, riche en BO, présentant un signal anormalique moyen de 1400 CPS et maximum de 4500 CPS (Zone Torrent)
592	5929420	Roche		Dyke de IIG, à BO, HM et traces UP, présentant un signal anormalique moyen de 1500 CPS et maximum de 2400 CPS (Zone Torrent)
592	5929421	Roche		Dyke de IIG, à QZ arrondis, riche en BO, présentant un signal anormalique moyen de 1160 CPS et maximum de 7500 CPS (Zone Torrent)
592	5929422	Roche		Formation de M12 riche en BO présentant une veine de QZ minéralisée avec un signal anormalique moyen de 800 CPS et maximum de 10700 CPS (Zone Torrent)
592	5929423	Roche		Intrusion de I1A, à BO, présentant un signal anormalique moyen de 900 CPS et maximum de 3800 CPS (Zone Torrent)
592	5929424	Roche	GG	Intrusion de I1A, à grains grossiers, riche en BO, présentant un signal anormalique moyen de 950 CPS et maximum de 4700 CPS (Zone Torrent)
592	5929425	Roche		Dyke de IIG, au contact de l'encalssant M4, riche en BO, présentant un signal anormalique moyen de 500 CPS et maximum de 4800 CPS (Zone Torrent)
592	5929426	Roche		Intrusion de I1A, riche en QZ et BO, présentant un signal anormalique moyen de 6300 CPS et maximum de 35000 CPS (Zone Torrent)
592	5929427	Roche		Intrusion de I1A, riche en BO, à HM, présentant un signal anormalique moyen de 2000 CPS et maximum de 10600 CPS (Zone Torrent)
592	5929428	Roche		Intrusion de I1A, riche en BO, à HM, présentant un signal anormalique moyen de 1200 CPS et maximum de 13500 CPS (Zone Torrent)
592	5929429	Roche		Dyke de IIG, très riche en BO, présentant un signal anormalique moyen de 850 CPS et maximum de 9500 CPS (Zone Torrent)
592	5929430	Roche		Dyke de IIG, très riche en BO, présentant un signal anormalique moyen de 4200 CPS et maximum de 8000 CPS (Zone Torrent)
592	5929431	Roche		Dyke de IIG, très riche en BO, présentant un signal anormalique moyen de 850 CPS et maximum de 5000 CPS (Zone Torrent)
592	5929432	Roche		Dyke de IIG, à HM, inclus dans I1A, présentant un signal anormalique moyen de 600 CPS et maximum de 5500 CPS (Zone 4)
592	5929433	Roche	GG	Dyke de IIG, à grains grossiers, à BO et HM, présentant un signal anormalique moyen de 1100 CPS et maximum de 6000 CPS (Zone 4)
592	5929434	Bloc	GG	Bloc de IIG sub en place, à grains grossiers, à HM et MG, présentant un signal anormalique moyen de 900 CPS et maximum de 2200 CPS (Zone 4)
592	5929435	Roche		Dyke de IIG, à QZ fumé, HM et MG, présentant un signal anormalique moyen de 700 CPS et maximum de 4000 CPS (Zone 4)
592	5929436	Roche		Dyke de IIG, à HM, présentant un signal anormalique moyen de 600 CPS et maximum de 4200 CPS (Zone 4)
592	5929437	Roche	GM	Dyke de IIG associé à M6, à gains moyens, à QZ fumé, HM, MG et UP (3 à 5%), présentant un signal anormalique moyen de 2000 CPS et maximum de 45000 CPS (Zone 4)
592	5929438	Roche	GM	Dyke de IIG associé à M6, à gains moyens, à QZ fumé, HM, MG et UP (1 à 2%), présentant un signal anormalique moyen de 1500 CPS et maximum de 18000 CPS (Zone 4)
592	5929439	Bbuster		Trou de sautage au Boulder Buster. Échantillon profond (12 pouces de profondeur sur 20 pouces d'épaisseur), provenant d'un dyke de IIG. L'échantillon prélevé présente un signal anormalique maximum de 2300
592	5929440	Pionjar		Poussière d'un trou de sautage au Boulder Buster présentant un signal anormalique de 520 CPS (échantillon 9440)
592	5929441	Pionjar		Poussière d'un trou de sautage au Boulder Buster présentant un signal anormalique de 300 CPS (échantillon 9442)
592	5929442	Bbuster		Trou de sautage au Boulder Buster. Échantillon profond, provenant d'un dyke de IIG. L'échantillon prélevé présente un signal anormalique maximum de 2000 CPS
592	5929443	Pionjar		Poussière d'un trou de sautage au Boulder Buster présentant un signal anormalique de 700 CPS (échantillon 9444)
592	5929444	Bbuster		Trou de sautage au Boulder Buster. Échantillon profond (12 pouces de profondeur sur 12 pouces d'épaisseur), provenant d'un dyke de IIG minéralisée
592	5929445	Bbuster		Trou de sautage au Boulder Buster. Échantillon profond, provenant d'un dyke de IIG minéralisée.
592	5929446	Roche		Dyke de IIG, à MG, présentant un signal anormalique moyen de 1500 CPS et maximum de 4850 CPS
592	5929447	Roche		Dyke de IIG, à BO, présentant un signal anormalique moyen de 1000 CPS et maximum de 3400 CPS
592	5929448	Roche		Dyke de IIG, à BO, présentant un signal anormalique moyen de 9000 CPS et maximum de 12000 CPS
592	5929449	Roche		Dyke de IIG, riche en BO, présentant un signal anormalique moyen de 2000 CPS et maximum de 5200 CPS
592	5929450	Roche	GM, MA	Dyke de IIG présentant un signal anormalique moyen de 1000 CPS et maximum de 3000 CPS. Pas de contact visibles avec l'encalssant (Zone 5)
592	5929451	Roche	GM, MA	Dyke de IIG hématisé de 7 mètres d'épaisseur, présentant un signal anormalique moyen de 2500 CPS et maximum de 11000 CPS (Zone 5)
592	5929452	Roche	GM, MA	Dyke de IIG de 7 mètres d'épaisseur, présentant un signal anormalique moyen de 2000 CPS et maximum de 4000 CPS (Zone 5)
592	5929453	Roche	GM, MA	Dyke de IIG présentant un signal anormalique moyen de 2000 CPS et maximum de 9500 CPS (Zone 5)
592	5929454	Roche	GM, MA	Dyke de IIG hématisé, à MG, présentant un signal anormalique moyen de 2000 CPS et maximum de 13500 CPS (Zone 5)
592	5929455	Roche	GM, MA	Dyke de IIG hématisé, à traces d'UP, présentant un signal anormalique moyen de 2700 CPS et maximum de 10000 CPS (Zone 5)
592	5929456	Roche	GM, MA	Dyke de IIG hématisé présentant un signal anormalique moyen de 4500 CPS et maximum de 12300 CPS (Zone 5)
592	5929457	Roche	GM, MA	Dyke de IIG à HM et MG, présentant un signal anormalique moyen de 2500 CPS et maximum de 6900 CPS (Zone 5)
592	5929458	Roche	GM, MA	Dyke de IIG hématisé, de 2 mètres d'épaisseur, présentant un signal anormalique moyen de 1000 CPS et maximum de 2400 CPS (Zone 5)
592	5929459	Roche	GM, MA	Dyke de IIG à HM et MG, présentant un signal anormalique moyen de 2000 CPS et maximum de 11000 CPS (Zone 5)



PROJECT NUMBER	SAMPLE	SAMPLE TYPE	UTMX (Nad 27)	UTMY (Nad 27)	OUTCROP / CHANNEL	OCCURENCE	SCINTILLOMETER	SPECTROMETER				LITHOLOGY	MINERALISATION	ALTERATION	STRUCTURE
								U (ppm)	Th (ppm)	U/Th	CPS MAX				
Nb Analyses	790														
Compte	Historique										847	695			
Moyenne	Historique										7335	1780			
Écart-type (σ)	Historique										10527	1856			
Maximum	Historique										146000	15000			
Minimum	Historique										30	50			
Compte	Projet										616	524			
Moyenne	Projet										8849	2164			
Écart-type (σ)	Projet										5451047	1133738			
Maximum	Projet										146000	15000			
Minimum	Projet										520	350			
592	5929460	Roche	349363	6499577	59200112	Ilakuga	RS-120				16500	1400	11G	Mg (5%)	HM
592	5929461	Roche	349626	6500131	59200113	Jonas	RS-120				11200	1000	11G	BO	UP (traces)
592	5929462	Roche	350117	6500227	59200113	Jonas	RS-120				53000	4000	11G	BO++	UP (1 à 2%)
592	5929463	Roche	350121	6500230	59200113	Jonas	RS-120				20000	2000	11G	BO	UP (traces)
592	5929464	Roche	350106	6500226	59200113	Jonas	RS-120				12500	1000	11G	BO	UP (traces)
592	5929465	Roche	350131	6500221	59200114	Jonas	RS-120				7000	1500	11G	BO (traces)	UP (traces) - SI++
592	5929466	Roche	350133	6500164	59200114	Jonas	RS-120				2800	1000	11G	QZ, BO	
592	5929467	Roche	350116	6500111	59200114	Jonas	RS-120				9000	1000	11G	Qz, BO, tr Up	UP (traces)
592	5929468	Roche	350195	6500105	59200114	Jonas	RS-120				3400	1000	11G	BO	Hm
592	5929469	Roche	350175	6500164	59200114	Jonas	RS-120				8000	1500	11G	BO	UP (traces)
592	5929470	Roche	350269	6500185	59200114	Jonas	RS-120				6200	600	11G	QZ fumé	
592	5929471	Roche	350294	6500191	59200114	Jonas	RS-120				10000	2000	11G	tr Up	UP (traces)
592	5929472	Roche	350271	6500149	59200114	Jonas	RS-120				25000	2000	11G	QZ fumé, SF, BO	HM
592	5929473	Roche	350010	6499958	59200114	Jonas	RS-120				7500	1500	11G	BO	UP (traces)
592	5929474	Roche	349995	6499985	59200115	Jonas	RS-120				57000	10000	11G	QZ fumé	UP (3 à 5%)
592	5929475	Roche	350005	6499984	59200115	Jonas	RS-120				32000	7000	11G	QZ fumé	UP (5 à 7%)
592	5929476	Roche	349994	6499983	59200115	Jonas	RS-120				42000	7000	11G	QZ fumé	UP (5 à 7%)
592	5929477	Roche	349918	6499993	59200115	Jonas	RS-120				7000	450	11G	QZ fumé	
592	5929478	Roche	349909	6499997	59200115	Jonas	RS-120				7000	2000	11G	BO	UP (1 à 2%)
592	5929479	Roche	349891	6500007	59200115	Jonas	RS-120				10500	1000	11G	BO	UP (traces)
592	5929480	Roche	349850	6500122	59200116	Jonas	RS-120				5600	1000	11G	BO	
592	5929481	Roche	349818	6500023	59200116	Jonas	RS-120				33000	10000	11G	QZ++, BO	UP (traces)
592	5929482	Roche	349821	6500022	59200116	Jonas	RS-120				23000	10000	11G	BO, QZ+	HM, UP (2 à 3%)
592	5929483	Roche	349819	6500026	59200116	Jonas	RS-120				42000	12000	11G	BO++, QZ fumé	UP (5 à 7%)
592	5929484	Roche	349818	6500033	59200116	Jonas	RS-120				34500	12000	11G	BO, QZ fumé+	UP (5 à 7%)
592	5929485	Roche	349790	6500046	59200116	Jonas	RS-120				10500	650	11G	BO+, QZ+	UP (1 à 2%)
592	5929486	Roche	349799	6500011	59200116	Jonas	RS-120				5500	600	11G	BO, QZ+	UP (traces)
592	5929487	Roche	349659	6500111	59200113	Jonas	RS-120				4800	500	11G	BO	HM, UP (traces)
592	5929488	Roche	349640	6500133	59200113	Jonas	RS-120	982.0	874.0		24000	2000	11G	QZ+, BO++	UP (5 à 7%)
592	5929489	Roche	349701	6499920	59200113	Jonas	RS-120				4200	500	11G	FK+	HM
592	5929490	Roche	341470	6482673		Torrent	RS-120				4200	1300	11G	BO, FK	
592	5929491	Roche	341395	6482720		Torrent	RS-120				3700	700	11G	BO	
592	5929492	Roche	341388	6482747		Torrent	RS-120				3800	700	11A	BO, FK	
592	5929493	Roche	341422	6482759		Torrent	RS-120				3300	600	11A	BO, FK	
592	5929494	Roche	341446	6482753		Torrent	RS-120				9400	1500	11A	BO, FK	
592	5929495	Roche	341395	6482827		Torrent	RS-120				40000	4500	11A	BO, PG, FK	
592	5929496	Roche	350052	6500193	59200113	Jonas	RS-120				3100	500	11G		
592	5929497	Roche	349923	6500200	59200117	Jonas	RS-120				13700	1600	11G		HM+, UP (traces)
592	5929498	Roche	349924	6500203	59200117	Jonas	RS-120				13300	2500	11G	QZ fumé	HM, UP (1 à 2%)
592	5929499	Roche	349924	6500191		Jonas	RS-120				4500	600	11G	BO (traces)	UP (2 à 3%)
592	5929500	Roche	349871	6500131	59200117	Jonas	RS-120				5500	1000	11G	QZ fumé, BO	UP (traces)
592	5929501	Roche	348695	6500391	59200117	Jonas	RS-120				5000	700	11G	QZ fumé	HM
592	5929502	Roche	349426	6500425	59200117	Jonas	RS-120				7400	1500	11G	MG	HM+
592	5929503	Roche	349261	6500335	59200117	Ilakuga	RS-120				3500	600	11G		HM+, UP (traces)
592	5929504	Roche	349193	6500365	59200117	Ilakuga	RS-120				13000	800	11G	FK++	HM+, UP (1 à 2%)
592	5929505	Roche	351018	6500091	59200118	Amittuujaq	RS-120				7400	1000	11G	BO, FK	UP (1 à 2%)
592	5929506	Roche	351032	6500057	59200118	Amittuujaq	RS-120				2000	4600	11G	BO, PG	UP (traces)
592	5929507	Roche	351048	6500053	59200118	Amittuujaq	RS-120				16500	1500	11G	QZ fumé, BO	UP (5 à 7%)
592	5929508	Roche	351013	6499925	59200119	Amittuujaq	RS-120				25100	2500	11G	BO+, FK	HM
592	5929509	Roche	352728	6497975	59200121	Amittuujaq	RS-120				2000	900	11G	GR, PG, CP, MV	
592	5929510	Roche	341384	6482868		Torrent	RS-120				20000	4200	11B		
592	5929511	Roche	341361	6482880		Torrent	RS-120				3000	700	11B		
592	5929512	Roche	341341	6482855		Torrent	RS-120				12000	1000	11B		
592	5929513	Roche	341349	6482828		Torrent	RS-120				20000	2550	11B		
592	5929514	Roche	341331	6482839		Torrent	RS-120				3000	1000	11B		
592	5929515	Roche	341309	6482860		Torrent	RS-120				10000	1500	11B		
592	5929516	Roche	341279	6482901		Torrent	RS-120				18000	1133	11B	BO++	
592	5929517	Roche	341281	6482910		Torrent	RS-120				4000	1400	11B		



PROJECT NUMBER	SAMPLE	SAMPLE TYPE	REMARKS	COMMENTS
Nb Analyses	790			
Compte	Historique			
Moyenne	Historique			
Écart-type (σ)	Historique			
Maximum	Historique			
Minimum	Historique			
Compte	Projet			
Moyenne	Projet			
Écart-type (σ)	Projet			
Maximum	Projet			
Minimum	Projet			
592	5929460	Roche	GM, MA	Dyke de IIG à HM et MG (5%), de 25 mètres d'épaisseur, présentant un signal anormalique moyen de 1400 CPS et maximum de 16500 CPS (Zone 5)
592	5929461	Roche	GM, MA	Dyke de IIG à BO et traces d'UP, de 7 à 10 mètres d'épaisseur, présentant un signal anormalique moyen de 1000 CPS et maximum de 11200 CPS (Zone 4). La direction du dyke est difficile à observer
592	5929462	Roche	GG	Dyke de IIG, à grains grossiers, riche en BO, sur 10 mètres de long, présentant un signal anormalique moyen de 4000 CPS et maximum de 53000 CPS (Zone 4)
592	5929463	Roche	GG	Dyke de IIG, présentant un signal anormalique moyen de 2000 CPS et maximum de 20000 CPS (Zone 4)
592	5929464	Roche	GG	Dyke de IIG, à BO et traces d'UP, présentant un signal anormalique moyen de 1000 CPS et maximum de 12500 CPS (Zone 4)
592	5929465	Roche	GG, MA	Dyke de IIG, inclus dans un affleurement de M6, riche en QZ, à traces de BO et d'UP, de 2 mètres d'épaisseur, présentant un signal anormalique moyen de 1500 CPS et maximum de 7000 CPS (Zone 4)
592	5929466	Roche	GG, MA	Dyke de IIG, à QZ et BO, présentant un signal anormalique moyen de 1000 CPS et maximum de 2800 CPS (Zone 4)
592	5929467	Roche	GG, MA	Dyke de IIG, à QZ, BO, et traces d'UP, de 1 à 2 mètres d'épaisseur, présentant un signal anormalique moyen de 1000 CPS et maximum de 9000 CPS (Zone 4)
592	5929468	Roche	GG, MA	Dyke de IIG, à HM et BO, de 2 à 3 mètres d'épaisseur, présentant un signal anormalique moyen de 1000 CPS et maximum de 3400 CPS (Zone 4)
592	5929469	Roche	GG, MA	Dyke de IIG, à BO, UP (1%), présentant un signal anormalique moyen de 1500 CPS et maximum de 6000 CPS (Zone 4)
592	5929470	Roche	GG, MA	Dyke de IIG de 4 mètres d'épaisseur, inclus dans un affleurement de M6, à traces de QZ fumé, présentant un signal anormalique moyen de 600 CPS et maximum de 6200 CPS (Zone 4)
592	5929471	Roche	GG, MA	Dyke de IIG présentant un signal anormalique moyen de 2000 CPS et maximum de 10000 CPS (Zone 4)
592	5929472	Roche	GG, MA	Dyke de IIG, à QZ fumé, à HM, à BO et à SF (AU 7), présentant un signal anormalique moyen de 2000 CPS et maximum de 25000 CPS (Zone 4)
592	5929473	Roche	GG, MA	Dyke de IIG, à UP (1%), présentant un signal anormalique moyen de 1500 CPS et maximum de 7500 CPS (Zone 4)
592	5929474	Roche	GG, MA	Dyke de IIG, à QZ fumé, UP (3 à 5%), présentant un signal anormalique moyen de 10000 CPS et maximum de 57000 CPS (Zone 4)
592	5929475	Roche	GG, MA	Dyke de IIG de 3-10m avec horizon de 10 à 100 centimètres avec 5 à 7% d'UP, très riche en QZ fumé, présentant un signal anormalique moyen de 7000 CPS et maximum de 32000 CPS (Zone 4)
592	5929476	Roche	GG, MA	Dyke de IIG de 3-10m avec horizon de 10 à 100 centimètres avec 5 à 7% d'UP, très riche en QZ fumé, présentant un signal anormalique moyen de 7000 CPS et maximum de 42000 CPS (Zone 4)
592	5929477	Roche	GG, MA	Dyke de IIG à traces de QZ fumé et d'UP, présentant un signal anormalique moyen de 450 CPS et maximum de 7000 CPS (Zone 4)
592	5929478	Roche	GG, MA	Dyke de IIG à traces de QZ fumé et d'UP, présentant un signal anormalique moyen de 2000 CPS et maximum de 7000 CPS (Zone 4)
592	5929479	Roche	GG, MA	Dyke de IIG, à grains moyens, à traces de BO et d'UP, présentant un signal anormalique moyen de 1000 CPS et maximum de 10000 CPS (Zone 4). Plusieurs spots à 10000 CPS
592	5929480	Roche	GG, MA	Dyke de IIG de 5 à 10 mètres d'épaisseur, présentant un signal anormalique moyen de 1000 CPS et maximum de 5600 CPS (Zone 4)
592	5929481	Roche	GG, MA, FO	Dyke de IIG injecté dans l'encalcaissant M4, riche en QZ et BO, à traces d'UP, présentant un signal anormalique moyen de 10000 CPS et maximum de 33000 CPS (Zone 4)
592	5929482	Roche	GG, MA, FO	Dyke de IIG injecté dans l'encalcaissant M4, à QZ, BO, HM et traces d'UP, présentant un signal anormalique moyen de 10000 CPS et maximum de 23000 CPS (Zone 4)
592	5929483	Roche	GG, MA, FO	Dyke de IIG injecté dans l'encalcaissant M4, riche en BO, à QZ fumé et à UP (5 à 7%), présentant un signal anormalique moyen de 12000 CPS et maximum de 42000 CPS
592	5929484	Roche	GG, MA, FO	Dyke de IIG injecté dans l'encalcaissant M4, riche en QZ fumé, à BO et à UP (5 à 7%), présentant un signal anormalique moyen de 12000 CPS et maximum de 34500 CPS
592	5929485	Roche	GG, MA	Dyke de IIG injecté dans l'encalcaissant M4, à BO et à UP (1 à 2%), présentant un signal anormalique moyen de 650 CPS et maximum de 10500 CPS
592	5929486	Roche	GG, MA	Dyke de IIG injecté dans l'encalcaissant M4, à BO et à traces d'UP (1 à 2%), présentant un signal anormalique moyen de 600 CPS et maximum de 5500 CPS
592	5929487	Roche	GG, MA	Dyke de IIG à BO, à HM et à traces d'UP (1 à 2%), présentant un signal anormalique moyen de 500 CPS et maximum de 4800 CPS
592	5929488	Roche	GG, MA	Dyke de IIG riche en BO, à UP (5 à 7%), présentant un signal anormalique moyen de 2000 CPS et maximum de 24000 CPS
592	5929489	Roche	GG, MA	Dyke de IIG riche en FK et HM, présentant un signal anormalique moyen de 500 CPS et maximum de 4200 CPS
592	5929490	Roche		Dyke de IIG à BO et FK, présentant un signal anormalique moyen de 1300 CPS et maximum de 4200 CPS (Zone Torrent)
592	5929491	Roche		Dyke de IIG à BO, présentant un signal anormalique moyen de 700 CPS et maximum de 3700 CPS (Zone Torrent)
592	5929492	Roche		Intrusion de I1A à BO et FK, présentant un signal anormalique moyen de 700 CPS et maximum de 3600 CPS (Zone Torrent)
592	5929493	Roche		Intrusion de I1A à BO et FK, présentant un signal anormalique moyen de 600 CPS et maximum de 3300 CPS (Zone Torrent)
592	5929494	Roche		Intrusion de I1A à BO et FK, présentant un signal anormalique moyen de 1500 CPS et maximum de 9400 CPS (Zone Torrent)
592	5929495	Roche		Intrusion de I1A à BO, PG et FK, présentant un signal anormalique moyen de 4500 CPS et maximum de 40000 CPS (Zone Torrent)
592	5929496	Roche		Dyke de IIG hématisé, présentant un signal anormalique moyen de 500 CPS et maximum de 3100 CPS
592	5929497	Roche		Dyke de IIG à QZ fumé, HM et traces d'UP, présentant un signal anormalique moyen de 1600 CPS et maximum de 13700 CPS
592	5929498	Roche		Dyke de IIG à QZ fumé, HM et UP (1 à 2%), présentant un signal anormalique moyen de 2500 CPS et maximum de 13300 CPS
592	5929499	Roche		Dyke de IIG à BO rare et UP (2 à 3%), présentant un signal anormalique moyen de 600 CPS et maximum de 4500 CPS
592	5929500	Roche		Dyke de IIG, riche en QZ fumé, à BO et traces d'UP, présentant un signal anormalique moyen de 1000 CPS et maximum de 5000 CPS
592	5929501	Roche		Dyke de IIG, à QZ fumé et HM, présentant un signal anormalique moyen de 700 CPS et maximum de 500 CPS
592	5929502	Roche		Dyke de IIG, à HM et MG, présentant un signal anormalique moyen de 1500 CPS et maximum de 7400 CPS
592	5929503	Roche		Dyke de IIG, à HM et traces d'UP présentant un signal anormalique moyen de 1000 CPS et maximum de 3500 CPS
592	5929504	Roche		Dyke de IIG, riche en HM, à FK et UP (1 à 2%), présentant un signal anormalique moyen de 800 CPS et maximum de 13000 CPS
592	5929505	Roche	GG	Dyke de IIG de 5 mètres d'épaisseur, à grains grossiers, à BO et UP (1 à 2%) présentant un signal anormalique moyen de 1000 CPS et maximum de 7400 CPS
592	5929506	Roche		Dyke de IIG à BO, PG et traces d'UP (1 à 2%) présentant un signal anormalique moyen de 4600 CPS et maximum de 22000 CPS
592	5929507	Roche		Dyke de IIG à QZ fumé, BO et UP (5 à 7%) présentant un signal anormalique moyen de 1500 CPS et maximum de 16500 CPS
592	5929508	Roche		Dyke de IIG à FK, BO et HM, présentant un signal anormalique moyen de 2500 CPS et maximum de 25100 CPS
592	5929509	Roche		Dyke de IIG à GR, PG, CP et MV, présentant un signal anormalique moyen de 900 CPS et maximum de 2000 CPS
592	5929510	Roche		Intrusion de I1B présentant un signal anormalique moyen de 4200 CPS et maximum de 20000 CPS
592	5929511	Roche		Intrusion de I1B présentant un signal anormalique moyen de 700 CPS et maximum de 3000 CPS
592	5929512	Roche		Intrusion de I1B présentant un signal anormalique moyen de 1000 CPS et maximum de 12000 CPS
592	5929513	Roche		Intrusion de I1B présentant un signal anormalique moyen de 2550 CPS et maximum de 20000 CPS
592	5929514	Roche		Intrusion de I1B présentant un signal anormalique moyen de 1000 CPS et maximum de 3000 CPS
592	5929515	Roche		Intrusion de I1B présentant un signal anormalique moyen de 1500 CPS et maximum de 10000 CPS
592	5929516	Roche		Intrusion de I1B riche en BO présentant un signal anormalique moyen de 1100 CPS et maximum de 1800 CPS
592	5929517	Roche		Intrusion de I1B présentant un signal anormalique moyen de 1400 CPS et maximum de 4000 CPS



PROJECT NUMBER	SAMPLE	SAMPLE TYPE	UTMX (Nad 27)	UTMY (Nad 27)	OUTCROP / CHANNEL	OCCURENCE	SCINTILLOMETER	SPECTROMETER				LITHOLOGY	MINERALISATION	ALTERATION	STRUCTURE	
								U (ppm)	Th (ppm)	U/Th	CPS MAX					TYPICAL CPS
Nb Analyses	790															
Compte Historique										847	695					
Moyenne Historique										7335	1780					
Écart-type (σ) Historique										10527	1856					
Maximum Historique										146000	15000					
Minimum Historique										30	50					
Compte Projet										616	524					
Moyenne Projet										8849	2164					
Écart-type (σ) Projet										5451047	1133738					
Maximum Projet										146000	15000					
Minimum Projet										520	350					
592	5929518	Roche	341260	6482908		Torrent	RS-120			5400	1500	11B				
592	5929519	Roche	341258	6482917		Torrent	RS-120			12000	1400	11B	BO++			
592	5929520	Roche	341251	6482930		Torrent	RS-120			6100	1400	11B				
592	5929521	Roche	341220	6482933		Torrent	RS-120			10000	2000	11B				
592	5929522	Roche	341189	6482978		Torrent	RS-120			7000	1925	11B	BO++, FK+			
592	5929523	Roche	341183	6482967		Torrent	RS-120			8000	1000	11B				
592	5929524	Roche	341129	6483005		Torrent	RS-120			12000	1400	11B	BO++			
592	5929525	Roche	341116	6483015		Torrent	RS-120			5500	1350	11B				
592	5929526	Roche	341078	6483096		Torrent	RS-120			12000	2000	11B	QZ fumé, BO++			
592	5929527	Roche	341079	6483109		Torrent	RS-120			4000	1000	11B				
592	5929528	Roche	335327	6488152		Tasiakuk	RS-120			14000	2000	11G	BO	UP (3 à 5%)		
592	5929529	Roche	349916	6498618		Ilaluga	RS-125			5500	1000	11G	BO			
592	5929530	Pjonjar	340890	6482371	59201022	Tasik	RS-125			700		11G				
592	5929531	Roche	349904	6498655		Ilaluga	RS-125			7000	1500	11G				
592	5929532	Roche	336581	6484507		137	RS-120			7000	2600	11G	BO++			
592	5929533	Roche	336578	6484509		137	RS-120			15000	2000	11G	BO+			
592	5929534	Roche	336610	6484508		137	RS-120			4000	1000	11G	BO++			
592	5929535	Roche	336539	6484437		137	RS-120			4500	2200	11G	QZ fumé ; BO			
592	5929536	Roche	336517	6484401		137	RS-120			13500	3300	11G	BO+++			
592	5929537	Roche	336515	6484405		137	RS-120			9500	3000	11G	BO+			
592	5929538	Roche	336507	6484377		137	RS-120			20300	6000	11G	BO+++			
592	5929539	Roche	336508	6484370		137	RS-120			15000	3000	11G	BO++			
592	5929540	Roche	336513	6484358		137	RS-120			9500	2500	11G	QZ fumé ; BO			
592	5929541	Roche	336516	6484344		137	RS-120			6500	2000	11G	BO+++			
592	5929542	Roche	336513	6484320		137	RS-120			8500	3500	11G	BO+			
592	5929543	Roche	336519	6484313		137	RS-120			17500	4500	11G	BO+			
592	5929544	Roche	336520	6484314		137	RS-120			6000	1500	11G	BO++			
592	5929545	Roche	336517	6484303		137	RS-120			22000	5000	11G	BO+++			
592	5929546	Roche	336514	6484288		137	RS-120			7500	2100	11G	BO++			
592	5929547	Roche	336530	6484258		137	RS-120			7000	1600	11G	BO+			
592	5929550	Roche	350006	6498198	59205010	Ilaluga	RS-120			3000	900	11G	MG	HM+		
592	5929551	Roche	350075	6500091	59205011	Jonas	RS-120			5000	1300	11G				
592	5929552	Roche	350199	6500185	59205012	Jonas	RS-120			24000	2800	11G				
592	5929553	Roche	349681	6500498	59205014	Jonas	RS-120			6000	1000	11G				
592	5929554	Roche	340925	6483612	59205015	Torrent	RS-120			15000	2800	11G				
592	5929555	Roche	340897	6483624	59205015	Torrent	RS-120			5300	1900	11A	BO+			
592	5929556	Roche	340886	6483672	59205015	Torrent	RS-120			3800	1300	11G	QZ++			
592	5929557	Roche	349570	6499993	59205016	Jonas	RS-120			33000	1100	11A	BO+	HM+		
592	5929558	Roche	349412	6500043	59205016	Jonas	RS-120			3200	700	11A	QZ fumé	HM+		
592	5929559	Roche	349562	6500163	59205017	Jonas	RS-120			20000	2000	11A	QZ fumé	HM+		
592	5929560	Roche	349553	6500151	59205017	Jonas	RS-120			12000	3700	11A				
592	5929561	Roche	349545	6500164	59205017	Jonas	RS-120			6100	1600	11G				
592	5929562	Roche	349553	6500156	59205017	Jonas	RS-120			6000	1700	11A				
592	5929563	Roche	349157	6500329	59205018	Ilaluga	RS-120			3700	700	11G		HM_UP (traces)		
592	5929564	Roche	349191	6499994	59205018	Ilaluga	RS-120			3400	650	11A				
592	5929565	Roche	349012	6500247	59205019	Ilaluga	RS-120			5000	900	11G	BO	HM+		
592	5929566	Roche	349073	6500170	59205019	Ilaluga	RS-120			5000	1200	11A				
592	5929567	Roche	349271	6500467		Ilaluga	RS-120			4300	1000	11A				
592	5929568	Roche	352511	6497557	59205021	Amittuujaq	RS-120			6600	1900	11G	BO+			
592	5929569	Roche	352534	6497201	59205021	Amittuujaq	RS-120			5600	3200	11G	BO+			
592	5929570	Roche	352520	6497229	59205021	Amittuujaq	RS-120			6500	2400	11G	BO+++			
592	5929571	Roche	341718	6481897	59205030	Torrent Extension	RS-125	646.3	771.1	0.84	4700	870	11G	BO	HM	
592	5929572	Roche	342096	6481889	59205031	Torrent Extension	RS-120			5000	1400	11G	BO, MG	HM		
592	5929573	Roche	342113	6481892	59205031	Torrent Extension	RS-120			3410	700	11A	BO, MG	HM+		
592	5929574	Roche	342124	6481883	59205031	Torrent Extension	RS-120			7500	1300	11G				
592	5929575	Roche	342109	6481800	59205031	Torrent Extension	RS-120			6150	1450	11G	BO+			
592	5929576	Roche	342095	6481822	59205031	Torrent Extension	RS-120			6100	1450	11G	BO			
592	5929577	Roche	342035	6482107	59205031	Torrent Extension	RS-125	1335.9	1501.8	0.89	11000	1800	11G	BO+		



PROJECT NUMBER	SAMPLE	SAMPLE TYPE	REMARKS	COMMENTS
Nb Analyses	790			
Compte	Historique			
Moyenne	Historique			
Écart-type (σ)	Historique			
Maximum	Historique			
Minimum	Historique			
Compte	Projet			
Moyenne	Projet			
Écart-type (σ)	Projet			
Maximum	Projet			
Minimum	Projet			
592	5929518	Roche		Intrusion de I1B présentant un signal anormalique moyen de 1500 CPS et maximum de 5400 CPS
592	5929519	Roche		Intrusion de I1B riche en BO présentant un signal anormalique moyen de 1400 CPS et maximum de 12000 CPS
592	5929520	Roche		Intrusion de I1B riche en BO présentant un signal anormalique moyen de 1400 CPS et maximum de 6100 CPS
592	5929521	Roche		Intrusion de I1B présentant un signal anormalique moyen de 2000 CPS et maximum de 10000 CPS
592	5929522	Roche		Intrusion de I1B riche en BO et FK présentant un signal anormalique moyen de 1900 CPS et maximum de 7000 CPS
592	5929523	Roche		Intrusion de I1B présentant un signal anormalique moyen de 1000 CPS et maximum de 8000 CPS
592	5929524	Roche		Intrusion de I1B, riche en BO, présentant un signal anormalique moyen de 1400 CPS et maximum de 12000 CPS
592	5929525	Roche		Intrusion de I1B présentant un signal anormalique moyen de 1350 CPS et maximum de 5500 CPS
592	5929526	Roche		Intrusion de I1B, à QZ fumé, riche en BO, présentant un signal anormalique moyen de 2000 CPS et maximum de 12000 CPS
592	5929527	Roche		Intrusion de I1B présentant un signal anormalique moyen de 1000 CPS et maximum de 4000 CPS
592	5929528	Roche		Dyke de I1G, à BO et UP (3 à 5%), présentant un signal anormalique moyen de 2000 CPS et maximum de 14000 CPS (Zone Tasialuk)
592	5929529	Roche		Dyke de I1G, riche en BO, présentant un signal anormalique moyen de 1000 CPS et maximum de 5500 CPS
592	5929530	Pionjar		Poussière d'un trou de sautage au Boulder Buster présentant un signal anormalique de 700 CPS
592	5929531	Roche		Dyke de I1G présentant un signal anormalique moyen de 1500 CPS et maximum de 5500 CPS 1500CPS de moyenne, 5500 max
592	5929532	Roche		Dyke de I1G, riche en BO, présentant un signal anormalique moyen de 2600 CPS et maximum de 7000 CPS
592	5929533	Roche		Dyke de I1G, à BO, présentant un signal anormalique moyen de 2000 CPS et maximum de 15000 CPS
592	5929534	Roche		Dyke de I1G, riche en BO, présentant un signal anormalique moyen de 1000 CPS et maximum de 4000 CPS
592	5929535	Roche		Dyke de I1G, à QZ fumé et BO, présentant un signal anormalique moyen de 2200 CPS et maximum de 4500 CPS
592	5929536	Roche		Dyke de I1G, très riche en BO, présentant un signal anormalique moyen de 3300 CPS et maximum de 13500 CPS
592	5929537	Roche		Dyke de I1G, à BO, présentant un signal anormalique moyen de 3000 CPS et maximum de 9500 CPS
592	5929538	Roche		Dyke de I1G, très riche en BO, présentant un signal anormalique moyen de 6000 CPS et maximum de 20000 CPS
592	5929539	Roche		Dyke de I1G, riche en BO, présentant un signal anormalique moyen de 3000 CPS et maximum de 15000 CPS
592	5929540	Roche		Dyke de I1G, à QZ fumé et BO, présentant un signal anormalique moyen de 2500 CPS et maximum de 9500 CPS
592	5929541	Roche		Dyke de I1G, à BO, présentant un signal anormalique moyen de 2000 CPS et maximum de 6500 CPS
592	5929542	Roche		Dyke de I1G, à BO, présentant un signal anormalique moyen de 3500 CPS et maximum de 8500 CPS
592	5929543	Roche		Dyke de I1G, à BO, présentant un signal anormalique moyen de 4500 CPS et maximum de 17500 CPS
592	5929544	Roche		Dyke de I1G, riche en BO, présentant un signal anormalique moyen de 1500 CPS et maximum de 6000 CPS
592	5929545	Roche		Dyke de I1G, très riche en BO, présentant un signal anormalique moyen de 5000 CPS et maximum de 22000 CPS
592	5929546	Roche		Dyke de I1G, riche en BO, présentant un signal anormalique moyen de 2100 CPS et maximum de 7500 CPS
592	5929547	Roche		Dyke de I1G, à BO, présentant un signal anormalique moyen de 1600 CPS et maximum de 7000 CPS
592	5929550	Roche		Dyke de I1G à HM et MG, présentant un signal anormalique moyen de 900 CPS et maximum de 3000 CPS
592	5929551	Roche		Dyke de I1G présentant un signal anormalique moyen de 1300 CPS et maximum de 5000 CPS
592	5929552	Roche		Dyke de I1G présentant un signal anormalique moyen de 2800 CPS et maximum de 24800 CPS
592	5929553	Roche		Dyke de I1G présentant un signal anormalique moyen de 1000 CPS et maximum de 6000 CPS
592	5929554	Roche		Dyke de I1G, présentant un signal anormalique moyen de 2800 CPS et maximum de 15000 CPS
592	5929555	Roche		Intrusion de I1A, à BO, présentant un signal anormalique moyen de 1900 CPS et maximum de 5300 CPS
592	5929556	Roche		Dyke de I1G, présentant un signal anormalique moyen de 1300 CPS et maximum de 3800 CPS
592	5929557	Roche	GG	Intrusion de I1A, à grains grossiers, à BO, présentant un signal anormalique moyen de 1100 CPS et maximum de 33000 CPS
592	5929558	Roche	GM	Intrusion de I1A, à grains grossiers, à QZ fumé et HM, présentant un signal anormalique moyen de 700 CPS et maximum de 3200 CPS
592	5929559	Roche		Intrusion de I1A, de 10 mètres sur 15 mètres, à grains moyens, à QZ fumé et HM, présentant un signal anormalique maximum de 20000 CPS
592	5929560	Roche		Intrusion de I1A présentant un signal anormalique moyen de 3700 CPS et maximum de 12000 CPS
592	5929561	Roche		Dyke de I1G présentant un signal anormalique moyen de 1600 CPS et maximum de 6100 CPS
592	5929562	Roche		Intrusion de I1A présentant un signal anormalique moyen de 1700 CPS et maximum de 6000 CPS
592	5929563	Roche		Dyke de I1G, d'1 mètre d'épaisseur sur 10 mètres de long, à HM et traces d'UP, présentant un signal anormalique moyen de 700 CPS et maximum de 3700 CPS
592	5929564	Roche		Intrusion de I1A présentant un signal anormalique moyen de 650 CPS et maximum de 3400 CPS
592	5929565	Roche		Dyke de I1G, de 2 mètres sur 1 mètre, à BO et HM, présentant un signal anormalique moyen de 900 CPS et maximum de 5000 CPS
592	5929566	Roche		Intrusion de I1A présentant un signal anormalique moyen de 1200 CPS et maximum de 5000 CPS
592	5929567	Roche		Intrusion de I1A présentant un signal anormalique moyen de 1000 CPS et maximum de 4300 CPS
592	5929568	Roche		Dyke de I1G, à BO, présentant un signal anormalique moyen de 1900 CPS et maximum de 6800 CPS
592	5929569	Roche		Dyke de I1G, à BO, présentant un signal anormalique moyen de 3200 CPS et maximum de 5600 CPS
592	5929570	Roche	BR	Dyke de I1G, très riche en BO à texture vraisemblablement bréchique (clastes dans une matrice à BO), présentant un signal anormalique moyen de 2400 CPS et maximum de 6500 CPS
592	5929571	Roche		Dyke de I1G, à BO et HM, présentant un signal anormalique moyen de 870 CPS et maximum de 4700 CPS
592	5929572	Roche		Dyke de I1G, à BO, HM et MG, présentant un signal anormalique moyen de 1400 CPS et maximum de 5000 CPS
592	5929573	Roche		Dyke de I1G, à BO, HM et MG, présentant un signal anormalique moyen de 700 CPS et maximum de 3410 CPS
592	5929574	Roche		Dyke de I1G présentant un signal anormalique moyen de 1300 CPS et maximum de 7500 CPS
592	5929575	Roche		Dyke de I1G, à BO, présentant un signal anormalique moyen de 1450 CPS et maximum de 6150 CPS
592	5929576	Roche		Dyke de I1G, à BO, présentant un signal anormalique moyen de 1450 CPS et maximum de 6100 CPS
592	5929577	Roche		Dyke de I1G, à BO, présentant un signal anormalique moyen de 1900 CPS et maximum de 11000 CPS



PROJECT NUMBER	SAMPLE	SAMPLE TYPE	UTMX (Nad 27)	UTMY (Nad 27)	OUTCROP / CHANNEL	OCCURENCE	SCINTILLOMETER	U (ppm)	Th (ppm)	U/Th	SPECTROMETER		LITHOLOGY	MINERALISATION	ALTERATION	STRUCTURE
											CPS MAX	TYPICAL CPS				
Nb Analyses	790										847	695				
Compte	Historique															
Moyenne	Historique										7335	1780				
Écart-type (σ)	Historique										10527	1856				
Maximum	Historique										146000	15000				
Minimum	Historique										30	50				
Compte	Projet										616	524				
Moyenne	Projet										8849	2184				
Écart-type (σ)	Projet										5451047	1133738				
Maximum	Projet										146000	15000				
Minimum	Projet										520	350				
592	5929578	Roche	347734	6497929	59205032	Agpqt	RS-120				13000	2300	M6	BO, SF	UP, OF	
592	5929579	Roche	347750	6497949	59205032	Agpqt	RS-120				7200	1900	IG	BO+++ , PY++	UP+	
592	5929580	Roche	347727	6497995	59205032	Agpqt	RS-120				10200	1200	IG	BO		
592	5929581	Roche	347781	6497777		Agpqt	RS-120				18000	1560	IG	BO		
592	5929582	Roche	347777	6497777	59207000	Agpqt	RS-120				15400	4400	IG	BO+	UP++	
592	5929583	Roche	347725	6497708		Agpqt	RS-120				28000	9200	IG	BO	UP++	
592	5929584	Roche	347702	6497760		Agpqt	RS-120				6550	1500	IG	BO++		
592	5929585	Roche	347581	6497850		Agpqt	RS-120				3500	750	IG	BO+		
592	5929586	Roche	347626	6497986		Agpqt	RS-120				12600	2300	IG	BO++		
592	5929587	Roche	347494	6497930	59205033	Agpqt	RS-120				7300	800	IG	BO+	UP+, HM+	
592	5929588	Roche	347478	6497979	59205033	Agpqt	RS-120				14000	3800	IG	BO+	UP	
592	5929589	Roche	347479	6497971	59205032	Agpqt	RS-120				9500	1800	IG	BO+	UP	
592	5929590	Roche	347493	6497907	59205033	Agpqt	RS-120				35000	6000	IG	BO+++	HM++, UP++	
592	5929591	Roche	347429	6498020	59205033	Agpqt	RS-120				7600	2000	IG	BO+	UP	
592	5929592	Roche	347246	6498020	59205033	Agpqt	RS-120				11600	2200	IG	BO+		
592	5929593	Roche	347383	6498040	59205033	Agpqt	RS-120				5200	1600	IG	BO		
592	5929594	Roche	347500	6498025	59205033	Agpqt	RS-120				10000	1000	IG	BO+	UP++	
592	5929595	Roche	347651	6497731		Agpqt	RS-120				4700	1150	IG-K	BO+		
592	5929596	Roche	347624	6497718		Agpqt	RS-120				5100	1250	IG-K	BO++	UP	
592	5929597	Roche	347554	6497838		Agpqt	RS-120				16000	2600	IG	BO+++	UP+	
592	5929598	Roche	347551	6497838		Agpqt	RS-120				7200	1200	IG	BO++		
592	5929599	Roche	347539	6497834		Agpqt	RS-120				12500	1100	IG	BO+++	UP	
592	5929600	Roche	347544	6497841		Agpqt	RS-120				11000	1750	IG	BO++	OF	
592	5929601	Roche	347468	6497875		Agpqt	RS-120				18000	3200	IG	BO+++	UP++	
592	5929602	Roche	347463	6497870		Agpqt	RS-120				6200	2200	IG	BO+	UP	
592	5929603	Roche	347466	6497933		Agpqt	RS-120				8200	2500	IG	BO+++	UP+	
592	5929604	Roche	347701	6497971		Agpqt	RS-120				4100	1200	IG-K	BO++		
592	5929605	Roche	347594	6498114		Agpqt	RS-120				8700	1800	IG	BO+++		
592	5929606	Roche	347591	6498083		Agpqt	RS-120				6900	920	IG	BO+	UP, HM++	
592	5929607	Roche	347677	6498054		Agpqt	RS-120				16500	3500	IG	BO+++	UP	
592	5929608	Roche	347674	6498074		Agpqt	RS-120				7500	1450	IG	BO+	HM+	
592	5929609	Roche	347671	6498054		Agpqt	RS-120				25000	2700	IG	BO++	HM	
592	5929610	Roche	347737	6497718		Agpqt	RS-120				14000	2400	IG	BO+	UP	
592	5929611	Roche	347607	6497664		Agpqt	RS-120				7600	1500	IG	BO+	OF++	
592	5929612	Roche	347597	6497644		Agpqt	RS-120				4300	1100	IG	BO+		
592	5929613	Roche	347584	6497636		Agpqt	RS-120				7900	1600	IG	BO++	UP	
592	5929614	Roche	347938	6497495		Agpqt	RS-120				5000	1400	IG	BO+	UP, OF	
592	5929615	Roche	347930	6497504		Agpqt	RS-120				11000	900	IG	BO+		
592	5929616	Roche	347820	6497525		Agpqt	RS-120				4000	1200	IG	BO+++	OF	
592	5929617	Roche	351912	6498356		Amituujaq	RS-120				5000	1300	IG	BO+++ , BO		
592	5929618	Roche	351898	6498379		Amituujaq	RS-120				9000	1300	IG	BO+	OF++	
592	5929619	Roche	351071	6500042		Amituujaq	RS-120				7200	1800	IG-K	BO+	UP	
592	5929620	Roche	351082	6500038		Amituujaq	RS-120						M4	PY>15%		
592	5929621	Roche	345455	6494260		70	RS-120				4500	560	IG	BO	OF+	
592	5929622	Roche	336533	6484476		Torrent Extension	RS-120				7000	2500	IG	BO+	OF+	
592	5929623	Roche	336522	6484457		137	RS-120				12500	4000	IG	BO+++		
592	5929650	Roche	347752	6497823	59207000	Agpqt	RS-120				18000	2800	IG		HM+	
592	5929651	Roche	347753	6497799	59207000	Agpqt	RS-120				37000	8000	IG			
592	5929652	Roche	347725	6497709		Agpqt	RS-120				37000	5500	IG			
592	5929653	Roche	347731	6497711		Agpqt	RS-120				65500	15000	IG			
592	5929654	Roche	348145	6497493	59207001	Agpqt	RS-120				21000	3000	M4-IG-VQZ		HM+++	
592	5929655	Roche	348165	6497422	59207001	Agpqt	RS-120				41000	11000	IG		HM+	
592	5929656	Roche	348170	6497425	59207001	Agpqt	RS-120				30000	2600	IG		HM++	
592	5929657	Roche	348093	6497565	59207001	Agpqt	RS-120				47000	9600	IG	BO+++		
592	5929658	Roche	347713	6497685		Agpqt	RS-120				14000	2600	IG			
592	5929659	Roche	347752	6497532		Agpqt	RS-120				15000	4000	IG			
592	5929660	Roche	348158	6497537	59207001	Agpqt	RS-120				25000	4000	IG			
592	5929661	Roche	347871	6497721	59207003	Agpqt	RS-120				8900	2100	IG	SF (traces), AP		



PROJECT NUMBER	SAMPLE	SAMPLE TYPE	REMARKS	COMMENTS
Nb Analyses	790			
Compte	Historique			
Moyenne	Historique			
Écart-type (σ)	Historique			
Maximum	Historique			
Minimum	Historique			
Compte	Projet			
Moyenne	Projet			
Écart-type (σ)	Projet			
Maximum	Projet			
Minimum	Projet			
592	5929578	Roche		Dyke de IG, à BO, OF, SF et UP, contenant des niveaux plus tonaliques, présentant un signal anormalique moyen de 2300 CPS et maximum de 13000 CPS
592	5929579	Roche		Dyke de IG, riche en BO, PY et UP, présentant un signal anormalique moyen de 1900 CPS et maximum de 7200 CPS
592	5929580	Roche		Dyke de IG, à BO, présentant un signal anormalique moyen de 1200 CPS et maximum de 10200 CPS
592	5929581	Roche		Dyke de IG, à BO et UP, présentant un signal anormalique moyen de 1560 CPS et maximum de 18000 CPS
592	5929582	Roche		Dyke de IG, riche en BO et UP, présentant un signal anormalique moyen de 4400 CPS et maximum de 15400 CPS
592	5929583	Roche		Dyke de IG, à BO, riche en UP, présentant un signal anormalique moyen de 9200 CPS et maximum de 28000 CPS
592	5929584	Roche		Dyke de IG, très riche en BO, présentant un signal anormalique moyen de 1500 CPS et maximum de 6550 CPS
592	5929585	Roche		Dyke de IG, à BO, présentant un signal anormalique moyen de 750 CPS et maximum de 3500 CPS
592	5929586	Roche		Dyke de IG, riche en BO, présentant un signal anormalique moyen de 2300 CPS et maximum de 12600 CPS
592	5929587	Roche		Dyke de IG à BO, HM et UP, présentant un signal anormalique moyen de 800 CPS et maximum de 7300 CPS
592	5929588	Roche		Dyke de IG à BO et UP, présentant un signal anormalique moyen de 3800 CPS et maximum de 14000 CPS
592	5929589	Roche		Dyke de IG à BO et UP, présentant un signal anormalique moyen de 1800 CPS et maximum de 9500 CPS
592	5929590	Roche		Dyke de IG très riche en BO, en HM et UP, présentant un signal anormalique moyen de 6000 CPS et maximum de 35000 CPS
592	5929591	Roche		Dyke de IG à BO et UP, présentant un signal anormalique moyen de 2900 CPS et maximum de 7600 CPS
592	5929592	Roche		Dyke de IG à BO, présentant un signal anormalique moyen de 2200 CPS et maximum de 11600 CPS
592	5929593	Roche		Dyke de IG à BO, présentant un signal anormalique moyen de 1600 CPS et maximum de 5200 CPS
592	5929594	Roche		Dyke de IG à BO, riche en UP, présentant un signal anormalique moyen de 1000 CPS et maximum de 10000 CPS
592	5929595	Roche		Dyke de IG potassique, à BO, présentant un signal anormalique moyen de 1150 CPS et maximum de 4700 CPS
592	5929596	Roche		Dyke de IG potassique, riche en BO, à UP, présentant un signal anormalique moyen de 1250 CPS et maximum de 5100 CPS
592	5929597	Roche		Dyke de IG, riche en BO, à UP, présentant un signal anormalique moyen de 2600 CPS et maximum de 18000 CPS
592	5929598	Roche		Dyke de IG, riche en BO, présentant un signal anormalique moyen de 1200 CPS et maximum de 7200 CPS
592	5929599	Roche		Dyke de IG, très riche en BO, à UP, présentant un signal anormalique moyen de 1100 CPS et maximum de 12500 CPS
592	5929600	Roche		Dyke de IG, riche en BO, à OF, présentant un signal anormalique moyen de 1750 CPS et maximum de 11000 CPS
592	5929601	Roche		Dyke de IG, très riche en BO et UP, présentant un signal anormalique moyen de 3200 CPS et maximum de 18000 CPS
592	5929602	Roche		Dyke de IG, à BO et UP, présentant un signal anormalique moyen de 2200 CPS et maximum de 6200 CPS
592	5929603	Roche		Dyke de IG, très riche en BO, à UP, présentant un signal anormalique moyen de 2500 CPS et maximum de 8200 CPS
592	5929604	Roche		Dyke de IG potassique, riche en BO, présentant un signal anormalique moyen de 1200 CPS et maximum de 4100 CPS
592	5929605	Roche		Dyke de IG, très riche en BO, présentant un signal anormalique moyen de 1800 CPS et maximum de 8700 CPS
592	5929606	Roche		Dyke de IG, riche en BO et HM, à UP, présentant un signal anormalique moyen de 920 CPS et maximum de 6900 CPS
592	5929607	Roche		Dyke de IG, très riche en BO, à UP, présentant un signal anormalique moyen de 3500 CPS et maximum de 16500 CPS
592	5929608	Roche		Dyke de IG, à BO et HM, présentant un signal anormalique moyen de 1450 CPS et maximum de 7500 CPS
592	5929609	Roche		Dyke de IG, riche en BO, à HM, présentant un signal anormalique moyen de 2700 CPS et maximum de 25000 CPS
592	5929610	Roche		Dyke de IG, à BO et UP, présentant un signal anormalique moyen de 2400 CPS et maximum de 14000 CPS
592	5929611	Roche		Dyke de IG, à BO, riche en OF, présentant un signal anormalique moyen de 1500 CPS et maximum de 7600 CPS
592	5929612	Roche		Dyke de IG, à BO, présentant un signal anormalique moyen de 1100 CPS et maximum de 4300 CPS
592	5929613	Roche		Dyke de IG, riche en BO, à UP, présentant un signal anormalique moyen de 1600 CPS et maximum de 7900 CPS
592	5929614	Roche		Dyke de IG, à BO, UP, OF, présentant un signal anormalique moyen de 1400 CPS et maximum de 5000 CPS
592	5929615	Roche		Dyke de IG, à BO, présentant un signal anormalique moyen de 900 CPS et maximum de 11000 CPS
592	5929616	Roche		Dyke de IG, très riche en BO, à OF, présentant un signal anormalique moyen de 1200 CPS et maximum de 4000 CPS
592	5929617	Roche		Dyke de IG, très riche en QZ, à BO, présentant un signal anormalique moyen de 1300 CPS et maximum de 5000 CPS
592	5929618	Roche		Dyke de IG, riche en BO et OF, présentant un signal anormalique moyen de 1300 CPS et maximum de 9000 CPS
592	5929619	Roche		Dyke de IG, à BO et UP, présentant un signal anormalique moyen de 1800 CPS et maximum de 7200 CPS
592	5929620	Roche		Type d'analyse: Au
592	5929621	Roche		Dyke de IG, à BO et OF, présentant un signal anormalique moyen de 560 CPS et maximum de 4500 CPS
592	5929622	Roche		Dyke de IG, à BO et OF, présentant un signal anormalique moyen de 2500 CPS et maximum de 7000 CPS
592	5929623	Roche		Dyke de IG, très riche en BO, présentant un signal anormalique moyen de 4000 CPS et maximum de 12500 CPS
592	5929650	Roche		Dyke de IG, à HM, présentant un signal anormalique moyen de 2800 CPS et maximum de 18000 CPS
592	5929651	Roche		Dyke de IG, présentant un signal anormalique moyen de 8000 CPS et maximum de 37000 CPS
592	5929652	Roche		Dyke de IG associé à M6, présentant un signal anormalique moyen de 5500 CPS et maximum de 37000 CPS
592	5929653	Roche		Dyke de IG présentant un signal anormalique moyen de 15000 CPS et maximum de 65500 CPS (écranomètre RS 120 saturé)
592	5929654	Roche		Dyke de IG très riche en HM, présentant un signal anormalique moyen de 3000 CPS et maximum de 21000 CPS
592	5929655	Roche		Dyke de IG à HM, présentant un signal anormalique moyen de 11000 CPS et maximum de 41000 CPS. L'échantillon a été prélevé le long d'une fracture orientée N276-60°N
592	5929656	Roche		Niveau de IG fortement hématésé localement, présentant un signal anormalique moyen de 2600 CPS et maximum de 30000 CPS. Ce niveau est associé à une fracture orientée N250-80°NW
592	5929657	Roche		Dyke de IG très riche en BO, présentant un signal anormalique moyen de 9600 CPS et maximum de 47000 CPS
592	5929658	Roche		Dyke de IG présentant un signal anormalique moyen de 2600 CPS et maximum de 14000 CPS
592	5929659	Roche		Dyke de IG diffus dans M6, présentant un signal anormalique moyen de 4000 CPS et maximum de 15000 CPS
592	5929660	Roche		Dyke de IG présentant un signal anormalique moyen de 4000 CPS et maximum de 25000 CPS
592	5929661	Roche		Dyke de IG, à AP et traces de SF, présentant un signal anormalique moyen de 2100 CPS et maximum de 8900 CPS

PROJECT NUMBER	SAMPLE	SAMPLE TYPE	UTMX (Nad 27)	UTMY (Nad 27)	OUTCROP / CHANNEL	OCCURENCE	SCINTILLOMETER	SPECTROMETER				LITHOLOGY	MINERALISATION	ALTERATION	STRUCTURE	
								U (ppm)	Th (ppm)	U/Th	CPS MAX					TYPICAL CPS
Nb Analyses	790															
Compte	Historique										847	695				
Moyenne	Historique										7335	1780				
Écart-type (σ)	Historique										10527	1856				
Maximum	Historique										146000	15000				
Minimum	Historique										30	50				
Compte	Projet										616	524				
Moyenne	Projet										8849	2164				
Écart-type (σ)	Projet										5451047	1133738				
Maximum	Projet										146000	15000				
Minimum	Projet										520	350				
592	5929662	Roche	347755	6497651		Agpjq	RS-120				7600	2600	IIG			
592	5929663	Roche	347822	6497524		Agpjq	RS-120				6000	2000	IIG			
592	5929664	Roche	347822	6497586		Agpjq	RS-120				14000	2300	IIG			
592	5929665	Roche	347887	6497671		Agpjq	RS-120				16000	2600	IIG			
592	5929666	Roche	347937	6497635		Agpjq	RS-120				6000	2300	IIG			
592	5929667	Roche	348062	6497606		Agpjq	RS-120				8600	1400	IIG			
592	5929668	Roche	348136	6497502		Agpjq	RS-120				12000	2400	IIG			
592	5929669	Roche	352032	6498286	59207004	Amittuajq	RS-120				146000	2800	M4-IIG	BO+	UP	S
592	5929670	Roche	352076	6498978	59207005	Amittuajq	RS-120				18000	1290	M4-IIG			S
592	5929700	Roche	341219	6482962		Torrent	GR-110				19000	4900	IIG			
592	5929701	Roche	341216	6482977		Torrent	GR-110	246.0	1519.0		17000	4200	IIG			
592	5929702	Roche	341177	6483026		Torrent	GR-110				4000	1000	IIG			
592	5929703	Roche	341137	6483054		Torrent	GR-110				3800	900	IIG	QZ fumé, BO		
592	5929704	Roche	341082	6483084		Torrent	GR-110				3200	1100	IIG	BO+		
592	5929705	Roche	340605	6482755		Tasik	GR-110				44000	6200	IIG	BO+++		
592	5929706	Roche	349715	6498162		Ilakuga	RS-120				4800	1600	IIG			
592	5929707	Roche	350103	6497679		Ilakuga	RS-120				15400	3400	IIG			
592	5929708	Roche	344864	6494318		79	RS-120				11300	2300	IIG			
592	5929709	Roche	336662	6484010		137	RS-120				13400	2500	IIG			
592	5929710	Roche	347757	6497801		Agpjq	RS-120				15000	9500	IIG			
592	5929750	Roche	339582	6481440		140	RS-120				3000		IIG			
592	5929751	Roche					RS-120				4800		IIG			
592	5929800	Roche	339469	6481698		140	RS-120				3600		IIG			
592	5929801	Roche	339428	6482390		140	RS-120				3000		IIG			
592	5929802	Roche	339319	6482485		140	RS-120				6000		IIG			
592	5929803	Roche	371493	6464734		Puqila							IIG	BO+	CL++ ; HM+	
592	5929804	Roche	371442	6464865		Puqila						1700	IIG	BO+		
592	5929805	Roche	371427	6465069		Puqila					5000		IIG	QZ fumé +	HM+	
592	5929806	Roche	371403	6465056		Puqila							IIG	BO+ ; SP	UP+ ; CL+	
592	5929807	Roche	371357	6465028		Puqila							IIG	Qz fumé ; BO+ ; SP	UP+	
592	5929808	Roche	370771	6465642		Puqila					4000		IIG	BO+		
592	5929809	Roche	370777	6465667		Puqila					2500		IIG	BO+	CL++	
592	5929850	Roche	339310	6481731		140					3000		IIG			
592	5929851	Roche	339415	6481963		140					3000		IIG			
592	5929852	Roche	339210	6482565		140					3000		IIG			
592	5929853	Roche	339903	6482853		Tasik					2900		IIG			



PROJECT NUMBER	SAMPLE	SAMPLE TYPE	REMARKS	COMMENTS
Nb Analyses	790			
Compte	Historique			
Moyenne	Historique			
Écart-type (σ)	Historique			
Maximum	Historique			
Minimum	Historique			
Compte	Projet			
Moyenne	Projet			
Écart-type (σ)	Projet			
Maximum	Projet			
Minimum	Projet			
592	5929662	Roche		Dyke de IIG présentant un signal anormalique moyen de 2600 CPS et maximum de 7600 CPS
592	5929663	Roche		Dyke de IIG présentant un signal anormalique moyen de 2000 CPS et maximum de 6000 CPS
592	5929664	Roche		Dyke de IIG présentant un signal anormalique moyen de 2300 CPS et maximum de 14000 CPS
592	5929665	Roche		Dyke de IIG présentant un signal anormalique moyen de 2600 CPS et maximum de 16000 CPS
592	5929666	Roche		Dyke de IIG présentant un signal anormalique moyen de 2300 CPS et maximum de 6000 CPS
592	5929667	Roche		Dyke de IIG présentant un signal anormalique moyen de 1400 CPS et maximum de 8600 CPS
592	5929668	Roche		Dyke de IIG présentant un signal anormalique moyen de 2400 CPS et maximum de 12000 CPS
592	5929669	Roche	M4: GM,FO IIG: PG,MA	Dyke de IIG, à BO, présentant un signal anormalique moyen de 2800 CPS et maximum de 14600 CPS
592	5929670	Roche	M4: GF,FO IIG: PG,MA	Dyke de IIG, à BO, présentant un signal anormalique moyen de 1290 CPS et maximum de 13000 CPS
592	5929700	Roche	FO	Dyke de IIG folié, de teinte rosâtre, présentant un signal anormalique moyen de 4800 CPS et maximum de 19000 CPS
592	5929701	Roche	GG, MA	Dyke de IIG massive, à grains grossiers, présentant un signal anormalique moyen de 4200 CPS et maximum de 17000 CPS
592	5929702	Roche	FO	Dyke de IIG folié, présentant un signal anormalique moyen de 1000 CPS et maximum de 4000 CPS
592	5929703	Roche		Dyke de IIG, à QZ fumé et BO (5%), présentant un signal anormalique moyen de 900 CPS et maximum de 3800 CPS
592	5929704	Roche		Dyke de IIG, à BO (15%), présentant un signal anormalique moyen de 1100 CPS et maximum de 3200 CPS
592	5929705	Roche		Dyke de IIG, à BO (65%), présentant un signal anormalique moyen de 6200 CPS et maximum de 44000 CPS
592	5929706	Roche		Dyke de IIG, présentant un signal anormalique moyen de 1600 CPS et maximum de 4800 CPS
592	5929707	Roche		Dyke de IIG, présentant un signal anormalique moyen de 3400 CPS et maximum de 15400 CPS
592	5929708	Roche		Dyke de IIG, présentant un signal anormalique moyen de 2300 CPS et maximum de 11300 CPS
592	5929709	Roche		Formation de M3, présentant un signal anormalique moyen de 2500 CPS et maximum de 13400 CPS
592	5929710	Roche		Dyke de IIG, présentant un signal anormalique moyen de 8500 CPS et maximum de 15000 CPS
592	5929750	Roche		Dyke de IIG, présentant un signal anormalique maximum de 3000 CPS
592	5929751	Roche		Dyke de IIG, présentant un signal anormalique maximum de 4800 CPS
592	5929800	Roche		Dyke de IIG, présentant un signal anormalique maximum de 3600 CPS
592	5929801	Roche		Dyke de IIG minéralisée
592	5929802	Roche		Dyke de IIG, présentant un signal anormalique maximum de 6000 CPS
592	5929803	Roche	MA	Dyke de IIG massive, à BO, CL et HM, minéralisée (Secteur Lac Daniel Sud)
592	5929804	Roche		Dyke de IIG sur un flanc de falaise, à altération de surface, à BO, présentant un signal anormalique moyen de 1700 CPS (Secteur Lac Daniel Sud)
592	5929805	Roche	MA, FR	Dyke de IIG massive fortement fracturé, à veinules de QZ fumé, à HM, présentant un signal anormalique moyen de 5000 CPS (Secteur Lac Daniel Sud)
592	5929806	Roche	MA	Dyke de IIG massive minéralisée, à BO, CL, UP et SP (Secteur Lac Daniel Sud)
592	5929807	Roche	MA	Dyke de IIG massive minéralisée, à veinules de QZ fumé, BO, UP et SP (Secteur Lac Daniel Sud)
592	5929808	Roche	MA, FR	Dyke de IIG massive fracturé, à BO, présentant un signal anormalique maximum de 4000 CPS (Secteur Lac Daniel Sud)
592	5929809	Roche	MA	Dyke de IIG massive, à BO et CL, présentant un signal anormalique maximum de 2500 CPS (Secteur Lac Daniel Sud)
592	5929850	Roche		Dyke de IIG, présentant un signal anormalique maximum de 3000 CPS
592	5929851	Roche		Dyke de IIG, présentant un signal anormalique maximum de 3000 CPS
592	5929852	Roche		Dyke de IIG, présentant un signal anormalique maximum de 3000 CPS
592	5929853	Roche		Dyke de IIG, présentant un signal anormalique maximum de 2900 CPS







		ICP6.3 Total Digestion, Multi-Acids																									
PROJECT NUMBER	SAMPLE	SAMPLE TYPE	Ag	Al <sub>2</sub> O <sub>3</sub>	Ba	Be	CaO	Cd	Ce	Co	Cr	Cu	Dy	Er	Eu	Fe <sub>2</sub> O <sub>3</sub>	Ga	Gd	Hf	Ho	K <sub>2</sub> O	La	Li	MgO	MnO	Mo	Na <sub>2</sub> O
			ppm	wt %	ppm	ppm	wt %	ppm	ppm	ppm	ppm	ppm	ppm	ppm	ppm	ppm	wt %	ppm	ppm	ppm	ppm	ppm	wt %	ppm	ppm	wt %	wt %
Nb Analyses	790		0.2	0.01	1	0.2	0.01	1	1	1	1	1	0.2	0.2	0.2	0.01	1	1	1	1	0.01	1	1	0.01	0.01	1	0.01
Compte	Historique		1882	1882	1882	1882	1882	1882	1882	1882	1882	1882	1882	1882	1882	1882	1882	1882	1882	1882	1882	1882	1882	1882	1882	1882	1882
Moyenne	Historique		0.5	12.84	718	1.2	1.84	1	102	6	159	70	4.7	2.7	0.9	3.40	18	5	12	1	3.81	52	23	1.10	0.04	106	2.82
Écart-type (σ)	Historique		2.8	4.18	651	1.0	1.74	1	440	9	83	2155	11.3	6.9	0.9	3.93	8	15	23	3	2.21	238	22	1.58	0.05	413	1.53
Maximum	Historique		74.8	31.80	5480	7.5	21.30	23	12400	116	1490	88400	159.0	102.0	20.6	49.10	69	349	356	35	12.40	6710	215	22.50	0.74	5550	8.86
Minimum	Historique		-0.2	0.09	0	-0.2	-0.01	0	-1	-1	31	-1	-0.2	-0.2	-0.2	0.12	-1	-1	-1	0	0.04	-1	-1	0.00	0.00	-1	0.01
Compte	Projet		786	786	786	786	786	786	786	786	786	786	786	786	786	786	786	786	786	786	786	786	786	786	786	786	786
Moyenne	Projet		1.0	12.00	509	1.1	1.47	1	115	4	171	127	6.2	3.4	0.7	2.82	15	6	14	1	3.57	58	23	0.78	0.03	165	2.95
Écart-type (σ)	Projet		4.0	4.27	505	1.0	1.31	1	422	6	59	3153	13.6	8.1	0.7	3.57	9	15	29	3	2.32	227	24	1.00	0.04	522	1.88
Maximum	Projet		74.8	23.30	4230	6.2	21.30	23	5590	45	400	88400	159.0	102.0	9.0	39.80	69	152	358	35	12.40	3050	200	7.44	0.28	5550	8.86
Minimum	Projet		-0.2	0.20	10	-0.2	-0.01	0	-1	-1	38	-1	-0.2	-0.2	-0.2	0.12	-1	-1	-1	0	0.07	-1	-1	0.00	0.00	-1	0.01
592	312058	Roche	0.2	10.20	1400	0.4	0.63	1	135	1	152	3	4.5	2.1	0.6	2.28	11	6	11	1	5.58	60	4	0.10	0.01	-1	1.85
592	312081	Roche	-0.2	6.60	67	0.8	1.01	0	6	5	236	20	0.5	0.3	0.2	2.16	10	1	10	0	0.71	3	18	0.70	0.03	18	2.13
592	312083	Roche	0.4	18.50	123	2.6	2.86	1	15	9	109	86	1.2	0.8	0.4	4.42	33	2	13	0	1.57	8	34	0.88	0.06	3	6.47
592	312084	Roche	-0.2	7.44	432	0.6	0.50	1	247	-1	140	11	5.9	2.0	0.2	0.83	9	12	2	1	3.12	116	7	0.15	0.01	2	1.88
592	312121	Roche	-0.2	13.40	184	1.4	2.20	0	3880	5	91	23	19.6	12.9	2.5	12.40	47	70	62	8	3.04	1990	37	0.92	0.15	182	3.73
592	312132	Roche	-0.2	5.25	182	0.4	0.38	0	95	-1	226	5	78.2	49.2	0.3	2.58	10	39	2	16	1.91	34	23	0.30	0.04	6	1.42
592	312134	Roche	-0.2	12.20	141	0.7	0.77	1	17	1	175	1	0.8	0.3	0.3	2.12	15	2	6	0	6.11	6	14	0.18	0.02	1	2.72
592	312158	Roche	0.2	7.35	53	0.6	1.20	0	7	1	192	5	2.4	-0.2	0.3	1.07	6	2	14	0	0.58	3	7	0.28	0.01	283	2.40
592	312175	Roche	-0.2	18.30	148	2.5	3.02	1	1260	12	97	39	12.9	8.1	1.5	10.80	47	30	38	4	3.29	683	105	2.17	0.17	4	5.24
592	312179	Roche	-0.2	13.70	98	1.6	2.05	1	6	1	141	1	0.5	0.3	0.4	1.36	17	1	5	0	1.72	3	14	0.11	0.01	1	4.74
592	312182	Roche	-0.2	10.70	113	1.7	1.83	1	15	6	148	6	4.8	2.7	0.4	2.34	14	3	14	1	0.96	7	24	0.97	0.02	7	3.32
592	312201	Roche	-0.2	15.30	903	1.7	2.19	1	35	1	201	3	0.8	0.5	1.1	1.48	18	1	6	0	4.21	22	17	0.64	0.02	44	3.87
592	312235	Roche	0.7	13.80	313	1.2	1.28	1	22	-1	106	1	1.2	0.8	0.4	1.05	16	1	6	0	4.18	12	8	0.03	0.00	-1	4.14
592	312237	Roche	-0.2	12.60	134	1.8	1.80	1	11	1	159	4	1.2	0.4	0.3	1.01	18	1	9	0	1.22	7	12	0.19	0.01	24	4.57
592	312251	Roche	-0.2	13.50	909	0.9	1.00	1	71	1	172	4	0.8	0.5	0.6	2.01	15	2	6	0	5.78	34	13	0.27	0.02	4	3.19
592	312252	Roche	-0.2	15.90	145	1.8	2.78	1	199	2	132	4	4.1	2.4	0.8	3.55	24	7	42	1	2.07	99	17	0.37	0.03	-1	5.29
592	312254	Roche	-0.2	16.80	318	1.8	2.85	1	224	3	168	3	2.2	1.4	0.8	1.90	21	5	17	1	2.38	131	29	0.55	0.03	-1	5.32
592	312262	Roche	-0.2	19.80	167	3.9	3.73	1	47	3	125	15	2.3	1.2	0.7	2.31	25	3	3	0	1.35	27	20	0.45	0.03	1	7.31
592	312263	Roche	-0.2	15.70	303	1.7	2.96	1	848	2	125	19	8.5	4.0	1.9	2.07	18	26	7	0	2.20	428	11	0.22	0.02	23	5.06
592	312264	Roche	-0.2	12.60	52	2.0	2.25	1	250	2	173	10	4.0	1.8	0.5	3.49	20	8	14	1	0.57	130	9	0.10	0.02	1	4.66
592	312265	Roche	-0.2	15.20	336	2.2	2.28	1	91	6	130	6	2.0	1.1	0.6	2.67	21	3	12	1	2.76	50	60	0.88	0.04	1	4.80
592	312267	Roche	-0.2	14.40	540	1.6	4.68	1	33	28	125	116	14.9	11.1	0.6	8.81	23	13	2	4	3.69	16	117	3.64	0.13	740	2.77
592	312271	Roche	-0.2	14.70	284	1.9	2.36	1	25	31	233	2	2.6	1.8	1.0	10.90	36	1	2	2	4.12	18	148	4.84	0.19	-1	2.69
592	312272	Roche	0.3	12.60	611	0.6	0.81	1	20	-1	209	2	0.8	-0.2	0.4	0.49	12	1	4	0	6.35	10	6	0.09	0.01	-1	2.45
592	312273	Roche	-0.2	10.60	278	0.8	0.88	1	21	2	189	7	4.2	1.6	0.6	1.69	15	4	15	1	2.56	7	21	0.55	0.02	28	2.69
592	312274	Roche	-0.2	16.00	123	2.4	2.88	1	17	6	169	29	3.5	1.7	0.5	2.24	23	3	2	1	1.26	9	38	0.87	0.03	33	5.33
592	312275	Roche	-0.2	11.50	124	2.4	3.32	1	18	5	209	19	17.8	9.5	1.3	3.04	18	13	1	4	0.96	1	11	1.13	0.07	3	3.65
592	312276	Roche	-0.2	12.80	394	1.4	1.22	1	32	1	181	16	1.9	0.8	0.5	0.74	15	2	3	0	4.00	16	18	0.22	0.01	-1	3.25
592	312277	Roche	-0.2	13.40	60	2.0	1.32	1	5	-1	198	3	0.9	0.5	0.4	0.74	19	1	2	0	3.24	3	2	0.10	0.01	-1	4.38
592	312278	Roche	-0.2	11.50	1880	0.7	1.04	1	12	4	228	20	1.2	0.7	0.3	2.24	13	1	1	0	4.92	4	19	0.80	0.03	147	2.09
592	312279	Roche	-0.2	8.15	312	0.7	1.08	0	5	14	311	41	1.9	1.6	0.4	5.54	16	2	4	1	2.25	3	41	2.54	0.07	166	1.44
592	312280	Roche	-0.2	8.88	124	2.0	0.89	1	4	-1	269	4	1.8	1.7	0.3	1.18	13	1	-1	1	1.84	2	10	0.34	0.01	2	2.80
592	312281	Roche	0.2	6.41	63	0.3	0.04	0	-1	-1	277	2	0.2	-0.2	-0.2	0.31	10	-1	-1	0	4.64	-1	-1	0.01	0.00	-1	0.72
592	312282	Roche	-0.2	14.10	124	1.8	2.69	1	39	8	242	6	1.1	0.6	0.4	2.89	20	2	-1	1	1.16	17	26	1.11	0.04	57	4.48
592	312283	Roche	-0.2	14.50	112	1.8	2.88	1	25	8	184	14	1.1	0.8	0.5	3.00	21	1	2	1	1.45	13	33	1.30	0.05	-1	4.26
592	312284	Roche	-0.2	13.20	4230	0.2	0.48																				











PROJECT NUMBER	SAMPLE	SAMPLE TYPE	ICP6.3 Total Digestion, Multi-Acids																								
			Ag	Al <sub>2</sub> O <sub>3</sub>	Ba	Be	CaO	Cd	Ce	Co	Cr	Cu	Dy	Er	Eu	Fe <sub>2</sub> O <sub>3</sub>	Ga	Gd	Hf	Ho	K <sub>2</sub> O	La	Li	MgO	MnO	Mo	Na <sub>2</sub> O
			ppm	wt %	ppm	ppm	wt %	ppm	ppm	ppm	ppm	ppm	ppm	ppm	ppm	ppm	wt %	ppm	ppm	ppm	ppm	wt %	ppm	ppm	wt %	wt %	ppm
Nb Analyses	790		0.2	0.01	1	0.2	0.01	1	1	1	1	1	0.2	0.2	0.01	1	1	1	1	0.01	1	1	0.01	0.01	1	0.01	
Compte	Historique		1682	1682	1682	1682	1682	1682	1682	1682	1682	1682	1682	1682	1682	1682	1682	1682	1682	1682	1682	1682	1682	1682	1682	1682	
Moyenne	Historique		0.5	12.84	716	1.2	1.84	1	102	6	159	70	4.7	2.7	0.9	3.40	16	5	12	1	3.81	52	23	1.10	0.04	106	2.82
Écart-type (σ)	Historique		2.8	4.18	651	1.0	1.74	1	440	9	63	2155	11.3	6.9	0.9	3.93	8	15	23	3	2.21	236	22	1.56	0.05	413	1.53
Maximum	Historique		74.8	31.80	5480	7.5	21.30	23	12400	116	1490	88400	159.0	102.0	20.6	49.10	69	349	356	35	12.40	6710	215	22.50	0.74	5550	8.88
Minimum	Historique		-0.2	0.09	6	-0.2	-0.01	0	-1	-1	31	-1	-0.2	-0.2	-0.2	0.12	-1	-1	-1	0	0.04	-1	-1	0.00	0.00	-1	0.01
Compte	Projet		786	786	786	786	786	786	786	786	786	786	786	786	786	786	786	786	786	786	786	786	786	786	786	786	
Moyenne	Projet		1.0	12.00	509	1.1	1.47	1	115	4	171	127	6.2	3.4	0.7	2.82	15	6	14	1	3.57	58	23	0.78	0.03	165	2.95
Écart-type (σ)	Projet		4.0	4.27	505	1.0	1.31	1	422	6	59	3153	13.6	8.1	0.7	3.57	9	15	29	3	2.32	227	24	1.00	0.04	522	1.88
Maximum	Projet		74.8	23.30	4230	6.2	21.30	23	5590	45	400	88400	159.0	102.0	9.0	39.80	69	152	356	35	12.40	3050	200	7.44	0.26	5550	8.88
Minimum	Projet		-0.2	0.20	10	-0.2	-0.01	0	-1	-1	38	-1	-0.2	-0.2	-0.2	0.12	-1	-1	-1	0	0.07	-1	-1	0.00	0.00	-1	0.01
592	312302	Roche	-0.2	17.60	660	1.7	2.87	1	105	8	121	7	4.8	3.3	1.0	4.27	26	6	20	1	4.07	65	61	1.73	0.08	-1	4.74
592	312308	Roche	-0.2	15.00	863	1.3	1.46	1	79	-1	126	3	1.1	0.8	0.6	1.35	16	2	7	0	5.52	43	14	0.29	0.02	-1	3.74
592	312315	Roche	-0.2	16.10	125	2.6	3.69	1	175	3	158	20	11.8	5.4	0.8	1.21	22	10	25	3	0.67	87	20	0.39	0.02	4	4.82
592	312321	Roche	-0.2	13.70	580	1.6	1.68	1	48	-1	220	5	3.2	1.3	0.6	0.72	16	4	4	1	3.91	20	12	0.15	0.01	1	4.20
592	312337	Roche	-0.2	12.30	505	1.2	1.22	1	32	3	213	5	4.6	2.0	0.5	1.68	17	4	5	1	3.75	13	25	0.43	0.03	1	3.46
592	312338	Roche	-0.2	13.90	673	1.0	1.00	1	45	1	179	5	4.7	1.7	0.4	0.99	17	5	6	0	5.46	15	10	0.18	0.02	-1	3.45
592	312339	Roche	-0.2	11.80	950	0.7	0.98	1	5	2	200	4	6.1	3.1	0.5	1.72	15	4	3	1	4.64	-1	21	0.41	0.03	105	2.68
592	312351	Roche	-0.2	18.90	658	2.3	2.76	1	294	5	162	9	3.0	2.0	0.9	3.48	25	6	10	1	3.80	174	36	0.97	0.05	-1	5.83
592	312356	Roche	-0.2	8.53	412	1.0	0.93	1	51	6	202	33	1.6	1.2	0.7	3.16	14	3	6	1	2.47	28	26	1.04	0.03	1	2.17
592	312357	Roche	-0.2	16.00	912	1.3	1.81	1	695	1	158	21	8.5	4.0	0.6	1.47	17	18	12	2	5.76	363	18	0.41	0.02	-1	4.03
592	312368	Roche	-0.2	17.80	729	1.8	1.91	1	125	8	98	56	8.5	4.3	0.8	3.24	24	8	2	2	4.40	66	54	1.08	0.04	26	4.79
592	312373	Roche	-0.2	2.59	324	0.2	0.07	0	24	2	242	5	4.3	2.3	0.3	1.34	5	3	2	1	1.51	13	1	0.05	0.02	10	0.41
592	312374	Roche	-0.2	14.10	146	1.5	2.03	1	57	3	204	5	0.9	0.2	0.5	1.84	21	2	3	0	1.54	30	19	0.64	0.02	5	4.83
592	312375	Roche	-0.2	14.30	1450	1.2	1.26	1	50	1	209	4	0.8	-0.2	0.4	1.69	17	1	5	0	4.97	27	12	0.39	0.02	-1	3.52
592	312376	Roche	-0.2	15.60	1720	1.1	1.47	1	12	8	153	49	3.0	1.4	0.6	4.40	22	3	2	1	7.24	2	43	1.62	0.06	3	2.60
592	312377	Roche	1.6	13.30	243	0.7	1.41	1	122	23	400	35	3.2	2.1	0.4	13.00	35	6	22	2	4.96	57	189	4.12	0.15	4	1.94
592	312378	Roche	-0.2	14.30	110	1.9	2.57	1	19	3	177	10	1.0	0.2	0.4	1.50	19	1	4	0	0.80	8	19	0.57	0.02	-1	5.06
592	312379	Roche	-0.2	14.10	1100	1.0	1.17	1	7	1	204	12	1.8	0.8	0.6	1.16	14	2	1	0	4.90	3	23	0.42	0.02	136	3.36
592	312380	Roche	-0.2	9.25	79	1.0	1.48	1	20	11	244	78	1.0	0.3	0.3	4.10	16	1	8	0	1.60	10	41	1.75	0.06	3	2.25
592	312381	Roche	-0.2	18.20	1310	1.3	2.64	1	8	-1	100	47	6.5	4.8	0.8	2.18	15	5	-1	2	5.30	3	22	0.99	0.03	450	4.37
592	312382	Roche	-0.2	19.10	63	2.1	3.54	1	12	2	125	6	2.1	0.8	0.7	1.32	26	2	1	0	1.04	7	21	0.56	0.02	18	6.66
592	312383	Roche	-0.2	16.20	260	2.0	2.98	1	62	13	140	14	1.7	1.0	0.6	4.49	25	2	1	1	2.24	32	49	1.93	0.07	15	4.65
592	312384	Roche	-0.2	14.30	521	1.3	2.22	1	104	37	162	18	3.0	2.0	1.2	10.20	33	3	14	2	3.74	54	78	3.64	0.13	8	2.81
592	312385	Roche	0.5	7.30	102	0.5	1.32	0	3	3	240	7	1.8	0.8	0.4	1.74	10	2	14	0	0.94	-1	13	0.68	0.03	108	2.08
592	312386	Roche	1.0	14.50	839	1.3	1.88	1	47	-1	196	4	4.1	2.2	0.6	0.48	14	4	12	1	4.60	19	12	0.16	0.02	1	3.55
592	312387	Roche	-0.2	15.30	810	1.1	1.55	1	472	2	171	7	10.8	4.6	1.0	1.80	18	17	7	1	5.68	234	25	0.72	0.03	-1	3.40
592	312388	Roche	-0.2	12.70	133	1.3	2.49	1	13	5	170	50	1.4	0.8	0.5	1.95	16	1	2	1	1.02	8	23	0.79	0.03	-1	4.06
592	312389	Roche	1.3	16.40	110	1.7	2.66	1	7	-1	184	2	8.8	6.1	0.7	0.98	15	6	22	2	1.69	-1	19	0.36	0.02	475	5.93
592	312390	Roche	-0.2	12.80	26	2.0	1.96	1	179	1	281	4	4.9	1.9	0.5	1.45	19	9	9	1	0.68	90	27	0.28	0.02	2	4.81
592	312391	Roche	-0.2	13.80	1040	1.4	1.20	1	30	1	166	9	1.0	0.4	0.5	1.17	18	1	3	0	4.37	15	14	0.26	0.02	3	3.73
592	312392	Roche	-0.2	15.20	77	1.9	2.91	1	44	2	126	3	1.0	0.2	0.5	1.69	21	1	4	0	0.88	21	31	0.58	0.03	-1	5.22
592	312393	Roche	-0.2	13.50	833	1.0	1.08	1	22	1	156	3	1.4	0.5	0.4	1.04	16	2	2	0	5.04	7	17	0.26	0.02	-1	3.18
592	312394	Roche	0.3	14.10	1170	0.5	0.59	1	9	1	175	9	0.5	-0.2	0.3	1.30	14	1	1	0	7.64	7	5	0.11	0.01	33	2.61
592	312395	Roche	-0.2	13.60	259	1.6	1.80	1	18	1	200	4	2.7	1.1	0.6	0.98	17	3	-1	1	2.02	8	13	0.22	0.02	54	4.99
592	312396	Roche	-0.2	12.90	650	1.1	0.99	1	29	1	143	2	1.2	0.3	0.4	0.86	15	1	2	0	4.81	9	10	0.18	0.02	-1	3.20
592	312397	Roche	-0.2	13.90	603	1.3	0.94	1	3	1	169	2	0.6	0.2	0.4	1.32	17	1	2	0	5.09	2	15	0.30	0.02	21	3.51
592	312398	Roche	-0.2	13.50	667	1.2	1.38	1	13	1	192	5	13.5	7.2	0.7	1.40	21	10	4	3	4.46	1	18	0.34	0.02	11	3.35
592	312399	Roche	-0.2	14.00	893	1.0	0.91	1	58	4	148	24	8.6	4.5	0.7	3.57	21	7	3	2	5.76	28	44	0.93	0.04	66	2.92
592	312400	Roche	-0.2	13.60	949	0.6	0.38	1	1	-1	149	2	0.9	0.3	0.4	0.84	15	1	-1	0	8.08	-1	10	0.18	0.01	1	2.08
592	312401	Roche	-0.2	23.30	217	2.4	4.06	1	127	10	103	10	1.7	1.6	1.2	4.87	31	4	6	1	2.66	79	69	3.12	0.06	-1	7.46
592	312402	Roche	-0.2	15.90	316	1.8	2.51	1	152	4	141	5	2.0	1.4	0.8	3.32	23	4	25	1	2.73	86	42	0.93	0.05	-1	4.80
592	31240																										







PROJECT NUMBER	SAMPLE	SAMPLE TYPE	CERTIFICATE	DATE	U <sub>3</sub> O <sub>8</sub> (wt %)	U/U	Ce/Th	U/Th	FIRE ASSAY				ICP6.3R Partial Digestion														
									Au	Pd	Pt	Ag	As	Bi	Co	Cu	Ge	Hg	Mo	Ni	Pb	Sb	Se	Te	U, ICP	V	Zn
									ppb	ppb	ppb	ppm	ppm	ppm	ppm	ppm	ppm	ppm	ppm	ppm	ppm	ppm	ppm	ppm	ppm	ppm	ppm
Nb Analyses	790								2	2	2	0.1	0.2	0.2	0.1	0.1	0.2	0.2	0.1	0.1	0.02	1	0.2	0.2	0.5	0.1	0.1
Compte	Historique				1728				2	2	2	1682	1682	1682	1682	1682	1682	1682	1682	1682	1682	1682	1682	1682	1674.0	1682	1682
Moyenne	Historique				0.053%				12	3	7	0.1	1.7	1.3	7.5	87.5	0.1	-0.2	93.6	17.4	144.65	0	0.1	1.1	338.1	41.1	61.9
Écart-type (σ)	Historique				0.169%				1	1	2	2.5	8.5	2.2	10.8	1921.4	0.8	0.1	332.4	37.1	365.30	2	1.1	2.7	1227.3	57.0	84.2
Maximum	Historique				2.290%				12	4	8	62.3	229.0	28.5	94.8	78800.0	9.7	0.5	4480.0	581.0	4880.00	27	13.7	50.7	28000.0	878.0	1590.0
Minimum	Historique				-0.001%				11	2	5	-0.1	-0.2	-0.2	-0.1	-0.1	-0.2	-0.2	-0.1	0.2	-0.02	-1	-0.2	-0.2	-0.5	-0.1	-0.1
Compte	Projet				786				2	2	2	786	786	786	786	786	786	786	786	786	786	786	786	786	780.0	786	786
Moyenne	Projet				0.056%				12	3	7	0.3	0.9	1.7	4.1	116.5	0.0	-0.2	144.3	8.7	195.94	0	0.3	2.0	468.4	32.3	45.4
Écart-type (σ)	Projet				0.165%				1	1	2	3.6	2.1	2.6	5.4	2810.5	0.7	0.0	426.6	20.5	416.40	3	1.4	3.0	1517.0	55.1	70.3
Maximum	Projet				2.290%				12	4	8	62.3	45.2	28.5	37.8	78800.0	9.7	0.3	4460.0	382.0	4880.00	27	13.7	26.2	28000.0	878.0	1220.0
Minimum	Projet				0.000%				11	2	5	-0.1	-0.2	-0.2	-0.1	-0.1	-0.2	-0.2	-0.1	0.2	2.87	-1	-0.2	-0.2	1.2	-0.1	-0.1
592	312427	Roche	G-2007-1673	2007-12-21	0.001%	0.75	0.04	0.44				-0.1	-0.2	-0.2	1.3	2.9	-0.2	-0.2	2.5	4.1	10.40	-1	-0.2	-0.2	10.5	7.8	9.6
592	312428	Roche	G-2007-1673	2007-12-21	0.001%	0.74	1.79	0.23				0.1	0.5	-0.2	5.0	7.9	-0.2	-0.2	1.4	6.1	20.60	-1	-0.2	-0.2	6.7	26.4	44.9
592	312429	Roche	G-2007-1673	2007-12-21	0.000%	-1.80	0.83	0.60				-0.1	0.6	0.2	5.3	2.5	-0.2	-0.2	1.3	12.0	12.80	-1	-0.2	-0.2	3.6	29.6	39.8
592	312430	Roche	G-2007-1673	2007-12-21	0.000%	-1.00	3.60	0.40				-0.1	0.6	-0.2	2.9	2.3	-0.2	-0.2	1.3	8.4	2.87	-1	-0.2	-0.2	2.0	15.7	18.9
592	312431	Roche	G-2007-1673	2007-12-21	0.015%	0.92	0.25	1.69				-0.1	-0.2	-0.2	8.1	25.0	-0.2	-0.2	6.6	23.0	147.00	-1	-0.2	-0.2	130.0	49.1	103.0
592	312432	Roche	G-2007-1673	2007-12-21	0.004%	0.93	0.58	0.99				-0.1	0.9	-0.2	7.6	24.1	-0.2	-0.2	1.5	18.5	29.80	-1	-0.2	-0.2	31.6	45.1	72.6
592	312433	Roche	G-2007-1673	2007-12-21	0.010%	0.91	0.61	1.32				-0.1	-0.2	-0.2	4.3	36.2	0.2	-0.2	2.3	10.5	42.90	-1	-0.2	-0.2	88.3	22.7	15.9
592	312434	Roche	G-2007-1673	2007-12-21	0.002%	0.84	0.75	0.63				-0.1	-0.2	-0.2	1.6	4.8	-0.2	-0.2	2.4	6.5	19.50	-1	-0.2	-0.2	15.2	5.0	9.7
592	312435	Roche	G-2007-1534	2007-11-27	0.004%	0.97	0.80	0.50				-0.1	0.8	0.7	1.2	1.8	-0.2	-0.2	0.9	3.1	41.90	2	-0.2	-0.2	37.8	9.8	27.2
592	312436	Roche	G-2007-1673	2007-12-21	0.000%	0.72	0.34	0.11				-0.1	-0.2	-0.2	1.6	2.7	-0.2	-0.2	0.6	3.4	18.20	-1	-0.2	-0.2	3.6	7.2	17.6
592	312437	Roche	G-2007-1534	2007-11-27	0.093%	0.93	0.18	2.68				-0.1	-0.2	1.8	3.1	5.9	0.8	-0.2	461.0	2.4	359.00	5	-0.2	-0.2	792.0	19.2	39.9
592	312438	Roche	G-2007-1673	2007-12-21	0.000%	0.73	0.73	0.04				-0.1	0.2	-0.2	1.4	1.3	-0.2	-0.2	1.0	3.9	19.50	-1	-0.2	-0.2	2.2	11.5	18.4
592	312439	Roche	G-2007-1534	2007-11-27	0.004%	0.97	0.04	0.18				-0.1	-0.2	-0.2	1.1	2.7	-0.2	-0.2	0.5	3.2	16.50	-1	0.8	-0.2	31.9	20.8	8.8
592	312440	Roche	G-2007-1673	2007-12-21	0.001%	0.79	0.15	0.12				-0.1	-0.2	-0.2	1.0	1.7	-0.2	-0.2	0.9	3.4	20.20	-1	-0.2	-0.2	7.9	6.0	14.0
592	312441	Roche	G-2007-1534	2007-11-27	0.012%	0.99	0.36	0.55				-0.1	-0.2	0.2	1.2	1.3	-0.2	-0.2	1.4	3.9	93.30	-1	-0.2	0.9	99.9	4.2	13.9
592	312442	Roche	G-2007-1534	2007-11-27	0.029%	0.97	0.09	0.19				-0.1	-0.2	-0.2	1.2	2.5	-0.2	-0.2	1.3	3.6	224.00	-1	9.0	2.5	242.0	4.4	6.9
592	312443	Roche	G-2007-1673	2007-12-21	0.009%	0.97	0.02	0.36				-0.1	-0.2	-0.2	1.4	3.9	-0.2	-0.2	1.0	3.4	143.00	-1	-0.2	-0.2	75.3	6.7	20.9
592	312444	Roche	G-2007-1534	2007-11-27	0.004%	1.02	0.50	0.70				-0.1	-0.2	0.7	1.1	1.8	-0.2	-0.2	0.9	3.4	24.40	-1	-0.2	-0.2	33.8	5.9	15.3
592	312445	Roche	G-2007-1534	2007-11-27	0.008%	1.00	0.08	0.62				-0.1	0.5	1.2	1.7	3.2	-0.2	-0.2	4.4	4.0	50.40	3	-0.2	-0.2	64.9	12.9	34.1
592	312446	Roche	G-2007-1534	2007-11-27	0.009%	0.97	0.40	1.17				-0.1	-0.2	1.1	1.7	2.0	-0.2	-0.2	0.8	2.9	66.30	2	-0.2	-0.2	79.7	10.8	26.6
592	312447	Roche	G-2007-1534	2007-11-27	0.057%	0.98	0.17	3.37				-0.1	-0.2	0.8	1.8	1.3	0.6	-0.2	6.5	2.7	193.00	2	-0.2	-0.2	482.0	8.2	18.0
592	312448	Roche	G-2007-1673	2007-12-21	0.001%	0.67	0.43	0.17				-0.1	-0.2	-0.2	1.0	5.6	-0.2	-0.2	2.8	3.2	10.20	-1	-0.2	-0.2	7.4	3.5	24.5
592	312449	Roche	G-2007-1673	2007-12-21	0.001%	0.70	0.90	0.26				0.1	-0.2	-0.2	1.8	3.0	-0.2	-0.2	0.8	3.4	9.57	-1	-0.2	-0.2	7.7	5.1	30.5
592	5929000	Roche	2007-900	2007-08-07	0.001%	0.76	0.15	0.26				-0.1	0.6	1.8	1.2	25.5	-0.2	-0.2	6.7	3.1	46.80	0	-0.2	1.9	12.2	14.7	18.4
592	5929001	Roche	2007-900	2007-08-07	0.004%	0.75	0.05	0.25				-0.1	0.4	2.1	2.2	2.2	-0.2	-0.2	40.8	6.6	30.80	0	0.3	2.2	33.1	14.9	20.5
592	5929002	Roche	Non-Analysés																								
592	5929003	Roche	Non-Analysés																								
592	5929004	Bloc	2007-900	2007-08-07	0.026%	0.96	0.02	0.67				-0.1	1.1	2.9	1.0	-0.1	-0.2	-0.2	27.5	4.3	115.00	0	0.9	1.2	221.0	4.8	9.6
592	5929005	Bloc	2007-900	2007-08-07	0.008%	0.95	0.15	0.37				-0.1	1.4	1.9	0.8	0.8	-0.2	-0.2	184.0	2.6	71.50	0	0.3	2.4	69.7	16.2	19.3
592	5929006	Roche	2007-900	2007-08-07	0.013%	0.98	0.00	0.14				-0.1	-0.2	7.9	1.1	-0.1	-0.2	-0.2	222.0	4.0	91.50	0	-0.2	3.2	106.0	13.8	21.1
592	5929007	Roche	2007-900	2007-08-07	0.036%	1.00	0.00	0.45				-0.1	-0.2	6.2	7.8	57.4	-0.2	-0.2	152.0	15.2	192.00	0	1.6	2.7	305.0	10.0	38.8
592	5929008	Roche	2007-900	2007-08-07	0.005%	0.89	0.00	0.12				-0.1	2.0	3.6	2.0	3.3	0.6	-0.2	422.0	4.1	74.50	0	-0.2	5.0	39.9	47.1	52.0
592	5929009	Roche	2007-900	2007-08-07	0.003%	0.85	0.02	0.11				-0.1	0.4	2.4	1.5	-0.1	-0.2	-0.2	28.6	2.9	57.70	0	0.7	1.4	27.1	8.0	20.5
592	5929010	Roche	2007-900	2007-08-07	0.014%	0.96	0.02	0.34				-0.1	2.4	3.2	5.4	-0.1	0.3	-0.2	214.0	5.3	101.00	0	0.4	5.0	122.0	43.8	60.2
592	5929011	Roche	2007-900	2007-08-07	0.004%	0.90	0.02	0.16																			



PROJECT NUMBER	SAMPLE	SAMPLE TYPE	ICP6.3 Total Digestion, Multi-Acids																								
			Ag	Al <sub>2</sub> O <sub>3</sub>	Ba	Be	CaO	Cd	Ce	Co	Cr	Cu	Dy	Er	Eu	Fe <sub>2</sub> O <sub>3</sub>	Ga	Gd	Hf	Ho	K <sub>2</sub> O	La	Li	MgO	MnO	Mo	Na <sub>2</sub> O
			ppm	wt %	ppm	ppm	wt %	ppm	ppm	ppm	ppm	ppm	ppm	ppm	ppm	ppm	wt %	ppm	ppm	ppm	ppm	wt %	ppm	ppm	wt %	wt %	ppm
Nb Analyses	790		0.2	0.01	1	0.2	0.01	1	1	1	1	1	1	0.2	0.2	0.2	0.2	0.01	1	1	1	1	0.01	1	0.01	1	0.01
Compte	Historique		1682	1682	1682	1682	1682	1682	1682	1682	1682	1682	1682	1682	1682	1682	1682	1682	1682	1682	1682	1682	1682	1682	1682	1682	1682
Moyenne	Historique		0.5	12.64	716	1.2	1.84	1	102	6	159	70	4.7	2.7	0.9	3.40	16	5	12	1	3.81	52	23	1.10	0.04	108	2.82
Écart-type (σ)	Historique		2.8	4.18	651	1.0	1.74	1	440	9	63	2155	11.3	6.9	0.9	3.93	8	15	23	3	2.21	236	22	1.56	0.05	413	1.53
Maximum	Historique		74.8	31.80	5480	7.5	21.30	23	12400	116	1490	88400	159.0	102.0	20.6	49.10	69	349	356	35	12.40	6710	215	22.50	0.74	5550	8.86
Minimum	Historique		-0.2	0.09	6	-0.2	-0.01	0	-1	-1	31	-1	-0.2	-0.2	-0.2	0.12	-1	-1	-1	0	0.04	-1	-1	0.00	0.00	-1	0.01
Compte	Projet		786	786	786	786	786	786	786	786	786	786	786	786	786	786	786	786	786	786	786	786	786	786	786	786	786
Moyenne	Projet		1.0	12.00	509	1.1	1.47	1	115	4	171	127	6.2	3.4	0.7	2.82	15	6	14	1	3.57	58	23	0.78	0.03	165	2.95
Écart-type (σ)	Projet		4.0	4.27	505	1.0	1.31	1	422	6	59	3153	13.6	8.1	0.7	3.57	9	15	29	3	2.32	227	24	1.00	0.04	522	1.68
Maximum	Projet		74.8	23.30	4230	6.2	21.30	23	5590	45	400	88400	159.0	102.0	9.0	39.80	69	152	356	35	12.40	3050	200	7.44	0.28	5550	8.86
Minimum	Projet		-0.2	0.20	10	-0.2	-0.01	0	-1	-1	38	-1	-0.2	-0.2	-0.2	0.12	-1	-1	-1	0	0.07	-1	-1	0.00	0.00	-1	0.01
592	312427	Roche	-0.2	13.20	610	0.8	1.29	1	1	1	210	3	0.4	-0.2	0.4	0.88	14	-1	1	0	4.43	1	8	0.26	0.01	1	3.11
592	312428	Roche	-0.2	14.60	1370	1.3	1.83	1	52	3	145	9	1.5	0.6	0.6	2.39	18	2	4	1	4.36	25	26	0.87	0.04	-1	3.56
592	312429	Roche	-0.2	11.80	1250	0.8	0.99	1	5	5	270	3	0.5	0.3	0.4	2.29	15	1	-1	0	5.10	2	32	0.84	0.04	1	2.10
592	312430	Roche	-0.2	5.80	50	0.8	1.58	0	18	3	255	2	1.9	1.1	0.4	1.61	11	2	-1	0	0.43	10	12	0.73	0.03	-1	1.68
592	312431	Roche	0.7	11.10	31	1.5	1.82	1	19	8	234	29	2.8	1.3	0.4	3.56	21	3	17	1	1.46	8	45	1.29	0.05	3	3.21
592	312432	Roche	-0.2	10.30	29	1.6	1.43	1	18	6	223	27	1.4	0.9	0.3	3.41	21	2	7	1	1.29	9	42	1.10	0.05	1	3.04
592	312433	Roche	-0.2	13.00	34	2.7	2.35	1	41	3	256	38	2.5	1.6	0.4	1.58	19	3	6	1	0.95	18	26	0.67	0.02	2	4.19
592	312434	Roche	-0.2	13.60	137	2.3	1.98	1	18	-1	204	5	1.2	0.4	0.3	0.80	18	2	2	0	2.61	9	12	0.23	0.01	2	3.97
592	312435	Roche	-0.2	13.30	896	1.0	1.22	1	61	4	158	3	1.7	0.6	0.6	1.41	16	3	3	0	4.87	29	21	0.36	0.02	-1	3.50
592	312436	Roche	-0.2	12.50	503	1.6	1.04	1	11	1	189	3	0.8	0.3	0.4	1.24	17	1	3	0	3.04	6	16	0.29	0.02	-1	3.77
592	312437	Roche	-0.2	13.90	1280	-0.2	0.30	1	52	3	130	10	9.1	4.3	0.8	2.62	17	8	4	2	9.11	19	29	0.63	0.04	470	1.62
592	312438	Roche	-0.2	13.20	1090	0.9	0.89	1	36	1	149	2	1.0	0.4	0.5	1.24	15	2	1	0	5.75	16	13	0.19	0.02	-1	2.78
592	312439	Roche	-0.2	12.90	376	1.5	1.78	1	8	-1	200	6	0.7	-0.2	0.4	1.57	16	1	-1	0	2.81	5	3	0.10	0.01	-1	4.02
592	312440	Roche	0.3	13.60	1160	0.8	1.07	1	10	-1	135	2	0.4	-0.2	0.5	0.82	15	1	2	0	5.63	5	9	0.14	0.01	-1	2.98
592	312441	Roche	-0.2	12.80	815	1.2	1.34	1	65	-1	183	3	2.5	1.0	0.4	0.73	13	3	4	0	4.07	22	11	0.15	0.02	2	3.29
592	312442	Roche	-0.2	14.70	866	1.3	1.83	1	109	1	178	22	4.3	1.1	0.4	0.55	12	7	6	0	4.18	40	5	0.06	0.01	3	3.99
592	312443	Roche	-0.2	15.90	64	2.2	2.54	1	5	1	195	7	3.4	1.4	0.6	1.10	22	2	4	0	0.94	2	16	0.28	0.03	-1	5.80
592	312444	Roche	-0.2	14.70	621	1.1	1.32	1	24	2	178	4	1.8	0.6	0.4	1.04	14	2	4	0	5.01	10	15	0.26	0.02	1	3.55
592	312445	Roche	-0.2	13.40	79	1.8	2.36	1	6	1	199	5	1.3	0.3	0.4	1.70	19	1	5	0	1.12	2	24	0.43	0.03	4	4.94
592	312446	Roche	-0.2	11.70	933	0.6	0.80	1	27	3	164	3	2.0	0.6	0.5	1.27	14	2	-1	1	5.69	12	20	0.34	0.02	1	2.49
592	312447	Roche	-0.2	12.30	720	1.3	1.62	6	25	3	190	5	5.5	2.2	0.6	1.27	16	4	4	1	3.22	10	13	0.27	0.03	8	3.33
592	312448	Roche	-0.2	12.90	271	1.2	0.84	1	19	-1	154	6	0.8	0.2	0.3	1.14	18	1	4	0	4.97	7	20	0.17	0.01	5	3.22
592	312449	Roche	-0.2	12.80	429	0.9	0.78	1	27	1	200	4	1.1	0.3	0.4	1.89	19	2	1	0	5.20	14	29	0.26	0.02	1	3.14
592	5929000	Roche	0.4	12.00	967	0.5	1.03	1	7	1	145	26	0.4	0.3	0.9	1.63	12	1	12	0	5.19	3	10	0.40	0.01	6	2.38
592	5929001	Roche	-0.2	6.13	90	0.7	0.92	0	7	2	194	4	0.7	0.5	0.4	1.33	8	1	6	0	0.97	4	8	0.32	0.02	41	1.73
592	5929002	Roche																									
592	5929003	Roche																									
592	5929004	Bloc	0.2	5.54	129	0.4	0.73	0	8	1	261	5	2.1	1.0	0.4	0.78	4	2	13	0	1.05	2	6	0.16	0.01	31	1.42
592	5929005	Bloc	-0.2	11.70	1040	0.5	0.62	1	29	-1	118	5	1.5	0.7	0.7	1.33	9	2	2	0	5.86	14	10	0.38	0.01	190	1.95
592	5929006	Roche	0.6	4.91	44	0.2	0.71	0	3	2	200	7	1.2	0.3	0.2	1.32	5	1	33	0	0.48	-1	10	0.28	0.01	230	1.50
592	5929007	Roche	1.8	6.35	467	-0.2	0.22	0	2	8	185	78	1.8	0.7	0.3	2.49	4	1	51	0	3.20	-1	9	0.31	0.01	157	0.96
592	5929008	Roche	0.7	7.71	557	-0.2	0.14	0	-1	2	189	11	0.4	0.4	0.4	4.40	12	-1	6	0	4.46	-1	32	1.42	0.03	423	0.77
592	5929009	Roche	0.4	12.30	818	0.6	0.76	1	5	1	154	3	0.8	0.4	0.8	1.21	12	1	18	0	4.82	2	13	0.34	0.01	30	2.73
592	5929010	Roche	0.8	13.60	494	0.8	1.64	1	6	6	138	4	0.9	0.8	0.8	4.94	19	1	21	0	3.72	5	38	1.33	0.05	275	3.18
592	5929011	Roche	0.3	12.40	1380	-0.2	0.16	1	4	2	160	5	0.8	-0.2	1.0	1.86	11	1	7	0	8.27	2	13	0.46	0.01	63	1.54
592	5929012	Roche	-0.2	13.50	1560	0.2	0.17	1	7	1	167	3	0.7	-0.2	1.0	1.28	10	1	4	0	8.27	3	10	0.36	0.01	40	1.79
592	5929013	Roche	0.4	13.30	1210	0.5	0.62	1	5	2	210	2	0.4	0.4	1.0	1.44	12	1	7	0	6.14	3	14	0.38	0.01	16	2.46
592	5929014	Roche	-0.2	11.30	57	1.0	2.33	1	12	2	165	2	0.7	0.5	0.8	0.79	12	1	12	0	0.66	7	10	0.19	0.01	26	3.55
592	5929015	Roche	-0.2	12.10	1180	0.4	0.71	1	5	-1	143	4	0.9	0.6	0.9	1.11	10	1	10	0	5.84	3	10	0.27	0.01	30	2.13
592	5929016	Roche	0.3	15.20	222	2.0	2.92	1	20	7	174	21	0.8	0.8	0.5	4.30	23	1	4	0	1.96	13	37	1.72	0.05	1	4.34
592	5929017	Roche	-0.2	13.00	1560	0.5	0.62	1	62	1	128	3	0.7	0.2	0.6	0.80	10	2	1	0	7.12	32	8	0.25	0.01	-1	2.43
592	5929018	Roche	-0.2	15.60	416	1.7	2.26	1	68	2	127	2	0.9</														



PROJECT NUMBER	SAMPLE	SAMPLE TYPE	ICP6.3 Total Digestion, Multi-Acids																				Aqua Regia					
			Nb	Nd	Ni	P <sub>2</sub> O <sub>5</sub>	Pb	Pr	Sc	Sm	Sn	Sr	Ta	Tb	Th	TiO <sub>2</sub>	U, ICP	V	W	Y	Yb	Zn	Zr	LOI	U <sub>2</sub> O <sub>6</sub>	U, Fl.	B	
			ppm	ppm	ppm	wt %	ppm	ppm	ppm	ppm	ppm	ppm	ppm	ppm	ppm	ppm	ppm	ppm	ppm	ppm	ppm	ppm	ppm	ppm	wt %	wt %	ppm	ppm
Nb Analyses	790		1	1	1	0,01	1	1	1	1	1	1	1	1	1	1	1	1	1	1	1	1	0,1	0,001	0,02	ppm		
Compte	Historique		1682	1682	1682	1682,00	1682	1682	1682	1682	1682	1682	1682	1682	1682,00	1682	1682	1682	1682	1682	1682	1682	175	339	8	466		
Moyenne	Historique		8	36	17	0,15	170	9	6	6	-1	220	0	1	263	0,36	353	56	2	26	2,9	85	376	0,6	0	12	34	
Écart-type (σ)	Historique		26	143	45	0,40	384	41	6	21	2	265	5	3	503	0,39	1201	74	17	57	6,3	82	776	0,3	0	11	131	
Maximum	Historique		884	4200	1010	6,26	4900	1110	70	606	24	1880	100	47	8540	4,82	19100	1250	328	908	98,2	1620	12500	2,4	2	32	905	
Minimum	Historique		-1	-1	-1	0,00	1	-1	-1	-1	-1	-1	-1	-1	0	-1	0,00	-2	-1	-1	-1	-1	1	1	-0,1	0	2	2
Compte	Projet		786	786	786	786,00	786	786	786	786	786	786	786	786	786,00	786	786	786	786	786	786	786	168	65	6	168		
Moyenne	Projet		8	39	9	0,12	223	10	4	7	-1	146	1	1	390	0,30	487	43	5	31	3,5	56	484	0,6	0	10	11	
Écart-type (σ)	Projet		34	128	22	0,41	437	39	6	18	1	82	5	2	585	0,38	1422	68	24	64	6,9	77	1051	0,3	0	9	21	
Maximum	Projet		884	1560	427	6,26	4900	542	53	179	9	525	100	22	4970	3,18	19100	1250	328	790	75,1	1180	12500	2,4	2	23	221	
Minimum	Projet		-1	-1	-1	0,00	7	-1	-1	-1	-1	2	-1	0	1	0,00	-2	-1	-1	1	-0,1	1	2	-0,1	0	2	2	
592	312427	Roche	-1	-1	4	0,03	26	-1	-1	-1	179	-1	0	24	0,09	14	18	2	2	0,3	14	57						
592	312428	Roche	4	17	5	0,12	39	3	4	2	-1	324	3	0	29	0,30	9	36	-1	6	0,9	54	193					
592	312429	Roche	2	2	12	0,09	34	-1	3	-1	-1	228	-1	0	6	0,28	-2	37	1	3	0,4	40	32					
592	312430	Roche	-1	7	9	0,06	8	-1	3	2	-1	150	4	0	5	0,10	-2	26	1	13	1,4	27	32					
592	312431	Roche	15	9	24	0,04	162	-1	10	2	-1	60	-1	1	77	0,33	142	56	-1	17	2,8	117	538					
592	312432	Roche	23	8	19	0,03	39	-1	11	2	-1	61	4	0	32	0,35	34	47	1	9	1,3	82	216					
592	312433	Roche	2	14	11	0,03	57	4	5	3	-1	89	-1	0	67	0,11	97	27	-1	14	2,2	21	198					
592	312434	Roche	3	7	7	0,02	39	-1	1	1	-1	86	3	0	24	0,06	18	14	2	7	0,8	15	69					
592	312435	Roche	1	18	4	0,05	56	5	2	3	-1	187	3	0	76	0,15	39	22	1	7	0,8	32	128					
592	312436	Roche	3	4	3	0,02	34	-1	2	-1	-1	155	3	0	32	0,15	5	16	2	5	0,7	25	122					
592	312437	Roche	5	25	5	0,18	464	5	5	6	-1	151	-1	4	296	0,31	850	28	-1	40	4,0	47	44					
592	312438	Roche	-1	11	4	0,04	40	2	1	2	-1	185	3	0	49	0,11	3	22	1	5	0,6	23	75					
592	312439	Roche	-1	2	5	0,02	29	-1	-1	1	-1	201	7	0	182	0,04	33	32	2	3	0,4	17	24					
592	312440	Roche	-1	3	3	0,02	43	-1	1	1	-1	207	2	0	66	0,07	10	17	1	2	0,3	19	99					
592	312441	Roche	-1	16	4	0,05	124	3	1	3	-1	160	-1	0	183	0,06	101	12	1	11	1,7	22	117					
592	312442	Roche	-1	35	4	0,11	258	9	1	7	-1	191	-1	2	1270	0,03	250	13	1	18	2,1	12	224					
592	312443	Roche	1	2	3	0,02	145	-1	2	1	-1	177	1	0	207	0,13	78	18	3	15	1,8	28	171					
592	312444	Roche	-1	8	3	0,06	45	1	1	2	-1	152	3	0	48	0,12	33	16	2	8	0,9	21	151					
592	312445	Roche	1	2	4	0,05	60	-1	3	1	-1	169	5	0	104	0,20	65	24	2	6	0,8	40	216					
592	312446	Roche	-1	9	2	0,05	85	1	2	2	-1	162	6	0	68	0,15	82	20	2	8	1,0	30	32					
592	312447	Roche	1	11	4	0,04	311	1	2	3	-1	165	-1	2	143	0,12	490	16	1	25	2,8	33	102					
592	312448	Roche	-1	6	2	0,04	42	-1	2	1	-1	91	6	0	44	0,09	11	12	1	4	0,4	29	147					
592	312449	Roche	1	11	3	0,03	37	1	3	2	1	101	15	0	30	0,17	11	13	2	5	0,3	35	72					
592	5929000	Roche	2	3	3	0,04	83	-1	3	1	-1	163	-1	0	47	0,16	16	24	-1	3	0,6	25	370	0,9			9	
592	5929001	Roche	5	3	5	0,02	38	1	2	1	-1	67	-1	0	130	0,14	44	18	-1	4	0,6	23	193	0,4				8
592	5929002	Roche																										
592	5929003	Roche																										
592	5929004	Bloc	-1	3	4	0,02	122	1	1	1	-1	72	-1	1	328	0,05	230	9	-1	12	1,3	12	459	0,3			12	
592	5929005	Bloc	3	11	2	0,04	97	3	3	2	-1	158	-1	0	190	0,15	73	29	-1	7	0,4	48	71	0,5			12	
592	5929006	Roche	3	1	4	0,02	96	-1	3	1	-1	64	1	2	785	0,15	110	19	-1	6	1,4	24	1090	0,4			10	
592	5929007	Roche	2	1	15	0,02	203	-1	3	1	-1	79	-1	3	684	0,16	305	17	1	12	2,3	43	1870	1,0			9	
592	5929008	Roche	17	1	4	0,04	86	-1	12	-1	-1	75	1	0	340	0,70	45	62	-1	4	0,4	61	215	0,8			27	
592	5929009	Roche	1	2	3	0,03	80	-1	2	1	-1	169	-1	0	241	0,14	32	19	-1	5	0,9	29	643	0,5			7	
592	5929010	Roche	19	3	5	0,05	110	-1	12	1	-1	166	-1	0	362	0,80	127	60	-1	8	1,1	104	767	0,6			12	
592	5929011	Roche	5	2	4	0,03	94	-1	4	-1	-1	180	-1	0	224	0,21	41	25	-1	5	0,5	39	230	0,5			2	
592	5929012	Roche	3	3	3	0,03	56	-1	2	1	-1	159	-1	0	161	0,15	44	24	-1	5	0,4	19	151	0,4			2	
592	5929013	Roche	3	2	4	0,03	60	-1	3	1	-1	178	-1	0	69	0,16	13	31	-1	3	0,4	33	268	0,4			4	
592	5929014	Roche	1	3	2	0,02	53	1	1	1	-1	144	-1	0	124	0,08	41	18	-1	4	0,8	17	395	-0,1			4	
592	5929015	Roche	2	2	3	0,03	100	-1	2	1	-1	161	1	0	209	0,15	46	23	-1	6	0,7	26	341	0,4			4	
592	5929016	Roche	12	8	18	0,11	19	2	7	2	-1	190	1	0	16	0,58	6	67	-1	6	0,7	69	153	0,6		5,47	8	
592	5929017	Roche	-1	19	2	0,04	61	5	1	3	-1	231	-1	0	80	0,10	3	16	-1	3	0,2	23	31	0,2		3,70	5	
592	5929018	Roche	1	20	2	0,06	31	6	1	3	-1	282	-1	0	109	0,16	18	22	-1	5	0,5	28	148	0,4			4	
592	5929019	Roche	6	2	2	0,02	122	-1	3	1	-1	70	-1	0	845	0,24	190	26	-1	9	0,8	43	21	0,3			3	
592	5929020	Roche	6	18	7	0,04	57	5	2	3	-1	150	-1	0	65	0,25	31	27	-1	5	0,4	56	54	0,6			10	
592	5929021	Roche	2	17	3	0,05	68	5	2	3	-1	275	-1	0	312	0,22	54	28	-1	7	0,8	34	522	0,5			5	
592	5929022	Roche	16	16	18	0,06	45	4	8	3	-1	159	1	0	69	0,60	26	66	-1	6	0,7	81	341	0,6			2	
592	5929023	Roche	3	71	7	0,06	46	22	3	8	-1	218	-1	0	89	0,33	12	42	-1	9	0,8	45	473	0,4			2	
592	5929024	Roche	-1	18	1	0,04	41																					







		ICP6.3 Total Digestion, Multi-Acids																									
PROJECT NUMBER	SAMPLE	SAMPLE TYPE	Ag	Al <sub>2</sub> O <sub>3</sub>	Ba	Be	CaO	Cd	Ce	Co	Cr	Cu	Dy	Er	Eu	Fe <sub>2</sub> O <sub>3</sub>	Ga	Gd	Hf	Ho	K <sub>2</sub> O	La	Li	MgO	MnO	Mo	Na <sub>2</sub> O
			ppm	wt %	ppm	ppm	wt %	ppm	ppm	ppm	ppm	ppm	ppm	ppm	ppm	ppm	ppm	wt %	ppm	ppm	ppm	ppm	wt %	ppm	ppm	wt %	ppm
Nb Analyses	790		0.2	0.01	1	0.2	0.01	1	1	1	1	1	0.2	0.2	0.2	0.01	1	1	1	1	0.01	1	1	0.01	0.01	1	0.01
Compte	Historique		1682	1682	1682	1682	1682	1682	1682	1682	1682	1682	1682	1682	1682	1682	1682	1682	1682	1682	1682	1682.00	1682	1682	1682.00	1682	1682
Moyenne	Historique		0.5	12.64	716	1.2	1.84	1	102	6	159	70	4.7	2.7	0.9	3.40	16	5	12	1	3.81	52	23	1.10	0.04	106	2.82
Écart-type (σ)	Historique		2.8	4.18	651	1.0	1.74	1	440	9	63	2155	11.3	6.9	0.9	3.93	8	15	23	3	2.21	238	22	1.56	0.05	413	1.53
Maximum	Historique		74.8	31.80	5480	7.5	21.30	23	12400	116	1490	88400	159.0	102.0	20.6	49.10	69	349	356	35	12.40	6710	215	22.50	0.74	5550	8.88
Minimum	Historique		-0.2	0.09	6	-0.2	-0.01	0	-1	-1	31	-1	-0.2	-0.2	-0.2	0.12	-1	-1	-1	0	0.04	-1	-1	0.00	0.00	-1	0.01
Compte	Projet		786	786	786	786	786	786	786	786	786	786	786	786	786	786	786	786	786	786	786.00	786	786	786.00	786	786	
Moyenne	Projet		1.0	12.00	509	1.1	1.47	1	115	4	171	127	6.2	3.4	0.7	2.82	15	6	14	1	3.57	58	23	0.78	0.03	165	2.95
Écart-type (σ)	Projet		4.0	4.27	505	1.0	1.31	1	422	6	59	3153	13.6	8.1	0.7	3.57	9	15	29	3	2.32	227	24	1.00	0.04	522	1.88
Maximum	Projet		74.8	23.30	4230	6.2	21.30	23	5590	45	400	88400	159.0	102.0	9.0	39.80	69	152	356	35	12.40	3050	200	7.44	0.26	5550	8.88
Minimum	Projet		-0.2	0.20	10	-0.2	-0.01	0	-1	-1	38	-1	-0.2	-0.2	-0.2	0.12	-1	-1	-1	0	0.07	-1	-1	0.00	0.00	-1	0.01
592	5929030	Roche	13.3	6.75	71	0.5	1.14	1	5	7	209	7	4.9	1.2	-0.2	2.21	6	3	137	2	0.78	-1	17	0.60	0.03	45	1.80
592	5929031	Roche	1.6	15.20	211	1.9	2.70	1	6	6	169	-1	0.8	0.5	0.6	2.96	21	1	19	1	1.62	4	29	0.95	0.04	9	4.42
592	5929032	Roche	-0.2	16.80	123	2.0	3.73	1	13	6	124	-1	0.8	0.5	0.6	3.18	22	1	2	0	1.34	9	18	1.05	0.04	42	4.68
592	5929033	Roche	-0.2	21.30	106	2.8	5.84	1	50	2	107	3	1.2	0.2	1.2	1.30	18	2	4	0	0.73	28	10	0.53	0.02	6	5.32
592	5929034	Roche	0.9	11.10	1950	0.3	0.43	1	9	-1	138	-1	0.8	0.3	0.7	1.05	8	1	11	0	7.16	4	6	0.32	0.01	211	1.40
592	5929035	Roche	2.0	19.30	1290	1.2	1.58	1	1	2	87	-1	0.7	0.4	0.9	2.41	20	-1	16	0	8.08	1	17	0.70	0.04	50	3.39
592	5929036	Pjonjar	0.5	13.40	1060	0.8	1.21	1	9	3	156	3	1.0	0.5	0.9	1.04	14	1	-1	0	5.94	5	8	0.29	0.01	45	2.48
592	5929037	Roche	-0.2	10.80	126	0.9	0.92	1	32	-1	118	1	1.7	0.7	0.4	1.68	13	3	3	0	3.93	13	9	0.11	0.01	1	2.85
592	5929038	Roche	-0.2	10.60	33	1.6	1.90	1	53	-1	146	1	4.6	2.3	0.5	2.86	15	4	12	1	0.56	18	5	0.11	0.02	1	3.98
592	5929039	Roche	-0.2	11.50	110	1.3	1.77	1	4	-1	147	1	1.2	0.7	0.3	0.97	12	1	6	0	1.81	1	5	0.10	0.01	1	3.64
592	5929040	Roche	-0.2	8.88	376	0.5	0.72	1	28	1	90	1	2.7	1.3	0.3	1.13	8	3	8	0	3.95	11	4	0.07	0.01	-1	1.98
592	5929041	Roche	-0.2	15.10	15	2.3	2.72	1	24	-1	167	1	3.3	1.6	0.4	1.07	18	3	6	0	0.63	12	9	0.10	0.01	1	5.78
592	5929042	Roche	-0.2	13.70	112	1.7	1.81	1	14	-1	135	4	2.8	1.3	0.5	1.22	16	3	4	0	3.03	4	15	0.16	0.01	-1	4.21
592	5929043	Roche	-0.2	16.80	109	2.1	2.26	1	21	-1	150	3	4.0	2.1	0.6	0.99	17	3	19	1	2.79	5	16	0.24	0.01	1	5.35
592	5929044	Roche	-0.2	11.70	124	1.2	1.57	1	52	1	139	2	3.7	1.8	0.5	5.90	18	5	5	1	3.18	22	6	0.06	0.03	-1	3.35
592	5929045	Pjonjar	3.4	10.80	1070	0.2	0.52	2	1	14	99	4	1.0	0.2	0.7	0.66	8	1	17	0	6.25	-1	7	0.17	0.01	52	1.97
592	5929046	Pjonjar	20.3	9.41	296	1.2	1.25	7	5	8	79	30	0.8	0.2	0.5	1.11	10	1	13	0	2.14	2	7	0.19	0.01	76	2.83
592	5929047	Pjonjar	0.9	10.40	167	1.1	1.66	1	4	7	89	6	1.0	0.4	0.6	1.34	12	1	17	0	1.39	2	15	0.39	0.02	59	3.19
592	5929048	Pjonjar	0.8	7.16	61	0.8	1.22	1	3	13	156	6	1.0	-0.2	0.4	1.38	8	1	9	0	0.85	1	12	0.40	0.02	230	2.16
592	5929049	Pjonjar	-0.2	9.28	1130	-0.2	0.08	1	5	11	265	12	1.8	0.8	1.0	3.43	13	2	23	1	6.27	2	29	0.93	0.02	79	1.00
592	5929050	Roche	-0.2	12.10	1260	-0.2	0.08	1	5	1	168	3	0.5	0.2	0.8	1.23	9	1	-1	0	8.70	2	9	0.36	0.01	120	1.58
592	5929051	Roche	-0.2	8.68	1080	-0.2	0.05	1	22	2	139	5	4.1	1.4	0.8	1.33	2	3	5	0	5.95	7	10	0.31	0.01	280	0.93
592	5929052	Roche	0.2	6.48	595	-0.2	0.10	1	1	1	187	2	0.4	-0.2	0.4	0.87	5	-1	3	0	3.81	-1	5	0.20	0.01	51	1.03
592	5929053	Roche	-0.2	11.40	774	0.6	0.59	1	9	-1	149	3	1.2	-0.2	0.7	0.84	7	1	3	0	4.20	7	12	0.23	0.01	117	2.82
592	5929054	Roche	0.4	13.20	1490	0.4	0.32	1	11	2	115	2	0.6	0.3	1.0	1.56	11	1	6	0	7.48	6	17	0.53	0.01	31	2.03
592	5929055	Roche	0.4	6.86	425	0.3	0.44	0	6	4	193	6	1.2	0.7	0.4	3.48	12	1	12	0	2.77	4	28	0.98	0.03	28	0.95
592	5929056	Roche	-0.2	10.10	349	0.8	1.59	1	8	-1	189	2	0.8	0.2	0.7	0.32	9	1	5	0	1.80	5	4	0.05	0.00	8	2.80
592	5929057	Roche	0.4	10.40	1400	-0.2	0.06	1	9	1	172	7	1.0	0.5	0.8	1.36	8	1	9	0	7.00	4	9	0.31	0.01	31	1.19
592	5929058	Roche	0.4	12.80	907	0.5	0.78	1	10	4	148	3	0.8	0.7	1.0	2.62	15	1	16	0	5.72	6	25	0.80	0.02	27	2.45
592	5929059	Roche	-0.2	9.47	243	1.2	1.21	1	10	2	184	2	0.4	0.2	0.5	1.36	11	1	1	0	1.74	5	15	0.37	0.01	80	2.87
592	5929060	Roche	-0.2	13.70	586	1.2	1.55	1	7	1	189	2	0.9	-0.2	0.7	1.09	13	1	1	0	3.93	4	11	0.24	0.01	150	3.85
592	5929061	Roche	-0.2	13.20	1120	0.6	0.54	1	7	1	134	2	0.8	-0.2	0.7	1.02	10	1	1	0	6.46	4	8	0.28	0.01	40	2.67
592	5929062	Roche	-0.2	11.00	805	0.5	0.43	1	8	-1	189	3	0.9	0.4	0.6	1.21	10	1	1	0	5.31	3	9	0.26	0.01	64	2.44
592	5929063	Roche	-0.2	12.80	62	1.5	2.32	1	6	1	200	3	0.8	0.4	0.7	0.53	13	1	6	0	0.66	3	4	0.10	0.01	36	4.46
592	5929064	Roche	0.2	12.80	955	0.7	0.65	1	6	2	106	5	0.5	0.4	0.8	1.85	13	1	6	0	5.69	3	14	0.50	0.02	44	2.56
592	5929065	Roche	0.3	11.30	653	0.8	0.86	1	5	-1	131	3	0.4	-0.2													



PROJECT NUMBER	SAMPLE	SAMPLE TYPE	ICP6.3 Total Digestion, Multi-Acids																		Aqua Regia				Partiel			
			Nb	Nd	Ni	P <sub>2</sub> O <sub>5</sub>	Pb	Pr	Sc	Sm	Sn	Sr	Ta	Tb	Th	TiO <sub>2</sub>	U, ICP	V	W	Y	Yb	Zn	Zr	LOI		U <sub>3</sub> O <sub>8</sub>	U, Fl.	B
			ppm	ppm	ppm	wt %	ppm	ppm	ppm	ppm	ppm	ppm	ppm	ppm	ppm	wt %	ppm	ppm	ppm	ppm	ppm	ppm	ppm	ppm		wt %	wt %	ppm
Nb Analyses	790		1	1	1	0,01	1	1	1	1	1	1	1	1	1	2	1	1	1	0,1	1	1	0,1	0,001	0,02			
Compte	Historique		1682	1682	1682	1682,00	1682	1682	1682	1682	1682	1682	1682	1682,00	1682	1682	1682	1682	1682	1682	1682	1682	175	339	8	466		
Moyenne	Historique		8	38	17	0,15	170	9	6	6	-1	220	0	1	263	0,36	353	56	2	26	2,9	65	376	0,6	0	12	34	
Écart-type (σ)	Historique		26	143	45	0,40	384	41	6	21	2	265	5	3	503	0,39	1201	74	17	57	6,3	82	776	0,3	0	11	131	
Maximum	Historique		884	4200	1010	6,26	4900	1110	70	606	24	1880	100	47	8540	4,82	19100	1250	328	908	98,2	1620	12500	2,4	2	32	905	
Minimum	Historique		-1	-1	-1	0,00	1	-1	-1	-1	-1	-1	-1	0	-1	0,00	-2	-1	-1	-1	-0,1	1	1	-0,1	0	2	2	
Compte	Projet		786	786	786	786,00	786	786	786	786	786	786	786	786,00	786	786	786	786	786	786	786	786	168	65	6	168		
Moyenne	Projet		8	39	9	0,12	223	10	4	7	-1	148	1	1	390	0,30	487	43	5	31	3,5	56	484	0,6	0	10	11	
Écart-type (σ)	Projet		34	128	22	0,41	437	39	6	18	1	82	5	2	565	0,38	1422	68	24	64	6,9	77	1051	0,3	0	9	21	
Maximum	Projet		884	1560	427	6,26	4900	542	53	179	9	525	100	22	4970	3,18	19100	1250	328	790	75,1	1180	12500	2,4	2	23	221	
Minimum	Projet		-1	-1	-1	0,00	7	-1	-1	-1	-1	-1	-1	0	-1	0,00	-2	-1	-1	-1	-0,1	1	2	-0,1	0	2	2	
592	5929030	Roche	6	2	6	0,02	150	1	5	2	-1	94	1	6	2210	0,28	787	30	-1	28	5,8	55	5080					
592	5929031	Roche	9	2	9	0,03	34	1	4	1	-1	248	-1	0	200	0,45	58	40	3	5	0,9	70	672					
592	5929032	Roche	11	5	6	0,03	48	1	5	1	-1	250	-1	0	102	0,46	31	54	-1	4	0,5	78	73					
592	5929033	Roche	-1	18	5	0,05	26	5	2	4	-1	364	-1	0	36	0,17	13	40	3	6	0,4	36	127					
592	5929034	Roche	3	2	4	0,02	104	-1	1	1	-1	204	-1	1	390	0,17	42	20	-1	3	0,4	19	402					
592	5929035	Roche	8	1	10	0,03	75	-1	4	1	-1	275	-1	0	225	0,37	61	45	-1	4	0,8	53	518					
592	5929036	Pjonjar	-1	3	8	0,04	107	1	2	1	-1	206	-1	0	93	0,11	130	19	24	5	0,4	21	16					
592	5929037	Roche	-1	12	4	0,03	42	3	1	3	-1	73	-1	0	70	0,06	85	19	1	7	0,6	19	70					
592	5929038	Roche	-1	17	4	0,04	118	4	-1	5	-1	110	-1	1	230	0,08	130	26	9	17	2,4	27	363					
592	5929039	Roche	-1	1	4	0,02	45	-1	-1	1	-1	116	-1	0	66	0,04	19	13	10	5	0,6	14	158					
592	5929040	Roche	-1	10	2	0,02	80	3	-1	3	-1	112	-1	0	126	0,03	197	20	2	11	1,3	12	224					
592	5929041	Roche	-1	11	4	0,03	77	3	-1	3	-1	105	-1	0	218	0,04	94	16	11	16	1,7	17	191					
592	5929042	Roche	-1	6	4	0,04	59	1	-1	2	-1	105	-1	0	207	0,05	89	18	8	14	1,4	20	105					
592	5929043	Roche	-1	8	4	0,03	43	2	-1	3	-1	127	-1	0	188	0,03	124	15	10	21	2,6	18	530					
592	5929044	Roche	-1	20	2	0,09	100	5	1	5	-1	100	-1	0	261	0,13	196	34	-1	17	1,8	31	113					
592	5929045	Pjonjar	-1	-1	8	0,02	128	-1	1	-1	-1	170	-1	0	328	0,07	170	15	133	6	0,9	19	554					
592	5929046	Pjonjar	1	2	13	0,03	97	-1	1	1	-1	134	-1	0	139	0,08	82	13	43	5	0,7	22	410					
592	5929047	Pjonjar	4	1	6	0,03	107	-1	3	1	-1	152	-1	0	323	0,19	170	22	43	6	0,9	40	580					
592	5929048	Pjonjar	3	1	9	0,02	100	-1	2	1	-1	101	-1	0	366	0,17	237	23	142	5	0,5	36	291					
592	5929049	Pjonjar	15	2	14	0,04	142	-1	9	-1	1	110	1	1	531	0,42	201	54	55	11	1,3	82	736					
592	5929050	Roche	2	2	3	0,03	50	-1	2	1	-1	159	-1	0	102	0,16	25	27	-1	3	0,2	26	6	0,2			3	
592	5929051	Roche	3	9	4	0,02	212	2	3	2	-1	106	-1	0	634	0,14	570	24	-1	18	1,4	29	266	0,3			15	
592	5929052	Roche	1	-1	2	0,01	38	-1	1	-1	-1	86	-1	0	134	0,08	37	13	-1	2	0,2	20	99	0,4			2	
592	5929053	Roche	-1	2	2	0,03	80	1	1	1	-1	132	-1	0	471	0,08	160	15	-1	6	0,4	21	97	0,6			20	
592	5929054	Roche	3	4	2	0,03	62	1	3	1	-1	160	-1	0	108	0,19	26	25	-1	4	0,4	34	206	0,5			7	
592	5929055	Roche	17	3	6	0,03	75	-1	10	1	-1	69	1	0	434	0,51	148	57	-1	9	1,0	66	389	0,6			4	
592	5929056	Roche	-1	2	3	0,02	64	1	-1	1	-1	141	-1	0	178	0,01	67	9	-1	4	0,5	9	158	0,2			7	
592	5929057	Roche	3	4	5	0,02	61	1	2	1	-1	131	-1	0	208	0,15	29	19	-1	6	0,6	27	341	0,4			5	
592	5929058	Roche	9	4	6	0,03	53	1	6	1	-1	153	-1	0	131	0,37	32	34	-1	7	0,9	52	528	0,7			13	
592	5929059	Roche	2	4	8	0,03	27	1	2	1	-1	134	-1	0	106	0,14	24	22	-1	2	0,2	25	22	0,4		21,20	15	
592	5929060	Roche	-1	3	5	0,05	71	1	1	1	-1	198	-1	0	305	0,10	54	19	-1	5	0,4	24	31	0,5			6	
592	5929061	Roche	1	3	5	0,05	45	1	1	1	-1	166	-1	0	127	0,11	19	22	-1	5	0,3	22	23	0,5			2	
592	5929062	Roche	1	4	3	0,06	29	1	1	1	-1	144	-1	0	167	0,11	34	28	2	5	0,4	15	56	0,4			6	
592	5929063	Roche	-1	2	3	0,02	82	1	-1	1	-1	173	-1	0	184	0,04	120	14	-1	4	0,5	13	201	0,3			4	
592	5929064	Roche	4	2	2	0,03	44	-1	3	1	-1	166	-1	0	104	0,23	33	40	-1	4	0,4	42	250	0,7			6	
592	5929065	Roche	-1	1	2	0,02	56	-1	1	1	-1	154	-1	0	107	0,09	19	19	-1	2	0,3	22	168	0,8			10	
592	5929066	Roche	3	5	2	0,08	52	1	2	1	-1	160	-1	0	222	0,15	24	29	-1	10	0,7	37	79	0,8			3	
592	5929067	Roche	1	-1	3	0,02	45	-1	1	-1	-1	100	-1	0	130	0,08	25	18	-1	2	0,4	14	300	0,9			3	
592	5929068	Roche	-1	1	3	0,02	40	-1	-1	-1	-1	105	-1	0	67	0,05	18	12	2	2	0,4	14	255	0,9			4	
592	5929069	Roche	1	1	3	0,02	59	-1	2	-1	-1	147	-1	0	109	0,10	13	23	-1	2	0,2	19	126	0,6			4	
592	5929070	Roche	2	2	5	0,02	70	-1	2	1	-1	130	-1	0	294	0,12	42	26	-1	5	0,5	21	303	0,9			10	
592	5929071	Roche	17	8	3	0,26	183	1	10	2	-1	158	1	0	925	0,48	89	93	-1	20	1,8	91	90	1,1			21	
592	5929072	Roche	2	3	12	0,02	67	1	1	1	-1	89	-1	0	393	0,13	107	23	-1	7	0,6	22	199	0,7			16	
592	5929073	Roche	5	1	4	0,03	38	-1	3	1	-1	151	-1	0	81	0,21	24	28	-1	3	0,5	37	200	0,8			10	
592	5929074	Roche	-1	1	4	0,00	7	-1	-1	-1	-1	2	-1	1	255	0,01	50	1	-1	3	0,4	1	322	0,5			6	
592	5929075	Roche	-1	3	3	0,02	44	1	-1	1	-1	144	-1	0	128	0,05	29	13	-1	5	0,5	25	254	1,1			25	
592	5929076	Roche	2	2	2	0,05	61	-1	2																			







		ICP6.3 Total Digestion, Multi-Acids																									
PROJECT NUMBER	SAMPLE	SAMPLE TYPE	Ag	Al <sub>2</sub> O <sub>3</sub>	Ba	Be	CaO	Cd	Ce	Co	Cr	Cu	Dy	Er	Eu	Fe <sub>2</sub> O <sub>3</sub>	Ga	Gd	Hf	Ho	K <sub>2</sub> O	La	Li	MgO	MnO	Mo	Na <sub>2</sub> O
			ppm	wt %	ppm	ppm	wt %	ppm	ppm	ppm	ppm	ppm	ppm	ppm	ppm	ppm	ppm	wt %	ppm	ppm	ppm	ppm	wt %	ppm	ppm	wt %	ppm
Nb Analyses	790		0.2	0.01	f	0.2	0.01	f	1	1	1	1	0.2	0.2	0.2	0.01	1	1	1	1	0.01	1	1	0.01	0.01	1	0.01
Compte	Historique		1682	1682	1682	1682	1682	1682	1682	1682	1682	1682	1682	1682	1682	1682	1682	1682	1682	1682	1682	1682	1682	1682	1682	1682	1682
Moyenne	Historique		0.5	12.64	716	1.2	1.84	1	102	6	159	70	4.7	2.7	0.9	3.40	16	5	12	1	3.81	52	23	1.10	0.04	106	2.82
Écart-type (σ)	Historique		2.8	4.18	851	1.0	1.74	1	440	9	63	2155	11.3	6.9	0.9	3.93	8	15	23	3	2.21	238	22	1.56	0.05	413	1.53
Maximum	Historique		74.8	31.80	5480	7.5	21.30	23	12400	116	1490	88400	159.0	102.0	20.6	49.10	69	349	356	35	12.40	6710	215	22.50	0.74	5550	8.86
Minimum	Historique		-0.2	0.09	6	-0.2	-0.01	0	-1	-1	31	-1	-0.2	-0.2	-0.2	0.12	-1	-1	-1	0	0.04	-1	-1	0.00	0.00	-1	0.01
Compte	Projet		786	786	786	786	786	786	786	786	786	786	786	786	786	786	786	786	786	786	786	786	786	786	786	786	786
Moyenne	Projet		1.0	12.00	509	1.1	1.47	1	115	4	171	127	6.2	3.4	0.7	2.82	15	6	14	1	3.57	58	23	0.78	0.03	165	2.95
Écart-type (σ)	Projet		4.0	4.27	505	1.0	1.31	1	422	6	59	3153	13.6	8.1	0.7	3.57	9	15	29	3	2.32	227	24	1.00	0.04	522	1.68
Maximum	Projet		74.8	23.30	4230	6.2	21.30	23	5590	45	400	88400	159.0	102.0	9.0	39.80	69	152	356	35	12.40	3050	200	7.44	0.26	5550	8.86
Minimum	Projet		-0.2	0.20	10	-0.2	-0.01	0	-1	-1	38	-1	-0.2	-0.2	-0.2	0.12	-1	-1	-1	0	0.07	-1	-1	0.00	0.00	-1	0.01
592	5929083	Roche	0.4	11.50	636	0.7	1.00	1	36	3	142	5	1.2	0.7	0.7	2.12	13	2	14	0	4.36	17	18	0.60	0.02	48	2.72
592	5929084	Roche	0.4	12.00	601	1.2	1.24	1	103	6	189	3	2.6	1.4	0.6	4.09	15	4	8	1	3.68	56	31	1.22	0.04	3	2.48
592	5929085	Roche	-0.2	12.90	968	0.7	1.00	1	4	-1	154	2	0.4	-0.2	0.6	0.58	11	-1	3	0	5.72	2	4	0.12	0.01	5	2.66
592	5929086	Roche	0.2	9.85	613	0.5	0.89	1	4	1	248	3	1.1	0.5	0.7	0.81	8	1	8	0	3.70	1	4	0.14	0.01	37	2.11
592	5929087	Roche	0.4	11.20	1360	-0.2	0.68	1	-1	1	183	3	0.6	0.4	0.8	1.65	10	-1	16	0	7.45	-1	13	0.45	0.01	45	1.04
592	5929088	Roche	-0.2	5.09	100	0.7	0.60	0	1	1	170	3	0.3	0.2	0.2	0.64	6	-1	2	0	1.14	-1	4	0.20	0.01	32	1.52
592	5929089	Roche	0.5	5.59	150	0.8	0.71	0	4	39	293	280	2.7	1.2	-0.2	7.21	9	2	2	0	1.91	4	28	2.21	0.06	580	0.98
592	5929090	Roche	0.8	2.71	154	-0.2	0.17	0	4	10	226	26	0.9	0.7	-0.2	4.66	3	1	38	0	1.58	-1	17	1.80	0.05	795	0.04
592	5929091	Roche	-0.2	14.20	142	2.1	1.39	1	3	-1	110	1	0.7	0.4	0.5	0.65	18	1	2	0	4.32	1	6	0.16	0.01	9	4.54
592	5929092	Roche	-0.2	14.50	127	3.1	0.81	1	5	-1	137	1	1.3	0.7	0.4	0.47	16	1	4	0	6.47	2	10	0.13	0.01	33	3.30
592	5929093	Roche	-0.2	13.50	146	1.7	0.94	1	14	1	106	2	1.0	0.5	0.4	0.72	14	1	2	0	5.41	6	7	0.14	0.01	19	3.26
592	5929094	Roche	-0.2	12.90	141	1.5	0.98	1	12	1	117	4	4.0	2.0	0.7	1.45	14	4	3	1	5.00	4	18	0.44	0.02	190	3.16
592	5929095	Bbuster	0.4	8.97	570	0.5	0.84	1	9	1	222	-1	4.1	2.1	0.7	1.20	8	3	2	1	3.48	4	11	0.33	0.01	95	1.71
592	5929096	Pjonjar	1.7	12.70	790	0.8	1.45	1	11	9	226	-1	3.3	1.8	0.9	2.28	15	2	20	1	4.16	5	17	0.61	0.02	67	2.72
592	5929097	Bbuster	0.7	12.60	1170	0.6	0.92	1	6	2	157	-1	2.2	1.2	0.9	1.90	14	1	11	1	5.75	3	18	0.52	0.01	42	2.25
592	5929098	Pjonjar	1.1	12.90	399	1.0	2.12	1	65	7	163	-1	3.0	1.6	0.8	2.68	18	4	7	1	2.66	32	18	0.84	0.02	62	3.07
592	5929099	Pjonjar	2.5	3.31	224	-0.2	0.66	0	6	10	248	-1	4.1	2.3	0.2	2.76	6	3	44	2	1.88	-1	24	0.94	0.02	192	0.18
592	5929100	Roche	-0.2	4.92	302	-0.2	0.14	0	4	4	253	8	1.9	1.0	0.3	4.23	7	2	6	0	2.25	1	31	1.23	0.03	628	0.36
592	5929101	Bloc	1.0	1.90	50	-0.2	-0.01	0	7	-1	243	-1	5.1	-0.2	-0.2	2.21	-1	5	17	0	1.05	2	32	1.70	0.04	1600	0.03
592	5929102	Roche	0.2	13.50	1580	0.4	0.51	1	20	-1	142	3	1.6	0.6	0.6	0.48	5	1	-1	0	8.71	10	5	0.14	0.01	67	2.00
592	5929103	Roche	0.3	17.80	181	2.2	3.04	1	592	4	126	134	12.0	4.8	1.6	4.26	28	23	2	3	1.40	322	24	1.37	0.02	1	5.47
592	5929104	Roche	-0.2	15.60	635	1.2	1.65	1	1670	4	175	21	7.9	4.8	1.6	3.06	25	27	17	3	8.02	845	22	0.48	0.05	69	3.70
592	5929105	Bloc	-0.2	13.60	723	0.5	6.54	1	188	14	67	-1	94.1	58.6	3.0	12.30	23	78	-1	20	5.22	41	100	4.18	0.26	766	1.23
592	5929106	Roche	0.4	13.40	1970	1.0	0.42	1	6	-1	122	12	0.8	0.2	0.3	1.33	10	1	3	0	8.57	3	15	0.31	0.00	1	1.83
592	5929107	Roche	-0.2	16.10	312	1.8	1.70	1	10	1	75	-1	4.2	2.4	0.4	1.51	19	3	3	1	6.06	3	23	0.44	0.03	83	4.00
592	5929108	Roche	5.1	10.20	207	-0.2	2.98	16	63	24	276	820	8.1	7.1	1.4	13.80	20	8	7	3	1.41	32	38	2.42	0.03	621	1.20
592	5929109	Bloc	2.6	10.20	40	1.0	1.56	0	29	4	48	-1	12.7	7.6	0.6	34.40	66	9	48	4	0.97	14	19	0.23	0.23	8	3.32
592	5929110	Roche	1.0	8.62	416	0.3	0.86	1	3	5	190	4	3.7	1.4	0.6	3.66	12	3	21	1	3.04	2	26	1.15	0.02	80	1.65
592	5929111	Roche	-0.2	12.80	632	0.6	1.83	1	26	2	170	3	2.4	1.0	0.9	0.83	11	2	9	0	3.60	14	12	0.27	0.01	46	3.13
592	5929112	Bbuster	-0.2	10.50	1220	-0.2	0.12	1	9	-1	146	3	1.6	0.6	0.8	1.02	8	1	4	0	7.36	5	9	0.32	0.01	57	1.35
592	5929113	Pjonjar	2.7	9.40	1170	-0.2	0.13	1	4	19	293	4	0.8	0.3	0.8	0.89	7	1	2	0	6.24	2	5	0.20	0.01	37	1.14
592	5929114	Pjonjar	2.8	9.24	903	0.2	0.46	1	4	33	263	5	0.9	0.5	0.7	1.20	8	1	9	0	4.26	2	11	0.31	0.01	18	1.55
592	5929115	Bbuster	0.2	11.80	970	0.3	0.79	1	5	2	124	4	1.3	0.8	0.9	1.77	12	1	17	0	5.42	3	18	0.56	0.01	14	2.25
592	5929116	Pjonjar	1.6	11.60	883	0.4	0.80	1	6	20	225	6	0.9	0.4	0.8	1.34	11	1	2	0	5.02	4	12	0.38	0.01	37	2.11
592	5929117	Bbuster	-0.2	10.00	929	0.2	0.41	1	3	-1	111	2	0.3	-0.2	0.7	0.64	8	-1	-1	0	5.85	2	6	0.19	0.00	16	1.44
592	5929118	Pjonjar	1.0	13.60	779	0.6	1.80	1	13	1																	



PROJECT NUMBER	SAMPLE	SAMPLE TYPE	ICP6.3 Total Digestion, Multi-Acids																						Aqua Regia Partiel			
			Nb	Nd	Ni	P <sub>2</sub> O <sub>5</sub>	Pb	Pr	Sc	Sm	Sr	Ta	Tb	Th	TiO <sub>2</sub>	U, ICP	V	W	Y	Yb	Zn	Zr	LOI	U <sub>3</sub> O <sub>8</sub>	U, Fl.	B		
			ppm	ppm	ppm	wt %	ppm	ppm	ppm	ppm	ppm	ppm	ppm	ppm	ppm	wt %	ppm	ppm	ppm	ppm	ppm	ppm	ppm	wt %	wt %	ppm	ppm	
Nb Analyses	790		1	1	1	0,01	1	1	1	1	1	1	1	1	1	1	1	1	1	1	1	0,1	0,01	0,02				
Compte	Historique		1682	1682	1682	1682,00	1682	1682	1682	1682	1682	1682	1682	1682	1682	1682	1682	1682	1682	1682	1682	1682	1682	1682	1682			
Moyenne	Historique		8	36	17	0,15	170	9	6	6	-1	220	0	1	263	0,36	353	56	2	26	2,9	65	376	0,6	0			
Écart-type (σ)	Historique		26	143	45	0,40	384	41	6	21	2	265	5	3	503	0,39	1201	74	17	57	6,3	82	776	0,3	0			
Maximum	Historique		884	4200	1010	6,26	4900	1110	70	606	24	1880	100	47	8540	4,82	19100	1250	328	908	98,2	1620	12500	2,4	2			
Minimum	Historique		-1	-1	-1	0,00	1	-1	-1	-1	-1	-1	-1	-1	0	-1	0,00	-2	-1	-1	-1	-1	1	1	-0,1			
Compte	Projet		786	786	786	786,00	786	786	786	786	786	786	786	786	786	786	786	786	786	786	786	786	786	786	168			
Moyenne	Projet		8	39	9	0,12	223	10	4	7	-1	146	1	1	390	0,30	487	43	5	31	3,5	56	484	0,6	0			
Écart-type (σ)	Projet		34	128	22	0,41	437	39	6	18	1	82	5	2	565	0,38	1422	68	24	64	6,9	77	1051	0,3	0			
Maximum	Projet		884	1560	427	6,26	4900	542	53	179	9	525	100	22	4970	3,18	19100	1250	328	790	75,1	1180	12500	2,4	2			
Minimum	Projet		-1	-1	-1	0,00	7	-1	-1	-1	-1	2	-1	0	1	0,00	-2	-1	-1	1	-0,1	1	2	-0,1	0			
592	5929083	Roche	6	13	3	0,04	93	3	5	2	-1	156	-1	0	154	0,27	90	34	-1	7	0,9	72	479	0,5	9			
592	5929084	Roche	10	39	14	0,15	36	10	9	6	-1	143	1	0	33	0,48	6	63	-1	12	1,0	93	321	0,6	13			
592	5929085	Roche	-1	1	3	0,02	57	-1	1	1	-1	180	-1	0	59	0,06	15	15	-1	2	0,3	13	105	0,3	2			
592	5929086	Roche	-1	2	4	0,02	113	-1	1	1	-1	135	-1	0	162	0,07	135	13	-1	5	0,7	15	279	0,3	2			
592	5929087	Roche	4	-1	5	0,03	90	-1	4	-1	-1	150	-1	0	145	0,19	41	34	-1	4	0,9	28	518	0,5	4			
592	5929088	Roche	2	-1	2	0,01	17	-1	1	-1	-1	57	-1	0	37	0,07	14	10	-1	1	0,2	14	44	0,2	2			
592	5929089	Roche	35	5	110	0,05	220	-1	13	1	-1	32	4	0	866	0,79	450	82	-1	19	2,2	81	24	1,7	27			
592	5929090	Roche	17	4	28	0,04	100	1	8	-1	-1	3	1	2	700	0,77	162	66	-1	7	1,4	79	1540	0,6	30			
592	5929091	Roche	2	2	2	0,06	50	-1	1	1	-1	95	-1	0	15	0,07	6	13	-1	3	0,5	18	36	0,4	2			
592	5929092	Roche	1	2	2	0,03	94	-1	3	1	-1	81	1	0	85	0,04	91	16	-1	8	1,0	14	82	0,3	7			
592	5929093	Roche	5	6	1	0,03	56	1	1	2	-1	105	-1	0	58	0,09	47	13	-1	4	0,4	15	55	0,5	2			
592	5929094	Roche	11	8	2	0,05	122	2	2	3	-1	105	1	0	154	0,23	260	19	-1	19	1,8	37	77	0,4	9			
592	5929095	Bbuster	3	3	4	0,03	350	1	3	3	-1	126	-1	0	487	0,17	746	14	-1	18	1,8	33	82					
592	5929096	Pjonjar	5	4	12	0,03	291	1	6	2	-1	180	-1	0	348	0,29	690	31	44	17	2,4	52	624					
592	5929097	Bbuster	4	2	5	0,03	211	1	5	2	=	163	-1	0	234	0,29	499	28	-1	11	1,5	49	373					
592	5929098	Pjonjar	9	24	8	0,05	163	6	7	5	-1	180	-1	0	259	0,36	374	32	19	14	1,2	72	215					
592	5929099	Pjonjar	9	2	11	0,01	331	-1	9	2	2	28	-1	0	606	0,36	777	49	54	24	3,8	89	1350					
592	5929100	Roche	26	4	11	0,03	142	-1	12	1	-1	29	1	0	549	0,68	220	120	-1	10	1,0	75	188	0,8	31			
592	5929101	Bloc	10	5	2	0,02	880	2	10	2	-1	10	-1	3	4970	0,31	730	194	-1	16	1,7	44	625	1,0	73			
592	5929102	Roche	-1	6	2	0,04	85	2	-1	1	-1	216	-1	0	18	0,04	960	15	-1	8	0,7	11	13	0,5	2			
592	5929103	Roche	5	201	4	0,16	740	59	6	30	-1	267	1	2	395	0,32	67	65	-1	49	1,9	54	50	1,8	14			
592	5929104	Roche	-1	481	5	0,21	161	148	6	56	-1	223	-1	3	1280	0,29	101	36	-1	27	2,0	50	581	1,0	8			
592	5929105	Bloc	55	145	4	4,69	1800	27	27	66	-1	109	8	0	746	1,61	6180	135	-1	547	52,3	213	24		0,759			
592	5929106	Roche	1	3	3	0,02	36	-1	-1	1	-1	292	-1	0	51	0,02	16	15	-1	4	0,4	10	117					
592	5929107	Roche	2	5	4	0,26	191	1	3	3	-1	141	-1	0	94	0,21	266	17	-1	23	2,2	35	110					
592	5929108	Roche	72	35	311	0,34	80	8	10	8	-1	151	-1	0	18	0,91	483	1250	10	82	6,7	799	247					
592	5929109	Bloc	-1	17	-1	0,01	305	3	7	10	4	98	-1	0	779	0,88	880	176	2	73	10,3	290	1370					
592	5929110	Roche	17	4	7	0,04	310	-1	10	2	-1	106	-1	1	417	0,59	832	57	-1	20	2,2	96	652					
592	5929111	Roche	1	9	3	0,04	201	2	2	2	-1	204	-1	0	379	0,11	204	19	-1	13	1,2	28	297					
592	5929112	Bbuster	2	2	4	0,03	146	-1	2	1	1	162	-1	0	225	0,13	220	19	-1	8	0,8	28	118					
592	5929113	Pjonjar	-1	1	14	0,03	102	-1	1	1	-1	146	-1	0	93	0,07	89	14	159	5	0,5	17	80					
592	5929114	Pjonjar	2	1	21	0,03	112	-1	2	1	-1	144	-1	0	95	0,11	87	22	328	5	0,6	37	281					
592	5929115	Bbuster	5	2	6	0,04	140	-1	5	1	-1	175	-1	0	136	0,25	163	38	-1	8	1,2	49	506					
592	5929116	Pjonjar	3	2	11	0,05	107	-1	3	1	-1	173	-1	0	77	0,15	105	20	208	4	0,4	35	51					
592	5929117	Bbuster	-1	1	2	0,02	64	-1	1	-1	-1	155	-1	0	13	0,07	18	12	2	1	0,1	19	9					
592	5929118	Pjonjar	1	4	9	0,04	136	1	2	1	-1	207	-1	0	207	0,13	155	23	178	8	0,8	34	180					
592	5929119	Roche	1	6	2	0,15	252	1	1	3	-1	50	-1	0	314	0,06	498	8	-1	25	2,4	12	31					
592	5929120	Roche	7	9	2	0,22	370	2	4	4	-1	53	1	1	314	0,21	879	20	1	33	3,1	43	164					
592	5929121	Pjonjar	6	1	8	0,03	95	-1	4	-1	-1	165	-1	0	197	0,17	41	28	159	6	0,8	58	492					
592	5929122	Pjonjar	6	2	36	0,03	113	-1	3	1	-1	167	-1	0	295	0,21	76	28	60	7	0,8	56	298					
592	5929123	Pjonjar	1	-1	15	0,02	74	-1	1	-1	-1	88	1	0	157	0,07	41	19	51	3	0,5	14	341					
592	5929124	Bbuster	6	1	4	0,03	109	-1	3	-1	-1	159	-1	0	247	0,20	48	25	2	6	0,6	34	237					
592	5929125	Bbuster	7	-1	12	0,02	132	-1	4	-1	-1	53	1	1	293	0,23	95	47	2	5	1,1	36	958					
592	5929126	Roche	15	10	30	0,05	48	2	7	2	-1	197	1	0	84	0,33	48	45	1	9	1,7	66	312					
592	5929127	Roche	7	5	8	0,03	48	-1	3	1	-1	194	-1	0	45	0,16	19	22	1	7	1,3	43	118					
592	5929128	Roche	1	19	7	0,04	128	5	1	4	-1	176	-1	1	211	0,04	174	12	2	23	3,5	19	337					
592	5929129	Roche	9	6	7	0,03	72	1	2	2	-1	181	-1	0	150	0,15	92	23	2	17	2,9	49	295					
592	5929130	Roche	3	5	5	0,03	42	1	1	1	-1	242	-1	0	36	0,13	87	24	-1	9	1,3	16	81					
592	5929131	Roche	2	4	4	0,02	58	1	1	1	-1	165	-1	0	74	0,07	69	15	2	10	1,4	16	141					
592	5929132</																											







		ICP6.3 Total Digestion, Multi-Acids																										
PROJECT NUMBER	SAMPLE	SAMPLE TYPE	Ag	Al <sub>2</sub> O <sub>3</sub>	Ba	Be	CaO	Cd	Ce	Co	Cr	Cu	Dy	Er	Eu	Fe <sub>2</sub> O <sub>3</sub>	Ga	Gd	Hf	Ho	K <sub>2</sub> O	La	Li	MgO	MnO	Mo	Na <sub>2</sub> O	
			ppm	wt %	ppm	ppm	wt %	ppm	ppm	ppm	ppm	ppm	ppm	ppm	ppm	ppm	ppm	wt %	ppm	ppm	ppm	ppm	wt %	ppm	ppm	wt %	wt %	ppm
Nb Analyses	790		0.2	0.01	1	0.2	0.01	1	1	1	1	1	0.2	0.2	0.01	0.01	1	1	1	1	0.01	1	1	0.01	0.01	0.01	1	0.01
Compte	Historique		1682	1682	1682	1682	1682	1682	1682	1682	1682	1682	1682	1682	1682	1682	1682	1682	1682	1682	1682	1682.00	1682	1682	1682.00	1682.00	1682	1682
Moyenne	Historique		0.5	12.84	716	1.2	1.84	1	102	6	159	70	4.7	2.7	0.9	3.40	19	5	12	1	3.81	52	23	1.10	0.04	106	2.82	
Écart-type (σ)	Historique		2.8	4.18	651	1.0	1.74	1	440	9	63	2155	11.3	6.9	0.9	3.93	8	15	23	3	2.21	236	22	1.56	0.05	413	1.53	
Maximum	Historique		74.8	31.80	5480	7.5	21.30	23	12400	116	1490	88400	159.0	102.0	20.6	49.10	69	349	356	35	12.40	6710	215	22.50	0.74	5550	8.88	
Minimum	Historique		-0.2	0.09	6	-0.2	-0.01	0	-1	-1	31	-1	-0.2	-0.2	0.12	-1	-1	-1	0	0.04	-1	0	0.00	-1	0.00	0.00	-1	0.01
Compte	Projet		786	786	786	786	786	786	786	786	786	786	786	786	786	786	786	786	786	786	786.00	786	786	786.00	786.00	786	786	
Moyenne	Projet		1.0	12.90	509	1.1	1.47	1	115	4	171	127	8.2	3.4	0.7	2.82	15	6	14	1	3.57	58	23	0.78	0.03	165	2.95	
Écart-type (σ)	Projet		4.0	4.27	505	1.0	1.31	1	422	6	59	3153	13.6	8.1	0.7	3.57	9	15	29	3	2.32	227	24	1.00	0.04	522	1.68	
Maximum	Projet		74.8	23.30	4230	6.2	21.30	23	5590	45	400	88400	159.0	102.0	9.0	39.80	69	152	356	35	12.40	3050	200	7.44	0.26	5550	8.88	
Minimum	Projet		-0.2	0.20	10	-0.2	-0.01	0	-1	-1	38	-1	-0.2	-0.2	-0.2	0.12	-1	-1	-1	0	0.07	-1	-1	0.00	0.00	-1	0.01	
592	5929135	Pjonjar	-0.2	10.80	956	0.2	0.52	1	522	8	216	9	22.1	10.3	1.6	1.15	22	28	7	4	5.49	268	14	0.46	0.02	178	1.81	
592	5929136	Bbuster	0.5	9.84	733	0.7	0.62	1	653	-1	203	-1	33.1	21.7	2.1	0.83	8	35	-1	8	4.26	342	11	0.30	0.01	269	2.05	
592	5929137	Bbuster	-0.2	15.40	1050	1.2	1.37	1	23	1	154	2	1.9	0.9	0.8	0.34	14	2	-1	0	6.15	13	3	0.09	0.01	37	3.41	
592	5929138	Bbuster	0.6	6.20	232	0.5	0.71	1	1060	1	201	-1	46.4	29.5	3.0	2.36	8	53	-1	11	1.80	555	33	1.03	0.04	556	1.32	
592	5929139	Pjonjar	0.3	15.40	438	1.6	2.65	1	219	9	263	19	8.6	4.0	1.1	1.45	22	11	4	2	2.49	114	18	0.55	0.02	25	4.22	
592	5929140	Pjonjar	0.7	15.50	652	1.5	2.17	1	13	6	206	9	1.4	-0.2	0.7	1.68	18	2	14	0	3.37	7	24	0.58	0.03	-1	4.58	
592	5929141	Bbuster	-0.2	13.60	1520	0.5	0.70	1	3	5	108	4	0.6	-0.2	0.9	2.79	16	-1	2	1	7.26	2	40	1.02	0.04	-1	2.25	
592	5929142	Pjonjar	0.4	15.00	741	1.1	1.66	1	129	6	226	23	2.6	-0.2	0.9	1.53	15	5	19	0	4.32	65	21	0.45	0.02	33	4.03	
592	5929143	Bbuster	-0.2	14.20	845	1.3	1.50	1	54	2	166	26	3.5	-0.2	0.7	0.99	13	6	13	0	4.50	29	9	0.21	0.01	23	3.44	
592	5929144	Pjonjar	1.4	15.30	222	1.8	2.68	2	10	11	258	7	1.0	-0.2	0.8	2.87	20	1	9	1	2.08	6	38	1.02	0.04	51	4.54	
592	5929145	Bbuster	-0.2	13.30	987	0.4	1.03	1	11	3	158	32	3.7	0.3	0.6	2.02	13	6	7	0	6.27	5	20	0.51	0.03	40	2.42	
592	5929146	Pjonjar	-0.2	14.10	1360	0.6	0.94	1	15	6	200	23	4.3	1.5	0.8	1.06	10	6	1	0	7.01	5	7	0.23	0.01	281	2.70	
592	5929147	Bbuster																										
592	5929148	Pjonjar	6.9	15.80	659	1.2	2.46	4	613	12	177	18	4.1	1.5	0.9	2.45	18	12	24	0	3.49	334	18	0.80	0.04	24	3.97	
592	5929149	Bbuster																										
592	5929150	Bbuster	2.0	1.93	60	-0.2	0.02	0	3	4	358	-1	4.0	2.4	-0.2	3.17	5	3	42	1	0.91	-1	22	0.82	0.02	239	0.04	
592	5929151	Roche	-0.2	12.60	18	1.7	2.28	1	25	-1	154	2	1.4	0.6	0.4	1.16	15	2	5	0	0.72	13	13	0.19	0.01	4	4.66	
592	5929152	Roche	-0.2	12.50	167	1.1	1.52	1	41	-1	134	1	1.3	0.7	0.4	1.13	13	2	9	0	3.47	13	5	0.08	0.01	2	3.79	
592	5929153	Roche	0.2	1.32	61	-0.2	0.03	0	6	-1	178	28	5.2	2.1	-0.2	2.41	-1	4	19	0	0.79	-1	9	0.53	0.02	580	0.03	
592	5929154	Roche	-0.2	4.49	153	0.4	0.42	0	1	1	108	31	0.7	0.2	-0.2	1.22	5	1	1	0	1.16	-1	6	0.26	0.01	181	1.29	
592	5929155	Roche	-0.2	10.00	262	0.7	1.20	1	25	1	107	1	1.0	0.6	0.3	1.17	10	1	15	0	2.77	11	10	0.15	0.01	3	2.92	
592	5929156	Roche	-0.2	11.50	297	1.0	1.41	1	49	-1	130	1	1.2	0.4	0.4	0.88	11	3	1	0	2.83	30	5	0.12	0.01	3	3.48	
592	5929157	Roche	-0.2	11.00	488	0.6	0.85	1	5	-1	164	5	0.7	0.3	0.4	0.62	9	1	2	0	4.72	2	5	0.13	0.01	10	2.70	
592	5929158	Roche	-0.2	12.70	485	0.9	1.35	1	13	1	151	5	1.9	0.8	0.5	1.01	11	2	3	0	4.13	6	11	0.25	0.01	40	3.46	
592	5929159	Pjonjar	-0.2	13.90	1260	-0.2	0.56	1	26	34	113	113	5.4	2.9	0.5	18.10	24	6	24	3	7.14	21	69	6.20	0.20	3260	0.63	
592	5929160	Bbuster	-0.2	14.40	1360	-0.2	0.57	1	13	45	63	116	1.9	4.9	0.6	21.60	22	1	6	3	7.70	7	78	7.15	0.25	4400	0.42	
592	5929161	Pjonjar	4.7	11.60	1260	0.7	1.55	2	122	13	295	17	3.6	-0.2	0.8	2.68	15	6	70	0	3.59	65	22	1.16	0.03	8	2.19	
592	5929162	Bbuster	24.2	9.00	392	-0.2	1.59	1	44	8	223	-1	8.9	4.9	0.2	3.40	11	6	356	4	1.59	-1	32	1.49	0.04	13	1.76	
592	5929163	Bbuster	0.3	16.10	1800	1.6	2.84	1	32	6	186	5	2.1	-0.2	1.0	3.61	20	3	53	1	3.85	17	25	1.59	0.05	10	3.17	
592	5929164	Bbuster	-0.2	12.40	436	1.7	0.48	1	30	3	151	14	2.3	1.2	0.5	1.90	16	2	3	0	6.56	14	3	0.09	0.00	9	2.30	
592	5929165	Pjonjar	5.1	10.40	557	1.5	0.72	3	55	11	253	28	6.2	3.1	0.6	2.99	15	6	6	1	5.24	22	12	0.90	0.02	531	1.76	
592	5929166	Roche	-0.2	6.56	474	0.4	0.62	1	42	5	218	26	8.5	4.2	0.4	2.75	9	9	4	2	3.72	14	10	0.86	0.02	834	0.83	
592	5929167	Bbuster	2.6	4.51	235	-0.2	0.03	0	80	9	214	-1	8.3	5.4	-0.2	6.34	5	8	8	2	2.34	46	56	2.48	0.05	1800	0.06	
592	5929168	Pjonjar	-0.2	9.46	502	-0.2	0.92	1	27	15	266	44	5.4	1.5	0.7	5.45	20	6	17	2	3.16	10	36	1.85	0.04	757	1.63	
592	5929169	Bbuster	5.5	3.43	160	-0.2	0.05	0	58	14	235	-1	20.3	12.1	-0.2	5.61	3	18	18	4	1.66	36	38	1.75	0.04	1270	0.07	
592	5929170	Pjonjar	0.9	9.54	1010	0.4	0.79	1	20	10	361	22	1.7	-0.2	0.6	4.08	13	2	23	0	4.19	10	24	1.79	0.05	309	1.90	
592	5929171	Pjonjar	1.2	9.67	641	0.7	0.66	1	4	12	263	8	0.7	-0.2	0.6	2.46	13	1	13	0	3.78	2	25	0.83	0.03	18	1.90	
592	5929172	Roche	0.6	6.38	362	1.3	0.64	0	56	8	119	11	-0.2	-0.2	1.8	39.80	43	-1	1	0	2.18	30	8	0.58	0.01	-1	1.41	
592	5929173	Bbuster	-0.2	12.50	45	1.7	1.96	1	45	-1	137	6	7.2	2.6	0.5	0.34	19	6	5	1	0.95	18	6	0.09	0.01	16	4.44	
592	5929174	Bbuster	3.3	18.90	52	2.8	2.03	2	135	-1	142	-1	34.9	22.8	1.4	0.49	28	22	6	9	1.33	48	20	0.16	0.01	34	7.73	
592	5929175	Bbuster	1.6	1.44	33	-0.2	0.67	0	230	-1	198	-1	30.9	17.0	1.0	0.33	-1	28	-1	6	0.45	97	2	0.04	0.01	54	0.36	
592	5929176	Roche	1.8	3.43	72	0.4	0.62	0	40	-1	205	-1	25.5	15.0	0.6	0.30	4	20	-1	5	1.03	14	3	0.02	0.0			



PROJECT NUMBER	SAMPLE	SAMPLE TYPE	ICP6.3 Total Digestion, Multi-Acids																				Aqua Regia		Partiel			
			Nb	Nd	Ni	P <sub>2</sub> O <sub>5</sub>	Pb	Pr	Sc	Sm	Sr	Ta	Tb	Th	TiO <sub>2</sub>	U, ICP	V	W	Y	Yb	Zn	Zr	LOI	U <sub>2</sub> O <sub>8</sub>	U, Fl.	B		
			ppm	ppm	ppm	wt %	ppm	ppm	ppm	ppm	ppm	ppm	ppm	ppm	ppm	wt %	ppm	ppm	ppm	ppm	ppm	ppm	ppm	wt %	wt %	ppm	ppm	
Nb Analyses	790		1	1	1	0,01	1	1	1	1	1	1	1	1	1	1	1	1	1	1	1	1	0.1	0.001	0.02	ppm		
Compte	Historique		1682	1682	1682	1682,00	1682	1682	1682	1682	1682	1682	1682	1682	1682	1682	1682	1682	1682	1682	1682	1682	1682	175	330	8	466	
Moyenne	Historique		8	36	17	0,15	170	9	6	6	-1	220	0	1	263	0,36	353	56	2	26	2,9	65	376	0,6	0	12	34	
Écart-type (σ)	Historique		26	143	45	0,40	384	41	6	21	2	265	5	3	503	0,39	1201	74	17	57	6,3	82	776	0,3	0	11	131	
Maximum	Historique		884	4200	1010	6,26	4900	1110	70	606	24	1880	100	47	8540	4,82	19100	1250	328	908	98,2	1620	12500	2,4	2	32	905	
Minimum	Historique		-1	-1	-1	0,00	1	-1	-1	-1	-1	-1	-1	-1	0	-1	0,00	-2	-1	-1	-1	-1	1	-0,1	0	2	2	
Compte	Projet		786	786	786	786,00	786	786	786	786	786	786	786	786	786	786,00	786	786	786	786	786	786	786	168	65	6	168	
Moyenne	Projet		8	39	9	0,12	223	10	4	7	-1	148	1	1	390	0,30	487	43	5	31	3,5	58	484	0,6	0	10	11	
Écart-type (σ)	Projet		34	128	22	0,41	437	39	6	18	1	82	5	2	565	0,38	1422	68	24	64	6,9	77	1051	0,3	0	9	21	
Maximum	Projet		884	1560	427	6,26	4900	542	53	179	9	525	100	22	4970	3,18	19100	1250	328	790	75,1	1180	12500	2,4	2	23	221	
Minimum	Projet		-1	-1	-1	0,00	7	-1	-1	-1	-1	2	-1	0	1	0,00	-2	-1	-1	-1	-0,1	1	2	-0,1	0	2	2	
592	5929135	Pjonjar	2	192	8	0,10	668	61	2	34	-1	152	-1	11	361	0,11	1990	24	54	102	9,6	22	11					
592	5929136	Bbuster	2	214	4	0,12	896	56	1	37	-1	136	-1	0	432	0,08	3320	11	-1	163	15,3	17	17				0,263	
592	5929137	Bbuster	-1	10	4	0,04	53	2	-1	2	1	223	25	0	18	0,02	96	13	6	11	0,9	9	11				0,372	
592	5929138	Bbuster	8	343	3	0,18	1170	94	5	57	-1	79	-1	0	622	0,30	4440	46	3	216	20,2	60	17				0,513	
592	5929139	Pjonjar	1	80	9	0,06	251	24	2	14	-1	240	-1	3	143	0,12	631	27	53	42	4,2	30	84				0,081	
592	5929140	Pjonjar	2	4	5	0,03	117	-1	2	1	-1	260	-1	1	459	0,22	136	32	42	7	1,0	34	520					
592	5929141	Bbuster	8	2	5	0,04	51	-1	3	-1	-1	235	-1	0	30	0,44	11	48	-1	3	0,3	60	74					
592	5929142	Pjonjar	1	41	13	0,04	203	11	2	6	-1	258	-1	2	1210	0,17	222	30	51	12	1,3	28	673					
592	5929143	Bbuster	1	20	6	0,05	309	5	2	4	-1	207	-1	2	1700	0,09	301	19	1	18	1,6	25	458					
592	5929144	Pjonjar	7	4	11	0,05	62	-1	4	1	-1	230	-1	0	288	0,37	78	47	81	5	0,6	59	294					
592	5929145	Bbuster	5	7	5	0,10	248	1	3	2	-1	185	-1	3	2070	0,26	500	38	1	18	1,7	43	211					
592	5929146	Pjonjar	2	10	7	0,26	284	1	1	3	-1	189	-1	1	1120	0,09	254	20	52	25	2,1	23	26					
592	5929147	Bbuster																										
592	5929148	Pjonjar	5	168	18	0,12	155	60	4	20	-1	231	-1	3	921	0,27	249	40	65	22	2,2	56	955					
592	5929149	Bbuster																										
592	5929150	Bbuster	9	1	13	0,01	344	-1	9	2	2	6	-1	0	581	0,43	925	56	-1	24	3,7	88	1330					
592	5929151	Roche	-1	12	3	0,03	33	3	-1	3	-1	106	-1	0	61	0,07	39	13	3	7	0,6	20	125					
592	5929152	Roche	-1	9	2	0,03	57	2	-1	2	-1	115	-1	0	100	0,04	31	13	1	8	1,0	15	253					
592	5929153	Roche	5	4	7	0,02	690	-1	3	2	1	3	-1	2	671	0,28	326	13	-1	18	2,2	65	543					
592	5929154	Roche	1	1	5	0,02	173	-1	1	1	-1	62	-1	0	99	0,10	147	11	3	3	0,3	19	31					
592	5929155	Roche	-1	7	3	0,04	44	2	1	2	-1	121	-1	0	58	0,08	42	12	1	5	1,0	19	444					
592	5929156	Roche	-1	20	3	0,03	29	6	-1	4	-1	138	-1	0	87	0,04	15	12	2	6	0,3	14	19					
592	5929157	Roche	-1	2	4	0,02	48	-1	-1	1	-1	132	-1	0	64	0,05	23	11	2	3	0,4	18	64					
592	5929158	Roche	-1	5	3	0,05	112	1	1	2	-1	157	-1	0	79	0,11	180	16	4	8	0,7	23	75					
592	5929159	Pjonjar	61	15	27	0,16	643	-1	32	2	-1	63	5	7	2790	2,40	1240	294	5	33	2,6	380	738				0,154	
592	5929160	Bbuster	71	10	35	0,19	172	-1	36	-1	44	10	1	781	2,96	351	343	-1	14	0,3	468	189						
592	5929161	Pjonjar	8	38	15	0,05	181	9	6	7	-1	173	-1	5	829	0,41	275	50	94	22	3,4	41	2480					
592	5929162	Bbuster	13	14	11	0,03	679	3	13	4	9	127	-1	13	3540	0,62	1320	62	-1	60	13,4	59	12500				0,144	
592	5929163	Bbuster	13	7	10	0,04	74	2	9	2	-1	209	-1	3	435	0,57	171	73	-1	13	2,3	69	1920					
592	5929164	Bbuster	3	12	13	0,03	77	2	-1	3	-1	115	-1	0	43	0,04	102	15	2	16	2,0	18	72					
592	5929165	Pjonjar	13	27	25	0,18	191	4	6	6	-1	104	-1	3	260	0,24	504	51	64	37	3,6	38	114					
592	5929166	Roche	7	28	16	0,33	314	4	6	7	-1	94	5	4	424	0,21	757	37	6	52	4,4	58	58					
592	5929167	Bbuster	19	27	12	0,04	979	6	11	7	1	12	-1	0	1560	1,24	2660	174	3	36	3,0	128	266				0,328	
592	5929168	Pjonjar	11	21	27	0,09	571	1	9	5	-1	98	2	7	714	0,62	1500	107	25	27	2,7	95	408				0,205	
592	5929169	Bbuster	17	29	29	0,03	2170	3	9	16	-1	12	1	0	2380	1,01	6520	118	1	86	7,7	110	624				0,791	
592	5929170	Pjonjar	18	7	15	0,05	148	-1	7	2	-1	136	-1	2	847	0,67	139	95	55	9	1,4	92	804					
592	5929171	Pjonjar	9	1	11	0,02	41	-1	3	-1	-1	129	-1	0	244	0,33	73	41	90	4	0,7	43	409					
592	5929172	Roche	-1	30	1	0,28	21	2	3	6	-1	75	16	2	11	0,07	14	75	-1	13	1,8	50	103					
592	5929173	Bbuster	-1	20	3	0,03	542	4	-1	5	-1	124	-1	4	198	0,02	769	9	1	29	3,0	11	77					
592	5929174	Bbuster	7	50	3	0,07	2540	5	2	23	-1	222	-1	0	1320	0,04	8150	4	-1	117	14,2	25	178				0,744	
592	5929175	Bbuster	1	84	4	0,49	1620	20	-1	24	-1	13	-1	0	646	0,02	3710	2	1	117	12,8	6	14				0,473	
592	5929176	Roche	2	24	3	0,28	1600	2	-1	15	-1	37	2	0	692	0,01	4160	-1	-1	107	10,7	6	21				0,527	
592	5929177	Roche	1	8	2	0,07	86	1	2	2	-1	164	7	0	71	0,14	67	19	3	14	1,7	30	88					
592	5929178	Roche	-1	7	2	0,04	41	1	1	2	-1	182	1	0	41	0,10	21	19	2	5	0,7	27	95					
592	5929179	Roche	2	9	3	0,09	83	1	2	2	-1	107	13	1	65	0,08	142	13	3	26	2,6	15	91					
592	5929180	Roche	16	20	89	0,11	40	1	10	4	-1	101	12	0	64	0,88	66	95	-1	10	1,3	111	275					
592	5929181	Roche	-1	2	4	0,02	32	-1	1	-1	-1	164	15	0	29	0,06	12	16	3	4	0,6							







		ICP6.3 Total Digestion, Multi-Acids																									
PROJECT NUMBER	SAMPLE	SAMPLE TYPE	Ag	Al <sub>2</sub> O <sub>3</sub>	Ba	Be	CaO	Cd	Ce	Co	Cr	Cu	Dy	Er	Eu	Fe <sub>2</sub> O <sub>3</sub>	Ga	Gd	Hf	Ho	K <sub>2</sub> O	La	Li	MgO	MnO	Mo	Na <sub>2</sub> O
			ppm	wt %	ppm	ppm	wt %	ppm	ppm	ppm	ppm	ppm	ppm	ppm	ppm	ppm	wt %	ppm	ppm	ppm	ppm	wt %	ppm	ppm	wt %	wt %	ppm
Nb Analyses	790		0.2	0.01	1	0.2	0.01	1	1	1	1	1	0.2	0.2	0.2	0.01	1	1	1	1	0.01	1	1	0.01	0.01	1	0.01
Compte	Historique		1682	1682	1682	1682	1682	1682	1682	1682	1682	1682	1682	1682	1682	1682	1682	1682	1682	1682	1682	1682	1682	1682	1682	1682	1682
Moyenne	Historique		0.5	12.64	716	1.2	1.84	1	102	6	159	70	4.7	2.7	0.9	3.40	16	5	12	1	3.81	52	23	1.10	0.04	106	2.82
Écart-type (σ)	Historique		2.8	4.18	651	1.0	1.74	1	440	9	63	2155	11.3	6.9	0.9	3.93	8	15	23	3	2.21	236	22	1.58	0.05	413	1.53
Maximum	Historique		74.8	31.80	5480	7.5	21.30	23	12400	116	1490	88400	159.0	102.0	20.6	49.10	69	349	356	35	12.40	6710	215	22.50	0.74	5550	8.86
Minimum	Historique		-0.2	0.09	6	-0.2	-0.01	0	-1	-1	31	-1	-0.2	-0.2	-0.2	0.12	-1	-1	-1	0	0.04	-1	-1	0.00	0.00	-1	0.01
Compte	Projet		786	786	786	786	786	786	786	786	786	786	786	786	786	786	786	786	786	786	786	786	786	786	786	786	786
Moyenne	Projet		1.0	12.00	509	1.1	1.47	1	115	4	171	127	6.2	3.4	0.7	2.82	15	6	14	1	3.57	58	23	0.78	0.03	165	2.95
Écart-type (σ)	Projet		4.0	4.27	505	1.0	1.31	1	422	6	59	3153	13.6	8.1	0.7	3.57	9	15	29	3	2.32	227	24	1.00	0.04	522	1.88
Maximum	Projet		74.8	23.30	4230	6.2	21.30	23	5590	45	400	88400	159.0	102.0	9.0	39.80	69	152	356	35	12.40	3050	200	7.44	0.26	5550	8.88
Minimum	Projet		-0.2	0.20	10	-0.2	-0.01	0	-1	-1	38	-1	-0.2	-0.2	-0.2	0.12	-1	-1	-1	0	0.07	-1	-1	0.00	0.00	-1	0.01
592	5929188	Roche	0.3	9.19	37	0.9	1.20	1	14	2	168	7	3.8	2.8	0.3	0.60	11	3	8	1	1.13	7	6	0.09	0.01	16	3.28
592	5929190	Roche	-0.2	11.60	521	0.5	0.15	1	1	-1	157	39	0.7	0.4	0.2	3.81	19	-1	2	1	7.38	-1	40	0.90	0.11	130	1.34
592	5929191	Roche	0.3	10.80	534	0.3	1.58	1	8	11	136	-1	10.4	6.8	0.4	8.28	23	9	-1	3	7.49	3	90	2.17	0.16	171	0.76
592	5929200	Roche	-0.2	9.64	834	0.6	1.56	1	5	-1	227	1	0.4	0.2	0.7	0.61	9	-1	6	0	3.82	2	6	0.23	0.01	40	1.42
592	5929201	Roche	0.2	8.37	1000	-0.2	0.14	1	2	-1	232	2	0.4	0.3	0.6	0.70	6	-1	6	0	5.66	1	4	0.15	0.00	80	0.96
592	5929202	Roche	-0.2	13.30	870	0.6	1.44	1	6	1	127	1	0.7	0.3	0.9	1.01	13	1	10	0	4.51	4	10	0.28	0.01	45	3.19
592	5929203	Roche	0.6	12.10	1040	0.3	0.80	1	2	3	176	2	0.3	0.2	0.8	2.64	14	-1	11	0	6.00	2	23	0.73	0.02	85	2.00
592	5929204	Roche	0.5	10.50	515	0.8	1.33	1	6	-1	141	3	0.6	-0.2	0.7	0.41	9	-1	9	0	2.88	3	3	0.06	0.00	23	2.85
592	5929205	Roche	0.5	11.00	768	0.5	0.75	1	9	2	145	2	0.6	-0.2	0.8	1.82	11	1	5	0	5.00	4	10	0.49	0.02	34	2.01
592	5929206	Roche	0.7	12.10	953	0.5	0.81	1	7	1	119	2	0.7	0.3	0.9	1.52	13	1	16	0	4.84	4	12	0.47	0.01	9	2.69
592	5929207	Roche	0.4	12.60	1180	0.4	0.39	1	3	1	168	1	0.4	-0.2	0.8	0.95	10	-1	3	0	7.68	2	10	0.27	0.01	10	1.92
592	5929208	Roche	0.4	4.05	109	0.2	0.52	0	11	2	92	-1	1.7	0.6	0.2	1.40	4	1	8	0	0.85	5	11	0.43	0.01	130	0.99
592	5929209	Roche	-0.2	5.23	156	0.4	0.41	0	239	1	246	-1	39.3	22.1	1.0	1.94	6	29	10	8	2.83	90	28	0.46	0.10	5	0.73
592	5929210	Roche	0.5	17.60	39	5.1	3.03	1	305	2	84	-1	25.2	15.8	1.0	2.45	31	25	44	6	1.68	132	33	0.50	0.07	2	6.74
592	5929211	Roche	0.4	11.70	18	1.6	2.00	1	33	-1	143	-1	3.5	2.1	0.3	4.02	21	3	14	1	0.68	9	8	0.12	0.01	3	4.15
592	5929212	Roche	2.1	17.40	42	2.5	3.14	1	222	-1	94	-1	9.3	5.4	0.8	6.40	30	10	66	3	1.08	77	8	0.18	0.05	2	5.99
592	5929213	Roche	1.0	17.00	91	2.5	3.02	1	160	-1	109	-1	4.7	2.6	0.6	1.11	22	6	35	1	1.95	60	8	0.24	0.02	1	5.70
592	5929214	Bloc	-0.2	13.40	109	2.2	21.30	14	98	6	61	41	6.5	5.2	2.0	4.84	29	6	7	2	0.17	63	27	5.54	0.07	21	0.20
592	5929215	Pjonjar	2.1	9.95	807	0.4	1.01	1	6	5	159	-1	2.2	1.3	0.7	1.87	12	1	16	1	4.07	3	11	0.43	0.01	55	1.90
592	5929216	Bloc	2.7	3.77	134	-0.2	0.07	1	33	4	182	-1	6.0	3.5	-0.2	5.36	-1	6	14	1	1.95	17	55	2.08	0.04	1760	0.02
592	5929217	Roche	-0.2	4.04	366	-0.2	0.07	0	7	-1	263	-1	2.0	1.0	0.4	0.48	3	2	6	0	2.63	1	1	0.05	0.01	27	0.56
592	5929218	Roche	1.2	6.05	502	-0.2	0.55	0	16	6	222	-1	7.0	3.3	-0.2	4.90	9	6	30	2	3.64	2	27	1.45	0.05	758	0.42
592	5929219	Roche	1.0	4.90	541	-0.2	0.07	0	1	5	177	-1	3.1	1.8	-0.2	3.04	8	2	14	1	2.92	-1	19	0.81	0.03	262	0.30
592	5929220	Roche	0.5	11.00	2220	-0.2	0.09	1	4	1	224	13	1.6	0.7	0.9	1.41	9	1	12	0	7.76	2	7	0.22	0.01	101	0.99
592	5929221	Roche	-0.2	17.00	132	2.1	1.62	1	1310	-1	94	14	52.2	25.0	1.1	2.53	24	96	9	10	4.30	633	81	0.71	0.06	120	5.07
592	5929222	Roche	-0.2	18.20	332	2.5	2.48	1	14	-1	77	15	7.4	3.2	0.8	1.95	20	6	3	1	4.16	6	33	0.61	0.04	30	5.48
592	5929223	Roche	-0.2	5.86	416	0.2	0.88	0	24	-1	193	19	21.7	9.2	0.8	1.78	1	19	1	3	3.45	3	20	0.41	0.03	397	0.85
592	5929224	Roche	-0.2	9.56	258	1.1	0.82	1	5	1	143	28	7.2	2.1	0.4	1.17	2	5	5	1	3.54	-1	10	0.19	0.01	451	2.66
592	5929225	Roche	-0.2	6.42	794	-0.2	0.05	0	2	4	398	9	1.8	0.9	0.7	2.58	8	2	3	0	4.15	1	24	0.88	0.02	154	0.65
592	5929226	Pjonjar	2.3	6.98	743	-0.2	0.14	1	1	14	344	8	0.7	0.5	0.8	3.48	12	1	4	0	4.10	1	36	0.96	0.03	158	0.77
592	5929227	Bbuster	-0.2	8.38	1060	-0.2	0.10	1	15	5	263	17	2.4	1.1	1.2	2.39	10	3	43	1	5.57	7	16	0.58	0.01	46	0.93
592	5929228	Bbuster	-0.2	10.50	1340	-0.2	0.08	1	3	1	179	2	0.4	-0.2	1.0	0.97	9	1	3	0	7.44	3	7	0.22	0.01	20	1.34
592	5929229	Bbuster	0.6	10.80	832	0.4	0.54	1	10	15	376	17	5.2	2.5	1.0	3.39	14	5	2	1	5.67	6	26	0.98	0.03	506	1.72
592	5929230	Bbuster	-0.2	11.20	1260	-0.2	0.21	1	2	-1	215	8	2.5	0.9	0.9	0.62	8	2	35	0	7.71	-1	5	0.11	0.01	48	1.54
592	5929231	Bbuster	-0.2	12.30	929	0.7	0.66	1	6	2	175	5	1.5	0.8	0.9	1.34	12	2	1	0	6.19	4	12	0.39	0.01	88	2.26
592	5929232	Pjonjar	-0.2	12.50	507	0.7	1.52	1	8	2																	



PROJECT NUMBER	SAMPLE	SAMPLE TYPE	ICP6.3 Total Digestion, Multi-Acids																				Aqua Regia				Partiel	
			Nb	Nd	Ni	P <sub>2</sub> O <sub>5</sub>	Pb	Pr	Sc	Sm	Sr	Ta	Tb	Th	TiO <sub>2</sub>	U, ICP	V	W	Y	Yb	Zn	Zr	LOI	U <sub>2</sub> O <sub>5</sub>	U, Fl.	B		
			ppm	ppm	ppm	wt %	ppm	ppm	ppm	ppm	ppm	ppm	ppm	ppm	ppm	wt %	ppm	ppm	ppm	ppm	ppm	ppm	ppm	wt %	wt %	ppm	ppm	
Nb Analyses	790		1	1	1	0,01	1	1	1	1	1	1	1	1	1	1	1	1	1	1	1	0,1	0,001	0,02				
Compte	Historique		1682	1682	1682	1682,00	1682	1682	1682	1682	1682	1682	1682	1682	1682	1682	1682	1682	1682	1682	1682	1682	175	339	8	466		
Moyenne	Historique		8	36	17	0,15	170	9	6	6	-1	220	0	1	293	0,36	353	56	2	28	2,9	65	376	0,6	0	12	34	
Écart-type (σ)	Historique		26	143	45	0,40	384	41	6	21	2	285	5	3	503	0,39	1201	74	17	57	6,3	82	776	0,3	0	11	131	
Maximum	Historique		884	4200	1010	6,26	4900	1110	70	606	24	1880	100	47	8540	4,82	19100	1250	328	908	98,2	1620	12500	2,4	2	32	905	
Minimum	Historique		-1	-1	-1	0,00	1	-1	-1	-1	-1	-1	-1	0	-1	0,00	-2	-1	-1	-1	-0,1	1	1	-0,1	0	2	2	
Compte	Projet		786	786	786	786,00	786	786	786	786	786	786	786	786	786	786	786	786	786	786	786	168	65	6	168			
Moyenne	Projet		8	39	9	0,12	223	10	4	7	-1	148	1	1	390	0,30	487	43	5	31	3,5	56	484	0,6	0	10	11	
Écart-type (σ)	Projet		34	128	22	0,41	437	39	6	18	1	82	5	2	565	0,38	1422	68	24	64	6,9	77	1051	0,3	0	9	21	
Maximum	Projet		884	1580	427	6,26	4900	542	53	176	9	525	100	22	4970	3,18	19100	1250	328	790	75,1	1180	12500	2,4	2	23	221	
Minimum	Projet		-1	-1	-1	0,00	7	-1	-1	-1	-1	2	-1	0	1	0,00	-2	-1	-1	1	-0,1	1	2	-0,1	0	2	2	
592	5929188	Roche	1	6	6	0,02	36	-1	1	1	-1	48	-1	0	36	0,04	42	11	-1	32	5,0	13	233					
592	5929190	Roche	22	1	3	0,08	126	-1	16	-1	1	92	-1	0	65	0,57	46	38	-1	6	0,6	44	53					
592	5929191	Roche	28	11	4	1,16	153	2	18	5	-1	77	-1	0	204	1,13	485	77	-1	70	6,4	197	9					
592	5929200	Roche	-1	1	3	0,02	50	-1	1	1	-1	148	-1	0	74	0,08	62	13	-1	2	0,4	15	222	0,6			14	
592	5929201	Roche	-1	-1	3	0,02	87	-1	1	-1	-1	128	-1	0	96	0,09	45	14	-1	2	0,4	12	215	0,5			7	
592	5929202	Roche	1	2	2	0,03	87	-1	2	1	-1	203	-1	0	118	0,13	53	20	-1	4	0,7	27	368	0,6			5	
592	5929203	Roche	11	1	10	0,04	70	-1	7	-1	-1	163	-1	0	78	0,46	24	41	-1	3	0,6	57	369	0,4			2	
592	5929204	Roche	-1	1	1	0,02	89	-1	-1	1	-1	159	-1	0	124	0,02	49	10	-1	4	0,6	12	292	0,3			2	
592	5929205	Roche	6	3	4	0,04	55	-1	4	1	-1	148	-1	0	110	0,25	28	31	-1	4	0,5	35	161	0,4			4	
592	5929206	Roche	4	2	2	0,03	64	-1	3	1	-1	155	-1	0	135	0,19	32	29	-1	4	0,7	30	519	0,6			12	
592	5929207	Roche	-1	1	3	0,03	53	-1	1	-1	-1	173	-1	0	56	0,10	6	18	-1	2	0,2	18	86	0,5			2	
592	5929208	Roche	4	5	2	0,02	92	1	3	1	-1	48	1	0	320	0,22	230	19	7	8	0,9	35	274	0,4			4	
592	5929209	Roche	6	81	4	0,23	1140	18	5	23	2	31	-1	0	734	0,17	1550	12	-1	170	20,8	145	339		0,212			
592	5929210	Roche	8	107	4	0,23	206	25	9	24	-1	146	-1	4	360	0,21	313	16	-1	142	19,4	64	1160					
592	5929211	Roche	-1	9	4	0,02	110	2	1	3	-1	59	-1	0	245	0,10	139	11	-1	17	2,8	41	343					
592	5929212	Roche	-1	67	2	0,03	261	15	3	14	-1	159	-1	1	781	0,16	440	30	-1	45	8,3	63	1780					
592	5929213	Roche	-1	49	2	0,03	158	12	1	9	-1	172	-1	1	485	0,02	184	5	-1	20	3,9	15	953					
592	5929214	Bloc	10	38	113	6,26	116	10	6	8	-1	411	-1	0	28	0,41	282	167	-1	81	6,2	1180	250					
592	5929215	Pjonjar	3	3	7	0,06	198	-1	4	2	-1	144	-1	0	243	0,20	521	24	21	11	1,6	42	481		0,090			
592	5929216	Bloc	28	14	3	0,07	1030	4	15	5	-1	17	2	0	3490	1,07	788	101	2	34	2,4	197	701					
592	5929217	Roche	-1	3	5	0,02	55	-1	-1	1	-1	55	-1	0	294	0,03	106	4	-1	11	1,2	7	197					
592	5929218	Roche	21	12	11	0,38	328	2	11	5	-1	58	-1	0	1710	0,78	405	97	-1	38	3,3	108	970					
592	5929219	Roche	15	1	12	0,02	260	-1	8	2	1	55	-1	0	642	0,48	835	41	-1	15	1,9	68	418					
592	5929220	Roche	2	1	7	0,03	203	-1	2	1	1	181	-1	0	391	0,14	226	15	-1	9	1,0	25	370					
592	5929221	Roche	18	539	3	0,29	374	147	11	114	-1	93	2	12	895	0,37	683	36	1	240	22,2	51	222					
592	5929222	Roche	7	9	1	0,25	249	2	4	4	-1	184	-1	0	482	0,23	583	32	-1	37	3,2	64	89					
592	5929223	Roche	6	26	11	0,62	1300	5	3	14	-1	56	-1	3	961	0,21	1860	22	1	90	7,3	37	24					
592	5929224	Roche	3	4	3	0,03	810	1	2	3	-1	86	-1	1	693	0,08	2010	13	1	27	2,8	19	139					
592	5929225	Roche	12	2	7	0,03	216	-1	7	-1	-1	78	1	0	622	0,37	144	38	-1	9	0,6	94	85					
592	5929226	Pjonjar	15	1	8	0,03	126	-1	9	-1	-1	76	2	0	347	0,42	76	54	91	5	0,5	88	112					
592	5929227	Bbuster	8	5	8	0,03	111	-1	6	1	1	110	1	2	534	0,29	291	34	-1	17	2,1	57	1320					
592	5929228	Bbuster	3	1	4	0,02	61	-1	2	-1	-1	147	-1	0	102	0,11	16	16	2	2	0,2	19	69					
592	5929229	Bbuster	11	7	9	0,09	381	-1	6	2	-1	154	1	1	1210	0,43	743	55	89	26	1,7	85	47					
592	5929230	Bbuster	-1	-1	4	0,02	179	-1	1	-1	-1	183	-1	1	740	0,05	212	13	2	13	1,9	14	1090					
592	5929231	Bbuster	3	3	3	0,06	125	-1	2	1	-1	188	-1	0	186	0,16	115	27	3	8	0,6	39	34					
592	5929232	Pjonjar	5	2	4	0,04	122	-1	4	1	-1	190	-1	1	378	0,26	142	29	1	7	1,2	59	946					
592	5929233	Bbuster	3	1	5	0,02	161	-1	2	1	-1	107	-1	0	553	0,17	309	21	-1	8	0,7	36	340					
592	5929234	Bbuster	8	53	13	0,05	94	14	4	7	-1	236	-1	0	322	0,42	101	31	-1	11	0,8	55	248					
592	5929235	Pjonjar	10	43	37	0,06	98	11	6	6	-1	270	2	0	327	0,50	86	51	13	10	0,9	86	392					
592	5929236	Bbuster	6	1	5	0,02	78	-1	2	1	-1	151	2	0	294	0,19	81	15	-1	4	0,5	36	58					
592	5929237	Pjonjar	8	1	10	0,03	101	-1	4	1	-1	142	7	0	445	0,30	130	24	29	7	0,6	58	158					
592	5929238	Bbuster	1	3	6	0,02	67	1	-1	1	-1	111	6	0	87	0,05	87	4	-1	5	1,0	14	427					
592	5929239	Pjonjar	11	5	28	0,02	55	1	7	1	-1	146	1	0	80	0,46	87	43	53	7	1,0	57	392					
592	5929240	Bbuster	7	-1	11	0,02	149	-1	4	1	-1	25	1	6	1260	0,28	316	28	-1	18	3,4	40	2910					
592	5929241	Pjonjar	18	34	34	0,06	37	10	9	4	-1	205	3	0	83	0,95	26	81	25	9	1,1	132	621					
592	5929242	Bbuster	2	5	4	0,06	89	1	1	1	-1	238	-1	0	129	0,19	36	22	2	5	0,5	27	212					
592	5929243	Pjonjar	7	43	16	0,12	69	16	4	6	-1	229	-1	0	261	0,41												







		ICP6.3 Total Digestion, Multi-Acids																									
PROJECT NUMBER	SAMPLE	SAMPLE TYPE	Ag	Al <sub>2</sub> O <sub>3</sub>	Ba	Be	CaO	Cd	Ce	Co	Cr	Cu	Dy	Er	Eu	Fe <sub>2</sub> O <sub>3</sub>	Ga	Gd	Hf	Ho	K <sub>2</sub> O	La	Li	MgO	MnO	Mo	Na <sub>2</sub> O
			ppm	wt %	ppm	ppm	wt %	ppm	ppm	ppm	ppm	ppm	ppm	ppm	ppm	ppm	wt %	ppm	ppm	ppm	ppm	wt %	ppm	ppm	wt %	wt %	ppm
Nb Analyses	790		0.2	0.01	1	0.2	0.01	1	1	1	1	1	0.2	0.2	0.2	0.01	1	1	1	1	0.01	1	1	0.01	0.01	1	0.01
Compte	Historique		1682	1682	1682	1682	1682	1682	1682	1682	1682	1682	1682	1682	1682	1682	1682	1682	1682	1682	1682	1682	1682	1682	1682	1682	1682
Moyenne	Historique		0.5	12.64	716	1.2	1.84	1	102	6	159	70	4.7	2.7	0.9	3.40	16	5	12	1	3.81	52	23	1.10	0.04	106	2.82
Écart-type (σ)	Historique		2.8	4.18	651	1.0	1.74	1	440	9	63	2155	11.3	6.9	0.9	3.93	8	15	23	3	2.21	236	22	1.58	0.05	413	1.53
Maximum	Historique		74.8	31.80	5480	7.5	21.30	23	12400	116	1490	88400	159.0	102.0	20.6	49.10	69	349	356	35	12.40	6710	215	22.50	0.74	5550	8.88
Minimum	Historique		-0.2	0.09	6	-0.2	-0.01	0	-1	-1	31	-1	-0.2	-0.2	-0.2	0.12	-1	-1	-1	0	0.04	-1	-1	0.00	0.00	-1	0.01
Compte	Projet		786	786	786	786	786	786	786	786	786	786	786	786	786	786	786	786	786	786	786	786	786	786	786	786	786
Moyenne	Projet		1.0	12.00	509	1.1	1.47	1	115	4	171	127	6.2	3.4	0.7	2.82	15	8	14	1	3.57	58	23	0.78	0.03	165	2.95
Écart-type (σ)	Projet		4.0	4.27	505	1.0	1.31	1	422	6	59	3153	13.6	8.1	0.7	3.57	9	15	29	3	2.32	227	24	1.00	0.04	522	1.68
Maximum	Projet		74.8	23.30	4230	6.2	21.30	23	5590	45	400	88400	159.0	102.0	9.0	39.80	69	152	356	35	12.40	3050	200	7.44	0.26	5550	8.88
Minimum	Projet		-0.2	0.20	10	-0.2	-0.01	0	-1	-1	38	-1	-0.2	-0.2	-0.2	0.12	-1	-1	-1	0	0.07	-1	-1	0.00	0.00	-1	0.01
592	5929250	Roche	0.2	9.61	388	0.8	1.04	1	13	2	101	1	0.6	0.3	0.7	1.60	11	1	1	0	2.98	6	21	0.84	0.01	50	2.08
592	5929251	Roche	0.5	8.59	702	0.2	0.50	1	4	2	227	14	0.4	0.3	0.7	2.11	10	-1	7	0	4.41	2	18	0.61	0.02	5	1.48
592	5929252	Roche	0.7	14.40	223	0.9	2.71	1	32	8	190	53	1.2	0.7	0.9	6.01	25	2	13	0	2.37	18	37	2.16	0.05	61	3.32
592	5929253	Roche	0.5	6.37	712	-0.2	0.07	1	2	-1	198	2	0.6	-0.2	0.4	0.54	3	1	4	0	4.34	1	2	0.07	0.00	150	0.81
592	5929254	Roche	0.9	9.73	1100	-0.2	0.13	1	1	-1	211	2	0.8	0.4	0.6	1.00	7	1	22	0	6.41	-1	8	0.22	0.01	82	1.34
592	5929255	Roche	0.5	13.30	1500	-0.2	0.18	1	2	-1	113	1	0.7	0.2	0.9	0.56	9	1	8	0	9.02	1	4	0.12	0.00	30	1.99
592	5929256	Roche	0.6	11.20	247	0.9	1.77	1	12	3	148	3	0.8	0.2	0.7	1.65	13	1	9	0	1.83	8	20	0.50	0.01	50	3.07
592	5929257	Roche	0.6	7.99	87	0.8	1.32	1	9	1	173	1	0.7	0.4	0.5	0.33	7	1	14	0	0.78	5	7	0.09	0.01	18	2.40
592	5929258	Roche	0.4	14.40	1680	0.5	0.45	1	4	-1	101	1	0.5	-0.2	1.1	1.26	12	-1	8	0	8.34	3	14	0.35	0.01	10	2.36
592	5929259	Roche	0.3	12.80	674	0.8	1.21	1	4	2	135	3	0.4	-0.2	0.7	1.11	12	-1	6	0	4.52	2	7	0.25	0.01	43	3.18
592	5929260	Roche	0.7	5.01	645	-0.2	0.03	0	7	-1	222	1	1.3	0.4	0.5	0.36	2	2	15	0	3.45	2	1	0.04	0.00	52	0.64
592	5929261	Roche	0.2	12.80	145	1.7	0.75	1	15	1	153	2	1.1	0.8	0.4	0.82	15	2	3	0	5.52	7	8	0.13	0.01	24	3.19
592	5929262	Roche	0.2	6.73	745	-0.2	0.36	0	18	9	182	7	2.3	1.2	0.4	4.01	5	3	2	0	4.66	8	34	2.04	0.06	901	0.37
592	5929264	Roche	0.6	12.30	1490	0.4	0.33	1	21	1	206	18	0.6	0.4	0.6	0.87	10	1	3	0	8.94	10	3	0.10	0.00	6	1.58
592	5929265	Roche	0.3	18.10	299	1.7	2.91	1	14	2	159	2	0.7	0.2	1.0	1.10	21	1	7	0	2.68	9	27	1.40	0.02	6	5.63
592	5929266	Roche	0.3	1.79	100	-0.2	0.01	0	3	-1	236	1	-0.2	-0.2	-0.2	0.44	1	-1	7	0	1.26	-1	-1	0.00	0.00	125	0.21
592	5929267	Roche	0.3	2.20	60	0.2	0.21	0	3	-1	314	5	0.4	-0.2	-0.2	1.04	-1	1	4	0	0.40	-1	3	0.22	0.01	328	0.67
592	5929268	Roche	0.3	1.76	104	-0.2	0.01	0	-1	2	265	30	-0.2	-0.2	-0.2	3.14	3	-1	3	0	1.07	-1	12	1.08	0.03	600	0.04
592	5929269	Roche	0.3	4.94	46	0.5	1.03	0	863	2	181	4	37.2	22.2	2.2	7.11	15	42	13	8	0.64	475	8	0.21	0.04	10	1.55
592	5929270	Roche	1.7	7.85	28	1.4	1.36	1	257	2	235	-1	8.1	5.4	0.6	1.60	13	10	27	2	0.50	127	23	0.29	0.03	2	2.72
592	5929271	Bloc	-0.2	13.30	1790	0.3	1.90	1	43	6	110	-1	18.6	11.8	0.8	5.06	15	17	1	4	8.29	13	89	1.59	0.07	960	1.74
592	5929272	Roche	1.1	14.30	117	3.5	3.43	1	7	4	182	7	0.8	0.3	0.3	1.40	16	1	13	0	0.50	4	11	0.37	0.01	8	4.50
592	5929273	Roche	1.3	12.70	1090	0.8	0.91	1	5	1	177	1	0.7	0.4	0.6	0.94	12	1	16	0	5.34	1	12	0.19	0.01	4	2.72
592	5929274	Roche	4.6	3.18	55	-0.2	0.38	0	12	4	246	-1	2.4	1.2	0.4	1.93	6	2	66	1	0.68	-1	17	0.57	0.02	9	0.62
592	5929275	Roche	3.2	10.00	1120	0.3	0.30	1	9	8	187	1	1.0	0.5	0.6	4.02	15	1	40	1	4.81	3	38	1.74	0.03	33	1.51
592	5929276	Roche	0.5	18.00	208	1.6	4.39	1	12	3	121	7	1.0	0.6	0.8	1.38	16	1	9	0	0.66	6	10	0.42	0.01	18	5.53
592	5929277	Roche	2.3	14.00	649	1.5	2.22	1	9	3	138	-1	1.0	0.5	0.8	1.90	17	1	33	1	3.09	4	16	0.62	0.02	4	3.58
592	5929278	Roche	0.4	13.00	700	1.1	1.25	1	2	1	160	1	0.6	0.3	0.7	1.62	15	-1	9	0	4.76	1	11	0.43	0.03	3	3.05
592	5929279	Roche	-0.2	15.20	959	1.7	2.76	1	24	2	120	3	0.8	0.4	0.9	1.15	16	1	1	0	3.18	12	10	0.62	0.02	1	3.88
592	5929280	Roche	2.2	4.09	478	-0.2	0.06	0	2	6	184	-1	1.6	0.3	-0.2	3.12	6	1	53	1	2.43	-1	21	1.08	0.03	353	0.28
592	5929281	Roche	0.2	9.98	1570	0.4	0.38	1	1	-1	143	3	0.5	0.3	0.7	1.14	9	-1	4	0	6.44	-1	7	0.39	0.01	109	1.30
592	5929282	Roche	-0.2	18.40	1270	1.8	0.88	1	70	-1	63	-1	2.2	1.0	0.6	1.36	16	3	2	1	8.92	44	16	0.25	0.02	2	4.04
592	5929283	Roche	-0.2	14.90	644	2.8	0.81	1	14	2	58	-1	0.7	0.3	0.2	1.78	14	1	6	0	5.12	9	18	0.46	0.02	1	5.79
592	5929284	Roche	0.8	3.49	235	0.5	1.99	0	8	2	192	22	0.8	0.6	0.2	2.00	8	1	17	0	1.26	2	4	2.53	0.04	64	0.45
592	5929285	Roche	0.5	1.62	17	-0.2	0.21	0	9	-1	241	-1	0.9	0.4	-0.2	0.45	1	1	13	0	0.16	1	-1	0.03	0.00	153	0.47
592	5929286	Roche	0.6	2.11	125	-0.2	0.04	0	3	-1	236	-1	0.9														







PROJECT NUMBER	SAMPLE	SAMPLE TYPE	CERTIFICATE	DATE	U <sub>3</sub> O <sub>8</sub> (wt %)	U/U	Ce/Th	U/Th	FIRE ASSAY										ICP6.3R Partial Digestion										
									Au	Pd	Pt	Ag	As	Bi	Co	Cu	Ge	Hg	Mo	Ni	Pb	Sb	Se	Te	U, ICP	V	Zn		
									ppb	ppb	ppb	ppm	ppm	ppm	ppm	ppm	ppm	ppm	ppm	ppm	ppm	ppm	ppm	ppm	ppm	ppm	ppm		
Nb Analyses	790								2	2	2	0.1	0.2	0.2	0.1	0.1	0.2	0.2	0.1	0.1	0.02	0.1	0.02	1	0.2	0.2	0.5	0.1	0.1
Compte	Historique				1728				2	2	2	1682	1682	1682	1682	1682	1682	1682	1682	1682	1682	1682	1682	1682	1682	1682	1674.0	1682	1682
Moyenne	Historique				0,053%				12	3	7	0,1	1,7	1,3	7,5	67,5	0,1	-0,2	93,6	17,4	144,65	0	0,1	1,1	338,1	41,1	61,9		
Écart-type (σ)	Historique				0,169%				1	1	2	2,5	8,5	2,2	10,8	1921,4	0,8	0,1	332,4	37,1	365,30	2	1,1	2,7	1227,3	57,0	84,2		
Maximum	Historique				2,290%				12	4	8	62,3	229,0	28,5	94,8	78800,0	9,7	0,5	4460,0	581,0	4880,00	27	13,7	50,7	28000,0	878,0	1590,0		
Minimum	Historique				-0,001%				11	2	5	-0,1	-0,2	-0,2	-0,1	-0,1	-0,2	-0,2	-0,1	0,2	-0,02	-1	-0,2	-0,2	-0,5	-0,1	-0,1		
Compte	Projet				786				2	2	2	786	786	786	786	786	786	786	786	786	786	786	786	786	786	780,0	786	786	
Moyenne	Projet				0,056%				12	3	7	0,3	0,9	1,7	4,1	118,5	0,0	-0,2	144,3	8,7	195,94	0	0,3	2,0	468,4	32,3	45,4		
Écart-type (σ)	Projet				0,165%				1	1	2	3,6	2,1	2,8	5,4	2810,5	0,7	0,0	426,8	20,5	416,40	3	1,4	3,0	1517,0	55,1	70,3		
Maximum	Projet				2,290%				12	4	8	62,3	45,2	28,5	37,8	78800,0	9,7	0,3	4460,0	382,0	4880,00	27	13,7	26,2	28000,0	878,0	1220,0		
Minimum	Projet				0,000%				11	2	5	-0,1	-0,2	-0,2	-0,1	-0,1	-0,2	-0,2	-0,1	0,2	2,67	-1	-0,2	-0,2	1,2	-0,1	-0,1		
592	5929304	Roche	2007-900	2007-08-07	0,004%	0,89	0,05	0,25				-0,1	1,2	2,9	6,5	3,9	0,4	-0,2	42,9	12,2	44,50	0	0,7	4,1	38,1	29,1	54,2		
592	5929305	Roche	2007-900	2007-08-07	0,005%	0,87	0,20	0,15				-0,1	1,6	3,3	2,7	-0,1	-0,2	-0,2	42,8	4,4	50,20	0	-0,2	3,2	45,2	32,3	37,3		
592	5929306	Bloc	2007-900	2007-08-07	0,004%	1,00	-0,01	0,22				-0,1	0,3	1,9	0,6	-0,1	-0,2	-0,2	31,6	2,4	24,20	0	0,9	1,5	33,1	11,2	10,6		
592	5929307	Roche	2007-900	2007-08-07	0,002%	0,82	0,07	0,34				-0,1	0,7	0,7	0,2	1,5	-0,2	-0,2	20,2	2,6	51,00	0	0,7	0,4	20,5	2,1	2,2		
592	5929308	Roche	2007-900	2007-08-07	0,014%	0,98	0,48	1,09				-0,1	0,6	2,0	1,3	-0,1	-0,2	-0,2	29,4	3,7	46,70	0	0,3	1,6	121,0	13,0	30,6		
592	5929309	Roche	2007-900	2007-08-07	0,003%	0,78	0,12	0,23				-0,1	0,9	1,2	2,1	-0,1	-0,2	-0,2	12,0	4,1	39,80	0	0,6	2,1	28,1	14,9	34,4		
592	5929310	Roche	2007-900	2007-08-07	0,003%	1,11	0,03	0,19				-0,1	0,3	1,5	0,7	-0,1	-0,2	-0,2	18,9	3,0	32,10	0	0,8	1,4	25,5	8,7	12,5		
592	5929311	Roche	2007-900	2007-08-07	0,023%	0,98	0,02	0,77				-0,1	-0,2	2,8	1,2	-0,1	-0,2	-0,2	40,8	4,6	136,00	0	0,3	1,3	195,0	6,4	13,3		
592	5929312	Roche	2007-900	2007-08-07	0,002%	0,99	0,02	0,15				-0,1	0,7	1,5	1,2	-0,1	-0,2	-0,2	22,4	4,5	31,10	0	0,6	1,6	18,8	8,6	15,5		
592	5929313	Roche	2007-900	2007-08-07	0,008%	0,99	0,03	0,32				-0,1	0,5	2,8	2,9	-0,1	0,3	-0,2	171,0	5,2	61,00	0	-0,2	3,6	67,1	30,4	41,6		
592	5929314	Roche	2007-900	2007-08-07	0,016%	0,94	0,03	0,60				-0,1	0,8	3,2	0,9	-0,1	-0,2	-0,2	45,0	3,1	99,30	0	-0,2	1,9	132,0	7,1	23,4		
592	5929315	Roche	2007-900	2007-08-07	0,004%	0,98	0,03	0,17				-0,1	-0,2	1,1	1,5	-0,1	-0,2	-0,2	71,5	3,2	67,80	0	-0,2	1,1	35,4	10,9	27,8		
592	5929316	Roche	2007-900	2007-08-07	0,002%	0,91	0,05	0,22				-0,1	0,5	0,7	1,1	0,8	-0,2	-0,2	17,9	1,7	35,20	0	-0,2	0,4	12,8	8,8	21,7		
592	5929317	Roche	2007-900	2007-08-07	0,008%	0,98	0,03	0,39				-0,1	-0,2	1,3	1,5	-0,1	-0,2	-0,2	69,5	2,4	48,20	0	-0,2	1,0	68,8	9,8	17,6		
592	5929318	Roche	2007-900	2007-08-07	0,001%	1,10	0,03	0,31				-0,1	0,2	0,5	1,2	1,2	-0,2	-0,2	15,0	1,5	18,70	0	-0,2	0,5	9,9	18,6	31,4		
592	5929319	Roche	2007-900	2007-08-07	0,004%	0,89	0,05	0,28				-0,1	-0,2	1,7	5,1	0,5	0,2	-0,2	21,0	3,3	47,20	0	-0,2	2,2	33,1	31,8	42,6		
592	5929320	Roche	2007-900	2007-08-07	0,003%	0,88	0,05	0,24				-0,1	-0,2	0,6	0,4	-0,1	-0,2	-0,2	6,3	1,6	47,90	0	-0,2	0,5	23,8	3,1	17,4		
592	5929321	Roche	2007-900	2007-08-07	0,002%	1,05	0,08	0,29				-0,1	-0,2	0,6	1,4	0,7	-0,2	-0,2	13,3	3,9	30,00	0	0,4	0,9	18,9	7,0	17,1		
592	5929322	Roche	2007-900	2007-08-07	0,005%	0,92	0,03	0,78				-0,1	0,4	0,7	3,3	2,6	-0,2	-0,2	10,8	3,7	36,50	0	0,3	0,9	43,4	17,3	53,5		
592	5929323	Roche	2007-900	2007-08-07	0,002%	0,87	0,08	0,25				-0,1	0,6	0,7	1,3	1,7	-0,2	-0,2	12,2	3,7	16,70	0	0,9	0,8	13,1	9,8	18,6		
592	5929324	Roche	2007-900	2007-08-07	0,020%	0,94	0,10	1,38				-0,1	0,4	0,5	2,0	2,9	-0,2	-0,2	80,4	2,3	100,00	0	-0,2	1,2	170,0	13,1	31,1		
592	5929325	Roche	2007-900	2007-08-07	0,018%	0,94	0,17	1,83				-0,1	0,3	0,8	0,5	0,7	-0,2	-0,2	49,2	1,3	98,40	0	-0,2	0,7	150,0	3,6	12,1		
592	5929326	Roche	2007-900	2007-08-07	0,007%	0,92	0,10	1,24				-0,1	0,2	0,8	0,3	1,4	-0,2	-0,2	18,2	1,5	27,10	0	-0,2	0,5	60,8	1,6	2,5		
592	5929327	Roche	2007-900	2007-08-07	0,001%	0,83	0,10	0,07				-0,1	0,6	0,7	0,2	-0,1	-0,2	-0,2	35,6	2,0	38,40	0	-0,2	1,5	9,1	38,4	13,1		
592	5929328	Roche	2007-900	2007-08-07	0,001%	0,00	2,55	0,34				-0,1	1,0	0,4	9,2	21,2	1,5	-0,2	11,5	42,8	11,50	0	-0,2	0,4		84,7	68,9		
592	5929329	Bloc	2007-900	2007-08-07	0,002%	0,88	-0,01	0,13				-0,1	1,3	1,5	1,2	14,2	0,5	-0,2	478,0	2,3	86,00	0	-0,2	3,5	18,7	59,9	65,1		
592	5929330	Roche	2007-942	2007-08-14	0,003%	0,94	0,87	0,16				-0,1	0,2	1,3	1,0	2,3	-0,2	-0,2	1,1	2,4	19,20	-1	-0,2	0,9	26,3	6,4	11,5		
592	5929331	Roche	2007-942	2007-08-14	0,001%	1,20	0,05	0,29				-0,1	1,0	0,9	4,0	3,8	-0,2	-0,2	24,3	5,0	11,20	-1	-0,2	3,2	10,8	26,1	33,2		
592	5929332	Roche	2007-942	2007-08-14	0,003%	2,40	0,27	0,44				-0,1	2,2	-0,2	25,0	17,8	1,1	-0,2	4,0	48,4	11,40	-1	-0,2	8,3	21,6	124,0	106,0		
592	5929333	Roche	2007-942	2007-08-14	0,004%	0,88	0,08	0,22				-0,1	0,2	1,4	0,6	4,5	-0,2	-0,2	0,7	2,1	31,50	-1	-0,2	0,5	30,8	3,1	6,8		
592	5929334	Roche	2007-942	2007-08-14	0,029%	1,03	0,58	1,29				-0,1	-0,2	2,1	1,5	1,4	1,1	-0,2	-0,1	3,1	82,30	-1	-0,2	0,3	243,0	17,7	25,0		
592	5929335	Roche	2007-942	2007-08-14	0,019%	0,99	0,26	0,61				-0,1	-0,2	2,6	2,0	1,1	1,6	-0,2	0,2	3,5	88,00	-1	-0,2	0,7	181,0	27,3	51,4		
592	5929336	Roche	2007-942	2007-08-14	0,106%	0,95	0,19	1,61				-0,1	0,2	4,4	0,8	-0,1	-0,2	-0,2	1,2	1,4	287,00	-1	-0,2	0,5	899,0	11,8	12,1		
592	5929337	Roche	2007-942	2007-08-14	0,042%	0,98	0,13	1,15				-0,1	-0,2	2,5	0,5	1,0	-0,2	-0,2	0,5	1,3	120,00	-1	-0,2	-0,2	355,0	5,1	15,7		
592	5929338	Roche	2007-942	2007-08-14	0,056%	1,03	0,23	1,00				-0,1	-0,2	3,9	1,2	2,6	-0,2	-0,2	0,7	3,4	209,00	-1	-0,2	0,8	474,0	10,8	22,7		
592	5929339	Roche	2007-942	2007-08-14	0,117%	0,84	0,85	1,22				-0,1	-0,2	6,8	3,2	2,9	-0,2	-0,2	1,6	2,7	488,00	-1	-0,2	4,1	998,0	16,4	75,0		
592	5929340	Roche	2007-942	2007-08-14	0,030%	1,63	0,41	1,24				-0,1	-0,2	2,8	1,7	47,0	-0,2	-0,2	0,7	1,6	104,00	-1	-0,2</						



PROJECT NUMBER	SAMPLE	SAMPLE TYPE	ICP6.3 Total Digestion, Multi-Acids																								
			Ag	Al <sub>2</sub> O <sub>3</sub>	Ba	Be	CaO	Cd	Ce	Co	Cr	Cu	Dy	Er	Eu	Fe <sub>2</sub> O <sub>3</sub>	Ga	Gd	Hf	Ho	K <sub>2</sub> O	La	Li	MgO	MnO	Mo	Na <sub>2</sub> O
			ppm	wt %	ppm	ppm	wt %	ppm	ppm	ppm	ppm	ppm	ppm	ppm	ppm	ppm	wt %	ppm	ppm	ppm	ppm	wt %	ppm	ppm	wt %	wt %	ppm
Nb Analyses	790		0.2	0.01	1	0.2	0.01	1	1	1	1	1	1	0.2	0.2	0.01	1	1	1	1	0.01	1	1	0.01	0.01	1	0.01
Compte	Historique		1682	1682	1682	1682	1682	1682	1682	1682	1682	1682	1682	1682	1682	1682	1682	1682	1682	1682	1682	1682	1682	1682	1682	1682	1682
Moyenne	Historique		0.5	12.84	716	1.2	1.84	1	102	6	159	70	4.7	2.7	0.9	3.40	16	5	12	1	3.81	52	23	1.10	0.04	106	2.82
Écart-type (σ)	Historique		2.8	4.18	651	1.0	1.74	1	440	9	63	2155	11.3	6.9	0.9	3.93	8	15	23	3	2.21	236	22	1.56	0.05	413	1.53
Maximum	Historique		74.8	31.80	5480	7.5	21.30	23	12400	116	1490	88400	159.0	102.0	20.6	49.10	69	349	356	35	12.40	6710	215	22.50	0.74	5550	8.86
Minimum	Historique		-0.2	0.09	6	-0.2	-0.01	0	-1	-1	31	-1	-0.2	-0.2	-0.2	0.12	-1	-1	-1	0	0.04	-1	-1	0.00	0.00	-1	0.01
Compte	Projet		786	786	786	786	786	786	786	786	786	786	786	786	786	786	786	786	786	786	786.00	786	786	786.00	786.00	786	786
Moyenne	Projet		1.0	12.00	509	1.1	1.47	1	115	4	171	127	6.2	3.4	0.7	2.82	15	6	14	1	3.57	58	23	0.78	0.03	165	2.95
Écart-type (σ)	Projet		4.0	4.27	505	1.0	1.31	1	422	6	59	3153	13.6	8.1	0.7	3.57	9	15	29	3	2.32	227	24	1.00	0.04	522	1.68
Maximum	Projet		74.8	23.30	4230	6.2	21.30	23	5590	45	400	88400	159.0	102.0	9.0	39.80	69	152	356	35	12.40	3050	200	7.44	0.26	5520	8.86
Minimum	Projet		-0.2	0.20	10	-0.2	-0.01	0	-1	-1	38	-1	-0.2	-0.2	-0.2	0.12	-1	-1	-1	0	0.07	-1	-1	0.00	0.00	-1	0.01
592	5929304	Roche	0.7	10.70	1520	-0.2	0.26	1	8	7	195	8	0.8	0.5	0.8	3.53	14	-1	10	0	6.21	5	23	0.94	0.03	45	1.10
592	5929305	Roche	0.3	10.20	899	-0.2	0.34	1	59	3	174	1	1.5	0.5	0.7	2.46	11	3	5	0	5.90	32	14	0.85	0.02	46	1.43
592	5929306	Bloc	0.4	11.20	1290	-0.2	0.08	1	-1	-1	159	2	0.6	-0.2	0.7	0.82	8	-1	4	0	8.14	-1	6	0.19	0.01	39	1.70
592	5929307	Roche	0.6	6.07	979	-0.2	0.06	1	4	-1	181	2	0.3	-0.2	0.5	0.52	3	-1	5	0	4.27	2	-1	0.04	0.00	21	0.76
592	5929308	Roche	0.7	10.50	793	0.4	1.03	1	53	2	190	2	1.1	0.5	0.8	1.28	11	2	11	0	4.11	27	10	0.41	0.01	32	2.16
592	5929309	Roche	0.9	14.00	977	0.5	1.17	1	15	2	164	3	0.8	0.5	0.9	1.92	16	1	21	0	5.44	8	15	0.49	0.02	12	2.91
592	5929310	Roche	0.4	10.30	807	0.3	0.39	1	4	-1	145	1	0.6	-0.2	0.8	0.94	8	1	5	0	5.84	3	7	0.20	0.01	22	1.74
592	5929311	Roche	0.5	12.40	977	0.4	0.78	1	5	1	228	1	1.8	0.6	0.9	0.88	8	2	11	0	5.70	3	7	0.21	0.01	42	2.48
592	5929312	Roche	0.6	10.60	1060	0.2	0.30	1	2	-1	140	1	0.4	-0.2	0.7	1.02	8	-1	9	0	6.27	2	8	0.24	0.01	24	1.69
592	5929313	Roche	0.6	9.42	85	0.7	1.52	1	6	3	160	2	0.8	0.5	0.6	2.61	13	1	10	0	1.19	5	23	0.79	0.02	180	2.47
592	5929314	Roche	0.5	6.19	37	0.5	1.11	1	6	-1	111	-1	0.9	0.5	0.4	0.60	6	1	11	0	0.53	3	8	0.18	0.01	48	1.88
592	5929315	Roche	0.3	11.40	937	0.4	0.83	1	6	2	131	1	0.8	0.3	0.8	1.35	10	1	4	0	5.68	4	13	0.41	0.01	73	2.04
592	5929316	Roche	0.4	14.10	1620	0.6	0.82	1	3	2	92	1	0.3	-0.2	0.9	0.89	12	-1	3	0	7.78	3	10	0.37	0.01	19	2.12
592	5929317	Roche	0.7	8.52	61	0.8	1.69	1	6	1	163	2	0.8	0.4	0.5	0.90	9	1	18	0	0.55	3	9	0.24	0.01	72	2.60
592	5929318	Roche	0.4	13.40	1120	0.6	0.81	1	1	1	112	2	0.2	-0.2	0.8	1.30	12	-1	2	0	7.19	1	11	0.39	0.01	17	2.54
592	5929319	Roche	1.0	12.50	1340	0.4	1.11	1	6	5	127	3	0.7	0.4	1.0	2.83	15	-1	18	0	5.58	5	19	0.75	0.03	22	2.27
592	5929320	Roche	0.2	11.20	785	0.6	0.82	1	5	-1	148	1	0.7	-0.2	0.8	0.49	9	1	6	0	4.91	3	6	0.14	0.01	7	2.46
592	5929321	Roche	0.3	11.10	1130	0.4	0.73	1	5	1	168	2	0.6	0.4	0.8	0.69	9	-1	6	0	5.59	3	5	0.19	0.01	14	2.03
592	5929322	Roche	0.4	13.10	1160	0.7	1.11	1	22	3	133	3	0.8	0.4	1.0	1.51	13	1	8	0	5.12	12	12	0.44	0.02	11	2.80
592	5929323	Roche	0.4	11.00	1270	-0.2	0.42	1	4	1	206	2	0.4	-0.2	0.9	1.00	8	-1	9	0	6.67	3	8	0.25	0.01	12	1.37
592	5929324	Roche	0.4	16.40	579	1.1	2.62	1	12	2	140	5	1.4	0.7	1.0	1.46	16	1	4	0	4.22	9	15	0.54	0.02	82	4.02
592	5929325	Roche	0.5	14.10	64	4.8	1.38	1	14	1	108	2	3.0	2.0	0.4	0.68	21	2	15	1	3.91	5	4	0.17	0.02	50	4.51
592	5929326	Roche	0.4	8.11	1190	-0.2	0.15	1	5	-1	154	2	0.5	0.2	0.6	0.41	5	1	8	0	5.32	1	1	0.06	0.00	20	1.23
592	5929327	Roche	0.8	10.20	44	1.7	1.78	1	13	-1	170	1	0.6	0.2	0.3	0.77	14	1	11	0	0.86	7	18	1.12	0.02	34	3.31
592	5929328	Roche	-0.2	11.80	959	2.2	2.30	1	51	10	220	22	2.3	1.6	0.8	3.18	15	3	5	1	2.95	27	28	2.32	0.03	12	2.16
592	5929329	Bloc	0.4	10.20	713	0.6	0.78	1	-1	-1	143	16	-0.2	0.2	0.5	3.98	15	-1	6	0	4.46	1	27	1.31	0.04	480	1.77
592	5929330	Roche	0.2	13.50	352	1.7	2.02	1	148	1	212	-1	2.0	1.1	0.5	1.18	18	4	3	1	2.11	76	12	0.24	0.01	3	4.32
592	5929331	Roche	0.3	13.20	196	1.9	2.72	1	2	5	85	4	0.4	0.3	0.5	1.86	18	-1	1	0	1.10	2	25	0.65	0.02	15	3.95
592	5929332	Roche	0.8	19.50	535	2.0	4.09	1	13	34	114	24	0.6	0.8	0.8	8.22	32	1	5	1	3.48	10	70	3.39	0.09	6	4.37
592	5929333	Roche	-0.2	7.52	68	0.9	0.66	1	11	1	205	2	3.8	2.3	0.3	1.09	10	3	-1	1	2.31	2	4	0.07	0.01	2	2.10
592	5929334	Roche	0.6	12.80	12	2.0	2.02	1	109	1	145	-1	6.3	4.9	0.5	8.78	30	8	9	2	0.58	49	8	0.13	0.02	2	4.89
592	5929335	Roche	0.9	14.10	23	2.0	2.23	1	69	1	116	-1	5.4	3.2	0.4	13.90	40	5	21	2	1.12	29	9	0.18	0.04	3	5.20
592	5929336	Roche	3.6	18.30	39	2.2	2.68	1	107	-1	91	-1	17.3	10.2	0.7	4.07	22	14	50	4	1.78	41	4	0.14	0.02	5	6.55
592	5929337	Roche	2.2	14.90	18	2.2	2.43	1	40	-1	120	-1	9.5	6.0	0.4	3.04	23	8	43	2	0.72	16	4	0.14	0.02	2	5.74
592	5929338	Roche	1.2	14.60	106	1.4	1.73	1	107	1	116	-1	12.1	7.0	0.6	5.12	24	11	18	3	3.53	38	9	0.13	0.03	2	4.46
592	5929339	Roche	-0.2	8.78	97	0.7	1.06	1	533	4	230	3	30.7	15.7	2.1	5.17	14	37	1	6	2.82	197	76	1.44	0.07	4	1.82
592	5929340	Roche	2.0	13.80	85	1.9	2.32	1	84	2	121	45	4.6	2.9	0.5	1.17	21	4	32	1	2.87	16	22	0.30	0.02	2	5.08
592	5929341	Roche	0.6	14.60	148	1.6	1.88	2	122	1	156	-1	4.0	2.3	0.6	1.16	17	6	9	1	3.24	46	19	0.31	0.02	2	4.40
592	5929342	Roche	0.9	14.80	121	1.7	2.00	2	75	1	142	-1	5.2	3.0	0.9	1.03	17	7	17	1	3.09	32	11	0.23	0.01	3	4.54
592	5929343	Roche	0.9	12.10	172	1.0	1.13	1	20	1	136	-1	3.2	2.0	0.5	1.58	15	3	17	1	4.27	10	15	0.38	0.02	45	2.94
592	5929344	Roche	1.1	15.40	15	2.3	2.55	2	45	-1	132	-1	5.0	3.0	0.3												



PROJECT NUMBER	SAMPLE	SAMPLE TYPE	ICP6.3 Total Digestion, Multi-Acids																				Aqua Regia				
			Nb	Nd	Ni	P <sub>2</sub> O <sub>5</sub>	Pb	Pr	Sc	Sm	Sn	Sr	Ta	Tb	Th	TiO <sub>2</sub>	U, ICP	V	W	Y	Yb	Zn	Zr	LOI	U <sub>3</sub> O <sub>8</sub>	U, Fl.	B
			ppm	ppm	ppm	wt %	ppm	ppm	ppm	ppm	ppm	ppm	ppm	ppm	ppm	ppm	wt %	ppm	ppm	ppm	ppm	ppm	ppm	ppm	wt %	wt %	ppm
Nb Analyses	790		1	1	1	0,01	1	1	1	1	1	1	1	1	1	0,01	2	1	1	1	0,1	1	0,1	0,001	0,02		
Compte	Historique		1682	1682	1682	1682,00	1682	1682	1682	1682	1682	1682	1682	1682	1682	1682,00	1682	1682	1682	1682	1682	1682	1682	175	339	8	466
Moyenne	Historique		8	36	17	0,15	170	9	6	6	-1	220	0	1	263	0,38	353	56	2	28	2,9	65	376	0,6	0	12	34
Écart-type (σ)	Historique		26	143	45	0,40	384	41	6	21	2	265	5	3	503	0,39	1201	74	17	57	6,3	82	776	0,3	0	11	131
Maximum	Historique		884	4200	1010	6,26	4900	1110	70	606	24	1880	100	47	8540	4,82	19100	1250	326	908	98,2	1620	12500	2,4	2	32	905
Minimum	Historique		-1	-1	-1	0,00	1	-1	-1	-1	-1	-1	-1	0	-1	0,00	-2	-1	-1	-1	-0,1	1	1	-0,1	0	2	2
Compte	Projet		786	786	786	786,00	786	786	786	786	786	786	786	786	786,00	786	786	786	786	786	786	786	168	65	6	168	
Moyenne	Projet		8	39	9	0,12	223	10	4	7	-1	148	1	1	390	0,30	487	43	5	31	3,5	58	484	0,6	0	10	11
Écart-type (σ)	Projet		34	128	22	0,41	437	39	6	18	1	82	5	2	565	0,38	1422	68	24	64	6,9	77	1051	0,3	0	9	21
Maximum	Projet		884	1560	427	6,26	4900	542	53	179	9	525	100	22	4970	3,18	19100	1250	328	790	75,1	1180	12500	2,4	2	23	221
Minimum	Projet		-1	-1	-1	0,00	7	-1	-1	-1	-1	2	-1	0	1	0,00	-2	-1	-1	1	-0,1	1	2	-0,1	0	2	2
592	5929304	Roche	13	4	12	0,05	84	-1	8	1	-1	149	-1	0	150	0,46	43	42	-1	6	0,9	63	342	0,5		2	
592	5929305	Roche	10	21	4	0,07	82	5	6	3	-1	137	-1	0	294	0,36	52	45	-1	7	0,5	46	156	0,8		4	
592	5929306	Bloc	-1	-1	2	0,02	54	-1	1	-1	-1	163	-1	0	151	0,08	33	22	-1	3	0,4	13	137	0,4		2	
592	5929307	Roche	-1	1	2	0,02	73	-1	-1	-1	1	89	-1	0	61	0,02	25	7	3	2	0,3	3	172	0,3		3	
592	5929308	Roche	1	16	3	0,04	78	4	3	2	-1	150	-1	0	111	0,19	123	24	-1	6	0,7	37	349	0,4		10	
592	5929309	Roche	5	5	4	0,04	78	1	5	1	-1	189	-1	0	121	0,31	36	29	-1	5	1,0	46	716	0,6		2	
592	5929310	Roche	2	1	3	0,02	68	-1	1	1	-1	141	-1	0	132	0,10	23	18	-1	3	0,4	19	158	0,4		4	
592	5929311	Roche	-1	2	3	0,02	163	-1	1	1	-1	176	-1	0	252	0,10	200	18	-1	10	1,1	18	408	0,4		2	
592	5929312	Roche	2	1	4	0,02	63	-1	2	-1	-1	135	-1	0	122	0,12	19	18	3	2	0,4	10	297	0,3		3	
592	5929313	Roche	12	2	6	0,03	70	-1	7	1	-1	103	1	0	210	0,40	68	46	-1	6	0,7	57	327	0,3		6	
592	5929314	Roche	1	2	1	0,02	101	-1	1	1	-1	79	-1	0	220	0,07	140	10	-1	5	0,7	25	343	0,3		18	
592	5929315	Roche	3	2	4	0,03	97	-1	3	1	-1	151	-1	0	203	0,24	36	20	1	5	0,4	31	134	0,5		16	
592	5929316	Roche	-1	1	2	0,03	61	-1	2	-1	-1	202	-1	0	59	0,14	14	21	1	2	0,2	28	86	0,6		13	
592	5929317	Roche	2	2	3	0,02	56	-1	2	1	-1	125	-1	0	175	0,14	70	18	1	5	0,9	22	600	0,3		9	
592	5929318	Roche	2	-1	2	0,03	48	-1	2	-1	-1	188	-1	0	32	0,20	9	30	1	1	0,2	34	55	0,5		2	
592	5929319	Roche	12	3	4	0,04	85	-1	8	1	-1	177	-1	0	126	0,53	37	49	1	5	0,6	56	602	0,4		2	
592	5929320	Roche	-1	1	1	0,03	77	-1	-1	-1	-1	152	-1	0	101	0,07	27	11	-1	4	0,5	21	186	0,4		9	
592	5929321	Roche	-1	1	5	0,03	67	-1	1	-1	-1	157	-1	0	66	0,14	18	15	2	3	0,5	19	191	0,4		2	
592	5929322	Roche	4	6	4	0,04	63	1	3	1	-1	188	-1	0	57	0,25	47	30	1	5	0,6	55	248	0,4		3	
592	5929323	Roche	-1	1	2	0,04	69	-1	2	1	-1	157	-1	0	52	0,13	15	20	2	2	0,4	21	274	0,4		3	
592	5929324	Roche	-1	4	2	0,06	132	1	4	2	-1	196	-1	0	123	0,17	180	26	2	7	0,7	38	144	0,5		13	
592	5929325	Roche	16	5	2	0,03	127	1	4	2	-1	73	2	0	82	0,11	160	14	1	22	3,4	16	318	0,2		2	
592	5929326	Roche	-1	2	3	0,02	55	-1	-1	1	-1	125	-1	0	49	0,03	66	9	-1	3	0,5	4	297	-0,1		2	
592	5929327	Roche	1	4	1	0,03	41	1	6	1	-1	73	-1	0	133	0,14	11	54	1	3	0,7	18	449	0,5		2	
592	5929328	Roche	4	19	42	0,13	16	4	9	4	-1	192	-1	0	20	0,17	8	127	1	15	1,6	71	162	2,4	6,85	8	
592	5929329	Bloc	22	1	1	0,04	93	-1	12	-1	-1	118	1	0	145	0,79	21	68	-1	3	0,4	65	185	1,1		32	
592	5929330	Roche	2	45	5	0,02	40	12	1	6	-1	215	-1	0	171	0,09	28	13	-1	8	0,7	26	117				
592	5929331	Roche	4	1	6	0,03	24	-1	3	1	-1	285	-1	0	37	0,26	9	27	-1	2	0,3	43	40				
592	5929332	Roche	8	6	57	0,08	27	2	10	2	-1	317	-1	0	49	1,13	9	158	-1	7	1,0	151	138				
592	5929333	Roche	-1	4	3	0,01	51	1	-1	2	-1	37	1	0	141	0,05	35	4	-1	14	2,1	12	25				
592	5929334	Roche	-1	38	2	0,02	110	9	2	9	-1	56	-1	0	189	0,29	235	20	-1	37	4,4	69	264				
592	5929335	Roche	1	25	-1	0,03	125	5	3	6	-1	61	-1	0	264	0,50	163	30	-1	28	4,2	116	555				
592	5929336	Roche	-1	47	3	0,03	279	12	2	14	-1	78	-1	0	560	0,11	950	15	-1	65	10,7	33	1490				
592	5929337	Roche	-1	19	2	0,02	156	4	1	6	-1	68	-1	1	310	0,10	381	7	-1	48	6,8	34	1160				
592	5929338	Roche	-1	37	3	0,03	262	9	2	10	-1	71	-1	0	473	0,20	462	13	-1	48	6,2	53	471				
592	5929339	Roche	4	199	2	0,27	489	50	9	49	-1	63	-1	0	818	0,51	1190	21	-1	112	10,6	104	86				
592	5929340	Roche	2	19	2	0,03	102	4	2	5	-1	110	2	1	207	0,10	158	6	-1	16	3,9	24	812				
592	5929341	Roche	2	37	2	0,03	83	9	2	7	-1	118	5	0	152	0,13	185	5	-1	16	2,0	24	302				
592	5929342	Roche	1	33	3	0,02	63	8	1	8	-1	124	8	1	233	0,07	128	7	-1	25	3,1	16	535				
592	5929343	Roche	4	9	3	0,02	103	2	2	3	-1	97	6	0	202	0,20	203	8	-1	17	2,6	38	483				
592	5929344	Roche	-1	13	3	0,02	129	3	-1	4	-1	74	4	0	233	0,06	180	5	-1	20	3,4	25	432				
592	5929345	Roche	1	4	2	0,06	79	-1	-1	2	-1	72	6	0	333	0,04	94	2	-1	17	2,0	20	70				
592	5929346	Roche	-1	29	-1	0,02	97	6	5	8	-1	56	-1	0	180	0,64	238	84	2	35	3,8	127	91				
592	5929347	Roche	-1	40	-1	0,05	206	8	8	12	5	52	4	0	334	0,96	580	97	6	59	6,8	218	154				
592	5929348	Roche	-1	20	2	0,04	123	5	1	6	-1	76	7	1	303	0,10	154	11	-1	29	4,6	29	624				
592	5929349	Roche	-1	7	2	0,03	59	1	-1	2	-1	61	4	0	100	0,06	43	4	-1	9	1,5	16	154				
592	5929350	Roche	32	4	26	0,06	397	2	12	1	-1	7	5	1	2700	1,06	448	95	-1	15	0,2	105	126	1,2		221	
592	5929351	Roche	5	1	3																						







		ICP6.3 Total Digestion, Multi-Acids																									
PROJECT NUMBER	SAMPLE	SAMPLE TYPE	Ag	Al <sub>2</sub> O <sub>3</sub>	Ba	Be	CaO	Cd	Ce	Co	Cr	Cu	Dy	Er	Eu	Fe <sub>2</sub> O <sub>3</sub>	Ga	Gd	Hf	Ho	K <sub>2</sub> O	La	Li	MgO	MnO	Mo	Na <sub>2</sub> O
			ppm	wt %	ppm	ppm	wt %	ppm	ppm	ppm	ppm	ppm	ppm	ppm	ppm	ppm	ppm	wt %	ppm	ppm	ppm	ppm	wt %	ppm	wt %	wt %	ppm
Nb Analyses	790		0.2	0.01	1	0.2	0.01	1	1	1	1	1	0.2	0.2	0.2	0.01	1	1	1	1	0.01	1	1	0.01	0.01	1	0.01
Compte	Historique		1682	1682	1682	1682	1682	1682	1682	1682	1682	1682	1682	1682	1682	1682	1682	1682	1682	1682	1682	1682	1682	1682	1682	1682	1682
Moyenne	Historique		0.5	12.84	716	1.2	1.84	1	102	6	159	70	4.7	2.7	0.9	3.40	16	5	12	1	3.81	52	23	1.10	0.04	108	2.82
Écart-type (σ)	Historique		2.8	4.18	651	1.0	1.74	1	440	9	63	2155	11.3	6.9	0.9	3.93	8	15	23	3	2.21	236	22	1.56	0.05	413	1.53
Maximum	Historique		74.8	31.80	5480	7.5	21.30	23	12400	116	1490	88400	159.0	102.0	20.6	49.10	69	349	356	35	12.40	6710	215	22.50	0.74	5550	8.88
Minimum	Historique		-0.2	0.09	6	-0.2	-0.01	0	-1	-1	31	-1	-0.2	-0.2	-0.2	0.12	-1	-1	-1	0	0.04	-1	-1	0.00	0.00	-1	0.01
Compte	Projet		786	786	786	786	786	786	786	786	786	786	786	786	786	786	786	786	786	786	786	786	786	786	786	786	786
Moyenne	Projet		1.0	12.00	509	1.1	1.47	1	115	4	171	127	6.2	3.4	0.7	2.82	15	6	14	1	3.57	58	23	0.78	0.03	165	2.95
Écart-type (σ)	Projet		4.0	4.27	505	1.0	1.31	1	422	6	59	3153	13.6	8.1	0.7	3.57	9	15	29	3	2.32	227	24	1.00	0.04	522	1.68
Maximum	Projet		74.8	23.30	4230	6.2	21.30	23	5590	45	400	88400	159.0	102.0	9.0	39.80	69	152	356	35	12.40	3050	200	7.44	0.26	5550	8.88
Minimum	Projet		-0.2	0.20	10	-0.2	-0.01	0	-1	-1	38	-1	-0.2	-0.2	-0.2	0.12	-1	-1	-1	0	0.07	-1	-1	0.00	0.00	-1	0.01
592	5929357	Roche	0.2	11.40	28	2.4	0.91	1	6	-1	153	6	3.0	2.2	0.2	0.50	16	2	4	1	3.70	3	3	0.08	0.01	1	3.51
592	5929358	Roche	0.3	13.30	663	1.2	1.88	1	10	1	159	2	0.4	-0.2	0.6	0.66	13	1	7	0	3.54	5	8	0.20	0.01	1	3.79
592	5929359	Roche	1.2	16.60	168	1.6	3.72	1	5	2	115	9	0.4	0.3	1.1	2.47	22	-1	30	0	1.45	3	19	0.87	0.03	1	6.03
592	5929360	Roche	0.4	15.70	115	2.1	2.75	1	179	5	101	2	2.3	1.2	0.6	2.80	20	4	11	0	1.73	52	23	0.89	0.05	110	4.96
592	5929361	Roche	0.4	15.40	278	1.7	2.74	1	13	3	143	7	0.7	0.4	0.8	2.18	18	1	2	0	1.88	8	22	0.85	0.03	4	4.79
592	5929362	Roche	0.4	20.60	191	2.6	3.54	2	10	3	95	9	0.5	0.3	0.9	3.42	28	-1	3	0	2.37	8	30	1.19	0.05	27	6.37
592	5929363	Roche	1.0	6.25	657	-0.2	0.31	0	28	6	190	1	3.7	0.8	0.5	2.72	4	3	21	0	2.99	16	23	0.99	0.02	120	0.84
592	5929364	Roche	1.1	1.16	46	-0.2	-0.01	0	2	-1	222	4	1.0	0.5	-0.2	1.72	-1	1	20	0	0.67	-1	10	0.78	0.02	1200	0.04
592	5929365	Roche	-0.2	12.60	119	1.5	2.21	1	5	11	204	44	0.6	0.6	0.8	2.88	17	1	6	0	1.12	3	14	0.83	0.02	49	4.40
592	5929366	Roche	0.6	2.30	94	-0.2	0.11	0	1	2	246	8	0.7	0.2	-0.2	2.53	2	1	8	0	1.05	-1	16	1.16	0.02	630	0.25
592	5929367	Roche	2.0	0.64	22	-0.2	0.04	0	2	7	263	3	1.2	-0.2	-0.2	1.21	-1	1	55	0	0.22	-1	4	0.28	0.01	150	0.07
592	5929368	Roche	1.5	1.43	121	-0.2	0.07	0	7	10	131	28	1.6	0.7	-0.2	2.77	-1	1	31	0	0.53	1	1	0.04	0.00	77	0.27
592	5929369	Roche	1.0	6.54	328	0.2	0.84	0	5	2	282	2	0.5	0.3	0.5	1.20	7	1	27	0	1.51	1	5	0.28	0.01	37	1.70
592	5929370	Roche	0.5	1.78	90	-0.2	0.10	0	5	-1	235	4	1.0	-0.2	-0.2	0.85	1	1	10	0	0.78	2	4	0.20	0.01	130	0.34
592	5929371	Roche	-0.2	12.30	2550	0.3	0.16	1	-1	2	144	8	0.5	0.8	0.7	3.61	6	1	1	0	8.19	2	28	1.44	0.03	1630	1.03
592	5929372	Roche	1.2	14.00	394	1.5	2.27	1	16	6	70	-1	0.9	0.6	0.6	2.92	20	1	20	0	2.26	7	33	0.91	0.04	5	4.04
592	5929373	Roche	0.4	3.80	311	0.2	0.27	0	2	1	236	-1	0.4	-0.2	0.2	0.99	4	1	3	0	1.56	1	7	0.23	0.01	44	0.75
592	5929374	Roche	-0.2	12.10	1400	0.6	0.36	1	3	-1	140	-1	0.3	-0.2	0.5	0.60	11	-1	-1	0	7.50	1	6	0.14	0.01	5	1.98
592	5929375	Roche	0.6	14.40	561	1.4	1.60	1	3	2	144	13	1.5	1.1	0.7	2.88	19	1	11	1	5.69	1	16	0.70	0.04	8	3.12
592	5929376	Roche	1.4	1.46	62	-0.2	0.03	0	-1	2	204	-1	1.2	-0.2	-0.2	2.07	3	1	30	0	0.75	-1	13	0.65	0.02	272	0.06
592	5929377	Roche	1.3	5.94	266	-0.2	0.41	0	-1	10	214	-1	1.0	0.8	-0.2	7.99	18	1	17	1	3.16	-1	37	2.93	0.11	527	0.23
592	5929378	Roche	0.4	8.50	700	0.5	0.84	0	692	3	156	-1	4.4	3.1	1.2	2.09	11	9	9	2	3.93	345	14	0.74	0.03	43	1.44
592	5929379	Roche	7.3	13.00	1350	0.6	1.35	0	5590	3	118	-1	41.3	15.3	6.9	3.70	1	90	54	6	6.73	3050	26	1.16	0.08	78	1.88
592	5929380	Roche	0.2	12.70	358	1.4	2.34	1	22	4	123	-1	0.9	0.4	0.6	2.49	16	1	7	1	2.20	11	25	0.94	0.03	180	3.24
592	5929381	Roche	0.6	9.81	118	0.8	1.17	1	2	2	187	9	2.0	1.2	0.2	1.95	10	2	3	0	2.88	-1	14	0.53	0.02	338	2.38
592	5929382	Roche	-0.2	12.50	19	1.8	2.19	1	3	-1	162	2	0.5	0.2	0.2	0.94	16	-1	1	0	0.62	1	13	0.32	0.01	2	4.32
592	5929383	Roche	0.6	5.34	32	0.9	1.00	0	3	4	284	17	1.8	1.0	-0.2	1.95	8	1	7	1	0.71	-1	30	1.01	0.03	4	1.24
592	5929384	Roche	-0.2	16.90	730	1.9	2.76	1	19	1	70	1	1.0	0.7	0.4	1.71	19	1	3	0	3.70	7	9	0.29	0.02	1	6.15
592	5929385	Roche	-0.2	12.60	60	1.8	1.70	1	12	-1	137	-1	1.0	0.6	0.2	1.34	16	1	5	0	2.45	3	3	0.05	0.01	1	4.15
592	5929386	Roche	0.9	13.00	30	1.7	2.18	1	5	-1	164	-1	1.6	1.0	0.2	1.33	17	1	17	1	1.28	-1	9	0.09	0.01	2	4.72
592	5929387	Roche	0.2	14.90	41	2.0	2.54	1	1	1	160	-1	0.7	0.4	0.2	1.85	16	-1	3	0	1.29	-1	11	0.07	0.02	3	5.21
592	5929388	Roche	-0.2	14.30	709	0.3	0.19	1	22	2	139	1	4.8	2.4	0.5	1.73	12	3	2	1	9.42	5	19	0.55	0.03	9	1.71
592	5929389	Roche	1.7	18.90	80	2.6	3.29	1	30	1	94	-1	5.6	3.3	0.5	5.25	25	4	23	1	1.50	11	8	0.19	0.03	1	6.60
592	5929390	Roche	3.3	21.10	39	2.9	3.96	1	302	-1	59	-1	19.6	10.4	1.4	2.15	23	21	50	4	0.92	136	13	0.41	0.02	1	7.58
592	5929391	Bloc	-0.2	12.10	65	2.4	1.05	1	159	-1	326	-1	8.0	5.0	0.5	0.80	17	10	2	2	2.14	82	10	0.15	0.02	5	2.17
592	5929392	Roche	2.3	15.10	581	1.4	1.51	1	7	7	189	-1	1.8														



PROJECT NUMBER	SAMPLE	SAMPLE TYPE	ICP6.3 Total Digestion, Multi-Acids																				Aqua Regia							
			Nb	Nd	Ni	P <sub>2</sub> O <sub>5</sub>	Pb	Pr	Sc	Sm	Sn	Sr	Ta	Tb	Th	TiO <sub>2</sub>	U, ICP	V	W	Y	Yb	Zn	Zr	LOI	U <sub>3</sub> O <sub>8</sub>	U, Fl.	B			
			ppm	ppm	ppm	wt %	ppm	ppm	ppm	ppm	ppm	ppm	ppm	ppm	ppm	ppm	wt %	ppm	ppm	ppm	ppm	ppm	ppm	ppm	wt %	wt %	ppm	ppm		
Nb Analyses	790		1	1	1	0,01	1	1	1	1	1	1	1	1	1	0,01	2	1	1	1	0,1	1	1	0,1	0,001	0,02	ppm			
Compte	Historique		1682	1682	1682	1682,00	1682	1682	1682	1682	1682	1682	1682	1682	1682	1682,00	1682	1682	1682	1682	1682	1682	1682	1682	1682	1682	175	339	8	486
Moyenne	Historique		8	36	17	0,15	170	9	6	6	-1	220	0	1	263	0,36	353	56	2	26	2,9	65	376	0,6	0	12	34			
Écart-type (σ)	Historique		26	143	45	0,40	384	41	6	21	2	285	5	3	503	0,39	1201	74	17	57	6,3	82	776	0,3	0	11	131			
Maximum	Historique		884	4200	1010	6,26	4900	1110	70	806	24	1880	100	47	8540	4,82	19100	1250	328	908	88,2	1620	12500	2,4	2	32	905			
Minimum	Historique		-1	-1	-1	0,00	1	-1	-1	-1	-1	-1	-1	0	-1	0,00	-2	-1	-1	-1	-0,1	1	1	-0,1	0	2	2			
Compte	Projet		786	786	786	786,00	786	786	786	786	786	786	786	786	786,00	786	786	786	786	786	786	786	786	786	168	65	6	168		
Moyenne	Projet		8	39	9	0,12	223	10	4	7	-1	148	1	1	390	0,30	487	43	5	31	3,5	58	484	0,6	0	10	11			
Écart-type (σ)	Projet		34	128	22	0,41	437	39	6	18	1	82	5	2	565	0,38	1422	68	24	64	6,9	77	1051	0,3	0	9	21			
Maximum	Projet		884	1560	427	6,26	4900	542	53	179	9	525	100	22	4970	3,18	19100	1250	328	790	75,1	1180	12500	2,4	2	23	221			
Minimum	Projet		-1	-1	-1	0,00	7	-1	-1	-1	-1	2	-1	0	1	0,00	-2	-1	-1	1	-0,1	1	2	-0,1	0	2	2			
592	5929357	Roche	47	3	2	0,02	61	1	1	2	-1	42	2	0	22	0,06	44	10	-1	13	3,1	9	101	0,2				3		
592	5929358	Roche	-1	3	3	0,02	33	1	-1	1	-1	219	-1	0	68	0,08	12	17	2	2	0,3	14	248	0,4				8		
592	5929359	Roche	7	2	4	0,04	48	-1	4	1	-1	310	-1	0	166	0,47	26	74	-1	4	1,0	58	1100	0,6				2		
592	5929360	Roche	10	39	5	0,13	66	10	5	6	-1	206	1	0	309	0,41	37	43	-1	13	1,4	68	411	0,6				2		
592	5929361	Roche	5	6	6	0,06	144	1	3	2	-1	246	-1	0	43	0,36	12	41	3	4	0,4	82	84	0,6				2		
592	5929362	Roche	16	4	4	0,05	49	1	7	1	-1	300	-1	0	109	0,53	22	83	-1	4	0,6	70	98	1,0				2		
592	5929363	Roche	14	12	9	0,03	310	3	6	2	-1	66	1	1	706	0,48	680	54	-1	18	2,1	56	818	0,5				3		
592	5929364	Roche	2	1	1	0,02	180	-1	4	-1	-1	4	-1	1	643	0,17	70	40	1	5	0,7	19	753	0,6				52		
592	5929365	Roche	6	3	23	0,04	25	-1	4	1	-1	178	-1	0	26	0,33	25	41	-1	5	0,7	49	188	1,0		22,90		4		
592	5929366	Roche	12	1	8	0,02	110	-1	6	-1	-1	11	2	0	378	0,46	175	63	-1	4	0,6	60	265	0,4				29		
592	5929367	Roche	1	-1	18	0,01	160	-1	2	-1	-1	2	-1	3	709	0,08	233	19	-1	7	1,8	16	1940	0,6				4		
592	5929368	Roche	-1	4	60	0,02	139	1	-1	1	-1	14	-1	2	188	0,02	369	17	-1	9	1,7	11	1060	1,6				2		
592	5929369	Roche	-1	2	4	0,02	42	-1	2	1	-1	85	-1	1	90	0,10	39	27	-1	4	0,9	16	932	0,4				5		
592	5929370	Roche	3	2	2	0,04	40	-1	1	1	-1	15	-1	1	362	0,10	110	10	-1	5	0,7	12	348	0,2				2		
592	5929371	Roche	11	1	10	0,04	93	-1	6	-1	-1	167	3	0	284	0,62	20	83	-1	2	-0,1	77	24							
592	5929372	Roche	8	5	6	0,03	29	1	4	1	-1	202	-1	0	313	0,45	49	41	-1	5	0,9	61	730							
592	5929373	Roche	1	1	5	0,01	19	-1	1	-1	-1	82	-1	0	171	0,13	23	11	-1	1	0,3	18	144							
592	5929374	Roche	1	1	4	0,02	27	-1	-1	-1	-1	197	-1	0	19	0,07	3	5	-1	1	0,2	9	26							
592	5929375	Roche	13	3	7	0,15	59	-1	5	2	-1	176	-1	0	45	0,37	59	36	-1	12	1,7	57	285							
592	5929376	Roche	8	-1	5	0,01	69	-1	3	1	1	6	-1	2	986	0,29	86	38	-1	5	1,2	38	997							
592	5929377	Roche	37	2	11	0,02	79	-1	17	1	1	18	-1	0	649	1,17	128	144	-1	9	1,0	155	544							
592	5929378	Roche	4	181	7	0,09	82	49	4	18	-1	145	-1	1	649	0,29	95	32	-1	17	1,6	41	332							
592	5929379	Roche	-1	1560	6	0,18	898	542	11	153	-1	278	-1	0	3620	0,47	2530	74	-1	133	12,0	72	3290							
592	5929380	Roche	5	7	7	0,06	94	2	4	2	-1	215	-1	0	245	0,33	53	36	-1	5	0,5	50	244							
592	5929381	Roche	1	2	5	0,08	107	-1	2	2	-1	64	-1	0	103	0,21	70	4	-1	8	0,7	33	74							
592	5929382	Roche	-1	1	5	0,02	16	-1	-1	1	-1	80	-1	0	12	0,03	4	3	-1	2	0,3	15	28							
592	5929383	Roche	4	2	27	0,03	64	-1	3	1	-1	61	-1	0	44	0,11	97	12	-1	8	1,2	54	223							
592	5929384	Roche	5	6	6	0,03	23	2	2	2	-1	223	-1	0	9	0,22	5	21	-1	6	0,8	30	105							
592	5929385	Roche	-1	3	6	0,02	31	1	-1	1	-1	64	-1	0	57	0,05	19	5	-1	4	0,8	13	168							
592	5929386	Roche	-1	2	5	0,02	45	-1	-1	1	-1	61	-1	0	89	0,05	37	4	-1	8	1,5	18	447							
592	5929387	Roche	-1	-1	5	0,02	32	-1	-1	1	-1	96	-1	0	66	0,05	12	7	-1	3	0,5	18	89							
592	5929388	Roche	1	6	5	0,06	178	1	2	3	-1	137	-1	0	112	0,17	128	12	-1	18	2,0	41	52							
592	5929389	Roche	-1	13	2	0,03	124	3	1	4	-1	192	-1	0	297	0,11	225	43	-1	28	3,9	31	690							
592	5929390	Roche	-1	119	4	0,03	339	30	2	25	-1	227	-1	0	664	0,08	998	26	-1	82	9,6	26	1560		0,141					
592	5929391	Bloc	4	60	7	0,06	27	16	3	11	-1	50	-1	1	75	0,06	27	4	4	51	5,4	7	60							
592	5929392	Roche	19	3	12	0,03	132	1	7	2	-1	180	-1	0	779	0,69	242	74	-1	10	1,1	111	489							
592	5929393	Roche	4	1	7	0,02	65	-1	2	1	-1	195	-1	0	219	0,21	52	25	-1	3	0,4	35	242							
592	5929394	Roche	7	2	8	0,02	179	-1	4	1	-1	155	-1	2	882	0,34	232	35	-1	12	2,3	62	1970							
592	5929395	Roche	3	5	5	0,04	88	1	2	1	-1	152	-1	0	446	0,16	84	13	-1	6	0,6	26	365							
592	5929396	Roche	1	36	6	0,04	113	10	2	5	-1	233	-1	1	654	0,16	104	13	-1	10	0,9	39	276							
592	5929397	Roche	7	1	4	0,02	70	-1	2	1	-1	167	-1	0	212	0,16	51	18	-1	4	0,6	29	139							
592	5929398	Roche	2	2	6	0,04	46	-1	2	1	-1	213	-1	1	173	0,18	35	22	-1	6	0,8	49	484							
592	5929399	Roche	16	3	3	0,08	80	1	5	1	-1	102	-1	0	1010	0,52	149	69	-1	9	0,9	67	65							
592	5929400	Roche	4	2	3	0,02	740	1	4	1	-1	10	1	1	2320	0,24	247	41	-1	10	0,9	24	366		0,9			34		
592	5929401	Roche	-1	33	4	0,07	57	9	1	4	-1	164	-1	0	182	0,11	27	14	-1	7	0,5	14	162		0,3			3		
592	5929402	Roche	5	47	7	0,08	38	13	3	6	-1	249</																		







		ICP6.3 Total Digestion, Multi-Acids																									
PROJECT NUMBER	SAMPLE	SAMPLE TYPE	Ag	Al <sub>2</sub> O <sub>3</sub>	Ba	Be	CaO	Cd	Ce	Co	Cr	Cu	Dy	Er	Eu	Fe <sub>2</sub> O <sub>3</sub>	Ga	Gd	Hf	Ho	K <sub>2</sub> O	La	Li	MgO	MnO	Mo	Na <sub>2</sub> O
			ppm	wt %	ppm	ppm	wt %	ppm	ppm	ppm	ppm	ppm	ppm	ppm	ppm	ppm	wt %	ppm	ppm	ppm	ppm	wt %	ppm	ppm	wt %	wt %	ppm
Nb Analyses	790		0.2	0.01	1	0.2	0.01	1	1	1	1	1	0.2	0.2	0.2	0.01	1	1	1	1	0.01	1	1	0.01	0.01	1	0.01
Compte	Historique		1682	1682	1682	1682	1682	1682	1682	1682	1682	1682	1682	1682	1682	1682	1682	1682	1682	1682	1682	1682	1682	1682	1682	1682	1682
Moyenne	Historique		0.5	12.84	716	1.2	1.84	1	102	6	159	70	4.7	2.7	0.9	3.40	16	5	12	1	3.81	52	23	1.10	0.04	106	2.82
Écart-type (σ)	Historique		2.8	4.18	651	1.0	1.74	1	440	9	63	2155	11.3	6.9	0.9	3.93	8	15	23	3	2.21	236	22	1.56	0.05	413	1.53
Maximum	Historique		74.8	31.80	5480	7.5	21.30	23	12400	116	1490	88400	159.0	102.0	20.6	49.10	69	349	356	35	12.40	6710	215	22.50	0.74	5550	8.86
Minimum	Historique		-0.2	0.09	6	-0.2	-0.01	0	-1	-1	31	-1	-0.2	-0.2	-0.2	0.12	-1	-1	-1	0	0.04	-1	-1	0.00	0.00	-1	0.01
Compte	Projet		786	786	786	786	786	786	786	786	786	786	786	786	786	786	786	786	786	786	786	786	786	786	786	786	786
Moyenne	Projet		1.0	12.00	509	1.1	1.47	1	115	4	171	127	6.2	3.4	0.7	2.82	15	6	14	1	3.57	58	23	0.78	0.03	165	2.95
Écart-type (σ)	Projet		4.0	4.27	505	1.0	1.31	1	422	6	59	3153	13.6	8.1	0.7	3.57	9	15	29	3	2.32	227	24	1.00	0.04	522	1.68
Maximum	Projet		74.8	23.30	4230	6.2	21.30	23	5590	45	400	88400	159.0	102.0	9.0	39.80	69	152	356	35	12.40	3050	200	7.44	0.26	5550	8.86
Minimum	Projet		-0.2	0.20	10	-0.2	-0.01	0	-1	-1	38	-1	-0.2	-0.2	-0.2	0.12	-1	-1	-1	0	0.07	-1	-1	0.00	0.00	-1	0.01
592	5929410	Roche	0.4	8.04	245	0.6	1.17	1	35	3	155	1	0.6	0.4	0.4	1.28	9	1	8	0	1.43	18	10	0.41	0.02	2	2.38
592	5929411	Roche	1.3	12.90	1800	-0.2	0.36	1	3	6	193	4	1.1	-0.2	0.8	4.10	13	1	21	0	8.48	3	28	1.43	0.05	60	1.47
592	5929412	Roche	-0.2	18.40	264	2.1	1.76	1	601	13	64	4	30.9	17.2	1.0	5.05	33	40	5	6	4.00	312	51	1.45	0.07	5	2.89
592	5929413	Roche	-0.2	20.00	59	2.1	0.69	1	978	3	47	2	33.4	10.0	0.7	5.20	48	64	2	6	5.27	487	174	1.55	0.07	2	1.96
592	5929414	Roche	1.3	9.82	1380	-0.2	0.39	1	13	2	177	23	1.7	0.8	0.7	1.95	8	2	67	0	6.35	3	10	0.59	0.02	83	1.19
592	5929415	Roche	1.8	13.80	592	1.5	2.56	1	8	-1	180	21	2.0	0.7	0.6	1.50	15	1	109	0	2.78	-1	9	0.50	0.02	7	3.54
592	5929416	Roche	-0.2	7.88	138	1.5	0.67	1	5	-1	95	4	0.6	0.4	0.3	1.22	11	1	3	0	2.68	2	9	0.35	0.02	115	2.02
592	5929417	Roche	-0.2	11.10	258	3.1	1.63	1	3	7	101	52	2.3	1.6	0.5	1.92	15	2	3	0	2.56	1	7	0.39	0.02	23	2.97
592	5929418	Roche	0.2	9.78	325	0.9	0.52	1	1	2	144	9	0.7	0.6	0.4	4.68	20	1	3	0	4.67	2	33	1.28	0.07	150	1.66
592	5929419	Roche	0.4	4.92	141	0.3	0.19	0	5	4	157	2	1.2	0.5	0.2	5.13	12	2	5	0	2.40	3	41	1.56	0.09	470	0.44
592	5929420	Roche	-0.2	5.85	263	-0.2	0.22	0	10	1	159	20	4.3	-0.2	0.3	2.19	5	4	1	0	3.14	7	18	0.59	0.02	236	0.92
592	5929421	Roche	0.9	10.10	323	-0.2	1.44	0	187	13	215	24	4.7	0.7	0.7	7.06	21	10	67	0	3.40	87	34	2.82	0.09	1	1.66
592	5929422	Roche	-0.2	1.25	70	-0.2	0.07	0	6	4	151	4	0.8	-0.2	-0.2	1.38	3	1	23	0	0.54	3	7	0.45	0.01	8	0.13
592	5929423	Roche	0.4	7.66	848	-0.2	0.15	0	12	2	229	4	1.1	-0.2	0.5	1.22	6	2	17	0	5.06	3	7	0.34	0.01	28	1.10
592	5929424	Roche	-0.2	17.70	257	1.6	3.73	1	502	9	120	6	4.2	2.0	1.0	4.91	26	12	25	1	2.09	265	35	1.68	0.06	6	4.65
592	5929425	Roche	1.0	10.80	364	0.3	1.39	0	11	28	86	170	0.6	0.9	0.6	9.12	25	1	20	0	3.23	7	45	2.86	0.07	3	1.62
592	5929426	Roche	-0.2	3.51	71	0.2	0.24	0	22	4	172	15	4.2	1.1	0.2	2.28	2	4	11	0	1.18	9	15	0.69	0.01	580	0.61
592	5929427	Roche	-0.2	9.30	280	0.5	1.20	0	13	4	190	18	1.7	-0.2	0.4	3.70	11	2	17	0	2.02	7	25	1.30	0.04	430	2.10
592	5929428	Roche	-0.2	19.60	189	1.8	4.80	1	10	8	169	78	1.3	0.3	0.9	4.36	23	2	17	0	1.68	6	28	1.64	0.05	160	5.05
592	5929429	Roche	3.9	12.00	1170	-0.2	0.90	1	10	7	131	14	3.7	1.2	0.6	3.48	13	3	229	0	6.00	-1	32	1.22	0.05	4	1.97
592	5929430	Roche	-0.2	14.50	1050	-0.2	0.38	1	-1	18	67	87	2.2	1.4	0.6	19.40	8	2	25	0	8.36	5	91	6.72	0.20	5550	0.51
592	5929431	Roche	2.3	6.92	453	-0.2	0.07	0	2	5	214	71	2.5	-0.2	-0.2	9.92	23	2	118	0	4.18	-1	55	3.72	0.08	220	0.18
592	5929432	Roche	-0.2	10.20	306	0.6	0.61	1	28	-1	114	2	1.2	0.6	0.3	0.93	9	2	4	0	4.66	12	3	0.08	0.01	6	2.34
592	5929433	Roche	0.3	8.69	81	0.5	0.78	0	15	3	107	39	2.4	1.4	0.3	5.03	17	3	18	0	3.55	5	74	1.39	0.07	4	1.76
592	5929434	Bloc	-0.2	12.60	162	1.1	1.05	1	42	2	117	2	5.1	2.5	0.7	6.34	21	5	8	1	4.38	24	9	0.13	0.03	1	3.43
592	5929435	Roche	-0.2	12.80	132	1.2	1.23	0	94	3	120	2	5.6	3.0	0.8	11.20	30	7	7	1	4.33	48	8	0.11	0.09	1	3.41
592	5929436	Roche	-0.2	10.30	287	0.7	0.67	1	5	-1	156	1	0.3	-0.2	0.2	0.96	10	1	-1	0	5.04	2	8	0.13	0.01	2	2.21
592	5929437	Roche	0.6	14.80	217	-0.2	2.44	1	32	-1	169	30	75.5	39.4	2.6	3.52	4	46	182	14	2.08	-1	11	0.30	0.03	52	4.96
592	5929438	Roche	-0.2	6.21	36	0.7	1.14	0	535	3	180	10	36.4	16.6	2.6	11.00	19	38	7	7	0.35	264	5	0.13	0.05	3	2.23
592	5929439	Bbuster	-0.2	9.57	24	1.6	1.18	1	9	2	197	5	5.2	1.7	0.5	3.30	26	4	31	2	1.31	1	29	1.01	0.06	220	2.60
592	5929440	Pjonjar	1.7	9.93	42	2.2	1.56	2	3	36	265	11	1.0	-0.2	0.4	1.92	15	1	3	0	0.77	1	5	0.20	0.01	47	3.49
592	5929441	Pjonjar	-0.2	5.72	147	1.0	0.23	1	14	1	258	17	4.8	3.0	-0.2	1.44	4	5	5	1	2.84	5	25	1.28	0.02	1300	0.78
592	5929442	Bbuster	2.1	6.22	187	1.1	0.28	1	17	9	234	24	4.9	2.5	-0.2	1.79	7	5	9	1	2.73	7	24	1.28	0.02	870	0.92
592	5929443	Pjonjar	0.8	11.70	1520	0.3	0.38	2	8	6	205	35	1.5	0.6	0.5	1.54	10	2	-1	1	7.29	1	8	0.46	0.02	177	1.75
592	5929444	Bbuster	-0.2	6.47	938	-0.2	0.20	0	37	5	269	47	2.1	0.4	0.3	2.19	3	4	1	0	4.07	15	8	0.67	0.02	584	0.80
592	5929445	Bbuster	-0.2	21.20	167	3.0	5.37																				



PROJECT NUMBER	SAMPLE	SAMPLE TYPE	ICP6.3 Total Digestion, Multi-Acids																						Aqua Regia Partial			
			Nb	Nd	Ni	P <sub>2</sub> O <sub>5</sub>	Pb	Pr	Sc	Sm	Sn	Sr	Ta	Tb	Th	TiO <sub>2</sub>	U, ICP	V	W	Y	Yb	Zn	Zr	LOI	U <sub>3</sub> O <sub>8</sub>	U, Fl.	B	
			ppm	ppm	ppm	wt %	ppm	ppm	ppm	ppm	ppm	ppm	ppm	ppm	ppm	ppm	wt %	ppm	ppm	ppm	ppm	ppm	ppm	ppm	wt %	wt %	ppm	ppm
Nb Analyses	790		1	1	1	0.01	1	1	1	1	1	1	1	1	1	2	1	1	1	0.1	1	1	0.1					
Compte	Historique		1682	1682	1682	1682.00	1682	1682	1682	1682	1682	1682	1682	1682	1682	1682.00	1682	1682	1682	1682	1682	1682	1682	175	339	8	488	
Moyenne	Historique		8	36	17	0.15	170	9	8	6	-1	220	0	1	263	0.38	353	56	2	28	2.9	65	376	0.6	0	12	34	
Écart-type (σ)	Historique		26	143	45	0.40	384	41	6	21	2	285	5	3	503	0.39	1201	74	17	57	6.3	82	776	0.3	0	11	131	
Maximum	Historique		884	4200	1010	6.26	4900	1110	70	606	24	1880	100	47	8540	4.82	19100	1250	328	908	98.2	1620	12500	2.4	2	32	905	
Minimum	Historique		-1	-1	-1	0.00	1	-1	-1	-1	-1	-1	-1	-1	0	-1	0.00	-2	-1	-1	-1	-0.1	1	1	-0.1	0	2	2
Compte	Projet		786	786	786	786.00	786	786	786	786	786	786	786	786	786.00	786	786	786	786	786	786	786	786	168	65	6	168	
Moyenne	Projet		8	39	9	0.12	223	10	4	7	-1	148	1	1	390	0.30	487	43	5	31	3.5	58	484	0.6	0	10	11	
Écart-type (σ)	Projet		34	128	22	0.41	437	39	6	18	1	82	5	2	565	0.36	1422	68	24	64	6.9	77	1051	0.3	0	9	21	
Maximum	Projet		884	1560	427	6.26	4900	542	53	179	9	525	100	22	4970	3.18	19100	1250	328	790	75.1	1180	12500	2.4	2	23	221	
Minimum	Projet		-1	-1	-1	0.00	7	-1	-1	-1	-1	2	-1	0	1	0.00	-2	-1	-1	1	-0.1	1	2	-0.1	0	2	2	
592	5929410	Roche	3	12	5	0.03	34	3	2	2	-1	115	-1	0	99	0.19	13	18	-1	3	0.4	20	302	0.3		2		
592	5929411	Roche	14	2	16	0.04	99	-1	7	-1	-1	192	-1	0	649	0.65	180	63	-1	8	1.0	74	778	0.6			5	
592	5929412	Roche	16	232	7	0.21	310	65	16	44	1	132	2	5	381	0.71	847	22	-1	177	16.3	74	116					
592	5929413	Roche	27	366	4	0.24	182	102	20	83	8	31	-1	8	390	0.73	372	26	4	126	5.2	144	55					
592	5929414	Roche	5	5	7	0.03	83	1	3	1	-1	167	1	3	548	0.23	78	30	-1	13	2.4	27	2340					
592	5929415	Roche	5	2	3	0.03	148	1	4	1	-1	196	-1	5	938	0.18	125	34	-1	16	3.6	30	4110					
592	5929416	Roche	12	2	6	0.02	90	-1	5	1	-1	57	1	0	176	0.18	70	29	4	4	0.5	34	81					
592	5929417	Roche	12	2	13	0.03	68	-1	3	1	-1	101	1	0	62	0.20	148	28	-1	16	2.2	30	63					
592	5929418	Roche	42	2	2	0.05	57	-1	11	-1	-1	78	1	0	183	0.74	28	69	1	7	0.9	82	55					
592	5929419	Roche	38	4	3	0.07	69	-1	12	1	1	26	2	0	463	0.80	117	71	-1	9	1	117	115					
592	5929420	Roche	10	4	2	0.02	362	1	4	2	-1	63	-1	0	2420	0.31	787	29	-1	22	2	46	20					
592	5929421	Roche	24	73	33	0.11	77	19	12	12	-1	105	2	4	2000	1.06	74	126	-1	22	3	129	2390					
592	5929422	Roche	3	2	9	0.01	40	-1	2	-1	1	8	-1	1	603	0.18	122	18	-1	5	1	32	855					
592	5929423	Roche	2	5	8	0.02	32	1	1	1	-1	116	-1	0	520	0.12	85	19	-1	7	1	17	550					
592	5929424	Roche	13	161	12	0.19	84	48	8	20	-1	267	1	1	769	0.75	22	76	-1	18	2	102	900					
592	5929425	Roche	45	8	18	0.07	58	-1	22	1	-1	77	2	0	66	1.44	102	317	-1	8	2	180	686					
592	5929426	Roche	10	12	8	0.02	390	3	4	4	-1	19	1	1	751	0.31	913	53	-1	17	2	44	368					
592	5929427	Roche	5	6	8	0.04	250	1	7	1	-1	100	-1	0	730	0.50	460	100	1	7	1	90	510					
592	5929428	Roche	11	5	8	0.10	153	1	8	2	-1	287	-1	0	689	0.55	122	81	1	9	1	69	558					
592	5929429	Roche	10	4	9	0.04	126	1	7	2	-1	188	-1	11	1810	0.54	401	52	-1	29	7	92	8150					
592	5929430	Roche	83	5	18	0.16	910	-1	33	1	4	47	5	1	4070	3.18	573	308	2	12	0	329	759					
592	5929431	Roche	48	3	12	0.06	373	-1	17	1	3	28	2	6	2860	1.69	380	207	-1	17	4	164	4110					
592	5929432	Roche	-1	9	2	0.03	52	2	-1	2	-1	61	-1	0	75	0.04	52	11	-1	5	1	18	104					
592	5929433	Roche	10	8	2	0.15	73	1	9	2	-1	36	-1	0	211	0.61	92	20	-1	14	2	102	544					
592	5929434	Bloc	-1	22	3	0.05	86	5	1	5	-1	89	-1	0	359	0.11	148	36	-1	29	3	37	234					
592	5929435	Roche	3	40	3	0.08	88	10	4	9	2	93	-1	1	373	0.28	150	64	1	32	3	56	200					
592	5929436	Roche	-1	2	2	0.02	25	-1	-1	1	-1	97	-1	0	14	0.03	11	11	2	1	0	12	9					
592	5929437	Roche	-1	33	5	0.05	2100	7	4	25	-1	206	-1	18	1850	0.13	6240	38	-1	300	41	37	6420					
592	5929438	Roche	1	199	1	0.10	840	54	4	42	1	120	1	8	861	0.26	2700	94	-1	134	13	52	193					
592	5929439	Bbuster	25	8	3	0.03	434	-1	10	3	-1	51	-1	6	279	0.48	1140	36	-1	28	5	105	709					
592	5929440	Pjonjar	3	2	15	0.02	74	-1	2	1	-1	68	24	1	55	0.08	212	15	287	6	1	26	136					
592	5929441	Pjonjar	17	8	6	0.05	266	-1	6	2	-1	34	2	3	881	0.24	490	55	11	34	4	36	105					
592	5929442	Bbuster	10	9	16	0.05	256	1	7	2	-1	35	-1	3	889	0.20	481	56	66	34	4	40	298					
592	5929443	Pjonjar	2	6	11	0.16	69	-1	2	2	-1	202	28	0	233	0.20	46	27	36	8	1	30	23					
592	5929444	Bbuster	4	17	19	0.09	181	3	3	3	-1	109	-1	1	1300	0.24	166	29	-1	9	1	38	29					
592	5929445	Bbuster	2	23	21	0.06	111	6	2	4	-1	276	-1	1	424	0.40	167	55	2	14	2	56	695					
592	5929446	Roche	-1	2	5	0.02	105	-1	-1	1	-1	55	-1	0	114	0.03	201	14	2	23	3	16	265					
592	5929447	Roche	1	15	3	0.08	121	3	-1	4	-1	90	2	0	142	0.03	262	3	-1	36	4	10	115					
592	5929448	Roche	1	27	4	0.15	110	6	2	6	-1	104	-1	0	197	0.13	145	17	-1	26	3	27	68					
592	5929449	Roche	7	28	3	0.12	159	6	6	7	-1	94	1	0	203	0.34	101	7	-1	25	3	59	68					
592	5929450	Roche	20	6	55	0.37	580	1	12	2	-1	141	1	0	77	0.37	217	47	-1	29	3	420	684					
592	5929451	Roche	-1	27	2	0.03	139	6	3	7	-1	88	-1	0	334	0.39	263	28	-1	27	4	96	579					
592	5929452	Roche	-1	51	2	0.07	93	13	2	11	-1	64	-1	3	239	0.23	245	22	-1	29	4.0	62	564					
592	5929453	Roche	-1	21	2	0.05	138	4	2	5	-1	48	-1	2	333	0.24	212	22	-1	17	2.9	66	320					
592	5929454	Roche	-1	85	2	0.03	672	20	4	26	-1	82	-1	0	1220	0.28	2230	22	-1	152	19.2	89	2320		0.272			
592	5929455	Roche	-1	22	2	0.04	186	5	1	7	-1	68	-1	4	326	0.11	630	17	-1	47	5.1	37	387					
592	5929456	Roche	-1	7	3	0.02	103	1	-1	2	-1	66	-1	0	142	0.06	150	16	-1</									







PROJECT NUMBER	SAMPLE	SAMPLE TYPE	ICP6.3 Total Digestion, Multi-Acids																								
			Ag	Al <sub>2</sub> O <sub>3</sub>	Ba	Be	CaO	Cd	Ce	Co	Cr	Cu	Dy	Er	Eu	Fe <sub>2</sub> O <sub>3</sub>	Ga	Gd	Hf	Ho	K <sub>2</sub> O	La	Li	MgO	MnO	Mo	Na <sub>2</sub> O
			ppm	wt %	ppm	ppm	wt %	ppm	ppm	ppm	ppm	ppm	ppm	ppm	ppm	ppm	wt %	ppm	ppm	ppm	ppm	wt %	ppm	ppm	wt %	wt %	ppm
Nb Analyses	790		0.2	0.01	1	0.2	0.01	1	1	1	1	1	0.2	0.2	0.01	1	1	1	1	0.01	1	1	0.01	0.01	1	0.01	
Compte	Historique		1682	1682	1682	1682	1682	1682	1682	1682	1682	1682	1682	1682	1682	1682	1682	1682	1682	1682	1682	1682	1682	1682	1682	1682	
Moyenne	Historique		0.5	12.84	716	1.2	1.84	1	102	6	159	70	4.7	2.7	0.9	3.40	16	5	12	1	3.81	52	23	1.10	0.04	106	2.82
Écart-type (σ)	Historique		2.8	4.18	651	1.0	1.74	1	440	9	63	2155	11.3	6.9	0.9	3.93	8	15	23	3	2.21	236	22	1.56	0.05	413	1.53
Maximum	Historique		74.8	31.80	5480	7.5	21.30	23	12400	116	1490	88400	159.0	102.0	20.6	49.10	89	349	356	35	12.40	6710	215	22.50	0.74	5550	8.86
Minimum	Historique		-0.2	0.09	6	-0.2	-0.01	0	-1	-1	31	-1	-0.2	-0.2	-0.2	0.12	-1	-1	-1	0	0.04	-1	-1	0.00	0.00	-1	0.01
Compte	Projet		786	786	786	786	786	786	786	786	786	786	786	786	786	786	786	786	786	786	786	786	786	786	786	786	
Moyenne	Projet		1.0	12.00	509	1.1	1.47	1	115	4	171	127	6.2	3.4	0.7	2.82	15	6	14	1	3.57	58	23	0.78	0.03	185	2.95
Écart-type (σ)	Projet		4.0	4.27	505	1.0	1.31	1	422	6	59	3153	13.6	8.1	0.7	3.57	9	15	29	3	2.32	227	24	1.00	0.04	522	1.68
Maximum	Projet		74.8	23.30	4230	6.2	21.30	23	5590	45	400	88400	159.0	102.0	9.0	39.80	89	152	356	35	12.40	3050	200	7.44	0.26	5550	8.86
Minimum	Projet		-0.2	0.20	10	-0.2	-0.01	0	-1	-1	38	-1	-0.2	-0.2	-0.2	0.12	-1	-1	-1	0	0.07	-1	-1	0.00	0.00	-1	0.01
592	5929463	Roche	4.0	17.00	944	-0.2	1.25	2	140	3	104	8	27.2	15.0	0.8	3.14	11	23	40	6	12.40	46	33	0.83	0.05	4	1.68
592	5929464	Roche	-0.2	0.89	414	-0.2	0.42	1	75	-1	154	6	4.0	1.6	0.3	0.71	10	5	2	1	5.87	34	5	0.15	0.01	3	1.40
592	5929465	Roche	-0.2	5.70	333	-0.2	0.16	0	213	-1	71	4	14.7	8.3	0.6	0.42	2	14	-1	3	3.90	97	3	0.09	0.01	18	0.66
592	5929466	Roche	-0.2	10.70	243	0.9	0.77	1	15	2	126	3	1.1	0.4	0.3	1.60	13	1	1	0	3.72	8	27	0.33	0.03	3	2.56
592	5929467	Roche	-0.2	6.44	175	0.3	0.66	0	49	1	182	6	7.7	3.7	0.4	1.16	11	8	2	2	2.60	23	11	0.26	0.02	28	1.34
592	5929468	Roche	-0.2	11.60	225	0.7	0.78	1	4	1	178	8	1.8	0.9	0.3	1.32	13	2	-1	0	4.95	2	6	0.16	0.01	23	2.48
592	5929469	Roche	-0.2	11.00	391	0.7	1.29	1	59	2	142	8	10.1	5.3	0.4	1.23	15	9	2	2	4.67	21	10	0.29	0.02	55	2.14
592	5929470	Roche	-0.2	8.01	266	0.4	0.43	1	4	-1	233	4	1.4	0.5	0.2	0.53	8	1	-1	0	3.76	1	3	0.07	0.01	11	1.54
592	5929471	Roche	-0.2	8.26	102	1.0	0.84	1	9	1	169	8	2.3	0.9	0.2	1.83	12	2	5	1	2.06	3	10	0.30	0.02	113	2.23
592	5929472	Roche	0.7	2.30	23	-0.2	0.13	4	10	1	230	6	6.4	4.1	-0.2	1.56	2	4	-1	1	1.09	3	5	0.34	0.02	229	0.24
592	5929473	Roche	18.0	16.70	52	2.8	2.86	1	712	-1	100	-1	23.5	16.0	1.5	0.88	18	26	243	8	1.30	259	13	0.18	0.05	3	5.78
592	5929474	Roche	1.6	5.17	26	1.4	0.74	1	31	-1	104	7	24.5	14.4	0.7	0.27	-1	16	-1	5	1.20	5	3	0.04	0.01	13	1.62
592	5929475	Roche	0.7	1.10	27	-0.2	0.72	1	50	-1	87	-1	28.0	16.2	0.8	0.12	-1	19	-1	5	0.34	6	-1	0.00	0.01	21	0.25
592	5929476	Roche	0.3	19.00	40	3.0	3.22	2	36	-1	136	4	16.6	9.6	0.7	0.33	16	10	-1	3	1.12	8	6	0.06	0.01	12	6.94
592	5929477	Roche	-0.2	12.80	27	2.2	2.31	1	12	-1	157	2	1.4	0.5	0.4	0.30	16	1	1	0	0.44	4	4	0.07	0.01	16	4.68
592	5929478	Roche	-0.2	20.00	23	6.2	4.33	2	18	-1	123	-1	15.7	9.8	0.6	0.29	21	12	-1	3	0.55	5	10	0.08	0.01	96	7.77
592	5929479	Roche	-0.2	16.60	129	2.6	3.20	1	10	1	48	3	6.1	2.7	0.5	0.89	22	5	5	1	2.43	1	12	0.24	0.02	107	5.48
592	5929480	Roche	0.7	15.40	70	1.9	0.81	1	31	-1	125	13	3.9	2.3	0.4	2.06	18	4	6	1	4.31	14	30	0.42	0.03	344	4.39
592	5929481	Roche	0.7	16.20	320	1.4	0.78	1	19	-1	78	-1	22.2	13.2	0.7	1.11	8	14	-1	4	7.46	3	13	0.32	0.02	273	3.70
592	5929482	Roche	1.0	7.46	132	0.3	0.27	1	5	4	181	-1	16.6	9.6	0.4	3.83	10	10	2	3	2.92	-1	30	1.16	0.07	220	1.80
592	5929483	Roche	1.1	8.88	178	0.4	0.82	1	3	17	234	-1	10.0	6.1	0.3	12.50	27	8	2	3	4.86	3	200	3.93	0.20	133	0.46
592	5929484	Roche	2.2	18.40	579	0.8	0.78	2	29	2	166	-1	35.1	21.2	1.2	3.34	8	23	1	7	11.40	2	30	0.95	0.05	282	2.60
592	5929485	Roche	0.5	13.40	345	0.4	0.87	1	16	6	140	-1	9.9	5.3	0.5	4.69	15	8	-1	2	7.70	4	82	1.46	0.07	251	1.83
592	5929486	Roche	4.2	16.10	96	2.6	2.13	1	75	-1	107	-1	6.3	4.1	0.6	0.38	17	6	66	2	3.07	29	6	0.15	0.01	3	5.44
592	5929487	Roche	0.4	12.60	502	0.4	0.24	1	78	2	169	2	2.5	1.2	0.4	2.19	11	3	4	1	7.54	26	34	0.47	0.03	12	1.80
592	5929488	Roche	1.9	2.42	31	-0.2	0.74	0	35	4	370	-1	39.7	24.8	1.0	4.69	-1	25	-1	8	1.36	3	46	1.31	0.06	763	0.05
592	5929489	Roche	3.6	18.80	15	2.5	2.64	1	-1	2	94	-1	3.2	2.5	-0.2	0.06	37	1	52	1	1.16	-1	58	0.64	0.10	3	6.99
592	5929490	Roche	1.1	14.40	734	1.4	1.98	1	265	2	128	-1	2.0	1.3	0.8	1.44	15	4	10	1	3.36	148	17	0.49	0.02	2	3.80
592	5929491	Roche	1.2	15.00	156	2.5	2.80	1	15	2	152	-1	1.5	0.7	0.5	1.14	16	1	12	0	1.53	7	14	0.29	0.02	2	5.18
592	5929492	Roche	0.6	14.40	285	1.7	2.85	1	12	1	138	-1	1.6	0.5	0.6	0.83	14	1	5	0	1.47	8	14	0.28	0.01	31	4.51
592	5929493	Roche	0.3	9.69	255	1.0	0.77	1	7	1	184	-1	2.3	1.4	0.3	1.05	9	2	3	1	3.76	3	10	0.18	0.02	230	2.24
592	5929494	Roche	2.2	14.00	814	1.0	1.74	1	472	-1	149	-1	5.1	2.8	0.9	1.12	13	9	22	1	4.22	269	16	0.30	0.02	7	3.52
592	5929495	Roche	3.4	14.60	222	1.6	2.80	1	6	3	114	-1	1.6	0.8	0.5	1.48	16	1	34	1	1.45	-1	19	0.45	0.02	2	4.86
592	5929496	Roche	0.4	14.50	284	0.6	0.59	1	17	-1	174	3	1.0	0.4	0.3	0.76	13	1	1	0	7.50	8	5	0.13	0.01	6	2.79
592	5929497	Roche	3.2	17.20	51	2.2	3.00	1	590	-1	76	-1	17.1	8.2	1.1	0.74	16	22	34	3	0.97	242	7	0.13	0.03	2	6.46
592	5929498	Roche	1.3	18.70	36	2.3	2.89	1	64	-1	143	-1	3.8	2.0	0.4	0.40	19	3	14	1	0.84	28	6	0.08	0.01	2	6.95
592	5929499	Roche	-0.2	10.00	75	1.3	1.57	1	141	-1	192	-1	7.4	3.8	0.5	0.39	9	8	-1	1	1.14	74	1	0.06	0.01	3	3.70
592	5929500	Roche	0.7	13.00	43	1.7	1.47	1	11	2	116	-1	4.9	3.0	0.2	3.00	19	3	10	1	1.47	2	15	0.68	0.05	16	4.52
592	5929501	Roche	2.1	16.90	82	1.3	1.24	1	48	-1	101	-1	9.5	6.9	0.5	0.92	17	6	44	2	6.85	21	8	0.14	0.01	1	4.17
592	5929502	Roche	1.8	10.40	194	1.0	1.08	1	55	-1	174	-1	5.6	3.4	0.3	2.27	12	5	22	1	3.43	12	5	0.08	0.01	1	2.64
592	5929503	Roche	2.2	3.76	19	0.5	0.56	0	5	1	303	-1	3.9	3.0	-0.2	2.8											



PROJECT NUMBER	SAMPLE	SAMPLE TYPE	ICP6.3 Total Digestion, Multi-Acids																				Aqua Regia					
			Nb	Nd	Ni	P <sub>2</sub> O <sub>5</sub>	Pb	Pr	Sc	Sm	Sr	Ta	Tb	Th	TiO <sub>2</sub>	U, ICP	V	W	Y	Yb	Zn	Zr	LOI	U <sub>2</sub> O <sub>8</sub>	U, Fl.	B		
			ppm	ppm	ppm	wt %	ppm	ppm	ppm	ppm	ppm	ppm	ppm	ppm	ppm	wt %	ppm	ppm	ppm	ppm	ppm	ppm	ppm	wt %	wt %	ppm	ppm	
Nb Analyses	790		1	1	1	0,01	1	1	1	1	1	1	1	1	1	1	1	1	1	1	1	0,1	0,001	0,02	0,02			
Compte	Historique		1682	1682	1682	1682,00	1682	1682	1682	1682	1682	1682	1682	1682	1682	1682	1682	1682	1682	1682	1682	1682	175	339	8	486		
Moyenne	Historique		8	36	17	0,15	170	9	6	6	-1	220	0	1	263	0,36	353	56	2	26	2,9	65	376	0,6	0	12	34	
Écart-type (σ)	Historique		26	143	45	0,40	384	41	6	21	2	265	5	3	503	0,39	1201	74	17	57	6,3	82	776	0,3	0	11	131	
Maximum	Historique		884	4200	1010	6,26	4900	1110	70	606	24	1880	100	47	8540	4,82	19100	1250	326	908	98,2	1620	12500	2,4	2	32	905	
Minimum	Historique		-1	-1	-1	0,00	1	-1	-1	-1	-1	-1	-1	0	-1	0,00	-2	-1	-1	-1	-0,1	1	-0,1	0	2	2	2	
Compte	Projet		786	786	786	786,00	786	786	786	786	786	786	786	786	786	786	786	786	786	786	786	168	786	65	6	168		
Moyenne	Projet		8	39	9	0,12	223	10	4	7	-1	148	1	1	390	0,30	487	43	5	31	3,5	56	484	0,6	0	10	11	
Écart-type (σ)	Projet		34	126	22	0,41	437	39	6	18	1	82	5	2	565	0,38	1422	68	24	64	6,9	77	1051	0,3	0	9	21	
Maximum	Projet		864	1560	427	6,26	4900	542	53	179	9	525	100	22	4970	3,18	19100	1250	326	790	75,1	1180	12500	2,4	2	23	221	
Minimum	Projet		-1	-1	-1	0,00	7	-1	-1	-1	-1	2	-1	0	1	0,00	-2	-1	-1	1	-0,1	1	2	-0,1	0	2	2	
592	5929463	Roche	7	52	5	0,79	921	13	7	22	-1	165	-1	0	1050	0,39	2850	30	-1	125	14,2	79	1550					
592	5929464	Roche	-1	25	3	0,14	134	6	1	5	-1	96	-1	1	265	0,07	290	11	-1	18	1,7	14	38					
592	5929465	Roche	-1	70	2	0,09	610	18	1	17	-1	70	-1	0	421	0,04	1630	5	-1	57	5,5	11	27		0,203			
592	5929466	Roche	5	5	2	0,03	46	-1	4	1	-1	95	-1	0	68	0,17	70	18	-1	4	0,4	29	26					
592	5929467	Roche	4	25	3	0,26	334	5	3	6	-1	59	-1	4	199	0,12	690	14	-1	46	4,5	34	8					
592	5929468	Roche	2	2	3	0,12	95	-1	2	1	-1	87	-1	0	73	0,10	20	15	1	11	1,1	13	11					
592	5929469	Roche	2	25	7	0,32	306	5	3	7	-1	113	-1	3	238	0,13	580	18	-1	57	6,4	30	14					
592	5929470	Roche	-1	2	4	0,03	78	-1	-1	1	-1	68	-1	0	60	0,03	107	8	1	6	0,7	13	12					
592	5929471	Roche	7	5	3	0,10	419	-1	5	2	-1	59	-1	1	177	0,18	174	24	1	13	1,5	31	140					
592	5929472	Roche	9	6	2	0,09	321	1	4	4	-1	12	2	0	220	0,19	1180	29	-1	31	3,2	714	11					
592	5929473	Roche	-1	197	3	0,03	515	52	7	39	3	167	-1	12	1110	0,06	925	5	-1	129	31,0	21	8100					
592	5929474	Roche	15	17	1	0,20	1200	3	1	17	-1	23	3	0	617	0,03	4250	3	-1	112	10,4	17	59			0,429		
592	5929475	Roche	2	31	-1	0,57	1890	5	-1	22	-1	7	2	0	732	0,00	4900	3	-1	107	11,9	2	29			0,578		
592	5929476	Roche	-1	13	3	0,08	1100	3	-1	10	-1	196	-1	0	422	0,02	1990	2	-1	64	8,2	12	23			0,242		
592	5929477	Roche	-1	4	4	0,04	55	-1	-1	1	-1	112	-1	0	27	0,01	140	9	1	8	0,7	12	30					
592	5929478	Roche	-1	14	3	0,70	560	3	-1	9	-1	168	-1	0	256	0,01	1140	1	-1	105	8,5	10	20			0,150		
592	5929479	Roche	2	8	4	0,32	325	1	2	4	-1	149	-1	2	130	0,10	530	20	1	29	3,2	21	88					
592	5929480	Roche	8	15	4	0,04	111	3	8	4	-1	44	-1	0	153	0,25	197	9	-1	18	1,9	87	162					
592	5929481	Roche	1	12	2	0,13	927	2	2	13	-1	110	-1	0	363	0,12	2780	5	-1	98	9,4	39	27			0,338		
592	5929482	Roche	16	6	3	0,03	499	-1	8	7	-1	39	-1	0	183	0,48	1490	17	-1	74	7,4	87	57			0,206		
592	5929483	Roche	35	9	35	0,48	304	1	24	7	3	25	1	0	130	1,67	986	97	-1	53	4,4	356	36					
592	5929484	Roche	12	21	5	0,26	1610	4	7	22	-1	117	1	0	604	0,43	5300	21	-1	168	17,0	295	97			0,579		
592	5929485	Roche	11	11	9	0,37	329	2	9	6	-1	75	-1	0	112	0,62	940	28	-1	46	3,8	115	9			0,133		
592	5929486	Roche	-1	30	3	0,03	128	8	1	6	-1	101	-1	4	266	0,01	141	1	-1	33	7,1	8	2180					
592	5929487	Roche	4	22	5	0,03	82	5	4	4	-1	84	-1	0	159	0,30	91	16	-1	8	1,1	50	155					
592	5929488	Roche	19	27	10	0,56	1640	4	9	27	-1	7	3	0	731	0,67	6110	27	1	185	19,7	120	8			0,642		
592	5929489	Roche	4	1	3	0,03	197	-1	7	2	-1	45	-1	0	210	0,51	144	24	-1	21	4,9	92	1300					
592	5929490	Roche	1	72	5	0,08	44	22	2	7	-1	227	-1	1	125	0,18	24	17	-1	8	0,9	30	394					
592	5929491	Roche	2	5	5	0,03	53	1	2	1	-1	191	-1	1	360	0,12	72	15	-1	8	1,1	26	412					
592	5929492	Roche	-1	4	4	0,04	47	1	1	1	-1	229	-1	0	410	0,08	75	9	-1	7	0,7	21	251					
592	5929493	Roche	7	3	4	0,06	85	-1	1	2	-1	84	-1	0	200	0,17	98	8	-1	11	1,2	19	100					
592	5929494	Roche	-1	134	4	0,16	113	41	2	14	-1	223	-1	2	943	0,12	210	12	-1	20	2,0	20	982					
592	5929495	Roche	2	2	4	0,04	80	-1	2	1	-1	227	-1	2	577	0,19	108	19	-1	8	1,7	27	1360					
592	5929496	Roche	1	5	4	0,03	86	1	1	1	-1	84	-1	0	83	0,08	29	4	-1	4	0,4	11	46					
592	5929497	Roche	-1	176	5	0,04	543	48	4	30	-1	144	-1	1	1410	0,03	835	8	-1	58	7,2	6	1350			0,122		
592	5929498	Roche	-1	19	4	0,03	164	5	1	4	-1	145	-1	1	533	0,02	179	1	-1	17	2,3	12	529					
592	5929499	Roche	-1	47	4	0,08	263	13	-1	9	-1	104	-1	0	170	0,01	636	2	-1	30	3,0	13	22					
592	5929500	Roche	9	4	3	0,08	197	1	7	3	-1	50	-1	0	201	0,37	473	9	-1	26	3,3	43	312					
592	5929501	Roche	-1	19	5	0,06	112	4	1	5	-1	62	-1	1	119	0,05	281	3	-1	54	9,9	11	965					
592	5929502	Roche	1	16	3	0,07	68	3	1	4	-1	95	-1	1	495	0,08	134	14	-1	29	4,6	21	759					
592	5929503	Roche	-1	2	5	0,01	48	-1	1	1	-1	29	-1	1	95	0,06	158	26	-1	26	5,2	17	956					
592	5929504	Roche	3	2	4	0,02	220	-1	2	3	-1	127	-1	0	86	0,15	457	81	-1	28	4,4	48	76					
592	5929505	Roche	5	4	3	0,08	31	-1	2	2	-1	42	-1	0	166	0,12	251	19	-1	20	2,9	24	106					
592	5929506	Roche	12	16	3	1,03	339	2	7	8	-1	129	-1	0	600	0,34	930	21	-1	79	8,3	54	436					
592	5929507	Roche	2	5	3	0,02	1500	-1	1	9	-1	28	-1	0	1140	0,02	3700	1	-1	99	13,2	8	1020			0,423		
592	5929508	Roche	41	9	3	0,03	524	1	25	5	-1	74	2	0	296	0,95	636	64	-1									



PROJECT NUMBER	SAMPLE	SAMPLE TYPE	CERTIFICATE	DATE	U <sub>3</sub> O <sub>8</sub> (wt %)	U/U	Ce/Th	U/Th	FIRE ASSAY										ICP6.3R Partial Digestion										
									Au	Pd	Pt	Ag	As	Bi	Co	Cu	Ge	Hg	Mo	Ni	Pb	Sb	Se	Te	U, ICP	V	Zn		
									ppb	ppb	ppb	ppm	ppm	ppm	ppm	ppm	ppm	ppm	ppm	ppm	ppm	ppm	ppm	ppm	ppm	ppm	ppm		
Nb Analyses	790								2	2	2	0.1	0.2	0.2	0.1	0.1	0.2	0.2	0.1	0.1	0.02	1	1	0.2	0.2	0.2	0.5	0.1	0.1
Compte	Historique				1728				2	2	2	1682	1682	1682	1682	1682	1682	1682	1682	1682	1682	1682	1682	1682	1682	1682	1674.0	1682	1682
Moyenne	Historique				0.053%				12	3	7	0.1	1.7	1.3	7.5	67.5	0.1	-0.2	93.6	17.4	144.65	0	0.1	1.1	338.1	41.1	338.1	41.1	61.9
Écart-type (σ)	Historique				0.169%				1	1	2	2.5	8.5	2.2	10.8	1821.4	0.8	0.1	332.4	37.1	365.30	2	1.1	2.7	1227.3	57.0	1227.3	57.0	84.2
Maximum	Historique				2.290%				12	4	8	62.3	229.0	28.5	94.8	7880.0	9.7	0.5	4460.0	581.0	4880.00	27	13.7	50.7	28000.0	878.0	28000.0	878.0	1590.0
Minimum	Historique				-0.001%				11	2	5	-0.1	-0.2	-0.2	-0.1	-0.1	-0.2	-0.2	-0.1	0.2	-0.02	-1	-0.2	-0.2	-0.5	-0.1	-0.1	-0.1	-0.1
Compte	Projet				786				2	2	2	786	786	786	786	786	786	786	786	786	786	786	786	786	786	786	786	786	786
Moyenne	Projet				0.056%				12	3	7	0.3	0.9	1.7	4.1	116.5	0.0	-0.2	144.3	8.7	195.94	0	0.3	2.0	468.4	32.3	468.4	32.3	45.4
Écart-type (σ)	Projet				0.165%				1	1	2	3.6	2.1	2.6	5.4	2810.5	0.7	0.0	426.6	20.5	416.40	3	1.4	3.0	1517.0	55.1	1517.0	55.1	70.3
Maximum	Projet				2.290%				12	4	8	62.3	45.2	28.5	37.8	7880.0	9.7	0.3	4460.0	382.0	4880.00	27	13.7	26.2	28000.0	878.0	28000.0	878.0	1220.0
Minimum	Projet				0.000%				11	2	5	-0.1	-0.2	-0.2	-0.1	-0.1	-0.2	-0.2	-0.1	0.2	2.67	-1	-0.2	-0.2	1.2	-0.1	-0.1	-0.1	-0.1
592	5929516	Roche	2007-996	2007-08-28	0.489%	0.98	0.10	1.53				-0.1	-0.2	-0.2	16.5	358.0	-0.2	-0.2	20.2	24.2	1690.00	2	-0.2	24.2	4400.0	112.0	150.0	150.0	150.0
592	5929517	Roche	2007-996	2007-08-28	0.007%	1.02	0.02	0.19				-0.1	0.8	1.4	2.4	4.0	1.0	-0.2	24.1	4.8	31.60	-1	-0.2	1.1	60.0	19.4	60.0	19.4	32.5
592	5929518	Roche	2007-996	2007-08-28	0.002%	0.79	0.19	0.13				-0.1	1.4	0.6	0.8	2.1	0.8	-0.2	11.0	1.9	17.10	-1	0.4	-0.2	15.1	19.0	25.2	25.2	25.2
592	5929519	Roche	2007-996	2007-08-28	0.045%	0.85	0.05	0.14				-0.1	1.0	4.6	2.9	19.5	1.6	-0.2	19.9	6.6	123.00	-1	-0.2	4.2	380.0	25.3	37.0	37.0	37.0
592	5929520	Roche	2007-996	2007-08-28	0.025%	0.74	0.02	0.23				-0.1	0.9	1.2	1.1	6.0	0.3	-0.2	81.0	3.4	87.40	-1	-0.2	0.3	209.0	9.0	23.0	23.0	23.0
592	5929521	Roche	2007-996	2007-08-28	0.018%	0.89	0.00	0.13				-0.1	0.8	2.3	1.5	9.3	-0.2	-0.2	27.5	2.6	44.20	-1	-0.2	1.7	155.0	20.3	26.6	26.6	26.6
592	5929522	Roche	2007-996	2007-08-28	0.002%	0.85	0.10	0.28				-0.1	1.7	-0.2	4.5	4.3	2.2	-0.2	1.9	7.1	31.80	-1	-0.2	1.6	19.6	50.1	77.9	77.9	77.9
592	5929523	Roche	2007-996	2007-08-28	0.018%	1.29	0.11	0.23				-0.1	0.5	1.1	4.8	21.9	1.2	-0.2	2.9	6.2	94.50	-1	-0.2	1.6	153.0	29.5	55.1	55.1	55.1
592	5929524	Roche	2007-996	2007-08-28	0.053%	0.95	0.01	0.31				-0.1	1.2	1.2	7.7	14.9	2.4	-0.2	19.7	13.8	204.00	-1	0.8	4.3	446.0	57.8	88.0	88.0	88.0
592	5929525	Roche	2007-996	2007-08-28	0.042%	1.08	2.13	0.17				1.9	-0.2	2.6	6.5	36.8	3.7	-0.2	26.7	10.2	332.00	15	2.3	11.1	360.0	62.6	62.9	62.9	62.9
592	5929526	Roche	2007-996	2007-08-28	0.043%	0.98	0.07	0.43				-0.1	1.7	-0.2	5.6	16.4	0.5	-0.2	71.1	16.8	165.00	-1	-0.2	4.7	363.0	115.0	93.0	93.0	93.0
592	5929527	Roche	2007-996	2007-08-28	0.004%	0.83	0.03	0.13				-0.1	1.9	0.7	2.7	9.7	1.9	-0.2	34.9	9.4	57.90	-1	-0.2	3.2	29.7	62.2	62.2	62.2	62.2
592	5929528	Roche	2007-1039	2007-08-29	0.024%	0.92	0.01	0.40				-0.1	1.2	3.8	1.4	2.2	-0.2	-0.2	139.0	4.1	149.00	-1	-0.2	1.1	207.0	15.4	30.7	30.7	30.7
592	5929529	Roche	G-2007-1252	2007-11-10	0.008%	0.95	0.35	0.81				-0.1	-0.2	-0.2	1.5	10.7	0.6	-0.2	1.9	5.1	36.20	-1	-0.2	0.5	50.2	14.1	29.5	29.5	29.5
592	5929530	Pjorjar	G-2007-1252	2007-11-10	0.003%	0.95	0.82	0.45				1.5	1.2	-0.2	8.8	24.8	-0.2	-0.2	2.1	15.3	21.60	-1	-0.2	0.3	22.9	17.5	29.6	29.6	29.6
592	5929531	Roche	G-2007-1252	2007-11-10	0.025%	0.96	0.19	0.84				-0.1	-0.2	-0.2	0.7	20.7	0.4	-0.2	1.1	2.9	198.00	-1	-0.2	0.2	210.0	11.5	21.6	21.6	21.6
592	5929532	Roche	2007-1421	2007-10-01	0.041%	0.91	0.01	0.21				-0.1	0.6	4.2	6.0	31.1	-0.2	-0.2	1610.0	11.6	280.00	-1	-0.2	5.6	346.0	96.3	193.0	193.0	193.0
592	5929533	Roche	G-2007-1252	2007-11-10	0.004%	0.96	0.01	0.12				-0.1	0.3	-0.2	-0.1	13.8	-0.2	-0.2	397.0	5.2	17.70	-1	-0.2	0.6	35.6	5.2	12.2	12.2	12.2
592	5929534	Roche	G-2007-1252	2007-11-10	0.004%	0.99	0.09	0.54				-0.1	1.0	-0.2	4.5	3.8	0.6	-0.2	44.8	11.9	27.30	-1	-0.2	-0.2	29.7	32.7	61.4	61.4	61.4
592	5929535	Roche	2007-1421	2007-10-01	0.016%	0.92	0.02	0.30				-0.1	-0.2	2.1	0.8	5.3	-0.2	-0.2	76.0	4.6	50.70	-1	0.3	0.7	134.0	11.5	17.4	17.4	17.4
592	5929536	Roche	2007-1421	2007-10-01	0.036%	0.85	0.00	0.17				-0.1	-0.2	-0.2	18.3	35.1	1.5	-0.2	1420.0	19.6	279.00	-1	-0.2	10.7	305.0	318.0	285.0	285.0	285.0
592	5929537	Roche	2007-1421	2007-10-01	0.016%	0.88	0.02	0.14				-0.1	1.8	2.5	4.7	16.7	-0.2	-0.2	1250.0	9.8	83.60	-1	-0.2	4.7	138.0	83.5	83.2	83.2	83.2
592	5929538	Roche	2007-1421	2007-10-01	0.031%	0.93	0.00	0.18				-0.1	0.3	3.5	12.7	34.0	-0.2	-0.2	274.0	18.4	254.00	-1	-0.2	6.3	267.0	117.0	140.0	140.0	140.0
592	5929539	Roche	2007-1421	2007-10-01	0.022%	0.99	0.67	0.84				-0.1	0.2	0.5	4.4	41.8	-0.2	-0.2	708.0	4.2	351.00	-1	-0.2	5.3	187.0	138.0	110.0	110.0	110.0
592	5929540	Roche	G-2007-1252	2007-11-10	0.011%	0.97	0.01	0.24				-0.1	1.9	-0.2	0.3	75.0	-0.2	-0.2	3190.0	7.0	180.00	-1	-0.2	0.6	91.2	19.4	48.8	48.8	48.8
592	5929541	Roche	2007-1184	2007-11-10	0.009%	0.71	0.02	0.18				0.2	1.1	-0.2	6.5	163.0	-0.2	-0.2	273.0	16.2	76.30	-1	-0.2	5.5	77.3	164.0	123.0	123.0	123.0
592	5929542	Roche	G-2007-1673	2007-12-21	0.534%	0.98	0.09	8.04				-0.1	1.7	-0.2	1.6	15.8	-0.2	0.3	13.2	2.0	1980.00	-1	-0.2	0.3	4610.0	9.9	3.9	3.9	3.9
592	5929543	Roche	2007-1421	2007-10-01	0.013%	0.91	0.00	0.17				-0.1	1.8	2.9	3.2	11.3	-0.2	-0.2	958.0	5.4	155.00	-1	-0.2	3.0	106.0	44.9	44.4	44.4	44.4
592	5929544	Roche	2007-1421	2007-10-01	0.017%	0.76	0.02	0.16				-0.1	0.4	2.3	3.0	15.4	0.7	-0.2	578.0	9.3	37.00	-1	-0.2	5.2	142.0	165.0	71.9	71.9	71.9
592	5929545	Roche	2007-1421	2007-10-01	0.267%	0.87	0.19	5.58				-0.1	0.6	2.2	14.8	129.0	-0.2	-0.2	242.0	22.3	618.00	-1	-0.2	1.8	1660.0	70.5	62.4	62.4	62.4
592	5929546	Roche																											



		ICP6.3 Total Digestion, Multi-Acids																									
PROJECT NUMBER	SAMPLE	SAMPLE TYPE	Ag	Al <sub>2</sub> O <sub>3</sub>	Ba	Be	CaO	Cd	Ce	Co	Cr	Cu	Dy	Er	Eu	Fe <sub>2</sub> O <sub>3</sub>	Ga	Gd	Hf	Ho	K <sub>2</sub> O	La	Li	MgO	MnO	Mo	Na <sub>2</sub> O
			ppm	wt %	ppm	ppm	wt %	ppm	ppm	ppm	ppm	ppm	ppm	ppm	ppm	ppm	wt %	ppm	ppm	ppm	ppm	ppm	wt %	ppm	ppm	wt %	ppm
Nb Analyses	790		0.2	0.01	1	0.2	0.01	1	1	1	1	1	0.2	0.2	0.2	0.01	1	1	1	1	0.01	1	1	0.01	0.01	1	0.01
Compte	Historique		1682	1682	1682	1682	1682	1682	1682	1682	1682	1682	1682	1682	1682	1682	1682	1682	1682	1682	1682	1682	1682	1682	1682	1682	1682
Moyenne	Historique		0.5	12.64	718	1.2	1.84	1	102	6	159	70	4.7	2.7	0.9	3.40	18	5	12	1	3.81	52	23	1.10	0.04	106	2.82
Écart-type (σ)	Historique		2.8	4.18	651	1.0	1.74	1	440	9	63	2155	11.3	6.9	0.9	3.93	8	15	23	3	2.21	238	22	1.56	0.05	413	1.53
Maximum	Historique		74.8	31.80	5480	7.5	21.30	23	12400	116	1490	88400	159.0	102.0	20.6	49.10	69	349	356	35	12.40	6710	215	22.50	0.74	5550	8.86
Minimum	Historique		-0.2	0.09	6	-0.2	-0.01	0	-1	-1	31	-1	-0.2	-0.2	-0.2	0.12	-1	-1	-1	0	0.04	-1	-1	0.00	0.00	-1	0.01
Compte	Projet		786	786	786	786	786	786	786	786	786	786	786	786	786	786	786	786	786	786	786	786	786	786	786	786	786
Moyenne	Projet		1.0	12.00	509	1.1	1.47	1	115	4	171	127	6.2	3.4	0.7	2.82	15	6	14	1	3.57	58	23	0.78	0.03	165	2.95
Écart-type (σ)	Projet		4.0	4.27	505	1.0	1.31	1	422	6	59	3153	13.8	8.1	0.7	3.57	9	15	29	3	2.32	227	24	1.00	0.04	522	1.68
Maximum	Projet		74.8	23.30	4230	6.2	21.30	23	5590	45	400	88400	159.0	102.0	9.0	39.80	69	152	356	35	12.40	3050	200	7.44	0.26	5550	8.86
Minimum	Projet		-0.2	0.20	10	-0.2	-0.01	0	-1	-1	38	-1	-0.2	-0.2	-0.2	0.12	-1	-1	-1	0	0.07	-1	-1	0.00	0.00	-1	0.01
592	5929516	Roche	28.9	10.70	267	-0.2	1.93	0	259	18	122	-1	15.8	7.9	0.8	8.65	13	12	281	6	3.18	99	62	3.32	0.11	27	1.73
592	5929517	Roche	2.2	15.20	188	1.8	3.14	1	6	3	161	-1	1.0	0.4	0.6	1.60	18	1	25	1	1.19	2	16	0.57	0.02	20	4.90
592	5929518	Roche	0.6	12.60	1920	0.9	0.67	1	23	-1	146	-1	0.7	0.5	0.6	1.57	14	1	5	0	7.46	11	15	0.56	0.02	10	1.93
592	5929519	Roche	6.2	11.50	1570	-0.2	0.69	1	125	2	161	-1	4.4	2.0	0.4	2.31	10	4	69	1	6.63	53	21	0.76	0.03	20	1.62
592	5929520	Roche	2.8	20.40	272	2.6	3.98	2	16	1	168	-1	2.2	1.0	0.9	1.36	22	2	27	1	1.43	6	12	0.44	0.02	106	6.67
592	5929521	Roche	1.1	14.00	850	0.9	1.22	1	5	2	139	-1	2.3	1.0	0.5	1.70	14	2	9	0	6.26	2	19	0.43	0.02	30	2.80
592	5929522	Roche	0.5	15.50	755	1.6	2.38	1	7	6	128	3	1.2	0.9	0.6	3.72	23	2	4	1	4.74	5	30	1.51	0.05	3	3.53
592	5929523	Roche	1.9	18.00	221	2.7	3.88	1	75	4	79	-1	2.1	1.1	0.7	2.46	25	2	22	1	1.62	33	21	0.94	0.04	2	6.23
592	5929524	Roche	7.0	12.70	548	0.8	1.83	1	17	10	94	-1	3.4	1.6	0.4	4.70	18	2	97	2	3.96	1	34	1.75	0.07	21	2.60
592	5929525	Roche	0.5	14.10	1380	0.9	3.04	0	4420	7	138	-1	31.2	22.6	5.8	3.79	22	68	34	10	6.46	2460	24	1.16	0.07	31	2.38
592	5929526	Roche	1.8	8.08	235	0.5	1.28	1	62	10	221	-1	2.1	1.2	0.5	5.59	17	4	13	1	2.16	22	31	1.92	0.07	77	1.47
592	5929527	Roche	1.7	6.15	308	0.4	1.05	1	7	5	225	1	0.7	0.3	0.3	3.31	12	1	18	1	1.64	2	18	1.20	0.04	37	1.20
592	5929528	Roche	-0.2	7.63	63	0.8	1.37	0	3	1	178	2	1.5	-0.2	0.4	1.33	8	1	9	0	0.84	2	11	0.37	0.02	144	2.30
592	5929529	Roche	10.3	13.30	139	1.7	1.82	1	22	2	193	11	1.7	0.6	0.4	2.82	19	2	1	0	2.48	8	23	0.27	0.03	1	4.14
592	5929530	Pjønjar	1.2	16.20	256	3.3	3.32	2	42	9	248	26	1.2	0.2	0.4	1.53	19	3	4	0	1.83	15	19	0.32	0.02	1	4.71
592	5929531	Roche	0.4	16.60	116	1.9	2.18	1	61	1	139	22	8.7	4.2	0.7	2.86	22	8	34	1	3.21	16	13	0.12	0.02	-1	5.24
592	5929532	Roche	-0.2	17.00	305	3.5	3.13	1	15	7	199	46	3.7	1.7	0.7	6.75	18	5	1	1	2.73	6	55	2.75	0.09	1620	3.91
592	5929533	Roche	-0.2	3.84	149	0.2	0.08	0	4	-1	267	14	0.7	-0.2	-0.2	1.04	2	1	4	0	2.04	2	8	0.18	0.01	400	0.52
592	5929534	Roche	-0.2	14.00	353	1.6	2.24	1	5	5	156	3	0.6	-0.2	0.7	2.61	18	-1	2	0	2.98	3	25	0.90	0.03	47	3.49
592	5929535	Roche	-0.2	0.97	30	-0.2	0.04	0	7	1	331	8	1.8	0.4	-0.2	0.89	1	3	9	0	0.36	2	4	0.14	0.01	79	0.12
592	5929536	Roche	-0.2	10.70	500	-0.2	0.03	0	8	23	229	47	2.2	2.8	0.2	16.40	31	3	6	3	5.68	6	135	6.04	0.12	1470	0.06
592	5929537	Roche	-0.2	2.59	92	-0.2	0.10	0	16	5	393	23	2.0	1.4	0.2	4.25	1	4	2	1	1.25	7	27	1.43	0.03	1300	0.09
592	5929538	Roche	-0.2	10.10	1120	-0.2	0.13	0	7	15	238	43	2.0	0.8	0.2	7.79	17	3	1	1	5.61	4	91	2.92	0.07	280	0.76
592	5929539	Roche	4.8	15.60	2140	0.3	0.58	1	148	5	130	41	3.5	2.3	0.7	5.68	19	6	2	1	8.37	76	65	2.06	0.06	720	1.95
592	5929540	Roche	-0.2	10.00	370	2.5	1.51	1	4	2	215	77	2.4	2.4	0.3	3.05	-1	3	5	1	1.63	1	29	0.82	0.03	3200	2.76
592	5929541	Roche	-0.2	11.20	833	0.4	0.24	0	7	6	309	174	0.3	1.9	0.3	12.00	29	-1	18	2	6.44	3	122	3.61	0.16	357	0.81
592	5929542	Roche	2.4	18.50	64	2.7	2.99	1	48	1	125	17	26.8	15.7	1.0	0.30	21	19	2	6	1.55	9	6	0.03	0.01	18	6.56
592	5929543	Roche	0.3	1.91	150	-0.2	0.02	0	2	4	290	14	0.9	-0.2	-0.2	2.39	-1	2	10	0	1.06	1	26	0.82	0.02	980	0.06
592	5929544	Roche	7.2	3.71	140	-0.2	0.15	0	17	3	308	18	4.0	0.7	0.5	5.04	9	5	51	1	1.56	4	38	1.60	0.05	580	0.25
592	5929545	Roche	2.0	19.40	306	2.2	3.53	2	78	15	120	118	5.5	3.8	1.0	5.58	26	6	10	2	1.94	40	45	1.44	0.05	262	5.61
592	5929546	Roche	6.9	4.75	101	0.5	0.20	0	160	4	267	38	8.9	3.9	1.0	4.13	6	15	10	1	1.74	68	40	1.04	0.06	1270	0.67
592	5929547	Roche	11.2	6.89	638	-0.2	0.45	0	3	7	294	39	0.4	-0.2	0.4	5.27	11	-1	29	1	2.70	2	24	1.21	0.03	580	0.89
592	5929550	Roche	0.9	11.30	36	2.0	2.16	1	101	1	150	-1	16.2	10.1	1.2	2.03	17	17	31	4	0.74	13	24	0.50	0.05	3	4.16
592	5929551	Roche	-0.2	13.80	124	4.5	1.28	1	5	-1	133	17	2.1	1.4	0.2	0.82	22	2	1	1	4.22	2	3	0.09	0.01	9	4.20
592	5929552	Roche	0.3	10.10	168	4.1	1.00	1	124	1	183	-1	6.2	3.7	0.4	1.23	13	7	-1	1	2.67	61	20	0.27	0.03	6	3.06
592	5929553	Roche	0																								











PROJECT NUMBER	SAMPLE	SAMPLE TYPE	ICP6.3 Total Digestion, Multi-Acids																								
			Ag	Al <sub>2</sub> O <sub>3</sub>	Ba	Be	CaO	Cd	Ce	Co	Cr	Cu	Dy	Er	Eu	Fe <sub>2</sub> O <sub>3</sub>	Ga	Gd	Hf	Ho	K <sub>2</sub> O	La	Li	MgO	MnO	Mo	Na <sub>2</sub> O
			ppm	wt %	ppm	ppm	wt %	ppm	ppm	ppm	ppm	ppm	ppm	ppm	ppm	ppm	wt %	ppm	ppm	ppm	ppm	wt %	ppm	ppm	wt %	wt %	ppm
Nb Analyses	790		0.2	0.01	1	0.2	0.01	1	1	1	1	1	0.2	0.2	0.01	1	1	1	1	0.01	1	1	0.01	0.01	1	0.01	
Compte	Historique		1682	1682	1682	1682	1682	1682	1682	1682	1682	1682	1682	1682	1682	1682	1682	1682	1682	1682	1682	1682	1682	1682	1682	1682	
Moyenne	Historique		0.5	12.64	716	1.2	1.84	1	102	6	159	70	4.7	2.7	0.9	3.40	16	5	12	1	3.81	52	23	1.10	0.04	106	2.82
Écart-type (σ)	Historique		2.8	4.18	651	1.0	1.74	1	440	9	63	2155	11.3	6.9	0.9	3.93	8	15	23	3	2.21	236	22	1.56	0.05	413	1.53
Maximum	Historique		74.8	31.80	5480	7.5	21.30	23	12400	116	1490	88400	159.0	102.0	20.6	49.10	69	349	356	35	12.40	6710	215	22.50	0.74	5550	8.88
Minimum	Historique		-0.2	0.09	6	-0.2	-0.01	0	-1	-1	31	-1	-0.2	-0.2	-0.2	0.12	-1	-1	-1	0	0.04	-1	-1	0.00	0.00	-1	0.01
Compte	Projet		786	786	786	786	786	786	786	786	786	786	786	786	786	786	786	786	786	786	786	786	786	786	786	786	
Moyenne	Projet		1.0	12.00	509	1.1	1.47	1	115	4	171	127	6.2	3.4	0.7	2.82	15	6	14	1	3.57	58	23	0.78	0.03	185	2.95
Écart-type (σ)	Projet		4.0	4.27	505	1.0	1.31	1	422	6	59	3153	13.6	8.1	0.7	3.57	9	15	29	3	2.32	227	24	1.00	0.04	522	1.68
Maximum	Projet		74.8	23.30	4230	6.2	21.30	23	5590	45	400	88400	159.0	102.0	9.0	39.80	69	152	356	35	12.40	3050	200	7.44	0.26	5550	8.88
Minimum	Projet		-0.2	0.20	10	-0.2	-0.01	0	-1	-1	38	-1	-0.2	-0.2	-0.2	0.12	-1	-1	-1	0	0.07	-1	-1	0.00	0.00	-1	0.01
592	5929571	Roche	-0.2	15.20	580	1.7	2.08	1	307	-1	125	10	4.1	1.9	0.4	1.07	16	7	8	1	3.56	131	14	0.20	0.02	1	4.54
592	5929572	Roche	-0.2	15.40	658	1.5	1.90	1	283	1	145	10	3.9	1.9	0.9	1.83	17	8	11	1	4.77	176	14	0.40	0.02	-1	4.00
592	5929573	Roche	-0.2	15.00	490	1.3	2.18	1	180	1	192	3	2.9	1.5	0.8	2.44	19	5	35	1	3.24	94	21	0.55	0.03	-1	4.29
592	5929574	Roche	-0.2	15.20	310	1.6	2.55	1	203	3	173	5	2.3	1.4	0.9	3.54	22	5	21	1	2.41	109	24	0.66	0.03	-1	4.60
592	5929575	Roche	-0.2	15.20	848	0.5	1.58	1	218	1	160	7	3.2	1.5	0.8	1.66	15	6	41	1	5.93	127	18	0.49	0.02	-1	3.53
592	5929576	Roche	-0.2	13.90	821	0.5	1.36	1	423	1	160	4	4.1	2.0	0.6	1.12	14	9	40	1	5.23	238	11	0.27	0.01	-1	3.39
592	5929577	Roche	-0.2	12.20	388	0.4	1.83	1	233	1	244	8	3.9	1.4	0.5	1.07	13	7	68	1	2.37	115	9	0.24	0.01	-1	3.67
592	5929578	Roche	-0.2	17.20	94	3.0	3.60	1	480	7	184	95	13.9	6.6	1.5	1.73	22	21	2	3	0.72	272	9	0.32	0.02	99	5.90
592	5929579	Roche	0.5	13.20	226	1.3	2.05	1	29	21	162	310	2.6	1.9	0.8	8.57	32	3	3	1	1.80	20	49	3.38	0.09	30	3.08
592	5929580	Roche	-0.2	13.60	158	1.7	1.78	1	21	3	174	27	5.5	3.0	0.6	2.21	18	4	10	1	1.31	13	21	0.98	0.04	7	4.61
592	5929581	Roche	-0.2	12.80	881	1.0	1.21	1	155	3	187	5	8.0	3.8	0.8	1.29	13	9	1	2	4.79	91	15	0.52	0.02	40	3.28
592	5929582	Roche	-0.2	8.43	112	1.2	1.89	1	229	3	212	8	12.4	5.7	0.9	1.08	11	13	2	3	0.57	130	12	0.40	0.01	115	2.75
592	5929583	Roche	-0.2	13.80	312	1.7	2.42	1	319	-1	180	5	29.0	13.6	1.4	0.74	15	25	4	6	1.80	186	8	0.22	0.01	440	4.35
592	5929584	Roche	-0.2	19.50	144	2.7	5.06	1	2870	12	93	25	80.0	35.0	5.0	5.86	41	140	1	17	2.88	1640	103	3.10	0.10	51	5.37
592	5929585	Roche	-0.2	16.70	588	2.0	2.97	1	20	3	100	11	2.0	1.4	0.8	1.55	23	2	2	0	1.78	10	31	0.75	0.02	80	5.18
592	5929586	Roche	0.3	19.10	700	4.0	2.27	2	130	2	134	1	6.3	4.4	1.0	1.84	25	7	-1	2	5.05	66	25	0.73	0.04	30	5.36
592	5929587	Roche	17.9	12.60	292	1.7	2.10	1	20	3	220	6	9.7	5.4	0.7	1.10	20	6	4	3	2.16	6	18	0.39	0.02	17	3.30
592	5929588	Roche	-0.2	13.80	336	1.6	2.13	1	121	3	187	9	21.8	12.4	1.0	1.50	28	15	8	5	2.17	44	22	0.54	0.03	24	3.92
592	5929589	Roche	0.3	14.30	362	3.0	2.57	1	90	2	178	-1	13.2	9.0	0.8	0.99	18	10	1	3	2.08	48	14	0.37	0.02	17	4.16
592	5929590	Roche	0.6	22.50	235	1.2	4.92	1	282	11	95	62	96.9	70.8	2.9	3.56	20	59	6	23	1.30	115	74	1.85	0.04	1100	6.46
592	5929591	Roche	16.6	19.20	209	1.8	4.30	1	232	4	115	4	15.0	8.3	2.1	1.61	24	16	3	3	1.12	115	26	0.67	0.02	8	6.22
592	5929592	Roche	8.0	16.60	126	1.9	3.00	1	74	4	172	6	13.4	7.4	0.9	2.02	28	9	4	3	0.85	31	27	0.73	0.05	16	5.36
592	5929593	Roche	-0.2	14.10	723	1.2	1.39	1	73	2	169	10	4.6	2.5	0.8	1.22	16	6	2	1	5.04	34	14	0.42	0.02	71	3.10
592	5929594	Roche	3.9	13.90	184	1.5	2.12	1	135	16	225	14	16.4	12.4	1.0	6.90	26	15	57	5	2.58	55	83	3.02	0.11	5	3.48
592	5929595	Roche	-0.2	12.70	1420	0.5	0.30	1	2	1	111	3	0.5	0.4	0.3	0.84	12	-1	1	0	7.49	1	10	0.28	0.01	2	2.20
592	5929596	Roche	-0.2	12.40	908	0.7	1.10	1	9	2	130	21	4.2	3.2	0.6	1.60	16	3	6	1	4.70	3	23	0.52	0.02	10	2.83
592	5929597	Roche	-0.2	17.20	524	1.8	3.22	1	1220	32	147	-1	38.5	23.3	4.3	7.41	31	53	-1	9	3.09	662	115	4.45	0.06	232	3.58
592	5929598	Roche	0.2	15.60	175	2.0	3.51	1	430	7	179	7	8.2	3.7	1.1	1.79	19	18	1	1	0.75	220	25	0.91	0.01	44	4.42
592	5929599	Roche	0.8	13.40	283	-0.2	1.10	1	32	22	217	31	19.9	9.8	0.9	10.40	46	13	39	6	3.46	6	86	4.13	0.13	26	2.50
592	5929600	Roche	3.2	10.20	356	0.6	0.32	0	70	8	195	42	20.9	12.0	1.0	5.43	24	15	40	5	4.16	23	58	1.79	0.08	82	1.75
592	5929601	Roche	-0.2	17.90	379	1.7	3.74	1	65	14	168	121	8.4	4.7	0.9	5.93	30	8	13	2	2.04	30	58	2.73	0.04	230	4.28
592	5929602	Roche	-0.2	14.70	89	2.4	1.81	1	9	5	169	15	4.8	3.1	0.4	1.74	19	3	8	1	3.10	3	29	0.53	0.03	36	4.26
592	5929603	Roche	2.3	19.60	132	1.5	3.32	1	390	17	256	53	14.0	6.5	1.4	6.81	33	19	46	2	2.62	178	75	2.45	0.11	20	5.44
592	5929604	Roche	-0.2	14.00	193	1.6	1.45	1	72	10	254	31	6.6	3.8	0.8	5.19	25	6	9	2	3.89	30	67	1.93	0.09	2	3.26
592	5929605	Roche	-0.2	17.80	94	2.3	2.95	1	19	11	157	70	5.3	3.6	0.6	4.33	25	4	10	1	1.84	8	41	1.58	0.07	14	5.56
592	5929606	Roche	-0.2	16.40	703	1.7	1.32	1	10	1	117	38	9.8	7.2	0.7	1.33	14	6	3	2	5.69	3	13	0.54	0.03	4	5.25
592	5929607	Roche	-0.2	18.30	98	3.8	2.35	1	395	10	89	25	19.4	13.0	1.6	5.01	36	21	3	5	2.80	223	60	2.36	0.10	486	5.34
592	5929608	Roche	-0.2	7.08	30	1.4	1.21	1	9	2	246	52	0.8	0.3	0.3	1.48	11	1	3	0	0.52	4	9	0.35	0.01	60	2.24
592	5929609	Roche	-0.2	17.70	388	2.8	3.38	1	88	5	142	9	13.6	10.4	1.0	2.52	22	9	1	3	2.74	44	31	1.33	0.05	43	5.11
592	5929610	Roche	-0.2	15.30	862	1.5	1.45	1	228	-1	167	7	15.6	10.3	1.4	1.04	12	14	-1	4	5.83	123	14	0.42	0.02	103	3.60
592	5929611	Roche	-0.2	11.40	88	0.7	2.88	1	12	2	2																



PROJECT NUMBER	SAMPLE	SAMPLE TYPE	ICP6.3 Total Digestion, Multi-Acids																				Aqua Regia				Partiel	
			Nb	Nd	Ni	P <sub>2</sub> O <sub>5</sub>	Pb	Pr	Sc	Sm	Sn	Sr	Ta	Tb	Th	TiO <sub>2</sub>	U, ICP	V	W	Y	Yb	Zn	Zr	LOI	U <sub>2</sub> O <sub>8</sub>	U, Fl.	B	
			ppm	ppm	ppm	wt %	ppm	ppm	ppm	ppm	ppm	ppm	ppm	ppm	ppm	ppm	wt %	ppm	ppm	ppm	ppm	ppm	ppm	ppm	wt %	wt %	ppm	ppm
Nb Analyses	790		1	1	1	0,01	1	1	1	1	1	1	1	1	1	0,01	2	1	1	1	1	1	0,1	0,01	0,02	0,02		
Compte	Historique		1682	1682	1682	1682,00	1682	1682	1682	1682	1682	1682	1682	1682	1682	1682,00	1682	1682	1682	1682	1682	1682	1682	175	339	8	466	
Moyenne	Historique		8	36	17	0,15	170	9	6	6	-1	220	0	1	263	0,38	353	56	2	28	2,9	65	376	0,6	0	12	34	
Écart-type (σ)	Historique		26	143	45	0,40	384	41	6	21	2	265	5	3	503	0,39	1201	74	17	57	6,3	82	776	0,3	0	11	131	
Maximum	Historique		884	4200	1010	6,26	4900	1110	70	806	24	1880	100	47	8540	4,82	19100	1250	328	908	98,2	1620	12500	2,4	2	32	905	
Minimum	Historique		-1	-1	-1	0,00	1	-1	-1	-1	-1	-1	-1	0	-1	0,00	-2	-1	-1	-1	-0,1	1	1	-0,1	0	2	2	
Compte	Projet		786	786	786	786,00	786	786	786	786	786	786	786	786	786,00	786	786	786	786	786	786	786	168	168	65	6	168	
Moyenne	Projet		8	39	9	0,12	223	10	4	7	-1	148	1	1	390	0,30	487	43	5	31	3,5	56	484	0,6	0	10	11	
Écart-type (σ)	Projet		34	128	22	0,41	437	39	6	18	1	82	5	2	565	0,38	1422	68	24	64	6,9	77	1051	0,3	0	9	21	
Maximum	Projet		884	1500	427	6,26	4900	542	53	178	9	525	100	22	4970	3,18	19100	1250	328	790	75,1	1180	12500	2,4	2	23	221	
Minimum	Projet		-1	-1	-1	0,00	7	-1	-1	-1	-1	2	-1	0	1	0,00	-2	-1	-1	1	-0,1	1	2	-0,1	0	2	2	
592	5929571	Roche	-1	71	2	0,13	60	19	2	10	-1	274	-1	0	787	0,07	104	16	-1	17	1,4	23	248					
592	5929572	Roche	2	91	3	0,11	49	26	2	12	-1	265	-1	0	544	0,18	75	37	-1	18	1,4	34	364					
592	5929573	Roche	5	53	5	0,12	35	15	3	8	-1	251	-1	1	329	0,27	35	38	-1	15	1,9	49	1140					
592	5929574	Roche	4	63	4	0,11	36	17	3	9	-1	271	-1	1	305	0,35	31	63	-1	11	1	57	688					
592	5929575	Roche	2	68	3	0,11	58	20	2	9	-1	270	-1	1	569	0,21	78	27	2	15	2	36	1380					
592	5929576	Roche	-1	127	3	0,08	59	38	2	16	-1	264	-1	2	566	0,11	67	21	2	17	2	23	1350					
592	5929577	Roche	-1	66	4	0,06	55	18	2	10	-1	231	-1	3	856	0,09	115	22	-1	19	3	43	2240					
592	5929578	Roche	-1	174	16	0,14	350	49	1	26	-1	272	-1	2	280	0,08	730	23	1	64	5	21	52					
592	5929579	Roche	27	13	23	0,08	180	1	16	3	-1	145	-1	0	55	0,82	540	130	-1	17	2	117	76					
592	5929580	Roche	5	10	12	0,04	242	2	3	3	-1	249	-1	0	74	0,23	630	32	-1	28	4	44	310					
592	5929581	Roche	2	56	9	0,06	280	15	2	9	-1	185	-1	1	103	0,13	720	27	-1	36	3	31	9					
592	5929582	Roche	-1	85	10	0,07	420	23	1	14	-1	155	1	2	160	0,09	1300	19	-1	54	6	19	38			0,143		
592	5929583	Roche	-1	123	4	0,09	1100	32	-1	22	-1	194	-1	4	335	0,06	3700	17	1	131	14	20	36			0,421		
592	5929584	Roche	27	1050	36	1,84	144	295	15	163	-1	281	4	18	1250	0,78	77	139	-1	363	14	121	9					
592	5929585	Roche	5	7	7	0,03	71	2	3	2	-1	234	-1	0	28	0,19	136	40	1	11	1	20	20					
592	5929586	Roche	8	44	5	0,10	157	11	3	8	-1	248	5	0	64	0,18	301	28	-1	38	4	35	19					
592	5929587	Roche	3	15	12	0,02	340	1	3	5	-1	128	-1	4	104	0,10	879	28	2	52	7	19	41					
592	5929588	Roche	6	59	10	0,06	841	13	3	14	-1	167	-1	10	252	0,14	1950	29	2	110	15	31	37					
592	5929589	Roche	6	34	8	0,04	336	8	2	8	-1	165	2	0	134	0,10	1060	14	-1	67	8	28	49					
592	5929590	Roche	11	121	31	0,10	4900	19	4	47	-1	336	-1	0	1210	0,55	14900	66	-1	467	60	45	139			1,770		
592	5929591	Roche	-1	103	13	0,03	416	28	2	18	-1	363	-1	4	223	0,15	890	39	2	69	9	30	21					
592	5929592	Roche	3	37	12	0,08	507	8	3	9	-1	247	-1	6	203	0,21	1160	40	1	68	9	38	9			0,150		
592	5929593	Roche	2	32	5	0,11	89	8	2	6	-1	163	7	1	90	0,12	177	28	3	26	3	26	59					
592	5929594	Roche	34	55	48	0,05	440	12	15	13	-1	132	11	0	521	0,84	1380	149	-1	103	16	169	1860			0,168		
592	5929595	Roche	2	1	4	0,02	32	-1	1	-1	-1	191	-1	0	10	0,10	13	18	1	4	1	24	22					
592	5929596	Roche	5	6	5	0,04	152	1	2	2	-1	192	-1	0	129	0,18	238	27	1	23	3	38	162					
592	5929597	Roche	26	399	78	0,22	724	112	21	61	-1	205	2	0	529	1,20	2470	203	-1	188	15	100	11			0,236		
592	5929598	Roche	4	151	10	0,08	123	42	4	21	-1	196	-1	2	220	0,19	220	49	1	41	2	26	12					
592	5929599	Roche	46	31	62	0,08	775	1	23	9	-1	79	6	13	653	1,09	2280	194	-1	103	15	209	1060			0,282		
592	5929600	Roche	26	41	21	0,08	416	7	11	11	-1	42	7	9	567	0,54	917	83	-1	132	19	83	1280					
592	5929601	Roche	25	32	22	0,36	352	5	14	7	-1	178	2	4	447	0,65	636	144	-1	55	6	90	371					
592	5929602	Roche	13	6	8	0,05	92	-1	4	2	-1	120	10	1	88	0,17	307	31	1	33	6	71	239					
592	5929603	Roche	17	150	48	0,27	264	41	13	26	-1	206	-1	7	354	0,70	663	114	-1	75	10	186	1540					
592	5929604	Roche	31	32	26	0,05	125	6	12	6	-1	127	13	2	138	0,59	288	85	1	38	5	99	288					
592	5929605	Roche	9	11	26	0,09	113	1	10	3	-1	212	4	1	86	0,38	181	75	-1	38	6	90	308					
592	5929606	Roche	1	9	5	0,03	180	1	1	6	-1	201	-1	0	194	0,11	678	12	1	52	9	17	86					
592	5929607	Roche	28	133	13	0,13	584	35	14	23	-1	167	1	0	204	0,58	1940	93	-1	102	10	101	81			0,224		
592	5929608	Roche	3	4	5	0,03	145	-1	2	1	-1	78	3	0	26	0,10	89	22	1	4	1	18	126					
592	5929609	Roche	7	36	14	0,49	292	9	5	9	-1	225	-1	0	76	0,25	920	50	-1	89	11	47	43					
592	5929610	Roche	3	84	4	0,12	420	22	1	17	-1	208	-1	0	173	0,10	1620	16	-1	81	8	22	22			0,190		
592	5929611	Roche	5	7	9	0,09	240	1	1	3	-1	190	-1	0	196	0,22	356	5	-1	25	3	6	87					
592	5929612	Roche	4	7	7	0,02	207	-1	2	3	-1	183	3	2	300	0,10	270	20	2	25	4	18	433					
592	5929613	Roche	1	4	5	0,02	161	1	1	3	-1	154	1	0	180	0,08	501	11	-1	24	3	19	322					
592	5929614	Roche	2	4	6	0,02	72	-1	2	2	-1	165	3	1	251	0,09	90	18	2	21	3	21	509					
592	5929615	Roche	3	30	19	0,04	580	8	5	9	-1	126	-1	0	1310	0,18	1480	33	-1	42	5	76	425			0,182		
592	5929616	Roche	11	5	10	0,03	48	-1	4	1	-1	176	7	0	86	0,41	50	47	-1	12	2	70	104					
592	59																											



PROJECT NUMBER	SAMPLE	SAMPLE TYPE	CERTIFICATE	DATE	U <sub>3</sub> O <sub>8</sub> (wt %)	U/U	Ce/Th	U/Th	FIRE ASSAY										ICP6.3R Partial Digestion											
									Au	Pd	Pt	Ag	As	Bi	Co	Cu	Ge	Hg	Mo	Ni	Pb	Sb	Se	Te	U, ICP	V	Zn			
									ppb	ppb	ppb	ppm	ppm	ppm	ppm	ppm	ppm	ppm	ppm	ppm	ppm	ppm	ppm	ppm	ppm	ppm	ppm			
Nb Analyses	790								2	2	2	0.1	0.2	0.2	0.1	0.2	0.2	0.1	0.1	0.2	0.2	0.1	0.1	0.02	1	0.2	0.2	0.5	0.1	0.1
Compte	Historique				1726				2	2	2	1682	1682	1682	1682	1682	1682	1682	1682	1682	1682	1682	1682	1682	1682	1682	1682	1674.0	1682	1682
Moyenne	Historique				0.053%				12	3	7	0.1	1.7	1.3	7.5	67.5	0.1	-0.2	93.6	17.4	144.85	0	0.1	1.1	338.1	41.1	338.1	41.1	61.9	
Écart-type (σ)	Historique				0.169%				1	1	2	2.5	8.5	2.2	10.8	1921.4	0.8	0.1	332.4	37.1	365.30	2	1.1	2.7	1227.3	57.0	84.2			
Maximum	Historique				2.290%				12	4	8	62.3	229.0	28.5	94.8	78800.0	9.7	0.5	4460.0	581.0	4880.00	27	13.7	50.7	28000.0	878.0	1590.0			
Minimum	Historique				-0.001%				11	2	5	-0.1	-0.2	-0.2	-0.1	-0.1	-0.2	-0.2	-0.1	0.2	-0.02	-1	-0.2	-0.2	-0.5	-0.1	-0.1			
Compte	Projet				786				2	2	2	786	786	786	786	786	786	786	786	786	786	786	786	786	786	786	786	786	786	786
Moyenne	Projet				0.058%				12	3	7	0.3	0.9	1.7	4.1	116.5	0.0	-0.2	144.3	8.7	195.94	0	0.3	2.0	468.4	32.3	45.4			
Écart-type (σ)	Projet				0.165%				1	1	2	3.6	2.1	2.6	5.4	2810.5	0.7	0.0	426.6	20.5	416.40	3	1.4	3.0	1517.0	55.1	70.3			
Maximum	Projet				2.290%				12	4	8	62.3	45.2	28.5	37.8	78800.0	9.7	0.3	4460.0	382.0	4880.00	27	13.7	26.2	28000.0	878.0	1220.0			
Minimum	Projet				0.000%				11	2	5	-0.1	-0.2	-0.2	-0.1	-0.1	-0.2	-0.2	-0.1	0.2	2.87	-1	-0.2	-0.2	1.2	-0.1	-0.1			
592	5929650	Roche	2007-1131	2007-09-27	0.015%	0.85	1.37	0.45				-0.1	-0.2	2.4	3.7	149.0	-0.2	-0.2	3.8	5.6	560.00	-1	-0.2	3.5	123.0	33.4	28.6			
592	5929651	Roche	2007-1131	2007-09-27	0.377%	0.98	0.05	3.77				-0.1	0.9	5.6	6.6	44.8	-0.2	-0.2	29.2	17.1	1030.00	-1	-0.2	4.0	3150.0	49.4	221.0			
592	5929652	Roche	2007-1131	2007-09-27	0.732%	0.97	0.98	9.28				-0.1	-0.2	4.2	3.6	22.5	-0.2	-0.2	905.0	3.8	2240.00	-1	0.6	7.1	5800.0	57.7	96.9			
592	5929653	Roche	2007-1131	2007-09-27	1.150%	0.98	1.44	5.03				0.2	-0.2	2.1	4.0	7.7	-0.2	-0.2	1510.0	7.7	3250.00	13	-0.2	10.7	9100.0	27.2	51.4			
592	5929654	Roche	2007-1421	2007-10-01	0.099%	0.79	1.23	4.90				-0.1	0.7	1.1	10.0	172.0	-0.2	-0.2	9.9	15.9	378.00	-1	-0.2	0.8	842.0	35.7	33.5			
592	5929655	Roche	2007-1421	2007-10-01	0.472%	0.85	1.77	4.09				-0.1	-0.2	4.4	13.4	200.0	-0.2	-0.2	137.0	31.4	1440.00	-1	1.5	4.0	3770.0	24.2	74.0			
592	5929656	Roche	2007-1421	2007-10-01	0.201%	0.80	0.99	10.52				-0.1	-0.2	1.0	20.0	42.5	-0.2	-0.2	118.0	62.6	469.00	-1	-0.2	2.3	1310.0	122.0	84.4			
592	5929657	Roche	2007-1421	2007-10-01	0.194%	0.88	0.07	4.88				-0.1	1.9	-0.2	28.1	206.0	-0.2	-0.2	178.0	20.1	451.00	-1	-0.2	8.9	1570.0	234.0	284.0			
592	5929658	Roche	2007-1421	2007-10-01	0.058%	0.83	2.43	2.68				-0.1	-0.2	-0.2	8.0	4.5	-0.2	-0.2	101.0	11.4	248.00	-1	-0.2	6.6	494.0	151.0	142.0			
592	5929659	Roche	2007-1184	2007-11-10	0.014%	0.91	1.95	0.66				-0.1	-0.2	-0.2	-0.1	4.2	-0.2	-0.2	1.2	5.0	70.70	-1	-0.2	0.7	122.0	7.5	14.7			
592	5929660	Roche	2007-1421	2007-10-01	0.058%	0.88	0.41	6.79				-0.1	0.4	0.4	4.9	2.5	-0.2	-0.2	224.0	6.8	283.00	-1	-0.2	2.3	496.0	65.9	70.7			
592	5929661	Roche	2007-1421	2007-10-01	0.074%	0.80	1.81	4.82				-0.1	-0.2	-0.2	26.6	117.0	-0.2	-0.2	5.3	75.9	238.00	-1	-0.2	2.4	631.0	159.0	173.0			
592	5929662	Roche	G-2007-1252	2007-11-10	0.028%	0.99	1.61	1.36				-0.1	1.4	-0.2	6.8	13.1	-0.2	-0.2	60.1	13.6	133.00	-1	-0.2	2.5	240.0	80.8	95.4			
592	5929663	Roche	2007-1184	2007-11-10	0.041%	0.90	0.04	0.75				-0.1	0.8	-0.2	0.8	11.8	-0.2	-0.2	1.8	4.8	315.00	-1	-0.2	1.4	350.0	13.1	18.9			
592	5929664	Roche	2007-1184	2007-11-10	0.028%	0.88	0.02	0.32				-0.1	1.0	-0.2	1.3	19.2	-0.2	-0.2	1.1	5.0	132.00	-1	-0.2	1.2	238.0	9.0	21.7			
592	5929665	Roche	2007-1421	2007-10-01	0.087%	0.92	1.19	10.12				-0.1	-0.2	0.6	1.5	4.0	-0.2	-0.2	43.3	3.2	269.00	-1	-0.2	0.4	820.0	13.9	27.6			
592	5929666	Roche	2007-1212	2007-11-10	0.031%	0.82	1.41	1.98				-0.1	5.0	4.5	6.8	82.8	-0.2	-0.2	10.3	6.0	188.00	4	-0.2	0.3	262.0	45.9	63.8			
592	5929667	Roche	G-2007-1252	2007-11-10	0.013%	0.96	1.82	0.79				-0.1	1.5	-0.2	7.0	33.7	-0.2	-0.2	11.3	10.9	44.50	-1	-0.2	1.3	106.0	39.2	67.4			
592	5929668	Roche	2007-1421	2007-10-01	0.075%	1.08	1.75	3.52				-0.1	-0.2	1.1	7.8	5.1	-0.2	-0.2	114.0	12.6	298.00	-1	-0.2	2.6	637.0	59.1	57.0			
592	5929669	Roche	2007-1421	2007-10-01	0.193%	0.88	0.03	4.66				-0.1	1.0	1.7	4.5	11.2	-0.2	-0.2	409.0	2.9	537.00	-1	-0.2	3.9	1520.0	79.5	196.0			
592	5929670	Roche	2007-1421	2007-10-01	0.282%	0.87	0.61	11.72				-0.1	-0.2	2.5	1.3	8.8	-0.2	-0.2	6.8	1.6	889.00	-1	-0.2	-0.2	2140.0	-0.1	18.1			
592	5929700	Roche	2007-896	2007-08-28	0.019%	0.77	0.00	0.10				-0.1	1.4	3.4	1.1	11.2	0.2	-0.2	168.0	4.0	114.00	-1	1.6	2.0	162.0	5.1	16.0			
592	5929701	Roche	2007-896	2007-08-28	0.040%	0.94	0.01	0.15				-0.1	0.8	4.6	0.9	17.4	-0.2	-0.2	1080.0	1.8	415.00	-1	-0.2	2.4	340.0	15.4	23.8			
592	5929702	Roche	2007-896	2007-08-28	0.002%	1.24	0.70	0.43				-0.1	3.7	0.2	5.9	5.8	0.3	-0.2	1.4	10.3	11.40	-1	-0.2	2.4	17.3	37.0	63.9			
592	5929703	Roche	2007-896	2007-08-28	0.019%	0.90	0.02	0.24				-0.1	2.0	1.7	3.0	9.4	1.0	-0.2	66.5	6.5	133.00	-1	-0.2	1.7	180.0	27.4	34.4			
592	5929704	Roche	2007-896	2007-08-28	0.009%	1.04	0.00	0.25				-0.1	1.3	1.4	3.5	3.5	0.7	-0.2	101.0	10.3	59.40	-1	-0.2	2.2	78.1	49.0	65.4			
592	5929705	Roche	2007-896	2007-08-28	0.160%	0.79	0.00	0.48				-0.1	5.5	-0.2	21.5	53.4	-0.2	-0.2	2980.0	34.0	601.00	-1	-0.2	20.4	1210.0	326.0	282.0			
592	5929706	Roche	G-2007-1252	2007-11-10	0.010%	0.96	0.31	0.81				-0.1	0.5	-0.2	1.2	9.6	-0.2	-0.2	4.2	3.3	41.90	-1	-0.2	-0.2	82.5	5.7	24.6			
592	5929707	Roche	2007-1421	2007-10-01	0.200%	0.87	0.24	4.00				-0.1	0.3	0.2	6.4	21.5	-0.2	-0.2	618.0	1.3	643.00	-1	-0.2	4.0	1360.0	44.9	156.0			
592	5929708	Roche	G-2007-1252	2007-11-10	0.048%	0.98	0.04	1.54				-0.1	1.2	-0.2	3.8	28.3	0.5	-0.2	225.0	3.7	226.00	-1	-0.2	-0.2	390.0	30.0	76.8			
592	5929709	Roche	G-2007-1252	2007-11-10	0.006%	0.77	0.04	0.29				-0.1	1.9	-0.2	8.0	12.9	1.5	-0.2	402.0	16.8	414.00	-1	-0.2	1.0	53.7	84.8	97.4			
592	5929710	Roche	2007-1421	2007-10-01	0.088%	0.93	1.21	5.84				-0.1	-0.2	1.0	2.6	13.3	-0.2	-0.2	25.7	5.3	206.00	-1	-0.2	0.4	578.0	20.8	30.4			
592	5929750	Roche	G-2007-1673	2007-12-21	0.004%	0.92	0.56	0.11				0.1	-0.2	-0.2	2.7	0.9	-0.2													



PROJECT NUMBER	SAMPLE	SAMPLE TYPE	ICP6.3 Total Digestion, Multi-Acids																								
			Ag	Al <sub>2</sub> O <sub>3</sub>	Ba	Be	CaO	Cd	Ce	Co	Cr	Cu	Dy	Er	Eu	Fe <sub>2</sub> O <sub>3</sub>	Ga	Gd	Hf	Ho	K <sub>2</sub> O	La	Li	MgO	MnO	Mo	Na <sub>2</sub> O
			ppm	wt %	ppm	ppm	wt %	ppm	ppm	ppm	ppm	ppm	ppm	ppm	ppm	wt %	ppm	ppm	ppm	ppm	ppm	wt %	ppm	ppm	wt %	wt %	ppm
Nb Analyses	790		0.2	0.01	1	0.2	0.01	1	1	1	1	1	0.2	0.2	0.01	1	1	1	1	1	0.01	1	1	0.01	0.01	1	0.01
Compte	Historique		1682	1682	1682	1682	1682	1682	1682	1682	1682	1682	1682	1682	1682	1682	1682	1682	1682	1682	1682.00	1682	1682	1682.00	1682.00	1682	1682
Moyenne	Historique		0.5	12.64	716	1.2	1.84	1	102	6	159	70	4.7	2.7	0.9	3.40	16	5	12	1	3.81	52	23	1.10	0.04	106	2.82
Écart-type (σ)	Historique		2.8	4.18	651	1.0	1.74	1	440	9	63	2155	11.3	6.9	0.9	3.93	8	15	23	3	2.21	236	22	1.56	0.05	413	1.53
Maximum	Historique		74.8	31.80	5480	7.5	21.30	23	12400	116	1480	88400	159.0	102.0	20.6	49.10	69	349	356	35	12.40	6710	215	22.50	0.74	5550	8.86
Minimum	Historique		-0.2	0.09	6	-0.2	-0.01	0	-1	-1	31	-1	-0.2	-0.2	-0.2	0.12	-1	-1	-1	0	0.04	-1	-1	0.00	0.00	-1	0.01
Compte	Projet		786	786	786	786	786	786	786	786	786	786	786	786	786	786	786	786	786	786	786.00	786	786	786.00	786.00	786	786
Moyenne	Projet		1.0	12.00	509	1.1	1.47	1	115	4	171	127	6.2	3.4	0.7	2.82	15	6	14	1	3.57	58	23	0.78	0.03	165	2.95
Écart-type (σ)	Projet		4.0	4.27	505	1.0	1.31	1	422	6	59	3153	13.6	8.1	0.7	3.57	9	15	29	3	2.32	227	24	1.00	0.04	522	1.68
Maximum	Projet		74.8	23.30	4230	6.2	21.30	23	5590	45	400	88400	159.0	102.0	9.0	39.80	69	152	356	35	12.40	3050	200	7.44	0.28	5550	8.86
Minimum	Projet		-0.2	0.20	10	-0.2	-0.01	0	-1	-1	38	-1	-0.2	-0.2	-0.2	0.12	-1	-1	-1	0	0.07	-1	-1	0.00	0.00	-1	0.01
592	5929650	Roche	-0.2	18.20	353	2.4	3.10	1	378	3	102	151	8.2	3.6	1.1	4.04	26	15	1	2	2.56	222	18	0.69	0.02	4	5.45
592	5929651	Roche	-0.2	17.00	125	1.6	2.95	2	40	6	123	47	20.1	9.4	1.2	3.67	26	13	38	4	1.44	22	37	1.36	0.05	29	5.28
592	5929652	Roche	-0.2	14.70	400	1.9	2.24	1	658	5	161	23	40.9	16.5	2.0	2.94	22	40	7	8	3.04	374	33	1.37	0.05	910	4.12
592	5929653	Roche	-0.2	2.70	152	-0.2	0.14	0	2790	3	337	9	102.0	42.1	4.8	2.57	6	129	7	21	1.38	1570	29	0.96	0.04	1550	0.19
592	5929654	Roche	-0.2	9.88	73	1.8	2.07	1	211	10	244	185	10.2	6.8	1.0	4.00	17	11	2	3	0.84	115	15	0.87	0.03	25	2.72
592	5929655	Roche	0.3	18.80	123	3.6	4.11	1	1730	14	102	177	60.7	37.4	6.0	2.47	26	74	8	14	0.82	882	22	0.74	0.03	171	5.80
592	5929656	Roche	-0.2	20.30	228	3.3	3.83	1	161	21	207	45	16.6	11.9	1.3	6.42	24	12	4	4	2.84	87	80	3.57	0.09	159	4.91
592	5929657	Roche	2.3	15.40	776	-0.2	0.28	1	22	37	58	212	11.6	9.5	0.6	20.00	48	9	4	4	9.71	15	109	7.29	0.24	317	0.53
592	5929658	Roche	-0.2	20.50	389	2.1	3.08	1	447	13	69	5	13.1	6.6	1.7	7.22	35	21	5	3	4.89	255	81	3.65	0.12	111	4.64
592	5929659	Roche	-0.2	10.40	63	1.7	1.70	1	361	-1	151	3	8.1	4.4	0.8	0.67	14	14	11	1	0.83	174	13	0.25	0.01	1	3.62
592	5929660	Roche	-0.2	18.10	304	3.4	2.36	1	30	6	112	3	5.7	4.1	0.7	3.29	26	4	-1	2	3.52	16	36	1.64	0.07	276	4.64
592	5929661	Roche	-0.2	18.30	276	1.5	4.14	1	237	28	368	120	10.9	7.3	1.2	7.62	30	12	-1	3	3.29	128	102	4.44	0.11	13	3.10
592	5929662	Roche	-0.2	20.30	88	3.5	3.90	1	283	9	108	14	20.6	17.5	1.3	4.10	34	19	3	5	2.16	154	60	2.11	0.08	77	5.83
592	5929663	Roche	-0.2	11.60	853	1.1	0.77	1	18	2	138	10	8.3	7.4	0.4	1.30	15	6	3	1	4.92	4	13	0.37	0.02	2	2.66
592	5929664	Roche	-0.2	10.40	1110	0.4	0.53	1	16	-1	149	17	2.9	4.5	0.4	0.95	11	3	6	0	4.88	5	9	0.24	0.01	1	2.13
592	5929665	Roche	-0.2	15.80	347	2.2	2.87	1	96	1	189	5	7.2	4.8	0.8	1.06	15	5	-1	2	2.30	52	12	0.41	0.02	47	4.66
592	5929666	Roche	0.4	18.60	428	2.6	3.25	2	186	8	136	97	6.2	3.5	1.1	3.48	28	8	1	2	3.01	103	29	1.25	0.04	16	5.41
592	5929667	Roche	-0.2	6.46	222	0.7	0.56	0	246	6	209	33	4.6	2.2	0.7	3.16	13	9	9	1	2.37	132	25	1.08	0.05	7	1.08
592	5929668	Roche	-0.2	19.80	475	3.2	3.93	1	317	9	109	5	11.0	6.4	1.5	3.68	27	14	1	3	2.99	185	36	1.79	0.06	111	5.71
592	5929669	Roche	1.1	14.70	482	2.4	1.03	2	11	6	131	-1	12.9	7.9	0.6	6.58	31	11	-1	3	6.54	6	120	2.14	0.15	487	2.42
592	5929670	Roche	0.8	21.90	374	3.4	2.40	2	125	-1	96	-1	14.8	11.4	0.8	1.00	28	11	1	4	4.12	68	46	0.37	0.02	13	4.11
592	5929700	Roche	5.9	7.58	1310	-0.2	0.12	1	6	-1	244	-1	3.5	1.5	0.2	0.92	3	2	75	1	5.30	-1	6	0.22	0.01	225	0.80
592	5929701	Roche	0.2	12.30	1170	0.4	0.95	1	16	-1	157	-1	6.6	3.8	0.4	1.91	4	6	3	1	7.50	4	17	0.44	0.02	1100	1.96
592	5929702	Roche	-0.2	14.80	155	1.8	3.48	1	28	7	132	4	0.8	0.5	0.8	3.08	20	1	3	1	1.27	17	32	1.07	0.04	2	3.94
592	5929703	Roche	2.9	10.80	668	0.8	1.52	1	16	4	178	-1	1.8	0.8	0.5	2.00	13	1	35	1	3.00	6	20	0.69	0.03	58	2.51
592	5929704	Roche	-0.2	13.00	2110	-0.2	0.14	1	-1	4	132	-1	0.6	0.3	0.7	3.08	14	-1	1	0	9.04	-1	29	1.14	0.04	100	1.36
592	5929705	Roche	1.6	10.60	456	-0.2	0.04	1	-1	31	247	-1	5.9	4.2	-0.2	19.20	10	3	9	2	6.54	1	88	7.44	0.17	3960	0.04
592	5929706	Roche	-0.2	14.50	329	1.2	1.89	1	32	2	139	11	1.5	0.4	0.4	1.29	15	2	17	0	4.11	11	17	0.38	0.02	3	3.75
592	5929707	Roche	1.5	18.80	88	1.9	2.80	1	103	7	91	23	13.4	7.9	0.9	8.40	23	12	8	3	3.74	47	105	2.54	0.12	749	4.98
592	5929708	Roche	-0.2	12.00	43	1.4	2.00	1	11	3	167	27	4.1	2.0	0.5	3.82	21	3	31	1	1.65	1	36	0.89	0.07	230	3.55
592	5929709	Roche	-0.2	11.50	1080	0.4	1.05	1	7	9	215	12	1.0	-0.2	0.7	5.74	18	1	28	1	4.67	4	27	1.58	0.08	447	1.66
592	5929710	Roche	-0.2	16.20	258	2.3	3.16	1	120	2	187	13	7.3	4.8	0.9	1.75	17	7	2	2	1.79	65	21	0.68	0.03	21	4.84
592	5929750	Roche	0.4	14.40	648	0.8	1.50	1	160	2	116	4	2.2	0.5	0.6	1.02	16	5	12	0	5.05	87	17	0.33	0.02	3	3.46
592	5929751	Roche	0.4	13.30	606	1.3	1.42	1	175	1	154	5	2.5	0.8	0.5	0.92	18	4	9	0	3.72	79	10	0.19	0.01	134	3.73
592	5929800	Roche	0.8	11.00	153	1.5	1.74	1	84	-1	158	-1	1.7	0.9	0.4	1.19	14	3	15	1	1.72	37					











		ICP6.3 Total Digestion, Multi-Acids																								
PROJECT NUMBER	SAMPLE	Ag ppm	Al <sub>2</sub> O <sub>3</sub> wt %	Ba ppm	Be ppm	CaO wt %	Cd ppm	Ce ppm	Co ppm	Cr ppm	Cu ppm	Dy ppm	Er ppm	Eu ppm	Fe <sub>2</sub> O <sub>3</sub> wt %	Ga ppm	Gd ppm	Hf ppm	Ho ppm	K <sub>2</sub> O wt %	La ppm	Li ppm	MgO wt %	MnO wt %	Mo ppm	
Nb Analyses	446	0.2	0.01	1	0.2	0.01	1	1	1	1	1	0.2	0.2	0.2	0.01	1	1	1	1	0.01	1	1	0.01	0.01	1	
Compte	Historique	1682	1682	1682	1682	1682	1682	1682	1682	1682	1682	1682	1682	1682	1682	1682	1682	1682	1682	1682	1682	1682	1682	1682	1682	1682
Moyenne	Historique	0.5	12.64	716	1.2	1.84	1	102	6	159	70	4.7	2.7	0.9	3.40	16	5	12	1	3.81	52	23	1.10	0.04	106	
Écart-type (σ)	Historique	2.8	4.18	651	1.0	1.74	1	440	9	63	2155	11.3	6.9	0.9	3.93	8	15	23	3	2.21	236	22	1.56	0.05	413	
Maximum	Historique	74.8	31.80	5480	7.5	21.30	23	12400	116	1490	88400	159.0	102.0	20.6	49.10	69	349	356	35	12.40	6710	215	22.50	0.74	5550	
Minimum	Historique	-0.2	0.09	6	-0.2	-0.01	0	-1	-1	31	-1	-0.2	-0.2	-0.2	0.12	-1	-1	-1	0	0.04	-1	-1	0.00	0.00	-1	
Compte	Projet	446	446	446	446	446	446	446	446	446	446	446	446	446	446	446	446	446	446	446	446	446	446	446	446	446
Moyenne	Projet	0.0	12.72	888	1.2	1.90	1	37	9	165	29	1.4	0.5	0.9	4.05	17	2	8	0	4.38	21	22	1.50	0.04	35	
Écart-type (σ)	Projet	0.5	2.82	501	0.9	1.85	1	34	11	41	46	0.9	0.7	0.3	4.46	6	1	5	1	1.78	19	12	2.09	0.03	59	
Maximum	Projet	3.0	24.30	5480	7.5	13.10	8	243	116	438	415	6.0	4.5	1.9	49.10	48	7	44	2	9.57	136	71	22.50	0.26	651	
Minimum	Projet	-0.2	2.57	15	-0.2	0.16	0	1	-1	70	-1	-0.2	-0.2	-0.2	0.28	1	-1	-1	0	0.19	-1	3	0.04	0.00	-1	
592	5921950	-0.2	11.30	862	0.7	0.75	1	3	1	144	5	0.6	-0.2	0.7	1.16	13	1	2	0	4.93	3	10	0.32	0.01	23	
592	5921951	-0.2	13.40	859	0.8	1.34	1	5	1	140	4	0.8	-0.2	0.8	1.34	16	1	12	0	4.64	3	12	0.39	0.02	27	
592	5921952	-0.2	12.80	992	0.7	1.01	1	3	1	137	4	0.7	-0.2	0.8	0.72	13	1	4	0	5.34	2	7	0.20	0.01	40	
592	5921953	-0.2	14.00	1170	0.8	1.08	1	4	2	121	3	0.6	-0.2	0.9	0.88	15	1	3	0	6.12	3	8	0.25	0.01	30	
592	5921954	-0.2	14.20	917	1.2	1.51	1	19	4	141	21	1.1	0.4	0.9	2.06	17	2	4	0	4.93	10	15	0.53	0.02	70	
592	5921955	-0.2	14.10	1090	2.9	2.28	1	65	8	128	57	2.7	1.4	1.1	3.84	18	4	6	1	3.43	35	29	1.88	0.04	12	
592	5921956	-0.2	14.60	1070	2.2	1.60	1	64	9	125	58	2.2	1.2	1.2	4.34	21	3	5	1	5.03	33	27	1.52	0.04	10	
592	5921627	-0.2	14.10	918	2.0	1.62	1	76	8	141	43	2.7	1.2	1.1	4.30	20	4	7	2	4.29	38	29	1.61	0.04	2	
592	5921628	-0.2	12.40	1150	1.1	0.94	1	29	5	146	32	1.6	0.6	0.9	2.42	15	2	7	1	5.44	16	16	0.77	0.02	61	
592	5921629	0.6	10.30	193	1.0	1.73	1	6	4	122	-1	1.6	0.9	0.5	2.43	15	1	8	0	1.69	4	21	0.74	0.03	81	
592	5921630	-0.2	15.80	728	1.3	2.12	1	7	3	129	7	1.0	0.3	1.0	2.90	22	1	6	1	4.11	4	25	0.87	0.03	57	
592	5921631	-0.2	15.80	143	1.8	3.14	1	9	8	150	38	1.4	0.3	0.9	2.95	24	2	11	0	1.35	6	19	0.71	0.03	49	
592	5921632	-0.2	12.00	599	1.0	1.78	1	6	1	156	11	0.8	-0.2	0.8	0.81	13	1	4	0	3.05	4	6	0.18	0.01	49	
592	5921633	-0.2	13.40	595	1.1	1.88	1	26	6	152	16	1.0	-0.2	0.9	2.47	19	2	8	0	3.35	14	19	0.71	0.03	79	
592	5921634	-0.2	11.60	1270	0.6	0.70	1	20	4	125	13	1.5	0.5	0.9	2.78	15	2	6	0	5.72	10	21	0.88	0.03	85	
592	5921635	-0.2	12.80	937	1.8	1.80	1	64	7	145	55	1.9	0.9	1.0	4.06	17	3	6	1	4.23	34	27	1.50	0.05	5	
592	5921636	-0.2	13.60	808	2.7	2.58	1	64	14	163	127	2.3	1.4	0.9	5.28	20	2	5	1	3.59	33	33	2.16	0.04	27	
592	5921957	-0.2	13.00	1020	0.9	1.41	1	9	2	128	9	1.3	0.4	0.9	1.74	16	1	8	0	4.66	5	15	0.55	0.02	41	
592	5921958	-0.2	13.10	860	1.5	1.66	1	39	5	119	47	1.4	0.8	0.9	3.09	16	2	8	1	4.13	20	22	1.15	0.02	33	
592	5921959	-0.2	13.40	1230	1.9	1.65	1	76	7	152	33	2.2	1.2	1.1	3.96	17	3	5	1	4.15	39	26	1.30	0.04	7	
592	5921960	-0.2	11.80	714	1.1	1.77	1	46	5	174	21	1.4	0.7	0.9	2.50	15	2	11	1	2.94	24	15	0.65	0.02	8	
592	5921961	-0.2	15.10	1170	1.2	1.70	1	82	17	157	40	1.7	1.1	1.2	6.14	23	2	8	2	5.09	44	30	1.71	0.10	3	
592	5921962	-0.2	15.00	1260	1.1	1.37	1	86	15	142	30	1.9	1.0	1.2	5.60	22	3	7	1	5.56	47	27	1.46	0.05	5	
592	5921963	1.4	10.00	1200	1.6	1.54	1	57	40	135	221	1.1	0.9	1.2	13.70	23	-1	6	1	2.86	30	14	0.98	0.03	27	
592	5921964	1.3	8.15	658	1.1	1.20	0	47	46	169	344	-0.2	0.6	1.2	21.50	28	-1	5	1	2.50	26	18	1.48	0.04	46	
592	5921965	-0.2	9.48	392	1.3	2.18	1	65	8	171	24	1.9	0.9	0.7	3.57	14	3	6	0	1.68	34	16	0.98	0.02	11	
592	5921966	-0.2	9.95	669	1.5	1.70	1	97	14	179	47	2.5	1.0	1.0	6.79	17	4	9	0	2.01	50	16	0.90	0.02	23	
592	5921967	-0.2	8.54	1170	1.6	1.72	1	45	13	176	50	1.3	0.8	0.8	5.82	13	1	4	0	1.67	23	13	0.63	0.02	6	
592	5921968	-0.2	13.10	906	1.0	1.83	1	28	5	120	7	1.7	0.8	1.0	1.64	13	2	3	0	4.72	14	7	0.31	0.01	47	
592	5921969	-0.2	16.40	1420	0.9	1.78	1	33	2	110	3	0.9	0.3	1.3	1.00	17	2	-1	0	6.78	19	11	0.41	0.01	10	
592	5921970	-0.2	19.70	1120	1.4	2.74	1	31	2	91	7	0.9	0.4	1.4	1.96	23	1	1	0	5.86	19	21	0.88	0.02	12	
592	5921971	-0.2	14.30	1920	0.3	0.44	1	8	2	90	5	0.4	-0.2	1.2	0.96	12	1	1	0	9.08	5	7	0.29	0.01	32	
592	5921972	-0.2	13.00	1130	0.6	1.29	1	11	2	126	3	0.9	0.3	1.20	1.29	14	2	3	0	5.40	7	13	0.43	0.01	87	
592	5921973	0.3	5.74	84	0.4	1.13	0	15	5	224	13	1.0	0.2	0.4	1.72	8	2	12	0	0.64	7	5	0.23	0.01	17	
592	5921974	1.2	7.99	715	0.7	0.76	0	20	42	115	210	-0.2	-0.2	1.0	19.80	26	-1	4	0	3.25	12	24	2.32	0.04	26	
592	5921975	0.2	13.00	970	0.8	1.72	1	33	15	145	68	0.4	-0.2	1.2	6.82	18	-1	4	0	3.86	20	7	0.36	0.01	3	
592	5921976	1.1	9.56	542	1.4	1.15	0	54	75	137	268	-0.2	0.4	1.8	33.20	39	-1	5	0	2.81	29	18	1.23	0.04	104	
592	5921977	2.3	4.41	227	1.1	0.59	0	27	116	103	415	-0.2	-0.2	1.6	49.10	48	-1	4	0	0.73	16	10	0.66	0.02	146	
592	5921978	-0.2	10.50	1070	0.3	0.76	1	16	10	175	33	0.2	-0.2	1.0	4.81	14	-1	8	1	4.73	10	12	0.68	0.02	4	
592	5921979	-0.2	9.68	481	1.8	7.32	2	52	24	199	142															



PROJECT NUMBER	SAMPLE	ICP6.3 Total Digestion, Multi-Acids																				Aqua Regia		
		Na <sub>2</sub> O	Nb	Nd	Ni	P <sub>2</sub> O <sub>5</sub>	Pb	Pr	Sc	Sm	Sr	Ta	Tb	Th	TiO <sub>2</sub>	U, ICP	V	W	Y	Yb	Zn	Zr	U <sub>3</sub> O <sub>8</sub>	
		wt %	ppm	ppm	ppm	wt %	ppm	ppm	ppm	ppm	ppm	ppm	ppm	ppm	wt %	ppm	ppm	ppm	ppm	ppm	ppm	ppm	wt %	
Nb Analyses	446	0,01	1	1	1	0,01	1	1	1	1	1	1	1	1	1	1	1	1	1	1	1	1	0,001	
Compte	Historique	1682	1682	1682	1682	1682,00	1682	1682	1682	1682	1682	1682	1682	1682	1682,00	1682	1682	1682	1682	1682	1682	1682	1682	339
Moyenne	Historique	2,82	8	36	17	0,15	170	9	6	6	-1	220	0	1	263	0,36	353	56	2	26	2,9	65	376	0
Écart-type (σ)	Historique	1,53	26	143	45	0,40	384	41	6	21	2	265	5	3	503	0,39	1201	74	17	57	6,3	82	776	0
Maximum	Historique	8,86	884	4200	1010	6,26	4900	1110	70	606	24	1880	100	47	8540	4,82	19100	1250	328	908	98,2	1620	12500	2
Minimum	Historique	0,01	-1	-1	-1	0,00	1	-1	-1	-1	-1	-1	-1	0	-1	0,00	-2	-1	-1	-1	-0,1	1	1	0
Compte	Projet	446	446	446	446	446,00	446	446	446	446	446	446	446	446	446,00	446	446	446	446	446	446	446	446	1
Moyenne	Projet	2,28	7	14	33	0,08	66	2	7	2	-1	161	0	0	74	0,35	77	76	0	9	1,1	92	261	0
Écart-type (σ)	Projet	0,95	6	13	57	0,13	54	4	5	2	0	46	3	1	84	0,21	104	85	7	6	0,8	110	182	#DIV/0!
Maximum	Projet	7,58	34	76	590	1,78	617	20	47	10	1	343	23	3	806	1,04	1050	502	135	44	5,4	1620	1660	0
Minimum	Projet	0,14	-1	-1	1	0,01	2	-1	-1	-1	-1	8	-1	0	-1	0,01	-2	1	-1	1	0,1	6	4	0
592	5921950	2,12	3	1	3	0,03	57	-1	2	-1	-1	166	-1	0	95	0,16	30	22	1	3	0,3	31	77	
592	5921951	2,92	4	2	4	0,03	79	-1	3	-1	-1	200	-1	0	180	0,21	74	26	1	5	0,7	38	400	
592	5921952	2,61	1	1	2	0,02	73	-1	1	-1	-1	192	-1	0	158	0,10	112	17	2	3	0,4	19	120	
592	5921953	2,73	2	1	3	0,02	62	-1	1	-1	-1	212	-1	0	110	0,12	72	20	1	3	0,3	26	80	
592	5921954	3,05	6	7	17	0,05	63	-1	4	1	-1	203	-1	0	125	0,25	86	53	1	6	0,6	50	147	
592	5921955	3,08	8	27	52	0,19	28	5	9	4	-1	197	-1	0	18	0,39	11	160	-1	15	1,7	94	191	
592	5921956	2,90	9	26	51	0,13	40	5	10	4	-1	167	-1	0	19	0,43	12	140	-1	11	1,3	86	156	
592	5921627	2,99	7	30	25	0,18	35	6	10	4	-1	149	-1	0	17	0,50	12	81	-1	13	1,3	117	228	
592	5921628	2,21	5	12	17	0,07	83	1	5	2	-1	170	-1	0	163	0,27	114	58	-1	8	0,9	59	223	
592	5921629	2,71	9	2	3	0,02	101	-1	6	1	-1	134	-1	0	341	0,40	308	38	-1	9	1,0	62	260	
592	5921630	3,58	11	3	5	0,04	93	-1	7	1	-1	224	-1	0	199	0,47	138	50	1	6	0,7	89	206	
592	5921631	4,67	8	4	15	0,04	101	-1	5	1	-1	224	-1	1	295	0,37	216	45	1	9	1,1	69	351	
592	5921632	2,93	-1	2	7	0,02	58	-1	1	-1	-1	185	-1	0	146	0,08	97	15	1	4	0,4	19	147	
592	5921633	3,13	8	10	9	0,04	66	1	5	1	-1	193	-1	0	163	0,36	110	45	-1	6	0,6	64	255	
592	5921634	1,66	9	9	9	0,06	114	-1	6	1	-1	162	-1	1	237	0,43	220	52	-1	8	0,8	71	178	
592	5921635	2,15	6	24	25	0,11	30	5	7	4	-1	146	-1	0	16	0,40	3	51	-1	10	1,0	85	197	
592	5921636	2,39	7	25	48	0,18	36	5	10	4	-1	169	3	0	26	0,42	20	142	-1	15	1,9	109	207	
592	5921957	2,61	5	4	6	0,04	100	-1	4	1	-1	172	-1	1	278	0,28	158	34	1	8	0,9	50	234	
592	5921958	2,66	5	16	25	0,08	53	2	7	3	-1	177	-1	0	78	0,35	80	79	1	9	0,9	73	208	
592	5921959	2,72	8	31	36	0,13	37	5	9	5	-1	169	-1	0	16	0,43	8	121	-1	12	1,2	95	196	
592	5921960	2,72	2	18	21	0,07	46	2	4	3	-1	159	-1	0	47	0,22	45	48	-1	8	1,0	55	364	
592	5921961	2,40	8	31	33	0,12	41	5	10	4	-1	164	-1	0	24	0,54	9	69	-1	11	1,0	113	281	
592	5921962	2,54	11	33	31	0,11	46	6	11	5	-1	166	-1	0	20	0,57	7	104	-1	11	0,9	120	254	
592	5921963	1,92	1	26	127	0,16	29	3	8	4	-1	108	-1	1	17	0,27	18	224	-1	14	1,9	81	175	
592	5921964	1,34	-1	24	207	0,20	23	2	9	5	-1	77	-1	1	12	0,29	25	295	-1	12	1,8	94	107	
592	5921965	1,69	4	26	27	0,08	47	4	5	4	-1	119	-1	1	51	0,28	99	56	-1	10	1,0	53	222	
592	5921966	2,20	2	40	64	0,11	50	7	7	6	-1	106	-1	1	50	0,24	120	141	-1	14	1,4	63	300	
592	5921967	1,77	-1	19	54	0,10	18	2	4	3	-1	112	-1	0	10	0,16	7	75	-1	9	1,0	51	125	
592	5921968	2,61	-1	9	11	0,05	111	2	2	2	-1	190	-1	0	67	0,10	350	11	-1	7	0,7	35	91	
592	5921969	2,88	-1	12	3	0,05	74	2	3	2	-1	243	-1	0	33	0,13	62	22	-1	4	0,2	37	7	
592	5921970	4,21	-1	11	4	0,06	72	1	6	2	-1	268	-1	0	32	0,28	90	36	1	4	0,3	72	173	
592	5921971	1,53	-1	3	1	0,04	83	-1	2	-1	-1	208	-1	0	19	0,11	62	18	1	2	0,2	29	4	
592	5921972	2,30	1	4	3	0,04	104	-1	3	1	-1	192	-1	0	71	0,19	200	23	1	5	0,4	44	70	
592	5921973	1,47	-1	6	15	0,02	60	-1	2	1	-1	77	-1	1	79	0,07	200	18	1	6	0,9	15	389	
592	5921974	1,16	-1	12	220	0,19	27	-1	6	3	-1	70	-1	0	6	0,18	21	224	-1	8	1,2	78	59	
592	5921975	2,86	-1	13	68	0,08	45	1	3	2	-1	154	-1	0	9	0,11	4	55	-1	5	0,5	46	165	
592	5921976	1,88	-1	30	389	0,28	24	2	12	6	-1	83	-1	1	8	0,27	20	462	-1	15	2,3	48	109	
592	5921977	0,93	-1	23	590	0,35	25	-1	5	5	-1	24	-1	2	3	0,13	29	373	-1	15	2,3	37	42	
592	5921978	1,66	4	6	48	0,06	42	-1	7	1	-1	130	-1	0	7	0,28	5	60	-1	4	0,6	53	290	
592	5921979	0,45	16	27	134	0,95	37	3	11	5	-1	183	-1	1	12	0,49	92	502	14	32	4,0	172	103	
592	5921980	1,39	11	30	108	0,54	27	5	9	5	-1	171	-1	0	20	0,44	41	309	-1	26	3,0	298	177	
592	5921981	1,53	9	28	88	1,78	47	4	8	5	-1	137	-1	1	14	0,29	120	278	-1	44	3,8	500	163	
592	5921982	0,36	9	24	72	0,14	13	4	8	5	-1	147	-1	0	12	0,44	6	171	-1	16	1,8	170	127	
592	5921983	2,46	5	53	2	0,06	81	13	4	6	-1	201	-1	0	70	0,27	28	27	-1	8	0,7	58	429	
592	5921984	3,24	6	40	2	0,06	62	9	7	5	-1	237												







PROJECT NUMBER	SAMPLE	ICP6.3 Total Digestion, Multi-Acids																								
		Ag	Al <sub>2</sub> O <sub>3</sub>	Ba	Be	CaO	Cd	Ce	Co	Cr	Cu	Dy	Er	Eu	Fe <sub>2</sub> O <sub>3</sub>	Ga	Gd	Hf	Ho	K <sub>2</sub> O	La	Li	MgO	MnO	Mo	
		ppm	wt %	ppm	ppm	wt %	ppm	ppm	ppm	ppm	ppm	ppm	ppm	ppm	wt %	ppm	ppm	ppm	ppm	ppm	wt %	ppm	ppm	wt %	wt %	ppm
Nb Analyses	446	0.2	0.01	1	0.2	0.01	1	1	1	1	1	1	1	0.2	0.2	0.2	0.01	1	1	1	1	1	1	0.01	0.01	1
Compte	Historique	1682	1682	1682	1682	1682	1682	1682	1682	1682	1682	1682	1682	1682	1682	1682	1682	1682	1682	1682	1682	1682	1682	1682	1682	1682
Moyenne	Historique	0.5	12.64	716	1.2	1.84	1	102	6	159	70	4.7	2.7	0.9	3.40	16	5	12	1	3.81	52	23	1.10	0.04	106	
Écart-type (σ)	Historique	2.8	4.18	651	1.0	1.74	1	440	9	63	2155	11.3	6.9	0.9	3.93	8	15	23	3	2.21	236	22	1.56	0.05	413	
Maximum	Historique	74.8	31.80	5480	7.5	21.30	23	12400	116	1490	88400	159.0	102.0	20.6	49.10	69	349	358	35	12.40	6710	215	22.50	0.74	5550	
Minimum	Historique	-0.2	0.09	6	-0.2	-0.01	0	-1	-1	31	-1	-0.2	-0.2	-0.2	0.12	-1	-1	-1	0	0.04	-1	-1	0.00	0.00	-1	
Compte	Projet	446	446	446	446	446	446	446	446	446	446	446	446	446	446	446	446	446	446	446	446	446	446	446	446	
Moyenne	Projet	0.0	12.72	888	1.2	1.90	1	37	9	165	29	1.4	0.5	0.9	4.05	17	2	8	0	4.38	21	22	1.50	0.04	35	
Écart-type (σ)	Projet	0.5	2.82	501	0.9	1.85	1	34	11	41	46	0.9	0.7	0.3	4.46	6	1	5	1	1.78	19	12	2.09	0.03	59	
Maximum	Projet	3.0	24.30	5480	7.5	13.10	8	243	116	438	415	6.0	4.5	1.9	49.10	48	7	44	2	9.57	136	71	22.50	0.26	651	
Minimum	Projet	-0.2	2.57	15	-0.2	0.16	0	1	-1	70	-1	-0.2	-0.2	-0.2	0.28	1	-1	-1	0	0.19	-1	3	0.04	0.00	-1	
592	5921998	-0.2	14.10	1070	0.6	1.68	1	12	1	136	3	0.8	-0.2	1.0	1.24	16	1	10	0	4.79	8	11	0.43	0.01	18	
592	5921999	0.3	13.80	1220	0.6	1.44	1	10	2	124	2	0.5	-0.2	1.0	1.19	15	1	8	0	5.42	7	11	0.46	0.01	12	
592	5921000	-0.2	13.80	1440	0.3	1.04	1	9	4	155	4	1.2	0.3	1.0	2.49	18	2	17	1	6.54	6	22	1.00	0.02	28	
592	5921001	-0.2	13.00	1320	0.5	1.12	1	10	2	155	3	0.9	-0.2	1.0	1.35	14	1	9	0	5.60	6	15	0.59	0.01	40	
592	5921002	-0.2	10.30	1760	-0.2	0.16	1	7	-1	184	3	0.9	-0.2	1.0	0.67	9	-1	5	0	6.84	3	4	0.20	0.01	42	
592	5921003	-0.2	12.30	1300	0.6	1.15	1	11	2	161	2	0.5	-0.2	1.0	0.94	12	1	2	0	5.44	6	7	0.25	0.01	31	
592	5921004	0.8	11.20	1170	0.8	1.26	1	32	22	124	57	0.3	-0.2	1.3	11.10	21	-1	3	0	4.90	19	8	0.37	0.01	34	
592	5921005	1.5	7.27	451	1.7	1.19	2	47	57	133	184	0.8	1.4	1.6	30.30	34	-1	3	1	2.11	27	36	2.47	0.04	77	
592	5921006	-0.2	8.05	1350	1.9	4.47	2	59	26	134	115	1.7	1.4	1.4	15.00	20	1	4	1	3.20	35	26	4.90	0.07	25	
592	5921007	0.3	12.60	1170	0.8	1.37	1	31	25	200	28	0.6	0.4	1.1	6.71	22	1	10	1	4.84	17	24	1.27	0.04	10	
592	5921008	-0.2	10.80	681	2.2	3.01	1	60	15	164	17	1.8	1.0	1.0	11.40	25	2	6	1	2.95	34	29	3.75	0.09	3	
592	5921009	0.2	7.98	607	1.8	0.91	2	49	25	180	127	0.9	1.0	1.0	15.00	19	-1	4	1	3.08	26	33	2.19	0.03	52	
592	5921010	-0.2	14.00	591	2.2	2.15	1	58	10	135	97	1.7	1.0	1.0	6.33	20	2	5	1	3.21	32	54	3.89	0.04	18	
592	5921011	-0.2	11.70	1100	1.5	1.61	2	50	17	165	52	1.1	0.8	1.0	10.40	21	1	6	1	4.44	30	30	3.44	0.05	22	
592	5921638	0.2	9.93	1320	1.3	1.70	1	62	43	145	129	1.2	1.3	1.2	21.50	27	-1	3	0	3.12	35	30	2.23	0.04	48	
592	5921639	-0.2	12.90	1360	0.5	0.93	1	33	5	139	7	0.8	0.3	1.0	2.68	16	1	8	0	5.74	19	11	0.72	0.02	14	
592	5921640	0.5	13.00	1310	0.4	0.92	1	69	2	126	-1	1.9	1.0	1.0	1.35	14	3	8	1	6.84	35	8	0.50	0.01	42	
592	5921641	2.4	13.00	914	0.5	1.24	1	29	7	171	5	4.8	3.0	1.0	4.25	20	4	31	2	5.08	12	26	1.76	0.03	97	
592	5921642	-0.2	13.10	957	1.3	2.93	1	49	10	151	14	1.5	0.8	0.7	4.45	18	2	8	1	3.05	27	43	3.36	0.03	14	
592	5921643	1.0	9.45	840	1.9	3.33	2	56	30	129	119	1.0	1.2	1.3	18.70	26	-1	5	1	2.74	30	24	3.59	0.06	65	
592	5921647	0.3	11.10	703	0.4	1.04	1	18	12	235	48	0.7	-0.2	0.8	4.99	16	-1	17	0	4.21	10	15	0.77	0.02	7	
592	5921648	-0.2	16.30	773	0.9	1.89	1	31	7	193	3	0.9	0.4	1.0	5.18	25	1	8	1	5.41	19	44	1.63	0.05	5	
592	5921649	-0.2	12.40	1160	0.4	0.87	1	28	11	188	38	2.5	0.8	1.0	3.61	17	2	4	1	6.28	14	8	0.28	0.01	191	
592	5921671	-0.2	11.90	975	0.4	0.88	1	19	1	161	5	1.0	0.2	0.9	1.11	12	1	1	0	5.78	10	8	0.25	0.01	45	
592	5921672	-0.2	13.80	1250	0.4	0.62	1	10	23	188	50	1.6	0.3	1.0	7.38	25	-1	17	5	7.21	5	32	1.26	0.03	84	
592	5921673	-0.2	12.30	1060	0.4	0.91	1	8	12	177	61	1.0	-0.2	0.8	4.89	18	-1	13	1	5.80	4	23	0.85	0.02	59	
592	5921674	-0.2	10.90	871	0.5	1.14	1	7	3	193	7	0.6	-0.2	0.8	1.59	12	1	7	0	4.59	4	12	0.38	0.01	16	
592	5921012	-0.2	17.70	554	1.2	2.40	1	28	4	112	2	0.8	0.6	1.1	3.98	29	1	1	1	4.09	18	45	1.38	0.04	54	
592	5921013	-0.2	12.40	637	0.6	1.76	1	9	3	179	4	1.0	0.3	0.8	1.82	16	2	8	0	3.50	6	17	0.56	0.02	40	
592	5921014	-0.2	15.20	1360	0.6	1.26	1	14	5	144	9	0.6	-0.2	1.1	1.39	16	1	2	0	6.77	8	10	0.34	0.01	22	
592	5921015	-0.2	11.80	1330	0.3	0.56	1	5	2	142	8	0.5	-0.2	0.9	1.36	12	1	2	1	6.44	3	12	0.35	0.01	22	
592	5921016	-0.2	14.80	1020	0.8	1.61	1	16	7	124	18	1.2	0.4	1.0	2.44	18	2	4	0	5.29	10	18	0.70	0.01	39	
592	5921017	-0.2	14.40	1230	0.5	1.14	1	14	3	128	6	0.7	-0.2	1.1	1.19	15	1	5	0	6.17	9	11	0.46	0.01	16	
592	5921018	-0.2	13.50	849	0.9	1.50	1	36	7	191	9	1.3	0.5	0.9	2.98	17	2	7	1	5.13	20	29	1.33	0.03	13	
592	5921019	-0.2	13.20	733	2.1	5.43	1	61	5	206	20	1.6	0.5	0.7	2.20	16	2	5	1	1.27	35	18	2.03	0.03	3	
592	5921020	-0.2	17.80	268	2.8	10.90	2	45	7	121	30	1.9	0.5	0.9	3.28	22	2	5	0	1.11	26	13	7.26	0.09	1	
592	5921021	-0.2	24.30	141	3.9	12.90	2	137	5	151	20	4.9	2.3	1.4	1.78	31	7	9	2	0.97	80	18	3.07	0.04	1	
592	5921022	-0.2	2.85	15	0.8	13.10	1	47	33	90	152	1.9	0.7	0.8	11.70	10	1	2	0	0.19	26	6	20.90	0.24	5	
592	5921023	-0.2	2.57	18	0.6	13.00	1	40	35	70	192	1.4	0.2	0.8	11.80	12	1									



PROJECT NUMBER	SAMPLE	ICP6.3 Total Digestion, Multi-Acids																			Aqua Regia				
		Na <sub>2</sub> O	Nb	Nd	Ni	P <sub>2</sub> O <sub>5</sub>	Pb	Pr	Sc	Sm	Sr	Ta	Tb	Th	TiO <sub>2</sub>	U, ICP	V	W	Y	Yb	Zn	Zr	U <sub>3</sub> O <sub>8</sub>		
		wt %	ppm	ppm	ppm	wt %	ppm	ppm	ppm	ppm	ppm	ppm	ppm	ppm	wt %	ppm	ppm	ppm	ppm	ppm	ppm	ppm	ppm	wt %	
Nb Analyses	446	0.01	1	1	1	0.01	1	1	1	1	1	1	1	1	1	1	1	1	1	1	1	1	1	0.001	
Compte	Historique	1682	1682	1682	1682	1682,00	1682	1682	1682	1682	1682	1682	1682	1682	1682,00	1682	1682	1682	1682	1682	1682	1682	1682	1682	339
Moyenne	Historique	2,82	8	36	17	0,15	170	9	6	6	-1	220	0	1	263	0,36	353	56	2	26	2,9	65	376	0	
Écart-type (σ)	Historique	1,53	26	143	45	0,40	384	41	6	21	2	265	5	3	503	0,39	1201	74	17	57	6,3	82	776	0	
Maximum	Historique	8,86	884	4200	1010	6,26	4900	1110	70	606	24	1880	100	47	8540	4,82	19100	1250	328	908	98,2	1620	12500	2	
Minimum	Historique	0,01	-1	-1	-1	0,00	1	-1	-1	-1	-1	-1	-1	0	-1	0,00	-2	-1	-1	-1	-0,1	1	1	0	
Compte	Projet	446	446	446	446	446,00	446	446	446	446	446	446	446	446	446,00	446	446	446	446	446	446	446	446	1	
Moyenne	Projet	2,28	7	14	33	0,08	66	2	7	2	-1	161	0	0	74	0,35	77	78	0	9	1,1	92	261	0	
Écart-type (σ)	Projet	0,95	6	13	57	0,13	54	4	5	2	0	46	3	1	84	0,21	104	85	7	6	0,8	110	182	#DIV/0!	
Maximum	Projet	7,58	34	76	590	1,78	617	20	47	10	1	343	23	3	806	1,04	1050	502	135	44	5,4	1620	1660	0	
Minimum	Projet	0,14	-1	-1	1	0,01	2	-1	-1	-1	-1	8	-1	0	-1	0,01	-2	1	-1	1	0,1	6	4	0	
592	5921998	2,77	3	4	4	0,03	79	-1	3	1	-1	213	-1	0	144	0,20	68	25	-1	5	0,6	41	328		
592	5921999	2,52	2	3	4	0,04	56	-1	3	-1	-1	212	-1	0	51	0,21	27	24	1	3	0,4	40	269		
592	5921000	1,95	7	3	12	0,05	100	-1	8	1	-1	202	-1	1	218	0,48	147	51	-1	8	1,1	97	558		
592	5921001	2,14	2	3	7	0,04	68	-1	4	-1	-1	193	-1	0	134	0,22	84	29	-1	5	0,6	52	283		
592	5921002	1,08	-1	3	5	0,03	51	-1	1	1	1	165	-1	0	91	0,07	73	13	-1	5	0,5	41	167		
592	5921003	2,04	-1	3	4	0,04	44	-1	1	1	-1	186	-1	0	22	0,06	22	16	-1	2	0,2	22	74		
592	5921004	1,60	-1	14	159	0,10	38	1	2	2	-1	175	-1	0	21	0,11	16	75	-1	7	0,8	26	112		
592	5921005	0,14	1	26	438	0,30	10	2	7	5	-1	68	-1	1	8	0,31	14	386	-1	23	3,2	184	98		
592	5921006	0,42	5	27	191	0,44	14	4	8	5	-1	89	4	1	7	0,27	19	330	-1	19	2,5	176	137		
592	5921007	1,83	12	12	42	0,08	31	1	9	2	-1	149	3	0	15	0,53	10	68	-1	6	0,8	142	326		
592	5921008	1,00	3	26	32	0,34	14	4	9	4	-1	104	-1	0	13	0,43	-2	64	-1	16	1,4	158	189		
592	5921009	0,39	3	23	197	0,17	10	2	7	4	-1	71	-1	1	11	0,26	9	260	-1	13	2,0	190	126		
592	5921010	1,49	6	22	48	0,11	14	3	8	3	-1	112	-1	0	14	0,49	4	140	2	11	1,2	59	192		
592	5921011	0,98	9	20	105	0,12	18	2	8	3	-1	93	-1	0	13	0,35	5	365	-1	11	1,7	187	169		
592	5921013	0,74	3	30	243	0,25	20	5	10	6	-1	93	-1	1	12	0,38	12	315	-1	22	2,8	138	154		
592	5921015	2,00	5	12	15	0,05	57	1	5	2	-1	186	-1	0	46	0,31	54	39	-1	5	0,5	69	278		
592	5921640	1,99	2	23	3	0,04	105	6	4	3	-1	193	-1	0	105	0,21	270	19	-1	8	0,8	46	267		
592	5921641	2,02	12	12	17	0,04	284	2	15	4	-1	164	-1	0	271	0,68	1050	67	-1	25	3,3	113	1040	0,120	
592	5921642	0,98	3	18	34	0,06	54	3	7	3	-1	112	-1	0	34	0,37	49	57	-1	9	1,1	121	247		
592	5921643	0,46	7	26	213	0,25	19	3	7	5	-1	102	-1	1	14	0,38	12	416	1	17	2,5	190	149		
592	5921647	2,09	1	6	42	0,05	80	-1	8	2	-1	147	-1	1	82	0,29	138	47	-1	6	1,2	72	595		
592	5921648	3,02	26	11	26	0,06	73	1	14	2	-1	193	-1	0	45	0,79	85	74	-1	6	0,7	155	302		
592	5921649	2,01	-1	14	9	0,05	282	2	2	3	-1	190	-1	3	247	0,19	661	22	-1	14	1,2	28	69		
592	5921671	2,11	-1	8	5	0,03	109	1	2	1	-1	182	-1	0	69	0,13	127	18	-1	4	0,3	23	32		
592	5921672	1,80	16	6	32	0,07	205	-1	12	1	-1	182	-1	2	212	0,74	449	59	-1	12	1,5	114	557		
592	5921673	1,93	7	3	21	0,05	136	-1	1	1	-1	176	-1	1	149	0,48	237	42	-1	7	1,0	69	459		
592	5921674	1,98	3	2	7	0,03	78	-1	3	1	-1	164	-1	0	72	0,20	87	22	-1	4	0,5	35	217		
592	5921012	3,92	19	10	4	0,06	65	-1	14	2	-1	202	-1	0	56	0,76	97	70	-1	5	0,4	140	20		
592	5921013	2,69	6	3	4	0,03	98	-1	4	1	-1	171	-1	1	155	0,30	190	30	1	6	0,8	53	257		
592	5921014	2,67	2	5	4	0,05	70	-1	2	1	-1	225	-1	0	42	0,15	52	21	1	3	0,3	29	69		
592	5921015	1,60	2	2	4	0,03	71	-1	2	-1	-1	176	-1	0	50	0,17	77	20	1	3	0,3	31	53		
592	5921016	2,77	5	6	2	0,05	108	-1	4	1	-1	208	-1	0	178	0,28	170	29	1	7	0,6	53	108		
592	5921017	2,58	2	5	5	0,04	68	-1	2	1	-1	210	-1	0	71	0,15	40	20	1	4	0,4	31	174		
592	5921018	2,15	5	14	20	0,05	51	1	7	2	-1	158	-1	0	66	0,40	35	43	-1	7	0,7	74	249		
592	5921019	1,20	3	21	16	0,10	8	4	4	3	-1	152	-1	0	17	0,24	7	30	1	8	0,8	53	183		
592	5921020	1,02	2	18	11	0,11	9	2	9	4	-1	233	-1	0	18	0,20	13	47	-1	12	1,2	105	144		
592	5921021	0,84	19	49	9	0,28	11	11	5	7	-1	312	-1	0	37	0,54	16	33	2	27	2,5	60	312		
592	5921022	0,28	-1	22	52	0,85	2	3	10	5	-1	8	1	1	-1	0,20	6	56	-1	17	1,7	282	11		
592	5921023	0,26	-1	18	52	0,30	2	2	10	4	-1	8	1	1	-1	0,16	7	57	-1	15	1,5	285	9		
592	5921024	0,46	-1	18	20	0,15	6	3	8	4	-1	140	-1	0	15	0,27	9	52	-1	16	1,5	191	143		
592	5921025	0,87	-1	20	32	0,24	8	3	5	3	-1	121	-1	0	11	0,23	5	42	-1	13	1,2	159	112		
592	5921026	1,49	2	22	29	0,10	18	4	7	3	-1	138	-1	0	17	0,35	4	44	1	9	0,9	66	209		
592	5921027	2,25	3	15	20	0,07	20	2	8	2	-1	90	-1	0	11	0,45	5	57	-1	6	0,6	72	242		
592	5921028	2,03	-1	3	4	0,04	91	-1	1	1	-1	172	-1	1	127	0,10	170	16	1	5	0,7	23	290		
592	5921029	2,22	1	3	2	0,04	82	-1	2																



PROJECT NUMBER	SAMPLE	FORAGE	DEPTH		LENGTH	CERTIFICATE	DATE	U <sub>3</sub> O <sub>8</sub> (wt %)	DRILL HOLE INTERSECTIONS				ICP6.3R Partial Digestion																			
			From	To					From	To	Length	Grade	U/U	Ce/Th	U/Th	Ag	As	Bi	Co	Cu	Ge	Hg	Mo	Ni	Pb	Sb	Se	Te	U, ICP	V	Zn	
			ppm	ppm					ppm	ppm	ppm	ppm	ppm	ppm	ppm	ppm	ppm	ppm	ppm	ppm	ppm	ppm	ppm	ppm	ppm	ppm	ppm	ppm	ppm	ppm	ppm	ppm
Nb Analyses	446																															
Compte	Historique							1728																								
Moyenne	Historique							0,053%																								
Écart-type (σ)	Historique							0,169%																								
Maximum	Historique							2,290%																								
Minimum	Historique							-0,001%																								
Compte	Projet			446				446			229,10	0,009%																				
Moyenne	Projet			0,5				0,009%																								
Écart-type (σ)	Projet			229,2				0,012%																								
Maximum	Projet			1,4				0,120%																								
Minimum	Projet			0,2				0,000%																								
592	5921679	NR-07-02	21,80	22,30	0,50	G-2007-1738	2007-12-19	0,013%						0,9	0,2	2	-0,1	0,3	0,4	3,2	9,9	-0,2	-0,2	19,4	4,3	45,00	-1	-0,2	-0,2	112,0	7,1	19,4
592	5921680	NR-07-02	22,30	22,70	0,40	G-2007-1738	2007-12-19	0,007%						0,9	0,2	1	-0,1	-0,2	1,0	3,1	5,3	-0,2	-0,2	10,2	4,0	27,80	1	-0,2	-0,2	60,2	12,6	29,7
592	5921040	NR-07-02	22,70	23,00	0,30	G-2007-1738	2007-12-19	0,012%						0,9	0,1	1	-0,1	-0,2	0,8	3,1	4,2	-0,2	-0,2	17,1	4,2	44,10	2	-0,2	-0,2	105,0	15,5	39,0
592	5921041	NR-07-02	23,00	23,50	0,50	G-2007-1738	2007-12-19	0,006%						1,0	4,0	4	-0,1	-0,2	1,3	2,6	2,6	-0,2	-0,2	13,3	3,0	26,30	2	-0,2	-0,2	52,6	17,3	38,8
592	5921042	NR-07-02	23,50	24,00	0,50	G-2007-1738	2007-12-19	0,010%						1,0	0,1	1	-0,1	0,3	1,0	2,7	2,7	-0,2	-0,2	33,9	3,8	35,00	2	-0,2	-0,2	88,8	16,1	36,0
592	5921043	NR-07-02	24,00	24,50	0,50	G-2007-1738	2007-12-19	0,003%						0,9	0,2	1	-0,1	-0,2	1,5	4,4	3,1	-0,2	-0,2	40,6	7,4	13,40	3	-0,2	-0,2	29,8	19,3	43,1
592	5921044	NR-07-02	24,50	25,00	0,50	G-2007-1738	2007-12-19	0,012%						0,9	0,1	1	-0,1	-0,2	2,7	7,6	5,1	-0,2	-0,2	10,6	24,7	43,10	6	-0,2	-0,2	99,3	41,9	94,8
592	5921045	NR-07-02	25,00	25,50	0,50	G-2007-1738	2007-12-19	0,004%						0,8	1,0	1	-0,1	-0,2	6,8	25,0	9,7	-0,2	-0,2	2,0	52,7	14,10	12	-0,2	-0,2	29,7	73,6	154,0
592	5921046	NR-07-02	25,50	26,00	0,50	G-2007-1738	2007-12-19	0,001%						0,8	2,8	1	-0,1	-0,2	6,1	25,2	10,9	-0,2	-0,2	0,2	47,6	5,84	9	-0,2	-0,2	8,9	59,9	131,0
592	5921047	NR-07-02	26,00	26,50	0,50	G-2007-1738	2007-12-19	0,001%						1,5	4,5	0	-0,1	-0,2	5,0	21,4	10,0	-0,2	-0,2	-0,1	38,8	5,00	8	-0,2	-0,2	4,5	48,0	108,0
592	5921048	NR-07-02	26,50	27,00	0,50	G-2007-1738	2007-12-19	0,002%						0,8	1,2	1	-0,1	-0,2	3,5	23,4	77,3	-0,2	-0,2	1,3	40,1	17,30	2	-0,2	-0,2	13,9	48,3	87,8
592	5921049	NR-07-02	27,00	27,50	0,50	G-2007-1738	2007-12-19	0,001%						0,5	2,9	0	-0,1	-0,2	5,7	12,4	64,6	-0,2	-0,2	1,6	30,6	7,34	8	-0,2	-0,2	5,9	49,5	80,3
592	5921050	NR-07-02	27,50	28,00	0,50	G-2007-1738	2007-12-19	0,000%						0,0	3,8	0	-0,1	-0,2	1,0	-0,1	0,3	-0,2	-0,2	-0,1	1,1	0,10	-1	-0,2	0,6	-0,5	2,2	3,9
592	5921051	NR-07-02	28,00	28,50	0,50	G-2007-1738	2007-12-19	0,001%						0,6	4,0	0	-0,1	-0,2	4,0	9,2	29,9	-0,2	-0,2	-0,1	24,1	6,51	4	-0,2	-0,2	4,5	45,9	77,8
592	5921052	NR-07-02	28,50	29,00	0,50	G-2007-1738	2007-12-19	0,002%						0,7	1,2	1	-0,1	-0,2	0,5	0,8	1,9	-0,2	-0,2	1,6	3,7	9,65	-1	-0,2	-0,2	14,1	8,5	16,5
592	5921053	NR-07-02	29,00	29,50	0,50	G-2007-1738	2007-12-19	0,004%						0,7	0,4	1	-0,1	-0,2	3,3	7,9	8,7	-0,2	-0,2	10,2	20,4	12,40	4	-0,2	-0,2	30,5	34,1	67,6
592	5921054	NR-07-02	29,50	30,00	0,50	G-2007-1738	2007-12-19	0,001%						0,9	1,0	1	-0,1	-0,2	0,3	1,4	1,7	-0,2	-0,2	11,8	4,9	4,62	-1	-0,2	0,2	7,1	4,9	10,1
592	5921055	NR-07-02	30,00	30,60	0,60	G-2007-1738	2007-12-19	0,003%						0,8	0,2	1	-0,1	-0,2	3,1	6,8	5,2	-0,2	-0,2	22,8	17,8	11,70	4	-0,2	-0,2	26,2	28,0	63,9
592	5921056	NR-07-02	30,60	31,00	0,40	G-2007-1738	2007-12-19	0,004%						0,8	0,2	1	-0,1	-0,2	2,0	4,1	3,6	-0,2	-0,2	16,5	9,6	18,10	3	-0,2	-0,2	35,1	17,7	42,0
592	5921057	NR-07-02	31,00	31,50	0,50	G-2007-1738	2007-12-19	0,001%						0,4	3,8	0	-0,1	-0,2	6,5	21,8	7,3	-0,2	-0,2	0,5	46,5	6,24	11	-0,2	-0,2	4,9	59,5	153,0
592	5921058	NR-07-02	31,50	32,00	0,50	G-2007-1738	2007-12-19	0,001%						0,4	3,9	0	-0,1	-0,2	6,1	22,0	9,8	-0,2	-0,2	1,4	36,3	5,01	7	-0,2	-0,2	5,2	49,9	119,0
592	5921059	NR-07-02	32,00	32,50	0,50	G-2007-1738	2007-12-19	0,001%						0,5	3,5	0	-0,1	-0,2	5,3	21,4	12,3	-0,2	-0,2	1,0	36,6	5,79	8	-0,2	-0,2	6,4	46,2	109,0
592	5921060	NR-07-02	32,50	33,00	0,50	G-2007-1738	2007-12-19	0,004%						1,0	0,3	1	-0,1	-0,2	2,3	5,6	5,1	-0,2	-0,2	16,0	14,4	14,10	3	-0,2	-0,2	36,0	22,7	45,4
592	5921061	NR-07-02	33,00	33,50	0,50	G-2007-1738	2007-12-19	0,007%						0,8	0,2	1	-0,1	-0,2	3,1	8,0	7,9	-0,2	-0,2	6,0	23,0	23,10	6	-0,2	-0,2	60,5	35,2	67,2
592	5921062	NR-07-02	33,50	34,00	0,50	G-2007-1738	2007-12-19	0,004%						0,9	0,2	1	-0,1	-0,2	3,3	6,1	2,6	-0,2	-0,2	23,4	12,9	17,50	4	-0,2	-0,2	34,8	26,4	62,9
592	5921063	NR-07-02	34,00	34,50	0,50	G-2007-1738	2007-12-19	0,003%						0,9	0,2	1	-0,1	-0,2	3,2	9,0	5,0	-0,2	-0,2	16,2	18,3	17,10	5	-0,2	-0,2	26,7	29,5	84,9
592	5921064	NR-07-02	34,50	35,20	0,70	G-2007-1738	2007-12-19	0,004%						0,8	0,8	1	-0,1	-0,2	4,5	14,4	16,4	-0,2	-0,2	7,8	30,1	14,90	6	-0,2	-0,2	31,3	36,6	96,8
592	5921681	NR-07-02	35,20	35,75	0,55	G-2007-1738	2007-12-19	0,003%	3,00		69,75	66,75	0,006%	0,8	0,4	1	-0,1	-0,2	1,4	2,7	3,6	-0,2	-0,2	14,4	9,3	20,10	2	-0,2	-0,2	24,6	13,5	46,5
592	5921682	NR-07-02	35,75	36,25	0,50	G-2007-1738	2007-12-19	0,030%						0,9	0,1	2	-0,1	-0,2	-0,2	1,2	3,8	-0,2	-0,2	60,1	5,6	79,50	2	-0,2	-0,2	257,0	13,1	25,3
592	5921684	NR-07-02	36,25	36,75	0,50	G-2007-1738	2007-12-19	0,036%						1,0	0,0	3	-0,1	-0,2	0,6	1,5	3,4	-0,2	-0,2	43,6	5,5	79,10	2	-0,2	-0,2	309,0	18,2	33,0
592	5921685	NR-07-02	36,75	37,45	0,70	G-2007-1738	2007-12-19	0,013%						1,0	0,1	2	-0,1	-0,2	-0,2	0,8	2,6	-0,2	-0,2	22,8	3,9	34,60	-1	-0,2	-0,2	112,0	7,6	22,4
592	5921065	NR-07-																														



PROJECT NUMBER	SAMPLE	ICP6.3 Total Digestion, Multi-Acids																								
		Ag ppm	Al <sub>2</sub> O <sub>3</sub> wt %	Ba ppm	Be ppm	CaO wt %	Cd ppm	Ce ppm	Co ppm	Cr ppm	Cu ppm	Dy ppm	Er ppm	Eu ppm	Fe <sub>2</sub> O <sub>3</sub> wt %	Ga ppm	Gd ppm	Hf ppm	Ho ppm	K <sub>2</sub> O wt %	La ppm	Li ppm	MgO wt %	MnO wt %	Mo ppm	
Nb Analyses	446	0.2	0.01	1	0.2	0.01	1	1	1	1	1	1	1	0.2	0.2	0.2	0.01	1	1	1	1	1	0.01	0.01	1	1
Compte	Historique	1682	1682	1682	1682	1682	1682	1682	1682	1682	1682	1682	1682	1682	1682	1682	1682	1682	1682	1682	1682	1682	1682.00	1682.00	1682.00	1682
Moyenne	Historique	0.5	12.84	716	1.2	1.84	1	102	6	159	70	4.7	2.7	0.9	3.40	16	5	12	3	3.81	52	23	1.10	0.04	106	
Écart-type (σ)	Historique	2.8	4.18	651	1.0	1.74	1	440	9	63	2155	11.3	6.9	0.9	3.93	8	15	23	3	2.21	236	22	1.56	0.05	413	
Maximum	Historique	74.8	31.80	5480	7.5	21.30	23	12400	116	1490	88400	159.0	102.0	20.8	49.10	69	349	358	35	12.40	6710	215	22.50	0.74	5550	
Minimum	Historique	-0.2	0.09	6	-0.2	-0.01	0	-1	-1	31	-1	-0.2	-0.2	-0.2	0.12	-1	-1	-1	0	0.04	-1	-1	0.00	0.00	-1	
Compte	Projet	446	446	446	446	446	446	446	446	446	446	446	446	446	446	446	446	446	446	446.00	446.00	446.00	446.00	446.00	446	
Moyenne	Projet	0.0	12.72	888	1.2	1.90	1	37	9	165	29	1.4	0.5	0.9	4.05	17	2	8	0	4.38	21	22	1.50	0.04	35	
Écart-type (σ)	Projet	0.5	2.82	501	0.9	1.85	1	34	11	41	46	0.9	0.7	0.3	4.46	8	1	5	1	1.78	19	12	2.09	0.03	59	
Maximum	Projet	3.0	24.30	5480	7.5	13.10	8	243	116	438	415	6.0	4.5	1.9	49.10	48	7	44	2	9.57	136	71	22.50	0.26	651	
Minimum	Projet	-0.2	2.57	15	-0.2	0.16	0	1	-1	70	-1	-0.2	-0.2	-0.2	0.28	1	-1	-1	0	0.19	-1	3	0.04	0.00	-1	
592	5921679	-0.2	12.30	845	0.6	1.38	1	8	4	207	11	0.8	-0.2	0.9	1.22	13	1	6	0	4.66	6	10	0.32	0.01	18	
592	5921680	-0.2	14.50	1020	0.6	1.68	1	9	3	165	4	0.7	-0.2	1.1	1.45	15	1	13	1	5.54	6	13	0.41	0.02	10	
592	5921040	-0.2	14.50	1360	0.3	1.11	1	7	3	121	4	0.7	-0.2	1.1	1.69	17	1	12	0	6.75	5	16	0.54	0.01	20	
592	5921041	-0.2	16.80	1170	0.6	0.95	1	52	22	170	11	1.7	1.2	1.4	5.21	27	2	10	1	5.97	30	40	1.78	0.10	-1	
592	5921042	-0.2	12.80	886	0.6	1.47	1	8	3	139	3	0.6	-0.2	1.0	1.56	15	1	6	0	4.57	5	15	0.52	0.01	40	
592	5921043	-0.2	11.30	1040	0.4	0.78	1	5	4	146	3	0.3	-0.2	0.8	1.89	14	1	4	1	5.32	3	16	0.59	0.01	51	
592	5921044	-0.2	13.80	416	0.6	1.75	1	18	8	205	5	1.5	0.9	0.8	4.10	25	2	15	1	3.00	11	34	1.19	0.06	13	
592	5921045	-0.2	17.60	837	0.7	1.86	1	46	26	186	11	1.2	0.8	1.2	6.94	33	2	18	2	4.77	29	48	2.06	0.08	3	
592	5921046	-0.2	16.10	1140	0.6	0.72	1	47	26	210	11	1.3	0.8	1.2	5.85	28	2	14	2	6.25	27	43	1.95	0.09	-1	
592	5921047	0.2	16.40	919	0.5	0.97	1	49	22	156	9	1.2	1.1	0.9	5.26	22	2	9	1	6.83	30	35	1.73	0.11	3	
592	5921048	-0.2	10.80	448	0.6	2.01	1	24	25	232	86	0.6	0.3	2.08	5.70	20	1	12	8	2.85	13	31	2.64	0.04	3	
592	5921049	-0.2	12.70	1070	0.4	0.98	1	43	13	173	67	0.7	0.2	1.0	4.94	17	1	8	1	6.10	26	31	1.50	0.03	2	
592	5921050	-0.2	13.80	1060	0.4	0.74	1	34	10	176	7	0.8	0.3	1.0	5.76	21	-1	9	1	7.02	20	38	2.14	0.06	-1	
592	5921051	-0.2	12.40	647	0.8	1.48	1	52	9	165	31	1.2	0.6	0.8	4.88	17	2	6	1	5.26	30	33	2.56	0.04	-1	
592	5921052	-0.2	14.70	330	2.3	4.48	1	29	2	168	2	0.8	-0.2	0.9	0.64	14	2	4	0	1.49	17	14	0.49	0.01	2	
592	5921053	-0.2	12.60	741	0.6	1.16	1	17	9	172	9	0.6	-0.2	0.9	3.23	18	1	10	1	4.79	11	29	1.40	0.02	11	
592	5921054	-0.2	11.60	1070	0.4	1.07	1	6	1	167	1	0.3	-0.2	1.0	0.68	10	1	3	0	5.52	4	8	0.23	0.01	12	
592	5921055	-0.2	12.60	1260	0.3	0.66	1	7	7	150	5	0.4	-0.2	1.0	2.62	15	-1	7	0	6.74	5	22	0.90	0.02	24	
592	5921056	-0.2	12.20	920	0.5	1.24	1	10	4	167	3	0.6	-0.2	1.0	1.68	14	1	6	0	5.07	6	15	0.55	0.01	18	
592	5921057	-0.2	14.90	1060	0.5	0.80	1	45	23	210	6	1.0	0.4	1.1	5.73	27	1	14	1	6.52	26	43	2.20	0.05	5	
592	5921058	-0.2	20.30	705	1.3	0.90	1	94	26	172	10	4.2	1.9	1.2	6.16	29	3	9	1	5.65	59	64	2.43	0.22	1	
592	5921059	-0.2	15.90	1020	0.5	0.51	1	90	26	168	13	2.9	1.2	1.3	5.10	23	3	9	1	7.21	53	40	1.86	0.12	1	
592	5921060	-0.2	9.60	491	0.5	1.21	1	9	5	191	5	0.5	-0.2	0.7	1.88	12	-1	7	0	3.20	6	16	0.58	0.02	17	
592	5921061	-0.2	10.00	263	0.6	1.69	1	16	9	186	7	1.0	0.4	0.7	2.81	16	1	16	0	2.00	10	20	0.81	0.03	7	
592	5921062	-0.2	11.20	746	0.5	1.21	1	9	5	170	2	0.6	0.2	0.8	2.49	15	-1	6	1	4.33	6	20	0.76	0.02	27	
592	5921063	-0.2	12.30	1210	0.3	0.71	1	8	9	148	4	0.5	-0.2	1.0	3.37	16	-1	6	1	6.60	6	23	0.96	0.03	17	
592	5921064	-0.2	13.80	634	0.7	1.82	1	37	16	158	16	1.2	0.4	1.0	4.46	21	1	10	1	3.96	21	27	1.07	0.05	11	
592	5921681	-0.2	13.00	1220	0.4	0.77	1	12	3	199	3	0.6	-0.2	1.0	1.60	13	1	3	0	6.84	8	14	0.50	0.01	15	
592	5921682	-0.2	10.60	717	0.5	1.13	1	8	1	208	4	1.2	0.2	0.8	1.08	12	1	5	1	4.18	5	11	0.37	0.01	65	
592	5921684	-0.2	9.45	1100	-0.2	0.46	1	5	2	221	3	1.3	0.2	0.8	1.45	11	1	7	1	5.84	3	11	0.48	0.01	48	
592	5921685	-0.2	9.65	1210	0.2	0.38	1	4	-1	197	2	0.6	-0.2	0.9	0.71	9	1	4	0	6.00	2	6	0.20	0.01	20	
592	5921065	-0.2	9.23	484	1.1	6.49	1	33	15	120	80	2.8	1.4	0.7	6.81	13	2	3	1	2.20	20	21	10.10	0.11	9	
592	5921066	-0.2	16.30	932	1.2	1.43	1	73	12	160	51	1.9	0.9	1.4	5.82	23	3	6	0	5.89	41	33	2.24	0.04	14	
592	5921067	-0.2	12.00	1240	0.4	1.03	1	8	2	172	4	0.4	-0.2	1.1	1.17	12	1	6	1	5.63	6	10	0.37	0.01	35	
592	5921068	-0.2	11.60	1280	0.4	0.89	1	8	1	131	3	0.5	-0.2	1.0	0.67	10	1	6	0	5.96	6	6	0.20	0.01	8	
592	5921069	-0.2	15.30	1280	0.7	1.47	1	39	8	141	2	0.8	-0.2	1.2	3.99	22	1	11	1	6.10	24	32	1.43	0.03	5	
592	5921070	-0.2	9.09	1030	0.3	0.34	1	22	8	201	8	0.5	-0.2	0.8	2.46	12	1	9	0	4.80	13	17	0.81	0.02	-1	
592	5921071	-0.2	13.30	1360	0.4	0.27	1	24	18	207	18	0.6	-0.2	1.0	3.52	19	1	10	1	6.28	15	25	1.06	0.02	-1	
592	5921072	-0.2	15.20	811	1.0	0.90	1	70	13	170	1	2.3	1.0	1.0	3.46	20	3	6	1	4.69	42	38	1.37	0.08	-1	
592	5921073	-0.2	13.70	600	1.2	3.45	1	35	12	168	24	1														



PROJECT NUMBER	SAMPLE	ICP6.3 Total Digestion, Multi-Acids																				Aqua Regia			
		Na <sub>2</sub> O	Nb	Nd	Ni	P <sub>2</sub> O <sub>5</sub>	Pb	Pr	Sc	Sm	Sn	Sr	Ta	Tb	Th	TiO <sub>2</sub>	U, ICP	V	W	Y	Yb	Zn	Zr	U <sub>3</sub> O <sub>8</sub>	
		wt %	ppm	ppm	ppm	wt %	ppm	ppm	ppm	ppm	ppm	ppm	ppm	ppm	ppm	wt %	ppm	ppm	ppm	ppm	ppm	ppm	ppm	ppm	wt %
Nb Analyses	446	0.01	1	1	1	0.01	1	1	1	1	1	1	1	1	0.01	2	1	1	1	1	0.1	1	1	0.001	
Compte	Historique	1682	1682	1682	1682	1682,00	1682	1682	1682	1682	1682	1682	1682	1682	1682	1682,00	1682	1682	1682	1682	1682	1682	1682	1682	339
Moyenne	Historique	2,82	8	36	17	0,15	170	9	6	6	-1	220	0	1	263	0,36	353	56	2	26	2,9	65	376	0	
Écart-type (σ)	Historique	1,53	26	143	45	0,40	384	41	6	21	2	265	5	3	503	0,39	1201	74	17	57	6,3	82	776	0	
Maximum	Historique	8,86	884	4200	1010	6,26	4900	1110	70	606	24	1880	100	47	8540	4,82	19100	1250	328	908	98,2	1620	12500	2	
Minimum	Historique	0,01	-1	-1	-1	0,00	1	-1	-1	-1	-1	-1	-1	0	-1	0,00	-2	-1	-1	-1	-0,1	1	1	0	
Compte	Projet	446	446	446	446	446,00	446	446	446	446	446	446	446	446	446,00	446	446	446	446	446	446	446	446	446	1
Moyenne	Projet	2,28	7	14	33	0,08	66	2	7	2	-1	161	0	0	74	0,35	77	76	0	9	1,1	92	261	0	
Écart-type (σ)	Projet	0,95	6	13	57	0,13	54	4	5	2	0	46	3	1	84	0,21	104	85	7	6	0,8	110	182	#DIV/0!	
Maximum	Projet	7,58	34	76	590	1,78	617	20	47	10	1	343	23	3	806	1,04	1050	502	135	44	5,4	1620	1660	0	
Minimum	Projet	0,14	-1	-1	1	0,01	2	-1	-1	-1	-1	8	-1	0	-1	0,01	-2	1	-1	1	0,1	6	4	0	
592	5921679	2,50	1	2	6	0,03	96	-1	2	1	-1	185	-1	0	49	0,12	124	18	1	4	0,7	24	197		
592	5921680	2,87	3	2	6	0,04	82	-1	3	1	-1	223	-1	0	58	0,19	70	25	1	5	1,0	36	428		
592	5921040	2,23	6	2	4	0,04	89	-1	4	-1	-1	215	-1	0	120	0,27	112	31	1	5	0,8	50	379		
592	5921041	1,92	16	19	45	0,09	45	2	13	3	-1	156	-1	0	13	0,70	55	67	-1	11	1,5	132	378		
592	5921042	2,42	6	3	6	0,03	68	-1	4	-1	-1	184	-1	0	93	0,25	91	28	1	4	0,4	47	184		
592	5921043	1,65	7	2	9	0,03	49	-1	4	-1	-1	157	-1	0	32	0,29	33	30	-1	2	0,3	53	116		
592	5921044	2,37	16	7	29	0,05	67	-1	12	1	-1	145	-1	0	162	0,58	110	56	-1	11	2,1	113	457		
592	5921045	2,72	31	16	63	0,08	49	1	20	3	-1	186	-1	0	44	1,04	37	94	-1	10	1,2	180	610		
592	5921046	1,70	23	17	54	0,08	45	2	14	3	-1	136	-1	0	17	0,82	11	77	-1	10	1,3	152	513		
592	5921047	1,96	13	15	36	0,06	43	4	11	4	-1	150	2	0	11	0,58	3	53	9	11	1,3	112	354		
592	5921048	1,34	10	9	46	0,08	35	-1	9	2	-1	103	-1	0	20	0,50	17	58	-1	6	0,9	109	405		
592	5921049	1,50	5	16	36	0,07	56	2	9	2	-1	142	-1	0	15	0,56	13	61	1	5	0,6	87	310		
592	5921050	1,53	15	12	33	0,07	61	1	14	2	-1	136	-1	0	9	0,75	11	80	-1	5	0,7	135	369		
592	5921051	1,15	2	20	26	0,07	41	4	9	3	-1	88	-1	0	13	0,51	8	54	-1	8	0,8	82	241		
592	5921052	2,87	1	10	5	0,03	32	2	2	2	-1	186	-1	0	25	0,16	19	18	4	4	0,4	20	117		
592	5921053	1,94	11	5	23	0,05	55	-1	8	1	-1	145	-1	0	41	0,45	41	45	-1	4	0,6	75	311		
592	5921054	1,97	-1	1	7	0,03	59	-1	1	-1	-1	180	-1	0	6	0,09	8	14	2	1	0,3	13	80		
592	5921055	1,55	11	2	22	0,04	71	-1	7	-1	-1	174	-1	0	36	0,42	34	39	-1	3	0,6	69	228		
592	5921056	2,12	5	3	11	0,04	68	-1	4	1	-1	181	-1	0	60	0,26	42	26	1	3	0,5	45	187		
592	5921057	1,55	27	16	54	0,07	56	2	16	2	-1	145	-1	0	12	0,88	14	73	-1	7	0,8	165	504		
592	5921058	1,51	9	33	39	0,10	40	9	13	5	-1	135	-1	0	24	0,69	12	65	-1	22	2,4	128	379		
592	5921059	1,29	11	32	39	0,09	59	8	12	4	-1	133	-1	0	26	0,65	12	58	-1	15	1,6	116	351		
592	5921060	1,82	7	3	16	0,03	43	-1	5	1	-1	137	-1	0	28	0,27	37	29	-1	3	0,5	50	229		
592	5921061	2,21	11	5	24	0,03	50	-1	8	1	-1	131	-1	0	69	0,43	74	41	-1	8	1,7	69	512		
592	5921062	1,99	9	3	15	0,03	57	-1	6	1	-1	156	-1	0	44	0,39	38	34	1	4	0,6	70	218		
592	5921063	1,46	12	3	21	0,04	70	-1	8	-1	-1	168	-1	0	41	0,50	31	39	-1	3	0,5	88	232		
592	5921064	2,52	13	13	35	0,06	51	2	10	2	-1	170	-1	0	47	0,55	41	47	-1	7	0,9	104	374		
592	5921681	1,81	3	4	12	0,04	80	-1	3	1	-1	189	-1	0	27	0,23	29	27	1	3	0,4	55	114		
592	5921682	1,97	1	4	6	0,03	130	-1	2	1	-1	161	-1	1	152	0,16	272	23	1	6	0,7	30	131		
592	5921684	0,97	4	3	7	0,03	135	-1	3	1	-1	140	-1	1	105	0,24	324	31	1	7	0,8	37	192		
592	5921685	1,11	-1	1	5	0,02	90	-1	1	1	-1	151	-1	0	63	0,10	115	17	1	3	0,4	19	111		
592	5921065	1,09	3	17	61	0,19	14	2	8	4	-1	74	1	0	6	0,29	6	140	-1	18	2,2	202	101		
592	5921066	2,49	8	30	35	0,11	54	6	14	5	-1	184	-1	0	12	0,59	8	104	-1	10	0,9	119	216		
592	5921067	1,98	-1	2	6	0,03	67	-1	2	-1	-1	186	-1	0	34	0,15	29	24	1	2	0,3	28	202		
592	5921068	1,84	-1	2	3	0,03	76	-1	1	1	-1	186	-1	0	44	0,08	38	21	-1	3	0,4	16	177		
592	5921069	2,33	16	13	18	0,06	66	2	12	2	-1	200	-1	0	41	0,70	37	79	-1	5	0,6	112	410		
592	5921070	0,92	8	7	24	0,04	46	-1	6	1	-1	118	-1	0	9	0,33	10	39	-1	4	0,6	61	295		
592	5921071	0,96	11	8	58	0,05	58	-1	8	1	-1	143	-1	0	12	0,44	12	50	-1	4	0,7	76	365		
592	5921072	0,69	7	25	24	0,09	32	6	7	4	-1	126	-1	0	18	0,45	6	42	-1	13	1,2	65	229		
592	5921073	1,57	4	14	37	0,11	22	2	10	2	-1	99	-1	0	10	0,46	9	54	-1	7	0,8	96	216		
592	5921074	1,27	8	24	74	0,15	29	4	14	4	-1	107	-1	0	8	0,54	8	180	-1	12	1,3	178	140		
592	5921075	2,18	13	26	114	0,14	62	4	14	4	-1	157	-1	0	25	0,55	40	240	-1	11	1,4	143	232		
592	5921076	2,15	8	6	29	0,04	36	-1	7	1	-1	121	-1	0	43	0,34	63	57	-1	4	0,6	71	240		
592	5921077	2,05	27	8	45	0,06	84	-1	16	1	-1	145	2	1	53	0,88	141	136	-1	8	1,4	155	553		
592	5921078	1,93	11	12	25																				







PROJECT NUMBER	SAMPLE	ICP6.3 Total Digestion, Multi-Acids																							
		Ag	Al <sub>2</sub> O <sub>3</sub>	Ba	Be	CaO	Cd	Ce	Co	Cr	Cu	Dy	Er	Eu	Fe <sub>2</sub> O <sub>3</sub>	Ga	Gd	Hf	Ho	K <sub>2</sub> O	La	Li	MgO	MnO	Mo
		ppm	wt %	ppm	ppm	wt %	ppm	ppm	ppm	ppm	ppm	ppm	ppm	ppm	wt %	ppm	ppm	ppm	ppm	wt %	ppm	ppm	wt %	wt %	ppm
Nb Analyses	446	0.2	0.01	1	0.2	0.01	1	1	1	1	1	1	0.2	0.2	0.2	0.01	1	1	1	1	0.01	1	1	0.01	1
Compte Historique	1682	1682	1682	1682	1682	1682	1682	1682	1682	1682	1682	1682	1682	1682	1682	1682	1682	1682	1682	1682	1682	1682	1682	1682	1682
Moyenne Historique	0.5	12.64	716	1.2	1.84	1	102	6	159	70	4.7	2.7	0.9	3.40	16	5	12	1	3.81	52	23	1.10	0.04	106	
Écart-type (σ) Historique	2.8	4.18	651	1.0	1.74	1	440	9	63	2155	11.3	6.9	0.9	3.93	8	15	23	3	2.21	236	22	1.56	0.05	413	
Maximum Historique	74.8	31.80	5480	7.5	21.30	23	12400	116	1480	88400	159.0	102.0	20.6	49.10	69	349	356	35	12.40	6710	215	22.50	0.74	5550	
Minimum Historique	-0.2	0.09	6	-0.2	-0.01	0	-1	-1	31	-1	-0.2	-0.2	-0.2	0.12	-1	-1	-1	0	0.04	-1	-1	0.00	0.00	-1	
Compte Projet	446	446	446	446	446	446	446	446	446	446	446	446	446	446	446	446	446	446	446	446	446	446	446	446	446
Moyenne Projet	0.0	12.72	888	1.2	1.90	1	37	9	165	29	1.4	0.5	0.9	4.05	17	2	8	0	4.38	21	22	1.50	0.04	35	
Écart-type (σ) Projet	0.5	2.82	501	0.9	1.85	1	34	11	41	46	0.9	0.7	0.3	4.46	6	1	5	1	1.78	19	12	2.09	0.03	59	
Maximum Projet	3.0	24.30	5480	7.5	13.10	8	243	116	438	415	6.0	4.5	1.9	49.10	48	7	44	2	9.57	136	71	22.50	0.26	651	
Minimum Projet	-0.2	2.57	15	-0.2	0.16	0	1	-1	70	-1	-0.2	-0.2	-0.2	0.28	1	-1	-1	0	0.19	-1	3	0.04	0.00	-1	
592 5921092	-0.2	10.40	841	0.5	1.12	1	12	2	160	7	0.9	-0.2	0.8	1.44	12	2	5	0	4.05	7	10	0.50	0.01	24	
592 5921686	-0.2	7.10	281	0.5	1.80	8	33	6	276	13	2.5	1.1	0.6	2.23	11	3	6	1	1.64	18	11	1.44	0.02	37	
592 5921687	-0.2	10.10	814	0.8	1.19	1	28	4	219	10	1.2	0.4	0.8	2.45	13	2	3	1	4.00	15	14	0.91	0.02	50	
592 5921688	-0.2	12.20	499	1.3	2.24	5	39	11	240	37	1.6	0.6	1.0	4.11	18	2	5	1	2.70	22	23	1.88	0.04	43	
592 5921689	-0.2	16.40	793	1.3	1.54	2	64	13	179	42	2.1	0.8	1.3	6.05	24	3	6	2	5.35	37	32	2.18	0.05	3	
592 5921093	-0.2	17.70	778	2.2	1.90	4	93	17	168	53	2.5	1.4	1.6	7.90	29	4	8	2	5.32	49	41	3.26	0.06	34	
592 5921094	-0.2	6.81	309	1.4	5.86	1	34	10	163	39	1.3	0.8	0.6	5.25	10	2	3	0	1.79	20	9	4.16	0.06	45	
592 5921095	-0.2	11.40	825	1.1	1.59	1	51	10	161	40	1.6	1.0	1.0	6.32	17	2	5	1	3.71	28	20	1.25	0.02	29	
592 5921096	-0.2	11.80	705	1.4	2.07	1	64	6	129	14	2.2	1.0	1.0	3.92	16	3	5	1	3.20	34	20	1.98	0.04	12	
592 5921097	-0.2	14.10	1040	1.4	1.65	2	86	9	153	35	2.8	1.2	1.2	4.07	17	4	5	1	5.09	46	24	1.98	0.04	15	
592 5921098	-0.2	13.80	836	1.6	2.72	2	48	17	131	38	1.4	0.7	1.0	5.62	20	2	2	1	4.50	26	15	2.01	0.03	19	
592 5921099	-0.2	13.10	922	0.5	0.68	1	43	7	150	5	1.1	0.6	0.9	3.56	18	2	10	1	6.54	27	22	1.34	0.03	7	
592 5921100	-0.2	16.10	420	1.9	3.42	1	81	5	153	8	1.9	0.9	1.0	3.26	21	3	6	1	3.05	48	33	2.22	0.04	1	
592 5921101	-0.2	17.40	856	1.7	4.11	1	56	3	114	9	1.7	0.8	0.9	3.22	21	3	6	1	6.03	34	22	2.51	0.04	1	
592 5921102	0.3	11.90	836	0.9	1.44	1	76	3	197	28	1.6	0.5	1.0	3.12	14	3	6	0	4.01	42	19	1.09	0.01	38	
592 5921103	-0.2	12.90	1260	0.5	0.88	1	4	1	144	3	0.3	-0.2	1.0	1.49	14	1	2	0	6.32	3	14	0.61	0.01	74	
592 5921104	-0.2	10.40	892	0.6	0.78	1	6	1	180	8	0.9	0.2	0.8	0.96	11	1	4	0	4.70	4	10	0.44	0.01	88	
592 5921105	-0.2	11.70	1260	0.4	0.55	1	4	3	173	3	0.4	-0.2	0.9	1.35	12	1	3	0	6.53	2	10	0.46	0.01	73	
592 5921106	-0.2	13.40	1180	0.8	2.00	1	45	10	201	26	1.4	1.0	1.2	6.25	21	2	9	1	5.13	25	19	1.76	0.03	40	
592 5921107	-0.2	12.00	898	2.4	6.27	1	58	13	156	63	2.7	1.7	1.1	7.16	18	3	6	1	2.69	31	16	4.64	0.05	22	
592 5921108	-0.2	6.98	535	0.9	2.25	1	37	6	250	29	1.4	0.8	0.6	3.36	11	2	4	0	2.00	21	9	2.20	0.04	5	
592 5921109	0.5	10.80	1060	0.6	0.52	1	58	20	195	65	0.8	0.6	1.0	10.70	22	-1	5	1	4.68	33	16	0.86	0.04	24	
592 5921110	-0.2	12.20	832	2.0	3.15	1	65	14	230	43	1.7	0.8	1.0	7.06	18	2	5	1	2.11	36	18	1.36	0.02	10	
592 5921111	-0.2	12.60	1730	2.0	3.00	1	78	10	215	46	2.3	1.1	1.2	5.28	18	3	7	1	2.82	41	15	1.15	0.02	9	
592 5921112	0.2	12.00	1570	1.1	3.95	1	93	33	172	53	0.9	0.6	1.5	17.00	26	-1	6	0	3.78	56	18	3.07	0.06	15	
592 5921113	-0.2	9.27	316	1.9	8.36	2	72	18	148	71	2.9	1.5	1.1	11.70	18	2	4	1	1.18	40	15	7.81	0.13	46	
592 5921114	-0.2	9.65	1020	1.1	1.48	1	51	7	205	21	2.0	0.8	0.8	3.21	13	3	5	1	2.89	28	8	0.65	0.01	15	
592 5921115	-0.2	13.50	1290	1.0	1.51	1	88	14	171	45	2.2	0.9	1.2	5.33	19	3	8	1	5.12	48	15	1.18	0.03	8	
592 5921116	-0.2	10.70	1050	1.7	1.32	2	63	17	195	51	1.7	0.8	1.1	9.47	19	2	5	1	3.54	31	23	1.67	0.04	20	
592 5921117	-0.2	10.80	1860	1.9	4.66	3	75	7	193	32	2.8	1.5	1.0	4.32	14	4	6	1	3.25	39	21	2.94	0.05	16	
592 5921118	-0.2	16.60	1570	0.9	2.14	1	79	16	133	60	1.8	0.8	1.2	6.08	21	3	6	1	7.01	45	21	2.01	0.04	4	
592 5921119	-0.2	10.90	672	1.7	5.93	1	49	16	183	29	1.8	1.0	0.9	7.68	17	1	5	1	3.11	27	19	6.74	0.10	15	
592 5921120	-0.2	12.20	931	1.9	5.19	1	40	6	174	18	1.4	0.6	0.7	3.40	16	2	5	1	1.93	24	19	2.80	0.04	1	
592 5921121	-0.2	13.10	623	1.7	4.72	1	52	14	171	28	1.5	0.8	1.0	5.11	18	2	8	1	2.42	32	13	1.61	0.03	16	
592 5921122	-0.2	12.30	955	1.6	4.15	1	49	7	183	19	1.5	0.6	0.8	3.72	17	2	5	1	2.96	29	18	2.50	0.04	5	
592 5921123	-0.2	14.20	1380	0.8	1.85	1	93	9	154	4	1.5	0.5	1.1	3.16	18	2	6	0	5.36	57	21	1.46	0.07	10	
592 5921124	-0.2	12.00	1120	0.9	1.22	1	35	2	175	3	0.7	-0.2	0.9	1.57	13	1	5	1	4.54	21	12	0.50	0.01	20	
592 5921125	-0.2	15.00	1980	0.6	0.69	1	32	5	111	11	1.2	0.3	1.1	3.16	20	1	10	1	8.24	18	21	0.97	0.02	14	
592 5921690	-0.2	12.80	1300	0.6	1.16	1	64	3	156	4	1.0	0.2	1.0	1.92	15	2	6	1	5.32	38	14	0.59	0.02	8	
592 5921691	-0.2	14.80	1380	0.6	1.47	1	82	3	187	2	1.4	-0.2	1.2	3.07	20	3	14	1	5.54	51	26	1.05	0.03	18	
592 5921692	-0.2																								



PROJECT NUMBER	SAMPLE	ICP6.3 Total Digestion, Multi-Acids																		Aqua Regia				
		Na <sub>2</sub> O wt %	Nb ppm	Nd ppm	Ni ppm	P <sub>2</sub> O <sub>5</sub> wt %	Pb ppm	Pr ppm	Sc ppm	Sm ppm	Sr ppm	Ta ppm	Tb ppm	Th ppm	TiO <sub>2</sub> wt %	U, ICP ppm	V ppm	W ppm	Y ppm	Yb ppm	Zn ppm	Zr ppm	U <sub>3</sub> O <sub>8</sub> wt %	
Nb Analyses	446	0.01	1	1	1	0.01	1	1	1	1	1	1	1	1	1	1	1	1	1	1	1	1	0.001	
Compte	Historique	1682	1682	1682	1682	1682.00	1682	1682	1682	1682	1682	1682	1682	1682	1682.00	1682	1682	1682	1682	1682	1682	1682	1682	339
Moyenne	Historique	2.82	8	36	17	0.15	170	9	6	6	-1	220	0	1	263	0.36	353	56	2	26	2.9	65	376	0
Écart-type (σ)	Historique	1.53	26	143	45	0.40	384	41	6	21	2	265	5	3	503	0.39	1201	74	17	57	6.3	82	776	0
Maximum	Historique	8.86	884	4200	1010	6.26	4900	1110	70	606	24	1880	100	47	8540	4.82	19100	1250	328	908	98.2	1620	12500	2
Minimum	Historique	0.01	-1	-1	-1	0.00	1	-1	-1	-1	-1	-1	0	-1	0.00	-2	-1	-1	-1	-1	-0.1	1	1	0
Compte	Projet	4.46	446	446	446	4.46.00	446	446	446	446	446	446	446	4.46	446	446	446	446	446	446	446	446	446	1
Moyenne	Projet	2.28	7	14	33	0.08	86	2	7	2	-1	161	0	0	74	0.35	77	76	0	9	1.1	92	261	0
Écart-type (σ)	Projet	0.95	6	13	57	0.13	54	4	5	2	0	46	3	1	84	0.21	104	85	7	6	0.8	110	182	#DIV/0!
Maximum	Projet	7.58	34	76	590	1.78	617	20	47	10	1	343	23	3	806	1.04	1050	502	135	44	5.4	1620	1660	0
Minimum	Projet	0.14	-1	-1	1	0.01	2	-1	-1	-1	-1	8	-1	0	-1	0.01	-2	1	-1	1	0.1	6	4	0
592	5921092	1.76	-1	5	11	0.03	80	-1	3	1	-1	147	-1	0	64	0.15	170	37	-1	4	0.5	41	142	
592	5921686	1.32	3	15	34	0.20	74	2	3	4	-1	95	-1	1	62	0.12	172	91	-1	16	1.7	560	187	
592	5921687	1.68	2	11	12	0.06	76	2	6	2	-1	137	-1	0	72	0.24	100	51	-1	7	0.7	76	116	
592	5921688	2.60	12	16	83	0.11	59	3	9	3	-1	157	-1	0	53	0.37	103	253	-1	10	1.3	345	172	
592	5921689	2.79	11	26	41	0.13	43	6	15	5	-1	166	-1	0	10	0.65	10	125	-1	12	1.1	204	195	
592	5921093	3.34	14	40	133	0.15	53	7	19	6	-1	175	-1	0	18	0.71	10	418	-1	14	1.8	441	239	
592	5921094	0.72	8	15	94	0.22	18	2	4	3	-1	65	-1	0	8	0.17	19	255	2	12	1.5	175	82	
592	5921095	1.76	7	21	106	0.10	31	3	6	3	-1	123	-1	0	16	0.31	17	199	-1	10	1.3	141	164	
592	5921096	2.26	7	26	35	0.10	34	4	8	4	-1	140	-1	0	27	0.39	28	98	-1	11	1.0	105	172	
592	5921097	2.42	9	36	78	0.16	41	7	10	5	-1	172	-1	0	17	0.40	4	211	-1	13	1.3	255	198	
592	5921098	1.93	5	20	79	0.08	34	3	8	3	-1	139	-1	0	21	0.31	19	146	-1	9	1.1	136	167	
592	5921099	1.60	8	16	26	0.06	41	2	9	2	-1	109	-1	0	41	0.53	21	52	-1	7	0.8	88	345	
592	5921100	2.42	5	29	16	0.07	18	6	8	4	-1	122	-1	0	25	0.49	4	57	-1	10	0.9	102	231	
592	5921101	1.11	5	22	19	0.07	22	4	8	3	-1	212	-1	0	16	0.46	-2	61	1	10	0.9	114	232	
592	5921102	2.06	2	27	40	0.06	47	5	3	4	-1	157	-1	0	78	0.17	55	92	-1	9	0.8	72	190	
592	5921103	1.98	3	1	2	0.03	60	-1	4	-1	-1	185	-1	0	39	0.26	50	32	-1	2	0.2	66	42	
592	5921104	1.74	1	3	4	0.03	79	-1	2	1	-1	143	-1	0	84	0.12	147	33	1	5	0.6	42	105	
592	5921105	1.60	4	1	3	0.03	62	-1	3	-1	-1	161	-1	0	41	0.22	52	29	-1	2	0.3	47	73	
592	5921106	1.98	11	19	70	0.09	57	2	9	3	-1	169	-1	0	53	0.48	54	162	-1	11	1.4	120	279	
592	5921107	0.87	7	26	85	0.14	14	3	8	5	-1	132	-1	0	14	0.33	9	190	-1	20	2.4	186	174	
592	5921108	0.91	1	15	35	0.09	16	2	5	3	-1	78	-1	0	11	0.15	8	71	-1	8	1.0	92	107	
592	5921109	1.45	4	24	137	0.12	28	3	8	4	-1	86	-1	0	17	0.36	7	119	-1	9	0.9	89	170	
592	5921110	1.82	3	27	80	0.13	17	4	5	4	-1	145	-1	0	16	0.25	5	105	-1	12	1.1	105	170	
592	5921111	1.83	3	31	47	0.13	19	5	6	5	-1	167	-1	0	20	0.26	5	118	1	13	1.3	71	256	
592	5921112	1.53	-1	38	241	0.21	25	6	11	6	-1	156	-1	1	28	0.29	7	101	-1	12	1.1	171	183	
592	5921113	0.77	8	32	138	0.20	20	5	7	6	-1	113	-1	1	37	0.28	33	357	-1	23	2.6	304	83	
592	5921114	1.81	2	20	36	0.07	46	3	4	3	-1	105	-1	1	80	0.14	70	60	-1	11	1.1	66	222	
592	5921115	2.33	1	33	51	0.11	49	6	7	5	-1	157	-1	0	52	0.26	29	69	-1	12	1.1	130	271	
592	5921116	1.66	4	27	117	0.16	30	4	8	4	-1	98	-1	0	15	0.33	9	169	-1	12	1.4	383	149	
592	5921117	1.23	5	31	36	0.09	37	5	7	5	-1	134	-1	0	17	0.27	37	117	-1	17	1.8	202	211	
592	5921118	1.86	5	30	50	0.11	44	6	7	4	-1	190	-1	0	24	0.37	7	54	-1	11	0.9	151	208	
592	5921119	0.71	3	22	71	0.12	15	3	8	4	-1	125	-1	0	15	0.33	7	109	-1	13	1.4	161	138	
592	5921120	0.51	3	16	39	0.06	9	2	6	3	-1	176	-1	0	12	0.30	2	43	2	9	0.9	76	151	
592	5921121	1.16	5	18	56	0.08	39	3	4	3	-1	187	-1	0	66	0.28	56	42	-1	11	1.2	57	223	
592	5921122	0.86	3	19	36	0.08	34	3	7	3	-1	182	-1	0	49	0.29	47	39	-1	10	0.9	87	158	
592	5921123	2.30	8	30	16	0.07	55	9	6	4	-1	222	-1	0	45	0.47	25	45	1	7	0.5	82	242	
592	5921124	2.55	4	11	7	0.04	54	2	3	2	-1	187	-1	0	35	0.24	26	29	-1	4	0.4	47	167	
592	5921125	2.08	14	11	6	0.06	105	2	8	2	-1	215	-1	0	86	0.46	112	49	-1	8	0.8	105	330	
592	5921690	2.48	6	21	5	0.05	62	6	4	3	-1	201	-1	0	43	0.29	36	36	-1	5	0.4	51	228	
592	5921691	2.91	12	28	6	0.05	90	8	8	4	-1	231	-1	1	62	0.54	113	61	-1	8	0.7	82	507	
592	5921692	2.42	14	17	35	0.07	205	3	10	3	-1	209	-1	2	129	0.59	484	111	-1	13	1.3	118	244	
592	5921693	2.41	5	10	16	0.05	226	1	6	2	-1	195	-1	2	161	0.33	510	62	-1	11	1.3	68	309	
592	5921694	2.18	7	14	54	0.07	76	2	6	3	-1	167	-1	0	42	0.26	51	173	-1	8	1.0	98	195	
592	5921126	2.21	-1	17	28	0.07	74	3	5	3	-1	172	-1	1	87	0.21	148	53	-1	11	1.1	114	280	
592	5921127	1.23	9	26	98	0.18	42	5	11	5	-1	139	-1	0	12	0.39	15	220	-					







PROJECT NUMBER	SAMPLE	ICP6.3 Total Digestion, Multi-Acids																							
		Ag ppm	Al <sub>2</sub> O <sub>3</sub> wt %	Ba ppm	Be ppm	CaO wt %	Cd ppm	Ce ppm	Co ppm	Cr ppm	Cu ppm	Dy ppm	Er ppm	Eu ppm	Fe <sub>2</sub> O <sub>3</sub> wt %	Ga ppm	Gd ppm	Hf ppm	Ho ppm	K <sub>2</sub> O wt %	La ppm	Li ppm	MgO wt %	MnO wt %	Mo ppm
Nb Analyses	446	0.2	0.01	1	0.2	0.01	1	1	1	1	0.2	0.2	0.2	0.01	1	1	1	1	0.01	1	1	0.01	0.01	0.01	1
Compte	Historique	1682	1682	1682	1682	1682	1682	1682	1682	1682	1682	1682	1682	1682	1682	1682	1682	1682	1682	1682.00	1682	1682	1682.00	1682.00	1682
Moyenne	Historique	0.5	12.64	716	1.2	1.84	1	102	6	159	70	4.7	2.7	0.9	3.40	16	5	12	3	3.81	52	23	1.10	0.04	106
Écart-type (σ)	Historique	2.8	4.18	651	1.0	1.74	1	440	9	63	2155	11.3	6.9	0.9	3.93	8	15	23	3	2.21	236	22	1.56	0.05	413
Maximum	Historique	74.8	31.80	5480	7.5	21.30	23	12400	116	1490	88400	159.0	102.0	20.6	49.10	69	349	356	35	12.40	6710	215	22.50	0.74	5550
Minimum	Historique	-0.2	0.09	6	-0.2	-0.01	0	-1	-1	31	-1	-0.2	-0.2	-0.2	0.12	-1	-1	-1	0	0.04	-1	-1	0.00	0.00	-1
Compte	Projet	446	446	446	446	446	446	446	446	446	446	446	446	446	446	446	446	446	446	446.00	446	446	446.00	446.00	446
Moyenne	Projet	0.0	12.72	888	1.2	1.90	1	37	9	165	29	1.4	0.5	0.9	4.05	17	2	8	0	4.38	21	22	1.50	0.04	35
Écart-type (σ)	Projet	0.5	2.82	501	0.9	1.85	1	34	11	41	46	0.9	0.7	0.3	4.46	6	1	5	1	1.78	19	12	2.09	0.03	59
Maximum	Projet	3.0	24.30	5480	7.5	13.10	8	243	116	438	415	6.0	4.5	1.9	49.10	48	7	44	2	9.57	136	71	22.50	0.26	651
Minimum	Projet	-0.2	2.57	15	-0.2	0.16	0	1	-1	70	-1	-0.2	-0.2	-0.2	0.28	1	-1	-1	0	0.19	-1	3	0.04	0.00	-1
592	5921342	-0.2	10.00	1320	0.6	0.47	1	4	2	192	7	1.1	0.3	0.8	1.23	9	1	9	0	5.38	3	10	0.31	0.01	63
592	5921343	-0.2	13.90	1580	1.2	1.02	1	8	5	192	7	0.9	0.3	1.2	2.57	15	1	13	0	6.52	7	19	0.66	0.03	34
592	5921345	-0.2	14.30	1350	3.6	1.35	1	7	10	181	11	0.8	0.4	1.1	5.14	20	-1	24	0	6.19	4	36	1.35	0.04	13
592	5921346	-0.2	16.80	390	1.8	3.19	1	16	5	162	4	0.7	0.2	1.2	2.94	21	1	12	0	2.41	11	24	0.82	0.03	17
592	5921347	-0.2	13.20	1260	1.2	1.31	1	7	4	128	4	0.6	-0.2	1.1	1.89	13	1	9	0	5.33	5	15	0.53	0.02	41
592	5921348	-0.2	13.20	1250	1.3	1.46	1	9	3	139	5	0.5	-0.2	1.1	1.79	14	-1	7	0	4.96	6	14	0.51	0.02	12
592	5921349	-0.2	13.60	1190	1.5	1.66	1	13	4	160	7	0.5	-0.2	1.1	1.86	14	1	7	0	4.73	9	14	0.51	0.02	7
592	5921350	-0.2	12.60	1420	2.0	0.87	1	12	9	185	11	0.7	0.6	1.1	3.21	14	-1	8	0	5.85	8	22	0.79	0.04	6
592	5921351	-0.2	15.80	665	2.0	4.05	1	45	12	161	25	1.4	0.8	1.1	3.94	19	1	7	0	3.67	27	37	2.66	0.07	4
592	5921352	-0.2	8.94	604	1.8	1.21	1	9	9	177	18	0.6	-0.2	0.7	2.13	10	1	10	0	2.74	7	14	0.51	0.02	19
592	5921353	-0.2	10.70	899	0.6	1.13	1	8	3	167	5	0.8	-0.2	0.8	1.61	12	1	11	0	3.93	5	15	0.44	0.02	62
592	5921355	-0.2	8.11	204	1.1	1.46	1	9	8	201	20	1.2	1.2	0.6	2.30	11	1	13	0	1.29	6	13	0.38	0.04	12
592	5921356	-0.2	7.52	648	0.6	0.90	0	6	2	169	9	0.6	-0.2	0.6	0.55	6	1	10	0	2.67	4	3	0.04	0.00	14
592	5921357	-0.2	10.70	1160	0.5	0.92	1	8	3	172	10	0.5	-0.2	0.9	0.78	9	1	5	0	4.75	6	4	0.08	0.00	15
592	5921358	-0.2	11.30	927	1.2	1.43	1	11	1	169	8	0.6	-0.2	0.9	1.23	11	1	7	0	3.75	10	0.28	0.01	19	
592	5921359	-0.2	13.90	1290	0.9	1.47	1	11	3	139	3	0.5	-0.2	1.1	1.85	15	-1	5	0	5.23	15	0.49	0.02	11	
592	5921360	-0.2	13.50	1000	1.2	1.75	1	10	4	139	2	0.5	-0.2	1.1	1.77	15	-1	7	0	4.28	6	16	0.50	0.02	12
592	5921361	-0.2	15.50	1480	1.2	1.94	1	46	5	137	2	0.7	0.3	1.2	2.35	17	1	7	0	5.44	26	20	0.80	0.03	7
592	5921362	-0.2	18.60	783	2.0	2.55	1	57	8	150	10	1.5	0.8	1.1	4.46	23	2	5	0	5.53	34	37	2.01	0.05	-1
592	5921363	-0.2	18.60	666	2.0	3.65	1	57	12	185	14	1.2	0.6	1.1	4.99	23	1	6	0	4.67	31	36	3.28	0.06	-1
592	5921364	-0.2	13.60	705	1.1	1.97	1	12	12	173	35	0.6	-0.2	1.1	4.13	18	-1	8	0	3.75	11	22	0.93	0.04	14
592	5921366	-0.2	13.80	953	0.8	1.65	1	7	9	249	23	0.5	0.2	1.0	3.99	18	-1	7	1	4.85	4	23	0.87	0.04	13
592	5921367	-0.2	14.80	577	1.1	2.39	1	21	23	194	65	0.5	0.3	1.1	5.84	22	-1	7	1	3.80	13	33	2.03	0.05	5
592	5921368	-0.2	14.30	541	1.0	1.88	1	9	12	189	29	2.1	0.9	1.2	5.23	23	4	5	1	4.13	52	33	1.76	0.04	4
592	5921369	-0.2	11.00	344	0.7	1.84	1	46	4	193	10	1.1	0.3	0.9	2.88	16	2	8	1	2.11	28	21	0.92	0.03	42
592	5921370	-0.2	11.20	1040	0.6	1.42	1	121	6	203	13	2.3	0.9	1.0	3.83	18	6	5	1	4.32	56	19	1.26	0.03	55
592	5921371	-0.2	11.20	752	0.7	1.68	1	15	4	202	12	0.7	-0.2	1.0	2.93	16	1	10	1	3.51	16	16	0.92	0.03	37
592	5921372	-0.2	13.10	1110	0.6	1.36	1	44	10	174	36	1.0	0.4	1.2	4.89	21	2	8	1	5.75	22	21	1.39	0.03	11
592	5921373	-0.2	12.90	754	1.8	4.70	1	52	9	194	12	1.6	0.6	0.8	3.33	19	2	7	1	3.32	27	24	2.54	0.04	1
592	5921374	-0.2	13.50	1000	0.5	1.11	1	21	17	246	5	0.8	0.4	1.1	4.15	20	2	11	1	5.79	13	30	1.35	0.05	8
592	5921375	-0.2	14.50	1100	0.5	1.12	1	35	22	169	10	1.4	0.6	1.1	4.84	23	2	10	1	6.13	21	33	1.42	0.08	5
592	5921376	-0.2	12.70	798	0.6	1.25	1	16	13	187	9	1.1	0.2	0.9	3.93	20	1	14	1	4.83	10	29	1.20	0.06	8
592	5921377	-0.2	16.80	613	1.5	2.68	1	56	11	189	27	1.6	0.7	1.0	4.47	25	3	7	1	4.34	35	40	2.38	0.05	2
592	5921714	-0.2	13.70	1070	0.7	1.02	1	18	1	121	3	0.9	0.2	1.0	1.30	14	1	2	0	6.11	11	11	0.39	0.01	25
592	5921715	-0.2	14.30	931	0.9	1.48	1	11	2	133	5	1.1	0.3	1.0	1.54	16	1	3	1	5.44	7	13	0.48	0.02	28
592	5921716	-0.2	14.70	823	1.0	1.53	1	11	2	134	5	0.9	-0.2	1.0	1.62	17	1	3	0	4.96	7	14	0.54	0.02	27
592	5921717	-0.2	12.20	955	0.6	1.09	1	14	1	161	5	1.0	-0.2	0.8	1.00	12	1	7	1	5.34	9	9	0.28	0.01	26
592	5921718	-0.2	14.00	1080	0.9	1.11	1	43	3	126	5	1.7	0.5	1.0	2.13	16	2	8	1	6.31	24	17	0.66	0.02	27
592	5921719	-0.2	11.20	801	0.6	1.18	1	10	1	137	6	0.9	-0.2	0.8	1.06	12	1	8	0	4.46	6	8	0.27	0.01	12
592	5921720	-0.2	11.10	1100	0.3	0.57	1	5	3	134	4	0.7	-0.2	0.8	1.76										



PROJECT NUMBER	SAMPLE	ICP6.3 Total Digestion, Multi-Acids																			Aqua Regia			
		Na <sub>2</sub> O wt %	Nb ppm	Nd ppm	Ni ppm	P <sub>2</sub> O <sub>5</sub> wt %	Pb ppm	Pr ppm	Sc ppm	Sm ppm	Sr ppm	Ta ppm	Tb ppm	Th ppm	TiO <sub>2</sub> wt %	U, ICP ppm	V ppm	W ppm	Y ppm	Yb ppm	Zn ppm	Zr ppm	U <sub>3</sub> O <sub>8</sub> wt %	
Nb Analyses	446	0.01	1	1	1	0.01	1	1	1	1	1	1	1	0.01	2	1	1	1	1	0.1	1	1	0.001	
Compte Historique	1682	1682	1682	1682	1682.00	1682	1682	1682	1682	1682	1682	1682	1682	1682.00	1682	1682	1682	1682	1682	1682	1682	1682	1682	339
Moyenne Historique	2.82	8	36	17	0.15	170	9	6	6	-1	220	0	1	263	0.36	353	56	2	26	2.9	65	376	0	
Écart-type (σ) Historique	1.53	26	143	45	0.40	384	41	6	21	2	265	5	3	503	0.39	1201	74	17	57	6.3	82	776	0	
Maximum Historique	8.86	884	4200	1010	6.26	4900	1110	70	606	24	1880	100	47	8540	4.82	19100	1250	328	908	98.2	1620	12500	2	
Minimum Historique	0.01	-1	-1	-1	0.00	1	-1	-1	-1	-1	-1	-1	-1	0	-1	0.00	-2	-1	-1	-1	-1	1	1	0
Compte Projet	446	446	446	446	446.00	446	446	446	446	446	446	446	446	446.00	446	446	446	446	446	446	446	446	446	1
Moyenne Projet	2.28	7	14	33	0.08	66	2	7	2	-1	161	0	0	74	0.35	77	76	0	9	1.1	92	261	0	
Écart-type (σ) Projet	0.95	6	13	57	0.13	54	4	5	2	0	46	3	1	84	0.21	104	85	7	6	0.8	110	182	#DIV/0!	
Maximum Projet	7.58	34	76	590	1.78	617	20	47	10	1	343	23	3	806	1.04	1050	502	135	44	5.4	1620	1660	0	
Minimum Projet	0.14	-1	-1	1	0.01	2	-1	-1	-1	-1	8	-1	0	-1	0.01	-2	1	-1	1	0.1	6	4	0	
592 5921342	1.37	3	1	6	0.02	124	-1	3	1	-1	138	-1	1	242	0.16	202	25	2	7	0.9	29	438		
592 5921343	2.10	10	2	13	0.04	105	-1	6	1	-1	189	-1	1	151	0.37	126	45	3	7	1.0	67	496		
592 5921345	2.03	20	2	28	0.05	103	-1	13	-1	-1	172	12	1	135	0.70	131	87	2	8	1.5	141	883		
592 5921346	4.21	11	4	10	0.04	55	-1	8	1	-1	211	16	0	84	0.43	73	52	4	5	0.9	74	478		
592 5921347	2.27	6	2	5	0.03	69	-1	5	-1	-1	181	10	0	88	0.28	71	32	3	4	0.5	46	332		
592 5921348	2.38	7	2	4	0.03	58	-1	5	-1	-1	181	6	0	48	0.28	40	31	4	3	0.4	42	299		
592 5921349	2.64	5	3	2	0.03	56	-1	4	1	-1	185	-1	0	50	0.26	39	31	1	3	0.4	42	281		
592 5921350	1.81	9	4	14	0.05	72	-1	7	1	-1	177	-1	0	71	0.40	57	41	-1	6	1.4	85	343		
592 5921351	2.04	7	15	26	0.07	62	3	7	2	-1	178	-1	0	27	0.40	13	43	1	9	1.6	127	246		
592 5921352	1.72	5	3	14	0.03	60	-1	4	1	-1	119	-1	0	86	0.21	72	26	3	5	0.8	47	352		
592 5921353	1.99	5	2	6	0.03	84	-1	4	1	-1	142	-1	1	157	0.23	122	26	2	5	0.8	40	495		
592 5921355	1.96	2	2	12	0.03	57	-1	4	1	-1	109	7	1	103	0.15	84	19	2	11	3.2	31	516		
592 5921356	1.46	-1	1	5	0.02	51	-1	-1	1	-1	106	2	0	77	0.01	74	6	-1	4	0.6	7	384		
592 5921357	1.88	-1	2	6	0.02	63	-1	-1	1	-1	152	-1	0	61	0.03	60	10	2	3	0.4	9	206		
592 5921358	2.25	2	3	7	0.02	62	-1	2	1	-1	157	-1	0	79	0.13	61	18	3	4	0.5	26	303		
592 5921359	2.54	6	3	6	0.03	61	-1	4	1	-1	187	-1	0	51	0.26	41	31	1	3	0.4	45	254		
592 5921360	2.69	6	3	5	0.03	56	-1	4	-1	-1	180	5	0	54	0.26	43	31	4	3	0.4	50	320		
592 5921361	2.75	9	13	4	0.05	49	3	6	2	-1	192	15	0	36	0.35	22	37	5	4	0.4	57	296		
592 5921362	2.91	6	19	22	0.10	27	4	10	3	-1	137	14	0	16	0.50	4	58	4	9	0.9	101	228		
592 5921363	3.26	5	13	30	0.13	20	1	10	3	-1	109	4	0	13	0.51	2	61	4	8	0.9	111	217		
592 5921364	2.72	12	4	17	0.05	45	-1	8	1	-1	162	11	0	50	0.41	39	42	2	5	0.7	80	327		
592 5921366	2.47	12	2	20	0.04	55	-1	8	-1	-1	179	23	0	64	0.47	54	46	2	4	0.7	77	336		
592 5921367	2.72	14	7	29	0.08	33	-1	10	1	-1	157	10	0	21	0.55	14	61	1	5	0.7	116	289		
592 5921368	2.92	15	36	28	0.08	45	10	12	7	-1	157	-1	0	27	0.54	15	98	-1	11	0.9	112	181		
592 5921369	2.71	9	17	15	0.04	51	4	7	3	-1	133	-1	0	84	0.37	53	58	-1	6	0.7	66	246		
592 5921370	1.88	12	44	18	0.08	84	13	8	8	-1	131	-1	0	95	0.40	36	76	-1	11	0.8	103	137		
592 5921371	2.27	6	5	10	0.04	88	-1	6	1	-1	135	-1	0	94	0.29	66	57	-1	4	0.7	64	229		
592 5921372	1.94	10	16	33	0.08	71	3	9	3	-1	140	-1	0	24	0.42	21	89	-1	6	0.8	93	203		
592 5921373	1.12	8	18	18	0.08	33	4	7	4	-1	137	-1	0	19	0.41	12	49	-1	9	1.0	73	202		
592 5921374	1.97	20	7	30	0.05	55	-1	11	1	-1	153	-1	0	37	0.59	24	58	-1	5	0.7	90	349		
592 5921375	2.02	21	12	40	0.06	57	2	12	2	-1	152	-1	0	35	0.68	26	65	-1	7	1.0	98	334		
592 5921376	2.00	16	5	31	0.04	70	-1	10	1	-1	143	-1	0	70	0.55	64	52	-1	6	1.1	83	424		
592 5921377	2.91	9	20	29	0.08	36	5	10	4	-1	133	-1	0	32	0.54	30	62	1	9	0.9	87	225		
592 5921714	2.66	4	6	4	0.03	83	1	3	1	-1	188	-1	0	96	0.19	75	23	1	5	0.4	33	45		
592 5921715	3.01	5	4	5	0.03	103	-1	3	1	-1	201	-1	0	185	0.23	140	26	1	6	0.5	37	98		
592 5921716	3.21	5	3	5	0.03	83	-1	3	1	-1	197	-1	0	141	0.23	71	27	2	5	0.4	45	110		
592 5921717	2.38	2	4	4	0.03	93	-1	2	1	-1	178	-1	0	148	0.13	130	18	3	5	0.6	37	239		
592 5921718	2.57	6	15	7	0.06	98	4	5	3	-1	196	-1	0	174	0.31	105	37	1	10	0.8	47	265		
592 5921719	2.32	1	3	5	0.04	80	-1	2	1	-1	167	-1	0	131	0.13	121	18	-1	5	0.6	22	266		
592 5921720	1.56	6	2	5	0.03	89	-1	4	-1	-1	156	-1	0	146	0.26	114	30	-1	4	0.5	40	190		
592 5921721	2.34	4	1	7	0.03	72	-1	3	-1	-1	170	-1	0	100	0.22	79	26	-1	4	0.6	36	387		
592 5921723	3.03	7	3	6	0.04	95	-1	5	1	-1	208	-1	0	117	0.29	113	40	1	5	0.6	46	276		
592 5921724	2.71	12	46	15	0.14	43	15	9	8	-1	186	-1	0	40	0.53	24	67	-1	16	1.0	82	252		
592 5921725	4.34	18	4	18	0.04	54	-1	10	1	-1	212	-1	0	62	0.59	58	58	-1	21	0.5	100	380		
592 5921726	2.81	32	3	31	0.05	100	-1	16	1	-1	133	-1	2	200	0.96	146	86	-1	9	1.5	172	996		
592 5921727	2.44	14	38	12	0.08	95	12	8	6	-1	197	-1	0	46	0.51	23	57	-1	10	0.8	80	286		
592 5921728	3.14	13	15	10	0.04	44	4	7	2	-1	175	-1</												







		ICP6.3 Total Digestion, Multi-Acids																								
PROJECT NUMBER	SAMPLE	Ag ppm	Al <sub>2</sub> O <sub>3</sub> wt %	Ba ppm	Be ppm	CaO wt %	Cd ppm	Ce ppm	Co ppm	Cr ppm	Cu ppm	Dy ppm	Er ppm	Eu ppm	Fe <sub>2</sub> O <sub>3</sub> wt %	Ga ppm	Gd ppm	Hf ppm	Ho ppm	K <sub>2</sub> O wt %	La ppm	Li ppm	MgO wt %	MnO wt %	Mo ppm	
Nb Analyses	446	0.2	0.01	1	0.2	0.01	1	1	1	1	1	0.2	0.2	0.2	0.01	1	1	1	1	0.01	1	1	0.01	0.01	1	
Compte	Historique	1682	1682	1682	1682	1682	1682	1682	1682	1682	1682	1682	1682	1682	1682	1682	1682	1682	1682	1682	1682	1682	1682	1682	1682	1682
Moyenne	Historique	0.5	12.64	716	1.2	1.84	1	102	6	159	70	4.7	2.7	0.9	3.40	16	5	12	1	3.81	52	23	1.10	0.04	106	
Écart-type (σ)	Historique	2.8	4.18	651	1.0	1.74	1	440	9	63	2155	11.3	6.9	0.9	3.93	15	23	3	2.21	236	22	1.56	0.05	413		
Maximum	Historique	74.8	31.80	5480	7.5	21.30	23	12400	116	1490	88400	159.0	102.0	20.6	49.10	69	349	356	35	12.40	6710	215	22.50	0.74	5550	
Minimum	Historique	-0.2	0.09	6	-0.2	-0.01	0	-1	-1	31	-1	-0.2	-0.2	-0.2	0.12	-1	-1	-1	0	0.04	-1	-1	0.00	0.00	-1	
Compte	Projet	446	446	446	446	446	446	446	446	446	446	446	446	446	446	446	446	446	446	446	446	446	446	446	446	
Moyenne	Projet	0.0	12.72	888	1.2	1.90	1	37	9	165	29	1.4	0.5	0.9	4.05	17	2	8	0	4.38	21	22	1.50	0.04	35	
Écart-type (σ)	Projet	0.5	2.82	501	0.9	1.85	1	34	11	41	46	0.9	0.7	0.3	4.46	6	1	5	1	1.78	19	12	2.09	0.03	59	
Maximum	Projet	3.0	24.30	5480	7.5	13.10	8	243	116	438	415	6.0	4.5	1.9	49.10	48	7	44	2	9.57	136	71	22.50	0.26	651	
Minimum	Projet	-0.2	2.57	15	-0.2	0.16	0	1	-1	70	-1	-0.2	-0.2	-0.2	0.28	1	-1	-1	0	0.19	-1	3	0.04	0.00	-1	
592	5921742	0.2	13.60	1570	0.8	1.15	1	24	1	125	6	1.1	0.2	1.0	0.95	14	2	4	0	5.88	15	9	0.30	0.01	33	
592	5921743	-0.2	11.30	821	1.4	1.31	1	71	5	152	4	2.1	0.9	0.9	3.04	15	3	5	1	3.94	40	23	0.94	0.04	2	
592	5921744	-0.2	12.00	775	1.4	1.50	1	109	6	149	9	2.8	1.1	0.9	3.42	16	5	6	1	3.92	62	24	1.01	0.04	25	
592	5921745	-0.2	13.00	1070	0.6	1.23	1	9	2	123	5	1.0	-0.2	0.9	1.43	14	1	7	0	5.37	6	11	0.40	0.02	63	
592	5921747	-0.2	16.60	1420	0.9	1.36	1	48	2	81	3	1.4	0.5	1.2	1.94	18	2	3	1	7.53	29	16	0.56	0.02	54	
592	5921748	-0.2	12.30	896	0.7	1.42	1	12	1	170	5	1.0	-0.2	0.9	1.33	14	1	9	1	4.50	8	10	0.37	0.02	54	
592	5921749	-0.2	14.20	918	0.9	1.76	1	13	2	126	3	1.0	-0.2	1.0	1.41	16	1	10	1	4.62	9	12	0.42	0.02	21	
592	5921752	-0.2	12.60	693	0.8	1.56	1	63	4	133	1	1.4	0.3	0.8	2.61	16	3	9	1	4.06	36	19	0.79	0.03	22	
592	5921753	-0.2	13.70	1200	0.6	1.00	1	15	4	124	4	0.7	0.2	1.0	2.57	17	1	2	0	6.62	10	19	0.76	0.03	16	
592	5921754	-0.2	11.90	646	0.9	1.53	1	93	5	157	3	2.0	0.9	0.9	2.83	16	4	7	1	3.69	51	19	0.85	0.03	21	
592	5921756	-0.2	13.80	1300	0.8	0.96	1	56	4	125	3	1.8	0.9	1.1	2.58	16	3	6	1	6.92	32	18	0.78	0.03	28	
592	5921757	-0.2	10.60	676	0.7	1.14	1	98	5	154	3	1.7	0.7	0.8	2.86	15	4	7	1	3.88	56	20	0.82	0.03	24	
592	5921758	-0.2	11.40	616	1.2	1.43	1	76	5	126	3	1.9	0.7	0.9	3.02	15	3	5	1	3.53	43	23	1.02	0.03	12	
592	5921759	-0.2	12.40	573	1.2	1.75	1	108	6	148	2	2.1	1.0	0.9	3.72	18	4	9	1	3.46	61	26	1.18	0.04	65	
592	5921760	-0.2	11.50	745	1.2	1.40	1	162	6	178	4	3.1	1.5	1.0	3.58	15	7	6	1	3.86	91	25	1.11	0.04	21	
592	5921761	-0.2	9.78	408	0.8	1.37	1	20	3	152	2	0.6	-0.2	0.6	2.37	14	1	4	1	2.86	12	17	0.72	0.02	21	
592	5921762	-0.2	11.00	1040	0.5	0.67	1	36	5	147	3	1.1	0.6	0.8	3.43	15	2	3	2	5.72	21	25	1.04	0.03	103	
592	5921763	-0.2	12.30	622	0.9	1.60	1	33	4	156	3	0.9	0.3	0.9	2.35	16	2	7	1	3.70	19	17	0.68	0.03	14	
592	5921765	-0.2	12.00	881	0.6	1.14	1	7	3	174	4	0.7	-0.2	0.8	2.04	14	1	2	1	5.16	5	16	0.65	0.02	80	
592	5921766	-0.2	12.00	999	0.8	1.01	1	32	5	147	3	1.2	0.2	0.9	2.61	15	2	10	1	5.33	18	18	0.79	0.03	44	
592	5921767	-0.2	12.30	1120	0.6	1.11	1	8	3	132	2	0.6	-0.2	0.9	1.60	14	1	7	1	5.28	5	12	0.45	0.02	21	
592	5921768	-0.2	12.50	1080	0.7	1.23	1	12	2	174	3	0.6	-0.2	0.9	1.96	14	1	7	0	4.84	7	17	0.73	0.02	6	
592	5921769	-0.2	13.00	1430	0.6	0.91	1	6	1	116	2	1.0	-0.2	1.0	0.87	12	1	5	0	6.63	4	7	0.30	0.01	17	
592	5921770	-0.2	11.50	827	0.9	1.28	1	53	4	157	2	1.4	0.3	0.8	2.47	15	3	10	1	4.13	31	19	0.78	0.03	13	
592	5921771	-0.2	17.30	586	1.4	3.47	1	65	27	175	18	1.7	0.8	1.1	6.66	28	2	12	1	4.52	41	47	2.36	0.08	4	
592	5921773	0.3	5.33	489	1.3	0.47	0	5	1	228	4	0.8	-0.2	0.4	0.77	6	1	17	0	2.33	3	5	0.24	0.01	107	
592	5921774	-0.2	15.30	565	2.4	2.11	1	57	16	153	56	1.6	0.6	0.9	4.51	22	2	5	0	5.97	35	22	2.08	0.02	6	
592	5921775	-0.2	14.10	508	2.1	1.78	1	68	15	122	127	2.7	1.6	1.3	7.43	21	3	4	1	3.36	44	41	6.55	0.07	56	
592	5921776	-0.2	14.60	846	1.3	1.56	1	91	16	155	56	2.6	1.0	1.3	5.84	23	4	6	1	5.35	49	30	1.71	0.04	7	
592	5921777	-0.2	13.70	710	0.8	1.69	1	58	13	170	28	1.5	0.7	1.0	5.07	22	3	5	1	3.99	34	34	1.51	0.04	69	
592	5921778	-0.2	8.34	568	0.5	0.94	1	5	2	202	3	0.6	-0.2	0.6	1.32	10	1	5	1	2.86	3	13	0.41	0.01	88	
592	5921779	-0.2	9.88	497	0.9	1.14	1	23	5	169	12	1.0	0.3	0.8	2.28	13	1	6	0	3.21	13	18	0.78	0.02	69	
592	5921781	0.3	8.74	213	1.6	1.37	1	12	4	205	15	1.4	0.5	0.4	2.92	14	1	8	0	2.05	6	41	2.31	0.03	15	
592	5921782	0.2	7.73	943	0.2	0.34	1	10	1	206	7	1.1	-0.2	0.7	1.56	11	2	13	1	4.40	4	10	0.75	0.01	47	
592	5921783	0.2	9.94	156	1.8	6.53	1	34	24	166	109	1.6	-0.2	0.7	6.88	20	1	17	0	1.57	26	49	7.75	0.09	17	
592	5921784	0.6	14.40	677	1.8	4.09	2	51	18	135	109	2.1	1.0	0.9	6.18	21	2	4	1	4.38	32	54	5.02	0.07	22	
592	5921785	0.3	5.52	204	0.5	0.38	7	27	8	254	80	1.8	0.6	0.6	4.53	14	2	10	0	1.77	15	40	3.02	0.04	69	
592	5921786	-0.2	9.32	682	0.6	0.54	1	9	4	205	16	0.7	-0.2	0.7	2.71	12	1	7	0	3.85	4	30	1.36	0.02	24	
592	5921788	1.4	12.60	1060	0.7	0.34	1	14	25	187	51	1.2	-0.2	1.0	4.85	18	-1	23	1	5.93	6	46	2.28	0.03	12	
592	5921789	-0.2	15.70	624	1.2	1.34	2	38	19	179	61	1.1	0.4	1.0	5.											



PROJECT NUMBER	SAMPLE	ICP6.3 Total Digestion, Multi-Acids																			Aqua Regia			
		Nb <sub>2</sub> O <sub>5</sub> wt %	Nb ppm	Nd ppm	Ni ppm	P <sub>2</sub> O <sub>5</sub> wt %	Pb ppm	Pr ppm	Sc ppm	Sm ppm	Sr ppm	Ta ppm	Tb ppm	Th ppm	TiO <sub>2</sub> wt %	U, ICP ppm	V ppm	W ppm	Y ppm	Yb ppm	Zn ppm	Zr ppm	U <sub>3</sub> O <sub>8</sub> wt %	
Nb Analyses	446	0.01	1	1	1	0.01	1	1	1	1	1	1	1	1	1	1	1	1	1	1	1	1	0.001	
Compte	Historique	1682	1682	1682	1682	1682,00	1682	1682	1682	1682	1682	1682	1682	1682	1682,00	1682	1682	1682	1682	1682	1682	1682	1682	339
Moyenne	Historique	2,82	8	36	17	0,15	170	9	6	6	-1	220	0	1	263	0,36	353	56	2	26	2,9	65	376	0
Écart-type (σ)	Historique	1,53	26	143	45	0,40	384	41	6	21	2	265	6	3	503	0,39	1201	74	17	57	6,3	82	776	0
Maximum	Historique	8,86	884	4200	1010	6,26	4900	1110	70	606	24	1880	100	47	8540	4,82	19100	1250	328	908	98,2	1620	12500	2
Minimum	Historique	0,01	-1	-1	-1	0,00	1	-1	-1	-1	-1	-1	-1	-1	0	-1	0,00	-2	-1	-1	-1	1	1	0
Compte	Projet	446	446	446	446	446,00	446	446	446	446	446	446	446	446,00	446	446	446	446	446	446	446	446	446	1
Moyenne	Projet	2,28	7	14	33	0,08	66	2	7	2	-1	161	0	0	74	0,35	77	76	0	9	1,1	92	261	0
Écart-type (σ)	Projet	0,95	6	13	57	0,13	54	4	5	2	0	46	3	1	84	0,21	104	85	7	6	0,8	110	182	#DIV/0!
Maximum	Projet	7,58	34	76	580	1,78	617	20	47	10	1	343	23	3	806	1,04	1050	502	135	44	5,4	1620	1660	0
Minimum	Projet	0,14	-1	-1	1	0,01	2	-1	-1	-1	-1	8	-1	0	-1	0,01	-2	1	-1	1	0,1	6	4	0
592	5921742	2,66	-1	8	4	0,03	101	2	1	2	-1	194	-1	0	136	0,12	101	17	-1	6	0,5	31	145	
592	5921743	2,21	7	27	14	0,11	54	8	7	9	-1	162	-1	0	22	0,38	11	49	-1	11	0,9	68	206	
592	5921744	2,45	10	40	15	0,11	333	12	8	7	-1	166	-1	1	88	0,46	55	56	-1	14	1,0	72	233	
592	5921745	2,62	3	3	4	0,03	110	-1	3	-1	-1	187	-1	0	207	0,21	180	23	-1	6	0,5	33	241	
592	5921747	3,08	7	17	4	0,05	105	5	5	3	-1	227	-1	0	160	0,32	102	31	2	8	0,5	48	81	
592	5921748	2,61	2	4	4	0,04	100	-1	3	1	-1	193	-1	1	205	0,19	172	22	1	6	0,6	30	293	
592	5921749	3,20	4	4	5	0,03	102	-1	3	1	-1	210	-1	0	186	0,23	127	25	-1	5	0,6	34	328	
592	5921752	2,72	9	22	7	0,06	60	6	6	4	-1	166	-1	0	100	0,42	63	46	-1	7	0,6	62	317	
592	5921753	2,28	11	6	6	0,04	79	-1	6	1	-1	184	-1	0	127	0,42	69	38	-1	4	0,3	59	52	
592	5921754	2,62	10	34	11	0,07	49	10	7	6	-1	162	-1	0	64	0,41	38	47	-1	10	0,8	61	261	
592	5921756	2,15	9	21	9	0,07	84	5	6	4	-1	197	-1	0	139	0,38	91	43	1	11	1,3	57	225	
592	5921757	2,05	10	35	9	0,06	55	11	7	6	-1	141	-1	0	101	0,46	60	49	-1	8	0,6	67	260	
592	5921758	2,42	7	29	12	0,11	44	8	7	5	-1	156	-1	0	25	0,42	13	51	-1	9	0,7	71	189	
592	5921759	2,70	16	40	14	0,08	54	12	9	7	-1	173	-1	0	79	0,57	46	67	-1	11	0,8	88	308	
592	5921760	2,25	11	60	14	0,11	37	19	8	10	-1	167	-1	1	40	0,47	11	61	-1	14	0,9	73	237	
592	5921761	2,19	10	7	8	0,03	67	1	6	1	-1	129	-1	0	71	0,40	52	38	-1	3	0,4	66	158	
592	5921762	1,51	15	14	8	0,06	76	3	9	2	-1	148	-1	0	109	0,57	77	54	-1	6	0,5	80	101	
592	5921763	2,76	9	12	7	0,03	67	3	6	2	-1	171	-1	0	113	0,39	75	41	-1	5	0,5	54	242	
592	5921765	2,14	6	3	6	0,03	77	-1	5	1	-1	166	-1	0	176	0,34	135	34	1	4	0,3	49	76	
592	5921766	2,05	9	11	7	0,05	81	2	6	2	-1	165	-1	0	173	0,42	117	46	1	7	0,8	55	353	
592	5921767	2,29	5	2	5	0,03	68	-1	4	-1	-1	181	-1	0	79	0,27	55	30	-1	3	0,4	47	231	
592	5921768	2,38	6	3	6	0,03	50	-1	4	1	-1	174	-1	0	46	0,30	29	30	-1	3	0,4	41	245	
592	5921769	2,12	1	2	3	0,03	70	-1	2	-1	-1	197	-1	0	66	0,13	59	21	1	3	0,3	19	152	
592	5921770	2,30	8	19	10	0,06	52	5	6	3	-1	161	-1	0	65	0,38	41	45	-1	7	0,7	53	330	
592	5921771	2,47	26	24	47	0,09	37	5	18	4	-1	182	3	0	29	1,03	20	84	-1	10	1,0	164	450	
592	5921773	0,89	-1	1	8	0,02	82	-1	1	1	-1	73	-1	1	176	0,07	210	16	-1	5	0,9	14	494	
592	5921774	2,20	2	23	39	0,11	48	6	9	5	-1	101	-1	0	17	0,29	11	109	-1	10	1,0	140	199	
592	5921775	1,17	12	30	119	0,13	25	7	12	7	-1	155	-1	0	15	0,45	13	302	3	20	2,2	125	127	
592	5921776	2,62	4	37	32	0,12	51	10	12	7	-1	188	-1	0	25	0,49	19	98	-1	13	1,1	109	207	
592	5921777	2,76	17	23	23	0,06	108	5	11	4	-1	176	-1	0	72	0,58	54	89	-1	8	0,7	132	173	
592	5921778	1,72	3	1	6	0,02	64	-1	2	-1	-1	127	-1	0	98	0,17	77	24	-1	3	0,4	27	136	
592	5921779	2,02	6	9	11	0,04	50	1	5	2	-1	132	-1	0	84	0,27	80	42	-1	5	0,6	48	177	
592	5921781	0,83	6	6	19	0,08	62	-1	2	2	-1	55	13	1	97	0,23	86	165	1	11	1,4	85	302	
592	5921782	0,90	2	4	4	0,02	43	-1	2	1	-1	100	6	1	212	0,15	156	21	1	8	0,9	7	407	
592	5921783	0,50	3	12	42	0,22	36	2	6	3	-1	173	8	1	68	0,38	59	51	-1	11	1,4	100	564	
592	5921784	1,47	9	21	70	0,18	105	5	10	5	-1	158	8	0	16	0,43	11	229	-1	15	1,9	322	180	
592	5921785	0,57	13	12	41	0,07	362	1	7	2	-1	33	15	1	250	0,40	189	155	-1	13	1,4	1620	340	
592	5921786	1,55	6	4	20	0,03	75	-1	4	1	-1	112	7	0	74	0,28	70	38	-1	5	0,5	212	235	
592	5921788	2,16	9	5	36	0,05	135	-1	7	1	-1	124	-1	1	139	0,41	116	55	-1	10	1,3	49	712	
592	5921789	2,78	13	12	25	0,07	233	1	9	2	-1	173	-1	0	52	0,52	42	60	-1	8	1,0	275	364	
592	5921790	2,81	1	3	5	0,03	38	-1	2	1	-1	169	-1	0	58	0,15	54	26	-1	4	0,6	24	354	
592	5921791	5,55	17	5	15	0,05	56	-1	10	1	-1	281	-1	0	53	0,62	41	97	-1	5	0,8	170	403	
592	5921792	1,06	4	20	74	0,41	265	3	6	4	-1	98	3	0	12	0,34	29	131	-1	16	1,9	212	108	
592	5921793	1,90	4	12	17	0,06	617	1	4	2	-1	146	-1	0	110	0,23	92	59	-1	10	1,1	440	177	
592	5921794	1,70	1	5	22	0,03	119	-1	2	1	-1	158	-1	0	39	0,14	35	21	-1	3	0,4	141	153	
592	5921795</																							







		ICP6.3 Total Digestion, Multi-Elements																									
PROJECT NUMBER	SAMPLE	Ag ppm	Al <sub>2</sub> O <sub>3</sub> wt %	Ba ppm	Be ppm	CaO wt %	Cd ppm	Ce ppm	Co ppm	Cr ppm	Cu ppm	Dy ppm	Er ppm	Eu ppm	Fe <sub>2</sub> O <sub>3</sub> wt %	Ga ppm	Gd ppm	Hf ppm	Ho ppm	K <sub>2</sub> O wt %	La ppm	Li ppm	MgO wt %	MnO wt %	Mo ppm		
Nb Analyses	446	0.2	0.01	1	0.2	0.01	1	1	1	1	1	0.2	0.2	0.2	0.01	1	1	1	1	0.01	1	1	0.01	0.01	1		
Compte	Historique	1682	1682	1682	1682	1682	1682	1682	1682	1682	1682	1682	1682	1682	1682	1682	1682	1682	1682	1682	1682	1682	1682	1682	1682	1682	
Moyenne	Historique	0.5	12.64	7.16	1.2	1.84	1	102	6	159	70	4.7	2.7	0.9	3.40	16	5	12	1	3.81	52	23	1.10	0.04	106		
Écart-type (σ)	Historique	2.8	4.18	651	1.0	1.74	1	440	9	63	2155	11.3	6.9	0.9	3.93	8	15	23	3	2.21	236	22	1.56	0.05	413		
Maximum	Historique	74.8	31.80	5480	7.5	21.30	23	12400	116	1490	88400	159.0	102.0	20.6	48.10	69	349	356	35	12.40	6710	215	22.50	0.74	5550		
Minimum	Historique	-0.2	0.09	6	-0.2	-0.01	0	-1	-1	31	-1	-0.2	-0.2	-0.2	0.12	-1	-1	-1	0	0.04	-1	-1	0.00	0.00	-1		
Compte	Projet	446	446	446	446	446	446	446	446	446	446	446	446	446	446	446	446	446	446	446	446	446	446	446	446	446	
Moyenne	Projet	0.0	12.72	888	1.2	1.90	1	37	9	165	29	1.4	0.5	0.9	4.05	17	2	8	0	4.38	21	22	1.50	0.04	35		
Écart-type (σ)	Projet	0.5	2.82	501	0.9	1.85	1	34	11	41	46	0.9	0.7	0.3	4.46	6	1	5	1	1.78	19	12	2.09	0.03	59		
Maximum	Projet	3.0	24.30	5480	7.5	13.10	8	243	116	438	415	6.0	4.5	1.9	49.10	48	7	44	2	9.57	136	71	22.50	0.26	651		
Minimum	Projet	-0.2	2.57	15	-0.2	0.16	0	1	-1	70	-1	-0.2	-0.2	-0.2	0.28	1	-1	-1	0	0.19	-1	3	0.04	0.00	-1		
	592	5921262	-0.2	12.00	1070	0.7	0.59	1	5	1	119	7	1.7	1.2	0.8	2.08	9	2	-1	1	7.27	1	26	0.89	0.02	470	
	592	5921264	-0.2	12.00	965	1.5	0.83	1	9	1	173	6	1.0	0.5	0.7	1.55	10	1	3	1	6.13	4	18	0.64	0.02	102	
	592	5921265	-0.2	12.30	1320	1.2	0.76	1	6	1	177	4	0.6	-0.2	0.7	0.80	11	1	1	0	6.65	2	5	0.21	0.01	37	
	592	5921266	-0.2	24.10	1640	5.5	2.87	2	22	1	101	10	1.9	0.5	1.0	1.18	18	2	6	0	8.21	12	18	0.83	0.02	71	
	592	5921267	-0.2	10.30	109	2.8	3.07	1	72	8	219	29	4.6	3.5	1.0	6.82	19	5	4	1	1.88	40	39	3.09	0.07	122	
	592	5921268	-0.2	8.83	91	2.8	2.05	1	26	13	181	66	0.9	0.7	0.7	6.48	13	-1	1	0	0.82	15	12	0.76	0.02	10	
	592	5921269	-0.2	14.10	179	4.4	2.96	1	62	18	217	68	5.3	4.5	1.9	9.74	23	6	17	5	2	1.93	26	31	1.69	0.04	147
	592	5921270	-0.2	11.80	345	2.8	1.64	0	79	42	143	114	2.1	2.3	1.7	22.10	29	-1	5	0	2.42	40	29	1.98	0.04	99	
	592	5921271	-0.2	12.50	913	2.2	1.48	1	19	1	119	10	2.8	1.3	0.9	1.63	13	3	5	1	4.73	7	14	0.84	0.02	175	
	592	5921272	-0.2	12.80	1140	1.1	0.51	1	5	3	116	11	1.2	0.6	0.7	1.66	11	1	2	0	7.90	1	6	0.38	0.01	51	
	592	5921273	0.4	13.90	1230	0.8	0.64	1	3	-1	121	11	1.9	1.1	0.6	1.82	10	1	-1	1	8.52	2	12	0.65	0.02	250	
	592	5921275	2.4	19.20	813	4.2	2.96	1	21	2	90	3	6.0	3.5	1.0	1.80	19	5	23	1	5.25	6	28	1.44	0.04	107	
	592	5921276	1.3	19.30	392	5.1	3.44	2	17	4	140	22	3.6	2.4	0.9	2.52	21	3	13	1	3.22	5	13	0.61	0.02	41	
	592	5921277	-0.2	13.60	347	3.4	2.22	1	8	1	154	9	0.9	0.4	0.7	1.58	16	1	6	0	2.88	3	16	0.68	0.02	2	
	592	5921278	-0.2	11.90	36	3.7	2.50	1	7	-1	168	2	1.0	-0.2	0.6	0.41	11	1	7	0	0.40	3	6	0.17	0.01	52	
	592	5921279	-0.2	23.10	89	7.5	4.99	2	11	-1	115	4	2.1	0.9	1.0	1.29	24	2	8	1	1.13	5	23	0.90	0.02	13	
	592	5921280	-0.2	18.10	467	5.3	3.51	1	94	-1	135	4	4.0	2.4	1.1	1.49	20	5	10	1	2.56	54	22	0.99	0.03	160	
	592	5921281	-0.2	17.40	843	4.4	2.48	1	49	6	139	29	2.0	1.1	1.0	3.94	18	2	4	1	4.64	26	15	1.21	0.03	30	
	592	5921282	-0.2	10.60	613	1.2	1.34	2	55	8	181	22	2.1	0.9	1.1	4.29	16	3	9	0	3.00	24	17	1.21	0.03	30	
	592	5921283	-0.2	9.13	113	1.7	2.13	5	61	58	168	210	2.0	1.8	1.5	25.40	28	-1	8	0	1.01	34	29	1.94	0.07	97	
	592	5921284	-0.2	9.76	241	2.7	2.17	0	52	55	173	220	1.3	1.7	1.8	26.10	28	-1	4	0	1.61	29	27	2.04	0.06	85	
	592	5921286	-0.2	14.20	608	3.6	1.68	1	65	11	164	18	2.0	0.9	1.0	4.53	16	2	5	0	5.34	38	22	1.20	0.04	-1	
	592	5921287	-0.2	14.60	955	0.8	0.88	1	67	9	161	4	1.9	0.7	1.0	2.92	16	3	5	0	7.41	38	20	1.67	0.08	-1	
	592	5921288	-0.2	15.30	1610	0.5	0.75	1	60	19	166	-1	1.7	0.5	1.1	5.41	19	1	11	1	7.81	35	36	1.75	0.13	-1	
	592	5921289	-0.2	13.60	556	1.3	2.85	1	135	14	144	-1	3.1	1.7	1.2	4.04	19	4	7	1	2.59	67	30	1.67	0.08	-1	
	592	5921290	1.8	8.23	609	0.5	1.26	1	94	4	218	1	3.4	2.1	0.8	2.62	9	4	16	1	2.03	50	17	0.79	0.03	171	
	592	5921291	1.9	10.40	1090	1.3	1.74	1	60	10	202	19	4.9	2.8	1.0	4.42	12	5	11	1	3.95	31	14	1.37	0.03	271	
	592	5921292	-0.2	12.30	1560	0.5	0.76	1	13	12	191	2	1.6	0.2	0.9	4.17	16	1	18	1	5.94	7	33	1.53	0.05	43	
	592	5921293	0.6	13.20	1370	0.8	1.20	1	19	19	153	6	0.5	0.5	0.8	4.90	19	1	9	1	5.89	12	34	1.61	0.06	3	
	592	5921294	1.1	11.20	883	0.6	1.35	1	12	16	158	7	0.8	0.5	0.7	3.89	16	1	11	1	3.87	7	29	1.31	0.05	13	
	592	5921295	0.7	12.50	184	1.3	2.40	1	8	7	188	2	0.6	0.3	0.6	3.45	19	1	11	1	1.55	6	28	1.28	0.05	3	
	592	5921297	1.4	12.50	1020	0.4	1.03	1	41	18	218	8	1.5	1.0	0.7	5.53	18	2	6	1	5.27	25	43	1.96	0.08	103	
	592	5921298	0.4	13.60	1130	0.7	1.05	1	24	6	173	7	0.7	0.5	0.7	3.28	17	1	6	1	6.58	14	25	1.14	0.05	13	
	592	5921299	-0.2	6.93	476	0.5	0.37	0	1	-1	211	12	0.4	-0.2	0.3	1.04	7	-1	1	0	3.78	1	6	0.30	0.01	55	
	592	5921300	0.6	12.10	123	1.4	2.42	1	4	7	203	10	0.9	0.5	0.6	2.59	17	1	12	1	1.12	2	17	0.72	0.03	11	
	592	5921301	0.3	12.10	359	1.2	2.12	1	5	7	183	10	0.7	0.5	0.7	2.39	15	1	7	1	1.74	4	17	0.69	0.03	28	
	592	5921302	0.8	14.70	1160	0.6	1.34	1	149	16	148	2	1.8	1.2	1.4	4.54	20	4	10	1	5.95	82	30	1.34	0.07	3	
	592	5921303	1.2	13.60	1110	0.4	0.97	1	80	22	195	3	2.0	1.3	1.2	6.34	23	3	18	1	6.07	43	39	1.87	0.10	21	
	592	5921307	1.0	15.30	1410	1.3	2.45	1	102	19	190	13	2.5	2.0	1.1												



PROJECT NUMBER	SAMPLE	ICP6.3 Total Digestion, Multi-Acids																			Aqua Regia				
		Na <sub>2</sub> O wt %	Nb ppm	Nd ppm	Ni ppm	P <sub>2</sub> O <sub>5</sub> wt %	Pb ppm	Pr ppm	Sc ppm	Sm ppm	Sr ppm	Ta ppm	Tb ppm	Th ppm	TiO <sub>2</sub> wt %	U, ICP ppm	V ppm	W ppm	Y ppm	Yb ppm	Zn ppm	Zr ppm	U <sub>3</sub> O <sub>8</sub> wt %		
Nb Analyses	446	0.01	1	1	1	0.01	1	1	1	1	1	1	1	1	1	1	1	1	1	0.1	1	1	0.001		
Compte	Historique	1682	1682	1682	1682	1682.00	1682	1682	1682	1682	1682	1682	1682	1682	1682.00	1682	1682	1682	1682	1682	1682	1682	1682	339	
Moyenne	Historique	2,82	8	36	17	0,15	170	9	6	6	-1	220	0	1	263	0,36	353	56	2	26	2,9	65	376	0	
Écart-type (σ)	Historique	1,53	26	143	45	0,40	384	41	6	21	2	265	5	3	503	0,39	1201	74	17	57	6,3	82	776	0	
Maximum	Historique	8,86	884	4200	1010	6,26	4900	1110	70	606	24	1880	100	47	8540	4,82	19100	1250	328	908	98,2	1620	12500	2	
Minimum	Historique	0,01	-1	-1	-1	0,00	1	-1	-1	-1	-1	-1	-1	-1	0	-1	0,00	-2	-1	-1	-1	-1	1	1	0
Compte	Projet	446	446	446	446	446.00	446	446	446	446	446	446	446	446.00	446	446	446	446	446	446	446	446	446	1	
Moyenne	Projet	2,28	7	14	33	0,08	66	2	7	2	-1	161	0	0	74	0,35	77	78	0	9	1,1	92	261	0	
Écart-type (σ)	Projet	0,95	6	13	57	0,13	54	4	5	2	0	46	3	1	84	0,21	104	85	7	6	0,8	110	182	#DIV/0!	
Maximum	Projet	7,58	34	76	590	1,78	617	20	47	10	1	343	23	3	806	1,04	1056	502	135	44	5,4	1620	1660	0	
Minimum	Projet	0,14	-1	-1	1	0,01	2	-1	-1	-1	-1	8	-1	0	-1	0,01	-2	1	-1	1	0,1	6	4	0	
592	5921262	1,58	12	4	6	0,13	46	-1	4	1	-1	151	1	0	64	0,35	24	84	5	11	1,1	58	12		
592	5921264	2,04	7	4	6	0,05	49	-1	3	1	-1	156	-1	0	65	0,23	42	67	3	7	0,8	41	104		
592	5921265	1,98	-1	2	7	0,02	47	-1	1	1	-1	171	-1	0	41	0,07	25	21	2	2	0,3	15	17		
592	5921266	5,42	7	9	9	0,03	78	2	4	2	-1	325	-1	0	164	0,24	110	110	6	15	1,5	42	216		
592	5921267	2,45	25	29	60	0,78	41	5	15	5	-1	123	4	1	90	0,68	90	390	135	38	4,7	171	142		
592	5921268	2,47	3	11	96	0,08	14	1	3	2	-1	138	7	0	18	0,14	18	108	39	9	1,1	47	78		
592	5921269	3,51	34	32	118	0,21	23	6	12	6	-1	221	1	1	16	0,86	36	460	22	43	5,4	66	196		
592	5921270	2,77	10	34	254	0,24	37	6	10	6	-1	162	4	1	58	0,48	53	318	4	28	3,9	84	164		
592	5921271	2,63	13	11	11	0,04	98	2	4	3	-1	168	-1	1	281	0,28	175	94	4	19	2,2	39	156		
592	5921272	1,74	4	3	15	0,02	83	-1	2	1	-1	163	2	0	81	0,13	134	38	4	8	1,1	22	50		
592	5921273	1,89	8	7	6	0,09	122	-1	3	1	-1	160	-1	0	158	0,24	272	53	-1	11	1,1	47	24		
592	5921275	5,04	28	15	5	0,03	250	3	8	4	-1	252	-1	0	806	0,57	418	202	-1	36	4,8	83	868		
592	5921276	5,65	18	11	16	0,03	94	2	3	3	-1	251	1	0	199	0,32	187	76	-1	24	3,4	45	475		
592	5921277	3,66	6	3	12	0,03	36	-1	4	1	-1	183	-1	0	45	0,17	33	85	1	6	1,1	40	186		
592	5921278	3,98	2	3	4	0,01	38	-1	1	1	-1	170	-1	0	102	0,07	66	26	4	6	0,8	11	261		
592	5921279	7,58	11	6	6	0,03	39	1	5	2	-1	318	-1	0	66	0,28	48	125	1	15	1,8	54	314		
592	5921280	5,45	23	32	7	0,10	54	9	6	6	-1	262	-1	1	105	0,41	80	140	6	28	3,5	56	326		
592	5921281	4,38	3	18	41	0,09	36	4	4	4	-1	233	1	0	21	0,24	26	74	3	15	1,8	54	184		
592	5921282	2,33	3	21	37	0,08	60	4	7	4	-1	144	4	1	90	0,26	96	66	2	12	1,4	123	305		
592	5921283	1,96	2	30	293	0,27	83	4	9	6	-1	116	7	3	181	0,36	193	366	14	30	3,8	567	332		
592	5921284	2,04	6	28	309	0,29	26	3	11	6	-1	103	6	2	10	0,44	35	421	16	26	3,6	108	143		
592	5921286	2,66	2	23	48	0,14	44	5	8	4	-1	124	-1	0	19	0,22	21	104	3	14	1,2	88	210		
592	5921287	2,33	2	23	18	0,11	47	6	8	4	-1	153	-1	0	19	0,37	8	46	3	10	0,7	62	217		
592	5921288	2,16	20	20	38	0,08	46	4	13	3	-1	186	7	0	19	0,79	12	76	1	9	1,2	111	460		
592	5921289	2,75	12	41	20	0,11	22	13	8	6	-1	158	4	0	33	0,50	13	52	2	13	1,7	84	238		
592	5921290	1,87	8	28	10	0,05	220	8	4	4	-1	120	1	0	365	0,35	529	40	-1	20	1,9	78	651		
592	5921291	1,67	9	22	32	0,06	298	5	6	5	-1	164	-1	0	472	0,40	754	60	-1	25	2,6	64	443		
592	5921292	1,81	15	6	18	0,05	159	-1	9	1	-1	183	7	2	141	0,74	360	72	2	10	1,4	109	701		
592	5921293	2,23	14	7	30	0,04	59	2	9	2	-1	190	-1	0	47	0,69	29	57	-1	5	0,6	155	311		
592	5921294	2,23	10	5	27	0,03	115	1	7	1	-1	162	-1	0	81	0,55	127	50	-1	6	0,7	140	383		
592	5921295	3,43	9	3	21	0,02	41	1	6	1	-1	179	-1	0	76	0,53	70	58	-1	5	0,7	82	365		
592	5921297	2,14	15	15	26	0,05	137	4	10	3	-1	169	-1	0	264	0,82	150	80	-1	9	0,8	143	259		
592	5921298	2,46	7	8	13	0,04	58	2	5	2	-1	187	-1	0	135	0,47	58	46	-1	4	0,5	75	220		
592	5921299	1,24	2	-1	5	0,01	52	-1	1	-1	-1	79	-1	0	138	0,13	69	13	-1	2	0,2	21	55		
592	5921300	3,68	4	2	14	0,03	68	1	4	1	-1	174	-1	0	70	0,36	177	37	-1	5	0,9	51	440		
592	5921301	3,59	4	2	13	0,02	59	-1	4	1	-1	181	-1	0	69	0,30	135	29	-1	4	0,6	46	268		
592	5921302	2,95	15	49	25	0,06	59	13	12	6	-1	196	-1	0	71	0,64	32	53	-1	10	0,9	114	338		
592	5921303	2,18	25	29	35	0,04	87	7	16	5	-1	147	-1	0	119	0,84	147	78	-1	14	1,7	123	624		
592	5921307	3,40	12	36	38	0,13	27	10	12	6	-1	156	-1	0	35	0,55	4	60	-1	16	1,6	107	219		
592	5921308	3,00	13	33	26	0,09	38	9	10	5	-1	183	-1	0	36	0,62	7	56	-1	14	1,3	94	299		
592	5921309	3,42	18	2	31	0,03	41	1	12	1	-1	209	2	0	33	0,84	32	74	-1	4	0,7	119	383		
592	5921310	2,31	9	2	23	0,02	53	-1	6	1	-1	118	5	0	69	0,42	151	50	-1	6	0,9	59	536		
592	5921311	2,73	12	11	27	0,08	39	3	12	3	-1	122	9	0	60	0,68	94	83	-1	13	1,4	120	440		
592	5921312	2,46	10	23	36	0,07	25	6	15	4	-1	128	8	0	12	0,82	2	82	-1	16	1,6	111	130		
592	5921313	2,66	12	23	24	0,10	17	6	11	4	-1	135	6	0	13	0,65	-2	50	-1	18	1,8	106			







PROJECT NUMBER	SAMPLE	ICP6.3 Total Digestion, Multi-Acids																							
		Ag	Al <sub>2</sub> O <sub>3</sub>	Ba	Be	CaO	Cd	Ce	Co	Cr	Cu	Dy	Er	Eu	Fe <sub>2</sub> O <sub>3</sub>	Ga	Gd	Hf	Ho	K <sub>2</sub> O	La	Li	MgO	MnO	Mo
		ppm	wt %	ppm	ppm	wt %	ppm	ppm	ppm	ppm	ppm	ppm	ppm	ppm	wt %	ppm	ppm	ppm	ppm	wt %	ppm	ppm	wt %	wt %	ppm
Nb Analyses	446	0.2	0.01	1	0.2	0.01	1	1	1	1	1	1	1	0.2	1	1	1	1	1	0.01	1	1	0.01	1	1
Compte	Historique	1682	1682	1682	1682	1682	1682	1682	1682	1682	1682	1682	1682	1682	1682	1682	1682	1682	1682	1682	1682	1682	1682	1682	1682
Moyenne	Historique	0,5	12,64	716	1,2	1,84	1	102	6	159	70	4,7	2,7	0,9	3,40	16	5	12	1	3,81	52	23	1,10	0,04	106
Écart-type (σ)	Historique	2,8	4,18	651	1,0	1,74	1	440	9	63	2155	11,3	6,9	0,9	3,93	8	15	23	3	2,21	236	22	1,56	0,05	413
Maximum	Historique	74,8	31,80	5480	7,5	21,30	23	12400	116	1490	88400	159,0	102,0	20,6	49,10	69	349	358	35	12,40	6710	215	22,50	0,74	5550
Minimum	Historique	-0,2	0,09	6	-0,2	-0,01	0	-1	-1	31	-1	-0,2	-0,2	0,12	-1	-1	-1	0	0,04	-1	-1	0,00	0,00	-1	
Compte	Projet	446	446	446	446	446	446	446	446	446	446	446	446	446	446	446	446	446	446	446	446	446	446	446	446
Moyenne	Projet	0,0	12,72	888	1,2	1,90	1	37	9	165	29	1,4	0,5	0,9	4,05	17	2	8	0	4,38	21	22	1,50	0,04	35
Écart-type (σ)	Projet	0,5	2,82	501	0,9	1,85	1	34	11	41	46	0,9	0,7	0,3	4,46	6	1	5	1	1,78	19	12	2,09	0,03	59
Maximum	Projet	3,0	24,30	5480	7,5	13,10	8	243	116	438	415	6,0	4,5	1,9	49,10	48	7	44	2	9,57	136	71	22,50	0,26	651
Minimum	Projet	-0,2	2,57	15	-0,2	0,16	0	1	-1	70	-1	-0,2	-0,2	0,28	1	-1	-1	0	0,19	-1	3	0,04	0,00	0,00	-1
592	5921328	1,0	6,94	65	0,8	1,36	1	6	3	259	5	1,0	0,6	0,3	1,52	6	1	16	0	0,55	1	12	0,42	0,02	465
592	5921329	0,7	14,00	137	1,6	2,67	1	9	5	168	3	0,5	0,4	0,5	2,44	19	1	6	0	1,30	7	31	0,96	0,04	8
592	5921381	-0,2	14,10	119	1,8	3,02	1	21	11	247	90	0,9	-0,2	1,1	2,30	16	1	7	0	0,91	12	7	0,27	0,01	34
592	5921382	-0,2	15,30	950	1,0	1,97	1	49	14	212	28	1,1	-0,2	1,1	4,89	25	1	14	1	4,56	28	40	1,79	0,06	16
592	5921383	-0,2	13,70	959	0,8	1,58	1	10	9	194	6	0,6	0,2	1,0	4,22	17	-1	16	1	4,52	6	36	1,58	0,05	651
592	5921384	-0,2	15,10	287	1,3	2,60	1	31	15	247	41	1,4	-0,2	1,1	5,47	26	1	20	1	2,46	17	44	1,91	0,06	16
592	5921385	-0,2	11,20	462	0,8	1,67	1	17	10	184	19	0,6	-0,2	0,9	3,67	18	-1	19	1	2,63	11	32	1,33	0,04	7
592	5921386	-0,2	15,80	1070	0,9	1,74	1	52	23	202	30	1,2	-0,2	1,2	6,61	27	1	20	2	5,55	30	50	2,21	0,08	2
592	5921387	-0,2	13,30	819	0,7	1,57	1	44	14	194	16	1,2	0,2	1,1	5,40	23	1	16	1	4,35	25	47	1,92	0,07	52
592	5921388	-0,2	14,40	844	0,9	1,75	1	82	14	183	7	2,3	0,6	1,2	5,00	22	3	14	1	4,58	46	41	1,59	0,08	3
592	5921389	-0,2	15,00	738	1,5	2,54	1	72	16	127	6	3,4	1,4	1,2	5,27	23	2	11	1	4,00	40	48	2,17	0,13	3
592	5921390	-0,2	14,70	398	1,6	2,98	1	68	14	151	9	2,8	0,8	1,0	4,93	23	2	10	1	2,78	38	41	2,15	0,13	6
592	5921391	-0,2	7,27	411	0,4	0,72	0	6	3	254	7	0,8	-0,2	0,5	1,95	11	1	14	1	2,81	3	17	0,69	0,03	15
592	5921392	0,4	5,95	449	-0,2	0,36	0	13	4	238	42	1,7	-0,2	0,4	2,00	9	2	29	1	3,24	6	12	0,60	0,02	19
592	5921393	-0,2	13,20	390	1,9	3,49	1	65	15	153	78	3,6	1,8	1,1	7,25	25	2	3	1	2,55	35	53	4,59	0,12	2
592	5921394	0,4	2,96	256	0,3	0,26	0	6	4	229	44	1,9	0,4	0,2	1,27	7	1	20	1	1,11	1	6	0,27	0,01	53
592	5921395	1,7	3,74	69	0,3	0,67	1	7	6	220	39	1,6	1,0	0,2	1,88	5	1	19	1	0,53	2	9	0,45	0,02	52
592	5921396	-0,2	14,60	155	1,5	2,76	1	12	6	141	29	0,9	-0,2	0,9	3,33	22	-1	15	0	1,40	7	28	1,46	0,04	12
592	5921397	-0,2	14,50	130	1,9	4,81	1	18	20	218	72	2,1	1,0	0,9	6,77	23	-1	2	1	1,74	10	37	3,76	0,11	1
592	5921399	-0,2	12,80	998	2,2	1,08	1	56	8	128	50	2,2	1,1	0,9	3,30	18	2	5	1	5,12	29	30	1,26	0,05	8
592	5921400	0,2	14,20	179	4,4	2,20	1	28	10	139	70	1,1	0,4	0,6	1,74	19	1	2	0	1,34	16	10	0,43	0,02	8
592	5921401	-0,2	14,40	177	4,7	2,07	1	12	3	156	49	1,2	0,4	0,5	1,05	20	1	5	0	1,68	7	8	0,27	0,01	11
592	5921402	-0,2	12,50	671	1,4	1,45	1	37	1	173	21	1,3	0,3	0,7	1,22	14	1	3	0	3,68	20	11	0,38	0,02	51
592	5921403	-0,2	12,00	559	1,0	1,38	1	67	2	165	10	1,1	0,4	0,6	1,35	14	2	3	1	3,53	36	14	0,56	0,02	5
592	5921404	-0,2	13,80	579	0,7	0,88	1	51	2	102	23	1,2	0,5	0,5	1,73	21	2	4	0	6,45	28	19	0,85	0,03	2
592	5921405	-0,2	10,50	352	1,0	1,30	1	37	2	234	29	1,0	0,4	0,4	1,49	16	2	2	0	3,29	19	14	0,60	0,02	5
592	5921406	-0,2	13,10	688	1,2	1,85	1	72	2	178	9	1,7	0,5	0,6	1,64	16	2	4	0	2,99	38	17	0,64	0,02	28
592	5921407	-0,2	12,90	639	1,7	2,09	1	55	2	150	13	1,2	0,5	0,6	1,30	15	2	3	0	2,38	30	14	0,47	0,02	1
592	5921408	-0,2	16,90	282	1,5	7,55	1	9	49	438	140	4,2	2,6	1,4	10,70	34	2	2	1	2,74	5	63	6,55	0,19	-1
592	5921410	-0,2	16,10	286	1,6	8,18	1	7	47	400	140	4,2	2,3	1,3	11,20	31	1	1	1	2,62	4	60	7,18	0,21	5
592	5921411	-0,2	16,70	244	1,5	7,35	1	16	47	415	138	4,4	2,3	1,3	8,47	31	2	2	1	1,80	8	41	4,53	0,17	8
592	5921412	0,7	11,10	331	1,1	2,25	1	34	6	185	18	2,6	1,7	0,7	2,46	12	2	5	1	1,93	18	21	0,99	0,03	58
592	5921416	-0,2	13,50	186	2,2	1,75	1	10	1	184	2	1,4	0,8	0,4	1,07	16	1	-1	0	2,56	6	23	0,47	0,02	24
592	5921417	-0,2	13,60	169	2,7	1,28	1	5	3	108	13	2,3	1,8	0,4	2,00	19	2	3	1	2,87	2	40	1,13	0,04	17
592	5921418	0,2	13,40	565	1,0	0,24	1	62	3	122	3	1,3	0,9	0,6	2,06	14	2	3	0	6,35	38	28	0,90	0,03	-1
592	5921419	-0,2	12,60	718	0,6	0,47	1	64	1	141	3	1,2	0,8	0,6	1,39	13	2	5	0	6,20	37	12	0,36	0,02	-1
592	5921420	0,2	11,40	1020	0,6	0,52	1	52	2	165	4	1,0	0,7	0,5	1,56	12	2	4	0	5,96	32	15	0,52	0,02	1
592	5921421	-0,2	14,00	47	1,0	0,28	1	21	-1	112	6	1,5	1,1	0,3	0,28	19	2	6	0	9,57	9	21	0,18	0,01	1
592	5921422	-0,2	13,00	95	1,3	1,04	1	9	-1	187	32	1,2	0,8	0,2	0,51	17	1	3	0	5,94	5	6	0,11	0,01	1
592																									



PROJECT NUMBER	SAMPLE	ICP6.3 Total Digestion, Multi-Acids																		Aqua Regia				
		N <sub>2</sub> O wt %	Nb ppm	Nd ppm	Ni ppm	P <sub>2</sub> O <sub>5</sub> wt %	Pb ppm	Pr ppm	Sc ppm	Sm ppm	Sr ppm	Ta ppm	Tb ppm	Th ppm	TiO <sub>2</sub> wt %	U, ICP ppm	V ppm	W ppm	Y ppm	Yb ppm	Zn ppm	Zr ppm	U <sub>3</sub> O <sub>8</sub> wt %	
Nb Analyses	446	0.01	1	1	1	0.01	1	1	1	1	1	1	1	1	0.01	2	1	1	1	0.1	1	1	0.001	
Compte	Historique	1682	1682	1682	1682	1682,00	1682	1682	1682	1682	1682	1682	1682	1682	1682,00	1682	1682	1682	1682	1682	1682	1682	1682	339
Moyenne	Historique	2,82	8	36	17	0,15	170	9	6	6	-1	220	0	1	263	0,36	353	56	2	26	2,9	65	376	0
Écart-type (σ)	Historique	1,53	26	143	45	0,40	384	41	6	21	2	265	5	3	503	0,39	1201	74	17	57	6,3	82	776	0
Maximum	Historique	8,86	884	4200	1010	6,26	4900	1110	70	606	24	1880	100	47	8540	4,82	19100	1250	328	908	98,2	1620	12500	2
Minimum	Historique	0,01	-1	-1	-1	0,00	1	-1	-1	-1	-1	-1	0	-1	0,00	-2	-1	-1	-1	-0,1	1	1	0	1
Compte	Projet	446	446	446	446	446,00	446	446	446	446	446	446	446	446	446,00	446	446	446	446	446	446	446	446	1
Moyenne	Projet	2,28	7	14	33	0,08	66	2	7	2	-1	161	0	0	74	0,35	77	76	0	9	1,1	92	261	0
Écart-type (σ)	Projet	0,95	6	13	57	0,13	54	4	5	2	0	46	3	1	84	0,21	104	85	7	6	0,8	110	182	#DIV/0!
Maximum	Projet	7,58	34	76	590	1,78	617	20	47	10	1	343	23	3	806	1,04	1050	502	135	44	5,4	1620	1660	0
Minimum	Projet	0,14	-1	-1	1	0,01	2	-1	-1	-1	-1	8	-1	0	-1	0,01	-2	1	-1	1	0,1	6	4	0
592	5921328	2,28	2	2	8	0,03	65	1	1	1	-1	116	7	0	342	0,17	117	15	-1	5	0,6	33	619	
592	5921329	4,46	6	3	9	0,04	16	1	4	1	-1	218	4	0	24	0,39	8	39	-1	3	0,5	59	260	
592	5921381	4,51	-1	7	18	0,04	51	-1	1	1	-1	207	-1	0	41	0,12	80	26	-1	5	0,6	18	215	
592	5921382	3,42	23	17	34	0,06	50	2	13	2	-1	200	-1	0	24	0,77	32	89	-1	6	0,8	99	464	
592	5921383	2,94	22	3	25	0,05	52	-1	11	-1	-1	178	-1	0	24	0,71	44	77	-1	4	0,7	91	531	
592	5921384	4,06	23	11	37	0,06	69	-1	12	2	-1	190	-1	1	53	0,80	146	91	-1	8	1,4	102	656	
592	5921385	2,83	15	5	22	0,04	39	-1	8	1	-1	151	-1	1	16	0,55	51	66	-1	4	1,1	72	636	
592	5921386	3,25	29	18	42	0,07	51	2	15	2	-1	208	2	0	27	1,01	27	106	-1	7	1,2	126	702	
592	5921387	2,88	24	15	30	0,06	58	1	13	2	-1	172	-1	1	55	0,84	77	92	-1	6	1,0	118	557	
592	5921388	3,24	21	30	26	0,11	52	6	11	4	-1	171	-1	0	40	0,79	35	78	-1	12	1,2	92	507	
592	5921389	3,37	11	27	22	0,18	34	5	9	4	-1	153	-1	0	23	0,60	18	61	-1	19	1,9	86	363	
592	5921390	3,82	15	25	24	0,11	50	4	10	4	-1	173	-1	0	73	0,60	69	67	-1	14	1,4	101	320	
592	5921391	1,55	8	2	10	0,02	70	-1	4	1	-1	96	-1	1	94	0,30	145	40	-1	4	0,8	38	444	
592	5921392	0,90	7	4	12	0,02	157	-1	3	1	-1	70	-1	3	354	0,23	281	29	-1	10	1,9	30	963	
592	5921393	2,98	17	28	23	0,13	21	4	13	5	-1	122	2	0	19	0,58	22	89	-1	22	2,6	144	106	
592	5921394	0,61	3	4	11	0,01	148	-1	1	2	-1	33	1	3	81	0,07	436	10	1	11	2,0	15	581	
592	5921395	1,02	5	2	16	0,01	144	-1	2	1	-1	44	-1	0	110	0,16	450	25	-1	9	1,7	30	696	
592	5921396	4,50	17	3	19	0,04	45	-1	9	1	-1	183	-1	0	76	0,54	77	85	1	6	1,0	67	529	
592	5921397	3,56	12	9	63	0,10	22	-1	20	2	-1	154	1	0	14	0,58	21	166	-1	12	1,7	112	42	
592	5921399	2,85	9	21	21	0,13	53	4	6	3	-1	130	-1	0	23	0,41	51	70	-1	13	1,4	73	157	
592	5921400	5,24	-1	9	24	0,06	48	1	1	1	-1	147	-1	0	19	0,14	21	43	1	6	0,8	25	75	
592	5921401	5,29	3	4	11	0,03	53	-1	1	1	-1	155	-1	0	33	0,09	31	19	1	8	1,1	21	113	
592	5921402	3,44	1	11	4	0,04	74	1	1	2	-1	171	-1	0	27	0,15	127	24	2	7	0,6	24	96	
592	5921403	3,30	2	21	6	0,05	36	4	2	3	-1	123	-1	0	22	0,19	10	30	1	5	0,4	33	100	
592	5921404	2,94	4	16	7	0,05	51	3	3	2	-1	88	-1	0	16	0,21	14	56	-1	6	0,6	51	114	
592	5921405	2,68	2	12	10	0,05	26	1	2	2	-1	71	-1	0	11	0,17	8	42	1	5	0,5	35	82	
592	5921406	3,75	4	23	5	0,06	54	5	3	3	-1	179	-1	0	27	0,23	84	37	-1	8	0,7	41	134	
592	5921407	3,88	2	16	4	0,06	24	3	2	2	-1	199	-1	0	13	0,17	12	29	-1	7	0,7	28	88	
592	5921408	2,73	3	10	147	0,15	15	-1	47	3	-1	310	4	0	-1	1,04	9	359	-1	25	3,6	125	24	
592	5921410	2,23	2	9	147	0,16	11	-1	45	3	-1	280	3	0	-1	0,94	6	369	-1	24	3,5	139	19	
592	5921411	3,29	6	12	133	0,14	13	-1	44	3	-1	343	-1	0	1	0,94	7	328	-1	26	3,5	118	42	
592	5921412	3,06	5	13	16	0,08	122	3	5	3	-1	194	-1	0	43	0,24	420	47	-1	15	1,7	48	209	
592	5921416	4,09	4	3	5	0,03	34	1	2	1	-1	164	3	0	14	0,09	107	9	-1	8	0,9	19	18	
592	5921417	4,61	13	2	6	0,06	38	-1	4	1	-1	154	5	0	23	0,17	210	18	-1	14	2,3	30	58	
592	5921418	2,86	6	19	7	0,05	14	5	2	3	1	81	-1	0	14	0,21	8	15	-1	8	0,9	27	108	
592	5921419	2,62	3	19	3	0,03	15	6	2	2	-1	65	-1	0	20	0,18	6	7	-1	6	0,8	15	160	
592	5921420	2,05	2	15	4	0,04	13	4	2	2	-1	72	-1	0	12	0,16	4	8	-1	6	0,7	17	161	
592	5921421	6,46	3	7	3	0,02	45	2	1	2	-1	95	2	0	23	0,03	47	1	-1	6	1,1	27	90	
592	5921422	3,10	3	3	4	0,02	43	1	1	1	-1	45	-1	0	17	0,04	56	1	-1	7	0,9	17	87	
592	5921423	4,60	3	9	4	0,03	37	2	1	2	-1	86	7	0	33	0,08	61	6	-1	9	1,3	17	255	

PROJECT NUMBER	SAMPLE	CERTIFICATE	DATE	U <sub>3</sub> O <sub>8</sub> (wt %)	ICP6.3R Partial Digestion															
					Ag	As	Bi	Co	Cu	Ge	Hg	Mo	Ni	Pb	Sb	Se	Te	U, ICP	V	Zn
					ppm	ppm	ppm	ppm	ppm	ppm	ppm	ppm	ppm	ppm	ppm	ppm	ppm	ppm	ppm	ppm
					0.1	0.2	0.2	0.1	0.1	0.2	0.2	0.1	0.1	0.02	0.2	0.2	0.2	0.5	0.1	0.1
592	5929133	2007-1421	2007-10-01	0.942%	-0.1	-0.2	6.1	1.4	34.1	-0.2	-0.2	1490.0	4.6	3760.00	-1.0	2.2	7.6	14700.0	2.7	25.6
592	5929133,1	2007-1421	2007-10-01	1.870%	-0.1	-0.2	4.1	2.0	20.8	-0.2	-0.2	896.0	3.9	2190.00	-1.0	-0.2	6.4	8730.0	28.0	40.7
592	5929133,2	2007-1421	2007-10-01	1.090%	-0.1	-0.2	3.9	2.3	22.1	-0.2	-0.2	730.0	2.5	1890.00	-1.0	1.9	6.7	7170.0	29.7	42.1
592	5929169	2007-1496	2007-11-18	0.791%	-0.1	-0.2	2.8	13.7	45.5	-0.2	-0.2	1030.0	29.30	1940.0	-1.0	-0.2	12.00	5930.0	106.0	88
592	5929169,1	2007-1496	2007-11-18	0.719%	-0.1	1.3	4.3	10.8	36.1	-0.2	-0.2	977.0	18.6	1890.00	-1.0	-0.2	10.3	5570.0	83.2	70.2
592	5929176	2007-1496	2007-11-18	0.527%	-0.1	-0.2	1.3	0.4	10.3	-0.2	-0.2	13.1	1.7	1630.00	-1.0	-0.2	0.6	3890.0	0.7	16.2
592	5929176,1	2007-1496	2007-11-18	0.824%	-0.1	-0.2	1.9	0.7	13.2	-0.2	-0.2	9.0	0.3	2180.00	-1.0	-0.2	0.7	6150.0	1.1	12.0
592	5929176,2	2007-1496	2007-11-18	1.160%	-0.1	-0.2	1.6	-0.1	15.9	-0.2	-0.2	9.3	0.2	2800.00	-1.0	-0.2	1.2	8150.0	0.4	11.8
592	5929176,3	2007-1496	2007-11-18	1.120%	-0.1	-0.2	1.4	0.9	15.4	-0.2	-0.2	7.6	0.2	2770.00	-1.0	-0.2	1.5	7920.0	0.4	15.0

Note: Samples 5929133 and 5929176 were split into different pails for dangerous good expediting purposes, but were not recombined by the lab.



PROJECT NUMBER	SAMPLE	ICP6.3 Total Digestion, Multi-Acids																							
		Ag	Al2O3	Ba	Be	CaO	Cd	Ce	Co	Cr	Cu	Dy	Er	Eu	Fe2O3	Ga	Gd	Hf	Ho	K2O	La	Li	MgO	MnO	Mo
		ppm	wt %	ppm	ppm	wt %	ppm	ppm	ppm	ppm	ppm	ppm	ppm	ppm	ppm	wt %	ppm	ppm	ppm	ppm	wt %	ppm	ppm	wt %	wt %
		0.2	0.01	1	0.2	0.01	0.2	1	1	1	1	0.2	0.2	0.2	0.01	1	0.5	0.5	0.4	0.002	1	1	0.001	0.001	1
592	5929133	-0.2	3.88	215	-0.2	0.37	-0.2	3480	-1	157	-1	116.0	67.0	9.0	2.26	6	152.0	0.7	25.0	1,610	1800	31	0.974	0.037	822
592	5929133.1	2.4	2.28	139	-0.2	0.23	-0.2	2130	-1	275	-1	153.0	102.0	7.2	1.67	-1	131.0	2.7	35.2	0.945	1050	20	0.609	0.028	1700
592	5929133.2	0.9	2.96	184	-0.2	0.21	0.3	1760	-1	210	-1	93.7	60.4	5.2	2.00	3	93.2	1.0	21.6	1,410	875	27	0.844	0.034	968
592	5929169	5.5	3.43	160	-0.2	0.05	-0.2	58	14	235	-1	20.3	12.1	-0.2	5.61	3	17.8	17.9	4.2	1,660	36	38	1,750	0.036	1270
592	5929169.1	4.0	2.61	121	-0.2	0.04	-0.2	34	8	222	-1	17.6	10.2	-0.2	3.99	-1	15.6	12.5	3.4	1,220	20	29	1,280	0.027	1060
592	5929176	1.6	3.43	72	0.4	0.62	0.4	40	-1	205	-1	25.5	15.0	0.6	0.30	4	19.7	-0.5	5.2	1,030	14	3	0.021	0.006	21
592	5929176.1	2.8	1.91	18	0.2	0.57	0.3	75	-1	188	-1	39.8	22.4	0.7	0.26	-1	31.5	-0.5	7.8	0,332	29	2	0.010	0.005	19
592	5929176.2	3.6	1.80	18	-0.2	0.62	-0.2	49	-1	182	-1	56.5	32.9	1.0	0.25	-1	43.1	-0.5	11.6	0,365	7	2	-0.002	0.006	20
592	5929176.3	4.3	1.76	17	-0.2	0.61	-0.2	54	-1	189	-1	56.6	32.3	0.9	0.25	-1	43.8	1.6	11.2	0,342	9	2	-0.002	0.006	15

PROJECT NUMBER	SAMPLE	ICP6.3 Total Digestion, Multi-Acids																						Aqua Regia
		Na2O	Nb	Nd	Ni	P2O5	Pb	Pr	Sc	Sm	Sn	Sr	Ta	Tb	Th	TiO2	U, ICP	V	W	Y	Yb	Zn	Zr	U3O8
		wt %	ppm	ppm	ppm	wt %	ppm	ppm	ppm	ppm	ppm	ppm	ppm	ppm	ppm	ppm	wt %	ppm	ppm	ppm	ppm	ppm	ppm	ppm
		0.01	1	1	1	0.002	1	1	1	0.5	1	1	1	0.3	1	0.001	2	1	1	1	0.1	1	1	0.001
592	5929133	0.57	6	1120	4	0.526	2250	315	6	179.0	-1	89	2	-0.3	1780	0.298	8020	44	5	493	40.5	49	25	0.942
592	5929133.1	0.28	8	718	5	0.536	3960	182	3	137.0	-1	67	11	-0.3	974	0.202	16600	26	-1	698	75.1	33	52	1.870
592	5929133.2	0.33	7	582	4	0.376	2150	148	4	101.0	-1	66	8	-0.3	962	0.266	8730	39	-1	450	41.2	43	27	1.090
592	5929169	0.07	17	29	29	0.028	2170	3	9	15.6	-1	12	1	-0.3	2380	1.010	6520	118	1	86	7.7	110	624	0.791
592	5929169.1	0.09	12	23	15	0.022	1940	1	7	13.5	-1	9	-1	-0.3	2130	0.711	5540	86	1	75	6.6	77	477	0.719
592	5929176	0.97	2	24	3	0.283	1600	2	-1	14.8	-1	37	2	-0.3	692	0.014	4160	-1	-1	107	10.7	6	21	0.527
592	5929176.1	0.61	2	36	2	0.314	2360	5	-1	22.9	-1	22	1	-0.3	880	0.011	6800	1	-1	163	16.4	5	21	0.824
592	5929176.2	0.56	3	38	1	0.362	3190	1	-1	31.1	-1	17	1	-0.3	1090	0.015	9520	1	-1	242	23.2	2	18	1.160
592	5929176.3	0.56	3	38	2	0.354	3190	3	-1	30.7	-1	16	-1	-0.3	1120	0.008	9190	-1	-1	239	23.3	2	18	1.120





PROJECT NUMBER	SAMPLE	ICP6.3 Total Digestion, Multi-Acids																						
		Ag ppm	Al2O3 wt %	Ba ppm	Be ppm	CaO wt %	Cd ppm	Ce ppm	Co ppm	Cr ppm	Cu ppm	Dy ppm	Er ppm	Eu ppm	Fe2O3 wt %	Ga ppm	Gd ppm	Hf ppm	Ho ppm	K2O wt %	La ppm	Li ppm	MgO wt %	MnO wt %
Nb Analyses	30																							
Compte	Historique	34	34	34	34	34	34	34	34	34	34	34	34	34	34	34	34	34	34	34	34	34	34	34
Moyenne	Historique	0.1	0.17	12	0.1	0.02	0.0	3	0	284	2	0.1	0.0	0.0	0.32	0	0.6	0.0	0.0	0.047	2	4	0.012	0.002
Ecart-type (σ)	Historique	0.2	0.21	12	0.5	0.03	0.1	7	1	55	1	0.2	0.1	0.0	0.07	0	0.5	0.0	0.0	0.074	4	1	0.010	0.001
Maximum	Historique	0.8	1.09	56	2.1	0.15	0.7	27	5	497	4	0.9	0.4	0.0	0.49	0	1.8	0.0	0.0	0.406	15	8	0.045	0.004
Minimum	Historique	0.0	0.05	2	0.0	0.00	0.0	0	0	188	1	0.0	0.0	0.0	0.18	0	0.0	0.0	0.0	0.000	0	2	0.000	0.000
Compte	Projet	32	32	32	32	32	32	32	32	32	32	32	32	32	32	32	32	32	32	32	32	32	32	32
Moyenne	Projet	0.3	0.17	13	1.1	0.03	0.6	6	1	286	2	0.6	0.4	#DIV/0!	0.32	#DIV/0!	0.8	#DIV/0!	#DIV/0!	0.049	5	4	0.013	0.002
Ecart-type (σ)	Projet	0.2	0.22	13	0.9	0.04	0.2	9	0	56	1	0.3	0.0	#DIV/0!	0.07	#DIV/0!	0.3	#DIV/0!	#DIV/0!	0.078	5	1	0.010	0.001
Maximum	Projet	0.8	1.09	56	2.1	0.15	0.7	27	1	497	4	0.9	0.4	0.0	0.49	0	1.8	0.0	0.0	0.406	15	8	0.045	0.004
Minimum	Projet	0.2	0.05	2	0.3	0.01	0.4	1	1	188	1	0.3	0.4	0.0	0.18	0	0.6	0.0	0.0	0.007	1	2	0.003	0.002
592	5921624	-0.2	0.08	8	-0.2	-0.01	-0.2	-1	-1	260	2	-0.2	-0.2	-0.2	0.32	-1	0.6	-0.5	-0.4	0.025	-1	4	0.014	0.002
592	5921626	-0.2	0.10	9	-0.2	-0.01	-0.2	6	1	254	3	0.3	-0.2	-0.2	0.31	-1	0.9	-0.5	-0.4	0.023	3	6	0.008	0.002
592	5921644	-0.2	0.07	6	-0.2	0.01	-0.2	-1	-1	313	2	-0.2	-0.2	-0.2	0.34	-1	0.7	-0.5	-0.4	0.019	-1	4	0.009	0.002
592	5921646	0.2	0.08	6	-0.2	-0.01	-0.2	2	-1	331	2	-0.2	-0.2	-0.2	0.35	-1	0.9	-0.5	-0.4	0.020	1	3	0.010	0.002
592	5921683	0.2	0.09	7	-0.2	-0.01	-0.2	-1	-1	311	2	-0.2	-0.2	-0.2	0.31	-1	0.7	-0.5	-0.4	0.027	-1	3	0.004	0.002
592	5921331	0.8	0.41	28	1.7	0.11	-0.2	1	1	295	3	-0.2	-0.2	-0.2	0.47	-1	-0.5	-0.5	-0.4	0.068	3	5	0.035	0.003
592	5921333	0.2	0.09	5	0.3	-0.01	-0.2	3	-1	285	3	-0.2	-0.2	-0.2	0.32	-1	0.6	-0.5	-0.4	0.023	4	4	0.008	0.002
592	5921354	0.4	1.09	56	2.1	0.15	-0.2	-1	1	271	4	-0.2	-0.2	-0.2	0.49	-1	-0.5	-0.5	-0.4	0.406	2	5	0.045	0.004
592	5921365	-0.2	0.81	35	0.3	0.11	-0.2	-1	-1	239	3	-0.2	-0.2	-0.2	0.42	-1	-0.5	-0.5	-0.4	0.221	-1	4	0.028	0.003
592	5921548	-0.2	0.11	7	-0.2	0.02	-0.2	-1	-1	310	1	-0.2	-0.2	-0.2	0.28	-1	0.8	-0.5	-0.4	0.033	-1	6	0.011	0.003
592	5921695	-0.2	0.07	4	-0.2	-0.01	-0.2	4	-1	188	1	-0.2	-0.2	-0.2	0.18	-1	0.7	-0.5	-0.4	0.023	2	2	0.008	0.002
592	5921711	-0.2	0.07	9	-0.2	0.01	-0.2	-1	-1	218	1	-0.2	-0.2	-0.2	0.23	-1	0.6	-0.5	-0.4	0.017	-1	3	0.010	0.002
592	5921713	-0.2	0.18	11	-0.2	-0.01	-0.2	24	1	304	3	0.7	0.4	-0.2	0.40	-1	1.8	-0.5	-0.4	0.056	13	5	0.008	0.003
592	5921729	0.2	0.15	19	-0.2	0.02	-0.2	-1	-1	231	1	-0.2	-0.2	-0.2	0.26	-1	0.8	-0.5	-0.4	0.045	-1	3	0.011	0.002
592	5921746	0.2	0.12	48	-0.2	0.01	-0.2	-1	-1	237	1	-0.2	-0.2	-0.2	0.25	-1	0.8	-0.5	-0.4	0.045	-1	3	0.008	0.002
592	5921755	0.2	0.26	18	-0.2	0.03	-0.2	1	-1	247	1	-0.2	-0.2	-0.2	0.27	-1	0.8	-0.5	-0.4	0.091	-1	3	0.014	0.002
592	5921764	-0.2	0.16	11	-0.2	0.02	-0.2	-1	-1	252	1	-0.2	-0.2	-0.2	0.25	-1	0.6	-0.5	-0.4	0.055	-1	4	0.011	0.002
592	5921780	0.2	0.09	12	-0.2	0.01	-0.2	-1	-1	311	2	-0.2	-0.2	-0.2	0.32	-1	0.8	-0.5	-0.4	0.024	-1	8	0.010	0.003
592	5921787	-0.2	0.12	10	-0.2	0.02	-0.2	1	-1	230	1	-0.2	-0.2	-0.2	0.25	-1	0.6	-0.5	-0.4	0.033	-1	5	0.025	0.002
592	5921799	0.2	0.12	12	-0.2	0.02	-0.2	-1	-1	287	2	-0.2	-0.2	-0.2	0.26	-1	0.7	-0.5	-0.4	0.053	-1	4	0.014	0.002
592	5921250	-0.2	0.08	13	-0.2	0.01	-0.2	1	-1	342	2	-0.2	-0.2	-0.2	0.35	-1	0.7	-0.5	-0.4	0.016	-1	4	0.011	0.003
592	5921252	-0.2	0.05	5	-0.2	-0.01	-0.2	2	-1	327	2	-0.2	-0.2	-0.2	0.32	-1	0.8	-0.5	-0.4	0.015	-1	4	0.004	0.002
592	5921274	-0.2	0.07	8	-0.2	-0.01	-0.2	2	-1	269	1	-0.2	-0.2	-0.2	0.27	-1	0.8	-0.5	-0.4	0.030	1	4	0.004	0.002
592	5921296	-0.2	0.06	5	-0.2	0.01	-0.2	1	-1	268	2	-0.2	-0.2	-0.2	0.26	-1	-0.5	-0.5	-0.4	0.010	-1	3	0.006	0.002
592	5921304	-0.2	0.05	2	-0.2	-0.01	0.4	-1	-1	295	2	-0.2	-0.2	-0.2	0.31	-1	-0.5	-0.5	-0.4	0.007	-1	3	0.006	0.003
592	5921306	-0.2	0.05	3	-0.2	-0.01	-0.2	2	-1	297	2	-0.2	-0.2	-0.2	0.31	-1	-0.5	-0.5	-0.4	0.011	-1	4	0.003	0.002
592	5921330	-0.2	0.14	4	-0.2	0.02	-0.2	-1	-1	252	2	-0.2	-0.2	-0.2	0.28	-1	-0.5	-0.5	-0.4	0.018	-1	4	0.014	0.002
592	5921378	0.2	0.13	19	-0.2	0.02	-0.2	1	-1	497	3	-0.2	-0.2	-0.2	0.46	-1	1.1	-0.5	-0.4	0.026	-1	4	0.019	0.004
592	5921380	0.2	0.14	7	-0.2	-0.01	-0.2	17	1	375	3	0.5	-0.2	-0.2	0.39	-1	1.4	-0.5	-0.4	0.039	8	4	0.009	0.003
592	5921409	-0.2	0.11	5	-0.2	0.03	-0.2	-1	-1	275	2	-0.2	-0.2	-0.2	0.28	-1	0.6	-0.5	-0.4	0.019	-1	4	0.028	0.003
592	5921413	0.2	0.09	8	-0.2	0.01	-0.2	-1	-1	328	2	-0.2	-0.2	-0.2	0.37	-1	-0.5	-0.5	-0.4	0.014	-1	4	0.012	0.003
592	5921415	-0.2	0.25	10	-0.2	0.01	0.7	27	1	265	3	0.9	0.4	-0.2	0.41	-1	1.5	-0.5	-0.4	0.054	15	5	0.012	0.002



PROJECT NUMBER	SAMPLE	ICP6.3 Total Digestion, Multi-Acids																						
		Mo	Na2O	Nb	Nd	Ni	P2O5	Pb	Pr	Sc	Sm	Sn	Sr	Ta	Tb	Th	TiO2	U, ICP	V	W	Y	Yb	Zn	Zr
		ppm	wt %	ppm	ppm	ppm	wt %	ppm	ppm	ppm	ppm	ppm	ppm	ppm	ppm	ppm	ppm	wt %	ppm	ppm	ppm	ppm	ppm	ppm
Nb Analyses	30	1	0,01	1	1	1	0,010	1	1	1	1,0	1	1	1	1	1	0,010	2	1	1	1	1	1	1
Compte	Historique	34	34	34	34	34	34	34	34	34	34	34	34	34	34	34	34	34	34	34	34	34	34	34
Moyenne	Historique	1	0,02	0	1	5	0,003	4	0	0	0,3	0	4	4	0,0	2	0,005	7	1	0	1	0,0	34	5
Ecart-type (σ)	Historique	1	0,04	0	2	2	0,002	6	0	0	0,5	0	5	6	0,1	4	0,008	13	1	0	1	0,1	2	9
Maximum	Historique	3	0,21	1	8	17	0,007	24	2	0	2,1	2	24	19	0,3	15	0,031	53	5	1	4	0,4	8	39
Minimum	Historique	0	0,00	0	0	3	0,000	0	0	0	0,0	0	1	0	0,0	0	-0,010	0	0	0	0	0,0	0	0
Compte	Projet	32	32	32	32	32	32	32	32	32	32	32	32	32	32	32	32	32	32	32	32	32	32	32
Moyenne	Projet	1	0,03	1	4	5	0,004	5	2	#DIV/0!	0,9	1	4	8	0,3	3	0,007	12,38	1	1	2	0,3	3	5
Ecart-type (σ)	Projet	0	0,05	#DIV/0!	3	1	0,001	8	1	#DIV/0!	0,5	0	5	7	#DIV/0!	4	0,007	15,24	1	0	1	0,1	2	10
Maximum	Projet	3	0,21	1	8	9	0,007	24	2	0	2,1	1	24	19	0,3	15	0,031	53	5	1	4	0,4	8	39
Minimum	Projet	1	0,01	1	1	3	0,002	1	1	0	0,5	1	1	1	0,3	1	0,002	2	1	1	1	0,2	1	1
592	5921624	1	-0,01	-1	-1	3	0,005	-1	-1	-1	-0,5	-1	2	-1	-0,3	1	0,002	4	1	-1	-1	-0,1	3	1
592	5921626	1	-0,01	-1	2	5	0,005	3	-1	-1	-0,5	-1	1	-1	-0,3	4	0,004	13	1	-1	-1	-0,1	3	1
592	5921644	1	0,01	-1	-1	6	0,004	-1	-1	-1	-0,5	-1	2	-1	-0,3	-1	-0,002	-2	1	-1	-1	-0,1	2	1
592	5921646	1	0,01	-1	1	5	0,004	3	-1	-1	0,6	-1	2	-1	-0,3	1	0,003	5	1	-1	-1	-0,1	2	1
592	5921683	1	0,01	-1	-1	4	0,003	1	-1	-1	-0,5	-1	1	1	-0,3	1	0,002	-2	-1	-1	-1	-0,1	-1	-1
592	5921331	2	0,06	-1	-1	7	0,004	1	-1	-1	-0,5	-1	24	1	-0,3	-1	0,023	2	2	1	2	-0,1	3	5
592	5921333	1	-0,01	-1	1	5	0,002	2	-1	-1	0,6	-1	2	17	-0,3	2	0,006	8	1	1	2	-0,1	1	9
592	5921354	1	0,21	-1	-1	6	0,004	-1	-1	-1	0,7	-1	19	14	-0,3	2	0,031	9	5	1	2	-0,1	5	39
592	5921365	1	0,14	-1	-1	5	0,004	-1	-1	-1	-0,5	-1	11	19	-0,3	1	0,022	2	2	-1	1	-0,1	4	17
592	5921548	1	0,02	-1	-1	4	0,002	-1	-1	-1	0,5	-1	1	1	-0,3	-1	0,004	4	1	-1	-1	-0,1	1	1
592	5921695	-1	-0,01	-1	1	3	-0,002	5	-1	-1	0,7	-1	1	-1	-0,3	3	0,003	7	-1	-1	-1	-0,1	2	1
592	5921711	1	0,01	-1	-1	4	0,004	-1	-1	-1	-0,5	-1	2	-1	-0,3	1	0,003	-2	-1	-1	-1	-0,1	1	1
592	5921713	1	-0,01	-1	8	5	0,007	24	1	-1	2,1	-1	1	-1	0,3	16	0,011	40	1	-1	3	0,3	6	2
592	5921729	1	0,03	-1	-1	4	0,003	2	-1	-1	-0,5	-1	3	-1	-0,3	2	0,006	-2	1	-1	-1	-0,1	2	2
592	5921746	1	0,02	-1	-1	5	0,003	13	-1	-1	-0,5	-1	1	-1	-0,3	2	0,003	-2	1	-1	-1	-0,1	1	6
592	5921755	1	0,05	-1	-1	5	0,003	2	-1	-1	-0,5	-1	4	-1	-0,3	2	0,008	-2	1	-1	-1	-0,1	2	2
592	5921764	1	0,03	-1	-1	3	0,002	1	-1	-1	-0,5	-1	2	5	-0,3	2	0,006	-2	1	-1	-1	-0,1	2	1
592	5921780	3	0,02	-1	-1	7	0,002	-1	-1	-1	-0,5	-1	3	17	-0,3	1	0,003	-2	1	-1	-1	-0,1	2	1
592	5921787	1	0,02	-1	-1	3	0,004	3	-1	-1	-0,5	-1	4	-1	-0,3	1	0,005	-2	1	-1	-1	-0,1	3	1
592	5921799	1	0,02	-1	-1	3	0,003	3	-1	-1	-0,5	-1	1	-1	-0,3	1	0,002	-2	1	-1	-1	-0,1	2	2
592	5921250	2	0,01	-1	-1	9	0,002	-1	-1	-1	-0,5	1	4	12	-0,3	-1	0,004	-2	1	1	-1	-0,1	1	37
592	5921252	1	-0,01	-1	-1	7	0,002	-1	-1	-1	0,5	1	1	12	-0,3	2	0,002	4	-1	1	-1	-0,1	2	4
592	5921274	1	0,01	-1	1	5	-0,002	-1	-1	-1	0,5	-1	1	5	-0,3	-1	-0,002	-2	1	1	-1	-0,1	3	1
592	5921296	1	0,01	-1	-1	4	-0,002	1	-1	-1	-0,5	-1	2	-1	-0,3	-1	0,003	-2	1	-1	-1	-0,1	2	2
592	5921304	1	-0,01	-1	-1	5	0,003	-1	-1	-1	-0,5	1	1	5	-0,3	-1	-0,002	-2	-1	-1	-1	-0,1	1	1
592	5921306	1	-0,01	-1	-1	6	-0,002	1	-1	-1	-0,5	-1	1	2	-0,3	1	0,002	4	-1	-1	-1	-0,1	2	1
592	5921330	1	0,04	-1	-1	4	-0,002	-1	-1	-1	-0,5	-1	2	3	-0,3	-1	0,006	-2	1	-1	-1	-0,1	2	2
592	5921378	1	0,02	-1	-1	6	0,007	1	-1	-1	0,7	-1	6	-1	-0,3	-1	0,006	2	1	-1	-1	-0,1	3	1
592	5921380	2	-0,01	-1	6	6	0,005	18	-1	-1	1,4	-1	2	1	-0,3	11	0,008	31	1	-1	2	0,2	5	2
592	5921409	1	0,02	-1	-1	4	0,002	1	-1	-1	-0,5	-1	2	-1	-0,3	-1	0,005	-2	2	-1	-1	-0,1	1	-1
592	5921413	1	0,01	-1	-1	5	0,004	1	-1	-1	-0,5	-1	4	-1	-0,3	-1	0,004	10	1	-1	-1	-0,1	8	1
592	5921415	2	0,01	1	8	5	0,005	23	2	-1	1,6	1	5	9	-0,3	15	0,014	53	1	-1	4	0,4	6	6

PROJECT NUMBER	SAMPLE	FORAGE	CERTIFICATE	DATE	U <sub>3</sub> O <sub>8</sub> (wt %)	U/Th	ICP6.3R Partial Digestion														U, ICP	V	Zn
							Ag	As	Bi	Co	Cu	Ge	Hg	Mo	Ni	Pb	Sb	Se	Te				
							ppm	ppm	ppm	ppm	ppm	ppm	ppm	ppm	ppm	ppm	ppm	ppm	ppm	ppm			
Nb Analyses	7						0,1	0,2	0,2	0,1	0,1	0,2	0,2	0,1	0,1	0,02	1	0,2	0,2	0,5	0,1	0,1	
Compte	Historique						37	38	36	37	36,0	37	36	38	37	37	37	37	36	37,0	37	36	
Moyenne	Historique						1,7	9,2	0,7	24,3	102,5	0,3	-0,1	40,7	167,9	2317,57	0	6,9	4,0	9863,0	751,5	63,3	
Écart-type (σ)	Historique						0,5	17,1	1,8	1,4	3,9	1,8	0,2	3,3	6,5	173,84	4	5,4	1,5	92,3	37,8	7,3	
Maximum	Historique						2,3	109,0	10,8	27,9	107,0	10,5	0,5	49,0	182,0	2520,00	22	22,1	6,9	10200,0	797,0	89,6	
Minimum	Historique						0,0	3,8	-0,2	21,4	83,6	-0,2	-0,2	32,0	157,0	1920,00	-1	0,0	-0,2	9700,0	630,0	42,4	
Compte	Projet				8		8	8	8	8	8,0	8	8	8	8	8	8	8	8	8,0	8	8	
Moyenne	Projet				1,196%		1,1	5,8	2,9	23,9	103,4	4,9	#DIV/0!	36,1	171,1	2011,25	22	0,4	5,7	9866,3	694,8	63,1	
Écart-type (σ)	Projet				0,021%		0,3	1,0	#DIV/0!	1,7	2,1	5,0	#DIV/0!	2,5	9,6	78,80	#DIV/0!	#DIV/0!	0,7	116,0	34,0	12,4	
Maximum	Projet				1,210%		1,7	6,9	2,9	27,6	107,0	10,5	0,0	39,6	182,0	2130,00	22	0,4	6,9	10100,0	745,0	71,6	
Minimum	Projet				1,184%		0,8	3,8	2,9	21,8	101,0	1,0	0,0	32,0	157,0	1920,00	22	0,4	4,8	9700,0	630,0	42,4	
BL-3	Limite inférieure				1,191%																		
BL-3	Valeur certifiée				1,203%																		
BL-3	Limite supérieure				1,215%																		
592	5921637	NR-07-01	G-2007-1719	2007-12-12	1,184%	128	1,7	6,8	-0,2	24,6	105,0	-0,2	-0,2	38,2	177,0	2130,00	-1	-0,2	5,6	9870,0	745,0	43,9	
592	5921675	NR-07-02	G-2007-1738	2007-12-19	1,210%	194	1,2	3,8	2,9	24,2	102,0	10,5	-0,2	33,2	162,0	1940,00	22	-0,2	-0,2	10100,0	705,0	69,2	
592	5921344	NR-07-03	G-2007-1761	2007-12-20	1,164%	183	0,8	6,3	-0,2	22,9	103,0	-0,2	-0,2	37,7	182,0	2030,00	-1	-0,2	5,6	9870,0	665,0	71,6	
592	5921722	NR-07-04	G-2007-1763	2007-12-19	1,210%	228	-0,1	5,4	-0,2	21,8	105,0	1,0	-0,2	36,1	161,0	2030,00	-1	0,4	6,9	9840,0	706,0	42,4	
592	5921772	NR-07-04	G-2007-1763	2007-12-19	1,210%	201	0,9	5,7	-0,2	27,6	101,0	3,3	-0,2	32,0	180,0	2100,00	-1	-0,2	5,3	9770,0	630,0	70,7	
592	5921263	NR-07-05	G-2007-1799	2008-01-03	1,190%	246	1,1	5,8	-0,2	23,5	101,0	-0,2	-0,2	39,6	175,0	2000,00	-1	-0,2	6,1	9910,0	695,0	70,7	
592	5921317	NR-07-06	G-2007-1798	2008-01-03	1,210%	158	0,9	6,9	-0,2	22,9	103,0	-0,2	-0,2	36,0	175,0	1940,00	-1	-0,2	4,8	9700,0	707,0	67,7	
592	5921398	NR-07-07	G-2007-1802	2007-12-19	1,210%	187	1,1	5,9	-0,2	23,6	107,0	-0,2	-0,2	36,2	157,0	1920,00	-1	-0,2	5,5	9870,0	705,0	68,5	



		ICP6.3 Total Digestion, Multi-Acids																							
PROJECT NUMBER	SAMPLE	Ag ppm	Al2O3 wt %	Ba ppm	Be ppm	CaO wt %	Cd ppm	Ce ppm	Co ppm	Cr ppm	Cu ppm	Dy ppm	Er ppm	Eu ppm	Fe2O3 wt %	Ga ppm	Gd ppm	Hf ppm	Ho ppm	K2O wt %	La ppm	Li ppm	MgO wt %	MnO wt %	
		0,2	0,01	1	0,2	0,01	1	1	1	1	1	0,2	0,2	0,2	0,01	1	1,0	1,0	1,0	0,010	1	1	0,010	0,010	
Nb Analyses	7																								
Compte	Historique	37	37	37	37	37	37	37	37	37	37	37	37	37	37	37	37	37	37	37	37	37	37	37	37
Moyenne	Historique	2,0	13,30	326	267,5	4,19	-1	65	26	96	111	4,7	-0,1	1,5	7,78	64	10,0	28,2	4,0	0,702	44	18	2,415	0,073	
Écart-type (σ)	Historique	0,6	0,75	20	21,1	0,26	1	5	1	4	4	0,9	0,1	0,2	0,48	15	4,7	9,9	2,1	0,041	17	1	0,147	0,006	
Maximum	Historique	2,8	14,00	350	289,0	4,42	1	78	29	105	122	5,6	0,0	2,0	8,27	95	21,5	47,1	9,5	0,770	59	19	2,630	0,080	
Minimum	Historique	0,0	9,19	227	158,0	2,75	-1	48	24	87	104	0,0	-0,2	0,8	5,11	0	0,0	0,0	0,0	0,514	4	12	1,700	0,048	
Compte	Projet	8	8	8	8	8	8	8	8	8	8	8	8	8	8	8	8	8	8	8	8	8	8	8	8
Moyenne	Projet	1,4	12,82	328	246,5	4,08	1	67	26	96	110	4,2	#DIV/0!	1,6	7,36	85	5,4	41,9	6,8	0,707	13	17	2,391	0,071	
Écart-type (σ)	Projet	0,1	1,52	16	37,2	0,55	0	9	2	6	3	0,3	#DIV/0!	0,4	0,95	8	8,0	3,6	3,0	0,084	5	2	0,303	0,010	
Maximum	Projet	1,5	14,00	345	276,0	4,42	1	78	29	102	115	4,7	0,0	2,0	8,27	95	21,5	47,1	9,5	0,770	21	19	2,630	0,079	
Minimum	Projet	1,3	9,19	301	158,0	2,75	0	48	24	87	105	3,8	0,0	0,8	5,11	73	0,9	37,0	0,8	0,514	4	12	1,700	0,048	
BL-3	Limite inférieure																								
BL-3	Valeur certifiée																								
BL-3	Limite supérieure																								
592	5921637	-0,2	13,40	335	251,0	4,3	0	66	24	88	115	-0,2	-0,2	1,5	7,63	73	21,5	44,1	-0,4	0,700	12	16	2,460	0,072	
592	5921675	1,3	13,70	344	267,0	4,4	0	73	29	101	111	4,5	-0,2	1,6	8,27	86	1,7	43,1	7,7	0,757	10	18	2,630	0,079	
592	5921344	1,5	13,20	340	260,0	4,3	0	70	26	97	110	4,2	-0,2	2,0	7,79	95	1,4	-0,5	0,8	0,746	4	17	2,450	0,072	
592	5921722	-0,2	12,80	313	241,0	4,1	0	65	27	95	110	3,8	-0,2	1,4	7,45	79	0,9	37,0	7,4	0,707	11	16	2,420	0,072	
592	5921772	1,3	13,30	324	258,0	4,3	0	68	25	102	113	4,4	-0,2	1,6	7,59	84	2,5	40,4	6,9	0,770	12	18	2,560	0,076	
592	5921263	1,3	9,19	301	158,0	2,8	-0,2	65	26	87	105	4,0	-0,2	1,7	5,11	81	4,4	39,9	8,2	0,514	21	12	1,700	0,048	
592	5921317	1,5	13,00	345	261,0	4,2	1	48	24	94	105	3,9	-0,2	0,8	7,53	-1	-0,5	-0,5	-0,4	0,889	18	17	2,280	0,074	
592	5921398	1,3	14,00	322	276,0	4,3	0	78	24	102	109	4,7	-0,2	1,8	7,49	95	-0,5	47,1	9,5	0,770	14	19	2,630	0,074	

PROJECT NUMBER	SAMPLE	ICP6.3 Total Digestion, Multi-Acids																				Aqua Regia			
		Mo ppm	Na2O wt %	Nb ppm	Nd ppm	Ni ppm	P2O5 wt %	Pb ppm	Pr ppm	Sc ppm	Sm ppm	Sn ppm	Sr ppm	Ta ppm	Tb ppm	Th ppm	TiO2 wt %	U, ICP ppm	V ppm	W ppm	Y ppm	Yb ppm	Zn ppm	Zr ppm	U3O8 wt %
Nb Analyses	7	1	0,01	1	1	1	0,01	1	1	1	1	1	1	1	1	0,010	2	1	1	1	0,1	1	1	1	0,001
Compte	Historique	37	37	37	37	37	37,00	37	37	37	37	37	37	37	37	37	37	37	37	37	37	37	37	37	36,000
Moyenne	Historique	45	5,48	31	66	187	0,22	2545	7	17	8	-1	242	1	10	49	0,686	10 251	824	0	39	5,0	82	238	1,198
Ecart-type (σ)	Historique	3	0,33	6	14	7	0,02	139	2	1	2	0	14	1	16	9	0,044	192	52	1	3	0,4	5	14	0,011
Maximum	Historique	53	6,02	44	81	200	0,26	2820	10	19	11	0	268	7	51	77	0,739	10 600	921	3	45	5,9	91	269	1,230
Minimum	Historique	38	3,72	19	0	174	0,19	2140	0	12	4	-1	172	-1	0	40	0,447	9 890	558	-1	25	4,4	69	177	1,180
Compte	Projet	8	8	8	8	8	8,00	8	8	8	8	8	8	8	8	8	8	8	8	8	8	8	8	8	8,000
Moyenne	Projet	40	5,30	37	57	187	0,21	2408	7	16	8	#DIV/0!	241	5	42	55	0,668	10 280	831	2	36	5,2	74	241	1,200
Ecart-type (σ)	Projet	1	0,68	9	4	7	0,01	197	2	2	1	#DIV/0!	29	4	6	11	0,093	209	115	1	5	0,4	4	28	0,011
Maximum	Projet	42	6,02	44	64	199	0,23	2690	10	18	9	0	268	7	51	77	0,739	10 600	921	3	40	5,7	81	269	1,210
Minimum	Projet	38	3,72	19	53	178	0,19	2140	3	12	6	0	172	2	33	41	0,447	9 940	558	1	25	4,7	69	177	1,190
BL-3	Limite inférieure																	10100							
BL-3	Valeur certifiée																	10200							
BL-3	Limite supérieure																	10300							
592	5921837	39	5,41	31	53	195	0,22	2200	10	16	7	-1	254	-1	33	77	0,697	10100	839	1	35	5,1	71	253	1,19
592	5921875	41	5,74	44	62	199	0,22	2610	7	18	8	-1	258	-1	43	53	0,739	10600	891	1	40	5,5	72	258	1,21
592	5921344	39	5,24	34	55	187	0,21	2430	-1	17	9	-1	250	2	51	54	0,651	10300	839	2	38	4,8	81	269	1,19
592	5921722	38	5,33	40	55	178	0,21	2330	8	16	8	-1	237	-1	37	45	0,683	10200	828	-1	36	5,0	69	233	1,21
592	5921772	40	5,51	43	58	189	0,21	2550	9	17	8	-1	247	-1	40	51	0,708	9940	872	-1	37	5,4	75	248	1,21
592	5921263	41	3,72	40	53	185	0,19	2310	3	12	6	-1	172	-1	40	41	0,447	10300	558	3	25	5,0	77	177	1,19
592	5921317	39	5,39	19	-1	184	0,20	2140	6	17	9	-1	240	7	-0,3	65	0,703	10500	896	-1	37	4,7	73	243	1,21
592	5921398	42	6,02	44	64	178	0,23	2690	-1	17	7	-1	268	-1	48	55	0,715	10300	921	-1	39	5,7	73	247	1,19



PROJECT NUMBER	SAMPLE	FORAGE	CERTIFICATE	DATE	U <sub>3</sub> O <sub>8</sub> (wt %)	U/Th	ICP6.3R Partial Digestion																
							Ag	As	Bi	Co	Cu	Ge	Hg	Mo	Ni	Pb	Sb	Se	Te	U, ICP	V	Zn	
							ppm	ppm	ppm	ppm	ppm	ppm	ppm	ppm	ppm	ppm	ppm	ppm	ppm	ppm	ppm	ppm	ppm
Nb Analyses 10							0,1	0,2	0,2	0,1	0,1	0,2	0,2	0,1	0,1	0,1	0	1	0,2	0,2	0,5	0,1	0,1
Compte	Historique						41	41	41	41	41	41	41	41	41	41	41	41	41,0	41	41		
Moyenne	Historique						0,0	28,0	36,2	70,9	75,7	-0,1	-0,2	7,7	44,9	1177	-1	3,5	-0,1	2447,6	4,1	163,2	
Écart-type (σ)	Historique						0,2	1,6	9,3	3,0	5,1	0,3	0,1	0,9	1,9	82	1	1,9	0,2	89,7	1,0	6,3	
Maximum	Historique						0,6	32,2	48,5	79,7	86,8	1,1	0,2	10,0	49,8	1300	4	6,0	0,6	2670,0	5,8	184,0	
Minimum	Historique						-0,1	24,6	19,1	65,7	67,0	-0,2	-0,2	5,4	40,9	926	-1	-0,2	-0,2	2220,0	1,8	148,0	
Compte	Projet						11	11	11	11	11	11	11	11	11	11	11	11	11,0	11	11		
Moyenne	Projet						0,0	28,4	22,1	71,1	82,8	0,2	-0,2	7,3	44,8	1075	0	0,8	-0,1	2520,9	4,8	165,3	
Écart-type (σ)	Projet						0,2	2,1	3,3	4,1	2,7	0,5	0,0	1,0	2,5	91	2	1,0	0,2	126,4	1,5	9,9	
Maximum	Projet						0,3	32,2	28,8	79,7	86,8	1,1	-0,2	8,4	49,8	1250	4	3,2	0,5	2670,0	5,8	184,0	
Minimum	Projet						-0,1	25,4	19,1	65,7	78,2	-0,2	-0,2	5,4	40,9	926	-1	-0,2	-0,2	2220,0	1,8	148,0	
DH-1a	Limite inférieure																						
DH-1a	Valeur certifiée				0,310%																		
DH-1a	Limite supérieure																						
592	592 1625	NR-07-01	G-2007-1719	2007-12-12	0,288%	3,0	-0,1	29,8	21,3	75,7	84,1	-0,2	-0,2	8,4	47,0	1160,00	-1,0	1,0	-0,2	2460,0	5,8	175,0	
592	592 1645	NR-07-02	G-2007-1738	2007-12-19	0,289%	2,8	0,3	29,9	28,8	65,7	85,8	-0,2	-0,2	6,2	40,9	926,00	4,2	-0,2	-0,2	2220,0	1,9	148,0	
592	592 1332	NR-07-03	G-2007-1761	2007-12-20	0,315%	3,4	-0,1	28,2	20,9	70,2	81,5	0,6	-0,2	7,5	43,8	1090,00	-1,0	1,2	0,5	2670,0	5,4	165,0	
592	592 1549	NR-07-03	G-2007-1761	2007-12-20	0,302%	2,8	0,3	31,4	28,2	65,7	81,7	-0,2	-0,2	5,4	41,1	942,00	4,3	-0,2	-0,2	2560,0	1,8	154,0	
592	592 1712	NR-07-04	G-2007-1763	2007-12-19	0,288%	2,9	-0,1	28,2	19,3	72,8	78,2	-0,2	-0,2	8,2	45,8	1110,00	-1,0	-0,2	-0,2	2520,0	5,5	170,0	
592	592 1737	NR-07-04	G-2007-1763	2007-12-19	0,292%	3,0	-0,1	32,2	20,7	79,7	86,4	-0,2	-0,2	8,1	49,8	1250,00	-1,0	0,7	-0,2	2620,0	5,5	184,0	
592	592 1251	NR-07-05	G-2007-1799	2008-01-03	0,289%	4,2	-0,1	26,4	22,4	71,4	86,8	0,8	-0,2	7,2	45,0	1100,00	-1,0	1,0	-0,2	2450,0	5,4	165,0	
592	592 1285	NR-07-05	G-2007-1799	2008-01-03	0,300%	2,8	-0,1	27,5	21,5	70,1	82,3	1,1	-0,2	8,4	44,5	1070,00	-1,0	3,2	-0,2	2540,0	5,6	167,0	
592	592 1305	NR-07-06	G-2007-1798	2008-01-03	0,288%	4,1	-0,1	25,4	20,0	68,1	81,1	0,9	-0,2	6,6	43,9	1030,00	-1,0	1,2	-0,2	2590,0	5,2	157,0	
592	592 1379	NR-07-07	G-2007-1802	2007-12-19	0,284%	2,5	-0,1	26,7	19,1	70,5	80,9	0,3	-0,2	6,7	44,6	1060,00	-1,0	0,9	-0,2	2650,0	5,5	164,0	
592	592 1414	NR-07-08	G-2007-1807	2008-01-16	0,288%	3,0	-0,1	27,1	21,0	71,9	82,3	-0,2	-0,2	7,2	46,4	1090,00	-1,0	0,5	-0,2	2450,0	5,6	169,0	

PROJECT NUMBER	SAMPLE	ICP6.3 Total Digestion, Multi-Acids																						
		Ag ppm	Al2O3 wt %	Ba ppm	Be ppm	CaO wt %	Cd ppm	Ce ppm	Co ppm	Cr ppm	Cu ppm	Dy ppm	Er ppm	Eu ppm	Fe2O3 wt %	Ga ppm	Gd ppm	Hf ppm	Ho ppm	K2O wt %	La ppm	Li ppm	MgO wt %	MnO wt %
Nb Analyses	10	0,2	0,01	1	0,2	0,01	1,0	1	1	1	1	1	1	1	1	1	1	1	1	0,010	1	1	0,010	0,010
Compte	Historique	41	41	41	41	41	41	41	41	41	41	41	41	41	41	41	41	41	41	41	41	41	41	41
Moyenne	Historique	0,0	4,97	226	1,2	0,11	-0,7	1389	75	31	94	45,2	20,4	4,4	7,38	23	61,6	11,7	8,2	1,715	796	14	0,094	-0,006
Écart-type (σ)	Historique	0,6	0,17	8	0,2	0,01	0,4	223	2	2	5	3,7	1,4	0,7	0,25	5	6,2	3,2	1,2	0,061	140	1	0,006	0,008
Maximum	Historique	2,4	5,22	240	1,7	0,12	0,5	1570	81	34	102	53,7	23,7	5,5	7,71	31	70,0	16,5	10,0	1,810	886	16	0,110	0,007
Minimum	Historique	-0,2	4,50	208	0,9	0,10	-1,0	568	71	26	84	35,3	17,0	2,6	6,75	5	39,7	-0,5	4,7	1,560	283	13	0,087	-0,010
Compte	Projet	11	11	11	11	11	11	11	11	11	11	11	11	11	11	11	11	11	11	11	11	11	11	11
Moyenne	Projet	0,2	4,80	221	1,0	0,11	-0,1	1232	75	30	90	41,4	20,3	3,6	7,07	24	57,1	12,0	6,7	1,659	667	14	0,098	0,007
Écart-type (σ)	Projet	1,0	0,23	10	0,2	0,01	0,2	350	3	2	5	3,4	2,0	0,6	0,26	10	9,2	5,8	1,1	0,085	199	1	0,007	0,000
Maximum	Projet	2,4	5,18	237	1,7	0,12	0,5	1570	81	33	100	47,0	23,7	4,7	7,48	31	66,9	16,5	8,7	1,800	863	16	0,107	0,007
Minimum	Projet	-0,2	4,50	208	0,9	0,10	-0,2	568	71	26	84	35,3	17,0	2,6	6,75	5	39,7	-0,5	4,7	1,560	283	13	0,087	0,006
DH-1a	Limite inférieure																							
DH-1a	Valeur certifiée																							
DH-1a	Limite supérieure																							
592	592 1625	-0,2	4,68	230	0,9	0,10	0,2	1250	77	26	88	47,0	18,0	3,7	6,85	23	66,9	15,8	5,4	1,570	673	13	0,097	0,007
592	592 1645	-0,2	4,78	224	1,0	0,10	0,2	1360	77	28	96	41,3	20,9	3,6	7,35	28	60,8	15,4	6,7	1,670	743	14	0,100	0,006
592	592 1332	-0,2	4,68	229	1,7	0,11	-0,2	1150	77	32	87	43,3	20,5	3,3	7,09	31	54,7	-0,5	4,7	1,580	576	15	0,107	0,007
592	592 1549	-0,2	4,98	208	1,0	0,11	-0,2	1470	71	30	91	42,9	21,6	4,0	6,84	30	66,0	15,9	6,8	1,720	772	15	0,102	0,007
592	592 1712	-0,2	4,52	209	0,9	0,10	-0,2	1280	74	33	91	38,0	18,6	3,5	6,93	26	57,6	13,4	6,5	1,580	736	13	0,096	0,006
592	592 1737	-0,2	4,50	209	0,9	0,11	-0,2	1300	81	28	87	38,2	19,0	3,5	6,80	25	58,4	13,8	5,8	1,560	750	13	0,100	0,007
592	592 1251	-0,2	4,59	215	0,9	0,10	-0,2	568	72	28	86	35,3	17,0	2,6	6,75	26	39,7	14,3	7,5	1,610	283	14	0,093	0,006
592	592 1285	-0,2	5,18	237	1,2	0,11	-0,2	1570	78	31	100	43,0	21,9	4,0	7,48	29	65,5	16,4	7,2	1,800	819	15	0,104	0,007
592	592 1305	2,4	4,89	224	1,0	0,10	0,5	583	73	29	85	39,1	20,9	3,0	7,11	5	40,7	5,4	7,5	1,680	307	14	0,087	0,007
592	592 1379	-0,2	5,06	214	1,0	0,11	-0,2	1560	71	32	96	43,8	21,2	4,0	7,14	31	58,5	16,5	7,1	1,770	812	16	0,107	0,007
592	592 1414	1,9	4,92	231	1,0	0,12	-0,2	1460	77	32	84	43,6	23,7	4,7	7,41	5	59,2	5,2	8,7	1,710	863	14	0,088	0,007



PROJECT NUMBER	SAMPLE	ICP6.3 Total Digestion, Multi-Acids																				Aqua Regia				
		Mo ppm	Na2O wt %	Nb ppm	Nd ppm	Ni ppm	P2O5 wt %	Pb ppm	Pr ppm	Sc ppm	Sm ppm	Sn ppm	Sr ppm	Ta ppm	Tb ppm	Th ppm	TiO2 wt %	U, ICP ppm	V ppm	W ppm	Y ppm	Yb ppm	Zn ppm	Zr ppm	U <sub>3</sub> O <sub>8</sub> wt %	
Nb Analyses	10	1	0,01	1	1	1	0,010	1	1	1	1,0	1	1	1	1,0	1	0,010	2	1	1	1	0,1	1	1	0,001	
Compte	Historique	41	41	41	41	41	41	41	41	41	41	41	41	41	41	41	41	41	41	41	41	41,0	41	41	40,000	
Moyenne	Historique	10	0,05	54	465	48	0,225	1296	146	4	75,8	1	21	18	11,6	839	0,557	2630	24	0	196	16,2	172	244	0,295	
Écart-type (σ)	Historique	2	0,01	5	70	2	0,009	76	26	1	9,7	1	2	3	5,6	76	0,020	94	2	2	13	0,7	7	16	0,006	
Maximum	Historique	12	0,08	70	519	53	0,245	1430	168	5	92,9	4	25	25	23,5	950	0,590	2870	28	7	213	17,6	196	277	0,311	
Minimum	Historique	5	0,04	49	200	43	0,204	1080	56	3	43,4	-1	15	2	-0,3	580	0,496	2440	21	-1	163	14,4	159	217	0,283	
Compte	Projet	11	11	11	11	11	11	11	11	11	11	11	11	11	11	11	11	11	11	11	11	11,0	11	11	11,000	
Moyenne	Projet	8	0,05	61	416	48	0,224	1234	126	4	76,5	1	21	20	17,0	809	0,536	2665	22	2	180	16,1	178	256	0,287	
Écart-type (σ)	Projet	2	0,01	6	111	2	0,014	104	39	1	17,0	2	3	3	8,8	122	0,023	76	1	2	11	1,1	10	20	0,003	
Maximum	Projet	11	0,06	70	519	50	0,245	1380	167	4	92,9	4	25	25	23,5	950	0,563	2770	25	7	196	17,6	196	277	0,292	
Minimum	Projet	5	0,04	51	200	45	0,204	1080	56	3	43,4	-1	15	13	-0,3	580	0,496	2500	21	1	163	14,4	162	222	0,283	
DH-1a	Limite inférieure															907									2628	
DH-1a	Valeur certifiée															910										2629
DH-1a	Limite supérieure															913										2632
592	5921625	6	0,05	55	428	48	0,222	1200	113	3	66,4	1	22	13	17,2	826	0,530	2600	21	1	163	14,4	180	268	0,288	
592	5921645	5	0,05	64	486	49	0,230	1290	151	4	84,8	1	21	21	21,4	870	0,547	2710	22	1	189	16,6	172	243	0,289	
592	5921332	7	0,05	63	386	48	0,240	1230	106	4	75,5	-1	23	22	23,5	779	0,496	2710	22	1	177	16,3	176	277	0,288	
592	5921549	6	0,05	69	507	45	0,239	1380	167	3	92,9	1	22	22	22,2	920	0,543	2770	23	3	184	17,3	162	236	0,286	
592	5921712	8	0,04	62	439	46	0,216	1200	156	3	88,1	-1	21	19	19,2	842	0,520	2600	21	2	171	15,1	177	243	0,288	
592	5921737	9	0,06	63	447	50	0,221	1190	156	3	87,2	-1	21	19	19,2	814	0,525	2730	21	1	176	15,3	190	234	0,292	
592	5921251	6	0,04	59	213	46	0,208	1100	60	4	43,4	1	15	25	18,1	580	0,506	2500	21	1	163	15,2	177	276	0,283	
592	5921285	11	0,05	65	512	49	0,231	1370	151	4	86,1	-1	22	17	23,0	918	0,558	2680	25	7	196	17,5	185	277	0,283	
592	5921305	10	0,04	54	200	49	0,204	1080	56	4	47,3	4	16	23	-0,3	592	0,563	2670	23	3	176	16,0	181	260	0,288	
592	5921379	9	0,05	70	519	46	0,245	1360	134	3	88,6	1	25	22	23,4	950	0,560	2710	24	4	191	17,6	165	222	0,284	
592	5921414	10	0,05	51	443	50	0,208	1170	141	4	81,5	1	21	19	-0,3	811	0,553	2630	24	2	192	16,3	196	275	0,288	







PROJECT NUMBER	SAMPLE	CERTIFICATE	DATE	ICP6.3 Total Digestion, Multi-Acids																									
				Ag	Al2O3	Ba	Be	CaO	Cd	Ce	Co	Cr	Cu	Dy	Er	Eu	Fe2O3	Ga	Gd	Hf	Ho	K2O	La	Li	MgO	MnO	Mo	Na2O	
				ppm	wt %	ppm	ppm	wt %	ppm	ppm	ppm	ppm	ppm	ppm	ppm	ppm	ppm	wt %	ppm	ppm	ppm	ppm	wt %	ppm	ppm	wt %	ppm	ppm	wt %
Nb Analyses	132			0,2	0,01	1	0,2	0,01	1,0	1	1	1	1	1	0,2	0,2	0,2	1,0	1,0	0,10	1	1	0,010	0,010	1	0,01			
	Compte	Historique		549	549	549	549	549	549	549	549	549	549	549	549	549	549	549	549	549	549	549	549	549	549	549	549		
	N > LD	Historique		549	549	549	549	549	549	549	549	549	549	549	549	549	549	549	549	549	549	549	549	549	549	549	549		
	Moyenne	Historique		-0,1	17,44	2246	2,1	4,77	-0,1	158	18	120	3	3,3	2,5	2,5	7,26	23	5,3	3,8	1,1	3,114	87	28	2,808	0,072	0	3,21	
	Ecart-type (σ)	Historique		0,2	0,28	73	0,1	0,09	1,0	6	1	5	1	0,2	0,2	0,1	0,14	1	0,5	0,6	0,3	0,070	3	1	0,064	0,003	1	0,08	
	Maximum	Historique		0,4	18,40	2430	2,5	5,09	1,3	175	20	132	6	3,7	2,8	3,0	7,80	27	6,4	6,0	1,9	3,250	96	33	3,040	0,081	7	3,44	
	Minimum	Historique		-0,2	16,90	2050	1,7	4,60	-1,0	145	14	110	1	2,7	2,0	2,2	6,93	19	4,0	2,0	-1,0	2,850	80	25	2,700	0,065	-1	3,05	
	Compte	Projet		94	94	94	94	94	94	94	94	94	94	94	94	94	94	94	94	94	94	94	94	94	94	94	94	94	94
	N > LD	Projet		94	94	94	94	94	94	94	94	94	94	94	94	94	94	94	94	94	94	94	94	94	94	94	94	94	94
	Moyenne	Projet		0,0	17,40	2233	2,1	4,80	1,0	158	18	120	3	3,4	2,5	2,5	7,24	23	5,6	4,1	1,5	3,098	86	28	2,820	0,074	1	3,22	
	Ecart-type (σ)	Projet		0,2	0,32	96	0,1	0,11	0,1	7	2	6	1	0,2	0,2	0,1	0,16	2	0,4	0,5	0,3	0,081	4	1	0,076	0,002	1	0,10	
	Maximum	Projet		0,4	18,40	2430	2,4	5,09	1,3	175	20	132	6	3,7	2,8	3,0	7,80	26	6,4	5,0	1,9	3,230	96	31	3,040	0,081	7	3,42	
	Minimum	Projet		-0,2	16,90	2050	1,8	4,60	0,6	145	15	111	2	3,0	2,0	2,2	6,93	19	4,6	3,0	0,9	2,850	80	25	2,700	0,065	-1	3,05	
	CG515 (dp) et LS4 (dt)	Certified value		0,2	17,70	2250	2,1	4,87	0,9	160	17	121	4	3,2	2,4	2,6	7,25	22	5,6	4,0	1,4	3,050	88	29	2,870	0,076	1	3,25	
	CG515 (dp) et LS4 (dt)	Lower limit		-0,2	16,90	2050	1,7	4,60	0,5	145	14	110	2	2,7	2,0	2,2	6,90	17	4,5	3,0	0,9	2,850	80	25	2,700	0,064	-1	3,05	
	CG515 (dp) et LS4 (dt)	Upper limit		0,4	18,60	2450	2,6	5,14	1,3	176	20	132	6	3,7	2,8	3,0	7,80	27	6,5	5,0	1,9	3,250	96	33	3,040	0,081	2	3,45	
592	CG515LS4/BL	2007-900	2007-08-07	-0,2	17,90	2240	2,0	4,92	1,1	157	18	116	3	3,5	2,4	2,5	7,35	22	5,8	3,6	1,1	3,180	87	28	2,940	0,078	1	3,41	
592	CG515LS4/BM	2007-900	2007-08-07	-0,2	17,10	2110	1,8	4,70	1,1	150	18	119	4	3,3	2,5	2,4	7,04	21	5,6	4,0	1,1	3,090	81	26	2,740	0,072	1	3,25	
592	CG515LS4/BH	2007-900	2007-08-07	-0,2	17,40	2120	1,9	4,66	1,0	147	18	113	3	3,3	2,8	2,3	7,10	21	5,3	3,9	1,0	3,030	82	28	2,750	0,072	1	3,21	
592	CG515LS4/BM	2007-900	2007-08-07	-0,2	17,30	2160	2,0	4,73	1,0	153	18	118	3	3,3	2,5	2,4	7,30	22	5,4	3,9	1,2	3,130	85	27	2,850	0,076	1	3,31	
592	CG515LS4/BH	2007-900	2007-08-07	-0,2	17,20	2150	1,9	4,70	0,9	154	18	115	3	3,4	2,8	2,4	7,08	22	5,7	3,9	1,2	3,170	82	27	2,810	0,074	1	3,35	
592	CG515LS4/BM	2007-900	2007-08-07	0,3	17,90	2180	2,0	4,70	1,0	161	17	121	3	3,5	2,5	2,4	7,48	22	5,5	4,1	1,1	3,230	88	29	2,950	0,077	-1	3,41	
592	CG515LS4/BH	2007-900	2007-08-07	0,2	17,40	2100	1,9	4,72	0,9	157	16	119	3	3,4	2,3	2,4	7,24	22	5,5	4,1	1,1	3,210	84	27	2,870	0,074	2	3,39	
592	CG515LS4/BM	2007-900	2007-08-07	0,3	17,20	2140	2,0	4,79	1,0	156	16	122	4	3,5	2,4	2,4	7,25	23	5,7	3,6	1,3	3,200	84	27	2,840	0,075	2	3,40	
592	CG515LS4/BH	2007-900	2007-08-07	0,3	17,30	2160	1,9	4,71	1,0	158	18	115	4	3,5	2,5	2,4	7,25	22	5,7	4,0	1,1	3,170	84	28	2,880	0,076	1	3,37	
592	CG515LS4/BM	2007-900	2007-08-07	0,3	17,80	2210	2,0	4,80	1,1	159	15	121	3	3,5	2,5	2,5	7,52	23	5,4	4,0	1,4	3,220	86	29	2,940	0,077	1	3,40	
592	CG515LS4/BM	2007-900	2007-08-07	0,2	17,80	2160	1,9	4,80	1,1	161	16	121	3	3,5	2,7	2,5	7,46	23	5,8	4,8	1,3	3,220	86	28	2,900	0,076	-1	3,40	
592	CG515LS4	2007-1039	2007-08-29	-0,2	17,50	2280	2,0	4,80	0,8	153	17	117	3	3,4	2,4	2,4	7,16	22	6,1	3,6	1,0	3,160	86	28	2,880	0,075	-1	3,33	
592	CG515LS4	2007-1039	2007-08-29	-0,2	17,10	2190	1,9	4,66	1,0	150	16	111	3	3,3	2,5	2,4	6,95	21	6,1	3,7	1,1	3,080	80	27	2,770	0,073	1	3,24	
592	CG515LS4	2007-1039	2007-08-29	-0,2	16,90	2210	1,9	4,63	0,9	150	16	125	3	3,2	2,3	2,4	7,25	21	5,9	4,1	1,0	3,120	82	27	2,790	0,073	-1	3,25	
592	CG515LS4	2007-1039	2007-08-29	-0,2	17,10	2200	1,9	4,63	0,9	150	15	120	6	3,3	2,4	2,4	7,19	22	6,0	4,2	1,1	3,200	82	28	2,820	0,073	-1	3,34	
592	CG515LS4	2007-1039	2007-08-29	0,2	17,00	2220	1,9	4,64	0,8	150	18	123	3	3,3	2,4	2,5	7,21	22	6,1	4,2	1,0	3,130	81	29	2,870	0,065	-1	3,32	
592	CG515LS4	2007-1040	2007-08-29	-0,2	17,00	2200	1,9	4,60	1,0	150	17	117	3	3,3	2,5	2,4	7,21	21	6,1	4,2	1,2	3,040	83	27	2,780	0,073	-1	3,20	
592	CG515LS4	2007-1040	2007-08-29	-0,2	17,10	2210	1,9	4,65	0,9	152	16	123	3	3,3	2,4	2,4	7,24	22	6,4	3,9	1,1	3,230	82	28	2,880	0,074	2	3,38	
592	CG515LS4	2007-1093	2007-09-27	-0,2	17,00	2140	2,2	4,70	0,7	162	17	120	2	3,0	2,8	2,9	7,07	24	5,7	3,5	1,2	3,160	96	30	2,780	0,072	-1	3,22	
592	CG515LS4	2007-1094	2007-09-27	-0,2	17,40	2190	2,2	4,83	0,6	164	16	121	2	3,0	2,7	3,0	7,19	23	5,8	3,6	1,3	3,200	96	31	2,820	0,073	-1	3,28	
592	CG515LS4	2007-1094	2007-09-27	-0,2	17,30	2220	2,3	4,80	0,9	164	17	127	3	3,1	2,7	3,0	7,29	22	5,7	3,3	1,3	3,170	92	31	2,860	0,074	-1	3,24	
592	CG515LS4	2007-942	2007-08-14	-0,2	17,90	2220	2,1	4,81	1,0	158	19	121	3	3,4	2,4	2,6	7,38	23	5,9	4,0	1,9	3,060	84	27	2,890	0,074	1	3,27	
592	CG515LS4	2007-1131	2007-09-27	-0,2	17,40	2140	1,9	4,82	1,1	154	20	115	4	3,1	2,7	2,4	7,47	22	6,0	3,9	1,0	3,210	90	27	2,890	0,076	2	3,36	
592	CG515LS4	2007-1131	2007-09-27	0,3	17,00	2140	1,9	4,77	0,9	151	18	111	3	3,0	2,5	2,3	7,30	22	5,8	3,3	1,1	3,090	86	26	2,820	0,075	-1	3,25	
592	CG515LS4/BM	2007-1310	2007-10-01	0,3	17,60	2270	2,0	4,89	1,2	156	19	115	3	3,2	2,4	2,4	7,08	23	5,5	4,9	1,7	3,100	86	26	2,730	0,075	2	3,23	
592	LS4	2007-942	2007-08-14	0,3	17,10	2270	2,0	4,85	1,0	161	20	111	3	3,2	2,4	2,4	7,30	23	5,7	3,7	1,6	3,130	88	28	2,780	0,076	1	3,14	
592	LS4	2007-942	2007-08-14	-0,2	17,80	2400	1,8	4,88	1,1	168																			



PROJECT NUMBER	SAMPLE	CERTIFICATE	DATE	ICP.3 Total Digestion, Multi-Acids																		Aqua Regia			Total			
				Nb	Nd	Ni	P2O5	Pb	Pr	Sc	Sm	Sr	Ta	Tb	Th	TiO2	U, ICP	V	W	Y	Yb	Zn	Zr	U <sub>2</sub> O <sub>5</sub>		B	U, Fl.	U, Fl.
				ppm	ppm	ppm	wt %	ppm	ppm	ppm	ppm	ppm	ppm	ppm	ppm	ppm	wt %	ppm	ppm	ppm	ppm	ppm	ppm	ppm		wt %	ppm	ppm
Nb Analyses	132																											
	Compte	Historique		549	549	549	549	549	549	549	549	549	549	549	549	549	549	549	549	549	549	549	30	27	44	0		
	N > LD	Historique		549	549	549	549	549	549	549	549	549	549	549	549	549	549	549	549	549	549	549	30	27	44	0		
	Moyenne	Historique		62	23	0,674	19	15	13	8,4	1	1153	0	-0,7	13	1,074	0	132	-1	22	2,0	87	170	1	313	33,33	#DIV/0!	
	Ecart-type (σ)	Historique		1	2	2	0,012	1	1	1	0,5	2	32	1	0,5	1	0,044	3	5	1	1	0,1	3	20	4	368	1,87	#DIV/0!
	Maximum	Historique		10	69	27	0,710	20	19	15	10,0	5	1220	2	0,7	16	1,170	4	143	2	25	2,3	94	275	15	877	36,90	0
	Minimum	Historique		6	57	17	0,650	14	13	11	7,0	-1	1080	-1	-1,0	10	0,970	-2	115	-1	19	1,7	80	136	0	16	29,90	0
	Compte	Projet		94	94	94	94	94	94	94	94	94	94	94	94	94	94	94	94	94	94	94	15	11	1	0		
	N > LD	Projet		94	94	94	94	94	94	94	94	94	94	94	94	94	94	94	94	94	94	94	15	11	1	0		
	Moyenne	Projet		62	24	0,675	18	16	12	8,6	2	1159	0	-0,3	14	1,070	1,97	133	0	21	1,9	87	169	2,0210	373	31,90	#DIV/0!	
	Ecart-type (σ)	Projet		1	3	2	0,012	2	1	1	0,4	1	33	1	0,1	2	0,060	2,49	5	1	1	0,1	3	23	5,2695	397	#DIV/0!	#DIV/0!
	Maximum	Projet		9	69	27	0,695	20	19	14	9,6	5	1220	2	0,4	16	1,160	4	143	2	22	2,2	94	275	15,0000	877	31,90	0
	Minimum	Projet		6	57	20	0,655	15	13	11	7,8	-1	1080	-1	-0,3	11	0,970	-2	121	-1	19	1,7	80	137	0,0010	20	31,90	0
	CG515 (dp) et LS4 (dt)	Certified value		6	63	22	0,676	17	16	13	8,8	3	1160	1	0,3	13	1,070	2,00	131	1	22	2,0	87	166			32,00	4
	CG515 (dp) et LS4 (dt)	Lower limit		6	57	17	0,673	14	13	11	7,8	1	1080	-1	-0,3	10	0,970	-2	109	-1	19	1,7	80	135				
	CG515 (dp) et LS4 (dt)	Upper limit		10	69	27	0,677	20	19	15	9,8	5	1220	2	0,7	16	1,170	4	143	2	25	2,3	94	176				
592	CG515LS4/BL	2007-900	2007-08-07	7	63	23	0,692	20	16	13	9,0	1	1140	1	-0,3	13	1,010	-2	135	-1	22	1,9	85	142			20	31,90
592	CG515LS4/BM	2007-900	2007-08-07	8	60	23	0,660	17	16	12	8,8	1	1100	2	-0,3	13	0,998	2	126	-1	20	1,8	85	140			99	
592	CG515LS4/BH	2007-900	2007-08-07	8	60	20	0,667	17	15	12	8,5	-1	1100	1	-0,3	13	0,970	3	129	-1	21	1,8	82	142			868	
592	CG515LS4/BM	2007-900	2007-08-07	8	61	23	0,683	17	16	13	8,8	3	1100	-1	-0,3	12	1,030	2	133	2	21	1,8	86	140			100	
592	CG515LS4/BH	2007-900	2007-08-07	7	62	23	0,664	17	16	12	9,0	1	1080	2	-0,3	13	0,972	2	128	-1	21	1,9	88	137			875	
592	CG515LS4/BM	2007-900	2007-08-07	8	65	22	0,659	18	16	13	9,0	3	1160	1	-0,3	13	1,070	2	137	-1	22	1,9	92	145			98	
592	CG515LS4/BH	2007-900	2007-08-07	8	64	23	0,682	18	16	13	8,8	1	1120	1	-0,3	14	1,120	2	130	-1	21	1,9	81	146			877	
592	CG515LS4/BM	2007-900	2007-08-07	7	63	23	0,663	19	16	12	8,5	3	1120	2	-0,3	13	1,070	-2	130	-1	21	1,9	82	138			98	
592	CG515LS4/BH	2007-900	2007-08-07	8	64	22	0,693	17	16	13	8,8	3	1130	1	-0,3	13	1,080	2	130	-1	21	1,9	82	144			870	
592	CG515LS4/BM	2007-900	2007-08-07	8	64	22	0,690	18	16	13	8,5	2	1160	1	-0,3	16	1,160	2	135	-1	22	1,9	83	139			98	
592	CG515LS4/BM	2007-900	2007-08-07	9	65	22	0,690	19	16	13	8,8	2	1140	2	-0,3	14	1,100	2	135	-1	21	2,0	83	156			98	
592	CG515LS4	2007-1039	2007-08-29	7	60	25	0,686	18	15	12	8,9	4	1190	-1	-0,3	12	0,978	-2	127	2	21	1,8	91	154				
592	CG515LS4	2007-1039	2007-08-29	8	59	23	0,662	18	15	12	8,7	3	1150	-1	-0,3	13	0,980	-2	127	2	20	1,8	87	140				
592	CG515LS4	2007-1039	2007-08-29	9	59	22	0,671	17	15	12	8,7	3	1150	-1	-0,3	13	1,030	-2	134	-1	21	1,8	86	143				
592	CG515LS4	2007-1039	2007-08-29	8	59	24	0,670	18	15	12	8,7	2	1180	1	-0,3	12	1,020	2	133	-1	20	1,8	87	139				
592	CG515LS4	2007-1039	2007-08-29	8	60	23	0,665	17	15	12	8,7	4	1200	-1	-0,3	15	1,030	2	134	-1	20	1,8	87	141				
592	CG515LS4	2007-1040	2007-08-29	8	59	23	0,655	18	15	12	8,8	2	1140	-1	-0,3	15	1,000	2	134	1	21	1,9	87	141				
592	CG515LS4	2007-1040	2007-08-29	8	61	23	0,674	19	16	12	8,8	2	1190	2	-0,3	14	1,060	3	135	-1	21	1,8	88	139				
592	CG515LS4	2007-1093	2007-09-27	7	61	22	0,661	17	14	12	8,6	-1	1160	-1	-0,3	15	1,000	-2	135	-1	20	1,8	87	139				
592	CG515LS4	2007-1094	2007-09-27	7	61	22	0,671	15	15	12	8,6	2	1200	-1	-0,3	16	1,020	-2	138	-1	21	1,8	89	140				
592	CG515LS4	2007-1094	2007-09-27	8	62	24	0,676	16	14	12	8,5	2	1220	1	-0,3	15	1,040	-2	140	-1	21	1,8	94	145				
592	CG515LS4	2007-942	2007-08-14	8	62	24	0,666	20	17	13	9,3	1	1160	-1	-0,3	15	1,120	4	134	2	21	2,0	88	187				
592	CG515LS4	2007-1131	2007-09-27	8	62	25	0,658	16	16	12	8,7	-1	1130	-1	-0,3	13	0,986	-2	133	1	20	1,8	82	141				
592	CG515LS4	2007-1131	2007-09-27	7	61	25	0,668	17	16	12	8,8	-1	1090	-1	-0,3	13	0,976	-2	127	-1	20	1,8	80	138				
592	CG515LS4/BM	2007-1310	2007-10-01	8	59	26	0,679	20	15	12	8,2	-1	1160	-1	-0,3	15	1,110	4	127	-1	21	2,0	86	173				
592	LS4	2007-942	2007-08-14	8	60	25	0,671	20	15	13	8,3	2	1180	-1	-0,3	13	1,120	3	131	-1	21	2,0	84	175				
592	LS4	2007-942	2007-08-14	7	66	26	0,690	20	16	13	9,0	3	1130	1	-0,3	16	1,000	4	132	1	21	2,0	91	187				
592	LS4	2007-942	2007-08-14	8	61	23	0,659	16	16	11	9,4	2	1120	2	-0,3	12	1,020	4	125	-1	20	1,8	83	150				
592	LS4	2007-942	2007-08-14																									
592	CG515LS4	2007-996	2007-08-28	8	59	27	0,678	19	16	12	8,8	5	1170	-1	-0,3	12	1,110	4	133	-1	21	2,0	90	190				
592	CG515LS4	2007-996	2007-08-28	7	62	24	0,681	19	15	13	8,8	3	1160	-1	-0,3	13	1,040	4	128	-1	21	2,0	82	164				
592	CG515LS4	2007-996	2007-08-28	7	63	23	0,659	20	15	12	8,8	2	1120	-1	-0,3	14	1,020	4	124	-1	21	2,0	81	158				
592	CG515LS4	2007-996	2007-08-28	8	59	23	0,662	19	15	11	8,2	2	1130	-1	-0,3	11	0,973	4	126	-1	20	1,8	85	150				
592	CG515LS4	2007-996	2007-08-28	8	58	23	0,666	17	15	12	7,8	-1	1170	-1	-0,3	11	0,977	3	135	-1	21	1,8	88	157				
592	CG515LS4	2007-996	2007-08-28	8	64	24	0,695	20	16	13	8,7	2	1180	-1	-0,3	15	1,160	4	131	-1	22	2,1	87	183				
592	CG515LS4	2007-996	2007-08-28	8	64	25	0,677	20	16	13	8,9	2	1180	-1	-0,3	15	1,160	4	133	-1	22	2,0	88	177				
592	CG515LS4	2007-996	2007-08-28	8	59	27	0,681	20	16	12	8,9	2	1190	-														







PROJECT NUMBER	SAMPLE	CERTIFICATE	DATE	ICP6.3 Total Digestion, Multi-Acids																											
				Ag	Al2O3	Ba	Be	CaO	Cd	Ce	Co	Cr	Cu	Dy	Er	Eu	Fe2O3	Ga	Gd	Hf	Ho	K2O	La	Li	MgO	MnO	Mo	Na2O			
				ppm	wt %	ppm	ppm	wt %	ppm	ppm	ppm	ppm	ppm	ppm	ppm	ppm	ppm	ppm	ppm	ppm	ppm	ppm	wt %	ppm	ppm	wt %	ppm	ppm	wt %		
Nb Analyses	132			0.2	0.01	1	0.2	0.01	1	1	1	0.2	0.2	0.2	0.01	1	1.0	1.0	1.0	0.010	1	1	0.010	0.010	1	0.01					
592	CG515/LS4	G-2007-1534	2007-11-27	-0.2	17.00	2060	1.9	4.76	1.1	161	20	122	3	3.7	2.5	2.6	7.11	26	6.2	3.6	1.6	3.230	85	31	2.870	0.072	1	3.29			
592	CG515/LS4	G-2007-1534	2007-11-27	-0.2	17.00	2430	1.8	4.75	1.0	162	20	126	2	3.7	2.5	2.4	7.18	23	5.5	3.9	1.4	2.950	81	26	2.720	0.075	2	3.10			
592	CG515/LS4	G-2007-1719	2007-12-12	-0.2	17.40	2390	2.2	4.75	0.9	154	16	114	3	3.7	2.4	2.6	7.08	25	6.4	4.2	1.7	3.000	82	27	2.790	0.072	2	3.12			
592	CG515/LS4	G-2007-1719	2007-12-12	-0.2	17.90	2420	2.4	4.93	1.0	162	17	121	3	3.7	2.5	2.6	7.35	25	5.8	4.8	1.8	3.070	85	28	2.810	0.074	2	3.19			
592	CG515/LS4	G-2007-1719	2007-12-12	-0.2	17.30	2120	2.2	4.80	0.9	158	16	119	4	3.3	2.8	2.5	7.09	23	4.8	4.7	1.6	3.000	82	26	2.770	0.071	2	3.10			
592	CG515/LS4	G-2007-1719	2007-12-12	-0.2	18.20	2320	2.3	4.95	0.9	162	16	122	4	3.5	2.7	2.6	7.39	25	5.3	4.4	1.7	3.150	84	27	2.880	0.074	2	3.28			
592	CG515/LS4	G-2007-1719	2007-12-12	-0.2	17.80	2380	2.3	4.76	0.9	159	16	115	5	3.6	2.5	2.6	7.22	24	5.7	4.7	1.9	3.030	86	27	2.880	0.073	1	3.23			
592	CG515/LS4	G-2007-1719	2007-12-12	-0.2	17.20	2060	2.0	4.82	0.9	152	16	124	3	3.4	2.3	2.3	7.15	23	5.8	3.9	1.5	3.030	81	25	2.710	0.074	1	3.16			
592	CG515/LS4	G-2007-1738	2007-12-19	-0.2	17.50	2250	2.2	4.68	0.8	154	16	111	3	3.6	2.5	2.5	6.99	24	5.8	5.0	1.8	2.990	82	26	2.760	0.070	2	3.18			
592	CG515/LS4	G-2007-1738	2007-12-19	-0.2	17.10	2420	2.2	4.66	1.0	154	16	111	4	3.6	2.3	2.5	6.98	24	6.2	4.1	1.9	3.020	82	27	2.760	0.071	2	3.05			
592	CG515/LS4	G-2007-1738	2007-12-19	-0.2	17.10	2320	2.2	4.87	0.8	168	20	126	2	3.5	2.6	2.5	7.36	24	5.6	4.3	1.4	3.130	86	29	2.890	0.073	1	3.20			
592	CG515/LS4	G-2007-1738	2007-12-19	-0.2	17.20	2320	2.1	4.77	0.9	158	19	124	3	3.4	2.5	2.4	7.43	23	4.9	3.6	1.5	3.140	88	29	2.900	0.073	-1	3.21			
592	CG515/LS4	G-2007-1738	2007-12-19	-0.2	18.00	2410	2.3	4.82	0.9	159	19	118	3	3.7	2.5	2.6	7.25	24	5.9	5.0	1.7	3.110	84	27	2.870	0.074	2	3.25			
592	CG515/LS4	G-2007-1738	2007-12-19	-0.2	17.50	2260	2.2	4.72	1.0	156	16	114	3	3.5	2.6	2.5	6.99	23	5.3	4.9	1.8	2.980	82	26	2.770	0.070	2	3.14			
592	CG515/LS4	G-2007-1738	2007-12-19	-0.2	17.20	2340	2.1	4.80	0.8	161	20	128	3	3.5	2.5	2.5	7.48	23	5.1	3.4	1.3	3.120	90	29	2.910	0.075	-1	3.20			
592	CG515/LS4	G-2007-1738	2007-12-19	-0.2	17.30	2270	2.1	4.80	0.9	160	19	129	2	3.5	2.5	2.5	7.48	24	5.4	3.8	1.4	3.070	88	28	2.890	0.075	-1	3.22			
592	CG515/LS4	G-2007-1763	2007-12-19	-0.2	17.10	2160	2.0	4.70	1.0	150	19	120	4	3.4	2.2	2.5	7.22	24	5.3	3.0	1.7	3.040	88	28	2.870	0.074	-1	3.17			
592	CG515/LS4	G-2007-1763	2007-12-19	-0.2	17.20	2380	2.1	4.77	0.8	150	19	130	2	3.4	2.6	2.5	7.35	24	5.5	3.2	1.7	3.080	89	28	2.920	0.076	-1	3.17			
592	CG515/LS4	G-2007-1763	2007-12-19	-0.2	17.40	2260	2.0	4.79	0.9	153	20	127	2	3.4	2.5	2.5	7.30	23	5.4	3.2	1.8	3.130	88	28	2.940	0.076	1	3.22			
592	CG515/LS4	G-2007-1763	2007-12-19	-0.2	17.00	2180	2.0	4.70	0.9	150	18	130	3	3.4	2.4	2.5	7.05	23	5.6	4.3	1.7	3.080	88	27	2.890	0.074	1	3.14			
592	CG515/LS4	G-2007-1763	2007-12-19	-0.2	17.70	2170	2.2	4.76	1.0	165	16	129	3	3.7	2.3	2.6	7.10	26	4.6	4.1	1.8	3.170	88	30	2.950	0.074	-1	3.36			
592	CG515/LS4	G-2007-1802	2007-12-19	-0.2	18.00	2230	2.3	4.83	0.8	170	16	131	5	3.6	2.4	2.6	7.15	26	4.7	4.3	1.5	3.230	89	31	3.040	0.075	-1	3.40			
592	CG515/LS4	G-2007-1802	2007-12-19	-0.2	17.90	2160	2.2	4.80	1.0	175	15	130	2	3.7	2.5	2.6	6.99	26	5.2	4.5	1.8	3.210	89	30	2.990	0.074	-1	3.41			
592	CG515/LS4	G-2007-1802	2007-12-19	0.4	16.90	2080	1.8	4.80	1.0	150	18	118	3	3.2	2.3	2.2	7.02	19	5.0	3.9	1.4	2.850	82	26	2.700	0.074	2	3.13			
592	CG515/LS4	G-2007-1761	2007-12-20	-0.2	17.50	2320	2.2	4.81	0.8	163	19	122	3	3.3	2.6	2.7	7.37	22	5.8	4.6	1.3	3.090	83	28	2.850	0.073	2	3.07			
592	CG515/LS4	G-2007-1761	2007-12-20	-0.2	17.50	2310	2.3	4.81	0.8	166	19	123	4	3.5	2.7	2.8	7.33	22	5.8	4.1	1.0	3.050	83	27	2.810	0.072	1	3.06			
592	CG515/LS4	G-2007-1761	2007-12-20	-0.2	17.10	2150	2.0	4.79	0.9	152	16	130	3	3.4	2.4	2.5	6.95	25	5.8	3.7	1.2	3.000	88	27	2.920	0.074	-1	3.15			
592	CG515/LS4	G-2007-1761	2007-12-20	0.2	17.30	2140	1.9	4.95	1.2	150	18	118	3	3.3	2.4	2.2	7.29	21	5.1	3.6	1.5	2.960	80	27	2.750	0.077	2	3.22			
592	CG515/LS4	G-2007-1673	2007-12-21	-0.2	17.70	2320	2.2	4.82	1.0	151	19	117	3	3.6	2.1	2.6	7.27	26	5.8	3.9	1.8	3.120	82	28	2.840	0.073	1	3.26			
592	CG515/LS4	G-2007-1673	2007-12-21	-0.2	17.50	2270	2.2	4.72	0.8	152	18	113	3	3.4	2.0	2.6	7.17	25	5.1	4.7	1.7	3.110	84	27	2.810	0.072	1	3.24			
592	CG515/LS4	G-2007-1673	2007-12-21	-0.2	17.70	2220	2.2	4.77	0.9	156	20	116	3	3.6	2.3	2.6	7.20	26	5.6	4.2	1.8	2.980	83	27	2.820	0.072	1	3.20			
592	CG515/LS4	G-2007-1673	2007-12-21	-0.2	17.40	2170	2.2	4.66	1.0	151	17	114	3	3.6	2.3	2.6	7.02	25	5.8	3.5	1.5	2.940	61	27	2.740	0.071	1	3.19			
592	CG515/LS4	G-2007-1673	2007-12-21	-0.2	17.60	2280	2.2	4.73	0.9	155	19	114	3	3.6	2.1	2.5	7.09	24	5.7	4.2	1.5	2.980	83	26	2.770	0.072	2	3.18			
592	CG515/LS4	G-2007-1673	2007-12-21	-0.2	18.40	2250	2.2	5.02	1.1	163	17	130	4	3.7	2.5	2.5	7.30	26	6.2	4.2	1.8	3.220	86	28	2.950	0.081	1	3.37			
592	CG515/LS4	G-2007-1673	2007-12-21	0.4	17.50	2350	2.2	4.98	1.1	156	20	113	4	3.1	2.4	2.4	7.36	23	5.4	4.2	1.8	3.160	89	27	2.800	0.078	2	3.18			
592	CG515/LS4	G-2007-1798	2008-01-03	-0.2	17.10	2310	2.0	4.71	1.1	154	19	114	3	3.2	2.7	2.4	7.05	23	5.5	4.6	1.7	3.110	92	28	2.700	0.074	-1	3.16			
592	CG515/LS4	G-2007-1798	2008-01-03	-0.2	17.70	2400	2.1	5.00	1.2	160	20	119	3	3.3	2.7	2.5	7.35	23	5.5	4.9	1.7	3.150	93	28	2.770	0.077	1	3.24			
592	CG515/LS4	G-2007-1798	2008-01-03	-0.2	17.00	2190	1.9	4.66	1.3	157	18	132	3	3.6	2.2	2.4	7.10	22	5.9	4.0	1.8	3.050	86	27	2.720	0.072	2	3.07			
592	CG515/LS4	G-2007-1798	2008-01-03	-0.2	17.70	2340	2.3	4.85	1.0	165	16	130	2	3.6	2.6	2.6	7.31	22	5.4	4.1	1.4	3.130	86	27	2.820	0.072	1	3.15			
592	CG515/LS4	G-2007-1798	2008-01-03	-0.2	17.60	2250	2.3	4.66	1.0	167	19	124	3	3.6	2.7	2.7															







PROJECT NUMBER	SAMPLE	CERTIFICATE	DATE	ICP6.3R Partial Digestion																	
				Ag ppm	As ppm	Bi ppm	Co ppm	Cu ppm	Ge ppm	Hg ppm	Mo ppm	Ni ppm	Pb ppm	Sb ppm	Se ppm	Te ppm	U, ICP ppm	V ppm	Zn ppm		
132	Compte	Historique		0,1	0,2	0,2	0,1	0,1	0,2	0,2	0,1	0,1	0,02	1,0	0,2	0,2	0,5	0,1	0,1		
	N > LD	Historique																			
	Moyenne	Historique																			
	Écart-type (σ)	Historique																			
	Maximum	Historique																			
	Minimum	Historique																			
	Compte	Projet																			
	N > LD	Projet																			
	Moyenne	Projet																			
	Écart-type (σ)	Projet																			
	Maximum	Projet																			
	Minimum	Projet																			
	BL2A	Certified value																			
BL2A	Lower limit																				
BL2A	Upper limit																				
592	BL2A	2007-1131	2007-09-27																		
592	BL2A	2007-1421	2007-10-17																		
592	BL2A	2007-900	2007-11-07																		
592	BL2A	2007-1496	2007-11-18																		
592	BL2A	G-2007-1719	2008-02-04																		
592	BL2A	G-2007-1761	2008-02-07																		
592	BL2A	G-2007-1798	2008-01-02																		
592	Compte	Historique																			
	N > LD	Historique																			
	Moyenne	Historique																			
	Écart-type (σ)	Historique																			
	Maximum	Historique																			
	Minimum	Historique																			
	Compte	Projet																			
	N > LD	Projet																			
	Moyenne	Projet																			
	Écart-type (σ)	Projet																			
	Maximum	Projet																			
	Minimum	Projet																			
	BL3	Certified value																			
BL3	Lower limit																				
BL3	Upper limit																				
592	BL3	2007-1310	2007-10-17																		
592	BL3	2007-1421	2007-10-17																		
592	BL3	2007-1496	2007-11-18																		
592	BL3	G-2007-1673	2008-02-05																		
592	BL3	G-2007-1763	2008-01-02																		
592	BL3	G-2007-1799	2008-02-04																		
592	BL3	G-2007-1807	2008-01-16																		
592	Compte	Historique																			
	N > LD	Historique																			
	Moyenne	Historique																			
	Écart-type (σ)	Historique																			
	Maximum	Historique																			
	Minimum	Historique																			
	Compte	Projet																			
	N > LD	Projet																			
	Moyenne	Projet																			
	Écart-type (σ)	Projet																			
	Maximum	Projet																			
	Minimum	Projet																			
	BL4A	Certified value																			
BL4A	Lower limit																				
BL4A	Upper limit																				
592	BL4A	2007-942	2007-10-17																		
592	BL4A	2007-1496	2007-11-18																		
592	BL4A	G-2007-1673	2008-02-05																		
592	BL4A	G-2007-1719	2008-02-04																		
592	BL4A	G-2007-1738	2008-02-05																		
592	BL4A	G-2007-1802	2008-02-01																		



PROJECT NUMBER	SAMPLE	CERTIFICATE	DATE	ICP6.3 Total Digestion, Multi-Acids																								
				Ag ppm	Al2O3 wt %	Ba ppm	Be ppm	CaO wt %	Cd ppm	Ce ppm	Co ppm	Cr ppm	Cu ppm	Dy ppm	Er ppm	Eu ppm	Fe2O3 wt %	Ga ppm	Gd ppm	Hf ppm	Ho ppm	K2O wt %	La ppm	Li ppm	MgO wt %	MnO wt %	Mo ppm	Na2O wt %
Nb Analyses	132			0,2	0,01	1	0,2	0,01	1,0	1	1	1	1	0,2	0,2	0,2	0,01	1	1,0	1,0	1,0	0,010	1	1	0,010	0,010	1	0,01
	Compte	Historique																										
	N > LD	Historique																										
	Moyenne	Historique																										
	Ecart-type (σ)	Historique																										
	Maximum	Historique																										
	Minimum	Historique																										
	Compte	Projet																										
	N > LD	Projet																										
	Moyenne	Projet																										
	Ecart-type (σ)	Projet																										
	Maximum	Projet																										
	Minimum	Projet																										
	BL2A	Certified value																										
	BL2A	Lower limit																										
	BL2A	Upper limit																										
592	BL2A	2007-1131	2007-09-27																									
592	BL2A	2007-1421	2007-10-17																									
592	BL2A	2007-900	2007-11-07																									
592	BL2A	2007-1496	2007-11-18																									
592	BL2A	G-2007-1719	2008-02-04																									
592	BL2A	G-2007-1761	2008-02-07																									
592	BL2A	G-2007-1798	2008-01-02																									
	Compte	Historique																										
	N > LD	Historique																										
	Moyenne	Historique																										
	Ecart-type (σ)	Historique																										
	Maximum	Historique																										
	Minimum	Historique																										
	Compte	Projet																										
	N > LD	Projet																										
	Moyenne	Projet																										
	Ecart-type (σ)	Projet																										
	Maximum	Projet																										
	Minimum	Projet																										
	BL3	Certified value																										
	BL3	Lower limit																										
	BL3	Upper limit																										
592	BL3	2007-1310	2007-10-17																									
592	BL3	2007-1421	2007-10-17																									
592	BL3	2007-1496	2007-11-18																									
592	BL3	G-2007-1673	2008-02-05																									
592	BL3	G-2007-1763	2008-01-02																									
592	BL3	G-2007-1799	2008-02-04																									
592	BL3	G-2007-1807	2008-01-16																									
	Compte	Historique																										
	N > LD	Historique																										
	Moyenne	Historique																										
	Ecart-type (σ)	Historique																										
	Maximum	Historique																										
	Minimum	Historique																										
	Compte	Projet																										
	N > LD	Projet																										
	Moyenne	Projet																										
	Ecart-type (σ)	Projet																										
	Maximum	Projet																										
	Minimum	Projet																										
	BL4A	Certified value																										
	BL4A	Lower limit																										
	BL4A	Upper limit																										
592	BL4A	2007-942	2007-10-17																									
592	BL4A	2007-1496	2007-11-18																									
592	BL4A	G-2007-1673	2008-02-05																									
592	BL4A	G-2007-1719	2008-02-04																									
592	BL4A	G-2007-1738	2008-02-05																									
592	BL4A	G-2007-1802	2008-02-01																									



PROJECT NUMBER	SAMPLE	CERTIFICATE	DATE	ICP6.3 Total Digestion, Multi-Acids																	Aqua Regia		Partial	Total			
				Nb ppm	Nd ppm	Ni ppm	P2O5 wt %	Pb ppm	Pr ppm	Sc ppm	Sm ppm	Sn ppm	Sr ppm	Ta ppm	Tb ppm	Th ppm	TiO2 wt %	U, ICP ppm	V ppm	W ppm	Y ppm	Yb ppm			Zn ppm	Zr ppm	U <sub>3</sub> O <sub>8</sub> wt %
132	Compte	Historique		1	1	1	0,010	1	1	1	1,0	1	1	1	1,0	1	2	1	1	1	0,1	1	1	0,001		0,02	
	N > LD	Historique																						28			
	Moyenne	Historique																						28			
	Écart-type (σ)	Historique																						0,502			
	Maximum	Historique																						0,005			
	Minimum	Historique																						0,510			
	Compte	Projet																						0,494			
	N > LD	Projet																							7		
	Moyenne	Projet																							7		
	Écart-type (σ)	Projet																							0,501		
	Maximum	Projet																							0,004		
	Minimum	Projet																							0,507		
	BL2A	Certified value																							0,495		
BL2A	Lower limit																							0,502			
BL2A	Upper limit																							0,496			
592	BL2A	2007-1131	2007-09-27																					0,510			
592	BL2A	2007-1421	2007-10-17																					0,507			
592	BL2A	2007-900	2007-11-07																					0,506			
592	BL2A	2007-1496	2007-11-18																					0,495			
592	BL2A	G-2007-1719	2008-02-04																					0,502			
592	BL2A	G-2007-1761	2008-02-07																					0,500			
592	BL2A	G-2007-1796	2008-01-02																					0,498			
	Compte	Historique																						23			
	N > LD	Historique																						23			
	Moyenne	Historique																						1,212			
	Écart-type (σ)	Historique																						0,012			
	Maximum	Historique																						1,230			
	Minimum	Historique																						1,190			
	Compte	Projet																						7			
	N > LD	Projet																						7			
	Moyenne	Projet																						1,206			
	Écart-type (σ)	Projet																						0,008			
	Maximum	Projet																						1,220			
	Minimum	Projet																						1,200			
	BL3	Certified value																						1,210			
	BL3	Lower limit																						1,190			
	BL3	Upper limit																						1,230			
592	BL3	2007-1310	2007-10-17																					1,200			
592	BL3	2007-1421	2007-10-17																					1,220			
592	BL3	2007-1496	2007-11-18																					1,210			
592	BL3	G-2007-1673	2008-02-05																					1,210			
592	BL3	G-2007-1763	2008-01-02																					1,200			
592	BL3	G-2007-1799	2008-02-04																					1,200			
592	BL3	G-2007-1807	2008-01-16																					1,200			
	Compte	Historique																						86			
	N > LD	Historique																						86			
	Moyenne	Historique																						0,149			
	Écart-type (σ)	Historique																						0,002			
	Maximum	Historique																						0,151			
	Minimum	Historique																						0,144			
	Compte	Projet																						6			
	N > LD	Projet																						6			
	Moyenne	Projet																						0,150			
	Écart-type (σ)	Projet																						0,001			
	Maximum	Projet																						0,151			
	Minimum	Projet																						0,148			
	BL4A	Certified value																						0,147			
	BL4A	Lower limit																						0,143			
	BL4A	Upper limit																						0,161			
592	BL4A	2007-942	2007-10-17																					0,150			
592	BL4A	2007-1496	2007-11-18																					0,151			
592	BL4A	G-2007-1673	2008-02-05																					0,150			
592	BL4A	G-2007-1719	2008-02-04																					0,150			
592	BL4A	G-2007-1738	2008-02-05																					0,150			
592	BL4A	G-2007-1802	2008-02-01																					0,148			



PROJECT NUMBER	SAMPLE	CERTIFICATE	DATE	ICP6.3R Partial Digestion																		
				Ag ppm	As ppm	Bi ppm	Co ppm	Cu ppm	Ge ppm	Hg ppm	Mo ppm	Ni ppm	Pb ppm	Sb ppm	Se ppm	Te ppm	U, ICP ppm	V ppm	Zn ppm			
132	Compte	Historique		0,1	0,2	0,2	0,1	0,1	0,2	0,2	0,1	0,1	0,02	1,0	0,2	0,2	0,5	0,1	0,1			
	N > LD	Historique																				
	Moyenne	Historique																				
	Écart-type (σ)	Historique																				
	Maximum	Historique																				
	Minimum	Historique																				
	Compte	Projet																				
	N > LD	Projet																				
	Moyenne	Projet																				
	Écart-type (σ)	Projet																				
	Maximum	Projet																				
	Minimum	Projet																				
	Boron low standard	Certified value																				
Boron low standard	Lower limit																					
Boron low standard	Upper limit																					
592	CG515/L.S4/BL	2007-900	2007-08-07																			
	Compte	Historique																				
	N > LD	Historique																				
	Moyenne	Historique																				
	Écart-type (σ)	Historique																				
	Maximum	Historique																				
	Minimum	Historique																				
	Compte	Projet																				
	N > LD	Projet																				
	Moyenne	Projet																				
	Écart-type (σ)	Projet																				
	Maximum	Projet																				
	Minimum	Projet																				
Boron medium standard	Certified value																					
Boron medium standard	Lower limit																					
Boron medium standard	Upper limit																					
592	CG515/L.S4/BM	2007-900	2007-08-07																			
592	CG515/L.S4/BM	2007-900	2007-08-07																			
592	CG515/L.S4/BM	2007-900	2007-08-07																			
592	CG515/L.S4/BM	2007-900	2007-08-07																			
592	CG515/L.S4/BM	2007-900	2007-08-07																			
592	CG515/L.S4/BM	2007-900	2007-08-07																			
592	Compte	Historique																				
	N > LD	Historique																				
	Moyenne	Historique																				
	Écart-type (σ)	Historique																				
	Maximum	Historique																				
	Minimum	Historique																				
	Compte	Projet																				
	N > LD	Projet																				
	Moyenne	Projet																				
	Écart-type (σ)	Projet																				
	Maximum	Projet																				
	Minimum	Projet																				
	Boron high standard	Certified value																				
Boron high standard	Lower limit																					
Boron high standard	Upper limit																					
592	CG515/L.S4/BH	2007-900	2007-08-07																			
592	CG515/L.S4/BH	2007-900	2007-08-07																			
592	CG515/L.S4/BH	2007-900	2007-08-07																			
592	CG515/L.S4/BH	2007-900	2007-08-07																			



PROJECT NUMBER	SAMPLE	CERTIFICATE	DATE	ICP6.3 Total Digestion, Multi-Acids																									
				Ag ppm	Al2O3 wt %	Ba ppm	Be ppm	CaO wt %	Cd ppm	Ce ppm	Co ppm	Cr ppm	Cu ppm	Dy ppm	Er ppm	Eu ppm	Fe2O3 wt %	Ga ppm	Gd ppm	Hf ppm	Ho ppm	K2O wt %	La ppm	Li ppm	MgO wt %	MnO wt %	Mo ppm	Na2O wt %	
Nb Analyses	132			0,2	0,01	1	0,2	0,01	1,0	1	1	1	1	1	0,2	0,2	0,2	0,01	1	1,0	1,0	1,0	0,010	1	1	0,010	0,010	1	0,01
	Compte	Historique																											
	N > LD	Historique																											
	Moyenne	Historique																											
	Écart-type (σ)	Historique																											
	Maximum	Historique																											
	Minimum	Historique																											
	Compte	Projet																											
	N > LD	Projet																											
	Moyenne	Projet																											
	Écart-type (σ)	Projet																											
	Maximum	Projet																											
	Minimum	Projet																											
	Boron low standard	Certified value																											
	Boron low standard	Lower limit																											
	Boron low standard	Upper limit																											
592	CG515/LS4/BL	2007-900	2007-08-07																										
	Compte	Historique																											
	N > LD	Historique																											
	Moyenne	Historique																											
	Écart-type (σ)	Historique																											
	Maximum	Historique																											
	Minimum	Historique																											
	Compte	Projet																											
	N > LD	Projet																											
	Moyenne	Projet																											
	Écart-type (σ)	Projet																											
	Maximum	Projet																											
	Minimum	Projet																											
	Boron medium standard	Certified value																											
	Boron medium standard	Lower limit																											
	Boron medium standard	Upper limit																											
592	CG515/LS4/BM	2007-900	2007-08-07																										
592	CG515/LS4/BM	2007-900	2007-08-07																										
592	CG515/LS4/BM	2007-900	2007-08-07																										
592	CG515/LS4/BM	2007-900	2007-08-07																										
592	CG515/LS4/BM	2007-900	2007-08-07																										
592	CG515/LS4/BM	2007-900	2007-08-07																										
	Compte	Historique																											
	N > LD	Historique																											
	Moyenne	Historique																											
	Écart-type (σ)	Historique																											
	Maximum	Historique																											
	Minimum	Historique																											
	Compte	Projet																											
	N > LD	Projet																											
	Moyenne	Projet																											
	Écart-type (σ)	Projet																											
	Maximum	Projet																											
	Minimum	Projet																											
	Boron high standard	Certified value																											
	Boron high standard	Lower limit																											
	Boron high standard	Upper limit																											
592	CG515/LS4/BH	2007-900	2007-08-07																										
592	CG515/LS4/BH	2007-900	2007-08-07																										
592	CG515/LS4/BH	2007-900	2007-08-07																										
592	CG515/LS4/BH	2007-900	2007-08-07																										



PROJECT NUMBER	SAMPLE	CERTIFICATE	DATE	ICP6.3 Total Digestion, Multi-Acids																		Aqua Regia		Partial	Total							
				Nb	Nd	Ni	P2O5	Pb	Pr	Sc	Sm	Sr	Ta	Tb	Th	TiO2	U, ICP	V	W	Y	Yb	Zn	Zr	U <sub>3</sub> O <sub>8</sub>	B	U, Fl.	U, Fl.					
				ppm	ppm	ppm	wt %	ppm	ppm	ppm	ppm	ppm	ppm	ppm	ppm	ppm	wt %	ppm	ppm	ppm	ppm	ppm	ppm	ppm	ppm	ppm	ppm	ppm				
132	Compte	Historique		1	1	1	0,010	1	1	1	1,0	1	1	1	1,0	1	0,010	2	1	1	1	0,1	1	1	0,001			17				
	N > LD	Historique																										17				
	Moyenne	Historique																										18				
	Ecart-type (σ)	Historique																										2				
	Maximum	Historique																										21				
	Minimum	Historique																										13				
	Compte	Projet																										1				
	N > LD	Projet																											1			
	Moyenne	Projet																											20			
	Ecart-type (σ)	Projet																											#DIV/0!			
	Maximum	Projet																											20			
	Minimum	Projet																											20			
	Boron low standard	Certified value																											16			
Boron low standard	Lower limit																											11				
Boron low standard	Upper limit																											21				
592	CG515/L4/BL	2007-900	2007-08-07																									20				
	Compte	Historique																											78			
	N > LD	Historique																											78			
	Moyenne	Historique																											96			
	Ecart-type (σ)	Historique																											4			
	Maximum	Historique																											101			
	Minimum	Historique																											89			
	Compte	Projet																											6			
	N > LD	Projet																												6		
	Moyenne	Projet																												99		
	Ecart-type (σ)	Projet																												1		
	Maximum	Projet																												100		
	Minimum	Projet																												98		
Boron medium standard	Certified value																												95			
Boron medium standard	Lower limit																												89			
Boron medium standard	Upper limit																												101			
592	CG515/L4/BM	2007-900	2007-08-07																										99			
592	CG515/L4/BM	2007-900	2007-08-07																										100			
592	CG515/L4/BM	2007-900	2007-08-07																										98			
592	CG515/L4/BM	2007-900	2007-08-07																										98			
592	CG515/L4/BM	2007-900	2007-08-07																										99			
592	CG515/L4/BM	2007-900	2007-08-07																										98			
592	Compte	Historique																											36			
	N > LD	Historique																												36		
	Moyenne	Historique																											866			
	Ecart-type (σ)	Historique																												27		
	Maximum	Historique																												984		
	Minimum	Historique																												834		
	Compte	Projet																												4		
	N > LD	Projet																												4		
	Moyenne	Projet																												873		
	Ecart-type (σ)	Projet																													4	
	Maximum	Projet																													877	
	Minimum	Projet																													868	
	Boron high standard	Certified value																												880		
Boron high standard	Lower limit																												830			
Boron high standard	Upper limit																												930			
592	CG515/L4/BH	2007-900	2007-08-07																										868			
592	CG515/L4/BH	2007-900	2007-08-07																										875			
592	CG515/L4/BH	2007-900	2007-08-07																											877		
592	CG515/L4/BH	2007-900	2007-08-07																											870		



PROJECT NUMBER	SAMPLE	SAMPLE TYPE	# FORAGE	CERTIFICATE	DATE	FIRE ASSAY			ICP6.3R Partial Digestion															
						Au	Pd	Pt	Ag	As	Bi	Co	Cu	Ge	Hg	Mo	Ni	Pb	Sb	Se	Te	U, ICP	V	Zn
						ppb	ppb	ppb	ppm	ppm	ppm	ppm	ppm	ppm	ppm	ppm	ppm	ppm	ppm	ppm	ppm	ppm	ppm	ppm
Nb Analyses	174					2	2	2	0,1	0,2	0,2	0,1	0,1	0,2	0,2	0,1	0,1	0,02	1,0	0,2	0,2	0,5	0,1	0,1
592	312121	Roche		2007-1040	2007-08-29				0,2	<-0,2	7,1	5,5	21,7	<-0,2	<-0,2	171,0	5,4	246,00	<1	0,7	13,8	225,0	56,8	144,0
592	312121 R	Réplique lab		2007-1040	2007-08-29				0,2	<-0,2	6,0	5,9	22,5	<-0,2	<-0,2	164,0	4,0	250,00	<1	0,7	13,8	230,0	57,1	145,0
592	312175	Roche		2007-1040	2007-08-29				<-0,1	<-0,2	7,4	12,3	39,3	<-0,2	<-0,2	4,8	14,0	57,80	<1	<-0,2	12,7	80,7	105,0	210,0
592	312175 R	Réplique lab		2007-1040	2007-08-29				<-0,1	0,3	6,7	12,5	39,5	<-0,2	<-0,2	4,2	15,4	57,80	<1	<-0,2	11,9	80,0	106,0	213,0
592	312264	Roche		2007-1311	2007-11-10				-0,1	3,2	-0,2	1,8	6,5	-0,2	-0,2	0,5	2,6	27,40	2,4	2,7	-0,2	115,0	41,3	22,9
592	312264 R	Réplique lab		2007-1311	2007-11-10				-0,1	3,2	-0,2	1,8	6,8	-0,2	-0,2	0,4	2,5	26,90	2,1	2,6	-0,2	112,0	41,2	23,1
592	312351	Roche		2007-1093	2007-09-27				<-0,1	<-0,2	0,9	4,0	8,7	<-0,2	<-0,2	1,4	4,3	35,80	<1	<-0,2	1,0	56,7	29,4	53,9
592	312351 R	Réplique lab		2007-1093	2007-09-27				<-0,1	<-0,2	1,1	4,1	8,8	<-0,2	<-0,2	1,0	4,9	35,90	<1	<-0,2	1,2	58,1	29,9	53,7
592	312387	Roche		G-2007-1673	2007-12-21				0,5	-0,2	-0,2	2,7	2,4	-0,2	-0,2	1,6	5,1	103,00	-1,0	-0,2	-0,2	67,7	20,7	26,8
592	312387 R	Réplique lab		G-2007-1673	2007-12-21				0,5	-0,2	-0,2	2,8	1,8	-0,2	-0,2	1,5	5,6	109,00	-1,0	-0,2	0,3	66,5	21,2	25,9
592	312389	Roche		G-2007-1673	2007-12-21				-0,1	0,7	-0,2	0,5	2,9	-0,2	-0,2	468,0	3,9	484,00	-1,0	-0,2	-0,2	1370,0	4,3	13,4
592	312389 R	Réplique lab		G-2007-1673	2008-02-05																			
592	312444	Roche		G-2007-1534	2007-11-27				-0,1	-0,2	0,7	1,1	1,8	-0,2	-0,2	0,9	3,4	24,40	-1,0	-0,2	-0,2	33,8	5,9	15,3
592	312444 R	Réplique lab		G-2007-1534	2007-11-27				-0,1	0,2	0,7	0,7	1,7	-0,2	-0,2	0,9	2,9	25,40	-1,0	-0,2	-0,2	34,8	6,1	15,4
592	312447	Roche		G-2007-1534	2007-11-27				-0,1	-0,2	0,8	1,8	1,3	0,6	-0,2	6,5	2,7	193,00	1,8	-0,2	-0,2	482,0	8,2	18,0
592	312447 R	Réplique lab		G-2007-1534	2007-11-27				-0,1	-0,2	1,1	1,7	1,3	0,3	-0,2	6,4	3,3	165,00	1,6	-0,2	-0,2	404,0	8,1	17,2
592	5921044	Forage	NR-07-02	G-2007-1738	2007-12-19				-0,1	-0,2	2,7	7,6	5,1	-0,2	-0,2	10,6	24,7	43,10	6,2	-0,2	-0,2	99,3	41,9	94,8
592	5921044 R	Réplique lab	NR-07-02	G-2007-1738	2007-12-19				-0,1	-0,2	3,1	8,0	5,4	-0,2	-0,2	9,4	24,3	43,10	5,8	-0,2	-0,2	94,9	42,4	93,5
592	5921082	Forage	NR-07-02	G-2007-1738	2007-12-19				-0,1	-0,2	5,9	11,6	13,8	-0,2	-0,2	0,9	32,7	10,30	10,0	-0,2	-0,2	22,8	56,4	128,0
592	5921082 R	Réplique lab	NR-07-02	G-2007-1738	2007-12-19				-0,1	-0,2	5,7	11,3	14,0	-0,2	-0,2	1,1	31,0	10,30	8,9	-0,2	-0,2	23,1	53,5	122,0
592	5921120	Forage	NR-07-02	G-2007-1738	2007-12-19				-0,1	-0,2	1,2	7,3	16,6	-0,2	-0,2	0,6	33,6	7,47	-1,0	-0,2	-0,2	4,3	28,0	42,0
592	5921120 R	Réplique lab	NR-07-02	G-2007-1738	2007-12-19				-0,1	-0,2	1,3	7,8	17,0	-0,2	-0,2	0,6	33,4	7,40	-1,0	-0,2	-0,2	3,9	28,1	43,2
592	5921251	DH-1a	NR-07-05	G-2007-1799	2008-01-03				-0,1	28,4	22,4	71,4	86,8	0,8	-0,2	7,2	45,0	1100,00	-1,0	1,0	-0,2	2450,0	5,4	165,0
592	5921251 R	Réplique lab	NR-07-05	G-2007-1799	2008-02-04																			
592	5921286	Forage	NR-07-05	G-2007-1799	2008-01-03				0,2	1,4	0,3	11,3	17,2	1,4	-0,2	4,2	47,8	20,90	-1,0	-0,2	-0,2	13,2	83,6	81,8
592	5921286 R	Réplique lab	NR-07-05	G-2007-1799	2008-01-03				0,3	1,2	0,5	11,1	16,8	1,2	-0,2	3,0	47,6	17,70	-1,0	-0,2	-0,2	13,0	82,5	78,3
592	5921291	Forage	NR-07-05	G-2007-1799	2008-01-03				-0,1	-0,2	-0,2	11,0	17,8	1,0	-0,2	239,0	31,5	262,00	-1,0	-0,2	-0,2	735,0	46,5	50,9
592	5921291 R	Réplique lab	NR-07-05	G-2007-1799	2008-01-03				-0,1	0,2	-0,2	10,9	17,9	0,4	-0,2	230,0	31,4	262,00	-1,0	-0,2	0,2	740,0	46,6	51,2
592	5921300	Forage	NR-07-05	G-2007-1799	2008-01-03				-0,1	0,3	-0,2	7,9	9,6	0,8	-0,2	10,7	14,3	54,60	-1,0	-0,2	-0,2	174,0	32,0	42,9
592	5921300 R	Réplique lab	NR-07-05	G-2007-1799	2008-01-03				-0,1	-0,2	-0,2	7,9	9,4	0,8	-0,2	8,6	13,7	54,20	-1,0	-0,2	-0,2	178,0	32,2	43,2
592	5921317	BL-3	NR-07-06	G-2007-1798	2008-01-03				0,9	6,9	-0,2	22,9	103,0	-0,2	-0,2	36,0	175,0	1940,00	-1,0	-0,2	4,8	9700,00	707,0	67,7
592	5921317 R	Réplique lab	NR-07-06	G-2007-1798	2008-01-02																			
592	5921325	Forage	NR-07-06	G-2007-1798	2008-01-03				-0,1	-0,2	-0,2	3,0	14,7	0,4	-0,2	198,0	6,1	43,10	-1,0	-0,2	-0,2	63,3	17,4	22,8
592	5921325 R	Réplique lab	NR-07-06	G-2007-1798	2008-01-03				-0,1	-0,2	-0,2	2,7	14,4	0,3	-0,2	190,0	5,8	42,00	-1,0	-0,2	-0,2	61,1	17,0	22,7
592	5921332	DH-1a	NR-07-03	G-2007-1761	2007-12-20				-0,1	28,2	20,9	70,2	81,5	0,6	-0,2	7,5	43,8	1090,00	-1,0	1,2	0,5	2670,0	5,4	165,0
592	5921332 R	Réplique lab	NR-07-03	G-2007-1761	2008-02-07																			
592	5921363	Forage	NR-07-03	G-2007-1761	2007-12-20				0,2	1,4	-0,2	9,5	9,4	1,3	-0,2	1,1	23,8	3,37	-1,0	-0,2	-0,2	2,7	40,4	74,6
592	5921363 R	Réplique lab	NR-07-03	G-2007-1761	2007-12-20				0,2	1,5	-0,2	9,7	9,6	1,3	-0,2	1,1	24,4	3,21	-1,0	-0,2	-0,2	2,4	39,8	73,1
592	5921379	DH-1a	NR-07-07	G-2007-1802	2007-12-19				-0,1	26,7	19,1	70,5	80,9	0,3	-0,2	6,7	44,6	1060,00	-1,0	0,9	-0,2	2650,0	5,5	164,0
592	5921379 R	Réplique lab	NR-07-07	G-2007-1802	2008-02-01																			
592	5921395	Forage	NR-07-07	G-2007-1802	2007-12-19				-0,1	0,5	-0,2	6,8	37,7	0,8	-0,2	50,0	17,3	142,00	-1,0	-0,2	-0,2	430,0	26,4	26,4
592	5921395 R	Réplique lab	NR-07-07	G-2007-1802	2007-12-19				-0,1	-0,2	-0,2	7,2	35,4	0,6	-0,2	51,6	18,5	145,00	-1,0	-0,2	-0,2	427,0	28,2	27,6
592	5921407	Forage	NR-07-07	G-2007-1802	2007-12-19				0,1	0,4	-0,2	2,5	13,8	-0,2	-0,2	1,6	3,9	11,10	-1,0	-0,2	-0,2	8,2	14,4	25,2
592	5921407 R	Réplique lab	NR-07-07	G-2007-1802	2007-12-19				-0,1	0,4	-0,2	2,5	13,9	-0,2	-0,2	2,1	3,9	11,10	-1,0	-0,2	-0,2	9,0	14,6	25,3
592	5921414	DH-1a	NR-07-08	G-2007-1807	2008-01-18				-0,1	27,1	21,0	71,9	82,3	-0,2	-0,2	7,2	46,4	1090,00	-1,0	0,5	-0,2	2450,0	5,6	169,0
592	5921414 R	Réplique lab	NR-07-08	G-2007-1807	2008-01-18																			
592	5921419	Forage	NR-07-08	G-2007-1807	2008-01-18				-0,1	-0,2	-0,2	1,1	3,5	-0,2	-0,2	0,9	2,7	3,87	-1,0	-0,2	-0,2	4,4	4,6	10,4
592	5921419 R	Réplique lab	NR-07-08	G-2007-1807	2008-01-18				-0,1	-0,2	-0,2	1,4	3,4	-0,2	-0,2	1,0	2,7	3,58	-1,0	-0,2	-0,2	4,7	4,7	9,8
592	5921548	Blanc	NR-07-03	G-2007-1761	2007-12-20	</																		



PROJECT NUMBER	SAMPLE	ICP6.3 Total Digestion, Multi-Acids																										
		Ag	Al2O3	Ba	Be	CaO	Cd	Ce	Co	Cr	Cu	Dy	Er	Eu	Fe2O3	Ga	Gd	Hf	Ho	K2O	La	Li	MgO	MnO	Mo	Na2O	Nb	
		ppm	wt %	ppm	ppm	wt %	ppm	ppm	ppm	ppm	ppm	ppm	ppm	ppm	ppm	wt %	ppm	ppm	ppm	ppm	wt %	ppm	ppm	wt %	wt %	ppm	wt %	ppm
592	312121	<0.2	13.40	184	1.4	2.20	0.3	3860	5	91	23	19.6	12.9	2.5	12.40	47	69.5	61.5	8.0	3.040	1990	37	0.924	0.147	182	3.73	8	
592	312121 R	<0.2	13.90	188	1.4	2.22	0.3	3900	6	91	25	20.1	13.4	2.6	12.60	47	71.0	63.2	8.3	3.140	2020	37	0.930	0.146	180	3.88	7	
592	312175	<0.2	18.30	148	2.5	3.02	0.9	1260	12	97	39	12.9	8.1	1.5	10.80	47	29.7	37.9	4.3	3.290	683	105	2.170	0.170	4	5.24	57	
592	312175 R	<0.2	19.00	149	2.6	3.13	0.9	1270	12	102	39	13.0	8.0	1.5	11.20	47	29.3	36.6	4.4	3.280	692	106	2.220	0.175	4	5.33	58	
592	312264	-0.2	12.60	52	2.0	2.25	0.7	250	2	173	10	4.0	1.8	0.5	3.49	20	7.8	14.3	0.9	0.569	130	9	0.103	0.018	1	4.66	-1	
592	312264 R	-0.2	13.10	54	2.0	2.34	0.8	254	3	175	12	4.5	2.0	0.5	3.64	20	8.6	13.9	1.0	0.587	133	10	0.107	0.019	1	4.77	-1	
592	312351	<0.2	18.90	658	2.3	2.76	1.2	294	5	162	9	3.0	2.0	0.9	3.48	25	6.4	10.2	0.9	3.800	174	36	0.970	0.047	<1	5.83	2	
592	312351 R	<0.2	18.10	650	2.2	2.63	1.0	287	4	155	9	2.9	1.9	0.8	3.40	24	6.2	9.4	0.9	3.750	174	35	0.962	0.045	<1	5.77	2	
592	312387	-0.2	15.30	810	1.1	1.55	0.7	472	2	171	7	10.8	4.6	1.0	1.80	18	17.3	7.1	1.0	5.680	234	25	0.715	0.030	-1	3.40	1	
592	312387 R	-0.2	15.10	787	1.0	1.53	0.7	471	2	167	8	10.4	4.5	1.0	1.78	18	16.7	7.5	0.9	5.600	238	24	0.704	0.030	-1	3.35	1	
592	312389	1.3	16.40	110	1.7	2.66	1.1	7	-1	184	2	8.8	6.1	0.7	0.98	15	6.2	21.5	2.0	1.890	-1	19	0.358	0.019	475	5.93	-1	
592	312389 R																											
592	312444	-0.2	14.70	621	1.1	1.32	1.0	24	2	178	4	1.8	0.6	0.4	1.04	14	2.1	3.9	-0.4	5.010	10	15	0.261	0.016	1	3.55	-1	
592	312444 R	-0.2	15.20	610	1.0	1.36	1.1	26	1	184	5	1.8	0.7	0.4	1.07	14	2.3	4.0	-0.4	5.100	9	13	0.271	0.018	2	3.66	-1	
592	312447	-0.2	12.30	720	1.3	1.62	6.4	25	3	190	5	5.5	2.2	0.6	1.27	16	4.2	4.0	1.2	3.220	10	13	0.270	0.026	8	3.33	1	
592	312447 R	-0.2	12.40	733	1.0	1.47	0.8	21	2	201	3	4.8	2.2	0.5	1.12	16	3.7	3.2	1.0	3.300	7	9	0.237	0.018	7	3.35	1	
592	5921044	-0.2	13.80	416	0.6	1.75	0.8	18	8	205	5	1.5	0.9	0.8	4.10	25	1.6	14.5	1.0	3.000	11	34	1.190	0.064	13	2.37	16	
592	5921044 R	-0.2	13.70	403	0.6	1.74	0.8	20	8	204	5	1.6	1.1	0.8	4.10	25	1.6	14.6	1.2	2.950	11	33	1.190	0.066	14	2.37	16	
592	5921082	-0.2	14.50	440	1.0	2.18	0.8	35	11	181	12	0.8	0.3	1.0	5.06	23	-0.5	7.4	0.8	3.460	22	38	1.890	0.040	1	2.87	16	
592	5921082 R	-0.2	13.80	432	0.9	2.09	0.9	33	11	172	13	0.8	0.3	0.9	4.95	23	-0.5	7.6	1.0	3.400	21	35	1.850	0.039	-1	2.72	15	
592	5921120	-0.2	12.20	931	1.9	5.19	0.9	40	6	174	18	1.4	0.6	0.7	3.40	16	1.8	4.7	0.8	1.930	24	19	2.800	0.044	1	0.51	3	
592	5921120 R	-0.2	12.20	937	1.9	5.26	0.9	40	7	192	19	1.3	0.6	0.7	3.42	16	1.6	4.0	1.0	1.930	24	19	2.840	0.045	1	0.51	3	
592	5921251	-0.2	4.59	215	0.9	0.10	-0.2	568	72	28	86	35.3	17.0	2.6	6.75	26	39.7	14.3	7.5	1.610	283	14	0.093	0.006	6	0.04	59	
592	5921251 R																											
592	5921266	-0.2	14.20	608	3.6	1.68	1.0	65	11	184	18	2.0	0.9	1.0	4.53	18	2.1	5.1	-0.4	5.340	38	22	1.600	0.036	3	2.66	2	
592	5921266 R	-0.2	15.30	636	3.8	1.78	1.4	56	12	180	19	1.9	0.7	1.0	4.74	17	1.6	5.5	0.5	5.750	33	23	1.730	0.038	4	2.86	1	
592	5921291	1.9	10.40	1090	1.3	1.74	0.9	60	10	202	19	4.9	2.8	1.0	4.42	12	4.5	11.3	1.2	3.950	31	14	1.370	0.028	271	1.67	9	
592	5921291 R	1.5	10.80	1100	1.3	1.74	0.9	59	11	205	20	4.8	2.6	1.0	4.46	12	4.4	11.0	1.0	3.990	31	14	1.370	0.028	262	1.69	8	
592	5921300	0.6	12.10	123	1.4	2.42	0.8	4	7	203	10	0.9	0.5	0.6	2.59	17	0.8	12.3	0.6	1.120	2	17	0.722	0.034	11	3.68	4	
592	5921300 R	0.7	12.80	127	1.4	2.48	0.7	4	7	207	10	0.9	0.6	0.7	2.70	17	0.8	12.9	0.6	1.140	2	18	0.759	0.036	11	3.88	4	
592	5921317	1.5	13.00	345	281.0	4.22	1.4	48	24	94	105	3.9	-0.2	0.8	7.53	-1	-0.5	-0.5	-0.4	0.689	18	17	2.280	0.074	39	5.38	19	
592	5921317 R																											
592	5921325	1.0	8.96	520	0.7	1.19	0.9	4	3	169	8	0.6	0.3	0.4	1.39	9	0.5	16.4	-0.4	2.530	2	11	0.450	0.016	197	2.33	2	
592	5921325 R	0.9	8.66	507	0.6	1.17	0.6	3	2	159	8	0.5	0.2	0.4	1.35	9	-0.5	16.4	-0.4	2.450	1	11	0.442	0.016	201	2.23	2	
592	5921332	-0.2	4.68	229	1.7	0.11	-0.2	1150	77	32	87	43.3	20.5	3.3	7.09	31	54.7	-0.5	4.7	1.580	576	15	0.107	0.007	7	0.05	63	
592	5921332 R																											
592	5921363	-0.2	18.60	666	2.0	3.65	1.2	57	12	185	14	1.2	0.6	1.1	4.99	23	1.2	5.5	-0.4	4.670	31	38	3.280	0.060	-1	3.26	5	
592	5921363 R	-0.2	17.90	652	2.2	3.60	1.0	59	11	171	15	1.5	0.7	1.1	4.90	22	1.5	5.2	-0.4	4.600	33	36	3.200	0.049	-1	3.22	4	
592	5921379	-0.2	5.06	214	1.0	0.11	-0.2	1560	71	32	96	43.8	21.2	4.0	7.14	31	58.5	16.5	7.1	1.770	612	16	0.107	0.007	9	0.05	70	
592	5921379 R																											
592	5921395	1.7	3.74	89	0.3	0.67	0.5	7	6	220	39	1.6	1.0	0.2	1.88	5	1.1	19.3	0.6	0.527	2	9	0.453	0.016	52	1.02	5	
592	5921395 R	2.2	3.78	88	0.3	0.67	0.4	7	7	208	39	1.7	1.0	0.2	1.88	5	1.1	19.7	0.6	0.536	3	9	0.460	0.016	53	1.02	5	
592	5921407	-0.2	12.90	639	1.7	2.09	0.8	55	2	150	13	1.2	0.5	0.6	1.30	15	1.6	3.0	-0.4	2.380	30	14	0.474	0.022	1	3.88	2	
592	5921407 R	-0.2	12.70	630	1.7	2.12	0.7	52	2	155	14	1.2	0.4	0.6	1.32	14	1.5	2.6	-0.4	2.280	28	14	0.493	0.022	1	3.85	2	
592	5921414	1.9	4.92	231	1.0	0.12	-0.2	1460	77	32	84	43.6	23.7	4.7	7.41	5	59.2	5.2	8.7	1.710	863	14	0.088	0.007	10	0.05	51	
592	5921414 R																											
592	5921419	-0.2	12.60	718	0.6	0.47	0.8	64	1	141	3	1.2	0.8	0.6	1.39	13	1.9	4.8	-0.4	6.200	37	12	0.359	0.015	-1	2.62	3	
592	5921419 R	-0.2	11.70	696	0.6	0.45	0.9	65	-1	136	2	1.2	0.9	0.6	1.37	12	1.9	4.2	-0.4	6.100	36	11	0.350	0.015	-1	2.55	3	
592	5921548	-0.2	0.11	7	-0.2	0.02	-0.2	-1	-1	310	1	-0.2	-0.2	-0.2	0.26	-1	0.8	-0.5	-0.4	0.033	-1	6	0.011	0.003	1	0.02	-1	
592	5921548 R	0.3	0.09	8	-0.2	0.01	-0.2	1	-1	291	1	-0.2	-0.2	-0.2	0.26	-1	0.8	-0.5	-0.4	0.038	-1	6	0.006	0.002	1	0.01	-1	
592	5921625	-0.2	4.68	230	0.9	0.10	0.2	1250	77	26	88	47.0	18.0	3.7	6.85	23	66.9	15.8	5.4	1.570	673	13	0.097	0.007	6	0.05	55	
592	5921625 R																											
592	5921641	2.4	13.00	914	0.5	1.24	1.0	29	7	171	5	4.8																



PROJECT NUMBER	SAMPLE	ICP6.3 Total Digestion, Multi-Acids																			Aqua Regia			Partial	
		Nd ppm	Ni ppm	P2O5 wt %	Pb ppm	Pr ppm	Sc ppm	Sm ppm	Sr ppm	Ta ppm	Tb ppm	Th ppm	TiO2 wt %	U, ICP ppm	V ppm	W ppm	Y ppm	Yb ppm	Zn ppm	Zr ppm	LOI wt %	U <sub>3</sub> O <sub>8</sub> wt %	B ppm	U, Fl. ppm	
Nb Analyses	174	1	1	0,010	1	1	1,0	1	1	1,0	1	0,010	2	1	1	1	0,1	1	1	1	0,1	0,001	ppm	0,02	
592	312121	1170	6	0,328	268	370	17	148,0	2	193	<1	9,4	1860	0,738	268	67	<1	71	4,8	177	1900				
592	312121 R	1180	4	0,335	275	374	17	151,0	3	206	<1	9,8	1950	0,722	266	68	<1	72	5,0	177	2030				
592	312175	365	14	0,429	85	117	24	48,6	5	174	<1	4,1	475	1,180	82	119	<1	62	4,6	217	1230				
592	312175 R	368	15	0,426	84	117	25	48,8	6	177	<1	4,0	470	1,180	81	123	<1	63	4,6	223	1210				
592	312264	68	4	0,044	39	23	1	10,4	-1	228	1	0,8	566	0,130	119	55	-1	17	1,7	38	539				
592	312264 R	83	4	0,046	41	25	1	12,0	-1	236	-1	0,9	574	0,130	114	57	-1	19	1,8	41	539				
592	312351	84	4	0,153	63	25	4	10,3	<1	369	<1	<0,3	369	0,363	66	50	<1	15	1,3	80	365				
592	312351 R	82	5	0,146	62	24	4	10,0	<1	360	<1	<0,3	353	0,345	64	47	<1	15	1,2	73	334				
592	312387	147	6	0,229	123	41	2	19,9	-1	235	-1	2,0	345	0,212	70	32	1	46	3,5	33	257				
592	312387 R	150	5	0,225	119	41	2	20,3	-1	226	-1	2,1	341	0,210	67	32	2	46	3,5	33	272				
592	312389	6	4	0,034	490	1	1	4,5	-1	191	-1	-0,3	258	0,056	1450	6	-1	44	8,7	17	736		0,175		
592	312389 R																						0,174		
592	312444	8	3	0,060	45	1	1	1,8	-1	152	3	-0,3	48	0,115	33	16	2	8	0,9	21	151				
592	312444 R	9	4	0,062	47	-1	1	2,2	-1	142	2	-0,3	46	0,117	34	17	3	8	1,0	19	156				
592	312447	11	4	0,040	311	1	2	3,2	-1	165	-1	2,2	143	0,118	490	16	-1	25	2,8	33	102				
592	312447 R	9	6	0,033	208	-1	2	2,6	-1	162	-1	1,7	131	0,109	410	16	-1	21	2,4	24	63				
592	5921044	7	29	0,046	67	-1	12	1,2	-1	145	-1	0,4	162	0,577	110	56	-1	11	2,1	113	457				
592	5921044 R	7	29	0,046	69	-1	13	1,3	-1	146	-1	0,6	162	0,579	107	56	-1	11	2,2	112	456				
592	5921062	12	37	0,056	41	1	12	1,7	-1	149	1	-0,3	19	0,641	28	62	-1	5	0,7	129	287				
592	5921062 R	12	33	0,055	40	1	12	1,6	-1	145	-1	-0,3	18	0,637	30	60	-1	5	0,7	128	283				
592	5921120	16	39	0,062	9	2	6	2,9	-1	176	-1	-0,3	12	0,304	2	43	2	9	0,9	76	151				
592	5921120 R	16	41	0,062	10	2	6	2,8	-1	177	-1	-0,3	13	0,302	-2	43	-1	8	0,8	79	155				
592	5921251	213	46	0,208	1100	60	4	43,4	1	15	25	18,1	580	0,506	2500	21	1	163	15,2	177	276		0,283		
592	5921251 R																						0,283		
592	5921266	23	48	0,143	44	5	8	4,0	-1	124	-1	-0,3	19	0,221	21	104	3	14	1,2	88	210				
592	5921266 R	21	47	0,147	40	5	9	3,8	-1	133	1	-0,3	16	0,244	20	110	5	13	1,2	84	208				
592	5921291	22	32	0,056	298	5	6	4,8	-1	164	-1	-0,3	472	0,403	754	60	-1	25	2,6	64	443				
592	5921291 R	21	32	0,057	295	5	6	4,7	-1	167	-1	-0,3	474	0,411	736	61	-1	24	2,6	67	417				
592	5921300	2	14	0,028	68	1	4	1,2	-1	174	-1	-0,3	70	0,356	177	37	-1	5	0,9	51	440				
592	5921300 R	2	15	0,028	69	1	4	1,3	-1	182	-1	-0,3	73	0,377	179	38	-1	5	0,9	53	456				
592	5921317	-1	184	0,196	2140	6	17	9,4	-1	240	7	-0,3	65	0,703	10 500	896	-1	37	4,7	73	243		1,210		
592	5921317 R																						1,200		
592	5921325	1	7	0,018	50	-1	1	-0,5	-1	150	1	0,4	202	0,195	66	24	-1	3	0,6	29	605				
592	5921325 R	1	8	0,020	49	-1	1	0,6	-1	147	-1	0,4	197	0,190	63	24	-1	3	0,5	28	619				
592	5921332	386	48	0,240	1230	106	4	75,5	-1	23	22	23,5	778	0,496	2710	22	1	177	16,3	176	277		0,288		
592	5921332 R																						0,267		
592	5921363	13	30	0,130	20	1	10	3,1	-1	109	4	-0,3	13	0,509	2	61	4	8	0,9	111	217				
592	5921363 R	15	27	0,127	20	2	9	3,5	-1	105	3	-0,3	15	0,511	3	59	3	9	0,8	109	211				
592	5921379	519	46	0,245	1360	134	3	88,6	1	25	22	23,4	950	0,560	2710	24	4	191	17,6	165	222		0,284		
592	5921379 R																						0,275		
592	5921395	2	16	0,010	144	-1	2	1,2	-1	44	-1	-0,3	110	0,160	450	25	-1	9	1,7	30	696				
592	5921395 R	2	15	0,011	147	-1	2	1,0	-1	44	-1	-0,3	109	0,164	460	25	-1	9	1,7	30	715				
592	5921407	16	4	0,058	24	3	2	2,3	-1	199	-1	-0,3	13	0,171	12	29	-1	7	0,7	28	88				
592	5921407 R	15	6	0,061	22	3	2	2,0	-1	198	-1	-0,3	12	0,174	11	31	-1	7	0,7	27	84				
592	5921414	443	50	0,208	1170	141	4	81,5	1	21	19	-0,3	811	0,553	2630	24	2	192	16,3	196	275		0,288		
592	5921414 R																						0,267		
592	5921419	19	3	0,031	15	6	2	2,9	-1	65	-1	-0,3	20	0,181	6	7	-1	6	0,8	15	160				
592	5921419 R	20	4	0,029	14	6	2	2,8	-1	63	-1	0,4	18	0,175	5	6	-1	6	0,8	14	168				
592	5921548	-1	4	0,002	-1	-1	-1	0,5	-1	1	1	-0,3	-1	0,004	4	1	-1	-1	-0,1	1	1				
592	5921548 R	-1	3	-0,002	2	-1	-1	-0,5	-1	2	-1	-0,3	2	0,003	5	1	-1	-1	-0,1	1	1				
592	5921625	428	48	0,222	1200	113	3	66,4	1	22	13	17,2	826	0,530	2 600	21	1	163	14,4	180	268		0,288		
592	5921625 R																						0,288		
592	5921641	12	17	0,039	284	2	15	3,9	-1	164	-1	-0,3	271	0,681	1 050	67	-1	25	3,3	113	1040		0,120		
592	5921641 R																						0,120		
592	5921645	486	49	0,230	1290	151	4	84,8	1	21	21	21,4	870	0,547	2710	22	1	189	16,6	172	243		0,289		
592	5921645 R																						0,295		
592	5921694	14	54	0,073	76	2	6	2,8	-1	167	-1	-0,3	42	0,260	51	173	-1	8	1,0	98	195				
592	5921694 R	12	52	0,072	74	-1	5	2,6	-1	163	-1	-0,3	34	0,247	50	162	-1	5	0,9	95	190				
592	5921698	2	6	0,025	90	1	2	1,1	-1	155	-1	-0,3	195	0,155	161	18	-1	8	1,2	30	566				
592	5921698 R	2	5	0,024	92	-1	2	1,0	-1	152	-1	-0,3	186	0,152	154	17	-1	7	1,2	29	541				
592	5921722	55	178	0,207	2330	8	16	7,5	-1	237	-1	37,4	45	0,683	10 200	828	-1	36	5,0	69	233		1,210		
592	5921722 R																						1,210		
592	5921742	8	4	0,032	101	2	1	1,6	-1	194	-1	-0,3	136	0,120	101	17	-1	6	0,5	31	145				
592	5921742 R	8	4	0,032	98	2	1	1,3	-1	192	-1	-0,3	135	0,119	99	17	-1	6	0,5	31	150				
592	5921783	12	42	0,224	36	2	6	3,2	-1	173	8	1,2	68	0,378	59	51	-1	11	1,4	100	564				
592	5921783 R	12	41	0,220	33	2	7	3,2	-1	171	9	0,8	67	0,372	58	51	-1								



PROJECT NUMBER	SAMPLE	SAMPLE TYPE	# FORAGE	CERTIFICATE	DATE	FIRE ASSAY										ICP6.3R Partial Digestion									
						Au	Pd	Pt	Ag	As	Bi	Co	Cu	Ge	Hg	Mo	Ni	Pb	Sb	Se	Te	U, ICP	V	Zn	
						ppb 2	ppb 2	ppb 2	ppm 0,1	ppm 0,2	ppm 0,2	ppm 0,1	ppm 0,1	ppm 0,2	ppm 0,2	ppm 0,1	ppm 0,1	ppm 0,02	ppm 1,0	ppm 0,2	ppm 0,2	ppm 0,5	ppm 0,1	ppm 0,1	
592	5921798 R	Forage	NR-07-04	G-2007-1763	2007-12-19				-0,1	-0,2	-0,2	1,3	6,0	-0,2	-0,2	11,3	4,3	35,80	-1,0	-0,2	-0,2	77,1	12,7	62,0	
592	5921798 R	Réplique lab	NR-07-04	G-2007-1763	2007-12-19				-0,1	0,2	-0,2	1,5	5,9	-0,2	-0,2	13,2	3,9	35,80	-1,0	-0,2	-0,2	77,0	12,0	61,4	
592	5921953	Forage	NR-07-01	G-2007-1719	2007-12-12				-0,1	1,1	-0,2	1,6	0,8	-0,2	-0,2	28,6	3,0	40,40	-1,0	-0,2	-0,2	67,7	8,9	22,5	
592	5921853 R	Réplique lab	NR-07-01	G-2007-1719	2007-12-12				-0,1	0,7	-0,2	1,7	0,9	0,2	-0,2	27,7	3,2	40,80	-1,0	-0,2	-0,2	68,5	8,9	20,6	
592	5921968	Forage	NR-07-01	G-2007-1719	2007-12-12				-0,1	0,9	-0,2	4,3	7,7	0,5	-0,2	42,9	12,9	101,00	-1,0	-0,2	-0,2	320,00	10,2	24,9	
592	5921968 R	Réplique lab	NR-07-01	G-2007-1719	2007-12-12				-0,1	0,7	-0,2	4,3	7,8	0,6	-0,2	44,7	12,7	97,70	-1,0	-0,2	-0,2	310,00	9,9	24,0	
592	5921992	Forage	NR-07-01	G-2007-1719	2007-12-12				-0,1	-0,2	1,3	2,9	3,1	-0,2	-0,2	28,2	3,9	42,50	2,7	-0,2	-0,2	96,5	21,4	49,0	
592	5921992 R	Réplique lab	NR-07-01	G-2007-1719	2007-12-12				-0,1	0,3	1,5	2,6	3,1	-0,2	-0,2	27,7	3,6	41,70	2,7	-0,2	-0,2	93,8	21,5	48,8	
592	5921997	Forage	NR-07-01	G-2007-1719	2007-12-12				-0,1	-0,2	1,1	2,1	2,3	-0,2	-0,2	31,1	2,9	32,00	1,6	-0,2	-0,2	49,8	15,7	43,2	
592	5921997 R	Réplique lab	NR-07-01	G-2007-1719	2007-12-12				-0,1	0,6	0,6	2,3	2,4	-0,2	-0,2	28,3	3,1	31,70	1,6	-0,2	-0,2	49,0	15,7	42,2	
592	5929017	Roche		2007-900	2007-08-07				<0,1	<0,2	<0,2	1,4	1,4	<0,2	<0,2	0,7	2,3	42,90	0,2	<0,2	0,5		6,0	20,4	
592	5929017 R	Réplique lab		2007-900	2007-08-07				<0,1	<0,2	<0,2	1,4	1,4	<0,2	<0,2	0,5	2,4	43,00	<0,2	<0,2	0,6		6,1	20,0	
592	5929033	Roche		2007-942	2007-08-14				-0,1	1,2	0,6	2,0	1,7	-0,2	-0,2	5,7	4,7	8,70	1,2	-0,2	1,0	6,5	26,9	30,1	
592	5929033 R	Réplique lab		2007-942	2007-08-14				-0,1	1,4	0,4	2,0	2,2	-0,2	-0,2	7,3	4,5	8,82	-1,0	-0,2	1,0	6,7	26,8	28,0	
592	5929060	Roche		2007-900	2007-08-07				<0,1	<0,2	2,8	1,1	<0,1	<0,2	<0,2	142,0	5,8	55,30	<0,2	0,9	1,2	46,8	7,3	17,1	
592	5929060 R	Réplique lab		2007-900	2007-08-07				<0,1	0,2	2,6	1,0	<0,1	<0,2	<0,2	140,0	5,8	54,20	<0,2	1,3	1,0	48,0	7,0	16,2	
592	5929135	Roche		2007-1421	2007-10-17																				
592	5929135 R	Réplique lab		2007-1421	2007-10-17																				
592	5929163	Roche		2007-1496	2007-11-18				-0,1	0,3	4,6	7,8	2,3	-0,2	-0,2	16,2	6,8	40,30	4,6	1,5	0,7	132,0	60,7	54,2	
592	5929163 R	Réplique lab		2007-1496	2007-11-18				-0,1	0,5	5,1	7,6	1,9	-0,2	-0,2	17,4	8,5	40,00	4,0	1,4	0,9	135,0	59,2	52,8	
592	5929164	Roche		2007-1496	2007-11-18				-0,1	0,5	-0,2	2,9	11,9	-0,2	-0,2	7,4	11,9	45,60	-1,0	-0,2	1,2	86,4	-0,1	16,7	
592	5929164 R	Réplique lab		2007-1496	2007-11-18				-0,1	0,9	0,2	2,5	12,1	-0,2	-0,2	7,7	12,0	44,30	-1,0	-0,2	1,0	82,5	-0,1	17,0	
592	5929168	Roche		2007-1496	2007-11-18				0,3	0,3	6,3	15,3	35,3	-0,2	-0,2	612,0	25,0	484,00	5,8	-0,2	2,5	1460,0	108,0	90,0	
592	5929168 R	Réplique lab		2007-1496	2007-11-18																				
592	5929189,1	Duplicata 5929189		2007-1496	2007-11-18				-0,1	1,3	4,3	10,8	36,1	-0,2	-0,2	977,0	18,6	1890,00	-1,0	-0,2	10,3	5570,0	83,2	70,2	
592	5929189,1 R	Réplique lab		2007-1496	2007-11-18																				
592	5929178,1	Duplicata 5929176		2007-1496	2007-11-18				-0,1	-0,2	1,9	0,7	13,2	-0,2	-0,2	9,0	0,3	2180,00	-1,0	-0,2	0,7	6150,0	1,1	12,0	
592	5929176 R	Réplique lab		2007-1496	2007-11-18				-0,1	-0,2	1,7	0,6	13,0	-0,2	-0,2	8,4	0,3	2080,00	-1,0	-0,2	0,6	6100,0	0,7	13,2	
592	5929200	Roche		2007-900	2007-08-07				<0,1	<0,2	0,9	0,8	<0,1	<0,2	<0,2	39,6	5,1	27,50	0,6	<0,2	<0,2	56,1	4,4	10,6	
592	5929200 R	Réplique lab		2007-900	2007-08-07				<0,1	<0,2	1,1	0,8	<0,1	<0,2	<0,2	40,7	4,2	28,00	<0,2	<0,2	<0,2	54,8	4,4	10,2	
592	5929231	Roche		2007-1094	2007-09-27				<0,1	0,6	0,9	2,1	5,8	<0,2	<0,2	66,1	4,3	96,80	<1	<0,2	0,3	111,0	14,6	30,6	
592	5929231 R	Réplique lab		2007-1094	2007-09-27				<0,1	0,4	0,9	1,9	5,3	<0,2	<0,2	65,6	3,9	95,20	<1	<0,2	0,4	107,0	14,4	29,8	
592	5929233	Roche		2007-1094	2007-09-27				<0,1	<0,2	<0,2	1,4	0,6	<0,2	<0,2	194,0	5,5	130,00	1,8	2,0	<0,2	286,0	14,4	29,4	
592	5929233 R	Réplique lab		2007-1094	2007-09-27				<0,1	0,2	<0,2	1,4	0,9	<0,2	<0,2	180,0	5,6	131,00	2,4	1,8	0,2	282,0	15,4	30,3	
592	5929271	Roche		2007-942	2007-10-17																				
592	5929271 R	Réplique lab		2007-942	2007-10-17																				
592	5929292	Roche		2007-1421	2007-10-01				-0,1	8,2	3,5	28,4	75,2	-0,2	-0,2	3630,0	40,3	1120,00	-1,0	-0,2	15,9	2510,0	256,0	270,0	
592	5929292 R	Réplique lab		2007-1421	2007-10-01				-0,1	8,8	3,8	27,8	76,6	-0,2	-0,2	3760,0	41,2	1100,00	-1,0	-0,2	14,9	2500,0	254,0	270,0	
592	5929303	Roche		2007-900	2007-08-07			12	2	5	<0,1	1,3	3,7	2,4	<0,1	<0,2	1120,0	1,7	641,00	<0,2	<0,2	3,8	1630,0	32,8	56,1
592	5929303 R	Réplique lab		2007-900	2007-08-07				<0,1	1,1	3,3	2,3	<0,1	<0,2	<0,2	1070,0	2,4	637,00	<0,2	<0,2	3,6	1620,0	30,4	54,5	
592	5929313	Roche		2007-900	2007-08-07				<0,1	0,5	2,8	2,9	<0,1	0,3	<0,2	171,0	5,2	61,00	<0,2	<0,2	3,6	67,1	30,4	41,6	
592	5929313 R	Réplique lab		2007-900	2007-08-07				<0,1	0,4	3,2	2,9	<0,1	<0,2	<0,2	166,0	4,9	59,40	<0,2	<0,2	3,4	66,0	30,7	41,4	
592	5929372	Roche		2007-942	2007-08-14				-0,1	0,6	1,6	4,5	5,1	0,2	-0,2	2,2	4,2	12,00	-1,0	-0,2	3,1	34,5	28,9	42,8	
592	5929372 R	Réplique lab		2007-942	2007-08-14				-0,1	-0,2	1,9	4,4	5,3	-0,2	-0,2	2,4	5,0	11,60	-1,0	-0,2	3,2	33,2	28,8	40,4	
592	5929376	Roche		2007-996	2007-08-28				-0,1	1,4	-0,2	2,2	28,2	-0,2	-0,2	236,0	4,8	70,40	5,3	6,1	5,8	78,3	40,8	38,6	
592	5929376 R	Réplique lab		2007-996	2007-08-28				-0,1	1,3	-0,2	2,1	29,6	-0,2	-0,2	231,0	4,8	70,10	5,0	6,2	6,1	78,2	41,9	38,4	
592	5929405	Roche		2007-900	2007-08-07				<0,1	<0,2	1,0	1,6	0,1	<0,2	<0,2	1,2	1,7	29,90	<0,2	<0,2	1,0	6,9	8,8	16,8	
592	5929405 R	Réplique lab		2007-900	2007-08-07				<0,1	0,4	0,9	1,6	<0,1	<0,2	<0,2	1,7	1,1	30,80	<0,2	<0,2	1,2	6,8	8,9	16,7	
592	5929407	Roche		2007-900	2007-08-07				<0,1	0,6	0,7	4,4	2,1	<0,2	<0,2	1,0	7,2	18,60	<0,2	<0,2	2,0	9,3	29,5	47,8	
592	5929407 R	Réplique lab		2007-900																					



PROJECT NUMBER	SAMPLE	ICP6.3 Total Digestion, Multi-Acids																										
		Ag ppm	Al2O3 wt %	Ba ppm	Be ppm	CaO wt %	Cd ppm	Ce ppm	Co ppm	Cr ppm	Cu ppm	Dy ppm	Er ppm	Eu ppm	Fe2O3 wt %	Ga ppm	Gd ppm	Hf ppm	Ho ppm	K2O wt %	La ppm	Li ppm	MgO wt %	MnO wt %	Mo ppm	Na2O wt %	Nb ppm	
Nb Analyses	174	0,2	0,01	1	0,2	0,01	1,0	1	1	1	0,2	0,2	0,2	0,01	1	1,0	1,0	1,0	0,010	1	1	0,010	0,010	1	1	0,01	1	
592	5921798	-0,2	13,40	1490	0,5	0,83	1,0	7	1	140	6	0,8	-0,2	1,1	0,99	13	0,9	8,7	-0,4	7,400	4	9	0,424	0,009	13	2,11	-1	
592	5921798 R	-0,2	13,90	1510	0,5	0,82	1,0	7	1	143	6	0,9	-0,2	1,1	1,00	13	0,8	9,9	-0,4	7,470	4	9	0,430	0,010	12	2,22	2	
592	5921953	-0,2	14,00	1170	0,8	1,08	0,9	4	2	121	3	0,6	-0,2	0,9	0,88	15	0,9	2,7	-0,4	6,120	3	8	0,245	0,010	30	2,73	2	
592	5921953 R	-0,2	14,10	1180	0,8	1,09	0,8	4	1	120	3	0,6	-0,2	0,9	0,84	15	0,8	2,4	-0,4	6,160	3	8	0,237	0,010	28	2,75	2	
592	5921968	-0,2	13,10	906	1,0	1,83	0,9	28	5	120	7	1,7	0,8	1,0	1,64	13	1,8	2,5	0,4	4,720	14	7	0,310	0,009	47	2,61	-1	
592	5921968 R	0,4	13,50	933	1,0	1,90	1,0	31	4	125	6	1,8	0,8	1,0	1,70	13	2,0	2,1	0,4	4,820	16	7	0,295	0,009	49	2,71	-1	
592	5921992	-0,2	13,30	1340	0,5	1,31	1,0	21	2	112	3	0,7	-0,2	1,0	1,70	16	1,2	5,9	-0,4	5,440	13	13	0,536	0,014	26	2,30	5	
592	5921992 R	-0,2	13,30	1340	0,5	1,28	0,9	21	2	116	3	0,8	-0,2	1,1	1,75	16	1,3	7,2	-0,4	5,490	12	14	0,558	0,014	29	2,32	6	
592	5921997	-0,2	14,90	1470	0,6	1,25	0,9	24	2	107	4	0,8	-0,2	1,1	1,51	16	1,4	4,0	0,4	6,580	14	12	0,552	0,012	41	2,45	4	
592	5921997 R	-0,2	15,20	1510	0,6	1,27	1,0	25	2	110	3	0,8	-0,2	1,1	1,62	16	1,4	4,1	-0,4	6,750	15	14	0,558	0,013	43	2,54	5	
592	5929017	<0,2	13,00	1560	0,5	0,62	1,0	62	1	128	3	0,7	0,2	0,6	0,90	10	1,7	0,6	<0,4	7,120	32	8	0,249	0,010	<1	2,43	<1	
592	5929017 R	<0,2	13,10	1560	0,5	0,62	1,0	62	1	129	3	0,7	0,2	0,6	0,79	10	1,7	0,5	<0,4	7,140	32	8	0,245	0,010	<1	2,44	<1	
592	5929033	-0,2	21,30	108	2,8	5,84	1,4	50	2	107	3	1,2	0,2	1,2	1,30	18	2,2	3,6	-0,4	6,730	28	10	0,530	0,015	6	5,32	-1	
592	5929033 R	-0,2	22,10	108	2,9	6,08	1,4	55	3	114	3	1,3	0,2	1,3	1,38	20	2,3	2,7	-0,4	6,738	31	11	0,537	0,016	5	5,52	-1	
592	5929060	<0,2	13,70	586	1,2	1,55	1,1	7	1	189	2	0,9	<0,2	0,7	1,09	13	1,0	1,0	<0,4	3,930	4	11	0,241	0,010	150	3,85	<1	
592	5929060 R	<0,2	14,10	605	1,3	1,57	1,0	7	1	186	2	0,9	0,3	0,7	1,10	13	1,0	0,9	<0,4	3,770	4	11	0,237	0,010	147	3,79	<1	
592	5929135																											
592	5929135 R																											
592	5929163	0,3	16,10	1800	1,6	2,84	1,0	32	6	186	5	2,1	-0,2	1,0	3,61	20	2,6	52,8	0,8	3,850	17	25	1,590	0,047	10	3,17	13	
592	5929163 R	-0,2	15,40	1730	1,4	2,80	0,9	34	6	181	4	2,1	-0,2	0,9	3,55	20	2,7	51,1	0,7	3,810	18	24	1,550	0,045	9	3,08	11	
592	5929164	-0,2	12,40	436	1,7	0,48	0,9	30	3	151	14	2,3	1,2	0,5	1,90	16	2,0	3,0	0,4	6,580	14	3	0,087	0,004	9	2,30	3	
592	5929164 R	0,2	12,60	450	1,7	0,50	0,9	33	4	157	13	2,2	1,1	0,6	1,94	17	2,2	3,0	-0,4	6,640	15	3	0,087	0,004	9	2,34	2	
592	5929168																											
592	5929168 R																											
592	5929169,1																											
592	5929169,1 R																											
592	5929176,1	2,8	1,91	18	0,2	0,57	0,3	75	-1	188	-1	39,8	22,4	0,7	0,26	-1	31,6	-0,5	7,8	0,332	29	2	0,010	0,005	19	0,61	2	
592	5929176 R	2,9	1,91	15	0,2	0,56	0,3	72	-1	184	-1	40,5	23,4	0,8	0,24	-1	30,9	-0,5	8,0	0,358	27	2	0,003	0,005	17	0,62	2	
592	5929200	<0,2	9,64	834	0,6	1,58	0,7	5	<1	227	1	0,4	0,2	0,7	0,61	9	<0,5	6,0	<0,4	3,820	2	6	0,227	0,006	40	1,42	<1	
592	5929200 R	<0,2	9,89	854	0,6	1,61	0,7	3	<1	218	1	0,3	0,3	0,6	0,63	9	<0,5	7,0	<0,4	3,870	1	6	0,237	0,006	43	1,43	<1	
592	5929231	<0,2	12,30	929	0,7	0,66	1,0	6	2	175	5	1,5	0,8	0,9	1,34	12	1,5	1,1	<0,4	6,190	4	12	0,385	0,013	88	2,28	3	
592	5929231 R	<0,2	11,80	920	0,7	0,65	0,9	6	1	180	5	1,4	0,8	0,9	1,31	12	1,5	1,0	<0,4	6,290	3	11	0,379	0,012	90	2,31	3	
592	5929233	<0,2	6,85	55	0,7	1,18	0,5	4	<1	233	8	1,6	0,6	0,6	1,30	9	1,5	10,1	<0,4	0,801	2	12	0,353	0,015	220	2,02	3	
592	5929233 R	<0,2	7,04	57	0,7	1,20	0,5	4	<1	244	7	1,5	0,7	0,6	1,35	9	1,5	10,8	<0,4	0,816	3	13	0,368	0,015	226	2,11	4	
592	5929271																											
592	5929271 R																											
592	5929262	2,7	10,70	488	-0,2	0,38	1,0	4	31	299	-1	9,3	8,8	-0,2	14,80	9	8,5	20,5	3,0	6,100	9	78	5,700	0,141	5200	0,68	42	
592	5929262 R	2,9	11,40	483	-0,2	0,40	1,2	3	32	310	2	8,1	8,6	0,2	15,60	10	8,2	21,9	3,6	6,050	7	81	5,760	0,145	5360	0,70	45	
592	5929303	0,6	3,62	88	<0,2	0,34	<0,2	7	3	202	2	7,2	1,7	0,3	2,65	<1	4,8	11,4	0,7	0,972	1	20	0,804	0,018	1200	0,66	13	
592	5929303 R	0,7	3,56	85	<0,2	0,35	<0,2	7	2	206	1	6,9	1,6	0,2	2,51	<1	4,7	13,5	0,6	0,909	1	18	0,762	0,017	1100	0,67	12	
592	5929313	0,6	9,42	85	0,7	1,52	0,6	6	3	160	2	0,8	0,5	0,6	2,81	13	0,5	9,6	<0,4	1,190	5	23	0,787	0,021	180	2,47	12	
592	5929313 R	0,5	9,38	85	0,7	1,53	0,6	6	4	171	2	0,8	0,4	0,6	2,59	13	0,8	10,2	<0,4	1,170	5	23	0,780	0,021	170	2,52	13	
592	5929372	1,2	14,00	394	1,5	2,27	1,0	16	6	70	-1	0,9	0,6	0,6	2,92	20	1,0	20,1	0,4	2,260	7	33	0,912	0,039	5	4,04	8	
592	5929372 R	1,0	13,40	390	1,5	2,20	1,1	14	5	69	-1	0,6	0,4	0,5	2,87	19	0,6	20,6	0,7	2,210	6	30	0,905	0,037	4	3,99	7	
592	5929376	1,4	1,48	82	-0,2	0,03	-0,2	-1	2	204	-1	1,2	-0,2	-0,2	2,07	3	0,7	30,0	0,4	0,745	-1	13	0,648	0,019	272	0,06	8	
592	5929376 R	1,5	1,46	79	-0,2	0,04	-0,2	-1	2	195	-1	1,1	-0,2	-0,2	1,93	3	0,6	32,0	0,4	0,740	-1	12	0,640	0,018	270	0,08	8	
592	5929405	0,2	12,80	1410	0,6	0,72	0,9	233	1	107	1	1,7	1,0	0,7	1,01	13	4,4	2,0	0,6	7,070	132	9	0,328	0,014	1	2,49	2	
592	5929405 R																											



PROJECT NUMBER	SAMPLE	ICP6.3 Total Digestion, Multi-Acids																	Aqua Regia			Partial		
		Nd ppm	Ni ppm	P2O5 wt %	Pb ppm	Pr ppm	Sc ppm	Sm ppm	Sr ppm	Ta ppm	Tb ppm	Th ppm	TiO2 wt %	U, ICP ppm	V ppm	W ppm	Y ppm	Yb ppm	Zn ppm	Zr ppm	LOI wt %	U <sub>3</sub> O <sub>8</sub> wt %	B ppm	U, FI. ppm
Nb Analyses	174	1	1	0,010	1	1	1,0	1	1	1,0	1	0,010	2	1	1	1	0,1	1	1	1	0,1	0,001		0,02
592	5921798	2	4	0,025	88	-1	2	0,7	-1	213	-1	-0,3	119	0,135	93	25	1	5	0,6	61	290			
592	5921798 R	2	4	0,024	88	-1	2	0,8	-1	222	-1	-0,3	119	0,139	97	25	1	5	0,7	62	305			
592	5921953	1	3	0,024	62	-1	1	-0,5	-1	212	-1	-0,3	110	0,123	72	20	1	3	0,3	26	80			
592	5921953 R	2	4	0,027	60	-1	1	-0,5	-1	215	-1	-0,3	111	0,122	89	20	1	3	0,3	25	76			
592	5921968	9	11	0,052	111	2	2	2,1	-1	190	-1	-0,3	67	0,098	350	11	-1	7	0,7	35	91			
592	5921968 R	10	12	0,055	114	3	2	2,4	-1	196	-1	-0,3	73	0,098	330	12	-1	8	0,7	38	89			
592	5921992	8	3	0,036	81	-1	5	1,0	-1	191	-1	-0,3	92	0,283	98	32	2	4	0,4	57	240			
592	5921992 R	7	3	0,036	80	-1	5	1,1	-1	194	-1	-0,3	94	0,288	97	33	1	4	0,5	59	245			
592	5921997	8	3	0,040	72	1	4	1,2	-1	225	-1	-0,3	98	0,261	51	29	2	4	0,3	52	131			
592	5921997 R	9	3	0,040	74	1	4	1,2	-1	232	-1	-0,3	94	0,273	52	30	-1	4	0,3	53	134			
592	5929017	19	2	0,040	61	5	1	2,6	-1	231	-1	-0,3	80	0,095	3	16	<1	3	0,2	23	31	0,2	5	3,70
592	5929017 R	19	2	0,037	61	5	1	2,5	-1	233	-1	-0,3	78	0,093	3	16	<1	3	0,2	23	29	0,4	4	3,79
592	5929033	18	5	0,048	26	5	2	3,6	-1	364	-1	-0,3	36	0,188	13	40	3	6	0,4	36	127			
592	5929033 R	19	5	0,048	26	5	2	4,3	-1	384	-1	-0,3	39	0,181	13	43	4	6	0,4	38	125			
592	5929060	3	5	0,054	71	1	1	1,1	-1	198	-1	-0,3	305	0,103	54	19	<1	5	0,4	24	31	0,5	6	
592	5929060 R	3	5	0,053	71	1	1	1,2	<1	197	1	-0,3	305	0,101	52	19	<1	5	0,4	24	29	0,5	5	
592	5929135																					0,263		
592	5929135 R																					0,264		
592	5929163	7	10	0,042	74	2	9	2,4	-1	209	-1	3,1	435	0,566	171	73	-1	13	2,3	69	1920			
592	5929163 R	9	11	0,039	74	2	8	2,4	-1	205	-1	2,7	430	0,551	167	71	1	12	2,2	67	1900			
592	5929164	12	13	0,032	77	2	-1	2,7	-1	115	-1	-0,3	43	0,035	102	15	2	16	2,0	18	72			
592	5929164 R	13	13	0,034	80	2	-1	3,0	-1	117	-1	-0,3	41	0,036	104	15	1	15	1,9	18	70			
592	5929168																					0,205		
592	5929168 R																					0,199		
592	5929169,1																					0,719		
592	5929169,1 R																					0,716		
592	5929176,1	36	2	0,314	2360	5	-1	22,9	-1	22	1	-0,3	880	0,011	6800	1	-1	163	18,4	5	21		0,824	
592	5929176 R	36	1	0,355	2300	4	-1	23,0	-1	20	1	-0,3	914	0,010	6960	-1	-1	165	18,4	3	20		0,823	
592	5929200	1	3	0,022	50	<1	1	0,9	<1	148	<1	-0,3	74	0,077	62	13	<1	2	0,4	15	222	0,6		14
592	5929200 R	1	3	0,022	49	<1	1	0,7	<1	147	<1	-0,3	70	0,079	63	13	<1	2	0,4	16	230	0,7		16
592	5929231	3	3	0,063	125	<1	2	0,9	<1	188	<1	-0,3	186	0,159	115	27	3	8	0,6	39	34			
592	5929231 R	3	2	0,062	126	<1	2	0,8	<1	183	<1	-0,3	186	0,165	112	25	3	8	0,6	38	37			
592	5929233	1	5	0,021	161	<1	2	0,9	<1	107	<1	-0,3	553	0,170	309	21	<1	8	0,7	36	340			
592	5929233 R	1	5	0,021	164	<1	2	0,8	<1	110	<1	0,3	562	0,180	299	22	<1	8	0,7	36	351			
592	5929271																					0,149		
592	5929271 R																					0,148		
592	5929292	8	57	0,105	1190	1	26	4,6	1	47	5	-0,3	2530	2,320	2750	290	19	58	2,8	299	671		0,312	
592	5929292 R	6	54	0,108	1220	-1	29	4,4	2	49	7	-0,3	2500	2,450	2890	294	22	58	2,6	314	660		0,318	
592	5929303	7	2	0,033	650	2	7	3,2	<1	33	<1	1,2	865	0,448	1660	51	<1	30	2,9	61	520	0,5	0,212	50
592	5929303 R	7	2	0,034	650	2	6	3,1	<1	32	1	1,0	828	0,430	1700	48	<1	29	2,9	57	524	0,4	0,224	48
592	5929313	2	6	0,032	70	<1	7	0,6	<1	103	1	-0,3	210	0,388	68	46	<1	6	0,7	57	327	0,3		6
592	5929313 R	2	6	0,031	70	<1	7	0,6	<1	103	<1	-0,3	209	0,417	67	46	<1	6	0,7	56	333	0,3		6
592	5929372	5	6	0,027	29	1	4	1,3	-1	202	-1	-0,3	313	0,449	49	41	-1	5	0,9	61	730			
592	5929372 R	4	5	0,027	26	1	4	1,1	-1	194	-1	0,6	307	0,440	47	39	-1	5	1,0	60	742			
592	5929376	-1	5	0,009	69	-1	3	0,6	1	6	-1	1,6	986	0,292	86	38	-1	5	1,2	38	997			
592	5929376 R	1	4	0,008	67	-1	3	-0,5	1	8	-1	1,5	980	0,270	82	37	-1	5	1,3	38	1060			
592	5929405	68	3	0,055	53	20	1	7,0	<1	219	<1	-0,3	97	0,151	9	20	<1	7	0,5	20	74	0,5		5
592	5929405 R	69	2	0,056	53	20	1	7,2	<1	218	<1	-0,3	98	0,150	8	19	<1	7	0,5	20	92	0,4		4
592	5929407	31	7	0,044	32	9	3	3,5	<1	214	<1	-0,3	58	0,382	9	39	<1	6	0,7	51	122	0,4		4
592	5929407 R	35	8	0,047	33	10	4	3,9	<1	225	1	-0,3	64	0,390	10	40	<1	6	0,8	52	126	0,2		4
592	5929421	73	33	0,114	77	19	12	12,3	<1	105	2	3,8	2000	1,060	74	126	<1	22	2,9	129	2390			
592	5929421 R	72	34	0,114	76	19	11	12,2	<1	103	1	3,6	1960	1,030	74	123	<1	22	2,8	125	2300			
592	5929427	6	8	0,036	250	1	7	1,2	<1	100	<1	-0,3	730	0,502	460	100	1	7	0,8	90	510			
592	5929427 R	7	9	0,036	260	1	8	1,8	<1	103	1	0,4	738	0,508	464	102	2	10	1,2	87	518			
592	5929430	5	18	0,155	910	<1	33	0,6	4	47	5	0,5	4070	3,180	573	308	2	12	<0,1	329	759			
592	5929430 R	6	21	0,153	890	<1	34	0,9	6	49	4	0,7	4110	3,160	560	307	1	13	<0,1	333	750			
592	5929447	15	3	0,080	121	3	-1	4,4	-1	90	2	-0,3	142	0,029	262	3	-							







PROJECT NUMBER	SAMPLE	ICP6.3 Total Digestion, Multi-Acids																										
		Ag ppm	Al2O3 wt %	Ba ppm	Be ppm	CaO wt %	Cd ppm	Ce ppm	Co ppm	Cr ppm	Cu ppm	Dy ppm	Er ppm	Eu ppm	Fe2O3 wt %	Ga ppm	Gd ppm	Hf ppm	Ho ppm	K2O wt %	La ppm	Li ppm	MgO wt %	MnO wt %	Mo ppm	Na2O wt %	Nb ppm	
592	5929502	1.8	10.40	194	1.0	1.08	0.8	55	-1	174	-1	5.6	3.4	0.3	2.27	12	4.5	22.1	1.2	3.430	12	5	0.079	0.010	1	2.64	1	
592	5929502 R	1.5	10.10	186	0.9	1.04	0.6	52	-1	169	-1	5.4	3.2	0.3	2.20	12	4.3	21.4	1.1	3.370	13	5	0.077	0.010	1	2.56	2	
592	5929528	<0.2	7.83	63	0.8	1.37	0.4	3	1	178	2	1.5	<0.2	0.4	1.33	8	1.4	9.1	<0.4	0.843	2	11	0.370	0.015	144	2.30	3	
592	5929528 R	0.3	7.44	71	0.8	1.35	0.6	4	1	175	2	1.5	0.4	0.4	1.30	8	1.3	8.5	<0.4	0.827	2	11	0.362	0.014	148	2.28	3	
592	5929529	1.8	17.30	62	2.5	3.02	1.2	48	1	133	16	27.1	15.0	0.9	0.29	21	18.1	2.5	5.3	1.550	10	5	0.020	0.006	12	6.60	3	
592	5929529 R	2.4	18.50	64	2.7	2.99	1.2	48	1	125	17	26.8	15.7	1.0	0.30	21	19.3	1.9	5.5	1.550	9	6	0.034	0.007	18	6.58	3	
592	5929529 R	2.0	19.00	64	2.8	3.09	1.4	50	2	136	17	28.2	16.9	1.0	0.30	23	19.9	1.8	6.0	1.580	11	8	0.030	0.007	12	6.68	3	
592	5929551	-0.2	13.80	124	4.5	1.28	1.3	5	-1	133	17	2.1	1.4	0.2	0.82	22	1.6	0.9	0.5	4.220	2	3	0.091	0.009	9	4.20	16	
592	5929551 R	-0.2	14.00	122	4.5	1.30	1.4	5	-1	141	18	2.2	1.5	-0.2	0.85	23	1.8	0.9	0.4	4.310	1	4	0.094	0.009	9	4.29	17	
592	5929579	0.5	13.20	226	1.3	2.05	0.7	29	21	162	310	2.6	1.9	0.8	8.57	32	2.8	3.4	0.8	1.800	20	49	3.380	0.087	30	3.08	27	
592	5929579 R	0.7	13.30	231	1.4	2.04	0.8	27	22	163	310	2.4	1.8	0.7	8.60	32	2.4	3.0	1.0	1.760	18	48	3.340	0.087	28	3.08	28	
592	5929582																											
592	5929582 R																											
592	5929590	0.6	22.50	235	1.2	4.92	1.1	282	11	95	62	96.9	70.8	2.9	3.56	20	58.9	6.4	23.3	1.300	115	74	1.850	0.039	1100	6.46	11	
592	5929590 R	0.7	21.60	223	1.2	4.79	1.1	277	11	92	61	97.5	68.1	2.6	3.58	18	56.9	4.4	21.4	1.300	113	73	1.870	0.039	1020	6.20	11	
592	5929598	0.2	15.60	175	2.0	3.51	1.0	430	7	179	7	8.2	3.7	1.1	1.79	19	15.6	1.0	0.8	0.748	220	25	0.909	0.014	44	4.42	4	
592	5929598 R	0.2	15.50	169	1.9	3.45	0.9	434	5	172	8	9.0	4.1	1.2	1.75	19	17.1	1.4	0.9	0.731	226	24	0.878	0.014	42	4.38	4	
592	5929650	-0.2	18.20	353	2.4	3.10	1.1	378	3	102	151	8.2	3.6	1.1	4.04	26	14.5	1.1	1.7	2.580	222	18	0.691	0.024	4	5.45	3	
592	5929650 R	-0.2	18.20	349	2.4	3.13	1.1	370	3	102	155	8.0	3.3	1.0	4.05	25	13.1	1.1	1.3	2.600	220	18	0.700	0.024	5	5.49	3	
592	5929652																											
592	5929652 R																											
592	5929655																											
592	5929655 R																											
592	5929662	-0.2	20.30	88	3.5	3.90	1.2	283	9	106	14	20.6	17.5	1.3	4.10	34	18.5	2.5	5.0	2.180	154	60	2.110	0.077	77	5.83	18	
592	5929662 R	0.2	20.00	87	3.6	3.91	1.3	276	8	108	13	21.3	18.4	1.3	4.04	35	18.8	2.3	5.2	2.130	147	58	2.070	0.076	75	5.83	19	
592	5929664	-0.2	10.40	1110	0.4	0.53	0.5	16	-1	149	17	2.9	4.5	0.4	0.95	11	2.8	8.4	-0.4	4.980	5	9	0.243	0.013	1	2.13	1	
592	5929664 R	-0.2	10.60	1130	0.4	0.54	0.5	16	1	154	19	2.9	4.6	0.4	0.97	10	2.8	7.4	-0.4	5.110	5	10	0.248	0.014	1	2.18	-1	
592	5929665	-0.2	15.80	347	2.2	2.87	1.1	98	1	189	5	7.2	4.8	0.8	1.06	15	5.3	-0.5	1.7	2.300	52	12	0.409	0.016	47	4.66	1	
592	5929665 R	-0.2	16.40	346	2.2	2.88	1.1	98	1	182	4	7.3	4.9	0.9	1.03	15	6.0	-0.5	1.7	2.380	54	12	0.400	0.016	47	4.82	-1	
592	5929701	0.2	12.30	1170	0.4	0.95	0.9	16	-1	157	-1	6.6	3.8	0.4	1.91	4	6.3	3.1	0.8	7.500	4	17	0.442	0.021	1100	1.96	9	
592	5929701 R	-0.2	12.80	1210	0.4	0.97	0.9	17	-1	158	-1	7.0	3.9	0.4	1.95	6	6.3	2.3	0.8	7.590	5	18	0.453	0.022	1160	2.05	9	
592	5929704	-0.2	13.00	2110	-0.2	0.14	0.7	-1	4	132	-1	0.6	0.3	0.7	3.08	14	-0.5	1.1	-0.4	9.040	-1	29	1.140	0.041	100	1.36	12	
592	5929704 R	0.2	12.60	2030	-0.2	0.13	0.6	-1	3	129	-1	0.6	0.3	0.7	2.97	13	-0.5	0.8	-0.4	8.800	1	27	1.120	0.039	107	1.32	12	
592	5929750	0.4	14.40	648	0.8	1.50	0.8	160	2	118	4	2.2	0.5	0.6	1.02	16	4.5	12.0	-0.4	5.050	87	17	0.327	0.017	3	3.46	-1	
592	5929750 R	-0.2	14.00	643	0.8	1.49	0.9	160	2	118	4	2.1	0.8	0.6	1.00	15	4.4	10.2	-0.4	4.920	88	18	0.324	0.017	1	3.30	-1	
592	5929809	-0.2	13.20	111	1.9	1.68	0.8	2	-1	160	6	1.0	0.6	0.4	0.64	18	0.7	0.9	-0.4	2.460	1	7	0.103	0.013	2	4.07	3	
592	5929809 R	-0.2	12.80	109	1.9	1.64	0.8	2	1	156	6	1.0	0.6	0.4	0.62	18	0.6	0.6	-0.4	2.440	2	7	0.102	0.013	2	3.90	2	
592	5929850	0.2	20.60	131	2.1	4.90	1.0	373	14	68	39	4.8	2.4	2.0	2.13	24	11.4	11.3	1.2	0.855	190	31	0.793	0.025	1	7.72	-1	
592	5929850 R	0.5	19.70	130	2.0	4.80	1.0	370	13	67	38	4.5	2.0	1.8	2.04	24	10.4	13.0	1.1	0.850	185	29	0.761	0.024	2	7.62	-1	
592	5959615																											
592	5959615 R																											

PROJECT NUMBER	SAMPLE	ICP6.3 Total Digestion, Multi-Acids																	Aqua Regia			Partial				
		Nd ppm	Ni ppm	P2O5 wt %	Pb ppm	Pr ppm	Sc ppm	Sm ppm	Sr ppm	Ta ppm	Tb ppm	Th ppm	TiO2 wt %	U, ICP ppm	V ppm	W ppm	Y ppm	Yb ppm	Zn ppm	Zr ppm	LOI wt %	U <sub>3</sub> O <sub>8</sub> wt %	B ppm	U, Fl. ppm		
Nb Analyses	174	1	1	0,010	1	1	1,0	1	1	1	1,0	0,010	2	1	1	1	0,1	1	1	0,1	0,1			0,02		
592	5929502	16	3	0,068	68	3	1	4,0	-1	95	-1	1,1	495	0,060	134	14	-1	29	4,6	21	759					
592	5929502 R	15	2	0,066	66	3	1	4,0	-1	92	-1	1,0	473	0,060	130	14	-1	28	4,4	19	750					
592	5929528	2	3	0,020	152	<1	2	1,1	<1	110	<1	<0,3	521	0,178	224	23	<1	8	0,8	36	313					
592	5929528 R	1	4	0,018	149	<1	2	0,8	<1	106	<1	<0,3	509	0,171	217	22	<1	8	0,7	34	310					
592	5929529	20	3	0,070	1900	1	-1	14,2	-1	203	-1	-0,3	577	0,016	4660	8	-1	111	11,7	7	71					
592	5929529 R	20	3	0,074	1950	2	-1	14,5	-1	199	-1	-0,3	563	0,017	4700	10	-1	104	12,4	7	81		0,534			
592	5929529 R	22	4	0,076	1950	1	-1	15,3	-1	207	-1	-0,3	591	0,016	4760	9	-1	113	13,0	7	89					
592	5929529 R																							0,527		
592	5929551	2	3	0,043	46	-1	1	1,4	-1	85	4	-0,3	28	0,039	26	3	-1	11	1,5	8	34					
592	5929551 R	2	4	0,045	45	-1	1	1,5	-1	87	3	-0,3	28	0,041	23	3	-1	11	1,6	8	32					
592	5929579	13	23	0,078	180	1	16	2,6	-1	145	-1	-0,3	55	0,817	540	130	-1	17	2,2	117	76					
592	5929579 R	12	21	0,075	179	-1	15	2,4	-1	144	2	-0,3	54	0,815	540	130	-1	16	2,2	113	74					
592	5929582																							0,143		
592	5929582 R																								0,140	
592	5929590	121	31	0,097	4900	19	4	47,2	-1	336	-1	-0,3	1210	0,551	14900	66	-1	487	59,8	45	139				1,770	
592	5929590 R	119	28	0,087	4870	16	4	46,3	-1	328	-1	-0,3	1200	0,548	14600	66	-1	426	53,9	47	132				1,770	
592	5929598	151	10	0,083	123	42	4	21,1	-1	196	-1	2,0	220	0,193	220	49	1	41	2,3	26	12					
592	5929598 R	157	9	0,084	126	45	3	23,6	-1	189	-1	2,2	228	0,188	235	47	-1	44	2,5	25	13					
592	5929650	130	4	0,174	575	37	3	19,0	-1	260	-1	0,7	275	0,194	130	41	-1	35	1,6	32	23					
592	5929650 R	127	6	0,176	570	35	3	18,2	-1	259	-1	-0,3	270	0,195	130	41	-1	33	1,4	33	23					
592	5929652																								0,732	
592	5929652 R																									0,734
592	5929655																									0,472
592	5929655 R																									0,467
592	5929662	105	14	0,231	140	30	11	17,8	-1	230	4	3,3	176	0,563	242	101	-1	193	20,8	103	48					
592	5929662 R	104	13	0,224	139	30	11	17,6	-1	227	3	3,4	175	0,561	235	100	-1	202	21,9	104	47					
592	5929664	7	4	0,017	140	2	1	1,7	-1	201	-1	-0,3	740	0,095	269	17	1	16	2,1	28	260					
592	5929664 R	7	5	0,016	145	2	1	1,9	-1	204	-1	-0,3	752	0,095	278	17	2	17	2,2	28	268					
592	5929665	33	4	0,062	271	8	1	6,5	-1	220	-1	-0,3	81	0,100	894	16	-1	37	4,1	39	14					
592	5929665 R	35	4	0,061	277	9	1	7,5	-1	228	-1	-0,3	83	0,098	854	16	-1	39	4,0	37	13					
592	5929701	11	4	0,507	480	2	4	4,1	-1	165	-1	0,9	2230	0,283	360	26	-1	36	2,5	33	134					
592	5929701 R	12	3	0,523	478	2	4	4,1	-1	175	-1	0,8	2330	0,295	374	27	-1	36	2,6	33	131					
592	5929704	-1	12	0,022	81	-1	5	-0,5	-1	228	-1	-0,3	307	0,485	75	54	-1	3	0,3	77	64					
592	5929704 R	-1	12	0,018	79	-1	5	-0,5	1	209	-1	-0,3	294	0,456	71	52	-1	3	0,3	75	61					
592	5929750	55	2	0,066	42	15	1	6,3	-1	187	-1	0,6	285	0,117	33	22	1	8	0,7	27	435					
592	5929750 R	56	3	0,069	41	14	1	6,3	-1	191	-1	0,4	275	0,115	34	21	1	8	0,7	25	430					
592	5929809	1	4	0,018	32	-1	1	-0,5	-1	115	-1	-0,3	14	0,056	10	12	1	7	1,2	11	23					
592	5929809 R	1	3	0,018	33	-1	1	-0,5	-1	118	-1	-0,3	13	0,056	9	12	1	7	1,1	11	27					
592	5929850	126	25	0,198	52	39	2	16,1	-1	339	-1	1,8	385	0,184	33	33	-1	17	1,4	31	451					
592	5929850 R	125	24	0,193	50	36	2	15,0	-1	330	-1	1,8	377	0,180	30	33	-1	15	1,4	29	460					
592	5959615																								0,182	
592	5959615 R																									0,176



# IOS Services Géoscientifiques inc.

Uranium exploration campaign  
in the Kangiqsualujjuaq  
George River area  
Summer 2007 campaign  
North Rae project  
(Volume 3, appendix 6)

Presented to

Presented to  
Mr. Jean-Marc Lulin, P. Geo.,  
Ph.D  
Azimut Exploration Inc.



GM 65084

By  
Réjean Girard, P. Geo.



Ville de Saguenay

March 19, 2010  
Project: 592

1010536

URANIUM EXPLORATION CAMPAIGN, SUMMER 2007  
NORTH RAE PROJECT

APPENDIX 6  
LABORATORY CERTIFICATES





Saskatchewan  
Research Council

125-15 Innovation Boulevard, Saskatoon, SK Canada S7N 2X8 • Ph: 306-933-5400 Fax: 306-933-7446  
Also located at: 220-6 Research Drive, Regina, SK Canada S4S 7J7 • Ph: 306-787-9400 Fax: 306-787-8811

Web: [www.src.sk.ca](http://www.src.sk.ca)  
Email: [info@src.sk.ca](mailto:info@src.sk.ca)

Report No: 07-900

## SRC Geoanalytical Laboratories

125 - 15 Innovation Blvd.  
Saskatoon, Saskatchewan  
S7N 2X8

August 29, 2007

Phone: (306) 933-8118  
Fax: (306) 933-5656

**PROJET**

592

**IOS Services Geoscientifiques Inc.**  
1319 St-Paul Boulevard  
Saguenay (Chicoutimi), QC G7J 3Y2

Test reports are the property of the customers. Publications of statements, conclusions or extracts from these reports are not permitted without prior written permission from the customer.

This document constitutes the **final official test report**. Liability for the SRC Geoanalytical Laboratories', if any, will be limited to the cost of analysis for samples in this test report. The results contained in this test report relate only to the items tested. It is the customer's responsibility to ensure that all interpretation of analysis is done using the data from this report.

The customer will not use the name of the Saskatchewan Research Council in connection with the sale, offer, advertisement or the promotion of any article, product, or company without the prior written consent of the SRC.

Results Reviewed and Approved by:

Robert Millar  
Assistant Research Scientist

**SRC Geoanalytical Laboratories**

**IOS Services Geoscientifiques Inc.**

125 - 15 Innovation Blvd., Saskatoon, Saskatchewan, S7N 2X8  
 Tel: (306) 933-8118 Fax: (306) 933-5656 Email: geolab@src.sk.ca

Report No: 07-900  
 Date: August 29, 2007

Attention:  
 PO #/Project: 592  
 Samples: 8

**ICP4.3R Partial Digestion and Boron**

Column Header Details

Silver in ppm (Ag)  
 Arsenic in ppm (As)  
 Bismuth in ppm (Bi)  
 Cobalt in ppm (Co)  
 Copper in ppm (Cu)

Germanium in ppm (Ge)  
 Mercury in ppm (Hg)  
 Molybdenum in ppm (Mo)  
 Nickel in ppm (Ni)  
 Lead in ppm (Pb)

Antimony in ppm (Sb)  
 Selenium in ppm (Se)  
 Tellurium in ppm (Te)  
 Uranium (Fluorimetry) in ppm (U, Fl.)  
 Vanadium in ppm (V)

Zinc in ppm (Zn)  
 Boron by Fusion in ppm (B)

Sample Number	Ag ppm	As ppm	Bi ppm	Co ppm	Cu ppm	Ge ppm	Hg ppm	Mo ppm	Ni ppm	Pb ppm	Sb ppm	Se ppm	Te ppm	U, Fl. ppm	V ppm	Zn ppm	B ppm
CG515/LS4/BL	<0.1	12.1	1.7	39.8	47.3	<0.2	<0.2	13.0	48.8	24.8	<0.2	<0.2	<0.2	31.9	95.6	204	20
592-9016	<0.1	0.6	<0.2	7.5	19.2	1.2	<0.2	0.8	16.8	9.24	0.7	<0.2	<0.2	5.47	52.3	60.2	8
592-9017	<0.1	<0.2	<0.2	1.4	1.4	<0.2	<0.2	0.7	2.3	42.9	0.2	<0.2	0.5	3.70	6.0	20.4	5
592-9059	<0.1	<0.2	<0.2	2.0	0.3	0.3	<0.2	77.5	6.8	18.4	<0.2	<0.2	<0.2	21.2	14.5	21.1	15
592-9266	<0.1	0.4	0.4	0.6	1.5	<0.2	<0.2	123	3.2	14.4	<0.2	<0.2	<0.2	1.68	<0.1	2.5	2
592-9328	<0.1	1.0	0.4	9.2	21.2	1.5	<0.2	11.5	42.6	11.5	0.4	<0.2	0.4	6.85	84.7	68.9	8
592-9365	<0.1	<0.2	<0.2	11.2	43.5	1.1	<0.2	47.9	22.0	13.6	<0.2	<0.2	<0.2	22.9	29.6	47.3	4
592-9017 R	<0.1	<0.2	<0.2	1.4	1.4	<0.2	<0.2	0.5	2.4	43.0	<0.2	<0.2	0.6	3.79	6.1	20.0	4

Partial Digestion: A 1.00 g pulp is digested with 2.25 ml of 8:1 HNO3:HCl for 1 hour at 95C.  
 The standard is LS4.  
 Boron: A 0.1 gram pulp is fused at 650 C in a mixture of Na2O2/Na2CO3.  
 The standard is BL.



**SRC Geoanalytical Laboratories**

**IOS Services Geoscientifiques Inc.**

125 - 15 Innovation Blvd., Saskatoon, Saskatchewan, S7N 2X8  
Tel: (306) 933-8118 Fax: (306) 933-5656 Email: geolab@src.sk.ca

Report No: 07-900  
Date: August 29, 2007

Attention:  
PO #/Project: 592  
Samples: 8

**ICP4.3 Total Digestion**

Column Header Details

Silver in ppm (Ag)  
Aluminum in wt % (Al<sub>2</sub>O<sub>3</sub>)  
Barium in ppm (Ba)  
Beryllium in ppm (Be)  
Calcium in wt % (CaO)

Cadmium in ppm (Cd)  
Cerium in ppm (Ce)  
Cobalt in ppm (Co)  
Chromium in ppm (Cr)  
Copper in ppm (Cu)

Dysprnosium in ppm (Dy)  
Erbium in ppm (Er)  
Europium in ppm (Eu)  
Iron in wt % (Fe<sub>2</sub>O<sub>3</sub>)  
Gallium in ppm (Ga)

Gadolinium in ppm (Gd)  
Hafnium in ppm (Hf)  
Holmium in ppm (Ho)  
Potassium in wt % (K<sub>2</sub>O)  
Lanthanum in ppm (La)

Lithium in ppm (Li)  
Magnesium in wt % (MgO)  
Manganese in wt % (MnO)  
Molybdenum in ppm (Mo)  
Sodium in wt % (Na<sub>2</sub>O)

Niobium in ppm (Nb)  
Neodymium in ppm (Nd)  
Nickel in ppm (Ni)  
Phosphorus in wt % (P<sub>2</sub>O<sub>5</sub>)  
Lead in ppm (Pb)

Praseodymium in ppm (Pr)  
Scandium in ppm (Sc)  
Samarium in ppm (Sm)  
Tin in ppm (Sn)  
Strontium in ppm (Sr)

Tantalum in ppm (Ta)  
Terbium in ppm (Tb)  
Thorium in ppm (Th)  
Titanium in wt % (TiO<sub>2</sub>)  
Uranium in ppm (U, ICP)

**IOS Services Geoscientifiques Inc.**

Attention:

PO #/Project: 592

Samples: 8

**SRC Geoanalytical Laboratories**

125 - 15 Innovation Blvd., Saskatoon, Saskatchewan, S7N 2X8

Tel: (306) 933-8118 Fax: (306) 933-5656 Email: geolab@src.sk.ca

Report No: 07-900

Date: August 29, 2007

**ICP4.3 Total Digestion**

Column Header Details

Vanadium in ppm (V)  
Tungsten in ppm (W)  
Yttrium in ppm (Y)  
Ytterbium in ppm (Yb)  
Zinc in ppm (Zn)

Zirconium in ppm (Zr)



**SRC Geoanalytical Laboratories**

**IOS Services Geoscientifiques Inc.**

125 - 15 Innovation Blvd., Saskatoon, Saskatchewan, S7N 2X8

Attention:  
PO #/Project: 592  
Samples: 8

Tel: (306) 933-8118 Fax: (306) 933-5656 Email: geolab@src.sk.ca

Report No: 07-900  
Date: August 29, 2007

**ICP4.3 Total Digestion**

Sample Number	Ag ppm	Al2O3 wt %	Ba ppm	Be ppm	CaO wt %	Cd ppm	Ce ppm	Co ppm	Cr ppm	Cu ppm	Dy ppm	Er ppm	Eu ppm	Fe2O3 wt %	Ga ppm	Gd ppm	Hf ppm
CG515/LS4/BL	<0.2	17.9	2240	2.0	4.92	1.1	157	18	116	3	3.5	2.4	2.5	7.35	22	5.8	3.6
592-9016	0.3	15.2	222	2.0	2.92	0.9	20	7	174	21	0.8	0.8	0.5	4.30	23	1.1	4.3
592-9017	<0.2	13.0	1560	0.5	0.62	1.0	62	1	128	3	0.7	0.2	0.6	0.80	10	1.7	0.6
592-9059	<0.2	9.47	243	1.2	1.21	0.6	10	2	184	2	0.4	0.2	0.5	1.36	11	0.7	0.7
592-9266	0.3	1.79	100	<0.2	0.01	0.2	3	<1	236	1	<0.2	<0.2	<0.2	0.44	1	<0.5	7.2
592-9328	<0.2	11.8	959	2.2	2.30	0.9	51	10	220	22	2.3	1.6	0.8	3.18	15	2.7	4.5
592-9365	<0.2	12.6	119	1.5	2.21	0.8	5	11	204	44	0.6	0.6	0.8	2.86	17	0.7	5.9
592-9017 R	<0.2	13.1	1560	0.5	0.62	1.0	62	1	129	3	0.7	0.2	0.6	0.79	10	1.7	0.5

**SRC Geoanalytical Laboratories**

**IOS Services Geoscientifiques Inc.**

125 - 15 Innovation Blvd., Saskatoon, Saskatchewan, S7N 2X8

Attention:

Tel: (306) 933-8118 Fax: (306) 933-5656 Email: geolab@src.sk.ca

Report No: 07-900

PO #/Project: 592

Date: August 29, 2007

Samples: 8

**ICP4.3 Total Digestion**

Sample Number	Ho ppm	K2O wt %	La ppm	Li ppm	MgO wt %	MnO wt %	Mo ppm	Na2O wt %	Nb ppm	Nd ppm	Ni ppm	P2O5 wt %	Pb ppm	Pr ppm	Sc ppm	Sm ppm	Sn ppm
CG515/LS4/BL	1.1	3.18	87	28	2.94	0.078	1	3.41	7	63	23	0.692	20	16	13	9.0	1
592-9016	<0.4	1.96	13	37	1.72	0.049	1	4.34	12	8	18	0.114	19	2	7	1.8	<1
592-9017	<0.4	7.12	32	8	0.249	0.010	<1	2.43	<1	19	2	0.040	61	5	1	2.6	<1
592-9059	<0.4	1.74	5	15	0.369	0.011	80	2.87	2	4	8	0.028	27	1	2	1.0	<1
592-9266	<0.4	1.26	<1	<1	0.002	0.002	125	0.21	<1	1	2	0.008	20	<1	<1	<0.5	<1
592-9328	0.6	2.95	27	28	2.32	0.034	12	2.16	4	19	42	0.130	16	4	9	3.8	<1
592-9365	<0.4	1.12	3	14	0.830	0.022	49	4.40	6	3	23	0.037	25	<1	4	1.2	<1
592-9017 R	<0.4	7.14	32	8	0.245	0.010	<1	2.44	<1	19	2	0.037	61	5	1	2.5	<1



**SRC Geoanalytical Laboratories**

**IOS Services Geoscientifiques Inc.**

125 - 15 Innovation Blvd., Saskatoon, Saskatchewan, S7N 2X8

Attention:

Tel: (306) 933-8118 Fax: (306) 933-5656 Email: geolab@src.sk.ca

PO #/Project: 592

Report No: 07-900

Samples: 8

Date: August 29, 2007

**ICP4.3 Total Digestion**

Sample Number	Sr ppm	Ta ppm	Tb ppm	Th ppm	TiO2 wt %	U, ICP ppm	V ppm	W ppm	Y ppm	Yb ppm	Zn ppm	Zr ppm
CG515/LS4/BL	1140	1	<0.3	13	1.01	<2	135	<1	22	1.9	85	142
592-9016	190	1	<0.3	16	0.578	6	67	<1	6	0.7	69	153
592-9017	231	<1	<0.3	80	0.095	3	16	<1	3	0.2	23	31
592-9059	134	<1	<0.3	106	0.140	24	22	<1	2	0.2	25	22
592-9266	17	<1	<0.3	11	0.006	2	2	<1	1	0.3	5	262
592-9328	192	<1	<0.3	20	0.167	8	127	1	15	1.6	71	162
592-9365	178	<1	<0.3	26	0.330	25	41	<1	5	0.7	49	188
592-9017 R	233	<1	<0.3	78	0.093	3	16	<1	3	0.2	23	29

Total Digestion: A 0.125 g pulp is gently heated in a mixture of HF/HNO3/HClO4 until dry and the residue is dissolved in dilute HNO3. The standard is CG515.



Saskatchewan  
Research Council

125-15 Innovation Boulevard, Saskatoon, SK Canada S7N 2X8 • Ph: 306-933-5400 Fax: 306-933-7446  
Also located at: 220-6 Research Drive, Regina, SK Canada S4S 7J7 • Ph: 306-787-9400 Fax: 306-787-8811

Web: [www.src.sk.ca](http://www.src.sk.ca)  
Email: [info@src.sk.ca](mailto:info@src.sk.ca)

Report No: 07-900

## SRC Geoanalytical Laboratories

125 - 15 Innovation Blvd.  
Saskatoon, Saskatchewan  
S7N 2X8

September 11, 2007

Phone: (306) 933-8118  
Fax: (306) 933-5656

# PROJET

592

IOS Services Geoscientifiques Inc.  
1319 St-Paul Boulevard  
Saguenay (Chicoutimi), QC G7J 3Y2  
Attn: Rejean Girard

Test reports are the property of the customers. Publications of statements, conclusions or extracts from these reports are not permitted without prior written permission from the customer.

This document constitutes the **final official test report**. Liability for the SRC Geoanalytical Laboratories', if any, will be limited to the cost of analysis for samples in this test report. The results contained in this test report relate only to the items tested. It is the customer's responsibility to ensure that all interpretation of analysis is done using the data from this report.

The customer will not use the name of the Saskatchewan Research Council in connection with the sale, offer, advertisement or the promotion of any article, product, or company without the prior written consent of the SRC.

Results Reviewed and Approved by:

Robert Millar  
Assistant Research Scientist



**SRC Geoanalytical Laboratories**

Report No: 07-900

**IOS Services Geoscientifiques Inc.**

125 - 15 Innovation Blvd., Saskatoon, Saskatchewan, S7N 2X8  
Tel: (306) 933-8118 Fax: (306) 933-5656 Email: geolab@src.sk.ca

Attention: Rejean Girard

PO #/Project: 592

Samples: 8

Date of Report: September 11, 2007

**LOI**

Dprwn oII f bef sEf ubjrn

!!!!Mpt t lpol.hojjpoljox u& !)MP J

Tbn qrfn	MP.
Ovn cf s	x u&
DH6260M50CM	O0S
6: 3.: 127	1/7
6: 3.: 128	1/3
6: 3.: 16:	1/5
6: 3.: 377	1/2
6: 3.: 439	3/5
6: 3.: 476	2/1
6: 3.: 128!S	1/5

MPJ!!B!2/11!hsbn !qvrqijt li f buf elbu2111!D!pwf sojhi uboe!u f !x f jhi urpt t lef uf sn jof e/

**SRC Geoanalytical Laboratories**

125 - 15 Innovation Blvd., Saskatoon, Saskatchewan, S7N 2X8  
 Tel: (306) 933-8118 Fax: (306) 933-5656 Email: geolab@src.sk.ca

Report No: 07-900  
 Date: August 29, 2007

**IOS Services Geoscientifiques Inc.**

Attention:  
 PO #/Project: 592  
 Samples: 178

**ICP4.3R Partial Digestion and Boron**

Column Header Details

Silver in ppm (Ag)  
 Arsenic in ppm (As)  
 Bismuth in ppm (Bi)  
 Cobalt in ppm (Co)  
 Copper in ppm (Cu)

Germanium in ppm (Ge)  
 Mercury in ppm (Hg)  
 Molybdenum in ppm (Mo)  
 Nickel in ppm (Ni)  
 Lead in ppm (Pb)

Antimony in ppm (Sb)  
 Selenium in ppm (Se)  
 Tellurium in ppm (Te)  
 Uranium in ppm (U, ICP)  
 Vanadium in ppm (V)

Zinc in ppm (Zn)  
 Boron by Fusion in ppm (B)

Sample Number	Ag ppm	As ppm	Bi ppm	Co ppm	Cu ppm	Ge ppm	Hg ppm	Mo ppm	Ni ppm	Pb ppm	Sb ppm	Se ppm	Te ppm	U, ICP ppm	V ppm	Zn ppm	B ppm
CG515/LS4/BM	0.2	13.5	1.3	38.2	49.2	<0.2	<0.2	13.4	51.9	24.0	<0.2	<0.2	<0.2	36.9	98.9	201	99
592-9000	<0.1	0.6	1.8	1.2	25.5	<0.2	<0.2	6.7	3.1	46.8	<0.2	<0.2	1.9	12.2	14.7	18.4	9
592-9001	<0.1	0.4	2.1	2.2	2.2	<0.2	<0.2	40.8	6.6	30.8	<0.2	0.3	2.2	33.1	14.9	20.5	8
592-9004	<0.1	1.1	2.9	1.0	<0.1	<0.2	<0.2	27.5	4.3	115	<0.2	0.9	1.2	221	4.8	9.6	12
592-9005	<0.1	1.4	1.9	0.8	0.8	<0.2	<0.2	184	2.6	71.5	<0.2	0.3	2.4	69.7	16.2	19.3	12
592-9006	<0.1	<0.2	7.9	1.1	<0.1	<0.2	<0.2	222	4.0	91.5	<0.2	<0.2	3.2	106	13.8	21.1	10
592-9007	<0.1	<0.2	6.2	7.8	57.4	<0.2	<0.2	152	15.2	192	<0.2	1.6	2.7	305	10.0	38.8	9
592-9008	<0.1	2.0	3.6	2.0	3.3	0.6	<0.2	422	4.1	74.5	<0.2	<0.2	5.0	39.9	47.1	52.0	27
592-9009	<0.1	0.4	2.4	1.5	<0.1	<0.2	<0.2	28.6	2.9	57.7	<0.2	0.7	1.4	27.1	8.0	20.5	7
592-9010	<0.1	2.4	3.2	5.4	<0.1	0.3	<0.2	214	5.3	101	<0.2	0.4	5.0	122	43.8	80.2	12
592-9011	<0.1	0.2	3.1	2.3	<0.1	<0.2	<0.2	55.6	3.6	51.2	<0.2	1.2	2.7	36.7	14.7	33.4	2
592-9012	<0.1	<0.2	1.9	1.6	<0.1	<0.2	<0.2	39.8	3.4	15.0	<0.2	<0.2	1.7	40.6	11.4	14.4	2
592-9013	<0.1	1.2	1.7	1.9	0.6	<0.2	<0.2	15.3	3.4	25.7	<0.2	0.5	1.5	11.7	17.4	25.0	8
592-9014	<0.1	<0.2	1.4	0.9	<0.1	<0.2	<0.2	25.1	3.3	31.6	<0.2	1.4	1.5	36.2	10.4	11.3	4
592-9015	<0.1	0.4	1.9	1.5	<0.1	<0.2	<0.2	28.1	3.1	66.6	<0.2	0.5	1.3	41.7	11.6	19.4	4
592-9018	<0.1	1.3	1.2	1.9	<0.1	<0.2	<0.2	1.4	3.6	18.6	<0.2	<0.2	1.2	16.4	7.3	19.0	4
592-9019	<0.1	0.7	6.6	2.4	<0.1	<0.2	<0.2	123	4.4	118	<0.2	0.5	3.8	187	19.4	38.8	3
592-9020	<0.1	0.7	0.7	5.7	15.8	<0.2	<0.2	4.8	8.4	48.0	<0.2	<0.2	2.2	28.2	19.1	49.1	10
592-9021	<0.1	1.2	3.6	2.3	4.9	<0.2	<0.2	3.2	4.3	66.3	<0.2	0.3	2.3	50.1	15.8	29.7	5
592-9022	<0.1	0.7	1.4	9.0	5.6	0.4	<0.2	1.5	20.2	17.7	<0.2	<0.2	3.8	22.4	52.7	72.7	2



**SRC Geoanalytical Laboratories**

**IOS Services Geoscientifiques Inc.**

125 - 15 Innovation Blvd., Saskatoon, Saskatchewan, S7N 2X8  
 Tel: (306) 933-8118 Fax: (306) 933-5656 Email: geolab@src.sk.ca

Report No: 07-900  
 Date: August 29, 2007

Attention:  
 PO #/Project: 592  
 Samples: 178

**ICP4.3R Partial Digestion and Boron**

Sample Number	Ag ppm	As ppm	Bi ppm	Co ppm	Cu ppm	Ge ppm	Hg ppm	Mo ppm	Ni ppm	Pb ppm	Sb ppm	Se ppm	Te ppm	U, ICP ppm	V ppm	Zn ppm	B ppm
CG515/LS4/BH	0.1	12.5	1.0	37.2	48.0	<0.2	<0.2	12.1	50.4	23.0	<0.2	<0.2	<0.2	35.9	95.5	192	868
592-9023	<0.1	1.9	1.8	4.2	2.3	<0.2	<0.2	26.5	7.3	29.5	<0.2	1.1	3.5	9.2	27.9	40.5	2
592-9024	<0.1	0.4	1.6	0.2	0.2	<0.2	<0.2	47.5	2.2	29.8	<0.2	0.4	0.6	11.4	1.3	3.2	2
592-9025	<0.1	0.4	3.9	0.3	<0.1	<0.2	<0.2	99.2	2.7	11.8	<0.2	0.7	1.5	63.6	0.6	18.0	2
592-9027	<0.1	0.8	2.5	5.2	3.5	0.4	<0.2	2.8	14.2	27.9	<0.2	0.3	4.2	15.5	46.1	62.0	2
592-9029	<0.1	<0.2	2.1	2.0	2.9	<0.2	<0.2	110	5.2	49.8	<0.2	0.7	1.7	30.9	18.2	22.4	15
592-9050	<0.1	<0.2	1.7	0.9	0.6	<0.2	<0.2	118	3.2	15.4	<0.2	0.4	2.1	19.3	15.8	21.2	3
592-9051	<0.1	<0.2	4.6	2.2	<0.1	<0.2	<0.2	275	4.3	201	<0.2	0.8	3.4	560	13.7	25.1	15
592-9052	<0.1	0.5	1.4	0.8	<0.1	<0.2	<0.2	50.6	3.4	23.4	<0.2	0.5	1.6	33.5	7.1	18.0	2
592-9053	<0.1	0.2	3.9	1.0	<0.1	<0.2	<0.2	113	3.0	71.9	<0.2	0.7	1.8	157	5.0	17.0	20
592-9054	<0.1	1.0	2.0	1.8	<0.1	<0.2	<0.2	29.7	2.9	27.0	<0.2	0.8	1.7	22.7	14.0	27.2	7
592-9055	<0.1	1.3	4.0	4.3	<0.1	0.3	<0.2	27.2	9.5	64.3	<0.2	<0.2	5.3	141	50.2	59.5	4
592-9056	<0.1	0.5	1.3	0.5	<0.1	<0.2	<0.2	8.4	3.4	45.8	<0.2	0.5	0.9	61.7	1.0	4.8	7
592-9057	<0.1	1.1	1.8	1.6	2.6	<0.2	<0.2	30.4	4.8	29.2	<0.2	0.9	1.7	24.3	11.0	22.2	5
592-9058	<0.1	0.8	2.5	4.6	0.2	0.3	<0.2	27.8	5.8	23.4	<0.2	<0.2	2.8	30.3	23.4	42.4	13
592-9060	<0.1	<0.2	2.8	1.1	<0.1	<0.2	<0.2	142	5.8	55.3	<0.2	0.9	1.2	46.8	7.3	17.1	6
592-9061	<0.1	<0.2	1.5	1.3	<0.1	<0.2	<0.2	38.0	5.1	27.0	0.3	1.0	0.4	16.2	8.4	15.5	2
592-9062	<0.1	0.7	2.0	1.4	<0.1	<0.2	<0.2	63.2	3.7	14.4	<0.2	0.6	1.2	29.4	13.2	10.0	6
592-9063	<0.1	<0.2	1.9	0.7	<0.1	<0.2	<0.2	34.9	3.3	70.3	<0.2	0.4	0.4	118	4.4	6.8	4
592-9060 R	<0.1	0.2	2.6	1.0	<0.1	<0.2	<0.2	140	5.8	54.2	<0.2	1.3	1.0	48.0	7.0	16.2	5
CG515/LS4/BM	0.1	13.8	1.0	37.2	47.9	<0.2	<0.2	13.2	48.3	23.4	<0.2	<0.2	<0.2	35.3	94.9	192	100
592-9064	<0.1	1.2	1.1	2.2	2.1	<0.2	<0.2	41.9	3.8	24.7	<0.2	0.6	1.4	31.9	21.8	34.0	6
592-9065	<0.1	0.5	1.1	1.0	0.7	<0.2	<0.2	70.2	2.1	35.3	<0.2	0.2	0.9	18.7	6.7	15.8	10
592-9066	<0.1	0.9	2.7	0.8	<0.1	<0.2	<0.2	44.7	1.7	21.5	<0.2	0.3	1.3	19.9	15.8	32.8	3
592-9067	<0.1	<0.2	1.3	0.8	<0.1	<0.2	<0.2	27.9	3.6	23.2	<0.2	1.0	1.1	23.2	9.9	11.3	3
592-9068	<0.1	0.3	0.8	1.1	0.5	<0.2	<0.2	7.8	3.3	23.9	<0.2	1.0	1.1	16.4	5.6	9.2	4
592-9069	<0.1	<0.2	1.3	1.0	0.3	<0.2	<0.2	75.8	3.2	28.6	<0.2	0.6	1.4	12.4	11.0	13.8	4
592-9070	<0.1	<0.2	2.9	1.0	<0.1	<0.2	<0.2	134	4.3	46.8	<0.2	0.9	1.8	44.4	15.5	17.3	10
592-9071	<0.1	0.8	7.1	1.8	<0.1	<0.2	<0.2	373	3.0	161	0.5	<0.2	5.1	80.9	61.8	73.8	21
592-9072	<0.1	0.6	3.4	1.8	<0.1	<0.2	<0.2	178	11.4	79.2	<0.2	<0.2	2.2	104	14.6	17.0	16
592-9073	<0.1	0.5	1.4	1.7	2.4	<0.2	<0.2	25.6	5.0	23.9	<0.2	1.2	1.6	22.2	17.9	28.3	10
592-9074	<0.1	<0.2	2.4	0.4	<0.1	<0.2	<0.2	139	4.7	5.92	<0.2	1.3	1.2	48.7	<0.1	1.5	6
592-9075	<0.1	0.3	1.2	1.2	3.2	<0.2	<0.2	59.7	3.8	25.7	<0.2	1.2	0.8	27.8	5.0	19.2	25
592-9076	<0.1	0.8	1.3	1.1	0.4	<0.2	<0.2	61.9	2.4	32.1	<0.2	<0.2	1.4	10.8	12.6	20.8	69
592-9077	<0.1	0.2	1.4	1.2	<0.1	<0.2	<0.2	23.0	4.2	38.8	<0.2	0.2	1.2	19.1	9.0	19.4	4
592-9078	<0.1	<0.2	1.3	1.2	2.5	<0.2	<0.2	31.2	2.7	37.4	<0.2	0.5	1.2	16.9	8.8	29.8	17
592-9079	<0.1	0.4	1.3	0.8	<0.1	<0.2	<0.2	27.3	2.4	29.2	<0.2	1.1	1.0	19.9	6.2	11.2	3
592-9080	<0.1	<0.2	3.1	0.8	<0.1	<0.2	<0.2	65.4	2.1	56.4	<0.2	0.4	1.5	66.3	6.0	16.0	3
592-9081	<0.1	1.4	3.2	4.5	<0.1	0.4	<0.2	44.1	13.5	91.6	<0.2	<0.2	4.0	154	38.2	51.0	4
592-9082	<0.1	0.9	1.6	2.7	0.8	<0.2	<0.2	19.3	1.7	30.6	<0.2	<0.2	2.2	20.4	18.0	39.0	4

**SRC Geoanalytical Laboratories**

125 - 15 Innovation Blvd., Saskatoon, Saskatchewan, S7N 2X8  
 Tel: (306) 933-8118 Fax: (306) 933-5656 Email: geolab@src.sk.ca

**IOS Services Geoscientifiques Inc.**

Attention:  
 PO #/Project: 592  
 Samples: 178

Report No: 07-900  
 Date: August 29, 2007

**ICP4.3R Partial Digestion and Boron**

Sample Number	Ag ppm	As ppm	Bi ppm	Co ppm	Cu ppm	Ge ppm	Hg ppm	Mo ppm	Ni ppm	Pb ppm	Sb ppm	Se ppm	Te ppm	U, ICP ppm	V ppm	Zn ppm	B ppm
CG515/LS4/BH	0.1	12.5	1.9	37.2	46.8	<0.2	<0.2	12.1	48.7	24.1	<0.2	0.7	1.1	36.1	92.9	190	875
592-9083	<0.1	0.7	2.8	3.7	0.5	<0.2	<0.2	47.8	4.9	76.7	<0.2	1.0	2.5	82.9	23.1	62.9	9
592-9084	<0.1	2.0	1.2	5.2	1.9	0.6	<0.2	3.4	13.1	14.1	<0.2	<0.2	4.6	4.9	47.8	75.8	13
592-9085	<0.1	<0.2	0.8	0.8	0.5	<0.2	<0.2	5.2	2.8	17.4	<0.2	0.2	0.8	12.8	4.9	8.2	2
592-9086	<0.1	0.2	1.6	1.0	<0.1	<0.2	<0.2	35.3	4.2	86.8	<0.2	0.3	1.0	130	5.2	9.6	2
592-9087	<0.1	0.7	2.3	1.7	<0.1	0.2	<0.2	43.6	4.5	37.0	<0.2	0.5	2.1	39.1	18.2	21.2	4
592-9088	<0.1	0.3	0.8	0.7	2.2	<0.2	<0.2	30.8	2.6	9.43	<0.2	0.4	1.0	13.7	5.3	10.6	2
592-9090	<0.1	1.6	6.8	9.2	8.9	0.5	<0.2	728	27.0	99.7	<0.2	<0.2	7.1	150	74.9	71.4	30
592-9091	<0.1	0.8	0.7	0.5	0.6	<0.2	<0.2	8.9	2.1	11.7	<0.2	0.7	1.0	4.9	3.3	10.8	2
592-9092	<0.1	<0.2	1.2	0.4	<0.1	<0.2	<0.2	31.4	2.1	61.9	<0.2	<0.2	0.6	87.8	1.5	8.2	7
592-9093	<0.1	0.5	0.8	0.4	0.3	<0.2	<0.2	19.2	2.2	24.8	<0.2	0.6	0.9	41.6	2.3	8.8	2
592-9094	<0.1	0.6	2.0	0.5	<0.1	<0.2	<0.2	181	1.8	94.4	<0.2	<0.2	2.3	249	6.1	27.7	9
592-9100	<0.1	2.2	6.1	4.0	<0.1	0.8	<0.2	619	10.3	141	<0.2	<0.2	6.2	216	89.2	60.7	31
592-9102	<0.1	0.7	0.5	0.5	1.0	<0.2	<0.2	65.2	2.3	48.2	<0.2	<0.2	1.0	958	3.6	7.5	2
592-9103	0.1	2.3	4.3	3.9	122	<0.2	<0.2	2.4	5.8	732	<0.2	0.9	4.0	59.9	50.8	43.9	14
592-9104	<0.1	6.7	9.3	2.4	<0.1	<0.2	<0.2	67.0	5.2	133	3.2	0.9	9.0	100	22.9	37.9	8
592-9200	<0.1	<0.2	0.9	0.8	<0.1	<0.2	<0.2	396	5.1	27.5	0.6	<0.2	<0.2	56.1	4.4	10.6	14
592-9201	<0.1	1.0	1.4	0.7	<0.1	<0.2	<0.2	78.6	3.5	55.8	<0.2	0.9	1.6	42.7	5.6	8.7	7
592-9202	<0.1	0.3	1.5	1.2	<0.1	<0.2	<0.2	43.3	3.2	49.1	<0.2	<0.2	1.7	48.1	8.7	19.7	5
592-9200 R	<0.1	<0.2	1.1	0.8	<0.1	<0.2	<0.2	40.7	4.2	28.0	<0.2	<0.2	<0.2	54.8	4.4	10.2	16
CG515/LS4/BM	0.2	12.8	1.4	38.0	49.2	<0.2	<0.2	13.8	51.0	23.9	1.2	<0.2	<0.2	34.1	98.3	200	98
592-9203	<0.1	1.3	1.6	3.1	<0.1	0.4	<0.2	62.5	10.1	33.6	<0.2	0.3	3.8	20.0	26.9	46.5	2
592-9204	<0.1	<0.2	1.4	0.8	0.9	<0.2	<0.2	22.0	3.2	69.8	<0.2	0.4	0.8	47.6	1.6	8.3	2
592-9205	<0.1	0.7	1.2	2.0	0.1	<0.2	<0.2	32.4	3.9	26.5	<0.2	0.5	2.2	28.4	20.5	29.0	4
592-9206	<0.1	0.5	1.5	1.3	<0.1	<0.2	<0.2	9.7	2.8	34.6	<0.2	0.9	1.8	31.4	16.4	23.1	12
592-9207	<0.1	<0.2	0.8	1.1	0.5	<0.2	<0.2	9.4	3.2	11.3	<0.2	0.9	0.9	7.1	6.7	12.7	2
592-9208	<0.1	0.5	2.4	1.5	<0.1	<0.2	<0.2	129	2.0	90.6	<0.2	<0.2	2.4	223	10.0	22.9	4
592-9250	<0.1	0.6	0.5	1.8	<0.1	<0.2	<0.2	41.4	4.4	7.31	<0.2	<0.2	2.3	22.8	13.5	26.6	8
592-9251	<0.1	1.2	0.8	2.1	11.5	0.3	<0.2	5.9	5.1	30.6	<0.2	<0.2	2.8	21.7	23.5	37.4	5
592-9252	<0.1	3.1	3.1	8.5	46.0	1.0	<0.2	60.4	16.8	49.5	<0.2	<0.2	5.9	67.1	71.0	93.4	7
592-9253	<0.1	0.4	1.9	0.6	<0.1	<0.2	<0.2	149	4.8	64.9	<0.2	0.8	1.0	25.2	1.9	8.6	8
592-9254	<0.1	<0.2	2.5	0.9	<0.1	<0.2	<0.2	80.7	3.9	52.3	<0.2	<0.2	1.5	49.4	7.9	14.1	2
592-9255	<0.1	<0.2	1.9	0.6	<0.1	<0.2	<0.2	28.0	2.0	71.6	<0.2	0.5	1.2	58.4	3.6	19.5	6
592-9256	<0.1	0.7	2.8	2.5	<0.1	<0.2	<0.2	47.9	3.8	61.1	<0.2	<0.2	2.5	68.1	15.5	32.0	16
592-9257	<0.1	<0.2	1.2	0.2	<0.1	<0.2	<0.2	17.1	2.6	43.7	<0.2	<0.2	<0.2	35.2	0.6	13.9	16
592-9258	<0.1	0.6	1.6	1.2	<0.1	<0.2	<0.2	9.4	3.8	32.4	<0.2	1.2	1.8	20.9	14.9	22.5	5
592-9259	<0.1	0.2	1.2	1.4	0.9	<0.2	<0.2	35.2	4.0	32.9	<0.2	0.7	1.5	24.2	9.5	17.2	4
592-9260	<0.1	<0.2	2.6	0.2	<0.1	<0.2	<0.2	46.4	2.7	26.2	<0.2	1.2	0.8	81.2	1.2	1.6	2
592-9261	<0.1	0.9	1.1	0.4	0.4	<0.2	<0.2	23.2	2.0	16.6	<0.2	0.4	0.7	25.2	2.5	8.0	5
592-9262	<0.1	2.5	3.1	8.1	2.9	0.4	<0.2	813	15.8	26.6	<0.2	<0.2	4.9	46.7	52.0	71.2	34



**SRC Geoanalytical Laboratories**

125 - 15 Innovation Blvd., Saskatoon, Saskatchewan, S7N 2X8

Tel: (306) 933-8118 Fax: (306) 933-5656 Email: geolab@src.sk.ca

**IOS Services Geoscientifiques Inc.**

Attention:

PO #/Project: 592

Samples: 178

Report No: 07-900

Date: August 29, 2007

**ICP4.3R Partial Digestion and Boron**

Sample Number	Ag ppm	As ppm	Bi ppm	Co ppm	Cu ppm	Ge ppm	Hg ppm	Mo ppm	Ni ppm	Pb ppm	Sb ppm	Se ppm	Te ppm	U, ICP ppm	V ppm	Zn ppm	B ppm
CG515/LS4/BH	0.2	13.6	1.3	38.5	49.2	<0.2	<0.2	14.1	50.6	24.6	<0.2	0.8	0.2	35.5	97.5	198	877
592-9264	0.2	1.1	0.9	1.1	16.3	<0.2	<0.2	7.5	8.4	23.8	<0.2	0.9	0.7	5.1	16.0	4.6	2
592-9265	<0.1	0.6	1.7	0.9	<0.1	0.4	<0.2	6.1	4.1	25.9	0.7	<0.2	2.7	33.7	77.7	32.4	4
592-9267	<0.1	0.7	3.8	1.1	<0.1	<0.2	<0.2	300	5.9	53.0	<0.2	<0.2	2.6	49.6	8.6	9.9	16
592-9268	<0.1	1.0	3.9	2.6	23.4	0.3	<0.2	595	7.7	62.7	<0.2	<0.2	5.6	17.9	34.4	38.7	28
592-9300	<0.1	2.7	3.7	5.2	10.0	<0.2	<0.2	62.1	8.9	152	<0.2	1.2	5.1	211	40.0	87.4	2
592-9301	<0.1	5.4	3.1	14.5	<0.1	<0.2	<0.2	5.5	17.2	56.7	<0.2	<0.2	9.9	30.1	83.5	134	28
592-9302	<0.1	<0.2	0.9	0.6	1.5	<0.2	<0.2	6.5	3.2	32.7	<0.2	1.2	0.6	50.2	0.8	4.5	10
592-9304	<0.1	1.2	2.9	6.5	3.9	0.4	<0.2	42.9	12.2	44.5	<0.2	0.7	4.1	38.1	29.1	54.2	2
592-9305	<0.1	1.6	3.3	2.7	<0.1	<0.2	<0.2	42.8	4.4	50.2	<0.2	<0.2	3.2	45.2	32.3	37.3	4
592-9306	<0.1	0.3	1.9	0.6	<0.1	<0.2	<0.2	31.6	2.4	24.2	<0.2	0.9	1.5	33.1	11.2	10.6	2
592-9307	<0.1	0.7	0.7	0.2	1.5	<0.2	<0.2	20.2	2.6	51.0	<0.2	0.7	0.4	20.5	2.1	2.2	3
592-9308	<0.1	0.6	2.0	1.3	<0.1	<0.2	<0.2	29.4	3.7	46.7	<0.2	0.3	1.6	121	13.0	30.6	10
592-9309	<0.1	0.9	1.2	2.1	<0.1	<0.2	<0.2	12.0	4.1	39.8	<0.2	0.6	2.1	28.1	14.9	34.4	2
592-9310	<0.1	0.3	1.5	0.7	<0.1	<0.2	<0.2	18.9	3.0	32.1	<0.2	0.8	1.4	25.5	8.7	12.5	4
592-9311	<0.1	<0.2	2.6	1.2	<0.1	<0.2	<0.2	40.8	4.6	136	<0.2	0.3	1.3	195	6.4	13.3	2
592-9312	<0.1	0.7	1.5	1.2	<0.1	<0.2	<0.2	22.4	4.5	31.1	<0.2	0.6	1.6	18.8	8.6	15.5	3
592-9313	<0.1	0.5	2.8	2.9	<0.1	0.3	<0.2	171	5.2	61.0	<0.2	<0.2	3.6	67.1	30.4	41.6	6
592-9314	<0.1	0.8	3.2	0.9	<0.1	<0.2	<0.2	45.0	3.1	99.3	<0.2	<0.2	1.9	132	7.1	23.4	18
592-9313 R	<0.1	0.4	3.2	2.9	<0.1	<0.2	<0.2	166	4.9	59.4	<0.2	<0.2	3.4	66.0	30.7	41.4	6
CG515/LS4/BM	<0.1	13.3	0.7	38.5	49.8	<0.2	<0.2	12.7	49.0	25.5	<0.2	<0.2	<0.2	32.6	100	210	98
592-9315	<0.1	<0.2	1.1	1.5	<0.1	<0.2	<0.2	71.5	3.2	67.8	<0.2	<0.2	1.1	35.4	10.9	27.8	16
592-9316	<0.1	0.5	0.7	1.1	0.8	<0.2	<0.2	17.9	1.7	35.2	<0.2	<0.2	0.4	12.8	8.8	21.7	13
592-9317	<0.1	<0.2	1.3	1.5	<0.1	<0.2	<0.2	69.5	2.4	48.2	<0.2	<0.2	1.0	68.8	9.6	17.6	9
592-9318	<0.1	0.2	0.5	1.2	1.2	<0.2	<0.2	15.0	1.5	18.7	<0.2	<0.2	0.5	9.9	18.6	31.4	2
592-9319	<0.1	<0.2	1.7	5.1	0.5	0.2	<0.2	21.0	3.3	47.2	<0.2	<0.2	2.2	33.1	31.8	42.6	2
592-9320	<0.1	<0.2	0.6	0.4	<0.1	<0.2	<0.2	6.3	1.8	47.9	<0.2	<0.2	0.5	23.8	3.1	17.4	9
592-9321	<0.1	<0.2	0.6	1.4	0.7	<0.2	<0.2	13.3	3.9	30.0	<0.2	0.4	0.9	18.9	7.0	17.1	2
592-9322	<0.1	0.4	0.7	3.3	2.6	<0.2	<0.2	10.8	3.7	36.5	<0.2	0.3	0.9	43.4	17.3	53.5	3
592-9323	<0.1	0.6	0.7	1.3	1.7	<0.2	<0.2	12.2	3.7	16.7	<0.2	0.9	0.8	13.1	9.8	18.6	3
592-9324	<0.1	0.4	0.5	2.0	2.9	<0.2	<0.2	80.4	2.3	100	<0.2	<0.2	1.2	170	13.1	31.1	13
592-9325	<0.1	0.3	0.8	0.5	0.7	<0.2	<0.2	49.2	1.3	98.4	<0.2	<0.2	0.7	150	3.6	12.1	2
592-9326	<0.1	0.2	0.6	0.3	1.4	<0.2	<0.2	18.2	1.5	27.1	<0.2	<0.2	0.5	60.8	1.6	2.5	2
592-9327	<0.1	0.6	0.7	0.2	<0.1	<0.2	<0.2	35.6	2.0	38.4	<0.2	<0.2	1.5	9.1	38.4	13.1	2
592-9329	<0.1	1.3	1.5	1.2	14.2	0.5	<0.2	478	2.3	86.0	<0.2	<0.2	3.5	18.7	59.9	65.1	32
592-9351	<0.1	1.8	1.4	2.8	0.8	0.2	<0.2	1000	4.2	92.9	<0.2	<0.2	3.5	72.6	22.4	56.5	61
592-9352	<0.1	<0.2	0.2	0.1	0.6	<0.2	<0.2	25.3	0.9	35.2	<0.2	<0.2	0.6	14.9	4.1	4.8	5
592-9354	<0.1	1.2	1.4	6.7	1.9	<0.2	<0.2	60.2	12.5	90.1	<0.2	<0.2	2.7	134	41.2	58.1	4
592-9355	<0.1	1.0	1.8	3.7	9.0	0.5	<0.2	43.3	5.3	25.8	<0.2	<0.2	2.2	26.4	51.4	46.4	4
592-9356	<0.1	0.8	0.8	6.8	<0.1	<0.2	<0.2	4.3	11.7	35.0	<0.2	<0.2	2.8	36.1	64.3	74.5	3

**SRC Geoanalytical Laboratories**

**IOS Services Geoscientifiques Inc.**

125 - 15 Innovation Blvd., Saskatoon, Saskatchewan, S7N 2X8

Attention:

Tel: (306) 933-8118 Fax: (306) 933-5656 Email: geolab@src.sk.ca

PO #/Project: 592

Report No: 07-900

Samples: 178

Date: August 29, 2007

**ICP4.3R Partial Digestion and Boron**

Sample Number	Aq ppm	As ppm	Bi ppm	Co ppm	Cu ppm	Ge ppm	Hg ppm	Mo ppm	Ni ppm	Pb ppm	Sb ppm	Se ppm	Te ppm	U, ICP ppm	V ppm	Zn ppm	B ppm
CG515/LS4/BH	<0.1	11.6	1.0	39.6	48.9	<0.2	<0.2	13.5	49.3	25.0	<0.2	<0.2	<0.2	32.6	98.9	213	870
592-9357	<0.1	0.2	0.4	0.4	5.0	<0.2	<0.2	0.8	1.7	44.0	<0.2	<0.2	0.8	38.8	1.8	4.7	3
592-9358	<0.1	<0.2	0.4	1.1	1.7	<0.2	<0.2	1.7	3.1	15.9	<0.2	<0.2	0.8	11.8	6.1	10.1	8
592-9359	<0.1	0.7	1.7	1.9	6.5	0.3	<0.2	0.9	4.7	34.5	<0.2	<0.2	2.3	22.4	58.0	50.7	2
592-9360	<0.1	<0.2	2.2	3.7	<0.1	<0.2	<0.2	105	5.1	57.4	<0.2	<0.2	2.6	31.8	32.1	66.2	2
592-9361	<0.1	0.6	0.9	3.3	6.3	0.3	<0.2	4.9	5.6	132	<0.2	<0.2	1.3	10.7	29.0	78.4	2
592-9362	<0.1	0.3	0.6	2.4	6.6	<0.2	<0.2	25.3	4.8	31.0	<0.2	<0.2	2.9	20.1	63.4	60.9	2
592-9363	<0.1	0.3	2.9	4.8	<0.1	<0.2	<0.2	114	8.4	305	<0.2	<0.2	3.5	662	39.6	49.0	3
592-9364	<0.1	1.5	2.8	<0.1	<0.1	<0.2	<0.2	1060	2.7	177	<0.2	<0.2	3.9	59.1	36.0	19.6	52
592-9366	<0.1	2.5	1.9	2.8	5.6	<0.2	<0.2	616	8.2	102	<0.2	<0.2	4.9	169	64.2	57.6	29
592-9367	<0.1	1.0	3.8	6.7	<0.1	<0.2	<0.2	145	17.9	156	<0.2	<0.2	2.2	220	18.3	17.7	4
592-9368	<0.1	<0.2	1.0	10.5	26.5	<0.2	<0.2	64.8	55.8	121	<0.2	1.4	0.6	299	10.7	11.8	2
592-9369	<0.1	<0.2	1.0	0.7	0.9	0.2	<0.2	35.7	3.5	27.7	0.3	<0.2	1.0	31.8	21.2	14.9	5
592-9370	<0.1	0.3	2.2	0.9	<0.1	<0.2	<0.2	125	4.4	38.8	<0.2	<0.2	1.6	106	8.6	13.8	2
592-9401	<0.1	<0.2	1.0	1.5	1.4	<0.2	<0.2	2.8	3.5	46.2	<0.2	<0.2	1.3	25.2	7.7	12.2	3
592-9402	<0.1	<0.2	1.6	3.8	<0.1	<0.2	<0.2	1.8	7.0	26.1	<0.2	<0.2	2.6	21.4	28.0	45.4	5
592-9403	<0.1	<0.2	0.9	7.9	9.7	<0.2	<0.2	1.4	16.2	37.2	<0.2	<0.2	3.1	50.1	46.7	66.7	4
592-9404	<0.1	0.3	1.4	1.4	<0.1	<0.2	<0.2	0.9	3.9	49.2	0.4	<0.2	1.8	43.1	9.8	14.9	2
592-9405	<0.1	<0.2	1.0	1.6	0.1	<0.2	<0.2	1.2	1.7	29.9	<0.2	<0.2	1.0	6.9	8.8	16.8	5
592-9405 R	<0.1	0.4	0.9	1.6	<0.1	<0.2	<0.2	1.7	1.1	30.8	<0.2	<0.2	1.2	6.8	8.9	16.7	4
CG515/LS4/BM	<0.1	12.2	1.1	38.9	49.4	<0.2	<0.2	13.6	46.8	25.9	<0.2	<0.2	<0.2	32.0	102	211	99
592-9406	<0.1	0.6	0.4	1.7	0.8	<0.2	<0.2	0.8	2.2	14.2	<0.2	<0.2	0.5	6.7	9.8	16.7	2
592-9407	<0.1	0.8	0.7	4.4	2.1	<0.2	<0.2	1.0	7.2	18.6	<0.2	<0.2	2.0	9.3	29.5	47.8	4
592-9408	<0.1	0.3	2.0	5.6	11.7	<0.2	<0.2	13.9	9.0	37.8	<0.2	<0.2	2.9	27.1	47.0	69.5	5
592-9409	<0.1	0.4	0.7	1.1	1.4	<0.2	<0.2	11.7	2.5	30.5	<0.2	<0.2	0.8	15.9	4.8	7.0	2
592-9410	<0.1	<0.2	1.0	2.4	0.3	<0.2	<0.2	2.4	5.5	21.9	<0.2	<0.2	1.4	10.5	11.7	16.8	2
592-9411	<0.1	0.6	3.2	7.6	<0.1	<0.2	<0.2	57.2	14.9	68.8	<0.2	<0.2	4.1	178	50.4	66.9	5
592-9407 R	<0.1	0.6	0.4	4.1	2.2	<0.2	<0.2	1.4	7.7	18.8	<0.2	<0.2	2.4	8.9	29.2	46.3	4
CG515/LS4/BM	<0.1	12.2	1.0	39.2	48.8	<0.2	<0.2	13.2	47.2	25.2	<0.2	<0.2	0.4	32.4	102	215	98
592-9026	<0.1	0.7	1.4	11.5	86.8	<0.2	<0.2	224	43.4	406	<0.2	0.5	2.9	1280	59.6	47.2	7
592-9028	<0.1	2.8	9.6	11.2	<0.1	<0.2	<0.2	1240	17.4	433	<0.2	<0.2	11.4	377	141	172	72
592-9089	<0.1	0.3	4.5	37.0	254	<0.2	<0.2	576	105	210	<0.2	<0.2	5.6	444	81.7	83.0	27
592-9101	<0.1	1.3	21.9	<0.1	<0.1	<0.2	<0.2	1520	2.6	871	<0.2	<0.2	10.9	726	178	40.4	73
592-9303	<0.1	1.3	3.7	2.4	<0.1	<0.2	<0.2	1120	1.7	641	<0.2	<0.2	3.8	1630	32.8	56.1	50
592-9350	<0.1	6.3	8.1	4.6	<0.1	<0.2	0.2	4460	6.9	389	<0.2	<0.2	10.4	426	60.2	98.3	221
592-9353	<0.1	0.4	2.5	5.0	31.6	<0.2	<0.2	79.7	11.0	344	<0.2	<0.2	5.5	478	119	78.1	9
592-9400	<0.1	0.2	10.0	0.6	<0.1	<0.2	<0.2	662	2.6	733	<0.2	<0.2	4.9	238	32.3	24.2	34
592-9303 R	<0.1	1.1	3.3	2.3	<0.1	<0.2	<0.2	1070	2.4	637	<0.2	<0.2	3.6	1620	30.4	54.5	48

Partial Digestion: A 0.5 g pulp is digested with 2.25 ml of 8:1 HNO3:HCl for 1 hour at 95 C.



**IOS Services Geoscientifiques Inc.**

Attention:  
PO #/Project: 592  
Samples: 178

**SRC Geoanalytical Laboratories**

125 - 15 Innovation Blvd., Saskatoon, Saskatchewan, S7N 2X8  
Tel: (306) 933-8118 Fax: (306) 933-5656 Email: geolab@src.sk.ca

Report No: 07-900  
Date: August 29, 2007

**ICP4.3R Partial Digestion and Boron**

Sample Number	Ag ppm	As ppm	Bi ppm	Co ppm	Cu ppm	Ge ppm	Hg ppm	Mo ppm	Ni ppm	Pb ppm	Sb ppm	Se ppm	Te ppm	U, ICP ppm	V ppm	Zn ppm	B ppm
------------------	-----------	-----------	-----------	-----------	-----------	-----------	-----------	-----------	-----------	-----------	-----------	-----------	-----------	---------------	----------	-----------	----------

The standard is LS4.  
Boron: A 0.1 gram pulp is fused at 650 C in a mixture of Na<sub>2</sub>O<sub>2</sub>/Na<sub>2</sub>CO<sub>3</sub>.  
The standards are BM and BH.  
Samples with Uranium values >100 ppm are Uranium ICP.  
Samples with Uranium values <100 ppm are Uranium Fluorimetry.

**SRC Geoanalytical Laboratories**

125 - 15 Innovation Blvd., Saskatoon, Saskatchewan, S7N 2X8  
Tel: (306) 933-8118 Fax: (306) 933-5656 Email: geolab@src.sk.ca

Report No: 07-900  
Date: August 29, 2007

**IOS Services Geoscientifiques Inc.**

Attention:  
PO #/Project: 592  
Samples: 178

**ICP4.3 Total Digestion**

Column Header Details

Silver in ppm (Ag)  
Aluminum in wt % (Al<sub>2</sub>O<sub>3</sub>)  
Barium in ppm (Ba)  
Beryllium in ppm (Be)  
Calcium in wt % (CaO)

Cadmium in ppm (Cd)  
Cerium in ppm (Ce)  
Cobalt in ppm (Co)  
Chromium in ppm (Cr)  
Copper in ppm (Cu)

Dysprnosium in ppm (Dy)  
Erbium in ppm (Er)  
Europium in ppm (Eu)  
Iron in wt % (Fe<sub>2</sub>O<sub>3</sub>)  
Gallium in ppm (Ga)

Gadolinium in ppm (Gd)  
Hafnium in ppm (Hf)  
Holmium in ppm (Ho)  
Potassium in wt % (K<sub>2</sub>O)  
Lanthanum in ppm (La)

Lithium in ppm (Li)  
Magnesium in wt % (MgO)  
Manganese in wt % (MnO)  
Molybdenum in ppm (Mo)  
Sodium in wt % (Na<sub>2</sub>O)

Niobium in ppm (Nb)  
Neodymium in ppm (Nd)  
Nickel in ppm (Ni)  
Phosphorus in wt % (P<sub>2</sub>O<sub>5</sub>)  
Lead in ppm (Pb)

Praseodymium in ppm (Pr)  
Scandium in ppm (Sc)  
Samarium in ppm (Sm)  
Tin in ppm (Sn)  
Strontium in ppm (Sr)

Tantalum in ppm (Ta)  
Terbium in ppm (Tb)  
Thorium in ppm (Th)  
Titanium in wt % (TiO<sub>2</sub>)  
Uranium in ppm (U, ICP)



**IOS Services Geoscientifiques Inc.**

Attention:

PO #/Project: 592

Samples: 178

**SRC Geoanalytical Laboratories**

125 - 15 Innovation Blvd., Saskatoon, Saskatchewan, S7N 2X8

Tel: (306) 933-8118 Fax: (306) 933-5656 Email: [geolab@src.sk.ca](mailto:geolab@src.sk.ca)

Report No: 07-900

Date: August 29, 2007

**ICP4.3 Total Digestion**

Column Header Details

Vanadium in ppm (V)  
Tungsten in ppm (W)  
Yttrium in ppm (Y)  
Ytterbium in ppm (Yb)  
Zinc in ppm (Zn)

Zirconium in ppm (Zr)

**SRC Geoanalytical Laboratories**

125 - 15 Innovation Blvd., Saskatoon, Saskatchewan, S7N 2X8  
 Tel: (306) 933-8118 Fax: (306) 933-5656 Email: geolab@src.sk.ca

**IOS Services Geoscientifiques Inc.**

Attention:  
 PO #/Project: 592  
 Samples: 178

Report No: 07-900  
 Date: August 29, 2007

**ICP4.3 Total Digestion**

Sample Number	Ag ppm	Al2O3 wt %	Ba ppm	Be ppm	CaO wt %	Cd ppm	Ce ppm	Co ppm	Cr ppm	Cu ppm	Dy ppm	Er ppm	Eu ppm	Fe2O3 wt %	Ga ppm	Gd ppm	Hf ppm
CG515/LS4/BM	<0.2	17.1	2110	1.8	4.70	1.1	150	18	119	4	3.3	2.5	2.4	7.04	21	5.6	4.0
592-9000	0.4	12.0	967	0.5	1.03	0.9	7	1	145	26	0.4	0.3	0.9	1.63	12	0.5	11.6
592-9001	<0.2	6.13	90	0.7	0.92	0.4	7	2	194	4	0.7	0.5	0.4	1.33	8	0.8	5.8
592-9004	0.2	5.54	129	0.4	0.73	0.4	8	1	261	5	2.1	1.0	0.4	0.78	4	2.0	13.1
592-9005	<0.2	11.7	1040	0.5	0.62	0.8	29	<1	118	5	1.5	0.7	0.7	1.33	9	1.8	2.1
592-9006	0.6	4.91	44	0.2	0.71	0.4	3	2	200	7	1.2	0.3	0.2	1.32	5	0.9	32.5
592-9007	1.6	6.35	467	<0.2	0.22	0.4	2	8	185	78	1.8	0.7	0.3	2.49	4	1.1	51.4
592-9008	0.7	7.71	557	<0.2	0.14	0.4	<1	2	189	11	0.4	0.4	0.4	4.40	12	<0.5	6.2
592-9009	0.4	12.3	818	0.6	0.76	0.9	5	1	154	3	0.8	0.4	0.8	1.21	12	0.8	18.2
592-9010	0.8	13.6	494	0.8	1.64	0.9	6	6	138	4	0.9	0.8	0.8	4.94	19	0.7	21.3
592-9011	0.3	12.4	1380	<0.2	0.16	0.9	4	2	160	5	0.8	<0.2	1.0	1.86	11	0.7	6.5
592-9012	<0.2	13.5	1560	0.2	0.17	1.0	7	1	167	3	0.7	<0.2	1.0	1.28	10	0.9	4.2
592-9013	0.4	13.3	1210	0.5	0.62	1.0	5	2	210	2	0.4	0.4	1.0	1.44	12	0.6	7.0
592-9014	<0.2	11.3	57	1.0	2.33	0.9	12	2	165	2	0.7	0.5	0.8	0.79	12	0.7	11.9
592-9015	<0.2	12.1	1180	0.4	0.71	0.8	5	<1	143	4	0.9	0.6	0.9	1.11	10	0.7	9.6
592-9018	<0.2	15.6	416	1.7	2.26	1.2	68	2	127	2	0.9	0.4	0.6	1.20	16	1.6	3.5
592-9019	<0.2	6.31	524	<0.2	0.16	0.4	5	1	167	6	1.7	0.2	0.2	1.67	5	1.5	0.8
592-9020	<0.2	11.6	119	1.0	2.01	0.8	52	5	158	17	0.8	0.6	0.7	1.90	15	2.0	1.6
592-9021	0.3	16.5	394	1.8	2.59	1.3	59	2	89	11	1.1	0.6	0.5	1.57	17	1.6	12.2
592-9022	0.6	15.1	747	1.1	1.32	0.9	43	10	153	7	0.8	0.8	0.8	4.37	21	1.6	9.8
CG515/LS4/BH	<0.2	17.4	2120	1.9	4.66	1.0	147	18	113	3	3.3	2.8	2.3	7.10	21	5.3	3.9
592-9023	0.3	14.2	1630	0.4	0.83	1.0	231	4	126	4	1.8	1.2	0.8	2.14	13	4.8	10.7
592-9024	<0.2	10.0	1510	<0.2	0.12	0.7	63	<1	120	3	0.8	0.3	0.3	0.40	5	1.4	3.4
592-9025	0.4	1.09	13	<0.2	0.15	<0.2	7	1	254	2	1.1	0.3	<0.2	0.41	<1	1.3	20.0
592-9027	0.7	13.2	1190	0.6	0.86	0.8	5	5	186	4	0.2	0.5	0.6	3.08	15	0.5	16.0
592-9029	<0.2	15.4	1050	1.0	1.50	1.1	4	2	176	6	0.5	0.3	0.9	1.62	14	0.5	2.5
592-9050	<0.2	12.1	1260	<0.2	0.08	0.9	5	1	166	3	0.5	0.2	0.8	1.23	9	0.7	<0.5
592-9051	<0.2	8.68	1080	<0.2	0.05	0.6	22	2	139	5	4.1	1.4	0.8	1.33	2	3.4	5.3
592-9052	0.2	6.48	595	<0.2	0.10	0.5	1	1	187	2	0.4	<0.2	0.4	0.87	5	<0.5	2.6
592-9053	<0.2	11.4	774	0.6	0.59	0.8	9	<1	149	3	1.2	<0.2	0.7	0.84	7	1.2	2.5
592-9054	0.4	13.2	1490	0.4	0.32	1.0	11	2	115	2	0.6	0.3	1.0	1.56	11	0.6	6.1
592-9055	0.4	6.86	425	0.3	0.44	0.4	6	4	193	6	1.2	0.7	0.4	3.48	12	1.0	11.8
592-9056	<0.2	10.1	349	0.8	1.59	0.8	8	<1	189	2	0.8	0.2	0.7	0.32	9	0.8	4.6
592-9057	0.4	10.4	1400	<0.2	0.06	0.9	9	1	172	7	1.0	0.5	0.8	1.36	8	1.2	9.4
592-9058	0.4	12.8	907	0.5	0.78	0.8	10	4	148	3	0.8	0.7	1.0	2.62	15	1.0	16.0
592-9060	<0.2	13.7	586	1.2	1.55	1.1	7	1	189	2	0.9	<0.2	0.7	1.09	13	1.0	1.0
592-9061	<0.2	13.2	1120	0.6	0.54	1.0	7	1	134	2	0.8	<0.2	0.7	1.02	10	1.0	0.5
592-9062	<0.2	11.0	805	0.5	0.43	0.8	8	1	189	3	0.9	0.4	0.6	1.21	10	1.1	1.3
592-9063	<0.2	12.8	62	1.5	2.32	1.0	6	1	200	3	0.8	0.4	0.7	0.53	13	0.8	5.5
592-9060 R	<0.2	14.1	605	1.3	1.57	1.0	7	1	186	2	0.9	0.3	0.7	1.10	13	1.0	0.9



**SRC Geoanalytical Laboratories**

125 - 15 Innovation Blvd., Saskatoon, Saskatchewan, S7N 2X8  
 Tel: (306) 933-8118 Fax: (306) 933-5656 Email: geolab@src.sk.ca

Report No: 07-900  
 Date: August 29, 2007

**IOS Services Geoscientifiques Inc.**

Attention:  
 PO #/Project: 592  
 Samples: 178

**ICP4.3 Total Digestion**

Sample Number	Ag ppm	Al2O3 wt %	Ba ppm	Be ppm	CaO wt %	Cd ppm	Ce ppm	Co ppm	Cr ppm	Cu ppm	Dy ppm	Er ppm	Eu ppm	Fe2O3 wt %	Ga ppm	Gd ppm	Hf ppm
CG515/LS4/BM	<0.2	17.3	2160	2.0	4.73	1.0	153	18	118	3	3.3	2.5	2.4	7.30	22	5.4	3.9
592-9064	0.2	12.8	955	0.7	0.65	1.0	6	2	106	5	0.5	0.4	0.8	1.85	13	0.5	6.1
592-9065	0.3	11.3	653	0.8	0.88	0.8	5	<1	131	3	0.4	<0.2	0.6	0.90	10	<0.5	4.3
592-9066	<0.2	11.9	1450	0.2	0.18	0.8	11	<1	112	5	1.8	0.7	0.7	1.30	10	1.9	2.1
592-9067	0.2	7.68	1110	<0.2	0.09	0.5	2	<1	153	2	0.4	0.2	0.5	0.82	5	<0.5	8.4
592-9068	<0.2	7.79	699	0.4	0.54	0.6	3	1	139	1	0.4	<0.2	0.6	0.60	7	<0.5	7.2
592-9069	<0.2	11.0	1140	0.4	0.29	0.8	3	1	150	3	0.3	<0.2	0.7	0.96	8	<0.5	3.3
592-9070	<0.2	9.80	617	0.7	0.65	0.8	5	1	201	4	0.8	0.4	0.6	1.15	8	0.9	7.7
592-9071	0.2	13.9	1090	0.5	0.63	0.9	13	2	105	10	3.8	1.4	0.6	3.54	16	3.6	3.0
592-9072	<0.2	6.56	49	0.8	1.01	0.5	6	1	242	7	1.2	0.5	0.4	1.22	6	1.4	5.3
592-9073	<0.2	11.8	216	1.5	1.89	0.8	5	2	207	3	0.4	0.4	0.7	1.54	15	0.6	6.0
592-9074	<0.2	0.20	10	<0.2	<0.01	<0.2	5	<1	283	2	0.6	<0.2	<0.2	0.39	<1	0.8	8.8
592-9075	0.2	9.97	421	1.0	1.05	0.8	7	<1	174	6	0.7	0.4	0.8	0.72	9	1.0	7.5
592-9076	<0.2	12.9	907	0.6	0.42	0.9	4	<1	127	2	0.7	0.4	0.8	1.17	11	0.6	1.6
592-9077	<0.2	11.6	975	0.5	0.64	0.8	5	1	118	1	0.5	<0.2	0.8	1.00	10	<0.5	4.9
592-9078	0.4	11.7	1470	<0.2	0.07	0.9	3	<1	109	4	0.4	<0.2	0.9	0.94	9	<0.5	10.1
592-9079	<0.2	13.3	1950	0.3	0.17	1.0	5	<1	121	2	0.6	0.2	1.1	0.79	10	0.6	4.5
592-9080	0.4	10.4	1480	<0.2	0.11	0.8	9	<1	120	2	1.3	0.4	0.9	0.80	7	1.4	13.9
592-9081	0.6	7.61	101	0.4	1.32	0.4	7	6	220	2	1.0	0.7	0.5	2.93	13	1.0	26.2
592-9082	<0.2	13.3	1620	0.4	0.36	0.9	12	3	125	2	0.5	0.2	1.0	1.61	13	0.8	0.7
CG515/LS4/BH	<0.2	17.2	2150	1.9	4.70	0.9	154	18	115	3	3.4	2.6	2.4	7.06	22	5.7	3.9
592-9083	0.4	11.5	636	0.7	1.00	1.0	36	3	142	5	1.2	0.7	0.7	2.12	13	1.7	14.4
592-9084	0.4	12.0	601	1.2	1.24	0.8	103	6	189	3	2.6	1.4	0.8	4.09	15	4.4	8.2
592-9085	<0.2	12.9	968	0.7	1.00	0.9	4	<1	154	2	0.4	<0.2	0.8	0.58	11	<0.5	3.1
592-9086	0.2	9.85	613	0.5	0.89	0.8	4	1	248	3	1.1	0.5	0.7	0.81	8	1.0	7.5
592-9087	0.4	11.2	1360	<0.2	0.08	0.8	<1	1	183	3	0.6	0.4	0.8	1.65	10	<0.5	15.5
592-9088	<0.2	5.09	100	0.7	0.60	0.4	1	1	170	3	0.3	0.2	0.2	0.64	6	<0.5	1.5
592-9090	0.8	2.71	154	<0.2	0.17	<0.2	4	10	226	26	0.9	0.7	<0.2	4.66	3	1.0	37.8
592-9091	<0.2	14.2	142	2.1	1.39	1.0	3	<1	110	1	0.7	0.4	0.5	0.65	18	0.8	2.0
592-9092	<0.2	14.5	127	3.1	0.81	1.1	5	<1	137	1	1.3	0.7	0.4	0.47	16	1.2	4.3
592-9093	<0.2	13.5	146	1.7	0.94	1.0	14	1	106	2	1.0	0.5	0.4	0.72	14	1.4	1.9
592-9094	<0.2	12.9	141	1.5	0.98	0.9	12	1	117	4	4.0	2.0	0.7	1.45	14	3.9	2.9
592-9100	<0.2	4.92	302	<0.2	0.14	0.2	4	4	253	8	1.9	1.0	0.3	4.23	7	1.6	6.0
592-9102	0.2	13.5	1580	0.4	0.51	1.0	20	<1	142	3	1.6	0.6	0.6	0.48	5	1.2	<0.5
592-9103	0.3	17.8	181	2.2	3.04	1.2	592	4	126	134	12.0	4.8	1.6	4.26	28	22.9	1.8
592-9104	<0.2	15.6	635	1.2	1.65	1.0	1670	4	175	21	7.9	4.8	1.6	3.06	25	26.6	17.0
592-9200	<0.2	9.64	834	0.6	1.56	0.7	5	<1	227	1	0.4	0.2	0.7	0.61	9	<0.5	6.0
592-9201	0.2	8.37	1000	<0.2	0.14	0.6	2	<1	232	2	0.4	0.3	0.6	0.70	6	<0.5	6.2
592-9202	<0.2	13.3	870	0.6	1.44	0.9	6	1	127	1	0.7	0.3	0.9	1.01	13	0.6	9.9
592-9200 R	<0.2	9.89	854	0.6	1.61	0.7	3	<1	218	1	0.3	0.3	0.6	0.63	9	<0.5	7.0

**SRC Geoanalytical Laboratories**

125 - 15 Innovation Blvd., Saskatoon, Saskatchewan, S7N 2X8  
 Tel: (306) 933-8118 Fax: (306) 933-5656 Email: geolab@src.sk.ca

Report No: 07-900  
 Date: August 29, 2007

IOS Services Geoscientifiques Inc.

Attention:  
 PO #/Project: 592  
 Samples: 178

**ICP4.3 Total Digestion**

Sample Number	Ag ppm	Al2O3 wt %	Ba ppm	Be ppm	CaO wt %	Cd ppm	Ce ppm	Co ppm	Cr ppm	Cu ppm	Dy ppm	Er ppm	Eu ppm	Fe2O3 wt %	Ga ppm	Gd ppm	Hf ppm
CG515/LS4/BM	0.3	17.9	2180	2.0	4.70	1.0	161	17	121	3	3.5	2.5	2.4	7.48	22	5.5	4.1
592-9203	0.6	12.1	1040	0.3	0.80	0.7	2	3	176	2	0.3	0.2	0.8	2.64	14	<0.5	11.2
592-9204	0.5	10.5	515	0.8	1.33	0.8	6	<1	141	3	0.6	<0.2	0.7	0.41	9	0.6	8.8
592-9205	0.5	11.0	768	0.5	0.75	0.8	9	2	145	2	0.6	<0.2	0.8	1.82	11	0.7	4.7
592-9206	0.7	12.1	953	0.5	0.81	0.8	7	1	119	2	0.7	0.3	0.9	1.52	13	0.6	16.0
592-9207	0.4	12.6	1180	0.4	0.39	1.0	3	1	168	1	0.4	<0.2	0.8	0.95	10	<0.5	2.6
592-9208	0.4	4.05	109	0.2	0.52	0.2	11	2	92	<1	1.7	0.6	0.2	1.40	4	1.4	8.2
592-9250	0.2	9.61	388	0.8	1.04	0.8	13	2	101	1	0.6	0.3	0.7	1.60	11	0.5	0.8
592-9251	0.5	8.59	702	0.2	0.50	0.6	4	2	227	14	0.4	0.3	0.7	2.11	10	<0.5	6.8
592-9252	0.7	14.4	223	0.9	2.71	0.9	32	8	190	53	1.2	0.7	0.9	6.01	25	1.5	13.3
592-9253	0.5	6.37	712	<0.2	0.07	0.5	2	<1	198	2	0.6	<0.2	0.4	0.54	3	0.6	4.2
592-9254	0.9	9.73	1100	<0.2	0.13	0.7	1	<1	211	2	0.8	0.4	0.6	1.00	7	0.6	21.8
592-9255	0.5	13.3	1500	<0.2	0.18	1.0	2	<1	113	1	0.7	0.2	0.9	0.56	9	0.5	8.0
592-9256	0.6	11.2	247	0.9	1.77	0.9	12	3	148	3	0.8	0.2	0.7	1.65	13	0.8	9.0
592-9257	0.6	7.99	87	0.8	1.32	0.6	9	1	173	1	0.7	0.4	0.5	0.33	7	0.8	14.4
592-9258	0.4	14.4	1680	0.5	0.45	1.0	4	<1	101	1	0.5	<0.2	1.1	1.26	12	<0.5	7.7
592-9259	0.3	12.8	674	0.8	1.21	1.0	4	2	135	3	0.4	<0.2	0.7	1.11	12	<0.5	6.2
592-9260	0.7	5.01	645	<0.2	0.03	0.4	7	<1	222	1	1.3	0.4	0.5	0.36	2	1.5	15.0
592-9261	0.2	12.8	145	1.7	0.75	1.0	15	1	153	2	1.1	0.6	0.4	0.82	15	1.6	3.2
592-9262	0.2	6.73	745	<0.2	0.36	0.4	18	9	182	7	2.3	1.2	0.4	4.01	5	2.6	1.5
CG515/LS4/BH	0.2	17.4	2100	1.9	4.72	0.9	157	16	119	3	3.4	2.3	2.4	7.24	22	5.5	4.1
592-9264	0.6	12.3	1490	0.4	0.33	0.9	21	1	206	18	0.6	0.4	0.6	0.87	10	1.2	2.7
592-9265	0.3	18.1	299	1.7	2.91	1.3	14	2	159	2	0.7	0.2	1.0	1.10	21	0.7	6.7
592-9267	0.3	2.20	60	0.2	0.21	<0.2	1	<1	314	5	0.4	<0.2	<0.2	1.04	<1	0.6	4.1
592-9268	0.3	1.76	104	<0.2	0.01	<0.2	<1	2	265	30	<0.2	<0.2	<0.2	3.14	3	<0.5	3.4
592-9300	0.8	13.9	607	0.4	1.20	1.0	348	5	122	17	8.5	3.5	1.2	4.24	20	15.6	34.0
592-9301	<0.2	20.5	451	2.6	3.59	1.1	1110	19	73	3	19.0	7.6	1.6	11.1	46	42.8	1.7
592-9302	0.3	7.26	952	0.4	0.56	0.6	6	<1	154	3	0.7	0.3	0.5	0.31	5	0.6	5.1
592-9304	0.7	10.7	1520	<0.2	0.26	0.7	8	7	195	8	0.8	0.5	0.8	3.53	14	<0.5	9.8
592-9305	0.3	10.2	899	<0.2	0.34	0.7	59	3	174	1	1.5	0.5	0.7	2.46	11	2.5	4.5
592-9306	0.4	11.2	1290	<0.2	0.08	0.8	<1	<1	159	2	0.6	<0.2	0.7	0.82	8	<0.5	4.1
592-9307	0.6	6.07	979	<0.2	0.06	0.5	4	<1	181	2	0.3	<0.2	0.5	0.52	3	<0.5	5.0
592-9308	0.7	10.5	793	0.4	1.03	0.7	53	2	190	2	1.1	0.5	0.8	1.28	11	1.7	10.6
592-9309	0.9	14.0	977	0.5	1.17	1.0	15	2	164	3	0.8	0.5	0.9	1.92	16	0.8	21.4
592-9310	0.4	10.3	807	0.3	0.39	0.8	4	<1	145	1	0.6	<0.2	0.8	0.94	8	0.6	4.5
592-9311	0.5	12.4	977	0.4	0.78	0.9	5	1	228	1	1.8	0.6	0.9	0.88	8	1.5	11.4
592-9312	0.6	10.6	1060	0.2	0.30	0.7	2	<1	140	1	0.4	<0.2	0.7	1.02	8	<0.5	8.9
592-9313	0.6	9.42	85	0.7	1.52	0.6	6	3	160	2	0.8	0.5	0.6	2.61	13	0.5	9.6
592-9314	0.5	6.19	37	0.5	1.11	0.5	6	<1	111	<1	0.9	0.5	0.4	0.60	6	0.8	10.5
592-9313 R	0.5	9.36	85	0.7	1.53	0.6	6	4	171	2	0.8	0.4	0.6	2.59	13	0.6	10.2



**SRC Geoanalytical Laboratories**

125 - 15 Innovation Blvd., Saskatoon, Saskatchewan, S7N 2X8

Tel: (306) 933-8118 Fax: (306) 933-5656 Email: geolab@src.sk.ca

Report No: 07-900

Date: August 29, 2007

IOS Services Geoscientifiques Inc.

Attention:

PO #/Project: 592

Samples: 178

**ICP4.3 Total Digestion**

Sample Number	Ag ppm	Al2O3 wt %	Ba ppm	Be ppm	CaO wt %	Cd ppm	Ce ppm	Co ppm	Cr ppm	Cu ppm	Dy ppm	Er ppm	Eu ppm	Fe2O3 wt %	Ga ppm	Gd ppm	Hf ppm
CG515/LS4/BM	0.3	17.2	2140	2.0	4.79	1.0	156	16	122	4	3.5	2.4	2.4	7.25	23	5.7	3.6
592-9315	0.3	11.4	937	0.4	0.63	0.8	6	2	131	1	0.8	0.3	0.8	1.35	10	0.8	4.0
592-9316	0.4	14.1	1820	0.6	0.82	1.1	3	2	92	1	0.3	<0.2	0.9	0.89	12	<0.5	2.5
592-9317	0.7	8.52	61	0.8	1.69	0.6	6	1	163	2	0.8	0.4	0.5	0.90	9	0.7	18.1
592-9318	0.4	13.4	1120	0.6	0.61	1.1	1	1	112	2	0.2	<0.2	0.8	1.30	12	<0.5	1.5
592-9319	1.0	12.5	1340	0.4	1.11	0.9	6	5	127	3	0.7	0.4	1.0	2.83	15	<0.5	18.3
592-9320	0.2	11.2	785	0.6	0.82	0.8	5	<1	148	1	0.7	<0.2	0.8	0.49	9	0.6	5.7
592-9321	0.3	11.1	1130	0.4	0.73	0.8	5	1	166	2	0.6	0.4	0.8	0.69	9	<0.5	6.0
592-9322	0.4	13.1	1160	0.7	1.11	1.0	22	3	133	3	0.8	0.4	1.0	1.51	13	0.8	7.5
592-9323	0.4	11.0	1270	<0.2	0.42	0.8	4	1	206	2	0.4	<0.2	0.9	1.00	8	<0.5	8.8
592-9324	0.4	16.4	579	1.1	2.62	1.3	12	2	140	5	1.4	0.7	1.0	1.46	16	1.1	4.4
592-9325	0.5	14.1	64	4.8	1.38	1.0	14	1	108	2	3.0	2.0	0.4	0.66	21	2.3	15.0
592-9326	0.4	8.11	1190	<0.2	0.15	0.6	5	<1	154	2	0.5	0.2	0.6	0.41	5	0.6	8.4
592-9327	0.6	10.2	44	1.7	1.78	0.8	13	<1	170	1	0.6	0.2	0.3	0.77	14	0.8	11.4
592-9329	0.4	10.2	713	0.6	0.78	0.7	<1	<1	143	16	<0.2	0.2	0.5	3.98	15	<0.5	5.8
592-9351	0.2	14.0	1930	<0.2	0.15	1.0	1	2	107	5	0.6	0.2	0.4	2.82	6	<0.5	0.5
592-9352	0.2	13.9	537	2.5	1.24	1.0	10	<1	101	1	0.9	0.5	0.7	0.52	15	1.1	1.6
592-9354	0.9	10.9	158	1.0	1.51	0.7	2	8	195	4	0.8	0.2	0.6	3.44	15	0.6	21.0
592-9355	1.5	9.90	143	0.6	1.48	0.6	4	4	168	11	0.6	0.4	0.4	2.90	14	<0.5	36.6
592-9356	<0.2	17.5	775	1.4	2.74	1.2	63	6	128	2	0.9	0.4	1.0	3.74	21	1.9	3.1
CG515/LS4/BH	0.3	17.3	2160	1.9	4.71	1.0	158	18	115	4	3.5	2.5	2.4	7.25	22	5.7	4.0
592-9357	0.2	11.4	28	2.4	0.91	0.8	6	<1	153	6	3.0	2.2	0.2	0.50	16	1.9	4.2
592-9358	0.3	13.3	663	1.2	1.68	1.0	10	1	159	2	0.4	<0.2	0.6	0.66	13	0.5	6.6
592-9359	1.2	18.6	168	1.6	3.72	1.3	5	2	115	9	0.4	0.3	1.1	2.47	22	<0.5	30.0
592-9360	0.4	15.7	115	2.1	2.75	1.1	179	5	101	2	2.3	1.2	0.6	2.80	20	3.6	11.2
592-9361	0.4	15.4	278	1.7	2.74	1.2	13	3	143	7	0.7	0.4	0.8	2.18	18	0.8	2.3
592-9362	0.4	20.6	191	2.6	3.54	1.5	10	3	95	9	0.5	0.3	0.9	3.42	28	<0.5	2.9
592-9363	1.0	6.25	657	<0.2	0.31	0.3	28	6	190	1	3.7	0.8	0.5	2.72	4	3.2	20.9
592-9364	1.1	1.16	46	<0.2	<0.01	<0.2	2	<1	222	4	1.0	0.5	<0.2	1.72	<1	0.8	20.0
592-9366	0.6	2.30	94	<0.2	0.11	<0.2	1	2	246	8	0.7	0.2	<0.2	2.53	2	0.6	7.5
592-9367	2.0	0.64	22	<0.2	0.04	<0.2	2	7	263	3	1.2	<0.2	<0.2	1.21	<1	1.1	55.4
592-9368	1.5	1.43	121	<0.2	0.07	<0.2	7	10	131	28	1.6	0.7	<0.2	2.77	<1	1.2	31.2
592-9369	1.0	6.54	328	0.2	0.84	0.4	5	2	282	2	0.5	0.3	0.5	1.20	7	0.6	26.5
592-9370	0.5	1.76	90	<0.2	0.10	<0.2	5	<1	235	4	1.0	<0.2	<0.2	0.85	1	1.1	9.6
592-9401	0.6	9.86	1190	0.3	0.44	0.7	116	1	213	3	1.5	0.6	0.4	0.92	8	3.1	4.1
592-9402	0.3	15.4	302	1.8	2.65	1.2	163	3	131	2	1.4	0.8	0.6	2.28	19	3.2	5.1
592-9403	1.3	11.0	272	0.7	1.98	0.6	54	9	122	12	1.3	0.9	0.5	4.20	16	1.6	27.6
592-9404	<0.2	14.1	1370	0.6	1.26	1.0	160	1	111	3	1.9	0.8	0.8	1.04	12	4.5	6.3
592-9405	0.2	12.9	1410	0.6	0.72	0.9	233	1	107	1	1.7	1.0	0.7	1.01	13	4.4	2.0
592-9405 R	<0.2	13.0	1410	0.6	0.72	0.9	237	1	106	1	1.7	0.9	0.7	1.00	12	4.3	2.3

SRC Geoanalytical Laboratories

IOS Services Geoscientifiques Inc.

125 - 15 Innovation Blvd., Saskatoon, Saskatchewan, S7N 2X8

Attention:

Tel: (306) 933-8118 Fax: (306) 933-5656 Email: geolab@src.sk.ca

PO #/Project: 592

Report No: 07-900

Samples: 178

Date: August 29, 2007

ICP4.3 Total Digestion

Sample Number	Ag ppm	Al2O3 wt %	Ba ppm	Be ppm	CaO wt %	Cd ppm	Ce ppm	Co ppm	Cr ppm	Cu ppm	Dy ppm	Er ppm	Eu ppm	Fe2O3 wt %	Ga ppm	Gd ppm	Hf ppm
CG515/LS4/BM	0.3	17.8	2210	2.0	4.80	1.1	159	15	121	3	3.5	2.5	2.5	7.52	23	5.4	4.0
592-9406	0.3	13.1	1910	0.3	0.29	0.9	3	1	99	1	<0.2	<0.2	0.6	1.01	10	<0.5	1.4
592-9407	0.2	14.0	624	1.6	1.95	1.0	110	5	130	3	1.0	0.8	0.6	2.37	16	1.9	2.6
592-9408	0.8	18.6	251	1.7	3.43	1.2	46	5	128	15	0.9	0.3	0.9	4.16	25	1.8	5.0
592-9409	0.3	9.34	544	0.7	1.09	0.7	18	1	174	2	0.4	<0.2	0.4	0.63	8	0.7	3.8
592-9410	0.4	8.04	245	0.6	1.17	0.5	35	3	155	1	0.6	0.4	0.4	1.28	9	1.3	8.1
592-9411	1.3	12.9	1800	<0.2	0.36	0.8	3	6	193	4	1.1	<0.2	0.8	4.10	13	0.7	20.6
592-9407 R	0.3	14.5	648	1.6	2.06	1.1	112	4	135	3	1.1	0.8	0.6	2.44	17	2.1	4.1
CG515/LS4/BM	0.2	17.6	2160	1.9	4.80	1.1	161	16	121	3	3.5	2.7	2.5	7.46	23	5.8	4.8
592-9026	1.2	1.46	62	<0.2	0.13	<0.2	9	10	286	88	5.7	1.7	0.3	3.31	<1	3.9	24.8
592-9028	0.6	7.42	525	<0.2	0.41	<0.2	26	12	270	1	4.8	<0.2	<0.2	9.91	7	4.6	6.3
592-9089	0.5	5.59	150	0.8	0.71	<0.2	4	39	293	260	2.7	1.2	<0.2	7.21	9	2.1	1.6
592-9101	1.0	1.90	50	<0.2	<0.01	<0.2	7	<1	243	<1	5.1	<0.2	<0.2	2.21	<1	4.5	17.0
592-9303	0.6	3.62	88	<0.2	0.34	<0.2	7	3	202	2	7.2	1.7	0.3	2.65	<1	4.8	11.4
592-9350	<0.2	3.98	187	<0.2	0.01	0.3	2	5	267	11	3.4	0.7	<0.2	5.92	<1	2.3	4.6
592-9353	2.9	11.2	309	0.2	1.61	0.6	11	5	209	36	2.6	0.6	0.6	5.48	12	1.5	61.2
592-9400	0.7	1.45	67	<0.2	0.05	<0.2	4	<1	229	13	2.6	<0.2	<0.2	2.12	<1	2.2	10.0
592-9303 R	0.7	3.56	85	<0.2	0.35	<0.2	7	2	206	1	6.9	1.6	0.2	2.51	<1	4.7	13.5



**SRC Geoanalytical Laboratories**

125 - 15 Innovation Blvd., Saskatoon, Saskatchewan, S7N 2X8  
 Tel: (306) 933-8118 Fax: (306) 933-5656 Email: geolab@src.sk.ca

**IOS Services Geoscientifiques Inc.**

Attention:  
 PO #/Project: 592  
 Samples: 178

Report No: 07-900  
 Date: August 29, 2007

**ICP4.3 Total Digestion**

Sample Number	Ho ppm	K2O wt %	La ppm	Li ppm	MgO wt %	MnO wt %	Mo ppm	Na2O wt %	Nb ppm	Nd ppm	Ni ppm	P2O5 wt %	Pb ppm	Pr ppm	Sc ppm	Sm ppm	Sr ppm
CG515/LS4/BM	1.1	3.09	81	26	2.74	0.072	1	3.25	8	60	23	0.660	17	16	12	8.8	1
592-9000	<0.4	5.19	3	10	0.403	0.011	6	2.38	2	3	3	0.037	83	<1	3	0.8	<1
592-9001	<0.4	0.972	4	8	0.323	0.017	41	1.73	5	3	5	0.019	38	1	2	0.9	<1
592-9004	<0.4	1.05	2	6	0.156	0.006	31	1.42	<1	3	4	0.015	122	1	1	1.4	<1
592-9005	<0.4	5.86	14	10	0.383	0.009	190	1.95	3	11	2	0.042	97	3	3	2.1	<1
592-9006	<0.4	0.484	<1	10	0.278	0.008	230	1.50	3	1	4	0.017	96	<1	3	0.5	<1
592-9007	<0.4	3.20	<1	9	0.309	0.009	157	0.96	2	1	15	0.023	203	<1	3	0.6	<1
592-9008	<0.4	4.46	<1	32	1.42	0.030	423	0.77	17	1	4	0.037	86	<1	12	<0.5	<1
592-9009	<0.4	4.82	2	13	0.342	0.013	30	2.73	1	2	3	0.027	80	<1	2	0.6	<1
592-9010	<0.4	3.72	5	38	1.33	0.046	275	3.18	19	3	5	0.048	110	<1	12	0.9	<1
592-9011	<0.4	8.27	2	13	0.462	0.011	63	1.54	5	2	4	0.031	94	<1	4	<0.5	<1
592-9012	<0.4	8.27	3	10	0.360	0.008	40	1.79	3	3	3	0.026	56	<1	2	0.7	<1
592-9013	<0.4	6.14	3	14	0.376	0.014	16	2.46	3	2	4	0.030	60	<1	3	0.6	<1
592-9014	<0.4	0.658	7	10	0.186	0.010	26	3.55	1	3	2	0.023	53	1	1	1.2	<1
592-9015	<0.4	5.84	3	10	0.272	0.012	30	2.13	2	2	3	0.026	100	<1	2	0.6	<1
592-9018	<0.4	2.32	39	20	0.415	0.019	1	5.04	1	20	2	0.062	31	6	1	2.8	<1
592-9019	<0.4	3.74	4	14	0.505	0.019	125	0.79	8	2	2	0.017	122	<1	3	0.7	<1
592-9020	<0.4	1.01	28	18	0.708	0.012	3	3.56	6	18	7	0.036	57	5	2	3.0	<1
592-9021	<0.4	2.01	31	19	0.623	0.024	3	5.31	2	17	3	0.049	68	5	2	2.8	<1
592-9022	<0.4	5.76	24	34	1.43	0.070	2	2.99	16	16	18	0.056	45	4	8	2.8	<1
CG515/LS4/BH	1.0	3.03	82	28	2.75	0.072	1	3.21	8	60	20	0.667	17	15	12	8.5	<1
592-9023	0.8	6.77	138	17	0.777	0.030	27	2.64	3	71	7	0.061	46	22	3	7.8	<1
592-9024	<0.4	6.49	33	1	0.058	0.003	47	1.49	<1	18	1	0.042	41	5	<1	2.0	<1
592-9025	<0.4	0.100	2	<1	0.020	0.003	101	0.35	<1	2	3	0.005	14	1	<1	0.8	<1
592-9027	<0.4	6.34	3	27	1.12	0.049	2	2.56	7	2	14	0.048	49	<1	4	0.7	<1
592-9029	<0.4	4.46	3	12	0.487	0.017	115	4.08	3	2	6	0.035	66	<1	2	0.9	<1
592-9050	<0.4	8.70	2	9	0.360	0.009	120	1.58	2	2	3	0.027	50	<1	2	0.6	<1
592-9051	<0.4	5.95	7	10	0.305	0.009	280	0.93	3	9	4	0.021	212	2	3	2.4	<1
592-9052	<0.4	3.81	<1	5	0.199	0.006	51	1.03	1	<1	2	0.014	38	<1	1	<0.5	<1
592-9053	<0.4	4.20	7	12	0.234	0.006	117	2.82	<1	2	2	0.026	90	1	1	0.8	<1
592-9054	<0.4	7.48	6	17	0.528	0.013	31	2.03	3	4	2	0.030	62	1	3	0.8	<1
592-9055	<0.4	2.77	4	28	0.982	0.031	28	0.95	17	3	6	0.030	75	<1	10	0.7	<1
592-9056	<0.4	1.80	5	4	0.046	0.004	8	2.80	<1	2	3	0.019	64	1	<1	0.9	<1
592-9057	<0.4	7.00	4	9	0.310	0.008	31	1.19	3	4	5	0.024	61	1	2	1.0	<1
592-9058	<0.4	5.72	6	25	0.802	0.021	27	2.45	9	4	6	0.034	53	1	6	0.9	<1
592-9060	<0.4	3.93	4	11	0.241	0.010	150	3.85	<1	3	5	0.054	71	1	1	1.1	<1
592-9061	<0.4	6.46	4	8	0.281	0.010	40	2.67	1	3	5	0.051	45	1	1	1.0	<1
592-9062	<0.4	5.31	3	9	0.262	0.008	64	2.44	1	4	3	0.057	29	1	1	1.1	<1
592-9063	<0.4	0.664	3	4	0.101	0.007	36	4.46	<1	2	3	0.021	82	1	<1	1.2	<1
592-9060 R	<0.4	3.77	4	11	0.237	0.010	147	3.79	<1	3	5	0.053	71	1	1	1.2	<1

**SRC Geoanalytical Laboratories**

125 - 15 Innovation Blvd., Saskatoon, Saskatchewan, S7N 2X8  
 Tel: (306) 933-8118 Fax: (306) 933-5656 Email: geolab@src.sk.ca

**IOS Services Geoscientifiques Inc.**

Attention:  
 PO #/Project: 592  
 Samples: 178

Report No: 07-900  
 Date: August 29, 2007

**ICP4.3 Total Digestion**

Sample Number	Ho ppm	K2O wt %	La ppm	Li ppm	MgO wt %	MnO wt %	Mo ppm	Na2O wt %	Nb ppm	Nd ppm	Ni ppm	P2O5 wt %	Pb ppm	Pr ppm	Sc ppm	Sm ppm	Sr ppm
CG515/LS4/BM	1.2	3.13	85	27	2.85	0.076	1	3.31	8	61	23	0.683	17	16	13	8.8	3
592-9064	<0.4	5.69	3	14	0.503	0.016	44	2.56	4	2	2	0.032	44	<1	3	0.5	<1
592-9065	<0.4	4.11	2	10	0.235	0.008	72	2.68	<1	1	2	0.023	56	<1	1	0.6	<1
592-9066	<0.4	8.10	3	9	0.292	0.008	46	1.76	3	5	2	0.082	52	1	2	1.4	<1
592-9067	<0.4	4.63	<1	4	0.178	0.006	29	1.13	1	<1	3	0.017	45	<1	1	<0.5	<1
592-9068	<0.4	3.12	2	4	0.107	0.006	6	1.71	<1	1	3	0.016	40	<1	<1	<0.5	<1
592-9069	<0.4	6.39	2	7	0.225	0.007	77	1.76	1	1	3	0.023	59	<1	2	<0.5	<1
592-9070	<0.4	3.68	2	11	0.280	0.010	140	2.19	2	2	5	0.022	70	<1	2	0.7	<1
592-9071	<0.4	8.51	4	38	1.18	0.033	380	1.99	17	8	3	0.259	183	1	10	2.4	<1
592-9072	<0.4	0.594	3	12	0.289	0.011	179	2.13	2	3	12	0.018	87	1	1	1.0	<1
592-9073	<0.4	1.52	3	11	0.381	0.019	25	3.68	5	1	4	0.028	38	<1	3	0.9	<1
592-9074	<0.4	0.073	<1	<1	0.005	0.002	140	0.03	<1	1	4	0.004	7	<1	<1	<0.5	<1
592-9075	<0.4	2.44	3	14	0.248	0.006	60	2.61	<1	3	3	0.022	44	1	<1	0.9	<1
592-9076	<0.4	6.81	2	11	0.327	0.010	62	2.40	2	2	2	0.050	61	<1	2	0.6	<1
592-9077	<0.4	5.19	4	11	0.266	0.009	29	2.30	1	1	4	0.021	64	<1	1	0.6	<1
592-9078	<0.4	8.46	1	6	0.247	0.006	33	1.50	<1	1	3	0.022	74	<1	1	<0.5	<1
592-9079	<0.4	8.92	2	6	0.186	0.006	29	1.90	<1	2	3	0.032	79	<1	1	0.6	<1
592-9080	<0.4	6.57	3	5	0.180	0.005	67	1.28	1	4	2	0.024	92	1	2	0.9	<1
592-9081	<0.4	1.18	3	17	0.762	0.023	46	2.01	12	3	13	0.031	102	<1	7	0.9	<1
592-9082	<0.4	8.34	7	15	0.577	0.009	20	1.68	2	5	3	0.044	81	1	4	1.1	<1
CG515/LS4/BH	1.2	3.17	82	27	2.81	0.074	1	3.35	7	62	23	0.664	17	16	12	9.0	1
592-9083	<0.4	4.36	17	18	0.602	0.020	48	2.72	6	13	3	0.039	93	3	5	2.2	<1
592-9084	0.7	3.68	56	31	1.22	0.043	3	2.48	10	39	14	0.146	36	10	9	6.0	<1
592-9085	<0.4	5.72	2	4	0.119	0.006	5	2.66	<1	1	3	0.024	57	<1	1	0.6	<1
592-9086	<0.4	3.70	1	4	0.144	0.006	37	2.11	<1	2	4	0.022	113	<1	1	1.0	<1
592-9087	<0.4	7.45	<1	13	0.448	0.009	45	1.04	4	<1	5	0.032	90	<1	4	<0.5	<1
592-9088	<0.4	1.14	<1	4	0.201	0.009	32	1.52	2	<1	2	0.011	17	<1	1	<0.5	<1
592-9090	<0.4	1.58	<1	17	1.80	0.050	795	0.04	17	4	28	0.036	100	1	8	<0.5	<1
592-9091	<0.4	4.32	1	6	0.155	0.014	9	4.54	2	2	2	0.057	50	<1	1	1.0	<1
592-9092	<0.4	6.47	2	10	0.130	0.010	33	3.30	1	2	2	0.028	94	<1	3	1.1	<1
592-9093	<0.4	5.41	6	7	0.136	0.011	19	3.26	5	6	1	0.028	56	1	1	1.7	<1
592-9094	0.6	5.00	4	18	0.444	0.023	190	3.16	11	8	2	0.052	122	2	2	3.3	<1
592-9100	<0.4	2.25	1	31	1.23	0.026	628	0.36	26	4	11	0.031	142	<1	12	0.9	<1
592-9102	<0.4	8.71	10	5	0.141	0.006	67	2.00	<1	6	2	0.038	85	2	<1	1.4	<1
592-9103	2.5	1.40	322	24	1.37	0.021	1	5.47	5	201	4	0.162	740	59	6	30.2	<1
592-9104	3.1	6.02	845	22	0.482	0.050	69	3.70	<1	481	5	0.205	161	148	6	55.6	<1
592-9200	<0.4	3.82	2	6	0.227	0.006	40	1.42	<1	1	3	0.022	50	<1	1	0.9	<1
592-9201	<0.4	5.66	1	4	0.153	0.004	80	0.96	<1	<1	3	0.022	87	<1	1	<0.5	<1
592-9202	<0.4	4.51	4	10	0.276	0.010	45	3.19	1	2	2	0.032	87	<1	2	0.8	<1
592-9200 R	<0.4	3.87	1	6	0.237	0.006	43	1.43	<1	1	3	0.022	49	<1	1	0.7	<1



**SRC Geoanalytical Laboratories**

**IOS Services Geoscientifiques Inc.**

125 - 15 Innovation Blvd., Saskatoon, Saskatchewan, S7N 2X8

Attention:  
PO #/Project: 592  
Samples: 178

Tel: (306) 933-8118 Fax: (306) 933-5656 Email: geolab@src.sk.ca

Report No: 07-900  
Date: August 29, 2007

**ICP4.3 Total Digestion**

Sample Number	Ho ppm	K2O wt %	La ppm	Li ppm	MqO wt %	MnO wt %	Mo ppm	Na2O wt %	Nb ppm	Nd ppm	Ni ppm	P2O5 wt %	Pb ppm	Pr ppm	Sc ppm	Sm ppm	Sn ppm
CG515/LS4/BM	1.1	3.23	88	29	2.95	0.077	<1	3.41	8	65	22	0.659	18	16	13	9.0	3
592-9203	<0.4	6.00	2	23	0.733	0.021	85	2.00	11	1	10	0.039	70	<1	7	<0.5	<1
592-9204	<0.4	2.88	3	3	0.061	0.004	23	2.85	<1	1	1	0.022	89	<1	<1	0.8	<1
592-9205	<0.4	5.00	4	10	0.491	0.015	34	2.01	6	3	4	0.038	55	<1	4	0.8	<1
592-9206	<0.4	4.84	4	12	0.473	0.012	9	2.69	4	2	2	0.034	64	<1	3	0.6	<1
592-9207	<0.4	7.68	2	10	0.272	0.006	10	1.92	<1	1	3	0.028	53	<1	1	<0.5	<1
592-9208	<0.4	0.849	5	11	0.426	0.010	130	0.99	4	5	2	0.020	92	1	3	1.1	<1
592-9250	<0.4	2.98	6	21	0.642	0.010	50	2.08	5	4	4	0.036	29	1	4	0.8	<1
592-9251	<0.4	4.41	2	18	0.610	0.017	5	1.48	7	2	4	0.029	57	<1	4	0.6	<1
592-9252	<0.4	2.37	18	37	2.16	0.053	61	3.32	28	13	18	0.068	66	2	14	2.3	<1
592-9253	<0.4	4.34	1	2	0.073	0.003	150	0.81	<1	1	3	0.014	86	<1	<1	<0.5	<1
592-9254	<0.4	6.41	<1	8	0.224	0.007	82	1.34	2	<1	3	0.024	85	<1	2	<0.5	<1
592-9255	<0.4	9.02	1	4	0.121	0.004	30	1.99	<1	<1	2	0.027	108	<1	1	<0.5	<1
592-9256	<0.4	1.83	8	20	0.504	0.013	50	3.07	5	4	4	0.029	79	1	4	1.0	<1
592-9257	<0.4	0.778	5	7	0.094	0.005	18	2.40	<1	2	1	0.016	52	<1	<1	0.9	<1
592-9258	<0.4	8.34	3	14	0.354	0.010	10	2.36	3	1	4	0.031	78	<1	3	<0.5	<1
592-9259	<0.4	4.52	2	7	0.254	0.009	43	3.18	<1	1	4	0.025	53	<1	2	0.6	<1
592-9260	<0.4	3.45	2	1	0.036	0.004	52	0.64	<1	2	2	0.013	46	<1	<1	0.8	<1
592-9261	<0.4	5.52	7	8	0.134	0.014	24	3.19	8	7	2	0.027	53	1	1	1.8	<1
592-9262	<0.4	4.66	8	34	2.04	0.056	901	0.37	2	12	25	0.203	41	2	6	2.5	<1
CG515/LS4/BH	1.1	3.21	84	27	2.87	0.074	2	3.39	8	64	23	0.682	18	16	13	8.6	1
592-9264	<0.4	8.94	10	3	0.104	0.004	6	1.58	<1	8	7	0.036	49	2	1	1.4	<1
592-9265	<0.4	2.68	9	27	1.40	0.019	6	5.63	2	4	3	0.035	45	1	7	1.4	<1
592-9267	<0.4	0.395	<1	3	0.222	0.009	328	0.67	2	<1	6	0.012	57	<1	1	<0.5	<1
592-9268	<0.4	1.07	<1	12	1.08	0.025	600	0.04	8	1	6	0.024	66	<1	4	<0.5	1
592-9300	1.9	4.62	179	28	1.48	0.037	63	3.47	18	130	10	0.108	191	35	12	18.6	<1
592-9301	4.3	4.70	588	95	3.91	0.117	6	4.18	56	401	19	0.250	92	111	29	55.3	<1
592-9302	<0.4	3.16	4	5	0.077	0.003	5	1.40	<1	2	2	0.020	56	<1	<1	0.6	<1
592-9304	<0.4	6.21	5	23	0.940	0.025	45	1.10	13	4	12	0.046	84	<1	8	0.5	<1
592-9305	<0.4	5.90	32	14	0.646	0.018	46	1.43	10	21	4	0.074	82	5	6	3.1	<1
592-9306	<0.4	8.14	<1	6	0.188	0.005	39	1.70	<1	<1	2	0.022	54	<1	1	<0.5	<1
592-9307	<0.4	4.27	2	<1	0.038	0.002	21	0.76	<1	1	2	0.021	73	<1	<1	<0.5	1
592-9308	<0.4	4.11	27	10	0.410	0.010	32	2.16	1	16	3	0.037	78	4	3	2.2	<1
592-9309	<0.4	5.44	8	15	0.489	0.015	12	2.91	5	5	4	0.037	78	1	5	1.1	<1
592-9310	<0.4	5.84	3	7	0.197	0.007	22	1.74	2	1	3	0.023	68	<1	1	0.5	<1
592-9311	<0.4	5.70	3	7	0.206	0.011	42	2.46	<1	2	3	0.024	163	<1	1	1.0	<1
592-9312	<0.4	6.27	2	8	0.244	0.007	24	1.69	2	1	4	0.024	63	<1	2	<0.5	<1
592-9313	<0.4	1.19	5	23	0.787	0.021	180	2.47	12	2	6	0.032	70	<1	7	0.6	<1
592-9314	<0.4	0.526	3	8	0.175	0.005	48	1.88	1	2	1	0.015	101	<1	1	0.7	<1
592-9313 R	<0.4	1.17	5	23	0.780	0.021	170	2.52	13	2	6	0.031	70	<1	7	0.6	<1

**SRC Geoanalytical Laboratories**

125 - 15 Innovation Blvd., Saskatoon, Saskatchewan, S7N 2X8  
 Tel: (306) 933-8118 Fax: (306) 933-5656 Email: geolab@src.sk.ca

**IOS Services Geoscientifiques Inc.**

Attention:  
 PO #/Project: 592  
 Samples: 178

Report No: 07-900  
 Date: August 29, 2007

**ICP4.3 Total Digestion**

Sample Number	Ho ppm	K2O wt %	La ppm	Li ppm	MgO wt %	MnO wt %	Mo ppm	Na2O wt %	Nb ppm	Nd ppm	Ni ppm	P2O5 wt %	Pb ppm	Pr ppm	Sc ppm	Sm ppm	Sn ppm
CG515/LS4/BM	1.3	3.20	84	27	2.84	0.075	2	3.40	7	63	23	0.663	19	16	12	8.5	3
592-9315	<0.4	5.68	4	13	0.406	0.012	73	2.04	3	2	4	0.029	97	<1	3	0.6	<1
592-9316	<0.4	7.78	3	10	0.369	0.008	19	2.12	<1	1	2	0.025	61	<1	2	<0.5	<1
592-9317	<0.4	0.545	3	9	0.243	0.010	72	2.60	2	2	3	0.020	56	<1	2	0.8	<1
592-9318	<0.4	7.19	1	11	0.392	0.014	17	2.54	2	<1	2	0.027	48	<1	2	<0.5	<1
592-9319	<0.4	5.58	5	19	0.746	0.027	22	2.27	12	3	4	0.038	85	<1	8	0.5	<1
592-9320	<0.4	4.91	3	6	0.137	0.006	7	2.46	<1	1	1	0.027	77	<1	<1	<0.5	<1
592-9321	<0.4	5.59	3	5	0.185	0.007	14	2.03	<1	1	5	0.033	67	<1	1	<0.5	<1
592-9322	<0.4	5.12	12	12	0.438	0.017	11	2.80	4	6	4	0.038	63	1	3	1.2	<1
592-9323	<0.4	6.67	3	8	0.249	0.006	12	1.37	<1	1	2	0.037	69	<1	2	0.5	<1
592-9324	<0.4	4.22	9	15	0.535	0.015	82	4.02	<1	4	2	0.056	132	1	4	1.6	<1
592-9325	0.7	3.91	5	4	0.167	0.022	50	4.51	16	5	2	0.030	127	1	4	2.0	<1
592-9326	<0.4	5.32	1	1	0.057	0.003	20	1.23	<1	2	3	0.018	55	<1	<1	0.5	<1
592-9327	<0.4	0.860	7	18	1.12	0.017	34	3.31	1	4	1	0.033	41	1	6	1.1	<1
592-9329	<0.4	4.46	1	27	1.31	0.041	480	1.77	22	1	1	0.040	93	<1	12	<0.5	<1
592-9351	<0.4	9.98	1	35	1.08	0.037	1100	1.81	5	1	3	0.052	99	<1	4	<0.5	<1
592-9352	<0.4	5.94	4	6	0.141	0.005	26	3.20	1	4	1	0.028	58	1	1	1.4	<1
592-9354	<0.4	1.94	2	26	0.977	0.049	62	3.07	16	2	12	0.033	96	<1	6	0.6	<1
592-9355	<0.4	1.57	1	20	1.00	0.028	46	2.83	10	2	4	0.031	37	<1	5	<0.5	<1
592-9356	<0.4	4.11	38	27	1.41	0.052	4	4.62	10	23	11	0.062	53	6	6	3.1	<1
CG515/LS4/BH	1.1	3.17	84	28	2.86	0.076	1	3.37	8	64	22	0.693	17	16	13	8.8	3
592-9357	0.6	3.70	3	3	0.076	0.008	1	3.51	47	3	2	0.018	61	1	1	1.5	<1
592-9358	<0.4	3.54	5	8	0.202	0.008	1	3.79	<1	3	3	0.024	33	1	<1	0.9	<1
592-9359	<0.4	1.45	3	19	0.874	0.032	1	6.03	7	2	4	0.041	48	<1	4	1.2	<1
592-9360	<0.4	1.73	52	23	0.886	0.048	110	4.96	10	39	5	0.132	66	10	5	6.2	<1
592-9361	<0.4	1.88	8	22	0.851	0.028	4	4.79	5	6	6	0.062	144	1	3	1.6	<1
592-9362	<0.4	2.37	8	30	1.19	0.049	27	6.37	16	4	4	0.053	49	1	7	1.4	<1
592-9363	<0.4	2.99	16	23	0.991	0.021	120	0.84	14	12	9	0.030	310	3	6	2.4	<1
592-9364	<0.4	0.673	<1	10	0.782	0.019	1200	0.04	2	1	1	0.018	180	<1	4	<0.5	<1
592-9366	<0.4	1.05	<1	16	1.16	0.024	630	0.25	12	1	8	0.020	110	<1	6	<0.5	<1
592-9367	<0.4	0.221	<1	4	0.281	0.009	150	0.07	1	<1	18	0.008	160	<1	2	<0.5	<1
592-9368	<0.4	0.532	1	1	0.040	0.002	77	0.27	<1	4	60	0.019	139	1	<1	1.3	<1
592-9369	<0.4	1.51	1	5	0.276	0.009	37	1.70	<1	2	4	0.020	42	<1	2	0.6	<1
592-9370	<0.4	0.781	2	4	0.195	0.008	130	0.34	3	2	2	0.038	40	<1	1	0.6	<1
592-9401	<0.4	5.86	55	9	0.255	0.011	2	1.68	<1	33	4	0.070	57	9	1	4.1	<1
592-9402	0.4	2.39	81	24	0.821	0.037	2	4.90	5	47	7	0.076	38	13	3	5.8	<1
592-9403	<0.4	2.08	29	40	1.73	0.068	1	2.77	11	18	19	0.079	42	5	8	2.6	<1
592-9404	<0.4	6.35	85	10	0.372	0.014	<1	3.00	<1	53	5	0.063	84	15	1	6.7	<1
592-9405	0.6	7.07	132	9	0.328	0.014	1	2.49	2	68	3	0.055	53	20	1	7.0	<1
592-9405 R	0.6	6.99	137	9	0.328	0.014	1	2.50	1	69	2	0.056	53	20	1	7.2	<1



**SRC Geoanalytical Laboratories**

125 - 15 Innovation Blvd., Saskatoon, Saskatchewan, S7N 2X8  
 Tel: (306) 933-8118 Fax: (306) 933-5656 Email: geolab@src.sk.ca

**IOS Services Geoscientifiques Inc.**

Attention:  
 PO #/Project: 592  
 Samples: 178

Report No: 07-900  
 Date: August 29, 2007

**ICP4.3 Total Digestion**

Sample Number	Ho ppm	K2O wt %	La ppm	Li ppm	MgO wt %	MnO wt %	Mo ppm	Na2O wt %	Nb ppm	Nd ppm	Ni ppm	P2O5 wt %	Pb ppm	Pr ppm	Sc ppm	Sm ppm	Sn ppm
CG515/LS4/BM	1.4	3.22	86	29	2.94	0.077	1	3.40	8	64	22	0.690	18	16	13	8.5	2
592-9406	<0.4	8.96	2	10	0.366	0.012	<1	1.77	<1	1	3	0.023	44	<1	1	<0.5	<1
592-9407	0.4	3.77	61	25	0.896	0.041	1	3.97	6	31	7	0.044	32	9	3	3.5	<1
592-9408	<0.4	2.34	27	30	1.46	0.053	17	5.48	13	18	9	0.059	52	4	7	3.1	<1
592-9409	<0.4	2.62	11	5	0.185	0.007	12	2.55	<1	5	2	0.017	42	1	<1	0.9	<1
592-9410	<0.4	1.43	18	10	0.414	0.016	2	2.38	3	12	5	0.026	34	3	2	2.0	<1
592-9411	<0.4	8.48	3	28	1.43	0.047	60	1.47	14	2	16	0.041	99	<1	7	<0.5	<1
592-9407 R	<0.4	3.84	68	26	0.927	0.042	1	4.07	6	35	8	0.047	33	10	4	3.9	<1
CG515/LS4/BM	1.3	3.22	86	28	2.90	0.076	<1	3.40	9	65	22	0.690	19	16	13	8.8	2
592-9026	1.2	0.754	1	10	0.927	0.029	230	0.04	9	9	44	0.023	436	2	4	3.1	1
592-9028	<0.4	3.93	17	69	4.09	0.121	1270	0.40	33	15	21	0.098	457	4	18	1.9	<1
592-9089	<0.4	1.91	4	28	2.21	0.064	580	0.98	35	5	110	0.047	220	<1	13	1.0	<1
592-9101	<0.4	1.05	2	32	1.70	0.040	1600	0.03	10	5	2	0.022	880	2	10	1.6	<1
592-9303	0.7	0.972	1	20	0.804	0.018	1200	0.66	13	7	2	0.033	650	2	7	3.2	<1
592-9350	<0.4	2.17	4	58	2.19	0.043	4500	0.02	32	4	26	0.058	397	2	12	0.6	<1
592-9353	0.5	2.88	2	29	1.94	0.065	196	2.56	30	7	11	0.046	369	2	12	1.4	<1
592-9400	<0.4	0.552	2	9	0.568	0.015	671	0.23	4	2	3	0.019	740	1	4	0.7	<1
592-9303 R	0.6	0.909	1	18	0.762	0.017	1100	0.67	12	7	2	0.034	650	2	6	3.1	<1

SRC Geoanalytical Laboratories

IOS Services Geoscientifiques Inc.

125 - 15 Innovation Blvd., Saskatoon, Saskatchewan, S7N 2X8

Attention:

Tel: (306) 933-8118 Fax: (306) 933-5656 Email: geolab@src.sk.ca

PO #/Project: 592

Report No: 07-900

Samples: 178

Date: August 29, 2007

ICP4.3 Total Digestion

Sample Number	Sr ppm	Ta ppm	Tb ppm	Th ppm	TiO2 wt %	U, ICP ppm	V ppm	W ppm	Y ppm	Yb ppm	Zn ppm	Zr ppm
CG515/LS4/BM	1100	2	<0.3	13	0.998	2	126	<1	20	1.8	85	140
592-9000	163	<1	<0.3	47	0.158	16	24	<1	3	0.6	25	370
592-9001	67	<1	<0.3	130	0.143	44	18	<1	4	0.6	23	193
592-9004	72	<1	0.6	328	0.052	230	9	<1	12	1.3	12	459
592-9005	158	<1	<0.3	190	0.152	73	29	<1	7	0.4	48	71
592-9006	64	1	1.6	785	0.150	110	19	<1	6	1.4	24	1090
592-9007	79	<1	2.6	684	0.164	305	17	1	12	2.3	43	1870
592-9008	75	1	<0.3	340	0.703	45	62	<1	4	0.4	61	215
592-9009	169	<1	<0.3	241	0.140	32	19	<1	5	0.9	29	643
592-9010	166	<1	<0.3	362	0.804	127	60	<1	8	1.1	104	767
592-9011	160	<1	<0.3	224	0.214	41	25	<1	5	0.5	39	230
592-9012	159	<1	<0.3	161	0.150	44	24	<1	5	0.4	19	151
592-9013	178	<1	<0.3	69	0.163	13	31	<1	3	0.4	33	268
592-9014	144	<1	<0.3	124	0.084	41	18	<1	4	0.8	17	395
592-9015	161	1	<0.3	209	0.150	46	23	<1	6	0.7	26	341
592-9018	282	<1	<0.3	109	0.158	18	22	<1	5	0.5	28	148
592-9019	70	<1	<0.3	845	0.239	190	26	<1	9	0.8	43	21
592-9020	150	<1	<0.3	65	0.252	31	27	<1	5	0.4	56	54
592-9021	275	<1	<0.3	312	0.221	54	28	<1	7	0.8	34	522
592-9022	159	1	<0.3	69	0.604	26	66	<1	6	0.7	81	341
CG515/LS4/BH	1100	1	<0.3	13	0.970	3	129	<1	21	1.8	82	142
592-9023	218	<1	<0.3	89	0.330	12	42	<1	9	0.8	45	473
592-9024	178	<1	<0.3	139	0.029	14	9	<1	3	0.3	5	138
592-9025	14	<1	1.3	431	0.014	71	2	<1	7	1.0	2	747
592-9027	202	1	<0.3	31	0.457	18	59	<1	3	0.7	71	561
592-9029	276	<1	<0.3	139	0.198	33	33	<1	3	0.3	29	93
592-9050	159	<1	<0.3	102	0.157	25	27	<1	3	0.2	26	6
592-9051	106	<1	0.4	634	0.138	570	24	<1	18	1.4	29	206
592-9052	86	<1	<0.3	134	0.084	37	13	<1	2	0.2	20	99
592-9053	132	<1	<0.3	471	0.076	160	15	<1	6	0.4	21	97
592-9054	160	<1	<0.3	108	0.189	26	25	<1	4	0.4	34	206
592-9055	69	1	0.4	434	0.505	148	57	<1	9	1.0	66	389
592-9056	141	<1	<0.3	178	0.010	67	9	<1	4	0.5	9	158
592-9057	131	<1	<0.3	208	0.151	29	19	<1	6	0.6	27	341
592-9058	153	<1	<0.3	131	0.365	32	34	<1	7	0.9	52	528
592-9060	198	<1	<0.3	305	0.103	54	19	<1	5	0.4	24	31
592-9061	186	<1	<0.3	127	0.110	19	22	<1	5	0.3	22	23
592-9062	144	<1	<0.3	167	0.111	34	28	2	5	0.4	15	56
592-9063	173	<1	<0.3	184	0.038	120	14	<1	4	0.5	13	201
592-9060 R	197	1	<0.3	305	0.101	52	19	<1	5	0.4	24	29



SRC Geoanalytical Laboratories

125 - 15 Innovation Blvd., Saskatoon, Saskatchewan, S7N 2X8  
 Tel: (306) 933-8118 Fax: (306) 933-5656 Email: geolab@src.sk.ca

Report No: 07-900  
 Date: August 29, 2007

IOS Services Geoscientifiques Inc.

Attention:  
 PO #/Project: 592  
 Samples: 178

ICP4.3 Total Digestion

Sample Number	Sr ppm	Ta ppm	Tb ppm	Th ppm	TiO2 wt %	U, ICP ppm	V ppm	W ppm	Y ppm	Yb ppm	Zn ppm	Zr ppm
CG515/LS4/BM	1100	<1	<0.3	12	1.03	2	133	2	21	1.8	86	140
592-9064	166	<1	<0.3	104	0.233	33	40	<1	4	0.4	42	250
592-9065	154	<1	<0.3	107	0.090	19	19	<1	2	0.3	22	166
592-9066	160	<1	<0.3	222	0.153	24	29	<1	10	0.7	37	79
592-9067	100	<1	<0.3	130	0.078	25	18	<1	2	0.4	14	300
592-9068	105	<1	<0.3	67	0.048	18	12	2	2	0.4	14	255
592-9069	147	<1	<0.3	109	0.101	13	23	<1	2	0.2	19	126
592-9070	130	<1	<0.3	294	0.119	42	26	<1	5	0.5	21	303
592-9071	158	1	<0.3	925	0.479	89	93	<1	20	1.8	91	90
592-9072	89	<1	<0.3	393	0.125	107	23	<1	7	0.6	22	199
592-9073	151	<1	<0.3	81	0.206	24	28	<1	3	0.5	37	200
592-9074	2	<1	0.5	255	0.007	50	1	<1	3	0.4	1	322
592-9075	144	<1	<0.3	128	0.045	29	13	<1	5	0.5	25	254
592-9076	166	<1	<0.3	86	0.141	11	25	<1	4	0.4	28	59
592-9077	153	<1	<0.3	126	0.100	18	19	<1	3	0.3	25	164
592-9078	161	<1	<0.3	77	0.093	20	20	<1	3	0.4	34	350
592-9079	189	<1	<0.3	125	0.082	20	17	<1	3	0.3	15	148
592-9080	145	<1	<0.3	328	0.075	67	15	<1	8	0.8	21	492
592-9081	92	<1	0.9	244	0.403	156	47	<1	7	1.5	63	856
592-9082	187	<1	<0.3	39	0.220	21	31	<1	3	0.2	48	26
CG515/LS4/BH	1080	2	<0.3	13	0.972	2	128	<1	21	1.9	88	137
592-9083	156	<1	<0.3	154	0.272	90	34	<1	7	0.9	72	479
592-9084	143	1	<0.3	33	0.482	6	63	<1	12	1.0	93	321
592-9085	180	<1	<0.3	59	0.060	15	15	<1	2	0.3	13	105
592-9086	135	<1	<0.3	162	0.067	135	13	<1	5	0.7	15	279
592-9087	150	<1	<0.3	145	0.188	41	34	<1	4	0.9	28	518
592-9088	57	<1	<0.3	37	0.074	14	10	<1	1	0.2	14	44
592-9090	3	1	2.4	700	0.768	162	86	<1	7	1.4	79	1540
592-9091	95	<1	<0.3	15	0.073	6	13	<1	3	0.5	18	36
592-9092	81	1	<0.3	85	0.043	91	16	<1	8	1.0	14	82
592-9093	105	<1	<0.3	58	0.087	47	13	<1	4	0.4	15	55
592-9094	105	1	<0.3	154	0.232	260	19	<1	19	1.8	37	77
592-9100	29	1	<0.3	549	0.683	220	120	<1	10	1.0	75	188
592-9102	216	<1	<0.3	18	0.040	960	15	<1	8	0.7	11	13
592-9103	267	1	2.1	395	0.316	67	65	<1	49	1.9	54	50
592-9104	223	<1	3.0	1280	0.292	101	36	<1	27	2.0	50	581
592-9200	148	<1	<0.3	74	0.077	62	13	<1	2	0.4	15	222
592-9201	128	<1	<0.3	96	0.088	45	14	<1	2	0.4	12	215
592-9202	203	<1	<0.3	118	0.132	53	20	<1	4	0.7	27	368
592-9200 R	147	<1	<0.3	70	0.079	63	13	<1	2	0.4	16	230

**SRC Geoanalytical Laboratories**

125 - 15 Innovation Blvd., Saskatoon, Saskatchewan, S7N 2X8  
 Tel: (306) 933-8118 Fax: (306) 933-5656 Email: geolab@src.sk.ca

**IOS Services Geoscientifiques Inc.**

Attention:  
 PO #/Project: 592  
 Samples: 178

Report No: 07-900  
 Date: August 29, 2007

**ICP4.3 Total Digestion**

Sample Number	Sr ppm	Ta ppm	Tb ppm	Th ppm	TiO2 wt %	U, ICP ppm	V ppm	W ppm	Y ppm	Yb ppm	Zn ppm	Zr ppm
CG515/LS4/BM	1160	1	<0.3	13	1.07	2	137	<1	22	1.9	92	145
592-9203	163	<1	<0.3	78	0.456	24	41	<1	3	0.6	57	369
592-9204	159	<1	<0.3	124	0.024	49	10	<1	4	0.6	12	292
592-9205	148	<1	<0.3	110	0.251	28	31	<1	4	0.5	35	161
592-9206	155	<1	<0.3	135	0.193	32	29	<1	4	0.7	30	519
592-9207	173	<1	<0.3	56	0.104	6	18	<1	2	0.2	18	86
592-9208	48	1	0.4	320	0.219	230	19	7	8	0.9	35	274
592-9250	109	<1	<0.3	78	0.183	23	23	6	3	0.4	34	24
592-9251	109	<1	<0.3	66	0.261	23	34	<1	3	0.5	45	221
592-9252	169	<1	<0.3	181	0.843	69	87	<1	8	1.0	114	415
592-9253	87	<1	<0.3	169	0.035	24	8	6	3	0.3	10	140
592-9254	143	<1	0.6	265	0.118	56	18	<1	5	0.9	19	780
592-9255	192	<1	<0.3	193	0.061	60	15	<1	4	0.5	23	267
592-9256	138	<1	<0.3	178	0.227	70	24	<1	5	0.6	40	287
592-9257	96	<1	<0.3	102	0.008	32	7	<1	5	0.8	20	468
592-9258	196	<1	<0.3	101	0.178	21	29	<1	3	0.5	30	264
592-9259	181	<1	<0.3	104	0.127	22	21	<1	3	0.4	23	233
592-9260	64	<1	0.6	336	0.010	78	5	<1	8	0.8	4	506
592-9261	85	1	<0.3	70	0.107	22	12	1	5	0.6	13	67
592-9262	83	<1	<0.3	275	0.470	58	75	<1	13	0.8	113	35
CG515/LS4/BH	1120	1	<0.3	14	1.12	2	130	<1	21	1.9	81	146
592-9264	168	<1	<0.3	24	0.044	4	55	<1	3	0.4	8	92
592-9265	226	<1	<0.3	145	0.208	32	103	<1	4	0.7	42	234
592-9267	28	<1	<0.3	470	0.111	52	13	<1	1	0.2	13	156
592-9268	5	1	<0.3	292	0.452	18	39	<1	1	0.1	43	118
592-9300	157	<1	2.7	439	0.667	233	59	<1	38	2.7	109	1140
592-9301	213	2	4.3	635	1.83	33	117	<1	76	2.3	187	7
592-9302	115	<1	<0.3	68	0.015	57	6	4	3	0.5	7	167
592-9304	149	<1	<0.3	150	0.464	43	42	<1	6	0.9	63	342
592-9305	137	<1	<0.3	294	0.360	52	45	<1	7	0.5	46	156
592-9306	163	<1	<0.3	151	0.083	33	22	<1	3	0.4	13	137
592-9307	89	<1	<0.3	61	0.022	25	7	3	2	0.3	3	172
592-9308	150	<1	<0.3	111	0.187	123	24	<1	6	0.7	37	349
592-9309	189	<1	<0.3	121	0.307	36	29	<1	5	1.0	46	716
592-9310	141	<1	<0.3	132	0.097	23	18	<1	3	0.4	19	158
592-9311	176	<1	<0.3	252	0.101	200	18	<1	10	1.1	18	406
592-9312	135	<1	<0.3	122	0.122	19	18	3	2	0.4	18	297
592-9313	103	1	<0.3	210	0.398	68	46	<1	6	0.7	57	327
592-9314	79	<1	<0.3	220	0.065	140	10	<1	5	0.7	25	343
592-9313 R	103	<1	<0.3	209	0.417	67	46	<1	6	0.7	56	333



**SRC Geanalytical Laboratories**

125 - 15 Innovation Blvd., Saskatoon, Saskatchewan, S7N 2X8  
 Tel: (306) 933-8118 Fax: (306) 933-5656 Email: geolab@src.sk.ca

**IOS Services Geoscientifiques Inc.**

Attention:  
 PO #/Project: 592  
 Samples: 178

Report No: 07-900  
 Date: August 29, 2007

**ICP4.3 Total Digestion**

Sample Number	Sr ppm	Ta ppm	Tb ppm	Th ppm	TiO2 wt %	U, ICP ppm	V ppm	W ppm	Y ppm	Yb ppm	Zn ppm	Zr ppm
CG515/LS4/BM	1120	2	<0.3	13	1.07	<2	130	1	21	1.9	82	138
592-9315	151	<1	<0.3	203	0.243	36	20	1	5	0.4	31	134
592-9316	202	<1	<0.3	59	0.144	14	21	1	2	0.2	28	86
592-9317	125	<1	0.3	175	0.137	70	16	1	5	0.9	22	600
592-9318	188	<1	<0.3	32	0.202	9	30	1	1	0.2	34	55
592-9319	177	<1	<0.3	126	0.526	37	49	1	5	0.8	56	602
592-9320	152	<1	<0.3	101	0.072	27	11	<1	4	0.5	21	186
592-9321	157	<1	<0.3	66	0.138	18	15	2	3	0.5	19	191
592-9322	188	<1	<0.3	57	0.250	47	30	1	5	0.6	55	248
592-9323	157	<1	<0.3	52	0.129	15	20	2	2	0.4	21	274
592-9324	196	<1	<0.3	123	0.174	180	26	2	7	0.7	38	144
592-9325	73	2	<0.3	82	0.110	160	14	1	22	3.4	16	318
592-9326	125	<1	<0.3	49	0.028	66	9	<1	3	0.5	4	297
592-9327	73	<1	<0.3	133	0.140	11	54	1	3	0.7	18	449
592-9329	118	1	<0.3	145	0.789	21	68	<1	3	0.4	65	185
592-9351	201	1	<0.3	322	0.466	72	38	<1	3	<0.1	59	15
592-9352	119	<1	<0.3	55	0.079	15	18	<1	5	0.6	9	30
592-9354	116	1	0.4	295	0.511	136	50	<1	6	1.0	63	715
592-9355	115	<1	1.4	233	0.500	32	64	<1	5	1.3	50	1400
592-9356	293	1	<0.3	154	0.693	37	79	<1	5	0.5	80	105
CG515/LS4/BH	1130	1	<0.3	13	1.08	2	130	<1	21	1.9	82	144
592-9357	42	2	<0.3	22	0.060	44	10	<1	13	3.1	9	101
592-9358	219	<1	<0.3	68	0.080	12	17	2	2	0.3	14	248
592-9359	310	<1	<0.3	166	0.468	26	74	<1	4	1.0	58	1100
592-9360	206	1	<0.3	309	0.408	37	43	<1	13	1.4	68	411
592-9361	246	<1	<0.3	43	0.355	12	41	3	4	0.4	82	84
592-9362	300	<1	<0.3	109	0.525	22	83	<1	4	0.6	70	98
592-9363	66	1	1.2	706	0.482	680	54	<1	18	2.1	56	818
592-9364	4	<1	1.3	643	0.170	70	40	1	5	0.7	19	753
592-9366	11	2	0.3	378	0.457	175	63	<1	4	0.6	60	265
592-9367	2	<1	3.0	709	0.084	233	19	<1	7	1.8	16	1940
592-9368	14	<1	1.6	186	0.022	369	17	<1	9	1.7	11	1060
592-9369	85	<1	1.0	90	0.098	39	27	<1	4	0.9	16	932
592-9370	15	<1	0.6	362	0.100	110	10	<1	5	0.7	12	348
592-9401	164	<1	<0.3	182	0.112	27	14	<1	7	0.5	14	162
592-9402	249	<1	<0.3	159	0.358	23	37	<1	7	0.7	49	184
592-9403	149	1	1.0	234	0.623	52	60	<1	10	1.5	76	1100
592-9404	254	1	<0.3	306	0.151	49	22	1	7	0.5	21	212
592-9405	219	<1	<0.3	97	0.151	9	20	<1	7	0.5	20	74
592-9405 R	218	<1	<0.3	98	0.150	8	19	<1	7	0.5	20	92

**SRC Geoanalytical Laboratories**

125 - 15 Innovation Blvd., Saskatoon, Saskatchewan, S7N 2X8  
 Tel: (306) 933-8118 Fax: (306) 933-5656 Email: geolab@src.sk.ca

**IOS Services Geoscientifiques Inc.**

Attention:  
 PO #/Project: 592  
 Samples: 178

Report No: 07-900  
 Date: August 29, 2007

**ICP4.3 Total Digestion**

Sample Number	Sr ppm	Ta ppm	Tb ppm	Th ppm	TiO2 wt %	U, ICP ppm	V ppm	W ppm	Y ppm	Yb ppm	Zn ppm	Zr ppm
CG515/LS4/BM	1160	1	<0.3	16	1.16	2	135	<1	22	1.9	83	139
592-9406	230	<1	<0.3	30	0.157	6	19	<1	1	0.1	19	57
592-9407	214	<1	<0.3	58	0.382	9	39	<1	6	0.7	51	122
592-9408	259	1	<0.3	258	0.732	28	64	<1	5	0.5	77	172
592-9409	159	<1	<0.3	89	0.078	14	12	<1	2	0.3	11	148
592-9410	115	<1	<0.3	99	0.193	13	18	<1	3	0.4	20	302
592-9411	192	<1	0.4	649	0.653	180	63	<1	8	1.0	74	778
592-9407 R	225	1	<0.3	64	0.390	10	40	<1	6	0.8	52	126
CG515/LS4/BM	1140	2	<0.3	14	1.10	2	135	<1	21	2.0	83	156
592-9026	2	1	1.6	176	0.406	1450	62	<1	25	3.3	50	936
592-9028	45	3	1.3	3260	1.81	672	186	<1	24	1.7	200	223
592-9089	32	4	<0.3	866	0.791	450	82	<1	19	2.2	81	24
592-9101	10	<1	2.7	4970	0.314	730	194	<1	16	1.7	44	625
592-9303	33	<1	1.2	865	0.448	1660	51	<1	30	2.9	61	520
592-9350	7	5	1.1	2700	1.06	448	95	<1	15	0.2	105	126
592-9353	123	1	2.8	517	1.05	773	144	<1	17	3.2	87	2380
592-9400	10	1	1.2	2320	0.239	247	41	<1	10	0.9	24	366
592-9303 R	32	1	1.0	828	0.430	1700	48	<1	29	2.9	57	524

Total Digestion: A 0.125 g pulp is gently heated in a mixture of HF/HNO3/HClO4 until dry and the residue is dissolved in dilute HNO3. The standard is CG515.





Saskatchewan  
Research Council

125-15 Innovation Boulevard, Saskatoon, SK Canada S7N 2X8 • Ph: 306-933-5400 Fax: 306-933-7446  
Also located at: 220-6 Research Drive, Regina, SK Canada S4S 7J7 • Ph: 306-787-9400 Fax: 306-787-8811

Web: www.src.sk.ca  
Email: info@src.sk.ca

Report No: 07-900

## SRC Geoanalytical Laboratories

125 - 15 Innovation Blvd.  
Saskatoon, Saskatchewan  
S7N 2X8

September 11, 2007

Phone: (306) 933-8118  
Fax: (306) 933-5656

# PROJET

592

**IOS Services Geoscientifiques Inc.**  
1319 St-Paul Boulevard  
Saguenay (Chicoutimi), QC G7J 3Y2  
Attn: Rejean Girard

Test reports are the property of the customers. Publications of statements, conclusions or extracts from these reports are not permitted without prior written permission from the customer.

This document constitutes the **final official test report**. Liability for the SRC Geoanalytical Laboratories', if any, will be limited to the cost of analysis for samples in this test report. The results contained in this test report relate only to the items tested. It is the customer's responsibility to ensure that all interpretation of analysis is done using the data from this report.

The customer will not use the name of the Saskatchewan Research Council in connection with the sale, offer, advertisement or the promotion of any article, product, or company without the prior written consent of the SRC.

Results Reviewed and Approved by:

Robert Millar  
Assistant Research Scientist

**SRC Geoanalytical Laboratories**

Report No: 07-900

**IOS Services Geoscientifiques Inc.**

125 - 15 Innovation Blvd., Saskatoon, Saskatchewan, S7N 2X8

Attention: Rejean Girard

Tel: (306) 933-8118 Fax: (306) 933-5656 Email: geolab@src.sk.ca

PO #/Project: 592

Date of Report: September 11, 2007

Samples: 178

**LOI**

## Column Header Details

## Loss on Ignition in wt % (LOI)

Sample Number	LOI wt %
CG515/LS4/BM	N/R
592-9000	0.9
592-9001	0.4
592-9004	0.3
592-9005	0.5
592-9006	0.4
592-9007	1.0
592-9008	0.8
592-9009	0.5
592-9010	0.6
592-9011	0.5
592-9012	0.4
592-9013	0.4
592-9014	<0.1
592-9015	0.4
592-9018	0.4
592-9019	0.3
592-9020	0.6
592-9021	0.5
592-9022	0.6
CG515/LS4/BH	N/R
592-9023	0.4
592-9024	0.2
592-9025	0.1
592-9027	0.5
592-9029	0.4
592-9050	0.2
592-9051	0.3
592-9052	0.4
592-9053	0.6
592-9054	0.5
592-9055	0.6
592-9056	0.2
592-9057	0.4
592-9058	0.7



**SRC Geoanalytical Laboratories**

125 - 15 Innovation Blvd., Saskatoon, Saskatchewan, S7N 2X8  
Tel: (306) 933-8118 Fax: (306) 933-5656 Email: geolab@src.sk.ca

Report No: 07-900

**IOS Services Geoscientifiques Inc.**

Attention: Rejean Girard

PO #/Project: 592

Samples: 178

Date of Report: September 11, 2007

**LOI**

Sample Number	LOI wt %
592-9060	0.5
592-9061	0.5
592-9062	0.4
592-9063	0.3
592-9060 R	0.5
CG515/LS4/BM*	N/R
592-9064	0.7
592-9065	0.8
592-9066	0.8
592-9067	0.9
592-9068	0.9
592-9069	0.6
592-9070	0.9
592-9071	1.1
592-9072	0.7
592-9073	0.8
592-9074	0.5
592-9075	1.1
592-9076	0.7
592-9077	0.9
592-9078	0.7
592-9079	0.4
592-9080	0.7
592-9081	0.4
592-9082	1.0
CG515/LS4/BH	N/R
592-9083	0.5
592-9084	0.6
592-9085	0.3
592-9086	0.3
592-9087	0.5
592-9088	0.2
592-9090	0.6
592-9091	0.4
592-9092	0.3
592-9093	0.5
592-9094	0.4
592-9100	0.8
592-9102	0.5
592-9103	1.8

**SRC Geoanalytical Laboratories**

Report No: 07-900

**IOS Services Geoscientifiques Inc.**

125 - 15 Innovation Blvd., Saskatoon, Saskatchewan, S7N 2X8

Attention: Rejean Girard

Tel: (306) 933-8118 Fax: (306) 933-5656 Email: geolab@src.sk.ca

PO #/Project: 592

Date of Report: September 11, 2007

Samples: 178

**LOI**

Sample Number	LOI wt %
592-9104	1.0
592-9200	0.6
592-9201	0.5
592-9202	0.6
592-9200 R	0.7
CG515/LS4/BM	N/R
592-9203	0.4
592-9204	0.3
592-9205	0.4
592-9206	0.6
592-9207	0.5
592-9208	0.4
592-9250	0.8
592-9251	0.5
592-9252	0.9
592-9253	0.3
592-9254	0.4
592-9255	0.4
592-9256	0.5
592-9257	0.5
592-9258	0.6
592-9259	0.6
592-9260	0.2
592-9261	0.4
592-9262	1.0
CG515/LS4/BH	N/R
592-9264	0.8
592-9265	0.8
592-9267	0.3
592-9268	0.6
592-9300	0.8
592-9301	1.2
592-9302	0.7
592-9304	0.7
592-9305	0.8
592-9306	0.4
592-9307	0.3
592-9308	0.4
592-9309	0.6
592-9310	0.4



**SRC Geoanalytical Laboratories**

125 - 15 Innovation Blvd., Saskatoon, Saskatchewan, S7N 2X8  
Tel: (306) 933-8118 Fax: (306) 933-5656 Email: geolab@src.sk.ca

Report No: 07-900

**IOS Services Geoscientifiques Inc.**

Attention: Rejean Girard

PO #/Project: 592

Samples: 178

Date of Report: September 11, 2007

**LOI**

Sample Number	LOI wt %
592-9311	0.4
592-9312	0.3
592-9313	0.3
592-9314	0.3
592-9313 R	0.3
CG515/LS4/BM	N/R
592-9315	0.5
592-9316	0.6
592-9317	0.3
592-9318	0.5
592-9319	0.4
592-9320	0.4
592-9321	0.4
592-9322	0.4
592-9323	0.4
592-9324	0.5
592-9325	0.2
592-9326	<0.1
592-9327	0.5
592-9329	1.1
592-9351	0.8
592-9352	0.4
592-9354	0.5
592-9355	0.6
592-9356	0.6
CG515/LS4/BH	N/R
592-9357	0.2
592-9358	0.4
592-9359	0.6
592-9360	0.6
592-9361	0.6
592-9362	1.0
592-9363	0.5
592-9364	0.6
592-9366	0.4
592-9367	0.6
592-9368	1.6
592-9369	0.4
592-9370	0.2
592-9401	0.3

**SRC Geoanalytical Laboratories**

125 - 15 Innovation Blvd., Saskatoon, Saskatchewan, S7N 2X8  
Tel: (306) 933-8118 Fax: (306) 933-5656 Email: geolab@src.sk.ca

Report No: 07-900

**IOS Services Geoscientifiques Inc.**

Attention: Rejean Girard

PO #/Project: 592

Samples: 178

Date of Report: September 11, 2007

**LOI**

Sample Number	LOI wt %
592-9402	0.6
592-9403	0.6
592-9404	0.3
592-9405	0.5
592-9405 R	0.4
CG515/LS4/BM	N/R
592-9406	0.4
592-9407	0.4
592-9408	0.6
592-9409	0.3
592-9410	0.3
592-9411	0.6
592-9407 R	0.2
CG515/LS4/BM	N/R
592-9026	0.9
592-9028	1.0
592-9089	1.7
592-9101	1.0
592-9303	0.5
592-9350	1.2
592-9353	1.2
592-9400	0.9
592-9303 R	0.4

LOI: A 1.00 gram pulp is heated at 1000 C overnight and the weight loss determined.





Saskatchewan  
Research Council

125-15 Innovation Boulevard, Saskatoon, SK Canada S7N 2X8 • Ph: 306-933-5400 Fax: 306-933-7446  
Also located at: 220-6 Research Drive, Regina, SK Canada S4S 7J7 • Ph: 306-787-9400 Fax: 306-787-8811

Web: [www.src.sk.ca](http://www.src.sk.ca)  
Email: [info@src.sk.ca](mailto:info@src.sk.ca)

Report No: 07-900

## SRC Geoanalytical Laboratories

125 - 15 Innovation Blvd.  
Saskatoon, Saskatchewan  
S7N 2X8

October 12, 2007

Phone: (306) 933-8118  
Fax: (306) 933-5656

**IOS Services Geoscientifiques Inc.**  
1319 St-Paul Boulevard  
Saguenay (Chicoutimi), QC G7J 3Y2  
Attn: Rejean Girard

Test reports are the property of the customers. Publications of statements, conclusions or extracts from these reports are not permitted without prior written permission from the customer.

This document constitutes the **final official test report**. Liability for the SRC Geoanalytical Laboratories', if any, will be limited to the cost of analysis for samples in this test report. The results contained in this test report relate only to the items tested. It is the customer's responsibility to ensure that all interpretation of analysis is done using the data from this report.

The customer will not use the name of the Saskatchewan Research Council in connection with the sale, offer, advertisement or the promotion of any article, product, or company without the prior written consent of the SRC.

Results Reviewed and Approved by: \_\_\_\_\_

Robert Millar  
Assistant Research Scientist

**SRC Geoanalytical Laboratories**

Report No: 07-900

**IOS Services Geoscientifiques Inc.**

125 - 15 Innovation Blvd., Saskatoon, Saskatchewan, S7N 2X8

Attention: Rejean Girard

Tel: (306) 933-8118 Fax: (306) 933-5656 Email: geolab@src.sk.ca

PO #/Project: 592

Samples: 4

Date of Report: October 12, 2007

**TEST REPORT**

Method U3O8

Column Header Details

U3O8 Assay by ICP in wt % (U3O8)

Sample Number	U3O8 wt %
BL-2A	0.495
592-9026	0.164
592-9303	0.212
592-9303 R	0.224

Uranium Assay: A 1.00 g pulp is digested with 24 ml of 3:1 HCl:HNO3 for 1 hour at 95 C.



**SRC Geoanalytical Laboratories**

Report No: 07-900

**IOS Services Geoscientifiques Inc.**

125 - 15 Innovation Blvd., Saskatoon, Saskatchewan, S7N 2X8

Attention: Rejean Girard

Tel: (306) 933-8118 Fax: (306) 933-5656 Email: geolab@src.sk.ca

PO #/Project: 592

Samples: 4

Date of Report: October 12, 2007

**Fire Assay**

Column Header Details

Au Fire Assay by ICP in ppb (Au)

Pd Fire Assay by ICP in ppb (Pd)

Pt Fire Assay by ICP in ppb (Pt)

Sample Number	Au ppb	Pd ppb	Pt ppb
BL-2A	N/R	N/R	N/R
592-9026	11	4	8
592-9303	12	2	5
592-9303 R	N/R	N/R	N/R

Fire Assay: A 30 g pulp is subjected to standard fire assaying procedures.

**SRC Geoanalytical Laboratories**

Report No: 07-942

**IOS Services Geoscientifiques Inc.**

125 - 15 Innovation Blvd., Saskatoon, Saskatchewan, S7N 2X8  
 Tel: (306) 933-8118 Fax: (306) 933-5656 Email: geolab@src.sk.ca

Attention: Rejean Girard  
 PO #/Project: Project 592  
 Samples: 3

Date of Report: October 17, 2007

**ICP4.3 Aqua Regia Digestion**

Column Header Details

Silver in ppm (Ag)  
 Arsenic in ppm (As)  
 Bismuth in ppm (Bi)  
 Cobalt in ppm (Co)  
 Copper in ppm (Cu)

Germanium in ppm (Ge)  
 Mercury in ppm (Hg)  
 Molybdenum in ppm (Mo)  
 Nickel in ppm (Ni)  
 Lead in ppm (Pb)

Antimony in ppm (Sb)  
 Selenium in ppm (Se)  
 Tellurium in ppm (Te)  
 Uranium in ppm (U, ICP)  
 Vanadium in ppm (V)

Zinc in ppm (Zn)

Sample Number	Ag ppm	As ppm	Bi ppm	Co ppm	Cu ppm	Ge ppm	Hg ppm	Mo ppm	Ni ppm	Pb ppm	Sb ppm	Se ppm	Te ppm	U, ICP ppm	V ppm	Zn ppm
CG515/LS4	0.2	12.6	1.9	39.2	48.8	<0.2	<0.2	13.1	49.8	21.7	<1	<0.2	<0.2	33.2	104	209
5929033	<0.1	1.2	0.6	2.0	1.7	<0.2	<0.2	5.7	4.7	8.70	1.2	<0.2	1.0	6.5	26.9	30.1
5929033 R	<0.1	1.4	0.4	2.0	2.2	<0.2	<0.2	7.3	4.5	8.62	<1	<0.2	1.0	6.7	26.8	28.0

Aqua Regia: A 0.5 g pulp is digested with 2.00 ml of 3:1 HCL:HNO3 for 1 hour at 95 C.  
 The standard is LS4.





Saskatchewan  
Research Council

125-15 Innovation Boulevard, Saskatoon, SK Canada S7N 2X8 • Ph: 306-933-5400 Fax: 306-933-7446  
Also located at: 220-6 Research Drive, Regina, SK Canada S4S 7J7 • Ph: 306-787-9400 Fax: 306-787-8811

Web: [www.src.sk.ca](http://www.src.sk.ca)  
Email: [info@src.sk.ca](mailto:info@src.sk.ca)

Report No: 07-942

## SRC Geoanalytical Laboratories

125 - 15 Innovation Blvd.  
Saskatoon, Saskatchewan  
S7N 2X8

October 17, 2007

Phone: (306) 933-8118

Fax: (306) 933-5656

**IOS Services Geoscientifiques Inc.**  
1319 St-Paul Boulevard  
Saguenay (Chicoutimi), QC G7J 3Y2  
Attn: Rejean Girard

Test reports are the property of the customers. Publications of statements, conclusions or extracts from these reports are not permitted without prior written permission from the customer.

This document constitutes the **final official test report**. Liability for the SRC Geoanalytical Laboratories', if any, will be limited to the cost of analysis for samples in this test report. The results contained in this test report relate only to the items tested. It is the customer's responsibility to ensure that all interpretation of analysis is done using the data from this report.

The customer will not use the name of the Saskatchewan Research Council in connection with the sale, offer, advertisement or the promotion of any article, product, or company without the prior written consent of the SRC.

Results Reviewed and Approved by: \_\_\_\_\_

Robert Millar  
Assistant Research Scientist

**SRC Geoanalytical Laboratories**

125 - 15 Innovation Blvd., Saskatoon, Saskatchewan, S7N 2X8  
 Tel: (306) 933-8118 Fax: (306) 933-5656 Email: geolab@src.sk.ca

Report No: 07-942

**IOS Services Geoscientifiques Inc.**

Attention: Rejean Girard  
 PO #/Project: Project 592  
 Samples: 77

Date of Report: October 17, 2007

**ICP4.3 Aqua Regia Digestion**

Column Header Details

Silver in ppm (Ag)  
 Arsenic in ppm (As)  
 Bismuth in ppm (Bi)  
 Cobalt in ppm (Co)  
 Copper in ppm (Cu)

Germanium in ppm (Ge)  
 Mercury in ppm (Hg)  
 Molybdenum in ppm (Mo)  
 Nickel in ppm (Ni)  
 Lead in ppm (Pb)

Antimony in ppm (Sb)  
 Selenium in ppm (Se)  
 Tellurium in ppm (Te)  
 Uranium in ppm (U, ICP)  
 Vanadium in ppm (V)

Zinc in ppm (Zn)

Sample Number	Ag ppm	As ppm	Bi ppm	Co ppm	Cu ppm	Ge ppm	Hg ppm	Mo ppm	Ni ppm	Pb ppm	Sb ppm	Se ppm	Te ppm	U, ICP ppm	V ppm	Zn ppm
LS4	0.2	13.4	1.8	41.0	51.4	<0.2	<0.2	13.0	53.7	23.3	<1	<0.2	0.5	33.2	108	212
5929031	<0.1	1.4	2.4	4.6	4.2	0.2	<0.2	7.3	5.5	13.2	<1	<0.2	2.5	49.6	29.1	45.3
5929032	<0.1	1.5	1.3	5.0	1.5	0.4	<0.2	54.2	6.4	29.1	<1	<0.2	5.0	33.3	48.0	61.1
5929034	<0.1	0.9	2.9	1.0	3.0	<0.2	<0.2	187	1.6	69.3	<1	<0.2	2.1	32.0	15.0	13.3
5929035	<0.1	<0.2	1.6	2.9	3.5	0.3	<0.2	41.0	6.2	38.9	<1	<0.2	3.4	53.3	34.1	43.4
5929106	<0.1	<0.2	0.5	1.5	10.3	<0.2	<0.2	0.6	2.1	3.76	<1	<0.2	<0.2	12.9	10.7	3.5
5929270	<0.1	<0.2	3.8	1.5	2.8	<0.2	<0.2	0.8	4.8	130	<1	<0.2	2.3	389	13.9	18.7
5929271	<0.1	2.1	1.4	6.4	1.4	<0.2	<0.2	579	1.0	445	<1	<0.2	3.9	1140	62.5	109
5929272	<0.1	<0.2	1.5	3.4	8.3	<0.2	<0.2	3.6	5.5	36.6	<1	<0.2	1.4	75.7	17.8	13.4
5929273	<0.1	<0.2	1.2	1.5	4.0	<0.2	<0.2	2.1	2.8	31.0	<1	<0.2	0.6	22.2	3.4	12.6
5929274	<0.1	1.2	4.6	3.1	13.1	0.2	<0.2	8.6	8.4	10.9	<1	<0.2	2.7	57.3	21.5	35.8
5929275	<0.1	0.7	2.8	6.7	12.2	0.7	<0.2	30.3	10.8	47.0	<1	<0.2	5.1	81.7	52.9	86.1
5929276	<0.1	1.0	1.2	3.1	9.0	<0.2	<0.2	16.4	4.3	29.0	<1	<0.2	1.7	41.3	15.6	15.0
5929277	<0.1	1.0	2.7	2.7	2.5	<0.2	<0.2	3.1	3.5	56.0	<1	<0.2	2.1	57.6	22.2	33.3
5929330	<0.1	0.2	1.3	1.0	2.3	<0.2	<0.2	1.1	2.4	19.2	<1	<0.2	0.9	26.3	8.4	11.5
5929331	<0.1	1.0	0.9	4.0	3.6	<0.2	<0.2	24.3	5.0	11.2	<1	<0.2	3.2	10.8	26.1	33.2
5929332	0.2	2.2	<0.2	25.0	17.6	1.1	<0.2	4.0	46.4	11.4	<1	<0.2	8.3	21.6	124	106
5929333	<0.1	0.2	1.4	0.6	4.5	<0.2	<0.2	0.7	2.1	31.5	<1	<0.2	0.5	30.8	3.1	6.8
5929334	<0.1	<0.2	2.1	1.5	1.4	1.1	<0.2	<0.1	3.1	82.3	<1	<0.2	0.3	243	17.7	25.0
5929335	<0.1	<0.2	2.6	2.0	1.1	1.6	<0.2	0.2	3.5	86.0	<1	<0.2	0.7	161	27.3	51.4



SRC Geoanalytical Laboratories

125 - 15 Innovation Blvd., Saskatoon, Saskatchewan, S7N 2X8  
 Tel: (306) 933-8118 Fax: (306) 933-5656 Email: geolab@src.sk.ca

Report No: 07-942

IOS Services Geoscientifiques Inc.

Attention: Rejean Girard

PO #/Project: Project 592

Samples: 77

Date of Report: October 17, 2007

ICP4.3 Aqua Regia Digestion

Sample Number	Ag ppm	As ppm	Bi ppm	Co ppm	Cu ppm	Ge ppm	Hg ppm	Mo ppm	Ni ppm	Pb ppm	Sb ppm	Se ppm	Te ppm	U, ICP ppm	V ppm	Zn ppm
LS4	<0.1	11.5	2.6	39.4	49.6	<0.2	<0.2	12.6	53.1	22.6	<1	1.8	0.4	34.5	102	201
5929337	<0.1	<0.2	2.5	0.5	1.0	<0.2	<0.2	0.5	1.3	120	<1	<0.2	<0.2	355	5.1	15.7
5929338	<0.1	<0.2	3.9	1.2	2.6	<0.2	<0.2	0.7	3.4	209	<1	<0.2	0.8	474	10.8	22.7
5929340	<0.1	<0.2	2.6	1.7	47.0	<0.2	<0.2	0.7	1.6	104	<1	<0.2	0.7	257	4.5	19.7
5929341	<0.1	0.4	1.4	0.7	1.9	<0.2	<0.2	0.4	1.6	68.3	<1	<0.2	0.9	155	3.5	15.8
5929342	<0.1	1.2	2.0	0.7	4.9	<0.2	<0.2	1.1	2.5	42.6	<1	<0.2	0.9	127	4.9	8.8
5929343	<0.1	<0.2	1.8	1.3	1.9	<0.2	<0.2	36.3	3.4	74.0	<1	<0.2	0.9	195	5.9	25.6
5929344	<0.1	<0.2	1.9	0.4	0.7	0.2	<0.2	0.8	1.4	102	<1	<0.2	<0.2	195	3.5	10.2
5929345	<0.1	<0.2	2.8	0.3	1.2	<0.2	<0.2	1.0	1.1	48.8	<1	<0.2	0.6	88.0	1.1	12.8
5929346	<0.1	<0.2	2.2	2.3	1.2	2.1	<0.2	<0.1	3.6	64.9	<1	<0.2	0.6	227	51.1	38.9
5929347	<0.1	<0.2	3.3	3.1	0.6	2.7	<0.2	<0.1	3.0	157	<1	<0.2	2.4	556	50.1	34.9
5929348	<0.1	<0.2	2.3	0.7	1.1	<0.2	<0.2	0.3	1.4	88.3	<1	<0.2	0.4	148	7.5	8.3
5929349	<0.1	<0.2	0.9	0.4	1.1	<0.2	<0.2	0.6	1.8	30.2	<1	<0.2	0.3	37.7	2.9	6.9
5929371	<0.1	5.5	3.3	3.2	12.2	0.5	<0.2	1200	7.1	57.2	<1	<0.2	6.8	15.9	56.6	58.9
5929372	<0.1	0.6	1.6	4.5	5.1	0.2	<0.2	2.2	4.2	12.0	<1	<0.2	3.1	34.5	28.9	42.8
5929373	<0.1	<0.2	1.6	1.3	2.4	<0.2	<0.2	28.3	3.6	9.57	<1	<0.2	1.1	17.9	8.7	11.7
5929374	<0.1	0.7	0.3	0.8	0.9	<0.2	<0.2	1.8	2.3	4.41	<1	<0.2	<0.2	2.5	3.1	5.5
5929450	0.2	0.4	1.3	15.9	459	0.3	<0.2	16.4	46.7	529	<1	<0.2	3.5	267	41.6	306
5929451	<0.1	<0.2	3.1	1.6	2.0	1.1	<0.2	0.4	2.2	95.6	<1	0.6	0.5	253	21.0	25.7
5929372 R	<0.1	<0.2	1.9	4.4	5.3	<0.2	<0.2	2.4	5.0	11.6	<1	<0.2	3.2	33.2	28.8	40.4
LS4	<0.1	12.7	0.7	41.8	51.1	<0.2	<0.2	12.2	54.1	23.3	<1	<0.2	<0.2	34.1	104	215
5929452	<0.1	<0.2	2.7	1.3	2.1	0.4	<0.2	0.4	2.6	64.1	<1	0.2	0.3	246	15.4	29.7
5929453	<0.1	<0.2	2.8	0.9	0.7	0.6	<0.2	0.9	2.7	98.1	<1	<0.2	0.6	208	15.8	29.4
5929455	<0.1	<0.2	2.9	0.6	1.0	0.3	<0.2	<0.1	2.0	138	<1	<0.2	<0.2	619	8.0	15.9
5929456	<0.1	<0.2	1.2	0.9	1.5	<0.2	<0.2	0.5	1.7	55.8	<1	<0.2	<0.2	143	6.4	18.9
5929457	<0.1	<0.2	2.4	0.8	1.2	0.4	<0.2	0.2	1.1	125	<1	0.2	0.5	290	11.8	16.4
5929458	<0.1	<0.2	2.8	1.3	1.1	<0.2	<0.2	0.3	1.8	150	<1	<0.2	0.6	161	9.8	12.1
5929459	<0.1	<0.2	2.5	1.4	1.1	0.6	<0.2	1.4	1.5	103	<1	<0.2	0.6	150	8.9	10.9
5929460	<0.1	<0.2	2.8	1.6	3.0	<0.2	<0.2	0.6	2.8	137	<1	<0.2	1.2	314	10.7	22.3
5929461	<0.1	<0.2	4.3	1.1	3.0	<0.2	<0.2	163	2.0	438	<1	<0.2	1.3	464	2.6	19.5
5929464	<0.1	<0.2	2.2	0.7	3.0	<0.2	<0.2	3.2	1.9	104	<1	<0.2	0.5	283	4.4	9.5
5929466	<0.1	0.6	1.3	1.0	2.3	<0.2	<0.2	2.8	1.8	25.6	<1	<0.2	1.4	66.0	11.4	21.4
5929467	<0.1	0.8	1.6	0.5	2.8	<0.2	<0.2	22.2	1.6	280	<1	<0.2	0.4	686	9.5	26.3
5929468	<0.1	0.9	1.2	0.4	7.2	<0.2	<0.2	22.6	1.9	62.9	<1	<0.2	0.8	19.0	7.4	8.3
5929469	<0.1	<0.2	2.2	1.9	1.7	<0.2	<0.2	63.8	3.6	242	<1	<0.2	0.2	577	9.5	23.0
5929470	<0.1	0.4	1.0	0.6	3.5	<0.2	<0.2	8.2	1.8	48.3	<1	<0.2	<0.2	102	2.2	8.0
5929471	<0.1	0.5	1.7	0.5	5.3	<0.2	<0.2	88.5	1.4	312	<1	<0.2	0.9	173	15.8	21.7
5929477	<0.1	0.3	0.4	0.4	1.4	<0.2	<0.2	7.6	0.7	34.2	<1	<0.2	<0.2	134	0.6	6.2
5929479	<0.1	<0.2	1.4	1.0	0.5	<0.2	<0.2	79.6	0.7	284	<1	<0.2	0.3	522	6.0	13.9
5929470 R	<0.1	0.6	0.8	0.6	3.4	<0.2	<0.2	8.6	2.3	50.4	<1	<0.2	0.2	107	2.1	7.4

**SRC Geoanalytical Laboratories**

125 - 15 Innovation Blvd., Saskatoon, Saskatchewan, S7N 2X8  
 Tel: (306) 933-8118 Fax: (306) 933-5656 Email: geolab@src.sk.ca

Report No: 07-942

**IOS Services Geoscientifiques Inc.**

Attention: Rejean Girard  
 PO #/Project: Project 592  
 Samples: 77

Date of Report: October 17, 2007

**ICP4.3 Aqua Regia Digestion**

Sample Number	Ag ppm	As ppm	Bi ppm	Co ppm	Cu ppm	Ge ppm	Hg ppm	Mo ppm	Ni ppm	Pb ppm	Sb ppm	Se ppm	Te ppm	U, ICP ppm	V ppm	Zn ppm
LS4	0.1	12.6	1.3	39.6	49.4	<0.2	<0.2	12.0	51.9	22.0	<1	<0.2	0.9	33.4	99.9	206
5929030	<0.1	<0.2	16.8	4.6	6.0	<0.2	<0.2	35.1	5.8	148	<1	<0.2	5.7	667	18.8	43.2
5929105	<0.1	<0.2	6.7	11.8	1.4	<0.2	<0.2	549	2.8	1740	<1	<0.2	2.2	5560	98.0	156
5929269	<0.1	<0.2	8.4	1.9	4.4	<0.2	<0.2	3.7	1.9	571	<1	<0.2	4.1	1630	62.1	21.8
5929336	<0.1	0.2	4.4	0.8	<0.1	<0.2	<0.2	1.2	1.4	267	<1	<0.2	0.5	899	11.8	12.1
5929339	<0.1	<0.2	6.6	3.2	2.9	<0.2	<0.2	1.6	2.7	468	<1	<0.2	4.1	996	16.4	75.0
5929454	<0.1	<0.2	10.0	1.2	0.2	<0.2	<0.2	<0.1	2.3	655	<1	<0.2	3.1	2040	16.9	36.1
5929462	10.8	<0.2	8.1	9.7	38.9	<0.2	<0.2	0.5	16.0	4520	21.1	<0.2	5.8	28000	51.6	184
5929463	<0.1	<0.2	7.3	2.6	8.6	<0.2	<0.2	2.2	2.9	795	<1	<0.2	3.1	2320	20.3	56.8
5929465	<0.1	<0.2	3.4	0.4	3.2	<0.2	<0.2	17.3	1.3	600	<1	<0.2	1.1	1630	2.1	7.9
5929472	<0.1	0.8	2.2	1.7	5.3	<0.2	<0.2	192	2.7	309	<1	<0.2	0.5	994	21.1	566
5929473	<0.1	<0.2	8.6	0.5	1.1	<0.2	<0.2	1.6	0.6	488	<1	0.6	3.1	790	1.8	12.4
5929474	<0.1	<0.2	4.8	<0.1	6.5	<0.2	<0.2	7.1	0.3	1150	<1	<0.2	0.6	3650	<0.1	10.4
5929475	<0.1	<0.2	6.1	<0.1	0.5	<0.2	<0.2	11.2	0.2	1870	<1	<0.2	<0.2	4670	<0.1	0.6
5929476	<0.1	<0.2	3.5	0.4	3.6	<0.2	<0.2	8.1	1.0	1080	<1	<0.2	<0.2	1950	<0.1	5.8
5929478	<0.1	<0.2	2.5	0.1	1.2	<0.2	<0.2	53.1	0.2	556	<1	<0.2	<0.2	1190	<0.1	3.5
5929475 R	<0.1	<0.2	5.7	<0.1	0.7	<0.2	<0.2	11.1	0.4	1830	<1	<0.2	0.3	4600	<0.1	0.7

Aqua Regia: A 0.5 g pulp is digested with 2.00 ml of 3:1 HCL:HNO3 for 1 hour at 95 C.  
 The standard is LS4.





Report No: 07-942

## SRC Geoanalytical Laboratories

125 - 15 Innovation Blvd.  
Saskatoon, Saskatchewan  
S7N 2X8

February 05, 2008

Phone: (306) 933-8118  
Fax: (306) 933-5656

**OS Services Geoscientifiques Inc.**  
319 St-Paul Boulevard  
Saguenay (Chicoutimi), QC G7J 3Y2  
Attn: Rejean Girard

Test reports are the property of the customers. Publications of statements, conclusions or extracts from these reports are not permitted without prior written permission from the customer.

This document constitutes the **final official test report**. Liability for the SRC Geoanalytical Laboratories', if any, will be limited to the cost of analysis for samples in this test report. The results contained in this test report relate only to the items tested. It is the customer's responsibility to ensure that all interpretation of analysis is done using the data from this report.

The customer will not use the name of the Saskatchewan Research Council in connection with the sale, offer, advertisement or the promotion of any article, product, or company without the prior written consent of the SRC.

Results Reviewed and Approved by:

Robert Millar  
Assistant Research Scientist

IOS Services Geoscientifiques Inc.

Attention: Rejean Girard  
PO #/Project: Project 592  
Samples: 95

Geolytica Laboratories  
125 - 15 Innovation Blvd., Saskatoon, Saskatchewan, S7N 2X8  
Tel: (306) 933-8118 Fax: (306) 933-5656 Email: geolab@src.sk.ca

Report No: G-07-942

Date of Report: February 05, 2008

ICP1 Total Digestion

Column Header Details

Silver in ppm (Ag)  
Aluminum in wt % (Al<sub>2</sub>O<sub>3</sub>)  
Barium in ppm (Ba)  
Beryllium in ppm (Be)  
Calcium in wt % (CaO)

Cadmium in ppm (Cd)  
Cerium in ppm (Ce)  
Cobalt in ppm (Co)  
Chromium in ppm (Cr)  
Copper in ppm (Cu)

Dysprosium in ppm (Dy)  
Erbium in ppm (Er)  
Europium in ppm (Eu)  
Iron in wt % (Fe<sub>2</sub>O<sub>3</sub>)  
Gallium in ppm (Ga)

Gadolinium in ppm (Gd)  
Hafnium in ppm (Hf)  
Holmium in ppm (Ho)  
Potassium in wt % (K<sub>2</sub>O)  
Lanthanum in ppm (La)

Lithium in ppm (Li)  
Magnesium in wt % (MgO)  
Manganese in wt % (MnO)  
Molybdenum in ppm (Mo)  
Sodium in wt % (Na<sub>2</sub>O)

Niobium in ppm (Nb)  
Neodymium in ppm (Nd)  
Nickel in ppm (Ni)  
Phosphorus in wt % (P<sub>2</sub>O<sub>5</sub>)  
Lead in ppm (Pb)

Praseodymium in ppm (Pr)  
Scandium in ppm (Sc)  
Samarium in ppm (Sm)  
Tin in ppm (Sn)  
Strontium in ppm (Sr)

Tantalum in ppm (Ta)  
Terbium in ppm (Tb)  
Thorium in ppm (Th)  
Titanium in wt % (TiO<sub>2</sub>)  
Uranium in ppm (U, ICP)



IOS Services Geoscientifiques Inc.

Attention: Rejean Girard

PO #/Project: Project 592

Samples: 95

Geoscientific Laboratories

125 - 15 Innovation Blvd., Saskatoon, Saskatchewan, S7N 2X8

Tel: (306) 933-8118 Fax: (306) 933-5656 Email: geolab@src.sk.ca

Report No: G-07-942

Date of Report: February 05, 2008

ICP1 Total Digestion

Column Header Details

Vanadium in ppm (V)  
Tungsten in ppm (W)  
Yttrium in ppm (Y)  
Ytterbium in ppm (Yb)  
Zinc in ppm (Zn)

Zirconium in ppm (Zr)

ICPI Total Digestion

Sample Number	Ag ppm	Al2O3 wt %	Ba ppm	Be ppm	CaO wt %	Cd ppm	Ce ppm	Co ppm	Cr ppm	Cu ppm	Dy ppm	Er ppm	Eu ppm	Fe2O3 wt %	Ga ppm	Gd ppm	Hf ppm
CG515/LS4	<0.2	17.9	2220	2.1	4.81	1.0	158	19	121	3	3.4	2.4	2.6	7.38	23	5.9	4.0
5929033	<0.2	21.3	106	2.8	5.84	1.4	50	2	107	3	1.2	0.2	1.2	1.30	18	2.2	3.6
5929033 R	<0.2	22.1	108	2.9	6.06	1.4	55	3	114	3	1.3	0.2	1.3	1.38	20	2.3	2.7
LS4	0.3	17.4	2270	2.1	4.97	1.3	160	19	113	4	3.2	2.4	2.4	7.31	24	5.7	4.9
5929031	1.6	15.2	211	1.9	2.70	1.3	6	6	189	<1	0.8	0.5	0.6	2.96	21	0.9	19.0
5929032	<0.2	16.8	123	2.0	3.73	1.1	13	6	124	<1	0.6	0.5	0.6	3.18	22	0.9	1.8
5929034	0.9	11.1	1950	0.3	0.43	0.7	9	<1	138	<1	0.8	0.3	0.7	1.05	8	0.7	11.0
5929035	2.0	19.3	1290	1.2	1.56	1.4	1	2	87	<1	0.7	0.4	0.9	2.41	20	<0.5	16.1
5929106	0.4	13.4	1970	1.0	0.42	0.9	6	<1	122	12	0.8	0.2	0.3	1.33	10	0.7	2.8
5929270	1.7	7.85	26	1.4	1.36	0.5	257	2	235	<1	8.1	5.4	0.6	1.60	13	9.6	26.6
5929271	<0.2	13.3	1790	0.3	1.90	1.1	43	6	110	<1	18.6	11.8	0.8	5.06	15	17.0	1.0
5929272	1.1	14.3	117	3.5	3.43	1.4	7	4	182	7	0.8	0.3	0.3	1.40	16	0.8	12.6
5929273	1.3	12.7	1090	0.8	0.91	0.9	5	1	177	1	0.7	0.4	0.6	0.94	12	0.6	16.4
5929274	4.6	3.18	55	<0.2	0.38	0.3	12	4	246	<1	2.4	1.2	0.4	1.93	6	2.4	66.4
5929275	3.2	10.0	1120	0.3	0.30	0.7	9	8	187	1	1.0	0.5	0.6	4.02	15	1.2	40.3
5929276	0.5	18.0	206	1.6	4.39	1.3	12	3	121	7	1.0	0.6	0.8	1.38	16	1.0	9.3
5929277	2.3	14.0	649	1.5	2.22	1.0	9	3	138	<1	1.0	0.5	0.8	1.90	17	0.9	33.1
5929330	0.2	13.5	352	1.7	2.02	1.0	148	1	212	<1	2.0	1.1	0.5	1.18	18	3.7	2.9
5929331	0.3	13.2	196	1.9	2.72	1.2	2	5	85	4	0.4	0.3	0.5	1.86	18	<0.5	1.0
5929332	0.8	19.5	535	2.0	4.09	1.2	13	34	114	24	0.6	0.8	0.6	8.22	32	1.0	4.7
5929333	<0.2	7.52	68	0.9	0.68	0.8	11	1	205	2	3.8	2.3	0.3	1.09	10	2.6	<0.5
5929334	0.6	12.8	12	2.0	2.02	1.0	109	1	145	<1	8.3	4.9	0.5	8.78	30	8.4	9.4
5929335	0.9	14.1	23	2.0	2.23	1.0	69	1	116	<1	5.4	3.2	0.4	13.9	40	5.0	21.4
LS4	0.3	17.1	2270	2.0	4.85	1.0	161	20	111	3	3.2	2.4	2.4	7.30	23	5.7	3.7
5929337	2.2	14.9	18	2.2	2.43	1.1	40	<1	120	<1	9.5	6.0	0.4	3.04	23	7.8	43.2
5929338	1.2	14.6	106	1.4	1.73	1.0	107	1	116	<1	12.1	7.0	0.6	5.12	24	11.1	18.0
5929340	2.0	13.8	85	1.9	2.32	1.2	84	2	121	45	4.6	2.9	0.5	1.17	21	4.1	31.6
5929341	0.6	14.6	148	1.6	1.88	1.5	122	1	156	<1	4.0	2.3	0.6	1.16	17	5.6	9.1
5929342	0.9	14.8	121	1.7	2.00	1.7	75	1	142	<1	5.2	3.0	0.9	1.03	17	6.6	17.1
5929343	0.9	12.1	172	1.0	1.13	1.3	20	1	136	<1	3.2	2.0	0.5	1.58	15	2.9	16.5
5929344	1.1	15.4	15	2.3	2.55	1.5	45	<1	132	<1	5.0	3.0	0.3	2.10	22	4.3	15.2
5929345	0.3	14.7	130	1.3	1.22	1.5	16	<1	126	<1	3.9	2.3	0.3	0.91	16	2.8	1.5
5929346	0.5	10.9	27	1.7	1.55	0.9	63	1	106	<1	6.4	3.7	0.5	21.3	50	6.4	5.2
5929347	1.6	9.66	69	1.2	1.09	1.2	84	2	44	<1	10.9	6.3	0.7	32.1	69	11.4	6.9
5929348	1.4	15.6	51	2.0	1.95	1.8	48	<1	142	<1	6.9	4.2	0.5	3.62	24	6.2	22.5
5929349	0.4	13.4	78	1.5	1.51	1.3	19	<1	129	<1	2.3	1.4	0.3	1.19	18	2.0	5.4
5929371	<0.2	12.3	2550	0.3	0.16	1.0	<1	2	144	8	0.5	0.8	0.7	3.61	6	0.6	0.9
5929372	1.2	14.0	394	1.5	2.27	1.0	16	6	70	<1	0.9	0.6	0.6	2.92	20	1.0	20.1
5929373	0.4	3.80	311	0.2	0.27	0.4	2	1	236	<1	0.4	<0.2	0.2	0.99	4	0.6	3.3
5929374	<0.2	12.1	1400	0.6	0.36	0.8	3	<1	140	<1	0.3	<0.2	0.5	0.60	11	<0.5	<0.5

*RW*



ICP1 Total Digestion

Sample Number	Ag ppm	Al2O3 wt %	Ba ppm	Be ppm	CaO wt %	Cd ppm	Ce ppm	Co ppm	Cr ppm	Cu ppm	Dy ppm	Er ppm	Eu ppm	Fe2O3 wt %	Ga ppm	Gd ppm	Hf ppm
5929450	2.5	11.1	139	2.2	1.40	2.0	13	20	126	572	3.9	2.6	0.3	5.74	22	3.4	21.5
5929451	2.3	16.2	20	2.4	2.44	1.3	78	1	107	<1	5.4	3.3	0.4	12.2	40	5.4	21.9
5929372 R	1.0	13.4	390	1.5	2.20	1.1	14	5	69	<1	0.6	0.4	0.5	2.87	19	0.6	20.6
LS4	<0.2	17.8	2400	1.8	4.88	1.1	166	20	120	3	3.6	2.5	2.4	7.45	24	5.2	3.1
5929452	<0.2	14.2	23	1.8	2.22	0.7	133	3	122	4	6.3	2.8	0.6	6.94	28	7.1	18.6
5929453	<0.2	12.0	11	1.4	1.81	0.5	59	3	123	5	4.0	1.8	0.4	7.41	26	2.7	10.1
5929455	<0.2	15.2	16	2.0	2.36	0.9	46	1	97	5	9.5	4.2	0.5	4.00	26	7.2	14.4
5929456	<0.2	14.8	140	0.5	0.86	0.9	15	1	102	3	3.1	1.2	0.4	1.96	17	2.3	4.9
5929457	<0.2	15.5	19	1.6	2.53	0.9	3	1	135	5	6.6	3.0	0.4	4.60	24	3.4	8.9
5929458	<0.2	16.3	21	1.9	2.89	1.0	5	3	104	5	5.2	2.3	0.4	3.49	24	2.8	6.7
5929459	0.3	10.6	15	0.9	1.77	0.5	5	2	93	3	4.6	1.9	0.3	4.59	18	2.2	18.1
5929460	1.1	15.7	44	1.3	2.32	0.9	402	2	168	2	12.7	5.0	1.0	5.06	26	19.0	74.4
5929461	1.9	14.1	402	<0.2	0.27	0.8	27	1	129	4	12.6	4.2	0.4	1.29	13	7.8	117
5929464	<0.2	9.89	414	<0.2	0.42	0.5	75	<1	154	6	4.0	1.6	0.3	0.71	10	5.3	1.9
5929466	<0.2	10.7	243	0.9	0.77	0.7	15	2	126	3	1.1	0.4	0.3	1.60	13	1.0	0.9
5929467	<0.2	6.44	175	0.3	0.66	0.4	49	1	182	6	7.7	3.7	0.4	1.16	11	7.6	2.4
5929468	<0.2	11.6	225	0.7	0.79	0.6	4	1	178	8	1.8	0.9	0.3	1.32	13	1.6	<0.5
5929469	<0.2	11.0	391	0.7	1.29	0.7	59	2	142	8	10.1	5.3	0.4	1.23	15	9.0	2.1
5929470	<0.2	8.01	266	0.4	0.43	0.5	4	<1	233	4	1.4	0.5	0.2	0.53	8	1.4	<0.5
5929471	<0.2	8.26	102	1.0	0.84	0.5	9	1	169	8	2.3	0.9	0.2	1.83	12	2.2	4.5
5929477	<0.2	12.8	27	2.2	2.31	0.9	12	<1	157	2	1.4	0.5	0.4	0.30	16	1.4	1.1
5929479	<0.2	16.6	129	2.6	3.20	1.1	10	1	48	3	6.1	2.7	0.5	0.89	22	4.8	4.6
5929470 R	<0.2	7.82	260	0.4	0.43	0.4	4	<1	227	4	1.4	0.5	0.2	0.52	8	1.4	0.7
LS4	0.4	17.6	2090	1.9	4.90	1.3	146	17	122	3	3.1	2.3	2.2	7.34	20	5.4	3.8
5929030	13.3	6.75	71	0.5	1.14	0.9	5	7	209	7	4.9	1.2	<0.2	2.21	6	2.6	137
5929105	<0.2	13.6	723	0.5	6.54	1.2	188	14	67	<1	94.1	58.6	3.0	12.3	23	77.6	<0.5
5929269	0.3	4.94	46	0.5	1.03	<0.2	863	2	181	4	37.2	22.2	2.2	7.11	15	41.7	13.3
5929336	3.6	18.3	39	2.2	2.68	1.2	107	<1	91	<1	17.3	10.2	0.7	4.07	22	14.4	50.1
5929339	<0.2	8.78	97	0.7	1.06	0.6	533	4	230	3	30.7	15.7	2.1	5.17	14	37.0	1.0
5929454	6.1	17.4	33	2.0	2.60	1.1	234	<1	85	<1	32.1	19.2	0.9	10.0	28	25.8	78.6
5929462	18.2	15.7	660	<0.2	6.73	1.0	698	10	38	39	159	91.2	4.2	12.2	<1	125	141
5929463	4.0	17.0	944	<0.2	1.25	1.6	140	3	104	8	27.2	15.0	0.8	3.14	11	23.4	40.1
5929465	<0.2	5.70	333	<0.2	0.16	0.4	213	<1	71	4	14.7	8.3	0.6	0.42	2	13.5	<0.5
5929472	0.7	2.30	23	<0.2	0.13	3.7	10	1	230	6	6.4	4.1	<0.2	1.56	2	3.9	<0.5
5929473	18.0	16.7	52	2.8	2.86	1.1	712	<1	100	<1	23.5	16.0	1.5	0.88	18	26.0	243
5929474	1.6	5.17	26	1.4	0.74	0.5	31	<1	104	7	24.5	14.4	0.7	0.27	<1	15.8	<0.5
5929475	0.7	1.10	27	<0.2	0.72	0.7	50	<1	87	<1	28.0	16.2	0.8	0.12	<1	18.5	<0.5
5929476	0.3	19.0	40	3.0	3.22	1.7	36	<1	136	4	16.6	9.6	0.7	0.33	16	10.3	<0.5
5929478	<0.2	20.0	23	6.2	4.33	1.5	18	<1	123	<1	15.7	9.6	0.6	0.29	21	12.2	<0.5
5929475 R	0.8	1.12	28	<0.2	0.75	0.5	52	<1	89	<1	29.6	17.0	0.9	0.13	<1	19.9	<0.5

Attention: Rejean Girard

Tel: (306) 933-8118 Fax: (306) 933-5656 Email: geolab@src.sk.ca

PO #/Project: Project 592

Date of Report: February 05, 2008

Samples: 95

ICP1 Total Digestion

Sample Number	Ho ppm	K2O wt %	La ppm	Li ppm	MgO wt %	MnO wt %	Mo ppm	Na2O wt %	Nb ppm	Nd ppm	Ni ppm	P2O5 wt %	Pb ppm	Pr ppm	Sc ppm	Sm ppm	Sn ppm
CG515/LS4	1.9	3.06	84	27	2.89	0.074	1	3.27	8	62	24	0.666	20	17	13	9.3	1
5929033	<0.4	0.730	28	10	0.530	0.015	6	5.32	<1	18	5	0.048	26	5	2	3.6	<1
5929033 R	<0.4	0.738	31	11	0.537	0.016	5	5.52	<1	19	5	0.048	26	5	2	4.3	<1
LS4	1.6	3.12	88	28	2.76	0.076	2	3.22	8	60	24	0.679	20	15	13	8.2	2
5929031	0.5	1.62	4	29	0.953	0.037	9	4.42	9	2	9	0.025	34	1	4	1.0	<1
5929032	<0.4	1.34	9	18	1.05	0.042	42	4.68	11	5	6	0.029	48	1	5	1.4	<1
5929034	<0.4	7.16	4	6	0.320	0.008	211	1.40	3	2	4	0.023	104	<1	1	0.7	<1
5929035	<0.4	8.08	1	17	0.696	0.039	50	3.39	8	1	10	0.026	75	<1	4	0.7	<1
5929106	<0.4	8.57	3	15	0.312	0.004	1	1.83	1	3	3	0.020	36	<1	<1	1.0	<1
5929270	2.2	0.501	127	23	0.294	0.025	2	2.72	4	73	5	0.017	156	20	3	11.7	<1
5929271	4.3	8.29	13	89	1.59	0.070	960	1.74	14	29	4	1.30	524	5	13	11.4	<1
5929272	<0.4	0.502	4	11	0.374	0.014	8	4.50	1	3	5	0.024	57	1	1	1.2	<1
5929273	<0.4	5.34	1	12	0.194	0.009	4	2.72	2	1	5	0.021	57	<1	<1	0.6	<1
5929274	1.3	0.681	<1	17	0.571	0.018	9	0.62	6	5	10	0.009	21	1	3	1.5	<1
5929275	0.9	4.81	3	38	1.74	0.034	33	1.51	11	4	13	0.026	68	1	6	0.8	1
5929276	0.4	0.657	6	10	0.417	0.013	18	5.53	4	4	5	0.034	50	1	2	1.6	<1
5929277	0.6	3.09	4	16	0.619	0.024	4	3.58	7	3	5	0.023	86	1	4	1.0	<1
5929330	0.5	2.11	76	12	0.236	0.012	3	4.32	2	45	5	0.021	40	12	1	6.0	<1
5929331	<0.4	1.10	2	25	0.646	0.023	15	3.95	4	1	6	0.030	24	<1	3	0.7	<1
5929332	0.9	3.48	10	70	3.39	0.090	6	4.37	8	6	57	0.082	27	2	10	1.7	<1
5929333	0.8	2.31	2	4	0.073	0.005	2	2.10	<1	4	3	0.013	51	1	<1	1.7	<1
5929334	1.9	0.583	49	8	0.132	0.016	2	4.89	<1	38	2	0.020	110	9	2	8.8	<1
5929335	1.6	1.12	29	9	0.178	0.044	3	5.20	1	25	<1	0.026	125	5	3	6.3	<1
LS4	1.6	3.13	88	28	2.78	0.076	1	3.14	8	60	25	0.671	20	15	13	8.3	2
5929337	2.4	0.724	16	4	0.143	0.017	2	5.74	<1	19	2	0.022	156	4	1	6.2	<1
5929338	2.5	3.53	38	9	0.130	0.025	2	4.46	<1	37	3	0.025	262	9	2	10.4	<1
5929340	1.2	2.87	16	22	0.303	0.016	2	5.08	2	19	2	0.026	102	4	2	4.8	<1
5929341	0.9	3.24	46	19	0.309	0.016	2	4.40	2	37	2	0.025	93	9	2	7.3	<1
5929342	1.2	3.09	32	11	0.233	0.010	3	4.54	1	33	3	0.024	63	8	1	7.5	<1
5929343	0.7	4.27	10	15	0.381	0.021	45	2.94	4	9	3	0.024	103	2	2	2.6	<1
5929344	1.2	0.812	12	7	0.118	0.018	2	5.98	<1	13	3	0.021	129	3	<1	4.1	<1
5929345	0.7	5.65	5	13	0.138	0.009	2	3.80	1	4	2	0.059	79	<1	<1	1.9	<1
5929346	1.8	0.779	30	10	0.169	0.039	3	3.92	<1	29	<1	0.017	97	6	5	7.9	<1
5929347	2.9	2.11	38	11	0.227	0.123	4	2.93	<1	40	<1	0.054	206	8	8	12.0	5
5929348	1.7	2.71	15	9	0.097	0.014	2	5.28	<1	20	2	0.036	123	5	1	5.9	<1
5929349	0.5	3.65	6	7	0.068	0.008	2	4.22	<1	7	2	0.030	59	1	<1	2.1	<1
5929371	<0.4	8.19	2	28	1.44	0.031	1630	1.03	11	1	10	0.042	93	<1	6	<0.5	<1
5929372	0.4	2.26	7	33	0.912	0.039	5	4.04	8	5	6	0.027	29	1	4	1.3	<1
5929373	<0.4	1.56	1	7	0.232	0.009	44	0.75	1	1	5	0.009	19	<1	1	<0.5	<1
5929374	<0.4	7.50	1	6	0.144	0.006	5	1.98	1	1	4	0.017	27	<1	<1	<0.5	<1



ICP1 Total Digestion

Sample Number	Ho ppm	K2O wt %	La ppm	Li ppm	MgO wt %	MnO wt %	Mo ppm	Na2O wt %	Nb ppm	Nd ppm	Ni ppm	P2O5 wt %	Pb ppm	Pr ppm	Sc ppm	Sm ppm	Sn ppm
5929450	1.3	2.74	4	68	2.05	0.083	22	2.06	20	6	55	0.367	580	1	12	2.4	<1
5929451	1.5	1.05	37	12	0.224	0.023	4	5.90	<1	27	2	0.030	139	6	3	6.6	<1
5929372 R	0.7	2.21	6	30	0.905	0.037	4	3.99	7	4	5	0.027	26	1	4	1.1	<1
LS4	1.4	3.01	86	26	2.75	0.072	1	3.10	7	66	26	0.690	20	16	13	9.0	3
5929452	<0.4	0.668	56	9	0.184	0.029	<1	5.08	<1	51	2	0.073	93	13	2	10.5	<1
5929453	0.5	0.471	19	3	0.087	0.023	<1	4.32	<1	21	2	0.052	138	4	2	4.9	<1
5929455	1.9	0.952	18	8	0.123	0.019	<1	5.45	<1	22	2	0.035	186	5	1	6.5	<1
5929456	0.5	7.09	4	13	0.191	0.008	<1	2.66	<1	7	3	0.024	103	1	<1	2.1	<1
5929457	0.8	1.13	<1	9	0.107	0.022	<1	5.32	<1	5	3	0.037	174	<1	1	2.8	<1
5929458	0.9	1.10	1	10	0.140	0.013	<1	5.80	<1	4	2	0.033	183	<1	1	2.3	<1
5929459	0.5	0.719	1	6	0.097	0.012	1	3.49	<1	2	3	0.034	139	<1	1	2.1	<1
5929460	1.7	1.78	176	12	0.212	0.016	<1	4.98	<1	133	2	0.075	196	41	3	26.7	<1
5929461	2.7	9.35	1	22	0.250	0.020	182	1.53	2	2	2	0.149	601	1	3	4.9	1
5929464	0.6	5.87	34	5	0.147	0.009	3	1.40	<1	25	3	0.142	134	6	1	5.3	<1
5929466	<0.4	3.72	8	27	0.334	0.028	3	2.56	5	5	2	0.029	46	<1	4	1.2	<1
5929467	1.7	2.60	23	11	0.256	0.020	28	1.34	4	25	3	0.257	334	5	3	6.4	<1
5929468	<0.4	4.95	2	6	0.156	0.014	23	2.48	2	2	3	0.119	95	<1	2	1.0	<1
5929469	2.0	4.67	21	10	0.290	0.020	55	2.14	2	25	7	0.315	306	5	3	7.0	<1
5929470	<0.4	3.76	1	3	0.072	0.005	11	1.54	<1	2	4	0.034	78	<1	<1	1.0	<1
5929471	0.7	2.06	3	10	0.297	0.017	113	2.23	7	5	3	0.096	419	<1	5	1.6	<1
5929477	<0.4	0.444	4	4	0.068	0.006	16	4.68	<1	4	4	0.038	55	<1	<1	1.1	<1
5929479	1.3	2.43	1	12	0.236	0.018	107	5.48	2	8	4	0.324	325	1	2	3.5	<1
5929470 R	<0.4	3.60	1	3	0.071	0.005	13	1.53	<1	2	4	0.034	80	<1	<1	1.0	<1
LS4	1.6	3.05	86	26	2.77	0.076	7	3.19	8	61	23	0.659	16	16	11	9.4	2
5929030	1.7	0.775	<1	17	0.598	0.027	45	1.80	6	2	6	0.016	150	1	5	2.3	<1
5929105	20.2	5.22	41	100	4.18	0.259	766	1.23	55	145	4	4.69	1800	27	27	66.0	<1
5929269	8.0	0.640	475	8	0.208	0.042	10	1.55	2	304	2	0.341	580	84	4	55.6	<1
5929336	3.9	1.78	41	4	0.138	0.019	5	6.55	<1	47	3	0.032	279	12	2	14.3	<1
5929339	6.1	2.82	197	76	1.44	0.065	4	1.82	4	199	2	0.266	489	50	9	48.8	<1
5929454	7.3	1.63	81	12	0.185	0.051	2	6.07	<1	85	2	0.030	672	20	4	26.2	<1
5929462	34.0	9.04	273	123	3.23	0.186	14	1.73	39	274	16	4.39	4600	69	29	120	<1
5929463	5.6	12.4	46	33	0.826	0.049	4	1.68	7	52	5	0.789	921	13	7	21.8	<1
5929465	3.0	3.90	97	3	0.089	0.006	18	0.66	<1	70	2	0.093	610	18	1	17.0	<1
5929472	1.4	1.09	3	5	0.340	0.018	229	0.24	9	6	2	0.090	321	1	4	4.2	<1
5929473	7.8	1.30	259	13	0.181	0.051	3	5.76	<1	197	3	0.034	515	52	7	39.1	3
5929474	4.5	1.20	5	3	0.037	0.005	13	1.62	15	17	1	0.200	1200	3	1	16.6	<1
5929475	5.3	0.341	6	<1	<0.002	0.005	21	0.25	2	31	<1	0.571	1890	5	<1	21.5	<1
5929476	3.2	1.12	8	6	0.061	0.008	12	6.94	<1	13	3	0.083	1100	3	<1	10.2	<1
5929478	3.2	0.547	5	10	0.083	0.009	96	7.77	<1	14	3	0.704	560	3	<1	9.1	<1
5929475 R	5.4	0.358	10	<1	<0.002	0.005	21	0.28	3	34	<1	0.582	1830	6	<1	23.8	<1

*TEM*

ICPI Total Digestion

Sample Number	Sr ppm	Ta ppm	Tb ppm	Th ppm	TiO2 wt %	U, ICP ppm	V ppm	W ppm	Y ppm	Yb ppm	Zn ppm	Zr ppm
CG515/LS4	1160	<1	<0.3	15	1.12	4	134	2	21	2.0	88	187
5929033	364	<1	<0.3	36	0.168	13	40	3	6	0.4	36	127
5929033 R	384	<1	<0.3	39	0.181	13	43	4	6	0.4	38	125
LS4	1180	1	<0.3	12	1.16	4	132	11	21	2.0	86	209
5929031	246	<1	<0.3	200	0.447	58	40	3	5	0.9	70	672
5929032	250	<1	<0.3	102	0.461	31	54	<1	4	0.5	78	73
5929034	204	<1	0.6	390	0.165	42	20	<1	3	0.4	19	402
5929035	275	<1	<0.3	225	0.372	61	45	<1	4	0.8	53	518
5929106	292	<1	<0.3	51	0.020	16	15	<1	4	0.4	10	117
5929270	76	<1	<0.3	375	0.124	401	17	<1	42	5.7	30	885
5929271	228	1	<0.3	260	0.827	1190	78	<1	110	9.2	138	29
5929272	396	3	<0.3	82	0.114	79	24	<1	4	0.7	21	451
5929273	185	<1	0.6	116	0.082	31	7	<1	4	0.7	24	567
5929274	36	<1	3.1	621	0.284	92	28	<1	19	2.8	51	2210
5929275	131	<1	1.2	384	0.662	94	67	<1	8	1.6	109	1400
5929276	384	<1	<0.3	131	0.173	42	19	<1	6	0.8	21	341
5929277	211	<1	1.1	232	0.260	69	30	<1	7	1.4	45	1180
5929330	215	<1	0.4	171	0.090	28	13	<1	8	0.7	26	117
5929331	285	<1	<0.3	37	0.264	9	27	<1	2	0.3	43	40
5929332	317	<1	<0.3	49	1.13	9	158	<1	7	1.0	151	138
5929333	37	1	0.4	141	0.051	35	4	<1	14	2.1	12	25
5929334	56	<1	<0.3	189	0.294	235	20	<1	37	4.4	69	264
5929335	61	<1	<0.3	264	0.500	163	30	<1	28	4.2	116	555
LS4	1180	<1	<0.3	13	1.12	3	131	<1	21	2.0	84	175
5929337	68	<1	0.6	310	0.103	361	7	<1	48	6.8	34	1160
5929338	71	<1	<0.3	473	0.199	462	13	<1	48	6.2	53	471
5929340	110	2	0.9	207	0.104	158	6	<1	16	3.9	24	812
5929341	118	5	<0.3	152	0.127	165	5	<1	16	2.0	24	302
5929342	124	8	1.0	233	0.074	128	7	<1	25	3.1	16	535
5929343	97	6	<0.3	202	0.197	203	8	<1	17	2.6	38	483
5929344	74	4	<0.3	233	0.055	180	5	<1	20	3.4	25	432
5929345	72	6	<0.3	333	0.041	94	2	<1	17	2.0	20	70
5929346	56	<1	<0.3	180	0.641	238	84	2	35	3.8	127	91
5929347	52	4	<0.3	334	0.962	580	97	6	59	6.6	218	154
5929348	76	7	0.7	303	0.097	154	11	<1	29	4.6	29	624
5929349	61	4	<0.3	100	0.055	43	4	<1	9	1.5	16	154
5929371	167	3	<0.3	284	0.620	20	83	<1	2	<0.1	77	24
5929372	202	<1	<0.3	313	0.449	49	41	<1	5	0.9	61	730
5929373	62	1	<0.3	171	0.128	23	11	<1	1	0.3	18	144
5929374	197	<1	<0.3	19	0.065	3	5	<1	1	0.2	9	26



ICPI Total Digestion

Sample Number	Sr ppm	Ta ppm	Tb ppm	Th ppm	TiO2 wt %	U, ICP ppm	V ppm	W ppm	Y ppm	Yb ppm	Zn ppm	Zr ppm
5929450	141	1	<0.3	77	0.365	217	47	<1	29	3.2	420	684
5929451	68	<1	<0.3	334	0.386	263	28	<1	27	4.2	96	579
5929372 R	194	<1	0.6	307	0.440	47	39	<1	5	1.0	60	742
LS4	1130	1	<0.3	16	1.00	4	132	1	21	2.0	91	187
5929452	64	<1	2.5	239	0.225	245	22	<1	29	4.0	62	564
5929453	48	<1	1.8	333	0.243	212	22	<1	17	2.9	66	320
5929455	68	<1	3.8	326	0.114	630	17	<1	47	5.1	37	387
5929456	66	<1	0.4	142	0.064	150	16	<1	14	1.6	29	130
5929457	75	<1	1.8	289	0.102	296	22	<1	28	3.9	42	263
5929458	90	<1	0.9	319	0.070	170	20	<1	18	3.4	31	196
5929459	57	<1	1.7	302	0.084	161	16	<1	21	3.4	29	568
5929460	83	<1	7.0	330	0.127	374	20	2	63	9.5	48	2260
5929461	82	<1	8.1	595	0.121	537	14	1	58	12.7	29	3130
5929464	96	<1	1.2	265	0.068	290	11	<1	18	1.7	14	38
5929466	95	<1	<0.3	68	0.165	70	18	<1	4	0.4	29	26
5929467	59	<1	3.5	199	0.120	690	14	<1	46	4.5	34	8
5929468	87	<1	<0.3	73	0.104	20	15	1	11	1.1	13	11
5929469	113	<1	3.1	238	0.126	580	18	<1	57	6.4	30	14
5929470	68	<1	<0.3	60	0.032	107	8	1	6	0.7	13	12
5929471	59	<1	0.8	177	0.180	174	24	1	13	1.5	31	140
5929477	112	<1	<0.3	27	0.006	140	9	1	8	0.7	12	30
5929479	149	<1	1.7	130	0.100	530	20	1	29	3.2	21	88
5929470 R	66	<1	<0.3	59	0.031	105	8	1	6	0.7	12	10
LS4	1120	2	<0.3	12	1.02	4	125	<1	20	1.8	83	150
5929030	94	1	5.6	2210	0.275	787	30	<1	28	5.8	55	5080
5929105	109	8	<0.3	746	1.61	6180	135	<1	547	52.3	213	24
5929269	67	1	<0.3	1020	0.256	1650	76	1	175	17.0	52	534
5929336	78	<1	<0.3	560	0.112	950	15	<1	85	10.7	33	1490
5929339	63	<1	<0.3	818	0.512	1190	21	<1	112	10.6	104	86
5929454	82	<1	<0.3	1220	0.281	2230	22	<1	152	19.2	89	2320
5929462	163	1	<0.3	1450	1.49	19100	116	<1	790	71.6	281	5940
5929463	165	<1	<0.3	1050	0.389	2850	30	<1	125	14.2	79	1550
5929465	70	<1	<0.3	421	0.039	1630	5	<1	57	5.5	11	27
5929472	12	2	<0.3	220	0.190	1180	29	<1	31	3.2	714	11
5929473	167	<1	12.4	1110	0.056	925	5	<1	129	31.0	21	8100
5929474	23	3	<0.3	617	0.030	4250	3	<1	112	10.4	17	59
5929475	7	2	<0.3	732	0.003	4900	3	<1	107	11.9	2	29
5929476	196	<1	<0.3	422	0.015	1990	2	<1	64	8.2	12	23
5929478	168	<1	<0.3	256	0.008	1140	1	<1	105	8.5	10	20
5929475 R	7	1	<0.3	745	0.003	5000	3	<1	109	12.5	2	27

*JRM*

IOS Services Geoscientifiques Inc.  
Attention: Rejean Girard  
PO #/Project: Project 592  
Samples: 95

125 - 15 Innovation Blvd., Saskatoon, Saskatchewan, S7N 2X8  
Tel: (306) 933-8118 Fax: (306) 933-5656 Email: geolab@src.sk.ca

Report No: G-07-942

Date of Report: February 05, 2008

ICPI Total Digestion

Sample Number	Sr ppm	Ta ppm	Tb ppm	Th ppm	TiO2 wt %	U, ICP ppm	V ppm	W ppm	Y ppm	Yb ppm	Zn ppm	Zr ppm
---------------	--------	--------	--------	--------	-----------	------------	-------	-------	-------	--------	--------	--------

Total Digestion: A 0.125 g pulp is gently heated in a mixture of HF/HNO3/HClO4 until dry and the residue is dissolved in dilute HNO3. The standard is CG515.

*RM*





Saskatchewan  
Research Council

125-15 Innovation Boulevard, Saskatoon, SK Canada S7N 2X8 • Ph: 306-933-5400 Fax: 306-933-7446  
Also located at: 220-6 Research Drive, Regina, SK Canada S4S 7J7 • Ph: 306-787-9400 Fax: 306-787-8811

Web: [www.src.sk.ca](http://www.src.sk.ca)  
Email: [info@src.sk.ca](mailto:info@src.sk.ca)

Report No: 07-942

## SRC Geoanalytical Laboratories

125 - 15 Innovation Blvd.  
Saskatoon, Saskatchewan  
S7N 2X8

November 08, 2007

Phone: (306) 933-8118

Fax: (306) 933-5656

### IOS Services Geoscientifiques Inc.

1319 St-Paul Boulevard  
Saguenay (Chicoutimi), QC G7J 3Y2  
Attn: Rejean Girard

Test reports are the property of the customers. Publications of statements, conclusions or extracts from these reports are not permitted without prior written permission from the customer.

This document constitutes the **final official test report**. Liability for the SRC Geoanalytical Laboratories', if any, will be limited to the cost of analysis for samples in this test report. The results contained in this test report relate only to the items tested. It is the customer's responsibility to ensure that all interpretation of analysis is done using the data from this report.

The customer will not use the name of the Saskatchewan Research Council in connection with the sale, offer, advertisement or the promotion of any article, product, or company without the prior written consent of the SRC.

Results Reviewed and Approved by:

Robert Millar  
Assistant Research Scientist

IOS Services Geoscientifiques Inc.

Attention: Rejean Girard

PO #/Project: Project 592

Samples: 15

125 - 15 Innovation Blvd., Saskatoon, Saskatchewan, S7N 2X8

Tel: (306) 933-8118 Fax: (306) 933-5656 Email: geolab@src.sk.ca

Date of Report: November 08, 2007

## TEST REPORT

Method U3O8

## Column Header Details

## U3O8 Assay by ICP in wt % (U3O8)

Sample Number	U3O8 wt %
BL1	0.025
5929271	0.149
5929271 R	0.148
BL4A	0.150
5929105	0.759
5929269	0.192
5929454	0.272
5929462	2.29
5929463	0.293
5929465	0.203
5929474	0.429
5929475	0.578
5929476	0.242
5929478	0.150
5929475 R	0.569

Uranium Assay: A 1.00 g pulp is digested with 24 ml of 3:1 HCl:HNO3 for 1 hour at 95 C.





Saskatchewan  
Research Council

125-15 Innovation Boulevard, Saskatoon, SK Canada S7N 2X8 • Ph: 306-933-5400 Fax: 306-933-7446  
Also located at: 220-6 Research Drive, Regina, SK Canada S4S 7J7 • Ph: 306-787-9400 Fax: 306-787-8811

Web: [www.src.sk.ca](http://www.src.sk.ca)  
Email: [info@src.sk.ca](mailto:info@src.sk.ca)

Report No: 07-996

## SRC Geoanalytical Laboratories

125 - 15 Innovation Blvd.  
Saskatoon, Saskatchewan  
S7N 2X8

October 17, 2007

Phone: (306) 933-8118  
Fax: (306) 933-5656

**IOS Services Geoscientifiques Inc.**  
1319 St-Paul Boulevard  
Saguenay (Chicoutimi), QC G7J 3Y2  
Attn: Rejean Girard

Test reports are the property of the customers. Publications of statements, conclusions or extracts from these reports are not permitted without prior written permission from the customer.

This document constitutes the **final official test report**. Liability for the SRC Geoanalytical Laboratories', if any, will be limited to the cost of analysis for samples in this test report. The results contained in this test report relate only to the items tested. It is the customer's responsibility to ensure that all interpretation of analysis is done using the data from this report.

The customer will not use the name of the Saskatchewan Research Council in connection with the sale, offer, advertisement or the promotion of any article, product, or company without the prior written consent of the SRC.

Results Reviewed and Approved by:

Robert Millar  
Assistant Research Scientist

**SRC Geoanalytical Laboratories**

125 - 15 Innovation Blvd., Saskatoon, Saskatchewan, S7N 2X8  
 Tel: (306) 933-8118 Fax: (306) 933-5656 Email: geolab@src.sk.ca

Report No: 07-996

**IOS Services Geoscientifiques Inc.**

Attention: Rejean Girard  
 PO #/Project: #313005  
 Samples: 15

Date of Report: October 17, 2007

**ICP4.3 Aqua Regia Digestion**

Column Header Details

Silver in ppm (Ag)  
 Arsenic in ppm (As)  
 Bismuth in ppm (Bi)  
 Cobalt in ppm (Co)  
 Copper in ppm (Cu)

Germanium in ppm (Ge)  
 Mercury in ppm (Hg)  
 Molybdenum in ppm (Mo)  
 Nickel in ppm (Ni)  
 Lead in ppm (Pb)

Antimony in ppm (Sb)  
 Selenium in ppm (Se)  
 Tellurium in ppm (Te)  
 Uranium in ppm (U, ICP)  
 Vanadium in ppm (V)

Zinc in ppm (Zn)

Sample Number	Ag ppm	As ppm	Bi ppm	Co ppm	Cu ppm	Ge ppm	Hg ppm	Mo ppm	Ni ppm	Pb ppm	Sb ppm	Se ppm	Te ppm	U, ICP ppm	V ppm	Zn ppm
LS4	0.1	13.2	0.9	39.1	50.2	<0.2	<0.2	13.7	50.6	25.3	<1	<0.2	<0.2	36.0	102	208
5929279	<0.1	5.7	0.5	3.2	3.9	<0.2	<0.2	1.8	20.6	11.8	<1	<0.2	1.0	7.6	14.1	31.1
5929284	<0.1	5.5	0.7	1.4	25.4	0.3	<0.2	26.0	11.4	37.2	<1	<0.2	0.2	44.8	13.7	9.1
5929290	<0.1	4.4	1.2	4.0	5.8	<0.2	<0.2	30.7	7.3	21.1	<1	0.2	0.4	26.0	14.4	17.5
5929382	<0.1	2.7	0.2	1.1	3.0	<0.2	<0.2	1.1	5.7	5.88	<1	<0.2	<0.2	5.4	2.8	7.5
5929384	<0.1	3.0	0.7	1.4	1.7	<0.2	<0.2	1.2	4.7	5.12	<1	<0.2	1.6	9.8	17.9	22.4
5929385	<0.1	3.5	0.6	0.6	2.1	<0.2	<0.2	0.7	4.8	18.7	<1	0.3	<0.2	23.2	4.4	5.2
5929386	<0.1	2.8	0.8	1.0	2.4	<0.2	<0.2	1.0	4.9	31.4	<1	0.2	<0.2	44.7	3.6	10.6
5929511	<0.1	2.2	0.7	1.3	1.6	<0.2	<0.2	10.3	2.3	14.6	<1	<0.2	1.0	11.9	10.0	17.6
5929551	<0.1	1.9	9.0	0.4	18.8	0.2	<0.2	9.8	3.2	31.2	<1	1.0	0.3	30.6	2.7	5.0
5929557	<0.1	2.4	<0.2	1.0	2.0	<0.2	<0.2	0.8	3.0	22.5	<1	<0.2	<0.2	8.6	7.3	13.2
5929566	<0.1	3.3	1.2	8.6	2.8	0.8	<0.2	1.6	8.6	27.2	<1	<0.2	4.3	41.2	79.0	73.1
5929567	<0.1	5.6	0.8	1.6	2.3	0.4	<0.2	2.4	7.8	9.50	<1	<0.2	<0.2	29.7	23.2	6.0
5929702	<0.1	3.7	0.2	5.9	5.8	0.3	<0.2	1.4	10.3	11.4	<1	<0.2	2.4	17.3	37.0	63.9
5929551 R	<0.1	1.8	9.3	0.4	18.9	0.2	<0.2	9.1	2.9	32.2	<1	0.8	<0.2	29.9	2.7	5.5

Aqua Regia: A 0.5 g pulp is digested with 2.00 ml of 3:1 HCL:HNO3 for 1 hour at 95 C.  
 The standard is LS4.



**SRC Geoanalytical Laboratories**

125 - 15 Innovation Blvd., Saskatoon, Saskatchewan, S7N 2X8  
 Tel: (306) 933-8118 Fax: (306) 933-5656 Email: geolab@src.sk.ca

Report No: 07-996

**IOS Services Geoscientifiques Inc.**

Attention: Rejean Girard  
 PO #/Project: #313005  
 Samples: 133

Date of Report: October 17, 2007

**ICP4.3 Aqua Regia Digestion**

Column Header Details

Silver in ppm (Ag)  
 Arsenic in ppm (As)  
 Bismuth in ppm (Bi)  
 Cobalt in ppm (Co)  
 Copper in ppm (Cu)

Germanium in ppm (Ge)  
 Mercury in ppm (Hg)  
 Molybdenum in ppm (Mo)  
 Nickel in ppm (Ni)  
 Lead in ppm (Pb)

Antimony in ppm (Sb)  
 Selenium in ppm (Se)  
 Tellurium in ppm (Te)  
 Uranium in ppm (U, ICP)  
 Vanadium in ppm (V)

Zinc in ppm (Zn)

Sample Number	Ag ppm	As ppm	Bi ppm	Co ppm	Cu ppm	Ge ppm	Hg ppm	Mo ppm	Ni ppm	Pb ppm	Sb ppm	Se ppm	Te ppm	U, ICP ppm	V ppm	Zn ppm
LS4	<0.1	13.1	1.2	39.4	48.1	<0.2	<0.2	12.0	48.5	26.9	<1	<0.2	<0.2	33.8	100	208
5929036	0.2	4.8	<0.2	4.9	7.0	<0.2	<0.2	46.8	7.2	100	1.6	<0.2	1.0	226	15.0	19.6
5929095	<0.1	0.7	<0.2	1.7	9.6	<0.2	<0.2	85.7	3.6	344	2.0	<0.2	2.6	728	11.1	27.1
5929096	0.3	1.6	<0.2	8.9	9.7	<0.2	<0.2	44.1	7.1	272	4.6	<0.2	2.8	639	26.1	43.5
5929097	<0.1	0.4	<0.2	2.7	5.6	<0.2	<0.2	38.6	4.2	181	3.2	<0.2	2.6	470	21.6	39.0
5929098	0.8	1.0	<0.2	7.6	7.9	<0.2	<0.2	59.8	9.0	162	6.5	<0.2	3.9	390	34.0	69.3
5929099	<0.1	1.1	<0.2	11.3	16.3	<0.2	<0.2	149	11.7	374	8.3	<0.2	4.5	805	49.5	88.3
5929107	<0.1	0.6	0.2	1.7	2.7	<0.2	<0.2	87.9	3.8	201	2.0	<0.2	2.9	292	15.8	33.2
5929108	4.3	<0.2	3.0	25.4	803	6.3	<0.2	633	330	70.1	13.7	5.4	0.7	468	878	750
5929109	<0.1	<0.2	<0.2	5.6	18.0	<0.2	<0.2	0.8	0.5	318	1.6	<0.2	0.8	895	129	106
5929150	<0.1	<0.2	<0.2	4.8	19.6	<0.2	<0.2	198	16.6	381	6.9	<0.2	6.0	939	54.3	90.4
5929209	<0.1	3.4	<0.2	1.7	24.0	<0.2	<0.2	3.6	5.7	1290	4.6	<0.2	3.8	1630	10.4	138
5929210	<0.1	3.8	<0.2	2.2	9.2	<0.2	<0.2	0.8	4.1	214	2.4	1.7	4.1	344	13.4	53.6
5929211	<0.1	2.7	<0.2	1.1	6.2	<0.2	<0.2	0.7	4.1	104	<1	<0.2	<0.2	153	8.0	20.4
5929212	<0.1	0.8	<0.2	1.2	13.8	<0.2	<0.2	0.5	1.7	251	<1	5.1	2.2	414	25.3	27.4
5929213	<0.1	1.9	<0.2	0.5	9.8	<0.2	<0.2	0.6	1.9	157	<1	3.0	1.6	176	4.5	11.2
5929214	<0.1	<0.2	0.9	6.4	45.5	<0.2	<0.2	19.5	128	126	5.1	0.6	<0.2	304	60.9	1220
5929215	8.3	1.2	<0.2	6.6	13.4	<0.2	<0.2	51.5	7.5	208	3.6	<0.2	2.2	566	22.2	40.2
5929217	<0.1	6.7	<0.2	0.6	7.8	<0.2	<0.2	25.2	7.7	47.1	<1	2.0	1.3	111	2.5	5.9
5929218	<0.1	<0.2	<0.2	7.0	47.6	<0.2	<0.2	569	13.6	354	10.8	10.0	10.7	411	108	110

SRC Geoanalytical Laboratories

Report No: 07-996

IOS Services Geoscientifiques Inc.

125 - 15 Innovation Blvd., Saskatoon, Saskatchewan, S7N 2X8

Attention: Rejean Girard

Tel: (306) 933-8118 Fax: (306) 933-5656 Email: geolab@src.sk.ca

PO #/Project: #313005

Samples: 133

Date of Report: October 17, 2007

ICP4.3 Aqua Regia Digestion

Sample Number	Ag ppm	As ppm	Bi ppm	Co ppm	Cu ppm	Ge ppm	Hg ppm	Mo ppm	Ni ppm	Pb ppm	Sb ppm	Se ppm	Te ppm	U, ICP ppm	V ppm	Zn ppm
LS4	<0.1	13.3	1.2	39.0	48.0	<0.2	<0.2	13.3	47.3	25.4	<1	<0.2	<0.2	32.3	98.2	203
5929219	<0.1	1.0	<0.2	5.0	13.8	<0.2	<0.2	259	11.8	260	6.6	<0.2	5.3	795	34.3	61.6
5929220	<0.1	1.0	<0.2	3.4	30.9	<0.2	<0.2	103	7.1	179	<1	2.0	1.1	243	8.7	18.4
5929278	<0.1	2.0	<0.2	2.0	5.6	<0.2	<0.2	2.3	6.0	23.5	2.3	<0.2	2.6	25.2	21.5	30.3
5929280	<0.1	0.4	<0.2	5.0	24.9	<0.2	<0.2	341	8.8	127	7.6	6.0	7.8	146	65.2	67.0
5929281	<0.1	1.9	<0.2	1.4	7.4	<0.2	<0.2	99.2	4.5	33.2	2.8	0.3	2.2	25.8	19.2	26.1
5929282	<0.1	1.2	<0.2	1.0	2.9	<0.2	<0.2	1.5	1.8	72.0	<1	<0.2	1.5	46.3	5.5	10.5
5929283	<0.1	<0.2	0.5	4.0	1.8	<0.2	<0.2	0.5	9.6	25.7	2.6	<0.2	1.8	13.5	13.2	38.9
5929285	<0.1	1.9	<0.2	0.8	11.1	<0.2	<0.2	157	4.1	48.8	<1	3.0	1.2	84.9	0.4	2.2
5929286	<0.1	1.0	<0.2	0.3	15.8	0.3	<0.2	803	4.3	112	2.9	3.5	4.0	35.9	34.9	28.6
5929287	<0.1	<0.2	<0.2	1.2	26.3	1.2	<0.2	1530	3.1	424	8.4	5.4	8.1	102	148	85.1
5929288	<0.1	1.0	<0.2	0.9	15.7	<0.2	<0.2	53.9	3.9	184	<1	2.5	1.1	76.7	0.8	1.3
5929289	<0.1	1.1	<0.2	1.1	12.7	<0.2	<0.2	142	3.7	124	1.6	3.8	2.5	86.5	9.7	13.5
5929291	<0.1	<0.2	<0.2	14.0	30.7	0.9	<0.2	9.4	20.7	57.3	20.6	3.2	11.0	58.6	136	165
5929375	<0.1	1.0	1.8	2.8	14.8	0.2	<0.2	5.4	7.0	39.2	4.7	1.2	3.3	57.3	33.2	55.1
5929376	<0.1	1.4	<0.2	2.2	28.2	<0.2	<0.2	236	4.8	70.4	5.3	6.1	5.8	78.3	40.8	38.6
5929377	<0.1	<0.2	<0.2	7.1	28.5	1.0	<0.2	485	11.9	78.7	21.8	0.9	12.1	125	156	159
5929378	<0.1	7.3	<0.2	3.7	16.8	<0.2	<0.2	41.4	8.0	80.9	4.4	5.6	9.0	98.2	34.4	42.4
5929380	<0.1	0.3	<0.2	4.8	9.7	0.3	<0.2	190	5.8	92.3	5.7	<0.2	4.7	56.6	35.6	51.0
5929376 R	<0.1	1.3	<0.2	2.1	29.6	<0.2	<0.2	231	4.8	70.1	5.0	6.2	6.1	78.2	41.9	38.4
LS4	<0.1	12.7	1.1	39.1	48.6	<0.2	<0.2	12.1	47.5	25.1	<1	<0.2	<0.2	32.0	100	203
5929381	<0.1	0.5	<0.2	2.2	14.6	<0.2	<0.2	356	4.4	98.7	2.4	<0.2	2.6	69.9	3.1	30.3
5929383	<0.1	0.6	0.8	5.2	20.7	<0.2	<0.2	3.0	27.3	60.8	1.4	<0.2	1.7	96.8	11.9	48.3
5929387	<0.1	0.6	<0.2	0.5	2.7	<0.2	<0.2	2.1	2.3	21.1	<1	<0.2	<0.2	14.3	5.6	8.8
5929388	<0.1	<0.2	<0.2	2.2	6.1	<0.2	<0.2	8.3	3.2	157	<1	<0.2	1.7	128	10.6	33.0
5929389	<0.1	<0.2	<0.2	1.4	9.3	<0.2	<0.2	0.6	1.4	122	<1	1.1	0.5	268	38.6	17.0
5929390	<0.1	3.3	<0.2	1.1	14.7	<0.2	<0.2	1.1	1.4	370	1.4	<0.2	4.3	1190	24.1	19.6
5929391	<0.1	2.6	<0.2	0.7	3.1	<0.2	<0.2	1.8	4.4	15.8	<1	0.3	1.0	22.2	1.0	3.3
5929392	<0.1	<0.2	<0.2	5.9	17.7	<0.2	<0.2	63.1	10.2	110	9.0	2.6	7.1	222	60.7	88.9
5929393	<0.1	2.3	<0.2	2.7	5.9	<0.2	<0.2	27.7	5.0	42.6	2.6	<0.2	2.8	47.3	20.7	27.7
5929394	<0.1	0.6	<0.2	4.8	19.2	<0.2	<0.2	56.4	5.9	163	5.4	3.2	6.1	220	31.3	51.4
5929395	<0.1	0.5	<0.2	1.9	10.0	<0.2	<0.2	76.8	3.1	71.9	2.2	2.5	3.0	88.2	11.8	23.1
5929396	<0.1	1.9	<0.2	1.6	12.8	<0.2	<0.2	17.0	3.2	92.0	1.9	4.1	3.2	96.5	9.8	27.1
5929397	<0.1	0.7	<0.2	1.9	6.0	<0.2	<0.2	17.2	3.2	43.8	2.1	0.2	2.4	55.9	16.2	24.2
5929398	<0.1	0.9	<0.2	1.5	6.6	<0.2	<0.2	16.8	3.7	20.5	1.8	<0.2	2.2	27.4	17.7	35.8
5929399	<0.1	<0.2	<0.2	4.3	24.1	<0.2	<0.2	291	2.6	71.6	7.8	5.9	7.4	150	62.5	75.3
5929480	<0.1	0.6	<0.2	0.3	17.4	<0.2	<0.2	272	1.4	109	1.0	<0.2	2.4	197	2.9	59.8
5929482	<0.1	<0.2	0.4	2.2	8.1	<0.2	<0.2	192	3.4	526	10.7	<0.2	6.1	1530	15.6	77.1
5929483	<0.1	<0.2	6.9	10.1	5.8	<0.2	<0.2	102	35.7	289	26.8	<0.2	10.2	944	96.7	323
5929485	<0.1	<0.2	2.5	3.9	6.5	<0.2	<0.2	242	8.1	348	10.6	<0.2	6.0	1020	27.8	106



SRC Geoanalytical Laboratories

125 - 15 Innovation Blvd., Saskatoon, Saskatchewan, S7N 2X8  
 Tel: (306) 933-8118 Fax: (306) 933-5656 Email: geolab@src.sk.ca

Report No: 07-996

IOS Services Geoscientifiques Inc.

Attention: Rejean Girard

PO #/Project: #313005

Samples: 133

Date of Report: October 17, 2007

ICP4.3 Aqua Regia Digestion

Sample Number	Ag ppm	As ppm	Bi ppm	Co ppm	Cu ppm	Ge ppm	Hg ppm	Mo ppm	Ni ppm	Pb ppm	Sb ppm	Se ppm	Te ppm	U, ICP ppm	V ppm	Zn ppm
LS4	<0.1	12.0	1.4	40.0	46.6	<0.2	<0.2	12.7	48.3	26.2	<1	<0.2	<0.2	31.9	99.5	205
5929486	<0.1	2.1	<0.2	0.4	9.0	<0.2	<0.2	2.2	2.2	142	<1	1.0	1.6	160	1.6	5.7
5929487	<0.1	2.4	<0.2	1.7	7.7	<0.2	<0.2	8.2	3.1	57.6	2.9	<0.2	2.4	84.7	12.3	34.9
5929489	<0.1	<0.2	<0.2	1.0	13.2	<0.2	<0.2	0.3	1.6	172	3.0	<0.2	2.4	139	15.4	65.6
5929490	<0.1	3.5	<0.2	2.3	3.6	<0.2	<0.2	1.6	2.4	36.1	2.0	0.3	3.5	23.7	13.2	24.2
5929491	<0.1	0.4	<0.2	1.6	9.4	<0.2	<0.2	2.0	3.0	47.2	1.1	1.8	3.1	85.0	12.4	21.1
5929492	<0.1	0.6	<0.2	1.1	10.9	<0.2	<0.2	26.9	3.1	39.8	<1	3.2	1.7	82.1	7.8	15.7
5929493	<0.1	0.7	<0.2	0.6	6.0	<0.2	<0.2	192	3.2	80.8	1.0	<0.2	1.7	102	5.7	13.2
5929494	<0.1	5.4	<0.2	1.4	21.5	<0.2	<0.2	5.6	2.6	104	<1	6.9	7.1	222	10.4	17.0
5929495	<0.1	<0.2	<0.2	2.1	14.6	<0.2	<0.2	1.9	2.8	56.3	2.4	3.2	4.0	117	13.2	21.5
5929496	<0.1	0.7	<0.2	0.5	5.3	<0.2	<0.2	4.6	2.0	63.8	<1	<0.2	1.3	28.4	2.6	7.8
5929497	<0.1	6.5	<0.2	0.2	29.7	<0.2	<0.2	1.0	1.9	622	1.1	7.1	7.2	1070	8.6	4.9
5929498	<0.1	1.1	<0.2	0.5	13.3	<0.2	<0.2	1.3	3.2	198	<1	3.8	1.5	236	1.8	9.0
5929499	<0.1	2.6	<0.2	0.5	5.4	<0.2	<0.2	2.4	3.2	288	<1	<0.2	1.8	706	2.3	10.6
5929500	<0.1	1.3	<0.2	1.1	6.0	<0.2	<0.2	15.9	3.0	207	3.7	<0.2	2.6	514	8.6	36.1
5929501	<0.1	1.5	<0.2	0.3	5.1	<0.2	<0.2	1.0	1.6	93.1	<1	<0.2	0.6	303	2.4	6.9
5929502	<0.1	0.4	<0.2	0.7	10.5	<0.2	<0.2	0.8	2.3	55.1	<1	2.5	1.2	132	11.5	11.1
5929503	<0.1	0.6	<0.2	1.3	4.6	<0.2	<0.2	0.6	4.3	41.7	<1	<0.2	<0.2	145	20.7	11.0
5929504	<0.1	<0.2	<0.2	2.2	2.8	<0.2	<0.2	0.4	2.6	209	<1	<0.2	<0.2	475	73.0	27.3
5929502 R	<0.1	0.2	<0.2	0.8	10.5	<0.2	<0.2	0.7	2.0	55.2	<1	2.7	1.4	132	11.6	11.2
LS4	<0.1	13.8	1.0	39.2	50.5	<0.2	<0.2	14.6	50.7	25.4	<1	0.2	<0.2	34.2	103	205
5929505	<0.1	0.3	1.7	1.2	28.9	<0.2	<0.2	1.0	2.0	37.4	<1	0.7	<0.2	467	13.6	20.7
5929506	<0.1	2.3	0.5	1.5	9.3	<0.2	<0.2	9.0	2.5	298	<1	<0.2	<0.2	933	19.2	42.9
5929507	<0.1	0.3	2.5	0.5	9.8	<0.2	<0.2	60.8	3.4	1240	<1	1.1	0.9	3480	<0.1	3.8
5929508	<0.1	1.9	<0.2	1.4	19.3	2.6	<0.2	103	4.8	499	<1	<0.2	3.2	630	63.0	113
5929509	<0.1	0.9	0.3	0.3	0.6	0.2	<0.2	1.3	1.8	29.2	<1	0.9	<0.2	27.4	1.4	2.7
5929512	<0.1	<0.2	3.6	1.0	14.4	1.2	<0.2	28.3	2.9	128	3.2	<0.2	2.8	286	8.8	17.4
5929513	<0.1	2.0	3.4	0.8	10.8	0.7	<0.2	64.8	3.7	43.7	<1	0.2	1.0	182	4.9	11.2
5929514	<0.1	1.3	0.8	1.3	2.8	0.5	<0.2	5.9	2.8	17.6	<1	<0.2	0.3	29.9	10.2	14.9
5929515	<0.1	<0.2	3.7	0.5	9.0	0.7	<0.2	1.5	1.7	53.9	2.2	0.8	2.2	230	7.6	9.4
5929517	<0.1	0.8	1.4	2.4	4.0	1.0	<0.2	24.1	4.8	31.6	<1	<0.2	1.1	60.0	19.4	32.5
5929518	<0.1	1.4	0.6	0.8	2.1	0.8	<0.2	11.0	1.9	17.1	<1	0.4	<0.2	15.1	19.0	25.2
5929519	<0.1	1.0	4.6	2.9	19.5	1.6	<0.2	19.9	6.6	123	<1	<0.2	4.2	380	25.3	37.0
5929520	<0.1	0.9	1.2	1.1	8.0	0.3	<0.2	81.0	3.4	87.4	<1	<0.2	0.3	209	9.0	23.0
5929521	<0.1	0.8	2.3	1.5	9.3	<0.2	<0.2	27.5	2.6	44.2	<1	<0.2	1.7	155	20.3	26.6
5929522	<0.1	1.7	<0.2	4.5	4.3	2.2	<0.2	1.9	7.1	31.8	<1	<0.2	1.8	19.6	50.1	77.9
5929523	<0.1	0.5	1.1	4.8	21.9	1.2	<0.2	2.9	6.2	94.5	<1	<0.2	1.8	153	29.5	55.1
5929524	<0.1	1.2	1.2	7.7	14.9	2.4	<0.2	19.7	13.6	204	<1	0.8	4.3	446	57.8	88.0
5929525	1.9	<0.2	2.6	6.5	36.8	3.7	<0.2	26.7	10.2	332	15.2	2.3	11.1	360	62.6	62.9
5929526	<0.1	1.7	<0.2	5.6	16.4	0.5	<0.2	71.1	16.8	165	<1	<0.2	4.7	363	115	93.0

SRC Geoanalytical Laboratories

Report No: 07-996

IOS Services Geoscientifiques Inc.

125 - 15 Innovation Blvd., Saskatoon, Saskatchewan, S7N 2X8

Attention: Rejean Girard

Tel: (306) 933-8118 Fax: (306) 933-5656 Email: geolab@src.sk.ca

PO #/Project: #313005

Date of Report: October 17, 2007

Samples: 133

ICP4.3 Aqua Regia Digestion

Sample Number	Ag ppm	As ppm	Bi ppm	Co ppm	Cu ppm	Ge ppm	Hg ppm	Mo ppm	Ni ppm	Pb ppm	Sb ppm	Se ppm	Te ppm	U, ICP ppm	V ppm	Zn ppm
LS4	<0.1	13.6	1.4	40.2	51.8	<0.2	<0.2	14.9	52.2	25.9	<1	<0.2	<0.2	34.7	105	208
5929527	<0.1	1.9	0.7	2.7	9.7	1.9	<0.2	34.9	9.4	57.9	<1	<0.2	3.2	29.7	62.2	62.2
5929550	<0.1	<0.2	2.2	0.7	7.9	0.6	<0.2	2.8	1.8	29.0	<1	<0.2	<0.2	101	4.8	37.7
5929552	<0.1	0.4	3.1	1.1	3.7	<0.2	<0.2	5.0	3.2	331	<1	0.5	0.8	778	8.3	25.0
5929553	<0.1	1.1	2.0	2.7	6.8	1.0	<0.2	1.7	3.6	47.4	<1	0.5	<0.2	169	11.7	7.1
5929554	<0.1	<0.2	8.0	0.2	21.2	0.5	<0.2	1.0	2.9	76.6	<1	<0.2	3.3	553	<0.1	0.8
5929555	<0.1	2.5	0.5	2.2	4.3	1.3	<0.2	67.6	5.2	37.4	1.2	<0.2	1.4	76.1	18.3	32.4
5929556	<0.1	0.5	0.5	0.9	3.3	0.2	<0.2	75.2	4.0	6.75	<1	0.8	<0.2	20.5	2.8	4.6
5929558	<0.1	0.8	1.1	0.6	2.5	0.4	<0.2	1.9	2.2	70.0	<1	0.8	<0.2	42.5	3.6	9.9
5929559	<0.1	1.4	1.0	0.2	3.1	<0.2	<0.2	142	2.1	358	<1	0.3	<0.2	815	<0.1	<0.1
5929560	<0.1	1.7	0.4	0.2	2.0	0.3	<0.2	97.1	1.6	231	<1	<0.2	<0.2	268	<0.1	5.6
5929561	<0.1	2.2	1.5	0.4	2.2	0.4	<0.2	64.2	2.5	206	<1	<0.2	<0.2	162	<0.1	74.5
5929562	<0.1	1.5	<0.2	0.2	1.1	<0.2	<0.2	5.1	2.0	69.6	<1	0.5	<0.2	57.9	0.6	6.8
5929563	<0.1	1.1	1.1	1.0	2.8	<0.2	<0.2	2.2	2.6	67.9	<1	1.1	<0.2	304	12.4	12.3
5929564	<0.1	1.3	0.4	1.2	5.0	<0.2	<0.2	1.3	3.0	31.4	<1	1.1	<0.2	71.4	13.8	7.1
5929565	<0.1	1.5	0.4	1.1	1.9	0.3	<0.2	2.6	3.4	49.2	<1	0.5	<0.2	57.2	5.4	11.8
5929700	<0.1	1.4	3.4	1.1	11.2	0.2	<0.2	168	4.0	114	<1	1.6	2.0	162	5.1	16.0
5929701	<0.1	0.8	4.6	0.9	17.4	<0.2	<0.2	1080	1.8	415	<1	<0.2	2.4	340	15.4	23.8
5929703	<0.1	2.0	1.7	3.0	9.4	1.0	<0.2	66.5	6.5	133	<1	<0.2	1.7	160	27.4	34.4
5929701 R	<0.1	1.0	5.2	0.9	18.4	0.3	<0.2	1120	1.5	424	<1	<0.2	2.5	350	16.6	25.7
LS4	<0.1	13.4	0.8	38.1	50.4	<0.2	<0.2	18.9	49.0	26.4	<1	<0.2	<0.2	33.5	103	206
5929704	<0.1	1.3	1.4	3.5	3.5	0.7	<0.2	101	10.3	59.4	<1	<0.2	2.2	78.1	49.0	65.4
5929704 R	<0.1	1.1	1.0	3.8	3.8	0.6	<0.2	102	11.6	60.0	<1	<0.2	2.2	79.6	49.4	66.5
LS4	<0.1	13.2	0.6	39.3	49.9	<0.2	<0.2	13.9	50.4	24.3	<1	<0.2	<0.2	33.4	101	200
5929216	<0.1	2.5	7.0	3.2	41.1	<0.2	0.2	1920	5.5	1200	<1	<0.2	12.2	676	94.9	191
5929379	1.2	<0.2	<0.2	5.8	204	<0.2	<0.2	87.1	4.8	1020	4.6	<0.2	26.2	3500	73.7	67.0
5929481	<0.1	0.2	4.0	0.6	11.8	<0.2	<0.2	232	1.7	989	<1	<0.2	0.7	2630	1.6	34.4
5929484	<0.1	1.5	6.5	1.6	11.4	<0.2	<0.2	271	4.6	1540	<1	<0.2	2.3	4430	12.1	234
5929488	<0.1	1.6	1.3	3.4	22.0	<0.2	<0.2	836	10.3	1610	<1	<0.2	3.9	4960	15.2	102
5929510	<0.1	<0.2	9.2	1.7	43.8	<0.2	<0.2	14.6	2.1	196	<1	<0.2	6.0	776	9.3	26.4
5929516	<0.1	<0.2	<0.2	16.5	356	<0.2	<0.2	20.2	24.2	1690	1.6	<0.2	24.2	4400	112	150
5929705	<0.1	5.5	<0.2	21.5	53.4	<0.2	<0.2	2980	34.0	601	<1	<0.2	20.4	1210	326	282
5929484 R	<0.1	1.3	7.0	1.6	11.9	<0.2	<0.2	295	5.5	1580	<1	<0.2	2.5	4560	13.5	245

Aqua Regia: A 0.5 g pulp is digested with 2.00 ml of 3:1 HCL:HNO3 for 1 hour at 95 C.  
The standard is LS4.





Report No: 07-996

## SRC Geoanalytical Laboratories

125 - 15 Innovation Blvd.  
Saskatoon, Saskatchewan  
S7N 2X8

February 25, 2008

Phone: (306) 933-8118

Fax: (306) 933-5656

### IOS Services Geoscientifiques Inc.

1319 St-Paul Boulevard  
Saguenay (Chicoutimi), QC G7J 3Y2  
Attn: Rejean Girard

Test reports are the property of the customers. Publications of statements, conclusions or extracts from these reports are not permitted without prior written permission from the customer.

This document constitutes the **final official test report**. Liability for the SRC Geoanalytical Laboratories', if any, will be limited to the cost of analysis for samples in this test report. The results contained in this test report relate only to the items tested. It is the customer's responsibility to ensure that all interpretation of analysis is done using the data from this report.

The customer will not use the name of the Saskatchewan Research Council in connection with the sale, offer, advertisement or the promotion of any article, product, or company without the prior written consent of the SRC.

Results Reviewed and Approved by:

Robert Millar  
Assistant Research Scientist

IOS Services Geoscientifiques Inc.

Attention: Rejean Girard

PO #/Project: #313005

Samples: 164

C G Analytical Laboratories  
125 - 15 Innovation Blvd., Saskatoon, Saskatchewan, S7N 2X8  
Tel: (306) 933-8118 Fax: (306) 933-5656 Email: geolab@src.sk.ca

Report No: G-07-996

Date of Report: February 25, 2008

### ICP1 Total Digestion

#### Column Header Details

Silver in ppm (Ag)  
Aluminum in wt % (Al2O3)  
Barium in ppm (Ba)  
Beryllium in ppm (Be)  
Calcium in wt % (CaO)

Cadmium in ppm (Cd)  
Cerium in ppm (Ce)  
Cobalt in ppm (Co)  
Chromium in ppm (Cr)  
Copper in ppm (Cu)

Dysprosium in ppm (Dy)  
Erbium in ppm (Er)  
Europium in ppm (Eu)  
Iron in wt % (Fe2O3)  
Gallium in ppm (Ga)

Gadolinium in ppm (Gd)  
Hafnium in ppm (Hf)  
Holmium in ppm (Ho)  
Potassium in wt % (K2O)  
Lanthanum in ppm (La)

Lithium in ppm (Li)  
Magnesium in wt % (MgO)  
Manganese in wt % (MnO)  
Molybdenum in ppm (Mo)  
Sodium in wt % (Na2O)

Niobium in ppm (Nb)  
Neodymium in ppm (Nd)  
Nickel in ppm (Ni)  
Phosphorus in wt % (P2O5)  
Lead in ppm (Pb)

Praseodymium in ppm (Pr)  
Scandium in ppm (Sc)  
Samarium in ppm (Sm)  
Tin in ppm (Sn)  
Strontium in ppm (Sr)

Tantalum in ppm (Ta)  
Terbium in ppm (Tb)  
Thorium in ppm (Th)  
Titanium in wt % (TiO2)  
Uranium in ppm (U, ICP)



IOS Services Geoscientifiques Inc.

Attention: Rejean Girard

PO #/Project: #313005

Samples: 164

IOS Geoscientific Laboratories

125 - 15 Innovation Blvd., Saskatoon, Saskatchewan, S7N 2X8

Tel: (306) 933-8118 Fax: (306) 933-5656 Email: geolab@src.sk.ca

Report No: G-07-996

Date of Report: February 25, 2008

ICP1 Total Digestion

Column Header Details

Vanadium in ppm (V)  
Tungsten in ppm (W)  
Yttrium in ppm (Y)  
Ytterbium in ppm (Yb)  
Zinc in ppm (Zn)

Zirconium in ppm (Zr)

*JM*

ICP1 Total Digestion

Sample Number	Ag ppm	Al2O3 wt %	Ba ppm	Be ppm	CaO wt %	Cd ppm	Ce ppm	Co ppm	Cr ppm	Cu ppm	Dy ppm	Er ppm	Eu ppm	Fe2O3 wt %	Ga ppm	Gd ppm	Hf ppm
CG515/LS4	<0.2	17.2	2310	2.0	4.80	1.2	155	18	116	3	3.3	2.8	2.4	7.08	23	5.6	4.9
5929279	<0.2	15.2	959	1.7	2.76	1.3	24	2	120	3	0.8	0.4	0.9	1.15	16	1.0	1.0
5929284	0.8	3.49	235	0.5	1.99	0.3	8	2	192	22	0.8	0.6	0.2	2.00	6	1.1	17.1
5929290	<0.2	12.7	92	1.1	2.40	1.0	18	4	141	2	0.6	0.3	0.9	1.15	14	0.7	1.6
5929382	<0.2	12.5	19	1.8	2.19	0.8	3	<1	162	2	0.5	0.2	0.2	0.94	16	<0.5	0.9
5929384	<0.2	16.9	730	1.9	2.76	1.3	19	1	70	1	1.0	0.7	0.4	1.71	19	1.0	3.0
5929385	<0.2	12.6	60	1.8	1.70	1.0	12	<1	137	<1	1.0	0.6	0.2	1.34	16	1.0	5.2
5929386	0.9	13.0	30	1.7	2.18	1.0	5	<1	164	<1	1.6	1.0	0.2	1.33	17	1.2	16.5
5929511	0.3	13.1	853	1.0	1.38	1.3	2	<1	145	<1	0.3	<0.2	0.7	1.09	14	<0.5	5.8
5929551	<0.2	13.8	124	4.5	1.28	1.3	5	<1	133	17	2.1	1.4	0.2	0.82	22	1.6	0.9
5929557	<0.2	12.3	209	1.6	1.73	1.4	7	<1	119	1	1.4	0.9	0.3	0.97	14	1.2	<0.5
5929566	<0.2	12.8	171	1.5	2.73	1.1	58	10	221	2	2.8	2.2	0.7	5.33	20	3.4	5.2
5929567	0.6	7.74	39	1.1	1.46	1.0	4	<1	263	<1	1.2	1.0	0.2	2.25	12	1.1	7.0
5929702	<0.2	14.8	155	1.8	3.48	1.3	28	7	132	4	0.8	0.5	0.8	3.08	20	1.2	2.6
5929551 R	<0.2	14.0	122	4.5	1.30	1.4	5	<1	141	18	2.2	1.5	<0.2	0.85	23	1.8	0.9
CG515/LS4	0.4	17.4	2150	2.2	4.77	1.1	163	18	119	3	3.4	2.5	2.5	7.18	24	5.6	4.0
5929036	0.5	13.4	1060	0.8	1.21	0.9	9	3	156	3	1.0	0.5	0.9	1.04	14	1.0	<0.5
5929095	0.4	8.97	570	0.5	0.84	0.6	9	1	222	<1	4.1	2.1	0.7	1.20	8	2.9	1.7
5929096	1.7	12.7	790	0.8	1.45	1.0	11	9	226	<1	3.3	1.8	0.9	2.28	15	2.4	19.7
5929097	0.7	12.6	1170	0.6	0.92	1.0	6	2	157	<1	2.2	1.2	0.9	1.90	14	1.4	11.3
5929098	1.1	12.9	399	1.0	2.12	1.0	65	7	163	<1	3.0	1.6	0.8	2.68	18	3.7	6.6
5929099	2.5	3.31	224	<0.2	0.06	0.2	6	10	246	<1	4.1	2.3	0.2	2.76	6	2.6	44.2
5929107	<0.2	16.1	312	1.8	1.70	1.0	10	1	75	<1	4.2	2.4	0.4	1.51	19	3.4	3.1
5929108	5.1	10.2	207	<0.2	2.98	16.1	63	24	276	820	8.1	7.1	1.4	13.8	20	7.8	6.6
5929109	2.6	10.2	40	1.0	1.56	0.4	29	4	48	<1	12.7	7.6	0.6	34.4	66	8.6	48.3
5929150	2.0	1.93	60	<0.2	0.02	<0.2	3	4	356	<1	4.0	2.4	<0.2	3.17	5	2.5	42.3
5929209	<0.2	5.23	156	0.4	0.41	0.3	239	1	246	<1	39.3	22.1	1.0	1.94	6	28.8	9.7
5929210	0.5	17.6	39	5.1	3.03	1.3	305	2	84	<1	25.2	15.8	1.0	2.45	31	24.7	44.2
5929211	0.4	11.7	18	1.6	2.00	0.7	33	<1	143	<1	3.5	2.1	0.3	4.02	21	2.5	14.0
5929212	2.1	17.4	42	2.5	3.14	1.1	222	<1	94	<1	9.3	5.4	0.8	6.40	30	10.3	66.3
5929213	1.0	17.0	91	2.5	3.02	1.0	160	<1	109	<1	4.7	2.6	0.6	1.11	22	6.2	34.5
5929214	<0.2	13.4	109	2.2	21.3	13.6	98	6	61	41	6.5	5.2	2.0	4.84	29	6.4	7.3
5929215	2.1	9.95	807	0.4	1.01	1.1	8	5	159	<1	2.2	1.3	0.7	1.87	12	1.4	15.7
5929217	<0.2	4.04	386	<0.2	0.07	0.3	7	<1	263	<1	2.0	1.0	0.4	0.48	3	1.9	5.8
5929218	1.2	6.05	502	<0.2	0.55	0.3	16	6	222	<1	7.0	3.3	<0.2	4.90	9	6.0	30.3
CG515/LS4	0.4	16.9	2120	2.1	4.68	1.1	165	19	117	5	3.4	2.6	2.5	7.08	24	5.4	4.4
5929219	1.0	4.90	541	<0.2	0.07	0.3	1	5	177	<1	3.1	1.8	<0.2	3.04	8	1.7	13.6
5929220	0.5	11.0	2220	<0.2	0.09	0.7	4	1	224	13	1.6	0.7	0.9	1.41	9	1.0	12.0
5929278	0.4	13.0	700	1.1	1.25	0.8	2	1	160	1	0.6	0.3	0.7	1.62	15	<0.5	9.0
5929280	2.2	4.09	478	<0.2	0.06	0.3	2	6	184	<1	1.6	0.3	<0.2	3.12	6	0.9	53.4



Attention: Rejean Girard

Tel: (306) 933-8118 Fax: (306) 933-5656 Email: geolab@src.sk.ca

PO #/Project: #313005

Date of Report: February 25, 2008

Samples: 164

ICP1 Total Digestion

Sample Number	Ag ppm	Al2O3 wt %	Ba ppm	Be ppm	CaO wt %	Cd ppm	Ce ppm	Co ppm	Cr ppm	Cu ppm	Dy ppm	Er ppm	Eu ppm	Fe2O3 wt %	Ga ppm	Gd ppm	Hf ppm
5929281	0.2	9.98	1570	0.4	0.38	0.6	1	<1	143	3	0.5	0.3	0.7	1.14	9	<0.5	4.1
5929282	<0.2	18.4	1270	1.6	0.88	1.3	70	<1	63	<1	2.2	1.0	0.6	1.36	16	2.7	2.3
5929283	<0.2	14.9	644	2.8	0.81	0.8	14	2	58	<1	0.7	0.3	0.2	1.76	14	0.6	5.7
5929285	0.5	1.62	17	<0.2	0.21	<0.2	9	<1	241	<1	0.9	0.4	<0.2	0.45	1	1.0	12.9
5929286	0.6	2.11	125	<0.2	0.04	<0.2	3	<1	236	<1	0.9	0.6	<0.2	1.76	<1	0.7	15.0
5929287	0.2	10.9	376	<0.2	1.34	0.8	6	1	192	<1	1.6	1.4	0.5	4.03	13	1.1	9.7
5929288	1.6	1.60	140	<0.2	0.08	<0.2	2	<1	215	<1	0.8	0.2	<0.2	0.50	1	0.6	39.2
5929289	0.9	2.51	138	<0.2	0.08	<0.2	24	1	164	<1	1.9	0.8	<0.2	0.88	3	2.0	22.4
5929291	4.3	7.56	210	<0.2	0.64	<0.2	<1	17	236	<1	1.0	0.3	<0.2	8.73	22	<0.5	98.2
5929375	0.6	14.4	561	1.4	1.60	0.9	3	2	144	13	1.5	1.1	0.7	2.68	19	1.4	10.7
5929376	1.4	1.48	82	<0.2	0.03	<0.2	<1	2	204	<1	1.2	<0.2	<0.2	2.07	3	0.7	30.0
5929377	1.3	5.94	266	<0.2	0.41	0.3	<1	10	214	<1	1.0	0.8	<0.2	7.99	18	0.8	16.8
5929378	0.4	8.50	700	0.5	0.84	0.4	692	3	156	<1	4.4	3.1	1.2	2.09	11	9.2	8.5
5929380	0.2	12.7	358	1.4	2.34	0.7	22	4	123	<1	0.9	0.4	0.6	2.49	16	1.1	7.4
5929376 R	1.5	1.46	79	<0.2	0.04	<0.2	1	2	195	<1	1.1	<0.2	<0.2	1.93	3	0.6	32.0
CG515/LS4	0.4	17.6	2100	1.9	4.95	1.1	148	19	117	3	3.2	2.4	2.2	7.26	20	4.8	3.5
5929381	0.6	9.81	118	0.8	1.17	0.5	2	2	187	9	2.0	1.2	0.2	1.95	10	1.8	3.0
5929383	0.6	5.34	32	0.9	1.00	0.4	3	4	284	17	1.8	1.0	<0.2	1.95	8	1.4	7.2
5929387	0.2	14.9	41	2.0	2.54	0.9	1	1	160	<1	0.7	0.4	0.2	1.85	16	<0.5	3.2
5929388	<0.2	14.3	709	0.3	0.19	0.9	22	2	139	1	4.8	2.4	0.5	1.73	12	3.2	1.9
5929389	1.7	18.9	80	2.6	3.29	1.2	30	1	94	<1	5.8	3.3	0.5	5.25	25	4.1	23.0
5929390	3.3	21.1	39	2.9	3.96	1.4	302	<1	59	<1	19.6	10.4	1.4	2.15	23	20.8	50.2
5929391	<0.2	12.1	65	2.4	1.05	0.8	159	<1	328	<1	8.0	5.0	0.5	0.80	17	9.5	1.8
5929392	2.3	15.1	581	1.4	1.51	1.0	7	7	189	<1	1.8	1.0	0.6	5.30	20	1.3	12.2
5929393	0.6	11.4	1750	0.2	0.32	0.7	5	2	152	<1	0.7	0.3	0.7	1.57	9	0.6	6.0
5929394	4.8	10.8	1430	<0.2	0.58	0.7	7	5	161	<1	2.2	0.9	0.4	2.66	10	1.2	53.2
5929395	0.8	10.1	1250	<0.2	0.12	0.6	16	1	160	<1	1.3	0.6	0.4	1.34	7	1.2	9.8
5929396	0.7	16.5	230	2.4	2.71	1.1	107	2	175	<1	2.5	1.1	0.7	1.51	18	3.2	7.3
5929397	0.4	12.4	1230	0.8	0.55	0.8	4	1	133	<1	0.9	0.4	0.6	1.35	11	0.6	3.8
5929398	1.4	12.4	2120	0.2	0.22	1.0	5	1	185	<1	1.1	0.5	0.7	1.42	9	1.0	12.6
5929399	1.0	9.78	465	0.7	0.66	0.6	7	6	119	<1	2.0	1.0	<0.2	4.04	12	1.4	0.9
5929480	0.7	15.4	70	1.9	0.81	1.4	31	<1	125	13	3.9	2.3	0.4	2.06	18	3.8	6.0
5929482	1.0	7.46	132	0.3	0.27	0.5	5	4	181	<1	16.6	9.6	0.4	3.83	10	10.3	1.8
5929483	1.1	8.88	178	0.4	0.82	0.6	3	17	234	<1	10.0	6.1	0.3	12.5	27	7.7	1.7
5929485	0.5	13.4	345	0.4	0.87	1.0	16	6	140	<1	9.9	5.3	0.5	4.69	15	7.9	<0.5
CG515/LS4	0.4	17.1	2210	2.0	4.90	1.2	150	19	115	3	3.3	2.5	2.3	7.60	20	4.8	3.7
5929486	4.2	16.1	96	2.6	2.13	1.1	75	<1	107	<1	6.3	4.1	0.6	0.38	17	5.9	65.7
5929487	0.4	12.6	502	0.4	0.24	0.9	78	2	169	2	2.5	1.2	0.4	2.19	11	3.2	4.4
5929489	3.6	18.8	15	2.5	2.64	1.3	<1	2	94	<1	3.2	2.5	<0.2	9.06	37	1.4	51.8
5929490	1.1	14.4	734	1.4	1.98	0.8	265	2	126	<1	2.0	1.3	0.8	1.44	15	3.9	9.8

*PM*

ICPI Total Digestion

Sample Number	Ag ppm	Al2O3 wt %	Ba ppm	Be ppm	CaO wt %	Cd ppm	Ce ppm	Co ppm	Cr ppm	Cu ppm	Dy ppm	Er ppm	Eu ppm	Fe2O3 wt %	Ga ppm	Gd ppm	Hf ppm
5929491	1.2	15.0	156	2.5	2.60	1.0	15	2	152	<1	1.5	0.7	0.5	1.14	16	1.1	11.6
5929492	0.6	14.4	285	1.7	2.65	0.9	12	1	138	<1	1.6	0.5	0.6	0.83	14	1.2	5.2
5929493	0.3	9.69	255	1.0	0.77	0.6	7	1	184	<1	2.3	1.4	0.3	1.05	9	2.0	3.3
5929494	2.2	14.0	814	1.0	1.74	0.8	472	<1	149	<1	5.1	2.8	0.9	1.12	13	8.5	21.9
5929495	3.4	14.6	222	1.6	2.60	0.9	6	3	114	<1	1.6	0.6	0.5	1.48	16	1.0	34.0
5929496	0.4	14.5	284	0.8	0.59	1.1	17	<1	174	3	1.0	0.4	0.3	0.76	13	1.1	1.3
5929497	3.2	17.2	51	2.2	3.00	1.1	590	<1	76	<1	17.1	8.2	1.1	0.74	16	21.6	33.8
5929498	1.3	18.7	36	2.3	2.89	1.3	64	<1	143	<1	3.8	2.0	0.4	0.40	19	3.3	14.3
5929499	<0.2	10.0	75	1.3	1.57	0.8	141	<1	192	<1	7.4	3.8	0.5	0.39	9	7.7	<0.5
5929500	0.7	13.0	43	1.7	1.47	0.8	11	2	116	<1	4.9	3.0	0.2	3.00	19	3.3	9.9
5929501	2.1	16.9	82	1.3	1.24	1.1	48	<1	101	<1	9.5	6.9	0.5	0.92	17	6.4	43.8
5929502	1.8	10.4	194	1.0	1.08	0.8	55	<1	174	<1	5.6	3.4	0.3	2.27	12	4.5	22.1
5929503	2.2	3.76	19	0.5	0.56	0.2	5	1	303	<1	3.9	3.0	<0.2	2.82	8	2.5	36.9
5929504	0.8	13.0	353	1.4	0.81	0.7	4	1	140	<1	6.3	4.0	0.3	6.51	20	3.2	2.7
5929502 R	1.5	10.1	186	0.9	1.04	0.6	52	<1	169	<1	5.4	3.2	0.3	2.20	12	4.3	21.4
CG515/LS4	0.2	17.6	2290	2.1	4.96	1.1	169	20	115	3	3.4	2.5	2.4	7.36	25	6.1	4.7
5929505	0.6	8.97	104	1.1	0.38	0.7	6	1	137	23	4.8	2.8	0.3	1.30	6	3.7	3.3
5929506	0.6	14.2	259	1.8	3.04	1.0	22	1	129	<1	14.1	8.8	0.5	2.47	22	12.2	14.3
5929507	4.3	2.25	35	<0.2	0.31	<0.2	13	<1	325	<1	22.0	14.1	<0.2	0.52	<1	12.8	32.2
5929508	1.2	12.8	56	1.8	1.29	1.0	14	4	164	9	6.9	4.5	0.3	6.83	33	6.2	12.9
5929509	<0.2	19.9	24	3.9	0.16	1.7	40	<1	157	<1	2.6	2.8	<0.2	1.06	42	2.9	1.8
5929512	3.0	14.5	948	0.9	1.37	0.9	667	<1	198	<1	8.2	4.5	1.7	1.16	14	15.0	40.4
5929513	1.9	12.8	1200	0.5	0.93	0.9	21	<1	180	<1	3.4	1.4	0.5	0.83	10	3.1	21.2
5929514	1.1	12.9	1110	1.1	1.04	0.9	56	1	119	<1	1.2	0.6	0.5	1.09	15	1.5	12.0
5929515	3.7	12.7	1400	0.4	0.92	0.8	499	<1	141	<1	4.7	2.9	1.0	0.81	13	7.9	44.6
5929517	2.2	15.2	188	1.8	3.14	1.1	6	3	161	<1	1.0	0.4	0.6	1.60	18	1.0	25.0
5929518	0.6	12.6	1920	0.9	0.67	0.9	23	<1	146	<1	0.7	0.5	0.6	1.57	14	0.8	5.0
5929519	6.2	11.5	1570	<0.2	0.69	0.8	125	2	161	<1	4.4	2.0	0.4	2.31	10	3.8	69.3
5929520	2.8	20.4	272	2.6	3.98	1.7	16	1	168	<1	2.2	1.0	0.9	1.36	22	1.6	27.1
5929521	1.1	14.0	850	0.9	1.22	1.0	5	2	139	<1	2.3	1.0	0.5	1.70	14	1.7	8.5
5929522	0.5	15.5	755	1.6	2.38	1.0	7	6	128	3	1.2	0.9	0.6	3.72	23	1.6	4.1
5929523	1.9	18.0	221	2.7	3.88	1.2	75	4	79	<1	2.1	1.1	0.7	2.46	25	2.3	21.6
5929524	7.0	12.7	548	0.8	1.83	0.9	17	10	94	<1	3.4	1.6	0.4	4.70	18	2.3	96.9
5929525	0.5	14.1	1380	0.9	3.04	0.4	4420	7	138	<1	31.2	22.6	5.8	3.79	22	68.0	34.2
5929526	1.8	8.08	235	0.5	1.28	0.6	62	10	221	<1	2.1	1.2	0.5	5.59	17	3.9	13.0
CG515/LS4	0.3	17.2	2340	2.2	5.09	1.0	173	20	116	3	3.3	2.4	2.5	7.54	24	5.8	4.6
5929527	1.7	6.15	308	0.4	1.05	0.5	7	5	225	1	0.7	0.3	0.3	3.31	12	0.9	17.7
5929550	0.9	11.3	36	2.0	2.16	0.9	101	1	150	<1	16.2	10.1	1.2	2.03	17	17.1	30.5
5929552	0.3	10.1	168	4.1	1.00	0.8	124	1	183	<1	6.2	3.7	0.4	1.23	13	6.6	<0.5
5929553	0.3	9.39	219	2.4	0.38	0.6	13	2	206	2	4.2	2.7	0.5	1.46	11	3.6	1.0



ICP1 Total Digestion

Sample Number	Ag ppm	Al2O3 wt %	Ba ppm	Be ppm	CaO wt %	Cd ppm	Ce ppm	Co ppm	Cr ppm	Cu ppm	Dy ppm	Er ppm	Eu ppm	Fe2O3 wt %	Ga ppm	Gd ppm	Hf ppm
5929554	12.8	6.68	63	<0.2	1.37	0.5	14	<1	198	<1	5.7	2.4	<0.2	0.39	3	3.0	173
5929555	1.7	12.8	198	1.7	2.21	1.1	7	3	184	<1	1.1	0.4	0.4	2.00	16	0.9	17.3
5929556	0.6	3.75	275	<0.2	0.11	0.3	1	<1	244	<1	0.3	<0.2	<0.2	0.62	3	<0.5	7.1
5929558	0.9	15.1	85	1.3	1.39	1.2	42	<1	175	<1	4.1	2.6	0.3	1.60	19	3.3	19.3
5929559	0.6	10.2	14	2.6	2.01	0.8	7	<1	192	<1	13.4	8.4	0.4	0.30	11	9.2	13.6
5929560	<0.2	17.0	28	3.5	3.31	1.3	5	<1	80	<1	6.0	3.7	0.5	0.29	25	3.8	0.6
5929561	<0.2	13.1	39	4.2	2.70	1.1	7	<1	168	<1	10.1	6.6	0.6	0.31	19	7.2	<0.5
5929562	0.4	21.0	28	4.2	4.16	1.6	3	<1	131	<1	3.2	1.9	0.5	0.28	29	2.1	1.6
5929563	1.6	14.3	47	2.2	2.74	1.2	27	<1	171	<1	5.8	3.8	0.7	1.31	18	5.6	24.8
5929564	<0.2	12.7	383	1.3	1.46	0.9	12	<1	160	4	2.2	1.3	0.4	1.73	15	1.9	1.1
5929565	0.5	11.7	975	0.5	0.43	0.9	18	<1	178	<1	3.3	2.1	0.4	1.13	11	2.0	3.8
5929700	5.9	7.58	1310	<0.2	0.12	0.6	6	<1	244	<1	3.5	1.5	0.2	0.92	3	2.2	74.5
5929701	0.2	12.3	1170	0.4	0.95	0.9	16	<1	157	<1	6.6	3.8	0.4	1.91	4	6.3	3.1
5929703	2.9	10.8	668	0.8	1.52	0.9	16	4	178	<1	1.8	0.8	0.5	2.00	13	1.4	35.3
5929701 R	<0.2	12.8	1210	0.4	0.97	0.9	17	<1	156	<1	7.0	3.9	0.4	1.95	6	6.3	2.3
CG515/LS4	<0.2	16.9	2320	2.0	4.68	0.8	155	20	116	3	3.3	2.7	2.4	7.04	23	5.6	4.8
5929704	<0.2	13.0	2110	<0.2	0.14	0.7	<1	4	132	<1	0.6	0.3	0.7	3.08	14	<0.5	1.1
5929704 R	0.2	12.6	2030	<0.2	0.13	0.6	<1	3	129	<1	0.6	0.3	0.7	2.97	13	<0.5	0.8
CG515/LS4	<0.2	17.6	2150	1.9	5.01	1.1	145	19	124	4	3.1	2.2	2.3	7.51	21	5.2	4.2
5929216	2.7	3.77	134	<0.2	0.07	0.5	33	4	182	<1	8.0	3.5	<0.2	5.36	<1	5.8	13.5
5929379	7.3	13.0	1350	0.6	1.35	0.4	5590	3	118	<1	41.3	15.3	6.9	3.70	1	90.1	54.4
5929481	0.7	16.2	320	1.4	0.78	1.1	19	<1	78	<1	22.2	13.2	0.7	1.11	8	14.4	<0.5
5929484	2.2	18.4	579	0.8	0.78	1.8	29	2	166	<1	35.1	21.2	1.2	3.34	8	23.0	0.7
5929488	1.9	2.42	31	<0.2	0.74	<0.2	35	4	370	<1	39.7	24.8	1.0	4.69	<1	25.4	<0.5
5929510	28.5	15.0	105	1.5	3.08	0.9	5	2	136	<1	5.8	1.4	0.4	1.63	14	2.2	286
5929516	28.9	10.7	267	<0.2	1.93	0.4	259	18	122	<1	15.8	7.9	0.8	8.65	13	11.9	281
5929705	1.6	10.6	456	<0.2	0.04	0.8	<1	31	247	<1	5.9	4.2	<0.2	19.2	10	2.7	8.7
5929484 R	2.0	17.9	570	0.6	0.76	1.4	27	1	160	<1	33.1	20.6	1.1	3.30	7	21.6	0.6



ICPI Total Digestion

Sample Number	Ho ppm	K2O wt %	La ppm	Li ppm	MgO wt %	MnO wt %	Mo ppm	Na2O wt %	Nb ppm	Nd ppm	Ni ppm	P2O5 wt %	Pb ppm	Pr ppm	Sc ppm	Sm ppm	Sn ppm
CG515/LS4	1.5	3.09	89	28	2.70	0.074	2	3.15	8	59	27	0.678	19	16	12	8.8	5
5929279	<0.4	3.18	12	10	0.615	0.015	1	3.88	4	7	20	0.059	30	2	1	1.6	<1
5929284	<0.4	1.26	2	4	2.53	0.038	64	0.45	2	3	12	0.021	39	1	2	1.1	<1
5929290	<0.4	0.725	13	12	0.383	0.014	30	3.97	2	5	8	0.027	34	1	1	1.2	<1
5929382	<0.4	0.621	1	13	0.315	0.008	2	4.32	<1	1	5	0.018	16	<1	<1	0.6	<1
5929384	0.4	3.70	7	9	0.293	0.024	1	6.15	5	6	6	0.026	23	2	2	1.6	<1
5929385	<0.4	2.45	3	3	0.049	0.009	1	4.15	<1	3	6	0.022	31	1	<1	1.3	<1
5929386	0.5	1.28	<1	9	0.086	0.009	2	4.72	<1	2	5	0.020	45	<1	<1	1.2	<1
5929511	<0.4	4.60	1	19	0.289	0.015	10	3.09	2	<1	5	0.023	28	<1	1	<0.5	<1
5929551	0.5	4.22	2	3	0.091	0.009	9	4.20	16	2	3	0.043	46	<1	1	1.4	<1
5929557	<0.4	2.06	3	18	0.254	0.015	1	3.90	1	3	4	0.022	36	1	1	1.2	<1
5929566	1.0	1.81	34	34	1.32	0.065	2	3.52	5	21	10	0.160	33	6	9	4.2	<1
5929567	<0.4	0.433	<1	3	0.060	0.007	3	2.64	<1	1	7	0.011	14	<1	<1	0.9	<1
5929702	0.5	1.27	17	32	1.07	0.038	2	3.94	9	9	10	0.047	22	3	4	2.0	<1
5929551 R	0.4	4.31	1	4	0.094	0.009	9	4.29	17	2	4	0.045	45	<1	1	1.5	<1
CG515/LS4	1.8	3.14	87	27	2.78	0.075	1	3.20	7	62	24	0.661	19	15	13	8.8	3
5929036	<0.4	5.94	5	8	0.285	0.007	45	2.48	<1	3	8	0.036	107	1	2	1.2	<1
5929095	0.7	3.48	4	11	0.327	0.007	95	1.71	3	3	4	0.025	350	1	3	2.7	<1
5929096	1.0	4.16	5	17	0.608	0.017	67	2.72	5	4	12	0.029	291	1	6	2.4	<1
5929097	0.8	5.75	3	16	0.524	0.013	42	2.25	4	2	5	0.031	211	1	5	1.6	<1
5929098	0.8	2.86	32	18	0.841	0.020	62	3.07	9	24	8	0.049	163	6	7	4.7	<1
5929099	1.5	1.88	<1	24	0.942	0.019	192	0.18	9	2	11	0.013	331	<1	9	1.9	2
5929107	1.0	6.06	3	23	0.437	0.027	83	4.00	2	5	4	0.258	191	1	3	2.8	<1
5929108	3.0	1.41	32	38	2.42	0.029	821	1.20	72	35	311	0.337	80	8	10	7.5	<1
5929109	3.8	0.966	14	19	0.229	0.233	8	3.32	<1	17	<1	0.012	305	3	7	9.5	4
5929150	1.4	0.910	<1	22	0.918	0.022	239	0.04	9	1	13	0.011	344	<1	9	2.1	2
5929209	8.0	2.83	90	28	0.460	0.103	5	0.73	6	81	4	0.228	1140	18	5	23.1	2
5929210	6.1	1.68	132	33	0.499	0.074	2	6.74	8	107	4	0.228	206	25	9	23.8	<1
5929211	0.9	0.678	9	8	0.119	0.013	3	4.15	<1	9	4	0.020	110	2	1	2.7	<1
5929212	2.6	1.08	77	8	0.180	0.048	2	5.99	<1	67	2	0.028	261	15	3	13.8	<1
5929213	1.2	1.95	60	8	0.244	0.017	1	5.70	<1	49	2	0.025	158	12	1	9.0	<1
5929214	2.2	0.172	63	27	5.54	0.066	21	0.20	10	38	113	6.26	116	10	6	7.8	<1
5929215	0.8	4.07	3	11	0.426	0.013	55	1.90	3	3	7	0.056	198	<1	4	1.7	<1
5929217	<0.4	2.63	1	1	0.050	0.005	27	0.56	<1	3	5	0.019	55	<1	<1	1.2	<1
5929218	1.5	3.64	2	27	1.45	0.045	758	0.42	21	12	11	0.376	328	2	11	4.7	<1
CG515/LS4	1.6	3.04	86	26	2.73	0.074	2	3.09	7	63	23	0.659	20	15	12	8.8	2
5929219	0.9	2.92	<1	19	0.806	0.025	262	0.30	15	1	12	0.022	260	<1	8	2.0	1
5929220	0.4	7.76	2	7	0.215	0.005	101	0.99	2	1	7	0.029	203	<1	2	0.9	1
5929278	<0.4	4.76	1	11	0.432	0.026	3	3.05	4	1	6	0.028	40	<1	2	0.9	<1
5929280	0.9	2.43	<1	21	1.08	0.031	353	0.28	13	1	8	0.015	127	<1	6	0.8	2





ICP1 Total Digestion

Sample Number	Ho ppm	K2O wt %	La ppm	Li ppm	MgO wt %	MnO wt %	Mo ppm	Na2O wt %	Nb ppm	Nd ppm	Ni ppm	P2O5 wt %	Pb ppm	Pr ppm	Sc ppm	Sm ppm	Sn ppm
5929281	<0.4	6.44	<1	7	0.394	0.014	109	1.30	3	<1	4	0.018	52	<1	1	<0.5	<1
5929282	0.6	8.92	44	16	0.252	0.023	2	4.04	<1	22	4	0.025	93	5	1	3.6	<1
5929283	<0.4	5.12	9	18	0.455	0.018	1	5.79	<1	5	10	0.030	36	1	1	1.2	<1
5929285	<0.4	0.163	1	<1	0.027	0.002	153	0.47	<1	3	3	0.008	44	<1	<1	0.8	<1
5929286	<0.4	1.08	<1	17	0.885	0.021	1040	0.13	6	1	5	0.020	112	<1	5	<0.5	1
5929287	<0.4	2.99	4	39	2.29	0.049	1700	1.98	13	3	3	0.051	443	1	13	1.3	<1
5929288	0.5	0.570	<1	<1	0.017	0.002	83	0.35	<1	<1	3	0.007	156	<1	<1	<0.5	1
5929289	0.5	1.37	7	4	0.243	0.009	127	0.28	3	9	3	0.010	119	2	2	2.0	1
5929291	1.8	3.15	<1	62	2.76	0.129	15	0.82	30	<1	18	0.013	65	<1	15	0.8	4
5929375	0.7	5.69	1	16	0.695	0.044	8	3.12	13	3	7	0.146	59	<1	5	1.6	<1
5929376	0.4	0.745	<1	13	0.648	0.019	272	0.06	8	<1	5	0.009	69	<1	3	0.6	1
5929377	1.1	3.16	<1	37	2.93	0.112	527	0.23	37	2	11	0.016	79	<1	17	1.4	1
5929378	1.6	3.93	345	14	0.742	0.029	43	1.44	4	181	7	0.086	82	49	4	18.1	<1
5929380	0.5	2.20	11	25	0.941	0.033	180	3.24	5	7	7	0.055	94	2	4	1.7	<1
5929376 R	0.4	0.740	<1	12	0.640	0.018	270	0.08	8	1	4	0.008	67	<1	3	<0.5	1
CG515/LS4	1.6	2.98	82	27	2.74	0.076	1	3.20	8	59	23	0.662	19	15	11	8.2	2
5929381	0.4	2.88	<1	14	0.527	0.015	338	2.38	1	2	5	0.077	107	<1	2	1.6	<1
5929383	0.5	0.711	<1	30	1.01	0.026	4	1.24	4	2	27	0.028	64	<1	3	1.1	<1
5929387	<0.4	1.29	<1	11	0.065	0.016	3	5.21	<1	<1	5	0.022	32	<1	<1	0.8	<1
5929388	1.0	9.42	5	19	0.547	0.025	9	1.71	1	6	5	0.057	176	1	2	2.6	<1
5929389	1.4	1.50	11	8	0.188	0.026	1	6.60	<1	13	2	0.028	124	3	1	4.3	<1
5929390	4.0	0.924	136	13	0.414	0.020	1	7.58	<1	119	4	0.033	339	30	2	25.0	<1
5929391	1.7	2.14	82	10	0.151	0.020	5	2.17	4	60	7	0.061	27	16	3	10.7	<1
5929392	0.6	4.29	4	54	1.51	0.088	78	3.44	19	3	12	0.027	132	1	7	1.7	<1
5929393	<0.4	6.67	3	11	0.523	0.019	45	1.55	4	1	7	0.020	65	<1	2	0.6	<1
5929394	0.8	5.68	<1	38	0.877	0.039	30	1.51	7	2	8	0.020	179	<1	4	1.1	<1
5929395	<0.4	6.51	8	17	0.354	0.016	105	1.24	3	5	5	0.037	88	1	2	1.2	<1
5929396	<0.4	2.04	60	19	0.408	0.030	21	5.20	1	36	6	0.043	113	10	2	5.1	<1
5929397	<0.4	6.31	2	17	0.341	0.016	11	2.18	7	1	4	0.023	70	<1	2	0.8	<1
5929398	0.4	7.96	<1	10	0.511	0.013	23	1.38	2	2	6	0.037	46	<1	2	0.8	<1
5929399	<0.4	4.25	4	32	0.970	0.068	293	1.72	16	3	3	0.084	80	1	5	1.2	<1
5929480	1.0	4.31	14	30	0.416	0.033	344	4.39	8	15	4	0.036	111	3	8	4.0	<1
5929482	3.4	2.92	<1	30	1.16	0.067	220	1.80	16	6	3	0.026	499	<1	8	6.9	<1
5929483	2.9	4.86	3	200	3.93	0.201	133	0.46	35	9	35	0.482	304	1	24	6.5	3
5929485	2.1	7.70	4	82	1.46	0.068	251	1.83	11	11	9	0.368	329	2	9	6.4	<1
CG515/LS4	1.4	3.07	85	28	2.86	0.080	2	3.14	8	58	23	0.666	17	15	12	7.8	<1
5929486	1.9	3.07	29	6	0.154	0.007	3	5.44	<1	30	3	0.028	128	8	1	6.3	<1
5929487	0.6	7.54	26	34	0.468	0.026	12	1.80	4	22	5	0.027	82	5	4	4.4	<1
5929489	1.4	1.16	<1	58	0.641	0.097	3	6.99	4	1	3	0.030	197	<1	7	1.8	<1
5929490	0.6	3.36	148	17	0.492	0.020	2	3.80	1	72	5	0.081	44	22	2	7.2	<1

*RM*

ICP1 Total Digestion

Sample Number	Ho ppm	K2O wt %	La ppm	Li ppm	MgO wt %	MnO wt %	Mo ppm	Na2O wt %	Nb ppm	Nd ppm	Ni ppm	P2O5 wt %	Pb ppm	Pr ppm	Sc ppm	Sm ppm	Sn ppm
5929491	<0.4	1.53	7	14	0.293	0.016	2	5.18	2	5	5	0.030	53	1	2	1.4	<1
5929492	<0.4	1.47	8	14	0.277	0.014	31	4.51	<1	4	4	0.036	47	1	1	1.3	<1
5929493	0.5	3.76	3	10	0.184	0.020	230	2.24	7	3	4	0.064	85	<1	1	1.6	<1
5929494	1.2	4.22	269	18	0.303	0.016	7	3.52	<1	134	4	0.162	113	41	2	13.7	<1
5929495	0.6	1.45	<1	19	0.447	0.020	2	4.86	2	2	4	0.042	60	<1	2	1.2	<1
5929496	<0.4	7.50	8	5	0.131	0.009	6	2.79	1	5	4	0.025	86	1	1	1.3	<1
5929497	3.0	0.967	242	7	0.132	0.027	2	6.46	<1	176	5	0.041	543	48	4	30.2	<1
5929498	0.6	0.841	28	6	0.080	0.014	2	6.95	<1	19	4	0.028	164	5	1	3.7	<1
5929499	1.3	1.14	74	1	0.059	0.008	3	3.70	<1	47	4	0.076	263	13	<1	9.1	<1
5929500	1.1	1.47	2	15	0.678	0.048	16	4.52	9	4	3	0.082	197	1	7	2.6	<1
5929501	2.3	6.65	21	8	0.144	0.008	1	4.17	<1	19	5	0.060	112	4	1	4.8	<1
5929502	1.2	3.43	12	5	0.079	0.010	1	2.64	1	16	3	0.068	68	3	1	4.0	<1
5929503	1.1	0.359	<1	5	0.168	0.009	2	1.22	<1	2	5	0.009	48	<1	1	1.4	<1
5929504	1.4	6.24	1	3	0.083	0.023	1	2.59	3	2	4	0.016	220	<1	2	2.6	<1
5929502 R	1.1	3.37	13	5	0.077	0.010	1	2.56	2	15	2	0.066	66	3	1	4.0	<1
CG515/LS4	1.7	3.14	89	28	2.80	0.077	2	3.27	8	64	24	0.695	20	16	13	8.7	2
5929505	1.1	0.531	3	11	0.386	0.021	2	5.80	5	4	3	0.081	31	<1	2	2.2	<1
5929506	3.1	2.90	4	27	0.625	0.058	10	4.03	12	16	3	1.03	339	2	7	7.6	<1
5929507	4.4	0.467	<1	1	0.019	0.008	68	0.66	2	5	3	0.018	1500	<1	1	9.0	<1
5929508	2.0	2.75	8	152	1.84	0.145	133	3.28	41	9	3	0.029	524	1	25	4.9	<1
5929509	0.8	0.495	17	19	0.103	0.181	3	0.34	1	12	4	0.041	38	3	4	3.1	<1
5929512	1.8	6.23	327	16	0.271	0.022	30	3.17	2	199	5	0.187	151	54	4	25.3	<1
5929513	<0.4	6.56	5	9	0.164	0.010	72	2.39	2	8	4	0.163	66	2	1	2.5	<1
5929514	<0.4	5.46	24	13	0.308	0.014	6	2.88	4	14	3	0.047	36	4	1	2.2	<1
5929515	1.4	6.00	258	8	0.197	0.009	2	2.57	1	131	3	0.054	74	38	2	13.6	<1
5929517	0.5	1.19	2	16	0.566	0.021	20	4.90	4	2	6	0.060	44	1	2	1.1	<1
5929518	<0.4	7.46	11	15	0.561	0.019	10	1.93	6	6	5	0.054	48	1	2	1.0	<1
5929519	0.8	6.63	53	21	0.762	0.031	20	1.62	7	34	7	0.061	169	9	6	4.7	<1
5929520	0.6	1.43	6	12	0.436	0.019	106	6.67	4	5	7	0.037	142	2	2	1.8	<1
5929521	<0.4	6.26	2	19	0.425	0.024	30	2.80	6	2	5	0.104	71	<1	3	1.2	<1
5929522	0.7	4.74	5	30	1.51	0.053	3	3.53	8	5	7	0.154	53	1	5	1.8	<1
5929523	0.6	1.62	33	21	0.940	0.035	2	6.23	5	23	6	0.074	99	6	3	3.6	<1
5929524	1.5	3.96	1	34	1.75	0.068	21	2.60	15	5	14	0.034	236	1	9	1.8	<1
5929525	10.2	6.46	2460	24	1.16	0.070	31	2.38	3	1180	12	1.20	336	345	10	119	<1
5929526	0.8	2.16	22	31	1.92	0.068	77	1.47	19	27	17	0.021	186	6	10	4.2	<1
CG515/LS4	1.7	3.16	95	28	2.82	0.079	2	3.14	8	64	25	0.677	20	16	13	8.9	2
5929527	0.5	1.64	2	18	1.20	0.043	37	1.20	10	3	10	0.017	67	1	6	0.9	<1
5929550	3.5	0.738	13	24	0.499	0.052	3	4.16	4	52	2	0.416	46	10	3	12.2	<1
5929552	1.3	2.67	61	20	0.266	0.028	6	3.06	6	37	4	0.068	366	9	4	7.4	<1
5929553	0.9	2.96	4	22	0.851	0.011	1	2.38	<1	6	4	0.016	59	1	<1	2.3	<1

*JM*



ICPI Total Digestion

Sample Number	Ho ppm	K2O wt %	La ppm	Li ppm	MgO wt %	MnO wt %	Mo ppm	Na2O wt %	Nb ppm	Nd ppm	Ni ppm	P2O5 wt %	Pb ppm	Pr ppm	Sc ppm	Sm ppm	Sn ppm
5929554	1.3	0.334	<1	4	0.018	0.003	3	2.17	<1	4	3	0.020	107	1	4	1.9	<1
5929555	<0.4	1.66	3	16	0.573	0.033	78	3.90	5	2	6	0.030	58	<1	3	1.0	<1
5929556	<0.4	2.01	<1	3	0.114	0.005	79	0.63	1	<1	4	0.009	17	<1	<1	<0.5	<1
5929558	1.1	4.90	10	8	0.110	0.012	4	4.30	<1	11	3	0.024	114	2	1	2.9	<1
5929559	2.8	0.456	<1	6	0.015	0.005	147	3.87	<1	6	3	0.332	400	<1	<1	5.6	<1
5929560	1.2	1.09	<1	17	0.154	0.008	83	7.29	1	3	3	0.229	198	<1	<1	2.7	<1
5929561	2.2	1.51	1	22	0.139	0.006	53	5.52	1	6	3	0.408	167	1	<1	4.1	<1
5929562	0.7	1.04	2	17	0.067	0.005	6	8.86	1	2	4	0.104	89	<1	<1	1.8	<1
5929563	1.4	0.557	5	10	0.195	0.016	2	4.98	1	15	4	0.024	92	3	1	4.6	<1
5929564	0.5	3.90	6	11	0.220	0.010	1	3.31	1	4	3	0.019	50	1	<1	1.7	<1
5929565	0.7	7.00	5	8	0.245	0.012	2	1.86	1	4	4	0.020	77	1	1	1.6	<1
5929700	0.8	5.30	<1	6	0.224	0.009	225	0.80	1	2	5	0.017	157	<1	2	1.1	1
5929701	0.6	7.50	4	17	0.442	0.021	1100	1.96	9	11	4	0.507	460	2	4	4.1	<1
5929703	0.6	3.00	6	20	0.692	0.026	58	2.51	6	4	8	0.024	164	1	3	1.3	<1
5929701 R	0.6	7.59	5	18	0.453	0.022	1160	2.05	9	12	3	0.523	478	2	4	4.1	<1
CG515/LS4	1.4	3.14	90	28	2.70	0.075	2	3.12	8	59	27	0.681	20	16	12	8.9	2
5929704	<0.4	9.04	<1	29	1.14	0.041	100	1.36	12	<1	12	0.022	81	<1	5	<0.5	<1
5929704 R	<0.4	8.80	1	27	1.12	0.039	107	1.32	12	<1	12	0.018	79	<1	5	<0.5	1
CG515/LS4	1.6	3.08	86	27	2.87	0.078	1	3.20	8	60	24	0.663	17	15	12	8.9	3
5929216	0.6	1.95	17	55	2.08	0.044	1760	0.02	28	14	3	0.074	1030	4	15	4.7	<1
5929379	6.1	6.73	3050	26	1.16	0.077	78	1.88	<1	1560	6	0.182	898	542	11	153	<1
5929481	4.4	7.46	3	13	0.322	0.016	273	3.70	1	12	2	0.127	927	2	2	12.7	<1
5929484	7.1	11.4	2	30	0.951	0.052	282	2.60	12	21	5	0.262	1610	4	7	21.8	<1
5929488	8.3	1.36	3	46	1.31	0.057	763	0.05	19	27	10	0.555	1640	4	9	26.5	<1
5929510	3.6	1.02	<1	25	0.453	0.023	17	5.03	2	<1	3	0.028	191	1	5	2.3	4
5929516	6.2	3.18	99	62	3.32	0.112	27	1.73	32	78	20	0.211	1480	24	17	17.7	6
5929705	1.9	6.54	1	88	7.44	0.174	3960	0.04	75	<1	36	0.065	542	1	35	4.2	2
5929484 R	6.2	11.1	1	27	0.931	0.050	275	2.55	11	20	6	0.260	1600	3	6	19.2	<1

ICP1 Total Digestion

Sample Number	Sr ppm	Ta ppm	Tb ppm	Th ppm	TiO2 wt %	U, ICP ppm	V ppm	W ppm	Y ppm	Yb ppm	Zn ppm	Zr ppm
CG515/LS4	1170	<1	<0.3	12	1.11	4	133	<1	21	2.0	90	190
5929279	263	<1	<0.3	13	0.150	7	14	<1	4	0.4	35	54
5929284	46	<1	0.4	58	0.103	41	36	<1	6	1.0	68	582
5929290	165	<1	<0.3	105	0.156	23	16	<1	3	0.4	21	70
5929382	80	<1	<0.3	12	0.029	4	3	<1	2	0.3	15	28
5929384	223	<1	<0.3	9	0.224	5	21	<1	6	0.8	30	105
5929385	64	<1	<0.3	57	0.046	19	5	<1	4	0.8	13	166
5929386	61	<1	0.4	69	0.046	37	4	<1	8	1.5	18	447
5929511	204	3	<0.3	71	0.155	12	14	<1	1	0.2	22	218
5929551	85	4	<0.3	28	0.039	26	3	<1	11	1.5	8	34
5929557	162	5	<0.3	9	0.076	8	9	<1	7	0.7	16	39
5929566	179	7	<0.3	45	0.507	35	86	<1	19	2.0	87	197
5929567	98	6	<0.3	82	0.052	27	25	<1	7	1.2	16	228
5929702	218	4	<0.3	40	0.423	14	40	<1	5	0.5	74	107
5929551 R	87	3	<0.3	29	0.041	23	3	<1	11	1.6	8	32
CG515/LS4	1160	<1	<0.3	13	1.04	4	128	<1	21	2.0	82	164
5929036	206	<1	<0.3	93	0.109	130	19	24	5	0.4	21	16
5929095	126	<1	<0.3	487	0.169	746	14	<1	18	1.8	33	82
5929096	180	<1	<0.3	348	0.286	690	31	44	17	2.4	52	624
5929097	183	<1	<0.3	234	0.287	499	28	<1	11	1.5	49	373
5929098	180	<1	<0.3	259	0.379	374	32	19	14	1.2	72	215
5929099	28	<1	<0.3	606	0.363	777	49	54	24	3.8	89	1350
5929107	141	<1	<0.3	94	0.206	266	17	<1	23	2.2	35	110
5929108	151	<1	<0.3	18	0.914	483	1250	10	82	8.7	799	247
5929109	98	<1	<0.3	779	0.878	880	176	2	73	10.3	290	1370
5929150	6	<1	<0.3	581	0.431	925	56	<1	24	3.7	88	1330
5929209	31	<1	<0.3	734	0.169	1550	12	<1	170	20.6	145	339
5929210	146	<1	4.0	360	0.208	313	16	<1	142	19.4	64	1160
5929211	59	<1	<0.3	245	0.096	139	11	<1	17	2.8	41	343
5929212	159	<1	1.0	781	0.157	440	30	<1	45	8.3	63	1780
5929213	172	<1	1.4	485	0.021	164	5	<1	20	3.9	15	953
5929214	411	<1	<0.3	28	0.406	282	167	<1	81	6.2	1180	250
5929215	144	<1	<0.3	243	0.195	521	24	21	11	1.6	42	481
5929217	55	<1	<0.3	294	0.026	106	4	<1	11	1.2	7	197
5929218	58	<1	0.3	1710	0.775	405	97	<1	38	3.3	108	970
CG515/LS4	1120	<1	<0.3	14	1.02	4	124	<1	21	2.0	81	158
5929219	55	<1	<0.3	642	0.478	835	41	<1	15	1.9	68	418
5929220	181	<1	<0.3	391	0.140	226	15	<1	9	1.0	25	370
5929278	189	<1	<0.3	88	0.215	26	27	<1	4	0.7	37	283
5929280	45	<1	2.0	1110	0.480	159	60	<1	9	2.0	67	1760

*RW*




ICP1 Total Digestion

Sample Number	Sr ppm	Ta ppm	Tb ppm	Th ppm	TiO2 wt %	U, ICP ppm	V ppm	W ppm	Y ppm	Yb ppm	Zn ppm	Zr ppm
5929281	164	<1	<0.3	103	0.157	25	19	<1	2	0.3	27	141
5929282	291	<1	<0.3	137	0.087	54	16	<1	12	0.8	16	82
5929283	239	<1	<0.3	43	0.160	12	18	<1	4	0.5	36	189
5929285	22	<1	0.4	411	0.010	82	2	<1	4	0.6	2	436
5929286	13	<1	0.7	657	0.285	41	41	8	4	0.4	34	501
5929287	98	<1	<0.3	1040	0.695	117	172	1	7	0.3	97	293
5929288	23	<1	1.8	378	0.011	86	2	<1	5	1.5	4	1330
5929289	23	<1	1.0	576	0.099	93	11	<1	10	1.3	13	725
5929291	50	<1	4.0	989	1.22	84	129	<1	12	3.8	162	3370
5929375	176	<1	<0.3	45	0.374	59	36	<1	12	1.7	57	285
5929376	6	<1	1.6	986	0.292	86	38	<1	5	1.2	38	997
5929377	18	<1	<0.3	649	1.17	128	144	<1	9	1.0	155	544
5929378	145	<1	1.3	649	0.288	95	32	<1	17	1.6	41	332
5929380	215	<1	<0.3	245	0.326	53	36	<1	5	0.5	50	244
5929376 R	8	<1	1.5	980	0.270	82	37	<1	5	1.3	38	1060
CG515/LS4	1130	<1	<0.3	11	0.973	4	126	<1	20	1.8	85	150
5929381	64	<1	<0.3	103	0.214	70	4	<1	8	0.7	33	74
5929383	61	<1	<0.3	44	0.112	97	12	<1	8	1.2	54	223
5929387	96	<1	<0.3	66	0.045	12	7	<1	3	0.5	18	89
5929388	137	<1	<0.3	112	0.173	128	12	<1	18	2.0	41	52
5929389	192	<1	<0.3	297	0.110	225	43	<1	28	3.9	31	690
5929390	227	<1	<0.3	664	0.077	998	26	<1	82	9.6	28	1560
5929391	50	<1	1.3	75	0.063	27	4	4	51	5.4	7	60
5929392	180	<1	<0.3	779	0.692	242	74	<1	10	1.1	111	489
5929393	195	<1	<0.3	219	0.208	52	25	<1	3	0.4	35	242
5929394	155	<1	1.9	882	0.339	232	35	<1	12	2.3	62	1970
5929395	152	<1	0.4	446	0.159	84	13	<1	6	0.6	26	365
5929396	233	<1	0.6	654	0.157	104	13	<1	10	0.9	39	276
5929397	167	<1	<0.3	212	0.164	51	18	<1	4	0.6	29	139
5929398	213	<1	0.5	173	0.182	35	22	<1	6	0.8	49	484
5929399	102	<1	<0.3	1010	0.523	149	69	<1	9	0.9	87	65
5929480	44	<1	<0.3	153	0.253	197	9	<1	18	1.9	87	182
5929482	39	<1	<0.3	183	0.475	1490	17	<1	74	7.4	87	57
5929483	25	1	<0.3	130	1.67	986	97	<1	53	4.4	356	36
5929485	75	<1	<0.3	112	0.616	940	28	<1	46	3.8	115	9
CG515/LS4	1170	<1	<0.3	11	0.977	3	135	<1	21	1.8	88	157
5929486	101	<1	3.5	266	0.014	141	1	<1	33	7.1	8	2180
5929487	84	<1	0.301	159	0.301	91	16	<1	8	1.1	50	155
5929489	45	<1	<0.3	210	0.505	144	24	<1	21	4.9	92	1300
5929490	227	<1	0.7	125	0.175	24	17	<1	8	0.9	30	394

ICP1 Total Digestion

Sample Number	Sr ppm	Ta ppm	Tb ppm	Th ppm	TiO2 wt %	U, ICP ppm	V ppm	W ppm	Y ppm	Yb ppm	Zn ppm	Zr ppm
5929491	191	<1	0.6	360	0.123	72	15	<1	8	1.1	26	412
5929492	229	<1	0.3	410	0.084	75	9	<1	7	0.7	21	251
5929493	84	<1	<0.3	200	0.170	98	8	<1	11	1.2	19	100
5929494	223	<1	1.9	943	0.116	210	12	<1	20	2.0	20	962
5929495	227	<1	1.9	577	0.192	108	19	<1	8	1.7	27	1360
5929496	84	<1	<0.3	63	0.075	29	4	<1	4	0.4	11	46
5929497	144	<1	0.8	1410	0.027	835	8	<1	58	7.2	6	1350
5929498	145	<1	0.6	533	0.022	179	1	<1	17	2.3	12	529
5929499	104	<1	<0.3	170	0.014	636	2	<1	30	3.0	13	22
5929500	50	<1	<0.3	201	0.370	473	9	<1	26	3.3	43	312
5929501	62	<1	0.8	119	0.049	281	3	<1	54	9.9	11	965
5929502	95	<1	1.1	495	0.060	134	14	<1	29	4.6	21	759
5929503	29	<1	0.5	95	0.061	158	26	<1	26	5.2	17	956
5929504	127	<1	<0.3	86	0.147	457	81	<1	28	4.4	48	76
5929502 R	92	<1	1.0	473	0.060	130	14	<1	28	4.4	19	750
CG515/LS4	1180	<1	<0.3	15	1.16	4	131	<1	22	2.1	87	183
5929505	42	<1	<0.3	168	0.117	251	19	<1	20	2.9	24	106
5929506	129	<1	<0.3	600	0.344	930	21	<1	79	8.3	54	436
5929507	28	<1	<0.3	1140	0.017	3700	1	<1	99	13.2	8	1020
5929508	74	2	<0.3	296	0.953	638	64	<1	34	4.4	129	381
5929509	9	<1	<0.3	23	0.018	33	14	<1	20	6.6	14	57
5929512	225	<1	3.9	1970	0.129	298	15	<1	34	3.2	23	1450
5929513	218	<1	1.9	1480	0.096	189	10	<1	15	1.6	13	811
5929514	206	<1	0.7	227	0.151	33	13	<1	6	0.8	18	443
5929515	225	<1	3.1	1320	0.097	249	13	<1	19	2.7	13	1700
5929517	286	<1	1.1	321	0.241	59	20	<1	6	1.2	39	971
5929518	211	<1	<0.3	120	0.220	19	22	<1	4	0.6	33	206
5929519	196	<1	3.8	2660	0.350	445	34	<1	18	3.5	44	2720
5929520	339	<1	0.3	924	0.172	283	19	<1	11	1.7	38	1050
5929521	202	<1	0.6	1200	0.256	175	27	<1	10	1.1	35	331
5929522	242	<1	<0.3	71	0.586	23	53	<1	9	0.9	94	156
5929523	355	<1	1.2	680	0.351	119	30	<1	10	1.5	57	863
5929524	179	<1	2.9	1440	0.730	469	60	<1	22	4.4	100	3520
5929525	281	<1	11.0	2080	0.474	333	66	<1	137	10.1	69	1390
5929526	93	<1	<0.3	838	0.929	377	125	<1	14	1.3	107	476
CG515/LS4	1180	<1	<0.3	15	1.16	4	133	<1	22	2.0	88	177
5929527	77	<1	0.3	227	0.525	36	60	<1	5	1.0	69	620
5929550	67	<1	4.0	981	0.176	109	6	<1	105	9.6	48	897
5929552	96	<1	<0.3	295	0.141	758	11	<1	29	2.8	31	17
5929553	76	<1	<0.3	149	0.050	165	13	<1	29	2.6	11	44



ICPI Total Digestion

Sample Number	Sr ppm	Ta ppm	Tb ppm	Th ppm	TiO2 wt %	U, ICP ppm	V ppm	W ppm	Y ppm	Yb ppm	Zn ppm	Zr ppm
5929554	127	<1	8.1	3480	0.018	631	3	<1	28	7.4	1	5910
5929555	179	<1	0.4	494	0.275	94	22	<1	6	0.9	41	576
5929556	52	<1	<0.3	145	0.057	26	4	<1	1	0.3	7	233
5929558	50	<1	1.2	339	0.056	55	4	<1	18	3.3	18	512
5929559	91	<1	<0.3	216	0.006	792	1	<1	67	7.8	3	307
5929560	175	<1	<0.3	110	0.011	139	<1	<1	25	3.7	8	25
5929561	132	<1	1.0	74	0.007	79	1	<1	53	7.2	68	15
5929562	197	<1	<0.3	63	0.013	33	1	<1	13	2.0	12	40
5929563	199	<1	<0.3	410	0.059	318	16	<1	32	4.5	19	676
5929564	154	<1	<0.3	43	0.054	75	14	<1	11	1.2	14	43
5929565	171	<1	<0.3	107	0.079	62	7	<1	12	2.2	16	135
5929700	146	<1	4.5	1680	0.104	210	10	2	18	3.5	19	2760
5929701	165	<1	0.9	2230	0.283	360	26	<1	36	2.5	33	134
5929703	203	<1	1.1	671	0.289	177	32	<1	10	1.7	41	1260
5929701 R	175	<1	0.8	2330	0.295	374	27	<1	36	2.6	33	131
CG515/LS4	1190	<1	<0.3	14	1.08	4	132	<1	21	2.0	87	167
5929704	228	<1	<0.3	307	0.465	75	54	<1	3	0.3	77	64
5929704 R	209	<1	<0.3	294	0.456	71	52	<1	3	0.3	75	61
CG515/LS4	1130	<1	<0.3	12	1.05	4	127	<1	20	1.8	89	175
5929216	17	2	<0.3	3490	1.07	788	101	2	34	2.4	197	701
5929379	278	<1	<0.3	3620	0.472	2530	74	<1	133	12.0	72	3290
5929481	110	<1	<0.3	363	0.124	2780	5	<1	98	9.4	39	27
5929484	117	1	<0.3	604	0.434	5300	21	<1	168	17.0	295	97
5929488	7	3	<0.3	731	0.671	6110	27	1	185	19.7	120	8
5929510	223	<1	16.0	2170	0.206	862	19	<1	44	11.7	32	12000
5929516	127	1	<0.3	2710	1.19	4500	116	<1	101	15.4	165	11300
5929705	17	3	<0.3	2800	3.14	1530	374	<1	34	1.2	346	392
5929484 R	115	<1	<0.3	590	0.415	5100	20	<1	160	16.1	290	92

Total Digestion: A 0.125 g pulp is gently heated in a mixture of HF/HNO3/HClO4 until dry and the residue is dissolved in dilute HNO3. The standard is CG515.

*RM*





Saskatchewan  
Research Council

125-15 Innovation Boulevard, Saskatoon, SK Canada S7N 2X8 • Ph: 306-933-5400 Fax: 306-933-7446  
Also located at: 220-6 Research Drive, Regina, SK Canada S4S 7J7 • Ph: 306-787-9400 Fax: 306-787-8811

Web: [www.src.sk.ca](http://www.src.sk.ca)  
Email: [info@src.sk.ca](mailto:info@src.sk.ca)

Report No.: 07-996

# SRC Geoanalytical Laboratories

125 - 15 Innovation Blvd.  
Saskatoon, Saskatchewan  
S7N 2X8

November 08, 2007

Phone: (306) 933-8118  
Fax: (306) 933-5656

**IOS Services Geoscientifiques Inc.**  
1319 St-Paul Boulevard  
Saguenay (Chicoutimi), QC G7J 3Y2  
Attn: Rejean Girard

Test reports are the property of the customers. Publications of statements, conclusions or extracts from these reports are not permitted without prior written permission from the customer.

This document constitutes the **final official test report**. Liability for the SRC Geoanalytical Laboratories, if any, will be limited to the cost of analysis for samples in this test report. The results contained in this test report relate only to the items tested. It is the customer's responsibility to ensure that all interpretation of analysis is done using the data from this report.

The customer will not use the name of the Saskatchewan Research Council in connection with the sale, offer, advertisement or the promotion of any article, product, or company without the prior written consent of the SRC.

Results Reviewed and Approved by:

Robert Millar  
Assistant Research Scientist

IOS Services Geoscientifiques Inc.

125 - 15 Innovation Blvd., Saskatoon, Saskatchewan, S7N 2X8

Attention: Rejean Girard

Tel: (306) 933-8118 Fax: (306) 933-5656 Email: geolab@src.sk.ca

PO #/Project: #313005

Samples: 16

Date of Report: November 08, 2007

TEST REPORT

Method U3O8

Column Header Details

U3O8 Assay by ICP in wt % (U3O8)

Sample Number	U3O8 wt %
BL1	0.026
5929209	0.212
5929390	0.141
5929482	0.206
5929485	0.133
5929497	0.122
5929507	0.423
5929485 R	0.130
BL1	0.025
5929216	0.090
5929481	0.338
5929484	0.579
5929488	0.642
5929516	0.489
5929705	0.160
5929484 R	0.576

Uranium Assay: A 1.00 g pulp is digested with 24 ml of 3:1 HCl:HNO3 for 1 hour at 95 C.



Saskatchewan  
Research Council

125-15 Innovation Boulevard, Saskatoon, SK Canada S7N 2X8 • Ph: 306-933-5400 Fax: 306-933-7446  
Also located at: 220-6 Research Drive, Regina, SK Canada S4S 7J7 • Ph: 306-787-9400 Fax: 306-787-8811

Web: [www.src.sk.ca](http://www.src.sk.ca)  
Email: [info@src.sk.ca](mailto:info@src.sk.ca)

Report No: 07-1039

## SRC Geoanalytical Laboratories

125 - 15 Innovation Blvd.  
Saskatoon, Saskatchewan  
S7N 2X8

September 25, 2007

Phone: (306) 933-8118

Fax: (306) 933-5656

**IOS Services Geoscientifiques Inc.**  
1319 St-Paul Boulevard  
Saguenay (Chicoutimi), QC G7J 3Y2  
Attn: Rejean Girard

Test reports are the property of the customers. Publications of statements, conclusions or extracts from these reports are not permitted without prior written permission from the customer.

This document constitutes the **final official test report**. Liability for the SRC Geoanalytical Laboratories', if any, will be limited to the cost of analysis for samples in this test report. The results contained in this test report relate only to the items tested. It is the customer's responsibility to ensure that all interpretation of analysis is done using the data from this report.

The customer will not use the name of the Saskatchewan Research Council in connection with the sale, offer, advertisement or the promotion of any article, product, or company without the prior written consent of the SRC.

Results Reviewed and Approved by:

Robert Millar  
Assistant Research Scientist



SRC Geoanalytical Laboratories

125 - 15 Innovation Blvd., Saskatoon, Saskatchewan, S7N 2X8  
 Tel: (306) 933-8118 Fax: (306) 933-5656 Email: geolab@src.sk.ca

Report No: 07-1039

IOS Services Geoscientifiques Inc.

Attention: Rejean Girard  
 PO #/Project: Project:592  
 Samples: 47

Date of Report: September 25, 2007

ICP4.3 Aqua Regia Digestion

Column Header Details

Silver in ppm (Ag)  
 Arsenic in ppm (As)  
 Bismuth in ppm (Bi)  
 Cobalt in ppm (Co)  
 Copper in ppm (Cu)

Germanium in ppm (Ge)  
 Mercury in ppm (Hg)  
 Molybdenum in ppm (Mo)  
 Nickel in ppm (Ni)  
 Lead in ppm (Pb)

Antimony in ppm (Sb)  
 Selenium in ppm (Se)  
 Tellurium in ppm (Te)  
 Uranium in ppm (U, ICP)  
 Vanadium in ppm (V)

Zinc in ppm (Zn)

Sample Number	Ag ppm	As ppm	Bi ppm	Co ppm	Cu ppm	Ge ppm	Hg ppm	Mo ppm	Ni ppm	Pb ppm	Sb ppm	Se ppm	Te ppm	U, ICP ppm	V ppm	Zn ppm
CG515/LS4	<0.1	13.7	1.6	40.0	50.4	<0.2	<0.2	13.0	49.6	23.2	<1	<0.2	<0.2	35.9	101	215
5929037	<0.1	3.1	1.1	0.8	1.7	<0.2	<0.2	1.1	4.3	29.9	<1	<0.2	<0.2	82.9	11.6	14.7
5929038	<0.1	0.8	2.4	1.0	1.6	<0.2	<0.2	1.0	4.1	117	<1	<0.2	<0.2	125	17.7	17.7
5929039	<0.1	2.0	1.3	0.6	1.5	<0.2	<0.2	1.0	4.2	33.1	<1	<0.2	<0.2	19.8	4.7	7.8
5929040	<0.1	1.2	1.6	0.7	1.6	<0.2	<0.2	0.7	2.6	80.5	<1	<0.2	<0.2	194	16.7	12.5
5929041	<0.1	1.5	1.6	0.6	1.4	<0.2	<0.2	1.0	3.8	66.6	<1	<0.2	<0.2	92.6	4.7	7.3
5929042	<0.1	2.0	1.7	0.8	4.6	<0.2	<0.2	0.7	3.5	45.6	<1	<0.2	<0.2	89.6	7.8	11.7
5929043	<0.1	2.4	1.8	0.8	3.1	<0.2	<0.2	0.7	4.4	24.6	<1	<0.2	<0.2	122	2.6	8.4
5929046	2.9	2.4	2.0	8.2	29.7	<0.2	<0.2	74.8	11.6	96.4	<1	<0.2	0.2	81.8	6.6	19.7
5929047	0.7	1.1	3.8	6.2	5.8	<0.2	<0.2	58.5	5.8	103	<1	<0.2	1.7	169	15.5	39.8
5929048	0.4	2.8	3.4	13.0	5.7	<0.2	<0.2	225	8.5	96.3	<1	<0.2	1.3	231	15.9	34.6
5929113	1.2	3.4	1.4	18.3	4.1	<0.2	<0.2	35.6	13.1	66.6	2.4	<0.2	0.3	87.8	6.7	16.6
5929114	1.6	6.8	1.2	33.7	5.1	<0.2	<0.2	17.6	17.8	80.6	4.5	<0.2	<0.2	87.1	11.7	35.0
5929116	1.4	2.2	1.7	20.5	6.4	<0.2	<0.2	35.7	10.5	77.1	3.4	<0.2	0.8	102	10.9	32.3
5929117	<0.1	1.4	0.7	1.0	1.6	<0.2	<0.2	15.7	2.8	26.0	<1	<0.2	0.4	17.4	4.4	19.1
5929118	0.6	3.4	1.9	16.6	4.0	<0.2	<0.2	20.7	8.3	103	2.6	<0.2	0.5	150	12.1	28.1
5929151	<0.1	0.4	1.4	0.9	2.5	<0.2	<0.2	4.8	3.3	23.6	<1	<0.2	0.3	37.4	4.0	14.5
5929152	<0.1	0.6	0.9	0.6	1.0	<0.2	<0.2	1.6	1.7	39.7	<1	<0.2	<0.2	30.8	4.5	8.5
5929153	<0.1	3.6	5.9	1.7	27.4	<0.2	<0.2	573	6.3	681	<1	<0.2	3.6	301	10.2	63.9
5929154	<0.1	1.4	1.1	1.0	29.5	<0.2	<0.2	177	4.8	171	<1	<0.2	1.0	118	5.3	14.1

SRC Geoanalytical Laboratories

125 - 15 Innovation Blvd., Saskatoon, Saskatchewan, S7N 2X8  
 Tel: (306) 933-8118 Fax: (306) 933-5656 Email: geolab@src.sk.ca

Report No: 07-1039

IOS Services Geoscientifiques Inc.  
 Attention: Rejean Girard  
 PO #/Project: Project:592  
 Samples: 47

Date of Report: September 25, 2007

ICP4.3 Aqua Regia Digestion

Sample Number	Ag ppm	As ppm	Bi ppm	Co ppm	Cu ppm	Ge ppm	Hg ppm	Mo ppm	Ni ppm	Pb ppm	Sb ppm	Se ppm	Te ppm	U, ICP ppm	V ppm	Zn ppm
CG515/LS4	<0.1	13.0	1.9	40.2	51.3	<0.2	<0.2	17.2	51.4	24.6	<1	<0.2	<0.2	37.4	102	214
5929155	<0.1	0.6	1.2	1.0	1.6	<0.2	<0.2	3.1	3.2	37.9	<1	<0.2	0.6	41.1	5.8	17.5
5929156	<0.1	0.4	0.9	0.7	1.6	<0.2	<0.2	3.1	3.4	14.3	<1	<0.2	<0.2	14.3	3.0	7.7
5929157	<0.1	0.7	1.2	0.7	5.9	<0.2	<0.2	9.3	3.7	39.0	<1	<0.2	0.4	22.6	2.3	18.3
5929158	<0.1	1.6	1.6	1.1	5.1	<0.2	<0.2	38.7	3.5	102	<1	<0.2	0.5	176	5.1	17.8
5929416	<0.1	1.9	4.0	1.2	4.0	0.2	<0.2	112	5.5	88.0	<1	<0.2	2.3	68.6	28.7	33.0
5929417	<0.1	1.1	1.7	6.9	50.8	<0.2	<0.2	22.3	12.1	66.3	<1	<0.2	1.5	146	17.9	28.6
5929418	<0.1	2.7	5.5	2.8	9.5	0.3	<0.2	147	2.0	38.0	<1	<0.2	5.9	27.2	57.4	78.8
5929419	<0.1	4.3	6.5	4.3	2.4	<0.2	<0.2	453	3.0	67.0	<1	<0.2	7.4	106	67.7	113
5929422	<0.1	1.6	7.1	4.0	3.9	<0.2	<0.2	7.4	8.9	38.8	<1	<0.2	3.3	121	23.6	30.6
5929423	<0.1	1.4	6.0	2.2	4.4	<0.2	<0.2	27.4	7.2	19.2	<1	<0.2	2.1	81.7	13.5	16.8
5929424	<0.1	1.6	8.9	8.5	6.6	<0.2	<0.2	5.6	10.5	73.2	<1	<0.2	8.7	18.7	64.6	98.5
5929425	<0.1	3.1	5.6	27.6	165	2.5	<0.2	3.4	17.9	58.2	<1	<0.2	12.7	101	372	175
5929426	<0.1	3.1	7.0	4.0	14.2	<0.2	<0.2	575	7.7	381	<1	<0.2	4.6	896	46.4	43.7
5929427	<0.1	2.6	7.1	4.6	17.4	<0.2	<0.2	416	8.4	247	<1	<0.2	5.2	434	82.2	85.1
5929432	<0.1	0.8	0.8	0.7	1.3	<0.2	<0.2	5.6	2.5	39.9	<1	<0.2	<0.2	51.2	4.1	14.2
5929433	<0.1	2.8	5.8	3.0	36.9	<0.2	<0.2	3.0	2.1	65.9	<1	<0.2	5.0	89.7	18.6	101
5929434	<0.1	0.8	2.9	1.9	2.3	<0.2	<0.2	1.3	3.1	69.7	<1	<0.2	<0.2	141	27.7	21.2
5929435	<0.1	<0.2	3.6	2.7	1.4	0.2	<0.2	1.0	3.0	63.1	<1	<0.2	<0.2	132	47.9	17.2
5929427 R	<0.1	2.8	6.9	4.8	18.1	<0.2	<0.2	410	8.4	253	<1	<0.2	5.2	456	83.7	84.6
CG515/LS4	<0.1	13.9	2.0	41.5	51.7	<0.2	<0.2	15.1	50.9	24.4	<1	<0.2	<0.2	37.5	104	220
5929436	<0.1	0.9	0.6	0.7	1.7	<0.2	<0.2	2.3	2.2	6.85	<1	<0.2	<0.2	10.3	4.3	8.8
5929528	<0.1	1.2	3.8	1.4	2.2	<0.2	<0.2	139	4.1	149	<1	<0.2	1.1	207	15.4	30.7
5929568	<0.1	<0.2	3.1	1.2	4.0	<0.2	<0.2	38.8	4.7	141	<1	<0.2	2.9	278	11.8	36.8
5929569	<0.1	1.2	2.3	0.7	2.3	<0.2	<0.2	39.3	4.1	41.7	<1	<0.2	2.3	94.3	6.7	25.7
5929570	<0.1	<0.2	4.5	4.5	2.1	<0.2	<0.2	30.8	2.4	86.9	<1	<0.2	8.4	164	42.4	144
5929528 R	<0.1	1.2	3.6	1.4	2.4	<0.2	<0.2	133	4.5	145	<1	<0.2	1.3	202	15.0	30.4

Aqua Regia: A 0.5 g pulp is digested with 2.00 ml of 3:1 HCL:HNO3 for 1 hour at 95 C.  
 The standard is LS4.

**SRC Geoanalytical Laboratories**

125 - 15 Innovation Blvd., Saskatoon, Saskatchewan, S7N 2X8  
Tel: (306) 933-8118 Fax: (306) 933-5656 Email: geolab@src.sk.ca

Report No: 07-1039

**IOS Services Geoscientifiques Inc.**

Attention: Rejean Girard  
PO #/Project: Project:592  
Samples: 47

Date of Report: September 25, 2007

**ICP4.3 Total Digestion**

Column Header Details

Silver in ppm (Ag)  
Aluminum in wt % (Al<sub>2</sub>O<sub>3</sub>)  
Barium in ppm (Ba)  
Beryllium in ppm (Be)  
Calcium in wt % (CaO)

Cadmium in ppm (Cd)  
Cerium in ppm (Ce)  
Cobalt in ppm (Co)  
Chromium in ppm (Cr)  
Copper in ppm (Cu)

Dysprnosium in ppm (Dy)  
Erbium in ppm (Er)  
Europium in ppm (Eu)  
Iron in wt % (Fe<sub>2</sub>O<sub>3</sub>)  
Gallium in ppm (Ga)

Gadolinium in ppm (Gd)  
Hafnium in ppm (Hf)  
Holmium in ppm (Ho)  
Potassium in wt % (K<sub>2</sub>O)  
Lanthanum in ppm (La)

Lithium in ppm (Li)  
Magnesium in wt % (MgO)  
Manganese in wt % (MnO)  
Molybdenum in ppm (Mo)  
Sodium in wt % (Na<sub>2</sub>O)

Niobium in ppm (Nb)  
Neodymium in ppm (Nd)  
Nickel in ppm (Ni)  
Phosphorus in wt % (P<sub>2</sub>O<sub>5</sub>)  
Lead in ppm (Pb)

Praseodymium in ppm (Pr)  
Scandium in ppm (Sc)  
Samarium in ppm (Sm)  
Tin in ppm (Sn)  
Strontium in ppm (Sr)

Tantalum in ppm (Ta)  
Terbium in ppm (Tb)  
Thorium in ppm (Th)  
Titanium in wt % (TiO<sub>2</sub>)  
Uranium in ppm (U, ICP)



**IOS Services Geoscientifiques Inc.**

Attention: Rejean Girard  
PO #/Project: Project:592  
Samples: 47

**SRC Geoanalytical Laboratories**

125 - 15 Innovation Blvd., Saskatoon, Saskatchewan, S7N 2X8  
Tel: (306) 933-8118 Fax: (306) 933-5656 Email: geolab@src.sk.ca

Report No: 07-1039

Date of Report: September 25, 2007

**ICP4.3 Total Digestion**

Column Header Details

Vanadium in ppm (V)  
Tungsten in ppm (W)  
Yttrium in ppm (Y)  
Ytterbium in ppm (Yb)  
Zinc in ppm (Zn)

Zirconium in ppm (Zr)

SRC Geoanalytical Laboratories

125 - 15 Innovation Blvd., Saskatoon, Saskatchewan, S7N 2X8  
 Tel: (306) 933-8118 Fax: (306) 933-5656 Email: geolab@src.sk.ca

Report No: 07-1039

IOS Services Geoscientifiques Inc.  
 Attention: Rejean Girard  
 PO #/Project: Project:592  
 Samples: 47

Date of Report: September 25, 2007

ICP4.3 Total Digestion

Sample Number	Ag ppm	Al2O3 wt %	Ba ppm	Be ppm	CaO wt %	Cd ppm	Ce ppm	Co ppm	Cr ppm	Cu ppm	Dy ppm	Er ppm	Eu ppm	Fe2O3 wt %	Ga ppm	Gd ppm	Hf ppm
CG515/LS4	<0.2	17.5	2280	2.0	4.80	0.8	153	17	117	3	3.4	2.4	2.4	7.16	22	6.1	3.6
5929037	<0.2	10.8	126	0.9	0.92	0.7	32	<1	118	1	1.7	0.7	0.4	1.68	13	2.6	2.5
5929038	<0.2	10.6	33	1.6	1.90	0.7	53	<1	146	1	4.6	2.3	0.5	2.86	15	4.3	12.3
5929039	<0.2	11.5	110	1.3	1.77	0.8	4	<1	147	1	1.2	0.7	0.3	0.97	12	1.0	5.6
5929040	<0.2	8.88	376	0.5	0.72	0.6	28	1	90	1	2.7	1.3	0.3	1.13	8	2.7	7.9
5929041	<0.2	15.1	15	2.3	2.72	1.0	24	<1	167	1	3.3	1.6	0.4	1.07	18	3.1	6.2
5929042	<0.2	13.7	112	1.7	1.61	0.9	14	<1	135	4	2.8	1.3	0.5	1.22	16	2.7	4.0
5929043	<0.2	16.8	109	2.1	2.26	1.2	21	<1	150	3	4.0	2.1	0.6	0.99	17	3.4	18.6
5929046	20.3	9.41	296	1.2	1.25	6.6	5	8	79	30	0.8	0.2	0.5	1.11	10	0.7	12.5
5929047	0.9	10.4	167	1.1	1.66	0.8	4	7	89	6	1.0	0.4	0.6	1.34	12	0.8	17.4
5929048	0.6	7.16	61	0.8	1.22	0.6	3	13	156	6	1.0	<0.2	0.4	1.38	8	1.0	8.5
5929113	2.7	9.40	1170	<0.2	0.13	1.4	4	19	293	4	0.8	0.3	0.8	0.89	7	1.1	2.4
5929114	2.8	9.24	903	0.2	0.46	1.3	4	33	263	5	0.9	0.5	0.7	1.20	8	1.1	9.2
5929116	1.6	11.6	883	0.4	0.90	1.3	6	20	225	6	0.9	0.4	0.8	1.34	11	1.1	1.5
5929117	<0.2	10.0	929	0.2	0.41	0.8	3	<1	111	2	0.3	<0.2	0.7	0.64	8	<0.5	<0.5
5929118	1.0	13.6	779	0.6	1.80	1.3	13	16	141	4	1.5	0.6	1.0	1.09	13	1.4	5.0
5929151	<0.2	12.6	18	1.7	2.28	0.9	25	<1	154	2	1.4	0.6	0.4	1.16	15	2.1	4.7
5929152	<0.2	12.5	167	1.1	1.52	0.8	41	<1	134	1	1.3	0.7	0.4	1.13	13	1.7	8.7
5929153	0.2	1.32	61	<0.2	0.03	<0.2	6	<1	178	28	5.2	2.1	<0.2	2.41	<1	3.6	18.6
5929154	<0.2	4.49	153	0.4	0.42	0.2	1	1	108	31	0.7	0.2	<0.2	1.22	5	0.7	1.0
CG515/LS4	<0.2	17.1	2190	1.9	4.66	1.0	150	16	111	3	3.3	2.5	2.4	6.95	21	6.1	3.7
5929155	<0.2	10.0	262	0.7	1.20	0.7	25	1	107	1	1.0	0.6	0.3	1.17	10	1.2	15.2
5929156	<0.2	11.5	297	1.0	1.41	0.9	49	<1	130	1	1.2	0.4	0.4	0.88	11	2.5	0.6
5929157	<0.2	11.0	488	0.6	0.85	0.8	5	<1	164	5	0.7	0.3	0.4	0.62	9	0.7	2.4
5929158	<0.2	12.7	485	0.9	1.35	0.8	13	1	151	5	1.9	0.8	0.5	1.01	11	1.8	2.5
5929416	<0.2	7.88	138	1.5	0.67	0.5	5	<1	95	4	0.6	0.4	0.3	1.22	11	0.8	3.0
5929417	<0.2	11.1	258	3.1	1.63	0.7	3	7	101	52	2.3	1.6	0.5	1.92	15	1.6	2.9
5929418	0.2	9.78	325	0.9	0.52	0.5	1	2	144	9	0.7	0.6	0.4	4.68	20	0.8	3.1
5929419	0.4	4.92	141	0.3	0.19	<0.2	5	4	157	2	1.2	0.5	0.2	5.13	12	1.6	5.3
5929422	<0.2	1.25	70	<0.2	0.07	<0.2	6	4	151	4	0.8	<0.2	<0.2	1.38	3	1.0	23.2
5929423	0.4	7.66	848	<0.2	0.15	0.4	12	2	229	4	1.1	<0.2	0.5	1.22	6	1.8	16.6
5929424	<0.2	17.7	257	1.6	3.73	1.0	502	9	120	6	4.2	2.0	1.0	4.91	26	12.2	25.4
5929425	1.0	10.6	364	0.3	1.39	0.4	11	28	86	170	0.6	0.9	0.6	9.12	25	1.4	20.3
5929426	<0.2	3.51	71	0.2	0.24	<0.2	22	4	172	15	4.2	1.1	0.2	2.28	2	4.1	10.9
5929427	<0.2	9.30	280	0.5	1.20	0.3	13	4	190	18	1.7	<0.2	0.4	3.70	11	2.0	17.1
5929432	<0.2	10.2	306	0.6	0.61	0.7	28	<1	114	2	1.2	0.6	0.3	0.93	9	1.7	3.5
5929433	0.3	8.69	81	0.5	0.76	0.4	15	3	107	39	2.4	1.4	0.3	5.03	17	2.6	18.1
5929434	<0.2	12.6	162	1.1	1.05	0.7	42	2	117	2	5.1	2.5	0.7	6.34	21	5.4	8.1
5929435	<0.2	12.8	132	1.2	1.23	0.4	94	3	120	2	5.6	3.0	0.8	11.2	30	7.0	7.4
5929427 R	0.2	9.41	288	0.7	1.23	0.4	14	4	197	19	1.9	0.2	0.6	3.80	12	2.1	16.0

**SRC Geoanalytical Laboratories**

125 - 15 Innovation Blvd., Saskatoon, Saskatchewan, S7N 2X8  
 Tel: (306) 933-8118 Fax: (306) 933-5656 Email: geolab@src.sk.ca

Report No: 07-1039

**IOS Services Geoscientifiques Inc.**

Attention: Rejean Girard  
 PO #/Project: Project:592  
 Samples: 47

Date of Report: September 25, 2007

**ICP4.3 Total Digestion**

Sample Number	Ag ppm	Al2O3 wt %	Ba ppm	Be ppm	CaO wt %	Cd ppm	Ce ppm	Co ppm	Cr ppm	Cu ppm	Dy ppm	Er ppm	Eu ppm	Fe2O3 wt %	Ga ppm	Gd ppm	Hf ppm
CG515/LS4	<0.2	16.9	2210	1.9	4.63	0.9	150	16	125	3	3.2	2.3	2.4	7.25	21	5.9	4.1
5929436	<0.2	10.3	287	0.7	0.67	0.7	5	<1	156	1	0.3	<0.2	0.2	0.96	10	0.6	<0.5
5929528	<0.2	7.63	63	0.8	1.37	0.4	3	1	178	2	1.5	<0.2	0.4	1.33	8	1.4	9.1
5929568	<0.2	12.4	62	1.5	1.67	0.8	361	1	151	4	17.4	9.5	0.6	1.90	16	26.1	15.1
5929569	<0.2	9.18	127	0.9	0.76	0.7	98	<1	210	2	4.8	3.0	0.3	1.57	11	6.8	15.2
5929570	<0.2	17.5	96	2.1	2.14	1.0	517	4	47	2	32.7	20.7	0.8	8.02	34	41.0	4.0
5929528 R	0.3	7.44	71	0.8	1.35	0.6	4	1	175	2	1.5	0.4	0.4	1.30	8	1.3	8.5



SRC Geoanalytical Laboratories

125 - 15 Innovation Blvd., Saskatoon, Saskatchewan, S7N 2X8  
 Tel: (306) 933-8118 Fax: (306) 933-5656 Email: geolab@src.sk.ca

Report No: 07-1039

IOS Services Geoscientifiques Inc.

Attention: Rejean Girard  
 PO #/Project: Project:592  
 Samples: 47

Date of Report: September 25, 2007

ICP4.3 Total Digestion

Sample Number	Ho ppm	K2O wt %	La ppm	Li ppm	MgO wt %	MnO wt %	Mo ppm	Na2O wt %	Nb ppm	Nd ppm	Ni ppm	P2O5 wt %	Pb ppm	Pr ppm	Sc ppm	Sm ppm	Sn ppm
CG515/LS4	1.0	3.16	86	28	2.88	0.075	<1	3.33	7	60	25	0.686	18	15	12	8.9	4
5929037	<0.4	3.93	13	9	0.114	0.011	1	2.85	<1	12	4	0.032	42	3	<1	3.3	<1
5929038	0.7	0.559	18	5	0.114	0.018	1	3.98	<1	17	4	0.043	118	4	<1	4.5	<1
5929039	<0.4	1.81	1	5	0.096	0.008	1	3.64	<1	1	4	0.024	45	<1	<1	1.1	<1
5929040	<0.4	3.95	11	4	0.069	0.007	<1	1.98	<1	10	2	0.019	80	3	<1	2.7	<1
5929041	<0.4	0.629	12	9	0.098	0.009	1	5.78	<1	11	4	0.032	77	3	<1	3.1	<1
5929042	<0.4	3.03	4	15	0.162	0.013	<1	4.21	<1	6	4	0.035	59	1	<1	2.4	<1
5929043	0.7	2.79	5	16	0.236	0.014	1	5.35	<1	8	4	0.028	43	2	<1	2.9	<1
5929046	<0.4	2.14	2	7	0.188	0.007	76	2.63	1	2	13	0.031	97	<1	1	0.8	<1
5929047	<0.4	1.39	2	15	0.390	0.016	59	3.19	4	1	6	0.026	107	<1	3	0.8	<1
5929048	<0.4	0.846	1	12	0.397	0.015	230	2.16	3	1	9	0.020	100	<1	2	0.7	<1
5929113	<0.4	6.24	2	5	0.199	0.005	37	1.14	<1	1	14	0.033	102	<1	1	0.7	<1
5929114	<0.4	4.26	2	11	0.309	0.007	18	1.55	2	1	21	0.028	112	<1	2	0.6	<1
5929116	<0.4	5.02	4	12	0.384	0.008	37	2.11	3	2	11	0.045	107	<1	3	1.0	<1
5929117	<0.4	5.85	2	6	0.190	0.004	16	1.44	<1	1	2	0.022	64	<1	1	<0.5	<1
5929118	<0.4	4.46	8	13	0.305	0.010	22	3.05	1	4	9	0.042	136	1	2	1.3	<1
5929151	<0.4	0.718	13	13	0.190	0.012	4	4.66	<1	12	3	0.030	33	3	<1	3.0	<1
5929152	<0.4	3.47	13	5	0.079	0.007	2	3.79	<1	9	2	0.031	57	2	<1	2.4	<1
5929153	0.4	0.792	<1	9	0.534	0.021	580	0.03	5	4	7	0.022	690	<1	3	2.4	1
5929154	<0.4	1.16	<1	6	0.257	0.008	181	1.29	1	1	5	0.015	173	<1	1	0.6	<1
CG515/LS4	1.1	3.08	80	27	2.77	0.073	1	3.24	8	59	23	0.662	18	15	12	8.7	3
5929155	<0.4	2.77	11	10	0.145	0.010	3	2.92	<1	7	3	0.039	44	2	1	1.7	<1
5929156	<0.4	2.83	30	5	0.120	0.009	3	3.48	<1	20	3	0.028	29	6	<1	3.8	<1
5929157	<0.4	4.72	2	5	0.131	0.006	10	2.70	<1	2	4	0.022	49	<1	<1	0.7	<1
5929158	<0.4	4.13	6	11	0.253	0.012	40	3.46	<1	5	3	0.050	112	1	1	1.7	<1
5929416	<0.4	2.68	2	9	0.352	0.023	115	2.02	12	2	6	0.023	90	<1	5	0.7	<1
5929417	0.4	2.56	1	7	0.389	0.022	23	2.97	12	2	13	0.032	68	<1	3	1.3	<1
5929418	<0.4	4.67	2	33	1.28	0.069	150	1.66	42	2	2	0.051	57	<1	11	<0.5	<1
5929419	<0.4	2.40	3	41	1.56	0.087	470	0.44	38	4	3	0.071	69	<1	12	1.1	1
5929422	<0.4	0.536	3	7	0.452	0.012	8	0.13	3	2	9	0.010	40	<1	2	<0.5	1
5929423	<0.4	5.06	3	7	0.335	0.012	28	1.10	2	5	8	0.018	32	1	1	1.2	<1
5929424	0.8	2.09	265	35	1.68	0.063	6	4.85	13	161	12	0.190	84	48	8	19.6	<1
5929425	0.4	3.23	7	45	2.86	0.071	3	1.62	45	8	18	0.067	58	<1	22	1.4	<1
5929426	<0.4	1.18	9	15	0.690	0.014	580	0.61	10	12	8	0.024	390	3	4	3.5	<1
5929427	<0.4	2.02	7	25	1.30	0.035	430	2.10	5	6	8	0.036	250	1	7	1.2	<1
5929432	<0.4	4.96	12	3	0.079	0.006	6	2.34	<1	9	2	0.028	52	2	<1	2.1	<1
5929433	<0.4	3.55	5	74	1.39	0.065	4	1.76	10	8	2	0.146	73	1	9	2.3	<1
5929434	0.7	4.38	24	9	0.125	0.028	1	3.43	<1	22	3	0.052	86	5	1	5.2	<1
5929435	0.9	4.33	48	8	0.110	0.088	1	3.41	3	40	3	0.081	88	10	4	8.6	2
5929427 R	<0.4	2.11	8	27	1.32	0.037	441	2.19	6	7	9	0.038	260	1	8	1.8	<1

**SRC Geoanalytical Laboratories**

125 - 15 Innovation Blvd., Saskatoon, Saskatchewan, S7N 2X8  
 Tel: (306) 933-8118 Fax: (306) 933-5656 Email: geolab@src.sk.ca

Report No: 07-1039

**IOS Services Geoscientifiques Inc.**

Attention: Rejean Girard  
 PO #/Project: Project:592  
 Samples: 47

Date of Report: September 25, 2007

**ICP4.3 Total Digestion**

Sample Number	Ho ppm	K2O wt %	La ppm	Li ppm	MgO wt %	MnO wt %	Mo ppm	Na2O wt %	Nb ppm	Nd ppm	Ni ppm	P2O5 wt %	Pb ppm	Pr ppm	Sc ppm	Sm ppm	Sn ppm
CG515/LS4	1.0	3.12	82	27	2.79	0.073	<1	3.25	9	59	22	0.671	17	15	12	8.7	3
5929436	<0.4	5.04	2	8	0.126	0.007	2	2.21	<1	2	2	0.020	25	<1	<1	0.6	<1
5929528	<0.4	0.843	2	11	0.370	0.015	144	2.30	3	2	3	0.020	152	<1	2	1.1	<1
5929568	3.6	1.78	181	43	0.677	0.030	40	3.86	7	144	3	0.093	159	39	6	28.7	<1
5929569	1.0	3.36	49	25	0.404	0.028	40	2.35	6	38	2	0.044	63	10	4	7.5	<1
5929570	7.4	3.69	267	100	2.68	0.125	41	4.38	34	210	1	0.223	101	57	26	42.4	3
5929528 R	<0.4	0.827	2	11	0.362	0.014	148	2.28	3	1	4	0.018	149	<1	2	0.8	<1

SRC Geoanalytical Laboratories

125 - 15 Innovation Blvd., Saskatoon, Saskatchewan, S7N 2X8  
 Tel: (306) 933-8118 Fax: (306) 933-5656 Email: geolab@src.sk.ca

Report No: 07-1039

IOS Services Geoscientifiques Inc.  
 Attention: Rejean Girard  
 PO #/Project: Project:592  
 Samples: 47

Date of Report: September 25, 2007

ICP4.3 Total Digestion

Sample Number	Sr ppm	Ta ppm	Tb ppm	Th ppm	TiO2 wt %	U, ICP ppm	V ppm	W ppm	Y ppm	Yb ppm	Zn ppm	Zr ppm
CG515/LS4	1190	<1	<0.3	12	0.978	<2	127	2	21	1.8	91	154
5929037	73	<1	<0.3	70	0.060	85	19	1	7	0.6	19	70
5929038	110	<1	0.5	230	0.075	130	26	9	17	2.4	27	363
5929039	116	<1	<0.3	66	0.040	19	13	10	5	0.8	14	158
5929040	112	<1	<0.3	126	0.034	197	20	2	11	1.3	12	224
5929041	105	<1	<0.3	218	0.038	94	16	11	16	1.7	17	191
5929042	105	<1	<0.3	207	0.048	89	18	8	14	1.4	20	105
5929043	127	<1	<0.3	188	0.027	124	15	10	21	2.6	18	530
5929046	134	<1	<0.3	139	0.077	82	13	43	5	0.7	22	410
5929047	152	<1	<0.3	323	0.186	170	22	43	6	0.9	40	580
5929048	101	<1	<0.3	366	0.165	237	23	142	5	0.5	36	291
5929113	146	<1	<0.3	93	0.070	89	14	159	5	0.5	17	80
5929114	144	<1	<0.3	95	0.107	87	22	328	5	0.8	37	281
5929116	173	<1	<0.3	77	0.149	105	20	208	4	0.4	35	51
5929117	155	<1	<0.3	13	0.074	18	12	2	1	0.1	19	9
5929118	207	<1	<0.3	207	0.129	155	23	178	8	0.8	34	160
5929151	106	<1	<0.3	61	0.074	39	13	3	7	0.6	20	125
5929152	115	<1	<0.3	100	0.041	31	13	1	6	1.0	15	253
5929153	3	1	1.6	671	0.283	326	13	<1	18	2.2	65	543
5929154	62	<1	<0.3	99	0.098	147	11	3	3	0.3	19	31
CG515/LS4	1150	<1	<0.3	13	0.980	<2	127	2	20	1.8	87	140
5929155	121	<1	<0.3	58	0.080	42	12	1	5	1.0	19	444
5929156	138	<1	<0.3	87	0.039	15	12	2	6	0.3	14	19
5929157	132	<1	<0.3	64	0.050	23	11	2	3	0.4	18	64
5929158	157	<1	<0.3	79	0.108	180	16	4	8	0.7	23	75
5929416	57	1	<0.3	176	0.178	70	29	4	4	0.5	34	81
5929417	101	1	<0.3	62	0.203	148	26	<1	16	2.2	30	63
5929418	78	1	<0.3	183	0.738	28	69	1	7	0.9	82	55
5929419	26	2	<0.3	463	0.803	117	71	<1	9	0.9	117	115
5929422	8	<1	1.2	603	0.182	122	18	<1	5	0.8	32	855
5929423	116	<1	0.4	520	0.118	85	19	<1	7	0.8	17	550
5929424	267	1	1.4	769	0.750	22	76	<1	18	1.5	102	900
5929425	77	2	<0.3	66	1.44	102	317	<1	8	1.6	180	686
5929426	19	1	1.0	751	0.310	913	53	<1	17	1.6	44	368
5929427	100	<1	<0.3	730	0.502	460	100	1	7	0.8	90	510
5929432	61	<1	<0.3	75	0.044	52	11	<1	5	0.6	18	104
5929433	36	<1	0.4	211	0.609	92	20	<1	14	1.6	102	544
5929434	89	<1	0.4	359	0.110	148	36	<1	29	2.8	37	234
5929435	93	<1	0.6	373	0.281	150	64	1	32	3.4	56	200
5929427 R	103	1	0.4	738	0.508	464	102	2	10	1.2	87	516



**SRC Geoanalytical Laboratories**

Report No: 07-1039

**IOS Services Geoscientifiques Inc.**

125 - 15 Innovation Blvd., Saskatoon, Saskatchewan, S7N 2X8  
 Tel: (306) 933-8118 Fax: (306) 933-5656 Email: geolab@src.sk.ca

Attention: Rejean Girard  
 PO #/Project: Project:592  
 Samples: 47

Date of Report: September 25, 2007

**ICP4.3 Total Digestion**

Sample Number	Sr ppm	Ta ppm	Tb ppm	Th ppm	TiO2 wt %	U, ICP ppm	V ppm	W ppm	Y ppm	Yb ppm	Zn ppm	Zr ppm
CG515/LS4	1150	<1	<0.3	13	1.03	<2	134	<1	21	1.8	86	143
5929436	97	<1	<0.3	14	0.033	11	11	2	1	0.2	12	9
5929528	110	<1	<0.3	521	0.178	224	23	<1	8	0.8	36	313
5929568	82	<1	3.3	212	0.260	295	23	<1	95	9.6	46	407
5929569	56	<1	0.9	82	0.196	101	13	<1	28	3.4	30	412
5929570	99	3	5.2	254	1.14	170	57	<1	206	20.7	163	91
5929528 R	106	<1	<0.3	509	0.171	217	22	<1	8	0.7	34	310

Total Digestion: A 0.125 g pulp is gently heated in a mixture of HF/HNO3/HClO4 until dry and the residue is dissolved in dilute HNO3.  
 The standard is CG515.

SRC Geoanalytical Laboratories

Report No: 07-1039

IOS Services Geoscientifiques Inc.

125 - 15 Innovation Blvd., Saskatoon, Saskatchewan, S7N 2X8  
 Tel: (306) 933-8118 Fax: (306) 933-5656 Email: geolab@src.sk.ca

Attention: Rejean Girard  
 PO #/Project: Project:592  
 Samples: 28

Date of Report: September 25, 2007

ICP4.3 Aqua Regia Digestion

Column Header Details

Silver in ppm (Ag)  
 Arsenic in ppm (As)  
 Bismuth in ppm (Bi)  
 Cobalt in ppm (Co)  
 Copper in ppm (Cu)

Germanium in ppm (Ge)  
 Mercury in ppm (Hg)  
 Molybdenum in ppm (Mo)  
 Nickel in ppm (Ni)  
 Lead in ppm (Pb)

Antimony in ppm (Sb)  
 Selenium in ppm (Se)  
 Tellurium in ppm (Te)  
 Uranium in ppm (U, ICP)  
 Vanadium in ppm (V)

Zinc in ppm (Zn)

Sample Number	Ag ppm	As ppm	Bi ppm	Co ppm	Cu ppm	Ge ppm	Hg ppm	Mo ppm	Ni ppm	Pb ppm	Sb ppm	Se ppm	Te ppm	U, ICP ppm	V ppm	Zn ppm
CG515/LS4	<0.1	13.8	1.3	38.2	48.8	<0.2	<0.2	13.4	51.6	23.5	<1	<0.2	<0.2	36.4	110	199
5929044	<0.1	1.2	1.3	1.9	2.9	<0.2	<0.2	0.9	2.9	85.2	<1	<0.2	<0.2	173	28.3	14.6
5929045	1.1	0.9	1.7	13.4	4.2	<0.2	<0.2	51.2	7.6	103	<1	0.3	<0.2	153	5.8	14.1
5929110	<0.1	0.7	3.3	5.5	3.6	<0.2	<0.2	78.0	6.0	306	<1	<0.2	3.1	745	50.3	87.1
5929111	<0.1	0.9	2.1	1.3	3.2	<0.2	<0.2	43.1	3.3	176	<1	<0.2	0.3	190	7.9	18.1
5929112	<0.1	1.5	1.5	1.6	3.2	<0.2	<0.2	56.4	3.4	105	<1	<0.2	<0.2	195	9.0	21.8
5929115	<0.1	1.2	1.9	2.8	3.3	<0.2	<0.2	13.6	5.0	108	<1	<0.2	0.5	147	26.7	42.0
5929119	<0.1	0.8	1.8	0.6	3.3	<0.2	<0.2	207	2.1	251	<1	<0.2	<0.2	462	1.6	9.2
5929120	<0.1	1.0	2.3	1.2	5.5	<0.2	<0.2	99.1	2.9	363	<1	<0.2	0.6	796	14.9	37.5
5929221	<0.1	<0.2	4.8	0.4	13.6	<0.2	<0.2	116	1.8	370	<1	<0.2	6.3	620	17.9	39.6
5929222	<0.1	0.6	2.9	1.0	13.7	<0.2	<0.2	28.1	1.7	233	<1	<0.2	0.4	502	15.5	49.3
5929413	<0.1	0.7	4.7	3.7	2.1	<0.2	<0.2	1.4	3.1	135	<1	<0.2	4.6	241	12.3	116
5929414	<0.1	1.5	2.2	2.2	21.4	<0.2	<0.2	65.0	6.1	53.5	<1	<0.2	1.9	57.2	23.6	23.0
5929415	<0.1	0.9	4.7	0.6	19.6	<0.2	<0.2	6.0	3.5	129	<1	<0.2	2.1	88.3	21.8	21.6
5929421	<0.1	1.6	8.9	13.6	22.7	<0.2	<0.2	1.6	30.8	62.6	<1	<0.2	9.1	35.7	120	121
5929428	<0.1	2.1	3.7	7.6	72.4	<0.2	<0.2	142	6.6	138	<1	<0.2	3.2	97.2	65.5	52.4
5929429	<0.1	0.9	7.3	6.5	13.3	<0.2	<0.2	3.8	9.8	85.4	<1	<0.2	5.0	287	43.9	62.0
5929421 R	<0.1	1.4	8.2	14.6	22.5	<0.2	<0.2	1.4	32.2	64.7	<1	<0.2	8.2	36.2	122	119
CG515/LS4	<0.1	12.4	1.1	38.7	48.3	<0.2	<0.2	13.9	49.6	23.8	<1	<0.2	<0.2	32.6	105	207
5929224	<0.1	1.5	6.9	1.6	27.5	<0.2	<0.2	393	3.5	799	<1	0.6	0.8	1850	1.4	13.0

**SRC Geoanalytical Laboratories**

125 - 15 Innovation Blvd., Saskatoon, Saskatchewan, S7N 2X8  
 Tel: (306) 933-8118 Fax: (306) 933-5656 Email: geolab@src.sk.ca

Report No: 07-1039

**IOS Services Geoscientifiques Inc.**

Attention: Rejean Girard  
 PO #/Project: Project:592  
 Samples: 28

Date of Report: September 25, 2007

**ICP4.3 Aqua Regia Digestion**

Sample Number	Ag ppm	As ppm	Bi ppm	Co ppm	Cu ppm	Ge ppm	Hg ppm	Mo ppm	Ni ppm	Pb ppm	Sb ppm	Se ppm	Te ppm	U, ICP ppm	V ppm	Zn ppm
5929412	<0.1	0.3	3.0	13.2	3.6	<0.2	<0.2	4.4	8.6	303	<1	<0.2	5.1	791	12.5	48.4
5929420	<0.1	0.6	10.5	2.1	18.7	<0.2	<0.2	221	2.7	353	<1	<0.2	4.9	672	21.4	44.1
5929431	<0.1	1.4	11.1	5.0	68.4	0.3	<0.2	215	11.4	364	<1	<0.2	11.7	247	197	146
5929438	<0.1	0.5	2.8	4.3	8.7	<0.2	<0.2	2.4	3.3	834	<1	<0.2	0.2	2290	90.6	23.1
5929223	<0.1	12.3	8.2	1.4	14.4	<0.2	<0.2	390	9.3	1260	<1	<0.2	0.4	1650	12.0	30.6
5929430	<0.1	5.8	16.7	15.7	85.1	<0.2	<0.2	3970	14.5	881	<1	<0.2	21.0	380	212	233
5929437	<0.1	2.2	11.2	1.3	27.5	<0.2	<0.2	51.1	5.2	2020	<1	<0.2	4.5	5410	17.2	16.6
5929430 R	<0.1	6.2	14.3	16.3	86.0	<0.2	<0.2	4000	16.3	882	<1	<0.2	19.8	390	215	240

Aqua Regia: A 0.5 g pulp is digested with 2.00 ml of 3:1 HCL:HNO3 for 1 hour at 95 C.  
 The standard is LS4.



**SRC Geoanalytical Laboratories**

125 - 15 Innovation Blvd., Saskatoon, Saskatchewan, S7N 2X8  
Tel: (306) 933-8118 Fax: (306) 933-5656 Email: geolab@src.sk.ca

Report No: 07-1039

**IOS Services Geoscientifiques Inc.**

Attention: Rejean Girard  
PO #/Project: Project:592  
Samples: 28

Date of Report: September 25, 2007

**ICP4.3 Total Digestion**

Column Header Details

Silver in ppm (Ag)  
Aluminum in wt % (Al<sub>2</sub>O<sub>3</sub>)  
Barium in ppm (Ba)  
Beryllium in ppm (Be)  
Calcium in wt % (CaO)

Cadmium in ppm (Cd)  
Cerium in ppm (Ce)  
Cobalt in ppm (Co)  
Chromium in ppm (Cr)  
Copper in ppm (Cu)

Dysprnosium in ppm (Dy)  
Erbium in ppm (Er)  
Europium in ppm (Eu)  
Iron in wt % (Fe<sub>2</sub>O<sub>3</sub>)  
Gallium in ppm (Ga)

Gadolinium in ppm (Gd)  
Hafnium in ppm (Hf)  
Holmium in ppm (Ho)  
Potassium in wt % (K<sub>2</sub>O)  
Lanthanum in ppm (La)

Lithium in ppm (Li)  
Magnesium in wt % (MgO)  
Manganese in wt % (MnO)  
Molybdenum in ppm (Mo)  
Sodium in wt % (Na<sub>2</sub>O)

Niobium in ppm (Nb)  
Neodymium in ppm (Nd)  
Nickel in ppm (Ni)  
Phosphorus in wt % (P<sub>2</sub>O<sub>5</sub>)  
Lead in ppm (Pb)

Praseodymium in ppm (Pr)  
Scandium in ppm (Sc)  
Samarium in ppm (Sm)  
Tin in ppm (Sn)  
Strontium in ppm (Sr)

Tantalum in ppm (Ta)  
Terbium in ppm (Tb)  
Thorium in ppm (Th)  
Titanium in wt % (TiO<sub>2</sub>)  
Uranium in ppm (U, ICP)

**IOS Services Geoscientifiques Inc.**

Attention: Rejean Girard  
PO #/Project: Project:592  
Samples: 28

**SRC Geoanalytical Laboratories**

125 - 15 Innovation Blvd., Saskatoon, Saskatchewan, S7N 2X8  
Tel: (306) 933-8118 Fax: (306) 933-5656 Email: geolab@src.sk.ca

Report No: 07-1039

Date of Report: September 25, 2007

**ICP4.3 Total Digestion**

Column Header Details

Vanadium in ppm (V)  
Tungsten in ppm (W)  
Yttrium in ppm (Y)  
Ytterbium in ppm (Yb)  
Zinc in ppm (Zn)  
  
Zirconium in ppm (Zr)

**SRC Geoanalytical Laboratories**

125 - 15 Innovation Blvd., Saskatoon, Saskatchewan, S7N 2X8  
 Tel: (306) 933-8118 Fax: (306) 933-5656 Email: geolab@src.sk.ca

Report No: 07-1039

**IOS Services Geoscientifiques Inc.**

Attention: Rejean Girard  
 PO #/Project: Project:592  
 Samples: 28

Date of Report: September 25, 2007

**ICP4.3 Total Digestion**

Sample Number	Ag ppm	Al2O3 wt %	Ba ppm	Be ppm	CaO wt %	Cd ppm	Ce ppm	Co ppm	Cr ppm	Cu ppm	Dy ppm	Er ppm	Eu ppm	Fe2O3 wt %	Ga ppm	Gd ppm	Hf ppm
CG515/LS4	<0.2	17.1	2200	1.9	4.63	0.9	150	15	120	6	3.3	2.4	2.4	7.19	22	6.0	4.2
5929044	<0.2	11.7	124	1.2	1.57	0.5	52	1	139	2	3.7	1.8	0.5	5.90	18	4.5	4.5
5929045	3.4	10.8	1070	0.2	0.52	1.7	1	14	99	4	1.0	0.2	0.7	0.66	8	0.8	17.1
5929110	1.0	8.62	416	0.3	0.86	0.5	3	5	190	4	3.7	1.4	0.6	3.66	12	2.9	21.2
5929111	<0.2	12.8	632	0.6	1.83	0.9	26	2	170	3	2.4	1.0	0.9	0.83	11	2.4	9.3
5929112	<0.2	10.5	1220	<0.2	0.12	0.7	9	<1	146	3	1.6	0.6	0.8	1.02	8	1.4	3.7
5929115	0.2	11.8	970	0.3	0.79	0.8	5	2	124	4	1.3	0.8	0.9	1.77	12	1.1	16.9
5929119	<0.2	6.22	269	0.2	0.28	0.4	8	<1	183	3	5.8	2.3	0.3	0.64	3	4.6	1.1
5929120	<0.2	6.77	138	0.6	0.78	0.3	14	1	150	6	7.4	2.8	0.4	1.76	7	6.0	5.3
5929221	<0.2	17.0	132	2.1	1.62	1.0	1310	<1	94	14	52.2	25.0	1.1	2.53	24	96.0	8.5
5929222	<0.2	18.2	332	2.5	2.46	1.3	14	<1	77	15	7.4	3.2	0.8	1.95	20	6.1	3.1
5929413	<0.2	20.0	59	2.1	0.69	1.3	978	3	47	2	33.4	10.0	0.7	5.20	48	64.2	2.3
5929414	1.3	9.82	1380	<0.2	0.39	0.5	13	2	177	23	1.7	0.8	0.7	1.95	8	1.6	66.6
5929415	1.8	13.8	592	1.5	2.56	0.9	8	<1	180	21	2.0	0.7	0.6	1.50	15	1.4	109
5929421	0.9	10.1	323	<0.2	1.44	0.3	187	13	215	24	4.7	0.7	0.7	7.06	21	9.8	66.8
5929428	<0.2	19.6	189	1.8	4.80	1.2	10	8	169	78	1.3	0.3	0.9	4.36	23	1.6	17.3
5929429	3.9	12.0	1170	<0.2	0.90	0.5	10	7	131	14	3.7	1.2	0.6	3.48	13	2.9	229
5929421 R	0.8	9.92	313	<0.2	1.42	0.2	183	13	209	25	4.7	0.9	0.7	6.80	21	9.6	64.7
CG515/LS4	0.2	17.0	2220	1.9	4.64	0.8	150	18	123	3	3.3	2.4	2.5	7.21	22	6.1	4.2
5929224	<0.2	9.56	258	1.1	0.82	0.6	5	1	143	28	7.2	2.1	0.4	1.17	2	4.6	4.9
5929412	<0.2	18.4	264	2.1	1.76	1.1	601	13	64	4	30.9	17.2	1.0	5.05	33	39.9	4.5
5929420	<0.2	5.85	263	<0.2	0.22	0.2	10	1	159	20	4.3	<0.2	0.3	2.19	5	3.9	1.2
5929431	2.3	6.92	453	<0.2	0.07	<0.2	2	5	214	71	2.5	<0.2	<0.2	9.92	23	2.4	118
5929438	<0.2	6.21	36	0.7	1.14	<0.2	535	3	180	10	36.4	16.6	2.6	11.0	19	37.7	6.8
5929223	<0.2	5.86	416	0.2	0.88	0.3	24	<1	193	19	21.7	9.2	0.8	1.78	1	18.9	1.2
5929430	<0.2	14.5	1050	<0.2	0.38	0.5	<1	18	67	87	2.2	1.4	0.6	19.4	8	2.0	25.1
5929437	0.6	14.8	217	<0.2	2.44	0.6	32	<1	169	30	75.5	39.4	2.6	3.52	4	45.6	182
5929430 R	<0.2	14.4	1080	<0.2	0.38	0.4	<1	19	68	88	2.3	1.2	0.4	19.4	8	2.2	22.0



SRC Geoanalytical Laboratories

125 - 15 Innovation Blvd., Saskatoon, Saskatchewan, S7N 2X8  
 Tel: (306) 933-8118 Fax: (306) 933-5656 Email: geolab@src.sk.ca

Report No: 07-1039

IOS Services Geoscientifiques Inc.

Attention: Rejean Girard  
 PO #/Project: Project:592  
 Samples: 28

Date of Report: September 25, 2007

ICP4.3 Total Digestion

Sample Number	Ho ppm	K2O wt %	La ppm	Li ppm	MgO wt %	MnO wt %	Mo ppm	Na2O wt %	Nb ppm	Nd ppm	Ni ppm	P2O5 wt %	Pb ppm	Pr ppm	Sc ppm	Sm ppm	Sr ppm
CG515/LS4	1.1	3.20	82	28	2.82	0.073	<1	3.34	8	59	24	0.670	18	15	12	8.7	2
5929044	0.5	3.18	22	6	0.062	0.030	<1	3.35	<1	20	2	0.090	100	5	1	5.2	<1
5929045	<0.4	6.25	<1	7	0.172	0.007	52	1.97	<1	<1	8	0.023	128	<1	1	<0.5	<1
5929110	0.5	3.04	2	26	1.15	0.022	80	1.65	17	4	7	0.035	310	<1	10	1.8	<1
5929111	<0.4	3.60	14	12	0.266	0.010	46	3.13	1	9	3	0.036	201	2	2	2.2	<1
5929112	<0.4	7.36	5	9	0.317	0.007	57	1.35	2	2	4	0.034	146	<1	2	0.7	1
5929115	<0.4	5.42	3	18	0.560	0.013	14	2.25	5	2	6	0.036	140	<1	5	0.9	<1
5929119	0.7	4.12	1	6	0.122	0.010	210	0.97	1	6	2	0.150	252	1	1	3.0	<1
5929120	1.0	2.39	4	26	0.483	0.039	102	1.69	7	9	2	0.216	370	2	4	4.2	<1
5929221	9.8	4.30	633	81	0.710	0.058	120	5.07	18	539	3	0.292	374	147	11	114	<1
5929222	0.7	4.16	6	33	0.606	0.039	30	5.48	7	9	1	0.247	249	2	4	4.1	<1
5929413	5.6	5.27	487	174	1.55	0.070	2	1.96	27	366	4	0.239	182	102	20	82.6	8
5929414	<0.4	6.35	3	10	0.593	0.018	83	1.19	5	5	7	0.033	83	1	3	1.3	<1
5929415	<0.4	2.78	<1	9	0.501	0.016	7	3.54	5	2	3	0.034	148	1	4	1.2	<1
5929421	<0.4	3.40	87	34	2.82	0.086	1	1.66	24	73	33	0.114	77	19	12	12.3	<1
5929428	<0.4	1.68	6	28	1.64	0.046	160	5.05	11	5	8	0.100	153	1	8	2.2	<1
5929429	<0.4	6.00	<1	32	1.22	0.045	4	1.97	10	4	9	0.039	126	1	7	1.7	<1
5929421 R	<0.4	3.35	84	33	2.73	0.083	2	1.61	23	72	34	0.114	76	19	11	12.2	<1
CG515/LS4	1.0	3.13	81	29	2.87	0.065	<1	3.32	8	60	23	0.665	17	15	12	8.7	4
5929224	0.6	3.54	<1	10	0.185	0.013	451	2.66	3	4	3	0.028	810	1	2	3.2	<1
5929412	6.4	4.00	312	51	1.45	0.069	5	2.89	16	232	7	0.207	310	65	16	43.8	1
5929420	<0.4	3.14	7	18	0.594	0.023	236	0.92	10	4	2	0.021	362	1	4	1.6	<1
5929431	<0.4	4.18	<1	55	3.72	0.078	220	0.18	48	3	12	0.062	373	<1	17	0.6	3
5929438	6.6	0.348	264	5	0.128	0.050	3	2.23	1	199	1	0.102	840	54	4	42.4	1
5929223	3.0	3.45	3	20	0.412	0.025	397	0.85	6	26	11	0.624	1300	5	3	13.8	<1
5929430	<0.4	8.36	5	91	6.72	0.196	5550	0.51	83	5	18	0.155	910	<1	33	0.6	4
5929437	14.0	2.08	<1	11	0.304	0.034	52	4.96	<1	33	5	0.052	2100	7	4	25.3	<1
5929430 R	<0.4	8.27	7	88	6.72	0.181	5370	0.51	83	6	21	0.153	890	<1	34	0.9	6

SRC Geoanalytical Laboratories

125 - 15 Innovation Blvd., Saskatoon, Saskatchewan, S7N 2X8  
 Tel: (306) 933-8118 Fax: (306) 933-5656 Email: geolab@src.sk.ca

Report No: 07-1039

IOS Services Geoscientifiques Inc.

Attention: Rejean Girard  
 PO #/Project: Project:592  
 Samples: 28

Date of Report: September 25, 2007

ICP4.3 Total Digestion

Sample Number	Sr ppm	Ta ppm	Tb ppm	Th ppm	TiO2 wt %	U, ICP ppm	V ppm	W ppm	Y ppm	Yb ppm	Zn ppm	Zr ppm
CG515/LS4	1180	1	<0.3	12	1.02	2	133	<1	20	1.8	87	139
5929044	100	<1	<0.3	261	0.131	196	34	<1	17	1.8	31	113
5929045	170	<1	<0.3	328	0.074	170	15	133	6	0.9	19	554
5929110	106	<1	0.6	417	0.588	832	57	<1	20	2.2	96	652
5929111	204	<1	<0.3	379	0.114	204	19	<1	13	1.2	28	297
5929112	162	<1	<0.3	225	0.132	220	19	<1	8	0.8	26	118
5929115	175	<1	<0.3	136	0.245	163	38	<1	8	1.2	49	506
5929119	50	<1	0.4	314	0.056	498	8	<1	25	2.4	12	31
5929120	53	1	0.7	314	0.206	879	20	1	33	3.1	43	164
5929221	93	2	11.6	895	0.370	683	36	1	240	22.2	51	222
5929222	184	<1	<0.3	482	0.228	583	32	<1	37	3.2	64	89
5929413	31	<1	7.9	390	0.728	372	26	4	126	5.2	144	55
5929414	167	1	2.8	546	0.229	78	30	<1	13	2.4	27	2340
5929415	196	<1	5.0	938	0.181	125	34	<1	16	3.6	30	4110
5929421	105	2	3.8	2000	1.06	74	126	<1	22	2.9	129	2390
5929428	287	<1	<0.3	689	0.554	122	81	1	9	1.2	69	558
5929429	188	<1	11.2	1810	0.544	401	52	<1	29	7.2	92	8150
5929421 R	103	1	3.6	1960	1.03	74	123	<1	22	2.8	125	2300
CG515/LS4	1200	<1	<0.3	15	1.03	2	134	<1	20	1.8	87	141
5929224	86	<1	0.5	693	0.078	2010	13	1	27	2.8	19	139
5929412	132	2	4.9	381	0.709	847	22	<1	177	16.3	74	116
5929420	63	<1	<0.3	2420	0.308	787	29	<1	22	1.6	46	20
5929431	28	2	5.6	2860	1.69	380	207	<1	17	4.2	164	4110
5929438	120	1	6.4	861	0.258	2700	94	<1	134	13.1	52	193
5929223	56	<1	3.1	961	0.209	1860	22	1	90	7.3	37	24
5929430	47	5	0.5	4070	3.18	573	308	2	12	<0.1	329	759
5929437	206	<1	18.0	1850	0.130	6240	38	<1	300	40.7	37	6420
5929430 R	49	4	0.7	4110	3.16	560	307	1	13	<0.1	333	750

Total Digestion: A 0.125 g pulp is gently heated in a mixture of HF/HNO3/HClO4 until dry and the residue is dissolved in dilute HNO3.  
 The standard is CG515.



Saskatchewan  
Research Council

125-15 Innovation Boulevard, Saskatoon, SK Canada S7N 2X8 • Ph: 306-933-5400 Fax: 306-933-7446  
Also located at: 220-6 Research Drive, Regina, SK Canada S4S 7J7 • Ph: 306-787-9400 Fax: 306-787-8811

Web: [www.src.sk.ca](http://www.src.sk.ca)  
Email: [info@src.sk.ca](mailto:info@src.sk.ca)

Report No: 07-1040

## SRC Geoanalytical Laboratories

125 - 15 Innovation Blvd.  
Saskatoon, Saskatchewan  
S7N 2X8

September 25, 2007

Phone: (306) 933-8118  
Fax: (306) 933-5656

**IOS Services Geoscientifiques Inc.**  
1319 St-Paul Boulevard  
Saguenay (Chicoutimi), QC G7J 3Y2  
Attn: Rejean Girard

Test reports are the property of the customers. Publications of statements, conclusions or extracts from these reports are not permitted without prior written permission from the customer.

This document constitutes the **final official test report**. Liability for the SRC Geoanalytical Laboratories', if any, will be limited to the cost of analysis for samples in this test report. The results contained in this test report relate only to the items tested. It is the customer's responsibility to ensure that all interpretation of analysis is done using the data from this report.

The customer will not use the name of the Saskatchewan Research Council in connection with the sale, offer, advertisement or the promotion of any article, product, or company without the prior written consent of the SRC.

Results Reviewed and Approved by:

Robert Millar  
Assistant Research Scientist



SRC Geoanalytical Laboratories

Report No: 07-1040

IOS Services Geoscientifiques Inc.

125 - 15 Innovation Blvd., Saskatoon, Saskatchewan, S7N 2X8  
 Tel: (306) 933-8118 Fax: (306) 933-5656 Email: geolab@src.sk.ca

Attention: Rejean Girard  
 PO #/Project: PO#313018  
 Samples: 12

Date of Report: September 25, 2007

ICP4.3 Aqua Regia Digestion

Column Header Details

Silver in ppm (Ag)  
 Arsenic in ppm (As)  
 Bismuth in ppm (Bi)  
 Cobalt in ppm (Co)  
 Copper in ppm (Cu)

Germanium in ppm (Ge)  
 Mercury in ppm (Hg)  
 Molybdenum in ppm (Mo)  
 Nickel in ppm (Ni)  
 Lead in ppm (Pb)

Antimony in ppm (Sb)  
 Selenium in ppm (Se)  
 Tellurium in ppm (Te)  
 Uranium in ppm (U, ICP)  
 Vanadium in ppm (V)

Zinc in ppm (Zn)

Sample Number	Ag ppm	As ppm	Bi ppm	Co ppm	Cu ppm	Ge ppm	Hg ppm	Mo ppm	Ni ppm	Pb ppm	Sb ppm	Se ppm	Te ppm	U, ICP ppm	V ppm	Zn ppm
CG515/LS4	<0.1	11.8	1.6	39.9	49.7	<0.2	<0.2	13.8	48.4	23.0	<1	<0.2	<0.2	35.7	99.9	212
312058	<0.1	1.0	2.6	1.4	4.1	<0.2	<0.2	1.4	3.4	83.4	<1	<0.2	0.6	173	25.8	15.0
312081	<0.1	1.4	3.3	5.2	20.8	<0.2	<0.2	8.5	14.2	24.6	<1	<0.2	3.4	34.9	20.6	43.1
312083	<0.1	2.2	2.3	8.5	85.2	<0.2	<0.2	3.0	9.4	51.4	<1	<0.2	3.7	23.5	50.6	64.1
312084	<0.1	1.0	2.1	0.9	13.7	<0.2	<0.2	2.7	3.3	17.3	1.4	<0.2	1.2	30.8	4.0	11.3
312134	<0.1	1.1	1.5	1.0	2.0	<0.2	<0.2	1.5	3.8	13.0	<1	<0.2	0.4	16.5	5.0	28.2
312175	<0.1	<0.2	7.4	12.3	39.3	<0.2	<0.2	4.8	14.0	57.8	<1	<0.2	12.7	80.7	105	210
312179	<0.1	1.5	1.2	0.7	1.8	<0.2	<0.2	1.0	2.3	25.0	<1	<0.2	<0.2	21.4	7.3	17.2
312182	<0.1	0.9	2.1	6.9	6.8	<0.2	<0.2	7.1	12.7	127	<1	<0.2	1.8	347	30.2	31.6
312235	<0.1	0.9	0.8	0.2	1.1	<0.2	<0.2	0.6	1.8	20.2	<1	<0.2	<0.2	22.0	3.8	3.3
312237	<0.1	0.8	1.7	1.1	4.0	<0.2	<0.2	23.2	3.3	16.8	<1	<0.2	0.8	33.7	3.9	15.4
312175 R	<0.1	0.3	6.7	12.5	39.5	<0.2	<0.2	4.2	15.4	57.8	<1	<0.2	11.9	80.0	106	213

Aqua Regia: A 0.5 g pulp is digested with 2.00 ml of 3:1 HCL:HNO3 for 1 hour at 95 C.  
 The standard is LS4.

**SRC Geoanalytical Laboratories**

Report No: 07-1040

**IOS Services Geoscientifiques Inc.**

125 - 15 Innovation Blvd., Saskatoon, Saskatchewan, S7N 2X8

Attention: Rejean Girard

Tel: (306) 933-8118 Fax: (306) 933-5656 Email: geolab@src.sk.ca

PO #/Project: PO#313018

Samples: 12

Date of Report: September 25, 2007

**ICP4.3 Total Digestion**

Column Header Details

Silver in ppm (Ag)  
Aluminum in wt % (Al<sub>2</sub>O<sub>3</sub>)  
Barium in ppm (Ba)  
Beryllium in ppm (Be)  
Calcium in wt % (CaO)

Cadmium in ppm (Cd)  
Cerium in ppm (Ce)  
Cobalt in ppm (Co)  
Chromium in ppm (Cr)  
Copper in ppm (Cu)

Dysprosium in ppm (Dy)  
Erbium in ppm (Er)  
Europium in ppm (Eu)  
Iron in wt % (Fe<sub>2</sub>O<sub>3</sub>)  
Gallium in ppm (Ga)

Gadolinium in ppm (Gd)  
Hafnium in ppm (Hf)  
Holmium in ppm (Ho)  
Potassium in wt % (K<sub>2</sub>O)  
Lanthanum in ppm (La)

Lithium in ppm (Li)  
Magnesium in wt % (MgO)  
Manganese in wt % (MnO)  
Molybdenum in ppm (Mo)  
Sodium in wt % (Na<sub>2</sub>O)

Niobium in ppm (Nb)  
Neodymium in ppm (Nd)  
Nickel in ppm (Ni)  
Phosphorus in wt % (P<sub>2</sub>O<sub>5</sub>)  
Lead in ppm (Pb)

Praseodymium in ppm (Pr)  
Scandium in ppm (Sc)  
Samarium in ppm (Sm)  
Tin in ppm (Sn)  
Strontium in ppm (Sr)

Tantalum in ppm (Ta)  
Terbium in ppm (Tb)  
Thorium in ppm (Th)  
Titanium in wt % (TiO<sub>2</sub>)  
Uranium in ppm (U, ICP)

**IOS Services Geoscientifiques Inc.**

Attention: Rejean Girard

PO #/Project: PO#313018

Samples: 12

**SRC Geoanalytical Laboratories**

125 - 15 Innovation Blvd., Saskatoon, Saskatchewan, S7N 2X8

Tel: (306) 933-8118 Fax: (306) 933-5656 Email: geolab@src.sk.ca

Report No: 07-1040

Date of Report: September 25, 2007

**ICP4.3 Total Digestion**

Column Header Details

Vanadium in ppm (V)

Tungsten in ppm (W)

Yttrium in ppm (Y)

Ytterbium in ppm (Yb)

Zinc in ppm (Zn)

Zirconium in ppm (Zr)



**SRC Geoanalytical Laboratories**

Report No: 07-1040

**IOS Services Geoscientifiques Inc.**

125 - 15 Innovation Blvd., Saskatoon, Saskatchewan, S7N 2X8

Attention: Rejean Girard

Tel: (306) 933-8118 Fax: (306) 933-5656 Email: geolab@src.sk.ca

PO #/Project: PO#313018

Date of Report: September 25, 2007

Samples: 12

**ICP4.3 Total Digestion**

Sample Number	Ag ppm	Al2O3 wt %	Ba ppm	Be ppm	CaO wt %	Cd ppm	Ce ppm	Co ppm	Cr ppm	Cu ppm	Dy ppm	Er ppm	Eu ppm	Fe2O3 wt %	Ga ppm	Gd ppm	Hf ppm
CG515/LS4	<0.2	17.0	2200	1.9	4.60	1.0	150	17	117	3	3.3	2.5	2.4	7.21	21	6.1	4.2
312058	0.2	10.2	1400	0.4	0.63	0.6	135	1	152	3	4.5	2.1	0.6	2.28	11	5.5	11.4
312081	<0.2	6.60	67	0.8	1.01	0.4	6	5	236	20	0.5	0.3	0.2	2.16	10	0.9	9.8
312083	0.4	18.5	123	2.6	2.86	1.1	15	9	109	86	1.2	0.8	0.4	4.42	33	1.5	13.3
312084	<0.2	7.44	432	0.6	0.50	0.5	247	<1	140	11	5.9	2.0	0.2	0.83	9	12.3	1.8
312134	<0.2	12.2	141	0.7	0.77	0.8	17	1	175	1	0.8	0.3	0.3	2.12	15	1.7	6.0
312175	<0.2	18.3	148	2.5	3.02	0.9	1260	12	97	39	12.9	8.1	1.5	10.8	47	29.7	37.9
312179	<0.2	13.7	98	1.6	2.05	1.0	6	1	141	1	0.5	0.3	0.4	1.36	17	0.7	4.8
312182	<0.2	10.7	113	1.7	1.83	0.6	15	6	148	6	4.6	2.7	0.4	2.34	14	3.3	14.1
312235	0.7	13.8	313	1.2	1.28	0.9	22	<1	106	1	1.2	0.6	0.4	1.05	16	1.3	5.5
312237	<0.2	12.6	134	1.6	1.80	0.8	11	1	159	4	1.2	0.4	0.3	1.01	16	1.3	8.5
312175 R	<0.2	19.0	149	2.6	3.13	0.9	1270	12	102	39	13.0	8.0	1.5	11.2	47	29.3	36.6

SRC Geoanalytical Laboratories

Report No: 07-1040

IOS Services Geoscientifiques Inc.

125 - 15 Innovation Blvd., Saskatoon, Saskatchewan, S7N 2X8

Attention: Rejean Girard

Tel: (306) 933-8118 Fax: (306) 933-5656 Email: geolab@src.sk.ca

PO #/Project: PO#313018

Date of Report: September 25, 2007

Samples: 12

ICP4.3 Total Digestion

Sample Number	Ho ppm	K2O wt %	La ppm	Li ppm	MgO wt %	MnO wt %	Mo ppm	Na2O wt %	Nb ppm	Nd ppm	Ni ppm	P2O5 wt %	Pb ppm	Pr ppm	Sc ppm	Sm ppm	Sn ppm
CG515/LS4	1.2	3.04	83	27	2.78	0.073	<1	3.20	8	59	23	0.655	18	15	12	8.8	2
312058	0.9	5.58	60	4	0.095	0.011	<1	1.85	<1	34	2	0.057	99	10	<1	6.2	<1
312081	<0.4	0.705	3	18	0.701	0.025	18	2.13	9	2	14	0.025	33	<1	4	0.8	<1
312083	<0.4	1.57	8	34	0.884	0.060	3	6.47	21	7	8	0.071	69	<1	15	2.0	<1
312084	0.9	3.12	116	7	0.147	0.008	2	1.88	1	85	3	0.100	35	23	2	15.3	<1
312134	<0.4	6.11	6	14	0.179	0.021	1	2.72	2	6	1	0.045	47	1	3	2.2	<1
312175	4.3	3.29	683	105	2.17	0.170	4	5.24	57	365	14	0.429	85	117	24	48.6	5
312179	<0.4	1.72	3	14	0.106	0.013	1	4.74	<1	2	1	0.029	47	<1	1	1.0	<1
312182	0.8	0.961	7	24	0.972	0.021	7	3.32	4	7	12	0.031	130	1	4	2.7	<1
312235	<0.4	4.18	12	8	0.028	0.004	<1	4.14	<1	7	1	0.028	46	2	<1	1.8	<1
312237	<0.4	1.22	7	12	0.189	0.011	24	4.57	1	4	2	0.028	33	1	2	1.4	<1
312175 R	4.4	3.28	692	106	2.22	0.175	4	5.33	58	368	15	0.426	84	117	25	48.8	6

**SRC Geoanalytical Laboratories**

Report No: 07-1040

**IOS Services Geoscientifiques Inc.**

125 - 15 Innovation Blvd., Saskatoon, Saskatchewan, S7N 2X8

Attention: Rejean Girard

Tel: (306) 933-8118 Fax: (306) 933-5656 Email: geolab@src.sk.ca

PO #/Project: PO#313018

Date of Report: September 25, 2007

Samples: 12

**ICP4.3 Total Digestion**

Sample Number	Sr ppm	Ta ppm	Tb ppm	Th ppm	TiO2 wt %	U, ICP ppm	V ppm	W ppm	Y ppm	Yb ppm	Zn ppm	Zr ppm
CG515/LS4	1140	<1	<0.3	15	1.00	2	134	1	21	1.9	87	141
312058	248	1	0.6	212	0.059	178	36	3	18	2.2	21	341
312081	69	<1	<0.3	109	0.310	37	24	<1	4	0.6	47	344
312083	197	<1	<0.3	42	0.468	25	61	<1	8	1.2	70	392
312084	76	<1	1.1	198	0.067	32	10	<1	21	1.0	13	56
312134	67	<1	<0.3	53	0.145	17	13	<1	4	0.3	34	145
312175	174	<1	4.1	475	1.16	82	119	<1	62	4.6	217	1230
312179	118	<1	<0.3	75	0.091	22	17	1	3	0.5	27	147
312182	127	<1	0.5	64	0.231	350	37	<1	23	2.9	36	464
312235	131	<1	<0.3	91	0.033	22	15	1	5	0.8	11	174
312237	148	<1	<0.3	168	0.080	35	14	2	6	0.7	22	275
312175 R	177	<1	4.0	470	1.16	81	123	<1	63	4.6	223	1210

Total Digestion: A 0.125 g pulp is gently heated in a mixture of HF/HNO3/HClO4 until dry and the residue is dissolved in dilute HNO3. The standard is CG515.



**SRC Geoanalytical Laboratories**

Report No: 07-1040

**IOS Services Geoscientifiques Inc.**

125 - 15 Innovation Blvd., Saskatoon, Saskatchewan, S7N 2X8

Attention: Rejean Girard

Tel: (306) 933-8118 Fax: (306) 933-5656 Email: geolab@src.sk.ca

PO #/Project: PO#313018

Samples: 5

Date of Report: September 25, 2007

**ICP4.3 Aqua Regia Digestion**

Column Header Details

Silver in ppm (Ag)  
 Arsenic in ppm (As)  
 Bismuth in ppm (Bi)  
 Cobalt in ppm (Co)  
 Copper in ppm (Cu)

Germanium in ppm (Ge)  
 Mercury in ppm (Hg)  
 Molybdenum in ppm (Mo)  
 Nickel in ppm (Ni)  
 Lead in ppm (Pb)

Antimony in ppm (Sb)  
 Selenium in ppm (Se)  
 Tellurium in ppm (Te)  
 Uranium in ppm (U, ICP)  
 Vanadium in ppm (V)

Zinc in ppm (Zn)

Sample Number	Ag ppm	As ppm	Bi ppm	Co ppm	Cu ppm	Ge ppm	Hg ppm	Mo ppm	Ni ppm	Pb ppm	Sb ppm	Se ppm	Te ppm	U, ICP ppm	V ppm	Zn ppm
CG515/LS4	<0.1	12.2	1.2	38.7	49.5	<0.2	<0.2	25.8	49.2	27.6	<1	<0.2	<0.2	35.3	108	201
312121	0.2	<0.2	7.1	5.5	21.7	<0.2	<0.2	171	5.4	246	<1	0.7	13.6	225	56.8	144
312132	<0.1	0.8	1.4	1.9	3.8	9.2	<0.2	5.5	3.9	59.5	20.7	<0.2	2.5	457	21.1	32.6
312158	<0.1	0.8	4.2	1.7	3.7	<0.2	<0.2	280	5.5	235	<1	<0.2	1.9	305	6.2	20.2
312121 R	0.2	<0.2	6.0	5.9	22.5	<0.2	<0.2	164	4.0	250	<1	0.7	13.8	230	57.1	145

Aqua Regia: A 0.5 g pulp is digested with 2.00 ml of 3:1 HCL:HNO3 for 1 hour at 95 C.  
 The standard is LS4.

**SRC Geoanalytical Laboratories**

Report No: 07-1040

**IOS Services Geoscientifiques Inc.**

Attention: Rejean Girard  
PO #/Project: PO#313018  
Samples: 5

125 - 15 Innovation Blvd., Saskatoon, Saskatchewan, S7N 2X8  
Tel: (306) 933-8118 Fax: (306) 933-5656 Email: geolab@src.sk.ca

Date of Report: September 25, 2007

**ICP4.3 Total Digestion**

Column Header Details

Silver in ppm (Ag)  
Aluminum in wt % (Al<sub>2</sub>O<sub>3</sub>)  
Barium in ppm (Ba)  
Beryllium in ppm (Be)  
Calcium in wt % (CaO)

Cadmium in ppm (Cd)  
Cerium in ppm (Ce)  
Cobalt in ppm (Co)  
Chromium in ppm (Cr)  
Copper in ppm (Cu)

Dysprosium in ppm (Dy)  
Erbium in ppm (Er)  
Europium in ppm (Eu)  
Iron in wt % (Fe<sub>2</sub>O<sub>3</sub>)  
Gallium in ppm (Ga)

Gadolinium in ppm (Gd)  
Hafnium in ppm (Hf)  
Holmium in ppm (Ho)  
Potassium in wt % (K<sub>2</sub>O)  
Lanthanum in ppm (La)

Lithium in ppm (Li)  
Magnesium in wt % (MgO)  
Manganese in wt % (MnO)  
Molybdenum in ppm (Mo)  
Sodium in wt % (Na<sub>2</sub>O)

Niobium in ppm (Nb)  
Neodymium in ppm (Nd)  
Nickel in ppm (Ni)  
Phosphorus in wt % (P<sub>2</sub>O<sub>5</sub>)  
Lead in ppm (Pb)

Praseodymium in ppm (Pr)  
Scandium in ppm (Sc)  
Samarium in ppm (Sm)  
Tin in ppm (Sn)  
Strontium in ppm (Sr)

Tantalum in ppm (Ta)  
Terbium in ppm (Tb)  
Thorium in ppm (Th)  
Titanium in wt % (TiO<sub>2</sub>)  
Uranium in ppm (U, ICP)

**IOS Services Geoscientifiques Inc.**

Attention: Rejean Girard  
PO #/Project: PO#313018  
Samples: 5

**SRC Geoanalytical Laboratories**

125 - 15 Innovation Blvd., Saskatoon, Saskatchewan, S7N 2X8  
Tel: (306) 933-8118 Fax: (306) 933-5656 Email: geolab@src.sk.ca

Report No: 07-1040

Date of Report: September 25, 2007

**ICP4.3 Total Digestion**

Column Header Details

Vanadium in ppm (V)  
Tungsten in ppm (W)  
Yttrium in ppm (Y)  
Ytterbium in ppm (Yb)  
Zinc in ppm (Zn)  
  
Zirconium in ppm (Zr)



**SRC Geoanalytical Laboratories**

Report No: 07-1040

**IOS Services Geoscientifiques Inc.**

125 - 15 Innovation Blvd., Saskatoon, Saskatchewan, S7N 2X8

Attention: Rejean Girard

Tel: (306) 933-8118 Fax: (306) 933-5656 Email: geolab@src.sk.ca

PO #/Project: PO#313018

Date of Report: September 25, 2007

Samples: 5

**ICP4.3 Total Digestion**

Sample Number	Ag ppm	Al2O3 wt %	Ba ppm	Be ppm	CaO wt %	Cd ppm	Ce ppm	Co ppm	Cr ppm	Cu ppm	Dy ppm	Er ppm	Eu ppm	Fe2O3 wt %	Ga ppm	Gd ppm	Hf ppm
CG515/LS4	<0.2	17.1	2210	1.9	4.65	0.9	152	16	123	3	3.3	2.4	2.4	7.24	22	6.4	3.9
312121	<0.2	13.4	184	1.4	2.20	0.3	3860	5	91	23	19.6	12.9	2.5	12.4	47	69.5	61.5
312132	<0.2	5.25	182	0.4	0.36	0.3	95	<1	226	5	78.2	49.2	0.3	2.58	10	39.3	1.7
312158	0.2	7.35	53	0.6	1.20	0.4	7	1	192	5	2.4	<0.2	0.3	1.07	6	2.0	13.8
312121 R	<0.2	13.9	188	1.4	2.22	0.3	3900	6	91	25	20.1	13.4	2.6	12.6	47	71.0	63.2

**SRC Geoanalytical Laboratories**

125 - 15 Innovation Blvd., Saskatoon, Saskatchewan, S7N 2X8  
 Tel: (306) 933-8118 Fax: (306) 933-5656 Email: geolab@src.sk.ca

Report No: 07-1040

**IOS Services Geoscientifiques Inc.**

Attention: Rejean Girard  
 PO #/Project: PO#313018  
 Samples: 5

Date of Report: September 25, 2007

**ICP4.3 Total Digestion**

Sample Number	Ho ppm	K2O wt %	La ppm	Li ppm	MgO wt %	MnO wt %	Mo ppm	Na2O wt %	Nb ppm	Nd ppm	Ni ppm	P2O5 wt %	Pb ppm	Pr ppm	Sc ppm	Sm ppm	Sn ppm
CG515/LS4	1.1	3.23	82	28	2.88	0.074	2	3.38	8	61	23	0.674	19	16	12	8.8	2
312121	8.0	3.04	1990	37	0.924	0.147	182	3.73	8	1170	6	0.328	268	370	17	148	2
312132	15.8	1.91	34	23	0.300	0.044	6	1.42	884	48	4	0.036	60	12	10	18.9	2
312158	<0.4	0.584	3	7	0.281	0.011	283	2.40	3	2	7	0.021	244	1	2	1.1	<1
312121 R	8.3	3.14	2020	37	0.930	0.146	180	3.88	7	1180	4	0.335	275	374	17	151	3

**SRC Geoanalytical Laboratories**125 - 15 Innovation Blvd., Saskatoon, Saskatchewan, S7N 2X8  
Tel: (306) 933-8118 Fax: (306) 933-5656 Email: geolab@src.sk.ca

Report No: 07-1040

**IOS Services Geoscientifiques Inc.**Attention: Rejean Girard  
PO #/Project: PO#313018  
Samples: 5

Date of Report: September 25, 2007

**ICP4.3 Total Digestion**

Sample Number	Sr ppm	Ta ppm	Tb ppm	Th ppm	TiO2 wt %	U, ICP ppm	V ppm	W ppm	Y ppm	Yb ppm	Zn ppm	Zr ppm
CG515/LS4	1190	2	<0.3	14	1.06	3	135	<1	21	1.8	88	139
312121	193	<1	9.4	1860	0.738	268	67	<1	71	4.8	177	1900
312132	57	35	10.4	176	0.370	545	25	3	293	50.7	45	32
312158	114	<1	0.4	1210	0.122	377	15	<1	11	1.1	26	463
312121 R	206	<1	9.8	1950	0.722	266	68	<1	72	5.0	177	2030

Total Digestion: A 0.125 g pulp is gently heated in a mixture of HF/HNO3/HClO4 until dry and the residue is dissolved in dilute HNO3.  
The standard is CG515.





Saskatchewan  
Research Council

125-15 Innovation Boulevard, Saskatoon, SK Canada S7N 2X8 • Ph: 306-933-5400 Fax: 306-933-7446  
Also located at: 220-6 Research Drive, Regina, SK Canada S4S 7J7 • Ph: 306-787-9400 Fax: 306-787-8811

Web: [www.src.sk.ca](http://www.src.sk.ca)  
Email: [info@src.sk.ca](mailto:info@src.sk.ca)

Report No: 07-1093

## SRC Geoanalytical Laboratories

125 - 15 Innovation Blvd.  
Saskatoon, Saskatchewan  
S7N 2X8

October 12, 2007

Phone: (306) 933-8118  
Fax: (306) 933-5656

**IOS Services Geoscientifiques Inc.**  
1319 St-Paul Boulevard  
Saguenay (Chicoutimi), QC G7J 3Y2  
Attn: Rejean Girard

Test reports are the property of the customers. Publications of statements, conclusions or extracts from these reports are not permitted without prior written permission from the customer.

This document constitutes the **final official test report**. Liability for the SRC Geoanalytical Laboratories', if any, will be limited to the cost of analysis for samples in this test report. The results contained in this test report relate only to the items tested. It is the customer's responsibility to ensure that all interpretation of analysis is done using the data from this report.

The customer will not use the name of the Saskatchewan Research Council in connection with the sale, offer, advertisement or the promotion of any article, product, or company without the prior written consent of the SRC.

Results Reviewed and Approved by:

Robert Millar  
Assistant Research Scientist

IOS Services Geoscientifiques Inc.

125 - 15 Innovation Blvd., Saskatoon, Saskatchewan, S7N 2X8

Attention: Rejean Girard

Tel: (306) 933-8118 Fax: (306) 933-5656 Email: geolab@src.sk.ca

PO #/Project: 313025

Samples: 14

Date of Report: October 12, 2007

## ICP4.3 Aqua Regia Digestion

## Column Header Details

Silver in ppm (Ag)  
 Arsenic in ppm (As)  
 Bismuth in ppm (Bi)  
 Cobalt in ppm (Co)  
 Copper in ppm (Cu)

Germanium in ppm (Ge)  
 Mercury in ppm (Hg)  
 Molybdenum in ppm (Mo)  
 Nickel in ppm (Ni)  
 Lead in ppm (Pb)

Antimony in ppm (Sb)  
 Selenium in ppm (Se)  
 Tellurium in ppm (Te)  
 Uranium in ppm (U, ICP)  
 Vanadium in ppm (V)

Zinc in ppm (Zn)

Sample Number	Ag ppm	As ppm	Bi ppm	Co ppm	Cu ppm	Ge ppm	Hg ppm	Mo ppm	Ni ppm	Pb ppm	Sb ppm	Se ppm	Te ppm	U, ICP ppm	V ppm	Zn ppm
CG515/LS4	<0.1	12.6	0.7	39.6	50.8	<0.2	<0.2	14.0	49.9	24.4	<1	<0.2	<0.2	31.5	99.2	201
312201	<0.1	0.2	0.6	0.6	3.4	<0.2	<0.2	36.8	4.1	21.8	<1	<0.2	1.6	2.4	26.4	47.4
312251	<0.1	<0.2	0.9	1.7	4.5	<0.2	<0.2	4.4	2.9	13.7	<1	<0.2	0.8	25.4	14.6	25.5
312252	<0.1	<0.2	2.2	2.1	7.6	<0.2	<0.2	1.2	3.3	25.9	<1	<0.2	0.4	80.3	24.7	34.0
312254	<0.1	<0.2	0.5	1.9	3.9	<0.2	<0.2	1.6	4.8	33.9	<1	<0.2	0.4	18.3	13.7	30.9
312301	<0.1	0.9	1.2	4.9	4.7	<0.2	<0.2	1.7	6.7	10.3	<1	<0.2	1.4	28.7	30.6	62.8
312302	<0.1	<0.2	1.1	7.7	8.5	<0.2	<0.2	1.5	11.4	23.6	<1	<0.2	1.8	67.7	35.3	89.2
312308	<0.1	<0.2	0.5	1.2	3.1	<0.2	<0.2	1.2	2.1	8.41	<1	<0.2	<0.2	6.5	5.2	16.4
312351	<0.1	<0.2	0.9	4.0	8.7	<0.2	<0.2	1.4	4.3	35.6	<1	<0.2	1.0	56.7	29.4	53.9
312356	<0.1	1.4	<0.2	6.1	29.5	<0.2	<0.2	1.3	6.8	6.83	<1	<0.2	1.5	25.4	38.0	40.6
312357	<0.1	<0.2	3.8	1.7	20.8	<0.2	<0.2	1.3	2.9	42.9	<1	<0.2	2.0	155	7.4	29.4
312401	0.2	<0.2	0.6	8.0	8.3	<0.2	<0.2	1.3	9.9	45.5	<1	<0.2	1.1	89.1	53.7	71.7
312402	<0.1	<0.2	1.2	4.4	7.2	<0.2	<0.2	1.4	6.0	13.1	<1	<0.2	1.3	34.7	23.9	65.6
312351 R	<0.1	<0.2	1.1	4.1	8.8	<0.2	<0.2	1.0	4.9	35.9	<1	<0.2	1.2	58.1	29.9	53.7

Aqua Regia: A 0.5 g pulp is digested with 2.00 ml of 3:1 HCL:HNO3 for 1 hour at 95 C.  
 The standard is LS4.

IOS Services Geoscientifiques Inc.

Attention: Rejean Girard

PO #/Project: 313025

Samples: 14

125 - 15 Innovation Blvd., Saskatoon, Saskatchewan, S7N 2X8

Tel: (306) 933-8118 Fax: (306) 933-5656 Email: geolab@src.sk.ca

Report No: 07-1093

Date of Report: October 12, 2007

## ICP4.3 Total Digestion

## Column Header Details

Silver in ppm (Ag)  
Aluminum in wt % (Al<sub>2</sub>O<sub>3</sub>)  
Barium in ppm (Ba)  
Beryllium in ppm (Be)  
Calcium in wt % (CaO)

Cadmium in ppm (Cd)  
Cerium in ppm (Ce)  
Cobalt in ppm (Co)  
Chromium in ppm (Cr)  
Copper in ppm (Cu)

Dysprosium in ppm (Dy)  
Erbium in ppm (Er)  
Europium in ppm (Eu)  
Iron in wt % (Fe<sub>2</sub>O<sub>3</sub>)  
Gallium in ppm (Ga)

Gadolinium in ppm (Gd)  
Hafnium in ppm (Hf)  
Holmium in ppm (Ho)  
Potassium in wt % (K<sub>2</sub>O)  
Lanthanum in ppm (La)

Lithium in ppm (Li)  
Magnesium in wt % (MgO)  
Manganese in wt % (MnO)  
Molybdenum in ppm (Mo)  
Sodium in wt % (Na<sub>2</sub>O)

Niobium in ppm (Nb)  
Neodymium in ppm (Nd)  
Nickel in ppm (Ni)  
Phosphorus in wt % (P<sub>2</sub>O<sub>5</sub>)  
Lead in ppm (Pb)

Praseodymium in ppm (Pr)  
Scandium in ppm (Sc)  
Samarium in ppm (Sm)  
Tin in ppm (Sn)  
Strontium in ppm (Sr)

Tantalum in ppm (Ta)  
Terbium in ppm (Tb)  
Thorium in ppm (Th)  
Titanium in wt % (TiO<sub>2</sub>)  
Uranium in ppm (U, ICP)



**SRC Geoanalytical Laboratories**

**IOS Services Geoscientifiques Inc.**

Attention: Rejean Girard

PO #/Project: 313025

Samples: 14

125 - 15 Innovation Blvd., Saskatoon, Saskatchewan, S7N 2X8

Tel: (306) 933-8118 Fax: (306) 933-5656 Email: geolab@src.sk.ca

Report No: 07-1093

Date of Report: October 12, 2007

**ICP4.3 Total Digestion**

Column Header Details

Vanadium in ppm (V)

Tungsten in ppm (W)

Yttrium in ppm (Y)

Ytterbium in ppm (Yb)

Zinc in ppm (Zn)

Zirconium in ppm (Zr)

SRC Geoanalytical Laboratories

IOS Services Geoscientifiques Inc.

125 - 15 Innovation Blvd., Saskatoon, Saskatchewan, S7N 2X8

Report No: 07-1093

Attention: Rejean Girard

Tel: (306) 933-8118 Fax: (306) 933-5656 Email: geolab@src.sk.ca

PO #/Project: 313025

Date of Report: October 12, 2007

Samples: 14

ICP4.3 Total Digestion

Sample Number	Ag ppm	Al2O3 wt %	Ba ppm	Be ppm	CaO wt %	Cd ppm	Ce ppm	Co ppm	Cr ppm	Cu ppm	Dy ppm	Er ppm	Eu ppm	Fe2O3 wt %	Ga ppm	Gd ppm	Hf ppm
CG515/LS4	<0.2	17.0	2140	2.2	4.70	0.7	162	17	120	2	3.0	2.8	2.9	7.07	24	5.7	3.5
312201	<0.2	15.3	903	1.7	2.19	1.0	35	1	201	3	0.8	0.5	1.1	1.48	18	1.4	5.6
312251	<0.2	13.5	909	0.9	1.00	0.9	71	1	172	4	0.8	0.5	0.6	2.01	15	1.7	6.0
312252	<0.2	15.9	145	1.8	2.76	1.0	199	2	132	4	4.1	2.4	0.8	3.55	24	6.8	42.3
312254	<0.2	16.8	318	1.8	2.85	1.0	221	3	166	3	2.2	1.4	0.8	1.90	21	5.3	16.8
312301	<0.2	18.7	144	3.6	3.05	1.1	11	4	169	4	0.7	0.9	0.9	3.11	27	1.1	11.2
312302	<0.2	17.6	660	1.7	2.87	0.9	105	8	121	7	4.8	3.3	1.0	4.27	26	6.1	20.0
312308	<0.2	15.0	863	1.3	1.46	1.1	79	<1	126	3	1.1	0.8	0.6	1.35	16	2.2	7.0
312351	<0.2	18.9	658	2.3	2.76	1.2	294	5	162	9	3.0	2.0	0.9	3.48	25	6.4	10.2
312356	<0.2	8.53	412	1.0	0.93	0.5	51	6	202	33	1.6	1.2	0.7	3.16	14	2.7	6.2
312357	<0.2	16.0	912	1.3	1.81	1.0	695	1	156	21	8.5	4.0	0.6	1.47	17	18.1	11.6
312401	<0.2	23.3	217	2.4	4.06	1.4	127	10	103	10	1.7	1.6	1.2	4.87	31	3.5	5.6
312402	<0.2	15.9	316	1.8	2.51	1.0	152	4	141	5	2.0	1.4	0.8	3.32	23	4.1	24.7
312351 R	<0.2	18.1	650	2.2	2.63	1.0	287	4	155	9	2.9	1.9	0.8	3.40	24	6.2	9.4

SRC Geoanalytical Laboratories

IOS Services Geoscientifiques Inc.

Attention: Rejean Girard

PO #/Project: 313025

Samples: 14

125 - 15 Innovation Blvd., Saskatoon, Saskatchewan, S7N 2X8  
 Tel: (306) 933-8118 Fax: (306) 933-5656 Email: geolab@src.sk.ca

Report No: 07-1093

Date of Report: October 12, 2007

ICP4.3 Total Digestion

Sample Number	Ho ppm	K2O wt %	La ppm	Li ppm	MgO wt %	MnO wt %	Mo ppm	Na2O wt %	Nb ppm	Nd ppm	Ni ppm	P2O5 wt %	Pb ppm	Pr ppm	Sc ppm	Sm ppm	Sn ppm
CG515/LS4	1.2	3.16	96	30	2.78	0.072	<1	3.22	7	61	22	0.661	17	14	12	8.6	<1
312201	<0.4	4.21	22	17	0.637	0.016	44	3.67	<1	10	3	0.049	60	2	4	2.1	<1
312251	<0.4	5.78	34	13	0.268	0.017	4	3.19	<1	19	3	0.046	41	5	1	2.6	<1
312252	1.1	2.07	99	17	0.366	0.032	1	5.29	4	61	1	0.171	49	16	3	10.5	<1
312254	0.9	2.38	131	29	0.552	0.030	<1	5.32	4	68	3	0.103	56	19	2	9.0	<1
312301	<0.4	1.98	8	53	1.19	0.059	<1	6.29	8	4	8	0.091	29	<1	6	1.4	<1
312302	1.3	4.07	65	61	1.73	0.077	<1	4.74	15	39	12	0.255	48	10	9	6.5	<1
312308	<0.4	5.52	43	14	0.292	0.016	<1	3.74	1	23	3	0.061	32	6	1	3.5	<1
312351	0.9	3.80	174	36	0.970	0.047	<1	5.83	2	84	4	0.153	63	25	4	10.3	<1
312356	0.5	2.47	28	26	1.04	0.034	1	2.17	14	17	7	0.049	17	4	6	2.8	<1
312357	1.8	5.76	363	18	0.409	0.024	<1	4.03	1	211	3	0.192	75	59	3	29.0	<1
312401	0.9	2.66	79	69	3.12	0.058	<1	7.46	8	35	8	0.185	63	9	8	5.5	<1
312402	0.8	2.73	86	42	0.928	0.053	<1	4.80	8	45	5	0.110	36	12	4	6.3	<1
312351 R	0.9	3.75	174	35	0.962	0.045	<1	5.77	2	82	5	0.146	62	24	4	10.0	<1



SRC Geoanalytical Laboratories

125 - 15 Innovation Blvd., Saskatoon, Saskatchewan, S7N 2X8  
 Tel: (306) 933-8118 Fax: (306) 933-5656 Email: geolab@src.sk.ca

Report No: 07-1093

IOS Services Geoscientifiques Inc.

Attention: Rejean Girard

PO #/Project: 313025

Samples: 14

Date of Report: October 12, 2007

ICP4.3 Total Digestion

Sample Number	Sr ppm	Ta ppm	Tb ppm	Th ppm	TiO2 wt %	U, ICP ppm	V ppm	W ppm	Y ppm	Yb ppm	Zn ppm	Zr ppm
CG515/LS4	1160	<1	<0.3	15	1.00	<2	135	<1	20	1.8	87	139
312201	225	<1	<0.3	44	0.166	7	41	2	5	0.4	61	170
312251	242	<1	<0.3	205	0.127	32	27	1	5	0.6	30	212
312252	222	<1	1.4	463	0.215	93	40	<1	24	3.5	52	1300
312254	278	<1	<0.3	218	0.245	23	32	2	11	1.0	46	577
312301	289	<1	<0.3	162	0.397	37	50	<1	8	1.0	90	380
312302	370	1	0.7	457	0.562	81	58	<1	34	3.7	117	640
312308	254	<1	<0.3	107	0.117	11	20	<1	6	0.6	27	216
312351	369	<1	<0.3	369	0.363	66	50	<1	15	1.3	80	365
312356	124	1	<0.3	215	0.396	34	49	<1	11	1.1	52	170
312357	286	<1	2.0	1230	0.152	160	23	<1	34	2.1	43	380
312401	525	<1	<0.3	50	0.586	95	77	<1	11	0.9	96	238
312402	239	<1	0.4	274	0.390	42	41	1	13	1.4	85	831
312351 R	360	<1	<0.3	353	0.345	64	47	<1	15	1.2	73	334

Total Digestion: A 0.125 g pulp is gently heated in a mixture of HF/HNO3/HClO4 until dry and the residue is dissolved in dilute HNO3. The standard is CG515.

*Rm*



Saskatchewan  
Research Council

125-15 Innovation Boulevard, Saskatoon, SK Canada S7N 2X8 • Ph: 306-933-5400 Fax: 306-933-7446  
Also located at: 220-6 Research Drive, Regina, SK Canada S4S 7J7 • Ph: 306-787-9400 Fax: 306-787-8811

Web: [www.src.sk.ca](http://www.src.sk.ca)  
Email: [info@src.sk.ca](mailto:info@src.sk.ca)

Report No: 07-1094

## SRC Geoanalytical Laboratories

125 - 15 Innovation Blvd.  
Saskatoon, Saskatchewan  
S7N 2X8

October 12, 2007

Phone: (306) 933-8118  
Fax: (306) 933-5656

**IOS Services Geoscientifiques Inc.**  
1319 St-Paul Boulevard  
Saguenay (Chicoutimi), QC G7J 3Y2  
Attn: Rejean Girard

Test reports are the property of the customers. Publications of statements, conclusions or extracts from these reports are not permitted without prior written permission from the customer.

This document constitutes the **final official test report**. Liability for the SRC Geoanalytical Laboratories', if any, will be limited to the cost of analysis for samples in this test report. The results contained in this test report relate only to the items tested. It is the customer's responsibility to ensure that all interpretation of analysis is done using the data from this report.

The customer will not use the name of the Saskatchewan Research Council in connection with the sale, offer, advertisement or the promotion of any article, product, or company without the prior written consent of the SRC.

Results Reviewed and Approved by: \_\_\_\_\_

Robert Millar  
Assistant Research Scientist

IOS Services Geoscientifiques Inc.

125 - 15 Innovation Blvd., Saskatoon, Saskatchewan, S7N 2X8

Attention: Rejean Girard

Tel: (306) 933-8118 Fax: (306) 933-5656 Email: geolab@src.sk.ca

PO #/Project: 313024

Samples: 14

Date of Report: October 12, 2007

ICP4.3 Aqua Regia Digestion

Column Header Details

Silver in ppm (Ag)  
 Arsenic in ppm (As)  
 Bismuth in ppm (Bi)  
 Cobalt in ppm (Co)  
 Copper in ppm (Cu)

Germanium in ppm (Ge)  
 Mercury in ppm (Hg)  
 Molybdenum in ppm (Mo)  
 Nickel in ppm (Ni)  
 Lead in ppm (Pb)

Antimony in ppm (Sb)  
 Selenium in ppm (Se)  
 Tellurium in ppm (Te)  
 Uranium in ppm (U, ICP)  
 Vanadium in ppm (V)

Zinc in ppm (Zn)

Sample Number	Ag ppm	As ppm	Bi ppm	Co ppm	Cu ppm	Ge ppm	Hg ppm	Mo ppm	Ni ppm	Pb ppm	Sb ppm	Se ppm	Te ppm	U, ICP ppm	V ppm	Zn ppm
CG515/LS4	<0.1	14.8	0.5	39.9	52.0	<0.2	<0.2	13.5	49.9	25.2	<1	<0.2	<0.2	32.5	102	206
5929049	0.2	1.1	0.8	11.1	13.5	<0.2	<0.2	78.8	12.0	117	<1	<0.2	2.5	199	46.0	75.8
5929121	0.7	<0.2	0.9	21.0	8.0	<0.2	<0.2	28.0	9.3	54.8	<1	<0.2	<0.2	32.6	15.4	50.7
5929122	38.7	0.4	1.0	8.1	35.5	<0.2	<0.2	43.5	30.1	78.9	<1	<0.2	0.9	73.0	14.8	40.4
5929123	2.7	0.6	0.9	6.7	10.3	<0.2	<0.2	30.1	17.5	47.2	<1	0.6	<0.2	35.2	11.2	12.5
5929124	<0.1	0.9	1.3	1.8	4.2	<0.2	<0.2	42.7	4.8	71.7	<1	<0.2	0.7	44.1	13.6	25.0
5929226	2.0	1.2	1.0	13.4	8.3	0.3	<0.2	128	9.6	103	<1	<0.2	1.9	66.2	45.8	74.7
5929228	<0.1	<0.2	2.3	1.1	2.9	<0.2	<0.2	19.4	5.3	21.2	<1	<0.2	0.3	14.0	7.6	15.3
5929231	<0.1	0.6	0.9	2.1	5.8	<0.2	<0.2	66.1	4.3	96.8	<1	<0.2	0.3	111	14.6	30.6
5929573	<0.1	<0.2	1.3	2.7	6.0	<0.2	<0.2	1.7	4.4	14.6	<1	<0.2	1.4	28.8	24.3	36.2
5929574	<0.1	0.4	1.0	3.2	6.0	<0.2	<0.2	1.0	4.9	18.2	<1	<0.2	1.3	26.5	42.8	41.0
5929575	<0.1	<0.2	1.3	2.1	10.2	<0.2	<0.2	1.1	3.7	32.6	<1	<0.2	1.4	69.6	11.0	28.6
5929576	<0.1	<0.2	1.5	1.1	8.8	<0.2	<0.2	0.9	3.4	31.7	<1	<0.2	0.9	59.8	7.9	14.9
5929231 R	<0.1	0.4	0.9	1.9	5.3	<0.2	<0.2	65.6	3.9	95.2	<1	<0.2	0.4	107	14.4	29.8

Aqua Regia: A 0.5 g pulp is digested with 2.00 ml of 3:1 HCL:HNO3 for 1 hour at 95 C.  
 The standard is LS4.



IOS Services Geoscientifiques Inc.

125 - 15 Innovation Blvd., Saskatoon, Saskatchewan, S7N 2X8

Attention: Rejean Girard

Tel: (306) 933-8118 Fax: (306) 933-5656 Email: geolab@src.sk.ca

PO #/Project: 313024

Samples: 12

Date of Report: October 12, 2007

ICP4.3 Aqua Regia Digestion

Column Header Details

Silver in ppm (Ag)  
 Arsenic in ppm (As)  
 Bismuth in ppm (Bi)  
 Cobalt in ppm (Co)  
 Copper in ppm (Cu)

Germanium in ppm (Ge)  
 Mercury in ppm (Hg)  
 Molybdenum in ppm (Mo)  
 Nickel in ppm (Ni)  
 Lead in ppm (Pb)

Antimony in ppm (Sb)  
 Selenium in ppm (Se)  
 Tellurium in ppm (Te)  
 Uranium in ppm (U, ICP)  
 Vanadium in ppm (V)

Zinc in ppm (Zn)

Sample Number	Ag ppm	As ppm	Bi ppm	Co ppm	Cu ppm	Ge ppm	Hg ppm	Mo ppm	Ni ppm	Pb ppm	Sb ppm	Se ppm	Te ppm	U, ICP ppm	V ppm	Zn ppm
CG515/LS4	<0.1	12.1	1.5	41.0	49.0	<0.2	<0.2	12.2	50.2	23.3	<1	<0.2	<0.2	35.9	105	209
5929125	<0.1	<0.2	<0.2	3.2	8.5	<0.2	<0.2	56.5	11.5	97.9	3.0	1.7	<0.2	90.6	40.2	27.9
5929225	<0.1	0.2	<0.2	3.9	0.9	<0.2	<0.2	130	7.7	165	4.5	2.6	<0.2	143	31.3	79.6
5929227	<0.1	0.8	<0.2	5.5	11.0	<0.2	<0.2	44.8	9.7	68.4	3.9	2.0	<0.2	278	25.5	47.3
5929229	0.7	<0.2	<0.2	15.2	1.0	<0.2	<0.2	372	8.8	299	6.6	5.1	<0.2	693	42.9	71.0
5929230	<0.1	<0.2	<0.2	1.0	<0.1	<0.2	<0.2	47.1	4.1	124	<1	5.1	1.2	211	4.2	12.5
5929232	<0.1	<0.2	<0.2	2.3	5.4	<0.2	<0.2	39.0	4.8	89.2	2.1	2.0	<0.2	135	16.4	48.1
5929233	<0.1	<0.2	<0.2	1.4	0.6	<0.2	<0.2	194	5.5	130	1.8	2.0	<0.2	286	14.4	29.4
5929571	<0.1	3.0	<0.2	0.8	<0.1	<0.2	<0.2	2.6	2.4	36.4	<1	6.0	2.3	110	4.0	14.1
5929572	<0.1	3.7	<0.2	1.7	3.6	<0.2	<0.2	1.0	3.5	21.4	1.8	4.2	1.0	73.8	20.6	30.8
5929577	<0.1	2.9	<0.2	1.6	<0.1	<0.2	<0.2	0.9	4.2	30.9	1.3	6.8	2.4	115	11.5	17.7
5929233 R	<0.1	0.2	<0.2	1.4	0.9	<0.2	<0.2	180	5.6	131	2.4	1.8	0.2	282	15.4	30.3

Aqua Regia: A 0.5 g pulp is digested with 2.00 ml of 3:1 HCL:HNO3 for 1 hour at 95 C.  
 The standard is LS4.



IOS Services Geoscientifiques Inc.

Attention: Rejean Girard

PO #/Project: 313024

Samples: 14

125 - 15 Innovation Blvd., Saskatoon, Saskatchewan, S7N 2X8

Tel: (306) 933-8118 Fax: (306) 933-5656 Email: geolab@src.sk.ca

Date of Report: October 12, 2007

## ICP4.3 Total Digestion

## Column Header Details

Silver in ppm (Ag)  
Aluminum in wt % (Al<sub>2</sub>O<sub>3</sub>)  
Barium in ppm (Ba)  
Beryllium in ppm (Be)  
Calcium in wt % (CaO)

Cadmium in ppm (Cd)  
Cerium in ppm (Ce)  
Cobalt in ppm (Co)  
Chromium in ppm (Cr)  
Copper in ppm (Cu)

Dysprosium in ppm (Dy)  
Erbium in ppm (Er)  
Europium in ppm (Eu)  
Iron in wt % (Fe<sub>2</sub>O<sub>3</sub>)  
Gallium in ppm (Ga)

Gadolinium in ppm (Gd)  
Hafnium in ppm (Hf)  
Holmium in ppm (Ho)  
Potassium in wt % (K<sub>2</sub>O)  
Lanthanum in ppm (La)

Lithium in ppm (Li)  
Magnesium in wt % (MgO)  
Manganese in wt % (MnO)  
Molybdenum in ppm (Mo)  
Sodium in wt % (Na<sub>2</sub>O)

Niobium in ppm (Nb)  
Neodymium in ppm (Nd)  
Nickel in ppm (Ni)  
Phosphorus in wt % (P<sub>2</sub>O<sub>5</sub>)  
Lead in ppm (Pb)

Praseodymium in ppm (Pr)  
Scandium in ppm (Sc)  
Samarium in ppm (Sm)  
Tin in ppm (Sn)  
Strontium in ppm (Sr)

Tantalum in ppm (Ta)  
Terbium in ppm (Tb)  
Thorium in ppm (Th)  
Titanium in wt % (TiO<sub>2</sub>)  
Uranium in ppm (U, ICP)

**SRC Geoanalytical Laboratories**

**IOS Services Geoscientifiques Inc.**

**Attention: Rejean Girard**

**PO #/Project: 313024**

**Samples: 14**

**125 - 15 Innovation Blvd., Saskatoon, Saskatchewan, S7N 2X8**

**Tel: (306) 933-8118 Fax: (306) 933-5656 Email: geolab@src.sk.ca**

**Report No: 07-1094**

**Date of Report: October 12, 2007**

**ICP4.3 Total Digestion**

**Column Header Details**

**Vanadium in ppm (V)**

**Tungsten in ppm (W)**

**Yttrium in ppm (Y)**

**Ytterbium in ppm (Yb)**

**Zinc in ppm (Zn)**

**Zirconium in ppm (Zr)**



SRC Geoanalytical Laboratories

125 - 15 Innovation Blvd., Saskatoon, Saskatchewan, S7N 2X8  
 Tel: (306) 933-8118 Fax: (306) 933-5656 Email: geolab@src.sk.ca

Report No: 07-1094

IOS Services Geoscientifiques Inc.

Attention: Rejean Girard

PO #/Project: 313024

Samples: 14

Date of Report: October 12, 2007

ICP4.3 Total Digestion

Sample Number	Ag ppm	Al2O3 wt %	Ba ppm	Be ppm	CaO wt %	Cd ppm	Ce ppm	Co ppm	Cr ppm	Cu ppm	Dy ppm	Er ppm	Eu ppm	Fe2O3 wt %	Ga ppm	Gd ppm	Hf ppm
CG515/LS4	<0.2	17.4	2190	2.2	4.83	0.6	164	16	121	2	3.0	2.7	3.0	7.19	23	5.8	3.6
5929049	<0.2	9.28	1130	<0.2	0.08	0.9	5	11	265	12	1.6	0.8	1.0	3.43	13	1.6	23.2
5929121	0.9	11.8	1240	<0.2	0.45	1.0	6	22	248	7	0.8	0.5	1.1	1.71	12	0.9	15.8
5929122	74.8	12.0	1010	0.4	0.81	23.4	6	7	196	44	1.2	0.6	1.0	1.67	12	1.1	9.5
5929123	3.1	6.34	981	<0.2	0.05	1.4	2	6	363	9	0.5	0.2	0.6	0.93	5	0.8	11.3
5929124	<0.2	11.4	1060	0.3	0.62	0.9	4	1	173	3	1.0	0.7	1.0	1.47	11	0.9	7.3
5929226	2.3	6.98	743	<0.2	0.14	1.2	1	14	344	8	0.7	0.5	0.8	3.46	12	1.0	3.9
5929228	<0.2	10.5	1340	<0.2	0.08	0.8	3	1	179	2	0.4	<0.2	1.0	0.97	9	0.5	2.5
5929231	<0.2	12.3	929	0.7	0.66	1.0	6	2	175	5	1.5	0.8	0.9	1.34	12	1.5	1.1
5929573	<0.2	15.0	490	1.3	2.18	1.1	180	1	192	3	2.9	1.5	0.8	2.44	19	5.2	34.7
5929574	<0.2	15.2	310	1.6	2.55	1.0	203	3	173	5	2.3	1.4	0.9	3.54	22	5.2	20.5
5929575	<0.2	15.2	848	0.5	1.58	0.9	218	1	160	7	3.2	1.5	0.8	1.66	15	6.2	41.4
5929576	<0.2	13.9	821	0.5	1.36	0.8	423	1	160	4	4.1	2.0	0.6	1.12	14	9.4	40.3
5929231 R	<0.2	11.8	920	0.7	0.65	0.9	6	1	180	5	1.4	0.8	0.9	1.31	12	1.5	1.0

*DM*

SRC Geoanalytical Laboratories

IOS Services Geoscientifiques Inc.

Attention: Rejean Girard

PO #/Project: 313024

Samples: 14

125 - 15 Innovation Blvd., Saskatoon, Saskatchewan, S7N 2X8  
 Tel: (306) 933-8118 Fax: (306) 933-5656 Email: geolab@src.sk.ca

Report No: 07-1094

Date of Report: October 12, 2007

ICP4.3 Total Digestion

Sample Number	Ho ppm	K2O wt %	La ppm	Li ppm	MgO wt %	MnO wt %	Mo ppm	Na2O wt %	Nb ppm	Nd ppm	Ni ppm	P2O5 wt %	Pb ppm	Pr ppm	Sc ppm	Sm ppm	Sn ppm
CG515/LS4	1.3	3.20	96	31	2.82	0.073	<1	3.28	7	61	22	0.671	15	15	12	8.6	2
5929049	0.5	6.27	2	29	0.928	0.021	79	1.00	15	2	14	0.038	142	<1	9	<0.5	1
5929121	0.4	6.73	2	16	0.457	0.012	30	1.80	6	1	8	0.033	95	<1	4	<0.5	<1
5929122	<0.4	5.98	5	16	0.402	0.017	55	2.18	6	2	36	0.031	113	<1	3	0.5	<1
5929123	<0.4	4.06	<1	3	0.120	0.006	33	0.83	1	<1	15	0.018	74	<1	1	<0.5	<1
5929124	<0.4	6.47	3	15	0.384	0.015	44	1.83	6	1	4	0.028	109	<1	3	<0.5	<1
5929226	<0.4	4.10	1	36	0.961	0.026	158	0.77	15	1	8	0.033	126	<1	9	<0.5	<1
5929228	<0.4	7.44	3	7	0.223	0.006	20	1.34	3	1	4	0.024	61	<1	2	<0.5	<1
5929231	<0.4	6.19	4	12	0.385	0.013	88	2.26	3	3	3	0.063	125	<1	2	0.9	<1
5929573	0.9	3.24	94	21	0.554	0.028	<1	4.29	5	53	5	0.123	35	15	3	7.8	<1
5929574	0.8	2.41	109	24	0.676	0.034	<1	4.60	4	63	4	0.105	36	17	3	9.2	<1
5929575	0.9	5.93	127	18	0.487	0.022	<1	3.53	2	68	3	0.107	58	20	2	9.4	<1
5929576	1.4	5.23	238	11	0.274	0.014	<1	3.39	<1	127	3	0.078	59	38	2	15.8	<1
5929231 R	<0.4	6.29	3	11	0.379	0.012	90	2.31	3	3	2	0.062	126	<1	2	0.8	<1

SRC Geoanalytical Laboratories

Report No: 07-1094

IOS Services Geoscientifiques Inc.

125 - 15 Innovation Blvd., Saskatoon, Saskatchewan, S7N 2X8

Attention: Rejean Girard

Tel: (306) 933-8118 Fax: (306) 933-5656 Email: geolab@src.sk.ca

PO #/Project: 313024

Samples: 14

Date of Report: October 12, 2007

ICP4.3 Total Digestion

Sample Number	Sr ppm	Ta ppm	Tb ppm	Th ppm	TiO2 wt %	U, ICP ppm	V ppm	W ppm	Y ppm	Yb ppm	Zn ppm	Zr ppm
CG515/LS4	1200	<1	<0.3	16	1.02	<2	138	<1	21	1.8	89	140
5929049	110	1	0.6	531	0.416	201	54	55	11	1.3	82	736
5929121	165	<1	<0.3	197	0.166	41	26	159	6	0.8	58	492
5929122	167	<1	<0.3	295	0.207	76	26	60	7	0.8	56	298
5929123	88	1	0.3	157	0.065	41	19	51	3	0.5	14	341
5929124	159	<1	<0.3	247	0.197	48	25	2	6	0.6	34	237
5929226	76	2	<0.3	347	0.416	76	54	91	5	0.5	88	112
5929228	147	<1	<0.3	102	0.107	18	16	2	2	0.2	19	69
5929231	188	<1	<0.3	186	0.159	115	27	3	8	0.6	39	34
5929573	251	<1	0.8	329	0.267	35	38	<1	15	1.9	49	1140
5929574	271	<1	0.5	305	0.354	31	63	<1	11	1.2	57	688
5929575	270	<1	1.4	569	0.213	78	27	2	15	1.8	36	1380
5929576	264	<1	1.6	566	0.107	67	21	2	17	1.8	23	1350
5929231 R	183	<1	<0.3	186	0.165	112	25	3	8	0.6	38	37

Total Digestion: A 0.125 g pulp is gently heated in a mixture of HF/HNO3/HClO4 until dry and the residue is dissolved in dilute HNO3. The standard is CG515.



IOS Services Geoscientifiques Inc.

Attention: Rejean Girard

PO #/Project: 313024

Samples: 12

125 - 15 Innovation Blvd., Saskatoon, Saskatchewan, S7N 2X8

Tel: (306) 933-8118 Fax: (306) 933-5656 Email: geolab@src.sk.ca

Report No: 07-1094

Date of Report: October 12, 2007

## ICP4.3 Total Digestion

## Column Header Details

Silver in ppm (Ag)  
Aluminum in wt % (Al<sub>2</sub>O<sub>3</sub>)  
Barium in ppm (Ba)  
Beryllium in ppm (Be)  
Calcium in wt % (CaO)

Cadmium in ppm (Cd)  
Cerium in ppm (Ce)  
Cobalt in ppm (Co)  
Chromium in ppm (Cr)  
Copper in ppm (Cu)

Dysprosium in ppm (Dy)  
Erbium in ppm (Er)  
Europium in ppm (Eu)  
Iron in wt % (Fe<sub>2</sub>O<sub>3</sub>)  
Gallium in ppm (Ga)

Gadolinium in ppm (Gd)  
Hafnium in ppm (Hf)  
Holmium in ppm (Ho)  
Potassium in wt % (K<sub>2</sub>O)  
Lanthanum in ppm (La)

Lithium in ppm (Li)  
Magnesium in wt % (MgO)  
Manganese in wt % (MnO)  
Molybdenum in ppm (Mo)  
Sodium in wt % (Na<sub>2</sub>O)

Niobium in ppm (Nb)  
Neodymium in ppm (Nd)  
Nickel in ppm (Ni)  
Phosphorus in wt % (P<sub>2</sub>O<sub>5</sub>)  
Lead in ppm (Pb)

Praseodymium in ppm (Pr)  
Scandium in ppm (Sc)  
Samarium in ppm (Sm)  
Tin in ppm (Sn)  
Strontium in ppm (Sr)

Tantalum in ppm (Ta)  
Terbium in ppm (Tb)  
Thorium in ppm (Th)  
Titanium in wt % (TiO<sub>2</sub>)  
Uranium in ppm (U, ICP)



SRC Geoanalytical Laboratories

IOS Services Geoscientifiques Inc.

Attention: Rejean Girard

PO #/Project: 313024

Samples: 12

125 - 15 Innovation Blvd., Saskatoon, Saskatchewan, S7N 2X8

Tel: (306) 933-8118 Fax: (306) 933-5656 Email: geolab@src.sk.ca

Report No: 07-1094

Date of Report: October 12, 2007

ICP4.3 Total Digestion

Column Header Details

Vanadium in ppm (V)  
Tungsten in ppm (W)  
Yttrium in ppm (Y)  
Ytterbium in ppm (Yb)  
Zinc in ppm (Zn)

Zirconium in ppm (Zr)

IOS Services Geoscientifiques Inc.

125 - 15 Innovation Blvd., Saskatoon, Saskatchewan, S7N 2X8

Report No: 07-1094

Attention: Rejean Girard

Tel: (306) 933-8118 Fax: (306) 933-5656 Email: geolab@src.sk.ca

PO #/Project: 313024

Date of Report: October 12, 2007

Samples: 12

## ICP4.3 Total Digestion

Sample Number	Ag ppm	Al2O3 wt %	Ba ppm	Be ppm	CaO wt %	Cd ppm	Ce ppm	Co ppm	Cr ppm	Cu ppm	Dy ppm	Er ppm	Eu ppm	Fe2O3 wt %	Ga ppm	Gd ppm	Hf ppm
CG515/LS4	<0.2	17.3	2220	2.3	4.80	0.9	164	17	127	3	3.1	2.7	3.0	7.29	22	5.7	3.3
5929125	<0.2	4.49	649	<0.2	0.03	0.3	2	2	350	11	0.7	0.2	0.5	2.02	6	0.9	30.8
5929225	<0.2	6.42	794	<0.2	0.05	0.4	2	4	398	9	1.8	0.9	0.7	2.59	8	1.9	3.0
5929227	<0.2	8.38	1060	<0.2	0.10	0.5	15	5	263	17	2.4	1.1	1.2	2.39	10	2.6	43.3
5929229	0.6	10.8	832	0.4	0.54	1.1	10	15	376	17	5.2	2.5	1.0	3.39	14	4.8	1.7
5929230	<0.2	11.2	1260	<0.2	0.21	1.0	2	<1	215	8	2.5	0.9	0.9	0.62	8	1.9	34.7
5929232	<0.2	12.5	507	0.7	1.52	1.0	8	2	229	10	1.1	0.5	1.0	1.86	15	1.1	29.2
5929233	<0.2	6.85	55	0.7	1.18	0.5	4	<1	233	8	1.6	0.6	0.6	1.30	9	1.5	10.1
5929571	<0.2	15.2	580	1.7	2.08	1.0	307	<1	125	10	4.1	1.9	0.4	1.07	16	7.2	7.9
5929572	<0.2	15.4	658	1.5	1.90	1.1	283	1	145	10	3.9	1.9	0.9	1.83	17	7.9	10.8
5929577	<0.2	12.2	388	0.4	1.83	0.8	233	1	244	8	3.9	1.4	0.5	1.07	13	6.7	67.6
5929233 R	<0.2	7.04	57	0.7	1.20	0.5	4	<1	244	7	1.5	0.7	0.6	1.35	9	1.5	10.8



SRC Geoanalytical Laboratories

IOS Services Geoscientifiques Inc.

Attention: Rejean Girard

PO #/Project: 313024

Samples: 12

125 - 15 Innovation Blvd., Saskatoon, Saskatchewan, S7N 2X8  
 Tel: (306) 933-8118 Fax: (306) 933-5656 Email: geolab@src.sk.ca

Report No: 07-1094

Date of Report: October 12, 2007

ICP4.3 Total Digestion

Sample Number	Ho ppm	K2O wt %	La ppm	Li ppm	MgO wt %	MnO wt %	Mo ppm	Na2O wt %	Nb ppm	Nd ppm	Ni ppm	P2O5 wt %	Pb ppm	Pr ppm	Sc ppm	Sm ppm	Sn ppm
CG515/LS4	1.3	3.17	92	31	2.86	0.074	<1	3.24	8	62	24	0.676	16	14	12	8.5	2
5929125	<0.4	2.92	<1	9	0.352	0.011	58	0.48	7	<1	12	0.023	132	<1	4	<0.5	<1
5929225	<0.4	4.15	1	24	0.681	0.018	154	0.65	12	2	7	0.027	216	<1	7	<0.5	<1
5929227	0.6	5.57	7	16	0.577	0.014	46	0.93	8	5	8	0.030	111	<1	6	1.1	1
5929229	0.5	5.67	6	26	0.978	0.027	506	1.72	11	7	9	0.091	381	<1	6	2.1	<1
5929230	<0.4	7.71	<1	5	0.111	0.006	48	1.54	<1	<1	4	0.024	179	<1	1	<0.5	<1
5929232	<0.4	3.69	4	21	0.508	0.020	42	3.12	5	2	4	0.035	122	<1	4	0.7	<1
5929233	<0.4	0.801	2	12	0.353	0.015	220	2.02	3	1	5	0.021	161	<1	2	0.9	<1
5929571	0.9	3.56	131	14	0.204	0.015	1	4.54	<1	71	2	0.130	60	19	2	10.4	<1
5929572	0.9	4.77	176	14	0.395	0.020	<1	4.00	2	91	3	0.114	49	26	2	11.6	<1
5929577	1.1	2.37	115	9	0.238	0.014	<1	3.67	<1	66	4	0.058	55	18	2	9.7	<1
5929233 R	<0.4	0.816	3	13	0.368	0.015	226	2.11	4	1	5	0.021	164	<1	2	0.8	<1

IOS Services Geoscientifiques Inc.

Attention: Rejean Girard

PO #/Project: 313024

Samples: 12

125 - 15 Innovation Blvd., Saskatoon, Saskatchewan, S7N 2X8

Tel: (306) 933-8118 Fax: (306) 933-5656 Email: geolab@src.sk.ca

Report No: 07-1094

Date of Report: October 12, 2007

ICP4.3 Total Digestion

Sample Number	Sr ppm	Ta ppm	Tb ppm	Th ppm	TiO2 wt %	U, ICP ppm	V ppm	W ppm	Y ppm	Yb ppm	Zn ppm	Zr ppm
CG515/LS4	1220	1	<0.3	15	1.04	<2	140	<1	21	1.8	94	145
5929125	53	1	1.0	293	0.226	95	47	2	5	1.1	36	958
5929225	78	1	<0.3	622	0.368	144	38	<1	9	0.6	94	85
5929227	110	1	1.6	534	0.292	291	34	<1	17	2.1	57	1320
5929229	154	1	0.5	1210	0.427	743	55	89	26	1.7	85	47
5929230	183	<1	1.1	740	0.051	212	13	2	13	1.9	14	1090
5929232	190	<1	0.6	378	0.263	142	29	1	7	1.2	59	946
5929233	107	<1	<0.3	553	0.170	309	21	<1	8	0.7	36	340
5929571	274	<1	0.3	787	0.071	104	16	<1	17	1.4	23	249
5929572	265	<1	0.4	544	0.175	75	37	<1	18	1.4	34	364
5929577	231	<1	2.8	856	0.090	115	22	<1	19	2.9	43	2240
5929233 R	110	<1	0.3	562	0.180	299	22	<1	8	0.7	36	351

Total Digestion: A 0.125 g pulp is gently heated in a mixture of HF/HNO3/HClO4 until dry and the residue is dissolved in dilute HNO3. The standard is CG515.



Saskatchewan  
Research Council

125-15 Innovation Boulevard, Saskatoon, SK Canada S7N 2X8 • Ph: 306-933-5400 Fax: 306-933-7446  
Also located at: 220-6 Research Drive, Regina, SK Canada S4S 7J7 • Ph: 306-787-9400 Fax: 306-787-8811

Web: [www.src.sk.ca](http://www.src.sk.ca)  
Email: [info@src.sk.ca](mailto:info@src.sk.ca)

Report No: 07-1131

## SRC Geoanalytical Laboratories

125 - 15 Innovation Blvd.  
Saskatoon, Saskatchewan  
S7N 2X8

October 17, 2007

Phone: (306) 933-8118

Fax: (306) 933-5656

### IOS Services Geoscientifiques Inc.

1319 St-Paul Boulevard  
Saguenay (Chicoutimi), QC G7J 3Y2

Attn: Rejean Girard

Test reports are the property of the customers. Publications of statements, conclusions or extracts from these reports are not permitted without prior written permission from the customer.

This document constitutes the **final official test report**. Liability for the SRC Geoanalytical Laboratories', if any, will be limited to the cost of analysis for samples in this test report. The results contained in this test report relate only to the items tested. It is the customer's responsibility to ensure that all interpretation of analysis is done using the data from this report.

The customer will not use the name of the Saskatchewan Research Council in connection with the sale, offer, advertisement or the promotion of any article, product, or company without the prior written consent of the SRC.

Results Reviewed and Approved by: \_\_\_\_\_

Robert Millar  
Assistant Research Scientist



ICP4.3 Aqua Regia Digestion

Column Header Details

Silver in ppm (Ag)  
 Arsenic in ppm (As)  
 Bismuth in ppm (Bi)  
 Cobalt in ppm (Co)  
 Copper in ppm (Cu)

Germanium in ppm (Ge)  
 Mercury in ppm (Hg)  
 Molybdenum in ppm (Mo)  
 Nickel in ppm (Ni)  
 Lead in ppm (Pb)

Antimony in ppm (Sb)  
 Selenium in ppm (Se)  
 Tellurium in ppm (Te)  
 Uranium in ppm (U, ICP)  
 Vanadium in ppm (V)

Zinc in ppm (Zn)

Sample Number	Ag ppm	As ppm	Bi ppm	Co ppm	Cu ppm	Ge ppm	Hg ppm	Mo ppm	Ni ppm	Pb ppm	Sb ppm	Se ppm	Te ppm	U, ICP ppm	V ppm	Zn ppm
CG515/LS4	0.2	12.6	2.5	39.3	49.6	<0.2	<0.2	13.8	47.8	25.5	<1	<0.2	0.4	35.0	107	214
5929578	<0.1	3.8	2.1	6.2	93.3	<0.2	<0.2	96.3	6.5	344	<1	<0.2	0.8	729	10.3	12.8
5929579	0.4	3.5	<0.2	20.9	304	0.7	<0.2	27.3	17.9	173	<1	<0.2	4.9	534	130	113
5929580	<0.1	1.8	1.4	3.4	27.0	<0.2	<0.2	6.3	5.9	230	<1	<0.2	<0.2	617	22.7	37.2
5929581	<0.1	1.7	0.8	2.8	6.7	<0.2	<0.2	37.1	7.7	273	<1	<0.2	2.1	713	20.4	28.5
5929582	<0.1	0.9	1.6	2.7	10.1	<0.2	<0.2	110	9.2	410	<1	0.3	1.5	1270	14.7	16.4
5929584	<0.1	<0.2	4.7	11.5	24.2	<0.2	<0.2	49.6	31.2	107	<1	<0.2	7.7	70.2	125	119
5929579 R	0.4	3.0	0.2	21.6	301	0.6	<0.2	26.2	18.9	175	<1	<0.2	4.3	535	130	111
CG515/LS4	0.2	13.4	1.7	41.5	53.4	<0.2	<0.2	15.1	50.6	27.3	<1	<0.2	0.4	37.1	114	223
5929583	<0.1	0.6	2.8	0.5	7.9	<0.2	<0.2	433	4.2	1040	<1	0.5	2.4	3500	4.7	14.0
5929650	<0.1	<0.2	2.4	3.7	149	<0.2	<0.2	3.8	5.6	560	<1	<0.2	3.5	123	33.4	28.6
5929651	<0.1	0.9	5.6	6.6	44.8	<0.2	<0.2	29.2	17.1	1030	<1	<0.2	4.0	3150	49.4	221
5929652	<0.1	<0.2	4.2	3.6	22.5	<0.2	<0.2	905	3.8	2240	<1	0.6	7.1	5600	57.7	66.9
5929653	0.2	<0.2	2.1	4.0	7.7	<0.2	<0.2	1510	7.7	3250	13.2	<0.2	10.7	9100	27.2	51.4
5929650 R	<0.1	<0.2	2.1	3.3	145	<0.2	<0.2	3.3	4.6	557	<1	0.2	2.9	127	33.2	29.0

Aqua Regia: A 0.5 g pulp is digested with 2.00 ml of 3:1 HCL:HNO3 for 1 hour at 95 C.  
 The standard is LS4.

IOS Services Geoscientifiques Inc.

125 - 15 Innovation Blvd., Saskatoon, Saskatchewan, S7N 2X8

Attention: Rejean Girard

Tel: (306) 933-8118 Fax: (306) 933-5656 Email: geolab@src.sk.ca

PO #/Project: 313029

Samples: 24

Date of Report: October 17, 2007

ICP4.3 Total Digestion

Column Header Details

Silver in ppm (Ag)  
Aluminum in wt % (Al2O3)  
Barium in ppm (Ba)  
Beryllium in ppm (Be)  
Calcium in wt % (CaO)

Cadmium in ppm (Cd)  
Cerium in ppm (Ce)  
Cobalt in ppm (Co)  
Chromium in ppm (Cr)  
Copper in ppm (Cu)

Dysprosium in ppm (Dy)  
Erbium in ppm (Er)  
Europium in ppm (Eu)  
Iron in wt % (Fe2O3)  
Gallium in ppm (Ga)

Gadolinium in ppm (Gd)  
Hafnium in ppm (Hf)  
Holmium in ppm (Ho)  
Potassium in wt % (K2O)  
Lanthanum in ppm (La)

Lithium in ppm (Li)  
Magnesium in wt % (MgO)  
Manganese in wt % (MnO)  
Molybdenum in ppm (Mo)  
Sodium in wt % (Na2O)

Niobium in ppm (Nb)  
Neodymium in ppm (Nd)  
Nickel in ppm (Ni)  
Phosphorus in wt % (P2O5)  
Lead in ppm (Pb)

Praseodymium in ppm (Pr)  
Scandium in ppm (Sc)  
Samarium in ppm (Sm)  
Tin in ppm (Sn)  
Strontium in ppm (Sr)

Tantalum in ppm (Ta)  
Terbium in ppm (Tb)  
Thorium in ppm (Th)  
Titanium in wt % (TiO2)  
Uranium in ppm (U, ICP)

IOS Services Geoscientifiques Inc.

Attention: Rejean Girard

PO #/Project: 313029

Samples: 24

125 - 15 Innovation Blvd., Saskatoon, Saskatchewan, S7N 2X8

Tel: (306) 933-8118 Fax: (306) 933-5656 Email: geolab@src.sk.ca

Report No: 07-1131

Date of Report: October 17, 2007

ICP4.3 Total Digestion

Column Header Details

Vanadium in ppm (V)

Tungsten in ppm (W)

Yttrium in ppm (Y)

Ytterbium in ppm (Yb)

Zinc in ppm (Zn)

Zirconium in ppm (Zr)



IOS Services Geoscientifiques Inc. 125 - 15 Innovation Blvd., Saskatoon, Saskatchewan, S7N 2X8  
 Attention: Rejean Girard Tel: (306) 933-8118 Fax: (306) 933-5656 Email: geolab@src.sk.ca  
 PO #/Project: 313029  
 Samples: 24

Date of Report: October 17, 2007

ICP4.3 Total Digestion

Sample Number	Ag ppm	Al2O3 wt %	Ba ppm	Be ppm	CaO wt %	Cd ppm	Ce ppm	Co ppm	Cr ppm	Cu ppm	Dy ppm	Er ppm	Eu ppm	Fe2O3 wt %	Ga ppm	Gd ppm	Hf ppm
CG515/LS4	<0.2	17.4	2140	1.9	4.82	1.1	154	20	115	4	3.1	2.7	2.4	7.47	22	6.0	3.9
5929578	<0.2	17.2	94	3.0	3.60	1.2	480	7	184	95	13.9	6.6	1.5	1.73	22	21.2	2.2
5929579	0.5	13.2	226	1.3	2.05	0.7	29	21	162	310	2.6	1.9	0.8	8.57	32	2.6	3.4
5929580	<0.2	13.6	158	1.7	1.78	0.9	21	3	174	27	5.5	3.0	0.6	2.21	18	3.9	9.9
5929581	<0.2	12.8	881	1.0	1.21	0.8	155	3	187	5	8.0	3.8	0.8	1.29	13	8.7	0.8
5929582	<0.2	8.43	112	1.2	1.69	0.5	229	3	212	8	12.4	5.7	0.9	1.08	11	13.3	2.0
5929584	<0.2	19.5	144	2.7	5.06	1.0	2870	12	93	25	80.0	35.0	5.0	5.86	41	140	0.8
5929579 R	0.7	13.3	231	1.4	2.04	0.6	27	22	163	310	2.4	1.8	0.7	8.60	32	2.4	3.0
CG515/LS4	0.3	17.0	2140	1.9	4.77	0.9	151	18	111	3	3.0	2.5	2.3	7.30	22	5.8	3.3
5929583	<0.2	13.8	312	1.7	2.42	0.9	319	<1	180	5	29.0	13.6	1.4	0.74	15	24.7	3.8
5929650	<0.2	18.2	353	2.4	3.10	1.1	378	3	102	151	8.2	3.6	1.1	4.04	26	14.5	1.1
5929651	<0.2	17.0	125	1.6	2.95	1.5	40	6	123	47	20.1	9.4	1.2	3.67	26	13.2	37.9
5929652	<0.2	14.7	400	1.9	2.24	0.7	658	5	161	23	40.9	16.5	2.0	2.94	22	40.4	6.9
5929653	<0.2	2.70	152	<0.2	0.14	<0.2	2790	3	337	9	102	42.1	4.8	2.57	6	129	6.8
5929650 R	<0.2	18.2	349	2.4	3.13	1.1	370	3	102	155	8.0	3.3	1.0	4.05	25	13.1	1.1

IOS Services Geoscientifiques Inc.

125 - 15 Innovation Blvd., Saskatoon, Saskatchewan, S7N 2X8  
 Tel: (306) 933-8118 Fax: (306) 933-5656 Email: geolab@src.sk.ca

Attention: Rejean Girard

PO #/Project: 313029

Samples: 24

Date of Report: October 17, 2007

ICP4.3 Total Digestion

Sample Number	Ho ppm	K2O wt %	La ppm	Li ppm	MgO wt %	MnO wt %	Mo ppm	Na2O wt %	Nb ppm	Nd ppm	Ni ppm	P2O5 wt %	Pb ppm	Pr ppm	Sc ppm	Sm ppm	Sn ppm
CG515/LS4	1.0	3.21	90	27	2.89	0.076	2	3.36	8	62	25	0.658	16	16	12	8.7	<1
5929578	3.1	0.722	272	9	0.322	0.015	99	5.90	<1	174	16	0.136	350	49	1	26.1	<1
5929579	0.8	1.80	20	49	3.38	0.087	30	3.08	27	13	23	0.078	180	1	16	2.6	<1
5929580	1.3	1.31	13	21	0.980	0.037	7	4.61	5	10	12	0.040	242	2	3	3.0	<1
5929581	1.7	4.79	91	15	0.520	0.018	40	3.26	2	56	9	0.064	280	15	2	9.3	<1
5929582	2.5	0.568	130	12	0.403	0.013	115	2.75	<1	85	10	0.071	420	23	1	14.3	<1
5929584	16.8	2.88	1640	103	3.10	0.104	51	5.37	27	1050	36	1.64	144	295	15	163	<1
5929579 R	1.0	1.76	18	48	3.34	0.087	28	3.08	28	12	21	0.075	179	<1	15	2.4	<1
CG515/LS4	1.1	3.09	86	26	2.82	0.075	<1	3.25	7	61	25	0.668	17	16	12	8.6	<1
5929583	6.3	1.80	186	8	0.224	0.014	440	4.35	<1	123	4	0.094	1100	32	<1	22.2	<1
5929650	1.7	2.56	222	18	0.691	0.024	4	5.45	3	130	4	0.174	575	37	3	19.0	<1
5929651	4.2	1.44	22	37	1.36	0.047	29	5.26	8	24	16	0.062	1070	3	5	8.4	<1
5929652	8.4	3.04	374	33	1.37	0.051	910	4.12	9	241	4	0.173	2300	68	6	40.1	<1
5929653	21.3	1.38	1570	29	0.976	0.036	1550	0.19	5	987	5	0.460	3400	271	4	150	<1
5929650 R	1.3	2.60	220	18	0.700	0.024	5	5.49	3	127	6	0.176	570	35	3	18.2	<1

SRC Geoanalytical Laboratories

125 - 15 Innovation Blvd., Saskatoon, Saskatchewan, S7N 2X8  
 Tel: (306) 933-8118 Fax: (306) 933-5656 Email: geolab@src.sk.ca

Report No: 07-1131

IOS Services Geoscientifiques Inc.

Attention: Rejean Girard

PO #/Project: 313029

Samples: 24

Date of Report: October 17, 2007

ICP4.3 Total Digestion

Sample Number	Sr ppm	Ta ppm	Tb ppm	Th ppm	TiO2 wt %	U, ICP ppm	V ppm	W ppm	Y ppm	Yb ppm	Zn ppm	Zr ppm
CG515/LS4	1130	<1	<0.3	13	0.986	<2	133	1	20	1.8	82	141
5929578	272	<1	2.1	280	0.079	730	23	1	64	4.7	21	52
5929579	145	<1	<0.3	55	0.817	540	130	<1	17	2.2	117	76
5929580	249	<1	0.4	74	0.234	630	32	<1	28	3.8	44	310
5929581	185	<1	0.7	103	0.128	720	27	<1	36	3.4	31	9
5929582	155	1	2.0	160	0.091	1300	19	<1	54	5.8	19	38
5929584	281	4	17.8	1250	0.758	77	139	<1	363	14.4	121	9
5929579 R	144	2	<0.3	54	0.815	540	130	<1	16	2.2	113	74
CG515/LS4	1090	<1	<0.3	13	0.976	<2	127	<1	20	1.8	80	138
5929583	194	<1	4.4	335	0.060	3700	17	1	131	13.6	20	36
5929650	260	<1	0.7	275	0.194	130	41	<1	35	1.6	32	23
5929651	236	2	4.0	847	0.410	3200	59	<1	105	15.3	230	1140
5929652	187	2	7.2	669	0.356	5800	66	<1	160	18.6	66	108
5929653	51	3	21.8	1940	0.278	9500	42	<1	400	34.4	52	40
5929650 R	259	<1	<0.3	270	0.195	130	41	<1	33	1.4	33	23

Total Digestion: A 0.125 g pulp is gently heated in a mixture of HF/HNO3/HClO4 until dry and the residue is dissolved in dilute HNO3. The standard is CG515.







Report No: 07-1184

## SRC Geoanalytical Laboratories

125 - 15 Innovation Blvd.  
Saskatoon, Saskatchewan  
S7N 2X8

December 05, 2007

Phone: (306) 933-8118

Fax: (306) 933-5656

**IOS Services Geoscientifiques Inc.**  
1319 St-Paul Boulevard  
Saguenay (Chicoutimi), QC G7J 3Y2  
Attn: Rejean Girard

Test reports are the property of the customers. Publications of statements, conclusions or extracts from these reports are not permitted without prior written permission from the customer.

This document constitutes the **final official test report**. Liability for the SRC Geoanalytical Laboratories', if any, will be limited to the cost of analysis for samples in this test report. The results contained in this test report relate only to the items tested. It is the customer's responsibility to ensure that all interpretation of analysis is done using the data from this report.

The customer will not use the name of the Saskatchewan Research Council in connection with the sale, offer, advertisement or the promotion of any article, product, or company without the prior written consent of the SRC.

Results Reviewed and Approved by:

Robert Millar  
Assistant Research Scientist

IOS Services Geoscientifiques Inc.

125 - 15 Innovation Blvd., Saskatoon, Saskatchewan, S7N 2X8

Attention: Rejean Girard

Tel: (306) 933-8118 Fax: (306) 933-5656 Email: geolab@src.sk.ca

PO #/Project: Project 592

Date of Report: December 05, 2007

Samples: 23

ICP4.3 Aqua Regia Digestion

Column Header Details

Silver in ppm (Ag)  
Arsenic in ppm (As)  
Bismuth in ppm (Bi)  
Cobalt in ppm (Co)  
Copper in ppm (Cu)

Germanium in ppm (Ge)  
Mercury in ppm (Hg)  
Molybdenum in ppm (Mo)  
Nickel in ppm (Ni)  
Lead in ppm (Pb)

Antimony in ppm (Sb)  
Selenium in ppm (Se)  
Tellurium in ppm (Te)  
Uranium in ppm (U, ICP)  
Vanadium in ppm (V)

Zinc in ppm (Zn)





IOS Services Geoscientifiques Inc.

125 - 15 Innovation Blvd., Saskatoon, Saskatchewan, S7N 2X8

Attention: Rejean Girard

Tel: (306) 933-8118 Fax: (306) 933-5656 Email: geolab@src.sk.ca

PO #/Project: Project 592

Date of Report: December 05, 2007

Samples: 23

ICP4.3 Aqua Regia Digestion

Sample Number	Ag ppm	As ppm	Bi ppm	Co ppm	Cu ppm	Ge ppm	Hg ppm	Mo ppm	Ni ppm	Pb ppm	Sb ppm	Se ppm	Te ppm	U, ICP ppm	V ppm	Zn ppm
CG515/LS4	<0.1	13.2	0.4	38.8	49.4	<0.2	<0.2	13.0	52.7	25.2	<1	<0.2	<0.2	30.6	105	210
5929126	<0.1	1.5	<0.2	7.2	24.4	<0.2	<0.2	0.8	29.2	33.3	<1	<0.2	0.6	39.8	38.0	56.2
5929127	<0.1	1.2	0.3	2.3	12.6	<0.2	<0.2	0.9	8.6	27.1	<1	<0.2	0.7	15.1	14.6	35.0
5929129	<0.1	0.9	<0.2	1.9	17.1	<0.2	<0.2	7.0	7.7	51.2	<1	<0.2	0.8	73.2	13.6	26.0
5929130	<0.1	1.1	<0.2	2.0	6.0	<0.2	<0.2	5.5	5.5	32.9	<1	<0.2	<0.2	79.4	15.8	21.1
5929131	<0.1	0.7	<0.2	1.0	4.5	<0.2	<0.2	30.7	4.2	41.2	<1	0.3	<0.2	57.5	6.3	12.3
5929132	<0.1	0.7	<0.2	1.1	3.9	<0.2	<0.2	2.2	1.8	87.1	<1	<0.2	<0.2	158	5.2	15.6
5929241	1.9	0.9	<0.2	13.0	6.5	<0.2	<0.2	1.4	33.2	25.4	<1	<0.2	2.8	16.5	77.1	113
5929242	<0.1	0.8	<0.2	1.7	9.8	<0.2	<0.2	1.5	4.7	46.1	<1	<0.2	0.7	29.6	12.0	25.5
5929243	1.7	1.5	<0.2	5.9	15.6	<0.2	<0.2	1.8	16.1	49.0	<1	<0.2	1.9	34.1	31.6	54.3
5929245	1.2	0.3	<0.2	17.4	10.6	<0.2	<0.2	30.7	9.7	20.4	<1	<0.2	<0.2	19.5	30.7	96.0
5929297	1.0	1.3	<0.2	23.0	164	<0.2	<0.2	129	71.4	199	<1	0.3	3.4	414	87.6	63.1
5929299	2.7	0.5	<0.2	9.8	17.4	<0.2	<0.2	224	29.2	199	<1	<0.2	2.2	526	159	52.7
5929446	<0.1	0.3	<0.2	<0.1	4.2	<0.2	<0.2	1.7	4.8	78.2	<1	<0.2	<0.2	179	4.1	11.7
5929541	0.2	1.1	<0.2	6.5	163	<0.2	<0.2	273	16.2	76.3	<1	<0.2	5.5	77.3	164	123
5929585	<0.1	1.0	<0.2	1.8	9.9	<0.2	<0.2	73.5	3.8	60.9	<1	<0.2	0.3	138	27.9	19.2
5929595	<0.1	0.4	<0.2	0.8	2.7	<0.2	<0.2	1.5	3.1	8.28	<1	<0.2	0.2	7.4	8.0	14.7
5929596	<0.1	0.5	<0.2	1.7	17.0	<0.2	<0.2	10.4	4.8	131	<1	<0.2	1.0	204	18.1	31.6
5929659	<0.1	<0.2	<0.2	<0.1	4.2	<0.2	<0.2	1.2	5.0	70.7	<1	<0.2	0.7	122	7.5	14.7
5929663	<0.1	0.9	<0.2	0.8	11.8	<0.2	<0.2	1.8	4.8	315	<1	<0.2	1.4	350	13.1	18.9
CG515/LS4	<0.1	14.2	0.5	40.1	50.0	<0.2	<0.2	13.1	49.9	25.5	<1	<0.2	<0.2	30.4	106	203
5929664	<0.1	1.0	<0.2	1.3	19.2	<0.2	<0.2	1.1	5.0	132	<1	<0.2	1.2	238	9.0	21.7
5929664 R	<0.1	1.1	<0.2	1.5	18.8	<0.2	<0.2	1.1	5.1	129	<1	<0.2	1.2	231	8.4	19.4

Aqua Regia: A 0.5 g pulp is digested with 2.00 ml of 3:1 HCL:HNO3 for 1 hour at 95 C.  
The standard is LS4.



IOS Services Geoscientifiques Inc.

125 - 15 Innovation Blvd., Saskatoon, Saskatchewan, S7N 2X8

Attention: Rejean Girard

Tel: (306) 933-8118 Fax: (306) 933-5656 Email: geolab@src.sk.ca

PO #/Project: Project 592

Samples: 23

Date of Report: December 05, 2007

## ICP4.3 Total Digestion

## Column Header Details

Silver in ppm (Ag)  
Aluminum in wt % (Al<sub>2</sub>O<sub>3</sub>)  
Barium in ppm (Ba)  
Beryllium in ppm (Be)  
Calcium in wt % (CaO)

Cadmium in ppm (Cd)  
Cerium in ppm (Ce)  
Cobalt in ppm (Co)  
Chromium in ppm (Cr)  
Copper in ppm (Cu)

Dysprosium in ppm (Dy)  
Erbium in ppm (Er)  
Europium in ppm (Eu)  
Iron in wt % (Fe<sub>2</sub>O<sub>3</sub>)  
Gallium in ppm (Ga)

Gadolinium in ppm (Gd)  
Hafnium in ppm (Hf)  
Holmium in ppm (Ho)  
Potassium in wt % (K<sub>2</sub>O)  
Lanthanum in ppm (La)

Lithium in ppm (Li)  
Magnesium in wt % (MgO)  
Manganese in wt % (MnO)  
Molybdenum in ppm (Mo)  
Sodium in wt % (Na<sub>2</sub>O)

Niobium in ppm (Nb)  
Neodymium in ppm (Nd)  
Nickel in ppm (Ni)  
Phosphorus in wt % (P<sub>2</sub>O<sub>5</sub>)  
Lead in ppm (Pb)

Praseodymium in ppm (Pr)  
Scandium in ppm (Sc)  
Samarium in ppm (Sm)  
Tin in ppm (Sn)  
Strontium in ppm (Sr)

Tantalum in ppm (Ta)  
Terbium in ppm (Tb)  
Thorium in ppm (Th)  
Titanium in wt % (TiO<sub>2</sub>)  
Uranium in ppm (U, ICP)

IOS Services Geoscientifiques Inc.

Attention: Rejean Girard

PO #/Project: Project 592

Samples: 23

125 - 15 Innovation Blvd., Saskatoon, Saskatchewan, S7N 2X8

Tel: (306) 933-8118 Fax: (306) 933-5656 Email: geolab@src.sk.ca

Date of Report: December 05, 2007

ICP4.3 Total Digestion

Column Header Details

Vanadium in ppm (V)  
Tungsten in ppm (W)  
Yttrium in ppm (Y)  
Ytterbium in ppm (Yb)  
Zinc in ppm (Zn)

Zirconium in ppm (Zr)





ICP4.3 Total Digestion

Sample Number	Ag ppm	Al2O3 wt %	Ba ppm	Be ppm	CaO wt %	Cd ppm	Ce ppm	Co ppm	Cr ppm	Cu ppm	Dy ppm	Er ppm	Eu ppm	Fe2O3 wt %	Ga ppm	Gd ppm	Hf ppm
CG515/LS4	<0.2	17.5	2170	2.0	4.64	0.9	161	19	111	2	3.4	2.2	2.4	7.27	24	5.4	4.2
5929126	<0.2	15.6	92	2.3	2.45	0.9	29	8	177	28	1.4	0.9	0.4	3.23	25	1.7	10.2
5929127	<0.2	13.1	436	1.4	1.61	0.7	14	2	149	14	1.1	0.7	0.4	1.52	17	1.2	4.5
5929129	0.2	12.6	411	1.5	1.50	0.7	13	3	183	20	2.9	2.0	0.5	1.54	17	2.6	10.2
5929130	<0.2	13.8	98	1.5	2.70	0.8	9	3	152	6	1.6	1.0	0.5	1.17	15	1.6	2.8
5929131	<0.2	11.1	137	1.2	1.86	0.6	9	2	144	5	1.8	1.2	0.4	0.76	13	1.8	4.4
5929132	<0.2	17.9	150	1.1	4.11	1.0	16	3	120	4	5.5	3.6	1.4	0.67	16	4.9	11.2
5929241	2.1	15.3	253	1.5	2.71	1.4	103	14	182	9	1.3	0.5	0.7	6.00	26	2.6	17.4
5929242	<0.2	14.0	1060	0.9	1.38	0.8	14	1	153	10	0.8	0.5	0.7	1.45	15	1.1	6.2
5929243	2.0	13.6	1320	0.6	1.02	2.0	146	9	152	15	2.0	1.8	0.8	2.89	17	3.5	9.7
5929245	1.5	15.7	207	1.9	4.63	1.4	88	19	180	10	2.1	1.3	0.9	3.54	22	3.6	5.2
5929297	1.9	11.8	1660	<0.2	0.39	0.8	14	22	143	173	1.8	2.3	0.8	7.01	20	1.5	24.4
5929299	2.8	11.5	688	0.8	0.64	1.8	9	9	128	17	5.2	4.8	0.9	4.67	17	5.2	2.9
5929446	<0.2	12.0	121	0.6	0.58	0.7	3	2	140	4	4.1	3.0	0.3	1.12	15	2.8	10.5
5929541	<0.2	11.2	833	0.4	0.24	0.3	7	6	309	174	0.3	1.9	0.3	12.0	29	<0.5	18.2
5929585	<0.2	16.7	588	2.0	2.97	1.0	20	3	100	11	2.0	1.4	0.8	1.55	23	1.7	1.7
5929595	<0.2	12.7	1420	0.5	0.30	0.7	2	1	111	3	0.5	0.4	0.3	0.84	12	<0.5	1.1
5929596	<0.2	12.4	908	0.7	1.10	0.7	9	2	130	21	4.2	3.2	0.6	1.60	16	3.3	5.9
5929659	<0.2	10.4	63	1.7	1.70	0.6	361	<1	151	3	8.1	4.4	0.8	0.67	14	13.8	10.6
5929663	<0.2	11.6	853	1.1	0.77	0.6	18	2	138	10	8.3	7.4	0.4	1.30	15	5.5	3.1
CG515/LS4	<0.2	17.7	2160	2.0	4.71	0.8	171	18	112	5	3.3	2.3	2.4	7.59	24	5.2	4.5
5929664	<0.2	10.4	1110	0.4	0.53	0.5	16	<1	149	17	2.9	4.5	0.4	0.95	11	2.8	6.4
5929664 R	<0.2	10.6	1130	0.4	0.54	0.5	16	1	154	19	2.9	4.6	0.4	0.97	10	2.8	7.4

IOS Services Geoscientifiques Inc.

125 - 15 Innovation Blvd., Saskatoon, Saskatchewan, S7N 2X8

Attention: Rejean Girard

Tel: (306) 933-8118 Fax: (306) 933-5656 Email: geolab@src.sk.ca

PO #/Project: Project 592

Date of Report: December 05, 2007

Samples: 23

ICP4.3 Total Digestion

Sample Number	Ho ppm	K2O wt %	La ppm	Li ppm	MgO wt %	MnO wt %	Mo ppm	Na2O wt %	Nb ppm	Nd ppm	Ni ppm	P2O5 wt %	Pb ppm	Pr ppm	Sc ppm	Sm ppm	Sn ppm
CG515/LS4	1.7	3.12	88	30	2.75	0.072	1	3.27	8	61	23	0.656	18	17	13	8.1	3
5929126	0.7	1.44	13	45	1.46	0.050	<1	5.38	15	10	30	0.053	48	2	7	2.0	<1
5929127	<0.4	3.28	6	24	0.500	0.022	<1	3.86	7	5	8	0.025	46	<1	3	1.1	<1
5929129	0.6	2.64	5	20	0.478	0.025	7	3.95	9	6	7	0.025	72	1	2	1.9	<1
5929130	<0.4	0.482	5	15	0.364	0.014	5	5.10	3	5	5	0.029	42	1	1	1.4	<1
5929131	<0.4	0.934	4	13	0.196	0.011	30	3.88	2	4	4	0.016	56	1	1	1.3	<1
5929132	1.2	0.564	7	13	0.252	0.008	2	5.64	1	10	5	0.022	106	2	1	3.4	<1
5929241	1.2	2.63	58	57	2.23	0.096	1	4.10	18	34	34	0.060	37	10	9	4.3	<1
5929242	<0.4	4.75	6	8	0.414	0.016	1	3.56	2	5	4	0.058	69	1	1	0.9	<1
5929243	0.7	6.29	83	19	0.983	0.038	1	2.64	7	43	16	0.120	69	16	4	5.6	<1
5929245	0.9	1.96	48	40	1.53	0.067	34	2.22	12	31	17	0.156	27	9	5	5.2	<1
5929297	1.3	6.47	7	27	1.33	0.029	130	1.38	15	5	73	0.069	217	1	8	1.1	<1
5929299	1.2	5.91	2	19	0.643	0.019	275	1.88	13	9	31	0.100	197	2	5	3.9	<1
5929446	0.9	5.55	1	10	0.155	0.008	5	2.73	<1	2	5	0.017	105	<1	<1	1.3	<1
5929541	1.6	6.44	3	122	3.61	0.157	357	0.81	46	3	17	0.082	79	<1	21	<0.5	<1
5929585	0.4	1.78	10	31	0.746	0.019	80	5.16	5	7	7	0.028	71	2	3	1.8	<1
5929595	<0.4	7.49	1	10	0.276	0.013	2	2.20	2	1	4	0.019	32	<1	1	<0.5	<1
5929596	1.0	4.70	3	23	0.517	0.023	10	2.83	5	6	5	0.036	152	1	2	1.9	<1
5929659	1.4	0.833	174	13	0.253	0.014	1	3.62	1	107	4	0.078	81	34	1	18.2	<1
5929663	1.4	4.92	4	13	0.367	0.024	2	2.66	6	8	4	0.019	315	2	1	3.5	<1
CG515/LS4	1.5	3.13	90	31	2.80	0.074	1	3.34	9	61	24	0.662	19	17	13	8.1	3
5929664	<0.4	4.98	5	9	0.243	0.013	1	2.13	1	7	4	0.017	140	2	1	1.7	<1
5929664 R	<0.4	5.11	5	10	0.248	0.014	1	2.18	<1	7	5	0.016	145	2	1	1.9	<1

IOS Services Geoscientifiques Inc.

125 - 15 Innovation Blvd., Saskatoon, Saskatchewan, S7N 2X8

Attention: Rejean Girard

Tel: (306) 933-8118 Fax: (306) 933-5656 Email: geolab@src.sk.ca

PO #/Project: Project 592

Date of Report: December 05, 2007

Samples: 23

## ICP4.3 Total Digestion

Sample Number	Sr ppm	Ta ppm	Tb ppm	Th ppm	TiO2 wt %	U, ICP ppm	V ppm	W ppm	Y ppm	Yb ppm	Zn ppm	Zr ppm
CG515/LS4	1160	<1	<0.3	14	1.05	4	126	1	22	1.9	82	139
5929126	197	1	<0.3	84	0.331	48	45	1	9	1.7	66	312
5929127	194	<1	<0.3	45	0.164	19	22	1	7	1.3	43	118
5929129	181	<1	<0.3	150	0.154	92	23	2	17	2.9	49	295
5929130	242	<1	<0.3	36	0.126	87	24	<1	9	1.3	16	81
5929131	185	<1	<0.3	74	0.072	69	15	2	10	1.4	16	141
5929132	319	<1	<0.3	171	0.079	203	20	1	36	3.8	40	344
5929241	205	3	<0.3	83	0.947	26	81	25	9	1.1	132	621
5929242	238	<1	<0.3	129	0.185	36	22	2	5	0.5	27	212
5929243	229	<1	<0.3	261	0.406	45	41	27	11	1.0	55	356
5929245	186	<1	<0.3	103	0.448	20	40	66	13	0.8	64	168
5929297	163	2	<0.3	325	0.582	449	102	35	14	1.9	68	856
5929299	129	2	<0.3	212	0.190	549	204	69	27	2.7	49	39
5929446	55	<1	<0.3	114	0.032	201	14	2	23	3.1	16	265
5929541	75	10	<0.3	434	1.83	109	172	<1	8	0.9	142	646
5929585	234	<1	<0.3	26	0.193	136	40	1	11	1.2	20	20
5929595	191	<1	<0.3	10	0.100	13	18	1	4	0.6	24	22
5929596	192	<1	<0.3	129	0.184	238	27	1	23	2.8	38	162
5929659	114	<1	1.5	185	0.058	134	15	2	40	2.6	15	339
5929663	176	<1	<0.3	465	0.149	388	21	3	34	6.8	22	73
CG515/LS4	1190	<1	<0.3	16	1.15	4	133	1	22	1.9	84	149
5929664	201	<1	<0.3	740	0.095	269	17	1	16	2.1	26	260
5929664 R	204	<1	<0.3	752	0.095	278	17	2	17	2.2	26	268

Total Digestion: A 0.125 g pulp is gently heated in a mixture of HF/HNO3/HClO4 until dry and the residue is dissolved in dilute HNO3. The standard is CG515.





Saskatchewan  
Research Council

125-15 Innovation Boulevard, Saskatoon, SK Canada S7N 2X8 • Ph: 306-933-5400 Fax: 306-933-7446  
Also located at: 220-6 Research Drive, Regina, SK Canada S4S 7J7 • Ph: 306-787-9400 Fax: 306-787-8811

Web: [www.src.sk.ca](http://www.src.sk.ca)  
Email: [info@src.sk.ca](mailto:info@src.sk.ca)

Report No: 07-1212

## SRC Geoanalytical Laboratories

125 - 15 Innovation Blvd.  
Saskatoon, Saskatchewan  
S7N 2X8

January 08, 2008

Phone: (306) 933-8118  
Fax: (306) 933-5656

**IOS Services Geoscientifiques Inc.**  
1319 St-Paul Boulevard  
Saguenay (Chicoutimi), QC G7J 3Y2  
Attn: Rejean Girard

Test reports are the property of the customers. Publications of statements, conclusions or extracts from these reports are not permitted without prior written permission from the customer.

This document constitutes the **final official test report**. Liability for the SRC Geoanalytical Laboratories', if any, will be limited to the cost of analysis for samples in this test report. The results contained in this test report relate only to the items tested. It is the customer's responsibility to ensure that all interpretation of analysis is done using the data from this report.

The customer will not use the name of the Saskatchewan Research Council in connection with the sale, offer, advertisement or the promotion of any article, product, or company without the prior written consent of the SRC.

Results Reviewed and Approved by:

Robert Millar  
Assistant Research Scientist

IOS Services Geoscientifiques Inc.

Attention: Rejean Girard

PO #/Project: 313042

Samples: 17

125 - 15 Innovation Blvd., Saskatoon, Saskatchewan, S7N 2X8

Tel: (306) 933-8118 Fax: (306) 933-5656 Email: geolab@src.sk.ca

Report No: G-07-1212

Date of Report: January 08, 2008

## ICP4.3 Aqua Regia Digestion

## Column Header Details

Silver in ppm (Ag)  
 Arsenic in ppm (As)  
 Bismuth in ppm (Bi)  
 Cobalt in ppm (Co)  
 Copper in ppm (Cu)

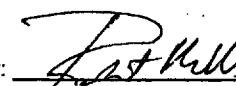
Germanium in ppm (Ge)  
 Mercury in ppm (Hg)  
 Molybdenum in ppm (Mo)  
 Nickel in ppm (Ni)  
 Lead in ppm (Pb)

Antimony in ppm (Sb)  
 Selenium in ppm (Se)  
 Tellurium in ppm (Te)  
 Uranium in ppm (U, ICP)  
 Vanadium in ppm (V)

Zinc in ppm (Zn)

Sample Number	Ag ppm	As ppm	Bi ppm	Co ppm	Cu ppm	Ge ppm	Hg ppm	Mo ppm	Ni ppm	Pb ppm	Sb ppm	Se ppm	Te ppm	U, ICP ppm	V ppm	Zn ppm
LS4	0.2	15.1	1.3	38.7	51.2	<0.2	<0.2	11.6	50.6	25.4	<1	<0.2	<0.2	35.4	106	217
5929234	<0.1	5.8	5.3	6.7	13.4	<0.2	<0.2	4.9	12.4	66.0	4.4	1.8	<0.2	98.0	32.2	51.3
5929235	55.0	4.5	6.2	10.7	45.7	<0.2	<0.2	1.0	32.7	56.8	5.8	0.9	<0.2	78.4	45.7	83.5
5929236	<0.1	1.2	2.1	2.0	5.2	<0.2	<0.2	65.7	5.4	66.7	1.5	1.7	0.9	79.2	13.9	37.5
5929237	1.2	2.1	4.1	6.8	7.6	<0.2	<0.2	290	8.0	88.0	2.9	2.3	0.8	127	22.9	46.3
5929238	0.4	0.4	0.8	1.7	5.3	<0.2	<0.2	11.5	5.5	57.3	<1	0.3	1.2	85.3	3.0	10.5
5929239	3.2	2.4	4.0	15.0	8.9	<0.2	<0.2	9.5	26.2	34.2	3.5	<0.2	<0.2	84.5	38.0	48.6
5929247	1.0	1.1	2.1	7.7	15.5	<0.2	<0.2	44.8	11.4	69.1	1.7	<0.2	0.8	100	16.0	19.6
5929248	<0.1	2.2	3.7	7.0	5.4	<0.2	<0.2	2.9	16.0	63.0	2.0	0.3	0.3	130	124	89.2
5929293	1.4	2.9	4.4	11.8	6.3	<0.2	<0.2	5.2	18.1	44.5	5.2	<0.2	<0.2	99.4	148	84.7
5929294	1.9	1.3	1.1	4.9	19.4	<0.2	<0.2	11.3	17.8	36.8	1.6	<0.2	0.6	60.8	27.4	12.9
5929447	<0.1	0.6	0.6	0.4	1.9	<0.2	<0.2	0.8	2.5	93.3	<1	<0.2	1.4	259	2.7	5.4
5929448	<0.1	1.2	1.5	1.6	5.5	<0.2	<0.2	0.5	3.5	95.4	<1	<0.2	1.4	141	15.0	19.9
5929449	<0.1	2.0	2.4	1.7	2.0	<0.2	<0.2	0.4	2.4	113	2.4	1.1	0.8	92.7	5.3	46.0
5929586	<0.1	3.7	2.2	2.8	1.4	<0.2	<0.2	26.7	4.2	108	<1	<0.2	1.1	296	25.4	29.4
5929666	<0.1	5.0	4.5	6.8	82.6	<0.2	<0.2	10.3	6.6	186	3.8	<0.2	0.3	262	45.9	63.8
5929447 R	<0.1	0.5	0.8	0.6	2.0	<0.2	<0.2	0.7	2.3	95.1	<1	<0.2	1.6	264	2.7	5.4

Aqua Regia: A 0.5 g pulp is digested with 2.00 ml of 3:1 HCL:HNO3 for 1 hour at 95 C.  
 The standard is LS4.





Report No: 07-1212

# SRC Geoanalytical Laboratories

125 - 15 Innovation Blvd.  
Saskatoon, Saskatchewan  
S7N 2X8

February 09, 2008

Phone: (306) 933-8118  
Fax: (306) 933-5656

**IOS Services Geoscientifiques Inc.**  
1319 St-Paul Boulevard  
Saguenay (Chicoutimi), QC G7J 3Y2  
Attn: Rejean Girard

Test reports are the property of the customers. Publications of statements, conclusions or extracts from these reports are not permitted without prior written permission from the customer.

This document constitutes the **final official test report**. Liability for the SRC Geoanalytical Laboratories' if any, will be limited to the cost of analysis for samples in this test report. The results contained in this test report relate only to the items tested. It is the customer's responsibility to ensure that all interpretation of analysis is done using the data from this report.

The customer will not use the name of the Saskatchewan Research Council in connection with the sale, offer, advertisement or the promotion of any article, product, or company without the prior written consent of the SRC.

Results Reviewed and Approved by:

Robert Millar  
Assistant Research Scientist



IOS Services Geoscientifiques Inc.

Attention: Rejean Girard

PO #/Project: 313042

Samples: 17

125 - 15 Innovation Blvd., Saskatoon, Saskatchewan, S7N 2X8

Tel: (306) 933-8118 Fax: (306) 933-5656 Email: geolab@src.sk.ca

Report No: G-07-1212

Date of Report: February 13, 2008

ICP1 Total Digestion

Column Header Details

Silver in ppm (Ag)  
Aluminum in wt % (Al<sub>2</sub>O<sub>3</sub>)  
Barium in ppm (Ba)  
Beryllium in ppm (Be)  
Calcium in wt % (CaO)

Cadmium in ppm (Cd)  
Cerium in ppm (Ce)  
Cobalt in ppm (Co)  
Chromium in ppm (Cr)  
Copper in ppm (Cu)

Dysprosium in ppm (Dy)  
Erbium in ppm (Er)  
Europium in ppm (Eu)  
Iron in wt % (Fe<sub>2</sub>O<sub>3</sub>)  
Gallium in ppm (Ga)

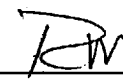
Gadolinium in ppm (Gd)  
Hafnium in ppm (Hf)  
Holmium in ppm (Ho)  
Potassium in wt % (K<sub>2</sub>O)  
Lanthanum in ppm (La)

Lithium in ppm (Li)  
Magnesium in wt % (MgO)  
Manganese in wt % (MnO)  
Molybdenum in ppm (Mo)  
Sodium in wt % (Na<sub>2</sub>O)

Niobium in ppm (Nb)  
Neodymium in ppm (Nd)  
Nickel in ppm (Ni)  
Phosphorus in wt % (P<sub>2</sub>O<sub>5</sub>)  
Lead in ppm (Pb)

Praseodymium in ppm (Pr)  
Scandium in ppm (Sc)  
Samarium in ppm (Sm)  
Tin in ppm (Sn)  
Strontium in ppm (Sr)

Tantalum in ppm (Ta)  
Terbium in ppm (Tb)  
Thorium in ppm (Th)  
Titanium in wt % (TiO<sub>2</sub>)  
Uranium in ppm (U, ICP)



IOS Services Geoscientifiques Inc.

Attention: Rejean Girard

PO #/Project: 313042

Samples: 17

125 - 15 Innovation Blvd., Saskatoon, Saskatchewan, S7N 2X8

Tel: (306) 933-8118 Fax: (306) 933-5656 Email: geolab@src.sk.ca

Date of Report: February 13, 2008

ICP1 Total Digestion

Column Header Details

Vanadium in ppm (V)  
Tungsten in ppm (W)  
Yttrium in ppm (Y)  
Ytterbium in ppm (Yb)  
Zinc in ppm (Zn)

Zirconium in ppm (Zr)

RM

Attention: Rejean Girard

Tel: (306) 933-8118 Fax: (306) 933-5656 Email: geolab@src.sk.ca

PO #/Project: 313042

Date of Report: February 13, 2008

Samples: 17

ICP1 Total Digestion

Sample Number	Ag ppm	Al2O3 wt %	Ba ppm	Be ppm	CaO wt %	Cd ppm	Ce ppm	Co ppm	Cr ppm	Cu ppm	Dy ppm	Er ppm	Eu ppm	Fe2O3 wt %	Ga ppm	Gd ppm	Hf ppm
CG515/LS4	0.3	17.2	2280	2.1	4.83	1.3	164	20	112	4	3.3	2.5	2.4	7.38	24	5.7	4.6
5929234	0.8	14.3	859	1.1	2.15	1.0	166	6	160	14	2.4	1.3	0.8	2.75	18	5.1	6.3
5929235	15.9	17.5	1150	1.2	2.36	5.8	133	13	204	47	2.2	1.1	0.8	3.86	22	4.5	10.5
5929236	0.4	11.0	676	1.0	0.89	1.0	2	1	179	6	0.8	0.5	0.4	1.47	12	0.8	0.9
5929237	12.8	10.4	180	1.6	1.58	4.7	3	8	198	8	1.1	0.7	0.3	2.34	13	1.1	4.3
5929238	1.1	7.02	78	0.7	1.42	1.0	12	1	222	6	0.9	0.5	0.6	0.52	8	1.0	12.2
5929239	5.0	10.8	361	0.9	1.67	2.1	15	18	259	10	0.8	0.6	0.7	3.27	17	1.0	10.6
5929247	1.7	14.8	2380	0.3	0.36	1.4	5	7	253	16	1.0	0.4	0.8	1.61	13	1.1	0.8
5929248	1.5	16.8	146	1.9	3.22	1.3	18	7	179	6	1.2	0.7	0.9	2.54	23	1.2	16.4
5929293	7.4	14.9	182	1.7	2.80	3.0	12	13	186	6	0.9	0.6	0.8	3.05	22	0.9	21.8
5929294	2.6	14.7	518	3.3	0.83	2.0	15	5	198	21	2.5	1.8	0.4	4.32	23	2.4	2.9
5929447	0.5	14.2	136	1.4	1.31	1.2	37	<1	173	2	6.7	4.2	0.5	0.70	16	5.8	3.7
5929448	<0.2	14.6	114	2.0	2.35	1.1	78	1	162	5	5.1	3.0	0.6	2.74	21	5.8	1.9
5929449	<0.2	14.4	105	2.0	1.98	1.1	163	2	180	2	6.3	3.8	0.5	2.21	21	6.2	1.6
5929586	0.3	19.1	700	4.0	2.27	1.8	130	2	134	1	6.3	4.4	1.0	1.64	25	6.6	<0.5
5929666	0.4	18.6	428	2.6	3.25	1.8	186	8	136	97	6.2	3.5	1.1	3.48	28	7.8	1.3
5929447 R	0.3	13.1	132	1.3	1.27	1.2	35	<1	170	3	6.0	3.8	0.5	0.68	15	5.3	3.1



Attention: Rejean Girard

Tel: (306) 933-8118 Fax: (306) 933-5656 Email: geolab@src.sk.ca

PO #/Project: 313042

Date of Report: February 13, 2008

Samples: 17

ICPI Total Digestion

Sample Number	Ho ppm	K2O wt %	La ppm	Li ppm	MgO wt %	MnO wt %	Mo ppm	Na2O wt %	Nb ppm	Nd ppm	Ni ppm	P2O5 wt %	Pb ppm	Pr ppm	Sc ppm	Sm ppm	Sn ppm
CG515/LS4	1.6	3.22	89	29	2.80	0.077	2	3.18	8	62	26	0.676	20	15	13	8.5	3
5929234	0.7	3.97	88	25	0.998	0.038	7	3.27	8	53	13	0.049	94	14	4	7.2	<1
5929235	0.9	5.69	65	32	1.38	0.051	3	3.59	10	43	37	0.058	98	11	6	6.3	<1
5929236	<0.4	4.58	2	13	0.457	0.025	66	2.50	6	1	5	0.022	78	<1	2	0.6	<1
5929237	<0.4	1.73	2	20	0.697	0.041	423	3.12	8	1	10	0.030	101	<1	4	0.8	<1
5929238	<0.4	0.626	6	4	0.129	0.006	14	2.05	1	3	6	0.018	67	1	<1	1.1	<1
5929239	0.7	2.06	10	27	0.995	0.030	13	2.58	11	5	28	0.022	55	1	7	1.2	<1
5929247	<0.4	9.53	2	9	0.407	0.016	60	2.21	4	2	15	0.035	105	<1	2	0.9	<1
5929248	0.6	1.60	12	33	1.62	0.026	5	5.21	6	5	15	0.028	82	1	10	1.4	<1
5929293	0.7	1.72	7	36	1.76	0.031	7	4.40	5	4	20	0.029	61	1	12	1.0	<1
5929294	0.6	7.47	6	3	0.200	0.008	16	2.84	23	7	20	0.039	65	1	2	2.2	<1
5929447	1.5	5.98	19	8	0.096	0.008	1	3.42	1	15	3	0.080	121	3	<1	4.4	<1
5929448	1.1	2.56	34	11	0.184	0.030	1	4.79	1	27	4	0.150	110	6	2	6.1	<1
5929449	1.6	2.95	31	69	0.640	0.038	1	4.35	7	28	3	0.124	159	6	6	6.6	<1
5929586	1.6	5.05	66	25	0.730	0.044	30	5.36	8	44	5	0.095	157	11	3	7.5	<1
5929666	1.5	3.01	103	29	1.25	0.042	16	5.41	9	60	9	0.094	257	15	6	9.8	<1
5929447 R	1.3	5.90	17	7	0.094	0.008	2	3.40	<1	14	4	0.079	119	3	<1	4.1	<1

Attention: Rejean Girard

Tel: (306) 933-8118 Fax: (306) 933-5656 Email: geolab@src.sk.ca

PO #/Project: 313042

Date of Report: February 13, 2008

Samples: 17

ICP1 Total Digestion

Sample Number	Sr ppm	Ta ppm	Tb ppm	Th ppm	TiO2 wt %	U, ICP ppm	V ppm	W ppm	Y ppm	Yb ppm	Zn ppm	Zr ppm
CG515/LS4	1200	2	<0.3	13	1.13	3	131	<1	22	2.0	86	183
5929234	236	<1	<0.3	322	0.416	101	31	<1	11	0.8	55	248
5929235	270	2	<0.3	327	0.501	86	51	13	10	0.9	86	392
5929236	151	2	<0.3	294	0.194	81	15	<1	4	0.5	36	58
5929237	142	7	<0.3	445	0.302	130	24	29	7	0.6	58	158
5929238	111	6	<0.3	87	0.045	87	4	<1	5	1.0	14	427
5929239	146	1	<0.3	80	0.458	87	43	53	7	1.0	57	392
5929247	280	<1	<0.3	103	0.171	102	21	44	5	0.4	24	51
5929248	221	<1	<0.3	227	0.431	133	139	<1	7	1.3	98	547
5929293	187	2	<0.3	172	0.488	103	170	48	7	1.4	94	756
5929294	138	9	<0.3	74	0.132	62	41	23	15	2.7	16	85
5929447	90	2	<0.3	142	0.026	262	3	<1	36	3.8	10	115
5929448	104	<1	<0.3	197	0.127	145	17	<1	26	2.8	27	68
5929449	94	1	0.4	203	0.339	101	7	<1	25	3.2	59	68
5929586	248	5	<0.3	64	0.176	301	28	<1	38	4.1	35	19
5929666	272	5	<0.3	132	0.358	320	53	<1	33	2.3	85	75
5929447 R	87	<1	<0.3	140	0.025	270	3	<1	33	3.5	8	114

Total Digestion: A 0.125 g pulp is gently heated in a mixture of HF/HNO3/HClO4 until dry and the residue is dissolved in dilute HNO3. The standard is CG515.



Report No: 07-1252

## SRC Geoanalytical Laboratories

125 - 15 Innovation Blvd.  
Saskatoon, Saskatchewan  
S7N 2X8

February 05, 2008

Phone: (306) 933-8118

Fax: (306) 933-5656

**IOS Services Geoscientifiques Inc.**  
1319 St-Paul Boulevard  
Saguenay (Chicoutimi), QC G7J 3Y2  
Attn: Rejean Girard

Test reports are the property of the customers. Publications of statements, conclusions or extracts from these reports are not permitted without prior written permission from the customer.

This document constitutes the **final official test report**. Liability for the SRC Geoanalytical Laboratories', if any, will be limited to the cost of analysis for samples in this test report. The results contained in this test report relate only to the items tested. It is the customer's responsibility to ensure that all interpretation of analysis is done using the data from this report.

The customer will not use the name of the Saskatchewan Research Council in connection with the sale, offer, advertisement or the promotion of any article, product, or company without the prior written consent of the SRC.

Results Reviewed and Approved by:

Robert Millar  
Assistant Research Scientist



IOS Services Geoscientifiques Inc.

Attention: Rejean Girard  
PO #/Project: Project 592  
Samples: 30

125 - 15 Innovation Blvd., Saskatoon, Saskatchewan, S7N 2X8  
Tel: (306) 933-8118 Fax: (306) 933-5656 Email: geolab@src.sk.ca

Report No: G-07-1252

Date of Report: February 05, 2008

ICP4.3 Aqua Regia Digestion

Column Header Details

Silver in ppm (Ag)  
Arsenic in ppm (As)  
Bismuth in ppm (Bi)  
Cobalt in ppm (Co)  
Copper in ppm (Cu)

Germanium in ppm (Ge)  
Mercury in ppm (Hg)  
Molybdenum in ppm (Mo)  
Nickel in ppm (Ni)  
Lead in ppm (Pb)

Antimony in ppm (Sb)  
Selenium in ppm (Se)  
Tellurium in ppm (Te)  
Uranium in ppm (U, ICP)  
Vanadium in ppm (V)

Zinc in ppm (Zn)

ICP4.3 Aqua Regia Digestion

Sample Number	Ag ppm	As ppm	Bi ppm	Co ppm	Cu ppm	Ge ppm	Hg ppm	Mo ppm	Ni ppm	Pb ppm	Sb ppm	Se ppm	Te ppm	U, ICP ppm	V ppm	Zn ppm
CG515/LS4	<0.1	14.1	1.6	41.1	55.0	<0.2	<0.2	13.4	55.6	27.6	<1	<0.2	<0.2	39.3	107	229
5929137	<0.1	0.6	<0.2	0.3	3.0	<0.2	<0.2	31.8	3.2	35.9	<1	<0.2	<0.2	91.7	1.9	6.3
5929440	1.4	1.1	<0.2	32.5	10.2	<0.2	<0.2	45.9	15.5	84.8	1.0	0.4	<0.2	210	6.0	24.2
5929443	1.7	0.4	<0.2	5.3	32.1	0.3	<0.2	172	9.4	73.9	<1	<0.2	0.6	45.5	19.0	26.4
5929529	<0.1	<0.2	<0.2	1.5	10.7	0.6	<0.2	1.9	5.1	36.2	<1	<0.2	0.5	50.2	14.1	29.5
5929530	1.5	1.2	<0.2	8.8	24.8	<0.2	<0.2	2.1	15.3	21.6	<1	<0.2	0.3	22.9	17.5	29.6
5929531	<0.1	<0.2	<0.2	0.7	20.7	0.4	<0.2	1.1	2.9	198	<1	<0.2	0.2	210	11.5	21.6
5929533	<0.1	0.3	<0.2	<0.1	13.8	<0.2	<0.2	397	5.2	17.7	<1	<0.2	0.6	35.6	5.2	12.2
5929534	<0.1	1.0	<0.2	4.5	3.6	0.6	<0.2	44.8	11.9	27.3	<1	<0.2	<0.2	29.7	32.7	61.4
5929540	<0.1	1.9	<0.2	0.3	75.0	<0.2	<0.2	3190	7.0	180	<1	<0.2	0.6	91.2	19.4	48.8
5929593	<0.1	0.7	<0.2	1.7	9.6	<0.2	<0.2	69.2	4.9	85.6	<1	<0.2	<0.2	170	13.9	23.5
5929602	<0.1	0.4	<0.2	3.7	14.0	0.3	<0.2	33.8	8.4	84.4	<1	<0.2	<0.2	301	21.8	66.6
5929604	<0.1	1.8	<0.2	10.1	29.5	0.8	<0.2	3.9	26.3	122	<1	<0.2	1.1	280	77.1	91.5
5929605	<0.1	1.5	<0.2	9.5	67.2	0.8	<0.2	12.4	25.0	101	<1	<0.2	0.5	177	62.8	81.1
5929608	<0.1	0.6	<0.2	2.1	50.6	0.4	<0.2	55.7	5.8	140	<1	<0.2	1.0	856	17.9	16.4
5929612	<0.1	0.9	<0.2	2.1	17.0	<0.2	<0.2	39.5	6.5	193	<1	<0.2	0.2	260	9.4	15.8
5929614	<0.1	0.3	<0.2	1.7	19.7	<0.2	<0.2	1.8	5.0	57.2	<1	<0.2	1.0	86.5	8.7	18.3
5929616	<0.1	1.9	<0.2	6.6	23.2	0.6	<0.2	8.0	10.7	38.9	<1	<0.2	<0.2	47.6	44.6	67.9
5929617	<0.1	<0.2	<0.2	0.5	9.8	<0.2	<0.2	28.8	3.9	128	<1	<0.2	0.3	250	6.4	20.7
5929619	10.1	<0.2	28.5	2.4	276	<0.2	<0.2	22.6	8.2	56.4	<1	0.5	1.4	190	22.2	33.0
CG515/LS4	<0.1	13.3	1.1	38.0	51.4	<0.2	<0.2	13.0	51.5	25.7	<1	<0.2	<0.2	35.8	99.8	213
5929620	8.1	1.8	<0.2	32.2	78800	7.1	<0.2	168	382	57.9	<1	1.3	6.4	15.6	443	41.3
5929621	<0.1	1.1	<0.2	0.4	166	<0.2	<0.2	6.9	3.0	64.0	<1	<0.2	<0.2	35.0	1.9	6.5
5929622	<0.1	0.3	<0.2	9.1	48.0	1.8	<0.2	1960	8.5	205	<1	<0.2	<0.2	57.9	144	148
5929662	<0.1	1.4	<0.2	6.8	13.1	<0.2	<0.2	60.1	13.6	133	<1	<0.2	2.5	240	80.8	95.4
5929667	<0.1	1.5	<0.2	7.0	33.7	<0.2	<0.2	11.3	10.9	44.5	<1	<0.2	1.3	106	39.2	67.4
5929706	<0.1	0.5	<0.2	1.2	9.6	<0.2	<0.2	4.2	3.3	41.9	<1	<0.2	<0.2	82.5	5.7	24.6
5929708	<0.1	1.2	<0.2	3.8	26.3	0.5	<0.2	225	3.7	226	<1	<0.2	<0.2	390	30.0	76.6
5929709	<0.1	1.9	<0.2	8.0	12.9	1.5	<0.2	402	16.8	414	<1	<0.2	1.0	53.7	84.8	97.4
5929662 R	<0.1	1.1	<0.2	6.5	12.7	<0.2	<0.2	58.8	12.6	135	<1	<0.2	2.3	232	77.7	93.6

Aqua Regia: A 0.5 g pulp is digested with 2.00 ml of 3:1 HCL:HNO3 for 1 hour at 95 C.  
 The standard is LS4.

IOS Services Geoscientifiques Inc.

Attention: Rejean Girard

PO #/Project: Project 592

Samples: 30

125 - 15 Innovation Blvd., Saskatoon, Saskatchewan, S7N 2X8

Tel: (306) 933-8118 Fax: (306) 933-5656 Email: geolab@src.sk.ca

Report No: G-07-1252

Date of Report: February 05, 2008

ICP1 Total Digestion

Column Header Details

Silver in ppm (Ag)  
Aluminum in wt % (Al<sub>2</sub>O<sub>3</sub>)  
Barium in ppm (Ba)  
Beryllium in ppm (Be)  
Calcium in wt % (CaO)

Cadmium in ppm (Cd)  
Cerium in ppm (Ce)  
Cobalt in ppm (Co)  
Chromium in ppm (Cr)  
Copper in ppm (Cu)

Dysprosium in ppm (Dy)  
Erbium in ppm (Er)  
Europium in ppm (Eu)  
Iron in wt % (Fe<sub>2</sub>O<sub>3</sub>)  
Gallium in ppm (Ga)

Gadolinium in ppm (Gd)  
Hafnium in ppm (Hf)  
Holmium in ppm (Ho)  
Potassium in wt % (K<sub>2</sub>O)  
Lanthanum in ppm (La)

Lithium in ppm (Li)  
Magnesium in wt % (MgO)  
Manganese in wt % (MnO)  
Molybdenum in ppm (Mo)  
Sodium in wt % (Na<sub>2</sub>O)

Niobium in ppm (Nb)  
Neodymium in ppm (Nd)  
Nickel in ppm (Ni)  
Phosphorus in wt % (P<sub>2</sub>O<sub>5</sub>)  
Lead in ppm (Pb)

Praseodymium in ppm (Pr)  
Scandium in ppm (Sc)  
Samarium in ppm (Sm)  
Tin in ppm (Sn)  
Strontium in ppm (Sr)

Tantalum in ppm (Ta)  
Terbium in ppm (Tb)  
Thorium in ppm (Th)  
Titanium in wt % (TiO<sub>2</sub>)  
Uranium in ppm (U, ICP)



IOS Services Geoscientifiques Inc.

Attention: Rejean Girard

PO #/Project: Project 592

Samples: 30

125 - 15 Innovation Blvd., Saskatoon, Saskatchewan, S7N 2X8

Tel: (306) 933-8118 Fax: (306) 933-5656 Email: geolab@src.sk.ca

Report No: G-07-1252

Date of Report: February 05, 2008

ICP1 Total Digestion

Column Header Details

- Vanadium in ppm (V)
- Tungsten in ppm (W)
- Yttrium in ppm (Y)
- Ytterbium in ppm (Yb)
- Zinc in ppm (Zn)
  
- Zirconium in ppm (Zr)

*RM*

ICP1 Total Digestion

Sample Number	Ag ppm	Al2O3 wt %	Ba ppm	Be ppm	CaO wt %	Cd ppm	Ce ppm	Co ppm	Cr ppm	Cu ppm	Dy ppm	Er ppm	Eu ppm	Fe2O3 wt %	Ga ppm	Gd ppm	Hf ppm
CG515/LS4	<0.2	17.4	2210	2.2	4.84	1.0	153	19	123	4	3.3	2.4	2.4	7.37	23	5.4	4.1
5929137	<0.2	15.4	1050	1.2	1.37	1.4	23	1	154	2	1.9	0.9	0.8	0.34	14	2.0	<0.5
5929440	1.7	9.93	42	2.2	1.56	1.6	3	36	265	11	1.0	<0.2	0.4	1.92	15	0.9	3.3
5929443	0.6	11.7	1520	0.3	0.36	1.5	8	6	205	35	1.5	0.6	0.5	1.54	10	2.2	<0.5
5929529	10.3	13.3	139	1.7	1.82	1.1	22	2	193	11	1.7	0.6	0.4	2.82	19	1.8	0.9
5929530	1.2	16.2	256	3.3	3.32	1.9	42	9	248	26	1.2	0.2	0.4	1.53	19	2.7	3.9
5929531	0.4	16.6	116	1.9	2.18	1.2	61	1	139	22	8.7	4.2	0.7	2.66	22	7.5	34.2
5929533	<0.2	3.84	149	0.2	0.08	0.4	4	<1	267	14	0.7	<0.2	<0.2	1.04	2	1.4	3.6
5929534	<0.2	14.0	353	1.6	2.24	1.0	5	5	156	3	0.6	<0.2	0.7	2.61	18	<0.5	1.8
5929540	<0.2	10.0	370	2.5	1.51	0.9	4	2	215	77	2.4	2.4	0.3	3.05	<1	2.6	5.4
5929593	<0.2	14.1	723	1.2	1.39	1.0	73	2	169	10	4.6	2.5	0.8	1.22	16	5.7	1.6
5929602	<0.2	14.7	89	2.4	1.81	1.0	9	5	169	15	4.6	3.1	0.4	1.74	19	3.0	8.3
5929604	<0.2	14.0	193	1.6	1.45	0.8	72	10	254	31	6.6	3.8	0.8	5.19	25	5.9	8.5
5929605	<0.2	17.8	94	2.3	2.95	1.2	19	11	157	70	5.3	3.6	0.6	4.33	25	3.5	10.4
5929608	<0.2	7.08	30	1.4	1.21	0.5	9	2	246	52	0.8	0.3	0.3	1.48	11	0.8	3.3
5929612	<0.2	12.7	60	1.7	2.27	0.8	11	2	172	19	4.5	2.2	0.5	1.08	15	3.8	13.1
5929614	<0.2	11.5	946	0.8	0.82	0.8	9	3	166	20	3.0	1.4	0.5	1.06	11	2.8	14.0
5929616	<0.2	11.9	533	1.4	1.12	0.9	11	7	195	23	1.7	1.2	0.4	3.48	17	1.1	2.7
5929617	<0.2	5.67	160	0.7	0.50	0.4	3	1	213	7	2.4	1.0	0.2	0.84	8	2.1	2.3
5929619	14.7	10.3	469	1.5	0.06	0.7	12	3	196	280	4.2	2.2	0.3	1.87	12	3.4	33.9
CG515/LS4	<0.2	17.5	2230	2.2	4.87	1.0	154	19	124	4	3.3	2.4	2.4	7.42	24	5.4	4.2
5929620	9.2	7.18	141	<0.2	0.13	<0.2	47	44	232	88400	0.3	1.5	0.9	22.3	25	<0.5	3.2
5929621	<0.2	18.1	395	3.9	0.84	1.2	26	<1	109	204	1.9	1.2	0.5	0.72	17	1.9	5.2
5929622	<0.2	13.2	1400	0.3	2.75	0.7	50	12	115	89	19.9	13.4	0.9	9.38	14	23.2	0.6
5929662	<0.2	20.3	88	3.5	3.90	1.2	283	9	106	14	20.6	17.5	1.3	4.10	34	18.5	2.5
5929667	<0.2	6.46	222	0.7	0.56	0.3	246	6	209	33	4.6	2.2	0.7	3.16	13	9.3	9.4
5929706	<0.2	14.5	329	1.2	1.69	0.9	32	2	139	11	1.5	0.4	0.4	1.29	15	1.8	17.2
5929708	<0.2	12.0	43	1.4	2.00	0.6	11	3	167	27	4.1	2.0	0.5	3.82	21	2.6	31.4
5929709	<0.2	11.5	1080	0.4	1.05	0.6	7	9	215	12	1.0	<0.2	0.7	5.74	18	0.7	27.9
5929662 R	0.2	20.0	87	3.6	3.91	1.3	276	8	108	13	21.3	18.4	1.3	4.04	35	18.8	2.3

ICP1 Total Digestion

Sample Number	Ho ppm	K2O wt %	La ppm	Li ppm	MgO wt %	MnO wt %	Mo ppm	Na2O wt %	Nb ppm	Nd ppm	Ni ppm	P2O5 wt %	Pb ppm	Pr ppm	Sc ppm	Sm ppm	Sn ppm
CG515/LS4	0.9	3.09	84	27	2.82	0.073	1	3.10	7	62	24	0.683	19	16	13	8.3	2
5929137	0.4	6.15	13	3	0.093	0.006	37	3.41	<1	10	4	0.036	53	2	<1	2.1	1
5929440	<0.4	0.772	1	5	0.202	0.014	47	3.49	3	2	15	0.018	74	<1	2	1.0	<1
5929443	0.5	7.29	1	8	0.458	0.016	177	1.75	2	6	11	0.163	69	<1	2	1.6	<1
5929529	0.4	2.48	8	23	0.265	0.032	1	4.14	<1	9	3	0.057	40	<1	2	2.2	1
5929530	<0.4	1.83	15	19	0.316	0.018	1	4.71	1	14	12	0.030	18	2	1	3.4	<1
5929531	1.4	3.21	16	13	0.123	0.015	<1	5.24	<1	20	3	0.085	200	5	1	6.9	<1
5929533	<0.4	2.04	2	8	0.178	0.005	400	0.52	1	2	4	0.016	19	<1	<1	0.9	<1
5929534	0.4	2.98	3	25	0.901	0.034	47	3.49	8	2	11	0.034	37	<1	3	<0.5	<1
5929540	0.8	1.63	1	29	0.821	0.034	3200	2.76	14	3	4	0.200	187	<1	4	1.4	<1
5929593	0.9	5.04	34	14	0.418	0.018	71	3.10	2	32	5	0.114	89	8	2	5.9	<1
5929602	1.4	3.10	3	29	0.534	0.034	36	4.26	13	6	8	0.046	92	<1	4	2.1	<1
5929604	2.1	3.89	30	67	1.93	0.092	2	3.26	31	32	26	0.047	125	6	12	6.2	<1
5929605	1.2	1.84	8	41	1.58	0.072	14	5.56	9	11	26	0.090	113	1	10	3.2	<1
5929608	<0.4	0.521	4	9	0.349	0.013	60	2.24	3	4	5	0.028	145	<1	2	1.2	<1
5929612	0.9	0.412	3	11	0.277	0.016	40	4.56	4	7	7	0.022	207	<1	2	2.5	<1
5929614	0.6	4.74	3	13	0.377	0.019	1	2.41	2	4	6	0.020	72	<1	2	1.7	<1
5929616	0.8	3.72	5	34	1.20	0.055	6	2.86	11	5	10	0.032	48	<1	4	1.1	<1
5929617	0.6	1.92	1	11	0.234	0.017	32	1.38	4	3	2	0.022	131	<1	2	1.3	<1
5929619	1.1	4.17	3	3	0.551	0.023	23	1.92	10	4	7	0.051	74	<1	6	1.7	1
CG515/LS4	0.9	3.11	85	28	2.84	0.073	1	3.12	7	62	24	0.688	19	16	13	8.4	2
5929620	0.6	0.834	24	17	3.10	0.058	185	0.01	2	24	427	5.79	124	2	12	3.8	<1
5929621	0.4	7.12	13	18	0.154	0.008	5	3.10	1	10	3	0.166	99	2	2	2.2	5
5929622	5.4	8.23	9	76	3.36	0.097	2110	0.99	38	56	7	2.08	210	9	15	16.1	<1
5929662	5.0	2.16	154	60	2.11	0.077	77	5.83	18	105	14	0.231	140	30	11	17.8	<1
5929667	0.7	2.37	132	25	1.08	0.047	7	1.08	11	87	9	0.064	56	25	6	13.2	<1
5929706	<0.4	4.11	11	17	0.382	0.017	3	3.75	<1	8	4	0.056	61	1	2	2.0	<1
5929708	1.4	1.65	1	36	0.890	0.072	230	3.55	15	4	5	0.164	234	<1	6	1.9	<1
5929709	1.1	4.67	4	27	1.58	0.060	447	1.66	22	2	15	0.057	425	<1	10	0.5	<1
5929662 R	5.2	2.13	147	58	2.07	0.076	75	5.83	19	104	13	0.224	139	30	11	17.6	<1



Attention: Rejean Girard

Tel: (306) 933-8118 Fax: (306) 933-5656 Email: geolab@src.sk.ca

PO #/Project: Project 592

Date of Report: February 05, 2008

Samples: 30

## ICP1 Total Digestion

Sample Number	Sr ppm	Ta ppm	Tb ppm	Th ppm	TiO2 wt %	U, ICP ppm	V ppm	W ppm	Y ppm	Yb ppm	Zn ppm	Zr ppm
CG515/LS4	1150	<1	<0.3	15	1.08	4	132	<1	21	2.0	87	213
5929137	223	25	<0.3	18	0.019	96	13	6	11	0.9	9	11
5929440	68	24	0.7	55	0.084	212	15	267	6	1.0	26	136
5929443	202	28	<0.3	233	0.196	46	27	36	8	0.7	30	23
5929529	87	24	<0.3	62	0.173	53	22	4	8	0.9	43	111
5929530	186	33	<0.3	51	0.146	24	28	49	6	0.6	33	222
5929531	97	6	3.1	328	0.107	219	22	2	39	6.9	37	1060
5929533	35	11	0.5	297	0.060	37	11	1	5	0.4	13	206
5929534	219	5	<0.3	55	0.387	30	43	2	3	0.3	67	95
5929540	152	8	0.6	387	0.401	94	48	3	16	0.9	50	197
5929593	163	7	0.8	90	0.123	177	26	3	26	2.6	26	59
5929602	120	10	1.2	88	0.170	307	31	1	33	5.8	71	239
5929604	127	13	1.6	138	0.593	288	85	1	38	5.0	99	288
5929605	212	4	1.0	86	0.380	181	75	<1	38	6.1	90	308
5929608	78	3	<0.3	26	0.096	89	22	1	4	0.8	18	126
5929612	183	3	1.7	300	0.096	270	20	2	25	4.2	18	433
5929614	165	3	0.9	251	0.092	90	18	2	21	2.9	21	509
5929616	176	7	<0.3	86	0.409	50	47	<1	12	1.9	70	104
5929617	50	8	1.2	177	0.090	256	10	1	11	1.5	28	84
5929619	39	1	2.5	193	0.217	199	39	<1	35	5.6	38	1010
CG515/LS4	1160	<1	<0.3	15	1.08	3	133	<1	22	2.0	87	215
5929620	4	5	0.4	9	0.760	19	657	<1	16	3.6	225	167
5929621	123	<1	<0.3	13	0.062	37	17	3	13	2.2	13	156
5929622	146	6	3.3	567	1.57	63	169	<1	133	9.6	176	32
5929662	230	4	3.3	176	0.563	242	101	<1	183	20.8	103	48
5929667	58	1	1.7	135	0.293	110	40	<1	24	2.1	67	294
5929706	135	<1	0.5	102	0.161	86	17	1	9	1.6	28	536
5929708	136	2	3.0	253	0.459	396	37	<1	30	6.6	81	1040
5929709	139	2	1.3	184	0.810	70	95	<1	8	1.4	104	993
5929662 R	227	3	3.4	175	0.561	235	100	<1	202	21.9	104	47

Total Digestion: A 0.125 g pulp is gently heated in a mixture of HF/HNO3/HClO4 until dry and the residue is dissolved in dilute HNO3. The standard is CG515.



Saskatchewan  
Research Council

125-15 Innovation Boulevard, Saskatoon, SK Canada S7N 2X8 • Ph: 306-933-5400 Fax: 306-933-7446  
Also located at: 220-6 Research Drive, Regina, SK Canada S4S 7J7 • Ph: 306-787-9400 Fax: 306-787-8811

Web: [www.src.sk.ca](http://www.src.sk.ca)  
Email: [info@src.sk.ca](mailto:info@src.sk.ca)

Report No: 07-1310

## SRC Geoanalytical Laboratories

125 - 15 Innovation Blvd.  
Saskatoon, Saskatchewan  
S7N 2X8

October 17, 2007

Phone: (306) 933-8118  
Fax: (306) 933-5656

**IOS Services Geoscientifiques Inc.**  
1319 St-Paul Boulevard  
Saguenay (Chicoutimi), QC G7J 3Y2

Test reports are the property of the customers. Publications of statements, conclusions or extracts from these reports are not permitted without prior written permission from the customer.

This document constitutes the **final official test report**. Liability for the SRC Geoanalytical Laboratories', if any, will be limited to the cost of analysis for samples in this test report. The results contained in this test report relate only to the items tested. It is the customer's responsibility to ensure that all interpretation of analysis is done using the data from this report.

The customer will not use the name of the Saskatchewan Research Council in connection with the sale, offer, advertisement or the promotion of any article, product, or company without the prior written consent of the SRC.

Results Reviewed and Approved by:

Robert Millar  
Assistant Research Scientist

IOS Services Geoscientifiques Inc.

125 - 15 Innovation Blvd., Saskatoon, Saskatchewan, S7N 2X8

Attention:

Tel: (306) 933-8118 Fax: (306) 933-5656 Email: geolab@src.sk.ca

PO #/Project: Project 592

Date of Report: October 17, 2007

Samples: 3

ICP4.3 Aqua Regia Digestion

Column Header Details

Silver in ppm (Ag)  
 Arsenic in ppm (As)  
 Bismuth in ppm (Bi)  
 Cobalt in ppm (Co)  
 Copper in ppm (Cu)

Germanium in ppm (Ge)  
 Mercury in ppm (Hg)  
 Molybdenum in ppm (Mo)  
 Nickel in ppm (Ni)  
 Lead in ppm (Pb)

Antimony in ppm (Sb)  
 Selenium in ppm (Se)  
 Tellurium in ppm (Te)  
 Uranium in ppm (U, ICP)  
 Vanadium in ppm (V)

Zinc in ppm (Zn)

Sample Number	Ag ppm	As ppm	Bi ppm	Co ppm	Cu ppm	Ge ppm	Hg ppm	Mo ppm	Ni ppm	Pb ppm	Sb ppm	Se ppm	Te ppm	U, ICP ppm	V ppm	Zn ppm
CG515/LS4/BM	<0.1	12.0	1.0	40.2	50.6	<0.2	<0.2	21.1	50.9	26.0	<1	<0.2	<0.2	36.4	107	213
5929590	<0.1	10.8	5.1	10.9	61.7	<0.2	<0.2	1080	21.8	4880	<1	1.4	6.4	14800	75.2	44.2
5929590 R	<0.1	11.7	5.6	10.8	59.0	<0.2	<0.2	1060	21.7	4600	<1	1.9	6.0	14000	73.6	43.3

Aqua Regia: A 0.5 g pulp is digested with 2.00 ml of 3:1 HCL:HNO3 for 1 hour at 95 C.  
 The standard is LS4.





Report No: 07-1310

## SRC Geoanalytical Laboratories

125 - 15 Innovation Blvd.  
Saskatoon, Saskatchewan  
S7N 2X8

February 09, 2008

Phone: (306) 933-8118

Fax: (306) 933-5656

**IOS Services Geoscientifiques Inc.**  
1319 St-Paul Boulevard  
Saguenay (Chicoutimi), QC G7J 3Y2

Test reports are the property of the customers. Publications of statements, conclusions or extracts from these reports are not permitted without prior written permission from the customer.

This document constitutes the **final official test report**. Liability for the SRC Geoanalytical Laboratories', if any, will be limited to the cost of analysis for samples in this test report. The results contained in this test report relate only to the items tested. It is the customer's responsibility to ensure that all interpretation of analysis is done using the data from this report.

The customer will not use the name of the Saskatchewan Research Council in connection with the sale, offer, advertisement or the promotion of any article, product, or company without the prior written consent of the SRC.

Results Reviewed and Approved by: \_\_\_\_\_

Robert Millar  
Assistant Research Scientist

IOS Services Geoscientifiques Inc.

Attention:

PO #/Project: Project 592

Samples: 6

125 - 15 Innovation Blvd., Saskatoon, Saskatchewan, S7N 2X8

Tel: (306) 933-8118 Fax: (306) 933-5656 Email: geolab@src.sk.ca

Report No: G-07-1310

Date of Report: February 13, 2008

ICP1 Total Digestion

Column Header Details

Silver in ppm (Ag)  
Aluminum in wt % (Al<sub>2</sub>O<sub>3</sub>)  
Barium in ppm (Ba)  
Beryllium in ppm (Be)  
Calcium in wt % (CaO)

Cadmium in ppm (Cd)  
Cerium in ppm (Ce)  
Cobalt in ppm (Co)  
Chromium in ppm (Cr)  
Copper in ppm (Cu)

Dysprosium in ppm (Dy)  
Erbium in ppm (Er)  
Europium in ppm (Eu)  
Iron in wt % (Fe<sub>2</sub>O<sub>3</sub>)  
Gallium in ppm (Ga)

Gadolinium in ppm (Gd)  
Hafnium in ppm (Hf)  
Holmium in ppm (Ho)  
Potassium in wt % (K<sub>2</sub>O)  
Lanthanum in ppm (La)

Lithium in ppm (Li)  
Magnesium in wt % (MgO)  
Manganese in wt % (MnO)  
Molybdenum in ppm (Mo)  
Sodium in wt % (Na<sub>2</sub>O)

Niobium in ppm (Nb)  
Neodymium in ppm (Nd)  
Nickel in ppm (Ni)  
Phosphorus in wt % (P<sub>2</sub>O<sub>5</sub>)  
Lead in ppm (Pb)

Praseodymium in ppm (Pr)  
Scandium in ppm (Sc)  
Samarium in ppm (Sm)  
Tin in ppm (Sn)  
Strontium in ppm (Sr)

Tantalum in ppm (Ta)  
Terbium in ppm (Tb)  
Thorium in ppm (Th)  
Titanium in wt % (TiO<sub>2</sub>)  
Uranium in ppm (U, ICP)

IOS Services Geoscientifiques Inc.

Attention:  
PO #/Project: Project 592  
Samples: 6

125 - 15 Innovation Blvd., Saskatoon, Saskatchewan, S7N 2X8  
Tel: (306) 933-8118 Fax: (306) 933-5656 Email: geolab@src.sk.ca

Report No: G-07-1310

Date of Report: February 13, 2008

ICP1 Total Digestion

Column Header Details

- Vanadium in ppm (V)
- Tungsten in ppm (W)
- Yttrium in ppm (Y)
- Ytterbium in ppm (Yb)
- Zinc in ppm (Zn)
  
- Zirconium in ppm (Zr)



IOS Services Geoscientifiques Inc.

Attention:

PO #/Project: Project 592

Samples: 6

125 - 15 Innovation Blvd., Saskatoon, Saskatchewan, S7N 2X8


Tel: (306) 933-8118 Fax: (306) 933-5656 Email: geolab@src.sk.ca

Report No: G-07-1310

Date of Report: February 13, 2008

ICPI Total Digestion

Sample Number	Ag ppm	Al2O3 wt %	Ba ppm	Be ppm	CaO wt %	Cd ppm	Ce ppm	Co ppm	Cr ppm	Cu ppm	Dy ppm	Er ppm	Eu ppm	Fe2O3 wt %	Ga ppm	Gd ppm	Hf ppm
CG515/LS4/BM	0.3	17.6	2270	2.0	4.89	1.2	156	19	115	3	3.2	2.4	2.4	7.08	23	5.5	4.9
5929590	0.6	22.5	235	1.2	4.92	1.1	282	11	95	62	96.9	70.8	2.9	3.56	20	58.9	6.4
5929590 R	0.7	21.6	223	1.2	4.79	1.1	277	11	92	61	97.5	68.1	2.6	3.58	18	56.9	4.4



IOS Services Geoscientifiques Inc.

125 - 15 Innovation Blvd., Saskatoon, Saskatchewan, S7N 2X8

Report No: G-07-1310

Attention:

Tel: (306) 933-8118 Fax: (306) 933-5656 Email: geolab@src.sk.ca

PO #/Project: Project 592

Samples: 6

Date of Report: February 13, 2008

ICP1 Total Digestion

Sample Number	Ho ppm	K2O wt %	La ppm	Li ppm	MgO wt %	MnO wt %	Mo ppm	Na2O wt %	Nb ppm	Nd ppm	Ni ppm	P2O5 wt %	Pb ppm	Pr ppm	Sc ppm	Sm ppm	Sn ppm
CG515/LS4/BM	1.7	3.10	86	26	2.73	0.075	2	3.23	8	59	26	0.679	20	15	12	8.2	<1
5929590	23.3	1.30	115	74	1.85	0.039	1100	6.46	11	121	31	0.097	4900	19	4	47.2	<1
5929590 R	21.4	1.30	113	73	1.87	0.039	1020	6.20	11	119	28	0.087	4870	16	4	46.3	<1

IOS Services Geoscientifiques Inc.

125 - 15 Innovation Blvd., Saskatoon, Saskatchewan, S7N 2X8

Report No: G-07-1310

Attention:

Tel: (306) 933-8118 Fax: (306) 933-5656 Email: geolab@src.sk.ca

PO #/Project: Project 592

Samples: 6

Date of Report: February 13, 2008

ICPI Total Digestion

Sample Number	Sr ppm	Ta ppm	Tb ppm	Th ppm	TiO2 wt %	U, ICP ppm	V ppm	W ppm	Y ppm	Yb ppm	Zn ppm	Zr ppm
CG515/LS4/BM	1160	<1	<0.3	15	1.11	4	127	<1	21	2.0	86	173
5929590	336	<1	<0.3	1210	0.551	14900	66	<1	467	59.8	45	139
5929590 R	326	<1	<0.3	1200	0.548	14600	66	<1	426	53.9	47	132

Total Digestion: A 0.125 g pulp is gently heated in a mixture of HF/HNO3/HClO4 until dry and the residue is dissolved in dilute HNO3. The standard is CG515.





Saskatchewan  
Research Council

125-15 Innovation Boulevard, Saskatoon, SK Canada S7N 2X8 • Ph: 306-933-5400 Fax: 306-933-7446  
Also located at: 220-6 Research Drive, Regina, SK Canada S4S 7J7 • Ph: 306-787-9400 Fax: 306-787-8811

Web: [www.src.sk.ca](http://www.src.sk.ca)  
Email: [info@src.sk.ca](mailto:info@src.sk.ca)

Report No: 07-1310

## SRC Geoanalytical Laboratories

125 - 15 Innovation Blvd.  
Saskatoon, Saskatchewan  
S7N 2X8

November 15, 2007

Phone: (306) 933-8118

Fax: (306) 933-5656

**IOS Services Geoscientifiques Inc.**  
1319 St-Paul Boulevard  
Saguenay (Chicoutimi), QC G7J 3Y2

Test reports are the property of the customers. Publications of statements, conclusions or extracts from these reports are not permitted without prior written permission from the customer.

This document constitutes the **final official test report**. Liability for the SRC Geoanalytical Laboratories', if any, will be limited to the cost of analysis for samples in this test report. The results contained in this test report relate only to the items tested. It is the customer's responsibility to ensure that all interpretation of analysis is done using the data from this report.

The customer will not use the name of the Saskatchewan Research Council in connection with the sale, offer, advertisement or the promotion of any article, product, or company without the prior written consent of the SRC.

Results Reviewed and Approved by:

Robert Millar  
Assistant Research Scientist

IOS Services Geoscientifiques Inc.

Attention:

PO #/Project: Project 592

Samples: 3

Geolytiabo  
125 - 15 Innovation Blvd., Saskatoon, Saskatchewan, S7N 2X8  
Tel: (306) 933-8118 Fax: (306) 933-5656 Email: geolab@src.sk.ca

Report No: 07-1310

Date of Report: November 15, 2007

**TEST REPORT**  
Method U3O8

Column Header Details

U3O8 Assay by ICP in wt % (U3O8)

Sample Number	U3O8 wt %
BL3	1.20
5229590	1.77
5229590 R	1.77

Uranium Assay: A 1.00 g pulp is digested with 24 ml of 3:1 HCl:HNO3 for 1 hour at 95 C.



Saskatchewan  
Research Council

125-15 Innovation Boulevard, Saskatoon, SK Canada S7N 2X8 • Ph: 306-933-5400 Fax: 306-933-7446  
Also located at: 220-6 Research Drive, Regina, SK Canada S4S 7J7 • Ph: 306-787-9400 Fax: 306-787-8811

Web: [www.src.sk.ca](http://www.src.sk.ca)  
Email: [info@src.sk.ca](mailto:info@src.sk.ca)

Report No: 07-1311

## SRC Geoanalytical Laboratories

125 - 15 Innovation Blvd.  
Saskatoon, Saskatchewan  
S7N 2X8

December 21, 2007

Phone: (306) 933-8118  
Fax: (306) 933-5656

**IOS Services Geoscientifiques Inc.**  
1319 St-Paul Boulevard  
Saguenay (Chicoutimi), QC G7J 3Y2  
Attn: Rejean Girard

Test reports are the property of the customers. Publications of statements, conclusions or extracts from these reports are not permitted without prior written permission from the customer.

This document constitutes the **final official test report**. Liability for the SRC Geoanalytical Laboratories', if any, will be limited to the cost of analysis for samples in this test report. The results contained in this test report relate only to the items tested. It is the customer's responsibility to ensure that all interpretation of analysis is done using the data from this report.

The customer will not use the name of the Saskatchewan Research Council in connection with the sale, offer, advertisement or the promotion of any article, product, or company without the prior written consent of the SRC.

Results Reviewed and Approved by:

Robert Millar  
Assistant Research Scientist



IOS Services Geoscientifiques Inc.  
 Attention: Rejean Girard  
 PO #/Project: 313050  
 Samples: 7

SRC Geoanalytical Laboratories  
 125 - 15 Innovation Blvd., Saskatoon, Saskatchewan, S7N 2X8  
 Tel: (306) 933-8118 Fax: (306) 933-5656 Email: geolab@src.sk.ca

Report No: 07-1311

Date of Report: December 21, 2007

ICP4.3 Aqua Regia Digestion

Column Header Details

Silver in ppm (Ag)  
 Arsenic in ppm (As)  
 Bismuth in ppm (Bi)  
 Cobalt in ppm (Co)  
 Copper in ppm (Cu)

Germanium in ppm (Ge)  
 Mercury in ppm (Hg)  
 Molybdenum in ppm (Mo)  
 Nickel in ppm (Ni)  
 Lead in ppm (Pb)

Antimony in ppm (Sb)  
 Selenium in ppm (Se)  
 Tellurium in ppm (Te)  
 Uranium in ppm (U, ICP)  
 Vanadium in ppm (V)

Zinc in ppm (Zn)

Sample Number	Ag ppm	As ppm	Bi ppm	Co ppm	Cu ppm	Ge ppm	Hg ppm	Mo ppm	Ni ppm	Pb ppm	Sb ppm	Se ppm	Te ppm	U, ICP ppm	V ppm	Zn ppm
CG515/LS4	0.1	14.1	1.4	38.2	49.1	<0.2	<0.2	10.2	48.8	24.4	<1	<0.2	<0.2	35.2	102	197
312262	<0.1	2.2	<0.2	2.8	9.7	<0.2	<0.2	0.6	4.2	31.6	1.5	1.5	<0.2	66.2	24.7	34.4
312264	<0.1	3.2	<0.2	1.8	6.5	<0.2	<0.2	0.5	2.6	27.4	2.4	2.7	<0.2	115	41.3	22.9
312265	<0.1	3.1	2.0	4.3	3.2	<0.2	<0.2	0.6	4.0	16.6	4.2	0.3	<0.2	40.2	22.0	63.8
312373	<0.1	<0.2	1.9	1.0	4.5	<0.2	<0.2	10.1	3.4	84.0	1.2	<0.2	<0.2	131	10.2	20.0
312415	<0.1	45.2	1.8	6.1	28.5	9.7	<0.2	0.2	4.0	47.2	4.6	9.2	4.5	6.7	66.9	87.1
312264 R	<0.1	3.2	<0.2	1.8	6.8	<0.2	<0.2	0.4	2.5	26.9	2.1	2.6	<0.2	112	41.2	23.1

Aqua Regia: A 0.5 g pulp is digested with 2.00 ml of 3:1 HCL:HNO3 for 1 hour at 95 C.  
 The standard is LS4.

IOS Services Geoscientifiques Inc.  
Attention: Rejean Girard  
PO #/Project: 313050  
Samples: 7

SRC Geoanalytical Laboratories  
125 - 15 Innovation Blvd., Saskatoon, Saskatchewan, S7N 2X8  
Tel: (306) 933-8118 Fax: (306) 933-5656 Email: geolab@src.sk.ca

Report No: 07-1311

Date of Report: December 21, 2007

ICP4.3 Total Digestion

Column Header Details

Silver in ppm (Ag)  
Aluminum in wt % (Al<sub>2</sub>O<sub>3</sub>)  
Barium in ppm (Ba)  
Beryllium in ppm (Be)  
Calcium in wt % (CaO)

Cadmium in ppm (Cd)  
Cerium in ppm (Ce)  
Cobalt in ppm (Co)  
Chromium in ppm (Cr)  
Copper in ppm (Cu)

Dysprosium in ppm (Dy)  
Erbium in ppm (Er)  
Europium in ppm (Eu)  
Iron in wt % (Fe<sub>2</sub>O<sub>3</sub>)  
Gallium in ppm (Ga)

Gadolinium in ppm (Gd)  
Hafnium in ppm (Hf)  
Holmium in ppm (Ho)  
Potassium in wt % (K<sub>2</sub>O)  
Lanthanum in ppm (La)

Lithium in ppm (Li)  
Magnesium in wt % (MgO)  
Manganese in wt % (MnO)  
Molybdenum in ppm (Mo)  
Sodium in wt % (Na<sub>2</sub>O)

Niobium in ppm (Nb)  
Neodymium in ppm (Nd)  
Nickel in ppm (Ni)  
Phosphorus in wt % (P<sub>2</sub>O<sub>5</sub>)  
Lead in ppm (Pb)

Praseodymium in ppm (Pr)  
Scandium in ppm (Sc)  
Samarium in ppm (Sm)  
Tin in ppm (Sn)  
Strontium in ppm (Sr)

Tantalum in ppm (Ta)  
Terbium in ppm (Tb)  
Thorium in ppm (Th)  
Titanium in wt % (TiO<sub>2</sub>)  
Uranium in ppm (U, ICP)

IOS Services Geoscientifiques Inc.

Attention: Rejean Girard

PO #/Project: 313050

Samples: 7

SRC Geoanalytical Laboratories

125 - 15 Innovation Blvd., Saskatoon, Saskatchewan, S7N 2X8

Tel: (306) 933-8118 Fax: (306) 933-5656 Email: geolab@src.sk.ca

Report No: 07-1311

Date of Report: December 21, 2007

ICP4.3 Total Digestion

Column Header Details

Vanadium in ppm (V)

Tungsten in ppm (W)

Yttrium in ppm (Y)

Ytterbium in ppm (Yb)

Zinc in ppm (Zn)

Zirconium in ppm (Zr)



SRC Geoanalytical Laboratories

IOS Services Geoscientifiques Inc.

125 - 15 Innovation Blvd., Saskatoon, Saskatchewan, S7N 2X8

Report No: 07-1311

Attention: Rejean Girard

Tel: (306) 933-8118 Fax: (306) 933-5656 Email: geolab@src.sk.ca

PO #/Project: 313050

Samples: 7

Date of Report: December 21, 2007

ICP4.3 Total Digestion

Sample Number	Ag ppm	Al2O3 wt %	Ba ppm	Be ppm	CaO wt %	Cd ppm	Ce ppm	Co ppm	Cr ppm	Cu ppm	Dy ppm	Er ppm	Eu ppm	Fe2O3 wt %	Ga ppm	Gd ppm	Hf ppm
CG515/LS4	<0.2	17.1	2230	2.0	4.69	0.7	156	20	122	2	3.5	2.5	2.4	7.09	22	5.7	4.5
312262	<0.2	19.8	167	3.9	3.73	1.3	47	3	125	15	2.3	1.2	0.7	2.31	25	2.6	3.0
312264	<0.2	12.6	52	2.0	2.25	0.7	250	2	173	10	4.0	1.8	0.5	3.49	20	7.8	14.3
312265	<0.2	15.2	336	2.2	2.28	0.9	91	6	130	6	2.0	1.1	0.6	2.67	21	3.3	11.9
312373	<0.2	2.59	324	0.2	0.07	<0.2	24	2	242	5	4.3	2.3	0.3	1.34	5	2.6	1.6
312415	<0.2	15.4	710	1.8	2.37	0.3	4190	6	134	39	26.1	16.4	<0.2	6.72	32	59.9	30.1
312264 R	<0.2	13.1	54	2.0	2.34	0.8	254	3	175	12	4.5	2.0	0.5	3.64	20	8.6	13.9

SRC Geoanalytical Laboratories

125 - 15 Innovation Blvd., Saskatoon, Saskatchewan, S7N 2X8  
 Tel: (306) 933-8118 Fax: (306) 933-5656 Email: geolab@src.sk.ca

Report No: 07-1311

IOS Services Geoscientifiques Inc.  
 Attention: Rejean Girard  
 PO #/Project: 313050  
 Samples: 7

Date of Report: December 21, 2007

ICP4.3 Total Digestion

Sample Number	Ho ppm	K2O wt %	La ppm	Li ppm	MgO wt %	MnO wt %	Mo ppm	Na2O wt %	Nb ppm	Nd ppm	Ni ppm	P2O5 wt %	Pb ppm	Pr ppm	Sc ppm	Sm ppm	Sn ppm
CG515/LS4	1.6	3.05	86	28	2.72	0.071	<1	3.19	9	57	25	0.666	17	15	12	8.3	<1
312262	<0.4	1.35	27	20	0.453	0.027	1	7.31	5	16	6	0.125	43	5	3	3.4	<1
312264	0.9	0.569	130	9	0.103	0.018	1	4.66	<1	68	4	0.044	39	23	1	10.4	<1
312265	0.8	2.76	50	60	0.875	0.041	1	4.80	7	30	8	0.087	33	9	5	4.7	<1
312373	0.9	1.51	13	1	0.050	0.015	10	0.41	<1	8	4	0.016	95	1	<1	2.0	<1
312415	8.2	3.25	2310	61	0.856	0.092	2	4.25	6	1050	8	0.326	63	369	11	107	<1
312264 R	1.0	0.587	133	10	0.107	0.019	1	4.77	<1	83	4	0.046	41	25	1	12.0	<1

IOS Services Geoscientifiques Inc.

Attention: Rejean Girard

PO #/Project: 313050

Samples: 7

SRC Geoanalytical Laboratories

125 - 15 Innovation Blvd., Saskatoon, Saskatchewan, S7N 2X8

Tel: (306) 933-8118 Fax: (306) 933-5656 Email: geolab@src.sk.ca

Report No: 07-1311

Date of Report: December 21, 2007

ICP4.3 Total Digestion

Sample Number	Sr ppm	Ta ppm	Tb ppm	Th ppm	TiO2 wt %	U, ICP ppm	V ppm	W ppm	Y ppm	Yb ppm	Zn ppm	Zr ppm
CG515/LS4	1130	<1	0.4	12	1.09	3	136	1	21	2.0	90	170
312262	386	<1	<0.3	438	0.174	69.1	44	<1	12	1.4	48	115
312264	228	1	0.8	566	0.130	119	55	<1	17	1.7	38	539
312265	253	3	<0.3	223	0.332	42.1	38	<1	10	1.2	79	468
312373	42	<1	0.4	40	0.041	136	14	<1	13	3.1	24	49
312415	376	<1	8.5	761	0.815	16.1	93	<1	70	4.5	111	1440
312264 R	236	<1	0.9	574	0.130	114	57	<1	19	1.8	41	539

Total Digestion: A 0.125 g pulp is gently heated in a mixture of HF/HNO3/HClO4 until dry and the residue is dissolved in dilute HNO3. The standard is CG515.





Report No: 07-1421

## SRC Geoanalytical Laboratories

125 - 15 Innovation Blvd.  
Saskatoon, Saskatchewan  
S7N 2X8

October 17, 2007

Phone: (306) 933-8118  
Fax: (306) 933-5656

**IOS Services Geoscientifiques Inc.**  
1319 St-Paul Boulevard  
Saguenay (Chicoutimi), QC G7J 3Y2  
Attn: Rejean Girard

Test reports are the property of the customers. Publications of statements, conclusions or extracts from these reports are not permitted without prior written permission from the customer.

This document constitutes the **final official test report**. Liability for the SRC Geoanalytical Laboratories', if any, will be limited to the cost of analysis for samples in this test report. The results contained in this test report relate only to the items tested. It is the customer's responsibility to ensure that all interpretation of analysis is done using the data from this report.

The customer will not use the name of the Saskatchewan Research Council in connection with the sale, offer, advertisement or the promotion of any article, product, or company without the prior written consent of the SRC.

Results Reviewed and Approved by:

Robert Millar  
Assistant Research Scientist

ICP4.3 Aqua Regia Digestion

Column Header Details

Silver in ppm (Ag)  
 Arsenic in ppm (As)  
 Bismuth in ppm (Bi)  
 Cobalt in ppm (Co)  
 Copper in ppm (Cu)

Germanium in ppm (Ge)  
 Mercury in ppm (Hg)  
 Molybdenum in ppm (Mo)  
 Nickel in ppm (Ni)  
 Lead in ppm (Pb)

Antimony in ppm (Sb)  
 Selenium in ppm (Se)  
 Tellurium in ppm (Te)  
 Uranium in ppm (U, ICP)  
 Vanadium in ppm (V)

Zinc in ppm (Zn)

Sample Number	Ag ppm	As ppm	Bi ppm	Co ppm	Cu ppm	Ge ppm	Hg ppm	Mo ppm	Ni ppm	Pb ppm	Sb ppm	Se ppm	Te ppm	U, ICP ppm	V ppm	Zn ppm
LS4	<0.1	11.1	0.9	38.0	48.4	<0.2	<0.2	13.1	49.0	24.1	<1	<0.2	<0.2	30.6	99.8	202
312263	<0.1	<0.2	6.0	1.5	10.1	<0.2	<0.2	23.4	1.6	107	<1	<0.2	3.4	130	27.3	19.3
312315	<0.1	<0.2	1.0	3.2	20.6	<0.2	<0.2	5.4	6.7	320	<1	<0.2	<0.2	1020	15.3	16.5
312368	<0.1	0.7	0.6	6.2	53.6	<0.2	<0.2	25.1	3.3	79.9	<1	<0.2	1.2	226	33.5	76.0
312407	0.2	<0.2	3.7	2.5	9.8	<0.2	<0.2	10.5	1.4	82.7	<1	<0.2	5.3	83.6	40.4	39.7
5929128	<0.1	0.3	1.2	1.3	12.7	<0.2	<0.2	10.5	5.6	99.9	<1	<0.2	<0.2	170	2.6	13.5
5929135	<0.1	<0.2	1.5	7.5	6.5	<0.2	<0.2	172	4.4	536	<1	<0.2	2.3	1940	14.5	19.9
5929139	2.0	<0.2	1.3	7.6	18.7	<0.2	<0.2	24.0	7.2	218	<1	0.5	0.7	633	16.8	23.7
5929240	<0.1	<0.2	4.9	3.5	12.1	<0.2	<0.2	3.0	10.7	122	<1	<0.2	2.6	236	25.5	35.1
5929244	<0.1	0.3	3.0	5.6	13.1	<0.2	<0.2	40.2	8.8	122	<1	<0.2	0.8	200	19.2	29.2
5929246	<0.1	0.2	1.0	4.6	41.4	<0.2	<0.2	135	13.2	146	<1	<0.2	0.6	306	6.6	11.3
5929249	34.0	1.6	0.9	14.2	13.1	<0.2	<0.2	366	21.9	102	<1	<0.2	2.8	189	69.4	87.4
5929295	<0.1	0.4	3.0	3.9	16.3	<0.2	<0.2	203	22.6	348	<1	0.4	1.5	958	34.1	48.0
5929296	<0.1	0.4	1.6	4.1	28.2	<0.2	<0.2	143	11.7	159	<1	<0.2	1.8	147	38.8	27.8
5929439	<0.1	1.3	1.5	2.4	4.0	<0.2	<0.2	212	2.2	350	<1	<0.2	2.2	1040	27.0	99.3
5929441	<0.1	2.8	3.2	2.7	10.4	<0.2	<0.2	1250	5.4	238	<1	<0.2	2.2	479	9.6	32.4
5929442	0.1	2.9	2.9	9.4	18.7	<0.2	<0.2	850	15.7	240	<1	<0.2	1.5	479	17.2	38.8
5929444	<0.1	0.6	3.9	5.5	38.8	<0.2	<0.2	569	18.6	163	<1	<0.2	3.5	144	22.0	37.0
5929445	<0.1	<0.2	1.8	9.9	57.6	<0.2	<0.2	8.3	19.4	99.2	<1	<0.2	1.8	169	44.9	50.6
5929532	<0.1	0.6	4.2	6.0	31.1	<0.2	<0.2	1610	11.6	290	<1	<0.2	5.6	346	96.3	193

IOS Services Geoscientifiques Inc.  
 Attention: Rejean Girard  
 PO #/Project:  
 Samples: 81

SRC Geoanalytical Laboratories  
 125 - 15 Innovation Blvd., Saskatoon, Saskatchewan, S7N 2X8  
 Tel: (306) 933-8118 Fax: (306) 933-5656 Email: geolab@src.sk.ca

Report No: 07-1421

Date of Report: October 17, 2007

ICP4.3 Aqua Regia Digestion

Sample Number	Ag ppm	As ppm	Bi ppm	Co ppm	Cu ppm	Ge ppm	Hg ppm	Mo ppm	Ni ppm	Pb ppm	Sb ppm	Se ppm	Te ppm	U, ICP ppm	V ppm	Zn ppm
LS4	<0.1	12.5	0.8	41.2	51.8	<0.2	<0.2	18.1	51.5	26.0	<1	<0.2	<0.2	33.3	108	214
5929535	<0.1	<0.2	2.1	0.8	5.3	<0.2	<0.2	76.0	4.6	50.7	<1	0.3	0.7	134	11.5	17.4
5929536	<0.1	<0.2	<0.2	18.3	35.1	1.5	<0.2	1420	19.6	279	<1	<0.2	10.7	305	318	285
5929537	<0.1	1.8	2.5	4.7	16.7	<0.2	<0.2	1250	9.8	83.6	<1	<0.2	4.7	138	83.5	63.2
5929538	<0.1	0.3	3.5	12.7	34.0	<0.2	<0.2	274	18.4	254	<1	<0.2	6.3	267	117	140
5929539	<0.1	0.2	0.5	4.4	41.8	<0.2	<0.2	708	4.2	351	<1	<0.2	5.3	187	138	110
5929543	<0.1	1.8	2.9	3.2	11.3	<0.2	<0.2	958	5.4	155	<1	<0.2	3.0	106	44.9	44.4
5929544	<0.1	0.4	2.3	3.0	15.4	0.7	<0.2	578	9.3	37.0	<1	<0.2	5.2	142	165	71.9
5929546	<0.1	1.1	6.2	2.8	25.6	<0.2	<0.2	1250	5.8	91.5	<1	<0.2	5.1	163	29.9	58.3
5929547	<0.1	1.2	0.5	5.0	44.6	0.5	<0.2	578	10.8	215	<1	<0.2	3.0	29.1	70.5	62.4
5929587	<0.1	<0.2	0.7	2.9	5.5	<0.2	<0.2	13.4	11.3	292	<1	<0.2	0.5	891	17.7	15.3
5929588	<0.1	<0.2	0.6	2.8	7.4	<0.2	<0.2	23.0	7.4	718	<1	<0.2	0.6	1890	19.0	24.4
5929591	<0.1	<0.2	0.8	3.2	3.3	<0.2	<0.2	8.7	9.8	376	<1	<0.2	1.5	870	25.1	24.6
5929592	<0.1	0.3	1.3	2.9	4.0	<0.2	<0.2	15.2	8.7	434	<1	<0.2	1.2	1140	30.2	31.5
5929598	<0.1	<0.2	1.2	4.8	6.8	<0.2	<0.2	43.1	7.0	110	<1	<0.2	2.1	235	43.3	21.0
5929599	<0.1	1.5	0.4	17.1	28.8	<0.2	<0.2	24.9	55.5	624	<1	<0.2	5.8	2040	193	192
5929600	<0.1	0.9	1.8	7.9	39.9	<0.2	<0.2	81.3	19.0	345	<1	<0.2	2.6	811	78.1	76.5
5929601	<0.1	<0.2	1.5	11.2	122	<0.2	<0.2	223	18.8	303	<1	<0.2	3.6	573	129	78.1
5929603	<0.1	<0.2	0.5	13.2	56.0	<0.2	<0.2	19.0	43.3	221	<1	<0.2	4.0	608	104	167
5929598 R	<0.1	<0.2	0.9	5.0	6.8	<0.2	<0.2	39.8	6.6	107	<1	<0.2	1.8	222	43.4	21.7
LS4	<0.1	10.7	1.2	37.6	47.9	<0.2	<0.2	13.2	47.1	24.3	<1	<0.2	<0.2	30.7	97.3	196
5929606	<0.1	0.4	1.1	2.2	36.9	<0.2	<0.2	2.2	3.4	177	<1	<0.2	<0.2	671	8.9	16.0
5929609	<0.1	<0.2	0.8	5.1	8.1	<0.2	<0.2	42.8	12.7	281	<1	<0.2	0.7	888	45.6	40.5
5929610	<0.1	<0.2	1.0	1.2	5.9	<0.2	<0.2	94.6	1.5	414	<1	<0.2	0.9	1440	11.2	18.6
5929611	<0.1	0.4	1.8	2.2	74.1	<0.2	<0.2	3.1	7.6	237	<1	<0.2	0.2	332	3.1	4.9
5929613	<0.1	0.8	0.9	2.0	14.6	<0.2	<0.2	63.0	5.6	158	<1	<0.2	<0.2	431	9.7	14.5
5929615	<0.1	<0.2	5.9	5.0	27.0	<0.2	<0.2	13.0	16.6	573	<1	<0.2	2.3	1310	20.0	54.0
5929618	<0.1	1.6	5.0	1.4	12.2	<0.2	<0.2	155	1.8	236	<1	<0.2	1.7	483	26.3	48.1
5929623	<0.1	3.9	<0.2	11.4	12.0	2.0	<0.2	3750	5.8	33.8	<1	<0.2	10.2	73.5	210	176
5929656	<0.1	<0.2	1.0	20.0	42.5	<0.2	<0.2	118	62.6	469	<1	<0.2	2.3	1310	122	84.4
5929658	<0.1	<0.2	<0.2	8.0	4.5	<0.2	<0.2	101	11.4	248	<1	<0.2	6.6	494	151	142
5929660	<0.1	0.4	0.4	4.9	2.5	<0.2	<0.2	224	6.6	283	<1	<0.2	2.3	496	65.5	70.7
5929661	<0.1	<0.2	<0.2	26.6	117	<0.2	<0.2	5.3	75.9	236	<1	<0.2	2.4	631	159	173
5929665	<0.1	<0.2	0.6	1.5	4.0	<0.2	<0.2	43.3	3.2	269	<1	<0.2	0.4	820	13.9	27.6
5929668	<0.1	<0.2	1.1	7.8	5.1	<0.2	<0.2	114	12.8	296	<1	<0.2	2.6	637	59.1	57.0
5929707	<0.1	0.3	0.2	6.4	21.5	<0.2	<0.2	618	1.3	643	<1	<0.2	4.0	1360	44.9	156
5929710	<0.1	<0.2	1.0	2.6	13.3	<0.2	<0.2	25.7	5.3	208	<1	<0.2	0.4	578	20.8	30.4
5929665 R	<0.1	<0.2	0.4	1.7	3.6	<0.2	<0.2	42.4	3.3	266	<1	<0.2	0.6	808	13.9	26.0
LS4	<0.1	12.6	0.9	39.0	49.8	<0.2	<0.2	13.7	48.4	25.6	<1	<0.2	<0.2	33.5	104	203
312267	<0.1	2.2	<0.2	23.5	118	<0.2	<0.2	570	30.0	266	<1	<0.2	0.7	639	151	126



ICP4.3 Aqua Regia Digestion

Sample Number	Ag ppm	As ppm	Bi ppm	Co ppm	Cu ppm	Ge ppm	Hg ppm	Mo ppm	Ni ppm	Pb ppm	Sb ppm	Se ppm	Te ppm	U, ICP ppm	V ppm	Zn ppm
5929133 3/3	<0.1	<0.2	3.9	2.3	22.1	<0.2	<0.2	730	2.5	1890	<1	1.9	6.7	7170	29.7	42.1
5929134	62.3	<0.2	1.0	5.5	38.2	<0.2	<0.2	419	12.4	885	<1	<0.2	5.3	3500	62.6	89.2
5929136	<0.1	<0.2	1.6	0.8	9.6	<0.2	<0.2	268	2.5	749	<1	<0.2	1.7	2890	4.5	13.5
5929138	<0.1	<0.2	2.4	2.6	11.8	<0.2	<0.2	471	4.0	1030	<1	<0.2	3.9	4070	35.7	48.8
5929298	<0.1	<0.2	3.4	3.2	21.2	<0.2	<0.2	374	20.6	700	<1	0.6	2.6	2010	90.9	38.6
5929545	<0.1	0.6	2.2	14.8	129	<0.2	<0.2	242	22.3	618	<1	<0.2	1.8	1660	70.5	62.4
5929589	<0.1	<0.2	1.0	2.3	4.4	<0.2	<0.2	12.2	6.4	285	<1	<0.2	0.3	917	10.5	18.6
5929594	<0.1	0.2	1.4	15.4	40.4	<0.2	<0.2	1.9	45.1	428	<1	<0.2	4.4	1300	140	150
5929597	<0.1	<0.2	<0.2	25.6	10.9	<0.2	<0.2	210	72.1	640	<1	<0.2	6.9	2160	190	89.8
5929607	<0.1	<0.2	0.6	9.6	33.1	<0.2	<0.2	444	11.1	572	<1	<0.2	3.7	1880	79.1	90.3
5929654	<0.1	0.7	1.1	10.0	172	<0.2	<0.2	9.9	15.9	378	<1	<0.2	0.8	842	35.7	33.5
5929655	<0.1	<0.2	4.4	13.4	200	<0.2	<0.2	137	31.4	1440	<1	1.5	4.0	3770	24.2	74.0
5929657	<0.1	1.9	<0.2	28.1	206	<0.2	<0.2	178	20.1	451	<1	<0.2	8.9	1570	234	284
5929669	<0.1	1.0	1.7	4.5	11.2	<0.2	<0.2	409	2.9	537	<1	<0.2	3.9	1520	79.5	156
5929670	<0.1	<0.2	2.5	1.3	8.8	<0.2	<0.2	6.6	1.6	689	<1	<0.2	<0.2	2140	<0.1	18.1
5929133 1/3	<0.1	<0.2	6.1	1.4	34.1	<0.2	<0.2	1490	4.6	3760	<1	2.2	7.6	14700	2.7	25.6
5929133 2/3	<0.1	<0.2	4.1	2.0	20.8	<0.2	<0.2	896	3.9	2190	<1	<0.2	6.4	8730	28.0	40.7
5929292	<0.1	8.2	3.5	28.4	75.2	<0.2	<0.2	3630	40.3	1120	<1	<0.2	15.9	2510	256	270
LS4	<0.1	11.7	1.2	40.0	49.8	<0.2	<0.2	21.6	49.8	24.7	<1	<0.2	<0.2	32.2	106	207
6399098	<0.1	8.8	3.8	27.8	76.6	<0.2	<0.2	3760	41.2	1100	<1	<0.2	14.9	2500	254	270

Aqua Regia: A 0.5 g pulp is digested with 2.00 ml of 3:1 HCL:HNO3 for 1 hour at 95 C. The standard is LS4.



Report No: 07-1421

## SRC Geoanalytical Laboratories

125 - 15 Innovation Blvd.  
Saskatoon, Saskatchewan  
S7N 2X8

February 05, 2008

Phone: (306) 933-8118  
Fax: (306) 933-5656

**IOS Services Geoscientifiques Inc.**  
1319 St-Paul Boulevard  
Saguenay (Chicoutimi), QC G7J 3Y2  
Attn: Rejean Girard

Test reports are the property of the customers. Publications of statements, conclusions or extracts from these reports are not permitted without prior written permission from the customer.

This document constitutes the **final official test report**. Liability for the SRC Geoanalytical Laboratories', if any, will be limited to the cost of analysis for samples in this test report. The results contained in this test report relate only to the items tested. It is the customer's responsibility to ensure that all interpretation of analysis is done using the data from this report.

The customer will not use the name of the Saskatchewan Research Council in connection with the sale, offer, advertisement or the promotion of any article, product, or company without the prior written consent of the SRC.

Results Reviewed and Approved by:

Robert Millar  
Assistant Research Scientist

IOS Services Geoscientifiques Inc.

Attention: Rejean Girard

PO #/Project:

Samples: 116

RC Analytical Laboratories  
125 - 15 Innovation Blvd., Saskatoon, Saskatchewan, S7N 2X8  
Tel: (306) 933-8118 Fax: (306) 933-5656 Email: geolab@src.sk.ca

Report No: G-07-1421

Date of Report: February 05, 2008

### ICP1 Total Digestion

#### Column Header Details

Silver in ppm (Ag)  
Aluminum in wt % (Al<sub>2</sub>O<sub>3</sub>)  
Barium in ppm (Ba)  
Beryllium in ppm (Be)  
Calcium in wt % (CaO)

Cadmium in ppm (Cd)  
Cerium in ppm (Ce)  
Cobalt in ppm (Co)  
Chromium in ppm (Cr)  
Copper in ppm (Cu)

Dysprosium in ppm (Dy)  
Erbium in ppm (Er)  
Europium in ppm (Eu)  
Iron in wt % (Fe<sub>2</sub>O<sub>3</sub>)  
Gallium in ppm (Ga)

Gadolinium in ppm (Gd)  
Hafnium in ppm (Hf)  
Holmium in ppm (Ho)  
Potassium in wt % (K<sub>2</sub>O)  
Lanthanum in ppm (La)

Lithium in ppm (Li)  
Magnesium in wt % (MgO)  
Manganese in wt % (MnO)  
Molybdenum in ppm (Mo)  
Sodium in wt % (Na<sub>2</sub>O)

Niobium in ppm (Nb)  
Neodymium in ppm (Nd)  
Nickel in ppm (Ni)  
Phosphorus in wt % (P<sub>2</sub>O<sub>5</sub>)  
Lead in ppm (Pb)

Praseodymium in ppm (Pr)  
Scandium in ppm (Sc)  
Samarium in ppm (Sm)  
Tin in ppm (Sn)  
Strontium in ppm (Sr)

Tantalum in ppm (Ta)  
Terbium in ppm (Tb)  
Thorium in ppm (Th)  
Titanium in wt % (TiO<sub>2</sub>)  
Uranium in ppm (U, ICP)



IOS Services Géosciences Inc.

Attention: Rejean Girard

PO #/Project:

Samples: 116

SRC Analytical Laboratories

125 - 15 Innovation Blvd., Saskatoon, Saskatchewan, S7N 2X8

Tel: (306) 933-8118 Fax: (306) 933-5656 Email: geolab@src.sk.ca

Report No: G-07-1421

Date of Report: February 05, 2008

ICPI Total Digestion

Column Header Details

Vanadium in ppm (V)  
Tungsten in ppm (W)  
Yttrium in ppm (Y)  
Ytterbium in ppm (Yb)  
Zinc in ppm (Zn)

Zirconium in ppm (Zr)

ICP1 Total Digestion

Sample Number	Ag ppm	Al2O3 wt %	Ba ppm	Be ppm	CaO wt %	Cd ppm	Ce ppm	Co ppm	Cr ppm	Cu ppm	Dy ppm	Er ppm	Eu ppm	Fe2O3 wt %	Ga ppm	Gd ppm	Hf ppm
CG515/LS4	<0.2	17.4	2230	1.8	4.82	0.9	157	20	119	2	3.4	2.3	2.4	7.09	23	5.4	3.2
312263	<0.2	15.7	303	1.7	2.96	0.8	848	2	125	19	8.5	4.0	1.9	2.07	18	25.7	7.2
312315	<0.2	16.1	125	2.6	3.69	1.0	175	3	158	20	11.8	5.4	0.8	1.21	22	10.4	24.5
312368	<0.2	17.8	729	1.8	1.91	1.0	125	8	98	56	8.5	4.3	0.8	3.24	24	8.0	1.7
312407	<0.2	15.7	434	1.6	2.65	0.9	1950	4	123	15	13.2	8.1	3.6	3.28	22	49.0	11.8
5929128	<0.2	13.0	77	2.0	2.21	0.9	52	1	201	15	3.9	1.7	0.5	0.65	15	4.1	9.9
5929135	<0.2	10.8	956	0.2	0.52	0.8	522	8	216	9	22.1	10.3	1.6	1.15	22	28.2	6.6
5929139	0.3	15.4	438	1.6	2.65	1.2	219	9	263	19	8.6	4.0	1.1	1.45	22	11.1	4.2
5929240	1.6	2.86	245	<0.2	0.16	<0.2	14	4	293	16	2.4	<0.2	<0.2	1.99	5	4.1	75.2
5929244	<0.2	9.11	278	0.4	2.40	0.5	57	5	272	17	2.4	<0.2	0.4	1.80	10	4.5	26.3
5929246	<0.2	11.3	1920	<0.2	0.17	0.7	6	3	337	41	1.9	0.5	0.8	1.28	9	2.2	2.2
5929249	1.0	9.04	448	0.3	0.92	0.9	60	16	360	7	2.7	0.6	0.5	3.79	14	4.1	22.8
5929295	<0.2	11.0	146	3.1	0.82	0.7	33	5	221	19	7.6	3.7	0.6	2.55	23	7.0	8.7
5929296	<0.2	13.0	2460	<0.2	0.18	0.7	8	3	159	30	1.2	<0.2	1.0	2.69	12	1.3	20.3
5929439	<0.2	9.57	24	1.6	1.18	0.6	9	2	197	5	5.2	1.7	0.5	3.30	26	3.9	31.3
5929441	<0.2	5.72	147	1.0	0.23	0.6	14	1	258	17	4.8	3.0	<0.2	1.44	4	4.8	4.7
5929442	2.1	6.22	187	1.1	0.28	1.4	17	9	234	24	4.9	2.5	<0.2	1.79	7	4.9	9.4
5929444	<0.2	6.47	938	<0.2	0.20	0.3	37	5	269	47	2.1	0.4	0.3	2.19	3	4.4	1.1
5929445	<0.2	21.2	167	3.0	5.37	1.2	68	10	125	58	2.4	0.3	0.5	3.16	24	3.3	17.9
5929532	<0.2	17.0	305	3.5	3.13	1.0	15	7	199	46	3.7	1.7	0.7	6.75	18	5.2	0.6
CG515/LS4	<0.2	17.7	2370	1.9	4.94	1.2	161	19	125	2	3.6	2.4	2.4	7.30	24	5.5	3.1
5929535	<0.2	0.97	30	<0.2	0.04	<0.2	7	1	331	8	1.8	0.4	<0.2	0.89	1	2.9	8.5
5929536	<0.2	10.7	500	<0.2	0.03	0.4	8	23	229	47	2.2	2.8	0.2	16.4	31	3.2	6.2
5929537	<0.2	2.59	92	<0.2	0.10	<0.2	16	5	393	23	2.0	1.4	0.2	4.25	1	4.0	1.6
5929538	<0.2	10.1	1120	<0.2	0.13	0.4	7	15	238	43	2.0	0.8	0.2	7.79	17	3.0	1.4
5929539	4.8	15.6	2140	0.3	0.58	0.9	148	5	130	41	3.5	2.3	0.7	5.68	19	6.4	2.3
5929543	0.3	1.91	150	<0.2	0.02	<0.2	2	4	290	14	0.9	<0.2	<0.2	2.39	<1	1.9	10.3
5929544	7.2	3.71	140	<0.2	0.15	<0.2	17	3	306	18	4.0	0.7	0.5	5.04	9	5.1	51.0
5929546	6.9	4.75	101	0.5	0.20	<0.2	160	4	267	38	8.9	3.9	1.0	4.13	6	14.8	9.6
5929547	11.2	6.89	638	<0.2	0.45	0.4	3	7	294	39	0.4	<0.2	0.4	5.27	11	<0.5	29.0
5929587	17.9	12.6	292	1.7	2.10	0.7	20	3	220	6	9.7	5.4	0.7	1.10	20	6.1	4.4
5929588	<0.2	13.8	336	1.6	2.13	0.8	121	3	187	9	21.8	12.4	1.0	1.50	28	14.9	7.9
5929591	16.6	19.2	209	1.8	4.30	1.2	232	4	115	4	15.0	8.3	2.1	1.61	24	15.8	3.1
5929592	8.0	16.6	126	1.9	3.00	1.0	74	4	172	6	13.4	7.4	0.9	2.02	28	9.3	4.2
5929598	0.2	15.6	175	2.0	3.51	1.0	430	7	179	7	8.2	3.7	1.1	1.79	19	15.6	1.0
5929599	0.8	13.4	283	<0.2	1.10	0.7	32	22	217	31	19.9	9.8	0.9	10.4	46	12.8	39.2
5929600	3.2	10.2	356	0.6	0.32	0.4	70	8	195	42	20.9	12.0	1.0	5.43	24	15.4	40.4
5929601	<0.2	17.9	379	1.7	3.74	1.0	65	14	168	121	8.4	4.7	0.9	5.93	30	8.2	13.2
5929603	2.3	19.6	132	1.5	3.32	1.1	390	17	256	53	14.0	6.5	1.4	6.81	33	18.5	46.4
5929598 R	0.2	15.5	169	1.9	3.45	0.9	434	5	172	8	9.0	4.1	1.2	1.75	19	17.1	1.4

Attention: Rejean Girard

Tel: (306) 933-8118 Fax: (306) 933-5656 Email: geolab@src.sk.ca

PO #/Project:

Samples: 116

Date of Report: February 05, 2008

ICP1 Total Digestion

Sample Number	Ag ppm	Al2O3 wt %	Ba ppm	Be ppm	CaO wt %	Cd ppm	Ce ppm	Co ppm	Cr ppm	Cu ppm	Dy ppm	Er ppm	Eu ppm	Fe2O3 wt %	Ga ppm	Gd ppm	Hf ppm
CG515/LS4	0.3	17.7	2050	1.9	4.76	1.0	148	19	117	4	3.2	2.4	2.2	7.15	21	5.4	4.2
5929606	<0.2	16.4	703	1.7	1.32	1.1	10	1	117	38	9.8	7.2	0.7	1.33	14	6.4	2.6
5929609	<0.2	17.7	388	2.8	3.38	1.2	88	5	142	9	13.6	10.4	1.0	2.52	22	9.0	0.7
5929610	<0.2	15.3	862	1.5	1.45	1.0	228	<1	167	7	15.6	10.3	1.4	1.04	12	13.6	<0.5
5929611	<0.2	11.4	86	0.7	2.88	0.9	12	2	220	77	4.6	3.2	0.7	0.74	6	3.4	1.7
5929613	0.7	10.8	56	2.1	2.26	0.9	8	2	208	15	4.0	2.6	0.4	0.92	10	3.0	9.4
5929615	1.6	9.53	548	0.6	2.07	0.6	86	5	311	28	8.8	5.1	0.3	2.46	7	6.8	10.2
5929618	2.1	17.7	282	2.6	1.74	1.3	2	2	95	13	7.0	5.4	0.4	3.24	24	4.2	31.6
5929623	<0.2	8.98	298	<0.2	1.05	0.7	37	12	164	13	9.1	7.6	0.4	13.5	<1	12.9	2.3
5929656	<0.2	20.3	228	3.3	3.83	1.4	161	21	207	45	16.6	11.9	1.3	6.42	24	11.7	3.8
5929658	<0.2	20.5	389	2.1	3.08	1.4	447	13	69	5	13.1	6.6	1.7	7.22	35	20.5	4.5
5929660	<0.2	18.1	304	3.4	2.36	1.1	30	6	112	3	5.7	4.1	0.7	3.29	26	3.7	<0.5
5929661	<0.2	18.3	276	1.5	4.14	1.1	237	28	368	120	10.9	7.3	1.2	7.62	30	12.3	<0.5
5929665	<0.2	15.8	347	2.2	2.87	1.1	96	1	189	5	7.2	4.8	0.8	1.06	15	5.3	<0.5
5929668	<0.2	19.8	475	3.2	3.93	1.4	317	9	109	5	11.0	6.4	1.5	3.68	27	13.6	0.7
5929707	1.5	18.8	88	1.9	2.80	1.2	103	7	91	23	13.4	7.9	0.9	8.40	23	12.2	8.0
5929710	<0.2	16.2	258	2.3	3.16	1.1	120	2	187	13	7.3	4.8	0.9	1.75	17	6.8	1.9
5929665 R	<0.2	16.4	346	2.2	2.88	1.1	98	1	182	4	7.3	4.9	0.9	1.03	15	6.0	<0.5
CG515/LS4	0.4	17.3	2300	2.1	4.87	1.1	160	19	112	2	3.3	2.4	2.4	7.19	24	5.8	4.3
312267	<0.2	14.4	540	1.6	4.66	1.0	33	28	125	116	14.9	11.1	0.6	8.81	23	12.8	2.3
5929133 3/3	<0.2	3.88	215	<0.2	0.37	<0.2	3480	<1	157	<1	116	67.0	9.0	2.26	6	152	0.7
5929134	33.8	13.6	777	0.9	1.22	10.1	1400	5	153	<1	48.4	29.7	4.1	3.46	20	62.1	0.8
5929136	0.5	9.64	733	0.7	0.62	0.6	653	<1	203	<1	33.1	21.7	2.1	0.83	8	34.6	<0.5
5929138	0.6	6.20	232	0.5	0.71	0.5	1060	1	201	<1	46.4	29.5	3.0	2.36	8	52.5	<0.5
5929298	1.6	7.22	372	1.1	0.89	0.8	18	3	207	<1	10.1	7.0	0.7	1.90	7	7.9	5.7
5929545	2.0	19.4	306	2.2	3.53	1.5	78	15	120	118	5.5	3.8	1.0	5.58	26	6.0	10.1
5929589	0.3	14.3	362	3.0	2.57	1.2	90	2	178	<1	13.2	9.0	0.8	0.99	18	10.0	1.2
5929594	3.9	13.9	184	1.5	2.12	1.0	135	16	225	14	16.4	12.4	1.0	6.90	26	14.8	57.2
5929597	<0.2	17.2	524	1.8	3.22	1.0	1220	32	147	<1	38.5	23.3	4.3	7.41	31	52.6	<0.5
5929607	<0.2	18.3	98	3.8	2.35	1.3	395	10	89	25	19.4	13.0	1.6	5.01	36	20.6	2.8
5929654	<0.2	9.88	73	1.8	2.07	0.9	211	10	244	185	10.2	6.8	1.0	4.00	17	10.7	2.0
5929655	0.3	18.8	123	3.6	4.11	1.4	1730	14	102	177	60.7	37.4	6.0	2.47	26	74.4	8.1
5929657	2.3	15.4	776	<0.2	0.28	1.1	22	37	56	212	11.6	9.5	0.6	20.0	48	8.5	4.4
5929669	1.1	14.7	482	2.4	1.03	1.5	11	6	131	<1	12.9	7.9	0.6	6.59	31	10.6	<0.5
5929670	0.8	21.9	374	3.4	2.40	2.0	125	<1	96	<1	14.8	11.4	0.8	1.00	28	11.4	1.4
5929133 1/3	2.4	2.28	139	<0.2	0.23	<0.2	2130	<1	275	<1	153	102	7.2	1.67	<1	131	2.7
5929133 2/3	0.9	2.96	184	<0.2	0.21	0.3	1760	<1	210	<1	93.7	60.4	5.2	2.00	3	93.2	1.0
5929292	2.7	10.7	468	<0.2	0.38	1.0	4	31	299	<1	9.3	8.6	<0.2	14.8	9	8.5	20.5
CG515/LS4	0.3	17.6	2300	2.0	4.92	1.2	160	20	114	3	3.4	2.5	2.4	7.26	24	6.0	4.2
6399098																	

*RM*



IOS Services Geoscientifiques Inc.

Attention: Rejean Girard

PO #/Project:

Samples: 116

SRC Analytical Laboratories

125 - 15 Innovation Blvd., Saskatoon, Saskatchewan, S7N 2X8

Tel: (306) 933-8118 Fax: (306) 933-5656 Email: geolab@src.sk.ca

Report No: G-07-1421

Date of Report: February 05, 2008

ICP1 Total Digestion

Sample Number	Ag ppm	Al2O3 wt %	Ba ppm	Be ppm	CaO wt %	Cd ppm	Ce ppm	Co ppm	Cr ppm	Cu ppm	Dy ppm	Er ppm	Eu ppm	Fe2O3 wt %	Ga ppm	Gd ppm	Hf ppm
5929292 R	2.9	11.4	483	<0.2	0.40	1.2	3	32	310	2	8.1	8.6	0.2	15.6	10	8.2	21.9

*RM*

Attention: Rejean Girard

Tel: (306) 933-8118 Fax: (306) 933-5656 Email: geolab@src.sk.ca

PO #/Project:

Samples: 116

Date of Report: February 05, 2008

ICP1 Total Digestion

Sample Number	Ho ppm	K2O wt %	La ppm	Li ppm	MgO wt %	MnO wt %	Mo ppm	Na2O wt %	Nb ppm	Nd ppm	Ni ppm	P2O5 wt %	Pb ppm	Pr ppm	Sc ppm	Sm ppm	Sr ppm
CG515/LS4	1.5	3.00	84	26	2.78	0.071	<1	3.07	7	62	25	0.684	16	16	12	8.8	2
312263	<0.4	2.20	428	11	0.224	0.021	23	5.06	<1	309	4	0.164	120	102	3	45.8	<1
312315	2.8	0.671	87	20	0.389	0.016	4	4.82	<1	62	10	0.041	372	18	2	11.9	<1
312368	1.8	4.40	66	54	1.08	0.039	26	4.79	5	47	6	0.091	112	14	6	8.9	<1
312407	<0.4	2.92	1040	22	0.570	0.040	10	4.66	<1	680	4	0.186	98	227	5	95.1	<1
5929128	0.6	1.34	23	6	0.185	0.008	10	4.15	1	19	7	0.036	126	5	1	4.1	<1
5929135	4.2	5.49	268	14	0.461	0.016	178	1.81	2	192	8	0.100	668	61	2	34.2	<1
5929139	1.6	2.49	114	18	0.548	0.020	25	4.22	1	80	9	0.060	251	24	2	13.9	<1
5929240	<0.4	1.35	8	15	0.676	0.027	3	0.33	7	<1	11	0.016	149	<1	4	1.4	<1
5929244	<0.4	1.45	28	15	0.630	0.024	44	1.46	5	20	11	0.031	144	5	3	4.0	<1
5929246	<0.4	6.74	3	4	0.198	0.010	140	1.64	<1	4	15	0.028	184	<1	1	1.5	<1
5929249	0.6	2.78	31	28	1.76	0.052	370	1.77	4	22	22	0.046	126	4	10	4.3	<1
5929295	1.9	4.12	10	13	0.605	0.018	210	2.36	36	21	25	0.041	426	3	7	5.7	<1
5929296	<0.4	8.09	4	10	0.592	0.013	150	1.42	4	2	13	0.040	223	<1	3	1.0	<1
5929439	2.1	1.31	1	29	1.01	0.059	220	2.60	25	8	3	0.027	434	<1	10	2.8	<1
5929441	1.0	2.84	5	25	1.28	0.016	1300	0.78	17	8	6	0.053	266	<1	6	2.2	<1
5929442	1.0	2.73	7	24	1.28	0.018	870	0.92	10	9	16	0.050	256	1	7	2.4	<1
5929444	<0.4	4.07	15	8	0.672	0.022	584	0.80	4	17	19	0.088	181	3	3	3.0	<1
5929445	0.5	1.40	35	43	1.43	0.034	8	5.86	2	23	21	0.059	111	6	2	4.0	<1
5929532	1.0	2.73	6	55	2.75	0.091	1620	3.91	28	11	13	0.120	322	1	10	2.8	<1
CG515/LS4	1.4	3.00	86	26	2.81	0.072	2	3.11	7	64	27	0.689	18	17	13	8.8	2
5929535	<0.4	0.364	2	4	0.137	0.005	79	0.12	4	4	6	0.009	60	<1	1	1.6	<1
5929536	2.6	5.68	6	135	6.04	0.115	1470	0.06	72	8	19	0.121	316	<1	38	<0.5	<1
5929537	0.9	1.25	7	27	1.43	0.031	1300	0.09	18	8	10	0.055	93	<1	8	1.8	<1
5929538	1.4	5.61	4	91	2.92	0.069	280	0.76	17	5	18	0.057	279	<1	12	0.7	<1
5929539	1.2	8.37	76	65	2.06	0.062	720	1.95	22	57	5	0.115	392	14	13	8.2	<1
5929543	<0.4	1.06	1	26	0.817	0.021	980	0.06	11	1	7	0.028	166	<1	5	0.6	<1
5929544	1.1	1.56	4	38	1.60	0.054	580	0.25	28	6	8	0.043	2480	<1	13	2.8	<1
5929546	0.8	1.74	68	40	1.04	0.062	1270	0.67	38	67	5	0.075	200	16	14	12.9	<1
5929547	0.6	2.70	2	24	1.21	0.031	580	0.89	17	<1	10	0.047	591	<1	8	<0.5	<1
5929587	2.5	2.16	6	18	0.388	0.019	17	3.30	3	15	12	0.023	340	1	3	4.6	<1
5929588	5.4	2.17	44	22	0.535	0.029	24	3.92	6	59	10	0.058	841	13	3	13.8	<1
5929591	2.8	1.12	115	26	0.665	0.023	8	6.22	<1	103	13	0.030	416	28	2	18.0	<1
5929592	3.3	0.851	31	27	0.730	0.048	16	5.36	3	37	12	0.084	507	8	3	8.7	<1
5929598	0.8	0.748	220	25	0.909	0.014	44	4.42	4	151	10	0.083	123	42	4	21.1	<1
5929599	5.9	3.46	6	86	4.13	0.125	26	2.50	46	31	62	0.076	775	1	23	9.3	<1
5929600	4.6	4.16	23	58	1.79	0.079	82	1.75	26	41	21	0.084	416	7	11	11.4	<1
5929601	1.8	2.04	30	58	2.73	0.040	230	4.28	25	32	22	0.356	352	5	14	7.1	<1
5929603	2.3	2.62	178	75	2.45	0.113	20	5.44	17	150	48	0.266	264	41	13	25.5	<1
5929598 R	0.9	0.731	226	24	0.878	0.014	42	4.38	4	157	9	0.084	126	45	3	23.6	<1

IOS Services Geoscientifiques Inc.  
 Attention: Rejean Girard  
 PO #/Project:  
 Samples: 116

SRC Geoanalytical Laboratories  
 125 - 15 Innovation Blvd., Saskatoon, Saskatchewan, S7N 2X8  
 Tel: (306) 933-8118 Fax: (306) 933-5656 Email: geolab@src.sk.ca

Report No: G-07-1421

Date of Report: February 05, 2008

ICPI Total Digestion

Sample Number	Ho ppm	K2O wt %	La ppm	Li ppm	MgO wt %	MnO wt %	Mo ppm	Na2O wt %	Nb ppm	Nd ppm	Ni ppm	P2O5 wt %	Pb ppm	Pr ppm	Sc ppm	Sm ppm	Sn ppm
CG515/LS4	1.6	3.11	82	27	2.71	0.074	2	3.20	8	62	23	0.689	19	16	11	9.6	2
5929606	2.3	5.69	3	13	0.538	0.030	4	5.25	1	9	5	0.029	180	1	1	5.5	<1
5929609	3.3	2.74	44	31	1.33	0.046	43	5.11	7	36	14	0.493	292	9	5	9.4	<1
5929610	3.6	5.83	123	14	0.415	0.022	103	3.60	3	84	4	0.115	420	22	1	17.2	<1
5929611	1.1	0.230	3	4	0.060	0.005	4	3.53	5	7	9	0.092	240	1	1	3.3	<1
5929613	1.0	0.347	2	7	0.251	0.012	63	3.70	1	4	5	0.022	161	1	1	2.8	<1
5929615	1.4	3.01	35	14	1.12	0.033	11	1.70	3	30	19	0.036	580	8	5	8.8	<1
5929618	2.0	5.58	1	49	0.878	0.089	146	4.93	29	2	4	0.070	241	<1	12	3.1	<1
5929623	3.1	5.11	17	99	4.97	0.108	5200	0.04	64	40	3	0.904	37	9	19	12.4	<1
5929656	4.2	2.84	87	80	3.57	0.087	159	4.91	8	60	65	0.124	470	16	18	14.6	<1
5929658	3.2	4.89	255	81	3.65	0.123	111	4.64	30	165	14	0.270	250	45	17	28.4	<1
5929660	1.6	3.52	16	36	1.64	0.067	276	4.64	17	12	9	0.057	290	3	8	4.6	<1
5929661	3.2	3.29	128	102	4.44	0.109	13	3.10	23	85	77	0.220	250	24	22	16.4	<1
5929665	1.7	2.30	52	12	0.409	0.016	47	4.66	1	33	4	0.062	271	8	1	6.5	<1
5929668	2.6	2.99	185	36	1.79	0.057	111	5.71	15	117	14	0.095	302	34	7	19.7	<1
5929707	3.4	3.74	47	105	2.54	0.118	749	4.96	17	44	3	0.144	650	11	12	15.0	<1
5929710	1.8	1.79	65	21	0.681	0.025	21	4.84	1	44	9	0.054	210	12	2	9.0	<1
5929665 R	1.7	2.38	54	12	0.400	0.016	47	4.82	<1	35	4	0.061	277	9	1	7.5	<1
CG515/LS4	1.5	3.06	87	27	2.77	0.076	2	3.12	8	61	25	0.685	20	16	12	8.3	1
312267	4.1	3.69	16	117	3.64	0.126	740	2.77	14	22	35	2.11	294	4	16	7.7	<1
5929133 3/3	25.0	1.61	1800	31	0.974	0.037	822	0.57	6	1120	4	0.526	2250	315	6	179	<1
5929134	11.0	5.69	766	53	1.58	0.057	489	2.58	12	452	11	0.239	1040	121	8	72.1	<1
5929136	7.7	4.26	342	11	0.299	0.014	269	2.05	2	214	4	0.122	896	56	1	37.0	<1
5929138	10.5	1.80	555	33	1.03	0.037	556	1.32	8	343	3	0.176	1170	94	5	57.2	<1
5929298	2.2	2.07	7	16	0.533	0.016	437	1.60	12	9	24	0.057	784	1	5	5.9	<1
5929545	1.8	1.94	40	45	1.44	0.054	262	5.61	16	30	27	0.079	699	7	9	7.3	<1
5929589	3.0	2.08	48	14	0.367	0.020	17	4.16	6	34	8	0.037	336	8	2	8.4	<1
5929594	4.7	2.58	55	83	3.02	0.114	5	3.48	34	55	48	0.049	440	12	15	13.4	<1
5929597	9.3	3.09	662	115	4.45	0.060	232	3.58	26	399	78	0.219	724	112	21	61.1	<1
5929607	4.8	2.80	223	60	2.36	0.102	486	5.34	28	133	13	0.126	584	35	14	23.4	<1
5929654	2.6	0.835	115	15	0.871	0.028	25	2.72	6	69	19	0.060	458	19	5	12.1	<1
5929655	13.7	0.820	882	22	0.740	0.026	171	5.80	3	564	37	0.377	1630	151	6	89.5	<1
5929657	4.3	9.71	15	109	7.29	0.243	317	0.53	50	19	20	0.036	519	1	37	7.9	8
5929669	3.3	6.54	6	120	2.14	0.154	487	2.42	30	10	4	0.223	607	<1	16	6.9	<1
5929670	3.7	4.12	68	46	0.368	0.022	13	4.11	6	44	4	0.117	716	10	6	10.7	<1
5929133 1/3	35.2	0.945	1050	20	0.609	0.028	1700	0.28	8	718	5	0.536	3960	182	3	137	<1
5929133 2/3	21.6	1.41	875	27	0.844	0.034	968	0.33	7	582	4	0.376	2150	148	4	101	<1
5929292	3.0	6.10	9	78	5.70	0.141	5200	0.68	42	8	57	0.105	1190	1	28	4.6	1
CG515/LS4	1.8	3.11	88	27	2.77	0.076	2	3.20	8	60	26	0.680	19	16	13	8.4	1
6399098																	



IOS Services Geoscientifiques Inc.

Attention: Rejean Girard

PO #/Project:

Samples: 116

SRC Geoanalytical Laboratories

125 - 15 Innovation Blvd., Saskatoon, Saskatchewan, S7N 2X8

Tel: (306) 933-8118 Fax: (306) 933-5656 Email: geolab@src.sk.ca

Report No: G-07-1421

Date of Report: February 05, 2008

ICP1 Total Digestion

Sample Number	Ho ppm	K2O wt %	La ppm	Li ppm	MgO wt %	MnO wt %	Mo ppm	Na2O wt %	Nb ppm	Nd ppm	Ni ppm	P2O5 wt %	Pb ppm	Pr ppm	Sc ppm	Sm ppm	Sn ppm
5929292 R	3.6	6.05	7	81	5.76	0.145	5360	0.70	45	6	54	0.108	1220	<1	29	4.4	2



ICPI Total Digestion

Sample Number	Sr ppm	Ta ppm	Tb ppm	Th ppm	TiO2 wt %	U, ICP ppm	V ppm	W ppm	Y ppm	Yb ppm	Zn ppm	Zr ppm
CG515/LS4	1140	<1	<0.3	13	0.984	3	131	1	20	1.9	85	192
312263	299	<1	3.5	1450	0.114	136	41	1	37	2.6	29	286
312315	343	<1	6.1	176	0.086	1030	26	1	60	8.2	21	830
312368	190	<1	1.2	147	0.381	224	44	<1	40	4.0	102	47
312407	332	<1	6.1	1320	0.224	128	55	<1	57	3.5	51	475
5929128	176	<1	1.2	211	0.038	174	12	2	23	3.5	19	337
5929135	152	<1	11.2	361	0.106	1990	24	54	102	9.6	22	11
5929139	240	<1	3.4	143	0.124	631	27	53	42	4.2	30	84
5929240	25	1	6.3	1260	0.275	316	28	<1	16	3.4	40	2910
5929244	117	<1	2.8	912	0.221	233	24	1	12	1.4	35	969
5929246	204	<1	1.0	205	0.074	304	16	2	9	0.8	13	55
5929249	98	<1	2.3	382	0.408	212	78	79	15	2.0	86	846
5929295	76	3	4.7	495	0.243	999	56	3	45	6.7	51	125
5929296	209	<1	1.3	342	0.306	160	52	1	7	1.3	31	766
5929439	51	<1	5.6	279	0.475	1140	36	<1	28	4.8	105	709
5929441	34	2	2.7	861	0.243	490	55	11	34	3.6	36	105
5929442	35	<1	3.1	889	0.200	481	56	66	34	4.0	40	298
5929444	109	<1	1.4	1300	0.241	166	29	<1	9	0.6	38	29
5929445	276	<1	1.2	424	0.396	167	55	2	14	1.7	56	695
5929532	206	<1	1.8	1620	0.960	382	116	1	21	1.0	203	20
CG515/LS4	1130	<1	<0.3	15	0.999	4	132	<1	21	2.0	87	169
5929535	7	<1	1.4	448	0.087	146	14	<1	10	1.2	16	266
5929536	12	8	1.7	1760	2.78	357	307	<1	15	1.5	291	261
5929537	7	3	1.4	984	0.626	156	86	<1	13	0.7	66	59
5929538	91	1	1.4	1500	1.18	288	117	<1	10	1.0	139	59
5929539	162	<1	0.4	222	0.945	188	163	<1	17	1.2	118	70
5929543	8	1	1.4	638	0.358	117	46	<1	4	0.5	42	375
5929544	16	5	4.2	882	0.724	188	162	<1	31	3.9	74	1910
5929546	30	5	3.5	1960	0.494	204	41	<1	60	3.9	61	261
5929547	71	2	1.6	103	0.598	50	77	<1	5	1.1	66	1040
5929587	128	<1	4.1	104	0.102	879	28	2	52	6.5	19	41
5929588	167	<1	10.0	252	0.143	1950	29	2	110	15.1	31	37
5929591	363	<1	4.4	223	0.148	890	39	2	69	8.9	30	21
5929592	247	<1	5.7	203	0.205	1160	40	1	68	8.7	38	9
5929598	196	<1	2.0	220	0.193	220	49	1	41	2.3	26	12
5929599	79	6	13.0	653	1.09	2280	194	<1	103	15.0	209	1060
5929600	42	7	8.5	567	0.541	917	83	<1	132	18.6	83	1280
5929601	178	2	3.5	447	0.649	636	144	<1	55	6.2	90	371
5929603	206	<1	6.7	354	0.702	663	114	<1	75	10.2	186	1540
5929598 R	189	<1	2.2	228	0.188	235	47	<1	44	2.5	25	13

ICPI Total Digestion

Sample Number	Sr ppm	Ta ppm	Tb ppm	Th ppm	TiO2 wt %	U, ICP ppm	V ppm	W ppm	Y ppm	Yb ppm	Zn ppm	Zr ppm
CG515/LS4	1130	<1	<0.3	16	0.992	4	121	1	20	1.9	81	183
5929606	201	<1	<0.3	194	0.105	678	12	1	52	9.1	17	86
5929609	225	<1	<0.3	76	0.246	920	50	<1	89	11.1	47	43
5929610	208	<1	<0.3	173	0.099	1620	16	<1	81	7.9	22	22
5929611	190	<1	<0.3	196	0.223	356	5	<1	25	3.4	6	87
5929613	154	1	<0.3	180	0.079	501	11	<1	24	3.2	19	322
5929615	126	<1	<0.3	1310	0.183	1480	33	<1	42	5.2	76	425
5929618	138	4	<0.3	225	0.382	445	29	<1	46	8.1	53	723
5929623	13	2	<0.3	798	2.18	98	223	3	59	1.9	198	10
5929656	242	<1	<0.3	162	0.533	1630	143	<1	94	11.4	107	122
5929658	211	<1	<0.3	184	0.906	598	176	<1	65	3.8	180	148
5929660	183	1	<0.3	73	0.385	562	78	<1	29	3.6	81	8
5929661	204	1	<0.3	131	0.843	792	190	<1	57	5.4	188	36
5929665	220	<1	<0.3	81	0.100	894	16	<1	37	4.1	39	14
5929668	285	<1	<0.3	181	0.435	588	65	<1	55	5.2	71	18
5929707	134	<1	<0.3	424	1.09	1570	45	<1	62	5.6	184	272
5929710	238	<1	<0.3	99	0.169	620	24	<1	38	4.3	37	83
5929665 R	228	<1	<0.3	83	0.098	854	16	<1	39	4.0	37	13
CG515/LS4	1160	<1	<0.3	15	1.11	4	132	1	21	2.0	85	188
312267	213	1	<0.3	101	1.04	673	161	<1	106	9.2	151	49
5929133 3/3	89	2	<0.3	1780	0.298	8020	44	5	493	40.5	49	25
5929134	178	<1	<0.3	723	0.440	4060	71	12	224	18.7	93	15
5929136	136	<1	<0.3	432	0.077	3320	11	<1	163	15.3	17	17
5929138	79	<1	<0.3	622	0.297	4440	46	3	216	20.2	60	17
5929298	95	2	<0.3	859	0.293	2330	182	11	50	6.1	47	142
5929545	256	1	<0.3	405	0.688	1900	96	<1	27	2.6	79	314
5929589	165	2	<0.3	134	0.103	1060	14	<1	67	8.3	28	49
5929594	132	11	<0.3	521	0.839	1380	149	<1	103	15.6	169	1860
5929597	205	2	<0.3	529	1.20	2470	203	<1	188	14.6	100	11
5929607	167	1	<0.3	204	0.584	1940	93	<1	102	9.8	101	81
5929654	140	1	<0.3	172	0.261	1060	40	<1	50	5.5	47	67
5929655	317	<1	<0.3	978	0.153	4410	33	<1	277	27.6	93	261
5929657	70	6	<0.3	337	2.37	1760	262	<1	70	8.6	344	86
5929669	95	8	<0.3	351	0.949	1730	88	<1	64	5.9	177	12
5929670	176	3	<0.3	204	0.110	2460	5	<1	112	13.0	29	47
5929133 1/3	67	11	<0.3	974	0.202	16600	26	<1	698	75.1	33	52
5929133 2/3	66	8	<0.3	962	0.266	8730	39	<1	450	41.2	43	27
5929292	47	5	<0.3	2530	2.32	2750	290	19	58	2.8	299	671
CG515/LS4	1160	2	<0.3	15	1.14	3	131	<1	22	2.1	92	167
6399098												



IOS Services Geoscientifiques Inc.

Attention: Rejean Girard

PO #/Project:

Samples: 116

RC Analytical Laboratories  
125 - 15 Innovation Blvd., Saskatoon, Saskatchewan, S7N 2X8  
Tel: (306) 933-8118 Fax: (306) 933-5656 Email: geolab@src.sk.ca

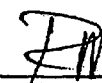
Report No: G-07-1421

Date of Report: February 05, 2008

ICP1 Total Digestion

Sample Number	Sr ppm	Ta ppm	Tb ppm	Th ppm	TiO2 wt %	U, ICP ppm	V ppm	W ppm	Y ppm	Yb ppm	Zn ppm	Zr ppm
5929292 R	49	7	<0.3	2500	2.45	2890	294	22	58	2.6	314	680

Total Digestion: A 0.125 g pulp is gently heated in a mixture of HF/HNO3/HClO4 until dry and the residue is dissolved in dilute HNO3.  
The standard is CG515.





Saskatchewan  
Research Council

125-15 Innovation Boulevard, Saskatoon, SK Canada S7N 2X8 • Ph: 306-933-5400 Fax: 306-933-7446  
Also located at: 220-6 Research Drive, Regina, SK Canada S4S 7J7 • Ph: 306-787-9400 Fax: 306-787-8811

Web: [www.src.sk.ca](http://www.src.sk.ca)  
Email: [info@src.sk.ca](mailto:info@src.sk.ca)

Report No: 07-1421

## SRC Geoanalytical Laboratories

125 - 15 Innovation Blvd.  
Saskatoon, Saskatchewan  
S7N 2X8

November 08, 2007

Phone: (306) 933-8118  
Fax: (306) 933-5656

**IOS Services Geoscientifiques Inc.**  
1319 St-Paul Boulevard  
Saguenay (Chicoutimi), QC G7J 3Y2  
Attn: Rejean Girard

Test reports are the property of the customers. Publications of statements, conclusions or extracts from these reports are not permitted without prior written permission from the customer.

This document constitutes the **final official test report**. Liability for the SRC Geoanalytical Laboratories', if any, will be limited to the cost of analysis for samples in this test report. The results contained in this test report relate only to the items tested. It is the customer's responsibility to ensure that all interpretation of analysis is done using the data from this report.

The customer will not use the name of the Saskatchewan Research Council in connection with the sale, offer, advertisement or the promotion of any article, product, or company without the prior written consent of the SRC.

Results Reviewed and Approved by:

Robert Millar  
Assistant Research Scientist

IOS Services Geoscientifiques Inc.  
Attention: Rejean Girard  
PO #/Project:  
Samples: 35

125 - 15 Innovation Blvd., Saskatoon, Saskatchewan, S7N 2X8  
Tel: (306) 933-8118 Fax: (306) 933-5656 Email: geolab@src.sk.ca

Report No: 07-1421

Date of Report: November 08, 2007

TEST REPORT  
Method U3O8

Column Header Details

U3O8 Assay by ICP in wt % (U3O8)

Sample Number	U3O8 wt %
BL1	0.025
312315	0.132
5929135	0.263
5929139	0.081
5929588	0.253
5929592	0.150
5929599	0.282
5929135 R	0.264
BL1	0.026
5959610	0.190
5959615	0.182
5959656	0.201
5959707	0.200
5959615 R	0.178
BL2A	0.506
5959133 3/3	0.942
5929134	0.439
5929136	0.372
5929138	0.513
5929298	0.265
5929545	0.267
5929594	0.168
5929597	0.236
5929607	0.224
5929655	0.472
5929657	0.194
5929669	0.193
5929670	0.282
5929655 R	0.467
BL3	1.22
5929133 1/3	1.87
5929133 2/3	1.09
5929292	0.312
6399098	
5929292 R	0.318





IOS Services Geoscientifiques Inc.

125 - 15 Innovation Blvd., Saskatoon, Saskatchewan, S7N 2X8

Report No: 07-1421

Attention: Rejean Girard

Tel: (306) 933-8118 Fax: (306) 933-5656 Email: geolab@src.sk.ca

PO #/Project:

Samples: 35

Date of Report: November 08, 2007

**TEST REPORT**

Method U308

Sample Number	U308 wt %
---------------	-----------

Uranium Assay: A 1.00 g pulp is digested with 24 ml of 3:1 HCl:HNO3 for 1 hour at 95 C.



PROJET 592

Report No: 07-1496

## SRC Geoanalytical Laboratories

125 - 15 Innovation Blvd.  
Saskatoon, Saskatchewan  
S7N 2X8

December 14, 2007

Phone: (306) 933-8118

Fax: (306) 933-5656

**IOS Services Geoscientifiques Inc.**  
1319 St-Paul Boulevard  
Saguenay (Chicoutimi), QC G7J 3Y2  
Attn: Rejean Girard

Test reports are the property of the customers. Publications of statements, conclusions or extracts from these reports are not permitted without prior written permission from the customer.

This document constitutes the **final official test report**. Liability for the SRC Geoanalytical Laboratories', if any, will be limited to the cost of analysis for samples in this test report. The results contained in this test report relate only to the items tested. It is the customer's responsibility to ensure that all interpretation of analysis is done using the data from this report.

The customer will not use the name of the Saskatchewan Research Council in connection with the sale, offer, advertisement or the promotion of any article, product, or company without the prior written consent of the SRC.

Results Reviewed and Approved by: \_\_\_\_\_

Robert Millar  
Assistant Research Scientist

IOS Services Geoscientifiques Inc.

Attention: Rejean Girard  
PO #/Project: Project 592  
Samples: 56

125 - 15 Innovation Blvd., Saskatoon, Saskatchewan, S7N 2X8  
Tel: (306) 933-8118 Fax: (306) 933-5656 Email: geolab@src.sk.ca

Date of Report: December 14, 2007

ICP4.3 Aqua Regia Digestion

Column Header Details

Silver in ppm (Ag)  
Arsenic in ppm (As)  
Bismuth in ppm (Bi)  
Cobalt in ppm (Co)  
Copper in ppm (Cu)

Germanium in ppm (Ge)  
Mercury in ppm (Hg)  
Molybdenum in ppm (Mo)  
Nickel in ppm (Ni)  
Lead in ppm (Pb)

Antimony in ppm (Sb)  
Selenium in ppm (Se)  
Tellurium in ppm (Te)  
Uranium in ppm (U, ICP)  
Vanadium in ppm (V)

Zinc in ppm (Zn)



IOS Services Geoscientifiques Inc.

125 - 15 Innovation Blvd., Saskatoon, Saskatchewan, S7N 2X8

Attention: Rejean Girard

Tel: (306) 933-8118 Fax: (306) 933-5656 Email: geolab@src.sk.ca

PO #/Project: Project 592

Date of Report: December 14, 2007

Samples: 56

## ICP4.3 Aqua Regia Digestion

Sample Number	Ag ppm	As ppm	Bi ppm	Co ppm	Cu ppm	Ge ppm	Hg ppm	Mo ppm	Ni ppm	Pb ppm	Sb ppm	Se ppm	Te ppm	U, ICP ppm	V ppm	Zn ppm
CG515/LS4	0.2	14.0	1.8	38.0	48.0	<0.2	<0.2	11.8	48.0	23.5	<1	<0.2	1.2	30.4	99.8	214
5929140	0.6	0.7	3.4	6.4	3.0	<0.2	<0.2	0.9	5.1	83.0	2.5	2.3	1.2	106	17.9	32.4
5929141	<0.1	0.7	4.2	5.5	3.8	<0.2	<0.2	0.1	3.9	23.1	3.7	<0.2	0.4	8.3	33.7	57.9
5929142	1.2	2.0	3.2	6.3	4.5	<0.2	<0.2	22.0	13.9	160	<1	7.7	2.7	174	16.9	25.8
5929144	0.2	0.7	5.3	12.0	2.8	<0.2	<0.2	25.3	11.1	38.9	4.1	<0.2	1.0	59.2	32.4	58.8
5929161	4.4	2.0	4.7	12.9	10.9	<0.2	<0.2	6.8	13.3	128	4.0	3.4	1.8	182	36.3	39.3
5929164	<0.1	0.5	<0.2	2.9	11.9	<0.2	<0.2	7.4	11.9	45.6	<1	<0.2	1.2	86.4	<0.1	16.7
5929165	4.9	0.9	1.7	9.2	21.4	<0.2	<0.2	400	22.5	144	<1	<0.2	1.5	414	22.2	35.8
5929170	1.5	1.2	7.7	11.9	12.4	<0.2	<0.2	240	17.0	110	7.8	3.3	2.2	106	88.2	89.9
5929171	1.5	0.2	4.3	11.6	3.4	<0.2	<0.2	14.3	9.7	16.2	2.6	1.2	0.6	53.0	27.6	42.8
5929172	<0.1	<0.2	<0.2	1.0	11.6	<0.2	<0.2	<0.1	0.7	7.34	<1	<0.2	17.2	10.7	22.3	49.6
5929164 R	<0.1	0.9	0.2	2.5	12.1	<0.2	<0.2	7.7	12.0	44.3	<1	<0.2	1.0	82.5	<0.1	17.0
CG515/LS4	0.2	12.4	1.3	40.2	48.1	<0.2	<0.2	10.6	49.2	23.5	<1	<0.2	1.3	30.4	101	208
312273	<0.1	<0.2	1.3	2.8	4.4	<0.2	<0.2	22.1	6.0	161	<1	<0.2	0.6	376	11.8	45.4
312288	<0.1	6.1	2.9	4.0	10.8	<0.2	<0.2	0.5	6.8	61.8	<1	2.3	2.9	189	21.6	27.4
5929143	1.4	<0.2	3.5	1.6	0.1	<0.2	<0.2	23.2	3.9	242	<1	11.8	3.4	285	12.6	15.4
5929145	1.4	<0.2	3.6	3.4	0.3	<0.2	<0.2	32.2	3.7	188	2.0	13.7	3.9	482	34.5	35.1
5929146	1.6	<0.2	2.7	6.7	6.5	<0.2	<0.2	232	5.0	238	<1	7.7	2.3	258	13.5	16.8
5929148	1.6	7.0	4.8	11.9	5.6	<0.2	<0.2	11.4	12.1	116	1.9	6.4	4.2	223	35.2	46.3
5929159	<0.1	<0.2	12.6	32.0	85.7	<0.2	<0.2	2170	23.6	478	19.4	10.2	4.5	1120	308	344
5929160	<0.1	<0.2	9.9	37.8	119	<0.2	<0.2	3100	31.4	120	18.7	<0.2	1.8	314	308	389
5929163	<0.1	0.3	4.6	7.8	2.3	<0.2	<0.2	18.2	8.8	40.3	4.6	1.5	0.7	132	60.7	54.2
5929166	<0.1	<0.2	1.6	4.1	18.2	<0.2	<0.2	680	13.1	264	<1	<0.2	1.8	735	19.9	44.9
5929168	0.3	0.3	6.3	15.3	35.3	<0.2	<0.2	612	25.0	484	5.8	<0.2	2.5	1460	108	90.0
5929173	<0.1	<0.2	0.2	0.4	2.5	<0.2	<0.2	6.4	3.1	548	<1	<0.2	0.8	956	2.7	7.2
5929163 R	<0.1	0.5	5.1	7.6	1.9	<0.2	<0.2	17.4	8.5	40.0	4.0	1.4	0.9	135	59.2	52.8
CG515/LS4	<0.1	12.8	1.2	36.6	49.5	<0.2	<0.2	13.7	47.7	22.8	<1	<0.2	0.4	33.7	102	209
5929162	<0.1	<0.2	4.1	6.6	38.1	<0.2	<0.2	6.0	9.8	629	<1	<0.2	9.4	1070	62.4	47.6
5929169 1/2	<0.1	<0.2	2.8	13.7	45.5	<0.2	<0.2	1030	29.3	1940	<1	<0.2	12.0	5930	106	87.5
5929169 2/2	<0.1	1.3	4.3	10.8	36.1	<0.2	<0.2	977	18.6	1890	<1	<0.2	10.3	5570	83.2	70.2
5929174	<0.1	<0.2	2.7	1.3	19.4	<0.2	<0.2	17.7	2.0	2420	<1	<0.2	2.7	5360	2.4	20.2
5929176 1/3	<0.1	<0.2	1.3	0.4	10.3	<0.2	<0.2	13.1	1.7	1630	<1	<0.2	0.6	3890	0.7	16.2
5929167	<0.1	2.4	1.7	7.1	24.2	<0.2	<0.2	1230	12.6	828	<1	<0.2	10.4	2470	145	92.0
5929175	<0.1	<0.2	1.7	0.6	9.2	<0.2	<0.2	25.5	0.2	1470	<1	<0.2	<0.2	3490	1.2	16.1
5929176 2/3	<0.1	<0.2	1.9	0.7	13.2	<0.2	<0.2	9.0	0.3	2180	<1	<0.2	0.7	6150	1.1	12.0
5929176 3/3	<0.1	<0.2	1.6	<0.1	15.9	<0.2	<0.2	9.3	0.2	2800	<1	<0.2	1.2	8150	0.4	11.8
5929176 3/3 "SR"	<0.1	<0.2	1.4	0.9	15.4	<0.2	<0.2	7.6	0.2	2770	<1	<0.2	1.5	7920	0.4	15.0
5929176 2/3 R	<0.1	<0.2	1.7	0.6	13.0	<0.2	<0.2	8.4	0.3	2080	<1	<0.2	0.6	6100	0.7	13.2

Aqua Regia: A 0.5 g pulp is digested with 2.00 ml of 3:1 HCL:HNO3 for 1 hour at 95 C.

IOS Services Geoscientifiques Inc.

125 - 15 Innovation Blvd., Saskatoon, Saskatchewan, S7N 2X8

Attention: Rejean Girard

Tel: (306) 933-8118 Fax: (306) 933-5656 Email: geolab@src.sk.ca

PO #/Project: Project 592

Samples: 56

Date of Report: December 14, 2007

## TEST REPORT

Method U3O8

## Column Header Details

## U3O8 Assay by ICP in wt % (U3O8)

Sample Number	U3O8 wt %
BL4A	0.151
5929159	0.154
5929168	0.205
5929168 R	0.199
BL2A	0.502
5929162	0.144
5929169 1/2	0.791
5929169 2/2	0.719
5929174	0.744
5929176 1/3	0.527
5929169 2/2 R	0.716
BL3	1.21
5929167	0.328
5929175	0.473
5929176 2/3	0.824
5929176 3/3	1.16
5929176 3/3 "SR"	1.12
5929176 2/3 R	0.823

Uranium Assay: A 1.00 g pulp is digested with 24 ml of 3:1 HCl:HNO<sub>3</sub> for 1 hour at 95 C.



Report No: 07-1496

## SRC Geoanalytical Laboratories

125 - 15 Innovation Blvd.  
Saskatoon, Saskatchewan  
S7N 2X8

February 04, 2008

Phone: (306) 933-8118

Fax: (306) 933-5656

**IOS Services Geoscientifiques Inc.**  
1319 St-Paul Boulevard  
Saguenay (Chicoutimi), QC G7J 3Y2  
Attn: Rejean Girard

Test reports are the property of the customers. Publications of statements, conclusions or extracts from these reports are not permitted without prior written permission from the customer.

This document constitutes the **final official test report**. Liability for the SRC Geoanalytical Laboratories', if any, will be limited to the cost of analysis for samples in this test report. The results contained in this test report relate only to the items tested. It is the customer's responsibility to ensure that all interpretation of analysis is done using the data from this report.

The customer will not use the name of the Saskatchewan Research Council in connection with the sale, offer, advertisement or the promotion of any article, product, or company without the prior written consent of the SRC.

Results Reviewed and Approved by:

Robert Millar  
Assistant Research Scientist



IOS Services Geoscientifiques Inc.

Attention: Rejean Girard  
PO #/Project: Project 592  
Samples: 56

SRC Geomaterial Laboratories

125 - 15 Innovation Blvd., Saskatoon, Saskatchewan, S7N 2X8  
Tel: (306) 933-8118 Fax: (306) 933-5656 Email: geolab@src.sk.ca

Report No: G-07-1496

Date of Report: February 04, 2008

ICP1 Total Digestion

Column Header Details

- Silver in ppm (Ag)
- Aluminum in wt % (Al2O3)
- Barium in ppm (Ba)
- Beryllium in ppm (Be)
- Calcium in wt % (CaO)
- Cadmium in ppm (Cd)
- Cerium in ppm (Ce)
- Cobalt in ppm (Co)
- Chromium in ppm (Cr)
- Copper in ppm (Cu)
- Dysprosium in ppm (Dy)
- Erbium in ppm (Er)
- Europium in ppm (Eu)
- Iron in wt % (Fe2O3)
- Gallium in ppm (Ga)
- Gadolinium in ppm (Gd)
- Hafnium in ppm (Hf)
- Holmium in ppm (Ho)
- Potassium in wt % (K2O)
- Lanthanum in ppm (La)
- Lithium in ppm (Li)
- Magnesium in wt % (MgO)
- Manganese in wt % (MnO)
- Molybdenum in ppm (Mo)
- Sodium in wt % (Na2O)
- Niobium in ppm (Nb)
- Neodymium in ppm (Nd)
- Nickel in ppm (Ni)
- Phosphorus in wt % (P2O5)
- Lead in ppm (Pb)
- Praseodymium in ppm (Pr)
- Scandium in ppm (Sc)
- Samarium in ppm (Sm)
- Tin in ppm (Sn)
- Strontium in ppm (Sr)
- Tantalum in ppm (Ta)
- Terbium in ppm (Tb)
- Thorium in ppm (Th)
- Titanium in wt % (TiO2)
- Uranium in ppm (U, ICP)

IOS Services Geoscientifiques Inc.

Attention: Rejean Girard

PO #/Project: Project 592

Samples: 56

SRC Geomalytical Laboratories

125 - 15 Innovation Blvd., Saskatoon, Saskatchewan, S7N 2X8

Tel: (306) 933-8118 Fax: (306) 933-5656 Email: geolab@src.sk.ca

Report No: G-07-1496

Date of Report: February 04, 2008

### ICPI Total Digestion

#### Column Header Details

Vanadium in ppm (V)  
Tungsten in ppm (W)  
Yttrium in ppm (Y)  
Ytterbium in ppm (Yb)  
Zinc in ppm (Zn)

Zirconium in ppm (Zr)

IOS Services Geoscientifiques Inc.

125 - 15 Innovation Blvd., Saskatoon, Saskatchewan, S7N 2X8

Attention: Rejean Girard

Tel: (306) 933-8118 Fax: (306) 933-5656 Email: geolab@src.sk.ca

PO #/Project: Project 592

Date of Report: February 04, 2008

Samples: 56

## ICP1 Total Digestion

Sample Number	Ag ppm	Al2O3 wt %	Ba ppm	Be ppm	CaO wt %	Cd ppm	Ce ppm	Co ppm	Cr ppm	Cu ppm	Dy ppm	Er ppm	Eu ppm	Fe2O3 wt %	Ga ppm	Gd ppm	Hf ppm
CG515/LS4	<0.2	17.9	2140	2.1	4.77	0.9	168	16	129	3	3.7	2.3	2.6	6.93	25	4.8	4.4
5929140	0.7	15.5	652	1.5	2.17	1.1	13	6	206	9	1.4	<0.2	0.7	1.68	18	1.5	14.2
5929141	<0.2	13.6	1520	0.5	0.70	0.7	3	5	108	4	0.6	<0.2	0.9	2.79	16	<0.5	2.3
5929142	0.4	15.0	741	1.1	1.66	1.2	129	6	226	23	2.6	<0.2	0.9	1.53	15	5.2	18.9
5929144	1.4	15.3	222	1.8	2.68	1.6	10	11	256	7	1.0	<0.2	0.8	2.87	20	1.0	9.1
5929161	4.7	11.6	1260	0.7	1.55	1.8	122	13	295	17	3.6	<0.2	0.8	2.68	15	5.9	70.1
5929164	<0.2	12.4	436	1.7	0.48	0.9	30	3	151	14	2.3	1.2	0.5	1.90	16	2.0	3.0
5929165	5.1	10.4	557	1.5	0.72	2.5	55	11	253	28	6.2	3.1	0.6	2.99	15	5.8	5.7
5929170	0.9	9.54	1010	0.4	0.79	1.0	20	10	361	22	1.7	<0.2	0.6	4.08	13	2.4	23.3
5929171	1.2	9.67	641	0.7	0.66	1.1	4	12	263	8	0.7	<0.2	0.6	2.46	13	0.8	12.5
5929172	0.6	6.38	362	1.3	0.64	<0.2	56	8	119	11	<0.2	<0.2	1.8	39.8	43	<0.5	0.7
5929164 R	0.2	12.6	450	1.7	0.50	0.9	33	4	157	13	2.2	1.1	0.6	1.94	17	2.2	3.0
CG515/LS4	<0.2	17.2	2400	1.9	4.95	0.9	169	20	125	3	3.6	2.5	2.4	7.38	22	5.7	3.8
312273	<0.2	10.6	278	0.8	0.86	0.7	21	2	189	7	4.2	1.6	0.6	1.69	15	3.7	14.8
312288	<0.2	4.76	199	0.6	0.30	0.3	550	4	256	15	12.0	6.7	2.1	1.82	9	20.7	1.2
5929143	<0.2	14.2	845	1.3	1.50	1.0	54	2	166	26	3.5	<0.2	0.7	0.99	13	6.2	13.2
5929145	<0.2	13.3	987	0.4	1.03	0.8	11	3	158	32	3.7	0.3	0.6	2.02	13	5.8	7.3
5929146	<0.2	14.1	1360	0.6	0.94	1.1	15	6	200	23	4.3	1.5	0.8	1.06	10	5.8	1.4
5929148	6.9	15.6	659	1.2	2.46	3.9	613	12	177	18	4.1	1.5	0.9	2.45	18	12.0	24.2
5929159	<0.2	13.9	1260	<0.2	0.56	0.6	26	34	113	113	5.4	2.9	0.5	18.1	24	6.4	23.6
5929160	<0.2	14.4	1360	<0.2	0.57	0.5	13	45	63	116	1.9	4.9	0.6	21.6	22	1.2	6.0
5929163	0.3	16.1	1800	1.6	2.84	1.0	32	6	186	5	2.1	<0.2	1.0	3.61	20	2.6	52.8
5929166	<0.2	6.56	474	0.4	0.62	0.7	42	5	218	26	8.5	4.2	0.4	2.75	9	8.8	4.3
5929168	<0.2	9.46	502	<0.2	0.92	1.0	27	15	266	44	5.4	1.5	0.7	5.45	20	5.8	17.1
5929173	<0.2	12.5	45	1.7	1.96	0.9	45	<1	137	6	7.2	2.6	0.5	0.34	19	6.4	5.0
5929163 R	<0.2	15.4	1730	1.4	2.80	0.9	34	6	181	4	2.1	<0.2	0.9	3.55	20	2.7	51.1
CG515/LS4	0.3	17.4	2280	2.0	4.83	1.0	160	19	111	2	3.2	2.5	2.4	7.14	24	6.1	4.6
5929162	24.2	9.00	392	<0.2	1.59	0.5	44	8	223	<1	8.9	4.9	0.2	3.40	11	5.7	356
5929169 1/2	5.5	3.43	160	<0.2	0.05	<0.2	58	14	235	<1	20.3	12.1	<0.2	5.61	3	17.8	17.9
5929169 2/2	4.0	2.61	121	<0.2	0.04	<0.2	34	8	222	<1	17.6	10.2	<0.2	3.99	<1	15.6	12.5
5929174	3.3	18.9	52	2.8	2.03	1.6	135	<1	142	<1	34.9	22.8	1.4	0.49	28	21.8	5.7
5929176 1/3	1.6	3.43	72	0.4	0.62	0.4	40	<1	205	<1	25.5	15.0	0.6	0.30	4	19.7	<0.5
5929167	2.6	4.51	235	<0.2	0.03	0.3	80	9	214	<1	8.3	5.4	<0.2	6.34	5	7.9	7.6
5929175	1.6	1.44	33	<0.2	0.67	<0.2	230	<1	198	<1	30.9	17.0	1.0	0.33	<1	27.6	<0.5
5929176 2/3	2.8	1.91	18	0.2	0.57	0.3	75	<1	188	<1	39.8	22.4	0.7	0.26	<1	31.5	<0.5
5929176 3/3	3.6	1.80	18	<0.2	0.62	<0.2	49	<1	182	<1	56.5	32.9	1.0	0.25	<1	43.1	<0.5
5929176 3/3 "SR"	4.3	1.76	17	<0.2	0.61	<0.2	54	<1	189	<1	56.6	32.3	0.9	0.25	<1	43.8	1.6
5929176 2/3 R	2.9	1.91	15	0.2	0.56	0.3	72	<1	184	<1	40.5	23.4	0.8	0.24	<1	30.9	<0.5



IOS Services Geoscientifiques Inc.

125 - 15 Innovation Blvd., Saskatoon, Saskatchewan, S7N 2X8

Attention: Rejean Girard

Tel: (306) 933-8118 Fax: (306) 933-5656 Email: geolab@src.sk.ca

PO #/Project: Project 592

Date of Report: February 04, 2008

Samples: 56

## ICP1 Total Digestion

Sample Number	Ho ppm	K2O wt %	La ppm	Li ppm	MgO wt %	MnO wt %	Mo ppm	Na2O wt %	Nb ppm	Nd ppm	Ni ppm	P2O5 wt %	Pb ppm	Pr ppm	Sc ppm	Sm ppm	Sn ppm
CG515/LS4	1.6	3.16	88	30	2.94	0.073	<1	3.42	9	66	24	0.689	20	15	12	8.8	3
5929140	<0.4	3.37	7	24	0.576	0.025	<1	4.58	2	4	5	0.032	117	<1	2	1.2	<1
5929141	0.6	7.26	2	40	1.02	0.040	<1	2.25	8	2	5	0.043	51	<1	3	<0.5	<1
5929142	<0.4	4.32	65	21	0.449	0.022	33	4.03	1	41	13	0.042	203	11	2	6.0	<1
5929144	0.5	2.08	6	38	1.02	0.042	51	4.54	7	4	11	0.051	62	<1	4	0.9	<1
5929161	0.4	3.59	65	22	1.16	0.032	8	2.19	8	38	15	0.048	181	9	6	6.7	<1
5929164	0.4	6.56	14	3	0.087	0.004	9	2.30	3	12	13	0.032	77	2	<1	2.7	<1
5929165	1.3	5.24	22	12	0.902	0.022	531	1.76	13	27	25	0.176	191	4	6	6.0	<1
5929170	<0.4	4.19	10	24	1.79	0.051	309	1.38	18	7	15	0.054	148	<1	7	1.6	<1
5929171	0.4	3.78	2	25	0.825	0.027	18	1.90	9	1	11	0.024	41	<1	3	<0.5	<1
5929172	<0.4	2.18	30	8	0.583	0.014	<1	1.41	<1	30	1	0.281	21	2	3	6.3	<1
5929164 R	<0.4	6.64	15	3	0.087	0.004	9	2.34	2	13	13	0.034	80	2	<1	3.0	<1
CG515/LS4	1.1	3.03	87	27	2.74	0.075	2	3.06	7	66	27	0.691	20	17	13	9.2	3
312273	1.0	2.56	7	21	0.553	0.017	28	2.69	5	10	7	0.022	197	1	3	3.0	<1
312288	0.8	1.56	261	23	0.689	0.025	3	0.95	3	205	9	0.018	81	59	4	30.4	<1
5929143	<0.4	4.50	29	9	0.209	0.013	23	3.44	1	20	6	0.046	309	5	2	3.9	<1
5929145	<0.4	6.27	5	20	0.513	0.030	40	2.42	5	7	5	0.102	248	1	3	2.0	<1
5929146	<0.4	7.01	5	7	0.226	0.012	261	2.70	2	10	7	0.259	284	1	1	3.1	<1
5929148	<0.4	3.49	334	18	0.799	0.038	24	3.97	5	168	18	0.118	155	60	4	20.3	<1
5929159	2.6	7.14	21	69	6.20	0.197	3260	0.63	61	15	27	0.160	643	<1	32	2.0	<1
5929160	2.7	7.70	7	78	7.15	0.248	4400	0.42	71	10	35	0.192	172	<1	36	<0.5	<1
5929163	0.8	3.85	17	25	1.59	0.047	10	3.17	13	7	10	0.042	74	2	9	2.4	<1
5929166	2.4	3.72	14	10	0.864	0.023	834	0.83	7	28	16	0.329	314	4	6	6.8	<1
5929168	2.1	3.16	10	36	1.85	0.043	757	1.63	11	21	27	0.088	571	1	9	4.8	<1
5929173	1.4	0.954	18	6	0.088	0.007	16	4.44	<1	20	3	0.025	542	4	<1	5.4	<1
5929163 R	0.7	3.81	18	24	1.55	0.045	9	3.06	11	9	11	0.039	74	2	8	2.4	<1
CG515/LS4	1.6	3.11	89	27	2.75	0.075	2	3.18	8	60	25	0.691	19	16	12	8.5	1
5929162	4.3	1.59	<1	32	1.49	0.035	13	1.76	13	14	11	0.025	679	3	13	3.9	9
5929169 1/2	4.2	1.66	36	38	1.75	0.036	1270	0.07	17	29	29	0.028	2170	3	9	15.6	<1
5929169 2/2	3.4	1.22	20	29	1.28	0.027	1060	0.09	12	23	15	0.022	1940	1	7	13.5	<1
5929174	8.5	1.33	48	20	0.156	0.012	34	7.73	7	50	3	0.069	2540	5	2	22.7	<1
5929176 1/3	5.2	1.03	14	3	0.021	0.006	21	0.97	2	24	3	0.283	1600	2	<1	14.8	<1
5929167	2.0	2.34	46	56	2.48	0.049	1800	0.06	19	27	12	0.036	979	6	11	7.1	1
5929175	6.0	0.449	97	2	0.035	0.008	54	0.36	1	84	4	0.493	1620	20	<1	24.0	<1
5929176 2/3	7.8	0.332	29	2	0.010	0.005	19	0.61	2	36	2	0.314	2360	5	<1	22.9	<1
5929176 3/3	11.6	0.365	7	2	<0.002	0.006	20	0.56	3	38	1	0.362	3190	1	<1	31.1	<1
5929176 3/3 "SR"	11.2	0.342	9	2	<0.002	0.006	15	0.56	3	38	2	0.354	3190	3	<1	30.7	<1
5929176 2/3 R	8.0	0.358	27	2	0.003	0.005	17	0.62	2	36	1	0.355	2300	4	<1	23.0	<1

IOS Services Geoscientifiques Inc.

125 - 15 Innovation Blvd., Saskatoon, Saskatchewan, S7N 2X8

Attention: Rejean Girard

Tel: (306) 933-8118 Fax: (306) 933-5656 Email: geolab@src.sk.ca

PO #/Project: Project 592

Date of Report: February 04, 2008

Samples: 56

## ICP1 Total Digestion

Sample Number	Sr ppm	Ta ppm	Tb ppm	Th ppm	TiO2 wt %	U, ICP ppm	V ppm	W ppm	Y ppm	Yb ppm	Zn ppm	Zr ppm
CG515/LS4	1220	<1	<0.3	15	1.13	4	140	<1	21	2.1	82	193
5929140	260	<1	0.8	459	0.221	136	32	42	7	1.0	34	520
5929141	235	<1	<0.3	30	0.442	11	48	<1	3	0.3	60	74
5929142	258	<1	2.0	1210	0.174	222	30	51	12	1.3	28	673
5929144	230	<1	<0.3	288	0.372	78	47	81	5	0.6	59	294
5929161	173	<1	5.2	829	0.407	275	50	94	22	3.4	41	2480
5929164	115	<1	<0.3	43	0.035	102	15	2	16	2.0	18	72
5929165	104	<1	2.9	260	0.243	504	51	64	37	3.6	36	114
5929170	136	<1	1.8	847	0.673	139	95	55	9	1.4	92	804
5929171	129	<1	0.4	244	0.329	73	41	90	4	0.7	43	409
5929172	75	16	2.4	11	0.072	14	75	<1	13	1.8	50	103
5929164 R	117	<1	<0.3	41	0.036	104	15	1	15	1.9	18	70
CG515/LS4	1090	<1	<0.3	16	0.999	4	131	<1	22	2.1	92	158
312273	92	2	2.2	187	0.154	356	21	<1	24	3.2	51	461
312288	47	5	3.6	365	0.142	206	22	1	58	5.8	30	15
5929143	207	<1	2.4	1700	0.086	301	19	1	18	1.6	25	458
5929145	185	<1	3.1	2070	0.258	500	38	1	18	1.7	43	211
5929146	189	<1	1.3	1120	0.094	254	20	52	25	2.1	23	26
5929148	231	<1	3.2	921	0.273	249	40	65	22	2.2	56	955
5929159	63	5	7.2	2790	2.40	1240	294	5	33	2.6	380	738
5929160	44	10	1.2	781	2.96	351	343	<1	14	0.3	468	189
5929163	209	<1	3.1	435	0.566	171	73	<1	13	2.3	69	1920
5929166	64	5	4.3	424	0.213	757	37	6	52	4.4	58	58
5929168	98	2	7.1	714	0.616	1500	107	25	27	2.7	95	408
5929173	124	<1	3.7	198	0.018	769	9	1	29	3.0	11	77
5929163.R	205	<1	2.7	430	0.551	167	71	1	12	2.2	67	1900
CG515/LS4	1160	<1	<0.3	16	1.13	4	129	1	21	2.0	85	164
5929162	127	<1	13.0	3540	0.615	1320	62	<1	60	13.4	59	12500
5929169 1/2	12	1	<0.3	2380	1.01	6520	118	1	86	7.7	110	624
5929169 2/2	9	<1	<0.3	2130	0.711	5540	86	1	75	6.6	77	477
5929174	222	<1	<0.3	1320	0.035	8150	4	<1	117	14.2	25	178
5929176 1/3	37	2	<0.3	692	0.014	4160	<1	<1	107	10.7	6	21
5929167	12	<1	<0.3	1560	1.24	2660	174	3	36	3.0	126	266
5929175	13	<1	<0.3	646	0.020	3710	2	1	117	12.8	6	14
5929176 2/3	22	1	<0.3	880	0.011	6800	1	<1	163	16.4	5	21
5929176 3/3	17	1	<0.3	1090	0.015	9520	1	<1	242	23.2	2	18
5929176 3/3 "SR"	16	<1	<0.3	1120	0.008	9190	<1	<1	239	23.3	2	18
5929176 2/3 R	20	1	<0.3	914	0.010	6960	<1	<1	165	16.4	3	20

Total Digestion: A 0.125 g pulp is gently heated in a mixture of HF/HNO3/HClO4 until dry and the residue is dissolved in dilute HNO3.

IOS Services Geoscientifiques Inc.  
Attention: Rejean Girard  
PO #/Project: Project 592  
Samples: 56

SRG Geomalytical Laboratories  
125 - 15 Innovation Blvd., Saskatoon, Saskatchewan, S7N 2X8  
Tel: (306) 933-8118 Fax: (306) 933-5656 Email: geolab@src.sk.ca

Report No: G-07-1496

Date of Report: February 04, 2008

ICP1 Total Digestion

Sample Number	Sr ppm	Ta ppm	Tb ppm	Th ppm	TiO2 wt %	U, ICP ppm	V ppm	W ppm	Y ppm	Yb ppm	Zn ppm	Zr ppm
------------------	-----------	-----------	-----------	-----------	--------------	---------------	----------	----------	----------	-----------	-----------	-----------

The standard is CG515.

*RM*





Saskatchewan  
Research Council

125-15 Innovation Boulevard, Saskatoon, SK Canada S7N 2X8 • Ph: 306-933-5400 Fax: 306-933-7446  
Also located at: 220-6 Research Drive, Regina, SK Canada S4S 7J7 • Ph: 306-787-9400 Fax: 306-787-8811

Web: [www.src.sk.ca](http://www.src.sk.ca)  
Email: [info@src.sk.ca](mailto:info@src.sk.ca)

Report No: 07-1534

## SRC Geoanalytical Laboratories

125 - 15 Innovation Blvd.  
Saskatoon, Saskatchewan  
S7N 2X8

February 01, 2008

Phone: (306) 933-8118

Fax: (306) 933-5656

**IOS Services Geoscientifiques Inc.**  
1319 St-Paul Boulevard  
Saguenay (Chicoutimi), QC G7J 3Y2  
Attn: Rejean Girard

Test reports are the property of the customers. Publications of statements, conclusions or extracts from these reports are not permitted without prior written permission from the customer.

This document constitutes the **final official test report**. Liability for the SRC Geoanalytical Laboratories', if any, will be limited to the cost of analysis for samples in this test report. The results contained in this test report relate only to the items tested. It is the customer's responsibility to ensure that all interpretation of analysis is done using the data from this report.

The customer will not use the name of the Saskatchewan Research Council in connection with the sale, offer, advertisement or the promotion of any article, product, or company without the prior written consent of the SRC.

Results Reviewed and Approved by:

Robert Millar  
Assistant Research Scientist

IOS Services Geoscientifiques Inc.

125 - 15 Innovation Blvd., Saskatoon, Saskatchewan, S7N 2X8

Attention: Rejean Girard

Tel: (306) 933-8118 Fax: (306) 933-5656 Email: geolab@src.sk.ca

PO #/Project: 306423

Date of Report: February 05, 2008

Samples: 14

ICP4.3 Aqua Regia Digestion

Column Header Details

Silver in ppm (Ag)  
Arsenic in ppm (As)  
Bismuth in ppm (Bi)  
Cobalt in ppm (Co)  
Copper in ppm (Cu)

Germanium in ppm (Ge)  
Mercury in ppm (Hg)  
Molybdenum in ppm (Mo)  
Nickel in ppm (Ni)  
Lead in ppm (Pb)

Antimony in ppm (Sb)  
Selenium in ppm (Se)  
Tellurium in ppm (Te)  
Uranium in ppm (U, ICP)  
Vanadium in ppm (V)

Zinc in ppm (Zn)

Sample Number	Ag ppm	As ppm	Bi ppm	Co ppm	Cu ppm	Ge ppm	Hg ppm	Mo ppm	Ni ppm	Pb ppm	Sb ppm	Se ppm	Te ppm	U, ICP ppm	V ppm	Zn ppm
CG515/LS4	0.1	11.3	1.1	37.6	47.1	<0.2	<0.2	12.3	46.1	24.1	<1	<0.2	<0.2	32.7	99.0	199
312297	<0.1	<0.2	0.3	0.7	1.8	<0.2	<0.2	6.0	2.8	69.5	<1	<0.2	<0.2	114	3.0	7.2
312299	<0.1	0.4	<0.2	1.1	3.2	<0.2	<0.2	1.3	3.6	91.5	1.4	<0.2	<0.2	118	7.5	21.6
312321	<0.1	0.9	<0.2	0.8	2.2	<0.2	<0.2	0.7	4.1	88.8	<1	<0.2	<0.2	115	3.2	12.0
312337	<0.1	0.6	0.4	1.6	2.7	<0.2	<0.2	1.2	4.7	157	1.8	<0.2	<0.2	122	10.3	32.0
312395	<0.1	<0.2	0.7	0.8	1.7	<0.2	<0.2	35.3	2.7	67.5	1.1	<0.2	<0.2	90.2	5.3	11.4
312435	<0.1	0.8	0.7	1.2	1.8	<0.2	<0.2	0.9	3.1	41.9	1.5	<0.2	<0.2	37.8	9.8	27.2
312439	<0.1	<0.2	<0.2	1.1	2.7	<0.2	<0.2	0.5	3.2	16.5	<1	0.8	<0.2	31.9	20.8	8.8
312444	<0.1	<0.2	0.7	1.1	1.8	<0.2	<0.2	0.9	3.4	24.4	<1	<0.2	<0.2	33.8	5.9	15.3
312445	<0.1	0.5	1.2	1.7	3.2	<0.2	<0.2	4.4	4.0	50.4	2.9	<0.2	<0.2	64.9	12.9	34.1
312446	<0.1	<0.2	1.1	1.7	2.0	<0.2	<0.2	0.8	2.9	66.3	1.7	<0.2	<0.2	79.7	10.8	26.6
5929177	<0.1	0.5	0.8	1.6	10.8	0.2	<0.2	0.7	3.2	69.7	1.6	<0.2	<0.2	65.0	8.6	24.3
5929178	<0.1	0.2	0.9	1.3	3.0	<0.2	<0.2	0.7	3.9	29.9	1.3	<0.2	<0.2	19.7	8.6	19.8
312444 R	<0.1	0.2	0.7	0.7	1.7	<0.2	<0.2	0.9	2.9	25.4	<1	<0.2	<0.2	34.8	6.1	15.4

Aqua Regia: A 1.00 g pulp is digested with 2.00 ml of 3:1 HCL:HNO3 for 1 hour at 95 C.  
The standard is LS4.

IOS Services Geoscientifiques Inc.

125 - 15 Innovation Blvd., Saskatoon, Saskatchewan, S7N 2X8

Attention: Rejean Girard

Tel: (306) 933-8118 Fax: (306) 933-5656 Email: geolab@src.sk.ca

PO #/Project: 306423

Date of Report: February 05, 2008

Samples: 16

ICP4.3 Aqua Regia Digestion

Column Header Details

Silver in ppm (Ag)  
 Arsenic in ppm (As)  
 Bismuth in ppm (Bi)  
 Cobalt in ppm (Co)  
 Copper in ppm (Cu)

Germanium in ppm (Ge)  
 Mercury in ppm (Hg)  
 Molybdenum in ppm (Mo)  
 Nickel in ppm (Ni)  
 Lead in ppm (Pb)

Antimony in ppm (Sb)  
 Selenium in ppm (Se)  
 Tellurium in ppm (Te)  
 Uranium in ppm (U, ICP)  
 Vanadium in ppm (V)

Zinc in ppm (Zn)

Sample Number	Ag ppm	As ppm	Bi ppm	Co ppm	Cu ppm	Ge ppm	Hg ppm	Mo ppm	Ni ppm	Pb ppm	Sb ppm	Se ppm	Te ppm	U, ICP ppm	V ppm	Zn ppm
CG515/LS4	0.2	10.1	1.9	37.7	50.5	<0.2	<0.2	11.9	49.6	25.4	<1	<0.2	<0.2	33.6	105	209
312292	<0.1	<0.2	1.3	2.5	2.0	<0.2	<0.2	38.8	2.7	184	1.5	<0.2	<0.2	332	11.2	36.2
312294	<0.1	<0.2	1.2	2.2	1.5	1.0	<0.2	102	4.4	385	3.2	<0.2	<0.2	865	13.7	34.6
312295	<0.1	0.2	1.0	2.2	1.9	0.2	<0.2	6.6	3.8	247	1.9	<0.2	<0.2	543	10.1	32.2
312296	<0.1	<0.2	1.5	1.9	1.8	0.5	<0.2	150	3.9	235	3.1	<0.2	<0.2	557	10.4	34.9
312298	<0.1	<0.2	0.8	1.5	2.0	0.5	<0.2	1.6	3.3	164	1.4	<0.2	<0.2	346	8.2	21.2
312300	<0.1	0.3	<0.2	0.8	0.8	<0.2	<0.2	0.8	2.4	120	<1	3.8	1.7	192	5.0	5.8
312339	<0.1	<0.2	1.4	2.4	2.0	0.3	<0.2	102	3.9	189	2.6	<0.2	<0.2	375	14.3	35.9
312398	<0.1	<0.2	1.1	1.9	2.3	1.2	<0.2	10.7	4.6	338	3.1	<0.2	<0.2	853	9.4	26.0
312399	<0.1	<0.2	1.8	4.3	21.9	<0.2	<0.2	44.7	3.1	150	3.4	<0.2	<0.2	365	23.0	71.2
312437	<0.1	<0.2	1.8	3.1	5.9	0.6	<0.2	461	2.4	359	4.5	<0.2	<0.2	792	19.2	39.9
312441	<0.1	<0.2	0.2	1.2	1.3	<0.2	<0.2	1.4	3.9	93.3	<1	<0.2	0.9	99.9	4.2	13.9
312442	<0.1	<0.2	<0.2	1.2	2.5	<0.2	<0.2	1.3	3.6	224	<1	9.0	2.5	242	4.4	6.9
312447	<0.1	<0.2	0.8	1.8	1.3	0.6	<0.2	6.5	2.7	193	1.8	<0.2	<0.2	482	8.2	18.0
312447 "SR"	<0.1	<0.2	1.1	1.7	1.3	0.3	<0.2	6.4	3.3	165	1.6	<0.2	<0.2	404	8.1	17.2
312441 R	<0.1	<0.2	0.4	0.9	1.0	<0.2	<0.2	1.2	3.4	89.9	<1	<0.2	0.9	95.9	4.0	13.4

Aqua Regia: A 0.5 g pulp is digested with 2.00 ml of 3:1 HCL:HNO3 for 1 hour at 95 C.  
 The standard is LS4.



IOS Services Geoscientifiques Inc.

125 - 15 Innovation Blvd., Saskatoon, Saskatchewan, S7N 2X8

Attention: Rejean Girard

Tel: (306) 933-8118 Fax: (306) 933-5656 Email: geolab@src.sk.ca

PO #/Project: 306423

Date of Report: February 05, 2008

Samples: 14

## ICP1 Total Digestion

## Column Header Details

Silver in ppm (Ag)  
Aluminum in wt % (Al<sub>2</sub>O<sub>3</sub>)  
Barium in ppm (Ba)  
Beryllium in ppm (Be)  
Calcium in wt % (CaO)

Cadmium in ppm (Cd)  
Cerium in ppm (Ce)  
Cobalt in ppm (Co)  
Chromium in ppm (Cr)  
Copper in ppm (Cu)

Dysprosium in ppm (Dy)  
Erbium in ppm (Er)  
Europium in ppm (Eu)  
Iron in wt % (Fe<sub>2</sub>O<sub>3</sub>)  
Gallium in ppm (Ga)

Gadolinium in ppm (Gd)  
Hafnium in ppm (Hf)  
Holmium in ppm (Ho)  
Potassium in wt % (K<sub>2</sub>O)  
Lanthanum in ppm (La)

Lithium in ppm (Li)  
Magnesium in wt % (MgO)  
Manganese in wt % (MnO)  
Molybdenum in ppm (Mo)  
Sodium in wt % (Na<sub>2</sub>O)

Niobium in ppm (Nb)  
Neodymium in ppm (Nd)  
Nickel in ppm (Ni)  
Phosphorus in wt % (P<sub>2</sub>O<sub>5</sub>)  
Lead in ppm (Pb)

Praseodymium in ppm (Pr)  
Scandium in ppm (Sc)  
Samarium in ppm (Sm)  
Tin in ppm (Sn)  
Strontium in ppm (Sr)

Tantalum in ppm (Ta)  
Terbium in ppm (Tb)  
Thorium in ppm (Th)  
Titanium in wt % (TiO<sub>2</sub>)  
Uranium in ppm (U, ICP)

IOS Services Geoscientifiques Inc.

125 - 15 Innovation Blvd., Saskatoon, Saskatchewan, S7N 2X8  
Tel: (306) 933-8118 Fax: (306) 933-5656 Email: geolab@src.sk.ca

Attention: Rejean Girard  
PO #/Project: 306423  
Samples: 14

Date of Report: February 05, 2008

ICP1 Total Digestion

Column Header Details

Vanadium in ppm (V)  
Tungsten in ppm (W)  
Yttrium in ppm (Y)  
Ytterbium in ppm (Yb)  
Zinc in ppm (Zn)  
  
Zirconium in ppm (Zr)

IOS Services Geoscientifiques Inc.

125 - 15 Innovation Blvd., Saskatoon, Saskatchewan, S7N 2X8

Attention: Rejean Girard

Tel: (306) 933-8118 Fax: (306) 933-5656 Email: geolab@src.sk.ca

PO #/Project: 306423

Date of Report: February 05, 2008

Samples: 14

ICP1 Total Digestion

Sample Number	Ag ppm	Al2O3 wt %	Ba ppm	Be ppm	CaO wt %	Cd ppm	Ce ppm	Co ppm	Cr ppm	Cu ppm	Dy ppm	Er ppm	Eu ppm	Fe2O3 wt %	Ga ppm	Gd ppm	Hf ppm
CG515/LS4	<0.2	17.0	2060	1.9	4.76	1.1	161	20	122	3	3.7	2.5	2.6	7.11	26	6.2	3.6
312297	<0.2	13.0	1240	0.5	0.27	1.0	1	<1	169	3	2.0	0.7	0.5	0.50	12	1.5	<0.5
312299	<0.2	12.0	55	1.7	2.05	0.9	56	2	210	7	3.0	1.0	0.5	1.25	17	4.1	2.6
312321	<0.2	13.7	580	1.6	1.68	1.1	48	<1	220	5	3.2	1.3	0.6	0.72	16	3.7	4.2
312337	<0.2	12.3	505	1.2	1.22	1.0	32	3	213	5	4.6	2.0	0.5	1.68	17	3.7	4.8
312395	<0.2	13.6	259	1.6	1.80	1.1	19	1	200	4	2.7	1.1	0.6	0.98	17	2.9	<0.5
312435	<0.2	13.3	896	1.0	1.22	0.9	61	4	158	3	1.7	0.6	0.6	1.41	16	2.7	3.0
312439	<0.2	12.9	376	1.5	1.78	1.0	8	<1	200	6	0.7	<0.2	0.4	1.57	16	0.8	<0.5
312444	<0.2	14.7	621	1.1	1.32	1.0	24	2	178	4	1.8	0.6	0.4	1.04	14	2.1	3.9
312445	<0.2	13.4	79	1.8	2.36	1.0	6	1	199	5	1.3	0.3	0.4	1.70	19	1.2	5.3
312446	<0.2	11.7	933	0.6	0.80	0.8	27	3	164	3	2.0	0.8	0.5	1.27	14	2.2	<0.5
5929177	<0.2	12.8	496	1.3	1.44	0.9	21	4	169	13	3.2	1.4	0.6	1.24	16	3.0	2.0
5929178	<0.2	13.0	620	1.4	1.52	0.8	28	3	154	4	1.0	0.3	0.4	1.14	13	1.5	1.6
312444 R	<0.2	15.2	610	1.0	1.36	1.1	26	1	184	5	1.8	0.7	0.4	1.07	14	2.3	4.0



SRC Geoanalytical Laboratories

IOS Services Geoscientifiques Inc.

125 - 15 Innovation Blvd., Saskatoon, Saskatchewan, S7N 2X8

Report No: G-07-1534

Attention: Rejean Girard

Tel: (306) 933-8118 Fax: (306) 933-5656 Email: geolab@src.sk.ca

PO #/Project: 306423

Date of Report: February 05, 2008

Samples: 14

ICP1 Total Digestion

Sample Number	Ho ppm	K2O wt %	La ppm	Li ppm	MgO wt %	MnO wt %	Mo ppm	Na2O wt %	Nb ppm	Nd ppm	Ni ppm	P2O5 wt %	Pb ppm	Pr ppm	Sc ppm	Sm ppm	Sn ppm
CG515/LS4	1.6	3.23	85	31	2.87	0.072	1	3.29	8	63	21	0.678	18	18	13	8.3	3
312297	0.4	8.32	<1	7	0.091	0.008	4	2.24	<1	1	2	0.012	98	<1	<1	0.9	<1
312299	0.4	0.727	21	20	0.286	0.020	1	4.50	1	19	3	0.026	90	4	2	4.0	<1
312321	0.5	3.91	20	12	0.151	0.013	1	4.20	<1	16	4	0.038	100	4	1	3.6	<1
312337	1.0	3.75	13	25	0.428	0.026	1	3.46	2	11	4	0.027	164	2	3	2.8	<1
312395	0.6	2.02	8	13	0.216	0.016	54	4.99	<1	8	3	0.050	77	1	2	2.1	<1
312435	<0.4	4.87	29	21	0.364	0.021	<1	3.50	1	18	4	0.045	56	5	2	3.2	<1
312439	<0.4	2.81	5	3	0.095	0.011	<1	4.02	<1	2	5	0.019	29	<1	<1	0.8	<1
312444	<0.4	5.01	10	15	0.261	0.016	1	3.55	<1	8	3	0.060	45	1	1	1.8	<1
312445	0.4	1.12	2	24	0.434	0.025	4	4.94	1	2	4	0.045	60	<1	3	0.7	<1
312446	0.5	5.89	12	20	0.336	0.021	1	2.49	<1	9	2	0.050	85	1	2	2.0	<1
5929177	0.6	3.94	9	21	0.329	0.020	<1	3.69	1	8	2	0.068	86	1	2	2.0	<1
5929178	<0.4	3.97	10	16	0.244	0.018	<1	3.75	<1	7	2	0.043	41	1	1	1.6	<1
312444 R	<0.4	5.10	9	13	0.271	0.018	2	3.66	<1	9	4	0.062	47	<1	1	2.2	<1

*EM*

SRC Geoanalytical Laboratories

IOS Services Geoscientifiques Inc.

125 - 15 Innovation Blvd., Saskatoon, Saskatchewan, S7N 2X8

Report No: G-07-1534

Attention: Rejean Girard

Tel: (306) 933-8118 Fax: (306) 933-5656 Email: geolab@src.sk.ca

PO #/Project: 306423

Samples: 14

Date of Report: February 05, 2008

ICP1 Total Digestion

Sample Number	Sr ppm	Ta ppm	Tb ppm	Th ppm	TiO2 wt %	U, ICP ppm	V ppm	W ppm	Y ppm	Yb ppm	Zn ppm	Zr ppm
CG515/LS4	1160	2	<0.3	15	0.975	3	136	1	21	2.1	83	195
312297	156	8	<0.3	56	0.038	115	12	2	8	1.1	10	17
312299	137	9	0.4	198	0.118	119	16	2	11	1.4	28	110
312321	186	7	0.4	130	0.060	117	13	4	13	2.1	19	169
312337	136	9	0.7	151	0.184	123	21	2	17	2.5	38	187
312395	162	11	<0.3	81	0.098	96	16	3	11	1.1	19	44
312435	187	3	<0.3	76	0.153	39	22	1	7	0.8	32	128
312439	201	7	<0.3	182	0.038	33	32	2	3	0.4	17	24
312444	152	3	<0.3	48	0.115	33	16	2	8	0.9	21	151
312445	169	5	<0.3	104	0.199	65	24	2	6	0.8	40	216
312446	162	6	<0.3	68	0.148	82	20	2	8	1.0	30	32
5929177	164	7	<0.3	71	0.137	67	19	3	14	1.7	30	88
5929178	182	1	<0.3	41	0.103	21	19	2	5	0.7	27	95
312444 R	142	2	<0.3	46	0.117	34	17	3	8	1.0	19	156

Total Digestion: A 0.125 g pulp is gently heated in a mixture of HF/HNO3/HClO4 until dry and the residue is dissolved in dilute HNO3. The standard is CG515.

IOS Services Geoscientifiques Inc.

125 - 15 Innovation Blvd., Saskatoon, Saskatchewan, S7N 2X8

Attention: Rejean Girard

Tel: (306) 933-8118 Fax: (306) 933-5656 Email: geolab@src.sk.ca

PO #/Project: 306423

Samples: 16

Date of Report: February 05, 2008

## ICP1 Total Digestion

## Column Header Details

Silver in ppm (Ag)  
Aluminum in wt % (Al<sub>2</sub>O<sub>3</sub>)  
Barium in ppm (Ba)  
Beryllium in ppm (Be)  
Calcium in wt % (CaO)

Cadmium in ppm (Cd)  
Cerium in ppm (Ce)  
Cobalt in ppm (Co)  
Chromium in ppm (Cr)  
Copper in ppm (Cu)

Dysprosium in ppm (Dy)  
Erbium in ppm (Er)  
Europium in ppm (Eu)  
Iron in wt % (Fe<sub>2</sub>O<sub>3</sub>)  
Gallium in ppm (Ga)

Gadolinium in ppm (Gd)  
Hafnium in ppm (Hf)  
Holmium in ppm (Ho)  
Potassium in wt % (K<sub>2</sub>O)  
Lanthanum in ppm (La)

Lithium in ppm (Li)  
Magnesium in wt % (MgO)  
Manganese in wt % (MnO)  
Molybdenum in ppm (Mo)  
Sodium in wt % (Na<sub>2</sub>O)

Niobium in ppm (Nb)  
Neodymium in ppm (Nd)  
Nickel in ppm (Ni)  
Phosphorus in wt % (P<sub>2</sub>O<sub>5</sub>)  
Lead in ppm (Pb)

Praseodymium in ppm (Pr)  
Scandium in ppm (Sc)  
Samarium in ppm (Sm)  
Tin in ppm (Sn)  
Strontium in ppm (Sr)

Tantalum in ppm (Ta)  
Terbium in ppm (Tb)  
Thorium in ppm (Th)  
Titanium in wt % (TiO<sub>2</sub>)  
Uranium in ppm (U, ICP)



**SRC Geoanalytical Laboratories**

**IOS Services Geoscientifiques Inc.**

125 - 15 Innovation Blvd., Saskatoon, Saskatchewan, S7N 2X8

Report No: G-07-1534

Attention: Rejean Girard

Tel: (306) 933-8118 Fax: (306) 933-5656 Email: geolab@src.sk.ca

PO #/Project: 306423

Samples: 16

Date of Report: February 05, 2008

**ICP1 Total Digestion**

Column Header Details

Vanadium in ppm (V)

Tungsten in ppm (W)

Yttrium in ppm (Y)

Ytterbium in ppm (Yb)

Zinc in ppm (Zn)

Zirconium in ppm (Zr)

IOS Services Geoscientifiques Inc.

125 - 15 Innovation Blvd., Saskatoon, Saskatchewan, S7N 2X8

Attention: Rejean Girard

Tel: (306) 933-8118 Fax: (306) 933-5656 Email: geolab@src.sk.ca

PO #/Project: 306423

Date of Report: February 05, 2008

Samples: 16

## ICP1 Total Digestion

Sample Number	Ag ppm	Al2O3 wt %	Ba ppm	Be ppm	CaO wt %	Cd ppm	Ce ppm	Co ppm	Cr ppm	Cu ppm	Dy ppm	Er ppm	Eu ppm	Fe2O3 wt %	Ga ppm	Gd ppm	Hf ppm
CG515/LS4	<0.2	17.0	2430	1.8	4.75	1.0	162	20	126	2	3.7	2.5	2.4	7.18	23	5.5	3.9
312292	<0.2	12.9	1060	0.6	1.04	0.9	14	1	169	4	4.9	2.2	0.5	1.62	15	4.1	1.1
312294	<0.2	11.5	1250	<0.2	0.42	0.7	13	2	170	5	13.3	6.6	0.8	1.77	16	9.5	3.6
312295	<0.2	12.6	446	1.2	1.61	0.8	85	2	166	6	11.1	5.4	0.7	1.60	18	10.3	4.2
312296	<0.2	7.93	325	0.6	0.79	0.5	6	2	224	4	8.0	4.0	0.5	1.59	14	5.6	2.5
312298	<0.2	12.9	260	1.5	1.67	0.8	22	<1	209	4	5.9	2.9	0.5	1.15	16	4.5	5.9
312300	<0.2	16.0	782	1.5	2.23	1.0	107	<1	128	10	5.0	2.2	0.6	0.51	16	7.9	3.2
312339	<0.2	11.8	950	0.7	0.98	0.7	5	2	200	4	6.1	3.1	0.5	1.72	15	4.0	3.1
312398	<0.2	13.5	667	1.2	1.38	0.8	13	1	192	5	13.5	7.2	0.7	1.40	21	9.6	4.3
312399	<0.2	14.0	893	1.0	0.91	0.8	58	4	148	24	8.6	4.5	0.7	3.57	21	7.2	2.6
312437	<0.2	13.9	1280	<0.2	0.30	0.8	52	3	130	10	9.1	4.3	0.8	2.62	17	7.6	4.3
312441	<0.2	12.8	815	1.2	1.34	0.8	65	<1	183	3	2.5	1.0	0.4	0.73	13	3.1	3.5
312442	<0.2	14.7	866	1.3	1.83	0.9	109	1	178	22	4.3	1.1	0.4	0.55	12	7.2	6.4
312447	<0.2	12.3	720	1.3	1.62	6.4	25	3	190	5	5.5	2.2	0.6	1.27	16	4.2	4.0
312447 "SR"	<0.2	12.4	733	1.0	1.47	0.8	21	2	201	3	4.8	2.2	0.5	1.12	16	3.7	3.2
312441 R	<0.2	12.8	801	1.1	1.32	0.9	63	1	177	2	2.4	1.1	0.4	0.70	13	2.9	3.4

IOS Services Geoscientifiques Inc.

125 - 15 Innovation Blvd., Saskatoon, Saskatchewan, S7N 2X8

Attention: Rejean Girard

Tel: (306) 933-8118 Fax: (306) 933-5656 Email: geolab@src.sk.ca

PO #/Project: 306423

Date of Report: February 05, 2008

Samples: 16

## ICP1 Total Digestion

Sample Number	Ho ppm	K2O wt %	La ppm	Li ppm	MgO wt %	MnO wt %	Mo ppm	Na2O wt %	Nb ppm	Nd ppm	Ni ppm	P2O5 wt %	Pb ppm	Pr ppm	Sc ppm	Sm ppm	Sn ppm
CG515/LS4	1.4	2.95	81	26	2.72	0.075	2	3.10	7	65	27	0.673	20	16	12	8.8	3
312292	1.2	5.66	3	19	0.389	0.028	49	2.66	2	10	3	0.174	230	<1	3	2.8	<1
312294	2.9	7.17	1	17	0.366	0.016	104	1.61	10	15	6	0.251	475	1	3	5.6	<1
312295	2.1	3.08	39	21	0.384	0.031	12	3.62	2	37	5	0.234	312	8	3	8.1	<1
312296	2.1	2.07	<1	22	0.374	0.027	153	2.16	4	8	5	0.029	287	<1	3	3.1	<1
312298	1.1	2.34	11	17	0.269	0.022	5	3.97	<1	14	3	0.072	208	2	2	3.0	<1
312300	<0.4	4.26	47	4	0.048	0.008	1	4.78	<1	43	3	0.183	137	11	1	7.7	<1
312339	1.4	4.64	<1	21	0.412	0.030	105	2.66	4	5	5	0.104	237	<1	3	2.1	<1
312398	3.0	4.46	1	18	0.336	0.021	11	3.35	4	15	6	0.251	393	1	3	5.4	<1
312399	1.9	5.76	28	44	0.929	0.038	66	2.92	9	27	3	0.289	208	5	8	5.7	1
312437	2.2	9.11	19	29	0.629	0.038	470	1.62	5	25	5	0.178	464	5	5	6.1	<1
312441	<0.4	4.07	22	11	0.145	0.018	2	3.29	<1	16	4	0.053	124	3	1	3.3	<1
312442	<0.4	4.18	40	5	0.062	0.012	3	3.99	<1	35	4	0.106	258	9	1	6.6	<1
312447	1.2	3.22	10	13	0.270	0.026	8	3.33	1	11	4	0.040	311	1	2	3.2	<1
312447 "SR"	1.0	3.30	7	9	0.237	0.018	7	3.35	1	9	6	0.033	208	<1	2	2.6	<1
312441 R	<0.4	4.03	22	10	0.140	0.016	1	3.26	<1	15	5	0.054	124	3	1	3.1	<1



IOS Services Geoscientifiques Inc.

125 - 15 Innovation Blvd., Saskatoon, Saskatchewan, S7N 2X8

Attention: Rejean Girard

Tel: (306) 933-8118 Fax: (306) 933-5656 Email: geolab@src.sk.ca

PO #/Project: 306423

Date of Report: February 05, 2008

Samples: 16

## ICP1 Total Digestion

Sample Number	Sr ppm	Ta ppm	Tb ppm	Th ppm	TiO2 wt %	U, ICP ppm	V ppm	W ppm	Y ppm	Yb ppm	Zn ppm	Zr ppm
CG515/LS4	1100	1	<0.3	15	0.978	4	127	1	22	2.1	87	175
312292	152	1	1.3	135	0.179	356	19	1	24	2.2	40	20
312294	120	<1	4.8	228	0.190	897	20	1	61	6.3	39	8
312295	135	<1	3.6	314	0.171	600	18	<1	57	5.4	42	74
312296	80	<1	3.1	213	0.162	604	14	<1	36	4.0	37	11
312298	141	<1	1.8	200	0.111	342	15	1	31	3.7	28	160
312300	217	<1	1.2	680	0.028	171	14	2	27	2.7	13	100
312339	155	<1	1.7	149	0.187	381	21	<1	30	3.5	43	58
312398	139	<1	5.0	215	0.140	860	17	1	77	7.6	31	39
312399	135	<1	2.2	226	0.375	382	31	<1	45	4.4	80	26
312437	151	<1	4.0	296	0.306	850	28	<1	40	4.0	47	44
312441	160	<1	0.4	183	0.062	101	12	1	11	1.7	22	117
312442	191	<1	1.8	1270	0.034	250	13	1	18	2.1	12	224
312447	165	<1	2.2	143	0.118	490	16	1	25	2.8	33	102
312447 "SR"	162	<1	1.7	131	0.109	410	16	<1	21	2.4	24	63
312441 R	157	<1	<0.3	182	0.058	98	12	1	10	1.6	20	115

Total Digestion: A 0.125 g pulp is gently heated in a mixture of HF/HNO3/HClO4 until dry and the residue is dissolved in dilute HNO3. The standard is CG515.



Report No: 07-1673

## SRC Geoanalytical Laboratories

125 - 15 Innovation Blvd.  
Saskatoon, Saskatchewan  
S7N 2X8

February 05, 2008

Phone: (306) 933-8118

Fax: (306) 933-5656

**IOS Services Geoscientifiques Inc.**  
1319 St-Paul Boulevard  
Saguenay (Chicoutimi), QC G7J 3Y2  
Attn: Rejean Girard

Test reports are the property of the customers. Publications of statements, conclusions or extracts from these reports are not permitted without prior written permission from the customer.

This document constitutes the **final official test report**. Liability for the SRC Geoanalytical Laboratories', if any, will be limited to the cost of analysis for samples in this test report. The results contained in this test report relate only to the items tested. It is the customer's responsibility to ensure that all interpretation of analysis is done using the data from this report.

The customer will not use the name of the Saskatchewan Research Council in connection with the sale, offer, advertisement or the promotion of any article, product, or company without the prior written consent of the SRC.

Results Reviewed and Approved by: \_\_\_\_\_

Robert Millar  
Assistant Research Scientist

IOS Services Geoscientifiques Inc.

Attention: Rejean Girard

PO #/Project: PO# 306436

Samples: 111

125 - 15 Innovation Blvd., Saskatoon, Saskatchewan, S7N 2X8

Tel: (306) 933-8118 Fax: (306) 933-5656 Email: geolab@src.sk.ca

Report No: G-07-1673

Date of Report: February 05, 2008

ICP4.3 Aqua Regia Digestion

Column Header Details

Silver in ppm (Ag)  
Arsenic in ppm (As)  
Bismuth in ppm (Bi)  
Cobalt in ppm (Co)  
Copper in ppm (Cu)

Germanium in ppm (Ge)  
Mercury in ppm (Hg)  
Molybdenum in ppm (Mo)  
Nickel in ppm (Ni)  
Lead in ppm (Pb)

Antimony in ppm (Sb)  
Selenium in ppm (Se)  
Tellurium in ppm (Te)  
Uranium in ppm (U, ICP)  
Vanadium in ppm (V)

Zinc in ppm (Zn)

*TEM*



IOS Services Geoscientifiques Inc.  
 Attention: Rejean Girard  
 PO #/Project: PO# 306436  
 Samples: 111

125 - 15 Innovation Blvd., Saskatoon, Saskatchewan, S7N 2X8  
 Tel: (306) 933-8118 Fax: (306) 933-5656 Email: geolab@src.sk.ca

Report No: G-07-1673

Date of Report: February 05, 2008

ICP4.3 Aqua Regia Digestion

Sample Number	Ag ppm	As ppm	Bi ppm	Co ppm	Cu ppm	Ge ppm	Hg ppm	Mo ppm	Ni ppm	Pb ppm	Sb ppm	Se ppm	Te ppm	U, ICP ppm	V ppm	Zn ppm
CG515/LS4	<0.1	10.9	0.9	37.0	49.9	<0.2	<0.2	12.2	47.2	24.0	<1	<0.2	<0.2	36.2	102	202
312271	0.3	1.2	<0.2	29.0	1.4	1.0	<0.2	<0.1	41.4	4.85	<1	<0.2	<0.2	5.6	181	208
312272	<0.1	<0.2	<0.2	0.6	1.5	<0.2	<0.2	1.0	3.4	7.02	<1	<0.2	<0.2	15.1	2.6	3.6
312274	<0.1	0.5	<0.2	6.2	28.6	<0.2	<0.2	34.6	9.1	121	<1	<0.2	<0.2	19.0	37.6	35.3
312275	<0.1	0.9	<0.2	2.7	17.4	<0.2	<0.2	3.8	5.8	75.7	<1	<0.2	<0.2	81.5	23.2	11.2
312276	<0.1	<0.2	<0.2	1.1	17.3	<0.2	<0.2	0.7	3.5	38.2	<1	<0.2	<0.2	42.6	4.9	13.1
312277	<0.1	<0.2	0.8	0.4	3.1	<0.2	0.2	0.6	2.9	9.93	<1	<0.2	<0.2	13.5	4.0	4.2
312278	<0.1	<0.2	<0.2	5.8	19.2	0.2	<0.2	120	7.6	53.2	<1	<0.2	<0.2	33.2	24.2	35.0
312279	<0.1	1.6	<0.2	13.2	37.2	1.2	<0.2	104	23.0	54.6	<1	<0.2	<0.2	66.7	80.4	83.2
312280	<0.1	<0.2	0.8	0.7	3.2	<0.2	<0.2	2.2	5.0	40.0	<1	<0.2	<0.2	81.1	4.6	4.6
312281	<0.1	0.5	0.5	0.4	2.7	<0.2	<0.2	1.0	3.7	2.85	<1	<0.2	<0.2	2.9	0.9	0.6
312282	0.1	0.7	<0.2	8.9	4.6	<0.2	<0.2	50.0	11.9	29.8	<1	<0.2	<0.2	47.7	44.6	38.2
312283	0.2	<0.2	<0.2	7.6	12.5	0.3	0.2	1.3	9.8	18.2	<1	<0.2	<0.2	2.5	37.2	50.4
312284	0.2	1.0	<0.2	3.6	22.3	0.3	<0.2	2.4	5.8	59.7	<1	<0.2	<0.2	15.1	31.3	32.4
312285	<0.1	<0.2	<0.2	13.0	2.3	<0.2	<0.2	1.3	15.9	73.7	<1	<0.2	<0.2	250	66.7	103
312286	<0.1	0.3	<0.2	3.0	1.4	<0.2	<0.2	1.3	17.3	9.23	<1	<0.2	<0.2	1.2	10.7	24.2
312287	0.2	<0.2	<0.2	0.8	4.8	<0.2	<0.2	0.6	3.5	57.0	<1	<0.2	<0.2	130	5.0	6.7
312289	<0.1	1.4	<0.2	2.9	3.2	<0.2	<0.2	1.2	4.5	18.5	<1	<0.2	<0.2	11.5	14.8	25.7
312290	<0.1	0.4	<0.2	0.3	1.8	<0.2	<0.2	0.8	4.4	7.91	<1	<0.2	<0.2	73.4	1.4	0.9
312291	<0.1	<0.2	<0.2	1.5	3.0	<0.2	<0.2	0.7	4.2	55.7	<1	<0.2	<0.2	33.5	6.9	16.8
CG515/LS4	<0.1	10.2	0.9	35.0	49.4	<0.2	<0.2	11.8	47.7	22.3	<1	<0.2	<0.2	35.1	97.8	198
312293	<0.1	<0.2	<0.2	1.0	2.9	<0.2	<0.2	1.1	4.4	32.7	<1	<0.2	<0.2	15.0	6.8	12.7
312338	<0.1	<0.2	<0.2	0.9	1.8	<0.2	<0.2	0.6	3.5	99.3	<1	<0.2	<0.2	170	4.3	16.7
312374	0.2	0.6	<0.2	2.7	3.9	<0.2	<0.2	4.8	6.4	9.62	<1	<0.2	<0.2	7.1	18.6	32.7
312375	<0.1	<0.2	<0.2	2.0	1.9	<0.2	<0.2	0.9	4.9	24.3	<1	<0.2	<0.2	20.5	15.8	20.6
312376	<0.1	<0.2	<0.2	8.6	41.4	0.7	<0.2	2.2	10.6	28.1	<1	<0.2	<0.2	16.2	50.2	70.2
312378	<0.1	0.3	<0.2	3.6	8.3	<0.2	<0.2	0.8	4.9	19.8	<1	<0.2	<0.2	37.3	15.5	30.6
312379	<0.1	0.5	<0.2	1.6	10.7	<0.2	<0.2	123	4.7	47.8	<1	<0.2	<0.2	62.5	12.3	11.0
312380	<0.1	1.8	<0.2	10.9	70.7	0.4	<0.2	2.6	22.6	33.9	<1	<0.2	<0.2	61.6	62.8	59.6
312382	<0.1	<0.2	<0.2	1.8	4.6	<0.2	<0.2	17.2	2.8	79.6	<1	<0.2	<0.2	230	15.7	23.1
312383	0.2	1.0	<0.2	11.2	10.9	0.6	<0.2	14.5	11.6	25.4	<1	<0.2	<0.2	30.3	71.4	72.2
312384	0.3	<0.2	<0.2	28.2	12.6	1.1	<0.2	7.3	38.3	62.0	<1	<0.2	1.7	150	178	114
312385	<0.1	0.8	<0.2	3.8	6.8	<0.2	<0.2	83.6	8.1	79.3	<1	<0.2	<0.2	247	27.8	34.7
312386	<0.1	<0.2	<0.2	0.5	3.8	<0.2	<0.2	2.0	3.5	63.3	<1	<0.2	<0.2	8.2	2.0	2.0
312387	0.5	<0.2	<0.2	2.7	2.4	<0.2	<0.2	1.6	5.1	103	<1	<0.2	<0.2	67.7	20.7	26.8
312388	<0.1	0.9	<0.2	5.4	45.6	<0.2	<0.2	1.2	7.8	29.8	<1	<0.2	<0.2	19.5	19.9	30.8
312390	0.2	0.7	<0.2	1.4	2.6	<0.2	<0.2	2.3	4.3	37.1	<1	<0.2	0.2	42.6	7.3	27.4
312391	<0.1	<0.2	<0.2	1.4	7.5	<0.2	<0.2	4.3	3.2	32.9	<1	<0.2	<0.2	30.5	6.5	25.2
312392	<0.1	<0.2	<0.2	3.4	2.5	<0.2	<0.2	0.7	5.1	27.3	<1	<0.2	<0.2	17.6	13.6	38.3
312387 R	0.5	<0.2	<0.2	2.8	1.8	<0.2	<0.2	1.5	5.6	109	<1	<0.2	0.3	66.5	21.2	25.9

IOS Services Geoscientifiques Inc.

125 - 15 Innovation Blvd., Saskatoon, Saskatchewan, S7N 2X8

Attention: Rejean Girard

Tel: (306) 933-8118 Fax: (306) 933-5656 Email: geolab@src.sk.ca

PO #/Project: PO# 306436

Date of Report: February 05, 2008

Samples: 111

## ICP4.3 Aqua Regia Digestion

Sample Number	Ag ppm	As ppm	Bi ppm	Co ppm	Cu ppm	Ge ppm	Hg ppm	Mo ppm	Ni ppm	Pb ppm	Sb ppm	Se ppm	Te ppm	U, ICP ppm	V ppm	Zn ppm
CG515/LS4	<0.1	10.9	1.3	37.9	48.8	<0.2	<0.2	12.4	47.6	23.9	<1	<0.2	<0.2	35.2	101	203
312393	<0.1	<0.2	<0.2	1.5	1.9	<0.2	<0.2	1.4	3.7	42.8	<1	<0.2	<0.2	82.1	6.6	17.1
312394	0.1	<0.2	<0.2	1.0	9.1	<0.2	<0.2	32.1	3.8	31.9	<1	<0.2	<0.2	11.1	3.8	7.0
312396	<0.1	<0.2	<0.2	1.0	1.2	<0.2	<0.2	1.6	2.4	33.6	<1	<0.2	<0.2	23.6	4.9	16.1
312397	<0.1	<0.2	<0.2	1.5	1.9	<0.2	0.2	8.7	3.7	14.3	<1	<0.2	<0.2	7.7	6.4	21.7
312400	<0.1	<0.2	<0.2	0.9	1.3	<0.2	<0.2	1.4	3.0	18.2	<1	<0.2	<0.2	11.3	4.7	13.3
312417	<0.1	1.0	<0.2	11.2	37.5	<0.2	<0.2	5.4	20.5	83.9	<1	<0.2	<0.2	170	60.2	64.0
312418	<0.1	0.3	<0.2	1.2	2.2	<0.2	0.2	35.4	4.2	35.8	<1	<0.2	<0.2	92.1	16.2	17.5
312420	0.1	1.2	<0.2	5.5	7.7	<0.2	<0.2	1.0	6.4	13.4	<1	<0.2	<0.2	9.1	26.3	49.9
312421	<0.1	1.2	<0.2	5.0	22.2	<0.2	<0.2	1.4	6.6	15.8	<1	<0.2	<0.2	12.5	27.2	43.3
312422	<0.1	<0.2	<0.2	1.0	1.7	<0.2	<0.2	1.6	3.6	6.21	<1	<0.2	<0.2	11.6	3.7	7.4
312424	<0.1	0.7	<0.2	12.4	4.1	1.6	<0.2	<0.1	9.0	57.1	<1	<0.2	<0.2	340	155	200
312426	<0.1	<0.2	<0.2	1.9	2.1	<0.2	<0.2	66.0	8.8	65.4	<1	<0.2	<0.2	77.6	8.2	10.8
312427	<0.1	<0.2	<0.2	1.3	2.9	<0.2	<0.2	2.5	4.1	10.4	<1	<0.2	<0.2	10.5	7.8	9.6
312428	0.1	0.5	<0.2	5.0	7.9	<0.2	<0.2	1.4	6.1	20.6	<1	<0.2	<0.2	6.7	26.4	44.9
312429	<0.1	0.6	0.2	5.3	2.5	<0.2	<0.2	1.3	12.0	12.6	<1	<0.2	<0.2	3.6	29.6	39.8
312430	<0.1	0.6	<0.2	2.9	2.3	<0.2	<0.2	1.3	8.4	2.67	<1	<0.2	<0.2	2.0	15.7	18.9
312431	<0.1	<0.2	<0.2	8.1	25.0	<0.2	<0.2	6.6	23.0	147	<1	<0.2	<0.2	130	49.1	103
312432	<0.1	0.9	<0.2	7.6	24.1	<0.2	<0.2	1.5	18.5	29.6	<1	<0.2	<0.2	31.6	45.1	72.6
312434	<0.1	<0.2	<0.2	1.6	4.8	<0.2	<0.2	2.4	6.5	19.5	<1	<0.2	<0.2	15.2	5.0	9.7
CG515/LS4	<0.1	10.1	1.5	38.5	47.6	<0.2	<0.2	12.7	48.1	23.1	<1	<0.2	<0.2	34.5	102	206
312436	<0.1	<0.2	<0.2	1.6	2.7	<0.2	<0.2	0.6	3.4	18.2	<1	<0.2	<0.2	3.6	7.2	17.6
312438	<0.1	0.2	<0.2	1.4	1.3	<0.2	<0.2	1.0	3.9	19.5	<1	<0.2	<0.2	2.2	11.5	18.4
312440	<0.1	<0.2	<0.2	1.0	1.7	<0.2	<0.2	0.9	3.4	20.2	<1	<0.2	<0.2	7.9	6.0	14.0
312443	<0.1	<0.2	<0.2	1.4	3.9	<0.2	<0.2	1.0	3.4	143	<1	<0.2	<0.2	75.3	6.7	20.9
312448	<0.1	<0.2	<0.2	1.0	5.6	<0.2	<0.2	2.8	3.2	10.2	<1	<0.2	<0.2	7.4	3.5	24.5
312449	0.1	<0.2	<0.2	1.8	3.0	<0.2	<0.2	0.8	3.4	9.57	<1	<0.2	<0.2	7.7	5.1	30.5
5929179	<0.1	<0.2	<0.2	1.0	12.4	<0.2	<0.2	2.5	2.8	72.1	<1	<0.2	<0.2	130	3.4	11.0
5929180	0.2	1.9	<0.2	10.6	21.8	0.5	<0.2	1.8	29.9	28.6	<1	<0.2	<0.2	61.6	66.7	82.2
5929181	<0.1	0.5	<0.2	1.2	3.4	<0.2	<0.2	5.7	4.2	14.6	<1	<0.2	<0.2	10.2	6.4	7.4
5929182	<0.1	<0.2	<0.2	1.9	2.9	<0.2	<0.2	0.8	4.9	47.6	<1	<0.2	<0.2	107	9.4	15.7
5929184	<0.1	<0.2	<0.2	1.7	3.0	<0.2	<0.2	9.7	4.2	55.0	<1	<0.2	<0.2	51.6	12.1	23.3
5929187	<0.1	<0.2	10.6	<0.1	1.6	<0.2	0.3	2190	3.0	50.7	<1	<0.2	0.4	52.5	<0.1	4.4
5929188	<0.1	<0.2	<0.2	1.1	6.4	<0.2	<0.2	22.6	5.8	18.8	<1	<0.2	<0.2	37.6	4.3	7.6
5929190	<0.1	1.3	<0.2	1.6	37.6	<0.2	<0.2	129	4.1	116	<1	<0.2	<0.2	41.5	32.1	39.3
5929750	0.1	<0.2	<0.2	2.7	0.9	<0.2	<0.2	3.0	2.4	23.7	<1	<0.2	<0.2	30.5	10.0	20.0
5929751	0.1	<0.2	<0.2	0.8	2.1	<0.2	<0.2	74.2	2.6	45.3	<1	<0.2	<0.2	27.6	3.4	14.6
5929802	<0.1	0.3	<0.2	0.6	1.3	<0.2	<0.2	73.3	1.6	75.9	<1	<0.2	<0.2	320	1.8	11.9
5929803	<0.1	0.4	<0.2	1.2	2.8	<0.2	<0.2	9.3	3.5	34.6	<1	<0.2	<0.2	31.2	7.0	20.3
5929750 R	0.1	<0.2	<0.2	2.8	0.7	<0.2	<0.2	2.6	2.5	24.1	<1	<0.2	<0.2	30.7	9.7	19.1

ICP4.3 Aqua Regia Digestion

Sample Number	Ag ppm	As ppm	Bi ppm	Co ppm	Cu ppm	Ge ppm	Hg ppm	Mo ppm	Ni ppm	Pb ppm	Sb ppm	Se ppm	Te ppm	U, ICP ppm	V ppm	Zn ppm
CG515/LS4	<0.1	10.0	0.6	37.6	47.5	<0.2	<0.2	12.2	46.3	23.7	<1	<0.2	<0.2	34.2	100	201
5929804	<0.1	0.4	<0.2	1.3	16.5	<0.2	<0.2	2.6	5.3	27.3	<1	<0.2	<0.2	22.3	9.4	15.6
5929806	<0.1	<0.2	<0.2	0.2	1.6	<0.2	<0.2	24.7	3.2	50.2	<1	<0.2	<0.2	47.6	0.7	3.2
5929807	<0.1	<0.2	<0.2	0.7	2.9	<0.2	<0.2	6.6	2.8	26.6	<1	<0.2	<0.2	175	3.2	8.6
5929808	<0.1	<0.2	<0.2	0.9	7.8	<0.2	<0.2	49.0	3.1	65.9	<1	<0.2	<0.2	91.7	11.4	14.3
5929809	<0.1	<0.2	<0.2	0.7	6.0	<0.2	<0.2	2.4	3.6	12.6	<1	<0.2	<0.2	8.7	2.7	8.2
5929851	<0.1	0.4	<0.2	1.4	1.4	<0.2	<0.2	23.4	3.1	33.0	<1	<0.2	<0.2	12.5	11.8	20.1
5929853	<0.1	0.4	<0.2	11.0	19.9	0.4	0.2	10.5	34.0	19.8	<1	<0.2	<0.2	23.5	47.3	109
5929809 R	<0.1	<0.2	<0.2	0.7	5.9	<0.2	<0.2	2.0	3.5	12.0	<1	<0.2	<0.2	9.1	2.8	8.1
CG515/LS4	<0.1	13.9	1.2	38.6	49.4	<0.2	<0.2	12.3	49.1	23.1	<1	<0.2	<0.2	35.4	102	203
312377	0.2	2.8	<0.2	22.3	34.2	2.7	<0.2	2.7	49.8	71.3	<1	<0.2	0.4	193	149	186
312381	<0.1	0.7	<0.2	3.8	45.1	0.4	<0.2	444	2.4	472	<1	<0.2	<0.2	876	21.3	44.4
312389	<0.1	0.7	<0.2	0.5	2.9	<0.2	<0.2	468	3.9	484	<1	<0.2	<0.2	1370	4.3	13.4
312419	<0.1	1.1	<0.2	5.5	14.9	<0.2	<0.2	10.9	9.6	192	<1	<0.2	<0.2	648	32.7	88.5
312423	<0.1	<0.2	<0.2	0.7	4.2	<0.2	<0.2	25.8	3.2	51.6	<1	<0.2	<0.2	86.0	4.4	12.0
312425	<0.1	0.3	<0.2	1.2	5.9	0.3	<0.2	6.9	4.2	175	<1	<0.2	<0.2	491	8.2	20.6
312433	<0.1	<0.2	<0.2	4.3	36.2	0.2	<0.2	2.3	10.5	42.9	<1	<0.2	<0.2	88.3	22.7	15.9
5929183	<0.1	0.5	<0.2	1.5	19.7	<0.2	<0.2	22.1	3.0	104	<1	<0.2	<0.2	161	7.7	26.0
5929186	<0.1	<0.2	<0.2	1.5	9.5	<0.2	<0.2	3.0	3.2	222	<1	<0.2	<0.2	434	4.0	15.4
5929191	<0.1	2.3	<0.2	10.6	1.1	1.6	<0.2	169	3.9	128	<1	<0.2	<0.2	467	70.4	157
5929800	<0.1	0.3	<0.2	1.2	0.4	<0.2	<0.2	11.5	3.8	42.0	<1	<0.2	0.4	65.1	12.7	18.8
5929801	<0.1	<0.2	<0.2	1.3	0.5	0.9	<0.2	1.2	2.5	41.0	<1	<0.2	<0.2	70.1	29.3	25.7
5929805	<0.1	0.3	<0.2	0.7	19.4	<0.2	<0.2	4.3	3.8	90.1	<1	<0.2	<0.2	180	3.1	6.5
5929850	0.6	0.7	<0.2	13.0	37.2	<0.2	<0.2	2.2	23.6	57.4	<1	<0.2	0.6	30.6	31.3	26.6
5929852	<0.1	<0.2	<0.2	1.7	1.4	<0.2	<0.2	50.5	2.7	101	<1	<0.2	<0.2	125	3.7	24.0
5929850 R	0.6	0.9	<0.2	13.1	37.3	<0.2	<0.2	2.3	23.3	57.0	<1	<0.2	0.2	30.1	30.6	26.2
CG515/LS4	<0.1	12.2	0.8	38.8	50.1	<0.2	<0.2	12.8	51.9	25.4	<1	<0.2	<0.2	33.2	104	205
5929185	<0.1	2.4	<0.2	12.1	22.9	0.6	<0.2	686	3.9	1900	<1	<0.2	<0.2	5550	95.4	116
5929529	<0.1	1.7	<0.2	1.6	15.6	<0.2	0.3	13.2	2.0	1980	<1	<0.2	0.3	4610	9.9	3.9
5929529 SR	<0.1	2.1	<0.2	1.6	14.7	<0.2	0.3	9.9	1.7	1930	<1	<0.2	0.4	4600	9.6	3.9
5929529 SR R	<0.1	1.8	<0.2	2.0	15.0	<0.2	0.3	9.5	2.0	1950	<1	<0.2	0.9	4500	9.8	3.7

Aqua Regia: A 0.5 g pulp is digested with 2.00 ml of 3:1 HCL:HNO3 for 1 hour at 95 C.  
 The standard is LS4.

*RM*



IOS Services Geoscientifiques Inc.

125 - 15 Innovation Blvd., Saskatoon, Saskatchewan, S7N 2X8

Attention: Rejean Girard

Tel: (306) 933-8118 Fax: (306) 933-5656 Email: geolab@src.sk.ca

PO #/Project: PO# 306436

Samples: 111

Date of Report: February 05, 2008

## ICP1 Total Digestion

## Column Header Details

Silver in ppm (Ag)  
Aluminum in wt % (Al<sub>2</sub>O<sub>3</sub>)  
Barium in ppm (Ba)  
Beryllium in ppm (Be)  
Calcium in wt % (CaO)

Cadmium in ppm (Cd)  
Cerium in ppm (Ce)  
Cobalt in ppm (Co)  
Chromium in ppm (Cr)  
Copper in ppm (Cu)

Dysprosium in ppm (Dy)  
Erbium in ppm (Er)  
Europium in ppm (Eu)  
Iron in wt % (Fe<sub>2</sub>O<sub>3</sub>)  
Gallium in ppm (Ga)

Gadolinium in ppm (Gd)  
Hafnium in ppm (Hf)  
Holmium in ppm (Ho)  
Potassium in wt % (K<sub>2</sub>O)  
Lanthanum in ppm (La)

Lithium in ppm (Li)  
Magnesium in wt % (MgO)  
Manganese in wt % (MnO)  
Molybdenum in ppm (Mo)  
Sodium in wt % (Na<sub>2</sub>O)

Niobium in ppm (Nb)  
Neodymium in ppm (Nd)  
Nickel in ppm (Ni)  
Phosphorus in wt % (P<sub>2</sub>O<sub>5</sub>)  
Lead in ppm (Pb)

Praseodymium in ppm (Pr)  
Scandium in ppm (Sc)  
Samarium in ppm (Sm)  
Tin in ppm (Sn)  
Strontium in ppm (Sr)

Tantalum in ppm (Ta)  
Terbium in ppm (Tb)  
Thorium in ppm (Th)  
Titanium in wt % (TiO<sub>2</sub>)  
Uranium in ppm (U, ICP)

IOS Services Geoscientifiques Inc.

Attention: Rejean Girard  
PO #/Project: PO# 306436  
Samples: 111

125 - 15 Innovation Blvd., Saskatoon, Saskatchewan, S7N 2X8  
Tel: (306) 933-8118 Fax: (306) 933-5656 Email: geolab@src.sk.ca

Report No: G-07-1673

Date of Report: February 05, 2008

ICP1 Total Digestion

Column Header Details

Vanadium in ppm (V)  
Tungsten in ppm (W)  
Yttrium in ppm (Y)  
Ytterbium in ppm (Yb)  
Zinc in ppm (Zn)

Zirconium in ppm (Zr)

*JM*

ICPI Total Digestion

Sample Number	Ag ppm	Al2O3 wt %	Ba ppm	Be ppm	CaO wt %	Cd ppm	Ce ppm	Co ppm	Cr ppm	Cu ppm	Dy ppm	Er ppm	Eu ppm	Fe2O3 wt %	Ga ppm	Gd ppm	Hf ppm
CG515/LS4	<0.2	17.7	2320	2.2	4.82	1.0	151	19	117	3	3.6	2.1	2.6	7.27	26	5.8	3.9
312271	<0.2	14.7	284	1.9	2.36	0.9	25	31	233	2	2.6	1.8	1.0	10.9	38	1.2	2.0
312272	0.3	12.6	611	0.6	0.81	0.9	20	<1	209	2	0.8	<0.2	0.4	0.49	12	1.4	4.1
312274	<0.2	16.0	123	2.4	2.88	1.1	17	6	169	29	3.5	1.7	0.5	2.24	23	2.9	2.4
312275	<0.2	11.5	124	2.4	3.32	1.0	18	5	209	19	17.6	9.5	1.3	3.04	18	13.4	0.7
312276	<0.2	12.8	394	1.4	1.22	0.9	32	1	181	16	1.9	0.8	0.5	0.74	15	2.4	3.2
312277	<0.2	13.4	60	2.0	1.32	0.9	5	<1	198	3	0.9	0.5	0.4	0.74	19	1.0	2.4
312278	<0.2	11.5	1880	0.7	1.04	0.6	12	4	228	20	1.2	0.7	0.3	2.24	13	1.1	0.5
312279	<0.2	8.15	312	0.7	1.06	0.4	5	14	311	41	1.9	1.6	0.4	5.54	16	1.7	4.1
312280	<0.2	8.68	124	2.0	0.89	0.6	4	<1	269	4	1.8	1.7	0.3	1.18	13	1.4	<0.5
312281	0.2	6.41	63	0.3	0.04	0.4	<1	<1	277	2	0.2	<0.2	<0.2	0.31	10	<0.5	<0.5
312282	<0.2	14.1	124	1.8	2.69	0.9	39	8	242	6	1.1	0.6	0.4	2.89	20	1.6	<0.5
312283	<0.2	14.5	112	1.8	2.88	0.9	25	8	184	14	1.1	0.6	0.5	3.00	21	1.0	1.9
312284	<0.2	13.2	4230	0.2	0.46	0.6	3	2	178	23	0.7	0.5	0.4	2.58	13	<0.5	<0.5
312285	1.0	20.8	259	1.7	4.50	1.1	193	14	89	3	10.4	4.7	1.6	5.92	34	12.7	41.0
312286	<0.2	14.5	199	1.5	2.70	0.9	6	3	215	1	1.7	0.8	0.5	1.51	17	1.4	0.7
312287	<0.2	10.5	1110	0.4	0.21	0.6	307	<1	200	6	7.1	3.1	1.2	0.57	10	12.7	0.9
312289	<0.2	17.5	797	1.2	2.00	1.1	29	3	114	4	1.4	0.6	0.5	2.00	20	1.4	2.9
312290	<0.2	7.89	94	2.8	0.75	0.6	6	<1	233	5	10.3	7.9	0.2	0.43	12	6.3	13.2
312291	<0.2	13.1	963	1.1	1.23	0.8	9	1	198	4	1.3	0.4	0.4	0.95	15	1.2	1.4
CG515/LS4	<0.2	17.5	2270	2.2	4.72	0.8	152	18	113	3	3.4	2.0	2.6	7.17	25	5.1	4.7
312293	<0.2	14.4	616	1.6	1.56	0.9	28	<1	245	5	1.2	0.2	0.4	0.90	18	1.8	1.0
312338	<0.2	13.9	673	1.0	1.00	0.9	45	1	179	5	4.7	1.7	0.4	0.99	17	4.8	6.2
312374	<0.2	14.1	146	1.5	2.03	0.8	57	3	204	5	0.9	0.2	0.5	1.84	21	2.0	2.8
312375	<0.2	14.3	1450	1.2	1.26	0.9	50	1	209	4	0.8	<0.2	0.4	1.69	17	1.3	4.8
312376	<0.2	15.6	1720	1.1	1.47	0.8	12	8	153	49	3.0	1.4	0.6	4.40	22	2.8	1.7
312378	<0.2	14.3	110	1.9	2.57	0.8	19	3	177	10	1.0	0.2	0.4	1.50	19	1.2	4.2
312379	<0.2	14.1	1100	1.0	1.17	0.9	7	1	204	12	1.8	0.8	0.6	1.16	14	1.7	0.9
312380	<0.2	9.25	79	1.0	1.48	0.5	20	11	244	78	1.0	0.3	0.3	4.10	16	1.3	7.7
312382	<0.2	19.1	63	2.1	3.54	1.3	12	2	125	6	2.1	0.8	0.7	1.32	26	1.9	1.2
312383	<0.2	16.2	260	2.0	2.98	1.0	62	13	140	14	1.7	1.0	0.6	4.49	25	2.4	0.7
312384	<0.2	14.3	521	1.3	2.22	0.5	104	37	162	18	3.0	2.0	1.2	10.2	33	3.3	14.4
312385	0.5	7.30	102	0.5	1.32	0.4	3	3	240	7	1.8	0.8	0.4	1.74	10	2.0	14.4
312386	1.0	14.5	839	1.3	1.88	0.9	47	<1	196	4	4.1	2.2	0.6	0.48	14	3.7	12.0
312387	<0.2	15.3	810	1.1	1.55	0.7	472	2	171	7	10.8	4.6	1.0	1.80	18	17.3	7.1
312388	<0.2	12.7	133	1.3	2.49	0.7	13	5	170	50	1.4	0.8	0.5	1.95	16	1.1	2.4
312390	<0.2	12.8	26	2.0	1.96	0.9	179	1	281	4	4.9	1.9	0.5	1.45	19	8.7	8.8
312391	<0.2	13.8	1040	1.4	1.20	0.8	30	1	166	9	1.0	0.4	0.5	1.17	18	1.2	2.5
312392	<0.2	15.2	77	1.9	2.91	0.9	44	2	126	3	1.0	0.2	0.5	1.69	21	1.4	4.4
312387 R	<0.2	15.1	787	1.0	1.53	0.7	471	2	167	8	10.4	4.5	1.0	1.78	18	16.7	7.5



ICPI Total Digestion

Sample Number	Ag ppm	Al2O3 wt %	Ba ppm	Be ppm	CaO wt %	Cd ppm	Ce ppm	Co ppm	Cr ppm	Cu ppm	Dy ppm	Er ppm	Eu ppm	Fe2O3 wt %	Ga ppm	Gd ppm	Hf ppm
CG515/LS4	<0.2	17.7	2220	2.2	4.77	0.9	156	20	116	3	3.6	2.3	2.6	7.20	26	5.6	4.2
312393	<0.2	13.5	833	1.0	1.08	0.8	22	1	156	3	1.4	0.5	0.4	1.04	16	1.6	1.5
312394	0.3	14.1	1170	0.5	0.59	0.9	9	1	175	9	0.5	<0.2	0.3	1.30	14	0.7	0.8
312396	<0.2	12.9	650	1.1	0.99	0.8	29	1	143	2	1.2	0.3	0.4	0.86	15	1.2	2.0
312397	<0.2	13.9	603	1.3	0.94	0.8	3	1	169	2	0.6	0.2	0.4	1.32	17	0.6	2.0
312400	<0.2	13.6	949	0.6	0.38	0.8	1	<1	149	2	0.9	0.3	0.4	0.84	15	0.7	<0.5
312417	<0.2	11.5	114	1.3	1.90	0.6	6	11	207	44	1.4	0.7	0.4	4.00	20	1.1	5.3
312418	<0.2	5.99	89	0.6	0.63	0.4	1	1	244	2	1.1	0.6	0.3	1.37	9	1.0	1.3
312420	<0.2	15.2	392	1.8	2.46	0.9	17	4	156	9	1.1	0.6	0.5	2.49	21	1.1	4.1
312421	<0.2	14.8	84	2.0	2.81	1.0	29	6	170	25	2.4	1.2	0.6	2.12	20	2.4	3.2
312422	<0.2	12.9	1140	0.8	1.07	0.8	6	<1	164	2	0.4	<0.2	0.3	0.57	13	<0.5	1.3
312424	3.8	11.9	77	<0.2	0.05	0.4	15	13	117	6	12.1	14.4	1.2	14.2	56	6.0	185
312426	<0.2	15.3	71	2.0	3.07	1.0	2	3	187	2	1.2	0.5	0.5	0.85	17	1.1	2.1
312427	<0.2	13.2	810	0.8	1.29	0.8	1	1	210	3	0.4	<0.2	0.4	0.88	14	<0.5	1.1
312428	<0.2	14.6	1370	1.3	1.83	0.9	52	3	145	9	1.5	0.6	0.6	2.39	18	1.7	4.1
312429	<0.2	11.8	1250	0.8	0.99	0.7	5	5	270	3	0.5	0.3	0.4	2.29	15	0.6	<0.5
312430	<0.2	5.80	50	0.8	1.58	0.4	18	3	255	2	1.9	1.1	0.4	1.61	11	1.8	<0.5
312431	0.7	11.1	31	1.5	1.62	0.8	19	8	234	29	2.8	1.3	0.4	3.56	21	2.6	17.3
312432	<0.2	10.3	29	1.6	1.43	0.7	18	6	223	27	1.4	0.9	0.3	3.41	21	1.5	6.5
312434	<0.2	13.6	137	2.3	1.98	1.0	18	<1	204	5	1.2	0.4	0.3	0.80	18	1.6	1.6
CG515/LS4	<0.2	17.4	2170	2.2	4.66	1.0	151	17	114	3	3.6	2.3	2.6	7.02	25	5.8	3.5
312436	<0.2	12.5	503	1.6	1.04	0.8	11	1	189	3	0.8	0.3	0.4	1.24	17	0.9	2.8
312438	<0.2	13.2	1090	0.9	0.89	0.8	36	1	149	2	1.0	0.4	0.5	1.24	15	1.5	1.4
312440	0.3	13.6	1160	0.8	1.07	0.9	10	<1	135	2	0.4	<0.2	0.5	0.82	15	0.6	2.4
312443	<0.2	15.9	64	2.2	2.54	1.1	5	1	195	7	3.4	1.4	0.6	1.10	22	2.4	4.3
312448	<0.2	12.9	271	1.2	0.84	1.0	19	<1	154	6	0.8	0.2	0.3	1.14	18	1.0	3.6
312449	<0.2	12.8	429	0.9	0.78	1.0	27	1	200	4	1.1	0.3	0.4	1.89	19	1.7	0.7
5929179	<0.2	14.1	157	2.4	1.81	1.1	21	1	153	13	5.5	2.6	0.2	0.85	21	4.1	2.3
5929180	<0.2	10.9	172	1.1	3.41	0.7	48	16	392	24	1.4	0.8	0.7	6.81	23	2.1	6.9
5929181	<0.2	12.8	572	1.1	1.14	1.0	6	<1	204	3	0.5	<0.2	0.4	0.81	14	0.6	3.9
5929182	<0.2	14.6	45	2.3	2.54	1.0	42	1	170	3	2.2	0.9	0.4	1.08	21	2.8	5.8
5929184	0.7	14.3	64	1.5	2.36	1.1	1	1	165	4	1.1	0.6	0.6	1.56	19	0.7	19.6
5929187	<0.2	14.8	55	2.0	2.08	1.1	9	<1	135	3	23.5	21.5	0.6	0.37	7	13.1	1.9
5929188	0.3	9.19	37	0.9	1.20	0.6	14	2	168	7	3.8	2.8	0.3	0.60	11	2.5	8.3
5929190	<0.2	11.6	521	0.5	0.15	0.7	1	<1	157	39	0.7	0.4	0.2	3.81	19	<0.5	2.0
5929750	0.4	14.4	648	0.8	1.50	0.8	160	2	118	4	2.2	0.5	0.6	1.02	16	4.5	12.0
5929751	0.4	13.3	606	1.3	1.42	0.9	175	1	154	5	2.5	0.8	0.5	0.92	16	4.3	9.3
5929802	<0.2	15.6	724	0.7	0.68	1.0	189	<1	105	3	3.1	1.0	0.5	0.79	17	6.8	8.6
5929803	0.3	12.2	209	1.5	1.57	0.9	2	1	210	4	0.9	0.4	0.5	1.05	16	0.8	4.3
5929750 R	<0.2	14.0	643	0.8	1.49	0.9	160	2	118	4	2.1	0.6	0.6	1.00	15	4.4	10.2

*RJM*

IOS Services Geoscientifiques Inc.

125 - 15 Innovation Blvd., Saskatoon, Saskatchewan, S7N 2X8

Attention: Rejean Girard

Tel: (306) 933-8118 Fax: (306) 933-5656 Email: geolab@src.sk.ca

PO #/Project: PO# 306436

Date of Report: February 05, 2008

Samples: 111

## ICPI Total Digestion

Sample Number	Ag ppm	Al2O3 wt %	Ba ppm	Be ppm	CaO wt %	Cd ppm	Ce ppm	Co ppm	Cr ppm	Cu ppm	Dy ppm	Er ppm	Eu ppm	Fe2O3 wt %	Ga ppm	Gd ppm	Hf ppm
CG515/LS4	<0.2	17.6	2280	2.2	4.73	0.9	155	19	114	3	3.6	2.1	2.5	7.09	24	5.7	4.2
5929804	<0.2	13.5	279	1.4	1.74	0.8	3	1	186	17	0.6	<0.2	0.5	1.36	16	0.6	2.7
5929806	<0.2	11.9	273	1.0	1.02	0.8	2	<1	162	2	1.0	0.4	0.4	0.29	13	0.8	3.6
5929807	<0.2	14.3	335	1.2	1.30	1.0	2	<1	132	3	0.7	<0.2	0.5	0.64	17	0.8	3.2
5929808	<0.2	13.6	62	2.0	2.10	0.8	1	<1	197	9	0.7	0.2	0.5	1.35	19	0.6	2.1
5929809	<0.2	13.2	111	1.9	1.68	0.8	2	<1	160	6	1.0	0.6	0.4	0.64	18	0.7	0.9
5929851	0.5	14.5	491	1.0	1.55	0.9	85	1	137	3	1.7	0.4	0.5	1.52	18	2.6	13.8
5929853	<0.2	15.1	264	1.9	2.39	0.9	37	12	222	23	3.0	1.4	0.6	5.25	24	3.2	8.5
5929809 R	<0.2	12.8	109	1.9	1.64	0.8	2	1	156	6	1.0	0.6	0.4	0.62	18	0.6	0.6
CG515/LS4	<0.2	18.4	2250	2.2	5.02	1.1	163	17	130	4	3.7	2.5	2.5	7.30	25	6.2	4.2
312377	1.6	13.3	243	0.7	1.41	0.6	122	23	400	35	3.2	2.1	0.4	13.0	35	6.0	22.0
312381	<0.2	18.2	1310	1.3	2.64	1.4	8	<1	100	47	6.5	4.8	0.8	2.18	15	5.0	<0.5
312389	1.3	16.4	110	1.7	2.66	1.1	7	<1	184	2	8.8	6.1	0.7	0.98	15	6.2	21.5
312419	1.6	15.5	368	1.3	1.36	1.0	103	4	142	16	5.7	3.4	0.7	3.29	21	6.0	32.6
312423	0.3	12.9	210	1.8	2.27	0.9	4	<1	204	5	1.9	1.4	0.5	0.51	14	1.5	8.8
312425	0.2	10.7	701	0.6	0.64	0.7	3	<1	189	7	2.2	1.6	0.4	0.81	9	1.4	2.5
312433	<0.2	13.0	34	2.7	2.35	0.8	41	3	256	38	2.5	1.6	0.4	1.58	19	2.9	5.5
5929183	0.8	13.6	392	1.4	1.40	0.8	2	<1	144	21	2.7	1.9	0.6	1.06	15	1.6	14.6
5929186	<0.2	13.6	196	2.5	2.26	0.9	3	<1	115	11	3.6	2.2	0.7	0.76	18	2.5	1.5
5929191	0.3	10.8	534	0.3	1.58	0.6	8	11	136	<1	10.4	6.8	0.4	8.28	23	9.3	<0.5
5929800	0.8	11.0	153	1.5	1.74	0.7	84	<1	158	<1	1.7	0.9	0.4	1.19	14	2.5	14.8
5929801	1.2	17.3	568	1.9	2.46	1.2	11	<1	98	<1	2.0	0.9	0.5	4.02	26	1.9	25.8
5929805	0.4	11.2	173	1.6	1.57	0.7	2	<1	193	20	2.5	1.7	0.4	0.71	13	1.5	15.4
5929850	0.2	20.6	131	2.1	4.90	1.0	373	14	68	39	4.8	2.4	2.0	2.13	24	11.4	11.3
5929852	0.2	12.8	300	1.3	1.66	0.9	107	<1	160	<1	3.3	1.6	0.5	1.10	15	5.0	6.4
5929850 R	0.5	19.7	130	2.0	4.80	1.0	370	13	67	38	4.5	2.0	1.8	2.04	24	10.4	13.0
CG515/LS4	0.4	17.5	2350	2.2	4.98	1.1	156	20	113	4	3.1	2.4	2.4	7.36	23	5.4	4.2
5929185	2.6	16.6	1470	<0.2	1.53	1.2	36	15	104	23	49.2	33.1	2.2	7.60	23	33.7	1.5
5929529	2.4	18.5	64	2.7	2.99	1.2	48	1	125	17	26.8	15.7	1.0	0.30	21	19.3	1.9
5929529 SR	1.8	17.3	62	2.5	3.02	1.2	48	1	133	16	27.1	15.0	0.9	0.29	21	18.1	2.5
5929529 SR R	2.0	19.0	64	2.8	3.09	1.4	50	2	136	17	28.2	16.9	1.0	0.30	23	19.9	1.5

ICP1 Total Digestion

Sample Number	Ho ppm	K2O wt %	La ppm	Li ppm	MgO wt %	MnO wt %	Mo ppm	Na2O wt %	Nb ppm	Nd ppm	Ni ppm	P2O5 wt %	Pb ppm	Pr ppm	Sc ppm	Sm ppm	Sn ppm
CG515/LS4	1.8	3.12	82	28	2.84	0.073	1	3.26	8	61	24	0.680	20	14	12	7.8	3
312271	1.5	4.12	18	148	4.84	0.185	<1	2.69	6	13	50	0.165	21	<1	34	2.8	1
312272	<0.4	6.35	10	6	0.093	0.005	<1	2.45	<1	7	4	0.016	33	<1	<1	1.1	1
312274	0.5	1.26	9	38	0.870	0.034	33	5.33	1	8	9	0.036	122	<1	3	1.7	<1
312275	4.1	0.957	1	11	1.13	0.074	3	3.65	30	21	9	0.070	80	<1	46	7.1	2
312276	<0.4	4.00	16	18	0.217	0.011	<1	3.25	2	12	4	0.018	55	2	1	1.8	<1
312277	<0.4	3.24	3	2	0.096	0.007	<1	4.38	<1	2	3	0.016	37	<1	<1	<0.5	<1
312278	<0.4	4.92	4	19	0.802	0.034	147	2.09	2	4	8	0.120	69	<1	3	0.8	<1
312279	1.3	2.25	3	41	2.54	0.072	166	1.44	10	4	26	0.085	65	<1	6	1.4	<1
312280	1.1	1.64	2	10	0.340	0.007	2	2.80	9	1	4	0.014	44	<1	2	<0.5	<1
312281	<0.4	4.64	<1	<1	0.009	0.002	1	0.72	<1	<1	3	0.008	25	<1	<1	<0.5	<1
312282	0.5	1.16	17	26	1.11	0.038	57	4.48	1	12	14	0.090	44	1	1	1.7	<1
312283	0.6	1.45	13	33	1.30	0.047	<1	4.26	5	9	10	0.125	30	1	5	1.2	<1
312284	0.5	8.18	2	11	0.698	0.023	1	1.58	1	1	7	0.149	73	<1	1	<0.5	<1
312285	2.9	2.76	89	95	2.85	0.101	<1	5.97	12	71	19	0.786	100	17	6	11.2	<1
312286	<0.4	0.953	3	19	0.772	0.032	1	5.13	<1	3	21	0.057	19	<1	5	0.6	<1
312287	0.6	6.68	157	4	0.143	0.007	<1	1.56	<1	119	3	0.024	72	31	1	16.3	<1
312289	<0.4	6.30	16	14	0.526	0.033	<1	4.27	3	10	6	0.056	41	1	2	1.4	<1
312290	2.2	1.60	1	2	0.041	0.010	1	2.72	76	3	5	0.007	14	<1	<1	1.9	<1
312291	<0.4	4.90	3	13	0.205	0.015	<1	3.07	<1	3	4	0.035	76	<1	1	0.7	<1
CG515/LS4	1.7	3.11	84	27	2.81	0.072	1	3.24	8	61	24	0.667	20	14	12	7.9	4
312293	<0.4	3.89	16	10	0.104	0.011	<1	4.14	<1	10	5	0.025	56	1	<1	1.4	<1
312338	<0.4	5.46	15	10	0.179	0.017	<1	3.45	1	13	4	0.026	124	2	2	2.8	<1
312374	<0.4	1.54	30	19	0.635	0.024	5	4.83	1	18	7	0.029	26	4	3	2.5	<1
312375	<0.4	4.97	27	12	0.389	0.018	<1	3.52	<1	13	6	0.068	44	2	1	1.5	<1
312376	1.1	7.24	2	43	1.62	0.059	3	2.60	5	6	13	0.360	57	<1	8	2.2	<1
312378	<0.4	0.802	8	19	0.572	0.024	<1	5.06	1	6	5	0.029	35	<1	3	0.8	<1
312379	<0.4	4.90	3	23	0.416	0.019	136	3.36	1	4	5	0.040	70	<1	1	0.8	<1
312380	<0.4	1.60	10	41	1.75	0.058	3	2.25	11	9	27	0.056	42	<1	6	1.6	<1
312382	<0.4	1.04	7	21	0.561	0.020	18	6.66	1	5	4	0.032	101	<1	1	0.7	<1
312383	1.0	2.24	32	49	1.93	0.070	15	4.65	10	21	14	0.177	40	4	5	2.7	<1
312384	1.6	3.74	54	78	3.64	0.130	8	2.81	20	31	52	0.284	90	6	9	4.7	<1
312385	0.4	0.941	<1	13	0.676	0.025	108	2.08	5	3	10	0.030	89	<1	1	1.0	<1
312386	0.7	4.60	19	12	0.158	0.015	1	3.55	<1	15	5	0.259	76	3	<1	2.6	<1
312387	1.0	5.68	234	25	0.715	0.030	<1	3.40	1	147	6	0.229	123	41	2	19.9	<1
312388	0.5	1.02	8	23	0.786	0.029	<1	4.06	1	5	7	0.073	37	<1	2	0.9	<1
312390	0.8	0.677	90	27	0.283	0.022	2	4.81	3	63	3	0.082	49	15	3	9.6	<1
312391	<0.4	4.37	15	14	0.257	0.016	3	3.73	1	9	3	0.030	42	1	2	1.2	<1
312392	<0.4	0.879	21	31	0.582	0.027	<1	5.22	1	14	4	0.058	36	2	3	1.8	<1
312387 R	0.9	5.60	238	24	0.704	0.030	<1	3.35	1	150	5	0.225	119	41	2	20.3	<1



IOS Services Geoscientifiques Inc.

125 - 15 Innovation Blvd., Saskatoon, Saskatchewan, S7N 2X8

Attention: Rejean Girard

Tel: (306) 933-8118 Fax: (306) 933-5656 Email: geolab@src.sk.ca

PO #/Project: PO# 306436

Date of Report: February 05, 2008

Samples: 111

ICPI Total Digestion

Sample Number	Ho ppm	K2O wt %	La ppm	Li ppm	MgO wt %	MnO wt %	Mo ppm	Na2O wt %	Nb ppm	Nd ppm	Ni ppm	P2O5 wt %	Pb ppm	Pr ppm	Sc ppm	Sm ppm	Sn ppm
CG515/LS4	1.8	2.98	83	27	2.82	0.072	1	3.20	8	63	23	0.690	20	14	12	7.8	2
312393	<0.4	5.04	7	17	0.263	0.016	<1	3.18	<1	6	3	0.040	60	<1	1	1.2	<1
312394	<0.4	7.64	7	5	0.108	0.007	33	2.61	<1	2	3	0.072	54	<1	1	<0.5	<1
312396	<0.4	4.81	9	10	0.175	0.015	<1	3.20	1	5	2	0.035	51	<1	1	1.1	<1
312397	<0.4	5.09	2	15	0.299	0.018	21	3.51	3	1	3	0.047	33	<1	2	<0.5	<1
312400	<0.4	8.08	<1	10	0.176	0.014	1	2.08	<1	1	2	0.040	45	<1	1	<0.5	<1
312417	0.9	1.76	2	57	1.72	0.062	7	3.08	4	4	24	0.066	92	<1	4	1.1	<1
312418	0.5	1.06	<1	28	0.393	0.018	37	1.85	4	1	5	0.014	42	<1	2	<0.5	<1
312420	0.9	2.51	7	46	1.01	0.042	<1	4.53	5	6	7	0.096	29	<1	4	1.1	<1
312421	1.0	1.02	15	37	0.722	0.031	<1	5.00	5	12	7	0.090	27	1	3	2.1	<1
312422	<0.4	5.44	2	10	0.127	0.007	1	2.78	<1	1	3	0.025	23	<1	<1	<0.5	<1
312424	5.5	6.35	2	86	3.31	0.156	<1	0.50	199	9	7	0.088	85	<1	53	3.4	5
312426	<0.4	0.546	1	11	0.487	0.012	68	5.05	<1	1	10	0.020	72	<1	1	<0.5	<1
312427	<0.4	4.43	1	8	0.262	0.011	1	3.11	<1	<1	4	0.029	26	<1	<1	<0.5	<1
312428	0.6	4.36	25	26	0.871	0.040	<1	3.56	4	17	5	0.119	39	3	4	2.2	<1
312429	<0.4	5.10	2	32	0.840	0.035	1	2.10	2	2	12	0.087	34	<1	3	<0.5	<1
312430	0.4	0.434	10	12	0.730	0.033	<1	1.66	<1	7	9	0.055	8	<1	3	1.5	<1
312431	1.0	1.46	8	45	1.29	0.052	3	3.21	15	9	24	0.036	162	<1	10	2.2	<1
312432	0.7	1.29	9	42	1.10	0.052	1	3.04	23	8	19	0.032	39	<1	11	1.5	<1
312434	<0.4	2.61	9	12	0.232	0.012	2	3.97	3	7	7	0.022	39	<1	1	1.3	<1
CG515/LS4	1.5	2.94	81	27	2.74	0.071	1	3.19	8	61	22	0.674	20	14	12	7.9	4
312436	<0.4	3.04	6	16	0.288	0.017	<1	3.77	3	4	3	0.024	34	<1	2	<0.5	<1
312438	<0.4	5.75	16	13	0.193	0.017	<1	2.78	<1	11	4	0.037	40	2	1	1.7	<1
312440	<0.4	5.63	5	9	0.144	0.011	<1	2.98	<1	3	3	0.019	43	<1	1	0.5	<1
312443	<0.4	0.941	2	16	0.277	0.027	<1	5.80	1	2	3	0.022	145	<1	2	0.9	<1
312448	<0.4	4.97	7	20	0.173	0.014	5	3.22	<1	6	2	0.035	42	<1	2	1.0	<1
312449	0.4	5.20	14	29	0.259	0.022	1	3.14	1	11	3	0.034	37	1	3	1.9	1
5929179	0.9	2.53	8	19	0.175	0.012	2	4.55	2	9	3	0.092	83	1	2	2.1	<1
5929180	1.2	2.42	23	98	3.44	0.092	1	2.27	16	20	89	0.105	40	1	10	3.5	<1
5929181	<0.4	4.29	3	16	0.318	0.010	4	2.99	<1	2	4	0.015	32	<1	1	<0.5	<1
5929182	<0.4	0.780	20	21	0.345	0.018	<1	5.05	6	16	5	0.021	60	3	2	2.4	<1
5929184	0.5	1.08	1	18	0.360	0.029	9	4.84	5	1	7	0.022	64	<1	3	<0.5	<1
5929187	6.4	1.04	2	4	0.050	0.007	2200	5.71	<1	6	2	0.065	63	1	<1	1.7	<1
5929188	1.0	1.13	7	6	0.094	0.007	16	3.28	1	6	6	0.023	36	<1	1	1.1	<1
5929190	0.6	7.38	<1	40	0.899	0.114	130	1.34	22	1	3	0.079	126	<1	16	<0.5	1
5929750	<0.4	5.05	87	17	0.327	0.017	3	3.46	<1	55	2	0.066	42	15	1	6.3	<1
5929751	<0.4	3.72	79	10	0.188	0.012	134	3.73	<1	51	2	0.096	57	13	1	6.0	<1
5929802	<0.4	7.74	87	11	0.149	0.010	106	3.23	<1	64	1	0.096	88	17	1	8.0	<1
5929803	<0.4	2.37	1	18	0.216	0.021	10	3.74	3	1	3	0.025	44	<1	2	<0.5	<1
5929750 R	<0.4	4.92	88	18	0.324	0.017	1	3.30	<1	56	3	0.069	41	14	1	6.3	<1

*RM*

IOS Services Geoscientifiques Inc.

125 - 15 Innovation Blvd., Saskatoon, Saskatchewan, S7N 2X8

Attention: Rejean Girard

Tel: (306) 933-8118 Fax: (306) 933-5656 Email: geolab@src.sk.ca

PO #/Project: PO# 306436

Date of Report: February 05, 2008

Samples: 111

ICPI Total Digestion

Sample Number	Ho ppm	K2O wt %	La ppm	Li ppm	MgO wt %	MnO wt %	Mo ppm	Na2O wt %	Nb ppm	Nd ppm	Ni ppm	P2O5 wt %	Pb ppm	Pr ppm	Sc ppm	Sm ppm	Sn ppm
CG515/LS4	1.5	2.98	83	26	2.77	0.072	2	3.18	8	64	22	0.682	20	13	12	8.2	3
5929804	<0.4	2.72	2	14	0.288	0.020	3	3.88	3	1	4	0.034	44	<1	2	<0.5	<1
5929806	<0.4	4.06	1	3	0.057	0.005	27	2.89	<1	1	3	0.015	73	<1	<1	<0.5	<1
5929807	<0.4	5.02	1	7	0.098	0.013	6	3.46	2	1	2	0.023	51	<1	1	<0.5	<1
5929808	<0.4	1.31	<1	21	0.276	0.027	57	4.45	7	1	3	0.024	77	<1	5	<0.5	<1
5929809	<0.4	2.46	1	7	0.103	0.013	2	4.07	3	1	4	0.018	32	<1	1	<0.5	<1
5929851	<0.4	3.97	43	16	0.227	0.022	23	3.90	<1	27	3	0.081	50	7	2	3.5	<1
5929853	0.7	3.05	17	66	2.24	0.090	9	3.88	9	15	38	0.232	36	1	10	3.2	<1
5929809 R	<0.4	2.44	2	7	0.102	0.013	2	3.90	2	1	3	0.018	33	<1	1	<0.5	<1
CG515/LS4	1.8	3.22	86	28	2.95	0.081	1	3.37	7	61	21	0.690	19	17	14	8.7	1
312377	2.0	4.96	57	189	4.12	0.150	4	1.94	43	44	51	0.049	89	12	20	7.8	<1
312381	1.5	5.30	3	22	0.986	0.030	450	4.37	<1	7	3	0.356	473	1	1	3.9	<1
312389	2.0	1.69	<1	19	0.356	0.019	475	5.93	<1	6	4	0.034	490	1	1	4.5	<1
312419	1.6	5.60	42	47	1.03	0.041	10	3.37	13	34	8	0.026	202	9	9	6.5	<1
312423	0.4	1.38	<1	9	0.127	0.011	27	4.23	<1	2	2	0.022	61	<1	<1	1.0	<1
312425	0.4	5.30	<1	11	0.279	0.012	6	2.03	1	1	4	0.018	177	<1	<1	1.2	<1
312433	0.7	0.948	18	26	0.665	0.022	2	4.19	2	14	11	0.025	57	4	5	2.8	<1
5929183	0.8	4.44	<1	14	0.248	0.015	24	3.41	1	1	3	0.030	114	<1	3	0.9	<1
5929186	0.7	2.08	1	10	0.234	0.012	2	5.30	<1	2	3	0.085	230	<1	2	1.6	<1
5929191	3.0	7.49	3	90	2.17	0.162	171	0.76	28	11	4	1.16	153	2	18	4.8	<1
5929800	0.5	1.72	37	15	0.210	0.017	12	3.45	2	25	3	0.030	48	7	2	3.4	<1
5929801	0.7	4.40	5	6	0.100	0.038	1	5.23	<1	4	2	0.113	59	1	1	1.7	<1
5929805	0.6	2.38	<1	6	0.118	0.010	6	3.26	<1	1	4	0.070	103	<1	1	0.9	<1
5929850	1.2	0.855	190	31	0.793	0.025	1	7.72	<1	126	25	0.198	52	39	2	16.1	<1
5929852	0.7	3.06	58	18	0.263	0.029	52	3.83	<1	37	3	0.057	103	11	2	5.2	<1
5929850 R	1.1	0.850	185	29	0.761	0.024	2	7.62	<1	125	24	0.193	50	36	2	15.0	<1
CG515/LS4	1.8	3.16	89	27	2.80	0.078	2	3.18	8	59	26	0.691	20	15	13	8.3	<1
5929185	11.8	11.2	5	88	2.02	0.134	896	1.54	25	32	8	1.07	2270	1	16	21.2	<1
5929529	5.5	1.55	9	6	0.034	0.007	18	6.56	3	20	3	0.074	1950	2	<1	14.5	<1
5929529 SR	5.3	1.55	10	5	0.020	0.006	12	6.60	3	20	3	0.070	1900	1	<1	14.2	<1
5929529 SR R	6.0	1.58	11	6	0.030	0.007	12	6.68	3	22	4	0.076	1950	1	<1	15.3	<1

*RM*

ICP1 Total Digestion

Sample Number	Sr ppm	Ta ppm	Tb ppm	Th ppm	TiO2 wt %	U, ICP ppm	V ppm	W ppm	Y ppm	Yb ppm	Zn ppm	Zr ppm
CG515/LS4	1190	<1	<0.3	15	1.13	<2	138	2	21	1.8	92	169
312271	153	<1	<0.3	7	0.878	6	220	<1	21	2.5	257	78
312272	123	1	<0.3	35	0.032	19	11	2	4	0.6	6	161
312274	270	5	0.4	46	0.265	200	46	2	19	2.0	43	83
312275	187	11	2.2	46	0.460	88	62	<1	99	9.8	50	20
312276	118	6	<0.3	53	0.051	50	14	3	11	1.4	17	119
312277	97	<1	<0.3	20	0.021	17	13	2	9	1.5	12	93
312278	253	<1	<0.3	59	0.278	35	32	<1	7	0.8	42	39
312279	118	2	0.4	26	0.677	69	90	<1	16	2.3	100	156
312280	94	4	<0.3	13	0.345	87	12	2	16	3.6	9	2
312281	25	2	<0.3	1	0.005	2	5	1	2	0.4	1	10
312282	285	1	<0.3	33	0.353	50	56	1	6	0.7	51	13
312283	289	<1	<0.3	21	0.358	3	46	<1	7	0.8	61	81
312284	363	<1	<0.3	7	0.228	17	38	<1	6	0.7	40	21
312285	467	<1	4.0	132	0.784	260	91	<1	60	7.3	144	1530
312286	475	<1	<0.3	4	0.112	<2	24	1	12	1.3	35	39
312287	132	<1	1.4	138	0.028	140	12	1	29	2.6	9	17
312289	230	<1	<0.3	24	0.155	14	31	1	8	1.2	37	103
312290	80	100	1.5	19	0.027	77	7	3	89	20.1	4	164
312291	193	<1	<0.3	80	0.094	38	17	1	6	0.8	23	64
CG515/LS4	1180	<1	<0.3	15	1.10	<2	138	<1	21	1.8	91	162
312293	202	<1	<0.3	168	0.061	18	18	2	5	0.5	20	47
312338	138	<1	0.9	280	0.100	177	14	1	22	2.2	22	192
312374	179	<1	<0.3	45	0.234	8	29	1	4	0.3	43	115
312375	379	<1	<0.3	166	0.122	23	27	1	4	0.4	27	206
312376	300	<1	<0.3	73	0.582	18	64	1	15	1.7	93	91
312378	300	<1	<0.3	62	0.188	42	26	1	5	0.6	41	160
312379	227	<1	<0.3	30	0.108	66	24	1	10	1.2	17	24
312380	95	<1	0.4	49	0.389	65	76	<1	7	1.0	77	266
312382	226	<1	<0.3	121	0.144	238	29	1	11	1.7	33	14
312383	317	<1	<0.3	40	0.596	33	90	<1	10	1.0	94	35
312384	194	<1	1.2	159	1.33	158	222	<1	24	3.0	162	543
312385	178	<1	1.6	52	0.216	259	33	<1	13	2.2	43	550
312386	269	<1	0.7	68	0.014	83	12	2	24	3.8	7	448
312387	235	<1	2.0	345	0.212	70	32	1	46	3.5	33	257
312388	313	<1	<0.3	14	0.222	23	29	1	9	1.1	39	100
312390	85	<1	1.1	126	0.139	49	16	1	22	2.0	36	348
312391	209	<1	<0.3	25	0.130	33	19	1	7	0.9	32	84
312392	221	<1	<0.3	100	0.234	21	25	1	5	0.5	48	181
312387 R	226	<1	2.1	341	0.210	67	32	2	46	3.5	33	272



IOS Services Geoscientifiques Inc.

125 - 15 Innovation Blvd., Saskatoon, Saskatchewan, S7N 2X8

Attention: Rejean Girard

Tel: (306) 933-8118 Fax: (306) 933-5656 Email: geolab@src.sk.ca

PO #/Project: PO# 306436

Date of Report: February 05, 2008

Samples: 111

## ICP1 Total Digestion

Sample Number	Sr ppm	Ta ppm	Tb ppm	Th ppm	TiO2 wt %	U, ICP ppm	V ppm	W ppm	Y ppm	Yb ppm	Zn ppm	Zr ppm
CG515/LS4	1180	<1	<0.3	16	1.11	<2	138	1	21	1.8	91	175
312393	185	<1	<0.3	63	0.125	89	17	1	6	0.6	22	61
312394	172	<1	<0.3	32	0.067	13	14	4	3	0.2	11	57
312396	145	<1	<0.3	64	0.096	29	14	1	5	0.6	20	80
312397	135	<1	<0.3	27	0.146	7	16	1	4	0.4	27	80
312400	140	<1	<0.3	29	0.084	14	14	1	5	0.5	18	13
312417	274	<1	0.4	26	0.452	181	73	<1	9	1.4	81	159
312418	88	2	<0.3	17	0.156	95	21	1	7	1.2	22	60
312420	303	<1	<0.3	22	0.388	11	38	1	9	1.1	62	177
312421	312	<1	<0.3	18	0.283	19	36	<1	15	1.6	54	132
312422	244	<1	<0.3	16	0.048	14	12	3	2	0.2	16	54
312424	34	29	8.5	262	1.48	349	196	<1	141	54.2	245	3960
312426	280	<1	<0.3	25	0.038	81	19	2	8	1.2	15	67
312427	179	<1	<0.3	24	0.089	14	18	2	2	0.3	14	57
312428	324	3	<0.3	29	0.296	9	36	<1	8	0.9	54	193
312429	226	<1	<0.3	6	0.275	<2	37	1	3	0.4	49	32
312430	150	4	<0.3	5	0.103	<2	26	1	13	1.4	27	32
312431	60	<1	1.2	77	0.331	142	56	<1	17	2.8	117	538
312432	61	4	<0.3	32	0.347	34	47	1	9	1.3	82	216
312434	86	3	<0.3	24	0.056	18	14	2	7	0.8	15	69
CG515/LS4	1170	2	<0.3	14	1.09	<2	134	1	20	1.8	91	170
312436	155	3	<0.3	32	0.149	5	16	2	5	0.7	25	122
312438	185	3	<0.3	49	0.108	3	22	1	5	0.6	23	75
312440	207	2	<0.3	66	0.074	10	17	1	2	0.3	19	99
312443	177	1	<0.3	207	0.125	78	18	3	15	1.8	28	171
312448	91	6	<0.3	44	0.091	11	12	1	4	0.4	29	147
312449	101	15	<0.3	30	0.165	11	13	2	5	0.3	35	72
5929179	107	13	0.6	65	0.075	142	13	3	26	2.6	15	91
5929180	101	12	0.4	64	0.861	66	95	<1	10	1.3	111	275
5929181	164	15	<0.3	29	0.059	12	16	3	4	0.6	11	152
5929182	127	16	<0.3	59	0.095	111	19	3	11	1.9	21	236
5929184	177	14	0.5	83	0.184	57	22	2	10	2.4	31	654
5929187	102	1	2.3	84	0.021	57	10	3	204	27.9	7	63
5929188	48	<1	0.4	36	0.037	42	11	<1	32	5.0	13	233
5929190	92	<1	<0.3	65	0.572	46	38	<1	6	0.6	44	53
5929750	187	<1	0.6	285	0.117	33	22	1	8	0.7	27	435
5929751	173	<1	0.6	358	0.100	31	15	1	10	1.0	21	391
5929802	149	1	1.4	162	0.072	332	13	2	15	1.2	17	305
5929803	142	<1	<0.3	68	0.107	34	16	2	7	1.0	25	167
5929750 R	191	<1	0.4	275	0.115	34	21	1	8	0.7	25	430

ICP1 Total Digestion

Sample Number	Sr ppm	Ta ppm	Tb ppm	Th ppm	TiO2 wt %	U, ICP ppm	V ppm	W ppm	Y ppm	Yb ppm	Zn ppm	Zr ppm
CG515/LS4	1140	<1	<0.3	15	1.09	<2	135	<1	21	1.8	89	173
5929804	161	<1	<0.3	32	0.134	26	20	1	5	0.6	21	98
5929806	118	<1	<0.3	54	0.014	50	9	3	6	0.9	6	123
5929807	156	1	<0.3	35	0.064	184	13	2	5	0.8	12	101
5929808	131	<1	<0.3	83	0.158	74	24	<1	4	0.7	20	78
5929809	115	<1	<0.3	14	0.056	10	12	1	7	1.2	11	23
5929851	156	<1	0.4	182	0.145	15	24	1	8	0.8	29	517
5929853	154	<1	0.4	208	0.594	27	59	<1	19	1.7	128	312
5929809 R	118	<1	<0.3	13	0.056	9	12	1	7	1.1	11	27
CG515/LS4	1210	<1	<0.3	12	1.15	4	141	<1	22	2.2	92	178
312377	93	1	<0.3	228	1.74	221	170	<1	19	3.1	229	684
312381	364	<1	<0.3	160	0.216	880	23	<1	38	5.3	54	5
312389	191	<1	<0.3	258	0.056	1450	6	<1	44	8.7	17	736
312419	139	<1	<0.3	422	0.344	650	35	<1	28	4.9	99	1060
312423	209	<1	<0.3	48	0.037	90	5	<1	15	2.7	15	266
312425	143	<1	<0.3	68	0.068	500	9	<1	12	2.5	24	100
312433	89	<1	<0.3	67	0.110	97	27	<1	14	2.2	21	198
5929183	176	<1	<0.3	172	0.110	170	11	<1	16	3.1	30	493
5929186	183	<1	<0.3	254	0.088	440	7	<1	18	2.4	16	60
5929191	77	<1	<0.3	204	1.13	485	77	<1	70	6.4	197	9
5929800	128	<1	0.8	297	0.096	67	14	<1	8	1.3	27	529
5929801	209	<1	0.8	211	0.200	75	38	<1	12	2.0	48	868
5929805	131	<1	<0.3	228	0.055	190	4	<1	16	3.2	8	455
5929850	339	<1	1.8	385	0.184	33	33	<1	17	1.4	31	451
5929852	135	<1	0.6	381	0.113	130	5	<1	15	1.4	29	249
5929850 R	330	<1	1.8	377	0.180	30	33	<1	15	1.4	29	460
CG515/LS4	1180	<1	<0.3	12	1.14	3	132	<1	22	2.0	85	164
5929185	183	<1	<0.3	873	1.08	6190	117	<1	239	24.8	152	29
5929529	199	<1	<0.3	563	0.017	4700	10	<1	104	12.4	7	61
5929529 SR	203	<1	<0.3	577	0.016	4660	8	<1	111	11.7	7	71
5929529 SR R	207	<1	<0.3	591	0.016	4760	9	<1	113	13.0	7	69

Total Digestion: A 0.125 g pulp is gently heated in a mixture of HF/HNO3/HClO4 until dry and the residue is dissolved in dilute HNO3. The standard is CG515.



Report No: 07-1673

## SRC Geoanalytical Laboratories

125 - 15 Innovation Blvd.  
Saskatoon, Saskatchewan  
S7N 2X8

February 07, 2008

Phone: (306) 933-8118  
Fax: (306) 933-5656

**IOS Services Geoscientifiques Inc.**  
1319 St-Paul Boulevard  
Saguenay (Chicoutimi), QC G7J 3Y2  
Attn: Rejean Girard

Test reports are the property of the customers. Publications of statements, conclusions or extracts from these reports are not permitted without prior written permission from the customer.

This document constitutes the **final official test report**. Liability for the SRC Geoanalytical Laboratories', if any, will be limited to the cost of analysis for samples in this test report. The results contained in this test report relate only to the items tested. It is the customer's responsibility to ensure that all interpretation of analysis is done using the data from this report.

The customer will not use the name of the Saskatchewan Research Council in connection with the sale, offer, advertisement or the promotion of any article, product, or company without the prior written consent of the SRC.

Results Reviewed and Approved by:

Robert Millar  
Assistant Research Scientist



IOS Services Geoscientifiques Inc.

125 - 15 Innovation Blvd., Saskatoon, Saskatchewan, S7N 2X8

Attention: Rejean Girard

Tel: (306) 933-8118 Fax: (306) 933-5656 Email: geolab@src.sk.ca

PO #/Project: PO# 306436

Samples: 117

Date of Report: February 07, 2008

## TEST REPORT

Method U3O8

## Column Header Details

## U3O8 Assay by ICP in wt % (U3O8)

Sample Number	U3O8 wt %
BL4A	0.150
312389	0.175
312389 R	0.174
BL3	1.21
5929185	0.669
5929529	0.534
5929529 R	0.527

Uranium Assay: A 1.00 g pulp is digested with 24 ml of 3:1 HCl:HNO3 for 1 hour at 95 C.



Saskatchewan  
Research Council

125-15 Innovation Boulevard, Saskatoon, SK Canada S7N 2X8 • Ph: 306-933-5400 Fax: 306-933-7446  
Also located at: 220-6 Research Drive, Regina, SK Canada S4S 7J7 • Ph: 306-787-9400 Fax: 306-787-8811

Web: [www.src.sk.ca](http://www.src.sk.ca)  
Email: [info@src.sk.ca](mailto:info@src.sk.ca)

Report No: 07-1719

## SRC Geoanalytical Laboratories

125 - 15 Innovation Blvd.  
Saskatoon, Saskatchewan  
S7N 2X8

February 05, 2008

Phone: (306) 933-8118  
Fax: (306) 933-5656

**IOS Services Geoscientifiques Inc.**  
1319 St-Paul Boulevard  
Saguenay (Chicoutimi), QC G7J 3Y2  
Attn: Rejean Girard

Test reports are the property of the customers. Publications of statements, conclusions or extracts from these reports are not permitted without prior written permission from the customer.

This document constitutes the **final official test report**. Liability for the SRC Geoanalytical Laboratories', if any, will be limited to the cost of analysis for samples in this test report. The results contained in this test report relate only to the items tested. It is the customer's responsibility to ensure that all interpretation of analysis is done using the data from this report.

The customer will not use the name of the Saskatchewan Research Council in connection with the sale, offer, advertisement or the promotion of any article, product, or company without the prior written consent of the SRC.

Results Reviewed and Approved by:

Robert Millar  
Assistant Research Scientist

IOS Services Geoscientifiques Inc.

Attention: Rejean Girard

PO #/Project: 306440

Samples: 86

125 - 15 Innovation Blvd., Saskatoon, Saskatchewan, S7N 2X8

Tel: (306) 933-8118 Fax: (306) 933-5656 Email: geolab@src.sk.ca

Date of Report: February 05, 2008

## ICP4.3 Aqua Regia Digestion

## Column Header Details

Silver in ppm (Ag)  
Arsenic in ppm (As)  
Bismuth in ppm (Bi)  
Cobalt in ppm (Co)  
Copper in ppm (Cu)

Germanium in ppm (Ge)  
Mercury in ppm (Hg)  
Molybdenum in ppm (Mo)  
Nickel in ppm (Ni)  
Lead in ppm (Pb)

Antimony in ppm (Sb)  
Selenium in ppm (Se)  
Tellurium in ppm (Te)  
Uranium in ppm (U, ICP)  
Vanadium in ppm (V)

Zinc in ppm (Zn)



IOS Services Geoscientifiques Inc.

125 - 15 Innovation Blvd., Saskatoon, Saskatchewan, S7N 2X8

Attention: Rejean Girard

Tel: (306) 933-8118 Fax: (306) 933-5656 Email: geolab@src.sk.ca

PO #/Project: 306440

Date of Report: February 05, 2008

Samples: 86

## ICP4.3 Aqua Regia Digestion

Sample Number	Ag ppm	As ppm	Bi ppm	Co ppm	Cu ppm	Ge ppm	Hg ppm	Mo ppm	Ni ppm	Pb ppm	Sb ppm	Se ppm	Te ppm	U, ICP ppm	V ppm	Zn ppm
CG515/LS4	<0.1	13.4	1.9	38.0	49.4	<0.2	<0.2	12.9	49.0	23.1	<1	<0.2	<0.2	30.7	102	200
5921000	<0.1	1.7	<0.2	5.4	0.8	0.8	<0.2	29.1	10.9	84.4	<1	<0.2	<0.2	140	38.6	74.5
5921001	<0.1	2.0	<0.2	3.0	1.1	0.3	<0.2	39.1	7.3	49.2	<1	<0.2	<0.2	80.2	18.7	42.7
5921002	<0.1	0.9	<0.2	1.7	2.1	<0.2	<0.2	41.6	6.3	16.8	<1	0.4	<0.2	70.3	4.8	38.8
5921003	<0.1	1.4	<0.2	2.6	2.6	0.4	<0.2	26.6	4.1	15.0	<1	<0.2	<0.2	21.2	6.9	17.4
5921004	0.7	2.0	1.9	21.2	53.4	3.1	<0.2	26.1	133	9.10	<1	0.5	<0.2	15.7	64.4	19.8
5921005	1.1	4.1	4.3	47.5	178	8.4	<0.2	58.3	326	8.93	<1	<0.2	<0.2	13.0	374	124
5921006	0.2	3.3	1.5	24.9	111	4.1	<0.2	21.0	154	11.5	<1	<0.2	<0.2	18.8	255	94.7
5921007	0.2	1.8	0.3	28.5	27.4	1.6	<0.2	5.4	37.1	6.04	<1	<0.2	<0.2	10.1	65.2	123
5921008	0.2	1.8	0.4	14.6	16.3	2.2	<0.2	3.3	29.2	3.13	<1	<0.2	<0.2	1.1	58.6	103
5921009	0.2	3.5	2.2	24.7	125	4.2	<0.2	46.3	174	6.23	<1	0.7	<0.2	8.9	255	164
5921010	0.8	2.9	<0.2	11.0	87.2	1.8	<0.2	18.0	44.8	7.05	<1	<0.2	<0.2	3.0	134	49.2
5921011	0.8	4.1	1.4	17.4	52.1	3.4	<0.2	20.2	94.0	7.18	<1	<0.2	<0.2	5.4	296	149
5921624	<0.1	0.5	0.7	0.4	2.5	<0.2	<0.2	1.1	4.5	<0.02	<1	1.0	<0.2	2.2	1.2	3.3
5921625	<0.1	29.8	21.3	75.7	84.1	<0.2	<0.2	8.4	47.0	1160	<1	1.0	<0.2	2460	5.8	175
5921626	<0.1	1.0	0.9	0.8	3.9	<0.2	<0.2	1.2	5.9	5.69	<1	0.8	<0.2	14.1	0.8	4.6
5921627	0.3	2.1	<0.2	10.1	42.8	1.1	<0.2	2.3	22.3	11.6	<1	<0.2	<0.2	11.6	72.1	104
5921628	<0.1	1.2	<0.2	6.2	29.7	0.5	<0.2	57.4	16.4	66.9	<1	<0.2	<0.2	110	48.0	50.1
5921630	<0.1	2.1	<0.2	5.9	2.6	0.5	<0.2	54.9	5.1	75.0	<1	<0.2	<0.2	130	40.1	72.7
5921631	<0.1	1.5	<0.2	9.2	33.0	0.6	<0.2	48.8	14.0	102	<1	<0.2	<0.2	210	34.3	57.3
CG515/LS4	<0.1	13.5	1.1	37.6	49.1	<0.2	<0.2	13.2	48.2	23.2	<1	<0.2	<0.2	30.5	97.6	197
5921632	<0.1	0.8	<0.2	2.4	9.9	0.2	<0.2	29.5	6.9	48.5	<1	<0.2	<0.2	92.5	6.4	14.3
5921633	<0.1	1.2	<0.2	6.2	13.0	0.6	<0.2	75.6	9.7	55.6	<1	<0.2	<0.2	107	37.9	58.3
5921634	<0.1	1.6	<0.2	5.5	8.5	0.6	<0.2	79.1	8.6	99.5	<1	<0.2	<0.2	210	43.7	64.0
5921635	0.4	2.7	<0.2	9.6	52.2	0.9	<0.2	5.6	24.5	9.53	<1	<0.2	<0.2	2.3	44.3	72.8
5921636	0.4	1.4	<0.2	11.4	109	1.0	<0.2	21.4	44.7	16.7	<1	<0.2	<0.2	16.6	126	91.5
5921637	1.7	6.8	<0.2	24.6	105	<0.2	<0.2	38.2	177	2130	<1	<0.2	5.6	9870	745	43.9
5921638	0.2	4.1	2.2	33.8	115	5.3	<0.2	48.1	208	10.6	<1	<0.2	<0.2	11.1	279	106
5921639	0.2	1.1	<0.2	7.4	6.3	0.7	<0.2	13.9	14.4	25.9	<1	<0.2	<0.2	51.1	29.3	65.7
5921642	0.2	1.6	<0.2	10.2	12.9	1.1	<0.2	11.4	28.9	52.2	<1	<0.2	<0.2	45.1	45.0	93.8
5921643	0.8	3.4	3.4	27.7	110	5.2	<0.2	57.4	180	13.3	<1	<0.2	<0.2	12.8	287	122
5921950	<0.1	1.0	<0.2	2.2	3.0	<0.2	<0.2	22.9	3.5	40.6	<1	<0.2	<0.2	30.6	13.4	26.6
5921951	<0.1	1.3	<0.2	2.7	1.4	<0.2	<0.2	23.8	3.3	69.0	<1	<0.2	<0.2	71.6	16.7	32.1
5921952	<0.1	0.6	<0.2	1.4	1.0	0.3	<0.2	35.7	3.2	61.9	<1	<0.2	<0.2	110	7.4	16.2
5921953	<0.1	1.1	<0.2	1.6	0.8	<0.2	<0.2	28.6	3.0	40.4	<1	<0.2	<0.2	67.7	8.9	22.5
5921954	<0.1	1.0	<0.2	5.6	21.5	0.5	<0.2	70.3	14.4	46.9	<1	<0.2	<0.2	81.6	43.1	43.8
5921955	0.3	0.9	<0.2	9.4	53.8	1.4	<0.2	8.1	46.9	11.6	<1	<0.2	0.8	10.0	148	82.5
5921956	0.3	1.5	0.4	11.5	57.4	1.3	<0.2	9.4	47.8	11.5	<1	<0.2	1.1	12.0	132	74.4
5921957	<0.1	0.2	<0.2	3.9	4.8	0.4	<0.2	30.8	6.0	90.8	<1	<0.2	<0.2	151	26.1	45.0
5921953 R	<0.1	0.7	<0.2	1.7	0.9	0.2	<0.2	27.7	3.2	40.8	<1	<0.2	<0.2	68.5	8.9	20.6

ICP4.3 Aqua Regia Digestion

Sample Number	Ag ppm	As ppm	Bi ppm	Co ppm	Cu ppm	Ge ppm	Hg ppm	Mo ppm	Ni ppm	Pb ppm	Sb ppm	Se ppm	Te ppm	U, ICP ppm	V ppm	Zn ppm
CG515/LS4	<0.1	12.8	1.4	37.4	46.5	<0.2	<0.2	11.5	48.3	23.9	<1	<0.2	<0.2	35.3	99.9	196
5921958	<0.1	<0.2	1.8	6.6	42.5	<0.2	<0.2	31.4	26.0	31.3	3.0	<0.2	<0.2	78.3	65.6	66.7
5921959	<0.1	<0.2	3.5	8.2	30.7	<0.2	<0.2	7.1	37.6	8.55	5.8	<0.2	<0.2	8.2	106	87.6
5921960	<0.1	<0.2	2.0	5.0	19.9	<0.2	<0.2	8.1	21.0	23.3	2.3	<0.2	<0.2	43.7	39.5	49.2
59219691	<0.1	<0.2	3.0	18.3	34.4	<0.2	<0.2	2.3	31.4	7.77	4.6	<0.2	<0.2	8.7	52.6	98.3
5921962	<0.1	<0.2	3.5	15.3	28.3	<0.2	<0.2	4.4	30.7	6.78	5.0	<0.2	<0.2	6.4	89.7	108
5921963	1.2	<0.2	1.6	38.9	204	<0.2	<0.2	22.4	122	13.2	<1	<0.2	<0.2	17.3	160	69.7
5921964	1.1	<0.2	0.6	44.0	327	<0.2	<0.2	22.9	186	11.4	<1	<0.2	<0.2	24.4	256	85.1
5921965	<0.1	<0.2	1.0	9.2	22.9	<0.2	<0.2	10.8	28.6	33.9	<1	<0.2	<0.2	97.7	48.3	49.2
5921966	0.1	<0.2	1.1	14.8	42.7	<0.2	<0.2	17.1	61.1	38.0	<1	<0.2	<0.2	118	122	53.0
5921967	0.1	<0.2	0.9	13.7	48.6	<0.2	<0.2	6.0	54.9	8.51	<1	<0.2	<0.2	7.4	53.9	45.0
5921969	<0.1	0.6	0.6	1.7	3.1	<0.2	<0.2	10.1	2.8	29.4	<1	<0.2	<0.2	61.2	10.1	33.6
5921970	<0.1	0.6	1.5	2.5	6.7	<0.2	<0.2	9.9	4.6	36.8	2.1	<0.2	<0.2	87.4	19.9	59.6
5921971	<0.1	0.5	0.5	1.5	3.5	<0.2	<0.2	30.1	2.2	33.3	<1	<0.2	<0.2	63.1	5.4	23.5
5921972	<0.1	<0.2	0.5	2.8	3.0	<0.2	<0.2	84.4	4.1	81.1	1.4	<0.2	<0.2	190	11.7	36.9
5921973	0.1	0.2	<0.2	5.4	12.6	<0.2	<0.2	17.5	16.1	59.1	<1	<0.2	<0.2	190	12.4	13.6
5921974	0.8	<0.2	<0.2	43.6	203	<0.2	<0.2	20.9	215	12.2	<1	<0.2	<0.2	20.4	226	75.5
5921975	0.3	<0.2	<0.2	16.1	67.3	<0.2	<0.2	3.4	67.9	10.3	<1	<0.2	<0.2	4.1	39.4	40.5
5921976	1.2	<0.2	<0.2	64.1	241	<0.2	<0.2	70.6	310	13.0	<1	<0.2	<0.2	19.1	337	36.6
5921977	2.2	<0.2	<0.2	94.8	407	<0.2	<0.2	109	460	18.7	<1	<0.2	<0.2	28.2	331	28.9
CG515/LS4	<0.1	13.5	1.4	41.0	50.4	<0.2	<0.2	12.0	51.9	24.6	<1	<0.2	<0.2	37.2	106	216
5921978	<0.1	<0.2	1.8	11.0	30.9	<0.2	<0.2	4.6	49.4	7.39	<1	<0.2	<0.2	5.6	46.2	49.5
5921979	<0.1	<0.2	2.0	24.0	141	<0.2	<0.2	56.0	129	28.6	<1	<0.2	<0.2	90.1	252	105
5921980	<0.1	<0.2	1.7	17.4	75.5	<0.2	<0.2	25.5	107	21.0	<1	<0.2	<0.2	40.1	231	262
5921981	<0.1	<0.2	1.5	12.7	104	<0.2	<0.2	27.4	86.6	40.4	<1	4.0	<0.2	118	191	463
5921982	0.2	<0.2	2.3	11.0	141	<0.2	<0.2	9.4	66.1	7.44	<1	<0.2	<0.2	6.0	68.4	75.9
5921983	<0.1	0.8	1.8	5.2	8.0	<0.2	<0.2	18.2	4.4	43.4	2.2	<0.2	<0.2	27.0	19.0	52.4
5921984	<0.1	0.8	2.3	3.1	3.2	<0.2	<0.2	12.2	3.6	14.8	3.7	<0.2	<0.2	16.9	24.6	70.8
5921985	<0.1	<0.2	2.0	12.6	89.0	<0.2	<0.2	25.9	116	9.40	1.9	1.2	<0.2	9.0	206	115
5921986	<0.1	1.2	2.4	5.8	21.6	<0.2	<0.2	12.9	28.2	9.82	3.6	<0.2	<0.2	5.4	89.8	72.0
5921987	<0.1	1.3	2.7	3.5	2.2	<0.2	<0.2	5.7	3.9	9.32	3.6	<0.2	<0.2	9.0	26.2	54.5
5921988	<0.1	<0.2	3.2	18.4	46.2	<0.2	<0.2	19.6	36.6	28.0	3.5	<0.2	<0.2	67.7	54.7	151
5921989	<0.1	<0.2	2.0	4.6	4.2	<0.2	<0.2	19.0	10.0	24.1	3.8	<0.2	<0.2	92.8	40.3	59.4
5921990	<0.1	<0.2	3.2	6.9	4.6	<0.2	<0.2	9.8	19.6	24.5	5.5	<0.2	<0.2	70.7	51.9	76.2
5921991	<0.1	<0.2	3.1	15.3	27.1	<0.2	<0.2	11.6	42.4	8.81	2.6	<0.2	<0.2	6.2	66.7	61.2
5921992	<0.1	<0.2	1.3	2.9	3.1	<0.2	<0.2	28.2	3.9	42.5	2.7	<0.2	<0.2	96.5	21.4	49.0
5921993	<0.1	<0.2	2.6	6.1	12.3	<0.2	<0.2	13.9	15.8	31.7	2.6	<0.2	<0.2	49.0	39.0	81.8
5921994	<0.1	0.8	1.6	3.5	2.4	<0.2	<0.2	6.8	2.8	22.3	2.9	<0.2	<0.2	21.3	21.2	55.2
5921995	<0.1	1.5	1.2	3.9	3.0	<0.2	<0.2	16.2	3.2	37.3	3.1	<0.2	<0.2	40.1	22.3	71.9
5921992 R	<0.1	0.3	1.5	2.6	3.1	<0.2	<0.2	27.7	3.6	41.7	2.7	<0.2	<0.2	93.8	21.5	48.8

IOS Services Geoscientifiques Inc.

Attention: Rejean Girard

PO #/Project: 306440

Samples: 86

SRG Geoscientific Laboratories

125 - 15 Innovation Blvd., Saskatoon, Saskatchewan, S7N 2X8

Tel: (306) 933-8118 Fax: (306) 933-5656 Email: geolab@src.sk.ca

Report No: G-07-1719

Date of Report: February 05, 2008

ICP4.3 Aqua Regia Digestion

Sample Number	Ag ppm	As ppm	Bi ppm	Co ppm	Cu ppm	Ge ppm	Hg ppm	Mo ppm	Ni ppm	Pb ppm	Sb ppm	Se ppm	Te ppm	U, ICP ppm	V ppm	Zn ppm
CG515/LS4	<0.1	11.9	1.6	39.4	48.6	<0.2	<0.2	11.2	47.9	22.3	<1	<0.2	<0.2	32.8	99.5	211
5921996	<0.1	0.7	1.7	2.9	2.0	<0.2	<0.2	13.9	2.9	23.4	2.2	<0.2	<0.2	23.0	18.9	57.3
5921997	<0.1	<0.2	1.1	2.1	2.3	<0.2	<0.2	31.1	2.9	32.0	1.6	<0.2	<0.2	49.8	15.7	43.2
5921998	<0.1	<0.2	<0.2	1.5	3.0	<0.2	<0.2	13.8	3.7	43.7	1.4	<0.2	<0.2	66.4	11.9	31.3
5921999	0.2	0.4	0.8	1.5	1.5	<0.2	<0.2	9.9	3.6	23.4	1.2	<0.2	<0.2	26.3	11.8	32.3
5921997 R	<0.1	0.6	0.8	2.3	2.4	<0.2	<0.2	28.3	3.1	31.7	1.6	<0.2	<0.2	49.0	15.7	42.2

Aqua Regia: A 0.5 g pulp is digested with 2.00 ml of 3:1 HCL:HNO3 for 1 hour at 95 C.  
The standard is LS4.

*Rm*



IOS Services Geoscientifiques Inc.

Attention: Rejean Girard

PO #/Project: 306440

Samples: 6

ORC Geoanalytical Laboratories

125 - 15 Innovation Blvd., Saskatoon, Saskatchewan, S7N 2X8

Tel: (306) 933-8118 Fax: (306) 933-5656 Email: geolab@src.sk.ca

Report No: G-07-1719

Date of Report: February 05, 2008

ICP4.3 Aqua Regia Digestion

Column Header Details

Silver in ppm (Ag)  
Arsenic in ppm (As)  
Bismuth in ppm (Bi)  
Cobalt in ppm (Co)  
Copper in ppm (Cu)

Germanium in ppm (Ge)  
Mercury in ppm (Hg)  
Molybdenum in ppm (Mo)  
Nickel in ppm (Ni)  
Lead in ppm (Pb)

Antimony in ppm (Sb)  
Selenium in ppm (Se)  
Tellurium in ppm (Te)  
Uranium in ppm (U, ICP)  
Vanadium in ppm (V)

Zinc in ppm (Zn)

IOS Services Geoscientifiques Inc.

Attention: Rejean Girard

PO #/Project: 306440

Samples: 6

SRG Geoanalytical Laboratories

125 - 15 Innovation Blvd., Saskatoon, Saskatchewan, S7N 2X8

Tel: (306) 933-8118 Fax: (306) 933-5656 Email: geolab@src.sk.ca

Report No: G-07-1719

Date of Report: February 05, 2008

ICP4.3 Aqua Regia Digestion

Sample Number	Ag ppm	As ppm	Bi ppm	Co ppm	Cu ppm	Ge ppm	Hg ppm	Mo ppm	Ni ppm	Pb ppm	Sb ppm	Se ppm	Te ppm	U, ICP ppm	V ppm	Zn ppm
CG515/LS4	<0.1	11.9	0.8	38.0	47.9	<0.2	<0.2	12.5	48.4	24.0	<1	<0.2	<0.2	40.2	99.1	200
5921629	<0.1	0.6	<0.2	4.6	0.1	0.9	<0.2	79.9	3.8	95.3	<1	<0.2	<0.2	304	34.0	53.0
5921640	<0.1	1.3	<0.2	2.2	0.7	0.4	<0.2	41.4	2.9	79.2	<1	<0.2	<0.2	266	15.2	39.4
5921641	<0.1	1.1	<0.2	7.0	5.9	1.0	<0.2	95.7	17.9	239	<1	<0.2	<0.2	1010	52.4	95.3
5921968	<0.1	0.9	<0.2	4.3	7.7	0.5	<0.2	42.9	12.9	101	<1	<0.2	<0.2	320	10.2	24.9
5921968 R	<0.1	0.7	<0.2	4.3	7.8	0.6	<0.2	44.7	12.7	97.7	<1	<0.2	<0.2	310	9.9	24.0

Aqua Regia: A 0.5 g pulp is digested with 2.00 ml of 3:1 HCL:HNO3 for 1 hour at 95 C.  
The standard is LS4.

IOS Services Geoscientifiques Inc.

Attention: Rejean Girard

PO #/Project: 306440

Samples: 86

RC Analytical Laboratories  
125 - 15 Innovation Blvd., Saskatoon, Saskatchewan, S7N 2X8

Tel: (306) 933-8118 Fax: (306) 933-5656 Email: geolab@src.sk.ca

Report No: G-07-1719

Date of Report: February 05, 2008

### ICP1 Total Digestion

#### Column Header Details

Silver in ppm (Ag)  
Aluminum in wt % (Al<sub>2</sub>O<sub>3</sub>)  
Barium in ppm (Ba)  
Beryllium in ppm (Be)  
Calcium in wt % (CaO)

Cadmium in ppm (Cd)  
Cerium in ppm (Ce)  
Cobalt in ppm (Co)  
Chromium in ppm (Cr)  
Copper in ppm (Cu)

Dysprosium in ppm (Dy)  
Erbium in ppm (Er)  
Europium in ppm (Eu)  
Iron in wt % (Fe<sub>2</sub>O<sub>3</sub>)  
Gallium in ppm (Ga)

Gadolinium in ppm (Gd)  
Hafnium in ppm (Hf)  
Holmium in ppm (Ho)  
Potassium in wt % (K<sub>2</sub>O)  
Lanthanum in ppm (La)

Lithium in ppm (Li)  
Magnesium in wt % (MgO)  
Manganese in wt % (MnO)  
Molybdenum in ppm (Mo)  
Sodium in wt % (Na<sub>2</sub>O)

Niobium in ppm (Nb)  
Neodymium in ppm (Nd)  
Nickel in ppm (Ni)  
Phosphorus in wt % (P<sub>2</sub>O<sub>5</sub>)  
Lead in ppm (Pb)

Praseodymium in ppm (Pr)  
Scandium in ppm (Sc)  
Samarium in ppm (Sm)  
Tin in ppm (Sn)  
Strontium in ppm (Sr)

Tantalum in ppm (Ta)  
Terbium in ppm (Tb)  
Thorium in ppm (Th)  
Titanium in wt % (TiO<sub>2</sub>)  
Uranium in ppm (U, ICP)



IOS Services Geoscientifiques Inc.

Attention: Rejean Girard

PO #/Project: 306440

Samples: 86

RC Analytical Laboratories  
125 - 15 Innovation Blvd., Saskatoon, Saskatchewan, S7N 2X8

Tel: (306) 933-8118 Fax: (306) 933-5656 Email: geolab@src.sk.ca

Report No: G-07-1715

Date of Report: February 05, 2008

ICP1 Total Digestion

Column Header Details

Vanadium in ppm (V)  
Tungsten in ppm (W)  
Yttrium in ppm (Y)  
Ytterbium in ppm (Yb)  
Zinc in ppm (Zn)

Zirconium in ppm (Zr)

IOS Services Geoscientifiques Inc.

125 - 15 Innovation Blvd., Saskatoon, Saskatchewan, S7N 2X8

Report No: G-07-1719

Attention: Rejean Girard

Tel: (306) 933-8118 Fax: (306) 933-5656 Email: geolab@src.sk.ca

PO #/Project: 306440

Date of Report: February 05, 2008

Samples: 86

## ICP1 Total Digestion

Sample Number	Ag ppm	Al2O3 wt %	Ba ppm	Be ppm	CaO wt %	Cd ppm	Ce ppm	Co ppm	Cr ppm	Cu ppm	Dy ppm	Er ppm	Eu ppm	Fe2O3 wt %	Ga ppm	Gd ppm	Hf ppm
CG515/LS4	<0.2	17.4	2390	2.2	4.75	0.9	154	16	114	3	3.7	2.4	2.6	7.08	25	6.4	4.2
5921000	<0.2	13.8	1440	0.3	1.04	0.8	9	4	155	4	1.2	0.3	1.0	2.49	18	1.7	17.3
5921001	<0.2	13.0	1320	0.5	1.12	0.8	10	2	155	3	0.9	<0.2	1.0	1.35	14	1.3	9.1
5921002	<0.2	10.3	1760	<0.2	0.16	0.7	7	<1	184	3	0.9	<0.2	1.0	0.67	9	1.4	5.2
5921003	<0.2	12.3	1300	0.6	1.15	0.8	11	2	161	2	0.5	<0.2	1.0	0.94	12	0.9	1.8
5921004	0.8	11.2	1170	0.8	1.26	0.5	32	22	124	57	0.3	<0.2	1.3	11.1	21	<0.5	2.8
5921005	1.5	7.27	451	1.7	1.19	1.6	47	57	133	184	0.8	1.4	1.6	30.3	34	<0.5	3.4
5921006	<0.2	8.05	1350	1.9	4.47	1.7	59	26	134	115	1.7	1.4	1.4	15.0	20	1.1	3.5
5921007	0.3	12.6	1170	0.8	1.37	1.0	31	25	200	28	0.6	0.4	1.1	6.71	22	0.7	9.9
5921008	<0.2	10.8	681	2.2	3.01	0.8	60	15	164	17	1.8	1.0	1.0	11.4	25	1.5	6.0
5921009	0.2	7.98	607	1.8	0.91	1.9	49	25	180	127	0.9	1.0	1.0	15.0	19	<0.5	3.9
5921010	<0.2	14.0	591	2.2	2.15	0.8	58	10	135	97	1.7	1.0	1.0	6.33	20	2.2	5.3
5921011	<0.2	11.7	1100	1.5	1.61	1.7	50	17	165	52	1.1	0.8	1.0	10.4	21	0.8	5.6
5921624	<0.2	0.08	8	<0.2	<0.01	<0.2	<1	<1	260	2	<0.2	<0.2	<0.2	0.32	<1	0.6	<0.5
5921625	<0.2	4.68	230	0.9	0.10	0.2	1250	77	26	88	47.0	18.0	3.7	6.85	23	66.9	15.8
5921626	<0.2	0.10	9	<0.2	<0.01	<0.2	6	1	254	3	0.3	<0.2	<0.2	0.31	<1	0.9	<0.5
5921627	<0.2	14.1	918	2.0	1.62	0.9	76	8	141	43	2.7	1.2	1.1	4.30	20	4.0	6.5
5921628	<0.2	12.4	1150	1.1	0.94	0.8	29	5	146	32	1.6	0.6	0.9	2.42	15	2.2	6.5
5921630	<0.2	15.8	728	1.3	2.12	1.1	7	3	129	7	1.0	0.3	1.0	2.90	22	1.0	6.4
5921631	<0.2	15.8	143	1.8	3.14	1.1	9	8	150	38	1.4	0.3	0.9	2.95	24	1.5	11.0
CG515/LS4	<0.2	17.9	2420	2.4	4.93	1.0	162	17	121	3	3.7	2.5	2.6	7.35	25	5.8	4.8
5921632	<0.2	12.0	599	1.0	1.78	0.8	6	1	156	11	0.8	<0.2	0.8	0.81	13	1.0	4.4
5921633	<0.2	13.4	595	1.1	1.88	0.9	26	6	152	16	1.0	<0.2	0.9	2.47	19	1.5	8.0
5921634	<0.2	11.6	1270	0.6	0.70	0.7	20	4	125	13	1.5	0.5	0.9	2.78	15	2.1	5.6
5921635	<0.2	12.8	937	1.8	1.80	0.7	64	7	145	55	1.9	0.9	1.0	4.06	17	2.7	5.6
5921636	<0.2	13.6	808	2.7	2.58	0.9	64	14	163	127	2.3	1.4	0.9	5.28	20	2.4	4.6
5921637	<0.2	13.4	335	251	4.28	0.4	66	24	88	115	<0.2	<0.2	1.5	7.63	73	21.5	44.1
5921638	0.2	9.93	1320	1.3	1.70	1.0	62	43	145	129	1.2	1.3	1.2	21.5	27	<0.5	3.0
5921639	<0.2	12.9	1360	0.5	0.93	0.8	33	5	139	7	0.8	0.3	1.0	2.68	16	1.3	8.3
5921642	<0.2	13.1	957	1.3	2.93	1.0	49	10	151	14	1.5	0.8	0.7	4.45	18	1.7	7.9
5921643	1.0	9.45	840	1.9	3.33	1.7	56	30	129	119	1.0	1.2	1.3	18.7	26	<0.5	5.4
5921950	<0.2	11.3	862	0.7	0.75	0.7	3	1	144	5	0.6	<0.2	0.7	1.16	13	0.6	2.1
5921951	<0.2	13.4	859	0.8	1.34	0.9	5	1	140	4	0.8	<0.2	0.8	1.34	16	1.0	12.0
5921952	<0.2	12.8	992	0.7	1.01	0.8	3	1	137	4	0.7	<0.2	0.8	0.72	13	1.0	4.1
5921953	<0.2	14.0	1170	0.8	1.08	0.9	4	2	121	3	0.6	<0.2	0.9	0.88	15	0.9	2.7
5921954	<0.2	14.2	917	1.2	1.51	0.9	19	4	141	21	1.1	0.4	0.9	2.06	17	1.5	4.4
5921955	<0.2	14.1	1090	2.9	2.28	0.9	65	8	128	57	2.7	1.4	1.1	3.84	18	3.6	5.5
5921956	<0.2	14.6	1070	2.2	1.60	0.9	64	9	125	58	2.2	1.2	1.2	4.34	21	3.3	5.1
5921957	<0.2	13.0	1020	0.9	1.41	0.9	9	2	128	9	1.3	0.4	0.9	1.74	16	1.4	7.6
5921953 R	<0.2	14.1	1180	0.8	1.09	0.8	4	1	120	3	0.6	<0.2	0.9	0.84	15	0.8	2.4

ICP1 Total Digestion

Sample Number	Ag ppm	Al2O3 wt %	Ba ppm	Be ppm	CaO wt %	Cd ppm	Ce ppm	Co ppm	Cr ppm	Cu ppm	Dy ppm	Er ppm	Eu ppm	Fe2O3 wt %	Ga ppm	Gd ppm	Hf ppm
CG515/LS4	<0.2	17.3	2120	2.2	4.80	0.9	158	16	119	4	3.3	2.8	2.5	7.09	23	4.8	4.7
5921958	<0.2	13.1	860	1.5	1.66	0.8	39	5	119	47	1.4	0.8	0.9	3.09	16	1.7	5.8
5921959	<0.2	13.4	1230	1.9	1.65	0.7	76	7	152	33	2.2	1.2	1.1	3.96	17	2.9	5.2
5921960	<0.2	11.8	714	1.1	1.77	0.7	46	5	174	21	1.4	0.7	0.9	2.50	15	2.0	10.8
59219691	<0.2	15.1	1170	1.2	1.70	0.9	82	17	157	40	1.7	1.1	1.2	6.14	23	2.1	8.2
5921962	<0.2	15.0	1260	1.1	1.37	0.8	86	15	142	30	1.9	1.0	1.2	5.60	22	2.5	7.1
5921963	1.4	10.0	1200	1.6	1.54	0.8	57	40	135	221	1.1	0.9	1.2	13.7	23	<0.5	5.9
5921964	1.3	8.15	658	1.1	1.20	0.2	47	46	169	344	<0.2	0.6	1.2	21.5	28	<0.5	5.2
5921965	<0.2	9.48	392	1.3	2.18	0.6	65	8	171	24	1.9	0.9	0.7	3.57	14	3.0	6.4
5921966	<0.2	9.95	669	1.5	1.70	0.7	97	14	179	47	2.5	1.0	1.0	6.79	17	3.7	9.3
5921967	<0.2	8.54	1170	1.6	1.72	0.6	45	13	176	50	1.3	0.8	0.8	5.82	13	1.0	3.6
5921969	<0.2	16.4	1420	0.9	1.78	1.1	33	2	110	3	0.9	0.3	1.3	1.00	17	1.9	<0.5
5921970	<0.2	19.7	1120	1.4	2.74	1.3	31	2	91	7	0.9	0.4	1.4	1.96	23	1.4	0.8
5921971	<0.2	14.3	1920	0.3	0.44	0.8	8	2	90	5	0.4	<0.2	1.2	0.96	12	0.6	0.5
5921972	<0.2	13.0	1130	0.6	1.29	0.7	11	2	126	3	0.9	0.3	1.0	1.29	14	1.5	3.0
5921973	0.3	5.74	84	0.4	1.13	0.4	15	5	224	13	1.0	0.2	0.4	1.72	8	1.6	12.0
5921974	1.2	7.99	715	0.7	0.76	0.4	20	42	115	210	<0.2	<0.2	1.0	19.8	26	<0.5	4.0
5921975	0.2	13.0	970	0.8	1.72	1.0	33	15	145	68	0.4	<0.2	1.2	6.82	18	<0.5	4.2
5921976	1.1	9.56	542	1.4	1.15	<0.2	54	75	137	268	<0.2	0.4	1.8	33.2	39	<0.5	4.9
5921977	2.3	4.41	227	1.1	0.59	<0.2	27	116	103	415	<0.2	<0.2	1.6	49.1	48	<0.5	4.2
CG515/LS4	<0.2	18.2	2320	2.3	4.95	0.9	162	16	122	4	3.5	2.7	2.6	7.39	25	5.3	4.4
5921978	<0.2	10.5	1070	0.3	0.76	0.6	16	10	175	33	0.2	<0.2	1.0	4.81	14	<0.5	8.2
5921979	<0.2	9.68	481	1.8	7.32	1.6	52	24	199	142	3.2	2.6	1.3	11.6	18	2.4	4.3
5921980	<0.2	14.2	1040	2.6	5.58	4.9	70	15	142	75	3.2	2.3	1.3	7.68	22	2.9	5.8
5921981	<0.2	11.3	782	2.4	7.67	6.7	61	11	158	108	4.6	3.0	1.3	4.76	16	4.7	5.3
5921982	<0.2	11.1	1070	2.0	9.24	1.4	55	10	97	168	2.2	1.4	1.0	6.33	16	1.9	4.3
5921983	<0.2	13.9	1310	0.4	1.28	0.9	159	3	118	8	2.0	0.8	1.1	2.19	17	4.4	11.4
5921984	<0.2	17.0	1470	0.8	1.78	1.2	117	2	86	3	1.6	0.9	1.3	2.36	21	3.6	8.4
5921985	<0.2	14.1	1040	1.8	1.77	1.3	90	12	140	94	1.8	1.0	1.2	5.40	19	2.8	4.7
5921986	<0.2	15.4	1660	0.9	1.71	1.0	217	6	111	23	3.0	1.5	1.3	3.41	20	5.5	6.6
5921987	<0.2	15.2	1530	0.7	1.68	1.0	243	3	108	2	2.7	1.3	1.2	2.54	20	5.7	8.9
5921988	<0.2	14.2	1030	0.7	1.42	0.9	34	19	142	51	1.1	0.5	1.1	5.96	22	1.2	7.6
5921989	<0.2	12.4	1130	0.6	1.14	0.8	14	4	137	5	0.6	0.3	0.9	2.39	15	1.0	7.2
5921990	<0.2	13.7	1110	0.6	1.43	0.8	21	5	145	5	0.7	0.4	1.1	3.00	18	1.0	8.4
5921991	<0.2	14.0	1280	0.6	1.42	0.8	125	16	124	29	1.9	1.0	1.2	5.55	22	3.0	6.3
5921992	<0.2	13.3	1340	0.5	1.31	1.0	21	2	112	3	0.7	<0.2	1.0	1.70	16	1.2	5.9
5921993	<0.2	16.4	3420	0.8	3.04	1.0	71	4	127	11	2.0	1.0	1.4	2.84	20	3.7	11.4
5921994	<0.2	14.2	1220	0.6	1.73	1.0	175	3	95	5	2.4	0.8	1.1	1.97	19	5.5	9.0
5921995	<0.2	14.2	1240	0.6	1.50	1.0	149	2	109	4	2.2	0.9	1.1	2.12	19	4.8	6.9
5921992 R	<0.2	13.3	1340	0.5	1.28	0.9	21	2	116	3	0.8	<0.2	1.1	1.75	16	1.3	7.2



IOS Services Geoscientifiques Inc.

Attention: Rejean Girard

PO #/Project: 306440

Samples: 86

RC Analy Lab orie  
125 - 15 Innovation Blvd., Saskatoon, Saskatchewan, S7N 2X8  
Tel: (306) 933-8118 Fax: (306) 933-5656 Email: geolab@src.sk.ca

Report No: G-07-1715

Date of Report: February 05, 2008

ICP1 Total Digestion

Sample Number	Ag ppm	Al2O3 wt %	Ba ppm	Be ppm	CaO wt %	Cd ppm	Ce ppm	Co ppm	Cr ppm	Cu ppm	Dy ppm	Er ppm	Eu ppm	Fe2O3 wt %	Ga ppm	Gd ppm	Hf ppm
CG515/LS4	<0.2	17.8	2380	2.3	4.76	0.9	159	16	115	5	3.6	2.5	2.6	7.22	24	5.7	4.7
5921996	<0.2	14.6	1190	0.7	1.58	1.0	80	3	103	3	1.3	0.5	1.0	1.93	18	2.7	7.4
5921997	<0.2	14.9	1470	0.6	1.25	0.9	24	2	107	4	0.8	<0.2	1.1	1.51	16	1.4	4.0
5921998	<0.2	14.1	1070	0.6	1.68	1.0	12	1	136	3	0.8	<0.2	1.0	1.24	16	1.1	10.1
5921999	0.3	13.8	1220	0.6	1.44	0.8	10	2	124	2	0.5	<0.2	1.0	1.19	15	0.7	8.2
5921997 R	<0.2	15.2	1510	0.6	1.27	1.0	25	2	110	3	0.8	<0.2	1.1	1.62	16	1.4	4.1

*TJA*

ICP1 Total Digestion

Sample Number	Ho ppm	K2O wt %	La ppm	Li ppm	MgO wt %	MnO wt %	Mo ppm	Na2O wt %	Nb ppm	Nd ppm	Ni ppm	P2O5 wt %	Pb ppm	Pr ppm	Sc ppm	Sm ppm	Sn ppm
CG515/LS4	1.7	3.00	82	27	2.79	0.072	2	3.12	9	62	25	0.664	17	14	12	8.0	3
5921000	0.7	6.54	6	22	1.00	0.019	28	1.95	7	3	12	0.045	100	<1	8	0.7	<1
5921001	<0.4	5.60	6	15	0.594	0.011	40	2.14	2	3	7	0.039	68	<1	4	<0.5	<1
5921002	<0.4	6.84	3	4	0.202	0.005	42	1.08	<1	3	5	0.034	51	<1	1	0.5	1
5921003	<0.4	5.44	6	7	0.251	0.006	31	2.04	<1	3	4	0.039	44	<1	1	0.6	<1
5921004	<0.4	4.90	19	8	0.368	0.012	34	1.60	<1	14	159	0.102	38	1	2	2.2	<1
5921005	1.0	2.11	27	36	2.47	0.042	77	0.14	1	26	438	0.296	10	2	7	5.1	<1
5921006	0.9	3.20	35	26	4.90	0.065	25	0.42	5	27	191	0.436	14	4	8	4.7	<1
5921007	1.2	4.84	17	24	1.27	0.035	10	1.83	12	12	42	0.076	31	1	9	1.9	<1
5921008	0.9	2.95	34	29	3.75	0.088	3	1.00	3	26	32	0.343	14	4	9	4.4	<1
5921009	0.5	3.08	26	33	2.19	0.031	52	0.39	3	23	197	0.169	10	2	7	3.9	<1
5921010	1.2	3.21	32	54	3.89	0.044	18	1.49	6	22	48	0.109	14	3	8	3.4	<1
5921011	0.7	4.44	30	30	3.44	0.047	22	0.98	9	20	105	0.115	18	2	8	3.2	<1
5921624	<0.4	0.025	<1	4	0.014	0.002	1	<0.01	<1	<1	3	0.005	<1	<1	<1	<0.5	<1
5921625	5.4	1.57	673	13	0.097	0.007	6	0.05	55	428	48	0.222	1200	113	3	66.4	1
5921626	<0.4	0.023	3	6	0.006	0.002	1	<0.01	<1	2	5	0.005	3	<1	<1	<0.5	<1
5921627	1.5	4.29	38	29	1.61	0.041	2	2.99	7	30	25	0.177	35	6	10	4.4	<1
5921628	0.6	5.44	16	16	0.767	0.021	61	2.21	5	12	17	0.072	83	1	5	1.8	<1
5921630	0.4	4.11	4	25	0.874	0.034	57	3.58	11	3	5	0.038	93	<1	7	0.6	<1
5921631	<0.4	1.35	6	19	0.709	0.029	49	4.67	8	4	15	0.038	101	<1	5	0.6	<1
CG515/LS4	1.8	3.07	85	28	2.91	0.074	2	3.19	8	66	26	0.690	17	15	12	8.7	3
5921632	<0.4	3.05	4	6	0.181	0.008	49	2.93	<1	2	7	0.024	58	<1	1	<0.5	<1
5921633	0.4	3.35	14	19	0.712	0.025	79	3.13	8	10	9	0.042	66	1	5	1.4	<1
5921634	<0.4	5.72	10	21	0.878	0.027	85	1.66	9	9	9	0.064	114	<1	6	1.3	<1
5921635	1.2	4.23	34	27	1.50	0.047	5	2.15	6	24	25	0.114	30	5	7	3.5	<1
5921636	0.8	3.59	33	33	2.16	0.044	27	2.39	7	25	48	0.178	36	5	10	4.3	<1
5921637	<0.4	0.700	12	16	2.46	0.072	39	5.41	31	53	195	0.215	2200	10	16	6.8	<1
5921638	<0.4	3.12	35	30	2.23	0.038	48	0.74	3	30	243	0.245	20	5	10	5.7	<1
5921639	<0.4	5.74	19	11	0.723	0.016	14	2.00	5	12	15	0.049	57	1	5	1.7	<1
5921642	1.1	3.05	27	43	3.36	0.033	14	0.98	3	18	34	0.062	54	3	7	2.8	<1
5921643	0.5	2.74	30	24	3.59	0.056	65	0.46	7	26	213	0.248	19	3	7	4.6	<1
5921950	0.4	4.93	3	10	0.322	0.013	23	2.12	3	1	3	0.030	57	<1	2	<0.5	<1
5921951	<0.4	4.64	3	12	0.387	0.017	27	2.92	4	2	4	0.026	79	<1	3	<0.5	<1
5921952	<0.4	5.34	2	7	0.197	0.009	40	2.61	1	1	2	0.023	73	<1	1	<0.5	<1
5921953	<0.4	6.12	3	8	0.245	0.010	30	2.73	2	1	3	0.024	62	<1	1	<0.5	<1
5921954	<0.4	4.93	10	15	0.531	0.020	70	3.05	6	7	17	0.051	63	<1	4	1.1	<1
5921955	1.3	3.43	35	29	1.88	0.037	12	3.08	8	27	52	0.187	28	5	9	4.1	<1
5921956	1.2	5.03	33	27	1.52	0.036	10	2.90	9	26	51	0.125	40	5	10	4.0	<1
5921957	<0.4	4.66	5	15	0.548	0.016	41	2.61	5	4	6	0.038	100	<1	4	0.7	<1
5921953 R	<0.4	6.16	3	8	0.237	0.010	28	2.75	2	2	4	0.027	60	<1	1	<0.5	<1

ICP1 Total Digestion

Sample Number	Ho ppm	K2O wt %	La ppm	Li ppm	MgO wt %	MnO wt %	Mo ppm	Na2O wt %	Nb ppm	Nd ppm	Ni ppm	P2O5 wt %	Pb ppm	Pr ppm	Sc ppm	Sm ppm	Sn ppm
CG515/LS4	1.8	3.00	82	26	2.77	0.071	2	3.10	7	66	22	0.683	17	13	12	8.8	3
5921958	0.6	4.13	20	22	1.15	0.024	33	2.66	5	16	25	0.080	53	2	7	2.5	<1
5921959	1.3	4.15	39	26	1.30	0.036	7	2.72	8	31	36	0.126	37	5	9	4.6	<1
5921960	0.6	2.94	24	15	0.650	0.019	8	2.72	2	18	21	0.072	46	2	4	2.6	<1
59219691	1.5	5.09	44	30	1.71	0.096	3	2.40	8	31	33	0.116	41	5	10	4.4	<1
5921962	1.2	5.56	47	27	1.46	0.050	5	2.54	11	33	31	0.105	46	6	11	4.8	<1
5921963	0.6	2.86	30	14	0.977	0.025	27	1.92	1	26	127	0.163	29	3	8	4.4	<1
5921964	0.5	2.50	26	18	1.48	0.042	46	1.34	<1	24	207	0.199	23	2	9	4.5	<1
5921965	0.4	1.68	34	16	0.978	0.022	11	1.69	4	26	27	0.082	47	4	5	4.0	<1
5921966	0.4	2.01	50	16	0.902	0.023	23	2.20	2	40	64	0.107	50	7	7	6.1	<1
5921967	<0.4	1.67	23	13	0.633	0.017	6	1.77	<1	19	54	0.103	18	2	4	3.1	<1
5921969	<0.4	6.78	19	11	0.409	0.011	10	2.88	<1	12	3	0.048	74	2	3	1.9	<1
5921970	<0.4	5.86	19	21	0.877	0.022	12	4.21	<1	11	4	0.063	72	1	6	1.8	<1
5921971	<0.4	9.08	5	7	0.286	0.008	32	1.53	<1	3	1	0.043	83	<1	2	<0.5	<1
5921972	<0.4	5.40	7	13	0.430	0.012	87	2.30	1	4	3	0.038	104	<1	3	0.8	<1
5921973	<0.4	0.639	7	5	0.231	0.008	17	1.47	<1	6	15	0.024	60	<1	2	1.3	<1
5921974	<0.4	3.25	12	24	2.32	0.040	26	1.16	<1	12	220	0.187	27	<1	6	2.6	<1
5921975	<0.4	3.86	20	7	0.363	0.013	3	2.86	<1	13	68	0.084	45	1	3	2.1	<1
5921976	<0.4	2.81	29	18	1.23	0.038	104	1.88	<1	30	389	0.278	24	2	12	5.8	<1
5921977	<0.4	0.730	16	10	0.659	0.023	146	0.93	<1	23	590	0.350	25	<1	5	5.4	<1
CG515/LS4	1.7	3.15	84	27	2.88	0.074	2	3.28	8	66	26	0.691	17	14	12	8.6	2
5921978	0.5	4.73	10	12	0.679	0.020	4	1.66	4	6	48	0.059	42	<1	7	1.0	<1
5921979	1.8	0.911	29	11	3.80	0.046	66	0.45	16	27	134	0.945	37	3	11	5.3	<1
5921980	1.5	3.46	40	19	3.42	0.040	28	1.39	11	30	108	0.540	27	5	9	5.0	<1
5921981	1.8	2.83	34	21	4.25	0.047	32	1.53	9	28	88	1.78	47	4	9	5.0	<1
5921982	0.5	3.93	29	14	6.87	0.068	11	0.36	9	24	72	0.141	13	4	8	4.5	<1
5921983	0.5	5.75	89	15	0.564	0.014	23	2.46	5	53	2	0.060	81	13	4	6.0	<1
5921984	0.5	6.29	65	22	0.788	0.022	15	3.24	6	40	2	0.060	62	9	7	4.6	<1
5921985	0.4	4.56	50	23	1.42	0.024	28	2.73	6	33	115	0.112	42	6	7	4.6	<1
5921986	1.0	5.58	120	20	0.930	0.028	14	2.85	8	70	29	0.094	52	18	7	7.9	<1
5921987	1.0	5.28	136	20	0.689	0.021	6	2.99	8	76	4	0.078	54	20	6	7.9	<1
5921988	0.9	5.33	20	40	2.20	0.039	32	2.23	6	14	34	0.134	64	1	8	2.1	<1
5921989	0.6	4.70	10	20	0.731	0.016	17	2.15	8	5	8	0.039	59	<1	6	0.7	<1
5921990	0.8	4.86	13	20	0.896	0.028	12	2.48	10	8	20	0.048	59	<1	8	1.1	<1
5921991	1.1	4.92	70	19	1.11	0.062	13	2.36	6	41	44	0.095	45	9	7	5.0	<1
5921992	<0.4	5.44	13	13	0.536	0.014	26	2.30	5	8	3	0.036	81	<1	5	1.0	<1
5921993	1.2	6.24	36	23	1.30	0.029	14	1.57	12	30	17	0.048	50	6	8	4.6	<1
5921994	0.8	4.84	95	15	0.624	0.021	8	2.69	6	61	3	0.055	51	15	5	7.2	<1
5921995	0.5	5.20	82	16	0.702	0.019	13	2.63	7	52	3	0.053	65	12	5	6.1	<1
5921992 R	<0.4	5.49	12	14	0.558	0.014	29	2.32	6	7	3	0.036	80	<1	5	1.1	<1



IOS Services Geoscientifiques Inc.

Attention: Rejean Girard

PO #/Project: 306440

Samples: 86

125 - 15 Innovation Blvd., Saskatoon, Saskatchewan, S7N 2X8  
Tel: (306) 933-8118 Fax: (306) 933-5656 Email: geolab@src.sk.ca

Report No: G-07-1719

Date of Report: February 05, 2008

ICP1 Total Digestion

Sample Number	Ho ppm	K2O wt %	La ppm	Li ppm	MgO wt %	MnO wt %	Mo ppm	Na2O wt %	Nb ppm	Nd ppm	Ni ppm	P2O5 wt %	Pb ppm	Pr ppm	Sc ppm	Sm ppm	Sn ppm
CG515/LS4	1.9	3.03	86	27	2.88	0.073	1	3.23	8	65	23	0.676	15	14	12	8.2	2
5921996	0.6	5.33	44	15	0.619	0.018	15	2.75	7	28	4	0.044	54	6	5	3.4	<1
5921997	0.4	6.56	14	12	0.552	0.012	41	2.45	4	8	3	0.040	72	1	4	1.2	<1
5921998	<0.4	4.79	8	11	0.434	0.013	18	2.77	3	4	4	0.032	79	<1	3	0.6	<1
5921999	<0.4	5.42	7	11	0.456	0.011	12	2.52	2	3	4	0.035	56	<1	3	<0.5	<1
5921997 R	<0.4	6.75	15	14	0.558	0.013	43	2.54	5	9	3	0.040	74	1	4	1.2	<1

IOS Services Geoscientifiques Inc.

125 - 15 Innovation Blvd., Saskatoon, Saskatchewan, S7N 2X8

Attention: Rejean Girard

Tel: (306) 933-8118 Fax: (306) 933-5656 Email: geolab@src.sk.ca

PO #/Project: 306440

Date of Report: February 05, 2008

Samples: 86

## ICP1 Total Digestion

Sample Number	Sr ppm	Ta ppm	Tb ppm	Th ppm	TiO2 wt %	U, ICP ppm	V ppm	W ppm	Y ppm	Yb ppm	Zn ppm	Zr ppm
CG515/LS4	1170	<1	<0.3	16	1.10	<2	135	1	20	1.8	92	190
5921000	202	<1	0.8	218	0.481	147	51	<1	8	1.1	97	558
5921001	193	<1	<0.3	134	0.221	84	29	<1	5	0.6	52	283
5921002	165	<1	<0.3	91	0.065	73	13	<1	5	0.5	41	167
5921003	186	<1	<0.3	22	0.062	22	16	<1	2	0.2	22	74
5921004	175	<1	<0.3	21	0.110	16	75	<1	7	0.8	26	112
5921005	68	<1	1.4	8	0.312	14	386	<1	23	3.2	184	98
5921006	89	4	0.7	7	0.265	19	330	<1	19	2.5	176	137
5921007	149	3	<0.3	15	0.530	10	68	<1	6	0.8	142	326
5921008	104	<1	0.4	13	0.432	<2	64	<1	16	1.4	158	189
5921009	71	<1	0.5	11	0.256	9	260	<1	13	2.0	190	126
5921010	112	<1	<0.3	14	0.486	4	140	2	11	1.2	59	192
5921011	93	<1	<0.3	13	0.354	5	365	<1	11	1.7	187	169
5921624	2	<1	<0.3	1	0.002	4	1	<1	<1	<0.1	3	1
5921625	22	13	17.2	826	0.530	2600	21	1	163	14.4	180	268
5921626	1	<1	<0.3	4	0.004	13	1	<1	1	<0.1	3	1
5921627	149	<1	<0.3	17	0.500	12	81	<1	13	1.3	117	228
5921628	170	<1	0.4	163	0.270	114	58	<1	8	0.9	59	223
5921630	224	<1	<0.3	199	0.472	138	50	1	6	0.7	89	206
5921631	224	<1	0.7	295	0.373	216	45	1	9	1.1	69	351
CG515/LS4	1210	<1	<0.3	16	1.13	<2	139	<1	21	2.0	92	184
5921632	185	<1	<0.3	146	0.079	97	15	1	4	0.4	19	147
5921633	193	<1	<0.3	163	0.355	110	45	<1	6	0.6	64	255
5921634	162	<1	0.7	237	0.429	220	52	<1	8	0.8	71	178
5921635	146	<1	<0.3	16	0.396	3	51	<1	10	1.0	85	197
5921636	169	3	<0.3	26	0.422	20	142	<1	15	1.9	109	207
5921637	254	<1	33.3	77	0.697	10100	839	1	35	5.1	71	253
5921638	93	<1	1.0	12	0.376	12	315	<1	22	2.8	138	154
5921639	186	<1	<0.3	46	0.312	54	39	<1	5	0.5	69	278
5921642	112	<1	<0.3	34	0.374	49	57	<1	9	1.1	121	247
5921643	102	<1	0.7	14	0.375	12	416	1	17	2.5	190	149
5921950	166	<1	<0.3	95	0.162	30	22	1	3	0.3	31	77
5921951	200	<1	0.3	180	0.207	74	26	1	5	0.7	38	400
5921952	192	<1	<0.3	158	0.104	112	17	2	3	0.4	19	120
5921953	212	<1	<0.3	110	0.123	72	20	1	3	0.3	26	80
5921954	203	<1	<0.3	125	0.250	86	53	1	6	0.6	50	147
5921955	197	<1	<0.3	18	0.389	11	160	<1	15	1.7	94	191
5921956	167	<1	<0.3	19	0.428	12	140	<1	11	1.3	86	156
5921957	192	<1	0.5	278	0.280	158	34	1	8	0.9	50	234
5921953 R	215	<1	<0.3	111	0.122	69	20	1	3	0.3	25	76

IOS Services Geoscientifiques Inc.

125 - 15 Innovation Blvd., Saskatoon, Saskatchewan, S7N 2X8

Attention: Rejean Girard

Tel: (306) 933-8118 Fax: (306) 933-5656 Email: geolab@src.sk.ca

PO #/Project: 306440

Date of Report: February 05, 2008

Samples: 86

ICP1 Total Digestion

Sample Number	Sr ppm	Ta ppm	Tb ppm	Th ppm	TiO2 wt %	U, ICP ppm	V ppm	W ppm	Y ppm	Yb ppm	Zn ppm	Zr ppm
CG515/LS4	1150	<1	<0.3	14	1.09	<2	133	1	20	2.0	83	191
5921958	177	<1	<0.3	78	0.353	80	79	1	9	0.9	73	208
5921959	169	<1	<0.3	16	0.433	8	121	1	12	1.2	95	196
5921960	159	<1	<0.3	47	0.223	45	48	<1	8	1.0	55	364
59219691	164	<1	<0.3	24	0.538	9	69	<1	11	1.0	113	281
5921962	166	<1	<0.3	20	0.568	7	104	<1	11	0.9	120	254
5921963	108	<1	0.7	17	0.272	18	224	<1	14	1.9	81	175
5921964	77	<1	0.8	12	0.287	25	295	<1	12	1.8	94	107
5921965	119	<1	0.5	51	0.276	99	56	<1	10	1.0	53	222
5921966	106	<1	1.1	50	0.236	120	141	<1	14	1.4	63	300
5921967	112	<1	<0.3	10	0.158	7	75	<1	9	1.0	51	125
5921969	243	<1	<0.3	33	0.132	62	22	<1	4	0.2	37	7
5921970	268	<1	<0.3	32	0.275	90	36	1	4	0.3	72	173
5921971	208	<1	<0.3	19	0.113	62	18	1	2	0.2	29	4
5921972	192	<1	<0.3	71	0.192	200	23	1	5	0.4	44	70
5921973	77	<1	1.1	79	0.070	200	18	1	6	0.9	15	389
5921974	70	<1	<0.3	6	0.178	21	224	<1	8	1.2	78	59
5921975	154	<1	<0.3	9	0.112	4	55	<1	5	0.5	46	165
5921976	83	<1	1.3	8	0.269	20	462	<1	15	2.3	48	109
5921977	24	<1	2.0	3	0.134	29	373	<1	15	2.3	37	42
CG515/LS4	1180	<1	<0.3	15	1.14	<2	138	<1	21	1.9	89	165
5921978	130	<1	<0.3	7	0.278	5	60	<1	4	0.6	53	290
5921979	183	<1	0.8	12	0.491	92	502	14	32	4.0	172	103
5921980	171	<1	<0.3	20	0.436	41	309	<1	26	3.0	298	177
5921981	137	<1	0.7	14	0.285	120	278	<1	44	3.8	500	163
5921982	147	<1	<0.3	12	0.438	6	171	<1	16	1.8	170	127
5921983	201	<1	0.3	70	0.265	28	27	<1	8	0.7	58	429
5921984	237	<1	<0.3	60	0.385	17	37	1	7	0.6	83	316
5921985	192	<1	<0.3	22	0.262	10	231	<1	10	1.2	119	149
5921986	223	<1	<0.3	49	0.417	5	118	<1	13	0.9	83	231
5921987	216	<1	<0.3	63	0.432	10	38	<1	10	0.5	66	335
5921988	159	<1	<0.3	45	0.459	70	62	<1	8	0.8	160	233
5921989	164	<1	<0.3	99	0.396	45	46	<1	5	0.6	60	227
5921990	181	<1	<0.3	73	0.489	72	59	1	5	0.7	84	288
5921991	182	<1	<0.3	34	0.440	7	78	<1	10	0.8	71	230
5921992	191	<1	<0.3	92	0.283	98	32	2	4	0.4	57	240
5921993	245	<1	<0.3	78	0.600	50	49	<1	10	0.9	86	404
5921994	217	<1	<0.3	88	0.330	22	33	<1	8	0.4	64	291
5921995	209	<1	<0.3	110	0.354	42	34	1	8	0.4	79	248
5921992 R	194	<1	<0.3	94	0.288	97	33	1	4	0.5	59	245



**IOS Services Geoscientifiques Inc.**  
 Attention: Rejean Girard  
 PO #/Project: 306440  
 Samples: 86

125 - 15 Innovation Blvd., Saskatoon, Saskatchewan, S7N 2X8  
 Tel: (306) 933-8118 Fax: (306) 933-5656 Email: geolab@src.sk.ca

Date of Report: February 05, 2008

**ICP1 Total Digestion**

Sample Number	Sr ppm	Ta ppm	Tb ppm	Th ppm	TiO2 wt %	U, ICP ppm	V ppm	W ppm	Y ppm	Yb ppm	Zn ppm	Zr ppm
CG515/LS4	1200	<1	<0.3	15	1.10	<2	136	<1	20	1.9	89	175
5921996	211	<1	<0.3	69	0.319	25	32	<1	5	0.4	69	255
5921997	225	<1	<0.3	96	0.261	51	29	2	4	0.3	52	131
5921998	213	<1	<0.3	144	0.201	68	25	<1	5	0.6	41	328
5921999	212	<1	<0.3	51	0.211	27	24	1	3	0.4	40	269
5921997 R	232	<1	<0.3	94	0.273	52	30	<1	4	0.3	53	134

Total Digestion: A 0.125 g pulp is gently heated in a mixture of HF/HNO3/HClO4 until dry and the residue is dissolved in dilute HNO3. The standard is CG515.

IOS Services Geoscientifiques Inc.

125 - 15 Innovation Blvd., Saskatoon, Saskatchewan, S7N 2X8

Attention: Rejean Girard

Tel: (306) 933-8118 Fax: (306) 933-5656 Email: geolab@src.sk.ca

PO #/Project: 306440

Samples: 6

Date of Report: February 05, 2008

## ICP1 Total Digestion

## Column Header Details

Silver in ppm (Ag)  
Aluminum in wt % (Al<sub>2</sub>O<sub>3</sub>)  
Barium in ppm (Ba)  
Beryllium in ppm (Be)  
Calcium in wt % (CaO)

Cadmium in ppm (Cd)  
Cerium in ppm (Ce)  
Cobalt in ppm (Co)  
Chromium in ppm (Cr)  
Copper in ppm (Cu)

Dysprosium in ppm (Dy)  
Erbium in ppm (Er)  
Europium in ppm (Eu)  
Iron in wt % (Fe<sub>2</sub>O<sub>3</sub>)  
Gallium in ppm (Ga)

Gadolinium in ppm (Gd)  
Hafnium in ppm (Hf)  
Holmium in ppm (Ho)  
Potassium in wt % (K<sub>2</sub>O)  
Lanthanum in ppm (La)

Lithium in ppm (Li)  
Magnesium in wt % (MgO)  
Manganese in wt % (MnO)  
Molybdenum in ppm (Mo)  
Sodium in wt % (Na<sub>2</sub>O)

Niobium in ppm (Nb)  
Neodymium in ppm (Nd)  
Nickel in ppm (Ni)  
Phosphorus in wt % (P<sub>2</sub>O<sub>5</sub>)  
Lead in ppm (Pb)

Praseodymium in ppm (Pr)  
Scandium in ppm (Sc)  
Samarium in ppm (Sm)  
Tin in ppm (Sn)  
Strontium in ppm (Sr)

Tantalum in ppm (Ta)  
Terbium in ppm (Tb)  
Thorium in ppm (Th)  
Titanium in wt % (TiO<sub>2</sub>)  
Uranium in ppm (U, ICP)

IOS Services Geoscientifiques Inc.

125 - 15 Innovation Blvd., Saskatoon, Saskatchewan, S7N 2X8

Attention: Rejean Girard

Tel: (306) 933-8118 Fax: (306) 933-5656 Email: geolab@src.sk.ca

PO #/Project: 306440

Samples: 6

Date of Report: February 05, 2008

ICP1 Total Digestion

Column Header Details

Vanadium in ppm (V)  
Tungsten in ppm (W)  
Yttrium in ppm (Y)  
Ytterbium in ppm (Yb)  
Zinc in ppm (Zn)

Zirconium in ppm (Zr)

*RM*



IOS Services Geoscientifiques Inc.

Attention: Rejean Girard

PO #/Project: 306440

Samples: 6

125 - 15 Innovation Blvd., Saskatoon, Saskatchewan, S7N 2X8

Tel: (306) 933-8118 Fax: (306) 933-5656 Email: geolab@src.sk.ca

Report No: G-07-1719

Date of Report: February 05, 2008

ICP1 Total Digestion

Sample Number	Ag ppm	Al2O3 wt %	Ba ppm	Be ppm	CaO wt %	Cd ppm	Ce ppm	Co ppm	Cr ppm	Cu ppm	Dy ppm	Er ppm	Eu ppm	Fe2O3 wt %	Ga ppm	Gd ppm	Hf ppm
CG515/LS4	<0.2	17.2	2060	2.0	4.82	0.9	152	16	124	3	3.4	2.3	2.3	7.15	23	5.8	3.9
5921629	0.6	10.3	193	1.0	1.73	0.8	6	4	122	<1	1.6	0.9	0.5	2.43	15	1.1	7.6
5921640	0.5	13.0	1310	0.4	0.92	1.1	69	2	126	<1	1.9	1.0	1.0	1.35	14	2.9	7.6
5921641	2.4	13.0	914	0.5	1.24	1.0	29	7	171	5	4.8	3.0	1.0	4.25	20	4.3	31.1
5921968	<0.2	13.1	906	1.0	1.83	0.9	28	5	120	7	1.7	0.8	1.0	1.64	13	1.8	2.5
5921968 R	0.4	13.5	933	1.0	1.90	1.0	31	4	125	6	1.8	0.8	1.0	1.70	13	2.0	2.1

IOS Services Geoscientifiques Inc.

Attention: Rejean Girard

PO #/Project: 306440

Samples: 6

RC Analy Lab orie  
125 - 15 Innovation Blvd., Saskatoon, Saskatchewan, S7N 2X8  
Tel: (306) 933-8118 Fax: (306) 933-5656 Email: geolab@src.sk.ca

Report No: G-07-1719

Date of Report: February 05, 2008

ICP1 Total Digestion

Sample Number	Ho ppm	K2O wt %	La ppm	Li ppm	MgO wt %	MnO wt %	Mo ppm	Na2O wt %	Nb ppm	Nd ppm	Ni ppm	P2O5 wt %	Pb ppm	Pr ppm	Sc ppm	Sm ppm	Sn ppm
CG515/LS4	1.5	3.03	81	25	2.71	0.074	1	3.16	6	57	20	0.664	16	16	12	7.8	4
5921629	0.5	1.69	4	21	0.744	0.025	81	2.71	9	2	3	0.023	101	<1	6	0.9	<1
5921640	0.6	6.84	35	9	0.499	0.013	42	1.99	2	23	3	0.041	105	6	4	3.4	<1
5921641	1.8	5.08	12	26	1.76	0.031	97	2.02	12	12	17	0.039	284	2	15	3.9	<1
5921968	0.4	4.72	14	7	0.310	0.009	47	2.61	<1	9	11	0.052	111	2	2	2.1	<1
5921968 R	0.4	4.82	16	7	0.295	0.009	49	2.71	<1	10	12	0.055	114	3	2	2.4	<1

*EM*

IOS Services Geoscientifiques Inc.

Attention: Rejean Girard

PO #/Project: 306440

Samples: 6

RC Analy Lab orie  
125 - 15 Innovation Blvd., Saskatoon, Saskatchewan, S7N 2X8  
Tel: (306) 933-8118 Fax: (306) 933-5656 Email: geolab@src.sk.ca

Report No: G-07-1719

Date of Report: February 05, 2008

ICP1 Total Digestion

Sample Number	Sr ppm	Ta ppm	Tb ppm	Th ppm	TiO2 wt %	U, ICP ppm	V ppm	W ppm	Y ppm	Yb ppm	Zn ppm	Zr ppm
CG515/LS4	1130	<1	<0.3	12	1.07	4	128	<1	20	2.0	88	172
5921629	134	<1	<0.3	341	0.399	308	38	<1	9	1.0	62	260
5921640	193	<1	<0.3	94	0.205	270	19	<1	8	0.8	46	267
5921641	164	<1	<0.3	271	0.681	1050	67	<1	25	3.3	113	1040
5921968	190	<1	<0.3	67	0.098	350	11	<1	7	0.7	35	91
5921968 R	196	<1	<0.3	73	0.098	330	12	<1	8	0.7	38	89

Total Digestion: A 0.125 g pulp is gently heated in a mixture of HF/HNO3/HClO4 until dry and the residue is dissolved in dilute HNO3.  
The standard is CG515.

*RM*





Report No: 07-1719

## SRC Geoanalytical Laboratories

125 - 15 Innovation Blvd.  
Saskatoon, Saskatchewan  
S7N 2X8

February 20, 2008

Phone: (306) 933-8118  
Fax: (306) 933-5656

**IOS Services Geoscientifiques Inc.**  
1319 St-Paul Boulevard  
Saguenay (Chicoutimi), QC G7J 3Y2  
Attn: Rejean Girard

Test reports are the property of the customers. Publications of statements, conclusions or extracts from these reports are not permitted without prior written permission from the customer.

This document constitutes the **final official test report**. Liability for the SRC Geoanalytical Laboratories', if any, will be limited to the cost of analysis for samples in this test report. The results contained in this test report relate only to the items tested. It is the customer's responsibility to ensure that all interpretation of analysis is done using the data from this report.

The customer will not use the name of the Saskatchewan Research Council in connection with the sale, offer, advertisement or the promotion of any article, product, or company without the prior written consent of the SRC.

Results Reviewed and Approved by: \_\_\_\_\_

Robert Millar  
Assistant Research Scientist

IOS Services Geoscientifiques Inc.

Attention: Rejean Girard

PO #/Project: 306440

Samples: 99

RC Geology Laboratories  
125 - 15 Innovation Blvd., Saskatoon, Saskatchewan, S7N 2X8  
Tel: (306) 933-8118 Fax: (306) 933-5656 Email: geolab@src.sk.ca

Report No: G-07-1715

Date of Report: February 20, 2008

**TEST REPORT**  
Method U3O8

Column Header Details

U3O8 Assay by ICP in wt % (U3O8)

Sample Number	U3O8 wt %
BL2A	0.500
5921625 STD	0.288
5921637 STD	1.19
5921625 STD R	0.288
BL4A	0.150
5921641	0.120
5921641 R	0.120

Uranium Assay: A 1.00 g pulp is digested with 24 ml of 3:1 HCl:HNO3 for 1 hour at 95 C.



Report No: 07-1738

## SRC Geoanalytical Laboratories

125 - 15 Innovation Blvd.  
Saskatoon, Saskatchewan  
S7N 2X8

February 05, 2008

Phone: (306) 933-8118  
Fax: (306) 933-5656

**IOS Services Geoscientifiques Inc.**  
1319 St-Paul Boulevard  
Saguenay (Chicoutimi), QC G7J 3Y2  
Attn: Rejean Girard

Test reports are the property of the customers. Publications of statements, conclusions or extracts from these reports are not permitted without prior written permission from the customer.

This document constitutes the **final official test report**. Liability for the SRC Geoanalytical Laboratories', if any, will be limited to the cost of analysis for samples in this test report. The results contained in this test report relate only to the items tested. It is the customer's responsibility to ensure that all interpretation of analysis is done using the data from this report.

The customer will not use the name of the Saskatchewan Research Council in connection with the sale, offer, advertisement or the promotion of any article, product, or company without the prior written consent of the SRC.

Results Reviewed and Approved by: \_\_\_\_\_

Robert Millar  
Assistant Research Scientist



IOS Services Geoscientifiques Inc.

Attention: Rejean Girard

PO #/Project: 306441

Samples: 159

SRC Geoanalytical Laboratories

125 - 15 Innovation Blvd., Saskatoon, Saskatchewan, S7N 2X8

Tel: (306) 933-8118 Fax: (306) 933-5656 Email: geolab@src.sk.ca

Report No: G-07-1738

Date of Report: February 05, 2008

ICP4.3 Aqua Regia Digestion

Column Header Details

Silver in ppm (Ag)  
Arsenic in ppm (As)  
Bismuth in ppm (Bi)  
Cobalt in ppm (Co)  
Copper in ppm (Cu)

Germanium in ppm (Ge)  
Mercury in ppm (Hg)  
Molybdenum in ppm (Mo)  
Nickel in ppm (Ni)  
Lead in ppm (Pb)

Antimony in ppm (Sb)  
Selenium in ppm (Se)  
Tellurium in ppm (Te)  
Uranium in ppm (U, ICP)  
Vanadium in ppm (V)

Zinc in ppm (Zn)

ICP4.3 Aqua Regia Digestion

Sample Number	Ag ppm	As ppm	Bi ppm	Co ppm	Cu ppm	Ge ppm	Hg ppm	Mo ppm	Ni ppm	Pb ppm	Sb ppm	Se ppm	Te ppm	U, ICP ppm	V ppm	Zn ppm
CG515/LS4	<0.1	11.2	1.1	39.5	48.3	<0.2	<0.2	11.3	48.1	22.5	<1	<0.2	<0.2	32.2	103	212
5921012	<0.1	0.3	2.6	4.9	2.8	<0.2	<0.2	52.6	3.9	41.2	5.2	<0.2	<0.2	93.2	44.1	114
5921013	<0.1	<0.2	0.5	2.7	5.5	<0.2	<0.2	30.1	3.7	69.9	2.2	<0.2	<0.2	187	19.5	44.4
5921014	<0.1	<0.2	0.6	3.6	9.3	<0.2	<0.2	22.4	3.6	24.5	<1	<0.2	<0.2	50.8	9.0	23.4
5921015	<0.1	<0.2	0.4	3.1	6.8	<0.2	<0.2	21.1	3.0	29.2	<1	<0.2	<0.2	74.7	9.7	25.4
5921016	<0.1	<0.2	<0.2	6.9	16.9	<0.2	<0.2	38.7	3.9	69.7	1.4	<0.2	<0.2	167	17.2	45.6
5921017	<0.1	<0.2	0.5	2.4	5.2	<0.2	<0.2	14.6	3.7	26.9	<1	<0.2	<0.2	39.9	8.6	24.8
5921018	<0.1	<0.2	3.5	6.2	8.9	<0.2	<0.2	11.6	19.2	21.5	5.3	<0.2	<0.2	33.4	33.8	63.8
5921019	<0.1	<0.2	1.5	5.2	20.0	<0.2	<0.2	1.2	14.6	6.29	<1	<0.2	<0.2	6.4	21.9	37.2
5921020	<0.1	<0.2	0.7	6.2	30.7	<0.2	<0.2	0.9	10.8	8.18	<1	<0.2	<0.2	12.3	12.2	20.9
5921021	<0.1	<0.2	2.3	3.9	19.6	<0.2	<0.2	<0.1	9.0	11.0	<1	<0.2	<0.2	15.0	21.2	28.5
5921022	0.3	<0.2	<0.2	28.4	125	<0.2	<0.2	4.2	43.0	2.22	<1	<0.2	<0.2	5.2	4.9	27.4
5921023	0.2	<0.2	<0.2	28.3	153	<0.2	<0.2	2.6	42.9	2.04	<1	<0.2	<0.2	6.8	3.0	22.8
5921024	<0.1	<0.2	0.9	10.4	45.8	<0.2	<0.2	3.0	16.9	6.42	<1	<0.2	<0.2	8.2	11.7	22.4
5921025	<0.1	<0.2	0.7	10.6	49.2	<0.2	<0.2	1.2	26.8	6.37	<1	<0.2	<0.2	5.1	13.5	25.3
5921026	<0.1	<0.2	2.1	6.1	7.6	<0.2	<0.2	0.4	25.6	6.21	<1	<0.2	<0.2	4.8	30.4	46.5
5921027	<0.1	<0.2	4.0	5.7	8.0	<0.2	<0.2	<0.1	19.5	3.30	4.7	<0.2	<0.2	3.3	43.3	59.6
5921028	<0.1	<0.2	<0.2	2.6	7.7	<0.2	<0.2	26.9	3.7	61.1	<1	<0.2	<0.2	164	6.9	17.2
5921029	<0.1	0.2	<0.2	3.4	10.8	<0.2	<0.2	32.9	3.1	49.6	<1	<0.2	<0.2	115	8.9	19.9
5921030	<0.1	<0.2	0.6	2.7	7.2	<0.2	<0.2	189	2.8	17.4	<1	<0.2	<0.2	30.7	8.6	21.3
CG515/LS4	<0.1	12.2	1.4	39.9	49.1	<0.2	<0.2	12.3	49.5	22.7	<1	<0.2	<0.2	33.2	104	216
5921031	<0.1	<0.2	0.5	2.1	11.7	<0.2	<0.2	2.8	3.3	17.3	<1	<0.2	<0.2	21.7	4.5	14.3
5921032	<0.1	0.4	0.4	2.1	13.5	<0.2	<0.2	3.0	3.0	15.6	<1	<0.2	<0.2	18.0	5.2	19.4
5921033	<0.1	<0.2	0.6	2.6	19.7	<0.2	<0.2	2.6	6.6	14.2	<1	<0.2	<0.2	24.2	10.8	27.3
5921034	<0.1	<0.2	0.4	6.8	23.6	<0.2	<0.2	6.2	3.7	24.3	<1	<0.2	<0.2	42.1	10.8	36.3
5921035	<0.1	0.2	0.8	4.2	16.8	<0.2	<0.2	7.8	3.7	38.2	1.1	<0.2	<0.2	82.6	13.5	36.1
5921036	<0.1	<0.2	<0.2	3.4	8.1	<0.2	<0.2	52.4	5.0	66.3	<1	<0.2	<0.2	146	9.6	26.6
5921037	<0.1	<0.2	0.3	0.8	1.8	<0.2	<0.2	4.6	2.1	16.6	<1	<0.2	<0.2	35.1	3.9	13.8
5921038	<0.1	<0.2	0.8	1.8	2.6	<0.2	<0.2	5.9	2.8	20.3	<1	<0.2	<0.2	31.8	10.3	28.4
5921039	<0.1	<0.2	0.8	1.7	2.6	<0.2	<0.2	21.5	2.7	32.8	<1	<0.2	<0.2	77.8	8.6	26.1
5921040	<0.1	<0.2	0.8	3.1	4.2	<0.2	<0.2	17.1	4.2	44.1	1.7	<0.2	<0.2	105	15.5	39.0
5921041	<0.1	<0.2	1.3	2.6	2.6	<0.2	<0.2	13.3	3.0	26.3	2.1	<0.2	<0.2	52.6	17.3	36.8
5921042	<0.1	0.3	1.0	2.7	2.7	<0.2	<0.2	33.9	3.8	35.0	1.8	<0.2	<0.2	88.8	16.1	36.0
5921043	<0.1	<0.2	1.5	4.4	3.1	<0.2	<0.2	40.6	7.4	13.4	2.8	<0.2	<0.2	28.9	19.3	43.1
5921044	<0.1	<0.2	2.7	7.6	5.1	<0.2	<0.2	10.6	24.7	43.1	6.2	<0.2	<0.2	99.3	41.9	94.8
5921045	<0.1	<0.2	6.8	25.0	9.7	<0.2	<0.2	2.0	52.7	14.1	11.6	<0.2	<0.2	29.7	73.6	154
5921046	<0.1	<0.2	6.1	25.2	10.9	<0.2	<0.2	0.2	47.6	5.84	9.3	<0.2	<0.2	8.9	59.9	131
5921047	<0.1	<0.2	5.0	21.4	10.0	<0.2	<0.2	<0.1	38.8	5.00	7.6	<0.2	<0.2	4.5	48.0	108
5921048	<0.1	<0.2	3.5	23.4	77.3	<0.2	<0.2	1.3	40.1	17.3	1.5	<0.2	<0.2	13.9	48.3	87.8
5921044 R	<0.1	<0.2	3.1	8.0	5.4	<0.2	<0.2	9.4	24.3	43.1	5.8	<0.2	<0.2	94.9	42.4	93.5

ICP4.3 Aqua Regia Digestion

Sample Number	Ag ppm	As ppm	Bi ppm	Co ppm	Cu ppm	Ge ppm	Hg ppm	Mo ppm	Ni ppm	Pb ppm	Sb ppm	Se ppm	Te ppm	U, ICP ppm	V ppm	Zn ppm
CG515/LS4	<0.1	11.3	1.6	40.1	49.6	<0.2	<0.2	11.2	48.6	22.3	<1	<0.2	<0.2	32.4	103	216
5921049	<0.1	<0.2	5.7	12.4	64.6	<0.2	<0.2	1.6	30.6	7.34	7.7	<0.2	<0.2	5.9	49.5	80.3
5921050	<0.1	<0.2	1.0	<0.1	0.3	<0.2	<0.2	<0.1	1.1	0.10	<1	<0.2	0.6	<0.5	2.2	3.9
5921051	<0.1	<0.2	4.0	9.2	29.9	<0.2	<0.2	<0.1	24.1	6.51	4.2	<0.2	<0.2	4.5	45.9	77.8
5921052	<0.1	<0.2	0.5	0.8	1.9	<0.2	<0.2	1.6	3.7	9.65	<1	<0.2	<0.2	14.1	8.5	16.5
5921053	<0.1	<0.2	3.3	7.9	8.7	<0.2	<0.2	10.2	20.4	12.4	4.1	<0.2	<0.2	30.5	34.1	67.6
5921054	<0.1	<0.2	0.3	1.4	1.7	<0.2	<0.2	11.8	4.9	4.62	<1	<0.2	0.2	7.1	4.9	10.1
5921055	<0.1	<0.2	3.1	6.8	5.2	<0.2	<0.2	22.8	17.8	11.7	3.9	<0.2	<0.2	26.2	28.0	63.9
5921056	<0.1	<0.2	2.0	4.1	3.6	<0.2	<0.2	16.5	9.6	18.1	2.6	<0.2	<0.2	35.1	17.7	42.0
5921057	<0.1	<0.2	6.5	21.8	7.3	<0.2	<0.2	0.5	46.5	6.24	10.7	<0.2	<0.2	4.9	59.5	153
5921058	<0.1	<0.2	6.1	22.0	9.8	<0.2	<0.2	1.4	36.3	5.01	7.2	<0.2	<0.2	5.2	46.9	119
5921059	<0.1	<0.2	5.3	21.4	12.3	<0.2	<0.2	1.0	36.6	5.79	8.2	<0.2	<0.2	6.4	46.2	109
5921060	<0.1	<0.2	2.3	5.6	5.1	<0.2	<0.2	16.0	14.4	14.1	3.1	<0.2	<0.2	36.0	22.7	45.4
5921061	<0.1	<0.2	3.1	8.0	7.9	<0.2	<0.2	6.0	23.0	23.1	5.6	<0.2	<0.2	60.5	36.2	67.2
5921062	<0.1	<0.2	3.3	6.1	2.6	<0.2	<0.2	23.4	12.9	17.5	4.4	<0.2	<0.2	34.8	25.4	62.9
5921063	<0.1	<0.2	3.2	9.0	5.0	<0.2	<0.2	16.2	18.3	17.1	5.1	<0.2	<0.2	26.7	29.5	84.9
5921064	<0.1	<0.2	4.5	14.4	16.4	<0.2	<0.2	7.8	30.1	14.9	6.2	<0.2	<0.2	31.3	36.6	96.8
5921065	<0.1	<0.2	2.0	13.8	79.4	<0.2	<0.2	7.3	57.1	5.26	<1	<0.2	<0.2	7.5	97.4	89.3
5921066	<0.1	<0.2	4.9	11.9	51.4	<0.2	<0.2	11.7	29.9	6.68	7.0	<0.2	<0.2	3.8	81.8	115
5921067	<0.1	<0.2	1.1	1.7	4.1	<0.2	<0.2	34.5	4.3	12.9	<1	<0.2	<0.2	23.1	12.1	24.0
CG515/LS4	<0.1	11.2	1.5	39.5	50.1	<0.2	<0.2	10.8	46.6	21.5	<1	<0.2	<0.2	31.3	101	218
5921068	<0.1	0.3	0.3	1.6	4.0	<0.2	<0.2	7.8	3.8	19.7	<1	<0.2	0.7	37.3	12.5	15.3
5921069	<0.1	<0.2	5.0	8.1	3.4	<0.2	<0.2	3.7	16.3	10.6	8.2	<0.2	<0.2	25.7	64.2	102
5921070	<0.1	<0.2	3.3	7.8	9.4	<0.2	<0.2	0.7	22.9	6.77	4.0	<0.2	<0.2	5.1	35.6	61.2
5921071	<0.1	<0.2	4.5	15.8	19.3	<0.2	<0.2	0.7	50.1	5.25	4.8	<0.2	<0.2	5.0	38.2	73.0
5921072	<0.1	<0.2	3.1	13.0	2.6	<0.2	<0.2	0.2	22.8	4.28	2.0	<0.2	<0.2	3.6	29.4	63.2
5921073	<0.1	<0.2	3.3	10.2	25.3	<0.2	<0.2	<0.1	32.6	3.54	1.6	<0.2	<0.2	3.8	41.1	78.3
5921074	<0.1	<0.2	3.0	17.1	56.0	<0.2	<0.2	8.4	67.4	8.72	1.3	<0.2	<0.2	4.8	133	173
5921075	<0.1	<0.2	4.0	17.7	58.2	<0.2	<0.2	19.7	98.4	14.5	4.0	<0.2	<0.2	29.6	187	135
5921076	<0.1	<0.2	3.2	6.9	21.0	<0.2	<0.2	4.0	25.5	16.8	4.2	<0.2	<0.2	55.1	50.8	68.2
5921077	<0.1	<0.2	5.2	15.0	20.2	<0.2	<0.2	4.2	39.1	29.0	9.2	<0.2	<0.2	78.1	122	147
5921078	<0.1	<0.2	3.3	7.6	13.7	<0.2	<0.2	7.7	20.5	18.8	4.6	<0.2	<0.2	36.8	56.7	78.0
5921079	<0.1	<0.2	5.1	16.5	75.7	<0.2	<0.2	6.7	66.8	9.22	5.2	<0.2	<0.2	5.2	156	187
5921080	<0.1	<0.2	2.4	14.6	68.1	<0.2	<0.2	25.6	89.2	5.55	1.2	<0.2	<0.2	6.3	220	134
5921081	<0.1	<0.2	3.8	9.3	18.9	<0.2	<0.2	8.1	39.3	34.3	5.7	<0.2	<0.2	91.6	88.1	123
5921082	<0.1	<0.2	5.9	11.6	13.8	<0.2	<0.2	0.9	32.7	10.3	10.0	<0.2	<0.2	22.8	56.4	128
5921083	<0.1	<0.2	5.0	10.0	11.1	<0.2	<0.2	<0.1	27.0	3.02	5.4	<0.2	<0.2	3.2	46.2	77.6
5921084	<0.1	<0.2	1.6	13.3	70.5	<0.2	<0.2	18.5	78.8	4.50	<1	<0.2	<0.2	5.6	144	155
5921085	<0.1	<0.2	2.3	18.0	76.9	<0.2	<0.2	10.9	103	4.73	<1	0.7	<0.2	4.8	97.4	282
5921082 R	<0.1	<0.2	5.7	11.3	14.0	<0.2	<0.2	1.1	31.0	10.3	8.9	<0.2	<0.2	23.1	53.5	122



IOS Services Geoscientifiques Inc.

125 - 15 Innovation Blvd., Saskatoon, Saskatchewan, S7N 2X8

Attention: Rejean Girard

Tel: (306) 933-8118 Fax: (306) 933-5656 Email: geolab@src.sk.ca

PO #/Project: 306441

Date of Report: February 05, 2008

Samples: 159

## ICP4.3 Aqua Regia Digestion

Sample Number	Ag ppm	As ppm	Bi ppm	Co ppm	Cu ppm	Ge ppm	Hg ppm	Mo ppm	Ni ppm	Pb ppm	Sb ppm	Se ppm	Te ppm	U, ICP ppm	V ppm	Zn ppm
CG515/LS4	<0.1	11.1	1.9	37.8	49.9	<0.2	<0.2	10.5	45.1	21.2	<1	<0.2	<0.2	30.0	99.6	210
5921086	<0.1	<0.2	3.6	15.5	58.1	<0.2	<0.2	22.1	92.5	6.13	4.9	2.2	<0.2	8.9	276	515
5921087	<0.1	<0.2	6.1	12.3	31.3	<0.2	<0.2	1.5	36.2	4.11	8.7	<0.2	<0.2	3.0	100	186
5921088	<0.1	<0.2	6.0	12.6	34.0	<0.2	<0.2	0.8	33.9	3.41	7.8	<0.2	<0.2	3.3	93.4	214
5921089	<0.1	<0.2	6.8	14.3	38.2	<0.2	<0.2	0.6	38.2	3.86	10.8	<0.2	<0.2	3.9	115	224
5921090	<0.1	<0.2	6.2	12.4	32.4	<0.2	<0.2	1.2	32.6	5.67	10.2	<0.2	<0.2	7.5	104	139
5921091	<0.1	<0.2	2.0	4.6	11.6	<0.2	<0.2	44.1	13.1	39.0	3.5	<0.2	<0.2	95.4	47.0	73.8
5921092	<0.1	<0.2	1.0	2.1	5.5	<0.2	<0.2	20.6	10.5	55.0	1.4	<0.2	<0.2	164	25.7	35.6
5921093	<0.1	<0.2	5.2	17.1	51.5	<0.2	<0.2	26.3	119	21.4	8.0	1.7	<0.2	10.2	371	396
5921094	<0.1	<0.2	1.2	8.9	34.2	<0.2	<0.2	34.1	79.8	8.18	<1	<0.2	<0.2	18.8	111	85.8
5921095	<0.1	<0.2	2.1	11.8	35.3	<0.2	<0.2	22.5	94.0	9.36	<1	<0.2	<0.2	17.4	180	118
5921096	<0.1	<0.2	3.4	6.7	10.7	<0.2	<0.2	10.1	29.3	11.8	5.5	<0.2	<0.2	27.6	70.6	77.3
5921097	<0.1	<0.2	3.5	9.1	31.4	<0.2	<0.2	12.6	66.1	5.40	5.2	2.5	<0.2	6.8	186	220
5921098	<0.1	<0.2	1.6	17.5	30.4	<0.2	<0.2	14.1	70.3	9.62	<1	<0.2	<0.2	18.4	86.4	97.3
5921099	<0.1	<0.2	4.4	6.1	5.2	<0.2	<0.2	7.5	22.9	9.26	6.8	<0.2	<0.2	21.2	43.7	77.2
5921100	<0.1	<0.2	3.5	5.5	7.4	<0.2	<0.2	0.2	14.7	5.41	1.2	<0.2	<0.2	4.3	48.8	90.7
5921101	<0.1	<0.2	2.2	4.6	8.1	<0.2	<0.2	0.3	17.4	5.96	<1	<0.2	<0.2	2.6	42.9	79.2
5921102	<0.1	<0.2	0.4	3.8	25.3	<0.2	<0.2	31.0	34.9	25.5	<1	<0.2	<0.2	55.9	74.2	59.8
5921103	<0.1	<0.2	0.9	1.8	2.6	<0.2	<0.2	65.9	3.3	25.5	1.1	<0.2	<0.2	48.8	19.0	55.4
5921104	<0.1	<0.2	<0.2	1.0	5.1	<0.2	<0.2	79.3	4.8	51.2	<1	<0.2	0.5	137	18.2	33.3
CG515/LS4	<0.1	12.2	1.1	38.1	48.7	<0.2	<0.2	11.9	45.8	22.4	<1	<0.2	<0.2	32.1	99.9	204
5921105	<0.1	<0.2	1.2	1.8	2.4	<0.2	<0.2	71.8	3.3	23.5	1.3	<0.2	<0.2	51.0	18.9	39.7
5921106	<0.1	<0.2	2.5	10.6	26.2	<0.2	<0.2	36.1	60.8	28.0	<1	<0.2	<0.2	52.6	102	91.8
5921107	<0.1	<0.2	1.7	11.8	59.3	<0.2	<0.2	17.2	72.8	7.44	<1	<0.2	<0.2	8.0	82.9	88.4
5921108	<0.1	<0.2	0.9	5.0	25.2	<0.2	<0.2	4.1	30.4	7.20	<1	<0.2	<0.2	7.1	38.9	44.2
5921109	0.3	<0.2	2.4	21.4	63.2	<0.2	<0.2	19.5	120	5.90	<1	<0.2	<0.2	6.8	97.1	75.2
5921110	<0.1	<0.2	1.1	13.1	38.4	<0.2	<0.2	6.8	68.4	6.19	<1	<0.2	<0.2	5.3	87.5	74.6
5921111	0.1	<0.2	1.3	10.0	38.9	<0.2	<0.2	7.4	40.6	8.52	<1	<0.2	<0.2	5.6	99.5	59.4
5921112	<0.1	<0.2	<0.2	31.0	46.9	<0.2	<0.2	6.4	198	7.88	<1	<0.2	<0.2	7.2	52.2	102
5921113	<0.1	<0.2	1.2	16.7	63.0	<0.2	<0.2	36.3	109	16.0	<1	<0.2	<0.2	31.4	131	104
5921114	<0.1	0.4	<0.2	7.5	20.3	<0.2	<0.2	14.0	33.4	30.2	<1	<0.2	<0.2	68.2	48.4	57.6
5921115	<0.1	<0.2	1.1	13.3	28.9	<0.2	<0.2	6.7	43.9	19.2	<1	<0.2	<0.2	28.4	52.6	102
5921116	<0.1	<0.2	2.4	16.1	47.6	<0.2	<0.2	16.2	102	15.9	<1	<0.2	<0.2	8.8	145	326
5921117	<0.1	0.3	1.7	6.9	28.8	<0.2	<0.2	14.0	31.2	24.8	<1	<0.2	<0.2	34.1	86.5	146
5921118	<0.1	<0.2	1.3	15.7	37.4	<0.2	<0.2	2.7	41.6	9.59	<1	<0.2	<0.2	6.6	35.1	109
5921119	<0.1	<0.2	1.2	14.5	27.0	<0.2	<0.2	12.6	66.7	9.13	<1	<0.2	<0.2	6.4	62.5	59.6
5921120	<0.1	<0.2	1.2	7.3	16.6	<0.2	<0.2	0.6	33.6	7.47	<1	<0.2	<0.2	4.3	28.0	42.0
5921121	<0.1	<0.2	0.9	14.3	27.4	<0.2	<0.2	13.2	52.9	25.8	<1	<0.2	<0.2	54.6	28.8	33.0
5921122	<0.1	<0.2	1.0	8.3	16.8	<0.2	<0.2	3.9	31.6	24.9	<1	<0.2	<0.2	45.3	25.2	53.3
5921120 R	<0.1	<0.2	1.3	7.8	17.0	<0.2	<0.2	0.6	33.4	7.40	<1	<0.2	<0.2	3.9	28.1	43.2

ICP4.3 Aqua Regia Digestion

Sample Number	Ag ppm	As ppm	Bi ppm	Co ppm	Cu ppm	Ge ppm	Hg ppm	Mo ppm	Ni ppm	Pb ppm	Sb ppm	Se ppm	Te ppm	U, ICP ppm	V ppm	Zn ppm
CG515/LS4	<0.1	11.1	1.6	38.5	47.8	<0.2	<0.2	11.3	46.3	22.6	<1	<0.2	<0.2	32.4	99.3	205
5921123	<0.1	0.6	1.9	8.5	4.8	<0.2	<0.2	9.2	13.4	15.0	1.8	<0.2	<0.2	19.5	33.3	71.2
5921124	<0.1	0.4	0.9	2.1	3.9	<0.2	<0.2	16.0	4.9	20.9	<1	<0.2	<0.2	27.3	15.2	39.2
5921125	<0.1	<0.2	1.3	6.1	11.8	<0.2	<0.2	15.4	5.1	45.2	1.4	<0.2	<0.2	102	27.9	94.6
5921126	<0.1	<0.2	0.7	6.9	86.7	<0.2	<0.2	57.7	24.3	34.9	<1	<0.2	<0.2	119	35.8	99.8
5921127	<0.1	<0.2	2.5	16.8	109	<0.2	<0.2	16.2	85.6	17.7	1.5	<0.2	<0.2	9.9	190	229
5921128	<0.1	<0.2	2.7	15.7	67.9	<0.2	<0.2	8.4	43.2	28.1	2.2	<0.2	<0.2	25.2	95.0	147
5921644	<0.1	<0.2	0.3	0.4	2.5	<0.2	<0.2	0.9	4.2	0.44	<1	<0.2	0.8	1.1	0.5	2.1
5921645	0.3	29.9	28.8	65.7	85.8	<0.2	<0.2	6.2	40.9	926	4.2	<0.2	<0.2	2220	1.9	148
5921646	<0.1	<0.2	0.4	0.4	2.3	<0.2	<0.2	0.9	4.4	3.48	<1	<0.2	0.9	6.9	0.6	2.7
5921647	<0.1	<0.2	0.9	11.0	44.0	<0.2	<0.2	6.3	35.4	39.0	<1	<0.2	<0.2	115	32.4	62.2
5921648	<0.1	<0.2	5.1	6.6	2.5	<0.2	<0.2	5.5	21.3	27.9	8.5	<0.2	<0.2	72.8	56.3	136
5921649	<0.1	<0.2	<0.2	10.0	33.6	<0.2	<0.2	168	6.5	189	<1	<0.2	<0.2	598	9.7	23.2
5921671	<0.1	<0.2	0.3	1.7	5.6	<0.2	<0.2	43.4	3.3	59.6	<1	<0.2	<0.2	123	8.2	19.9
5921672	<0.1	<0.2	1.3	18.7	44.8	<0.2	<0.2	71.5	28.3	124	4.1	<0.2	<0.2	418	40.9	95.1
5921673	<0.1	<0.2	0.8	12.0	56.9	<0.2	<0.2	43.2	18.5	71.3	2.6	<0.2	<0.2	191	29.1	61.6
5921674	<0.1	<0.2	0.8	3.0	6.9	<0.2	<0.2	17.6	5.8	34.3	<1	<0.2	<0.2	83.4	12.5	31.2
5921675	1.2	3.8	2.9	24.2	102	10.5	<0.2	33.2	162	1940	21.8	<0.2	<0.2	10100	705	69.2
5921676	<0.1	0.6	0.5	2.1	3.6	<0.2	<0.2	46.9	2.7	59.7	1.7	<0.2	<0.2	152	12.2	34.3
5921677	<0.1	0.3	0.6	1.4	2.2	<0.2	<0.2	43.2	3.3	22.9	<1	<0.2	<0.2	55.7	7.6	20.8
CG515/LS4	<0.1	12.4	1.5	39.2	48.4	<0.2	<0.2	11.9	47.7	22.9	<1	<0.2	<0.2	33.3	99.7	212
5921678	<0.1	<0.2	<0.2	2.5	8.3	<0.2	<0.2	34.4	5.2	94.9	<1	<0.2	<0.2	263	7.9	22.7
5921679	<0.1	0.3	0.4	3.2	9.9	<0.2	<0.2	19.4	4.3	45.0	<1	<0.2	<0.2	112	7.1	19.4
5921680	<0.1	<0.2	1.0	3.1	5.3	<0.2	<0.2	10.2	4.0	27.8	1.0	<0.2	<0.2	60.2	12.6	29.7
5921681	<0.1	0.4	1.4	2.7	3.6	<0.2	<0.2	14.4	9.3	20.1	1.8	<0.2	<0.2	24.6	13.5	46.5
5921682	<0.1	<0.2	<0.2	1.2	3.8	<0.2	<0.2	60.1	5.6	79.5	1.5	<0.2	<0.2	257	13.1	25.3
5921683	<0.1	<0.2	0.4	0.2	2.1	<0.2	<0.2	1.4	4.0	0.31	<1	<0.2	0.9	1.4	0.3	0.7
5921684	<0.1	<0.2	0.6	1.5	3.4	<0.2	<0.2	43.6	5.5	79.1	1.9	<0.2	<0.2	309	18.2	33.0
5921685	<0.1	<0.2	<0.2	0.8	2.6	<0.2	<0.2	22.8	3.9	34.6	<1	<0.2	<0.2	112	7.6	22.4
5921686	<0.1	<0.2	0.6	4.1	12.4	<0.2	<0.2	45.4	28.5	46.7	<1	<0.2	<0.2	142	70.4	496
5921687	<0.1	<0.2	1.5	3.6	8.6	<0.2	<0.2	51.6	10.4	37.6	1.7	<0.2	<0.2	94.6	35.7	62.6
5921688	<0.1	<0.2	2.6	9.7	32.0	<0.2	<0.2	39.1	76.4	31.9	4.8	0.7	<0.2	93.0	224	308
5921689	<0.1	<0.2	4.8	11.8	37.4	<0.2	<0.2	3.1	37.0	5.33	8.0	<0.2	<0.2	4.8	93.0	183
5921690	<0.1	0.5	1.3	3.3	5.6	<0.2	<0.2	8.2	4.5	26.0	2.0	<0.2	<0.2	37.9	22.9	45.1
5921691	<0.1	0.5	2.5	2.9	2.9	<0.2	<0.2	14.7	3.9	43.9	3.8	<0.2	<0.2	103	40.4	67.0
5921692	<0.1	<0.2	2.1	14.9	39.5	<0.2	<0.2	72.7	31.6	128	4.6	<0.2	<0.2	444	79.4	99.9
5921693	<0.1	<0.2	1.2	5.9	21.3	<0.2	<0.2	66.0	14.4	157	3.5	<0.2	<0.2	506	44.6	58.6
5921694	<0.1	0.3	1.2	6.9	29.7	<0.2	<0.2	24.8	46.5	39.2	1.8	<0.2	<0.2	42.0	128	76.7
5921694 R	<0.1	<0.2	1.4	6.9	30.6	<0.2	<0.2	25.0	47.6	41.2	1.7	<0.2	<0.2	43.1	132	80.4

IOS Services Geoscientifiques Inc.

Attention: Rejean Girard

PO #/Project: 306441

Samples: 159

ICP Analytical Laboratories

125 - 15 Innovation Blvd., Saskatoon, Saskatchewan, S7N 2X8

Tel: (306) 933-8118 Fax: (306) 933-5656 Email: geolab@src.sk.ca

Report No: G-07-1730

Date of Report: February 05, 2008

ICP4.3 Aqua Regia Digestion

Sample Number	Ag ppm	As ppm	Bi ppm	Co ppm	Cu ppm	Ge ppm	Hg ppm	Mo ppm	Ni ppm	Pb ppm	Sb ppm	Se ppm	Te ppm	U, ICP ppm	V ppm	Zn ppm
---------------	--------	--------	--------	--------	--------	--------	--------	--------	--------	--------	--------	--------	--------	------------	-------	--------

Aqua Regia: A 0.5 g pulp is digested with 2.00 ml of 3:1 HCL:HNO3 for 1 hour at 95 C.  
The standard is LS4.



IOS Services Geoscientifiques Inc.

Attention: Rejean Girard

PO #/Project: 306441

Samples: 159

125 - 15 Innovation Blvd., Saskatoon, Saskatchewan, S7N 2X8

Tel: (306) 933-8118 Fax: (306) 933-5656 Email: geolab@src.sk.ca

Report No: G-07-1736

Date of Report: February 05, 2008

### ICP1 Total Digestion

#### Column Header Details

Silver in ppm (Ag)  
Aluminum in wt % (Al<sub>2</sub>O<sub>3</sub>)  
Barium in ppm (Ba)  
Beryllium in ppm (Be)  
Calcium in wt % (CaO)

Cadmium in ppm (Cd)  
Cerium in ppm (Ce)  
Cobalt in ppm (Co)  
Chromium in ppm (Cr)  
Copper in ppm (Cu)

Dysprosium in ppm (Dy)  
Erbium in ppm (Er)  
Europium in ppm (Eu)  
Iron in wt % (Fe<sub>2</sub>O<sub>3</sub>)  
Gallium in ppm (Ga)

Gadolinium in ppm (Gd)  
Hafnium in ppm (Hf)  
Holmium in ppm (Ho)  
Potassium in wt % (K<sub>2</sub>O)  
Lanthanum in ppm (La)

Lithium in ppm (Li)  
Magnesium in wt % (MgO)  
Manganese in wt % (MnO)  
Molybdenum in ppm (Mo)  
Sodium in wt % (Na<sub>2</sub>O)

Niobium in ppm (Nb)  
Neodymium in ppm (Nd)  
Nickel in ppm (Ni)  
Phosphorus in wt % (P<sub>2</sub>O<sub>5</sub>)  
Lead in ppm (Pb)

Praseodymium in ppm (Pr)  
Scandium in ppm (Sc)  
Samarium in ppm (Sm)  
Tin in ppm (Sn)  
Strontium in ppm (Sr)

Tantalum in ppm (Ta)  
Terbium in ppm (Tb)  
Thorium in ppm (Th)  
Titanium in wt % (TiO<sub>2</sub>)  
Uranium in ppm (U, ICP)

IOS Services Geoscientifiques Inc.

Attention: Rejean Girard

PO #/Project: 306441

Samples: 159

SRC Geoanalytical Laboratories

125 - 15 Innovation Blvd., Saskatoon, Saskatchewan, S7N 2X8

Tel: (306) 933-8118 Fax: (306) 933-5656 Email: geolab@src.sk.ca

Report No: G-07-1736

Date of Report: February 05, 2008

ICPI Total Digestion

Column Header Details

Vanadium in ppm (V)  
Tungsten in ppm (W)  
Yttrium in ppm (Y)  
Ytterbium in ppm (Yb)  
Zinc in ppm (Zn)

Zirconium in ppm (Zr)

*RM*

IOS Services Geoscientifiques Inc.

125 - 15 Innovation Blvd., Saskatoon, Saskatchewan, S7N 2X8

Attention: Rejean Girard

Tel: (306) 933-8118 Fax: (306) 933-5656 Email: geolab@src.sk.ca

PO #/Project: 306441

Date of Report: February 05, 2008

Samples: 159

ICP1 Total Digestion

Sample Number	Ag ppm	Al2O3 wt %	Ba ppm	Be ppm	CaO wt %	Cd ppm	Ce ppm	Co ppm	Cr ppm	Cu ppm	Dy ppm	Er ppm	Eu ppm	Fe2O3 wt %	Ga ppm	Gd ppm	Hf ppm
CG515/LS4	<0.2	17.5	2250	2.2	4.68	0.8	154	16	111	3	3.6	2.5	2.5	6.99	24	5.8	5.0
5921012	<0.2	17.7	554	1.2	2.40	1.2	28	4	112	2	0.8	0.6	1.1	3.98	29	1.3	1.2
5921013	<0.2	12.4	637	0.6	1.76	0.8	9	3	179	4	1.0	0.3	0.8	1.82	16	1.5	8.3
5921014	<0.2	15.2	1360	0.6	1.26	1.0	14	5	144	9	0.6	<0.2	1.1	1.39	16	1.0	2.1
5921015	<0.2	11.8	1330	0.3	0.56	0.8	5	2	142	8	0.5	<0.2	0.9	1.36	12	0.7	2.0
5921016	<0.2	14.8	1020	0.8	1.61	1.0	16	7	124	18	1.2	0.4	1.0	2.44	18	1.5	4.3
5921017	<0.2	14.4	1230	0.5	1.14	0.9	14	3	128	6	0.7	<0.2	1.1	1.19	15	1.0	5.3
5921018	<0.2	13.5	849	0.9	1.50	0.8	36	7	191	9	1.3	0.5	0.9	2.98	17	2.1	6.8
5921019	<0.2	13.2	733	2.1	5.43	0.8	61	5	206	20	1.6	0.5	0.7	2.20	16	2.4	5.4
5921020	<0.2	17.8	268	2.8	10.9	1.5	45	7	121	30	1.9	0.5	0.9	3.28	22	2.2	4.8
5921021	<0.2	24.3	141	3.9	12.9	1.9	137	5	151	20	4.9	2.3	1.4	1.78	31	6.6	8.5
5921022	<0.2	2.85	15	0.8	13.1	0.5	47	33	90	152	1.9	0.7	0.8	11.7	10	1.0	2.0
5921023	<0.2	2.57	18	0.6	13.0	0.6	40	35	70	192	1.4	0.2	0.8	11.8	12	0.8	2.9
5921024	<0.2	12.6	78	2.0	12.8	1.2	42	12	78	48	2.3	0.8	0.8	5.70	18	1.9	5.1
5921025	<0.2	10.8	1650	1.5	9.38	1.0	51	13	112	55	1.9	0.7	0.9	5.15	15	2.1	3.9
5921026	<0.2	15.8	1140	1.7	3.70	1.1	60	5	160	9	1.8	0.8	0.9	2.32	19	2.9	5.4
5921027	<0.2	16.0	736	1.3	1.94	1.0	41	6	143	8	1.2	0.5	0.8	3.38	20	1.9	6.8
5921028	0.3	11.7	1130	0.3	1.12	0.7	7	2	155	7	1.0	<0.2	0.9	0.98	12	1.4	9.2
5921029	0.2	12.4	1080	0.4	1.23	0.8	11	2	150	12	1.0	<0.2	1.0	1.27	13	1.3	10.7
5921030	<0.2	13.6	1670	0.3	0.58	0.9	6	2	141	7	0.4	<0.2	1.2	1.19	12	0.7	5.0
CG515/LS4	<0.2	17.1	2420	2.2	4.66	1.0	154	16	111	4	3.6	2.3	2.5	6.98	24	6.2	4.1
5921031	<0.2	13.2	939	0.6	0.85	0.9	13	2	144	13	0.7	<0.2	0.9	1.17	14	1.0	3.6
5921032	<0.2	13.4	964	0.8	1.19	0.9	45	2	137	16	1.1	0.3	0.9	1.16	14	2.0	4.0
5921033	<0.2	13.6	838	1.0	1.13	1.0	26	2	142	23	0.9	<0.2	0.8	1.85	17	1.2	5.8
5921034	<0.2	14.4	1260	0.5	1.10	1.0	11	6	156	26	0.6	<0.2	1.1	1.85	16	0.8	7.6
5921035	<0.2	13.2	1060	0.5	1.34	0.8	28	3	127	18	1.0	<0.2	1.0	1.73	16	1.5	7.9
5921036	<0.2	12.2	996	0.4	1.14	0.9	7	3	135	9	0.8	0.2	0.9	1.22	14	1.4	4.9
5921037	<0.2	13.8	1740	<0.2	0.32	1.0	2	1	105	1	0.4	<0.2	1.1	0.64	12	<0.5	1.0
5921038	<0.2	13.6	1520	0.3	0.55	0.9	3	1	106	3	0.3	<0.2	1.0	1.14	14	0.5	0.8
5921039	<0.2	13.1	1420	0.2	0.62	0.9	4	1	114	2	0.5	<0.2	1.0	1.09	13	0.8	5.7
5921040	<0.2	14.5	1360	0.3	1.11	1.0	7	3	121	4	0.7	<0.2	1.1	1.69	17	1.1	11.9
5921041	<0.2	16.6	1170	0.6	0.95	0.9	52	22	170	11	1.7	1.2	1.4	5.21	27	2.2	9.9
5921042	<0.2	12.8	886	0.6	1.47	0.9	8	3	139	3	0.6	<0.2	1.0	1.56	15	1.0	5.8
5921043	<0.2	11.3	1040	0.4	0.78	0.7	5	4	146	3	0.3	<0.2	0.8	1.89	14	0.7	3.6
5921044	<0.2	13.8	416	0.6	1.75	0.8	18	8	205	5	1.5	0.9	0.8	4.10	25	1.6	14.5
5921045	<0.2	17.6	837	0.7	1.86	1.0	46	26	186	11	1.2	0.8	1.2	6.94	33	2.0	17.6
5921046	<0.2	16.1	1140	0.6	0.72	0.8	47	26	210	11	1.3	0.8	1.2	5.85	28	2.1	14.0
5921047	0.2	16.4	919	0.5	0.97	1.4	49	22	156	9	1.2	1.1	0.9	5.26	22	1.7	8.7
5921048	<0.2	10.8	448	0.6	2.01	0.7	24	25	232	86	0.6	0.3	0.8	5.70	20	0.9	12.2
5921044 R	<0.2	13.7	403	0.6	1.74	0.8	20	8	204	5	1.6	1.1	0.8	4.10	25	1.6	14.6



ICP1 Total Digestion

Sample Number	Ag ppm	Al2O3 wt %	Ba ppm	Be ppm	CaO wt %	Cd ppm	Ce ppm	Co ppm	Cr ppm	Cu ppm	Dy ppm	Er ppm	Eu ppm	Fe2O3 wt %	Ga ppm	Gd ppm	Hf ppm
CG515/LS4	<0.2	17.1	2320	2.2	4.87	0.8	168	20	126	2	3.5	2.6	2.5	7.36	24	5.6	4.3
5921049	<0.2	12.7	1070	0.4	0.98	0.7	43	13	173	67	0.7	0.2	1.0	4.94	17	1.0	7.6
5921050	<0.2	13.8	1060	0.4	0.74	0.8	34	10	176	7	0.8	0.3	1.0	5.76	21	<0.5	9.0
5921051	<0.2	12.4	647	0.8	1.48	0.7	52	9	165	31	1.2	0.6	0.8	4.88	17	1.5	6.2
5921052	<0.2	14.7	330	2.3	4.48	1.0	29	2	168	2	0.8	<0.2	0.9	0.64	14	1.5	3.7
5921053	<0.2	12.6	741	0.6	1.16	0.7	17	9	172	9	0.6	<0.2	0.9	3.23	18	0.5	9.7
5921054	<0.2	11.6	1070	0.4	1.07	0.8	6	1	167	1	0.3	<0.2	1.0	0.68	10	0.5	2.8
5921055	<0.2	12.6	1260	0.3	0.66	0.8	7	7	150	5	0.4	<0.2	1.0	2.62	15	<0.5	6.8
5921056	<0.2	12.2	920	0.5	1.24	0.7	10	4	167	3	0.6	<0.2	1.0	1.68	14	0.6	5.8
5921057	<0.2	14.9	1060	0.5	0.80	0.8	45	23	210	6	1.0	0.4	1.1	5.73	27	1.2	13.5
5921058	<0.2	20.3	705	1.3	0.90	1.2	94	26	172	10	4.2	1.9	1.2	6.16	29	3.1	8.9
5921059	<0.2	15.9	1020	0.5	0.51	0.9	90	26	168	13	2.9	1.2	1.3	5.10	23	3.0	8.6
5921060	<0.2	9.60	491	0.5	1.21	0.7	9	5	191	5	0.5	<0.2	0.7	1.88	12	<0.5	6.9
5921061	<0.2	10.0	263	0.6	1.69	0.7	16	9	186	7	1.0	0.4	0.7	2.81	16	0.9	15.8
5921062	<0.2	11.2	746	0.5	1.21	0.7	9	5	170	2	0.6	0.2	0.8	2.49	15	<0.5	6.2
5921063	<0.2	12.3	1210	0.3	0.71	0.7	8	9	148	4	0.5	<0.2	1.0	3.37	16	<0.5	6.2
5921064	<0.2	13.8	634	0.7	1.82	1.0	37	16	158	16	1.2	0.4	1.0	4.46	21	1.1	10.2
5921065	<0.2	9.23	484	1.1	6.49	1.0	33	15	120	80	2.8	1.4	0.7	6.81	13	1.7	2.6
5921066	<0.2	16.3	932	1.2	1.43	1.2	73	12	160	51	1.9	0.9	1.4	5.82	23	2.5	5.8
5921067	<0.2	12.0	1240	0.4	1.03	0.8	8	2	172	4	0.4	<0.2	1.1	1.17	12	0.5	6.0
CG515/LS4	<0.2	17.2	2320	2.1	4.77	0.9	158	19	124	3	3.4	2.5	2.4	7.43	23	4.9	3.6
5921068	<0.2	11.6	1280	0.4	0.89	0.7	8	1	131	3	0.5	<0.2	1.0	0.67	10	0.6	5.7
5921069	<0.2	15.3	1280	0.7	1.47	1.0	39	8	141	2	0.8	0.2	1.2	3.99	22	1.0	11.4
5921070	<0.2	9.09	1030	0.3	0.34	0.5	22	8	201	8	0.5	<0.2	0.8	2.46	12	0.7	8.6
5921071	<0.2	13.3	1360	0.4	0.27	0.8	24	18	207	18	0.6	<0.2	1.0	3.52	19	0.6	10.2
5921072	<0.2	15.2	811	1.0	0.90	0.9	70	13	170	1	2.3	1.0	1.0	3.46	20	2.5	5.8
5921073	<0.2	13.7	600	1.2	3.45	0.9	35	12	168	24	1.0	0.4	0.8	4.81	19	0.8	5.8
5921074	<0.2	16.4	732	2.8	0.81	1.2	55	20	144	56	1.8	1.0	1.0	7.42	25	1.4	3.5
5921075	<0.2	14.6	858	0.7	1.34	1.0	60	21	179	60	1.5	0.7	1.3	8.66	25	1.4	6.3
5921076	<0.2	9.10	167	0.7	1.70	0.7	17	8	217	20	0.5	<0.2	0.7	3.42	14	<0.5	7.5
5921077	<0.2	12.9	694	0.6	1.61	0.7	19	16	203	21	0.8	0.2	1.0	6.86	26	<0.5	16.3
5921078	<0.2	10.7	715	0.6	1.23	0.8	31	9	211	13	0.8	0.3	0.9	3.60	16	1.1	6.1
5921079	<0.2	17.6	1090	1.4	1.72	1.4	69	19	152	78	1.9	1.0	1.5	8.23	27	2.1	3.6
5921080	<0.2	13.5	802	0.7	1.08	1.4	53	17	185	69	1.1	0.6	1.1	7.26	20	0.9	4.3
5921081	<0.2	11.7	756	0.4	1.27	0.8	14	9	213	16	0.7	<0.2	0.9	3.96	17	<0.5	15.8
5921082	<0.2	14.5	440	1.0	2.18	0.8	35	11	181	12	0.8	0.3	1.0	5.06	23	<0.5	7.4
5921083	<0.2	16.2	467	1.2	1.95	1.0	45	11	173	12	1.1	0.6	0.8	4.80	22	1.0	5.1
5921084	<0.2	12.8	495	1.9	3.44	1.9	40	13	138	71	1.3	0.8	0.9	5.90	19	1.1	3.9
5921085	<0.2	15.1	671	3.0	1.35	2.6	51	19	158	77	1.6	0.8	1.2	7.41	24	1.2	2.8
5921082 R	<0.2	13.8	432	0.9	2.09	0.9	33	11	172	13	0.8	0.3	0.9	4.95	23	<0.5	7.6

*TEM*

IOS Services Geoscientifiques Inc.

125 - 15 Innovation Blvd., Saskatoon, Saskatchewan, S7N 2X8

Attention: Rejean Girard

Tel: (306) 933-8118 Fax: (306) 933-5656 Email: geolab@src.sk.ca

PO #/Project: 306441

Date of Report: February 05, 2008

Samples: 159

## ICPI Total Digestion

Sample Number	Ag ppm	Al2O3 wt %	Ba ppm	Be ppm	CaO wt %	Cd ppm	Ce ppm	Co ppm	Cr ppm	Cu ppm	Dy ppm	Er ppm	Eu ppm	Fe2O3 wt %	Ga ppm	Gd ppm	Hf ppm
CG515/LS4	<0.2	18.0	2410	2.3	4.82	0.9	159	19	118	3	3.7	2.5	2.6	7.25	24	5.9	5.0
5921086	<0.2	16.0	973	3.5	1.51	7.5	72	15	185	66	2.3	1.3	1.3	6.97	25	3.1	5.0
5921087	<0.2	18.4	1070	3.0	1.34	1.4	85	13	142	36	2.4	1.2	1.6	6.40	26	3.6	6.2
5921088	<0.2	17.1	1060	2.2	1.20	1.3	79	11	150	36	2.3	1.1	1.5	5.61	24	4.0	4.6
5921089	<0.2	18.3	886	2.5	1.21	1.4	72	14	146	40	2.1	1.2	1.4	6.71	28	3.1	5.1
5921090	<0.2	16.9	848	1.7	1.38	0.9	82	13	152	35	2.1	1.2	1.4	6.76	28	3.4	7.0
5921091	<0.2	11.5	641	0.6	1.41	0.9	13	5	144	12	0.7	0.3	0.9	2.54	16	0.9	5.5
5921092	<0.2	10.4	841	0.5	1.12	0.7	12	2	160	7	0.9	<0.2	0.8	1.44	12	1.5	4.6
5921093	<0.2	17.7	778	2.2	1.90	3.6	93	17	168	53	2.5	1.4	1.6	7.90	29	3.9	7.6
5921094	<0.2	6.81	309	1.4	5.86	1.3	34	10	163	39	1.3	0.8	0.6	5.25	10	1.6	3.2
5921095	<0.2	11.4	825	1.1	1.59	1.0	51	10	161	40	1.6	1.0	1.0	6.32	17	1.8	4.6
5921096	<0.2	11.8	705	1.4	2.07	0.8	64	6	129	14	2.2	1.0	1.0	3.92	16	3.3	5.3
5921097	<0.2	14.1	1040	1.4	1.65	2.4	86	9	153	35	2.8	1.2	1.2	4.07	17	4.6	5.1
5921098	<0.2	13.8	836	1.6	2.72	1.5	48	17	131	38	1.4	0.7	1.0	5.62	20	1.7	5.2
5921099	<0.2	13.1	922	0.5	0.68	0.8	43	7	150	5	1.1	0.6	0.9	3.56	18	1.8	10.3
5921100	<0.2	16.1	420	1.9	3.42	1.1	81	5	153	8	1.9	0.9	1.0	3.26	21	3.1	6.1
5921101	<0.2	17.4	856	1.7	4.11	1.3	56	3	114	9	1.7	0.8	0.9	3.22	21	2.5	6.1
5921102	0.3	11.9	836	0.9	1.44	1.1	76	3	197	28	1.6	0.5	1.0	3.12	14	2.7	6.0
5921103	<0.2	12.9	1260	0.5	0.88	1.0	4	1	144	3	0.3	<0.2	1.0	1.49	14	0.6	1.8
5921104	<0.2	10.4	892	0.6	0.78	0.9	6	1	180	8	0.9	0.2	0.8	0.96	11	1.4	4.0
CG515/LS4	<0.2	17.5	2260	2.2	4.72	1.0	156	16	114	3	3.5	2.6	2.5	6.99	23	5.3	4.9
5921105	<0.2	11.7	1260	0.4	0.55	0.8	4	3	173	3	0.4	<0.2	0.9	1.35	12	0.8	2.7
5921106	<0.2	13.4	1180	0.8	2.00	0.9	45	10	201	26	1.4	1.0	1.2	6.25	21	1.8	9.4
5921107	<0.2	12.0	898	2.4	6.27	1.4	58	13	156	63	2.7	1.7	1.1	7.16	18	2.5	5.8
5921108	<0.2	6.98	535	0.9	2.25	0.7	37	6	250	29	1.4	0.8	0.6	3.36	11	1.8	3.6
5921109	0.5	10.8	1060	0.6	0.52	0.6	58	20	195	65	0.8	0.6	1.0	10.7	22	<0.5	5.2
5921110	<0.2	12.2	832	2.0	3.15	1.0	65	14	230	43	1.7	0.8	1.0	7.06	18	1.7	5.0
5921111	<0.2	12.6	1730	2.0	3.00	1.0	78	10	215	46	2.3	1.1	1.2	5.28	18	3.0	6.9
5921112	0.2	12.0	1570	1.1	3.95	0.5	93	33	172	53	0.9	0.6	1.5	17.0	26	<0.5	6.1
5921113	<0.2	9.27	316	1.9	8.36	1.6	72	18	148	71	2.9	1.5	1.1	11.7	18	2.4	3.6
5921114	<0.2	9.65	1020	1.1	1.48	0.9	51	7	205	21	2.0	0.8	0.8	3.21	13	2.7	6.4
5921115	<0.2	13.5	1290	1.0	1.51	1.3	88	14	171	45	2.2	0.9	1.2	5.33	19	3.3	7.5
5921116	<0.2	10.7	1050	1.7	1.32	2.0	63	17	195	51	1.7	0.8	1.1	9.47	19	1.7	4.8
5921117	<0.2	10.8	1860	1.9	4.66	2.7	75	7	193	32	2.8	1.5	1.0	4.32	14	3.8	6.3
5921118	<0.2	16.6	1570	0.9	2.14	1.3	79	16	133	60	1.8	0.8	1.2	6.08	21	2.5	5.5
5921119	<0.2	10.9	672	1.7	5.93	1.0	49	16	183	29	1.8	1.0	0.9	7.68	17	1.3	4.9
5921120	<0.2	12.2	931	1.9	5.19	0.9	40	6	174	18	1.4	0.6	0.7	3.40	16	1.8	4.7
5921121	<0.2	13.1	623	1.7	4.72	0.9	52	14	171	28	1.5	0.8	1.0	5.11	18	1.9	7.6
5921122	<0.2	12.3	955	1.6	4.15	1.0	49	7	183	19	1.5	0.6	0.8	3.72	17	2.0	4.7
5921120 R	<0.2	12.2	937	1.9	5.26	0.9	40	7	192	19	1.3	0.6	0.7	3.42	16	1.6	4.0

IOS Services Geoscientifiques Inc.

125 - 15 Innovation Blvd., Saskatoon, Saskatchewan, S7N 2X8

Attention: Rejean Girard

Tel: (306) 933-8118 Fax: (306) 933-5656 Email: geolab@src.sk.ca

PO #/Project: 306441

Date of Report: February 05, 2008

Samples: 159

## ICP1 Total Digestion

Sample Number	Ag ppm	Al2O3 wt %	Ba ppm	Be ppm	CaO wt %	Cd ppm	Ce ppm	Co ppm	Cr ppm	Cu ppm	Dy ppm	Er ppm	Eu ppm	Fe2O3 wt %	Ga ppm	Gd ppm	Hf ppm
CG515/LS4	<0.2	17.2	2340	2.1	4.80	0.8	161	20	128	3	3.5	2.5	2.5	7.46	23	5.1	3.4
5921123	<0.2	14.2	1380	0.8	1.85	1.0	93	9	154	4	1.5	0.5	1.1	3.16	18	2.3	6.4
5921124	<0.2	12.0	1120	0.9	1.22	0.8	35	2	175	3	0.7	<0.2	0.9	1.57	13	1.3	4.8
5921125	<0.2	15.0	1980	0.6	0.69	1.1	32	5	111	11	1.2	0.3	1.1	3.16	20	1.2	10.0
5921126	<0.2	12.0	781	1.0	1.15	1.0	44	9	201	94	1.7	0.7	1.0	3.56	16	2.0	8.8
5921127	<0.2	11.0	672	1.5	1.35	1.2	62	19	263	117	2.2	1.4	1.1	6.22	17	2.8	3.3
5921128	<0.2	14.0	975	1.6	1.96	1.0	69	21	208	75	2.1	1.0	1.2	6.30	20	2.5	5.0
5921644	<0.2	0.07	6	<0.2	0.01	<0.2	<1	<1	313	2	<0.2	<0.2	<0.2	0.34	<1	0.7	<0.5
5921645	<0.2	4.78	224	1.0	0.10	0.2	1360	77	28	96	41.3	20.9	3.6	7.35	28	60.8	15.4
5921646	0.2	0.08	6	<0.2	<0.01	<0.2	2	<1	331	2	<0.2	<0.2	<0.2	0.35	<1	0.9	<0.5
5921647	0.3	11.1	703	0.4	1.04	1.0	18	12	235	48	0.7	<0.2	0.8	4.99	16	<0.5	17.1
5921648	<0.2	16.3	773	0.9	1.89	0.9	31	7	193	3	0.9	0.4	1.0	5.18	25	0.9	8.1
5921649	<0.2	12.4	1160	0.4	0.87	0.7	28	11	188	38	2.5	0.8	1.0	3.61	17	2.2	4.1
5921671	<0.2	11.9	975	0.4	0.88	0.8	19	1	161	5	1.0	0.2	0.9	1.11	12	1.4	1.4
5921672	<0.2	13.8	1250	0.4	0.62	0.7	10	23	188	50	1.6	0.3	1.0	7.38	25	<0.5	16.6
5921673	<0.2	12.3	1060	0.4	0.91	0.7	8	12	177	61	1.0	<0.2	0.8	4.89	18	<0.5	13.2
5921674	<0.2	10.9	871	0.5	1.14	0.7	7	3	193	7	0.6	<0.2	0.8	1.59	12	0.6	6.8
5921675	1.3	13.7	344	267	4.42	0.4	73	29	101	111	4.5	<0.2	1.6	8.27	86	1.7	43.1
5921676	<0.2	13.5	1170	0.5	1.01	0.8	5	1	168	3	0.8	<0.2	1.0	1.51	14	0.7	4.6
5921677	<0.2	13.5	1100	0.6	1.16	0.8	5	1	173	2	0.5	<0.2	1.0	0.98	13	0.6	1.0
CG515/LS4	<0.2	17.3	2270	2.1	4.80	0.9	160	19	129	2	3.5	2.5	2.5	7.46	24	5.4	3.8
5921678	<0.2	13.6	945	0.6	1.52	0.9	9	3	220	9	1.4	<0.2	1.0	1.25	15	1.4	8.0
5921679	<0.2	12.3	845	0.6	1.38	0.9	8	4	207	11	0.8	<0.2	0.9	1.22	13	0.8	6.4
5921680	<0.2	14.5	1020	0.6	1.68	0.8	9	3	165	4	0.7	<0.2	1.1	1.45	15	0.6	13.3
5921681	<0.2	13.0	1220	0.4	0.77	0.9	12	3	199	3	0.6	<0.2	1.0	1.60	13	0.8	3.2
5921682	<0.2	10.6	717	0.5	1.13	0.7	8	1	208	4	1.2	0.2	0.8	1.08	12	1.4	5.0
5921683	0.2	0.09	7	<0.2	<0.01	<0.2	<1	<1	311	2	<0.2	<0.2	<0.2	0.31	<1	0.7	<0.5
5921684	<0.2	9.45	1100	<0.2	0.46	0.6	5	2	221	3	1.3	0.2	0.8	1.45	11	1.3	6.9
5921685	<0.2	9.65	1210	0.2	0.38	0.6	4	<1	197	2	0.6	<0.2	0.9	0.71	9	0.9	3.8
5921686	<0.2	7.10	281	0.5	1.80	7.8	33	6	276	13	2.5	1.1	0.6	2.23	11	3.0	6.3
5921687	<0.2	10.1	814	0.8	1.19	0.8	28	4	219	10	1.2	0.4	0.8	2.45	13	1.6	3.4
5921688	<0.2	12.2	499	1.3	2.24	5.2	39	11	240	37	1.6	0.6	1.0	4.11	18	2.1	5.4
5921689	<0.2	16.4	793	1.3	1.54	1.6	64	13	179	42	2.1	0.8	1.3	6.05	24	2.6	4.6
5921690	<0.2	12.8	1300	0.6	1.16	0.8	64	3	156	4	1.0	0.2	1.0	1.92	15	2.0	6.4
5921691	<0.2	14.8	1380	0.6	1.47	1.1	82	3	187	2	1.4	<0.2	1.2	3.07	20	2.7	14.0
5921692	<0.2	14.8	1410	0.5	1.03	0.9	37	16	186	47	2.2	0.5	1.2	6.03	25	2.0	7.9
5921693	<0.2	12.7	1150	0.6	1.19	0.8	22	6	184	23	2.1	0.4	1.1	3.19	19	2.1	10.0
5921694	<0.2	11.7	892	0.7	1.34	0.9	34	6	250	35	1.1	0.5	1.0	4.13	16	1.6	5.8
5921694 R	<0.2	10.4	890	0.7	1.31	0.8	32	7	242	33	0.7	0.2	0.9	4.10	15	1.4	5.2



IOS Services Geoscientifiques Inc.

125 - 15 Innovation Blvd., Saskatoon, Saskatchewan, S7N 2X8

Attention: Rejean Girard

Tel: (306) 933-8118 Fax: (306) 933-5656 Email: geolab@src.sk.ca

PO #/Project: 306441

Date of Report: February 05, 2008

Samples: 159

## ICPI Total Digestion

Sample Number	Ho ppm	K2O wt %	La ppm	Li ppm	MgO wt %	MnO wt %	Mo ppm	Na2O wt %	Nb ppm	Nd ppm	Ni ppm	P2O5 wt %	Pb ppm	Pr ppm	Sc ppm	Sm ppm	Sn ppm
CG515/LS4	1.8	2.99	82	26	2.76	0.070	2	3.18	8	63	22	0.661	16	13	12	8.0	3
5921012	1.3	4.09	18	45	1.38	0.040	54	3.92	19	10	4	0.062	65	<1	14	1.5	<1
5921013	<0.4	3.50	6	17	0.556	0.017	40	2.69	6	3	4	0.034	98	<1	4	0.7	<1
5921014	<0.4	6.77	8	10	0.340	0.009	22	2.67	2	5	4	0.050	70	<1	2	0.7	<1
5921015	0.5	6.44	3	12	0.351	0.008	22	1.60	2	2	4	0.034	71	<1	2	<0.5	<1
5921016	<0.4	5.29	10	18	0.696	0.014	39	2.77	5	6	2	0.047	108	<1	4	1.0	<1
5921017	<0.4	6.17	9	11	0.462	0.009	16	2.58	2	5	5	0.035	68	<1	2	0.7	<1
5921018	0.8	5.13	20	29	1.33	0.030	13	2.15	5	14	20	0.053	51	1	7	2.0	<1
5921019	0.6	1.27	35	18	2.03	0.026	3	1.20	3	21	16	0.097	8	4	4	3.0	<1
5921020	<0.4	1.11	26	13	7.26	0.091	1	1.02	2	18	11	0.107	9	2	9	3.5	<1
5921021	2.2	0.968	80	18	3.07	0.043	1	0.84	19	49	9	0.283	11	11	5	7.4	<1
5921022	<0.4	0.192	26	6	20.9	0.235	5	0.28	<1	22	52	0.846	2	3	10	4.5	<1
5921023	<0.4	0.193	23	8	22.5	0.263	5	0.26	<1	18	52	0.300	2	2	10	4.0	<1
5921024	0.7	0.620	24	13	14.0	0.169	4	0.46	<1	18	20	0.153	6	3	8	3.8	<1
5921025	0.5	1.73	32	12	10.9	0.127	1	0.87	<1	20	32	0.241	8	3	5	3.4	<1
5921026	1.1	5.55	35	25	2.12	0.030	1	1.49	2	22	29	0.099	18	4	7	3.4	<1
5921027	1.0	5.45	23	42	1.69	0.027	1	2.25	3	15	20	0.067	20	2	8	2.2	<1
5921028	<0.4	5.01	5	8	0.277	0.007	30	2.03	<1	3	4	0.035	91	<1	1	0.5	<1
5921029	<0.4	5.10	8	10	0.347	0.008	42	2.22	1	3	2	0.041	82	<1	2	0.5	<1
5921030	0.5	7.64	5	11	0.360	0.007	244	1.78	2	2	4	0.044	65	<1	2	<0.5	<1
CG515/LS4	1.9	3.02	82	27	2.76	0.071	2	3.05	9	62	23	0.660	15	13	12	8.1	3
5921031	<0.4	5.79	8	12	0.335	0.007	7	2.58	2	4	3	0.036	56	<1	2	0.6	<1
5921032	<0.4	5.95	26	9	0.253	0.008	4	2.37	2	14	1	0.042	52	3	2	1.8	<1
5921033	0.5	6.12	17	16	0.554	0.013	4	2.24	4	8	7	0.043	51	1	5	1.0	<1
5921034	<0.4	6.12	7	15	0.705	0.010	8	2.50	2	4	3	0.049	65	<1	2	0.5	<1
5921035	<0.4	5.26	16	15	0.485	0.011	9	2.36	4	9	4	0.042	69	1	4	1.2	<1
5921036	<0.4	5.14	4	12	0.409	0.008	54	2.08	3	2	5	0.035	95	<1	2	<0.5	<1
5921037	<0.4	8.94	2	8	0.213	0.005	5	1.45	1	1	2	0.034	72	<1	1	<0.5	1
5921038	<0.4	7.81	3	14	0.402	0.008	8	1.73	3	1	3	0.033	68	<1	3	<0.5	<1
5921039	<0.4	7.29	3	12	0.350	0.008	23	1.79	3	1	3	0.033	78	<1	2	<0.5	<1
5921040	<0.4	6.75	5	16	0.542	0.013	20	2.23	6	2	4	0.041	89	<1	4	<0.5	<1
5921041	1.4	5.97	30	40	1.78	0.099	<1	1.92	16	19	45	0.085	45	2	13	2.8	<1
5921042	<0.4	4.57	5	15	0.518	0.013	40	2.42	6	3	6	0.033	68	<1	4	<0.5	<1
5921043	0.8	5.32	3	16	0.593	0.013	51	1.65	7	2	9	0.034	49	<1	4	<0.5	<1
5921044	1.0	3.00	11	34	1.19	0.064	13	2.37	16	7	29	0.046	67	<1	12	1.2	<1
5921045	2.3	4.77	29	48	2.06	0.078	3	2.72	31	16	63	0.075	49	1	20	2.6	<1
5921046	2.0	6.25	27	43	1.95	0.085	<1	1.70	23	17	54	0.077	45	2	14	2.5	<1
5921047	0.8	6.83	30	35	1.73	0.105	3	1.96	13	15	36	0.060	43	4	11	3.6	<1
5921048	0.8	2.85	13	31	2.64	0.039	3	1.34	10	9	46	0.082	35	<1	9	1.7	<1
5921044 R	1.2	2.95	11	33	1.19	0.066	14	2.37	16	7	29	0.046	69	<1	13	1.3	<1

IOS Services Geoscientifiques Inc.  
 Attention: Rejean Girard  
 PO #/Project: 306441  
 Samples: 159

125 - 15 Innovation Blvd., Saskatoon, Saskatchewan, S7N 2X8  
 Tel: (306) 933-8118 Fax: (306) 933-5656 Email: geolab@src.sk.ca

Date of Report: February 05, 2008

ICP1 Total Digestion

Sample Number	Ho ppm	K2O wt %	La ppm	Li ppm	MgO wt %	MnO wt %	Mo ppm	Na2O wt %	Nb ppm	Nd ppm	Ni ppm	P2O5 wt %	Pb ppm	Pr ppm	Sc ppm	Sm ppm	Sn ppm
CG515/LS4	1.4	3.13	86	29	2.89	0.073	1	3.20	8	69	25	0.687	20	17	13	8.4	3
5921049	0.6	6.10	26	31	1.50	0.027	2	1.50	5	16	36	0.067	56	2	9	2.3	<1
5921050	0.6	7.02	20	38	2.14	0.058	<1	1.53	15	12	33	0.065	61	1	14	1.5	<1
5921051	0.6	5.26	30	33	2.56	0.035	<1	1.15	2	20	26	0.074	41	4	9	2.8	<1
5921052	<0.4	1.49	17	14	0.487	0.009	2	2.87	1	10	5	0.025	32	2	2	2.1	<1
5921053	0.7	4.79	11	29	1.40	0.022	11	1.94	11	5	23	0.045	55	<1	8	0.7	<1
5921054	<0.4	5.52	4	8	0.234	0.007	12	1.97	<1	1	7	0.029	59	<1	1	<0.5	<1
5921055	0.4	6.74	5	22	0.900	0.018	24	1.55	11	2	22	0.043	71	<1	7	<0.5	<1
5921056	<0.4	5.07	6	15	0.551	0.014	18	2.12	5	3	11	0.036	68	<1	4	0.5	<1
5921057	0.9	6.52	26	43	2.20	0.046	5	1.55	27	16	54	0.070	56	2	16	1.9	<1
5921058	1.0	5.65	59	64	2.43	0.220	1	1.51	9	33	39	0.100	40	9	13	5.2	<1
5921059	0.8	7.21	53	40	1.86	0.119	1	1.29	11	32	39	0.087	59	8	12	4.4	<1
5921060	0.4	3.20	6	16	0.580	0.018	17	1.82	7	3	16	0.029	43	<1	5	0.6	<1
5921061	0.4	2.00	10	20	0.805	0.033	7	2.21	11	5	24	0.032	50	<1	8	0.6	<1
5921062	0.8	4.33	6	20	0.757	0.024	27	1.99	9	3	15	0.034	57	<1	6	0.5	<1
5921063	0.8	6.60	6	23	0.963	0.028	17	1.46	12	3	21	0.043	70	<1	8	<0.5	<1
5921064	0.9	3.96	21	27	1.07	0.046	11	2.52	13	13	35	0.055	51	2	10	1.7	<1
5921065	0.5	2.20	20	21	10.1	0.114	9	1.09	3	17	61	0.187	14	2	8	3.9	<1
5921066	0.4	5.89	41	33	2.24	0.039	14	2.49	8	30	35	0.114	54	6	14	4.6	<1
5921067	0.5	5.63	6	10	0.368	0.009	35	1.98	<1	2	6	0.031	67	<1	2	<0.5	<1
CG515/LS4	1.5	3.14	88	29	2.90	0.074	<1	3.21	8	65	25	0.666	19	17	13	8.5	2
5921068	<0.4	5.96	6	6	0.200	0.005	8	1.84	<1	2	3	0.034	76	<1	1	0.5	<1
5921069	1.0	6.10	24	32	1.43	0.027	5	2.33	16	13	18	0.056	66	2	12	1.5	<1
5921070	<0.4	4.80	13	17	0.811	0.016	<1	0.92	8	7	24	0.037	46	<1	6	1.2	<1
5921071	0.7	6.28	15	25	1.06	0.022	<1	0.96	11	8	58	0.052	58	<1	8	1.4	<1
5921072	0.7	4.69	42	38	1.37	0.082	<1	0.69	7	25	24	0.088	32	6	7	3.7	<1
5921073	0.4	4.13	23	21	2.92	0.035	<1	1.57	4	14	37	0.109	22	2	10	2.4	<1
5921074	0.6	4.39	30	49	2.99	0.044	10	1.27	8	24	74	0.148	29	4	14	3.8	<1
5921075	0.5	5.44	33	30	1.98	0.036	23	2.18	13	26	114	0.139	62	4	14	4.0	<1
5921076	<0.4	1.42	10	19	0.740	0.021	4	2.15	8	6	29	0.037	36	<1	7	1.2	<1
5921077	1.0	4.24	11	39	1.72	0.043	5	2.05	27	8	45	0.062	84	<1	16	0.8	<1
5921078	<0.4	3.70	17	21	0.935	0.023	8	1.93	11	12	25	0.046	58	1	7	1.9	<1
5921079	0.7	5.78	38	43	2.83	0.046	8	2.44	12	30	76	0.146	53	5	17	4.8	<1
5921080	0.4	5.40	32	20	1.42	0.024	30	1.87	11	22	103	0.100	54	4	9	3.7	<1
5921081	0.7	4.28	9	26	1.32	0.026	7	1.95	6	5	43	0.046	80	<1	10	0.7	<1
5921082	0.8	3.46	22	36	1.89	0.040	1	2.87	16	12	37	0.056	41	1	12	1.7	<1
5921083	0.6	3.56	28	39	2.22	0.039	<1	2.08	5	17	30	0.077	20	3	10	2.6	<1
5921084	0.6	2.91	24	17	2.86	0.034	21	1.72	7	17	87	0.102	25	3	8	3.5	<1
5921085	<0.4	3.76	28	23	2.30	0.035	12	1.92	6	22	109	0.143	32	4	12	4.0	<1
5921082 R	1.0	3.40	21	35	1.85	0.039	<1	2.72	15	12	33	0.055	40	1	12	1.6	<1

IOS Services Geoscientifiques Inc.

125 - 15 Innovation Blvd., Saskatoon, Saskatchewan, S7N 2X8

Attention: Rejean Girard

Tel: (306) 933-8118 Fax: (306) 933-5656 Email: geolab@src.sk.ca

PO #/Project: 306441

Date of Report: February 05, 2008

Samples: 159

## ICP1 Total Digestion

Sample Number	Ho ppm	K2O wt %	La ppm	Li ppm	MgO wt %	MnO wt %	Mo ppm	Na2O wt %	Nb ppm	Nd ppm	Ni ppm	P2O5 wt %	Pb ppm	Pr ppm	Sc ppm	Sm ppm	Sn ppm
CG515/LS4	1.7	3.11	84	27	2.87	0.073	2	3.25	8	65	25	0.690	16	14	12	8.9	2
5921086	1.0	3.34	39	39	2.78	0.048	29	1.97	13	32	110	0.229	33	5	14	4.9	<1
5921087	1.3	5.23	45	44	2.68	0.051	2	2.26	12	35	45	0.149	39	6	16	5.3	<1
5921088	2.0	5.62	42	32	2.35	0.046	2	2.12	9	33	40	0.146	45	5	15	4.9	<1
5921089	1.4	5.30	37	42	2.76	0.057	2	2.09	11	30	43	0.150	38	4	18	4.6	<1
5921090	1.7	4.83	44	41	2.49	0.051	4	2.30	19	34	38	0.112	40	6	15	5.0	<1
5921091	0.5	3.45	7	17	0.822	0.018	90	2.27	4	5	14	0.037	65	<1	6	0.8	<1
5921092	<0.4	4.05	7	10	0.495	0.010	24	1.76	<1	5	11	0.034	80	<1	3	0.8	<1
5921093	1.6	5.32	49	41	3.26	0.062	34	3.34	14	40	133	0.149	53	7	19	6.1	<1
5921094	0.4	1.79	20	9	4.16	0.055	45	0.72	8	15	94	0.217	18	2	4	3.0	<1
5921095	0.6	3.71	28	20	1.25	0.021	29	1.76	7	21	106	0.104	31	3	6	3.3	<1
5921096	1.3	3.20	34	20	1.98	0.039	12	2.26	7	26	35	0.100	34	4	8	3.9	<1
5921097	1.0	5.09	46	24	1.98	0.038	15	2.42	9	36	78	0.163	41	7	10	5.4	<1
5921098	0.7	4.50	26	15	2.01	0.025	19	1.93	5	20	79	0.082	34	3	8	3.2	<1
5921099	0.8	6.54	27	22	1.34	0.030	7	1.60	8	16	26	0.058	41	2	9	2.3	<1
5921100	1.1	3.05	48	33	2.22	0.038	1	2.42	5	29	16	0.072	18	6	8	4.1	<1
5921101	1.0	6.03	34	22	2.51	0.037	1	1.11	5	22	19	0.074	22	4	8	3.3	<1
5921102	<0.4	4.01	42	19	1.09	0.014	38	2.06	2	27	40	0.059	47	5	3	3.5	<1
5921103	<0.4	6.32	3	14	0.614	0.011	74	1.98	3	1	2	0.034	60	<1	4	<0.5	<1
5921104	<0.4	4.70	4	10	0.437	0.007	88	1.74	1	3	4	0.030	79	<1	2	0.5	<1
CG515/LS4	1.8	2.98	82	26	2.77	0.070	2	3.14	8	64	24	0.660	16	14	12	8.2	2
5921105	<0.4	6.53	2	10	0.463	0.009	73	1.60	4	1	3	0.034	62	<1	3	<0.5	<1
5921106	1.0	5.13	25	19	1.76	0.026	40	1.98	11	19	70	0.088	57	2	9	2.9	<1
5921107	1.3	2.69	31	16	4.64	0.054	22	0.87	7	26	85	0.138	14	3	8	4.7	<1
5921108	<0.4	2.00	21	9	2.20	0.037	5	0.91	1	15	35	0.087	16	2	5	2.6	<1
5921109	0.7	4.68	33	16	0.859	0.044	24	1.45	4	24	137	0.121	28	3	8	3.7	<1
5921110	0.8	2.11	36	18	1.36	0.022	10	1.82	3	27	80	0.133	17	4	5	4.3	<1
5921111	0.6	2.82	41	15	1.15	0.022	9	1.83	3	31	47	0.133	19	5	6	4.6	<1
5921112	<0.4	3.78	56	18	3.07	0.056	15	1.53	<1	38	241	0.212	25	6	11	5.8	<1
5921113	1.1	1.18	40	15	7.81	0.131	46	0.77	8	32	138	0.195	20	5	7	5.8	<1
5921114	0.5	2.89	28	8	0.645	0.014	15	1.81	2	20	36	0.073	46	3	4	3.0	<1
5921115	0.6	5.12	48	15	1.18	0.025	8	2.33	1	33	51	0.111	49	6	7	4.7	<1
5921116	0.9	3.54	31	23	1.67	0.036	20	1.66	4	27	117	0.156	30	4	8	4.2	<1
5921117	1.2	3.25	39	21	2.94	0.052	16	1.23	5	31	36	0.694	37	5	7	5.0	<1
5921118	1.1	7.01	45	21	2.01	0.037	4	1.86	5	30	50	0.108	44	6	7	4.3	<1
5921119	0.7	3.11	27	19	6.74	0.098	15	0.71	3	22	71	0.115	15	3	8	4.0	<1
5921120	0.8	1.93	24	19	2.80	0.044	1	0.51	3	16	39	0.062	9	2	6	2.9	<1
5921121	0.7	2.42	32	13	1.61	0.028	16	1.16	5	18	56	0.079	39	3	4	2.9	<1
5921122	0.6	2.96	29	18	2.50	0.038	5	0.86	3	19	36	0.075	34	3	7	3.0	<1
5921120 R	1.0	1.93	24	19	2.84	0.045	1	0.51	3	16	41	0.062	10	2	6	2.8	<1



ICP1 Total Digestion

Sample Number	Ho ppm	K2O wt %	La ppm	Li ppm	MgO wt %	MnO wt %	Mo ppm	Na2O wt %	Nb ppm	Nd ppm	Ni ppm	P2O5 wt %	Pb ppm	Pr ppm	Sc ppm	Sm ppm	Sn ppm
CG515/LS4	1.3	3.12	90	29	2.91	0.075	<1	3.20	8	66	26	0.674	19	18	13	8.9	2
5921123	<0.4	5.36	57	21	1.46	0.072	10	2.30	8	30	16	0.066	55	9	6	3.9	<1
5921124	0.7	4.54	21	12	0.496	0.013	20	2.55	4	11	7	0.036	54	2	3	1.5	<1
5921125	1.1	8.24	18	21	0.972	0.019	14	2.08	14	11	6	0.060	105	2	8	1.5	<1
5921126	0.6	4.05	24	27	1.17	0.018	62	2.21	<1	17	28	0.070	74	3	5	3.0	<1
5921127	0.6	3.67	33	47	2.78	0.036	16	1.23	9	26	98	0.180	42	5	11	4.8	<1
5921128	0.4	5.13	36	40	2.13	0.035	9	2.04	6	29	54	0.380	71	6	11	4.8	<1
5921644	<0.4	0.019	<1	4	0.009	0.002	1	0.01	<1	<1	6	0.004	<1	<1	<1	<0.5	<1
5921645	6.7	1.67	743	14	0.100	0.006	5	0.05	64	486	49	0.230	1290	151	4	84.8	1
5921646	<0.4	0.020	1	3	0.010	0.002	1	0.01	<1	1	5	0.004	3	<1	<1	0.6	<1
5921647	<0.4	4.21	10	15	0.774	0.017	7	2.09	1	6	42	0.052	80	<1	8	1.5	<1
5921648	1.1	5.41	19	44	1.63	0.052	5	3.02	26	11	26	0.058	73	1	14	1.5	<1
5921649	0.8	6.28	14	8	0.282	0.009	191	2.01	<1	14	9	0.053	282	2	2	3.0	<1
5921671	<0.4	5.78	10	8	0.246	0.007	45	2.11	<1	8	5	0.034	109	1	2	1.4	<1
5921672	1.1	7.21	5	32	1.26	0.028	84	1.80	16	6	32	0.066	205	<1	12	1.1	<1
5921673	0.7	5.80	4	23	0.848	0.021	59	1.93	7	3	21	0.052	136	<1	8	0.7	<1
5921674	<0.4	4.59	4	12	0.382	0.012	16	1.98	3	2	7	0.031	78	<1	3	0.6	<1
5921675	7.7	0.757	10	18	2.63	0.079	41	5.74	44	62	199	0.224	2610	7	18	7.8	<1
5921676	0.6	6.64	4	16	0.488	0.013	45	2.14	3	2	3	0.034	123	<1	4	0.5	<1
5921677	<0.4	6.49	4	10	0.298	0.008	43	2.28	1	1	4	0.030	79	<1	2	<0.5	<1
CG515/LS4	1.4	3.07	88	28	2.89	0.075	<1	3.22	9	66	26	0.674	20	18	12	9.0	2
5921678	0.6	5.19	6	11	0.340	0.010	42	2.70	1	3	6	0.038	165	<1	2	1.0	<1
5921679	<0.4	4.66	6	10	0.321	0.010	18	2.50	1	2	6	0.034	96	<1	2	0.7	<1
5921680	0.6	5.54	6	13	0.408	0.015	10	2.87	3	2	6	0.038	82	<1	3	0.6	<1
5921681	<0.4	6.84	8	14	0.502	0.014	15	1.81	3	4	12	0.037	80	<1	3	0.9	<1
5921682	0.5	4.18	5	11	0.373	0.009	65	1.97	1	4	6	0.025	130	<1	2	1.0	<1
5921683	<0.4	0.027	<1	3	0.004	0.002	1	0.01	<1	<1	4	0.003	1	<1	<1	<0.5	<1
5921684	0.8	5.84	3	11	0.480	0.010	48	0.97	4	3	7	0.027	135	<1	3	1.0	<1
5921685	<0.4	6.00	2	6	0.201	0.005	20	1.11	<1	1	5	0.024	90	<1	1	0.6	<1
5921686	0.6	1.64	18	11	1.44	0.024	37	1.32	3	15	34	0.199	74	2	3	3.6	<1
5921687	1.0	4.00	15	14	0.910	0.024	50	1.68	2	11	12	0.056	76	2	6	2.3	<1
5921688	0.5	2.70	22	23	1.88	0.036	43	2.60	12	16	83	0.106	59	3	9	3.3	<1
5921689	1.8	5.35	37	32	2.18	0.054	3	2.79	11	26	41	0.133	43	6	15	4.5	<1
5921690	0.6	5.32	38	14	0.585	0.017	8	2.48	6	21	5	0.046	62	6	4	3.0	<1
5921691	0.9	5.54	51	26	1.05	0.028	18	2.91	12	28	6	0.054	90	8	8	4.3	<1
5921692	1.3	6.34	20	34	1.44	0.030	83	2.42	14	17	35	0.069	205	3	10	3.3	<1
5921693	1.2	5.04	12	20	0.842	0.020	81	2.41	5	10	16	0.047	226	1	6	2.3	<1
5921694	<0.4	4.01	20	23	1.15	0.023	30	2.18	7	14	54	0.073	76	2	6	2.8	<1
5921694 R	<0.4	3.97	20	21	1.12	0.021	27	2.12	7	12	52	0.072	74	<1	5	2.6	<1

*RM*

IOS Services Geoscientifiques Inc.

125 - 15 Innovation Blvd., Saskatoon, Saskatchewan, S7N 2X8

Attention: Rejean Girard

Tel: (306) 933-8118 Fax: (306) 933-5656 Email: geolab@src.sk.ca

PO #/Project: 306441

Date of Report: February 05, 2008

Samples: 159

ICP1 Total Digestion

Sample Number	Sr ppm	Ta ppm	Tb ppm	Th ppm	TiO2 wt %	U, ICP ppm	V ppm	W ppm	Y ppm	Yb ppm	Zn ppm	Zr ppm
CG515/LS4	1160	<1	<0.3	15	1.09	<2	133	1	20	1.9	86	171
5921012	202	<1	<0.3	56	0.762	97	70	<1	5	0.4	140	20
5921013	171	<1	0.6	155	0.302	190	30	1	6	0.8	53	257
5921014	225	<1	<0.3	42	0.150	52	21	1	3	0.3	29	69
5921015	176	<1	<0.3	50	0.169	77	20	1	3	0.3	31	53
5921016	208	<1	<0.3	178	0.284	170	29	1	7	0.6	53	108
5921017	210	<1	<0.3	71	0.147	40	20	1	4	0.4	31	174
5921018	158	<1	<0.3	66	0.399	35	43	<1	7	0.7	74	249
5921019	152	<1	<0.3	17	0.240	7	30	1	8	0.8	53	183
5921020	233	<1	<0.3	18	0.198	13	47	<1	12	1.2	105	144
5921021	312	<1	<0.3	37	0.539	16	33	2	27	2.5	60	312
5921022	8	1	0.7	<1	0.195	6	56	<1	17	1.7	282	11
5921023	8	1	0.7	<1	0.162	7	57	<1	15	1.5	285	9
5921024	140	<1	<0.3	15	0.268	9	52	<1	16	1.5	191	143
5921025	121	<1	<0.3	11	0.233	5	42	<1	13	1.2	159	112
5921026	138	<1	<0.3	17	0.349	4	44	1	9	0.9	66	209
5921027	90	<1	<0.3	11	0.452	5	57	<1	6	0.6	72	242
5921028	172	<1	0.5	127	0.099	170	16	1	5	0.7	23	290
5921029	186	<1	0.3	129	0.119	121	19	2	6	0.8	26	327
5921030	202	<1	<0.3	33	0.139	32	22	1	2	0.3	28	152
CG515/LS4	1150	<1	<0.3	15	1.07	<2	134	<1	20	1.8	90	169
5921031	173	<1	<0.3	25	0.087	22	15	2	4	0.5	19	116
5921032	177	<1	<0.3	34	0.099	19	16	2	5	0.4	26	145
5921033	157	<1	<0.3	31	0.175	27	23	1	5	0.6	36	188
5921034	207	<1	<0.3	33	0.147	46	23	<1	4	0.4	48	248
5921035	189	<1	<0.3	74	0.202	85	24	1	5	0.5	41	261
5921036	172	<1	<0.3	117	0.165	150	20	<1	4	0.5	35	141
5921037	209	<1	<0.3	28	0.094	37	16	2	1	0.2	18	37
5921038	205	<1	<0.3	34	0.182	35	22	1	1	0.1	36	22
5921039	203	<1	<0.3	58	0.173	79	20	2	3	0.4	33	178
5921040	215	<1	<0.3	120	0.272	112	31	1	5	0.8	50	379
5921041	156	<1	<0.3	13	0.701	55	67	<1	11	1.5	132	378
5921042	184	<1	<0.3	93	0.252	91	28	1	4	0.4	47	184
5921043	157	<1	<0.3	32	0.290	33	30	<1	2	0.3	53	116
5921044	145	<1	0.4	162	0.577	110	56	<1	11	2.1	113	457
5921045	186	<1	0.4	44	1.04	37	94	<1	10	1.2	180	610
5921046	136	<1	<0.3	17	0.819	11	77	<1	10	1.3	152	513
5921047	150	2	<0.3	11	0.575	3	53	9	11	1.3	112	354
5921048	103	<1	0.3	20	0.496	17	58	<1	6	0.9	109	405
5921044 R	146	<1	0.6	162	0.579	107	56	<1	11	2.2	112	456

IOS Services Geoscientifiques Inc.

Attention: Rejean Girard

PO #/Project: 306441

Samples: 159

125 - 15 Innovation Blvd., Saskatoon, Saskatchewan, S7N 2X8

Tel: (306) 933-8118 Fax: (306) 933-5656 Email: geolab@src.sk.ca

Report No: 07-173

Date of Report: February 05, 2008

ICP1 Total Digestion

Sample Number	Sr ppm	Ta ppm	Tb ppm	Th ppm	TiO2 wt %	U, ICP ppm	V ppm	W ppm	Y ppm	Yb ppm	Zn ppm	Zr ppm
CG515/LS4	1170	<1	<0.3	15	1.16	3	137	1	22	2.1	85	212
5921049	142	<1	<0.3	15	0.559	13	61	1	5	0.6	87	310
5921050	136	<1	<0.3	9	0.750	11	80	<1	5	0.7	135	369
5921051	88	<1	<0.3	13	0.508	8	54	<1	8	0.8	82	241
5921052	186	<1	<0.3	25	0.157	19	18	4	4	0.4	20	117
5921053	145	<1	<0.3	41	0.451	41	45	<1	4	0.6	75	311
5921054	180	<1	<0.3	6	0.094	8	14	2	1	0.3	13	80
5921055	174	<1	<0.3	36	0.422	34	39	<1	3	0.6	69	228
5921056	181	<1	<0.3	60	0.257	42	26	1	3	0.5	45	187
5921057	145	<1	<0.3	12	0.877	14	73	<1	7	0.8	165	504
5921058	135	<1	<0.3	24	0.690	12	65	<1	22	2.4	128	379
5921059	133	<1	<0.3	26	0.650	12	58	<1	15	1.6	116	351
5921060	137	<1	<0.3	28	0.266	37	29	<1	3	0.5	50	229
5921061	131	<1	0.4	69	0.431	74	41	<1	8	1.7	69	512
5921062	156	<1	<0.3	44	0.388	38	34	1	4	0.6	70	218
5921063	168	<1	<0.3	41	0.495	31	39	<1	3	0.5	88	232
5921064	170	<1	<0.3	47	0.548	41	47	<1	7	0.9	104	374
5921065	74	1	<0.3	6	0.293	6	140	<1	18	2.2	202	101
5921066	184	<1	<0.3	12	0.594	8	104	<1	10	0.9	119	216
5921067	186	<1	<0.3	34	0.152	29	24	1	2	0.3	28	202
CG515/LS4	1180	<1	<0.3	14	1.15	2	139	1	22	2.0	85	191
5921068	186	<1	<0.3	44	0.078	38	21	<1	3	0.4	16	177
5921069	200	<1	<0.3	41	0.696	37	79	<1	5	0.6	112	410
5921070	118	<1	<0.3	9	0.334	10	39	<1	4	0.6	61	295
5921071	143	<1	<0.3	12	0.444	12	50	<1	4	0.7	76	365
5921072	126	<1	<0.3	18	0.450	6	42	<1	13	1.2	65	229
5921073	99	<1	<0.3	10	0.464	9	54	<1	7	0.8	96	216
5921074	107	<1	<0.3	8	0.539	8	180	<1	12	1.3	178	140
5921075	157	<1	<0.3	25	0.547	40	240	<1	11	1.4	143	232
5921076	121	<1	<0.3	43	0.344	63	57	<1	4	0.6	71	240
5921077	145	2	0.7	53	0.879	141	136	<1	8	1.4	155	553
5921078	142	<1	<0.3	38	0.389	45	69	<1	5	0.6	84	201
5921079	186	<1	<0.3	10	0.651	11	194	<1	13	1.3	205	165
5921080	100	<1	<0.3	13	0.373	9	286	<1	9	1.3	139	186
5921081	146	<1	0.8	41	0.451	119	100	<1	5	1.1	121	526
5921082	149	1	<0.3	19	0.641	28	62	<1	5	0.7	129	287
5921083	87	<1	<0.3	10	0.565	3	58	<1	7	0.8	79	209
5921084	97	<1	<0.3	9	0.309	9	206	<1	10	1.4	190	149
5921085	140	<1	<0.3	8	0.398	8	190	<1	11	1.3	276	120
5921082 R	145	<1	<0.3	18	0.637	30	60	<1	5	0.7	126	283

IOS Services Geoscientifiques Inc.

125 - 15 Innovation Blvd., Saskatoon, Saskatchewan, S7N 2X8

Attention: Rejean Girard

Tel: (306) 933-8118 Fax: (306) 933-5656 Email: geolab@src.sk.ca

PO #/Project: 306441

Date of Report: February 05, 2008

Samples: 159

## ICP1 Total Digestion

Sample Number	Sr ppm	Ta ppm	Tb ppm	Th ppm	TiO2 wt %	U, ICP ppm	V ppm	W ppm	Y ppm	Yb ppm	Zn ppm	Zr ppm
CG515/LS4	1180	<1	<0.3	15	1.11	<2	137	<1	21	1.9	92	171
5921086	151	<1	<0.3	12	0.497	10	349	<1	14	1.7	586	156
5921087	177	<1	<0.3	14	0.678	2	126	<1	13	1.0	215	188
5921088	166	<1	<0.3	13	0.621	2	111	<1	12	1.0	241	152
5921089	152	<1	<0.3	11	0.738	2	132	<1	11	1.0	247	169
5921090	162	<1	<0.3	17	0.689	7	119	<1	11	1.0	157	231
5921091	152	<1	<0.3	63	0.323	97	59	<1	4	0.5	83	169
5921092	147	<1	<0.3	64	0.146	170	37	<1	4	0.5	41	142
5921093	175	<1	<0.3	18	0.712	10	418	<1	14	1.8	441	239
5921094	65	<1	<0.3	8	0.174	19	255	2	12	1.5	175	82
5921095	123	<1	<0.3	16	0.307	17	199	<1	10	1.3	141	164
5921096	140	<1	<0.3	27	0.394	28	98	<1	11	1.0	105	172
5921097	172	<1	<0.3	17	0.398	4	211	<1	13	1.3	255	198
5921098	139	<1	<0.3	21	0.312	19	146	<1	9	1.1	136	167
5921099	109	<1	<0.3	41	0.531	21	52	<1	7	0.8	88	345
5921100	122	<1	<0.3	25	0.486	4	57	<1	10	0.9	102	231
5921101	212	<1	<0.3	16	0.455	<2	61	1	10	0.9	114	232
5921102	157	<1	<0.3	78	0.167	55	92	<1	9	0.8	72	190
5921103	185	<1	<0.3	39	0.264	50	32	<1	2	0.2	66	42
5921104	143	<1	<0.3	84	0.115	147	33	1	5	0.6	42	105
CG515/LS4	1130	<1	<0.3	15	1.09	<2	132	<1	20	1.9	86	172
5921105	161	<1	<0.3	41	0.221	52	29	<1	2	0.3	47	73
5921106	169	<1	<0.3	53	0.482	54	162	<1	11	1.4	120	279
5921107	132	<1	<0.3	14	0.326	9	190	<1	20	2.4	186	174
5921108	78	<1	<0.3	11	0.148	8	71	<1	8	1.0	92	107
5921109	86	<1	<0.3	17	0.360	7	119	<1	9	0.9	89	170
5921110	145	<1	<0.3	16	0.252	5	105	<1	12	1.1	105	170
5921111	167	<1	<0.3	20	0.262	5	118	1	13	1.3	71	256
5921112	156	<1	0.8	28	0.294	7	101	<1	12	1.1	171	183
5921113	113	<1	0.7	37	0.276	33	357	<1	23	2.6	304	83
5921114	105	<1	0.5	80	0.140	70	60	<1	11	1.1	66	222
5921115	157	<1	0.3	52	0.259	29	69	<1	12	1.1	130	271
5921116	98	<1	0.4	15	0.329	9	169	<1	12	1.4	383	149
5921117	134	<1	0.4	17	0.273	37	117	<1	17	1.8	202	211
5921118	190	<1	<0.3	24	0.371	7	54	<1	11	0.9	151	208
5921119	125	<1	<0.3	15	0.333	7	109	<1	13	1.4	161	138
5921120	176	<1	<0.3	12	0.304	2	43	2	9	0.9	76	151
5921121	187	<1	0.3	66	0.279	56	42	<1	11	1.2	57	223
5921122	182	<1	<0.3	49	0.288	47	39	<1	10	0.9	87	158
5921120 R	177	<1	<0.3	13	0.302	<2	43	<1	8	0.8	79	155



ICP1 Total Digestion

Sample Number	Sr ppm	Ta ppm	Tb ppm	Th ppm	TiO2 wt %	U, ICP ppm	V ppm	W ppm	Y ppm	Yb ppm	Zn ppm	Zr ppm
CG515/LS4	1180	<1	<0.3	15	1.14	3	139	<1	22	2.0	83	177
5921123	222	<1	<0.3	45	0.466	25	45	1	7	0.5	82	242
5921124	187	<1	<0.3	35	0.235	26	29	<1	4	0.4	47	167
5921125	215	<1	0.3	86	0.463	112	49	<1	8	0.8	105	330
5921126	172	<1	0.7	87	0.214	148	53	<1	11	1.1	114	280
5921127	139	<1	<0.3	12	0.394	15	220	<1	15	1.8	252	138
5921128	173	<1	<0.3	18	0.484	35	137	<1	14	1.4	178	196
5921644	2	<1	<0.3	<1	<0.002	<2	1	<1	<1	<0.1	2	1
5921645	21	21	21.4	870	0.547	2710	22	1	189	16.6	172	243
5921646	2	<1	<0.3	1	0.003	5	1	<1	<1	<0.1	2	1
5921647	147	<1	1.2	82	0.287	138	47	<1	6	1.2	72	595
5921648	193	<1	<0.3	45	0.787	85	74	<1	6	0.7	155	302
5921649	190	<1	2.8	247	0.193	661	22	<1	14	1.2	28	69
5921671	182	<1	<0.3	69	0.132	127	18	<1	4	0.3	23	32
5921672	182	<1	2.2	212	0.744	449	59	<1	12	1.5	114	557
5921673	176	<1	1.0	149	0.475	237	42	<1	7	1.0	69	459
5921674	164	<1	<0.3	72	0.197	87	22	<1	4	0.5	35	217
5921675	258	<1	42.6	53	0.739	10600	891	1	40	5.5	72	258
5921676	199	<1	<0.3	118	0.233	151	24	1	5	0.5	42	143
5921677	198	<1	<0.3	38	0.146	62	19	1	2	0.2	24	24
CG515/LS4	1160	<1	<0.3	15	1.15	3	138	<1	22	2.0	87	196
5921678	203	<1	0.9	153	0.151	292	20	2	8	0.9	29	243
5921679	185	<1	<0.3	49	0.115	124	18	1	4	0.7	24	197
5921680	223	<1	<0.3	58	0.190	70	25	1	5	1.0	36	428
5921681	189	<1	<0.3	27	0.225	29	27	1	3	0.4	55	114
5921682	161	<1	0.8	152	0.160	272	23	1	6	0.7	30	131
5921683	1	1	<0.3	1	0.002	<2	<1	<1	<1	<0.1	<1	<1
5921684	140	<1	1.2	105	0.236	324	31	1	7	0.8	37	192
5921685	151	<1	<0.3	63	0.097	115	17	1	3	0.4	19	111
5921686	95	<1	1.0	62	0.118	172	91	<1	16	1.7	560	187
5921687	137	<1	<0.3	72	0.244	100	51	<1	7	0.7	76	116
5921688	157	<1	<0.3	53	0.374	103	253	<1	10	1.3	345	172
5921689	166	<1	<0.3	10	0.645	10	125	<1	12	1.1	204	195
5921690	201	<1	<0.3	43	0.292	36	36	<1	5	0.4	51	228
5921691	231	<1	0.7	62	0.540	113	61	<1	8	0.7	82	507
5921692	209	<1	1.8	129	0.594	484	111	<1	13	1.3	118	244
5921693	195	<1	1.9	161	0.330	510	62	<1	11	1.3	68	309
5921694	167	<1	<0.3	42	0.260	51	173	<1	8	1.0	98	195
5921694 R	163	<1	<0.3	34	0.247	50	162	<1	5	0.9	95	190

IOS Services Geoscientifiques Inc.

Attention: Rejean Girard

PO #/Project: 306441

Samples: 159

125 - 15 Innovation Blvd., Saskatoon, Saskatchewan, S7N 2X8

Tel: (306) 933-8118 Fax: (306) 933-5656 Email: geolab@src.sk.ca

Report No: G-07-1730

Date of Report: February 05, 2008

ICP1 Total Digestion

Sample Number	Sr ppm	Ta ppm	Tb ppm	Th ppm	TiO2 wt %	U, ICP ppm	V ppm	W ppm	Y ppm	Yb ppm	Zn ppm	Zr ppm
---------------	--------	--------	--------	--------	-----------	------------	-------	-------	-------	--------	--------	--------

Total Digestion: A 0.125 g pulp is gently heated in a mixture of HF/HNO3/HClO4 until dry and the residue is dissolved in dilute HNO3. The standard is CG515.

*EM*



Report No: 07-1738

## SRC Geoanalytical Laboratories

125 - 15 Innovation Blvd.  
Saskatoon, Saskatchewan  
S7N 2X8

February 07, 2008

Phone: (306) 933-8118  
Fax: (306) 933-5656

**IOS Services Geoscientifiques Inc.**  
1319 St-Paul Boulevard  
Saguenay (Chicoutimi), QC G7J 3Y2  
Attn: Rejean Girard

Test reports are the property of the customers. Publications of statements, conclusions or extracts from these reports are not permitted without prior written permission from the customer.

This document constitutes the **final official test report**. Liability for the SRC Geoanalytical Laboratories', if any, will be limited to the cost of analysis for samples in this test report. The results contained in this test report relate only to the items tested. It is the customer's responsibility to ensure that all interpretation of analysis is done using the data from this report.

The customer will not use the name of the Saskatchewan Research Council in connection with the sale, offer, advertisement or the promotion of any article, product, or company without the prior written consent of the SRC.

Results Reviewed and Approved by:

Robert Millar  
Assistant Research Scientist

IOS Services Geoscientifiques Inc.  
Attention: Rejean Girard  
PO #/Project: 306441  
Samples: 163

125 - 15 Innovation Blvd., Saskatoon, Saskatchewan, S7N 2X8  
Tel: (306) 933-8118 Fax: (306) 933-5656 Email: geolab@src.sk.ca

Date of Report: February 07, 2008

**TEST REPORT**  
Method U3O8

Column Header Details

U3O8 Assay by ICP in wt % (U3O8)

Sample Number	U3O8 wt %
BL4A	0.150
5921645 STD	0.289
5921675 STD	1.21
5921645 R	0.295

Uranium Assay: A 1.00 g pulp is digested with 24 ml of 3:1 HCl:HNO3 for 1 hour at 95 C.





Report No: 07-1761

## SRC Geoanalytical Laboratories

125 - 15 Innovation Blvd.  
Saskatoon, Saskatchewan  
S7N 2X8

February 07, 2008

Phone: (306) 933-8118  
Fax: (306) 933-5656

**IOS Services Geoscientifiques Inc.**  
1319 St-Paul Boulevard  
Saguenay (Chicoutimi), QC G7J 3Y2  
Attn: Rejean Girard

Test reports are the property of the customers. Publications of statements, conclusions or extracts from these reports are not permitted without prior written permission from the customer.

This document constitutes the **final official test report**. Liability for the SRC Geoanalytical Laboratories', if any, will be limited to the cost of analysis for samples in this test report. The results contained in this test report relate only to the items tested. It is the customer's responsibility to ensure that all interpretation of analysis is done using the data from this report.

The customer will not use the name of the Saskatchewan Research Council in connection with the sale, offer, advertisement or the promotion of any article, product, or company without the prior written consent of the SRC.

Results Reviewed and Approved by: \_\_\_\_\_

Robert Millar  
Assistant Research Scientist

IOS Services Geoscientifiques Inc.

Attention: Rejean Girard

PO #/Project: 306443

Samples: 61

IC Analytical Laboratories  
125 - 15 Innovation Blvd., Saskatoon, Saskatchewan, S7N 2X8  
Tel: (306) 933-8118 Fax: (306) 933-5656 Email: geolab@src.sk.ca

Report No: G-07-1701

Date of Report: February 07, 2008

ICP4.3 Aqua Regia Digestion

Column Header Details

Silver in ppm (Ag)  
Arsenic in ppm (As)  
Bismuth in ppm (Bi)  
Cobalt in ppm (Co)  
Copper in ppm (Cu)

Germanium in ppm (Ge)  
Mercury in ppm (Hg)  
Molybdenum in ppm (Mo)  
Nickel in ppm (Ni)  
Lead in ppm (Pb)

Antimony in ppm (Sb)  
Selenium in ppm (Se)  
Tellurium in ppm (Te)  
Uranium in ppm (U, ICP)  
Vanadium in ppm (V)

Zinc in ppm (Zn)

ICP4.3 Aqua Regia Digestion

Sample Number	Ag ppm	As ppm	Bi ppm	Co ppm	Cu ppm	Ge ppm	Hg ppm	Mo ppm	Ni ppm	Pb ppm	Sb ppm	Se ppm	Te ppm	U, ICP ppm	V ppm	Zn ppm
CG515/LS4	<0.1	13.0	1.3	37.6	50.0	<0.2	<0.2	13.0	48.7	24.1	<1	<0.2	<0.2	35.9	102	202
5921331	<0.1	<0.2	<0.2	0.6	2.5	<0.2	<0.2	1.8	6.0	0.82	<1	0.5	<0.2	1.0	0.7	2.1
5921332 STD	<0.1	28.2	20.9	70.2	81.5	0.6	<0.2	7.5	43.8	1090	<1	1.2	0.5	2670	5.4	165
5921333	<0.1	<0.2	0.2	0.7	2.8	0.2	<0.2	1.1	4.9	5.15	<1	<0.2	0.5	9.0	0.6	1.5
5921334	<0.1	0.3	<0.2	1.0	1.2	<0.2	<0.2	6.6	3.8	20.5	<1	<0.2	<0.2	33.4	7.5	9.6
5921335	<0.1	<0.2	<0.2	1.4	1.2	0.2	<0.2	27.2	4.0	29.5	<1	<0.2	<0.2	68.5	16.0	17.3
5921336	<0.1	<0.2	<0.2	0.6	1.5	<0.2	<0.2	12.2	3.3	16.8	<1	<0.2	<0.2	40.5	2.8	4.8
5921337	<0.1	<0.2	<0.2	2.0	2.2	0.4	<0.2	34.0	5.2	69.9	<1	<0.2	<0.2	122	17.1	28.6
5921338	<0.1	0.4	<0.2	1.3	1.6	0.4	<0.2	25.8	4.2	53.3	<1	<0.2	<0.2	99.2	10.2	20.1
5921339	<0.1	<0.2	<0.2	1.1	1.3	0.4	<0.2	18.5	3.9	58.4	<1	0.6	<0.2	86.6	5.8	13.7
5921340	<0.1	<0.2	<0.2	5.8	4.1	0.8	<0.2	19.8	11.2	80.3	<1	<0.2	<0.2	195	23.1	37.4
5921341	<0.1	<0.2	<0.2	2.6	2.5	0.6	<0.2	19.2	5.7	86.0	<1	<0.2	0.4	196	15.7	26.3
5921342	<0.1	<0.2	<0.2	1.9	1.0	0.4	<0.2	62.0	5.4	87.3	<1	<0.2	0.8	198	14.9	25.0
5921343	<0.1	1.0	<0.2	5.2	2.9	0.7	<0.2	27.4	12.0	57.4	<1	<0.2	<0.2	119	33.0	55.5
5921344 STD	0.8	6.3	<0.2	22.9	103	<0.2	<0.2	37.7	182	2030	<1	<0.2	5.6	9870	665	71.6
5921345	<0.1	1.8	<0.2	9.8	6.4	1.4	<0.2	11.8	24.4	62.9	<1	<0.2	<0.2	113	61.2	119
5921346	<0.1	<0.2	<0.2	5.5	2.3	1.0	<0.2	17.4	11.0	32.6	<1	<0.2	<0.2	66.3	37.2	59.6
5921347	<0.1	0.7	<0.2	3.9	1.9	0.6	<0.2	40.1	4.7	35.7	<1	<0.2	<0.2	70.2	20.3	36.6
5921348	<0.1	0.3	<0.2	3.5	2.6	0.4	<0.2	12.3	3.6	24.4	<1	<0.2	<0.2	37.6	18.2	33.5
5921349	<0.1	0.8	<0.2	4.7	5.7	0.6	<0.2	6.8	3.0	24.7	<1	<0.2	<0.2	38.4	18.3	32.9
CG515/LS4	<0.1	12.4	1.4	37.4	49.0	<0.2	<0.2	12.6	48.4	24.7	<1	<0.2	<0.2	35.1	101	200
5921350	<0.1	0.7	<0.2	8.5	9.2	0.8	<0.2	7.2	13.4	32.0	<1	<0.2	<0.2	55.9	30.8	70.8
5921351	0.1	1.3	<0.2	11.9	22.3	1.1	<0.2	3.9	20.8	37.4	<1	<0.2	<0.2	14.2	29.2	83.2
5921352	<0.1	0.3	<0.2	8.4	16.7	0.6	<0.2	18.1	13.4	38.8	<1	<0.2	<0.2	72.1	18.4	41.5
5921353	<0.1	0.7	<0.2	3.0	1.9	0.6	<0.2	60.4	5.0	58.8	<1	<0.2	<0.2	120	17.9	32.5
5921354	<0.1	<0.2	<0.2	0.4	2.1	<0.2	<0.2	1.6	4.2	0.81	<1	<0.2	<0.2	1.6	0.5	1.2
5921355	<0.1	1.0	<0.2	8.5	17.0	0.7	<0.2	12.1	12.7	46.9	<1	<0.2	<0.2	85.1	13.2	25.8
5921356	<0.1	<0.2	<0.2	2.8	6.7	<0.2	<0.2	14.3	4.0	37.6	<1	<0.2	<0.2	73.3	0.4	4.1
5921357	<0.1	<0.2	<0.2	3.3	8.7	0.2	<0.2	13.8	6.6	32.1	<1	<0.2	<0.2	57.6	1.7	7.1
5921358	<0.1	<0.2	<0.2	3.3	5.5	0.3	<0.2	18.8	5.7	31.4	<1	<0.2	<0.2	61.1	9.0	17.9
5921359	<0.1	0.8	<0.2	4.4	2.1	0.7	<0.2	10.1	5.6	24.1	<1	<0.2	<0.2	42.5	18.8	34.6
5921360	<0.1	<0.2	<0.2	3.7	0.9	0.5	<0.2	11.4	4.2	25.6	<1	<0.2	<0.2	42.3	19.3	39.9
5921361	<0.1	1.3	<0.2	4.1	1.0	0.4	<0.2	7.8	3.6	17.2	<1	<0.2	<0.2	19.6	23.5	45.0
5921362	0.3	1.3	<0.2	9.1	8.2	1.2	<0.2	0.8	19.3	5.55	<1	<0.2	<0.2	4.6	38.8	76.2
5921363	0.2	1.4	<0.2	9.5	9.4	1.3	<0.2	1.1	23.8	3.37	<1	<0.2	<0.2	2.7	40.4	74.6
5921364	0.1	0.4	<0.2	10.9	31.0	1.1	<0.2	13.6	14.3	18.2	<1	<0.2	<0.2	35.3	31.0	64.1
5921365	<0.1	<0.2	<0.2	0.2	2.4	<0.2	<0.2	1.3	4.4	0.87	<1	<0.2	<0.2	1.1	0.5	1.3
5921366	<0.1	1.0	<0.2	9.9	19.6	1.1	<0.2	14.2	18.1	26.8	<1	<0.2	<0.2	55.0	36.4	67.0
5921367	0.2	0.6	<0.2	16.4	52.9	1.5	<0.2	3.5	27.0	7.42	<1	<0.2	<0.2	13.8	48.3	89.9
5921363 R	0.2	1.5	<0.2	9.7	9.6	1.3	<0.2	1.1	24.4	3.21	<1	<0.2	<0.2	2.4	39.8	73.1

IOS Services Geoscientifiques Inc.

Attention: Rejean Girard

PO #/Project: 306443

Samples: 61

125 - 15 Innovation Blvd., Saskatoon, Saskatchewan, S7N 2X8  
 Tel: (306) 933-8118 Fax: (306) 933-5656 Email: geolab@src.sk.ca

Report No: G-07-1761

Date of Report: February 07, 2008

ICP4.3 Aqua Regia Digestion

Sample Number	Ag ppm	As ppm	Bi ppm	Co ppm	Cu ppm	Ge ppm	Hg ppm	Mo ppm	Ni ppm	Pb ppm	Sb ppm	Se ppm	Te ppm	U, ICP ppm	V ppm	Zn ppm
CG515/LS4	<0.1	12.1	1.3	39.0	46.7	<0.2	<0.2	11.2	47.6	22.3	<1	<0.2	<0.2	32.4	97.8	208
5921368	<0.1	<0.2	4.9	10.7	27.6	<0.2	<0.2	3.2	28.3	7.60	7.5	<0.2	<0.2	10.8	80.4	108
5921369	<0.1	<0.2	2.6	4.8	10.3	<0.2	<0.2	38.7	13.3	22.9	4.4	<0.2	<0.2	47.6	45.7	62.8
5921370	<0.1	<0.2	3.3	5.4	14.6	<0.2	<0.2	40.1	16.0	17.9	6.4	<0.2	<0.2	27.5	58.2	92.8
5921371	<0.1	<0.2	2.0	3.9	14.1	<0.2	<0.2	27.7	9.1	33.4	3.6	<0.2	<0.2	59.9	41.9	59.1
5921372	<0.1	<0.2	3.7	9.4	35.8	<0.2	<0.2	4.6	28.1	9.10	4.4	<0.2	<0.2	13.5	69.6	84.8
5921373	<0.1	<0.2	2.9	9.0	15.6	<0.2	<0.2	0.5	17.6	11.2	<1	<0.2	<0.2	6.7	40.0	61.4
5921374	<0.1	<0.2	4.9	15.9	5.6	<0.2	<0.2	6.1	28.8	10.7	6.9	<0.2	<0.2	18.7	45.2	86.9
5921375	<0.1	<0.2	5.1	21.1	10.2	<0.2	<0.2	4.6	37.9	10.7	7.8	<0.2	<0.2	17.8	48.9	94.4
5921376	<0.1	<0.2	3.2	13.0	10.1	<0.2	<0.2	6.2	27.9	27.9	5.2	<0.2	<0.2	50.2	37.7	79.6
5921377	<0.1	<0.2	3.9	10.3	24.2	<0.2	<0.2	1.0	24.9	8.81	6.2	<0.2	<0.2	18.2	43.8	81.7
5921548	<0.1	<0.2	0.3	0.2	1.8	<0.2	<0.2	0.7	3.5	0.38	<1	<0.2	0.9	1.0	0.3	1.3
5921549 STD	0.3	31.4	28.2	65.7	81.7	<0.2	<0.2	5.4	41.1	942	4.3	<0.2	<0.2	2560	1.8	154
5921695	<0.1	<0.2	0.4	0.5	1.8	<0.2	<0.2	0.7	3.3	3.18	<1	<0.2	1.2	6.7	0.3	1.3
5921696	<0.1	<0.2	<0.2	2.6	6.9	<0.2	<0.2	27.4	5.5	63.3	<1	<0.2	<0.2	149	17.2	35.4
5921548 R	<0.1	<0.2	0.2	0.2	1.8	<0.2	<0.2	0.9	3.8	0.41	<1	<0.2	1.1	2.1	0.3	1.2
CG515/LS4	<0.1	12.5	1.2	40.3	49.5	<0.2	<0.2	13.0	48.9	23.4	<1	<0.2	<0.2	30.6	104	204
5921697	<0.1	2.1	<0.2	3.7	6.4	0.5	<0.2	25.1	8.4	75.2	<1	<0.2	<0.2	140	17.1	29.9
5921698	<0.1	1.9	<0.2	2.8	4.2	0.4	<0.2	28.0	6.7	89.4	<1	<0.2	<0.2	151	18.6	27.8
5921699	<0.1	3.9	<0.2	7.7	9.8	0.6	<0.2	33.6	13.5	148	<1	<0.2	<0.2	182	46.4	77.2
5921698 R	<0.1	1.6	<0.2	3.2	3.7	0.5	<0.2	27.8	7.3	89.3	<1	<0.2	<0.2	147	18.2	26.7

Aqua Regia: A 0.5 g pulp is digested with 2.00 ml of 3:1 HCL:HNO3 for 1 hour at 95 C.  
 The standard is LS4.

*RW*



IOS Services Geoscientifiques Inc.

Attention: Rejean Girard

PO #/Project: 306443

Samples: 61

ICP Analytical Laboratories  
125 - 15 Innovation Blvd., Saskatoon, Saskatchewan, S7N 2X8  
Tel: (306) 933-8118 Fax: (306) 933-5656 Email: geolab@src.sk.ca

Report No: G-07-1761

Date of Report: February 07, 2008

### ICP1 Total Digestion

#### Column Header Details

Silver in ppm (Ag)  
Aluminum in wt % (Al<sub>2</sub>O<sub>3</sub>)  
Barium in ppm (Ba)  
Beryllium in ppm (Be)  
Calcium in wt % (CaO)

Cadmium in ppm (Cd)  
Cerium in ppm (Ce)  
Cobalt in ppm (Co)  
Chromium in ppm (Cr)  
Copper in ppm (Cu)

Dysprosium in ppm (Dy)  
Erbium in ppm (Er)  
Europium in ppm (Eu)  
Iron in wt % (Fe<sub>2</sub>O<sub>3</sub>)  
Gallium in ppm (Ga)

Gadolinium in ppm (Gd)  
Hafnium in ppm (Hf)  
Holmium in ppm (Ho)  
Potassium in wt % (K<sub>2</sub>O)  
Lanthanum in ppm (La)

Lithium in ppm (Li)  
Magnesium in wt % (MgO)  
Manganese in wt % (MnO)  
Molybdenum in ppm (Mo)  
Sodium in wt % (Na<sub>2</sub>O)

Niobium in ppm (Nb)  
Neodymium in ppm (Nd)  
Nickel in ppm (Ni)  
Phosphorus in wt % (P<sub>2</sub>O<sub>5</sub>)  
Lead in ppm (Pb)

Praseodymium in ppm (Pr)  
Scandium in ppm (Sc)  
Samarium in ppm (Sm)  
Tin in ppm (Sn)  
Strontium in ppm (Sr)

Tantalum in ppm (Ta)  
Terbium in ppm (Tb)  
Thorium in ppm (Th)  
Titanium in wt % (TiO<sub>2</sub>)  
Uranium in ppm (U, ICP)

IOS Services Geoscientifiques Inc.

Attention: Rejean Girard

PO #/Project: 306443

Samples: 61

RC Geology Laboratories  
125 - 15 Innovation Blvd., Saskatoon, Saskatchewan, S7N 2X8  
Tel: (306) 933-8118 Fax: (306) 933-5656 Email: geolab@src.sk.ca

Report No: G-07-176

Date of Report: February 07, 2008

ICP1 Total Digestion

Column Header Details

Vanadium in ppm (V)  
Tungsten in ppm (W)  
Yttrium in ppm (Y)  
Ytterbium in ppm (Yb)  
Zinc in ppm (Zn)

Zirconium in ppm (Zr)

ICPI Total Digestion

Sample Number	Ag ppm	Al2O3 wt %	Ba ppm	Be ppm	CaO wt %	Cd ppm	Ce ppm	Co ppm	Cr ppm	Cu ppm	Dy ppm	Er ppm	Eu ppm	Fe2O3 wt %	Ga ppm	Gd ppm	Hf ppm
CG515/LS4	<0.2	17.5	2320	2.2	4.81	0.8	163	19	122	3	3.3	2.6	2.7	7.37	22	5.8	4.6
5921331	0.8	0.41	28	1.7	0.11	<0.2	1	1	295	3	<0.2	<0.2	<0.2	0.47	<1	<0.5	<0.5
5921332 STD	<0.2	4.68	229	1.7	0.11	<0.2	1150	77	32	87	43.3	20.5	3.3	7.09	31	54.7	<0.5
5921333	0.2	0.09	5	0.3	<0.01	<0.2	3	<1	285	3	<0.2	<0.2	<0.2	0.32	<1	0.6	<0.5
5921334	<0.2	11.1	1300	0.6	1.01	0.6	8	<1	201	2	0.4	<0.2	0.9	0.62	9	0.7	6.3
5921335	<0.2	13.2	1200	1.6	1.52	0.8	12	2	205	4	0.8	<0.2	1.0	1.02	12	0.9	6.1
5921336	<0.2	11.4	1930	0.3	0.16	0.8	8	1	191	2	0.5	<0.2	0.9	0.43	7	0.7	7.0
5921337	<0.2	12.1	1340	0.7	1.01	0.8	8	<1	191	5	0.9	0.2	0.9	1.15	11	1.0	15.3
5921338	<0.2	11.9	1270	1.0	1.04	0.8	8	<1	218	4	0.8	0.2	1.0	0.85	10	0.8	9.1
5921339	<0.2	7.70	1130	0.5	0.35	0.5	3	1	227	4	0.8	<0.2	0.7	0.69	6	0.8	10.2
5921340	<0.2	10.9	1380	0.2	0.44	0.7	3	5	213	8	1.0	0.4	0.9	2.08	11	0.9	17.3
5921341	<0.2	10.3	860	0.7	1.05	0.7	6	1	191	7	1.1	0.4	0.8	1.39	10	1.0	14.5
5921342	<0.2	10.0	1320	0.6	0.47	0.7	4	2	192	7	1.1	0.3	0.8	1.23	9	1.0	9.4
5921343	<0.2	13.9	1580	1.2	1.02	0.8	8	5	192	7	0.9	0.3	1.2	2.57	15	0.9	12.5
5921344 STD	1.5	13.2	340	260	4.26	0.4	70	26	97	110	4.2	<0.2	2.0	7.79	95	1.4	<0.5
5921345	<0.2	14.3	1350	3.6	1.35	0.8	7	10	181	11	0.8	0.4	1.1	5.14	20	<0.5	23.7
5921346	<0.2	16.8	390	1.8	3.19	1.1	16	5	162	4	0.7	0.2	1.2	2.94	21	0.6	12.1
5921347	<0.2	13.2	1260	1.2	1.31	0.8	7	4	128	4	0.6	<0.2	1.1	1.89	13	0.5	8.6
5921348	<0.2	13.2	1250	1.3	1.46	0.8	9	3	139	5	0.5	<0.2	1.1	1.79	14	<0.5	7.4
5921349	<0.2	13.6	1190	1.5	1.66	0.8	13	4	160	7	0.5	<0.2	1.1	1.86	14	0.5	7.0
CG515/LS4	<0.2	17.5	2310	2.3	4.81	0.8	166	19	123	4	3.5	2.7	2.8	7.33	22	5.8	4.1
5921350	<0.2	12.6	1420	0.5	0.87	0.8	12	9	185	11	0.7	0.6	1.1	3.21	14	<0.5	8.2
5921351	<0.2	15.8	665	2.0	4.05	1.2	45	12	161	25	1.4	0.8	1.1	3.94	19	1.4	7.1
5921352	<0.2	8.94	604	1.8	1.21	0.5	9	9	177	18	0.6	<0.2	0.7	2.13	10	0.6	9.7
5921353	<0.2	10.7	899	0.6	1.13	0.6	8	3	167	5	0.8	<0.2	0.8	1.61	12	0.7	11.4
5921354	0.4	1.09	56	2.1	0.15	<0.2	<1	1	271	4	<0.2	<0.2	<0.2	0.49	<1	<0.5	<0.5
5921355	<0.2	8.11	204	1.1	1.46	0.6	9	8	201	20	1.2	1.2	0.6	2.30	11	0.5	12.8
5921356	<0.2	7.52	648	0.6	0.90	0.4	6	2	169	9	0.6	<0.2	0.6	0.55	6	0.6	9.5
5921357	<0.2	10.7	1160	0.5	0.92	0.6	8	3	172	10	0.5	<0.2	0.9	0.78	9	0.6	4.7
5921358	<0.2	11.3	927	1.2	1.43	0.7	11	1	169	8	0.6	<0.2	0.9	1.23	11	0.6	7.2
5921359	<0.2	13.9	1290	0.9	1.47	0.9	11	3	139	3	0.5	<0.2	1.1	1.85	15	<0.5	5.4
5921360	<0.2	13.5	1000	1.2	1.75	0.9	10	4	139	2	0.5	<0.2	1.1	1.77	15	<0.5	7.4
5921361	<0.2	15.5	1480	1.2	1.94	1.0	46	5	137	2	0.7	0.3	1.2	2.35	17	1.0	6.6
5921362	<0.2	18.6	783	2.0	2.55	1.1	57	8	150	10	1.5	0.8	1.1	4.46	23	1.9	5.1
5921363	<0.2	18.6	666	2.0	3.65	1.2	57	12	185	14	1.2	0.6	1.1	4.99	23	1.2	5.5
5921364	<0.2	13.6	705	1.1	1.97	0.8	12	12	173	35	0.6	<0.2	1.1	4.13	18	<0.5	7.6
5921365	<0.2	0.81	35	0.3	0.11	<0.2	<1	<1	239	3	<0.2	<0.2	<0.2	0.42	<1	<0.5	<0.5
5921366	<0.2	13.8	953	0.8	1.65	0.8	7	9	249	23	0.5	0.2	1.0	3.99	18	<0.5	7.1
5921367	<0.2	14.8	577	1.1	2.39	1.0	21	23	194	65	0.5	0.3	1.1	5.84	22	<0.5	6.7
5921363 R	<0.2	17.9	652	2.2	3.60	1.0	59	11	171	15	1.5	0.7	1.1	4.90	22	1.5	5.2

IOS Services Geoscientifiques Inc.

Attention: Rejean Girard

PO #/Project: 306443

Samples: 61

125 - 15 Innovation Blvd., Saskatoon, Saskatchewan, S7N 2X8  
 Tel: (306) 933-8118 Fax: (306) 933-5656 Email: geolab@src.sk.ca

Report No: G-07-1761

Date of Report: February 07, 2008

ICP1 Total Digestion

Sample Number	Ag ppm	Al2O3 wt %	Ba ppm	Be ppm	CaO wt %	Cd ppm	Ce ppm	Co ppm	Cr ppm	Cu ppm	Dy ppm	Er ppm	Eu ppm	Fe2O3 wt %	Ga ppm	Gd ppm	Hf ppm
CG515/LS4	<0.2	17.1	2150	2.0	4.79	0.9	152	16	130	3	3.4	2.4	2.5	6.95	25	5.8	3.7
5921368	<0.2	14.3	541	1.0	1.88	0.9	91	12	189	29	2.1	0.9	1.2	5.23	23	4.2	4.9
5921369	<0.2	11.0	344	0.7	1.84	0.7	46	4	193	10	1.1	0.3	0.9	2.88	16	2.3	7.6
5921370	<0.2	11.2	1040	0.6	1.42	0.6	121	6	203	13	2.3	0.9	1.0	3.83	18	5.6	5.4
5921371	<0.2	11.2	752	0.7	1.68	0.6	15	4	202	12	0.7	<0.2	1.0	2.93	16	1.1	9.7
5921372	<0.2	13.1	1110	0.6	1.36	0.6	44	10	174	36	1.0	0.4	1.2	4.89	21	1.9	7.6
5921373	<0.2	12.9	754	1.8	4.70	0.8	52	9	194	12	1.6	0.6	0.8	3.33	19	2.4	6.9
5921374	<0.2	13.5	1000	0.5	1.11	0.7	21	17	246	5	0.8	0.4	1.1	4.15	20	1.5	11.4
5921375	<0.2	14.5	1100	0.5	1.12	0.8	35	22	169	10	1.4	0.6	1.1	4.84	23	1.9	10.2
5921376	<0.2	12.7	798	0.6	1.25	0.6	16	13	187	9	1.1	0.2	0.9	3.93	20	1.3	13.6
5921377	<0.2	16.8	613	1.5	2.68	0.9	56	11	189	27	1.6	0.7	1.0	4.47	25	2.7	7.0
5921548	<0.2	0.11	7	<0.2	0.02	<0.2	<1	<1	310	1	<0.2	<0.2	<0.2	0.28	<1	0.8	<0.5
5921549 STD	<0.2	4.98	208	1.0	0.11	<0.2	1470	71	30	91	42.9	21.6	4.0	6.84	30	66.0	15.9
5921695	<0.2	0.07	4	<0.2	<0.01	<0.2	4	<1	188	1	<0.2	<0.2	<0.2	0.18	<1	0.7	<0.5
5921696	<0.2	11.7	1460	0.3	0.45	0.8	7	2	160	6	1.1	<0.2	0.9	1.44	12	1.3	18.3
5921548 R	0.3	0.09	8	<0.2	0.01	<0.2	1	<1	291	1	<0.2	<0.2	<0.2	0.26	<1	0.8	<0.5
CG515/LS4	0.2	17.3	2140	1.9	4.95	1.2	150	18	118	3	3.3	2.4	2.2	7.29	21	5.1	3.6
5921697	0.4	10.6	553	0.8	1.53	1.3	6	3	204	8	1.2	0.7	0.6	1.58	10	0.8	14.4
5921698	0.5	12.1	147	1.4	2.50	1.1	10	2	220	6	1.3	0.8	0.6	1.32	13	0.9	17.4
5921699	0.4	11.1	880	0.5	1.11	0.7	4	4	182	11	1.4	0.9	0.6	2.00	11	0.8	22.0
5921698 R	0.4	11.9	143	1.3	2.47	0.9	9	3	215	5	1.3	0.7	0.6	1.28	13	0.9	16.7



ICPI Total Digestion

Sample Number	Ho ppm	K2O wt %	La ppm	Li ppm	MgO wt %	MnO wt %	Mo ppm	Na2O wt %	Nb ppm	Nd ppm	Ni ppm	P2O5 wt %	Pb ppm	Pr ppm	Sc ppm	Sm ppm	Sr ppm	Ti ppm	Zn ppm
CG515/LS4	1.3	3.09	83	28	2.85	0.073	2	3.07	8	63	24	0.681	20	15	13	8.5			2
5921331	<0.4	0.068	3	5	0.035	0.003	2	0.06	<1	<1	7	0.004	1	<1	<1	<0.5			<1
5921332 STD	4.7	1.58	576	15	0.107	0.007	7	0.05	63	386	48	0.240	1230	106	4	75.5			<1
5921333	<0.4	0.023	4	4	0.008	0.002	1	<0.01	<1	1	5	0.002	2	<1	<1	0.6			<1
5921334	<0.4	4.68	5	6	0.139	0.007	8	2.02	<1	2	4	0.022	51	<1	1	0.7			<1
5921335	<0.4	4.60	8	12	0.255	0.009	28	2.66	1	3	5	0.027	65	<1	2	0.8			<1
5921336	<0.4	7.34	5	3	0.072	0.004	8	1.36	<1	2	4	0.026	61	<1	<1	0.7			<1
5921337	<0.4	5.25	5	12	0.313	0.010	36	2.00	3	2	5	0.028	108	<1	3	0.9			<1
5921338	<0.4	4.95	5	9	0.219	0.008	27	2.18	1	2	4	0.025	86	<1	1	0.7			<1
5921339	<0.4	4.18	2	6	0.133	0.006	21	1.08	1	<1	4	0.017	83	<1	1	0.8			<1
5921340	0.4	6.06	2	13	0.424	0.012	20	1.37	4	1	12	0.027	112	<1	4	0.6			<1
5921341	<0.4	3.77	3	11	0.345	0.010	20	1.99	3	2	6	0.020	112	<1	3	0.7			<1
5921342	<0.4	5.38	3	10	0.307	0.009	63	1.37	3	1	6	0.022	124	<1	3	0.7			<1
5921343	<0.4	6.52	7	19	0.656	0.026	34	2.10	10	2	13	0.036	105	<1	6	0.6			<1
5921344 STD	0.8	0.746	4	17	2.45	0.072	39	5.24	34	55	187	0.205	2430	<1	17	8.5			<1
5921345	<0.4	6.19	4	36	1.35	0.043	13	2.03	20	2	28	0.051	103	<1	13	<0.5			<1
5921346	<0.4	2.41	11	24	0.822	0.029	17	4.21	11	4	10	0.036	55	<1	8	0.8			<1
5921347	0.4	5.33	5	15	0.527	0.020	41	2.27	6	2	5	0.028	69	<1	5	<0.5			<1
5921348	<0.4	4.96	6	14	0.506	0.020	12	2.38	7	2	4	0.029	58	<1	5	<0.5			<1
5921349	<0.4	4.73	9	14	0.509	0.019	7	2.64	5	3	2	0.031	56	<1	4	0.7			<1
CG515/LS4	1.0	3.05	83	27	2.81	0.072	1	3.06	7	63	22	0.686	19	16	13	8.9			2
5921350	<0.4	5.85	8	22	0.792	0.036	6	1.81	9	4	14	0.046	72	<1	7	0.5			<1
5921351	<0.4	3.67	27	37	2.66	0.067	4	2.04	7	15	26	0.073	62	3	7	2.4			<1
5921352	<0.4	2.74	7	14	0.507	0.018	19	1.72	5	3	14	0.028	60	<1	4	0.7			<1
5921353	<0.4	3.93	5	15	0.441	0.016	62	1.99	5	2	6	0.025	84	<1	4	0.6			<1
5921354	<0.4	0.406	2	5	0.045	0.004	1	0.21	<1	<1	6	0.004	<1	<1	<1	0.7			<1
5921355	<0.4	1.29	6	13	0.376	0.037	12	1.96	2	2	12	0.026	57	<1	4	0.8			<1
5921356	<0.4	2.67	4	3	0.044	0.004	14	1.46	<1	1	5	0.017	51	<1	<1	0.6			<1
5921357	<0.4	4.75	6	4	0.076	0.004	15	1.88	<1	2	6	0.024	63	<1	<1	0.7			<1
5921358	<0.4	3.75	8	10	0.281	0.011	19	2.25	2	3	7	0.024	62	<1	2	0.8			<1
5921359	<0.4	5.23	8	15	0.491	0.016	11	2.54	6	3	6	0.031	61	<1	4	0.7			<1
5921360	<0.4	4.28	6	16	0.498	0.018	12	2.69	6	3	5	0.028	56	<1	4	<0.5			<1
5921361	<0.4	5.44	26	20	0.798	0.026	7	2.75	9	13	4	0.054	49	3	6	2.1			<1
5921362	<0.4	5.53	34	37	2.01	0.054	<1	2.91	6	19	22	0.098	27	4	10	3.1			<1
5921363	<0.4	4.67	31	38	3.28	0.060	<1	3.26	5	13	30	0.130	20	1	10	3.1			<1
5921364	<0.4	3.75	8	22	0.928	0.044	14	2.72	12	4	17	0.046	45	<1	8	0.6			<1
5921365	<0.4	0.221	<1	4	0.028	0.003	1	0.14	<1	<1	5	0.004	<1	<1	<1	<0.5			<1
5921366	0.7	4.85	4	23	0.866	0.037	13	2.47	12	2	20	0.044	55	<1	8	<0.5			<1
5921367	0.7	3.80	13	33	2.03	0.050	5	2.72	14	7	29	0.079	33	<1	10	1.3			<1
5921363 R	<0.4	4.60	33	36	3.20	0.049	<1	3.22	4	15	27	0.127	20	2	9	3.5			<1

IOS Services Geoscientifiques Inc.

125 - 15 Innovation Blvd., Saskatoon, Saskatchewan, S7N 2X8

Attention: Rejean Girard

Tel: (306) 933-8118 Fax: (306) 933-5656 Email: geolab@src.sk.ca

PO #/Project: 306443

Date of Report: February 07, 2008

Samples: 61

ICP1 Total Digestion

Sample Number	Ho ppm	K2O wt %	La ppm	Li ppm	MgO wt %	MnO wt %	Mo ppm	Na2O wt %	Nb ppm	Nd ppm	Ni ppm	P2O5 wt %	Pb ppm	Pr ppm	Sc ppm	Sm ppm	Sn ppm
CG515/LS4	1.2	3.00	88	27	2.92	0.074	<1	3.15	9	61	25	0.679	19	19	12	9.3	3
5921368	0.9	4.13	52	33	1.76	0.042	4	2.92	15	36	28	0.083	45	10	12	6.5	<1
5921369	0.6	2.11	28	21	0.924	0.026	42	2.71	9	17	15	0.039	51	4	7	3.1	<1
5921370	1.2	4.32	56	19	1.26	0.032	55	1.88	12	44	18	0.079	84	13	8	7.8	<1
5921371	0.6	3.51	9	16	0.917	0.025	37	2.27	6	5	10	0.042	88	<1	6	1.3	<1
5921372	0.8	5.75	22	21	1.39	0.033	11	1.94	10	16	33	0.076	71	3	9	3.0	<1
5921373	0.8	3.32	27	24	2.54	0.041	1	1.12	8	18	18	0.080	33	4	7	4.1	<1
5921374	0.7	5.79	13	30	1.35	0.052	8	1.97	20	7	30	0.049	55	<1	11	1.2	<1
5921375	1.0	6.13	21	33	1.42	0.081	5	2.02	21	12	40	0.059	57	2	12	1.8	<1
5921376	0.8	4.83	10	29	1.20	0.057	8	2.00	16	5	31	0.044	70	<1	10	0.9	<1
5921377	0.8	4.34	35	40	2.38	0.046	2	2.91	9	20	29	0.081	36	5	10	3.7	<1
5921548	<0.4	0.033	<1	6	0.011	0.003	1	0.02	<1	<1	4	0.002	<1	<1	<1	0.5	<1
5921549 STD	6.8	1.72	772	15	0.102	0.007	6	0.05	69	507	45	0.239	1380	167	3	92.9	1
5921695	<0.4	0.023	2	2	0.006	0.002	<1	<0.01	<1	1	3	<0.002	5	<1	<1	0.7	<1
5921696	0.5	6.51	5	14	0.387	0.010	32	1.66	4	2	6	0.028	123	<1	3	0.7	<1
5921548 R	<0.4	0.036	<1	6	0.006	0.002	1	0.01	<1	<1	3	<0.002	2	<1	<1	<0.5	<1
CG515/LS4	1.5	2.96	80	27	2.75	0.077	2	3.22	8	57	22	0.666	19	15	11	7.9	<1
5921697	<0.4	2.71	4	11	0.352	0.011	27	2.43	3	1	7	0.022	79	<1	2	0.8	<1
5921698	<0.4	1.08	6	12	0.327	0.011	30	3.47	3	2	6	0.025	90	1	2	1.1	<1
5921699	0.5	4.42	2	15	0.504	0.013	36	2.04	5	1	14	0.026	150	<1	4	0.8	<1
5921698 R	0.5	1.07	5	11	0.321	0.011	29	3.39	3	2	5	0.024	92	<1	2	1.0	<1

IOS Services Geoscientifiques Inc.

Attention: Rejean Girard

PO #/Project: 306443

Samples: 61

125 - 15 Innovation Blvd., Saskatoon, Saskatchewan, S7N 2X8

Tel: (306) 933-8118 Fax: (306) 933-5656 Email: geolab@src.sk.ca

Report No: G-07-1761

Date of Report: February 07, 2008

ICP1 Total Digestion

Sample Number	Sr ppm	Ta ppm	Tb ppm	Th ppm	TiO2 wt %	U, ICP ppm	V ppm	W ppm	Y ppm	Yb ppm	Zn ppm	Zr ppm
CG515/LS4	1180	<1	<0.3	14	1.06	<2	139	1	22	2.0	84	275
5921331	24	1	<0.3	<1	0.023	2	2	1	2	<0.1	3	5
5921332 STD	23	22	23.5	779	0.496	2710	22	1	177	16.3	176	277
5921333	2	17	<0.3	2	0.006	8	1	1	2	<0.1	1	9
5921334	165	9	<0.3	39	0.066	32	16	1	2	0.4	11	257
5921335	188	<1	<0.3	92	0.123	69	27	1	5	0.6	21	272
5921336	166	<1	<0.3	56	0.039	40	12	1	3	0.5	6	259
5921337	176	<1	0.7	146	0.155	122	28	1	6	1.1	33	604
5921338	171	1	<0.3	107	0.096	101	20	3	5	0.8	24	374
5921339	112	11	0.6	126	0.070	89	12	2	5	0.8	16	432
5921340	144	14	1.3	200	0.248	200	32	2	8	1.5	42	711
5921341	140	3	1.3	198	0.169	198	25	2	8	1.2	32	616
5921342	138	<1	1.2	242	0.163	202	25	2	7	0.9	29	438
5921343	189	<1	0.5	151	0.366	126	45	3	7	1.0	67	496
5921344 STD	250	2	50.7	54	0.651	10300	839	2	38	4.8	81	269
5921345	172	12	1.1	135	0.699	131	87	2	8	1.5	141	883
5921346	211	16	<0.3	84	0.432	73	52	4	5	0.9	74	478
5921347	181	10	<0.3	88	0.284	71	32	3	4	0.5	46	332
5921348	181	6	<0.3	48	0.281	40	31	4	3	0.4	42	299
5921349	185	<1	<0.3	50	0.261	39	31	1	3	0.4	42	281
CG515/LS4	1140	1	<0.3	14	1.05	4	138	<1	21	2.0	93	207
5921350	177	<1	<0.3	71	0.398	57	41	<1	6	1.4	85	343
5921351	178	<1	<0.3	27	0.399	13	43	1	9	1.6	127	246
5921352	119	<1	0.4	86	0.213	72	26	3	5	0.8	47	352
5921353	142	<1	0.7	157	0.225	122	26	2	5	0.8	40	495
5921354	19	14	<0.3	2	0.031	9	5	1	2	<0.1	5	39
5921355	109	7	0.7	103	0.149	84	19	2	11	3.2	31	516
5921356	106	2	0.4	77	0.012	74	6	<1	4	0.6	7	384
5921357	152	<1	<0.3	61	0.031	60	10	2	3	0.4	9	206
5921358	157	<1	<0.3	79	0.127	61	18	3	4	0.5	26	303
5921359	187	<1	<0.3	51	0.256	41	31	1	3	0.4	45	254
5921360	180	5	<0.3	54	0.256	43	31	4	3	0.4	50	320
5921361	192	15	<0.3	36	0.350	22	37	5	4	0.4	57	296
5921362	137	14	<0.3	16	0.496	4	58	4	9	0.9	101	228
5921363	109	4	<0.3	13	0.509	2	61	4	8	0.9	111	217
5921364	162	11	<0.3	50	0.406	39	42	2	5	0.7	80	327
5921365	11	19	<0.3	1	0.022	2	2	<1	1	<0.1	4	17
5921366	179	23	<0.3	64	0.470	54	46	2	4	0.7	77	336
5921367	157	10	<0.3	21	0.546	14	61	1	5	0.7	116	289
5921363 R	105	3	<0.3	15	0.511	3	59	3	9	0.8	109	211

IOS Services Geoscientifiques Inc.

Attention: Rejean Girard

PO #/Project: 306443

Samples: 61

125 - 15 Innovation Blvd., Saskatoon, Saskatchewan, S7N 2X8

Tel: (306) 933-8118 Fax: (306) 933-5656 Email: geolab@src.sk.ca

Report No: G-07-1761

Date of Report: February 07, 2008

ICP1 Total Digestion

Sample Number	Sr ppm	Ta ppm	Tb ppm	Th ppm	TiO2 wt %	U, ICP ppm	V ppm	W ppm	Y ppm	Yb ppm	Zn ppm	Zr ppm
CG515/LS4	1170	<1	<0.3	15	1.11	4	140	<1	21	2.0	82	161
5921368	157	<1	<0.3	27	0.537	15	98	<1	11	0.9	112	181
5921369	133	<1	<0.3	84	0.370	53	58	<1	6	0.7	66	246
5921370	131	<1	<0.3	95	0.396	36	76	<1	11	0.8	103	137
5921371	135	<1	<0.3	94	0.291	66	57	<1	4	0.7	64	229
5921372	140	<1	<0.3	24	0.419	21	89	<1	6	0.8	93	203
5921373	137	<1	<0.3	19	0.409	12	49	<1	9	1.0	73	202
5921374	153	<1	<0.3	37	0.593	24	58	<1	5	0.7	90	349
5921375	152	<1	<0.3	35	0.676	26	65	<1	7	1.0	98	334
5921376	143	<1	<0.3	70	0.546	64	52	<1	6	1.1	83	424
5921377	133	<1	<0.3	32	0.537	30	62	1	9	0.9	87	225
5921548	1	1	<0.3	<1	0.004	4	1	<1	<1	<0.1	1	1
5921549 STD	22	22	22.2	920	0.543	2770	23	3	184	17.3	162	236
5921695	1	<1	<0.3	3	0.003	7	<1	<1	<1	<0.1	2	1
5921696	172	<1	0.9	192	0.210	180	30	1	7	1.3	37	495
5921548 R	2	<1	<0.3	2	0.003	5	1	<1	<1	<0.1	1	1
CG515/LS4	1130	<1	<0.3	11	0.971	4	131	<1	20	1.8	91	161
5921697	138	<1	<0.3	175	0.156	147	17	<1	8	1.1	33	484
5921698	155	<1	<0.3	195	0.155	161	18	<1	8	1.2	30	566
5921699	141	<1	<0.3	209	0.244	191	30	<1	9	1.6	55	712
5921698 R	152	<1	<0.3	186	0.152	154	17	<1	7	1.2	29	541

Total Digestion: A 0.125 g pulp is gently heated in a mixture of HF/HNO3/HClO4 until dry and the residue is dissolved in dilute HNO3. The standard is CG515.





Report No: 07-1761

## SRC Geoanalytical Laboratories

125 - 15 Innovation Blvd.  
Saskatoon, Saskatchewan  
S7N 2X8

February 20, 2008

Phone: (306) 933-8118  
Fax: (306) 933-5656

**IOS Services Geoscientifiques Inc.**  
1319 St-Paul Boulevard  
Saguenay (Chicoutimi), QC G7J 3Y2  
Attn: Rejean Girard

Test reports are the property of the customers. Publications of statements, conclusions or extracts from these reports are not permitted without prior written permission from the customer.

This document constitutes the **final official test report**. Liability for the SRC Geoanalytical Laboratories', if any, will be limited to the cost of analysis for samples in this test report. The results contained in this test report relate only to the items tested. It is the customer's responsibility to ensure that all interpretation of analysis is done using the data from this report.

The customer will not use the name of the Saskatchewan Research Council in connection with the sale, offer, advertisement or the promotion of any article, product, or company without the prior written consent of the SRC.

Results Reviewed and Approved by:

Robert Millar  
Assistant Research Scientist

IOS Services Geoscientifiques Inc.

Attention: Rejean Girard

PO #/Project: 306443

Samples: 66

125 - 15 Innovation Blvd., Saskatoon, Saskatchewan, S7N 2X8

Tel: (306) 933-8118 Fax: (306) 933-5656 Email: geolab@src.sk.ca

Report No: G-07-1761

Date of Report: February 20, 2008

**TEST REPORT**

Method U3O8

Column Header Details

U3O8 Assay by ICP in wt % (U3O8)

Sample Number	U3O8 wt %
BL2A	0.498
5921332 STD	0.288
5921344 STD	1.19
5921549 STD	0.286
5921332 STD R	0.287

Uranium Assay: A 1.00 g pulp is digested with 24 ml of 3:1 HCl:HNO<sub>3</sub> for 1 hour at 95 C.



Report No: 07-1763

## SRC Geoanalytical Laboratories

125 - 15 Innovation Blvd.  
Saskatoon, Saskatchewan  
S7N 2X8

February 05, 2008

Phone: (306) 933-8118  
Fax: (306) 933-5656

**IOS Services Geoscientifiques Inc.**  
1319 St-Paul Boulevard  
Saguenay (Chicoutimi), QC G7J 3Y2  
Attn: Rejean Girard

Test reports are the property of the customers. Publications of statements, conclusions or extracts from these reports are not permitted without prior written permission from the customer.

This document constitutes the **final official test report**. Liability for the SRC Geoanalytical Laboratories', if any, will be limited to the cost of analysis for samples in this test report. The results contained in this test report relate only to the items tested. It is the customer's responsibility to ensure that all interpretation of analysis is done using the data from this report.

The customer will not use the name of the Saskatchewan Research Council in connection with the sale, offer, advertisement or the promotion of any article, product, or company without the prior written consent of the SRC.

Results Reviewed and Approved by:

Robert Millar  
Assistant Research Scientist

IOS Services Geoscientifiques Inc.

Attention: Rejean Girard

PO #/Project: 306445

Samples: 101

C G Analytical Laboratories  
125 - 15 Innovation Blvd., Saskatoon, Saskatchewan, S7N 2X8  
Tel: (306) 933-8118 Fax: (306) 933-5656 Email: geolab@src.sk.ca

Report No: 030-176

Date of Report: February 05, 2008

### ICP4.3 Aqua Regia Digestion

#### Column Header Details

Silver in ppm (Ag)  
Arsenic in ppm (As)  
Bismuth in ppm (Bi)  
Cobalt in ppm (Co)  
Copper in ppm (Cu)

Germanium in ppm (Ge)  
Mercury in ppm (Hg)  
Molybdenum in ppm (Mo)  
Nickel in ppm (Ni)  
Lead in ppm (Pb)

Antimony in ppm (Sb)  
Selenium in ppm (Se)  
Tellurium in ppm (Te)  
Uranium in ppm (U, ICP)  
Vanadium in ppm (V)

Zinc in ppm (Zn)



Attention: Rejean Girard

Tel: (306) 933-8118 Fax: (306) 933-5656 Email: geolab@src.sk.ca

PO #/Project: 306445

Date of Report: February 05, 2008

Samples: 101

ICP4.3 Aqua Regia Digestion

Sample Number	Ag ppm	As ppm	Bi ppm	Co ppm	Cu ppm	Ge ppm	Hg ppm	Mo ppm	Ni ppm	Pb ppm	Sb ppm	Se ppm	Te ppm	U, ICP ppm	V ppm	Zn ppm
CG515/LS4	<0.1	12.9	1.3	36.4	47.0	<0.2	<0.2	12.8	46.9	23.8	<1	<0.2	<0.2	33.7	97.7	192
5921711	<0.1	<0.2	<0.2	0.4	2.1	<0.2	<0.2	1.4	4.6	0.87	<1	0.4	<0.2	2.1	0.6	1.3
5921712	<0.1	28.2	19.3	72.8	78.2	<0.2	<0.2	8.2	45.8	1110	<1	<0.2	<0.2	2520	5.5	170
5921713	<0.1	<0.2	0.2	0.6	2.9	<0.2	<0.2	1.0	5.2	3.70	<1	<0.2	<0.2	6.5	0.7	3.2
5921714	<0.1	0.2	<0.2	1.7	0.8	0.3	<0.2	24.8	2.7	39.6	<1	<0.2	<0.2	72.8	13.2	28.7
5921715	<0.1	0.3	<0.2	2.0	0.8	0.4	<0.2	26.9	3.5	66.2	<1	<0.2	<0.2	137	15.4	32.3
5921716	<0.1	0.3	<0.2	2.6	2.1	0.4	<0.2	25.3	4.2	49.8	<1	<0.2	<0.2	68.1	15.5	38.9
5921717	<0.1	<0.2	<0.2	1.5	1.7	0.3	<0.2	25.1	3.3	60.5	<1	<0.2	0.5	122	8.4	18.4
5921718	<0.1	0.8	<0.2	3.4	1.7	0.6	<0.2	25.6	6.2	54.0	<1	<0.2	<0.2	100	26.2	41.6
5921719	<0.1	0.4	<0.2	2.0	3.5	0.4	<0.2	11.8	4.6	54.8	<1	<0.2	<0.2	119	10.1	19.1
5921720	<0.1	0.7	<0.2	2.9	1.6	0.6	<0.2	38.0	4.5	53.7	<1	<0.2	<0.2	113	21.8	38.6
5921721	<0.1	0.7	<0.2	3.3	6.0	0.8	<0.2	28.2	6.3	40.0	<1	<0.2	<0.2	77.0	16.2	32.5
5921722	<0.1	5.4	<0.2	21.8	105	1.0	<0.2	36.1	161	2030	<1	0.4	6.9	9840	706	42.4
5921723	<0.1	0.9	<0.2	3.1	6.0	0.7	<0.2	24.5	4.7	45.9	<1	<0.2	<0.2	88.8	19.2	37.9
5921724	0.2	1.9	<0.2	8.0	2.8	1.2	<0.2	2.8	13.6	11.3	<1	<0.2	<0.2	13.3	55.0	73.8
5921725	0.2	2.0	<0.2	8.8	18.4	1.2	<0.2	8.7	16.5	24.6	<1	<0.2	0.7	50.8	47.0	84.2
5921726	<0.1	0.3	<0.2	11.2	16.4	1.8	<0.2	19.1	29.4	60.5	<1	<0.2	<0.2	136	73.9	154
5921727	0.2	0.4	<0.2	5.4	1.5	0.9	<0.2	4.2	10.5	13.4	<1	<0.2	<0.2	15.8	45.4	71.6
5921728	<0.1	0.8	<0.2	4.4	1.1	0.7	<0.2	10.8	9.0	18.2	<1	<0.2	<0.2	31.1	34.6	56.0
5921729	<0.1	<0.2	<0.2	0.4	1.9	<0.2	<0.2	0.8	3.8	0.77	<1	0.2	<0.2	1.6	0.5	1.6
CG515/LS4	<0.1	12.7	0.9	37.6	47.5	<0.2	<0.2	12.9	48.1	24.4	<1	<0.2	<0.2	34.9	100	198
5921730	<0.1	1.0	<0.2	1.7	1.4	0.4	<0.2	11.5	3.4	26.3	<1	<0.2	<0.2	33.9	10.2	26.6
5921731	<0.1	<0.2	<0.2	3.2	2.4	0.5	<0.2	20.4	5.9	52.0	<1	<0.2	<0.2	122	22.5	39.4
5921732	<0.1	0.4	<0.2	4.0	2.6	0.6	<0.2	9.0	7.9	35.5	<1	<0.2	<0.2	73.1	24.5	45.8
5921733	<0.1	1.8	0.5	8.9	10.2	0.9	<0.2	3.9	21.8	20.8	<1	<0.2	0.5	35.3	50.4	78.6
5921734	<0.1	1.3	<0.2	7.6	2.9	1.1	<0.2	1.9	14.7	19.2	<1	<0.2	<0.2	32.2	57.1	90.4
5921735	0.1	1.6	<0.2	6.5	2.5	0.3	<0.2	19.7	9.7	21.8	<1	<0.2	<0.2	33.2	35.8	56.4
5921736	<0.1	1.5	<0.2	7.7	2.1	0.8	<0.2	12.9	14.4	23.7	<1	<0.2	<0.2	41.3	46.1	67.2
5921737	<0.1	32.2	20.7	79.7	86.4	<0.2	<0.2	8.1	49.8	1250	<1	0.7	<0.2	2620	5.5	184
5921738	<0.1	0.6	<0.2	5.3	2.3	0.6	<0.2	12.2	7.5	32.0	<1	<0.2	<0.2	55.2	30.7	62.8
5921739	<0.1	0.7	<0.2	4.3	4.8	0.6	<0.2	45.8	4.0	69.7	<1	<0.2	<0.2	124	18.8	44.3
5921740	<0.1	1.0	<0.2	6.0	20.3	0.4	<0.2	45.8	4.7	187	<1	<0.2	<0.2	208	11.9	43.6
5921741	<0.1	0.7	<0.2	4.2	12.7	0.3	<0.2	29.4	3.4	63.2	<1	<0.2	<0.2	123	8.5	20.7
5921742	<0.1	0.2	<0.2	2.2	4.0	0.3	<0.2	32.0	4.1	59.1	<1	<0.2	<0.2	99.0	7.4	31.3
5921743	0.2	1.5	<0.2	6.9	3.8	0.9	<0.2	2.7	13.0	19.2	<1	<0.2	<0.2	7.6	43.1	67.4
5921744	0.1	<0.2	<0.2	7.8	8.5	0.8	<0.2	23.8	14.7	29.9	<1	<0.2	0.3	52.1	48.1	69.9
5921745	<0.1	0.6	<0.2	2.5	2.0	0.5	<0.2	61.9	3.4	79.0	<1	<0.2	<0.2	178	12.8	29.6
5921746	<0.1	<0.2	<0.2	0.3	1.8	<0.2	<0.2	1.4	4.5	0.83	<1	0.5	<0.2	1.1	0.5	1.4
5921747	<0.1	<0.2	<0.2	3.3	0.4	0.5	<0.2	31.5	2.1	53.2	<1	<0.2	<0.2	100	18.8	45.9
5921742 R	<0.1	<0.2	<0.2	1.9	3.6	0.2	<0.2	33.4	3.7	57.2	<1	<0.2	<0.2	97.2	6.5	30.0



IOS Services Geoscientifiques Inc.

125 - 15 Innovation Blvd., Saskatoon, Saskatchewan, S7N 2X8

Tel: (306) 933-8118 Fax: (306) 933-5656 Email: geolab@src.sk.ca

Attention: Rejean Girard

PO #/Project: 306445

Samples: 101

Date of Report: February 05, 2008

## ICP4.3 Aqua Regia Digestion

Sample Number	Ag ppm	As ppm	Bi ppm	Co ppm	Cu ppm	Ge ppm	Hg ppm	Mo ppm	Ni ppm	Pb ppm	Sb ppm	Se ppm	Te ppm	U, ICP ppm	V ppm	Zn ppm
CG515/LS4	<0.1	11.7	1.1	38.2	46.6	<0.2	<0.2	11.0	46.0	22.1	<1	<0.2	<0.2	32.6	96.5	207
5921787	<0.1	0.3	0.2	0.1	1.8	<0.2	<0.2	0.8	3.1	1.09	<1	<0.2	1.2	1.6	0.9	2.9
5921788	1.4	<0.2	0.5	24.9	50.5	<0.2	<0.2	10.3	34.5	83.4	<1	<0.2	<0.2	88.0	40.3	50.7
5921789	<0.1	<0.2	2.1	18.4	54.6	<0.2	<0.2	6.7	23.3	161	1.3	<0.2	<0.2	27.5	41.6	258
5921790	<0.1	<0.2	0.2	2.4	4.8	<0.2	<0.2	9.8	4.8	14.6	<1	<0.2	<0.2	39.7	15.6	21.9
5921791	<0.1	<0.2	3.1	8.6	12.8	<0.2	<0.2	5.2	13.7	33.1	5.8	<0.2	<0.2	40.6	73.7	165
5921792	1.2	<0.2	0.3	17.4	71.3	<0.2	<0.2	20.8	70.5	177	<1	<0.2	<0.2	21.0	98.6	200
5921793	0.3	<0.2	0.2	4.9	27.4	<0.2	<0.2	36.1	16.7	438	<1	<0.2	<0.2	73.0	43.0	432
5921794	<0.1	0.4	<0.2	13.3	28.5	<0.2	<0.2	22.8	19.6	62.4	<1	<0.2	<0.2	23.8	9.2	141
5921795	<0.1	<0.2	1.9	6.7	74.8	<0.2	<0.2	6.3	27.6	144	<1	<0.2	<0.2	7.3	50.1	132
5921796	0.3	<0.2	2.2	19.5	172	<0.2	<0.2	29.1	104	35.7	2.7	5.7	<0.2	11.1	320	670
5921797	<0.1	<0.2	1.5	3.3	4.8	<0.2	<0.2	32.9	6.4	37.7	2.9	<0.2	<0.2	65.7	30.7	50.6
5921798	<0.1	<0.2	<0.2	1.3	6.0	<0.2	<0.2	11.3	4.3	35.8	<1	<0.2	<0.2	77.1	12.7	62.0
5921799	<0.1	<0.2	0.3	0.3	1.8	<0.2	<0.2	1.4	3.8	1.03	<1	<0.2	1.3	0.8	0.4	1.3
5921798 R	<0.1	0.2	<0.2	1.5	5.9	<0.2	<0.2	13.2	3.9	35.8	<1	<0.2	<0.2	77.0	12.0	61.4

Aqua Regia: A 0.5 g pulp is digested with 2.00 ml of 3:1 HCL:HNO3 for 1 hour at 95 C.  
The standard is LS4.

IOS Services Geoscientifiques Inc.

Attention: Rejean Girard

PO #/Project: 306445

Samples: 101

SRC Geoscientific Laboratories

125 - 15 Innovation Blvd., Saskatoon, Saskatchewan, S7N 2X8

Tel: (306) 933-8118 Fax: (306) 933-5656 Email: geolab@src.sk.ca

Report No. 7-176

Date of Report: February 05, 2008

### ICP1 Total Digestion

#### Column Header Details

Silver in ppm (Ag)  
Aluminum in wt % (Al<sub>2</sub>O<sub>3</sub>)  
Barium in ppm (Ba)  
Beryllium in ppm (Be)  
Calcium in wt % (CaO)

Cadmium in ppm (Cd)  
Cerium in ppm (Ce)  
Cobalt in ppm (Co)  
Chromium in ppm (Cr)  
Copper in ppm (Cu)

Dysprosium in ppm (Dy)  
Erbium in ppm (Er)  
Europium in ppm (Eu)  
Iron in wt % (Fe<sub>2</sub>O<sub>3</sub>)  
Gallium in ppm (Ga)

Gadolinium in ppm (Gd)  
Hafnium in ppm (Hf)  
Holmium in ppm (Ho)  
Potassium in wt % (K<sub>2</sub>O)  
Lanthanum in ppm (La)

Lithium in ppm (Li)  
Magnesium in wt % (MgO)  
Manganese in wt % (MnO)  
Molybdenum in ppm (Mo)  
Sodium in wt % (Na<sub>2</sub>O)

Niobium in ppm (Nb)  
Neodymium in ppm (Nd)  
Nickel in ppm (Ni)  
Phosphorus in wt % (P<sub>2</sub>O<sub>5</sub>)  
Lead in ppm (Pb)

Praseodymium in ppm (Pr)  
Scandium in ppm (Sc)  
Samarium in ppm (Sm)  
Tin in ppm (Sn)  
Strontium in ppm (Sr)

Tantalum in ppm (Ta)  
Terbium in ppm (Tb)  
Thorium in ppm (Th)  
Titanium in wt % (TiO<sub>2</sub>)  
Uranium in ppm (U, ICP)



IOS Services Geoscientifiques Inc.

Attention: Rejean Girard

PO #/Project: 306445

Samples: 101

SRC Geoscientific Laboratories

125 - 15 Innovation Blvd., Saskatoon, Saskatchewan, S7N 2X8

Tel: (306) 933-8118 Fax: (306) 933-5656 Email: geolab@src.sk.ca

Report No. 07-17

Date of Report: February 05, 2008

ICP1 Total Digestion

Column Header Details

Vanadium in ppm (V)

Tungsten in ppm (W)

Yttrium in ppm (Y)

Ytterbium in ppm (Yb)

Zinc in ppm (Zn)

Zirconium in ppm (Zr)

ICP1 Total Digestion

Sample Number	Ag ppm	Al2O3 wt %	Ba ppm	Be ppm	CaO wt %	Cd ppm	Ce ppm	Co ppm	Cr ppm	Cu ppm	Dy ppm	Er ppm	Eu ppm	Fe2O3 wt %	Ga ppm	Gd ppm	Hf ppm
CG515/LS4	<0.2	17.1	2160	2.0	4.70	1.0	150	19	120	4	3.4	2.2	2.5	7.22	24	5.3	3.0
5921711	<0.2	0.07	9	<0.2	0.01	<0.2	<1	<1	218	1	<0.2	<0.2	<0.2	0.23	<1	0.6	<0.5
5921712	<0.2	4.52	209	0.9	0.10	<0.2	1280	74	33	91	38.0	18.6	3.5	6.93	26	57.6	13.4
5921713	<0.2	0.18	11	<0.2	<0.01	<0.2	24	1	304	3	0.7	0.4	<0.2	0.40	<1	1.8	<0.5
5921714	<0.2	13.7	1070	0.7	1.02	0.9	18	1	121	3	0.9	0.2	1.0	1.30	14	1.2	1.7
5921715	<0.2	14.3	931	0.9	1.48	0.8	11	2	133	5	1.1	0.3	1.0	1.54	16	1.1	3.2
5921716	<0.2	14.7	823	1.0	1.53	1.0	11	2	134	5	0.9	<0.2	1.0	1.62	17	1.0	3.1
5921717	<0.2	12.2	955	0.6	1.09	0.7	14	1	161	5	1.0	<0.2	0.8	1.00	12	1.3	7.2
5921718	<0.2	14.0	1080	0.9	1.11	0.8	43	3	126	5	1.7	0.5	1.0	2.13	16	2.4	8.2
5921719	<0.2	11.2	801	0.6	1.18	0.7	10	1	137	6	0.9	<0.2	0.8	1.06	12	1.0	8.3
5921720	<0.2	11.1	1100	0.3	0.57	0.6	5	3	134	4	0.7	<0.2	0.8	1.76	12	0.7	5.8
5921721	<0.2	12.0	912	0.6	1.10	0.8	7	3	144	7	0.7	<0.2	0.9	1.75	13	0.6	11.5
5921722	<0.2	12.8	313	241	4.08	0.4	65	27	95	110	3.8	<0.2	1.4	7.45	79	0.9	37.0
5921723	<0.2	16.2	1210	1.5	1.45	1.1	10	2	114	8	0.8	<0.2	1.0	2.04	20	0.8	8.6
5921724	<0.2	13.8	839	1.5	1.61	0.9	122	8	123	5	3.1	1.3	1.1	3.97	19	5.4	6.3
5921725	<0.2	16.8	277	1.6	3.17	1.0	13	8	158	20	0.7	<0.2	1.0	4.57	26	<0.5	11.8
5921726	<0.2	12.8	213	1.0	2.09	0.7	11	12	228	21	1.1	<0.2	0.8	6.59	27	0.6	30.1
5921727	<0.2	14.1	999	0.8	1.41	0.9	105	4	142	2	2.0	0.8	1.1	3.46	19	4.2	8.1
5921728	<0.2	12.9	423	1.1	2.05	0.8	45	4	145	2	0.8	0.2	0.9	2.69	18	1.5	5.5
5921729	0.2	0.15	19	<0.2	0.02	<0.2	<1	<1	231	1	<0.2	<0.2	<0.2	0.26	<1	0.6	<0.5
CG515/LS4	<0.2	17.2	2360	2.1	4.77	0.8	150	19	130	2	3.4	2.6	2.5	7.35	24	5.5	3.2
5921730	<0.2	10.7	594	0.6	1.12	0.6	12	3	183	4	0.9	<0.2	0.7	2.05	13	1.2	9.4
5921731	<0.2	10.1	538	0.6	1.25	0.6	8	2	143	4	0.8	<0.2	0.7	2.00	14	0.8	12.6
5921732	<0.2	10.5	583	0.6	1.25	0.6	6	3	157	3	0.5	<0.2	0.7	1.93	13	<0.5	10.6
5921733	<0.2	9.90	428	0.6	1.34	0.5	13	6	165	8	0.5	<0.2	0.7	3.21	16	0.6	11.5
5921734	<0.2	10.5	338	0.8	1.57	0.5	27	6	163	3	0.7	<0.2	0.7	3.64	17	0.9	11.7
5921735	<0.2	11.9	846	1.2	1.40	0.6	58	4	131	3	1.7	0.7	0.9	2.61	15	2.5	4.6
5921736	<0.2	11.0	530	1.4	1.55	0.6	91	6	123	3	1.9	0.8	0.8	3.19	15	3.5	7.0
5921737	<0.2	4.50	209	0.9	0.11	<0.2	1300	81	28	87	38.2	19.0	3.5	6.80	25	58.4	13.8
5921738	<0.2	11.4	732	0.7	1.22	0.8	46	4	148	4	1.3	0.4	0.8	2.67	15	1.9	9.5
5921739	<0.2	12.3	985	0.7	1.06	0.7	24	3	141	8	1.3	0.5	0.9	1.96	14	1.6	5.0
5921740	<0.2	13.5	1100	0.7	1.16	0.8	13	5	110	23	1.2	0.2	1.0	1.78	14	1.2	6.3
5921741	<0.2	12.9	1050	0.7	1.28	0.8	9	3	131	14	0.8	<0.2	1.0	1.29	13	0.9	8.3
5921742	0.2	13.6	1570	0.8	1.15	0.9	24	1	125	6	1.1	0.2	1.0	0.95	14	1.6	4.2
5921743	<0.2	11.3	821	1.4	1.31	0.7	71	5	152	4	2.1	0.9	0.9	3.04	15	3.3	5.2
5921744	<0.2	12.0	775	1.4	1.50	0.6	109	6	149	9	2.8	1.1	0.9	3.42	16	4.7	6.1
5921745	<0.2	13.0	1070	0.6	1.23	0.8	9	2	123	5	1.0	<0.2	0.9	1.43	14	1.0	7.4
5921746	0.2	0.12	48	<0.2	0.01	<0.2	<1	<1	237	1	<0.2	<0.2	<0.2	0.25	<1	0.6	<0.5
5921747	<0.2	16.6	1420	0.9	1.36	1.0	48	2	81	3	1.4	0.5	1.2	1.94	18	2.3	2.6
5921742 R	<0.2	13.5	1500	0.8	1.14	0.9	22	1	131	6	1.0	<0.2	1.0	0.93	13	1.5	4.7

IOS Services Geoscientifiques Inc.

Attention: Rejean Girard

PO #/Project: 306445

Samples: 101

CC Analytical Laboratories  
125 - 15 Innovation Blvd., Saskatoon, Saskatchewan, S7N 2X8  
Tel: (306) 933-8118 Fax: (306) 933-5656 Email: geolab@src.sk.ca

Report No: G-176

Date of Report: February 05, 2008

ICP1 Total Digestion

Sample Number	Ag ppm	Al2O3 wt %	Ba ppm	Be ppm	CaO wt %	Cd ppm	Ce ppm	Co ppm	Cr ppm	Cu ppm	Dy ppm	Er ppm	Eu ppm	Fe2O3 wt %	Ga ppm	Gd ppm	Hf ppm
CG515/LS4	<0.2	17.4	2260	2.0	4.79	0.9	153	20	127	2	3.4	2.5	2.5	7.30	23	5.4	3.2
5921748	<0.2	12.3	896	0.7	1.42	0.8	12	1	170	5	1.0	<0.2	0.9	1.33	14	1.3	9.1
5921749	<0.2	14.2	918	0.9	1.76	0.9	13	2	126	3	1.0	<0.2	1.0	1.41	16	1.2	10.0
5921752	<0.2	12.6	693	0.8	1.56	0.7	63	4	133	1	1.4	0.3	0.8	2.61	16	2.6	8.8
5921753	<0.2	13.7	1200	0.6	1.00	0.8	15	4	124	4	0.7	0.2	1.0	2.57	17	0.7	1.8
5921754	<0.2	11.9	646	0.9	1.53	0.7	93	5	157	3	2.0	0.9	0.9	2.83	16	4.0	7.1
5921755	0.2	0.26	18	<0.2	0.03	<0.2	1	<1	247	1	<0.2	<0.2	<0.2	0.27	<1	0.6	<0.5
5921756	<0.2	13.8	1300	0.8	0.96	0.8	56	4	125	3	1.8	0.9	1.1	2.58	16	2.9	6.2
5921757	<0.2	10.6	676	0.7	1.14	0.5	98	5	154	3	1.7	0.7	0.8	2.86	15	4.1	7.0
5921758	<0.2	11.4	616	1.2	1.43	0.6	76	5	126	3	1.9	0.7	0.9	3.02	15	3.3	5.0
5921759	<0.2	12.4	573	1.2	1.75	0.7	108	6	148	2	2.1	1.0	0.9	3.72	18	4.4	8.7
5921760	<0.2	11.5	745	1.2	1.40	0.6	162	6	178	4	3.1	1.5	1.0	3.58	15	6.7	6.0
5921761	<0.2	9.78	408	0.8	1.37	0.6	20	3	152	2	0.6	<0.2	0.6	2.37	14	0.9	4.4
5921762	<0.2	11.0	1040	0.5	0.67	0.7	36	5	147	3	1.1	0.6	0.8	3.43	15	1.8	2.8
5921763	<0.2	12.3	622	0.9	1.60	0.7	33	4	156	3	0.9	0.3	0.9	2.35	16	1.7	7.1
5921764	<0.2	0.16	11	<0.2	0.02	<0.2	<1	<1	252	1	<0.2	<0.2	<0.2	0.25	<1	0.6	<0.5
5921765	<0.2	12.0	881	0.6	1.14	0.7	7	3	174	4	0.7	<0.2	0.8	2.04	14	0.9	2.4
5921766	<0.2	12.0	999	0.8	1.01	0.7	32	5	147	3	1.2	0.2	0.9	2.61	15	1.9	10.4
5921767	<0.2	12.3	1120	0.6	1.11	0.8	8	3	132	2	0.6	<0.2	0.9	1.60	14	0.7	7.0
5921768	<0.2	12.5	1080	0.7	1.23	0.8	12	2	174	3	0.6	<0.2	0.9	1.96	14	0.6	7.2
CG515/LS4	<0.2	17.0	2180	2.0	4.70	0.9	150	18	130	3	3.4	2.4	2.5	7.05	23	5.6	4.3
5921769	<0.2	13.0	1430	0.6	0.91	0.9	6	1	116	2	0.6	<0.2	1.0	0.87	12	0.6	5.2
5921770	<0.2	11.5	827	0.9	1.28	0.6	53	4	157	2	1.4	0.3	0.8	2.47	15	2.5	9.5
5921771	<0.2	17.3	586	1.4	3.47	1.1	65	27	175	18	1.7	0.8	1.1	6.66	28	2.4	11.5
5921772	1.3	13.3	324	258	4.30	0.4	68	25	102	113	4.4	<0.2	1.6	7.59	84	2.5	40.4
5921773	0.3	5.33	489	1.3	0.47	0.3	5	1	228	4	0.8	<0.2	0.4	0.77	6	1.2	16.8
5921774	<0.2	15.3	565	2.4	2.11	1.2	57	16	153	56	1.6	0.6	0.9	4.51	22	2.2	5.3
5921775	<0.2	14.1	508	2.1	7.78	1.2	68	15	122	127	2.7	1.6	1.3	7.43	21	3.1	3.9
5921776	<0.2	14.6	846	1.3	1.56	1.0	91	16	155	56	2.6	1.0	1.3	5.84	23	4.3	6.0
5921777	<0.2	13.7	710	0.8	1.69	0.9	58	13	170	28	1.5	0.7	1.0	5.07	22	2.6	4.9
5921778	<0.2	8.34	568	0.5	0.94	0.5	5	2	202	3	0.6	<0.2	0.6	1.32	10	0.9	4.6
5921779	<0.2	9.88	497	0.9	1.14	0.6	23	5	169	12	1.0	0.3	0.8	2.28	13	1.3	5.6
5921780	0.2	0.09	12	<0.2	0.01	<0.2	<1	<1	311	2	<0.2	<0.2	<0.2	0.32	<1	0.8	<0.5
5921781	0.3	8.74	213	1.6	1.37	0.8	12	4	205	15	1.4	0.5	0.4	2.92	14	1.4	8.4
5921782	0.2	7.73	943	0.2	0.34	0.6	10	1	206	7	1.1	<0.2	0.7	1.56	8	1.6	12.5
5921783	0.2	9.94	156	1.8	6.53	0.8	34	24	166	109	1.6	<0.2	0.7	6.88	20	0.9	16.7
5921784	0.6	14.4	677	1.8	4.09	1.8	51	18	135	109	2.1	1.0	0.9	6.18	21	2.0	4.3
5921785	0.3	5.52	204	0.5	0.38	7.2	27	8	254	80	1.8	0.6	0.6	4.53	14	2.3	10.1
5921786	<0.2	9.32	682	0.6	0.54	1.2	9	4	205	16	0.7	<0.2	0.7	2.71	12	1.0	6.8
5921783 R	0.3	9.86	154	1.8	6.40	0.8	35	25	162	109	1.5	<0.2	0.7	6.81	19	1.1	16.8

ICP1 Total Digestion

Sample Number	Ag ppm	Al2O3 wt %	Ba ppm	Be ppm	CaO wt %	Cd ppm	Ce ppm	Co ppm	Cr ppm	Cu ppm	Dy ppm	Er ppm	Eu ppm	Fe2O3 wt %	Ga ppm	Gd ppm	Hf ppm
CG515/LS4	<0.2	17.7	2170	2.2	4.76	1.0	165	16	129	3	3.7	2.3	2.6	7.10	26	4.6	4.1
5921787	<0.2	0.12	10	<0.2	0.02	<0.2	1	<1	230	1	<0.2	<0.2	<0.2	0.25	<1	0.6	<0.5
5921788	1.4	12.6	1060	0.7	0.34	0.7	14	25	187	51	1.2	<0.2	1.0	4.85	18	<0.5	22.9
5921789	<0.2	15.7	624	1.2	1.34	1.9	38	19	179	61	1.1	0.4	1.0	5.31	24	0.5	11.4
5921790	0.2	12.1	423	1.2	1.21	0.8	10	1	168	4	0.7	<0.2	0.8	1.67	14	0.6	12.3
5921791	<0.2	19.2	245	2.2	3.26	1.6	15	9	92	13	0.9	<0.2	1.2	4.05	31	<0.5	13.4
5921792	1.4	9.15	299	1.4	3.39	1.4	51	17	185	77	2.2	1.1	0.9	6.89	16	1.0	3.7
5921793	0.3	10.8	808	1.1	0.99	2.7	32	5	172	32	1.5	0.6	0.8	2.43	14	1.5	5.7
5921794	0.3	11.0	1120	0.3	0.33	1.1	15	13	182	31	0.5	<0.2	0.9	2.14	11	<0.5	4.9
5921795	<0.2	12.2	451	2.0	11.1	2.0	58	8	94	84	3.6	1.5	1.2	5.12	18	2.7	5.9
5921796	0.4	13.7	1440	1.5	1.48	5.8	78	19	182	185	3.3	2.1	1.4	6.57	19	2.6	4.6
5921797	<0.2	12.3	1020	0.6	1.07	0.8	6	3	156	3	0.8	<0.2	0.9	2.04	15	0.6	18.3
5921798	<0.2	13.4	1490	0.5	0.83	1.0	7	1	140	6	0.8	<0.2	1.1	0.99	13	0.9	8.7
5921799	0.2	0.12	12	<0.2	0.02	<0.2	<1	<1	287	2	<0.2	<0.2	<0.2	0.26	<1	0.7	<0.5
5921798 R	<0.2	13.9	1510	0.5	0.82	1.0	7	1	143	6	0.9	<0.2	1.1	1.00	13	0.8	9.9

*RM*



IOS Services Geoscientifiques Inc.

Attention: Rejean Girard

PO #/Project: 306445

Samples: 101

SRC Analytical Laboratories  
 125 - 15 Innovation Blvd., Saskatoon, Saskatchewan, S7N 2X8  
 Tel: (306) 933-8118 Fax: (306) 933-5656 Email: geolab@src.sk.ca

Report No: 08-176

Date of Report: February 05, 2008

ICP1 Total Digestion

Sample Number	Ho ppm	K2O wt %	La ppm	Li ppm	MgO wt %	MnO wt %	Mo ppm	Na2O wt %	Nb ppm	Nd ppm	Ni ppm	P2O5 wt %	Pb ppm	Pr ppm	Sc ppm	Sm ppm	Sn ppm
CG515/LS4	1.7	3.04	88	28	2.87	0.074	<1	3.17	9	61	22	0.672	18	19	12	9.6	2
5921711	<0.4	0.017	<1	3	0.010	0.002	1	0.01	<1	<1	4	0.004	<1	<1	<1	<0.5	<1
5921712	6.5	1.58	736	13	0.096	0.006	8	0.04	62	439	46	0.216	1200	156	3	88.1	<1
5921713	<0.4	0.056	13	5	0.008	0.003	1	<0.01	<1	8	5	0.007	24	1	<1	2.1	<1
5921714	<0.4	6.11	11	11	0.393	0.011	25	2.66	4	6	4	0.031	83	1	3	1.2	<1
5921715	0.5	5.44	7	13	0.480	0.015	28	3.01	5	4	5	0.032	103	<1	3	0.8	<1
5921716	<0.4	4.96	7	14	0.538	0.015	27	3.21	5	3	5	0.034	83	<1	3	0.6	<1
5921717	0.6	5.34	9	9	0.284	0.010	26	2.38	2	4	4	0.028	93	<1	2	1.1	<1
5921718	0.7	6.31	24	17	0.662	0.020	27	2.57	6	15	7	0.059	98	4	5	2.7	<1
5921719	<0.4	4.46	6	8	0.274	0.010	12	2.32	1	3	5	0.039	80	<1	2	0.8	<1
5921720	0.4	6.28	3	14	0.520	0.013	39	1.56	6	2	5	0.029	89	<1	4	<0.5	<1
5921721	<0.4	5.05	5	11	0.458	0.013	45	2.34	4	1	7	0.032	72	<1	3	<0.5	<1
5921722	7.4	0.707	11	16	2.42	0.072	38	5.33	40	55	178	0.207	2330	8	16	7.5	<1
5921723	0.6	6.51	7	15	0.640	0.018	25	3.03	7	3	6	0.040	95	<1	5	0.6	<1
5921724	0.9	4.81	71	27	1.26	0.042	1	2.71	12	46	15	0.140	43	15	9	8.0	<1
5921725	1.2	2.59	10	27	1.22	0.041	9	4.34	18	4	18	0.043	54	<1	10	0.9	<1
5921726	1.1	2.51	8	40	1.99	0.054	46	2.81	32	3	31	0.053	100	<1	16	0.6	<1
5921727	0.7	5.86	59	24	1.10	0.034	4	2.44	14	38	12	0.082	95	12	8	6.3	<1
5921728	<0.4	3.03	28	18	0.773	0.030	11	3.14	13	15	10	0.035	44	4	7	2.2	<1
5921729	<0.4	0.045	<1	3	0.011	0.002	1	0.03	<1	<1	4	0.003	2	<1	<1	<0.5	<1
CG515/LS4	1.7	3.08	89	28	2.92	0.076	<1	3.17	9	61	24	0.680	20	19	12	9.3	3
5921730	0.6	3.78	7	15	0.591	0.020	34	2.19	8	4	7	0.029	90	<1	5	0.9	<1
5921731	<0.4	3.28	5	14	0.562	0.021	22	2.23	8	2	6	0.025	78	<1	5	<0.5	<1
5921732	0.7	3.53	4	13	0.531	0.020	10	2.25	7	1	9	0.026	53	<1	5	<0.5	<1
5921733	0.6	2.83	9	20	0.853	0.032	4	2.14	15	4	17	0.033	38	<1	8	0.6	<1
5921734	0.9	2.59	16	24	1.04	0.039	<1	2.38	18	9	14	0.039	37	1	10	1.3	<1
5921735	0.7	4.12	33	19	0.790	0.032	20	2.45	7	21	9	0.082	81	6	6	3.6	<1
5921736	0.7	3.15	52	22	0.954	0.036	13	2.45	10	34	11	0.081	42	10	8	5.4	<1
5921737	5.8	1.56	750	13	0.100	0.007	9	0.06	63	447	50	0.221	1190	156	3	87.2	<1
5921738	1.0	4.15	28	19	0.773	0.025	14	2.25	12	16	8	0.037	70	4	6	2.6	<1
5921739	0.6	5.25	15	14	0.536	0.019	51	2.33	7	8	4	0.033	277	2	4	1.6	<1
5921740	<0.4	5.55	8	11	0.407	0.012	47	2.70	3	4	6	0.034	196	<1	3	1.1	<1
5921741	0.4	5.17	6	9	0.271	0.011	44	2.67	1	2	5	0.029	93	<1	2	0.8	<1
5921742	<0.4	5.88	15	9	0.304	0.009	33	2.66	<1	8	4	0.032	101	2	1	1.6	<1
5921743	0.5	3.94	40	23	0.941	0.036	2	2.21	7	27	14	0.106	54	8	7	4.8	<1
5921744	0.6	3.92	62	24	1.01	0.039	25	2.45	10	40	15	0.109	333	12	8	6.9	<1
5921745	0.4	5.37	6	11	0.404	0.015	63	2.62	3	3	4	0.028	110	<1	3	<0.5	<1
5921746	<0.4	0.045	<1	3	0.006	0.002	1	0.02	<1	<1	5	0.003	13	<1	<1	<0.5	<1
5921747	0.8	7.53	29	16	0.563	0.019	54	3.08	7	17	4	0.045	105	5	5	2.9	<1
5921742 R	0.5	5.84	14	9	0.297	0.009	36	2.64	<1	8	4	0.032	98	2	1	1.3	<1

ICP1 Total Digestion

Sample Number	Ho ppm	K2O wt %	La ppm	Li ppm	MgO wt %	MnO wt %	Mo ppm	Na2O wt %	Nb ppm	Nd ppm	Ni ppm	P2O5 wt %	Pb ppm	Pr ppm	Sc ppm	Sm ppm	Sr ppm	Ti ppm	Zn ppm
CG515/LS4	1.8	3.13	88	28	2.94	0.076	1	3.22	8	62	26	0.683	20	18	13	9.4	3		
5921748	0.5	4.50	8	10	0.367	0.015	54	2.61	2	4	4	0.035	100	<1	3	0.9	<1	<1	<1
5921749	0.6	4.62	9	12	0.415	0.017	21	3.20	4	4	5	0.028	102	<1	3	0.7	<1	<1	<1
5921752	0.5	4.06	36	19	0.791	0.029	22	2.72	9	22	7	0.056	60	6	6	3.5	<1	<1	<1
5921753	<0.4	6.62	10	19	0.761	0.025	16	2.28	11	6	6	0.036	79	<1	6	0.8	<1	<1	<1
5921754	0.5	3.69	51	19	0.846	0.030	21	2.62	10	34	11	0.073	49	10	7	5.8	<1	<1	<1
5921755	<0.4	0.091	<1	3	0.014	0.002	1	0.05	<1	<1	5	0.003	2	<1	<1	<0.5	<1	<1	<1
5921756	0.7	6.92	32	18	0.779	0.026	28	2.15	9	21	9	0.068	84	5	6	3.5	<1	<1	<1
5921757	0.7	3.88	56	20	0.824	0.028	24	2.05	10	35	9	0.055	55	11	7	5.8	<1	<1	<1
5921758	0.8	3.53	43	23	1.02	0.031	12	2.42	7	29	12	0.105	44	8	7	4.6	<1	<1	<1
5921759	0.8	3.46	61	26	1.18	0.038	65	2.70	16	40	14	0.080	54	12	9	6.5	<1	<1	<1
5921760	1.1	3.86	91	25	1.11	0.040	1	2.25	11	60	14	0.111	37	19	8	9.9	<1	<1	<1
5921761	0.6	2.66	12	17	0.722	0.021	21	2.19	10	7	8	0.029	67	1	6	1.2	<1	<1	<1
5921762	1.5	5.72	21	25	1.04	0.028	103	1.51	15	14	8	0.055	76	3	9	2.2	<1	<1	<1
5921763	0.6	3.70	19	17	0.677	0.025	14	2.76	9	12	7	0.034	67	3	6	1.8	<1	<1	<1
5921764	<0.4	0.055	<1	4	0.011	0.002	1	0.03	<1	<1	3	0.002	1	<1	<1	<0.5	<1	<1	<1
5921765	0.6	5.16	5	16	0.647	0.016	80	2.14	6	3	6	0.026	77	<1	5	0.5	<1	<1	<1
5921766	0.6	5.33	18	18	0.789	0.025	44	2.05	9	11	7	0.048	81	2	6	1.9	<1	<1	<1
5921767	0.6	5.28	5	12	0.454	0.016	21	2.29	5	2	5	0.026	68	<1	4	<0.5	<1	<1	<1
5921768	0.4	4.84	7	17	0.725	0.018	6	2.38	6	3	6	0.030	50	<1	4	0.6	<1	<1	<1
CG515/LS4	1.7	3.08	86	27	2.89	0.074	1	3.14	7	60	24	0.666	20	18	12	9.1	2		
5921769	<0.4	6.63	4	7	0.300	0.009	17	2.12	1	2	3	0.033	70	<1	2	<0.5	<1	<1	<1
5921770	0.5	4.13	31	19	0.781	0.026	13	2.30	8	19	10	0.061	52	5	6	3.2	<1	<1	<1
5921771	1.0	4.52	41	47	2.36	0.076	4	2.47	26	24	47	0.092	37	5	18	3.8	<1	<1	<1
5921772	6.9	0.770	12	18	2.56	0.076	40	5.51	43	58	189	0.214	2550	9	17	7.8	<1	<1	<1
5921773	<0.4	2.33	3	5	0.242	0.006	107	0.89	<1	1	8	0.016	82	<1	1	0.6	<1	<1	<1
5921774	<0.4	5.97	35	22	2.08	0.022	6	2.20	2	23	39	0.108	48	6	9	4.5	<1	<1	<1
5921775	0.8	3.36	44	41	6.55	0.068	56	1.17	12	30	119	0.132	25	7	12	6.5	<1	<1	<1
5921776	0.5	5.35	49	30	1.71	0.042	7	2.62	4	37	32	0.124	51	10	12	6.7	<1	<1	<1
5921777	0.6	3.99	34	34	1.51	0.040	69	2.76	17	23	23	0.060	108	5	11	4.1	<1	<1	<1
5921778	0.6	2.86	3	13	0.412	0.011	88	1.72	3	1	6	0.019	64	<1	2	<0.5	<1	<1	<1
5921779	<0.4	3.21	13	18	0.780	0.019	69	2.02	6	9	11	0.038	50	1	5	1.7	<1	<1	<1
5921780	<0.4	0.024	<1	8	0.010	0.003	3	0.02	<1	<1	7	0.002	<1	<1	<1	<0.5	<1	<1	<1
5921781	<0.4	2.05	6	41	2.31	0.031	15	0.83	6	6	19	0.083	62	<1	2	1.6	<1	<1	<1
5921782	0.6	4.40	4	10	0.751	0.011	47	0.90	2	4	4	0.021	43	<1	2	1.1	<1	<1	<1
5921783	0.4	1.57	26	49	7.75	0.091	17	0.50	3	12	42	0.224	36	2	6	3.2	<1	<1	<1
5921784	0.7	4.38	32	54	5.02	0.066	22	1.47	9	21	70	0.177	105	5	10	4.5	<1	<1	<1
5921785	0.8	1.77	15	40	3.02	0.041	69	0.57	13	12	41	0.072	362	1	7	2.4	<1	<1	<1
5921786	0.4	3.85	4	30	1.36	0.020	24	1.55	6	4	20	0.031	75	<1	4	0.9	<1	<1	<1
5921783 R	0.6	1.55	26	49	7.72	0.089	16	0.49	3	12	41	0.220	33	2	7	3.2	<1	<1	<1

IOS Services Geoscientifiques Inc.

Attention: Rejean Girard

PO #/Project: 306445

Samples: 101

SRG Analytical Laboratories  
125 - 15 Innovation Blvd., Saskatoon, Saskatchewan, S7N 2X8  
Tel: (306) 933-8118 Fax: (306) 933-5656 Email: geolab@src.sk.ca

Report No: 07-176

Date of Report: February 05, 2008

ICP1 Total Digestion

Sample Number	Ho ppm	K2O wt %	La ppm	Li ppm	MgO wt %	MnO wt %	Mo ppm	Na2O wt %	Nb ppm	Nd ppm	Ni ppm	P2O5 wt %	Pb ppm	Pr ppm	Sc ppm	Sm ppm	Sn ppm
CG515/LS4	1.8	3.17	88	30	2.95	0.074	<1	3.36	8	65	22	0.682	20	15	12	8.9	2
5921787	<0.4	0.033	<1	5	0.025	0.002	1	0.02	<1	<1	3	0.004	3	<1	<1	<0.5	<1
5921788	0.8	5.93	6	46	2.28	0.025	12	2.16	9	5	36	0.048	135	<1	7	1.1	<1
5921789	0.6	4.58	21	53	1.95	0.037	7	2.78	13	12	25	0.068	233	1	9	2.0	<1
5921790	<0.4	3.44	6	39	1.08	0.012	13	2.81	1	3	5	0.025	38	<1	2	0.8	<1
5921791	0.5	3.44	10	49	2.06	0.042	4	5.55	17	5	15	0.047	56	<1	10	0.8	<1
5921792	<0.4	2.42	30	71	6.59	0.067	27	1.06	4	20	74	0.410	265	3	6	3.8	<1
5921793	<0.4	3.98	16	29	1.53	0.017	46	1.90	4	12	17	0.061	617	1	4	2.2	<1
5921794	<0.4	6.17	8	8	0.318	0.007	25	1.70	1	5	22	0.030	119	<1	2	1.1	<1
5921795	0.8	2.50	28	46	11.2	0.117	8	0.84	13	26	30	0.106	197	5	9	5.3	<1
5921796	0.6	5.68	42	34	2.60	0.035	36	1.93	15	32	109	0.153	72	6	11	5.5	<1
5921797	0.7	5.28	3	16	0.671	0.018	33	2.30	7	1	8	0.028	81	<1	4	<0.5	<1
5921798	<0.4	7.40	4	9	0.424	0.009	13	2.11	<1	2	4	0.025	88	<1	2	0.7	<1
5921799	<0.4	0.053	<1	4	0.014	0.002	1	0.02	<1	<1	3	0.003	3	<1	<1	<0.5	<1
5921798 R	<0.4	7.47	4	9	0.430	0.010	12	2.22	2	2	4	0.024	86	<1	2	0.8	<1

*RM*

ICPI Total Digestion

Sample Number	Sr ppm	Ta ppm	Tb ppm	Th ppm	TiO2 wt %	U, ICP ppm	V ppm	W ppm	Y ppm	Yb ppm	Zn ppm	Zr ppm
CG515/LS4	1180	<1	<0.3	15	1.12	4	136	<1	21	1.9	87	175
5921711	2	<1	<0.3	1	0.003	<2	<1	<1	<1	<0.1	1	1
5921712	21	19	19.2	842	0.520	2600	21	2	171	15.1	177	243
5921713	1	<1	0.3	15	0.011	40	1	<1	3	0.3	6	2
5921714	188	<1	<0.3	96	0.188	75	23	1	5	0.4	33	45
5921715	201	<1	<0.3	185	0.229	140	26	1	6	0.5	37	98
5921716	197	<1	<0.3	141	0.225	71	27	2	5	0.4	45	110
5921717	178	<1	<0.3	148	0.132	130	18	3	5	0.6	37	239
5921718	196	<1	<0.3	174	0.311	105	37	1	10	0.8	47	265
5921719	167	<1	<0.3	131	0.132	121	18	<1	5	0.6	22	266
5921720	156	<1	<0.3	146	0.262	114	30	<1	4	0.5	40	190
5921721	170	<1	<0.3	100	0.219	79	26	<1	4	0.6	36	387
5921722	237	<1	37.4	45	0.683	10200	828	<1	36	5.0	69	233
5921723	208	<1	<0.3	117	0.291	113	40	1	5	0.6	46	276
5921724	186	<1	0.4	40	0.533	24	67	<1	16	1.0	82	252
5921725	212	<1	<0.3	62	0.594	58	58	<1	5	0.7	100	380
5921726	133	<1	1.5	200	0.958	146	86	<1	9	1.5	172	996
5921727	197	<1	<0.3	46	0.511	23	57	<1	10	0.8	80	286
5921728	175	<1	<0.3	53	0.413	31	44	<1	4	0.4	67	195
5921729	3	<1	<0.3	2	0.006	<2	1	<1	<1	<0.1	2	2
CG515/LS4	1180	<1	<0.3	15	1.12	4	141	1	22	2.0	84	164
5921730	150	<1	0.5	181	0.313	89	32	<1	5	0.6	53	312
5921731	140	<1	0.6	145	0.306	123	30	<1	5	0.7	46	418
5921732	144	<1	<0.3	66	0.303	75	30	<1	3	0.5	49	349
5921733	124	<1	<0.3	35	0.490	34	51	<1	3	0.6	81	373
5921734	131	<1	<0.3	42	0.582	34	58	<1	4	0.6	95	415
5921735	170	<1	<0.3	49	0.356	34	42	<1	9	0.7	58	174
5921736	153	<1	<0.3	63	0.460	42	50	<1	10	0.8	70	250
5921737	21	19	19.2	814	0.525	2730	21	1	176	15.3	190	234
5921738	148	<1	0.4	76	0.409	74	38	<1	7	0.8	62	322
5921739	166	<1	<0.3	181	0.282	130	28	<1	7	0.7	45	168
5921740	185	<1	0.5	252	0.188	210	22	<1	7	0.6	43	184
5921741	184	<1	<0.3	146	0.137	127	18	1	5	0.6	56	293
5921742	194	<1	<0.3	136	0.120	101	17	<1	6	0.5	31	145
5921743	162	<1	<0.3	22	0.377	11	49	<1	11	0.9	68	206
5921744	166	<1	0.5	88	0.461	55	56	<1	14	1.0	72	233
5921745	187	<1	0.3	207	0.207	180	23	<1	6	0.5	33	241
5921746	1	<1	<0.3	2	0.003	<2	1	<1	<1	<0.1	1	4
5921747	227	<1	<0.3	160	0.318	102	31	2	8	0.5	48	81
5921742 R	192	<1	<0.3	135	0.119	99	17	1	6	0.5	31	150



ICP1 Total Digestion

Sample Number	Sr ppm	Ta ppm	Tb ppm	Th ppm	TiO2 wt %	U, ICP ppm	V ppm	W ppm	Y ppm	Yb ppm	Zn ppm	Zr ppm
CG515/LS4	1180	<1	<0.3	16	1.13	3	140	<1	22	2.0	82	166
5921748	193	<1	0.5	205	0.193	172	22	1	6	0.6	30	293
5921749	210	<1	<0.3	186	0.226	127	25	<1	5	0.6	34	328
5921752	166	<1	<0.3	100	0.416	63	46	<1	7	0.6	62	317
5921753	184	<1	<0.3	127	0.416	69	38	<1	4	0.3	59	52
5921754	162	<1	<0.3	64	0.409	38	47	<1	10	0.8	61	261
5921755	4	<1	<0.3	2	0.008	<2	1	<1	<1	<0.1	2	2
5921756	197	<1	<0.3	139	0.375	91	43	1	11	1.3	57	225
5921757	141	<1	0.4	101	0.456	60	49	<1	8	0.6	67	260
5921758	156	<1	<0.3	25	0.416	13	51	<1	9	0.7	71	189
5921759	173	<1	0.4	79	0.566	46	67	<1	11	0.8	88	308
5921760	167	<1	0.6	40	0.472	11	61	<1	14	0.9	73	237
5921761	129	<1	<0.3	71	0.395	52	38	<1	3	0.4	66	158
5921762	148	<1	<0.3	109	0.570	77	54	<1	6	0.5	80	101
5921763	171	<1	<0.3	113	0.393	75	41	<1	5	0.5	54	242
5921764	2	5	<0.3	2	0.006	<2	1	<1	<1	<0.1	2	1
5921765	166	<1	<0.3	176	0.335	135	34	1	4	0.3	49	76
5921766	165	<1	0.4	173	0.419	117	46	1	7	0.8	55	353
5921767	181	<1	<0.3	79	0.267	55	30	<1	3	0.4	47	231
5921768	174	<1	<0.3	46	0.298	29	30	<1	3	0.4	41	245
CG515/LS4	1160	<1	<0.3	16	1.09	4	137	<1	21	2.0	82	189
5921769	197	<1	<0.3	66	0.129	59	21	1	3	0.3	19	152
5921770	161	<1	<0.3	65	0.375	41	45	<1	7	0.7	53	330
5921771	182	3	<0.3	29	1.03	20	84	<1	10	1.0	164	450
5921772	247	<1	40.1	51	0.708	9940	872	<1	37	5.4	75	248
5921773	73	<1	1.3	176	0.072	210	16	<1	5	0.9	14	494
5921774	101	<1	<0.3	17	0.287	11	109	<1	10	1.0	140	199
5921775	155	<1	<0.3	15	0.450	13	302	3	20	2.2	125	127
5921776	188	<1	<0.3	25	0.489	19	98	<1	13	1.1	109	207
5921777	176	<1	<0.3	72	0.579	54	89	<1	8	0.7	132	173
5921778	127	<1	<0.3	98	0.165	77	24	<1	3	0.4	27	136
5921779	132	<1	<0.3	84	0.265	80	42	<1	5	0.6	48	177
5921780	3	17	<0.3	1	0.003	<2	1	<1	<1	<0.1	2	1
5921781	55	13	0.6	97	0.228	86	165	1	11	1.4	85	302
5921782	100	6	1.0	212	0.151	156	21	1	8	0.9	7	407
5921783	173	8	1.2	68	0.378	59	51	<1	11	1.4	100	564
5921784	158	8	<0.3	16	0.433	11	229	<1	15	1.9	322	180
5921785	33	15	1.3	250	0.395	189	155	<1	13	1.4	1620	340
5921786	112	7	<0.3	74	0.282	70	38	<1	5	0.5	212	235
5921783 R	171	9	0.8	67	0.372	58	51	<1	11	1.4	99	560

IOS Services Geoscientifiques Inc.

Attention: Rejean Girard

PO #/Project: 306445

Samples: 101

SRC Geoscientific Laboratories

125 - 15 Innovation Blvd., Saskatoon, Saskatchewan, S7N 2X8

Tel: (306) 933-8118 Fax: (306) 933-5656 Email: geolab@src.sk.ca

Report No: 3-176

Date of Report: February 05, 2008

ICP1 Total Digestion

Sample Number	Sr ppm	Ta ppm	Tb ppm	Th ppm	TiO2 wt %	U, ICP ppm	V ppm	W ppm	Y ppm	Yb ppm	Zn ppm	Zr ppm
CG515/LS4	1210	1	<0.3	16	1.11	4	143	<1	22	2.1	82	178
5921787	4	<1	<0.3	1	0.005	<2	1	<1	<1	<0.1	3	1
5921788	124	<1	0.9	139	0.409	116	55	<1	10	1.3	49	712
5921789	173	<1	<0.3	52	0.519	42	60	<1	8	1.0	275	364
5921790	169	<1	<0.3	58	0.154	54	26	<1	4	0.6	24	354
5921791	281	<1	<0.3	53	0.618	41	97	<1	5	0.8	170	403
5921792	98	3	0.3	12	0.342	29	131	<1	16	1.9	212	108
5921793	146	<1	<0.3	110	0.229	92	59	<1	10	1.1	440	177
5921794	158	<1	<0.3	39	0.136	35	21	<1	3	0.4	141	153
5921795	211	4	0.3	17	0.568	13	134	<1	21	2.3	276	159
5921796	132	<1	<0.3	16	0.383	18	387	<1	24	3.5	680	154
5921797	183	<1	0.4	118	0.332	87	44	<1	5	1.0	51	581
5921798	213	<1	<0.3	119	0.135	93	25	1	5	0.6	61	290
5921799	1	<1	<0.3	1	0.002	<2	1	<1	<1	<0.1	2	2
5921798 R	222	<1	<0.3	119	0.139	97	25	1	5	0.7	62	305

Total Digestion: A 0.125 g pulp is gently heated in a mixture of HF/HNO3/HClO4 until dry and the residue is dissolved in dilute HNO3. The standard is CG515.



Report No: 07-1763

## SRC Geoanalytical Laboratories

125 - 15 Innovation Blvd.  
Saskatoon, Saskatchewan  
S7N 2X8

February 06, 2008

Phone: (306) 933-8118  
Fax: (306) 933-5656

**IOS Services Geoscientifiques Inc.**  
1319 St-Paul Boulevard  
Saguenay (Chicoutimi), QC G7J 3Y2  
Attn: Rejean Girard

Test reports are the property of the customers. Publications of statements, conclusions or extracts from these reports are not permitted without prior written permission from the customer.

This document constitutes the **final official test report**. Liability for the SRC Geoanalytical Laboratories', if any, will be limited to the cost of analysis for samples in this test report. The results contained in this test report relate only to the items tested. It is the customer's responsibility to ensure that all interpretation of analysis is done using the data from this report.

The customer will not use the name of the Saskatchewan Research Council in connection with the sale, offer, advertisement or the promotion of any article, product, or company without the prior written consent of the SRC.

Results Reviewed and Approved by:

Robert Millar  
Assistant Research Scientist

IOS Services Geoscientifiques Inc.

Attention: Rejean Girard

PO #/Project: 306445

Samples: 101

SRC Geoanalytical Laboratories

125 - 15 Innovation Blvd., Saskatoon, Saskatchewan, S7N 2X8

Tel: (306) 933-8118 Fax: (306) 933-5656 Email: geolab@src.sk.ca

Report No. 7-176

Date of Report: February 06, 2008

TEST REPORT

Method U3O8

Column Header Details

U3O8 Assay by ICP in wt % (U3O8)

Sample Number	U3O8 wt %
BL3	1.20
5921712 STD	0.288
5921722 STD	1.21
5921737 STD	0.292
5921772 STD	1.21
5921722 R	1.21

Uranium Assay: A 1.00 g pulp is digested with 24 ml of 3:1 HCl:HNO3 for 1 hour at 95 C.

*Rm*





Report No: 07-1798

## SRC Geoanalytical Laboratories

125 - 15 Innovation Blvd.  
Saskatoon, Saskatchewan  
S7N 2X8

February 05, 2008

Phone: (306) 933-8118  
Fax: (306) 933-5656

**IOS Services Geoscientifiques Inc.**  
1319 St-Paul Boulevard  
Saguenay (Chicoutimi), QC G7J 3Y2  
Attn: Rejean Girard

Test reports are the property of the customers. Publications of statements, conclusions or extracts from these reports are not permitted without prior written permission from the customer.

This document constitutes the **final official test report**. Liability for the SRC Geoanalytical Laboratories', if any, will be limited to the cost of analysis for samples in this test report. The results contained in this test report relate only to the items tested. It is the customer's responsibility to ensure that all interpretation of analysis is done using the data from this report.

The customer will not use the name of the Saskatchewan Research Council in connection with the sale, offer, advertisement or the promotion of any article, product, or company without the prior written consent of the SRC.

Results Reviewed and Approved by:

Robert Millar  
Assistant Research Scientist

IOS Services Geoscientifiques Inc.

Attention: Rejean Girard

PO #/Project: 306450

Samples: 36

SRC Geoanalytical Laboratories

125 - 15 Innovation Blvd., Saskatoon, Saskatchewan, S7N 2X8

Tel: (306) 933-8118 Fax: (306) 933-5656 Email: geolab@src.sk.ca

Report No: G-07-1798

Date of Report: February 05, 2008

### ICP4.3 Aqua Regia Digestion

#### Column Header Details

Silver in ppm (Ag)  
Arsenic in ppm (As)  
Bismuth in ppm (Bi)  
Cobalt in ppm (Co)  
Copper in ppm (Cu)

Germanium in ppm (Ge)  
Mercury in ppm (Hg)  
Molybdenum in ppm (Mo)  
Nickel in ppm (Ni)  
Lead in ppm (Pb)

Antimony in ppm (Sb)  
Selenium in ppm (Se)  
Tellurium in ppm (Te)  
Uranium in ppm (U, ICP)  
Vanadium in ppm (V)

Zinc in ppm (Zn)

IOS Services Geoscientifiques Inc.

Attention: Rejean Girard

PO #/Project: 306450

Samples: 36

GC Analytical Laboratories  
 125 - 15 Innovation Blvd., Saskatoon, Saskatchewan, S7N 2X8  
 Tel: (306) 933-8118 Fax: (306) 933-5656 Email: geolab@src.sk.ca

Report No: 179

Date of Report: February 05, 2008

ICP4.3 Aqua Regia Digestion

Sample Number	Ag ppm	As ppm	Bi ppm	Co ppm	Cu ppm	Ge ppm	Hg ppm	Mo ppm	Ni ppm	Pb ppm	Sb ppm	Se ppm	Te ppm	U, ICP ppm	V ppm	Zn ppm
CG515/LS4	<0.1	11.7	1.6	36.6	49.7	<0.2	<0.2	12.6	48.1	23.0	<1	<0.2	<0.2	35.3	102	195
5921304	<0.1	<0.2	0.4	0.6	2.4	<0.2	<0.2	0.9	4.9	0.52	<1	0.3	<0.2	0.8	0.8	2.0
5921305	<0.1	25.4	20.0	68.1	81.1	0.9	<0.2	6.6	43.9	1030	<1	1.2	<0.2	2590	5.2	157
5921306	<0.1	0.3	0.2	0.6	2.7	<0.2	<0.2	0.9	5.1	5.07	<1	1.2	<0.2	10.0	0.4	1.8
5921307	0.2	1.0	<0.2	18.2	13.4	1.0	<0.2	1.0	32.0	11.2	<1	<0.2	<0.2	4.9	56.6	83.8
5921308	0.3	1.6	<0.2	22.3	31.4	1.0	<0.2	9.7	23.7	14.6	<1	<0.2	<0.2	6.8	53.7	77.4
5921309	0.2	1.1	<0.2	16.7	15.5	1.4	<0.2	2.0	26.5	18.3	<1	<0.2	<0.2	30.0	68.4	97.4
5921310	<0.1	1.1	<0.2	7.0	12.6	1.0	<0.2	13.0	19.4	45.0	<1	<0.2	<0.2	144	49.3	51.1
5921311	<0.1	1.6	<0.2	10.8	18.2	1.4	<0.2	73.3	21.5	25.5	<1	<0.2	<0.2	91.3	71.7	92.6
5921312	0.4	0.6	<0.2	15.1	42.2	1.6	<0.2	1.6	26.5	11.1	<1	<0.2	<0.2	3.0	65.4	81.3
5921313	0.1	1.3	0.9	7.6	13.0	0.3	<0.2	1.5	12.9	6.78	<1	<0.2	<0.2	2.5	26.1	43.8
5921314	<0.1	0.7	0.3	9.1	2.6	0.7	<0.2	214	15.7	5.46	<1	<0.2	<0.2	3.2	34.4	81.9
5921315	<0.1	<0.2	<0.2	15.8	13.3	0.6	<0.2	45.0	18.3	8.36	<1	<0.2	<0.2	5.9	21.8	58.9
5921316	<0.1	1.5	<0.2	12.6	29.4	1.4	<0.2	28.9	32.8	54.3	<1	<0.2	<0.2	143	74.7	83.4
5921317	0.9	6.9	<0.2	22.9	103	<0.2	<0.2	36.0	175	1940	<1	<0.2	4.8	9700	707	67.7
5921318	0.1	0.2	<0.2	11.2	11.5	1.4	<0.2	5.4	25.2	27.1	<1	<0.2	0.3	36.2	78.7	82.3
5921319	<0.1	0.8	<0.2	9.2	23.1	1.1	<0.2	24.6	26.5	52.3	<1	<0.2	<0.2	136	52.7	53.6
5921320	<0.1	1.2	<0.2	7.0	34.5	1.0	<0.2	13.7	21.3	45.0	<1	<0.2	<0.2	127	41.9	34.1
5921321	0.1	0.5	<0.2	8.4	58.8	0.5	<0.2	9.9	17.2	28.0	<1	<0.2	<0.2	14.2	21.5	29.7
5921322	0.2	0.3	<0.2	6.3	43.1	0.4	<0.2	2.2	11.6	17.6	<1	<0.2	<0.2	6.0	24.7	19.2
CG515/LS4	<0.1	12.0	1.4	36.4	49.3	<0.2	<0.2	11.9	46.5	22.6	<1	<0.2	<0.2	35.1	102	193
5921323	0.2	0.5	<0.2	6.5	51.6	0.8	<0.2	3.2	14.4	20.0	<1	0.7	<0.2	5.3	31.6	20.5
5921324	<0.1	0.9	<0.2	12.3	152	1.5	<0.2	160	79.8	33.0	<1	<0.2	0.5	79.1	152	26.6
5921325	<0.1	<0.2	<0.2	3.0	14.7	0.4	<0.2	198	6.1	43.1	<1	<0.2	<0.2	63.3	17.4	22.6
5921326	<0.1	0.9	<0.2	5.0	13.6	0.7	<0.2	91.0	6.0	58.6	<1	<0.2	<0.2	114	43.8	59.5
5921328	<0.1	0.4	<0.2	3.4	14.9	0.5	<0.2	398	8.0	63.1	<1	<0.2	<0.2	115	12.3	25.8
5921329	<0.1	0.7	<0.2	4.9	3.9	0.7	<0.2	7.1	7.3	8.09	<1	<0.2	<0.2	7.3	35.4	49.4
5921330	<0.1	<0.2	<0.2	0.6	2.0	<0.2	<0.2	1.4	4.4	0.92	<1	<0.2	<0.2	1.1	1.0	1.2
5921325 R	<0.1	<0.2	<0.2	2.7	14.4	0.3	<0.2	190	5.8	42.0	<1	<0.2	<0.2	61.1	17.0	22.7
CG515/LS4	<0.1	11.5	1.6	37.9	49.4	<0.2	<0.2	11.6	48.8	24.1	<1	<0.2	<0.2	36.1	102	198
5921327	<0.1	<0.2	<0.2	1.2	9.3	<0.2	<0.2	350	5.7	162	<1	<0.2	0.8	348	9.2	13.9
5921327 R	<0.1	<0.2	<0.2	1.4	11.0	<0.2	<0.2	338	6.3	167	<1	<0.2	0.8	361	9.1	13.5

Aqua Regia: A 0.5 g pulp is digested with 2.00 ml of 3:1 HCL:HNO3 for 1 hour at 95 C.  
 The standard is LS4.

IOS Services Geoscientifiques Inc.

Attention: Rejean Girard

PO #/Project: 306450

Samples: 36

125 - 15 Innovation Blvd., Saskatoon, Saskatchewan, S7N 2X8

Tel: (306) 933-8118 Fax: (306) 933-5656 Email: geolab@src.sk.ca

Report No: G-07-1790

Date of Report: February 05, 2008

ICP1 Total Digestion

Column Header Details

Silver in ppm (Ag)  
Aluminum in wt % (Al<sub>2</sub>O<sub>3</sub>)  
Barium in ppm (Ba)  
Beryllium in ppm (Be)  
Calcium in wt % (CaO)

Cadmium in ppm (Cd)  
Cerium in ppm (Ce)  
Cobalt in ppm (Co)  
Chromium in ppm (Cr)  
Copper in ppm (Cu)

Dysprosium in ppm (Dy)  
Erbium in ppm (Er)  
Europium in ppm (Eu)  
Iron in wt % (Fe<sub>2</sub>O<sub>3</sub>)  
Gallium in ppm (Ga)

Gadolinium in ppm (Gd)  
Hafnium in ppm (Hf)  
Holmium in ppm (Ho)  
Potassium in wt % (K<sub>2</sub>O)  
Lanthanum in ppm (La)

Lithium in ppm (Li)  
Magnesium in wt % (MgO)  
Manganese in wt % (MnO)  
Molybdenum in ppm (Mo)  
Sodium in wt % (Na<sub>2</sub>O)

Niobium in ppm (Nb)  
Neodymium in ppm (Nd)  
Nickel in ppm (Ni)  
Phosphorus in wt % (P<sub>2</sub>O<sub>5</sub>)  
Lead in ppm (Pb)

Praseodymium in ppm (Pr)  
Scandium in ppm (Sc)  
Samarium in ppm (Sm)  
Tin in ppm (Sn)  
Strontium in ppm (Sr)

Tantalum in ppm (Ta)  
Terbium in ppm (Tb)  
Thorium in ppm (Th)  
Titanium in wt % (TiO<sub>2</sub>)  
Uranium in ppm (U, ICP)



IOS Services Geoscientifiques Inc.

Attention: Rejean Girard

PO #/Project: 306450

Samples: 36

IOS Geoscientific Laboratories  
125 - 15 Innovation Blvd., Saskatoon, Saskatchewan, S7N 2X8  
Tel: (306) 933-8118 Fax: (306) 933-5656 Email: geolab@src.sk.ca

Report No: 179

Date of Report: February 05, 2008

**ICP1 Total Digestion**

Column Header Details

Vanadium in ppm (V)  
Tungsten in ppm (W)  
Yttrium in ppm (Y)  
Ytterbium in ppm (Yb)  
Zinc in ppm (Zn)

Zirconium in ppm (Zr)

IOS Services Geoscientifiques Inc.

Attention: Rejean Girard

PO #/Project: 306450

Samples: 36

SRG Analytical Laboratories

125 - 15 Innovation Blvd., Saskatoon, Saskatchewan, S7N 2X8

Tel: (306) 933-8118 Fax: (306) 933-5656 Email: geolab@src.sk.ca

Report No: -179

Date of Report: February 05, 2008

ICP1 Total Digestion

Sample Number	Ag ppm	Al2O3 wt %	Ba ppm	Be ppm	CaO wt %	Cd ppm	Ce ppm	Co ppm	Cr ppm	Cu ppm	Dy ppm	Er ppm	Eu ppm	Fe2O3 wt %	Ga ppm	Gd ppm	Hf ppm
CG515/LS4	<0.2	17.1	2310	2.0	4.71	1.1	154	19	114	3	3.2	2.7	2.4	7.05	23	5.5	4.6
5921304	<0.2	0.05	2	<0.2	<0.01	0.4	<1	<1	295	2	<0.2	<0.2	<0.2	0.31	<1	<0.5	<0.5
5921305	2.4	4.89	224	1.0	0.10	0.5	583	73	29	85	39.1	20.9	3.0	7.11	5	40.7	5.4
5921306	<0.2	0.05	3	<0.2	<0.01	<0.2	2	<1	297	2	<0.2	<0.2	<0.2	0.31	<1	<0.5	<0.5
5921307	1.0	15.3	1410	1.3	2.45	0.7	102	19	190	13	2.5	2.0	1.1	5.60	24	4.0	5.6
5921308	1.1	15.0	1430	1.0	1.85	0.8	95	22	194	31	2.0	1.5	1.1	4.86	21	3.5	7.8
5921309	0.7	16.0	1270	0.9	1.81	1.0	4	17	189	16	0.4	0.5	0.8	5.41	23	<0.5	9.8
5921310	1.3	8.89	417	0.8	1.30	1.0	4	6	217	10	0.8	0.4	0.5	2.87	13	0.8	14.8
5921311	1.4	12.1	1400	1.6	1.96	1.4	28	13	176	21	1.9	1.4	0.7	5.49	19	2.1	12.4
5921312	0.3	14.0	5480	2.3	2.50	1.4	61	14	188	49	2.2	2.0	0.8	7.70	22	2.9	3.4
5921313	0.6	13.2	4090	2.3	5.12	1.1	58	10	149	14	2.4	2.1	1.0	5.59	20	3.3	3.0
5921314	<0.2	11.2	1940	2.6	3.28	1.2	50	11	208	3	1.7	1.6	0.6	4.52	19	2.4	2.5
5921315	0.5	11.8	1030	2.2	4.41	1.0	55	22	184	13	2.5	2.1	0.8	4.01	17	3.1	3.4
5921316	1.7	8.03	523	0.5	0.93	0.8	4	14	224	24	0.7	0.5	0.4	4.54	14	0.8	25.4
5921317	1.5	13.0	345	261	4.22	1.4	48	24	94	105	3.9	<0.2	0.8	7.53	<1	<0.5	<0.5
5921318	1.6	14.4	1800	0.6	0.88	1.5	2	11	169	12	0.3	0.4	0.7	4.65	19	<0.5	14.6
5921319	0.6	10.4	850	0.7	1.14	1.4	2	8	183	21	0.6	0.4	0.5	3.30	14	0.6	17.0
5921320	1.0	10.5	436	1.0	1.67	1.3	15	7	180	29	0.7	0.4	0.5	2.48	14	0.8	10.3
5921321	0.5	15.6	1380	0.9	1.62	1.8	16	7	117	56	0.7	0.5	0.8	2.18	17	0.7	4.6
5921322	<0.2	13.3	1250	0.8	1.32	1.6	10	6	114	46	0.4	<0.2	0.6	2.02	14	<0.5	3.6
CG515/LS4	<0.2	17.7	2400	2.1	5.00	1.2	160	20	119	3	3.3	2.7	2.5	7.35	23	5.5	4.9
5921323	0.4	13.8	1280	0.8	1.27	1.3	16	6	113	51	0.6	0.5	0.6	2.08	15	0.6	3.7
5921324	1.2	9.61	462	0.7	1.41	0.8	29	13	184	154	1.4	1.2	0.5	3.84	13	1.7	6.2
5921325	1.0	8.96	520	0.7	1.19	0.9	4	3	169	8	0.6	0.3	0.4	1.39	9	0.5	16.4
5921326	0.7	12.3	133	1.3	2.28	1.3	4	4	132	5	0.7	0.5	0.4	2.72	17	0.6	16.6
5921328	1.0	6.94	65	0.8	1.36	1.0	6	3	259	5	1.0	0.6	0.3	1.52	6	1.1	16.1
5921329	0.7	14.0	137	1.6	2.67	1.2	9	5	168	3	0.5	0.4	0.5	2.44	19	0.7	6.3
5921330	<0.2	0.14	4	<0.2	0.02	<0.2	<1	<1	252	2	<0.2	<0.2	<0.2	0.28	<1	<0.5	<0.5
5921325 R	0.9	8.66	507	0.6	1.17	0.6	3	2	159	8	0.5	0.2	0.4	1.35	9	<0.5	16.4
CG515/LS4	<0.2	17.0	2100	1.9	4.66	1.3	157	18	132	3	3.6	2.2	2.4	7.10	22	5.9	4.0
5921327	3.0	3.97	155	0.2	0.61	0.5	4	1	201	10	2.1	0.6	<0.2	0.83	1	1.3	43.6
5921327 R	3.3	3.83	148	0.2	0.60	0.2	4	1	202	11	2.1	0.5	<0.2	0.82	1	1.2	43.3

IOS Services Geoscientifiques Inc.

Attention: Rejean Girard

PO #/Project: 306450

Samples: 36

IOS Geoscientific Laboratories  
 125 - 15 Innovation Blvd., Saskatoon, Saskatchewan, S7N 2X8  
 Tel: (306) 933-8118 Fax: (306) 933-5656 Email: geolab@src.sk.ca

Report No: 179

Date of Report: February 05, 2008

ICPI Total Digestion

Sample Number	Ho ppm	K2O wt %	La ppm	Li ppm	MgO wt %	MnO wt %	Mo ppm	Na2O wt %	Nb ppm	Nd ppm	Ni ppm	P2O5 wt %	Pb ppm	Pr ppm	Sc ppm	Sm ppm	Sn ppm
CG515/LS4	1.7	3.11	92	28	2.70	0.074	<1	3.16	8	59	26	0.659	17	16	12	8.7	3
5921304	<0.4	0.007	<1	3	0.006	0.003	1	<0.01	<1	<1	5	0.003	<1	<1	<1	<0.5	1
5921305	7.5	1.68	307	14	0.087	0.007	10	0.04	54	200	49	0.204	1080	56	4	47.3	4
5921306	<0.4	0.011	<1	4	0.003	0.002	1	<0.01	<1	<1	6	<0.002	1	<1	<1	<0.5	<1
5921307	1.1	3.92	63	41	2.28	0.086	2	3.40	12	36	38	0.126	27	10	12	5.8	<1
5921308	1.0	5.69	62	35	1.66	0.076	12	3.00	13	33	26	0.088	38	9	10	5.1	<1
5921309	0.7	5.61	6	39	1.75	0.074	3	3.42	18	2	31	0.028	41	1	12	0.9	<1
5921310	0.5	2.00	2	19	0.940	0.037	14	2.31	9	2	23	0.015	53	<1	6	1.0	<1
5921311	0.9	2.74	15	41	2.33	0.076	82	2.73	12	11	27	0.081	39	3	12	2.8	<1
5921312	1.1	4.02	38	45	2.93	0.100	2	2.46	10	23	36	0.074	25	6	15	4.3	<1
5921313	1.1	2.74	38	28	4.59	0.112	3	2.66	12	23	24	0.104	17	6	11	4.4	<1
5921314	0.8	2.38	36	38	3.40	0.103	219	2.35	12	18	21	0.067	13	5	7	3.3	<1
5921315	0.8	1.91	36	33	3.81	0.121	55	2.84	9	21	28	0.213	17	6	7	4.1	<1
5921316	0.8	2.71	2	31	1.45	0.057	53	1.66	12	2	33	0.022	59	<1	8	0.9	1
5921317	<0.4	0.689	18	17	2.28	0.074	39	5.39	19	<1	184	0.196	2140	6	17	9.4	<1
5921318	0.6	7.62	3	41	1.59	0.062	6	2.38	12	1	28	0.029	44	<1	8	0.6	<1
5921319	0.6	3.75	2	25	1.01	0.040	25	2.28	7	1	29	0.021	62	<1	5	0.7	<1
5921320	0.5	2.04	8	15	0.648	0.026	17	3.03	6	5	23	0.024	48	1	3	1.2	<1
5921321	0.4	6.10	10	12	0.442	0.019	18	3.58	3	5	21	0.045	41	1	2	1.0	<1
5921322	<0.4	5.22	7	11	0.428	0.017	2	3.05	3	3	14	0.042	29	1	1	0.8	<1
CG515/LS4	1.7	3.15	93	28	2.77	0.077	1	3.24	9	61	26	0.673	17	16	12	8.9	3
5921323	<0.4	5.90	10	11	0.425	0.017	3	3.04	3	5	17	0.053	31	1	1	1.2	<1
5921324	0.6	2.49	17	11	0.557	0.022	164	2.58	8	11	83	0.081	37	3	3	2.2	<1
5921325	<0.4	2.53	2	11	0.450	0.016	197	2.33	2	1	7	0.018	50	<1	1	<0.5	<1
5921326	0.5	1.32	3	28	1.05	0.040	92	3.84	6	1	7	0.023	63	<1	4	0.9	<1
5921328	<0.4	0.548	1	12	0.415	0.018	465	2.26	2	2	8	0.028	65	1	1	1.0	<1
5921329	0.4	1.30	7	31	0.961	0.036	8	4.46	6	3	9	0.044	16	1	4	1.1	<1
5921330	<0.4	0.018	<1	4	0.014	0.002	1	0.04	<1	<1	4	<0.002	<1	<1	<1	<0.5	<1
5921325 R	<0.4	2.45	1	11	0.442	0.016	201	2.23	2	1	8	0.020	49	<1	1	0.6	<1
CG515/LS4	1.8	3.05	86	27	2.72	0.072	2	3.07	6	64	23	0.662	17	15	11	9.0	2
5921327	0.6	0.902	<1	5	0.211	0.009	355	1.06	1	1	5	0.018	165	<1	1	1.0	<1
5921327 R	0.6	0.913	<1	5	0.206	0.009	358	1.02	1	1	4	0.015	168	<1	1	1.1	<1

ICP1 Total Digestion

Sample Number	Sr ppm	Ta ppm	Tb ppm	Th ppm	TiO2 wt %	U, ICP ppm	V ppm	W ppm	Y ppm	Yb ppm	Zn ppm	Zr ppm
CG515/LS4	1190	<1	<0.3	11	1.09	4	133	<1	21	1.9	86	177
5921304	1	5	<0.3	<1	<0.002	<2	<1	<1	<1	<0.1	1	1
5921305	16	23	<0.3	592	0.563	2670	23	3	176	16.0	181	260
5921306	1	2	<0.3	1	0.002	4	<1	<1	<1	<0.1	2	1
5921307	156	<1	<0.3	35	0.554	4	60	<1	16	1.6	107	219
5921308	183	<1	<0.3	36	0.623	7	56	<1	14	1.3	94	299
5921309	209	2	<0.3	33	0.838	32	74	<1	4	0.7	119	363
5921310	118	5	<0.3	69	0.421	151	50	<1	6	0.9	59	536
5921311	122	9	<0.3	60	0.676	94	83	<1	13	1.4	120	440
5921312	128	8	<0.3	12	0.824	2	82	<1	16	1.6	111	130
5921313	135	6	<0.3	13	0.651	<2	50	<1	18	1.8	106	122
5921314	105	7	<0.3	13	0.475	2	43	<1	14	1.4	117	95
5921315	118	7	<0.3	17	0.344	3	32	<1	21	1.8	113	122
5921316	108	5	<0.3	121	0.633	151	77	<1	7	1.3	94	896
5921317	240	7	<0.3	65	0.703	10500	896	<1	37	4.7	73	243
5921318	234	6	<0.3	35	0.771	37	88	<1	4	0.6	101	551
5921319	175	9	<0.3	97	0.486	140	56	<1	5	0.8	64	609
5921320	172	7	<0.3	55	0.309	130	48	<1	4	0.7	40	372
5921321	272	8	<0.3	27	0.165	14	33	<1	4	0.6	36	179
5921322	240	7	<0.3	16	0.180	5	41	<1	3	0.4	26	134
CG515/LS4	1200	2	<0.3	11	1.15	4	137	<1	22	2.0	90	210
5921323	237	5	<0.3	17	0.184	4	53	<1	4	0.6	25	153
5921324	159	3	<0.3	48	0.306	81	206	<1	12	1.4	29	212
5921325	150	1	0.4	202	0.195	66	24	<1	3	0.6	29	605
5921326	187	5	<0.3	252	0.449	117	55	<1	4	0.7	68	619
5921328	116	7	<0.3	342	0.171	117	15	<1	5	0.6	33	619
5921329	218	4	<0.3	24	0.390	8	39	<1	3	0.5	59	260
5921330	2	3	<0.3	<1	0.006	<2	1	<1	<1	<0.1	2	2
5921325 R	147	<1	0.4	197	0.190	63	24	<1	3	0.5	28	619
CG515/LS4	1150	<1	<0.3	11	0.987	4	126	1	20	1.9	89	193
5921327	69	<1	1.1	742	0.089	350	11	1	11	2.0	16	1660
5921327 R	69	<1	0.9	734	0.084	367	11	<1	10	1.9	18	1620

Total Digestion: A 0.125 g pulp is gently heated in a mixture of HF/HNO3/HClO4 until dry and the residue is dissolved in dilute HNO3. The standard is CG515.





Report No: 07-1798

## SRC Geoanalytical Laboratories

125 - 15 Innovation Blvd.  
Saskatoon, Saskatchewan  
S7N 2X8

February 06, 2008

Phone: (306) 933-8118  
Fax: (306) 933-5656

**IOS Services Geoscientifiques Inc.**  
1319 St-Paul Boulevard  
Saguenay (Chicoutimi), QC G7J 3Y2  
Attn: Rejean Girard

Test reports are the property of the customers. Publications of statements, conclusions or extracts from these reports are not permitted without prior written permission from the customer.

This document constitutes the **final official test report**. Liability for the SRC Geoanalytical Laboratories', if any, will be limited to the cost of analysis for samples in this test report. The results contained in this test report relate only to the items tested. It is the customer's responsibility to ensure that all interpretation of analysis is done using the data from this report.

The customer will not use the name of the Saskatchewan Research Council in connection with the sale, offer, advertisement or the promotion of any article, product, or company without the prior written consent of the SRC.

Results Reviewed and Approved by:

Robert Millar  
Assistant Research Scientist

IOS Services Geoscientifiques Inc.

Attention: Rejean Girard

PO #/Project: 306450

Samples: 36

SRG Analytical Laboratories

125 - 15 Innovation Blvd., Saskatoon, Saskatchewan, S7N 2X8

Tel: (306) 933-8118 Fax: (306) 933-5656 Email: geolab@src.sk.ca

Report No: 03-179

Date of Report: February 06, 2008

**TEST REPORT**

Method U3O8

Column Header Details

U3O8 Assay by ICP in wt % (U3O8)

Sample Number	U3O8 wt %
BL2A	0.502
5921305 STD	0.288
5921317 STD	1.21
5921317 R	1.20

Uranium Assay: A 1.00 g pulp is digested with 24 ml of 3:1 HCl:HNO3 for 1 hour at 95 C.



Report No: 07-1799

## SRC Geoanalytical Laboratories

125 - 15 Innovation Blvd.  
Saskatoon, Saskatchewan  
S7N 2X8

February 05, 2008

Phone: (306) 933-8118  
Fax: (306) 933-5656

**IOS Services Geoscientifiques Inc.**  
1319 St-Paul Boulevard  
Saguenay (Chicoutimi), QC G7J 3Y2  
Attn: Rejean Girard

Test reports are the property of the customers. Publications of statements, conclusions or extracts from these reports are not permitted without prior written permission from the customer.

This document constitutes the **final official test report**. Liability for the SRC Geoanalytical Laboratories', if any, will be limited to the cost of analysis for samples in this test report. The results contained in this test report relate only to the items tested. It is the customer's responsibility to ensure that all interpretation of analysis is done using the data from this report.

The customer will not use the name of the Saskatchewan Research Council in connection with the sale, offer, advertisement or the promotion of any article, product, or company without the prior written consent of the SRC.

Results Reviewed and Approved by:

Robert Millar  
Assistant Research Scientist

IOS Services Geoscientifiques Inc.

Attention: Rejean Girard

PO #/Project: 306448

Samples: 66

RC Analytical Laboratories  
125 - 15 Innovation Blvd., Saskatoon, Saskatchewan, S7N 2X8  
Tel: (306) 933-8118 Fax: (306) 933-5656 Email: geolab@src.sk.ca

Report No. 07-17

Date of Report: February 05, 2008

ICP4.3 Aqua Regia Digestion

Column Header Details

Silver in ppm (Ag)  
Arsenic in ppm (As)  
Bismuth in ppm (Bi)  
Cobalt in ppm (Co)  
Copper in ppm (Cu)

Germanium in ppm (Ge)  
Mercury in ppm (Hg)  
Molybdenum in ppm (Mo)  
Nickel in ppm (Ni)  
Lead in ppm (Pb)

Antimony in ppm (Sb)  
Selenium in ppm (Se)  
Tellurium in ppm (Te)  
Uranium in ppm (U, ICP)  
Vanadium in ppm (V)

Zinc in ppm (Zn)



IOS Services Geoscientifiques Inc.

125 - 15 Innovation Blvd., Saskatoon, Saskatchewan, S7N 2X8

Attention: Rejean Girard

Tel: (306) 933-8118 Fax: (306) 933-5656 Email: geolab@src.sk.ca

PO #/Project: 306448

Date of Report: February 05, 2008

Samples: 66

## ICP4.3 Aqua Regia Digestion

Sample Number	Ag ppm	As ppm	Bi ppm	Co ppm	Cu ppm	Ge ppm	Hg ppm	Mo ppm	Ni ppm	Pb ppm	Sb ppm	Se ppm	Te ppm	U, ICP ppm	V ppm	Zn ppm
CG515/LS4	<0.1	11.7	1.8	37.5	49.1	<0.2	<0.2	12.6	47.3	23.7	<1	<0.2	<0.2	36.0	101	198
5921250	<0.1	0.4	0.4	0.6	3.0	0.3	<0.2	1.3	7.0	0.75	<1	0.8	<0.2	1.1	0.9	2.4
5921251	<0.1	26.4	22.4	71.4	86.8	0.8	<0.2	7.2	45.0	1100	<1	1.0	<0.2	2450	5.4	165
5921252	<0.1	0.3	0.7	0.6	2.7	<0.2	<0.2	1.3	5.1	3.38	<1	1.2	<0.2	6.6	0.5	1.3
5921253	<0.1	0.3	<0.2	2.1	4.3	0.4	<0.2	7.0	7.3	24.2	<1	<0.2	<0.2	33.8	15.7	24.4
5921254	<0.1	<0.2	<0.2	2.7	6.2	0.3	<0.2	79.3	5.6	39.4	<1	<0.2	<0.2	35.7	15.1	18.4
5921255	<0.1	0.9	<0.2	2.3	2.5	0.5	<0.2	193	3.6	30.3	<1	<0.2	<0.2	36.8	24.9	45.6
5921256	<0.1	0.5	<0.2	1.4	4.2	0.4	<0.2	39.8	5.2	32.0	<1	0.6	<0.2	40.3	14.8	13.5
5921257	<0.1	<0.2	<0.2	0.8	3.1	0.3	<0.2	60.6	3.9	46.6	<1	<0.2	<0.2	61.6	11.7	14.3
5921258	<0.1	0.5	<0.2	0.3	1.1	<0.2	<0.2	45.7	2.5	33.0	<1	0.4	<0.2	48.7	3.8	8.6
5921259	<0.1	0.3	<0.2	2.4	6.8	0.4	<0.2	186	3.7	34.3	<1	0.3	<0.2	27.7	11.5	19.0
5921261	<0.1	0.2	<0.2	1.0	3.4	0.4	<0.2	75.3	4.1	44.1	<1	<0.2	<0.2	78.5	17.1	17.4
5921262	<0.1	0.6	<0.2	1.9	5.8	0.9	<0.2	465	6.6	25.5	<1	<0.2	<0.2	22.6	76.2	57.2
5921263	1.1	5.8	<0.2	23.5	101	<0.2	<0.2	39.6	175	2000	<1	<0.2	6.1	9910	695	70.7
5921264	<0.1	<0.2	<0.2	2.1	5.8	0.8	<0.2	97.1	5.7	30.1	<1	<0.2	<0.2	40.5	58.2	41.5
5921265	<0.1	0.5	<0.2	1.6	4.4	0.4	<0.2	37.3	5.2	27.9	<1	<0.2	<0.2	20.2	11.8	14.4
5921266	<0.1	0.2	<0.2	1.2	2.9	0.5	<0.2	69.4	5.1	62.5	<1	<0.2	0.8	107	67.0	33.3
5921267	0.2	<0.2	<0.2	9.6	28.8	2.6	<0.2	97.8	60.7	33.5	<1	<0.2	2.9	87.0	366	168
5921268	0.7	0.8	0.7	14.2	64.1	2.3	<0.2	10.5	90.1	12.0	<1	0.3	<0.2	16.1	76.2	45.1
5921269	1.1	1.5	1.0	17.6	66.3	3.3	<0.2	116	116	15.1	<1	<0.2	0.5	30.2	265	59.4
CG515/LS4	<0.1	12.8	1.8	36.2	50.0	<0.2	<0.2	13.5	47.8	23.2	<1	<0.2	<0.2	35.0	101	199
5921270	2.1	1.1	3.3	35.0	112	6.9	<0.2	90.9	243	26.5	<1	4.3	<0.2	48.9	220	73.1
5921271	<0.1	<0.2	17.9	2.8	8.1	0.5	<0.2	171	11.3	91.6	<1	<0.2	2.0	170	58.7	38.1
5921272	<0.1	0.6	<0.2	4.1	11.9	0.6	<0.2	47.5	15.5	63.1	<1	<0.2	<0.2	130	23.9	20.7
5921274	<0.1	<0.2	0.4	0.4	2.2	<0.2	<0.2	1.7	5.8	0.65	<1	0.4	0.3	0.7	0.6	1.5
5921277	<0.1	<0.2	<0.2	2.7	9.2	0.7	<0.2	4.7	11.6	25.1	<1	<0.2	0.8	30.2	81.0	37.5
5921278	<0.1	<0.2	<0.2	0.5	1.2	0.2	<0.2	50.7	3.8	36.4	<1	<0.2	<0.2	62.6	15.8	8.4
5921279	<0.1	1.1	<0.2	1.2	2.2	0.6	<0.2	13.5	4.0	26.3	<1	<0.2	0.8	44.5	96.6	43.6
5921280	<0.1	1.1	<0.2	1.6	2.3	0.5	<0.2	153	5.0	48.0	<1	<0.2	1.4	76.7	116	54.3
5921281	0.2	0.6	0.7	8.3	24.1	1.1	<0.2	5.4	37.9	19.6	<1	<0.2	<0.2	20.1	55.9	40.3
5921282	<0.1	1.4	<0.2	8.3	23.0	1.4	<0.2	26.1	41.3	43.7	<1	<0.2	<0.2	91.7	51.9	120
5921283	1.0	2.2	<0.2	48.6	200	8.0	<0.2	81.1	281	63.9	<1	2.6	<0.2	187	298	520
5921284	1.7	0.8	3.8	42.8	211	9.2	<0.2	67.9	274	14.7	<1	4.8	<0.2	20.1	331	98.2
5921285	<0.1	27.5	21.5	70.1	82.3	1.1	<0.2	8.4	44.5	1070	<1	3.2	<0.2	2540	5.6	167
5921286	0.2	1.4	0.3	11.3	17.2	1.4	<0.2	4.2	47.8	20.9	<1	<0.2	<0.2	13.2	83.6	81.8
5921287	0.2	0.6	<0.2	11.8	3.8	0.8	<0.2	1.5	18.8	15.1	<1	<0.2	<0.2	4.6	33.6	60.0
5921288	0.3	2.1	<0.2	21.0	0.3	1.5	<0.2	1.0	37.3	11.8	<1	<0.2	<0.2	4.1	66.1	106
5921289	0.3	1.0	<0.2	15.2	0.9	0.8	<0.2	1.6	19.6	11.9	<1	<0.2	<0.2	5.8	46.9	82.8
5921292	<0.1	1.8	<0.2	13.0	1.7	1.6	<0.2	52.7	18.5	145	<1	<0.2	<0.2	350	68.0	101
5921286 R	0.3	1.2	0.5	11.1	16.8	1.2	<0.2	3.0	47.6	17.7	<1	<0.2	<0.2	13.0	82.5	78.3

IOS Services Geoscientifiques Inc.

Attention: Rejean Girard

PO #/Project: 306448

Samples: 66

125 - 15 Innovation Blvd., Saskatoon, Saskatchewan, S7N 2X8  
Tel: (306) 933-8118 Fax: (306) 933-5656 Email: geolab@src.sk.ca

Report No: 007-179

Date of Report: February 05, 2008

ICP4.3 Aqua Regia Digestion

Sample Number	Ag ppm	As ppm	Bi ppm	Co ppm	Cu ppm	Ge ppm	Hg ppm	Mo ppm	Ni ppm	Pb ppm	Sb ppm	Se ppm	Te ppm	U, ICP ppm	V ppm	Zn ppm
CG515/LS4	<0.1	12.3	1.9	37.6	49.3	<0.2	<0.2	12.8	48.7	23.8	<1	<0.2	<0.2	34.8	101	199
5921293	0.2	0.5	<0.2	19.7	6.9	1.5	<0.2	2.1	31.0	42.2	<1	<0.2	<0.2	29.4	59.1	150
5921294	<0.1	0.7	<0.2	18.2	7.5	1.4	<0.2	12.7	25.3	112	<1	<0.2	<0.2	120	54.6	134
5921295	<0.1	1.2	<0.2	8.4	1.8	1.0	<0.2	2.4	20.1	33.1	<1	<0.2	<0.2	68.3	56.3	77.5
5921296	<0.1	<0.2	0.5	0.4	1.8	0.2	<0.2	0.8	5.0	0.58	<1	0.6	0.2	0.7	0.4	1.3
5921298	<0.1	0.4	<0.2	7.2	6.3	0.9	<0.2	12.2	12.2	38.4	<1	<0.2	<0.2	59.0	44.6	66.8
5921299	<0.1	<0.2	<0.2	2.0	11.6	0.5	<0.2	53.5	6.3	47.0	<1	<0.2	<0.2	68.0	12.8	20.3
5921300	<0.1	0.3	<0.2	7.9	9.6	0.8	<0.2	10.7	14.3	54.6	<1	<0.2	<0.2	174	32.0	42.9
5921301	<0.1	1.2	<0.2	9.0	9.7	0.9	<0.2	29.7	13.0	53.8	<1	<0.2	0.5	130	27.5	43.3
5921302	0.4	1.9	<0.2	17.4	1.8	0.8	<0.2	2.4	25.6	37.2	<1	<0.2	<0.2	30.6	54.4	110
5921303	<0.1	1.2	<0.2	22.7	3.3	1.5	<0.2	22.2	34.8	65.6	<1	<0.2	<0.2	145	72.0	108
5921300 R	<0.1	<0.2	<0.2	7.9	9.4	0.8	<0.2	8.6	13.7	54.2	<1	<0.2	<0.2	178	32.2	43.2
CG515/LS4	<0.1	12.9	1.5	37.3	48.6	<0.2	<0.2	13.4	47.6	23.2	<1	<0.2	<0.2	36.2	101	196
5921260	<0.1	<0.2	<0.2	0.5	2.0	<0.2	<0.2	107	3.9	87.9	<1	<0.2	<0.2	120	16.5	27.7
5921273	<0.1	0.4	<0.2	2.5	10.0	0.4	<0.2	248	5.6	116	<1	<0.2	<0.2	250	48.6	40.4
5921275	<0.1	0.4	<0.2	1.9	3.2	<0.2	<0.2	102	4.1	243	<1	<0.2	3.0	410	161	72.5
5921276	<0.1	0.3	<0.2	4.6	20.4	0.6	<0.2	17.4	13.4	80.0	<1	<0.2	<0.2	180	53.2	32.6
5921290	<0.1	0.8	<0.2	4.0	0.7	<0.2	<0.2	168	8.1	219	<1	<0.2	<0.2	510	34.9	64.7
5921291	<0.1	<0.2	<0.2	11.0	17.8	1.0	<0.2	239	31.5	262	<1	<0.2	<0.2	735	46.5	50.9
5921297	<0.1	1.4	<0.2	18.2	7.5	1.1	<0.2	103	24.9	117	<1	<0.2	1.1	141	78.1	131
5921291 R	<0.1	0.2	<0.2	10.9	17.9	0.4	<0.2	230	31.4	262	<1	<0.2	0.2	740	46.6	51.2

Aqua Regia: A 0.5 g pulp is digested with 2.00 ml of 3:1 HCL:HNO3 for 1 hour at 95 C.  
The standard is LS4.

IOS Services Geoscientifiques Inc.

Attention: Rejean Girard

PO #/Project: 306448

Samples: 66

IOS Geoscientific Laboratories  
125 - 15 Innovation Blvd., Saskatoon, Saskatchewan, S7N 2X8  
Tel: (306) 933-8118 Fax: (306) 933-5656 Email: geolab@src.sk.ca

Report No: 3-179

Date of Report: February 05, 2008

### ICP1 Total Digestion

#### Column Header Details

Silver in ppm (Ag)  
Aluminum in wt % (Al<sub>2</sub>O<sub>3</sub>)  
Barium in ppm (Ba)  
Beryllium in ppm (Be)  
Calcium in wt % (CaO)

Cadmium in ppm (Cd)  
Cerium in ppm (Ce)  
Cobalt in ppm (Co)  
Chromium in ppm (Cr)  
Copper in ppm (Cu)

Dysprosium in ppm (Dy)  
Erbium in ppm (Er)  
Europium in ppm (Eu)  
Iron in wt % (Fe<sub>2</sub>O<sub>3</sub>)  
Gallium in ppm (Ga)

Gadolinium in ppm (Gd)  
Hafnium in ppm (Hf)  
Holmium in ppm (Ho)  
Potassium in wt % (K<sub>2</sub>O)  
Lanthanum in ppm (La)

Lithium in ppm (Li)  
Magnesium in wt % (MgO)  
Manganese in wt % (MnO)  
Molybdenum in ppm (Mo)  
Sodium in wt % (Na<sub>2</sub>O)

Niobium in ppm (Nb)  
Neodymium in ppm (Nd)  
Nickel in ppm (Ni)  
Phosphorus in wt % (P<sub>2</sub>O<sub>5</sub>)  
Lead in ppm (Pb)

Praseodymium in ppm (Pr)  
Scandium in ppm (Sc)  
Samarium in ppm (Sm)  
Tin in ppm (Sn)  
Strontium in ppm (Sr)

Tantalum in ppm (Ta)  
Terbium in ppm (Tb)  
Thorium in ppm (Th)  
Titanium in wt % (TiO<sub>2</sub>)  
Uranium in ppm (U, ICP)

IOS Services Geoscientifiques Inc.

Attention: Rejean Girard

PO #/Project: 306448

Samples: 66

SC Analytical Laboratories  
125 - 15 Innovation Blvd., Saskatoon, Saskatchewan, S7N 2X8  
Tel: (306) 933-8118 Fax: (306) 933-5656 Email: geolab@src.sk.ca

Report No: 306-179

Date of Report: February 05, 2008

ICP1 Total Digestion

Column Header Details

Vanadium in ppm (V)  
Tungsten in ppm (W)  
Yttrium in ppm (Y)  
Ytterbium in ppm (Yb)  
Zinc in ppm (Zn)

Zirconium in ppm (Zr)



IOS Services Geoscientifiques Inc.

Attention: Rejean Girard

PO #/Project: 306448

Samples: 66

RC Analytical Laboratories  
 125 - 15 Innovation Blvd., Saskatoon, Saskatchewan, S7N 2X8  
 Tel: (306) 933-8118 Fax: (306) 933-5656 Email: geolab@src.sk.ca

Report No: 03-179

Date of Report: February 05, 2008

ICPI Total Digestion

Sample Number	Ag ppm	Al2O3 wt %	Ba ppm	Be ppm	CaO wt %	Cd ppm	Ce ppm	Co ppm	Cr ppm	Cu ppm	Dy ppm	Er ppm	Eu ppm	Fe2O3 wt %	Ga ppm	Gd ppm	Hf ppm
CG515/LS4	<0.2	17.7	2340	2.3	4.85	1.0	165	16	130	2	3.6	2.6	2.6	7.31	22	5.4	4.1
5921250	<0.2	0.08	13	<0.2	0.01	<0.2	1	<1	342	2	<0.2	<0.2	<0.2	0.35	<1	0.7	<0.5
5921251	<0.2	4.59	215	0.9	0.10	<0.2	568	72	28	86	35.3	17.0	2.6	6.75	26	39.7	14.3
5921252	<0.2	0.05	5	<0.2	<0.01	<0.2	2	<1	327	2	<0.2	<0.2	<0.2	0.32	<1	0.8	<0.5
5921253	<0.2	12.5	753	1.5	1.00	0.9	11	1	237	5	1.0	0.5	0.7	1.20	13	1.3	3.5
5921254	<0.2	13.8	1400	0.7	0.31	1.0	3	1	174	7	0.7	0.3	0.7	1.37	10	0.6	2.3
5921255	<0.2	11.1	1100	0.6	0.24	0.6	3	1	154	3	0.9	0.6	0.6	1.59	9	1.2	0.9
5921256	<0.2	10.4	1130	0.5	0.24	0.6	2	<1	182	4	0.5	<0.2	0.6	0.75	7	0.6	1.4
5921257	<0.2	12.1	695	1.6	0.94	0.8	3	<1	157	3	0.9	0.3	0.6	0.71	13	0.9	2.5
5921258	<0.2	11.8	191	2.5	1.20	0.8	6	<1	143	1	1.2	0.6	0.4	0.49	15	1.0	1.3
5921259	<0.2	11.5	748	0.9	0.51	0.8	2	1	131	6	1.0	0.4	0.6	1.21	9	1.0	0.7
5921261	<0.2	10.7	1220	0.5	0.18	0.7	3	<1	152	5	0.7	0.3	0.6	0.86	8	0.9	<0.5
5921262	<0.2	12.0	1070	0.7	0.59	0.8	5	1	119	7	1.7	1.2	0.8	2.08	9	1.5	<0.5
5921263	1.3	9.19	301	158	2.75	<0.2	65	26	87	105	4.0	<0.2	1.7	5.11	81	4.4	39.9
5921264	<0.2	12.0	965	1.5	0.83	0.7	9	1	173	6	1.0	0.5	0.7	1.55	10	1.1	2.8
5921265	<0.2	12.3	1320	1.2	0.76	0.9	6	1	177	4	0.6	<0.2	0.7	0.80	11	1.1	1.0
5921266	<0.2	24.1	1640	5.5	2.87	1.7	22	1	101	10	1.9	0.5	1.0	1.18	18	2.0	6.1
5921267	<0.2	10.3	109	2.8	3.07	0.7	72	8	219	29	4.6	3.5	1.0	6.62	19	4.9	4.2
5921268	<0.2	8.83	91	2.8	2.05	0.5	26	13	181	66	0.9	0.7	0.7	6.48	13	<0.5	1.4
5921269	<0.2	14.1	179	4.4	2.96	0.6	62	18	217	68	5.3	4.5	1.9	9.74	23	5.8	5.4
CG515/LS4	<0.2	17.6	2250	2.3	4.66	1.0	167	19	124	3	3.6	2.7	2.7	7.18	22	6.0	4.8
5921270	<0.2	11.8	345	2.8	1.64	0.2	79	42	143	114	2.1	2.3	1.7	22.1	29	<0.5	5.0
5921271	<0.2	12.5	913	2.2	1.48	0.8	19	1	119	10	2.8	1.3	0.9	1.63	13	3.1	5.4
5921272	<0.2	12.8	1140	1.1	0.51	0.9	5	3	116	11	1.2	0.6	0.7	1.66	11	0.9	1.7
5921274	<0.2	0.07	8	<0.2	<0.01	<0.2	2	<1	269	1	<0.2	<0.2	<0.2	0.27	<1	0.8	<0.5
5921277	<0.2	13.6	347	3.4	2.22	0.9	8	1	154	9	0.9	0.4	0.7	1.58	16	0.9	5.5
5921278	<0.2	11.9	36	3.7	2.50	0.8	7	<1	168	2	1.0	<0.2	0.6	0.41	11	1.3	6.8
5921279	<0.2	23.1	89	7.5	4.99	1.5	11	<1	115	4	2.1	0.9	1.0	1.29	24	1.8	7.6
5921280	<0.2	18.1	467	5.3	3.51	1.3	94	<1	135	4	4.0	2.4	1.1	1.49	20	5.3	9.7
5921281	<0.2	17.4	843	4.4	2.48	1.1	49	6	139	29	2.0	1.1	1.0	3.94	18	2.2	4.3
5921282	<0.2	10.6	613	1.2	1.34	1.5	55	8	181	22	2.1	0.9	1.1	4.29	16	3.2	8.7
5921283	<0.2	9.13	113	1.7	2.13	5.0	61	58	168	210	2.0	1.8	1.5	25.4	28	<0.5	8.4
5921284	<0.2	9.76	241	2.7	2.17	0.4	52	55	173	220	1.3	1.7	1.8	26.1	28	<0.5	3.9
5921285	<0.2	5.18	237	1.2	0.11	<0.2	1570	78	31	100	43.0	21.9	4.0	7.48	29	65.5	16.4
5921286	<0.2	14.2	608	3.6	1.68	1.0	65	11	164	18	2.0	0.9	1.0	4.53	16	2.1	5.1
5921287	<0.2	14.6	955	0.8	0.88	0.9	67	9	161	4	1.9	0.7	1.0	2.92	16	2.7	5.1
5921288	<0.2	15.3	1610	0.5	0.75	0.9	60	19	166	<1	1.7	0.5	1.1	5.41	19	1.0	10.6
5921289	<0.2	13.6	556	1.3	2.85	0.8	135	14	144	<1	3.1	1.7	1.2	4.04	19	4.4	6.5
5921292	<0.2	12.3	1560	0.5	0.76	1.0	13	12	191	2	1.6	0.2	0.9	4.17	16	1.1	17.9
5921286 R	<0.2	15.3	636	3.8	1.78	1.4	56	12	160	19	1.9	0.7	1.0	4.74	17	1.6	5.5

*JEM*

IOS Services Geoscientifiques Inc.

Attention: Rejean Girard

PO #/Project: 306448

Samples: 66

125 - 15 Innovation Blvd., Saskatoon, Saskatchewan, S7N 2X8  
Tel: (306) 933-8118 Fax: (306) 933-5656 Email: geolab@src.sk.ca

Report No: 07-179

Date of Report: February 05, 2008

ICP1 Total Digestion

Sample Number	Ag ppm	Al2O3 wt %	Ba ppm	Be ppm	CaO wt %	Cd ppm	Ce ppm	Co ppm	Cr ppm	Cu ppm	Dy ppm	Er ppm	Eu ppm	Fe2O3 wt %	Ga ppm	Gd ppm	Hf ppm
CG515/LS4	0.4	17.0	2210	2.2	4.96	1.2	164	19	123	4	3.4	2.4	2.4	7.37	25	5.6	4.6
5921293	0.6	13.2	1370	0.6	1.20	0.6	19	19	153	6	0.5	0.5	0.8	4.90	19	0.6	8.6
5921294	1.1	11.2	883	0.6	1.35	0.7	12	16	158	7	0.8	0.5	0.7	3.89	16	0.8	11.2
5921295	0.7	12.5	184	1.3	2.40	0.8	8	7	188	2	0.6	0.3	0.6	3.45	19	0.6	10.8
5921296	<0.2	0.06	5	<0.2	0.01	<0.2	1	<1	268	2	<0.2	<0.2	<0.2	0.26	<1	<0.5	<0.5
5921298	0.4	13.6	1130	0.7	1.05	0.9	24	6	173	7	0.7	0.5	0.7	3.28	17	0.9	6.2
5921299	<0.2	6.93	476	0.5	0.37	0.3	1	<1	211	12	0.4	<0.2	0.3	1.04	7	<0.5	1.2
5921300	0.6	12.1	123	1.4	2.42	0.8	4	7	203	10	0.9	0.5	0.6	2.59	17	0.8	12.3
5921301	0.3	12.1	359	1.2	2.12	0.7	5	7	183	10	0.7	0.5	0.7	2.39	15	0.7	7.2
5921302	0.8	14.7	1160	0.6	1.34	1.0	149	16	148	2	1.8	1.2	1.4	4.54	20	3.9	9.6
5921303	1.2	13.6	1110	0.4	0.97	0.8	80	22	195	3	2.0	1.3	1.2	6.34	23	3.3	18.2
5921300 R	0.7	12.8	127	1.4	2.48	0.7	4	7	207	10	0.9	0.6	0.7	2.70	17	0.8	12.9
CG515/LS4	0.4	17.2	2150	1.9	4.98	1.1	150	18	116	3	3.3	2.4	2.3	7.36	20	5.0	4.3
5921260	0.6	11.0	1030	0.9	0.42	1.0	4	<1	148	2	1.3	0.7	0.4	0.72	8	0.9	3.1
5921273	0.4	13.9	1230	0.8	0.64	0.9	3	<1	121	11	1.9	1.1	0.6	1.82	10	1.4	<0.5
5921275	2.4	19.2	813	4.2	2.96	1.4	21	2	90	3	6.0	3.5	1.0	1.80	19	4.8	22.9
5921276	1.3	19.3	392	5.1	3.44	1.7	17	4	140	22	3.6	2.4	0.9	2.52	21	3.0	13.2
5921290	1.8	8.23	609	0.5	1.26	1.0	94	4	218	1	3.4	2.1	0.8	2.62	9	3.8	16.2
5921291	1.9	10.4	1090	1.3	1.74	0.9	60	10	202	19	4.9	2.8	1.0	4.42	12	4.5	11.3
5921297	1.4	12.5	1020	0.4	1.03	0.7	41	18	218	8	1.5	1.0	0.7	5.53	18	2.3	6.1
5921291 R	1.5	10.6	1100	1.3	1.74	0.9	59	11	205	20	4.8	2.6	1.0	4.46	12	4.4	11.0

*RM*

IOS Services Geoscientifiques Inc.

Attention: Rejean Girard

PO #/Project: 306448

Samples: 66

IOS Geoscientifics Inc. Lab. Services  
125 - 15 Innovation Blvd., Saskatoon, Saskatchewan, S7N 2X8  
Tel: (306) 933-8118 Fax: (306) 933-5656 Email: geolab@src.sk.ca

Report No: 06-179

Date of Report: February 05, 2008

ICPI Total Digestion

Sample Number	Ho ppm	K2O wt %	La ppm	Li ppm	MgO wt %	MnO wt %	Mo ppm	Na2O wt %	Nb ppm	Nd ppm	Ni ppm	P2O5 wt %	Pb ppm	Pr ppm	Sc ppm	Sm ppm	Sn ppm
CG515/LS4	1.4	3.13	86	27	2.82	0.072	1	3.15	8	64	26	0.671	17	17	13	8.6	3
5921250	<0.4	0.016	<1	4	0.011	0.003	2	0.01	<1	9	9	0.002	<1	<1	<1	<0.5	1
5921251	7.5	1.61	283	14	0.093	0.006	6	0.04	59	213	46	0.208	1100	60	4	43.4	1
5921252	<0.4	0.015	<1	4	0.004	0.002	1	<0.01	<1	<1	7	0.002	<1	<1	<1	0.5	1
5921253	<0.4	5.17	6	10	0.339	0.012	5	2.66	4	4	10	0.022	47	<1	2	1.3	<1
5921254	<0.4	9.20	1	8	0.293	0.008	83	1.77	4	1	6	0.028	65	<1	2	0.6	<1
5921255	0.5	7.27	1	18	0.523	0.018	197	1.38	9	2	4	0.053	52	<1	3	0.8	<1
5921256	<0.4	6.94	<1	6	0.196	0.007	43	1.29	2	1	5	0.016	53	<1	1	0.6	<1
5921257	<0.4	5.52	1	6	0.198	0.008	66	2.43	5	2	5	0.024	65	<1	2	0.8	<1
5921258	<0.4	3.26	3	4	0.132	0.007	47	3.34	7	2	2	0.013	47	<1	1	0.8	<1
5921259	0.5	6.33	<1	8	0.289	0.009	191	1.95	2	2	3	0.052	51	<1	2	1.0	<1
5921261	<0.4	7.29	1	7	0.264	0.008	77	1.24	3	2	5	0.023	58	<1	1	0.6	<1
5921262	0.6	7.27	1	26	0.886	0.024	470	1.58	12	4	6	0.125	46	<1	4	1.1	<1
5921263	8.2	0.514	21	12	1.70	0.048	41	3.72	40	53	185	0.188	2310	3	12	6.0	<1
5921264	0.5	6.13	4	18	0.636	0.019	102	2.04	7	4	6	0.048	49	<1	3	1.0	<1
5921265	<0.4	6.65	2	5	0.209	0.007	37	1.98	<1	2	7	0.023	47	<1	1	1.0	<1
5921266	0.4	8.21	12	18	0.832	0.019	71	5.42	7	9	9	0.026	78	2	4	1.9	<1
5921267	1.4	1.88	40	39	3.09	0.066	122	2.45	25	29	60	0.763	41	5	15	5.0	<1
5921268	<0.4	0.820	15	12	0.761	0.020	10	2.47	3	11	96	0.079	14	1	3	2.4	<1
5921269	1.9	1.93	26	31	1.69	0.042	147	3.51	34	32	118	0.209	23	6	12	6.1	<1
CG515/LS4	1.5	3.14	84	28	2.87	0.071	1	3.11	7	64	25	0.677	19	18	13	8.9	2
5921270	<0.4	2.42	40	29	1.98	0.041	99	2.77	10	34	254	0.238	37	6	10	6.3	<1
5921271	0.9	4.73	7	14	0.844	0.019	175	2.63	13	11	11	0.042	98	2	4	2.5	<1
5921272	<0.4	7.90	1	6	0.381	0.010	51	1.74	4	3	15	0.022	83	<1	2	1.2	<1
5921274	<0.4	0.030	1	4	0.004	0.002	1	0.01	<1	1	5	<0.002	<1	<1	<1	0.5	<1
5921277	0.4	2.88	3	16	0.677	0.019	2	3.66	6	3	12	0.027	36	<1	4	1.0	<1
5921278	<0.4	0.395	3	5	0.173	0.006	52	3.98	2	3	4	0.012	38	<1	1	0.9	<1
5921279	0.5	1.13	5	23	0.897	0.024	13	7.58	11	6	6	0.027	39	1	5	1.9	<1
5921280	0.8	2.56	54	22	0.994	0.027	160	5.45	23	32	7	0.096	54	9	6	5.6	<1
5921281	0.8	4.64	26	15	0.723	0.018	7	4.38	3	18	41	0.088	36	4	4	3.7	<1
5921282	<0.4	3.00	24	17	1.21	0.029	30	2.33	3	21	37	0.080	60	4	7	4.0	<1
5921283	<0.4	1.01	34	29	1.94	0.073	97	1.96	2	30	293	0.268	83	4	9	6.2	<1
5921284	<0.4	1.61	29	27	2.04	0.061	85	2.04	6	28	309	0.292	26	3	11	5.7	<1
5921285	7.2	1.80	819	15	0.104	0.007	11	0.05	65	512	49	0.231	1370	151	4	86.1	<1
5921286	<0.4	5.34	38	22	1.60	0.036	3	2.66	2	23	48	0.143	44	5	8	4.0	<1
5921287	<0.4	7.41	38	20	1.20	0.039	<1	2.33	2	23	18	0.114	47	6	8	3.6	<1
5921288	0.8	7.81	35	36	1.67	0.082	<1	2.16	20	20	38	0.078	46	4	13	3.1	<1
5921289	0.5	2.59	67	30	1.75	0.126	<1	2.75	12	41	20	0.109	22	13	8	5.8	<1
5921292	1.4	5.94	7	33	1.53	0.045	43	1.81	15	6	18	0.049	159	<1	9	1.1	<1
5921286 R	0.5	5.75	33	23	1.73	0.038	4	2.86	1	21	47	0.147	40	5	9	3.8	<1

IOS Services Geoscientifiques Inc.

Attention: Rejean Girard

PO #/Project: 306448

Samples: 66

IC Analytical Laboratories  
125 - 15 Innovation Blvd., Saskatoon, Saskatchewan, S7N 2X8  
Tel: (306) 933-8118 Fax: (306) 933-5656 Email: geolab@src.sk.ca

Report No: G-179

Date of Report: February 05, 2008

ICP1 Total Digestion

Sample Number	Ho ppm	K2O wt %	La ppm	Li ppm	MgO wt %	MnO wt %	Mo ppm	Na2O wt %	Nb ppm	Nd ppm	Ni ppm	P2O5 wt %	Pb ppm	Pr ppm	Sc ppm	Sm ppm	Sn ppm
CG515/LS4	1.7	3.02	87	26	2.72	0.077	1	3.07	7	62	26	0.690	19	15	13	8.7	1
5921293	0.8	5.89	12	34	1.61	0.062	2	2.23	14	7	30	0.044	59	2	9	1.5	<1
5921294	0.8	3.87	7	29	1.31	0.045	13	2.23	10	5	27	0.028	115	1	7	1.4	<1
5921295	0.7	1.55	6	28	1.28	0.047	2	3.43	9	3	21	0.023	41	1	6	1.3	<1
5921296	<0.4	0.010	<1	3	0.006	0.002	1	0.01	<1	<1	4	<0.002	1	<1	<1	<0.5	<1
5921298	0.5	6.58	14	25	1.14	0.046	13	2.46	7	8	13	0.041	58	2	5	1.8	<1
5921299	<0.4	3.78	1	6	0.297	0.010	55	1.24	2	<1	5	0.012	52	<1	1	<0.5	<1
5921300	0.6	1.12	2	17	0.722	0.034	11	3.68	4	2	14	0.028	68	1	4	1.2	<1
5921301	0.5	1.74	4	17	0.685	0.033	28	3.59	4	2	13	0.022	59	<1	4	1.1	<1
5921302	1.2	5.95	82	30	1.34	0.072	3	2.95	15	49	25	0.060	59	13	12	6.4	<1
5921303	1.3	6.07	43	39	1.87	0.101	21	2.18	25	29	35	0.037	87	7	16	4.6	<1
5921300 R	0.6	1.14	2	18	0.759	0.036	11	3.88	4	2	15	0.028	69	1	4	1.3	<1
CG515/LS4	1.5	2.91	80	26	2.74	0.077	1	3.23	8	57	22	0.657	16	15	11	7.9	1
5921260	<0.4	6.86	2	8	0.316	0.007	110	1.41	5	1	5	0.022	89	<1	2	0.7	<1
5921273	0.5	8.52	2	12	0.653	0.021	250	1.89	8	2	6	0.092	122	<1	3	1.4	<1
5921275	1.4	5.25	6	28	1.44	0.038	107	5.04	28	15	5	0.027	250	3	8	4.3	<1
5921276	1.0	3.22	5	13	0.611	0.020	41	5.65	18	11	16	0.032	94	2	3	3.1	<1
5921290	1.0	2.03	50	17	0.786	0.027	171	1.87	8	28	10	0.049	220	8	4	4.3	<1
5921291	1.2	3.95	31	14	1.37	0.026	271	1.67	9	22	32	0.056	298	5	6	4.8	<1
5921297	0.7	5.27	25	43	1.96	0.077	103	2.14	15	15	26	0.054	137	4	10	2.9	<1
5921291 R	1.0	3.99	31	14	1.37	0.026	262	1.69	8	21	32	0.057	295	5	6	4.7	<1



ICP1 Total Digestion

Sample Number	Sr ppm	Ta ppm	Tb ppm	Th ppm	TiO2 wt %	U, ICP ppm	V ppm	W ppm	Y ppm	Yb ppm	Zn ppm	Zr ppm
CG515/LS4	1190	2	<0.3	14	1.11	4	135	2	22	2.1	86	175
5921250	4	12	<0.3	<1	0.004	<2	1	1	<1	<0.1	1	37
5921251	15	25	18.1	580	0.506	2500	21	1	163	15.2	177	276
5921252	1	12	<0.3	2	0.002	4	<1	1	<1	<0.1	2	4
5921253	153	7	<0.3	38	0.129	41	29	2	7	0.9	27	149
5921254	168	5	<0.3	40	0.124	37	28	1	5	0.6	22	95
5921255	129	1	<0.3	49	0.239	39	32	3	6	0.6	46	35
5921256	127	<1	<0.3	53	0.078	42	25	2	3	0.4	19	51
5921257	123	<1	<0.3	35	0.091	66	25	3	5	0.7	24	55
5921258	87	<1	<0.3	18	0.048	51	12	3	5	1.1	24	36
5921259	132	<1	<0.3	59	0.114	31	20	4	5	0.6	18	15
5921261	141	2	<0.3	130	0.103	80	27	3	4	0.4	19	19
5921262	151	1	<0.3	64	0.346	24	84	5	11	1.1	58	12
5921263	172	<1	39.9	41	0.447	10300	558	3	25	5.0	77	177
5921264	156	<1	<0.3	65	0.234	42	67	3	7	0.8	41	104
5921265	171	<1	<0.3	41	0.069	25	21	2	2	0.3	15	17
5921266	325	<1	<0.3	164	0.244	110	110	6	15	1.5	42	216
5921267	123	4	1.0	90	0.664	90	390	135	38	4.7	171	142
5921268	138	7	<0.3	18	0.144	18	108	39	9	1.1	47	78
5921269	221	1	1.0	16	0.857	36	460	22	43	5.4	66	196
CG515/LS4	1210	<1	<0.3	15	1.06	3	137	1	21	2.1	87	195
5921270	162	4	1.3	58	0.483	53	318	4	28	3.9	84	164
5921271	168	<1	0.8	281	0.280	175	94	4	19	2.2	39	156
5921272	163	2	<0.3	81	0.134	134	38	4	8	1.1	22	50
5921274	1	5	<0.3	<1	<0.002	<2	1	1	<1	<0.1	3	1
5921277	183	<1	<0.3	45	0.173	33	85	1	6	1.1	40	186
5921278	170	<1	<0.3	102	0.070	66	26	4	6	0.8	11	261
5921279	318	<1	<0.3	66	0.278	48	125	1	15	1.8	54	314
5921280	262	<1	0.5	105	0.411	80	140	6	28	3.5	56	326
5921281	233	1	<0.3	21	0.237	26	74	3	15	1.8	54	184
5921282	144	4	1.1	90	0.257	96	66	2	12	1.4	123	305
5921283	116	7	2.5	181	0.361	193	366	14	30	3.8	567	332
5921284	103	6	1.7	10	0.440	35	421	16	26	3.6	108	143
5921285	22	17	23.0	918	0.558	2680	25	7	196	17.5	185	277
5921286	124	<1	<0.3	19	0.221	21	104	3	14	1.2	88	210
5921287	153	<1	<0.3	19	0.366	8	46	3	10	0.7	62	217
5921288	186	7	<0.3	19	0.788	12	76	1	9	1.2	111	460
5921289	158	4	<0.3	33	0.497	13	52	2	13	1.7	84	238
5921292	183	7	1.9	141	0.738	360	72	2	10	1.4	109	701
5921286 R	133	1	<0.3	16	0.244	20	110	5	13	1.2	84	208

IOS Services Geoscientifiques Inc.

125 - 15 Innovation Blvd., Saskatoon, Saskatchewan, S7N 2X8

Attention: Rejean Girard

Tel: (306) 933-8118 Fax: (306) 933-5656 Email: geolab@src.sk.ca

PO #/Project: 306448

Date of Report: February 05, 2008

Samples: 66

## ICP1 Total Digestion

Sample Number	Sr ppm	Ta ppm	Tb ppm	Th ppm	TiO2 wt %	U, ICP ppm	V ppm	W ppm	Y ppm	Yb ppm	Zn ppm	Zr ppm
CG515/LS4	1110	<1	<0.3	13	1.05	4	131	<1	22	2.0	85	172
5921293	190	<1	<0.3	47	0.690	29	57	<1	5	0.6	155	311
5921294	162	<1	<0.3	81	0.550	127	50	<1	6	0.7	140	383
5921295	179	<1	<0.3	76	0.525	70	58	<1	5	0.7	82	365
5921296	2	<1	<0.3	<1	0.003	<2	1	<1	<1	<0.1	2	2
5921298	187	<1	<0.3	135	0.474	58	46	<1	4	0.5	75	220
5921299	79	<1	<0.3	138	0.131	69	13	<1	2	0.2	21	55
5921300	174	<1	<0.3	70	0.356	177	37	<1	5	0.9	51	440
5921301	181	<1	<0.3	69	0.302	135	29	<1	4	0.6	46	268
5921302	196	<1	<0.3	71	0.636	32	53	<1	10	0.9	114	338
5921303	147	<1	<0.3	119	0.838	147	78	<1	14	1.7	123	624
5921300 R	182	<1	<0.3	73	0.377	179	38	<1	5	0.9	53	456
CG515/LS4	1110	<1	<0.3	12	0.983	4	128	<1	19	1.8	88	178
5921260	134	<1	<0.3	281	0.122	133	28	<1	7	0.8	31	113
5921273	160	<1	<0.3	158	0.237	272	53	<1	11	1.1	47	24
5921275	252	<1	<0.3	806	0.567	418	202	<1	36	4.8	83	868
5921276	251	1	<0.3	199	0.315	187	76	<1	24	3.4	45	475
5921290	120	1	<0.3	365	0.346	529	40	<1	20	1.9	78	651
5921291	164	<1	<0.3	472	0.403	754	60	<1	25	2.6	64	443
5921297	169	<1	<0.3	264	0.823	150	80	<1	9	0.8	143	259
5921291 R	167	<1	<0.3	474	0.411	736	61	<1	24	2.6	67	417

Total Digestion: A 0.125 g pulp is gently heated in a mixture of HF/HNO3/HClO4 until dry and the residue is dissolved in dilute HNO3.  
The standard is CG515.



Report No: 07-1799

## SRC Geoanalytical Laboratories

125 - 15 Innovation Blvd.  
Saskatoon, Saskatchewan  
S7N 2X8

February 20, 2008

Phone: (306) 933-8118  
Fax: (306) 933-5656

**IOS Services Geoscientifiques Inc.**  
1319 St-Paul Boulevard  
Saguenay (Chicoutimi), QC G7J 3Y2  
Attn: Rejean Girard

Test reports are the property of the customers. Publications of statements, conclusions or extracts from these reports are not permitted without prior written permission from the customer.

This document constitutes the **final official test report**. Liability for the SRC Geoanalytical Laboratories', if any, will be limited to the cost of analysis for samples in this test report. The results contained in this test report relate only to the items tested. It is the customer's responsibility to ensure that all interpretation of analysis is done using the data from this report.

The customer will not use the name of the Saskatchewan Research Council in connection with the sale, offer, advertisement or the promotion of any article, product, or company without the prior written consent of the SRC.

Results Reviewed and Approved by: \_\_\_\_\_

Robert Millar  
Assistant Research Scientist

IOS Services Geoscientifiques Inc.

Attention: Rejean Girard

PO #/Project: 306448

Samples: 66

RC Analytical Laboratories  
125 - 15 Innovation Blvd., Saskatoon, Saskatchewan, S7N 2X8  
Tel: (306) 933-8118 Fax: (306) 933-5656 Email: geolab@src.sk.ca

Report No: G-07-179

Date of Report: February 20, 2008

**TEST REPORT**  
Method U3O8

Column Header Details

U3O8 Assay by ICP in wt % (U3O8)

Sample Number	U3O8 wt %
BL3	1.20
5921251 STD	0.283
5921263 STD	1.19
5921285 STD	0.283
5921251 STD R	0.283

Uranium Assay: A 1.00 g pulp is digested with 24 ml of 3:1 HCl:HNO3 for 1 hour at 95 C.





Report No: 07-1802

## SRC Geoanalytical Laboratories

125 - 15 Innovation Blvd.  
Saskatoon, Saskatchewan  
S7N 2X8

February 05, 2008

Phone: (306) 933-8118  
Fax: (306) 933-5656

**IOS Services Geoscientifiques Inc.**  
1319 St-Paul Boulevard  
Saguenay (Chicoutimi), QC G7J 3Y2  
Attn: Rejean Girard

Test reports are the property of the customers. Publications of statements, conclusions or extracts from these reports are not permitted without prior written permission from the customer.

This document constitutes the **final official test report**. Liability for the SRC Geoanalytical Laboratories', if any, will be limited to the cost of analysis for samples in this test report. The results contained in this test report relate only to the items tested. It is the customer's responsibility to ensure that all interpretation of analysis is done using the data from this report.

The customer will not use the name of the Saskatchewan Research Council in connection with the sale, offer, advertisement or the promotion of any article, product, or company without the prior written consent of the SRC.

Results Reviewed and Approved by:

Robert Millar  
Assistant Research Scientist

IOS Services Geoscientifiques Inc.

Attention: Rejean Girard

PO #/Project: 306002

Samples: 44

RC Geology Laboratories  
125 - 15 Innovation Blvd., Saskatoon, Saskatchewan, S7N 2X8  
Tel: (306) 933-8118 Fax: (306) 933-5656 Email: geolab@src.sk.ca

Report No: G-07-1802

Date of Report: February 05, 2008

### ICP4.3 Aqua Regia Digestion

#### Column Header Details

Silver in ppm (Ag)  
Arsenic in ppm (As)  
Bismuth in ppm (Bi)  
Cobalt in ppm (Co)  
Copper in ppm (Cu)

Germanium in ppm (Ge)  
Mercury in ppm (Hg)  
Molybdenum in ppm (Mo)  
Nickel in ppm (Ni)  
Lead in ppm (Pb)

Antimony in ppm (Sb)  
Selenium in ppm (Se)  
Tellurium in ppm (Te)  
Uranium in ppm (U, ICP)  
Vanadium in ppm (V)

Zinc in ppm (Zn)

Date of Report: February 05, 2008

## ICP4.3 Aqua Regia Digestion

Sample Number	Ag ppm	As ppm	Bi ppm	Co ppm	Cu ppm	Ge ppm	Hg ppm	Mo ppm	Ni ppm	Pb ppm	Sb ppm	Se ppm	Te ppm	U, ICP ppm	V ppm	Zn ppm
CG515/LS4	<0.1	12.1	1.3	37.8	48.2	<0.2	<0.2	12.4	48.2	23.0	<1	<0.2	<0.2	35.0	102	198
5921378	<0.1	<0.2	0.7	0.6	3.1	<0.2	<0.2	1.2	6.2	0.97	<1	1.2	<0.2	0.8	0.9	1.9
5921379	<0.1	26.7	19.1	70.5	80.9	0.3	<0.2	6.7	44.6	1060	<1	0.9	<0.2	2650	5.5	164
5921380	<0.1	0.7	0.3	0.5	2.7	<0.2	<0.2	1.6	6.4	3.71	<1	0.4	<0.2	8.6	0.6	2.0
5921381	<0.1	0.9	<0.2	10.9	88.0	0.7	<0.2	27.3	18.8	30.2	<1	<0.2	<0.2	76.4	12.2	13.8
5921382	0.2	1.8	<0.2	16.1	26.0	1.3	<0.2	12.9	30.7	20.9	<1	<0.2	0.4	19.5	65.4	92.8
5921383	<0.1	1.3	<0.2	12.5	6.2	1.3	<0.2	475	23.3	23.1	<1	<0.2	<0.2	32.8	59.9	88.1
5921384	<0.1	2.0	<0.2	17.8	38.7	1.5	<0.2	10.3	32.7	41.0	<1	<0.2	<0.2	127	70.6	97.1
5921385	0.2	1.8	<0.2	11.7	20.7	1.2	<0.2	7.4	23.3	14.7	<1	<0.2	<0.2	22.8	56.7	69.4
5921386	0.2	<0.2	<0.2	23.8	31.3	1.8	<0.2	2.5	40.1	19.3	<1	<0.2	<0.2	11.8	85.7	119
5921387	<0.1	1.0	<0.2	15.8	14.8	1.5	<0.2	51.3	28.5	30.9	<1	<0.2	0.2	63.4	76.8	114
5921388	0.2	1.2	<0.2	16.3	5.7	1.1	<0.2	3.2	25.4	21.5	<1	<0.2	<0.2	23.9	60.9	85.3
5921389	<0.1	1.0	<0.2	16.2	6.5	1.0	<0.2	2.8	21.0	13.0	<1	<0.2	<0.2	8.2	48.6	80.9
5921390	<0.1	1.4	<0.2	13.8	8.7	0.8	<0.2	6.6	20.6	26.2	<1	<0.2	<0.2	56.4	51.0	86.2
5921391	<0.1	1.1	<0.2	4.6	7.5	0.8	<0.2	15.2	11.2	49.1	<1	<0.2	0.2	128	35.0	39.1
5921392	<0.1	0.7	<0.2	5.9	41.7	0.7	<0.2	17.9	11.3	134	<1	<0.2	<0.2	277	24.5	31.8
5921393	0.2	0.8	<0.2	13.0	70.1	1.3	<0.2	2.4	19.9	7.10	<1	<0.2	<0.2	13.4	60.0	106
5921394	<0.1	<0.2	<0.2	5.0	46.2	0.5	<0.2	22.8	11.1	120	<1	<0.2	<0.2	414	7.7	12.3
5921396	<0.1	1.0	<0.2	8.4	27.2	0.8	<0.2	10.5	19.3	25.0	<1	<0.2	<0.2	64.7	68.6	67.0
5921397	0.1	0.6	0.6	16.9	67.0	1.5	<0.2	2.7	48.3	9.99	<1	<0.2	<0.2	17.8	86.4	77.4
CG515/LS4	<0.1	11.9	1.8	37.8	49.2	<0.2	<0.2	12.4	47.9	23.4	<1	<0.2	<0.2	35.1	103	197
5921398	1.1	5.9	<0.2	23.6	107	<0.2	<0.2	36.2	157	1920	<1	<0.2	5.5	9870	705	68.5
5921399	0.1	1.2	<0.2	8.4	48.1	0.8	<0.2	2.5	21.2	29.3	<1	<0.2	<0.2	14.1	51.7	72.5
5921400	0.2	0.4	<0.2	10.7	71.0	0.6	<0.2	9.5	25.2	30.8	<1	<0.2	<0.2	10.3	23.8	20.8
5921401	<0.1	0.3	<0.2	3.9	49.2	0.3	<0.2	5.0	10.0	36.2	<1	<0.2	<0.2	27.0	6.1	17.9
5921402	<0.1	0.4	<0.2	2.4	21.9	0.2	<0.2	50.3	2.6	50.6	<1	<0.2	<0.2	124	10.9	22.0
5921403	0.1	0.2	<0.2	2.8	9.8	0.2	<0.2	5.6	4.4	19.9	<1	<0.2	<0.2	4.0	14.1	31.6
5921404	<0.1	0.4	0.2	4.1	25.0	0.4	<0.2	3.2	7.8	32.0	<1	<0.2	<0.2	9.0	42.6	50.3
5921405	<0.1	0.7	<0.2	3.6	30.0	0.3	<0.2	5.8	9.2	14.7	<1	<0.2	<0.2	5.0	24.7	33.9
5921406	<0.1	0.2	<0.2	3.2	8.8	0.3	<0.2	18.7	5.4	35.9	<1	<0.2	<0.2	78.7	19.4	38.7
5921407	0.1	0.4	<0.2	2.5	13.8	<0.2	<0.2	1.6	3.9	11.1	<1	<0.2	<0.2	8.2	14.4	25.2
5921408	0.1	0.2	<0.2	32.3	132	1.7	<0.2	1.3	97.8	3.45	<1	<0.2	<0.2	2.7	160	68.8
5921409	<0.1	<0.2	<0.2	0.5	2.2	<0.2	<0.2	0.8	3.8	0.46	<1	0.7	<0.2	0.6	0.6	0.7
5921410	<0.1	0.9	<0.2	31.1	131	2.0	<0.2	3.8	93.5	3.01	<1	<0.2	<0.2	2.4	156	68.9
5921411	<0.1	0.9	<0.2	36.7	135	1.9	<0.2	7.7	106	2.43	<1	<0.2	<0.2	3.1	143	62.5
5921407 R	<0.1	0.4	<0.2	2.5	13.9	0.4	<0.2	2.1	3.9	11.1	<1	<0.2	<0.2	9.0	14.6	25.3
CG515/LS4	<0.1	11.6	1.5	37.4	50.5	<0.2	<0.2	12.7	48.3	23.4	<1	<0.2	<0.2	36.1	105	197
5921395	<0.1	0.5	<0.2	6.8	37.7	0.8	<0.2	50.0	17.3	142	<1	<0.2	<0.2	430	26.4	26.4
5921412	<0.1	0.2	<0.2	6.3	16.6	0.6	<0.2	53.6	16.1	124	<1	<0.2	<0.2	410	43.8	36.9
5921395 R	<0.1	<0.2	<0.2	7.2	35.4	0.6	<0.2	51.6	18.5	145	<1	<0.2	<0.2	427	28.2	27.6

IOS Services Geoscientifiques Inc.

Attention: Rejean Girard

PO #/Project: 306002

Samples: 44

125 - 15 Innovation Blvd., Saskatoon, Saskatchewan, S7N 2X8

Tel: (306) 933-8118 Fax: (306) 933-5656 Email: geolab@src.sk.ca

Report No: G-07-1802

Date of Report: February 05, 2008

ICP4.3 Aqua Regia Digestion

Sample Number	Ag ppm	As ppm	Bi ppm	Co ppm	Cu ppm	Ge ppm	Hg ppm	Mo ppm	Ni ppm	Pb ppm	Sb ppm	Se ppm	Te ppm	U, ICP ppm	V ppm	Zn ppm
---------------	--------	--------	--------	--------	--------	--------	--------	--------	--------	--------	--------	--------	--------	------------	-------	--------

Aqua Regia: A 0.5 g pulp is digested with 2.00 ml of 3:1 HCL:HNO3 for 1 hour at 95 C. The standard is LS4.



IOS Services Geoscientifiques Inc.

Attention: Rejean Girard

PO #/Project: 306002

Samples: 44

IC Geanalytical Laboratories  
125 - 15 Innovation Blvd., Saskatoon, Saskatchewan, S7N 2X8  
Tel: (306) 933-8118 Fax: (306) 933-5656 Email: geolab@src.sk.ca

Report No: G-07-1802

Date of Report: February 05, 2008

### ICP1 Total Digestion

#### Column Header Details

Silver in ppm (Ag)  
Aluminum in wt % (Al<sub>2</sub>O<sub>3</sub>)  
Barium in ppm (Ba)  
Beryllium in ppm (Be)  
Calcium in wt % (CaO)

Cadmium in ppm (Cd)  
Cerium in ppm (Ce)  
Cobalt in ppm (Co)  
Chromium in ppm (Cr)  
Copper in ppm (Cu)

Dysprosium in ppm (Dy)  
Erbium in ppm (Er)  
Europium in ppm (Eu)  
Iron in wt % (Fe<sub>2</sub>O<sub>3</sub>)  
Gallium in ppm (Ga)

Gadolinium in ppm (Gd)  
Hafnium in ppm (Hf)  
Holmium in ppm (Ho)  
Potassium in wt % (K<sub>2</sub>O)  
Lanthanum in ppm (La)

Lithium in ppm (Li)  
Magnesium in wt % (MgO)  
Manganese in wt % (MnO)  
Molybdenum in ppm (Mo)  
Sodium in wt % (Na<sub>2</sub>O)

Niobium in ppm (Nb)  
Neodymium in ppm (Nd)  
Nickel in ppm (Ni)  
Phosphorus in wt % (P<sub>2</sub>O<sub>5</sub>)  
Lead in ppm (Pb)

Praseodymium in ppm (Pr)  
Scandium in ppm (Sc)  
Samarium in ppm (Sm)  
Tin in ppm (Sn)  
Strontium in ppm (Sr)

Tantalum in ppm (Ta)  
Terbium in ppm (Tb)  
Thorium in ppm (Th)  
Titanium in wt % (TiO<sub>2</sub>)  
Uranium in ppm (U, ICP)

IOS Services Geoscientifiques Inc.

Attention: Rejean Girard

PO #/Project: 306002

Samples: 44

RC Analy Lab orie  
125 - 15 Innovation Blvd., Saskatoon, Saskatchewan, S7N 2X8

Tel: (306) 933-8118 Fax: (306) 933-5656 Email: geolab@src.sk.ca

Report No: G-07-1802

Date of Report: February 05, 2008

ICP1 Total Digestion

Column Header Details

Vanadium in ppm (V)  
Tungsten in ppm (W)  
Yttrium in ppm (Y)  
Ytterbium in ppm (Yb)  
Zinc in ppm (Zn)

Zirconium in ppm (Zr)

## ICPI Total Digestion

Sample Number	Ag ppm	Al2O3 wt %	Ba ppm	Be ppm	CaO wt %	Cd ppm	Ce ppm	Co ppm	Cr ppm	Cu ppm	Dy ppm	Er ppm	Eu ppm	Fe2O3 wt %	Ga ppm	Gd ppm	Hf ppm
CG515/LS4	<0.2	18.0	2230	2.3	4.83	0.8	170	16	131	5	3.6	2.4	2.6	7.15	26	4.7	4.3
5921378	0.2	0.13	19	<0.2	0.02	<0.2	1	<1	497	3	<0.2	<0.2	<0.2	0.46	<1	1.1	<0.5
5921379	<0.2	5.06	214	1.0	0.11	<0.2	1560	71	32	96	43.8	21.2	4.0	7.14	31	58.5	16.5
5921380	0.2	0.14	7	<0.2	<0.01	<0.2	17	1	375	3	0.5	<0.2	<0.2	0.39	<1	1.4	<0.5
5921381	<0.2	14.1	119	1.8	3.02	0.8	21	11	247	90	0.9	<0.2	1.1	2.30	16	0.8	6.6
5921382	<0.2	15.3	950	1.0	1.97	0.9	49	14	212	28	1.1	<0.2	1.1	4.89	25	1.2	13.8
5921383	<0.2	13.7	959	0.8	1.58	0.7	10	9	194	6	0.6	0.2	1.0	4.22	17	<0.5	16.2
5921384	<0.2	15.1	287	1.3	2.60	0.8	31	15	247	41	1.4	<0.2	1.1	5.47	26	1.0	19.9
5921385	<0.2	11.2	462	0.8	1.67	0.7	17	10	184	19	0.6	<0.2	0.9	3.67	18	<0.5	18.9
5921386	<0.2	15.8	1070	0.9	1.74	0.6	52	23	202	30	1.2	<0.2	1.2	6.61	27	0.7	19.6
5921387	<0.2	13.3	819	0.7	1.57	0.7	44	14	194	16	1.2	0.2	1.1	5.40	23	1.0	16.4
5921388	<0.2	14.4	844	0.9	1.75	0.7	82	14	183	7	2.3	0.6	1.2	5.00	22	2.9	14.2
5921389	<0.2	15.0	738	1.5	2.54	0.8	72	16	127	6	3.4	1.4	1.2	5.27	23	2.4	10.6
5921390	<0.2	14.7	398	1.6	2.98	0.9	68	14	151	9	2.8	0.8	1.0	4.93	23	2.0	9.6
5921391	<0.2	7.27	411	0.4	0.72	0.4	6	3	254	7	0.8	<0.2	0.5	1.95	11	0.8	13.8
5921392	0.4	5.95	449	<0.2	0.36	0.3	13	4	238	42	1.7	<0.2	0.4	2.00	9	1.7	29.2
5921393	<0.2	13.2	390	1.9	3.49	0.9	65	15	153	78	3.6	1.8	1.1	7.25	25	2.1	3.4
5921394	0.4	2.96	256	0.3	0.26	<0.2	6	4	229	44	1.9	0.4	0.2	1.27	7	1.4	20.1
5921396	<0.2	14.6	155	1.5	2.76	0.8	12	6	141	29	0.9	<0.2	0.9	3.33	22	<0.5	14.5
5921397	<0.2	14.5	130	1.9	4.81	0.7	18	20	218	72	2.1	1.0	0.9	6.77	23	<0.5	2.0
CG515/LS4	<0.2	17.9	2160	2.2	4.80	1.0	175	15	130	2	3.7	2.5	2.8	6.99	26	5.2	4.5
5921398	1.3	14.0	322	276	4.34	0.4	78	24	102	109	4.7	<0.2	1.8	7.49	95	<0.5	47.1
5921399	<0.2	12.8	998	2.2	1.08	0.7	56	8	128	50	2.2	1.1	0.9	3.30	18	2.1	4.9
5921400	0.2	14.2	179	4.4	2.20	0.9	28	10	139	70	1.1	0.4	0.6	1.74	19	1.0	2.4
5921401	<0.2	14.4	177	4.7	2.07	0.9	12	3	156	49	1.2	0.4	0.5	1.05	20	1.0	5.3
5921402	<0.2	12.5	671	1.4	1.45	0.8	37	1	173	21	1.3	0.3	0.7	1.22	14	1.4	3.1
5921403	<0.2	12.0	559	1.0	1.38	0.8	67	2	165	10	1.1	0.4	0.6	1.35	14	2.0	3.0
5921404	<0.2	13.8	579	0.7	0.88	0.8	51	2	102	23	1.2	0.5	0.5	1.73	21	1.5	3.7
5921405	<0.2	10.5	352	1.0	1.30	0.6	37	2	234	29	1.0	0.4	0.4	1.49	16	1.5	2.4
5921406	<0.2	13.1	688	1.2	1.85	0.8	72	2	178	9	1.7	0.5	0.6	1.64	16	2.4	4.2
5921407	<0.2	12.9	639	1.7	2.09	0.8	55	2	150	13	1.2	0.5	0.6	1.30	15	1.6	3.0
5921408	<0.2	16.9	282	1.5	7.55	1.0	9	49	438	140	4.2	2.6	1.4	10.7	34	1.8	1.5
5921409	<0.2	0.11	5	<0.2	0.03	<0.2	<1	<1	275	2	<0.2	<0.2	<0.2	0.28	<1	0.6	<0.5
5921410	<0.2	16.1	286	1.6	8.18	1.0	7	47	400	140	4.2	2.3	1.3	11.2	31	1.2	1.1
5921411	<0.2	16.7	244	1.5	7.35	1.0	16	47	415	138	4.4	2.3	1.3	8.47	31	2.3	2.1
5921407 R	<0.2	12.7	630	1.7	2.12	0.7	52	2	155	14	1.2	0.4	0.6	1.32	14	1.5	2.6
CG515/LS4	0.4	16.9	2060	1.8	4.80	1.0	150	18	118	3	3.2	2.3	2.2	7.02	19	5.0	3.9
5921395	1.7	3.74	69	0.3	0.67	0.5	7	6	220	39	1.6	1.0	0.2	1.88	5	1.1	19.3
5921412	0.7	11.1	331	1.1	2.25	1.0	34	6	185	18	2.6	1.7	0.7	2.46	12	2.2	5.4
5921395 R	2.2	3.78	68	0.3	0.67	0.4	7	7	208	39	1.7	1.0	0.2	1.88	5	1.1	19.7

ICP1 Total Digestion

Sample Number	Ho ppm	K2O wt %	La ppm	Li ppm	MgO wt %	MnO wt %	Mo ppm	Na2O wt %	Nb ppm	Nd ppm	Ni ppm	P2O5 wt %	Pb ppm	Pr ppm	Sc ppm	Sm ppm	Sn ppm
CG515/LS4	1.5	3.23	89	31	3.04	0.075	<1	3.40	8	67	25	0.691	20	15	13	8.5	3
5921378	<0.4	0.026	<1	4	0.019	0.004	1	0.02	<1	<1	6	0.007	1	<1	<1	0.7	<1
5921379	7.1	1.77	812	16	0.107	0.007	9	0.05	70	519	46	0.245	1360	134	3	88.6	1
5921380	<0.4	0.039	8	4	0.009	0.003	2	<0.01	<1	6	6	0.005	18	<1	<1	1.4	<1
5921381	<0.4	0.907	12	7	0.267	0.011	34	4.51	<1	7	18	0.042	51	<1	1	1.4	<1
5921382	1.0	4.56	28	40	1.79	0.057	16	3.42	23	17	34	0.057	50	2	13	2.2	<1
5921383	0.8	4.52	6	36	1.58	0.050	651	2.94	22	3	25	0.053	52	<1	11	<0.5	<1
5921384	0.9	2.46	17	44	1.91	0.060	16	4.06	23	11	37	0.055	69	<1	12	1.8	<1
5921385	1.1	2.63	11	32	1.33	0.043	7	2.83	15	5	22	0.039	39	<1	8	0.7	<1
5921386	1.5	5.55	30	50	2.21	0.076	2	3.25	29	18	42	0.068	51	2	15	2.1	<1
5921387	1.0	4.35	25	47	1.92	0.068	52	2.88	24	15	30	0.055	58	1	13	1.7	<1
5921388	0.9	4.58	46	41	1.59	0.079	3	3.24	21	30	26	0.106	52	6	11	4.3	<1
5921389	0.9	4.00	40	48	2.17	0.133	3	3.37	11	27	22	0.178	34	5	9	4.0	<1
5921390	0.9	2.78	38	41	2.15	0.127	6	3.82	15	25	24	0.110	50	4	10	3.8	<1
5921391	0.7	2.81	3	17	0.690	0.027	15	1.55	8	2	10	0.021	70	<1	4	0.6	<1
5921392	0.7	3.24	6	12	0.596	0.024	19	0.90	7	4	12	0.024	157	<1	3	1.1	<1
5921393	0.5	2.55	35	53	4.59	0.123	2	2.98	17	28	23	0.127	21	4	13	4.5	<1
5921394	0.8	1.11	1	6	0.269	0.009	53	0.61	3	4	11	0.014	148	<1	1	1.5	<1
5921396	0.4	1.40	7	28	1.46	0.041	12	4.50	17	3	19	0.038	45	<1	9	0.7	<1
5921397	0.9	1.74	10	37	3.76	0.110	1	3.56	12	9	63	0.097	22	<1	20	2.1	<1
CG515/LS4	1.8	3.21	89	30	2.99	0.074	<1	3.41	7	68	24	0.687	20	15	12	8.8	3
5921398	9.5	0.770	14	19	2.63	0.074	42	6.02	44	64	178	0.226	2690	<1	17	7.2	<1
5921399	1.0	5.12	29	30	1.26	0.048	1	2.85	9	21	21	0.125	53	4	6	2.9	<1
5921400	<0.4	1.34	16	10	0.428	0.019	8	5.24	<1	9	24	0.058	48	1	1	1.3	<1
5921401	<0.4	1.68	7	8	0.273	0.012	11	5.29	3	4	11	0.028	53	<1	1	0.9	<1
5921402	0.4	3.68	20	11	0.381	0.016	51	3.44	1	11	4	0.038	74	1	1	1.8	<1
5921403	0.5	3.53	36	14	0.561	0.019	5	3.30	2	21	6	0.046	36	4	2	3.1	<1
5921404	<0.4	6.45	28	19	0.849	0.027	2	2.94	4	16	7	0.054	51	3	3	2.1	<1
5921405	<0.4	3.29	19	14	0.596	0.022	5	2.68	2	12	10	0.047	26	1	2	1.8	<1
5921406	<0.4	2.99	38	17	0.636	0.024	28	3.75	4	23	5	0.055	54	5	3	3.2	<1
5921407	<0.4	2.38	30	14	0.474	0.022	1	3.88	2	16	4	0.058	24	3	2	2.3	<1
5921408	1.2	2.74	5	63	6.55	0.186	<1	2.73	3	10	147	0.151	15	<1	47	2.6	<1
5921409	<0.4	0.019	<1	4	0.026	0.003	1	0.02	<1	<1	4	0.002	1	<1	<1	<0.5	<1
5921410	1.0	2.62	4	60	7.18	0.210	5	2.23	2	9	147	0.158	11	<1	45	2.5	<1
5921411	1.3	1.80	8	41	4.53	0.167	8	3.29	6	12	133	0.139	13	<1	44	2.9	<1
5921407 R	<0.4	2.28	28	14	0.493	0.022	1	3.85	2	15	6	0.061	22	3	2	2.0	<1
CG515/LS4	1.4	2.85	82	26	2.70	0.074	2	3.13	7	60	22	0.659	16	14	11	7.9	1
5921395	0.6	0.527	2	9	0.453	0.016	52	1.02	5	2	16	0.010	144	<1	2	1.2	<1
5921412	0.7	1.93	18	21	0.987	0.034	58	3.06	5	13	16	0.077	122	3	5	2.8	<1
5921395 R	0.6	0.536	3	9	0.460	0.016	53	1.02	5	2	15	0.011	147	<1	2	1.0	<1



IOS Services Geoscientifiques Inc.

Attention: Rejean Girard

PO #/Project: 306002

Samples: 44

125 - 15 Innovation Blvd., Saskatoon, Saskatchewan, S7N 2X8  
Tel: (306) 933-8118 Fax: (306) 933-5656 Email: geolab@src.sk.ca

Report No: 507-1802

Date of Report: February 05, 2008

ICPI Total Digestion

Sample Number	Sr ppm	Ta ppm	Tb ppm	Th ppm	TiO2 wt %	U, ICP ppm	V ppm	W ppm	Y ppm	Yb ppm	Zn ppm	Zr ppm
CG515/LS4	1210	<1	<0.3	15	1.12	4	140	<1	22	2.1	83	179
5921378	6	<1	<0.3	<1	0.006	2	1	<1	<1	<0.1	3	1
5921379	25	22	23.4	950	0.560	2710	24	4	191	17.6	165	222
5921380	2	1	<0.3	11	0.008	31	1	<1	2	0.2	5	2
5921381	207	<1	<0.3	41	0.116	80	26	<1	5	0.6	18	215
5921382	200	<1	<0.3	24	0.774	32	89	<1	6	0.8	99	464
5921383	178	<1	<0.3	24	0.712	44	77	<1	4	0.7	91	531
5921384	190	<1	0.9	53	0.796	146	91	<1	8	1.4	102	656
5921385	151	<1	0.5	16	0.548	51	66	<1	4	1.1	72	636
5921386	208	2	<0.3	27	1.01	27	106	<1	7	1.2	126	702
5921387	172	<1	0.5	55	0.839	77	92	<1	6	1.0	118	557
5921388	171	<1	0.4	40	0.789	35	78	<1	12	1.2	92	507
5921389	153	<1	<0.3	23	0.603	18	61	<1	19	1.9	86	363
5921390	173	<1	0.3	73	0.598	69	67	<1	14	1.4	101	320
5921391	96	<1	1.0	94	0.303	145	40	<1	4	0.8	38	444
5921392	70	<1	2.6	354	0.232	281	29	<1	10	1.9	30	963
5921393	122	2	0.3	19	0.584	22	89	<1	22	2.6	144	106
5921394	33	1	2.8	81	0.072	436	10	1	11	2.0	15	581
5921396	183	<1	0.3	76	0.543	77	85	1	6	1.0	67	529
5921397	154	1	<0.3	14	0.578	21	166	<1	12	1.7	112	42
CG515/LS4	1200	<1	<0.3	16	1.12	4	140	<1	22	2.2	82	178
5921398	268	<1	47.6	55	0.715	10300	921	<1	39	5.7	73	247
5921399	130	<1	<0.3	23	0.407	51	70	<1	13	1.4	73	157
5921400	147	<1	<0.3	19	0.135	21	43	1	6	0.8	25	75
5921401	155	<1	<0.3	33	0.093	31	19	1	8	1.1	21	113
5921402	171	<1	<0.3	27	0.146	127	24	2	7	0.6	24	96
5921403	123	<1	<0.3	22	0.190	10	30	1	5	0.4	33	100
5921404	88	<1	<0.3	16	0.211	14	56	<1	6	0.6	51	114
5921405	71	<1	<0.3	11	0.165	8	42	1	5	0.5	35	82
5921406	179	<1	<0.3	27	0.226	84	37	<1	8	0.7	41	134
5921407	199	<1	<0.3	13	0.171	12	29	<1	7	0.7	28	88
5921408	310	4	<0.3	<1	1.04	9	359	<1	25	3.6	125	24
5921409	2	<1	<0.3	<1	0.005	<2	2	<1	<1	<0.1	1	<1
5921410	280	3	<0.3	<1	0.938	6	369	<1	24	3.5	139	19
5921411	343	<1	<0.3	1	0.944	7	328	<1	26	3.5	118	42
5921407 R	198	<1	<0.3	12	0.174	11	31	<1	7	0.7	27	84
CG515/LS4	1090	<1	<0.3	11	0.973	4	126	<1	19	1.7	88	156
5921395	44	<1	<0.3	110	0.160	450	25	<1	9	1.7	30	696
5921412	194	<1	<0.3	43	0.240	420	47	<1	15	1.7	48	209
5921395 R	44	<1	<0.3	109	0.164	460	25	<1	9	1.7	30	715

IOS Services Geoscientifiques Inc.

Attention: Rejean Girard

PO #/Project: 306002

Samples: 44

125 - 15 Innovation Blvd., Saskatoon, Saskatchewan, S7N 2X8

Tel: (306) 933-8118 Fax: (306) 933-5656 Email: geolab@src.sk.ca

Report No: G-07-1801

Date of Report: February 05, 2008

ICP1 Total Digestion

Sample Number	Sr ppm	Ta ppm	Tb ppm	Th ppm	TiO2 wt %	U, ICP ppm	V ppm	W ppm	Y ppm	Yb ppm	Zn ppm	Zr ppm
------------------	-----------	-----------	-----------	-----------	--------------	---------------	----------	----------	----------	-----------	-----------	-----------

Total Digestion: A 0.125 g pulp is gently heated in a mixture of HF/HNO3/HClO4 until dry and the residue is dissolved in dilute HNO3.  
The standard is CG515.



Report No: 07-1802

## SRC Geoanalytical Laboratories

125 - 15 Innovation Blvd.  
Saskatoon, Saskatchewan  
S7N 2X8

February 07, 2008

Phone: (306) 933-8118  
Fax: (306) 933-5656

**IOS Services Geoscientifiques Inc.**  
1319 St-Paul Boulevard  
Saguenay (Chicoutimi), QC G7J 3Y2  
Attn: Rejean Girard

Test reports are the property of the customers. Publications of statements, conclusions or extracts from these reports are not permitted without prior written permission from the customer.

This document constitutes the **final official test report**. Liability for the SRC Geoanalytical Laboratories', if any, will be limited to the cost of analysis for samples in this test report. The results contained in this test report relate only to the items tested. It is the customer's responsibility to ensure that all interpretation of analysis is done using the data from this report.

The customer will not use the name of the Saskatchewan Research Council in connection with the sale, offer, advertisement or the promotion of any article, product, or company without the prior written consent of the SRC.

Results Reviewed and Approved by:

Robert Millar  
Assistant Research Scientist

IOS Services Geoscientifiques Inc.

Attention: Rejean Girard

PO #/Project: 306002

Samples: 44

RC Geology Lab  
125 - 15 Innovation Blvd., Saskatoon, Saskatchewan, S7N 2X8  
Tel: (306) 933-8118 Fax: (306) 933-5656 Email: geolab@src.sk.ca

Report No: G-07-1802

Date of Report: February 07, 2008

**TEST REPORT**  
Method U3O8

Column Header Details

U3O8 Assay by ICP in wt % (U3O8)

Sample Number	U3O8 wt %
BL4A	0.148
5921379 STD	0.284
5921398 STD	1.19
5921379 R	0.275

Uranium Assay: A 1.00 g pulp is digested with 24 ml of 3:1 HCl:HNO3 for 1 hour at 95 C.





Report No: 07-1807

## SRC Geoanalytical Laboratories

125 - 15 Innovation Blvd.  
Saskatoon, Saskatchewan  
S7N 2X8

February 04, 2008

Phone: (306) 933-8118  
Fax: (306) 933-5656

**IOS Services Geoscientifiques Inc.**  
1319 St-Paul Boulevard  
Saguenay (Chicoutimi), QC G7J 3Y2  
Attn: Rejean Girard

Test reports are the property of the customers. Publications of statements, conclusions or extracts from these reports are not permitted without prior written permission from the customer.

This document constitutes the **final official test report**. Liability for the SRC Geoanalytical Laboratories', if any, will be limited to the cost of analysis for samples in this test report. The results contained in this test report relate only to the items tested. It is the customer's responsibility to ensure that all interpretation of analysis is done using the data from this report.

The customer will not use the name of the Saskatchewan Research Council in connection with the sale, offer, advertisement or the promotion of any article, product, or company without the prior written consent of the SRC.

Results Reviewed and Approved by:

Robert Millar  
Assistant Research Scientist

IOS Services Geoscientifiques Inc.

Attention: Rejean Girard

PO #/Project: 306003

Samples: 16

125 - 15 Innovation Blvd., Saskatoon, Saskatchewan, S7N 2X8

Tel: (306) 933-8118 Fax: (306) 933-5656 Email: geolab@src.sk.ca

Report No: G-07-1807

Date of Report: February 04, 2008

ICP4.3 Aqua Regia Digestion

Column Header Details

Silver in ppm (Ag)  
Arsenic in ppm (As)  
Bismuth in ppm (Bi)  
Cobalt in ppm (Co)  
Copper in ppm (Cu)

Germanium in ppm (Ge)  
Mercury in ppm (Hg)  
Molybdenum in ppm (Mo)  
Nickel in ppm (Ni)  
Lead in ppm (Pb)

Antimony in ppm (Sb)  
Selenium in ppm (Se)  
Tellurium in ppm (Te)  
Uranium in ppm (U, ICP)  
Vanadium in ppm (V)

Zinc in ppm (Zn)

IOS Services Geoscientifiques Inc.  
 Attention: Rejean Girard  
 PO #/Project: 306003  
 Samples: 16

125 - 15 Innovation Blvd., Saskatoon, Saskatchewan, S7N 2X8  
 Tel: (306) 933-8118 Fax: (306) 933-5656 Email: geolab@src.sk.ca

Date of Report: February 04, 2008

ICP4.3 Aqua Regia Digestion

Sample Number	Ag ppm	As ppm	Bi ppm	Co ppm	Cu ppm	Ge ppm	Hg ppm	Mo ppm	Ni ppm	Pb ppm	Sb ppm	Se ppm	Te ppm	U, ICP ppm	V ppm	Zn ppm
CG515/LS4	<0.1	13.0	1.5	37.1	49.1	<0.2	<0.2	12.4	47.6	23.4	<1	<0.2	<0.2	34.7	101	198
5921413	<0.1	<0.2	0.5	0.6	2.8	0.2	<0.2	0.8	5.4	1.54	<1	0.7	0.3	10.9	1.4	1.3
5921414	<0.1	27.1	21.0	71.9	82.3	<0.2	<0.2	7.2	46.4	1090	<1	0.5	<0.2	2450	5.6	169
5921415	<0.1	<0.2	0.2	0.5	2.5	<0.2	<0.2	1.1	5.8	3.85	<1	1.3	<0.2	15.3	0.8	1.2
5921416	<0.1	0.5	<0.2	1.9	3.5	0.4	<0.2	23.4	4.4	20.4	<1	<0.2	<0.2	103	8.9	12.4
5921417	<0.1	<0.2	<0.2	3.1	14.1	0.6	<0.2	15.8	5.4	31.6	<1	<0.2	<0.2	200	17.2	26.6
5921418	<0.1	0.3	<0.2	4.3	3.9	0.3	<0.2	1.2	6.4	3.40	<1	<0.2	<0.2	6.4	12.5	21.3
5921419	<0.1	<0.2	<0.2	1.1	3.5	<0.2	<0.2	0.9	2.7	3.87	<1	<0.2	<0.2	4.4	4.6	10.4
5921420	<0.1	<0.2	<0.2	3.3	4.2	0.2	<0.2	1.2	3.5	3.74	<1	<0.2	<0.2	3.8	6.5	12.2
5921421	<0.1	0.4	<0.2	0.5	6.4	0.2	<0.2	0.9	3.6	27.2	<1	<0.2	<0.2	44.9	1.6	33.5
5921422	<0.1	0.6	<0.2	0.6	30.7	<0.2	<0.2	1.6	3.3	27.5	<1	<0.2	<0.2	50.7	1.2	14.4
5921423	<0.1	<0.2	<0.2	1.2	5.3	<0.2	<0.2	1.0	3.6	25.7	<1	<0.2	<0.2	59.4	5.2	12.3
5921419 R	<0.1	<0.2	<0.2	1.4	3.4	<0.2	<0.2	1.0	2.7	3.58	<1	<0.2	<0.2	4.7	4.7	9.8

Aqua Regia: A 0.5 g pulp is digested with 2.00 ml of 3:1 HCL:HNO3 for 1 hour at 95 C.

IOS Services Geoscientifiques Inc.

Attention: Rejean Girard

PO #/Project: 306003

Samples: 16

125 - 15 Innovation Blvd., Saskatoon, Saskatchewan, S7N 2X8

Tel: (306) 933-8118 Fax: (306) 933-5656 Email: geolab@src.sk.ca

Report No: G-07-1807

Date of Report: February 04, 2008

ICPI Total Digestion

Column Header Details

Silver in ppm (Ag)  
Aluminum in wt % (Al<sub>2</sub>O<sub>3</sub>)  
Barium in ppm (Ba)  
Beryllium in ppm (Be)  
Calcium in wt % (CaO)

Cadmium in ppm (Cd)  
Cerium in ppm (Ce)  
Cobalt in ppm (Co)  
Chromium in ppm (Cr)  
Copper in ppm (Cu)

Dysprosium in ppm (Dy)  
Erbium in ppm (Er)  
Europium in ppm (Eu)  
Iron in wt % (Fe<sub>2</sub>O<sub>3</sub>)  
Gallium in ppm (Ga)

Gadolinium in ppm (Gd)  
Hafnium in ppm (Hf)  
Holmium in ppm (Ho)  
Potassium in wt % (K<sub>2</sub>O)  
Lanthanum in ppm (La)

Lithium in ppm (Li)  
Magnesium in wt % (MgO)  
Manganese in wt % (MnO)  
Molybdenum in ppm (Mo)  
Sodium in wt % (Na<sub>2</sub>O)

Niobium in ppm (Nb)  
Neodymium in ppm (Nd)  
Nickel in ppm (Ni)  
Phosphorus in wt % (P<sub>2</sub>O<sub>5</sub>)  
Lead in ppm (Pb)

Praseodymium in ppm (Pr)  
Scandium in ppm (Sc)  
Samarium in ppm (Sm)  
Tin in ppm (Sn)  
Strontium in ppm (Sr)

Tantalum in ppm (Ta)  
Terbium in ppm (Tb)  
Thorium in ppm (Th)  
Titanium in wt % (TiO<sub>2</sub>)  
Uranium in ppm (U, ICP)

*Rm*



IOS Services Geoscientifiques Inc.

Attention: Rejean Girard

PO #/Project: 306003

Samples: 16

C G Analytical Laboratories  
125 - 15 Innovation Blvd., Saskatoon, Saskatchewan, S7N 2X8  
Tel: (306) 933-8118 Fax: (306) 933-5656 Email: geolab@src.sk.ca

Report No: 180

Date of Report: February 04, 2008

ICP1 Total Digestion

Column Header Details

Vanadium in ppm (V)  
Tungsten in ppm (W)  
Yttrium in ppm (Y)  
Ytterbium in ppm (Yb)  
Zinc in ppm (Zn)

Zirconium in ppm (Zr)

IOS Services Geoscientifiques Inc.  
 Attention: Rejean Girard  
 PO #/Project: 306003  
 Samples: 16

125 - 15 Innovation Blvd., Saskatoon, Saskatchewan, S7N 2X8  
 Tel: (306) 933-8118 Fax: (306) 933-5656 Email: geolab@src.sk.ca

Date of Report: February 04, 2008

ICP1 Total Digestion

Sample Number	Ag ppm	Al2O3 wt %	Ba ppm	Be ppm	CaO wt %	Cd ppm	Ce ppm	Co ppm	Cr ppm	Cu ppm	Dy ppm	Er ppm	Eu ppm	Fe2O3 wt %	Ga ppm	Gd ppm	Hf ppm
CG515/LS4	0.2	17.6	2390	2.0	4.97	0.9	156	19	119	3	3.3	2.8	2.4	7.32	23	5.6	4.5
5921413	0.2	0.09	8	<0.2	0.01	<0.2	<1	<1	328	2	<0.2	<0.2	<0.2	0.37	<1	<0.5	<0.5
5921414	1.9	4.92	231	1.0	0.12	<0.2	1460	77	32	84	43.6	23.7	4.7	7.41	5	59.2	5.2
5921415	<0.2	0.25	10	<0.2	0.01	0.7	27	1	265	3	0.9	0.4	<0.2	0.41	<1	1.5	<0.5
5921416	<0.2	13.5	186	2.2	1.75	1.1	10	1	184	2	1.4	0.8	0.4	1.07	16	1.2	<0.5
5921417	<0.2	13.6	169	2.7	1.28	0.9	5	3	108	13	2.3	1.8	0.4	2.00	19	1.5	2.6
5921418	0.2	13.4	565	1.0	0.24	0.7	62	3	122	3	1.3	0.9	0.6	2.06	14	2.0	3.2
5921419	<0.2	12.6	718	0.6	0.47	0.8	64	1	141	3	1.2	0.8	0.6	1.39	13	1.9	4.6
5921420	0.2	11.4	1020	0.6	0.52	0.7	52	2	165	4	1.0	0.7	0.5	1.56	12	1.7	4.0
5921421	<0.2	14.0	47	1.0	0.28	1.3	21	<1	112	6	1.5	1.1	0.3	0.28	19	1.7	5.8
5921422	<0.2	13.0	95	1.3	1.04	0.9	9	<1	187	32	1.2	0.8	0.2	0.51	17	1.2	3.3
5921423	0.3	13.3	197	1.9	1.66	1.7	23	<1	200	3	1.6	1.0	0.3	0.92	17	1.8	8.6
5921419 R	<0.2	11.7	696	0.6	0.45	0.9	65	<1	136	2	1.2	0.9	0.6	1.37	12	1.9	4.2

IOS Services Geoscientifiques Inc.

Attention: Rejean Girard

PO #/Project: 306003

Samples: 16

C G Analytical Laboratories  
125 - 15 Innovation Blvd., Saskatoon, Saskatchewan, S7N 2X8  
Tel: (306) 933-8118 Fax: (306) 933-5656 Email: geolab@src.sk.ca

Report No: 007-180

Date of Report: February 04, 2008

ICP1 Total Digestion

Sample Number	Ho ppm	K2O wt %	La ppm	Li ppm	MgO wt %	MnO wt %	Mo ppm	Na2O wt %	Nb ppm	Nd ppm	Ni ppm	P2O5 wt %	Pb ppm	Pr ppm	Sc ppm	Sm ppm	Sn ppm
CG515/LS4	1.7	3.14	92	29	2.77	0.076	1	3.19	8	58	26	0.687	20	16	12	8.9	4
5921413	<0.4	0.014	<1	4	0.012	0.003	1	0.01	<1	<1	5	0.004	1	<1	<1	<0.5	<1
5921414	8.7	1.71	863	14	0.088	0.007	10	0.05	51	443	50	0.208	1170	141	4	81.5	1
5921415	<0.4	0.054	15	5	0.012	0.002	2	0.01	1	8	5	0.005	23	2	<1	1.6	1
5921416	<0.4	2.56	6	23	0.473	0.019	24	4.09	4	3	5	0.034	34	1	2	1.2	<1
5921417	0.6	2.87	2	40	1.13	0.036	17	4.61	13	2	6	0.059	38	<1	4	1.4	<1
5921418	0.4	6.35	38	28	0.898	0.028	<1	2.86	6	19	7	0.052	14	5	2	2.9	1
5921419	<0.4	6.20	37	12	0.359	0.015	<1	2.62	3	19	3	0.031	15	6	2	2.9	<1
5921420	<0.4	5.96	32	15	0.516	0.016	1	2.05	2	15	4	0.036	13	4	2	2.4	<1
5921421	0.4	9.57	9	21	0.175	0.006	1	6.46	3	7	3	0.023	45	2	1	1.8	<1
5921422	<0.4	5.94	5	6	0.112	0.012	1	3.10	3	3	4	0.021	43	1	1	1.3	<1
5921423	0.5	2.45	11	15	0.317	0.021	2	4.60	3	9	4	0.027	37	2	1	2.2	<1
5921419 R	<0.4	6.10	36	11	0.350	0.015	<1	2.55	3	20	4	0.029	14	6	2	2.8	<1



IOS Services Geoscientifiques Inc.

125 - 15 Innovation Blvd., Saskatoon, Saskatchewan, S7N 2X8

Attention: Rejean Girard

Tel: (306) 933-8118 Fax: (306) 933-5656 Email: geolab@src.sk.ca

PO #/Project: 306003

Date of Report: February 04, 2008

Samples: 16

ICPI Total Digestion

Sample Number	Sr ppm	Ta ppm	Tb ppm	Th ppm	TiO2 wt %	U, ICP ppm	V ppm	W ppm	Y ppm	Yb ppm	Zn ppm	Zr ppm
CG515/LS4	1200	<1	<0.3	12	1.13	3	136	<1	21	2.0	91	193
5921413	4	<1	<0.3	<1	0.004	10	1	<1	<1	<0.1	8	1
5921414	21	19	<0.3	811	0.553	2630	24	2	192	16.3	196	275
5921415	5	9	<0.3	15	0.014	53	1	<1	4	0.4	6	6
5921416	164	3	<0.3	14	0.088	107	9	<1	8	0.9	19	18
5921417	154	5	<0.3	23	0.168	210	18	<1	14	2.3	30	58
5921418	81	<1	<0.3	14	0.207	8	15	<1	8	0.9	27	108
5921419	65	<1	<0.3	20	0.181	6	7	<1	6	0.8	15	160
5921420	72	<1	<0.3	12	0.161	4	8	<1	6	0.7	17	161
5921421	95	2	<0.3	23	0.028	47	1	<1	6	1.1	27	90
5921422	45	<1	<0.3	17	0.038	56	1	<1	7	0.9	17	87
5921423	86	7	<0.3	33	0.080	61	6	<1	9	1.3	17	255
5921419 R	63	<1	0.4	18	0.175	5	6	<1	6	0.8	14	168

Total Digestion: A 0.125 g pulp is gently heated in a mixture of HF/HNO3/HClO4 until dry and the residue is dissolved in dilute HNO3. The standard is CG515.





Report No: 07-1807

## SRC Geoanalytical Laboratories

125 - 15 Innovation Blvd.  
Saskatoon, Saskatchewan  
S7N 2X8

February 07, 2008

Phone: (306) 933-8118  
Fax: (306) 933-5656

**IOS Services Geoscientifiques Inc.**  
1319 St-Paul Boulevard  
Saguenay (Chicoutimi), QC G7J 3Y2  
Attn: Rejean Girard

Test reports are the property of the customers. Publications of statements, conclusions or extracts from these reports are not permitted without prior written permission from the customer.

This document constitutes the **final official test report**. Liability for the SRC Geoanalytical Laboratories', if any, will be limited to the cost of analysis for samples in this test report. The results contained in this test report relate only to the items tested. It is the customer's responsibility to ensure that all interpretation of analysis is done using the data from this report.

The customer will not use the name of the Saskatchewan Research Council in connection with the sale, offer, advertisement or the promotion of any article, product, or company without the prior written consent of the SRC.

Results Reviewed and Approved by:

Robert Millar  
Assistant Research Scientist

IOS Services Geoscientifiques Inc.

Attention: Rejean Girard

PO #/Project: 306003

Samples: 16

125 - 15 Innovation Blvd., Saskatoon, Saskatchewan, S7N 2X8

Tel: (306) 933-8118 Fax: (306) 933-5656 Email: geolab@src.sk.ca

Report No: 07-180

Date of Report: February 07, 2008

**TEST REPORT**

Method U3O8

Column Header Details

U3O8 Assay by ICP in wt % (U3O8)

Sample Number	U3O8 wt %
BL3	1.20
5921414 STD	0.288
5921414 R	0.275

Uranium Assay: A 1.00 g pulp is digested with 24 ml of 3:1 HCl:HNO3 for 1 hour at 95 C.



Report No: 07-1807

## SRC Geoanalytical Laboratories

125 - 15 Innovation Blvd.  
Saskatoon, Saskatchewan  
S7N 2X8

February 20, 2008

Phone: (306) 933-8118  
Fax: (306) 933-5656

**IOS Services Geoscientifiques Inc.**  
1319 St-Paul Boulevard  
Saguenay (Chicoutimi), QC G7J 3Y2  
Attn: Rejean Girard

Test reports are the property of the customers. Publications of statements, conclusions or extracts from these reports are not permitted without prior written permission from the customer.

This document constitutes the **final official test report**. Liability for the SRC Geoanalytical Laboratories', if any, will be limited to the cost of analysis for samples in this test report. The results contained in this test report relate only to the items tested. It is the customer's responsibility to ensure that all interpretation of analysis is done using the data from this report.

The customer will not use the name of the Saskatchewan Research Council in connection with the sale, offer, advertisement or the promotion of any article, product, or company without the prior written consent of the SRC.

Results Reviewed and Approved by: \_\_\_\_\_

Robert Millar  
Assistant Research Scientist

IOS Services Geoscientifiques Inc.

Attention: Rejean Girard

PO #/Project: 306003

Samples: 16

C G Analytical Laboratories  
125 - 15 Innovation Blvd., Saskatoon, Saskatchewan, S7N 2X8  
Tel: (306) 933-8118 Fax: (306) 933-5656 Email: geolab@src.sk.ca

Report No: 180

Date of Report: February 20, 2008

**TEST REPORT**  
Method U3O8

Column Header Details

U3O8 Assay by ICP in wt % (U3O8)

Sample Number	U3O8 wt %
BL3	1.20
5921414 STD	0.284
5921414 R	0.287

Uranium Assay: A 1.00 g pulp is digested with 24 ml of 3:1 HCl:HNO3 for 1 hour at 95 C.

*RM*



# IOS Services Géoscientifiques inc.

Uranium exploration campaign  
in the Kangiqsualujjuaq  
George River area  
Summer 2007 campaign  
North Rae project  
(Volume 4 appendix 7 to 10)

Presented to

Presented to  
Mr. Jean-Marc Lulin, P. Geo.,  
Ph.D  
Azimut Exploration Inc.



By

Réjean Girard, P. Geo.

GM 65084

MRNFP - SECTEUR DES MINES

REÇU LE

24 MAR. 2010

Bureau régional - Montréal

Ville de Saguenay

1010536

March 19, 2010

Project: 592

APPENDIX 7

SOIL GEOCHEMISTRY

- Table 1 : Sample preparation and description  
Table 2 : Soil sample analysis (Actlabs)  
Table 3a : MR1Sol0607 analysis (IOS internal reference material)  
Table 3b : MRESol07 analysis (IOS internal reference material)  
Table 4 : Blank analysis (Actlabs)  
Table 5 : Analytical replicates (Actlabs)  
Table 6 : Laboratory certificates (Actlabs)

PROJECT NUMBER	Sample ID	FIELD NUMBER	UTMX (nad 27)	UTMY (nad 27)	SAMPLE PREPARATION							SAMPLE DESCRIPTION							
					Initial weight (g)	0 - 250 µ (g)	> 250 µ (g)	Mass balance	Technician	Date	Comments	Colour	Color < 250µ	Ligneous matter %	Organic matter %	% Sand	% silt	% Clay	Other (particularities)
Nb Analyses:	50																		
Count	Historic				13351	13351	13348	13607						13335	13334	13332	13332	13333	
99 Percentile	Historic				239.61	99.2	194.39	0.00						70	80	55	70	80	
Average	Historic				58.22	20.6	37.09	-0.53						17	18	19	21	25	
Std-Dev	Historic				48.99	19.1	38.70	1.23						16	20	11	16	17	
Coefficient var.	Historic				0.84	0.93	1.04	-2.32						0.96	1.13	0.59	0.75	0.69	
Maximum	Historic				887.79	235.0	680.28	99.20						100	100	88	80	100	
Minimum	Historic				3.90	1.7	0.00	-42.32						0	0	0	0	0	
Count	Project				50	50	50	50						50	50	50	50	50	
Average	Project				197.64	40.8	155.66	-1.14						8	11	38	22	20	
Std. Dev.	Project				148.24	35.5	120.63	8.00						7	5	10	5	8	
Coefficient var.	Project				0.75	0.87	0.77	-6.99						0.81	0.42	0.27	0.21	0.40	
Maximum	Project				546.05	180.8	448.64	49.49						40	25	60	40	40	
Minimum	Project				26.56	10.1	14.84	-8.67						5	5	10	10	5	
592	5921001	5920016	351802	6498505	53.56	10.3	42.4	-0.84	Cindy L.	2007-01-18	roches	brun foncé	brun + gris	5	15	45	20	15	racines, matière organique
592	5921002	5920050	351976	6498447	278.6	52.5	221.66	-4.44	Cindy L.	2007-01-18	beaucoup de roches, perte à la pesée	brun	brun	10	10	40	20	20	racines, matière organique
592	5921003	5920015	351826	6498499	26.56	10.4	14.84	-1.33	Cindy L.	2007-01-18	mortier	brun foncé	brun	5	15	50	20	10	racines, roches, matière organique
592	5921004	5920020	351849	6498553	49.97	10.4	38.61	-1.00	Cindy L.	2007-01-18		brun foncé	brun	15	20	30	20	15	tourbe, racines, matière organique
592	5921005	5920045	351850	6498449	158.26	25.7	131.23	-1.38	Cindy L.	2007-01-18		brun foncé + gris	brun gris	5	10	40	25	20	racines, roches, matière organique
592	5921006	5920001	352001	6498325	26.65	10.1	14.86	-1.70	Cindy L.	2007-01-18		brun foncé	brun	5	10	50	20	10	roches, racines, matière organique
592	5921007	5920032	351899	6498349	306.85	54.0	250.3	-2.57	Cindy L.	2007-01-18	beaucoup de roches, perte à la pesée	brun	brun	5	5	35	30	25	racines, roches, matière organique
592	5921009	5920027	351975	6498300	546.05	180.8	360.64	-4.98	Cindy L.	2007-01-18	perte à la pesée	brun foncé	brun	5	10	40	25	20	racines, matière organique
592	5921010	5920004	352036	6498352	69.19	21.3	43.78	-1.13	Cindy L.	2007-01-18		brun	brun	10	10	55	20	10	roches, racines, matière organique
592	5921011	5920043	351851	6498401	367.96	53.8	310.9	-3.21	Cindy L.	2007-01-19	beaucoup de roches, perte à la pesée	brun foncé	brun	5	10	40	25	20	racines, roches
592	5921012	5920011	351922	6498500	108.89	47.8	59.19	-1.91	Cindy L.	2007-01-19		brun gris	brun gris	5	10	30	25	30	racines, bois
592	5921013	5920036	352000	6498350	315.24	52.3	259.53	-3.38	Cindy L.	2007-01-19	roches, perte à la pesée	brun + brun foncé	brun	5	10	50	20	15	racines, matière organique
592	5921014	5920019	351796	6498548	68.36	14.8	52.91	-0.65	Cindy L.	2007-01-19		brun foncé	brun	5	10	50	20	15	bois, racines, matière organique
592	5921015	5920038	351975	6498401	312.22	56.1	253.12	-2.97	Cindy L.	2007-01-19	roches, perte à la pesée	brun foncé	brun	5	10	40	25	20	racines, bois, matière organique
592	5921017	5920007	352016	6498454	56.31	25.8	29.19	-1.35	Cindy L.	2007-01-19		brun	brun	5	10	20	25	40	matière organique
592	5921018	5920023	351774	6498550	115.2	10.4	103.49	-1.31	Cindy L.	2007-01-19		brun	brun	30	20	25	15	10	tourbe, matière organique
592	5921019	5920041	351900	6498399	297.49	54.6	236.05	-6.84	Cindy L.	2007-01-19	roches, perte à la pesée	brun gris	brun	5	10	45	20	20	racines, matière organique
592	5921020	5920022	351750	6498549	255.39	58.1	193.86	-3.46	Cindy L.	2007-01-19	perte à la pesée	brun	brun	20	15	25	20	20	tourbe, racines, matière organique
592	5921021	5920039	351950	6498400	158.27	10.6	143.26	-2.40	Cindy L.	2007-01-19	roches, perte à la pesée	brun foncé	brun	10	15	50	15	10	beaucoup de racines, matière organique
592	5921022	5920009	351975	6498500	74.02	29.1	43.4	-1.52	Cindy L.	2007-01-19		brun foncé	brun foncé	5	10	25	25	35	matière organique
592	5921023	5920033	351924	6498351	238.19	32.5	202.9	-2.78	Cindy L.	2007-01-19	roches, perte à la pesée	brun + gris	brun + gris	5	15	45	20	15	racines, matière organique
592	5921024	5920013	351877	6498501	73.88	12.5	60.17	-1.18	Cindy L.	2007-01-19	roches	brun	brun	5	10	45	20	20	racines
592	5921026	5920042	351876	6498400	298.58	22.6	292.12	16.18	Cindy L.	2007-01-19	perte à la pesée	brun	brun	40	25	20	10	5	racines, tourbe, matière organique
592	5921027	5920026	352001	6498300	44.78	10.1	32.94	-1.79	Cindy L.	2007-01-19		brun foncé	brun	5	15	60	16	5	matière organique, racines
592	5921028	5920046	351874	6498450	486.8	82.3	396.04	-8.50	Cindy L.	2007-01-19	perte à la pesée	brun	brun	10	10	40	20	20	tourbe, racines, matière organique
592	5921029	5920018	351747	6498502	40.27	10.3	29.02	-0.95	Cindy L.	2007-01-19		brun foncé	brun foncé	15	15	30	20	20	tourbe, matière organique
592	5921030	5920040	351925	6498400	538.53	82.9	448.64	-5.00	Cindy L.	2007-01-22	roches, perte à la pesée	gris foncé	gris	5	5	30	25	35	racines, bois
592	5921031	5920034	351950	6498350	99.59	13.3	85.28	-1.06	Cindy L.	2007-01-22		brun	brun	5	10	30	25	30	racines, matière organique
592	5921032	5920044	351825	6498450	211.13	20.3	187.54	-3.33	Cindy L.	2007-01-22	perte à la pesée	brun foncé	brun	15	10	40	20	15	matière organique, racines
592	5921033	5920031	351875	6498349	237.35	38.4	194.37	-6.55	Cindy L.	2007-01-22		brun	brun	5	10	40	20	15	roches, bois, matière organique, racines
592	5921034	5920006	352021	6498398	110.91	45.1	64.77	-1.04	Cindy L.	2007-01-22		brun	brun	5	5	30	25	35	racines
592	5921035	5920021	351906	6498550	424.37	55.9	359.93	-8.67	Cindy L.	2007-01-22	perte à la pesée	brun + gris foncé	brun + gris	10	10	50	20	20	racines, matière organique
592	5921037	5920030	351899	6498300	239.67	59.8	178.8	-3.26	Cindy L.	2007-01-22	roches, perte à la pesée	brun	brun	5	5	40	25	25	racines, matière organique
592	5921038	5920010	351949	6498501	47.05	63.3	33.21	49.49	Cindy L.	2007-01-22		brun foncé	brun + gris	5	15	30	25	25	racines, matière organique
592	5921039	5920029	351925	6498299	143.73	38.3	105.27	-1.15	Cindy L.	2007-01-22		brun foncé	brun	5	15	30	25	25	tourbe, matière organique
592	5921040	5920003	352052	6498298	117.98	60.7	65.87	-1.33	Cindy L.	2007-01-22	roche	gris foncé	gris foncé	5	5	30	25	35	
592	5921041	5920014	351849	6498500	34.15	10.9	22.43	-0.85	Cindy L.	2007-01-22		brun	brun	10	10	30	25	25	tourbe, matière organique
592	5921042	5920024	351828	6498550	280.76	22.5	285.85	-2.27	Cindy L.	2007-01-22	grosse roche, perte à la pesée	brun	brun	5	10	30	25	30	matière organique, racines
592	5921043	5920005	352025	6498348	37.79	14.9	22.07	-0.81	Cindy L.	2007-01-22		brun	brun	5	10	40	25	20	racines, matière organique
592	5921044	5920047	351900	6498450	129.24	13.3	114.8	-1.03	Cindy L.	2007-01-22		brun foncé	brun foncé	5	16	40	20	20	matière organique, bois
592	5921046	5920008	351994	6498498	219.94	77.8	138.28	-4.13	Cindy L.	2007-01-22	perte à la pesée	brun foncé	brun foncé	5	5	35	25	30	matière organique
592	5921047	5920048	351925	6498450	360.29	38.4	318.37	-3.52	Cindy L.	2007-01-22	perte à la pesée	brun foncé	brun foncé	5	10	35	25	25	racines, matière organique
592	5921048	5920037	352000	6498399	242.68	56.3	184.33	-2.01	Cindy L.	2007-01-22	perte à la pesée	brun gris	brun gris	5	10	40	20	25	matière organique, racines, bois
592	5921049	5920025	351875	6498550	398.99	69.6	326.21	-3.23	Cindy L.	2007-01-22	roches, perte à la pesée	brun	brun	5	10	40	25	20	racines, bois, matière organique
592	5921050	5920012	351900	6498499	104.38	32.4	70.93	-0.99	Cindy L.	2007-01-22		brun	brun	5	5	40	30	20	racines
592	5921051	5920049	351949	6498451	166.77	20.5	144.38	-1.86	Cindy L.	2007-01-22		brun pâle	brun pâle	5	25	10	40	20	matière organique
592	5921052	5920028	351950	6498299	478.87	166.3	308.70	-3.80	Cindy L.	2									



PROJECT NUMBER	Sample ID	FIELD NUMBER	CERTIFICATE	SODIUM PYROPHOSPHATE ICP-MS ANALYSIS (DRP)																											
				Ag	As	Au	Ba	Be	Bi	Br	Cd	Ce	Co	Cr	Cs	Cu	Dy	Er	Eu	Fe	Ga	Gd	Ge	Hf	Hg	Ho	I	In	La	Li	Lu
				ppb	ppb	ppb	ppb	ppb	ppb	ppb	ppb	ppb	ppb	ppb	ppb	ppb	ppb	ppb	ppb	ppb	ppb	ppb	ppb	ppb	ppb	ppb	ppb	ppb	ppb	ppb	ppb
Nb Analyses:	50			500	300	0.5	300	50	40	3000	20	40	50	500	2	600	5	1	5	10	20	5	300	5	200	1	500	2	20	1000	1
Count	Historic			15834	15797	15719.0	15873	15793	15720	15713	15602	15873	15802	15755	15871	15873	15873	15870	15862	15798	15834	15871	15746	15628	15736	15854	15715	16756	15873	15769	15765
99 Percentile	Historic			0	11200	5.7	132000	551	600	15000	10800	50800	5500	17000	550	106000	2333	1140	956	11800	4780	3846	0	183	0	416	8986	1425	30528	45000	126
Average	Historic			-473	1561	0.0	44840	74	20	102	1303	7811	940	2445	74	12066	337	166	135	2088	1827	560	-290	24	-195	60	370	133	4612	251	18
Std-Dev	Historic			188	2912	2.2	28174	148	144	5412	2191	11192	1439	4033	315	23775	688	310	222	3172	964	987	59	37	31	108	2364	309	7600	6943	38
Coefficient var	Historic			-0.40	1.87	-302.70	0.63	1.97	7.31	53.14	1.88	1.43	1.53	1.85	4.25	1.97	1.74	1.87	1.64	1.52	0.59	1.76	-0.20	1.57	-0.16	1.81	6.39	2.32	1.65	27.65	2.18
Maximum	Historic			9600	123000	123.0	934000	2260	1620	316000	27900	281000	62300	105000	30000	776000	32400	21800	7070	158488	18200	44700	2570	688	16000	6990	85500	3120	320000	95000	3160
Minimum	Historic			-500	-300	-5.0	-300	-200	-80	-3000	-20	-40	-100	-2000	-10	-600	-10	-10	-10	-10	-20	-10	-300	-10	-200	-10	-500	-10	-10	-1000	-10
Count	Project			50	50	50	50	50	50	50	50	50	50	50	50	50	50	50	50	50	50	50	50	50	50	50	50	50	50	50	50
Average	Project			-500	-84	-0.2	19838	63	-34	13920	307	19832	421	3290	67	3486	1192	703	322	3148	1045	1813	-284	9	-200	236	1934	5	14891	-1000	91
Std. Dev.	Project			0	364	0.9	15867	122	36	11507	322	42951	381	3493	50	4709	4587	3074	1009	3603	501	6355	113	34	0	987	1421	3	46005	0	445
Coefficient var	Project			0.00	-4.34	-4.56	0.80	1.94	-1.06	0.83	1.05	2.17	0.90	1.06	0.75	1.35	3.85	4.37	3.13	1.15	0.48	3.51	-0.40	3.84	0.00	4.18	0.73	0.74	3.08	0.00	4.92
Maximum	Project			-500	1000	3.8	64900	510	200	60000	1870	281000	1860	21500	206	24200	21800	7070	20400	2930	44700	500	219	-200	6990	7400	18	320000	-1000	3160	
Minimum	Project			-500	-300	-0.5	1600	-50	-40	4000	50	710	50	-500	4	-600	53	28	14	130	340	61	-300	-5	-200	8	500	-2	370	-1000	3
592	5921001	5920016	A07-0142final	-500	-300	-0.5	15100	60	-40	6000	590	2430	440	900	20	1100	101	43	36	1100	640	137	-300	-5	-200	15	900	3	1800	-1000	5
592	5921002	5920050	A07-0142final	-500	400	1.3	9100	60	-40	7000	110	6680	350	3700	78	1800	257	119	84	4030	610	441	-300	11	-200	46	1000	4	4150	-1000	12
592	5921003	5920015	A07-0142final	-500	-300	-0.5	46200	80	-40	6000	850	2330	310	-500	36	1100	103	60	44	680	1380	161	-300	-5	-200	19	900	6	1230	-1000	8
592	5921004	5920020	A07-0142final	-500	-300	-0.5	55400	180	-40	13000	470	19100	810	1100	43	3100	575	303	234	2080	1910	1090	-300	-5	-200	103	1600	9	10900	-1000	32
592	5921005	5920045	A07-0142final	-500	-300	-0.5	15600	80	-40	4000	320	1040	60	700	30	600	59	40	17	620	530	69	-300	-5	-200	10	1000	4	550	-1000	4
592	5921006	5920001	A07-0142final	-500	400	-0.5	25600	100	-40	10000	710	11800	280	1100	25	1300	308	146	103	1480	880	670	-300	-5	-200	52	1800	5	7890	-1000	17
592	5921007	5920032	A07-0142final	-500	-300	-0.5	1600	60	-40	23000	170	3180	100	4500	98	800	120	61	42	3750	960	178	-300	13	-200	22	4600	5	1720	-1000	7
592	5921008	5920027	A07-0142final	-500	-300	2.6	6500	110	-40	15000	100	3700	150	9200	77	4800	168	70	77	1910	980	289	-300	25	-200	24	2200	4	2340	-1000	7
592	5921010	5920004	A07-0142final	-500	-300	-0.5	12200	160	-40	15000	290	35300	330	3500	7	3100	1400	576	438	3830	870	2110	-300	24	-200	239	1400	7	22200	-1000	52
592	5921011	5920043	A07-0142final	-500	-300	1.1	4500	-50	-40	13000	140	18200	380	2100	51	2300	415	188	129	2540	580	859	-300	13	-200	70	2200	3	10500	-1000	20
592	5921012	5920011	A07-0142final	-500	-300	-0.5	20500	120	-40	8000	100	23400	330	3300	20	1500	995	572	318	1250	910	1870	-300	17	-200	190	900	3	17100	-1000	60
592	5921013	5920036	A07-0142final	-500	-300	-0.5	3700	80	-40	17000	110	3030	140	2700	100	1600	128	59	39	2390	710	177	-300	7	-200	22	2800	3	1410	-1000	5
592	5921014	5920019	A07-0142final	-500	-300	-0.5	39400	100	-40	8000	230	8460	410	1100	9	1100	450	230	157	1470	1340	589	-300	12	-200	82	1200	5	4880	-1000	26
592	5921015	5920038	A07-0142final	-500	-300	-0.5	9400	50	-40	11000	100	2120	140	5000	69	5800	122	68	43	3350	1030	132	-300	-5	-200	21	1900	4	870	-1000	6
592	5921017	5920007	A07-0142final	-500	700	0.7	25100	100	-40	23000	300	21200	1640	4300	40	3600	830	403	272	20400	1270	1550	-300	7	-200	144	3200	8	13000	-1000	40
592	5921018	5920023	A07-0142final	-500	-300	-0.5	39700	230	-40	6000	550	24400	1860	700	24	3000	562	288	232	1310	1280	1300	-300	-5	-200	97	800	5	14000	-1000	30
592	5921019	5920041	A07-0142final	-500	-300	-0.5	3300	-50	-40	5000	110	2360	70	1800	64	1300	132	60	42	2020	590	155	-300	-5	-200	24	1300	3	1070	-1000	7
592	5921020	5920022	A07-0142final	-500	400	-0.5	5900	60	-40	10000	110	7380	350	2800	117	2600	225	110	79	2390	710	425	-300	12	-200	37	1600	5	3550	-1000	11
592	5921021	5920039	A07-0142final	-500	-300	1.1	23000	-50	-40	11000	610	4260	300	1300	28	1100	198	113	72	1510	790	316	-300	-5	-200	39	1300	10	2220	-1000	12
592	5921022	5920008	A07-0142final	-500	700	-0.5	16100	200	-40	48000	270	96400	500	4600	4	24200	3890	1900	1060	7870	830	5950	-300	30	-200	710	4500	9	62000	-1000	187
592	5921023	5920033	A07-0142final	-500	-300	-0.5	9600	-50	-40	6000	150	1540	290	2000	74	800	65	33	20	2080	730	76	-300	-5	-200	10	1100	-2	700	-1000	3
592	5921024	5920013	A07-0142final	-500	-300	-0.5	47500	150	-40	14000	280	43100	640	5500	208	5300	1420	722	456	3260	2250	2500	-300	29	-200	255	2300	4	25800	-1000	70
592	5921026	5920042	A07-0142final	-500	-300	-0.5	23600	-50	-40	6000	180	2550	550	1700	50	900	92	47	31	1290	820	145	-300	-5	-200	16	1100	-2	1270	-1000	6
592	5921027	5920026	A07-0142final	-500	-300	-0.5	34400	-50	-40	13000	1040	3920	170	1300	21	1100	161	87	68	1670	1080	228	-300	-5	-200	31	2200	6	2070	-1000	9
592	5921028	5920046	A07-0142final	-500	-300	-0.5	12100	110	-40	14000	60	28200	300	3800	97	5700	1180	548	387	2510	1000	2040	-300	12	-200	187	2200	3	18200	-1000	51
592	5921029	5920018	A07-0142final	-500	-300	-0.5	61000	-50	-40	6000	1870	5220	1580	500	52	1600	153	82	59	490	1890	284	-300	-5	-200	29	800	7	2750	-1000	11
592	5921030	5920040	A07-0142final	-500	-300	-0.5	4800	-50	-40	4000	70	710	50	1400	9	-600	61	30	14	710	340	61	-300	-5	-200	12	700	-2	370	-1000	4
592	5921031	5920034	A07-0142final	-500	400	-0.5	20500	230	-40	40000	280	41700	380	2900	20	8100	1670	756	609	5020	1430	2680	-300	23	-200	276	5900	7	24700	-1000	69
592	5921032	5920044	A07-0142final	-50																											



PROJECT NUMBER	Sample ID	FIELD NUMBER	SODIUM PYROPHOSPHATE ICP-MS ANALYSIS (DRP)																															
			Mn	Mo	Nb	Nd	Ni	Os	Pb	Pd	Pr	Pt	Rb	Re	Ru	Sb	Sc	Se	Sm	Sn	Sr	Ta	Tb	Te	Th	Tl	Tm	U	V	W	Y	Yb	Zn	Zr
			ppb	ppb	ppb	ppb	ppb	ppb	ppb	ppb	ppb	ppb	ppb	ppb	ppb	ppb	ppb	ppb	ppb	ppb	ppb	ppb	ppb	ppb	ppb	ppb	ppb	ppb	ppb	ppb	ppb	ppb	ppb	ppb
Nb Analyses:	50		300	40	20	20	1000	100	1000	100	5	100	20	1	100	20	300	700	10	6000	100	3	1	200	100	40	1	200	200	30	10	2	1000	100
Count	Historic		15861	15790	15627	15873	15795	15716	15873	15716	15854	15755	15716	15755	15716	15743	15873	15771	15873	15816	15744	15716	15873	15817	15797	15871	15871	15829	15761	15869	15867	15805	15812	
99 Percentile	Historic		1100000	1580	970	24900	45000	-10	278280	-20	6840	-10	5780	3	-10	150	4100	1500	4653	9000	78784	70	491	400	5100	170	140	5500	14200	480	11932	893	223000	5600
Average	Historic		108522	257	133	3507	2894	-99	32714	-99	978	-99	1251	-1	-99	8	639	-522	639	-5271	21083	10	71	-172	991	-17	20	367	2007	58	1740	129	32982	551
Std-Dev	Historic		255907	858	201	6244	7012	10	58871	12	1706	14	1233	-1	-10	63	1709	543	1145	2937	16972	15	125	130	1083	58	38	8683	3571	307	3714	251	71426	1135
Coefficient var.	Historic		2.36	3.33	1.62	1.78	2.42	-0.10	1.80	-0.12	1.75	-0.14	0.99	-1.87	-0.10	9.81	2.67	-1.04	1.79	-0.58	0.81	1.53	1.78	-0.75	1.09	-3.30	1.90	23.67	1.78	5.32	2.13	1.95	2.17	2.06
Maximum	Historic		9670000	77500	3870	207000	93000	-1	657000	200	52100	300	22800	31	-1	3700	19400	10300	39300	27000	318000	353	6120	3700	16400	1040	2760	788000	134000	20000	318000	19200	7050000	22200
Minimum	Historic		-50	-100	-100	-2	-1000	-100	-1000	-100	-2	-100	-100	-1	-100	-20	-10000	-700	-10	-6000	-10	-10	-10	-200	-100	-40	-10	-200	-200	-100	-50	-10	-1000	-100
Count	Project		50	50	50	50	50	50	50	50	50	50	50	50	50	50	50	50	50	50	50	50	50	50	50	50	50	50	50	50	50	50	50	50
Average	Project		11156	437	342	9844	680	-100	5900	-100	2673	-100	1419	-1	-100	-19	832	-320	1751	-6000	5640	29	240	-200	1352	-34	86	4840	2940	27	9073	586	12140	-78
Std. Dev.	Project		15096	1127	184	29830	1596	0	5072	0	7578	0	796	0	0	7	598	1027	5621	0	5813	14	868	0	1141	26	389	15855	3498	63	44811	2704	15560	76
Coefficient var.	Project		1.35	2.58	0.54	3.03	2.35	0.00	0.86	0.00	2.84	0.00	0.56	-0.29	0.00	-0.37	0.72	-3.21	3.21	0.00	1.03	0.50	3.62	0.00	0.84	-0.78	4.51	3.28	1.19	2.30	4.94	4.61	1.28	-0.98
Maximum	Project		106000	7750	810	207000	5000	-100	21000	-100	52100	-100	3900	-1	-100	30	3400	4900	39300	-6000	27400	77	6120	-200	7300	100	2780	105000	23400	260	318000	19200	95000	200
Minimum	Project		1300	-40	50	290	-1000	-100	-1000	-100	82	-100	360	-1	-100	-20	300	-700	60	-6000	700	4	9	-200	400	-40	3	200	400	-30	220	24	2000	-100
592	5921001	5920016	8100	50	200	940	1000	-100	20000	-100	256	-100	1200	-1	-100	-20	400	-700	160	-6000	5500	17	19	-200	500	-40	5	200	1600	70	450	44	16000	-100
592	5921002	5920050	9100	1030	400	2880	-1000	-100	6000	-100	798	-100	1090	-1	-100	-20	500	-700	480	-6000	1600	29	55	-200	1400	-40	14	1400	5300	90	1270	79	4000	200
592	5921003	5920015	32600	-40	60	960	-1000	-100	21000	-100	268	-100	2600	-1	-100	-20	600	-700	170	-6000	10500	4	22	-200	400	-40	7	200	400	70	580	64	28000	-100
592	5921004	5920020	14400	130	150	7430	3000	-100	14000	-100	2130	-100	1740	-1	-100	-20	800	-700	1170	-6000	14300	15	126	-200	800	-40	36	600	1000	-30	3230	245	23000	-100
592	5921005	5920045	22300	50	140	420	-1000	-100	5000	-100	118	-100	1060	-1	-100	-20	600	-700	80	-6000	3900	16	10	-200	600	-40	4	400	900	-30	310	38	15000	-100
592	5921006	5920001	21800	60	150	4810	1000	-100	14000	-100	1460	-100	1870	-1	-100	-20	700	-700	730	-6000	6000	16	71	-200	2700	-40	17	700	500	-30	1440	114	20000	-100
592	5921007	5920032	4500	110	560	1150	-1000	-100	2000	-100	321	-100	790	-1	-100	-20	500	-700	210	-6000	1100	46	26	-200	1600	-40	7	700	3900	40	570	50	2000	-100
592	5921009	5920027	2000	170	500	1610	1000	-100	2000	-100	451	-100	750	-1	-100	-20	700	-700	330	-6000	900	38	38	-200	1500	40	7	500	2600	110	690	57	3000	200
592	5921010	5920004	10100	290	300	12900	1000	-100	5000	-100	3780	-100	770	-1	-100	-20	1300	1000	2280	-6000	3800	22	299	-200	1300	-40	61	2100	5200	60	5160	394	4000	-100
592	5921011	5920043	5800	80	340	5720	-1000	-100	3000	-100	1760	-100	1110	-1	-100	-20	500	-700	920	-6000	1400	33	98	-200	1000	-40	21	2700	6000	60	1800	143	4000	-100
592	5921012	5920011	1300	170	330	11300	-1000	-100	1000	-100	3200	-100	400	-1	-100	-20	800	-700	1840	-6000	4300	29	206	-200	500	-40	64	2800	900	-30	6580	443	4000	-100
592	5921013	5920038	9700	200	340	990	-1000	-100	3000	-100	269	-100	1210	-1	-100	-20	400	-700	180	-6000	1200	33	27	-200	1200	-40	7	900	2100	-30	510	45	5000	-100
592	5921014	5920019	4700	40	150	3240	2000	-100	5000	-100	897	-100	900	-1	-100	-20	1000	-700	640	-6000	10700	14	84	-200	900	-40	27	900	400	-30	2080	187	12000	-100
592	5921015	5920038	6200	90	660	680	-1000	-100	2000	-100	179	-100	1010	-1	-100	-20	800	-700	140	-6000	1200	46	23	-200	800	-40	8	400	4400	50	540	50	4000	-100
592	5921017	5920007	7600	1030	390	9540	2000	-100	7000	-100	2640	-100	960	-1	-100	-20	900	-700	1590	-6000	15900	35	189	-200	1500	-40	47	5300	3300	90	4290	283	10000	-100
592	5921018	5920023	18200	70	130	8540	2000	-100	10000	-100	2490	-100	1200	-1	-100	-20	400	800	1320	-6000	9600	7	143	-200	800	-40	35	900	600	-30	3170	216	25000	-100
592	5921019	5920041	4300	240	320	740	-1000	-100	3000	-100	212	-100	840	-1	-100	-20	300	-700	150	-6000	700	31	25	-200	700	-40	8	3800	2100	-30	530	52	3000	-100
592	5921020	5920022	12900	100	360	2570	-1000	-100	3000	-100	703	-100	1620	-1	-100	-20	400	-700	470	-6000	1300	32	52	-200	1400	-40	12	600	2800	90	930	78	6000	-100
592	5921021	5920039	8200	40	150	1730	-1000	-100	13000	-100	476	-100	1920	-1	-100	-20	1100	-700	320	-6000	6800	12	42	-200	700	-40	14	700	500	-30	990	107	21000	-100
592	5921022	5920009	3800	310	330	32900	3000	-100	6000	-100	10100	-100	450	-1	-100	-20	1500	1900	5460	-6000	5600	22	784	-200	2300	-40	217	6400	6500	60	21900	1360	6000	-100
592	5921023	5920033	6600	60	350	460	-1000	-100	2000	-100	135	-100	1150	-1	-100	-20	300	-700	80	-6000	2400	25	10	-200	600	-40	3	1100	2200	-30	240	24	7000	-100
592	5921024	5920013	13200	550	810	16400	2000	-100	4000	-100	4850	-100	3900	-1	-100	-20	2300	-700	2660	-6000	8900	77	313	-200	3700	60	78	8200	3700	60	7700	512	13000	-100
592	5921026	5920042	9300	50	210	910	-1000	-100	3000	-100	256	-100	750	-1	-100	-20	300	-700	160	-6000	5700	13	19	-200	500	-40	6	200	1300	-30	420	38	12000	-100
592	5921027	5920026	22200	70	170	1410	-1000	-100	13000	-100	404	-100	1380	-1	-100	-20	700	-700	250	-6000	6100	13	31	-200	800	-40	12	400	400	50	840	78	15000	-100
592	5921028	5920046	4000	710	470	13300	2000	-100	2000	-100	3790	-100	1480	-1	-100	-20	800	-700	2340	-6000	2500	44	267	-200	2100	-40	64	8700	3200	50	5280	398	3000	-100



PROJECT NUMBER	SAMPLE	CERTIFICATE	SODIUM PYROPHOSPHATE (PYRO-MS) ANALYSIS																													
			Ag ppb 500	As ppb 300	Au ppb 0.5	Ba ppb 300	Be ppb 50	Bi ppb 40	Br ppb 3000	Cd ppb 20	Ce ppb 40	Co ppb 50	Cr ppb 500	Cs ppb 2	Cu ppb 600	Dy ppb 5	Er ppb 1	Eu ppb 5	Fe ppm 10	Ga ppb 20	Gd ppb 5	Ge ppb 300	Hf ppb 5	Hg ppb 200	Ho ppb 1	I ppb 600	In ppb 2	La ppb 20	Li ppb 1000	Lu ppb 1	Mn ppb 300	
Compte	Historic		482	482	454	454	454	454	454	454	454	454	454	454	454	454	454	454	454	454	454	454	454	454	454	454	454	454	454	454	454	
N > LD	Historic		2	482	79	454	400	1	178	454	454	454	454	453	454	454	454	454	454	454	454	454	454	454	454	454	454	454	454	454		
Moyenne	Historic		2	894	0.1	36206	76	0	1751	360	3509	442	2868	136	3402	145	70	65	1421	1416	235	1	11	0	25	570	7	2307	40	7	13560	
Ecart-type (σ)	Historic		36	116	0.6	3176	34	3	2366	57	372	53	749	1405	809	11	21	6	94	286	21	23	6	0	2	2710	2	178	633	2	2164	
Maximum	Historic		600	1500	7.4	47000	160	70	10000	680	5650	600	16700	30000	15000	175	491	85	1710	2890	296	500	23	0	31	52500	17	2860	13000	41	38700	
Minimum	Historic		0	500	-0.5	24400	0	0	50	2670	280	2200	0	1800	119	55	50	1170	720	183	0	0	0	0	0	0	0	0	0	0	4	10300
X+2σ	Historic		73	1126	1.4	42558	144	7	6482	475	4254	547	4365	2946	5020	167	111	76	1609	1988	277	48	23	0	30	5991	10	2663	1305	10	17887	
X-2σ	Historic		-69	662	-1.1	29853	7	-6	-2980	245	2765	336	1370	-2674	1784	122	29	54	1233	845	192	-46	-1	0	21	-4850	3	1950	-1226	3	9232	
N > X+2σ	Historic		2	10	17	11	7	1	18	5	16	16	1	1	4	15	1	14	14	21	18	1	2	0	13	7	8	14	3	1	7	
N < X-2σ	Historic		0	8	0	9	0	0	0	12	3	8	0	0	3	0	7	8	5	5	0	0	0	0	0	11	0	4	5	0	0	0
Compte	Project		6	6	6	6	6	6	6	6	6	6	6	6	6	6	6	6	6	6	6	6	6	6	6	6	6	6	6	6	6	
Moyenne	Project		#DIV/0!	950	1.0	38333	98	#DIV/0!	4000	382	3608	392	2933	75	3350	154	74	67	1495	1403	251	#DIV/0!	11	#DIV/0!	27	650	7	2418	#DIV/0!	8	13817	
Ecart-type (σ)	Project		#DIV/0!	55	#DIV/0!	2417	34	#DIV/0!	707	40	154	33	175	5	176	5	6	4	54	102	14	#DIV/0!	3	#DIV/0!	2	105	1	120	#DIV/0!	1	880	
Maximum	Project		0	1000	1.0	40500	150	0	5000	430	3770	440	3200	82	3600	158	82	73	1570	1540	267	0	13	0	29	800	9	2510	0	9	14900	
Minimum	Project		0	900	1.0	34500	60	0	3000	340	3370	350	2700	68	3200	146	66	62	1440	1270	231	0	8	0	24	500	6	2250	0	5	12900	
X+2σ	Project		#DIV/0!	1060	#DIV/0!	43168	167	#DIV/0!	5414	461	3916	458	3284	85	3702	164	87	75	1602	1606	278	#DIV/0!	16	#DIV/0!	31	860	10	2658	#DIV/0!	10	15576	
X-2σ	Project		#DIV/0!	840	#DIV/0!	33489	30	#DIV/0!	2586	302	3300	325	2583	65	2998	144	61	59	1388	1200	223	#DIV/0!	6	#DIV/0!	23	440	5	2179	#DIV/0!	5	12058	
592	5921000	A07-0142final	-500	1000	-0.5	40500	80	-40	4000	430	3630	400	3000	82	3600	153	69	70	1570	1540	251	-300	12	-200	28	700	8	2510	-1000	7	14500	
592	5921008	A07-0142final	-500	1000	-0.5	40000	150	-40	3000	400	3670	410	3200	77	3500	158	81	68	1550	1490	242	-300	13	-200	28	800	8	2480	-1000	8	14900	
592	5921025	A07-0142final	-500	900	-0.5	34500	60	-40	5000	340	3370	360	3000	68	3200	146	66	64	1470	1350	248	-300	-5	-200	25	700	6	2250	-1000	5	12900	
592	5921036	A07-0142final	-500	900	-0.5	37300	70	-40	-3000	350	3480	350	2700	72	3200	150	74	62	1450	1340	231	-300	-5	-200	24	500	6	2200	-1000	9	13200	
592	5921052	A07-0142final	-500	900	1.0	37200	110	-40	4000	350	3770	390	2800	72	3200	158	82	73	1440	1270	267	-300	8	-200	29	600	6	2510	-1000	8	13000	
592	5921057	A07-0142final	-500	1000	-0.5	40500	120	-40	4000	420	3730	440	2900	77	3400	158	73	65	1490	1430	264	-300	-5	-200	28	600	9	2480	-1000	8	14400	

		SODIUM PYROPHOSPHATE (PYRO-MS) ANALYSIS																														
PROJECT NUMBER	SAMPLE	Mo	Nb	Nd	Ni	Os	Pb	Pd	Pr	Pt	Rb	Re	Ru	Sb	Sc	Se	Sm	Sn	Sr	Ta	Tb	Te	Th	Ti	Tm	U	V	W	Y	Yb	Zn	Zr
		ppb 40	ppb 20	ppb 20	ppb 1000	ppb 100	ppb 1000	ppb 100	ppb 5	ppb 100	ppb 20	ppb 1	ppb 100	ppb 20	ppb 300	ppb 700	ppb 10	ppb 6000	ppb 100	ppb 3	ppb 1	ppb 200	ppb 100	ppb 40	ppb 1	ppb 200	ppb 200	ppb 30	ppb 10	ppb 2	ppb 1000	ppb 100
Compte	Historic	454	454	454	454	454	454	454	454	454	454	454	454	454	454	454	454	454	454	454	454	454	454	454	454	454	454	454	454	454	454	454
N > LD	Historic	406	442	454	437	0	454	0	454	0	454	37	0	71	444	6	454	3	454	439	454	15	464	35	454	67	453	426	454	454	454	330
Moyenne	Historic	84	107	1472	1965	0	5278	0	420	0	555	0	0	6	627	12	261	51	13450	10	30	9	767	12	8	44	1124	115	777	51	8914	210
Ecart-type (σ)	Historic	63	38	106	482	0	912	0	32	0	69	0	0	14	199	107	23	623	1061	3	2	63	178	73	1	133	208	77	57	5	1914	163
Maximum	Historic	1010	280	1830	4000	0	14000	0	528	0	830	3	0	130	2200	1300	330	8000	18400	22	38	400	1800	1040	11	1800	2000	940	950	65	24000	1400
Minimum	Historic	0	0	1170	0	0	4000	0	325	0	200	0	0	0	0	210	0	8800	0	24	0	500	0	6	0	0	0	600	37	4000	0	
X+2σ	Historic	211	182	1684	2948	0	7102	0	483	0	694	1	0	34	1024	226	307	1297	15972	16	35	115	1123	157	10	310	1540	268	890	61	12742	537
X-2σ	Historic	-43	31	1259	982	0	3453	0	356	0	417	-1	0	-23	229	-201	215	-1195	11328	4	25	-96	410	-133	6	-222	708	-39	684	41	5086	-116
N > X+2σ	Historic	6	13	15	18	0	5	0	17	0	7	20	0	34	6	6	21	3	10	8	13	15	15	7	20	11	9	15	11	17	18	2
N < X-2σ	Historic	0	6	8	0	0	0	0	5	0	11	0	0	0	0	0	0	6	0	12	3	5	0	0	12	0	17	0	9	13	7	0
Compte	Project	6	6	6	6	6	6	6	6	6	6	6	6	6	6	6	6	6	6	6	6	6	6	6	6	6	6	6	6	6	6	6
Moyenne	Project	77	118	1543	2000	#DIV/0!	4833	#DIV/0!	438	#DIV/0!	603	1	#DIV/0!	#DIV/0!	700	#DIV/0!	263	#DIV/0!	14517	14	33	#DIV/0!	733	#DIV/0!	9	200	1200	117	845	56	9667	#DIV/0!
Ecart-type	Project	23	8	58	0	#DIV/0!	408	#DIV/0!	15	#DIV/0!	32	#DIV/0!	#DIV/0!	#DIV/0!	0	#DIV/0!	20	#DIV/0!	776	2	2	#DIV/0!	52	#DIV/0!	1	0	63	28	61	6	816	#DIV/0!
Maximum	Project	110	130	1630	2000	0	5000	0	454	0	656	1	0	0	700	0	290	0	15200	15	34	0	800	0	10	200	1300	150	950	61	11000	0
Minimum	Project	50	110	1490	2000	0	4000	0	413	0	570	1	0	0	700	0	240	0	13600	11	30	0	700	0	8	200	1100	80	780	45	9000	0
X+2σ	Project	123	133	1658	2000	#DIV/0!	5650	#DIV/0!	468	#DIV/0!	667	#DIV/0!	#DIV/0!	#DIV/0!	700	#DIV/0!	303	#DIV/0!	16088	17	36	#DIV/0!	837	#DIV/0!	11	200	1326	173	967	67	11300	#DIV/0!
X-2σ	Project	30	103	1428	2000	#DIV/0!	4017	#DIV/0!	407	#DIV/0!	539	#DIV/0!	#DIV/0!	#DIV/0!	700	#DIV/0!	224	#DIV/0!	12985	10	30	#DIV/0!	630	#DIV/0!	8	200	1074	61	723	45	8034	#DIV/0!
592	5921000	70	120	1550	2000	-100	5000	-100	445	-100	610	-1	-100	-20	700	-700	290	-6000	15200	14	33	-200	800	-40	9	200	1300	150	850	58	10000	-100
592	5921008	60	130	1510	2000	-100	5000	-100	430	-100	650	-1	-100	-20	700	-700	270	-6000	15200	15	34	-200	800	-40	9	-200	1200	110	850	57	10000	-100
592	5921025	50	120	1490	2000	-100	4000	-100	413	-100	580	-1	-100	-20	700	-700	240	-6000	13700	11	32	-200	700	-40	8	-200	1200	90	780	45	9000	-100
592	5921036	70	120	1490	2000	-100	5000	-100	433	-100	580	-1	-100	-20	700	-700	250	-6000	14200	12	30	-200	700	-40	9	-200	1100	130	790	61	9000	-100
592	5921052	110	110	1630	2000	-100	5000	-100	454	-100	570	1	-100	-20	700	-700	280	-6000	13600	15	34	-200	700	-40	10	200	1200	140	950	56	9000	-100
592	5921057	100	110	1590	2000	-100	5000	-100	451	-100	630	-1	-100	-20	700	-700	250	-6000	15200	14	33	-200	700	-40	10	-200	1200	80	840	58	11000	-100

PROJECT NUMBER	SAMPLE	CERTIFICATE	SODIUM PYROPHOSPHATE (PYRO-MS) ANALYSIS																														
			Ag ppb 500	As ppb 300	Au ppb 0.5	Ba ppb 300	Be ppb 50	Bi ppb 40	Br ppb 3000	Cd ppb 20	Ce ppb 40	Co ppb 50	Cr ppb 500	Cs ppb 2	Cu ppb 600	Dy ppb 5	Er ppb 1	Eu ppb 5	Fe ppm 10	Ga ppb 20	Gd ppb 5	Ge ppb 300	Hf ppb 5	Hg ppb 200	Ho ppb 1	I ppb 500	In ppb 2	La ppb 20	Li ppb 1000	Lu ppb 1	Mn ppb 300	Mo ppb 40	
Compte	Historic		272	272	272	272	272	272	272	272	272	272	272	272	272	272	272	272	272	272	272	272	272	272	272	272	272	272	272	272	272	272	272
N > LD	Historic		1	271	46	272	235	0	80	272	272	272	272	284	271	272	272	272	272	272	272	1	218	0	272	105	268	272	269	272	246	246	
Moyenne	Historic		2	651	0.2	43743	75	0	1290	396	3784	559	3338	11	3405	167	81	73	1318	1585	360	1	10	0	30	550	7	2524	3176	8	21454	82	
Écart-type (σ)	Historic		36	138	0.7	3686	37	0	2128	72	486	120	437	6	531	16	7	7	116	312	35	18	7	0	3	3183	2	214	647	1	7189	45	
Maximum	Historic		600	1300	7.9	63000	200	0	9000	760	6990	1790	4800	60	5400	202	103	98	1700	2580	470	300	48	0	37	51900	12	3140	5000	14	135000	260	
Minimum	Historic		0	0	-0.5	29700	0	0	0	90	830	210	0	0	0	50	30	32	360	880	103	0	0	0	9	0	0	930	0	4	12900	0	
X+2σ	Historic		75	927	1.7	51115	149	0	5548	540	4756	799	4212	23	4467	198	96	87	1549	2208	429	37	24	0	35	6918	10	2952	4471	11	35851	173	
X-2σ	Historic		-71	374	-1.3	36371	2	0	-2967	252	2813	318	2464	-1	2343	135	67	59	1084	961	290	-35	-3	0	24	-5815	4	2096	1882	6	7057	-3	
N > X+2σ	Historic		1	9	13	6	5	0	16	6	9	7	6	5	6	7	5	5	6	13	3	1	4	0	3	1	6	5	3	1	10	0	
N < X-2σ	Historic		0	2	0	6	0	0	10	1	1	1	0	9	3	2	2	2	11	1	3	0	0	0	2	0	3	3	1	1	0	0	
Compte	Project		2	2	2	2	2	2	2	2	2	2	2	2	2	2	2	2	2	2	2	2	2	2	2	2	2	2	2	2	2	2	
Moyenne	Project		#DIV/0!	750	#DIV/0!	46050	90	#DIV/0!	3000	385	3810	510	3550	14	3550	167	85	73	1385	1570	367	#DIV/0!	10	#DIV/0!	32	600	6	2610	3000	9	21900	65	
Écart-type	Project		#DIV/0!	71	#DIV/0!	2616	#DIV/0!	#DIV/0!	#DIV/0!	7	170	28	212	1	71	11	2	2	64	28	14	#DIV/0!	#DIV/0!	#DIV/0!	2	#DIV/0!	1	28	0	1	849	21	
Maximum	Project		0	800	0.0	47900	60	0	3000	390	3930	530	3700	15	3600	175	86	74	1430	1590	377	0	10	0	33	600	6	2630	3000	10	22500	80	
Minimum	Project		0	700	0.0	44200	90	0	3000	380	3690	490	3400	13	3500	159	83	71	1340	1590	357	0	10	0	30	600	5	2590	3000	6	21300	50	
X+2σ	Project		#DIV/0!	891	#DIV/0!	51283	#DIV/0!	#DIV/0!	#DIV/0!	399	4149	567	3974	17	3691	190	89	77	1512	1627	395	#DIV/0!	#DIV/0!	#DIV/0!	36	#DIV/0!	7	2667	3000	12	23597	107	
X-2σ	Project		#DIV/0!	609	#DIV/0!	40817	#DIV/0!	#DIV/0!	#DIV/0!	371	3471	453	3126	11	3409	144	80	68	1258	1513	339	#DIV/0!	#DIV/0!	27	#DIV/0!	4	2553	3000	6	20203	23		
592	5921016	A07-0142final	-500	700	-0.5	44200	90	-40	-3000	390	3690	490	3400	13	3500	159	86	74	1340	1550	357	-300	10	-200	30	600	6	2590	3000	10	21300	50	
592	5921045	A07-0142final	-500	800	-0.5	47900	-50	-40	3000	380	3930	530	3700	15	3600	175	83	71	1430	1590	377	-300	-5	-200	33	-500	5	2630	3000	8	22500	80	



PROJECT NUMBER	SAMPLE	SODIUM PYROPHOSPHATE (PYRO-MS) ANALYSIS																															
		Nb ppb 20	Nd ppb 20	Ni ppb 1000	Os ppb 100	Pb ppb 1000	Pd ppb 100	Pr ppb 5	Pt ppb 100	Rb ppb 20	Re ppb 1	Ru ppb 100	Sb ppb 20	Sc ppb 300	Se ppb 700	Sm ppb 10	Sn ppb 6000	Sr ppb 100	Ta ppb 3	Tb ppb 1	Te ppb 200	Th ppb 100	Tl ppb 40	Tm ppb 1	U ppb 200	V ppb 200	W ppb 30	Y ppb 10	Yb ppb 2	Zn ppb 1000	Zr ppb 100		
Compte	Historic	272	272	272	272	272	272	272	272	272	272	272	272	272	272	272	272	272	272	272	272	272	272	272	272	272	272	272	272	272	272	272	272
N > LD	Historic	256	272	272	0	272	0	272	1	272	30	0	59	287	6	272	2	272	263	3	272	18	272	16	272	60	267	269	272	272	272	200	
Moyenne	Historic	87	1663	4507	0	5430	0	471	1	456	0	0	7	611	19	298	63	16061	8	35	19	726	3	10	47	844	615	923	63	16007	201		
Ecart-type (σ)	Historic	37	142	660	0	890	0	41	12	76	1	0	14	170	126	31	729	1338	2	3	77	114	15	1	106	194	1582	77	7	2493	167		
Maximum	Historic	250	2080	6000	0	11000	0	579	200	1060	3	0	50	1400	1000	390	9000	22500	15	44	600	1900	130	13	600	1600	14400	1150	82	34000	1800		
Minimum	Historic	0	560	1000	0	4000	0	160	0	130	0	0	0	0	0	90	0	12100	0	12	0	300	0	3	0	0	0	370	21	7000	0		
X+2σ	Historic	160	1948	5827	0	7210	0	553	25	607	1	0	35	950	271	361	1520	18737	13	41	173	955	34	12	280	1233	3780	1077	77	20993	535		
X-2σ	Historic	13	1379	3188	0	3650	0	389	-24	304	-1	0	-22	272	-234	235	-1395	13385	3	28	-135	497	-27	7	-165	456	-2550	769	49	11022	-132		
N > X+2σ	Historic	7	5	6	0	4	0	7	1	6	16	0	23	5	6	7	2	8	5	9	18	6	16	11	19	4	7	8	8	6	1		
N < X-2σ	Historic	0	3	8	0	0	0	1	0	2	0	0	0	0	0	0	0	5	1	2	0	1	0	3	0	1	0	2	3	4	0		
Compte	Project	2	2	2	2	2	2	2	2	2	2	2	2	2	2	2	2	2	2	2	2	2	2	2	2	2	2	2	2	2	2		
Moyenne	Project	105	1760	4000	#DIV/0!	5000	#DIV/0!	491	#DIV/0!	495	#DIV/0!	#DIV/0!	#DIV/0!	700	#DIV/0!	300	#DIV/0!	17050	11	38	#DIV/0!	750	#DIV/0!	10	200	900	355	955	71	17000	#DIV/0!		
Ecart-type	Project	7	57	0	#DIV/0!	0	#DIV/0!	18	#DIV/0!	35	#DIV/0!	#DIV/0!	#DIV/0!	0	#DIV/0!	14	#DIV/0!	636	1	1	#DIV/0!	71	#DIV/0!	1	#DIV/0!	0	35	7	0	1414	#DIV/0!		
Maximum	Project	110	1800	4000	0	5000	0	504	0	520	0	0	0	700	0	310	0	17500	11	38	0	800	0	11	200	900	380	960	71	18000	0		
Minimum	Project	100	1720	4000	0	5000	0	478	0	470	0	0	0	700	0	290	0	16600	10	37	0	700	0	9	200	900	330	950	71	16000	0		
X+2σ	Project	119	1873	4000	#DIV/0!	5000	#DIV/0!	528	#DIV/0!	566	#DIV/0!	#DIV/0!	#DIV/0!	700	#DIV/0!	328	#DIV/0!	18323	12	39	#DIV/0!	891	#DIV/0!	13	#DIV/0!	900	426	969	71	19828	#DIV/0!		
X-2σ	Project	91	1647	4000	#DIV/0!	5000	#DIV/0!	454	#DIV/0!	424	#DIV/0!	#DIV/0!	#DIV/0!	700	#DIV/0!	272	#DIV/0!	15777	9	36	#DIV/0!	609	#DIV/0!	7	#DIV/0!	900	284	941	71	14172	#DIV/0!		
592	5921016	100	1720	4000	-100	5000	-100	478	-100	470	-1	-100	-20	700	-700	290	-6000	16600	11	38	-200	800	-40	9	200	900	380	960	71	16000	-100		
592	5921045	110	1800	4000	-100	5000	-100	504	-100	520	-1	-100	-20	700	-700	310	-6000	17500	10	37	-200	700	-40	11	-200	900	330	950	71	18000	-100		

PROJET NUMBER	SAMPLE	CERTIFICATE	ANALYSIS																											
			Ag ppb	As ppb	Au ppb	Ba ppb	Be ppb	Bi ppb	Br ppb	Cd ppb	Ce ppb	Co ppb	Cr ppb	Cs ppb	Cu ppb	Dy ppb	Er ppb	Eu ppb	Fe ppm	Ga ppb	Gd ppb	Ge ppb	Hf ppb	Hg ppb	Ho ppb	I ppb	In ppb	La ppb	Li ppb	Lu ppb
		SODIUM PYROPHOSPHATE	500	300	0.5	300	50	40	3000	20	40	50	500	2	600	5	1	5	10	20	5	300	5	200	1	500	2	20	1000	1
	Compte	Historique	58	58	58.0	58	58	58	58	58	58	58	58	58	58	58	58	58	58	58	58	58	58	58	58	58	58	58	58	
	Moyenne	Historique	-500	-300	-0.4	-300	-50	-40	-3000	-20	-40	-50	-500	-2	-600	-5	-1	-5	-10	-20	-5	-300	-5	-200	-1	-500	-2	-20	-1000	-1
	Ecart-typ	Historique	0	0	0.5	0	0	0	0	0	0	0	0	0	0	0	0	0	0	0	0	0	0	0	0	0	0	0	0	
	Maximum	Historique	-500	-300	2.2	-300	-50	-40	-3000	-20	-40	-50	-500	-2	-600	-5	-1	-5	-10	-20	-5	-300	-5	-200	-1	-500	-2	-20	-1000	-1
	Minimum	Historique	-500	-300	-0.5	-300	-50	-40	-3000	-20	-40	-50	-500	-2	-600	-5	-1	-5	-10	-20	-5	-300	-5	-200	-1	-500	-2	-20	-1000	-1
	Compte	Projet	1	1	1.0	1	1	1	1	1	1	1	1	1	1	1	1	1	1	1	1	1	1	1	1	1	1	1	1	
	Moyenne	Projet	-500	-300	-0.5	-300	-50	-40	-3000	-20	-40	-50	-500	-2	-600	-5	-1	-5	-10	-20	-5	-300	-5	-200	-1	-500	-2	-20	-1000	-1
	Ecart-typ	Projet	#DIV/0!	#DIV/0!	#DIV/0!	#DIV/0!	#DIV/0!	#DIV/0!	#DIV/0!	#DIV/0!	#DIV/0!	#DIV/0!	#DIV/0!	#DIV/0!	#DIV/0!	#DIV/0!	#DIV/0!	#DIV/0!	#DIV/0!	#DIV/0!	#DIV/0!	#DIV/0!	#DIV/0!	#DIV/0!	#DIV/0!	#DIV/0!	#DIV/0!	#DIV/0!	#DIV/0!	
	Maximum	Projet	-500	-300	-0.5	-300	-50	-40	-3000	-20	-40	-50	-500	-2	-600	-5	-1	-5	-10	-20	-5	-300	-5	-200	-1	-500	-2	-20	-1000	-1
	Minimum	Projet	-500	-300	-0.5	-300	-50	-40	-3000	-20	-40	-50	-500	-2	-600	-5	-1	-5	-10	-20	-5	-300	-5	-200	-1	-500	-2	-20	-1000	-1
592	Blank	A07-0142final	-500	-300	-1	-300	-50	-40	-3000	-20	-40	-50	-500	-2	-600	-5	-1	-5	-10	-20	-5	-300	-5	-200	-1	-500	-2	-20	-1000	-1

PROJET NUMBER	SAMPLE	ANALYSIS																																
		Mn	Mo	Nb	Nd	Ni	Os	Pb	Pd	Pr	Pt	Rb	Re	Ru	Sb	Sc	Se	Sm	Sn	Sr	Ta	Tb	Te	Th	Tl	Tm	U	V	W	Y	Yb	Zn	Zr	
		ppb 300	ppb 40	ppb 20	ppb 20	ppb 1000	ppb 100	ppb 1000	ppb 100	ppb 5	ppb 100	ppb 20	ppb 1	ppb 100	ppb 20	ppb 300	ppb 700	ppb 10	ppb 6000	ppb 100	ppb 3	ppb 1	ppb 200	ppb 100	ppb 40	ppb 1	ppb 200	ppb 200	ppb 30	ppb 10	ppb 2	ppb 1000	ppb 100	
	Compte	58	58	58	58	58	58	58	58	58	58	58	58	58	58	58	58	58	58	58	58	58	58	58	58	58	58	58	58	58	58	58	58	
	Moyenne	-300	-40	-18	-20	-1000	-100	-1000	-90	-5	-100	-20	-1	-100	-20	-300	-700	-10	-6000	-100	0	-1	-200	-100	-40	-1	-200	-200	-30	-10	-2	-672.4138	-95	
	Ecart-type	0	0	13	0	0	0	0	45	0	0	0	0	0	0	0	0	0	0	0	12	0	0	0	0	0	0	0	0	0	0	0	1419.018	39
	Maximum	-300	-40	80	-20	-1000	-100	-1000	100	-5	-100	-20	-1	-100	-20	-300	-700	-10	-6000	-100	50	-1	-200	-100	-40	-1	-200	-200	-30	-10	-2	6000	200	
	Minimum	-300	-40	-20	-20	-1000	-100	-1000	-100	-5	-100	-20	-1	-100	-20	-300	-700	-10	-6000	-100	-3	-1	-200	-100	-40	-1	-200	-200	-30	-10	-2	-1000	-100	
	Compte	1	1	1	1	1	1	1	1	1	1	1	1	1	1	1	1	1	1	1	1	1	1	1	1	1	1	1	1	1	1	1	1	
	Moyenne	-300	-40	-20	-20	-1000	-100	-1000	-100	-5	-100	-20	-1	-100	-20	-300	-700	-10	-6000	-100	-3	-1	-200	-100	-40	-1	-200	-200	-30	-10	-2	-1000	-100	
	Ecart-type	#DIV/0!	#DIV/0!	#DIV/0!	#DIV/0!	#DIV/0!	#DIV/0!	#DIV/0!	#DIV/0!	#DIV/0!	#DIV/0!	#DIV/0!	#DIV/0!	#DIV/0!	#DIV/0!	#DIV/0!	#DIV/0!	#DIV/0!	#DIV/0!	#DIV/0!	#DIV/0!	#DIV/0!	#DIV/0!	#DIV/0!	#DIV/0!	#DIV/0!	#DIV/0!	#DIV/0!	#DIV/0!	#DIV/0!	#DIV/0!	#DIV/0!	#DIV/0!	
	Maximum	-300	-40	-20	-20	-1000	-100	-1000	-100	-5	-100	-20	-1	-100	-20	-300	-700	-10	-6000	-100	-3	-1	-200	-100	-40	-1	-200	-200	-30	-10	-2	-1000	-100	
	Minimum	-300	-40	-20	-20	-1000	-100	-1000	-100	-5	-100	-20	-1	-100	-20	-300	-700	-10	-6000	-100	-3	-1	-200	-100	-40	-1	-200	-200	-30	-10	-2	-1000	-100	
592	Blank	-300	-40	-20	-20	-1000	-100	-1000	-100	-5	-100	-20	-1	-100	-20	-300	-700	-10	-6000	-100	-3	-1	-200	-100	-40	-1	-200	-200	-30	-10	-2	-1000	-100	

PROJECT NUMBER	SAMPLE	CERTIFICATE	SODIUM PYROPHOSPHATE (DRP) ANALYSIS																													
			Ag	As	Au	Ba	Be	Bi	Br	Cd	Ce	Co	Cr	Cs	Cu	Dy	Er	Eu	Fe	Ga	Gd	Ge	Hf	S.Q.Hg	Ho	I	In	La	Li	Lu	Mn	Mo
			ppb	ppb	ppb	ppb	ppb	ppb	ppb	ppb	ppb	ppb	ppb	ppb	ppb	ppb	ppb	ppb	ppb	ppm	ppb	ppb	ppb	ppb	ppb	ppb	ppb	ppb	ppb	ppb	ppb	ppb
592	5921012 Orig	A07-0142final	-500	-300	-0.5	20500	120	-40	8000	100	23400	330	3300	20	1500	995	572	318	1250	910	1870	-300	17	-200	190	900	3	17100	-1000	60	1300	170
592	5921012 Rep Orig	A07-0142final	-500	-300	-0.5	20600	140	-40	8000	90	23600	330	3200	21	1500	1010	582	318	1250	930	1850	-300	17	-200	193	900	3	17100	-1000	62	1200	160
592	5921012 Rep Dup	A07-0142final	-500	-300	-0.5	20400	110	-40	8000	100	23300	320	3400	19	1500	978	561	319	1260	890	1880	-300	17	-200	187	900	4	17100	-1000	59	1300	180
592	5921026 Orig	A07-0142final	-500	-300	-0.5	23600	-50	-40	6000	160	2550	550	1700	50	900	92	47	31	1290	820	145	-300	-5	-200	16	1100	-2	1270	-1000	6	9300	50
592	5921026 Rep Orig	A07-0142final	-500	-300	-0.5	22500	-50	-40	6000	140	2450	570	1600	48	900	92	47	30	1250	790	137	-300	-5	-200	16	1100	-2	1230	-1000	6	8900	40
592	5921026 Rep Dup	A07-0142final	-500	-300	-0.5	24800	-50	-40	6000	190	2660	530	1700	53	900	92	48	32	1320	840	154	-300	-5	-200	16	1100	-2	1320	-1000	6	9700	50
592	5921040 Orig	A07-0142final	-500	-300	-0.5	14400	-50	-40	8000	210	8940	230	4700	9	2600	407	214	123	990	1050	573	-300	16	-200	77	600	5	5660	-1000	25	2800	450
592	5921040 Rep Orig	A07-0142final	-500	-300	-0.5	15400	50	-40	8000	220	9330	240	4700	8	2800	419	221	125	1020	1110	604	-300	14	-200	80	600	6	5970	-1000	26	2900	450
592	5921040 Rep Dup	A07-0142final	-500	-300	-0.5	13500	-50	-40	8000	200	8540	220	4600	10	2500	395	208	120	960	990	542	-300	17	-200	74	600	5	5350	-1000	23	2700	440



PROJECT NUMBER	SAMPLE	ENZYME LEACH (ERP) AND SODIUM PYROPHOSPHATE (DRP) ANALYSIS																													
		Nb	Nd	Ni	Os	Pb	Pd	Pr	Pt	Rb	Re	Ru	Sb	Sc	Se	Sm	Sn	Sr	Ta	Tb	Te	Th	Ti	Tm	U	V	W	Y	Yb	Zn	Zr
		ppb	ppb	ppb	ppb	ppb	ppb	ppb	ppb	ppb	ppb	ppb	ppb	ppb	ppb	ppb	ppb	ppb	ppb	ppb	ppb	ppb	ppb	ppb	ppb	ppb	ppb	ppb	ppb	ppb	ppb
592	5921012 Orig	330	11300	-1000	-100	1000	-100	3200	-100	400	-1	-100	-20	800	-700	1840	-6000	4300	29	206	-200	500	-40	64	2800	900	-30	6580	443	4000	-100
592	5921012 Rep Orig	330	11200	-1000	-100	1000	-100	3190	-100	400	-1	-100	-20	800	800	1860	-6000	4300	30	204	-200	500	-40	63	2800	900	50	6520	444	4000	-100
592	5921012 Rep Dup	340	11500	-1000	-100	1000	-100	3200	-100	410	-1	-100	-20	900	-700	1820	-6000	4300	28	208	-200	500	-40	64	2800	1000	-30	6640	443	4000	-100
592	5921026 Orig	210	910	1000	-100	3000	-100	256	-100	750	-1	-100	-20	300	-700	160	-6000	5700	13	19	-200	500	-40	6	200	1300	-30	420	38	12000	-100
592	5921026 Rep Orig	220	860	1000	-100	3000	-100	243	-100	730	-1	-100	-20	300	-700	140	-6000	5500	12	19	-200	500	-40	5	200	1300	-30	410	37	12000	-100
592	5921026 Rep Dup	210	970	1000	-100	3000	-100	270	-100	770	-1	-100	-20	300	-700	170	-6000	6000	14	18	-200	600	-40	6	200	1300	-30	420	40	13000	-100
592	5921040 Orig	460	3150	-1000	-100	2000	-100	920	-100	400	-1	-100	-20	1500	-700	580	-6000	4200	46	84	-200	1200	-40	28	4200	2200	-30	2100	168	5000	-100
592	5921040 Rep Orig	470	3310	-1000	-100	2000	-100	960	-100	400	-1	-100	-20	1500	-700	620	-6000	4400	47	85	-200	1300	-40	29	4400	2200	-30	2210	171	6000	-100
592	5921040 Rep Dup	440	3000	-1000	-100	2000	-100	879	-100	390	-1	-100	-20	1400	-700	540	-6000	3900	45	82	-200	1200	-40	26	4000	2100	-30	2000	166	5000	-100

Quality Analysis ...



Innovative Technologies

Date Submitted: 12-Jan-07  
Invoice No.: A07-0142  
Invoice Date: 27-Apr-07  
Your Reference:

IOS Services Geoscientifiques Inc.  
1319 Boul. St-Paul  
Chicoutimi QC G7J 3Y2  
Canada

ATTN: Karen Gagne

### CERTIFICATE OF ANALYSIS

101 Soil samples were submitted for analysis.

The following analytical package was requested: Code 7-Na Pyro Leach-IOS Na Pyrophosphate Leach-ICP/MS

REPORT A07-0142

This report may be reproduced without our consent. If only selected portions of the report are reproduced, permission must be obtained. If no instructions were given at time of sample submittal regarding excess material, it will be discarded within 90 days of this report. Our liability is limited solely to the analytical cost of these analyses. Test results are representative only of material submitted for analysis.

Notes:

CERTIFIED BY :

A handwritten signature in black ink, appearing to read "Eric Hoffman", written over a horizontal line.

Eric Hoffman, Ph.D.  
President/General Manager

**ACTIVATION LABORATORIES LTD.**

1336 Sandhill Drive, Ancaster, Ontario Canada L9G 4V5 TELEPHONE +1.905.648.9611 or  
+1.888.228.5227 FAX +1.905.648.9613  
E-MAIL [ancaster@actlabsint.com](mailto:ancaster@actlabsint.com) ACTLABS GROUP WEBSITE <http://www.actlabsint.com>

Activation Laboratories Ltd. Report: A07-0142

Analyte Symbol	Ag	As	Au	Ba	Be	Bi	Br	Cd	Ce	Co	Cr	Cs	Cu	Dy	Er	Eu	Fe	Ga	Gd	Ge	Hf	Hg	Ho	I
Unit Symbol	ppb	ppb	ppb	ppb	ppb	ppb	ppb	ppb	ppb	ppb	ppb	ppb	ppb	ppb	ppb	ppb	ppm	ppb	ppb	ppb	ppb	ppb	ppb	ppb
Detection Limit	500	300	0.5	300	50	40	3000	20	40	50	500	2	600	5	1	5	10	20	5	300	5	200	1	500
Analysis Method	PYRO-MS	PYRO-MS	PYRO-MS	PYRO-MS	PYRO-MS	PYRO-MS	PYRO-MS	PYRO-MS	PYRO-MS	PYRO-MS	PYRO-MS	PYRO-MS	PYRO-MS	PYRO-MS	PYRO-MS	PYRO-MS	PYRO-MS	PYRO-MS	PYRO-MS	PYRO-MS	PYRO-MS	PYRO-MS	PYRO-MS	PYRO-MS
5921000	< 500	1000	< 0.5	40500	80	< 40	4000	430	3830	400	3000	82	3600	153	69	70	1570	1540	251	< 300	12	< 200	26	700
5921001	< 500	< 300	< 0.5	15100	60	< 40	6000	590	2430	440	900	20	1100	101	43	36	1100	640	137	< 300	< 5	< 200	15	900
5921002	< 500	400	1.3	8100	60	< 40	7000	110	6680	350	3700	78	1800	257	119	84	4030	610	441	< 300	11	< 200	46	1000
5921003	< 500	< 300	< 0.5	46200	80	< 40	6000	850	2330	310	< 500	38	1100	103	60	44	680	1380	161	< 300	< 5	< 200	19	900
5921004	< 500	< 300	< 0.5	55400	190	< 40	13000	470	19100	810	1100	43	3100	575	303	234	2080	1910	1090	< 300	< 5	< 200	103	1600
5921005	< 500	< 300	< 0.5	15600	80	< 40	4000	320	1040	60	700	30	600	59	40	17	620	530	89	< 300	< 5	< 200	10	1000
5921006	< 500	400	< 0.5	25600	100	< 40	10000	710	11800	280	1100	25	1300	306	146	103	1480	880	670	< 300	< 5	< 200	52	1800
5921007	< 500	< 300	< 0.5	1800	80	< 40	23000	170	3180	100	4500	98	900	120	61	42	3750	980	178	< 300	13	< 200	22	4600
5921008	< 500	1000	< 0.5	40000	150	< 40	3000	400	3670	410	3200	77	3500	158	81	88	1550	1490	242	< 300	13	< 200	28	800
5921009	< 500	< 300	2.8	8500	110	< 40	15000	100	3790	150	9600	77	4800	166	70	77	1910	980	289	< 300	25	< 200	24	2200
5921010	< 500	< 300	< 0.5	12200	180	< 40	15000	290	35300	330	3500	7	3100	1400	578	438	3830	870	2110	< 300	24	< 200	239	1400
5921011	< 500	< 300	1.0	4500	< 50	< 40	13000	140	18200	380	2100	51	2300	415	188	129	2540	580	859	< 300	13	< 200	70	2200
5921012	< 500	< 300	< 0.5	20500	120	< 40	8000	100	23400	330	3300	20	1500	995	572	318	1250	910	1870	< 300	17	< 200	190	900
5921013	< 500	< 300	< 0.5	3700	80	< 40	17000	110	3030	140	2700	100	1600	128	59	39	2390	710	177	< 300	7	< 200	22	2800
5921014	< 500	< 300	< 0.5	39400	100	< 40	8000	230	8460	410	1100	9	1100	450	230	157	1470	1340	589	< 300	12	< 200	82	1200
5921015	< 500	< 300	< 0.5	9400	50	< 40	11000	100	2120	140	5000	69	5800	122	68	43	3350	1030	132	< 300	< 5	< 200	21	1900
5921016	< 500	700	< 0.5	44200	90	< 40	< 3000	390	3690	490	3400	13	3500	159	86	74	1340	1550	357	< 300	10	< 200	30	600
5921017	< 500	700	0.7	25100	100	< 40	23000	300	21200	1640	4300	40	3600	830	403	272	20400	1270	1550	< 300	7	< 200	144	3200
5921018	< 500	< 300	< 0.5	39700	230	< 40	6000	550	24400	1860	700	24	3000	562	286	232	1310	1280	1300	< 300	< 5	< 200	97	800
5921019	< 500	< 300	< 0.5	3300	< 50	< 40	5000	110	2360	70	1800	64	1300	132	80	42	2020	590	155	< 300	< 5	< 200	24	1300
5921020	< 500	400	< 0.5	5900	80	< 40	10000	110	7380	350	2600	117	2600	225	110	79	2390	710	425	< 300	12	< 200	37	1600
5921021	< 500	< 300	1.1	23000	< 50	< 40	11000	610	4260	300	1300	28	1100	198	113	72	1510	790	315	< 300	< 5	< 200	39	1300
5921022	< 500	700	< 0.5	16100	200	< 40	48000	270	96400	500	4800	4	24200	3890	1900	1060	7870	830	5950	< 300	30	< 200	710	4500
5921023	< 500	< 300	< 0.5	9600	< 50	< 40	6000	150	1540	290	2000	74	800	65	33	20	2080	730	76	< 300	< 5	< 200	10	1100
5921024	< 500	< 300	< 0.5	47500	150	< 40	14000	280	43100	640	5500	206	5300	1420	722	458	3260	2250	2500	< 300	28	< 200	255	2300
5921025	< 500	900	< 0.5	34500	60	< 40	5000	340	3370	360	3000	68	3200	146	66	64	1470	1350	248	< 300	< 5	< 200	25	700
5921026	< 500	< 300	< 0.5	23800	< 50	< 40	6000	160	2550	550	1700	50	900	92	47	31	1290	820	145	< 300	< 5	< 200	16	1100
5921027	< 500	< 300	< 0.5	34400	< 50	< 40	13000	1040	3920	170	1300	21	1100	161	87	66	1670	1080	228	< 300	< 5	< 200	31	2200
5921028	< 500	300	< 0.5	12100	110	< 40	14000	80	28200	300	3600	97	5700	1180	546	387	2510	1000	2040	< 300	12	< 200	197	2200
5921029	< 500	< 300	< 0.5	61000	< 50	< 40	6000	1870	5220	1580	500	52	1600	153	82	59	490	1690	284	< 300	< 5	< 200	29	800
5921030	< 500	< 300	< 0.5	4800	< 50	< 40	4000	70	710	50	1400	9	< 600	81	30	14	710	340	81	< 300	< 5	< 200	12	700
5921031	< 500	400	< 0.5	20500	230	< 40	40000	280	41700	380	2900	20	8100	1670	756	609	5020	1430	2680	< 300	23	< 200	278	5900
5921032	< 500	< 300	< 0.5	44100	70	< 40	17000	180	10800	280	1500	21	2000	480	238	178	2480	1500	762	< 300	< 5	< 200	90	2000
5921033	< 500	< 300	< 0.5	9100	< 50	< 40	9000	130	4780	280	2700	93	1900	103	49	38	2260	660	164	< 300	< 5	< 200	15	1500
5921034	< 500	< 300	< 0.5	7800	60	< 40	9000	50	6600	360	3400	123	3400	246	117	69	2340	900	342	< 300	5	< 200	40	1400
5921035	< 500	< 300	< 0.5	9800	< 50	< 40	9000	70	2700	150	3500	47	1000	108	59	35	2550	790	166	< 300	< 5	< 200	20	1500
5921036	< 500	900	< 0.5	37300	70	< 40	< 3000	350	3480	350	2700	72	3200	150	74	62	1450	1340	231	< 300	< 5	< 200	24	500
5921037	< 500	< 300	< 0.5	5200	< 50	< 40	10000	110	3040	120	3700	66	1500	108	49	38	2350	810	161	< 300	< 5	< 200	18	1500
5921038	< 500	400	< 0.5	32100	< 50	< 40	7000	650	4350	390	1600	53	1100	148	78	58	1960	1100	264	< 300	< 5	< 200	30	1100
5921039	< 500	300	< 0.5	10900	< 50	< 40	8000	100	5050	400	2200	108	2500	147	64	50	2030	620	279	< 300	< 5	< 200	25	1000
5921040	< 500	< 300	< 0.5	14400	< 50	< 40	8000	210	8940	230	4700	9	2600	407	214	123	990	1050	573	< 300	16	< 200	77	600
5921041	< 500	< 300	< 0.5	31300	< 50	< 40	5000	640	5490	840	1600	71	1600	135	70	47	1410	1020	323	< 300	< 5	< 200	24	500
5921042	< 500	< 300	< 0.5	13100	< 50	< 40	25000	260	21700	950	3400	128	4500	951	507	313	4000	1290	1620	< 300	< 5	< 200	170	1500
5921043	< 500	400	< 0.5	5900	60	< 40	20000	470	7110	260	3200	81	2800	248	114	94	2740	870	409	< 300	< 5	< 200	45	2200
5921044	< 500	400	< 0.5	64900	70	< 40	7000	320	28200	780	700	49	2000	1100	632	399	3270	2080	2020	< 300	< 5	< 200	217	1100
5921045	< 500	800	< 0.5	47900	< 50	< 40	3000	380	3930	530	3700	15	3600	175	83	71	1430	1590	377	< 300	< 5	< 200	33	< 500
5921046	< 500	< 300	< 0.5	7200	180	200	37000	60	14200	310	21500	110	15700	578	297	204	8410	1050	947	< 300	21	< 200	105	4200
5921047	< 500	300	< 0.5	24700	210	< 40	28000	70	28000	280	8000	58	8900	1270	552	444	5670	1780	1940	< 300	33	< 200	218	4700
5921048	< 500	< 300	< 0.5	7900	50	< 40	11000	90	2920	90	2600	33	< 600	127	65	38	1890	520	176	< 300	11	< 200	23	1800
5921049	< 500	< 300	1.5	12800	< 50	< 40	7000	120	2630	230	4700	117	1300											

Activation Laboratories Ltd. Report: A07-0142

Analyte Symbol	Ag	As	Au	Ba	Be	Bi	Br	Cd	Ce	Co	Cr	Cs	Cu	Dy	Er	Eu	Fe	Ga	Gd	Ge	Hf	Hg	Ho	I
Unit Symbol	ppb	ppb	ppb	ppb	ppb	ppb	ppb	ppb	ppb	ppb	ppb	ppb	ppb	ppb	ppb	ppb	ppm	ppb	ppb	ppb	ppb	ppb	ppb	ppb
Detection Limit	500	300	0.5	300	50	40	3000	20	40	50	500	2	600	5	1	5	10	20	5	300	5	200	1	500
Analysis Method	PYRO-MS	PYRO-MS	PYRO-MS	PYRO-MS	PYRO-MS	PYRO-MS	PYRO-MS	PYRO-MS	PYRO-MS	PYRO-MS	PYRO-MS	PYRO-MS	PYRO-MS	PYRO-MS	PYRO-MS	PYRO-MS	PYRO-MS	PYRO-MS	PYRO-MS	PYRO-MS	PYRO-MS	PYRO-MS	PYRO-MS	PYRO-MS
5921052	< 500	900	1.0	37200	110	< 40	4000	350	3770	390	2800	72	3200	158	82	73	1440	1270	267	< 300	8	< 200	28	600
5921053	< 500	< 300	< 0.5	5800	< 50	< 40	15000	100	3600	210	4800	171	2200	141	63	54	5220	1490	245	< 300	< 5	< 200	25	2800
5921054	< 500	< 300	< 0.5	19500	50	< 40	4000	470	16400	440	1200	189	600	141	89	147	970	640	815	< 300	< 5	< 200	20	600
5921055	< 500	< 300	< 0.5	10400	< 50	< 40	13000	120	4690	280	3900	136	2900	162	71	48	3000	850	250	< 300	< 5	< 200	27	2400
5921056	< 500	< 300	< 0.5	12400	80	< 40	5000	390	2620	280	1000	45	600	147	68	43	1020	450	185	< 300	< 5	< 200	25	1200
5921057	< 500	1000	< 0.5	40500	120	< 40	4000	420	3730	440	2900	77	3400	158	73	65	1490	1430	264	< 300	< 5	< 200	28	600



Activation Laboratories Ltd. Report: A07-0142

Analyte Symbol	In	La	Li	Lu	Mn	Mo	Nb	Nd	Ni	Os	Pb	Pd	Pr	Pt	Rb	Re	Ru	Sb	Sc	Se	Sm	Sn	Sr	Ta
Unit Symbol	ppb	ppb	ppb	ppb	ppb	ppb	ppb	ppb	ppb	ppb	ppb	ppb	ppb	ppb	ppb	ppb	ppb	ppb	ppb	ppb	ppb	ppb	ppb	ppb
Detection Limit	2	20	1000	1	300	40	20	20	1000	100	1000	100	5	100	20	1	100	20	300	700	10	6000	100	3
Analysis Method	PYRO-MS	PYRO-MS	PYRO-MS	PYRO-MS	PYRO-MS	PYRO-MS	PYRO-MS	PYRO-MS	PYRO-MS	PYRO-MS	PYRO-MS	PYRO-MS	PYRO-MS	PYRO-MS	PYRO-MS	PYRO-MS	PYRO-MS	PYRO-MS	PYRO-MS	PYRO-MS	PYRO-MS	PYRO-MS	PYRO-MS	PYRO-MS
5921000	8	2510	< 1000	7	14500	70	120	1550	2000	< 100	5000	< 100	445	< 100	610	< 1	< 100	< 20	700	< 700	290	< 6000	15200	14
5921001	3	1280	< 1000	5	8100	50	200	940	1000	< 100	20000	< 100	256	< 100	1200	< 1	< 100	< 20	400	< 700	160	< 6000	5500	17
5921002	4	4150	< 1000	12	9100	1030	400	2880	< 1000	< 100	6000	< 100	798	< 100	1090	< 1	< 100	< 20	500	< 700	480	< 6000	1600	29
5921003	6	1230	< 1000	8	32600	< 40	60	960	1000	< 100	21000	< 100	268	< 100	2600	< 1	< 100	< 20	600	< 700	170	< 6000	10500	4
5921004	9	10900	< 1000	32	14400	130	150	7430	3000	< 100	14000	< 100	2130	< 100	1740	< 1	< 100	< 20	800	< 700	1170	< 6000	14300	15
5921005	4	550	< 1000	4	22300	50	140	420	< 1000	< 100	5000	< 100	116	< 100	1060	< 1	< 100	< 20	600	< 700	80	< 6000	3900	16
5921006	5	7860	< 1000	17	21900	60	150	4810	1000	< 100	14000	< 100	1460	< 100	1870	< 1	< 100	< 20	700	< 700	730	< 6000	6000	16
5921007	5	1720	< 1000	7	4500	110	560	1150	< 1000	< 100	2000	< 100	321	< 100	790	< 1	< 100	< 20	500	< 700	210	< 6000	1100	46
5921008	8	2480	< 1000	8	14900	60	130	1510	2000	< 100	5000	< 100	430	< 100	650	< 1	< 100	< 20	700	< 700	270	< 6000	15200	15
5921009	4	2340	< 1000	7	2000	170	500	1610	1000	< 100	2000	< 100	451	< 100	750	< 1	< 100	< 20	700	< 700	330	< 6000	900	38
5921010	7	22200	< 1000	52	10100	290	300	12900	1000	< 100	5000	< 100	3780	< 100	770	< 1	< 100	< 20	1300	1000	2280	< 6000	3800	22
5921011	3	10500	< 1000	20	5800	80	340	5720	< 1000	< 100	3000	< 100	1760	< 100	1110	< 1	< 100	< 20	500	< 700	920	< 6000	1400	33
5921012	3	17100	< 1000	60	1300	170	330	11300	< 1000	< 100	1000	< 100	3200	< 100	400	< 1	< 100	< 20	800	< 700	1840	< 6000	4300	29
5921013	3	1410	< 1000	5	9700	200	340	990	< 1000	< 100	3000	< 100	269	< 100	1210	< 1	< 100	< 20	400	< 700	180	< 6000	1200	33
5921014	5	4680	< 1000	26	4700	40	150	3240	2000	< 100	5000	< 100	897	< 100	900	< 1	< 100	< 20	1000	< 700	640	< 6000	10700	14
5921015	4	870	< 1000	6	6200	90	660	680	< 1000	< 100	2000	< 100	179	< 100	1010	< 1	< 100	< 20	800	< 700	140	< 6000	1200	48
5921016	6	2590	3000	10	21300	50	100	1720	4000	< 100	5000	< 100	478	< 100	470	< 1	< 100	< 20	700	< 700	290	< 6000	16600	11
5921017	8	13000	< 1000	40	7600	1030	390	9540	2000	< 100	7000	< 100	2640	< 100	960	< 1	< 100	< 20	900	700	1590	< 6000	15900	35
5921018	5	14000	< 1000	30	18200	70	130	8540	5000	< 100	10000	< 100	2490	< 100	1200	< 1	< 100	< 20	400	800	1320	< 6000	9600	7
5921019	3	1070	< 1000	7	4300	240	320	740	< 1000	< 100	3000	< 100	212	< 100	840	< 1	< 100	< 20	300	< 700	150	< 6000	700	31
5921020	5	3550	< 1000	11	12900	100	360	2570	< 1000	< 100	3000	< 100	703	< 100	1620	< 1	< 100	< 20	400	< 700	470	< 6000	1300	32
5921021	10	2220	< 1000	12	8200	40	150	1730	< 1000	< 100	13000	< 100	476	< 100	1920	< 1	< 100	< 20	1100	< 700	320	< 6000	6800	12
5921022	9	62000	< 1000	187	3800	310	330	32900	3000	< 100	6000	< 100	10100	< 100	450	< 1	< 100	< 20	1500	1900	5460	< 6000	5600	22
5921023	< 2	700	< 1000	3	6600	60	350	460	< 1000	< 100	2000	< 100	135	< 100	1150	< 1	< 100	< 20	300	< 700	80	< 6000	2400	25
5921024	4	25800	< 1000	70	13200	550	810	16400	2000	< 100	4000	< 100	4850	< 100	3900	< 1	< 100	< 20	2300	< 700	2660	< 6000	6900	77
5921025	6	2250	< 1000	5	12900	50	120	1490	2000	< 100	4000	< 100	413	< 100	580	< 1	< 100	< 20	700	< 700	240	< 6000	13700	11
5921026	< 2	1270	< 1000	6	9300	50	210	910	1000	< 100	3000	< 100	256	< 100	750	< 1	< 100	< 20	300	< 700	160	< 6000	5700	13
5921027	6	2070	< 1000	9	22200	70	170	1410	< 1000	< 100	13000	< 100	404	< 100	1360	< 1	< 100	< 20	700	< 700	250	< 6000	6100	13
5921028	3	18200	< 1000	51	4000	710	470	13300	1000	< 100	2000	< 100	3780	< 100	1460	< 1	< 100	< 20	800	< 700	2340	< 6000	2500	44
5921029	7	2750	< 1000	11	108000	90	50	2030	2000	< 100	14000	< 100	596	< 100	3660	< 1	< 100	< 20	500	< 700	290	< 6000	25200	5
5921030	< 2	370	< 1000	4	4500	50	290	290	< 1000	< 100	< 1000	< 100	82	< 100	360	< 1	< 100	< 20	400	< 700	60	< 6000	1800	29
5921031	7	24700	< 1000	69	2700	100	330	16200	2000	< 100	11000	< 100	4710	< 100	1450	< 1	< 100	< 20	1600	1200	2760	< 6000	3300	23
5921032	6	5680	< 1000	25	2200	90	170	4250	2000	< 100	5000	< 100	1220	< 100	870	< 1	< 100	< 20	1200	< 700	770	< 6000	7600	18
5921033	3	1670	< 1000	5	12300	130	310	1230	< 1000	< 100	3000	< 100	351	< 100	1480	< 1	< 100	< 20	300	< 700	190	< 6000	1900	26
5921034	4	2480	< 1000	11	7600	170	490	1920	2000	< 100	2000	< 100	535	< 100	2100	< 1	< 100	< 20	500	< 700	360	< 6000	1100	41
5921035	3	1380	< 1000	7	5500	120	440	920	1000	< 100	3000	< 100	250	< 100	820	< 1	< 100	< 20	500	< 700	170	< 6000	2700	34
5921036	6	2280	< 1000	9	13200	70	120	1490	2000	< 100	5000	< 100	433	< 100	580	< 1	< 100	< 20	700	< 700	250	< 6000	14200	12
5921037	< 2	1200	< 1000	5	4000	80	460	900	< 1000	< 100	2000	< 100	248	< 100	800	< 1	< 100	< 20	400	< 700	180	< 6000	900	35
5921038	5	2390	< 1000	9	16200	60	240	1690	1000	< 100	7000	< 100	475	< 100	1640	< 1	< 100	< 20	600	< 700	310	< 6000	10700	22
5921039	4	2540	< 1000	7	14200	80	290	1730	2000	< 100	5000	< 100	491	< 100	1640	< 1	< 100	< 20	400	< 700	280	< 6000	2900	23
5921040	5	5680	< 1000	25	2800	450	460	3150	< 1000	< 100	2000	< 100	920	< 100	400	< 1	< 100	< 20	1500	< 700	580	< 6000	4200	46
5921041	4	3270	< 1000	9	16500	70	220	2400	2000	< 100	13000	< 100	694	< 100	3120	< 1	< 100	< 20	400	< 700	370	< 6000	10500	18
5921042	4	12700	< 1000	56	10800	1530	540	10000	2000	< 100	4000	< 100	2730	< 100	2180	< 1	< 100	< 20	1100	< 700	1770	< 6000	5300	44
5921043	6	3540	< 1000	11	7400	140	450	2330	1000	< 100	5000	< 100	659	< 100	1880	< 1	< 100	< 20	500	< 700	420	< 6000	800	32
5921044	10	16800	< 1000	78	11900	430	110	13000	3000	< 100	14000	< 100	3590	< 100	2420	< 1	< 100	< 20	1300	< 700	2160	< 6000	27400	10
5921045	5	2630	3000	8	22500	80	110	1800	4000	< 100	5000	< 100	504	< 100	520	< 1	< 100	< 20	700	< 700	310	< 6000	17500	10
5921046	7	8580	< 1000	36	3700	460	570	5870	2000	< 100	2000	< 100	1670	< 100	950	< 1	< 100	< 20	1200	< 700	1040	< 6000	1200	45
5921047	9	16000	< 1000	52	6500	670	390	10700	2000	< 100	5000	< 100	3010	< 100	1140	< 1	< 100	< 20	1900	800				

Activation Laboratories Ltd. Report: A07-0142

Analyte Symbol	In	La	Li	Lu	Mn	Mo	Nb	Nd	Ni	Os	Pb	Pd	Pr	Pt	Rb	Re	Ru	Sb	Sc	Se	Sm	Sn	Sr	Ta
Unit Symbol	ppb	ppb	ppb	ppb	ppb	ppb	ppb	ppb	ppb	ppb	ppb	ppb	ppb	ppb	ppb	ppb	ppb	ppb	ppb	ppb	ppb	ppb	ppb	ppb
Detection Limit	2	20	1000	1	300	40	20	20	1000	100	1000	100	5	100	20	1	100	20	300	700	10	6000	100	3
Analysis Method	PYRO-MS	PYRO-MS	PYRO-MS	PYRO-MS	PYRO-MS	PYRO-MS	PYRO-MS	PYRO-MS	PYRO-MS	PYRO-MS	PYRO-MS	PYRO-MS	PYRO-MS	PYRO-MS	PYRO-MS	PYRO-MS	PYRO-MS	PYRO-MS	PYRO-MS	PYRO-MS	PYRO-MS	PYRO-MS	PYRO-MS	PYRO-MS
5821052	6	2510	< 1000	8	13000	110	110	1630	2000	< 100	5000	< 100	454	< 100	570	1	< 100	< 20	700	< 700	280	< 6000	13600	15
5821053	6	1930	< 1000	8	9400	280	740	1390	< 1000	< 100	2000	< 100	383	< 100	1350	< 1	< 100	< 20	400	< 700	240	< 6000	800	54
5821054	7	8220	< 1000	5	11500	2050	160	5840	2000	< 100	8000	< 100	1600	< 100	1540	< 1	< 100	< 20	400	< 700	800	< 6000	14700	18
5821055	5	1980	< 1000	8	9600	150	520	1630	< 1000	< 100	2000	< 100	434	< 100	1810	< 1	< 100	< 20	600	< 700	270	< 6000	1200	35
5821056	3	1300	< 1000	7	4500	660	220	1020	< 1000	< 100	5000	< 100	285	< 100	1350	< 1	< 100	< 20	800	< 700	200	< 6000	4300	28
5821057	9	2480	< 1000	8	14400	100	110	1590	2000	< 100	5000	< 100	451	< 100	630	< 1	< 100	< 20	700	< 700	250	< 6000	15200	14

Analyte Symbol	Tb	Te	Th	Tl	Tm	U	V	W	Y	Yb	Zn	Zr
Unit Symbol	ppb	ppb	ppb	ppb	ppb	ppb	ppb	ppb	ppb	ppb	ppb	ppb
Detection Limit	1	200	100	40	1	200	200	30	10	2	1000	100
Analysis Method	PYRO-MS	PYRO-MS	PYRO-MS	PYRO-MS	PYRO-MS	PYRO-MS	PYRO-MS	PYRO-MS	PYRO-MS	PYRO-MS	PYRO-MS	PYRO-MS
5921000	33	< 200	800	< 40	9	200	1300	150	860	58	10000	< 100
5921001	19	< 200	500	< 40	5	200	1600	70	450	44	16000	< 100
5921002	55	< 200	1400	< 40	14	1400	5300	90	1270	79	4000	200
5921003	22	< 200	400	< 40	7	200	400	70	560	64	28000	< 100
5921004	128	< 200	800	< 40	36	600	1000	< 30	3230	245	23000	< 100
5921005	10	< 200	600	< 40	4	400	900	< 30	310	38	15000	< 100
5921006	71	< 200	2700	< 40	17	700	500	< 30	1440	114	20000	< 100
5921007	28	< 200	1600	< 40	7	700	3900	40	570	50	2000	< 100
5921008	34	< 200	800	< 40	9	< 200	1200	110	850	57	10000	< 100
5921009	38	< 200	1500	< 40	7	500	2600	110	690	57	3000	200
5921010	299	< 200	1300	< 40	81	2100	5200	60	5160	394	4000	< 100
5921011	98	< 200	1000	< 40	21	2700	2600	60	1800	143	4000	< 100
5921012	206	< 200	500	< 40	84	2800	900	< 30	6580	443	4000	< 100
5921013	27	< 200	1200	< 40	7	900	2100	< 30	510	45	5000	< 100
5921014	84	< 200	900	< 40	27	900	400	< 30	2080	187	12000	< 100
5921015	23	< 200	800	< 40	8	400	4400	50	540	50	4000	< 100
5921016	38	< 200	800	< 40	9	200	900	380	960	71	16000	< 100
5921017	189	< 200	1500	< 40	47	5300	3300	90	4280	283	10000	< 100
5921018	143	< 200	800	< 40	35	900	600	< 30	3170	216	25000	< 100
5921019	25	< 200	700	< 40	8	3800	2100	< 30	530	52	3000	< 100
5921020	52	< 200	1400	< 40	12	600	2800	90	930	78	6000	< 100
5921021	42	< 200	700	< 40	14	700	500	< 30	990	107	21000	< 100
5921022	784	< 200	2300	< 40	217	8400	6500	60	21900	1360	6000	< 100
5921023	10	< 200	600	< 40	3	1100	2200	< 30	240	24	7000	< 100
5921024	313	< 200	3700	60	78	8200	3700	60	7700	512	13000	< 100
5921025	32	< 200	700	< 40	8	< 200	1200	90	780	45	9000	< 100
5921026	19	< 200	500	< 40	6	200	1300	< 30	420	38	12000	< 100
5921027	31	< 200	800	< 40	12	400	400	50	840	78	15000	< 100
5921028	267	< 200	2100	< 40	64	8700	3200	50	5280	398	3000	< 100
5921029	38	< 200	400	< 40	12	500	400	< 30	870	70	95000	< 100
5921030	12	< 200	400	< 40	5	200	1600	< 30	300	34	4000	< 100
5921031	348	< 200	2500	< 40	81	4200	1200	40	7330	521	4000	< 100
5921032	101	< 200	1100	< 40	29	1000	700	< 30	2180	179	13000	< 100
5921033	24	< 200	1100	< 40	5	300	2400	< 30	390	38	7000	< 100
5921034	49	< 200	1700	< 40	14	700	3100	50	990	82	8000	< 100
5921035	23	< 200	800	< 40	6	500	2800	< 30	520	49	6000	< 100
5921036	30	< 200	700	< 40	9	< 200	1100	130	790	61	9000	< 100
5921037	25	< 200	1300	< 40	7	1000	3000	130	440	43	4000	< 100
5921038	33	< 200	900	< 40	9	400	1200	< 30	790	65	23000	< 100
5921039	33	< 200	900	< 40	9	600	1800	< 30	680	60	9000	< 100
5921040	84	< 200	1200	< 40	28	4200	2200	< 30	2100	168	5000	< 100
5921041	37	< 200	600	< 40	7	400	1500	< 30	620	63	59000	< 100
5921042	206	< 200	2200	< 40	61	5300	4800	90	4760	377	8000	< 100
5921043	55	< 200	900	< 40	13	500	3200	50	1160	90	4000	< 100
5921044	240	< 200	1300	< 40	80	3200	600	< 30	6640	569	27000	< 100
5921045	37	< 200	700	< 40	11	< 200	900	330	950	71	18000	< 100
5921046	126	< 200	2200	< 40	37	2600	7700	80	3260	239	2000	< 100
5921047	286	< 200	3500	< 40	81	8600	3800	50	4970	380	4000	< 100
5921048	26	< 200	800	< 40	9	400	1400	< 30	600	52	4000	< 100
5921049	9	< 200	600	< 40	4	200	6000	70	220	24	11000	< 100
5921050	1000	< 200	7300	100	263	45000	23400	130	22800	1690	5000	200
5921051	6120	< 200	800	< 40	2760	105000	2000	260	318000	19200	5000	100

Analyte Symbol	Tb	Te	Th	Tl	Tm	U	V	W	Y	Yb	Zn	Zr
Unit Symbol	ppb	ppb	ppb	ppb	ppb	ppb	ppb	ppb	ppb	ppb	ppb	ppb
Detection Limit	1	200	100	40	1	200	200	30	10	2	1000	100
Analysis Method	PYRO-MS	PYRO-MS	PYRO-MS	PYRO-MS	PYRO-MS	PYRO-MS	PYRO-MS	PYRO-MS	PYRO-MS	PYRO-MS	PYRO-MS	PYRO-MS
5921052	34	< 200	700	< 40	10	200	1200	140	950	56	9000	< 100
5921053	30	< 200	1600	< 40	10	500	7700	50	610	50	3000	< 100
5921054	56	< 200	1300	< 40	6	500	1100	< 30	840	45	16000	< 100
5921055	38	< 200	1400	< 40	9	400	3800	60	630	54	5000	< 100
5921056	26	< 200	500	< 40	10	5000	1200	30	660	62	11000	< 100
5921057	33	< 200	700	< 40	10	< 200	1200	80	840	58	11000	< 100



Quality Control

Analyte Symbol	Ag	As	Au	Ba	Be	Bi	Br	Cd	Ce	Co	Cr	Cs	Cu	Dy	Er	Eu	Fe	Ga	Gd	Ge	Hf	Hg	Ho	I
Unit Symbol	ppb	ppb	ppb	ppb	ppb	ppb	ppb	ppb	ppb	ppb	ppb	ppb	ppb	ppb	ppb	ppb	ppm	ppb	ppb	ppb	ppb	ppb	ppb	ppb
Detection Limit	500	300	0.5	300	50	40	3000	20	40	50	500	2	600	5	1	5	10	20	5	300	5	200	1	500
Analysis Method	PYRO-MS	PYRO-MS	PYRO-MS	PYRO-MS	PYRO-MS	PYRO-MS	PYRO-MS	PYRO-MS	PYRO-MS	PYRO-MS	PYRO-MS	PYRO-MS	PYRO-MS	PYRO-MS	PYRO-MS	PYRO-MS	PYRO-MS	PYRO-MS	PYRO-MS	PYRO-MS	PYRO-MS	PYRO-MS	PYRO-MS	PYRO-MS
Method Blank	< 500	< 300	< 0.5	< 300	< 50	< 40	< 3000	< 20	< 40	< 50	< 500	< 2	< 600	< 5	< 1	< 5	< 10	< 20	< 5	< 300	< 5	< 200	< 1	< 500
5921012 Rep Orig	< 500	< 300	< 0.5	20600	140	< 40	8000	80	23600	330	3200	21	1500	1010	582	318	1250	930	1850	< 300	17	< 200	193	900
5921012 Rep Dup	< 500	< 300	< 0.5	20400	110	< 40	8000	100	23300	320	3400	19	1500	978	581	319	1260	890	1880	< 300	17	< 200	187	900
5921026 Rep Orig	< 500	< 300	< 0.5	22500	< 50	< 40	6000	140	2450	570	1600	48	900	92	47	30	1250	790	137	< 300	< 5	< 200	16	1100
5921026 Rep Dup	< 500	< 300	< 0.5	24800	< 50	< 40	6000	180	2660	530	1700	53	900	92	48	32	1320	840	154	< 300	< 5	< 200	16	1100
5921040 Rep Orig	< 500	< 300	< 0.5	15400	50	< 40	8000	220	9330	240	4700	8	2800	419	221	125	1020	1110	604	< 300	14	< 200	80	600
5921040 Rep Dup	< 500	< 300	< 0.5	13500	< 50	< 40	8000	200	8540	220	4600	10	2500	395	208	120	960	990	542	< 300	17	< 200	74	600

Quality Control																								
Analyte Symbol	In	La	Li	Lu	Mn	Mo	Nb	Nd	Ni	Os	Pb	Pd	Pr	Pt	Rb	Re	Ru	Sb	Sc	Se	Sm	Sn	Sr	Ta
Unit Symbol	ppb	ppb	ppb	ppb	ppb	ppb	ppb	ppb	ppb	ppb	ppb	ppb	ppb	ppb	ppb	ppb	ppb	ppb	ppb	ppb	ppb	ppb	ppb	ppb
Detection Limit	2	20	1000	1	300	40	20	20	1000	100	1000	100	5	100	20	1	100	20	300	700	10	6000	100	3
Analysis Method	PYRO-MS	PYRO-MS	PYRO-MS	PYRO-MS	PYRO-MS	PYRO-MS	PYRO-MS	PYRO-MS	PYRO-MS	PYRO-MS	PYRO-MS	PYRO-MS	PYRO-MS	PYRO-MS	PYRO-MS	PYRO-MS	PYRO-MS	PYRO-MS	PYRO-MS	PYRO-MS	PYRO-MS	PYRO-MS	PYRO-MS	PYRO-MS
Method Blank	< 2	< 20	< 1000	< 1	< 300	< 40	< 20	< 20	< 1000	< 100	< 1000	< 100	< 5	< 100	< 20	< 1	< 100	< 20	< 300	< 700	< 10	< 6000	< 100	< 3
5921012 Rep Orig	3	17100	< 1000	82	1200	160	330	11200	< 1000	< 100	1000	< 100	3190	< 100	400	< 1	< 100	< 20	800	800	1860	< 6000	4300	30
5921012 Rep Dup	4	17100	< 1000	59	1300	180	340	11500	< 1000	< 100	1000	< 100	3200	< 100	410	< 1	< 100	< 20	900	< 700	1820	< 6000	4300	28
5921026 Rep Orig	< 2	1230	< 1000	6	8900	40	220	860	1000	< 100	3000	< 100	243	< 100	730	< 1	< 100	< 20	300	< 700	140	< 6000	5500	12
5921026 Rep Dup	< 2	1320	< 1000	6	8700	50	210	970	1000	< 100	3000	< 100	270	< 100	770	< 1	< 100	< 20	300	< 700	170	< 6000	6000	14
5921040 Rep Orig	8	5970	< 1000	26	2900	450	470	3310	< 1000	< 100	2000	< 100	960	< 100	400	< 1	< 100	< 20	1500	< 700	620	< 6000	4400	47
5921040 Rep Dup	5	5350	< 1000	23	2700	440	440	3060	< 1000	< 100	2000	< 100	879	< 100	390	< 1	< 100	< 20	1400	< 700	540	< 6000	3900	45

URANIUM EXPLORATION CAMPAIGN, SUMMER 2007  
NORTH RAE PROJECT

APPENDIX 8  
WATER QUALITY ANALYSIS



Montreal, January 23, 2008

1075, Côte du Beaver Hall  
bureau 200  
Montréal (Québec)  
Canada H2Z 1S5

Mr. Marek J. Kreczmer  
NorthWestern Mineral Ventures Inc.  
1001 - 543 Granville Street  
Vancouver, BC V6G 1S8

By E-Mail: mkrmail@telus.net

Object : Preliminary Characterization of Surface Water  
Report  
Ref. : P0864

---

Dear Sir,

Please find attached our report on the preliminary characterization of Surface Water for the North Rae Project. It is important to note that, for the following samples, the sampling method and the conservation time were noted as "not accurate" by the laboratory:

- TSE-01;
- TSE-02;
- TSE-03;
- TSE-04.

Therefore, as those results will be used to determine the basic conditions of the prospected areas, we recommend to carry out another characterization campaign with a more stringent control of the sampling and conservation methods.

If you have any question, please do not hesitate to contact us.

Louis Archambault  
President and CEO

LA/jc

Encl.

Téléphone : (514) 954-8800  
Télécopieur : (514) 954-8818  
Site web : [www.entracoco.ca](http://www.entracoco.ca)





---

**North Rae Project, Quebec**

**Preliminary Characterization of Surface Water**

---

**Report**



Montreal, January 2008  
P0864



1010536

## Table of Content

1. INTRODUCTION .....	1
2. LOCATION OF PROJECT AND STUDY AREAS .....	2
3. SCOPE OF WORK AND METHODOLOGY .....	4
4. RESULTS AND DISCUSSION .....	8
4.1 FIELD PARAMETERS RESULTS .....	8
4.2 LABORATORY ANALYTICAL RESULTS .....	8

## List of Figures

Figure 2.1 Project Location.....	3
Figure 3.1 Location of Sampling Stations: Tasiluk, Tasik and Torrent Areas .....	5
Figure 3.2 Location of Sampling Stations: Jonas, Ilaluga and Aqqiq Areas.....	6

## List of Tables

Table 3.1 Geographical Coordinates of Sampling Stations.....	4
Table 4.1 Measurement Results for Field Parameters .....	8
Table 4.2 Analysis Results for Metals (mg/L) .....	9
Table 4.3 Analysis Results for Conventional Parameters .....	10

## List of Appendix

Appendix 1. Photographs	
Appendix 2. Laboratory Certificate	

## Work Team

Louis Archambault, Project Manager

Normand Lalonde, Biologist (ÉESA)

Jordi Turcotte, Tech., EOS Géoscientifique

Gaétan Tremblay, EOS Géoscientifique

Jackie Cyr, Secretary

## 1. INTRODUCTION<sup>1</sup>

NWT Uranium Corporation (NWT) is an international resource exploration company concentrating on the acquisition of properties with potential uranium targets. New projects have been initiated by NWT in Quebec in January 2007, including the North Rae Uranium Project, located in the Ungava Bay region of Northern Quebec.

As a first step towards the environmental assessment of the North Rae Project, NWT has retained Groupe-conseil Entraco Inc. to gather preliminary baseline data on surface water quality in the prospected areas.

---

<sup>1</sup> Based in part on information provided in NWT Web Site (<http://www.nwturanium.com/>)



## 2. LOCATION OF PROJECT AND STUDY AREAS

North Rae Project is located on the eastern side of Ungava Bay, approximately 160 km north-east of the town of Kuujjuaq and less than 20 km south-east of the town of Kangisualujjuaq situated 25 km from Ungava Bay, on the George River (see Figure 2.1). The two study areas are located on Figure 2.2

The south-west study area includes 2 sub-areas and the north-east study area includes 3 sub-areas (see section 3).



Source: Ministère des Ressources naturelles et de la Faune  
 Direction générale de l'information géographique

Figure 2.1 Project Location

North Rae Project, Kangiqsualujjuak, Quebec  
 Characterization of Water Surface  
 P0864 /January 2008

Groupe-conseil Entraco Inc.  
 CONFIDENTIAL



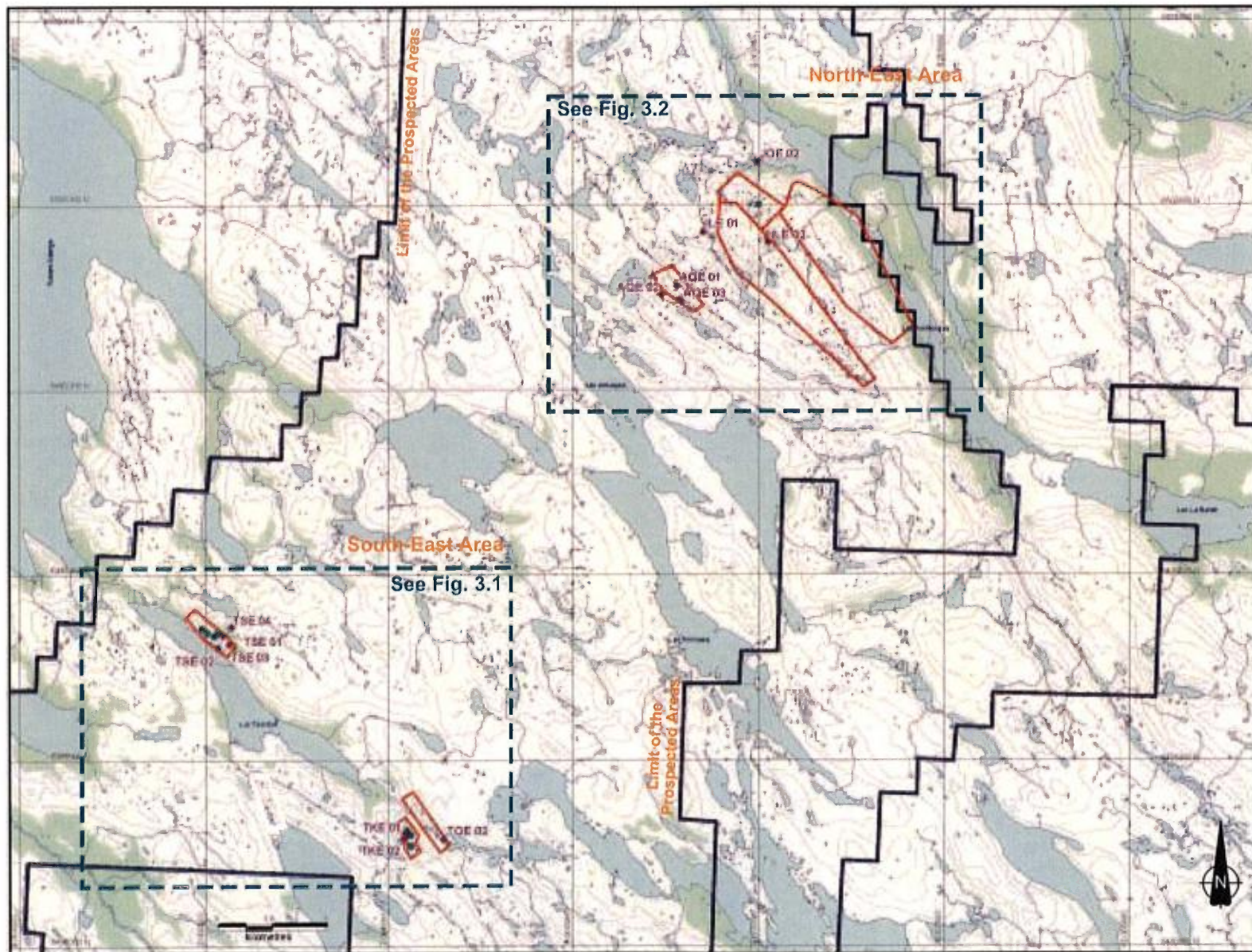


Figure 2.2 Location of Prospected and Study Areas

### 3. SCOPED OF WORK AND METHODOLOGY

The filed work for this study was conducted between August and October of 2007. The sampling dates for the different sub-areas are given hereafter:

- Tasieluk: 2007-08-29;
- Tasik: 2007-09-16;
- Aqpid: 2007-09-18;
- Jonas: 2007-10-05;
- Ilaluga: 2007-10-05;
- Torrent: 2007-10-05.

For the Tasieluk sub-area, the sampling was carried out by Jodi Turcotte of EOS Géoscientifique. For the other sub-areas, the sampling was carried out by Gaétan Tremblay, also of EOS Géoscientifique.

A total of 13 stations were sampled in the 5 sub-areas. The location of the sampling stations is given in Figures 3.1 and 3.2. The geographic coordinates are given in Table 3.1. Photographs of the sampling stations are presented in Appendix 1.

Table 3.1 Geographical Coordinates of Sampling Stations

Sub-area	Sampling station (and Sample Identification)	UTM X	UTM Y
Tasieluk	TSE 01	335462	6488386
	TSE 02	335323	6488042
	TSE 03	335638	6488145
	TSE 04	335694	6488611
Tasik	TKE 01	340509	6482997
	TKE 02	340430	6482879
Aqpiq	AQE 01	347813	6497783
	AQE 02	347381	6497552
	AQE 03	347908	6497382
Jonas	JOE 02	349946	6501150
IIALUGA	ILE 01	348510	6499244
	ILE 02	350260	6498970
Torrent	TOE 02	341514	6482868

The following filed work was performed at each station:

- measurement of field parameters (temperature, conductivity and pH);
- collection of grab surface water sample, in sample containers provided by the laboratory;
- filling out of chain-of-custody forms.



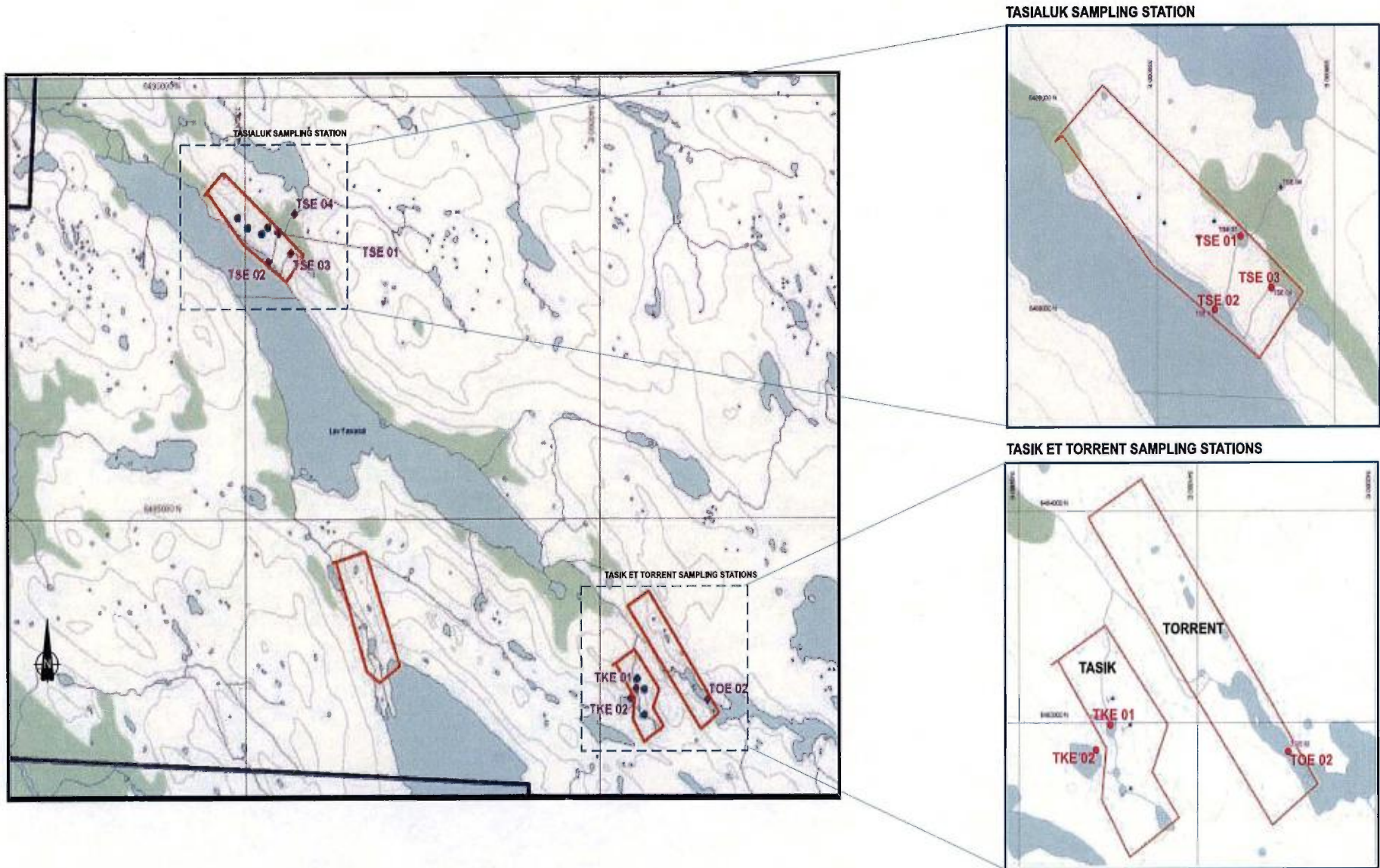


Figure 3.1 Location of Sampling Stations: Tasiluk, Tasik and Torrent Areas



After the sampling, the samples were packed in coolers with icepacks and were later sent to the laboratory in Montreal (Maxxam Analytics).

The analyses were performed by Maxxam Analytics in Montreal a laboratory certified by the Ministry of Sustainable Development, Environment and Parks. Analyses results for the project samples and lab duplicates are given in the laboratory certificate (see Appendix 2). General remarks on sample reception and condition are also given in the certificate.



## 4. RESULTS AND DISCUSSION

### 4.1 FIELD PARAMETERS RESULTS

The measurement results for field parameters are given in Table 4.1.

Table 4.1 Measurement Results for Field Parameters

Sub-area	Sample Identification	Date	pH	Conductivity ( $\mu$ S)	Temperature ( $^{\circ}$ C)
Tasialuk	TSE-01	2007-08-29	5.65	135	15.4
	TSE-02		6.53	28	15.4
	TSE-03		3.75	63	15.2
	TSE-04		3.45	128	15
Tasik	TKE-01	2007-09-16	3.97	16	7.3
	TKE-02		5.43	2	6.1
Aqpiq	AQE-01	2007-09-18	6.28	3	5.8
	AQE-02		6.02	6	3.8
	AQE-03		6.13	7	4.1
Jonas	JOE-02	2007-10-05	6.1	9	6.1
IIALUGA	ILE-01	2007-10-05	6.45	2	5.8
	ILE-02		6.62	4	4.8
Torrent	TOE-02	2007-10-05	6.54	6	4.7

### 4.2 LABORATORY ANALYTICAL RESULTS

The laboratory analytical results are given in Tables 4.2 and 4.3. For the metals, the concentrations are all under the Quebec freshwater quality criteria except for Aluminum in 2 samples:

- TSE-03: concentration of 0.2 mg/L, which is equal to the criteria;
- TKE-01: 0.34 mg/L (criteria 0.2 mg/L).

For the conventional parameters (Total Phosphorus, Nitrate and Nitrite), the concentrations are mostly under detection limits.



Table 4.2 Analysis Results for Metals (mg/L)

METALS	MDDEP <sup>(1)</sup> Criteria	# Samples												
		TSE-01	TSE-02	TSE-03	TSE-04	TKE-01	TKE-02	AQE-01	AQE-02	AQE-03	JO-02	ILE-01	ILE-02	TOE-02
Aluminum (Al)	0.2	0.03	0.05	0.2	0.07	0.34	0.07	<0.03	0.04	0.06	0.11	0.04	0.06	<0.03
Calcium (Ca)	-	2	1	<1	1	<1	<1	<1	1	1	<1	<1	<1	<1
Uranium (U)	0.02	<0.02	<0.02	<0.02	<0.02	<0.02	<0.02	<0.02	<0.02	<0.02	<0.02	<0.02	<0.02	<0.02
Antimony (Sb)	0.006	<0.006	<0.006	<0.006	<0.006	<0.006	<0.006	<0.006	<0.006	<0.006	<0.006	<0.006	<0.006	<0.006
Magnesium (Mg)	-	<1	<1	<1	<1	<1	<1	<1	<1	<1	<1	<1	<1	<1
Silver (Ag)	0.1	<0.0003	<0.0003	0.0013	<0.0003	<0.0003	<0.0003	<0.0003	0.0008	0.0004	0.0006	<0.0003	<0.0003	<0.0003
Hardness (CaCO <sub>3</sub> )	-	4	4	<1	3	<1	<1	<1	3	4	<1	<1	<1	<1
Arsenic (As)	0.00018 <sup>(2)</sup>	<0.002	<0.002	<0.002	<0.002	<0.002	<0.002	<0.002	<0.002	<0.002	<0.002	<0.002	<0.002	<0.002
Barium (Ba)	1.0	<0.03	<0.03	<0.03	<0.03	<0.03	<0.03	<0.03	<0.03	<0.03	<0.03	<0.03	<0.03	<0.03
Cadmium (Cd)	0.005	<0.001	<0.001	<0.001	<0.001	<0.001	<0.001	<0.001	<0.001	<0.001	<0.001	<0.001	<0.001	<0.001
Chromium (Cr)	0.05	<0.03	<0.03	<0.03	<0.03	<0.03	<0.03	<0.03	<0.03	<0.03	<0.03	<0.03	<0.03	<0.03
Cobalt (Co)	-	<0.03	<0.03	<0.03	<0.03	<0.03	<0.03	<0.03	<0.03	<0.03	<0.03	<0.03	<0.03	<0.03
Copper (Cu)	1.0 <sup>(3)</sup>	0.005	<0.003	0.007	<0.003	<0.003	<0.003	<0.003	<0.003	<0.003	<0.003	<0.003	<0.003	<0.003
Lead (Pb)	0.01	<0.001	<0.001	<0.001	<0.001	<0.001	<0.001	<0.001	<0.001	<0.001	<0.001	<0.001	<0.001	<0.001
Manganese (Mn)	0.05	<0.003	<0.003	<0.003	0.004	0.005	<0.003	<0.003	<0.003	<0.003	<0.003	<0.003	<0.003	<0.003
Molybdene (Mo)	0.07	<0.03	<0.03	<0.03	<0.03	<0.03	<0.03	<0.03	<0.03	<0.03	<0.03	<0.03	<0.03	<0.03
Nickel (Ni)	0.02	<0.01	<0.01	<0.01	<0.01	<0.01	<0.01	<0.01	<0.01	<0.01	<0.01	<0.01	<0.01	<0.01
Selenium (Se)	0.01	<0.001	<0.001	<0.001	<0.001	<0.001	<0.001	<0.001	<0.001	<0.001	<0.001	<0.001	<0.001	<0.001
Sodium (Na)	200 <sup>(3)</sup>	1.4	1.4	1.5	1.4	0.95	0.86	0.94	1.2	1.2	1	0.84	1	0.9
Zinc (Zn)	5.0 <sup>(3)</sup>	<0.003	<0.003	0.099	0.019	0.005	0.005	<0.003	<0.003	<0.003	<0.003	<0.003	<0.003	0.004
Iron (Fe)	0.3 <sup>(3)</sup>	<0.1	<0.1	<0.1	<0.1	0.2	<0.1	<0.1	<0.1	<0.1	<0.1	<0.1	<0.1	<0.1
Titanium (Ti)	-	<0.05	<0.05	<0.05	<0.05	<0.05	<0.05	<0.05	<0.05	<0.05	<0.05	<0.05	<0.05	<0.05
Vanadium (V)	0.1	<0.01	<0.01	<0.01	<0.01	<0.01	<0.01	<0.01	<0.01	<0.01	<0.01	<0.01	<0.01	<0.01

(1) Quebec Freshwater Quality Criteria: Contamination Prevention (water and aquatic organisms). Ministry of Sustainable Development, Environment and Parks, Quebec. Updated July 2007.

(2) This criteria applies only to the inorganic form; criteria to be re-evaluated.

(3) For concentrations higher than the criteria, organoleptic or aesthetic properties of potable water could be altered.

100 Concentration equal or higher than Quebec Freshwater Quality Criteria - Contamination Prevention

Table 4.3 Analysis Results for Conventional Parameters

Conventionals	MDDEP <sup>(1)</sup> Criteria	# Samples												
		TSE-01	TSE-02	TSE-03	TSE-04	TKE-01	TKE-02	AQE-01	AQE-02	AQE-03	JO-02	ILE-01	ILE-02	TOE-02
Total Phosphorus	-	<0.01	<0.01	<0.01	<0.01	<0.01	0.15	0.01	<0.01	<0.01	<0.01	<0.01	<0.01	<0.01
Nitrate(N) and Nitrite(N)	10	<0.02	<0.02	<0.02	<0.02	<0.02	<0.02	<0.02	0.06	<0.02	0.02	<0.02	<0.02	<0.02

(1) Quebec Freshwater Quality Criteria; Contamination Prevention (water and aquatic organisms). Ministry of Sustainable Development, Environment and Parks, Quebec. Updated July 2007.

**Appendix 1. Photographs**



Photo 1



Photo 2

## Tasik Sub-area

North Rae Project, Kangiqsualujjuak, Quebec  
Characterization of Water Surface  
P0864 / January 2008

Groupe-conseil Entraco Inc.  
CONFIDENTIAL





Photo 3

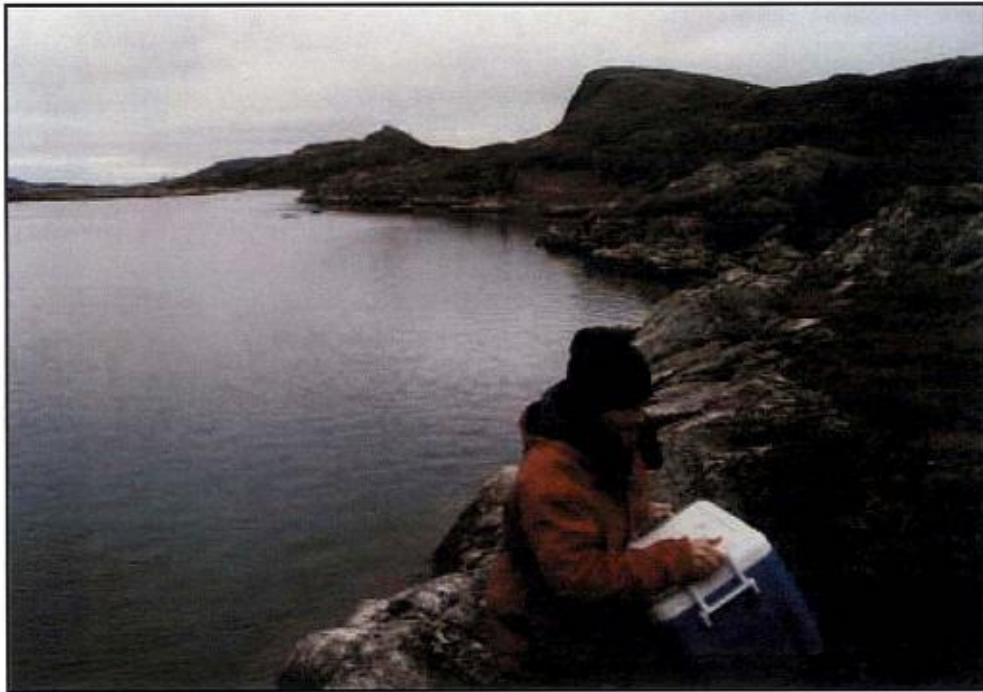


Photo 4

### **Torrent Sub-area**

*North Rae Project, Kangiqsuajuak, Quebec  
Characterization of Water Surface  
P0864 / January 2008*

*Groupe-conseil Entraco Inc.  
CONFIDENTIAL*



Photo 5

## Jonas Sub-area

North Rae Project, Kangiqsuajuak, Quebec  
Characterization of Water Surface  
P0864 / January 2008

Groupe-conseil Entraco Inc.  
CONFIDENTIAL





Photo 6



Photo 7

## **Ilaluga Sub-area**

North Rae Project, Kangiqsualujjuak, Quebec  
Characterization of Water Surface  
P0864 / January 2008

Groupe-conseil Entraco Inc.  
CONFIDENTIAL

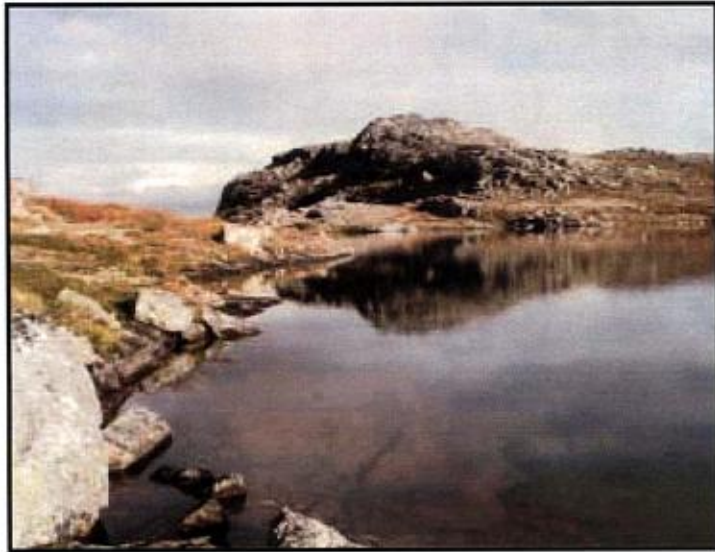


Photo 8



Photo 9



Photo 10

### **Aqpiq Sub-area**

North Rae Project, Kangiqsualujuak, Quebec  
Characterization of Water Surface  
P0864 / January 2008

Groupe-conseil Entraco Inc.  
CONFIDENTIAL



**Appendix 2. Laboratory Certificate**

Votre # du projet: P0864  
Votre # Bordereau: E701577

**Attention: Normand Lalonde**  
GROUPE CONSEIL ENTRACO INC.  
Beaver Hall  
1075, Cote du Beaver Hall  
Bureau 200  
Montréal, PQ  
Canada H2Z 1S5

Date du rapport: 2007/10/25

**CERTIFICAT D'ANALYSES**

**# DE DOSSIER MAXXAM: A739779**

**Reçu: 2007/10/18, 10:00**

Matrice: EAU DE SURFACE  
Nombre d'échantillons reçus: 13

Analyses	Quantité	Date de l' extraction	Date Analyisé	Méthode de laboratoire	Méthode d'analyse
Anions	13	2007/10/18	2007/10/19	STL SOP-00014/1	Chrom. Ionique
Frais de gestion	13	N/A	2007/10/18		
Dureté	13	2007/10/19	2007/10/24	STL SOP-00006/2	ICP
Métaux par ICPMS	13	2007/10/19	2007/10/23	STL SOP-00006/2	ICPMS
Phosphore total	13	2007/10/19	2007/10/19	STL SOP-00002/1	Colorimétrie
Uranium	13	2007/10/19	2007/10/24	STL SOP-00006/2	ICP/MS

clé de cryptage

Veuillez adresser toute question concernant ce certificat d'analyse à votre chargé(e) de projets

NATHALIE MARION, B.Sc., Chargée de projet  
Email: Nathalie.Marion@maxxamalytics.com  
Phone# (514) 448-9001 Ext:252

=====  
Maxxam a mis en place des procédures qui protègent contre l'utilisation malsaine de la signature électronique et emploie les signataires requis selon la section 5.10.2 du guide ISO/IEC 17025:2005(E). Le CCN et l' ACLAE ont tous deux approuvé cette façon de rapporter les résultats ainsi que ce format électronique de rapport.

Veuillez vous référer à la page des signatures de validation pour le détail des validations par département.

Dossier Maxxam: A739779  
Date du rapport: 2007/10/25

GRUPE CONSEIL ENTRACO INC.  
Votre # du projet: P0864  
Nom de projet:  
Initiales du préleveur: IOS

### MÉTAUX (EAU DE SURFACE)

ID Maxxam		D25181	D25181	D25221	D25222	D25223		
Date d'échantillonnage		2007/08/29	2007/08/29	2007/08/29	2007/08/29	2007/08/29		
# Bordereau		E701577	E701577	E701577	E701577	E701577		
	Unités	TSE-01	TSE-01 Dup. de Lab.	TSE-02	TSE-03	TSE-04	LDR	Lot CQ

MÉTAUX								
Aluminium (Al)	mg/L	0.03	0.04	0.05	0.20	0.07	0.03	460601
Calcium (Ca)	mg/L	2	2	1	<1	1	1	460609
Uranium	mg/L	<0.02	<0.02	<0.02	<0.02	<0.02	0.02	460619
Antimoine (Sb)	mg/L	<0.006	<0.006	<0.006	<0.006	<0.006	0.006	460601
Magnésium (Mg)	mg/L	<1	<1	<1	<1	<1	1	460609
Argent (Ag)	mg/L	<0.0003	0.0010	<0.0003	0.0013	<0.0003	0.0003	460601
Dureté (CaCO3)	mg/L	4	4	4	<1	3	1	460609
Arsenic (As)	mg/L	<0.002	<0.002	<0.002	<0.002	<0.002	0.002	460601
Baryum (Ba)	mg/L	<0.03	<0.03	<0.03	<0.03	<0.03	0.03	460601
Cadmium (Cd)	mg/L	<0.001	<0.001	<0.001	<0.001	<0.001	0.001	460601
Chrome (Cr)	mg/L	<0.03	<0.03	<0.03	<0.03	<0.03	0.03	460601
Cobalt (Co)	mg/L	<0.03	<0.03	<0.03	<0.03	<0.03	0.03	460601
Cuivre (Cu)	mg/L	0.005	0.031	<0.003	0.007	<0.003	0.003	460601
Plomb (Pb)	mg/L	<0.001	<0.001	<0.001	<0.001	<0.001	0.001	460601
Manganèse (Mn)	mg/L	<0.003	<0.003	<0.003	<0.003	0.004	0.003	460601
Molybdène (Mo)	mg/L	<0.03	<0.03	<0.03	<0.03	<0.03	0.03	460601
Nickel (Ni)	mg/L	<0.01	<0.01	<0.01	<0.01	<0.01	0.01	460601
Sélénium (Se)	mg/L	<0.001	<0.001	<0.001	<0.001	<0.001	0.001	460601
Sodium (Na)	mg/L	1.4	1.3	1.4	1.5	1.4	0.03	460601
Zinc (Zn)	mg/L	<0.003	0.006	<0.003	0.099	0.019	0.003	460601
Fer (Fe)	mg/L	<0.1	<0.1	<0.1	<0.1	<0.1	0.1	460601
Titane (Ti)	mg/L	<0.05	<0.05	<0.05	<0.05	<0.05	0.05	460601
Vanadium (V)	mg/L	<0.01	<0.01	<0.01	<0.01	<0.01	0.01	460601

LDR = limite de détection rapportée  
Lot CQ = Lot Contrôle Qualité

Dossier Maxxam: A739779  
Date du rapport: 2007/10/25

GRUPE CONSEIL ENTRACO INC.  
Votre # du projet: P0864  
Nom de projet:  
Initiales du préleveur: IOS

**MÉTAUX (EAU DE SURFACE)**

ID Maxxam		D25224	D25225	D25226	D25227	D25228		
Date d'échantillonnage		2007/09/16	2007/09/16	2007/09/18	2007/09/18	2007/09/18		
# Bordereau		E701577	E701577	E701577	E701577	E701577		
	Unités	TKE-01	TKE-02	AQE-01	AQE-02	AQE-03	LDR	Lot CQ

MÉTAUX								
Aluminium (Al)	mg/L	0.34	0.07	<0.03	0.04	0.06	0.03	460601
Calcium (Ca)	mg/L	<1	<1	<1	1	1	1	460609
Uranium	mg/L	<0.02	<0.02	<0.02	<0.02	<0.02	0.02	460619
Antimoine (Sb)	mg/L	<0.006	<0.006	<0.006	<0.006	<0.006	0.006	460601
Magnésium (Mg)	mg/L	<1	<1	<1	<1	<1	1	460609
Argent (Ag)	mg/L	<0.0003	<0.0003	<0.0003	0.0008	0.0004	0.0003	460601
Dureté (CaCO3)	mg/L	<1	<1	<1	3	4	1	460609
Arsenic (As)	mg/L	<0.002	<0.002	<0.002	<0.002	<0.002	0.002	460601
Baryum (Ba)	mg/L	<0.03	<0.03	<0.03	<0.03	<0.03	0.03	460601
Cadmium (Cd)	mg/L	<0.001	<0.001	<0.001	<0.001	<0.001	0.001	460601
Chrome (Cr)	mg/L	<0.03	<0.03	<0.03	<0.03	<0.03	0.03	460601
Cobalt (Co)	mg/L	<0.03	<0.03	<0.03	<0.03	<0.03	0.03	460601
Cuivre (Cu)	mg/L	<0.003	<0.003	<0.003	<0.003	<0.003	0.003	460601
Plomb (Pb)	mg/L	<0.001	<0.001	<0.001	<0.001	<0.001	0.001	460601
Manganèse (Mn)	mg/L	0.005	<0.003	<0.003	<0.003	<0.003	0.003	460601
Molybdène (Mo)	mg/L	<0.03	<0.03	<0.03	<0.03	<0.03	0.03	460601
Nickel (Ni)	mg/L	<0.01	<0.01	<0.01	<0.01	<0.01	0.01	460601
Sélénium (Se)	mg/L	<0.001	<0.001	<0.001	<0.001	<0.001	0.001	460601
Sodium (Na)	mg/L	0.95	0.86	0.94	1.2	1.2	0.03	460601
Zinc (Zn)	mg/L	0.005	0.005	<0.003	<0.003	<0.003	0.003	460601
Fer (Fe)	mg/L	0.2	<0.1	<0.1	<0.1	<0.1	0.1	460601
Titane (Ti)	mg/L	<0.05	<0.05	<0.05	<0.05	<0.05	0.05	460601
Vanadium (V)	mg/L	<0.01	<0.01	<0.01	<0.01	<0.01	0.01	460601

LDR = limite de détection rapportée  
Lot CQ = Lot Contrôle Qualité



Dossier Maxxam: A739779  
Date du rapport: 2007/10/25

GRUPE CONSEIL ENTRACO INC.  
Votre # du projet: P0864  
Nom de projet:  
Initiales du préleveur: IOS

### MÉTAUX (EAU DE SURFACE)

ID Maxxam		D25229	D25230	D25231	D25232		
Date d'échantillonnage		2007/10/05	2007/10/05	2007/10/05	2007/10/05		
# Bordereau		E701577	E701577	E701577	E701577		
	Unités	JO-02	ILE-01	ILE-02	TOE-02	LDR	Lot CQ

MÉTAUX							
Aluminium (Al)	mg/L	0.11	0.04	0.06	<0.03	0.03	460601
Calcium (Ca)	mg/L	<1	<1	<1	<1	1	460609
Uranium	mg/L	<0.02	<0.02	<0.02	<0.02	0.02	460619
Antimoine (Sb)	mg/L	<0.006	<0.006	<0.006	<0.006	0.006	460601
Magnésium (Mg)	mg/L	<1	<1	<1	<1	1	460609
Argent (Ag)	mg/L	0.0006	<0.0003	<0.0003	<0.0003	0.0003	460601
Dureté (CaCO3)	mg/L	<1	<1	<1	<1	1	460609
Arsenic (As)	mg/L	<0.002	<0.002	<0.002	<0.002	0.002	460601
Baryum (Ba)	mg/L	<0.03	<0.03	<0.03	<0.03	0.03	460601
Cadmium (Cd)	mg/L	<0.001	<0.001	<0.001	<0.001	0.001	460601
Chrome (Cr)	mg/L	<0.03	<0.03	<0.03	<0.03	0.03	460601
Cobalt (Co)	mg/L	<0.03	<0.03	<0.03	<0.03	0.03	460601
Cuivre (Cu)	mg/L	<0.003	<0.003	<0.003	<0.003	0.003	460601
Plomb (Pb)	mg/L	<0.001	<0.001	<0.001	<0.001	0.001	460601
Manganèse (Mn)	mg/L	<0.003	<0.003	<0.003	<0.003	0.003	460601
Molybdène (Mo)	mg/L	<0.03	<0.03	<0.03	<0.03	0.03	460601
Nickel (Ni)	mg/L	<0.01	<0.01	<0.01	<0.01	0.01	460601
Sélénium (Se)	mg/L	<0.001	<0.001	<0.001	<0.001	0.001	460601
Sodium (Na)	mg/L	1.0	0.84	1.0	0.90	0.03	460601
Zinc (Zn)	mg/L	<0.003	<0.003	<0.003	0.004	0.003	460601
Fer (Fe)	mg/L	<0.1	<0.1	<0.1	<0.1	0.1	460601
Titane (Ti)	mg/L	<0.05	<0.05	<0.05	<0.05	0.05	460601
Vanadium (V)	mg/L	<0.01	<0.01	<0.01	<0.01	0.01	460601

LDR = limite de détection rapportée  
Lot CQ = Lot Contrôle Qualité

Dossier Maxxam: A739779  
Date du rapport: 2007/10/25

GRUPE CONSEIL ENTRACO INC.  
Votre # du projet: P0864  
Nom de projet:  
Initiales du préleveur: IOS

**PARAMÈTRES CONVENTIONNELS (EAU DE SURFACE)**

ID Maxxam		D25181	D25221	D25221	D25222	D25223		
Date d'échantillonnage		2007/08/29	2007/08/29	2007/08/29	2007/08/29	2007/08/29		
# Bordereau		E701577	E701577	E701577	E701577	E701577		
	Unités	TSE-01	TSE-02	TSE-02 Dup. de Lab.	TSE-03	TSE-04	LDR	Lot CQ

<b>CONVENTIONNELS</b>								
Phosphore total	mg/L	<0.01	<0.01	<0.01	<0.01	<0.01	0.01	460479
Nitrate(N) et Nitrite(N)	mg/L	<0.02	<0.02	N/A	<0.02	<0.02	0.02	460289

N/A = Non applicable  
LDR = limite de détection rapportée  
Lot CQ = Lot Contrôle Qualité

ID Maxxam		D25224	D25225	D25226	D25227	D25228		
Date d'échantillonnage		2007/09/16	2007/09/16	2007/09/18	2007/09/18	2007/09/18		
# Bordereau		E701577	E701577	E701577	E701577	E701577		
	Unités	TKE-01	TKE-02	AQE-01	AQE-02	AQE-03	LDR	Lot CQ

<b>CONVENTIONNELS</b>								
Phosphore total	mg/L	<0.01	0.15	0.01	<0.01	<0.01	0.01	460479
Nitrate(N) et Nitrite(N)	mg/L	<0.02	<0.02	<0.02	0.06	<0.02	0.02	460289

LDR = limite de détection rapportée  
Lot CQ = Lot Contrôle Qualité

ID Maxxam		D25228	D25229	D25230	D25231	D25232		
Date d'échantillonnage		2007/09/18	2007/10/05	2007/10/05	2007/10/05	2007/10/05		
# Bordereau		E701577	E701577	E701577	E701577	E701577		
	Unités	AQE-03 Dup. de Lab.	JO-02	ILE-01	ILE-02	TOE-02	LDR	Lot CQ

<b>CONVENTIONNELS</b>								
Phosphore total	mg/L	N/A	<0.01	<0.01	<0.01	<0.01	0.01	460479
Nitrate(N) et Nitrite(N)	mg/L	<0.02	0.02	<0.02	<0.02	<0.02	0.02	460289

N/A = Non applicable  
LDR = limite de détection rapportée  
Lot CQ = Lot Contrôle Qualité

Dossier Maxxam: A739779  
Date du rapport: 2007/10/25

GRUPE CONSEIL ENTRACO INC.  
Votre # du projet: P0864  
Nom de projet:  
Initiales du préleveur: IOS

#### REMARQUES GÉNÉRALES

État des échantillons à l'arrivée: BON excepté pour

Dureté: Préservatif insuffisant, pH ajusté sur réception au laboratoire.: D25223

Métaux par ICPMS: Préservatif insuffisant, pH ajusté sur réception au laboratoire.: D25181, D25221, D25222, D25223

Uranium: Préservatif insuffisant, pH ajusté sur réception au laboratoire.: D25181, D25221, D25222, D25223

Anions: Délai maximum de conservation dépassé sur réception.: D25181, D25221, D25222, D25223

Dureté: Délai maximum de conservation dépassé sur réception.: D25181, D25221, D25222, D25223

Métaux par ICPMS: Délai maximum de conservation dépassé sur réception.: D25181, D25221, D25222, D25223

Phosphore total: Délai maximum de conservation dépassé sur réception.: D25181, D25221, D25222, D25223

Uranium: Délai maximum de conservation dépassé sur réception.: D25181, D25221, D25222, D25223

#### MÉTAUX (EAU DE SURFACE)

Veillez noter que les résultats n'ont pas été corrigés pour la récupération des échantillons de contrôle de qualité. Veuillez noter que les résultats ont été corrigés pour le blanc.

#### PARAMÈTRES CONVENTIONNELS (EAU DE SURFACE)

Veillez noter que les résultats n'ont pas été corrigés pour la récupération des échantillons de contrôle de qualité. Veuillez noter que les résultats ont été corrigés pour le blanc.

**Les résultats s'appliquent seulement pour les paramètres analysés.**

GRUPE CONSEIL ENTRACO INC.  
Attention: Normand Lalonde  
Votre # du projet: P0864  
P.O. #:  
Nom de projet:

Rapport Assurance Qualité  
Dossier Maxxam: A739779

Lot AQ/CQ Num Init	Type CQ	Paramètre	Date Analysé aaaa/mm/jj	Valeur	Réc	Unités
460289 FS	SPIKE	Nitrate(N) et Nitrite(N)	2007/10/19		103	%
	BLANC	Nitrate(N) et Nitrite(N)	2007/10/19	<0.02		mg/L
460479 JS	ÉTALON CQ	Phosphore total	2007/10/19		100	%
	SPIKE	Phosphore total	2007/10/19		105	%
	BLANC	Phosphore total	2007/10/19	<0.01		mg/L
460601 MM1	SPIKE	Aluminium (Al)	2007/10/23		100	%
		Antimoine (Sb)	2007/10/23		109	%
		Argent (Ag)	2007/10/23		38	%
		Arsenic (As)	2007/10/23		118	%
		Baryum (Ba)	2007/10/23		113	%
		Cadmium (Cd)	2007/10/23		110	%
		Chrome (Cr)	2007/10/23		91	%
		Cobalt (Co)	2007/10/23		117	%
		Cuivre (Cu)	2007/10/23		109	%
		Plomb (Pb)	2007/10/23		91	%
		Manganèse (Mn)	2007/10/23		115	%
		Molybdène (Mo)	2007/10/23		104	%
		Nickel (Ni)	2007/10/23		111	%
		Sélénium (Se)	2007/10/23		112	%
		Sodium (Na)	2007/10/23		110	%
		Zinc (Zn)	2007/10/23		107	%
		Fer (Fe)	2007/10/23		114	%
		Titane (Ti)	2007/10/23		103	%
		Vanadium (V)	2007/10/23		114	%
	BLANC	Aluminium (Al)	2007/10/23	<0.03		mg/L
		Antimoine (Sb)	2007/10/23	<0.006		mg/L
		Argent (Ag)	2007/10/23	<0.0003		mg/L
		Arsenic (As)	2007/10/23	<0.002		mg/L
		Baryum (Ba)	2007/10/23	<0.03		mg/L
		Cadmium (Cd)	2007/10/23	<0.001		mg/L
		Chrome (Cr)	2007/10/23	<0.03		mg/L
		Cobalt (Co)	2007/10/23	<0.03		mg/L
		Cuivre (Cu)	2007/10/23	0.005, LDR=0.003		mg/L
		Plomb (Pb)	2007/10/23	0.005, LDR=0.001		mg/L
		Manganèse (Mn)	2007/10/23	<0.003		mg/L
		Molybdène (Mo)	2007/10/23	<0.03		mg/L
		Nickel (Ni)	2007/10/23	<0.01		mg/L
		Sélénium (Se)	2007/10/23	<0.001		mg/L
		Sodium (Na)	2007/10/23	<0.03		mg/L
		Zinc (Zn)	2007/10/23	<0.003		mg/L
		Fer (Fe)	2007/10/23	<0.1		mg/L
		Titane (Ti)	2007/10/23	<0.05		mg/L
		Vanadium (V)	2007/10/23	<0.01		mg/L
460609 MM1	BLANC	Calcium (Ca)	2007/10/24	<1		mg/L
		Magnésium (Mg)	2007/10/24	<1		mg/L
		Dureté (CaCO3)	2007/10/24	<1		mg/L
460619 MM1	SPIKE	Uranium	2007/10/24		115	%
	BLANC	Uranium	2007/10/24	<0.02		mg/L

LDR = limite de détection rapportée  
Étalon CQ = Étalon Contrôle Qualité  
SPIKE = Blanc fortifié  
Réc = Récupération





**Page des signatures de validation**

**Dossier Maxxam: A739779**

---

Les résultats analytiques ainsi que les données de contrôle-qualité contenus dans ce rapport furent vérifiés et validés par les personnes suivantes:

  
  
\_\_\_\_\_  
DELIA BARBÙ,

  
  
\_\_\_\_\_  
MARCELLO MANOCCHIO, B.Sc., chimiste,

---

Maxxam a mis en place des procédures qui protègent contre l'utilisation malsaine de la signature électronique et emploie les signataires requis selon la section 5.10.2 du guide ISO/IEC 17025:2005(E). Le CCN et l' ACLAE ont tous deux approuvé cette façon de rapporter les résultats ainsi que ce format électronique de rapport.



**Maxxam**  
Analytique Inc

889 Montée de Liesse, Saint-Laurent (Québec) H4T 1P5  
 3780 Rue Panet, Saguenay (Québec) G7X 0E5

Téléphone : (514) 448-9001    Télécopieur : (514) 448-9199  
Téléphone : (418) 542-9071    Télécopieur : (418) 542-9652  
www.maxxamanalytiques.com

Bordereau de transmission d'échantillons

Page 2 de 2  
E-701578

Fax sent by : 514 95 48818

ENTRACO

18-18-87 08:12

Pg : 1

<b>Info. Facturation</b> Compagnie : <u>ENTRACO</u> Adresse : <u>1015 BOUVER HALL</u> <u>#200 MTQ H2Z 1S5</u> Attention de : <u>Louis P. Rivest</u> Téléphone : <u>514 914 3300 ext 235</u> Télécopieur : <u>514 914 0319</u> Échantillonneur :		<b>Info. Rapport (si différent de Facturation)</b> Compagnie : Adresse : Attention de : Téléphone : Télécopieur : Échantillonneur :		No. de commande : No. de cotation :		Projet / Site : No. de projet : <u>P. 0864</u>	
Identification de l'échantillon (point de prélèvement) <u>ILC-01</u> <u>ILC-02</u> <u>T05-02</u>		Échantillon Sol Type Autre <u>SW</u> <u>SW</u> <u>SW</u>		Prélèvement (date / heure) <u>05-10-07</u> <u>05-10-07</u> <u>05-10-07</u>		à filtrer <input type="checkbox"/> Oui <input type="checkbox"/> Non	
Légende : ** Métaux 13 éléments (Ag, As, Ba, Cd, Co, Cr, Cu, Sn, Mn, Mo, Ni, Pb, Zn) *** Métaux 16 éléments (Al, Sb, Ag, As, Ba, Cd, Cr, Co, Cu, Mn, Mo, Ni, Pb, Se, Na, Zn)		Types d'eau : S = Souterraine P = Potable DL = Déchet liquide Sur = Surface E = Eau usée C = Captage		Délais : <input type="checkbox"/> 24h <input type="checkbox"/> 48h <input type="checkbox"/> 72h <input checked="" type="checkbox"/> Régulier <input type="checkbox"/> Date :		Condition générale à la réception :	
Normes/Réglement Applicables : (À remplir)		Chaîne de responsabilité		A moins d'être clairement identifié, tout échantillon d'eau reçu chez Maxxam sera considéré comme non-potable et ne sera pas soumis aux exigences du règlement sur la qualité de l'eau potable.		Remarques :	
Déclassé par :		Date :		Heure :		Reçu par :	
Déclassé par :		Date :		Heure :		Reçu par :	
Nombre de glacières :		Température de réception :		Transport des échantillons : <input checked="" type="checkbox"/> Par client <input type="checkbox"/> Personnel MAXXAM <input type="checkbox"/> Courrier (spécifier) :		Remarques :	

VERDECOFORNIC - Saint-Laurent - 0106    BLANC : MAXXAM ANALYTIQUE INC    BLEU : FACTURATION    JAUNE : RETOURNER AU CLIENT AVEC RAPPORT FINAL    ROSE : CLIENT

URANIUM EXPLORATION CAMPAIGN, SUMMER 2007  
NORTH RAE PROJECT

APPENDIX 9  
ORE PETROGRAPHY

Table 1 : IOS report  
Table 2 : SGS report  
Table 3 : P. Tremblay B.Sc. Thesis



DESCRIPTIONS PÉTROGRAPHIQUES  
DE DIX-HUIT ÉCHANTILLONS DE GRANITOÏDE

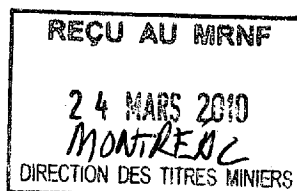
PROJET NORTH RAE

présenté à  
M. Bertrand TAQUET, GÉOLOGUE  
NWT URANIUM CORP

par  
Lucie TREMBLAY, Géologue  
IOS Services Géoscientifiques Inc.

Votre numéro de projet:  
Notre numéro de projet: 592

Chicoutimi



21 mai 2009

1010536

DESCRIPTIONS PÉTROGRAPHIQUES DE DIX-HUIT ÉCHANTILLONS DE  
GRANITOÏDE  
PROJET NORTH RAE

SOMMAIRE

Une série de dix-huit échantillons de roche a été soumise à notre attention pour une étude pétrographique. Ces échantillons ont été collectés par les géologues de terrain lors de la campagne de prospection en juillet 2006 (*figure 1, tableau 1*). Le but de l'étude vise à caractériser les principaux lithofaciès et la minéralisation uranifère qu'ils contiennent.


Dix huit lames minces polies ont été fabriquées et examinées. La description mésoscopique s'est faite à partir des petits fragments restant après la confection de la lame mince, lesquels ne permettent qu'une vue partielle de la roche.

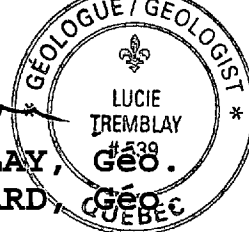
Lors de l'examen pétrographique, une attention particulière a été portée à l'examen du cortège de minéraux accessoires. Il n'a pas toujours été possible d'identifier avec certitude ces minéraux. Un examen au microscope électronique aurait été requis.

Un examen à la microsonde électronique a été effectué sur trois sections (295564, 295637, 295698). Des images en rétrodiffusion ont été produites, sur lesquelles la distribution de l'uraninite et ses altérations internes sont bien visibles. Une série d'analyse des minéraux a été effectuée, fournie au *tableau 2*.

On note de nombreuses divergences dans les noms des faciès décrits sur le terrain et en microscopie. Celles-ci tiennent au fait que les noms de terrain reposent généralement sur une texture qui n'est visible qu'en affleurement, tandis que l'identification microscopique permet de quantifier les proportions minérales selon la classification de Streickeisen, impossible à l'examen de l'affleurement.

La synthèse entre les observations microscopiques et la composition chimique n'a pas été effectuée dans le détail.

  
Lucie TREMBLAY, GÉO.  
Révisé par Réjean GIRARD, GÉO. QUÉBEC



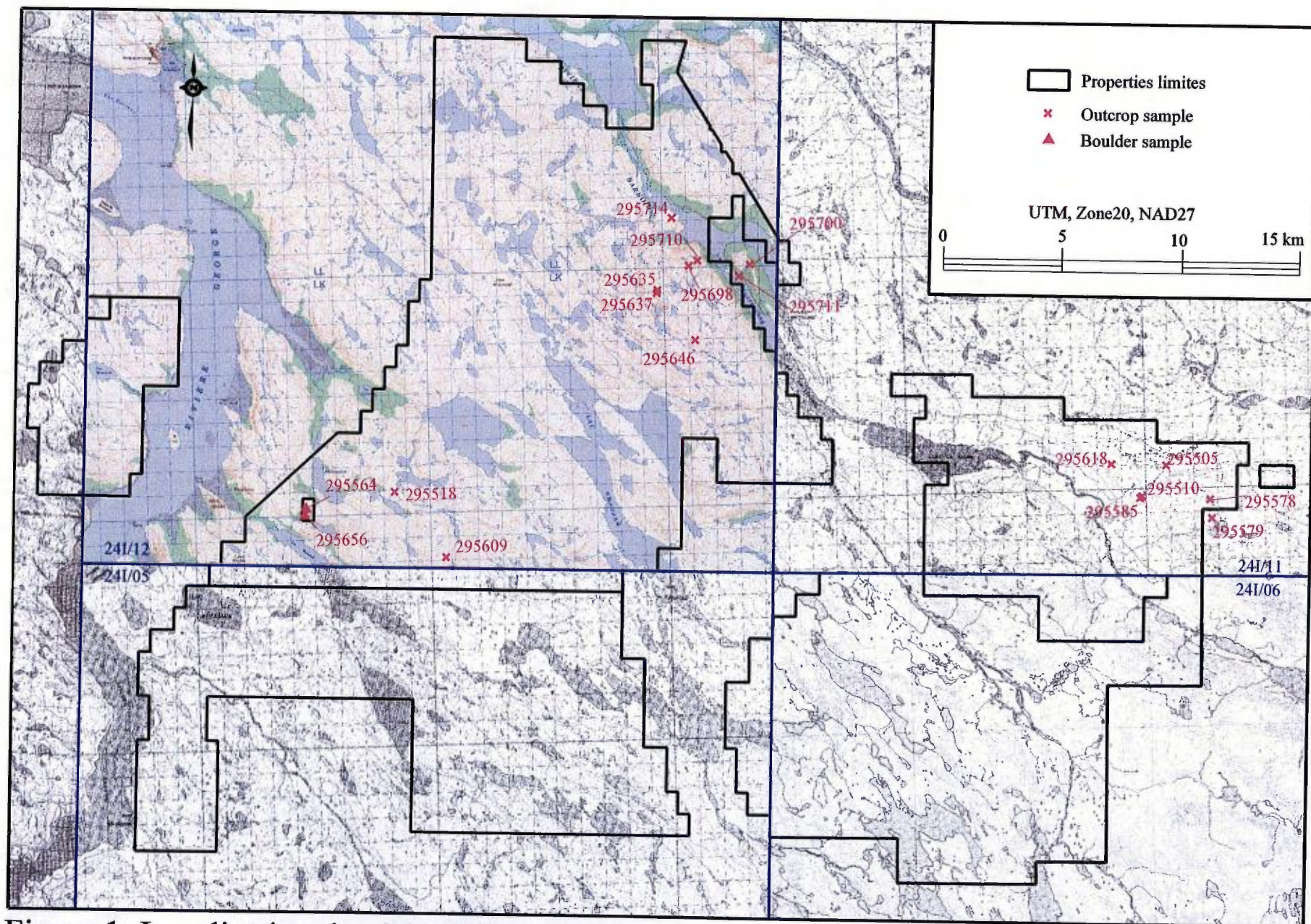


Figure 1: Localisation des échantillons



Échantillon	Affleurement	Géologue	Date	UTMX	UTMY	Mét. Localisation	CPS moyen	CPS max	CPS bk	Spectro	Bloc/Aff	Taille	Lithofacies	Minéraux
295505	1038	OG	20-juil-06	370893	6490938	GPS	300	350		2	AFF	10m2	I1B	BO10%, PY2%
295510	1043	OG	20-juil-06	369871	6489666	GPS	2000-4000	4500		2	AFF	0,5m	I1G	QZ, FK, sulfure?
295518	1050	OG	21-juil-06	338458	6490700	GPS		5200	100	2	AFF	0,1m	I1G	BO,AL
295564	5920003	RG	12-juil-06	334642	6490004	Estimé	2700		200	1	Bloc	1m, ang	QTZ	
295578	5920013	RG	13-juil-06	372710	6489470	GPS			60		AFF		M12	
295579	5920015	RG	13-juil-06	372767	6488685	GPS			130		AFF		M4	BO, MV, GR, SL?
295585	5920023	RG	13-juil-06	369779	6489598	GPS	10400			1	AFF	0,5x1 m.	I1G	QZ+
295609	1008	OG	12-juil-06	340592	6487898	GPS	5000-6000	9500	90-100	2	AFF	3-4m3	I1A	BO
295618	1014	OG	13-juil-06	368613	6491044	GPS		300		2	AFF	continu	M4	
295635	1025	OG	17-juil-06	349724	6498849	GPS	200	500	100	2	AFF	20m2	I1G	FK, MG
295637	1026	OG	17-juil-06	349695	6498723	GPS	350-400	3700	100	2	AFF	idem précédent	I1G	FK, MG
295646	1033	OG	38916	351253	6496717	GPS	500-600	2300		2	AFF	200m2	I1G	BO, MG, MO?
295656	5922006	JL	11-juil-06	334664	6489757	GPS	900	1480		3	Bloc	1 m2 x 0,3 m	M4 (Koroc)	HB
295698	5922107	JL	20-juil-06	351063	6499834	GPS	400-2000	29600		1	AFF	5-10 x 20 m	I1G(M5)	(BO)
295700	5922114	JL	21-juil-06	353630	6499821	GPS	400-1000	5500		uranimètre	AFF	M-A	I1G	BO
295710	5920060	RG	21-juil-06	351432	6500053	GPS			70	1	AFF		V3B	CL, AM, EP
295711	5920061	RG	21-juil-06	353155	6499339	GPS			170	1	AFF		M10	MV, BO
295714	5920065	RG	21-juil-06	350393	6501862	GPS	4000	9200	200	1	AFF	5 m.	I1B	PJ



Échantillon	Altération	Texture	Encaissant	Métam.	Commentaires
295505		GM, GS			granite a feldspath vert (dyke de dimension metrique?)
295510					
295518	OF	GG	M3		poche riche en allanite dans pegmatite
295564		VN	M4,Si+,Ru,Gm		Décharge du lac anomal
295578		MA, LT, GM	M16		Lame Mince
295579		Nodulaire, PQ, LN	M12		Lame Mince
295585		FR	I1B		Enrichissement le long de la fracture
295609	HEM+	GM	M5		
295618		GS, GM			M4 anomal forme la crête (50-100 m large)
295635		GG	M4,GS,RU		dyke pegmatite 30m/100m N120°
295637	HEM	GG	M4,GS,RU		même anomalie que précédemment
295646	HEM	GG	M4		Grand dyke de pegmatite anomal (300-400 cps), 50m large x 500m long, direction N120° , enrichissements locaux (500-1000 cps)
295656		GM, RU		AM	8% PO, MS, etc... Diss to s-mass.
295698	jaunâtre à orangé (U), épidotitisation des FP	GG-(GM), (RU)		AMS	Anomalie 318° de direction, 12 x 0.5-1 m >10000 cps, T10: K215, U65, T0.
295700		GG, 3% pcAL (MM-µM, halos radioactif)	M10(S1C)	AM	
295710		FO,MA		SVS	Métabasalte très frais
295711					
295714	Rose	FO,FR			PRODUIT JAUNE DANS LES FRACTURES

TABLE 2 : MICROPROBE ANALYSIS

Analyse Quantitative CAMECA  
 Laboratoire de Microanalyse - Université Laval  
 Label : Urani  
 Wed Aug 30 14:15:57 2006  
 Stoi Analysis  
 Compound Percents

	U2O3	ThO2	Y2O3	FeO	PbO	SiO2	Al2O3	Total
295637 C2 A1	71,933	0,116	0,955	1,333	2,639	2,343	0,057	79,376
295637 C2 A2	69,051	5,444	4,170	1,083	11,491	0,965	0,132	92,337
295637 C2 A3	68,282	0,003	1,036	0,040	3,133	15,510	0,622	88,626
295637 C3A1	66,094	6,375	3,969	0,000	18,375	0,043	0,000	94,855
295637 C3A2	67,850	7,045	3,034	0,000	19,156	0,066	0,008	97,160
295637 C3A3	44,560	22,749	1,653	0,000	9,604	7,098	0,607	86,273
295637 C4A1	66,539	8,483	2,377	0,000	18,901	0,167	0,000	96,468
295637 C4A2	65,031	9,623	2,511	0,000	18,593	0,349	0,000	96,106
295637 C4A3	43,451	21,907	1,562	0,229	9,388	7,505	0,316	84,357
295637 C5A1	10,879	63,761	1,957	2,025	0,076	14,671	0,563	93,934
295637 C5A2	7,353	63,947	0,938	3,224	0,787	14,308	1,062	91,620
295637 C5A3	20,101	47,348	0,973	0,235	0,867	17,919	0,518	87,962
295637 C5A4	6,219	71,000	0,881	4,082	0,386	15,495	0,741	98,805
295698 C1A1	68,449	9,798	1,706	0,000	16,012	0,389	0,064	96,419
295698 C1A2	18,144	47,120	1,187	0,023	4,893	15,965	1,555	88,889
295698 C1A3	24,719	39,400	0,899	0,060	5,745	16,652	1,215	88,691
295698 C1A4	35,741	28,917	2,747	0,837	12,798	6,358	0,960	88,360
295698 C2A1	52,740	20,704	2,295	0,069	13,102	3,647	1,054	93,614
295698 C2A2	18,206	34,295	2,542	0,823	9,094	13,497	3,524	81,983
295698 C3A1	67,320	10,152	1,604	0,000	17,634	0,406	0,113	97,230
295698 C3A2	23,203	43,456	1,144	0,000	1,691	18,257	1,580	89,332
295698 C3A3	67,701	9,876	1,624	0,033	17,717	0,329	0,059	97,339
295698 C3A4	69,660	8,276	2,165	0,012	17,198	0,231	0,055	97,598
295698 C4A	0,000	0,046	0,020	0,064	0,498	0,030	0,028	0,686
295698 C4B	66,577	10,324	1,759	0,051	17,505	0,466	0,076	96,759
295564 C1A1	18,937	33,078	0,048	2,457	1,389	6,694	1,017	63,620
295564 C1A2	6,519	71,204	0,926	1,796	0,178	13,283	0,412	94,319

DESCRIPTIONS PÉTROGRAPHIQUES DE DIX-HUIT ÉCHANTILLONS DE  
GRANITOÏDE  
PROJET NORTH RAE

ÉCHANTILLON: 295505

TENEUR : 0.003 %U<sub>3</sub>O<sub>8</sub>, 28 ppm Th

NOM DE TERRAIN : GRANITE À FELDSPATH VERT avec 10% BO et 2%SF

LITHOFACIÈS: Syénogranite  
LITHODÈME: Granite de La Ralde

DESCRIPTION MÉSCOSCOPIQUE

L'échantillon est un petit fragment de roche leucocrate de teinte gris pâle verdâtre à grains moyens parsemé de biotite alignée. La roche est disséminée en pyrrhotite.

MINÉRALOGIE

MINÉRAL	%	TAILLE	TEXTURE
Plagioclase	45	≤3mm	Xénomorphe granulaire
Feldspath ind.	20	1-4mm	Xénomorphe granulaire, perthit.
Quartz	20	≤2.5mm	Amas intergranulaire folié
Microcline	10	≤3mm	Xénomorphe, intergranulaire à gra.
Biotite	2.5	≤0.4mm	Paillettes orientées
Chlorite	0.5	≤0.4mm	Après biotite
Titanite	tr	≤0.25mm	Granulaire automorphe
Clinozoïsite	tr	≤0.2mm	Granulaire xénomorphe
Muscovite	tr		Paillettes sur plagioclase
Allanite	tr	≤0.1mm	Granulaire dans Biotite
Malacon?	tr	≤0.4mm	Granulaire automorphe altéré
Pyrrhotite	2	≤1.8mm	Plage intergranulaire et inclusion
Marcassite	0.5		Après PO
Chalcopyrite	tr	≤0.05mm	Mutuelle à PO
Pyrite	tr		Xénomorphe, halo autour de 'malacon' et dans fissure

MINÉRAGRAPHIE

URANOTHORITE

Non-observée.

PYRRHOTITE

La pyrrhotite est la phase sulfurée la plus abondante. Elle est présente en plage intergranulaire aux silicates et en gouttelettes dans ces derniers. Elle est en contact mutuel à la chalcopyrite. Elle est partiellement altérée en marcassite et en hydroxydes de fer.

DESCRIPTIONS PÉTROGRAPHIQUES DE DIX-HUIT ÉCHANTILLONS DE  
GRANITOÏDE  
PROJET NORTH RAE

**CHALCOPYRITE**

La chalcopryrite est en trace, en contact mutuel à la pyrrhotite.

**PYRITE**

La pyrite est observée xénomorphe en halo autour des grains suspectés être du zircon métamicté (ou malacon) ainsi que dans les fissures à proximité.

**ZIRCON?**

Des traces d'une phase suspectée être du zircon altéré (métamicté) est observé en grains dispersés. Des fractures radiales sont présentes en bordure d'un des grains. Cette phase est remplacée par un feutre brun jaune et bordé localement par un halo de pyrite.

**SOMMAIRE DES OBSERVATIONS**

Cette roche est un monzo ou syénogranite, à texture xénomorphe hétérogranulaire à grains moyens légèrement foliée. Elle est composée en ordre d'abondance de plagioclases, de quartz et de feldspaths microperthitiques et de microcline avec un peu de biotite et de sulfures. Des traces de titanite, allanite, zircon altéré, épidote sont présents en minéraux accessoires.

Les plagioclases sont xénomorphes à subautomorphes granulaires. Ils sont troubles, et faiblement altérés en séricite. Les feldspaths microperthitiques sont en grains xénomorphes, non maclés, limpides et contiennent de fines exsolutions dispersées et mal définies. Ils contiennent localement des inclusions de plagioclases et de myrmékites. La microcline est xénomorphe granulaire à intergranulaire et limpide. Les myrmékites sont relativement abondantes. Le quartz est intergranulaire xénomorphe et forme des amas en rubans allongés selon une orientation préférentielle définissant une foliation. Les grains sont déformés et les bordures sont dentelées suggérant un début de recristallisation.

La biotite se présente en paillettes intergranulaires dispersées et en amas allongés selon la foliation. Elle est partiellement altérée en chlorite.



DESCRIPTIONS PÉTROGRAPHIQUES DE DIX-HUIT ÉCHANTILLONS DE  
GRANITOÏDE  
PROJET NORTH RAE

L'allanite est observée en trace en association ou en inclusion dans la biotite. Elle est bordée par un halo pléochroïque.

Des traces d'une phase suspectée être du zircon métamicté sont observées en grains dispersés, localement bordées de fractures radiales.

Les sulfures sont relativement abondants (2%), largement dominés par la pyrrhotite. Celle-ci est associée à des traces de chalcopryrite, en plages intergranulaires et en inclusions ou en gouttelettes dans les silicates. Elle est partiellement altérée en marcassite et hydroxydes de fer. De la pyrite xénomorphe est observée en halo d'altération autour des grains subarrondis de malacon.

DESCRIPTIONS PÉTROGRAPHIQUES DE DIX-HUIT ÉCHANTILLONS DE  
GRANITOÏDE  
PROJET NORTH RAE

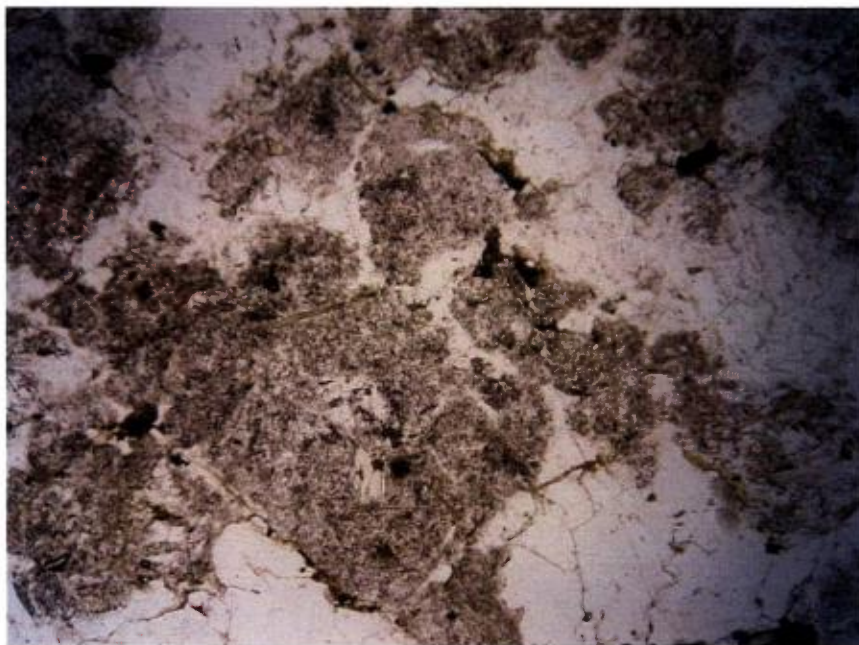


Photo 1 : Vue générale de la section montrant les plagioclases troubles et les quartz/orthose limpides avec une texture granulaire (LP<sup>1</sup>, cdv<sup>2</sup> : 2,8mm).

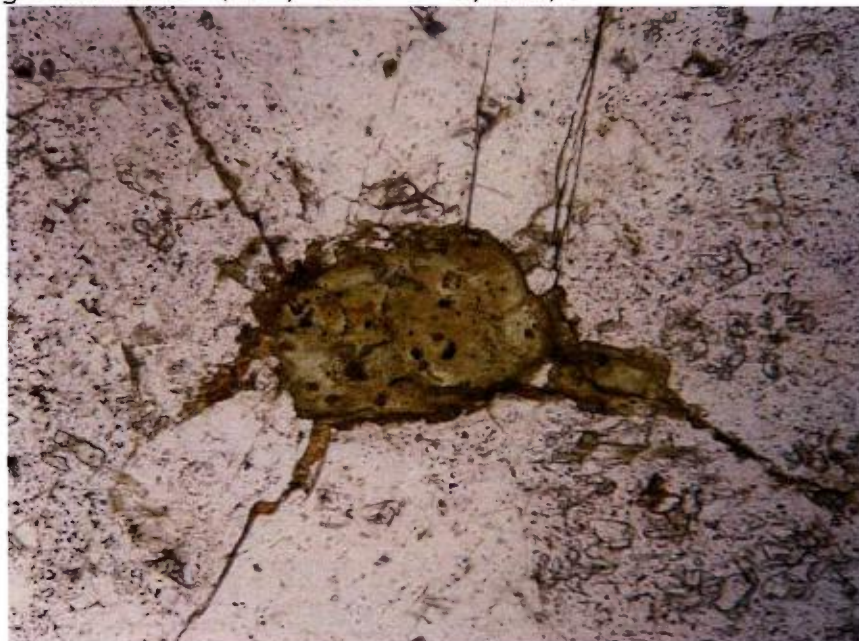


Photo 2 : Vue d'un petit pseudocristal altéré, possiblement un zircon métamicté. Notez les fractures radiales (LP, cdv 0,7 mm).

<sup>1</sup> LP: Lumière polarisée, mais non analysée.

<sup>2</sup> Cdv: Champ de vision ou largeur de la photo.

DESCRIPTIONS PÉTROGRAPHIQUES DE DIX-HUIT ÉCHANTILLONS DE  
GRANITOÏDE  
PROJET NORTH RAE

ÉCHANTILLON: 295510

TENEUR : 0.071 %U<sub>3</sub>O<sub>8</sub>, 141 ppm Th

NOM DE TERRAIN : PEGMATITE

LITHOFACIÈS : PEGMATITE QUARTZOLITIQUE  
LITHODÈME: Granite de LaRalde

DESCRIPTION MÉSCOSCOPIQUE : N/D

MINÉRALOGIE

MINÉRAL	%	TAILLE	TEXTURE
Quartz	79	.03-4mm	Xénomorphe, mylonitisé
Feld. Perth.	18	≤12mm	Xénomorphe granulaire
Plagioclase	8	≤8mm	Xénomorphe granulaire
Microcline	2		Intergranulaire
Apatite?	3	0.28mm	Granulaire xénomorphe
Cavité	1	0.3-0.8mm	Automorphe
Epidote?	tr		Xénomorphe
Molybdénite	tr	≤0.5mm	Paillette

MINÉRAGRAPHIE

MOLYBDÉNITE

La molybdénite est présente en traces dispersées sous forme de paillettes.

CAVITÉ

Des cavités de forme automorphe d'aspect cubique sont notées, bordées par un halo jaunâtre possiblement argileux. Certains de ces cristaux sont remplis d'une phase jaune à brunâtre à aspect argileux. Ces reliques de cristaux sont associées à des fractures radiales qui suggèrent des phases ayant prises de l'expansion. Ce sont possiblement des reliques d'allanite.

SOMMAIRE DES OBSERVATIONS

Cette roche est une pegmatite constituée de quartz, de plagioclases, de feldspaths perthitiques avec un peu de microcline. Des cavités de forme automorphe (allanite?)



DESCRIPTIONS PÉTROGRAPHIQUES DE DIX-HUIT ÉCHANTILLONS DE  
GRANITOÏDE

PROJET NORTH RAE

associées à la fracturation sont présentes de même que des traces de molybdénite.

Le quartz est très abondant dans la section, en plage polycristalline xénomorphe à extinction ondulante et aux bordures dentelées avec un début de recristallisation suggérant qu'il a subi une mylonitisation. Les feldspaths perthitiques sont en grains grossiers xénomorphes avec inclusions de plagioclases. Il contient également quelques inclusions de feldspath maclé Carlsbad. Le plagioclase est faiblement altéré et à aspect trouble. Son réseau de macle est légèrement déformé. La microcline est observée localement intergranulaire aux feldspaths.

Les cavités de forme automorphe cubique sont bordées par un halo jaunâtre possiblement argileux. Les fractures radiales suggèrent des phases ayant prises de l'expansion, possiblement des reliques d'allanite.

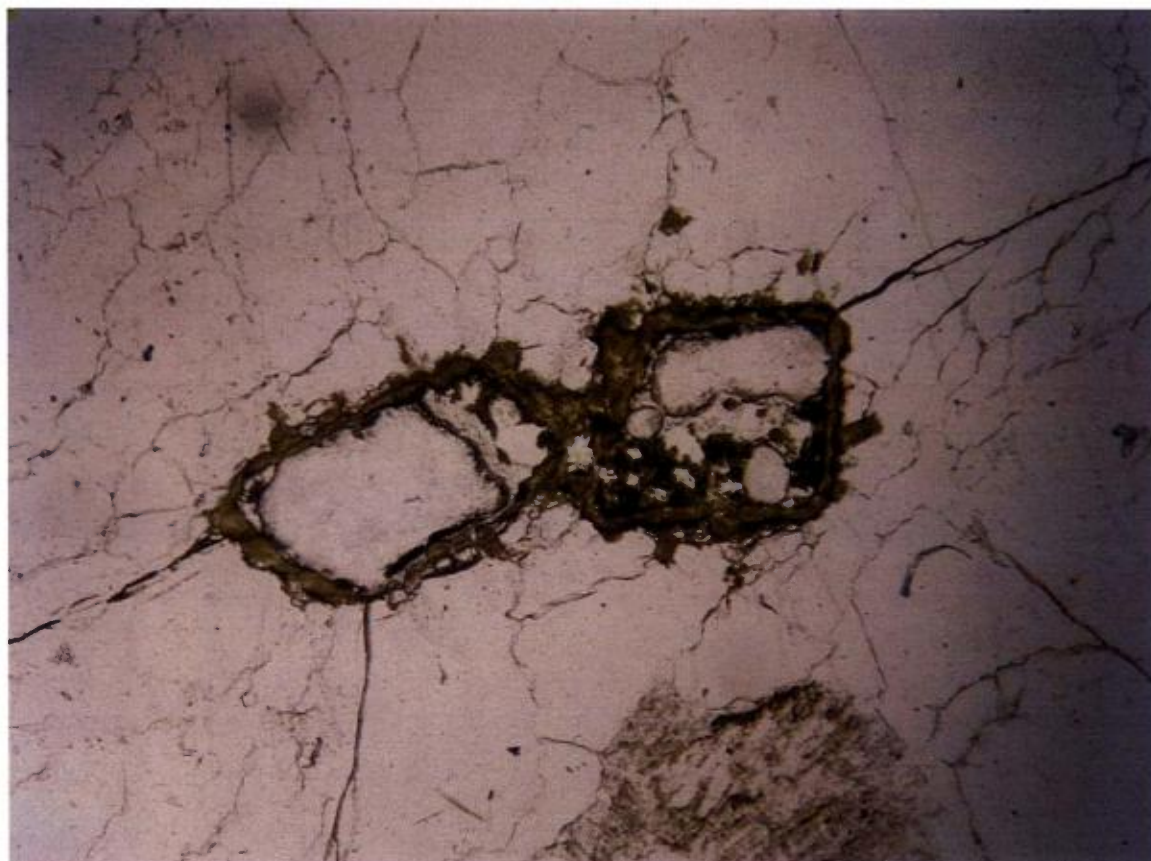


Photo 3 : Vue d'une petite cavité de forme cubique bordée de fractures radiales et d'un liséré argileux. Cette phase est suspectée avoir été de l'allanite (LP, cdv : 2,8 mm).



DESCRIPTIONS PÉTROGRAPHIQUES DE DIX-HUIT ÉCHANTILLONS DE  
GRANITOÏDE  
PROJET NORTH RAE

ÉCHANTILLON: 295518

TENEUR : 0.127 %U<sub>3</sub>O<sub>8</sub>, 8540 ppm Th

NOM DE TERRAIN : PEGMATITE DANS UN ORTHOGNEISS AVEC BIOTITE  
ET ALLANITE ET ALTÉRATION EN OXYDES DE FER.

LITHOFACIÈS : PEGMATITE À ALLANITE-APATITE-MAGNÉTITE,  
LITHODÈME: Complexe de Baudan

### DESCRIPTION MÉSCOSCOPIQUE

La roche est de teinte rosée à grains grossiers comprenant de gros cristaux prismatiques d'allanite de teinte noire et de magnétite dans une matrice feldspathique rosée et de quartz à grains grossiers. La roche réagit à l'aimant à main.

### MINÉRALOGIE

MINÉRAL	%	TAILLE	TEXTURE
Allanite	30 <sup>3</sup>	1-11mm	Prismatique
Apatite	8	0.5-2mm	Subautomorphe
Plagioclase	78	5-25mm	Poecilitique intergranulaire
Microcline	2	1mm	Intergranulaire
Clinozoïsite	tr		Bordure d'allanite
Titanite	tr	0.2mm	Avec MG
Biotite	tr	0.2mm	Inclusion dans PL et AP
Chlorite	tr	0.5mm	Agrégat feutré sur FP
Muscovite	tr	0.2mm	Bordure de MG
Magnétite	7	11mm	Intergranulaire xénomorphe
Hématite	0.5	1.0mm	Après Magnétite

### MINÉRAGRAPHIE

#### MAGNÉTITE

La magnétite est xénomorphe intergranulaire, en grains ou plages millimétriques. Elle contient des inclusions d'apatite. Elle est partiellement altérée par l'hématite.

#### HÉMATITE

L'hématite remplace la magnétite, formant de grosses

---

<sup>3</sup> Tel que visible sur la section, mais ne représente certainement pas l'ensemble de la section.

DESCRIPTIONS PÉTROGRAPHIQUES DE DIX-HUIT ÉCHANTILLONS DE  
GRANITOÏDE  
PROJET NORTH RAE

lamelles et en minces filonnets le long du réseau de fracturation.

### SOMMAIRE DES OBSERVATIONS

Cet échantillon représente un horizon de pegmatite riche en allanite. Il est constitué en ordre d'abondance de plagioclases, allanite, apatite, magnétite, quartz, microcline avec des traces de biotite, clinozoïsite et de titanite.

L'allanite est en prisme automorphe de taille millimétrique. Elle est isotrope et bordée par un halo d'altération de teinte jaunâtre. Cette altération affecte le cœur d'une minorité de grain associée à une porosité secondaire. Elle est intergranulaire ou en inclusion dans l'apatite et localement en inclusion dans le plagioclase. Elle est localement bordée par une bande de clinozoïsite. Elle est affectée par une fissuration. L'abondance de l'allanite se reflète par la forte teneur en thorium.

L'apatite (6,17%  $P_2O_5$ ) est en grains et amas granulaires subarrondis. Elle est localement en inclusion dans l'allanite (0,67% Lanthane) et dans la magnétite.

Le plagioclase est xénomorphe en plage intergranulaire et poecilitique. Il est finement maclé avec un réseau de macles légèrement déformé. Il semble localement contenir de fines exsolutions. Il est affecté par l'hématisation qui confère des taches roses à la roche. La microcline est intergranulaire aux plagioclases.

Des traces de biotite verte sont présentes localement, en paillettes dans le plagioclase ou dans l'apatite. La titanite est associée à la magnétite. La chlorite (pennine) est observée en amas feutrés sur le plagioclase. La muscovite est présente en paillettes perpendiculaires à la magnétite.

La roche est traversée par un dense réseau de fissuration parallèle, lequel affecte particulièrement le plagioclase et l'apatite à proximité des grains d'allanite. Ces fissures sont associées à l'allanite.

L'uraninite n'a pas été observée. Les fortes teneurs en uranium et thorium semblent attribuables à l'abondance de l'allanite.

DESCRIPTIONS PÉTROGRAPHIQUES DE DIX-HUIT ÉCHANTILLONS DE  
GRANITOÏDE  
PROJET NORTH RAE

ÉCHANTILLON: 295564

TENEUR : 0.011 %U<sub>3</sub>O<sub>8</sub>, 437ppm Th

NOM DE TERRAIN : VEINE DE QUARTZ

LITHOFACIÈS : PEGMATITE QUARTZOLITIQUE

LITHODÈME: Complexe de Baudan, possiblement un lambeau de  
Lake Harbour. Près de l'occurrence de Tasialuk

### DESCRIPTION MÉSCOSCOPIQUE

La roche est leucocrate de teinte gris pâle, à grains moyens à grossiers et à structure foliée. Elle est constituée d'amas de quartz principalement accompagnés de feldspaths et de biotite en paillettes dispersées et orientées avec des traces de sulfures.

### MINÉRALOGIE

MINÉRAL	%	TAILLE	TEXTURE
Quartz	85	≤2mm	Xénomorphe, ext. ondulante
Biotite	5	≤1mm	Intergranulaire, dans fracture
Microcline	4	≤2mm	Granulaire
Feld. pert.	3	≤4mm	Granulaire
Plagioclase	2	≤2mm	Granulaire
Malacon	0.5	≤0.2mm	Automorphe, zoné
Muscovite	tr	≤0.4mm	Sur plagioclase
Molybdénite	tr	≤0.6mm	Paillette
Pyrite	0.2	≤0.4mm	Xénomorphe
Indéterminé	tr	0.1mm	Xénomorphe
Rutile	tr	≤1mm	Agrégat intergranulaire
Thorite	tr		Xénomorphe

### MINÉRAGRAPHIE

#### MOLYBDÉNITE

La molybdénite est en traces dispersées, en fines paillettes.

#### PYRITE

La pyrite est xénomorphe, intergranulaire et semble surtout associée aux plages de feldspaths microgrenues. Elle est localement associée au rutile et est localement interfoliée dans la biotite.

DESCRIPTIONS PÉTROGRAPHIQUES DE DIX-HUIT ÉCHANTILLONS DE  
GRANITOÏDE  
PROJET NORTH RAE

**RUTILE**

Le rutile forme de petit amas microgrenus intergranulaires.

**INDÉTERMINÉ**

Une phase indéterminée est présente, xénomorphe à texture lamellaire avec une anisotropie forte.

**THORITE**

La thorite a été confirmée au microscope électronique en bordure d'une porosité. Il s'agirait d'un résidu d'altération de l'uranothorite.

**SOMMAIRE DES OBSERVATIONS**

Cette pegmatite quartzolitique à structure foliée est constituée majoritairement de quartz accompagné en quantité mineure de feldspaths, de biotite avec des traces de malacon, pyrite, molybdénite et de rutile. La roche est hétérogranulaire à grains fins à moyens.

Le quartz est xénomorphe granulaire à extinction ondulante. La bordure des grains est dentelée et un début de recristallisation est noté. Une légère foliation est développée.

Les feldspaths sont en grains xénomorphes légèrement déformés, dispersés dans la matrice quartzeuse. La microcline domine les autres phases. Un feldspath perthitique est aussi présent. Le plagioclase est partiellement altéré en muscovite d'aspect symplectitique. Des plages microgrenues feldspathiques entourent localement les grains plus grossiers.

La biotite est principalement en paillettes intergranulaires, observées dans les fractures. Elle contient localement des inclusions de malacon.

Le malacon (600 ppm Zr) se présente en grains et amas de grains dispersés, de forme automorphe en position intergranulaire. Il est zoné et très faiblement biréfringent à l'exception de certains grains dont le cœur est beaucoup plus biréfringent.



DESCRIPTIONS PÉTROGRAPHIQUES DE DIX-HUIT ÉCHANTILLONS DE  
GRANITOÏDE

PROJET NORTH RAE

La roche contient des traces de molybdénite en paillette dispersée. La pyrite est xénomorphe, intergranulaire et semble surtout associée aux amas microgrenus feldspathiques. Elle est également interfoliée dans la biotite et localement en contact au rutile.

Des traînées d'inclusions fluides secondaires ont été notées. Quelques cavités de forme similaire au zircon sont présentes.

Un réseau de fissuration est noté, parallèle aux plans de biotite.

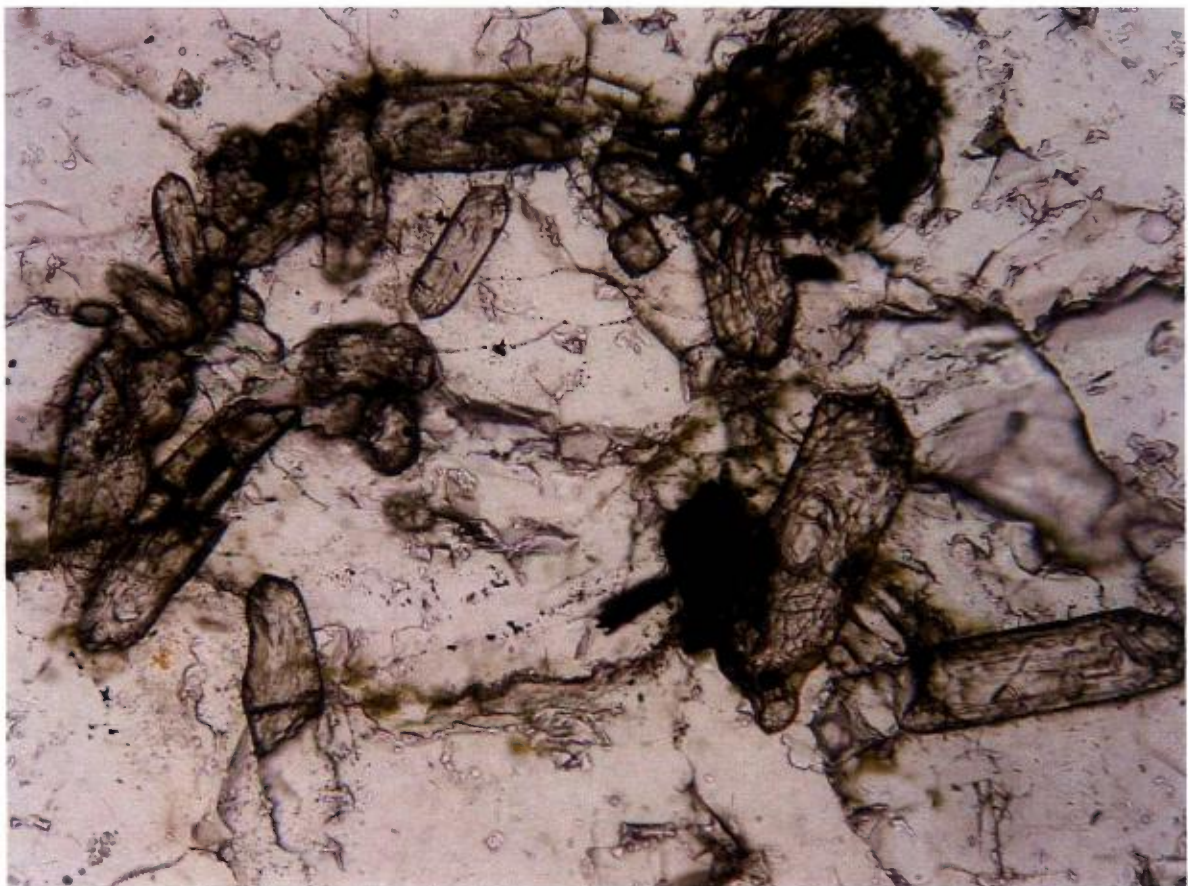


Photo 4 : Agrégat de zircons automorphes et de malacons alignés à la bordure d'un grain de quartz (LP, cdv : 0,7 mm).

DESCRIPTIONS PÉTROGRAPHIQUES DE DIX-HUIT ÉCHANTILLONS DE  
GRANITOÏDE  
PROJET NORTH RAE

ÉCHANTILLON: 295578

TENEUR : <0.001 %U<sub>3</sub>O<sub>8</sub>, 4 ppm Th

NOM DE TERRAIN : QUARTZITE

LITHOFACIÈS : Quartzite

LITHODÈME: Formation de Nulliviuk, Groupe de Lake Harbour

DESCRIPTION MÉSCOSCOPIQUE

L'échantillon est une roche de teinte grisâtre à beige à aspect siliceux, à grains fins, constituée de bandes de teinte beige et de bandes grisâtres qui semblent transposées par la déformation. Des micas blancs sont présents dans les plans de fractures.

MINÉRALOGIE

MINÉRAL	%	TAILLE	TEXTURE
Quartz	92	≤2.5mm	Xénomorphe, ext. ondulante
Grenat	3	≤0.4mm	Xénomorphe granulaire
Chlorite	3	≤0.6mm	Avec grenat
Muscovite	2	≤1mm	Hétérogranulaire, poecilitique
Tourmaline	tr	≤0.6mm	Xénomorphe, zonée
Titanite	tr	0.05mm	Xénomorphe
Rutile	tr	0.05mm	Granulaire
Ilménite	tr	0.05mm	Tabulaire
Graphite	tr	0.05mm	Paillette
Goethite	tr		Après phase intergranulaire

MINÉRAGRAPHIE

Seules des traces d'oxydes et de graphite sont présentes. Le rutile et l'ilménite sont automorphes. Le graphite est en rare paillette.

Des oxydes de fer sont observés en remplacement d'une phase intergranulaire.

DESCRIPTIONS PÉTROGRAPHIQUES DE DIX-HUIT ÉCHANTILLONS DE  
GRANITOÏDE  
PROJET NORTH RAE

SOMMAIRE DES OBSERVATIONS

Cette roche est essentiellement composée de quartz accompagnée d'une faible quantité de grenat, chlorite, muscovite et des traces de tourmaline, d'oxydes, et de graphite dispersées.

Le quartz est hétérogranulaire, en grains xénomorphes déformés à extinction ondulante et aux bordures dentelées et partiellement recristallisées. Une foliation est légèrement notée dans la fraction plus grossière.

Le grenat est xénoblastique à grains fins à répartition hétérogène et en grains alignés dans le quartz selon une direction préférentielle. Il est localement associé à la chlorite.

La chlorite (pennine) est dispersée en paillettes intergranulaires dans la matrice siliceuse, dans les zones microgrenues avec la muscovite, l'épidote et les oxydes de fer, ainsi qu'associée au grenat. Sa présence suggère un métamorphisme rétrograde.

La muscovite est soit poecilitique, avec inclusion de grenat ou en feuillets très fins dispersés dans la matrice siliceuse, mais plus abondante dans les zones microgrenues associées à la chlorite, épidote et oxydes de fer.



DESCRIPTIONS PÉTROGRAPHIQUES DE DIX-HUIT ÉCHANTILLONS DE  
GRANITOÏDE  
PROJET NORTH RAE

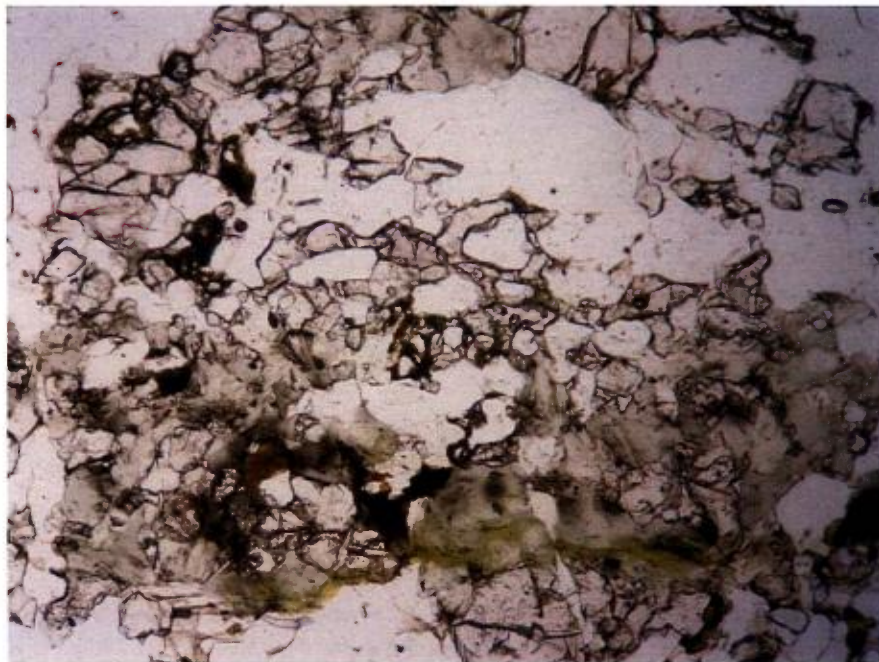


Photo 5 Vue d'un agrégat polyminéralique contenant du grenat poecilitique et des plages de chlorite dans une matrice quartzreuse (LP, cdv : 1,4 mm).



Photo 6 : Vue d'une plage de quartz formée de grains équants aux bordures suturées, et enchâssant des petits grenats (gris foncé) xénomorphes (LA<sup>4</sup>; cdv : 2,8 mm).

<sup>4</sup> LA: Lumière polarisée analysée.



DESCRIPTIONS PÉTROGRAPHIQUES DE DIX-HUIT ÉCHANTILLONS DE  
GRANITOÏDE  
PROJET NORTH RAE

ÉCHANTILLON: 295579

TENEUR : <0.001 %U<sub>3</sub>O<sub>8</sub>, 17 ppm Th

NOM DE TERRAIN : PARAGNEISS

LITHOFACIÈS : PARAGNEISS À GRENAT, SILLIMANITE, BIOTITE ET  
MUSCOVITE

LITHODÈME: Groupe de Lake Harbour, intercalé dans les  
quartzites de Nulliviuk

### DESCRIPTION MÉSCOSCOPIQUE

L'échantillon est une roche hétérogranulaire à structure gneissique. Elle est porphyroblastique en grenat rose avec des agrégats de sillimanite blanchâtre flexueuse de taille millimétrique dans une matrice quartzofeldspathique à biotite.

### MINÉRALOGIE

MINÉRAL	%	TAILLE	TEXTURE
Grenat	7	4mm	Porphyroblastique
Sillimanite	8	6mm	Amas flexueux
Biotite	6	≤3mm	Paillette ± orientées
Muscovite	3	≤3mm	Paillette sur sillimanite
Quartz	50	≤1mm, ±3mm	Xénomorphe
Plagioclase	20	≤0.5mm	Intergranulaire
Microcline	7	≤3mm	Intergranulaire
Zircon	tr	0.03mm	Granulaire et dans BO
Ilménite	tr	0.05mm	Inclusion dans grenat
Graphite	tr	≤0.15mm	Paillette

### MINÉRAGRAPHIE

#### ILMÉNITE

L'ilménite est observée uniquement en fine inclusion arrondie dans le grenat.

#### GRAPHITE

Le graphite est observé en paillettes plus ou moins déformées dans la matrice ainsi qu'en inclusion dans la biotite et la muscovite.

### SOMMAIRE DES OBSERVATIONS

Cette roche est un paragneiss à grenat, sillimanite et biotite à texture porphyroblastique.

Le grenat est subautomorphe, poeciloblastique avec inclusions d'ilménite, biotite et quartz. La sillimanite forme des agrégats fibreux de forme subarrondie à flexueuse, légèrement foliée. La biotite est en paillettes hétérogranulaires diversement orientées. Elle contient d'abondants halos pléochroïques de zircon. La muscovite est également en paillettes, soit associée à la biotite ou se développant sur les amas de sillimanite en remplacement de cette dernière.

La matrice quartzofeldspathique est constituée en ordre d'abondance de quartz, de plagioclases et de microcline. Le quartz est xénomorphe à extinction ondulante, généralement en grains inférieurs à 1mm. De rares cristaux de 3mm sont présents, fracturés. Le plagioclase est xénomorphe, intergranulaire, maclé polysynthétique, localement associé à des myrmékites et partiellement altéré par une argilisation. La microcline est intergranulaire, xénomorphe à grains plus grossiers et limpides. Des myrmékites sont observées entre les grains de la phase feldspathique.

Ces différentes phases sont réparties selon une structure gneissique, formant des bandes riches en grenats, sillimanite et biotite et des bandes riches en minéraux quartzofeldspathiques.

Cet assemblage est témoin d'une roche riche en alumine ayant subi un métamorphisme régional au faciès des amphibolites.

DESCRIPTIONS PÉTROGRAPHIQUES DE DIX-HUIT ÉCHANTILLONS DE  
GRANITOÏDE  
PROJET NORTH RAE

ÉCHANTILLON: 295585

TENEUR : 0.164 %U<sub>3</sub>O<sub>8</sub>, 726 ppm Th

NOM DE TERRAIN : PEGMATITE

LITHOFACIÈS : Pegmatite tonalitique  
LITHODÈME: Groupe de Lake Harbour, pegmatite intercalée dans  
les paragneiss au-dessus du Granite de La Ralde.

### DESCRIPTION MÉSCOSCOPIQUE

L'échantillon est une roche à grains grossiers constituée de feldspath blanc, de quartz et de biotite. Cette dernière est répartie en lamine et n'a pas été intersectée dans la lame mince.

### MINÉRALOGIE

MINÉRAL	%	TAILLE	TEXTURE
Plagioclase	55	1->17mm	Xénomorphe, déformé
Quartz	45	≤5mm	Cataclasé
Apatite	tr	0.5-1mm	Granulaire
Clinozoïsite	tr	≤0.1mm	Xénomorphe dans fracture
Séricite	tr	≤0.1mm	Paillette sur PL, dans fracture
Uraninite	tr	≤0.5mm	Xénomorphe, bordé par halo jaune
Autre	tr	≤0.2mm	Subautomorphe, zoné, ± cavité

### MINÉRAGRAPHIE

#### URANINITE

Un grain identifié comme de l'uraninite a été observé, xénomorphe avec des faces cristallines arrondies et bordé par un halo d'altération jaune. En lumière réfléchie, cette phase est isotrope et partiellement altérée à texture marbrée.

#### AUTRE

Des traces d'une phase subautomorphe de forme arrondie à subcarrée sont observées, de teinte jaune, à texture zonée, constituées d'un cœur jaune, isotropes et bordées par un halo d'altération jaune brunâtre anisotrope à texture feutrée à radiée. Certains de ces grains ont des cœurs évidés, ne laissant paraître que la bordure jaune brunâtre ou bien sont

DESCRIPTIONS PÉTROGRAPHIQUES DE DIX-HUIT ÉCHANTILLONS DE  
GRANITOÏDE  
PROJET NORTH RAE

totalelement remplacés par ce feutre jaunâtre. Il pourrait s'agir d'uraninite remplacée par un minéral d'uranium secondaire.

### SOMMAIRE DES OBSERVATIONS

Les phases constituantes de cette pegmatite, tel qu'observé en lame mince, sont uniquement le plagioclase et le quartz. La biotite et la muscovite n'ont pas été intersectées. Il est incertain si le feldspath potassique est présent sur l'échantillon, bien qu'absent sur la section mince.

Le plagioclase, est xénomorphe à grains grossiers, avec un réseau de macles déformées. Il est légèrement altéré en séricite et trace d'épidote. La bordure des grains est partiellement recristallisée. Une fracturation est développée. Des zones microgrenues altérées en séricite et épidote sont présentes localement.

Le quartz forme la matrice. Il est xénomorphe, cataclasé, constitué d'une fraction à grains de taille millimétrique à extinction ondulante et aux bordures dentelées avec un début de recristallisation. Il est fracturé.

L'apatite (0.66%  $P_2O_5$ ) est en grains subarrondis, dans le quartz.

L'uraninite a été observée, en grain (1 grain) xénomorphe, bordé par un halo d'altération jaune. D'autres grains subarrondis (3-4) suspectés être des phases uranifères sont également présentes. Ces phases se caractérisent par une bordure jaune brunâtre à texture feutrée dont certaines ont un cœur jaune à structure zonée ou un cœur évidé ou bien sont totalement altérées par le feutre jaune.

Des fractures discontinues recoupent la roche.



DESCRIPTIONS PÉTROGRAPHIQUES DE DIX-HUIT ÉCHANTILLONS DE  
GRANITOÏDE  
PROJET NORTH RAE



Photo 7 : Vue d'un grain d'uraninite (?) enchâssé dans le quartz. On note la couronne de minéraux secondaires jaunâtres et les fractures radiales et l'apatite (AP) (LP, cdv : 1,4 mm).



Photo 8 : Vue détaillée en lumière réfléchie du grain d'uraninite. On note les altérations internes (LR<sup>5</sup>; cdv : 0,7 mm).

<sup>5</sup> LR: Lumière réfléchie polarisée

DESCRIPTIONS PÉTROGRAPHIQUES DE DIX-HUIT ÉCHANTILLONS DE  
GRANITOÏDE  
PROJET NORTH RAE



Photo 9 : Vue détaillée du grain d'uraninite en lumière réfléchi, montrant le détail de l'altération interne. La nature des différentes phases n'est pas établie (LR; cdv :  $\pm 0.5$  mm).

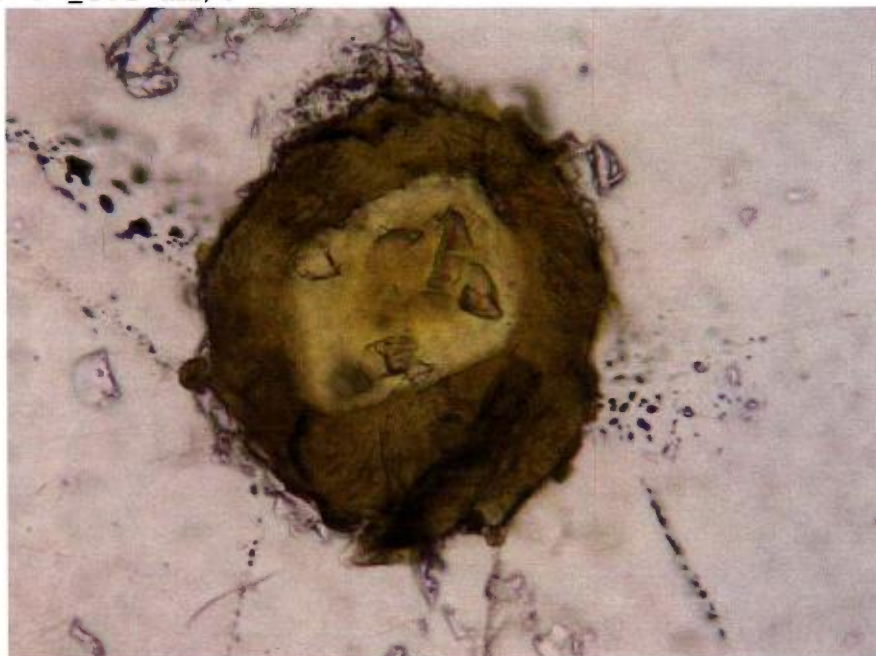


Photo 10 : Vue d'un grain, potentiellement d'uraninite, totalement remplacé par des minéraux secondaires jaunâtres (LP; cdv :  $\pm 0,5$  mm).

DESCRIPTIONS PÉTROGRAPHIQUES DE DIX-HUIT ÉCHANTILLONS DE  
GRANITOÏDE  
PROJET NORTH RAE

ÉCHANTILLON: 295609

TENEUR : 0.055 %U<sub>3</sub>O<sub>8</sub>, 1770 ppm Th

NOM DE TERRAIN : GRANITE À FELDSPATH ALCALIN AVEC BIOTITE ET  
ALTÉRATION EN HÉMATITE

LITHOFACIÈS : MONZODIORITE QUARTZIFÈRE  
LITHODÈME: Complexe de Baudan

DESCRIPTION MÉSCOPIQUE

L'échantillon est une roche massive de teinte rose rouge à grains moyens, granulaire, de composition 'granitique'. Elle est constituée de feldspaths rougeâtres, de quartz et de biotite. Des fractures hématisées recoupent la roche. La roche réagit localement à l'aimant à main suggérant la présence de magnétite.

MINÉRALOGIE

MINÉRAL	%	TAILLE	TEXTURE
Plagioclase	70	1-3mm	Hypidiomorphe granulaire
Quartz	18	≤1mm	Xénomorphe, ext. ondulante
Biotite	7	≤2mm	Paillette intergranulaire
Muscovite	tr	≤0.4mm	Paillette
Pistachite	0.5	≤0.4mm	Relique granulaire, fissurée
Clinozoïsite	0.5	≤0.4mm	Relique granulaire, fissurée
Zircon	<1	0.2mm	Automorphe, zoné
Allanite?	<1	0.2mm	Granulaire
Titanite	tr	0.3mm	Xénomorphe granulaire
Chlorite	tr	0.05mm	Amas feutré sur PL
Rutile	<2	0.03mm	Amas granulaire à aciculaire
Magnétite?	tr	0.1mm	Granulaire
Hématite	tr	0.2mm	Sur PL
Chalcopyrite	tr	0.01mm	Xénomorphe

Phase en remplissage de fractures

Argile Feutrée, teinte vert jaune  
Hématite

DESCRIPTIONS PÉTROGRAPHIQUES DE DIX-HUIT ÉCHANTILLONS DE  
GRANITOÏDE  
PROJET NORTH RAE

**MINÉRAGRAPHIE**

**MAGNÉTITE?**

Une fine trace de magnétite granulaire a été observée en grain isolé. Ce grain n'est pas bordé par aucun halo d'altération ni associé à des fractures suggérant qu'il s'agisse de magnétite plutôt que d'uraninite.

**CHALCOPYRITE**

Seule une très fine gouttelette de chalcoppyrite a été observée en inclusion dans la matrice.

**RUTILE**

Le rutile se présente en agrégat granulaire et aciculaire dispersé dans la roche.

**HÉMATITE**

L'hématite est observée comme produit d'altération sur les plagioclases, alors en très fines paillettes. Elle est également associée à l'altération argileuse dans les fractures.

**SOMMAIRE DES INFORMATIONS**

Cette roche est une monzodiorite quartzifère et non pas un granite alcalin. Elle est massive, à grains moyens. Elle est constituée de plagioclases hypidiomorphes granulaires entourés de quartz et de biotite en phase intergranulaire. La teneur de 1.55%  $K_2O$  suggère la présence d'orthose, bien qu'elle n'ait pas été identifiée au microscope. Divers minéraux accessoires sont présents : clinozoïsite, pistachite, zircon, allanite?, titanite, apatite, rutile et magnétite. Des traces de séricite et de chlorite sont observées localement.

Les plagioclases sont maclés polysynthétiques, affectés par la kaolinitisation qui induit une teinte rouge à la roche. Cette teinte est plus intense à proximité des fractures. Les grains sont localement recristallisés en mosaïque. Une certaine proportion de feldspaths non maclés montre un signe optique positif suggérant qu'il s'agit de plagioclases, ce qui suggère que la proportion de feldspaths alcalins soit subalterne.



DESCRIPTIONS PÉTROGRAPHIQUES DE DIX-HUIT ÉCHANTILLONS DE  
GRANITOÏDE  
PROJET NORTH RAE

Le quartz est intergranulaire, en grains xénomorphes ayant une extinction ondulante. La biotite est en paillettes intergranulaires, localement altérée par une altération argileuse vert jaune.

L'épidote (clinozoïsite et pistachite) est présente en grains xénomorphes généralement fracturés. Plusieurs sont associés à l'altération argileuse décrite précédemment.

Le zircon (455 ppm Zr) est dispersé en grain automorphe, localement zoné avec un cœur anisotrope et une bordure isotrope. Plusieurs sont isotropes (malacon). Certains grains sont associés à des fissures. Des traces d'allanite sont suspectées, à structure zonée et faiblement biréfringente.

Des reliques de grains subarrondis de teinte jaune, plus ou moins zonées sont présentes, dispersées dans la roche. Ces dernières sont bordées par un halo d'altération qui est soit hématitisé, soit argilisé.

Un grain d'oxyde identifié comme la magnétite a été observé. L'absence d'halo d'altération et de fissure suggère qu'il s'agisse de magnétite plutôt que d'uraninite. Toutefois, une vérification au microscope électronique devrait être envisagée.

La roche est traversée par des fractures plus ou moins associées à des fragments de roche, remplies d'une phase identifiée comme une argile. Cette phase est de teinte vert jaune, à texture feutrée. Elle est localement associée à l'altération ferrugineuse.

DESCRIPTIONS PÉTROGRAPHIQUES DE DIX-HUIT ÉCHANTILLONS DE  
GRANITOÏDE  
PROJET NORTH RAE



Photo 11 : Apatite (claire), zircon et biotite. Notez les halos pléochroïques (LP, cdv : 0,7 mm).

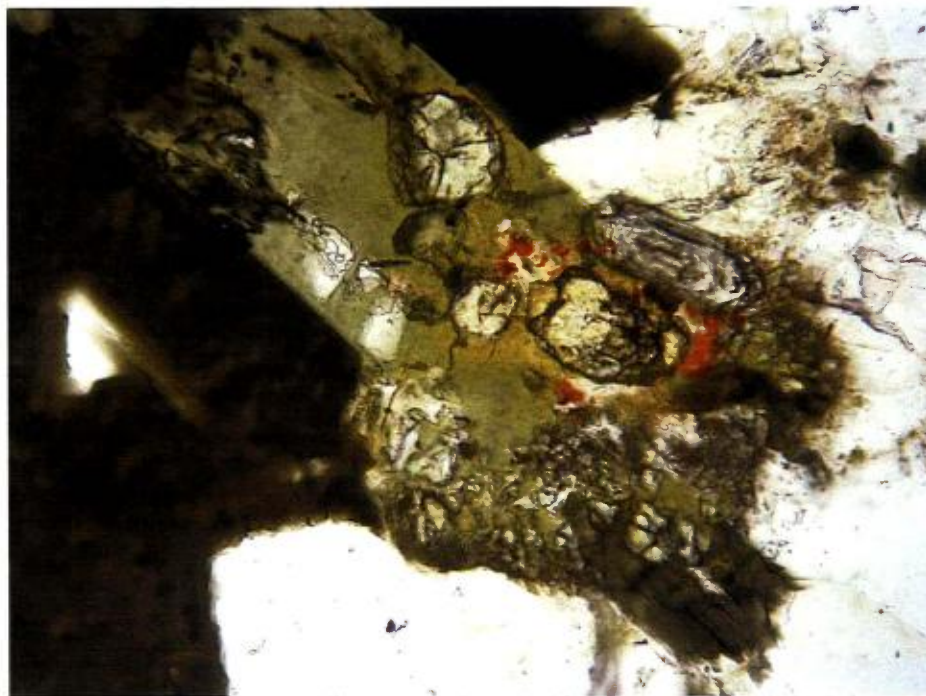


Photo 12 : Vue d'un agrégat polyminéralique à biotite, zircon zoné, allanite, titanite et produits d'altérations argileux (LP, cdv : 0,7 mm).

DESCRIPTIONS PÉTROGRAPHIQUES DE DIX-HUIT ÉCHANTILLONS DE  
GRANITOÏDE  
PROJET NORTH RAE

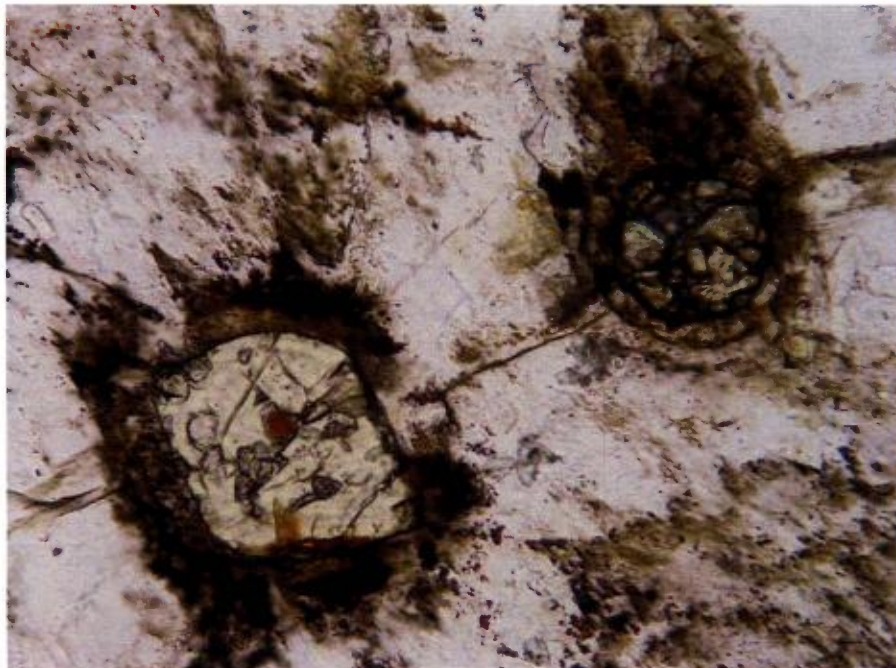


Photo 13 : Vue de deux petits grains de minéraux accessoires, (monazite?), possédant une couronne d'altération ferrugineuse (LP, cdv :  $\pm 0,5$  mm).

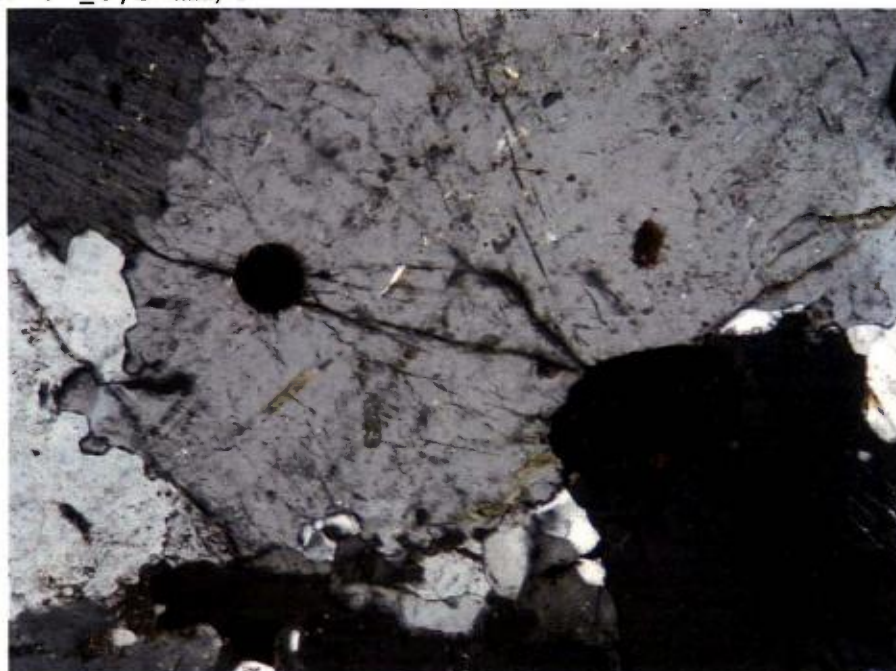


Photo 14 : Vue d'une plage de feldspath non-maclé contenant deux petits grains de minéraux accessoires jaunes (éteints en LA) ayant des auréoles pléochroïques (LA, cdv : 1,4 mm).



DESCRIPTIONS PÉTROGRAPHIQUES DE DIX-HUIT ÉCHANTILLONS DE  
GRANITOÏDE

PROJET NORTH RAE

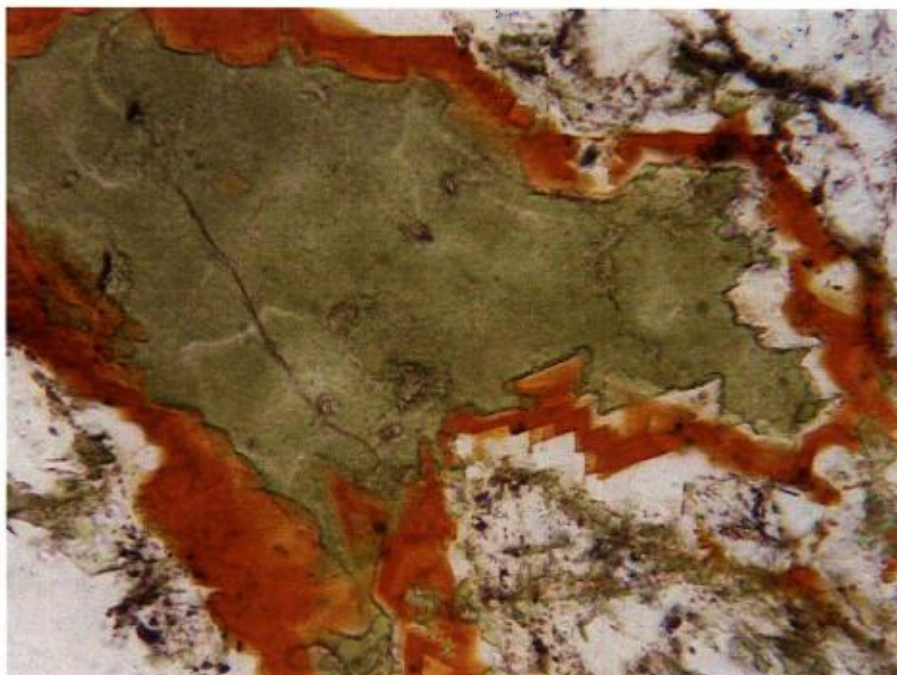


Photo 15 : Vue d'une large plage argilisée bordée d'une altération ferrugineuse (lépidocrocite ?)  
(LP, cdv : 0.28 mm).

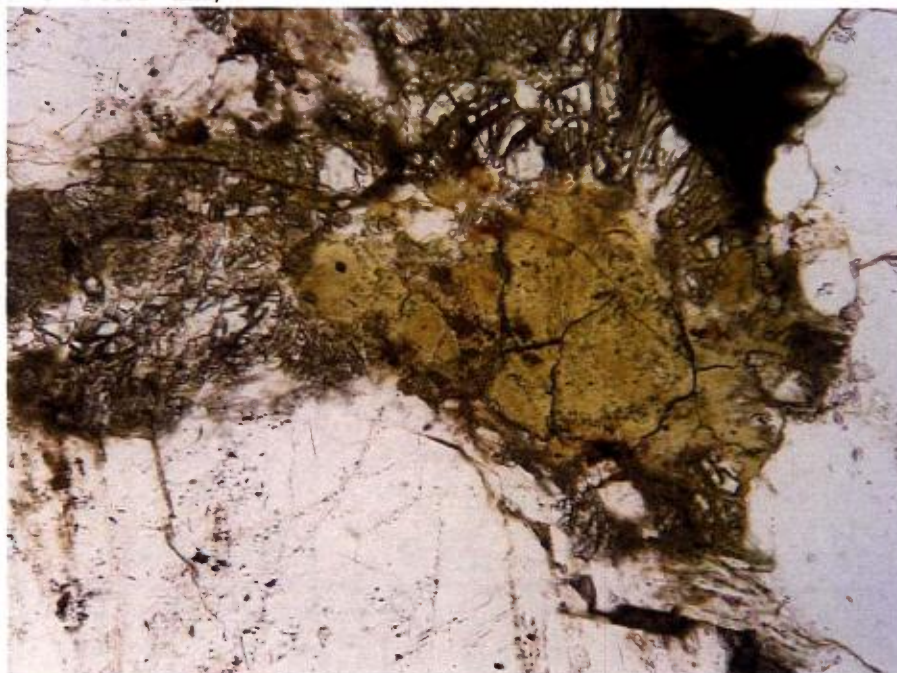


Photo 16 : Vue d'un agrégat polyminéralique contenant de la clinozoïsite limpide avec un coeur altéré possiblement d'allanite. Divers minéraux accessoires et d'altération sont aussi présents (LP, cdv : 0.7 mm).



DESCRIPTIONS PÉTROGRAPHIQUES DE DIX-HUIT ÉCHANTILLONS DE  
GRANITOÏDE  
PROJET NORTH RAE

ÉCHANTILLON: 295618

TENEUR : 0.003 %U<sub>3</sub>O<sub>8</sub>, 38 ppm Th

NOM DE TERRAIN : PARAGNEISS

LITHOFACIÈS : GNEISS GRANITIQUE À BIOTITE

LITHODÈME: Groupe de Lake Harbour? Ou Granite de La Ralde

DESCRIPTION MÉSCOSCOPIQUE : N/D

MINÉRALOGIE

MINÉRAL	%	TAILLE	TEXTURE
Quartz	20	≤2mm	Xénomorphe intergranulaire
Feldspath P.	29	≤3mm	Granulaire xénomorphe
Microcline	25	≤3mm	Granulaire à intergranulaire
Plagioclase	21	≤1mm	Granulaire à intergranulaire
Biotite	5	≤1mm	Xénomorphe, intergranulaire
Chlorite	tr	≤1mm	Après BO
Séricite	tr	0.05mm	Sur plagioclase, intergranulaire
Épidote	tr	≤0.6mm	Granulaire
Zircon	tr	≤0.2mm	Granulaire
Pyrite	tr	0.1mm	Granulaire relique
Molybdénite	tr	0.6mm	Paillette déformée
Ilménite	tr	0.4mm	Tabulaire à intergranulaire
Rutile	tr	0.05mm	Prismatique
Goethite	tr	0.1mm	Après PY

SOMMAIRE DES INFORMATIONS

Cette roche est un gneiss granitique à biotite. Seul l'aspect en affleurement permettrait éventuellement de confirmé s'il s'agit d'un paragneiss. La roche est constituée essentiellement de quartz, plagioclase, microcline (5.95% K<sub>2</sub>O) et feldspaths perthitiques accompagnés de biotite. Elle contient des traces de minéraux accessoires : épidote, zircon, rutile, pyrite, molybdénite et ilménite. Elle développe une texture xéoblastique hétérogranulaire à structure foliée de par l'orientation de la biotite.

Les feldspaths sont xénomorphes. Les plagioclases sont affectés par une saussuritisation, et une faible

DESCRIPTIONS PÉTROGRAPHIQUES DE DIX-HUIT ÉCHANTILLONS DE  
GRANITOÏDE

PROJET NORTH RAE

séricitisation, contrairement aux feldspaths perthitiques et à la microcline qui sont limpides. Des myrmékites sont présentes dans le plagioclase.

La biotite est xénomorphe intergranulaire, orientée selon une direction préférentielle et définissant la foliation. Elle contient localement des inclusions d'épidote, de zircon, d'ilménite et de fines traces d'un oxyde très fin bordé d'un halo d'altération de nature indéterminée vue la petitesse du grain. La chlorite est présente en trace uniquement.

Des évidences de déformation sont notées. Le quartz développe une forte extinction ondulante et un début de recristallisation. Le réseau de macles de la microcline est déformé.

La pyrite est granulaire et partiellement altérée en goethite. La molybdénite est présente en paillette courbée.

Des grains arrondis altérés par une phase jaune sont présents, suspectés être du zircon altéré, susceptible de contenir une phase uranifère.

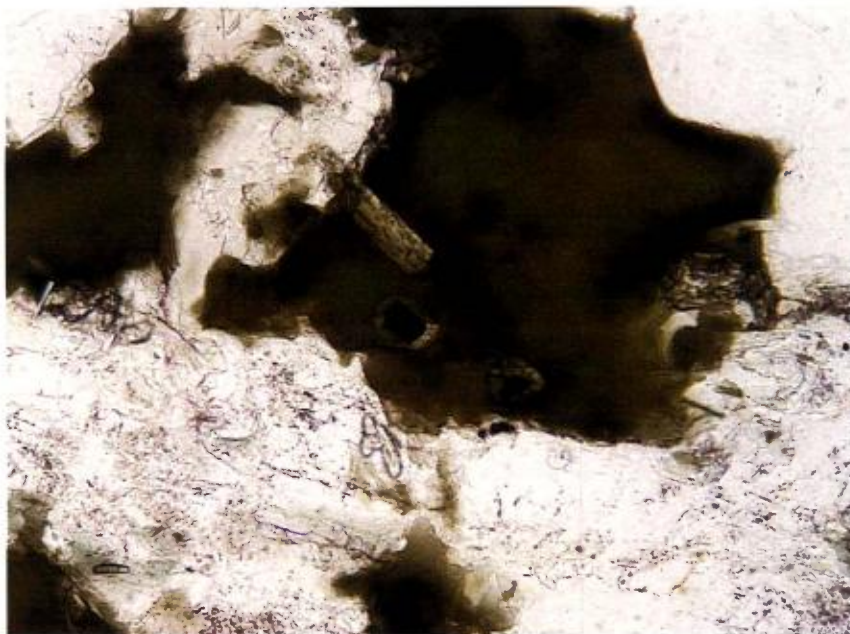


Photo 17 : Vue d'un agrégat polyminéralique dominé par la biotite verte et contenant diverses phases accessoires dont des minéraux opaques automorphes auréolés (LP, cdv : 0,7 mm).

DESCRIPTIONS PÉTROGRAPHIQUES DE DIX-HUIT ÉCHANTILLONS DE  
GRANITOÏDE

PROJET NORTH RAE

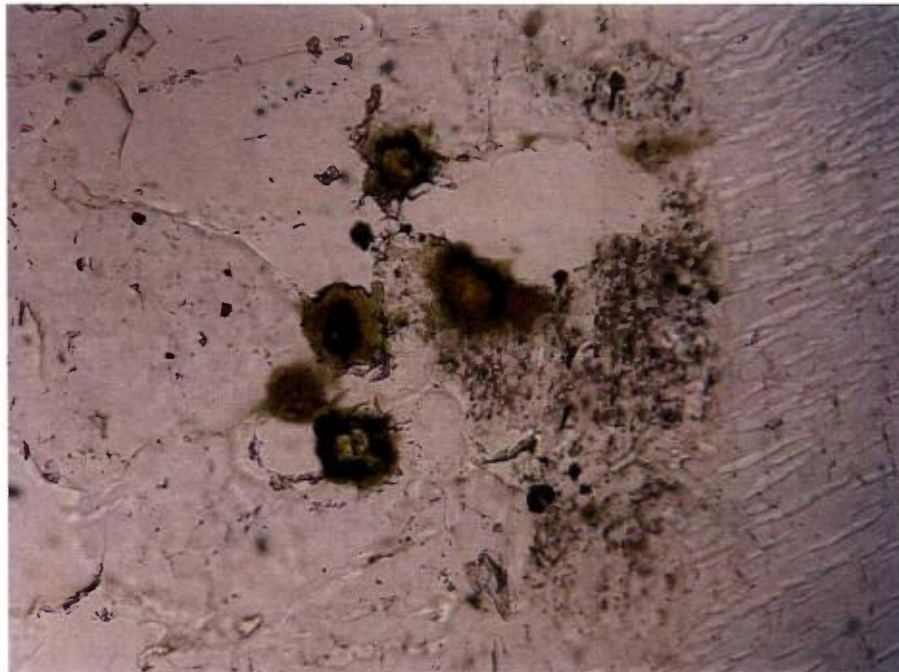


Photo 18 : Vue détaillée d'un groupe de minéraux accessoires auréolés, enchâssés à l'interface entre un plagioclase trouble, du quartz limpide et un autre feldspath (LP; cdv : 0,7 mm).

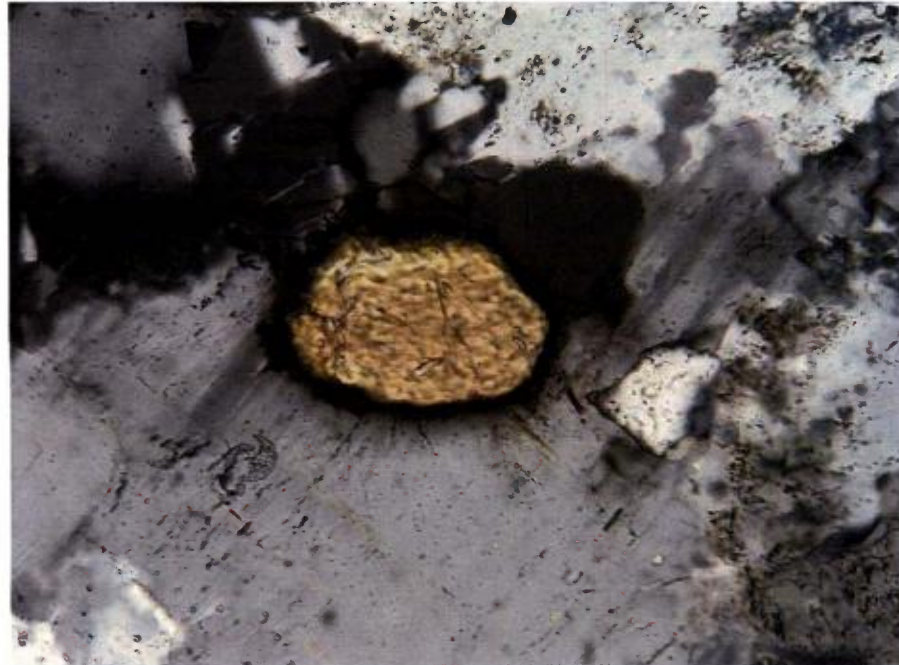


Photo 19: Vue détaillée d'un grain de zircon? coincé entre un feldspath plagioclase et des petits grains de quartz (LA; cdv : 0,7 mm).

DESCRIPTIONS PÉTROGRAPHIQUES DE DIX-HUIT ÉCHANTILLONS DE  
GRANITOÏDE  
PROJET NORTH RAE

ÉCHANTILLON: 295635

TENEUR : 0.004%U<sub>3</sub>O<sub>8</sub>, 152ppm Th

NOM DE TERRAIN : PEGMATITE

LITHOFACIÈS : PEGMATITE GRANITIQUE

LITHODÈME: Complexe de Baudan, près de la zone Illaluga

DESCRIPTION MÉSCOSCOPIQUE : N/D

MINÉRALOGIE

MINÉRAL	%	TAILLE	TEXTURE
Feldspath P.	50	≤3cm	Perthitique?, xénoblastique
Quartz	21	≤3mm	Intergranulaire, ext. ondulante
Plagioclase	16	≤7mm	Granulaire xénomorphe, kaolinitisé
Microcline	10	≤5mm	Granulaire, xénoblastique
Zoïsite	1	0.7mm	Agrégat cristallin
Clinozoïsite	0.5	0.5mm	Granulaire
Séricite	tr	0.2mm	Paillette intergranulaire
Zircon	tr	0.017mm	Granulaire
Hématite	tr	0.2mm	Agrégat granulaire après MG?
Magnétite	tr	0.6mm	Granulaire
Goethite	tr		Avec hématite

SOMMAIRE DES INFORMATIONS

Cette roche est une pegmatite à texture xénoblastique partiellement recristallisée. Elle est constituée de feldspaths microperthitiques, de microcline, de quartz et de plagioclases accompagnés de traces d'épidote (clinozoïsite et zoïsite), zircon, hématite et magnétite. Aucune trace de minéraux uranifères n'a été observée.

Les feldspaths sont partiellement recristallisés. Le feldspath microperthitique est de taille centimétrique, constitué d'un réseau de veinules d'exsolutions orientées de ce qui semble être de la microcline (visible que très localement) dans le feldspath non maclé. Les grains sont poreux, avec inclusions de quartz orientées et traversées par de nombreuses zones recristallisées microgrenues.



DESCRIPTIONS PÉTROGRAPHIQUES DE DIX-HUIT ÉCHANTILLONS DE  
GRANITOÏDE  
PROJET NORTH RAE

Le plagioclase présente un réseau de macles déformé. Il est affecté par la kaolinitisation, alors empreint d'un fin saupoudrage d'hématite. La microcline est limpide.

Le quartz est intergranulaire, xénomorphe, déformé à extinction ondulante associé à un début de recristallisation. Il est aussi observé en inclusion orientée dans les grains de feldspaths, suggérant une remobilisation du quartz.

Des traces de séricite sont observées localement en position intergranulaire. De fins amas d'épidote sont dispersés dans la roche. Ils sont localement associés aux grains d'oxydes. Des traces de zircon (ou malacon, 245ppm Zr) en grain automorphe sont dispersées.

Quelques fissures affectent la roche.

DESCRIPTIONS PÉTROGRAPHIQUES DE DIX-HUIT ÉCHANTILLONS DE  
GRANITOÏDE  
PROJET NORTH RAE

ÉCHANTILLON: 295637

TENEUR : 0.128%U<sub>3</sub>O<sub>8</sub>, 874ppm Th

NOM DE TERRAIN : PEGMATITE

LITHOFACIÈS : TRONDHJÉMITE

LITHODÈME: Complexe de Baudan, près de la zone Illaluga

DESCRIPTION MÉSCOSCOPIQUE :

L'échantillon est un petit bloc de granitoïde de taille centimétrique de teinte rose rougeâtre à grains moyens, à structure massive. On note des grains de feldspaths de forme tabulaire. La roche contient environ 3% de magnétite.

MINÉRALOGIE

MINÉRAL	%	TAILLE	TEXTURE
Plagioclase	70	0.5-6mm	Hypidiomorphe granulaire
Quartz	18	≤3mm	Intergranulaire, ext. ondulante
Microcline	4	0.5mm	Intergranulaire et dans PL
Biotite	1	≤2mm	Intergranulaire xénomorphe
Chlorite	tr	0.1mm	Bordure de MG, après BO
Epidote	1	0.5mm	Bordure de MG et UR
Zircon	0.3	0.5mm	Automorphe (cubique), zoné
Zircon?	0.5	≤3.5mm	Prismatique, relique
Indéterminé	0.5	0.4mm	Automorphe, relique
Magnétite	3	0.5-4mm	Xénomorphe intergranulaire
Hématite	0.5		Après magnétite
Uraninite	tr	0.2-0.55mm	Automorphe avec Mg, altérée

MINÉRAGRAPHIE

MAGNÉTITE

La magnétite est en grains xénomorphes intergranulaires aux silicates. Elle est partiellement altérée en hématite. Elle contient des inclusions de minéraux accessoires, tel que zircon et autres minéraux indéterminés altérés par une phase jaune pâle. Elle est également en contact granulaire à l'uraninite.

DESCRIPTIONS PÉTROGRAPHIQUES DE DIX-HUIT ÉCHANTILLONS DE  
GRANITOÏDE  
PROJET NORTH RAE

**URANINITE (confirmée à la microsonde)**

L'uraninite est observée en grain automorphe de 0.2-0.55mm, en contact granulaire à la magnétite. Une série de 4 grains a été confirmée à la microsonde. Elle est partiellement à fortement altérée par une phase riche en thorium. Lorsqu'altérée, une texture zonée y est développée. Des fractures radiales sont associées à la présence d'uraninite.

L'uraninite a également été observée en très fines inclusions dans le zircon.

**ZIRCON**

Le zircon (ou malacon<sup>6</sup>, 700 ppm Zr) est observé en grains de forme automorphe cubique, à structure plus ou moins zonée, en grains dispersés ou en inclusion dans la magnétite. Des fractures radiales sont localement bien développées en bordure. L'examen à la microsonde a permis de confirmer la présence d'uranium dans ces fractures.

**ZIRCON OU ALLANITE?**

Des grains en prismes allongés (zircon ou allanite altérée?) sont présents, complètement altérés par une phase jaune foncé. Ils sont soit isolés ou en inclusion dans la magnétite.

**AUTRES MINÉRAUX ACCESSOIRES**

Des grains de nature indéterminée sont présents, altérés par une phase argileuse? jaune pâle, en grains subautomorphes soit en inclusion dans la magnétite ou en grain dispersé. Certains sont arrondis et bordés par un halo d'altération.

---

<sup>6</sup> Très faiblement biréfringent.

### SOMMAIRE DES INFORMATIONS

Cette roche est une trondhjémite (leuco-tonalite,  $K_2O=0,86\%$ ) à texture hypidiomorphe granulaire à grains moyens à grossiers à structure massive. Elle est constituée essentiellement de plagioclases et de quartz accompagnés de microcline, de biotite, de magnétite associée à de l'uraninite ainsi que des traces de zircon, chlorite, épidote et séricite, et autres minéraux accessoires altérés indéterminés. Des fractures radiales sont développées en association à l'uraninite et au zircon.

Les plagioclases sont hypidiomorphes granulaires. Ils sont affectés par la kaolinitisation, alors empreints d'un fin saupoudrage d'hématite. Ils sont faiblement altérés en épidote (zoïsite). Le quartz est intergranulaire, déformé à extinction ondulante. La microcline est très peu présente, intergranulaire aux plagioclases ou en inclusion dans ces derniers. Des myrmékites sont présentes également en bordure des grains. La texture pegmatitique, rapportée sur le terrain, n'est pas discernable à l'examen microscopique.

La biotite est en paillettes xénomorphes intergranulaires. Elle est localement altérée en chlorite. La séricite est intergranulaire et en fines paillettes. La chlorite est également observée en bordure des grains de magnétite et d'uraninite.

L'épidote (clinozoïsite) est présente en bordure des grains d'uraninite et magnétite.

La magnétite est en grains xénomorphes intergranulaires. Elle est partiellement altérée en hématite. Elle est associée à l'uraninite et contient des inclusions de zircon et autres minéraux accessoires altérés de nature indéterminée.

L'uraninite est associée en contact granulaire à la magnétite. Elle est automorphe, partiellement à totalement altérée en phase riche en thorium. L'uraninite est également observée en inclusion dans le zircon. L'examen à la microsonde confirme la présence d'uranium dans les fractures radiales autour de ces zircons.



DESCRIPTIONS PÉTROGRAPHIQUES DE DIX-HUIT ÉCHANTILLONS DE  
GRANITOÏDE  
PROJET NORTH RAE

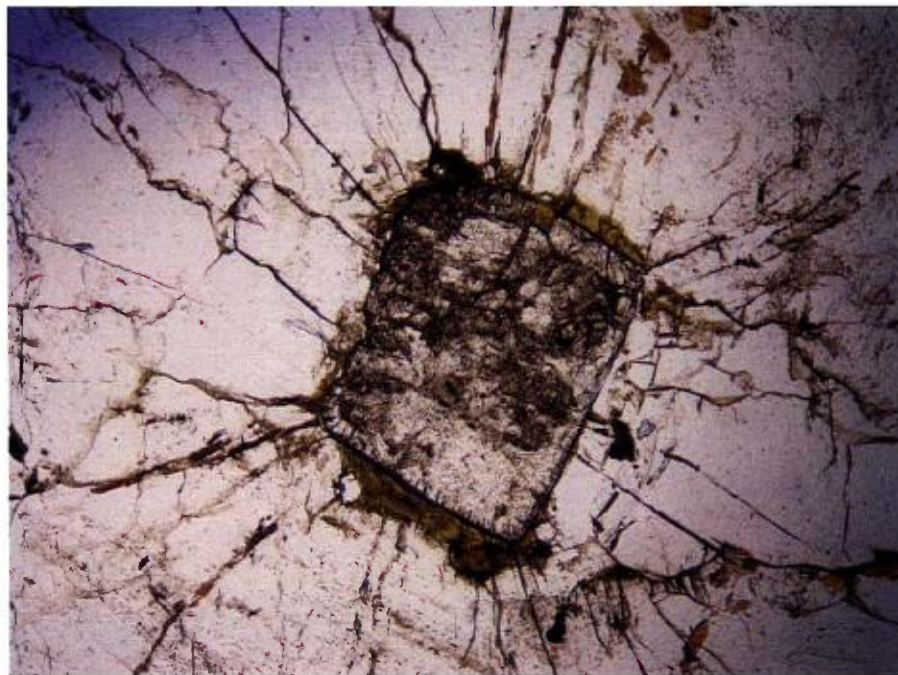


Photo 20 : Vue montrant un grain de zircon automorphe contenant de fines inclusions d'uraninite (non visibles). On note la fracturation radiale en bordure (LP, cdv : 1,4 mm).

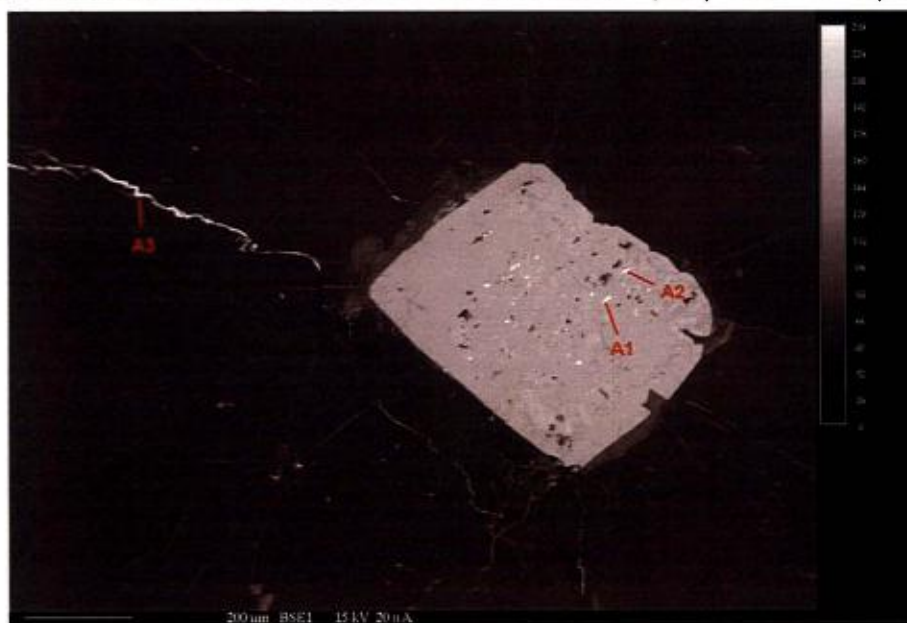


Photo 21 : Vue en électrons rétrodiffusés du grain de l'image 20 montrant le zircon avec inclusions d'uraninite (A1, A2). On note la présence d'uranium dans une fissure (A3) (taches blanches).

DESCRIPTIONS PÉTROGRAPHIQUES DE DIX-HUIT ÉCHANTILLONS DE  
GRANITOÏDE  
PROJET NORTH RAE

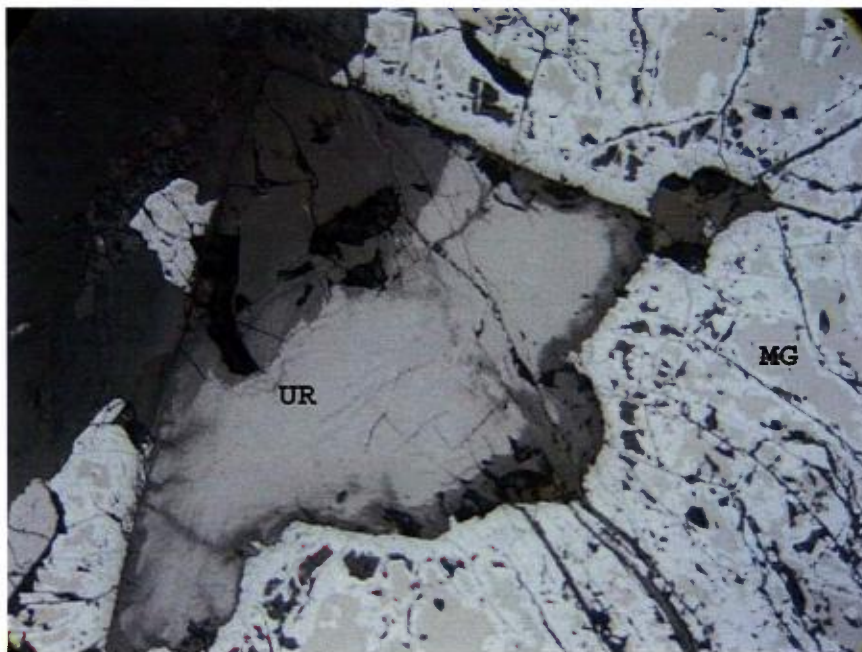


Photo 22 : Vue montrant un grain d'uraninite (UR) altéré associé à la magnétite (MG) xénomorphe, partiellement remplacée par l'hématite. On note la fissuration bien développée (LR, cdv : 0,7 mm).

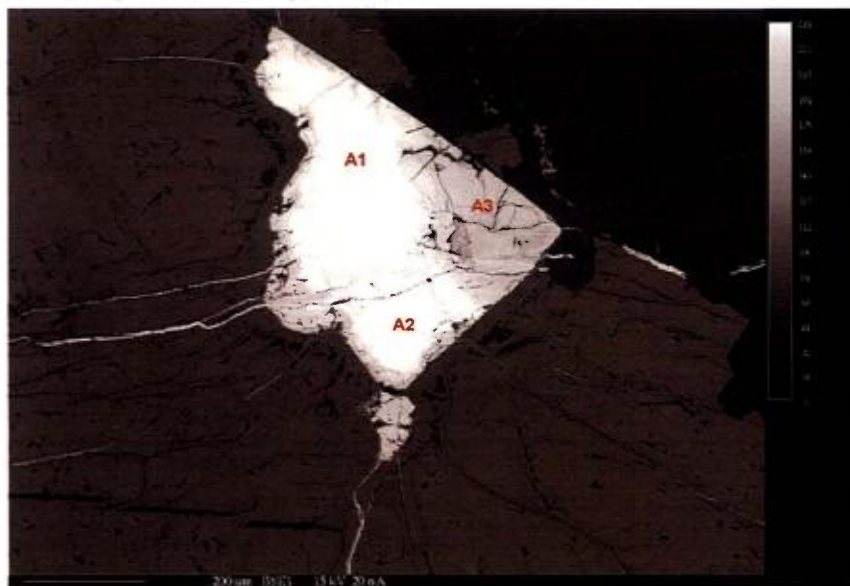


Photo 23 : Même grain que l'image 22 en électrons rétrodiffusés montrant le grain d'uraninite (forte densité atomique). Les points A1 et A2 correspondent à l'uraninite alors que le point A3 représente l'uraninite altérée en une phase plus riche en  $\text{ThO}_2$ . On note la présence d'uranium dans les fissures.



DESCRIPTIONS PÉTROGRAPHIQUES DE DIX-HUIT ÉCHANTILLONS DE  
GRANITOÏDE  
PROJET NORTH RAE

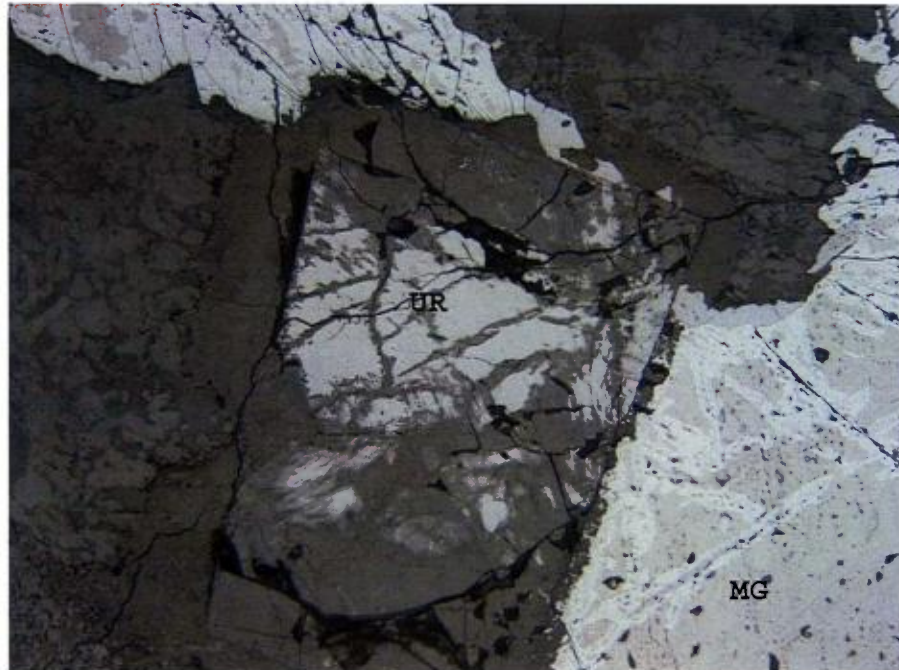


Photo 24 : Autre grain d'uraninite (UR) en contact granulaire à la magnétite (MG). On note la structure zonée de l'uraninite (LR, cdv : 0,7 mm).

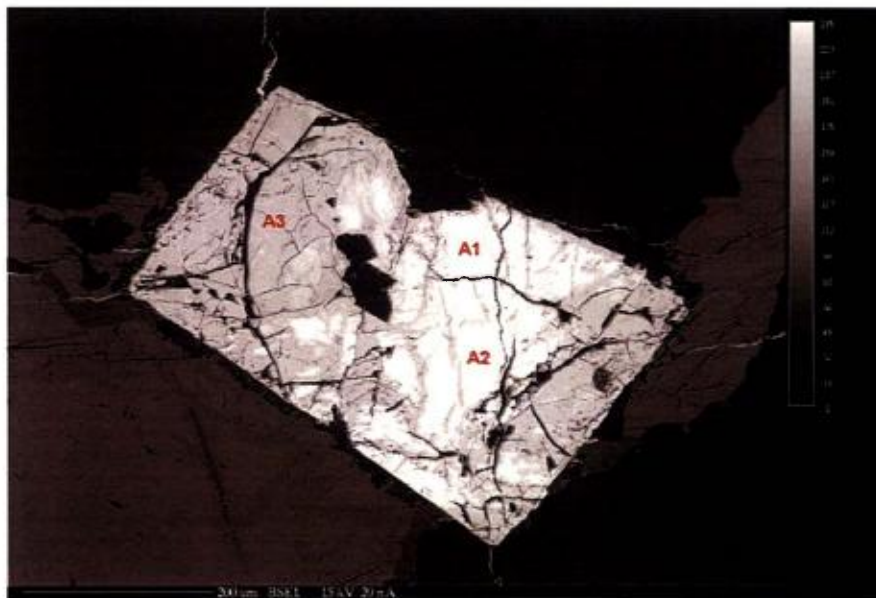


Photo 25: Vue du grain de l'image 24 en électrons rétrodiffusés. Les deux points d'analyses A1 et A2 correspondent à l'uraninite. Le point A3 correspond à l'uraninite altérée en phase enrichie en  $\text{ThO}_2$ .

DESCRIPTIONS PÉTROGRAPHIQUES DE DIX-HUIT ÉCHANTILLONS DE  
GRANITOÏDE  
PROJET NORTH RAE

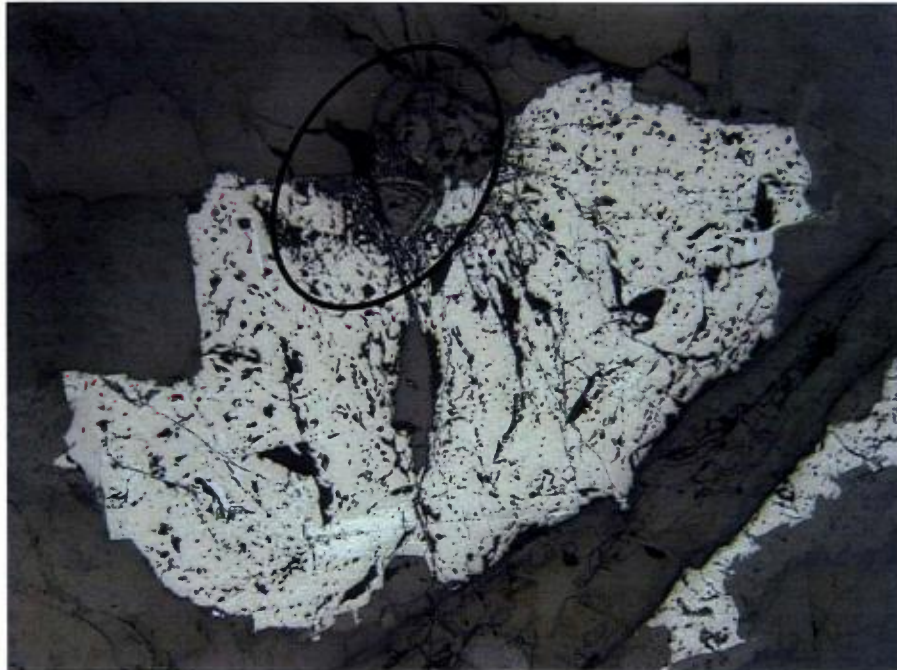


Photo 26 : Vue montrant deux grains automorphes (encerclés) non réfléchants en contact avec la magnétite xénomorphe. L'analyse à la microsonde indique qu'ils sont enrichis en thorium (LR; cdv : 2,8 mm).

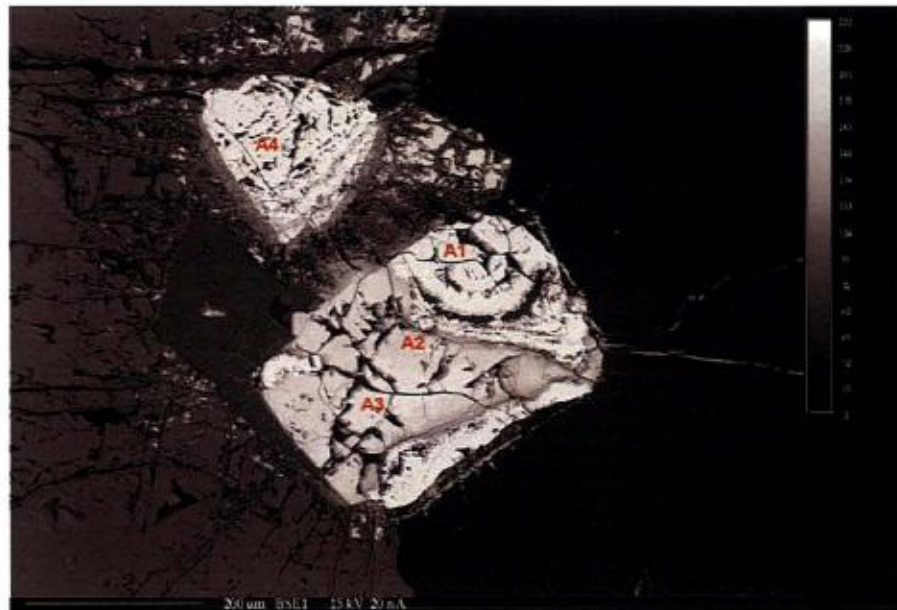


Photo 27 : Image en électrons rétrodiffusés des grains de l'image 26 montrant les points d'analyses A1 à A4 riches en thorium.



DESCRIPTIONS PÉTROGRAPHIQUES DE DIX-HUIT ÉCHANTILLONS DE  
GRANITOÏDE  
PROJET NORTH RAE

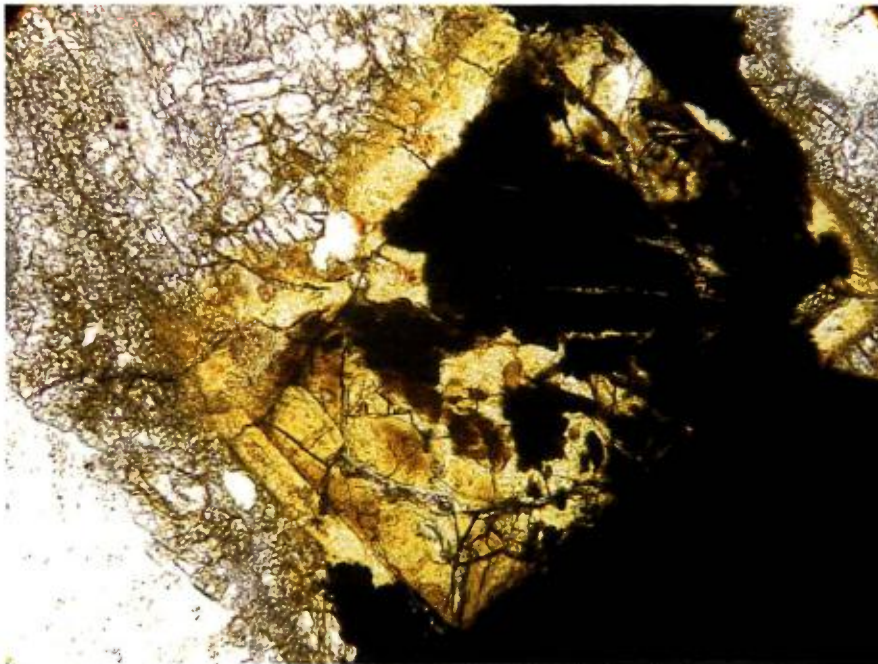


Photo 28 : Vue d'un d'agrégat polyminéralique contenant de l'uraninite altérée, bordé d'allanite ou d'un produit d'altération argileux jaunâtre, puis d'épidote claire (LP, cdv : 0,7 mm).

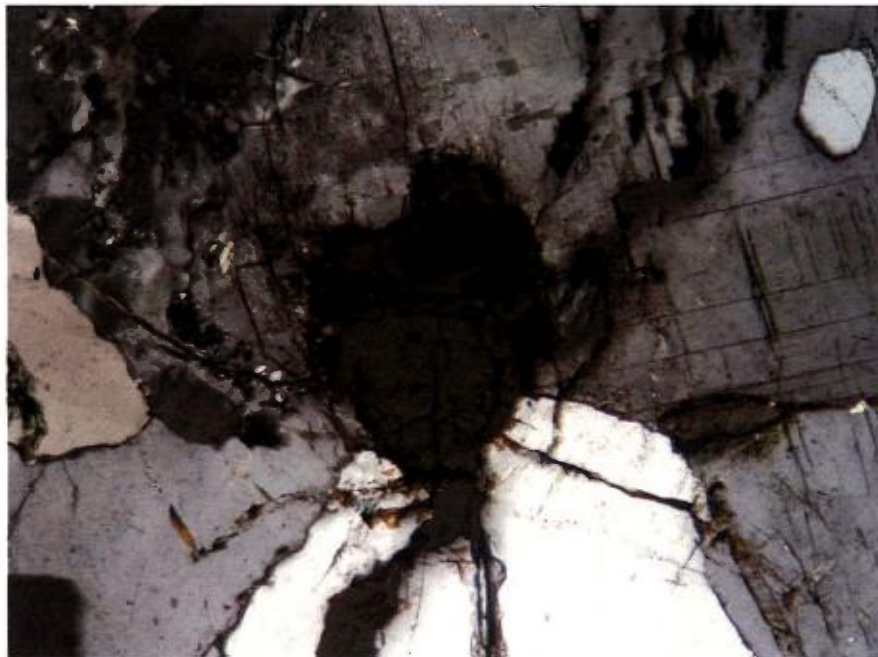


Photo 29 : Vue d'un petit agrégat d'uraninite intergranulaire à des feldspaths plagioclases maclés, de l'orthose et du quartz. Notez la fracturation radiale (LA; cdv : 1,4 mm).

DESCRIPTIONS PÉTROGRAPHIQUES DE DIX-HUIT ÉCHANTILLONS DE  
GRANITOÏDE  
PROJET NORTH RAE

ÉCHANTILLON: 295646

TENEUR : 0.035%U<sub>3</sub>O<sub>8</sub>, 118ppm Th

NOM DE TERRAIN : PEGMATITE GRANITIQUE  
LITHODÈME: Complexe de Baudan, Zone Illaluga

DESCRIPTION MÉSCOPIQUE

L'échantillon est une pegmatite constituée de cristaux grossiers ou porphyroclastes de feldspaths blanchâtres, de quartz et de feldspaths rose saumon à granulométrie plus fine, accompagnés de biotite intergranulaire. La roche n'est pas magnétique.

MINÉRALOGIE

MINÉRAL	%	TAILLE	TEXTURE
Feldspath Pert.	50	≤17mm	Xénomorphe à hypidiomorphe
Quartz	22	≤4mm	Xénomorphe intergranulaire
Microcline	17	≤4mm	Xénomorphe
Plagioclase	6	≤...	Xénomorphe, croissance épitaxiale
Biotite	4	≤3mm	Paillette intergranulaire
Chlorite	tr		Après biotite
Apatite	tr	≤0.6mm	Granulaire
Zircon	tr	0.2mm	Automorphe
Molybdénite	tr	0.15mm	Paillette
Rutile	tr	0.05mm	Xénomorphe avec BO
Pyrite	tr	0.05mm	Automorphe, altérée par GO

SOMMAIRE DES INFORMATIONS

Cette roche est une pegmatite granitique à texture xénomorphe granulaire à structure massive. Elle est composée de cristaux grossiers de feldspaths perthitiques, de microcline (6,9% K<sub>2</sub>O), de plagioclase et de quartz intergranulaire accompagnés de biotite. Des zones recristallisées à grains fins sont présentes en bordure des grains plus grossiers de même que des myrmékites. Des traces de chlorite, d'apatite, de zircon, de molybdénite, de pyrite et de rutile sont notées.

Les feldspaths perthitiques sont traversés par un réseau de veinules d'exsolution. Ils contiennent des inclusions de quartz et de plagioclase. Certains sont maclés Carlsbad. Ils ne sont pas altérés.

DESCRIPTIONS PÉTROGRAPHIQUES DE DIX-HUIT ÉCHANTILLONS DE  
GRANITOÏDE  
PROJET NORTH RAE

La microcline est présente en grains plus petits (4mm). Son réseau de macles est déformé. Certains grains semblent développer des exsolutions semblables aux feldspaths décrits précédemment. Ils sont limpides.

Le plagioclase est peu abondant et se distingue de la microcline par sa granulométrie plus fine et par le fait qu'il est affecté par la kaolinitisation et par une faible séricitisation. Des grains développent des croissances épitaxiales, mises en évidence par des cœurs altérés et des bordures limpides. Les plagioclases sont associés aux zones recristallisées en bordure des cristaux plus grossiers.

Le quartz est intergranulaire aux feldspaths, en grains et amas polycristallins déformés à extinction polydomaniale. Un début de recristallisation est noté en bordure des grains. Il est traversé par de belles traînées d'inclusions fluides.

La biotite est en paillettes intergranulaires, de teinte brun foncé associée à des traces de rutile.

De fines traces de zircon automorphe ont été observées, de 0.1-0.2mm. L'un des grains semble en inclusion dans l'apatite. Deux autres grains subarrondis de nature indéterminée sont altérés par une phase jaune de nature indéterminée.

Seule une paillette de molybdénite (390 ppm Mo) a été observée, de même qu'un grain de pyrite.

La roche est microfissurée. De subtiles fractures radiales sont observées en bordure d'un grain de zircon.

DESCRIPTIONS PÉTROGRAPHIQUES DE DIX-HUIT ÉCHANTILLONS DE  
GRANITOÏDE  
PROJET NORTH RAE

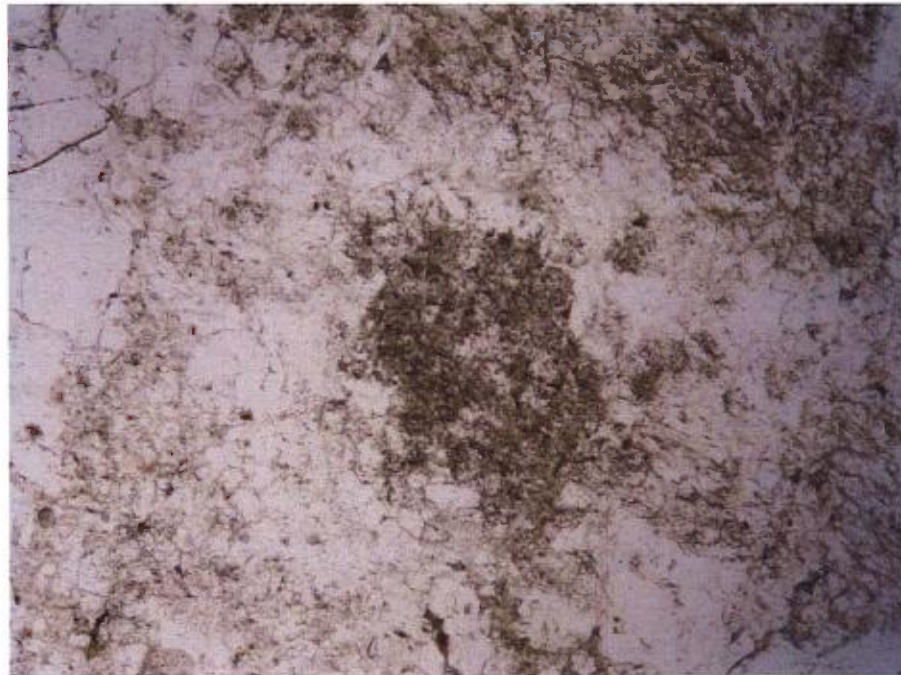


Photo 30 : Vue centrée sur un grain de plagioclase altéré montrant une croissance épitaxiale (LP, cdv : 1,4 mm).



Photo 31 : Vue d'un grain complexe de zircon métamicté, enchâssé dans du quartz (LA, cdv : 0,7 mm).



DESCRIPTIONS PÉTROGRAPHIQUES DE DIX-HUIT ÉCHANTILLONS DE  
GRANITOÏDE  
PROJET NORTH RAE

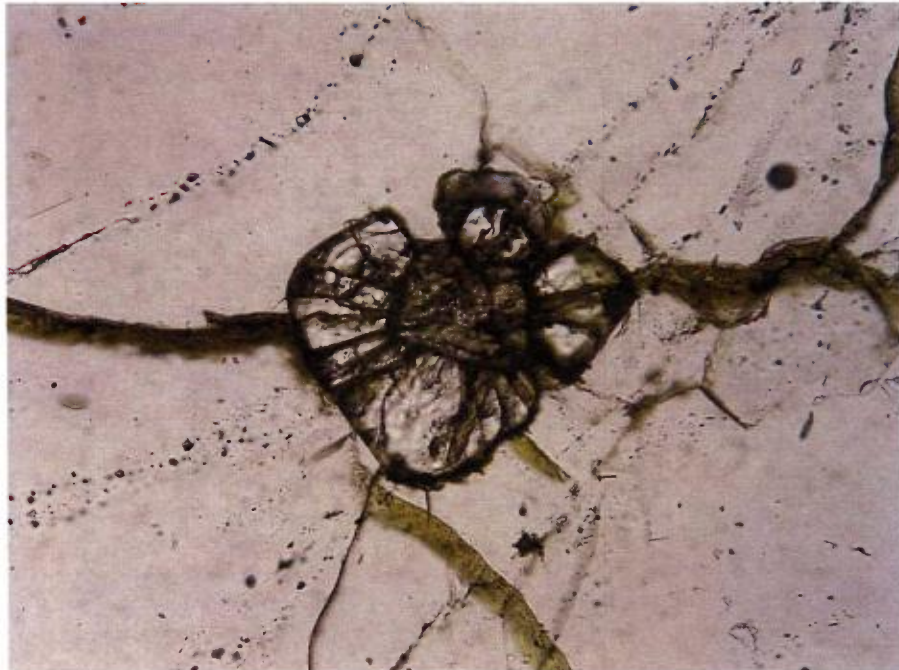


Photo 32 : Vue d'un grain de zircon zoné au cœur mauve bordé d'apatite claire craquelée, enchâssés dans du quartz (LP, cdv : 0,7 mm).

DESCRIPTIONS PÉTROGRAPHIQUES DE DIX-HUIT ÉCHANTILLONS DE  
GRANITOÏDE  
PROJET NORTH RAE

ÉCHANTILLON: 295656

TENEUR : 0.048%U<sub>3</sub>O<sub>8</sub>, 286ppm Th

NOM DE TERRAIN : PARAGNEISS MINÉRALISÉ

LITHOFACIÈS : TRONDHJÉMITE

LITHODÈME: Complexe de Baudan, possiblement un lambeau de  
Lake Harbour, près de Tasialuk

DESCRIPTION MÉSCOPIQUE

L'échantillon est une roche de teinte beige verdâtre  
grisâtre à grains moyens. Elle est minéralisée en pyrrhotite.  
La roche réagit faiblement à l'aimant à main, dû à la  
présence de pyrrhotite.

MINÉRALOGIE

MINÉRAL	%	TAILLE	TEXTURE
Plagioclase	58	0.5-10mm	Xénomorphe granulaire
Quartz	35	≤6mm	Xénomorphe intergranulaire
Microcline	2	1.5mm	Dans plagioclase
Albite?	tr	0.5mm	Xénomorphe, autour des sulfures
Muscovite	tr	0.5mm	Paillette
Clinozoïsite	tr	0.2mm	Xénomorphe granulaire
Biotite	tr	0.7mm	Paillette intergranulaire
Chlorite	tr	0.6mm	Après BO
Zircon	0.5	0.07mm	Automorphe +zoné
Pyrrhotite	4	≤3mm	Plage intergranulaire
Chalcopyrite	tr	≤0.25mm	Mutuelle à PO
Galène	tr	0.125mm	Xénomorphe, associée à PO
Graphite	tr	1mm	Paillette
Molybdénite	tr	≤0.3mm	Paillette
Pyrite	tr	0.6mm	Granulaire avec PO
Indéterminé	tr	0.03mm	Lamelle
Uraninite?	tr	0.15mm	Automorphe avec halo d'altération

MINÉRAGRAPHIE

PYRRHOTITE

La pyrrhotite est relativement abondante, en plages  
intergranulaires aux silicates, en imprégnation dans les  
feldspaths et en remobilisation dans les fractures. Elle est  
en contact mutuel à la chalcopyrite, et localement en contact  
à la pyrite et la galène.

DESCRIPTIONS PÉTROGRAPHIQUES DE DIX-HUIT ÉCHANTILLONS DE  
GRANITOÏDE  
PROJET NORTH RAE

La pyrrhotite est partiellement altérée en marcassite et en produit intermédiaire de la pyrrhotite (altération supergène).

**CHALCOPYRITE**

La chalcopryrite est en grains xénomorphes, isolée ou en contact mutuel à la pyrrhotite.

**GALÈNE**

La galène a été observée en fines traces xénomorphes, isolée ou en contact à la pyrrhotite.

**PYRITE**

Un seul grain de pyrite xénomorphe a été observé, en association à la pyrrhotite.

**GRAPHITE**

Le graphite est observé en paillettes plus ou moins flexueuses.

**MOLYBDÉNITE**

La molybdénite est observée en paillettes courbées, soit en association aux sulfures (PO) ou dans les fractures.

**INDÉTERMINÉ**

Une trace de sulfure indéterminé a été observée en association à la chalcopryrite. En forme de paillette, avec une teinte similaire à la pyrrhotite et la chalcopryrite, elle montre une anisotropie forte de bleuté à rougeâtre.

**URANINITE?**

Deux fines traces d'une phase suspectée être de l'uraninite ont été observées montrant une forme automorphe cubique. Cette phase est bordée d'un halo d'altération imprégné de sulfures.

DESCRIPTIONS PÉTROGRAPHIQUES DE DIX-HUIT ÉCHANTILLONS DE  
GRANITOÏDE  
PROJET NORTH RAE

ZIRCON

Le zircon est relativement abondant en agrégat de grains automorphes, ± zonés, faiblement biréfringents. Ils sont soit en position intergranulaire, le long des fractures, en inclusion dans les feldspaths et dans les plages de sulfures.

ZIRCON ALTÉRÉ?

Quelques grains subarrondis, remplacés par un feutre microcristallins argileux(?) jaune sont présents, bordés par un halo d'altération. On note localement une fracturation radiale associée suggérant la présence d'une phase uranifère.

SOMMAIRE DES INFORMATIONS

Cette roche montre une composition de trondhjémite (leuco-tonalite) à texture xénomorphe granulaire à grains grossiers à structure massive, à l'échelle de la section. Il est incertain si l'échantillon constitue un faciès granitisé ou une pegmatite sise dans un paragneiss, tel que décrit sur le terrain. Cette roche est constituée essentiellement de plagioclases et de quartz avec de la microcline en faible proportion (0.55% K<sub>2</sub>O). Des traces de biotite, épidote, muscovite, albite, zircon, graphite et molybdénite sont présentes. La roche est minéralisée en sulfures lesquels sont dominés par la pyrrhotite associée à des traces de chalcopyrite, pyrite et galène. Ces sulfures sont en plages intergranulaires, en remobilisation des les fractures et en imprégnations dans les feldspaths. Il existe un lien entre les sulfures, les zircons et la fracturation.

Les plagioclases sont en grains xénomorphes à hypidiomorphes granulaires. Ils sont faiblement affectés par la kaolinisation et localement imprégnés de sulfures très fins. Leur réseau de macles est généralement déformé (macles de la péricline). Le quartz est intergranulaire, en plages polycristallines, en grains déformés à bordures ciselées. Il contient des traînées d'inclusions fluides. La microcline est soit en bordure des grains de plagioclases ou en inclusion dans ce dernier. Des myrmékites y sont également observées localement.

Des traces d'albite sont suspectées en bordure des sulfures.

Le zircon est relativement abondant en agrégat granulaire dans les fractures, en inclusion dans les



DESCRIPTIONS PÉTROGRAPHIQUES DE DIX-HUIT ÉCHANTILLONS DE  
GRANITOÏDE  
PROJET NORTH RAE

sulfures, intergranulaire ou en inclusion dans les feldspaths. Ils semblent montrer une association à la fracturation et aux sulfures. Des traces d'une phase altérée jaune bordée d'un halo d'altération sont observées associées à une fracturation radiale localisée. Des traces d'uraninite sont également suspectées en grains isolés bordés d'un halo d'altération.

La roche développe une fissuration bien développée.

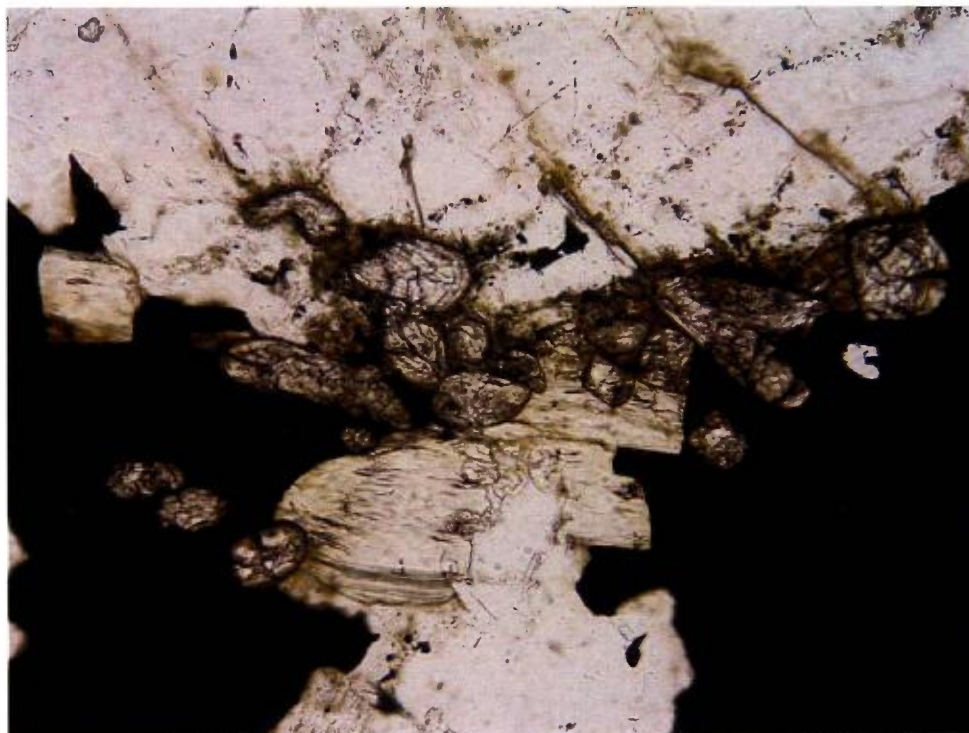


Photo 33 : Vue d'une grappe de petits zircons coincés entre des plages de pyrrhotite et des quartz riches en inclusions fluides (LP; cdv : 0,7 mm).

DESCRIPTIONS PÉTROGRAPHIQUES DE DIX-HUIT ÉCHANTILLONS DE  
GRANITOÏDE  
PROJET NORTH RAE

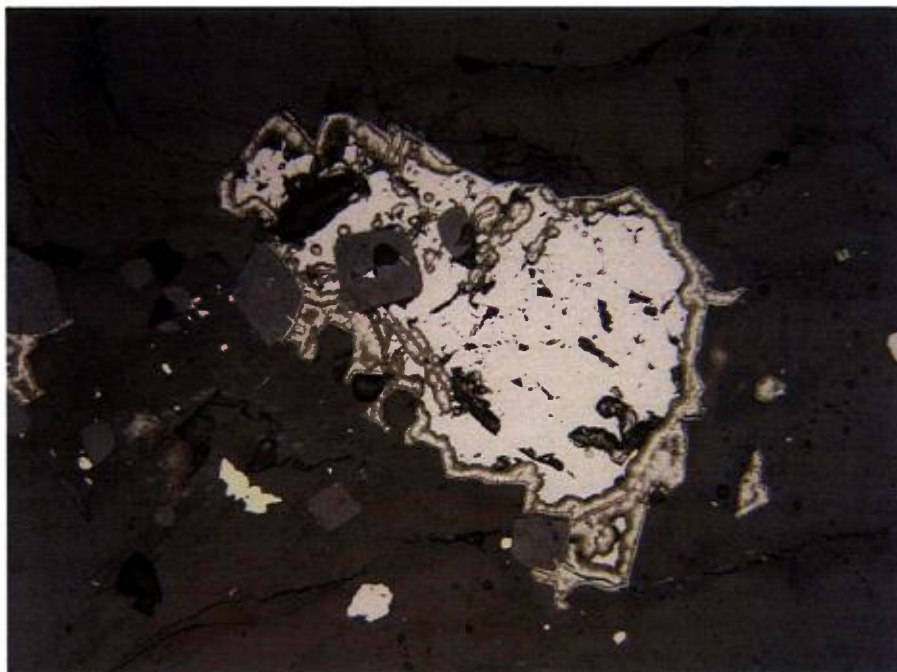


Photo 34 : Vue en lumière réfléchiée d'une plage de pyrrhotite bordée d'un liséré de marcassite. On note les petits zircons enchâssés à section carrée-losangée et la petite plage de chalcopryrite jaunâtre (LR, cdv : 0,7 mm).

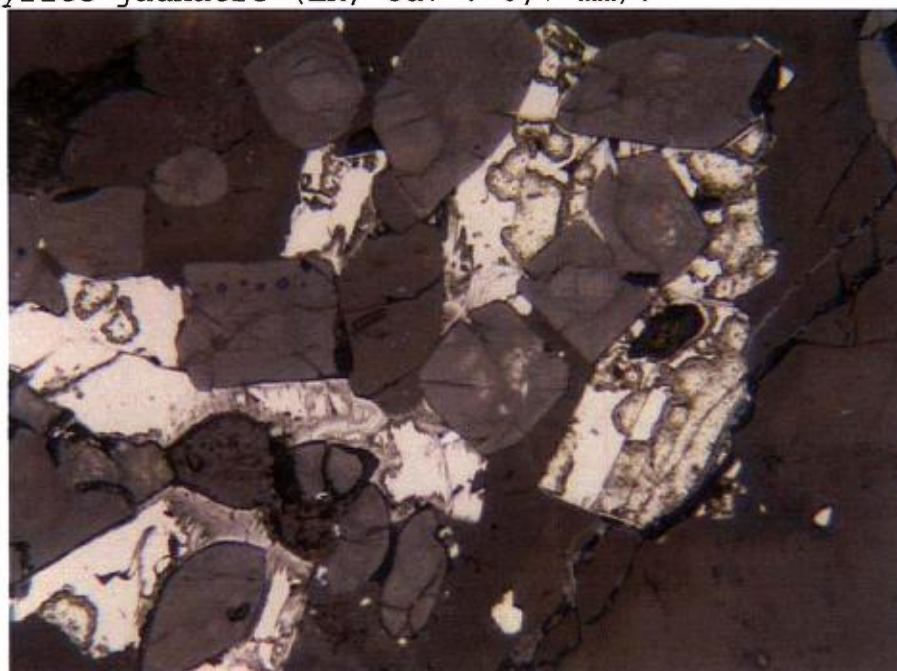


Photo 35 : Vue d'un agrégat polyminéralique de zircon, enchâssé dans une plage de pyrrhotite interstitielle (LR, cdv : 0,7 mm).



DESCRIPTIONS PÉTROGRAPHIQUES DE DIX-HUIT ÉCHANTILLONS DE  
GRANITOÏDE  
PROJET NORTH RAE

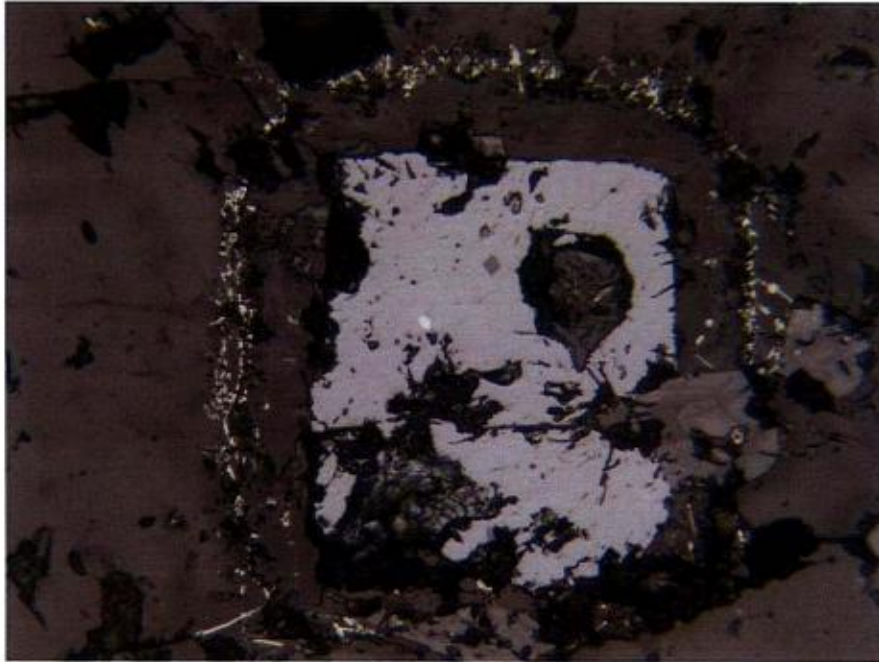


Photo 36 : Vue en lumière réfléchi d'un petit grain d'uraninite, bordé d'un liséré d'altération contenant un sulfure. On note les deux petits zircons à droite (LR; cdv : 0,28 mm).



Photo 37 : Vue d'une plage de pyrrhotite interstitielle associée à des petits zircons prismatiques et à des paillettes (colorées) de muscovite. Les minéraux encaissant sont dominés par l'albite trouble (LA; cdv : 1,4 mm).

DESCRIPTIONS PÉTROGRAPHIQUES DE DIX-HUIT ÉCHANTILLONS DE  
GRANITOÏDE  
PROJET NORTH RAE

ÉCHANTILLON: 295698

TENEUR : 0.557%U<sub>3</sub>O<sub>8</sub>, 1140ppm Th

NOM DE TERRAIN : PEGMATITE OU GNEISS QUARTZOFELDSPATHIQUE  
AVEC ALTÉRATION JAUNÂTRE À ORANGE

LITHOFACIÈS : MONZONITE OU MONZODIORITE  
LITHODÈME: Complexe de Baudan, zone Amittuujaq

DESCRIPTION MÉSCOPIQUE

L'échantillon est une roche de teinte rosée constituée de gros cristaux de 1cm blanchâtres dans une matrice feldspathique rosée à grains plus fins (texture porphyroclastique). Des fissures sont observées. La roche n'est pas magnétique.

MINÉRALOGIE

MINÉRAL	%	TAILLE	TEXTURE
Plagioclase	65	≤11mm	Hypidiomorphe granulaire, déformé
Quartz	17	≤ 6mm	Intergranulaire, cataclaté
Microcline	15	≤ 5mm	Xénomorphe granulaire
Clinozoïsite	1	≤ 1mm	Prismatique, dans fracture, sur PL
Allanite?	0.5	≤ 1mm	Prismatique, avec CZ
Séricite	1	≤0.5mm	Paillette dans fracture, sur PL
Chlorite	tr		Paillette avec SR et EP
Zircon	tr	≤0.3mm	Automorphe à subautomorphe
Molybdénite	tr	0.3mm	Paillette
Graphite	tr	0.3mm	Paillette
Uraninite	0.28	0.03-0.5mm	Automorphe

MINÉRAGRAPHIE

URANINITE

L'uraninite est relativement abondante dans cet échantillon. Sa présence a été confirmée par microsonde sur une série de quatre zones différentes dans lesquelles 6 grains d'uraninite ont été observés ainsi que 5 grains enrichis en thorium.



DESCRIPTIONS PÉTROGRAPHIQUES DE DIX-HUIT ÉCHANTILLONS DE  
GRANITOÏDE  
PROJET NORTH RAE

L'uraninite se présente en grains automorphes, non zonés, bordés d'un halo d'altération typique. Elle montre une association au zircon, localement à l'allanite (?), de même qu'à des grains enrichis en thorium. Elle est en inclusion dans les feldspaths ou le long des fractures. Lors de l'examen pétrographique, un total d'environ 28 grains a été dénombré, similaires aux grains confirmés par microsonde<sup>7</sup>. La taille des grains observés est de 0.03 à 0.5mm avec une moyenne de 0.09mm. L'analyse à la microsonde montre que l'uraninite est partiellement altérée en un produit enrichi en thorium.

#### PHASES RICHES EN THORIUM

Des grains de forme subarrondie à automorphe, de teinte jaune pâle et bordés de halo d'altération sont présents avec le même habitus que l'uraninite. Certains de ces grains (5) ont été vérifiés à la microsonde. La taille de ces grains est similaire à l'uraninite.

#### ZIRCON

Des grains de zircon automorphes sont présents soit dispersés ou en association aux minéraux uranifères. Certains contiennent des inclusions d'uraninite. Considérant la teneur en yttrium (161 ppm Y), la présence de xénotime est à suspecter.

#### ALLANITE?

L'allanite (nonobstant l'absence de terre-rares à l'analyse) est suspectée en association à la clinozoïsite. Elle se présente en grains prismatiques, de teinte jaune pâle et est isotrope.

#### MOLYBDÉNITE

De rares traces de molybdénite (369 ppm Mo) sont présentes en paillettes.

---

<sup>7</sup> Le compte de ces grains s'est effectué après la vérification à la microsonde électronique. La lame étant recouverte d'une mince couche de carbone, les teintes des phases opaques en lumière réfléchie sont modifiées et rendent l'identification minéralogique difficile.

DESCRIPTIONS PÉTROGRAPHIQUES DE DIX-HUIT ÉCHANTILLONS DE  
GRANITOÏDE  
PROJET NORTH RAE

GRAPHITE

De rares traces de graphite sont présentes en paillettes.

SOMMAIRE DES INFORMATIONS

Cette roche montre une composition de monzonite à monzodioritique avec une granulométrie grossière à structure cataclasée. Elle est constituée essentiellement de plagioclases, de quartz et de microcline avec des traces d'épidote, séricite, zircon, allanite?, graphite, molybdénite et uraninite.

Les plagioclases sont hypidiomorphes granulaires, fortement déformés avec un réseau de macles fracturé. Ils sont affectés par la kaolinitisation et sont altérés faiblement en séricite. La microcline est granulaire xénomorphe, limpide et déformée. Le quartz est intergranulaire, fortement cataclaté avec des grains étirés à extinction polydomaniale et à bordure recristallisées.

L'épidote (clinozoïsite) est observée sous différents habitus : en petits grains sur le plagioclase, dans les fractures associées à la séricite, en agrégats intergranulaires avec la chlorite, la séricite et le rutile et en prismes allongés à texture zonée avec l'allanite?

La séricite est observée en altération sur les plagioclases, dans les fractures avec l'épidote et en agrégats radiés intergranulaires.

Le zircon<sup>8</sup> est en grains de forme cubique, dispersés ou associés aux grains d'uraninite.

La roche est minéralisée en uraninite plus une phase enrichie en thorium, laquelle a été confirmée par microsonde électronique. Un compte d'environ 28 grains d'uraninite a été estimé sur la section. Ces grains sont automorphes, en association au zircon et à la phase enrichie en thorium. L'uraninite est partiellement altérée en une phase enrichie en thorium (uranothorite?). Ces grains semblent majoritairement localisés dans les fractures (non radiales) suggérant une cristallisation tardive associée à la séricite et l'épidote.

---

<sup>8</sup> Ou malacon (zircon altéré), car il montre une très faible biréfringence.

DESCRIPTIONS PÉTROGRAPHIQUES DE DIX-HUIT ÉCHANTILLONS DE  
GRANITOÏDE  
PROJET NORTH RAE

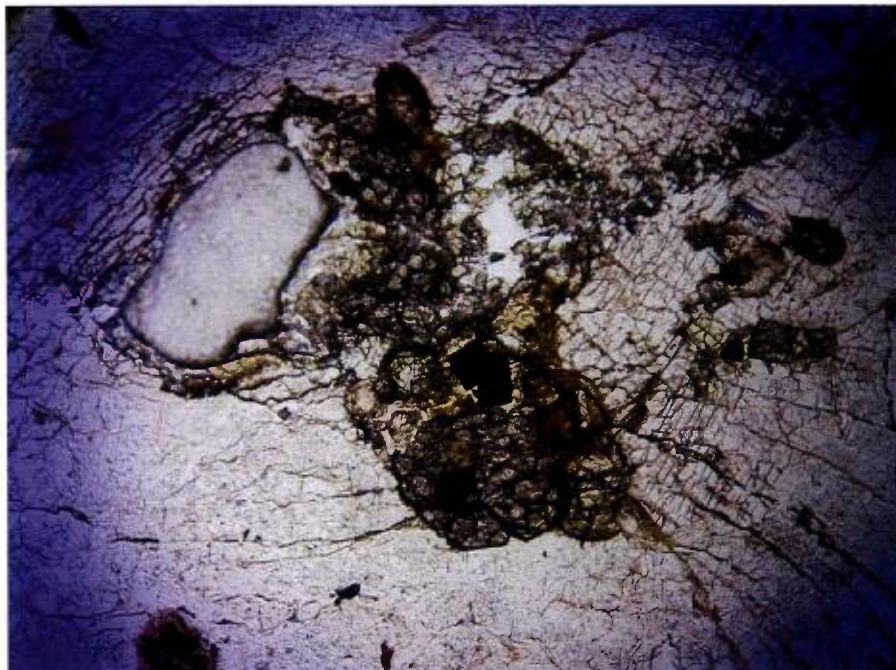


Photo 38 : Vue de la zone C1 (entourée en bleu) vérifiée à la microsonde montrant trois grains automorphes d'uraninite (opaques) dont un est en inclusion dans le zircon. (LP, cdv : ±5 mm).



Photo 39 : Vue agrandie en lumière réfléchie de l'image 38 montrant la différence de réflectance entre l'uraninite et la phase thorifère (LR; cdv : 0,7 mm).



DESCRIPTIONS PÉTROGRAPHIQUES DE DIX-HUIT ÉCHANTILLONS DE  
GRANITOÏDE  
PROJET NORTH RAE

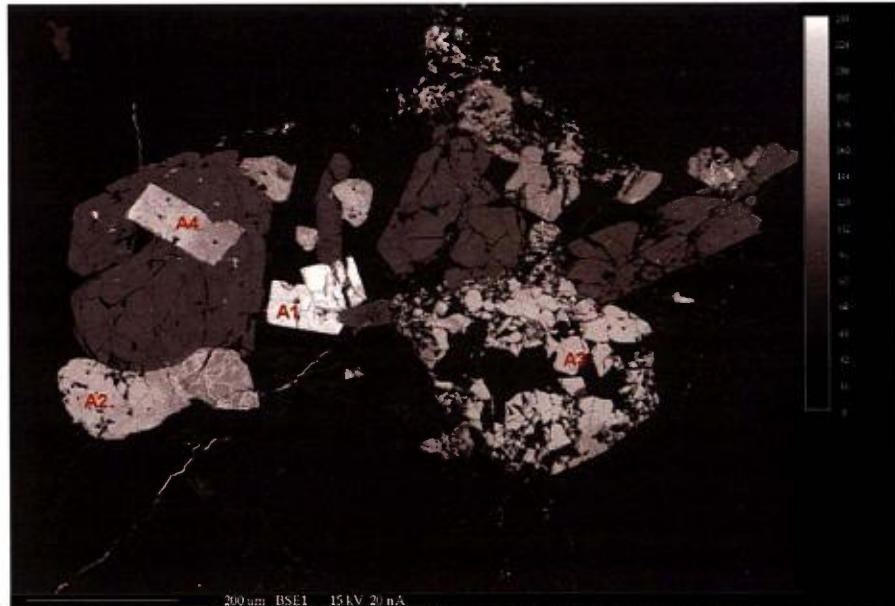


Photo 40 : Vue en électrons rétrodiffusés montrant les deux grains d'uraninite à forte densité atomique (A1), le grain d'uraninite (A4) en inclusion dans le zircon, altéré en thorium ainsi que les deux grains A2 et A3 étant des phases enrichies en thorium, non opaques sur les images précédentes.



Photo 41 : Vue de la zone C2 montrant une série de grains divers bordés d'halos d'altération vérifiés à la microsonde. On note que certains sont opaques et d'autres constitués d'un cœur jaune altéré (LP, cdv : 0,7 mm).



DESCRIPTIONS PÉTROGRAPHIQUES DE DIX-HUIT ÉCHANTILLONS DE  
GRANITOÏDE  
PROJET NORTH RAE

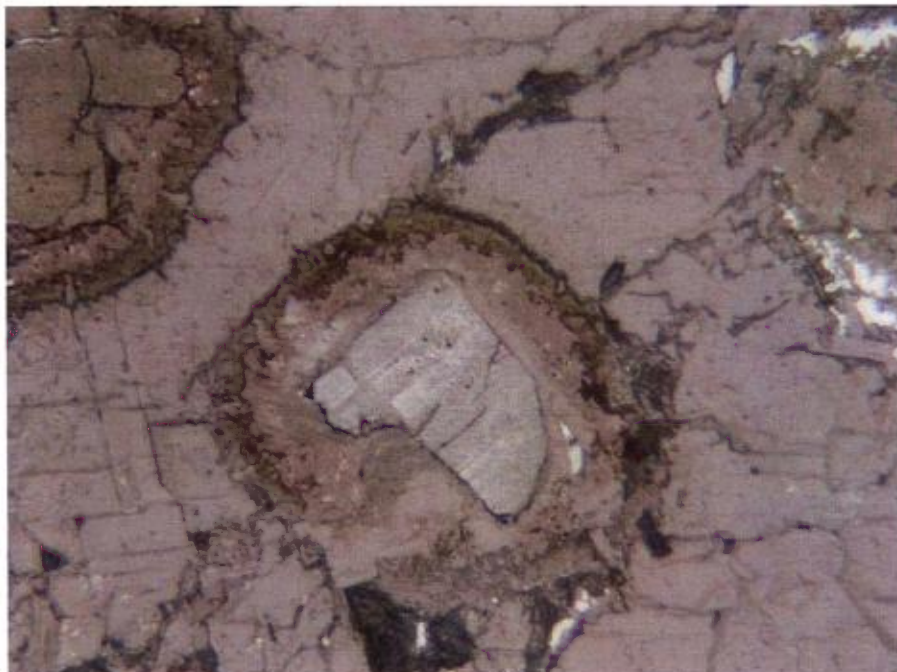


Photo 42 : Vue détaillée du grain d'uraninite opaque de l'image 41 en lumière réfléchie (LR, cdv : 0,7 mm).

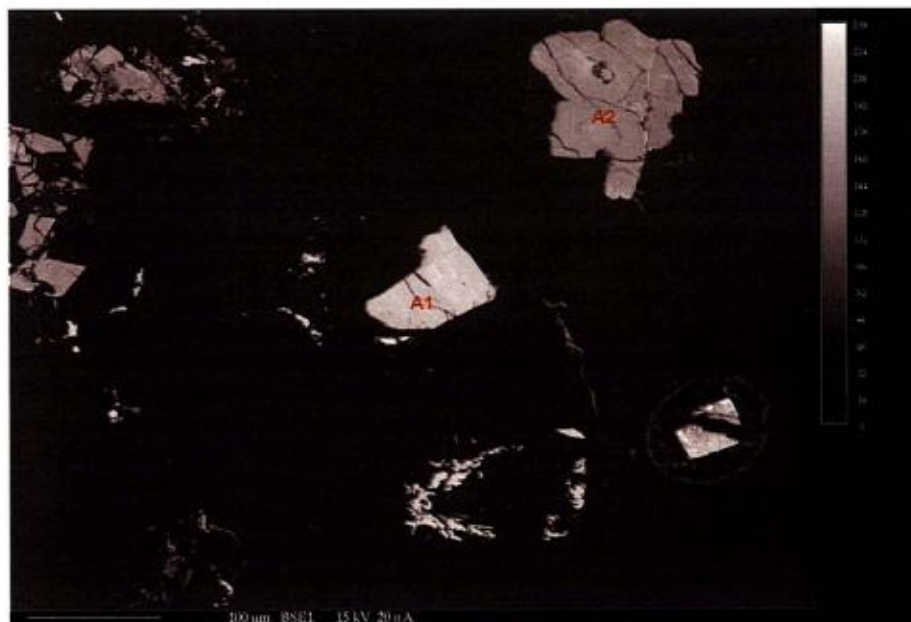


Photo 43 : Vue en électrons rétrodiffusés des grains des deux images précédentes montrant deux grains d'uraninite (dont le point A1) à forte densité atomique (blanche) et de la phase riche en thorium (A2).

DESCRIPTIONS PÉTROGRAPHIQUES DE DIX-HUIT ÉCHANTILLONS DE  
GRANITOÏDE  
PROJET NORTH RAE

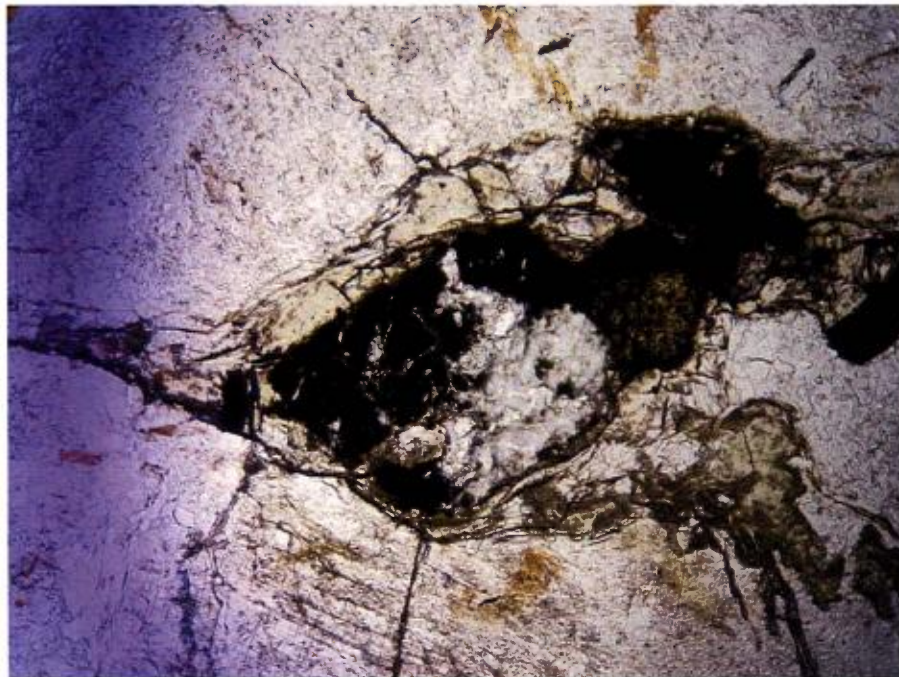


Photo 44 : Vue de la zone C3 analysée à la microsonde. On note les phases opaques fissurées, la phase jaunâtre et la porosité (LP, cdv : 1,4 mm).

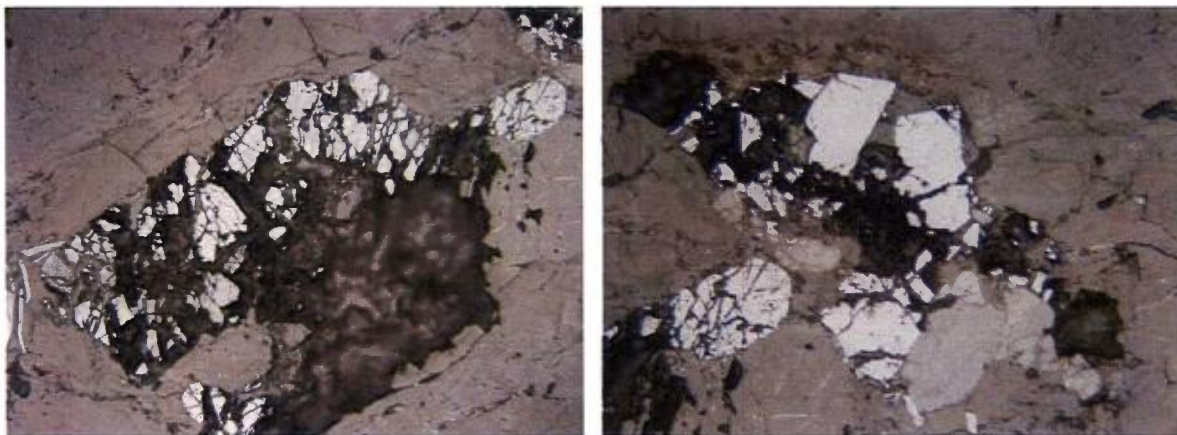


Photo 45A et B : Vue en lumière réfléchie des grains présent sur l'image 44. On note la fissuration bien développée (cdv :  $\pm 0,5$  mm).



DESCRIPTIONS PÉTROGRAPHIQUES DE DIX-HUIT ÉCHANTILLONS DE  
GRANITOÏDE  
PROJET NORTH RAE



Photo 46 : Vue en électrons rétrodiffusés de l'image 45A montrant plusieurs grains d'uraninite à forte densité atomique (points A1, A2 et A4) et le grain A2, enrichi en thorium.

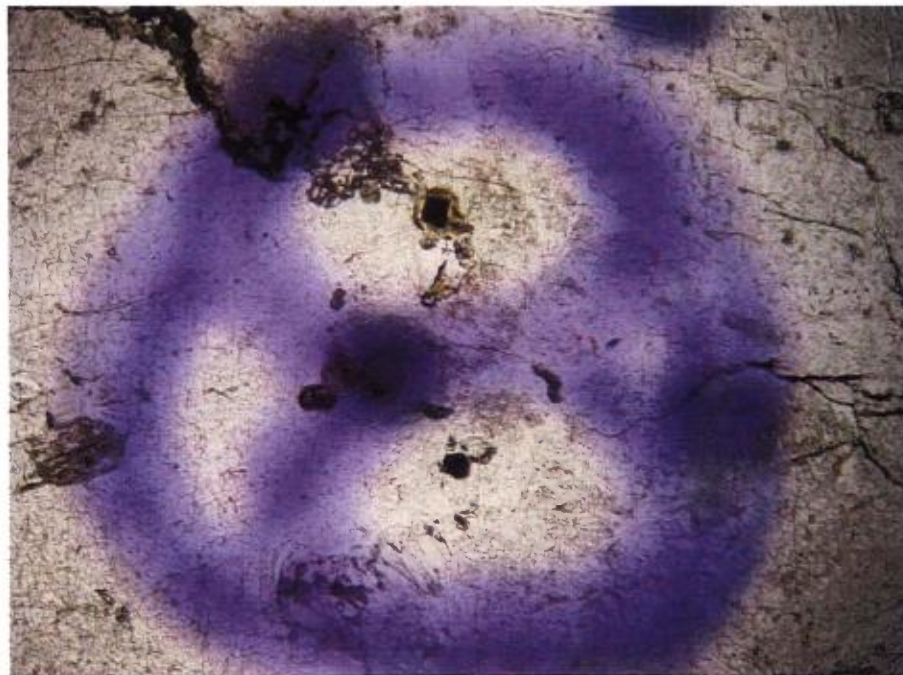


Photo 47 : Vue de la zone C4 montrant deux grains d'uraninite analysés à la microsonde. On note le halo d'altération jaune (haut de la photo) (LP; cdv : 2,8 mm).

DESCRIPTIONS PÉTROGRAPHIQUES DE DIX-HUIT ÉCHANTILLONS DE  
GRANITOÏDE  
PROJET NORTH RAE

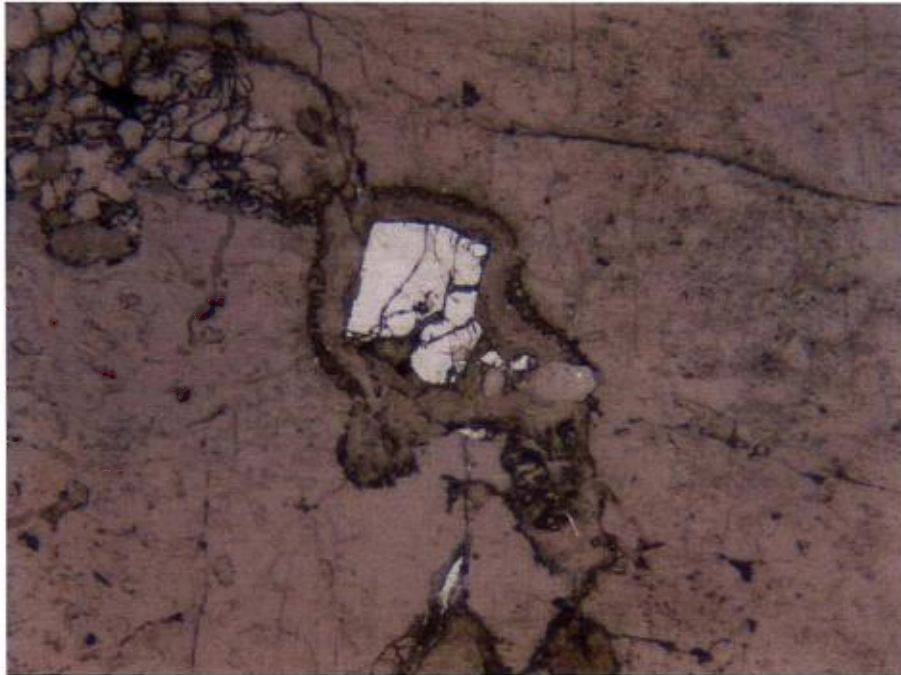


Photo 48 : Vue détaillée du grain d'uraninite avec halo d'altération (LR, cdv :  $\pm 0,5$  mm).



Photo 49 : Vue en électrons rétrodiffusés des grains de la zone C4 montrant un grain de sulfure (A) et le grain d'uraninite (B). Notez la différence de luminosité causée par la différence de densité atomique.



DESCRIPTIONS PÉTROGRAPHIQUES DE DIX-HUIT ÉCHANTILLONS DE  
GRANITOÏDE  
PROJET NORTH RAE

ÉCHANTILLON: 295700

TENEUR : 0.012 %U<sub>3</sub>O<sub>8</sub>, 92 ppm Th

NOM DE TERRAIN : PEGMATITE

LITHOFACIÈS : GNEISS MYLONITIQUE

LITHODÈME: Complexe de Baudan?, au coeur de la Bande de Lake Harbour dans le lac Amittuujaq.

DESCRIPTION MÉSCOPIQUE

Cette roche est hétérogène, à texture bréchique et schisteuse, de nature siliceuse, constituée de fragments feldspathiques dans une matrice siliceuse sillonnée de filonnets de phyllosilicates noirs.

MINÉRALOGIE

MINÉRAL	%	TAILLE	TEXTURE
Feldspath	35	≤12mm	Porphyroclastique, cataclaté
Quartz	52	≤0.03mm	Microgrenu, folié, ext. ondulante
Chlorite	3	≤0.5mm	En filonnet, dans les fractures
Séricite	10	≤0.05mm	Lépidoblastique, dans fracture
Epidote	tr		Xénomorphe granulaire
Zircon	tr	0.15mm	Automorphe granulaire
Phase ind.	tr	≤0.5mm	Subarrondie avec halo d'altération
Rutile	0.2	≤0.05mm	Agrégat granulaire avec CL
Pyrite	tr	0.01mm	Xénomorphe
Pyrrhotite	tr	0.17mm	Xénomorphe

SOMMAIRE DES INFORMATIONS

Cette roche est un gneiss mylonitique de composition granodioritique, provenant vraisemblablement de la déformation d'une pegmatite. Elle est constituée de porphyroclastes de microcline et de plagioclases, fortement cataclasés, étirés, fracturés, transposés selon la foliation. Ils sont partiellement recristallisés par la néoblastèse le long des fractures. Certains feldspaths sont fortement affectés par la séricitisation en bordure des zones schisteuses. La proportion des différents types de feldspaths est difficile à déterminer en raison de l'intensité de la déformation.

Ces porphyroclastes flottent dans une matrice siliceuse microgrenue à structure foliée qui contourne les fragments.

DESCRIPTIONS PÉTROGRAPHIQUES DE DIX-HUIT ÉCHANTILLONS DE  
GRANITOÏDE  
PROJET NORTH RAE

Les grains de quartz montrent des bordures dentelées et des extinctions ondulantes.

Des zones à séricite de même que des zones à filonnets de chlorite-séricite-rutile sont présentes localement, étirées selon la foliation. La séricite est en paillettes lépidoblastiques alors que la chlorite est moins bien définie mais associée à des granules de rutile.

Les minéraux accessoires sont peu abondants : l'épidote est xénomorphe en trace associée à des traces de sulfures dans les zones microgrenues. Des traces de zircon (?) cubique isotrope sont présentes dont certaines sont associées à une fracturation radiale très localisée. Des petits grains indéterminés, noirs, bordés par un halo d'altération suggère la présence de matière radioactive.

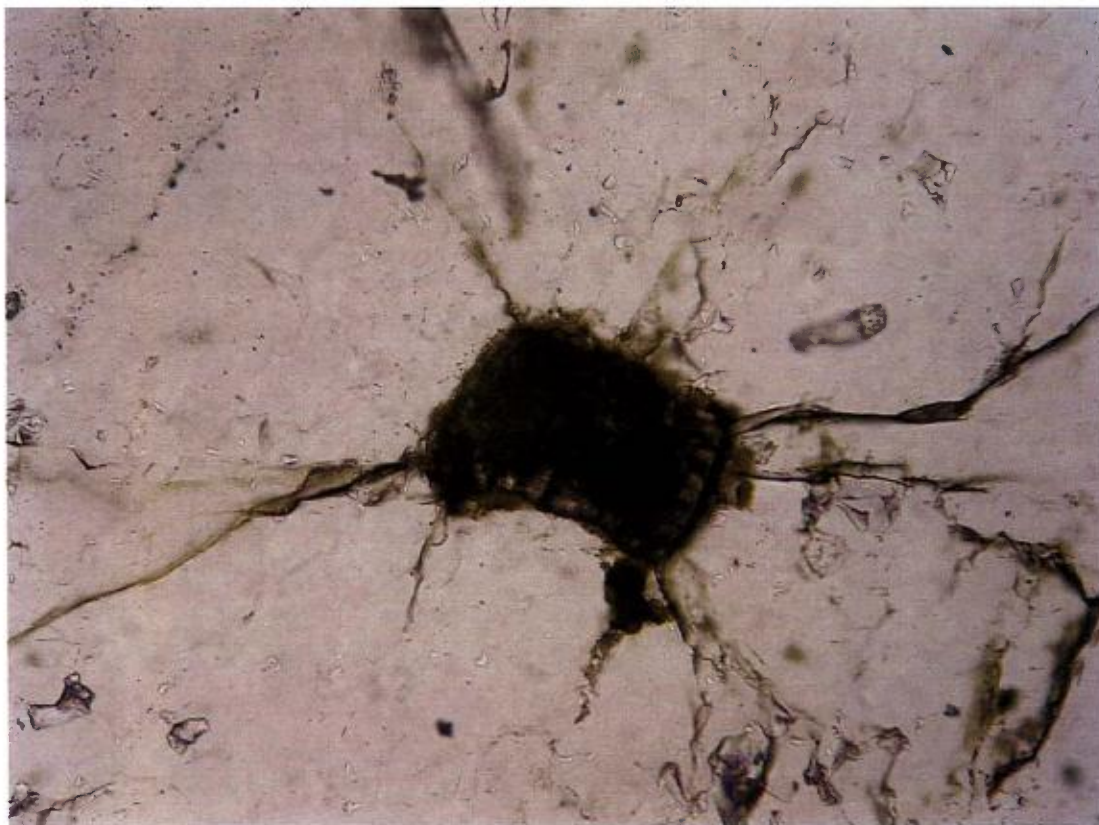


Photo 50 : Vue d'un petit zircon avec des fractures radiales affectant le quartz encaissant (LP; cdv : 0,7 mm).

DESCRIPTIONS PÉTROGRAPHIQUES DE DIX-HUIT ÉCHANTILLONS DE  
GRANITOÏDE  
PROJET NORTH RAE

ÉCHANTILLON: 295710

TENEUR : <0.001 %U<sub>3</sub>O<sub>8</sub>, 2 ppm Th

NOM DE TERRAIN : MÉTABASALTE AVEC CHLORITE, ÉPIDOTE ET  
AMPHIBOLE.

LITHOFACIÈS : MÉTABASALTE AU FACIÈS DES SCHISTES VERTS,  
Groupe de Lake Harbour, bordure est du lac Amittuujaq

DESCRIPTION MÉSCOSCOPIQUE

L'échantillon est une roche vert foncé aphanitique, fortement chloritisée et traversée par de fines veinules d'épidote. Le roche ne réagit pas à l'aimant à main ni à l'acide chlorhydrique.

MINÉRALOGIE

MINÉRAL	%	TAILLE	TEXTURE
Chlorite	56	0.05mm	Feutrée
Épidote	40	0.05-1mm	Prismatique, ± zonée
Sphène	3	0.05mm	Granulaire
Hématite	tr	0.025mm	Paillette

SOMMAIRE DES INFORMATIONS

Cette roche est constituée essentiellement d'épidote, de sphène et de chlorite. L'épidote est en prismes isolés de taille moyenne de 0.2mm, en agrégats granulaires, dans les fractures ainsi qu'en lamines déformées par des plans de fractures. La clinzoïsité et la pistachite sont présentes, légèrement teintées par une altération ferrugineuse. Le sphène est en grains de forme prismatique, généralement dispersés en lamine. La matrice est constituée essentiellement de chlorite (chlinochlore) feutrée. Seule une fine lamelle d'hématite a été observée. Aucune trace de sulfure n'est présente.

Aucune relique de la minéralogie et de la texture primaire n'a été observée. Aucune trace d'amphibole n'a été observée tel qu'observé sur le terrain. Cette roche est vraisemblablement un basalte métamorphisé en un assemblage de chlorite et d'épidote, soit au faciès des schistes verts. Sa juxtaposition avec les gneiss granulitiques du Complexe de Baudan et les séquences supracrustales au faciès des amphibolites du Groupe de Lake Harbour laisse perplexé.



DESCRIPTIONS PÉTROGRAPHIQUES DE DIX-HUIT ÉCHANTILLONS DE  
GRANITOÏDE  
PROJET NORTH RAE

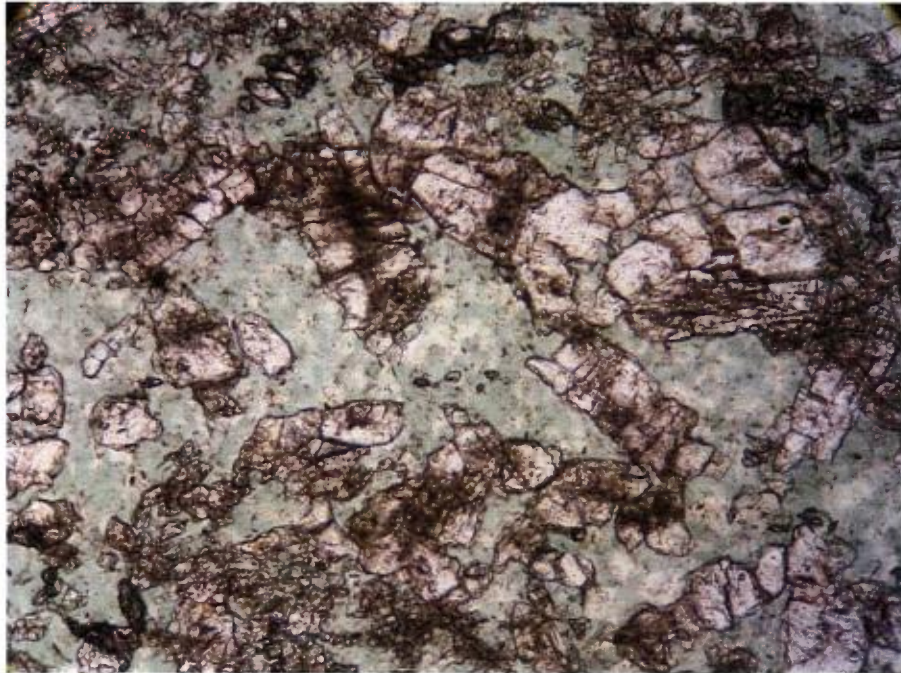


Photo 51 : Vue générale de l'assemblage à épidote granulaire et titanite dans une matrice feutrée à chlorite (LP; cdv : 1,4 mm).

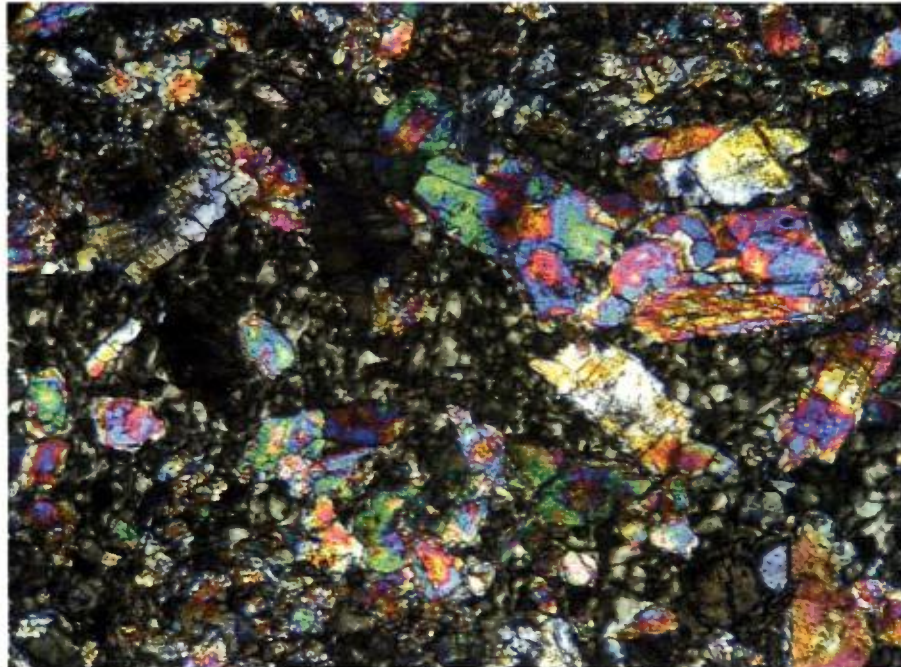


Photo 52 : Vue en lumière analysée de l'image 51, montrant l'épidote biréfringente et la matrice de chlorite (LA, cdv : 1,4 mm).



DESCRIPTIONS PÉTROGRAPHIQUES DE DIX-HUIT ÉCHANTILLONS DE  
GRANITOÏDE  
PROJET NORTH RAE

ÉCHANTILLON: 295711

TENEUR : <0.001 %U<sub>3</sub>O<sub>8</sub>, 13ppm Th

NOM DE TERRAIN : PARASCHISTE

LITHOFACIÈS : PARASCHISTE À SILLIMANITE, BIOTITE, MUSCOVITE,  
Groupe de Lake Harbour, Lac Amittuujaq

DESCRIPTION MÉSCOPIQUE

L'échantillon est un schiste à surface altérée rougeâtre. La roche est homogène, de teinte gris orangé, à texture schisteuse et possiblement gneissique, à grains fins à moyens, constituée de biotite, muscovite et possiblement de sillimanite dans une matrice quartzofeldspathique.

MINÉRALOGIE

MINÉRAL	%	TAILLE	TEXTURE
Biotite	18	1.5mm	Paillette intergranulaire
Muscovite	3	0.5-2mm	Paillette
Sillimanite	5	≤5mm	Agrégat fibreux
Quartz	25	≤0.6mm	Xénomorphe, ext. ondulante
Plagioclase	15	0.5mm	Xénomorphe, poecilitique
Microcline	15	≤2mm	Intergranulaire, poecilitique
Cordiérite?	15	≤7mm	Poecilitique avec inclusions de SM <sup>9</sup>
Zircon	tr	0.1mm	Automorphe
Graphite	1	≤0.2mm	Paillette
Goethite	1		
Pyrite	tr	0.03mm	Imprégnation dans silicate

SOMMAIRE DES INFORMATIONS

Cette roche est un paraschiste à biotite, sillimanite et muscovite à texture schisteuse.

La biotite est en paillettes xénomorphes intergranulaires, généralement orientées selon une direction préférentielle. Elle est partiellement altérée en vermiculite et localement interfoliée par des minéraux argileux. Elle contient des halos pléochroïques de zircon. La muscovite est beaucoup moins abondante que la biotite, en paillettes déformées.

---

<sup>9</sup> SM : Sillimanite

DESCRIPTIONS PÉTROGRAPHIQUES DE DIX-HUIT ÉCHANTILLONS DE  
GRANITOÏDE  
PROJET NORTH RAE

La sillimanite forme des agrégats fibreux allongés selon la schistosité. Elle est associée localement à la muscovite poecilitique. Une phase indéterminée (cordiérite? ou muscovite? vermiculite? orthose?) est observée en grains poecilitiques xénomorphes de taille millimétrique avec inclusions de sillimanite.

Le plagioclase est affecté par la damouritisation. Certains grains sont poecilitiques. La microcline est intergranulaire, poecilitique, limpide, avec exsolutions irrégulières. Des évidences de déformation y sont notées. Le quartz est xénomorphe et déformé à extinction ondulante.

Le graphite est en paillettes dispersées. Seules de très fines traces de sulfures ont été observées en imprégnation sur les feldspaths.

DESCRIPTIONS PÉTROGRAPHIQUES DE DIX-HUIT ÉCHANTILLONS DE  
GRANITOÏDE  
PROJET NORTH RAE



Photo 53 : Vue générale du paraschiste montrant un lithon quartzofeldspathique à biotite à droite, et un lithon à sillimanite et cordiérite? à gauche (LP, cdv : 2,8 mm).



Photo 54 : Vue de l'image 53 en lumière analysée (LA, cdv : 2,8 mm).

DESCRIPTIONS PÉTROGRAPHIQUES DE DIX-HUIT ÉCHANTILLONS DE  
GRANITOÏDE  
PROJET NORTH RAE

ÉCHANTILLON: 295714

TENEUR : 0.333 %U<sub>3</sub>O<sub>8</sub>, 473 ppm Th

NOM DE TERRAIN : GRANITE PORPHYROCLASTIQUE FOLIÉ AVEC PRODUIT  
JAUNE DANS LES FRACTURES

LITHOFACIÈS : SYÉNITE QUARTZIFÈRE

LITHODÈME: Complexe de Baudan, décharge du lac Amittuujaq

DESCRIPTION MÉSCOSCOPIQUE

L'échantillon est une roche leucocrate de teinte gris pâle rosé en surface sciée. Une teinte jaune est visible sur les plans de fracture, liée à la présence de minéraux secondaires d'uranium. La roche est constituée de porphyroclastes de feldspaths de taille centimétrique dans une matrice quartzofeldspathique à biotite.

MINÉRALOGIE

MINÉRAL	%	TAILLE	TEXTURE
Microcline	45	≤15mm	Porphyroclastes et matrice
Plagioclase	27	≤1mm	Granulaire
Quartz	15	≤2.5mm	Amas granulaire xénomorphe
Myrmékite	10		Intergranulaire
Biotite	3	≤1.2mm	Paillette intergranulaire
Chlorite	tr		Après BO
Epidote	tr	≤0.3mm	Xénomorphe granulaire
Sphène	tr	≤0.1mm	Xénomorphe granulaire
Zircon	tr	0.2mm	Palimpsestique, zoné, automorphe
Allanite?	tr	0.1mm	Au cœur de l'épidote
Argile	tr		Dans fracture, autour de zircon
Molybdénite	tr	0.8mm	Paillette



### SOMMAIRE DES INFORMATIONS

Cette roche montre une composition d'une syénite ou d'un syénite quartzifère et développe une texture porphyroclastique. Elle est constituée en ordre d'abondance de microcline, plagioclases et quartz, accompagnés de biotite avec divers minéraux accessoires : épidote, sphène, zircon et molybdénite. D'abondantes myrmékites sont également présentes.

La microcline est porphyroclastique, en grains de taille millimétrique ainsi qu'à grains plus fins dans la matrice. Elle est limpide. Les plagioclases sont granulaires, faiblement kaolinitisés, enduits d'un fin saupoudrage d'hématite. Des points triples sont localement développés, témoin d'une recristallisation. Des feldspaths non maclés microperthitiques sont également présents. Les myrmékites et les symplectites sont abondantes, en plages intergranulaires aux feldspaths.

La biotite est observée en paillettes intergranulaires, aux bordures localement symplectitiques. Elle est également alignée dans les fractures.

L'épidote est xénomorphe, dispersée, localement associée aux paillettes de molybdénite.

Des grains de forme similaire au zircon sont présents, zonés, de même que des grains de nature indéterminée bordés d'un halo d'altération. On note également la présence de trace d'allanite localement au cœur de l'épidote.

Des minéraux argileux sont observés sur les plagioclases, en auréole d'altération autour de grains de fantôme de zircon(?) ainsi que dans les fractures.

Des traces de molybdénite sont présentes en paillettes déformées et dispersées. Localement elles montrent une association à l'épidote.

Aucune trace d'uraninite n'a été observée.

DESCRIPTIONS PÉTROGRAPHIQUES DE DIX-HUIT ÉCHANTILLONS DE  
GRANITOÏDE  
PROJET NORTH RAE

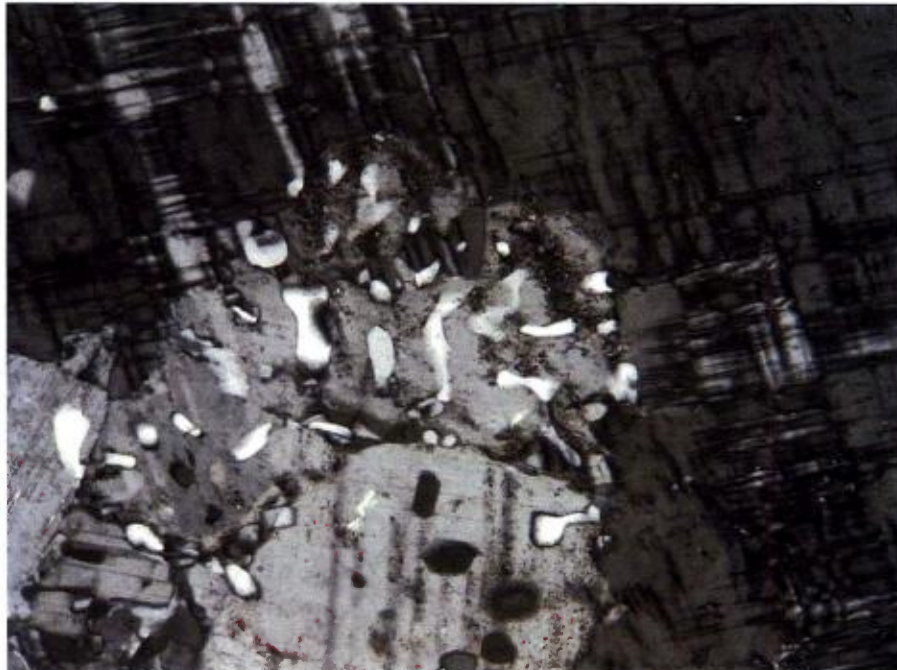


Photo 55 : Vue d'une myrmékite entre un plagioclase (bas de l'image) et une microcline (LA; cdv : 1,4 mm).

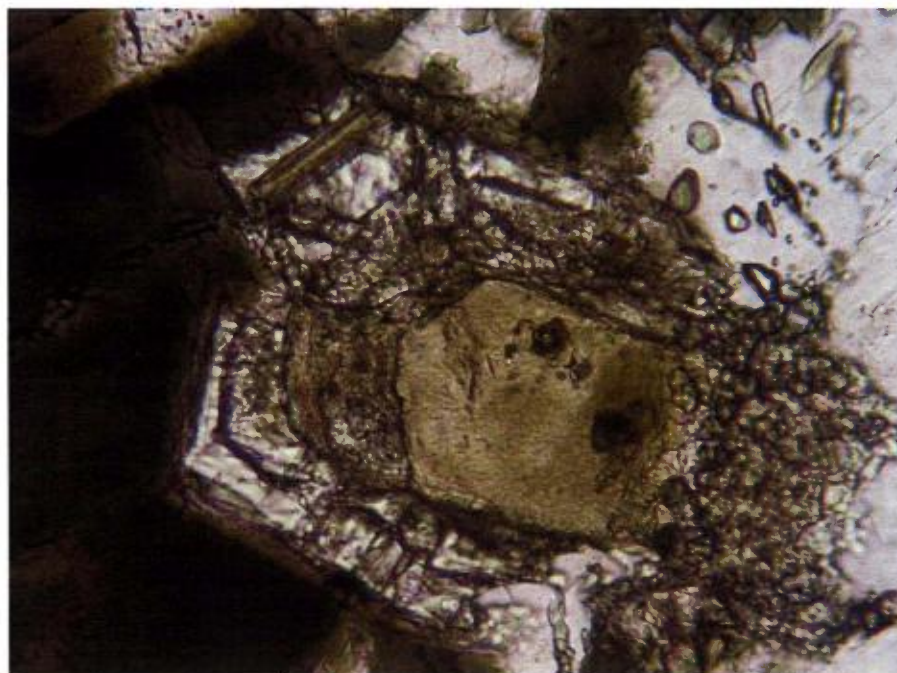


Photo 56 : Vue d'un zircon zoné de façon complexe (LP, cdv : 0,7 mm).



**MINERALOGICAL REPORT No: MIN 0807/136**  
MS Excel Spreadsheet Report\*

**WORK REQUESTED BY:** Anton Esterhuizen  
**ON BEHALF OF:** Pangea Exploration  
**PROPOSAL NUMBER:** 07/380  
**DATE:** 30 October 2007  
**INVESTIGATOR:** S.J. Theron and L.M. Scott

Uranium Department Analyses and Mineralogical Characterization of  
two U-rich samples from Canada.

**S. J. THERON**  
Manager  
Mineralogical Services

**G. J. MARTIN**  
MetMin Marketing  
Consultant

Note

This report refers to the samples as received. The practice of this Company in issuing reports of this nature is to require the recipient not to publish the report or any part thereof without the written consent of SGS Lakefield Research Limited. Neither SGS Lakefield Research Limited, nor its subcontractors, consultants, agents, officers, or employees shall be held responsible for any loss or damage resulting directly or indirectly from any default, negligence, error or omission. The liability of SGS Lakefield Research Limited, if any, shall be limited in total to the invoiced value of this project.

**Lakefield Research**

SGS Lakefield Research Africa (Pty) Ltd  
Reg. No. 1948/28709/07

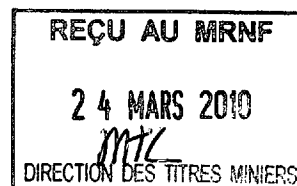
58 Melville Street, Booyseens, Johannesburg 2091.

Tel: +27(0) 11 680-3466 Fax : +27(0) 11 433-3654 e-mail : africa@sgslakefield.com www.sgslakefield.com www.sgs.com

Directors : SOUTH AFRICA – Heinrich Williams CANADA – Christopher A. Fleming

Member of SGS SA Group

\* MS Excel Spreadsheet Reports are best viewed electronically.



1010536

## DEFINITIONS

Any qualitative description or quantitative measurement of characteristics of ore and gangue minerals are based on observations made on a two-dimensional section through a polished section of any given material. In addition, several hundreds of particles (in general +/- 1000 particles) are analysed and measured in each size fraction to improve statistics and to minimise any bias due to stereological issues. Provided sufficient points/particles/grains are analysed Point = Area = Volume

Once minerals are identified correctly and the mineral densities are known, any volume information can be converted into mass information.

Various terms describing mineral abundance, liberation, and mineral association are used in this report. These terms are defined as follows (in alphabetical order):

**Area-%:** Particles are exposed at the surface of a polished section as two-dimensional cross-sections. Any quantification of mineral/particle characteristics are based on measurements of the exposed areas.

**Average grain size:** The average size of a specific mineral type, measured as the average intercept length in x-direction.

**Average particle size:** The average size of a particle, measured as the average intercept length in x-direction across the particle (regardless of the mineral type).

**Barren:** A particle is considered barren if it contains 0 area% of mineral of interest.

**Binary Particle:** A binary particle predominantly, but not exclusively, consists of two mineral phases or mineral groups e.g. a particle predominantly consisting of bornite and chalcopyrite is regarded as binary. A particle predominantly consisting of sulphides and silicate gangue can also be regarded as binary.

**Grain:** A mineral grain that consists of a single mineral type. Several grains can make up a particle. In the case of a liberated grain, the terms grain and particle are equivalent.

**Liberated:** In the context of this report a particle containing >80 area-% of the mineral of interest is considered "liberated". The set limit might vary depending on the mineral, i.e. the limit for e.g. quartz might be set lower as it is a fast floater.

**Liberation classes:** Liberation (as applied in the context of this report) is based on area percent of the mineral of interest (e.g. bornite) over the total area of a particle. Liberation classes are defined in 12 groups ranging from 0 to 100 area-% (0, ≤10, ≤20, ≤30, ≤40, ≤50, ≤60, ≤70, ≤80, ≤90, ≤100, 100 area %)

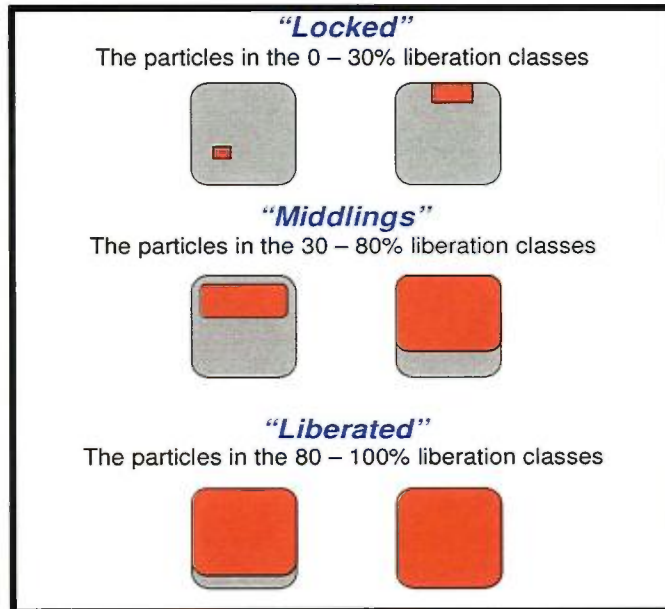
**Locked:** In the context of this report, a mineral of interest is considered locked when the area-% of the mineral over the total particle is ≤30 area%.

**Middlings:** A mineral/grain/particle is considered to be a middlings particle if the area-% of the mineral of interest in that particle falls between >30 and ≤80 area%.

**Mineral of interest:** This term is equivalent to a "sort-category". If one would like to determine the liberation characteristics of, for example bornite, the dataset will be sorted according to the characteristic "particle contains bornite"

**Particle:** Several grains (one mineral type) make up a particle. A particle usually refers to a fragment of a rock or ore, the size of which is dependent on crushing and milling conditions as well as the size class it deports to.

**Ternary Particle:** A ternary particle predominantly, but not exclusively, consists of three mineral phases or mineral groups, e.g. a particle predominantly consisting of bornite, chalcopyrite and silicate gangue is regarded as ternary. A particle predominantly consisting of sulphides, oxide and silicate gangue can also be regarded as ternary.





## Pangea Exploration: U-rich Alkali-granites from Canada.

### I. INTRODUCTION

Mr Anton Esterhuizen of Pangea Exploration requested a U-department analysis and general rock characterization on two uranium bearing rock samples labeled NUNAV-1 and NUNAV-2. Each of the rock samples were cut in half. One half was crushed, pulverized and submitted for a  $U_3O_8$  assay (XRF pressed pellet) as well as X-ray diffraction (XRD) analyses. XRD only detects crystalline phases while amorphous phases are not detected and poorly crystalline phases are usually underestimated. Polished thin sections were prepared of the other half and studied using an optical microscope. The remainder of sample NUNAV-2 were crushed to 100% passing 1mm. Six polished sections were prepared of this crushed material and used to conduct mineral abundance and U-department analyses using the SGS Lakefield Research Johannesburg based QEMSCAN system. The U-department analysis included (i) speciation of U-phases, (ii) U-distribution/departement, (iii) grain size distribution, (iv) liberation and (v) association analyses of U-phases. Insufficient sample material was available of sample NUNAV-1 and no U-department study was conducted on this sample.

### II. RESULTS

#### $U_3O_8$ Assays

The two rock samples are highly anomalous in  $U_3O_8$ , containing between 2000 and 3200 ppm  $U_3O_8$ .

Table C1: XRF (pressed pellet)  $U_3O_8$  Assay

Sample	$U_3O_8$ (ppm)
NUNAV-1	3111
NUNAV-2	2071

#### X-ray Diffraction Analyses (XRD) (Figure 1A and B)

XRD was used to determine the general mineralogical composition of these samples. Sample NUNAV-1 mainly consists of quartz, plagioclase (albite), biotite and K(Na)-feldspar. Trace to minor amounts of kaolinite and molybdenite are possibly also present. Sample NUNAV-2, similar to sample NUNAV-1, mainly consists of quartz, plagioclase (albite), biotite and K(Na)-feldspar. It appears to be more quartz- and biotite-rich than sample NUNAV-1, but contains no detectable kaolinite. Molybdenite were, however, observed petrographically.

#### Optical Microscopy (Figures 2 and 3)

The samples were examined under the optical microscope using reflected and transmitted light. The descriptions are followed by selected photomicrographs showing the general textures, and the nature of occurrence of the main uranium bearing mineral.

#### NUNAV - 1

This is a coarse grained, biotite-rich, alkali granite (Alaskite). It comprises mainly quartz, albitic plagioclase and biotite, with lesser amounts of K(Na)-feldspar and muscovite. The rock has a foliate "sheeted" appearance, suggesting it has been affected by shearing. The sample was very small and only one polished thin section were prepared. No uranium-bearing minerals were observed in this sample, but this was probably affected by the limited proportion of the sample investigated.

#### NUNAV - 2

This rock is very similar to NUMAV-1 in composition and texture. It is also a biotite-rich, coarse grained, alkali granite, comprising predominantly quartz, albitic plagioclase and biotite, with lesser amounts of K(Na)-feldspar and muscovite. Occasional zircon grains were observed. This rock also appears to have been affected by shearing. Uraninite was the only uranium bearing mineral observed in this sample. It occurs as euhedral cubic crystals in biotite-rich veins/zones or in fractures associated with biotite (Figures 2 and 3). Molybdenite is commonly associated with the uraninite.

#### Mineral Abundance Analyses (Table 1)

The QEMSCAN results confirm the XRD and petrographic analyses. The sample predominately consists of quartz (~59 mass %), biotite (~18 mass %) and albitic plagioclase (~14 mass %). Minor to traces quantities of K(Na)-feldspar (~4 mass %), Fe-oxides/hydroxides (~1.4 mass %), muscovite (~1 mass %), chlorite (~0.4 mass %), ilmenite/rutile/sphene (~0.7 mass %) etc make up the remainder.

The uraninite content is quite high (~0.3 mass %). Traces of U-silicates (~0.05 mass %), mainly coffinite, and U-bearing thorite (~0.2 mass %) are also present. Thorite is quite a common trace mineral, but its U-content is highly variable. Due to a lack of accurate electron microprobe data, a U content of 14.32 mass % for the thorite/uranothorite has been assumed.

There isn't a good correlation between the mineralogical calculated and chemical U assays, 0.32 versus 0.18 mass %. The explanation for this being that the rock was cut in half and one half was submitted for XRF analyses, while the other half was used for QEMSCAN analysis. Thus the U-values for the one half of the rock could vary significantly from that of the other. These samples are most probably not representative of the ore body, due to their small hand specimen size. The samples most probably represent high grade areas of the ore. These high grade areas with in alaskite/alkali-granites are often biotite-rich.

The traces sulphides present is mainly composed of pyrite, molybdenite and galena. The molybdenite is occasionally closely associated with the uraninite.

#### Uranium Department Analyses (Table 2; Figure 4)

Most of the uranium (~80%) in sample NUNAV-2 is hosted by uraninite. The remaining 20% is hosted in nearly equally proportions by the U-silicates and thorite/uranothorite.

#### U-phase Grain Size Analyses (Table 3; Figures 5 & 6)

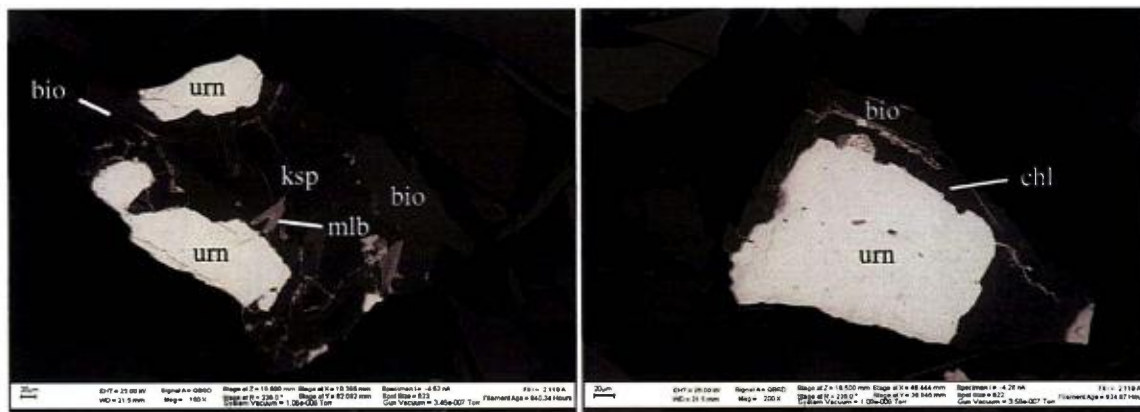
The uraninite and thorite/uranothorite both appear to represent primary "magmatic" U-phases. These phases are also much coarser grained than the U-silicates, which are present as a secondary alteration product of the uraninite.

Just more than 40 % of the uraninite is finer than 25µm, with 43% coarser than 75µm. Most of this >75µm (~80%) is coarser than 100µm. All of the uraninite is, however < 200µm. Thus although relatively coarse, the uraninite is still too fine grained for most gravity techniques, with acidic leaching the most probable processing route. The absence of carbonate gangue makes the latter quite attractive, but the presence of abundant biotite, which is a known gangue acid consumer, could cause some problems.

#### U-phase Liberation and Association Analyses (Tables 4 & 5 to 10; Figures 7 and 8)

At this coarse grind (100% passing 1.0mm), and due to the relative fine grain size of all the U-phases (100% uraninite <200µm), the liberation of all the U-phases is quite poor. Thorite/uranothorite exhibits the highest degree of liberation (~44%), followed by uraninite (~24%). Large proportions of these phases also occur as middlings, ~34 and 28% respectively. The U-silicates are effectively locked (~81%), but are mainly associated (54%) with the the coarser and more liberated uraninite. The uraninite exhibits a strong association with biotite (~38%), U-silicates (~24%) and quartz (~10%). The U-silicates also shows a strong association with biotite (~15%). If an acid leaching process route is followed the close association of the uraninite with a major gangue acid consumer, such as biotite, can cause some problems.

**Figure C1** Uraninite (urn) is the dominant U-bearing phase in sample NUNAV-2, accounting for more than 80% of the uranium present. The U-silicates, accounting for another 10% of the uranium are present as an alteration product of the uraninite and is closely associated with the latter. The uraninite is closely associated with biotite (bio), which may cause problems if acidic leaching route is followed as biotite is a known gangue acid consumer.(B). Molybdenite (mlb) is also occasionally closely associated with the uraninite.



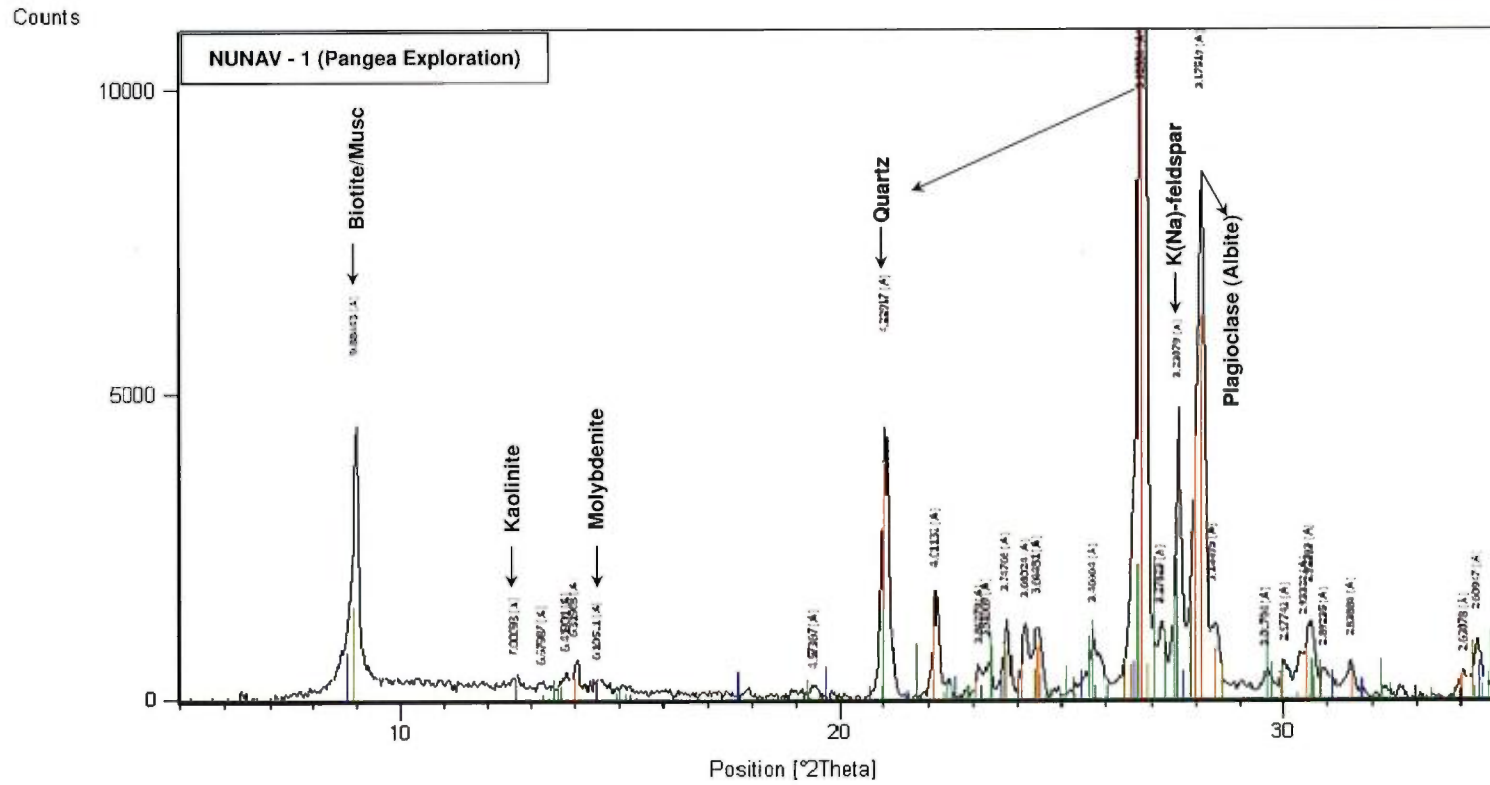
### III. DISCUSSION AND CONCLUSIONS

These samples are highly anomalous in uranium, containing between 2000 and 3200 ppm  $U_3O_8$ . The uranium is predominantly hosted by uraninite and minor U-silicates, mainly coffinite, which is a "secondary" phase after the "primary" uraninite. Thorite are also a common U-bearing accessory phase, but contains variable quantities of uranium. Indications are that the thorite/uranothorite may only host minor proportions (<10%) of the uranium.

The host rocks represent very biotite-rich alkali-granites/alaskites. These biotite-rich alkali granites appear to represent highly fractionated hydrous granitic material, highly anomalous in incompatible elements such as Zr and U. The presence of abundant biotite may cause problems if an acidic leaching processing route is followed. The uraninite and U-silicates, although soluble in acidic fluids, are closely associated with biotite, which is a known gangue acid consumer.

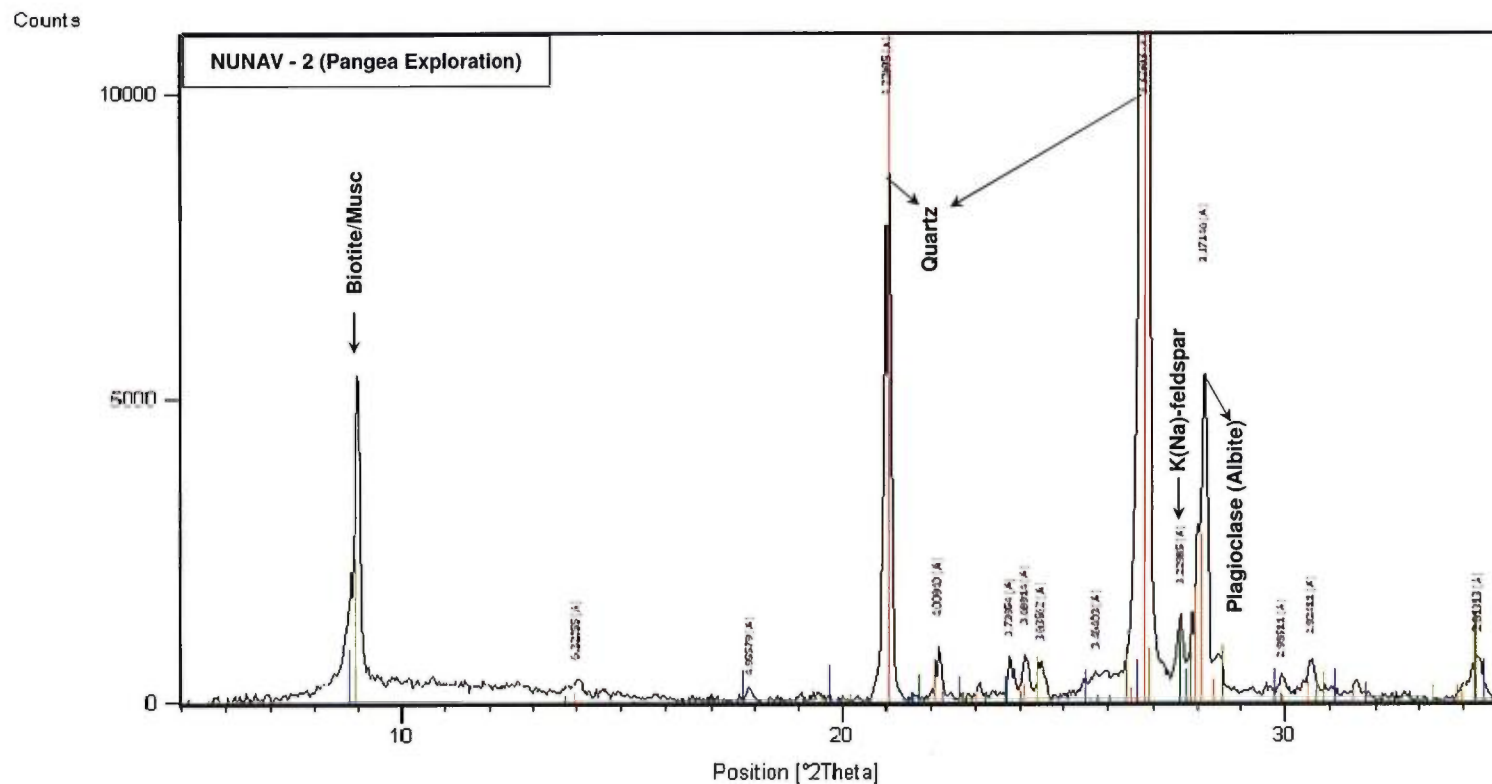
These rocks, however, may not be representative of the ore body as they are too small and most probably only represent high grade material, which are often biotite-rich.

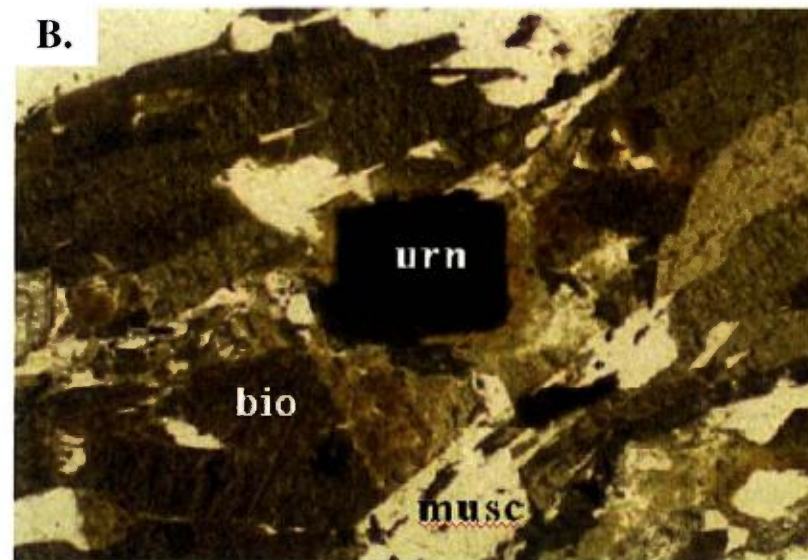
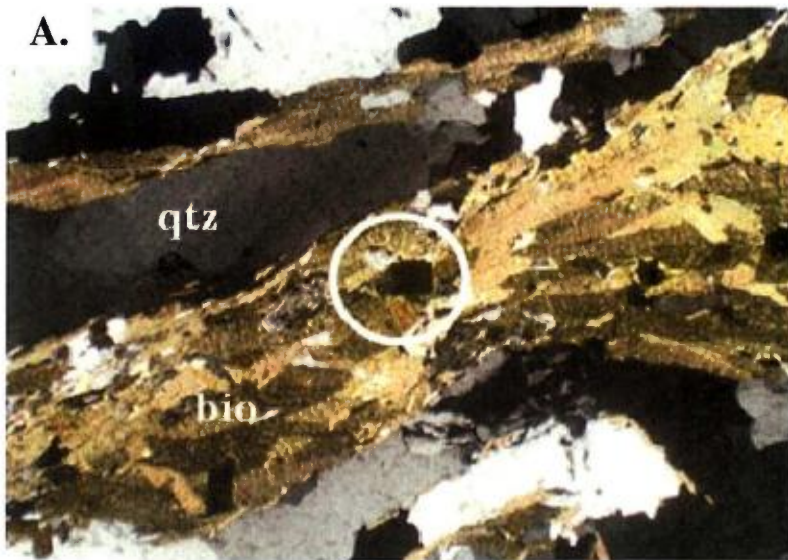
**Figure 1A** X-ray diffraction pattern (5 to 35° 2θ) of sample NUNAV-1. The sample mainly consists of quartz, plagioclase (albite), biotite and K(Na)-feldspar. Trace to minor amounts of kaolinite and molybdenite are possibly also present.



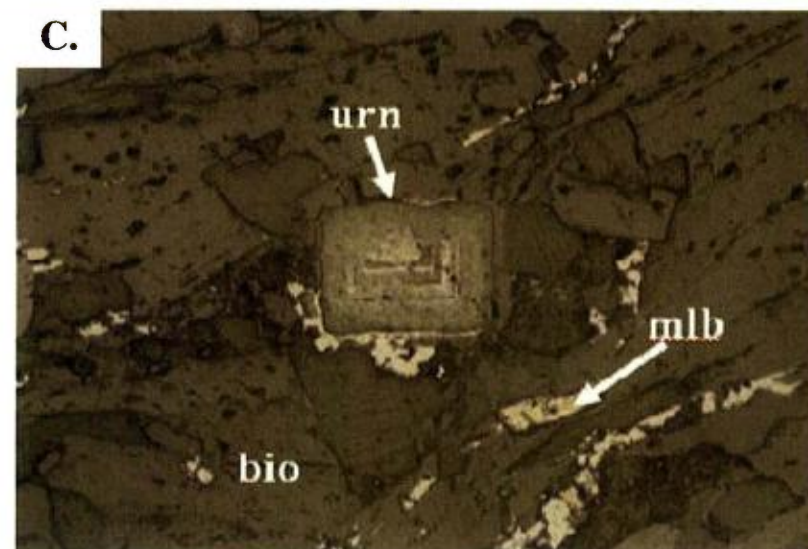


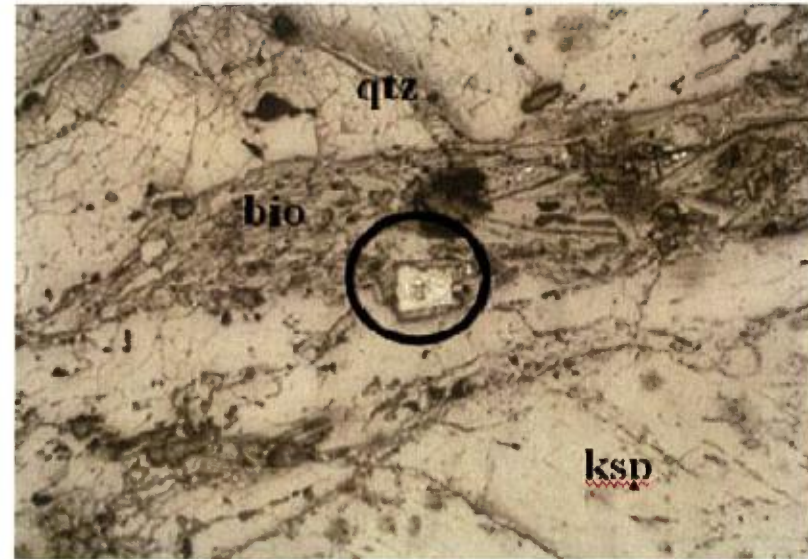
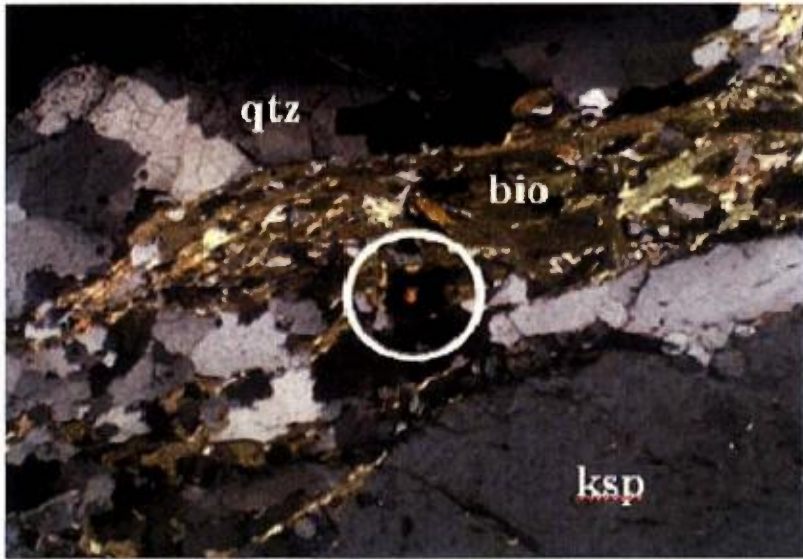
**Figure 1B** X-ray diffraction pattern (5 to 35° 2θ) of sample NUNAV-2. Similar to sample NUNAV-1 it mainly consists of quartz, plagioclase (albite), biotite and K(Na)-feldspar. It appears to be more quartz- and biotite-rich than sample NUNAV-1, but contains no detectable kaolinite. Molybdenite were, however, observed petrographically.





**Figure 2A to C** Uraninite (circled) occurs in biotite-rich veins/zones. Notice the coarse quartz and biotite. Image taken in transmitted light (A). Higher magnification image of the uraninite (urn) grain in Figure 2A. Image taken in transmitted light (B) . Same image as in Figure 2B, taken in reflected light to show the uraninite (urn). Molybdenite (mlb) is usually associated with the uraninite.





**Figure 3A and B** Uraninite grain (circled) associated with biotite. Taken in transmitted light (A). Same image as in Figure 3A, taken in reflected light to show the uraninite grain (B).



**Table 1 Mineral Abundance Analyses of sample NUNAV-2, submitted by Pangea Exploration.**

<b>Product</b>	<b>A</b>
<b>Label</b>	<b>NUNAV-2</b>
<b>Mass Flow</b>	<b>100</b>
Fraction	-1000/+0
Average Particle Size (µm)	82
<b>Calculated Chemical Assay (Mass %)</b>	
<b>Element</b>	<b>NUNAV-2</b>
Na	1.19
Mg	2.59
Al	3.29
Si	37.25
P	0.02
S	2.32
K	0.11
Ca	0.31
Ti	2.31
Fe	0.11
U	<b>0.32</b>
<i>U (chemical)</i>	<i><b>0.18</b></i>
<b>Mineral Abundance/Modal (Mass %)</b>	
<b>Mineral</b>	<b>NUNAV-2</b>
<b>Uraninite</b>	<b>0.32</b>
<b>U-silicate</b>	<b>0.05</b>
<b>Thorite/Uranothorite</b>	<b>0.19</b>
Sulphides	0.05
Quartz	58.63
K-feldspar	4.36
Feldspar(Albite)	14.35
Biotite	18.00
Chlorite	0.41
Muscovite	0.82
Fe-oxides/hydroxides	1.37
Ilmenite/Rutile	0.69
Zircon	0.30
Other	0.45
<b>Total:</b>	<b>100.0</b>



**Table 2** Uranium department in sample NUNAV- 2 submitted by Pangea Exploration.

Mineral Fractions	NUNAV-2 -1000/+0
Uraninite	81
U-silicate	10
Thorite/Uranothorite	9
<b>Total:</b>	<b>100</b>

**Figure 4** Department of Uranium within the NUNAV-2 sample.

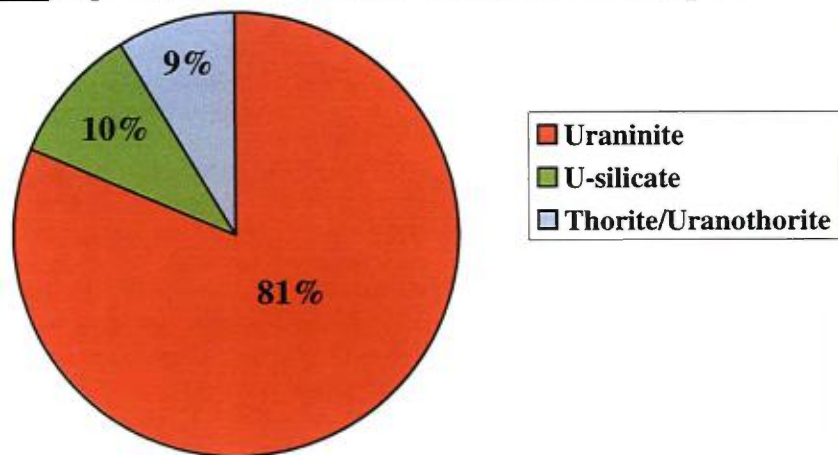


Table 3A Grain size distribution (<5 to ≥100µm) of U- and/or Th-rich phases in sample NUNAV-2.

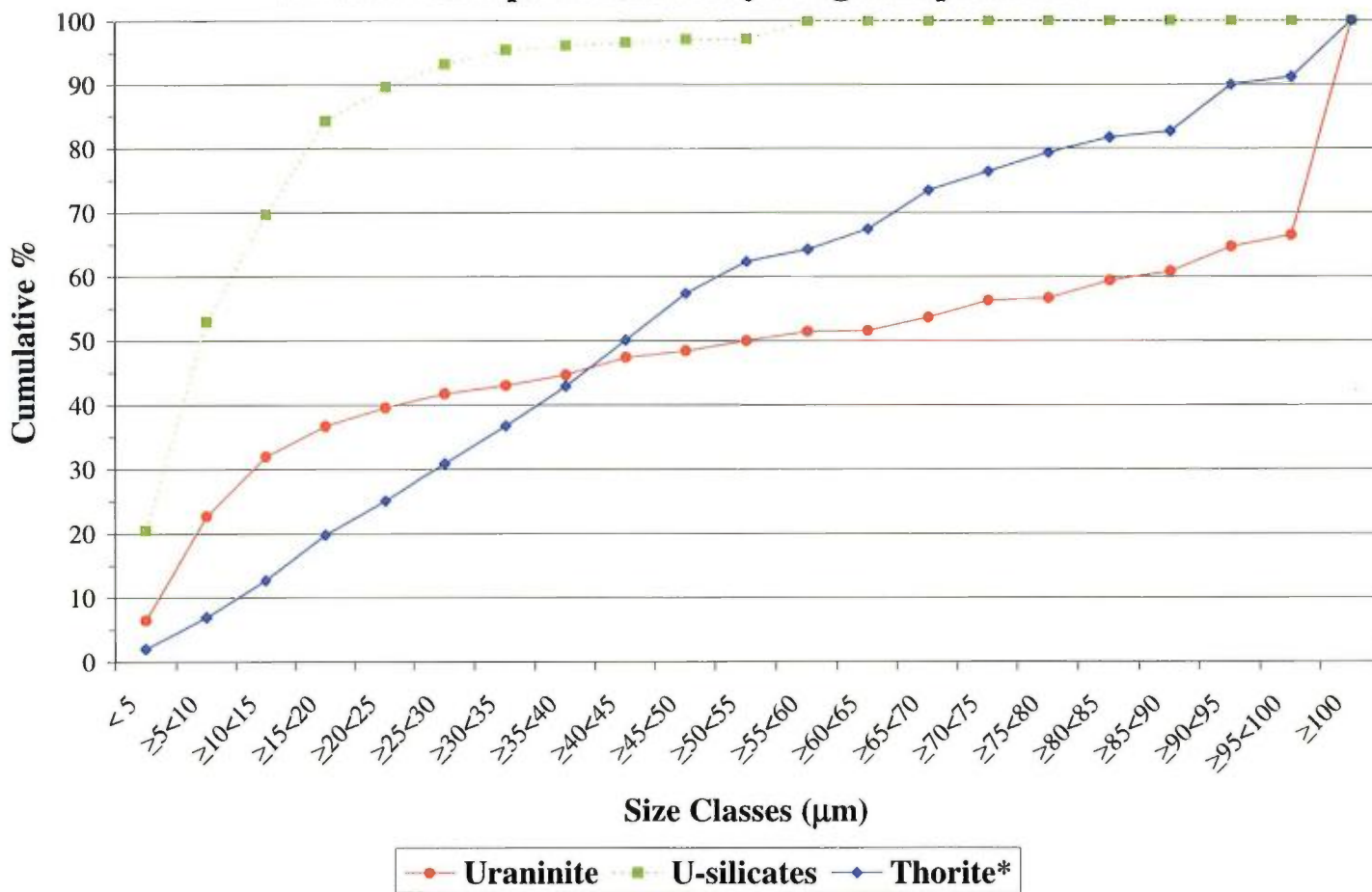
Mineral	Fraction	Size Classification (µm)																				Total	
		Discrete (%)																					
		< 5	≥5<10	≥10<15	≥15<20	≥20<25	≥25<30	≥30<35	≥35<40	≥40<45	≥45<50	≥50<55	≥55<60	≥60<65	≥65<70	≥70<75	≥75<80	≥80<85	≥85<90	≥90<95	≥95<100		≥100
Uraninite	-1000/+0	7	16	9	5	3	2	1	2	3	1	2	1	0	2	3	0	3	1	4	2	33	100
U-silicates	-1000/+0	21	33	17	15	5	4	2	1	1	0	0	3	0	0	0	0	0	0	0	0	0	100
Thorite*	-1000/+0	2	5	6	7	5	6	6	6	7	5	2	3	6	3	3	2	1	7	1	9	100	
Mineral	Fraction	Cumulative (%)																				Total	
		< 5	≥5<10	≥10<15	≥15<20	≥20<25	≥25<30	≥30<35	≥35<40	≥40<45	≥45<50	≥50<55	≥55<60	≥60<65	≥65<70	≥70<75	≥75<80	≥80<85	≥85<90	≥90<95	≥95<100		≥100
		Uraninite	-1000/+0	7	23	32	37	40	42	43	45	47	48	50	51	52	54	56	57	59	61		65
U-silicates	-1000/+0	21	53	70	84	90	93	95	96	97	97	97	100	100	100	100	100	100	100	100	100	100	100
Thorite*	-1000/+0	2	7	13	20	25	31	37	43	50	57	62	64	68	74	76	79	82	83	90	91	100	100

Table 3B Grain size distribution (<25 to ≥250µm) of U- and/or Th-rich phases in sample NUNAV-2.

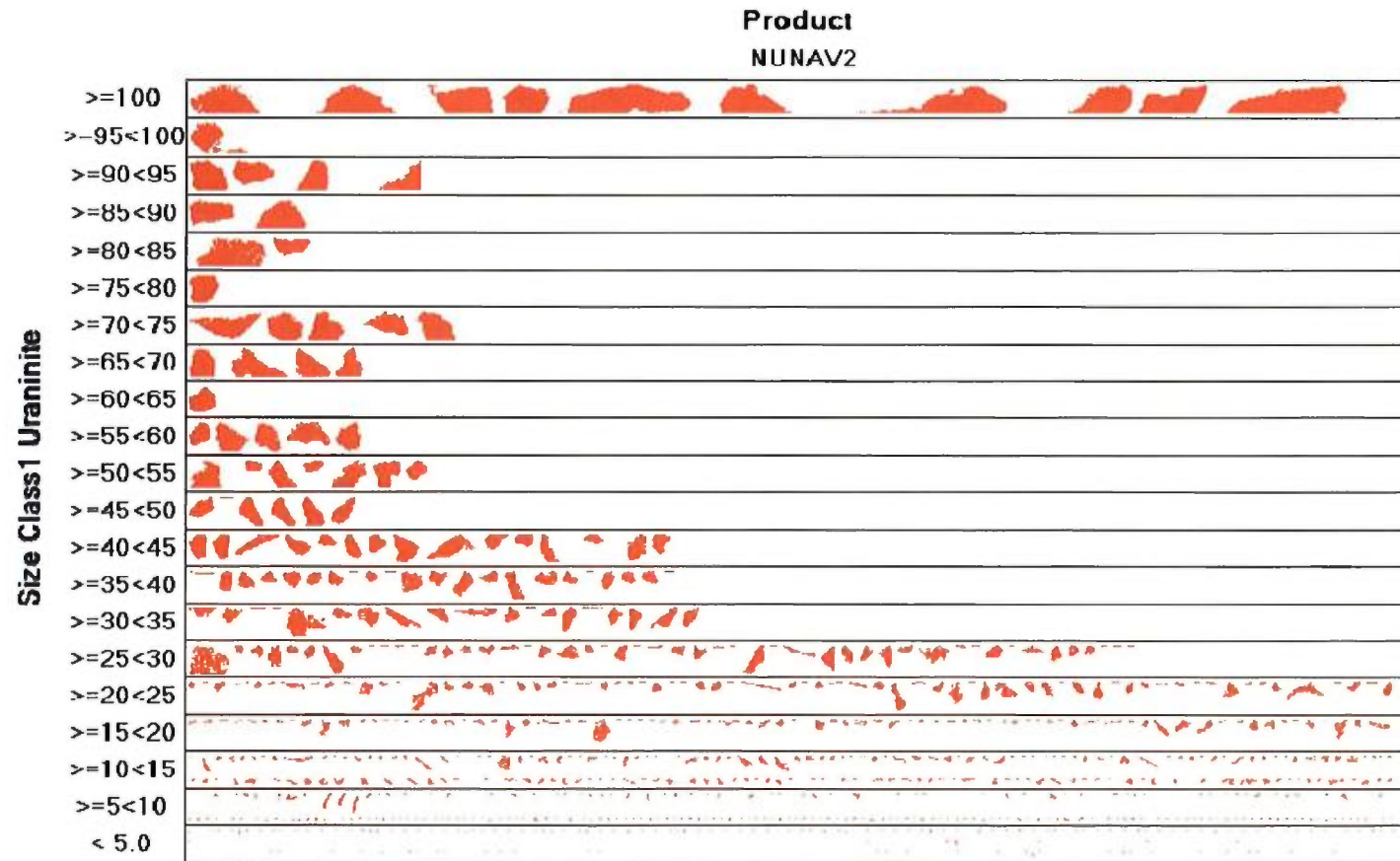
Mineral	Fraction	Size Classification (µm)										Total	
		Discrete (%)											
		< 25	≥25<50	≥50<75	≥75<100	≥100<125	≥125<150	≥150<175	≥175<200	≥200<225	≥225<250		≥250
Uraninite	-1000/+0	40	9	8	10	10	16	0	8	0	0	0	100
U-silicates	-1000/+0	90	7	3	0	0	0	0	0	0	0	0	100
Thorite*	-1000/+0	25	32	19	15	3	2	4	0	0	0	0	100
Mineral	Fraction	Cumulative (%)										Total	
		< 25	≥25<50	≥50<75	≥75<100	≥100<125	≥125<150	≥150<175	≥175<200	≥200<225	≥225<250		≥250
		Uraninite	-1000/+0	40	48	56	67	76	92	92	100		100
U-silicates	-1000/+0	90	97	100	100	100	100	100	100	100	100	100	
Thorite*	-1000/+0	25	57	76	91	94	96	100	100	100	100	100	

\* Also includes Uranothorite

**Figure 5** Cumulative liberation of U- and/or Th-rich phases in the NUNAV-2 sample submitted by Pangea Exploration.



**Figure 6** Grain size distribution (<5 to  $\geq 100\mu\text{m}$ ) of uraninite (red) in sample NUNAV-2. The uraninite has been removed from its associated phases.





**Table 4A Discrete liberation analyses of U- and/or Th-rich phases in sample NUNAV-2, grind to 100% passing 1.0mm.**

Mineral	Fraction	Liberation Classes (Area %)												Total
		Discrete (%)												
		0%	≤ 10%	≤ 20%	≤ 30%	≤ 40%	≤ 50%	≤ 60%	≤ 70%	≤ 80%	≤ 90%	< 100%	100%	
Uraninite	-1000/+0	0.0	31.4	6.3	10.7	4.5	2.0	5.6	10.8	4.8	7.2	16.2	0.5	100.0
U-silicates	-1000/+0	0.00	69.88	6.74	4.35	3.92	2.67	3.63	2.72	2.73	2.17	1.07	0.12	100.0
Thorite*	-1000/+0	0.0	14.3	5.3	2.6	12.4	3.0	2.1	7.2	9.3	19.7	23.6	0.4	100.0

**Table 4B Cumulative liberation analyses of U- and/or Th-rich phases in sample NUNAV-2, grind to 100% passing 1.0mm.**

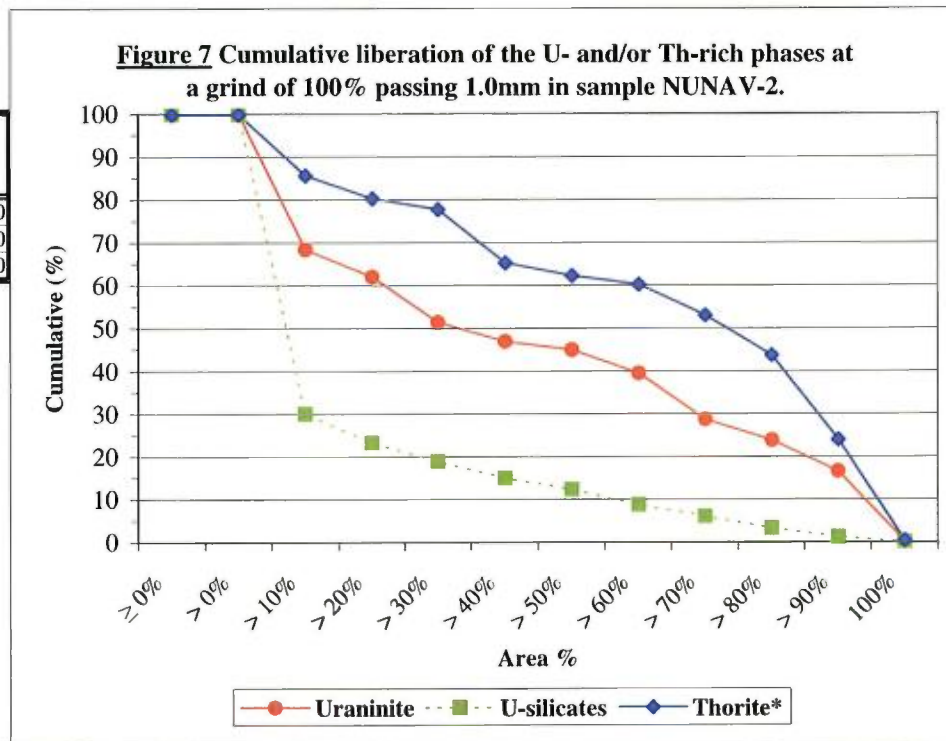
Mineral	Fraction	Liberation Classes (Area %)											
		Cumulative (%)											
		≥ 0%	> 0%	> 10%	> 20%	> 30%	> 40%	> 50%	> 60%	> 70%	> 80%	> 90%	100%
Uraninite	-1000/+0	100.0	100.0	68.6	62.2	51.6	47.1	45.1	39.5	28.8	23.9	16.7	0.5
U-silicates	-1000/+0	100.0	100.0	30.1	23.4	19.0	15.1	12.4	8.8	6.1	3.4	1.2	0.1
Thorite*	-1000/+0	100.0	100.0	85.7	80.4	77.8	65.4	62.4	60.2	53.0	43.7	24.0	0.4

**Table 4B Compressed liberation analyses of U- and/or Th-rich phases in sample NUNAV-2, grind to 100% passing 1.0mm.**

Mineral	Fraction	Locked (Area % ≤30)	Middlings (Area % >30≤80)	Liberated (Area % >80)	Total
Uraninite	-1000/+0	48.4	27.7	23.9	100.0
U-silicates	-1000/+0	81.0	15.7	3.4	100.0
Thorite*	-1000/+0	22.2	34.1	43.7	100.0

\* Also includes Uranothorite

**Figure 7 Cumulative liberation of the U- and/or Th-rich phases at a grind of 100% passing 1.0mm in sample NUNAV-2.**



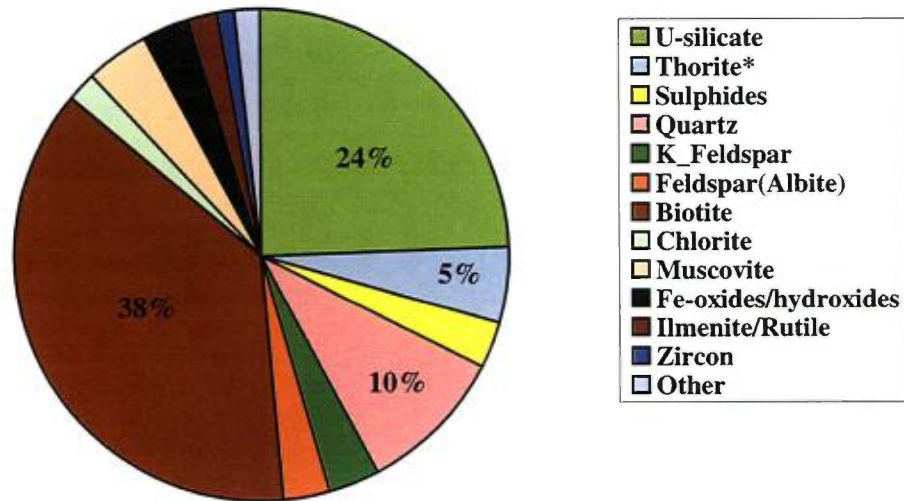
**Table 5** Brief mineral association of the U- and/or Th-rich phases (%) in sample NUNAV - 2, submitted by Pangea exploration.

Minerals	Uraninite	U-silicate	Thorite*
Uraninite	N.A.	53.62	17.90
U-silicate	24.38	N.A.	16.04
Thorite*	5.19	10.23	N.A.
Sulphides	3.03	3.37	3.49
Quartz	9.50	5.32	15.40
K_Feldspar	3.43	1.26	0.51
Feldspar(Albite)	3.21	1.57	0.89
Biotite	37.49	15.15	6.25
Chlorite	1.82	1.74	2.68
Muscovite	4.30	1.34	0.57
Fe-oxides/hydroxides	3.04	1.84	2.29
Ilmenite/Rutile	1.75	1.69	1.13
Zircon	1.22	1.03	3.23
Other	1.64	1.85	29.62
<b>Total</b>	<b>100.00</b>	<b>100.00</b>	<b>100.00</b>

\* Also includes Uranothorite

N.A. = Not Applicable

**Figure 8** Brief mineral association of uraninite in sample NUNAV - 2.



Figures 9 QEMSCAN particle maps of selected uraninite-bearing particles in sample NUNAV-2. Note that the close association of the U-silicates with uraninite, as well as the close association of the uraninite with biotite. Also note the presence of abundant zircon in some rock particles.

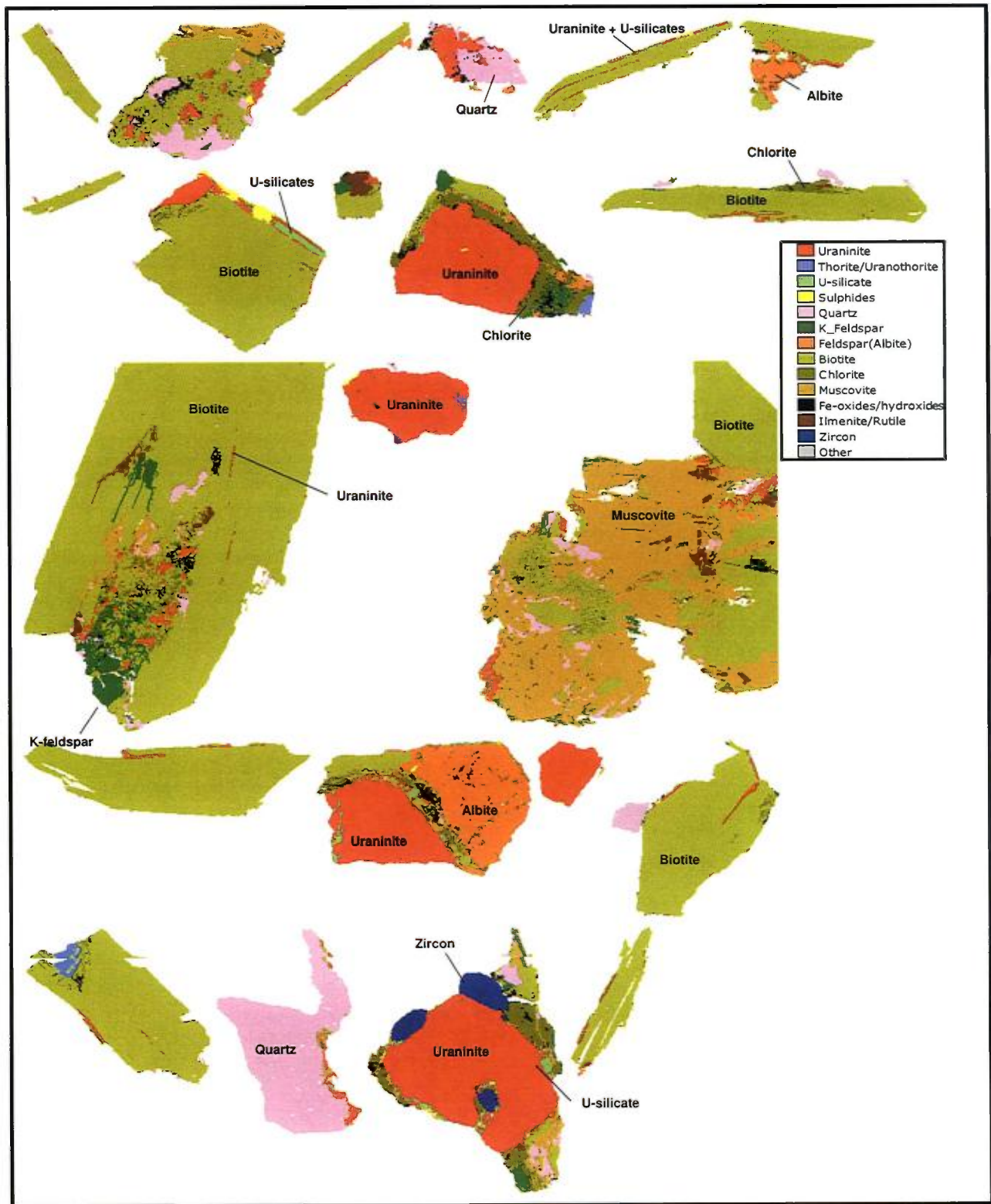




Figure 9 Contd.

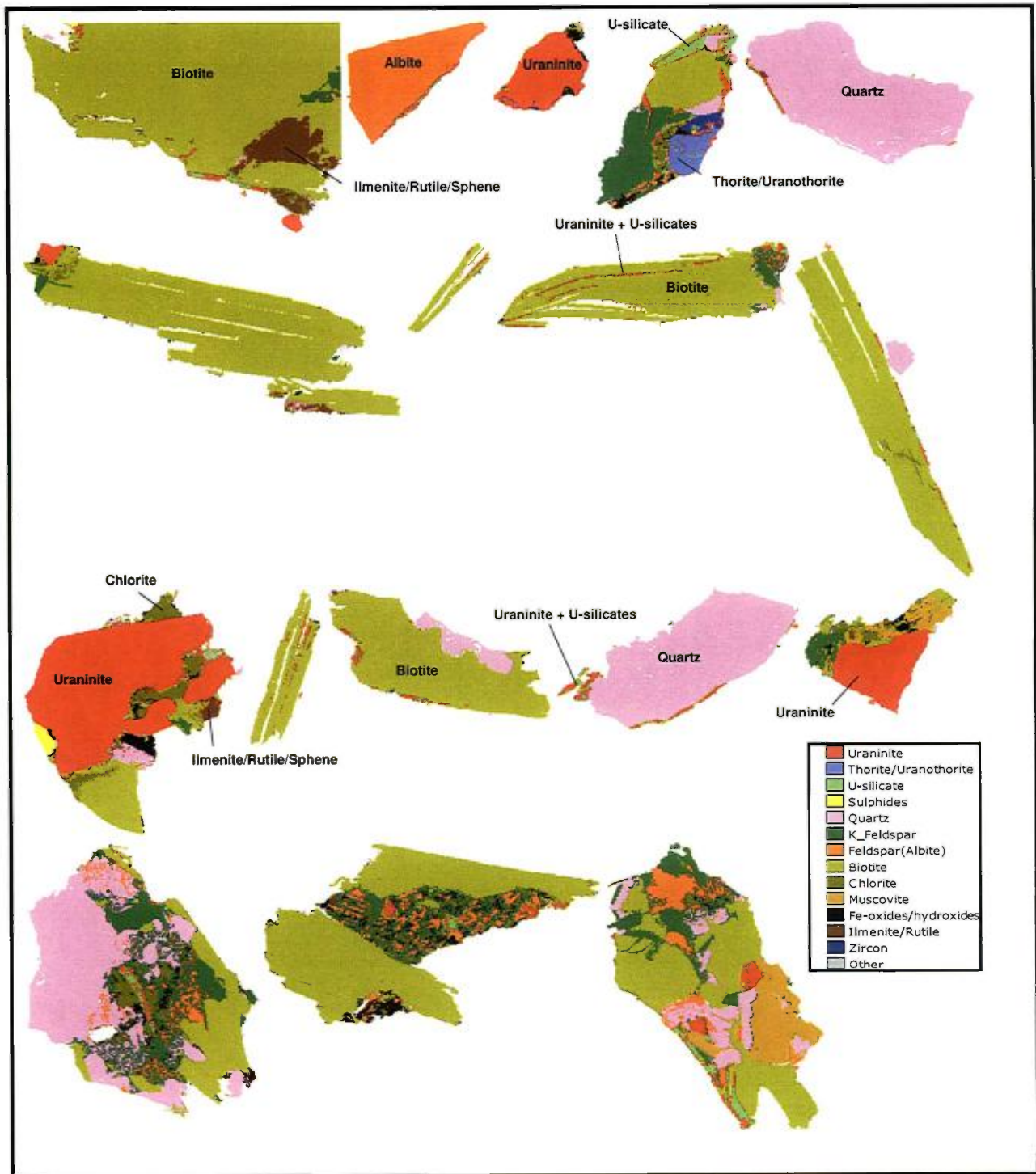
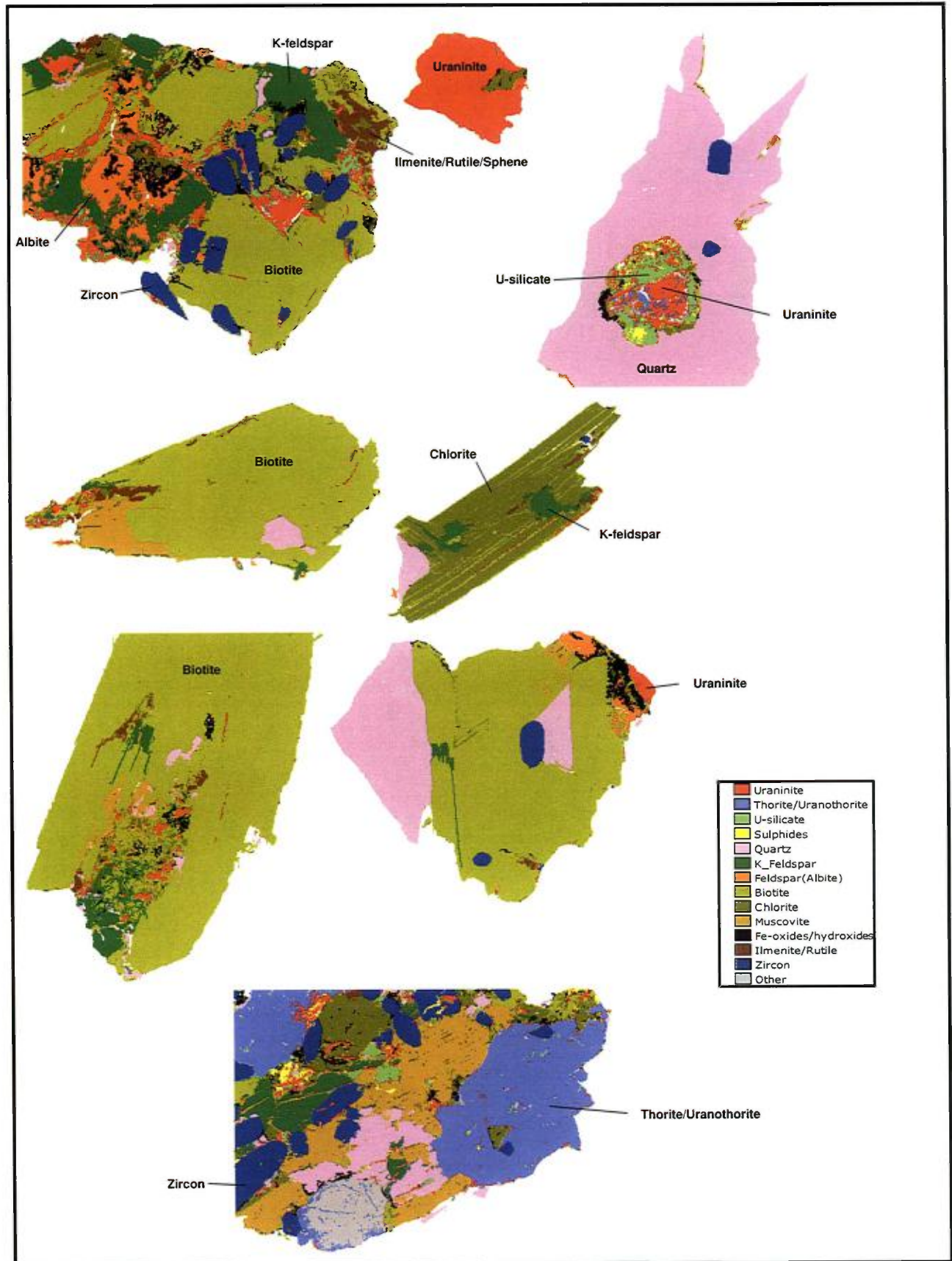




Figure 9 Contd.



UNIVERSITÉ DU QUÉBEC À CHICOUTIMI  
DÉPARTEMENT DES SCIENCES APPLIQUÉES  
6 GLG 604 – PROJET DE FIN D'ÉTUDES

**DISTRIBUTION DE L'URANIUM ET DES PRODUITS D'ALTÉRATION DANS LES  
PEGMATITES DE LA PROPRIÉTÉ RAE, CÔTE ORIENTALE DE LA BAIE  
D'UNGAVA**

PRÉSENTÉ

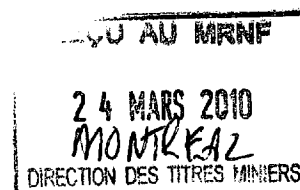
À

M. PAUL BÉDARD  
ET  
M. MICHAEL HIGGINS

PAR

PAMÉLA TREMBLAY

MAI 2008



1010536

## TABLE DES MATIÈRES

<b>1 – INTRODUCTION .....</b>	<b>1</b>
1.1 – LOCALISATION DU PROJET .....	1
1.2 – TRAVAUX ANTÉRIEURS .....	2
1.3 – MÉTHODE DE TRAVAIL .....	3
<b>2 – CONTEXTE GÉOLOGIQUE.....</b>	<b>4</b>
2.1 – GÉOLOGIE RÉGIONALE .....	4
2.2 – GÉOLOGIE STRUCTURALE .....	8
<b>3 – DESCRIPTION DES ÉCHANTILLONS .....</b>	<b>10</b>
3.1 – PEGMATITE SÉRIE A.....	12
3.2 – PEGMATITE SÉRIES C, D ET V.....	17
3.2.1 – Série C.....	17
3.2.2 – Série D.....	19
3.2.3 – Série V.....	21
<b>4 – MICROFLUORESCENCE-X.....</b>	<b>24</b>
<b>5 – DISCUSSION DES RÉSULTATS .....</b>	<b>28</b>
5.1 – SPECTROMÉTRIE DE RAYON GAMMA .....	28
5.2 – MINÉRALOGIE.....	30
5.3 – MICROFLUORESCENCE-X.....	32
<b>6 – CONCLUSION .....</b>	<b>34</b>
<b>7 – REMERCIEMENTS.....</b>	<b>35</b>
<b>RÉFÉRENCES .....</b>	<b>36</b>

## LISTE DES FIGURES

<b>Figure 1:</b> Carte de localisation des zones d'échantillonnage.....	2
<b>Figure 2:</b> Carte des unités lithologiques, tiré de Verpaelst et al. (2000); adapté de Wardle et al. (1990). .....	5
<b>Figure 3:</b> Géologie régionale de la rivière Koroc (feuille SRNC 24I) et d'une partie de la région de Hébron (feuille SRNC 14L), tiré de Verpaelst et al. (2000). .....	6
<b>Figure 4:</b> Vue en coupe des quatre séries d'échantillons et positionnement en fonction de la profondeur .....	11
<b>Figure 5:</b> Textures caractéristiques.....	13
<b>Figure 6:</b> Planches de monazites et d'uraninites.....	16
<b>Figure 7:</b> Échantillons macroscopiques.....	22
<b>Figure 8:</b> Spectre d'émission des éléments d'une uraninite de l'échantillon PTD-2. ....	24
<b>Figure 9:</b> Cartes géochimiques du Th, U, Fe et Pb d'une uraninite de l'échantillon PTA-3....	26
<b>Figure 10:</b> Cartes géochimiques du Th, U, Ce, Pb et Ca d'une monazite fracturée de l'échantillon PTC-3. ....	27
<b>Figure 11:</b> Graphique du compte par seconde total lu, au scintillomètre sur un faible bruit de fond, en fonction de la profondeur de l'échantillon.....	29
<b>Figure 12:</b> Graphique de la teneur en uranium et thorium inférée par le spectromètre sur un faible bruit de fond, en fonction de la profondeur de l'échantillon.....	29
<b>Figure 13:</b> Pétrographie par analyse modale, Streckeisen (1976). ....	31
<b>Figure 14:</b> Image de microscopie électronique à balayage d'une uraninite (A1 et A2) qui se fait remplacer par de l'uraniothorite (A3), échantillon 295367, tiré de Girard (2006). .....	33



## LISTE DES TABLEAUX

<b>Tableau 1:</b> Analyse spectrométrique et analyse modale des échantillons de la série A.....	15
<b>Tableau 2:</b> Analyse spectrométrique et analyse modale des échantillons de la série C.....	18
<b>Tableau 3:</b> Analyse spectrométrique et analyse modale des échantillons de la série D, incluant l'échantillon PTV-3.....	20
<b>Tableau 4:</b> Analyse spectrométrique et analyse modale des échantillons de la série V.....	23

## **LISTE DES ANNEXES**

**ANNEXE A : Tableau résumé de spectrométrie de rayon gamma et d'analyse modale.....38**

## RÉSUMÉ

L'uranium étant soluble dans des conditions oxydantes, l' $\text{UO}_2$  (uraninite) s'oxyde et se transforme en  $\text{UO}_3$ . Lorsque l' $\text{UO}_3$  réagit avec du  $\text{H}_2\text{O}$ , on obtient des oxydes hydratés  $\text{UO}_2(\text{OH})_2\text{H}_2\text{O}$  qui constituent les minéraux secondaires d'uranium. Des traces de "produits jaunes" étant observées le long de fractures radioactives à différentes profondeurs, l'hypothèse à vérifier est que l'uranium pourrait être lessivé au contact de fluides hydrothermaux et météoritiques et remobilisé dans les plans de fracture. Cela conduirait à une diminution du rapport U/Th en surface des affleurements et une augmentation dans les plans de fracture. L'objectif consiste donc à comprendre la remobilisation de l'uranium dans les pegmatites.

Le projet se situe dans la partie nord-est du segment Rae de la province de Churchill, Québec. La propriété étudiée est localisée dans le domaine tectonique de la rivière George, limité au nord-est par la zone de cisaillement d'Abloviak et au sud-ouest par le segment Kuujjuaq. Le secteur est dominé par trois unités lithodémiques et lithostratigraphiques : le Complexe de Kangisualujjuaq, le Complexe de Baudan et le Groupe de Lake Harbour. C'est dans le Complexe de Baudan que semblent se retrouver les pegmatites granitiques qui présentent un enrichissement en uranium et thorium.

La première méthode utilisée consiste en la spectrométrie de rayon gamma. Cette dernière ne permet toutefois pas de faire ressortir une relation directe entre la profondeur et les comptes par seconde (cps). L'étude pétrographique démontre que, mis à part le quartz et les feldspaths, les principaux minéraux accessoires sont l'uraninite et la monazite, ainsi que la molybdénite, le zircon, l'épidote et l'apatite en traces. La sursaturation en quartz et l'abondance du feldspath potassique permet d'avancer la possibilité d'une source calco-alkaline. Les plagioclases sont des oligoclases ( $\text{An}_{20-30}$ ) et la présence de minéraux hydratés comme la biotite est caractéristique.

Par ailleurs, les "produits jaunes", produits secondaires d'uranium, qui sont observés sur les échantillons macroscopiques, ne peuvent être reconnus en lame mince. En contrepartie, la confection de cartes géochimiques par microfluorescence-X a permis d'observer que des concentrations d'uranium sont présentes dans certaines fractures radiales d'une monazite. Les cartes géochimiques démontrent également que les concentrations d'uranium et de thorium peuvent varier à l'intérieur des uraninites, traduisant possiblement le remplacement de l'uraninite par de l'uranothorite et/ou thorite.

Finalement, dans le cadre de cette étude, l'importance du lessivage par l'eau météoritique n'a pu être caractérisé. Aucune relation entre la profondeur et la scintillométrie (cps) n'a été établie. De plus, la méthode utilisée n'a pas permis de bien caractériser le remplacement de l'uraninite par de l'uranothorite. Toutefois, puisque les minéraux jaunes d'altération ont rarement pu être observés en lame mince, il est possible qu'ils fussent trop minces et aient été perdus lors de leur fabrication, entraînant des pertes d'évidences du lessivage.

## 1 – INTRODUCTION

Dans un contexte où les coûts associés à l'effet de serre sont en augmentation, avec l'accord de Kyoto, on assiste à une montée progressive des énergies alternatives. L'exploration pour des ressources primaires en uranium apparaît très pertinente. Le prix de l'uranium ayant ainsi pratiquement décuplé depuis 2002, passant de 9,50 US \$ par livre de  $U_3O_8$  à plus de 85 US \$ par livre en juin 2007. Au moment de la rédaction de ce rapport, sa valeur tente à se stabiliser autour de 70 à 75 US \$ par livre. De nombreuses compagnies canadiennes explorent donc pour cette matière première qui possède un fort potentiel de croissance. Le Québec est une province qui n'a pas été sérieusement exploré pour son potentiel uranifère depuis le milieu des années 80.

Le but du projet est de comprendre la remobilisation de l'uranium dans des pegmatites. Lors de la campagne d'exploration à l'été 2006, des traces de produits secondaires d'uranium (produits jaunes) furent observées le long de fractures radioactives à des profondeurs variables. L'uranium est soluble dans des conditions oxydantes : le  $UO_2^{2+}$  (uraninite) s'oxyde et se transforme en  $UO_3$ . Lorsque le  $UO_3$  réagit avec du  $H_2O$ , on obtient des oxydes hydratés  $UO_2(OH)_2H_2O$  qui constituent les minéraux secondaires d'uranium. Le lessivage de l'uranium par l'eau météoritique pourrait alors conduire à une diminution du rapport U/Th en surface des affleurements, le thorium étant faiblement soluble et peu mobile. Ce projet consiste donc à déterminer sous quelle forme se trouve l'uranium, en déterminant la nature des minéraux d'uranium ainsi que les relations pétrographiques qui peuvent exister. L'hypothèse à vérifier est que l'uranium pourrait être mobilisé en profondeur, via des plans de fracture, due à sa grande solubilité au contact de fluides hydrothermaux et météoritiques.

Pour ce faire, la description de lames minces polies sera effectuée. La microfluorescence-X permettra, par des analyses ponctuelles, la détermination des minéraux inconnus et la confection de cartes géochimiques. Ces cartes mettront en évidence la distribution des éléments ciblés. Il sera ensuite tenté d'observer si des évidences de lessivage de l'uranium sont présentes.

### 1.1 – LOCALISATION DU PROJET

L'étude se concentre principalement sur des échantillons provenant de la Province de Churchill. La propriété ciblée se trouve près du village de Kangiqsualujjuaq, entre la rivière George et la rivière Koroc, le long de la vallée de la rivière Barnoin. Elle est délimitée par les latitudes  $58^{\circ}28'30''$  et  $58^{\circ}42'$  ainsi que les longitudes  $65^{\circ}10'$  et  $65^{\circ}53'30''$ , à l'intersection des feuillets SNRC 24I05, 24I06, 24I11 et 24I12. Les échantillons ont été recueillis sur les sites ciblés sur la figure 1.



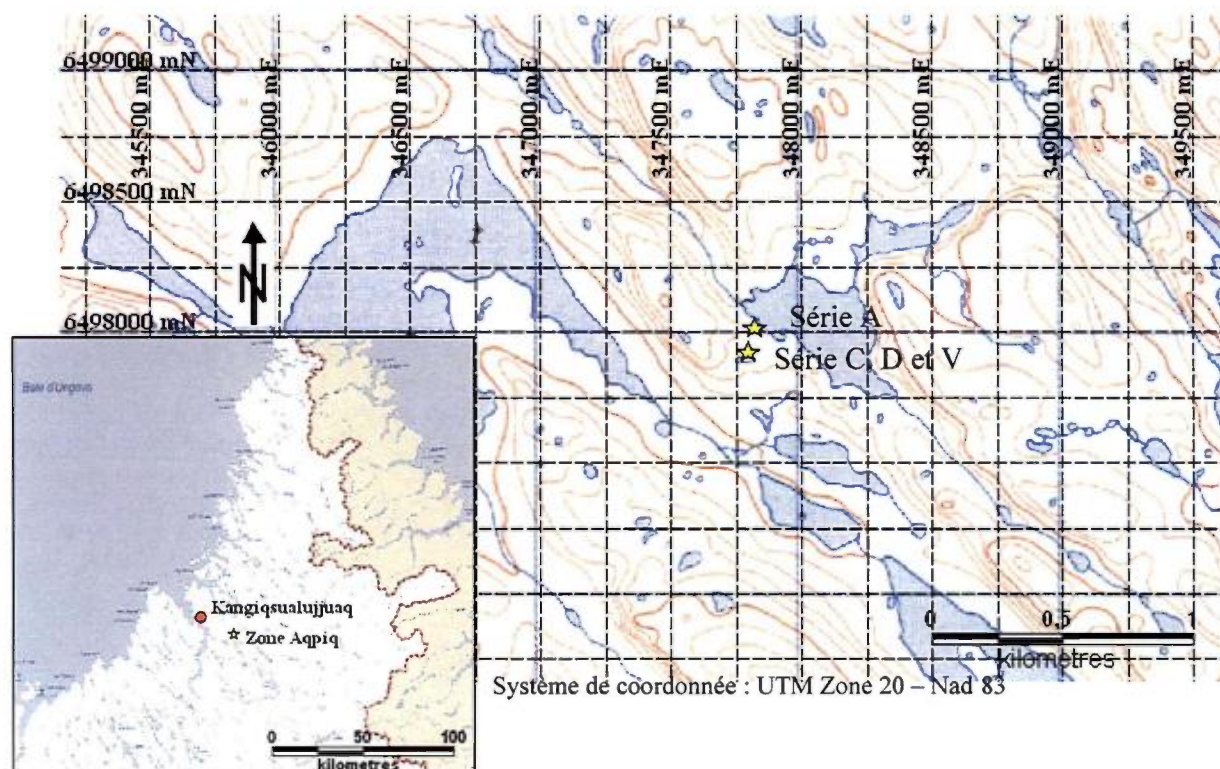


Figure 1: Carte de localisation des zones d'échantillonnage.

## 1.2 – TRAVAUX ANTÉRIEURS

Le secteur a initialement été cartographié au 1:250 000 dans les années 1967-1969 en dans le cadre du projet "Torngat Project" du rapport géologique du Canada de (Taylor, 1979). Par la suite, les feuillets SRNC 24I ont été re-cartographiés en 1997 à la même échelle par le Ministère des Ressources Naturelles du Québec (Verpaelst et *al.* 2000).

Des données géophysiques disponibles proviennent du gouvernement fédéral et consistent en un levé aéromagnétique à basse densité. Une carte géochimique d'échantillons de fond de lac effectué par le Ministère des Ressources naturelles du Québec en 1997 est disponible.

Très peu de travaux d'exploration ont été effectués dans ce secteur. Quelques claims miniers ont été acquis en 1998 par le consortium de Cambior-Soquem-Virginia en vue d'exploration pour le nickel. Quelques travaux d'exploration pour le nickel avaient été effectués l'année précédente, en 1997 par Inco LTD sans résultats disponibles. Finalement, un peu d'exploration pour le diamant a été effectuée dans le secteur de la rivière Koroc. Aucune occurrence minérale n'est reconnue dans le secteur.

Au cours de l'été 2006, Northwestern Mineral Ventures Inc. en alliance stratégique avec Exploration Azimut Inc., ont effectués une campagne d'exploration de 31 jours sur les propriétés.

Plus de 20 indices d'uranium répartis sur la propriété ont ainsi été découverts. En parallèle, la prise d'échantillons de fonds de lacs supplémentaires ainsi qu'un levé radiométrique hélicoptéré ont été effectués. Des anomalies hélicoptérées en uranium d'une longueur cumulative de 28 km ont été identifiées.

Depuis, la poursuite des travaux à l'été 2007 à menée à la découverte de 7 zones d'ordre kilométrique qui ont été délimitées au sol de façon préliminaire, dont Tasiakuk, Torrent et Tasik, Jonas et Aqqiq. Des travaux de prospection y ont été effectués ainsi que la réalisation de grilles et radiométrie au 25m, cartographie de détail et quelques trous de forages.

### 1.3 – MÉTHODE DE TRAVAIL

L'étude est basée sur 15 échantillons provenant de deux dykes de pegmatite de la zone Aqqiq. La distribution des échantillons est présentée à la figure 1. Le choix des sites d'échantillonnage a été effectué en fonction de la radiométrie élevée des affleurements, mesurée en comptes par seconde par un scintillomètre de type "Radiation Solution RS-120" Super-SCINT. Les trois trous, réalisés à l'aide d'une foreuse portative de type Pionjar, ont permis la prise d'échantillons jusqu'à des profondeurs atteignant 38, 62 et 71 cm.

Des mesures spectrométriques ont été effectuées à l'aide d'un spectromètre de type "Radiation Solution RS-125" Super-SPEC sur les différents échantillons. Le mode analyse permet l'obtention des concentrations du K (%) et de l'U, Th et compte total (ppm). Le spectromètre s'auto stabilise sur la radioactivité naturelle du (K, U et Th). Ces appareils sont dotés de cristaux d'iodure de sodium dopé de 103 cm<sup>3</sup>. Ils produisent typiquement des lectures scintillométriques 60% plus élevées que les autres scintillomètres disponibles sur le marché. Les comparaisons des comptes ne peuvent ainsi être faites.

Par la suite, un appareil analyseur d'éléments, le Eagle III  $\mu$ Probe d'EDAX a été utilisé pour faire des analyses ponctuelles et pour faire la confection de cartes géochimiques. Cet appareil de l'Université du Québec à Chicoutimi (UQAC) emploie un système capillaire optique sophistiqué pour concentrer la taille du faisceau de rayons-X jusqu'à un diamètre de 40 $\mu$ m sur l'échantillon. L'appareil effectue l'analyse du spectre des émissions secondaires de rayons X de l'échantillon (fluorescence X). Les spectres sont ensuite incorporés à une base de données et des images élémentaires sont créées avec des pixels basés sur certaines propriétés telles que l'intensité de la fluorescence-X ou le pourcentage poids. Par la suite, chaque pixel d'image est relié à son spectre parent et sa position sur l'échantillon (Ametek, 2007).

Ainsi, il sera d'abord présenté une description sommaire de différents éléments de la région à l'étude. La caractérisation des pegmatites sera réalisée par la scintillométrie, la spectrométrie de rayons gamma et la description macroscopique et microscopique des échantillons. La microfluorescence-X, par des analyses ponctuelles, mènera à la détermination des minéraux non identifiés et à la confection de cartes géochimiques qui mettent en évidence la distribution des éléments ciblés. Finalement, une discussion sera exposée à savoir si des évidences de remobilisation de l'uranium peuvent être observées par les méthodes utilisées.

## 2 – CONTEXTE GÉOLOGIQUE

### 2.1 – GÉOLOGIE RÉGIONALE

Le projet North Rae est situé dans la partie nord-est du segment Rae de la province de Churchill, bordée à l'ouest par l'orogénie des Torngat (figure 2 et 3). Le Churchill comprend un ensemble de blocs cratoniques archéens partiellement remobilisés au Paléoprotérozoïque et des zones mobiles paléoprotérozoïque dont le sommet du métamorphisme et de la déformation s'établit aux environs de 1,8 Ga (Verpaelst et *al.* 2000).

Le craton du Grand Nord, ou Zone noyau, est un craton archéen représentant l'extension sud-est de la Province de Rae dont la marge occidentale est l'avant-pays de l'orogénie des Torngat (Hoffman, 1998). Il est constitué d'un ensemble de gneiss tonalitique et granitique ayant subi plusieurs phases de déformation à l'Archéen et au Paléoprotérozoïque. Ces gneiss contiennent des lambeaux de métasédiments, d'amphibolites et d'ultramafiques d'âge incertain, mais représentant certainement des écailles tectoniques d'une séquence faisant à l'origine partie de la couverture supracrustale paléoprotérozoïque. Le craton du Grand Nord est localement recouvert de quartzite, de paragneiss et de métavolcanites injectées de filons-couches et de dykes de métagabbro. Les contacts dans la région de la rivière Koroc sont principalement de nature tectonique sur la plus grande partie du territoire (Verpaelst et *al.* 2000).

Il y a 1,8 Ga, l'orogénèse trans-hudsonienne a déformé et métamorphisé la marge orientale du craton du Grand Nord et la marge occidentale du Nain lors de leur collision. L'orogénie des Torngat désigne l'assemblage lithotectonique remobilisé complètement lors de l'orogénèse et constitue la zone de suture entre les cratons (Verpaelst et *al.* 2000).

La propriété Aqpiq est localisée dans le domaine tectonique de la rivière George, limité au nord-est par la zone de cisaillement d'Abloviak (Goulet, 1990) et au sud-ouest par le segment Kuujjuaq (figure 2). Le domaine de la rivière George est dominé par trois unités lithodémiques et lithostratigraphiques, le Complexe de Kangisualujjuaq, le Complexe de Baudan et le Groupe de Lake Harbour (Verpaelst et *al.* 2000).



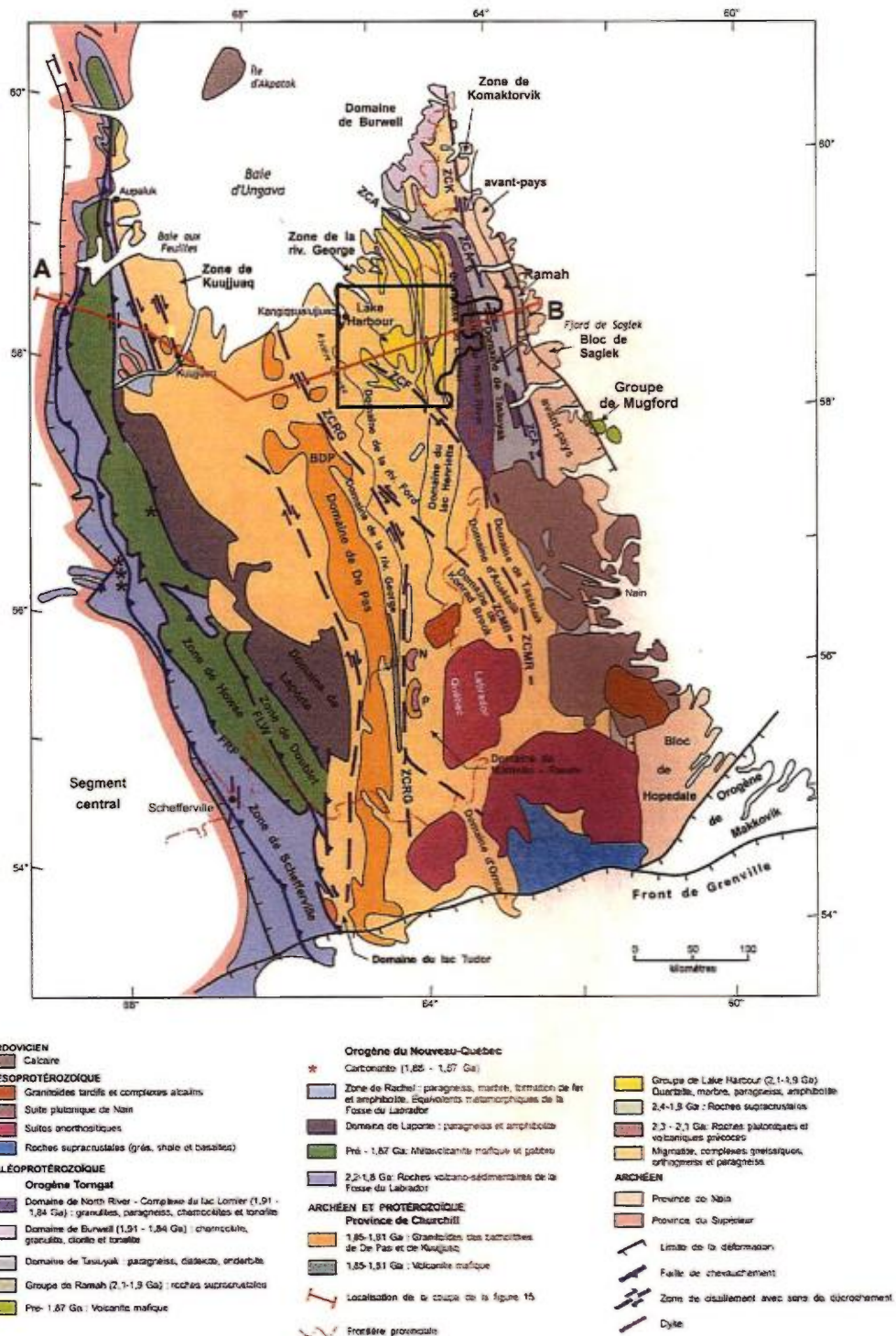
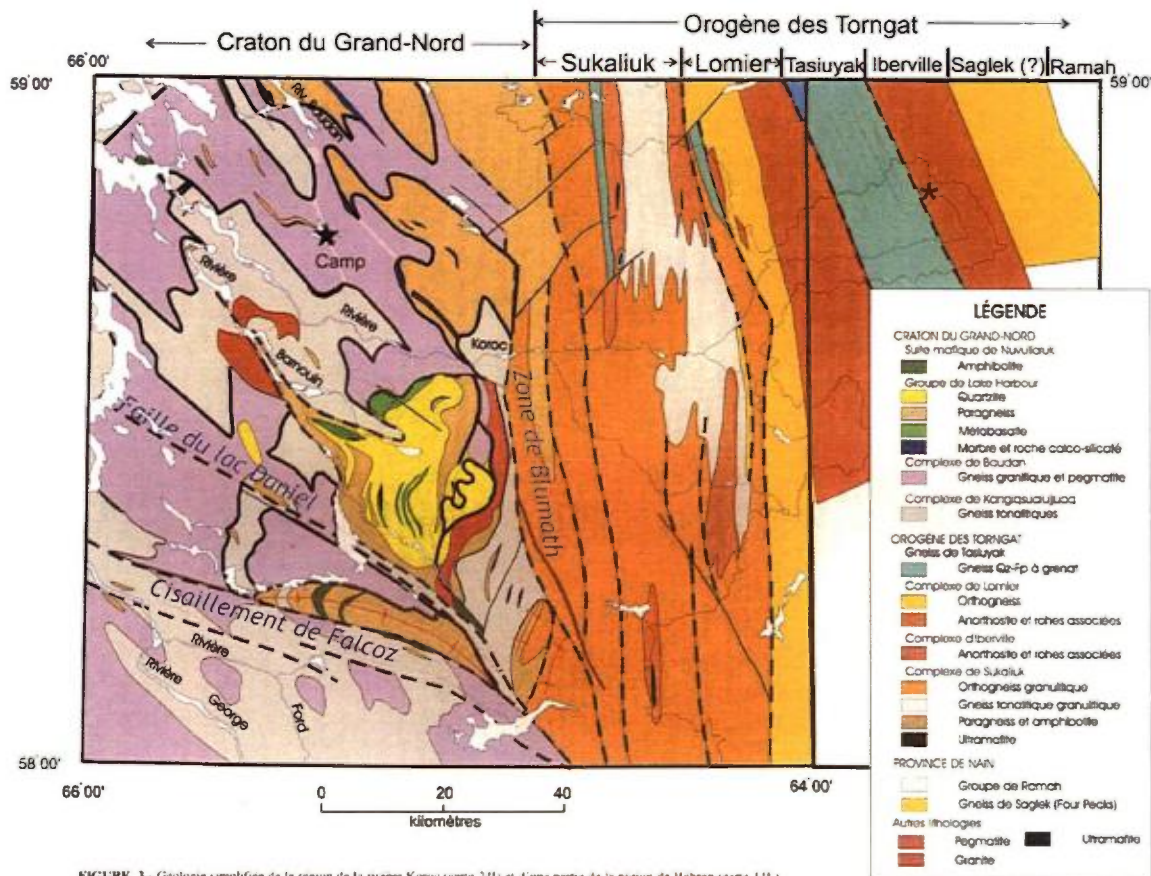


Figure 2: Carte des unités lithologiques, tiré de Verpaelst et al. (2000); adapté de Wardle et al. (1990).





**Figure 3:** Géologie régionale de la rivière Koroc (feuille SRNC 24I) et d'une partie de la région de Hébron (feuille SRNC 14L), tiré de Verpaelst et al. (2000).

### Complexe de Kangisqualujuaq

Formé au Paléoprotérozoïque, le complexe de est Kangisqualujuaq constitué d'un assemblage très tectonisé de gneiss tonalitiques et d'amphibolite archéens (Verpaelst et al. 2000). Ce complexe est traversé par des dykes et des plutons de granitoïdes archéens et protérozoïques ainsi que par des pegmatites blanches. Des enclaves d'amphibolites archéennes ainsi que des bandes de roches mafiques et de paragneiss y sont retrouvées. Les roches sont généralement rétro-métamorphisées au faciès moyen à supérieur de l'amphibolite.

Les gneiss de ce complexe sont omniprésents sur la propriété. Représentant plus de 60 pourcent du complexe, les gneiss tonalitiques sont gris, à grain moyen, à texture inéquigranulaire à granoblastique et généralement bien folié. Ils présentent divers degrés de migmatisation et les principaux minéraux sont : plagioclases + quartz + biotite ± hornblende ± microcline (Verpaelst et al. 2000). Une radioactivité très faible est typiquement notée avec un bruit de fond situé entre 50 et 100 cps (Girard, 2006). Ces gneiss anciens représentent l'unité qui contient les granitoïdes du complexe de Baudan.

## Complexe de Baudan

Le Complexe de Baudan, également d'âge paléoprotérozoïque. Il constitue un assemblage de gneiss granitique dont la position structurale est située entre les gneiss tonalitiques du Complexe de Kangiqsualujjuaq et les roches supracrustales du Groupe de Lake Harbour (Verpaelst et *al.* 2000). Il comprend, en plus des gneiss granitiques et foliés d'âge archéen, des enclaves de métasédiments et d'amphiboles et de nombreuses intrusions de pegmatite granitique et de granitoïdes d'anatexie. Le métamorphisme est au faciès moyen à supérieur des amphibolites.

Le gneiss granitique est une unité de couleur grise rose à rose, foliée à très foliée et parfois mylonitique. La roche est généralement à grains moyens à grossiers, localement pegmatitique. Il y a possibilité de plus d'une génération de gneiss granitique, l'une archéenne associée aux gneiss tonalitiques et l'autre protérozoïque associée aux paragneiss sur le terrain. Les minéraux principaux sont : microcline + orthose + plagioclase + quartz + biotite vert-brun; la hornblende étant rare. Les minéraux accessoires sont : muscovite ± apatite ± zircon ± allanite ± épidote ± sphène. La texture est généralement inéqui-granulaire (Verpaelst et *al.* 2000). Selon Girard (2006), suite à l'analyse des échantillons prélevés au cours de la campagne d'exploration 2006, les gneiss constituant le socle de la région de North Rae seraient pré-enrichis en uranium. Il importe donc de trouver les pièges qui sont susceptibles de précipiter et de concentrer la minéralisation.

Les pegmatites se retrouvent sous formes de dykes et de veines en masses métriques à kilométriques. On les retrouve sous deux modes d'occurrence, celles de couleurs blanches recoupant les paragneiss et les roses qui traversent les gneiss granitiques et tonalitiques. Certaines sont très riches en quartz et d'autres sont mêmes foliées et plissées. Elles sont riches en plagioclase et en quartz avec du microcline. Le microcline est soit interstitiel ou en antiperthite dans le plagioclase qui est localement séricitisé. La muscovite est associée à la biotite. Les minéraux accessoires sont l'épidote, le zircon, le rutile, la magnétite et les sulfures (Verpaelst et *al.* 2000). Représentant environ 5% du complexe, ce sont ces pegmatites qui présentent un enrichissement en uranium et thorium.

Des plutons kilométriques de granite massif, peu folié et à granulométrie assez grossière sont présents. Les minéraux principaux sont : microcline (orthose) + plagioclase + quartz ± biotite ± hornblende. Les minéraux accessoires sont : épidote ± muscovite ± chlorite ± zircon ± allanite ± apatite ± sphène ± magnétite ± sulfures ± leucoxène. Une texture myrmékitique est communément observée, ainsi que des perthites, mésoperthites et antiperthites. Les contacts des intrusions granitiques ne sont pas observés sur le terrain (Verpaelst et *al.* 2000).

## Groupe de Lake Harbour

Le troisième assemblage, le Groupe de Lake Harbour (Jackson et Taylor, 1972), comprend toutes les roches supracrustales du secteur. Le groupe est formé d'une séquence paléoprotérozoïque de paragneiss, de quartzites, de marbres calcitiques et dolomitiques et de

roches calcosilicatées interdigitées avec des horizons de metabasaltes et métamorphisés au faciès des amphibolites. À plusieurs endroits, de la pegmatite rose, d'une épaisseur de 1 à 3 mètres, est retrouvée en contact avec les gneiss archéens et les marbres (Verpaelst et *al.* 2000). Cette séquence est d'une épaisseur apparente de l'ordre du kilomètre, mais sa polarité sédimentaire demeure incertaine. Le contact inférieur semble être une zone de cisaillement ductile dans la partie nord de la région tandis que partout ailleurs, il est représenté par une faille dans une zone de cisaillement ductile. Aucun contact supérieur n'est observé. Les unités ont été déformées en structure de dôme et bassin qui évolue vers l'ouest en une intercalation de bandes de paragneiss et de socle gneissique.

Les trois unités lithodémiques et lithostratigraphiques ont été métamorphisées au faciès moyen à supérieur des amphibolites. Des zones reliques de métamorphisme au faciès des granulites sont parfois observables dans les gneiss tonalitiques.

Selon Cuney (1982), l'uranium étant peu soluble en conditions réductrices, les différentes unités telles que les paragneiss, ainsi que les horizons de metabasaltes et les petits dykes de pyroxénite observés, peuvent constituer une barrière d'oxydo-réduction qui permet de piéger l'uranium lors de la circulation des fluides métamorphiques. Les observations de terrain démontrent notamment que les pegmatites qui se trouvent encaissées dans des paragneiss rouillés, se caractérisent par un cps plus élevé que la moyenne.

### **Petites intercalations du Groupe de Lake Harbour dans le Complexe de Baudan**

Des lambeaux de paragneiss sont retrouvés dans les gneiss granitiques. Ils forment des bandes d'une largeur métriques à hectométriques intercalées dans les gneiss du Complexe de Baudan (Verpaelst et *al.* 2000). Les lambeaux de paragneiss du Groupe de Lake Harbour retrouvés dans le Complexe de Baudan sont des gneiss quartzofeldpathiques riches en biotite, habituellement exempt d'aluminosilicates et contenant parfois des grenats. Ils sont migmatisés et contiennent des bandes de pegmatite blanche à biotite-muscovite, que l'on distingue des pegmatites roses du Complexe de Baudan (Girard, 2006).

## **2.2 – GÉOLOGIE STRUCTURALE**

Le craton du Grand Nord est divisé en deux domaines structuraux : le domaine de Kuujuaq, à l'ouest, et le domaine de la rivière George, à l'est (Clark, 1994). Ces domaines sont séparés par la zone de cisaillement senestre de la rivière George (figure 2).

Dans la région de la rivière Koroc, le domaine de la rivière George s'étend jusqu'à la zone de Falcoz, au sud, et jusqu'aux roches de l'orogène des Torngat, au nord et à l'est (figure 2). Le couloir de déformation de Blumath (figure 3), sépare le craton du Grand Nord de l'orogène des Torngat. Ce couloir est d'une largeur de 5 à 10 km. Il est constitué de plusieurs failles et zones de cisaillement, avec alternance de roches au faciès des amphibolites et des granulites. On y retrouve une grande quantité d'intrusions pegmatitiques (Verpaelst et *al.* 2000). Les

pendages faibles vers l'est et le sud-est dans le craton du Grand Nord deviennent orientés N-S à l'est du couloir de déformation de Blumath, tandis que le métamorphisme passe rapidement du faciès des amphibolites à celui des granulites, vers l'est.

Une intense foliation orientée NE-SW à pendage d'environ 20° vers le SE caractérise le craton du Grand Nord. Une forte linéation tecto-métamorphique avec une plongée moyenne de 18° vers le SE est associée à un épisode précoce de l'orogène des Torngat. Les contacts des unités stratigraphiques se retrouvent le long de failles inverses, parallèles à la foliation principale orientée N040°/20°, soit la même orientation que les pegmatites. D'abruptes zones de cisaillements dextres et senestres, orientées NW-SE sont considérées comme des riedels des décrochements majeurs NS observés dans l'orogène des Torngat. Elles ont créé une seconde foliation NW-SE qui vient affecter la première (Verpaelst et al. 2000).

Plusieurs couloirs de déformation ductiles traversent la région. Le territoire étudié est situé entre la faille NW-SE du lac Daniel au sud-ouest et celle de la rivière Barnoin au nord-est (figure 3). Selon Verpaelst et al. (2000), la faille du lac Daniel possède les caractéristiques d'une fracture fragile et d'une structure ductile à la fois. La faille de la rivière Barnoin, quant à elle, est l'expression des failles régionales WNW-ESE. L'étendue et l'intensité de la déformation de la faille Barnoin suggèrent la présence d'une importante zone de cisaillement de 2 à 3 km rejoignant celle à la base du Groupe de Lake Harbour. La faille du lac Daniel et celle de la rivière Barnoin seraient possiblement des expressions tardives reliées aux zones de cisaillement régionales de Falcoz et d'Abloviak.

Les zones structurellement actives représentent des conduits qui permettent la mise en place de magmas granitiques radioactifs, les pegmatites (Lentz, 1996). De plus, le tectonisme crée un apport de chaleur qui permet la production d'une circulation convective dans les granites hôtes et favorise la remobilisation hydrothermale de l'uranium (Min et al. 2005).



### 3 – DESCRIPTION DES ÉCHANTILLONS

D'après la définition de Foucault et *al.* (2005), une pegmatite est une roche silicatée dont les cristaux sont de grande taille (un à plusieurs centimètres ou décimètres). Le plus souvent liée à des granitoïdes ou à des migmatites, ses minéraux essentiels sont le quartz, les feldspaths et les micas et elle se présente en filons ou en masse ovoïde. Dans le cadre de ce travail, tous les dykes ou filons de matériel silicatés ayant cette même composition seront nommés pegmatites pour être en accord avec les travaux de terrain antérieurs.

En général, les pegmatites dévoilant des anomalies en uranium sont de couleur blanche à rosée et sont non zonées. Elles sont spatialement liées à un système de failles crustales orientées N320°/330° et se présentent sous la forme de dykes sub-verticaux, avec pendage de 60-75°. Leur épaisseur varie entre 1,5 et 10m et les contacts sont francs à diffus avec l'encaissant. D'extension pouvant atteindre des centaines de mètres, les pegmatites se retrouvent également sous la forme d'essaims de dykes d'étendue kilométrique. D'après Girard (2006), les pegmatites et les granites enrichis en uranium sont abondants dans le secteur et représentent approximativement 20% des unités du secteur ciblé.

Dans le cadre du travail, deux dykes de pegmatite distincts furent échantillonnés, tel que présenté sur la figure 1. La première pegmatite constitue la série A et la seconde, située 100m au sud, représente les séries C, D et V. Pour l'étude de la distribution de l'uranium à l'échelle de la lame mince, on a tout d'abord dégagé les particularités des différentes séries d'échantillons présentées à la figure 4.

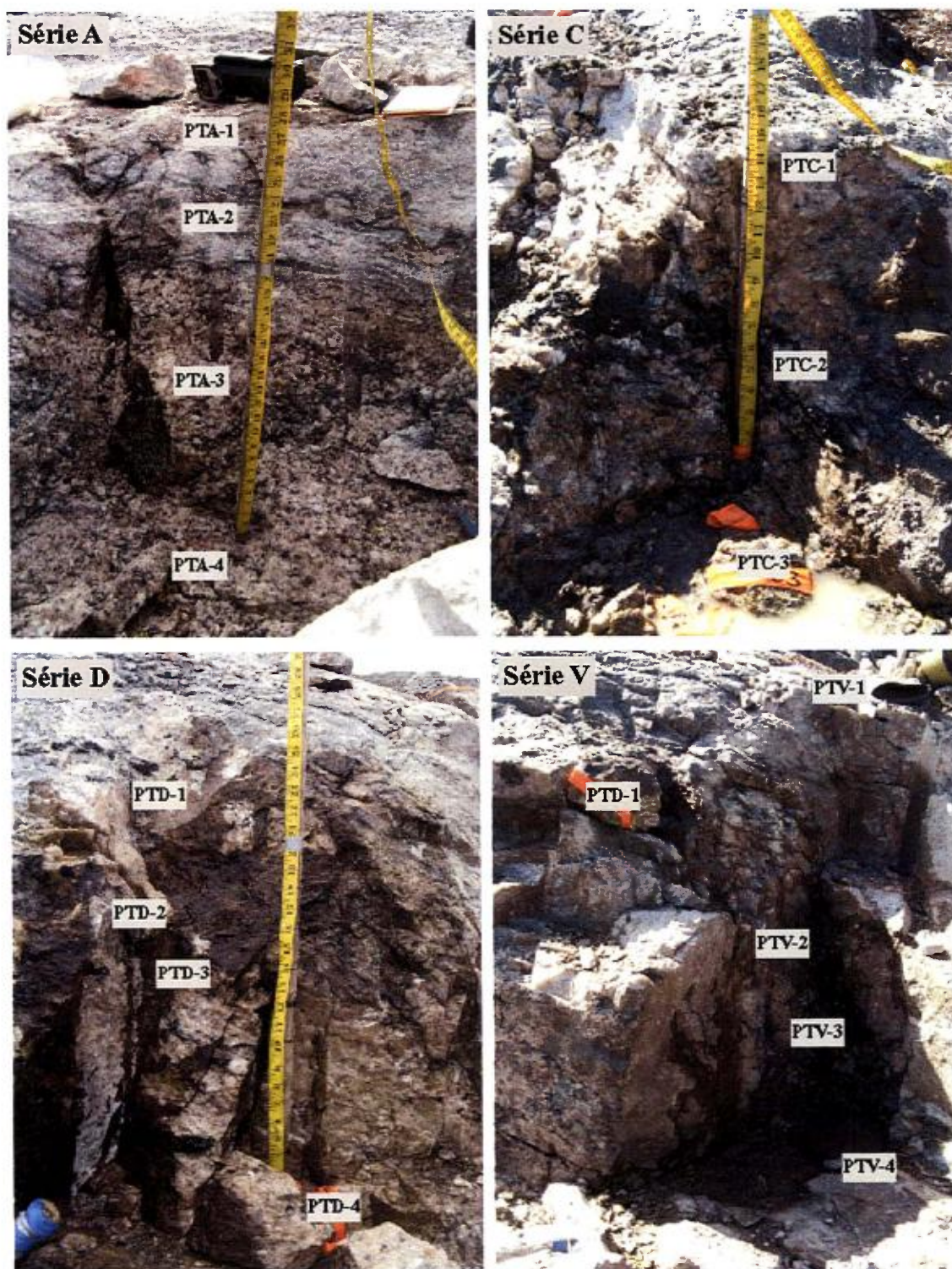


Figure 4: Vue en coupe des quatre séries d'échantillons et positionnement en fonction de la profondeur.

### 3.1 – PEGMATITE SÉRIE A

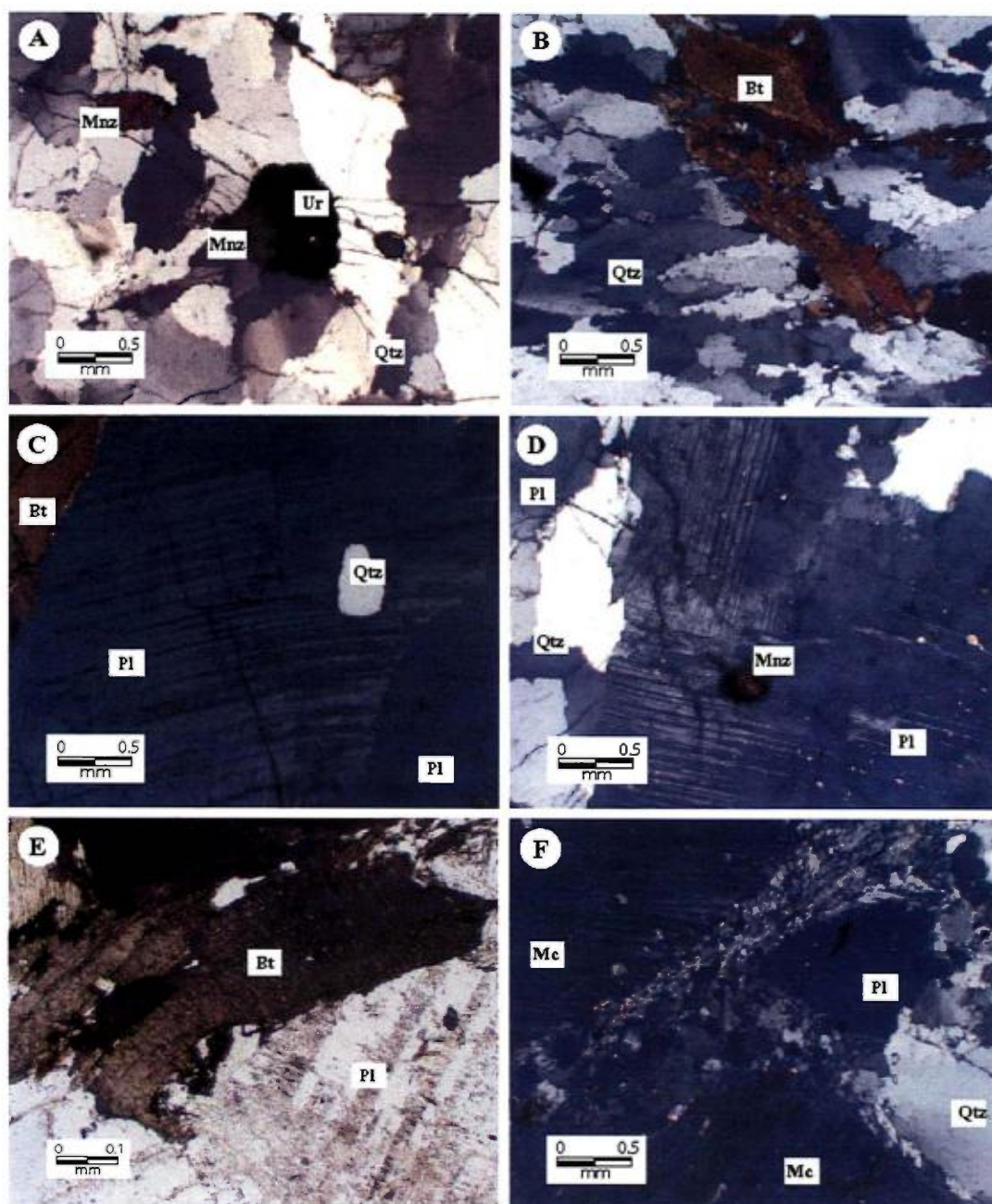
La scintillométrie de la pegmatite de la série A est caractérisée par des comptes par seconde (cps) maximums en surface situés entre 6000 et 12000. En affleurement, la pegmatite est d'une largeur d'environ 5-8mètres et d'extension approximative de 40mètres. Son pendage est indéterminé et les contacts ne sont pas observés. Elle est peu ou pas fracturée.

De couleur blanche légèrement rosée, la taille des grains se situe généralement entre 8 et 15mm. La texture générale est massive et à grains moyens, localement fins. L'hétérogénéité de la pegmatite est mise en évidence par une bande aplitique de 15cm présentant un rubanement marqué par l'alternance de bandes plus felsiques et d'autres plus magnésiennes (voir série A, figure 4). Des traces de "produits jaunes", un produit d'altération de l'uraninite, sont présentes en surface de la pegmatite, mais rarement observées sur les échantillons pris sur la paroi de sautage.

L'étude microscopique des différents échantillons de la série A fait ressortir la dominance de la texture grenue. Par contre, plusieurs évidences de déformations plastiques "chaudes" ( $200^{\circ} < T < \text{fusion}$ ) sont présentes (Bard, 1980). Elles se caractérisent par l'extinction roulante des quartz et leur étirement occasionnel en rubans, les mâcles mécaniques et courbes des plagioclases ainsi que par les mâcles du type péricline des plagioclases, considérées comme des marqueurs de la déformation plastique progressive (Bard, 1980). De plus, le pliage en genou (kink-bands) et la courbure des plans de clivage des biotites ainsi que la recristallisation des cristaux de quartz et feldspath dans des microtextures "en mortier" sont d'autres évidences. La figure 5 présente ces différentes textures caractéristiques.

En général les grains quartz varient de 2 à 20mm, ils sont xénomorphes avec des bordures mutuelles et présentent une extinction roulante (figure 5A). Il varie en proportion de 20 à 30%, mais des occurrences plus riches en quartz sont présentes. Le quartz semble prendre les espaces disponibles entre les grains de plagioclase et de feldspath K qui semblent s'être formés en même temps. Les grains de plagioclase (oligoclase) sont hypidiomorphes arrondis et varient de 7mm à 15mm. Ils ont subi une forte séricitisation leur donnant un aspect trouble. Les feldspaths potassiques se présentent sous la forme de cristaux hypidioblastiques de 8-15mm avec bordures mutuelles.





**Figure 5:** Textures caractéristiques. A-Uraninite et monazites dans une matrice de quartz avec extinction roulante (LP), (échantillon PTA-1); B-Quartz rubané et amas de biotite (LP), (échantillon PTA-1); C-Mâcles courbes des plagioclases poecilites (LP), (échantillon PTA-3); D-Mâcles du type péricline des plagioclases poecilites (LP), (échantillon PTA-3); E-Courbure des plans de clivage des biotites (LN) (échantillon PTA-1); F-Microtextures "en mortier" (LP) (échantillon PTA-2).  
Abréviations: Mnz = monazite, Qtz = quartz, Ur = uraninite, Bt = biotite, Pl = plagioclase, Mc = microcline (Kretz, 1983).

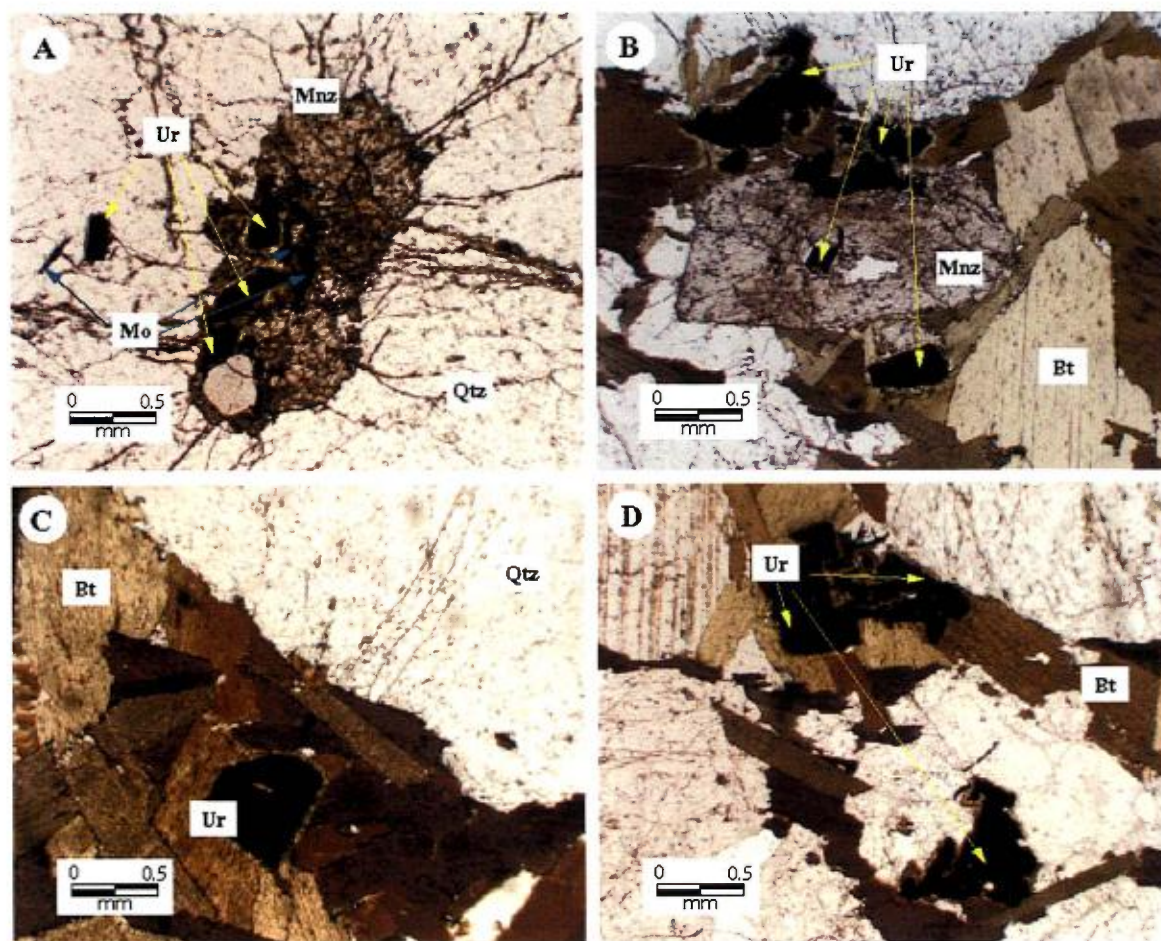


La phase principale est le microcline, fréquemment perthitique et quelques occurrences d'orthose perthitique sont observées. Tout comme pour les pegmatites à U, Mo et REE du Grenville (Lentz, 1996), les feldspaths sont la phase majeure des pegmatites granitiques et une texture poecilitique est couramment observée. Le minéral mafique dominant, la biotite brune, est hypidiomorphe et varie de 0,2mm à 7mm. Sans orientation préférentielle, elle contourne les grains de quartz et de feldspath. Une légère chloritisation en bordure des grains de biotite est parfois observée et de la muscovite secondaire en minces feuillets, 0,1mm, a parfois précipitée en bordure des biotites.

Les minéraux accessoires les plus fréquents sont les monazites. Elles sont de couleur rouge rosée et taille variant entre 0,5 et 2mm. Deux générations de monazites semblent être reconnues. La première apparaît être principalement associée aux quartz et feldspaths. Elle présente une forme arrondie, un cœur métamictisé et des fractures radiales (voir figure 6A). La seconde est automorphe et principalement associées à la biotite (figure 6B). Le minéral accessoire qui est le principal porteur d'uranium est l'uraninite (Cuney et *al.* 1984). L'uraninite se retrouve en traces, sous la forme de cristaux cubique idiomorphe. Sa taille varie de 0,02 à 0,5mm et elle se présente en grains isolés (figure 6C) ou en amas (figure 6D) pouvant atteindre de 1,5mm à 2mm. Elles sont fréquemment métamictisées et présentent des couronnes d'altération de composition ferreuse (voir figure 10). Des traces de molybdénite en prisme à texture lamellaire de 0,5mm ainsi que des zircons, apatites, épidotes et myrmékites sont observées, mais en faible abondance (moins de 1%).

ÉCHANTILLON	PTA-1	PTA-2	PTA-3	PTA-4
PROFONDEUR(cm)	2,5-10	18-23	46	71
CPS MAX EN AFFLEUREMENT	7300	9500	13500	6800
CPS DE L'ÉCHANTILLON	1000	520	1600	340
<b>SPECTROMÉTRIE</b>				
TOTAL (ppm)	3008,3	1430,2	4591,0	917,8
K(%)	0,4	1,6	0,2	1,6
U(ppm)	93,6	38,1	139,9	17,9
Th(ppm)	25,4	16,6	33,1	15,4
<b>MINÉRAGRAPHIE</b>				
Quartz(%)	74	24	20	30
Plag An.20-.30(%)	15	20	57	10
Microcline(%)	-	30	18	58
Orthose Perth.(%)	-	25	-	-
Biotite(%)	10	tr	3	1
Chlorite(%)	tr	2	tr	-
Autres	Mnz, Ms	Mnz, Zrn, Ep, Mo, Ms, Mx sec. d'uranium	Mnz, Ep, Mo, Mx sec. d'uranium	Mnz, Ms, Uraninite
<b>NOM ROCHE</b>	Granitoïde riche en qtz	Granite	Granodiorite	Granite

**Tableau 1:** Analyse spectrométrique et analyse modale des échantillons de la série A.  
Abréviations: Mnz = monazite, Ms = muscovite, Ep = épidote, Mo = molybdénite,  
Py = pyrite, Zrn = zircon, Mx sec. = minéraux secondaires (Kretz, 1983).



**Figure 6:** Planches de monazites et d'uraninites. A-Monazites de forme arrondies avec cœur métamictisé et fractures radiales (LN), (échantillon PTC-3); B-Monazite automorphe principalement associée à la biotite (LN), (échantillon PTC-3); Uraninite en grain isolé (LN), (échantillon PTC-2); D-Amas d'uraninites (LN), (échantillon PTC-2). Abréviations: Mnz = monazite, Qtz = quartz, Ur = uraninite, Bt = biotite, Mo = molybdénite (Kretz, 1983).

### 3.2 – PEGMATITE SÉRIES C, D ET V

La pegmatite des séries C, D et V présente une scintillométrie dépassant les 65000 cps. Elle affleure sur une surface d'environ 50m<sup>2</sup> et est très fracturée. Sa couleur est blanche-rosée et la taille des grains est de 8 à 15mm. La texture générale est massive avec des zones plus riches en biotite et d'autres présentent des compositions variables en silice. Des "produits jaunes" sont présents sur les échantillons de différentes profondeurs. Trois séries d'échantillons proviennent des pegmatite de séries C, D et V.

#### 3.2.1 – Série C

Les échantillons de la série C présentent des cps situés entre 22000 et 55000. Les principales caractéristiques de cette série sont résumées dans le tableau 2. L'étude microscopique a révélée quelques particularités. Selon l'analyse modale, le PTC-1 et PTC-2 sont des granites tandis que le PTC-3 est un quartzolite. Les mêmes évidences de déformation plastique que pour la série A sont retrouvées. Les grains de quartz possèdent une extinction roulante sans toutefois présenter un étirement sous forme de rubans.

Le quartz en plages xénomorphes de 2 à 20mm présente des bordures mutuelles et une extinction roulante. Les cristaux, généralement sans couleur, sont parfois légèrement fumés (figure 7A). Le microcline est habituellement de teinte rosée causée par une hématisation et des occurrences de myrmékites sont présentes entre les grains de plagioclase et de microcline. Une texture poecilitique est souvent observée chez les plagioclases et les microclines. Les deux générations de monazites mentionnées sont observées et les automorphes associés à la biotite présentent parfois des inclusions de biotite dans leur structure, pouvant signifier qu'elles sont plus tardives que les premières arrondies, fracturées et avec fractures radiales. Une relation entre les uraninites et les biotites semble existée. Sur les 44 uraninites dénombrées dans les lames des échantillons PTC-2 et PTC-3, 40 sont directement retrouvées dans les amas de biotites. L'échantillon PTC-1 qui ne présente qu'une minuscule trace de biotite ne contient pas de monazite ni d'uraninite.



ÉCHANTILLON	PTC-1	PTC-2	PTC-3
PROFONDEUR(cm)	0	16,5-22	36-38
CPS MAX EN AFFLEUREMENT	22000	42000	55000
CPS DE L'ÉCHANTILLON	270	3400	7800
<b>SPECTROMÉTRIE</b>			
TOTAL (ppm)	690,9	9786,1	22663,7
K(%)	1,1	0,0	0,0
U(ppm)	9,7	353,9	895,6
Th(ppm)	11,4	85,9	245,3
<b>MINÉRAGRAPHE</b>			
Quartz(%)	45	22	92
Plag An.20-30(%)	6	40	-
Microcline(%)	38	23	2
Orthose Perth.(%)	10	-	-
Biotite(%)	tr	12	4
Chlorite(%)	tr	tr	-
Autres	Mnz, Ms, Ep	Mnz, Zrn, Mo, Ms, Uraninite, Mx sec. d'uranium	Mnz(2%), Mo, Zrn, Uraninite, Mx sec. d'uranium
<b>NOM ROCHE</b>	Granite	Granite	Quartzolite

**Tableau 2:** Analyse spectrométrique et analyse modale des échantillons de la série C.  
Abréviations: Mnz = monazite, Ms = muscovite, Ep = épidote, Mo = molybdénite,  
Py = pyrite, Zr = zircon, Mx sec. = minéraux secondaires (Kretz, 1983).

### 3.2.2 – Série D

Les échantillons de la "série D" présentent des comptes par seconde moyens oscillant entre 15000 et 30000 en affleurement. L'échantillon PTV-3 est inclus dans cette série puisque sa composition tonalitique diffère des quartzolites de la "série V". La composition des roches de cette série varie de tonalitique à syénitique. La texture dominante est poecilitique. Les grains de plagioclases et/ou microcline poecilitique de 8-15mm englobent des grains de quartz, de feldspath et de biotite. Les évidences de déformation plastique sont toutefois beaucoup moins évidentes que dans les autres séries. Une fracturation importante est présente sur certains phénocristaux et pourrait avoir été produite par hydro-fracturation ou encore par écrasement tectonique (figure 7B).

Les cristaux de quartz sont en plages limpides et claires entre les poeciloblastes de plagioclases et de microcline. Une présence plus importante des muscovites en bordure des biotites est observée. Les plagioclases,  $An_{25-30}$ , sont séricitisés et des occurrences avec un cœur épidotisé sont observées dans l'échantillon PTV-3. Les microclines présentent une forte hématisation en bordure des grains et dans les fractures (figure 7B). Des myrmékites sont présentes entre les grains de plagioclase et de microcline. Le pourcentage de biotite varie entre 0 et 2% et elles sont chloritisées en bordure. De fines traces de monazites et uraninites sont visibles, mais en très faible quantité.

ÉCHANTILLON	PTD-1	PTD-2	PTD-3	PTV-3	PTD-4
PROFONDEUR(cm)	0	22-32	38-44	38-48	56-62
CPS MAX EN AFFLEUREMENT	19000	17000	15000	46000	31000
CPS DE L'ÉCHANTILLON	1300	420	700	1450	420
<b>SPECTROMÉTRIE</b>					
TOTAL (ppm)	3578,0	1183,5	1927,7	4161,8	1136,1
K(%)	0,2	1,3	1,5	0,5	1,9
U(ppm)	116,4	30,1	49,2	132,4	23,1
Th(ppm)	28,9	12,4	21,5	35,1	13,6
<b>MINÉRAGRAPHIE</b>					
Quartz(%)	72	25	40	47	13
Plag An.20-.30(%)	24	70	30	53	10
Microcline(%)	2	5	29	tr	75
Orthose Perth.(%)	-	-	-	-	-
Biotite(%)	1	tr	tr	tr	2
Chlorite(%)	tr	-	tr	-	tr
Autres	Ms, Mo, Mx sec. d'uranium	Mnz, Ms, Ep, Mo, Uraninite	Mnz, Ms, Mo, Uraninite	Mnz, Ms, Mo, Uraninite, Mx sec. d'uranium	Mnz, Zrn
<b>NOM ROCHE</b>	Granitoïde riche en qtz	Tonalite	Granite	Tonalite	Syénite à qtz

**Tableau 3:** Analyse spectrométrique et analyse modale des échantillons de la série D, incluant l'échantillon PTV-3.

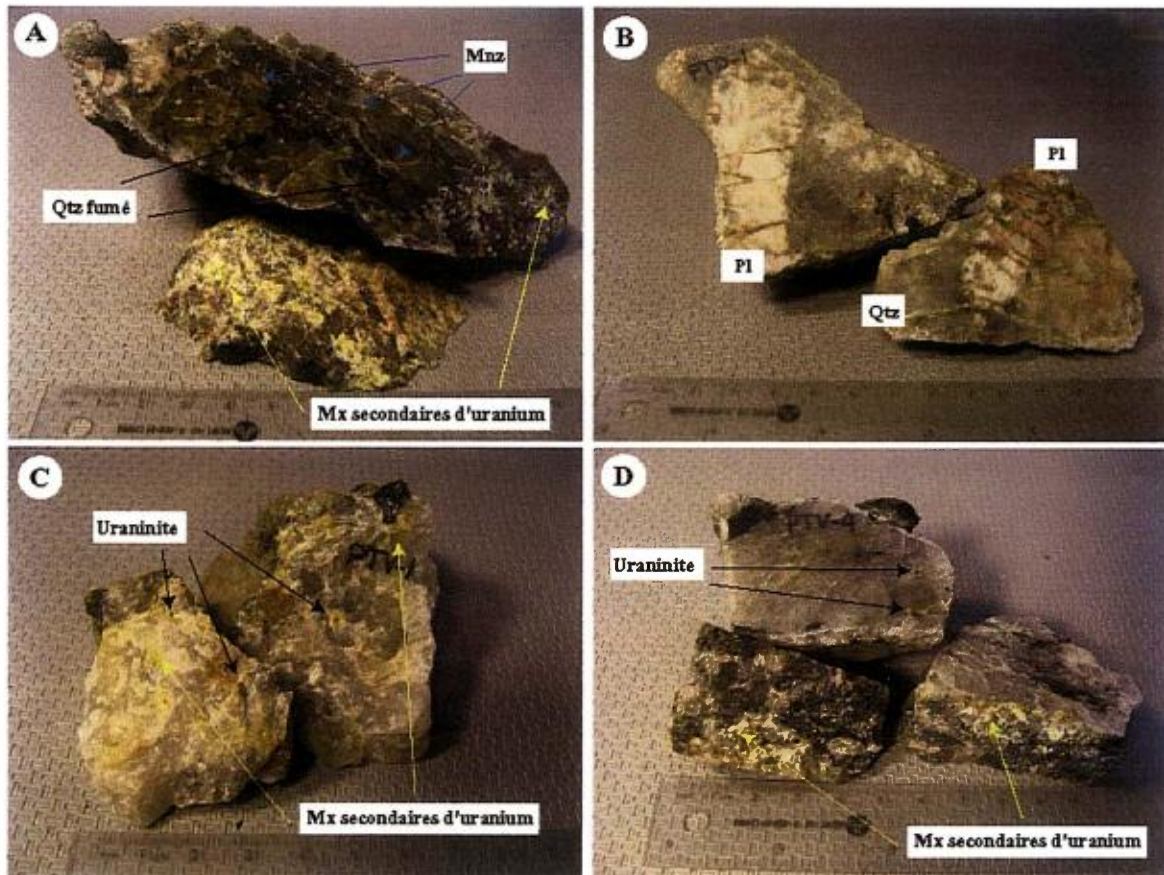
Abréviations: Mnz = monazite, Ms = muscovite, Ep = épidote, Mo = molybdénite, Zr = zircon, Mx sec. = minéraux secondaires (Kretz, 1983).

### 3.2.3 – Série V

La "série V" provient de l'échantillonnage d'une veine de quartz située dans la pegmatite. Cette série est spatialement rapprochée de la série D. Les cps en affleurement sont très élevés (entre 45000 et 55000) en quartz dans la pegmatite. Les échantillons PTV-1, PTV-2 et PTV-4 sont des quartzolites.

Les cristaux de quartz possèdent des bordures mutuelles. Leur taille varie de 10-20mm et ils sont légèrement fumés. Ils présentent une extinction roulante et sont fréquemment étirés et aplatis et sa texture est en ruban. Les rares plagioclases sont très séricitisés et on ne reconnaît plus les mâcles. Des traces de biotites sont observées dans les trois échantillons, mais aucune association entre la biotite et les uraninites ne peut être établie. Les uraninites ne sont pas disposées de façon homogène dans l'échantillon et même si elles peuvent être identifiées mégascopiquement dans l'échantillon PTV-1 (voir figure 7C), aucune n'est dénombrée dans la lame mince polie. Les occurrences de monazite sont rares. Les échantillons sont très fracturés et des placages de "produits jaunes" sont observés en surface des échantillons et dans les fractures, indépendamment de la profondeur (voir figure 7C et 7D).





**Figure 7:** Échantillons macroscopiques. A-Cristaux de quartz légèrement fumés avec monazites rouges et minéraux secondaires d'uranium (échantillon PTC-3); B-Phénocristaux de plagioclase avec fracturation in-situ et hématisation (échantillon PTD-1); C-Échantillon de surface avec uraninites et placage de "produits jaunes" autour des grains d'uraninites (échantillon PTV-1); D-Échantillon provenant de 61cm de profondeur avec uraninites et placage de "produits jaunes" dans les fractures et lits de biotite (échantillon PTV-4). Abréviations: Mnz = monazite, Qtz = quartz, Pl = plagioclase (Kretz, 1983).

ÉCHANTILLON	PTV-1	PTV-2	PTV-4
PROFONDEUR(cm)	0-5	18-23	56-61
CPS MAX EN AFFLEUREMENT	44000	42800	57000
CPS DE L'ÉCHANTILLON	1500	830	6400
<b>SPECTROMÉTRIE</b>			
TOTAL (ppm)	4178,4	2243,8	17500,0
K(%)	0,2	1,0	0,0
U(ppm)	139,3	66,4	655,5
Th(ppm)	32,6	15,2	133,7
<b>MINÉRAGRAPHIE</b>			
Quartz(%)	98	97	99
Plag An.20-.30(%)	-	-	-
Microcline(%)	-	2	-
Orthose Perth.(%)	-	-	-
Biotite(%)	2	1	tr
Chlorite(%)	tr	-	tr
Autres	Mx sec. d'uranium	Mx sec. d'uranium	Mx sec. d'uranium, Uraninite, Mo, Py
<b>NOM ROCHE</b>	Quartzolite	Quartzolite	Quartzolite

**Tableau 4:** Analyse spectrométrique et analyse modale des échantillons de la série V.  
Abréviations: Mo = molybdénite, Py = pyrite, Mx sec. = minéraux secondaires (Kretz, 1983).

## 4 – MICROFLUORESCENCE-X

Le Eagle III  $\mu$ Probe d'EDAX effectue l'analyse du spectre des émissions secondaires de rayons X de l'échantillon. Par des analyses ponctuelles, le micro-XRF a permis la détermination de la nature des minéraux non identifiés lors de l'analyse pétrographique au binoculaire. L'appareil fournit un spectre d'émission des éléments du minéral. La figure 8 présente un spectre d'une uraninite de l'échantillon PTD-2. Le spectre permet d'observer les pics de fluorescence des éléments qui sont principalement l'uranium et le plomb ainsi que le thorium, le polonium et l'yttrium en pourcentage poids moindre. La présence de polonium semble toutefois peu probable, il s'agit vraisemblablement d'un pic de diffraction.

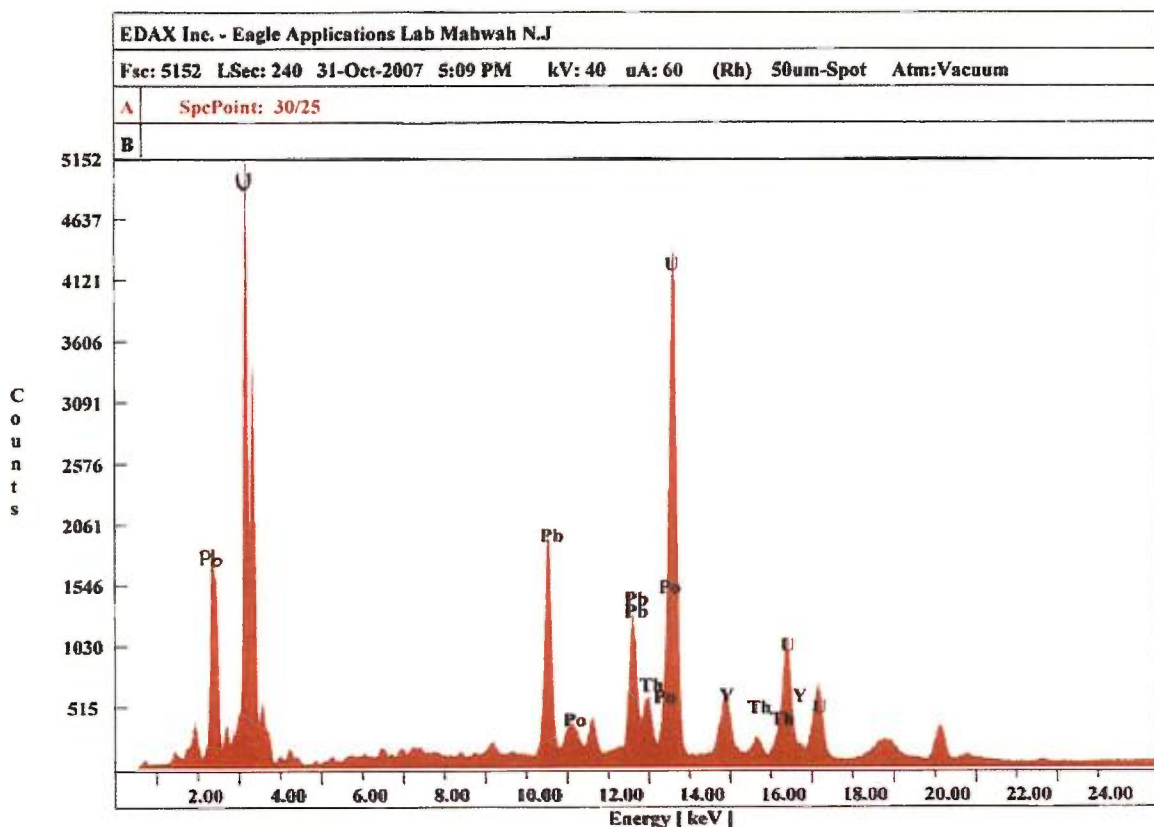


Figure 8: Spectre d'émission des éléments d'une uraninite de l'échantillon PTD-2.

L'appareil Eagle III  $\mu$ Probe d'EDAX procède notamment à la création de cartes géochimiques qui mettent en évidence la distribution des différents éléments ciblés. Une dizaine de cartes ont ainsi été effectuées sur plusieurs lames minces polies pour tenter d'observer la distribution des éléments, spécialement de l'uranium. Différentes cartes de monazites, d'uraninites en amas ou isolées et même de demi-lame ont ainsi été réalisées. Celles qui laissent percevoir des relations plus intéressantes sont ici présentées.

Tout d'abord, on retrouve les cartes géochimiques du Th, U, Fe et Pb d'une uraninite de l'échantillon PTA-3, présentées à la figure 9. On y observe une bonne superposition des concentrations de l'U et du Pb, le plomb provenant de la désintégration radioactive de l'uranium. On remarque que les plus fortes concentrations d'uranium et de thorium à l'intérieur de l'uraninite ne sont pas concordantes. Ceci pourrait être un indice que l'uraninite (au centre) se fait remplacer par de l'uranothorite en bordure. Elles seraient donc de composition non uniforme. Finalement, la carte du fer signale que la couronne de réaction autour de l'uraninite contient notamment du fer.

Ensuite, les cartes géochimiques de la figure 10 représentent une monazite avec fractures radiales de l'échantillon PTC-3. Ces cartes ont d'abord permis d'identifier la nature du minéral, soit une monazite, qui se différencie principalement de l'allanite par l'absence de calcium. Des petits minéraux riches en Th peuvent être observés en inclusion. La carte de l'uranium révèle que des traces d'uranium sont présentes dans certaines fractures radiales de la monazite. Cela pourrait indiquer que la monazite s'est fait lessivée de son uranium et qu'il y a eu remobilisation dans les fractures radiales de cette dernière. Cette observation laisse présager que la nature de cet uranium pourrait être un placage de minéraux secondaires d'uranium. Ce placage de "produits jaunes" aurait ainsi été conservé lors de la confection de la lame mince polie.

Ces deux cartes représentent des relations intéressantes par rapport à notre problématique qui est de caractériser la distribution de l'uranium. Toutefois, de telles relations n'ont pu être fréquemment observées. Aucune relation avec la profondeur n'a ainsi pu être établie.



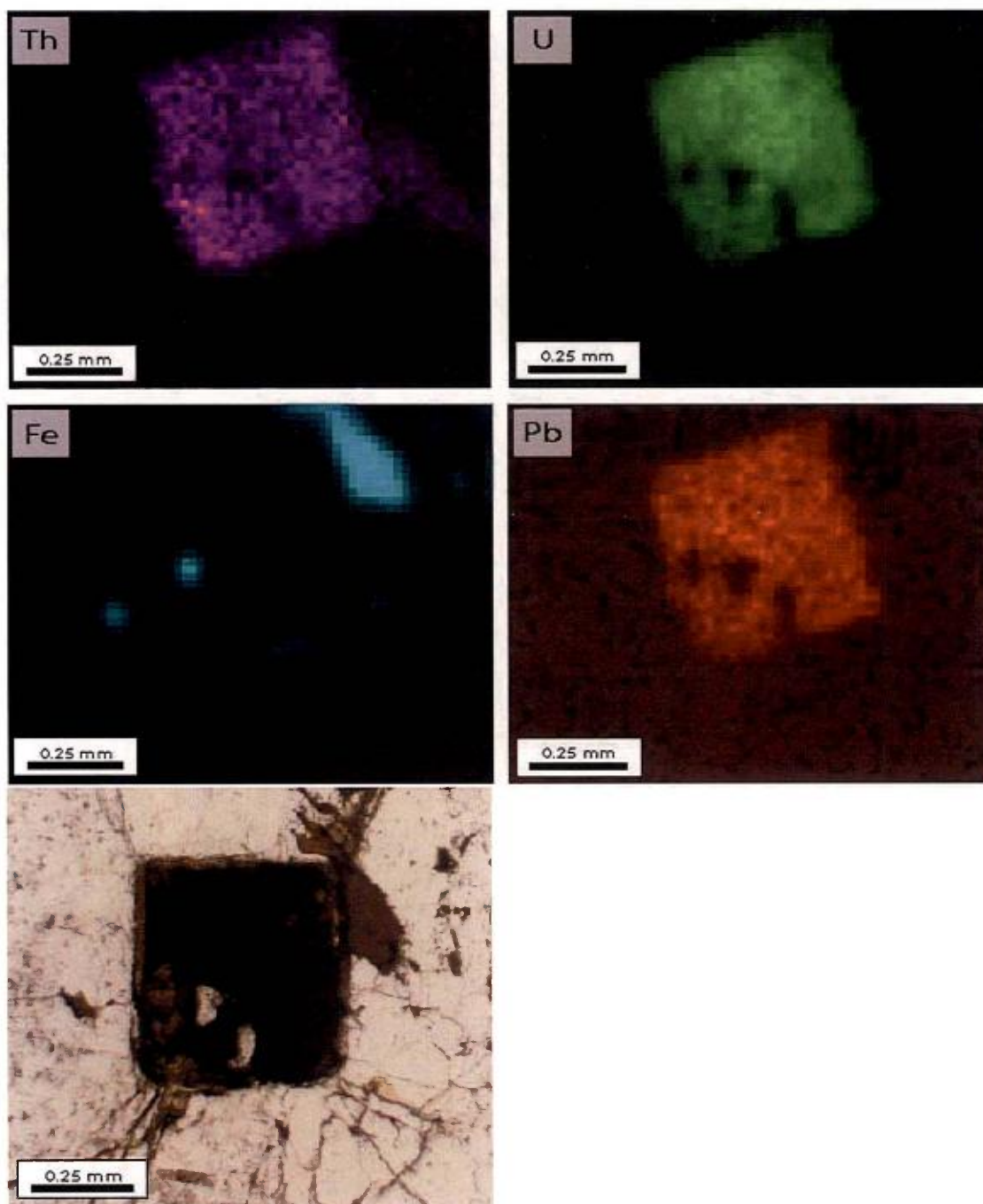


Figure 9: Cartes géochimiques du Th, U, Fe et Pb d'une uraninite de l'échantillon PTA-3.

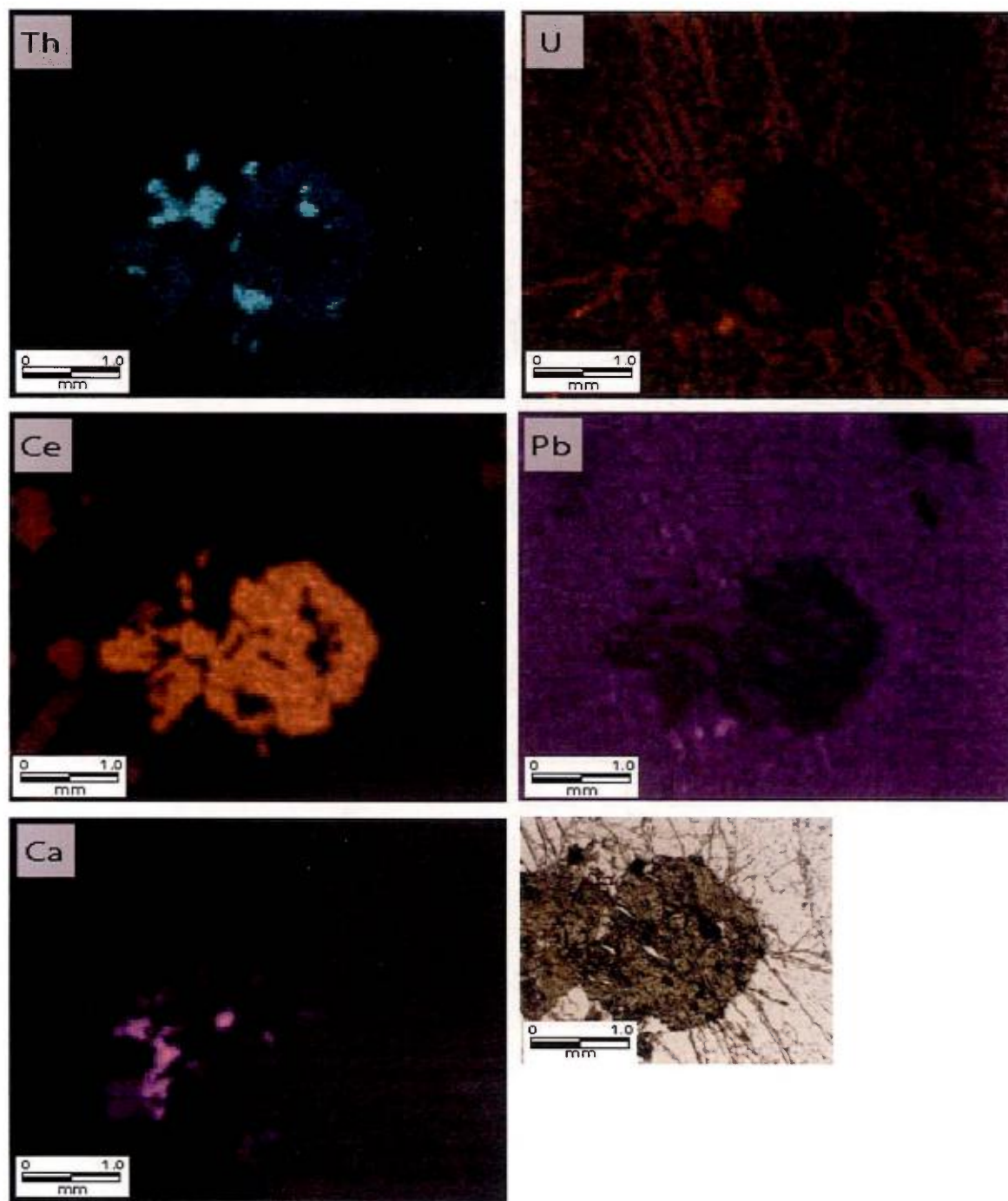


Figure 10: Cartes géochimiques du Th, U, Ce, Pb et Ca d'une monazite fracturée de l'échantillon PTC-3.

## 5 – DISCUSSION DES RÉSULTATS

Le but premier du travail était de comprendre la distribution de l'uranium dans les pegmatites de la propriété du projet North Rae. L'étude visait d'abord à déterminer la nature des minéraux porteurs d'uranium. Par cette étude, on voulait voir si le lessivage par les eaux météoritiques en surface des affleurements pouvait conduire à une diminution du rapport U/Th en surface. L'objectif était de tenter d'observer si, à l'échelle d'un trou de 40 à 70cm de profondeur, il était possible d'observer des évidences de lessivage des minéraux d'uranium ainsi que leur remobilisation en des minéraux secondaires d'uranium. Il ne sera fait ici aucune discussion à ce sujet mais plutôt une discussion des observations obtenues à l'aide des appareils utilisés.

### 5.1 – SPECTROMÉTRIE DE RAYON GAMMA

Tout d'abord, la première étape de l'étude, après l'échantillonnage, a été la prise de mesures spectrométriques. Les scintillomètres et spectromètres utilisés sur le terrain mesurent la radiation gamma. Ils donnent des valeurs en comptes par seconde et peuvent inférer des valeurs en ppm d'uranium, de thorium et donner le pourcentage de potassium. Toutefois, les rayons gamma mesurés proviennent du bismuth-214 qui vient juste après le radon dans la série de désintégration de l'uranium. Il faut comprendre que les scintillomètres et spectromètres ne sont des outils d'exploration à utiliser avec précaution. En général, les valeurs scintillométriques ne sont pas uniformes sur la surface de l'affleurement. On peut observer qu'à la lumière des mesures recueillies sur le terrain, aucune relation n'a été observée entre la profondeur et la valeur scintillométrique des échantillons en comptes par seconde (figure 11). Ces valeurs en cps ont été relevées sur un terrain possédant un faible bruit de fond afin d'éliminer les erreurs provoquées par « l'effet de mur » lors de la prise de lectures scintillométriques sur la paroi d'échantillonnage. D'autre part, on remarque que les trois échantillons présentant les lectures en cps les plus élevées, soit les échantillons PTC-2, PTC-3 et PTV-4, sont tous plus profonds que 20cm.

Le graphique de la teneur en ppm inférée par le spectromètre pour l'uranium et le thorium en fonction de la profondeur de l'échantillon est présenté en figure 12. Tout comme pour le graphique précédent, aucune relation directe ne peut être établie entre les teneurs en ppm et la profondeur. Il est intéressant de remarquer que les rapports U/Th des échantillons sont supérieurs à 1, ce qui est relativement intéressant pour l'exploitation.

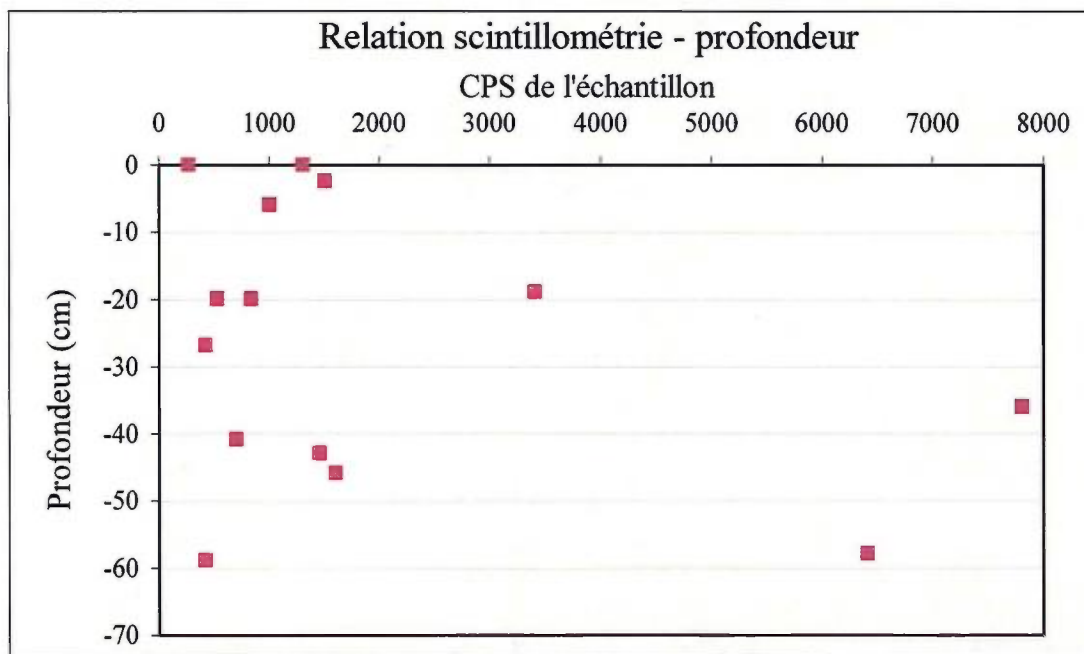


Figure 11: Graphique du compte par seconde total lu, au scintillomètre sur un faible bruit de fond, en fonction de la profondeur de l'échantillon.

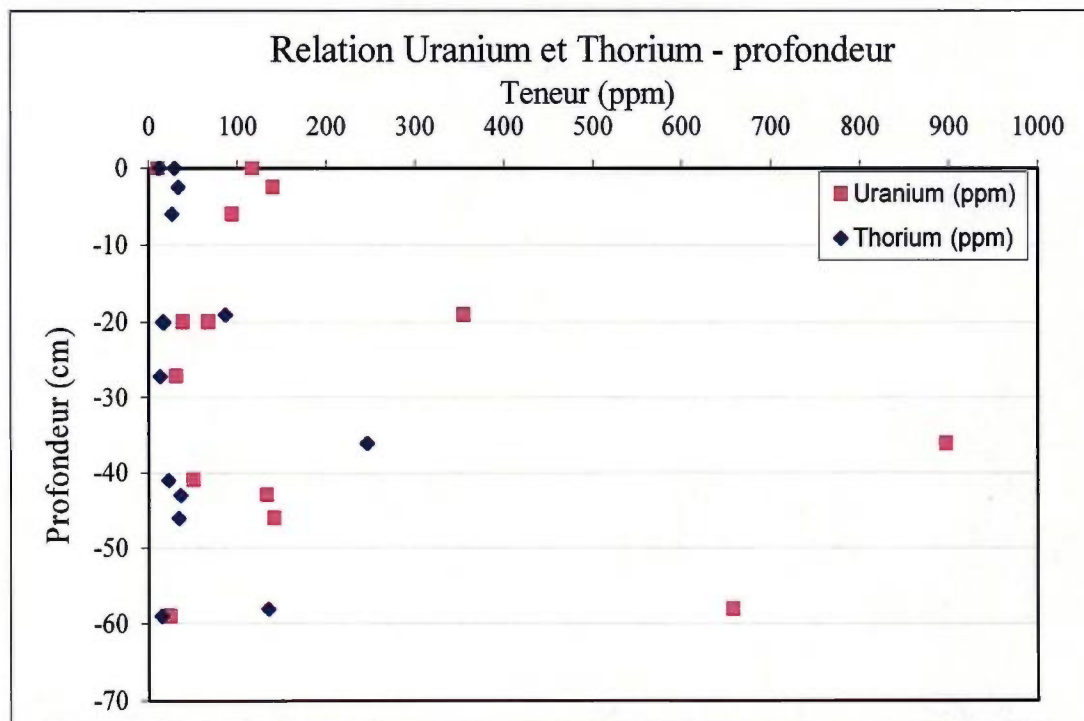


Figure 12: Graphique de la teneur en uranium et thorium inférée par le spectromètre sur un faible bruit de fond, en fonction de la profondeur de l'échantillon.



## 5.2 – MINÉRALOGIE

La seconde étape se voulait d'être la description macroscopiques et microscopique des échantillons. À l'échelle de l'échantillon, on remarque la présence de quartz fumés dans quelques échantillons et une association entre les quartz fumés et les minéralisations en uranium est remarquée dans les alaskites minéralisées du gisement Rossing, en Namibie, (Roesener, 1992). Par ailleurs, les produits secondaires de l'uranium peuvent être observés sur 7 des 15 des échantillons, indépendamment de la profondeur (voir figure 7C et 7D). La nature de ces minéraux n'a pu être identifiée avec précision. Par contre, on s'attendait à pouvoir observer les "produits jaunes" dans les plans de fracture, ce qui nous aurait permis de comprendre les modes de lessivage. Il est possible qu'ils aient été trop minces ou perdus lors de la fabrication des lames minces polies, entraînant des pertes d'évidences de lessivage.

L'étude microscopique démontre que, mis à part le quartz et les feldspaths, les minéraux accessoires principaux sont l'uraninite, la monazite et la molybdénite, ainsi que le zircon, l'épidote et l'apatite en traces. Une relation entre les uraninites et les biotites semble observée dans la série C. Or, l'absence de biotite dans plusieurs des échantillons ne permet pas de démontrer une réelle relation pétrographique. Deux générations de monazites sont distinguées, mais l'origine de ces 2 types de monazites n'a pu être déterminée. Finalement, comme le mentionne Cuney *et al.*, (1987), l'uraninite, qui est le principal porteur d'uranium, est la source d'uranium la plus facilement lessivable par les solutions oxydantes. Ainsi, la troisième étape consistait à utiliser la microfluorescence-X pour comprendre la distribution des éléments dans les pegmatites, principalement à l'échelle du grain.

Suite à la description minéralogique des lames minces polies, les échantillons sont placés sur le triangle de Streckeisen (1976), voir figure 13. On retrouve ainsi 4 quartzolites, 5 granites, 2 granitoïdes riches en quartz, 1 granodiorite, 2 tonalite et 1 syénite à quartz. Cela démontre que la composition n'est pas uniforme et varie grandement en fonction de la quantité et la nature des feldspaths en présence. Les échantillons sont tous sursaturés en silice, mais le pourcentage de quartz varie de façon importante selon les divers échantillons. En général, les pegmatites sont peu complexes et contiennent peu de phases. La dispersion des échantillons dans le système de classification de Streckeisen (1976) pourrait être expliqué par un effet d'échelle. La grande taille des cristaux des échantillons qui atteint parfois 2-5cm pourrait être à la source des erreurs d'appellation.

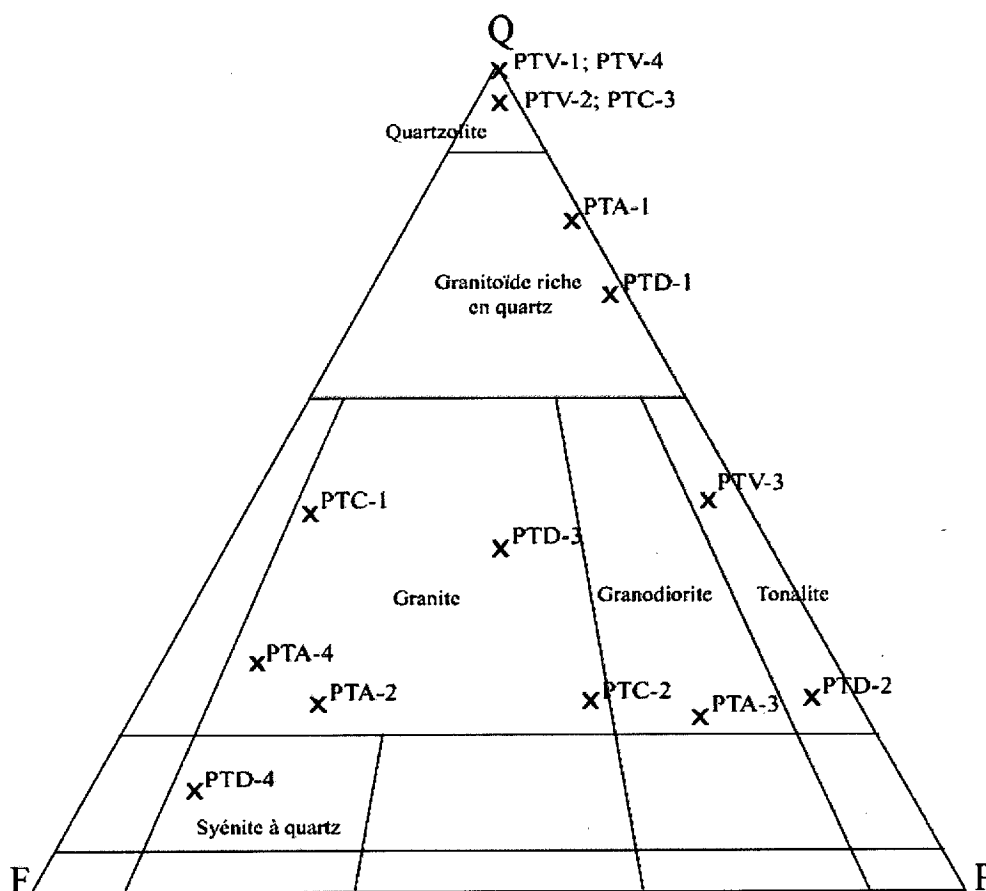


Figure 13: Pétrographie par analyse modale, Streckeisen (1976).

La minéralogie de nos échantillons permet de discuter la genèse des pegmatites. La sursaturation en quartz et l'abondance du feldspath potassique permet d'avancer la possibilité d'une source calco-alcaline. Les plagioclases sont des oligoclases ( $An_{20-30}$ ) et la présence de minéraux hydratés comme les biotites est caractéristique. Par ailleurs, une composition hyperalcaline est éliminée par l'absence de micas et d'amphiboles enrichis en halogènes. L'absence de minéraux alumineux tels que les aluminosilicates, cordiérite, grenat, tourmaline, etc., rend l'hypothèse d'une source sédimentaire moins probable (Clarke, 1992) puisque les pegmatites ne contiennent qu'un seul mica, la muscovite étant un produit secondaire d'altération. L'hypothèse retenue est que le magma pourrait être de source mantellique ou provenir de la fusion de la croûte océanique, avec une composition calco-alcaline. Selon Cuney et *al.*(1987), la monazite apparaît seulement dans les granites pauvres en Ca (hyperalumineux) et dans les granites riches en Ca (métalumineux) se retrouve les allanites. L'absence d'allanites et la composition peu alumineuse des pegmatites situent ces dernières dans la série calco-alcaline. Ainsi, en se basant sur la minéralogie, elles pourraient être associées à un produit de fin de différenciation magmatique.

Des évidences de déformations plastiques tardives sont observées. Comme on peut le voir à la figure 5, elles sont traduites par la présence de texture en mortier, extinction roulante des quartz, l'allongement des grains de quartz, distorsion des mailles des plagioclases et apparition de mâcles mécaniques fusiformes du type péricline, développement de perthite de remplacement chez les feldspath, flexion des plans de clivage des biotites, etc. D'après Bard (1980), ces textures traduisent des déformations plastiques chaudes à une température de plus de 200°C. D'après les observations, la cristallisation serait principalement pré à tardi-déformation. De plus, les pegmatites présentant la même orientation que les zones de cisaillement régionales NW-SE.

Des évidences d'altération hydrothermale sont présentes, mais de faible amplitude. Elles se caractérisent principalement par la séricitisation des plagioclases, la chloritisation des biotites et la précipitation de muscovite. D'après Cuney (1978), durant cette altération post-magmatique, le transfert d'uranium des minéraux les plus réfractaires (tel que la monazite) rend l'uranium plus facilement lessivable par les solutions hydrothermales.

Aucune évidence d'hybridation, mécanismes d'interaction avec la roche hôte, ne semble observée. Les pegmatites ne présentent pas d'enclaves de roches encaissantes, aucune évidence d'échanges avec l'encaissant et généralement pas de zonalité. Lentz (1996) accorde une grande importance à l'interaction chimique de la pegmatite avec la roche hôte pour atteindre la saturation en U, Th et REE. Ce processus ne semble ainsi pas être ce qui cause l'enrichissement des pegmatites du secteur.

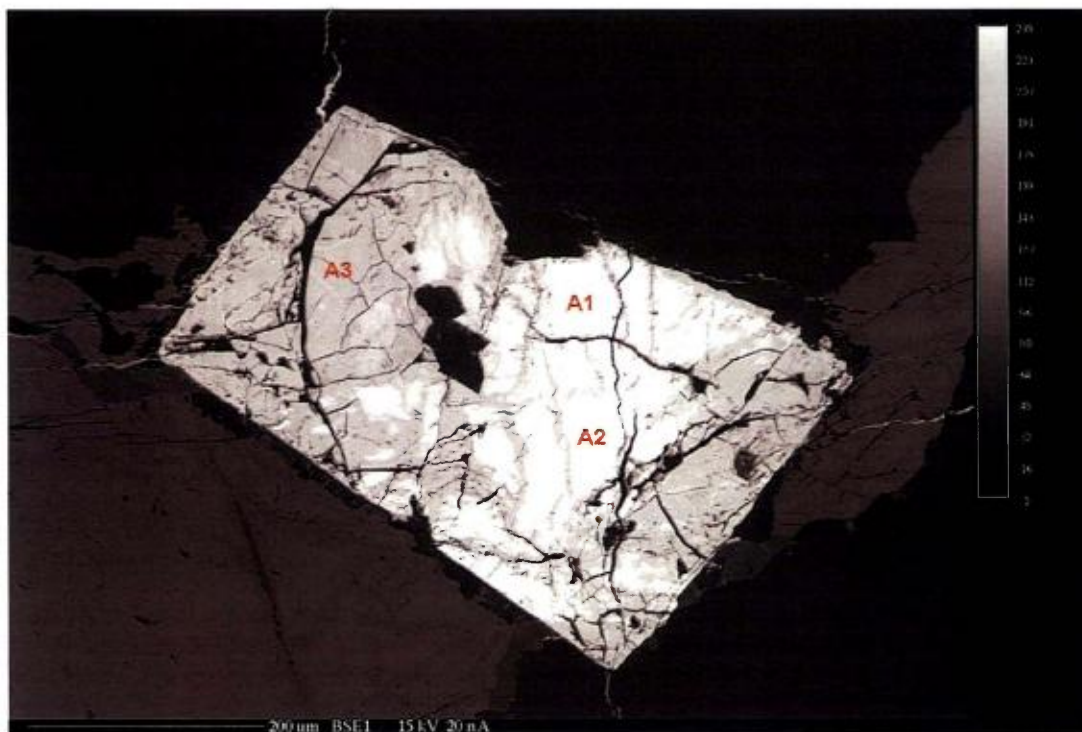
### 5.3 – MICROFLUORESCENCE-X

L'appareil analyseur d'éléments utilisé est le Eagle III  $\mu$ Probe d'EDAX et la taille de son faisceau d'analyse est de 40 $\mu$ m. Il est possible de comparer la résolution des cartes de la figure 10 obtenues au micro-XRF, avec l'image de microscopie électronique à balayage d'une uraninite (figure 14). Cette image au MEB est tirée du rapport final de la campagne d'exploration, projet North Rae (Girard, 2006). Elle représente une uraninite d'environ 500 $\mu$ m, semblable à celle de la figure 9. Il est possible d'y observer que l'uraninite (le + clair) se fait remplacer par de l'uranothorite en bordure. L'image provenant du MEB possède une résolution nettement améliorée par la fine taille de son faisceau d'analyse, soit de 1 $\mu$ m. Ainsi, la faible résolution de l'image obtenue au Eagle III  $\mu$ Probe d'EDAX, liée à la plus grande taille de son faisceau d'analyse, laisse penser que la méthode d'analyse manque de résolution.

D'autre part, le micro-XRF permet l'observation d'uranium dans les fractures radiales de la monazite présentée à la figure 10. La nature de cet uranium pourrait être des minéraux secondaires d'uranium (produits jaunes). Malgré le fait que les cartes au micro-XRF semblent démontrer que les monazites ne contiennent pratiquement pas d'uranium dans leur structure, la présence d'uranium dans les fractures radiales laisse penser à un lessivage de l'uranium de la monazite. Comme le mentionnait Cuney (1978), l'altération post-magmatique peut créer un

transfert de l'uranium des minéraux les plus réfractaires, comme la monazite, rendant ainsi l'uranium plus facilement lessivable par les solutions hydrothermales.

Finalement, la présence de monazite pourrait être un atout puisqu'elle prend une bonne partie de thorium disponible lors de sa cristallisation. Ainsi, selon Lentz (1996), plus il y a de monazite, plus les uraninites seraient pauvres en Thorium. Le bilan U/Th serait ainsi avantageux puisqu'une partie du thorium de la roche se retrouve dans l'uraninite, mais une autre partie est accommodée dans les monazites et zircons.



**Figure 14:** Image de microscopie électronique à balayage d'une uraninite (A1 et A2) qui se fait remplacer par de l'uranothorite (A3), échantillon 295367, tiré de Girard (2006).



## 6 – CONCLUSION

Le but de ce projet était de comprendre la distribution de l'uranium en tentant d'observer si elle adoptait un comportement différent en fonction de la profondeur. Tout d'abord, suite aux observations faites lors de cette étude, il a été constaté que l'on n'est point en mesure d'observer une relation entre la radiométrie et la profondeur. De plus, lors de l'analyse pétrographique, il a été remarqué que les minéraux jaunes d'altération n'ont pu être observés en lame mince. Toutefois, de l'uranium présent dans les fractures radiales d'une monazite métamictisée pourrait laisser penser que l'on est en présence de produits secondaires d'uranium en placage dans les fractures de cette dernière. L'hypothèse principale établie est que les oxydes d'uranium hydratés auraient pu être balayés de la lame mince lors de sa confection. Une grande quantité d'informations pertinentes, qui auraient pu être tirées de l'analyse de la disposition de ces "produits jaunes", a ainsi été perdue.

D'autre part, on peut penser que l'utilisation du micro-XRF, pour observer la distribution de l'uranium dans les lames minces polies ne représentait pas la meilleure alternative. En effet, il est difficile de caractériser le remplacement de l'uraninite par de l'uranothorite et/ou thomite ainsi que la présence et la distribution des minéraux secondaires d'uranium. Pour bien observer l'importance de ces phénomènes il faudrait faire appel à des techniques offrant une plus grande résolution, telle que la microscopie électronique à balayage.

Finalement, à la lumière des résultats obtenus par les appareils utilisés, il n'est pas permis de faire des recommandations sur une méthode d'échantillonnage à privilégier. Par contre, il serait intéressant de reprendre les uraninites des différentes lames minces polies et d'utiliser le MEB pour la confection de cartes géochimiques.

## 7 – REMERCIEMENTS

Ce projet de fin d'étude m'a été proposé par M. Réjean Girard, géo., président de la compagnie IOS Services géoscientifiques Inc. Mon comité est formé de M. Paul Bédard, responsable de laboratoire, et de M. Michael Higgins, professeur à l'Université du Québec à Chicoutimi (UQAC). Je désire exprimer ma plus profonde gratitude envers ces deux enseignants qui m'ont grandement aidé et appuyé lors de ce projet de fin d'étude. Je remercie IOS services géoscientifiques Inc. pour son assistance financière et matérielle lors des travaux de terrain et pour la confection des lames minces polies.

Je veux remercier toute l'équipe de terrain qui a travaillé conjointement avec moi lors de mes travaux de terrain, ainsi que tout le personnel et les étudiants du Module des Sciences de la Terre de l'UQAC, qui m'ont permis de mener à bien ce travail.

Merci Jonathan.

## RÉFÉRENCES

- Ametek. 2007. EDAX. [En ligne] < <http://edax.com>>. Consulté le 15 avril 2008.
- Bard, J.-P. 1980. Microtextures des roches magmatiques et métamorphiques. Paris, Masson, France ; 192p.
- Clarke, D.B. 1992. Granitoid Rocks. Chapman and Hall, United Kingdom, London, 283p.
- Clark, T. 1994. Géologie et gîtes de l'Orogène du Nouveau-Québec et de son arrière-pays. *Dans "Géologie du Québec"*, Ministère des Ressources naturelles; MM-94-01, 47-65.
- Cuney, M. et Friedrich, M. 1987. Physicochemical and crystal-chemical controls on accessory mineral paragenesis in granitoids : implications for uranium metallogenesis. *Bulletin de Minéralogie*, **110**: 235-247.
- Cuney, M. 1982. Processus de concentration de l'uranium et du thorium au cours de la fusion partielle et de la cristallisation des magmas granitiques. *Dans "Les méthodes de prospection de l'uranium"*, Symposium AEN-OCDE. Paris, 277-292.
- Cuney, M. 1978. Geologic environment, mineralogy, and fluid inclusions of the Bois Noirs-Limouzat uranium vein, Forez, France. *Economic Geology*, **73**: 1567- 1610.
- Foucault, A. et Raoult, J.F. 2005. Dictionnaire de géologie. UniverScience, Dunod, Paris.
- Girard, R. 2006. Uranium exploration campaign in the Kangiqsualujjuaq, George River area, North Rae Project. Rapport interne, IOS Services Géoscientifiques, Project 06-592, 55p.
- Goulet, N., et Ciesielski, A. 1990. The Abloviak shear zone and the NW Torngat Orogen, eastern Ungava Bay, Québec. *Geoscience Canada*, **17**: 269-272.
- Hoffman, P.F. 1988. United plates of North America, the birth of a craton : Early Proterozoic assembly and growth of Laurentia: *Annual Reviews of Earth and Planetary Sciences*, **16**: 543-603.
- Kretz, R. 1983. Symbols for rock-forming minerals. *American Geologist*, **68**: 277-279.
- Lentz, D. 1996. U, Mo and REE mineralization in late-tectonic granitic pegmatites, southwestern Grenville Province, Canada. *Ore Geology Reviews*, **11**: 197-227.
- Min, M.Z., Fang, C. et Fayek, M. 2005. Petrography and genetic history of coffinite and uraninite from the Liueyiqi granite-hosted uranium deposit, SE China. *Ore Geology Reviews*, **26**: 187-197.

Roesener, H. et Schreuder, C.P. (1992) Uranium. The Mineral Resources of Namibia, Ministry of Mines and Energy and the Geological Survey, Republic of Namibia, 7.1-1 to 7.1-55.

Streckeisen, A.L., 1967. Classification and nomenclature of igneous rocks. Final report of an inquiry. N. Jahrb. Miner. Abh., **107**:144-240.

Taylor, F.C. 1979. Reconnaissance geology of a part of the Precambrian Shield, Northeastern Québec, Northern Labrador and Northwest Territories. Geological Survey of Canada, memoir 393, 99 p.

Verpaelst, P., Brisebois, D., Perreault, S., Sharma, K.N.M., et David, J. 2000. Géologie de la région de la Rivière Koroc (24I) et d'une partie de la région d'Hébron (14L) Ministère des Ressources Naturelles du Québec, RG 99-08, Québec, 62 p.

Wardle R.J., Ryan, B., et Ermanovics, I. 1990. The eastern Churchill Province, Torngat and New Québec orogens: An overview. Geoscience Canada, **17**: 217-222.



ANNEXE A : Tableau résumé de spectrométrie de rayon gamma et d'analyse modale

	ECHANTILLON						
	1	2	3	4	5	6	7
	PTC-1	PTC-2	PTC-3	PTV-1	PTV-2	PTV-3	PTV-4
TROU	C	C	C	V	V	V	V
PROFONDEUR(cm)	0	16,5-22	36-38	0-5	18-23	38-48	56-61
	0	-19	-36	-2,5	-20	-43	-58
CPS MAX EN AFFLEUREMENT	22000	42000	55000	44000	42800	46000	57000
CPS DE L'ÉCHANTILLON	270	3400	7800	1500	830	1450	6400
<b>SPECTROMÉTRIE</b>							
TOTAL (ppm)	690,9	9786,1	22663,7	4178,4	2243,8	4161,8	17500,0
K(%)	1,1	0,0	0,0	0,2	1,0	0,5	0,0
U(ppm)	9,7	353,9	895,6	139,3	66,4	132,4	655,5
Th(ppm)	11,4	85,9	245,3	32,6	15,2	35,1	133,7
Rapport U/Th	0,85	4,12	3,65	4,27	4,37	3,77	4,90
<b>MINÉRAGRAPHE</b>							
Quartz(%)	45	22	92	98	97	47	99
Plag An.20-.25(%)	-	-	-	-	-	-	-
Plag An.25-.30(%)	6	43	-	-	-	53	-
Microcline(%)	38	20	2	-	2	tr	-
Orthose Perth.(%)	10	-	-	-	-	-	-
Myrmékite(%)	tr	tr	-	-	-	-	-
Biotite(%)	tr	12	4	2	1	tr	tr
Chlorite(%)	tr	tr	-	-	tr	-	-
Muscovite(%)	1	tr	-	-	tr	tr	tr
Monazite(%)	tr	tr	2	-	-	tr	-
Produits jaunes(%)	-	tr	tr	tr	tr	tr	1
Uraninite(%)	-	tr	tr	-	-	tr	tr
Molybdénite(%)	-	tr	tr	-	-	tr	tr
Pyrite(%)	-	-	-	-	-	-	tr
Épidote(%)	tr	-	-	-	-	-	-
Zircon(%)	-	-	tr	-	-	-	-
Vermiculite(%)	-	-	-	-	-	-	-
<b>Total (%)</b>	100	97	100	100	100	100	100
<b>NOM ROCHE</b>	Granite	Granite	Quartzolite	Quartzolite	Quartzolite	Tonalite	Quartzolite

	ECHANTILLON							
	8	9	10	11	12	13	14	15
	PTD-1	PTD-2	PTD-3	PTD-4	PTA-1	PTA-2	PTA-3	PTA-4
TROU	D	D	D	D	A	A	A	A
PROFONDEUR(cm)	0	22-32	38-44	56-62	2,5-10	18-23	46	71
	0	-27	-41	-59	-6	-20	-46	71
CPS MAX EN AFFLEUREMENT	19000	17000	15000	31000	7300	9500	13500	6800
CPS DE L'ÉCHANTILLON	1300	420	700	420	1000	520	1600	340
<b>SPECTROMÉTRIE</b>								
TOTAL (ppm)	3578,0	1183,5	1927,7	1136,1	3008,3	1430,2	4591,0	917,8
K(%)	0,2	1,3	1,5	1,9	0,4	1,6	0,2	1,6
U(ppm)	116,4	30,1	49,2	23,1	93,6	38,1	139,9	17,9
Th(ppm)	28,9	12,4	21,5	13,6	25,4	16,6	33,1	15,4
Rapport U/Th	4,03	2,43	2,29	1,70	3,69	2,30	4,23	1,16
<b>MINÉROGRAPHIE</b>								
Quartz(%)	72	25	40	13	74	24	20	30
Plag An.20-.25(%)	-	-	-	-	-	-	57	-
Plag An.25-.30(%)	24	70	30	10	15	20	-	10
Microcline(%)	2	5	29	75	-	30	18	58
Orthose Perth.(%)	-	-	-	-	-	25	-	-
Myrmékite(%)	-	tr	-	-	-	tr	-	tr
Biotite(%)	1	tr	tr	2	10	tr	3	1
Chlorite(%)	tr	-	tr	tr	tr	tr	tr	-
Muscovite(%)	tr	tr	1	-	tr	tr	-	tr
Monazite(%)	-	tr	tr	tr	1	tr	1	tr
Produits jaunes(%)	1	-	-	-	-	-	-	-
Uraninite(%)	-	tr	tr	-	-	tr	tr	tr
Molybdénite(%)	tr	tr	tr	-	-	1	tr	-
Pyrite(%)	-	-	-	-	-	-	-	-
Épidote(%)	-	tr	-	-	-	tr	1	-
Zircon(%)	-	-	-	-	-	tr	-	-
Vermiculite(%)	-	-	-	-	-	-	-	1
Total (%)	100	100	100	100	100	100	100	100
<b>NOM ROCHE</b>	Granitoïde riche en qtz	Tonalite	Granite	Syénite à qtz	Granitoïde riche en qtz	Granite	Granodiorite	Granite

URANIUM EXPLORATION CAMPAIGN, SUMMER 2007  
NORTH RAE PROJECT

APPENDIX 10

CORE DRILLING

Table 1 : Drill logs  
Table 2 : Spectrometer readings

## Drill hole: NR-07-01

UtmX: 335024E; Grid: 0+00  
 UtmY: 6488458N; Grid: 25+75N  
 Altitude: 10 m  
 Azimuth: 220°; Plunge: -63°  
 Depth: 69 m

UTM NA027, 220

Claim: 2004356  
 Target: Scintillometer anomaly: 3890 cps  
 Started: 2007-08-30  
 Completed: 2007-09-02  
 Zone: Tasialuk

Geologist: J. Lalancette  
 Contractor: Forage Benoît Inc.  
 Casing: NQW  
 Diameter: NQ  
 Drill rig: Atlas-Corpo

Main facies		Secondary facies		Code	Description	Sample				
From m	To m	From m	To m			Number	From m	To m	Length m	U3O8 %
0.00	1.00			MT	Mort-terrain					
1.00	3.60			I1G	Roche de teinte beige à rosé à grains moyens à grossiers riche en QZ et FP (dont FK) avec des horizons centimétriques de BO (15% à 20%). La roche n'est pas magnétique. Le contact avec la formation sus-jacente n'est pas visible en raison du casing. Le contact avec la formation inférieure est diffus sur plusieurs centimètres, approximativement à 80° par rapport à l'axe de la carotte.					
		1.00	3.27	MA/BR	Roche plutonique massive, localement d'aspect bréchique.	5921950	1.00	1.50	0.50	0.004
		1.00	12.00	FA	Fracturations de surface souvent oxydées, rouillées. Ces fractures ont deux directions principales à 40° et 70-80° par rapport à l'axe de la carotte.	5921951	1.50	2.00	0.50	0.008
		3.27	5.30	FO/RU/GS	Niveau légèrement folié marqué par les lits millimétriques enrichis en BO (orientation préférentielle des BO), rubané en raison de nombreuses veines de QZ parallèles à la foliation.	5921952	2.00	2.50	0.50	0.013
		3.27	3.47	VN QZ	Réseau de veinules de QZ de 2 à 5 mm dans le métasédiment M4 orientées à 80° ou 115° par rapport à l'axe de la carotte.	5921953	2.50	3.00	0.50	0.008
		3.47	3.55	VN QZ	Veine de QZ de 4 à 5 centimètres dans le métasédiment M4 parallèle la foliation.	5921954	3.00	3.50	0.50	0.010
		3.55	4.66	VN QZ	Réseau de veinules de QZ de 2 à 5 millimétriques dans le métasédiment M4 plus ou moins parallèles à la foliation.	5921955	3.50	4.00	0.50	0.001
3.60	5.30			M4	Roche de teinte gris moyen (poivre et sel) à grains fins (0.5 et 1 millimètre) de QZ et FP, relativement riche en BO disséminée ou en lits millimétriques. Cette roche, faiblement magnétique (traces de PO en plaquage dans les fractures), est traversée par des veinules de QZ parallèles ou sécantes à la foliation subverticale. Le contact avec la formation sous-jacente est net à 65-70° par rapport à l'axe de la carotte.	5921956	4.00	4.45	0.45	0.001
5.30	9.20			I1G	Roche de teinte beige à rosé, localement verdâtre, à grains moyens à grossiers riches en QZ et FP et en BO. La BO entoure les grains de QZ conférant un aspect bréchique à la roche. Ce niveau est faiblement magnétique signalant la présence de SF (PO). De plus, il comporte une bande pluricentimétrique d'une roche à grains fins de teinte gris foncé apparentée à un métasédiment. Le contact avec la formation sous-jacente est relativement net à 80-90°.	5921627	4.45	4.95	0.50	0.001
		5.30	8.60	MA/BR	Roche plutonique massive, localement d'aspect bréchique.	5921628	4.95	5.45	0.50	0.013
		8.60	8.70	FO/RU/GS	Niveau légèrement folié marqué par les lits millimétriques enrichis en BO (orientation préférentielle des BO), rubané en raison de nombreuses veines de QZ parallèles à la foliation.	5921629	5.45	5.95	0.50	0.036
		8.60	8.70	M4	Roche de teinte gris moyen (poivre et sel) à grains fins (0.5 et 1 millimètre) de QZ et FP, relativement riche en BO disséminée ou en lits millimétriques. Cette roche est faiblement magnétique. Elle est traversée par des veinules de QZ parallèles ou sécantes à la foliation subverticale. Les contacts avec la formation encaissante est relativement net à 65-70° par rapport à l'axe de la carotte.	5921630	5.95	6.45	0.50	0.015
		8.70	8.86	MA	Roche plutonique massive.	5921631	6.45	7.00	0.55	0.025
		8.86	9.20	RU	Niveau légèrement, rubané, lité en raison de niveaux plus riches en QZ.	5921632	7.75	8.25	0.50	0.011
		9.17	10.15	VN QZ	Réseau de veinules de QZ de 2 à 5 millimètres dans le métasédiment M4 parallèles à la foliation.	5921633	8.25	9.69	1.44	0.013



Main facies		Secondary facies		Code	Description	Sample				
From	To	From	To			Number	From	To	Length	U3O8
m	m	m	m			m	m	m	%	
9.20	10.10			M4	Roche de teinte gris-moyen (poivre et sel) à grains fins de QZ, FP, relativement riche en BO et à PO en traces. Ce niveau est traversé par des veinules de QZ parallèles à la foliation. Le contact avec la formation sous-jacente est relativement net et subvertical par rapport à l'axe de la carotte.	5921634	8.69	9.20	0.51	0.025
		9.20	10.10	FO/RU/GS	Niveau légèrement folié marqué par les lits millimétriques enrichis en BO (orientation préférentielle des BO), rubané en raison de nombreuses veines de QZ parallèles à la foliation.	5921635	9.20	9.70	0.50	0.000
10.10	10.80			I1G	Roche de teinte beige à rosé, d'aspect massif, à grains grossiers à très grossiers de QZ et FP (dont FK) avec 10 à 15% de BO. Ce niveau n'est pas magnétique. Le contact est relativement net avec la formation sous-jacente formant un angle subvertical (80-90%) par rapport avec l'axe de la carotte.	5921636	9.70	9.90	0.20	0.002
		10.10	10.80	MA/BR	Roche massive, localement d'aspect bréchique.	5921957	9.90	10.50	0.60	0.018
		10.77	11.80	VN QZ	Réseau de veinules de QZ de 2 à 5 millimètres dans le métasédiment M4 parallèles avec la foliation.	5921958	10.50	11.00	0.50	0.009
10.80	11.80			M4	Roche homogène de teinte gris moyen (poivre et sel) à grains fins de QZ, FP, relativement riche en BO. Ce niveau est traversé par des veinules de QZ parallèles à la foliation dans lesquelles des traces de PO (magnétisme très faible et localisé). Le contact avec la formation sous-jacente est relativement net et subvertical par rapport à l'axe de la carotte.	5921959	11.00	11.50	0.50	0.001
		10.80	11.80	FO/RU/GS	Niveau légèrement folié marqué par les lits millimétriques enrichis en BO (orientation préférentielle des BO), rubané en raison de nombreuses veines de QZ parallèles à la foliation.					
11.80	12.00			I1G	Roche d'aspect massif, de teinte blanchâtre à gris clair, à grains moyens à grossiers de QZ, FP (dont une forte proportion de FK) et BO disséminée. Des traces de SF (PO) d'aspect massif sont visibles conférant à la roche un faible magnétisme. Le contact avec la formation sous-jacente est relativement net à 60-65° par rapport à l'axe de la carotte.	5921960	11.50	12.00	0.50	0.005
		11.80	12.00	MA	Niveau massif.					
12.00	16.40			M4	Roche homogène de teinte gris moyen (poivre et sel) à grains fins de QZ, FP, relativement riche en BO. Ce niveau est traversé par de nombreuses veinules de QZ parallèles avec 2 à 3% de PO rendant la roche magnétique. Le contact avec la formation sous-jacente est relativement net et subvertical (80 à 90°) par rapport à l'axe de la carotte. plus riche en sulfure (2-3%) contact inférieur à 85°, veinules de QZ plus riche	5921961	12.00	12.50	0.50	0.001
		12.00	12.35	FO/RU/GS	Niveau légèrement folié marqué par les lits millimétriques enrichis en BO (orientation préférentielle des BO), rubané en raison de nombreuses veines de QZ parallèles à la foliation.	5921962	12.50	13.00	0.50	0.001
		12.00	12.30	VN QZ	Réseau de veinules de QZ de 2 à 5 mm dans le métasédiment M4 parallèles à la foliation.					
		12.35	12.49	RU	Niveau rubané marqué par les lits de BO au sein d'une roche plutonique à texture pegmatitique					
		12.45	13.25	VN QZ	Réseau de veinules de QZ de 2 à 5 mm dans le métasédiment M4 parallèles à la foliation.					
		12.49	12.82	FO/RU/GS	Niveau légèrement folié marqué par les lits millimétriques enrichis en BO (orientation préférentielle des BO), rubané en raison de nombreuses veines de QZ parallèles à la foliation.					
		12.82	12.88	MA	Roche plutonique massive					
		12.88	14.20	FO/RU/GS	Niveau légèrement folié marqué par les lits millimétriques enrichis en BO (orientation préférentielle des BO), rubané en raison de nombreuses veines de QZ parallèles à la foliation.	5921963	13.00	13.50	0.50	0.002
		13.10	15.78	FA	Microfractures minéralisées en SF (PO principalement).	5921964	13.50	14.00	0.50	0.003
		13.31	13.80	SF	Zone M4 à amas sulfurés principalement PO (avec présence veines QZ + SF) en remplissage ou dans microfailles					
		13.45	13.70	VN QZ	Veine de QZ minéralisée en SF (PY et PO).					
		14.00	14.16	VN QZ	Réseau de veinules de QZ de 2 à 5 mm dans le métasédiment M4 parallèles à la foliation.					

Main facies		Secondary facies		Code	Description	Sample				
From	To	From	To			Number	From	To	Length	U3O8
m	m	m	m			m	m	m	%	
		14.20	15.80	MA	Niveau relativement massif, légèrement folié					
		14.20	15.80	CL à CL-	Niveau légèrement chloritisé associé au métasédiment M4.					
		15.25	15.60	SF	Amas sulfurés dans M4 (PO,PY) en remplissage de failles principalement 15-20%.					
		15.80	16.40	FO/RU	Niveau légèrement folié, rubané.					
		15.80	16.37	VN QZ	Réseau de veinules de QZ de 2 à 5 mm dans le métasédiment M4 parallèles à la foliation.					
		16.37	16.73	VN QZ	Veine de QZ ou horizon très riche en QZ.					
16.40	18.90			M6	<b>Roche de teinte gris moyen (poivre et sel) à grains moyens de QZ, FP et BO avec des SF disséminés. Roche légèrement foliée, rubanée marquée par l'alternance de niveaux blanchâtre riches en QZ et de niveaux riches noirâtres riches en BO. Ce niveau semble s'apparenter à une grandiorite.</b>					
		16.40	16.70	MA	Niveau quartzeux massif.					
		16.70	16.90	FO	Niveau légèrement folié.					
		16.85	17.13	VN QZ	Veine de QZ ou horizon très riche en QZ.					
		16.90	17.15	MA	Niveau quartzeux massif.					
		17.15	18.20	FO/GS	Niveau légèrement folié, gneissique dans M6 tonalitique.					
		18.10	18.16	VN QZ	Veine de QZ ou horizon très riche en QZ dans le M6.					
		18.20	18.40	MA	Niveau quartzeux massif.					
		18.20	18.40	VN QZ	Veine de QZ ou horizon très riche en QZ dans M6.					
		18.40	18.50	FO/GS	Niveau légèrement folié, gneissique dans M6 tonalitique.					
		18.50	18.68	MA	Niveau quartzeux massif.					
		18.50	18.65	VN QZ	Veine de QZ ou horizon très riche en QZ.					
		18.68	18.90	FO/GS	Niveau légèrement folié, gneissique dans M6 tonalitique.					
18.90	25.30			M4/I1G	<b>Roche de dureté faible, de teinte gris moyen foncé (poivre et sel) à grains fins à moyens de QZ, FP et BO. Ce niveau est relativement riche en QZ, BO, renferme 1 à 2% de SF, et de la MG localement. Ce niveau est traversé par 5% de petits dykes centimétriques d'une roche à texture pegmatitique composée essentiellement de QZ et FP. Ces dykes sont généralement parallèles à la foliation. Le contact avec la formation sous-jacente est net à 60-65° par rapport à l'axe de la carotte.</b>					
		18.90	20.92	FO/RU	Niveau légèrement folié marqué par les lits millimétriques enrichis en BO (orientation préférentielle des BO), rubané en raison de nombreuses veines de QZ parallèles à la foliation.					
		18.90	20.60	VN QZ	Réseau de veinules de QZ dans le métasédiment M4 plus ou moins parallèles à la foliation.					
		20.92	21.03	MA	Niveau quartzeux massif.					
		20.92	21.03	I1G	Niveau centimétrique de teinte blanchâtre composé de grains très grossiers de QZ et FP ( texture pegmatitique).					
		21.03	21.17	FO/RU	Niveau légèrement folié marqué par les lits millimétriques enrichis en BO (orientation préférentielle des BO), rubané en raison de nombreuses veines de QZ parallèles à la foliation.					
		21.17	21.25	MA	Niveau quartzeux massif et I1G					
		21.17	21.25	I1G	Niveau centimétrique de teinte blanchâtre composé de grains très grossiers de QZ et FP ( texture pegmatitique).					
		21.25	21.40	FO/RU	Niveau légèrement folié marqué par les lits millimétriques enrichis en BO (orientation préférentielle des BO), rubané en raison de nombreuses veines de QZ parallèles à la foliation.					
		21.40	21.75	MA	Niveau quartzeux massif et I1G					
		21.75	25.30	FO/RU	Niveau légèrement folié marqué par les lits millimétriques enrichis en BO (orientation préférentielle des BO), rubané en raison de nombreuses veines de QZ parallèles à la foliation.					
		21.75	21.85	VN QZ	Réseau de veinules de QZ dans le métasédiment M4 plus ou moins parallèles à la foliation.					
		22.65	23.70	VN QZ	Réseau de veinules de QZ dans le métasédiment M4 parfois légèrement plissées.					
		23.70	24.00	FA	Microfractures minéralisées en SF (PO principalement).	5921965	23.50	24.00	0.50	0.012
		24.30	25.00	FA	Microfractures minéralisées en SF (PO principalement).	5921966	24.00	24.70	0.70	0.014

Main facies		Secondary facies		Code	Description	Sample				
From m	To m	From m	To m			Number	From m	To m	Length m	U3O8 %
		24.36	25.00	VN QZ	Réseau de veinules de QZ dans le métasédiment M4 plus ou moins parallèles à la foliation.	5921967	24.70	25.20	0.50	0.001
		24.40	25.00	SF	30%.					
		25.28	25.31	FA	Fractures minéralisées en SF.					
		25.28	25.31	PO	Zone minéralisée en PO en remplissage de fractures.					
25.30	28.20			I1G	Roche de dureté élevée, de teinte gris beige à rosâtre à grains grossiers à très grossiers (5 millimètres à 30 millimètres) de QZ (50%), FP (30%) dont FK, BO (15%) et PY (3 à 5%). Cette roche n'est pas magnétique. D'un point de vue textural, elle est massive localement d'aspect béchique, la BO entoure grains grossiers de QZ et FP. Le contact avec la roche sous-jacente est diffus.	5921968	25.20	26.00	0.80	0.038
		25.30	28.80	MA	Niveau quartzeux massif et I1G	5921969	26.00	26.50	0.50	0.007
		25.31	25.45	FA	Microfractures minéralisées en SF (PO principalement).	5921970	26.50	27.00	0.50	0.010
		28.17	28.27	VN QZ	Réseau de veinules de QZ dans le métasédiment M4.	5921971	27.00	27.50	0.50	0.007
28.20	29.30			M4	Roche de teinte gris beige à gris noir à grains fins à grossiers (1 à 5 millimètres) riche en QZ (40%) et en SF massifs principalement PO (30 à 40%), composée également de FP (10%) et de BO (3-5%), et d'oxydes noirs magnétiques (MG et HM). La minéralogie à PO, MG et HM confère à cette roche un magnétisme élevé. La dureté variable, élevée dans les niveaux riches en QZ et relativement faible dans les niveaux sulfurés. Le contact avec la roche sous-jacente est diffus.	5921972	27.50	28.20	0.70	0.022
		28.27	28.80	I1G	Roche de teinte blanchâtre à texture pegmatitique, à grains grossiers à très grossiers de QZ (80%) et FP (15%) et BO (5%). Cette roche plutonique est injectée dans un niveau de métasédiment M4.	5921973	28.20	28.70	0.50	0.022
		28.70	29.25	FA	Microfractures minéralisées en SF (PO principalement).	5921974	28.70	29.40	0.70	0.002
		28.70	29.53	SF	30-40%.					
		28.80	29.25	FO	Niveau légèrement folié.					
		29.25	29.90	MA/BR	Roche plutonique massive, localement d'aspect bréchique.					
29.30	29.90			I1G	Roche de dureté élevée, de teinte gris beige à gris moyen, localement verdâtre ou rosé, à grains grossiers de QZ (50%) souvent fumé, FP (30%) dont FK et composée de lits millimétriques à grains fins de BO (1 à 2%) et de PO disséminée. Cette roche est légèrement magnétique. Le contact avec la roche sous-jacente est diffus.	5921975	29.40	29.90	0.50	0.000
29.90	31.05			M4	Roche de teinte moyen foncé à bronze à granulométrie fine localement plus grossière composée de PO (75 à 80%), d'oxydes magnétiques (Mg et HM), de QZ (5 à 10%), de traces de FP et de BO (5%). Cette roche est très magnétique. Sa dureté est moyenne, très inférieure à celle des niveaux plutoniques. Le contact avec la roche sous-jacente est relativement net à 65% par rapport à l'axe de la carotte.	5921976	29.90	30.30	0.40	0.002
		29.90	30.00	FO	Niveau légèrement folié.					
		29.90	31.06	SF	30-40%.					
		30.00	30.25	NO	Texture nodulaire caractérisée par la présence d'une roche de teinte vert clair à vert foncé en enclaves associées à des minéraux à éclat métallique (SF) et entourées d'un liseré noir et de PO.					
		30.00	31.05	FA	Microfractures minéralisées en SF (PO principalement).	5921977	30.30	31.00	0.70	0.003
		30.00	30.25	I4B	Roche de teinte vert clair à vert foncé présent sous la forme d'enclaves nodulaires dans le métasédiment M4 à amas sulfurés. Ces nodules sont associés à des minéraux éclat métallique (SF). Ils sont entourés d'un liseré noir et de PO.	5921978	31.00	31.50	0.50	0.001

Main faciès		Secondary faciès		Code	Description	Sample				
From	To	From	To			Number	From	To	Length	U3O8
m	m	m	m			m	m	m	%	
31.05	33.00			I1G	Roche de dureté élevée, de teinte gris beige à gris moyen, à grains moyens à très grossiers de QZ (40 à 50%), FP (30%), BO (20%) et de traces de SF (PO) disséminés. Cette roche est aussi caractérisée par la présence de nombreuses bandes de teinte gris foncé constituées d'une roche à grains fins riche à matrice quartzo-feldspathique et riche en BO en alternance avec les bandes felsiques marquant un rubanement (litage minéral et granulométrique). Globalement, l'intervalle est faiblement magnétique en lien avec la présence de PO. Le contact avec la formation sous-jacente est relativement et à 60° par rapport à l'axe de la carotte. Présence d'une enclave d'une roche de teinte vert clair à grains moyens, riche en QZ et FP (80%) et composée de BO et de minéraux verdâtres (CL, PX ?). Il pourrait s'agir d'un lambeau de métasédiment M4 chloritisé.					
		31.25	33.00	FO/GS	Légère gneissosité dans M4 tonalitique.					
		31.83	31.92	VN QZ	Veine de QZ dans un niveau à texture pegmatitique (I1G).					
		32.45	32.65	CL	Niveau légèrement chloritisé.					
		32.45	32.65	M4/I4B	Enclave d'une roche de teinte vert clair à grains moyens, riche en QZ et FP (80%) et composée de BO et de minéraux verdâtres (CL, PX ?). Il pourrait s'agir d'un lambeau de métasédiment M4 chloritisé ou bien d'une					
33.00	35.60			M4	Roche de teinte gris moyen foncé avec quelques niveaux verdâtres à grains fins à grossiers (1 millimètre à 7 millimètres) de QZ (40%), FP (25 à 30%), BO (5%), et enfin de PO associée à des niveaux à HM et MG (25 à 30%). Cette roche est fortement magnétique. Elle renferme également des niveaux centimétriques chloritisés. D'un point de vue textural, cet intervalle est localement rubané (stratification) et renferme des nodules de QZ de 1 à 10 millimètres. D'un point de vue structural, cet intervalle présente plusieurs petits horizons graphiteux associés à des microfailles. BO (5%). Le contact avec la roche sous-jacente est relativement net à 65° par rapport à l'axe de la carotte.	5921979	33.00	33.50	0.50	0.011
		33.00	35.60	FO/RU	Niveau légèrement folié, rubané.	5921980	33.50	34.00	0.50	0.005
		33.00	34.26	FA	Microfractures minéralisées en SF (PO principalement).					
		33.25	33.50	CL	Niveau légèrement chloritisé associé au métasédiment M4.					
		33.48	33.68	VN QZ	Veine de QZ dans un métasédiment M4.					
		33.50	33.60	GP	Niveau graphitisé localisé dans une faille, associé au métasédiment M4.					
		33.56	33.59	SF	Zone minéralisée en SF en remplissage de fracture.					
		34.00	34.60	CL	Niveau légèrement chloritisé associé au métasédiment M4.					
		34.30	35.41	VN QZ	Réseau de veinules de QZ dans le métasédiment M4.					
35.60	37.20			M6/I1G	Roche de teinte gris beige à gris moyen caractérisée par une alternance de niveaux à texture granitique (grains fins à moyens) et de niveaux à texture pegmatitique (grains grossiers à très grossiers). La minéralogie est globalement identique dans les deux niveaux composée de QZ (50%), FP (30%), BO (15%) et SF disséminés en amas et ou en veinules millimétriques. Cet intervalle est également traversé par quelques niveaux très riches en QZ (90%) avec de la BO (10). Cet intervalle est localement magnétique en lien avec la présence de PO. D'un point de vue textural, cet intervalle est rubané. Le contact avec la formation sous-jacente est relativement net à 65° par rapport à l'axe de la carotte.					
		35.60	37.20	FO/GS	Légère gneissosité dans M4 tonalitique.					
		35.86	36.10	VN QZ	Veine de QZ dans un niveau à texture granitique (M6).					



Main facies		Secondary facies		Code	Description	Sample				
From	To	From	To			Number	From	To	Length	U3O8
m	m	m	m			m	m	m	%	
		36.21	36.37	VN QZ	Veine de QZ dans un niveau à texture granitique (M6).					
		36.75	36.85	F	Faïlle centimétrique à remplissage de SF (PO principalement).					
37.20	38.10			M4/I1G	Intervalle caractérisé par une alternance de niveaux de teinte gris moyen foncé à grains fins à grossiers (1 millimètre à 7 millimètres) composée principalement de QZ et FP avec de la BO, et de la PO disséminée et de niveaux de teinte gris moyen, localement verdâtre, à grains moyens à très grossiers riche en QZ (70%), avec FP (15 à 20%) et BO (10 à 15%) et de traces de SF. Les différentes bandes sont bien différenciées. Le contact de cet intervalle avec la formation sous-jacente est relativement net à 70, 80° par rapport à l'axe de la carotte.					
		37.20	37.40	FO/RU	Niveau légèrement folié, rubané.					
		37.20	37.40	M4	Roche de teinte gris moyen foncé avec quelques niveaux verdâtres à grains fins à grossiers (1 millimètre à 7 millimètres) de QZ, FP, BO, et enfin de la PO associée à des niveaux à HM et MG. Cette roche est fortement magnétique. Les contacts avec les autres niveaux sont nets.					
		37.40	37.50	MA	Niveau quartzeux massif et I1G					
		37.40	37.50	I1G	Roche de dureté élevée, de teinte verdâtre, à grains moyens à très grossiers de QZ (70%), FP (15 à 20%), BO (10 à 15%) et de traces de SF (PO) disséminés. Globalement, l'intervalle est faiblement magnétique en lien avec la présence de PO. Les contacts avec la formation encaissante sont nets à 70° par rapport à l'axe de la carotte.					
		37.50	37.60	FO/RU	Niveau légèrement folié, rubané.					
		37.50	37.60	FA	Fractures minéralisées en SF (PO principalement).					
		37.50	37.60	M4	Roche de teinte gris moyen foncé avec quelques niveaux verdâtres à grains fins à grossiers (1 millimètre à 7 millimètres) de QZ, FP, BO, et enfin de la PO associée à des niveaux à HM et MG. Cette roche est fortement magnétique. Les contacts avec les autres niveaux sont nets.					
		37.60	38.10	FO/GS	Légère gneissosité dans M4 tonalitique.					
		37.65	37.78	VN QZ	Réseau de veinules de QZ.					
38.10	39.55			M4	Roche de teinte gris moyen foncé, localement verdâtre, à grains fins à grossiers (1 millimètre à 7 millimètres) de QZ, FP, BO, avec de la PO en amas et de la PY (5 à 10%) disséminée dans la matrice. Cet intervalle contient également des enclaves centimétriques à décimétriques d'une roche verdâtre à grains moyens légèrement chloritisée avec des minéraux feuilletés verts (PX ?). Cette roche est faiblement magnétique en lien avec la présence de PO. Le contact avec la formation sous-jacente est relativement net à 65° par rapport à l'axe de la carotte.	5921981	38.00	38.50	0.50	0.014
		38.10	39.60	FO/RU	Niveau légèrement folié, rubané.					
		38.32	38.44	CL ++	Niveau fortement chloritisé.					
		38.32	38.44	I4B	Roche de teinte verdâtre à grains moyens légèrement chloritisée avec des minéraux feuilletés verts (PX ?). Il pourrait s'agir d'une métaproxénite (I4B ?).					
		38.33	38.83	F/FA	Dans le niveau chloritisé, nombreuses failles, fractures et fissures centimétriques à remplissage local de SF (PO principalement). Ces structures sont globalement à 60° par rapport à l'axe de la carotte.	5921982	38.50	39.00	0.50	0.001
		38.65	38.80	CL	Niveau chloritisé.					
		38.65	38.80	I4B	Roche de teinte verdâtre à grains moyens légèrement chloritisée avec des minéraux feuilletés verts (PX ?). Il pourrait s'agir d'une métaproxénite (I4B ?).					
		39.00	39.20	SI	Niveau silicifié associé au métasédiment M4.					

Main facies		Secondary facies		Code	Description	Sample				
From	To	From	To			Number	From	To	Lenght	U3O8
m	m	m	m			m	m	m	%	
39.55	41.88			M6	Roche de teinte gris moyen (poivre et sel) caractérisée par l'alternance de niveaux à texture granitique majoritaires et de quelques passées à texture pegmatitique. Les niveaux à texture granitique (grains fins à grossiers de 1 à 6 millimètres) sont composés de QZ (50%), FP (30 à 35%), BO (15 à 20%) et de traces de SF disséminés. Les niveaux à texture pegmatitique ont la même minéralogie à QZ (50 à 60%), FP (20%) et BO (20%). Cet intervalle est caractérisé par un rubanement granulométrique (texture granitique et pegmatitique) et minéralogique (bandes millimétriques quartzo-felspathiques et de BO) net. Le contact de cet intervalle avec la formation sous-jacente est net à 65° par rapport à l'axe de la carotte.					
		39.60	41.80	FO/GS	Légère gneissosité dans M4 tonalitique.					
		39.60	39.65	VN QZ	Réseau de veinules de QZ au contact entre le métasédiment M4 et la roche intrusive plutonique à texture granitique					
		41.80	42.20	FO-	Niveau légèrement folié.	5921983	40.30	41.00	0.70	0.003
41.88	42.15			M4	Roche de teinte gris moyen foncé, localement verdâtre, à grains fins à grossiers (1 millimètre à 7 millimètres) de QZ, FP, BO, avec des traces de SF disséminés dans la matrice. Cette roche présente un rubanement net. Elle est faiblement magnétique en raison de la présence de PO. Le contact avec la formation sous-jacente est relativement net.	5921984	41.00	41.50	0.50	0.002
42.15	43.18			M6	Roche relativement homogène et massive, de teinte gris moyen (poivre et sel), à grains moyens de QZ (40%), FP (25%), BO (25%) et de PY (5%). Cette roche est très faiblement magnétique. Cette roche semble s'apparenter à une granodiorite 11C. Le contact avec la formation sous-jacente est net à 70° par rapport à l'axe de la carotte.	5921985	41.50	42.00	0.50	0.001
		42.20	43.20	FO/GS-	Légère gneissosité dans M4 tonalitique.	5921986	42.00	42.50	0.50	0.001
43.18	43.47			M4	Roche de teinte gris moyen foncé, localement verdâtre, à grains fins à grossiers (1 millimètre à 7 millimètres) de QZ, FP, BO, avec des traces de SF disséminés dans la matrice. Cette roche présente un rubanement net. Elle est faiblement magnétique en raison de la présence de PO. Le contact avec la formation sous-jacente est relativement net. Roche de teinte gris moyen à gris foncé, à grains fins à grossiers de QZ (40%), FP (20%), BO (20%) et des SF, principalement PY et PO (20%), associés à HM et MG. Cette roche est fortement magnétique. Elle est légèrement foliée avec des niveaux quartzueux centimétriques.	5921987	42.50	43.00	0.50	0.001
		43.20	43.45	FO	Niveau légèrement folié.	5921988	43.00	43.50	0.50	0.008
		43.45	44.10	GS	Légère gneissosité.	5921989	43.50	44.00	0.50	0.011
43.47	44.67			M6/11G	Intervalle marqué par l'alternance de niveaux à texture granitique (de teinte gris moyen à rosâtre) légèrement foliés et de niveaux à texture pegmatitique (de teinte gris beige à rosâtre) décimétriques bien différenciés. Ces niveaux présentent la même minéralogie à QZ (40 à 50%), FP (30 à 40%) dont FK et BO (15 à 20%). Ces niveaux renferment également 1 à 2% de SF (PO et PY) disséminés et sont de fait légèrement magnétiques. Les niveaux à texture granitique sont foliés, foliation marquée par la présence de lits millimétriques riches en BO. Le contact avec la formation sous-jacente est relativement diffus à environ 60° par rapport à l'axe de la carotte.					

Main facies		Secondary facies		Code	Description	Sample				
From m	To m	From m	To m			Number	From m	To m	Length m	U3O8 %
		43.55	43.90	HM	Niveau hématisé.					
		44.10	44.40	MA/BR	Roche plutonique massive, localement d'aspect bréchique.					
		44.10	44.40	HM	Niveau hématisé.	5921990	44.00	44.50	0.50	0.008
		44.40	44.65	FO/GS	Légère gneissosité dans M4 tonalitique.					
		44.65	47.30	FO-	Niveau légèrement folié.					
44.67	51.80			M4	Intervalle de teinte gris moyen, localement verdâtre voire bronze, à grains fins à grossiers (1 millimètre à 5 millimètres) de QZ (40%), FP (20%), BO (10%), SF (20%), GR (1 à 2%) et CL (8 à 10%). Cette roche est marquée par l'alternance de niveaux fortement lités riches en GR (teinte gris moyen), de niveaux riches en SF massifs (notamment PO) très magnétiques (teinte gris moyen à bronze, et de niveaux légèrement foliés parfois chloritisés de 5 à 15 centimètres (teinte gris moyen à verdâtre). Ces niveaux sont bien différenciés. La foliation est à environ 60% par rapport à l'axe de la carotte.					
		44.95	46.00	F	Faille centimétrique à remplissage de SF (PO principalement).					
		45.06	45.12	VN QZ	Réseau de veinules de QZ dans le métasédiment M4.					
		45.22	45.49	CL	Niveau chloritisé.					
		46.50	47.15	CL	Niveau chloritisé.					
		47.30	48.50	FO+/RU+/S	Niveau folié, rubané, lité et stratifié.					
		48.50	51.10	FO	Niveau légèrement folié.					
		48.90	48.93	VN QZ	Veine de QZ dans le métasédiment M4.					
		49.30	49.50	CL/HM	Niveau chloritisé et hématisé.					
		49.65	50.12	SF	10-15% dissimulé.					
		51.10	51.70	FO/RU/SA	Niveau légèrement folié rubané, lité et légèrement stratifié.					
		51.70	53.25	FO/GS	Légère gneissosité dans M4 tonalitique.	5921991	51.50	52.00	0.50	0.001
51.80	53.28			M6/I1G	Intervalle marqué par l'alternance de niveaux à texture granitique (grains de 5 à 10 millimètres), de teinte gris moyen, légèrement foliés, majoritaires, et de niveaux à texture pegmatitique (grains de 10 à 20 millimètres), de teinte gris beige, décimétriques bien différenciés. Ces niveaux présentent la même minéralogie à QZ (50%), FP (30%), BO (5 à 10%) et des SF (moins de 5%), principalement PY avec PO rare. Ces niveaux sont très légèrement magnétiques. Les niveaux plus grossiers présentent une texture parfois bréchique alors que les niveaux à granulométrie moyenne sont légèrement rubanés. Le contact avec la formation sous-jacente est relativement net à environ 85° par rapport à l'axe de la carotte.					
		52.05	52.15	VN QZ	Présence de deux veines de QZ dans une roche à texture granitique (M6) de direction 80° à 90°.	5921992	52.00	52.50	0.50	0.011
		53.25	53.65	FO-	Niveau légèrement folié.					
53.28	53.68			M4	Intervalle de teinte gris moyen à gris foncé à grains fins à grossiers de QZ (40%), FP (30%), BO (20%) et SF (10%) en amas centimétriques. Cette roche est magnétique en raison de la présence de PO. Cette roche est intrudé par une roche de 5centimètres à texture granitique à grains moyens de QZ, FP et BO.					
		53.38	53.78	VN QZ	Réseau de veinules de QZ de direction 80° à 90° au sein d'un niveau plutonique à texture granitique à pegmatitique.					
		53.65	54.00	GS	Légère gneissosité.					

Main facies		Secondary facies		Code	Description	Sample				
From	To	From	To			Number	From	To	Length	U3O8
m	m	m	m			m	m	m	%	
53.68	61.12			M6/11G	Intervalle marqué par l'alternance de niveaux homogènes à texture granitique, de teinte gris clair à rosâtre, légèrement foliés (alternance de lits quartzo-feldspathiques et de lits à BO), majoritaires, et de passées diffuses, de 5 à 10 centimètres, à texture pegmatitique parfois bréchique, de teinte gris clair à rosâtre. Ces niveaux présentent la même minéralogie à QZ (40%), FP (30 à 40%) dont FK et BO (20 à 30%) disséminée ou en lits millimétriques à centimétriques. Ces niveaux renferment également des SF (en traces jusqu'à 2%) disséminés leur conférant un léger magnétisme. Certains niveaux son enrichis en QZ, d'autres en FK d'où une coloration rosâtre plus intense. Enfin, cet intervalle plutonique est marqué par l'intercalation de deux niveaux centimétriques à contacts relativement diffus de teinte gris foncé à grains fins à moyens de QZ, FP et BO (métasédiment M4 ?). Le contact de cet intervalle avec la formation sous-jacente est diffus sur dix centimètres.					
		54.00	54.10	FO-	Niveau légèrement folié	5921993	54.00	54.50	0.50	0.006
		54.00	54.10	M4	Roche de teinte gris moyen à gris foncé à grains fins à grossiers de QZ, FP, BO et SF en amas centimétriques. Cette roche est légèrement magnétique en raison de la présence de PO.	5921994	54.50	55.00	0.50	0.003
		54.10	59.95	GS à GS-	Légère gneissosité.	5921995	55.00	55.50	0.50	0.005
		54.10	54.15	VN QZ	Veine de QZ de direction 80° à 90° au sein d'un niveau plutonique à texture granitique à pegmatitique.	5921996	55.50	56.00	0.50	0.003
		59.10	59.15	VN QZ	Veine de QZ de direction 80° à 90° au sein d'un niveau plutonique à texture granitique à pegmatitique.	5921997	56.00	56.50	0.50	0.006
		59.92	61.12	SF	20-35%.	5921998	56.50	57.00	0.50	0.008
		59.92	61.12	M4	Roche de teinte gris moyen à gris foncé à grains fins à grossiers de QZ, FP, BO et SF en amas centimétriques. Cette roche est légèrement magnétique en raison de la présence de PO. Le contact avec la roche plutonique intrusive est relativement net à 80° par rapport à l'axe de la carotte.	5921999	57.00	57.50	0.50	0.003
		59.95	61.10	FO-	Niveau légèrement folié.	5921000	57.50	58.00	0.50	0.017
		59.95	61.10	F	Microfailles minéralisées en SF (PO principalement).	5921001	58.00	58.50	0.50	0.009
		61.10	61.45	GS	Légère gneissosité.	5921002	58.50	59.00	0.50	0.008
		61.12	61.42	M6	Gneiss granitique moyennement à rubané, QZ (50%), FP (30%), BO (20%), PO (1-2%), légèrement Mag (PO), contact diffus net entre 10centimètres avec mélange M4,M6.	5921003	59.00	59.50	0.50	0.003
61.42	64.27			M4	Roche de teinte gris moyen à gris foncé à grains fins à grossiers de QZ, FP, BO. Cette roche est très riche en SF et de fait magnétique en raison de la présence de PO. Cette roche présente des plages d'environ 5 centimètres très diffuses à texture plus granitique (granitisation ?).	5921004	59.50	60.00	0.50	0.002
		61.45	64.30	FO/RU	Niveau légèrement folié, rubané.	5921005	60.00	60.50	0.50	0.002
		61.52	61.68	VN QZ	Réseau de veinules de QZ de direction 80° à 90° au sein d'un métasédiment M4.	5921006	60.50	61.00	0.50	0.002
		62.10	62.60	F	Microfailles minéralisées en SF (PO principalement).	5921007	61.00	61.50	0.50	0.001
		62.12	62.60	SF	20%.	5921008	61.50	62.00	0.50	0.000
		62.60	62.95	FA	Observation de deux familles de fractures, l'une sensiblement parallèle à l'axe de la carotte, l'autre à 85° par rapport à l'axe de la carotte.	5921009	62.00	62.50	0.50	0.001
		62.94	63.00	VN QZ	Veine de QZ de direction 95° à 100° au sein d'un métasédiment M4.	5921010	62.50	63.00	0.50	0.000
		63.37	64.28	SF	20%.	5921011	63.00	63.75	0.75	0.001
		63.94	64.12	VN QZ	Réseau de veinules de QZ au sein d'un métasédiment M4.	5921638	63.75	64.25	0.50	0.001



Main facies		Secondary facies		Code	Description	Sample				
From	To	From	To			Number	From	To	Length	U3O8
m	m	m	m			m	m	m	%	
64.27	65.37			M6/I1G	Intervalle marqué par l'alternance de niveaux à texture granitique, de teinte rosâtre, foliés, majoritaires, et de passées à texture pegmatitique localement bréchique, de teinte gris beige. Ces niveaux présentent la même minéralogie à QZ (40%), FP (40%) dont une forte proportion de FK, BO (20%) et des traces de SF. Cet intervalle est traversé par des veinules de QZ. Le contact avec la formation sous-jacente est relativement net à environ 85° par rapport à l'axe de la carotte.	5921639	64.25	64.75	0.50	0.006
		64.30	65.30	GS	Légère gneissosité.	5921640	64.75	65.25	0.50	0.031
		64.97	65.02	VN QZ	Veine de QZ au sein d'un niveau plutonique à texture granitique à pegmatitique.					
		65.28	65.30	VN QZ	Veine de QZ au sein d'un niveau plutonique à texture granitique à pegmatitique.					
		65.30	65.75	FO/RU	Niveau légèrement folié, rubané.					
		65.30	65.70	HM	Niveau hématisé au sein de roche à texture pegmatitique (QZ, FP, BO).					
		65.30	65.61	VN QZ	Réseau de veinules de QZ au sein d'une roche à texture pegmatitique plutonique intrusive (I1G) minéralisée en uranium.					
		65.31	65.73	I1G	Niveau de teinte gris clair à gris rosâtre à texture pegmatitique bréchique. Cette roche est très riche en BO et composée également de QZ, de FP et de SF disséminés. Ce niveau est fortement hématisé. Il pourrait s'agir d'une zone faillée. Cet intervalle est anormal avec des valeurs radiométriques supérieures 2000 comptes par seconde. Le contact avec la formation sous-jacente est relativement net.	5921641	65.25	65.75	0.50	0.120
65.37	69.00			M4	Roche de teinte gris moyen à gris foncé à grains fins à grossiers de QZ, FP, BO. Cette roche est très riche en SF en amas massifs centimétriques et de fait magnétique, en raison de la présence de PO. Cette roche est légèrement foliée.	5921642	65.75	66.25	0.50	0.005
		65.75	69.00	FO-/RU-	Niveau légèrement folié, rubané.					
		65.87	65.92	VN QZ	Veine de QZ centimétrique de direction 110° au sein du métasédiment M4.					
		66.20	66.44	SF	10-20%.					
		66.25	66.45	F	Microfailles minéralisées en SF (PO principalement).	5921643	66.25	66.85	0.60	0.002
		66.98	68.05	SF	25-30% (10-15%) pour les 50 premier centimètres.					
		67.45	67.48	VN QZ	Veine de QZ de direction 140° au sein du métasédiment M4.					
		68.06	68.52	VN QZ	Réseau de veinules de QZ de direction 80° à 90° au sein du métasédiment M4.					
69.00	69.00			EOH	Fin du trou.					

**Drill hole: NR-07-02**

UtmX: 334898E; Grid: 0+06W  
 UtmY: 6488565N; Grid: 27+43N  
 Altitude: 10 m  
 Azimuth: 220°; Plunge: -56°  
 Depth: 80.30 m

UTM NAD27, 2 20

Claim: 2004355  
 Target: Scintillometer anomaly: 2405 cps  
 Started: 2007-09-02  
 Completed: 2007-09-05  
 Zone: Tasialuk

Geologist: C. Mullard  
 Contractor: Forage Benoît Inc.  
 Casing: NQW  
 Diameter: NQ  
 Drill rig: Atlas-Corpo

Main facies		Secondary facies		Code	Description	Sample				
From	To	From	To			Number	From	To	Length	U308
m	m	m	m			m	m	m	%	
0.00	3.00			MT	Mort-terrain					
3.00	3.25			I1G	Roche de teinte gris-clair à gris-moyen, grains grossiers (entre 2 et 10 mm) de QZ (50%), de FP (30%) et de BO (10%) disséminée ou en lits centimétriques. Présence de SF en trace marquant un léger magnétisme (PO). Le contact avec la formation sous-jacente est peu net.	Depth(m)	Azimuth (°)	dip(°)		
						0	220	-56		
						80.25	220	-60		
		3.00	3.25	RU	Alternance de niveaux grossiers pegmatitiques avec des niveaux plus fins centimétriques riches en BO.					
		3.00	3.80	SF	Au niveau des fractures, altération de surface sulfurée (teintes rouille et mauve).					
		3.00	3.80	FA	Fractures de surface à patine rouillée à 70° par rapport à l'axe de la carotte.	5921647	3.00	3.50	0.50	0.014
		3.00	3.80	PO	Zone minéralisée en PO (traces à 1%) disséminée.					
3.25	3.80			M4	Roche de teinte gris moyen à gris clair à grains fins (0,5 à 1mm) de QZ (40%), FP (30%) et BO (15 à 20%). Présence SF disséminés et parfois en amas centimétriques (1 à 5%) marquant un léger magnétisme. Les niveaux fins sont traversés par des dykes centimétriques à texture pegmatitique (grains grossiers de QZ, FP, BO) et des veines de QZ centimétriques suivant ou recoupant la foliation. Le contact avec la formation sous-jacente est relativement net à 85° par rapport à l'axe de la carotte.	5921648	3.50	4.00	0.50	0.009
		3.25	3.80	FO/RU	Le métasédiment M4 est légèrement folié et présente une alternance de niveaux quartzeux et de niveaux fins riches en BO.					
		3.25	3.80	VN QZ	Présence de veines de QZ centimétriques discordantes et de niveaux de QZ centimétriques suivant la foliation.					
3.80	6.35			M6/I1G	Roche de teinte gris moyen à blanchâtre montrant une alternance de niveaux à texture granitique (grains moyens à grossiers) et de niveaux à texture pegmatitique (grains grossiers à très grossiers). avec 5% de BO. Gneiss granitique à grains moyens riche en QZ (50%), FP (30%) et BO (20%) non magnétique. Localement niveaux enrichis en BO. Contact inférieur à 90° par rapport à l'axe de la carotte.					
		3.80	4.00	FO/GS	Légère gneissosité marquée principalement par le niveau enrichi en BO					
		4.00	4.21	MA	Pegmatite massive.					
		4.00	4.21	HM	Niveau hématisé (FP principalement) au sein de roche de texture granitique à pegmatitique (QZ, FP, BO).					
		4.00	4.21	I1G	Roche de teinte gris-clair à rougeâtre due à une hématisation, grains grossiers (entre 2 et 10 mm) de QZ (50%), FP (30%) et BO (10%) non magnétique. Contact inférieur relativement diffus environ à 90° par rapport à l'axe de la carotte.	5921649	4.00	4.50	0.50	0.071
		4.21	4.68	MA/FO-	Légère foliation, gneissosité marquée principalement par les niveaux enrichis en BO.					
		4.21	4.68	M6	Roche de teinte gris clair à gris moyen à grains moyens (2 à 5mm) parfois grossiers (5 à 8mm) composée de QZ (50%), FP (30%), BO (20%). Roche non magnétique. Localement niveaux enrichis en BO. Teinte gris-clair à rougeâtre localement due à une hématisation. Contact inférieur à 90° par rapport à l'axe de la carotte.					
		4.31	4.34	HM	Niveau hématisé (FP principalement) au sein de roche de texture granitique à pegmatitique (QZ, FP, BO).					
		4.54	4.68	HM	Niveau hématisé (FP principalement) au sein de roche de texture granitique à pegmatitique (QZ, FP, BO).					
		4.54	4.68	FA	Fractures de surfaces à 100° par rapport à l'axe de la carotte marquées par une altération brun-mauve.	5921671	4.50	5.00	0.50	0.015
		4.68	4.88	MA	Pegmatite massive.					
		4.68	4.88	HM-	Niveau légèrement hématisé (FP principalement) au sein de roche de texture granitique à pegmatitique (QZ, FP, BO).					
		4.68	4.88	I1G	Roche de teinte gris-clair à rougeâtre (très localement) due à une hématisation, grains grossiers (entre 5 et 10 mm) de QZ (50%), FP (30%) et BO (10-20%) non magnétique. Contact inférieur relativement net environ à 90° par rapport à l'axe de la carotte.					
		4.88	5.12	FO/GS	Roche relativement foliée marquée par les nombreux niveaux riches en BO et les niveaux plus riches en QZ-FP.					

Main facies		Secondary facies		Code	Description	Sample				
From	To	From	To			Number	From	To	Length	U308
		4.88	5.12	M6	Roche de teinte gris clair à gris moyen à grains moyens (2 à 5mm) parfois grossiers (5 à 8mm) composée de QZ (40%), FP (30%) principalement FK, BO (30%). Roche non magnétique. Gneiss granitique folié riche en niveaux à BO, présente quelques niveaux centimétriques plus pegmatitiques. Teinte gris-clair à gris-moyen légèrement rosâtre (FK). Contact supérieur à 90° par rapport à l'axe de la carotte.	5921672	5.00	5.50	0.50	0.049
		5.12	5.40	FO/RU	Le paragneiss est légèrement folié, alternance de niveaux quartzeux et de niveaux fins riches en BO.					
		5.12	5.40	SF	Au niveau des fractures, altération de surface sulfurée (teintes rouille).					
		5.12	5.40	FA	Fractures de surfaces à 150° par rapport à l'axe de la carotte marquées par une altération rouille.					
		5.12	5.40	SF	Sulfures disséminés (1 à 3%) : principalement PO.					
		5.12	5.40	M4	Roche de teinte gris claire à gris moyen, grains fins (0,5 à 1mm) présentant de nombreux niveaux de pyroxénite centimétriques intercalés. Le paragneiss est à grains fins et riche en QZ (40%), FP (20%) et BO (30%), présence de nodules de QZ. Le paragneiss est non magnétique. Les niveaux de pyroxénite sont concordants avec la foliation. Teinte gris clair à gris moyen. Le contact avec la pegmatite sous-jacente est bien marqué à 90° par rapport à l'axe de la carotte.					
		5.40	5.80	MA/GS-	Roche relativement massive marquée par quelques bandes plus riches en QZ et FK.					
		5.40	5.80	M6/I1G	Niveau Gneiss granitique à Pegmatite diffuse. La granulométrie varie de 2-5 mm dans le gneiss granitique à 5-15 mm dans les niveaux plus pegmatitiques. La granulométrie augmente vers le contact avec le paragneiss sous-jacent. Niveau riche en QZ (40%), FP (30%) dont une majorité de FK, BO 30%). Roche non magnétique. Contact supérieur assez net à 85° par rapport à l'axe de la carotte. Teinte gris-moyen à rosâtre due l'abondance des FK.	5921673	5.50	6.10	0.60	0.023
		5.80	5.90	FO/RU	Roche légèrement foliée et rubanée.					
		5.80	5.90	SF	Au niveau des fractures, altération de surface sulfurée (teintes rouille).					
		5.80	5.90	FA	Fracture de surface marquée par une altération rouille.					
		5.80	5.90	VN QZ	Présence de veines de QZ centimétriques discordantes et de niveaux de QZ centimétriques suivant la foliation.					
		5.80	5.90	SF	Sulfures disséminés (3à 5%) : principalement PO.					
		5.80	5.90	M4	Roche de teinte gris claire à gris moyen, grains fins (0,5 à 1mm) riche en bandes centimétriques de QZ voire de pegmatites (grains grossiers de QZ et FP). Riche en QZ (40), FP (30) et BO (20 à 30%). Présence de sulfures disséminés et parfois en amas (3à 5%) marquant un léger magnétisme. Contact supérieur avec le gneiss granitique relativement net à 85° par rapport à l'axe de la carotte.					
		5.90	6.35	FO/GS	Roche relativement foliée marquée par les nombreux niveaux riches en BO et les niveaux plus riches en QZ.					
		5.90	6.35	M6	Roche de teinte gris clair à gris moyen à grains moyens (2 à 5mm) parfois grossiers (5 à 8mm) composée de QZ (50%), FP (20%) principalement FK, BO (30%), présence de SF disséminés et très localement en amas. Roche magnétique localement magnétiques (PO). Gneiss granitique légèrement folié riche en niveaux à BO. Teinte gris-clair à gris-moyen. Contact avec la pegmatite sous-jacente relativement diffus à environ à 90° par rapport à l'axe de la carotte.					
6.35	7.50			I1G	<b>Roche de teinte gris-clair à gris-moyen, grains grossiers (entre 2 et 15 mm) caractérisée par l'alternance de niveaux très riches en QZ-FP et de niveaux très riches en BO. QZ (40%), FP (25%), BO (35%), présence de sulfures non magnétiques (PY) disséminés (traces). Roche non magnétiques.</b>	5921674	6.10	6.60	0.50	0.010
		6.35	7.50	MA/RU-/BR	Roche relativement massive très légèrement rubanée, aspect bréchique localement.	5921012	6.60	7.00	0.40	0.011
		6.85	7.20	FO/GS	Roche légèrement foliée.					
		6.85	6.95	HM	Niveau légèrement hématisé (FP principalement) au sein de roche de texture pegmatitique (riche en QZ-FP).					
		7.10	7.25	HM	Niveau caractérisé par une altération rougeâtre entourée d'un liseré rouge-foncé relatif à une hématisation.					
		7.18	7.20	UP	Zone centimétrique marquée par la présence d'une altération jaunâtre, il s'agit peut-être d'uranophane.					
		7.20	7.50	FO/GS	Roche légèrement foliée marquée par les nombreux niveaux riches en BO et les niveaux plus riches en QZ.					
		7.20	7.50	M6	Roche de teinte gris clair à gris moyen à grains moyens (2 à 5mm) parfois grossiers (5 à 8mm) composée de QZ (50%), FP (20%), BO (30%). Roche non magnétique. Gneiss granitique légèrement folié riche en niveaux à BO. Teinte gris-clair à gris-moyen. Contact avec la pegmatite sous-jacente relativement diffus.	5921013	7.00	7.50	0.50	0.022
7.50	7.70			M6/I1G	<b>Gneiss granitique à grains moyens (2 à 5mm) riche en QZ (50%), FP (20%), principalement FK et BO (30%). Comportant des niveaux pegmatitiques. Roche non magnétique. Gneiss granitique légèrement folié riche en niveaux à BO. Teinte gris-clair à gris-moyen avec des teintes rougâtres caractéristiques d'une altération (oxydation, hématisation). Contact avec la pegmatite sous-jacente relativement diffus.</b>	5921014	7.50	8.00	0.50	0.006
		7.50	7.60	MA/RU-	Roche très légèrement rubanée (alternance centimétrique de niveaux à QZ-FP et de niveaux à BO).					
		7.50	7.60	HM	Niveau légèrement hématisé.					

Main facies		Secondary facies		Code	Description	Sample				
From	To	From	To			Number	From	To	Length	U308
		7.50	7.60	I1G	Roche de teinte gris-clair à gris-moyen et zones hématisées rougeâtres, grains grossiers (entre 2 et 15 mm) caractérisée par l'alternance de niveaux très riches en QZ-FP et de niveaux très riches en BO. QZ (40%), FP (25%), BO (35%), Roche non magnétique. Contact relativement diffus avec le gneiss granitique sous-jacent à environ à 85° par rapport à l'axe de la carotte.					
		7.60	7.70	FO-/GS-	Roche légèrement foliée (lits de BO).					
		7.60	7.70	HM	Niveau hématisé (FP principalement) au sein de roche de texture granitique légèrement foliée (QZ, FP, BO).					
		7.60	7.70	M6	Roche de teinte gris clair à gris moyen à grains moyens (2 à 5mm) parfois grossiers (5 à 8mm) composée de QZ (50%), FP (20%), BO (30%). Roche non magnétique. Gneiss granitique folié riche en niveaux à BO. Teinte gris-clair à gris-moyen avec des teintes rougeâtres caractéristiques d'une altération (oxydation, hématisation). Contact avec la pegmatite sous-jacente relativement diffus.					
7.70	9.40			I1G	<b>Roche de teinte gris-clair à gris-moyen et zones hématisées rougeâtres, grains grossiers (entre 2 et 15 mm) massive caractérisée par des niveaux très riches en QZ-FP et des niveaux très riches en BO assez diffus. QZ (40%), FP (25%), BO (35%), SF disséminés. Roche légèrement magnétique localement. Contact relativement diffus avec le gneiss granitique sous-jacent à environ à 90° par rapport à l'axe de la carotte.</b>					
		7.70	8.90	MA	Pegmatite massive.					
		7.70	9.40	HM	Niveau hématisé (FP principalement) au sein de roche de texture pegmatitique.					
		7.70	9.40	FA	Niveau fortement FAacturé fortement oxydé (hématisation). Fractures d'environ 10° par rapport à l'axe de la carotte.					
		8.90	9.00	BR	Pegmatite présentant une texture bréchique.	5921015	8.00	8.50	0.50	0.009
		8.90	9.40	MA	Pegmatite massive.	5921016	8.50	9.00	0.50	0.020
9.40	9.90			M6/M4	<b>Contact diffus entre le gneiss granitique à grains moyens riche principalement en QZ, FP, BO (5 à 10%) et le paragneiss à grains fins plus riche en BO (30% environ). Alternance de ces 2 lithologies. Niveau non magnétique de teinte gris-clair à gris-moyen. Contact assez net avec le paragneiss sous-jacent à 75-80° par rapport à l'axe de la carotte.</b>	5921017	9.00	9.50	0.50	0.005
		9.40	9.60	FO/GS	Roche présentant une gneissosité de 105° par rapport à l'axe de la carotte bien marquée, notamment par les nombreux lits de BO.					
		9.40	9.60	HM	Niveau hématisé (FP principalement) au sein de roche de texture granitique légèrement foliée.					
		9.40	9.60	FA	Niveau Fracturé fortement oxydé (hématisation). Fractures d'environ 10° par rapport à l'axe de la carotte.					
		9.40	9.60	M6	Roche de teinte gris clair à gris moyen à grains moyens (2 à 5mm) parfois grossiers (5 à 8mm) composée de QZ (50%), FP (20%), BO (30%). Roche non magnétique. Gneiss granitique légèrement folié riche en niveaux à BO. Teinte gris-clair à gris-moyen avec des teintes rougeâtres caractéristiques d'une altération (oxydation, hématisation). Contact avec le paragneiss sous-jacent diffus sur 30centimètres.	5921018	9.50	10.00	0.50	0.004
		9.60	9.90	RU	Niveau rubané montrant une alternance de bandes de M6 et M4 biens différenciées.					
		9.60	9.90	HM-	Niveau légèrement hématisé au sein de roche de texture granitique légèrement foliée et une à grains fins plus riche en BO (paragneiss).					
9.90	14.30			M4/I4B	<b>Paragneiss très riche en QZ (70%) composé également de FP (10%), de BO (15 à 20%) et de SF disséminés rarement en amas (1à 3%). Présence de nodules de QZ. Roche à grains fins non magnétique. Présence de FAactures hématisées et silicifiées. Contenant des zones de pyroxénite.</b>					
		9.90	10.45	FO/RU	Niveau légèrement folié.					
		9.90	10.50	M4	Roche de teinte gris claire à gris moyen, grains fins (0,5 à 1mm) riche en veines de QZ centimétriques localement plissées marqué également par la présence de deux bandes quartzieuses hématisées. Riche en QZ (40), FP (30) et BO (30%). Niveau non magnétique. Contact inférieur avec la pyroxénite bien marqué à 85° par rapport à l'axe de la carotte.	5921019	10.00	10.50	0.50	0.001
		10.10	10.25	HM	Bande de Quartz hématisée au sein de roche à grains fins riche en BO (paragneiss).					
		10.10	10.25	VN QZ	Veine de Quartz dans le paragneiss.					
		10.37	10.45	HM	Bande de Quartz hématisée au sein de roche à grains fins riche en BO (paragneiss).					
		10.37	10.45	VN QZ	Veine de Quartz dans le paragneiss.					
		10.45	10.60	MA	Roche massive.					
		10.45	10.60	SF	Présence de sulfures (5%).					
		10.45	10.60	I4B	Pyroxénite riche en sulfures (PO). PX verts (90 à 95%), SF (5%) PO disséminés localement en amas. Niveau relativement magnétique. Teinte vert-foncé.	5921020	10.50	11.00	0.50	0.001



Main facies		Secondary facies		Code	Description	Sample				
From	To	From	To			Number	From	To	Length	U308
		10.60	11.55	FO-/RU-	Niveau relativement massif compte tenu de l'abondance du QZ, foliation très légèrement marquée par les lits mm de BO.					
		10.60	11.55	M4	Roche de teinte gris claire à gris moyen, grains fins (0,5 à 1mm) de QZ (70%), FP (10%) et BO (15 à 20%) et de SF disséminés rarement en amas (1 à 3%). Présence de nodules de QZ. Non magnétique. Présence de Fractures hématisées et silicifiées. Contact avec la pyroxénite sous-jacente assez diffus.					
		10.70	10.95	HM	Niveau fracturé fortement oxydé (hématisation). Fractures à environ 150° par rapport à l'axe de la carotte.					
		10.70	10.95	FA	Niveau FAacturé fortement oxydé (hématisation). FAactures à environ 150° par rapport à l'axe de la carotte.					
		11.40	11.45	HM	Niveau du paragneiss marquée par une légère fissuration concentrique hématisée (zonation : teinte rougâtre à rosâtre en s'éloignant de la fissure).	5921021	11.00	11.50	0.50	0.002
		11.55	12.65	MA	Roche massive.	5921022	11.50	12.00	0.50	0.001
		11.55	12.65	SF	Présence de sulfures (5%).					
		11.55	12.65	I4B	Pyroxénite niche en sulfures (PO). PX verts (90%), SF (10%) disséminés ou en amas. Niveau relativement magnétique. Teinte vert-foncé à bronze.					
		12.65	12.85	FO-/RU-	Niveau relativement massif compte tenu de l'abondance du QZ, foliation très légèrement marquée par les lits mm de BO.	5921023	12.00	12.50	0.50	0.001
		12.65	12.85	M4	Roche de teinte gris claire à gris moyen, grains fins (0,5 à 1mm) de QZ (70%), FP (10%) et BO (15 à 20%), non magnétique. Contact avec la pyroxénite sous-jacente assez net à 80° par rapport à l'axe de la carotte.	5921024	12.50	13.00	0.50	0.001
		12.85	13.05	I4B	Roche de teinte vert-foncé à bronze, à grains fins, composée de PX (90%) et de SF, principalement PO, (10%), disséminés ou en amas centimétriques. Ce niveau est relativement magnétique. Il pourrait s'agir d'une pyroxénite I4B	5921025	13.00	13.50	0.50	0.001
		13.05	13.20	FO/RU	Foliation bien marquée à 85° par rapport à l'axe de la carotte.					
		13.05	13.20	M4	Roche de teinte gris claire à gris moyen, grains fins (0,5 à 1mm) de QZ (60%), FP (10 à 15%) et BO (20 à 30%), non magnétique. Contact avec l'unité sous-jacente assez net à 80° par rapport à l'axe de la carotte.					
		13.20	13.40	I4B	Roche de teinte vert-foncé à bronze, à grains fins, composée de PX (90%) et de SF, principalement PO, (10%), disséminés ou en amas centimétriques. Ce niveau est relativement magnétique. Il pourrait s'agir d'une pyroxénite I4B					
		13.42	13.45	FO/RU	Foliation bien marquée à 90° par rapport à l'axe de la carotte.					
		13.42	13.45	I4B	Niveau centimétriques de pyroxénite légèrement magnétique (PO en traces).	5921026	13.50	13.90	0.40	0.001
		13.69	13.72	MA	Niveau massif.	5921027	13.90	14.38	0.48	0.000
		13.69	13.72	I4B	Niveau centimétriques de pyroxénite légèrement magnétique (PO en traces).					
		13.75	13.77	MA	Niveau massif.					
		13.75	13.77	I4B	Niveau centimétriques de pyroxénite légèrement magnétique (PO en traces).					
14.30	15.95			I1G/M6	<b>Niveau à pegmatite et gneiss granitique diffus. Majorité de niveaux pegmatitiques. La granulométrie varie de 2 à 10 mm. QZ (40%), FP (25%) dont rares FK, BO (35%). Roche non magnétique. Teinte gris-clair à gris-moyen. Contact relativement net avec le gneiss granitique sous-jacent à environ à 90° par rapport à l'axe de la carotte.</b>	5921028	14.38	15.00	0.62	0.019
		14.30	15.95	MA/RU-	Niveau relativement massif, légèrement rubané dans les niveaux plus gneissiques.					
		14.62	14.72	HM	Niveau hématisée au sein de roche relativement massif, légèrement rubané dans les niveaux plus gneissiques.					
		14.62	14.72	FA	Fracture à 160° par rapport à l'axe de la carotte.	5921029	15.00	15.45	0.45	0.014
		15.20	15.30	HM	Niveau hématisée au sein de roche relativement massif, légèrement rubané dans les niveaux plus gneissiques.					
		15.20	15.30	FA	Fracture à 140° par rapport à l'axe de la carotte.					
15.95	18.25			M6	<b>Roche de teinte gris clair à gris moyen à grains moyens (2 à 5mm) parfois grossiers (5 à 8mm) composée de QZ (50%), FP (20%), BO (30%), SF disséminés. Roche très légèrement magnétique. Gneiss granitique légèrement folié riche en niveaux à BO. Teinte gris-clair à gris-moyen avec des teintes rougâtres caractéristiques d'une altération (oxydation, hématisation) au niveau des zones FAacturées. Contact avec la pegmatite sous-jacente relativement net à 90° par rapport à l'axe de la carotte.</b>	5921030	15.45	16.00	0.55	0.004
		15.95	18.25	FO/GS	Roche présentant une gneissosité de 95° par rapport à l'axe de la carotte bien marquée, notamment par les nombreux lits de BO.	5921031	16.00	16.50	0.50	0.003
		17.43	18.00	HM	Niveau hématisée au sein de roche de texture granitique légèrement foliée.	5921032	16.50	17.00	0.50	0.002
		17.43	18.00	FA	Zone Fracturée à l'origine de l'hématisation.	5921033	17.00	17.50	0.50	0.003

Main facies		Secondary facies		Code	Description	Sample				
From	To	From	To			Number	From	To	Length	U3O8
18.25	20.20			11G	Roche de teinte gris-clair à gris-moyen, grains grossiers (entre 2 et 15 mm) massive caractérisée par des niveaux très riches en QZ-FP et des niveaux très riches en BO assez diffus. QZ (40%), FP (25%), BO (35%). Roche non magnétique. Contact relativement net avec le gneiss granitique sous-jacent à environ à 90° par rapport à l'axe de la carotte.	5921034	17.50	18.00	0.50	0.005
		18.25	20.20	MA/BR	Pegmatite massive à texture bréchique localement.	5921035	18.00	18.50	0.50	0.010
20.20	20.70			M6	Roche de teinte gris clair à gris moyen à grains moyens (2 à 5mm) parfois grossiers (5 à 8mm) composée de QZ (50%), FP (20%), BO (30%). Roche non magnétique. Gneiss granitique peu folié. Teinte gris-clair à gris-moyen. Contact avec la pegmatite sous-jacente relativement net à environ à 90° par rapport à l'axe de la carotte.	5921036	18.50	19.00	0.50	0.017
		20.20	20.70	FO-/GS-	Gneissosité peu marquée, texture presque granitique.	5921037	19.00	19.50	0.50	0.004
20.70	21.40			11G	Roche de teinte gris-clair à gris-moyen, grains grossiers (entre 2 et 15 mm) massive caractérisée par des niveaux très riches en QZ-FP et des niveaux très riches en BO assez diffus. QZ (40%), FP (25%), BO (35%). Roche non magnétique. Contact relativement net avec le gneiss granitique sous-jacent à environ à 90° par rapport à l'axe de la carotte.	5921038	19.50	20.00	0.50	0.004
		20.70	21.40	MA/BR	Pegmatite massive à texture bréchique localement.	5921039	20.00	20.30	0.30	0.009
21.40	23.65			M6/11G	Niveau de gneiss granitique à pegmatite diffuse. La granulométrie varie de 2-5 mm dans le gneiss granitique à 5-15 mm dans les niveaux plus pegmatitiques. Niveau riche en QZ (40%), FP (30%) et BO (20%).	5921676	20.30	20.80	0.50	0.018
		21.40	23.65	FO/GS	Niveau généralement folié à localement massif à bréchique dans les niveaux plus pegmatitiques.	5921677	20.80	21.30	0.50	0.007
23.65	24.25			11G/M6	Niveau de pegmatite à gneiss granitique diffus. Majorité de niveaux pegmatitiques. Pegmatite massive caractérisée par des niveaux très riches en QZ-FP et des niveaux très riches en BO assez diffus. Grains grossiers (2-3 mm à 15 mm). QZ (40%), FP (25%), BO (35%). Roche non magnétique. Teinte gris-clair à gris-moyen. Contact relativement net avec le gneiss granitique sous-jacent à environ à 85° par rapport à l'axe de la carotte.	5921678	21.30	21.80	0.50	0.031
		23.65	24.04	MA/BR	Pegmatite massive à texture bréchique localement.	5921679	21.80	22.30	0.50	0.013
		24.04	24.25	FO-/GS-	Roche légèrement foliée (lits de BO).	5921680	22.30	22.70	0.40	0.007
		24.04	24.25	M6	Roche de teinte gris clair à gris moyen à grains moyens (2 à 5mm) parfois grossiers (5 à 8mm) composée de QZ (40%), FP (30%), BO (20%). Roche non magnétique. Elle est très légèrement foliée, rubanée (gneissosité). Contact avec la pegmatite sous-jacente assez net à 90° par rapport à l'axe de la carotte.	5921040	22.55	23.00	0.45	0.012
24.25	27.00			M4/11G	Contact diffus entre la pegmatite et le paragneiss.	5921041	23.00	23.50	0.50	0.006
		24.25	24.47	MA	Niveau massif.	5921042	23.50	24.00	0.50	0.010
		24.25	25.25	M4/11G	Zone diffuse entre le paragneiss et la pegmatite.	5921043	24.00	24.50	0.50	0.003
		24.47	28.78	FO/RU	Foliation bien marquée à 85°-90° par rapport à l'axe de la carotte.	5921044	24.50	25.00	0.50	0.012
		25.24	25.25	SF	Sulfures disséminés (1%).	5921045	25.00	25.50	0.50	0.004
		25.25	25.55	M4	Roche de teinte gris clair à gris moyen, grains fins (0,5 à 1mm) de QZ (30%), FP (10 à 20%), BO (40%) et GR (10%), non magnétique. Présence de vaines ou nodules de quartz. Foliée et rubanée (85-90°).	5921046	25.50	26.00	0.50	0.001
		25.55	26.75	M4/11G	Zone diffuse entre le paragneiss et la pegmatite.					
		26.75	26.90	HM	Niveau fracturé fortement oxydé (hématisation) au sein de roche à grains fins riche en BO (paragneiss).					
		26.75	26.95	M4	Roche de teinte gris claire à gris moyen, grains fins (0,5 à 1mm) de QZ et FP (60%) BO (40%) de SF (10%), magnétique. Foliée et rubanée (85-90°).	5921047	26.00	26.50	0.50	0.001
		26.95	27.00	11G	Roche de teinte gris-clair à gris-moyen, grains grossiers (entre 2 et 15 mm) massive caractérisée par des niveaux très riches en QZ-FP et des niveaux très riches en BO assez diffus. QZ (40%), FP (25%), BO (35%). Roche non magnétique. Contact relativement net avec l'unité sous-jacent à environ à 90° par rapport à l'axe de la carotte.	5921048	26.50	27.00	0.50	0.002
27.00	28.78			M4	Roche de teinte gris claire à gris moyen, grains fins (0,5 à 1mm) de QZ (30-40%), FP (10-20%) et Micas (30-40%), GR (<5%) et de SF en trace. Foliée et rubanée Contact avec l'unité sous-jacente assez net à 90° par rapport à l'axe de la carotte.	5921049	27.00	27.50	0.50	0.001

Main facies		Secondary facies		Code	Description	Sample				
From	To	From	To			Number	From	To	Length	U308
		27.00	27.10	CL-SF++	Zone légèrement chloritisé riche en sulfures au sein de roche à grains fins riche en BO (paragneiss).	5921050	27.50	28.00	0.50	0.000
		27.00	28.78	SF	Sulfures disséminés (1%).	5921051	28.00	28.50	0.50	0.001
28.78	29.00			M6	<b>Roche de teinte gris clair à gris moyen à grains moyens (2 à 5mm) parfois grossiers (5 à 8mm) composée de QZ (50%), FP (20%), BO (30%). Roche non magnétique. Elle est très légèrement foliée, rubanée (gneissosité). Contact sous-jacent assez net à 90° par rapport à l'axe de la carotte.</b>	5921052	28.50	29.00	0.50	0.002
		28.78	29.15	FO-/GS-	Roche légèrement foliée (lits de BO).					
29.00	35.05			I1G/M4	<b>Zone diffuse entre la pegmatite et le paragneiss.</b>	5921053	29.00	29.50	0.50	0.004
		29.00	29.15	I1G	Roche de teinte gris-clair à gris-moyen, grains grossiers (entre 2 et 15 mm) massive caractérisée par des niveaux très riches en QZ-FP et des niveaux très riches en BO assez diffus. QZ (40%), FP (30%), BO (30%). Roche non magnétique. Contact relativement net avec l'unité sous-jacent à environ à 90° par rapport à l'axe de la carotte.					
		29.15	29.45	FO/RU	Foliation bien marquée.					
		29.15	29.45	SF	Présence de sulfures (PY) (2-3%).					
		29.15	29.45	M4	Roche de teinte gris claire à gris moyen, grains fins (0,5 à 1mm) riche en BO. Foliée et rubanée					
		29.45	30.35	MA	Niveau massif.					
		29.45	30.37	I1G	Roche de teinte gris-clair à gris-moyen, grains grossiers (entre 2 et 15 mm) massive caractérisée par des niveaux très riches en QZ-FP et des niveaux très riches en BO assez diffus. QZ (50%), FP (30%), BO (20%). Roche non magnétique. Contact relativement net avec l'unité sous-jacent à environ à 100° par rapport à l'axe de la carotte.	5921054	29.50	30.00	0.50	0.001
		30.35	30.78	FO-/RU-	Niveau relativement massif compte tenu de l'abondance du QZ, foliation très légèrement marquée par les lits mm de BO. 100°.	5921055	30.00	30.60	0.60	0.003
		30.37	30.82	M4/I1G	Zone diffuse entre le paragneiss et la pegmatite.	5921056	30.60	31.00	0.40	0.004
		30.78	31.00	MA	Niveau massif, léger RU (lits de BO).					
		30.78	31.00	CL--	Zone très légèrement chloritisé au sein de roche de texture pegmatitique.					
		30.82	31.00	I1G	Roche de teinte gris-clair à gris-moyen, grains grossiers (entre 2 et 15 mm) massive caractérisée par des niveaux très riches en QZ-FP et des niveaux très riches en BO assez diffus. QZ (50%), FP (30%), BO (20%). Roche non magnétique. Contact relativement net avec l'unité sous-jacent à environ à 95° par rapport à l'axe de la carotte.					
		31.00	31.51	FO/RU	Foliation bien marquée.					
		31.00	32.50	M4/I1G	Zone diffuse entre le paragneiss et la pegmatite.	5921057	31.00	31.50	0.50	0.001
		31.51	33.10	MA	Niveau massif.	5921058	31.50	32.00	0.50	0.001
		32.50	33.20	I1G	Roche de teinte gris-clair à gris-moyen, grains grossiers (entre 2 et 15 mm). QZ et FP (80-90%), BO (10-20%). Roche non magnétique. Contact peut net avec l'unité sous-jacent.	5921059	32.00	32.50	0.50	0.001
		32.51	33.10	HM	Zone hématisée dans les fractures.	5921060	32.50	33.00	0.50	0.004
		33.10	33.45	MA/RU-	Roche très légèrement rubanée (alternance centimétrique de niveaux à QZ-FP et de niveaux à BO).	5921061	33.00	33.50	0.50	0.007
		33.45	33.91	MA/BR	Pegmatite massive à texture bréchique localement.	5921062	33.50	34.00	0.50	0.004
		33.45	34.35	I1G	Roche de teinte gris-clair à gris-moyen, grains grossiers (entre 2 et 15 mm) massive caractérisée par des niveaux très riches en QZ-FP et des niveaux très riches en BO assez diffus. QZ (50%), FP (30%), BO (20%). Roche non magnétique. Contact relativement net avec l'unité sous-jacent à environ à 100° par rapport à l'axe de la carotte.					
		33.91	35.07	FL/ME	Fluidale, métarmorphique.	5921063	34.00	34.50	0.50	0.003
		34.35	35.05	M4/I1G	Zone diffuse entre le paragneiss et la pegmatite.	5921064	34.50	35.20	0.70	0.004
35.05	37.45			I1G	<b>Roche de teinte gris-clair à gris-moyen à rougeâtre due à une hématisation, grains grossiers (entre 2 et 15 mm) massive caractérisée par des niveaux très riches en QZ-FP (présence de FK) et des niveaux très riches en BO assez diffus. Roche non magnétique. Contact relativement net avec l'unité sous-jacent à environ à 95° par rapport à l'axe de la carotte.</b>	5921681	35.25	35.75	0.50	0.003
		35.07	35.33	MA	Niveau massif.					
		35.31	35.35	CL-	Zone légèrement chloritisé au sein de roche de texture pegmatitique.					
		35.33	35.43	FL/RU	Fluidale, Niveau rubané.					
		35.43	39.43	MA	Niveau massif.					
		35.89	35.91	VN QZ	Présence de veines de QZ.					
		36.25	36.50	HM-	Niveau légèrement hématisé au sein de roche de texture pegmatitique.	5921682	35.75	36.25	0.50	0.030
		36.25	36.37	VN QZ	Présence de veines de QZ.	5921684	36.25	36.75	0.50	0.036

Main facies		Secondary facies		Code	Description	Sample				
From	To	From	To			Number	From	To	Length	U3O8
37.45	38.40			M4	Roche de teinte gris claire à gris moyen, grains fins (0,5 à 1mm) SF disséminés. Foliée et rubanée	5921685	36.75	37.45	0.70	0.013
		37.45	37.65	I4B	Pyroxénite.	5921065	37.45	38.00	0.55	0.001
		37.65	38.42	FA	Zone FAacturée à 90°					
		37.65	38.42	SF	Sulfures disséminés (1%).	5921066	38.00	38.50	0.50	0.000
38.40	39.00			M6	Roche de teinte gris clair à gris moyen à grains moyens (2 à 5mm) parfois grossiers (5 à 8mm) composée de QZ et FP (65-70%), BO (25-30%). Roche non magnétique. Elle est très légèrement foliée, rubanée (gneissosité). Contact avec la pegmatite sous-jacente assez net à 90° par rapport à l'axe de la carotte.	5921067	38.50	39.00	0.50	0.003
39.00	45.55			M4/I1G	Contact diffus entre la pegmatite le paragneiss.					
		39.00	39.80	HM-	Niveau légèrement hématisé au sein de roche de texture pegmatitique.					
		39.00	39.40	I1G	Roche de teinte gris-clair à gris-moyen à rougeâtre due à une hématisation, grains grossiers (entre 2 et 15 mm) massive caractérisée par des niveaux très riches en QZ-FP et des niveaux très riches en BO assez diffus. QZ et FP (85-90%), BO (10-15%). Roche non magnétique. Contact relativement net avec l'unité sous-jacent à environ à 100° par rapport à l'axe de la carotte.	5921068	39.00	39.50	0.50	0.004
		39.40	39.75	M4/I1G	Zone diffuse entre le paragneiss et la pegmatite.	5921069	39.50	40.00	0.50	0.003
		39.43	40.43	FO/RU	Foliation bien marquée à 80°-95° par rapport à l'axe de la carotte.					
		39.75	40.00	M4	Roche de teinte gris claire à gris moyen, grains fins (0,5 à 1mm) riche en veinules de Quartz.					
		40.00	40.30	M4/I1G	Zone diffuse entre le paragneiss et la pegmatite.	5921070	40.00	40.50	0.50	0.001
		40.30	40.69	I1G	Roche de teinte gris-clair à gris-moyen, grains grossiers (entre 2 et 15 mm) massive très faiblement rubané (BO) caractérisée par des niveaux riches en QZ-FP et des niveaux très riches en BO en lits, PY et PO en trace. Roche faiblement magnétique. Contact peut net avec l'unité sous-jacent.					
		40.31	40.72	SF	Sulfures disséminés (PY et PO)(1%).					
		40.43	40.72	MA/RU-	Roche très légèrement rubanée (alternance centimétrique de niveaux à QZ-FP et de niveaux à BO).					
		40.69	41.15	M4/I1G	Zone diffuse entre le paragneiss et la pegmatite.	5921071	40.50	41.00	0.50	0.001
		40.72	41.16	ME/FL/FO	métarmorphique, Fluidale, Foliation bien marquée à 90°-100° par rapport à l'axe de la carotte.	5921072	41.00	41.50	0.50	0.000
		41.15	42.66	M4	Roche de teinte gris claire à gris moyen, grains fins (0,5 à 1mm) riche en veinules de Quartz et en Grenats, Py et PO en trace et localement en amas (1-3%). Intercalation de deux niveaux centimétriques de pyroxénite.					
		41.16	42.70	FO/RU	Foliation bien marquée.					
		41.16	42.70	SF	Sulfures disséminés et en amas (PY et PO) (1-3%).					
		41.23	41.25	VN QZ	Présence de veines de QZ.					
		41.35	41.38	VN QZ	Présence de veines de QZ.	5921073	41.50	42.00	0.50	0.000
		41.47	41.65	CL-	Zone légèrement chloritisé au sein de roche à grains fins riche en BO (paragneiss).					
		42.25	47.27	VN QZ	Présence de veines de QZ.	5921074	42.00	42.65	0.65	0.001
		42.66	42.85	I1G	Roche de teinte gris-clair à gris-moyen, grains grossiers (entre 2 et 15 mm) massive très faiblement rubané (BO) caractérisée par des niveaux riches en QZ-FP et des niveaux très riches en BO en lits, PY et PO en trace. Roche faiblement magnétique. Contact peut net avec l'unité sous-jacent.	5921075	42.65	43.00	0.35	0.003
		42.70	44.70	RU	Rubanné.					
		42.85	43.90	M4	Roche de teinte gris claire à gris moyen, grains fins (0,5 à 1mm) riche en veinules de Quartz et en Grenats, PO dissiminés (<3%). Magnétique.					
		42.86	43.10	SF	Sulfures disséminés (1 à 3%) : principalement PO.					
		43.10	44.70	SF	Sulfures disséminés (PY et PO)(<5%).	5921076	43.00	43.50	0.50	0.006
		43.67	43.75	HM	Niveau hématisée au sein de roche de texture pegmatitique.	5921077	43.50	43.90	0.40	0.009
		43.90	44.35	M4(QZ)/I1G	Zone diffuse entre le paragneiss riche en Quartz et la pegmatite.	5921078	43.90	44.50	0.60	0.004
		44.35	44.90	M4/I1G	Zone diffuse entre le paragneiss et la pegmatite.	5921079	44.50	45.00	0.50	0.001
		44.70	45.32	FO-/RU-	Niveau relativement massif compte tenu de l'abondance du QZ, foliation très légèrement marquée par les lits mm de BO.					
		44.70	45.25	SF	Sulfures disséminés et parfois en amas (10%) : principalement PO.					
		44.90	45.20	M4	Roche de teinte gris claire à gris moyen, grains fins (0,5 à 1mm) SF (PO principalement) dissiminés (10%). Magnétique. Foliée et rubanée Contact avec l'unité sous-jacente assez net à 70° par rapport à l'axe de la carotte.					
		45.20	45.40	M4/I1G	Zone diffuse entre le paragneiss et la pegmatite.	5921080	45.00	45.50	0.50	0.001
		45.25	45.42	SF	Sulfures disséminés et parfois en amas (<3%) : principalement PO.	5921081	45.50	46.00	0.50	0.011
		45.32	45.42	FL/ME	Fluidale, métarmorphique.					
		45.40	45.55	M4	Roche de teinte gris claire à gris moyen, grains fins (0,5 à 1mm) SF (<3%). Magnétique.					



Main facies		Secondary facies		Code	Description	Sample				
From	To	From	To			Number	From	To	Length	U3O8
		45.42	45.95	FO/RU	Foliation bien marquée.					
		45.42	45.61	SF	Sulfures disséminés (<5%).					
45.55	46.05			M4(QZ)/M6	<b>Zone diffuse entre le paragneiss à grains fins riche en Quartz et BO, gris moyen à gris foncé et la pegmatite. Elle est foliée, rubanée (gneissosité) et en contact net avec la veine de quartz sous-jacente.</b>					
		45.95	48.30	FO-/RU-	Niveau relativement massif compte tenu de l'abondance du QZ, foliation très légèrement marquée par les lits mm de BO.					
46.05	58.65			M4/I1G	<b>Contact diffus entre la pegmatite le paragneiss.</b>	5921082	46.00	46.50	0.50	0.003
		46.05	46.90	M4/I1G	Zone diffuse entre le paragneiss et la pegmatite.	5921083	46.40	47.00	0.60	0.000
		46.90	48.30	SF	Sulfures disséminés.					
		46.90	48.30	M4	Roche de teinte gris claire à gris moyen, grains fins (0,5 à 1mm) QZ, FP, BO, SF (PY-PO), GR. Magnétique.					
		47.00	47.50	CL	Zone chloritisé au sein de roche à grains fins riche en BO (paragneiss).	5921084	47.00	47.50	0.50	0.001
		48.30	50.60	FO/RU	Foliation bien marquée 85-90°.	5921085	47.50	48.00	0.50	0.001
		48.30	50.60	M4/I1G	Zone diffuse entre le paragneiss et la pegmatite.	5921086	48.00	48.50	0.50	0.001
		50.60	51.43	MA	Niveau massif.	5921087	48.50	49.00	0.50	0.000
		50.60	51.43	HM	Niveau hématisée au sein de roche de texture pegmatitique.	5921088	49.00	49.50	0.50	0.000
		50.60	51.43	SF	Sulfures disséminés (PY)(1%).	5921089	49.50	50.00	0.50	0.000
		50.60	51.40	I1G	Roche de teinte gris-clair à gris-moyen à rougeâtre due à une hématisation, grains grossiers (entre 2 et 15 mm) massive caractérisée par des niveaux riches en QZ-FP et des niveaux très riches en BO en lits, PO en trace. Roche non magnétique. Contact relativement net avec l'unité sous-jacente à environ à 70° par rapport à l'axe de la carotte.	5921090	50.00	50.50	0.50	0.001
		51.01	51.07	VN QZ	Présence de veines de QZ.	5921091	50.50	51.00	0.50	0.011
		51.40	51.65	M4	Roche de teinte gris claire à gris moyen, grains fins (0,5 à 1mm), riche en QZ (veines de QZ), présence de PO, magnétique.	5921092	51.00	51.50	0.50	0.019
		51.43	51.65	FO/RU	Foliation bien marquée.	5921686	51.50	52.00	0.50	0.017
		51.65	52.00	MA/RU-	Roche très légèrement rubanée (alterne centimétrique de niveaux à QZ-FP et de niveaux à BO).					
		51.65	51.90	M4/I1G	Zone diffuse entre le paragneiss et la pegmatite.					
		51.90	52.25	M4	Roche de teinte gris moyen à gris clair à grains fins (0,5 à 1mm) de QZ (40%), FP (30%) et BO (30%). Présence SF disséminés (2-3%) marquant un léger magnétisme. Le contact avec la formation sous-jacente est relativement net à 90° par rapport à l'axe de la carotte et le rubanement et la foliation à 85°.					
		51.91	52.24	SF	Sulfures disséminés (2-3%).					
		52.00	52.24	FO/RU	Foliation bien marquée à 85° par rapport à l'axe de la carotte.	5921687	52.00	52.50	0.50	0.011
		52.24	57.00	FL/ME	Fluidale, métarmorphique.	5921688	52.50	53.00	0.50	0.011
		52.25	52.80	M4/I1G	Zone diffuse entre le paragneiss et la pegmatite.					
		52.80	52.85	VN QZ	Présence de veines de QZ.					
		52.80	57.00	SF	Sulfures disséminés et parfois en amas (5%).					
		52.80	57.00	M4(QZ)/I1G	Paragneiss riche en Quartz à bandes de pegmatite centimétriques différenciées.					
		53.12	53.15	VN QZ	Présence de veines de QZ.	5921689	53.00	53.55	0.55	0.001
		53.35	53.43	VN QZ	Présence de veines de QZ.	5921093	53.70	54.35	0.65	0.001
		53.66	53.72	VN QZ	Présence de veines de QZ.					
		53.67	53.75	FA	Zone FAacturée à 90° ET 150°.					
		54.01	54.08	VN QZ	Présence de veines de QZ.					
		54.09	54.12	VN QZ	Présence de veines de QZ.					
		54.52	54.69	CL	Zone chloritisé au sein de roche à grains fins riche en BO (paragneiss).	5921094	54.35	55.00	0.65	0.002
		54.73	54.79	VN QZ	Présence de veines de QZ.					
		55.15	55.23	VN QZ	Présence de veines de QZ.					
		55.84	55.85	VN QZ	Présence de veines de QZ.	5921095	55.00	55.50	0.50	0.002
		57.00	57.60	FO/RU	Foliation bien marquée 105°.	5921096	55.50	56.00	0.50	0.003
		57.00	57.30	HM-	Niveau légèrement hématisé au sein de roche relativement massif, légèrement rubané dans les niveaux plus gneissiques.	5921097	56.00	56.50	0.50	0.001
		57.00	57.30	M4/I1G	Zone diffuse entre le paragneiss et la pegmatite.	5921098	56.50	57.00	0.50	0.002
		57.30	58.66	SF	Sulfures disséminés et parfois en amas (2%).	5921099	57.00	57.50	0.50	0.003
		57.30	57.80	M4	Roche de teinte gris moyen à gris clair à grains fins (0,5 à 1mm), veines de QZ, nodules minéral bleuté souvent étiré, GR, SF(<2%), Légèrement magnétique. Foliee et rubanées (75-80°).	5921100	57.50	58.00	0.50	0.001
		57.60	57.67	FO/RU	Foliation bien marquée 160°.					

Main facies		Secondary facies		Code	Description	Sample				
From	To	From	To			Number	From	To	Length	U308
		57.60	57.67	CL-	Zone chloritisé au sein de roche à grains fins riche en BO (paragneiss).					
		57.67	58.66	FO/RU	Foliation bien marquée 75-80°.					
		57.80	57.85	VN QZ	Veine de Quartz.					
		57.86	57.92	VN QZ	Présence de veines de QZ.					
58.65	60.70			IIG	<b>Roche de teinte gris-clair à gris-moyen à rougeâtre due à une hématization, grains grossiers (entre 2 et 15 mm) massive légèrement bréchique caractérisée par des niveaux très riches en QZ-FP et des niveaux très riches en BO assez diffus. QZ (40%), FP (30%), BO (30%). Roche non magnétique. Contact relativement net avec l'unité sous-jacent à environ à 95° par rapport à l'axe de la carotte.</b>	5921101	58.00	58.50	0.50	0.000
		58.66	60.70	MA/BR-	Pegmatite massive à texture bréchique localement.	5921102	58.50	59.00	0.50	0.007
		58.66	58.74	HM-	Niveau légèrement hématisé au sein de roche de texture pegmatitique.					
		58.85	59.05	HM-	Niveau légèrement hématisé au sein de roche de texture pegmatitique.					
		59.70	60.00	HM	Niveau hématisée au sein de roche de texture pegmatitique.	5921103	59.00	59.50	0.50	0.006
60.70	65.25			M4/IIG	<b>Contact diffus entre la pegmatite le paragneiss.</b>	5921104	59.50	60.00	0.50	0.016
		60.70	64.72	FO/RU	Foliation bien marquée 100-105°.	5921105	60.00	60.50	0.50	0.006
		60.70	60.90	HM	Niveau hématisée au sein de roche à grains fins de texture foliée.	5921106	60.50	61.00	0.50	0.006
		60.70	60.90	SF	Sulfures disséminés (<3%).					
		60.70	60.90	M4/IIG	Contact diffus entre la pegmatite le paragneiss.					
		60.90	61.98	SF	Sulfures disséminés (5-10%).					
		60.90	61.70	M4	Roche de teinte gris moyen à gris clair à grains fins (0,5 à 1mm), GR (localement), SF(5-10%).					
		61.00	61.05	FA	Microfailles remplies de sulfure.					
		61.09	61.13	CL	Zone chloritisé au sein de roche à grains fins riche en BO (paragneiss).	5921107	61.00	61.50	0.50	0.001
		61.34	61.42	CL	Zone chloritisé au sein de roche à grains fins riche en BO (paragneiss).	5921108	61.50	62.00	0.50	0.001
		61.60	61.71	VN QZ	Présence de veines de QZ.					
		61.70	61.75	VN QZ	Veine de Quartz.					
		61.75	62.00	M4	Roche de teinte gris moyen à gris clair à grains fins (0,5 à 1mm), GR (localement), SF(5-10%).					
		62.00	62.60	M4/IIG	Zone diffuse entre le paragneiss et la pegmatite.					
		62.60	64.72	SF	Sulfures disséminés (10-20%).					
		62.60	63.80	M4	Roche de teinte gris moyen à gris clair à grains fins (0,5 à 1mm), riche en Quartz (veines), présence de sulfures disséminés (PO) (3-5%). Magnétique. Rubannée et foliée (105°).	5921109	62.00	62.70	0.70	0.001
		63.53	63.70	VN QZ	Présence de veines de QZ.	5921110	62.70	63.10	0.40	0.001
		63.79	63.85	VN QZ	Présence de veines de QZ.	5921111	63.10	63.50	0.40	0.001
		63.80	63.85	VN QZ	Veine de Quartz.	5921112	63.50	64.00	0.50	0.001
		63.85	64.08	CL	Zone chloritisé au sein de roche ultramaphique (Pyroxénite).					
		63.85	64.05	I4B	Pyroxénite.					
		64.05	64.15	M4	Roche de teinte gris moyen à gris clair à grains fins (0,5 à 1mm), riche en Quartz (veines), présence de sulfures disséminés (PO) (3-5%). Magnétique.	5921113	64.00	64.50	0.50	0.004
		64.08	64.08	FA	Faille remplissage PO.	5921114	64.50	65.00	0.50	0.008
		64.25	64.70	M4	Roche de teinte gris moyen à gris clair à grains fins (0,5 à 1mm), riche en Quartz (veines), présence de sulfures disséminés (PO) (3-5%). Magnétique.					
		64.70	65.25	M4/IIG	Zone diffuse entre le paragneiss et la pegmatite.					
		64.72	64.85	MA	Niveau massif.					
		64.72	64.85	SF	Sulfures disséminés (2-3%).					
		64.85	65.12	FO/RU	Foliation bien marquée 115°.					
		65.12	65.25	MA	Niveau massif.					
65.25	66.80			M4	<b>Roche de teinte gris moyen à gris clair à grains fins (0,5 à 1mm), riche en Quartz (veines), présence de sulfures disséminés (PO) (10%). Magnétique. Rubannée et foliée (80-85°).</b>	5921115	65.00	65.50	0.50	0.003
		65.25	66.81	FO/RU	Foliation bien marquée 80-85°.	5921116	65.50	66.00	0.50	0.001
		65.25	65.55	SF	Sulfures disséminés (10%).					
		65.55	65.73	SF	Présence de sulfures (30-40%).					
		65.73	66.90	SF	Sulfures disséminés (10%).					

Main facies		Secondary facies		Code	Description	Sample				
From	To	From	To			Number	From	To	Length	U308
66.80	67.15			M6/M4	<b>Zone diffus entre le gneiss granitique à grains moyens riche principalement en QZ, FP, BO (5 à 10%) et le paragneiss à grains fins plus riche en BO (30% environ). Alternance de ces 2 lithologies. Foliatée et rubannée (gneissosité) à 105° par rapport à l'axe de la carotte.</b>	5921117	66.00	66.50	0.50	0.004
		66.81	66.90	FO/GS	Niveau généralement folié à localement massif à bréchique.	5921118	66.50	67.00	0.50	0.001
		66.90	68.26	FO/RU	Foliation bien marquée 80-85°.					
		66.90	68.26	SF	Présence de sulfures (40%).					
67.15	68.30			M4	<b>Roche de teinte gris moyen à gris clair à grains fins (0,5 à 1mm), riche en Quartz (veines), présence de sulfures disséminés (40%). Magnétique. Rubannée et foliée (80-85°).</b>	5921119	67.00	67.50	0.50	0.001
		67.25	67.28	CL	Zone chloritisé au sein de roche à grains fins riche en BO et Quartz (paragneiss).	5921120	67.50	68.00	0.50	0.001
		67.31	67.35	CL	Zone chloritisé au sein de roche à grains fins riche en BO et Quartz (paragneiss).					
		68.26	68.39	FO/GS	Niveau généralement folié à localement massif à bréchique 95°.	5921121	68.00	68.50	0.50	0.006
		68.26	68.39	HM-	Niveau légèrement hématisé au sein de roche relativement massif, légèrement rubané dans les niveaux plus gneissiques.					
68.30	68.50			M6/I1G	<b>Gneiss granitique à grains moyens (2 à 5mm) riche en QZ (50%), FP (20%), principalement FK et BO (30%). Comportant des niveaux pegmatitiques. Roche non magnétique. Gneiss granitique légèrement folié riche en niveaux à BO. Teinte gris-clair à gris-moyen avec des teintes rougâtres caractéristiques d'une altération (oxydation, hématisation).</b>					
		68.39	68.90	FO/RU-	Foliation, rubannement faible.					
		68.39	68.90	SF	Sulfures disséminés et en amas (3%).					
68.50	73.45			M4/I1G	<b>Contact diffus entre la pegmatite le paragneiss.</b>	5921122	68.50	69.25	0.75	0.005
		68.50	68.95	M4	Roche de teinte gris moyen à gris clair à grains fins (0,5 à 1mm), riche en Quartz (veines), présence de sulfures disséminés (3%). Rubannée et foliée difficile à mesurer.					
		68.60	68.65	VN QZ	Présence de veines de QZ.					
		68.90	69.58	FO/GS	Niveau généralement folié à localement massif à bréchique.					
		68.95	69.60	M4/I1G	Zone diffuse entre le paragneiss et la pegmatite.					
		69.58	70.60	FO/RU	Foliation bien marquée 90°.	5921123	69.25	69.75	0.50	0.002
		69.58	70.32	SF	Sulfures disséminés et en amas (3 à 20%).					
		69.60	70.30	M4	Paragneiss.					
		70.30	70.80	M4/I1G	Zone diffuse entre le paragneiss et la pegmatite.					
		70.60	72.33	FO/RU-	Foliation, rubannement faible.					
		70.80	71.30	M4	Paragneiss.					
		71.30	71.90	M4/I1G	Zone diffuse entre le paragneiss et la pegmatite.					
		71.32	71.90	HM	Niveau légèrement hématisé au sein d'une zone diffuse entre une roche à grains fins de texture foliée et une de texture pegmatitique.					
		71.32	73.10	SF	Présence de sulfures (trace)					
		71.90	72.35	M4	Paragneiss					
		72.33	73.45	FO-/RU-	Niveau relativement massif compte tenu de l'abondance du QZ, foliation très légèrement marquée par les lits mm de BO.					
		72.35	73.10	M4/I1G	Zone diffuse entre le paragneiss et la pegmatite.					
		73.10	73.45	SF	Présence de sulfures (10-15%).					
		73.10	73.45	M4	Paragneiss riche en Quartz et en sulfures.					
73.45	76.60			M6/I1G	<b>Roche de teinte gris moyen à blanchâtre montrant une alternance de niveaux à texture granitique (grains moyens à grossiers) et de niveaux à texture pegmatitique (grains grossiers à très grossiers). Localement niveaux enrichis en BO comportant des sulfure disséminés (1%). Les niveaux de gneiss sont foliés et rubannés mais les niveau pegmatitique sont massifs.</b>					
		73.45	75.00	GS	Gneissique.					
		73.45	76.80	SF	Sulfures disséminés (1-3%).					

Main facies		Secondary facies		Code	Description	Sample				
From	To	From	To			Number	From	To	Length	U308
		73.45	75.00	M6/I1G	Gneiss granitique à grains moyens (2 à 5mm) riche en QZ (50%), FP (20%), principalement FK et BO (30%). Comportant des niveaux pegmatitiques. Roche non magnétique. Gneiss granitique légèrement folié riche en niveaux à BO. Teinte gris-clair à gris-moyen avec des teintes rougâtres caractéristiques d'une altération (oxydation, hématisation).					
		74.35	74.40	HM	Niveau hématisée au sein de roche de texture granitique légèrement foliée.	5921124	74.50	75.00	0.50	0.003
		75.00	76.60	MA	Niveau massif.	5921125	75.00	75.55	0.55	0.012
		75.00	76.60	I1G/M6	Niveau de pegmatite à gneiss granitique diffus. Majorité de niveaux pegmatitiques. Pegmatite massive caractérisée par des niveaux très riches en QZ-FP et des niveaux très riches en BO assez diffus.					
		75.40	75.50	HM	Niveau hématisée au sein de roche de texture massive.	5921690	75.55	76.05	0.50	0.004
76.60	76.80			M4	<b>Paragneiss.</b>	5921691	76.05	76.55	0.50	0.012
		76.60	76.80	FO/RU	Foliation bien marquée 95°.	5921692	76.55	77.05	0.50	0.052
76.80	77.22			M6/I1G	<b>Niveau de gneiss granitique à pegmatite diffuse. Niveaux riches en BO (30%).</b>					
		76.80	78.10	FO/GS	Niveau généralement folié à localement massif à bréchique 95°-100°.					
		77.10	77.15	HM	Niveau hématisée au sein de roche de texture granitique légèrement foliée.	5921693	77.05	77.55	0.50	0.060
77.22	77.60			M4	<b>Paragneiss.</b>					
		77.59	78.00	SF	Sulfures disséminés (2-3%).	5921694	77.55	78.10	0.55	0.005
77.60	78.00			M4/I1G	<b>Zone diffuse entre le paragneiss et la pegmatite.</b>					
78.00	78.40			M4	<b>Paragneiss : Zone broyée.</b>					
78.40	78.70			M4/I1G	<b>Zone diffuse entre le gneiss granitique et la pegmatite.</b>					
78.70	78.90			M4	<b>Paragneiss.</b>					
		78.75	79.00	FO	Foliation bien marquée 80-85°.	5921126	78.75	79.35	0.60	0.014
78.90	79.40			I1G	<b>Roche de teinte gris-clair à gris-moyen à rougeâtre due à une hématisation, grains grossiers (entre 2 et 15 mm) massive caractérisée par des niveaux très riches en QZ-FP et des niveaux très riches en BO assez diffu.</b>					
79.40	80.30			M4	<b>Paragneiss.</b>					
		79.40	80.30	SF	Sulfures disséminés (2-3%).	5921127	79.35	79.75	0.40	0.001
80.30	80.30			EOH	<b>Fin du trou.</b>	5921128	79.75	80.25	0.50	0.003



## Drill hole: NR-07-03

UtmX: 335318E; Grid: 1+90E

UtmY: 6488452N; Grid: 23+75N

Altitude: 10 m

Azimuth: 220°; Plunge: -54°

Depth: 63.09 m

UTM NAD 27, 220

Claim: 2004356

Target: Scintillometer anomaly: 3840 cps

Started: 2007-09-05

Completed: 2007-09-09

Zone: Tasiastuk

Geologist: C. Mullard

Contractor: Forage Benoît Inc.

Casing: NQW

Diameter: NQ

Drill rig: Atlas-Corpo

Main facies		Secondary facies		Code	Description	Sample				
From	To	From	To			Number	From	To	Length	U3O8
m	m	m	m			m	m	m	%	
0	3			MT	Mort-terrain					
3	3.52			M6	Roche de teinte gris moyen à grains moyens majoritairement de QZ, FP avec de la BO disséminée ou en lits millimétriques à centimétriques. Cette roche présente une légère gneissosité marquée par les lits de BO. Il s'agit probablement gneiss granitique.	Depth(m)	Azimuth (°)	dip(°)		
						0	220	54		
						63.07	220	55		
		3	3.52	LM	Présence de limonite (produit d'altération de la BO) dans les microfractures.					
3.52	10.7			I1G	Roche de teinte gris moyen foncé à rose clair à grains grossiers à très grossiers de QZ, FP et BO et SF (PY) disséminés. Le niveau supérieur, jusqu'à 7,15 mètres de profondeur, est riche en FP (70% dont une proportion importante de FK conférant la couleur rosâtre à la roche), avec 15% de QZ et 10% de BO. Le niveau inférieur est riche en QZ fumé et en BO. Sa composition est 50% de QZ, 30% de FP et 20% de BO. Ce niveau est parsemé d'occurrences de SF (environ 1% de PY) et d'oxydes.	5921334	3.50	4.00	0.50	0.004
		3.52	7.15	MA	Le niveau supérieur de l'intervalle est caractérisé par une roche massive à grains grossiers (texture pegmatitique).	5921335	4.00	4.50	0.50	0.008
		3.52	10.7	PY	Zone minéralisée en PY (traces jusqu'à 1%) disséminée et associée à I1G.	5921336	4.50	5.00	0.50	0.005
		7.15	10.7	RU	Le niveau inférieur de l'intervalle est marqué par la présence de nombreux lits millimétriques à centimétriques de BO conférant à la roche une texture légèrement rubanée. Ces lits forment un angle variable de 35 à 60° par rapport à l'axe de la carotte.	5921337	5.00	5.50	0.50	0.014
10.7	12.25			M4/I1G	Roche présentant une alternance de bandes blanchâtres centimétriques à décimétriques riches en QZ et FP avec de la BO interstitielle de texture pegmatitique et de bandes noirâtres centimétriques à décimétriques à grains fins à moyens composées de QZ et FP et riches en BO. Dans cet intervalle, le QZ est généralement fumé et les FP sont parfois des FK conférant la couleur légèrement rosée à la roche.	5921338	5.50	6.00	0.50	0.012
		10.7	12.25	RU	Niveau rubané, alternance de bandes felsiques et mafiques. Le contact entre ces bandes centimétriques à décimétriques est généralement net.	5921339	6.00	6.65	0.65	0.010
12.25	13.53			M6	Roche de teinte gris moyen foncé à grains moyens à localement grossiers de QZ (40%), FP (40%) et BO (20%). Cette roche présente une légère gneissosité.	5921696	6.75	7.25	0.50	0.018
		12.25	13.53	FO/GS	Niveau présentant une légère foliation, gneissosité.	5921697	7.25	7.75	0.50	0.017
13.53	15.15			M4/I1G	Roche présentant une alternance de bandes blanchâtres centimétriques à décimétriques riches en QZ et FP avec de la BO interstitielle de texture pegmatitique et de bandes noirâtres centimétriques à décimétriques à grains fins à moyens composées de QZ et FP et riches en BO. Dans cet intervalle, le QZ est généralement fumé et les FP sont parfois des FK conférant la couleur légèrement rosée à la roche.	5921698	7.75	8.25	0.50	0.018
		14.26	14.54	LM++	Zone fortement altérée, présence de limonite dans les fractures.	5921699	8.25	8.85	0.60	0.021
		14.26	14.54	BY/F/FA	Zone broyée conséquence de la présence d'une faille.	5921340	8.85	9.50	0.65	0.023
		14.26	14.54	M4	Roche de teinte gris foncé massive très riche en BO. Cette roche est caractérisée par une granulométrie fine. Il s'agit vraisemblablement d'un métasédiment.	5921341	9.50	10.00	0.50	0.023

Main facies		Secondary facies		Code	Description	Sample				
From m	To m	From m	To m			Number	From m	To m	Length m	U3O8 %
15.15	19.42			<b>M6/I1G</b>	<b>Niveau présentant une roche ignée à texture granitique à pegmatitique</b>	5921342	10.00	10.50	0.50	0.023
		15.15	15.64	FO/GS	Niveau présentant une légère foliation, gneissosité.	5921343	10.50	11.00	0.50	0.014
		15.15	15.64	M6	Roche de teinte rose clair à gris moyen foncé composé de grains moyens à grossiers de QZ (dont QZ fumé), FP (dont FK) et BO. Cette roche présente une légère gneissosité.	5921345	11.00	11.50	0.50	0.013
		15.64	17.68	MA	Dyke de I1G est massif.	5921346	11.50	12.00	0.50	0.008
		15.64	17	LM	Présence de limonite dans les fractures.	5921347	12.00	12.50	0.50	0.008
		15.64	17.68	PY	Zone minéralisée en PY (en traces) disséminée.	5921348	12.50	13.00	0.50	0.004
		15.64	17.68	I1G	Roche de teinte rose clair à gris moyen foncé à grains grossiers à très grossiers de QZ (60%), FK (30%), BO (10%). Observation de GR et PY présent en traces et disséminés.	5921349	13.00	13.50	0.50	0.005
		17.68	18.32	M6	Roche de teinte rose clair à gris moyen foncé composée de grains moyens à grossiers de QZ (dont QZ fumé), FP (dont FK) et BO. Cette roche présente une légère gneissosité.	5921350	13.50	14.00	0.50	0.007
		18.32	18.9	MA	Dyke de I1G est massif.	5921351	14.00	14.50	0.50	0.002
		18.32	18.9	I1G	Roche de teinte rose clair à gris moyen foncé à grains grossiers à très grossiers de QZ (dont QZ fumé), FK (30%), BO (10%). Observation de GR et PY présent en traces et disséminés.	5921352	14.50	15.00	0.50	0.009
		18.9	19.42	FO/GS	Niveau présentant une légère foliation, gneissosité.	5921353	15.00	15.50	0.50	0.014
		18.9	19.42	M6	Roche de teinte rose clair à gris moyen foncé composée de grains moyens à grossiers de QZ (dont QZ fumé), FP (dont FK) et BO. Cette roche présente une légère gneissosité.	5921355	15.50	16.00	0.50	0.010
19.42	21.77			<b>M4</b>	<b>Roche de teinte gris foncé à grains fins de QZ, FP et BO. Cette roche est caractérisée par sa richesse en BO, la présence de rares GR et enfin une minéralisation en PY (2%) disséminée. Cette roche est marquée par une légère foliation.</b>	5921356	16.00	16.50	0.50	0.009
		19.42	21.77	PY	Zone minéralisée en PY (traces) disséminée.	5921357	16.50	17.25	0.75	0.007
21.77	22.42			<b>M6/M4</b>	<b>Roche à texture globalement granitique (grains moyens à grossiers) avec des niveaux millimétriques à centimétriques composés d'un matériel plus fin de teinte gris foncé, riche en BO, se présentant en lits dessinant le contour des cristaux de QZ et FP.</b>	5921358	17.25	18.00	0.75	0.007
		21.77	22.42	FO-/GS-	Niveau très légèrement folié, gneissique.	5921359	18.00	18.50	0.50	0.005
22.42	27.2			<b>I1G/M4</b>	<b>Intervalle marqué par une alternance de bandes felsiques quartzo-feldspathiques à texture pegmatitique et de bandes mafiques riches en BO (40% généralement) avec la présence significative de GT (1 à 7%) et de SF. Les bandes felsiques ont une granulométrie grossière à très grossière alors que les bandes foncées ont une granulométrie fine à moyenne (métasédiment ?). Ces bandes dessinent un rubanement. La composition minéralogique de ce niveau est QZ (60 à 75% dont QZ fumé), FP (10 à 15 % dont FK), BO (10 à 30%), GR (1%) et SF (PY).</b>	5921360	18.50	19.00	0.50	0.005
		22.42	29.52	PY	Zone minéralisée en PY (traces) disséminée.	5921361	19.00	19.50	0.50	0.002
27.2	27.7			<b>M6/M4</b>	<b>Roche à texture globalement granitique (grains moyens à grossiers) avec des niveaux millimétriques à centimétriques composés d'un matériel plus fin de teinte gris foncé, riche en BO, se présentant en lits dessinant le contour des cristaux de QZ et FP.</b>	5921362	19.50	20.00	0.50	0.001
27.7	29.85			<b>M4</b>	<b>Roche de teinte gris foncé à vert moyen localement à grains fins à moyens de QZ, FP, riche en BO et marquée par la présence de GR (5%) et de PY. Ce niveau présente une texture oeilée.</b>	5921363	20.00	20.50	0.50	0.000
		27.7	29.85	OE	Texture oeilée avec des porphyroblastes de GR autour desquels s'enroulent des lits millimétriques composés d'un minéral blanc laiteux (FP ou SM ?).	5921364	22.00	22.50	0.50	0.004
		28.7	29.52	CL++	Zone fortement chloritisée associée au métasédiment M4.	5921366	22.50	23.00	0.50	0.006

Main facies		Secondary facies		Code	Description	Sample				
From m	To m	From m	To m			Number	From m	To m	Length m	U308 %
		28.7	29.52	F/FA	Faille ou fracture vraisemblablement à l'origine de la zone centimétrique fortement chloritisée et riche en sulfures massifs (PY).	5921367	23.00	23.50	0.50	0.002
		28.7	29.52	PY++	Zone fortement minéralisée en PY associée à un niveau fortement chloritisé (faille avec apport de fluides ?).					
		29.52	37.6	PY	Zone minéralisée en PY (traces) disséminée.					
29.85	31.61			M4/I1G	Intervalle marqué par une alternance de bandes felsiques quartzo-feldspathiques à texture pegmatitique et une majorité de bandes mafiques riches en BO (40% généralement). Les bandes felsiques ont une granulométrie grossière à très grossière alors que les bandes foncées ont une granulométrie fine à moyenne (métasédiment ?). Ces bandes dessinent un rubanement.					
		30.32	30.6	CL++/HM	Zone fortement chloritisée associée à une zone diffuse M4/I1G. Traces locales rouge mauve (HM ?)					
		30.32	30.33	VN QZ	Veine de QZ de teinte mauve.					
		31.18	31.31	CL++/HM	Zone fortement chloritisée associée à une zone diffuse M4/I1G. Traces locales rouge mauve (HM ?)					
31.61	37.6			M6/M4	Roche à texture globalement granitique de teinte gris moyen à localement rosâtre (grains moyens à grossiers) avec des niveaux millimétriques à centimétriques composés d'un matériel plus fin de teinte gris foncé, riche en BO, se présentant en lits dessinant le contour des cristaux de QZ et FP. Ce niveau est faiblement minéralisé en PY disséminée. La teinte légèrement rosée est due à la présence de FK plus nombreux localement.					
37.6	39.7			M4/I1G	Intervalle marqué par une alternance de bandes felsiques quartzo-feldspathiques à texture pegmatitique et de bandes mafiques riches en BO avec la présence de SF (PO, minéral magnétique) disséminée ou en remplissage de fractures. Les bandes felsiques ont une granulométrie grossière à très grossière alors que les bandes foncées ont une granulométrie fine à moyenne (métasédiment ?). Ces bandes dessinent un rubanement.					
		37.6	40.45	PO	Zone minéralisée en PO (traces) disséminée.					
		38.69	38.74	CL++	Zone fortement chloritisée associée à une zone diffuse M4/I1G.					
		38.69	38.74	F/FA	Faille ou fracture vraisemblablement à l'origine de la zone centimétrique fortement chloritisée et riche en sulfures massifs (PY).					
		38.69	38.74	PO++	Zone fortement minéralisée en PY associée à un niveau fortement chloritisé (faille avec apport de fluides ?).					
39.7	40.45			M4	Roche de teinte gris très foncé à grains fins à moyens de QZ, FP, riche en BO et marquée par la présence de PY massive. Ce niveau est légèrement folié, gneissique.					
		39.7	40.45	PO++	Zone minéralisée à PO massive associée au métasédiment M4.					
40.45	45.75			M4/I1G	Intervalle marqué par une alternance de bandes felsiques quartzo-feldspathiques à texture pegmatitique et de bandes mafiques, majoritaires, riches en BO avec la présence de SF (PO et PY). Les bandes felsiques ont une granulométrie grossière à très grossière alors que les bandes foncées ont une granulométrie fine à moyenne (métasédiment ?). Ces bandes dessinent un rubanement. Le QZ observé dans ces niveaux est parfois fumé ou de teinte mauve. La section supérieure est plus mafique, la section inférieure est, quant à elle, pl/us felsique.	5921368	41.00	41.50	0.50	0.001
		40.45	45.75	PY/PO	Zone minéralisée en PY et PO (traces) disséminée.	5921369	41.50	42.00	0.50	0.006
45.75	47.95			M4	Roche de teinte gris très foncé à grains fins à moyens de QZ, FP, riche en BO et marquée par la présence de PY disséminée. Ce niveau est légèrement folié, gneissique.	5921370	42.00	42.50	0.50	0.003
		45.75	46.68	PY	Zone minéralisée en PY (traces) disséminée.	5921371	42.50	43.00	0.50	0.007

Main facies		Secondary facies		Code	Description	Sample				
From m	To m	From m	To m			Number	From m	To m	Length m	U308 %
		46.68	46.8	I1G	Roche de teinte blanchâtre à grains grossiers à très grossiers de QZ et FP avec des cristaux de BO disséminés (texture pegmatitique). Ce niveau semble s'apparenter à un dyke de I1G.	5921372	43.00	43.50	0.50	0.002
		46.8	47.2	CL++	Zone fortement chloritisée associée au métasédiment M4.	5921373	43.50	44.00	0.50	0.001
		46.8	47.95	PY	Zone minéralisée en PY (traces) disséminée.	5921374	44.00	44.50	0.50	0.002
47.95	49.9			M4/I1G	Intervalle marqué par une alternance de bandes felsiques quartzo-feldspathiques à texture pegmatitique et de bandes mafiques majoritaires riches en BO avec la présence de SF (PY) disséminée. Les bandes felsiques ont une granulométrie grossière à très grossière alors que les bandes foncées ont une granulométrie fine à moyenne (métasédiment ?). Ces bandes dessinent un rubanement.	5921375	44.50	45.00	0.50	0.002
49.9	53.42			M4	Roche de teinte gris très foncé à grains fins à moyens de QZ, FP, très riche en BO et marquée par la présence de PY disséminée. Ce niveau est légèrement folié, gneissique. Ce niveau présente au contact avec la formation sous-jacente une zone fortement chloritisée riche en SF (PY).	5921376	45.00	45.50	0.50	0.006
		49.9	53.2	PY	Zone minéralisée en PY (traces) disséminée.	5921377	45.50	45.50	0.00	0.002
		53.2	53.31	CL++	Zone fortement chloritisée associée au métasédiment M4.					
		53.2	53.31	F/FA	Faïlle ou fracture vraisemblablement à l'origine de la zone centimétrique fortement chloritisée et riche en sulfures massifs (PY).					
		53.2	53.31	PY++	Zone fortement minéralisée en PY associée à un niveau fortement chloritisé (faille avec apport de fluides ?).					
		53.31	53.42	PY	Zone minéralisée en PY (traces) disséminée.					
53.42	54.35			I1G	Roche de teinte rosâtre à grains grossiers à très grossiers de QZ (parfois fumé) et FP (80% de FP dont FK) avec des cristaux de BO disséminés (texture pegmatitique). Ce niveau semble s'apparenter à un dyke de I1G.					
54.35	59.5			M6	Roche de teinte gris moyen foncé à texture poivre et sel composée de grains moyens à grossiers de QZ, FP et BO. Cette roche présente une légère gneissosité. Le contact avec la formation sous-jacente est relativement net.					
		55.7	55.75	CL	Zone chloritisée, présence de CL dans les microfractures.					
59.5	62.98			M4	Roche de teinte gris très foncé à grains fins à moyens de QZ, FP, très riche en BO. Ce niveau présente de rares veines de QZ et dykes de I1G centimétriques. Il est légèrement folié, gneissique. Le contact avec la formation sous-jacente est relativement net.					
		61	61.05	F/FA	Niveau fracturé à remplissage d'un minéral mou blanchâtre.					
62.98	63.09			I1G	Roche de teinte rosâtre à grains grossiers à très grossiers de QZ et FP (texture pegmatitique). Ce niveau semble s'apparenter à un dyke de I1G.					
63.09	63.09			EOH	Fin du trou.					



## Drill hole: NR-07-04

UtmX: 335233E; Grid: 0+80E  
 UtmY: 6488374N; Grid: 23+75N  
 Altitude: 10 m  
 Azimuth: 220°; Plunge: -50°  
 Depth: 68.90 m

UTM NAD27, Z20

Claim: 2004356  
 Target: Scintillometer anomaly: 17990 cps  
 Started: 2007-09-09  
 Completed: 2007-09-12  
 Zone: Tasieluk

Geologist: J. S. Gauthier  
 Contractor: Forage Benoît Inc.  
 Casing: NQW  
 Diameter: NQ  
 Drill rig: Atlas-Corpo

Main facies		Secondary facies		Code	Description	Sample				
From	To	From	To			Number	From	To	Length	U308
m	m	m	m			m	m	m	%	
0.00	2.60			MT	Mort-terrain					
2.60	7.25			11G/M6	Roche à texture globalement pegmatitique, localement grossière à moyenne. FK 30%, QZ 30%, BO 20%, FP 15%. BO interstitielle xénomorphe ou en lits millimétriques. Localement la BO s'altère en CL. Contact diffus entre M6 et 11G	Depth(m)	Azimuth (°)	dip (°)		
						0	220	-50		
		2.60	4.65	PO	Minéralisation en sulfures. Présence de PO (traces à 2%) disséminée et associée à BO.					
		4.65	4.82	M4	Roche à grains fins renfermant 5% de BO et 5% de veinules de QZ suivant la schistosité principale à 65° par rapport à l'axe de la carotte. Les contacts supérieurs et inférieurs suivent le même angle.					
		4.82	7.25	PO	Minéralisation en sulfures. Présence de PO (traces à 2%) disséminée et associée à BO.	5921714	2.60	3.00	0.40	0.009
7.25	9.03			M4	Roche à grains fins à moyens de teinte gris moyen. Matrice QZ-FP renfermant 5% de BO. Roche parsemée de veinules de QZ mm et de veines de QZ centimétriques chloritisées.	5921715	3.00	3.50	0.50	0.016
		7.60	7.86	SR+	Niveau sérécité, altération des FP.	5921716	3.50	4.00	0.50	0.008
		7.60	7.86	11G/M6	Roche à texture globalement pegmatitique, grains moyens à grossiers à QZ, FP et BO. Les FP sont généralement altérés en SR.	5921717	4.00	4.50	0.50	0.014
		8.00	8.13	M4/11G	Zone centimétriques riche en QZ et FP à grains grossiers (texture pegmatitique) injecté dans le paragneiss.	5921718	4.50	5.00	0.50	0.012
		8.40	8.60	CL+	Niveau chloritisé.	5921719	5.00	5.50	0.50	0.014
		8.40	8.60	VN QZ	Veine centimétriques de QZ de teinte blanc laiteux présentant des traces d'altération CL	5921720	5.50	6.00	0.50	0.013
		8.80	9.03	CL+	Niveau chloritisé.	5921721	6.00	6.50	0.50	0.009
		8.90	9.03	V3B	Roche de teinte verdâtre, à grains fins à grossiers, mafique à ultramafique, de dureté moyenne présentant généralement une chloritisation (Métapyroxénite ?).	5921723	6.50	7.00	0.50	0.010
9.03	15.00			11G/M4	Roche blanche à grise de texture hétérogène à grains fins à très grossiers (texture pegmatitique). Roche renfermant 20% de BO en lits millimétriques généralement interstitiels aux grains de QZ et FP. La roche est traversée de bandes décimétriques de métasédiment M4 finement laminé. Certains niveaux pegmatitiques ont une teinte plus rosée marquant la présence significative de FK.	5921724	7.00	7.50	0.50	0.002
		10.77	10.97	M4	Roche finement laminée parsemée de veinules millimétriques de QZ. Roche à grains fins à moyens riche en QZ et FP avec 5 à 7% de BO (Métasédiment, paragneiss ?).	5921725	9.40	10.00	0.60	0.006
		11.38	11.47	M4	Roche finement laminée parsemée de veinules millimétriques de QZ. Roche à grains fins à moyens riche en QZ et FP avec 5 à 7% de BO (Métasédiment, paragneiss ?).	5921726	10.00	10.50	0.50	0.016
		11.51	11.77	M4	Roche finement laminée parsemée de veinules millimétriques de QZ. Roche à grains fins à moyens riche en QZ et FP avec 5 à 7% de BO (Métasédiment, paragneiss ?).	5921727	10.50	11.00	0.50	0.002
		12.80	12.85	PO	Minéralisation en sulfures. Présence de PO en traces associée à BO.	5921728	12.00	12.50	0.50	0.004
		13.50	13.55	PO	Minéralisation en sulfures. Présence de PO en traces associée à BO.	5921730	12.40	13.00	0.60	0.004
		14.40	15.00	M4/M6	Roche à matrice quartzo-feldspathique à grains fins à moyens avec 15% de BO. Début de granitisation.	5921731	13.00	13.50	0.50	0.014
15.00	16.31			M4	Roche à matrice quartzo-feldspathique à grains fins avec 5% de BO. Roche traversée de veinules de QZ millimétriques à microplissements serrés don't l'axe suit la foliation.	5921732	13.50	14.00	0.50	0.009
		16.05	16.15	11G	Roche à texture pegmatitique très riche en QZ (90%) avec des FP (5%) et de la BO (5%). Il s'agit possiblement d'un dyke de pegmatite.	5921733	14.00	14.60	0.60	0.004

Main facies		Secondary facies		Code	Description	Sample				
From m	To m	From m	To m			Number	From m	To m	Length m	U3O8 %
16.31	20.00			M6	Roche à grains moyens à grossiers composée de QZ, FP (FK principalement) et BO interstitielle, de teinte gris-moyen à rosé. Texture généralement équi-granulaire pouvant varier localement sur de petits intervalles (fine à pegmatitique). La roche est aussi traversée de bandes millimétriques à centimétriques riches en BO de teinte gris foncé.	5921734	14.60	15.00	0.40	0.004
		16.91	17.27	M4	Roche à matrice quartzo-feldspathique à grains fins à moyens traversée de veinules de QZ millimétriques (5%) qui suivent la foliation.	5921735	16.50	17.00	0.50	0.004
		17.45	17.71	M6/M4	Niveau diffus à lits millimétriques de BO entre grains plurimillimétriques de QZ et FP.	5921736	17.00	17.50	0.50	0.005
		17.85	18.10	I1G	Roche à grains grossiers de teinte rosée à BO interstitielle (5 à 7%). Ce niveau semble s'apparenter à un dyke de I1G.	5921738	17.50	18.00	0.50	0.007
		18.80	18.85	PO	Minéralisation en sulfures. Présence de PO en traces.	5921739	18.00	18.50	0.50	0.015
		19.67	19.81	I1G	Roche à grains grossiers de teinte rosée à BO interstitielle (5 à 7%). Ce niveau semble s'apparenter à un dyke de I1G.	5921740	18.50	19.00	0.50	0.025
20.00	20.84			M4	Roche à matrice quartzo-feldspathique à grains fins à moyens traversée de veinules de QZ millimétriques (5 à 10%) qui suivent la foliation.	5921741	19.00	19.50	0.50	0.015
		20.21	20.25	M6	Roche à grains fins à moyens composée de QZ, FP et BO (cristaux fins à moyens) en lits suivant la foliation.	5921742	19.50	20.00	0.50	0.012
		20.40	20.53	M6	Roche à grains fins à moyens composée de QZ, FP et BO (cristaux fins à moyens) en lits suivant la foliation.	5921743	20.00	20.50	0.50	0.001
		20.80	20.85	PO	Minéralisation en sulfures. Présence de PO en traces ou en amas millimétriques.	5921744	20.50	21.00	0.50	0.006
20.84	23.35			M6	Roche à grains moyens à grossiers composée de QZ, FP (dont FK) et BO interstitielle, de teinte gris-moyen à rosé. La roche est généralement équi-granulaire cependant la BO peut se présenter en bandes millimétriques à pluricentimétriques	5921745	21.00	21.50	0.50	0.021
		21.55	22.07	I1G	Roche à grains grossiers de teinte rosâtre en bandes centimétriques à décimétriques à BO interstitielle xénomorphe ou en lits millimétriques à centimétriques. Ce niveau semble s'apparenter à un dyke de I1G.	5921747	21.50	22.00	0.50	0.012
		22.35	22.37	I1G	Roche à grains grossiers de teinte rosâtre en bandes centimétriques à décimétriques à BO interstitielle xénomorphe (5%). Ce niveau semble s'apparenter à un dyke de I1G.	5921748	22.00	22.50	0.50	0.020
23.35	24.11			I1G	Roche de teinte blanchâtre à grains grossiers composée de QZ, FP et BO. La BO est concentrée dans des lits millimétriques à centimétriques ou en amas millimétriques à centimétriques. Ce niveau semble s'apparenter à un dyke de I1G.	5921749	22.50	23.00	0.50	0.015
24.11	27.32			M4	Roche de teinte gris moyen à gris foncé composée d'une matrice fine quartzo-feldspathique avec 5% de BO. Ce niveau est traversé de 10 à 15% de veinules millimétriques à centimétriques de QZ à microplissements dont l'axe suit la foliation. La BO est concentrée aux épontes des des veines de QZ.	5921752	23.00	23.50	0.50	0.007
		24.45	24.80	I1G	Roche à grains millimétriques à centimétriques de QZ, FP (dont FK) et BO xénomorphe interstitielle. Certains niveaux sont enrichis en QZ et pourraient s'apparenter à des veines de QZ.	5921753	23.50	24.00	0.50	0.008
		25.10	25.60	I1G	Roche à grains millimétriques à centimétriques de QZ, FP (dont FK) et BO xénomorphe interstitielle. Certains niveaux sont enrichis en QZ et pourraient s'apparenter à des veines de QZ.	5921754	24.00	24.50	0.50	0.004
		26.20	26.45	M6	Roche de teinte blanchâtre avec des pointements noirs à grains moyens de QZ, FP et BO. La lithologie semble associée à une veine de QZ.	5921756	24.40	25.00	0.60	0.011
		27.00	27.11	I1G	Roche de teinte blanchâtre rosâtre composée de grains grossiers à très grossiers de à grains grossiers composée de QZ, FP et BO. La BO est concentrée dans des lits millimétriques à centimétriques ou en amas millimétriques à centimétriques. Ce niveau semble s'apparenter à un dyke de I1G.	5921757	25.00	25.50	0.50	0.007
27.32	29.29			I1G	Roche de teinte rosâtre à grains grossiers à très grossiers de QZ, FP (dont FK) et BO. La BO est xénomorphe interstitielle ou en veinules discontinues millimétriques à centimétriques. Ce niveau semble s'apparenter à un dyke de I1G.	5921758	25.60	26.00	0.40	0.001
		27.90	28.20	PO	Minéralisation en sulfures. Présence de PO en traces associée à BO.	5921759	26.00	26.50	0.50	0.005
		27.90	28.20	M4	Roche de teinte gris moyen à gris foncé avec 5 à 10% de BO. Ce niveau est traversé de veinules et veines de QZ où est observée une concentration en BO.	5921760	26.50	27.00	0.50	0.000

Main facies		Secondary facies		Code	Description	Sample				
From	To	From	To			Number	From	To	Length	U3O8
m	m	m	m			m	m	m	%	
29.29	30.09			M4/S3	Roche de teinte gris moyen à gris foncé à matrice quartzo-feldspathique fine avec 5% de BO. Observation de veinules de QZ millimétriques (2%) qui suivent la foliation. La texture relativement homogène suggère un metawacke (S3).	5921761	26.90	27.50	0.60	0.006
30.09	32.44			M6/I1G	Roche de teinte gris moyen à rosâtre composée de grains moyens à grossiers de QZ, FP (dont FK) et BO xénomorphe interstitielle ou concentrée en veinules millimétriques ou en amas millimétriques à centimétriques.	5921762	27.50	28.00	0.50	0.009
		30.09	30.50	I1G	Roche de teinte rosâtre composée de grains de QZ et FP très grossiers à plus fins au contact du niveau sous-jacent. Présence de 5% de BO interstitielle ou en veinules millimétriques discontinues. Ce niveau semble s'apparenter à un dyke de I1G.	5921763	28.00	28.50	0.50	0.009
		31.77	32.15	PO	Minéralisation en sulfures. Présence de PO en traces.	5921765	28.50	29.00	0.50	0.015
		31.77	32.15	I1G	Roche de teinte rosâtre composée de grains de QZ et FP très grossiers à plus fins au contact du niveau sous-jacent. Présence de 5% de BO interstitielle ou en veinules millimétriques discontinues	5921766	30.00	30.50	0.50	0.013
32.44	36.85			M4	Roche de teinte gris moyen à gris foncé à matrice quartzo-feldspathique fine à moyenne avec 2 à 5% de BO. Ce niveau est traversé de veinules de QZ millimétriques (5 à 7%) qui suivent la foliation. Certaines sections présentent de traces de GT en cristaux fins disséminés. A partir de 35 mètres, le pourcentage de QZ et FP augmente à 20-25% et certains grains sont très grossiers (début de granitisation ?).	5921767	30.50	31.00	0.50	0.006
		32.98	34.81	I1G/I1D	Niveau riche en veines ou dykes centimétriques à pluricentimétriques d'une roche de teinte blanchâtre à pointements noirs à grains moyens à grossiers de QZ et FP suivant la foliation et de cristaux de BO (2 à 5%) généralement concentrés aux épontes.	5921768	31.00	31.50	0.50	0.004
		34.50	35.00	PO	Minéralisation en sulfures. Présence de PO en amas mm à centimétriques.	5921769	31.50	32.00	0.50	0.007
		35.72	35.82	CL++	Niveau fortement chloritisé associé à une roche mafique à ultramafique, possiblement V3B/I4B.	5921770	32.00	32.50	0.50	0.004
		35.72	35.85	V3B/I4B	Roche de teinte verdâtre, à grains fins à grossiers, mafique à ultramafique, de dureté moyenne présentant généralement une chloritisation (Métapyroxénite ?).					
		36.47	36.75	CL	Présence de CL grossière associée à la veine de QZ laiteux.					
		36.47	36.75	VN QZ	Veine de QZ laiteux centimétrique.					
		36.75	36.85	CL++	Niveau fortement chloritisé associé à une roche mafique à ultramafique, possiblement V3B/I4B.					
		36.75	36.85	V3B/I4B	Roche de teinte verdâtre, à grains fins à grossiers, mafique à ultramafique, de dureté moyenne présentant généralement une chloritisation (Métapyroxénite ?).					
36.85	38.42			M6	Roche de teinte gris moyen à texture poivre et sel à grains à grossiers composée de 10% de BO en cristaux fins. Roche de texture et de composition minéralogique homogène excepté au contact de la formation sous-jacente où sont observées un enrichissement en QZ et une augmentation de la granulométrie.					
		38.20	38.25	PO	Minéralisation en sulfures. Présence de PO en traces.					
38.42	46.40			M4	Roche de teinte gris moyen à gris foncé à matrice quartzo-feldspathique fine à moyenne avec 5 à 10% de BO. Ce niveau est traversé de veinules de QZ millimétriques à centimétriques avec de la BO aux épontes. Les veinules suivent généralement la foliation. Plusieurs changements de texture sont observés sur cet intervalle. Le pourcentage de veinules de QZ peut augmenter localement jusqu'à 30 voire 40% ; une augmentation de la BO y est généralement associée.					
		38.62	38.67	I1G/I1D	Roche blanche quartzo-feldspathique à pointements noirs (1 à 2% e BO) à grains fins à moyens suivant la foliation. Ce niveau semble s'apparenter à un dyke de I1G ou I1D.					
		38.70	39.05	SR	Niveau séricitisé associé à des veines QZ-FP. Altération des FP.					
		38.70	38.73	I1G/I1D	Roche blanche quartzo-feldspathique à pointements noirs (1 à 2% e BO) à grains fins à moyens suivant la foliation. Ce niveau semble s'apparenter à un dyke de I1G ou I1D.					
		40.27	41.25	VN QZ	Niveau enrichi en veinules quartzo-feldspathiques centimétriques qui suivent la foliation. On observe une concentration de la BO aux épontes.					

Main facies		Secondary facies		Code	Description	Sample				
From m	To m	From m	To m			Number	From m	To m	Length m	U3O8 %
		40.95	41.00	SR	Niveau séricitisé associé à des veines QZ-FP. Altération des FP.					
		41.15	41.25	SR	Niveau séricitisé associé à des veines QZ-FP. Altération des FP.					
		41.74	41.90	CL++	Niveau chloritisé associé à une roche mafique à ultramafique, possiblement V3B/I4B.					
		41.74	41.90	V3B/I4B	Roche de teinte verdâtre, à grains moyens à grossiers, mafique à ultramafique, composée possiblement d'AM. Cette roche a une dureté moyenne et présente généralement une chloritisation.					
		41.90	42.00	PO	Minéralisation en sulfures. Présence de PO (2%) en veinules mm.					
		42.06	42.19	V3B/I4B	Roche de teinte verdâtre, à grains moyens à grossiers, mafique à ultramafique, composée possiblement d'AM. Cette roche a une dureté moyenne et présente généralement une chloritisation.					
		42.20	42.30	PO	Minéralisation en sulfures. Présence de PO (5%).					
		42.50	43.64	LA/OE	Dans cet intervalle, le métasédiment M4 présente une fine lamination bien marquée et une texture oeilée. Autour des porphyroblastes de GR s'enroulent des lits millimétriques composés d'un minéral blanc laiteux (FP ou SM ?) représentant 15 à 20 % de la roche.					
		43.82	43.87	VN QZ	Veine de QZ centimétrique blanc laiteux.					
		44.05	44.11	CL++	Niveau fortement chloritisé associé à M4.					
		44.25	46.40	LA/OE	Dans cet intervalle, le métasédiment M4 présente une fine lamination bien marquée et une texture oeilée. Autour des porphyroblastes de GR s'enroulent des lits millimétriques composés d'un minéral blanc laiteux (FP ou SM ?) représentant 15 à 20 % de la roche.					
46.40	47.55			I4B	<b>Roche de teinte verdâtre, de dureté moyenne, composée de gros cristaux de PX et de petits cristaux dont certains sont chloritisés.</b>					
		46.40	47.55	CL+	Niveau chloritisé associé à une roche mafique à ultramafique, possiblement V3B/I4B.					
		47.00	47.55	PO	Minéralisation en sulfures. Présence de PO (7%) en amas pluri-centimétriques.					
47.55	50.90			M4	<b>Roche de teinte gris moyen à gris foncé à matrice quartzo-feldspathique fine à moyenne avec 10 à 12% de BO, de texture massive à finement laminée. Ce niveau est traversé de veinules de QZ millimétriques à centimétriques avec de la BO aux épontes (2% de veinules). Ces veinules sont de texture granitique à pegmatitique.</b>					
		48.64	48.71	I1G	Roche de teinte rosâtre composée de grains de QZ et FP grossiers à très grossiers et de BO interstitielle. Ce niveau semble s'apparenter à un dyke de I1G.					
		48.82	49.00	M6	Roche à grains moyens à grossiers de QZ, FP avec 20 à 25% de BO de texture équi-granulaire.					
		49.35	49.40	VN QZ	Veine centimétrique de QZ translucide					
		50.20	50.45	CL++	Niveau fortement chloritisé associé à une roche mafique à ultramafique, possiblement V3B/I4B.					
		50.20	50.45	V3B/I4B	Roche de teinte vert foncé, à grains fins à moyens, mafique à ultramafique, de dureté moyenne présentant généralement une chloritisation associée à une veine de QZ (Métapyroxénite ?).					
50.90	51.50			I1G	<b>Roche de teinte blanchâtre à pointements rosâtres à grains très grossiers composée de 70% de QZ, 25% de FP et 5% de BO aux épontes.</b>	5921771	50.40	50.80	0.40	0.001
51.50	53.50			M4	<b>Roche de teinte gris moyen à gris foncé à matrice quartzo-feldspathique fine à moyenne avec 5% à 15% de BO. Ce niveau est traversé bandes de QZ et FP centimétriques avec de la BO aux épontes. Ces bandes sont parallèles à la foliation.</b>	5921773	50.80	51.50	0.70	0.024
		51.90	52.03	CL++	Niveau fortement chloritisé associé à une roche mafique à ultramafique, possiblement V3B/I4B.	5921774	51.50	52.00	0.50	0.001
		51.90	52.65	PY	Minéralisation en sulfures. Présence de PY (5 à 10%) disséminée ou en veinules millimétriques à centimétriques.					
		51.90	52.03	V3B/I4B	Roche de teinte vert clair avec une patine bleutée, à grains fins à moyens, mafique à ultramafique, de dureté moyenne présentant généralement une chloritisation associée à une veine de QZ (Métapyroxénite ?). Ce niveau est riche en SF (PY).	5921775	52.00	52.50	0.50	0.001
		53.06	53.19	I1G	Roche de teinte blanchâtre à pointements rosâtres à grains moyens à très grossiers composée principalement de QZ et FP avec 15 à 15% de BO aux épontes. Ce niveau semble s'apparenter à un dyke de I1G.	5921776	52.60	53.00	0.40	0.002
		53.25	53.35	I1G	Roche de teinte blanchâtre à pointements rosâtres à grains moyens à très grossiers composée principalement de QZ et FP avec 15 à 15% de BO aux épontes. Ce niveau semble s'apparenter à un dyke de I1G.	5921777	53.00	53.50	0.50	0.006



Main facies		Secondary facies		Code	Description	Sample				
From m	To m	From m	To m			Number	From m	To m	Length m	U3O8 %
53.50	54.35			I1G	Roche de teinte rosâtre à grains à très grossiers. Localement, la texture est plus granitique. Ce niveau est traversé de bandes millimétriques riches en BO discontinues. Ce niveau semble s'apparenter à un dyke de I1G.	5921778	53.50	54.00	0.50	0.009
54.35	56.00			M4	Roche de teinte gris moyen à gris foncé à matrice quartzo-feldspathique fine avec 5% à 10% de BO. Ce niveau est traversé localement de veinules de QZ millimétriques plissotées.	5921779	54.00	54.50	0.50	0.009
		54.35	56.00	LA/OE	Dans cet intervalle, le métasédiment M4 présente une texture porphyroblastique oeilée avec des yeux de QZ et FP centimétriques.					
56.00	57.48			I1G	Roche de teinte blanchâtre à pointements rouge orange et rosâtre, à grains grossiers. Ce niveau est traversé de 5% de veinules à QZ et CL. Ce niveau semble s'apparenter à un dyke de I1G.	5921781	56.30	57.00	0.70	0.010
		56.00	56.60	PY	Minéralisation en sulfures. Présence de PY (5 à 8%) disséminée.					
		56.00	56.65	M4/S3	Roche homogène de teinte gris foncé à grains fins à moyens composée principalement de QZ et FP avec 10 à 15% de BO. La texture relativement homogène suggère un metawacke S3.					
		56.65	56.77	HM++	Niveau fortement hématisé associé à un dyke de I1G.					
		56.77	56.95	CL	Présence de veinules de CL dans le dyke de I1G.					
		56.95	57.25	HM++	Niveau fortement hématisé associé à un dyke de I1G.					
57.48	60.17			M4	Roche de teinte gris moyen à gris foncé à matrice quartzo-feldspathique fine avec 5% à 20% localement de BO. Ce niveau est traversé localement de veinules de QZ millimétriques plissotées.	5921782	57.00	57.50	0.50	0.018
		57.48	57.60	VN QZ	Veine de QZ dans le métasédiment M4.	5921783	57.50	58.00	0.50	0.006
		57.60	58.06	CL++	Niveau fortement chloritisé associé à une roche mafique à ultramafique, possiblement V3B/I4B.					
		57.60	58.06	PO	Minéralisation en sulfures. Présence de PO (10%) en veinules centimétriques massives.					
		57.60	58.06	V3B/I4B	Roche de teinte verdâtre à grains fins à moyens, mafique à ultramafique, de dureté moyenne présentant généralement une chloritisation associée à une veine de QZ (Métapyroxénite ?). Ce niveau est riche en SF (PO).					
		58.35	58.39	VN QZ	Veine de QZ dans le métasédiment M4.					
		58.65	58.69	VN QZ	Veine de QZ dans le métasédiment M4.					
		58.79	58.82	CL+	Niveau chloritisé associé à une roche mafique à ultramafique, possiblement V3B/I4B.					
		58.79	58.82	V3B/I4B	Roche de teinte vert clair à grains fins à moyens, mafique à ultramafique, de dureté moyenne présentant généralement une chloritisation associée à une veine de QZ (Métapyroxénite ?).					
		58.82	58.89	VN QZ	Veine de QZ dans le métasédiment M4.					
		59.52	60.00	LA/OE	Dans cet intervalle, le métasédiment M4 présente une texture porphyroblastique oeilée avec des yeux de QZ et FP centimétriques.					
60.17	61.93			V3B/I4B	Roche de teinte vert clair à grains fins à moyens, mafique à ultramafique, de dureté moyenne présentant généralement une chloritisation associée à une veine de QZ (Métapyroxénite ?).					
		60.17	60.32	CL++	Niveau chloritisé associé à une roche mafique à ultramafique, possiblement V3B/I4B.					
		61.50	61.93	LA/OE	Dans cet intervalle, le métasédiment M4 présente une texture porphyroblastique oeilée avec des yeux de QZ et FP centimétriques.					
61.93	62.05			V3B/I4B	Roche de teinte vert clair à grains fins à moyens, mafique à ultramafique, de dureté moyenne présentant généralement une chloritisation associée à une veine de QZ (Métapyroxénite ?).	5921784	62.00	62.50	0.50	0.001
		61.93	62.05	CL++	Niveau chloritisé associé à une roche mafique à ultramafique, possiblement V3B/I4B.	5921785	62.50	63.00	0.50	0.021
62.05	62.65			M4/S3	Roche homogène de teinte gris foncé à grains fins à moyens composée principalement de QZ et FP avec 10 à 15% de BO. La texture relativement homogène suggère un metawacke S3.					
		62.38	62.52	PY	Minéralisation en sulfures. Présence de PY (10%) disséminée ou en amas.					

Main facies		Secondary facies		Code	Description	Sample				
From m	To m	From m	To m			Number	From m	To m	Length m	U3O8 %
62.65	65.33			T1A	Niveau hétérogène composé de 70% d'une roche de teinte blanchâtre à rosé rouge à QZ et FP et à texture pegmatitique et de 30% d'une roche gris foncé (M4 ou S3 ?). L'intervalle est parsemé de veinules millimétriques de CL et de bandes centimétriques à décimétriques hématisées (20%). La BO se concentre dans les lits millimétriques. Il pourrait s'agir d'une brèche de faille comme le suggère un mouvement apparent à 63,10 mètres de profondeur.					
		62.65	65.33	CL++	Niveau fortement chloritisé associé à une possible brèche de faille.					
		62.65	65.20	PY	Minéralisation en sulfures. Présence de PY (2%) disséminée ou en veinules millimétriques.					
		62.95	65.20	HM++	Niveau fortement hématisé associé à une possible brèche de faille.					
		63.10	63.15	F	Observation d'un mouvement apparent suggérant une faille à l'origine de la bécification de l'intervalle T1A.	5921786	63.00	63.50	0.50	0.008
		65.20	65.25	HM+++	Niveau millimétrique extrêmement hématisé.	5921788	63.50	64.00	0.50	0.010
65.33	66.13			M4	Roche homogène de teinte gris foncé traversée de 5% de veinules millimétriques de CL. Localement cette roche est riche en QZ.	5921789	64.00	64.50	0.50	0.003
		65.87	66.00	VN QZ	Veine de QZ bréchique dans le métasédiment M4.	5921790	64.50	65.00	0.50	0.005
		66.00	66.13	CL++	Niveau fortement chloritisé en veinules mm associé à une veine de QZ bréchique.	5921791	65.00	65.50	0.50	0.005
66.13	67.00			I1G/M6	Roche de teinte blanchâtre à rouge rosé de texture pegmatitique à granitique et traversée de veinules millimétriques de BO.	5921792	65.50	66.00	0.50	0.002
		66.13	66.55	HM+	Niveau hématisé en amas de teinte rouge orange associé à un dyke de I1G.	5921793	66.00	66.50	0.50	0.009
67.00	68.00			M4/S3	Roche homogène de teinte gris foncé composée majoritairement de QZ et FP avec 10 à 15% de BO et traversée de 1% de veinules millimétriques de QZ.	5921794	66.50	67.00	0.50	0.003
		67.15	67.36	CL+	Niveau chloritisé associé à une roche mafique à ultramafique, possiblement V3B/I4B.	5921795	67.00	67.50	0.50	0.001
		67.15	67.36	V3B/I4B	Roche de teinte vert clair à grains fins à moyens, mafique à ultramafique, de dureté moyenne présentant généralement une chloritisation associée à une veine de QZ (Métapyroxénite ?).	5921796	67.50	68.00	0.50	0.001
		67.55	67.65	PY	Minéralisation en sulfures. Présence de PY (8%) dans les fractures.					
68.00	68.90			M6	Roche de teinte gris moyen à rosé de texture granitique à grains fins à moyens avec 20 à 25% de BO interstitielles ou en lits millimétriques de BO discontinues.	5921797	68.00	68.50	0.50	0.008
		68.00	68.90	HM	Niveau légèrement hématisé (HM en traces).	5921798	68.50	69.90	1.40	0.009
68.90	68.90			EOH	Fin du trou.					

## Drill hole: NR-07-05

UtmX: 340625E; Grid: 0+60E  
 UtmY: 6482988N; Grid: 22+15N  
 Altitude: 10 m  
 Azimuth: 240°; Plunge: -52°  
 Depth: 81.50 m

UTM NAD27, Z20

Claim: 2033310  
 Target: Scintillometer anomaly: 7100 cps  
 Started: 2007-09-12  
 Completed: 2007-09-17  
 Zone: Tasik

Geologist: J. Walters  
 Contractor: Forage Benoît Inc.  
 Casing: NQW  
 Diameter: NQ  
 Drill rig: Atlas-Corpo

Main facies		Secondary facies		Code	Description	Sample				
From	To	From	To			Number	From	To	Length	U3O8
m	m	m	m			m	m	m	%	
0.00	3.50			MT	Mort-terrain					
3.50	3.80			M4	Roche de teinte gris moyen à foncé à grains moyens composée de QZ et FP avec 5 à 10% de BO et traversée de 10% de veinules millimétriques et veines centimétriques de QZ discontinues, parallèles à la foliation et plissotées.	Depth(m)	Azimuth (°)	dip(°)		
		3.50	3.80	FO/RU	Niveau légèrement folié marqué par les lits millimétriques de BO, angle de 85° par rapport à l'axe de la carotte.	0	240	-52		
3.80	5.00			M6/I1G	Roche de teinte gris moyen à blanchâtre, localement légèrement verdâtre, à grains fins à moyens, localement grossiers (texture granitique) avec 5% de BO.	81.49	240	-50		
		3.82	5.00	CL	Altération vert clair vraisemblablement associée au FP (CL ?).					
		3.82	5.00	PO	Présence de 2 à 5% de PO disséminée ou en veinules millimétriques.					
5.00	8.00			M4	Roche de teinte gris moyen à foncé à grains moyens composée de QZ et FP avec 5 à 10% de BO et traversée de 10% de veinules millimétriques et veines centimétriques de QZ discontinues, parallèles à la foliation et plissotées.					
		5.00	8.00	FO/RU	Niveau légèrement folié marqué par les lits millimétriques de BO, angle de 85° par rapport à l'axe de la carotte.					
		5.00	5.70	PO	Présence de 5 à 10% de PO disséminée.					
		5.70	5.95	VN QZ	Veine de QZ riche en un minéral xénomorphe beige verdâtre au niveau des épontes.					
		5.70	5.95	PO-	Présence de PO en traces.					
		5.95	8.00	PO	Présence de 5 à 10% de PO disséminée.					
		6.45	6.70	VN QZ	Veine de QZ riche en un minéral beige verdâtre au niveau des épontes. Les épontes ont une texture granitique.					
8.00	13.00			I1G	Roche de teinte rosâtre, à grains grossiers à très grossiers composée de QZ, FP dont FK (5à %) avec BO (5 à 30%) interstitielle ou en amas millimétriques ou en bandes millimétriques à centimétriques. Présence d'un minéral vert clair à brunâtre (EP ?). La roche présente une légère coloration beige verdâtre qui semble associée aux FP (SR ?, EP ?) mais aussi visible dans les interstices, entre les grains très grossiers. Présence également entre les grains de QZ et de FP non jointifs d'un minéral de teinte gris bleuté (QZ ?). Aux contacts, la granulométrie est plus fine (texture granitique). Ce niveau présente localement une texture bréchique. Ce niveau semble s'apparenter à un dyke de I1G.	5921253	8.00	8.50	0.50	0.004
		8.00	10.00	HM	Niveau légèrement hématisé (HM en traces).					
		8.00	11.00	PO	Présence de PO en traces jusqu'à 1% discontinue ou en amas millimétriques.					
		9.40	9.65	BR	Texture bréchique avec une matrice bleutée aphanitique.	5921254	8.50	9.00	0.50	0.004
		10.00	13.00	SR	Coloration vert clair à brunâtre qui semble associée aux FP. Il pourrait s'agir d'une séricitisation des FP.	5921255	9.00	9.50	0.50	0.004
		10.50	11.85	VN QZ	Veine de QZ.	5921256	9.50	10.00	0.50	0.005
13.00	14.70			M4	Roche de teinte gris moyen à foncé à matrice quartzo-feldspathique avec 10% de BO. Niveau traversé de veinules millimétriques de QZ et FP en grains moyens à grossiers dont la proportion augmente au contact avec la veine principale décimétrique de QZ et FP (I1G ?)	5921257	10.00	10.50	0.50	0.007
		14.03	14.50	MO	Présence de MO en traces	5921258	10.50	11.00	0.50	0.006
		14.03	14.50	I1G	Roche à texture pegmatitique composée de QZ et FP porphyrique et d'un minéral beige verdâtre aux épontes du dyke. Ce dernier minéral pourrait être de l'épidote EP. Présence de traces de MO.					

Main facies		Secondary facies		Code	Description	Sample				
From	To	From	To			Number	From	To	Length	U308
m	m	m	m			m	m	m	%	
		14.50	18.60	PO	Présence de PO en traces jusqu'à 1% en amas millimétriques à centimétriques interstitiels et souvent associés à la					
14.70	18.60			M6/11G	<b>Roche de teinte gris moyen à légèrement rosée à grains grossiers à très grossiers avec BO interstitielle. La BO est aussi présente en bandes millimétriques discontinues et irrégulières. La matrice de cette roche est de teinte gris bleuté et de texture aphanitique (ilicification?). La dernière section de ce niveau est de teinte blachâtre à pointements gris clair à noirs.</b>					
		15.75	16.00	SR	Niveau présentant un minéral beige verdâtre (10%) qui pourrait correspondre à SR (séricitisation) ou EP.	5921259	15.00	15.50	0.50	0.003
		17.28	17.55	M4	Roche de teinte gris foncé à texture "léopard" caractérisée par l'abondance de bandes centimétriques de QZ et FP irrégulières et plissotées (migmatization?).	5921260	15.50	16.00	0.50	0.014
		17.55	18.60	BR	Texture bréchique à QZ et FP très grossiers et une matrice silicifiée de teinte bleutée et aphanitique.	5921261	16.00	16.50	0.50	0.009
		17.55	18.60	SI+	Zone vraisemblablement silicifiée associée à une zone bréchifiée.	5921262	16.50	17.00	0.50	0.003
18.60	20.55			M4	<b>Roche de teinte gris foncé à noirâtre à matrice fine composée essentiellement de QZ (silicification?) et bréchifiée par un ensemble de veinules millimétriques interstitielles à orientations multiples (stringer) remplies d'un minéral vert clair. Des sulfures sont associés à ces veinules. Observation de rares GT (traces) en grains fins.</b>	5921264	17.00	17.50	0.50	0.005
		18.60	20.55	BR	Texture bréchique marquée par des veinules millimétriques d'orientations multiples (stringer) avec des SF associés (couleur rouille localement).	5921265	17.50	18.00	0.50	0.002
		18.60	20.55	SI+++	Zone fortement silicifiée.	5921266	18.00	18.50	0.50	0.013
		18.60	20.00	PO+	Présence de 10 à 15% de PO en stringer ou en amas millimétriques à centimétriques étirés parallèles à la foliation.	5921267	18.50	19.00	0.50	0.010
		20.00	20.55	PO+++	Présence de PO semi-massive à massive (40%).	5921268	19.00	19.50	0.50	0.002
20.55	25.65			M4/11G	<b>Formation très hétérogène présentant une granulométrie très variable de fine à très grossière riche en QZ et FP. Certains niveaux sont riches en QZ. La BO dont la proportion varie de 5 à 35% est interstitielle, en amas ou en bandes millimétriques à centimétriques. Cette formation est traversée de bandes décimétriques de texture granitique, riches en QZ au coeur et concentrées en FP et en un minéral beige verdâtre aux épontes, à pegmatitique aux contacts très diffus et bréchifiés localement.</b>	5921269	19.50	20.00	0.50	0.004
		20.55	25.00	PO	Zone minéralisée en PO présente en traces jusqu'à 1%. La PO massive est interstitielle, en amas centimétriques ou en veinules plurimillimétriques.	5921270	20.00	20.50	0.50	0.006
		21.85	22.27	PO	Texture porphyrique PO avec des gros cristaux de QZ et FP dans une matrice fine riche en BO.	5921271	20.50	21.00	0.50	0.020
		22.27	22.75	BR	Texture bréchique à veinules millimétriques d'orientations multiples (stringer) avec des SF associés (couleur rouille localement).	5921272	21.00	21.50	0.50	0.015
		23.41	23.62	VN QZ	Veine de QZ centimétrique.	5921273	21.50	22.00	0.50	0.029
		23.62	23.65	I1G/M6	Roche à texture pegmatitique de teinte blanchâtre contenant 5% de BO. Certains grains de QZ et FP ont une granulométrie. Cette roche se présente sous la forme d'une veine.	5921275	22.00	22.50	0.50	0.048
		24.76	25.65	I1G/M6	Roche à texture pegmatitique composée de QZ et FP porphyrique et d'un minéral beige verdâtre aux épontes du dyke. Ce dernier minéral pourrait être de l'épidote EP.	5921276	22.50	23.00	0.50	0.021
		25.00	26.00	PO/MO	Zone minéralisée en PO et en MO. Présence de 5 à 7% de PO en amas pluricentimétriques et de traces jusqu'à 1% de MO disséminée dans les veines de QZ et les dykes de I1G.	5921277	23.00	23.50	0.50	0.004
25.65	47.00			M4/S3	<b>Roche homogène de teinte gris moyen à foncé composée d'une matrice quartzo-feldspathique à grains fins à moyens et de 5 à 10% de BO en cristaux fins à moyens. Cette roche présente de rares changements de texture et de minéralogie. Elle est traversée par un réseau de veines et veinules de QZ (1 à 3%). Elle est moyennement à fortement magnétique et de densité élevée. L'intervalle 36,3 à 36,5 mètre présente 20 % de BO et 10% de MV.</b>	5921278	23.50	24.00	0.50	0.007
		26.00	26.50	PO	Zone minéralisée en PO massive à semi-massive.	5921279	24.00	24.50	0.50	0.005



Main facies		Secondary facies		Code	Description	Sample				
From	To	From	To			Number	From	To	Lenght	U3O8
m	m	m	m			m	m	m	%	
		26.50	27.00	PO	Zone minéralisée en PO (5 à 8%) disséminée et en cristaux fins.	5921280	24.50	25.00	0.50	0.009
		27.00	27.25	PO	Zone minéralisée en PO (10%) en amas pluricentimétriques.	5921281	25.00	25.75	0.75	0.002
		27.21	27.32	VN QZ	Veine de QZ riche en un minéral xénomorphe beige verdâtre au niveau des épontes.					
		27.25	31.15	PO	Zone minéralisée en PO présente en traces jusqu'à 1%. La PO est finement disséminée ou en amas					
		31.03	31.11	VN QZ	Veine de QZ centimétrique.					
		31.15	31.65	PO +	Zone minéralisée en PO (10 à 15%) présente en veinules plurimillimétriques discontinues ou en amas					
		31.60	31.65	VN QZ	Ensemble de deux veines de QZ centimétriques.					
		32.00	32.10	GP/MG/SP	Zone minéralisée en GP massif, MG massive et en SP (traces).					
		32.10	36.30	PO/GP	Zone minéralisée en PO et GP (traces).					
		35.05	35.15	VN QZ	Veine de QZ centimétrique.					
		35.15	36.30	SI++-SR+	Zone fortement silicifiée. Zone d'altération des porphyroblastes centimétriques de QZ et FP (séricitisation).					
		36.30	36.50	PO	Zone minéralisée en PO (5%) disséminée.					
		39.30	39.70	PQ	Texture porphyroblastique.					
		41.15	41.30	VN QZ	Veine de QZ centimétrique.					
		42.65	42.70	PO	Zone minéralisée en PO en veinules millimétriques ou en amas centimétriques (downdip).					
		45.00	45.40	VN QZ	Veine de QZ riche en un minéral xénomorphe beige verdâtre au niveau des épontes.					
		46.55	46.60	PO	Zone minéralisée en PO en amas centimétriques.					
47.00	50.00			M4/I1G	Roche de teinte blanchâtre à gris brun moyen à matrice fine à moyenne majoritairement quartzofeldspathique avec 5 à 10% de BO. L'intervalle est traversé d'un pourcentage variable de 30 à 60% de veinules et veines (millimétriques à décimétriques) d'orientation régulière. Il s'agit soit de veines de QZ avec parfois de l'EP soit des dykes de l composées G (cristaux grossiers de QZ et FP).	5921282	47.00	47.50	0.50	0.011
		49.00	49.25	I1G	Roche de teinte blanchâtre à grains très grossiers présentant 1% de BO fine interstitielle. Ce niveau semble s'apparenter à un dyke de I1G.	5921283	47.50	48.00	0.50	0.022
		49.38	49.50	I1G	Roche de teinte blanchâtre à grains très grossiers présentant 1% de BO fine interstitielle. Ce niveau semble s'apparenter à un dyke de I1G.	5921284	48.00	48.50	0.50	0.002
50.00	51.75			M4	Roche de teinte gris moyen à foncé à matrice quartzofeldspathique avec 5% de BO et 5% de GR porphyroblastique (0,5 millimètre). Il s'agit d'une roche à granulométrie fine à moyenne et localement plus grossière pour les QZ et FP (silicification ?). Ce niveau est traversé par des veinules millimétriques de QZ parallèles à la foliation.	5921286	48.50	49.00	0.50	0.002
		50.00	50.77	SI++	Zone fortement silicifiée.	5921287	49.00	49.50	0.50	0.001
		50.77	51.00	VN QZ	Veine de QZ de teinte gris clair centimétrique.	5921288	49.50	50.00	0.50	0.000
		50.77	51.00	GP	Zone riche en GP associée à une veine de QZ.	5921289	50.00	50.50	0.50	0.001
		51.00	51.45	PO	Zone minéralisée en PO (5%) en amas.	5921290	50.50	50.00	-0.50	0.060
		51.45	51.75	I1G	Roche de teinte rosâtre à grains grossiers à très grossiers avec 5% de BO interstitielle, localement 10% lorsque les grains de QZ et FP sont plus fins. Ce niveau semble s'apparenter à un dyke de I1G.	5921291	51.00	51.50	0.50	0.087
51.75	59.85			M4/I1G	Roche hétérogène à texture zébrée, de teinte noir et blanc, marquée par une alternance de bandes felsiques quartzofeldspathiques et mafiques riches en BO (40% généralement). Les bandes felsiques ont une granulométrie moyenne à très grossière alors que les bandes foncées ont une granulométrie fine à moyenne. Ces bandes dessinent un rubanement d'orientation régulière ; cependant 1 à 2% d'entre elles montrent des microplissements serrés. Les bandes felsiques représentent jusqu'à 30% de ce niveau. Leur contact est souvent flou, ces bandes ne sont pas toujours continues et régulières. Observation d'horizons riches en GP.	5921292	51.50	52.00	0.50	0.041
		53.55	54.00	I1G	Roche de teinte blanchâtre légèrement jaunie à grains moyens à très grossiers composée de QZ et FP avec 2 à 15% de BO interstitielle ou concentrée dans des lits millimétriques. Ce niveau semble s'apparenter à un dyke de I1G.	5921293	52.00	52.50	0.50	0.003

Main facies		Secondary facies		Code	Description	Sample				
From	To	From	To			Number	From	To	Lenght	U3O8
m	m	m	m				m	m		
		54.15	54.75	I1G	Roche de teinte blanchâtre légèrement jaunie à grains moyens à très grossiers composée de QZ et FP avec 2 à 15% de BO interstitielle ou concentrée dans des lits millimétriques. Ce niveau semble s'apparenter à un dyke de I1G.	5921294	52.50	53.00	0.50	0.014
		57.45	57.50	GP	Zone riche en GP massive.	5921295	53.00	53.50	0.50	0.008
		58.45	58.95	SR+	Séricitisation des FP dans les veines de I1G.					
		58.45	58.95	I1G	Ensemble de 5 veines centimétriques vaiblement d'I1G parallèles à la foliation. Roche de teinte blanchâtre à grains moyens à grossiers de QZ et FP.					
		59.20	59.35	I1G	Roche de teinte rosâtre à grains moyens à très grossiers principalement de QZ et FP (dont 5% de FK) avec 5 à 10% de BO interstitielle ou en amas centimétriques. Ce niveau semble s'apparenter à un dyke de I1G.					
		59.50	59.57	I1G	Roche de teinte rosâtre à grains moyens à très grossiers principalement de QZ et FP (dont 5% de FK) avec 5 à 10% de BO interstitielle ou en amas centimétriques. Ce niveau semble s'apparenter à un dyke de I1G.					
59.85	60.75			I1G	Roche de teinte blanchâtre à rosâtre à grains grossiers à très grossiers majoritairement de QZ et FP (dont 5% de FK) et 5% de BO interstitielle. Présence d'un minéral vert indéterminé associé aux FP ; il pourrait s'agir d'un minéral d'altération.	5921297	59.00	59.60	0.60	0.017
60.75	66.00			M4/I1G	Roche hétérogène à texture zébrée, de teinte noir et blanc, marquée par une alternance de bandes felsiques quartzo-feldspathiques et mafiques riches en BO (40% généralement).	5921298	59.60	60.00	0.40	0.007
		61.75	62.75	EQ	Niveau présentant une texture équi-granulaire à QZ, FP et BO. Les bandes felsiques sont absentes. Dans cet intervalle, la roche est de teinte gris clair avec des pointements noirâtres.	5921299	60.00	60.50	0.50	0.008
		62.85	62.95	I1G	Roche de teinte blanchâtre à grains très grossiers de QZ et FP et BO interstitielle ou concentrée au niveau des épontes. Ce niveau semble s'apparenter à un dyke de I1G.	5921300	62.25	62.75	0.50	0.021
		63.65	63.75	I1G	Roche de teinte blanchâtre à grains très grossiers de QZ et FP et BO interstitielle ou concentrée au niveau des épontes. Ce niveau semble s'apparenter à un dyke de I1G.	5921301	62.75	63.25	0.50	0.015
66.00	81.50			M4	Roche de teinte de teinte gris foncé à grains fins de QZ et FP (localement très grossiers) et de BO (5 à 20% localement). Présence de GR en traces et jusqu'à 5%. Ce niveau présente des plages irrégulières centimétriques à pluricentimétriques de QZ et FP localement à texture pegmatitique. Ces plages ont de multiples orientations et représentent 5 à 10% de l'intervalle.	5921302	64.00	64.50	0.50	0.004
		72.65	73.30	I1G	Roche de teinte blanchâtre à grains grossiers de QZ et FP traversé de veinules millimétriques de BO d'orientations multiples qui dessinent le contour des grains et de la veine. Ce niveau semble s'apparenter à un dyke de I1G.	5921303	64.50	65.00	0.50	0.017
		74.78	74.88	I1G	Roche de teinte blanchâtre à grains grossiers de QZ et FP avec moins de 1% de BO. Le contact avec la roche encaissante M4 est franc. Ce niveau semble s'apparenter à un dyke de I1G.					
		75.10	75.25	PO	Zone minéralisée en PO (5%) en veinules millimétriques associée à un dyke de I1G.					
		75.10	75.25	I1G	Roche de teinte blanchâtre à grains grossiers de QZ et FP marquée par la présence de veinules millimétriques de PO. Ce niveau semble s'apparenter à un dyke de I1G.					
		75.80	75.88	I1G	Roche de teinte blanchâtre à grains grossiers de QZ et FP. Ce niveau semble s'apparenter à un dyke de I1G.					
		76.70	77.00	VN QZ	Veine de QZ laiteux décimétrique avec de la BO en veinules millimétriques aux épontes. Présence de PO.					
		76.70	77.00	PO	Zone minéralisée en PO (1%) en amas centimétriques associée à une veine de QZ.					
		77.25	77.60	I1G	Roche de teinte blanchâtre à grains grossiers de QZ et FP avec de la BO en veinules millimétriques, en amas ou interstitielle. Observation également de micas blancs. Ce niveau semble s'apparenter à un dyke de I1G.					
		77.30	81.20	PQ	Texture porphyroblastique avec 7% de GR, des veinules de QZ boudinés et 25% de micas blancs en lits millimétriques parallèles à la foliation.					
		78.75	78.95	I1G	Roche de teinte blanchâtre à grains grossiers de QZ et FP avec de la BO en veinules millimétriques, en amas ou interstitielle. Observation également de micas blancs. Ce niveau semble s'apparenter à un dyke de I1G.					
		81.20	81.50	PO	Zone minéralisée en PO (1%).					
81.50	81.50				Fin du trou					

## Drill hole: NR-07-06

UtmX: 340660E; Grid: 0+20E  
 UtmY: 6482744; Grid: 19+75N  
 Altitude: 10 m  
 Azimuth: 250°; Plunge: -60°  
 Depth: 64.00 m

UTM NAD27 Z20

Claim: 2035305  
 Target: Scintillometer anomaly: 3300 cps  
 Started: 2007-09-17  
 Completed: 2007-09-20  
 Zone: Tasik

Geologist: J. Walters  
 Contractor: Forage Benoît Inc.  
 Casing: NQW  
 Diameter: NQ  
 Drill rig: Atlas-Corpo

Main facies		Secondary facies		Code	Description	Sample			
From m	To m	From m	To m			Number	From m	To m	Length m
0.00	5.00			MT	Mort-terrain				
5.00	6.30			S3	Roche homogène de teinte gris clair composée majoritairement de QZ et FP et de 5% de BO. Ce niveau est traversé de veinules millimétriques à centimétriques de QZ. Observation de bandes décimétriques à texture porphyroblastique. Les porphyroblastes (5%) sont blancs et fibreux et pourraient s'apparenter à SM ou des micas blancs ; ils sont tous alignés.	Depth(m)	Azimuth (°)	dip(°)	
						0	250	-60	
						64.13	250	-60	
		5.00	6.30	SI++	Niveau fortement silicifié.				
6.30	24.25			M4/I1G	Roche à texture zébrée, de teinte noir et blanc, marquée par une alternance de bandes felsiques quartzo-feldspathiques millimétriques à centimétriques et de bandes mafiques à BO et GR (1 à 5%). Le début de l'intervalle est caractérisé par une fine lamination. Par la suite, les bandes s'épaississent. Généralement, les bandes felsiques sont à grains moyens à très grossiers contrairement aux bandes mafiques à grains plus fins. Ces dernières peuvent renfermer jusqu'à 40% de BO. Les bandes dessinent un rubanement d'orientation régulière et ondulé. La texture observée suggère un boudinage. Certaines sections de l'intervalle présentent jusqu'à 70% de matériel elsique entrecoupé par des millimétriques de BO. Cet intervalle est aussi traversé de bandes centimétriques à décimétriques typiquement pegmatitiques avec de la BO interstitielle.				
		6.30	9.25	LA	Texture finement laminée. Alternance de bandes millimétriques claires (QZ, FP et micas blancs) et noirâtres (BO).				
		7.95	8.11	I1G	Roche à grains très grossiers de QZ et FP avec de la BO (2%) interstitielle. Ce niveau semble s'apparenter à un dyke de I1G.				
		10.50	10.70	I1G	Roche de teinte rosâtre à grains très grossiers de QZ et FP (dont 5 à 7% FK). Ce niveau semble s'apparenter à un dyke de I1G.				
		10.90	11.05	I1G	Roche de teinte rosâtre à grains très grossiers de QZ et FP (dont 5 à 7% FK). Ce niveau semble s'apparenter à un dyke de I1G.				
		14.75	14.95	PO	Zone minéralisée en PO (traces) en amas millimétriques associés à un dyke de pegmatite.				
		14.75	14.95	I1G	Roche de teinte blanchâtre à grains moyens (au niveau des épontes) à grossiers avec 5% de BO interstitielle et de la PO en traces. Ce niveau semble s'apparenter à un dyke de I1G.				
		19.60	19.75	CL+	Niveau chloritisé associé à une roche mafique à ultramafique, possiblement V3B/I4B.				
		19.60	19.75	V3B/I4B	Roche de teinte vert foncé à grains moyens (PX, AM ?), mafique à ultramafique, de dureté moyenne présentant généralement une chloritisation (Métagyroxénite ?).				
		19.75	20.00	M4	Roche homogène de teinte gris foncé à grains fins de QZ, FP et BO (5%).				
		20.00	20.35	SR+	Zone d'altération des FP (séricitisation) dans un dyke de I1G.				
		20.00	20.35	I1G	Roche de teinte blanchâtre à grains très grossiers de QZ et FP avec 1% de BO interstitielle. Les FP sont séricitisés. Ce niveau semble s'apparenter à un dyke de I1G.				
		20.95	21.00	I1G	Niveau centimétrique à matrice translucide riche en QZ avec 5% de FP et 1% de BO interstitielle. Ce niveau semble s'apparenter à un dyke de I1G.				
		21.35	21.45	I1G	Roche de teinte blanc laiteux à grains grossiers de QZ et FP avec 5% de BO interstitielle. Ce niveau semble s'apparenter à un dyke de I1G.				
		21.90	22.60	M4/S3	Roche homogène de teinte gris foncé à matrice quartzo-feldspathique avec 10% de BO et traversée de 5% de veinules et veines de QZ et FP parallèles à la foliation.				

Main facies		Secondary facies		Code	Description	Sample				
From	To	From	To			Number	From	To	Length	U308
m	m	m	m			m	m	m	%	
		23.35	23.60	SR+	Zone d'altération des FP (séricitisation) dans un dyke de I1G.	5921307	22.00	22.50	0.50	0.001
		23.35	23.60	I1G	Roche hétérogène de teinte blanc laiteux à grains grossiers de QZ et FP avec de la BO interstitielle ou en veinules centimétriques. Ce niveau semble s'apparenter à un dyke de I1G.	5921308	22.50	23.00	0.50	0.001
		23.90	24.25	I1G	Roche à matrice riche en QZ avec 10% de BO interstitielle. Ce niveau semble s'apparenter à un dyke de I1G.	5921309	23.00	23.50	0.50	0.004
24.25	26.50			M4	Roche homogène de teinte gris foncé à matrice quartzo-feldspathique fine avec 10 à 15% de BO et traversée de 1 à 2% de veinules et veines de QZ et FP irrégulières et parallèles à la foliation.	5921310	23.50	24.00	0.50	0.017
		24.50	24.50	PO	Zone minéralisée en PO (1%) dans des veinules de QZ.	5921311	24.00	24.50	0.50	0.011
		25.25	25.50	CL+	Niveau chloritisé associé à une roche mafique à ultramafique, possiblement V3B/I4B.	5921312	24.50	25.00	0.50	0.000
		25.25	25.50	V3B/I4B	Roche de teinte vert foncé à grains moyens (PX, AM ?), mafique à ultramafique, de dureté moyenne présentant généralement une chloritisation (Métapyroxénite ?).	5921313	25.00	25.50	0.50	0.000
		25.50	25.60	VN QZ	Veine de QZ laiteux.	5921314	25.50	26.00	0.50	0.000
26.50	28.50			M4/I1G	Roche à texture zébrée, de teinte noir et blanc, marquée par une alternance de bandes felsiques millimétriques à centimétriques (QZ et FP) et mafiques (BO). Ce niveau est dépourvu de GR. Les bandes felsiques représentent 30 à 40% de l'intervalle. La BO est localement présente en veinules millimétriques. Ce niveau est traversé de r% de veinules de QZ translucide.	5921315	26.00	26.50	0.50	0.001
		28.00	28.15	SR+	Zone d'altération des FP (séricitisation) dans un dyke de I1G.	5921316	26.50	27.00	0.50	0.017
		28.00	28.15	I1G	Roche de teinte blanc laiteux à grains grossiers de QZ et FP avec 2% de BO interstitielle. Ce niveau semble s'apparenter à un dyke de I1G.	5921318	27.00	27.50	0.50	0.004
28.50	30.25			I1G	Intervalle correspondant à un axe de pli métrique dans lequel est injectée une roche à grains grossiers de QZ et FP (I1G). Les flancs présentent une alternance de bandes centimétriques de métasédiment M4 (40% de l'intervalle) et de I1G (60% de l'intervalle) à grains moyens avec 1 à 5% de BO interstitielle.	5921319	27.50	28.00	0.50	0.016
		28.50	29.50	PO	Zone minéralisée en PO (1%) disséminée, souvent associée à la BO.	5921320	28.00	28.50	0.50	0.015
		29.25	29.35	VN QZ	Veine de QZ laiteux.	5921321	28.50	29.00	0.50	0.002
30.25	34.59			M4	Roche à grains fins à grossiers à matrice quartzo-feldspathique avec 15% de BO. La matrice est hétérogène d'un point de vue granulométrique. L'intervalle est injecté de veines de QZ et de dykes centimétriques de I1G. Certaines portions sont très riches en QZ translucides avec 5% de FP, d'autres sont riches en QZ laiteux avec 20 à 30% de FP. Ces deux lithologies sont associées. La teinte générale de cet intervalle est gris foncé avec des pointements gris clair.	5921322	29.00	29.50	0.50	0.001
		30.25	30.90	I1G	La partie supérieure (30,25 à 30,90 mètres) de ce niveau est caractérisée par une roche composée de QZ translucide et de FP (5%). Il pourrait s'agir de QZ d'exsudation. La partie inférieure (30,90 à 31) est caractérisée par du QZ laiteux et une plus grande proportion de FP (20 à 25%). Globalement, ce niveau semble s'apparenter à un	5921323	29.50	30.00	0.50	0.001
		30.90	31.00	SR++	Zone d'altération des FP (séricitisation) dans un dyke de I1G.	5921324	30.00	30.50	0.50	0.009
		31.25	32.75	I1G	La partie supérieure (31,25 à 32,50 mètres) de ce niveau est caractérisée par une roche composée de QZ translucide et de FP (5%). Il pourrait s'agir de QZ d'exsudation. La partie inférieure (32,50 à 32,75) est caractérisée par du QZ laiteux et une plus grande proportion de FP (20 à 25%). Globalement, ce niveau semble s'apparenter à un	5921325	30.50	31.00	0.50	0.007
		32.50	32.75	SR++	Zone d'altération des FP (séricitisation) dans un dyke de I1G.	5921326	31.00	31.50	0.50	0.013
		33.10	33.25	I1G	Roche composée de QZ laiteux avec des FP et 5% de BO au niveau des épontes. Ce niveau semble s'apparenter à un dyke de I1G.	5921327	31.50	32.00	0.50	0.041
		34.35	34.50	I1A	Roche de teinte blanchâtre légèrement verdâtre à grains fins à moyens composée à 95% de QZ et FP et 5% de BO, à texture granitique.	5921328	32.00	32.50	0.50	0.014
34.59	35.25			I1B	Roche de teinte blanchâtre légèrement verdâtre à grains fins à moyens composée à 95% de QZ et FP et 5% de BO, à texture granitique.	5921329	32.50	33.00	0.50	0.001



Main facies		Secondary facies		Code	Description	Sample			
From	To	From	To			Number	From	To	Length
m	m	m	m			m	m	m	%
		34.59	35.25	SR+	Zone d'altération des FP (séricitisation) dans un dyke de I1B.				
35.25	46.00			M4/I1A	Roche caractérisée par l'alternance de bandes centimétriques à décimétriques blanchâtres et de bandes gris clair à gris foncé. Les niveaux blanchâtres (30% de l'intervalle) sont laminés relativement homogènes et réguliers. Ils sont constitués de 95% de QZ et FP (dont 5% de FK) et de 5% de BO. Les FP sont généralement séricitisés. La proportion de veinules enrichies en BO est variable. Ces niveaux sont parallèles à la foliation. Des veines de QZ y sont parfois associées. Les bandes gris clair à gris foncé (70% de l'intervalle) ont une granulométrie fine à moyenne. Ces bandes sont elles aussi finement laminées par des veinules de QZ régulières. Elles pourraient être le fruit d'une recristallisation (QZ à point triple plus grossier). Cet intervalle est par ailleurs traversé des dykes de I1G (roche à granulométrie grossière).				
		42.05	42.35	I1G	Roche de teinte blanchâtre à grains très grossiers de QZ et FP avec 10 à 20% de BO interstitielle ou en veinules millimétriques. Ce niveau semble s'apparenter à un dyke de I1G.				
		42.85	43.25	I1G	Roche de teinte blanchâtre à grains très grossiers de QZ et FP avec 10 à 20% de BO interstitielle ou en veinules millimétriques. Ce niveau semble s'apparenter à un dyke de I1G.				
		44.92	45.25	I1G	Roche de teinte blanchâtre à grains très grossiers de QZ et FP avec 10 à 20% de BO interstitielle ou en veinules millimétriques. Ce niveau semble s'apparenter à un dyke de I1G.				
		45.00	45.05	PO	Zone minéralisée en PO (traces) en amas.				
46.00	64.00			M4/I1A	Roche caractérisée par l'alternance de bandes centimétriques à métriques blanchâtres et de bandes gris clair à gris foncé. Les niveaux blanchâtres (50% de l'intervalle) sont laminés relativement homogènes et réguliers. Ils sont constitués de 95% de QZ et FP (dont 5% de FK) et de 5% de BO. Les FP sont généralement séricitisés. La proportion de veinules enrichies en BO est variable. Ces niveaux sont parallèles à la foliation. Des veines de QZ y sont parfois associées. Les bandes gris clair à gris foncé (50% de l'intervalle) ont une granulométrie fine à moyenne. Ces bandes sont elles aussi finement laminées par des veinules de QZ régulières. Elles pourraient être le fruit d'une recristallisation (QZ à point triple plus grossier). Cet intervalle est par ailleurs traversé des dykes de I1G (roche à granulométrie grossière). Les 14 derniers mètres sont caractérisés par la présence de FK et EP ce qui confère à certaines bandes une teinte rosâtre à verdâtre. Il est également à noter la présence de SF en grains fins disséminés.				
		47.25	47.50	PO	Zone minéralisée en PO (5 à 7%) en stringer millimétriques.				
64.00	64.00				Fin du trou				

## Drill hole: NR-07-07

UtmX: 340627E; Grid: 0+25W  
 UtmY: 6482687; Grid: 19+25N  
 Altitude: 10 m  
 Azimuth: 240°; Plunge: -50.5°  
 Depth: 90.43 m

UTM NAD 27 220

Claim: 2035305  
 Target: Scintillometer anomaly: 3800 cps  
 Started: 2007-09-20  
 Completed: 2007-09-24  
 Zone: Tasik

Geologist: J. Walters  
 Contractor: Forage Benoit Inc.  
 Casing: NQW  
 Diameter: NQ  
 Drill rig: Atlas-Corpo

Main facies		Secondary facies		Code	Description	Sample				
From	To	From	To			Number	From	To	Length	U3O8
m	m	m	m			m	m	m	%	
0.00	2.20			MT	Mort-terrain					
2.20	6.75			M4/I1G	Roche à texture zébrée, de teinte noir et blanc, marquée par une alternance de bandes centimétriques felsiques (60% de l'intervalle) quartzo-feldspathiques et mafiques (40% de l'intervalle) riches en BO. Présence de GR en traces à la profondeur de 6,10 mètres.	Depth(m)	Azimuth (°)	dip(°)		
						0	240	-50.5		
						90.43	240	-50		
6.75	8.75			I1G/M6	Roche de teinte blanchâtre à grains grossiers voire très grossiers (texture pegmatitique). La partie inférieure présente une granulométrie moyenne et la teinte de la roche est gris vert clair. Ce niveau à texture plus granitique semble chloritisé, séricitisé et épidotisé (présence d'un minéral de teinte vert forêt à vert menthe).					
		6.75	7.25	I1G	Roche de teinte blanchâtre à grains moyens à très grossiers. La BO est ici présente en traces. Ce niveau semble s'apparenter à un dyke de I1G.					
		7.25	8.75	CL+	Zone chloritisée associée au niveau I1G/M6.					
		7.25	10.00	SR+/EP+	Zone d'altération des FP (séricitisation) concernant deux niveaux lithologiques distincts I1G/M6 et M4/I1G. Ces deux unités renferment un minéral de teinte vert forêt à vert menthe qui pourrait s'apparenter à de l'épidote.					
		7.25	9.00	PO	Zone minéralisée en PO (traces à 1%). Localement, dans le niveau M4/I1G, la teneur en PO peut s'élever de 5 à 7% et la minéralisation se présente alors sous la forme d'amas ou de stringer millimétriques.					
		7.25	8.75	M6	Roche à grains moyens de couleur gris vert clair. Ce niveau semble s'apparenter à un dyke de M6.					
8.75	10.60			M4/I1G	Roche homogène de teinte gris clair (SI+) à moyen traversées de veinules à texture pegmatitique à grains fins à moyens de QZ et FP (90%), BO (5%) et SF (5%). La partie supérieure de cet intervalle est silicifiée, séricitisée et épidotisée (présence d'un minéral de teinte vert forêt à vert menthe)	5921381	10.00	10.50	0.50	0.009
		10.00	10.60	SI+	Zone silicifiée concernant deux niveaux lithologiques distincts I1G/M6 et M4/I1G.	5921382	10.50	11.00	0.50	0.002
10.60	13.75			M4/I1G/M22	Roche à texture zébrée, de teinte noir et blanc, marquée par une alternance de bandes centimétriques felsiques (40% de l'intervalle) quartzo-feldspathiques et mafiques (60% de l'intervalle) riches en BO. La matrice de ce niveau est à grains fins à moyens de composition quartzofeldspathique. Les anomalies en U mesurées sont liées aux lits millimétriques de BO et un autre minéral de teinte noire, sans clivage apparent, associé à la BO interstitielle. Il pourrait s'agir de PB (oxyde) ou d'AL, minéral accessoire des pegmatites granitiques.	5921383	11.00	11.50	0.50	0.004
		11.50	11.60	CL++	Zone fortement chloritisée en lien avec une zone faillée.	5921384	11.50	12.00	0.50	0.015
		11.50	11.60	F/BR	Brèche de faille. Roche à matrice foncée riche en QZ, FP et BO à grains fins à très grossiers.	5921385	12.00	12.50	0.50	0.003
		12.50	13.50	PO/PB/AL	Zone minéralisée en SF (PO en traces jusqu'à 2%) associés à la BO. Zone également minéralisée en Uranium (PB ou AL ?).	5921386	12.50	13.00	0.50	0.001
13.75	15.17			M4/I1G	Roche homogène de teinte gris foncé à QZ, FP et BO (15%) et traversée de bandes aux contacts francs composées de grains grossiers de QZ et FP et de lits millimétriques de BO.	5921387	13.00	13.50	0.50	0.007

Main facies		Secondary facies		Code	Description	Sample				
From	To	From	To			Number	From	To	Length	U3O8
m	m	m	m			m	m	m	%	
15.17	18.00			I1G	Roche de teinte gris rose composée de grains très grossiers de QZ et FP (dont 5 à 7% de FK), et de 1 à 3% de BO interstitielle ou en lits millimétriques. Le pic de radioactivité est lié à une bande centimétrique de BO à laquelle est associé un minéral noir à éclat métallique et non magnétique. A l'instar de la BO, ce minéral noir est aussi interstitiel.	5921388	13.50	14.00	0.50	0.003
		16.20	16.47	M4	Roche homogène de teinte gris foncé à grains fins à moyens de QZ, FP et composée de 5% de BO.	5921389	14.00	14.50	0.50	0.001
		16.47	16.63	CL++	Niveau fortement chloritisé associé à une roche mafique à ultramafique, possiblement V3B/I4B.	5921390	14.50	15.00	0.50	0.007
		16.47	16.63	V3B/M16	Roche de teinte vert foncé à grains moyens (PX, AM ?), mafique à ultramafique, de dureté moyenne présentant généralement une chloritisation (Métapyroxénite ?).	5921391	15.00	15.50	0.50	0.015
		16.63	18.00	PO	Zone minéralisée en PO (traces à 2%) disséminée, en veinules ou en amas millimétriques.	5921392	15.50	16.00	0.50	0.033
18.00	18.85			M4/I1G	Roche homogène de teinte gris foncé à QZ, FP et BO (15%) et traversée de bandes centimétriques à décimétriques à grains grossiers de QZ et FP avec 20 à 30% de BO interstitielle.	5921393	16.20	16.75	0.55	0.002
		18.00	18.85	SI+	Zone silicifiée.	5921394	16.75	17.25	0.50	0.049
18.85	19.60			V3B/M16	Roche de teinte verdâtre à noir à grains fins à moyens (PX, AM ?), mafique à ultramafique, de dureté moyenne (Métapyroxénite V3B ou amphibolite M16 ?)	5921395	17.25	18.00	0.75	0.051
19.60	22.25			I1G	Roche de teinte blanchâtre à grains grossiers à très grossiers de QZ et FP avec 5% de BO interstitielle. Ce niveau est traversé par une bande décimétrique de métasédiment M4 riche en BO. Localement ce niveau a des teintes rosâtres (présence de 2 à 5% de FK) ou vert clair (chloritisation).	5921396	18.00	18.50	0.50	0.008
		19.60	22.25	SR+/CL+	Zone d'altération des FP (séricitisation) associés à un dyke de I1G. Ce même niveau présente également une chloritisation surtout localisée dans les microf fractures.	5921397	18.50	19.00	0.50	0.002
22.25	26.75			M4	Roche homogène à finement laminée de teinte gris clair à composée majoritairement de QZ, FP ainsi que de 5% de BO. Localement les cristaux de QZ et FP sont grossiers. L'intervalle est traversé de veines de QZ ou de dykes pegmatitiques centimétriques avec ou sans FK aux contacts généralement diffus. Certaines bandes felsiques snt plissotées.					
		22.25	26.75	SI+	Zone silicifiée.					
		22.25	26.75	PY	Zone minéralisée en PY (traces jusqu'à 1%) disséminée et associée au métasédiment M4.					
		23.70	24.07	VN QZ	Veine de QZ laiteux aux contacts francs.					
		25.75	26.00	I1G	Roche de teinte blanchâtre à rosâtre à grains très grossiers de QZ et FP avec 1% de BO. Ce niveau semble s'apparenter à un dyke de I1G.					
26.75	28.20			I1G	Roche de teinte blanchâtre à verdâtre à texture bréchique composée de grains très grossiers de QZ et FP microfracturés avec remplissage de CL. Cette roche comporte également 5 à 7% de BO et un autre minéral verdâtre indéterminé. Ce niveau est traversé par des bandes centimétriques de QZ.	5921399	26.00	26.50	0.50	0.002
		26.75	27.65	CL+	Niveau chloritisé (5 à 7% de CL interstitielle ou dans des microf fractures).	5921400	26.50	27.00	0.50	0.001
		26.75	27.65	PY/MO	Zone minéralisée en PY (traces jusqu'à 1%) dans les microf fractures. Observation également de MO en traces.					
		27.65	27.75	M4	Roche homogène à finement laminée de teinte gris clair à gris moyen composée majoritairement de QZ, FP ainsi que de 5% de BO. Localement les cristaux de QZ et FP sont grossiers. L'intervalle est traversé de veines de QZ ou de dykes pegmatitiques centimétriques avec ou sans FK aux contacts généralement diffus. Certaines bandes felsiques snt plissotées.	5921401	27.00	27.75	0.75	0.003
		27.75	28.20	SR+	Zone d'altération des FP (séricitisation) associés à un dyke de I1G.	5921402	27.75	28.50	0.75	0.015

Main facies		Secondary facies		Code	Description	Number	Sample			
From	To	From	To				From	To	Length	U3O8
m	m	m	m				m	m	m	%
28.20	31.05			M4	Roche finement laminée de teinte gris clair à gris moyen composée à grains fins à moyens parfois grossiers de QZ, FP et BO (10%) disséminée ou en bandes millimétriques. Ce niveau est traversé par des veinules de QZ ou des dykes pegmatitiques millimétriques aux contacts généralement diffus. Ces bandes felsiques représentent localement 30% de la roche.	5921403	28.50	29.00	0.50	0.000
		28.20	31.05	SI+	Zone silicifiée.					
		28.20	30.00	PY	Zone minéralisée en PY (traces jusqu'à 1%) disséminée et associée au métasédiment M4.					
		29.00	29.07	I1G	Roche de teinte blanchâtre à grains très grossiers de QZ et FP. Ce niveau semble s'apparenter à un dyke de I1G.	5921404	29.00	29.50	0.50	0.001
		30.00	30.15	PB/AL	Zone minéralisée en Uranium (PB ou AL ?) dans un dyke de I1G.	5921405	29.50	30.00	0.50	0.001
		30.00	30.15	I1G	Roche de teinte blanchâtre à grains très grossiers de QZ et FP. Ce niveau semble s'apparenter à un dyke de I1G. Cette roche est également composée de 5% de BO associée à un minéral noir (oxyde ?) en veinules millimétriques ou disséminés. Le minéral noir semble être le marqueur de la minéralisation en U, il pourrait s'agir de PB ou d'AL.	5921406	30.00	30.50	0.50	0.009
31.05	33.50			V3B/M16	Roche de teinte verdâtre à noir à grains fins à moyens (PX et AM ?), mafique à ultramafique, de dureté moyenne (Métaproxénite V3B ou amphibolite M16 ?). Ce niveau est traversé par des veinules millimétriques à centimétriques de QZ et possiblement d'AM.	5921407	30.50	31.00	0.50	0.001
		31.41	33.00	PB/AL	Zone minéralisée en Uranium (PB ou AL ?) dans un dyke de I1G.	5921408	31.00	31.50	0.50	0.000
		31.41	33.00	I1G	Roche de teinte blanchâtre à grains très grossiers de QZ et FP avec 5 à 10% de BO interstitielle et surtout concentrée au niveau des éponges. Ce niveau semble s'apparenter à un dyke de I1G. Ce dyke est minéralisé en U avec des valeurs à 900 cps. Le marqueur de cette minéralisation correspond aux éponges du dyke de I1G riche en BO et surtout marqué par la présence d'un minéral gris noir clivé et de dureté élevée (PB, AL ?).	5921410	31.50	32.00	0.50	0.000
33.50	36.40			M4	Roche homogène à finement laminée de teinte gris clair à gris moyen composée de grains fins à moyens de QZ, FP et BO (5%). Localement les cristaux de QZ et FP sont plus grossiers. Ce niveau est traversé par des veinules de QZ ou des dykes pegmatitiques aux contacts francs à diffus.	5921411	32.00	32.40	0.40	0.000
		33.50	34.50	SI+	Zone silicifiée.	5921412	32.40	33.00	0.60	0.048
		34.50	34.88	SR+	Zone d'altération des FP (séricitisation) associés à un dyke de I1G/I1A.					
		34.50	34.88	I1G/I1A	Roche de teinte blanchâtre à vert clair composée de QZ et FP en grains fins à moyens voire grossiers. Au niveau des éponges, le QZ est d'aspect laiteux. Ce niveau semble s'apparenter à un dyke de I1G à texture granitique ou I1A.					
36.40	37.45			I1G/I1A	Roche de teinte blanchâtre à vert clair composée de QZ et FP en grains fins à moyens voire grossiers. Au niveau des éponges, le QZ est d'aspect laiteux. Ce niveau semble s'apparenter à un dyke de I1G à texture granitique ou I1A.					
		36.40	37.45	SR+	Zone d'altération des FP (séricitisation) associés à un dyke de I1G/I1A.					
37.45	39.40			M4	Roche homogène de teinte gris clair à gris moyen composée à grains fins à moyens de QZ, FP et BO. Ce niveau présente une légère gneissosité marquée par la présence de 10 à 12% de bandes parfois plissées à grains moyens à très grossiers de QZ, FP et BO.					
		37.45	39.40	Si+	Zone silicifiée.					
		37.45	39.40	PO	Zone minéralisée en PO (traces jusqu'à 1%) disséminée.					
39.40	41.15			I1G	Roche de teinte blanchâtre à légèrement rosée à pointements noirs à grains moyens à très grossiers de QZ et FP et avec 5 à 15% de BO interstitielle. Les contacts sont francs à diffus.					
		40.15	40.45	M4	Roche finement laminée de teinte gris clair composée de grains moyens de QZ, FP et BO (10%) et traversée par des veinules millimétriques de QZ et FP.					
		40.45	41.15	SR+	Zone d'altération des FP (séricitisation) associés à un dyke de I1G.					



Main facies		Secondary facies		Code	Description	Sample			
From	To	From	To			Number	From	To	Length
m	m	m	m			m	m	m	%
41.15	52.00			M4/I1G	Roche présentant une alternance de bandes centimétriques à décimétriques riches en QZ et FP et de texture granitique (idem intervalle 34,5 - 34,88 mètres) à pegmatitique (idem intervalle 39,4 - 41,15 mètres) et de bandes centimétriques à décimétriques homogènes finement laminées de teinte gris clair (idem intervalle 37,45 - 39,4 mètres). Certaines bandes felsiques (40%) sont plissotées.				
		44.13	44.17	PO	Zone minéralisée en PO (5%) disséminée.				
52.00	60.75			M6/M3	Intervalle laminé à orthogneissique. Alternance de bandes rose orange millimétriques à décimétriques aux contacts généralement nets et francs (30 à 40%) et de bandes centimétriques à décimétriques de teinte gris foncé légèrement foncé à QZ, FP (dont FK) et BO (10à 15%) séricitisée. Les bandes felsiques ont une granulométrie moyenne à grossière, localement pegmatitique. Observation de plusieurs axes de pli centimétriques.				
60.75	62.00			I1G	Roche de teinte rose rouge à grains très grossiers microfracturés et hématisés. La BO n'est pas visible dans les interstices. Les épontes de ce dyke d'I1G présentent une texture plus granitique.				
		60.75	61.92	HM+	Niveau hématisé au niveau des microfractures dans un dyke de I1G.				
		61.92	63.00	EP+	Niveau épidotisé.				
62.00	90.43			M6/M3	Intervalle laminé à orthogneissique. Alternance de bandes rose orange millimétriques à décimétriques aux contacts généralement nets et francs (30 à 40%) et de bandes centimétriques à décimétriques de teinte gris foncé légèrement foncé à QZ, FP (dont FK) et BO (10à 15%) séricitisée. Les bandes felsiques ont une granulométrie moyenne à grossière, localement pegmatitique. Observation de plusieurs axes de pli centimétriques.				
90.43	90.43			EOH	Fin du trou				

## Drill hole: NR-07-08

UtmX: 349995E; Grid: 0+25E  
 UtmY: 6499995; Grid: 22+90N  
 Altitude: 10 m  
 Azimuth: 190°; Plunge: -68°  
 Depth: 44.90 m

UTM NAD 27, 220

Claim: 2004034  
 Target: Scintillometer anomaly: 1750 cps  
 Started: 2007-09-24  
 Completed: 2007-09-27  
 Zone: Jonas

Geologist: J. Walters  
 Contractor: Forage Benoît Inc.  
 Casing: NQW  
 Diameter: NQ  
 Drill rig: Atlas-Corpo

Main facies		Secondary facies		Code	Description	Sample				
From m	To m	From m	To m			Number	From m	To m	Length m	U3O8 %
0	1.3			MT	Mort-terrain					
1.3	6.25			M6/I1G	Roche de teinte poivre et sel à gris clair à grains fins à moyens de QZ et FP avec 10 à 15% de BO (composition granodioritique). Cette roche présente une texture gneissique (BO étirée en bandes millimétriques. Elle est traversée par des veines de QZ et de I1G millimétriques à centimétriques.					
		3.5	3.85	OF+	Zone oxydée associée au dyke de I1G.					
		3.5	3.85	I1G	Roche à grains très grossiers de QZ et FP avec 1% de BO interstitielle. Observation d'une patine rouillée entre les grains. Ce niveau semble s'apparenter à un dyke de I1G.					
6.25	6.5			I1G	Roche de teinte rosée à grains très grossiers de QZ et FP (dont 5% FK) avec 1 à 5% de BO. Ce niveau semble s'apparenter à un dyke de I1G.					
6.5	28.33			M6/I1D	Roche à texture quasiment identique à l'intervalle 1,3 - 6,25 mètres avec des passées de teinte gris moyen décimétriques plus homogènes. Texture gneissique avec jusqu'à 35% de BO. La granulométrie est plus fine. Localement, la roche est plus déformée. Ce niveau renferme moins de FP. Il est traversé par des veinules millimétriques à centimétriques de QZ laiteux et de dykes d'I1G. Certaines sections présentent des changements texturaux et minéralogiques. Généralement, le pourcentage de QZ et FP augment jusqu'à 80% conférant à la roche une couleur blanc crème (bandes centimétriques à pluridécimétriques).					
		7.05	7.25	I1G	Roche de teinte rosée à grains très grossiers de QZ et FP (dont 10% FK) avec 1 à 2% de BO. Ce niveau semble s'apparenter à un dyke de I1G.					
		10.68	10.72	VN QZ	Veine de QZ laiteux aux contacts francs.					
		11.75	12.35	I1G	Roche de blanc laiteux à grains grossiers à très grossiers de QZ et FP. Ce niveau semble s'apparenter à un dyke de I1G.					
		12.95	13.25	I1B	Ensemble de deux dykes à grains fins à moyens de QZ et FP. Ce niveau semble s'apparenter à des dykes de I1B.					
		14.67	15.1	I1G	Roche à grains grossiers de QZ (translucide dans les 20 premiers centimètres) et FP avec 5 à 7% de BO. Ce niveau semble s'apparenter à un dyke de I1G.					
		16.17	16.45	M4	Roche de teinte gris foncé homogène contenant 10% de BO. Ce niveau semble s'apparenter à un niveau de métasédiment M4.					
		17.25	17.5	CL+	Zone chloritisée associée au niveau M6/I1D.					
		20.65	20.85	I1G	Roche à grains fins à très grossiers de QZ et FP aux contacts diffus. Ce niveau semble s'apparenter à un dyke de I1G.					
		22	22.25	I1G	Zones à multiples bandes centimétriques à texture pegmatitique (dykes de I1G).					
		23.13	23.21	I1G	Roche de teinte blanchâtre à grains fins à grossiers de QZ et FP aux contacts francs. Ce niveau semble s'apparenter à un dyke de I1G.					
		23.75	23.8	VN QZ	Veine de QZ laiteux.					
		26.36	26.5	HM++/CL++	Zone fortement hématisée conférant à la roche une teinte orange rouge vif. L'hématisation affecte essentiellement les FK dont la proportion atteint 30%. Ce niveau est également fortement chloritisé.					
		26.5	27.75	HM+	Niveau où les FK sont légèrement hématisés. La proportion des FK atteint ici 15%.					
		27.75	28	HM++/CL++	Zone fortement hématisée conférant à la roche une teinte orange rouge vif. L'hématisation affecte essentiellement les FK dont la proportion atteint 30%. Ce niveau est également fortement chloritisé.					
28.33	28.79			I1G	Roche de teinte rosée à rougeâtre à grains fins à très grossiers avec 5 à 10% de BO interstitielle. Ce niveau semble s'apparenter à un dyke de I1G.					

Main facies		Secondary facies		Code	Description	Sample				
From	To	From	To			Number	From	To	Length	U3O8
m	m	m	m			m	m	m	%	
		28.33	28.79	HM++	Niveau fortement hématisée au niveau des épontes. L'hématisation affecte essentiellement les FK dont la proportion atteint 20%.					
28.79	30.97			V3B/M16	Roche homogène de teinte gris vert foncé riche en AM avec 1% de veinules millimétriques à centimétriques de CL.					
		28.79	30.97	CL++	Niveau fortement chloritisé.					
30.97	32.75			I1G	Roche de teinte blanchâtre à orange rouge vif (hématisation) à grains très grossiers avec 5 à 10% de BO interstitielle. L'intervalle est micro-fracturé avec un remplissage de CL.	5921416	31.00	31.75	0.75	0.012
		30.97	32.75	HM++/CL++	Zone fortement hématisée conférant à la roche une teinte orange rouge vif. L'hématisation affecte essentiellement les FK dont la proportion atteint 20%. Ce niveau est également fortement chloritisé, la CL étant en remplissage de micro-fractures.	5921417	31.75	32.25	0.50	0.024
32.75	41.25			M6/M4	Roche à texture poivre et sel gneissique de teinte gris moyen légèrement rosé à QZ, FP (dont 5 à 10% en moyenne de FK) et BO. Plusieurs variations texturales sont observées. Certaines sections sont plus déformées et présentent une granulométrie fine et une légère lamination. Apparition de plages blanchâtres pluricentimétriques autour de 40 mètres de profondeur. L'intervalle est traversé par des bandes de I1G pluricentimétriques.	5921418	32.25	33.00	0.75	0.001
		38	38.25	HM+++/SI+++	Zone extrêmement hématisée conférant à la roche une teinte orange rouge vif. L'hématisation affecte essentiellement les FK dont la proportion atteint 20 à 25%. De plus ce niveau est très silicifié.	5921419	33.00	33.50	0.50	0.001
41.25	43			I1G	Roche de teinte rose crème à grains grossiers à très grossiers de QZ et FP (dont 45% de FK) avec 5 à 10% de BO. Localement, des micro-veinules semblent remplies de CL (moins de 1%).	5921420	33.50	34.25	0.75	0.000
		41.5	41.5	CL	Présence de CL en remplissage de micro-veinules.	5921421	41.50	42.00	0.50	0.005
43	44.9			M6/M4	Roche à texture poivre et sel avec des bandes centimétriques à décimétriques blanchâtre. La granulométrie de la roche est fine à moyenne de composition quartzo-feldspathique avec de la BO. Ce niveau est traversé par des bandes de roches à texture pegmatitique (I1G) centimétriques.	5921422	42.00	42.50	0.50	0.006
		43.25	43.5	I1G	Roche de teinte blanchâtre à grains très grossiers de QZ et FP. Ce niveau semble s'apparenter à un dyke de I1G.	5921423	42.50	43.00	0.50	0.007
		43.5	43.6	CL	Présence de veinules de CL millimétriques recoupant la foliation.					
44.9	44.9			EOH	Fin du trou.					

Hole Id	Depth(m)	Cps	Appareil
NR-07-01	1.0	220	RS 120
NR-07-01	1.2	240	RS 120
NR-07-01	1.4	320	RS 120
NR-07-01	1.6	350	RS 120
NR-07-01	1.8	350	RS 120
NR-07-01	2.0	240	RS 120
NR-07-01	2.2	300	RS 120
NR-07-01	2.4	240	RS 120
NR-07-01	2.6	300	RS 120
NR-07-01	2.8	300	RS 120
NR-07-01	3.0	310	RS 120
NR-07-01	3.2	310	RS 120
NR-07-01	3.4	250	RS 120
NR-07-01	3.6	200	RS 120
NR-07-01	3.8	200	RS 120
NR-07-01	4.0	200	RS 120
NR-07-01	4.2	230	RS 120
NR-07-01	4.4	250	RS 120
NR-07-01	4.6	260	RS 120
NR-07-01	4.8	240	RS 120
NR-07-01	5.0	220	RS 120
NR-07-01	5.2	220	RS 120
NR-07-01	5.4	440	RS 120
NR-07-01	5.6	580	RS 120
NR-07-01	5.8	570	RS 120
NR-07-01	6.0	550	RS 120
NR-07-01	6.2	440	RS 120
NR-07-01	6.4	320	RS 120
NR-07-01	6.6	280	RS 120
NR-07-01	6.8	480	RS 120
NR-07-01	7.0	530	RS 120
NR-07-01	7.2	400	RS 120
NR-07-01	7.4	410	RS 120
NR-07-01	7.6	300	RS 120
NR-07-01	7.8	360	RS 120
NR-07-01	8.0	360	RS 120
NR-07-01	8.2	330	RS 120
NR-07-01	8.4	420	RS 120
NR-07-01	8.6	500	RS 120
NR-07-01	8.8	500	RS 120
NR-07-01	9.0	470	RS 120
NR-07-01	9.2	500	RS 120
NR-07-01	9.4	200	RS 120
NR-07-01	9.6	230	RS 120
NR-07-01	9.8	200	RS 120
NR-07-01	10.0	250	RS 120
NR-07-01	10.2	400	RS 120
NR-07-01	10.4	350	RS 120
NR-07-01	10.6	350	RS 120
NR-07-01	10.8	220	RS 120
NR-07-01	11.0	160	RS 120
NR-07-01	11.2	160	RS 120
NR-07-01	11.4	190	RS 120
NR-07-01	11.6	220	RS 120
NR-07-01	11.8	260	RS 120
NR-07-01	12.0	230	RS 120
NR-07-01	12.2	170	RS 120
NR-07-01	12.4	150	RS 120
NR-07-01	12.6	150	RS 120
NR-07-01	12.8	180	RS 120
NR-07-01	13.0	260	RS 120
NR-07-01	13.2	240	RS 120

Hole Id	Depth(m)	Cps	Appareil
NR-07-01	13.4	220	RS 120
NR-07-01	13.6	170	RS 120
NR-07-01	13.8	170	RS 120
NR-07-01	14.0	140	RS 120
NR-07-01	14.2	160	RS 120
NR-07-01	14.4	150	RS 120
NR-07-01	14.6	140	RS 120
NR-07-01	14.8	150	RS 120
NR-07-01	15.0	150	RS 120
NR-07-01	15.2	150	RS 120
NR-07-01	15.4	140	RS 120
NR-07-01	15.6	150	RS 120
NR-07-01	15.8	160	RS 120
NR-07-01	16.0	150	RS 120
NR-07-01	16.2	150	RS 120
NR-07-01	16.4	190	RS 120
NR-07-01	16.6	190	RS 120
NR-07-01	16.8	160	RS 120
NR-07-01	17.0	210	RS 120
NR-07-01	17.2	160	RS 120
NR-07-01	17.4	160	RS 120
NR-07-01	17.6	180	RS 120
NR-07-01	17.8	170	RS 120
NR-07-01	18.0	100	RS 120
NR-07-01	18.2	170	RS 120
NR-07-01	18.4	150	RS 120
NR-07-01	18.6	160	RS 120
NR-07-01	18.8	180	RS 120
NR-07-01	19.0	150	RS 120
NR-07-01	19.2	150	RS 120
NR-07-01	19.4	140	RS 120
NR-07-01	19.6	150	RS 120
NR-07-01	19.8	150	RS 120
NR-07-01	20.0	140	RS 120
NR-07-01	20.2	150	RS 120
NR-07-01	20.4	160	RS 120
NR-07-01	20.6	180	RS 120
NR-07-01	20.8	180	RS 120
NR-07-01	21.0	180	RS 120
NR-07-01	21.2	200	RS 120
NR-07-01	21.4	180	RS 120
NR-07-01	21.6	210	RS 120
NR-07-01	21.8	180	RS 120
NR-07-01	22.0	150	RS 120
NR-07-01	22.2	150	RS 120
NR-07-01	22.4	150	RS 120
NR-07-01	22.6	150	RS 120
NR-07-01	22.8	150	RS 120
NR-07-01	23.0	150	RS 120
NR-07-01	23.2	180	RS 120
NR-07-01	23.4	170	RS 120
NR-07-01	23.6	200	RS 120
NR-07-01	23.8	390	RS 120
NR-07-01	24.0	280	RS 120
NR-07-01	24.2	460	RS 120
NR-07-01	24.4	150	RS 120
NR-07-01	24.6	160	RS 120
NR-07-01	24.8	160	RS 120
NR-07-01	25.0	160	RS 120
NR-07-01	25.2	190	RS 120
NR-07-01	25.4	270	RS 120
NR-07-01	25.6	480	RS 120

Hole Id	Depth(m)	Cps	Appareil
NR-07-01	25.8	500	RS 120
NR-07-01	26.0	320	RS 120
NR-07-01	26.2	190	RS 120
NR-07-01	26.4	250	RS 120
NR-07-01	26.6	290	RS 120
NR-07-01	26.8	300	RS 120
NR-07-01	27.0	310	RS 120
NR-07-01	27.2	280	RS 120
NR-07-01	27.4	220	RS 120
NR-07-01	27.6	540	RS 120
NR-07-01	27.8	270	RS 120
NR-07-01	28.0	240	RS 120
NR-07-01	28.2	360	RS 120
NR-07-01	28.4	320	RS 120
NR-07-01	28.6	230	RS 120
NR-07-01	28.8	160	RS 120
NR-07-01	29.0	180	RS 120
NR-07-01	29.2	170	RS 120
NR-07-01	29.4	170	RS 120
NR-07-01	29.6	150	RS 120
NR-07-01	29.8	160	RS 120
NR-07-01	30.0	150	RS 120
NR-07-01	30.2	130	RS 120
NR-07-01	30.4	350	RS 120
NR-07-01	30.6	290	RS 120
NR-07-01	30.8	240	RS 120
NR-07-01	31.0	230	RS 120
NR-07-01	31.2	270	RS 120
NR-07-01	31.4	230	RS 120
NR-07-01	31.6	170	RS 120
NR-07-01	31.8	150	RS 120
NR-07-01	32.0	150	RS 120
NR-07-01	32.2	180	RS 120
NR-07-01	32.4	180	RS 120
NR-07-01	32.6	190	RS 120
NR-07-01	32.8	170	RS 120
NR-07-01	33.0	130	RS 120
NR-07-01	33.2	200	RS 120
NR-07-01	33.4	320	RS 120
NR-07-01	33.6	190	RS 120
NR-07-01	33.8	150	RS 120
NR-07-01	34.0	140	RS 120
NR-07-01	34.2	130	RS 120
NR-07-01	34.4	150	RS 120
NR-07-01	34.6	140	RS 120
NR-07-01	34.8	130	RS 120
NR-07-01	35.0	160	RS 120
NR-07-01	35.2	170	RS 120
NR-07-01	35.4	160	RS 120
NR-07-01	35.6	170	RS 120
NR-07-01	35.8	150	RS 120
NR-07-01	36.0	160	RS 120
NR-07-01	36.2	170	RS 120
NR-07-01	36.4	170	RS 120
NR-07-01	36.6	200	RS 120
NR-07-01	36.8	230	RS 120
NR-07-01	37.0	210	RS 120
NR-07-01	37.2	160	RS 120
NR-07-01	37.4	170	RS 120
NR-07-01	37.6	170	RS 120
NR-07-01	37.8	200	RS 120
NR-07-01	38.0	200	RS 120





Hole_id	Depth(m)	Cps	Appareil
NR-07-02	3.0	180	RS 120
NR-07-02	3.2	230	RS 120
NR-07-02	3.4	280	RS 120
NR-07-02	3.6	200	RS 120
NR-07-02	3.8	360	RS 120
NR-07-02	4.0	670	RS 120
NR-07-02	4.2	1160	RS 120
NR-07-02	4.4	430	RS 120
NR-07-02	4.6	230	RS 120
NR-07-02	4.8	440	RS 120
NR-07-02	5.0	460	RS 120
NR-07-02	5.2	690	RS 120
NR-07-02	5.4	450	RS 120
NR-07-02	5.6	580	RS 120
NR-07-02	5.8	350	RS 120
NR-07-02	6.0	250	RS 120
NR-07-02	6.2	240	RS 120
NR-07-02	6.4	240	RS 120
NR-07-02	6.6	300	RS 120
NR-07-02	6.8	270	RS 120
NR-07-02	7.0	240	RS 120
NR-07-02	7.2	280	RS 120
NR-07-02	7.4	380	RS 120
NR-07-02	7.6	290	RS 120
NR-07-02	7.8	310	RS 120
NR-07-02	8.0	250	RS 120
NR-07-02	8.2	250	RS 120
NR-07-02	8.4	270	RS 120
NR-07-02	8.6	300	RS 120
NR-07-02	8.8	310	RS 120
NR-07-02	9.0	310	RS 120
NR-07-02	9.2	220	RS 120
NR-07-02	9.4	290	RS 120
NR-07-02	9.6	290	RS 120
NR-07-02	9.8	220	RS 120
NR-07-02	10.0	290	RS 120
NR-07-02	10.2	270	RS 120
NR-07-02	10.4	260	RS 120
NR-07-02	10.6	240	RS 120
NR-07-02	10.8	260	RS 120
NR-07-02	11.0	240	RS 120
NR-07-02	11.2	210	RS 120
NR-07-02	11.4	230	RS 120
NR-07-02	11.6	250	RS 120
NR-07-02	11.8	260	RS 120
NR-07-02	12.0	270	RS 120
NR-07-02	12.2	220	RS 120
NR-07-02	12.4	210	RS 120
NR-07-02	12.6	200	RS 120
NR-07-02	12.8	190	RS 120
NR-07-02	13.0	200	RS 120
NR-07-02	13.2	190	RS 120
NR-07-02	13.4	180	RS 120
NR-07-02	13.6	190	RS 120
NR-07-02	13.8	160	RS 120
NR-07-02	14.0	160	RS 120
NR-07-02	14.2	250	RS 120
NR-07-02	14.4	380	RS 120
NR-07-02	14.6	400	RS 120
NR-07-02	14.8	350	RS 120
NR-07-02	15.0	290	RS 120
NR-07-02	15.2	290	RS 120

Hole_id	Depth(m)	Cps	Appareil
NR-07-02	15.4	310	RS 120
NR-07-02	15.6	250	RS 120
NR-07-02	15.8	300	RS 120
NR-07-02	16.0	310	RS 120
NR-07-02	16.2	270	RS 120
NR-07-02	16.4	250	RS 120
NR-07-02	16.6	230	RS 120
NR-07-02	16.8	200	RS 120
NR-07-02	17.0	190	RS 120
NR-07-02	17.2	230	RS 120
NR-07-02	17.4	240	RS 120
NR-07-02	17.6	230	RS 120
NR-07-02	17.8	250	RS 120
NR-07-02	18.0	200	RS 120
NR-07-02	18.2	200	RS 120
NR-07-02	18.4	310	RS 120
NR-07-02	18.6	390	RS 120
NR-07-02	18.8	320	RS 120
NR-07-02	19.0	330	RS 120
NR-07-02	19.2	270	RS 120
NR-07-02	19.4	210	RS 120
NR-07-02	19.6	250	RS 120
NR-07-02	19.8	310	RS 120
NR-07-02	20.0	390	RS 120
NR-07-02	20.2	480	RS 120
NR-07-02	20.4	380	RS 120
NR-07-02	20.6	450	RS 120
NR-07-02	20.8	300	RS 120
NR-07-02	21.0	410	RS 120
NR-07-02	21.2	250	RS 120
NR-07-02	21.4	750	RS 120
NR-07-02	21.6	390	RS 120
NR-07-02	21.8	210	RS 120
NR-07-02	22.0	300	RS 120
NR-07-02	22.2	300	RS 120
NR-07-02	22.4	220	RS 120
NR-07-02	22.6	200	RS 120
NR-07-02	22.8	380	RS 120
NR-07-02	23.0	380	RS 120
NR-07-02	23.2	330	RS 120
NR-07-02	23.4	330	RS 120
NR-07-02	23.6	340	RS 120
NR-07-02	23.8	340	RS 120
NR-07-02	24.0	250	RS 120
NR-07-02	24.2	210	RS 120
NR-07-02	24.4	220	RS 120
NR-07-02	24.6	300	RS 120
NR-07-02	24.8	330	RS 120
NR-07-02	25.0	320	RS 120
NR-07-02	25.2	250	RS 120
NR-07-02	25.4	200	RS 120
NR-07-02	25.6	180	RS 120
NR-07-02	25.8	210	RS 120
NR-07-02	26.0	190	RS 120
NR-07-02	26.2	210	RS 120
NR-07-02	26.4	220	RS 120
NR-07-02	26.6	170	RS 120
NR-07-02	26.8	200	RS 120
NR-07-02	27.0	210	RS 120
NR-07-02	27.2	210	RS 120
NR-07-02	27.4	250	RS 120
NR-07-02	27.6	240	RS 120

Hole_id	Depth(m)	Cps	Appareil
NR-07-02	27.8	240	RS 120
NR-07-02	28.0	200	RS 120
NR-07-02	28.2	180	RS 120
NR-07-02	28.4	190	RS 120
NR-07-02	28.6	200	RS 120
NR-07-02	28.8	220	RS 120
NR-07-02	29.0	260	RS 120
NR-07-02	29.2	250	RS 120
NR-07-02	29.4	250	RS 120
NR-07-02	29.6	200	RS 120
NR-07-02	29.8	180	RS 120
NR-07-02	30.0	180	RS 120
NR-07-02	30.2	200	RS 120
NR-07-02	30.4	230	RS 120
NR-07-02	30.6	280	RS 120
NR-07-02	30.8	210	RS 120
NR-07-02	31.0	190	RS 120
NR-07-02	31.2	160	RS 120
NR-07-02	31.4	180	RS 120
NR-07-02	31.6	220	RS 120
NR-07-02	31.8	210	RS 120
NR-07-02	32.0	220	RS 120
NR-07-02	32.2	240	RS 120
NR-07-02	32.4	240	RS 120
NR-07-02	32.6	200	RS 120
NR-07-02	32.8	180	RS 120
NR-07-02	33.0	190	RS 120
NR-07-02	33.2	210	RS 120
NR-07-02	33.4	180	RS 120
NR-07-02	33.6	180	RS 120
NR-07-02	33.8	170	RS 120
NR-07-02	34.0	160	RS 120
NR-07-02	34.2	180	RS 120
NR-07-02	34.4	180	RS 120
NR-07-02	34.6	180	RS 120
NR-07-02	34.8	170	RS 120
NR-07-02	35.0	190	RS 120
NR-07-02	35.2	160	RS 120
NR-07-02	35.4	150	RS 120
NR-07-02	35.6	180	RS 120
NR-07-02	35.8	300	RS 120
NR-07-02	36.0	410	RS 120
NR-07-02	36.2	430	RS 120
NR-07-02	36.4	450	RS 120
NR-07-02	36.6	330	RS 120
NR-07-02	36.8	200	RS 120
NR-07-02	37.0	210	RS 120
NR-07-02	37.2	310	RS 120
NR-07-02	37.4	300	RS 120
NR-07-02	37.6	210	RS 120
NR-07-02	37.8	220	RS 120
NR-07-02	38.0	220	RS 120
NR-07-02	38.2	200	RS 120
NR-07-02	38.4	200	RS 120
NR-07-02	38.6	180	RS 120
NR-07-02	38.8	230	RS 120
NR-07-02	39.0	250	RS 120
NR-07-02	39.2	200	RS 120
NR-07-02	39.4	220	RS 120
NR-07-02	39.6	200	RS 120
NR-07-02	39.8	190	RS 120
NR-07-02	40.0	160	RS 120

Hole id	Depth(m)	Cps	Appareil
NR-07-02	40.2	230	RS 120
NR-07-02	40.4	210	RS 120
NR-07-02	40.6	200	RS 120
NR-07-02	40.8	200	RS 120
NR-07-02	41.0	190	RS 120
NR-07-02	41.2	190	RS 120
NR-07-02	41.4	180	RS 120
NR-07-02	41.6	210	RS 120
NR-07-02	41.8	210	RS 120
NR-07-02	42.0	200	RS 120
NR-07-02	42.2	230	RS 120
NR-07-02	42.4	230	RS 120
NR-07-02	42.6	220	RS 120
NR-07-02	42.8	230	RS 120
NR-07-02	43.0	230	RS 120
NR-07-02	43.2	260	RS 120
NR-07-02	43.4	190	RS 120
NR-07-02	43.6	260	RS 120
NR-07-02	43.8	300	RS 120
NR-07-02	44.0	300	RS 120
NR-07-02	44.2	200	RS 120
NR-07-02	44.4	210	RS 120
NR-07-02	44.6	210	RS 120
NR-07-02	44.8	190	RS 120
NR-07-02	45.0	220	RS 120
NR-07-02	45.2	220	RS 120
NR-07-02	45.4	220	RS 120
NR-07-02	45.6	200	RS 120
NR-07-02	45.8	280	RS 120
NR-07-02	46.0	350	RS 120
NR-07-02	46.2	220	RS 120
NR-07-02	46.4	200	RS 120
NR-07-02	46.6	180	RS 120
NR-07-02	46.8	200	RS 120
NR-07-02	47.0	170	RS 120
NR-07-02	47.2	180	RS 120
NR-07-02	47.4	190	RS 120
NR-07-02	47.6	190	RS 120
NR-07-02	47.8	190	RS 120
NR-07-02	48.0	180	RS 120
NR-07-02	48.2	170	RS 120
NR-07-02	48.4	160	RS 120
NR-07-02	48.6	140	RS 120
NR-07-02	48.8	250	RS 120
NR-07-02	49.0	230	RS 120
NR-07-02	49.2	200	RS 120
NR-07-02	49.4	190	RS 120
NR-07-02	49.6	200	RS 120
NR-07-02	49.8	200	RS 120
NR-07-02	50.0	170	RS 120
NR-07-02	50.2	160	RS 120
NR-07-02	50.4	160	RS 120
NR-07-02	50.6	250	RS 120
NR-07-02	50.8	240	RS 120
NR-07-02	51.0	250	RS 120
NR-07-02	51.2	320	RS 120
NR-07-02	51.4	290	RS 120
NR-07-02	51.6	390	RS 120
NR-07-02	51.8	330	RS 120
NR-07-02	52.0	180	RS 120
NR-07-02	52.2	200	RS 120
NR-07-02	52.4	350	RS 120

Hole id	Depth(m)	Cps	Appareil
NR-07-02	52.6	570	RS 120
NR-07-02	52.8	250	RS 120
NR-07-02	53.0	160	RS 120
NR-07-02	53.2	140	RS 120
NR-07-02	53.4	150	RS 120
NR-07-02	53.6	150	RS 120
NR-07-02	53.8	150	RS 120
NR-07-02	54.0	160	RS 120
NR-07-02	54.2	160	RS 120
NR-07-02	54.4	160	RS 120
NR-07-02	54.6	190	RS 120
NR-07-02	54.8	200	RS 120
NR-07-02	55.0	200	RS 120
NR-07-02	55.2	220	RS 120
NR-07-02	55.4	280	RS 120
NR-07-02	55.6	320	RS 120
NR-07-02	55.8	200	RS 120
NR-07-02	56.0	170	RS 120
NR-07-02	56.2	180	RS 120
NR-07-02	56.4	190	RS 120
NR-07-02	56.6	220	RS 120
NR-07-02	56.8	190	RS 120
NR-07-02	57.0	260	RS 120
NR-07-02	57.2	230	RS 120
NR-07-02	57.4	190	RS 120
NR-07-02	57.6	200	RS 120
NR-07-02	57.8	210	RS 120
NR-07-02	58.0	220	RS 120
NR-07-02	58.2	240	RS 120
NR-07-02	58.4	260	RS 120
NR-07-02	58.6	250	RS 120
NR-07-02	58.8	240	RS 120
NR-07-02	59.0	300	RS 120
NR-07-02	59.2	290	RS 120
NR-07-02	59.4	280	RS 120
NR-07-02	59.6	400	RS 120
NR-07-02	59.8	300	RS 120
NR-07-02	60.0	280	RS 120
NR-07-02	60.2	200	RS 120
NR-07-02	60.4	220	RS 120
NR-07-02	60.6	270	RS 120
NR-07-02	60.8	350	RS 120
NR-07-02	61.0	220	RS 120
NR-07-02	61.2	220	RS 120
NR-07-02	61.4	200	RS 120
NR-07-02	61.6	180	RS 120
NR-07-02	61.8	250	RS 120
NR-07-02	62.0	270	RS 120
NR-07-02	62.2	240	RS 120
NR-07-02	62.4	250	RS 120
NR-07-02	62.6	260	RS 120
NR-07-02	62.8	260	RS 120
NR-07-02	63.0	240	RS 120
NR-07-02	63.2	200	RS 120
NR-07-02	63.4	190	RS 120
NR-07-02	63.6	220	RS 120
NR-07-02	63.8	200	RS 120
NR-07-02	64.0	190	RS 120
NR-07-02	64.2	230	RS 120
NR-07-02	64.4	170	RS 120
NR-07-02	64.6	170	RS 120
NR-07-02	64.8	300	RS 120

Hole id	Depth(m)	Cps	Appareil
NR-07-02	65.0	210	RS 120
NR-07-02	65.2	300	RS 120
NR-07-02	65.4	180	RS 120
NR-07-02	65.6	180	RS 120
NR-07-02	65.8	180	RS 120
NR-07-02	66.0	160	RS 120
NR-07-02	66.2	200	RS 120
NR-07-02	66.4	210	RS 120
NR-07-02	66.6	200	RS 120
NR-07-02	66.8	210	RS 120
NR-07-02	67.0	210	RS 120
NR-07-02	67.2	210	RS 120
NR-07-02	67.4	180	RS 120
NR-07-02	67.6	190	RS 120
NR-07-02	67.8	160	RS 120
NR-07-02	68.0	160	RS 120
NR-07-02	68.2	190	RS 120
NR-07-02	68.4	250	RS 120
NR-07-02	68.6	160	RS 120
NR-07-02	68.8	140	RS 120
NR-07-02	69.0	310	RS 120
NR-07-02	69.2	290	RS 120
NR-07-02	69.4	190	RS 120
NR-07-02	69.6	160	RS 120
NR-07-02	69.8	140	RS 120
NR-07-02	70.0	150	RS 120
NR-07-02	70.2	150	RS 120
NR-07-02	70.4	150	RS 120
NR-07-02	70.6	170	RS 120
NR-07-02	70.8	160	RS 120
NR-07-02	71.0	170	RS 120
NR-07-02	71.2	190	RS 120
NR-07-02	71.4	200	RS 120
NR-07-02	71.6	160	RS 120
NR-07-02	71.8	150	RS 120
NR-07-02	72.0	160	RS 120
NR-07-02	72.2	160	RS 120
NR-07-02	72.4	170	RS 120
NR-07-02	72.6	210	RS 120
NR-07-02	72.8	160	RS 120
NR-07-02	73.0	150	RS 120
NR-07-02	73.2	150	RS 120
NR-07-02	73.4	150	RS 120
NR-07-02	73.6	180	RS 120
NR-07-02	73.8	200	RS 120
NR-07-02	74.0	170	RS 120
NR-07-02	74.2	150	RS 120
NR-07-02	74.4	150	RS 120
NR-07-02	74.6	180	RS 120
NR-07-02	74.8	170	RS 120
NR-07-02	75.0	180	RS 120
NR-07-02	75.2	220	RS 120
NR-07-02	75.4	410	RS 120
NR-07-02	75.6	200	RS 120
NR-07-02	75.8	180	RS 120
NR-07-02	76.0	220	RS 120
NR-07-02	76.2	220	RS 120
NR-07-02	76.4	230	RS 120
NR-07-02	76.6	680	RS 120
NR-07-02	76.8	630	RS 120
NR-07-02	77.0	1410	RS 120
NR-07-02	77.2	690	RS 120







Hole Id	Depth(m)	Cps	Appareil
NR-07-04	2.6	260	Explo Uranium
NR-07-04	2.8	270	Explo Uranium
NR-07-04	3.0	350	Explo Uranium
NR-07-04	3.2	350	Explo Uranium
NR-07-04	3.4	280	Explo Uranium
NR-07-04	3.6	290	Explo Uranium
NR-07-04	3.8	340	Explo Uranium
NR-07-04	4.0	320	Explo Uranium
NR-07-04	4.2	370	Explo Uranium
NR-07-04	4.4	350	Explo Uranium
NR-07-04	4.6	270	Explo Uranium
NR-07-04	4.8	300	Explo Uranium
NR-07-04	5.0	300	Explo Uranium
NR-07-04	5.2	340	Explo Uranium
NR-07-04	5.4	360	Explo Uranium
NR-07-04	5.6	320	Explo Uranium
NR-07-04	5.8	310	Explo Uranium
NR-07-04	6.0	230	Explo Uranium
NR-07-04	6.2	330	Explo Uranium
NR-07-04	6.4	240	Explo Uranium
NR-07-04	6.6	240	Explo Uranium
NR-07-04	6.8	300	Explo Uranium
NR-07-04	7.0	230	Explo Uranium
NR-07-04	7.2	170	Explo Uranium
NR-07-04	7.4	170	Explo Uranium
NR-07-04	7.6	200	Explo Uranium
NR-07-04	7.8	170	Explo Uranium
NR-07-04	8.0	170	Explo Uranium
NR-07-04	8.2	200	Explo Uranium
NR-07-04	8.4	200	Explo Uranium
NR-07-04	8.6	180	Explo Uranium
NR-07-04	8.8	170	Explo Uranium
NR-07-04	9.0	170	Explo Uranium
NR-07-04	9.2	200	Explo Uranium
NR-07-04	9.4	200	Explo Uranium
NR-07-04	9.6	320	Explo Uranium
NR-07-04	9.8	220	Explo Uranium
NR-07-04	10.0	270	Explo Uranium
NR-07-04	10.2	310	Explo Uranium
NR-07-04	10.4	200	Explo Uranium
NR-07-04	10.6	180	Explo Uranium
NR-07-04	10.8	160	Explo Uranium
NR-07-04	11.0	170	Explo Uranium
NR-07-04	11.2	190	Explo Uranium
NR-07-04	11.4	200	Explo Uranium
NR-07-04	11.6	200	Explo Uranium
NR-07-04	11.8	190	Explo Uranium
NR-07-04	12.0	230	Explo Uranium
NR-07-04	12.2	190	Explo Uranium
NR-07-04	12.4	190	Explo Uranium
NR-07-04	12.6	300	Explo Uranium
NR-07-04	12.8	430	Explo Uranium
NR-07-04	13.0	350	Explo Uranium
NR-07-04	13.2	300	Explo Uranium
NR-07-04	13.4	260	Explo Uranium
NR-07-04	13.6	250	Explo Uranium
NR-07-04	13.8	230	Explo Uranium
NR-07-04	14.0	250	Explo Uranium
NR-07-04	14.2	250	Explo Uranium
NR-07-04	14.4	240	Explo Uranium
NR-07-04	14.6	220	Explo Uranium
NR-07-04	14.8	210	Explo Uranium

Hole Id	Depth(m)	Cps	Appareil
NR-07-04	15.0	200	Explo Uranium
NR-07-04	15.2	200	Explo Uranium
NR-07-04	15.4	200	Explo Uranium
NR-07-04	15.6	200	Explo Uranium
NR-07-04	15.8	200	Explo Uranium
NR-07-04	16.0	180	Explo Uranium
NR-07-04	16.2	220	Explo Uranium
NR-07-04	16.4	220	Explo Uranium
NR-07-04	16.6	230	Explo Uranium
NR-07-04	16.8	220	Explo Uranium
NR-07-04	17.0	200	Explo Uranium
NR-07-04	17.2	300	Explo Uranium
NR-07-04	17.4	300	Explo Uranium
NR-07-04	17.6	260	Explo Uranium
NR-07-04	17.8	290	Explo Uranium
NR-07-04	18.0	340	Explo Uranium
NR-07-04	18.2	340	Explo Uranium
NR-07-04	18.4	280	Explo Uranium
NR-07-04	18.6	450	Explo Uranium
NR-07-04	18.8	360	Explo Uranium
NR-07-04	19.0	320	Explo Uranium
NR-07-04	19.2	350	Explo Uranium
NR-07-04	19.4	340	Explo Uranium
NR-07-04	19.6	300	Explo Uranium
NR-07-04	19.8	310	Explo Uranium
NR-07-04	20.0	230	Explo Uranium
NR-07-04	20.2	190	Explo Uranium
NR-07-04	20.4	200	Explo Uranium
NR-07-04	20.6	210	Explo Uranium
NR-07-04	20.8	210	Explo Uranium
NR-07-04	21.0	400	Explo Uranium
NR-07-04	21.2	340	Explo Uranium
NR-07-04	21.4	340	Explo Uranium
NR-07-04	21.6	320	Explo Uranium
NR-07-04	21.8	310	Explo Uranium
NR-07-04	22.0	290	Explo Uranium
NR-07-04	22.2	440	Explo Uranium
NR-07-04	22.4	350	Explo Uranium
NR-07-04	22.6	300	Explo Uranium
NR-07-04	22.8	380	Explo Uranium
NR-07-04	23.0	260	Explo Uranium
NR-07-04	23.2	290	Explo Uranium
NR-07-04	23.4	230	Explo Uranium
NR-07-04	23.6	300	Explo Uranium
NR-07-04	23.8	240	Explo Uranium
NR-07-04	24.0	220	Explo Uranium
NR-07-04	24.2	210	Explo Uranium
NR-07-04	24.4	300	Explo Uranium
NR-07-04	24.6	350	Explo Uranium
NR-07-04	24.8	200	Explo Uranium
NR-07-04	25.0	230	Explo Uranium
NR-07-04	25.2	300	Explo Uranium
NR-07-04	25.4	210	Explo Uranium
NR-07-04	25.6	180	Explo Uranium
NR-07-04	25.8	200	Explo Uranium
NR-07-04	26.0	250	Explo Uranium
NR-07-04	26.2	250	Explo Uranium
NR-07-04	26.4	200	Explo Uranium
NR-07-04	26.6	200	Explo Uranium
NR-07-04	26.8	200	Explo Uranium
NR-07-04	27.0	200	Explo Uranium
NR-07-04	27.2	200	Explo Uranium

Hole Id	Depth(m)	Cps	Appareil
NR-07-04	27.4	300	Explo Uranium
NR-07-04	27.6	300	Explo Uranium
NR-07-04	27.8	280	Explo Uranium
NR-07-04	28.0	180	Explo Uranium
NR-07-04	28.2	190	Explo Uranium
NR-07-04	28.4	280	Explo Uranium
NR-07-04	28.6	500	Explo Uranium
NR-07-04	28.8	230	Explo Uranium
NR-07-04	29.0	200	Explo Uranium
NR-07-04	29.2	190	Explo Uranium
NR-07-04	29.4	160	Explo Uranium
NR-07-04	29.6	160	Explo Uranium
NR-07-04	29.8	160	Explo Uranium
NR-07-04	30.0	330	Explo Uranium
NR-07-04	30.2	400	Explo Uranium
NR-07-04	30.4	290	Explo Uranium
NR-07-04	30.6	270	Explo Uranium
NR-07-04	30.8	190	Explo Uranium
NR-07-04	31.0	180	Explo Uranium
NR-07-04	31.2	180	Explo Uranium
NR-07-04	31.4	220	Explo Uranium
NR-07-04	31.6	250	Explo Uranium
NR-07-04	31.8	250	Explo Uranium
NR-07-04	32.0	330	Explo Uranium
NR-07-04	32.2	170	Explo Uranium
NR-07-04	32.4	160	Explo Uranium
NR-07-04	32.6	160	Explo Uranium
NR-07-04	32.8	160	Explo Uranium
NR-07-04	33.0	160	Explo Uranium
NR-07-04	33.2	160	Explo Uranium
NR-07-04	33.4	160	Explo Uranium
NR-07-04	33.6	160	Explo Uranium
NR-07-04	33.8	160	Explo Uranium
NR-07-04	34.0	160	Explo Uranium
NR-07-04	34.2	160	Explo Uranium
NR-07-04	34.4	150	Explo Uranium
NR-07-04	34.6	160	Explo Uranium
NR-07-04	34.8	150	Explo Uranium
NR-07-04	35.0	150	Explo Uranium
NR-07-04	35.2	150	Explo Uranium
NR-07-04	35.4	150	Explo Uranium
NR-07-04	35.6	150	Explo Uranium
NR-07-04	35.8	150	Explo Uranium
NR-07-04	36.0	160	Explo Uranium
NR-07-04	36.2	150	Explo Uranium
NR-07-04	36.4	150	Explo Uranium
NR-07-04	36.6	150	Explo Uranium
NR-07-04	36.8	150	Explo Uranium
NR-07-04	37.0	170	Explo Uranium
NR-07-04	37.2	150	Explo Uranium
NR-07-04	37.4	170	Explo Uranium
NR-07-04	37.6	170	Explo Uranium
NR-07-04	37.8	190	Explo Uranium
NR-07-04	38.0	180	Explo Uranium
NR-07-04	38.2	190	Explo Uranium
NR-07-04	38.4	160	Explo Uranium
NR-07-04	38.6	150	Explo Uranium
NR-07-04	38.8	140	Explo Uranium
NR-07-04	39.0	150	Explo Uranium
NR-07-04	39.2	160	Explo Uranium
NR-07-04	39.4	160	Explo Uranium
NR-07-04	39.6	150	Explo Uranium



Hole Id	Depth(m)	Cps	Appareil
NR-07-05	3.3	130	Explo Uranium
NR-07-05	3.5	100	Explo Uranium
NR-07-05	3.8	160	Explo Uranium
NR-07-05	4.0	130	Explo Uranium
NR-07-05	4.3	115	Explo Uranium
NR-07-05	4.5	110	Explo Uranium
NR-07-05	4.8	120	Explo Uranium
NR-07-05	5.0	100	Explo Uranium
NR-07-05	5.3	90	Explo Uranium
NR-07-05	5.5	80	Explo Uranium
NR-07-05	5.8	120	Explo Uranium
NR-07-05	6.0	105	Explo Uranium
NR-07-05	6.3	90	Explo Uranium
NR-07-05	6.5	85	Explo Uranium
NR-07-05	6.8	100	Explo Uranium
NR-07-05	7.0	105	Explo Uranium
NR-07-05	7.3	100	Explo Uranium
NR-07-05	7.5	125	Explo Uranium
NR-07-05	7.8	110	Explo Uranium
NR-07-05	8.0	100	Explo Uranium
NR-07-05	8.3	120	Explo Uranium
NR-07-05	8.5	130	Explo Uranium
NR-07-05	8.8	120	Explo Uranium
NR-07-05	9.0	150	Explo Uranium
NR-07-05	9.3	100	Explo Uranium
NR-07-05	9.5	130	Explo Uranium
NR-07-05	9.8	125	Explo Uranium
NR-07-05	10.0	265	Explo Uranium
NR-07-05	10.3	255	Explo Uranium
NR-07-05	10.5	210	Explo Uranium
NR-07-05	10.8	150	Explo Uranium
NR-07-05	11.0	125	Explo Uranium
NR-07-05	11.3	110	Explo Uranium
NR-07-05	11.5	80	Explo Uranium
NR-07-05	11.8	90	Explo Uranium
NR-07-05	12.0	85	Explo Uranium
NR-07-05	12.3	100	Explo Uranium
NR-07-05	12.5	100	Explo Uranium
NR-07-05	12.8	140	Explo Uranium
NR-07-05	13.0	135	Explo Uranium
NR-07-05	13.3	120	Explo Uranium
NR-07-05	13.5	115	Explo Uranium
NR-07-05	13.8	140	Explo Uranium
NR-07-05	14.0	100	Explo Uranium
NR-07-05	14.3	110	Explo Uranium
NR-07-05	14.5	120	Explo Uranium
NR-07-05	14.8	120	Explo Uranium
NR-07-05	15.0	115	Explo Uranium
NR-07-05	15.3	230	Explo Uranium
NR-07-05	15.5	470	Explo Uranium
NR-07-05	15.8	220	Explo Uranium
NR-07-05	16.0	180	Explo Uranium
NR-07-05	16.3	230	Explo Uranium
NR-07-05	16.5	140	Explo Uranium
NR-07-05	16.8	140	Explo Uranium
NR-07-05	17.0	130	Explo Uranium
NR-07-05	17.3	140	Explo Uranium
NR-07-05	17.5	130	Explo Uranium
NR-07-05	17.8	170	Explo Uranium
NR-07-05	18.0	180	Explo Uranium
NR-07-05	18.3	340	Explo Uranium
NR-07-05	18.5	450	Explo Uranium

Hole Id	Depth(m)	Cps	Appareil
NR-07-05	18.8	100	Explo Uranium
NR-07-05	19.0	180	Explo Uranium
NR-07-05	19.3	140	Explo Uranium
NR-07-05	19.5	120	Explo Uranium
NR-07-05	19.8	100	Explo Uranium
NR-07-05	20.0	100	Explo Uranium
NR-07-05	20.3	400	Explo Uranium
NR-07-05	20.5	310	Explo Uranium
NR-07-05	20.8	240	Explo Uranium
NR-07-05	21.0	175	Explo Uranium
NR-07-05	21.3	560	Explo Uranium
NR-07-05	21.5	1230	Explo Uranium
NR-07-05	21.8	485	Explo Uranium
NR-07-05	22.0	1060	Explo Uranium
NR-07-05	22.3	500	Explo Uranium
NR-07-05	22.5	375	Explo Uranium
NR-07-05	22.8	340	Explo Uranium
NR-07-05	23.0	120	Explo Uranium
NR-07-05	23.3	110	Explo Uranium
NR-07-05	23.5	240	Explo Uranium
NR-07-05	23.8	180	Explo Uranium
NR-07-05	24.0	180	Explo Uranium
NR-07-05	24.3	110	Explo Uranium
NR-07-05	24.5	110	Explo Uranium
NR-07-05	24.8	180	Explo Uranium
NR-07-05	25.0	110	Explo Uranium
NR-07-05	25.3	90	Explo Uranium
NR-07-05	25.5	90	Explo Uranium
NR-07-05	25.8	80	Explo Uranium
NR-07-05	26.0	90	Explo Uranium
NR-07-05	26.3	110	Explo Uranium
NR-07-05	26.5	80	Explo Uranium
NR-07-05	26.8	90	Explo Uranium
NR-07-05	27.0	90	Explo Uranium
NR-07-05	27.3	80	Explo Uranium
NR-07-05	27.5	80	Explo Uranium
NR-07-05	27.8	80	Explo Uranium
NR-07-05	28.0	80	Explo Uranium
NR-07-05	28.3	80	Explo Uranium
NR-07-05	28.5	80	Explo Uranium
NR-07-05	28.8	80	Explo Uranium
NR-07-05	29.0	70	Explo Uranium
NR-07-05	29.3	80	Explo Uranium
NR-07-05	29.5	90	Explo Uranium
NR-07-05	29.8	90	Explo Uranium
NR-07-05	30.0	90	Explo Uranium
NR-07-05	30.3	80	Explo Uranium
NR-07-05	30.5	80	Explo Uranium
NR-07-05	30.8	80	Explo Uranium
NR-07-05	31.0	90	Explo Uranium
NR-07-05	31.3	90	Explo Uranium
NR-07-05	31.5	80	Explo Uranium
NR-07-05	31.8	90	Explo Uranium
NR-07-05	32.0	80	Explo Uranium
NR-07-05	32.3	80	Explo Uranium
NR-07-05	32.5	75	Explo Uranium
NR-07-05	32.8	80	Explo Uranium
NR-07-05	33.0	85	Explo Uranium
NR-07-05	33.3	80	Explo Uranium
NR-07-05	33.5	80	Explo Uranium
NR-07-05	33.8	90	Explo Uranium
NR-07-05	34.0	90	Explo Uranium

Hole Id	Depth(m)	Cps	Appareil
NR-07-05	34.3	75	Explo Uranium
NR-07-05	34.5	80	Explo Uranium
NR-07-05	34.8	85	Explo Uranium
NR-07-05	35.0	75	Explo Uranium
NR-07-05	35.3	90	Explo Uranium
NR-07-05	35.5	85	Explo Uranium
NR-07-05	35.8	95	Explo Uranium
NR-07-05	36.0	85	Explo Uranium
NR-07-05	36.3	85	Explo Uranium
NR-07-05	36.5	85	Explo Uranium
NR-07-05	36.8	75	Explo Uranium
NR-07-05	37.0	90	Explo Uranium
NR-07-05	37.3	90	Explo Uranium
NR-07-05	37.5	80	Explo Uranium
NR-07-05	37.8	85	Explo Uranium
NR-07-05	38.0	85	Explo Uranium
NR-07-05	38.3	100	Explo Uranium
NR-07-05	38.5	90	Explo Uranium
NR-07-05	38.8	95	Explo Uranium
NR-07-05	39.0	100	Explo Uranium
NR-07-05	39.3	75	Explo Uranium
NR-07-05	39.5	80	Explo Uranium
NR-07-05	39.8	85	Explo Uranium
NR-07-05	40.0	95	Explo Uranium
NR-07-05	40.3	95	Explo Uranium
NR-07-05	40.5	85	Explo Uranium
NR-07-05	40.8	75	Explo Uranium
NR-07-05	41.0	70	Explo Uranium
NR-07-05	41.3	70	Explo Uranium
NR-07-05	41.5	75	Explo Uranium
NR-07-05	41.8	85	Explo Uranium
NR-07-05	42.0	90	Explo Uranium
NR-07-05	42.3	90	Explo Uranium
NR-07-05	42.5	80	Explo Uranium
NR-07-05	42.8	90	Explo Uranium
NR-07-05	43.0	80	Explo Uranium
NR-07-05	43.3	80	Explo Uranium
NR-07-05	43.5	90	Explo Uranium
NR-07-05	43.8	80	Explo Uranium
NR-07-05	44.0	80	Explo Uranium
NR-07-05	44.3	80	Explo Uranium
NR-07-05	44.5	70	Explo Uranium
NR-07-05	44.8	70	Explo Uranium
NR-07-05	45.0	80	Explo Uranium
NR-07-05	45.3	80	Explo Uranium
NR-07-05	45.5	90	Explo Uranium
NR-07-05	45.8	90	Explo Uranium
NR-07-05	46.0	80	Explo Uranium
NR-07-05	46.3	90	Explo Uranium
NR-07-05	46.5	80	Explo Uranium
NR-07-05	46.8	90	Explo Uranium
NR-07-05	47.0	150	Explo Uranium
NR-07-05	47.3	250	Explo Uranium
NR-07-05	47.5	300	Explo Uranium
NR-07-05	47.8	280	Explo Uranium
NR-07-05	48.0	110	Explo Uranium
NR-07-05	48.3	90	Explo Uranium
NR-07-05	48.5	100	Explo Uranium
NR-07-05	48.8	90	Explo Uranium
NR-07-05	49.0	95	Explo Uranium
NR-07-05	49.3	90	Explo Uranium
NR-07-05	49.5	100	Explo Uranium





Hole id	Depth(m)	Cps	Appareil
NR-07-06	5.0	110	Explo Uranium
NR-07-06	5.3	115	Explo Uranium
NR-07-06	5.5	115	Explo Uranium
NR-07-06	5.8	105	Explo Uranium
NR-07-06	6.0	100	Explo Uranium
NR-07-06	6.3	105	Explo Uranium
NR-07-06	6.5	115	Explo Uranium
NR-07-06	6.8	110	Explo Uranium
NR-07-06	7.0	100	Explo Uranium
NR-07-06	7.3	105	Explo Uranium
NR-07-06	7.5	100	Explo Uranium
NR-07-06	7.8	110	Explo Uranium
NR-07-06	8.0	110	Explo Uranium
NR-07-06	8.3	105	Explo Uranium
NR-07-06	8.5	120	Explo Uranium
NR-07-06	8.8	120	Explo Uranium
NR-07-06	9.0	110	Explo Uranium
NR-07-06	9.3	120	Explo Uranium
NR-07-06	9.5	120	Explo Uranium
NR-07-06	9.8	125	Explo Uranium
NR-07-06	10.0	110	Explo Uranium
NR-07-06	10.3	115	Explo Uranium
NR-07-06	10.5	125	Explo Uranium
NR-07-06	10.8	115	Explo Uranium
NR-07-06	11.0	130	Explo Uranium
NR-07-06	11.3	140	Explo Uranium
NR-07-06	11.5	120	Explo Uranium
NR-07-06	11.8	115	Explo Uranium
NR-07-06	12.0	105	Explo Uranium
NR-07-06	12.3	110	Explo Uranium
NR-07-06	12.5	115	Explo Uranium
NR-07-06	12.8	125	Explo Uranium
NR-07-06	13.0	180	Explo Uranium
NR-07-06	13.3	160	Explo Uranium
NR-07-06	13.5	150	Explo Uranium
NR-07-06	13.8	120	Explo Uranium
NR-07-06	14.0	130	Explo Uranium
NR-07-06	14.3	115	Explo Uranium
NR-07-06	14.5	130	Explo Uranium
NR-07-06	14.8	120	Explo Uranium
NR-07-06	15.0	170	Explo Uranium
NR-07-06	15.3	160	Explo Uranium
NR-07-06	15.5	170	Explo Uranium
NR-07-06	15.8	120	Explo Uranium
NR-07-06	16.0	115	Explo Uranium
NR-07-06	16.3	125	Explo Uranium
NR-07-06	16.5	115	Explo Uranium
NR-07-06	16.8	110	Explo Uranium
NR-07-06	17.0	115	Explo Uranium
NR-07-06	17.3	120	Explo Uranium
NR-07-06	17.5	125	Explo Uranium
NR-07-06	17.8	120	Explo Uranium
NR-07-06	18.0	110	Explo Uranium
NR-07-06	18.3	105	Explo Uranium
NR-07-06	18.5	100	Explo Uranium
NR-07-06	18.8	120	Explo Uranium
NR-07-06	19.0	110	Explo Uranium
NR-07-06	19.3	100	Explo Uranium
NR-07-06	19.5	110	Explo Uranium
NR-07-06	19.8	95	Explo Uranium
NR-07-06	20.0	120	Explo Uranium
NR-07-06	20.3	110	Explo Uranium

Hole id	Depth(m)	Cps	Appareil
NR-07-06	20.5	110	Explo Uranium
NR-07-06	20.8	130	Explo Uranium
NR-07-06	21.0	125	Explo Uranium
NR-07-06	21.3	105	Explo Uranium
NR-07-06	21.5	105	Explo Uranium
NR-07-06	21.8	110	Explo Uranium
NR-07-06	22.0	100	Explo Uranium
NR-07-06	22.3	105	Explo Uranium
NR-07-06	22.5	105	Explo Uranium
NR-07-06	22.8	115	Explo Uranium
NR-07-06	23.0	140	Explo Uranium
NR-07-06	23.3	120	Explo Uranium
NR-07-06	23.5	115	Explo Uranium
NR-07-06	23.8	325	Explo Uranium
NR-07-06	24.0	310	Explo Uranium
NR-07-06	24.3	125	Explo Uranium
NR-07-06	24.5	100	Explo Uranium
NR-07-06	24.8	95	Explo Uranium
NR-07-06	25.0	95	Explo Uranium
NR-07-06	25.3	95	Explo Uranium
NR-07-06	25.5	100	Explo Uranium
NR-07-06	25.8	95	Explo Uranium
NR-07-06	26.0	100	Explo Uranium
NR-07-06	26.3	105	Explo Uranium
NR-07-06	26.5	360	Explo Uranium
NR-07-06	26.8	200	Explo Uranium
NR-07-06	27.0	135	Explo Uranium
NR-07-06	27.3	140	Explo Uranium
NR-07-06	27.5	245	Explo Uranium
NR-07-06	27.8	160	Explo Uranium
NR-07-06	28.0	300	Explo Uranium
NR-07-06	28.3	190	Explo Uranium
NR-07-06	28.5	120	Explo Uranium
NR-07-06	28.8	120	Explo Uranium
NR-07-06	29.0	100	Explo Uranium
NR-07-06	29.3	100	Explo Uranium
NR-07-06	29.5	95	Explo Uranium
NR-07-06	29.8	100	Explo Uranium
NR-07-06	30.0	170	Explo Uranium
NR-07-06	30.3	180	Explo Uranium
NR-07-06	30.5	245	Explo Uranium
NR-07-06	30.8	165	Explo Uranium
NR-07-06	31.0	200	Explo Uranium
NR-07-06	31.3	360	Explo Uranium
NR-07-06	31.5	475	Explo Uranium
NR-07-06	31.8	760	Explo Uranium
NR-07-06	32.0	420	Explo Uranium
NR-07-06	32.3	210	Explo Uranium
NR-07-06	32.5	190	Explo Uranium
NR-07-06	32.8	105	Explo Uranium
NR-07-06	33.0	115	Explo Uranium
NR-07-06	33.3	110	Explo Uranium
NR-07-06	33.5	120	Explo Uranium
NR-07-06	33.8	115	Explo Uranium
NR-07-06	34.0	105	Explo Uranium
NR-07-06	34.3	105	Explo Uranium
NR-07-06	34.5	120	Explo Uranium
NR-07-06	34.8	120	Explo Uranium
NR-07-06	35.0	115	Explo Uranium
NR-07-06	35.3	120	Explo Uranium
NR-07-06	35.5	110	Explo Uranium
NR-07-06	35.8	115	Explo Uranium

Hole id	Depth(m)	Cps	Appareil
NR-07-06	36.0	130	Explo Uranium
NR-07-06	36.3	170	Explo Uranium
NR-07-06	36.5	120	Explo Uranium
NR-07-06	36.8	135	Explo Uranium
NR-07-06	37.0	120	Explo Uranium
NR-07-06	37.3	130	Explo Uranium
NR-07-06	37.5	180	Explo Uranium
NR-07-06	37.8	170	Explo Uranium
NR-07-06	38.0	150	Explo Uranium
NR-07-06	38.3	130	Explo Uranium
NR-07-06	38.5	130	Explo Uranium
NR-07-06	38.8	110	Explo Uranium
NR-07-06	39.0	105	Explo Uranium
NR-07-06	39.3	100	Explo Uranium
NR-07-06	39.5	115	Explo Uranium
NR-07-06	39.8	120	Explo Uranium
NR-07-06	40.0	120	Explo Uranium
NR-07-06	40.3	125	Explo Uranium
NR-07-06	40.5	120	Explo Uranium
NR-07-06	40.8	120	Explo Uranium
NR-07-06	41.0	120	Explo Uranium
NR-07-06	41.3	120	Explo Uranium
NR-07-06	41.5	110	Explo Uranium
NR-07-06	41.8	115	Explo Uranium
NR-07-06	42.0	120	Explo Uranium
NR-07-06	42.3	135	Explo Uranium
NR-07-06	42.5	140	Explo Uranium
NR-07-06	42.8	170	Explo Uranium
NR-07-06	43.0	155	Explo Uranium
NR-07-06	43.3	145	Explo Uranium
NR-07-06	43.5	135	Explo Uranium
NR-07-06	43.8	140	Explo Uranium
NR-07-06	44.0	135	Explo Uranium
NR-07-06	44.3	130	Explo Uranium
NR-07-06	44.5	140	Explo Uranium
NR-07-06	44.8	130	Explo Uranium
NR-07-06	45.0	150	Explo Uranium
NR-07-06	45.3	140	Explo Uranium
NR-07-06	45.5	120	Explo Uranium
NR-07-06	45.8	120	Explo Uranium
NR-07-06	46.0	120	Explo Uranium
NR-07-06	46.3	115	Explo Uranium
NR-07-06	46.5	125	Explo Uranium
NR-07-06	46.8	125	Explo Uranium
NR-07-06	47.0	135	Explo Uranium
NR-07-06	47.3	140	Explo Uranium
NR-07-06	47.5	150	Explo Uranium
NR-07-06	47.8	140	Explo Uranium
NR-07-06	48.0	130	Explo Uranium
NR-07-06	48.3	135	Explo Uranium
NR-07-06	48.5	150	Explo Uranium
NR-07-06	48.8	130	Explo Uranium
NR-07-06	49.0	120	Explo Uranium
NR-07-06	49.3	115	Explo Uranium
NR-07-06	49.5	120	Explo Uranium
NR-07-06	49.8	110	Explo Uranium
NR-07-06	50.0	110	Explo Uranium
NR-07-06	50.3	105	Explo Uranium
NR-07-06	50.5	105	Explo Uranium
NR-07-06	50.8	120	Explo Uranium
NR-07-06	51.0	115	Explo Uranium
NR-07-06	51.3	105	Explo Uranium



Hole Id	Depth(m)	Cps	Appareil
NR-07-07	33.3	91	Explo Uranium
NR-07-07	33.5	100	Explo Uranium
NR-07-07	33.8	85	Explo Uranium
NR-07-07	34.0	90	Explo Uranium
NR-07-07	34.3	90	Explo Uranium
NR-07-07	34.5	91	Explo Uranium
NR-07-07	34.8	100	Explo Uranium
NR-07-07	35.0	90	Explo Uranium
NR-07-07	35.3	90	Explo Uranium
NR-07-07	35.5	86	Explo Uranium
NR-07-07	35.8	89	Explo Uranium
NR-07-07	36.0	91	Explo Uranium
NR-07-07	36.3	125	Explo Uranium
NR-07-07	36.5	99	Explo Uranium
NR-07-07	36.8	100	Explo Uranium
NR-07-07	37.0	100	Explo Uranium
NR-07-07	37.3	95	Explo Uranium
NR-07-07	37.5	125	Explo Uranium
NR-07-07	37.8	120	Explo Uranium
NR-07-07	38.0	120	Explo Uranium
NR-07-07	38.3	135	Explo Uranium
NR-07-07	38.5	135	Explo Uranium
NR-07-07	38.8	110	Explo Uranium
NR-07-07	39.0	115	Explo Uranium
NR-07-07	39.3	170	Explo Uranium
NR-07-07	39.5	150	Explo Uranium
NR-07-07	39.8	140	Explo Uranium
NR-07-07	40.0	115	Explo Uranium
NR-07-07	40.3	110	Explo Uranium
NR-07-07	40.5	100	Explo Uranium
NR-07-07	40.8	100	Explo Uranium
NR-07-07	41.0	100	Explo Uranium
NR-07-07	41.3	95	Explo Uranium
NR-07-07	41.5	115	Explo Uranium
NR-07-07	41.8	120	Explo Uranium
NR-07-07	42.0	110	Explo Uranium
NR-07-07	42.3	115	Explo Uranium
NR-07-07	42.5	120	Explo Uranium
NR-07-07	42.8	105	Explo Uranium
NR-07-07	43.0	120	Explo Uranium
NR-07-07	43.3	120	Explo Uranium
NR-07-07	43.5	100	Explo Uranium
NR-07-07	43.8	100	Explo Uranium
NR-07-07	44.0	100	Explo Uranium
NR-07-07	44.3	90	Explo Uranium
NR-07-07	44.5	95	Explo Uranium
NR-07-07	44.8	100	Explo Uranium
NR-07-07	45.0	110	Explo Uranium
NR-07-07	45.3	95	Explo Uranium
NR-07-07	45.5	110	Explo Uranium
NR-07-07	45.8	105	Explo Uranium
NR-07-07	46.0	110	Explo Uranium
NR-07-07	46.3	95	Explo Uranium
NR-07-07	46.5	105	Explo Uranium
NR-07-07	46.8	110	Explo Uranium
NR-07-07	47.0	120	Explo Uranium
NR-07-07	47.3	100	Explo Uranium
NR-07-07	47.5	95	Explo Uranium
NR-07-07	47.8	100	Explo Uranium
NR-07-07	48.0	105	Explo Uranium
NR-07-07	48.3	95	Explo Uranium
NR-07-07	48.5	100	Explo Uranium

Hole Id	Depth(m)	Cps	Appareil
NR-07-07	48.8	105	Explo Uranium
NR-07-07	49.0	115	Explo Uranium
NR-07-07	49.3	110	Explo Uranium
NR-07-07	49.5	105	Explo Uranium
NR-07-07	49.8	105	Explo Uranium
NR-07-07	50.0	105	Explo Uranium
NR-07-07	50.3	110	Explo Uranium
NR-07-07	50.5	100	Explo Uranium
NR-07-07	50.8	105	Explo Uranium
NR-07-07	51.0	115	Explo Uranium
NR-07-07	51.3	105	Explo Uranium
NR-07-07	51.5	95	Explo Uranium
NR-07-07	51.8	105	Explo Uranium
NR-07-07	52.0	105	Explo Uranium
NR-07-07	52.3	115	Explo Uranium
NR-07-07	52.5	110	Explo Uranium
NR-07-07	52.8	95	Explo Uranium
NR-07-07	53.0	95	Explo Uranium
NR-07-07	53.3	95	Explo Uranium
NR-07-07	53.5	105	Explo Uranium
NR-07-07	53.8	110	Explo Uranium
NR-07-07	54.0	110	Explo Uranium
NR-07-07	54.3	100	Explo Uranium
NR-07-07	54.5	100	Explo Uranium
NR-07-07	54.8	95	Explo Uranium
NR-07-07	55.0	100	Explo Uranium
NR-07-07	55.3	105	Explo Uranium
NR-07-07	55.5	100	Explo Uranium
NR-07-07	55.8	100	Explo Uranium
NR-07-07	56.0	105	Explo Uranium
NR-07-07	56.3	90	Explo Uranium
NR-07-07	56.5	100	Explo Uranium
NR-07-07	56.8	95	Explo Uranium
NR-07-07	57.0	115	Explo Uranium
NR-07-07	57.3	95	Explo Uranium
NR-07-07	57.5	95	Explo Uranium
NR-07-07	57.8	100	Explo Uranium
NR-07-07	58.0	100	Explo Uranium
NR-07-07	58.3	120	Explo Uranium
NR-07-07	58.5	105	Explo Uranium
NR-07-07	58.8	100	Explo Uranium
NR-07-07	59.0	90	Explo Uranium
NR-07-07	59.3	100	Explo Uranium
NR-07-07	59.5	90	Explo Uranium
NR-07-07	59.8	95	Explo Uranium
NR-07-07	60.0	90	Explo Uranium
NR-07-07	60.3	90	Explo Uranium
NR-07-07	60.5	95	Explo Uranium
NR-07-07	60.8	105	Explo Uranium
NR-07-07	61.0	105	Explo Uranium
NR-07-07	61.3	110	Explo Uranium
NR-07-07	61.5	120	Explo Uranium
NR-07-07	61.8	100	Explo Uranium
NR-07-07	62.0	90	Explo Uranium
NR-07-07	62.3	85	Explo Uranium
NR-07-07	62.5	90	Explo Uranium
NR-07-07	62.8	90	Explo Uranium
NR-07-07	63.0	95	Explo Uranium
NR-07-07	63.3	100	Explo Uranium
NR-07-07	63.5	100	Explo Uranium
NR-07-07	63.8	95	Explo Uranium
NR-07-07	64.0	85	Explo Uranium

Hole Id	Depth(m)	Cps	Appareil
NR-07-07	64.3	85	Explo Uranium
NR-07-07	64.5	90	Explo Uranium
NR-07-07	64.8	95	Explo Uranium
NR-07-07	65.0	95	Explo Uranium
NR-07-07	65.3	85	Explo Uranium
NR-07-07	65.5	85	Explo Uranium
NR-07-07	65.8	85	Explo Uranium
NR-07-07	66.0	95	Explo Uranium
NR-07-07	66.3	90	Explo Uranium
NR-07-07	66.5	90	Explo Uranium
NR-07-07	66.8	95	Explo Uranium
NR-07-07	67.0	110	Explo Uranium
NR-07-07	67.3	100	Explo Uranium
NR-07-07	67.5	95	Explo Uranium
NR-07-07	67.8	100	Explo Uranium
NR-07-07	68.0	100	Explo Uranium
NR-07-07	68.3	105	Explo Uranium
NR-07-07	68.5	105	Explo Uranium
NR-07-07	68.8	95	Explo Uranium
NR-07-07	69.0	100	Explo Uranium
NR-07-07	69.3	105	Explo Uranium
NR-07-07	69.5	110	Explo Uranium
NR-07-07	69.8	100	Explo Uranium
NR-07-07	70.0	100	Explo Uranium
NR-07-07	70.3	105	Explo Uranium
NR-07-07	70.5	110	Explo Uranium
NR-07-07	70.8	110	Explo Uranium
NR-07-07	71.0	105	Explo Uranium
NR-07-07	71.3	115	Explo Uranium
NR-07-07	71.5	100	Explo Uranium
NR-07-07	71.8	110	Explo Uranium
NR-07-07	72.0	115	Explo Uranium
NR-07-07	72.3	105	Explo Uranium
NR-07-07	72.5	100	Explo Uranium
NR-07-07	72.8	100	Explo Uranium
NR-07-07	73.0	105	Explo Uranium
NR-07-07	73.3	95	Explo Uranium
NR-07-07	73.5	105	Explo Uranium
NR-07-07	73.8	100	Explo Uranium
NR-07-07	74.0	110	Explo Uranium
NR-07-07	74.3	118	Explo Uranium
NR-07-07	74.5	105	Explo Uranium
NR-07-07	74.8	100	Explo Uranium
NR-07-07	75.0	105	Explo Uranium
NR-07-07	75.3	105	Explo Uranium
NR-07-07	75.5	110	Explo Uranium
NR-07-07	75.8	110	Explo Uranium
NR-07-07	76.0	100	Explo Uranium
NR-07-07	76.3	105	Explo Uranium
NR-07-07	76.5	110	Explo Uranium
NR-07-07	76.8	140	Explo Uranium
NR-07-07	77.0	130	Explo Uranium
NR-07-07	77.3	125	Explo Uranium
NR-07-07	77.5	115	Explo Uranium
NR-07-07	77.8	110	Explo Uranium
NR-07-07	78.0	130	Explo Uranium
NR-07-07	78.3	110	Explo Uranium
NR-07-07	78.5	110	Explo Uranium
NR-07-07	78.8	100	Explo Uranium
NR-07-07	79.0	100	Explo Uranium
NR-07-07	79.3	105	Explo Uranium
NR-07-07	79.5	95	Explo Uranium





